

АКАДЕМИЯ НАУК СССР
ИНСТИТУТ НАУЧНОЙ ИНФОРМАЦИИ

UNIVERSITY
OF MICHIGAN

JUL 1 1958

CHEMISTRY
LIBRARY

bering cat
Chemistry lib
QD
R33
1958
20256-27494

РЕФЕРАТИВНЫЙ ЖУРНАЛ

ХИМИЯ
РЕФЕРАТЫ

20256—23742

*

№ 7

1958

ИЗДАТЕЛЬСТВО АКАДЕМИИ НАУК СССР
МОСКВА

РЕФЕРАТИВНЫЙ ЖУРНАЛ ХИМИИ

ГЛАВНЫЙ РЕДАКТОР В. В. Серпинский

ЧЛЕНЫ РЕДКОЛЛЕГИИ: Д. А. Бочвар, В. В. Кафаров, В. Л. Кретович,
Д. Н. Курсанов, Е. С. Топчиев, Н. А. Фукс

УЧЕНЫЙ СЕКРЕТАРЬ И. А. Терентьева

СОДЕРЖАНИЕ

ОБЩИЕ ВОПРОСЫ	1	Элементы. Окислы. Минеральные кислоты, основания, соли	294
ФИЗИЧЕСКАЯ ХИМИЯ	3	Удобрения	302
Общие вопросы	3	Люминесцентные материалы	303
Некоторые вопросы субатомного строения вещества	4	Производство катализаторов и сорбентов	303
Атом	5	Электрохимические производства. Электроосаждение. Химические источники тока	304
Молекула. Химическая связь	6	Керамика. Стекло. Вязущие вещества. Бетоны	309
Кристаллы	23	Получение и разделение газов	331
Жидкости. Аморфные тела. Газы	34	Промышленный органический синтез	335
Радиохимия. Изотопы	38	Промышленный синтез красителей	355
Термодинамика. Термохимия. Равновесия. Физико-химический анализ. Фазовые переходы	40	Лекарственные вещества. Витамины. Антибиотики	359
Кинетика. Горение. Вспышки. Топохимия. Катализ	51	Пестициды	378
Радиационная химия. Фотохимия. Теория фотографического процесса	61	Душистые вещества. Эфирные масла. Парфюмерия и косметика	389
Растворы. Теория кислот и оснований	64	Фотографические материалы	393
Электрохимия	67	Взрывчатые вещества. Пиротехнические составы. Средства химической защиты	397
Поверхностные явления. Адсорбция. Хромотография. Ионный обмен	73	Переработка твердых горючих ископаемых	398
Химия коллоидов. Дисперсные системы	76	Переработка природных газов и нефти. Моторное и ракетное топливо. Смазки	405
НЕОРГАНИЧЕСКАЯ ХИМИЯ. КОМПЛЕКСНЫЕ СОЕДИНЕНИЯ	80	Лесохимические производства. Гидролизная промышленность	420
ПОСМОХИМИЯ. ГЕОХИМИЯ. ГИДРОХИМИЯ	89	Жиры и масла. Воски. Мыла. Моющие средства. Флотореагенты	425
АНАЛИТИЧЕСКАЯ ХИМИЯ	107	Углеводы и их переработка	435
Общие вопросы	107	Бродильная промышленность	439
Анализ неорганических веществ	113	Пищевая промышленность	443
Анализ органических веществ	125	Синтетические полимеры. Пластмассы	456
ОБОРУДОВАНИЕ ЛАБОРАТОРИИ. ПРИВОРЫ, ИХ ТИПЫ, КОНСТРУКЦИИ, ПРИМЕНЕНИЕ	130	Лаки. Краски. Лакочерночные покрытия	475
ОРГАНИЧЕСКАЯ ХИМИЯ	139	Каучук: натуральный и синтетический. Резина	485
Общая и теоретические вопросы органической химии	139	Искусственные и синтетические волокна	490
Синтетическая органическая химия	144	Целлюлоза и ее производные. Бумага	493
Природные вещества и их синтетические аналоги	215	Крашение и химическая обработка текстильных материалов	505
ХИМИЧЕСКАЯ ТЕХНОЛОГИЯ. ХИМИЧЕСКИЕ ПРОДУКТЫ И ИХ ПРИМЕНЕНИЕ	251	Кожа. Мех. Желатина. Дубители. Технические белки	513
Общие вопросы	251	ХИМИЯ ВЫСОКОМОЛЕКУЛЯРНЫХ ВЕЩЕСТВ	516
Процессы и аппараты химической технологии	252	НОВЫЕ КНИГИ, ПОСТУПИВШИЕ В РЕДАКЦИЮ	527
Контрольно-измерительные приборы. Автоматическое регулирование	261	АВТОРСКИЙ УКАЗАТЕЛЬ	529
Коррозия. Защита от коррозии	269	УКАЗАТЕЛЬ ДЕРЖАТЕЛЕЙ ПАТЕНТОВ	545
Подготовка воды. Сточные воды	280		
Техника безопасности. Санитарная техника	286		
Химико-технологические вопросы ядерной техники	292		

РЕФЕРАТИВНЫЙ ЖУРНАЛ ХИМИЯ

Рефераты 20256—23742

№ 7

10 апреля 1958 г.

I

(Рефераты 20256—21313)

ОБЩИЕ ВОПРОСЫ

МЕТОДОЛОГИЯ. ИСТОРИЯ. НАУЧНЫЕ УЧРЕЖДЕНИЯ И КОНФЕРЕНЦИИ. ПРЕПОДАВАНИЕ.
ВОПРОСЫ БИБЛИОГРАФИИ И НАУЧНОЙ ДОКУМЕНТАЦИИ

Редактор Д. И. Тумаркин

20256. 40 лет советской науки. Несмеянов А. Н., Вести. АН СССР, 1957, № 11, 17—35
Доклад на юбилейной сессии АН СССР. Д. Т.
20257. Вклад советской науки в изучение люминесценции. Левшин В. Л., Оптика и спектроскопия, 1957, 3, № 5, 417—433
Библ. 141 назв. Д. Т.
20258. Развитие науки о стекле [в СССР] за 40 лет. Поляк В. В., Стекло и керамика, 1957, № 11, 28—32
20259. Очерк развития геохимии в СССР. Виноградов А. П., Геохимия, 1957, № 6, 439—442
20260. Успехи угольной промышленности, черной металлургии и химической промышленности в Советском Союзе. Мёле (Fortschritte des Bergbaus, Hüttenwesens und der chemischen Industrie in der Sowjetunion. Möhle Horst), Chem. Schule, 1957, 4, № 10, 433—446 (нем.)
К 40-летию Великой Октябрьской социалистической революции. Д. Т.
20261. Фабрика «Свобода» за 40 лет Советской власти. Аратов И. С., Маслоб.-жир. пром-сть, 1957, № 11, 45—48
20262. Нефтеперерабатывающая промышленность [СССР] за сорок лет. Плетнев К., Новости нефт. техн. Нефтепереработка, 1957, № 9, 3—5
20263. Маслоб.-жир. промышленность Молдавской ССР к 40-летию Великого Октября. Прокурин И. Г., Маслоб.-жир. пром-сть, 1957, № 11, 30—32
20264. Маслоб.-жир. промышленность Украины к 40-й годовщине Октября. Лесюк А. А., Кичигин В. П., Маслоб.-жир. пром-сть, 1957, № 11, 18—22
20265. Хлопкомаслоб.-жир. промышленность Узбекистана за 40 лет. Маркман А. Л., Кац Б. А., Курант Б. В., Маслоб.-жир. пром-сть, 1957, № 11, 28—30
20266. Горьковский масложировой комбинат за 40 лет Советской власти. Самарин И. Я., Гуревич Г. Л., Маслоб.-жир. пром-сть, 1957, № 11, 39—44
20267. Развитие Краснодарского масложиркомбината за годы Советской власти. Мееров Я. С., Скоро-
богатая Н. Я., Маслоб.-жир. пром-сть, 1957, № 11, 23—25
20268. Ленинградский жировой комбинат. Абкина А. Н., Маслоб.-жир. пром-сть, 1957, № 11, 36—38
Очерк развития комбината на базе маслобойного завода, построенного в 1889 г. Д. Т.
20269. Производство сахара-рафинада за 40 лет Советской власти. Клейман Б. М., Сахарная пром-сть, 1957, № 11, 17—25
20270. Теплоэнергетика сахарных заводов за 40 лет Советской власти. Жвирко И. С., Сахарная пром-сть, 1957, № 11, 30—35
20271. Технический прогресс и автоматизация производственных процессов на Ленинградском ликерно-водочном заводе. Азрилович С. С., В сб.: Пищевая пром-сть, Л., Сельхозгиз, 1957, 225—237
20272. Технический прогресс и передовой опыт на ленинградских пищевых предприятиях. Степанов И. А., В сб.: Пищевая пром-сть, Л., Сельхозгиз, 1957, 5—7
20273. Развитие промышленности продовольственных товаров в шестой пятилетке и задачи ленинградских пищевых предприятий по внедрению новой техники. Малченко А. Л., В сб.: Пищевая пром-сть, Л., Сельхозгиз, 1957, 8—22
20274. Технический прогресс и рост производительности труда на ленинградских табачных фабриках. Эбер П. И., В сб.: Пищевая пром-сть, Л., Сельхозгиз, 1957, 204—213
20275. Целлюлозно-бумажная промышленность в шестом пятилетии. Джабаров Х. И., Бум. пром-сть, 1957, № 11, 5—10
К 40-летию Великой Октябрьской социалистической революции. Д. Т.
20276. Некоторые вопросы химии в труде Энгельса «Диалектика природы». Биринбойм С. М., В сб.: Некоторые филос. вопр. мед. и естествозн. Киев, Киевск. мед. ин-т, 1957, 145—159
Вопросы атомно-молекулярного строения в-ва; закон кратных отношений; гомологич. ряды в органич. химии; явление изомерии; периодич. закон и его философский смысл; химич. форма движения материи. Д. Т.
20277. О характере некоторых химических понятий. Попович (Despre caracterul unor notiuni din chi-

- mie. Popovici Șt.), Studii și cercetări științ. Acad. RPR. Baza Timișoara. Ser. științe chim., 1956, 3, № 3—4, 75—82 (рум.; рез. русск., франц.)
20278. История развития науки за последнее столетие. XVI. Развитие химии в Японии за сто лет. Юаса, Сидзэн, 1957, 12, № 11, 72—82 (японск.)
20279. К пятидесятилетию со дня смерти Д. И. Менделеева. Фигуровский Н. А. (W pięćdziesięciolecie zgonu D. I. Mendelejewa (1907—1957). Figurovski N. A.), Kwart. historii nauki i techn., 1957, 2, № 3, 451—470 (польск.; рез. русск., англ.)
- Перевод доклада. См. РЖХим, 1957, 65403. Д. Т.
20280. Герти Т. Кори. Янг (Dr. Gerty T. Cori. (Obituary). Young F. G.), Nature, 1957, 180, № 4595, 1094 (англ.)
- Некролог Г. Т. Кори (1896—1957), известной своими исследованиями в области биохимии клетки и углеводного обмена. Лауреат Нобелевской премии по медицине и физиологии 1947 г. См. также РЖХим, 1956, 57121. Д. Т.
20281. Иван Николаевич Назаров.— Изв. АН АрмССР. Сер. хим. н., 1957, 10, № 4, 299—300 (арм.)
- Некролог. См. также РЖХим, 1958, 9, 10240, 10241.
20282. Памяти Вальтера Фукса. Террес (Walter Fuchs zum Gedächtnis. Terres Ernst.), Brennstoff-Chemie, 1957, 38, № 21—22, 352 (нем.)
- Некролог В. Фукса (1891—1957), проф. Высшего технич. училища в Аахене, специалиста и исследователя в области технич. химии (в частности, химии лигнина, химии угля). Д. Т.
20283. Марк Львович Чепелевецкий. Вольфович С., Бруцкус Е., Михальчук Б., Заводск. лаборатория, 1957, 23, № 11, 1399—1400
- К 60-летию со дня рождения проф. М. Л. Чепелевского (род 1897) — специалиста и исследователя в области аналит. химии, физ.-хим. анализа и его приложений к хим. технологии (Научный ин-т по удобрениям и инсектофунгицидам, Московский ин-т тонкой хим. технологии). Д. Т.
20284. О некоторых отличительных особенностях организации и деятельности Русского химического общества (1868—1917 гг.). Астахов А. И., Изв. Киевск. политехн. ин-та, 1957, 20, 200—207
- Библи. 27 назв. Д. Т.
20285. История научного общества Metropolitan Microchemical Society. Яновский (History of the Metropolitan Microchemical Society. Yanowski Leo K.), Microchem. J., 1957, 1, № 1, 111—113 (англ.)
- Краткие сведения о возникновении об-ва (учреждено в 1935 г. в Нью-Йорке), его структуре и деятельности. Д. Т.
20286. Экономическая эффективность научно-технических исследований в химической промышленности. Апостолиде, Лупан (Eficiența economică a cercetărilor tehnico-științifice în industria chimică. Apostolide Ana, Lupan Șt.), Rev. chim., 1957, 8, № 6, 426—435 (рум.; рез. русск., франц., нем., англ.)
- Обстоятельный обзор с сопоставлением данных об объеме, о стоимости и ее структуре, о финансировании и экономич. эффекте (ЭЭ) различных видов хим. научно-технич. исследований в ряде стран. Рассматриваются вопросы организации исследований и вопросы об их ЭЭ. Приведены данные об ЭЭ работ Н.-и. ин-та хим. пром-сти (ICESNIM) (Румыния). Библи. 21 назв.
20287. Современная концепция о подготовке инженеров-химиков. Калистру, Маринеску (Conceptia actuală asupra pregătirii inginerului chimist. Calistru C., Marinescu M.), Rev. chim., 1957, 8, № 6, 411—415 (рум.)
- Сопоставляются учебные программы хим.-технол. фак-тов Румынии и других стран; обсуждаются вопро-
- сы оптимального соотношения объемов различных учебных дисциплин.
20288. Подготовка химиков на химических факультетах университетов и их роль в производстве. Абаби (Pregătirea chimiștilor în facultățile de chimie a universităților și rolul lor în producție. Ababi V.), Rev. chim., 1957, 8, № 6, 416—418 (рум.)
- Данные об учебных программах хим. фак-тов ун-тов Румынии. Основная задача выпускников — исследовательская работа в тесной связи с запросами произ-ва.
20289. Практическая подготовка инженеров-химиков в лабораториях и на заводах. Сэвяну (Pregătirea practică a inginerilor chimiști în laboratoare și uzine. Săveanu T.), Rev. chim., 1957, 8, № 6, 418—421 (рум.)
- Сопоставляются данные о времени, уделяемом лабораторным занятиям в хим. вузах различных стран. Подчеркивается важность роли лабораторий по процессам и аппаратам и обсуждаются некоторые нужды этих лабораторий в Румынии. Приводятся данные о производственной практике студентов хим.-технологич. фак-тов в Румынии. Д. Т.
20290. Проблема послеуниверситетских курсов для высших технических кадров в области химии. Курьевич (Problema cursurilor post-universitare destinate cadrelor tehnice superioare din sectorul chimic. Curievici I.), Rev. chim., 1957, 8, № 6, 421—425 (рум.)
- Подробно рассматриваются методич. и организационные вопросы и тематика курсов.
20291. О связях химических факультетов с окончившими инженерами-химиками. Алекса (Căile de legătură între facultate și inginerii chimiști. Alexa Gh.), Rev. chim., 1957, 8, № 6, 425—426 (рум.)
20292. Порошковая металлургия. Ключников Н. Г., Химия в школе, 1957, № 6, 8—14
- Статья для школьных преподавателей химии. Д. Т.
20293. Основы флотационного обогащения минерального сырья. Бесков С. Д., Химия в школе, 1957, № 6, 15—19
- Статья для школьных преподавателей химии. Д. Т.
20294. Об умениях и навыках по химии. (Заметки с экзаменов). Зданчук Г. А., Химия в школе, 1957, № 6, 60—62
- Приводя результаты обследования в 1954/55 уч. го-ду подготовки поступающих на фак-т естествознания Куйбышевского пед. ин-та, автор заключает о неудовлетворительном положении дела и считает, что программа вступительных экзаменов должна выявлять не только знания, но и навыки. Д. Т.
20295. Использование учебных кинофильмов на уроках химии. Нечаева Л. Н., Химия в школе, 1957, № 6, 20—23
- Методическая статья. Д. Т.
20296. Политехническое обучение в процессе преподавания химии. Корнеева В. (Таблими политехники фанни химия. Корнеева В.), Бюл. Инст. респ. такмили ихтисоси муаллимон, 1957, № 4, 65—72 (тадж.)
- Методическая статья. Д. Т.
20297. Связь преподавания химии с биологией на практикумах по сельскому хозяйству. Гацко Г. Н., Химия в школе, 1957, № 6, 53—60
- Методическая статья на основе опыта школ Белорусской ССР. Д. Т.
20298. О связи преподавания химии с сельским хозяйством в школах Болгарии. Пенев Ангел, Химия в школе, 1957, № 6, 63—68
- Методическая статья на основе опыта автора. Д. Т.
20299. Экспериментальное доказательство того, что кислород тяжелее воздуха. Плетнер Ю. В., Химия в школе, 1957, № 6, 52

Описание двух простых и наглядных опытов, основанных на вытеснении воздуха кислородом из сосудов под действием силы тяжести. Д. Т.

20300. К методике проведения некоторых демонстрационных опытов. Ушаков М. В., Химия в школе, 1957, № 6, 31—34

Подробная методика проведения в VII классе опыта по диффузии водорода. Д. Т.

20301. К методике изучения темы «Коррозия металлов и борьба с ней». Носкова Т. А., Химия в школе, 1957, № 6, 23—31

Обстоятельная методич. статья. Д. Т.

20302. Приспособления для получения высокотемпературного пламени в горелках. Черняк И. А., Паприц А. Г., Химия в школе, 1957, № 6, 35—40

Описание и чертежи установок, рекомендуемых для школьного обихода. Д. Т.

20303. Изготовление насоса для жидкости. Малин Н. М., Химия в школе, 1957, № 6, 62—63

Описано изготовление из стекла и резины насосов для действующих моделей хим. произ-в. Д. Т.

20304. Приборы для окисления аммиака и получения аммиачной селитры. Гаркунов В. П., Химия в школе, 1957, № 6, 40—42

Описание и схемы. Д. Т.

20305. Прибор для получения синтетической соляной кислоты. Можей П. Д., Химия в школе, 1957, № 6, 43

Описание и схема прибора, отличающегося отсутствием аспиратора (или водоструйного насоса). Подобно промышленному процессу горения H_2 в Cl_2 происходит в закрытом сосуде, однако при большом избытке Cl_2 , вследствие чего вместе с HCl -газом увлекается Cl_2 . Д. Т.

20306. Научить школьников распознавать минеральные удобрения. Вышегородский Д. А., Химия в школе, 1957, № 6, 44—52

Приведена методика комплексного исследования удобрений (азотные, калийные, фосфорные, сложные и смешанные — всего 17 назв.); список реактивов и указания по их приготовлению; перечень оборудования; список литературы, 14 назв. Работы рекомендуются для старших классов сельской средней школы (преподавание, кружковые занятия или факультативный практич. курс). Д. Т.

20307. Из опыта внеклассной работы по химии. Прелатова Н. К., В сб.: В помощь учителю. Вып. 2. Саранск, Мордовск. кн. изд-во, 1955, 140—151

Описывается опыт работы школьного хим. кружка.

20308. Химический вечер (на тему «Химия — земледелию»). Троицкая Е. Г., В сб.: Школа и сельск. х-во. Ростов-на-Дону, Книгоиздат, 1957, 105—116

Из опыта подготовки и проведения вечера. Д. Т.

20309. Возможность использования естественных индикаторов. Стэфкин Ф. С., Виноградова Н. П., В сб.: В помощь учителю. Вып. 2. Саранск, Мордовск. кн. изд-во, 1955, 115—120

Для лучшего усвоения темы «Основания, к-ты, соли» рекомендуется проводить в хим. кружке занятия по изготовлению индикаторов из растительных мате-

риалов. Приведена рецептура изготовления и характеристика 26 растительных экстрактов. Д. Т.

20310. Производственные экскурсии по химии. Табидзе С., Ратнани Д., Коммунистური агардисатвис, 1957, № 10, 96 (груз.)

20311. Опыт проведения экскурсий по химии. Беляева В. И., В сб.: В помощь учителю. Вып. 2. Саранск, Мордовск. кн. изд-во, 1955, 131—139

Из опыта проведения экскурсий на кирпичный и маслобойный заводы. Д. Т.

20312. Экскурсии по химии на местные производства. Голикова З. Ф., В сб.: В помощь учителю. Вып. 2. Саранск, Мордовск. кн. изд-во, 1955, 121—130

Описывается опыт проведения экскурсий на строительство, в молочный цех консервного комбината, на завод электроприборов. Д. Т.

20313. Экскурсии по химии в X классе. Гарелик А. И., В сб.: Политехн. обучение в школе. Ростов-на-Дону, Книгоиздат, 1957, 106—110

Экскурсия на металлургич. завод. Д. Т.

20314. Детализированный биологический код для целей хранения, поиска и корреляции химико-биологических данных. Вуд (A detailed biology code for storing, retrieving, and correlating chemical-biological data. Wood G. Congdon), Amer. Docum., 1957, 8, № 3, 168—180 (англ.)

Принципы, когда, применяемого (Хим.-биологич. центром по координации в США (Chemical-Biological Coordination Center, National Academy of Sciences — National Research Council, Washington), для записи на перфокарты биологич. и биохим. данных о действии хим. соединений на живые организмы.

См. также: К 40-летию Октября, обзоры: радиохимия 20547, 20548; геохимия 20918, 20919; анал. химия 21079—21081, 21089, 21098, 21105, 21107, 21108, 21117, 21119, 21167; масл.-жир. пром-сть 22853; иск. кожа 23644. Опред. понятия компл. соед. 20904. Классификация: угли 22619, 22620, 22669. Номенклатура: орг. соед. 21337; поверхн.-акт. в-ва 22912. Терминология: сах. произ-во 22942. Институты: душ. в-ва 22563; нефтеперераб. и нефтехимия 22689. Конференции: анал. химия 21129; гербициды 22547. Учебная лит-ра: анал. химия 21211; охрана труда 21953; хим. технология древесины 22837, 22838. Справочник: физ. химия 20664. Стандартизация: нефтепродукты 22687. Примен. сх-реш. устройств 20336, 21752

НОВЫЕ ЖУРНАЛЫ

20315. Прикладная химия. Ежеквартальный журнал, посвященный вопросам химической технологии и аппаратуры. (Chemia stosowana. Kwartalnik poświęcony zagadnieniom technologii i inżynierii chemicznej. Polska akad. nauk, Wrocław, PWN (польск.)) Издаётся Польской АН. Выходит с 1957 г. в г. Вроцлаве. Подписная плата 60 зл. за год. (Сокращенное название в РЖ — Chem. stosow.). Д. Т.

ФИЗИЧЕСКАЯ ХИМИЯ

ОБЩИЕ ВОПРОСЫ

Редактор А. Б. Нейдинг

Functions. Carlson B. C., Keller Joseph M.), Phys. Rev., 1957, 105, № 1, 102—103 (англ.)

См. РЖФиз, 1957, 25010.

20317. Обобщенная система единиц. Вилья-и-Вилья (Sistema de unidades acordes. Villa y Villa Alfredo), Ciencias, 1957, 22, № 3, 471—482 (исп.)

20318. Методы ядерной физики в химии. Люшер (Kernphysikalische Methoden in der Chemie. Lüscher E.), Chem. Rundschau, 1957, 10, № 18, 395—398 (нем.)

20319. К вопросу об определении рентгена в «Рекомендациях Международной комиссии по радиологическим единицам 1953 г.». Ардашников С. Н., Четвериков Н. С., Атомн. энергия, 1957, 3, № 9, 238—244

Подвергаются разбору и критике противоречия, встречающиеся в определениях «рентгена» — единицы рентгеновского и γ -излучения. Приведены требования, которым должно отвечать определение основной единицы измерения ионизирующих излучений рентгена и его эквивалентов. Из резюме авторов

20320 К. Физическая химия. Моули-Хьюз (Physical chemistry. Moelwyn-Hughes Emur Alun. London, Pergamon Press, 1957, VII, 1295 pp., ill., 70 sh.) (англ.)

НЕКОТОРЫЕ ВОПРОСЫ СУБАТОМНОГО СТРОЕНИЯ ВЕЩЕСТВА

Редактор Г. А. Соколик

20321. Исправленная полуэмпирическая формула для атомных масс. Камерон (A revised semiempirical atomic mass formula. Cameron A. G. W.), Canad. J. Phys., 1957, 35, № 9, 1021—1032 (англ.)

Найдена исправленная полуэмпирич. ф-ла Вейцзекера А. Ф-ла приведена в соответствие с экспериментальными по рассеянию электронов на ядрах, позволившими найти уточненный радиус ядра $r_0 \approx 1,08 \cdot 10^{-13}$ см. Согласно этим экспериментам расстояние от центра ядра до точки, в которой плотность заряда уменьшается вдвое, пропорционально $A^{1/3}$, причем выполняется ф-ла: $R = 1,112 A^{1/3} \cdot [1 - 0,62025/A^{1/3}] \cdot 10^{-3}$ см. Исправленная ф-ла Вейцзекера имеет вид: $M - A = 8,367 A - 0,783 Z + E_V + E_S + E_C + E(\text{exp.}) + S(Z, N) + P(Z, N)$; где E_V , E_S , E_C и $E(\text{exp.})$ — энергии объема, поверхности, кулоновские энергии и кулоновские обменные энергии соответственно, а $S(Z, N)$ и $P(Z, N)$ учитывают поправки на оболочечную структуру и парную энергию. Ф-ла дает хорошее согласие с экспериментом. Г. Соколик

20322. Силы, зависящие от скорости, и строение ядра. I. Центральные силы. Мошинский (Velocity-dependent forces and nuclear structure. I. Central forces. Moshinsky Marcos), Phys. Rev., 1957, 106, № 1, 117—123 (англ.)

Развит метод, позволяющий сделать заключение о зависимости от скорости и других чертах взаимодействия двух нуклонов исходя из порядка уровней в оболочечной теории ядра (в предположении, что силы взаимодействия между нуклонами внутри ядра такие же, как и между свободными нуклонами). Рассматриваются центральные силы, зависящие от скорости и не зависящие от спина, которые добавляются к обычным силам, не зависящим от скорости. Автор ограничивается потенциалом взаимодействия вида $pV(r)p$, где $V(r) = M_0^{-1} \exp(-r^2/\beta^2)$. Для большого радиуса потенциал совпадает с потенциалом отталкивающих сил Майорана. Из сравнения полученного порядка уровней с эксперим. данными выведены ограничения, накладываемые на величину и радиус действия сил, зависящих от скорости. С. Филиппов

20323. Некоторые случаи весьма малых времен жизни нижних уровней ядер. Берловин Э. Е., Ду-

бинкин Г. В., Ж. эксперим. и теор. физики, 1957, 32, № 2, 223—226 (рез. англ.)

Методом задержанных совпадений исследуются времена жизни короткоживущих возбужденных состояний ядер. Для нижних уровней Ti^{46} и Mo^{96} $T_{1/2}$ оказались меньшими, чем 10^{-10} сек. Эксперим. $T_{1/2}$ для возбужденного состояния оказался равным $(2,9 \pm 0,3) \cdot 10^{-10}$ сек. Приводятся результаты сравнения парц. $T_{1/2}$ для $M1$ и $E2$ переходов с ф-лами одночастичной модели.

Резюме авторов

20324. Самопоглощение и рассеяние фотонов на Si в состоянии с E 15,1 Мэв. Хейуорд, Фуллер (Photon self-absorption and scattering by the 15.1-Mev level in Si^{32} . Hayward Evans, Fuller E. G.), Phys. Rev., 1957, 106, № 5, 991—995 (англ.)

Для возбуждения уровня ядра Si^{32} с E 15,1 Мэв использовалось тормозное излучение из бетатрона. На основании полученного сечения рассеянных γ -квантов найдены радиационная ширина перехода на основное состояние Si^{32} и полная ширина уровня, равные $54 \pm \pm 9,3$ и 79 ± 16 эв соответственно. Ф. Тихомиров

20325. Анигиляция протон-антипротон. Баркас, Бердж, Чапп, Экспонг, Гольдхабер, Гольдхабер, Хекман, Перкинс, Сандуэйс, Сегре, Смит, Сторк, Россум, Амальди, Барони, Кастаньоли, Францинетти, Манфредини (Antiproton-nucleon annihilation process (antiproton collaboration experiment). Barkas W. H., Birge R. W., Chupp W. W., Ekspong A. G., Goldhaber G., Goldhaber S., Heckman H. N., Perkins D. N., Sandweiss J., Segrè E., Smith F. M., Stork D. H., Rossum L. van, Amaldi E., Baroni G., Castagnoli C., Franzinetti C., Manfredini A.), Phys. Rev., 1957, 105, № 3, 1037—1058 (англ.)

Найдено 315 звезд, соответствующих анигиляции антипротон — нуклон. Из данных по взаимодействию в полете получено среднее сечение взаимодействия антипротона с различными ядрами $\sigma_p/\sigma_0 = 2,9 \pm 0,7$,

причем $R_0 = 1,2 \cdot 10^{-13}$ А^{1/3} м. Показано, что в продуктах распада наибольшую фракцию составляют π -мезоны. Проводились поиски K -мезонов ($m = 966$ масс. ед.) в продуктах анигиляции. Правила отбора по «странному» числу, с помощью которого оказывается возможным объяснить стабильность новых частиц, допускают либо одновременно рождение K и \bar{K} , либо K и Y (гиперон). При анализе звезд был найден ряд рождений K и \bar{K} . Ряд случаев может быть истолкован как рождение одиночного заряженного K -мезона, что противоречит современной классификации элементарных частиц. Результаты обсуждаются в терминах статистич. моделей порождения элементарных частиц. Г. Соколик

20326. Механизм реакции $O^{16}(\gamma, 4\alpha)$. Чуец-Добовишек (The mechanism of the reaction $O^{16}(\gamma, 4\alpha)$. Cujec-Dobovišek B.), Repts. «J. Stefan» Inst., 1956, 3, 61—77 (англ.)

Фотоядерные р-ции $O^{16}(\gamma, 4\alpha)$ исследовались методом ядерных эмульсий. При энергии γ -лучей менее 24 Мэв р-ция в 50% случаев идет с образованием вначале возбужденных состояний ядра Si^{28} с энергией 9,6 или 10,8 Мэв, а затем с образованием основного состояния Be^8 . При E γ -лучей > 24 Мэв от 80% до 90% р-ций идет с образованием возбужденных состояний ядра Si^{28} с E 16,1 Мэв и ядра Be^8 с E 3 Мэв, что может быть интерпретировано в терминах правил отбора по изотопич. спину. О. Брилли

20327. Взаимодействие протонов космических лучей с энергией около 10^{10} эв с ядрами свинца. Ба-

ки, 1957, 685—688
Ю. А., Соловьев М. В., Толкачев Б. В., Тулинова З. И., Докл. АН СССР, 1957, 115, № 4, 685—688

Проведено исследование взаимодействий протонов космич. лучей при помощи ионизационной камеры. Показано, что протон с $E \approx 10$ Бэв при взаимодействии с Pb теряет от $2/3$ до $1/2$ энергии. π -Мезоны уносят $\sim 1/3$ энергии протона.

Г. Соколик
20328. Неупругое рассеяние протонов и реакции (p, d) в тяжелых элементах. Коэн, Моско (Inelastic proton scattering and (p, d) reactions in heavy elements. Cohen Bernard L., Mosko Sigmund W.), Phys. Rev., 1957, 106, № 5, 995—1000 (англ.)

При помощи люминесцентного счетчика и 20-канального амплитудного анализатора исследовался спектр неупруго-рассеянных протонов и дейтронов (p, d) -р-ции при взаимодействии протонов с $E \approx 23$ Мэв с тяжелыми ядрами ($Z > 40$). Для всех изученных элементов наблюдается одна группа протонов с $E_p - E_{p'} = 2,5$ Мэв. Спектр протонов и дейтронов нельзя объяснить на основе представлений оболочечной модели и коллективного движения. Авторы полагают, что аномальный характер спектра обусловлен некоторыми общими свойствами ядер, напр. ядерным потенциалом.

Ф. Т.
20329. К вопросу о связанных состояниях позитрония. Тарасов Ю. А., Ж. эксперим и теор. физики, 1957, 33, № 3, 706—709 (рез. англ.)

См. также: Элементарные частицы, атомное ядро 21120. Раздел Изотопы, рефераты: 21117—21119, 21121, 21269, 21270

АТОМ

Редактор Н. М. Яшин

20330. Относительно энергии статистического атома, в котором электроны сгруппированы по главному квантовому числу. Гомбаш, Ладаньи (Über die Energie des statistischen Atoms, in welchem die Elektronen nach der Hauptquantenzahl gruppiert sind. Gombás P., Ladányi K.), Acta phys. Acad. sci. hung., 1957, 7, № 2, 263—266 (нем.; рез. русск.)

Ранее разработанная статистич. модель атома (РЖХим, 1956, 70872) применяется для расчета полной энергии электронной оболочки Ne, Ar, Kr, Xe. При расчете энергии учитывается взаимодействие электронов определенной оболочки (главное квантовое число n) с электронами внутренних и внешних оболочек. Расчет проводится прямым вариационным методом. В функционале энергии не учитывается лишь энергия обменного взаимодействия электронов. Пробные функции распределения электронов $\rho_n(r)$ взяты в форме $\rho_n(r) = A_n r^{n(n-1)} \exp(-\lambda_n r)$, где λ_n — вариационные параметры. Результаты расчета полной энергии оболочек Ne, Ar, Kr, Xe хорошо совпадают с полуэмпирич. данными, полученными ранее (Slater J. C., Phys. Rev., 1930, 36, 57).

Д. Гречухин
20331. Вычисление электронной плотности иона Hg^{2+} на основе усовершенствованной статистической модели. Гомбаш, Ладаньи (Berechnung der Elektronendichte des Hg^{2+} -Ions auf Grund eines erweiterten statistischen Modells. Gombás P., Ladányi K.), Acta phys. Acad. sci. hung., 1957, 7, № 2, 255—261 (нем.; рез. русск.)

Разработанный ранее метод расчета электронной плотности атомов $\rho(r)$ (РЖХим, 1956, 70872) используется в

конкретном случае иона Hg^{2+} . Электроны оболочки Hg^{2+} группируются по главному квантовому числу n , причем все электроны оболочки с определенным n рассматриваются как эквивалентные и полагается, что плотность $\rho_n(r)$ не зависит от значений орбитального квантового числа l . Для оболочек с квантовыми числами $1 \leq n \leq 3$ зависимость $\rho_n(r)$ находится прямым вариационным путем; полная энергия атома минимизируется по параметрам λ_n пробных распределений $\rho_n(r)$, взятых в форме $\rho_n(r) = A_n(r)^{n(n-1)} \exp(-2\lambda_n r)$. Отмечается, что для электронов оболочек $n \geq 4$ этот метод дает результаты, существенно отличающиеся от данных численного расчета методом самосогласованного поля Хартри. При определении $\rho_n(r)$ при $n \geq 4$ авторы исходят из дифференциального ур-ния для $V\rho_n(r) = \psi_n$, эквивалентного вариационному принципу. Для ρ_n и ψ_n соответствующие дифференциальные ур-ния решаются численно, причем при вычислении энергии взаимодействия электронов с оболочками $1 \leq n \leq 3$ используются предварительно полученные распределения $\rho_n(r)$. Энергией обменного взаимодействия всоду пренебрегается. Принцип Паули учитывается путем введения эффективного потенциала. Полученная на основе статистич. модели полная плотность электронов хорошо согласуется с распределением, найденным методом Хартри.

Д. Гречухин
20332. К вычислению энергии атома гелия. Гомбаш (Zur Berechnung der Energie des He-Atoms. Gombás P.), Acta phys. Acad. sci. hung., 1957, 7, № 2, 273—275 (нем.)

Вариационным методом находится значение энергии связи гелия в основном состоянии. Пробная волновая функция атома взята в форме: $\psi = \psi_0(r_1) \psi_0(r_2)$, $\psi_0(r) = A \exp[-(\lambda r)^s]$, где λ и s — вариационные параметры. Эффект корреляции электронов не учитывается. Минимум энергии $E_0 = -2,859$ (e^2/a_0) (a_0 — радиус Бора) достигается при значении параметров: $\lambda = 2,09207$; $s = 6/7$.

Д. Гречухин
20333. Столкновения между возбужденными атомами кадмия и атомами цезия. Фридрих, Зейверт (Stöße zwischen angeregten Cadmium-Atomen und Caesium-Atomen. Friedrich H., Seiwert R.), Ann. Physik, 1957, 20, № 1—6, 215—229 (нем.)

Исследовалась сенсibilизированная флуоресценция смеси паров Cd и Cs, возбуждаемая интеркомбинационной линией Cd $\lambda = 3261,65$ А. Были произведены измерения относительной интенсивности спектральных линий: главной серии, 1-й и 2-й побочных серий и Бергмановской серии Cs. Далее определялись относительные потоки квантов соответствующих линий. С помощью последних определялась зависимость поперечных сечений ударов II рода между атомами Cd и Cs от разности энергии возбуждения ΔE соударяющихся партнеров. В согласии с правилом Франка, наблюдалось увеличение поперечных сечений для столкновений с уменьшением ΔE . Полученные кривые имеют явно выраженную асимметрию. При значениях $\Delta E > 0$ кривая спадает круче, чем при $\Delta E < 0$. Сечения, соответствующие переходам на дублетные уровни, пропорциональны статистич. весам данных уровней. Сечения, соответствующие переходам на F -уровни, существенно меньше, чем для переходов на D -уровни. Полученные результаты качественно интерпретируются на основе принципа детального микроравновесия (Morse P. M., Stueckelberg E. C. G., Ann. Physik, 1931, 9, 579). Второй максимум при 3,7338 эв (Cd $5^3 P_0$) на кривых, выражающих зависимость квантового потока от энергии исходного

состояний, указывает на наличие переходов в метастабильные состояния при ударах возбужденными и нейтральными атомами Cd. К. Вулфсон

20334. Анализ спектра поглощения хлорида празеодима. Джадд (An analysis of the absorption spectrum of praseodymium chloride. Judd B. R.), Proc. Roy. Soc., 1957, A241, № 1226, 414—422 (англ.)

Дается теоретич. анализ спектра поглощения кристаллич. PrCl_3 . Для свободного иона Pr^{3+} рассчитанные с помощью водородоподобных $4f$ -функций термы электронной конфигурации $4f^2$ (в приближении связи Ресселя — Саундерса) хорошо совпадают с экспериментом. Эксперим. ненаблюдаемость состояний 1I объясняется исключительно малой вероятностью перехода $^3H_4 - ^1I_6$. Произведенный расчет тонкой структуры терма 3F показывает, что уровень, лежащий непосредственно над уровнем 3F_3 , есть 3F_4 . Учет отклонений от схемы Ресселя — Саундерса оказывается существенным при теоретич. расчете расщепления возбужденных уровней иона Pr^{3+} в кристалле PrCl_3 (возмущающее электр. поле, действующее в кристалле на $4f$ -электроны иона Pr^{3+} , учитывается по методу Эллиотта и др.). Результаты теории для уровней 3H_4 , 1G_4 , 3F_3 , 3P_2 и 3P_1 удовлетворительно согласуются с экспериментом. В случае уровня 1D_2 теория значительно расходится с опытом. По мнению автора, это обусловлено взаимодействием конфигураций (состояние 1D_2 нельзя считать «чистым» $4f^2$ -состоянием). Т. Ребане

20335. Абсолютные значения сил осцилляторов для линий хрома, марганца и меди. Островский Ю. И., Пенкин Н. П., Оптика и спектроскопия, 1957, 3, № 3, 193—201

Методом крюков Рождественского измерены абс. значения чисел f для резонансных линий Cr, Mn и Cu и относительные значения чисел f для ряда других спектральных линий этих элементов. Используя данные предыдущих работ, авторы выразили в абс. мере значения чисел f для резонансных линий Cr, Mn и Cu Концентрация атомов определялась по ф-лам, дающим зависимость давления насыщ. паров от т-ры. Ф-лы для упругости проверялись по измерению зависимости Nf от т-ры. При измерении давления насыщ. паров Cr в 2 раза, Mn в 22 раза и Cu в 5 раз значения чисел f оставались постоянными (в пределах ошибок). Произведено сравнение результатов с данными других авторов. Н. Яшин

20336. Постоянные формулы Гартмана и поправочная кривая, полученные на вычислительной машине IBM. Кёлер, Оденкранц (Constants of the Hartman formula and the correction curve by IBM calculation. Koehler W. F., Odencrantz F. Kirk), J. Opt. Soc. America, 1957, 47, № 9, 862—863 (англ.)

Сообщается, что на основе ф-лы Гартмана для вычисления длин волн спектральных линий и аналитич. выражения для поправочной кривой к ф-ле Гартмана составлена программа для вычислительной машины IBM 701. Для иллюстрации программы приведена таблица входных и выходных данных. Н. Яшин

20337. Возбуждение света в водороде и гелии при столкновении с ионами водорода. Дитерих (Excitation of light in hydrogen and helium by hydrogen ions. Dieterich Ernest J.), Phys. Rev., 1956, 103, № 3, 632—633 (англ.)

Наблюдается свет, возбуждаемый протонами или ионами H_2^+ с кинетич. энергией 2000 эв при столкновениях с H_2 , а также атомами He. Определены относительные поперечные сечения для возбуждения линии H_α серии Бальмера. Н. Яшин

20338. g_J -Фактор метастабильного 3P_2 -состояния атома ксенона. Фридбург, Кёйпер (Der g_J -Faktor des Xenon-Atoms in metastabilen 3P_2 -Zustand. Friedburg Helmut, Kuiper Hajo), Naturwissenschaften, 1957, 44, № 18, 487 (нем.)

Методом резонанса в атомном пучке (поле ~ 69 эв) измерено отношение g -фактора метастабильного 3P_2 -состояния четного изотопа ксенона к g -фактору метастабильного 3S_1 -состояния He^4 , $g_J(\text{Xe})/g_J(\text{He}) = 0,749610 \pm 0,000045$. Поскольку $g_J(\text{He}) = 2,022234 \pm 0,000040$, то $g_J(\text{Xe}) = 1,5009 \pm 0,0001$. Н. Яшин

20339. О квадрупольном моменте Mn^{55} . Нёльдеке, Ротман (Über das Kernquadrupolmoment des Mn^{55} . Nöldeke Gerhard, Rottmann Hans), Naturwissenschaften, 1957, 44, № 17, 464 (нем.)

На основе оптич. измерений сверхтонкой структуры линий марганца $\lambda\lambda 5432, 5394, 4033, 4031$ и 2798 А произведена оценка без поправки Штернхаймера квадрупольного момента ядра Mn^{55} , $Q = (0,3 \pm 0,1) \cdot 10^{-24} \text{ см}^2$. Н. Яшин

20340. Сверхтонкая структура метастабильного уровня $^5P^{1/2}_{1/2}$, J^{127} . Опака (Hyperfine splitting in the $^5P^{1/2}_{1/2}$ metastable state of I^{127} . Opaка Ruyunuo), Phys. Rev., 1957, 106, № 6, 1178 (англ.)

Измерено сверхтонкое расщепление метастабильного уровня $^5P^{1/2}_{1/2}$ в J^{127} по двум линиям 2062 и 1876 А, оканчивающимся на этом уровне. Спектральным прибором служил вакуумный спектрограф с эталетом, термостатированный до $\pm 0,1^\circ$. После введения поправки на структуру верхних уровней среднее расщепление исследуемого уровня, измеренное по двум линиям, составило $0,670 \text{ см}^{-1}$. Л. Вайштейн

20341. Сверхтонкая структура спектральных линий гольмия. Белянин В. Б., Оптика и спектроскопия, 1957, 3, № 4, 322—327

В области $3400-6500$ А измерена сверхтонкая структура 70 линий Ho^{165} . На 32 линиях обнаружена 8-компонентная структура. Наблюдаемая структура объясняется расщеплением обоих уровней, между которыми совершается переход. Сделаны некоторые выводы о характере эмиссионного спектра Ho. Н. Яшин

См. также: Столкновения 20359

МОЛЕКУЛА. ХИМИЧЕСКАЯ СВЯЗЬ

Редакторы Д. А. Бочвар, А. А. Мальцев

20342. Новое решение волнового уравнения для иона Н-. Грей, Притчард (A new solution of the wave equation for H^- . Gray B. F., Pritchard N. O.), J. Chem. Soc., 1957, Aug., 3578—3581 (англ.)

Волновые ур-ния, описывающие относительное движение электронов и протона в ионе Н- (случай А) и относительное движение протонов и электрона в ионе H_2^+ (случай В), переходят друг в друга, если поменять местами массу протона M и массу электрона m . Аналогичная связь существует между точными волновыми функциями и собственными значениями систем А и В. В частности, преобразование $m \leftrightarrow M$ должно переводить энергию диссоциации молекулы H_2^+ в потенциал ионизации иона Н-. На основании этого производится приближенный расчет энергии иона Н-, основанный на использовании результатов, полученных для основного электронного состояния иона H_2^+ (РЖХим, 1955, 33804). При преобразовании $m \leftrightarrow M$ потенциальная кривая, определяющая в случае В колебания протонов в поле быстро движущегося электрона, переходит в кривую, определяющую в случае А взаимные колебания электронов в поле быстро

ния ато-
g-Faktor
Fried-
senschaft
~ 69 se)
o $^2P_{3/2}$ -со-
метаста-
7,49610 ±
000040, то
Н. Яшин
и деке,
des Mn²⁺
) , Natur-

структуры
98 Å про-
квандру-
0-24 см.
Н. Яшин
бильного
litting in
Опака
3 (англ.)
стабили-
2062 и
электрале-
ф с ато-
зведения
нее рас-
по двум
йнштейн
к линии
ктроско-

я струк-
а 8-ком-
а объяс-
ду кото-
ру вы-
Н. Яшин

ия для
ution of
scharf
(англ.)
ное дви-
ай А) и
и в поле
и поме-
рона т.
ми вол-
нениями
т → М
олекулы
новании
энергии
льтатов,
стояния
зовании
в случае
двухгого
о в слу-
быстро

движущегося протона. С целью упрощения математич. стороны задачи указанная потенциальная кривая (см. ссылку выше) аппроксимируется потенциалом Морзе. Параметры последнего (после преобразования $m \rightarrow M$) имеют численные значения, показывающие, что в рассматриваемом приближении отсутствуют стационарные колебательные состояния электронов в поле быстро движущегося протона. Для объяснения существования отрицательного иона Н⁻ принимается во внимание поправка к потенциальной кривой, учитывающая адиабатич. связь между движением электронов и протона (РЖХим, 1957, 70861) и приводящая к значительному изменению параметров потенциала Морзе, определяющего взаимные колебания электронов в ионе Н⁻. Исправленный потенциал Морзе имеет один стационарный уровень, соответствующий полной энергии иона Н⁻, равной (в ридбергах) $E = (-1,044 \pm 0,012)$. Для сравнения приводятся наилучший результат вариационных расчетов $E = -1,0554$. Разработанный метод расчета авторы намерены применить к атому He, исходя из рассмотрения фиктивной системы, состоящей из двух протонов и «электрона» с удвоенным зарядом. Новое решение задачи иона Н⁻ еще раз свидетельствует о том, что отдельные члены в выражении полной энергии системы носят чисто условный характер, зависящий от способа рассмотрения; физ. смысл имеет только полная энергия системы. Т. Ребане

20343. Молекулярные орбиты для основного состояния молекулы Н₂. Гаррис (Molecular orbitals for the ground state of the H₂ molecule. Harris Frank E.), J. Chem. Phys., 1957, 27, № 3, 812—813 (англ.).

Рассчитана энергия $^2\Sigma^+$ состояния Н₂ при межъядерном расстоянии 0,793 Å с одноэлектронными волновыми функциями вида $\chi = \exp(-\delta\xi - \alpha\eta)\xi^n \eta^m \times \times \exp(i\nu\phi)[\xi^2 - 1](1 - \eta^2)]$ где ξ, η, ϕ — эллиптические координаты, $\delta, \alpha, n, m, \nu$ — вариационные параметры, причем три последних — целые. Двухэлектронная МО строилась из χ путем соответствующей симметризации. Все интегралы вычислялись на счетной машине. При учете взаимодействия двух конфигураций получено лучшее значение энергии связи 4,44 эв. Эксперим. значение энергии связи 4,72 эв (при $R = 0,743$ Å) было получено Джемсом и Кулиджем только при введении в волновую функцию расстояния между электронами. Е. Никитин

20344. Взаимодействие конфигураций в основном состоянии молекулы водорода. Рахман (Configuration interaction in ground state of H₂ molecule. Rahman A.), Physica, 1957, 23, № 1, 31—36 (англ.).

Рассчитана энергия основного состояния молекулы водорода с использованием, для построения волновой функции, двухцентровых одноэлектронных молекулярных орбиталей, подобных волновым функциям для иона Н₂⁺. Метод расчета подобен методу, используемому произведение одноэлектронных водородоподобных конфигураций для образования волновой функции атома гелия. Показано, что удовлетворительный результат получается для межъядерного расстояния, близкого к равновесному. В работе учитывались конфигурации $(1s\sigma)^2$, $(2p\sigma)^2$ и $(2p\pi)^2$. Рассчитанные значения энергии хорошо согласуются с результатами Джеймса и Кулиджа (James H. M., Coolidge A. S., J. Chem. Phys., 1933, 1, 825). С. Ерквич

20345. Изучение порфиринов методом молекулярных орбит. Сили (Molecular orbital study of the porphyrins. Seely Gilbert R.), J. Chem. Phys., 1957, 27, № 1, 125—133 (англ.).

Методом ЛКАО—МО без учета антисимметрии и взаимодействия конфигураций рассчитаны энергетич. уровни двукратнозаряженных анионов порфиринов: порфи-

на (симм. D_{4h}) (I), дигидропорфина (симм. C_{2v}) (II), тетрагидропорфинов (симм. D_{2h}) (III), (симм. C_{2v}) (IV), гексагидропорфина (симм. C_{6v}) (V) и октагидропорфина (симм. D_{4h}). Сопряженная система состоит из π - и четырех p_z -электронов атомов С и N и двух добавочных электронов. Кулоновские интегралы атомов σ_{AC} , как и резонансные интегралы β всех связей, принимались равными. Кулоновский интеграл атома N был увеличен на величину β . Вековые ур-ния были решены при помощи разложения соответствующих детерминантов по полиномам Чебышева с последующим численным расчетом корней. Рассчитанные энергии переходов I—V сравнены с экспериментально полученными спектрами порфириновых комплексов Zn. При этом предполагалось, что вследствие стерич. препятствий плоскости фенильных колец и четырехпиррольной системы не совпадают, и поэтому добавочным сопряжением можно пренебречь. Величина β подбиралась так, чтобы два первых вычисленных перехода в спектре I наилучшим образом соответствовали опытным данным. Сравнение опытных спектров I—V с вычисленными без учета перекрывания АО спектрами обнаруживает удовлетворительное совпадение частот перехода (отклонения порядка 1000—2000 см⁻¹). Если при расчете учесть перекрывание АО, то совпадение становится гораздо хуже, и в одном случае нарушается порядок уровней. Е. Никитин

20346. Расчет аллил-радикала методом полулокализованных орбит. Хигути (Semilocalized bond orbital treatment of the allyl radical. Higuchi Jiro), J. Chem. Phys., 1957, 27, № 3, 825—826 (англ.). Волновые функции трех структур строились из АО одного из атомов С и двух полулокализованных орбит других атомов. Параметр локализации λ варьировался. Рассчитанные энергии состояний 2A_2 и 2B_1 равны —28,03 и —26,05 эв соответственно. Расчет методом валентных схем с учетом ионных структур дает —28,94 и —26,48 эв. Отмечается, что лучшее значение λ для аллил-радикала очень близко к величине λ молекулы этилена. Е. Никитин

20347. Электронная структура аммиака. Данкан (Electronic structure of ammonia. Duncan A. B. F.), J. Chem. Phys., 1957, 27, № 2, 423—429 (англ.).

Производится расчет основного электронного состояния молекулы NH₃ по методу самосогласованных МО (в одноконфигурационном приближении). Рассматриваются все 10 электронов молекулы. МО строятся по методу последовательных приближений в виде линейных комбинаций слейтеровских $1s$ -, $2s$ -, $2p_z$ -, $2p_x$ и $2p_y$ -орбит атома N и $1s$ -орбит атомов H. Учитываются все интегралы в выражении полной энергии. Вычисленная полная энергия молекулы равна —56,0960 ат. ед., что составляет 99,2% от эксперим. значения (—56,5645 ат. ед.). Полученная с помощью слейтеровских атомных функций энергия разъединенных атомов равна —55,765 ат. ед., эксперим. —56,109 ат. ед. Вычисленная энергия диссоциации $D_e = 0,3308$ ат. ед. составляет 72% от наблюдаемого значения. Вычисленное значение D_e , найденное как малая разность двух больших приближенных величин, весьма неточно и с учетом погрешностей расчета составляет от 49 до 96% эксперим. значения D_e . Вычисленное значение дипольного момента молекулы (1,486 D) хорошо согласуется с экспериментальным (1,46 D). Исследуются особенности распределения электронов в NH₃, для чего найденные в работе самосогласованные МО преобразованы в эквивалентные МО. Эквивалентные орбиты связей N—H направлены не точно вдоль линий, соединяющих ядра N и H, и эти орбиты не являются целиком локализованными,

а охватывают в некоторой мере все 4 ядра. Различные свойства этих эквивалентных орбит сопоставляются со свойствами эквивалентных орбит молекулы NH_3 , найденных ранее (РЖХим, 1955, 51233). Вычисленные энергии высших занятых самосогласованных МО $-9,94$ и $-16,20$ эв хорошо согласуются с эксперим. данными о двух первых потенциалах ионизации молекулы NH_3 . Т. Ребане

20348. Возбужденные энергии бензола. Колос (Excitation energies of benzene. Kolos Wlodzimierz, J. Chem. Phys., 1957, 27, № 2, 592 (англ.).

Для расчета возбужденных энергий бензола используется метод предыдущей статьи (РЖХим, 1958, 13464). Антисимметризованные волновые функции для шести π -электронов строятся из двухэлектронных волновых функций для пар электронов с противоположными спинами $\psi_{kl} = N_{kl} \{ \Phi_k(r_i) \Phi_l(r_j) + \Phi_k(r_j) \Phi_l(r_i) \} r_{ij}$ и обычных одноэлектронных МО для двух электронов с параллельными спинами (в триплетном состоянии). Результаты вычислений показывают, что данный метод дает лучшее совпадение с эмпирич. данными, чем метод антисимметризованных МО с учетом взаимодействия конфигураций. А. Чистяков

20349. Об ультрафиолетовых спектрах поглощения комплексных ионов с π -электронными системами в качестве лигандов. I. Комплексы с α, α' -дипиридилем и σ -фенантролином. Шлефер (Über die UV-Absorptionsspektren von Komplexionen mit π -Elektronensystemen als Liganden. I. Komplexe mit α, α' -Dipyridyl und σ -Phenanthrolin. Schläfer Hans Ludwig, Z. phys. Chem. (BRD), 1956, 8, № 5-6, 373-386 (нем.).

В первом приближении теории возмущений вычислено смещение π -электронных уровней дипиридила в комплексе $\text{M}(\text{C}_{10}\text{H}_8\text{N}_2)_2^{2+}$ под влиянием электростатич. поля иона металла. Волновые функции и энергии молекулы дипиридила вычислялись в соответствии с металлич. моделью. При значениях параметров l (радиус пиридинового кольца) $1,4 \text{ \AA}$ и b (расстояние от иона металла до центра связи между кольцами), 3 \AA вычисленные сдвиги равны $+1864 \text{ см}^{-1}$ и $+1630 \text{ см}^{-1}$ для переходов, соответствующих полосам 2800 \AA и 2330 \AA пиридина. Эксперим. сдвиги $+2300 \text{ см}^{-1}$ и $+2000 \text{ см}^{-1}$. Третья полоса пиридина, лежащая в шумановской области, должна, по расчетам, смещаться в сторону коротких волн на 1160 см^{-1} . Обсуждаются комплексы металл-фенантролин и металл-(дипиридил). Автор считает, что в том случае, если сдвиг в спектре обусловлен в основном изменением уровней окружающих ион молекул с π -электронами, он не связан с магнитными свойствами ионов. Е. Никитин

20350. Энергии решеток некоторых окислов и сродство кислорода к двум электронам. Моррис (The lattice energies of some oxides and the affinity of oxygen for two electrons. Morris D. F. C.), Proc. Roy. Soc., 1957, A242, № 1228, 116-121 (англ.).

Рассматривая кристаллич. решетки Na_2O , K_2O , Rb_2O и BaO как решетки ионного типа с ван-дер-ваальсовским потенциалом, автор рассчитал их энергии $U_0 = U_E - U_R + U_W - U_Z$ при 0° К . Здесь кулоновская энергия $U_E = z^2 e^2 N_A / r_0$ (z — наибольший общий делитель валентностей ионов, e — заряд электрона, N — число Авогадро, A — постоянная Маделунга, r_0 — наименьшее равновесное расстояние между ионами противоположного знака в стабильной кристаллич. решетке); энергия отталкивания $U_R = bN \{ nc_+ \exp[(r_+ - r_0)/\rho] + 1/2 n' c_+ \exp[(2r_+ - k_1 r_0)/\rho] + 1/2 n' c_- \exp[(2r_- - k_2 r_0)/\rho] \}$, (b — постоянная отталкивания, c_+ , c_+ и c_- — факторы, введенные Паулингом (Pauling L., Z. Kristallogr., 1928, 67, 377) для учета зависимости отталкивания ионов от их зарядов, r_+ и r_- — ионные ра-

диусы, n — число ближайших ионов противоположного знака, n' и n'' — числа ближайших ионов того же знака около катиона и аниона, ρ — постоянная, находящаяся из сжимаемости); энергия ван-дер-ваальсовского притяжения $U_W = N(C/r^6 + D/r^8)$ (C и D — постоянные, учитывающие притяжение диполь-диполь и квадрат-диполь-диполь); нулевая энергия $U_Z = (9/8) N h \nu$ (макс.),

где \bar{n} — число ионов в молекуле, h — постоянная Планка, ν (макс.) — дебаевская характеристич. частота. Найдено $U_0 = 601,7, 532,8, 513,0$ и $741,3 \text{ ккал/моль}$ для Na_2O , K_2O , Rb_2O и BaO соответственно. Полученные значения U_0 на 2-10 ккал/моль выше рассчитанных по уравнениям Борна-Лавде и Борна-Майера. С помощью цикла Борна-Габера вычислена энергия сродства кислорода к двум электронам $E(\text{O} \rightarrow \text{O}^{2-}) = -152,8 \pm 7,2 \text{ ккал}$ (0° К). Ю. Кесслер

20351. Теоретическое изучение деформированных ароматических углеводородов. II. Перилен и трифенилен. Эрраэс, Арранс. III. 3,4-бензфенантрен и тетрабензнафталин. Сенент, Эрраэс (Estudio teórico de los hidrocarburos aromáticos apinados. II. Perileno y trifenileno. Herráez M. A., Arranz J., III. 3:4 benzofenantreno y tetrabenzenaftaleno. Senent S., Herráez M. A.), Ann. Real soc. esp. fis. y quim., 1957, B53, № 4, 277-284; № 5, 325-338 (исп.; рез. англ.).

II. Произведен расчет энергии угловой деформации V перилена (I) и трифенилена (II) в предположении части I. Для плоской деформации $I V = 1,91 \text{ ккал/моль}$, для неплоской 20 ккал/моль . При смещении только атомов водорода $V = 27,2 \text{ ккал/моль}$. Для плоской деформации II $V = 26,0 \text{ ккал/моль}$, для неплоской 744 ккал/моль и 388 ккал/моль для поворота только CH связей.

III. Методом, описанным выше, рассчитаны энергии деформации 3,4-бензфенантрена (III) и тетрабензнафталина (IV). Предполагалось, что в недеформированном состоянии молекулы плоские, а длины всех связей и углы одинаковы ($1,40 \text{ \AA}$ и 120°). Пренебрегалось небольшим изменением длин связей в соответствии с ее порядком. При деформации III два крайних бензольных кольца выходят из плоскости молекулы в разные стороны. Энергия деформации при этом $V = 4,91 \text{ ккал/моль}$. При учете деформации только углов или длин связей соответствующие величины равны $47,59$ и $28,38 \text{ ккал/моль}$. При деформации IV $V = 32,7 \text{ ккал/моль}$ для изменения длин связей и углов и $59,8$ или $62,1 \text{ ккал/моль}$ для изменения только длин связей или углов. Ч. I см. РЖХим, 1958, 67. Е. Н.

20352. Строение молекул и ионов типа $\text{X}_2\text{A} \cdot \text{AX}_2$, $\text{X}_2\text{A} \cdot \text{AY}_2$ и $\text{YXA} \cdot \text{AXY}$. Уитли (The structure of molecules and ions of the type $\text{X}_2\text{A} \cdot \text{AX}_2$, $\text{X}_2\text{A} \cdot \text{AY}_2$ and $\text{YXA} \cdot \text{AXY}$. Wheatley P. J.), J. Chem. Soc., 1956, Nov., 4514-4517 (англ.).

Строение молекул и ионов типа $\text{X}_2\text{A} \cdot \text{AX}_2$, $\text{X}_2\text{A} \cdot \text{AY}_2$ и $\text{YXA} \cdot \text{AXY}$ рассмотрено на основе принципа ионоэлектронности. Центральная связь в молекулах с $12,24$ или 36 валентными электронами имеет стандартную длину двойной связи, а сами молекулы имеют плоскую форму. Длина центральной связи в молекулах с $14, 26$ или 38 электронами равна или немного превышает длину типичной ординарной связи, а сами молекулы не имеют плоского строения. У этилена имеется 12 электронов и верхней занятой орбитой является b_{3u} или π -орбита. Выше нее лежит b_{1g} или π -орбита, свободная в невозбужденном этилене, но занятая в гидразине. Электроны на π -орбите имеют минимум энергии, если обе половины молекулы копланарны, в то время как минимум энергии для электронов, занимающих π -орбиту, соответствует углу 90°

положного
го же ап-
находима
кого при-
стояние,
и квадра-
nh (макс.)
ная Плат-
тота. Най-
моль для
олученные
стационар-
С помо-
и родства
— 152,8 ±
О. Кесслер
прованных
и трифе-
ренатрен
(Estudio
inados. П.
Аггана
nftaleno.
I soc. esp.
325—338

формации
ложения
ккал/мол,
и только
послой де-
неплоской
только СН

энергии
етрабена-
еформи-
ины всех
енебрега-
в соответ-
два край-
сти моле-
и при
формации
ице вели-
формации

связей
ице только
и 67. Е. Н.
X₂A·AX₂
ructure of
X₂A·AY₂
em. Soc.,

X₂A·AY₂
ина изо-
ах с 12,24
андартную
еют пло-
молекулах
ного пре-
а сами
у атледа
орбитой
ежит b₁₂

этилене.
те имеют
кулы кон-
для элект-
углу 90°

между плоскостями обеих половин молекулы. Поэтому в основном состоянии этилен и его аналоги с 24 и 36 электронами будут плоскими, но в возбужденном состоянии, когда один электрон переходит с π -орбиты на π -орбиту, плоское строение уже невыгодно, поэтому гидразин, имеющий 14 электронов, и его аналоги с 26 и 38 электронами не могут быть плоскими уже в основном состоянии. Для молекул с 10, 22 или 34 электронами имеются 2 различные возможности: 1) если только у одного из X или Y имеется неподделенная пара электронов, то между обеими частями молекул возникает сопряжение, стабилизирующее плоскую форму молекулы; 2) если неподделенные пары имеются как у X, так и у Y, то указанное сопряжение отсутствует и можно рассматривать только скелет из σ -связей. В последнем случае строение молекулы зависит от относительной энергии уровней обеих форм (плоской и неплоской), занятых σ -электронами. Аналогичное обсуждение более сложных молекул проведено в основном для экспериментально изученных соединений.

Е. Шусторович

20353. Атомные расстояния в длинных молекулах красителей. Лабхарт (Atomabstände in langgestreckten Farbstoffmolekülen. Labhart H.), *Helv. phys. acta*, 1957, 30, № 4, 248—251 (нем.).

Рентгеноструктурные исследования показывают, что различие в длинах одинарных и двойных связей в длинных полиеновых и полиметиновых цепочках приблизительно то же, что и в коротких. Это свойство противоречит теории электронного газа и расчетам по методу МО. Для объяснения указанного расхождения σ -связи считаются не жесткими, а упругими. Кроме того, принимается, что π -электроны движутся не в прямоугольном ящике, а в поле с максимумами и минимумами, соответствующими неодинаковым длинам одинарных и двойных связей. По теории возмущений вычислена и представлена графически зависимость разности δ длин одинарных и двойных связей от числа N последних. Кривые, построенные для основного и 1-го возбужденного состояний, сходятся к одному и тому же пределу. При $N = 11$ $\Delta\delta = 0,026$ А, тогда как из колебательной структуры и принципа Франка-Кондона найдено $\Delta\delta = 0,018$ А.

М. Ковнер

20354. К вопросу о межатомных расстояниях в молекулах щелочных галогенидов. Краснов К. С., *Ж. неорганической химии*, 1957, 2, № 8, 1725—1732

Предлагается способ расчета межатомных расстояний в молекулах щел. галогенидов, основанный на связи между отклонениями от аддитивности ионных радиусов и положением элементов в периодической системе. На основании эксперим. данных (РЖХим, 1955, 54437) показано, что разности радиусов соседних анионов $\beta_{A-A'} = r_{KA} - r_{KA'}$ (где K — катион, A — анион) и соседних катионов $\beta_{K-K'} = r_{KA} - r_{K'A}$ изменяются закономерно при переходе от Cs к Na и от J к Cl. При переходе от Na к Li имеет место «литиевая инверсия», допускающая качественное объяснение взаимной поляризуемостью ионов. Величина $\gamma = \beta_{J-Br} / \beta_{Br-Cl}$ сохраняется постоянной в пределах 1,47—1,48 для всех катионов. Кроме того, отношение γ_1/γ_2 для двух соседних катионов в ряду Cs → Na изменяется от 1,001 до 1,005 и, по-видимому, стремится к 1,005. Положив $\gamma_{Na}/\gamma_{Li} = \gamma_{Na}/\gamma_{K'}$ можно из эксперим. данных для Na и K определить γ_{Li} . Зная β_{J-Br} для Li (0,2215 А), легко получить $\beta_{Br-Cl} = 0,1488$ А. Зная r_{LiBr} , автор получает для LiCl $r = 2,021$ А. Аналогичным способом определены r (А): для LiF 1,510; NaF 1,877; KF 2,142; RbF 2,251. Погрешность оценивается в пределах 1%.

В. Коряжкин

20355. Методы изучения взаимного влияния атомов в молекулах. Тронов Б. В., *Тр. Томского ун-та*, 1957, 145, 97—114

Обзор различных физ. и физ. хим. методов изучения взаимного влияния атомов в молекулах. М. Луферова

20356. Химическое воздействие горячих атомов. Монхик, Фунабаси, Маги (Chemical effects of hot atoms. Monchick Louis, Funabashi Koichi, Magee John L.), *J. Chem. Phys.*, 1957, 27, № 3, 734—739 (англ.)

Рассмотрены столкновения горячих атомов (начальная энергия 0,5—100 ат. ед.) с молекулами. Расчет основан на классич. механике, причем предполагается, что влиянием хим. связи в молекуле на потенциал взаимодействия атом — молекула можно пренебречь, а межатомный потенциал выбрать в виде c/r^n ($n = 2,3$ или 4). Константы c и n подбираются так, чтобы возможно точнее аппроксимировать потенциал взаимодействия Томаса — Ферми. Приведены расчеты для процесса $Br^* + CH_3Br \rightarrow Br + Br + CH_3$. Торможение Br^* определяется ф-лой $dE/ds = -0,123 E^{1/2}$ (ат. ед.) (E — энергия Br^*), а средний квадрат длины пробега $\langle X^2 \rangle \approx 0,53 \cdot 144 E^{1/2}$ (А)². Рассчитано число dn/ds диссоциирующих при столкновении с Br^* молекул CH_3Br на единицу пути Br^* . При этом предполагалось, что при $E \gg D$ связь CBr разрывается, если атом Br^* этой связи получает энергию больше энергии диссоциации D . При столкновении замедленных Br^* с молекулой CH_3Br применялась статистич. теория распада. Из расчетов следует, что при больших энергиях замедление горячих атомов Br^* происходит вследствие столкновений, сопровождающихся диссоциацией. Дается объяснение факту, что dn/ds слабо зависит от начальной энергии Br^* .

Е. Никитин

20357. Энергии связей в галогенидах переходных металлов. Аллен (Bond energies of transition metal halides. Allen Thomas L.), *J. Chem. Phys.*, 1957, 26, № 6, 1644—1647 (англ.)

Используя известные термодим. данные, вычислены валентные энергии связей $E_v(M-X)$ большого числа галогенидов переходных металлов типа MX_n по ф-ле $E_v(M-X) = 1/n [L(M) + \Delta E(M) + n\Delta H^0(X) - \Delta H^0_n \times (MX_n) - L(MX_n)]$, где n — число связей, $L(M)$ и $L(MX_n)$ — теплоты сублимации, $\Delta H^0(X)$ и $\Delta H^0_n(MX_n)$ — теплоты образования из элементов в стандартных состояниях и $\Delta E(M)$ — энергия возбуждения электронного состояния, в котором металл образует данное соединение. Полученные значения энергии связей сравниваются с вычисленными по теоретич. соотношению Паулинга. Вычисленные по наиболее точным значениям $E_v(M-X)$ электроотрицательности ряда переходных металлов хорошо согласуются с литературными данными. Обсуждены некоторые закономерности в величинах электроотрицательностей. Оценены теплоемкости ряда соединений.

В. Юнгман

20358. Электронная корреляция в молекулах. III. Парафиновые углеводороды. Пизер, Каталано (Electronic correlation in molecules. III. The paraffin hydrocarbons. Pitzer Kenneth S., Catalano Edward), *J. Amer. Chem. Soc.*, 1956, 78, № 19, 4844—4846 (англ.)

В соответствии с результатами ранее опубликованной работы (РЖХим, 1958, 10278) авторы предполагают, что энергии изомеризации n -парафинов обусловлены главным образом корреляцией между неподделенными парами электронов непосредственно не связанных друг с другом атомов, т. е. дисперсионными силами. Дисперсионная энергия ΔE_C подсчитывается путем суммирования по всем парам не связанных друг с другом ато-

мов энергий их взаимодействия, вычисленных по ф-ле Слэтера — Кирквуда (Slater J. C., Kirkwood J. G., Phys. Rev., 1931, 37, 682), что приводит к ур-нию: $\Delta E_C = -[22,6\Sigma R^{-6}_{CC} + 8,68\Sigma R^{-6}_{CH} + 3,42\Sigma R^{-6}_{HH}] \times 10^{-10}$ эрг. С целью проверки применимости этой ф-лы с ее помощью была вычислена энергия взаимодействия между двумя молекулами метана (I) в точке минимума ван-дер-ваальсовой кривой, которая оказалась с точностью до 5% совпадающей с энергией, вычисленной с помощью потенциала Леннарда — Джонса. С помощью полученных значений ΔE_C рассчитаны теплоты образования *n*-парафинов: I, этана (II), пропана (III), *n*-бутана (IV) (для *транс*-(IVa) и повернутого (IVб) поворотных изомеров), изобутана (V), *n*-пентана (VI) (для *транс-транс* (VIa) и *транс*-повернутого (VIб) поворотных изомеров), изопентана (VII) и неопентана (VIII) по ф-ле $\Delta H_f(0^\circ K) = -11,34n - 21,69 + \Delta E_C + \Delta E_S + 1/2 \Sigma \nu_i$, где первые 2 члена учитывают энергии связей C—C и C—H (*n* — число атомов C), ΔE_S — стерич. энергия отталкивания между несвязанными атомами, которая равна нулю во всех случаях, кроме IVб, VIб и VII, ν_i — колебательные частоты. Найдено (в ккал/моль, в скобках — эксперим. значения): — I 14,98 (15,99); II 16,46 (16,52); III 20,03 (19,48); IVa 23,63 (23,67); IVб 23,05 (22,87); V 25,15 (25,30); VIa 27,23 (27,23); VIб 26,75 (26,73); VII 28,74 (28,81); VIII 32,08 (31,30). Энергии изомеризации для *изо*- и *н*-бутана и *нео*- и *н*-пентана равны соответственно 1,63 и 4,07 ккал/моль в хорошем согласии с опытом (соответственно 1,50 и 4,85 ккал/моль). ΔE_S для IVб и VIб оценены, на основе эксперим. данных для разности энергий ΔU между поворотными изомерами в IV и VI (0,5 — 0,8 ккал/моль), что с учетом ΔE_C дает $\Delta E_S = 2,50$ ккал/моль. Полученные с помощью этого значения ΔE_S величины ΔU для IV и VI (соответственно 0,6 и 0,5 ккал/моль) находятся в хорошем согласии с опытом. Сообщение II см. РЖХим, 1957, 36789. О. Птицын

20359. Рассеяние быстрых нейтральных частиц. X. He — N₂; Ar — N₂. Взаимодействие N₂ — N₂. Амдур, Мейсон, Джордан (Scattering of high velocity neutral particles. X. He — N₂; Ar — N₂. The N₂ — N₂ interaction. Amdur I., Mason E. A., Jordan J. E.), J. Chem. Phys., 1957, 27, № 2, 527—531 (англ.) Измерено полное поперечное сечение столкновений для атомов He с энергиями в интервале 500—2100 эв и для атомов Ar с такими же энергиями при рассеянии на азоте при комнатной т-ре. Анализ результатов приводит к следующим выражениям среднего потенциала взаимодействия соответственно для атома He и молекулы N₂ и для атома Ar и молекулы N₂: $\langle V(r) \rangle$ (средн.) = $1,19 \cdot 10^{-10}/r^{7,06}$ эрг (*r* в интервале 1,79—2,29 Å), $\langle V(r) \rangle$ (средн.) = $1,21 \cdot 10^{-9}/r^{7,76}$ эрг (*r* в интервале 2,28—2,83 Å). Вычислен следующий средний межмолекулярный потенциал для системы N₂ — N₂ (при усреднении N—N-взаимодействий по всем взаимным ориентациям двух молекул N₂): $\langle V(r) \rangle$ (средн.) = $9,54 \cdot 10^{-10}/r^{7,27}$ эрг (*r* в интервале 2,43—3,07 Å). Найденное выражение N₂ — N₂-потенциала согласуется с выражением, имеющим силу для больших межмолекулярных расстояний и полученным из измерений вязкости газа при высоких т-рах. Часть IX см. РЖХим, 1957, 62854. Из резюме авторов

20360. Масс-спектрометрическое исследование реакции $X^+ + H_2 \rightarrow HX^+ + H$. Гутбир (Massenspektrometrische Untersuchung der Reaktion $X^+ + H_2 \rightarrow HX^+ + H$. Gutbier H.), Z. Naturforsch., 1957, 12a, № 6, 499—507 (нем.)

Исследованы р-ции в ионизационной камере масс-спектрометра при столкновениях ионов X^+ с молеку-

лами H₂, приводящие к образованию вторичных ионов типа HX⁺. Ток ионов HX⁺ пропорционален концентрации ионов X⁺, так и молекул H₂. Эта пропорциональность использована для доказательства вторичного происхождения HX⁺. Для X—H₂, He, Ne, Ar, Kr, N₂, O₂ и CO₂, измерены скорости р-ций *k* и сечения образования Q HX⁺. При кинетич. энергии X⁺, равной ~ 0,25 эв, $k \approx 10^9$ см³/сек, $Q \approx 15 \cdot 10^{-16}$ см². Q обратно пропорционально относительной скорости сталкивающихся частиц. Увеличение тока ионизирующих электронов приводит к увеличению относительного выхода вторичных ионов. Это объяснено влиянием обменного заряда в камере на время жизни первичных ионов в камере и, следовательно, на вероятность столкновения с H₂. Ионы благородных газов He⁺, Ne⁺, Ar⁺ и Kr⁺ имеют электронную конфигурацию, подобную H, F, Cl и Br соответственно. Поэтому вторичные ионы HHe⁺, HNe⁺, HAr⁺ и HKr⁺ подобны молекулам H₂, HF, HCl и HBr. Аналогично вторичные ионы H₂O⁺ и NH₄⁺, получающиеся в ионно-молекулярных р-циях, имеют электронную конфигурацию, подобную NH₃ и соответственно CH₄, так как O⁺ и N⁺ подобны N и соответственно C. Поскольку ионы HX⁺ образуются в экзотермич. р-ции $X^+ + H_2 \rightarrow HX^+ + H$, то энергия связи в HX⁺, по-видимому, больше, чем D(H₂) = 4,5 эв.

Е. Франкевич

20361. Молекулярная структура тропона. Кимура, Судзуки, Кимура, Кубо (Molecular structure of tropone. Kimura Katsumi, Suzuki Satoshi, Kimura Masao, Kubo Masaji), J. Chem. Phys., 1957, 27, № 1, 320—321 (англ.)

Проведено электронографич. исследование тропона в парах при 100°. Теоретически рассчитанная кривая радиального распределения для модели правильного семиугольника с СС 1,410 Å, СО 1,26 Å и СН 1,09 Å хорошо согласуется с экспериментальной. Теоретич. кривые для моделей с неравноценными связями С—С практически совпадают с первой и (С—С)ср = 1,410 Å близко к соответствующим значениям, определенным электронографич. и рентгенографич. методами в структурах трополона и его производных. Т. Хоцянова

20362. Рентгеновские спектры и межатомная связь в сплавах. Каральник С. М., Изв. АН СССР, Сер. физ., 1956, 20, № 7, 815—819

Коротковолновое смещение К-краев поглощения всех компонентов сплава переходных металлов группы Fe и изменение формы K_{α1,α2}-линий этих элементов в сплаве по сравнению с чистыми металлами объясняется изменением константы экранирования К-электронов атомов этих металлов за счет изменения вероятности пребывания валентных электронов в области К-оболочки. С этой точки зрения становится понятной также величина смещения, достигающая иногда 5—6 эв, тогда как изменение энергии связи при переходе от чистого компонента к сплаву не превышает долей эв.

Р. Баринский

20363. Эмиссионные линии К-серии рентгеновского спектра титана в металле и некоторых диэлектрических материалах. Вайнштейн Э. Е., Старый И. Б., Бриль М. Н., Изв. АН СССР. Сер. физ., 1956, 20, № 7, 784—789

Вакуумный рентгеновский тубус-спектрограф с кристаллом кварца (пластинка, вырезанная параллельно плоскости ромбоэдра), изогнутым по радиусу 2,5 м, использовался для изучения K_{α1}, α₂, β₁, β₂-линий и спутников Kβ' и Kβ'' Ti в металле, рутиле, бруките, анатазе, перовските и ильмените. Линейная дисперсия прибора 2,5 X/мм, метод возбуждения спектров вторичный, режим работы рентгеновской трубки 35 кВ и 50 мА, экспозиция 20—25 час. Все диаграммные линии, изученные в работе, имеют асимметричную форму, причем индекс асимметрии, ширина и местополо-

жение большинства из них меняются при переходе от одного соединения к другому. Предполагается, что v'' -сателлит Ti (так же, как и Cr) возникает в результате перехода электронов с периферийных уровней энергии атомов кислорода на свободные К-уровни атомов Ti. При этом удается объяснить целый ряд эксперим. фактов, ранее не поддававшихся интерпретации.

Р. Баринский
20364. К вопросу о природе тонкой структуры К-края спектра поглощения молекул галогенидов германия. Нарбутт К. И., Изв. АН СССР. Сер. физ., 1956, 20, № 7, 780—783

Рентгеновский спектрометр с кристаллом кварца (ориентировка (1340)), изогнутым по радиусу 1 м, и счетчиком Гейгера использовался для исследования К-края поглощения Вг в парах GeBr_4 при $t \approx 300^\circ$. Источником излучения служила трубка БФВ-70 с W-анодом. Образец помещался в кварцевый сосуд длиной 26 см, ширина щели перед счетчиком 0,05 мм, дисперсия прибора 2,46 Å/мм. Расчет К-спектров поглощения Ge и Вг в GeBr_4 показал, что оба спектра состоят из двух серий линий поглощения различной интенсивности и протяженности по энергиям. Ширина линий в спектре Ge 4,5 эв, в спектре Вг 9,1 эв, что связано с большей шириной К-состояния Вг. Согласно теоретич. данных с экспериментальными оказалось вполне удовлетворительным.

Р. Баринский
20365. Спектроскопические постоянные молекул. IV. Подobie колебательных частот в основном состоянии изоэлектронных двухатомных молекул. V. Соотношения между константами различных групп.

Варшнн, Маджумдар (Spectroscopic constants of molecules. IV. Similarities in ground state vibration frequencies of isoelectronic diatoms. V. Similarities in constants of different groups. Varshni Y. P., Majumdar K.), Indian J. Phys., 1955, 29, № 6, 285—291, 1956, 30, № 6, 303—312 (англ.)

IV. Ранее (часть III, РЖХим, 1956, 53650) рассматривались закономерности в расположении колебательных частот двухатомных молекул, атомы которых относились к одинаковым группам периодич. системы элементов. В настоящей работе сопоставляется положение колебательной частоты (ω) изоэлектронных молекул типа XY, где X пробегает определенную группу в одном, а Y — другую группу в противоположном направлении (молекулы с «обращенными замкнутыми оболочками»), напр. SiBr и GeCl ; CuJ и AgBr и т. п. Значение ω для таких пар молекул почти одинаково, отличаясь в среднем на 5,3%, напр. (в см^{-1}): CBr 670 и GeF 665,2; CJ 570 и SnF 582,9; CaI 500 и PbF 507,2; SiJ 360 и SnCl 352,5. Это может представить интерес при определении положения ω в спорных случаях. Отмечается понижение ω с ростом приведенной массы атомов, а также общее согласие в полученных величинах для ω , найденных этим методом и методом, описанным в части III. Различия наблюдались только для молекул с Li и As, напр. по методу части III для AsTe $\omega = 660 \text{ см}^{-1}$, а по методу данной работы (при сопоставлении с SbSe) 330 см^{-1} . Хотя этот пункт остается неясным, авторы предпочитают второй метод. Высказано предположение, что и другие мол. константы (межатомное расстояние и т. п.) следуют аналогичной закономерности.

Ю. Е.
V. Найдено, что между спектроскопич. константами двухатомных молекул, образованных из атомов главных подгрупп четвертой и шестой групп периодической системы, и молекул, образованных из атомов соответствующих подгрупп четвертой и седьмой групп, имеют место линейные соотношения вида: $\omega_e(\text{IV}_1 - \text{VII}_1) = 0,662\omega_e \times (\text{IV}_1 - \text{VII}_1) + 25$; $x_e\omega_e(\text{IV}_1 - \text{VII}_1) = 0,6785x_e\omega_e(\text{IV}_1 - \text{VII}_1) + 0,1290$; $r_e(\text{IV}_1 - \text{VII}_1) = 0,929 r_e(\text{IV}_1 - \text{VII}_1) +$

$+ 0,22$. Связь между энергиями диссоциации более сложна и не может быть представлена ф-лой такого простого вида. Вычисленные значения констант ω_e и $x_e\omega_e$ отличаются от опытных (за редкими исключениями) в среднем на 1,6% (ω_e) и 8,1% ($x_e\omega_e$). Хорошо согласуются с опытными данными также и вычисленные значения r_e . Найденные соотношения использованы для предсказания значений спектроскопич. констант молекул, для которых нет опытных данных.

В. А.
20366. О применении математических методов Хатчисона и Маннебака для определения вероятностей колебательных переходов. Тавде, Патил, Мурти, Катти (On the use of Hutchisson's and Manneback's mathematical techniques for the derivation of vibrational transition probabilities. Tawde N. R., Patil B. S., Murthy N. Sreedhara, Katti M. R.), Physica, 1957, 23, № 2, 154—156 (англ.)

Метод расчета Хатчисона (Hutchisson E., Phys. Rev., 1930, 36, 410) является очень сложным, тогда как метод Маннебака (Manneback C., Physica, 1951, 17, 1001), обобщенный на случай учета эл. ангармоничности Маннебеком и Раманом (РЖХим, 1955, 31028), является простым. Последние авторы сравнили оба метода на примере $\text{OH}(\text{A}^2\Sigma^+ \rightarrow \text{X}^2\Pi)$ и получили различные результаты. Это расхождение объясняется использованием в обоих случаях несколько отличающихся мол. постоянных ω_e и r_e , к которым матричные элементы переходного дипольного момента M очень чувствительны. Показано, что при $\omega_e(\text{A}^2\Sigma^+; \text{X}^2\Pi) = 3180,56$; $3735,21 \text{ см}^{-1}$ и $r_e = 1,0121$; $0,9706$ Å значения M , вычисленные по обоим методам, в точности совпадают. Перерасчет значений M при постоянных $\omega'_e = 3184,28 \text{ см}^{-1}$ $\omega''_e = 3735,21 \text{ см}^{-1}$, $r'_e = 1,013$ Å, $r''_e = 0,971$ Å, использованных Шалером (Shuler K. E., J. Chem. Phys., 1950, 18, 1221), приводит к результатам, отличным от полученных этим автором, что объясняется допущенными ошибками.

М. Н.
20367. Электронный спектр и энергия диссоциации фтора. Рис (Electronic spectrum and dissociation energy of fluorine. Rees A. L. G.), J. Chem. Phys., 1957, 26, № 6, 1567—1571 (англ.); Исправления (Erratum), 1957, 27, № 6, 1424

Литературные данные по исследованиям сплошного спектра поглощения и спектра комб. расщ. фтора использованы для расчета потенциальных кривых (ПК) возбужденных состояний $^1\Pi$ и $^3\Pi_{0+}$ по методу Бейлеса. Результаты вычислений показали, что состояние $^1\Pi$ является отталкивательным и имеет диссоциационный предел, соответствующий энергии диссоциации F_2 $37,1 \pm 0,85 \text{ ккал/моль}$. Анализ характера ПК состояния $^3\Pi_{0+}$ позволил сделать некоторые выводы относительно возможности наблюдения полос поглощения $^3\Pi_{0+} \leftarrow ^1\Sigma_g^+$ в области 1—2 м. Для расчетов сделаны оценки $\omega_e = 923$ и $\omega_e x_e = 15,6 \text{ см}^{-1}$.

В. Юнгман
20368. Спектры испускания смешанных галогенов. Часть II. JBr и BrCl. Харанатх, Тирувенган-а-Рао (Emission spectra of mixed halogens. Part II. JBr and BrCl. Haranath P. B. V., Tiruvengana Rao P.), Indian J. Phys., 1957, 31, № 7, 368—375 (англ.)

Спектры испускания JBr (I) и BrCl (II), полученные с помощью конденсированного и высокочастотного разрядов, исследовались от видимой до вакуумной УФ-области. В спектре I в области 3800—3900 Å обнаружена новая система полос, которая описывается ф-лой $\nu = 26076 + 104,0(v' + 1/2) - 0,8(v' + 1/2)^2 - 140,0(v'' + 1/2) + 1,9(v'' + 1/2)^2$. Нижнее состояние

этой системы отождествлено с известным состоянием $^3\Pi$. В спектре II в видимой области не обнаружено никаких полос, и лишь в области 2500—3600 Å расположено 6 диффузных полос. В вакуумной УФ-области найдены полосы, принадлежащие к двум известным ранее в поглощении системам I и II. На основе анализа электронных конфигураций делаются предположения о типах возбужденных электронных состояний молекул смешанных галогенов, в частности, верхних состояний новых систем полос I и JCl. Часть I см. РЖХим, 1958, 86.

В. Юнгман
20369. Вращательный анализ полос окиси титала. Премаваруп, Барроу (Rotational analysis of the tantalum oxide bands. Premaswarup D., Barrow R. F.), Nature, 1957, 180, № 4586, 602—603 (англ.)

Проведен колебательный и вращательный анализ двух систем полос TaO в видимой и УФ-области. Полосы отнесены к переходам $s^2\Delta_{1/2} - a^2\Delta_{1/2}$ и $b^2\Pi - a^2\Delta$. Вычислены колебательные и вращательные постоянные всех трех состояний. Прежняя интерпретация полос, выполненная одним из авторов (РЖХим, 1955, 48291; 1956, 53629), найдена неправильной. В. Юнгман

20370. Спектр испускания молекулы RH^+ . Нарасимхам (The emission spectrum of the RH^+ molecule. Narasimham N. A.), Canad. J. Phys., 1957, 35, № 8, 901—911 (англ.)

Впервые исследован с большим разрешением спектр RH^+ , полученный в полном катод. Наблюдалось 3 полосы при 3854, 4228 и 3567 Å. Вращательный анализ этих полос показал, что они являются полосами 0—0, 0—1 и 1—0 систем $^2\Delta - ^3\Pi$, где состояния $^3\Pi$ и $^2\Delta$ относятся к случаям Гунда a и b соответственно. Определены вращательные постоянные и постоянные мультиплетного расщепления обоих состояний, а также Λ -удвоение состояния $^3\Pi$. Наблюдалась преддиссоциация вращательных уровней при $v' = 0$ и 1. На основании анализа электронных конфигураций показано, что состояние $^3\Pi$ является основным состоянием RH^+ . Произведена оценка энергии диссоциации RH^+ на основании экстраполяции колебательных термов верхнего состояния. Полученное значение $D(RH^+) = 3,06 \pm 0,25$ эв подтверждается данными по преддиссоциации. В. Юнгман

20371. Импульсная спектроскопия радикалов, полученных в ударной трубе. Кемпбелл, Джонсон (Flash spectroscopy of radicals in the shock tube. Campbell Charles E., Johnson Irving), J. Chem. Phys., 1957, 27, № 1, 316—317 (англ.)

Наблюдалось поглощение света от мощной импульсной лампы в следующих смесях газов, подвергавшихся действию ударной волны: бензол-кислород-аргон (I), пропан-кислород-аргон (II), ацетальдегид-аргон (III), бензол-аргон (IV) и ацетальдегид-азот (V). В смесях I—III наблюдался ряд полос S_2 Свана, а также полосы OH. Полосы CN в смеси III приписывались наличию небольшого кол-ва воздуха. Характеристич. полосы бензола в области 2500 Å в смеси IV по мере увеличения т-ры переходили в непрерывное поглощение. Аналогичное исчезновение полосатой структуры наблюдалось в смеси V. Ввиду этого делается вывод о непригодности метода для идентификации многоатомных молекул при т-рах, типичных для пламен. В. Юнгман

20372. Спектр поглощения, возникающий при фотолизе тетраметилсвинца. Клаустон, Кук (Absorption spectra arising from the photolysis of lead tetramethyl. Clouston J. G., Cook C. L.), Nature, 1957, 179, № 4572, 1240—1241 (англ.)

В спектрах поглощения при импульсном фотолизе

$Pb(CH_3)_4$ (I) и $Pb(CD_3)_4$ (II) наблюдалась интенсивная полоса 3196 Å и более слабая полоса 3096 Å. Полоса 3196 Å в спектре I разрешена на ряд кантов и имеет признаки перпендикулярной полосы молекулы типа симметричного волчка. Полоса 3096 Å в спектре II сильно смещена в сторону длинных волн по сравнению с I и расщеплена на три компоненты. Разности частот 1025 в I и 755, 862 и 966 cm^{-1} в II приписаны частотам деформационных колебаний в CH_3 , CD_3 , CD_2H и CDH_2 . В качестве источника спектра возможны свободные радикалы $Pb(CH_3)x$ ($x = 1, 2$ или 3) или CH_3 . Обсуждается связь характера колебаний с величиной и направлением изотопич. смещения. См. также РЖХим, 1958, 10651.

В. Юнгман
20373. О комплексных соединениях. XXIII. Анализ кривых полос поглощения света. Зиберт, Линхард (Über Komplexverbindungen. XXIII. Zur Kurvenanalyse von Lichtabsorptionsbanden. Siebert Hans, Linhard Martin), Z. phys. Chem. (BRD), 1957, 11, № 5-6, 318—325 (нем.)

Предложена ф-ла для аналитич. представления как симметричных, так и несимметричных полос поглощения $lg \epsilon_{(макс.)} - lg \epsilon = a(v_{(макс.)} - v)^2 [1 + b(v_{(макс.)} v)]$, где постоянные a и b связаны с полушириной β и наклоном $\delta = [(v_n + v_n)/2] - v_{(макс.)}$, где v_n и v_n — частоты на $1/2$ максим. поглощения; $a = [4 lg 2 (\beta^2 + 12\delta^2)]/(\beta^2 - 4\delta^2)^2$; $b = 8\delta/(\beta^2 + 12\delta^2)$. Для косых полос может быть использована также ф-ла $lg \epsilon_{(макс.)} - lg \epsilon = a'(v_{(макс.)} - v)^n$ с нецелочисленным экспонентом n .

Для ряда исследованных соединений значение n лежит в пределах 2—2,3. Предложенные ф-лы проверены на большом числе полос и могут быть использованы, кроме того, для разделения частично перекрывающихся полос. Часть XXII см. РЖХим, 1958, 3516. М. Дяткина

20374. Спектры поглощения производных нафталина. Кишш (A naptalinszármazékok fényelnyelése. Kiss Árpád), Magyar tud. akad. kém. tud. oszt. közl., 1955, 6, № 1-2, 47—61 (венг.)

Происхождение полос поглощения (ПП) линейно конденсированных ароматич. углеводородов интерпретируется на базе представлений ориентированного светопоглощения, развитых автором в более ранней работе (Akad. közl., 1949, 2, 329). Согласно этим представлениям, возбуждение таких молекул осуществляется по имеющимся в них двум осям, соединяющим свободные атомы бензольного кольца (x — более длинная ось, y — более короткая). Причем поглощаются лишь те лучи, плоскости поляризации которых совпадают с этими осями. x -Полоса, принадлежащая x -оси, находится в более длинноволновом участке спектра, чем y -полоса. При возбуждении молекулы, находящейся в более высоком энергетич. состоянии, могут возникнуть вторые x' и y' ПП. Нормальный порядок ПП: x, y, x', y' . Выводы эти находятся в полном согласии с данными, полученными на основании квантовомеханич. расчетов. На положение ПП оказывают влияние заместители, обладающие индуктивным эффектом или эффектом сопряжения (OSn_3 , NH_2 , OH , Cl и др.), смещая их в длинноволновую область. На основании взаимного влияния заместителей делается попытка объяснить структуру ПП различных одно-, двух- и многозамещенных антрацена и нафталина.

И. Дулат
20375. Спектры поглощения угуглярно конденсированных ароматических углеводородов. Кишш (Az angulárisan kondenzált aromás szénhidrogének fényelnyelése. Kiss Árpád), Magyar tud. akad. kém. tud. oszt. közl., 1955, 6, № 1-2, 63—76 (венг.)

На основе представлений об ориентированном поглощении света конденсированными ароматич. углеводородами (см. пред. реф.) делается попытка обосно-

вать теорию генезиса полос поглощения (ПП) этих молекул. Англярно конденсированные ароматич. углеводороды могут иметь 2, 3 и 4 оси возбуждения (x_1, x_2, x_3 и y), каждой из которых соответствует своя ПП. Кроме того, каждая ось может иметь еще одну ПП, характеризующую возбуждение в более высокое энергетич. состояние (x'_1, x'_2, x'_3 и y'). Расположение ПП зависит от длины осей возбуждения. Если $x_1 > x_2 > x_3 > y$, то порядок соответствующих ПП, начиная от длинных волн, следующий: x_1, x_2, x_3, y . Преобладающими являются y -полоса и полосы более высокого возбуждения. Различные заместители приводят к смещению ПП в длинноволновую область, что является результатом влияния индуктивного эффекта или эффекта сопряжения заместителя на полярность молекулы.

И. Дилунг

20376. К вопросу о спектрах поглощения конденсированных ароматических соединений. I. Дальнейшее построение теории ориентированного светопоглощения. Кишш (Zur Lichtabsorption der kondensierten Aromatischen Verbindungen. I. Weiterbau der Theorie der Orientierten Lichtabsorption. Kiss A.), Acta chim. Acad. sci. hung., 1956, 8, № 4, 345—354 (нем.; рец. русск., англ.).

Изложение ранее сформулированных теоретич. представлений (см. пред. реф.) с применением к некоторым новым типам молекул.

В. Александрия

20377. Взаимодействие между двуокисью серы и полярными молекулами. I. Системы, содержащие алифатические спирты, эфиры или бензол в четыреххлористом углероде. II. Системы, содержащие этанол и бензол или гидрохинон. Мейн (Interaction between sulfur dioxide and polar molecules. I. Systems containing aliphatic alcohols, ethers, or benzene in carbon tetrachloride. II. Systems containing ethanol and benzene or hydroquinone. Maine P. A. D. de), J. Chem Phys, 1957, 26, № 5, 1036-1044; 1042-1049 (англ.).

I. Измерены оптич. плотности двуокиси серы в смесях р-рителей бензола, метанола, этанола, n -пропанола, n -бутанола с CCl_4 при t -рах от 0° до 30° . Для устранения гидратации спиртов измерения проводились в атмосфере азота. Полоса поглощения SO_2 в этих смесях вблизи 2800 Å, по мнению автора, является частично результатом образования донорно-акцепторного комплекса $\text{SO}_2 \cdot \text{ROR}$ с SO_2 в качестве акцептора. Ранее описанным графич. методом (Andrews L. J., Keefer R. M., J. Amer. Chem. Soc., 1951, 73, 4169) определены коэф. экстинкции, константы равновесия вышеперечисленных комплексов и теплоты образования бензольного и этанолового комплексов с SO_2 в p -ре CCl_4 . Наблюдаемые отклонения коэф. экстинкции для этанолового комплекса автор объясняет наличием небольших кол-в воды. Установлено незначительное «синее» смещение центра длинноволновой полосы SO_2 при переходе от CCl_4 к полярным р-рителям, что, по мнению автора, является результатом наличия в спектре комплекса двух перекрывающихся полос: полосы несвязанной SO_2 и полосы донорно-акцепторного комплекса.

II. Измерены в атмосфере азота оптич. плотности р-ров бензол — SO_2 — этанол и гидрохинон — SO_2 — этанол при t -рах 0° — 30° . Графич. методом определены константы равновесия и коэф. экстинкции для бензольных комплексов с SO_2 в бензольном р-ре, которые должны быть получены из анализов р-ров с высокой конц-ией бензола. Поглощение р-ра SO_2 в смеси бензол-этанол в ближней УФ-области автор объяс-

няет наложением полос систем этанол + $\text{SO}_2 \rightleftharpoons (\text{ком-плекс})_1$ и бензол + $\text{SO}_2 \rightleftharpoons (\text{ком-плекс})_2$, причем предполагается, что при переходе от неполярного к полярному р-рителю не наблюдается изменения в K_1, K_2 и в

коэф. мол. экстинкции двух комплексов и несвязанной SO_2 . Найдено, что термодинамич. константы обоих комплексов, вычисленные из данных для смешанной системы, идентичны значениям, полученным для отдельных систем в CCl_4 . Анализы спектров поглощения р-ров гидрохинон — SO_2 — этанол дают значение $14,0 \pm 1,0$ ккал/моль для теплоты образования комплекса гидрохинон- SO_2 в этаноле, которое совпадает со значением теплоты разложения твердого соединения гидрохинон- SO_2 14,2 ккал, вычисленной другими авторами. Эти результаты согласуются с предположением о существовании решеток в полярных р-рителях. Автор предполагает, что перенос заряда в комплексе бензол- SO_2 происходит с одной из вырожденных π -орбит бензола на модифицированную $3d$ -орбиту атома серы.

С. Барденштейн

20378. Спектры поглощения азосоединений и их аналогов. II. Замещенные фенилнитроны. Уилер, Гор (Absorption spectra of azo- and related compounds. II. Substituted phenylnitrones. Wheeler Owen H., Gore Peter H.), J. Amer. Chem. Soc., 1956, 78, № 14, 3363—3366 (англ.).

Изучены УФ-спектры поглощения (СП) замещ. фенилнитронов (N-фенилбензальдоксимов) (ФН) (с перечисленными ниже заместителями в α - и в N-фенильном ядрах): —, — (I); 4- NO_2 , — (II); 3- NO_2 , — (III); 2- NO_2 , — (IV); 4-ОН, — (V); 4- OCH_3 , — (VI); 3-ОН, — (VII); 2-ОН, — (VIII); 4-ОН и 3- OCH_3 , — (IX); 4-ОН, 2- CH_3 (X); —, 4- CH_3 (XI); —, 4-Cl (XII) и α -4-оксифенил-N-этилнитрона (XIII) в абс. спирте. СП всех ФН имеют 3 полосы поглощения: ~ 230 (E_1), ~ 280 (E_2) и ~ 320 (K) мμ высокой интенсивности. E_1 отнесена к электронному переходу в бензольном кольце (E — полоса бензола, ~ 205 мμ, смещенная к длинным волнам), так как заместители влияют только на ее интенсивность. В II, III, V, VII, VIII и XII E_1 имеет 2 максимума: 227—228 мμ, вызванный переходом в α -ядре (так как для XIII наблюдается одиночный максимум), и 236—237 мμ, вероятно, обусловленный переходом во втором ядре. E_2 отсутствует у I (полное перекрывание полосой E_1) и V (перекрывание полосой K); у II, III и XI найдены 2 максимума: 251 и 257 мμ; замещение на ОН или OCH_3 вызывает bathochromic сдвиг (BC) ~ 30 мμ. Полоса E_2 отнесена к переходу в электронной системе, включающей центральную связь и α -ядро. Полоса K с азосибензолами отнесена к электронному переходу в пределах целой молекулы. Заместители в α -4-положении вызывают BC в следующем порядке: $\text{NO}_2 \gg \text{OH} > \text{OCH}_3$, в α -3 не изменяют положения максимума (типично для индуктивного эффекта), в α -2 снижают интенсивность K и вызывают гипсохромный сдвиг (GC) (сравнительно с α -4) вследствие взаимодействия с атомами соединительной цепи, препятствующего копланарности ядер и повышающего энергию возбужденного состояния. У VIII наблюдается дополнительный максимум 343 мμ, обусловленный водородной связью между ОН и О нитронной группировки. GC, наблюдаемый у X (сравнительно с V) вместо ожидаемого BC, объяснен пространственными препятствиями сопряжению. Расчет углов отклонения от копланарности двумя методами подтвердил связь между GC и пространственными препятствиями. Исходные фенилгидроксиламины (ФГ) и этилгидроксил-амин (XIV) получены восстановлением соответствующих нитросоединений. ФН и XIII получены р-цией между ФГ и XIV и бензальдегидом (эквимолекулярные кол-ва) в спирте ($\sim 20^\circ$, ~ 15 ч.) и очищены перекристаллизацией из спирта; выход 80—95%; перечисляются ФН, т. пл. в $^\circ\text{C}$: I, 114; II, 189; III, 154; IV, 137; V, 212; VI, 116; VII, 230; VIII, 118; IX, 215; X, 187; XI, 123; XII, 181; XIII, 206. Часть I см. РЖХим, 1958, 3531.

А. Сергеев

20379. Исследования в области гетероциклов. УФ-спектры поглощения и хромофорные свойства. Часть III. Пиразолы и фенилпиразолы. Даль-Монте, Манджини, Пассерини (Ricerchi sugli eterociclici: spettri di assorbimento U. V. e proprietà cromoforiche. Nota III. Pirazoli e fenilpirazoli. Dal Monte Dea, Mangini Angelo, Passerini Riccardo), Gazz. chim. ital., 1956, 86, № 10, 797—848 (итал.).

Изучены спектры поглощения (СП) в ближней УФ-области в спирте (в отдельных случаях также в кислых р-рах и в циклогексане) пиразола (I) и его производных общей ф-лы А (перечисляются X, R, R',



R''): I CH₃, H, H, H; II H, CH₃, H, H; III H, CH₃, H, H; IV H, H, CH₃, H; V CH₃, CH₃, H, H; VI CH₃, H, H, CH₃; VII H, CH₃, CH₃, H; VIII H, CH₃, H, CH₃; IX CH₃, CH₃, CH₃, H; X CH₃, CH₃, H, CH₃; XI CH₃, H, CH₃, CH₃; XII H, CH₃, CH₃, CH₃; XIII CH₃, CH₃, CH₃, CH₃; XIV H, COOH, H, H; XV H, COOCH₃, H, H; XVI H, CH₃, H, COOH; XVII H, CH₃, H, COOCH₃; XVIII H, COOH, CH₃, H; XIX H, COOCH₃, CH₃, H; XX CH₃, CH₃, H, COOH; XXI CH₃, CH₃, H, COOCH₃; XXII CH₃, COOH, H, CH₃; XXIII CH₃, COOCH₃, H, CH₃; XXIV H, COOH, H, COOH; XXV H, COOCH₃, H, COOCH₃; XXVI H, C₆H₅, H, H; XXVII CH₃, C₆H₅, H, H; XXVIII CH₃, H, H, C₆H₅, а также N-фенилпиразола XXIX и его производных общей ф-лы Б (перечисляются X, Y, R, R', R''): XXX H, H, CH₃, H, H; XXXI H, H, CH₃, H, CH₃; XXXII CH₃, H, H, H; XXXIII H, CH₃, H, H; XXXIV CH₃, H, CH₃, H, H; XXXV H, CH₃, CH₃, H, H; XXXVI CH₃, H, CH₃, H, CH₃; XXXVII H, CH₃, CH₃, H, CH₃; XXXVIII NH₂, H, CH₃, H, CH₃; XXXIX H, NH₂, H, H, H; XL H, NH₂, CH₃, H, H; XLI H, NH₂, CH₃, H, CH₃; XLII H, H, H, NO₂, H, H; XLIII NO₂, H, H, H; XLIV NO₂, H, CH₃, H, CH₃; XLV H, NO₂, H, H, H; XLVI H, NO₂, CH₃, H, H; XLVII H, NO₂, CH₃, H, CH₃; XLVIII NO₂, H, H, NO₂, H; XLIX H, NO₂, H, NO₂, H; L, NO₂, NO₂, CH₃, H, CH₃. Приведены кривые СП, λ(макс.) и lg ε. Авторы обсуждают СП I—L на основе теории локализованных хромофоров. I обладает в УФ-области единственной полосой поглощения (ПП) 200—210 мμ. Значительная электроотрицательность 5-членных гетероциклов, большая интенсивность ПП I и его аналогов, сравнительно с системой B₂ бензола, и сдвиг ПП I к коротким волнам относительно последней также обусловлены участием полярных структур. Введение CH₃ в I вызывает bathochromный сдвиг (II > IV > III > VI; III ~ VIII < V > VI), XIV—XXV не дают спектроскопич. доказательств значительного участия бетановых структур в их основном состоянии; по-видимому, COOH (и COOR) слабо сопряжена с циклом, причем совместное влияние двух COOH (в XXIV и XXV) еще более ослабляет сопряжение. Первоначальная ПП XIV, XVI, XVIII, XX и XXII (214—221 мμ в сп.) в кислом р-ре распадается на 2, различных по происхождению: 200—215 и 235—245 мμ, обусловленные возбуждением систем H—C—C—

(OH)=O и H—N—NH=CH соответственно. XXIX, аналогично N-фенилпирролу, обладает ПП 250 мμ (в сп.); в циклогексане наблюдается также перегиб ~290 мμ малой интенсивности. По-видимому, иминогруппа в XXIX сопряжена с гетероциклом и ароматич. циклом, но оба цикла не сопряжены друг с другом; напротив, сопряжение обоих циклов имеет место у C-фенилпиразолов; СП XXVII аналогичен СП XXVI; отличие же от последних СП XXVIII и сходство его с СП XXXIX авторов объясняют таутомерными влияниями. У XXXII, XXXIV, XXXVI наблюдается ожидаемый стерич.

эффект (5 < 2' < 5,2'), причем влияние р-рителя (сп. циклогексан) тем сильнее, чем больше пространственные затруднения. Группа NO₂ в XLII и XLV одинаково сопряжена с иминным N(1) через C(5)—C(4) или через C₆H₅ (аналогия XLV и n-нитрофенилбензимидазола); в XLIII сопряжение полностью подавлено стерич. факторами. Спектроскопич. свойства XLIV и XLVI—L, как в спирте, так и в кислом р-ре полностью соответствуют ожидаемому совместному влиянию индуктивного и стерич. эффектов, обусловленных природой и положением заместителей; влияние сверхсопряжения CH₃ в положении 3, по-видимому, незначительно. Влияние NH₂-группы в ароматич. ядре сильно зависит от ее положения: у XXXIX наблюдается сильный bathochromный сдвиг (сравнительно с XXIX), обусловленный мезомерным эффектом, у XXXI и, особенно, XXXVIII наблюдается гипсохромный сдвиг вследствие стерич. влияний. Положение NH₂ в XXXVIII—XLI сильно влияет на основные свойства: лишь у XXXIX—XLI в кисл. р-ре возбуждается ПП 340—350 мμ, исчезающая при протонизации NH₂-группы. Изучено нитрование XXIX и его моновитропроизводных; найдена полная аналогия с нитрованием N-фенилпиррола; структура полученных нитропроизводных доказана синтезом. XVI получен конденсацией ацетоуксусного эфира и N₂H₄, т. пл. 86° (из лигр.). При р-ции 4,3 г XVI в 80—100 мл CH₃OH с 12 г CH₃I в присутствии CH₃ONa (из 12,7 г Na) (~100°, 3 часа) получены разделенные фракционированной перегонкой XXI, т. кип. 92°/10 мм, и XXIII, т. пл. 73—74° (из бал. или лигр.). Метилирование XVI метил-n-толуолсульфонатом в присутствии CH₃ONa приводит исключительно к XXI. XXIII синтезирован также конденсацией ацетон-щавелевого эфира в CH₃NHNH₂·H₂SO₄, выход мал. Омылением 10 г XXI 3,6 г KOH в 25 мл воды (~100°, 1 ч.) получена XX, выход колич., т. пл. 208°. Аналогично из XXIII получена XXII, т. пл. 175°. XXXVI синтезирован конденсацией ацетилацетона (LI) (1 моль) и o-толилгидразина (1,1 моля) (100°, 0,5 часа), выход очищ. 50%, т. кип. 261°. XXXVII синтезирован аналогично из LI и n-толилгидразина, выход очищ. 40%, т. кип. 268°. XLII получен: а) нитрованием 3 г XXIX в 22 мл (CH₃CO)₂O смесью 1,5 мл HNO₃ (1,52) в 6 мл (CH₃CO)₂O (от —5 до 0°, 0,5 часа и 20°, 4 часа), т. пл. 126—127°; б) конденсацией натрийтрималонового альдегида (LII) и фенилгидразина. XLV получен нитрованием р-ра 2 г XXIX в 15 мл H₂SO₄ (1,84) смесью 1,3 мл HNO₃ (1,52) и 5 мл конц. H₂SO₄ (—5°, 3/4 часа), выход 83—84%, т. пл. 169—170° (из сп.). XLIX получен нитрованием: а) 1 г XLII 4,3 мл HNO₃ (1,52) (0° и ~20°, 0,5 часа), выход 80%, т. пл. 148° (из сп.); б) р-ра 3 г XLV в 10 мл конц. H₂SO₄ р-ром 1,4 г KNO₃ в 5 мл конц. H₂SO₄ (~20 и ~60°, 3 часа), выход 80%. XLIX синтезирован также конденсацией эквимолекулярных кол-в LII и хлоргидрата n-нитрофенилгидразина в водн. р-ре (~20°), выход 40%. XLIV получен конденсацией LI (3,5 г в 10 мл воды) и хлоргидрата o-нитрофенилгидразина (LIII) (7,5 г в 150 мл воды), выход 40%, т. пл. 102° (из сп.). N-(2'-нитро)-фенилпиразолдикрбонвая-3,5-к-та (LIV) получена окислением 12 г XLIV р-ром 60 г KMnO₄ в 350 мл воды (~100°, 4,5 часа), выход 50—60%, т. пл. 256—257° (из воды). Декарбоксилированием LIV (270—280°) получен XLIII, выход 60—65%, т. пл. 84—85° (из лигр.). XLVIII получен аналогично XLIX: а) нитрованием XLIII KNO₃ + H₂SO₄, выход неочищ. 75—80%, т. пл. 146—150° (из лигр.); б) конденсацией LII и LIII. XXXVIII получен восстановлением 8,5 г XLIV 30 г SnCl₂ в 10 мл конц. HCl (100°, 0,5 часа), выход 68%, т. пл. 91° (из лигр.). Аналогично получены: XXXIX (из XLV), выход 55—60%, т. пл. 45—46° (из лигр.), и XLI и XLVII, выход 85—90%, т. пл. 102° (из лигр.). Часть II см. РЖХим, 1957, 65484.

А. Сергеев

20380. К теории концентрационного тушения флуоресценции растворов. Свешников Б. Я., Докл. АН СССР, 1957, 115, № 2, 274—276

Получены ф-лы для выхода и длительности флуоресценции конц. вязких р-ров органич. в-в при наличии индуктивной связи между молекулами. Учитывается действие на возбужденную молекулу лишь ближайшей невозбужденной. Вероятность тушения предполагается обратно пропорциональной шестой степени расстояния между молекулами (p/R^6), где p — постоянная. Используя закон флукуационного распределения «ближайшего соседа», выведенный ранее Герцем (Hertz P., Math. Ann., 1909, 67, 387), автор приходит к следующим ф-лам для выхода η и длительности τ свечения при конц-ии c : $\eta/\eta_0 = 1 - \frac{1}{2} \{ q \{ c \sin(q) - \sin(q) \cos(q) \} - (q^2)^2 \{ c \sin(q) \cos(q) + \sin(q) \sin(q) \} \} / [1 - q \{ c \sin(q) - \sin(q) \cos(q) \}]$ (2), где $q = \sqrt{3/2} \sqrt{p/c} \tau_0$ (τ_0 — время затухания при бесконечном разведении). Выражения (1) и (2) содержат табличные интегралы $si(q)$ и $ci(q)$. График значений η/η_0 и τ/τ_0 , построенный в зависимости от величины q , в согласии с опытом показывает, что выход свечения падает быстрее, чем τ . Для $q \ll 1$ (малые конц-ии) ф-лы (1) и (2) имеют вид $\eta/\eta_0 \approx 1 - Q$ (3) и $\tau/\tau_0 \approx 1 - \frac{1}{2} Q$ (4), где $Q = q \{ c \sin(q) - \sin(q) \cos(q) \}$. Ф-лы (3) и (4) имеют тот же вид, что и ф-лы, ранее полученные другими методами Фёрстером (Förster T. H., Z. Naturforsch., 1949, 4a, 321) и Галининым (РЖХим, 1956, 12469). В. Ермолаев

20381. Влияние миграции энергии на флуоресценцию растворов красителей. Лаворель (Effect of energy migration on fluorescence in dye solutions. Lavorel J.), J. Phys. Chem., 1957, 61, № 7, 864—869 (англ.)

На основе предположения о диффузии энергии электронного возбуждения в конц. р-ре красителя, вызванной безызлучательной миграцией энергии, рассчитана зависимость от конц-ии отношения интенсивностей флуоресценции $R(c)$ в области сильного поглощения и вне ее. Подсчитаны также изменения с конц-ией $R'(c)$ при возбуждении светом различных длин волн. Предполагается, что диффузия молекул мала по сравнению с диффузией энергии. Те же отношения $R(c)$ и $R'(c)$ подсчитаны при предположении, что существует только реабсорбция и вторичная флуоресценция. Зависимость $R(c)$ и $R'(c)$ от конц-ии в этом случае сильно отличается от зависимости, полученной при предположении о миграции энергии, что указывает на эксперим. возможность различать эти два эффекта. Сравнение расчета с экспериментом, проведенным на щел. р-ре флуоресцина, показало, что среднее расстояние, на которое смещается энергия за время между актом поглощения и излучением благодаря безызлучательному переносу, равно ~ 20 мд для $C = 5 \cdot 10^{-2}$ моль/л, т. е. квант возбуждения успеет побывать в 300 молекулах, задерживаясь в каждой лишь на $3 \cdot 10^{-12}$ сек. Время пребывания энергии в одной молекуле, подсчитанное для данного случая по теории Фёрстера, равно $18 \cdot 10^{-12}$ сек., т. е. энергия обойдет лишь 50 молекул. Автор считает, что димеризация красителя при конц-ии $5 \cdot 10^{-2}$ моль/л, хотя и снижает точность измерений, но не опровергает сделанных выводов. В. Ермолаев

20382. Влияние образования водородной связи на флуоресценцию π -электронной системы. Матага, Райфу, Коидзуми (Hydrogen bonding effect on the fluorescence of π -electron system. Mataga Noboru, Kaifu, Yozo, Koizumi Masao), Bull. Chem. Soc. Japan, 1956, 29, № 1, 115—122 (англ.)

Исследованы спектры поглощения и флуоресценции

р-ров α -нафтола (I), β -нафтола (II) и β -нафтилметилового эфира (III) в n -гексане, в присутствии акцепторов протонов (АП) (диоксан, этилацетат, бутилацетат и др.). Найдено, что добавление АП к р-рам I и II приводит к смещению полос поглощения и флуоресценции в сторону длинных волн и небольшому увеличению их интенсивности. В спектрах р-ров III этого не наблюдалось. Отсюда авторы заключают, что наблюдаемые спектральные изменения при добавлении АП обусловлены образованием водородных связей (ВС). Изучение полученных данных показывает, что тенденция к образованию ВС молекул I и II в возбужденных состояниях усиливается. Дополнительная стабилизация в возбужденных состояниях исследованных молекул при образовании ВС объясняется главным образом увеличением миграции электрона из группы OH на π -орбиты сопряженной системы. В. Александрия

20383. Сенсibilизованная фосфоресценция и флуоресценция переноса электрона в органических молекулярных соединениях. Чекалла (Sensibilisierte Phosphoreszenz und charge transfer-Fluoreszenz in organischen Molekelverbindungen. Czekaalla J.), Naturwissenschaften, 1956, 43, № 20, 467—468 (нем.)

Исследовалась люминесценция мол. соединений (МС) донорно-акцепторного типа, обладающих спектром поглощения, обусловленным переносом электрона между компонентами МС. Время затухания τ люминесценции МС тетрахлорфталевого ангидрида (I) с гексаметиленбензолом (II) в р-ре при $+20^\circ$ $\tau = 5 \cdot 10^{-9}$ сек., что хорошо согласуется с силой осциллятора ($f = 0,1$) для полосы поглощения переноса электрона данного соединения, если принять квантовый выход свечения равным 0,2. Для комплекса симм-тринитробензола с II $\tau = 2 \cdot 10^{-9}$ сек. В обоих случаях имеет место зеркальная симметрия между длинноволновой полосой поглощения и спектром люминесценции МС. Люминесценцию МС автор считает поэтому обусловленной флуоресценцией переноса электрона (процесс, обратный поглощению при переносе электрона). Показана несостоятельность объяснения, данного этому явлению ранее Рядом и Муди (РЖХим, 1955, 31021). Наблюдалась также сенсibilизованная фосфоресценция нафталина в комплексе с I. В отличие от сенсibilизованной фосфоресценции, описанной ранее А. Н. Терениным и В. Л. Ермолаевым (РЖХим, 1957, 36830), поглощение осуществляется не сенсibilизатором, а МС. В. Ермолаев

20384. Спектры флуоресценции и поглощения молекулярных соединений при низких температурах. Перенос энергии в молекулярных соединениях. Чекалла, Бриглеб, Херре, Глир (Fluoreszenz- und Absorptionsspektren von Molekülverbindungen bei tiefen Temperaturen. Energieübergänge in Molekülverbindungen. Czekaalla J., Briegleb G., Herre W., Glier R.), Z. Elektrochem., 1957, 61, № 4, 537—546 (нем.)

Измерены спектры поглощения (СП) и флуоресценции (Ф) мол. соединений гексаметиленбензола (донор) с восемью различными акцепторами: тетрахлорхиноном, 2,5-дихлорхиноном, тринитробензойной к-той, 2-хлор-1,3,5-тринитробензолом, тринитробензолом, тринитроанизолом, тринитротолуолом и тетрахлорфталевым ангидридом, в р-ре в ди- n -пропиловом эфире + + изопентан (3:1) при -190° . Описано приспособление для измерения спектров при т-ре жидкого воздуха. Показано, что сдвиг СП переноса заряда, обусловленный различным электронным сродством акцептора, сопровождается аналогичным сдвигом полосы испускания. Поглощение и испускание приближенно зеркально симметричны и приписываются

одному и тому же переходу. Таким образом, Ф указанных мол. соединений объясняется как Ф переноса заряда и никаким образом не связана с фосфоресценцией углеводородного компонента, как это предполагали ранее Рид и Муди (РЖХим, 1955, 31021). Правильность объяснения подтверждается измерениями времени затухания и сенсibilизированной фосфоресценции комплекса тетрахлорфталевого ангидрида с нафталином (см. ссылку). Оба процесса излучения объясняются схемой потенциальных кривых, построенной на основе малликовской теории переноса заряда.

В. Ермолаев
20385. О возможности предсказания колебательных спектров одних соединений по известным спектрам других. Маслов П. Г., Маслов Ю. П., Оптика и спектроскопия, 1957, 3, № 1, 38—53

Предложен новый метод приближенного расчета частот колебаний молекул по частотам колебаний, найденным в спектрах родственных соединений или гомологов по ф-лам типа $\nu^i \text{CHFCI}_2 = 0,5 (\nu^i \text{CHCl}_3 + \nu^i \text{CHClF}_2)$; $\nu^i \text{C}_2\text{HFBBrCl} = (1/3) (\nu^i \text{C}_2\text{HBr}_3 + \nu^i \text{C}_2\text{HCl}_3 + \nu^i \text{C}_2\text{HF}_3)$; $\nu^i \text{SeF}_6 = 0,5 (\nu^i \text{SF}_6 + \nu^i \text{TeF}_6)$ и т. п. Вычисленные частоты галлоидозамещенных метана, этана, этилена и более сложных соединений хорошо согласуются с экспериментальными. Метод расчета применим также для вычисления обертонов и составных частот. Те же самые расчетные ф-лы использованы для расчета интенсивностей и деполаризаций. Рассчитанные частоты использованы для вычисления термодинамич. функций $C_p (E - E_0)/T$, $-(F - E_0)/T$, которые близки к найденным по опытным значениям частот.

М. Ковнер
20386. Расчет и интерпретация колебательных спектров нафтен. I. Циклопропан и гексадейтероциклопропан. Свердлов Л. М., Крайнов Е. П., Оптика и спектроскопия, 1957, 3, № 1, 54—60

Спектры комб. расс. и ИК-спектры C_3H_6 и C_3D_6 (РЖХим, 1956, 77309), использованы для расчета по методу вариации силовых коэф. этих молекул. Приводятся таблицы кинематич. и силовых коэф., наблюдаемых и вычисленных частот колебаний и коэф. формы колебаний. В результате расчета основные частоты обеих молекул отнесены к представлениям группы симметрии D_{3h} и к колебаниям отдельных связей и углов. Силовые коэф. в координатах симметрии следующие: $A_1'' \text{ QQ } 6,2; Qq \text{ } 0,283; Q\alpha \text{ } 0,512; q\alpha \text{ } 8,68; q\alpha \text{ } 0,085; \alpha\alpha \text{ } 1 \cdot E'' \text{ QQ } 8; Qq \text{ } -0,18; Q\alpha \text{ } 0,432; Q\beta \text{ } 0,8; q\alpha \text{ } 8,68; q\alpha \text{ } 0,085; q\beta \text{ } 0; \alpha\alpha \text{ } 0,9; \alpha\beta \text{ } 0,069; \beta\beta \text{ } 1,2 \cdot E'' \text{ q}\alpha \text{ } 8,58; q\beta \text{ } 0,495; q\beta \text{ } 0; \beta\beta \text{ } 0,49; \beta\beta \text{ } -0,017; \beta\beta \text{ } 0,8. A_2'' \text{ q}\alpha \text{ } 8,58; q\beta \text{ } 0,495; \beta\beta \text{ } 0,52; A_2' \text{ } \beta\beta \text{ } 0,986. A_1' \text{ } \beta\beta \text{ } 1,965.$ По этим величинам вычислена полная система коэф. влияния. Из последних сделан вывод о характерной особенности циклопропана: прочности связи C—C и угла CCC одинаковы.

М. Ковнер
20387. Спектры пламен металлических соединений в инфракрасной области. Лагерквист, Хульдт (Flame spectra of metal compounds in the infra-red. Lagerqvist Albin, Hultdt Lennart), Arkiv fys., 1957, 12, № 5, 491—494 (англ.)

Изучались спектры пламен в области 4—15 μ , получаемые введением р-ров хлоридов металлов Cu, La, Ti, V, Cr, Ni, Mn, Fe, Co в ацетиленово-воздушное пламя. В области выше 3,6 μ для большинства исследуемых металлов не обнаружено никаких полос испускания. Была сделана попытка найти колебательный переход 1—0 для основного состояния $1^1\Sigma$ BaO, лежащий при 15 μ . Эта полоса не наблюдалась по всей вероятности из-за того, что она очень слаба. Соли V и Cr дают сильную полосу испускания в близкой ИК-области при 1,6 и 2,4 μ . Для Fe получены такие же результаты. Так как в работе был использован

прибор с никакой разрешающей силой, то анализ полос проведен не был, однако развитие метода считается перспективным.

Е. Москвитина
20388. Измерение времени колебательной релаксации CO за фронтом ударной волны по испусканию в инфракрасной области. Уинзор, Дейвидсон, Тейлор (Measurement of the vibrational relaxation time of CO behind a shock wave by infrared emission. Windsor M. W., Davidson Norman, Taylor Ray), J. Chem. Phys., 1957, 27, № 1, 315—316 (англ.)

Предложен новый метод исследования процесса колебательной релаксации. Применяя чувствительный детектор из селенида свинца, изучалась скорость нарастания ИК-излучения CO, подвергающегося быстрому нагреванию с помощью ударной волны. Наилучшие результаты достигнуты с помощью отраженной волны. Наблюдался 1 оборот CO в области 2,35 μ . Время релаксации при 1470° K, приведенное к 1 атм, равно 19 нсек, что согласуется с величинами, полученными другими методами. Недостаточная чувствительность детектора не позволяет применить метод к более активным молекулам, у которых время релаксации меньше, чем у CO.

В. Юнгман
20389. Количественные спектроабсорбционные исследования жидкостей в областях интенсивных колебательных полос. Лисица М. П., Маликов В. П., Приборы и техн. эксперимента, 1957, № 3, 52—54

Предложен метод измерения интенсивности поглощения жидкостей в ИК-области спектра с применением двух пар кювет. 1-я пара характеризуется очень малыми толщинами (определяемыми степенью сжатия пластинок), не поддающимися точному измерению, 2-я — толщинами порядка 7 μ и выше, легко поддающимися измерению. В расчетах учитывается различие в поглощении каждой пары кювет, что позволяет исключить влияние отражения. Обе пары используются для измерения коэф. поглощения (K) на краях полосы, когда значения K не превышают 2000 см^{-1} . Тогда, зная различие толщин 2-й пары кювет, d , можно определить различие толщин 1-й пары d' (эф.) по ф-ле: $d^{-1} \ln(I_1/I_2) = d'(\text{эф.})^{-1} \ln(I_1'/I_2')$ (величины I_1, I_2 и I_1', I_2' — интенсивности света, прошедшего через 1-ю и 2-ю кюветы соответственно для 1-й и 2-й пары). Знание d' (эф.) позволяет определить значение K по всему контуру полосы поглощения. Рассмотрена также возможная ошибка, возникающая за счет экстраполяции найденного значения d' (эф.) на всю полосу. При помощи описанного метода измерена кривая поглощения CCl_4 вблизи 12 μ .

В. Алексанян
20390. Инфракрасные спектры поглощения газов при большой толщине поглощающего слоя. Баршевич (Spectres d'absorption infrarouge des gaz sous grandes épaisseurs. Barchewitz M. P.), J. phys. et radium, 1956, 17, № 6, S31—S32 (франц.)

При использовании многоходовой кюветы удалось получить эффективную толщину газового слоя в 100—200 м. Для N_2O получен ряд полос, соответствующих переходам малой интенсивности: $0000 \rightarrow \nu_1 \nu_2^{-1} \nu_3$, а также $0110 \rightarrow \nu_1 (2p+1)^1 \nu_3 (\pi-\pi)$; $0110 \rightarrow \nu_1 (2p+2)^0 \nu_3 (\pi-\Sigma^+)$; $0110 \rightarrow \nu_1 (2p+2)^2 \nu_3 (\pi-\Delta)$. См. также РЖХим, 1956, 31689.

Ю. Егоров
20391. Многоядерные карбонилы металлов. III. Исследование тетракарбонила железа с помощью инфракрасных спектров. Дал, Рандл (Polynuclear metal carbonyls. III. Infrared analysis of iron tetracarbonyl. Dahl Lawrence F., Rundle R. E.), J. Chem. Phys., 1957, 27, № 1, 323—324 (англ.)

Получены ИК-спектры $[\text{Fe}(\text{CO})_4]_2$ (I) для р-ра, для дисков из KBr и для монокристалла в поляризован-

анализа спектров. В спектре в КВг обнаружено расщепление полосы 1800 см^{-1} в дублет и рост интенсивности полос 1800 и 2000 см^{-1} по сравнению с р-ром. В спектре монокристалла имеется очень сильная полоса 1875 см^{-1} с преимущественным поглощением при электрич. векторе, перпендикулярном трогон. кольцам (часть II, РЖХим, 1958, 7015). Авторы полагают, что эта интенсивная полоса не является обертоном или комбинационной, а указывает, так же как и отличие между спектрами р-ра и твердого I, на наличие ассоциации между несколькими атомами Fe через мостики $>\text{C}=\text{O}$ или другим путем. М. Дяткина

20392. Влияние растворителя и водородной связи на инфракрасные спектры поглощения органических соединений. I. Влияние растворителя на неплоские деформационные колебания C—H бензола и некоторых его монопроизводных. II. Влияние водородной связи на неплоские деформационные колебания C—H фенола. О в (有機化合物の赤外線吸収スペクトルに及ぼす溶媒効果と水素結合の影響. 第1報. ベンゼン及びその二, 三のモノ置換体の CH 面外変角振動吸収に及ぼす溶媒効果. 第2報. フェノールの CH 面外変角振動吸収に及ぼす水素結合の影響. 大井尚文), 薬学雑誌, Якутаку даэсси, J. Pharm. Soc. Japan, 1957, 77, № 5, 501—504, 504—506 (японск.; рез. англ.)

I. Показано, что р-ритель оказывает заметное влияние на неплоские колебания C—H бензола, фенола и анизола. Смещение полос поглощения не зависит от ϵ_D , но зависит от ϵ , причем большему значению ϵ р-рителя соответствует большее смещение полосы поглощения в высокочастотную область. ИК-спектры хлор- и нитробензола имеют поглощение в области 650—900 см^{-1} , которое, по мнению автора, не связано с неплоским колебанием C—H. Смещение полос поглощения вследствие влияния р-рителя различно для каждой полосы. Это различие может быть использовано для идентификации наблюдаемых полос.

II. Исследовано влияние водородной связи (ВС) на неплоские деф. кол. C—H фенола. Полоса поглощения, соответствующая этому колебанию, смещается в сторону больших частот при увеличении конц-ии акцептора протонов в р-ре фенола в CS_2 . Величина смещения соответствует силе ВС между двумя компонентами. Влияние ВС значительно больше при отсутствии инертного р-рителя. Резюме автора

20393. Инфракрасные спектры и строение лейконовой кислоты и трихинона. Персон, Вильямс (Infrared spectra and the structures of leuconic acid and triquinoyl. Person Willis B., Williams Dale G.), J. Phys. Chem., 1957, 61, № 7, 1017—1018 (англ.)

Получены ИК-спектры лейконовой к-ты (I) и трихинона (II). Отсутствие характеристич. поглощения группы C=O в области 1500—1800 см^{-1} в спектрах I и II показывает, что все карбонильные группы в них полностью гидратированы. Это доказывается также близостью спектров I и II к спектру хлоралгидрата. В спектрах всех трех молекул имеются частоты, характерные для OH-групп вторичных спиртов. В. Головнер

20394. Влияние некоторых заместителей, способных к мезомерии, на асимметричные валентные колебания NO_2 ароматических нитросоединений. Франк, Хёрман, Шейбе (Einfluss einiger mesomeriefähiger Substituenten auf die asymmetrische NO_2 -Valenzschwingung aromatischer Nitroverbindungen. Franck Burchard Hörmann Helmut, Scheibe Sigrid), Chem. Ber., 1957, 90, № 3, 330—338 (нем.)

Получены ИК-спектры поглощения ряда производных нитробензола, спрессованных с КВг и в р-рах CS_2 и CHCl_3 , и определена зависимость частоты

асим. вал. кол. группы NO_2 (1490—1560 см^{-1}) от положения и природы заместителя. Путем сопоставления спектров поглощения о-, м- и п-нитро-N,N-диметиланилинов, нитроанилинов, нитроанизолов и нитробензолов установлены 4 группы характеристич. частот, зависящих от типа нитросоединения: А, область 1540—1565 см^{-1} , сильный электроотрицательный заместитель находится в пара-положении по отношению к NO_2 или NO_2 не лежит в плоскости бензольного кольца; В, 1520—1548 см^{-1} , NO_2 копланарна к бензольному кольцу; С, 1510—1525 см^{-1} , основная группа в орто-положении к NO_2 ; D, 1490—1510 см^{-1} донор электронов в пара-положении к NO_2 . Для соединений, имеющих несколько групп NO_2 , дано следующее отнесение частот $\nu_a(\text{NO}_2)$ к различным группам (см^{-1}): 2,4-динитро-N,N-диметиланилин А 1540, С 1515, D 1498; 2,6-динитро-N,N-диметиланилин А 1551, С 1519; 2,4-динитро-N-метиланилин В 1535, С 1522, D 1496; 2,4,6-тринитро-N-метиланилин В 1532, С 1516; 1,3-бис-метиламино-4,6-динитробензол В 1540; 1,3-бис-метиламино-2,4,6-тринитробензол А 1554, В 1538, С 1508, D 1493; 2,4-динитроанилин С 1524, D 1498; 2,4,6-тринитроанилин В 1531; 2,4-динитроанизол С 1552, D 1490; 2,4,6-тринитроанизол В 1546, D 1480?; 2,4-динитрофенол В 1537, С 1520, D 1481?; 2,4,6-тринитрофенол В 1536, С 1518; 2-нитрорезорцин В 1546; 2,4,6-тринитрорезорцин В 1546, D 1478?; 2,4,6-тринитро-м-крезол В 1543, С 1519; сим-тринитробензол В 1548; 1,3,5-тринитротриметилбензол В 1548. Подробно обсуждается возможное взаимодействие между группами NO_2 и различными заместителями (стерич. препятствия, поляризация, водородная связь и конъюгация).

Е. Покровский

20395. Алициклические соединения с четвертичным атомом углерода. IV. Явления сопряжения в 1-карбэтоксиклопропанспироцикланах. Шюрдоглу, Лон, Пулманс. V. Синтез и ИК-спектры некоторых 2-карбэтоксиклопропан-1-оксациклопропанспироцикланов. Шюрдоглу, Матье, Боде, Дельсемм, Планшон, Тюльен (Composés alicycliques à carbone quaternaire. IV. Phénomène de conjugaison chez les 1-éthoxycarbonyl-cyclopropane-spiro-cyclanes. Chiurdoglu G., Laune J., Poelmans M. V. Synthèse et spectres infra-rouges de quelques 2-éthoxycarbonyl-1-oxacyclopropane-spiro-cyclanes. Chiurdoglu G., Mathieu M., Baudet R., Delsemme A., Planchon M., Tullen P.), Bull. Soc. chim. belges, 1956, 65, № 3-4, 257—269, № 7-8, 664—674 (франц.)

IV. Действием $\text{N}_2\text{CH}_2\text{COOC}_2\text{H}_5$ на алкилцикланы (I) с последующей циклизацией продуктов конденсации получен ряд 1-карбэтоксиклопропанспироцикланов (II) и изучены их свойства. Исходные I получены следующими способами. 1. По методу Валлаха (Wallach O., Ann., 1909, 365, 255) получены изопропилиденциклопентан и изопропилиденциклогексан. 2. Отщеплением HJ от йодметилпентана и йодметилгексана (Фаворский А. Е., Боргманн И. И., Ж. Физ. хим. о-ва, 1906, 38, 1062), а также пиролизом соответствующих ацетатов (Wibaut J. P., Van Pelt A. J., Recueil trav. chim., 1938, 57, 1055) получены соответственно метиленициклопентан и метиленициклогексан. Исходя из тетрабромнеопентила (Muray M. J., Stevenson E. N., J. Amer. Chem. Soc., 1944, 66, 314, 382) получен метиленициклобутан. Этилиденциклопентан (III) получали по методам 1 и 2 вместе с образующимся при этом винилициклопентанолом. Приведены спектры комб. расщ. I. В качестве исходных в-в для получения II использованы также β -пинен и камфен. Превращение I в II осуществлялось по известной методике (Buchner E., Weigand, Ber., 1913, 46, 759) с использованием инертных р-рителей (метилциклогексан, пинан и т. п.),

выход 65—80%. Этим способом синтезированы (приведены в-во, т. кип. в °C/33 мм, n_D^{20} , d_4^{20}): 1-карбэтоксидициклопропанспироциклобутан 104—106, 1,4510, 0,9890; 1-карбэтоксидициклопропанспироциклопентан 110—112, 1,4548, 0,9868; 1-карбэтоксиди-2-метилциклопропанспироциклопентан 118—119, 1,4615, 0,9850; 1-карбэтоксидициклопропанспироциклогексан 123—125, 1,46135, 0,9869; 1-карбэтоксиди-2,2-диметилциклопропанспироциклогексан 114—116/4 мм, 1,46880, 0,9683; 5,5-диметил-1-карбэтоксидициклопропанспиро-[1,1,3]^(4,6)-бициклогептан 140—141/14 мм, 1,48127, 0,99676; 8,8-диметил-1-карбэтоксидициклопропанспиро-[1,2,2]^(4,7)-бициклогептан 116—118/3 мм, 1,47961, 1,0020. Изучены спектры комб. расс. II. В спектрах наблюдаются полосы, характерные для четвертичного С-атома и циклопропанового ядра. Установлено, что значение $\nu(\text{C}=\text{O})$ для карбэтоксигруппы в α -положении к циклопропановому ядру снижено до $1724 \pm 2 \text{ см}^{-1}$ (вместо обычного 1733 см^{-1} для карбэтоксидициклогексана). Это, по мнению авторов, указывает на возможность сопряжения вследствие ненасыщ. характера циклопропановой структуры и гибридизации С-атомов в циклопропане.

V. По методу Дараана из циклобутанона, циклопентанона, циклогексана (IV), 2-метил-IV, 3-метил-IV, и 4-метил-IV с $\text{ClCH}_2\text{COOC}_2\text{H}_5$ получены следующие глицидные эфиры (приведены т-ра кипения в °C/мм, n_D^{20} , n_D^{20D}): 2-карбэтоксиди-1-оксациклопропанспироциклобутан (V) 106—107/12; 1,0350; 1,4316; 2-карбэтоксиди-1-оксациклопропанспироциклопентан (VI) 110—111/11; 1,0689; 1,4562; 2-карбэтоксиди-1-оксациклопропанспироциклогексан (VII) 119,8 \pm 0,3/10; 1,0553; 1,46026; 2-метил-VI (VIII) 76—77/14; 1,0553; 1,4602; 2-метил-VII (IX) 86/0,4; 1,0350; 1,4590; 3-метил-VII 157 \pm 0,5/44; 1,0386; 1,4627; 4-метил-VII 155 \pm 0,5/44; 1,0330; 1,4600; 5-метил-VII (X) 154 \pm 0,5/44; 1,030; 1,4580. Выходы чистых эфиров составили 36—54%. Изучены ИК-спектры V—X, а также ИК-спектры 2-карбэтоксидициклопропана (XI), 3-метил (XII), 2-карбэтоксиди-1-оксациклопропанспироциклогексана (XIII) и Na-соли XIII (приведены кривые). Приведены частоты спектров комб. расс. VI, VIII и IX. Установлено наличие удвоения характеристич. частот карбонильной группы (1730 см^{-1} и 1750 см^{-1}) в ИК-спектре всех исследованных соединений, за исключением XI и Na-соли XII. Часть III см. РЖХим, 1957, 22906. В. Антонов

20396. Инфракрасные спектры ацетатов сахаров в растворе. Исбелл, Смит, Крейц, Фраш, Мойер, Стюарт (Infrared spectra of sugar acetates in solution. Isbell Horace S., Smith Francis A., Creitz E. Carroll, Frush Harriet L., Moyer Joseph D., Stewart James E.), J. Res. Nat. Bur. Standards, 1957, 59, № 1, 41-78 (англ.).

Сняты 56 кривых поглощения в области 700—5000 см^{-1} ацетилированных моносахаридов, метилгликозидов, метилортоацетатов, сахаров со свободным гликозидным гидроксидом, оксопроизводных, полиолов и дисахаридов в р-рах CCl_4 , CS_2 , CHCl_3 и диоксана. Для некоторых в-в указаны длины волн максимумов и мол. коэф. поглощения. Обсуждаются конформации пиранозового кольца и другие структурные особенности указанных соединений. Частоты вал. кол. связей ОН, СН, С=О, деф. кол. групп CH_3 и вал. кол. связей С—О ацетильных групп расположены соответственно в областях 4000—3125, 3125—2857, 1818—1667, 1493—1333 и 1250—1220 см^{-1} . Полностью ацетилированные моносахариды с аксиальной гликозидной ацетатной группой имеют интенсивную полосу поглощения при $8,63 \pm 0,04 \text{ м}$ и слабую при $8,87 \pm 0,06 \text{ м}$. При экваториальном расположении этой группы полоса $8,63 \text{ м}$ слабая, а $8,87 \text{ м}$ более интенсивная. Для ацетилированных метилгликозидов с метоксильной группой в аксиальном положении характерно поглощение при

$8,33 \pm 0,02 \text{ м}$ и $8,80 \pm 0,05 \text{ м}$. Это поглощение отсутствует в случае экваториального положения группы. Пиранозоацетаты пентоз и рамноз дают резкое поглощение при $8,0 \text{ м}$, слабо выраженное в случаях гексоз и высших сахаров.

М. Ковач
20397. Интенсивности линий в спектрах комбинационного рассеяния веществ-эталонов. Алексанян В. Т., Стерня Х. Е., Оптика и спектроскопия, 1957, 2, № 5, 562—567

Проведены тщательные многократные измерения интенсивностей некоторых линий комб. расс. в-в, используемых в качестве эталонов при проведении мол. анализа: циклогексана (I), метилциклогексана (II), циклопентана (III), бензола (IV), толуола (V) и CCl_4 (VI). Получены следующие результаты: I линия 427 см^{-1} ($I = 15 \pm 1,2$), 802 (250, принято в качестве стандарта), 1029 ($105 \pm 5,9$), 1158 ($25 \pm 2,5$), 1267 ($90 \pm 4,5$), 1445 (85 ± 5); II 408 ($19 \pm 1,9$), 446 ($30 \pm 3,3$), 546 ($27 \pm 2,7$), 770 ($115 \pm 3,5$), 845 ($31 \pm 3,1$), 974 ($26 \pm 1,2$), 1033 ($47 \pm 1,5$), 1164 ($28 \pm 1,8$), 1266 ($25 \pm 1,6$), 1266 ($35 \pm 3,2$), 1443 ($52 \pm 2,4$), 1460 ($50 \pm 2,4$); III 889 ($150 \pm 7,5$), 1031 ($45 \pm 3,0$), 1449 ($42 \pm 2,1$); IV 992 (1200 ± 58); V 521 ($96 \pm 6,3$), 623 (50 ± 5), 786 ($250 \pm 12,5$), 1004 (500 ± 27), 1031 ($120 \pm 7,5$), 1211 ($110 \pm 6,3$), 1586 (44 ± 5), 1605 ($90 \pm 7,5$); VI 213 (340 ± 23), 314 (390 ± 28), 459 (400 ± 27), 760 (72 ± 7), 790 (71 ± 6). Найдено, что стандартная ошибка определения интенсивности наиболее ярких линий составляет 2—5% и обусловлена главным образом неопределенностью при измерении фона. Увеличение ошибки у более слабых линий (7—10%) связано с возрастанием роли последнего фактора.

В. Алексанян
20398. Спектры комбинационного рассеяния, интерпретация и силовые постоянные BH_3CO и BD_3CO . Тейлор (Raman spectra, vibrational assignments, and force constants for BH_3CO and BD_3CO . Taylor Robert Cooper), J. Chem. Phys., 1957, 26, № 5, 1131—1135 (англ.).

Исследованы спектры комб. расс. жидких BH_3CO и BD_3CO при -80° . Даны следующие отнесения частот к нормальным колебаниям группы симметрии C_2 (на 1-м месте частота BH_3CO , на 2-м — BD_3CO в см^{-1}): 2380, 1678 (ν_1, a_1 , вал. ВХ), 2169, 2169 (ν_2, a_1 , вал. СО), 1073, 860 (ν_3, a_1 , деф. ВХ), 692, 619 (ν_4, a_1 , вал. ВХ), 2434, 1825 (ν_5, e , вал. ВХ), 1101, 808 (ν_6, e , деф. ВХ), 816, 706 (ν_7, a_1 , деф. В—С—О), 317, 264 (ν_8, e , деф. В—С—О). Из найденных частот методом Вильсона определены значения силовых постоянных. Среднее отклонение рассчитанных значений частот от опытных не превышает 0,3%.

В. Алексанян
20399. О комбинационных частотах в области 3000 см^{-1} уксусной кислоты. Кукурузая (Asupra frecvențelor Raman în domeniul 3000 см^{-1} ale acidului acetic. Cucurezeanu I.), Bul. științ. Acad. RPR. Sec. mat. și fiz., 1957, 9, № 1, 187—196 (рум.; рез. русск., франц.).

Автор различными методами установил правильное толкование дублета 2990—3020 см^{-1} уксусной к-ты, приписав его радикалу CH_3 , а не группе ОН циклического димера, как это ошибочно считал Батуев (Докл. АН СССР, 1948, 59, 1117). Также показано, что широкая полоса в этой области (3000 см^{-1}) принадлежит группе ОН полимера, а группе ОН циклич. димера.

Из резюме автора
20400. Колебательные спектры алкилпроизводной сернистой кислоты. II. Спектры комбинационного рассеяния и инфракрасные спектры поглощения метилсульфохлорида. III. Спектр комбинационного рассеяния хлорида этилсульфоновой кислоты, спектры комбинационного рассеяния и инфракрасный спектр поглощения калийэтилсульфоната. Зимон, Кригман, Дуц (Schwingungsspektren von Alkylderivate

der Schwefligen Säure. II. Mitteil. Raman- und IR-Spektren des Methansulfonsäurechlorids. III. Mitteil. Raman-Spektrum des Äthansulfonsäurechlorids und Raman- und IR-Spektrum des Kaliumäthansulfonates. Simon Arthur, Kriegsmann Heinrich, Dutz Hubert), Chem. Ber., 1956, 89, № 8, 1883—1886, 1990—1994 (нем.).

II. Получены спектр комб. расщ. и ИК-спектр поглощения $\text{CH}_3\text{SO}_2\text{Cl}$. Наблюдаемые линии в спектре комб. расщ. интерпретированы следующим образом (симметрия молекулы C_s): 259 и 292, деф. кол. скелета, 379 симм. ν (S—Cl), 493 деф. кол. скелета, 544 δ (SO), 754 симм. ν (C—S), 975 непл. деф. кол. CH, 1175 симм. ν (S—O), 1324 симм. δ (CH_3), 1372 несимм. ν (S—O), 1415 симм. и несимм. δ (CH_3), 2937 и 3020 симм. ν (CH_3), 3044 несимм. ν (CH_3).

III. Получены спектры комб. расщ. водн. р-ров $\text{C}_2\text{H}_5\text{SO}_2\text{Cl}$ (I) и $\text{C}_2\text{H}_5\text{SO}_3\text{K}$ (II), кристаллич. II и $\text{C}_2\text{H}_5\text{SO}_3\text{K} \cdot 2\text{H}_2\text{O}$ (III), а также ИК-спектр III. Сопоставление спектров позволило отнести к этильным группам следующие частоты (см^{-1}): в I 412, 783, 976, 1060, 1232, 1281, 1406, 1457, 2883, 2927, 2947, 2988, 3042; в II 392, 991, 1425, 1465, 2836, 2894, 2944, 2984; в III 399, 987 (ИК-), 1225 (ИК-), 1255 (ИК-), 1425, 1460, 2833, 2875, 2928, 2967, 2988 (ИК-). Указывается, что ион $\text{C}_2\text{H}_5\text{SO}_3^-$ имеет симметрию C_{3v} . Его характерные частоты: (для II) 528 и 580 (δ (SO)), 1045 (ν (S—O) A), 1192 (ν (S—O) E). Симметрия I вероятно C_s . При переходе от II к кристаллич. II и III наблюдаются небольшие смещения частот и их расщепление (1045 см^{-1} II расщепляется на 1053 и 1062 см^{-1}). Объяснение этих явлений аналогичное метилпроизводным. Сообщение I см. РЖХим, 1958, 16800. Ю. Егоров

20401. Частота линий 3,3 аммиака. Мацуура, Сугиура, Хатояма (Frequency of the ammonia (3,3) line. Matsuura Kiyokata, Sugiyura Yoshikazu, Hatoiyama Geogre M.), Phys. Rev., 1957, 106, № 3, 607 (англ.).

Методом поглощения измерена частота линии 3,3 инверсионного спектра аммиака. Получено значение $\nu = 23870129,31 \pm 0,05 \pm 0,10$ кГц, что в пределах точности измерений согласуется с величиной, полученной с помощью мол. генератора (РЖХим, 1956, 29422), и не согласуется с данными, полученными Симода (РЖФиз, 1956, 79). Н. Померанцев

20402. Точная частота инверсионной линии 3,3 аммиака. Симода (Precise frequency of the 3,3 inversion line of ammonia. Shimoda Koichi), J. Phys. Soc. Japan, 1957, 12, № 5, 558 (англ.).

Различие на 1,63 кГц в частоте инверсионной линии 3,3 аммиака, измеренной в спектре поглощения ($\nu = 23870131,5 \pm 0,05$ кГц) (РЖФиз, 1956, 79) и исследованной с помощью мол. осциллятора ($\nu = 23870129,42 \pm 0,05 \pm 0,12$ кГц) (РЖХим, 1956, 29422), объясняется различной интенсивностью квадратурных сверхтонких переходов $\Delta F_1 = 0$, $F_1 = 2$, 3 и 4. В поглощении отношение компонент $F_1 = 3$, 4 и 2 инверсионной линии 3,3 аммиака равно 7:9:5, и средняя взвешенная частота линии с неразрешенной сверхтонкой структурой совпадает с несмещенной линией. В микроволновом мол. генераторе фокусирующая сила пропорциональна M^2 и отношение интенсивностей линий $F_1 = 3$, 4 и 2 равно 45:37:2, что дает сдвиг эмиссионной линии $\Delta\nu = -0,48 \pm 0,12$ кГц. В микроволновом мол. осцилляторе частотный сдвиг линии зависит от условий работы и равен -1,6 кГц вблизи порога чувствительности и -0,7 кГц вблизи предела насыщения. Т. Бирштейн

20403. Микроволновой спектр хлористого этила. Уайнер, Дейли (Microwave spectrum of ethyl

chloride. Wagner Roseltin S., Dailey B. P.), J. Chem. Phys., 1957, 26, № 6, 1588—1593 (англ.).

С помощью спектрометра со штарковской модуляцией исследован спектр $\text{C}_2\text{H}_5\text{Cl}^{35}$ (I), $\text{C}_2\text{H}_5\text{Cl}^{37}$ (II), транс- $\text{CH}_2\text{DCH}_2\text{Cl}^{35}$ (III) и гош- $\text{CH}_2\text{DCH}_2\text{Cl}^{35}$ (IV) в диапазоне 19—31 кМгц (переходы A типа 1—2 и 2—3). Найдено (в Мгц): I B = 5493,8; C = 4962,3; II B = 5379,1; C = 4867,1; III B = 5098,8; C = 4637,5; IV B = 5297,6; C = 4784,9, что с точностью до 4 Мгц согласуется со следующей моделью молекулы dsc 1,5495 \pm 0,0005 Å; d_{CH} 1,101 \pm 0,003 Å; d_{CD} 1,090 \pm 0,003 Å; d_{CCl} 1,7785 \pm 0,0003 Å; $\angle\text{HCH}$ $110^\circ 00' \pm 30'$; $\angle\text{CCCl}$ $110^\circ 30' \pm 2'$; равновесной конфигурацией является транс-конфигурация. Исследование квадратурной сверхтонкой структуры переходов разрешенной для всех переходов позволило получить: eqQ_m (вдоль оси, близкой к оси симметрии, в Мгц): -48,85; -38,56; -49,45; -47,14; η : 0,437; 0,420; 0,414; 0,476 для I—IV соответственно. Отсюда eqQ вдоль связи C—Cl³⁵ равно -70,07 Мгц и вдоль связи C—Cl³⁷ -55,03 Мгц. Величина квадратурного взаимодействия свидетельствует о 25% ионного характера связи C—Cl. Наблюдались спутники линий 1—2 I в 1-м возбужденном состоянии крутильных колебаний. По измерению интенсивности при комнатной т-ре определена частота крутильных колебаний I 236 \pm 40 см^{-1} и высота барьера внутреннего вращения 3,4 \pm 0,6 ккал/моль. Т. Бирштейн

20404. Микроволновой спектр бромистого этила. Уайнер, Дейли, Солимен (Microwave spectrum of ethyl bromide. Wagner Roselin S., Dailey B. P., Solimene N.), J. Chem. Phys., 1957, 26, № 6, 1593—1596 (англ.).

С помощью спектрометра со штарковской модуляцией исследован спектр бромистого этила в диапазоне 20—30 кМгц. Наблюдались переходы $2_{12} \rightarrow 3_{12}$, $2_{21} \rightarrow 3_{21}$, $2_{30} \rightarrow 3_{21}$ и $3_{13} \rightarrow 4_{14}$ в $\text{CH}_3\text{CH}_2\text{Br}^{79}$ (I) и $\text{CH}_3\text{CH}_2\text{Br}^{81}$ (II). Найдено (в Мгц): I B = 3804,5; C = 3522,5; $b = -0,00487949$; II B = 3781,5; C = 3503,0; $b = -0,00522977$, что с точностью до 2 согласуется со следующими значениями параметров молекул: I, II $d_{\text{CC}} = 1,5495 \pm 0,0005$ Å (предполагалось в соответствии с $d_{\text{CC}} \text{ CH}_3\text{CH}_2\text{Cl}$); $d_{\text{CH}} = 1,110 \pm 0,005$ Å; $d_{\text{CBr}} = 1,9400 \pm 0,0004$ Å; $\angle\text{CCN} = \angle\text{HCH} = 110^\circ 00' \pm 30'$; $\angle\text{CCBr} = 110^\circ 30' \pm 2'$. Каждая линия вращательного перехода содержала 4 компоненты $\Delta F = 1$, обусловленные квадратурным взаимодействием ядра Br⁷⁹ или Br⁸¹. Найдено: I оси почти симметричного волчка $eqQ_m = 416,5$ Мгц (вдоль оси, близкой к оси симметрии); $\eta = 0,2913$; $eqQ = 537,5$ Мгц (вдоль связи C—Br); II $eqQ_m = 349,1$; $\eta = 0,2938$; $eqQ = 450,9$; $Q^{79}/Q^{81} = 1,192$. Значения eqQ соответствуют 12% ионного характера связи для I и 18% для II. Переходы $2_{11} \rightarrow 3_{12}$, $3_{12} \rightarrow 4_{13}$ в I и II имели аномальную сверхтонкую структуру, не описываемую 1-м и 2-м приближениями теории квадратурного взаимодействия и, возможно, связанную с взаимодействием заторможенного вращения с квадратурными уравнениями энергии. Наблюдались спутники линии $2_{11} \rightarrow 3_{12}$ в возбужденном состоянии крутильных колебаний. По измерению интенсивности определена частота крутильных колебаний 202 см^{-1} и высота барьера внутреннего вращения 2,80 \pm 0,5 ккал/моль. Т. Бирштейн

20405. Применение приближенной волновой функции F-центра. Магнитные взаимодействия в KCl, проявляющиеся в сверхтонкой структуре. Эйдриан (Application of an approximate F-center wave function. Magnetic hyperfine interactions in KCl. Adrian F. J.), Phys. Rev., 1957, 106, № 6, 1356—1357 (англ.).

20406. Установление структуры методом ядерного квадратурного резонанса. II. Тетрабромид олова.

Симомура (Structural investigation by means of nuclear quadrupole resonance. II. (Tin tetrabromide). Shimomura Kenji, J. Phys. Soc. Japan, 1957, 12, № 6, 657—667 (англ.)

Описаны метод и аппаратура для анализа кристаллов с помощью ядерного квадрупольного резонанса, основанный на измерении интенсивности и числа компонент квадрупольного спектра в зависимости от направления внешнего магнитного поля. Метод применен к молекуле SnBr_4 . Измерены углы между связями. Установлено, что молекула является почти точным тетраэдром. Параметр асимметрии тензора градиента электрич. поля меньше 0,025. Кристалл имеет моноклинную симметрию, одна из связей $\text{Sn}-\text{Br}$ перпендикулярна к оси b (ось симметрии 2-го порядка), 2 другие образуют с осью b равные углы. Предполагается наличие двух молекул в элементарной ячейке. При изучении квадрупольных спектров при 196 и 283° К обнаружено наличие β -фазы с кубич. или гексагон. симметрией кристалла. Часть I см. РЖХим, 1958, 3582

20407. Обнаружение парамагнитного резонанса вдоль направления поляризуемого поля. Уитфилд, Редфилд (Paramagnetic resonance detection along the polarizing field direction. Whitfield G., Redfield A. G.), Phys. Rev., 1957, 106, № 5, 918—920 (англ.)

Для проверки применимости уточненных ур-ний Блоха—Гаргенса (Bloch F., Phys. Rev. 1948, 70, 460, РЖФиз, 1955, 5041) к электронному парамагнитному резонансу наблюдалось вызванное поляризованным по кругу в плоскости xy высокочастотным (21 Мгц) магнитным полем изменение намагниченности ΔM_z в твердом дифенилпикрилгидразиле. Получены кривые зависимости ΔM_z от величины вращающегося поля H_1 и статич. поля H_2 ; поле H_2 изменялось от -10 до 20 гс. В катушке с осью $\parallel H_2$ индуцировалась э. д. с. путем периодич. выключения H_1 с частотой 280 гц. Полученные кривые $\Delta M_z(H_1)$ и $\Delta M_z(H_2)$ согласуются только с уточненными ур-ниями, учитывающими релаксацию по отношению к мгновенному значению поля $H_2 + H_1$. Согласно предсказаниям теории, $M_z \neq 0$ при $H_2 = 0$. Наблюдался отрицательный резонансный пик, обусловленный примесью (10%) вращающегося в обратном направлении поля H_1 . Положение этого пика определяется условием $\gamma H_2 = \omega - (4\omega^2 - \gamma^2 H_1^2)$, заменяющим обычно принимаемое $H_2 = -\omega/\gamma$.

20408. Протонная релаксация в смесях $\text{H}_2\text{O}-\text{D}_2\text{O}$, содержащих парамагнитные ионы. Ривкин А. И., Докл. АН СССР, 1957, 112, № 2, 239—240; Поправка, Докл. АН СССР, 1957, 114, № 2, 238

Измерены продольные времена релаксации протонов T_1 в р-рах MnCl_2 0,003 М $\text{Cr}(\text{NO}_3)_3$ 0,005 М, $\text{Cu}(\text{NO}_3)_2$ 0,03 М и CoSO_4 0,25 М, причем содержание релаксирующих ядер H^+ изменялось в широких пределах за счет частичной замены обыкновенной воды H_2O тяжелой водой D_2O . При уменьшении конц-ии протонов наблюдалось сильное удлинение времени T_1 , при замене в р-рах 90% всего кол-ва протонов дейтериями T_1 возрастало более чем на порядок величины. T_1 в парамагнитных р-рах определяется дипольными магнитными взаимодействиями между парамагнитными ионами и протонами р-рителя, но при замене молекул H_2O на D_2O существенно не меняются ни структура р-ров, ни локальные магнитные поля, создаваемые ионами. Обнаруженный эффект объясняется выравниванием спиновой т-ры в ближайшем окружении парамагнитных ионов в результате хим. обмена протонами между молекулами воды через постоянно образующиеся и разрывающиеся водородные

связи. Замена обычной воды на тяжелую замедляет протонный обмен, что приводит к росту T_1 . Это объяснение согласуется с ранее высказанным автором предположением (РЖХим, 1956, 6161) об устойчивости гидратной атмосферы в ближайшем окружении парамагнитных ионов. Измерения производились при комнатной т-ре и постоянном магнитном поле $H_0 \approx 2300$ э. (Поправка учтена).

20409. Насыщение и время релаксации электронного парамагнитного резонанса в обугленном сахаре. Иберсфельд, Эрб (Saturation and temps de relaxation dans la résonance paramagnétique électronique des charbons de sucre. Uebersfeld Jean, Erb Edmond), C. r. Acad. sci., 1956, 243, № 25, 2043—2044 (франц.)

Опровергнута гипотеза (РЖХим, 1958, 7073), согласно которой убывание интенсивности резонансного поглощения при убывании давления O_2 (P) над углем обусловлено р-цией между O_2 и парамагнитными центрами. Данный эффект обусловлен насыщением резонанса из-за возрастания времени спин-решеточной релаксации T_1 по мере убывания P . Это подтверждает существование механизма релаксации свободных спинов в угле вследствие действия на них O_2 . В обугленном при т-ре $< 550^\circ$ сахаре $T_2 \ll T_1$ и не зависит от P (T_2 — время спин-спиновой релаксации).

20410. Влияние внутримолекулярного взаимодействия на дипольные моменты. I. П. Тютюлков. Докл. Болг. АН, 1957, 10, № 1, 37—40, 41—44 (рез. нем.)

I. Исследовано отклонение от правила векторной аддитивности вследствие внутримолекулярного взаимодействия. С каждой хим. связью сопоставляют модель одноэлектронного одномерного осциллирующего диполя. Взаимодействие связей рассматривается как возмущение. В первом приближении теории возмущений рассчитан дипольный момент системы двух диполей p_1 и p_2 с учетом их индукционного взаимодействия. Расчет по выведенным ф-лам дает для кротонового альдегида (транс-форма) $p = 3,1$ D, опытные значения 3,54 и 3,67 D.

II. Расчет дополнен учетом обменного взаимодействия электронов, приводящего к 2-кратному вырождению состояния системы. Рассчитанный дипольный момент транс-формы кротонового альдегида 3,37 D.

20411. Форма молекул и свобода вращения в тетрагалогензамещенных метанах в твердом состоянии. Миллер, Смит (Molecular shape and rotational freedom in the tetrahalogenated methanes in the solid state. Miller Robert C., Smyth Charles P.), J. Amer. Chem. Soc., 1957, 79, № 1, 20—24 (англ.)

Исследована диэлектрич. проницаемость ϵ' CCl_2Br (I), CF_2Cl_2 (II), CF_2Br_2 (III), CF_2BrCl (IV), CF_3Br , CF_3Cl , CCl_3Br (V), CBr_3Cl , CCl_3F и CBr_3F в жидком и кристаллич. состояниях в широком интервале т-ры частоте 5 кГц. Приведены т-ры вращательных переходов, определенные как точки аномалий на кривых $\epsilon' = \epsilon'(T)$. Для I и V измерена также температурная зависимость уд. объема и из измеренной кажущейся ϵ' вычислена истинная ϵ' . В I, где ван-дер-ваальсовы радиусы галогенов мало (всего на 9%) отличаются друг от друга, имеет место значительная свобода вращения в интервале между т-рой плавления и т-рой вращательного перехода. Напротив, в II—IV, где ван-дер-ваальсовы радиусы галогенов сильно (на 31—44%) отличаются друг от друга, ϵ' ниже т-ры плавления резко падает, что указывает на отсутствие вращательной свободы. В молекулах типа CX_3Y возможно вращение вокруг оси $\text{C}-\text{Y}$, которое может, однако, сказаться на ϵ' только за счет появления прецессионного движения.

20412. Молекулярная поляризация и дипольные моменты тетраоксида титана, тетраоксида олова и тетраоксида олова в неполярных растворителях. Турки, Ризк (The molecular polarisations and apparent dipole moments of titanium tetrachloride, tin tetrachloride and tin tetraoxide in non-polar solvents. Tourky A. R., Rizk H. A.), J. Indian Chem. Soc., 1957, 34, № 1, 29—34 (англ.).
См. РЖХим, 1958, 13550.

20413. К вопросу о карбонилах металлов. 75. Дипольные моменты металлокربонильных соединений. Вейс (Über Metallcarbonyle. 75. Dipolmomente von Metallcarbonylverbindungen. Weiss Erwin), Z. anorgan. und allgem. Chem., 1956, 287, № 4-6, 223—235 (нем.).

Измерены дипольные моменты μ (в D) для $\text{Fe}(\text{CO})_5$ (I), $\text{C}_5\text{H}_5\text{V}(\text{CO})_4$ (II), $\text{C}_5\text{H}_5\text{Mn}(\text{CO})_5$ (III), $\text{C}_5\text{H}_5\text{Co}(\text{CO})_2$ (IV), $\text{Fe}(\text{CO})_5\text{J}_2$ (V), $\text{Co}(\text{CO})_5(\text{NO})$ (VI), $\text{Fe}(\text{CO})_5(\text{NO})_2$ (VII), $(\text{C}_5\text{H}_5)_2\text{Cr}(\text{CO})_2(\text{NO})$ (VIII), $\text{Fe}(\text{CO})_4(\text{CNCH}_3)$ (IX) в C_6H_6 и C_6H_{12} резонансным методом. По данным ИК-спектров (Sheline R. K., Pitzer K. S., J. Amer. Chem. Soc., 1950, 72, 1107, РЖХим, 1956, 57196 и дифракции электронов (Ewens R. W. G., Lister M. L., Trans. Faraday Soc., 1939, 35, 681), I имеет структуру тригональной бипирамиды (Fe — в центре основания) с $\mu = 0D$, что позволяет оценить атомную поляризацию $P_A = 8,3 \pm 1,5 \text{ см}^3$. Для остальных соединений μ рассчитывались как с учетом величины P_A (10—20% от электронной поляризации (P_E^D), полученной определением при D-линии Na), так и без учета P_A (μ — цифры в скобках). Для II $\mu_{10\%} 3,17 \pm 0,05 D$; III $\mu_{10\%} 3,30 \pm 0,05 D$; IV $\mu_{10\%} 2,87 \pm 0,1 D$; V $\mu_{20\%} 3,60 \pm 0,05 D$ ($\mu_D 3,68 \pm 0,05 D$); VI $\mu_{20\%} 0,43 \pm 0,1 D$ ($\mu_D 0,72 \pm 0,06 D$); VII $\mu_{20\%} 0,72 \pm 0,07 D$ ($\mu_D 0,95 \pm 0,06 D$); VIII $\mu_{10\%} 3,19 \pm 0,05 D$ ($\mu_D 3,23 \pm 0,05 D$); IX $\mu_{20\%} 5,02 \pm 0,03 D$ ($\mu_D 5,07 \pm 0,03 D$). Автор считает, что в V оба атома йода находятся в цис-положении. Связь металл—CO практически неполярна; замена группы металл на NO увеличивает μ лишь на 0,5 D. Высокое значение момента IX обусловлено значительным смещением отрицательного заряда к металлу (положительный заряд — на азоте). Часть 74 см. РЖХим, 1957, 47673.

Г. Карцев

20414. Дипольный момент молекулярного комплекса триметиламин-йод. Цубокура, Нагаккура (Dipole moment of the molecular complex between triethylamine and iodine. Tsubokura Hiroshi, Nagakura Saburo), J. Chem. Phys., 1957, 27, № 3, 819—820 (англ.).

Измерен дипольный момент комплекса триметиламин-йод в диоксане. В предположении, что поляризуемость комплекса равна сумме поляризуемостей молекул, найдено $\mu = 11,3 D$. Если принять линейное расположение атомов N—J—J с расстояниями 2,8 и 2,6 Å, то для структуры $\dots\text{N}^+ - \text{J}_2^-$ получен вес $\sim 50\%$.

Е. Никитин

20415. Дипольный момент бис-(*n*-хлорфенилциклопентадиенил)-железа. Семенова, Роберте (The dipole moment of bis-(*p*-chlorophenylcyclopentadienyl)-iron. Semenov Dorothy A., Roberts John D.), J. Amer. Chem. Soc., 1957, 79, № 11, 2741—2742 (англ.).

С целью выяснения структуры бис-(*n*-хлорфенилциклопентадиенил)-железа (I) измерен его дипольный момент (μ) в D бензоле при $24,90^\circ$. μ , полученный экстраполяцией диэлектрич. проницаемости при бесконечном разбавлении (метод 1), найден равным $3,12 \pm 0,03$, а экстраполяцией мол. поляризации при бесконечном разбавлении (метод 2), равен $2,96 \pm 0,13$. Несмотря на то, что кольца циклопентадиенила (II)

могут свободно вращаться, не все возможные ориентации равно вероятны, поэтому рассчитаны μ для различных возможных структур I: 1,1', призматическая 3,12; 1,1', антипризматическая 2,97; 1,2', антипризматическая 1,83; 1,3', антипризматическая 0; при свободном вращении колец II 2,20. Экспериментально полученный μ исключает структуру I со свободным вращением и дает наилучшее совпадение с μ для структур 1,1', призматической (метод 1) и 1,1', антипризматической (метод 2). Считая метод 1 более точным и допуская, что дисперсионное взаимодействие, возможно, компенсирует дипольное отталкивание, авторы полагают, что имеет место более устойчивая цис-подобная конфигурация, где *n*-хлорфенильные группы находятся друг над другом. М. Луферова

20416. Атомные рефракции металлов. Бацанов С. С., Ж. неорганической химии, 1957, 2, № 6, 1221—1222

Автор формально показывает, что рефракция металла равняется его атомному объему. Атомные рефракции, выведенные таким приемом, удовлетворительно согласуются с данными других методов. Автор применяет объемный метод к металлам, для которых не известны атомные рефракции.

Н. Яшин

20417. Отнесение колебательных частот и поворотных изомерия некоторых простых органических фосфатов. Мортимер (Vibrational assignment and rotational isomerism in some simple organic phosphates. Mortimer F. S.), Spectrochim. acta, 1957, 9, № 4, 270—281 (англ.).

Получены ИК-спектры в области 450—1600 см^{-1} триметил-(I), триэтил-(II) и трифенилфосфата (III) в жидком и кристаллич. состояниях. В спектрах жидких соединений в области частот симм. вал. кол. групп P=O и P—O наблюдаются следующие дублетные полосы поглощения (в см^{-1} , последние два значения относятся к P—O): I 1290 и 1275, 755 и 740; II 1270 и 1260, 740 и 727; III 1314 и 1298. При кристаллизации проб в спектрах остаются полосы I 1290, 750, II 1268, 740 и III 1296. При нагревании I до 125° в спектре наблюдается увеличение интенсивности полос 1275 и 755 см^{-1} . Из этих данных автор делает вывод о наличии в исследованных фосфатах в жидком состоянии и в *p*-рах нескольких поворотных изомеров, молекулы которых отличаются углом (α) между плоскостями C—O—P и O—P=O. Частоты 1290 и 740 см^{-1} в спектре I относятся к изомеру, более стабильному при низкой *t*-ре, имеющему, по предположению автора, симметрию C_3 ($\alpha = 90^\circ$). Частоты 1275 и 755 см^{-1} принадлежат изомеру, концы которого увеличиваются с ростом *t*-ры. На основе литературных данных по колебательным спектрам фосфорорганич. соединений дано отнесение наблюдаемых частот в ИК-спектрах и спектрах комб. расщ. (РЖХим, 1957, 25805) I—III к колебаниям углов и связей.

Е. Попов

20418. Исправление к статье: Кайвелсон. «Теория взаимодействия заторможенного внутреннего вращения с общими вращениями. I. Симметричные волчки; метилсилан» (Errata. Kivelson Daniel), J. Chem. Phys., 1957, 27, № 4, 980 (англ.).
К РЖХим, 1956, 9082.

20419. Взаимодействие кислот по Льюису с ароматическими углеводородами и основаниями. XVII. Ассоциация гексаметиленбензола с замещенными *p*-бензохинонами CCl_4 . Фостер, Хаммик, Плаcito (Interaction of Lewis acids with aromatic hydrocarbons and bases. Part XVII. The association of hexamethylbenzene with substituted *p*-benzoquinones in carbon tetrachloride solution. Foster R., Hammick D. L., Placito P. J.), J. Chem. Soc., 1956, Oct., 3881—3887 (англ.).

В продолжение предыдущей работы (Часть XVI. РЖХим, 1958, 16834) авторы изучили влияние различных

акцепторов на процесс комплексообразования; в качестве донора избран гексаметилбензол (I). Степень ассоциации I с хлоранилом, броманилом, йоданилом, 2,6-дихлор-*n*-бензохиноном, хлор-*n*-бензохиноном, метил-*n*-бензохиноном, дурихиноном оценены спектроскопически; константы комплексов (K) определены фотометрированием. Дана характеристика образцов, описаны методы очистки. Константы ассоциации рассчитаны по ранее (McConnell и др., J. Amer. Chem. Soc., 1952, 74, 1221, 6175) описанному методу. Табулированы суммарные результаты—константы ассоциации, свободные энергии образования K (ΔG), мол. коэф. экстинкции и положения полос поглощения для соответствующих K I в р-ре CCl_4 . Для рассматриваемых акцепторов приведены потенциалы восстановления (Hunter, Kvalnes, J. Amer. Chem. Soc., 1932, 54, 2878, Kvalnes, J. Amer. Chem. Soc., 1934, 56, 668, 671). Найдено, что ΔG в первом приближении пропорциональна энергии возбуждения (приведен график). Авторы объясняют это с точки зрения теории спектров «переноса заряда» (Mulliken, J. Amer. Chem. Soc., 1950, 72, 605; 1952, 74, 811) следующим образом: основное состояние K $\psi_N = \alpha\psi(a, b) + \psi(a^+ - b^+)$, а возбужденное $\psi_E = \alpha_1(a^+ - b^+) - \alpha_2(a, b)$. Энергия возбуждения велика сравнительно с энергией основного состояния, и так как $\alpha_1 \gg \alpha_2$, в первом приближении пропорциональна энергии «дательной структуры» $\psi(a^+ - b^+)$; для ψ_N изученных K α приблизительно постоянен и разности энергий ψ_N (измеряемые величинами ΔG) обусловлены относительным участием $\psi(a^+ - b^+)$. Обсуждаются также влияние геометрии акцептора на значения коэф. экстинкции и причины тонкой структуры полос поглощения.

В. Быховский

20420. Системы водородных связей; зависимость от температуры сдвиг частот и интенсивностей полос ОН. Финч, Липпинкотт (Hydrogen bond systems—temperature dependence of OH frequency shifts and OH band intensities. Finch Jack N., Lippincott Ellis R., J. Phys. Chem., 1957, 61, № 7, 894—902 (англ.))

Изучены ИК-спектры в интервале τ -р от +30 до -80° спиртов: метилового (I), этилового (II), изопропилового (III), *n*-бутилового (IV), изоамилового (V), и *n*-гексилового (VI), а также фенола, *o*-хлорфенола (VII), и 2-метилметоксипентанола (VIII) в жидком состоянии и в р-рителях. Частота вал. кол. группы ОН в I—V при 30° равна $\sim 3333 \text{ см}^{-1}$. При уменьшении τ -ры до -80° она падает на 30—50 см^{-1} . Кривая зависимости потенциальной энергии водородной связи (ВС) от расстояния R между О...О показывает минимум потенциальной энергии при $R_0 = 2,75 \text{ \AA}$ и меньшей на $\sim 500 \text{ см}^{-1}$ частоте кол. ОН. Более высокие энергетич. уровни соответствуют более высоким значениям R_0 . Причиной температурной зависимости частоты кол. ОН является бальмановское распределение энергии ВС, связанное с R_0 . Увеличение энергии ВС на 0,4 ккал при уменьшении частоты на 50 см^{-1} и уменьшение τ -ры на 100° сопровождается уменьшением R_0 на 0,025 \AA . Частота вал. кол. групп ОН в VII и VIII изменяется с τ -рой, как и у спиртов. Возникновение двух полос объясняется существованием в VII и VIII, помимо межмолекулярной ВС с метоксигруппой другой молекулы, внутримолекулярной ВС с метоксигруппой своей молекулы. Для III в диэтиловом эфире и для фенола в CS_2 частоты кол. ОН изменяются с τ -рой так же, как для соединений в жидком состоянии. При 30° частота равна 3411 см^{-1} , так как возникает ВС между III и эфиром. В триэтиламине III образует связь ОН...N. Энергия ВС наибольшая в системе спирт—триэтиламин, меньше в системе спирт—спирт и еще меньше спирт—эфир. Температурные зависимости интегральной

интенсивности полос ОН для всех спиртов, как правило, близки между собой: при падении τ -ры от 30° до -70° интенсивность увеличивается на $\sim 60\%$. Температурная зависимость интенсивности полос объясняется перераспределением зарядов в ВС из-за уменьшения R_0 .

20421. Водородная связь и физические свойства некоторых замещенных фенола и анизоло. IV. Бромфенолы. Луцкий А. Е., Луцкая И. А., Тр. Харьк. политехн. ин-та, 1957, 13, 41—13

Данные для поверхностного натяжения и вязкости бромфенолов подтверждают наличие у орто-изомера внутримолекулярной, а у пара-изомера межмолекулярной ассоциации за счет образования водородных связей. Приведены значения плотности, вязкости и поверхностного натяжения при 70°C *o*- и *n*-бромфенолов, *o*-броманизолола и *n*-бромфенетолола. Часть III см. РЖХим, 1956, 6176.

20422. Природа ионных пар, образованных через водородную связь; реакция пиридина с карбоновыми кислотами в хлороформе. Барроу (The nature of hydrogen bonded ion-pairs: the reaction of pyridine and carboxylic acid in chloroform. Barrow Gordon M., J. Amer. Chem. Soc., 1956, 78, № 22, 5802—5806 (англ.))

С помощью ИК-спектров исследовано взаимодействие пиридина (I) с к-тами RCOOH (RCF_3 , II), CCl_3 (III), CHCl_2 (IV), CH_2Cl (V), CH_3 (VI), CH_3SCH_3 (VII), CH_3 (VIII)) в р-ре CHCl_3 . При добавлении к 0,1 M р-ру II и III вплоть до конц-и 0,05 M образуется комплекс $(\text{RCOOH})_2 \cdot \text{NC}_5\text{H}_5$ (IX). В случае IV, V и VI для образования комплекса необходима конц-ия к-ты 1 M и конц-ия I 0,2 M, в р-рах VII и VIII комплекса не образуется. Спектр комплекса характеризуется максимумами поглощения, отвечающими наличию группы $>\text{C}=\text{O}$ (5,61—5,85 μ), $-\text{COO}-$ (6,00—6,41 μ) и $\text{C}_5\text{H}_5\text{N}^+ - \text{H}$ (6,11 и 6,72 μ); полоса, соответствующая I (6,97 μ), в спектре отсутствует. Предполагается, что комплекс представляет собой ионную пару IX, образовавшуюся при переносе протона от димера к-ты к I. Полоса группы $>\text{C}=\text{O}$ смещается в длинноволновую сторону с ростом pK_a

к-ты, а полоса иона I при этом остается на месте. При добавлении к-т к р-ру I образуется комплекс $(\text{RCOOH} \cdot \text{NC}_5\text{H}_5)$ (X), спектр которого имеет для II и III полосы 6,12 и 6,72 μ , что отвечает образованию ионной пары $\text{RCOO}^- \dots \text{H}^+ - \text{NC}_5\text{H}_5$. В случае VII и VIII полосы поглощения, отвечающие иону $\text{C}_5\text{H}_5\text{NH}^+$, отсутствуют, имеется полоса при 6,24 μ , соответствующая образованию водородной связи между к-той и I. В спектре X, образующегося при взаимодействии IV, V и VI с I, наблюдаются полосы при 6,72, 6,11 и 6,24 μ . Коэф. экстинкции полос 6,72 и 6,11 μ падает, а полосы 6,24 μ растут с ростом значений pK_a , намекая на положение этих полос не наблюдается. Этот факт, а также рост интенсивности полосы 6,24 μ и уменьшение интенсивности линии 6,73 μ в р-ре IV при повышении τ -ры от 25 и 55° рассматриваются как доказательство существования равновесия $\text{RCOOH} \dots \text{NC}_5\text{H}_5 \rightleftharpoons \text{RCOO}^- \dots \text{H}^+ + \text{C}_5\text{H}_5$. Полоса в спектре X, соответствующая поглощению карбонилкарбоксильной группы, с уменьшением pK_a к-ты смещается в сторону полос, соответствующей колебанию группы $-\text{COO}-$. Отсутствие в р-рах II и III полосы, отвечающей группе $-\text{COO}-$, объясняется тем, что положение данной полосы определяется не только ковалентностью связи О—Н, но и электростатич. взаимодействием $\text{N}^+ - \text{H}$ с одним из кислородов аниона. Изменение оптич. плотности отдельных линий в р-рах CHCl_3 и CCl_4 , содержащих 0,05 M VIII и переменное кол-во I, совпадает с вычисленными для р-ции

$2\text{NC}_5\text{H}_5 + (\text{RCOOH})_2 \rightleftharpoons 2(\text{RCOOHNC}_5\text{H}_5)$ при $K = 40$.
В сочетании с данными о равновесии димеризации VIII (РЖХим, 1956, 42795) для р-ции I с мономером VIII получены значения K , равные 220 в CCl_4 и 70 в CHCl_3 .
И. Моисеев

20423 Д. Температурная зависимость эффекта Фарадея в кислороде. Влияние разбавления азотом. Гом (Variation thermique de l'effet Faraday de l'oxygène. Influence de la dilution dans l'azote. Thèse Doct. Sci. phys. G. Aume Fr.), Ann. Univ. Paris, 1956, 26, № 4, 585 (франц.)

Опыты велись с видимым светом при т-рах 63–373° К. Обнаружено отклонение от закона аддитивности фарадеевского вращения: при разведении жидким азотом уд. вращательная способность жидкого кислорода значительно возрастает.
Л. Шекун

20424 Д. Спектры поглощения некоторых соединений четырехвалентного урана при низкой температуре. Алексанян В. Т. Автореф. дисс. канд. хим. н., Комис. по спектроскопии при Отд. физ.-матем. н. АН СССР, Н.-и. физ.-хим. ин-т им. Л. Я. Карпова, М., 1957

См. также: Структура молекул: неорганич. 20456, 20510; органич. 20457, 20460, 20462; по рентген. данным 20455, 20458, 20459. Спектры 20467, 20478, 20819. Дипольные моменты и диэлектрич. св-ва 20543, 20544, 20740. Магнитные св-ва 20501–20505, 20584; 8274Бх. Реакц. способность 21316. Межмол. взаимодействие и водородная связь 20532, 20679. Приборы для исслед. строения молекул 21248–21251. Чисто-квадрат. резонанс 20506.

КРИСТАЛЛЫ

Редакторы Э. А. Гилинская, А. Б. Нейдинг,
А. Б. Шехтер

20425. Структурные типы химических соединений. Боксий Г. Б., Вестн. Моск. ун-та. Сер. матем., механ., астрон., физ., химии, 1957, № 2, 163–175

Отмечается немоллекулярный характер подавляющей части неорганич. в-в и переменный состав многих соединений, относящихся как к дальтонидам, так и к бертоллидам. В связи с этим приводится целый ряд примеров несоответствия общепринятых структурных ф-л структурным кристаллич. соединений и показано, как из структур кристаллов получить нужные ф-лы. В случае соединений переменного состава указан способ выражения состава целыми числами с учетом кратности правильных систем точек. Н. Смирнова

20426. Кристаллические структуры силицидов переходных металлов. Добен (Crystal structures of transition metal silicides. Dauben Carol H.), J. Electrochem. Soc., 1957, 104, № 8, 521–523 (англ.). Обзор. Библ. 34 назв. П. Зоркий

20427. О координационных числах атомов в кристаллических решетках простых веществ. Соколов В. А., Уч. зап. Казахск. ун-та, 1957, 27, 46–54

Предложено с помощью плотности упаковки (ПУ) атомов в кристаллах простых в-в определять средние координационные числа (СКЧ) структуры. Определение СКЧ производится по кривой СКЧ–ПУ, которая построена с использованием ПУ и КЧ в плотнейшей гексагон. упаковке, объемноцентр. и примитивной куб. решетках и в структурах алмаза и фтора, принятых за эталонные (напр., СКЧ графита 2,45). СКЧ характеризуют влияние ближайшего и удаленных координационных слоев, а также структуру, в которую данная структура может быть перестроена. По мнению автора, СКЧ могут использоваться для

определения степени молекулярности и характеристики электростатич. поля решетки кристаллов простых в-в.

П. Зоркий

20428. Вычисление элементарных ячеек кристаллов. Стариков К. З., Уч. зап. Казахск. ун-та, 1957, 27, 110–114

Предложен способ расчета параметров решетки кристалла с использованием только гониометрич. данных и ρ . Расчет производится по ф-лам: $b = (CZ \cdot M / mn \cdot \Delta \cdot \rho)^{1/3}$; $a = bm$; $c = bn$; где M — мол. вес. $C = 1,6602$, $\Delta = \{1 - \cos^2 \alpha - \cos^2 \beta - \cos^2 \gamma + 2 \cos \alpha \cdot \cos \beta \cdot \cos \gamma\}^{1/2}$ — тригонометрич. синус Федорова; $a : b : c = m : 1 : n$; ответ дается в А. З определается: 1) сравнением плотности упаковки ионов в данном кристалле, вычисленной из данных о хим. составе, ρ и о размерах ионных радиусов, с возможными теоретич. плотностями, вычисленными заранее для каждого типа решетки (Стариков К. З., Диссертация КазГУ, 1955); 2) испытанием набора вычисленных вероятных a , b и c путем анализа допустимой расстановки ионов с соблюдением основных правил кристаллохимии, 3) с помощью кристаллохим. анализа Федорова, 4) сравнением с уже изученными кристаллами сходных в-в. Вычисленные предложенным способом a , b и c обычно не отличаются от найденных рентгенографически более, чем на 1–2%. П. Зоркий

20429. Взаимосвязь между параметрами решетки и составом минералов монтмориллонитовой группы. Фауст (The relation between lattice parameters and composition for montmorillonite-group minerals. Faust George T.), J. Wash. Acad. Sci., 1957, 47, № 5, 146–147 (англ.)

Ранее выведенные ф-лы (РЖХим, 1957, 10915) проверены на монтмориллонитах необычного хим. состава: гриффитите, сапоните, стивенсите и галапектите. Обнаружено удовлетворительное согласие между измеренными и вычисленными параметрами b .

Б. Звягин

20430. Рентгеновский структурный анализ кристаллов как метод определения химического строения. Хоппе (Die Röntgenkristallstrukturanalyse als Methode zur Bestimmung der chemischen Konstitution. Hoppe W.), Angew. Chem., 1957, 69, № 21, 659–674 (нем.)

Обзорная статья. Библ. 78 назв.

20431. Влияние формы и положения кристалла на вторичную экстинкцию. Гамильтон (The effect of crystal shape and setting on secondary extinction. Hamilton Walter C.), Acta crystallogr., 1957, 10, № 10, 629–634 (англ.)

Выведены выражения коэф. экстинкции поглощающих и непоглощающих кристаллов кругового и прямоугольного сечения при различных положениях кристалла и углах Брегга.

И. Глазкова

20432. Метод систематического применения знаковых соотношений. Грант, Хауэлл, Роджерс (A method for the systematic application of sign relations. Grant D. F., Howells R. G., Rogers D.), Acta crystallogr., 1957, 10, № 8, 489–497 (англ.)
Описан метод систематич. применения знакового соотношения $S(h')S(h+h') \approx S(h)$ к проекциям с симметрией pgg , pmg и $p4g$ с использованием соотношений между структурными факторами в этих федоровских группах. Метод не требует применения счетных машин и использует обширный эксперим. материал с $|U_h| > 0,15$. Приведено обоснование метода в виде ф-л и графиков для сложной вероятности знаковых соотношений. Подробно рассмотрено применение метода к решению проекций структур гармана $\text{C}_{12}\text{H}_{12}\text{N}_2\text{O}$ и оксидигидроэремофилона $\text{C}_{15}\text{H}_{24}\text{O}_2$, в кото-

рых максим. значение $|U_h| = 0,38$ и где неприменим метод неравенств для предварительного определения знаков некоторых структурных факторов. Эксперим. данные для гармина были обработаны на машине EDSAC по Кокрену и Дугласу. Обсуждены результаты обоих методов, выяснены преимущества описываемого метода.

Т. Тархова
20433. Распределение фазовых углов для структур, содержащих тяжелые атомы. I. Пространственная группа P1 с одним тяжелым атомом в асимметричном элементе ячейки. Сим (The distribution of phase angles for structures containing heavy atoms. I. Space group P1 with one heavy atom in the asymmetric unit. Sim G. A.), Acta crystallogr., 1957, 10, № 8, 536—537 (англ.).

Рассмотрена зависимость распределения фазовых углов α в ф. гр. P1 для молекул с m легкими и одним тяжелым атомом в зависимости от отношения r доли тяжелого атома к доле m легких атомов в структурной амплитуде. Приведены вероятностная ф-ла для числа структурных факторов, фазовый угол которых находится в интервале между $-\alpha$ и α , таблица, полученная в результате численного интегрирования этой ф-лы, а также график этой зависимости в функции α и r . Сообщение является продолжением ранее опубликованной статьи (РЖХим, 1957, 59970).

Т. Тархова
20434. Критическое исследование слабых знаковых соотношений между структурными факторами. Вулфсон (The critical examination of a weak sign relationship between structure factors. Woolfson M. M.), Acta crystallogr., 1957, 10, № 10, 635—638 (англ.).

Вычислена вероятность знака $U_{h-h'} U_{h+h'}$ как функцию $U_h U_{h'}$, автор показывает, что величина $U_{h-h'} U_{h+h'}$ не может быть отрицательной с вероятностью, намного превосходящей $1/2$, в случае слабых U_h и $U_{h'}$. Результат находится в противоречии с предсказанием Гиллеса (РЖХим, 1958, 185).

И. Глазкова
20435. Статистический метод для случая частично известной структуры. Берто (La méthode statistique dans le cas d'une structure partiellement connue. Bertaut E. F.), Acta crystallogr., 1957, 10, № 10, 670—671 (франц.; рез. англ.).

Выведены новые соотношения, расширяющие возможности применения статистич. метода для исследования частично известных кристаллич. структур (РЖХим, 1957, 50502). Используя выведенное ранее ур-ние для плотности вероятности (РЖХим, 1957, 65540), автор дает выражение для вероятности положительности структурной амплитуды $F(hkl)$, вероятного значения $F(hkl)$ для неизвестной части структуры, а также для случая centrosymmetричного кристалла форму ряда Фурье, наиболее удобную для исследования неизвестной части структуры.

П. Зоркий
20436. Киномикрографическая регистрация полос многолучевой интерферометрии в течение пластической деформации монокристаллов. Понд, Гаррисон (Cinemicrographic recording of multiple beam interferometric fringes during plastic deformation of single crystals. Pond Robert B., Harrison E.), Rev. Scient. Instrum., 1957, 28, № 7, 574 (англ.).

20437. Пространственная группа теллура и селена. Азендорф (Space group of tellurium and selenium. Asendorf Robert H.), J. Chem. Phys., 1957, 24, № 1, 11—16 (англ.).

На основании теории групп дан анализ симметрии кристаллич. структуры и зон Бриллюэна для Te и Se. Это имеет особый интерес в связи с присутствием в этих кристаллах винтовой оси третьего порядка. Даны характеристич. таблицы для группы волнового

вектора в различных точках зоны Бриллюэна. Рассмотрены единичная и двойная спиновая группы. Даны связующие соотношения. Резюме автора

20438. Структура металлического α -плутония. Сакхариасен, Эллигер (Crystal structure of alpha-plutonium metal. Zachariassen W. H., Ellinger Finley), J. Chem. Phys., 1957, 27, № 3, 811—812 (англ.).

По данным дебаграммы определена структура α -Pu, устойчивого до 110° . Параметры решетки: a 6,1835 \pm 0,0005, b 4,8244 \pm 0,0005, c 10,973 \pm 0,001 Å, β 101,8°, γ 19,82, Z = 16, ф. гр. $P2_1/m$. Все атомы лежат в плоскостях $\pm(x^1/4, Z)$. Из восьми независимых атомов 6 образуют 4 коротких (среднее 2,68) и 10 длинных (среднее 3,21) связей, 1 атом имеет 5 коротких и 7 длинных и 1 атом — 3 коротких и 13 длинных связей. Образование четырех коротких ковалентных связей наблюдалось также в структуре α -U, β -U, α - и β -Np. Найденное в α -Pu среднее расстояние 3,20 Å соответствует металлич. радиусу 1,58 Å. Указывается, что сравнение радиусов и чисел валентных электронов 5f- и 4f-элементов показывает, что более высокая валентность 5f-элементов в хим. соединениях сохраняется и в металлич. состоянии. Вхождение 1-го электрона на 5f-орбиту меньше отражается на радиусе элемента, чем в случае 4f-элементов.

Е. Шутам
20439. Массовый коэффициент поглощения лития. Ольмер, Шампье (Coefficients d'absorption massique du lithium. Olmer Philippe, Champier Georges), C. r. Acad. sci., 1957, 245, № 5, 542—543 (франц.).

С использованием первой и второй гармоник рентгеновского излучения λ Cu-K $_{\alpha}$ (1,537 и 0,768 кX) определен массовый коэф. поглощения μ/ρ для Li. Образец имел цилиндрич. форму и находился в атмосфере Ar, измерения производились с помощью Г.-М.-счетчика. Найденные значения μ/ρ 0,58 и 0,23.

П. Зоркий
20440. Дальнейшие замечания о Na_3Pb_5 . Уэстон, Шумейкер (A further comment on Na_3Pb_5 . Weston Norman E., Shoemaker David P.), J. Phys. Chem., 1957, 61, № 10, 1448 (англ.).

В предыдущей статье (РЖХим, 1956, 31724) авторы сообщали, что соединение, известное как Na_3Pb_5 , имеет не куб. гранецентр. структуру с $Z = 2\text{Na}_3\text{Pb}_5$ (Stillwell C. W., Robinson W. K., J. Amer. Chem. Soc., 1933, 55, 127), а куб. объемноцентр. структуру с $Z = 4\text{Na}_3\text{Pb}_5$. В результате дополнительного исследования установлено, что гранецентр. структура не свойственна также следующим образцам соединения: 1) полученному аналогично образцам в работе Стиллвелла и Робинсона, 2) не подвергавшемуся растранию, 3) нагретому до 350° . Таким образом, исключается возможность существования предполагаемой гранецентр. модификации соединения.

П. Крипьякевич
20441. Интерметаллические соединения лития с свинцом. III. Переход $\beta' \rightarrow \beta$ у LiPb. Залкин, Рамзи (Intermetallic compounds between lithium and lead. III. The $\beta' \rightarrow \beta$ transition in LiPb. Zalkin Allan, Ramsey William J.), J. Phys. Chem., 1957, 61, № 10, 1413—1415 (англ.).

Переход между фазами $\beta' \rightarrow \beta$ (тип CsCl) соединения LiPb совершается при 214° . Найденно, что низко температурная модификация β' имеет ромбоэдрич. структуру с a 3,542 Å, α $89^\circ 30' \pm 3'$, ф. гр. $R\bar{3}m$. Положение атомов: Pb в 1 (a) 000, Li в 1 (b) $1/2, 1/2, 1/2$ (деформированная структура типа CsCl). Межатомные расстояния: Pb—2Li 3,077, Pb—6Li 3,065, Pb—6Pb 3,542 Å (аналогично для Li). Константа α у β' - и β -фаз а также угол α у β' -фазы увеличиваются с возрастом т-ры. Сообщ. II см. РЖХим, 1957, 47143. П. К.

20442. Структура нового ряда соединений типа MBe_{12} . Батчелдер, Рёйхле (The structure of a new series of MBe_{12} compounds. Batchelder F. W. von, Rauechle R. F.), Acta crystallogr., 1957, 10, № 10, 648—649 (англ.).

Рентгенографически (методы порошка и прецесссионный, λ Mo- K_{α}) исследованы кристаллы ряда соединений MBe_{12} , где M — V (I), Nb (II), Ta (III), Cr (IV), W (V), Mn (VI), Fe (VII) и Co (VIII), полученных при плавлении соответствующих смесей в атмосфере He. Отмечается, что т-ра плавления I и IV на несколько сот градусов выше т-р плавления чистых компонентов. Монокристаллы получались электролитич. растворением в очень разб. HCl; анодом служил небольшой слиток. Параметры тетрагон. решетки: I a 7,278 Å, c 4,212, ρ (выч.) 2,37; II 7,376, 4,258, 2,88; III 7,334, 4,267, 4,18; IV 7,230, 4,173, 2,44; V 7,362, 4,216, 4,25; VI 7,276, 4,256, 2,40; VII 7,253, 4,232, 2,45; VIII 7,237, 4,249, 2,49. Все изучавшиеся кристаллы имеют $Z = 2$, ф. гр. $I4/mmm$ и изоструктурны $MoBe_{12}$ (РЖХим, 1957, 18244). В системах Fe—Be, Co—Be и W—Be отмечалось также присутствие побочных фаз, которые в первых двух случаях идентифицированы как фазы с гранецентрир. куб. решеткой $FeBe_5$ (a 5,869 Å) и $CoBe_5$ (5,852); в третьем случае фазовый состав более сложен. Авторы считают, что упоминавшаяся ранее ζ -фаза (Teitel R. J., Cohen M., J. Metals, 1949, 1, 285) идентична VII.

П. Зоркий
20443. Новая модификация Ti_2O_3 . Белецкий М. С., Гопиенко В. Г., Саксонов Ю. Г., Ж. неорган. химии, 1957, 2, № 9, 2276—2278

Соединение Ti_2O_3 синтезировано путем нагревания смеси из эквимолекулярных кол-в х. ч. препаратов рутила и Ti_2O_3 в вакууме при 920°. Состав в-ва подтвержден хим. анализом. Увеличение веса в-ва, полученное при окислении его в TiO_2 при 1000°, совпадает с теоретич. Порошковая рентгенограмма препарата получена в фильтрованном Си-излучении в камере диам. 143,25 мм. Для поглощения вторичного излучения Ti применялся Al-экран. Сравнение данных дебаеграммы с известными ранее (РЖХим, 1955, 8900) показывает большое отличие от них, что указывает на получение новой модификации Ti_2O_3 , которая, по-видимому, является низкотемпературной модификацией, образующейся в отсутствие примесей, растворяющихся в ее решетке. Е. Шугам

20444. Структура $Fe_2O_3 \cdot 2CaO$ и браунмиллерита. Берто, Блюм, Саньер (La structure du ferrite dicalcique et de la brownmillerite. Bertaut Félix, Blum Pierre, Sagnières Augusta), C. r. Acad. sci., 1957, 244, № 24, 2944—2946 (франц.).

Продолжая изучение системы Fe_2O_3 —CaO (РЖХим, 1956, 28273; РЖФиз, 1958, 3397), авторы исследовали структуру кристаллов $Fe_2O_3 \cdot 2CaO$ (I) и $Fe_2O_3 \cdot Al_2O_3 \cdot 4CaO$ (II). Кристаллы I и II изоморфны. Параметры ромбич. решетки: I a 5,64, b 14,68, c 5,39 Å, ρ 4,06; II 5,58, 14,50, 5,34, 3,73. С использованием статистич. метода найдена ф. гр. $R\bar{3}m$, что противоречит ранее опубликованным данным (Cirilli, Burdese, Ricerca scient., 1951, 21, 392). Построена проекция ρ (hkl 0); атаки структурных амплитуд определены статистич. методом (РЖФиз, 1957, 22577). Координаты атомов в I: Fe(1) в 4 (a) 0,0,0; Fe(2) в 4 (c) —0,072, 0,250, —0,055; Ca в 8 (d) 0,028, 0,012, 0,480; O(1) в 8 (d) 0,250, —0,015, 0,250; O(2) в 8 (d) 0,055, 0,133, 0,000; O(3) в 4 (c) —0,143, 0,250, 0,630. Структура состоит из чередующихся по оси b слоев кислородных октаэдров и тетраэдров, имеющих общую вершину, внутри которых расположены атомы Fe(Al); атомы Ca располагаются между слоями, каждый из них окружен

9 атомами O, из которых один значительно удален (на 3,26 Å).

П. Зоркий
20445. О некоторых новых простых формах пирита. Абдуллаев Г. К., Кристаллография, 1957, 2, № 2, 307—308

См. также РЖХим, 1958, 274.

20446. Кристаллические структуры гидратов NaOH. IV. Рентгенографическое исследование девяти фаз системы NaOH— H_2O . Эмили, Вундерлих (Structures cristallines des hydrates de la soude. IV. Etudes cristallographiques de neuf phases du système NaOH/ H_2O . Hemily P. W., Wunderlich J. A.), Acta crystallogr., 1957, 10, № 7, 454—456 (франц.).

Кристаллы 9 гидратов NaOH получены медленным охлаждением водн. р-ров и выделены путем декантации маточного р-ра. Рентгенографич. исследование проводилось на рентгеногониометре Вейсберга при -100° . NaOH· H_2O — ромбич. (часть III см. РЖХим, 1958, 3623); α -NaOH· $2\frac{1}{2}H_2O$ — ромбич. кристаллы, a 12,48, b 13,50, c 6,27 Å, ρ (изм.) 1,61, $Z = 12$, ф. гр. $P2_12_12$. β -NaOH· $2\frac{1}{2}H_2O$ ромбич., a 24,75, c 6,30 Å. NaOH· $3\frac{1}{10}H_2O$ — ромбич., a 50,00, b 13,32, c 6,25 Å, $Z = 40$, ρ (изм.) 1,52, ф. гр. $Pb2a$ или $Pbma$. NaOH· $2\frac{1}{4}H_2O$ — монокл., a 23,55, b 6,44, c 22,19 Å, β $114^\circ 12'$, ρ (изм.) 1,56, $Z = 32$, ф. гр. Aa или $A2/a$. NaOH· $3\frac{1}{2}H_2O$ — монокл., a 11,64, b 12,38, c 6,49 Å, β $104^\circ 7'$, ρ (изм.) 1,50, $Z = 8$, ф. гр. $P2_1/a$. NaOH· $4H_2O$ — монокл., a 15,45, b 4,05, c 9,43 Å, β $116^\circ 50'$, ρ (изм.) 1,41, $Z = 4$, ф. гр. $C2/m$. Координационный полиэдр — тригон. бипирамида. NaOH· $5H_2O$ — монокл., a 15,78, b 25,22, c 12,90 Å, β $102^\circ 18'$, ρ (изм.) 1,38, $Z = 32$, ф. гр. $P2_1/n$. NaOH· $7H_2O$ монокл., a 7,34, b 16,41, c 6,90 Å, β $92^\circ 53'$, ρ (изм.) 1,30, $Z = 4$, ф. гр. $P2_1/c$. Координационный полиэдр — октаэдр. Т. Хоцянова

20447. Атомные факторы иона калия в тригональном KNO_3 . Корхонен (The atomic scattering factors of the potassium ion in trigonal potassium nitrate. Korhonen U.), Acta crystallogr., 1957, 10, № 7, 457—461 (англ.).

При использовании ранее разработанной методики (РЖХим, 1956, 3209, 67665; 1958, 7001) определены значения f для ионов K^+ в структуре тригон. модификации KNO_3 . Ю. Пятенко

20448. О полиморфизме двукальциевого силиката. Гинье, Яннакис (Sur le polymorphisme du silicate bicalcique. Guinier André, Yannakis Nicolas), C. r. Acad. sci., 1957, 244, № 21, 2623—2625 (франц.).

Установлено, что при комнатной т-ре строение кристаллов $2CaO \cdot SiO_2$, образующихся в результате термич. обработки смеси SiO_2 (I) и $CaCO_3$ (II) (РЖХим, 1954, 41898, 1956, 47721), зависит от состава исходной смеси (β -фаза устойчива при избытке II, γ -фаза — при избытке I). Рентгенографически (метод порошка) найдено, что устойчивость модификаций зависит также от размеров кристаллов: для кристаллов с размерами порядка 1μ γ -фаза не образуется, при размерах кристаллов $\geq 50 \mu$ образуется исключительно γ -фаза. П. Зоркий

20449. Кристаллическая структура моноалюмината кальция. Дугилл (Crystal structure of calcium monoaluminate. Dougill Maryon W.), Nature, 1957, 180, № 4580, 292—293 (англ.).

Проведено рентгеноструктурное исследование $CaAl_2O_4$. Кристаллы монокл. с параметрами решетки: a 8,69, b 8,09, c 15,21 Å, β $90^\circ 8'$, ρ (изм.) 2,96, $Z = 12$, ф. гр. $P2_1/n$. Структура определена построением проекций Паттерсона и Фурье и разностных синтезов Фурье. Фактор достоверности $R(h0l)$ равен 0,13, $R(0kl) = 0,11$. Структура принадлежит к искаженному типу β -тридимита. Атомы $Ca_{(2)}$ и $Ca_{(3)}$ окру-

жены каждый 6 атомами О по октаэдру со средним расстоянием Са—О 2,43 А. Атом Са(1) окружен 9 атомами О на расстояниях 2,36—3,17 А. Шесть из них принадлежат каждый к двум атомам Са и образуют искаженные октаэдры, включенные в бесконечные цепи состава —Са—О—Са—. Атом Al окружен 4 атомами О с длиной связи Al—О 1,68—1,82 А и валентными углами О—Al—О 101°—118° и Al—О—Al ~ 120° и 132°.

20450. Кристаллическая структура Li_2CO_3 . Цеман (Die Kristallstruktur von Li_2CO_3 . Zemann J., Acta crystallogr., 1957, 10, № 10, 664—666 (нем.; реэ. англ.).

Рентгенографически (методы вращения, Вейсберга и порошка) исследована структура Li_2CO_3 . Параметры решетки: a 8,39, b 5,00, c 6,21 А, β 114,5°, ф. гр. $C2/c$. Проведены двумерные синтезы Паттерсона и Фурье вдоль [001]; координаты z получены методом проб. CO_3 -группы образуют правильные треугольники с атомом С в центре, их плоскости почти перпендикулярны [001]. Ион Li^+ окружен четырьмя атомами О по вершинам искаженного тетраэдра. Межатомные расстояния: CO_3 -группа С—О 1,27; 1,28; О—О 2,20; 2,22; LiO_4 -тетраэдры: Li—О 1,96—2,00; О—О 2,86—3,37 А.

20451. Изучение ряда смешанных фосфатов-сульфатов, изоморфных эвлиниту. Дюриф (Étude d'une série de phosphosulfates isomorphes de l'eulytine. Durif André, C. r. Acad. sci., 1957, 245, № 14, 1151—1152 (франц.).

Продолжая изучение продуктов замещения Si в эвлините (I) (РЖХим, 1958, 16866), автор рентгенографически (метод порошка) исследовал кристаллы 9 в-в состава $\text{MPb}_3(\text{PO}_4)_2(\text{SO}_4)$, где М—Sr, Са, Cd, Mg, Cu, Mn, Zn, Ni, Co. В-ва получались прокаливанием смеси $\text{Pb}_3(\text{PO}_4)_2$ и MSO_4 в течение 24 час. при 650° и — для первых четырех в-в — при 850°. Параметры куб. решетки a соответственно равны (в А): 10,369, 10,296, 10,315, 10,299, 10,422, 10,258, 10,449, 10,434, 10,356. Установлено, что кристаллы всех исследованных в-в изоморфны I, из чего следует независимость структуры от величины ионного радиуса металла г. Отмечается также независимость величины a от г.

20452. Рентгенографическое и кристаллооптическое исследование сплавов системы Na_2SO_4 — Na_2CO_3 . Хлапова А. Н., Бурова Э. Е., Ж. неорганической химии, 1957, 2, № 8, 1864—1882.

Проведено исследование структуры, фазового равновесия и кристаллооптич. свойств сплавов Na_2SO_4 — Na_2CO_3 и изучено влияние на эти свойства условий хранения сплавов. Для изучения были приготовлены 24 сплава в области конц-ий до 81,5 мол. % Na_2CO_3 . Диаграмма состояния этих сплавов показывает наличие трех соединений с определенными составами: $2\text{Na}_2\text{SO}_4 \cdot \text{Na}_2\text{CO}_3$, ϵ -фаза (тетрагон., a 7,869, c 11,049 кХ, $Z = 8$), $2\text{Na}_2\text{SO}_4 \cdot \text{Na}_2\text{CO}_3$, γ -фаза (гексагон., a 8,115, c 13,154 кХ, $Z = 9$) и $\text{Na}_2\text{SO}_4 \cdot 3\text{Na}_2\text{CO}_3$ (структура не определена). Эти соединения образуются в твердом состоянии вследствие распада высокотемпературного твердого р-ра Na_2SO_4 — Na_2CO_3 , кристаллизующегося из расплава. Сплав состава $2\text{Na}_2\text{SO}_4 \cdot \text{Na}_2\text{CO}_3$ при низких т-рах является двойной солью, а не членом непрерывного ряда твердых р-ров, образованных на основе γ - Na_2SO_4 , так как структура сплава отличается от структуры γ - Na_2SO_4 . При взаимодействии влаги на эти сплавы указанные твердые фазы при комнатной т-ре становятся метастабильными. Через ряд промежуточных структурных и фазовых состояний они переходят в новые твердые фазы, сходные с твердыми фазами системы Na_2SO_4 — Na_2CO_3 — H_2O ; ϵ -фаза превращается через промежуточные состояния в ромбич. T -фазу (тенардит),

γ -фаза распадается на фазу со структурой ромбич. беркента и $\text{Na}_2\text{CO}_3 \cdot \text{H}_2\text{O}$. Влиянием условий хранения сплавов на их структуру и свойства объясняются противоречия в описании природы твердых фаз системы Na_2SO_4 — Na_2CO_3 .

20453. Кристаллография фосфата $\text{Ca}_4\text{H}(\text{PO}_4)_3 \cdot 3\text{H}_2\text{O}$. Браун, Лер, Смит, Фрейжер (Crystallography of octacalcium phosphate. Brown Walter E., Lehr James R., Smith James P., Frazier A., William, J. Amer. Chem. Soc., 1957, 79, № 19, 5318—5319 (англ.).

Рентгенографически (методы порошка и Вейсберга) исследованы кристаллы $\text{Ca}_4\text{H}(\text{PO}_4)_3 \cdot 3\text{H}_2\text{O}$ (I), полученные медленным гидролизом $\text{CaHPO}_4 \cdot 2\text{H}_2\text{O}$ в 0,5 М р-ре ацетата Na при 40°. На порошковой диаграмме обнаруживаются «лишние» по сравнению с гидроксипатитом (II) линии. Параметры решетки: трикл., a 19,7, b 9,59, c 6,87 А, α и β 90,7°, γ 71,8°. Исследован процесс термич. и гидротермальной обработки I. Высказывается предположение о возможности слоистого строения кристаллов I, подобно кристаллам II. I и II неизоморфны и не образуют истинных твердых р-ров. Указывается, что I участвует в образовании костной ткани и эмали зубов.

20454. Наблюдения на пиконите. Баун, Гай (Observations on pigeonite. Bown M. G., Gay P., Acta crystallogr., 1957, 10, № 6, 440—441 (англ.).

Изучены агрегаты пластинок, состоящих из авгита (I) и пиконита (II) и монокристаллы пластинок II. Подтверждена для II ф. гр. $P2_1/c$. Рефлексы рентгенограмм ($h + k = 2n$ (тип а) характеризуют фазы I и II, рефлексы ($h + k$) = $2n + 1$ (тип b) характеризуют только фазу II и всегда диффузные. Нагревание монокристалла II до 1000° в течение 2 дней с последующим быстрым охлаждением не изменяет диффузности и интенсивности рефлексов b. Авторы предполагают, что примитивная решетка характерна не только для низкотемпературного II. Г. Сидоренко

20455. Комплексы шестивалентного Pt(2+) с нитрилами, координированными через связь $\text{C} \equiv \text{N}$. Гаррис, Стивенсон (Six-covalent platinum (II) complexes containing nitriles coordinated through the $\text{C} \equiv \text{N}$ bond. Harris C. M., Stephenson N. C., Chemistry and Industry, 1957, № 14, 426—428 (англ.).

Рентгенографически изучена структура $[\text{Pt}(\text{NH}_3)_4(\text{CH}_3\text{CN})_2]\text{Cl}_2$ (I) и получено подобное в-во состава $[\text{Pt}(\text{NH}_3)_4(\text{C}_6\text{H}_5\text{CN})_2]\text{J}_2$. Кристаллы I монокл., a 15,86, b 6,26, c 13,93 А, β 109°30', $Z = 4$, ф. гр. $P2_1/c$. Атомы Pt занимают частные позиции в центрах симметрии 000. $1/2$ 00, $0 1/2 1/2$, $1/2 1/2 1/2$. 4 группы NH_3 лежат в плоскости около атома Pt, молекулы CH_3CN находятся в транс-положении в двух остальных вершинах октаэдра. Молекулы CH_3CN расположены антипараллельно и параллельно диагонали плоскости $\text{Pt}(\text{NH}_3)_4$; они связаны с атомом Pt не через атомы N, а через связь $\text{C} \equiv \text{N}$ (аналогично связи в 4-координированных комплексах Pt и Pd с этиленом). Обсуждается электронная конфигурация атома Pt в I. Связь с группой $\text{C} \equiv \text{N}$ объяснена взаимодействием между гибридными орбитами $\text{Pt}6p_z 6d_{z^2}$ и заполненными p_z -орбитами нитрильных групп.

20456. Структура комплексного рейнекат-иона. Такэути, Сайто (Structure of reineckate complex ion. Takéuchi Yoshio, Saito Yoshihiko, Bull. Chem. Soc. Japan, 1957, 30, № 4, 319—325 (англ.).

Описаны структуры трех солей с комплексным рейнекат-ионом: соль Рейнеке $\text{NH}_4[\text{Cr}(\text{SCN})_4(\text{NH}_3)_2] \cdot 3/2 \text{H}_2\text{O}$ (I), пиридин- (II) и холинрейнекаты (III). Параметры решетки: I a 13,25, $Z = 6$, ф. гр. $Im\bar{3}m$; II a 15,52, b 7,64, c 14,64, β 102°24', $Z = 6$, ф. гр. $A2/a$, III a 12,69, b 22,80, c 6,75, $Z = 4$, ф. гр. $Ibma$. В I комплексный ион

представляет собой октаэдр, в котором по углам октаэдра расположены изородановые группы NCS. Межатомные расстояния в комплексе равны: $\text{Cr}-\text{NH}_3$ $2,15 \pm 0,03$, $\text{Cr}-\text{N}$ $1,97 \pm 0,03$, $\text{N}-\text{C}$ $1,14 \pm 0,03$, $\text{C}-\text{S}$ $1,80 \pm 0,03$; $\angle \text{CrNC}$ 180° . 6 ионов NH_4^+ на 4 молекулы H_2O статистически занимают 8-кратное и 2-кратное положения. В структуре II рейнекат-группы расположены около двойной оси. Молекулы пиридина окружены 12 атомами S. Кратчайшее расстояние между S и N-пиридина $3,36 \text{ \AA}$. Расстояния в рейнекат-ионе: $\text{Cr}-\text{N}$ $1,95$, $\text{N}-\text{C}$ $1,15$, $\text{C}-\text{S}$ $1,76 \text{ \AA}$; $\angle \text{CrNC}$ 180° . В структуре III атомы Cr занимают центры симметрии. Молекулы холина расположены на двойной оси, окружены четырьмя атомами S по тетраэдру и статистически ориентированы в четырех возможных положениях. Межатомные расстояния в рейнекат-ионе равны: $\text{Cr}-\text{N}$ $1,94$, $\text{N}-\text{C}$ $1,27$, $\text{C}-\text{S}$ $1,64$, $\text{Cr}-\text{NH}_3$ $2,12$; $\angle \text{CrNC}$ $155,5^\circ$. На основании межатомных расстояний можно полагать, что в структурах I и II родановая группа имеет строение $\text{N} \equiv \text{C}-\text{S}^-$, в структуре III $-\text{N}=\text{C}=\text{S}$. Это объясняется тем, что в первых двух случаях атомы N в NH_4^+ и $\text{C}_5\text{H}_5\text{N}$ оттягивают электроны на атом S. В лучае молекулы холина атом N экранирован CH_3 -группами и его влияние на группы NCS гораздо меньше. Это подтверждается расстояниями $\text{N}-\text{S}$, которые в трех структурах равны соответственно $3,35$, $3,36$ и $4,9 \text{ \AA}$. Е. Шугам

20457. Структура молекулярных соединений, в особенности таких, в которых галогены являются акцепторами электронов. Хассель (The structure of addition compounds, especially those in which halogens act as electron-acceptors. Hassel O., Proc. Chem. Soc., 1957, Sept., 250—255 (англ.))

Рассмотрены определенные ранее кристаллич. структуры следующих мол. соединений с галогенами: 1,4-диоксан $\cdot \text{Br}_2$ (I), 1,4-диоксан $\cdot \text{JCl}$ (II), гексаметилентетрамин $\cdot 2\text{Br}_2$ (III), пиридин $\cdot \text{JCl}$ (IV), $(\text{CH}_2)_6\text{S} \cdot \text{J}_2$ (V). Атомы O, N и S являются донорами электронов, молекулы Br_2 , J_2 , JCl — акцепторами. В этих структурах расположение молекулы акцептора обычно совпадает с направлением донорно-акцепторной связи (ДАС). Если донорный атом образует 2 или 3 ординарные связи, то связь с галогеном (Hal) дополняет конфигурацию до тетраэдра. Комплекс, в котором атом N принадлежит ароматич. кольцу (IV), является плоским. Взаимодействие $\text{N}-\text{Hal}$ является более сильным, чем $\text{O}-\text{Hal}$. J_2 образует более сильные связи, чем другие Hal. Структура I интересна тем, что оба атома Br участвуют в ДАС с атомами O. Длины связей $\text{O}-\text{Br}$ (I) $2,71$, $\text{O}-\text{J}$ (II) $2,57$, $\text{N}-\text{Br}$ (III) $2,16$, $\text{N}-\text{J}$ $2,26$ (IV), $\text{S}-\text{J}$ $2,84 \text{ \AA}$ (V). В образовании ДАС принимают участие как s- и p-, так и борбиты Hal. Е. Шугам

20458. Рентгеновская дифракция молекулярных соединений насыщенных жирных кислот с длинной цепью. II. Некоторые дальнейшие наблюдения над дифракцией молекулярных соединений ацетамида и насыщенных жирных кислот с длинной цепью. О'Коннор, Мод, Меррей, Мань, Ско (X-ray diffraction of molecular compounds of long-chain saturated fatty acids. II. Some further observations on the diffraction of molecular compounds of acetamide and long-chain saturated fatty acids. O'Connor Robert T., Mod Robert R., Murray Mildred D., Magne Frank C., Skau Evald L., J. Amer. Chem. Soc., 1957, 79, № 19, 5129—5132 (англ.))

Продолжая рентгенографич. (метод порошка) изучение кристаллов мол. соединений ацетамида (I) и насыщ. жирных к-т с длинной цепью (часть I, РЖХим, 1956, 18541), авторы установили, что для соединений миристиновой (II), пальмитиновой (III) и стеариновой (IV) к-т существует по две полиморф-

ные модификации; кристаллы соединения лауриновой к-ты (V) получены только в одной форме. Для каждой из двух модификаций соединений II, III и IV установлено наличие изоморфных рядов. Одна из модификаций имеет ячейку, длина которой равна длине двух молекул к-ты и двух молекул I, наклоненных под углом $59^\circ 12'$ (аналогично C-форме кристаллов исходной к-ты); другая модификация имеет ячейку, равную по длине одной молекуле к-ты и одной молекуле I (A-форма к-ты). Строение кристаллов соединения V соответствует C-форме к-ты при одной молекуле I и одной молекуле V. Отмечается, что для II и V легче образуются C-модификации, для III и IV — A-модификации; по мнению авторов, это может быть связано с видом диаграмм состояния систем этих к-т и I (Magne F. C., Scau E. L., J. Amer. Chem. Soc., 1952, 74, 2828). Полученные данные дают критерий для идентификации изучавшихся соединений и их модификаций. П. Зоркий

20459. Кристаллография и структура некоторых жирных кислот с циклопропановой группировкой, содержащих 19 атомов углерода. Бротертон, Джеффри (The crystallography and structure of some C_{19} cyclopropane fatty acids. Brotherton T., Jeffrey G. A., J. Amer. Chem. Soc., 1957, 79, № 19, 5132—5137 (англ.))

Рентгенографически (методы порошка, колебания, Вейссенберга и прецессионный) изучены кристаллы *цис*- и *транс*-изомеров DL-9,10-метиленоктадекановой (I) и DL-11,12-метиленоктадекановой (II) к-т, полученных синтетически, и лактобацилловой (III) и ди-гидростеркуловой (IV) к-т, выделенных из природных продуктов (РЖХим, 1957, 1082), а также кристаллы амидов всех этих к-т. Монокристаллы получены из р-ров в смеси ацетона с водой (5:1) при 0° . Несмотря на типичный для к-т данного ряда триморфизм, наличия полиморфных модификаций не обнаружено; по мнению авторов, это объясняется тем, что циклопропановое кольцо уменьшает число «экономных» способов упаковки длинных цепочечных молекул. Параметры решетки: *транс*-I монокл. a $10,1$, b $4,78$, c $\sin \beta$ $41,4 \text{ \AA}$, Z 4 , ф. гр. $P2_1/a$; *транс*-II монокл., $10,1$, $4,75$, $41,3$, 4 , $P2_1/a$; *цис*-I и *цис*-II монокл., $8,93$, $5,10$, $43,9$, $0,99$, 4 ; III трикл., a $5,64$, b $5,19$, c $\sin \beta$ $41,1$, q (эксп.) $0,97$ q (выч.) $0,96$, Z 2 , ф. гр. $P4$; IV монокл., a $8,90$, b $5,10$, c $\sin \beta$ $43,7$, q (выч.) $0,997$, Z 4 , ф. гр. $P2$ или $P2/m$. Установлен изоморфизм кристаллов *цис*-I и *цис*-II, а также *транс*-I и *транс*-II, который по мнению авторов, является следствием сходной формы молекул. Авторы считают, что в *цис*- и *транс*-рядах подобных к-т с положением циклопропанового кольца от положения 5,6- до положения 13,14- должен наблюдаться аналогичный изоморфизм. Хотя строение молекул II и III, а также I и IV одинаково, кристаллографически III неидентична какому-либо из стереоизомеров II, что объясняется различием между синтетически полученными рацематами и природными энантиоморфными формами. Из геометрич. анализа следует предпочтительность *цис*-строения для III. Установлено тождество IV и *цис*-I. Кристаллы амидов исследованы методом порошка. Амиды *транс*-I и *транс*-II дают изоморфные кристаллы. Амид IV получен в виде двух модификаций: из р-ра в ацетоне при -50° и из р-ра в мет. спирте при 0° ; последняя модификация изоморфна кристаллам амида *цис*-I. Ни одна из полученных двух модификаций амида *цис*-II (из р-ра в мет. спирте при 0° и из расплава) не изоморфна кристаллам амида III. П. Зоркий

20460. Кристаллическая структура *n*-нитроанилина при различных температурах. Кришна-Мурти (The crystal structure of *p*-nitroaniline at different

temperatures. Krishna Murti G. S. R.), Indian J. Phys., 1957, 31, № 7, 353—358 (англ.)

Измерены параметры решетки *п*-нитроанилина при 90° и 301° К и вычислены коэф. линейного расширения по трем кристаллографич. осям ($\alpha_{11} = 70,15 \cdot 10^{-6}$, $\alpha_{22} = -16,06 \cdot 10^{-6}$ и $\alpha_{33} = 70,69 \cdot 10^{-6}$). Резко неравномерное изменение параметров решетки и увеличение угла β при понижении *т*-ры объяснено переориентацией молекул при этих условиях. По-видимому, такая переориентация указывает на более сильное межмолекулярное взаимодействие, чем ван-дер-ваальсовы силы. Это противоречит более ранним данным (РЖХим, 1957, 40407) о ван-дер-ваальсовых межмолекулярных расстояниях в структуре *п*-нитроанилина. Отмечается, что значение некоторых вычисленных структурных факторов в указанной работе недостаточно хорошо совпадают с опытными. Е. Шугам

20461. Кристаллографические данные о диникрате норникотина. Кюрбен, Гасперен, Римский, Егер (Données cristallographiques sur le dipicrate de norcotine. Curien H., Gasperin M., Rimsky A., Jaeger M.), Bull. Soc. franc. mineral. et cristallogr., 1957, 80, № 4—6, 243—244 (франц.)

Рентгенографически (методы вращения и рентгенонометра) изучены кристаллы диникрата норникотина, для которых хим. анализ дал ф-лу $C_{21}H_{18}O_{14}N_8$. Мол. вес в-ва 606,42; *т*-ра пл. 189—190°. Пьезоэлектрич. кристаллы имеют развитую грань {111} а также грани {101} и {011}. Параметры трикл. решетки (по данным рентгенонометрич. снимка): a 13,45, b 13,83, c 13,21 Å, α 40°0', β 56°0', γ 57°20', ρ (флот.) 1,60, q (выч.) 1,61, $Z = 2$, ф. гр. *P*1. П. Зоркий

20462. Кристаллическая и молекулярная структура пиразина. Уитли (The crystal and molecular structure of pyrazine. Wheatley P. J.), Acta crystallogr., 1957, 10, № 3, 182—187 (англ.)

Ромбические кристаллы (часто в виде двойников) пиразина $C_4H_4N_2$ выращивались в тонкостенных стеклянных капиллярах. Параметры решетки: a 9,316, b 3,815, c 5,911 Å, $Z = 2$, ф. гр. *Pmm*. Молекулы имеют симметрию $2/m$ и расположены в частных положениях в плоскостях симметрии. Угол наклона плоскости молекулы к плоскости *ac* составляет $\sim 18^\circ$. Ориентировочные координаты атомов найдены анализом интенсивностей рефлексов. Уточнение координат проведено с помощью трехмерных синтезов с учетом атомов Н. Вводились анизотропный температурный фактор и поправки к межплоскостным расстояниям, связанные с учетом теплового движения атомов (*т. пл.* 54°) и оказавшиеся равными 0,02 Å. Окончательные значения расстояний: C—C 1,378, C—N 1,334, C—H 1,05 Å, $\angle NCN = 122,4^\circ$, $\angle CNC = 115,1^\circ$. Кроме поправок на тепловое движение, вычислялись тензоры вращательных и поступательных колебаний (РЖХим, 1958, 6989). Е. Шугам

20463. Электронографическое исследование металлических карбидов. Часть I. Образование и распад карбида Ni. Нагакура (Study of metallic carbides by electron diffraction. Part I. Formation and decomposition of nickel carbide. Nagakura Sigetomo), J. Phys. Soc. Japan, 1957, 12, № 5, 482—494 (англ.)

В результате взаимодействия напыленных пленок Ni в токе CO при 250—500° обнаружена фаза состава Ni_3C (I) с плотнейшей гексагон. решеткой с параметрами: a 2,628, c 4,306 Å. Установлено, что I образуется при *т*-рах $< 450^\circ$; $> 500^\circ$ на поверхности Ni образуется только аморфный C; максим. скорость образования I при 350°. Изучены особенности кинетики образования I. Электрономикроскопически установлено, что кристаллы I не имеют определенной формы. При комнатной *т*-ре фаза I устойчива. Распад ее

наблюдается при 400°. Установлена анизотропия коэф. термич. расширения кристаллов I. Обсуждается механизм образования и распада I. Е. Соколов

20464. Дифракция электронов от поверхности слоев нержавеющей стали, подвергавшейся действию газообразного NH_3 при высокой температуре. Накаяма (不銹鋼高温腐蝕面の電子廻折的観察 (NH_3 蒸気雰囲気中の腐蝕). 中山知行), 日本金属学会誌, 1958, 20, № 5, 288—291 (японск.; рез. англ.)

20465. Электрономикроскопическое и электронографическое исследование ферроцианидов бария. Гр. Кабанак (Etude en microscopie et diffraction électronique des ferrocyanures de baryum. Gracabanas Marguerite), Bull. microsc. appl., 1956, 6, 185—188 (франц.)

Электрономикроскопическим и электронографич. методами показано, что при сливании кипящих *р*-ров $BaCl_2$ и $K_4Fe(CN)_6$ образуются кристаллы $K_2BaFe(CN)_6 \cdot 5H_2O$ (ромбоэдрич.) и $Ba_2Fe(CN)_6 \cdot 6H_2O$ (моноклин.), и указаны условия их образования. В. Вассерберг

20466. О текстуре напыленных пленок. Кью (On the texture of evaporated films. Kehoe R. B.), Phil. Mag., 1957, 2, № 16, 455—466 (англ.)

В спец. камере электронографа испаряли в вакууме Cu, Ag и Au и конденсировали на подогретые плоскости спайности кристаллов галогенидов щел. металлов. Во время конденсации получали серию дифракционных картин и исследовали кристаллич. строение пленок в зависимости от их толщины. Толщина конденсированного слоя определялась по времени испарения известного кол-ва металла. Скорость осаждения составляла 3—4 Å в минуту. Во время каждого опыта (~ 1 часа) *т*-ра подложки поддерживалась постоянной в пределах нескольких градусов. Для всех трех металлов при низких *т*-рах подложки наблюдались беспорядочная кристаллизация, а при высоких *т*-рах происходил ориентированный рост. При этом плоскости осаждения металла параллельны плоскости спайности подложки [001], и направление [110] параллельно направлению [110] подложки. Кроме того, наблюдались двойники и ориентировка [112]. С ростом толщины пленок до 60—100 Å их строение становилось более совершенным, но при большей толщине слоя появлялась тенденция к нарушению ориентировки. Для каждой пары металл-подложка Ag/NaCl, Cu/NaCl и Au/NaCl определены 2 *т*-ры: T_0 —, ниже которой слой полностью дезориентирован, и T (мин.) —, выше которой наблюдалась полная ориентировка. Появление двойников и ориентировки (112) соответствует концу идеального свободного от напряжений роста. Соотношения ориентировки, размеры зерен и степени дезориентировки в различных уровнях пленки могут сильно различаться. Обсуждены наблюдавшиеся эффекты той же структуры. М. Бородин

20467. Спектр колебаний атомов водорода в солях Рашелля. Бейкер, Уэббер (Hydrogen vibration spectra of Rochelle salt. Baker A. N., Webber D. S.), J. Chem. Phys., 1957, 27, № 3, 689—692 (англ.)

На спектрографе с решеткой получен ИК-спектр $KN_3C_4H_4O_6 \cdot 4H_2O$ в области 4550—8100 cm^{-1} в поляризованном свете и дана интерпретация полученного ИК-спектра и спектров комб. расщ. Полосы 2938 и 2983 cm^{-1} отнесены к колебаниям C—H, а 5765 и 5860 cm^{-1} — к их обертонам, полоса 3405 cm^{-1} — к колебанию ν_1 , 3472 cm^{-1} — к колебанию ν_2 , 3265 cm^{-1} — к 2 ν_2 , 4810 cm^{-1} — к 3 ν_2 , 5050 cm^{-1} — к $\nu_2 + \nu_1$, 5150 cm^{-1} — к $\nu_2 + \nu_2$ и 3535 cm^{-1} — к колебанию O—H молекул воды. На основании поляризации полос в области 5000 cm^{-1} найдено расположение атомов H в кристалле. М. Дяткин

20468. Об ориентационных явлениях при росте кристаллов вдали от фазового равновесия. Бауэр (Über Orientierungserscheinungen beim Kristallwachstum fern vom Phasengleichgewicht. Bauer Ernst), Z. Kristallogr., 1956, 107, № 4, 290—317 (нем.).

Рассмотрены структура и рост тонких слоев, напыленных на пара на подложку, вдали от фазового равновесия. Автор считает, что при этих условиях слои обладают преимущественной ориентацией, зависящей от условий их получения. Противоречия между результатами различных исследователей, по мнению автора, связаны с неконтролируемостью условий опытов и неучетом сложности всех явлений, происходящих при росте кристаллов. Вводится понятие ориентации, обусловленной образованием зародышей кристаллизации на подложке, и ориентации, связанной с их ростом. Предполагается, что первая должна иметь место в начальной стадии роста возникших зародышей, т. е. в очень тонких слоях при сильном взаимодействии с подложкой. Второй же вид ориентации возникает в нечетной стадии роста (в более толстых слоях), зависящей от условий напыления. Основное внимание уделяется последнему виду ориентации, т. е. случаю слабого взаимодействия напыленного слоя с подложкой. Приведен большой эксперим. материал по электронографии, микроскопич. и электронномикроскопич. исследованию структуры напыленных слоев ионных кристаллов (NaF, LiF, NaCl, PbS, CaF₂, BaF₂, MgF₂ и др.). Показано, что ориентация тонких слоев этих в-в зависит от направления напыления и что в-ва с одинаковой кристаллич. структурой могут обладать различной ориентацией (напр., LiF, NaF и NaCl или CaF₂ и BaF₂). Приводятся данные о влиянии типа подложки (медь, слюда, кварц и др.) и т-ры нагрева. Аналогичные данные приведены и для напыленных слоев металлов. Отдельно рассмотрены возможности ориентации в тонких слоях металлов с гексагон. плотупакованной (Cd, Zn, Mg), куб. гранецентрированной (Pt, Pd, Au, Ag, Ni, Al) и куб. объемноцентрированной (Ba, Fe, Cr) решетками.

Д. Овсиенко
20469. К электронной теории металлических и полупроводниковых структур. Делингер (Zur Elektrophentheorie metallischer und halbleitender Strukturen. Dehlinger U.), Phys. and Chem. Solids, 1957, 1, № 4, 279—283 (нем.; рез. англ.).

Исследуется наличие и роль направленной связи (осуществляемой комбинациями атомных функций) в кристаллич. решетках элементов и соединений с металлич. проводимостью; металлич. связь трактуется с точки зрения модели почти свободных электронов. Направленная (ковалентная) связь превалирует в тех случаях, когда на атом приходится ≥ 2 участвующих в образовании связи электронов и когда главное квантовое число не слишком велико. В Ga и переходных металлах присутствуют оба типа связей. При направленной связи последовательность зон определяется атомными функциями и, следовательно, главным образом атомными термами.

Д. Белащенко
20470. Дырки и «когтевидные» дефекты в графите. Уббеллоде (Hole and claw defects in graphite. Ubbelohde A. R.), Nature, 1957, 180, № 4582, 380 (англ.).

Обсуждаются свойства дефектов особого рода в решетке графита, когда один или несколько близкорасположенных в одной плоскости атомов С связываются с посторонними атомами или радикалами (C—H, C—OH, C=O и т. д.), а нормальная валентная связь между ними разрывается. Если это явление имеет место у двух соседних атомов С, то они отталкиваются друг от друга, и в кристаллич. слое образуется дырка. Если это происходит у края слоя, то образуется «когтевидный» дефект. При этом нарушение правиль-

ного расположения атомов может простираться на несколько атомных расстояний. Возможен и другой случай, когда с посторонним радикалом связан только один атом С, соседний же атом С, связанный с соседними атомными слоями, остается с некомпенсированным спином. Такой дефект может являться центром захвата для неспаренного спина.

К. Толпыго
20471. Химическое взаимодействие дефектов в Ge и Si. Рейсс, Фуллер, Морин (Chemical interactions among defects in germanium and silicon. Reiss Howard, Fuller C. S., Morin F. J.), Bell. System Techn. J., 1956, 35, № 3, 535—636 (англ.).

Проведено эксперим. и теоретич. исследование взаимодействия дефектов (собственных и примесных) в кристаллах Ge и Si. Показано, что дефекты можно рассматривать как индивидуальные хим. в-ва и что р-ции между ними в твердом р-ре подчиняются тем же закономерностям, что и р-ции в водн. р-ре. Детально исследовано поведение примесного Li, для которого все закономерности наблюдаются в наиболее отчетливой форме. Исследованы образование комплексов между примесями (напр., LiB⁻), спаривание примесных ионов (Li+B⁻) и его влияние на некоторые свойства полупроводников и диффузия примесей. Приведен обзор работ в этой области за последние годы.

А. Хейнман
20472. Плавление ионных кристаллов. Куросава (On the melting of ionic crystals. Kurosawa Tatsumi), J. Phys. Soc. Japan, 1957, 12, № 4, 338—346 (англ.).

На основе теории сильных электролитов Дебая—Хюккеля показано, что взаимодействие между дефектами решетки (дефектами по Френкелю в случае AgCl и по Шоттки в случае NaCl) приводит к резкому уменьшению эффективной энергии их образования вблизи некоторой крит. т-ры, близкой к т-ре плавления. В результате концентрации дефектов резко увеличивается и происходит фазовый переход в жидкое состояние. По мнению автора, дефекты играют при плавлении ионных кристаллов более важную роль, чем колебания решетки. На основе предложенной теории в качеств. согласии с опытом вычислены скрытая теплота и изменение объема при плавлении, вязкость и ионная проводимость жидкостей. А. Хейнман
20473. Радиационный анализ криптона и ксенона и его использование при исследовании диффузии в серебре. Тобин (Radio-analysis of krypton and xenon and its use in diffusion experiments with silver. Tobin J. M.), Acta metallurgica, 1957, 5, № 7, 398—403 (англ.; рез. франц., нем.).

Предложен новый метод исследования диффузии в системах газ—металл. В спец. разрядной трубке (кварцевой ампуле) проводится насыщение Ag газом и последующее извлечение газа при нагреве. После извлечения газа ампула без Ag помещается в реактор, а затем в газоанализатор, где ампула разбивается, после чего измеряется кол-во газа (по γ активности), экстрагированного из ампулы. Предложенный метод чувствителен к относительному изменению концентрации в пределах 10^{-10} — 10^{-8} г-атом. Ошибка измерения $< 5\%$. Определен коэф. диффузии D Kr в Ag при 500—800°; найдена экспоненциальная зависимость $D = 1,05 \times \exp(-35\,000/RT)$ см²/сек. Предполагается вакансионный механизм диффузии.

Л. М.
20474. Поведение облученных в котле монокристаллов германия и кремния при травлении. Чжан (Etching behavior of pile-irradiated germanium and silicon single crystals. Chang Roger), J. Appl. Phys., 1957, 28, № 4, 385—387 (англ.).

Исследованы монокристаллы Ge и Si высокой чистоты с уд. сопротивлением 0,01 ом см, облученные при 20° потоком нейтронов 10^{14} — 10^{17} нейтрон/см². На по-

поверхности облученных кристаллов обнаружена тонкая поверхностная зернистость, не наблюдающаяся на необлученных образцах и полностью исчезающая после отжига при 100—200° в течение нескольких часов. Результаты исследования истолкованы автором как доказательство неоднородного распределения дефектов при облучении Ge и Si в котле. Н. Тяпкина

20475. Влияние облучения быстрыми нейтронами на рекомбинацию электронов и дырок в кристаллах германия. Вавилов В. С., Спицын А. В., Смирнов Л. С., Чукичев М. В., Ж. эксперим. и теор. физики, 1957, 32, № 4, 702—705 (рез. англ.)

Облучение кристалла Ge быстрыми нейтронами приводит к уменьшению времени жизни τ неравновесных носителей. Сечение рекомбинационного захвата дырок дефектами, образовавшимися в n -Ge в результате облучения, равно $(1 \pm 0,5) \cdot 10^{-15} \text{ см}^2$. Влияние нейтронного облучения на τ может быть использовано для измерения интегральных потоков быстрых нейтронов. Ш. Коган

20476. Рентгенографическое исследование влияния одностороннего давления на структуру поликристаллического титаната бария. Исмаиладзе И. Г., Докл. АН СССР, 1956, 115, № 3, 479—482

20477. Упрочнение монокристаллов алюминия небольшими добавками серебра. Хеснер, Шрейбер (Über die Verfestigung von Aluminium-Einkristallen mit geringen Silberzusätzen. Haefner Frank, Schreiber Dietrich), Z. Metallkunde, 1957, 48, № 5, 263—271 (нем.; рез. англ.)

Исследовано влияние добавок Ag (0,0057—1,96%) на величину крит. касательного напряжения и на образование линий скольжения при растяжении монокристаллов Al, содержащих (в %): Cu 0,0017—0,0021, Si 0,0046—0,0090, Fe 0,0020—0,0033, Ni 0,0009—0,0011. Монокристаллы Al выращивали рекристаллизационным методом и подвергали их травлению для выявления включений, отжигу при 500° в течение 8—12 час. и затем охлаждению в печи или на воздухе. При содержании Ag до 0,125 ат.% диаграммы растяжения и характер образования линий скольжения почти такие же, как для чистого Al. При содержании Ag 0,5 ат.% крит. касательные напряжения для образцов, охлажденных на воздухе, увеличиваются в 3—4 раза; участок облегченного сдвига удлиняется на 300%. В медленно охлажденных кристаллах с 0,5 ат.% Al крит. касательные напряжения повышаются в среднем в 10 раз. Упрочнение не зависит от ориентации кристаллов. При испытании в жидком воздухе увеличение содержания Al до 0,5 ат.% может приводить не к повышению, а к снижению упрочнения. М. Ш.

20478. ИК-спектры поглощения бифторидов в дисках щелочногалогенидных солей. Образование смешанных кристаллов. Кетелар, Хаас, Элскен (Infrared absorption spectra of bifluorides in alkali halide disks. The formation of mixed crystals. Ketelaar J. A. A., Haas C., Elsken J. van der), J. Chem. Phys., 1956, 24, № 3, 624—625 (англ.)

Исследованы ИК-спектры поглощения (в области 1200—1650 см^{-1}) NaHF_2 , KHF_2 и NH_4HF_2 в нуйоле и в прессованных дисках KCl, KBr, KI и NaBr. Спектры всех дифторидов в KCl одинаковы, тогда как спектры в нуйоле сильно отличаются друг от друга. Сделан вывод, что ион HF_2^- входит в решетку KCl, образуя смешанные кристаллы. То же имеет место для KHF_2 и NH_4HF_2 в KBr. NaHF_2 в KBr дает двойные полосы. Один из компонентов каждого дублета идентичен с полосой KHF_2 в KBr, а другой — с полосой NaHF_2 в нуйоле, что указывает на частичное образование смешанных кристаллов. KHF_2 в NaBr частично образует смешанные кристаллы. А. Хейнман

20479. Инфракрасный спектр и кристаллическая структура гипса. Хаас, Сесерленд (The infrared spectrum and crystal structure of gypsum. Haas M., Sutherland G. B. B. M.), Proc. Roy. Soc., 1956, A236, № 1207, 427—445 (англ.)

20480. Оптическая плотность и толщина испаренных угольных пленок. Кослетт, Кослетт (The optical density and thickness of evaporated carbon films. Cosslett Anna, Cosslett V. E.), Brit. J. Appl. Phys., 1957, 8, № 9, 374—376 (англ.)

20481. Аномальная дисперсия монокристалла красной йодной ртути. Зискинд (Dispersion anormale de monocristaux d'iodure mercurique rouge. Siekind Manuel), C. r. Acad. sci., 1957, 245, № 17, 1410—1412 (франц.)

20482. Медь как активатор в кристаллах NaCl. Трнка (Měď jako aktivátor v krystalech chloridu sodného. Trnka Jaroslav), Českosl. časop. fyz., 1957, 7, № 2, 187—192 (чешск.); Чехосл. физ. ж., 1957, 7, № 3, 359—364 (нем.; рез. русск.)

Полярографическим методом установлено, что при введении Cu в качестве активатора в кристалл NaCl методом вытягивания из расплава NaCl, содержащего смеси CuCl и CuCl_2 , медь всегда присутствует в готовом кристалле только в виде ионов Cu^+ ; это приписано автором термич. разложению CuCl_2 в расплаве по схеме: $2\text{CuCl}_2 \rightarrow 2\text{CuCl} + \text{Cl}_2$. При введении активатора путем диффузии из порошка CuCl_2 в кристалл NaCl при 450° медь присутствует в виде Cu^{2+} и Cu^+ . Исследовано распределение Cu по длине кристалла NaCl, вытянутого из расплава с примесью 10^{-3} Cu (мол. доля Cu^+/Na^+): части кристалла, выросшие позже, содержат больше Cu^+ . С уменьшением скорости вытягивания от 0,33 до 0,016 мм/мин конц-ия Cu^+ в кристалле уменьшается до некоторого предельного значения. Коэф. распределения Cu (т. е. отношение конц-ий Cu в кристалле к конц-ии Cu в расплаве) растет с уменьшением конц-ии Cu в расплаве. А. Хейнман

20483. Щелочногалогидный люминофор, активированный теллуриом. Сугино (アルカリハライド-Te 螢光體. 菅野 曉), 物性論究研, Буссэйрон кэнкю, 1956, № 100, 144—154 (японск.)

20484. К теории F-центров в смешанных кристаллах. Дейген М. Ф., Демиденко А. А., Чхартшвили Ю. В. (До теорії F-центрів у змішаних кристалах. Дейген М. Ф., Демиденко О. А., Чхартшвілі Ю. В.), Укр. фіз. ж., 1957, 2, № 2, додаток, 24—29 (укр.; рез. русск., англ.)

Вычислены положения максимума F-полосы в смешанных кристаллах для малых конц-ий одной из компонент. Рассмотрены кристаллы KCl—RbCl, KCl—NaCl. Вычисления проводились для модели F-центра, в ближайшей координационной сфере которой один ион M основной решетки заменен примесным. Методами теории возмущений вычислены энергии основного и возбужденного состояний. В качестве Ψ -функции нулевого приближения использованы детальные волновые функции F-центра в чистом кристалле KCl. В качестве потенциала возмущения принималась разность атомных и самосогласованных поляризационных потенциалов основного и примесного ионов. Результаты расчета указывают на возможность осуществления в обоих рассмотренных кристаллах так называемого аномального сдвига максимума F-полосы. При добавлении в кристалл KCl небольших кол-в примеси RbCl (NaCl) частота максимума F-полосы сдвигается не по направлению к F-полосе в чистом RbCl (NaCl), а в обратную сторону. Экспериментально это явление наблюдается в кристалле KCl при добавлении к нему NaCl. Резюме авторов

20485. О хемилюминесценции некоторых гидразидов изоникотиновой кислоты. Кро, Луцевский

- (O chemiluminescencji kilku hydrazydów kwasu izoni-
kotynowego. Kroh J., Łuszczewski J.), Roczn.
chem., 1956, 30, № 2, 647—649 (польск.; рез. англ.)
Изучена хемолуминесценция (ХЛ) некоторых гид-
разидов изоникотиновой к-ты. Показано, что гидразид
изоникотиновой к-ты (I) проявляет сравнительно
сильную ХЛ в присутствии гетина; ХЛ 1,2-двизоник-
отинилгидразина и 1-изоникотинил-2-никотинилгид-
разина слабее, чем ХЛ I. А. Hulanicki
20486. Исследование процесса сцинтилляции. Хар-
диш, Мак-Миллан (Study of the scintillation
process. Hardwick E. R., McMillan W. G.),
J. Chem. Phys., 1957, 26, № 6, 1463—1471 (англ.)
20487. Исследования спектров молекулярных кри-
сталлов при низких температурах. Прихоть-
ко А. Ф., Оптика и спектроскопия, 1957, 3, № 5,
434—456
Обзор. Библ. 147 назв.
20488. Электролюминесценция и электрофотолуми-
несценция. Орлов И. Н., Лямичев И. Я., Тр.
И-и. ин-та. М-во радиотехн. пром-сти СССР, 1957,
вып. 9 (45), 3—63
20489. Температурная зависимость электролюмини-
сценции. Хаке (Temperature dependence of electro-
luminescence. Haake C. H.), J. Electrochem. Soc.,
1957, 104, № 5, 291—298 (англ.)
Исследована яркость I электролюминесценции фос-
форов $ZnS \cdot ZnO = (Cu, Pb, Cl)$ и $ZnS = (Cu, Cl)$ при
т-рах от -180 до $+150^\circ$ на частотах ν $15 \cdot 10^4$ гц и
эффективном напряжении 400 в. I проходит через
максимум в области $\sim 0^\circ - 100^\circ$ (в зависимости от ν).
Падение I приписано температурному тушению, ве-
роятность которого принята равной вероятности ту-
шения фотолуминесценции. Построена температурная
зависимость идеальной $I(I_0)$ в случае отсутствия
тушения. С ростом т-ры I_0 возрастает или стремится
к насыщению, но никогда не уменьшается. Такой ход
 I_0 объяснен на основе двухстадийного процесса
электролюминесценции. Во время 1-й стадии — воз-
буждения — электроны освобождаются в зонах силь-
ного поля и захватываются ловушками в соседних
зонах слабого поля. Вероятность захвата зависит от
т-ры и от ν . Миграция электронов происходит столь
быстро, что активатор не ионизуется, и свечение от-
сутствует; 2-я стадия процесса — возврат электронов
в зоны сильных полей и их излучательная рекомбина-
ция со свободными центрами люминесценции. Зависи-
мость I_0 от т-ры определяется скоростью термич.
освобождения электронов из центров захвата на
2-й стадии процесса. Рассмотрено практич. значение
в лученных результатов. А. Хейнман
20490. Изучение оптических и электрических свойств
теллурида висмута Bi_2Te_3 . Лагреноди (Etude
optique et électrique sur le tellurure de bismuth
 Bi_2Te_3 . Lagrenaudie J.), J. phys. et radium, 1957,
18, № 3, Suppl., 39—40 (франц.)
20491. Первичный фототок в сульфиде кадмия.
Херден (Primary photocurrent in cadmium sulfide.
Heerden P. J. van), Phys. Rev., 1957, 106, № 3,
468—473 (англ.)
20492. Сегнетоэлектрические кристаллы (титанат
бария и изоморфные с ним вещества). Савада,
Номура (誘電電結晶 (チタン酸バリウム同形
體). 澤田正三, 野村昭一郎), 工業化學雜誌,
Korô Kagaku Dзасси, J. Chem. Soc. Japan. Industr.
Chem. Sec., 1956, 59, № 11, 1262—1266 (японск.)
20493. Исследование твердых растворов $(Ba, Pb)-$
 $(Ti, Sn)O_3$, обладающих сегнетоэлектрическими свой-
ствами. Мыльникова И. Е., Изв. АН СССР.
Сер. физ., 1957, 21, № 3, 423—432
На основании собственных исследований электрич.

свойств систем $BaTiO_3 - BaSnO_3$, $BaSnO_3 - PbSnO_3$,
« $PbSnO_3$ » — $PbTiO_3$ и литературных данных по систе-
мам $BaTiO_3 - PbTiO_3$, $BaTiO_3 - PbSnO_3$ и $PbTiO_3 -$
 $BaSnO_3$ (в кюветы взяты соединения, существование
которых не доказано) построены ориентировочная
диаграмма фазовых превращений в системе (Ba, Pb)
 $(Ti, Sn)O_3$ и диаграмма превращений из параэлектрич.
фазы в сегнетоэлектрическую. Наивысшей точкой Кю-
ри обладают твердые р-ры с высокой конц-ией $PbTiO_3$,
наинизшей — с высокой конц-ией $BaSnO_3$. А. Хейнман

20494. Пирозлектрические свойства колеманита.
Чайноват (The pyroelectric behaviour of cole-
manite. Chynoweth A. G.), Acta crystallogr.,
1957, 10, № 8, 511—514 (англ.)

С помощью нового высокочувствительного метода
обнаружения пирозлектричества в кристаллах иссле-
дованы пирозлектрич. свойства колеманита (I) в
интервале от т-ры жидкого He до $+100^\circ$. В I обнару-
жен только один фазовый переход при -6° . Выше
этой т-ры I не является пирозлектриком, ниже этой
т-ры I — пирозлектрик и сегнетоэлектрик.

Резюме автора

20495. Электропроводность пятиокиси ванадия. Ка-
вагути (五酸化バナジウムの透電率. 河口武夫), 化学.
Kagaku, 1955, 25, № 9, 474 (японск.)

20496. Электрическое сопротивление манганита
(La, M) MnO_3 . Тосима (Manganite (La, Me.) MnO_3
の電気抵抗. 十島創一郎), 物性論研究, Буссейрон-
кэнкю, 1956, № 93, 139—144 (японск.)

20497. Влияние растворенных элементов на удель-
ное сопротивление. Вашшел (The effect of solute
elements on resistivity. Vassel C. R.), Acta metal-
lurgica, 1957, 5, № 6, 350—351 (англ.)

20498. Влияние упругих деформаций на электропро-
водность одновалентных металлов при высоких тем-
пературах. Ковтун Р. И. (Вплив пружних дефор-
мацій на електропровідність одновалентних металів
при високих температурах. Ковтун Р. І.), Укр.
физ. ж., 1957, 2, № 2, додаток, 30—42 (укр.; рез.
русс., англ.)

20499. О связи между электросопротивлением и по-
тенциальной энергией в чистых металлах. Боре-
лиус (On the connection between electrical resisti-
vity and potential energy in pure metals. Bore-
lius G.), Arkiv fys., 1956, 11, № 3, 291—295 (англ.)

20500. Связь между электрическим, тепловым и хи-
мическим пробоем твердых полупроводников. Ново-
сельцев В. С., Уч. зап. Щербаковск. пед. ин-та,
1956, вып. 1, ч. 2, 169—182

20501. О магнитных свойствах кристаллов типа
арсенида никеля. Хиронэ, Адати (On the mag-
netic properties of nickel arsenide type crystals.
Hirone Tokutaro, Adachi Kengo), J. Phys.
Soc. Japan, 1957, 12, № 2, 156—163 (англ.)

Образование упорядоченной ориентации магнитных
моментов катионов (спиновое упорядочение) в кри-
сталлич. решетке кристаллов типа арсенида Ni иссле-
довано теоретически в приближении мол. поля с уче-
том взаимодействия между парами катионов в кри-
сталлич. решетке, являющимися соседями 1-й, 2-й и
3-й близости. Установлено существование различных
типов ориентаций спинов. На основе полученных
результатов рассмотрены магнитные свойства соеди-
нений. Теория применена для интерпретации магнит-
ных свойств тройного твердого р-ра системы
 $Mn - Cr - Sb$. Резюме авторов

20502. Парамагнитный резонанс марганца в моно-
кристаллах галогенидов щелочных металлов. Фор-
рестер, Шнейдер (Paramagnetic resonance of
manganese in single crystals of alkali halides. For-
rester P. A., Schneider E. E.), Proc. Phys. Soc.,
1956, B69, № 8, 833—837 (англ.)

В монокристаллах NaCl (I), KCl (II), KBr (III) и KJ (IV), содержащих Mn, авторы наблюдали, по отдельности и в разных сочетаниях, спектры трех типов: 1) широкий одиночный пик, 2) спектр сверхтонкой структуры (СТС), не зависящий от ориентации, 3) сложный линейчатый спектр, зависящий от ориентации. Интенсивность спектров 2 и 3 гораздо меньше, чем спектра 1. В кристаллах I, полученных из расплава и содержащих Mn в конц-ии 10^{-4} — 10^{-6} г/г, наблюдался спектр типа 1; ширина линии 180—420 гс, $g = 2,015$. Если кристалл прокалить, то на спектр 1 накладываются спектры 2 и 3 с линиями шириной 15 гс. Спектры 2 и 3 появляются уже при т-ре прокалывания 50°С. При повышении т-ры прокалывания их интенсивность возрастает. Если кристалл нагреть почти до плавления и быстро охладить, то интенсивность линий СТС достигает 5% интенсивности линии типа 1. В кристаллах II, полученных из расплава и содержащих Mn в конц-ии 10^{-2} — 10^{-6} г/г, наблюдается спектр 1; $g = 2,002$. Ширина линии (45—60 гс) указывает на обменное сужение. Форма линии зависит от способа прокалывания. После охлаждения (до 80°К) форма линии не меняется. В недостаточно прокаленных кристаллах наблюдается широкая (200 гс) линия; в то же время под микроскопом видны крупинки красного цвета. После прокалывания крупинки исчезают и линия сужается. В кристаллах II, III и IV, выращенных из р-ра, наблюдалась только СТС, $g = 2,0047$, $A = 95$ гс, ширина линий 50 гс. После прокалывания кристаллов II СТС исчезает и появляется узкая линия. Это превращение необратимо. При охлаждении II, III и IV до 80°К СТС исчезает, появляясь снова при комнатной т-ре. Спектр типа 1 может возникать в силу двух причин: а) атомы Mn удалены друг от друга, но расположены вблизи дефектов решетки, где хаотич. электр. поля, благодаря существованию тонкой структуры, размывают СТС; б) атомы Mn образуют агрегаты, и обменные взаимодействия снимают СТС. В случае б линия уже, чем в случае а. По-видимому, обмен имеет место, хотя бы частично, во всех изученных в-вах. Спектр типа 2 дают изолированные атомы Mn, заменяющие атомы K и Na в решетке и имеющие поэтому регулярное окружение. Значительная ширина линий СТС связана с нерегулярными искажениями решетки, возникающими при таком замещении. Вид полного спектра зависит от того, какая часть атомов Mn замещает атомы K и Na. Эти заключения подтверждаются также значениями констант СТС (уменьшение A с увеличением степени ковалентности связи Mn с окружением). Результаты показывают, что атомы Na легче замещаются атомами Mn, чем атомы K.

20503. Спектр парамагнитного резонанса марганца в монокристаллах галогенидов щелочных металлов, выращенных из растворов. Лоу (Paramagnetic resonance spectrum of manganese in single crystals of alkali halides grown from solutions. Low W.), Proc. Phys. Soc., 1956, B69, № 8, 837—838 (англ.)

Парамагнитный резонанс наблюдался на 3 и 1 см, в монокристаллах NaCl и KBr, выращенных из водн. р-ров и содержащих 0,001—0,02 вес. % Mn. Спектры в этих двух солях значительно отличаются друг от друга. В случае NaCl на линию шириной 220 гс с $g = 2,010$ были наложены узкие (7—8 гс) линии изотропной сверхтонкой структуры (СТС) от ядер Mn^{55} , примерно в 100 раз менее интенсивные, чем широкая линия; их $g = 2,0022$, $A = 86,6$ гс. В спектре KBr наблюдаются только линии СТС, шириной по 40—45 гс, $g = 2,0043$, $A = 94,9$ гс. Спектр KCl, также изучавшийся автором, такой же, как спектр KBr. Широкая линия в NaCl почти не зависела от конц-ии Mn, в то время как другие авторы наблюдали сужение при увеличе-

нии конц-ии. По-видимому, характер внедрения примесей зависит от способа получения кристалла. Большой g -фактор Mn^{2+} в KBr (больший, чем g свободного электрона и почти всех исследованных соединений Mn), возможно, связан с изменением спин-орбитальной связи в ионе Mn при внедрении. Л. Шеку

20504. Новый тип магнитного перехода в Mn_2Zn . Брокхаус, Майерс (New type of magnetic transition in Mn_2Zn . Brockhouse B. N., Myers H. P.), Canad. J. Phys., 1957, 35, № 3, 313—323 (англ.)

Известно, что сплавы приближенного состава Mn_2Zn ферромагнитны, но намагниченность их при насыщении имеет максимум вблизи 231°К. Рентгенографически и нейтронографически показано, что при 231°К имеет место переход 2-го рода; ниже этой т-ры ионы Mn находятся в упорядоченном состоянии, что приводит к тетрагональному искажению обычной куб. решетки и сложной магнитной структуре. Рассмотрена одна возможная магнитная структура. Выше т-ры перехода сплав, по-видимому, является нормальным ферромагнитным в-вом.

Резюме авторов
20505. Магнитострикция и магнитная анизотропия $MnBi$. Вильямс, Шервуд, Бутби (Magnetostriiction and magnetic anisotropy of $MnBi$. Williams H. J., Sherwood R. C., Boothby O. L.), J. Appl. Phys., 1957, 28, № 4, 445—447 (англ.)

Установлено, что магнитострикция ориентированного поликристаллич. $MnBi$ больше, чем у любого металла. Величина магнитострикции в направлении, параллельном полю 22 000 э, равна $250 \cdot 10^{-6}$, причем поле было перпендикулярно оси с ориентированных гексагональных кристаллитов. Это поле намагничивало образец до величины лишь немного большей, чем половина насыщения. Магнитострикция при насыщении была найдена путем экстраполяции ее как функции $(B-H)^2$ до насыщения и оказалась равной $800 \cdot 10^{-6}$. Константы анизотропии $K_1 = 9,1 \cdot 10^{-6}$ и $K_2 = 2,6 \cdot 10^{-6}$ эрг/см³ были найдены путем сопоставления теоретич. и эксперим. кривых намагничивания.

Резюме авторов
20506. Чисто-квадрупольный резонанс As^{75} в синтетическом клаудетите. Брей, О'Киф, Барнс (As pure quadrupole resonance in synthetic elaudite. Bray P. J., O'Keefe George, Barnes R. G.), J. Chem. Phys., 1956, 25, № 4, 792—793 (англ.)

As_2O_3 существуют в куб. (арсенолит, I) и моноклинной (клаудетит, II) формах. Авторы изучали чисто-квадрупольный резонанс (ЧКР) ядер As^{75} в II, в диапазоне т-р от 77°К до комнатной, и сравнивали с известными данными для I. Образцы I получались путем 36-часового прокалывания I при 185°С в атмосфере насыщ. водяного пара и, как показали опыты по ЧКР, состояли практически из чистого II. Частоты ЧКР в I и II близки (в среднем 116 Мгц для I и 109 Мгц для II, спектры состоят из одной линии), что указывает на близость характеров связей As—O в I и II. Этот вывод подтверждается и данными рентгеноструктурного анализа. Интенсивность поглощения в II значительно меньше, чем в I. Температурные коэф. частот ЧКР в I и II заметно отличаются друг от друга ($2,3 \cdot 10^{-5}$ и $9,3 \cdot 10^{-5}$, соответственно). Л. Ш.

20507. Рост кристаллов, как молекулярное явление. Коссель (La croissance des cristaux, phénomène moléculaire. Kossel W.), J. phys. et radium, 1956, 17, № 2, 95—106 (франц.)

20508. Свойства поверхностей кристаллов. Кристаллические грани без примесей и в присутствии посторонних веществ. Странский (Propriétés des surfaces des cristaux. Faciès cristallins à l'état pur et en présence de substances étrangères. Stranski I. N.), Bull. Soc. franç. minéral. et cristallogr., 1956, 72, № 7—9, 359—382 (франц.)

Дана оценка различных энергетич. методов нахождения равновесной формы кристалла: метода минимума поверхностной энергии Гиббса — Вульфа и метода средней работы отделения частиц грани Странского — Каишева. Показано применение последнего в случаях ионных, гомеополарных и металл. кристаллов. Предложено использовать простую модель кристалла для объяснения механизма роста. Эта модель применима также к исследованию равновесной формы кристалла в присутствии постороннего газа.

По резюме автора

20509. Рентгенографическое изучение урана в связи с явлением роста при облучении. Батенин И. В., Шаров Б. В., Атомн. энергия, 1957, 3, № 9, 261—262. Проведено рентгенографич. исследование (ACu-K_α) текстуры образцов U, удлинившихся в процессе облучения в реакторе. Сняты рентгенограммы 5 образцов в интервале углов $\theta = 15-60^\circ$. Показано, что рост образцов U зависит от степени совершенства текстуры [010] в направлении удлинения U-прутка. С целью измерения напряжений 2-го рода в материале произведен замер ширины дифракционных линий на рентгенограммах и установлена прямая зависимость между шириной линий и радиационным ростом. Авторы объясняют это явление снятием напряжений путем неупругой деформации с образованием двойников и микротрещин.

Л. Школьников

20510. Структурное исследование селеновых сферолитов. Теис (Strukturuntersuchung an Selensphärolithen. Theis W.), Naturwissenschaften, 1957, 44, № 10, 305 (нем.).

Исследована морфология сферолитов гексагон. Se, образующихся в виде центров кристаллизации при нагревании стекловидного осадка. На основании электронномикроскопич. исследования установлено, что макроскопич. иглы сферолита имеют мозаично-блочную структуру. Ось третьего порядка с расположена перпендикулярно радиусу сферолита. Молекулярные цепи в сферолитах располагаются тангенциально.

И. Аникин

20511. К вопросу о выращивании монокристаллов германия из расплава. Изергин А. П. В сб.: Вопр. металлургии и физ. полупроводников. М., АН СССР, 1957, 47—49.

Описана конструкция вакуумных печей для кристаллизации Ge. Предлагается установка, в которой применен индукционный нагрев и нагреватель вынесен из объема печи. Часть печи, в которой происходит кристаллизация, изготовляется из прозрачного кварца. Отмечается, что при этом достигается более высокий вакуум (10^{-6} мм рт. ст.), чем в прежней установке с графитовым нагревателем.

И. Аникин

20512. Получение монокристаллов кремния методом вытягивания из расплава. Митреин Б. П., Бурдашвили Ш. С., Шамба Н. А., Волков В. П., Ковырзин В. К., Соловьев Л. К. В сб.: Вопр. металлургии и физ. полупроводников. М., АН СССР, 1957, 24—34.

Дается краткое описание печей для получения монокристаллов Si: с индукционным нагревом и графитовым нагревателем сопротивления. Вакуум $1 \cdot 10^{-4}$ мм рт. ст. Скорость вытягивания 0,5—1 мм/мин. Описываются монокристаллы диам. 15—20 и длиной 240 мм. Отмечается, что загрязнения в виде шлака или SiO₂ (при недостаточном вакууме) на поверхности расплава препятствуют получению монокристаллов; так же отрицательно на качество кристаллов сказывается вибрация установок. Указывается на необходимость соблюдать определенную ориентировку затравки, скорость вытягивания и рабочую т-ру расплава. Изучение распределения примесей (Sb, Ag, Ta, Fe) с помощью меченых атомов показало, что примеси Sb и Ag уда-

ляются дистилляцией при т-ре опыта 1500°, Ta и Fe входят в состав кристалла.

И. Аникин

20513. Выращивание монокристаллов кремния и германия большого диаметра. Раньян (Growth of large diameter silicon and germanium single crystals. Runyan W. R.), J. Appl. Phys., 1956, 27, № 12, 1562 (англ.).

Для исследования физ. и оптич. свойств монокристаллов Ge и Si на пластинах больших размеров выращены монокристаллы Ge диам. ~ 150 мм при весе ~ 1,8 кг и Si диам. ~ 100 мм при весе ~ 0,45 кг. Использован модифицированный кристаллизатор Тил-Литтла с ВЧ подогревателем (20 кат). Терморегулятор пропорционального типа с термопарным датчиком обеспечивал постоянство т-ры с точностью несколько десятых градуса. В качестве теплоизоляции применен литой огнеупор и кварцевый войлок. Кристаллы выращивались в атмосфере He, рост шел по направлению [111]. Скорость перемещения составляла 0,0025—0,015 мм/сек. В качестве вытяжного вала использован стержень диам. 19 мм, верхняя часть которого охлаждалась сухим льдом со спиртом.

И. Рез

20514. Получение монокристаллов AlSb и изучение их свойств. Петров Д. А., Миргаловская М. С., Стрельникова И. А., Комова Э. М. В сб.: Вопр. металлургии и физ. полупроводников. М., АН СССР, 1957, 70—79.

Создана методика получения монокристаллов AlSb; получены монокристаллы p- и n-типа проводимости и изучены их характеристики; доказана технич. возможность получения как точечных, так и плоскостных диодов из AlSb.

По выводам авторов

20515. Рост кристаллов нитрата свинца из водного раствора. Вильямс (The growth of lead nitrate crystals from aqueous solution. Williams Anne P.), Philos. Mag., 1957, 2, № 15, 317—322 (англ.).

Наблюдался слоистый рост кристаллов Pb(NO₃)₂ из пересыщ. водн. р-ра. Кристаллы росли в капле р-ра, процесс их роста исследовался микроскопически в проходящем свете. При быстром росте слои росли беспорядочно, центров роста автор не замечал. При более медленном росте образовывались спирали. Рассмотрены различные типы спиралей. Описаны препятствия, связываемые с линиями скопления, для прохождения слоев, которые действуют как центры роста и обычно параллельны какому-либо кристаллографич. направлению в кристалле. Наблюдался рост кристаллов с примесью метиленового синего. Добавление небольших кол-в примеси приводит к появлению граней куба. Слоистый рост на гранях октаэдра продолжается, слои становятся толще и поверхность грани приобретает штриховку.

Е. Дукова

20516. Синтез монокристаллов ортотитаната магния методом плавления в пламени. Таки (ベルギー法による正チタン酸マグネシウム単結晶の合成. 瀧貞男), 工業化学雑誌, Korō kagaku dzasshi, J. Chem. Soc. Japan. Industr. Chem. Sec., 1956, 50, № 1, 18—19 (японск.).

20517. Получение монокристаллов титаната бария. Эсташ (Production de monocristaux de titanate de baryum. Enstache Hubert), C. r. Acad. sci., 1957, 244, № 8, 1029—1031 (франц.).

Предварительно исследовалась растворимость BaTiO₃ (I) в KF в интервале 840—1044°. При охлаждении р-ра I в KF с примесью Fe₂O₃ получались кристаллы различной формы в зависимости от начальной т-ры р-ра и скорости охлаждения. При охлаждении со скоростью 10 град/час в Pt-тигле с объемом 150 см³ смеси 100 г KF и 16 мг Fe₂O₃ и кол-ва I, необходимого для наступления кристаллизации при 940°, получались вполне прозрачные кристаллы в виде кубов с ребром в 5 мм.

Г. М.

20518. Исследование применения гексаметафосфата для ускорения роста кристаллов. Муротани, Сипрасаки, Кодайра (鹽類晶出に及ぼすヘキサメタリン酸ナトリウム添加の影響. 第2報. 室谷寛, 白崎高保, 小平博之), Японский химический журнал, Японское химическое общество, Япония, 1956, 10, № 6, 278—283 (японск.; реф. англ.).

Продолжая изучение влияния $(\text{NaPO}_3)_6$ (I) на рост кристаллов (РЖХим, 1958, 393), авторы установили, что при кристаллизации NH_4Cl , KCl , KBr и $\text{CaSO}_4 \cdot 2\text{H}_2\text{O}$ совместное использование I и Mn^{2+} (или Mg^{2+}), вводимых в сравнительно малых количествах, эффективно в определенном интервале весовых соотношений. При этом NH_4Cl кристаллизуется не в виде дендритов, а в довольно крупных кубах, KCl и KBr — в виде крупных октаэдров, часто имеющих грани $\{100\}$. Кристаллы $\text{CaSO}_4 \cdot 2\text{H}_2\text{O}$, образующиеся в результате р-ции между CaCl_2 и NaSO_4 , если эта р-ция происходит в силикагеле, содержащем I и Mn^{2+} , представляют собой крупные прозрачные призмы с развитой $\{010\}$; при использовании вместо I лимонной к-ты образуются полупрозрачные неправильные призмы. П. Зоркий

20519. Простой метод получения монокристаллов для исследования с помощью инфракрасных спектров поглощения. Такуэти, Комацу, Ито, Сайки (赤外線吸収分析用単結晶の簡易製造法. 武内次夫, 小松泰男, 伊藤晃晃, 齊木博), Японский химический журнал, Японское химическое общество, Япония, 1956, 10, № 7, 101—103 (японск.).

20520. Геометрии плоскостей решетки. П. Кристаллография краевых дислокаций. Джаусон, Дав (The geometry of lattice planes. II. Crystallography of edge dislocations. Jaswon M. A., Dove D. B.), Acta crystallogr., 1955, 8, № 12, 806—810 (англ.).

Рассматриваются кристаллографич. операции для построения дислокаций с данным вектором Бургерса в любой структуре. Теория скользящих дислокаций в гексагон. плотноупакованной структуре и структурах типа алмаза, а также применяется для построения сидячих дислокаций в ГЦК и в ОЦК. Часть I см. РЖХим, 1956, 53727. Ю. Векилов

20521. Химическое травление и узоры ямок травления на кристаллах PbS. Бребрик, Скэнлон (Chemical etches and etch pit patterns on PbS crystals. Brebrick R. F., Scanlon W. W.), J. Chem. Phys., 1957, 27, № 3, 607—608 (англ.).

Использовано хим. травление для полировки, удаления тонких поверхностных слоев и обнаружения ямок травления на кристаллах PbS. Для полировки использован состав из конц. к-т: 30 ч. HCl , 10 ч. HNO_3 и 1 ч. CH_3COOH . Указывается, что в зависимости от условий травления (т-ры и времени) грубозернистую поверхность можно превратить в зеркальную. Проводилось медленное травление в р-ре состава 1 ч. конц. HCl и 3 ч. р-ра тиомочевинной конц-ии 100 г/л. На природных кристаллах обнаружен узор ямок травления в виде линий, параллельных плоскости спайности $\{100\}$, чего не обнаружено на искусств. кристаллах. Узор, типичный для природных кристаллов, исчезает после нагревания кристаллов PbS в парах S. Указывается, что ямки травления ассоциируются с дислокациями. Из-за меньшей растворимости PbSe и PbTe в указанном р-ре узоры травления слабо выявлены на кристаллах PbSe и почти не обнаруживаются на PbTe. И. Аникин

20522. Некоторые аспекты клинообразных доменов в кристалле BaTiO_3 . Накамура, Кинаса, Като (Some aspects of wedge-shaped domains in BaTiO_3 crystal. Nakamura Terutaro, Kinase Wataru, Katō Yoshinori), J. Phys. Soc. Japan, 1957, 12, № 7, 836—837 (англ.).

У монокристалла BaTiO_3 наблюдался не описанный ранее тип доменной структуры, связанный с некоторым изгибом кристалла внутренними напряжениями в процессе приготовления образца. В. Исуюков

20523. Спиральное разрушение кристаллов при испарении. Брандштеттер (Spiralabbau der Kristalle durch Verdampfung. Brandstätter Maria), Mikroskopie, 1957, 12, № 1-2, 32—38 (нем.; реф. англ.).

Исследовалось разрушение кристаллов фенилуксусной к-ты, 2,3-бензофлюорена и фенантрена при испарении. Наблюдения в поляризованном свете показали, что процесс разрушения происходит аналогично процессу роста: на грани кристалла появляются спиральные углубления, которые растут по мере испарения кристалла. Наблюдаемые фигуры разрушения аналогичны спиралам и фигурам с концентрич. ступенями, появляющимися при росте. Кристаллы, полученные путем сублимации из пара, а также путем кристаллизации расплава или р-ра, вели себя одинаково. Ю. Криштал

См. также: Рентгеногр. исслед. 20866, 20868, 20869. Электронномикроскопич. исслед. 20709. Магнитный резонанс 20406. Фазовые превращения 20626, 20887. Термодинамика 20350, 20581, 20583, 20585. Магнитные св-ва 20584. Спектры и др. оптич. св-ва 20334, 21112, 22063. Рост 20614, 20615, 23676, 23677. Приборы и оборудование 21256

ЖИДКОСТИ. АМОРФНЫЕ ТЕЛА. ГАЗЫ

Редактор А. Б. Аламазов

20524. Собственные значения и собственные функции бозе-системы твердых сфер и ее низкотемпературные свойства. Ли, Хуан, Ян (Eigenvalues and eigenfunctions of a Bose system of hard spheres and its low-temperature properties. Lee T. D., Huang K. S. N., Vang C. N.), Phys. Rev., 1957, 106, № 6, 1135—1145 (англ.).

Рассматривается система бозевских частиц, взаимодействующих как абсолютно твердые шарики диаметра a при заданной плотности ρ , такой, что $(\rho a^3)^{1/3} \ll 1$. Предполагается, что такая модель качественно правильно описывает ряд свойств гелия при низких т-рах. Метод псевдопотенциала (РЖХим, 1958, 3471) применяется к вычислению в виде разложения по степеням малого параметра ρa^3 основного одночастичного энергетич. уровня и его волновой функции, энергич. спектра вблизи основного уровня, $D(r)$ — бинарной функции распределения (r — расстояние между двумя частицами). Два первых члена разложения для основного уровня совпадают с известным результатом (РЖХим, 1957, 71020), полученным другим методом, и два члена разложения для первых возбужденных уровней совпадают с результатом Н. Н. Боголюбова (J. Phys. U.S.S.R., 1947, 2, 23). $D(r)$ найдена в неявном виде. Вводится «корреляционная длина» $r_0 = (8\pi\rho a^3)^{-1/3}$, которая характеризует «масштаб» взаимодействия в данной модели. В частности, при $r \ll r_0$ $D(r) \rightarrow (1 - a/r)^2 + O(a/r)$. Обсуждается применимость метода псевдопотенциала к рассматриваемой задаче; выясняется, что он пригоден только для нахождения первых членов разложения по степеням ρa^3 . Показывается, что полученное выражение для энергетич. спектра фононов применимо только в области импульсов, не превышающих некоторого определения значения. В заключение показывается, в какой степени полученные результаты согласуются с моделями, принятыми в работах по теории сверхтекучести. Т. Хаванович

20525. Неидеальный бозе-газ с взаимодействием типа жестких шаров. Хуан, Ян, Люттингер (Imperfect Bose gas with hard-sphere interaction. Huang Ker-sen, Yang C. N., Luttinger J. M.), Phys. Rev., 1957, 105, № 3, 776—784 (англ.)

Квантовомеханический метод исследования задачи N жестких шаров, развитый в предыдущей работе (РЖХим, 1958, 3471), применен к неидеальному бозе-газу из частиц, взаимодействующих, как жесткие шары. Вычислена статистич. сумма состояний с точностью до членов порядка $(a/\lambda)^2$, где a — диаметр жестких шаров, $\lambda = (2\pi\hbar^2/mkT)^{1/2}$ — «тепловая длина волны» порядка дебройлевской длины волны частицы с энергией kT . Рассматриваемый случай соответствует низкому т-рам. Получено приближенное ур-ние состояния газообразной фазы путем вычисления всех виртуальных коэф. с точностью до $(a/\lambda)^2$. Отмечено, что энергетич. спектр изучаемой системы, полученный в первом приближении в предыдущей работе, обладает рядом интересных особенностей. Показано, что фазовый переход в «газе», соответствующем исследованной системе, скорее должен носить характер обычного перехода газа в жидкость, чем бозе-эйнштейновской конденсации.

20526. Определение по данным термодиффузии силовых постоянных для неоднородных пар молекул, взаимодействующих по закону экспонента — шестая степень. Сривастава, Сривастава (Force constants for unlike molecules on exp-six model from thermal diffusion. Srivastava B. N., Srivastava K. P.), Physica, 1957, 23, № 2, 103—117 (англ.)

По температурной зависимости коэф. термодиффузии для газовых смесей Ne-A, Ne-Kr, A-N₂ авторы определяют параметры α , ϵ и r_m exp-6-потенциала для неоднородных молекул. Для определения параметров α_{12} и ϵ_{12} применялся метод, предложенный ранее (РЖХим, 1956, 21874). Параметр $(r_m)_{12}$ определялся подстановкой соответствующих величин α_{12} и ϵ_{12} в теоретич. выражение для вязкости, самодиффузии или термодиффузии с привлечением эксперим. данных. Значения коэф. термодиффузии, подсчитанные для ряда т-р по ф-ле Кихара (Kihara T., J. Phys. Soc. Japan, 1951, 6, 289), с использованием полученных таким путем параметров α_{12} , ϵ_{12} и $(r_m)_{12}$, согласуются с опытом в пределах эксперим. ошибок. Показано, что комбинационные правила, предложенные Мейсоном и Райсом, не соблюдаются и предлагаются новые комбинационные правила: $\alpha_{12}/(r_m)_{12} = (1/2) [\alpha_{11}/(r_m)_{11} + \alpha_{22}/(r_m)_{22}]$, $(r_m)_{22} = (1/2) [(r_m)_{11} + (r_m)_{22}]$, $\epsilon_{12} = (\epsilon_{11} \cdot \epsilon_{22})^{1/2}$, $\epsilon_{12}/(r_m)_{12}^6 / (1 - 6/(\alpha_{12})) = [\epsilon_{11}/(r_m)_{11}^6 \cdot \epsilon_{22}/(r_m)_{22}^6]^{1/2} / [1 - 6/(\alpha_{11}) \cdot (1 - 6/(\alpha_{22}))]^{1/2}$.

С. Еркивич
20527. О флуктуациях координационного числа в простых жидкостях. Прохоренко В. К., Фишер И. З., Ж. физ. химии, 1957, 31, № 9, 2145—2146

Выведена ф-ла для подсчета средних квадратичных флуктуаций координационного числа $\bar{z} = z(T, v)$ в суперпозиционном приближении по функции радиального распределения $g(r)$, имеющая вид: $(\bar{z} - z)^2 = \bar{z} - z^2 + (8\pi^2/V^2) \int_0^{\bar{r}_1} \int_0^{\bar{r}_1} g(r) g(\rho) \left\{ \int_{|r-\rho|}^{r+\rho} g(t) t dt \right\} \rho r d\rho dz$. Экспериментально $g(r)$ для Ag использована для расчета флуктуации z в жидком Ag. Поскольку оказалось, что флуктуации z значительны, авторы полагают, что следует критически отнестись к употреблению понятия координационного числа в теории жидкостей. В. Цукерман
20528. О термодинамических функциях сверхтекучих пленок гелия. Архипов Р. Г., Ж. эксперим. и теор. физики, 1957, 33, № 3, 822—823

Для жидкого He, имеющего свободную поверхность, вычислены связанные с поверхностью (отнесенные к единице ее площади) свободная энергия и теплоемкость. Поверхностная часть теплоемкости сравнивается с фоновой частью объемной теплоемкости при $l \approx 0.7 \cdot 10^{-6} \cdot T^{-1/2}$ см, а поверхностная часть нормальной плотности сравнима с фоновой при $l \approx 6 \cdot 10^{-6} \cdot T^{-1/2}$ (l — толщина пленки). В. Цукерман
20529. Исследования ньютонова течения. V. Дальнейшая проверка уравнения вязкости в функции от свободного объема. Дулиттл, Дулиттл (Studies in Newtonian flow. V. Further verification of the free-space viscosity equation. Doolittle Arthur K., Doolittle Dortha B.), J. Appl. Phys., 1957, 28, № 8, 901—905 (англ.)

В предыдущих статьях (Doolittle A. K., J. Appl. Phys., 1951, 22, 1471; 1952, 23, 236) было показано, что для нормальных предельных углеводородов (от C₂ до C₆₄) удовлетворяется ур-ние для вязкости $\ln \eta = B(V_0/V_f) + \ln A$ (1), где V_0 — спец. образом определяемое предельное значение уд. объема жидкости при 0° K, V_f — свободный объем, равный $V - V_0$, где V — уд. объем при данной т-ре. Показано, что вычисление значений V_0 по ур-нию (1) из эксперим. данных для η дает хорошее согласие с ранее опубликованными значениями V_0 , полученными экстраполяцией данных по плотности. Этим же методом вычислены значения V_0 для Hg, Na, C₆H₆ и H₂O. Во всех случаях ур-ние (1) обеспечивает более хорошую подгонку кривой, чем ур-ние Андраде $\ln \eta = B/T + \ln A$. Д. Диатроптов

20530. Некоторые вопросы молекулярного рассеяния света в жидкостях. Фабелинский И. Л., Успехи физ. наук, 1957, 63, № 2, 355—410
Обзор. Библ. 122 назв.

А. Алмазов

20531. К рассеянию света в жидкостях. Попытки определения константы Рэлея в бензоле. Кабани (Sur la diffusion de la lumière dans les liquides. Les essais de détermination de la constance de Lord Rayleigh dans le benzène. Cabannes Jean), Ann. phys., 1956, 1, nov.-déc. 857—869 (франц.)

Продолжение дискуссии о «высоких» и «низких» значениях констант Рэлея R стандартных жидкостей. Ввиду систематич. расхождений значений R , найденных путем измерений, автор предпочитает непосредственный расчет по ф-ле Смолуховского — Эйнштейна, с учетом деполаризации рассеяния. В процессе расчетов показано, что наличие или отсутствие корреляций между флуктуациями плотности в соседних элементах объема не отражается на значении R . Окончательная ф-ла для R , помимо длины волны λ , универсальных констант и поправки на деполаризацию, содержит лишь показатель преломления и коэф. изотермич. сжимаемости. Подстановка этих величин для бензола сразу дает (при $\lambda = 550$ мμ) $R \approx 30 \cdot 10^{-6}$ см⁻¹, т. е. «низкое» значение.

С. Френкель

20532. Межмолекулярные силы и энергия активации вязкого течения в жидкостях. Хиггинс, Ро (Intermolecular forces and the activation energy for viscous flow in liquids. Higgins T. H., Law C. J. G.), J. Chem. Phys., 1957, 27, № 3, 623—624 (англ.)

Опираясь на выражение Борна — Грина для вязкости $\eta = (2\pi \cdot 10^{-8}) (42 \pi \gamma)^{1/2} n^2 r_0 \exp(-\Phi(r_0)/kT)$ (Born M., Green H. S., A General kinetic theory of Liquids, Cambridge University Press. New York, 1949), авторы полагают для энергии активации вязкости $\Delta E = -N\Phi_1(r_0)$, где $\Phi_1(r_0)$ — дисперсионная энергия между двумя симметричными, неполярными молекулами, находящимися на расстоянии r_0 ; ее можно оценить, напр., по Слатеру — Кирквуду (Slater J. C., Kirkwood J. G., Phys. Rev.,

1931, 37, 682). Окончательно получается $\Delta E = (3/4) N \cdot (a_0 P)^{1/2} e^2 a^{3/2} r_0^{-6}$. Вообще, авторы приходят к выводу, что имеет место соотношение: $\Delta E = -N\Phi(r_0) f(n)$, где $f(n)$ — некоторая функция плотности. В. Цукерман

20533. Поверхностное натяжение и кубическое расширение. Мурти (Surface tension and cubical expansion. Murty T. S.), J. Scient. and Industr. Res., 1957, BC16, № 8, 371—372 (англ.)

Комбинируя результаты, опубликованные ранее (Mukherjee, J. Indian Chem. Soc., 1949, 26, 493; Friend, Nature, London, 1942, 50, 432), автор выводит соотношение между поверхностным натяжением жидкости σ и ее коэф. куб. расширения α , имеющее вид: $\exp(\alpha T) = AB/\sigma^2 + B$, где A и B выражаются через параметры уравнения Френда и приблизительно могут считаться постоянными. Как показала проверка на 14 жидкостях, $\exp(\alpha T)$ как функция $1/\sigma^2$ действительно представляет собой прямую линию. Предложен следующий вариант уравнения Этвэша: $\exp(2\alpha T/3) = D(T_{кр} - T)/\sigma$. В. Цукерман

20534. Опыт уравнивания состояния жидкой ртути. Герасимов Н. М., Тр. Таллинск. политехн. ин-та, 1957, А, № 114, 13 стр.

Для интервала t -р от -30 до 20° и давлений до 1200 атм испытано 7 ур-ний состояния для жидкой Hg. Наиболее подходящими оказались ур-ния: $(a_1 p + a_2 p^2 + P_0)(v - b) = RT$ с $a_1 = 0,673225$, $a_2 = 1,71360 \cdot 10^{-5}$, $P_0 = 16357,66$, $b = 0,903971$ (получено по изотерме при 20° по точкам 0, 2, 5 и 8 тыс. атм) и $(a_1 p + a_2 p^2 + a_3 p^3 + P_0)(v - b) = RT$ с $a_1 = 1,226322$, $a_2 = 4,546257 \cdot 10^{-5}$, $a_3 = 1,833347 \cdot 10^{-9}$, $P_0 = 22048,8$, $b = 0,929639$ (при 20°) и с $a_1 = 0,970249$, $a_2 = 3,916295 \cdot 10^{-5}$, $a_3 = 6,284250 \cdot 10^{-10}$, $P_0 = 19426,98$, $b = 0,921821$ (при 0° C). За единицу давления принята атм, за единицу объема — объем граммолекулы жидкой ртути при 0° и 1 атм ($14,7549 \text{ см}^3/\text{моль}$). В. Цукерман

20535. Рентгенографическое исследование ближнего порядка амальгам кадмия в жидком состоянии.

Карликов Д. М. (Рентгенографічне дослідження ближнього порядку амальгам кадмію у рідкому стані. Карликов Д. М.), Укр. фіз. ж., 1957, 2, № 2, додаток, 43—48 (укр.; рез. русск., англ.)

Проведено рентгенографич. исследование (в монохроматизированном Si-излучении) жидких р-ров Cd в Hg с конц-иями 13,9 ат.%, Cd, 16,5%, 18% (все при 70°) и 30,8% (при 110°). Полученные кривые интенсивности рассеяния подобны кривым для чистых металлов и отличаются от них лишь положением максимумов, которые занимают промежуточные значения между положениями их в чистых компонентах. Функции атомного распределения жидких амальгам осциллируют около средних их значений (парабол). С увеличением конц-ии Cd в р-ре наблюдается уменьшение высоты 1-го максимума с одновременным его расширением, постепенный размыт 2-го максимума и сдвиг 3-го максимума в сторону меньших значений r . Координационное число при этом увеличивается от 8,3 до 8,8. Анализ дифракционной картины показывает, что жидкие амальгамы Cd относятся к группе физ. р-ров, у которых межатомные силы таковы, что комбинации одноименных и разноименных атомов энергетически равноценны, т. е. $U_{12} = (U_{11} + U_{22})/2$. В. Урбах

20536. Структура жидкой ртути. Скрышевский А. Ф., Карликов Д. М., Карликова Д. П. (Структура рідкої ртуті. Скришевський А. Ф., Карликов Д. М., Карликова Д. П.), Укр. фіз. ж., 1957, 2, № 2, додаток, 49—53 (укр.; рез. русск., англ.)

Проведено (с использованием ранее опубликованной методики, см. пред. реф.) рентгенографич. исследование

жидкой Hg при комнатной t -ре. Кривая интенсивности подобна кривым, полученным другими авторами (Debye P., Menke H., Physik. Z., 1930, 31, 797; Данилов В. И., Неймарк В. Е., Ж. эксперим. и теор. физики, 1935, вып. 8, 724; РЖХим, 1956, 9238). Как и в этих работах, «внутренний» дифракционный максимум (Boyd R. N., Wakeham H. R. R., J. Chem. Phys., 1939, 7, 958; Cambell J. A., Hildebrand J. H., J. Chem. Phys., 1943, 11, 330) не наблюдался. Радиальная функция распределения имеет четко выраженные максимумы при r , равном 3,12; 4,1 и 6,1 А. Анализ этих и литературных данных показывает, что в жидкой Hg наиболее вероятное расстояние между ближайшими атомами равно 3,12 А, а среднее координационное число ~ 8 . В. Урбах

20537. Изучение расплавленных солей дифракцией рентгеновских лучей при высоких температурах. I. Структура жидкого состояния фторидов LiF, NaF и KF. Зажицкий (Etude des sels fondus par diffraction des rayons X aux températures élevées. I. Structure à l'état liquide des fluorures LiF, NaF et KF. Zarzyski Jerzy), J. phys. et radium, 1957, 18, № 7, Suppl., A65—A69 (франц.)

Изучалось рассеяние рентгеновских лучей (линии Mo- K_α) в расплавленных фторидах LiF, NaF и KF при t -рах 860, 1000 и 870° соответственно. По данным для интенсивности построена средняя радиальная функция атомного распределения для каждого в-ва. Первый пик на каждой кривой интерпретируется как распределение ближайших пар атомов металл—фтор, второй пик — как распределение ближайших пар одноименных атомов. Автор предлагает модель структуры расплавленных фторидов. И. Фишер

20538. Предельная величина наблюдаемой интенсивности рентгеновского излучения, рассеянного от жидкостей под малыми углами. Фурнье (Valeur limite, pour les très faibles angles, de l'intensité observable du rayonnement X diffusé par les fluides. Fournet G.), J. phys. et radium, 1956, 17, № 11, 940—943 (франц.)

Проведено теоретич. исследование в рамках классич. теории (статистика Больцмана) по определению интенсивности рентгеновского излучения, рассеянного от жидкостей. Развиты и уточнены результаты, полученные ранее (Yvon J., Actualités Scientifiques et Industrielles, Hermann, № 542, № 543). Полная интенсивность рассеянного излучения представлена в виде суммы так называемой наблюдаемой интенсивности, линейно зависящей от числа рассеивающих частиц, и дополнительного члена, который зависит от формы облучаемого объема. Показана роль дополнительного члена, который имеет отличное от нуля значение лишь при малых (меньше 1°) углах рассеяния. Эта роль существенно зависит от того, какая часть исследуемого объема подвергается облучению. Рассмотрены 2 предельных случая: когда облучается весь исследуемый объем либо его очень малая часть. Развита теория дает согласующийся с другими работами результат в обоих предельных случаях. И. Никифоров

20539. О структуре жидкого калия. Лашко А. С. (Про структуру рідкого калію. Лашко О. С.), Укр. фіз. ж., 1956, 1, № 4, 403—406 (укр.; рез. русск.)

Рентгенографически исследован жидкий K при t -рах 100 и 300° . Рентгенограммы получены в монохроматич. Mo- K_α -излучении с цилиндрич. образцов. Кривые атомного распределения вычислены гармонич. методом. Анализ кривых атомного распределения указывает на сходство структуры жидкого K и жидкого Na. Из измерения положения и площади первого максимума на кривой атомного распределения определены координационное число и радиус координационной

сферы. При $t = 100^\circ$ координационное число равно 10, расстояние между ближайшими атомами $\sim 4,7 \text{ \AA}$. С повышением t -ры K до 300° радиус координационной сферы несколько увеличивается, а координационное число уменьшается до 9.

Резюме автора

20540. Вязкость углекислого газа между 0° и 75°C и давлениях до 2000 атм . Михелс, Ботзен, Схюрман (The viscosity of carbon dioxide between 0°C and 75°C and at pressures up to 2000 atmospheres . Michels A., Botzen A., Schurman W.), Physica, 1957, 23, № 2, 95—102 (англ.)

Вязкость углекислого газа измерена методом транспирации при t -рах 0° — 75° и давл. до 2000 атм . Измерения, описанные ранее (РЖХим, 1956, 60982), обнаружили неожиданное увеличение теплопроводности Ag вблизи крит. плотности. Поэтому на крит. область было обращено спец. внимание, хотя метод протекания не особенно подходит для этой области. Вязкость CO_2 выше 40° обычным образом зависит от давления, но значительно расходится с теорией Энскога. В крит. области вязкость обнаруживает аномальное поведение такое же, как у теплопроводности Ag . Измерения вязкости Ag не обнаружили этого эффекта, но в этом случае t -ры были выше по отношению к крит. t -ре, чем в измерениях с CO_2 . Результаты сопоставлены с данными других авторов.

Резюме авторов

20541. Сжимаемость смесей этилена с четыреххлористым углеродом. Ефремова Г. Д., Леонтьева Г. Г., Тр. Гос. н.-н. и проект. ин-та азот. пром-сти, 1956, вып. 6, 5—10

Измерены мол. объемы гомог. смесей 99,7%-ного этилена, полученного дегидратацией этилового спирта, с CCl_4 (уд. в. $1,5846 \text{ г/см}^3$ при 25°) при 25 и 50° и давлениях от 98 до 582 ат и при 100° и давлениях от 107,5 до 388 ат. В автоклав и измеритель объема вводили CCl_4 , подавали этилен под давлением выше крит. давления смеси и перемешивали электромагнитной мешалкой. Исходная смесь, содержащая 95 мол.% CCl_4 , от опыта к опыту обогащалась этиленом. Результаты измерений приведены в виде таблиц и графиков. При давлении $\sim 100 \text{ ат}$ мол. объем смеси уменьшается с увеличением содержания этилена, проходит через минимум, после чего резко возрастает, превышая начальный мол. объем.

З. Левина

20542. Адиабатический пьезооптический коэффициент тяжелой воды. Нараянасвами, Нараянан, Кришнан (Adiabatic piezo-optic coefficient of heavy water. Narayanaswamy S. K., Narayan P. S., Krishnan R. S.), Nature, 1957, 180, № 4584, 497—498 (англ.)

Интерферометрическим методом (Raman C. V., Venkataraman K. S., Proc. Roy. Soc., 1939, A171, 137; Venkataraman K. S., Proc. Ind. Acad. Sci., 1939, 10, 121) адиабатич. пьезоопт. коэф. $(\partial n / \partial p)_\phi$, где n — показатель преломления, p — давление, ϕ — энтропия, D_2O (чистоты 99,8%) найден равным $10,51 \cdot 10^{-8} \text{ атм}^{-1}$. Табулирован также ряд других характеристик обычной и тяжелой воды.

В. Цукерман

20543. Диэлектрические свойства метилового и этилового спиртов на длинах волн 3—52 см. Грант (The dielectric properties of methyl and ethyl alcohols in the wavelength range 3 cm—52 cm. Grant E. H.) Proc. Phys. Soc., 1957, B70, № 10, 937—944 (англ.)

Измерения проводились на известной аппаратуре (Buchanan T. J., Proc. Instn. Elect. Engrs, 1952, 99, 61). Эксперим. точки ложатся на полуокружности (Cole K. S., Cole R. H., J. Chem. Phys., 1941, 9, 341). Оба спирта обладают релаксацией в исследованном интервале с длиной волны релаксации при $20^\circ 10 \text{ см}$ (CH_3OH) и 131 см ($\text{C}_2\text{H}_5\text{OH}$). Дисперсия может быть охарактеризована простым релаксационным механизмом или

незначительным распределением времен релаксации. Отмечается расхождение результатов с некоторыми литературными данными.

В. Цукерман

20544. Диэлектрическая дисперсия в вязких полярных жидкостях. Уинслоу, Гуд, Бергхаузен (Dielectric dispersion in viscous polar liquids. Winslow J. W., Jr., Good R. J., Berghausen P. E.), J. Chem. Phys., 1957, 27, № 1, 309—312 (англ.)

Исследования проведены в интервале $50 \text{ эц} - 100 \text{ Мгц}$. Результаты удовлетворяют уравнению $\epsilon = \epsilon_\infty + (\epsilon_0 - \epsilon_\infty) / (1 + i\omega\tau_0)$, где ϵ — комплексная диэлектрич. проницаемость, $\tau_0 = \tau(\epsilon_0 + 2) / (\epsilon_\infty + 2)$ (τ — время диэлектрич. релаксации), со следующими значениями β (в скобках указаны соответствующие t -ры в $^\circ \text{C}$): толилсилилсульфон (I) 0,65—0,67 (0,0—24,0), пентахлордифенил (II) 0,54—0,58 (0—9), гексахлордифенил (III) 0,55 (18); 0,49 (25,4); 0,55 (30,0), p -р I в o -терфениле при 0° (в скобках — соответствующие кон-ции I в вес.%): 0,60 (50); 0,61 (25); 0,57 (10); 0,58 (5); 0,52 (1). Соответствующие теплоты активации вращения диполей (в скобках — t -ры в $^\circ \text{C}$): I 50 (3,25), 53 (9,25), 48 (15,0), 46 (21,0); II 55 (3,25—7,75); III 54 (20,15), 51 (23,9), 57 (24,4), 63 (26,6), 52 (28,9). Автор приходит к выводу, что отклонение кривых комплексной диэлектрич. проницаемости от дебаевских полуокружностей связано с некоторой скоростью установления равновесного распределения энергии по степеням свободы системы. Эта гипотеза качественно согласуется с измерениями: для I, напр., кривые близки к прямым на ВЧ-концах и образуют круговые дуги в низкочастотной области.

В. Цукерман

20545. Релаксационные явления, наблюдаемые при распространении ультразвука в парах фреонов. Мияхара, Ричардсон (Ultrasonic relaxation in freon vapors. Miyahara Y., Richardson E. G.), J. Acoust. Soc. America, 1956, 28, № 6, 1016—1019 (англ.)

Интерферометрически измерены скорости (v) и коэф. поглощения (μ) ультразвука частоты (f) $1,016 \text{ Мгц}$ в парах фреонов при разных давлениях (p). В результате измерения внесена поправка, учитывающая неидеальность исследуемых паров. Измерения в фреоне-12 (CCl_2F_2) при 265; 253,3; $290,6^\circ \text{K}$ обнаружили дисперсию, характеризующуюся соответственно временами релаксации $\tau = (1,70; 1,00; 0,84) \cdot 10^{-7} \text{ сек}$. По литературным данным, измерения другим методом дают $\tau = 2 \cdot 10^{-8} \text{ сек}$. Графически изображены результаты измерения v и τ в смесях фреона-12 с воздухом, He и Ar. Скорости звука при разных давлениях измерены во фреоне-11 (CCl_3F), фреоне-22 (CHClF_2) и фреоне-13 (CF_3Cl), во фреоне-11 измерены μ .

Б. Кудрявцев

20546. Соотношение между коэффициентом полезного действия кварцевого преобразователя и коэффициентом поглощения ультразвука жидкостями. I, II. Партахасаратхи, Махендру (Relation between efficiency of quartz transducers and ultrasonic absorption coefficient of liquids. I, II. Parthasarathy S., Mahendroo P. P.), Z. Phys., 1957, 147, № 5, 573—576; 577—581 (англ.)

I. Экспериментально определен суммарный к.п.д. (y) кварцевого преобразователя, погруженного в жидкость, равный отношению энергии, переходящей от кварца в жидкость и превращающийся в теплоту, к электрич. энергии, потребляемой кварцем для 17 жидкостей при пяти частотах (v) от $2,84$ до $14,7 \text{ Мгц}$. Установлена связь между y и коэф. поглощения звука (a), выраженная соотношением $y = x / (a + bx)$, a и b при постоянной частоте имеют для разных жидкостей одно и то же значение, $x = (a/v^2) \cdot 10^{17}$. С возрастанием x , y уменьшается, стремясь к предельному значению $1/b$, достигаемому при $x \sim 100$.

II. Экспериментально определен u для 17 жидкостей при пяти частотах от 2,84 до 14,7 Мгц u возрастает с уменьшением частоты. Для жидкостей с малым поглощением u мал и возрастает при увеличении α , стремясь к предельному значению $1/b$. Полученные соотношения приводят к заключению, что при низкой частоте величина α/ν^2 совпадает со значением, следующим из классич. теории. Б. Кудрявцев

См. также: Термодинамика 20566, 20568, 20572, 20573, 20575—20578. Межмол. взаимодействие 20359, 20392, 20411—20416, 20420—20422

РАДИОХИМИЯ. ИЗОТОПЫ

Редакторы В. И. Левин, В. В. Лосев, Г. А. Соколик

20547. Советская радиохимия. Мурин А. Н., Атомн. энергия, 1957, 3, № 11, 459—464

Обзор. Библ. 35 назв.

В. Левин

20548. Применение радиоактивных изотопов в СССР. Курдюмов Г. В., Нейман М. Б., Франк Г. М., Атомн. энергия, 1957, 3, № 11, 465—478

Обзор. Библ. 98 назв.

В. Левин

20549. Определение возраста по C^{14} . Перки, Делбрия, Давид (Le «Datage» par le carbone-14. Perquis M. T., Delibrias G., David B.), Age nucléaire, 1957, № 3, 44—47 (франц.)

Описана установка для измерения активности C^{14} в образцах органич. материалов для определения их возраста. Измерения производятся в пропорциональном счетчике объемом 1,2 л с цилиндрич. катодом diam. 70 мм из нержавеющей стали и анодом из Ni-проволоки diam. 100 м. Для снижения фона счетчик окружен защитными стенками из Bi и Pb и рядом счетчиков, включенных на антисовпадения с основным счетчиком. Подлежащие измерению образцы сжигают в токе O_2 и полученную CO_2 после очистки барботированием через р-ры $AgNO_3$, CrO_3 и H_2SO_4 переводят в $BaCO_3$, который разлагают лимонной к-той, вновь осаждают $BaCO_3$, затем действием лимонной к-ты вновь получают CO_2 , который фракционируют в вакууме и вводят в счетчик. Измерения производят при 5600 в. Пределы измерений $30\,000 \pm 2700$ лет.

В. Левин

20550. Разделение изотопов кислорода при образовании пленок оксидов на меди. Браун, Дол, Лейн (Fractionation of oxygen isotopes in the formation of oxide films on copper. Brown John B., Dole Malcolm, Lane G. A.), J. Chem. Phys., 1957, 27, № 1, 251—258 (англ.)

В продолжение работ (РЖХим, 1957, 3669) по улучшенной методике изучалось разделение O^{16} и O^{18} при образовании пленки CuO . Сделан теоретич. анализ процесса перемешивания газа при прохождении через слой свежесоставленной гранулированной Cu и кинетики р-ции ее окисления. Коэф. разделения (KR) O^{16} и O^{18} в начальной быстрой р-ции $\alpha_1 \leq 1$; $\alpha_2 > 1$ — KR для медленной, близкой к состоянию равновесия второй стадии р-ции. При 0, 25 и $100^\circ C$ $\alpha_2 = 1,045, 1,042$ и 1,037 соответственно, т. е. выше вычисленного по теории Бигеляйзена (Bigeleisen J., J. Chem. Phys., 1949, 17, 675) нижнего предела $\alpha = 1,029$, а не ниже его, как было найдено ранее (РЖХим, 1956, 42691).

В. Любимов

20551. Различия в давлении паров изотопных соединений (Инфракрасная доля дисперсионного взаимодействия как причина большей летучести тяжелых разновидностей молекул). Берчи, Кун (Dampfdruckunterschiede isotoner Verbindungen. (Infrarot — Anteil der Dispersionswechselwirkung als Ursache für grössere Flüchtigkeit der schweren Molekelspezies).

Baertschi P., Kuhn W.), Helv. chim. acta, 1957, 40, № 4, 1084—1103 (нем.)

Относительно более высокая при повышенных т-рах летучесть многоатомных (типа CCl_4 , BCl_3 и др.), тяжелых изотопич. молекул (ТМ) по сравнению с легкими (ЛМ) ($\delta = (p_{ЛМ} - p_{ТМ})/p_{ЛМ} < 0$, где $p_{ЛМ}$ и $p_{ТМ}$ — давления паров ЛМ и ТМ соответственно) объясняется тем, что доля, вносимая внутримолекулярными колебаниями, активными в ИК-спектре в силы Ван-дер-Ваальса, относительно больше у ЛМ чем у ТМ, вследствие чего кривая потенциальной энергии ТМ лежит выше и мол. теплота испарения ТМ меньше, чем ЛМ. Влияние этого ИК эффекта на δ с повышением т-ры снижается пропорционально T^{-1} (T — абс. т-ра), а «нормального» изотопного эффекта (большая летучесть ЛМ, чем ТМ) — пропорционально T^{-2} в широкой области т-р $\Theta < T < \Theta_{ИК}/k$ (Θ — дебаевская т-ра данного соединения, h — постоянная Планка, $\nu_{ИК}$ — средняя частота ИК-полос поглощения, k — константа связи), если масса вызывающего активные ИК-колебания атома много меньше массы всей молекулы, вследствие чего и происходит перемена знака параметра δ , тогда как для простейших молекул (типа N_2 , H_2 и др.) $\delta > 0$ при всех т-рах. Для $C^{12}Cl_4$ и $C^{13}Cl_4$ при $308^\circ K$ высчитано на основании этой теории $\delta = -2,8 \cdot 10^{-3}$, а экспериментально найдено $\delta = -2,03 \cdot 10^{-3}$ (РЖХим, 1954, 47804).

В. Любимов

20552. Исследование изотопов J, разделенных электромагнитным способом. Огор, Андерссон, Бургман, Паппас (Measurements on electromagnetically separated radioactive isotopes of iodine. Aagaard P., Andersson G., Burgman J. O., Pappas A. C.), J. Inorg. and Nucl. Chem., 1957, 5, № 2, 105—111 (англ.)

Для идентификации изотопов J, образующихся при делении U и при р-ции скалывания Cs, происходящих под действием протонов с энергией 170 Мэв, применено предварительное электромагнитное разделение. Облученные мишени растворяли, J выделяли с носителем, многократно очищали и осаждали в виде AgJ . Последний суспендировали в ацетоне и переносили в тигель, помещенный в ионный источник изотопного сепаратора. Для образования разряда в камеру источника вводили Ag, подача которого прекращалась после появления достаточного давления паров J. Разделенные по массам ионы собирали на полоски 4×40 мм из Al-фольги толщиной 2,4 мг/см². Затем определяли активность этих полосок. В продуктах деления U обнаружены изотопы J с массовыми числами 124—135. Относительные сечения образования актинированных изотопов: J^{130} 1,0; J^{128} 0,7; J^{126} 0,4; J^{124} 0,1. Наличие периода $2,6 \pm 0,8$ часа при распаде изотопов с массой 126 указывает на наличие изомерии. В продуктах р-ции скалывания Cs найдены изотопы J с недостатком нейтронов: $J^{119} T_{1/2}$ 19 мин.; $J^{120} T_{1/2}$ 1,4 часа; $J^{121} T_{1/2}$ 2,0 часа.

В. Левин

20553. Время жизни возбужденных состояний ядер в области редкоземельных элементов. Берлович Э. Е., Изв. АН СССР. Сер. физ., 1956, 20, № 12, 1438—1450

Методом задержанных совпадений измерены $T_{1/2}$ возбужденных состояний ядер элементов Sm^{152} , Gd^{152} , Er^{166} , Ni^{177} и Pt^{141} . Были измерены $T_{1/2}$ первых уровней Sm^{152} и Gd^{152} , 154 с E соответственно 122, 344 и 123 кэв. Для $Sm^{152} T_{1/2}$ $1,3 \cdot 10^{-9}$ сек. Для первого уровня $Gd^{154} T_{1/2}$ $1,1 \cdot 10^{-9}$ сек., для второго уровня $T_{1/2} < 10^{-10}$ сек. Исследован уровень Er^{166} с E 81 кэв. Среднее значение $T_{1/2}$ найдено $T_{1/2} = 2 \cdot 10^{-9}$ сек. Для уровня ядра Ni^{177} с энергией 113 кэв $T_{1/2}$ $(4,2 \pm 0,6) \cdot 10^{-10}$ сек. Кроме рас-

смотренных выше переходов, относящихся к типу E2, исследован случай M 1-перехода в Pr^{141} с E 146 кэв. Получено: $T_{1/2} = 2 \cdot 10^{-5}$ сек. Полученные результаты обсуждаются с точки зрения коллективной модели ядра. А. Ахматов

20554. Независимые выходы La^{140} , Y^{90} и Y^{91} при делении U^{235} и U^{233} на тепловых нейтронах. Граммитт, Милтон (The independent yields of ^{140}La , ^{90}Y and ^{91}Y in the thermal neutron fission of ^{235}U and ^{233}U . Grummitt W. E., Milton G. W. M.), J. Inorg. and Nucl. Chem., 1957, 5, № 2, 93—104 (англ.)

Путем радиохим. анализа определены независимые выходы La^{140} при делении: U^{235} $4,5 \cdot 10^{-3}\%$ и U^{233} $2,4 \cdot 10^{-2}\%$. Y^{91} , по-видимому, не образуется независимо при делении. Независимый выход $\text{Y}^{90} < 4 \cdot 10^{-4}\%$ для U^{235} и U^{233} . Радиохим. разделение производилось следующим путем. Носители Y и La дважды осаждают в виде гидроокисей газообразным NH_3 , предварительно связав в комплекс U. Затем производится осаждение фторидов, растворение осадка в смеси H_2BO_3 и 6 н. HNO_3 и вновь осаждение гидроокисей. Из осажоженного р-ра последних удаляют Ru в виде сульфидов. Дальнейшая очистка производится повторным осаждением фторидов и пропусканием р-ра 9 н. по HCl к-те через анионит. Редкие земли разделяют на лантаноиды при 78° электролизом р-ром лактата аммония, 0,4 M при pH 4,1 в случае Y и 0,55 M при pH 5,0 в случае La и Ce. В. Левин

20555. Выходы при делении U^{235} на тепловых нейтронах. Берг, Бартоломью (Yields in U^{235} thermal neutron fission. Baerg A. P., Bartholomew Rosalie M.), Canad. J. Chem., 1957, 35, № 9, 980—985 (англ.)

Измерены выходы при делении U^{235} на тепловых нейтронах (в %) для Ba^{139} 6,57, La^{141} 6,30, Sr^{89} 4,74 и Sr^{90} 5,71 (выходы рассчитаны по отношению к выходу Ba^{140} , который принят равным 6,32%). Радиохим. разделение производилось при помощи ионного обмена. Щел., щел.-зем. и редкие элементы отделяли от U и некоторых продуктов деления электролизом HCl к-той на анионите. Затем электролизом α -оксизобутиратом аммония Sr, Ba и La отделяли от других элементов и друг от друга. В. Левин

20556. Природная радиоактивность Ce^{142} . Ризлер, Кауф (Natürliche Radioaktivität von Cer 142. Riezler W., Kauw G.), Z. Naturforsch., 1957, 12a, № 8, 665—666 (нем.)

При помощи ядерных фотопластинок исследована природная радиоактивность обогащенных изотопов Ce^{140} (99,5%) и Ce^{142} (96%). В случае Ce^{142} найдена линия треков, соответствующих энергии α -частиц 5 Мэв. $T_{1/2}$ α -распада $5,1 \cdot 10^{15}$ лет с точностью до множителя 2. Приведена кривая зависимости E_α от атомного номера для ядер с 84 нейтронами. В. Левин

20557. Разделение стабильных изотопов азота методом химического обмена. И. Панченков Г. М., Семенов И. А., Рензаева А. А., Молчанов В. В., Калашников О. П., Ж. физ. химии, 1957, 31, № 6, 1352—1358 (рез. англ.)

Исследовано разделение N^{14} и N^{15} в насадочной колонне (K) из стекла длиной 250 см, внутренним diam. 1,8 см; сверху в K подается 60%-ный р-р NH_4NO_3 с природным содержанием изотопов азота; внизу соль разлагается 30%-ным р-ром NaOH при нагревании почти до кипения; NH_3 проходит вверх по K, и по р-ции $\text{N}^{15}(\text{газ}) + \text{N}^{14}\text{H}_4\text{NO}_3$ (р-р) $\rightleftharpoons \text{N}^{14}\text{H}_3$ (газ) + $\text{N}^{15}\text{H}_4\text{NO}_3$ (р-р) происходит изотопный обмен. При снижении парциального давления NH_3 от 760 до 140 мм рт. ст. при помощи выпуска в K N_2 до P (общ.) = 1 атм коэф. разделения S_f увеличивается от 1,58 до 1,70, что совпадает

с ранее полученными результатами (Urey H. C. и др., Chem. Phys., 1937, 5, 856), причем время достижения равновесия не меняется (~ 1 суток). Изучено влияние природы и размеров насадки на S_f : приемы из нержавеющей никрома ~ 6 мм ($S_f = 1,60$ за 8 час.) и обыкновенного никрома 1,5, 3,0 и 6,0 мм ($S_f = 1,18$ —1,19 за 72 час); стеклянные кольца ($S_f = 1,58$ за 24 часа); аллюмосиликат 84% $\text{SiO}_2 + 16\%$ Al_2O_3 , прокаленный в токе воздуха при 500° ($S_f = 1,34$ за 24 часа); силикагель, диаметр зерна 6—10 мм, отмытый от Fe^{3+} в конц. HCl и прокаленный при 400—450° ($S_f = 1,25$ за 72 часа) и при 800° ($S_f = 1,16$ за 8 час.); ZnO и Al_2O_3 на активированном угле в смеси с кольцами фенске 1,5:2 ($S_f = 1,08$ за 3—5 час. и $S_f = 1,11$ за 9—10 час, соответственно); травленные стеклянные палочки длиной 8 мм, diam. 4 мм ($S_f = 1,07$ за 72 часа). На S_f влияет величина геометрич. поверхности насадки, а не наличие или отсутствие микропор в материале, что объясняется протеканием р-ции изотопного обмена в полимолекулярной жидкой пленке на поверхности насадки. В. Любимов

20558. Быстрое радиохимическое выделение изотопов Po из W-мишеней, подвергнутых бомбардировке ускоренными на циклотроне ионами Ne. Эльснер, Фомлинг (Rapid radiochemical separations of polonium isotopes from wolfram targets bombarded by cyclotron-accelerated neon ions. Oelsner Gerda, Forsling Wilhelm), Arkiv kemi, 1957, 11, № 4, 349—360 (англ.)

Исследованы различные методы радиохим. выделения изотопов Po, образующихся по р-циям $\text{W}^{184} + \text{Ne}^{20} \rightarrow \text{Po}^{204-x} + x\text{H}$, в том числе экстракция р-ром трибутилфосфата в дибутиловом эфире, соосаждение с Te, метод ядер отдачи, испарение Po с поверхности мишени и электроосаждение. Последние 3 метода дали положительные результаты. Для испарения Po мишень толщиной 45 м покрывали р-ром 9 н. по HF и 2 н. по HNO_3 , и высушивали, затем, нагревая мишень, возгоняли Po, улавливая его на Pt-диск. Продолжительность испарения 30 сек. В этих условиях выход Po $\sim 20\%$; радиоактивный Bi возгоняется менее чем на 1%. Метод особенно пригоден для изотопов с $T_{1/2}$ 2—4 мин. Для электроосаждения W-мишень растворяли в смеси HF и HNO_3 (1 мл 10,7 н. HF + 0,2 мл 14,2 н. HNO_3 на 0,184 г W). Плотность тока 50 mA/cm^2 . Катодом служит круглый Pt-диск. Исследовано влияние на электроосаждение конц-ий HNO_3 и HF. Рекомендуемый состав электролита: 0,2—0,5 н. HF, 0,4—0,7 н. HNO_3 и 0,1% винной к-ты (для удержания W в р-ре). Конц-ия W ~ 50 ммоль/л. В. Левин

20559. Разделение изотопов методом отдачи. Сунь, Песяк (Recoil separation of isotopes. Sun K. H., Piesjak F. A.), Nucleonics, 1956, 14, № 11, 124—126 (англ.)

Описываются эксперименты, в которых изотопы и изомеры, получающиеся в р-циях (n, γ) и (d, p), высаживаются в результате отдачи на фольгах, помещенных рядом с мишенью. В качестве мишеней использовались фольги из Au и Al. При р-ции на тепловых нейтронах ($\text{Au}^{197}(n, \gamma) \text{Au}^{198}$) эффективность разделения оказалась довольно низкой. Значительно лучшие результаты были получены при бомбардировке мишеней быстрыми дейтронами. Приводятся кривые разделения изотопов $\text{Al}^{27,28}$, причем последний получался в р-ции $\text{Al}^{27}(d, p) \text{Al}^{28}$. Al^{28} имеет $T_{1/2}$ 2,4 мин. Хорошие результаты были получены с газообразными мишенями. Для примера представлены кривые собирания на Ta-фольге ядер Ar^{41} с $T_{1/2}$ 100 мин., образующегося в р-ции $\text{Ar}^{40}(d, p) \text{Ar}^{41}$. При этом получена

активность Ta^{182} с $T_{1/2}$ 16,2 мин. Предполагается наличие Ta^{182m} с $T_{1/2}$ 115 дней. Этот метод применим также для разделения изотопов в р-циях $A(n, 2n)B$ и изомеров. В р-циях с быстрыми нейтронами возможно значительно увеличить эффективность разделения, если расположить большее кол-во фольг по направлению пучка нейтронов.

Ю. Требуховский

20560. Немонотонный порядок экстракции лантанидов в системе трибутилфосфат — азотная кислота. Пеннارد, Дрисколл, Сиронен, Мак-Карти (Nonmonotonic ordering of lanthanides in tributyl phosphate-nitric acid extraction systems. Penppard D. F., Driscoll W. J., Sironen R. J., McCarty S.), J. Inorg. and Nucl. Chem., 1957, 4, № 5—6, 326—333 (англ.)

Изучена экстракция индикаторных кол-в радиоактивных изотопов лантанидов, а также Y и Am трибутилфосфатом (ТБФ) из водн. р-ров 0,266—18,5 М HNO_3 . Коэф. распределения K (отношение конц-ий в-ва в органич. фазе к его конц-ии в водн. фазе) зависит от конц-ии HNO_3 и от атомного номера элемента Z. График зависимости $\lg K$ от Z состоит из двух отрезков прямых, пересекающихся при $Z = 64$. Для лантанидов с $Z = 57—64$ $\lg K$ линейно растет с Z, при большей конц-ии к-ты рост сильнее. Для изотопов с $Z = 64—71$ при больших конц-иях HNO_3 K растет с Z, но медленнее, чем у элементов 57—64, а при конц-иях HNO_3 3,89 М и менее K уменьшается с ростом Z. Разбавление ТБФ толуолом или CCl_4 уменьшает K . Авторы принимают, что в экстракт переходит комплекс состава $[M(ТБФ)_a(H_2O)_x a](NO_3)_3$, где x примерно равен 6 и уменьшается с ростом Z. При экстракции из 2 М HNO_3 $a = 2$ для всех лантанидов; при конц-ии HNO_3 16 М a с увеличением Z растет от 3 до 4. По величине K для Y можно принять «кажущийся» $Z = 65—68$. Am при конц-ии HNO_3 8 М и менее экстрагируется, как Pг, при экстракции из 18,5 М HNO_3 K для Am вдвое больше, чем для Pг. И. Слоним

20561. Отделение и очистка миллиграммовых количеств америция. Херниман (The separation and purification of milligram quantities of americium. Heriniman P. D. Repts. Atomic Energy Res. Establ., 1957, № C/R 1113, 7 pp.) (англ.)

Для выделения миллиграммовых кол-в Am из Pu р-ра, загрязненного Fe и U, описано 2 метода: осадительный и экстракционный. Осадительным методом было переработано 200 мл азотнокислого р-ра, содержащего по 400 мг Fe, U, Pu и ~3 мг Am. После доведения кислотности до 1 М, р-р был восстановлен SO_2 и обработан избытком HF. Отделенный осадок был растворен в 16 М HNO_3 и р-р обработан NH_4OH . Осадок гидроокисей снова растворяли в 16 М HNO_3 . После разбавления Pu был осажден в виде перекиси добавлением избытка H_2O_2 . Из фильтрата были осаждены гидроокис, растворенные затем в конц. HNO_3 ; р-р был разбавлен до 1 М по HNO_3 . Отделение остатков Pu производилось окислением последнего бихроматом и повторным осаждением AmF_3 . Конечный продукт (KП) содержал по 20% Cr, Ca и Al. Экстракционный метод был применен для выделения ~20 мг Am из р-ра, содержащего 500 мг Fe, 500 мг U и 2 г Pu. Исходный р-р обрабатывали NH_4OH , гидроокис растворяли в HNO_3 и из 3 М р-ра по HNO_3 проводили двукратную экстракцию равным объемом дибутилкар-а также некоторое кол-во Fe и U. Для очистки Am битола. Рефинат содержал ~23 мг Am и 55 мг Pu, в Pu осаждала $H_2C_2O_4$. После нагревания с конц. H_2SO_4 осадок растворяли добавлением разб. HNO_3 и р-р обрабатывали NH_4OH . Отделение Am от Pu производилось осаждением фторида из окислительной среды. Затем Am дважды осаждали KOH, при этом Al оставался

в р-ре в виде $KAlO_2$; гидроокис растворяли в HCl и при pH = 2 осаждали Ca добавлением кристаллич. $(NH_4)_2SO_4$. Окончательная очистка Am производилась окислительно-фторидным осаждением и ионным обменом на смоле дауэкс-50 с элюированием конц. HCl (в продукте содержалось: Si 8%, Fe 0,2%, Al 1,6%). Cr, Mg, Ca не обнаружены. И. Реформатский

20562. Радиоактивные вещества, полученные при облучении нейтронами кристаллического бензанилида. Какаче, Чьери, Циффереро (Prodotti radioattivi ottenuti irradiando con neutroni benzanilide cristallina. Cacace Fulvio, Cieri Luciana, Zifferero Maurizio), Ann. chimica, 1957, 42, № 7-8, 892—895 (итал.)

Приведены данные анализа радиоактивных продуктов, образовавшихся при нейтронном облучении бензанилида. Найдены CO, CO_2 , HCN, дибензоил и др.

В. Левин

20563. Плавные эмали в качестве стабильных радиоактивных источников. Блинко (Radionuclides in fused enamel make stable radiation sources. Blincoe Clifton), Nucleonics, 1956, 14, № 8, 82—83 (англ.)

Описан метод изготовления радиоактивных источников. Металл, из которого изготовлялся источник, добавлялся к размельченной эмали, после чего смесь плавилась и медленно охлаждалась. Эта техника использовалась для изготовления источников Pm^{147} , Ti^{64} , Sr^{90} , Y^{90} и Cr^{51} , наносимых на нержавеющую сталь, медь и стекло. Активность была порядка 0,1 мюри. Испытания хим. устойчивости источников к действию к-т, щелочей и других агентов дали хорошие результаты.

Г. Заводная

См. также: Радиоакт. св-ва 20323, 20326. Введение в молекулу 21548—21551. Изотопные эфф. 20408, 20653, 20656, 20661, 20689, 20690, 21334. Изотопный обмен 20652, 20669, 20671, 21317. Измерение активности 21269—21276, 21754. Приборы с радиоактивными датчиками 21724. Применения в исслед.: кинетики и механизма р-ций 20657, 20687, 20700, 20815, 20823, 21325, 21328, 21330; строения хим. соединений 20386, 20396; в биохимии: C^{14} 8352Bx, 8433Bx, 8570Bx, 8571Bx, 8574Bx, 8582Bx, 8672Bx, 8739Bx, 8740Bx, 8745Bx, 8760Bx, 8787Bx, 8789Bx, 8895Bx, 8896Bx, 8920Bx, 8970Bx, 8973Bx, 8974Bx, 9012Bx, 9036Bx; N^{15} 8762Bx; Na^{24} 8823Bx, 9197Bx; P^{32} 8230Bx, 8523Bx, 8892Bx, 8940Bx, 8971Bx; S^{35} 8233Bx, 8328Bx, 8687Bx, 8751Bx, 8878Bx, 8885Bx, 9032Bx, 9166Bx; Ca^{45} 8537Bx, 8902Bx; Fe^{59} 8898Bx; Cd^{115} 8907Bx; J^{131} 8198Bx, 8345Bx, 8488Bx, 8493Bx, 8496Bx, 8668Bx, 8669Bx, 8931Bx, 9110Bx; общие вопр. 8304, 8326, 8394, 8831, 8832, 8910, 8995, 9033; в пром-сти 21753, 22068, 22514, 22515; в аналитич. химии 21117—21121, 21205, 21206. Хим. технол. вопр. ядерной техники 21967. Изотопы в геохимии 20930—20936, 20938. Защита от излучений 21912. Некоторые характеристики D_2O 20542

ТЕРМОДИНАМИКА. ТЕРМОХИМИЯ. РАВНОВЕСИЯ. ФИЗИКО-ХИМИЧЕСКИЙ АНАЛИЗ. ФАЗОВЫЕ ПЕРЕХОДЫ

Редактор В. А. Соколов

20564. Термодинамика необратимых процессов. Пенно (Thermodynamique des processus irréversibles. Penoff Kyrie), C. r. Acad. sci., 1957, 245, № 9, 925—926 (франц.)

В ответ на ранее опубликованное замечание (РЖХим, 1958, 3740) автор указывает, что выводимые им ур-ния относятся к адiabатическим изоли-

ванной системе, а рассмотренный Пенду маятник с трением обменивается теплом с окружающей средой.

20565. Термодиффузия жидких гомологических соединений. I. Земерский, Скерчинский (Termodyfuzja cieklych związków homologicznych. I. Ziemeski Stanisław, Skierczyński Janusz), App. Univ. M. Curie-Skłodowska, 1955 (1957), AA10, 9-16 (польск.; рез. русск., англ.)

Построены термодиффузионные колонны, работающие без уплотняющих приспособлений и без смазочных р-в. На одной из них была исследована термодиффузия нормальных алифатич. алкогелей. Термодиффузия алкогелей с более длинной цепью всегда направлена вверх, а с более короткой — вниз, даже когда отношение мол. весов > 2.

20566. Теплопроводность газовых смесей при химическом равновесии. Батлер, Броко (Thermal conductivity of gas mixtures in chemical equilibrium. Butler James N., Brokaw Richard S.), J. Chem. Phys., 1957, 26, № 6, 1636-1643 (англ.)

Выведено ур-ние для теплопроводности газовой смеси, в которой имеются компоненты, находящиеся в хим. равновесии, напр. при р-ции диссоциации, газы в смеси реактивного двигателя или газы в пограничном слое у сверхзвукового самолета. Общее выражение применимо для смесей с любым числом реагирующих компонентов, инертных разбавителей и хим. р-ций. Рассмотрен частный случай р-ции диссоциации типа $A \rightleftharpoons nB$. При диссоциации двухатомных молекул теплопроводность газовой смеси может возрасти на целый порядок. Рассчитанная теплопроводность для систем $N_2O_4 \rightleftharpoons 2NO_2$ и $6HF \rightleftharpoons (HF)_6$ хорошо согласуется с результатами измерений.

20567. Теплопроводность окиси бериллия от 40 до 750°. Дитмарс, Гиннингс (Thermal conductivity of beryllium oxide from 40° to 750°C. Ditmars David A., Ginnings Defoe C.), J. Res. Nat. Bur. Standards, 1957, 59, № 2, 93-99 (англ.)

Теплопроводность BeO измерена между 40 и 750° абс. методом. Для уменьшения потерь тепла в радиальном направлении образец окружен защитной оболочкой с нагревателем, в которой поддерживается тот же перепад т-ры, что и в образце. Дано подробное описание установки и рассмотрены источники ошибок. Точность измерений оценена в $\pm 3\%$. Теплопроводность BeO уменьшается с 2,155 вт/см·град при 30° до 0,384 при 748°. Образец получен спеканием порошка при 1700° и имеет плотность 2,62 г/см³, что составляет 87% от плотности идеального кристалла BeO, поэтому теплопроводность последнего должна быть существенно больше.

20568. Исследование теплопроводности некоторых простых спиртов на кривой насыщения. Абас-Заде А. К., Амрасланов А. М., Ж. физ. химии, 1957, 31, № 7, 1459-1467 (рез. англ.)

Измерены коэф. теплопроводности (k) бутилового, этилового, метилового и n -пропилового спиртов и их паров в зависимости от т-ры и давления, соответствующих кривой насыщения. Измерения проводились методом нагретой проволоки. Опыты проводились в автоклаве с двумя камерами, аналогичном описанному ранее (Докл. АН АзербССР, 1947, 3, 3). Приведены схема измерительной трубки и краткое описание прибора. Теплопроводность исследованных спиртов в парообразном состоянии увеличивается с повышением т-ры, а в жидком состоянии уменьшается. В крит. области кривые k — t жидкого и парообразного состояний плавно смыкаются, образуя одну кривую; максимум на кривой отсутствует; величина k составляет 1/4 ее значения для данной жидкости при нормальных условиях. Эксперим. данные согласуются с ф-лой

$k = k_1 + Br^2$, где k_1 — теплопроводность разреженных газов, r — плотность, B — константа, являющаяся функцией состояния (p, T), теплоемкости (C_p), мол. веса и степени ассоциации.

20569. Установление термодинамической возможности химических реакций. Сьола (Predicting chemical reactions by thermodynamics. Ciola Remolo), Industr. and Engng Chem., 1957, 49, № 10, 1789-1792 (англ.)

Предложен метод, позволяющий выяснить возможность хим. р-ции между органич. в-вами при высоких т-рах. Метод может быть применен, если известны константы равновесия (K (обр. гр.)) для образования лишь тех структурных групп, которые подлежат замене в данной р-ции. По ΔF° (обр. гр.) (Van Krevelen D. W., Chermis H. A. G., Chem. Engn Sci., 1952, 1, 238; Franklin J. L., Ind. Eng. Chem., 1949, 41, 1070) и $\lg K$ (обр. гр.) органич. в-в (Rossini F. D. и др. Selected values of physical and thermodynamic properties of hydrocarbons and related compounds. Pittsburg, Carnegie Press, 1953) рассчитаны и табулированы $\lg K$ (обр. гр.) для многих структурных групп в интервале 300-1000° K.

20570. О статье «Химические реакции и их энергии». Пу Хоу (對本刊「化學反應與能」一文之意見 甫侯), 化學通報, Хуасюэ тунбао, 1956, № 8, 51 (кит.)

20571. Влияние внешнего электрического поля на химическую реакцию в газе. Тиман Б., Докл. АН СССР, 1957, 112, № 5, 894-895

Автор показал ранее (РЖХим, 1956, 393), что электрич. поле ионов смещает равновесие р-ции. Здесь рассмотрено влияние внешнего электрич. поля (E) на равновесие р-ции $3N_2 + N_2 = 2NH_3$, в которой исходные в-ва являются недипольными молекулами, а продукты р-ции — дипольными. На основе зависимости хим. потенциалов компонентов р-ции от E , поляризуемости компонентов и дипольного момента молекул NH_3 (d) выведена зависимость между конц-иями компонентов, константой равновесия р-ции в отсутствие поля, поляризуемостью компонентов, d и E . Практически можно подобрать E и т-ру так, чтобы выполнялось неравенство $2d^2/3kT + 2\beta_1 > 3\beta_2 + \beta_3$, где β_1, β_2 и β_3 — поляризуемости NH_3, N_2 и N_2 . При больших значениях E смещается равновесный состав р-ции в сторону увеличения конц-ии дипольных молекул, в данном случае NH_3 .

20572. Уравнение Больцмана с точки зрения статистической механики. Грин (Boltzmann equation from the statistical mechanical point of view. Green Melville S.), J. Chem. Phys., 1956, 25, № 5, 836-855 (англ.)

Ранее Н. Н. Боголюбов (J. Phys. USSR, 1946, 10, 285) вывел интегрированный ур-ние Максвелла — Больцмана кинетич. теории газов из динамич. ур-ний системы большого числа одинаковых частиц путем разложения молекулярной функции распределения в ряд по степеням конц-ии; при этом было использовано только первое приближение (парные столкновения). В данной работе показано, что для конфигураций, в которых молекулы отстоят друг от друга не слишком далеко, через некоторое время, зависящее от первоначального распределения в фазовом пространстве, все функции распределения являются функциями от одночастичного распределения. Последнее удовлетворяет ур-нию, являющемуся обобщением ур-ния Больцмана и включающему эффекты тройных и более столкновений. Получено выражение для интеграла тройных столкновений.

20573. Теория многокомпонентных жидких смесей. I. Статистический анализ порядка беспорядка в мно-

Вычислена энтропия ионов CN^- , NO_3^- , CO_3^{2-} , ClO_4^- , SO_4^{2-} , PO_4^{3-} , MnO_4^- , CrO_4^{2-} , MoO_4^{2-} , JO_4^- , ReO_4^- , WO_4^{2-} , SeO_4^{2-} и AsO_4^{3-} в газообразном состоянии с точностью $\pm 0,6$ энтр. ед. Установлено правило, согласно которому энтропии газообразных изоэлектронных ионов одинаковой пространственной конфигурации отличаются не более, чем на 1 энтр. ед. На основе этого правила оценены энтропии газообразных NH_4^- , BH_4^- , OH^- , AlF_6^{3-} , SiF_6^{2-} , SnF_6^{2-} и BO_2^- . Рассчитаны энтропии гидратации ΔS 16 многоатомных ионов. Во всех случаях ΔS больше (по абс. величине), чем ΔS одноатомных ионов с равным радиусом и зарядом. Это можно объяснить частичной потерей многоатомным ионом свободы вращения и образованием водородных связей между ионом и молекулами H_2O . В узком интервале значений радиусов ионов r имеет место линейная зависимость между ΔS и $1/r$ (для ионов с равным зарядом). По величине r при допущении торможения вращения на $1/3$ оценены значения ΔS и энтропии в водн. р-ре ионов BF_4^- , JO_4^- и ReO_4^- .

Ю. Кесслер
20578. Исследование адиабатической сжимаемости бинарных смесей. Джигоев Г. Д., Тр. Сталинград. гос. пед. ин-т, 1956, 3, 459—479

Экспериментально определена при различных т-рах в конц-ях адиабатич. сжимаемость в смесях этиловый эфир (I)-хлороформ (II), I-анилин (III), III-ацетон (IV), бензол (V)-гептан (VI), V-циклогексан (VII), II-IV и IV-сероуглерод (VIII). Коэф. адиабатич. сжимаемости определялся по ф-ле $B_a = 1/C^2 D$, где C — скорость распространения ультразвуковых волн, D — плотность. Для смесей, образование которых приводит к более плотной упаковке молекул (I-II, I-III, III-IV), кривая сжимаемости отклоняется от прямой в сторону уменьшения B , а для смесей с образованием менее плотной упаковки — в сторону увеличения; для смеси II-IV при $< 30^\circ$ — в сторону увеличения, $> 30^\circ$ — в сторону уменьшения. Поведение сжимаемости исследованных смесей сопоставлено с отклонением от закона Рауля. Рассмотрены особенности межмолекулярного взаимодействия в исследованных смесях в связи со строением молекул компонентов. А. Золотаревский

20579. Сжимаемость соединений графита с хлоридом железа. Скотт, Шейерман (Compressibility of graphite-ferric chloride compounds. Scott Arthur F., Scheuerman Ronald F.), J. Phys. Chem., 1957, 61, № 1, 97—98 (англ.)

Получено 6 образцов соединений графита с FeCl_3 (I) програвом измельченного цейлонского графита с безводн. I при $250-450^\circ$. Для них определены при 30° коэф. сжимаемости при давл. $100-300 \text{ кг/см}^2$ и плотность. Сжимаемость этих соединений больше, чем чистого графита. Зависимость эксперим. величин мол. сжимаемости соединений от процентного содержания I линейна.

Л. Разумова
20580. Уравнение состояния цинка на основе термических данных. Толпади, Пурушоттаман (Equation of state of zinc from thermal data. Tolpadi S. Shivananda, Purushottaman C. R.), Current Sci., 1956, 25, № 12, 392—393 (англ.)

На основе литературных эксперим. данных по тепловому расширению, уд. теплоемкости и упругим постоянным методом Даяла (Dayal B., J. Chem. Phys., 1950, 18, 1302; РЖХим, 1957, 14496), обобщенным на гексагон. кристаллы, вычислена зависимость объема Zn от давления при 303°K . Полученные результаты удовлетворительно согласуются с измерениями Бриджмена.

Ш. Коган
20581. Согласованность термодинамических данных для AgBr . Лосон (Thermodynamic consistency of data on AgBr . Lawson A. W.), J. Chem. Phys., 1957, 27, № 2, 598—599 (англ.)

Рассмотрены литературные данные по физ. свойствам твердого AgBr . С помощью ф-лы, выведенной ранее (РЖХим, 1956, 9258), показано, что наиболее надежными являются опубликованные значения теплоемкости (Kanzaki H., Phys. Rev., 1951, 81, 884), коэф. объемного расширения α_p (РЖХим, 1956, 67726) и адиабатич. сжимаемости K_s (РЖХим, 1957, 3587).

В. Зломанов

20582. Стандартная свободная энергия окисления магнетита до гематита при температурах выше 1000° . Смиттенс (The standard free energy of oxidation of magnetite to hematite at temperatures above 1000° . Smiltens J.), J. Amer. Chem. Soc., 1957, 79, № 18, 4877—4880 (англ.)

Стандартная свободная энергия ΔF° окисления магнетита до гематита вычислена из данных по давлению паров O_2 и для р-ции $4\text{Fe}_3\text{O}_4 + \text{O}_2 = 6\text{Fe}_2\text{O}_3$ составляет $-25,9 \pm 0,6$; $-19,2 \pm 0,6$; $-12,6 \pm 0,6$ и $-5,8 \pm 0,4 \text{ ккал}$ при 1100, 1200, 1300 и 1400° соответственно. При расчете ΔF° по ур-нию Вант-Гоффа введен поправочный член, учитывающий состав фазы магнетита при различных т-рах. Аналогичный способ может быть применен при расчете ΔF° процессов, сопровождающихся образованием твердых р-ров. В. К.

20583. Электронная и решеточная теплоемкости меди и серебра. Раманатхан, Сринивасан (Lattice and electronic specific heats of copper and silver. Ramanathan K. G., Srinivasan T. M.), J. Scient. and Industr. Res., 1957, BC16, № 7, B277—B279 (англ.)

С помощью прибора, описанного ранее (РЖХим, 1956, 22872), с точностью $\pm 3\%$ определены теплоемкости Cu (образец 99,95% чистоты) и Ag (99,7%) в интервале $1,3-4,2^\circ \text{K}$. Результаты представлены ур-ниями: для $\text{Cu } C_p = (1,728 \pm 0,066) \cdot 10^{-4} T + (0,125 \pm 0,002) \cdot 10^{-4} T^2$; для $\text{Ag } C_p = (1,471 \pm 0,023) \cdot 10^{-4} T + (0,439 \pm 0,003) \cdot 10^{-4} T^2$. Вычислены характеристич. т-ры Дебая θ_D для Cu ($334,0^\circ \text{K}$) и Ag ($219,4^\circ \text{K}$) и коэф. в выражении для электронных теплоемкостей.

И. Левитин

20584. Теплоемкости и магнитные восприимчивости сплавов церия с лантаном при низких температурах. Робертс, Лок (The specific heats and magnetic susceptibilities of alloys of cerium with lanthanum at low temperatures. Roberts Lois M., Lock J. M.), Philos. Mag., 1957, 2, № 18, 811—819 (англ.)

Для изучения влияния разведения на антиферромагнитные свойства Ce измерены теплоемкость c_p ($1,5-20^\circ \text{K}$) и магнитная восприимчивость χ ($1,5-290^\circ \text{K}$) для 4 сплавов Ce-La , содержащих 5,03—78,9 вес.% Ce , и проведено сравнение с результатами для чистого Ce . Аномалия c_p чистого Ce (при $12,3^\circ \text{K}$) расширяется в сплавах на две; при увеличении разведения эти аномалии сдвигаются к более низким т-рам (т-ры максимумов даны в таблице). Аномалия при $3,5^\circ \text{K}$ в сплаве с 78,9 вес.% Ce , вероятно, отвечает небольшой аномалии при 7°K в чистом Ce . Выше 80°K χ всех сплавов подчиняется закону Кюри — Вейсса $\chi = C(T - \theta)$. Константа Люри C изменяется монотонно от $56,1 \cdot 10^{-4}$ для наиболее конц. сплава (для чистого Ce $C = 55,3 \cdot 10^{-4}$) до $\sim 140 \cdot 10^{-4}$ для наиболее разведенного сплава. При низких т-рах в ходе χ имеются аномалии (изломы), т-ры которых соответствуют нижним из двух максимумов в ходе c_p сплавов; в наиболее разведенном сплаве аномалий как в c_p , так и в χ не обнаружено, — по-видимому, они сдвинуты к т-рам ниже $1,5^\circ \text{K}$. Как и в чистом Ce , аномальное магнитное поведение сплавов может быть объяснено антиферромагнетизмом. Однако наличие двух аномалий в ходе c_p сплавов дает основание счи-

тат, что в последних упорядочение 4f-электронов происходит в две стадии. Увеличение S указывает, что с разведением сплавов заполненность 4f-оболочки увеличивается до 2 или 3 электронов на атом Ce. По полученным калориметрич. данным вычислены энтропии соответствующих процессов. Для наиболее разведенных сплавов χ ниже точки излома не зависит от T -ры; это может быть следствием того, что в этих условиях направление антиферромагнитного упорядочения имеет возможность ориентироваться перпендикулярно к приложенному полю. В. Урбах

20585. Теплоемкость при низких температурах и термодинамические свойства феррита цинка. Уэстрем, Граймс (Low temperature heat capacity and thermodynamic properties of zinc ferrite. Westrum Edgar F., Jr, Grimes D. M.), Phys. and Chem. Solids, 1957, 3, № 1-2, 44-49 (англ.)

В адиабатич. вакуумном калориметре измерена теплоемкость $ZnFe_2O_4$ при 5—350° K. Для установления условной температурной шкалы ниже 10° K использовались ур-ние для Pt-термометра сопоставления $R = A + BT^3 + CT^5$, константы которого находились по значению R при T -ре кипения гелия и R и dR/dT при 10° K. Расхождение с термодинамич. шкалой T до 0,1° K при $T < 10^\circ$ K. Точность определения C_p 0,1% при 25° K, до 1% при 10° K и до 10% при T -рах $< 10^\circ$ K. При $9,5 \pm 0,2^\circ$ K на кривой $C_p - f(T)$ обнаружен максимум, превышающий 9 кал/моль град и соответствующий переходу от парамагнитного состояния к антиферромагнитному. Для 130—300° K C_p описывается ур-нием (РЖХим, 1957, 11135) $C_p = D(178/T) + 3E(390/T) + 3E(710/T)$ с точностью 0,5% (D — функция Дебая, E — функция Эйнштейна). Рассчитаны и табулированы значения S° , $H^\circ - H_0^\circ$ и $(F^\circ - H_0^\circ)/T$ в интервале 10—298,15° K. При 298,15° K C_p , S° , $(F^\circ - H_0^\circ)/T$ и $H^\circ - H_0^\circ$ составляют $32,99 \pm 0,03$, $36,01 \pm 0,03$, $18,00 \pm 0,02$ кал/моль град и 5369,8 кал/моль соответственно.

Ю. Кесслер

29586. Равновесия реакций между углеводородами. Х. Теплоемкости нафталина, тетралина и декалина. Введенский А. А., Майоров Д. М., Ж. общ. химии, 1957, 27, № 8, 2052—2054

Теплоемкости нафталина (I), тетралина (II) и декалина (III) вычислены для интервала 300—1500° на основании спектроскопич. данных по предложенной ранее (Stull D. R., Mayfield F. D., Industr. and Engng Chem., 1943, 35, 638) ф-ле. Для I эксперим. и расчетные значения теплоемкостей хорошо совпадают. Получены ур-ния, выражающие для интервала 300—1000° зависимость теплоемкости от T -ры (в °K): $C_p^\circ I = -7,66 + 0,14711 T - 0,00006208 T^2$, $C_p^\circ II = -8,90 + 0,1725 T - 0,0000707 T^2$, $C_p^\circ III = -10,48 + 0,209 T - 0,0000823 T^2$. С. Бык

20587. О связи между теплотами растворения электролитов и теплотами образования и плавления их твердых кристаллогидратов. Мищенко К. П., Подгорная Е. А., Тр. Ленингр. технол. ин-та им. Ленсовета, 1957, вып. 37, 5—9

Если данная соль не образует кристаллогидратов (I), то ее интегральная теплота растворения (ΔH_m) стремится к нулю с увеличением конц-ии (m) р-ра соли. Пределу кривых $\Delta H_m = f(m)$ соответствует отсутствие взаимодействия ионов соли с водой. Для I выводится ур-ние: $\Delta H_x = \Delta H_{(I)} + \Delta H_{пл}$, где ΔH_x — интегральная теплота растворения I, содержащего xH_2O , $\Delta H_{(I)}$ — теплота образования I из твердой соли и воды, а $\Delta H_{пл}$ — теплота плавления I. Это ур-ние применено для вычисления теплот плавления ряда I. К. Яцимирский

20588. Теплота горения гольмия. Хьюбер, Хед, Холли (The heat of combustion of holmium. Huber Elmer J., Jr, Head Earl L., Holley Charles E., Jr), J. Phys. Chem., 1957, 61, № 7, 1021—1022 (англ.)

Методом, описанным ранее (РЖХим, 1957, 7444), определена теплота горения Ho, содержащего $\sim 0,35\%$ примесей. С учетом поправок на примеси, теплота образования Ho_2O_3 $\Delta H_{298} = -449,55 \pm 1,15$ ккал/моль.

Л. Реаницкий

20589. Теплоты образования хромата и бихромата калия, хромат- и бихромат-ионов. Энтропия бихромат-иона. Малдров, Хеплер (Heats of formation of potassium chromate, potassium dichromate, chromate and dichromate aqueous ions. Entropy of dichromate ion. Muldrow C. N., Jr, Hepler L. G.), J. Amer. Chem. Soc., 1957, 79, № 15, 4045—4048 (англ.)

В описанном ранее калориметре (РЖХим, 1957, 47331) при 25° с точностью $\pm 0,05$ ккал/моль определены при разных разведениях и экстраполированы с точностью $\pm 0,2$ ккал к бесконечному разведению теплоты растворения K_2CrO_4 в воде, K_2CrO_4 , $K_2Cr_2O_7$ и $(NH_4)_2Cr_2O_7$ в очень разб. р-рах $HClO_4$, $K_2Cr_2O_7$ и CrO_3 в водн. р-ре KOH : $K_2CrO_4 = 2K^+(aq) + CrO_4^{2-}(aq)$, $\Delta H_\infty = 4,2$ ккал/моль; $K_2CrO_4 + H^+(aq) = 2K^+(aq) + 1/2 Cr_2O_7^{2-}(aq) + 1/2 H_2O$; $\Delta H_\infty = 4,6$ ккал/моль; $K_2Cr_2O_7 = 2K^+(aq) + Cr_2O_7^{2-}(aq)$, $\Delta H_\infty = 20,0$ ккал/моль; $(NH_4)_2Cr_2O_7 = 2NH_4^+(aq) + Cr_2O_7^{2-}(aq)$, $\Delta H_\infty = 15,3$ ккал/моль; $K_2Cr_2O_7 + 2OH^-(aq) = 2K^+(aq) + 2CrO_4^{2-}(aq) + H_2O$, $\Delta H_\infty = -7,3$ ккал/моль; $CrO_3 + 2OH^-(aq) = CrO_4^{2-}(aq) + H_2O$, $\Delta H_\infty = -28,0$ ккал/моль. Рассчитаны теплоты образования K_2CrO_4 , $K_2Cr_2O_7$, $(NH_4)_2Cr_2O_7$, $CrO_4^{2-}(aq)$ и $Cr_2O_7^{2-}(aq)$, которые соответственно равны: —331,9; —486,4; —425,0; —207,6; —346,2 ккал/моль; энтропии $Cr_2O_7^{2-}(aq)$ и $HCrO_4^-(aq)$ соответственно равны 70,5 и 47,8 ккал/моль. По энтропиям и теплотам образования рассчитаны стандартные свободные энергии образования ионов $CrO_4^{2-}(aq)$, $Cr_2O_7^{2-}(aq)$ и $HCrO_4^-(aq)$, соответственные равные —170,1; —303,4 и —179,0 ккал/моль.

Т. Резухина

20590. Зависимость теплот и свободных энергий образования нитридов циркония от состава и строения. Смагина Е. И., Куцев В. С., Ормонт Б. Ф., Докл. АН СССР, 1957, 115, № 2, 354—357

С помощью прецизионного рентгеновского и хим. анализов установлено, что нитрид циркония является фазой переменного состава, имеющей несмотря на это практически постоянный период решетки $4,586 \pm 0,001$ А. Получены нитриды $ZrN_{0,04}$ (I), $ZrN_{0,89}O_{0,03}$ (II), $ZrN_{0,74}O_{0,00}$ (III), $ZrN_{0,69}O_{0,00}$ (IV), $ZrN_{0,56}O_{0,02}$ (V), которые были синтезированы из азота и циркония в спец. печи (РЖХим, 1957, 48441). Теплоты образования нитридов I, II, III, IV и V определялись сжиганием в микробомбе в изотермич. калориметре и были найдены равными $90,7 \pm 0,2$; $84,5 \pm 0,5$; $72,2 \pm 0,9$; $68,7 \pm 1,8$; $57,5 \pm 0,5$ ккал/моль соответственно. Отмечено, что использование значений теплоты образования, приводимых в литературе для ZrN , может привести к серьезным ошибкам (до 30 ккал/моль). Для бескислородных нитридов свободные энергии образования для I, II, III, IV и V рассчитаны равными —81,1, —76,3, —67,3, —64,1 и —52,3 ккал/моль соответственно.

А. Корнилов

20591. Определение теплоты кето-энольного превращения газообразного ацетоуксусного эфира по спектрам инфракрасного поглощения. Мовсесян М. Е. Оптика и спектроскопия, 1957, 3, № 4, 395—397

Измерены ИК-спектры поглощения газообразного ацетоуксусного эфира при 23—105° в области 5—15 μ . Наблюдаются те же полосы в области 6 μ , что и для

жидкости, но интенсивность максимумов энтропийных и кетонных полос сильно изменена. Из температурной зависимости относительной интенсивности полос поглощения определена теплота кето-энтольного превращения $Q = 3500 \pm 300$ кал/моль. А. Золотаревский 20592. Термодинамика системы Ta—O. Энергия диссоциации TaO₂ и TaO. Инграм, Чупка, Берковиц (Thermodynamics of the Ta—O system: The dissociation energies of TaO and TaO₂. Inghram M. R. G., Chupka William A., Berkowitz Joseph), J. Chem. Phys., 1957, 27, № 2, 569—571 (англ.)

На ранее описанном масс-спектрометре (РЖХим, 1956, 42108) в интервале 2019—2314° К исследован равновесный состав пара над смесью порошков Ta + Ta₂O₅. Показано, что молекулы TaO₂ и TaO в паре преобладают. Подсчитаны теплоты вероятных р-ций $\frac{1}{2}\text{Ta (тв.)} + \frac{2}{5}\text{Ta}_2\text{O}_5 \text{ (тв.)} \rightarrow \text{TaO}_2 \text{ (газ)}$, $\frac{3}{5}\text{Ta (тв.)} + \frac{1}{5}\text{Ta}_2\text{O}_5 \text{ (тв.)} \rightarrow \text{TaO (газ)}$. Из эксперим. данных оценены величины энергии диссоциации для TaO₂ $15,0 \pm \pm 0,5$ эв и для TaO $8,4 \pm 0,5$ эв, откуда следует, что молекулы TaO принадлежат к наиболее устойчивым двухатомным молекулам. В. Зломанов 20593. Калориметрическое исследование системы серебро—олово при 450°. Клеппа (A calorimetric investigation of the system silver—tin at 450° C. Kleppa O. J.), Acta metallurgica, 1955, 3, № 3, 255—259 (англ.)

В описанном ранее калориметре (РЖХим, 1956, 6366) определены при 450° теплоты образования ΔH твердых и жидких сплавов системы Ag—Sn. Результаты для жидких сплавов получены из определения теплоты р-ции твердого Ag с жидким Sn. Для сплавов, содержащих до 0,2 мольной доли (x) Ag, $\Delta H = 15,02x - 13,33x^2$ кдж/г-атом. Результаты сравниваются с литературными данными. ΔH 10 твердых сплавов (75—94 ат. % Ag) вычислялись из теплот растворения в жидком Sn. Минимум $\Delta H \approx -6,06$ кдж/г-атом найден для γ-фазы почти стехиометрич. состава Ag₃Sn. Для гипотетич. процесса перехода от γ-фазы к граничащей с ней β-фазе: $\gamma(x = 0,75, \text{ орторомбич.}) \rightarrow \beta(x = 0,75, \text{ гексагон.})$, $\Delta H \approx 1,2$ кдж/г-атом при 450°.

Резюме автора

20594. Калориметрическое исследование некоторых двойных и тройных жидких сплавов, богатых оловом. Клеппа (A calorimetric investigation of some binary and ternary liquid alloys rich in tin. Kleppa O. J.), J. Phys. Chem., 1956, 60, № 7, 842—846 (англ.)

В описанном ранее (РЖХим, 1956, 6366) калориметре определены теплоты растворения Cu, In, Sb (при 450°) и Au (при 242, 270, 350 и 450°) в жидком Sn. Зависимости теплот образования сплавов ΔH (в кдж/г-атом) от атомной доли x второго компонента выражены ур-ниями: Sn—In $\Delta H = -0,595x + 0,409x^2$ (450°, $x \leq 0,34$), Sn—Sb $\Delta H = 15,39x + 1,02x^2$ (450°, $x \leq 0,25$), Sn—Cu $\Delta H = 11,68x - 13,66x^2$ (450°, $x \leq 0,16$), Sn—Au $\Delta H = -19,73x + 8,39x^2$ (450°, $x \leq 0,30$), и $\Delta H = -20,98x + 3,70x^2$ (350°, $x \leq 0,23$); при 270 и 242° средние значения отношения $\Delta H/x$ равны —22,35 \pm 0,15 и —23,08 \pm 0,09 кдж. Автор связывает значительную температурную зависимость ΔH сплавов Sn—Au с изменением характера хим. взаимодействий. Определены также теплоты образования ΔH_1 тройных сплавов (богатых Sn) Sn—A—B из двойных Sn—A и Sn—B, взятых вдоль сечения $x_{\text{Sn}} = \text{const}$ тройной системы (A — Cu, Ag, Au; B — Cd, In, Sb). Полученные результаты могут быть выражены с помощью «параметра взаимодействия», C_{AB} , определяемого ур-нием $\Delta H_1 = C_{\text{AB}}x^2$; обсуждается связь C_{AB} с характером взаимодействия компонентов в жидких сплавах. И. Левитин 20595. Теплота образования твердых и жидких сплавов в системах серебро—кадмий, серебро—индий и

серебро—сурьма при 450°. Клеппа (Heat of formation of solid and liquid alloys in the systems silver—cadmium, silver—indium and silver—antimony at 450°. Kleppa O. J.), J. Phys. Chem., 1956, 60, № 7, 846—852 (англ.)

Калориметрическими измерениями определена теплота образования ΔH при 450° жидких сплавов в системах Ag—Cd, Ag—In, Ag—Sb из твердого Ag и жидкого второго компонента. Для системы Ag—In ΔH выражается ур-нием $\Delta H = 7,04x - 11,72x^2$ кдж/г-атом, где x — атомная доля Ag. Теплоты образования твердых при 450° сплавов ΔH_1 в этих системах рассчитаны на основании величин их теплот растворения в жидком Sn и полученных ранее теплот растворения компонентов в жидком Sn (см. пред. реф.). Для системы Ag—Cd $\Delta H_1 = -39y + 39y^2$, где y — атомная доля Cd. Обсуждается соотношение между полученными величинами и размерами атомов компонентов, их хим. взаимодействием и валентностью, причем отмечается малое влияние пространственного фактора и хорошее согласие полученных величин с теоретически рассчитанными (РЖХим, 1956, 15547, 53822). Н. Афонский 20596. Теплота образования твердых и жидких бинарных сплавов меди с кадмием, индием, оловом и сурьмой при 450°. Клеппа (Heat of formation of solid and liquid binary alloys of copper with cadmium, indium, tin and antimony at 450°. Kleppa O. J.), J. Phys. Chem., 1956, 60, № 7, 852—858 (англ.)

Калориметрически определены теплоты образования ΔH при 450° жидких сплавов в системах Cu—Cd, Cu—In, Cu—Sn и Cu—Sb из твердой Cu и жидкого второго компонента, а также вычислены теплоты образования твердых при 450° сплавов в этих системах. Результаты сопоставлены с теплотами образования аналогичных сплавов серебра (см. пред. реф.).

Б. Анваер

20597. Теплоты образования некоторых твердых и жидких бинарных сплавов золота с кадмием, индием, оловом и сурьмой. Клеппа (Heat of formation of some solid and liquid binary alloys of gold with cadmium, indium, tin and antimony. Kleppa O. J.), J. Phys. Chem., 1956, 60, № 7, 858—863 (англ.)

Определены теплоты образования при 450° жидких ΔH и твердых ΔH_1 сплавов в системах Au—Cd, Au—In, Au—Sn и Au—Sb из твердого Au и жидкого второго компонента; ΔH_1 для AuSn определена при 350° и для AuSn₂ и AuSn₄ при 242°. Полученные результаты сопоставлены со значениями ΔH и ΔH_1 для аналогичных сплавов Ag и Cu (см. пред. реф.).

Б. Анваер

20598. Калориметр для измерения теплот смешения сжиженных газов. Теплота и избыточная энтропия смешения жидкого метана и окиси углерода. Пул, Стейвли (A calorimeter for measuring the heat of mixing of liquefied gases. The heat and excess entropy of mixing of liquid methane and carbon monoxide. Pool R. A. H., Staveley L. A. K.), Trans. Faraday Soc., 1957, 53, № 9, 1186—1197 (англ.)

Описан калориметр для измерения теплот смешения при низких т-рах. Главная его часть состоит из двух небольших камер, разделенных тонкой диафрагмой, в которых происходит конденсация газов. Перемешивание во время опыта осуществляется электромагнитной мешалкой. Измерены теплота плавления CH₄, 221 \pm 2,5 кал/моль, и теплоты испарения CO, 1205 \pm 12 кал/моль, при 91,4° К и O₂, 1490 кал/моль, при 90,56° К. Теплоты смешения жидких CO и CH₄ при 91,5 \pm 0,2° К и при давлении их паров (Q_m) представлены таблицей и ур-нием $Q_m/x(1-x) = A + B(2x-1)$, где x — мольная доля CO в смеси, $A = 105,3 \pm 1,3$ и $B = -32,6 \pm 3,6$. Теплота смешения при $p \rightarrow 0$ (H^E) выражена ур-нием $H^E/x \times$

$\times(1-x) = 104,3 - 33(2x - 1)$. Избыточная энтропия смешения S^E вычислена с учетом данных о избыточной свободной энергии G^E (РЖХим, 1957, 60073); в смесях с малым x S^E положительна, а при больших x — отрицательна. Авторы объясняют это появлением возможности свободного вращения молекул CO при разбавлении жидкой смеси метаном. Значения V^E , G^E , H^E и TS^E , рассчитанные разными авторами на основе статистич. методов, сопоставлены с эксперим. результатами для эквимолекулярной смеси.

В. Колесов
20599. Исследование равновесных давлений над твердым сульфидом четырехвалентного германия. Днев Н. П., Давыдов В. И., Изв. вост. фил. АН СССР, 1957, № 7, 60—66

Эффузионным методом Кнудсена с применением расчетной ф-лы Б. К. Веселовского (Ж. прикл. химии, 1942, 15, № 6, 422—435) определены равновесные давления над GeS_2 (I) при 440—730°. Кривая $\lg P - 1/T$ имеет сложный характер. В интервале 460—650° прямолинейный участок описывается ур-нием $\lg P_{\text{мм}} = -10970/T + 12,44$. Основываясь на литературных данных, P можно отнести в основном лишь за счет сублимации I; тогда в интервале 460—650° $\Delta F_{T,0} = 50\,100 - 43,7T$ кал/моль, $\Delta H_{T,0} = 50\,100$ кал/моль и $\Delta S_{T,0} = 43,7$ энтр. ед. При $> 760^\circ$ значительно усиливается диссоциация $2\text{GeS}_2 \rightarrow 2\text{GeS} + \text{S}_2$. Аномалии в ходе кривой $\lg P - 1/T$ могут быть обусловлены структурными изменениями I.

Л. Резницкий
20600. Давление паров некоторых органических веществ при низких температурах. Милаццо (Tensioni di vapore di alcune sostanze organiche a bassa temperatura. Milazzo Gioiello, Rend. Ist. super. sanità, 1957, 20, № 5, 522—529 (итал.; рез. англ., нем., франц.))

См. РЖХим, 1957, 71079

20601. Растворимость двуокиси серы в водных растворах аммиака. Доманский, Рендош (Rozpustnosť kyslíčnika siričitého vo vodných roztokoch amoniaku. Domanský R., Rendoš F., Chem. zvesti, 1957, 11, № 8, 453—460 (словацк.; рез. русск., нем.))

Измерена растворимость SO_2 в 0,5—2,0 %-ных водн. р-рах NH_3 при 15—30°. Описаны аппаратура и методика измерений. Растворение SO_2 подчиняется закону Генри. Растворимость в разбавленных растворах NH_4HSO_3 меньше, чем в воде. С возрастанием конц-ии сульфита аммония растворимость SO_2 уменьшается до минимума и далее снова повышается.

А. Золотаревский
20602. Упругость паров некоторых расплавов системы $\text{KCl} - \text{NaCl} - \text{MgCl}_2 - \text{CaCl}_2$. Ильичев В. А., Мужавлев К. Д., Тр. Всес. алюмин.-магн. ин-та, 1957, № 39, 422—433

Экспериментально определены при 700—1100° суммарные давления паров для изоконцентрационных разрезов (10 и 90 вес. % MgCl_2) системы $\text{MgCl}_2 - \text{KCl} - \text{NaCl} - \text{CaCl}_2$ с применением динамич. метода, основанного на достижении точки кипения расплавленной соли при заданном остаточном давлении. С повышением содержания CaCl_2 суммарное давление понижается. При содержании в системе до 50% CaCl_2 увеличение кол-ва KCl приводит к значительному повышению давления паров; при более высоком содержании CaCl_2 с увеличением отношения KCl/NaCl давление практически не изменяется. Жидкая фаза, даже при t -ре $> 1000^\circ$, по CaCl_2 не обедняется, что указывает на незначительное давление пара последнего. Даны рекомендации по эксплуатации шахтных электропечей и магнитоных электролизеров.

А. Золотаревский
20603. Исследование тройных расслаивающихся растворов триэтиламин-фенил-вода. Маркузин

Н. П., Сторонкин А. В., Вестн. Ленингр. ун-та, 1957, № 10, 123—147 (рез. англ.)

Изучена экспериментально (растворимость и давление пара) система $(\text{C}_2\text{H}_5)_3\text{N} - \text{C}_6\text{H}_5\text{OH} - \text{H}_2\text{O}$ (t -ры 15 и 35°), причем получены S-образные бинальные кривые. Теоретически обсуждена форма полученных кривых. Показано, что эксперим. данные по парц. и общему давлению пара удовлетворяют требованиям термодинамич. теории, развитой ранее А. В. Сторонкиным. Указано, что неправильно считать причиной S-образности кривых загрязнение реактивов и недопустимо «исправлять» на этом основании соответствующие участки этих кривых.

В. Аносов
20604. Физические свойства этиленгликоля и его производных. II. Давление пара алкоксигликолей и других производных этиленгликоля. Дикий, Шепракова, Паулек (Fyzikálne vlastnosti etylénglykolu a jeho derivátov. II. Tlaky pár alkoxyetanolov a iných derivátov etylénglykolu. Dykyj J., Šepřáková M., Paulech J., Chem. zvesti, 1957, 11, № 8, 461—466 (словацк.; рез. русск., нем.))

Измерено давление пара $\text{CH}_3(\text{CH}_2)_2\text{OCH}_2\text{CH}_2\text{OH}$, $\text{CH}_3(\text{CH}_2)_2\text{OCH}_2\text{CH}_2\text{CH}_2\text{OH}$, $(\text{CH}_3)_2\text{CH}(\text{CH}_2)_2\text{OCH}_2\text{CH}_2\text{OH}$, $\text{CH}_3\text{OCH}_2\text{CH}_2\text{OCH}_2\text{CH}_2\text{OH}$ и $\text{CH}_3\text{COOCH}_2\text{CH}_2\text{OCH}_2\text{CH}_2\text{OH}$. Эксперим. данные с точностью $\pm 0,5\%$ подчиняются ур-нию $\lg P$ (мм) = $A - B/t + 230$. Значения констант A и B приведены в таблице. Часть I см. РЖХим, 1957, 18534.

А. Золотаревский
20605. Методика поправок на состав и параметры равновесия бинарной смеси углеводородов, один из компонентов которой содержит примеси гомологов. Колманян С. Р. Азерб. сәнае инст. әсәрләри, Тр. Азерб. индустр. ин-та, 1957, вып. 16, 102—118 (рез. азерб.)

Разработана методика вычисления поправок на состав и параметры равновесия бинарной смеси углеводородов, один из компонентов которой является чистым в-вом, а другой (технич.) содержит две примеси гомологов. Рассматривая технич. компонент в качестве трехкомпонентной смеси, автор получил несколько ф-лы, позволяющие уточнять состав технич. компонента, вносить поправки на состав приготовленной смеси и ее уд. вес, вносить поправку на состав равновесных фаз, уточнять величину равновесного давления, t -ры начала и конца (точка росы) кипения смеси.

С. Бык
20606. Метод определения давления схождения констант фазового равновесия многокомпонентных углеводородных смесей. Степанова Г. С. Азерб. сәнае инст. әсәрләри, Тр. Азерб. индустр. ин-та, 1957, вып. 16, 119—132 (рез. азерб.)

Рассмотрен характер изменения констант фазового равновесия ($K = y/x$) в крит. области. Дается определение термина «давление схождения» (давление, при котором совпадают константы фазового равновесия компонентов) для бинарных и многокомпонентных систем. Излагаются описанные в литературе методы определения давления схождения констант фазового равновесия для углеводородных смесей. Предложен метод определения давления схождения для многокомпонентных систем, содержащих метан. Согласно этому методу, многокомпонентная смесь рассматривается как бинарная, состоящая из метана и сложного компонента. У сложного компонента по его составу определяется фиктивный мол. вес μ_f как сумма произведений весовых конц-ий компонентов g_i на их фиктивные мол. веса: $\mu_f = \sum g_i \mu_{fi}$. Давление схождения определяют путем интерполяции на диаграмме давление — t -ра по крит. кривым бинарных смесей. На основании литературных данных построены крит. кривые для 15 смесей метана с различ-

ными углеводородами. Приведен пример расчета давления схождения для смеси метан-бутан-декан при 71° и составе $x_{10}/(x_4 + x_{10}) = 0,6$, где x_4 — мол. доля бутана и x_{10} — мол. доля декана. С. Бык

20607. Вывод и уточнение новой корреляции давления пара нефтяных углеводородов. Максвелл, Боннелл (Derivation and precision of a new vapor pressure correlation for petroleum hydrocarbons. Maxwell J. B., Bonnell L. S.), Industr. and Engng Chem., 1957, 49, № 7, 1187—1196 (англ.)

Улучшена линейная корреляция давления пара чистых углеводородов и смеси близкостроительных углеводородов путем введения характеристич. фактора (K), учитывающего хим. тип углеводородов. Приводятся графики и таблицы, позволяющие проводить точную экстраполяцию давления пара в широком интервале т-р от 35 до 815° и давлений от 0,01 мм рт. ст. до 100 атм. Э. Чудинов

20608. К статистической теории кристаллизации. Ариштейн Э. А. (On the statistical theory of crystallization. Arinstein E. A.), Докл. АН СССР, 1957, 114, № 6, 1189—1191

Дано обобщение статистич. теории кристаллизации однокислотных систем (РЖХФиз, 1957, 27537), построенной на основе метода Боголюбова, на случай многокомпонентных систем с короткодействующими силами. О. Г.

20609. Возможна ли критическая точка при плавлении? Урбах В. Ю., Ж. физ. химии, 1957, 31, № 3, 734—735

Подвергнуто критике представление о том, что крит. точка плавления соответствует обращению в нуль при одном и том же давлении и т-ре экстраполированных эксперим. значений разностей энтропии и объема сосуществующих фаз. Если такая точка существует, то она соответствует фазовому переходу 2-го рода, а не крит. состоянию. Последнее может наступить при тех P и T , при которых обращается в нуль поверхностное натяжение между фазами, так что для предсказания крит. точек надо знать зависимость поверхностного натяжения от T и P . В. Урбах

20610. О роли примесей в явлениях предплавления. Урбах В. Ю., Ж. физ. химии, 1957, 31, № 9, 2147—2148

Автор приписывает примесям роль затравок для начала флуктуационного процесса на основе теории гетерофазных флуктуаций Я. И. Френкеля. Примеси способствуют понижению поверхностного натяжения на границе между фазами; это вызывает увеличение числа зародышей, что приводит к аномалии теплоемкости вблизи точки плавления. Л. Резницкий

20611. Фазовое поведение n -алканов. Шерер, Беле, Мазе (The phase behaviour of N -alkanes. Schaefer A. A., Baylé G. G., Mazee W. M.), Recueil trav. chim., 1956, 75, № 5, 513—528 (англ.)

В развитии работы, проведенной ранее (РЖХим, 1956, 28903), изучена зависимость т-р превращения 1-го рода (плавление и переход в твердое состояние) n -алканов от числа n атомов углерода в молекуле при $n = 4—36$. При больших n в-ва энантиотропны. С понижением n т-ры плавления и превращения сближаются и при $n < 9$ для нечетных членов гомологич. ряда и при $n < 22$ для четных в-ва становятся монокристаллическими. При $n < 9$ имеет место чередование т-ры плавления β -фазы в-в с четным и нечетным n . При $n \geq 22$, где энантиотропны в-ва и с четным и с нечетным n , наблюдается чередование т-ры превращения $\beta \rightleftharpoons \alpha$ в зависимости от четности n . Т-ра плавления α -фазы (при $n \geq 22$) от четности n не зависит и плавно возрастает с n . Рассмотрение диаграмм $G—T$ (G — свободная энергия Гиббса) показывает, что величина G α -фазы не зависит от четности n . Напро-

тив, величина G β -фазы (при равных T и n) зависит от четности n , причем G (четн.) $< G$ (нечетн.). Эти заключения позволяют объяснить наблюдаемые на опыте закономерности т-р превращения.

Ю. Кесслер
20612. Термодинамика n -алканов. Шерер, Беле, Мазе (Thermodynamics of N -alkanes. Schaefer A. A., Baylé G. G., Mazee W. M.), Recueil trav. chim., 1956, 75, № 5, 529—542 (англ.)

Дано колич. подтверждение сделанных ранее (пред. реф.) качеств. выводов о термодинамике n -алканов. По кривым нагревания определены теплоты плавления α -модификаций, теплоты превращения $\beta \rightleftharpoons \alpha$ и разность теплоемкостей α - и β -фаз углеводородов $n = 21—30$ (n — число атомов углерода в молекуле). Также определены теплоты плавления метастабильной β -фазы при т-ре плавления стабильной α -фазы и теплоты превращения метастабильной β -фазы нечетных членов гомологич. ряда при т-ре превращения стабильной β -фазы четных членов. Отсюда рассчитаны изменения энтропии $\Delta S_{\alpha\beta}$ и изобарного потенциала $\Delta G_{\alpha\beta}$ при равновесных и неравновесных превращениях. Показано, что в случае α -фазы отсутствует чередование термодинамич. функций. В случае β -фазы оно имеет место, причем при равных T и n H_{β} (нечетн.) — H_{β} (четн.) = 600 кал/моль, S_{β} (нечетн.) — S_{β} (четн.) = 1,5 энтр. ед., G_{β} (нечетн.) — G_{β} (четн.) = 80 кал/моль. Отсюда следует, что ΔH , ΔS и ΔG при переходах с участием β -фазы для нечетных членов меньше, чем для четных. Ю. Кесслер

20613. О скорости испарения белого фосфора. Рамтун, Странский (Zur Verdampfungsgeschwindigkeit des weißen Phosphors. Ramthun H., Stranski I. N.), Z. Elektrochem., 1957, 61, № 7, 819—826 (нем.)

Скорость испарения в вакууме белого Р изучена с применением радиоактивного изотопа P^{32} в области давления насыщения $5 \cdot 10^{-4}—3 \cdot 10^{-2}$ мм рт. ст. при т-рах от -20 до $+20^\circ$. Подробно описаны аппаратура и методика эксперимента, основанного на регистрации активности газа при испарении в эвакуированном сосуде. Для получения активного Р красный Р подвергался нейтронному облучению и нагревался в токе N_2 до 600° . Рассмотрен механизм процесса испарения, ход кривых активности в газовой фазе. Рассчитан приближенно ход кривой скорости испарения с понижением т-ры поверхности испарения. Вычислен коэф. испарения (α) в ур-нии Гертца-Кнудсена; среднее из 23 определений $\alpha = 0,57$, что удовлетворительно совпадает с данными Фольмера и Эстермана (Volmer M., Estermann, Z. phys. Chem., 1921, 99, 383). Б. Анваер

20614. Исследование факторов, определяющих размеры первоначальных частиц кристаллических осадков нерастворимых солей металлов. Пактер (A study of the factors that determine the primary particle size of crystalline insoluble metal salt precipitates. Packter A.), Z. phys. Chem. (DDR), 1957, 207, № 3-4, 210—222 (англ.)

В результате эксперим. исследования размеров кристаллов в осадках нерастворимых солей найдено, что основным фактором, определяющим размеры частиц, является растворимость. Важную роль играет пересыщение р-ра. Размеры кристаллов уменьшаются с ростом пересыщения в соответствии с правилом Веймарна. Большое влияние оказывает процесс диффузии. Показана колич. связь числа кристаллов со скоростью перемешивания. М. Баранаев

20615. Использование уравнения Нернста в теории роста кристаллов при электролизе. Вермиллиа (On the use of the Nernst equation in the theory of electrolytic crystal growth. Vermilyea D. A.), J. Chem. Phys., 1957, 27, № 3, 822—823 (англ.)

В теории роста кристаллов скорость роста выражается через разницу в конц-ях адсорбированных атомов вблизи особых точек (C_0) и вдали от них (C_∞). Ур-ние Нернста дает связь между отношением этих концентраций и перенапряжением η : $\eta = (RT/ZF) \cdot \ln(C_\infty/C_0)$. М. Баранаев

20616. Спектрофотометрия многокомпонентных систем. XVII. К вопросу об использовании равновесия между окрашенным и бесцветным соединением с целью определения состава последнего. XVIII. Исследование равновесия между окрашенным и бесцветным соединением с целью определения константы нестойкости последнего. Комарь Н. П., Уч. зап. Харьковск. ун-та, 1957, 82, Тр. Хим. фак. и Н.-и. ин-та химии, 16, 87—94, 95—106

XVII. Теоретически показано, что рациональное применение метода Остромысленского к определению состава бесцветного соединения B_bQ_q с помощью исследования оптич. плотности ρ -ров, в которых содержатся частицы B и Q, а также окрашенного соединения B_bR_q (ранее изученного) с применением правил смешения, указанных Ланфордом и Килем, а также Бабко и Клейнером, невозможно.

XVIII. Выведены способы расчета константы нестойкости бесцветного комплекса по измерению оптич. плотности системы, содержащей металло-ион, в-во, образующее этот комплекс, и в-во, образующее один или несколько окрашенных комплексов (с известными свойствами). Учтен возможный гидролиз ионов. Часть XVI см. РЖХим, 1957, 50713. В. Аносов

20617. Метод быстрого определения растворимости газов в жидкостях при различных температурах. Лопрест (A method for the rapid determination of the solubility of gases in liquids at various temperatures. Loprest Frank J., J. Phys. Chem., 1957, 61, № 8, 1128—1130 (англ.))

Предложен метод быстрого определения растворимости газов в жидкостях при атмосферном давлении и различных t -рах путем внесения измеренного кол-ва газа в систему постоянного объема, содержащую определенное кол-во ρ -рителя, и последующего измерения равновесного давления. Приведена аппаратурная схема, подробно излагается методика измерений и дается расчетная ф-ла. Измерена растворимость H_2 в n -гептане и CO_2 в H_2O . Для системы CO_2-H_2O построена для интервала 20—60° кривая растворимости, показавшая хорошее совпадение с литературными данными.

С. Бык
20618. Рассмотрение особого случая, при котором возможны новые типы диаграмм состояния двухкомпонентных систем. Крестовников А. Н., Вигдорович В. П., Ж. физ. химии, 1957, 31, № 6, 1345—1351 (рез. англ.)

Методом построения кривых изобарного потенциала выведены новые типы диаграмм состояния двойных систем для случая, когда у одного из компонентов при P и T имеется тройная точка, в которой осуществляется равновесие $A_1 \rightleftharpoons A_2 \rightleftharpoons A_3$. Рассматривается изменение типа диаграммы состояния двухкомпонентной системы при переходе через тройную точку, а также типы диаграмм при $p = P$ для случаев неограниченной и ограниченной растворимости, а также при отсутствии растворимости второго компонента в фазах A_1 , A_2 и A_3 . Н. Пацукова

20619. Стехиометрия интерметаллических полупроводников. Ходжкинсон (The stoichiometry of intermetallic semiconductors. Hodgkinson R. J.), J. Electronics, 1956, 2, № 2, 201—203 (англ.)
Развита ранее (РЖХим, 1958, 3664) теория несоответствия максим. t -ры плавления систем типа А—В стехиометрич. составу систем справедлива, строго

говоря, только для систем, в которых давления паров компонент А и В малы. Приводится обобщенная теория, справедливая и для случаев больших давлений пара.

М. Бредов
20620. Растворимость лития в германии. Пелл (Solubility of lithium in germanium. Pell E. M.), Phys. and Chem. Solids, 1957, 3, № 1-2, 74—76 (англ.)

Растворимость Li в Ge была определена при 593—899°. Растворимость достигает максимума ($1,7 \pm 0,5$), $\cdot 10^{-4}$ ат. доли при $\sim 800^\circ$. Система образует эвтектику при $525 \pm 10^\circ$ и 49 ± 5 ат. % Li. Экспериментально найденная зависимость коэф. распределения Li в Ge хорошо согласуется с вычисленной. Установлено образование соединений Li_nGe_n с т. пл. $750 \pm 10^\circ$ и Li_3Ge_n с т. пл. $800 \pm 10^\circ$, которые на воздухе разлагаются с образованием Li_2CO_3 . Л. Резницкий

20621. О фазах, образуемых в системе хром — бор. I. Образование « β -хрома» под влиянием малых добавок бора. Эпельбаум В. А., Севастьянов Н. Г., Гуревич М. А., Ормонт Б. Ф., Жданов Г. С., Ж. неорганич. химии, 1957, 2, № 8, 1848—1854

Рентгенографически исследовалось влияние бора на фазовые превращения хрома. Тщательно перемешанные порошки Cr и B спрессовывались под давлением до 500 кг/см^2 и подвергались нагреванию в вакууме или аргоне. Гексагон. « β -фаза» (a $2,7510 \pm 8 \text{ к\AA}$, c $4,4399 \pm 6 \text{ к\AA}$, c/a 1,614, ф. гр. $c6/mmc$) получается как примесь к α -фазе при нагревании Cr с добавками B в пределах $CrB_{0,01} - CrB_{0,375}$ до 1300° в Ar в течение 36 час.; α -Cr после нагревания в вакууме (12 час., 1050°) не изменился; для образцов с добавкой B в соотношении $CrB_{0,02} - CrB_{0,05}$ после нагревания в вакууме также не обнаружено образования « β -фазы»; период идентичности α -Cr a $2,877 \pm 1 \text{ к\AA}$ оставался при этом постоянным. В ряде случаев имело место образование Cr_2B . Параметры решетки « β -Cr» сильно отличаются от рассчитанных для плотной гексагон. упаковки, но хорошо совпадают с таковыми для описанных в л-ре Cr_2N и « β -Cr», полученного электролизом ρ -ра сульфата Cr. Авторы объясняют увеличение параметров гексагон. решетки внедрением атомов H, B, или N в октаэдрич. пустоты, которые, однако, в « β -Cr» имеют размеры, меньшие, чем ковалентные диаметры этих атомов. Н. Афонский

20622. Исследование растворимости магния в меди и совместной растворимости магния и алюминия в меди. Рогольберг И. Л., Тр. Гос. н.-и. и проекти. ин-та по обработке цветн. мет., 1957, вып. 16, 82—89
Исследованием микроструктуры, уд. электросопротивления и его температурного коэф. уточнена растворимость (P) Mg в Cu в твердом состоянии. Максим. P превосходит 3%. Микроскопич. анализом литых и деформированных сплавов определена граница области медных твердых ρ -ров в системе Al—Mg—Cu. В бедных Al сплавах граница сдвигается с изменением t -ры. При 700° на P заметно влияет деформация. В. Гейдерих

20623. Исследование системы цирконий — тантал. Емельянов, Годин, Евстухин (An investigation of the zirconium-tantalum system. Emyeljanov V. S., Godin Yu. G., Evstyukhin A. I.), J. Nucl. Energy incl. Sov. J. Atom. Energy, 1957, 5, № 2, 247—252 (англ.)
См. РЖХим, 1957, 63052.

20624. Исследование диаграммы состояния системы серебро — марганец — алюминий. Петров Д. А., Потемкин А. Я., Тр. Гос. н.-и. и проекти. ин-та по обработке цветн. мет., 1957, вып. 16, 47—68
По данным термич. и микроструктурного анализа построена диаграмма состояния серебряного угла системы Ag—Mn—Al до 10% Al и 30% Mn, дано распре-

деление образован. Mn и Al. Диаграмм. твердости. лиза.

20625. нений. Глад. Львівск. Обзор.

номерно. дены р. Ag—Cd. Ag₂Cd₃ (структур. жига при. зуют неоп. место ра. нием куб. ьные т. резе III.

20626. на осн. Я. П. Д. Исслед. сопротивл. нитного. Ni₂Fe по. ышает. ют разуп. Мо и V. аются р. Ni. Крив. имеет ма.

20627. Сообещ. ния с. ческом. лер В. Леви. механ.. Методо. МГУ, 195. Mg с Cd. Mg₂Cd пр. эффектом. (соотвесе. ~ 74 ат.

для т-ры. повышается. гральный. 0,33—0,35. кий макс.

ставах. 20628. лезо — А. В. цветн. 1957, №. Методо. анализа. микротве. мич. диа. диаграмм.

4NiS·FeS. ρ -ром ме. при низи. пентланд. ме хим. с. Результа.

4 Химия.

деление фазовых областей при 20—700°, уточнена т-ра образования соединения Ag_3Al (455°). Растворимость Mn и Al в Ag уменьшается с понижением т-ры. Диаграммы состав — электросопротивление и состав — твердость согласуются с данными микроскопич. анализа.

В. Гейдериш
20625. Взаимная растворимость электронных соединений в сплавах серебра с кадмием и цинком. Гладышевский Е. И., Доповіді та повідомлення. Львівськ. ун-т, 1957, вип. 7, ч. 3, 190—195

Обзор известных электронных соединений и закономерностей образования ими твердых р-ров. Приведены результаты исследования автором системы $\text{Ag} - \text{Cd} - \text{Zn}$ по разрезам $\text{AgZn} - \text{AgCd}$ (I), $\text{Ag}_2\text{Zn}_3 - \text{Ag}_2\text{Cd}_3$ (II), $\text{AgZn}_3 - \text{AgCd}_3$ (III) методами рентгеноструктурного и микроструктурного анализов после отжига при 400 и 500°. Сплавы разреза I при 500° образуют непрерывный ряд твердых р-ров, при 400° имеет место разрыв непрерывности, связанный с превращением куб. AgCd в гексагон. AgCd . В разрезе II непрерывные твердые р-ры найдены при обеих т-рах. В разрезе III твердые р-ры не образуются. Л. Витинг

20626. Превращения в тройных твердых растворах на основе Ni_3Fe . Равдель М. П., Селицкий Я. П. Докл. АН СССР, 1957, 115, № 2, 319—321

Исследование температурной зависимости электропроводности (R), коэф. термич. расширения и магнитного насыщения легированных сплавов на основе Ni_3Fe показало, что Mn усиливает упорядочение и повышает т-ру превращения, Cu и избыток Ni действуют разупорядочивающе. В сплавах, легированных Cr , Mo и V при определенных т-рах, по-видимому, образуются комплексы атомов примеси с атомами Fe и Ni . Кривая зависимости R от т-ры сплава $\text{Ni}_3(\text{Fe}, \text{Si})$ имеет максимум при 450°. В. Гейдериш

20627. Исследование сплавов магния с кадмием. Сообщение II. Истинная теплоемкость сплавов магния с кадмием, примыкающих по составу к химическому соединению Mg_3Cd . Хомяков К. Г., Холлер В. А., Моисеева Е. И., Резниченко Л. А., Левитин Н. Я., Вестн. Моск. ун-та. Сер. матем., механ., астрон., физ., химия, 1957, № 1, 123—130

Методом, описанным ранее (сообщение I, Вестн. МГУ, 1950, № 6, 43—54), изучены при 45—250° сплавы Mg с Cd , содержащие 61,8—79,7 ат. % Mg . В области Mg_3Cd происходит превращение с малым тепловым эффектом при 70—81° и с большим — при 145—159° (соответствующее процессу разупорядочения). При ~74 ат. % Mg имеется наибольший максимум C_p для т-ры большого пика. Т-ра малого превращения повышается с увеличением скорости нагрева. Интегральный тепловой эффект для Mg_3Cd составляет 0,33—0,35 ккал/г-атом. При 61,8 ат. % Mg имеется резкий максимум C_p , более высокий, чем при других составах. В. Гейдериш

20628. К вопросу изучения диаграммы состояния железо — никель — сера. Ванюков В. А., Ванюков А. В., Таращук Н. Т., Сб. научн. тр. Моск. ин-т цветн. мет. и золота и ВНИТО цветн. металлургии, 1957, № 26, 108—119

Методом, термич. металлографич. и минералографич. анализа изучены 13 разрезов системы $\text{Fe} - \text{Ni} - \text{S}$ и микротвердость отдельных фаз. Построены политермич. диаграммы исследованных разрезов и объемная диаграмма состояния системы. Хим. соединения $4\text{NiS} \cdot \text{FeS}$ образует с FeS , NiS и двойным твердым р-ром металлов тройной твердый р-р, неустойчивый при низких т-рах; ниже 625° оно образует с FeS пентландитовый твердый р-р. Существование в системе хим. соединения $2\text{FeS} \cdot \text{Ni}_3\text{S}_2$ установить не удалось. Результаты исследования показывают, что такие хим.

соединения в штейнах не образуются. Следовательно, в промышленном штейне при медленном охлаждении должны образоваться пентландитовый твердый р-р и твердый р-р металлов. В штейнах, богатых Ni , при охлаждении, видимо, образуется Ni_6S_5 и эвтектид Ni_6S_5 с пентландитовым твердым р-ром. Составы природного минерала пентландита располагаются на диаграмме в установленной области пентландитового твердого р-ра. Н. Груздева

20629. Реакции солей с металлами в расплавленном состоянии. Взаимодействие хлорида серебра с цинком. Палкин А. П., Широкова Н. А., Ж. неорган. химии, 1956, 1, № 9, 2155—2159

В продолжение ранее начатой работы (РЖХим, 1957, 37153) методом термич. и хим. анализа исследовано взаимодействие в тройной взаимной системе вытеснения $\text{Ag}_2\text{Cl}_2 + \text{Zn} \rightarrow \text{ZnCl}_2 + 2\text{Ag}$. Эксперим. данные сведены в таблицы и представлены в виде соответствующих диаграмм. Р-ция необратимо сдвинута вправо. При р-ции AgCl с Zn при содержании $\text{Zn} < 50$ экв. % выделяется Ag в виде кристаллич. порошка различной крупности (10—100 μ), при содержании > 50 экв. % образуются сплавы избытка Zn с Ag , особенно при добавлении KCl , который вместе с ZnCl_2 служит флюсом. Г. Бабкин

20630. Поверхностное натяжение расплавленных солей изоконцентрационного разреза (10% вес. MgCl_2) системы $\text{MgCl}_2 - \text{CaCl}_2 - \text{KCl} - \text{NaCl}$. Стрелец Х. Л., Десятников О. Г., Тр. Всес. алюмин.-магн. ин-та, 1957, № 30, 434—440

См. РЖХим, 1956, 61029. С. Бык

20631. Вязкость расплавленных солей изоконцентрационного разреза [10% (вес.) MgCl_2] системы $\text{MgCl}_2 - \text{CaCl}_2 - \text{KCl} - \text{NaCl}$. Стрелец Х. Л., Жлуднева В. Н., Резников И. Л., Тр. Всес. алюмин.-магн. ин-та, 1957, № 39, 441—451

См. РЖХим, 1956, 31946. С. Бык

20632. Исследование тройной системы $\text{NaCl} - \text{KCl} - \text{TiCl}_3$. Каменецкий М. В., Научно-техн. информ. бюл. Ленингр. политехн. ин-т, 1957, № 3, 3—12

Методом записи кривых охлаждения изучена система $\text{NaCl} - \text{KCl} - \text{TiCl}_3$. TiCl_3 (I) получался непосредственно в расплаве солей при действии H_2 на TiCl_4 . В системе $\text{NaCl} - \text{TiCl}_3$, изученной до содержания I 22,5 мол. %, сторона, прилегающая к NaCl (II), имеет эвтектич. характер, состав эвтектики 77,6 мол. % II и 22,4 мол. % I, т. пл. 540°. В системе $\text{KCl} - \text{TiCl}_3$ установлено существование эвтектич. точки (14,8 мол. % I и т. пл. 676°) и хим. соединения K_3TiCl_6 с т. пл. 760°. Экстраполяцией найден состав второй предпологаемой эвтектики с 33,6 мол. % I и т. пл. 595°. Изучены 9 разрезов тройной системы. Наименьшую т-ру плавления (590°) имеет состав 40 мол. % II, 48 мол. % KCl и 12 мол. % I. Автор предполагает существование менее стойкого, чем K_3TiCl_6 , соединения Na_3TiCl_6 и существование в расплаве комплексного аниона. Н. Афонский

20633. Диаграмма плавкости в системе из хлоридов и нитратов калия и стронция. Токарева М. В., Бергман А. Г., Ж. неорган. химии, 1957, 2, № 8, 1895—1906

Визуально-полимерическим методом исследована система $\text{K}, \text{Sr} \parallel \text{Cl}, \text{NO}_3$ (I). Согласно условному тепловому эффекту р-ции обмена, равному 3,75 ккал/г-эка, р-ция сдвинута вправо, что подтверждается эксперим. данными; I — необратимо-взаимная система с комплексобразованием на боковых сторонах и на стабильной диагонали. Сравнение I с системами $\text{Li}, \text{Sr} \parallel \text{Cl}, \text{NO}_3$; $\text{Na}, \text{Sr} \parallel \text{Cl}, \text{NO}_3$ и $\text{K}, \text{Ba} \parallel \text{Cl}, \text{NO}_3$ показывает, что замена катионов Li^+ и Na^+ на K^+ и Ba^{2+} на Sr^{2+} усиливает комплексобразование и необратимость взаимной системы. В. Гейдериш

20634. О растворении хромита в серной кислоте. Брчиц, Волавшек, Ернейчиц (O rastapanju kromita u sumpornoj kiselini. Brčić Branko, Volavšek Bogdan, Jernejčič Jernej), Kemija u industriji, 1957, 6, № 7, 189—191 (сербо-хорв.; рез. англ., нем., франц.)

Исследована возможность растворения хромита (I) в небольшом избытке H_2SO_4 (50%) в присутствии соединений 6-валентного Cr. Выход растворенного Cr сильно зависит от дисперсности I. При размерах частиц $\sim 100 \mu$ выход составляет 67,5% и постепенно растет с увеличением дисперсности. Добавка Fe нейтрализует р-р. Способ применения избытка к-ты использован для получения кристаллич. ферросульфата и р-ра соли 3-валентного Cr с необходимой степенью кислотности.

20635. Изотерма растворимости системы $Ca(OH)_2 - H_2O_2 - H_2O$ при 50°. Чамова В. Н., Сергеева В. П., Ж. неорганической химии, 1957, 2, № 8, 1938—1939

Растворимость в системе $Ca(OH)_2 - H_2O_2 - H_2O$ исследована при 50°. В качестве исходных в-в применялись H_2O_2 без стабилизатора, конц-ии от 1,75 до 95 вес. % и $CaO_2 \cdot 8H_2O$, содержащий 6,8 вес. % активного кислорода. Составы жидких и равновесных твердых фаз при различных содержаниях H_2O_2 в р-ре приведены в таблице и на треугольной диаграмме. Обнаружена новая твердая фаза $CaO_2 \cdot 0,5 H_2O$, устойчивая в пределах 1,7—47,5 вес. % H_2O_2 . Фаза $CaO_2 \cdot 2H_2O$ устойчива в интервале 47,5—87,7 вес. % H_2O_2 . С. Бык

20636. К вопросу о термической устойчивости сплавов в системе $SO_3 - (NH_4)_2SO_4 - H_2O$. Горощенко Я. Г., Ж. неорганической химии, 1957, 2, № 6, 1401—1407

Изучен состав жидкой и парообразной фаз в системе SO_3 (I) — $(NH_4)_2SO_4$ (II) — H_2O при т-ре кипения; построена треугольная диаграмма т-р кипения смесей при 715 мм рт. ст. Термич. разложение сплава II с H_2SO_4 (III) начинается при 300—400°. Более легко разлагаются сплавы при соотношении III:II (мол.) < 1. Чистый II начинает разлагаться при 300° с выделением NH_3 . При III:II > 1 сплавы разлагаются при > 400°. Состав смесей по мере упаривания приближается к $(NH_4)_2S_2O_7$ (IV). Т-ра кипения IV равна 468—471° при 700—730 мм рт. ст., IV перегоняется с разложением. При 350—425° возможна перегонка IV в токе воздуха без значительных потерь от термич. разложения.

А. Золотаревский

20637. О растворимости в системах $LiCl - AlCl_3 - H_2O$ и $BeCl_2 - AlCl_3 - H_2O$ при 25° С. Блдин В. П., Ж. неорганической химии, 1956, 1, № 9, 2093—2095

Изотермич. методом при 25° исследована растворимость в системах $LiCl$ (I) — $AlCl_3$ (II) — H_2O (III) и $BeCl_2$ (IV) — II — III. Эвтонич. точка на изотерме растворимости системы I — II — III отвечает составу насыщ. р-ра (в вес. %): I 42,16 и II 3,20. Ветвь кристаллизации IV на изотерме выявить не удалось. Хим. соединений и твердых р-ров в системах не обнаружено.

Г. Бабкин

20638. Изучение взаимодействия галогенидов, сульфата и нитрата цинка в водно-аммиачных растворах. Сообщение I. Уразов Г. Г., Мхитарян Р. С., Изв. АН АрмССР. Сер. хим. н., 1957, 10, № 1, 3—19 (рез. арм.)

Исследование взаимодействия галогенидов, сульфата и нитрата Zn в водно-аммиачных р-рах в области обменной р-ции ($ZnX_2 + 2NH_4OH \rightleftharpoons Zn(OH)_2 + 2NH_4X$) показало, что растворимость этих соединений прямо пропорциональна конц-ии NH_3 в равновесной жидкой фазе. Обмен между NH_4OH и солями Zn уменьшается при увеличении содержания NH_3 в р-ре. Определены мол. отношения $NH_3/ZnSO_4$ (I), $NH_3/Zn(NO_3)_2$ (II), NH_3/ZnJ_2 , $NH_3/ZnCl_2$ и $NH_3/ZnBr_2$ равновесной жидкой фазы в области обменной р-ции. При высоких конц-иях

NH_3 отношения I и II равны 4. Во всех изученных системах в области обменной р-ции твердая фаза представляет собой основные соли переменного состава, содержащие NH_3 .

В. Шмидт

20639. Изотерма растворимости в системе $Na_2CO_3 - NaHCO_3 - Na_2SO_4 - H_2O$ при 100°. Борячек А. Ф., Дрозин Н. Н., Зубахина З. К., Куцына М. И., Ж. неорганической химии, 1957, 2, № 7, 1655—1657

Исследована растворимость четверной системы $Na_2CO_3 - NaHCO_3 - Na_2SO_4 - H_2O$ при 100° по методике, описанной ранее (РЖХим, 1956, 16354). Состав твердых фаз определялся по методу остатков и кристаллооптически. Найденные твердые фазы $Na_2CO_3 \cdot H_2O$; $NaHCO_3$; Na_2SO_4 ; $NaHCO_3 \cdot Na_2CO_3 \cdot 2H_2O$; $3NaHCO_3 \cdot Na_2CO_3$ и $2Na_2SO_4 \cdot Na_2CO_3$; по сравнению с изотермой 60° появляется новая твердая фаза $3NaHCO_3 \cdot Na_2CO_3$.

Н. Домбровская

20640. Растворимость в системе $Sb_2O_3 - SO_3 - H_2O$.

Веллер Р. Л., Соболев С. И., Сб. научн. тр. Гос. ин-та ин-т цветн. мет., 1957, № 13, 123—128

Изучена растворимость Sb_2O_3 (I) в р-рах H_2SO_4 (II) при 24, 100 и 155°. Кривые растворимости при всех т-рах имеют ряд изломов и резкий максимум. С повышением т-ры положение максимума смещается в сторону более низких конц-ий II. Предварительные данные по составу донных фаз указывают на существование при 24° $Sb_2(SO_4)_3 \cdot 10H_2O$, $Sb_2(SO_4)_3 \cdot 5H_2O$; при конц-ии II ниже 900 г/л образуется $Sb_2O_3 \cdot 3H_2O$; при 100 и 155° существует $Sb_2(SO_4)_3$ (III). Понижение конц-ии II вызывает гидролиз III с образованием ряда основных сульфатов переменного состава.

Н. Афонский

20641. Взаимодействие мочевины с диаммоний фосфатом. Трещов А. Г., Докл. Моск. с.-х. академ. К. А. Тимирязева, 1957, вып. 29, 402—408

Визуально-политермическим методом изучена растворимость в тройной системе $(NH_4)_2HPO_4$ (I) — $CO(NH_2)_2$ (II) — H_2O от —17 до +40°. Подтверждено наличие дигидрата диаммонийфосфата (III); криогидратная точка льда и III в двойной системе H_2O — I отвечает —6,7° и 29,6 вес. % I; обезвоживание происходит при 16,3° и 40% I. Метастабильная криогидратная точка отмечена при —8,6° и 34,6% I; твердые фазы — лед и I. В системе I — II имеется эвтектич. точка при 126,7° и 3,7% I. В тройной системе эвтектич. точка отвечает —17° и 25,4% II, 12,3% I; твердые фазы — лед, α-II и III; переходная точка — 16,2° и 15,9% I, 26,7% II; твердые фазы — α-II, I и III. Соединений II с III не обнаружено.

Н. Лужная

20642. Изучение природы рацемических модификаций оптически активных соединений в твердом состоянии. Часть XI. Фенил-, о-, м-, п-хлорфенилиминокамфора (d и dl) и фенил-, о-, м-, п-хлорфениламинокамфора (d и dl). Сингх, Сетх. Часть XII. Камфор-β-сульфонил-о-, м-, и п-бромфениламины (d- и dl-) и о-, м- и п-броманилинокамфор-β-сульфонаты (d- и dl-). Сингх, Амма (Studies on the nature of the racemic modifications of optically active compounds in the solid state. Part XI. Phenyl-, o-, m-, p-chlorophenyliminocamphors. (d and dl) and phenyl-, o-, m-, p-, chlorophenylaminocamphors (d and dl). Singh Bawa Kartar, Seth Shanti Kumari). Part XII. Camphor-β-sulphonyl-o-, m and p-bromophenylamides (d- and dl-) and o-, m- and p-bromanilino-camphor-β-sulphonates (d- and dl-). Singh Bawa Kartar, Amma M. K. P., Miss), J. Indian Chem. Soc., 1956, 33, № 7, 491—502; J. Scient. and Industr. Res., 1956 (B—C) 15, № 6, B276—B279 (англ.)

XI. Исследованы диаграммы плавкости рацемич. форм фенил-, о-, м-, п-хлорфенилиминокамфоры, фенил-, о-, м-, п-хлорфениламинокамфоры, фенилимино-

камфоры и фениламинокамфоры. *d*- и *l*-формы орто-соединений образуют непрерывный ряд твердых р-ров. В остальных *d*—*l*-системах возникают *dl*-соединения (1:1), образующие твердые р-ры с *d*- и *l*-компонентами. *m*-хлорфениламино-*dl*-камфора диморфна, $\alpha \rightleftharpoons \beta$ -переход происходит в точке плавления соединения, равной 116,1°. Описана методика получения соединений и определены их физ.-хим. свойства. Предложен новый метод определения т-ры перехода диморфных форм.

Н. Евсеева
XII. С помощью диаграмм плавкости исследованы камфор- β -сульфонил-*o*-(I), *m*-(II) и *n*-(III)-бромфениламиниды и броманилинокамфор- β -сульфонаты (*n*-(IV), *m*-(V)-*o*-(VI)). Получены кривые, показывающие во всех случаях наличие максимума, отвечающего рацемич. *dl*-соединению, и двух экзотических точек. Соединения I, II и III образуют твердые р-ры между 90% *dl* и 10% *d*; 40% *dl* и 60% *d*. Ход кривых *dl*—*d* для соединений IV, V, VI указывает на образование устойчивых *dl*-соединений. Часть X см. РЖХим, 1955, 18338.

И. Верещетина
20643. Об окисниевых соединениях сложных эфиров с органическими кислотами. IV. Системы $\text{CH}_3\text{COOC}_2\text{H}_5 - \text{CCl}_3\text{COOH}$, $\text{CH}_3\text{COOC}_2\text{H}_5 - \text{CCl}_3\text{COOH}$ и $\text{CCl}_3\text{COOC}_2\text{H}_5 - \text{CCl}_3\text{COOH}$. Усанович М., Билялов К., Красномолова Л., Ж. общ. химии, 1956, 26, № 10, 2723—2726

В системах $\text{CH}_3\text{COOC}_2\text{H}_5 - \text{CCl}_3\text{COOH}$ (I), $\text{CH}_3\text{COOC}_2\text{H}_5 - \text{CCl}_3\text{COOH}$ (II), $\text{CCl}_3\text{COOC}_2\text{H}_5 - \text{CCl}_3\text{COOH}$ (III) измерены вязкость и плотность при 50—70° и содержания эфира 0—100 мол.%. Установлено наличие взаимодействия между компонентами систем I и II. Взаимодействие в системе III на диаграммах не отражается. По мнению авторов, указанное взаимодействие обусловлено возникновением водородной связи между водородом гидроксильной группы к-ты и одним из атомов кислорода сложного эфира. Часть III см. РЖХим, 1957, 33935.

Г. Бабкин

20644 К. Справочник по равновесию между жидкостью и паром в бинарных и многокомпонентных системах. Сост.: Коган В. Б., Фридман В. М. Л., Госхимиздат, 1957, ЛП, 499 стр., илл., 21 р.

20645 Д. Высокотемпературные теплоемкости кристаллических неорганических веществ и пути их расчета для применения в термодинамическом исследовании химических реакций. Ландия Н. А. Автореф. дисс. докт. хим. н., Ин-т общ. и неорг. химии АН СССР, Тбилиси, 1957

20646 Д. Изучение термодинамических свойств металлургических расплавов Cd-Bi, Cd-Cu, Cu-Sb и Cu-Bi методом электродвижущих сил. Никольская А. В. Автореф. дисс. канд. хим. н., МГУ, М., 1957

20647 Д. Исследование равновесия жидкость—жидкость—пар в системе $(\text{C}_2\text{H}_5)_3\text{N}-\text{C}_6\text{H}_5\text{OH}-\text{H}_2\text{O}$. Маркузин Н. П. Автореф. дисс. канд. хим. н., ЛГУ, Л., 1957

20648 Д. Физико-химическое исследование части тройной системы $\text{NaF}-\text{RbF}-\text{BeF}_2$ и ее аналогия с системой $\text{CaO}-\text{BaO}-\text{SiO}_2$. Гребенщиков Р. Г. Автореф. дисс. канд. хим. н., Ин-т химии силикатов АН СССР, Л., 1957

См. также: Фазовые переходы 20441, 20443, 20448, 20463, 20468, 20504, 20515, 20517, 20887, 22083. Термодинамика 20357, 20358, 20743, 20829, 23712. Термодинамика: кристаллов 20350, 20499, 20508; жидкостей 20528, 20542. Ур-ния состояния 20525, 20534. Равновесия 20377, 20669, 20745, 20749—20753, 20874, 20875, 20880. Физ.-хим. анализ систем: металлург. 20362, 20764; неорганич. 20444,

20446, 20452, 20493, 20771, 20861, 20879, 20899; органич. 20541, 20740; 20894Бх. Приборы и методы 21122, 21123, 21258, 21265, 21279—21281. Др. вопр. 20385, 21721—21724

КИНЕТИКА.

ГОРЕНИЕ. ВЗРЫВЫ. ТОПОХИМИЯ. КАТАЛИЗ

Редакторы Х. С. Багдасарьян, А. С. Соколик, А. Б. Шехтер

20649. Выход реакции в потоке и статических системах. Растог, Пандия (Reaction yields in static and flow systems. Rastogi R. P., Pandya T. P.), J. Phys. Chem., 1957, 61, № 9, 1256—1258 (англ.)

Приводятся проинтегрированные кинетич. ур-ния р-ций в потоке 1) $A \rightleftharpoons nC$, 2) $A + B \rightleftharpoons nC$, 3) $A \xrightarrow{+nC} nB$ и 4) $nC \leftarrow A + B \rightarrow nD$ с учетом и без учета диффузии. Форма ур-ний удобна для определения констант скоростей по экспериментально определенным конц-ям.

Е. Никитин

20650. Быстрые реакции между однофункциональными молекулами и молекулами, однофункциональными в одном положении и *n*-функциональными в другом. Хиггинс (Rapid reaction between unifunctional molecules and molecules unfunctional at one position and *n*-functional at another. Higgins H. G.), Austral. J. Chem., 1957, 10, № 2, 99—111 (англ.)

Рассматривается кинетика последовательных р-ций $A + B \rightarrow AB$, $AB + B \rightarrow AB_2$, ..., $AB_{n-1} + B \rightarrow AB_n$; $AB + B \rightarrow BAB$, ..., $BAB_{n-1} + B \rightarrow BAB_n$, $B_nA + B \rightarrow B_nAB$. Получены выражения для относительных конц-ий $[A]$, $[B]$ и продуктов р-ций в зависимости от начальных конц-ий $[A]_0$ и $[B]_0$ и для отношения констант скоростей. Результаты расчета применены к р-ции триптофана с *n*-диазобензолсульфонокислотой. Скорость р-ции с участием индольной группы больше, чем с участием аминогруппы. См. также РЖХим, 1956, 3417

Е. Никитин

20651. Уточненный метод вычисления констант скоростей реакций для свободных радикалов. Сунни (Improved method of calculating reaction rate constants for free radicals. Sweeny Robert F.), J. Chem. Phys., 1957, 27, № 4, 987—988 (англ.)

Указывается, что при вычислении времени жизни свободных радикалов, по методу зеркала Панета необходимо пользоваться следующей зависимостью изменения давления газа на участке *l* вдоль потока: $l \approx \text{const}(P_1^2 - P_2^2)/RT$. Обычно предполагаемая линейная зависимость *l* от разности давлений $P_1 - P_2$ может приводить к занижению времени жизни свободных радикалов до 30%.

Е. Никитин

20652. Кинетика сложных изотопных реакций обмена. Эйбелл, Боннер, Гойши (Kinetics of complex isotopic exchange reactions. Abell D. F., Bonner N. A., Goishi W.), J. Chem. Phys., 1957, 27, № 3, 658—660 (англ.)

Принтегрированы кинетич. ур-ния р-ций 1) $a \rightleftharpoons b$; 2) $b \rightleftharpoons c$ и 3) $a \rightleftharpoons c$ для изотопного обмена. Отмечается, что для такого тройного обмена зависимость конц-ий от времени близка к экспоненциальной, так что линейная зависимость логарифма конц-ий от времени не может служить доказательством механизма простого двойного обмена.

Е. Никитин

20653. Вычисление экспериментальных изотопных эффектов для необратимых реакций псевдопервого порядка. Дун Ин-бэ, Янкун (Calculation of experimental isotope effects for pseudo first-order irreversible reactions. Tong Ving-peh. James,

Yankwich Peter E.), J. Phys. Chem., 1957, 61, № 5, 540—543 (англ.)

Выведены 4 точных ур-ния для вычисления изотопных эффектов необратимых р-ций псевдопервого порядка в зависимости от изотопного отношения в исходных в-вах и продуктах р-ции в моменты $t = 0$ и $t > 0$ и от координат р-ции.

В. Любимов

20654. Определение отношения констант скоростей в последовательно-параллельных реакциях второго порядка. Мак-Миллан (Determination of the rate constant ratio in competitive consecutive second-order reactions. McMillan W. G.), J. Amer. Chem. Soc., 1957, 79, № 18, 4838—4839 (англ.)

Для последовательности р-ций $A + B \rightarrow C + E$, $A + C \rightarrow D + F$ (константы скорости k_1, k_2) выведено соотношение $k_2/k_1 \ln \beta = \ln[\beta + (1 - k_2/k_1)\gamma]$, где $\beta = [B]/[B]_0$, $\gamma = [C]/[C]_0$.

Д. Кнорре

20655. О причинах самоторможения медленно развивающихся цепных реакций. Деннисов Е. Т., Ж. физ. химии, 1957, 31, № 7, 1481—1491 (рез. англ.)

Выведены кинетич. ур-ния для цепной р-ции, в которой радикал R_0 , ведущий цепь (в работе под R_0 подразумевается радикал RO_2 , ведущий цепной процесс окисления), наряду с продолжением цепи может реагировать с промежуточным продуктом P , давая радикал R_1 , отличающийся по своей активности от радикала R_0 . Среднее значение константы скорости для р-ции радикалов с исходным в-вом (углеводородом RH) приобретает вид: $k = k_0\{1 - \gamma\beta[P]/(1 + \beta[P])\}$, где k_0, k_1 — константы скорости р-ций R_0 и R_1 с RH , $\beta = k^P/k_1[RH]$, k^P — константа скорости р-ции R_1 с P , $\gamma = (k_0 - k_1)/k_0$. Это соотношение применено для случаев цепной неразветвленной р-ции (ЦНР) и р-ции с вырожденным разветвлением (РВР) и линейным или квадратичным обрывом цепей. Показано, что если накопление продукта P приводит к замене менее активных радикалов на более активные, то ЦНР может идти по кинетич. закону РВР. Наоборот, при замене более активных радикалов на менее активные РВР может идти по закону ЦНР. Показано, что в зависимости от природы окисляющегося углеводорода, добавка в р-цию одного и того же в-ва может действовать, как ингибитор и как инициатор процесса. Заменой активных радикалов на малоактивные автор объясняет наблюдаемое в ряде случаев самоторможение цепных р-ций.

Д. Кнорре

20656. Изотопный эффект дейтерия при реакции водорода с йодом. Маги (The deuterium isotope effect on the rate of reaction of hydrogen and iodine. Magee Ellington M.), J. Amer. Chem. Soc., 1957, 79, № 20, 5375—5379 (англ.)

Путем масс-спектрометрич. определений отношения конц-ий H_2/H^2D в исходной смеси и в продуктах р-ции измерено отношение констант скоростей (k) процессов $H_2 + J_2$ (1) и $HD + J_2$ (2). При 405° $k_1/k_2 = 1,548$. Описана методика, позволяющая определять k_1/k_2 с точностью 1—2%. Величина k_1/k_2 , рассчитанная автором из ур-ния Вигляйзена (Bigeleisen J., J. Chem. Phys., 1949, 17, 675), равна 1,42, а из ур-ния Даниэльса (Daniels F., Chemical Kinetics, N. Y., 1938, 248) 1,87.

Г. Королев

20657. К изучению равновесных реакций. Монтарналь, Баласану (Contribution à l'étude des réactions équilibrées. Montarnal Roger, Balascanu Jean-Claude), C. r. Acad. sci., 1957, 244, № 26, 3150—3153 (франц.)

Кинетика каталитич. р-ции $D_2 + H_2O \rightleftharpoons H_2 + D_2O$ при 20° изучалась в газовой фазе в присутствии избытка жидкой фазы состава 78% D_2O , 22% H_2O , что обеспечивало отношение $H/D = 1$ при достижении равновесия. За ходом р-ции наблюдали путем измерения конц-ий D_2 в водороде методом теплопроводности.

Константа скорости прямой р-ции $5,8 \cdot 10^{-3}$ мин $^{-1}$ (конц-ия H_2O входит в константу). Кинетич. кривые для случаев $[D_2]_0 = 0\%$ и $[D_2]_0 = 100\%$ симметричны.

Д. Кнорре

20658. Разложение окиси азота в высокочастотном разряде. Заболоцкий Т. В., Ж. неорганич. химии, 1957, 2, № 8, 1733—1740

Изучено разложение NO (в чистом виде и в смеси с воздухом, N_2 или O_2) в ВЧ-разряде при $2,5 \cdot 10^4 - 15 \cdot 10^6$ периодов в 1 сек. и при атмосферном давлении. В смесях с воздухом, N_2 или O_2 разложению подвергается непостоянный состав окислов $NO - NO_2$; степень разложения (β) NO почти не зависит от начальной конц-ии газа и значительно уменьшается с увеличением скорости газового потока (v) и межэлектродного расстояния (l). При разложении чистой NO β падает с ростом v и увеличивается с возрастанием l , причем это увеличение наблюдается до тех пор, пока β не достигнет 90%; затем β более не зависит от l . Разложение NO следует порядку 1,8. Разложение NO в ВЧ-разряде, по мнению автора, является результатом электронного соударения.

Г. Королев

20659. Масс-спектрометрия свободных радикалов. XI. Сенсибилизированное ртутью фоторазложение олефинов $C_2 - C_4$. Лоссинг, Марсен, Фармер. XII. Первичная стадия сенсибилизированного ртутью фотораспада ацетона и ацетальдегида. Лоссинг (Free radicals by mass spectrometry. XI. The mercury photosensitized decomposition of $C_2 - C_4$ olefins. Lossing F. P., Marsden D. G. H., Farmer J. B. XII. Primary steps in the mercury photosensitized decompositions of acetone and acetaldehyde. Lossing F. P.), Canad. J. Chem., 1956, 34, № 6, 701—715; 1957, 35, № 4, 305—314 (англ.)

XI. Сенсибилизированное ртутью фоторазложение олефинов $C_2 - C_4$ проводилось в кварцевом сосуде, соединенном с масс-спектрометром (Lossing F. P., Tickner A. W., J. Chem. Phys., 1952, 20, 907; РЖХим, 1954, 12503). Измерения проводились в струе He (7,8 мм рт. ст.) при 60° . Давление олефина составляло несколько μ рт. ст. Облучение производилось светом 2537 Å от ртутно-кварцевой лампы спец. конструкции. Радикалы определялись при помощи электронов низкой энергии (Eltenton G. C., J. Chem. Phys., 1947, 15, 455). Находились также продукты димеризации радикалов. Первичный распад C_2H_4 идет мономолекулярно с образованием H_2 и C_2H_2 . При распаде C_3H_6 образуются большие кол-ва радикалов C_3H_5 по р-ции $C_3H_6 + Hg(^3P_1) \rightarrow C_3H_5 + H + Hg(^1S_0)$. При распаде 1-бутена образуются радикалы CH_3 , C_3H_5 и в меньшем кол-ве C_4H_7 . Сделан вывод, что разрыв идет в основном по связи $C - C$, но также имеет место и разрыв по связи $C - H$. При распаде изобутилена и 2-бутена образуются радикалы C_4H_7 и разрыв идет в основном по связи $C - H$. Образование вторичных продуктов авторы объясняют имеющими большое сечение р-циями радикалов C_3H_5 и C_4H_7 с возбужденными атомами Hg .

Г. Лавровская

XII. Фотораспад производился в кварцевой трубке в потоке He при давл. 10 мм рт. ст., насыщ. парами Hg при 55° . Ацетон или ацетальдегид добавлялись в этот поток при давлении, меньшем 10 μ рт. ст. Снаружи реактор окружен цилиндрич. Hg -лампой и водяной рубашкой. Между реактором и лампой расположен подвижной экран, с помощью которого можно менять длину облучаемой зоны, т. е. время контакта (0,34—1,22 мсек.). Продукты распада попадают в ионный источник масс-спектрометра через стеклянную диафрагму. Радикалы обнаруживались методом низкой энергии электронов, колич. измерения конц-ий производились при энергии электронов 50 эв. Состав про-

дуктов распада определялся сравнением масс-спектров при облучении реактора и без облучения. При распаде ацетона обнаружены CH_3 , следы CH_3CO и $(\text{CH}_3\text{CO})_2$, CO , $\text{CH}_2=\text{CO}$, H_2 и следы CH_4 . Предполагается, что в первичной стадии образуются радикалы CH_3 и CH_3CO . Радикалы CH_3CO не только распадаются немедленно, как при обычном фотолизе, но часть их (25%) реагирует с атомами Hg^* , образуя $\text{CH}_2=\text{CO}$ и H , не обнаруженные при обычном фотолизе. Обсуждаются возможные вторичные р-ции. При распаде ацетальдегида обнаружены радикалы CH_3 , CHO и стабильные продукты CO , CH_4 , C_2H_6 , H_2 . Первичные продукты CH_3 и CHO вступают в р-цию $\text{CH}_3 + \text{CHO} \rightarrow \text{CH}_4 + \text{CO}$, причем скорость этой р-ции сравнима со скоростью р-ции рекомбинации CH_3 . Часть X см. РЖХим, 1957, 21955.

В. Скурат
20660. Присоединение этильных радикалов к этилену. Пиндер, Ле-Рой (Addition of ethyl radicals to ethylene. Pinder J. A., Le Roy D. J.), Canad. J. Chem., 1957, 35, № 7, 588—594 (англ.)

Методом, описанным ранее (РЖХим, 1956, 3480), изучалось присоединение радикалов C_2H_5 к этилену при $58-128^\circ$ с образованием C_4H_8 . Скорость р-ции определялась по скорости накопления гексана, получающегося при рекомбинации радикалов C_4H_9 и C_2H_5 . Анализы проводились методами низкотемпературной разгонки и жидкостной разделительной хроматографии. Найдено, что фракция C_4 состоит только из *n*-бутана, а фракция C_6 — из *n*-гексана; другие олефины и нечетные парафины не образуются. Для учета распределения конц-ии радикалов по реактору был определен коэф. поглощения паров ртути для λ 2537 Å. С учетом этой поправки определено отношение констант скоростей р-ций $2\text{C}_2\text{H}_5 \rightarrow \text{C}_4\text{H}_{10}$ (3) и $\text{C}_2\text{H}_5 + \text{C}_2\text{H}_4 \rightarrow \text{C}_4\text{H}_8$ (5) (нумерация авторов) и найдены соотношения величин энергии активации $E_5 - \frac{1}{2}E_3 = 5,5$ и стериц. множителей $P_5/P_3^{1/2} = 5 \cdot 10^{-5}$.

Г. Лавровская
20661. Механизм и изотопный эффект первичного акта термического распада хлороформа. Шилов А. Е., Сабирова Р. Д., Докл. АН СССР, 1957, 114, № 5, 1058—1061

Распад CHCl_3 при $485-660^\circ$ идет с одинаковой скоростью в струе толуола и без газа-носителя кинетически по 1-му порядку. Константа скорости $k = 2,63 \cdot 10^{11} \exp(-47000/RT)$ сек $^{-1}$. Распад CDCl_3 при 574° протекает в 1,65 раза медленнее, чем распад CHCl_3 . При распаде CDCl_3 в избытке толуола образуются заметные кол-ва DCl (~35% в смеси DCl и HCl), причем отношение $[\text{DCl}]:[\text{HCl}]$ не зависит от отношения $\text{CDCl}_3 \cdot \text{C}_6\text{H}_5\text{CH}_3$ и времени контакта. Авторы считают, что эти данные указывают на бирадикальный механизм распада $\text{CHCl}_3 \rightarrow \text{CCl}_2 + \text{HCl}$, причем образование HCl при р-ции CDCl_3 в толуоле объясняется вторичными р-циями CCl_2 . Авторы отмечают, что радикальный или радикально-цепной механизм распада CHCl_3 , предложенный ранее (РЖХим, 1956, 46794), противоречит эксперим. данным.

А. Шилов
20662. Термическая *цис-транс*-изомеризация дихлорэтилена не является исключительной реакцией. Рабинович, Хулатт (Thermal *cis-trans* isomerization of dichloroethylene: an unexceptional reaction. Rabinovich B. S., Hulatt M. J.), J. Chem. Phys., 1957, 27, № 2, 592—593 (англ.)

Скорость изомеризации *транс*-дихлорэтилена в *цис*-изомер после продолжительной обработки сосуда значительно меньше, чем найдено в прежних работах (Jones J. L., Taylor R. L., J. Amer. Chem. Soc., 1940, 62, 3480; Tamamushi, Akiyama Ishii, Z. Elektrochem., 1941, 47, 340). В работах предыдущих авторов значения констант не соответствовали гомогенному элементарному акту.

А. Шилов

20663. К вопросу о вырожденном разветвлении. II. Роль формальдегида при окислении метана. Кармилова Л. В., Ениколопан Н. С., Налбан-дьян А. Б., Ж. физ. химии, 1957, 31, № 4, 851—864 (рез. англ.)

В статических и струевых условиях при $423-700^\circ$, давлениях реакционной смеси 220—760 мм рт. ст. и временах контакта 0,02 сек.—2 часа проводилось каталитич. (добавка 0,1% NO_2) и термич. окисление CH_4 в кварцевых реакционных сосудах. Образующийся в ходе р-ции CH_2O анализировался гидроксиламиновым методом и полярографически, CH_3OH — путем окисления хромовой смесью до CO_2 . Четырьмя независимыми методами (по накоплению CO , по расходу CH_4 , манометрически и по тепловыделению) обнаружено, что после некоторого времени (τ) окисление теряет автокаталитич. характер и протекает с постоянной скоростью w , причем τ совпадает с постоянной скоростью w , причем τ совпадает с моментом установления стационарной конц-ии CH_2O (c) в реакционной системе. Добавки CH_2O не влияют на w и на c и сильно сокращают τ ; добавки $\text{CH}_2\text{O} \geq c$ полностью снимают τ . Эксперим. кинетич. кривые окисления CH_4 и накопления CH_2O хорошо согласуются с ур-ниями теории вырожденного разветвления (ВР) (Часть I, РЖХим, 1958, 17055), если считать CH_2O единственным продуктом, ответственным за ВР. Добавки CH_3OH несколько сокращают τ , но полного снятия τ не происходит даже в присутствии добавок, в десятки раз превышающих стационарную конц-ию CH_3OH . По мнению авторов, CH_3OH не оказывает заметного влияния на ВР; единственным продуктом, ответственным за ВР, считается CH_2O . Сокращающее действие больших добавок CH_3OH на τ авторы относят на счет дополнительного образования CH_2O из CH_3OH . Часть I см. РЖХим, 1958, 17069.

Г. Королев
20664. Теория механизмов реакций. II. Практический расчет некоторых реакций замещения в ароматическом ряду; сравнение с опытом. Додель, Шальве (Théorie du mécanisme des réactions. II. Calcul pratique de la vitesse de quelques réactions de substitution et chimie aromatique: comparaison avec l'expérience. Daudel Raymond, Chalvet Odilon), J. chim. phys. et phys.-chim. biol., 1956, 53, № 11-12, 943—950 (франц.)

Отмечено, что \lg метильного сродства (РЖХим, 1957, 22394) линейно зависит от индекса свободной валентности. Переходное состояние для р-ций замещения анионом йода атома хлора в хлорметильных производных ароматич. углеводородов (РЖХим, 1956, 71571) рассматривается как система с сверхсопряжением. \lg константы скорости линейно зависит от вычисленной энергии методом МО в простейшем приближении. Аналогичным образом рассмотрена р-ция электрофильного замещения в ароматич. углеводородах и полученные результаты сопоставлены с методом Валенда (Wheland G. W., J. Amer. Chem. Soc., 1942, 64, 900). Часть I см. РЖХим, 1957, 14741.

Х. Багдасарьян
20665. Исправление к статье: Лефлер «Энтропийные условия для соотношения Гаммета» (Errata. Leffler John E.), J. Chem. Phys., 1957, 27, № 4, 981 (англ.)

К РЖХим, 1956, 50206

20666. Возникновение радикала HO_2 при распаде перекиси водорода, катализированном ионами металлов. Коппингер (Detection of HO_2 radical in metal ion catalyzed decomposition of hydrogen peroxide. Coppinger Galvin M.), J. Amer. Chem. Soc., 1957, 79, № 11, 2758—2759 (англ.)

Возникновение радикала HO_2 было показано опытами с добавками 2,6-ди-*трет*-бутил-4-метилфенола (I). Из I в присутствии H_2O_2 и ионов металлов в среде

трет-бутилового спирта получен 2,6-ди-трет-бутил-4-метил-4-гидроперокси-2,5-циклогексациенон (II). Соединение II является результатом взаимодействия I с промежуточным продуктом катализированного распада H_2O_2 , так как оно не получается из I и H_2O_2 в отсутствие ионов металлов и из ионов металлов и I в отсутствие H_2O_2 . При изучении системы I, II и Co^{2+} в среде трет-бутилового спирта выделены и идентифицированы 2,6-ди-трет-бутил-4-метил-4-окси-2,5-циклогексациенон (III), 1,2-бис-3,5-ди-трет-бутил-4-оксифенилэтан (IV) и 3,3',5,5'-тетра-трет-бутилстильбен-4,4'-хинон (V). По мнению авторов, это означает, что при р-ции II с Co^{2+} получаются радикалы $RO\cdot$ и $RO_2\cdot$. Радикал $RO\cdot$ переходит в III с одновременным образованием бензильного радикала, из I, который, димеризуясь, дает IV. При взаимодействии IV с RO образуется V.

Л. Вартанян
20667. Кинетика диспропорционирования четырехвалентного ниббия в солянокислых растворах. Коцци, Виварелли, Ди-Стефано (Die Kinetik der Disproportionierung des vierwertigen Nibbs in salzsaurer Lösung. Cozzi D., Vivarelli S., Di Stefano M.), Z. Elektrochem., 1957, 61, № 7, 849—851 (нем.).

При 14—25° полярографически изучено диспропорционирование $2Nb(4+) \rightarrow Nb(3+) + Nb(5+)$ в р-рах HCl. Р-ция следует 2-му порядку. Константа скорости k при 11,9 M HCl равна $k = 10^{20} \exp[-26700/RT] \text{ л/моль мин.}$ При увеличении [HCl] от 11,10 до 12,66 M k при 20° уменьшается от 10,50 до 1,20 л/моль мин. Найденные оптимальные условия ([HCl] > 13 M, 0°) получения р-ров Nb(4+), свободных от Nb(3+), путем электровосстановления р-ров Nb(5+) на Hg-катоде.

Г. Королев

20668. О механизме авторазложения гипохлорита до хлората. Абель (Zum Mechanismus des Selbstzerfalls von Hypochlorit zu Chlorat. Abel E.), Z. Elektrochem., 1957, 61, № 7, 852 (нем.).

Предложен механизм р-ции $3ClO^- \rightarrow ClO_3^- + 2Cl^-$ (1), включающий промежуточное образование Cl_2O , рассматриваемого как $Cl+ClO^-$. Лимитирующей стадией является взаимодействие $Cl+ClO^- \rightarrow ClO^-$, что приводит к следующему выражению для скорости (1): $d[ClO_3^-]/dt = k[HClO][ClO^-]$.

Г. Королев

20669. Константы равновесия для изотопного обмена серы между SO_2 и H_2SO_4 . Данфорд, Гаррисон, Тод (Equilibrium constants for the sulphur isotope exchange between SO_2 and H_2SO_4 . Dunford H. B., Harrison A. G., Thode H. G.), Canad. J. Chem., 1957, 35, № 8, 817—820 (англ.).

Константа равновесия р-ции $S^{34}O_2 + H_2S^{32}O_4 \rightleftharpoons S^{32}O_2 + H_2S^{34}O_4$ изучалась с применением SO_2 и H_2SO_4 с известным соотношением S^{32}/S^{34} путем масс-спектроскопич. определения изотопного состава SO_2 по ходу р-ции. Константы равновесия, рассчитанные методами статистич. физики при 200, 300 и 400°, равны соответственно 1,0176; 1,0118 и 1,0088. Вычисленные на основе этих величин факторы обогащения удовлетворительно совпадают с найденными экспериментально.

Д. Кнорре

20670. Кинетика гидролиза некоторых комплексных соединений двухвалентной платины. Гринберг А. А., Кукушкин Ю. Н., Ж. неорганической химии, 1957, 2, № 10, 2360—2367

Методом потенциометрич. титрования при 25° изучена кинетика гидролиза K_2PtCl_6 (I), $K[Pt(NH_3)Cl_5]$ (II), $[Pt(NH_3)_2Cl_4]Cl$ (III) в 0,05—0,25 н. р-рах КОН. Гидролиз следует нулевому порядку по КОН и первому — по комплексным соединениям. Константы скоростей гидролиза равны в сек⁻¹: для I $0,39 \cdot 10^{-4}$, II $0,60 \cdot 10^{-4}$ и III $0,224 \cdot 10^{-4}$. Для исходной конц-ии II, равной 0,1 моль/л, начиная с времен превращения 50—60 мин.,

наблюдается резкое увеличение свободной КОН, вступающей в р-цию, что сопровождается выпадением из р-ра темно-зеленого осадка, содержащего, как показывают данные анализов, 1 атом Pt на 0,4 атома Cl. Предполагается, что гидролиз I—III идет в 2 стадии: 1-я (медленная) — внедрение молекулы воды во внутреннюю сферу комплекса и 2-я (быстрая) — отщепление протона от внедрившейся молекулы H_2O . Меньшая скорость гидролиза (следовательно, и гидратации) в случае I, по сравнению с II, указывает на то, что внедрение одной молекулы NH_3 в ион $[PtCl_6]^{2-}$ увеличивает подвижность атомов Cl, находящихся в cis-положении к молекуле NH_3 ; это увеличение подвижности проявляется как по отношению к внедрению в комплекс молекулы NH_3 , так и H_2O .

Г. Королев

20671. Дигалоидопронизводные как промежуточные соединения при щелочном гидролизе галоформов. VI. Относительные скорости образования карбанионов из галоформов. Хайн, Берек, Хайн, Лангфорд (Carbon dihalides as intermediates in the basic hydrolysis of haloforms. VI. The relative rates of formation of carbanions by haloforms. Hine Jack, Burske Norbert W., Hine Mildred, Langford Paul B.), J. Amer. Chem. Soc., 1957, 79, № 6, 1406—1412 (англ.).

Изучался дейтерообмен галоформов CDX_3 с H_2O в гомог. водн. р-ре, содержащем в качестве катализатора буферную смесь NH_3 с NH_4ClO_4 . Степень обмена определялась путем анализа ИК-спектров галоформов. По скоростям обмена соединения располагаются в ряд: $CDI_3 \sim CDBr_3 > CDBr_2Cl > CDBrCl_2 > CDCl_2I > CDBr_2F > CDCl_3 > CDBrClF > CDCl_2F$, показывающий, что эффект замещающего атома галоида соответствует ряду $I \sim Br > Cl > F$. Влияние атома галоида уменьшается по мере возрастания реакционной способности галоформа. Направление изменения в скоростях связано с изменением в ΔH^\ddagger , но одновременно: $\Delta H^\ddagger = \Delta H_0 + \beta \Delta S^\ddagger$ ($\Delta H_0 = 0,75 \text{ ккал/моль}$; $\beta = 1340^\circ K$). Исходя из механизма $CDX_3 + OH-(NH_3) \rightleftharpoons CX_3^- + HOD(NH_3D^+)$, авторы связывают найденные зависимости с легкостью образования соответствующих карбанионов. Часть V см. РЖХим, 1957, 37184.

А. Шиллов

20672. Роль концентрации кислоты при окислении с помощью хромата. Пунгор, Тромплер (Die Rolle der Säurenkonzentration bei oxydationen mittels Chromats. Pungor E., Trompler J.), J. Inorg. and Nucl. Chem., 1957, 5, № 2, 123—132 (нем.; рез. англ.).

Р-ция окисления HCO_2Na с помощью $K_2Cr_2O_7$ в присутствии разных конц-ий H_2SO_4 , исследованная спектрофотометрически, следует 1-му порядку относительно конц-ий HCO_2H и $Cr(6+)$. При увеличении конц-ии H_2SO_4 от 40 до 60% скорость р-ции резко возрастает, но в 90%-ной H_2SO_4 меньше, чем в 60%-ной. Максимум скорости окисления CH_3OH достигается в 73%-ной H_2SO_4 . Авторы считают, что при увеличении конц-ии H_2SO_4 происходит ступенчатая полимеризация хромовой к-ты. Окисление органич. в-в $K_2Cr_2O_7$ с участием двух электронов происходит с заметной скоростью при конц-ях H_2SO_4 , благоприятствующих образованию $Cr(4+)$ в качестве промежуточного в-ва. Стабильность соединения $Cr(4+)$ уменьшается в 90%-ной H_2SO_4 . Скорость диспропорционирования $Cr(4+)$ в $Cr(6+)$ и $Cr(3+)$ является р-цией 1-го порядка относительно $Cr(4+)$ и уменьшается с ростом конц-ии H_2SO_4 от 73 до 83%. Коэф. поглощения $Cr(4+)$ в 73—80%-ной H_2SO_4 составляет 502—505 при 440 мμ. А. Р.

20673. Окисление этилового спирта перхлоратом перия. Ардон (Oxidation of ethanol by ceric perchlorate. Ardon Michael), J. Chem. Soc., 1957, Apr. 1811—1815 (англ.).

С помощью спектрофотометрич. метода показано, что окисление C_2H_5OH до CH_3CHO ионами Ce^{4+} происходит через образование промежуточного комплекса $Ce^{4+} + C_2H_5OH \xrightleftharpoons[k_2]{k_1}$ комплекс \rightarrow продукты. Распад ком-

плекса происходит по 1-му порядку и является стадией, определяющей общую скорость окисления. Константа равновесия комплекса $K = \frac{k_1}{k_2} = 4,3 \pm 0,4$ л/моль;

$k_3 = 0,4 \pm 0,04$ мин.⁻¹. Ионы Ce^{4+} в хлорной к-те могут существовать в виде частиц Ce^{4+} , $CeOH^{3+}$ и димерных частиц $(Ce-O-Ce)^{4+}$. Изучение влияния pH показало, что в образовании комплекса принимают участие только ионы Ce^{4+} . Высшие комплексы, такие как $Ce(EOH)_2^{4+}$ и $Ce(EOH)_3^{4+}$, в заметных кол-вах не обнаружены.

С. Поляк
20674. Каталитическое галогенирование в концентрированных средах. I. Катализированное йодом хлорирование уксусного ангидрида. Ван-Лой, Юнгере (L'halogénéation catalytique en milieu concentré. I. La chloration de l'anhydride acétique catalysée par l'iode. Van Looy H., Jungers J. C.), Bull. Soc. chim. France, 1957, № 7, 922-927 (франц.)

Изучено катализированное J_2 хлорирование уксусного ангидрида (I). В начальном периоде р-ции образуется HCl, который немедленно реагирует с I, давая CH_3COOH и CH_3COCl . Скорость р-ции равна $4 \cdot 10^{11} [J_2]$ (15000/RT) моль/л. мин. Р-тител CCl_4 и CH_3COOH тормозят р-цию, CH_3COCl ее ускоряет. Продукт р-ции CH_3COOH оказывает тормозящее действие. J_2 взаимодействует с Cl_2 с образованием JCl , который с I образует комплекс, быстро реагирующий с Cl_2 с получением продуктов р-ции. Помимо J_2 такое же каталитич. действие оказывают $FeCl_3$ и $SnCl_4$.

С. Поляк
20675. Кинетика и механизм йодирования ароматических аминокислот в водных растворах. Куракин А. Н., Шилов Е. А., Укр. хим. ж., 1957, 23, № 1, 31-53

Кинетика темновой р-ции йодирования Na-солей аминокислот: диметилметанилата (I), диметилсульфанилата (II), диэтилметанилата (III) и соли N-этил-N-фенилбензиламин-пара-сульфокислоты (IV) изучалась в водн. р-рах при 15-35°. Свободные к-ты не подвергаются йодированию. Получены кинетич. ур-ния для I, II, III и IV. Добавки NaCl незначительно ускоряют р-цию. По скоростям йодирования получен ряд: IV (30) > I (1) > III (0,7) > II (0,14) (в скобках — относительные скорости в близких условиях). Энергии активации в ккал/моль для I без HPO_4^{2-} — 25,2; для I с HPO_4^{2-} — 27,2; для II 25,7; для IV 15,5. Из зависимости скорости от конц. J^- авторы делают вывод, что агентами йодирования являются J_2 и J^+ или их комплексы с аминокислотами. HOJ и, по-видимому, J^- не участвуют в изученных р-циях. Анион аминокислоты и HPO_4^{2-} являются протон-акцепторами или участвуют в образовании йодирующего агента.

А. Шилов
20676. Кинетика реакций замещения, включающих металл-комплексы этилендиаминтетрауксусной кислоты. II. Бриль, Бриль, Крмхольц (The kinetics of displacement reactions involving metal complexes of ethylenediaminetetraacetic acid. II. Bril K., Bril S., Krumholz P.), J. Phys. Chem., 1956, 60, № 2, 251-252 (англ.)

Р-ция обмена $M_1^{2+} + M_2Y^{2-} \rightarrow M_2^{2+} + M_1Y^{2-}$ (Y — ион этилендиаминтетраацетата, M_1 — Pb, Cu; M_2 — Zn, Cd) изучалась при 25° и полной силе, равной 1, в р-рах ацетатного буфера. Начальная скорость р-ции описывается ур-нием: $-d[M_1]/dt = K_a[M_2Y][M_1]/[H^+]/\{K_b[M_2] + K_c[M_1]\}$. Часть I см. РЖХим, 1956, 22227. В. Пикаева

20677. Мутаротация и ионизация D-глюкозы в щелочном растворе. II. Лос, Симпсон (The mutarotation and ionization of d-glucose in alkaline solution. II. Los J. M., Simpson L. B.), Recueil trav. chim., 1957, 76, № 3, 267-285 (англ.)

Уточнены измерения скорости мутаротации α -D-глюкозы в равновесную смесь α - и β -изомеров в незабуференных щел. р-рах (часть I, РЖХим, 1956, 46410). Полученные результаты объясняются на основе следующих предположений. Мутаротация D-глюкозы в щел. р-ре является р-цией 1-го порядка по отношению к конц-ии глюкозы, специфическая константа скорости дается выражением $k = k_{H_2O} + k_{\alpha}[G^-] + k_{\beta}[G^-] + k_{OH}[OH^-]([G^-])$ и $[G^-]$ — конц-ии ионов α - и β -глюкозы. Каталитич. константы k_{α} и k_{β} связаны между собой ур-нием $k_{\alpha}/k_{\beta} = (k_{\alpha}/k_{\beta})^{0,4}$, выведенным из соотношения Бренстеда (k_{α} и k_{β} — константы гидролиза).

Получены новые значения для каталитич. констант гидроксильных ионов, ионов α - и β -глюкозата и для констант гидролиза и ионизации α - и β -D-глюкозы. Большая кислотность β -D-глюкозы по сравнению с α -формой объясняется значительным различием в изменении энтропии при ионизации двух изомеров.

В. П.
20678. Кинетика образования спирта и алкил-кислоты при реакции пропилена с водной серной кислотой. Энтелис С. Г., Петракович В. Е., Корвина Г. В., Чирков Н. М., Докл. АН СССР, 1957, 114, № 4, 848-851

Манометрически и аналитически изучалась истинная кинетика брутто-поглощения C_3H_6 в 67%-ной H_2SO_4 и накопления продуктов р-ции $iso-C_3H_7OH$ (I) и $iso-C_3H_7SO_4H$ (II) при 50-90° и начальном давлении $C_3H_6 \sim 300$ мм рт. ст. Для устранения диффузионных помех C_3H_6 в виде мельчайших пузырьков подавался в реактор с H_2SO_4 с помощью циркуляционного насоса через пористую стеклянную пластинку. Скорость р-ции пропорциональна кол-ву взятой в р-цию к-ты. При 40-75° уд. скорости брутто-поглощения, отнесенные к 1 г к-ты и 1 л газового объема, менялись от $3,32 \cdot 10^4$ до $11,0 \cdot 10^4$ мин.⁻¹. Начальная скорость образования I в 4 раза больше, чем скорость образования II. Из анализа кинетич. кривых авторы делают вывод, что основная часть спирта образуется не в результате омыления II, а параллельно с алкил-кислотой при р-ции C_3H_6 с водой.

С. Энтелис
20679. Водородная связь в реакциях радикалов. Некоторые замечания о радикалах CF_3 . Шварц, Смид (Hydrogen bonding in radical reactions. Some remarks on CF_3 radicals. Szwarc M., Smid J.), J. Chem. Phys., 1957, 27, № 2, 421-422 (англ.)

Распад перекиси пропионата (I) в CH_3COOH и CF_3COOH не приводит к образованию CH_3 и CF_3 . Это означает, что радикалы C_2H_5 , образовавшиеся из I, не могут оторвать H из карбоксильной группы к-ты. Распад перекиси бензоила (II) в уксусной и пропионовой к-тах приводит к образованию соответственно CH_3 и C_2H_5 в кол-вах, указывающих, что 3-7% радикалов вступают в р-цию $R + R_1COOH \rightarrow RH + R_1COO$. При распаде II в смеси CF_3COOH с изоктаном образуется CF_3H в кол-вах до 70% от CO_2 . Авторы объясняют это тем, что при распаде II образуются устойчивые по сравнению с CH_3COO радикалы C_2H_5COO , способные образовывать водородную связь с CF_3COOH , что приводит к облегчению обрыва H из карбоксильной группы. Образовавшиеся при распаде CF_3COO радикалы CF_3 реагируют с изоктаном с отрывом H.

А. Шилов
20680. Исследование механизма радикальных реакций. IV. Механизм образования дифенилов при распаде перекисей бензоила и 4-нитробензоила в бензоле и нитробензоле. Милотинская Р. И., Баг-

дасарьян Х. С., Израилевич Е. А., Ж. физ. химии, 1957, 31, № 5, 1019—1026 (рез. англ.)

При распаде перекиси бензоила при 75—100° в р-ре частично дейтерированного C_6H_6 (конц-ия перекиси 0,004—0,12 M) образующиеся дифенил (выход 15—20%) и смола содержат 45—50% D от его содержания в C_6H_6 . При распаде перекиси 4,4'-динитробензоила (I) в дейтеробензоле образующиеся 4-нитродифенил (выход 35%) и 4- $NO_2C_6H_4COOH$ содержат соответственно ~52 и ~20% D от его содержания в C_6H_6 . Выход смолы ~3%. Образование 4,4'-динитродифенила в заметных кол-вах не установлено. При распаде I в беспорядочно дейтерированном $C_6H_5NO_2$ образующиеся изомерная смесь динитродифенилов (выход 50%) и 4- $NO_2C_6H_4COOH$ содержат соответственно 48 и 19,3% D от его содержания в $C_6H_5NO_2$. Из полученных результатов авторы делают вывод: часто постулируемые р-ции, радикального отрыва водорода от ароматич. соединений $R_1C_6H_4 + R_2C_6H_5 \rightarrow R_1C_6H_5 + R_2C_6H_4$ и $R_1C_6H_4COO + R_2C_6H_5 \rightarrow R_1C_6H_4COOH + R_2C_6H_5$ в заметной степени не протекают. При взаимодействии радикала $R_1C_6H_4$ с ароматич. соединением происходит р-ция присоединения $R_1C_6H_4 + R_2C_6H_5 \rightarrow R_1C_6H_4C_6H_5R_2$. К-та и дифенилы образуются при р-ции: $R_1C_6H_4COO + R_1C_6H_4C_6H_5R_2 \rightarrow R_1C_6H_4COOH + R_1C_6H_4C_6H_5R_2$. Образование к-ты происходит без изотопного эффекта. Смола, возможно, образуется соединением радикалов $R_1C_6H_4C_6H_5R_2$. Часть III см. РЖХим, 1955, 1835. Р. Милотинская

20681. Жидкофазное окисление *n*-метилэтилбензола воздухом. Кобаяси, Садаката, Акиёси (Р-метилэтилбензенаの液相空気酸化, 小林黎人, 貞一夫, 秋吉三郎), 工業化学雑誌, Koré karaku dзасси, J. Chem. Soc. Japan. Industr. Chem. Sec., 1956, 59, № 6, 654—657 (японск.)

Оптимальная т-ра окисления *n*-метилэтилбензола равна 120—140°; скорость подачи воздуха 10—20 л/час на 10 г *n*-метилэтилбензола. Хорошими катализаторами р-ции являются Cr, Co и Se-соли толуиловой к-ты, наиболее эффективна смесь солей Cr-Se. Соли Se предотвращают образование смол. *n*-Метилацетилфенол, образующийся в больших кол-вах, является продуктом окисления *n*-толуиловой к-ты. Авторы делают вывод, что в данных условиях реакционная способность радикала C_2H_5 в 5 раз больше, чем радикала CH_3 . Ли Мен-Юн

20682. Гидролиз этилацетата в растворах соляной кислоты, содержащих маннитол. Хусейн Садек, Абу Эламайем (Hydrolysis of ethyl acetate in hydrochloric acid solutions containing mannitol. Hussein Sadek, Abu Elamayem M. S.), Recueil trav. chim., 1957, 76, № 9-10, 785—788 (англ.)

Изучена кинетика гидролиза этилацетата в 0,05 н. HCl при 25—40° в присутствии 0—16% маннитола (I) (см. также РЖХим, 1956, 50241). Прибавление I снижает скорость и энтропийный фактор р-ции, но почти не влияет на энергию активации. Зависимость логарифма константы скорости от обратной величины диэлектрич. постоянной р-ра линейна с отрицательным наклоном прямой. Авторы считают, что между молекулами I и H_2O образуется водородная связь. Результаты согласуются с теорией Лейдлера (РЖХим, 1957, 399). А. Ревзин

20683. Исследования образования и превращения сложных эфиров. XI. Замечания по поводу изменения скорости гидролиза моноалкилфосфорных кислот как функции pH. Шербюлье, Рабинович (Recherches sur la formation et les transformations des esters. XI. Note sur la variation de la vitesse d'hydrolyse des acides monoalkylphosphoriques en fonction du pH. Cherbuliez Emile, Rabino-

witz J.), Helv. chim. acta, 1957, 40, № 2, 526—528 (франц.; рез. англ.)

Обнаружено наличие нового минимума в щел. области на кривой зависимости скорости гидролиза алкилфосфорных к-т от pH (в скобках величина pH) для амино-4-бутилфосфорной (13,7) и амино-5-амилфосфорной (13,7) и $HO_3SCH_2CH_2OPO_3H_2$ (10,6). Часть X см. РЖХим, 1957, 71461. Д. Кнорре

20684. Кинетика сольволиза ациловых эфиров салициловой кислоты. Гарретт (The kinetics of solvolysis of acyl esters of salicylic acid. Garrett Edward R.), J. Amer. Chem. Soc., 1957, 79, № 13, 3401—3408 (англ.)

Кинетика гидролиза ацетил-(аспирин) (I), три-метилацетил-, β-циклопентилпропионил- (II) и диэтилацетилсалициловой к-ты (IV) изучалась в широкой области pH при 25—60,3° спектрофотометрически. Р-ции для I и II проводились в 0,5%-ном спир. р-ре, для III и IV — в 20%-ном спир. р-ре. Определены константы диссоциации салициловой к-ты и изученных в-в в условиях опытов. В нейтр. (pH 4,5—8,5) и кислой среде величина энергии активации *E* увеличивается в ряду $I \approx III < II < IV$; в щел. среде $E = 11,3—12,5$ ккал/моль, энтропия активации изменяется в ряду $I > III \approx II > IV$. Автор предполагает, что в первой стадии, лимитирующей скорость р-ции, происходит внутримолекулярная перегруппировка аниона к-ты с замыканием цикла и последующим быстрым гидролизом циклич. промежуточного в-ва. Изучен также гидролиз I в нейтр. среде в р-рах C_2H_5OH и диоксана разной конц-ии. При увеличении конц-ии C_2H_5OH от нуля до 60 об.% константа скорости возрастает от 3,65 до 14,3 сек.⁻¹, в то время как в р-рах диоксана она остается примерно постоянной, т. е. изменение диэлектрич. константы р-ра не влияет на скорость р-ции. Автор предполагает, что в присутствии C_2H_5OH при гидролизе аниона I циклич. промежуточное в-во образуется стехиометрически в виде гидрата, который реагирует затем с молекулой C_2H_5OH ; стадией, лимитирующей скорость р-ции, является дальнейшее превращение в продукты р-ции. А. Ревзин

20685. Кинетика образования пептидной связи. Гидролиз и аминолиз карбобензилоксилейцилдибензилфосфата. I. II. Вен, Конингсбергер, Овербек (Kinetics of the formation of the peptide bond. Hydrolysis and aminolysis of carbobenzyloxy-leucyl-dibenzylphosphate. I, II. Ven A. H. van de, Koningsberger V. V., Overbeek J. Th. G.), Proc. Koninkl. nederl. akad. wet., 1957, B60, № 2, 103—111, 112—116 (англ.)

I. Изучена кинетика гидролиза и аминолиза глицином (I) карбобензилоксилейцилдибензилфосфата (II) в 70%-ном водн. этаноле в ацетатном буфере при 25 и 37°. За ходом р-ции наблюдали по убыли конц-ии II, определявшейся путем перевода II в гидроксамат (III) и спектрофотометрирования комплекса III с Fe^{3+} . Р-ция 1-го порядка по II, мономолекулярная константа скорости *k* растет с ростом (OH^-) и I. Наблюдаемую зависимость *k* от (OH^-) и I можно объяснить, полагая, что II присоединяет H_2O (константа скорости k_1), давая промежуточный комплекс, далее распадающийся на карбобензилоксилейцин (IV) и дибензилфосфат (гидролиз), либо реагирует с I (константа скорости k_2).

II. При избытке I выход IV составляет 80%, $k_1 = 4,2 \cdot 10^2 \exp(-9300/RT)$, $k_2 = 8 \cdot 10^8 \exp(-9000/RT)$. Сравнительная устойчивость II к гидролизу по сравнению с аминолизом позволяет допустить, что аналогичные производные нуклеиновых к-т также устойчивы к гидролизу и могут быть промежуточными соединениями при биосинтезе белка. Д. Кнорре

20686. Полярографическое изучение кинетики эпиксидации эфиров ненасыщенных жирных кислот. Риччутти, Силберт, Порт (A polarographic investigation of the kinetics of epoxidation of unsaturated fatty acid esters. Ricciuti Constantine, Silbert Leonard S., Port William S.), J. Amer. Oil Chemists' Soc., 1957, 34, № 3, 134—136

Изучена кинетика эпиксидации надлауриновой к-той (I) в бензольных р-рах винилаурата (II), метил-олеата (III) и винилолеата (IV) при конц-ии реагирующих в-в $\sim 0,1$ M. Периодически отбиралась проба термостатированной реакционной смеси, которая полярографировалась после разведения в 25 раз 0,25 M р-ром ацетата NH_4 в лед. CH_3COOH и удаления O_2 продуванием N_2 . Кинетич. расчеты основаны на уменьшении высоты волны I, полярографич. поведение которой изучено ранее (РЖХим, 1956, 43088). Установлено, что р-рители и образующиеся продукты не влияют на разложение I, так что уменьшение волны I полностью относится к р-ции I с олефинами. При 25° константы скорости р-ции 2-го порядка равны (в 10^{-3} $\text{амоль}^{-1}\text{мин}^{-1}$): для II 12, III 232 и IV 270. Из опытов при разных т-рах для эпиксидации III и IV определены энергии активации 11,5 и 10,3 ккал/моль и предэкспоненты $5,53 \cdot 10^7$ и $8,61 \cdot 10^6$ $\text{амоль}^{-1}\text{мин}^{-1}$. С. Майрановский

20687. Удерживание Co^{60} в витамине B_{12} . Маддок, Пинту-Коэльму (The retention of cobalt-60 in vitamin B_{12} . Maddock A. G., Pinto Coelho F.), J. Chem. Soc., 1954, Dec. 4702—4704 (англ.)

20688. Скорость распространения фронта авторазложения в парах гидразина в присутствии различных количеств паров воды. Паннетье, Артулари (Célérité des ondes d'autodécomposition se propageant dans la vapeur d'hydrazine plus ou moins diluée de vapeur d'eau. Pannetier Guy, Hartoulari Rodolphe), C. r. Acad. sci., 1957, 244, № 26, 3155—3157 (франц.)

В никелевых трубках диам. 12 мм и длиной 1100 мм при помощи электрич. искры инициировалось авторазложение смесей паров $\text{N}_2\text{H}_4 + \text{H}_2\text{O}$ различного состава. Скорость распространения фронта р-ции w измерялась путем фотографирования движущейся зоны свечения при помощи быстрорегистрирующей кинокамеры. При увеличении конц-ии N_2H_4 в смеси от 60 до 85% w увеличивается от 40 до 230 см/сек . При $[\text{N}_2\text{H}_4] > 85\%$ w возрастает быстрее: при $[\text{N}_2\text{H}_4] = 90\%$ $w = 350$ см/сек , а при $[\text{N}_2\text{H}_4] = 95\%$ происходит взрыв, сопровождающийся разрушением трубки. Г. Королев

20689. Скорость распространения пропано-воздушных пламен, облучаемых при помощи радиоактивного Au-источника (10 000 кюри). Черчилл, Уир, Гилер, Келли (Rate of propagation of propane—air flames irradiated with a 10,000-curie gold source. Churchill S. W., Weir Alexander, Jr, Gealer R. L., Kelley R. J.), Industr. and Engng Chem., 1957, 49, № 9, Part 1, 1419—1422 (англ.)

Методом фотографирования измерены скорости (W) распространения пропано-воздушных пламен, облучавшихся при помощи расположенного у сопла горелки радиоактивного источника в 10 000 кюри ($\text{Au}^{198} + \text{Au}^{199}$), приготовленного из 30 г Au-проволоки, активированной нейтронами. W в присутствии радиоизлучателя 10 380 кюри на $\sim 50\%$ выше, чем в отсутствие его; с уменьшением интенсивности облучения W падает. По мнению авторов, этот эффект обусловлен конизирующим действием β -излучения. Показано, что в результате дополнительного разогрева, вызываемого облучением, W может увеличиться в данных эксперим. условиях не более чем на 10%. Г. Королев

20690. Эмиссионные спектры пропано-воздушных пламен, облучаемых при помощи радиоактивного

Au-источника (1000 кюри). Уир, Черчилл, Орнелла, Глукстейн (Emission spectra of propane—air flames irradiated with a 1000—curie gold source. Weir Alexander, Jr, Churchill S. W., Ornella L. F., Gluckstein M. E.), Industr. and Engng Chem., 1957, 49, № 9, Part 1, 1423—1428 (англ.)

Измерены интенсивности спектральных полос, соответствующих радикалам C_2 , CN и OH в пропано-воздушных пламенах, облучавшихся при помощи расположенного у сопла горелки радиоактивного источника в 1000 кюри ($\text{Au}^{198} + \text{Au}^{199}$), приготовленного из 30 г золотой проволоки путем активирования нейтронами. Оптич. эмиссия, обусловленная радикалами CN и C_2 , увеличивается в присутствии радиоизлучателя. Этот эффект возрастает с увеличением давления и конц-ии пропана в горючей смеси. Спектральная интенсивность радикала OH практически не зависит от интенсивности радиоизлучателя. Авторы считают, что в пламени имеет место р-ция $\text{C}_2 + \text{OH} \rightarrow \text{CN} + \text{CO}$. Г. К.

20691. Метод натриевого диффузионного пламени для быстрых реакций. Использование сферического источника. Рид, Рабинович (Sodium diffusion flame method for fast reactions. The use of a spherical source. Reed John F., Rabinovitch B. S.), J. Chem. Phys., 1957, 27, № 4, 988—989 (англ.)

В методе диффузионного Na-пламени для р-ции $\text{CH}_3\text{Cl} + \text{Na}$ использован сферич. источник паров Na: полая сфера диам. 1,43 см с 24 отверстиями диам. 0,046 см, равномерно распределенными по сфере. При таком симметричном источнике возможно строгое решение соответствующих кинетич. ур-ний. Константа скорости при 598° K равна $6,8 \cdot 10^{11}$ см/моль сек , вместо $1,6 \cdot 10^{11}$ см/моль сек , когда источником Na является сопло. Е. Никитин

20692. Турбулентная диффузия и горение распыленного топлива в потоке. Басевич В. Я., Ж. физ. химии, 1957, 31, № 7, 1619—1627 (рез. англ.)

Теоретически исследуется влияние турбулентности на скорость горения капель и частично испаренного топлива, образующего с воздухом смесь негорючего состава. Вследствие большой частоты турбулентных колебаний и инерции капель практически все пульсации действуют на капли до диам. 10 μ . Однако турбулентность приводит к небольшому увеличению теплопередачи от зоны р-ции к капле и соответственно скорости горения. Предполагая диффузию паровой фазы негорючего состава в зону горения, авторы получили соотношение, связывающее скорость горения капли G_T^K и паровой фазы топлива G_T^P : $G_T^K/G_T^P = \kappa d - 1$, где κ — отношение скоростей диффузии кислорода и топлива, α — коэф. избытка воздуха испаренной части топлива. Практически наблюдаемые скорости горения распыленного топлива в потоке при частичном предварительном испарении могут быть объяснены свободным турбулентным переносом паров топлива к зонам р-ции. В. Басевич

20693. Горение жидкой капли. IV. Ингибирование горения в системе топливо — окислитель. Вуд, Уайз, Россер (Burning of a liquid droplet. IV. Combustion inhibition in a fuel-oxidizer system. Wood Bernard J., Wise Henry, Rosser Wilis A.), J. Chem. Phys., 1957, 27, № 3, 807—808 (англ.)

Экспериментально определялись предельные конц-ии (ПК) ингибиторов, вызывающие гашение диффузионного пламени капли этилового спирта. Последняя моделировалась сферой из пористого алуна диам. 0,638 мм, помещенной в поток воздуха. Полученные значения ПК: для HBr 3,7%, CH_3Br 4,1%, CF_3Br 2,9%, причем массовая скорость горения при добавке ингибитора не меняется. Предполагается, что механизм

ингибирования состоит в обрыве реакционных цепей при горении. При добавке N_2 (ПК — 30,9% N_2 в воздухе) скорость горения уменьшается. Часть III см. РЖХим, 1958, 17100.

В. Басевич
20694. Дополнение к статье Россеберга: «О первоначальных продуктах сжигания углеводородов при выгорании крекинг-кокса». Шмидт, Мосман (Zum Primärprodukt der Kohlenstoffverbrennung beim Abbrand von cracking coke. Ein Beitrag zur Veröffentlichung M. Bossberg. Schmidt Paul F., Mossmann Ralph A.), Z. phys. Chem. (BRD), 1957, 11, № 3-4, 273—274 (нем.)

Отношение CO/CO_2 при выжигании крекинг-кокса в воздухе при 480—580° и атмосферном давлении почти точно отвечает температурной функции Артура (Arthur J. R., Trans Faraday Soc., 1951, 47, 164), несмотря на то, что пары воды и большие поверхности катализируют горение CO. Авторы объясняют это ингибирующим действием углеводородов, содержащихся в коксе, на горение CO. Скорость горения CO увеличивается при повышении т-ры и давления, а также в присутствии окислов Fe и Ni на катализаторе $SiO_2 - Al_2O_3$. См. также РЖХим, 1957, 57100.

В. Маркович

20695. Термический распад карбоната двухвалентного марганца. Бергштейн, Винтера (Die thermische Zersetzung von Mangancarbonat. Bergstein A., Vintera J.), Сб. чехосл. хим. работ, 1957, 22, № 3, 884—895 (нем.; рез. русск.)
См. РЖХим, 1957, 44309.

20696. Некоторые различия химических свойств промежуточных продуктов обезвоживания гидрата окиси алюминия в $\alpha-Al_2O_3$. Белянский, Седзими́р (O pewnych różnicach w chemicznych własnościach pośrednich produktów przemiany odwodnionego wodorotlenku glinu w $\alpha = Al_2O_3$. Bielański Adam, Sedzimir Anna), Roczn. chem., 1956, 30, № 3, 995—998 (польск.; рез. англ.)

Исследована скорость растворения в NaOH и HCl образцов Al_2O_3 , полученных прокаливанием $Al(OH)_3$ при т-рах 500—1300° в течение 15 мин.—16 час. Кривая зависимости скорости растворения в NaOH от скорости растворения в HCl выражается 3 отрезками прямых с разными наклонами, отвечающими образцам, идентифицированным рентгенографически как δ - (отрезок 1), θ - и χ - (2) и $\alpha-Al_2O_3$ (3). Полагая, что точки, расположенные на одном и том же прямом отрезке, соответствуют образцам, отличающимся только величинами уд. поверхностей, но не хим. свойствами, авторы делают вывод, что между формой δ и формами θ и χ , а также между последними и формой α должны существовать некоторые хим. различия.

Н. Wróblowa

20697. Проверка с помощью дифференциального термического анализа предположения, о том, что реакция протекает по первому порядку. Сьюэлл (The consequences for differential thermal analysis of assuming a reaction to be first-order. Sewell E. C.), Clay Minerals Bull., 1955, 2, № 13, 233—241 (англ.)
С помощью дифференциального термич. анализа показано, что полученные ранее (Murray P., White J., Trans. Brit. Ceram. Soc., 1949, 48, 187—206) данные о первом порядке р-ций дегидратации глин, а также зависимости их констант скорости от т-ры имеют приближенный характер.

А. Ш.

20698. Скорость и энергия активации разложения известняка. Биджават (Rates and activation energy for the decomposition of limestone. Bijawar H. C.), Chemistry and Industry, 1957, № 11, 331—332 (англ.)

Используя эксперим. данные (Azbe V. J., Rock Products, 1942, 45, 2), автор предлагает полуэмпирич.

ур-ние для расчета скорости перемещения границы разложения известняка при заданной т-ре. Вычислены значения энергии активации (в ккал/моль) процесса разложения при т-рах $> 890^\circ$ (18,1) и при т-рах $< 890^\circ$ (47,5).

Г. Леви

20699. Образование зародышей в атмосфере кислорода при давлениях от 10^{-5} до 10^{-7} мм рт. ст. и 850°. Мак-Миллан, Гулбрансен (Formation of germes dans des atmospheres d'oxygene sous des pressions de 10^{-5} a 10^{-7} mm de Hg a 850° C. McMillan W. R., Gulbransen Earl A.), J. chim. phys. et phys.-chim. biol., 1956, 53, № 7-8, 643—657; Discuss. 657—659 (франц.)

В спец. вакуумной печи при 850° и давл. 10^{-5} — 10^{-7} мм рт. ст. в атмосфере воздуха или O_2 исследовано окисление двух образцов чистого Fe армко и пурон; последнее отличается от первого более низким содержанием металлич. примесей и С. Поверхность образцов предварительно подвергалась механич. или электролитич. полировке. Микроскопич. и электронографич. исследование показало, что уже при давл. 10^{-7} мм рт. ст. на поверхности образцов образуется тонкая пленка окисла, хотя поверхность металла остается блестящей. Кроме того, образуется и некоторое кол-во кристалликов окисла со средними размерами 0,1—1 м. Кристаллики в отличие от образующихся при давл. 10^{-5} мм рт. ст. имеют беспорядочную ориентацию. С, содержащийся в образце, реагирует с образующимся поверхностным окислом, лимитируя тем самым дальнейшее окисление.

В. Вассерберг

20700. Изучение механизма реакции восстановления двуокиси углерода при помощи радиоактивного углерода. Петренко И. Г., Химия и технол. топлива и масел, 1957, № 7, 15—20

Циркуляционным методом при использовании меченой $C^{14}O$ изучено восстановление CO_2 древесным и электродным углем, а также металлургич. коксом при 700—1100° и давл. 150—600 мм рт. ст. Показано, что восстановление CO_2 протекает по ассоциативному механизму с образованием переходного кислород-углеродного комплекса и состоит из нескольких взаимосвязанных р-ций (образования активной и неактивной CO , гетерог. обмена углерода между окислами и твердой фазой углерода и между CO и CO_2 и др.). Предложена схема механизма р-ции.

Л. Березкина

20701. Исправление к статье: Феликс, Жордан «Исследования гетерогенных систем при помощи Co^{60} в качестве индикатора» (Erratum. Felix Fred, Jordan Pierre), J. Inorg. and Nucl. Chem., 1956, 3, № 3-4, 252 (англ.)
РЖХим, 1957, 47453.

20702. Масс-спектрометрическое изучение CS , SO , CCl_2 , образующихся в результате первичных гетерогенных реакций. Бланчард, Ле-Гофф (Mass spectrometric study of the species CS , SO , and CCl_2 produced in primary heterogeneous reactions. Blanchard L. P., Le Goff P.), Canad. J. Chem., 1957, 35, № 1, 89—98 (англ.)

Масс-спектрометрическим методом (РЖХим, 1956, 25195; 1957, 7577, 22365) изучено разложение CS_2 , H_2S , SO_2 и CCl_4 в проточной системе на чистой или содержащей 3% С W-ленте при давл. 10^{-5} мм рт. ст. и т-рах $> 1000^\circ$. На чистом W CS_2 разлагается на CS и S_2 , H_2S — на H_2 и S_2 , SO_2 — на O_2 и SO (или S_2 при т-рах $> 1400^\circ$), CCl_4 — на CCl_2 , Cl_2 и Cl ; молекулы H_2 , S_2 и Cl_2 образуются, по-видимому, в результате рекомбинации соответствующих атомов на холодных стенках сосуда. На W+3% С вместо S_2 и O_2 образуются CS и CO . Измерены потенциалы ионизации компонентов всех р-ций и рассчитаны энергии диссоциации связей: ($SC-S$) 90 ± 7 , ($OS-O$) 92 ± 7 , (CCl_2-Cl) 62 ± 7 ккал/моль.

Г. Леви

20703. Некоторые проблемы полупроводникового катализа. Рогинский С. З., Изв. АН СССР. Сер. физ., 1957, 21, № 2, 163—175
Обзорный доклад. Библ. 54 назв. В. Фролов

20704. О некоторых вопросах полупроводникового катализа. Волькенштейн Ф. Ф., Изв. АН СССР, Сер. физ., 1957, 21, № 2, 179—182
Выступление по докладу (см. пред. реф.)

20705. О задачах, стоящих перед теорией полупроводников в связи с проблемой катализа. Волькенштейн Ф. Ф., Изв. АН СССР. Сер. физ. 1957, 21, № 2, 176—178

20706. Зависимость между электропроводностью и каталитической активностью смешанных катализаторов $ZnO - Cr_2O_3 - K_2CrO_4$. I. Техника эксперимента. Гарсия-де-ла-Банда, Эрнэс-Марин (Relacion entre conductividad electrica y actividad catalitica en catalizadores mixtos $ZnO - Cr_2O_3 - K_2CrO_4$. I. Técnica experimental. García de la Banda J. E., Hernáez Marín J.), An. Real. soc. esp. fis. y quim., 1957, B53, № 7-8, 499—508 (исп.; рез. англ.)

При дегидрогенизации изопропилового спирта изменяется каталитич. активность ряда смешанных катализаторов $ZnO - Cr_2O_3 - K_2CrO_4$ различного состава, спеченных при 600—1000°, и определена их электропроводность в широком интервале t -р в атмосфере реагирующих газов и продуктов p -ции. Измерены величины поверхностей образцов по методу БЭТ и рентгенографически определены их структуры. Показано, что между значениями электропроводности и $1/T$ (T — абс. t -ра) существует линейная зависимость. См. также РЖХим, 1955, 36923. А. Ш.

20707. Исследование каталитических свойств твердых растворов на основе закиси никеля. Кэйер Н. П., Рогинский С. З., Сазонова И. С., Изв. АН СССР, Сер. физ., 1957, 21, № 2, 183—191

Изучены каталитич. свойства по отношению к окислению CO образцов NiO , содержащих растворенные окислы металлов различной валентности. Особенно сильное влияние на каталитич. свойства оказывает растворенный Li_2O . Энергия активации (E) p -ции на образце катализатора, содержащем 0,82 ат. % Li^+ , равна 17,0, на чистой NiO 0,5 ккал/моль. Симбатно с изменением E при увеличении содержания Li^+ изменяется и предэкспоненциальный множитель (K_0). Растворение в NiO окислов двухвалентных металлов не оказывает влияния на E , а K_0 снижается в пределах одного порядка. Растворение 1% Fe_2O_3 в NiO уменьшает суммарную скорость окисления CO при комнатной t -ре в 2,5 раза, а при 300° в 9 раз. Падение скорости обусловлено уменьшением K_0 при одновременном снижении E на 1,5 ккал/моль. Введение 1 ат. % Fe^{3+} в твердый p -р NiO + 0,8 ат. % Li^+ вызывает снижение E на 13 ккал/моль и K_0 в $3 \cdot 10^3$ раз. Суммарная скорость при этом возрастает (при 250°) в ~ 100 раз. Данные работы подтверждают представления об участии электронов и дырок катализатора в окислительном катализе. В. Фролов

20708. О действии добавок на окисные катализаторы. IV. Активность CdO , Fe_2O_3 и их смесей как катализаторов окисления CO и полупроводниковые свойства этих катализаторов. Ринеккер, Буххольц (Über die Beeinflussung oxydischer Katalysatoren durch Zuschläge. IV. Die Wirksamkeit von CdO , Fe_2O_3 und ihren Mischungen als Katalysatoren der CO -Oxydation unter Berücksichtigung der Halbleitereigenschaften. Rienäcker Günther, Buchholz Erch), Z. anorgan. und allgem. Chem., 1957, 290, № 5-6, 320—333 (нем.)

При добавлении малых кол-в Fe_2O_3 (I) к CdO (II) и II к I каталитич. свойства I и II в отношении p -ции

окисления CO резко изменяются. При добавлении к II 0,64 мол. % I энергия активации p -ции окисления CO (E) на II возрастает с 13,2 до 20 ккал/моль, при добавлении к I 0,4 мол. % II E на I уменьшается с 15,4 до 6,5 ккал/моль. Реакое изменение каталитич. активности, наблюдающееся при добавлении I к II и II к I, не сопровождается существенным изменением уд. поверхности или структуры кристаллич. решетки исходных I и II. При добавлении малых кол-в I к II, являющемуся n -полупроводником со значительной собственной проводимостью, его проводимость (σ) не увеличивается; авторы объясняют это уменьшением подвижности электронов, компенсирующим увеличение их конц-ии. При добавлении малых кол-в II к I σ возрастает. По мнению авторов лимитирующей стадией p -ции является хемосорбция CO с переходом ее электронов к катализатору. Сообщение III см. РЖХим, 1956, 64532. М. Сахаров

20709. Исследование адсорбционных и каталитических свойств поверхности саж. Клаусс, Бём, Гофман (Untersuchungen über die adsorbierende und katalytisch wirksame Oberfläche der Ruße. Clauss A., Boehm H.-P., Hofmann U.), Z. anorgan. und allgem. Chem., 1957, 290, № 1-2, 35—51 (нем.)

Электронномикроскопическим, рентгенографич. и адсорбционным методами (по БЭТ) изучены уд. поверхности (S) 8 образцов промышленных саж, свежих, активированных, графитированных, обезгаженных в вакууме или прогретых в H_2 при 1100°. Измерена каталитич. активность (KA) этих образцов по отношению к p -ции $H_2 + Br_2 = 2HBr$ в газовой фазе при 150°. Полученные из электронномикроскопич. данных значения S занижены, так как при этом методе не учитывается внутренняя поверхность. KA не изменяется при графитировании и пропорциональна S , т. е. катализует вся поверхность, а не какие-то активные места. При активировании диаметр d шаровых частиц саж. не изменяется, выгорают только отдельные кристаллиты в частицах, внутренняя поверхность частиц увеличивается. При графитировании активированной сажи d также не изменяется, но большое число мелких кристаллитов каждой частицы сростается в несколько крупных кристаллов.

3. Высоцкий
20710. Адсорбция водорода на катализаторе медь-окись магния. Такэути, Сакагути (Adsorption of hydrogen on copper-magnesia catalysts. Takeuchi Toyosaburo, Sakaguchi Masakazu), Bull. Chem. Soc. Japan, 1957, 30, № 2, 124—124 (англ.)

Изучена адсорбция H_2 при 100 и 160° на Cu -катализаторе, содержащем 1% MgO (I) (полученном растворением MgO и CuO в HNO_3 с последующим просушиванием, прокаливанием при 500° и 3-недельным восстановлением в H_2 при 200°), а также на образцах того же катализатора, спеченных при 400 и 500°. Параллельно измерена адсорбция H_2 на MgO и на восстановленных при 200° Cu и $Cu-Ni$. Добавление MgO к Cu заметно увеличивает поверхность S и скорость адсорбции и снижает относительное уменьшение S после спекания. Кол-во H_2 , адсорбированного на 1 cm^2 , на I меньше, чем на чистой Cu , а на Mg неизмеримо мало. Методом дифракции электронов показано, что MgO расположена на поверхности I в виде микрокристаллич. частиц и, по мнению авторов, является источником кислорода и причиной возникновения нерегулярных дефектов решетки Cu . См. также РЖХим, 1956, 74437. Г. Леви

20711. Поверхность медно-никелевого катализатора. I. Взаимодействие между хлористым водородом и катализатором. II. Адсорбция водорода на медном,

никелевом и медно-никелевом катализаторах. Такеути, Сакагути (The surface of copper-nickel catalyst. I. The Reaction between hydrogen chloride and the catalyst. II. Adsorption of hydrogen on copper, nickel, and copper-nickel catalysts. Takeuchi Toyosaburo, Sakaguchi Masakazu), Bull. Chem., Soc. Japan, 1957, 30, № 2, 177—181; 182—186 (англ.)

I. Для установления состояния Ni в Cu-Ni-катализаторе (K), содержащем 1% Ni, изучено взаимодействие HCl при 150° с чистыми Ni и Cu и электронномикроскопически изучены образцы Cu и K. Кол-во HCl, вступившего в р-цию, определялось по падению давления и по кол-ву образовавшихся ионов металла. Поверхность образцов Ni, Cu и K, полученных через нитраты, измерена по адсорбции этилена методом БЭТ. Найдено, что число ионов Cu на 1 г K с увеличением расхода HCl возрастает, а ионов Ni остается практически постоянным (10^{19} — 10^{20}). Электронномикроскопич. изучение показывает, что на общей шероховатой поверхности K разбросаны кристаллич. образования диаметром несколько сот А. Результаты опытов и расчеты приводят авторов к выводу, что ~ 3% общего кол-ва Ni в K находится на его поверхности в виде микрокристаллов, причем суммарная поверхность последних составляет ~ 17% от общей поверхности изученного K.

II. Изучена адсорбция (A) и измерена теплота A (Q_A) H₂ на K и на чистых Cu- и Ni-катализаторах при 100, 120 и 130°. Скорость A на Ni значительно больше, чем на K и Cu. Кол-во адсорбированного H₂ на единицу поверхности на K > Cu > Ni. Дифференциальная Q_A при заполнениях, близких к нулевому, составляет $10,6 \pm 0,5$ для K и Cu и $24,2 \pm 0,5$ ккал/моль для Ni. Совпадение значений Q_A для K и для чистой Cu приводит авторов к выводу, что частицы Ni, находящиеся на поверхности K, по-видимому, покрыты слоем Cu.

Г. Леви

20712. Старение алюмосиликатного катализатора крекинга. I. Кинетика структурных изменений при термической обработке и воздействии водяного пара. Шлаффер, Морган, Вильсон (Aging of silica-alumina cracking catalyst. I. Kinetics of structural changes by heat and steam. Schlaffer W. G., Morgan C. Z., Wilson J. N.), J. Phys. Chem., 1957, 61, № 6, 714—722 (англ.)

Скорость уменьшения уд. поверхности (S) синтетич. алюмосиликатного катализатора (K), содержащего 12,4 вес.% Al₂O₃, во время обработки его при 478—863° паром H₂O при давлении пара (P_{H_2O}) 0,11—7 атм, а также при термич. обработке в токе сухого воздуха при 785—950° выражается ур-нием $-ds/dt = kS^n$, где k и n — постоянные, зависящие от т-ры обработки и от P_{H_2O} . Обработка в токе сухого воздуха приводит к удалению из K остатков H₂O (до 2% после прокалывания исходного образца при 565°), поэтому быстрое нагревание вызывает более резкое падение S, так как удаляемый пар H₂O воздействует на K при более высокой т-ре, чем при медленном нагревании. Скорость уменьшения объема пор (v_p) при высоких т-рах пропорциональна скорости уменьшения S, при низких т-рах v_p падает медленнее, чем S. Термич. обработка в токе сухого воздуха оказывает значительно меньшее влияние на v_p , чем обработка паром H₂O. Кажущийся диаметр пор при данной величине S во время обработки K зависит от P_{H_2O} и от т-ры, при низких т-рах относительное увеличение среднего диаметра микропор больше, чем при высоких. С. Киперман

20713. Влияние низких температур на структуру и на каталитическую активность некоторых гидроокисей железа. Краузе, Олейник (Wpływ niskich temperatur na strukturę i aktywność katalityczną niektórych wodorotlenków żelazowych. Krause Alfons, Olejnik Gwidon), Roczn. chem., 1956, 30, № 4, 1095—1102 (польск.; рец. нем.)

Найдено, что обработкой при достаточно низкой т-ре можно увеличивать поверхность гелей гидроокисей железа и вызывать увеличение их каталитич. активности.

Резюме авторов

20714. Влияние следовых элементов на каталитическую активность Ni(OH)₂. Краузе, Вольский (Wpływ pierwiastków śladowych na aktywność katalityczną wodorotlenku niklowego. Krause Alfons, Wolski Włodzimierz, Wasiaś Hanna), Roczn. chem., 1956, 30, № 3, 723—732 (польск.; рец. нем.)

Исследована каталитич. активность смешанных Ni-катализаторов типа Ni(OH)₂ — ион в восстановительно-окислительных системах.

Резюме авторов

20715. Каталитическая активность гидроокиси самария и некоторых других гидратов окисей редкоземельных элементов в восстановительно-окислительных системах. Вольский (O aktywności katalitycznej wodorotlenku samaru oraz niektórych innych wodorotlenków lantanowców w układach redukcjno-oksydacyjnych. Wolski Włodzimierz), Roczn. chem., 1956, 30, № 3, 733—742 (польск.; рец. нем.)

Исследованы каталитич. свойства гидроокисей самария, лантана, празеодима и неодима в восстановительно-окислительных системах. Найдено, что наиболее активны смешанные катализаторы состава: гидроокись лантанида — Cu²⁺ — катионы II группы периодической системы.

Резюме автора

20716. Окись меди в качестве носителя комплексных катализаторов. Краузе, Вольский (Tlenek miedziowy jako nośnik katalizatorów zespołowych. Krause Alfons, Wolski Włodzimierz), Roczn. chem., 1956, 30, № 3, 681—690 (польск.; рец. нем.)

Исследована окись меди как носитель смешанных катализаторов типа CuO — ион в р-циях разложения H₂O₂ и пероксидатного окисления индигокармина при 37°.

Резюме авторов

20717. Потенциометрическое исследование кобальториевых контактов при синтезе Фишера — Тропша. Соецкий (Potencjometryczne badanie kontaktów kobaltowo-torowych do syntezy Fischera — Tropscha — cz. I. Sojecki Wojciech), Zesz. nauk. Politechn. warsz., 1957, № 30, 71—79 (польск.; рец. русск., англ.) Потенциометрическим методом, описанным ранее (РЖХим, 1954, 42741; 1956, 438), исследована серия Co — Th-контактов, а также их носителей. Получены значения потенциалов соответствующих порошков электродов, характерные для изученных контактов.

Резюме автора

20718. Каталитическое разложение и анодное окисление перекиси водорода на платиновых электродах. Льюис, Гильен (Descomposicion catalitica y oxidacion anodica del agua oxigenada con electrodos de platino. Llopis J., Guillén J. M.), An. Real soc. esp. fis. y quim., 1957, B53, № 1, 5—11, Discuss., 11—16 (исп.; рец. англ.)

Показано, что скорость анодного окисления H₂O₂ на электродах из платинированной Pt несколько превышает скорость каталитич. разложения H₂O₂ на том же металле, которое подчиняется ур-нию 1-го порядка. Скорость анодного окисления H₂O₂ прямо пропорциональна поверхности анода, энергия активации этого

процесса 5,4 ккал/моль. Обсуждается механизм каталитич. разложения H_2O_2 . С. Самойлов

20719. Сравнение марганцовых и ренийевых соединений при каталитическом разложении хлората калия. Браун, Вуде (Comparison of manganese and rhenium compounds in the catalytic decomposition of potassium chlorate. Brown F. E., Woods J. D.), Proc. Iowa Acad. Sci., 1956, 63, 410—418 (англ.)

Изучено разложение $KClO_3$ при 340 и 366° в присутствии металлич. Mn, MnO , Mn_2O_3 , MnO_2 , $KMnO_4$, металлич. Re, ReO_2 , ReO_3 , Re_2O_7 и $KReO_4$. Среди Mn-катализаторов наиболее активным оказался специально приготовленный MnO_2 , наименее активным — Mn_2O_3 ; р-ция протекает равномерно и доходит до конца, катализаторы представляют собой после р-ции окислы состава MnO_x , где $x = 1,3—2,0$. Ренийевые катализаторы, за исключением $KReO_4$, отличаются вначале высокой активностью, близкой к активности Mn-катализаторов, однако через короткое время р-ция обрывается, а катализаторы, за исключением ReO_2 , переходят в растворимые соединения, содержащие стабильные перренаты. По мнению авторов, это и является причиной обрыва р-ции разложения $KClO_3$, идущей за счет изменения степени окисления катализаторов. С. Киперман

20720. Каталитическая гидрогенизация в паровой фазе с использованием никелевого катализатора Урушибара. Хата, Ватанабэ, Сато (Catalytic hydrogenation in vapor phase using Urushibara nickel as catalyst. Hata Kazuo, Watanabe Ken-ichi, Sato Shiro), Bull. Chem. Soc. Japan, 1957, 30, № 4, 431—432 (англ.)

Никелевый катализатор Урушибара (U-Ni), описанный ранее (РЖХим, 1956, 32037, 32038), впервые применен для р-ций гидрогенизации в паровой фазе. В присутствии U-Ni нитробензол при 220° превращается в анилин с выходом 81%, стирол при 165° в этилбензол с выходом 88%, ацетофенон при 200° в этилбензол с выходом 90%; бензонитрил при 250° гидрируется до бензиламина, дибензиламина, толуола и аммиака (толуола получается в 2—3 раза меньше, чем аммиака, в отличие от той же р-ции на восстановленном Ni, когда имеет место почти полное превращение в толуол). Бензол при 180° на U-Ni не гидрируется в отличие от р-ции на восстановленном Ni. С. Киперман

20721. Изучение механизма синтеза Фишера — Тропша. Добавление радиоактивного этилового спирта к исходному газу синтеза. Кокс, Холл, Эмметт (Fischer — Tropsch synthesis mechanism studies. The addition of radioactive ethanol to the synthesis gas. Kokes R. J., Hall W. Keith, Emmett P. H.), J. Amer. Chem. Soc., 1957, 79, № 12, 2989—2996 (англ.)

Изучено участие радиоактивного C_2H_5OH (I) в синтезе углеводородов (У) над Fe- и Co-катализаторами (К) при 0,04—1,5 об.% I в исходной смеси CO и H_2 . Отсутствие существенного изменения мол. радиоактивности (МР) У с увеличением числа C-атомов в их молекулах свидетельствует, по мнению авторов, о способности комплекса, образующегося при адсорбции I, инициировать рост молекул У. Величина отношения средней МР У с числом атомов C > 2 к МР исходного I уменьшается с увеличением давления и уменьшением конц-ии I; при 1 атм и конц-ии I, равной 1,0—1,5 об.%, эта величина равна 0,35 для однократно промотированного Fe-K, 0,18 для дважды промотированного Fe-K и 0,016 для Co-K. Средняя МР спиртов, синтезированных над азотированным Fe-K, равна средней МР У, синтезированных на этом же К, что указывает, по-видимому, на единый механизм образования спиртов и У. На основании данных радиометрич. анализа продуктов синтеза на Fe- и Co-K авторы приходят к выводу, что механизм синтеза на этих К различен. Авторы считают, что на Fe-K синтез У протекает по

механизму, предложенному Сторчем, Голамбином и Андерсоном (Storch H. H. и др. The Fischer — Tropsch and related syntheses. New York, John Wiley and Sons, 1951, p. 592), и что основным инициатором роста углеводородных цепей является комплекс, близкий по строению к спирту. См. также РЖХим, 1958, 3897.

М. Сахаров

20722. Синтез уксусной кислоты из метанола и окиси углерода в паровой фазе в присутствии никелевых катализаторов при высоких давлениях. Бхаттачария, Саурираджан (Synthesis of acetic acid from methanol and carbon monoxide in the vapour phase in presence of nickel catalysts at high pressures. Bhattacharyya S. K., Sourirajan S.), J. Appl. Chem., 1956, 6, № 10, 442—456 (англ.)

Изучена р-ция $CH_3OH + CO = CH_3COOH$ в статич. системе при 150—250° и давл. 84—378 атм в присутствии катализаторов: Ni на кизельгуре; Ni_2 ; Ni_3 , нанесенного в разных конц-иях на кизельгур; Ni_2 на кизельгуре с добавками до 1% CuI_2 , MgO , ThO_2 ; Ni_2 на силикагеле, каолине, пемзе; $NiBr_2$ и $NiCl_2$ на силикагеле. Наиболее активен Ni_2 на кизельгуре, содержащий 84,2% Ni_2 (К); степень превращения CH_3OH в CH_3COOH при 210 и 280 атм на К составляет 37%; чистый Ni на кизельгуре, а также $NiCl_2$ и $NiBr_2$ малоактивны, добавление других окислов снижает активность Ni_2 . Оптимальное давление в присутствии К 265 атм; с повышением т-ры до 180° выход повышается, затем не изменяется до 230° и далее снижается; с увеличением длительности рабочего цикла К выход CH_3COOH повышается, особенно в начальной стадии. Увеличение конц-ии и скорости струи CH_3OH не влияют на степень превращения в CH_3COOH , но несколько повышают кол-во образующегося CO_2 . С разбавлением CH_3OH водой (до 5%) относительное кол-во CH_3COOH повышается и становится устойчивым при дальнейшем разбавлении. Введение ацетона до 5% снижает выход CH_3COOH до 28%. Наличие следов влаги необходимо для устойчивой активности К, которая, после ее частичной потери, легко восстанавливается путем добавления к К небольших кол-в холодной воды. Обработка К паром H_2O или чистым CH_3OH при т-рах опыта снижает активность, но та же обработка метанолом при 60—90° полностью регенерирует К. Термографич. исследования указывают на образование в присутствии H_2O комплексов Ni_2 с CO, являющихся, по мнению авторов, носителями каталитич. свойств К. С. Киперман

См. также: Реакционная способность и строение 21314, 21323, 21334. Кинетика и механизмы р-ций 20360, 21315—21317, 21319—21322, 21326—21328, 21331, 21332, 21335. Гетерогенный органич. катализ 21325, 21342. Произ-во и св-ва катализаторов 20823, 22293—22295, 22298, 22778. Каталитические процессы 22310, 22315, 22700—22703, 22711, 22733, 22777, 22779. Горение 20371

РАДИАЦИОННАЯ ХИМИЯ. ФОТОХИМИЯ. ТЕОРИЯ ФОТОГРАФИЧЕСКОГО ПРОЦЕССА

Редактор Х. С. Багдасарьян

20723. Химия импульсного фотолиза. Часть I. Фотолиз ацетона. Остер, Маркус (Photochemical studies in flash photolysis. I. Photolysis of acetone. Oster Gisela K., Marcus R. A.), J. Chem. Phys., 1957, 27, № 2, 472—475 (англ.)

Ацетон облучался вспышками света высокой интенсивности (нихромовая проволока, сгорающая при про-

пускании через нее большого электрич. тока; длительность вспышки 0,3 мсек.). Отношение $C_2H_6:CO$ в продуктах р-ции равно 1,25 и не зависит от давления $(CH_3)_2CO$. Добавки биацетила снижают это отношение, если длина волны $\lambda < 2100$ Å. Авторы считают, что первичная р-ция $(CH_3)_2CO + h\nu \rightarrow 2CH_3 + CO$ идет через образование возбужденной молекулы $(CH_3)_2CO^*$ при $\lambda < 2100$ Å, которая дезактивируется столкновениями с молекулами биацетила. Время жизни $(CH_3)_2CO^* \geq 10^{-6}$ сек. Добавки C_4H_{10} снижают отношение $C_2H_6:CO$ в еще большей степени. Отношение $CH_4:CO$ не зависит от давления $(CH_3)_2CO$, интенсивности облучения и добавок CO_2 и C_4H_{10} . Авторы объясняют это тем, что образование CH_4 идет по механизму: $(CH_3)_2CO + h\nu \rightarrow CH_4 + CH_2CO$. В. Скурят

20724. Фотолит паров диметилкетена. Холройд, Блейсет (The photolysis of dimethyl ketene vapor. Holroyd Richard A., Blacet Francis E.), J. Amer. Chem. Soc., 1957, 79, № 18, 4830—4834 (англ.)

При 30—230° масс-спектрометрически изучен фотолит $(CH_3)_2CCO$ (I). Основными продуктами фотолита являются C_2H_6 и CO. При фотолите I под действием радиации $\lambda 2537$ Å квантовый выход (Ф) CO равен 1 и не зависит от интенсивности облучения (I), т-ры и давления (P). Р-ция фотолита в этих условиях: $I + h\nu \rightarrow (CH_3)_2C:CH_3 + CO$ (1), $\Phi(C_2H_6)$ возрастает с увеличением P I или инертных газов до предельного значения ~ 1 . При $P < 10^{-3}$ моль/л $\Phi(C_2H_6)$ резко уменьшается с уменьшением P и в продуктах фотолита появляется CH_4 . С увеличением т-ры $\Phi(C_2H_6)$ уменьшается, а кол-во CH_4 в продуктах фотолита возрастает. Наличие в зоне р-ции свободных радикалов, установленное методом Те-зеркал, подтверждает, что CO образуется по р-ции (1). При фотолите I под действием радиации $\lambda = 3660$ Å $\Phi(CO)$ и $\Phi(C_2H_6) < 1$ и понижаются с уменьшением P I или P инертных газов. В этом случае образуются возбужденные молекулы $I + h\nu \rightarrow I^*$, $I^* + I \rightarrow 2I$, $I^* \rightarrow (CH_3)_2C:CH_3 + CO$. Радикал $(CH_3)_2C:CH_3$ может реагировать с I, давая CO и гексен, который обнаружен в продуктах фотолита при высоких P. Г. Королев

20725. Фотолит триметиламина. Гессер, Мулхаупт, Гриффитс (The photolysis of trimethylamine. Gesser H., Mullhaupt J. T., Griffiths J. E.), J. Amer. Chem. Soc., 1957, 79, № 18, 4834—4836 (англ.)

При т-рах от -78 до $+175^\circ$ измерены скорости накопления продуктов (H_2 , CH_4 , C_2H_6 и жидкий полимер) фотолита $(CH_3)_3N$ (I). Добавки цикло- C_5H_{10} при высоких т-рах уменьшают скорость образования H_2 . При высоких т-рах CH_4 образуется по р-циям $CH_3 + I \rightarrow CH_4 + (CH_3)_2N(CH_2)$ (1) и $CH_3 + N \rightarrow CH_4$; H_2 — продукт мол. р-ции. При низких т-рах мол. путем образуется и CH_4 . Энергия активации р-ции (1) равна 7,1 ккал/моль. Г. Королев

20726. О фотохимической реакции окисления четырехвалентного урана. Ушатский В. Н., Толмачев Ю. М., Тр. Радиев. ин-та АН СССР, 1956, 7, 98—102

Окисление водн. р-ров $U(SO_4)_2$ и UCl_4 кислородом ускоряется при освещении светом лампы накаливания (1000 вт) при $18-20^\circ$. В присутствии H_2SO_4 или HCl окисление замедляется в темноте и на свету. Окисление р-ров уранооксалата NH_4 кислородом без освещения идет очень медленно и практически является фотохим. процессом. Кол-ва окисленных эквивалентов ионов урана и ионов оксалата равны. Предложен механизм р-ций, в основе которого лежат процессы $U^{4+} + h\nu \rightarrow (U^{4+})^*$, $(U^{4+})^* + O_2 \rightarrow UO_2^{2+}$.

И. Верещинский

20727. Вторичные фотохимические реакции комплексных солей ртути. Такэи (水銀錯化合物の光化学第2次反應. 竹井國雄), 日本化学雑誌, Нихон кагаку даасси, J. Chem. Soc. Japan. Pure Chem. Sec., 1956, 77, № 6, 965—968 (японск.)

Потемнение желтой $HgJ_2 \cdot 2HgS$ под действием солнечного света вызвано появлением колл. Hg на поверхности кристалла. Нейтр. атомы J и S достигают поверхности путем термич. диффузии. Часть этих атомов рекомбинирует с атомами Hg, образуя HgJ_2 и HgS на поверхности кристалла. Другая часть атомов приводит к образованию газообразных SO_2 и J, которые в присутствии H_2O превращаются в ионы.

Chem. Abstrs, 1957, 51, № 11, 7874. Т. Katsurai
20728. Фотосинтез и перенос энергии. Рабинович (Photosynthesis and energy transfer. Rabinowitch E.), J. Phys. Chem., 1957, 61, № 7, 870—878 (англ.)

Обсуждены новые данные о структуре и плотности пигментной системы. Измерения времени жизни возбужденного состояния хлорофилла (X), проведенные при помощи миллимикросекундных импульсов водородных ламп, показывают близкое совпадение величин τ (опыт.) и τ (выч.) в случае р-ров X a и X b в эфире. Для X a в *Chlorella* τ (опыт.) = $1,6 \pm 0,5$ мсек., а τ (выч.) = 0,45 мсек. Возможной причиной расхождения является присутствие in vivo двух типов X a: флуоресцирующей формы с квантовым выходом флуоресценции $\phi \approx 10\%$ и с τ (опыт.) и нефлуоресцирующей формы. Критически рассмотрена гипотеза о роли метастабильного состояния X в процессе фотосинтеза и показано ее противоречие ряду фактов. Обсуждены вопросы миграции энергии в модельных системах и перенос энергии между различными пигментами.

И. Верещинский

20729. Фотохимическое окисление аскорбиновой кислоты в растворах, содержащих щавелевую кислоту. II. Механизм реакции. Лампигт, Бейкер, Уиттенберг (The photochemical oxidation of ascorbic acid in solutions containing oxalic acid. II. Mechanism of the reaction. Lampitt L. H., Baker L. C., Wittenberg E.), J. Sci. Food and Agric., 1956, 7, № 2, 120—124 (англ.)

Аскорбиновая к-та (I) не окисляется солями $Fe(3+)$ в р-ре щавелевой к-ты (II). Действие УФ-излучения на соли $Fe(3+)$ в р-ре II в атмосфере N_2 приводит к образованию ионов Fe^{2+} ; в атмосфере воздуха ионы Fe^{2+} устойчивы лишь при определенных соотношениях весовых кол-в железа и II. Предположено, что фотохим. окисление I вызвано свободными радикалами, возникающими при автоокислении ионов Fe^{2+} , образующихся вследствие фотохим. восстановления оксалата $Fe(3+)$. Часть I см. РЖХимБх, 1956, 19911.

И. Верещинский

20730. Необратимое фотовыцветание раствора флуоресцирующих красителей. II. Фотовыцветание спиртового раствора эозина в вакууме. III. Фотореакция эозина в водных спиртовых растворах в эвакуированном состоянии. Имамуре, Коидзуми (Irreversible photobleaching of the solution of fluorescent dyes. II. Photobleaching of the alcoholic solution of eosine in vacuo. III. Photoreaction of eosine in the aqueous alcoholic solutions under evacuated state. Imamura Masashi, Koizumi Masao), Bull. Chem. Soc. Japan, 1956, 29, № 8, 899—903; 913—918 (англ.)

II. Исследовано фотовыцветание (ФВ) эвакуированного 10^{-5} М р-ра эозина (Э) в метиловом, этиловом, изопропиловом и n-бутиловом спирте. В присутствии O_2 ФВ полностью подавляется, но происходит сенсibilizированное фотоокисление спирта. При добавлении малых кол-в O_2 к эвакуированному спирт. р-ру Э

появляется индукционный период, после которого ФВ происходит почти с той же скоростью, что и в эвакуированном р-ре. Среди продуктов р-ции, происходящей в вакууме, обнаружен альдегид, в присутствии O_2 — к-та и H_2O_2 . Отношение квантового выхода поглощения O_2 во время индукционного периода к квантовому выходу ФВ в вакууме равно ~ 3 . Первичным процессом ФВ является дегидрогенизация спирта RH молекулой Э в метастабильном возбужденном состоянии $Э^* + RH \rightarrow ЭH + R$. В этаноле при 20° квантовый выход $\sim 10^{-3}$. Время жизни промежуточного продукта ЭH, атакуемого O_2 , не меньше $10^{-2} - 10^{-3}$ сек.

III. Исследована фотореакция эвакуированных р-ров Э в смесях этанол-вода. Облучение приводит к постепенному смещению полосы поглощения в сторону коротких длин волн вследствие образования уранина. Скорость исчезновения Э увеличивается с возрастанием конц-ии этанола до 20 об.%, после чего она достигает максим. и постоянного значения такого же, как и в чистом этаноле. Часть I см. РЖХим, 1956, 25217. И. Верещинский

20731. Применение излучения с высокой энергией. Ханле, Шарман (Anwendung energiereicher Strahlung. Hanle W., Schargmann A.), Chemiker-Ztg, 1957, 81, № 17, 555—557; № 18, 607—611 (нем.)

Популярное изложение. Л. Ф. 20732. Индуцируемое α -лучами разложение аммиака. II. Влияния изменений интенсивности и давления. Берт, Залан (Alpha-induced decomposition of ammonia. II. Effects of variations in intensity and pressure. Burt Benjamin P., Zahlan Antoine B.), J. Chem. Phys., 1957, 26, № 4, 846—850 (англ.)

При $57-730$ мм рт. ст. ионный выход разложения NH_3 увеличивается с возрастанием интенсивности и уменьшением давления. Предположено, что при взаимодействии ионов NH_3^+ и NH_2^+ с NH_3 образуется ион NH_4^+ , который нейтрализуется на стенках. Уменьшение выхода с возрастанием давления вызвано дезактивацией NH_3^* , образовавшихся по р-ции $NH_2 + H \rightarrow NH_3^*$, вследствие протекания р-ции $NH_3^* + NH_3 \rightarrow 2NH_3$. При достаточно высоких давлениях и интенсивностях радикалы NH_2 реагируют гомогенно в газовой фазе, но при низких давлениях и малых интенсивностях протекают р-ции на стенке. Изменение относительного значения гомог. и гетерог. р-ций и диффузия NH_4^+ к стенке вызывают наблюдаемую зависимость ионного выхода от интенсивности. Часть I см. РЖХим, 1955, 36929. И. Верещинский

20733. Защитное действие сырой нефти по отношению к металл-порфириновым комплексам, подвергнутому действию гамма-излучения. Данинг (The protective action of crude petroleum for metal-porphyrin complexes exposed to gamma irradiation. Dunning H. N.), J. Amer. Chem. Soc., 1957, 79, № 19, 5320—5321 (англ.)

Порфириновые комплексы Ni, V, полученные синтетически и выделенные из различных нефтей, распадаются под действием γ -лучей с практически одинаковой скоростью. В сырой нефти и асфальте радиолитич. распад этих комплексов протекает значительно медленней, что объясняется авторами защитным действием нефти и асфальта по отношению к комплексам. А. Кронгауз

20734. Влияние изменений гидратного состояния на поведение ионов, образовавшихся при облучении перманганатов нейтронами. Болтон, Мак-Каллум (Effect of changes in hydration on recoil fragments in neutron-irradiated permanganates. Bolton J. R., McCallum K. J.), Canad. J. Chem., 1957, 35, № 8, 761—765 (англ.)

Образцы тригидратов и обезвоженных $NaMnO_4$ и $LiMnO_4$ облучались нейтронами, после чего гидраты подвергались гидратации, а обезвоженные образцы гидратировались. Далее образцы растворялись в воде или щелочи и определялось кол-во радиоактивного Mn, присутствующего в р-ре в виде перманганата. При растворении облученных образцов, подвергнутых указанной выше обработке, наблюдалось уменьшение кол-ва радиоактивного Mn в р-ре, находящегося в форме перманганата, по сравнению с образцами, не подвергавшимися гидратации или дегидратации после облучения. Этот эффект особенно значителен при растворении образцов в щелочи. Предполагается, что движение связанной воды через кристалл повышает вероятность взаимодействия радиоактивного Mn, существующего в форме ионов $Mn^{*}O_3^+$ и $Mn^{*}O_2^{3+}$ (Libby W. F., J. Amer. Chem. Soc., 1947, 69, 2523) с водой. При этом часть ионов переходит в $Mn^{*}O_2$, аналогично тому, как это происходит при растворении в воде. Поэтому при растворении в щелочи кол-во радиоактивного Mn, переходящего в форму перманганата, должно уменьшиться. Эксперимент показывает, что величина эффекта больше, чем можно ожидать на основании этого предположения, возможно, из-за того, что в р-ции гидратации вовлекаются соседние участки образца. Различие в величине эффекта для обеих солей связывается с особенностями процессов гидратации и дегидратации для этих солей. В. Шубин

20735. Эффект захвата радикалов в твердом бромистом этиле. Милман (The scavenger effect in solid ethyl bromide. Milman Miriam), J. Amer. Chem. Soc., 1957, 79, № 20, 5581—5582 (англ.)

При обработке водн. р-ром Na_2SO_3 бромистого этила (I), подвергнутого нейтронному облучению в замороженном виде, удерживание (У) радиоброма (доля радиоброма, удерживающаяся в органич. фазе) достигает 83%. После облучения I в жидком виде У не превышает 30% (РЖХим, 1957, 68446). При облучении смеси I с бромом, замороженной жидким N_2 или в жидком виде, наблюдалось постепенное понижение У при повышении содержания брома в смеси. У смеси I с бромом, облученной в твердом виде, зависит от скорости ее замораживания. Применение более быстрого метода замораживания приводит к понижению У. Б. Каплан

20736. Разность контактных потенциалов между сенсibiliзирующим красителем и носителем. Нелсон (Contact potential difference between sensitizing dye and substrate. Nelson R. C.), J. Opt. Soc. America, 1956, 46, № 12, 1016—1018. Discuss., 1018—1019 (англ.)

Методом наложения задерживающего потенциала на электронный пучок измерена разность контактных потенциалов V_K между CdS и пинацианолом (I), криптианином, неочианином и кристаллич. фиолетовым (II), которая соответственно найдена равной $0,32 \pm 0,02$; $0,40 \pm 0,03$; $0,25 \pm 0,03$ и $0,18 \pm 0,04$ в. Из результатов измерения V_K между W и I и II найдено, что сродство к электрону в обоих случаях равно $3,1$ эв. Измерена V_K между AgBr и I ($0,38 \pm 0,01$ в) и II ($0,41 \pm 0,06$ в). Это позволило вычислить величину сродства к электрону у AgBr, равную $3,5$ эв в согласии с величиной, полученной ранее (РЖХим, 1954, 42760). Эксперим. данные подтверждают механизм переноса электрона при оптич. сенсibiliзации фотоэмульсий, предложенный Герни и Моттом. Ю. Мошковский

20737 К. Электролюминесценция и электрофотолюминесценция. Матосси (Elektrolumineszenz und Elektrophotolumineszenz. Matossi Frank. Braun-

schweig, Vieweg, 1957, VI, 106 S., ill., 15.80 DM) (англ.)

См. также: Фотохимия 23709, 23711. Радиация химия 23705—23708, 23716. Действие ультразвука на полимеры 23718

РАСТВОРЫ. ТЕОРИЯ КИСЛОТ И ОСНОВАНИЙ

Редактор М. Д. Сурова

20738. Теория электролитов и мембранное равновесие Доннана. Хилл (Electrolyte theory and the Donnan membrane equilibrium. Hill Terrell), J. Phys. Chem., 1957, 61, № 5, 548—553 (англ.)

Метод Доннана расчета 2-го вирialного коэф. осмотич. давления при мембранном равновесии распространен на ионы конечного размера. Расхождение с данными, полученными по методу Мак-Миллана — Мейера, объясняется тем, что в разложении межионного потенциала учитываются более высокие члены. Показано, что более точная формулировка теории р-ров, достигается с помощью введения понятия «локальный коэффициент активности» (ЛКА). Ур-ние Пуассона — Больцмана для р-ров электролитов будет отличаться от обычного вида благодаря входящему в него отношению обычных (средних по объему) и локальных коэф. активности всех ионов. Отклонение этого отношения от единицы связано с возмущением распределения ионов в ионной атмосфере одного иона, вызванным присутствием другого иона, что не учитывалось в теории Дебая — Хюккеля. В качестве грубого приближения принимается, что ЛКА определяется локальной ионной силой. С помощью этих приближений устраняется отмеченное выше расхождение двух трактовок мембранного равновесия. Эти представления применимы к поверхностным явлениям, в частности к задаче о плоском двойном слое, рассмотренной в данной статье. Л. Кришталек

20739. О вязкости жидких смесей. Усанович М. И., Изв. АН КазССР. Сер. хим., 1956, вып. 10, 30—39

Рассмотрена зависимость вязкости жидких смесей от вязкости компонентов и от взаимоотношения между компонентами. Согласно автору, изотерма вязкости идеальной системы выражается прямой линией при построении в полулогарифм. масштабе, причем угол наклона прямой определяется отношением вязкости компонентов. Чем больше величина вязкости, тем круче идут изотермы вязкости. Предложено ур-ние вязкости: $\ln \eta - \ln \eta_B / \ln \eta_A - \ln \eta_B = x$ (1), где η_A и η_B — вязкости компонентов А и В, x — мол. доля А. Для случая р-ции в системе: $mA + nB \rightleftharpoons A_mB_n$ (2) ур-ние вязкости примет вид: $\ln \eta = \ln \eta_B + x(\ln \eta_A + \ln \eta_B) - y(m \ln \eta_A + n \ln \eta_B - \ln \eta_{A_mB_n}) / [1 - (m + n - 1)y]$ (3), где y — мол. доля A_mB_n , связанная с x законом действующих масс. Физ. предпосылкой является аддитивность $\ln \eta$, т. е. образующаяся в системе соединение входит с постоянной энергией активации $\epsilon_{A_mB_n}$. Ур-ние (3) описывает различные типы $\eta = f(x)$, разнообразие которых определяется соотношением между η_A , η_B , $\eta_{A_mB_n}$ и константой равновесия р-ции (2). Кроме того, рассмотрено влияние на вид $\eta = f(x)$ ассоциации и диссоциации образования легкоплавких компонентов, а также т-ры и времени для достижения равновесия. М. Сурова

20740. Диэлектрические свойства смесей органическая жидкость — вода. Сривастава, Варшни (Dielectric behaviour of organic liquid-water mixtu-

res. Srivastava G. P., Varshni Y. P.), Physics, 1957, 23, № 2, 173—178 (англ.)

Предложено эмпирич. ур-ние зависимости диэлектрич. проницаемости смесей полярных жидкостей от т-ры и конц-ии одной из полярных компонент. В основу расчетов положены эксперим. данные, полученные ранее (Akerhof G., J. Amer. Chem. Soc., 1932, 54, 4125). Ур-ние проверено на смесях метиловый спирт-вода, трет-бутиловый спирт-вода. Для этих систем, а также для системы ацетон-вода рассчитаны постоянные коэф., входящие в ур-ние, методом наименьших квадратов и последовательных приближений. Смесей этилового, *n*-пропилового и изопропилового спиртов с водой также удовлетворяют эмпирич. ур-нию. Для этих систем коэф. не рассчитаны. Смесей этиленгликоля, глицерина и тростникового сахара с водой не подчиняются предложенному ур-нию. П. Веселовский

20741. Растворители с высокими диэлектрическими постоянными. VI. Диффузия в N-метиладетамиде. Вильямс, Эллард, Досон (Solvents having high dielectric constants. VI. Diffusion in N-methylacetamide. Williams William D., Ellard James A., Dawson Lyle R.), J. Amer. Chem. Soc., 1957, 79, № 17, 4652—4654 (англ.)

Определялись коэф. самодиффузии D N-метиладетамид (I) в интервале т-р 35—60° и иона Na^+ в р-р NaCl в I при 40°. Конц-ия соли (C) изменялась от $2.5 \cdot 10^{-3}$ до 0,25 M. D определялся капиллярным методом Ванга, с перемешиванием путем вращения держателя капилляра. Для чистого I в указанном радиусе D возрастает от 4,11 до 7,33 ($\times 10^{-6}$ см²/сек); для иона Na^+ при уменьшении C в 100 раз D увеличивается от 1,97 до 2,58. Предельное ур-ние диффузии имеет вид $D \times 10^6 = 2.3 - 0.142 \sqrt{C}$, при введении в ур-ние Озавера данных электропроводности в чисел переноса; однако на эксперим. кривой $D - \sqrt{C}$ наблюдается максимум. Энергии активации самодиффузии и вязкого течения в I одинаковы и равны 4,6 ккал/моль, что совпадает с энергией активации самодиффузии воды. Часть V см. РЖХим, 1958, 3932. С. Френкель

20742. Измерение активности кобальта в водных растворах. Симонш — Рединья (Medida da actividade de cobalto em soluções aquosas. Simões Redinha J.), Rev. Fac. ciênc. Univ. Coimbra, 1956, 25, 68—80 (порт.)

Предложен метод измерения активности ионов Co в водн. р-ре с применением мембраны из синтетич. ионообменника «regmaplex C-10». Измерением проводимости и проницаемости ионов установлены пределы, в которых эд.с. выражается ур-нием Нернста. Отмечено, что основным источником ошибок является влияние аниона и перенос воды, зависящий от свойств мембраны, природы и конц-ии исследуемых р-ров. Влияние аниона не сказывается до конц-ии 0,02 M. В случае разб. р-ров мембранный электрод работает неудовлетворительно. По мнению автора, гидролиз приводит к росту эффективного диаметра и изменению электростатич. заряда катиона. Коэф. активности для р-ров $CoCl_2$ при конц-ии 0,001, 0,002, 0,05, 0,010, 0,015 и 0,020 M равны соответственно 0,785, 0,738, 0,656, 0,570, 0,545, 0,528. В. Щенки

20743. Теплота разбавления водных растворов уранилацетата. Салман, Уайт (The heat of dilution of aqueous uranyl acetate solutions. Salma B. C. L., Miss White A. G.), J. Chem. Soc., 1957, July, 3197—3202 (англ.)

Определена теплота разбавления при конц-ии р-ра 0,17—0,00002 M в калориметре спец. конструкции. С уменьшением конц-ии полученные значения теплоты разбавления становятся положительными и

быстро возрастают, асимптотически приближаясь к координатной оси при бесконечном разбавлении. Вследствие этого вычисление интегральной теплоты разбавления производилось не по отношению к r -ру при бесконечном разбавлении, а по отношению к r -ру с наибольшей конц-ией. Рассчитано относительное парц. молярное теплосодержание уранилцетата. Полученные результаты рассмотрены с учетом образования комплексных ионов и процесса гидролиза. А. Сирота

20744. Парциальные молярные объемы ионов в водном растворе. II. Эмпирическое уравнение для анионов кислородных кислот. Кутюр, Лейдлер (The partial molal volumes of ions in aqueous solution. II. An empirical equation for oxy-anions. Couture A. M., Laidler K. J.), Canad. J. Chem., 1957, 35, № 3, 207—210 (англ.)

Парциальные молярные объемы анионов кислородных и-т \bar{V} в водн. r -ре, рассчитанные в предположении, что $\bar{V}_{H^+} = -6,0$ Мл, удовлетворяют эмпирич. ур-нию $\bar{V} = 58,8 + 0,89r^2 - 26(z_-)$, где r — эффективный радиус иона, вычисляемый по методу авторов (РЖХим, 1958, 13872), (z_-) — абс. величина валентности иона. Сообщение 1 см. РЖХим, 1957, 22463. С. Дракин

20745. Влияние катионов на положение равновесия реакции между спиртом и кислотой. Киреев М. Н., Тр. Омского мед. ин-та, 1957, № 21, 138—145. Гидратация электролитов с одним и тем же анионом, вычисляемая из смещения равновесия, зависит от величины заряда и радиуса катиона. Гидратация электролитов с одним и тем же зарядом катиона увеличивается с уменьшением радиуса катиона: $Zn > Na > K; Mg > Ca > Sr > Ba$. Гидратация электролитов, имеющих одинаковые радиусы, но различные по валентности катионы, пропорциональна ионной силе.

Резюме автора
20746. Исследование десольватации при образовании комплексных ионов путем измерения адиабатической сжимаемости растворов. Папоушек (Studium desolvatace pri vzniku komplexnich iontu měřím adiabatické kompresibility roztoků. Papoušek Dušan), Chem. listy, 1957, 51, № 2, 219—228 (чешск.); Сб. чехосл. хим. работ, 1957, 22, № 5, 1368—1379 (нем.; рец. русск.)

Предложены выражения для отклонения адиабатич. сжимаемости r -ра от аддитивности в зависимости от его состава. Приведена эксперим. проверка полученных выражений для случая десольватации при образовании комплексных ионов: $[Zn(NH_3)_4]^{2+}$, $[Zn(OH)_4]^{2-}$, $[Zn(CN)_4]^{2-}$ и $[Al(OH)_4]^{-}$. Сжимаемость r -ров исследовалась ультразвуковым методом. По мнению автора, наблюдаемые отклонения связаны с изменением сольватации компонентов при их хим. взаимодействии. Б. Гаек

20747. Определение степени сольватации моно- n -бутокситрихлоритана в бутаноле. Аршамбо, Риве (Détermination du degré de solvation du mono- n -butoxytrichlorotitane dans le butanol. Archambault Jacques, Rivest Roland), Canad. J. Chem., 1957, 35, № 8, 879—886 (франц.)

Прибавлением избытка $TiCl_3$ к n -бутанолу ($BuOH$) при 0° в токе CO_2 , с последующим удалением HCl в вакууме, промывкой безводн. циклогексаном и высушиванием при комнатной t -ре и 10 мм рт. ст. получен моно- n -бутокситрихлоритан $TiCl_3 \cdot BuOH$. Измерена плотность, вязкость и электропроводность системы $TiCl_3 \cdot BuOH$ — $BuOH$ при 60° . График зависимости плотности от состава состоит из четырех отрезков прямых, пересекающихся при 14, 33 и 50 мол. % $TiCl_3 \cdot BuOH$. Вязкость системы проходит через максимум при $41 \pm 1\%$ $TiCl_3 \cdot BuOH$. Кривые зависимости электропроводности (неправильной на вязкость) от состава имеют 2 мак-

симумы — при 14 и 50% и минимум при 33% $TiCl_3 \cdot BuOH$. Авторы считают, что в системе образуются сольваты состава $TiCl_3 \cdot BuOH \cdot 6BuOH$ и $TiCl_3 \cdot BuOH \cdot 2BuOH$ и димер $(TiCl_3 \cdot BuOH \cdot BuOH)_2$.

И. Слоним
20748. Исследование электролитической диссоциации роданистоводородного аллиланилина в метиловом и этиловом спирте и в водно-диоксановом растворителе. Кирилук С. С., Мискиджьян С. П., Ж. физ. химии, 1957, 31, № 7, 1614—1618

Измерена при $20 \pm 0,1^\circ$ электропроводность (λ) r -ров роданистоводородного аллиланилина $C_6H_5 \cdot NH_2 \cdot C_3H_5 \cdot CNS$ (I) в метиловом и этиловом спиртах и в водно-диоксановом r -рителе (75 мол. % H_2O). Из концентрационной зависимости λ найдены константы диссоциации K I в указанных r -рителях; величины $K \cdot 10^{-3}$ соответственно равны 26,40; 3,35 и 1,55. Таким образом, с уменьшением диэлектрич. постоянной r -рителя константа диссоциации I уменьшается. В. Рабинович

20749. К равновесию гидролиза. Энүстүн (On hydrolysis equilibrium. Enüstün B. V.), Suomen kemistiseuran tiedonantoja, 1956, 65, № 2, 59—60 (англ.)

Рассмотрен «парадокс», заключающийся в невозможности получить из константы гидролиза K_h для соли слабой k -ты и слабого основания: $K_h = K_w / K_A K_B$ (1), (K_w , K_A и K_B — соответственно константы диссоциации воды, слабой k -ты и слабого основания), выражения для констант гидролиза солей сильной k -ты со слабым основанием и слабой k -ты с сильным основанием, вследствие того, что $K_A = \infty$; $K_B = \infty$ и ур-ние (1) обращается в нуль. По мнению автора, парадокс можно избежать, если для случая сильного основания подставить в ур-ние нейтр-ции вместо основания OH^- , а для случая сильной k -ты — вместо k -ты H_3O^+ . K_B для OH^- и K_A для H_3O^+ по определению равны единице. В. П.

20750. Равновесия ионизации и диссоциации в жидкой двуокиси серы. V. Орто-, мета- и пара-хлор-, а также орто-метилпроизводные трифенилхлорметана при $0,175^\circ$. Лихтин, Вигнейл (Ionization and dissociation equilibria in liquid sulfur dioxide. V. o-, m- and p-chloro and o-methyl derivatives of triphenylchloromethane at 0.175° . Lichtin Norman N., Vignale Michael J.), J. Amer. Chem. Soc., 1957, 79, № 3, 579—583 (англ.)

Ранее описанным способом (Lichtin N. N., Glaizer H., J. Amer. Chem. Soc., 1951, 73, 5537) исследовалась электропроводность трифенилхлорметана и ряда его производных в r -ре SO_2 при $0,175 \pm 0,005^\circ$ и конц-ии от 1000 до 70 000 л/моль. Расчетным методом Шедловского (Shedlovsky T., J. Franklin Inst., 1938, 225, 739) определены константы диссоциации (K) этих соединений. Диссоциация соединений зависит от характера заместителей в незначительной степени. Делокализация положительного заряда замест. трифенилкарбониевого иона в r -ре SO_2 происходит, по-видимому, не за счет одного, а за счет двух или трех фенильных ядер. Полученные данные сравниваются с результатами исследования равновесия гидролиза симметричных тризамещенных трифенилкарбониевых соединений в r -ре разб. H_2SO_4 (РЖХим, 1956, 34999; 46506). Часть IV см. РЖХим, 1958, 17164. Б. Каплан

20751. Константы диссоциации перлолидина и гармола. Перрин (The dissociation constants of perlo-lidine and harmol. Perrin D. D.), N. Z. J. Sci. and Technol., 1957, B38, № 7, 688—694 (англ.)

На основании спектров поглощения перлолидина (II) (продукта разложения перлолина — алкалоида, выделенного из райграсса) и гармола $C_{14}H_{10}ON_2$ в области длин волн 2300—4000 Å определены константы диссоциации этих в-в в водн. r -рах при различных pH.

Из полученных данных следует, что II является одноосновным основанием и содержит одну фенольную группу; наиболее вероятная ф-ла II: $C_{12}H_9ON_2$. При $18 \pm 1^\circ$ для константы диссоциации II как основания по уравнению $II + H_2O \rightleftharpoons PH^+ + OH^-$ найдено $pK_b = 10,19$, для константы кислотной диссоциации $PK_a = 11,35$. Для гармола при $21 \pm 1^\circ$ соответственно получено 6,23 и 9,47. В. Рабинович

20752. Константа диссоциации 5-оксипантриловой и м-аминосалициловой кислот. Миякаэ (5-Hydroxyanthranilic acid and m-Aminosalicylic acid の解離恒数, 三宅可浩), 和歌山醫學, Вакаяма игаку, J. Wakayama Med. Soc., 1955, 6, № 1, 113—118 (японск.)

20753. Константы диссоциации п-алкилмеркаптобензойных кислот. Балля, Шанмуганатхан, Варачачари (The dissociation constants of p-alkylmercaptobenzoic acids. Baliah V., Shanmuganathan S., Varadachari R.), J. Phys. Chem., 1957, 61, № 7, 1013—1014 (англ.)

Диазотированием п-аминобензойной к-ты и р-цией диазониевой соли с этилксантогенатом Na, после нейтр-ции с диметилсульфатом получена с выходом 80% п-метилмеркаптобензойная к-та (I). Этим же методом, но с изопропилбромидом вместо диметилсульфата впервые синтезирована п-изопропилмеркаптобензойная к-та (II); после перекристаллизации из метанола т. пл. $155-156^\circ$, выход $\sim 100\%$. Потенциометрич. титрованием 0,001 M p-ров п-алкилмеркаптобензойных к-т в водно-этаноловом (1:1) p-ре со стеклянным электродом при 32° определены константы диссоциации K_a . Для I, п-этилмеркаптобензойной к-ты и II pK_a равны соответственно 5,66; 5,71 и 5,80. Увеличение K_a с ростом алкильного радикала авторы объясняют уменьшением эффекта гиперконъюгации.

И. Слоним
20754. Величина p_H для метанольных буферных растворов. Перкампус, Кёлер (Die p_H -Werte methanolischer Pufferlösungen. Perkampus H.-H., Köhler H.), Z. Elektrochem., 1957, 61, № 7, 836—840 (нем.)

С помощью водородного и насыщ. к. э. измерен p_H буферных p-ров Мак-Ильвена (I) (из лимонной к-ты + динатрийфосфата) и Зёренсена (II) (из гликокола + HCl или NaOH), содержащих 10, 30 и 50 об. % метанола. Для I p_H во всем интервале pH увеличивается при прибавлении метанола; Δp_H быстро растет с конц-ией спирта C_{CH_3OH} и достигает постоянной величины. Зависимость Δp_H от C_{CH_3OH} для II в кислой области описывается куб. параболой, т. е. наблюдается максимум при $C_{CH_3OH} = 10$ об. %, минимум при $C_{CH_3OH} = 30$ об. % и снова рост при $C_{CH_3OH} = 50$ об. %. Для II в щел. области прибавление метанола несколько уменьшает p_H . Сложная зависимость p_H от C_{CH_3OH} для II объясняется особенностями поведения амфиона гликокола. Приведены таблицы для буферных p-ров при p_H от 1,08 до 10,00.

И. Слоним
20755. Объяснение влияния метанола на величину p_H буферного раствора Мак-Ильвена. Перкампус, Кёлер (Zur Deutung des Methanoleinflusses auf die p_H -Werte des McIlvaine-Puffers. Perkampus H.-H., Köhler H.), Z. Elektrochem., 1957, 61, № 7, 841—844 (нем.)

Изменение p_H буферного p-ра Мак-Ильвена лимонная к-та (I) + динатриевая соль фосфорной к-ты (II) при прибавлении метанола (см. пред. реф.) объясняется уменьшением силы к-т в присутствии CH_3OH . Потенциометрич. методом определены значения констант

диссоциации I и II при различной конц-ии метанола C при 15° . Для первой константы диссоциации I при C 0,10, 30, 50 об. % p_K 2,86; 3,15; 3,59; 3,82; p_K 2,87; 3,12; 3,53, 3,75; для второй константы диссоциации II при тех же C p_K 6,74, 7,01; 7,42; 7,98; p_K 6,74; 6,97; 7,49; 8,04. На основании полученных значений p_K авторы рассчитали p_H буфера в области pH 2,2—3,4, которые близки к экспериментально полученным p_H для C 10 об. %. При C 30 и 50 об. % расхождения больше, что объясняется увеличением ионной активности a_{H^+} в присутствии метанола. При больших C метанола $a_{H^+} > 1$ из-за уменьшения диэлектрич. проницаемости среды.

И. Слоним
20756. Изучение тиомочевин и замещенных аналогов тиомочевин методом титрования Бьеррума. Уолтер, Райан, Лейн (A study of thiourea and substituted thiourea analogs by the Bjerrum titration method. Walter J. L., Ryan J. A., Lane T. J.), J. Amer. Chem. Soc., 1956, 78, № 21, 5560—5562 (англ.)

Потенциометрическим титрованием по методу Бьеррума определены константы кислой диссоциации тиомочевин и ее алкил- и арилзамещенных. Показано, что при наличии в p-ре окисляющих агентов (хлорная к-та) тиомочевина и ее аналоги окисляются до формамидиндисульфида и его замещенных. Полученные значения pK_a для тиомочевин и мочевин соответственно равны 2,03 и 1,4. В случае алкилпроизводных pK_a возрастает следующим образом: H < аллил < этил < метил < диэтил. Для арилзамещенных возрастание основности pK_a происходит в следующем ряду: м-толил < п-толил < о-толил < дифенил. На основании данных титрования авторы предполагают, что константы устойчивости комплексов с медью, кобальтом и никелем должны быть равны 3,5—4.

Е. Ипполитов
20757. Явление диффузии в ассоциатах. Канэки, Китакура, Хосокава (會合分子の擴散について, 金子曾政, 北村一夫, 細川幸雄), 日本化學雜誌, Нихон какаку дзасси, J. Chem. Soc. Japan. Pure Chem. Sec., 1956, 77, № 7, 1023—1026 (японск.)

Определены коэф. диффузии ($D \cdot 10^7$) масла камели в ацетоне при 20° и конц-ии 1, 10, 20 и 30%, соответственно равные 25, 18, 14 и 11. Зависимость D от конц-ии обоснована в свете мол. ассоциации.

Chem. Abstr., 1957, 51, № 11, 7805. Т. Katsuni
20758. Кажущиеся плотности некоторых олифеинополисульфонов. Объемные изменения при смешении олифеинов с двуокисью серы. Айвин (The apparent densities of some olefin polysulfones: Volume changes on mixing olefins with sulfur dioxide. Ivin K. J.), J. Polymer Sci., 1957, 25, № 109, 228—230 (англ.)

Рассчитаны кажущиеся значения плотностей смесей олифеинов (I) с двуокисью серы (II) и сравнены с найденными экспериментально. Для расчета использованы величины объемных изменений, сопровождающих образование полисульфонов в смесях I и II, и значения плотностей чистых I и II. Различия между расчетными и экспериментально найденными плотностями обусловлены неидеальностью взаимодействий I—II. Определены зависимости объемных изменений от мол. доли для олифеина в смеси для систем П-бутен-1, П-гексен-1, П-цис-бутен-2, П-транс-бутен-2, которые свидетельствуют о более энергичном комплексобразовании в случае 1-олефинов.

В. Кабанов
20759. Новые растворители для определения молекулярного веса по методу Раства. Адати, Сакураи (Rast 分子重量測定法の一 新溶媒について, 立龍久夫, 櫻井松美), 金澤大學藥學部研究年報, Канадзава дайгаку якугакубу кэнкю нэмпо, Annual Rept Fac. Pharmacy Kanazawa Univ., 1956, 6, 52—53 (японск.; рез. англ.)

Оксим камфоры (I) получен синтезом камфоры и гидроксимилина с последующей рекристаллизацией (3-4 раза) из этилового спирта. Константа моляльной депрессии I равна 23 и вполне достаточна для обычных целей. Показано, что I является хорошим р-рителем при определении мол. веса методом Раства. Chem. Abstrs, 1957, № 5, 3243. Н. К.

См. также: Растворимость 20601, 20638, 20640. Термодинамика р-ров 20587, 20593, 20595. Диффузия 20526, 20846. Структура и исслед. состава веществ в р-рах 20396, 20419, 20422, 20578. Гидролиз 20670, 20909. Твердые р-ры 20493. Расплавы 20537

ЭЛЕКТРОХИМИЯ

Редакторы О. А. Есин, В. В. Лосев

20760. Растворы соляной кислоты, содержащие двуокись кремния. Часть I. Измерение электропроводности и чисел переноса. Хуссейн-Садек, Сассон-Абухарун (Hydrochloric acid solutions containing silica. Part I. Conductivity and transport number measurements. Hussein Sadek, Sasson Abouharoun), J. Indian Chem. Soc., 1957, 34, № 6, 443-447 (англ.)

Исследована электропроводность (Э) и числа переноса подкисленных HCl р-ров NaOH (отношение NaOH:HCl = 0,8:1; 0,88:1; 0,92:1; 0,96:1, р-р разбавлялся до 0,05 н. по Cl⁻), содержащих различные количества низкомолекулярной двуокиси кремния (отношение SiO₂:Na₂O равно 1:1; 1,5:1; 2:1; 2,33:1). При постоянном отношении NaOH:HCl Э линейно падает с ростом содержания SiO₂; число переноса Cl⁻ в присутствии SiO₂ (0,552-0,562) на 5% меньше, чем в соответствующих р-рах, свободных от SiO₂. Эффект снижения Э объяснен адсорбцией ионов H⁺ и Cl⁻ на поверхности SiO₂ (Sadek, J. Indian Chem. Soc., 1952, 29, 507). А. Чемоиданов

20761. Равновесие ионизации и диссоциации в жидкой двуокиси серы. VI. Гексафенилэтан. Лефтин, Лихтин (Ionization and dissociation equilibria in liquid sulfur dioxide. VI. Hexaphenylethane. Leftin Harry P., Lichtin Norman N.), J. Amer. Chem. Soc., 1957, 79, № 10, 2475-2480 (англ.)

Изучалось влияние чистоты растворенного в-ва, света и кислорода на электропроводность (Э) р-ров гексафенилэтана (I) в жидкой SO₂ при 0-8,9° при больших разбавлениях. Установлено, что р-ры, приготовленные в отсутствие кислорода и в темноте не проводят ток; показано, что Э этих р-ров возникает в результате воздействия на них света или кислорода. Э р-ров, содержащих кислород, не меняется при облучении светом, в то время как Э чистого р-ра при действии света непрерывно увеличивается. Из сравнения значений Э частично окисленных р-ров I с Э р-ров (CH₃)₂N₂SO₄ в жидкой SO₂ при 0,1° при различных разбавлениях вытекает, что в 1-м случае образуется 1,2-электролит. Результаты данной работы позволяют объяснить изученные ранее свойства р-ров гексафенилэтана в SO₂. Сообщение V см. РЖХим, 1958, 20750.

Б. Марков
20762. Измерение числа переноса иона Ca²⁺ в расплаве CaO-P₂O₅. Малкин В. И., Шварцман Л. А., В сб.: Физ.-хим. основы произ-ва стали. М., АН СССР, 1957, 433-437. Дискусс., 505-512
См. РЖХим, 1956, 12512

20763. Невизуальный метод определения чисел переноса в чистых расплавленных солях. Дьюк, Кук (A nonvisual method for transport numbers in pure fused salts. Duke Frederick R., Cook James P.), Iowa State Coll. J. Sci., 1957, 32, № 1, 35-37 (англ.)

Для определения чисел переноса в расплавах AgNO₃ использовался в качестве ячейки стержень из пористого неглазурованного фарфора, который пропитывался AgNO₃ и помещался в печь. После пропускания тока стержень охлаждался и разделялся на 2 части — анодную и катодную, которые измельчались и анализировались на содержание Ag и NO₃. Определены числа переноса ионов Ag⁺ 0,77 и NO₃⁻ 0,23. Б. Леппинских

20764. Электродиффузия в сплаве калий-натрий. Дракин С. И., Мальцев А. К. Ж. физ. химии, 1957, 31, № 9, 2036-2041 (рез. англ.)

Разработан метод исследования процесса переноса компонентов в металлич. сплавах при пропускании через них постоянного тока (электродиффузия) (РЖХим, 1954, 47871). Сплав Na с K помещали в спиральную стеклянную трубку (внутренний диам. 1,5-3 мм) и при 100° в течение 300-400 час. вели электролиз при силе тока 1,5-2 а. Изменение состава сплава вдоль трубки со временем контролировали путем измерения уд. электропроводности между Pt-электродами. В сплавах с содержанием Na < 48% последний диффундирует к аноду, при больших конц-ях Na к аноду диффундирует K. По мнению авторов, значительное возрастание коэф. электродиффузии в области разб. р-ров свидетельствует о возможности использования метода для получения сверхчистых металлов. В. Любимов

20765. Графики зависимости электродного потенциала от pH и их применение. I, II. Мориока (電位-pH 圖 (Potential-pH Diagram) とその應用. I-2. 森岡進), 日本金屬學會誌, Нихон киндзюку гаккайш, J. Japan Inst. Metals, 1955, 19, № 10, A-199-A-204; № 11, A-225-A-229 (японск.)
Обзор. Библ. 13 назв. В. Л.

20766. Дзета-потенциал бромистого серебра в присутствии различных веществ, применяемых в фотографии. Лю-Валле, Джэксон (The zeta potential of silver bromide in the presence of various substances of photographic interest. LuValle James E., Jackson Juanita M.), J. Phys. Chem., 1957, 61, № 9, 1216-1222 (англ.)

Путем измерения скорости электрофореза определены дзета-потенциалы (ζ) частиц золя AgBr в присутствии ионов Ag⁺ (при различных pH), оптич. сенсibilизаторов, желатин, четвертичных аммониевых солей и других в-в, которые могут присутствовать в р-ре при фотографич. проявлении. Зависимость ζ от конц-ий в-в, адсорбирующихся на колл. частицах, выражается ур-нием типа изотермы адсорбции Лэнгмюра. С. Майрановский

20767. Релаксационные методы в электрохимической кинетике. Делаз (Les méthodes de relaxation en cinétique électrochimique. Delahay Paul), J. chim. phys. et phys.-chim. biol., 1957, 54, № 5, 369-377 (франц.)

Обзор. Рассмотрены теоретич. основы и эксперим. результаты потенциостатич., гальваностатич. и перемноточного методов изучения кинетики различных электродных процессов и адсорбционных явлений на электродах. И. Зайденман

20768. Электрохимические процессы, протекающие при пропускании переменного тока. I, II. Тадзима, Баба (非直流電流による電解反應. I-2. 田島榮, 馬場宜良), 電氣化學, Дэнки кагаку, J. Electrochem. Soc. Japan, 1956, 24, № 9, 398-403; № 10, 449-456 (японск.)

Обзор. Библ. 63 назв.

20769. Хронопотенциометрия, "ступенчатые кривые потенциал — время для произвольного числа восстанавливаемых веществ. Камбара, Тати (Chronopotentiometry — stepwise potential — time curves for an arbitrary number of reducible species. Kam-

bara Tomihito, Tachi Isamu), J. Phys. Chem., 1957, 61, № 10, 1405—1407 (англ.)

Выведено выражение для кривой зависимости потенциала от времени при электролизе с постоянной силой тока (хронопотенциометрия) для произвольного числа обратимо восстанавливающихся в-в. Выведены ур-ния для переходного времени τ любой ступени (любого в-ва), а также ур-ние для τ в случае, когда сила тока изменяется со временем. Полученные ур-ния для частного случая двух в-в согласуются с выведенными ранее.

С. Майрановский

20770. Электроосаждение на металлические усы. Вермилья (Electrodeposition onto metal whiskers. Vermilyea D. A.), J. Chem. Phys., 1957, 27, № 3, 814—815 (англ.)

С целью проверки роли дефектов поверхности изучено электроосаждение Cu на тонкие металлич. нити (усы) диам. в несколько микрон из 1 н. $\text{CuSO}_4 + 0,1$ н. H_2SO_4 в инертной атмосфере. При данном перенапряжении (П) величина плотности тока всегда меньше на нитях меньшего диаметра. На нитях диам. $> 10 \mu$ происходит равномерное осаждение при П 10—15 мв, как на обычной Cu-проволоке, а при других П плотность тока меньше и осадок неравномерен. Меньшие нити часто совсем не растут даже при П 100 мв, а при большем П рост происходит неравномерно с образованием шишек, которые растворяются при анодной поляризации.

20771. Изучение анодного растворения и потенциалов сплавов меди с селеном. Ключко М. А., Мирнова М. Е., Ж. неорган. химии, 1957, 2, № 9, 2235—2238

Сплав, по составу соответствующий соединению Cu_2Se , имеет в 1 н. CuSO_4 равновесный потенциал E , превышающий E для чистой Cu на 62,5 мв. Анодная поляризационная кривая (ПК), полученная со сплавом, содержащим 1,97% Se (эвтектика), в 1 н. HCl имеет 2 излома, отвечающих растворению Cu в виде Cu^+ и Cu^{2+} . На ПК для Cu_2Se также имеется 2 излома, но при потенциалах, превышающих соответствующие величины для эвтектики на 240 и 90 мв. В 1 н. H_2SO_4 и 1 н. HNO_3 ПК имеют по одному излому. При анодной поляризации сплавов, близких по составу к эвтектике, в 1 н. HCl, H_2SO_4 и HNO_3 растворяется только Cu, тогда как сплавы, по составу близкие к Cu_2Se , переходят в р-р со своим составом; Se переходит в шлам. При хим. растворении сплавов в этих к-тах образуется осадок, близкий к Cu_2Se независимо от состава исходного сплава.

20772. Форма связи селена в анодном шламе, остающемся после рафинировки меди. Бастнус, Лиснер (Die Bindungsform des Selen im Anodenschlamm der Kupferelektrolyse. Bastius H., Lissner A.), Z. phys. Chem. (DDR), 1957, 207, № 1-2, 111—117 (нем.)

Опытные данные по выщелачиванию анодного шлама после рафинировки Cu показывают, что Se присутствует в шламе в виде Ag_2Se , тогда как из проведенных авторами термодинамич. расчетов следует, что Se находится в исходной технич. Cu в виде Cu_2Se . Это, противоречие, по мнению авторов, объясняется тем, что Cu_2Se во время электролиза разлагается и образовавшийся свободный Se взаимодействует с мелкоаглобированным Ag, находящимся в шламе.

Г. Тедорадзе

20773. Химические и электрохимические свойства FeSn_2 . Каверт, Улиг (Chemical and electrochemical properties of FeSn_2 . Covert Roger A., Uhlig Herbert), J. Electrochem. Soc., 1957, 104, № 9, 537—542 (англ.)

Измерялись микропотенциалы (E_M) и микротвердость Fe, Sn и FeSn_2 , полученного на границе Fe- и Sn-фаз

в виде тонкого слоя методом погружения Fe в Sn при 465°. Измерения проводились в р-ре (4% NaCl + HCl) (I) при pH 2 в атмосфере N_2 . Кроме того, измерялся коррозионный потенциал (E_K) и перенапряжению водорода (η) образцов Sn и FeSn_2 в I и в 0,1 M лимонной к-те (II) в атмосфере H_2 . Найдено, что FeSn_2 обладает наибольшей твердостью. Значения E_M и E_K согласуются друг с другом, а при сопоставлении с данными Штерна для Fe (РЖХим, 1956, 77717) показывают, что Sn является наиболее, а FeSn_2 наименее активным фазой. Постоянные a и b ур-ния Тафеля в I для FeSn_2 равны 0,76; 0,10, а для Sn 1,10; 0,14. Расчет скорости коррозии FeSn_2 из E_K и η дает значения 5,2 и 6,6 мг/дм²сутки для I и II.

Г. Флорьяновский

20774. Существование фладе-потенциала на металлах, ингибированном ионами типа XO_4^- . Картледж, Симпсон (The existence of a Flade potential on metals inhibited by ions of the XO_4^- type. Cartledge G. H., Sympton R. F.), J. Phys. Chem., 1957, 61, № 7, 973—980 (англ.)

Исследовалась активация Fe (запассивированного в аэрированных р-рах ингибиторов (И) типа XO_4^-) с помощью Na_2SO_4 (до $7 \cdot 10^{-2}$ н.) при pH 5,5—7. В качестве И применялись $2 \cdot 5 \cdot 10^{-3}$ н. Na_2MoO_4 , $5 \cdot 10^{-3}$ н. $2 \cdot 10^{-3}$ н. Na_2WO_4 , $\sim 10^{-3}$ н. KTCO_4 и $1 \cdot 4 \cdot 10^{-3}$ н. K_2CrO_4 . Регистрировались кривые изменения потенциала E Fe во времени t после прибавления Na_2SO_4 в р-рам И с выдержанным в них длительное время электродом. На кривых (E, t) наблюдались задержки E , средние значения которых для всех И линейно зависят от pH и близки к значениям фладе-потенциалов (E_F), рассчитанным по ф-ле $E_F = 338 - 58,2 \text{ pH}$, (м. сыщ. к. э.). Сделан вывод, что пассивация с помощью исследованных И наступает вследствие образования пленок на поверхности Fe, причем эти пленки имеют такой же характер, как и в случае Fe, запассивированного анодной поляризацией или в HNO_3 .

Г. Флорьяновский

20775. Механизм реакции выделения водорода в палладии. IV. Электрохимическая кинетика систем α -палладий — водород в кислых растворах. Хоу, Шулдинер (Mechanisms of hydrogen production reactions on palladium. IV. Electrochemical kinetics of the α -palladium — hydrogen system in acid solutions. Hoare James P., Schuldiner Sigmund), J. Electrochem. Soc., 1957, 104, № 9, 564—568 (англ.)

Исследовано катодное выделение и анодная окислительная реакция на α -Pd, являющемся диафрагмой (Д) в ячейке из тефлона; одновременно поляризовались обе стороны Д; одна — катодно, другая — анодно. Измерялись катодные и анодные поляризационные кривые (ПК) в насыщенных H_2 р-рах 2 н. H_2SO_4 , 0,3 н. $\text{H}_2\text{SO}_4 + 0,7$ н. Na_2SO_4 и 0,1 н. $\text{H}_2\text{SO}_4 + 1$ н. Na_2SO_4 в различных толщинах (δ) Д. Изменение δ практически не влияет на ПК. При малых i катодные и анодные ПК линейны и наклоны их зависят от pH по ур-нию $-(di/d\eta)_{i \rightarrow 0} = a - b \text{ pH}$, где $a = 0,134$ и $b = 0,061$. При больших i катодные ПК подчиняются ур-нию Тафеля с коэф. наклона сначала 0,03 или 0,04 в (в зависимости от pH), а затем 0,12 в. Из сравнения a и b для α -Pd со значениями a и b для β -Pd (4,07 и 1,96) сделан вывод о пониженной каталитич. активности α -Pd по сравнению с β -Pd. На основании полученных результатов для каждого участка ПК дается оценка скорости тока, идущей на перенос протонов из одной ячейки в другую. Выводы подтверждаются измерениями анодных ПК на Д, катодная сторона которой покрыта полиэтиленом. Сообщение III см. РЖХим, 1957, 22508.

Г. Флорьяновский

958 с.

№ 7

в SO_2
+ HCl
враще
е водо
пловой
бладет
ласут
данны
высоко
ктивны
для FeSO_4
скорост
я 5,2 м
матери
железа
тледж
l on iron
tledge
1957, 61
анного
та XO_4
-7. В ка
5-10-
-10-
потен
 Na_2SO_4
вре
задерж
нейно
отенща
рН, (м
помощ
разова
ни вос
дивиро
ориаво
дорода
систе
рах. Хер
producing
kinetics
solution
m and), 1
8 (англ.)
дная по
диафрагм
поляриза
я — анод
изационн
 H_2SO_4 , 0,3
 Na_2SO_4 , пр
практичес
и анод
по ур-н
= 0,061. Пр
нио Тафел
в зависи
а и б д
и 1,96) с
вности с-
ученных
оценка д
одной час
измерени
на котор
см. РЖХ
Флориано

2-я ТИПОГРАФИЯ
Издательства Академии Наук СССР
Москва, Шубинский пер., д. 10

При обнаружении недостатков
в книге просим возвратить книгу
вместе с этим ярлыком для обмена

20776.
Пов
ащи
of
cath
I. M
(ан
Исс
масс
выс
ной
тод
буф
1-40
(9.
~0,0
0,12
раз
при
дир
20777.
ние
ной
тод
kén
I m
(ve
Исс
жени
 H_2SO_4
доже
ч пот
ниму
равна
9 н.
ствен
реме
дич. с
ся по
20778.
мар
Сб.
ин-
В
окисл
нико
устой
нени
ние
може
р-рах
0,03
20779
сви
па
А.
34,
Из
Рт-эл
Рб с
заван
прим
Рт —
непо
НСО
→ 2H
РбО₂
заме
20780
I.
ле

в H_2O	20776	По
$+\text{HCl}$		зап
рилиз		о
е вод-		с
моний		I. 1
ладан		(ан
асути		Исс
инным		масси
ывам		выкл
тивни		ной п
я FeSO_4		тодны
корост		буфер
5,2		$1 \cdot 10^{-4}$
анонн		$(\eta, 1g)$
мелев		$\sim 0,04$
е е д		0,12
on im		разны
ed d		приме
57, 6		дт по
	20777.	
ного		ше
XO_4^{2-}		ной
В к		тог
10^{-4}		k_{exp}
10^{-4}		I m
потер		(вен
H_2SO_4		Исс
вре		жения
держ		H_2SO_4
ино за		ложен
нцал		ч поте
H, (n		инмум
омощ		равна
ованн		9 н. F
и вос		ственно
рован		ременн
		дт. о
		ся пов
анонн	20778.	
ода		марг
истем		C6.
Xo		ин-т
oduction		В на
etics		окисля
olution		нию а
n d),		устойч
англ.)		ннии
и кон		не M
орат		монет
ризон		p-рах
анод		0,03 мг
монн	20779.	
4, 03		сани
SO_4		па in
гичес		A. N.
водн		34, №
ур-н		Изуч
61. П		Pt-элек
Таф		Pb с до
всая		зовани
и b		примес
96) с		Pt — то
ти а		нено на
ных		HCOO
ка д		$+ 2\text{H}^+$
чае		PbO_2
ерен		заметно
кото	20780.	
PJK		I. Вл
анон		лени

20776. Исследования по химии теллура. Часть I. Поведение теллура при катодной и анодной поляризации. Кхалифа, Исса (Studies in the chemistry of tellurium. Part I. The behaviour of tellurium on cathodic and anodic polarisation. Khalifa H., Issa I. M.), J. Indian Chem. Soc., 1957, 34, № 2, 87—92 (англ.)

Исследовано изменение во времени t потенциала E массивного Те-электрода при катодной поляризации, выключении поляризующего тока, последующей анодной поляризации и выключении тока. Сняты также катодные поляризационные кривые в 0,01—5 н. H_2SO_4 , в буферных р-рах с рН 3—12 и в 0,1 н. NaOH при i $1 \cdot 10^{-5}$ — $6 \cdot 10^{-4}$ а/см². Коэф. наклона (b) прямых ($\lg i$) независимо от природы анода составляет $\sim 0,04$ в. в H_2SO_4 при $i > 1 \cdot 10^{-4}$ а/см² $b = 0,07$ — $0,12$ в. Значения b , определенные из кривых (E, t) при разных i , несколько выше, что объяснено влиянием примесей. Судя по величине b , выделение H_2 происходит по электрохим. механизму. Л. Кришталек

20777. Влияние переменного тока на перенапряжение кислорода на платиновом аноде в растворе серной кислоты. I. Эрден-Груз, Шафарик (Változóáram hatása az oxigéntűlfeszültségre platina anódon kémsavoldatban. I. Erdey-Grúz Tibor, Safarik Imre), Magyar kém. folyóirat, 1957, 63, № 9, 237—242 (венг.; рез. англ.)

Исследована зависимость кислородного перенапряжения на гладкой Pt при i от 10^{-5} до 1 а/см² в 2 н. H_2SO_4 и 9 н. H_2SO_4 от частоты (ν) дополнительно наложенного переменного тока (50—20 000 гц). С ростом ν потенциал Pt (при заданном i) проходит через минимум, глубина которого при $i = 10^{-5}$ — 10^{-2} а/см² равна 0,05—0,06 в для 2 н. H_2SO_4 и 0,32—0,36 в для 9 н. H_2SO_4 , а при $i = 1$ а/см² уменьшается соответственно до 0,03 в и нуля. Деполяризующее действие переменного тока связано, по мнению авторов, с периодич. окислением Pt и восстановлением образовавшихся поверхностных окислов. А. Чемоданов

20778. Анодное окисление иона двухвалентного марганца в водных растворах. Савальский С. Л., Сб. научн. тр. Северо-Кавказск. горно-металлург. ин-та 1957, вып. 14, 224—226

В насыщ. водн. р-рах $KHSO_4$ и $NaHSO_4$ ион Mn^{2+} окисляется до MnO_4^- на Pb- или Sn-анодах. По мнению автора, в р-ции участвуют соответственно неустойчивые соединения Pb^{4+} и поверхностные соединения углерода типа надкислот. На Al-аноде окисление Mn^{2+} не наблюдалось. Цветная р-ция на Pb-аноде может использоваться для обнаружения Mn^{2+} в разб. р-рах (до 0,15 мг/л, в присутствии дифениламина — до 0,03 мг/л). А. Чемоданов

20779. Анодные явления при электролизе формата свинца. Каппанна, Деваган (Anodic phenomena in the electrolysis of lead formate. Kappanna A. N., Dewagan A. S.), J. Indian Chem. Soc., 1957, 34, № 6, 439—442 (англ.)

Изучались процессы, протекающие на Au- и Pt-электродах при электролизе 0,059—0,073 М ($HCOO$)₂ Pb с добавками $HCOONa$ и $HCOOH$. При анодном образовании PbO_2 на Au газовыделение (CO_2 с небольшой примесью O_2) начинается при $i = 5$ ма/см², а на Pt — только при $i = 15$ ма/см². Образование CO_2 объяснено накоплением на поверхности анода радикалов $HCOO$ и протеканием гетерог. р-ции $Pb^{4+} + 2HCOO \rightarrow 2H^+ + 2CO_2 + Pb^{2+}$. Анодный выход по току (ВТ) $PbO_2 \sim 99\%$; ион $HCOO^-$ не влияет на ВТ, а $HCOOH$ заметно снижает ВТ. И. Киселева

20780. Электросинтез о-фенилендиамина. Сообщение I. Влияние материала катода на электровосстановление о-нитроанилина. Тер-Минасян Л. Е., Изв.

АН АрмССР. Сер. хим. н., 1957, 10, № 3, 173—180 (рез. арм.)

Изучалось влияние материала катода (К) на выход по в-ву (ВВ) и по току (ВТ) о-фенилендиамина при электролитич. восстановлении о-нитроанилина при 40° (i на К 10 а/дм²) в р-ре 200 мл $C_2H_5OH + 200$ мл 4%-ного р-ра NaOH + 22,1 г о-нитроанилина. Максим. ВВ (94%) и ВТ (87%) получены с К из Pb, несколько меньшие — с Cu и Hg, что автор объясняет высоким перенапряжением водорода на Pb и Hg, а также каталитич. действием Cu и Pb-губки, образующейся при электролизе. В случае К из Zn, графита, Sn, Fe, Ni и Pt ВВ колебался от 71 до 78%, а ВТ — от 60 до 72%.

С. Кругликов

20781. Электрохимическое окисление β -пиколина. Хомяков В. Г., Кругликов С. С., Изгарышев Н. А., Докл. АН СССР, 1957, 115, № 3, 557—559

Исследовано влияние условий электролиза на выход по в-ву (ВВ) и выход по току (ВТ) никотиновой к-ты (I) при электроокислении β -пиколина (II) на Pb-аноде в 3—25 н. H_2SO_4 . II извлекался из пиколиновой фракции в виде соли $CuSO_4 \cdot 5H_2O \cdot 2C_6H_7N$. С увеличением кол-ва пропущенного электричества (Q) ВВ проходит через максимум (при $Q = 150$ —200% от теоретич.) и затем снижается из-за дальнейшего окисления I. Аналогично изменяется ВТ (максим. — при $Q = 100\%$). Изменение i от 1 до 10 а/дм² и конц-ии II от 1 до 3,5 М, а также введение в анолит небольших кол-в солей Mn(2+) и Cr(3+), практически не влияют на выход I. При повышении т-ры от 30—40 до 80° ВТ и ВВ снижаются. Высокие ВВ (59—65%) и ВТ (42—51%) получены в 11—17 н. H_2SO_4 . С. Кругликов

20782. Электродные реакции галогидных металлов. Хаш (Electrode reactions of the methyl halides. Hush N. S.), Z. Elektrochem., 1957, 61, № 6, 734—738 (англ.)

Рассмотрен процесс электрохим. разрыва связи углерод — галогид в галогдометилах $RX + e \rightarrow R \cdot + X^-$ (а), и из термодинамич. данных рассчитаны нормальные электродные потенциалы (E_0) этой системы и их температурная зависимость. Для $X = Cl, Br$ и I при 25° E_0 (н. в. э.) в водн. р-ре равны соответственно —0,77, —0,74 и —0,77 в; dE_0/dt (мв на градус) равны соответственно —0,56, —0,52 и —0,35. Исходя из рассчитанных E_0 и опытных полярографич. данных (полученных для р-ра этанол — вода 1:1) определены константы скорости р-ции (а) при равновесном потенциале, оказавшиеся равными для $X = Cl, Br$ и I соответственно $7 \cdot 10^{-8}$, $3 \cdot 10^{-5}$ и $1 \cdot 10^{-4}$ см/сек. Обсуждена природа замедленной стадии р-ции (а), а также влияние сольватации и адсорбции исходного и конечного продуктов. С. Майрановский

20783. Электролиз растворов перхлоратов в ацетонитриле. Шмидт, Ноак (Elektrolysen von Perchloraten in Acetonitril. Schmidt Hans, Noack J.), Angew. Chem., 1957, 69, № 20, 638 (нем.)

При электролизе р-ра $AgClO_4$ в CH_3CN на Pt-аноде образуется $HClO_4$ с выходом по току, равным единице, что позволяет получать р-ры $HClO_4$, не содержащие воды. Предполагается механизм $ClO_4^- \rightarrow ClO_4 + e$; $ClO_4 + CH_3CN \rightarrow HClO_4 + CH_3CN$; $2CH_3CN \rightarrow NC-CH_2-CH_2-CN$. Та-электрод растворяется при анодной поляризации в ацетонитрильных р-рах $AgClO_4$. Измерения с использованием переменного тока показали, что время существования радикала $ClO_4 \cdot < 0,01$ сек. Г. Тедорадзе

20784. Получение титана электролизом расплавленных солей. I. Предварительные исследования в ячейках с диафрагмой. Алперт, Шульц, Салливан (Electrolytic preparation of titanium from fused salts. I. Preliminary electrolytic studies with diaphragmed cells. Alpert Marshall B., Schultz

Frank J., Sullivan William F.), J. Electrochem. Soc., 1957, 104, № 9, 555—559 (англ.)

Изучались условия получения металлич. Ti электролизом расплавов $\text{TiCl}_3\text{--LiCl--KCl}$ и $\text{TiCl}_3\text{--SrCl}_2\text{--NaCl}$ в кварцевых ячейках при 400—900° в атмосфере очищ. Ar. Катод (Ni-стержень) погружался в расплав непосредственно, а графитовый анод — в алундовой диафрагме. При $i = 0,1\text{--}0,2 \text{ а/см}^2$ выход по току 80—90%. На процесс электролиза заметно влияет степень восстановления электролита ($\text{TiCl}_2/\text{TiCl}_3$), состав и перемешивание расплава, а также плотность тока; изменение т-ры в пределах 400—900° сказывается незначительно.

Б. Ленинских

20785. Исследование гальванических элементов с твердыми электролитами. Кнуккола, Вагнер (Measurements on galvanic cells involving solid electrolytes. Kiukkola Kalevi, Wagner Carl), J. Electrochem. Soc., 1957, 104, № 6, 379—387 (англ.)

Для определения мол. стандартных свободных энергий образования $\Delta F^\circ \text{ CoO (I), NiO (II), Cu}_2\text{O (III), Ag}_2\text{S (IV), Ag}_2\text{Se (V), PbS (VI)}$ и некоторых фаз системы Ag--Te (VII) при высоких т-рах измерены э.д.с. E гальванич. элементов с твердыми электролитами (ТЭ). При определении $\Delta F^\circ \text{ I, II, III}$ ТЭ служил твердый р-р ZrO_2 и CaO , в случае IV, V и VII применялся ТЭ AgI . Для VII изучался элемент $\text{Ag|AgI|Te (Ag--Te)}$; на графике зависимости E от величины отношения Ag:Te обнаруживаются 3 области с различными E , соответствующими трем фазам системы VII. С. И. 20786. О методах оценки полярографических результатов. Шпаньяр, Кевен, Киссел (Polarográfiai eredmények kiértékelési módszerei. Spanyár Pál, Kevei Jánosné, Kiszél Józsefné), Elemi. irar, 1955, 9, № 11, 326—332 (венг.; рез. русск., нем., англ.)

Разобран способ полярографич. определения конц-ий в-ва путем полярографирования р-ров с добавками этого же в-ва известных конц-ий. Установлено, что лучшие результаты получаются при дополнительном полярографировании также и добавляемых р-ров. Указано на возможность определения очень низких конц-ий в-ва.

С. Майрановский

20787. Механизм поляризации при полярографировании простых ионов никеля и кобальта. Турьян Я. И., Докл. АН СССР, 1957, 113, № 3, 631—634

В продолжение работы (РЖХим, 1956, 6494) изучено влияние природы и конц-ии (C) индифферентных электронов (IЭ) (NaNO_3 , NaClO_4 , Na_2SO_4 , $\text{Ca(ClO}_4)_2$, $\text{Ca(NO}_3)_2$) на полярографич. поведение Ni^{2+} и Co^{2+} . Показано, что Ni^{2+} дает волну, для которой функция $[E, \lg(i/(i_{\text{пр}} - i))]$ — прямая с коэф. наклона $\sim 70 \text{ ме}$, что отвечает коэф. переноса $\alpha = 0,42$; для Co^{2+} график $[E, \lg(i/(i_{\text{пр}} - i))]$ имеет излом в точке $E_{1/2}$. $E_{1/2}$ волны Ni^{2+} и Co^{2+} не зависит от конц-ий Ni^{2+} и Co^{2+} , но с ростом C становится отрицательнее, почти пропорционально $\ln C$; двухвалентные катионы IЭ изменяют $E_{1/2}$ сильнее, чем одновалентные, природа анионов на $E_{1/2}$ не влияет. Показано, что необратимость восстановления Ni^{2+} может быть объяснена на основе теории замедленного разряда. Отмечено резкое снижение константы диффузионного тока Ni^{2+} при $C = 1,0 \text{ М}$. С. М. 20788. Полярография магния. Дьёрбиро, Поош, Прост (Die Polarographie die Magnesiums. Györfi K., Pócs L., Proszt J.), Acta chim. Acad. sci. hung., 1956, 9, № 1-4, 27—36 (нем.; рез. англ.)

При исследовании осциллографич. кривых (v, t), полученных на капельном Hg-электроде для р-ра Mg^{2+} в $0,7 \text{ М}$ $(\text{CH}_3)_4\text{NCl}$, найдено, что Mg^{2+} дает обратимую ступень при $-2,55 \text{ в}$. Полярограммы этого же р-ра, снятые на усовершенствованном (РЖХим, 1956, 61824) струйчатом электроде (СЭ), имеют вид обычных волн

без максимума (М). Высота этих волн пропорциональна конц-ии Mg^{2+} при c от $5 \cdot 10^{-4}$ до $3 \cdot 10^{-3} \text{ М}$; при $c > 3 \cdot 10^{-3} \text{ М}$ на волнах появляется М, величина которого уменьшается с сокращением длины СЭ. Волна на СЭ наблюдается при $\text{pH } 5\text{--}9,5$; $E_{1/2}$ не зависит от pH ($-2,59 \text{ в}$ по норм. к. э.). По мнению авторов, М на волнах Mg^{2+} обусловлен увеличением конц-ии Mg^{2+} у поверхности электрода за счет разложения водой амальгамы Mg , образующейся при электролизе.

С. Майрановский

20789. О полярографических максимумах щелочеземельных металлов. Мейер, Штаккельберг (Über die polarographischen Maxima der Erdalkalien. Meurer E., Stackelberg M. V.), Leybold polarogr. Ber., 1956, 4, № 4, 200—201 (нем.)

Показано, что при максимумах (М), появляющихся на полярографич. волнах ионов щел.-зем. металлов (ЩЗМ), на поверхности капельного электрода (у шейки капли) наблюдается выделение пузырьков H_2 , которое внезапно прекращается с повышением катодного потенциала (при этом ток резко падает до значения диффузионного тока). Поверхностноактивные в-ва не влияют на эти М. Величина М убывает в ряду Mg, Ca, Sr, Ba (фоном служил $(\text{CH}_3)_4\text{NOH}$). Высказано предположение, что выделение H_2 связано с промежуточным образованием ионов типа Ca^+ .

С. М.

20790. Механизм двухступенчатого полярографического восстановления H_2O_2 в некоторых растворах. Мердок, Ван-Рейсселберге (Mechanism of the two-step polarographic reduction of hydrogen peroxide observed in certain media. Murdock Gordon A., Van Rysselberghe Pierre), Proc. Meet. Internat. Comm. Electrochem. Thermodyn. and Kinet., 1954, London, 1955, 543—548. Discuss., 548—549 (англ.)

Приводится теоретич. объяснение наблюдаемого ранее эффекта расщепления полярографич. волн восстановления H_2O_2 в р-рах MgCl_2 и щелочей на 2 волны. Суммарная высота этих волн всегда постоянна и соответствует конц-ии H_2O_2 в р-ре. Отношение высот 1-й и 2-й волн колеблется от 0,1 до 0,75 в зависимости от состава р-ра. Предполагается, что 1-я волна обусловлена стадией $\text{H}_2\text{O}_2 + e \rightarrow \text{OH}^- + \text{OH}^-$, причем часть свободных радикалов OH при этом же потенциале восстанавливается дальше до OH^- . Остальная часть радикалов OH вступает в р-ции $\text{OH}^- + \text{OH}^- \rightarrow \text{H}_2\text{O}_2$, $\text{OH}^- + \text{H}_2\text{O}_2 \rightarrow \text{HO}_2^- + \text{H}_2\text{O}$ и $\text{OH}^- + 2\text{H}_2\text{O}_2 \rightarrow \text{H}_2\text{O}_2 + \text{H}_2\text{O}$. HO_2^- и H_2O_2 восстанавливаются при более отрицательном потенциале и образуют 2-ю волну.

И. Яблокова

20791. Полярография феррицианид-иона в отсутствие постороннего электролита. Кивало (Polarography of the ferricyanide ion in the absence of inert electrolyte. Kivalo P.), J. Phys. Chem., 1957, 61, № 8, 1126—1127 (англ.)

Полярограммы восстановления Fe(CN)_6^{3-} без добавок инертного электролита осложнены полярографич. максимумами от $-0,5$ до $-0,6 \text{ в}$ (насыщ. к. э.); при более отрицательных E наблюдаются постоянные предельные токи (ПТ), заниженные по сравнению с истинными диффузионными токами и линейно зависящие от \sqrt{h} (h — высота Hg-столба). Добавки NaClO_4 повышают ПТ Fe(CN)_6^{3-} и подавляют максимум. Результаты объясняются влиянием миграционных токов, наличие которых в данном случае приводит к снижению ПТ.

Г. Флоринанович

20792. Полярографические свойства осмия. I. Восмивалентное состояние. Мейтс (Polarographic characteristics of osmium. I. The +8 state. Meites Louis), J. Amer. Chem. Soc., 1957, 79, № 17, 4631—4637 (англ.)

Изучено полярографич. поведение $\text{Os}(8+)$ в различных р-рах на капельном и на стационарном Hg-электродах. Четкие волны Os можно получить или в разбавленных, или в очень конц. р-рах индифферентного электролита. В щел. р-рах $\text{Os}(8+)$ дает 3 волны восстановления (В), высоты которых относятся как 2:2:1 и отвечают последовательному В $\text{Os}(8+) \rightarrow \text{Os}(6+) \rightarrow \text{Os}(4+) \rightarrow \text{Os}(3+)$, что подтверждено кулонометрич. электролизом (Э). В буферных р-рах с $\text{pH} < 5$ В $\text{Os}(8+)$ протекает в 2 ступени (до $\text{Os}(3+)$) с промежуточным образованием $\text{Os}(4+)$. В сильнокислых р-рах В $\text{Os}(8+)$ протекает сразу до $\text{Os}(3+)$. В ряде р-ров вслед за волнами В наблюдаются каталитич. волны водорода, а некоторые ступени В имеют адсорбционную природу. Указано, что в присутствии KCN $\text{Os}(8+)$ химически восстанавливается до $\text{Os}(6+)$, который уже дает 2 волны В: $\text{Os}(6+) \rightarrow \text{Os}(3+) \rightarrow \text{Os}(2+)$; эти волны наиболее удобны для полярографич. определения Os . С. Майрановский

20793. Полярографические исследования комплексов металлов. V. Этилендиаминные комплексы кадмия, никеля и цинка. Моринага (Polarographic studies of metal complexes V. Ethylenediamine complexes of cadmium, nickel and zinc. Morinaga Ken-ichi), Bull. Chem. Soc. Japan, 1956, 29, № 7, 793—799 (англ.)

У. Исследовано полярографич. поведение комплексов (К) Cd^{2+} , Ni^{2+} и Zn^{2+} с этилендиамном (Ен) в 0,1 н. KNO_3 . Найдено, что $i_{\text{пр}}$ восстановления во всех случаях пропорционален $V\bar{h}$ (h — высота столба Hg) и обратно пропорционален вязкости р-ра, изменяющейся при изменении конц-ии Ен (С). $E_{1/2}$ волн становятся отрицательнее с ростом С. Для К Cd^{2+} и Zn^{2+} зависимости E от $\lg[i/(i_{\text{пр}} - i)]$ представляют собой прямые с коэф. наклона, равными соответственно 31,6 и 34,2 мв. Для К Ni^{2+} зависимость E от $\lg[i/(i_{\text{пр}} - i)]$ линейная лишь вблизи $E_{1/2}$, причем коэф. наклона падает с ростом С. Волна К Cd^{2+} обратима и $E_{1/2} = -0,934 - 0,096 \lg C$ (по насыщ. к. э.); К имеет в основном состав $[\text{CdEn}_3]^{2+}$. К Ni^{2+} и Zn^{2+} дают необратимые волны; их поведение рассмотрено на основе развитой ранее теории (РЖХим, 1957, 22520). Для К Ni^{2+} показано, что в р-ре имеется $[\text{NiEn}_3]^{2+}$, диссоциирующий у поверхности электрода до $[\text{NiEn}_2]^{2+}$, который и разряжается. Значения α (коэф. переноса) растут, а k_p (скорость прямого электродного процесса при E в в. э.) падают с ростом С. При $C = 1 \text{ M}$ $\alpha \approx 0,5$ и $\lg k_p \approx -16,8$. Для К Zn^{2+} $\alpha \approx 0,86$ (не зависит от С). Показано, что в р-ре имеется главным образом $[\text{ZnEn}_3]^{2+}$ диссоциирующий у электрода до $[\text{ZnEn}]^{2+}$; при $C = 1 \text{ M}$ $\lg k_p \approx -31$. Сообщение IV см. РЖХим, 1958, 10726. С. М.

20794. Деполаризация ртутного капельного электрода завесами нерастворимых веществ. II. Суспензии сернистого железа, кобальта и никеля. Мицка (Depolarisace rtutové kapkové elektrody suspensemi nerozpustných látek. II. Suspense sirníku železnatého, kobaltnatého a nikelnatého. Mická Karel), Chem. listy, 1957, 51, № 2, 233—242 (чешск.); Сб. чехосл. хим. работ, 1957, 22, № 5, 1400—1410 (нем.; рез. русск.)

В свежеприготовленных суспензиях (С) FeS , CoS и NiS в 0,5 М NH_4Cl на капельном Hg-электроде наблюдается каталитич. ток выделения H_2 в форме резкого максимума. Значение тока зависит от промежутка времени с момента приготовления С. Максимум тока наблюдается при E от $-1,5$ до $-1,7$ в (н. к. э.). Максим. ток обратно пропорционален квадратному корню на высоты столба Hg. Характер кривых (i, t) также указывает на каталитич. характер электродных

р-ций. Прибавление желатинны повышает максимум и вызывает усиление тока при более отрицательных E . Восстановление С сопровождается заметным выделением пузырьков. Нитропруссидной р-цией обнаружено присутствие ионов S^{2-} в р-ре около электрода. После прибавления Na_2S к р-ру, содержащему металлич. ионы, максимум образуется не сейчас же, а лишь по истечении некоторого «времени коагуляции» t_k , причем $t_k = 2 \cdot 10^{-4}/c^{1/2}$, где c — конц-ия С. Увеличение каталитич. тока в присутствии желатинны или избытка сернистых солей объяснено уменьшением размера частиц. Сила тока понижается в ряду $\text{FeS}_2 > \text{FeS} > \text{CoS} > \text{NiS} > \text{HgS}$, что объяснено различным сродством металлов к сере. Предложен механизм р-ции восстановления. Сообщение I см. РЖХим, 1956, 35520. Р. Zuman

20795. Полярографическое изучение мономеров — эфиров метакриловой кислоты. Безуглый В. Д., Дмитриева В. Н., Ж. прикл. химии, 1957, 30, № 5, 744—750

Исследовано полярографич. поведение метакриловой к-ты (I) и ее эфиров (Э) (метилового, этилового, бутилового и аллилового) в спирто-бензольном р-ре на фоне $(\text{CH}_3)_4\text{NI}$ в водно-метанольном р-ре на фоне Li_2SO_4 , а также в буферных р-рах. Все Э дают одноступенчатые волны восстановления с близкими $E_{1/2}$. С ростом pH $E_{1/2}$ становятся несколько положительнее, при этом увеличивается предельный ток. Доказано, что I не восстанавливается полярографически (РЖХим, 1955, 54746), а ее р-ры дают лишь волну разряда H^+ -ионов. Разработана методика определения мономеров Э в продуктах их полимеризации, а также в присутствии дибутилфталата. С. Майрановский

20796. Влияние борной кислоты на полярограммы D-глюкозазонов. Ямбор, Кишбан (Einfluss der Borsäure auf das Polarogramm der D-Glucosazone. Jámor B., Kisbán K., Fr.I.), Acta chim. Acad. sci. hung., 1956, 9, № 1-4, 493—498 (нем.; рез. англ.)

В продолжение работ (РЖХим, 1957, 76758) исследовано влияние борной к-ты (I) на полярографич. поведение D-глюкозазона (II), D-глюкозо-1-метилфенил-2-фенилозазона (III) и D-глюкозо-бис-метилфенилозазона (IV) в буферных р-рах. I не влияет на восстановление (В) изученных в-в, однако в щел. среде в 30%-ном этаноле у II и III вслед за волной В появляется новая волна с округлым максимумом; добавление желатинны не изменяет вида волны, а ее высота пропорциональна увеличению столба Hg. Предположено, что эта волна является особым случаем каталитич. выделения хелатно-связанного водорода. Из уменьшения высоты анодной волны II с ростом конц-ии I определена константа равновесия комплекса II с I ($K = 0,1$). С. Майрановский

20797. Полярографическое изучение аллилгалогенидов. I. Аллилбромид и аллилртутные соединения. Кирман, Клейне-Петер. II. Замещенные аллилбромиды. Клейне-Петер (Études polarographiques sur les halogénures allyliques. I. Le bromure d'allyle et les composés allyle-mercureux. Kirmann Albert, Kleine-Peter Micheline. II. Les bromures d'allyle substitués. Kleine-Peter Micheline), Bull. Soc. chim. France, 1957, № 7, 894—899; 899—904 (франц.)

I. В водно-диоксановом р-ре при pH 4—10 аллилбромид (I) образует основную волну и предволну. Основная волна диффузионная, необратимая, двухэлектронная, i_d мало изменяется с pH , но значительно уменьшается при снижении содержания диоксана (II) в смеси от 50 до 2%. $E_{1/2}$ основной волны возрастает в пределах pH 4—7 на 58 мв на единицу pH до $-1,25$ в (насыщ. к. э.) и далее остается почти постоянным

(в 50%-ном II); при снижении содержания II $E_{1/2}$ сдвигается в положительную сторону (в 2%-ном II $E_{1/2} = -0,88$ в). Предволна необратимая, одноэлектронная и имеет кинетич. характер. Те же закономерности найдены в водно-спирт. р-рах. i_d обеих волн пропорционален конц-ии I. Полярографич. поведение I объясняется образованием аллилмеркурибромидов (III) при контакте I с поверхностью капельного Hg-электрода, что подтверждено изучением полярографич. поведения III в тех же условиях.

II. Изучено полярографич. поведение $\text{CH}_3 = \text{C}(\text{CH}_3)\text{CH}_2\text{Br}$ (IV), $\text{CH}_3\text{CH}=\text{CHCH}_2\text{Br}$ (V), $\text{CH}_2 = \text{CClCH}_2\text{Br}$ (VI), $\text{CHCl} = \text{CHCH}_2\text{Br}$ (VII), $\text{CH}_2 = \text{CBrCH}_2\text{Br}$ (VIII) и $\text{CHBr} = \text{CHCH}_2\text{Br}$ (IX) в 50%-ном II в буферных р-рах. IV—IX аналогично I образуют по две волны (основную и предволну). Основная волна двухэлектронная, необратимая и имеет диффузионный характер; при снижении конц-ии II в р-ре i_d снижается. $E_{1/2}$ IV—IX менее отрицательны, чем $E_{1/2}$ I. Для соединений с заместителями в 3-положении ход кривой ($E_{1/2}$, pH) аналогичен ходу кривой для I; в случае соединений с заместителями в α -положении ход этой кривой аномален. При снижении конц-ии II восстановление IV и V, подобно I, облегчается ($E_{1/2}$ сдвигаются в положительную сторону); для VI, VII и IX, наоборот, $E_{1/2}$ становятся более отрицательными; это указывает, что на восстановление аллилбромидов больше влияет природа, чем положение заместителя. На полярограмме VII на фоне тетраэтиламмонийбромидом отмечена третья волна после основной волны, которая объяснена аллильной перегруппировкой в процессе восстановления. Предварительное сообщение см. РЖХим, 1955, 11373; 1956, 6514. Л. Яновская

20798. Влияние различных заместителей в положении 2 на полярографическое восстановление тропона. Шантавий, Ямбор, Немечкова, Молли, Бартек (Vliv různých substituentů v poloze 2 na polarografickou redukovatelnost troponu. Santavý František, Jámboř Běla, Němečková Alice, Mollin Jiří, Bartek Josef), Chem. listy, 1957, 51, № 4, 704—708 (чешск.). Заместители в положении 2 вызывают сдвиг $E_{1/2}$ тропона в следующем порядке (приведены $E_{1/2}$ 1-й волны по н. к. в. при pH 0 и число электронов, присоединяемых при pH 2,7 и 5,8): Cl (—0,530; 6; 8); Br (—0,535; 6; 8); H (—0,680; 2; 4); фенил (—0,740; 2; 4). Для производных колхицина наблюдается смещение в ряду: $\text{N}(\text{CH}_3)\text{COCH}_3$ (—0,530; 1; 2); $\text{N}(\text{CH}_3)_2$ (—0,600; 1; 2); OCH_3CH_3 (—0,630; 1; 2); OCOC_6H_5 (—0,648; 1; 2); NHCOCH_3 (—0,648; 1; 2); OCH_3 (—0,780; 1; 2); OC_2H_5 (—0,784; 1; 2); NHCH_3 (—0,830; 4; 4); NH_2 (—0,850; 2—3; 4); OH (—0,860; 1; 2). У псевдоароматич. трополонов при восстановлении (B) присоединяются 2 электрона. Предполагается, что B происходит на двойной связи. Механизм B был сравнен с механизмом восстановления непредельных алифатич. кетонов. У тропона и 2-фенилтропона, так же как у 2-амино- и 2-метиламиноаналогов колхицина, где при более высоких pH протекает B с присоединением 4 электронов, предполагается B двух двойных связей в ядре. У галогидопроизводных, по мнению авторов, наряду с двойными связями восстанавливаются также кетогруппы и атом галоида. Р. Zupan

20799. Связь между полярографическими константами и строением органических молекул. Сообщение IV. Потенциалы восстановления альдегидов ряда фурана и связь между разными сериями карбонильных соединений. Сообщение V. Метоксипроизводные ксантона. Джакометти (Relazioni tra costanti po-

larografiche e struttura delle molecole organiche. Nota IV. Potenziali di riduzione di aldeidi derivate dal furano e correlazione tra varie serie di composti carbonilici. Nota V. Sui metossi derivati dello xantone. Giacometti Giovanni), Ricerca scient., 1957, 27, № 4, 1146—1154; № 5, 1489—1491 (итал.; рез. англ., нем., франц.)

IV. В 96%-ном спирте на фоне буферных р-ров Бриттона—Робинсона при $25 \pm 1^\circ$ и конц-ии альдегидов 10^{-3} M $\text{C}_6\text{H}_5\text{CHO}$ (I), фурфурол (II), α -фурилакroleин (III) и 5-(α -фурил)-пентадиеналь (IV) образуют одну одноэлектронную волну, $E_{1/2}$ которой изменяется линейно с pH; в нейтр. среде появляется вторая волна, равная по высоте первой, в щел. среде обе волны сливаются в одну двухэлектронную волну; для первой волны $E_{1/2}^\circ$ (при pH 0) равны (по отношению к насыщ. н. э., в мВ) для I 884; для II 872; для III 545 и для IV 393. Исходя из теории MO (сообщение III, РЖХим, 1956, 64193) по ур-нию $-E_{1/2}^\circ = -2,80 + 4,32 \Delta W$ определены ΔW для I—IV и установлена связь между $E_{1/2}$ и строением этих в-в.

V. По методу Лонгет-Хиггинса (Longuet Higgins H. S., J. Chem. Phys., 1950, 18, 275) вычислены $E_{1/2}$ и Δq_r (разница в заряде π на C-атоме r -замещенного ксантона (V) и радикала — продукта его восстановления (VI)). Ур-ние $-E_{1/2} = K + \alpha \Delta q_r$ (α — положительная константа) хорошо выражает связь $E_{1/2}$ и Δq_r для 2-, 3- и 4-метокси-V, однако для 1-метокси-V $E_{1/2}$ на 250 мВ положительнее, чем соответствует ур-нию, что объяснено образованием водородной связи, стабилизирующей радикал 1-метокси-VI.

Л. Яновская
20800. Электрохимическое изучение процесса сочетания при образовании красителей. Влчек (Elektrochemisches Studium der farbstoffbildenden Kupplung. Vlček Bohuslav), Z. wiss. Photogr., 1957, 51, № 7-12, 175—185 (нем.)

С целью изучения механизма образования красителей в процессах цветной фотографии с помощью модифицированного полярографич. метода с переключателем поляризации (РЖХим, 1955, 45583) исследовано сочетание продуктов окисления (ПО) диэтил-фенилендиамин (I) с различными цветными компонентами (K). Показано, что в Li-ацетатном буферном р-ре в 95%-ном спирте на Pt-электроде I дает двухступенчатую анодную волну, соответствующую двум ПО I: семихинону- или димеру- (II) и димину (III). В зависимости от природы цветного K реакционная способность (последняя выражалась в % уменьшения волн восстановления II и III после прибавления к р-ру цветного K) к сочетанию у II и III различна. С. Майрановский

20801. Полярографическое исследование высокомолекулярных веществ методом подавления максимумов. Руснак, Фуккер, Кралик (Polarographische Untersuchung hochmolekularer Stoffe mittels Maximumdämpfung. Rusznák I., Fucker K., Králík I.), Acta chim. Acad. sci. hung., 1956, 9, № 1-4, 49—57 (нем.; рез. англ.)

Более подробное изложение опубликованной ранее работы (РЖХим, 1956, 54683). С. Майрановский

20802. Полярография со стационарным плоским платиновым электродом. Часть II. Анодные волны йодидов и бромидов. Эль-Ваккад, Халафалла, Шамс эд-Дин (Polarography with a stationary platinum plate electrode. Part II. The anodic waves of iodides and bromides. El Wakkad S. E. S., Khalafalla S. E., Shams El Din), Recueil trav. chim., 1957, 76, № 9-10, 789—797 (англ.). При помощи метода, описанного ранее (часть I, РЖХим, 1955, 48591), изучено окисление ионов J—

the. Nota
dal fura-
carbomi-
xantone.
nt., 1957,
ea. angl.

ров Брит-
льдегид-
акролеин
ют одну
ся линей-
на, рав-
ны сли-
вой волн
к. а. в
IV 393.
им, 1956,
определя-
ду $E_{1/2}$ и

ins H. C.,
 $E_{1/2}$ и ΔE ,
ксантоны
(VI).
и констан-

2-, 3- и 4-

50 мс по-

объясне-

цей ради-

Яновские

соче-

Влече

bildender

Photogr.

я крас-

помощью

переключ-

исследо-

диетил-

ыми ком-

ном бу-

электре

ветствую-

у- (II) в

ветного K

гражалас

III после-

нию у П

рановский

сокомоле-

ксимума.

graphische

els Maxi-

K., K₁ и

9, № 1-4.

ной ранее

рановский

плоские

ые волн

Хала-

у with a

The ano-

Wakka

El Din),

97 (англ.)

(часть I,

инов J-

Вг- в р-рах HClO_4 на Pt-микроэлектрод. Поляриза-
ционная кривая окисления J- имеет 2 волны, 1-я из
которых отвечает обратимому процессу $\text{J} \rightarrow \text{J}^+ + e$;
высота волны пропорциональна конц-ии J-; $E_{1/2} =$
 $-0,55$ в (насыщ. к. а.). Высота 2-й волны, имеющей
форму максимума, в 4 раза выше 1-й; $dE_{1/2}/d\text{pH} =$
 -60 мв; предполагается, что 2-я волна соответствует
необратимой р-ции образования HJO_2 . При положи-
тельных E , близких к E выделения O_2 , высота 2-й
волны уменьшается, что авторы объясняют взаимо-
действием между диффундирующими к электроду
ионами J- и радикалами OH , образующимися на
аноде в процессе выделения O_2 . Поляризационные
кривые окисления Вг- имеют одну волну, высота ко-
торой пропорциональна конц-ии Вг-. Ю. Плесков
20803. Вольтамперометрия при высоком давлении.

Юалд, Лим (Voltammetry at high pressure.
Ewald A. H., Lim S. C.), J. Phys. Chem., 1957, 61,
№ 10, 1443—1445 (англ.)

Изучено восстановление Cu^{2+} на Pt-электрод при
разных давлениях P . С увеличением P от 1 до
3000 атм i (пред.) уменьшается приблизительно на
40%, что авторы объясняют уменьшением коэф. диф-
фузии Cu^{2+} и увеличением толщины диффузионного
слоя. При увеличении P $E_{1/2}$ становится отрица-
тельнее на 0,071 в. Ю. Плесков

20804. Скорость диссоциации молекулы кислорода
в тихом электрическом разряде. Иноуэ, Мацуада
(無電放電による酸素の解離速度, 井上英一, 松田恒男),
電氣化學, Дэнки кагаку, J. Electrochem. Soc. Japan,
1957, 25, № 1, 25—26, E8—E9 (японск.; рез. англ.)

Для вычисления константы скорости диссоциации k
молекулы O_2 в связи с предыдущими исследованиями
авторов по механизму медленного окисления угле-
водородов в тихом электрич. разряде рассчитана
средняя конц-ия электронов n по ф-ле $\frac{1}{2} I = nve$,
где v — средняя скорость пробега электрона,
 I — общая плотность тока (в условиях опытов равна
силе разрядного тока), e — заряд электрона. Из дан-
ных по медленному окислению циклогексана в тихом
электрич. разряде (РЖХим, 1957, 11222) вычислена
 $n = 1,27 \cdot 10^{-16}$ моль/л, $k = 8,57 \cdot 10^{11}$ сек $^{-1}$. Р. М.

20805. Спектрофотометрическое исследование после-
свечения воздуха. Стюарт (A spectrophotometric
investigation of the air afterglow. Stewart D. T.),
J. Atmos. and Terr. Phys., 1957, 10, № 5-6, 318—319
(англ.)

Измерением спектрального распределения энергии
в желто-зеленой области спектра послесвечения, воз-
бужденного разрядом в воздухе, и в непрерывном
спектре смеси NO и атомарного O обнаружена иден-
тичность этих спектров, коротковолновая часть ко-
торых кончается на длине волны 3700 Å. Сделан вы-
вод, что в обоих исследованных случаях непрерывный
спектр относится к молекуле NO_2 . Резюме авторов

См. также: Электроосаждение металлов 22055,
22062—22065, 22073, 22074, 22076, 22077. Коррозия 21787,
21802, 21808. Полярография 20686, 21086, 21099, 21100,
21154, 21169, 21189, 21231, 21243. Электропроводность
20706, 20840. Методика электрохим. измерений 20832,
21088

ПОВЕРХНОСТНЫЕ ЯВЛЕНИЯ. АДСОРБЦИЯ.

ХРОМАТОГРАФИЯ. ИОННЫЙ ОБМЕН

Редактор Н. А. Фукс

20806. Относительная роль электрических и диффу-
зионных процессов в явлениях адгезии двух поли-
меров. Морозова Л. П., Кротова Н. А.,
Докл. АН СССР, 1957, 115, № 4, 747—750

С помощью роликового адгезиометра сняты адге-
зиограммы для ряда полимеров в комбинации со
стеклом, металлом, резинами на основе Na-бутадиено-
вого каучука и нитрилакрилового каучука, а также
для комбинаций двух полимеров. Исследованные
системы делятся на две группы. Первая группа вклю-
чает клей типа БФ, полиуретаны, полиамиды, поли-
меры винилового ряда, эфиры целлюлозы и др. и ха-
рактеризуется электрич. явлениями при нарушении
адгезионной связи: свечением в среднем вакууме,
электронной эмиссией в высоком вакууме и нали-
чием остаточного заряда. Поверхность, эмиттирующая
электроны при отрыве, всегда имеет отрицательный
остаточный заряд. Большую роль в адгезионных
свойствах играет характер наполнителя в резине и
степень шероховатости поверхности металла. Системы
второй группы образованы неполярными компонен-
тами: полиэтилен — полиизобутилен, полиэтилен —
парафин, гуттаперча — парафин; при разъединении
компонентов в этих случаях не наблюдается электрич.
явлений. У систем второй группы адгезионная связь
образована путем диффузии цепей полимеров в зоне
контакта. И. Слоним

20807. О влиянии буферности поверхностного натя-
жения в тройных системах. Лазарев В. Б., Се-
менченко В. К., Изв. АН СССР. Отд. хим. н.,
1957, № 10, 1252—1255

Получено, в предположении зависимости хим. по-
тенциала только от конц-ии, ур-ние изотермы поверх-
ностного натяжения тройной системы, переходящее
в случае 2-компонентной системы в известное ур-ние
Шиховского. Показано, что в тройной системе из
р-рителя, поверхностноактивного и инактивного ком-
понента в некоторой области конц-ий должно иметь
место явление концентрационной «квази-буферности»,
состоящее в том, что кривые, графически изображаю-
щие зависимость σ от конц-ии поверхностноактивного
в-ва, пересекаются в некоторой области конц-ий, и
полученная ф-ла позволяет объяснить смещение бу-
ферной конц-ии при замене компонентов системы.

Резюме авторов

20808. Поверхностное натяжение растворов электро-
литов и их удельная проводимость. Штефе-
неску, Цукел, Аврам (Tensiunea superficială a
soluțiilor de electroliti și conductibilitatea lor speci-
fică. Ștefănescu D., Tachel N., Avram L.),
Farmacia (Romn.), 1957, 5, № 5, 403—410 (рум.; рез.
русс., франц., англ., нем.)

Измерено поверхностное натяжение 0,01 н., 0,1 н. и
насыщ. р-ров HgCl_2 в воде, ацетоне, метилом, эти-
ловом и амиловом спиртах и насыщ. р-ров в C_6H_6
и CCl_4 . Н. Фукс

20809. Поверхностное натяжение водных растворов
фенатона, фенамина, бигуаля и фурамона. Эти-
нгер М. А., Сб. тр. Пензенск. с.-х. ин-та, 1956, вып. 1,
301—305

Методом максим. давления пузырьков измерено
при 20° поверхностное натяжение (σ) водн. р-ров фе-
натона (хлоргидрат-6-диметиламино-4,4-дифенил-3-геп-
танон) в интервале конц-ий 1—5%, фенамина (суль-
фат фенилизопропиламина) 1—10%, бигуаля (хлор-
гидрат- n -хлорфенилизопропилбигуанид) 0,1—1% и
фурамона (йодистый фурфурилтриметиламмоний)
5 и 10%. Интервалы значений σ (в дн/см) для первых
трех соединений соответственно равны: 57,67—45,68;
70,14—53,13; 71,44—53,46 дн/см. Для 10%-ного р-ра
фурамона $\sigma = 68,97$. И. Гуревич

20810. Поверхностное натяжение водных растворов
производных барбитуровой кислоты. Этингер
М. А., Сб. тр. Пензенск. с.-х. ин-та 1956, вып. 1,
306—310

Измерено σ воды, p -ров вероната (0,25—0,58%), гексенала (1—10%) и нелбутала (0,1—4%) и для указанных интервалов конц-ий получены соответственно следующие значения σ : 66,27—63,67, 70,81—58,61 и 69,96—47,85 дин/см. В присутствии $K_4Fe(CN)_6$ (0,25 M) σ равно для гексенала (1—8%) 68,10—59,24, для нелбутала (0,1—3%) 68,42—43,67.

И. Гуревич

20811. Исследование прочности адсорбционных слоев органических веществ на металлах. Кошурников Г. С., Сб. Научн. Тр. кафедр матем., механ., химии. Ленингр. ин-т точной механ. и оптики, 1957, вып. 24, 103—108

По скорости растекания капли воды по поверхности исследована сравнительная устойчивость адсорбционных слоев (АС) фенола, β -нафтола, бензойной и фталевой к-т, полученных погружением в воду или ацетоновые p -ры этих в-в пластинок из стали, Al, Cu и магниевомарганцевого сплава (I) без воздействия и при воздействии электрич. поля. В результате обработки p -рами органич. в-в поверхности металлов могут приобретать как гидрофобные, так и гидрофильные свойства. Гидрофобизация поверхности наблюдается у фенола на всех металлах, кроме I, у β -нафтола, бензойной и фталевой к-т на I и Al. Устойчивость АС зависит от метода его нанесения и от природы p -рителя.

И. Гуревич

20812. Строение адсорбционного слоя на границе концентрированный неводный раствор — воздух. Старобинец Г. Л., Лурье Л. А. Ж. физ. химии, 1957, 31, № 7, 1510—1520 (рез. англ.)

В развитие прежних работ (Ж. физ. химии, 1951, 25, 1186) исследовано строение адсорбционных слоев (АС) на поверхности раздела p -р — воздух в системах: тетрагидрометан — метиловый и этиловый спирты (1), диоксан — низшие жирные спирты (2), n -дихлорбензол — низшие жирные к-ты (3) и хлороформ — этиловый спирт и бензол. Расчетами по ур-нию Гиббса установлено, что, в системах 1 и 2, несмотря на малые различия в поверхностном натяжении составляющих их компонентов, адсорбция достигает больших значений, уменьшаясь при переходе от низших к более высоким гомологам и в ряде случаев превышая мономолекулярное заполнение АС. Введены понятия нивелирующих и дифференцирующих p -рителей и показано, что в последних адсорбционные слои полимолекулярны и построены из комплексов линейноассоциированных молекул. Ассоциация адсорбированных молекул жирных спиртов и к-т подтверждена ходом кривых зависимости корреляционных параметров этих в-в от состава АС и объема p -ров в системах 2 и 3. Рассчитаны величины поверхностных и термодинамич. адсорбционных потенциалов и показано, что их различия могут служить приближенной мерой толщины полимолекулярных АС.

А. Таубман

20813. Адсорбция неполярных газов на кристаллических галогенидах щелочных металлов. I. Низкотемпературная адсорбция неполярных газов на кубическом хлориде натрия. II. Вычисление свойств неполярных газов, адсорбированных на кубическом хлориде натрия. III. Низкотемпературная адсорбция неполярных газов на кубическом хлориде калия. IV. Вычисление свойств неполярных газов, адсорбированных на кубических хлориде и бромиде калия. Хаякава (The adsorption non-polar gases on alkali halide crystals. I. The low-temperature adsorption of non-polar gases on cubic sodium chloride. II. Calculations of the adsorption behaviour of non-polar gases on cubic sodium chloride. III. The low-temperature adsorption of non-polar gases on cubic potassium chloride. IV. Calculations of the

adsorption behaviour of non-polar gases on cubic potassium chloride and cubic potassium bromide. Hayakawa Teruo, Bull. Chem. Soc. Japan, 1957, 30, № 2, 124—132; № 3, 236—243, 243—248; № 4, 332—337 (англ.)

I. Объемным методом в интервале 0—100 мм рт. ст. сняты (обратимые) изотермы адсорбции Ar , O_2 (73—83° K) и CO_2 (188—195° K) на куб. кристаллах NaCl. Вычисленная по изотермам зависимость энтальпий q адсорбции от степеней покрытия θ (падение q с увеличением θ до 0,5, затем рост q до максимума при $\theta = 1$ с последующим уменьшением до значения скрытой теплоты испарения или субlimации) свидетельствует о значительной неоднородности поверхности NaCl (малые θ) и о взаимовыгодном адсорбированных молекул (большие θ). Измеренные начальные q равны 2190, 2240, 2670 и 6070 ккал/моль для Ar , O_2 , N_2 и CO_2 , соответственно; в случае N_2 существенную роль играет большой постоянный квадратурный момент молекулы N_2 . Сравнение эксперим. энтальпий адсорбированных в-в с вычисленными показывает, что при $0,3 < \theta < 0,9$ адсорбат находится в состоянии двумерного газа; при $\theta \approx 0,9$ возможен фазовый переход в состояние двумерной конденсированной пленки.

З. Высоцкий

II. Проведен теоретич. расчет потенциальной энергии отдельных атомов и молекул (Ar , N_2 и CO_2) адсорбированных на куб. кристаллах NaCl. Расчеты проведены для четырех наиболее вероятных положений адсорбированных атомов или молекул на поверхности кристалла с учетом межмолекулярных сил и квадратурных взаимодействий адсорбированных молекул с кристаллом. Расчетные величины q , соответственно равные 1980, 2400 и 5420 ккал/моль, находятся в удовлетворительном соответствии с эксперим. величинами (см. часть I). На основании этих расчетов автор приходит к выводу, что неоднородность поверхности, вызванная неидеальностью решетки и дефектами кристаллов NaCl, имеет меньшее значение, чем неоднородность, вызванная распределением поверхностных мест для атомов или молекул адсорбата. Из этих же расчетов также следует, что адсорбированные Ar и N_2 в области малых θ могут легко мигрировать по поверхности кристалла, что согласуется с эксперим. кривыми энтальпий. Кривые теплот, вычисленные по приближенному методу Юнга (Young D. M., Trans. Faraday Soc., 1952, 48, 548), существенно расходятся с эксперим. кривыми. Это свидетельствует о том, что принятые в методе Юнга допущения об однородности поверхности и локализованной адсорбции в данном случае неприменимы.

III. Исследована адсорбция Ar , O_2 при 75—85° K и при 73—77° K и CO_2 при 187—194° K на куб. кристаллах KCl. Вычислены q и энтальпии адсорбции. Убыливание q с ростом адсорбции в области малых заполнения указывает на неоднородность поверхности, вызванную неидеальностью кристаллич. решетки и деформацией кристаллов. Сравнение энтальпий адсорбированных молекул, вычисленных из опытных данных, с энтальпией идеального двумерного газа показало, что адсорбированные Ar , O_2 и N_2 в области $0,3—0,9$ имеют природу двумерного газа, а в области $\theta > 0,9$ для O_2 и Ar может иметь место фазовый переход от газовой к конденсированной пленкам. Полученные данные находятся в согласии с данными для куб. NaCl.

IV. Проведен теоретич. расчет потенциальной энергии отдельных атомов и молекул (Ar , N_2 и CO_2) адсорбированных на куб. кристаллах KCl и KBr. На основании анализа теоретич. и эксперим. данных автор приходит к тем же выводам, что и для кристаллов NaCl.

А. Сарай

20814. Кислотность твердых поверхностей. Танаба, Катайма (固體表面の酸性度の測定. 田部浩三, 片山明石), 觸媒, Сёкубай, Catalyst, 1957, № 14, 1—6 (японск.; рез. англ.).

Кислотность поверхностей ряда неорганич. в-в (окислов металлов, сульфатов, хлоридов и т. п.) измерена по взаимозаменному методу Уоллинга (Walting, J. Amer. Chem. Soc., 1950, 72, 1164) — по окраске, принимаемой адсорбированными индикаторами. Из 40 исследованных в-в 10 оказались сильнокислыми, 19 — менее кислыми и некоторое число — слабоосновными. Кислотность поверхностей SiO_2 , TiO_2 , BaSO_4 , CaSO_4 , MnSO_4 , ZnS , HgCl_2 и CaCl_2 увеличивается, а SrSO_4 уменьшается при нагревании на воздухе или в вакууме. Резюме авторов

20815. Микрорадиографическое изучение действия флотуирующих реагентов. Плаксин И. Н., Зайцева С. П., Мясникова Г. А., Старчик А. П., Турникова В. И., Хажинская Г. Н., Шафеев Р. Ш. (Microradiographic study of the action of flotation reagents. Plaksin I. N., Zaitseva S. P., Myasnikova G. A., Starchik L. P., Turnikova V. I., Khazhinskaya G. N., Shaefeyev R. S.), Bull. Instn Mining and Metallurgy, 1957, № 611, 1—7 (англ.). См. РЖХим, 1957, 22552, 63219, 68526.

20816. Газовая хроматография. Фейгерсон (Gas chromatography. Fagerston I. S.), Food Engng, 1957, 29, № 2, 62—63 (англ.). Популярная статья.

20817. Влияние параметров опыта на хроматографическое разделение веществ в газовой или паровой фазе. I. Влияние температуры на разделение смеси метана, этана и пропана элементарным способом на силикагеле. Вяхирев Д. А., Брук А. И., Ж. физ. химии, 1957, 31, № 8, 1713—1720 (рез. англ.).

Исследовано разделение смеси CH_4 , C_2H_6 и C_3H_8 на колонке с силикагелем методом проявительной хроматографии при т-рах от -10 до $+25^\circ$ с применением в качестве фиксирующего прибора газоанализатора ГЗУК-21. Показано, что смещение пиков на выходной кривой при повышении т-ры на одну и ту же величину убывает от C_3H_8 к CH_4 . Из зависимости удерживающих объемов от т-ры вычислены теплоты адсорбции углеводородов на силикагеле. Б. Анвар

20818. О термических факторах в адсорбционных методах разделения смесей. Жуховицкий А. А., Туркельтауб Н. М., Успехи химии, 1957, 26, № 9, 992—1006

Рассматривается роль изменения т-ры во времени по длине колонки при различных вариантах газовой хроматографии: проявительном анализе (ПА) в независимом от времени температурном поле (ТП) и без него, стационарной (РЖХим, 1955, 23406) и нестационарной хроматографии, при которой направление движения ТП с обратным градиентом т-ры противоположно направлению потока газа. Для характеристики работы хроматографич. колонок введены критерии $K_1 = h/(\mu_1 + \mu_2)$, где h — расстояние между максимумами на хроматограмме, μ_1 и μ_2 — ширина пиков компонентов, и $K_2 = 2C_{\text{макс}}/C_{\text{мин}}$, где $C_{\text{макс}}$ — макс. конц-ция в максимуме и $C_{\text{мин}}$ — миним. конц-ция между пиками компонентов. Выведены соотношения между K_1 и K_2 и параметрами хроматографич. опыта. Применение независимого от времени ТП не вносит ничего нового по сравнению с ПА, а применение движущегося ТП приводит к обогащению анализируемой смеси и улучшению разделения. Приведены примеры разделения смеси предельных углеводородов от C_1 до C_6 на силикагеле (за 3,5 мин.) и смеси тех же

углеводородов с H_2 , C_2H_4 и C_3H_6 на алюмогеле (за 15 мин.) с изменением т-ры во времени от комнатной до 110° . При разделении C_3H_8 и C_4H_{10} методом импульсной хроматографии расстояние между полосками значительно выше, чем при ПА. Б. Анвар

20819. Инфракрасные спектры углей, полученных из d-глюкозы. Браун, Туркевич (The infrared spectra of charcoals obtained from D-glucose. Brown Thomas H., Turkevich John), J. Phys. Chem., 1957, 61, № 10, 1452 (англ.).

Сняты ИК-спектры в области 2—15,5 μ для d-глюкозы и углей, полученных из нее при т-рах 235—2800°. В угле, полученном при 235°, нет полосы, характерной для α -пиранозного цикла глюкозы; вместо острого максимума имеется широкая полоса при 7—10 μ и появляется новая полоса при 6,25 μ . Если обжиг производится при 333°, полоса при 6,25 μ усиливается и появляется поглощение во всей области измерения. У образцов, полученных при более высокой т-ре, поглощение в области 2—15,5 μ приблизительно постоянно. Коэф. поглощения α растет с ростом т-ры обжига до 600°, несколько уменьшается при 800°, затем вновь медленно растет до 2200° и быстро увеличивается, приближаясь к значению, характерному для графита, при обжиге при 2800°. Предложены объяснения этим изменениям. И. Слоним

20820. Теория хроматографических методов анализа газов. Туркельтауб Н. М., Жуховицкий А. А., Заводск. лаборатория, 1957, 23, № 9, 1023—1034

Дан теоретич. анализ влияния различных факторов на разделение газовых смесей посредством проявительной и распределительной хроматографии, стационарной и нестационарной хроматографии, причем вводятся критерии разделения K_1 и K_2 (см. реф. 20818). Рассматривается роль длины слоя (L), линейной скорости потока газа, природы сорбента и его зернения, т-ры, формы адсорбционного слоя. Для проверки теории поставлены опыты разделения: CH_4 и C_2H_6 на Al_2O_3 (I) в зависимости от L ; предельных и непредельных углеводородов C_1 — C_4 на I и силикагеле; $\text{изо-C}_5\text{H}_{12}$ и C_6H_{14} при различных носителях с нитробензолом в качестве неподвижной фазы; $n\text{-C}_4\text{H}_{10}$ и $\text{изо-C}_5\text{H}_{12}$ при различном соотношении носителя; р-ритель; C_3H_8 и C_4H_{10} на I в зависимости от т-ры; C_3H_8 и C_4H_{10} на I в зависимости от направления градиента т-ры; 13-компонентной смеси H_2 и углеводородов на I методом нестационарной хроматографии. Исследовано влияние т-ры и L на скорость установления стационарного состояния при хроматографии. Б. Анвар

20821. Показатель эффективности газовых хроматографических колонок. Голи (A performance index for gas chromatographic columns. Golay Marcel J. E.), Nature, 1957, 180, № 4583, 435—436 (англ.).

Для характеристики колонок газовой хроматографии с целью сравнения данных различных экспериментаторов предложено на основании теоретич. исследований следующее выражение в качестве критерия эффективности: $\Delta t^2 [t^2(t - \frac{3}{4}t_a)] - t_a \Delta p$, где Δt — ширина полосы при половине высоты пика, t_a — интервал времени между впуском и серединой воздушной полосы, t — между впуском и серединой полосы в-ва, Δp — перепад давления в колонке (дин/см^2). При оптимальной скорости течения этот критерий зависит в основном от материала, заполняющего колонку, не зависит от длины и диаметра колонки и мало зависит от соотношения между кол-вами жидкости и носителя. Критерий имеет размерность вязкости; в идеальном случае он должен быть равен 0,1 пуаз.

На практике для цетиловых колонок он составляет 1000 пуз, что показывает возможность значительного усовершенствования колонок.

Б. Анвар
20822. Применение некоторых минералов различной адсорбционной емкости для хроматографического анализа газов. Соколов В. А., Андроникашвили Т. Г., Кузьмина Л. П., Шашкова В. П., Химия и технол. топлива и масел, 1957, № 10, 61—65

Кратко описана методика хроматографич. анализа газов с применением природных сорбентов (РЖХим, 1957, 38026, 1958, 21225). Приведены графики изотерм адсорбции C_6H_6 на применяемых сорбентах и данные об их хим. составе. Для разделения смеси H_2 -CO-CH₄ рекомендуется применять активные угли Е и АГ, для хроматографич. разделения предельных и непредельных углеводородов C_2 и C_3 — силикагель КСМ, для разделения углеводородов C_4 — C_7 — природные сорбенты (каолин, натролит, диатомит). Крымский кил и аска-глина обладают слабой разделительной способностью. Изомеры углеводородов C_5 и выше не разделяются полностью. Отмечена зависимость между разделительной способностью и средним радиусом пор сорбентов.

Б. Анвар
20823. Зависимость между ионо- и электрообменными свойствами активированных углей и их каталитической и адсорбционной способностью. Гартеп, Уэйсс (The ion- and electron-exchange properties of activated carbon in relation to its behaviour as a catalyst and adsorbent. Garten V. A., Weiss D. E.), Revs Pure and Appl. Chem., 1957, 7, № 2, 69—122 (англ.)

Обзор. Библ. 160 назв. Н. Ф.
20824. Получение, свойства и применение ионообменников. Фуррер (Herstellung, Eigenschaften und Anwendung von Ionenaustauschern. Furrer F.), Kunststoffe-Plastics, 1957, 4, № 1, 12—16 (нем.)

Обзор. Библ. 11 назв.
20825. Химия и применение современных ионообменных смол. Грефсгор (Trek fra ionebyttermaterialer kjemi og anvendelsesområder. Grefsgård Bjarne), Medd. Norsk farmas. selskap, 1957, 19, № 5, 65—80 (норв.; рез. англ.)

20826. Сорбция щелочи фенолформальдегидными смолами. Накамура (アルカリ吸着能より見たフェノールホルムアルデヒド樹脂の性質. 中村儀郎), 工業化学雑誌, Kōgō kagaku dzaassi, J. Chem. Soc. Japan. Industr. Chem. Sec., 1956, 59, № 2, 154—158 (японск.)

Исследована сорбция щелочи фенолформальдегидными смолами. Установлено, что кислотность смолы увеличивается с уменьшением кол-ва формальдегида и с ростом кол-ва катализатора (KOH) при синтезе смолы.

М. Брун
20827. Адсорбция альдегидов и кетонов на анионообменниках в цианидной форме. Габриэльсон (Adsorption of aldehydes and ketones on anion exchangers in cyanide form. Gabrielson Gunnar), J. Appl. Chem., 1957, 7, № 10, 533—535 (англ.)

Из семи альдегидов, исследованных на колонках с дауэкс-2, обработанном цианидом, бензальдегид, ванилин и кротоновый альдегид более или менее полностью адсорбируются и вымываются водой лишь в очень небольшой степени. Фурфурол извлекается полностью, а формальдегид и ацетальдегид частично. Наблюдается частичная полимеризация некоторых альдегидов на колонке. Ацетон и этилметилкетон вымываются водой очень легко.

Резюме автора
20828. Электродные свойства ионитовых мембран. Белинская Ф. А., Матерова Е. А. Вестн. Ленингр. ун-та, 1957, № 16, 85—102 (рез. англ.)

Показано, что электродное поведение мембран из

сульфосмол СБС, МСФ, СДВ-3, КУ-2 и карбоксильных КФУ, КРФУ и КМД определяется свойствами активных групп в смоле. Переход из одной электродной функции в другую для этих смол согласуется с представлениями ионообменной теории стеклянного электрода. Электродное поведение смол РФ, КН и КМУ в некоторых случаях не укладывается в рамки ионообменных представлений, что, по-видимому, связано с более сложной хим. природой этих смол. Указаны условия, при которых электроды могут применяться в качестве натриевых и водородных электродов в р-рах HCl, NaCl и смешанных р-рах, содержащих одновременно ионы H^+ и Na^+ .

Резюме авторов

20829 Д. Теплота адсорбции и капиллярной конденсации углеводородов на кремнеземах. Истрикин А. А. Автореф. дисс. канд. хим. н., МГУ, М., 1957
20830 Д. О свойствах вещества в адсорбированном состоянии по данным исследования адсорбции двуокиси углерода в широком интервале температур и давлений. Васильев Б. Н. Автореф. дисс. канд. физ.-матем. н., Ин-т физ. химии АН СССР, М., 1957
20831 Д. Исследование ионообменной сорбции стрептомицина на синтетических карбоксильных катионитах. Яхонтова Л. Ф. Автореф. дисс. канд. хим. н., Н.-и. физ.-хим. ин-т, М., 1957

См. также: Адсорбция 20710, 20711, 20767, 21130, 21714. Поверхн. натяжение 20421, 20533, 20713, 20872. Исслед. поверхностей 20508, 20709, 20738, 21257. Хроматография 20883, 21142, 21225, 21241, 21287, 21288, 21291; 8187Бх, 8192Бх. Ионный обмен 20742, 20871, 20894, 21165, 21168. Электрофорез 20766, 20869, 21143, 8189Бх; Тонкие пленки, монослои 20466, 20468

ХИМИЯ КОЛЛОИДОВ. ДИСПЕРСНЫЕ СИСТЕМЫ

Редактор Н. А. Фукс

20832. Приложение электрохимических методов к изучению структуры коллоидных золей. III. О старении золей сернистого мышьяка. IV. Кислотность золей сернистого мышьяка. Жильбер* (Application des méthodes électrochimiques à l'étude de la structure des sols colloïdaux. III. Sur le vieillissement des sols de sulfure d'arsenic. IV. L'acidité des sols de sulfure d'arsenic. Gilbert Jacques), Bull. Soc. chim. France, 1957, № 8-9, 1036—1053; № 10, 1123—1133 (франц.)

III. Золи (3) As_2S_3 , получаемые смешением р-ра As_2O_3 и H_2S , плохо воспроизводимы. Электропроводность 3, рН и электрофоретич. подвижность частиц даже при тщательном соблюдении одинаковых условий получения различаются у параллельно приготовленных препаратов на $\pm 10\%$ и более. При старении 3 наблюдается значительное увеличение электропроводности и общей кислотности, связанное с образованием H_2SO_4 . На скорость старения влияет кол-во растворенного O_2 и величина поверхности контакта 3 с воздухом. Очистка 3 диализом или электродиализом неосуществима, так как образование сульфат-ионов идет быстрее, чем их удаление из 3. Автор считает, что при всех работах с 3 As_2S_3 следует исходить из свежеприготовленного 3, лишь разделяя его для параллельных опытов на несколько частей.

IV. Золи As_2S_3 ведут себя при электрофорезе подобно сильной поликислоте $АН_n$; подвижность микцелл (М) в 3 одинакова, $\sim 8 \mu\text{сек}$, в поле в 1 ед. при 25° и не меняется при разбавлении. рН 3 всегда несколько ниже, чем у исходных р-ров, а электропроводность λ выше. При образовании 3 λ имеет максимум

боксильных
ствами элек-
тропроводности
с пред-
ного эле-
и КМТ
амки пово-
му, связы-
л. Указан
применяе-
дов в р-рах
их одновре-
ные авторы

ной покр-
сирин
У, М., 1957
обрирован
орбции дис-
температур
дисс. канд.
СР, М., 1957
обции стр-
ных кати-
с. канд. хим.

20767, 21130
20713, 20872
21257. Хим.
1287, 21288
20742, 20871
20869, 21148
20468

СИСТЕМЫ

методов
III. О ста-
Кислотность
р* (Applique
étude de la
vieillesse
des sols d.)
Bull. Soc.
№ 10, 1123

еннем р-р-
электропров-
ность части-
ионов уст-
ного пригото-
при старе-
электропр-
е с образо-
кол-во р-ра
контакта 3
электролиза-
сульфат-но-
атор счита-
его исходит
его для

рофорезе
ижность
поле в 10
рН 3 вост-
электропр-
имет макс

значение при эквивалентных кол-вах компонентов. Кривые кондуктометрич. и потенциометрич. титрования 3 р-рами NaOH, KOH и LiOH аналогичны кривым титрования сильной к-ты, но точка эквивалентности сдвинута в кислую сторону; «нейтр-ция» 3 происходит при pH 5—6. Общая кислотность 3 а равна $0,3 \cdot 10^{-4} - 10^{-3}$ н. при конц-ии As_2S_3 с = 0,01 М. Эквивалентная электропроводность $\Lambda = \lambda/a$ линейно меняется с \sqrt{a} по ур-нию $\Lambda = \Lambda_{\infty} - 1,2 \cdot 10^{-5} \sqrt{a}$, $\Lambda_{\infty} \approx 300$ см²/ом·г-экв. Кислотность 3 связана с М и не обнаруживается в ультрафильтрате. 3, получаемые при избытке H_2S или As_2O_3 , имеют большую кислотность, чем при эквивалентности. Автор считает, что М адсорбируют анионы из р-ра; состав М может быть представлен ф-лой $(pAs_2S_3 \cdot qX^-) \cdot qH^+$, где отношение q/p несколько отличается у разных М и в среднем равно a/c . При избытке H_2S адсорбируются ионы SH^- или S^{2-} . Р-ция нейтр-ции 3 идет по ур-нию $(pAs_2S_3 \cdot qX^-) \cdot qH^+ + qB^+ + qOH^- \rightarrow (pAs_2S_3 \cdot qX^-) \cdot qB^+ + qH_2O$. Отклонение точки нейтр-ции от pH 7 объясняется влиянием ионной атмосферы на адсорбционное равновесие на поверхности М. Часть II см. РЖХим, 1957, 74122. И. Слоним

20833. Исследования в области коагуляции. Часть IV. Коагуляция золи гидроокиси олова. Рай, Гхош (Studies in coagulation. Part IV. Coagulation of hydrous stannic oxide sol. Rai Rama Shanker, Ghosh Satyeshwar), Kolloid-Z., 1957, 154, № 2, 143—146 (англ.; рез. нем.)

Изучено изменение pH и электропроводности k отрицательно заряженных золь гидроокиси олова (I), полученных пептизацией осадка I аммиаком. При старении золь I pH падает и k возрастает, что объясняется уменьшением адсорбционной способности частиц золи и р-цией I с NH_3 с образованием поли-статанов. Прибавление электролитов ($BaCl_2$, $CaCl_2$, KCl) к золю уменьшает pH и k , причем действие Ba^{2+} и Ca^{2+} сильнее, чем K^+ . Полученные с золями I результаты согласуются с выводами, сделанными при изучении положительно заряженных золь гидроокиси железа (Часть I, см. РЖХим, 1956, 12591). И. Слоним

20834. О методах пептизации коллоидов почвы. Надь М. К. Почвоведение, 1957, № 9, 20—27 (рез. англ.)

20835. О выделении дисперсных частиц на поверхности раздела фаз: жидкость — жидкость. Мокрушин С. Г., Борискина В. И., Тр. Уральского политех. ин-та, 1957, сб. 69, 9—13

Исследована возможность извлечения колл. частиц As , Ag , AgI и $Fe(OH)_3$ из соответствующих гидрозолей (ГЗ) встряхиванием их с C_6H_6 или CCl_4 в присутствии желатинны (I). 50 мл ГЗ встряхивалось в течение 1 мин. с 15 мл C_6H_6 или CCl_4 . Для отрицательно заряженных ГЗ достаточно 0,6—3,0 мл 0,1%-ного р-ра I для полного извлечения колл. частиц. Для положительно заряженных ГЗ полное извлечение имеет место при 10 мл р-ра I. Уменьшение pH колл. р-ра способствует извлечению частиц, и при pH < 3,0 колл. Ag и As полностью извлекаются C_6H_6 и без добавок I. И. Гуревич

20836. Извлечение коллоидно-растворенных металлов из растворов методом эмульгирования. Мокрушин С. Г., Борискина В. И., Тр. Уральского политех. ин-та, 1957, сб. 69, 4—8

Исследована возможность извлечения колл. сульфидов Ni , Co , Pb , Cu , Zn , Cd и Sb на поверхности раздела фаз методом эмульгирования бензолом. 25 мл C_6H_6 взбалтывались в течение 2 мин. с 75 мл кол. р-ра с перерывом в течение 5 сек. после 15 сек. взбалтывания. После отстаивания в течение 30 мин. водн. слой анализировался на полную извлечения в колориметре. При этом сульфиды Ni , Co и Pb извлекаются пол-

ностью, ZnS — на 45%, CdS — на 38%, а CuS и Sb_2S_3 практически не извлекаются. Для практически полного извлечения достаточно добавить 0,04 мл 0,1%-ного водн. р-ра желатинны для ZnS , 0,06 мл для CdS , 0,14 мл для CuS и 0,16 мл для Sb_2S_3 . И. Гуревич

20837. Анионные и неионные поверхностно-активные вещества. Ода (アニオン及び非イオン表面活性剤について. 小田良平), 化学, Karaky, Chemistry, 1956, 11, № 9, 53—57 (японск.)

Обзор. Библ. 25 назв. Н. Ф.

20838. Радиоизотопы и поверхностноактивные вещества. Сасаки (ラジオアソトイープと界面活性剤. 佐々木恒孝), 油化学, Абура кагаку, J. Japan Oil Chemists' Soc., 1957, 6, № 2, 67—78 (японск.)

Обзор. Библ. 33 назв. Н. Ф.

20839. Критическая концентрация мицеллообразования неионных поверхностноактивных веществ. II. Изменение окраски красителей под действием неионных поверхностноактивных веществ и ее применение к определению критической конц-ии мицеллообразования. Накагава, Тори, Курияма (非イオン性界面活性剤のミセル形成臨界濃度. 第2報. 非イオン性界面活性剤による色素の発色とその C. M. C. 測定への應用. 中川俊夫, 通和夫, 栗山耀), 日本化学雑誌, Нихон кагаку дзасси, J. Chem. Soc. Japan. Pure Chem. Sec., 1956, 77, № 11, 1684—1689 (японск.)

Чистый полиэтиленгликоль добавлялся к р-рам пионанола, родамина G, желтого эозина, эритроцина и трипанового голубого; изменение окраски изучалось фотометрически. Крит. конц-ия мицеллообразования определена по зависимости между конц-ией полиэтиленгликоля и длиной волны в максимуме абсорбции. Часть I см. РЖХим, 1958, 10762. Chem. Abstrs, 1957, 51, № 14, 10187. Т. Katsurari

20840. Исследования полиэлектролитов XXXIII. Ионная электропроводность полиэлектролитов в бесолевых системах. Нагасава, Одава, Кимура, Кагава (Ionic conductance of polyelectrolytes in salt-free systems. Studies in polyelectrolytes XXXIII. Nagasawa Mitsuru, Oza Shuji, Kimura Kikuo, Kagawa Ikumi), Mem. Fac. Engng Nagoya Univ., 1956, 8, № 1, 50—56 (англ.)

Измерены ионные проводимости l полимерного иона и противоиона в р-рах поливинилсульфата Na со степенью полимеризации $P = 1440, 470$ и 1200 и степенью этерификации соответственно 0,71, 0,74 и 0,75. Непосредственно измерялись эквивалентные электропроводности Λ и числа переноса полиэлектролита (методом диффузионного потенциала) и l определялись из комбинации этих данных. Показано, что Λ от P не зависит. В противоположность поведению противоионов в р-рах простых электролитов l_{Na^+} убывает с разбавлением р-ров. l полна при этом возрастает. Эти концентрационные эффекты настолько сильны, что экстраполяция l к бесконечному разбавлению невозможна. Часть XXXII, см. РЖХим, 1958, 10760.

С. Френкель

20841. Связывание противоионов полиэлектролитами. I. Изучение взаимодействия между полифосфатами и некоторыми одновалентными катионами по растворимости, вязкости и скорости электрофореза. Штраусс, Вудсайд, Уайнман (Counterion binding by polyelectrolytes. I. Exploratory electrophoresis, solubility and viscosity studies of the interaction between polyphosphates and several univalent cations. Strauss Ulrich P., Woodside Daniel, Wineman Philip), J. Phys. Chem., 1957, 61, № 10, 1353—1356 (англ.)

Измерена электрофоретич. подвижность, растворимость и вязкость полифосфатов (ПФ) с длинной цепью со степенью полимеризации 160—2700 в присутствии ионов $(CH_3)_4N^+$, Li^+ , Na^+ , K^+ . Подвижность ПФ в

р-ре $(\text{CH}_3)_4\text{NBr}$ велика и почти не зависит от концентрации $(\text{CH}_3)_4\text{N}^+$ в р-ре, характеристич. вязкость $[\eta]$ также больше, чем у солей ПФ с другими катионами, что указывает на отсутствие связывания $(\text{CH}_3)_4\text{N}^+$ молекулами ПФ. NaBr, KBr и LiBr уменьшают подвижность и $[\eta]$ и при достаточной концентрации высаливают ПФ благодаря связыванию катионов цепью ПФ. ПФ калия обладает полукристаллич. структурой, соли Li и Na образуют гели. Для осаждения ПФ требуется значительно большая концентрация LiBr, чем NaBr; в присутствии LiBr $[\eta]$ выше, чем с NaBr. Авторы объясняют это различие тем, что родство NaPO_3 -групп в ПФ к воде меньше, чем у LiPO_3 -групп. И. Слоним

20842. Взаимодействие поливинилпирролидона с некоторыми азокрасителями. Франк, Баркин, Эйрик (The interaction of polyvinylpyrrolidone with some azo dyes. Frank H. P., Barkin S., Eirich F. R.), J. Phys. Chem., 1957, 61, № 10, 1375—1380 (англ.)

Измерена вязкость и электропроводность при 25° и изучено равновесие диализа при 30° через целлофановые мембраны водн. р-ров поливинилпирролидона (I) с мол. в. 70 000 и 350 000 в присутствии азокрасителей (AK) — оранжевого II (II) и бензопурпурина 4В (III). Показано, что I связывает АК в р-ре. На один ион II приходится сегмент цепи I, состоящий из 7 мономерных остатков, на ион III — сегмент из 10 остатков, что как раз соответствует длине ионов II (13 Å) и III (20 Å). По-видимому, ионы АК располагаются вдоль цепи I и притягиваются к полимеру главным образом за счет дисперсионных сил между ароматич. системами АК и углеводородной цепью. Некоторую роль играет также ион-дипольное взаимодействие ионов АК с диполем, образуемым лактамной связью в пирролидиновом цикле I. В присутствии солей (0,1 M KCl) избыток противоионов экранирует электростатич. взаимодействие между анионами соли, связывание АК увеличивается, и на молекулу II приходится лишь 5,5 мономерных остатков I. Кривые зависимости приведенной вязкости от концентрации в р-рах I + II или I + III имеют типичную для полиэлектролитов форму с максимумом. Прибавление KCl подавляет электровязкостный эффект и значительно уменьшает вязкость в системе I + II; по-видимому, происходит свертывание цепи и образование поперечных связей между сближающимися участками одной и той же цепи через небольшие мицеллы АК. И. Слоним

20843. Некоторые полиэлектролитные свойства альгината натрия. Фудзита, Кисимото, Ниномия (Some polyelectrolyte properties of sodium alginate. Fujita Hiroshi, Kishimoto Akira, Ninomiya Kazuhiko), Mem. Coll. Agric. Kyoto Univ., 1957, № 76, 9—27 (англ.)

1. Набухание гелей альгината Na (I) в конц. солевых р-рах. Получены кривые набухания I различных степеней полимеризации (P) и соответствующих альгиновых к-т (II) в водн. р-рах NaCl и KCl. Величина q^1 , где q — степень набухания, в начальных участках кривых является для I линейной функцией обратной молярной доли к-а аниона во внешнем р-ре. По мере роста x^{-1} кривые загибаются вверх. Для II q не зависит от x . При заданной P точки пересечения кривых набухания с осью ординат для I и II совпадают. При равных x q возрастает с P; состав простой соли также влияет на q . По данным измерений рассчитаны «степень разветвленности» геля и константа взаимодействия полимер — р-ритель λ . При $P = 830$ в р-ре NaCl расстояние между ветвлениями в геле $Z = 16$ (мономерных ед.) и $\lambda = 0,46$; в KCl $Z = 14$ и $\lambda = 0,43$. Для $P = 460$ в р-ре NaCl $Z = 8$ и $\lambda = 0,43$; в р-ре KCl $Z = 6$ и $\lambda = 0,40$. При введении во внешний р-р polyvalentного аниона кривые набу-

хания расходятся с теорией, что свидетельствует о специфич. лиотропном действии каждого такого аниона на I.

2. Вязкость I в водн. р-рах NaCl. Характеристич. вязкость I с $P = 450$ измерялась при различных ионных силах μ и была экстраполирована к $\mu = \infty$, когда все полиэлектролитные свойства подавляются. При этом $[\eta]_{\infty} = 5,16 \text{ дл/г}$, что приводит к среднеквадратичному расстоянию между концами цепочки $(\bar{h}^2)^{1/2} = 610 \text{ Å}$ и эффективной длине мономерного звена $b = 29 \text{ Å}$. Сопоставление с «сухой» длиной звена 5,15 Å позволяет заключить, что свободное вращение в цепях I осуществляется в пределах статистич. элементов (по Куну) длиной 159 Å. Зависимость $[\eta]$ от x обсуждена на основе теорий Германа — Овербека и Флори и делается заключение, что обе теории (вторая — в большей степени) количественно не согласуются с опытом. С. Френкель

20844. Роль энергии и энтропии в комплексной коацервации. Овербек (De rol van energie en entropie bij de complex-coacervatie. Overbeek J. Th. G.), Verslag. Koninkl. nederl. akad. wetensch. Afd. natuurkunde, 1956, 65, № 6, 78—82 (гол.)

20845. Удерживание жидкости в гелях стеарата кальция в цетане, стабилизированных добавками. Вольд Косуэлла (Retention of liquid by calcium stearate-cetane gels stabilized by additives. Vold Robert D., Goswell Richard J.), J. Phys. Chem., 1957, 61, № 5, 529—537 (англ.)

Изучена кинетика отделения дисперсионной среды — цетана (I) — от гелей стеарата Ca (II) в I при давл. 0,7—2,8 атм; гели готовились быстрой закалкой расплавленных (120—280°) смесей I, II и различных добавок — стабилизаторов в смеси сухой CO_2 с ацетоном. Несколько опытов поставлено с гелями стеарата Li в I. Определена суммарная потеря жидкости, получены рентгенограммы гелей, проведены визуальные наблюдения фазовых переходов в гелях. Эффективными стабилизаторами гелей при комнатной т-ре являются только добавки, понижающие вязкость расплавленных смесей при высокой т-ре; предложен механизм стабилизации и показано, что решающее значение для стабилизации геля имеет природа твердого скелета II, определяющаяся размером и формой первичных частиц, числом и прочностью поперечных связей в 3-мерной сетке скелета, размером и характером пор в нем. Полученные результаты объяснены наличием в скелете пор двух типов: тонких пор в однородном скелете II и более крупных пор, образованных его неоднородностями. Кинетика отделения I и максимум удерживающая способность образцов с разным содержанием II в геле резко изменяются в точке, отвечающей 18% II; наиболее стабильным является гель, полученный закалкой смеси, пригот. охлаждением при 155°. 3. Высокий

20846. Диффузия воды в сухие желатиновые слои. Амелина К. С., Коваличев Ф. Ф., Сб. науч. тр. кафедр матем., механ., химии. Ленингр. ин-т точ. механ. и оптики, 1957, вып. 24, 127—133

Изучена диффузия воды в сухие желатиновые слои (ЖС) толщиной 10—600 μ , полученные путем подложки на стеклянную пластинку и последующего высушивания. В пластинку снизу впаяны два электрода, соединенные с источником переменного тока и гальванометром. В опытах отмечалось время с момента насыщения воды на поверхность ЖС до момента достижения водой слоя, непосредственно соприкасающегося с электродами. Из полученных данных найдено соотношение $s^2/t = \text{const}$, где s — путь, пройденный водой, время t . Исследовано также влияние на скорость диффузии т-ры и времени хранения сухих ЖС. И. Гурев

20847. Диспергирующее действие пирофосфата натрия на порошок карбоната кальция. Мацумура, Иейдзакэ (ピロリン酸ナトリウムの炭酸カルシウムに対する分散作用. 松村輝男, 岩崎浩一郎), 日本化学雑誌, Kōgō Kagaku Zasshi, J. Chem. Soc. Japan. Industr. Chem. Sec., 1955, 58, № 11, 903—905 (японск.)

2- или 3%-ная суспензия CaCO_3 (средний диаметр частиц 2 μ) обладает максим. дисперсностью в водн. р-ре, содержащем 0,07 или 1,0 г/л $\text{Na}_2\text{P}_2\text{O}_7$ (I). Адсорбция I на порошке CaCO_3 при 25°, определенная колориметрич. методом с молибденовой синью, соответствовала изотерме адсорбции Ленгмюра. Вычисленное значение адсорбции при насыщ. монослое I на CaCO_3 (уд. поверхность 1,45 м²/г) составляет 0,00385 г I на 1 г CaCO_3 . Максим. дисперсность CaCO_3 имеет место в том случае, когда 80% поверхности покрыто молекулами I.

Chem. Abstrs, 1957, 50, № 18, 12598. K. Inouye

20848. Исследование флотации по поверхности и потенциалу на границе минерал — раствор. I. Коэффициентное определение дзета-потенциала по скорости седиментации. Спурный, Добняш, Гейл (Studium potenciálu fázových rozhraní minerál — roztok pro účely flotačního výzkumu. I. Nepřímé sledování zeta-potenciálu metodou sedimentačních rychlostí. Spurný Jiří, Dobias Bohuslav, Hejl Václav), Chem. listy, 1957, 51, № 2, 215—218 (чешск.); Сб. чехосл. хим. работ, 1957, 22, № 5, 1530—1533 (нем.; реэ. русск.)

Изучена скорость седиментации V и флотируемость частиц флюорита, барита и пирита в зависимости от pH. Результаты показывают, что в определенной области pH V является мерой флотируемости этих систем. Miloš Ryba

20849. Разрушение и последующая адгезия битумных эмульсий. Балланже (La rupture des émulsions de bitume et l'adhésivité des résidus. Bellanger J.), Rev. gén. routes et aérodr., 1957, 27, № 309, 41—52. Discuss., 52, 55 (франц.)

Популярная статья.

20850. Пленочная и капиллярно-удержанная вода в пористой среде. Кусакон М. М., Мекеницкая Л. И. Докл. АН СССР, 1957, 115, № 5, 942—945

Измерено кол-во воды и водн. р-ров /электролитов, остающиеся в образцах (кернах) кварцевого песчаника Туймазинского месторождения после вытеснения водн. фазы азотом под давл. 700 мм рт. ст. Остаточная жидкость в пористой среде состоит из пленочной и капиллярно-удержанной воды. Кол-во пленочной воды уменьшается с увеличением конц-ии электролита C и с уменьшением толщины слоя и при высоких C весьма мало. Для р-ров AlCl_3 толщина слоев меньше, чем для р-ров NaCl . Свойства тонких слоев, изученные в единичных капиллярах (РЖХим, 1956, 77760), полностью сохраняются и в пористых средах. Кол-во жидкости, находящейся в капиллярно-удержанном состоянии (в субкапиллярных порах, целиком заполненных водой, в кольцевых менисках в месте контакта зерен, в тупиковых порах) практически не зависит от природы электролита.

И. Слоним

20851. Монодисперсные аэрозоли. I. Точность измерений распределения размеров частиц по рассеянию света. II. Простой метод измерения распределения размеров частиц. Китани (単分散煙霧物に関する研究. 第1報. 光散亂による粒度測定の限界. 木谷雄), 日本化学雑誌, Nihon Kagaku Zasshi, J. Chem. Soc. Japan. Pure. Chem. Sec., 1956, 77, № 8, 1181—1183; № 10, 1621—1623 (японск.)

I. Изучен метод определения размеров частиц в аэрозолях по спектрам Тиндала высокого порядка. Обнаружена зависимость применимости метода от величины стандартного отклонения размеров частиц.

II. Изучены спектры Тиндала высокого порядка в аэрозолях стеариновой к-ты, триполифосфата, дибутилфталата, диоктилфталата.

Chem. Abstrs, 1957, 51, № 14, 10178. T. Katsurai

20852. Эффективность столкновений между облачными каплями. Скотленд (The collision efficiency of cloud droplets. Schotland R. M.), Artific. Stimulat. Rain. London — New York — Paris, 1957, 170—175. Discuss., 176 (англ.)

Описаны модельные опыты с стальными шариками диам. 1,5—15 мм, свободно падающими в сосуде шириной 20 и высотой 150 см, наполненном конц. р-ром инвертного сахара с вязкостью 20 пз. Шарика фотографировались при периодич. мгновенном освещении двумя камерами, расположенными под углом 90°. По снимкам определялись условия, при которых происходили «крит. столкновения», т. е. шарика соприкасались так, что линия их центров была горизонтальной, и отсюда вычислялся коэф. захвата E . По принципу подобия результаты перечислялись для случая падающих в воздухе капелек воды. Показано, что в области размеров капелек, в которой по Ленгмюру $E = 0$ ($r_1 = 5-10 \mu$, $r_2 \approx 3-9 \mu$), в действительности $0 \leq E \leq 0,14$.

Н. Фукс

20853. Определение счетной концентрации туманов и других аэрозолей путем измерения пространственного заряда. Воннегут, Мур, Эренфельд, Смолмен (Determining the concentration of fogs and other aerosols by a space-charge measuring instrument. Vonnegut B., Moore C. B., Ehrenfeld John, Smallman C. R.), Artific. Stimulat. Rain. London — New York — Paris, 1957, 122, 130. Discuss., 130 (англ.)

Аэрозоль засасывается в заземленную трубу с радиусом $R = 2$ см, по оси которой расположено коронирующее острие (5—6 кВ). Несколько дальше на оси находится радиоактивный зонд, соединенный с электрометром и служащий для измерения пространственного заряда, полученного аэрозолем. Опыты с туманом диоктилфталата ($r = 0,1-0,25 \mu$) привели к зависимости $V = 3,52 \cdot 10^{-8} (P/R)^{3,1} S$ (1), где V — показания электрометра (а), P — потенциал коронирующего электрода (а), S — поверхность капелек, содержащихся в 1 см³ тумана (см⁻¹), по которой при известной весовой конц-ии можно определить дисперсность или счетную конц-ию тумана. Из ф-лы (1) следует, что заряды, полученные каплями, пропорциональны r^2 , а не r , как обычно принимается для капелек указанного размера.

Н. Фукс

20854. Изокинетическое течение и отбор проб аэрозолей. Уилкоккс (Isokinetic flow and sampling of airborne particulates. Wilcox James D.), Artific. Stimulat. Rain. London — New York — Paris, 1957, 177—182. Discuss., 182—183 (англ.)

Обзор. Библ. 15 назв.

Н. Ф.

20855 К. Аэрозоли: пыли, дымы и туманы; их физические и физико-химические свойства, промышленное значение и влияние на окружающую местность. Грин, Лейн (Particulate clouds: dusts, smokes and mists; their physics and physical chemistry and industrial and environmental aspects. Green Henry Lionel, Lane William Rex. London, Spon, 1957, xix, 427 pp., ill., 70 sh.) (англ.)

См. также: Раздел Химия высокомолекулярных соед. и рефераты: Суспензии 20794, 21273, 21670, 21677. Коллоиды 21293. Дисперсионный анализ 21294. Эмульсии 21680

НЕОРГАНИЧЕСКАЯ ХИМИЯ. КОМПЛЕКСНЫЕ СОЕДИНЕНИЯ

Редактор А. Б. Нейдин

20856. К вопросу об извлечении редкоземельных элементов из шлама. Мironov Н. Н., Одосевцев А. И., Ж. неорган. химии, 1957, 2, № 9, 2208—2211

Произведено выделение суммы гидроокисей редкоземельных элементов из шлама 1-й нейтр-ции методом основного фракционного осаждения аммиаком. В качестве побочного продукта при основном фракционном осаждении может быть получена гидроокись Ti. Метод основного фракционного осаждения аммиаком может быть рекомендован для выделения соединений редкоземельных элементов из бедных ими в-в. Обработка шлама р-ром щелочи как необходимая стадия при выделении редкоземельных элементов позволяет получить дополнительные кол-ва фосфорнокислых солей, а также фтористые соли. Метод основного фракционного осаждения аммиаком позволяет выделить до 90% Ti из шлама, а также из бедных титановых руд.

Резюме авторов

20857. Получение чистого кремния термическим разложением силана. Клещевникова С. И., Покровский Я. Е., Румянцев Е. И., Ж. техн. физики, 1957, 27, № 8, 1645—1648

Описаны метод и аппаратура для получения чистого кремния термич. разложением моносилана. Разложение происходит на Ta-ленте при 950°. Монокристаллы обладают уд. электросопротивлением до 50 ом·см и временем жизни неравновесных электронов до 300 мсек.

Из резюме авторов

20858. Разделение ниобия и титана в виде хлоридных комплексов. Трацевичкая Б. Я., Трусова В. Г., Чижигов Д. М., Корсунская В. Н., Тр. Ин-та металлургии. АН СССР, 1957, вып. 2, 87—91

Содержание Ti в смешанных хлоридных р-рах с Nb можно снизить до 0,03 г/л осаждением в виде $(\text{NH}_4)_2\text{TiCl}_6$ при низких т-рах и отношении Nb:Ti от 20:1 до 50:1 при исходном содержании Ti не выше 0,3 г/л. Продолжительность осаждения Ti в виде $(\text{NH}_4)_2\text{TiCl}_6$ 2—2,5 суток.

Из резюме авторов

20859. Зонная плавка сурьмы. Миура (Sb) Zone-melting. 三浦維四, 應用物理, Об буцур, J. Appl. Phys. Japan, 1955, 24, № 5, 203—205 (японск.)

Проведена 10-кратная очистка Sb-стержня зонной плавкой. Спектроскопически установлено, что Al, Co, Cr, Ca, Ni, Cu, Ag и Fe могут быть удалены этим методом, а As, Pb и Sn — нет.

Chem. Abstrs, 1956, 50, № 18, 12778. Hideaki Chihara.

20860. Получение чистого хлорида бериллия хлорированием берилла. Фирсанова Л. А., Беляев А. И., Сб. научн. тр. Моск. ин-та цветн. мет. и золота и ВНИТО цветн. металлургии, 1957, № 26, 184—192

Установлена возможность непосредственного хлорирования берилла газообразным хлором в присутствии углеродистых в-в при т-ре 1200—1300° с получением смеси хлоридов Be, Al и Si. Исследованы условия разгонки и перегонки в вакууме смеси хлоридов с целью выделения чистого хлорида бериллия.

Резюме авторов

20861. Исследование реакции образования гидроокиси неодима. Тананаев И. В., Левина М. И., Ж. неорган. химии, 1957, 2, № 7, 1601—1608

Состав осадка, образующегося при добавлении NaOH (I) к р-ру $\text{Nd}_2(\text{SO}_4)_3$ (II) или $\text{Nd}(\text{NO}_3)_3$ (III), определяли по разности состава исходной смеси и р-ра после р-ции. При добавлении I к р-ру, содержащему 0,0012 г/ион Nd^{3+} в 100 мл, выпадает инконгруэнтно растворимая основная соль переменного состава, в которой преимущественной формой является $\text{Nd}_2(\text{OH})_2\text{SO}_4$ (IV). Когда отношение I:Nd³⁺ достигает 2—3,

начинается быстрое замещение SO_4^{2-} в осадке на OH^- с образованием нормальной гидроокиси Nd, загрязненной соосажденными ионами SO_4^{2-} . При дальнейшем повышении отношения I:Nd³⁺ происходит более полное замещение SO_4^{2-} в осадке на OH^- , но чистая $\text{Nd}(\text{OH})_3$ при вышеуказанной конц-ии II не образуется. Однако понижением конц-ии II в 10 раз удается выделить чистую гидроокись даже при сравнительно небольшом избытке I. К той же цели ведет промывание горячей водой осадка IV при малой конц-ии ионов SO_4^{2-} в системе. По-видимому, в последнем случае IV подвергается гидролизу. В системе III—I—H₂O при отношении I:III = 0—2,5 выпадает основная соль $\text{Nd}_2(\text{OH})_2\text{NO}_3$ (V), которая, по предположению авторов, отличается конгруэнтной растворимостью. При повышении отношения I:III от 2 до 2,9 р-ция идет только в осадке V и ионы OH^- в р-ре не появляются. При дальнейшем добавлении I р-ция замещения ионов NO_3^- в осадке на OH^- замедляется. Осадок $\text{Nd}(\text{OH})_3$ слабее сорбирует нитрат-ионы, что авторы объясняют более сильной диссоциацией нитратов по сравнению с сульфатами.

Н. Полянский

20862. Получение четыреххлористого кремния и четыреххлористого углерода. Шостаковский М. Ф., Кочин Д. А., Лайне Л. В., Ж. прикл. химии, 1957, 30, № 9, 1401—1402

Установлено образование SiCl_4 с колич. выходом при пропускании CCl_4 через контактную массу меди и кремния (20:80%) при т-ре 260—300°. Описанный способ может быть рекомендован как препаративный метод получения SiCl_4 .

Резюме авторов

20863. Получение трихлорида титана восстановлением тетрахлорида титана водородом в дуге. Негам, Даунс, Марип (The production of titanium trichloride by arc-induced hydrogen reduction of titanium tetrachloride. Ingraham T. R., Downes K. W., Marier P.), Canad. J. Chem., 1957, 35, № 1, 850—859 (англ.)

Тонкий порошок с содержанием 99,8% TiCl_3 высокой чистоты получен восстановлением TiCl_4 водородом в дуге. Образующийся в качестве побочного продукта р-ции HCl-газ пропускали над нагретым Ti и регенерированные H_2 и TiCl_4 снова использовали для восстановления.

Из резюме авторов

20864. О содержании полифосфорных соединений в гидратированной хлорокиси фосфора и в полифосфорных амидоэфирах тиамина. Ру, Кузине (la teneur en composés polyphosphoriques de l'oxochlorure de phosphore hydraté et des esters amides polyphosphoriques de la thiamine. Roux H., Couzine Annick), Experientia, 1954, 10, № 4, 168 (франц.)

Гидратированная хлорокись фосфора (I) состоит из циклич. и длинноцепочечных хлоридов полифосфорных к-т, неустойчивых и легко подвергающихся гидролизу.

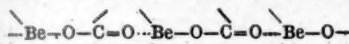
I может быть использована для получения полифосфорных эфиров тиамина, содержащих в молекуле остатки фосфорной к-ты.

Резюме авторов

20865. О взаимодействии оксиацетата бериллия со спиртами. Григорьев А. И., Новоселова А. А., Семенов К. Н., Ж. неорган. химии, 1957, № 9, 2067—2072

Изучено взаимодействие $\text{Be}_2\text{O}(\text{CH}_3\text{COO})_2$ (I) с метиловым, этиловым и *n*-бутиловым спиртами (ROH). CH_3OH реагирует с I уже на холоду, остальные спирты — при кипячении по схеме $\text{Be}_2\text{O}(\text{CH}_3\text{COO})_2 + 2\text{ROH} \rightarrow 3\text{Be}(\text{OR})\text{OCOCCH}_3 + 2\text{CH}_3\text{COOH} + \text{Be}(\text{OH})\text{OCOCCH}_3$ с образованием растворимого в спиртах основного ацетата $\text{Be}(\text{OH})\text{OCOCCH}_3$ и выпадающих в осадок

полуалкоголятов $\text{Be}(\text{OR})\text{OCOSCH}_3$. Образование полуалкоголятов авторы объясняют слабостью бериллиевой к-ты. Метилацетат $\text{Be}(\text{OCH}_3)_2\text{OCOSCH}_3$ (II), этилацетат $\text{Be}(\text{OC}_2\text{H}_5)_2\text{OCOSCH}_3$ (III) и *n*-бутилацетат $\text{Be}(\text{OC}_4\text{H}_9)_2\text{OCOSCH}_3$ (IV) бериллия — белые мелкокристаллические порошки, нерастворимые в спиртах, растворимые в $\text{C}_5\text{H}_5\text{N}$ и CHCl_3 , в горячей воде растворяются с гидролизом; в эфире растворяются лишь IV. II и IV рентгеноаморфны, на рентгенограмме III имеются размытые линии. При нагревании II разлагается в интервале 100—200°; разложение III начинается при 80—90° и резко ускоряется при 150—160°; IV сильно распадается уже при 120°. Термич. разложение полуалкоголятов Be идет по схеме $6\text{Be}(\text{OR})\text{OCOSCH}_3 \rightarrow \text{Be}_4\text{O}(\text{CH}_3\text{COO})_6 + 2\text{BeO} + 6[\text{газообразные продукты}]$. При длительном нагревании IV с *n*-бутанолом вследствие идущих в системе р-ций этерификации, гидролиза и полимеризации возрастает вязкость и образуется в-во состава, близкого к $3\text{Be}(\text{OH})\text{OCOSCH}_3 \cdot \text{Be}(\text{OC}_4\text{H}_9)_2\text{OCOSCH}_3$ (V). Мол. вес V равен ~1800, т. е., в 4,5 раза превышает формульный. Полимеризация, по мнению авторов, идет за счет образования координационных связей: получающаяся та-



ким образом молекулярная сетка включает в себя большое число молекул р-рителя. Такие же полимеры образует IV в р-ре в CHCl_3 . И. Слоним

20866. Некоторые наблюдения над гидратированными моноалюминатами кальция и стронция. Карлсон (Some observations on hydrated monocalcium aluminate and monostrontium aluminate. Carlson Elmer T.), J. Res. Nat. Bur. Standards, 1957, 59, N 2, 107—111 (англ.).

Гидрат моноалюмината Ca с предполагаемой ф-лой $\text{CaO} \cdot \text{Al}_2\text{O}_3 \cdot 10\text{H}_2\text{O}$ (I) в виде гексагон. призм со слабым двушломлением и *n* 1,471 получен осаждением из р-ра алюмината Ca при 1° и гидратацией паст алюмината Ca или алюминиевого цемента. При сушке I над CaCl_2 удаляются 3 молекулы H_2O без изменения кристаллич. структуры; последняя разрушается лишь при нагревании до 175°. Гидратированный алюминат Sr (II) получен аналогично I в виде мелких игол или призм с *n* 1,478. Содержание гидратной воды в II не было определено, так как II разлагался на $3\text{SrO} \cdot \text{Al}_2\text{O}_3 \cdot 6\text{H}_2\text{O}$ и гиббсит. Рентгенографич. исследование показало подобие структур I и II. Резюме автора

20867. О солях цинка и кадмия с простейшими органическими кислотами типа RCOOH . Семененко К. И., Ж. неорганич. химии, 1957, 2, № 9, 2115—2121

Получены и исследованы $\text{Zn}(\text{HCOO})_2 \cdot 1\frac{1}{2}\text{H}_2\text{O}$ (I), $\text{Zn}(\text{CH}_3\text{COO})_2 \cdot 2\text{H}_2\text{O}$, $\text{Cd}(\text{CH}_3\text{COO})_2 \cdot 2\text{H}_2\text{O}$ (II), $\text{Zn}(\text{C}_2\text{H}_5\text{COO})_2$ (III) и $\text{Zn}(\text{C}_3\text{H}_7\text{COO})_2$ (IV). Изучена термич. устойчивость, определены параметры кристаллич. решеток I и II. Показано, что III и IV по термич. устойчивости, летучести и т. д. сильно отличаются от солей Zn с низшими органич. к-тами типа RCOOH .

Из резюме автора

20868. Синтез перборатов первой и второй аналитических групп. Цал М. И., Тр. Ленингр. технол. ин-та им. Ленсовета, 1957, вып. 40, 53—68

Показано существование безвод. истинных перборатов NH_4 и K, разработан способ их получения, который может найти промышленное применение и выделять NH_4BO_3 , NH_4BO_4 , NH_4BO_5 , $3\text{NH}_4\text{BO}_4$, KBO_3 , KBO_4 , KBO_5 и NH_4BO_5 . Состав полученных соединений подтвержден, помимо хим., рентгенофазовым и термич. анализами, а также изучением растворимости соединений в водн. р-рах H_2O_2 . Обменной р-цией между водно-перекисными р-рами пербората NH_4 и р-рами солей соответствующих металлов выделены пербораты щелзем. металлов и перборат Be. Из резюме автора

20869. Изучение соединений алюминия. IV. Исследование состава растворов основного хлорида алюминия с помощью электрофореза на бумаге. V. Влияние концентрации растворов на конденсацию гидроксоалюминиевых ионов и соотношения между конденсацией и путем перемещения при электрофорезе на бумаге. VI. Состав основных сульфатов алюминия, приготовленных из растворов основного хлорида алюминия различного состава. VII. Соотношения между составом растворов основного хлорида алюминия и свойствами основных сульфатов алюминия. VIII. Определение состава основных сульфатов алюминия и продуктов их термического разложения по кривым пиролиза. IX. Исследование основных сульфатов алюминия и продуктов их термического разложения методом инфракрасной спектроскопии. X. Исследование основных сульфатов алюминия и продуктов их термического разложения рентгенографическим методом. Та на бэ (Алминий-уим化合物の研究. 第4報. 汚紙電気泳動による鹽基性鹽化アルミニウム溶液の組成の検討. 第5報. ヒドロクソ. アルミニウムイオンの縮合に及ぼす濃度の影響. および縮合度と汚紙電気泳動値との関係. 第6報. 種々なる組成の鹽基性鹽化アルミニウム溶液から生成する鹽基性硫酸アルミニウムの組成. 第7報. 鹽基性鹽化アルミニウム溶液の組成と鹽基性硫酸アルミニウムの性状との関係. 第8報. 熱分解曲線による鹽基性硫酸アルミニウムおよびその熱分解物の組成の決定. 第9報. 鹽基性硫酸アルミニウムおよびその熱分解物の赤外線吸収スペクトルによる検討. 第10報. 鹽基性硫酸アルミニウムおよびその熱分解物のX線的研究. 田部日出雄), 薬學雜誌, Якутаку дзасси, J. Pharm. Soc. Japan, 1957, 77, № 1, 33—36, 37—40, 41—45, 45—50, 50—54, 54—62, 63—68 (японск.; рез. англ.).

IV. Исследован электрофорез на бумаге р-ров основного хлорида алюминия (OXA) $\text{Al}_{2+n}(\text{OH})_{3n}\text{Cl}_6$, содержащих различные отношения гидроксоалюминиевых ионов (GI), в присутствии буферных р-ров с pH 3—7. Путь перемещения (ПП) ионов падает с ростом pH; при pH > 5 он растет с увеличением основности (*n*), при pH < 5 — с падением *n*. При pH > 5 ПП пропорционален продолжительности электрофореза для р-ров с $n \geq 4$; в р-ре с $n = 1$ скорость перемещения падает со временем, что указывает на наличие ионов более высокой основности в р-рах с $n > 4$ (РЖХим, 1955, 39937). Характер полос перемещения указывает на существование равновесия между рядом GI. ПП возрастает с т-рой независимо от *n* и зависит от электролита.

V. Конденсация GI $\{\text{Al}_x(\text{OH})_y(\text{OH}_2)_z\}^{(3x-y)+}$ оловыми мостиками, измеренная по скорости нейтр-ции р-ров действием 0,1 н. HCl, зависит как от т-ры и времени, так и от конц-ии (*c*). Степень конденсации (СК) возрастает в р-рах высокой основности с ростом *c*, а в р-рах низкой основности — с падением *c*; в 1-м случае главную роль играет сближение ионов, во втором — прогрессирующий гидролиз за счет координационно связанной воды. При постоянной основности р-ров ПП при электрофорезе уменьшается с ростом СК.

VI. Состав основных сульфатов алюминия (OSA), образующихся при смешении р-ров GI и SO_4^{2-} , зависит от образца GI. Отношения $p = \text{Al} : \text{SO}_4$ в осадках, выделившихся из р-ров с высокой СК и из р-ров с крайне низкой СК, соответственно равны 3—4 и 1,5. Из сравнительно высококонц. р-ра, полученного введением щелочи в содержащий SO_4^{2-} водн. р-р AlCl_3 , выделяется осадок OSA при разбавлении; изучена связь между разбавлением и т-рой гидролиза. При постепенном нагревании р-ра образуется осадок с $p = 3$ независимо от основности р-ра; предложен механизм образования этого осадка.

VII. Свойства OSA, полученного соединением SO_4^{2-}

и ГИ в р-ре ОХА, зависят от СК ионов. Из ионов с высокой СК образуется глобулярная форма ОСА, легко растворяющаяся в разб. HCl и легко разлагающаяся целочью на $Al(OH)_3$ и SO_4^{2-} . Р-ры, находящиеся в контакте с осадком ОСА и отделенные от него, имеют существенно различные рН. При образовании ОСА в р-ре рН снижается независимо от способа его получения и т.п.

VIII. Термич. диссоциация различных ОСА ($Al_3(OH)_7SO_4 \cdot 2H_2O$, $Al_4(OH)_{10}SO_4 \cdot 2H_2O$, $Al_{3,5}(OH)_{8,5}SO_4 \cdot H_2O$ и $Al_3(OH)_5(SO_4)_2 \cdot 5H_2O$ (I)) изучена с помощью термовесов и хим. анализа остатков. Обнаружены 3 типа кривых пиролиза. I теряет SO_4^{2-} при т-ре $\sim 700^\circ$, т.е. при т-ре, на $\sim 200^\circ$ более низкой, чем для других образцов. I содержит воду, связанную двумя разными способами; для воды, отщепляющейся при т-ре $\sim 500^\circ$, проявляется ясная кривая разложения. OH удерживается в I при 700° , а в остальных в-вах отщепляется при 500° .

IX. Изучены ИК-спектры поглощения различных ОСА и остаток от их термич. разложения. Широкая полоса поглощения SO_4 наблюдается при 1100 см^{-1} , но для I, кроме того, наблюдаются полосы 1200 и 1025 см^{-1} , соответствующие координации SO_4 к Al. В ИК-спектрах $MSO_4 \cdot H_2O$, где M — Zn, Fe, Co, Li, Cu и Ni, и $CaSO_4 \cdot 2H_2O$ также обнаружено узкое поглощение около 1020 см^{-1} . Полоса, соответствующая поглощению OH, узка в I и широка в других в-вах; предположено, что это вызывается водой, разлагающейся при т-ре $\sim 500^\circ$.

X. Изучены дебаграммы различных ОСА (перечисленных в части VIII и $Al_7(OH)_{17}(SO_4)_2 \cdot 2H_2O$) и продуктов их термич. разложения. В отличие от остальных ОСА I является совершенно кристаллическим. Из 5 молекул H_2O , содержащихся в I, 3 молекулы связаны, как в цеолитах, а 2 — как в кристаллогидратах. Остатки от термич. разложения I кристаллически даже после частичного разложения SO_4 ; при термич. разложении других ОСА при т-ре $> 900^\circ$ остается $\alpha-Al_2O_3$. Часть III см. РЖХим, 1956, 39288.

И. Рысс
20870. Исследование некоторых процессов образования титанатов и цирконатов. Валеев Х. С., Гай И. А., Тр. Гос. исслед. электрокерам. ин-та, 1957, вып. 2, 39—53

Приведены термограммы синтеза $ATiO_3$ (где А — Ba, Sr, Ca, Pb), $PbZrO_3$ и $PbSnO_3$. Установлены т-ры образования $BaTiO_3$ ($\sim 1050^\circ$), $SrTiO_3$ (1300°), $CaTiO_3$ (1050 — 1250°).

В. Штерн
20871. Обмен ионами между некоторыми ниобатами калия и танталатами натрия. Лапицкий А. В., Нишанов Д., Дмитриев В. М., Козорезов А. З., Ж. неорг. химии, 1957, 2, № 4, 952—958

Исследован изотопный обмен (ИО) между $KNbO_3 \cdot 2H_2O$ (I) и $KNbO_3$ (II) и между $Na_5Ta_2O_{10} \cdot 24H_2O$ (III) и $NaTaO_3$ (IV). Скорость ИО в гетерог. системах в зависимости от времени и т-ры изучена с помощью радиоактивных изотопов Nb^{95} и Ta^{182} . Установлено, что ИО между II и его насыщ. р-ром идет в малой степени и не зависит от т-ры. ИО между IV и его насыщ. р-ром независимо от т-ры идет на $\sim 1\%$; равновесие при 50° устанавливается в 2 раза быстрее, чем при 20° . Растворение II и IV является практически односторонним процессом. Степень ИО между активной солью I и ее насыщ. р-ром составляет при $20^\circ \sim 57\%$, а при $35^\circ \sim 70\%$, что согласуется с растворимостью I, равной при $20^\circ 126,5 \text{ мг/мл}$ и при $35^\circ 162,5 \text{ мг/мл}$, в пересчете на безводн. соль. Степень ИО между активной солью III и ее насыщ. р-ром находится в прямой зависимости от растворимости и т-ры; растворимость III равна $3,25 \cdot 10^{-3} \text{ моль/л}$ (20°) и $8,04 \cdot 10^{-3} \text{ моль/л}$ (50°). Степень ИО между II (меченным Nb^{95}) и р-ром I составляет $1,7\%$ (20°) и $3,3\%$ (35°), причем обмен про-

исходит моментально. Малая степень ИО между IV (меченным Ta^{182}) и р-ром III, равная $\sim 0,5\%$ (20°) и $\sim 1,4\%$ (50°), объясняется малой величиной константы нестойкости гексатантала-иона. Авторами высказано предположение о наличии генетич. связи между различными типами ниобатов и танталатов. Ю. М.

20872. Образование комплексных соединений хлоридом калия и хлоридами щелочноземельных металлов. Часть VI. Система $KCl-CaCl_2-H_2O$ (реоход, паракход и удельная рефракция). Сривастава, Бос (Formation of complex compounds between potassium chloride and alkaline earth chlorides. Pt VI. System: $KCl-CaCl_2-H_2O$ (rheochor, parachor and specific refraction). Srivastava L. N., Bose P. C.). Z. phys. Chem. (DDR), 1957, 207, № 3-4, 180—186 (англ.)

Измерены вязкость, поверхностное натяжение и показатель преломления водн. р-ров KCl и $CaCl_2$ при различных соотношениях компонентов и рассчитаны значения паракхора Р, реохора R и уд. рефракции смеси. На кривых зависимости Р, R и уд. рефракции от состава имеется 6 минимумов, указывающих на образование комплексов состава: $2KCl \cdot CaCl_2$ (I), $3KCl \cdot 2CaCl_2$ (II), $KCl \cdot CaCl_2$ (III), $3KCl \cdot 4CaCl_2$ (IV), $2KCl \cdot 3KCl_2$ (V), $KCl \cdot 2CaCl_2$ (VI). Для I, III, V и VI авторы предлагают координационные ф-лы соответственно $K_2(CaCl_4)$, $K(CaCl_3)$, $2CaK(CaCl_3)$ и $K(CaCl_2 \cdot H_2O)$ с координационными числами 4, 3, 8 и 6. Состав II и IV отвечает агрегатам комплексов или ионным ассоциатам $II = I + III$ и $IV = VI + 2 III$. Аналогично V можно считать ассоциатом, состоящим из комплексов III и VI. Ч. V см. РЖХим, 1957, 22337. И. Слоим

20873. Изучение реакций образования двойных смешанных ферроцианидов меди, кадмия и цинковых металлов. Козлов А. С., Ж. неорг. химии, 1957, 2, № 7, 1511—1515

При действии $Na_4[Fe(CN)_6]$ (I) или $K_4[Fe(CN)_6]$ (II) на слабоаммиачный р-р соли меди в присутствии избытка аммонийных солей выпадает кирпично-красный осадок, образование которого можно использовать для микрокристаллоскопич. открытия Cu^{2+} ; открываемый минимум $0,01 \text{ } \mu$. При избытке Cu^{2+} в системе $CuSO_4-NH_4Cl-NH_4OH-I-H_2O$ выпадает осадок переменного состава. В присутствии избытка I образуется осадок постоянного состава, отвечающего ф-ле $(NH_4)_4CuFe(CN)_6$. Если в качестве осадителя вместо I использовать II, то выпадает осадок темно-вишневого цвета состава $(NH_4)_4K_2CuFe(CN)_6$. По мнению автора, р-р с участием I может быть положен в основу нового обобщенного метода определения Cu^{2+} . В системе $CdSO_4-NH_4Cl-NH_4OH-I-H_2O$ при любом отношении $[Fe(CN)_6]^{4-} : [Cd^{2+}]$ выпадает нерастворимый в избытке 1 н. р-ра NH_3 бесцветный осадок состава $5Cd_2Fe(CN)_6 \cdot 4(NH_4)_4Fe(CN)_6$, аналогичный ранее описанному (Тананаев И. В., Козлов А. С., Ж. аналит. химии, 1954, 6, вып. 3, 149) двойному ферроцианиду Cu и K. При использовании в качестве осадителя II выпадает осадок, который, по предположению автора, состоит из двух солей: $5Cd_2Fe(CN)_6 \cdot 4(NH_4)_4Fe(CN)_6$ и $5Cd_2Fe(CN)_6 \cdot 4K_2Fe(CN)_6$. Образование ферроцианида Cd постоянного состава можно использовать для колич. определения Cd^{2+} . При действии I на слабоаммиачный р-р Cu^{2+} и Cd^{2+} в присутствии ионов NH_4^+ выпадает розовый или кирпично-красный осадок смешанных кристаллов двойных ферроцианидов Cu и NH_4 и Cd и NH_4 . Образование этого осадка может служить для открытия Cu^{2+} при разбавлении 1:500 000. Н. И.

20874. Исследование комплексов двухвалентной меди с α -фенилпиридинметанолом-2. I. Константы диссоциации α -фенилпиридинметанола-2. Константы устойчивости комплексов двухвалентной меди. II. Константы устойчивости. Метод функции образо-

между IV 5% (20°) и V (20°) константы высказываются между Ю. М. Тисье (Tissier) и Клодом (Claude), J. chim. phys. et phys.-chim. biol., 1957, 54, № 7-8, 533-543; 544-552 (франц.).

II. Определены кажущиеся константы диссоциации K_p и K_A α -фенилпиридинметанола-2 (RH), отвечающие соответственно равновесиям $RH_2^+ \rightleftharpoons RH + H^+$ и $RH \rightleftharpoons R^- + H^+$. При ионной силе $\mu \approx 0,1$ и $t_{RH} = 22,4^\circ$ потенциометрич. методом (р-ры RH в разб. H_2SO_4 титровани р-ром KOH) средние значения pK_B и pK_A найдены 4,43 \pm 0,03 и 12,61 \pm 0,10. Электроспектрофотометрич. методом, разработанным Кюришо при исследовании комплексов Cu^{2+} с аминокислотами (РЖХим, 1956, 74846), установлено образование пяти типов комплексов Cu^{2+} с RH и определены кажущиеся константы устойчивости K_1, K_1', K_2, K_2' и K_3 , отвечающие соответственно равновесиям $Cu^{2+} + RH \rightleftharpoons [Cu(RH)]^{2+}$; $Cu^{2+} + R^- \rightleftharpoons CuR^+$; $Cu^{2+} + 2RH \rightleftharpoons [Cu(RH)_2]^{2+}$; $Cu^{2+} + 2R^- \rightleftharpoons CuR_2$; $Cu^{2+} + RH + R^- \rightleftharpoons [Cu(RH)R]^+$. При $\mu = 0,25$ найдены значения $pK_1 = 2,58$, $pK_1' = 10,88$, $pK_2 = 5,27$, $pK_2' = 20,63$, $pK_3 = 12,78$. Интервалы значений pH, в которых существуют перечисленные типы комплексы, соответственно 3-5; 5,5-8; 3-5; 4,5-13 и 3,5-5.

II. Видоизмененным методом функции образования (РЖХим, 1956, 39296) определены кажущиеся константы устойчивости пяти перечисленных выше комплексов Cu^{2+} с RH. Найденные величины хорошо совпадают со значениями, определенными электроспектрофотометрич. методом. Выделены в индивидуальном состоянии нерастворимые в воде, спирте и других органич. р-рителях соединения: зеленые $[CuR]Cl$ и $[CuR]_2$, голубое $[Cu(RH)](OH)Cl$, серо-коричневое $[CuR] \cdot 0,5H_2O$, желто-коричневые $[Cu(RH)_2](OH) \cdot xH_2O$ и $[Cu(RH)_2]Cl \cdot xH_2O$. Первые 4 соединения устойчивы до $\sim 300^\circ$, 2 последних начинают разлагаться при 50° . Соединения CuR_2 и CuR^+ являются внутрикомплексными, в них R- — бидентатный адденд, образующий 5-членные циклы (Cu^{2+} связан с атомом N и атомом O спиртовой группы). В комплексах $[Cu(RH)]^{2+}$ и $[Cu(RH)_2]^{2+}$ молекулы RH связаны с Cu^{2+} только через атомы N; благодаря большому объему молекул RH Cu^{2+} не присоединяет больше двух групп RH.

Л. Волштейн
20875. Спектрофотометрическое исследование внутрикомплексных соединений металлов. Часть I. Сульфосалицилат алюминия. Нанда, Адитья (Spectrophotometric study of metal chelates. Part I. Aluminium sulphosalicylate. Nanda R. K., Aditya S.), J. Indian Chem. Soc., 1957, 34, № 8, 577-580 (англ.). Намерена оптич. плотность при 500 м μ р-ров, содержащих сульфосалициловую к-ту (I), $Fe(ClO_4)_3$ и $Al(ClO_4)_3$ при pH 2,4 и 25-30°. Для комплекса I с $Fe(3+)$ рассчитан мол. коэф. поглощения 2036 и константа диссоциации, равная при ионной силе 0,02; 0,05 и 0,2 соответственно $1,14 \cdot 10^{-5}$, $1,39 \cdot 10^{-5}$ и $1,57 \cdot 10^{-5}$. Методом замещения, используя в качестве индикатора сульфосалицилат железа и принимая, что $Al(3+)$ образует с I комплекс 1:1, авторы определили константу диссоциации комплекса $I + Al^{3+}$ при ионной силе 0,02; 0,05 и 0,2 средние значения константы соответственно $1,72 \cdot 10^{-3}$, $1,94 \cdot 10^{-3}$ и $2,58 \cdot 10^{-3}$. И. Слоним
20876. Синтез и термографическое изучение некоторых комплексных соединений индия. Тронев В. Г., Кочеткова А. П., Химия редких элементов, вып. 3, 1957, 87-99

$(NH_4)_2InCl_5 \cdot H_2O$ (I), $Rb_2InCl_5 \cdot H_2O$ (II) и $Cs_2InCl_5 \cdot H_2O$ (III) получают кристаллизацией из водн. р-ров, содержащих $InCl_3$ (IV) и соответствующий галогенид щел. металла в молярном отношении 1:2. На термограмме I обнаруживаются 4 эндотермич. эффекта (ЭЭ). Первый ЭЭ (при 233°) отвечает дегидратации соли и перестройке ее кристаллич. структуры с образованием $NH_4InCl_4 \cdot NH_4Cl$. Второй ЭЭ (при 270°) соответствует или разложению образовавшейся соли на NH_4InCl_4 и NH_4Cl (V) или полиморфному превращению NH_4InCl_4 ; эти процессы обратимы. Следующий ЭЭ при 315° соответствует разложению соли на IV и V; при 353° происходит сублимация V. Для II первые три ЭЭ и соответствующие превращения наблюдаются при 230-248, 308 и 350° . Термограмма III обнаруживает два ЭЭ. При 258° III обезвоживается с вероятным образованием $CsInCl_4$, который разлагается при 410° . Повышение т-ры дегидратации и т-ры полного распада солей в ряду I—II—III авторы объясняют понижением силы поля катионов в ряду $NH_4^+ - Rb^+ - Cs^+$. При взаимодействии спирт. р-ров IV и En выпадает белый осадок $InEn_2Cl_3$, растворяющийся в воде с образованием $In(OH)_3$. При 167° $InEn_2Cl_3$ отщепляет 1 молекулу En, а при 318° происходит полное разложение комплекса. При действии газообразного NH_3 под давлением на $InEn_2Cl_3$ образуется $InEn_2(NH_3)_2Cl_3$, который отщепляет первую молекулу NH_3 при 70° , вторую — при 105° . При действии сухого NH_3 под давлением на р-р IV в эфире образуется $In(NH_3)_2Cl_3$ (VI). При 150° VI отщепляет первую молекулу NH_3 , при 180° — вторую, при 286° — третью. Образовавшийся моноаммиакат при 319° возгоняется. При действии NH_3 на VI образуется непрочный гексаммиакат, который при отсасывании переходит в пентаммиакат хлорида индия.

Н. Полянский
20877. Комплексные соединения редкоземельных элементов. Терентьева Е. А., Успехи химии, 1957, 26, № 9, 1007-1035
Обзор. Библ. 131 назв.

В. Ш.
20878. Комплексообразование четырехвалентного церия с ацетат- и оксалат-ионами. I. Выделение церия спектральной чистоты из сернокислого раствора. Рябчиков Д. И., Вагина Н. С., Ж. неорган. химии, 1957, 2, № 9, 2109-2114

Установлено, что $Ce(4+)$ образует значительно более устойчивые комплексные соединения с ацетат- и оксалат-ионами, чем 3-валентные лантаниды. Благодаря этому Ce может быть легко выделен из их смеси с выходом 97-98%. Препарат церия, дважды очищенный предлагаемым способом, является спектрально чистым. Быстрое и простое выполнение позволяет рекомендовать метод для получения препарата церия спектральной чистоты.

Резюме авторов

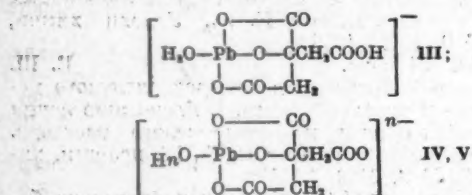
20879. О ферроцианидах неодима. Тананаев И. В., Левина М. И., Химия редких элементов, вып. 3, 1957, 28-40

С применением методов растворимости и потенциометрии изучены р-ции образования ферроцианидов (Ф) Nd при взаимодействии Ф щел. металлов с $Nd(NO_3)_3$ (I). В системе I—Li $[Fe(CN)_6]$ — H_2O установлено образование одного только нормального Ф. Ввиду малой скорости установления равновесия в системе р-ция образования Ф Li не может быть использована для быстрого потенциометрич. титрования (ПТ). В системе $Na_4[Fe(CN)_6]$ —I— H_2O при отношениях Ф Na : I, равных 0-0,75, выпадает осадок нормального Ф Nd. Однако при больших отношениях содержание $[Fe(CN)_6]^{4-}$ в осадке увеличивается, что авторы объясняют образованием смешанной соли, устойчивой лишь при наличии избытка $Na_4[Fe(CN)_6]$ в р-ре и отличающейся неконгруэнтной растворимостью. Растворимость нормального Ф, по данным пер-

манганометрич. титрования; составляет $9,3 \cdot 10^{-6}$ моль/л, по данным весового определения Nd $1,08 \cdot 10^{-4}$ моль/л при 25°. В системе $K_4[Fe(CN)_6]$ —I— H_2O образуется смешанная соль типа $MNd[Fe(CN)_6]$ (II), если отношение компонентов в исходной смеси не выше 0,96. При более высоких отношениях наблюдается понижение отношения $[Fe(CN)_6]^{4-} : Nd^{3+}$ в осадке, причины которого не установлены. Двойной Ф Nd и K содержит 5 молекул гидратной воды и имеет растворимость $2 \cdot 10^{-4}$ моль/л. В системах $Rb_4[Fe(CN)_6]$ (или $Cs_4[Fe(CN)_6]$)—I— H_2O образуются двойные Ф типа II. Ф Rb и Nb на 1 молекулу безводной соли содержит 4 молекулы воды; его растворимость составляет $6 \cdot 10^{-6}$ моль/л. Двойной Ф Cs и Nd наименее растворим, и потому эквивалентная точка при ПТ определяется очень точно. Р-цию образования этого Ф авторы рекомендуют для быстрого и точного определения Nd методом ПТ.

Н. Полянский
20880. Цитратные комплексы свинца. Часть II. Патнаик, Пани (Citrate complexes of lead. Part II. Patnaik B., Pani S.), J. Indian Chem. Soc., 1957, 34, № 1, 19—28 (англ.).

В результате взаимодействия частично нейтрализованной аммиаком лимонной к-ты (I) с $Pb(NO_3)_2$ выпадает белый осадок, который после суточного стояния, промывания и высушивания при $105-110^\circ$ имеет состав $PbC_6H_5O_7$ (II). При образовании II, являющегося 2-основной к-той, реагирует OH-группа I с освобождением иона H^+ . Растворимость II в частично нейтрализованной I с увеличением % нейтр-ции сначала уменьшается, достигает минимума, а затем снова возрастает. Минимум растворимости отвечает образованию комплекса состава II с однозарядным анионом I, который преобладает в р-ре. По предположению авторов, II содержит 5- или 6-членные циклы.



С повышением pH растворимость II повышается в связи с образованием нового комплекса (III). Нейтр-ция свободной группы COOH в III ведет к образованию комплекса (IV) ($n=2$). При дальнейшем повышении pH IV диссоциирует, образуя комплекс (V, $n=1$), из которого ион SO_4^{2-} в щел. среде не осаждают Pb. Образование II—IV подтверждено кондуктометрич. методом. Константа равновесия (K) р-ции превращения III в IV потенциометрич. методом найдена равной $8,08 \cdot 10^{-8}$. K р-ции образования IV из Pb^{2+} и трехзарядного аниона I по данным метода растворимости равна $7,47 \cdot 10^{-2}$. Для образования V путем диссоциации IV величина K равна $3,17 \cdot 10^{-10}$. Расчетное значение K р-ции образования III из Pb^{2+} и трехзарядного аниона I равно $9,3 \cdot 10^3$.

Н. Полянский
20881. Аминопроизводные тетрабромидов титана. Часть II. Прасад, Трипатхи (Amino derivatives of titanium tetrabromide. Part II. Prasad Sarju, Tripathi Jai Beniprasad), J. Indian Chem. Soc., 1957, 34, № 6, 452—456 (англ.).

Р-цией эфирных р-ров TiBr_4 и ароматич. вторичных и третичных аминов получены кристаллич. комплексные соединения: с метиламином $[\text{Ti}(\text{C}_6\text{H}_5\text{NHC}_2\text{H}_5)_4]\text{Br}_4$, светло-желтый, т. пл. 236° ; с этиламинном $[\text{Ti}(\text{C}_6\text{H}_5\text{NHC}_2\text{H}_5)_4]\text{Br}_4$, грязно-белый, т. пл. 242° ; с бензиламинном $[\text{Ti}(\text{C}_6\text{H}_5\text{NHC}_2\text{H}_5)_4]\text{Br}_4$, зеленый, т. пл. 167° ; с дифениламинном $[\text{Ti}(\text{C}_6\text{H}_5)_2\text{NH}]_4\text{Br}_4$,

(I), желтовато-белый, т. пл. 226° ; с диметиламинном $[\text{Ti}(\text{C}_6\text{H}_5\text{N}(\text{CH}_3)_2)_4]\text{Br}_4$ (II), светло-серый, т. пл. 138° (разл.); с диэтиламинном $[\text{Ti}(\text{C}_6\text{H}_5\text{N}(\text{C}_2\text{H}_5)_2)_4]\text{Br}_4$ (III), белый, т. пл. 248° ; с хинолином $[\text{Ti}(\text{C}_6\text{H}_5\text{N})_4]\text{Br}_4$ (IV), коричневатый-серый, т. пл. 122° ; с бензальаминамном $[\text{Ti}(\text{C}_6\text{H}_5\text{CH}=\text{NC}_6\text{H}_5)_4]\text{Br}_4$ (V), желтый, т. пл. 160° ; с дибензиламинном $[\text{Ti}(\text{C}_6\text{H}_5\text{N}(\text{CH}_2\text{C}_6\text{H}_5)_2)_4]\text{Br}_4$ (VI), пепельно-серый, т. пл. 154° ; с *n*-аминодиэтиламинном $[\text{Ti}(\text{C}_6\text{H}_5)_2\text{NC}_2\text{H}_4\text{NH}_2)_2]\text{Br}_4$ (VII), черный, т. пл. 305° . При получении II и III р-р TiBr_4 приливают к р-ру амина, во всех остальных синтезах приливают р-р амина к эфирному р-ру TiBr_4 . Полученные комплексы, как правило, нерастворимы в органич. р-рителях, лишь I, IV, V, VI и VII растворимы в CHCl_3 , абс. спирте и ацетоне. Р-рами NaOH , Na_2CO_3 и водой при 50° комплексы гидролизуются с выделением $\text{Ti}(\text{OH})_4$. II и IV гигроскопичны, но в сухом воздухе или в вакууме устойчивы; VII гигроскопичен, при кипячении гидролизуются. Часть I см. РЖХим, 1957, 65869.

И. Слоним
20882. Гетеротриксилы. VI. Некоторые свойства гетеротриксилот. Кокорин А. И., Полотебнова Н. А., Ж. общ. химии, 1957, 27, № 2, 304—310.

Все синтезированные гетеротриксилоты (ГТК) Р и Si — кристаллич. в-ва, имеющие форму правильных октаэдров, часто со срезанными углами. ГТК, содержащие в качестве аддендов Mo и W, имеют цвет от слабо до интенсивно желтого (в зависимости от кол-ва Mo). Вольфрамованадиевые ГТК оранжево-красные, а молибденованадиевые имеют окраску от красно-оранжевой до рубиново-красной. ГТК хорошо растворимы в $\text{C}_2\text{H}_5\text{OH}$, $\text{C}_6\text{H}_5\text{OH}$, *изо*- $\text{C}_4\text{H}_9\text{OH}$, глицерине, $\text{C}_6\text{H}_5\text{ON}$, CH_2O , $\text{C}_6\text{H}_5\text{CHO}$, CH_3COCH_3 , C_6H_6 , HCOOH и лед. CH_3COOH . Потенциометрич. титрованием 0,2 н. КОН с применением стеклянного электрода и измерением электропроводности и pH водн. р-ров определена основность ГТК Р, Si и Ge, содержащих в качестве адденда V. Основность равна 5 у германиевольфрамованадиевой, германие-, фосфорно- и кремнемолибденованадиевых ГТК и 6 у фосфорно- и кремневольфрамованадиевых ГТК. Соединения этого типа отвечают ф-лам $\text{H}_5\text{H}_2\text{Ge}(\text{W}_2\text{O}_7)_2\text{V}_2\text{O}_6$, $\text{H}_5\text{H}_2\text{Ge}(\text{Mo}_2\text{O}_7)_2\text{V}_2\text{O}_6$, $\text{H}_5\text{H}_2\text{P}(\text{Mo}_2\text{O}_7)_2\text{V}_2\text{O}_6$, $\text{H}_5\text{H}_2\text{Si}(\text{Mo}_2\text{O}_7)_2\text{V}_2\text{O}_6$, $\text{H}_5\text{H}_2\text{P}(\text{W}_2\text{O}_7)_2\text{V}_2\text{O}_6$, $\text{H}_5\text{H}_2\text{Si}(\text{W}_2\text{O}_7)_2\text{V}_2\text{O}_6$, где на первом месте поставлены ионы водорода, замещаемые на K в р-ции нейтр-ции щелочью. Определены т-ры плавления кристаллогидратов ГТК и показана их зависимость от природы гетерополианиона. Самой низкой т-рой плавления обладают ГТК с центральным атомом Si ($34-39^\circ$), самой высокой — фосфорномолибденовольфрамовые ГТК ($63-89^\circ$), причем т-ра плавления возрастает с увеличением содержания W по сравнению с Mo. Для одного и того же соединения т-ра плавления уменьшается с увеличением содержания кристаллизационной воды, которое зависит от условий кристаллизации. Указана возможность применения ГТК как окислителей и как осадителей в некоторых аналитич. р-циях. Фосфорно-, кремнемолибденованадиевые и фосфорномолибденовольфрамовые к-ты имеют окислительные потенциалы в пределах 0,77—0,64 в. Устойчивость темно-синих продуктов восстановления ГТК тем больше, чем меньше содержание W. ГТК при известных условиях осаждают катионы NH_4^+ , Rb^+ , Cs^+ , Ti^+ , Th^{4+} , Pb^{2+} , Zr^{4+} и Hg_2^{2+} , причем осадки нерастворимы или труднорастворимы в неорганич. к-тах. Часть V см. РЖХим, 1957, 26473.

Ю. Муромский
20883. Применение хроматографии на бумаге (в растворах электролитов и в воде) при изучении строения и при исследовании механизмов реакций гетерополиоксидот. I. Фосфорно- и кремнемолибденовые кислоты. Рипан, Дука, Палади, Стэнеску,

Mager (Anwendung der Papierchromatographie (in Elektrolytlösungen und in Wasser) beim Studium der Struktur und bei der Verfolgung der Reaktionsmechanismen der Heteropolysäuren. I. Phospho- und Silicomolybdänsäure. Ripan R., Duca A., Paladi R., Stănescu D., Mager A.), Naturwissenschaften, 1957, 44, № 15, 421—422 (нем.)

Хроматография на бумаге в р-рах электролитов и в воде особенно пригодна для изучения строения и для исследования механизмов р-ций гетерополикислот (ГПК). Изучено поведение различных конденсированных форм молибдена при pH 8,5—0,2, начиная с Na_2MoO_4 . Для сравнения изучены соединения CrO_4^{2-} , $\text{Cr}_2\text{O}_7^{2-}$ и $(\text{NH}_4)_2\text{Mo}_2\text{O}_7$, строение которых в твердом состоянии хорошо известно. В области pH 8,5—0,2 изучено образование ГПК из компонентов, начиная с отношения 1R:1Mo до 1R:12Mo, где R—Si, P. Хроматографирование в р-рах электролитов различных конц-ий и в воде дает промежуточную картину структуры ГПК в твердом состоянии и в р-ре и позволяет разделить различные конденсированные формы в зависимости от их стабильности. Замечена более высокая стабильность додекамолибдата (pH 1,25) по сравнению с гексамолибдатом (pH 3,8) и кремнемолибденовой к-ты (I) (pH 1,7) по сравнению с фосформолибденовой (II) (pH 1,7). II сходна с одной из додекамолибденовых к-т (pH 1,7), но в отличие от нее стабильна при изменении pH и разбавлении. Установлено существование соединения, промежуточного между II и изополимолибденовой (III) и-тами. Изучено разложение III (pH 2,1), II и I гидроксидами K и Ba. Выяснена устойчивость ГПК и изополикислот в зависимости от конц-ии H^+ (pH 0,3—4). Исследование стабильности свежеприготовленных и застаревших р-ров и других свойств привело к выводу о различном распределении атомов Mo в конденсированной молекуле ГПК. Расшифровка хроматограмм свежих и застаревших р-ров показала, что для образования ГПК насыщ. типа 1R:12Mo необходимо предварительное образование одной из конденсированных форм Mo (по крайней мере гексамолибдата). Существуют также соединения ненасыщ. типа 1R:3Mo, 1R:6Mo и 1R:9Mo. Изучение ГПК с помощью хроматографии на бумаге подтверждает данные колориметрич. и спектроскопич. анализов об изменении ГПК во времени. Ю. Муромский

20884. Комплексы четырехвалентного ванадия. IX. Положение ванадил-иона в ряду Ирвинга—Вильямса. Трухильо, Брито (Complejos de vanadio (IV). IX. La colocación del ion vanadilo en la serie de Irving y Williams. Trujillo R., Brito F.), An. Real. soc. esp. fis. y quim., 1957, 53, № 6, 441—446 (исп.; рез. нем.)

В результате сопоставления констант устойчивости некоторых комплексов VO^{2+} и 2-зарядных ионов переходных металлов 1-го ряда с определенными аддандами установлено, что VO^{2+} занимает следующее место в ряду Ирвинга—Вильямса: $\text{Mn}^{2+} < \text{Fe}^{2+} < \text{Co}^{2+} < \text{Ni}^{2+} < \text{Cu}^{2+} < \text{VO}^{2+}$. Часть VIII см. РЖХим, 1958, 4086.

Резюме авторов
20885. Соединения пентавалентного урана. II. Пента-*n*-алкоголяты урана. Брэдли, Чаттерджи (Quinquevalent compounds of uranium. II. Uranium penta-*n*-alkoxides. Bradley D. C., Chatterjee A. K.), J. Inorg. and Nucl. Chem., 1957, 4, № 5-6, 279—282 (англ.)

Исследованы свойства пента-*n*-алкоголятов урана $\text{U}(\text{OR})_5$, где R— CH_3 (I), C_2H_5 (II), *n*- C_3H_7 (III), *n*- C_4H_9 (IV) и *n*- C_5H_{11} (V). Синтез II описан ранее (часть I, РЖХим, 1957, 63280). I выделяется в виде кристаллов цвета ржавчины после длительного кипячения II с избытком CH_3OH и охлаждения р-ра. III

получен отгонкой р-рителя от продукта р-ции I с избытком *n*- $\text{C}_3\text{H}_7\text{OH}$ и C_2H_6 и последующей перегонкой остатка в вакууме; аналогичными методами получены IV (из I) и V (из III). I сублимируется при 140—150°/0,01 мм. II—V коричневые подвижные жидкости, перегоняющиеся в вакууме без разложения или диспропорционирования; т. кип. их соответственно равны 161°/0,05 мм, 181°/0,07 мм, 206°/0,15 мм и 246°/0,05 мм. Эбуллиоскопически определенные в бензоле средние степени полимеризации I—V соответственно равны 3,01; 1,90; 1,95; 1,94 и 1,94 и почти не зависят от конц-ии. Свойства I—V близки к свойствам алколюатов Nb и Ta (РЖХим, 1956, 9865; 1957, 19269). Предположено, что в димерах координационное число равно 6, а I является равновесной смесью димера и тетрамера (координационное число 8).

И. Рысе

20886. Комплексные соединения шестивалентного урана с некоторыми органическими веществами. II. О внутрикомплексных солях уранил-иона с некоторыми производными 2-нафтола и 1,2-нафтохинона. III. Осаждение урана из водных растворов с помощью некоторых соединений, родственных 1-нитрозо-2-нафтолу. Савич И. А., Пикаев А. К., Рыков А. Г., Спицын Викт. И., Ж. неорганич. химии, 1956, 1, № 12, 2742—2745; 2746—2748

II. Получены 3-бром-1,2-нафтохинономоксим-1-ат уранила $(\text{C}_{10}\text{H}_5\text{NO}_2\text{Br})_2\text{UO}_2$ (I) и 3,4-дихлор-1,2-нафтохинономоксим-1-ат уранила $(\text{C}_{10}\text{H}_4\text{NO}_2\text{Cl}_2)_2\text{UO}_2$ (II) сливанием спирт. р-ров $\text{UO}_2(\text{NO}_3)_2 \cdot 6\text{H}_2\text{O}$ (III) и $\text{C}_{10}\text{H}_6\text{NO}_2\text{Br}$ (IV), соответственно $\text{C}_{10}\text{H}_5\text{NO}_2\text{Cl}_2$ (V), в мол. отношении 1:2. Для получения I р-р III в $\text{C}_2\text{H}_5\text{OH}$ вливали в кипящий р-р IV в $\text{C}_2\text{H}_5\text{OH}$, смесь кипятили 30 мин. Выпавший мелкокристаллич. порошок кирпично-красного цвета отфильтровывали, промывали бензолом до исчезновения окрашивания бензола и сушили на воздухе при комнатной т-ре. Его состав $(\text{C}_{10}\text{H}_5\text{NO}_2\text{Br})_2\text{UO}_2 \cdot 2\text{C}_2\text{H}_5\text{OH}$ (VI). Кристалло-сольват VI теряет спирт в интервале т-р 80—170°, превращаясь в I темно-бордового цвета. I образует с H_2O гидрат $(\text{C}_{10}\text{H}_5\text{NO}_2\text{Br})_2\text{UO}_2 \cdot 3\text{H}_2\text{O}$ оранжевого цвета. Для получения II смесь р-ров III и V в CH_3OH нагревали 30 мин., выпавший ярко-красный осадок отфильтровывали, промывали CH_3OH и высушивали на воздухе. I и II плохо растворимы в воде и большинстве органич. р-рителей. Растворимость I и II в воде при 25° составляет $6,2 \cdot 10^{-5}$ и $2,0 \cdot 10^{-4}$ г U соответственно в 100 г р-ра. Сделана попытка установить экспериментально преимущественную тенденцию UO_2^{2+} к комплексообразованию с какой-либо определенной внутрикомплексобразующей группировкой (ВГ), что указывало бы на пути синтеза внутрикомплексных соединений с желаемыми свойствами. Установлено, что IV и V, имеющие ВГ— $\text{C}(\text{O})-\text{C}(\text{NOH})-$, образуют комплексные соли с UO_2^{2+} . Диксим-1,2-нафтохинона (ВГ— $\text{C}(\text{NOH})-\text{C}(\text{NOH})-$) и 1-нитрозо-2-аминонафталин (ВГ— $\text{C}(\text{NO})=\text{C}(\text{NH}_2)-$) в данных условиях комплексных соединений с UO_2^{2+} не образуют; соосаждения U также не происходит. 2-окс-1,4-нафтохинономоксим-1 (ВГ— $\text{C}(\text{OH})-\text{C}(\text{NOH})-$) и 1-нитро-2-нафтол (ВГ— $\text{C}(\text{NO}_2)=\text{C}(\text{OH})-$) осаждают уран лишь за счет увеличения его выпадающими в кислой среде нафтолами.

III. Потенциометрич. титрованием р-ра $\text{UO}_2(\text{NO}_3)_2 \cdot 6\text{H}_2\text{O}$ спирт. р-ром 3-бром-1,2-нафтохинономоксима-1 (VII) найдено, что при pH 2,7 VII количественно осаждают уран из р-ров с конц-ией $< 0,06$ г/л U. VII может быть использован в качестве осадителя на уран. Установлено, что 3,4-дихлор-1,2-нафтохинономоксим-1 как осадитель на уран использовать нельзя, так как он неполностью осаждают уран из водн. р-ров. Часть I см. РЖХим, 1957, 65872. Ю. Муромский

20887. О гидратах диоксалатуранила аммония. Черняев Н. И., Головин В. А., Щелокон Р. Н., Ж. неорган. химии, 1957, 2, № 8, 1763—1767

Диоксалатуранил аммония (I), образующийся при взаимодействии оксалата уранила и воды. р-ра оксалата аммония при 80—90°, выделяется из р-ра в виде кристаллов трех типов. При медленном испарении разб. р-ра или медленном охлаждении горячего конц. р-ра вначале образуются гексагон. бипирамиды тригидрата I. Для одноосных отрицательных гексагон. кристаллов тригидрата n_m 1,580, n_p 1,480. При длительном стоянии р-ра, из которого выкристаллизовались тригидрат, его кристаллы превращаются в кристаллы дигидрата I — толстые двусонные призмы, положительные, n_g 1,636, n_p 1,535. Превращение необратимо, при комнатной т-ре более устойчив дигидрат. Когда р-р I выпарен почти досуха, на стенках стакана образуются длинные тонкие нити, состав которых соответствует смеси дигидрата I и оксалата аммония. Термографич. анализ показывает, что дигидрат I последовательно теряет 2 молекулы H_2O при 87 и 100°; тригидрат I теряет 1 молекулу H_2O при 65° и 2 при 100°. Исходя из координационного числа 6 для диоксалатуранил-иона авторы приписывают ди- и тригидрату I координационные ф-лы $(NH_4)_2[UO_2(C_2O_4)_2 \cdot (H_2O)_2]$ и $(NH_4)_4[UO_2(C_2O_4)_2 \cdot (H_2O)_2] \cdot H_2O$.

И. Слоним

20888. Спектрофотометрическое исследование комплекса уранил-иона с редуктоном. Хойман (Spectrophotometric study of the uranyl complex of redutone. Hojman Jolanda M.), Bull. Inst. Nucl. Sci., 1957, 7, 17—24 (англ.)

Свежеприготовленный р-р многократно перекристаллизованного редуктона (R) имеет 1 максимум поглощения (МП), находящийся при pH 4,84 при 270—275 мμ. С повышением pH до 6,56 МП смещается в сторону более длинных волн и находится при 288—290 мμ. Во времени светопоглощение р-ра R быстро уменьшается. В присутствии иона UO_2^{2+} также происходит значительное понижение поглощения и деформация кривой поглощения; МП исчезает. По данным метода непрерывных изменений, в р-ре с pH 5,46 и ионной силой 0,1 образуется комплекс состава UR, для которого авторы дают следующие вероятные ф-лы: $[(C_2H_3O_3)_3U_2O_8(OH)]^{2-}$ и $[(C_2H_3O_3)_3U_2O_8(OH)]^{2-}$. В этом комплексе, заметно диссоциирующем, R играет роль монодентатного адденда. Комплекс достаточно устойчив при pH 5—7. В более кислых средах окраска ослабевает и выпадает осадок продукта восстановления. В щел. среде выпадает гидроокись уранила. В р-ре, забуференном ацетатной смесью с pH 5,37, возможно спектрофотометрич. определение U в виде UR при 440, 480, 500 и 520 мμ. При конц-ии U 38—114 γ/мл, конц-ии R 0,6% и конц-ии буферной системы в смеси 0,1 г-эко/л закон Бера выполняется.

Н. Полянский

20889. Изучение условий осаждения ферроцианида уранила из водных растворов. Сочеванов В. Г., Шмакова Н. В., Волкова Г. А., Ж. неорган. химии, 1957, 2, № 9, 2049—2057

Оптимальными условиями осаждения уранила $K_4Fe(CN)_6$ (I) является проведение р-ции в 1 M р-ре KNO_3 при pH 2—4 и т-ре 50—60°. В отсутствие избытка I состав осадка ферроцианида уранила отвечает ф-ле двойной соли $K_4(UO_2)_4[Fe(CN)_6]_3$, растворимость которой приближенно равна растворимости $BaSO_4$. В р-рах KNO_3 уран может быть точно определен амперометрич. титрованием его р-ром I.

Резюме авторов

20890. К свойствам трехвалентного марганца. Таран В. М., Экимян М. Г., Кочарян А. И.,

Изв. АН АрмССР. Сер. хим. н., 1957, 10, № 2, 105—115 (рез. арм.)

Методом потенциометрич. титрования установлено, что в присутствии пирофосфата и фторида перманганат восстанавливается солью Мора и $K_4[Fe(CN)_6]$ по схеме: $MnO_4^- + 4e + 8H^+ = Mn^{2+} + 4H_2O$; $Mn^{2+} + e = Mn^{3+}$. Р-р $Hg_2(NO_3)_2$ восстанавливает перманганат в соединение $Mn(3+)$. При pH ~ 2 характер протекающей р-ции не зависит от природы присутствующего комплексообразователя. $KMnO_4$ в присутствии фторида восстанавливается $NaNO_2$ согласно р-ции $MnO_4^- + 4e + 8H^+ = Mn^{2+} + 4H_2O$. $Na_2S_2O_8$ и $NaAsO_2$ в присутствии пирофосфата (pH ~ 6) восстанавливают перманганат до соединений $Mn(3+)$. KJ восстанавливает перманганат до $Mn(3+)$ (комплексобразователь пирофосфат, pH ~ 6) и до $Mn(2+)$ (комплексобразователь фторид, pH ~ 3).

Из резюме авторов

20891. К вопросу о составе рений-роданидного комплексного соединения. Таран В. М., Овсепян Е. Н., Докл. АН АрмССР, 1957, 25, № 1, 7—10 (рез. арм.)

Установлено, что 7-валентный Re (в присутствии SCN^-) восстанавливается $Hg_2(ClO_4)_2$ до 4-валентного. Восстановление проходит на холоду в 3,5—3,6 н. HCl . Электролизом окрашенного рений-роданидного комплексного соединения (I) показано, что переноса окрашенного слоя в сторону катода или анода не наблюдается, т. е. подтверждается отсутствие у I заряда. Состав I соответствует ф-ле $Re(SCN)_4$.

Резюме авторов

20892. Окисление цистеина железом и перекисью водорода. Невилл (The oxidation of cysteine by iron and hydrogen peroxide. Neville Roy G.), Amer. Chem. Soc., 1957, 79, № 10, 2456—2457 (англ.)

Показано, что в отсутствие O_2 добавление небольшого кол-ва Fe^{3+} к слабосильным р-рам цистеина (I) дает неустойчивый пурпурный комплекс $Fe^{2+} + c$ (II), по окраске сохраняется ≤ 0,5 сек. При аналогичных опытах в щел. среде (pH 8—9) окраска сохраняется 20—40 мин. в зависимости от конц-ии I. Разложение II сильно катализируется ионами H^+ . Изучалась скорость окисления I перекисью водорода в отсутствие и в присутствии Fe^{2+} , очень сильно ускоряющего окисление I в цистин (III). Первоначально образуется комплекс $Fe^{2+} + c$ (IV). H_2O_2 окисляет IV в II, но II вследствие внутримолекулярного окисления и восстановления сразу же превращается в комплекс $Fe^{2+} + c$ III. С избытком I последний комплекс дает свободный III и IV, что ведет к повторению цикла вплоть до израсходования H_2O_2 . Изучен спектр поглощения II.

Л. Волштейн

20893. О сильном транс-влиянии гидроксогрупп у диоксиминов трехвалентного кобальта. Аблов А. В., Самусь Н. М., Докл. АН СССР, 1957, 113, № 6, 1265—1268

$[CoH_2O(DH)_2NO_2]$ (I), где DH — остаток диметилглиоксима, при действии р-ра щелочи полностью переходит в р-р в виде $[Co(DH)_2(OH)(NO_2)]$ (II). При легком нагревании этого р-ра выпадает красно-коричневый кристаллич. осадок $K[Co(DH)_2(OH)_2 \cdot 3H_2O]$ (III). Аналогично получается $Na[Co(DH)_2(OH)_2 \cdot 5H_2O]$ (IV). Переход I в III можно объяснить на основании закономерности транс-влияния И. И. Черняева, если предположить, что в диоксимидах $Co(3+)$ гидроксогруппа обладает более сильным транс-влиянием, чем группа NO_2 . При действии HNO_3 на III образуется $[Co(H_2O)_2(DH)_2NO_2]$, причем отчетливо видно образование промежуточного продукта $[CoH_2O(DH)_2OH]$ (V). В чистом виде V был получен осторожным действием K_2CO_3 на $[CoH_2O(DH)_2Cl]$. Взаимодействие $[CoH_2O(DH)_2NCS]$ с $NaOH$ приводит к об-

разованию сначала $\text{Na}[\text{Co}(\text{DH})_2(\text{NCS})(\text{OH})]$, а затем IV. V является неэлектролитом, водн. р-р ($V = 1000 \text{ л/моль}$) имеет pH 7,02, р-р III имеет pH 9,46, а р-р V — pH 5,79. Учитывая, что в диоксимидах $\text{Co}(3+)$ изороданогруппа обладает большей транс-активностью, чем группа NO_2 , эти 3 группы можно расположить в следующем порядке по возрастающей транс-активности: $\text{OH} > \text{NCS} > \text{NO}_2$. А. Аблов

20894. Применение физико-химического анализа для изучения солей кобальта с тиомочевинной. Ахмедов М. Г., Башкиров Э. А. (Кобальт дузлары иле тиокарбамид арасында кеден реаксияларын физико-химийэви анализ усулу иле эйренилмеси. Э. Мадди М. Г., Башкиров Э. А.), Элмисерлер. Азерб. ун-в., Уч. зап. Азерб. ун-т, 1957, № 1, 25—37 (азерб.; рез. русск.)

Целью работы было выявление возможности применения физ.-хим. анализа для изучения состава комплексов Co с $\text{CS}(\text{NH}_2)_2$ (I) и выяснение характера этих комплексов нонообменными р-циями. Была изучена оптич. плотность систем, образованных $\text{Co}(\text{NO}_3)_2$, CoCl_2 , CoSO_4 , $\text{Co}(\text{C}_2\text{H}_3\text{O}_2)_2$ с I. Методом Остромысленского, Жоба, Бабко установлено образование следующих соединений: $[\text{Co}(\text{CSN}_2\text{H}_4)_4](\text{NO}_3)_2$, $[\text{Co}_2(\text{CSN}_2\text{H}_4)_7]\text{Cl}_4$, $[\text{Co}(\text{CSN}_2\text{H}_4)_4]\text{SO}_4$, $[\text{Co}(\text{CSN}_2\text{H}_4)_4](\text{C}_2\text{H}_3\text{O}_2)_2$. Правильность выводов, полученных в результате физ.-хим. анализа, подтверждена изучением р-ров методом ионного обмена с использованием анионитов (марки АН-2Ф, ПЭ-9, ЭД-10) и катионита (марки КУ-2). Показано, что окрашенная часть комплекса является катионом, состоящим из иона Co и I, а анион состоит из ионов Cl^- , NO_3^- , SO_4^{2-} и $\text{C}_2\text{H}_3\text{O}_2^-$. А. Аблов

20895. О некоторых специфических особенностях ионов $[\text{IrCl}_6]^{3-}$ и $[\text{IrBr}_6]^{3-}$. Белоусов Е. А., Гринберг А. А., Тр. Ленингр. технол. ин-та им. Ленсовета, 1957, вып. 40, 32—40

Показано, что при осаждении $(\text{NH}_4)_2[\text{PtCl}_6]$ (I) из р-ров, содержащих ионы $[\text{PtCl}_6]^{2-}$ и $[\text{IrCl}_6]^{3-}$ (II), действием избытка NH_4Cl происходит заметное сосаждение Ir. Установлено, что причиной сосаждения Ir является происходящее в процессе осаждения I окисление $[\text{IrCl}_6]^{3-}$ до $[\text{IrCl}_6]^{2-}$ и образование $(\text{NH}_4)_2[\text{IrCl}_6]$ (III), изоморфного с I. Окислителем являются ионы $[\text{PtCl}_6]^{2-}$, восстанавливающиеся до $[\text{PtCl}_4]^{2-}$. При длительном стоянии р-ра II в нем происходят изменения, в результате которых окисление и сосаждение Ir при осаждении I не наблюдаются. Отмечено также, что при длительном стоянии происходит своеобразное изменение электропроводности р-ров (III), также как и $(\text{NH}_4)_2[\text{IrBr}_6]$ (IV), — в начале электропроводность растет, затем проходит через максимум и начинает снижаться. Авторам не удалось выделить соединений Ir, образующихся при стоянии р-ров III и IV. В. Шмидт

20896. Исследование взаимодействия некоторых цис-диамминтетрацидосоединений платины с пиридином. Рубинштейн А. М., Ильясова А. К., Ж. неорган. химии, 1957, 2, № 8, 1785—1789

Изучены р-ции внутрисферного замещения в *цис*- $[(\text{NH}_3)_2\text{Br}_2\text{Pt}]$ (I), *цис*- $[(\text{NH}_3)_2\text{NO}_2\text{Br}_2\text{Pt}]$ (II) и *цис*- $[(\text{NH}_3)_2(\text{NO}_2)_2\text{Br}_2\text{Pt}]$ (III) при действии избытка пиридина (Py). Направление и характер р-ций зависят от т-ры. I растворяется в избытке Py при комнатной т-ре; из р-ра выделяется граневая триаммин $[(\text{NH}_3)_3\text{PyBr}_2\text{Pt}]\text{Br} \cdot 4\text{Py}$ (IV), теряющий весь Py при 100° . При перекристаллизации IV из воды получен $[(\text{NH}_3)_3\text{PyBr}_2\text{Pt}]\text{Br} \cdot \text{H}_2\text{O}$ (V), показатели преломления $n_D^{20} 1,780$, $n_D^{25} 1,738$; при нагревании в воде V превращается в I. Действием KOH на р-р V осажден желтый амид $[\text{NH}_2(\text{NH}_3)\text{PyBr}_2\text{Pt}]$, превращающийся дей-

ствием HBr в V. $[(\text{NH}_3)_3\text{PyBr}_2\text{Pt}] \cdot [\text{PtBr}_4]$ труднорастворим в воде. При нагревании I с Py в результате сложных окислительно-восстановительных процессов количественно образуется *транс*- $[\text{Py}_2\text{Br}_2\text{Pt}]$ (VI), красные микрокристаллы, нерастворимые в спирте, бензоле, толуоле, ацетоне, диоксане и эфире, $n_D^{20} > 1,78$. Промежуточно выделяется осадок белого $[\text{PtPy}_4]\text{Br}_2$ (VII), образующего пентагидрат при перекристаллизации из воды. При медленном восстановлении VI гидразином образуется *транс*- $[\text{Py}_2\text{Br}_2\text{Pt}]$. *Цис*- $[(\text{NH}_3)_2\text{Cl}_2\text{Pt}]$ реагирует с Py при нагревании так же, как I; при комнатной т-ре выделены белый $[\text{PtPy}_4]\text{Cl}_2$ и желтый *транс*- $[\text{Py}_2\text{Cl}_2\text{Pt}]$. Комплекс II получен окислением бромом *цис*- $[(\text{NH}_3)_2\text{NO}_2\text{Br}_2\text{Pt}]$ (VIII), синтезированного кристаллизацией эквимолярных кол-в $[(\text{NH}_3)_2\text{Br}_2\text{Pt}]$ и $[(\text{NH}_3)_2(\text{NO}_2)_2\text{Pt}]$; из VIII, синтезированного действием р-ра NH_3 на $\text{K}_2[\text{Pt}(\text{NO}_2)_2\text{Br}_2]$, не удалось получить II. Как при комнатной т-ре, так и при нагревании при действии избытка Py на II образуются примерно эквимолярные кол-ва VI и VII. При действии Py на III при комнатной т-ре образуется граневая триаммин $[(\text{NH}_3)_3\text{Py}(\text{NO}_2)_2\text{Br}_2\text{Pt}]\text{Br} \cdot \text{Py}$ (IX), легко отщепляющий внешнесферный Py и образующий нерастворимый осадок бромоплатината; при нагревании водн. р-ра IX выделяется III. При нагревании III с избытком Py образуется смесь VI и VII. Обсужден вероятный механизм окислительно-восстановительных р-ций, протекающих при нагревании I, II и III с Py. И. Рысс

20897. О взаимодействии некоторых транс-диамминтетрацидосоединений платины с пиридином. Рубинштейн А. М., Ильясова А. К., Ж. неорган. химии, 1957, 2, № 8, 1799—1806

Изучены р-ции внутрисферного замещения в *транс*- $[(\text{NH}_3)_2\text{Br}_2\text{Pt}]$ (I), *транс*- $[(\text{NH}_3)_2\text{NO}_2\text{Br}_2\text{Pt}]$ (II) и *транс*- $[(\text{NH}_3)_2(\text{NO}_2)_2\text{Br}_2\text{Pt}]$ (III) при действии пиридина (Py). Характер и направление р-ций зависят от т-ры. При комнатной т-ре в I и II происходит ожидаемое по закономерности транс-влияния замещение одного атома Br на координатах $\text{Br}-\text{Pt}-\text{Br}$. Выделены: желтые иголки *транс*- $[(\text{NH}_3)_2\text{Py}_2\text{Br}_2\text{Pt}]\text{Br}_2 \cdot \text{Py}$, при перекристаллизации которого отщепляется внешнесферный Py, а иногда образуется I; нерастворимые $[(\text{NH}_3)_2\text{Py}_2\text{Br}_2\text{Pt}] \cdot \text{X}$, где $\text{X} = \text{PtBr}_6$, PtBr_4 или $(\text{O}_2\text{C}_2\text{H}_3)_2(\text{NO}_2)_2$; красные октаэдры II, $n_D^{20} > 1,780$; оранжевый *транс*-II $\cdot 2\text{Py}$, превращающийся на воздухе в II; желтый $[(\text{NH}_3)_2\text{NO}_2\text{Br}_2\text{PyPt}]\text{Br} \cdot 3\text{Py}$, легко отщепляющий внешнесферный Py; ромбич. желтые пластинки III; оранжево-желтый III $\cdot 2\text{Py}$, легко превращающийся на воздухе в III. При синтезе III действием Br_2 на холодную водн. взвесь $[(\text{NH}_3)_2(\text{NO}_2)_2\text{Pt}]$ промежуточно образуются красные кристаллы сверхкомплексного соединения $[(\text{NH}_3)_2(\text{NO}_2)_2\text{Pt}] \cdot [(\text{NH}_3)_2(\text{NO}_2)_2\text{Br}_2\text{Pt}]$. Замещение на Py во внутренней сфере III не происходит при комнатной т-ре. Подтверждено отсутствие лабильности заместителей в *транс*-положении к нитрогруппе в соединениях $\text{Pt}(4+)$. При нагревании I, II и III с Py проходят сложные окислительно-восстановительные р-ции, при которых образуется $[\text{Pt}(\text{NH}_3)_2\text{Py}_2]\text{Br}_2$. И. Рысс

20898. Внутрикислечные соединения пиридоксалиденовых аминокислот. Кристенсен (Metal chelates of pyridoxalidene amino acids. Christensen Halvor N.), J. Amer. Chem. Soc., 1957, 79, № 15, 4073—4078 (англ.)

К р-рам валина и других аминокислот (AK) в эквивалентном кол-ве водн. или метанольного р-ра NaOH добавляли пиридоксаль; образовывались Натсоли шиффовых оснований. К ним добавляли ацетаты ряда металлов и получали кристаллич. осадки внутрикислечных солей с пиридоксалиденовыми аминокислотами (ПАК) состава: $\text{M}(\text{HA})_2$ (I) ($\text{M} =$

Mn^{2+} , Ni^{2+} , Zn^{2+} , Fe^{2+}), $Cu^{2+} \cdot nH_2O$ (II), $Fe^{3+} \cdot (HA)A$ (III), где HA^- — отрицательные ионы ПАК, способные (в результате отрыва H^+ от фенольной группы) переходить в A^{2-} . В I HA^- — бидентатный адденд, связанный с M посредством атома N исходной АК и группы COO^- ; протоны фенольных групп HA^- , переходят к атомам N пиридинового кольца с образованием биполярной структуры. В II A^{2-} — тридентатный адденд; Cu^{2+} связан с атомом N АК, с группой COO^- и с атомом O фенольной группы. В III HA^- и A^{2-} — тридентатные адденды; протон фенольной группы HA^- переходит к атому N пиридинового кольца. Изучались кривые потенциометрич. титрования полученных соединений соляной к-той, ИК-спектры этих соединений и изотопный обмен между ними и мечеными по металлу комплексами с исходными АК.

20899. Химизм реакций образования виннокишлых комплексных соединений. Цимблер М. Е., Дереновский В. И., Укр. хим. ж., 1957, 23, № 4, 454—459

Изучена кинетика диализа систем $Cu(OH)_2$ — цитрат Na и $Fe(OH)_3$ — тартрат Na и показано, что при избытке гидроокиси металла в системе образуются золи. Свободных комплексных соединений в р-ре нет, так как они адсорбируются избытком гидроокиси по уравнению $[M(OH)_3]x + HT = [M(OH)_3]x-1 (OH)_2MT + H_2O$. В системе $FeCl_3$ — щел. р-р тартрата Na при $pH \geq 13,6$ имеется золь и комплексное соединение, а при $pH \leq 13,2$ — комплексное соединение. Крискоскопич. методом подтверждено изученное ранее (РЖХим, 1955, 45703) комплексобразование в р-рах $KNaC_4H_4O_6 \cdot CuSO_4$ и $Na_2C_4H_4O_6 \cdot ZnSO_4$ и показано, что в системах $H_2C_4H_4O_6 \cdot CuSO_4$ и $H_2C_4H_4O_6 \cdot ZnSO_4$ комплексы не образуются. В системах $NaHC_4H_4O_6 \cdot ZnSO_4$ и $NaHC_4H_4O_6 \cdot CuSO_4$ также не образуются комплексы типа двойных солей. Описанным ранее (РЖХим, 1957, 30295) методом с применением O^{18} в качестве изотопного индикатора доказано, что тартратные комплексы $Co(2+)$ и $Cu(2+)$ в щел. среде образуются за счет замещения H спиртовых групп анионов $C_4H_4O_6^{2-}$ либо за счет спиртовой и гидроксильной групп совместно по уравнениям $M^{2+} + OH^- + C_4H_4O_6^{2-} = [MC_4H_4O_6]^- + H_2O$; $M^{2+} + 2OH^- + C_4H_4O_6^{2-} = [MC_4H_2O_6]^{2-} + 2H_2O$. Авторы считают, что таков же механизм комплексобразования и других металлов с оксикислотами в щел. среде. И. С.

20900. Координационные соединения, внутрикомплексные соединения и общая химия. Мартинетт (Coordination compounds, chelates and general chemistry. Martinette Mary), Sci. Counsellor, 1957, 20, № 2, 52—53, 64 (англ.)

Популярная статья.

В. Ш.

20901. Координационная химия гетерополиоксидов. Нинимура (ヘテロ縮合酸の配位化学. 新村陽一), 化学, Кагаку, Chemistry (Japan), 1957, 12, № 6, 33—38 (японск.)

Обзор. Библ. 30 назв.

В. Ш.

20902. Степень окисления нуль. II. Колтон (Die Oxydationsstufe Null. II. Colton Ervin), Osterr. Chem.-Ztg., 1957, 58, № 19-20, 227—230 (нем.)

Обзор работ по комплексным соединениям, в которых центральный атом металла имеет формальную степень окисления нуль. Рассмотрены соединения Mn, Co, Cr, Ni, V, Pd и Pt. Библ. 20 назв. Пред. сообщение см. РЖХим, 1955, 13791.

И. Слоним

20903. По поводу статей В. Ф. Ормонта «О современном состоянии теории комплексных соединений» (сообщения I и II). Дискуссия. Яцимирский К. Б., Ж. неорган. химии, 1957, 2, № 8, 1975—1977

Дискуссионная статья. См. РЖХим, 1957, 22621.

20904. Об определении понятия «комплексное соединение» и использовании в теории комплексных соединений структурных данных и термодинамических радиусов. Ормонт В. Ф., Ж. неорган. химии, 1957, 2, № 8, 1977—1982

Дискуссионная статья. См. пред. реф.

20905. Кривая конверсии для каустификации карбоната натрия. Гоштылек (Konversní křivka pro kaustifikaci uhličitanu sodného. Hoštálek Zdeněk), Chem. listy, 1957, 51, № 4, 682—683 (чешск.)

Исследовано равновесие обратимой р-ции $Na_2CO_3 + Ca(OH)_2 \rightleftharpoons 2NaOH + CaCO_3$ при 100° в широком интервале конц-ий Na_2CO_3 и построена кривая конверсии. Расхождение данных различных авторов объяснено, с одной стороны, неточностью определения соды в присутствии NaOH методом Винклера, с другой стороны — свойствами примененной известки. Избыток известки и продолжительность перемешивания не оказывают влияния на конверсию.

V. Růžicka

20906. Кривая конверсии для каустификации карбоната калия. Гоштылек, Долежал (Konversní křivka pro kaustifikaci uhličitanu draselného. Hoštálek Zdeněk, Doležal Dobroslav), Chem. listy, 1957, 51, № 4, 766—768 (чешск.)

Р-ция между K_2CO_3 и $Ca(OH)_2$ протекает и объясняется так же, как аналогичная р-ция $Ca(OH)_2$ с Na_2CO_3 (см. пред. реф.). Авторами построена кривая конверсии для этой р-ции и сопоставлены кривые конверсии для Li_2CO_3 , K_2CO_3 и Na_2CO_3 . Зависимость конверсии от исходной конц-ии оказалась для всех приведенных карбонатов щел. металлов одинаковой.

V. Růžicka

20907. О влиянии ионов меди и алюминия на поведение сурьмы при нейтрализации сернокислых цинковых растворов. Духанкина Л. С., Хан О. А., Тр. Алтайск. горнометаллург. н.-и. ин-та, 1957, 4, 84—88

Исследован процесс осаждения Sb при нейтр-ции сернокислых цинковых р-ров, содержащих ионы Cu и Al .

В. Штерн

20908. Разделение цинка и сульфата аммония в аммиачных растворах. Соболев С. И., Спиридонова В. И., Сб. научн. тр. Гос. н.-и. ин-та цветн. мет., 1957, № 13, 89—101

20909. Гидролиз эфиров, содержащих бор. Джерард (Hydrolysis of esters containing boron. Gerard W.), Chemistry and Industry, 1956, № 1, 25 (англ.)

Автор сравнивает скорость гидролиза эфиров ариборных к-т, BCl_3 и его комплекса с пиридином, триалкилборатов, трифенилбората и его комплекса с пиридином и отмечает, что обнаруженные закономерности нельзя объяснить одной лишь электронной недостаточностью атома B и влиянием на нее других атомов. Следует учесть также возможность стерич. препятствий, которые объясняют, напр., устойчивость к гидролизу триалкилбората, полученного из 1,1,1,3,3,3-гексахлоризопропанола.

И. Слоним

20910. Разложение треххлористого азота в растворе четыреххлористого углерода. Шушунов В. А., Павлова Л. З., Ж. неорган. химии, 1957, 2, № 2, 2272—2274

Измерена скорость и определен порядок р-ции термич. разложения NCl_3 в р-ре CCl_4 . Из температурной зависимости константы скорости вычислена энергия активации, равная 32 ккал. Установлено, что жирные спирты сравнительно легко реагируют с NCl_3 с образованием NH_4Cl , HCl и соответствующего карбонильного соединения.

Резюме авторов

20911 Д. Исследование дегидратации гидроокисей алюминия. Птижан (Contribution à l'étude de la deshydratation des hydroxydes d'aluminium. Petitjean Maro. Thèse. ingr.-doct., Fac. sci. Univ Lyon, 1955, 121 p., ill.) (франц.)

См. также: Элементы и простые в-ва 20438, 20560,

20561, 21968. Строение и св-ва молекул и кристаллов 20354, 20357, 20414, 20442—20444, 20446—20450, 20457, 20465, 21521—21523. Кинетика и механизм неорганич. р-ций 20658, 20666—20670. Комплексные соед. 20349, 20391, 20413, 20415, 20455, 20456, 20756, 20793, 21093, 21094, 21096. Системы: солевые 20621; силикатные 20629. Синтез неорг. соед. 21970, 22006—22009, 22013

КОСМОХИМИЯ. ГЕОХИМИЯ. ГИДРОХИМИЯ

Редакторы Г. Г. Воробьев, М. С. Яншина

20912. Текущие сведения о химическом составе воздуха и осадков. 5. Эгнер, Эрикссон. 6. Брудин. 7. Мертенс, Букьо. 8. Брудин, Рим, Квельмалц, Букьо, Мертенс. 9. Брудин, Королев, Рим, Квельмалц, Букьо, Мертенс (Current data on the chemical composition of air and precipitation. 5. Egnér H., Eriksson E. 6. Brodin G. 7. Mertens A., Bouquiaux J. 8. Brodin G., Riehm H., Quellmalz E., Bouquiaux J., Mertens A. 9. Brodin G., Koroleff F., Riehm H., Quellmalz E., Bouquiaux L., Mertens A.), Tellus, 1955, 7, № 1, 134—139; 1956, 8, № 2, 283—285; № 4, 513—517; 1957, 9, № 1, 140—143; № 2, 250—254 (англ.) Часть 4 см. РЖХим, 1957, 37946.

20913. Критические заметки о некоторых геохимических теориях, относящихся к атмосферному аргону. Полянский (Critical remarks on some geochemical speculations concerning atmospheric argon. Polański A.), Bull. Acad. polon. sci., 1957, Cl. 3, 5, № 5, 545—550 (англ.; рез. русск.)
На основании проведенных расчетов автор утверждает, что оценки возраста Земли (или ее геосфер) по кол-ву атмосферного Ar^{40} , образовавшегося в результате распада K^{40} , крайне ненадежны из-за отсутствия точных данных о кол-ве и распределении K в земной коре и скорости выделения Ar^{40} в атмосферу. А. Чемоданов

20914. Результаты новых исследований химического состава воздуха и атмосферных осадков и их значение для лесоводства. Нейвирт (Ergebnisse neuer luft- und niederschlagschemischer Untersuchungen und ihre Bedeutung für die Forstwirtschaft. Neuwirth R.), Allgem. Forst- und Jagdzeitung, 1957, 128, № 7, 147—150 (нем.; рез. англ.)

Рассмотрены данные о содержании CO_2 в воздухе над Скандинавией в 1955 г. и влиянии на него метеорологич. условий. В связи с проблемой питания растений приведены данные о составе дождей вод по измерениям на 4 станциях в 1955—1956 гг. (в кг/га в год): K_2O 1,83—2,53, Na_2O 4,67—5,45, CaO 11,00—22,10, MgO 1,96—4,82, SO_2 22,82—36,20, Cl 4,95—7,27, N 4,41—6,74. А. Чемоданов

20915. Анализы выпавшего снега. Фурукава (一と雪の雪の中に. 古川巖), 雪氷, Саппё, J. Japan. Soc. Snow and Ice, 1957, 19, № 2, 50—53 (японск.; рез. англ.)

В выпавшем снеге определены Cl , SO_2 , SO_3 , N_2O_5 , NH_3 , Fe и радиоактивность — в связи с загрязнением, поступившими из воздуха и на земле. Г. Воробьев

20916. Распределение обычных элементов. Фостер (The occurrence of the common elements. Foster L. M.), Sci. Counselor, 1956, 19, № 4, 118—120 (англ.)
Излагаются современные представления о распределении элементов в Земле. А. Чемоданов

20917. Формирование Земли из холодного вещества и проблема образования простейших органических

соединений. Левин Б. Ю. В сб.: Возникновение жизни на Земле. Л., АН СССР, 1957, 40—47

Некоторые современные космогонич. гипотезы предполагают образование планет из холодного газопылевого облака, окружавшего Солнце. По гипотезе Шмидта, аккумулятивное пылевой компоненты происходит медленно и при низкой т-ре. Разогрев носит локальный характер. Наряду с тугоплавкими в-вами захватываются и органич. соединения, присутствовавшие в допланетном облаке, которые могли сыграть решающую роль в происхождении нефти и жизни на Земле. Наличие органич. соединений небиогенного характера установлено в межзвездной газопылевой среде, кометах и планетах. В углистых хондритах найдены значительные кол-ва сложных органич. к-т.

И. Задорожний

20918. Успехи геологических наук и расширение базы минерального сырья УССР за 40 лет Советской власти. Бондарчук В. Г. (Успіхи геологічних наук та розширення бази мінеральної сировини Української РСР за сорок років Радянської влади. Бондарчук В. Г.), Геологічний ж., 1957, 17, № 3, 3—22 (укр.)

20919. Развитие геохимической науки на Украине с 1917 по 1957 г. Бурксер Е. С. (Розвиток геохімічної науки на Україні з 1917 по 1957 рік. Бурксер Е. С.), Геологічний ж., 1957, 17, № 3, 23—28 (укр.)
Приведен перечень работ с указанием авторов (но без литературных ссылок) по теоретич. геохимии, геохронологии, пегматитам, осадочным породам и гипергенной миграции хим. элементов, гидрохимии, атмохимии и биогеохимии. Приложена геохим. таблица элементов Украины. Г. Воробьев

20920. Расхождения в металлогенической классификации. Раген (Les convergences dans la classification métallogénique. Raguin E.), Neues Jahrb. Mineral. Abhandl., 1957, 91, № 1-3, 271—277 (франц.)

Рассмотрены случаи расхождения для нескольких типов месторождений и сделан вывод, что эти случаи представляются частыми благодаря тому, что ряд различных изменений стремится к одному и тому же определенному равновесию. Обычные металлогенич. классификации делаются ненадежными, если геологич. эволюция месторождений не может быть уточнена. Л. Афанасьева

20921. Первый вариант параэлементов урана. Уклонский А. С., УзССР Фанлар Акад. докладари, Докл. АН УзССР, 1957, № 8, 13—15 (рез. узб.)

В продолжение предыдущих работ (Докл. АН УзССР, 1952, № 3, 7 и 12; РЖХим, 1955, 18596; 1956, 25443, 50519; 1957, 34172, 34173) автор рассматривает 37 возможных параэлементов урана. Г. Воробьев

20922. К геохимии европия. Фенольо, Ригго (Contributo alla geochimica dell'europio. Fenoglio Massimo, Rigault Germano), Atti Accad. naz. Lincei. Rend. Cl. sci. fis., mat. e natur., 1957, 22, № 4, 420—429 (итал.)

По геохим. поведению TR мало отличаются друг от друга, так как восстановительные потенциалы их 3-валентных ионов колеблются лишь в пределах 1,935—1,430 в. Особняком стоит Eu^{3+} с потенциалом 0,710 в. В восстановительной среде Eu^{3+} при нормальном окислительно-восстановительном потенциале переходит в 2-валентное состояние. Eu^{2+} имеет слишком большой $R_i = 1,24 \text{ \AA}$, чтобы войти как изоморфный компонент в кристаллич. решетки первичных фаз магматич. кристаллизации; поэтому он концентрируется в остаточных р-ров и входит преимущественно в минералы последних геофаз, позволяющие с точки зрения энергетики решетки вхождение ионов подобных размеров. Так как R_i Eu^{2+} близок по размеру к R_i Sr^{2+} (1,27 \AA) и Pb^{2+} (1,32 \AA), то можно предположить, что в ходе геохим. процесса Eu^{2+} следует за Sr и Pb, отделившись от других TR, имеющих более высокую валентность и меньшие R_i . В благоприятных окислительно-восстановительных условиях Eu^{2+} вновь переходит в Eu^{3+} , поведение которого не отличается от других TR. Таким образом, можно найти объяснение известным случаям относительной концентрации Eu в некоторых осадочных образованиях (глинах), метеоритах и звездных атмосферах либо полного отсутствия в минералах, содержащих другие TR.

Н. Халатова

20923. Исследования по геохимическому распространению циркония в литосфере. Дегенхардт (Untersuchungen zur geochemischen Verteilung des Zirkoniums in der Lithosphäre. Degenhardt Heinz), *Geochim. et cosmochim. acta*, 1957, 11, № 4, 279—309 (нем.).

Описан колориметрич. метод определения Zr в силикатах с чувствительностью 2·10⁻⁴%. Средняя абс. ошибка по 2 определениям составляет ±3·10⁻⁴%. С помощью этого метода исследовано 287 минералов и пород. Содержание Zr в минералах колеблется от 1·10⁻⁵ (сильвин) до 0,575% (эгирина). Отмечается его повышенное содержание во всех эгиринах и некоторых других пироксенах, а также в амфиболах, рутиле, титаните, магнетите, ильмените, апатите и касситерите. Пределы содержания Zr в породах и других геологич. образованиях (в %): изверженные — 2,5·10⁻³ (габбро) — 0,107 (пантеллерит), глинистые — 1,3·10⁻³ (галлуазит) — 0,112 (каолинит), минер. вода Бад Пирмонт 2·10⁻⁷, питьевая вода г. Гёттингена 3·10⁻⁷, осадки минер. источников 4,7—5,0·10⁻³, соли 1·10⁻⁵—5·10⁻⁵, угли озолонные 2,3·10⁻³—1,06·10⁻², фосфорит 7,4·10⁻³, осадочные Fe- и Mn-руды 2,4·10⁻³—3,55·10⁻², обломочные породы 1,2—2,5·10⁻³, пелиты 2,5·10⁻³—2,7·10⁻³, псаммиты и псефиты 3,3·10⁻³—5,73·10⁻², карбонатные породы 2·10⁻⁴—4,5·10⁻³, кристаллич. сланцы 1,2·10⁻³—0,25. Из полученных данных вычислены средние значения концентрации Zr в отдельных группах пород (в %): изверженные породы — граниты 1,75·10⁻², гранодиориты и диориты 1,4·10⁻², габбро и анортозиты 1,1·10⁻², сиениты 3,1·10⁻², нефелиновые сиениты 6,8·10⁻², щел. габбро 2·10⁻², пироксениты и перидотиты 4,5·10⁻³, среднее для изверженных пород 1,56·10⁻²; осадочные породы — глины и глинистые сланцы 1,6·10⁻², песчаники 2,2·10⁻², известняки 1,9·10⁻³, доломиты 1,7·10⁻³, среднее для осадочных пород 1,55·10⁻²; среднее для литосферы 1,56·10⁻². В кислых и средних породах Zr присутствует главным образом в виде акцессорного циркония, в основных и ультраосновных породах — входит в состав пироксенов, рудных и некоторых других минералов. Хим. выветривание для Zr, как правило, имеет местное значение, и только незначительная часть его уходит в море. В большей степени растворяются циркониевые силикаты в щелочнокарбонатной воде.

Растворенный Zr не образует вторичных минералов и выпадает вместе с гидроокислами Fe, Mn и Al. В глинах и глинистых сланцах содержание Zr относительно постоянно, а в песчаных породах и особенно в кварцитах подвержено некоторым колебаниям. В известняках он входит в состав солянокислого нерастворимого остатка. Кристаллич. сланцы в этом отношении аналогичны магматич. породам.

В. Воробьева

20924. К вопросу геохимии йода и связи его с эндемией зоба. Платаш, Яровий (До питання геохімії йоду та кореляція ендемії зобу. Платаш І. Т., Яровий В. П.), *Наук. зап. Херсонськ. держ. ун-ту*, 1955, вып. 5, 167—174 (укр.).

20925. К вопросу размещения марганцовых месторождений и рудопроявлений на территории Средней Азии. Чекунов В. С., *Докл. АН ТаджССР*, 1957, № 20, 3—7.

20926. Железные руды Китайской Народной Республики, степень их разведанности, общая характеристика. Бардин И. П., *Изв. АН СССР. Отд. техн. н.*, 1957, № 8, 109—119.

20927. Железорудные проявления западных областей УССР и перспективы их промышленного использования. Лесняк В. Ф., *Доповіді та повідомлення Львівськ. ун-ту*, 1957, вып. 7, ч. 3, 157—161.

20928. Полезные ископаемые Львовской области. Кудрин Л. Н., *Доповіді та повідомлення Львівськ. ун-ту*, 1957, вып. 7, ч. 3, 144—148.

20929. Определение абсолютного возраста горных пород и минералов в СССР. В сб.: *Сообщ. о науч. работах по сейсмол. и физ. недр Земли. М., АН СССР*, 1957, 68—74.

Обзор. Библи. 6 назв.

Р. Хмельницкий

20930. Несколько определений возраста калий-аргонным методом для Западной Канады. Шиллибер, Бериш (Some potassium-argonages for Western Canada. Shillibeer H. A., Burwash R. A.), *Science*, 1956, 123, № 3204, 938—939 (англ.).

Приведены результаты исследования 17 образцов гранитов. Большая часть K в этих образцах относится к полевым шпатам; содержание слюды, как правило, < 5%. Пределы содержания в % (по 16 образцам): Ar^{40} от 2,97—8,23 ($\pm 0,70$)·10⁻⁵, K_2O 3,73—8,17. Отношение $\text{Ar}^{40}:\text{K}^{40}$ 0,075—0,129, возраст от 1180 ± 80 до 1770 ± 120 млн. лет.

Р. Хмельницкий

20931. Об абсолютном геологическом возрасте магнитита с Витоши, определенном гелиевым методом. Иорданов Н., Желев Ж., Митрани Л. *Докл. Болг. АН*, 1957, 10, № 1, 89—92 (рез. англ.).

Исследованы 2 пробы магнетита, найденные в магнититовых жилах близ с. Райко Даскалово, в местности Плочата. Th и U определялись эманационным методом. Не выделялся нагреванием минерала при 1150° в вакууме. Величины содержания: U $6,2 \cdot 10^{-4}$ и $6,5 \cdot 10^{-6}$ г/г, Th $2,8 \cdot 10^{-5}$ и $2,5 \cdot 10^{-5}$ г/г, He $4,24 \cdot 10^{-4}$ и $4,14 \cdot 10^{-5}$ мл/г. Абс. возраст, определенный с учетом поправки для кол-ва диффундирующего He, 25 млн. лет.

Р. Хмельницкий

20932. Сравнение изотопных отношений U^{235} и U^{238} и отношений активностей радия в рудах плато Колорадо. Сенфтел, Стифф, Куттита, Курода (Comparison of the isotopic abundance of U^{235} and U^{238} and the radium activity ratios in Colorado Plateau uranium ores. Senftle F. E., Stieff Loria, Cuttitta Frank, Kuroda P. K.), *Geochim. et cosmochim. acta*, 1957, 11, № 3, 489—493 (англ.).

Исследованы 11 обр. минералов и руд из плато Колорадо и 2 обр. уранинита из Иохимстата и Большого Медвежьего озера (Канада). За исключением одного образца, отношение $\text{U}^{238}:\text{U}^{235}$ постоянно и в пределах ошибки измерения равно среднему значению 137,7. Отношение активности $\text{Ra}^{223}:\text{Ra}^{226}$ меняется в пред-

люх $0,048 \pm 0,002$ и $0,143 \pm 0,0010$, что указывает на наличие изменений в рудах. Однако эти колебания не объясняют расхождения в возрастах, определенных по Rb^{208} ; U^{238} и Rb^{207} ; Rb^{206} методам. Р. Хмельницкий 20933. Измерение и обсуждение относительной пространственности O^{18} и C^{13} в карбонатных породах и минералах. Берчи (Messung und Deutung relativer Häufigkeitsvariationen von O^{18} und C^{13} in Karbonatgesteinen und Mineralien. Baertschi Peter), Schweiz. mineral. und petrogr. Mitt., 1957, 37, № 1, 73—152 (нем.; рез. англ.)

С помощью масс-спектрометрич. анализа CO_2 измерены отношения O^{18} ; O^{16} и C^{13} ; C^{12} в 244 образцах из Европы и других частей света. В качестве стандарта использована CO_2 из чистого белого кальцита (мрамора); величины отклонений стандарта Юри при сравнении с данным стандартом $\delta_o = +1,63\%$; $\delta_c = -2,66\%$. Пределы отклонения от стандарта автора δ_o и δ_c (в %): морские известковые отложения (31 образец) от $-4,5$ до $+1,66$, от $-3,6$ до $5,2$, пресноводные известняки (13 образцов) от $-19,8$ до $+1,6$, от $-18,5$ до $+6,8$, жильные карбонаты (25 образцов) от $-27,0$ до $-3,0$ от $-18,0$ до $-1,4$, интрузивные карбонаты (28 образцов) от $-22,0$ до $-8,3$, от $-10,4$ до $-2,3$, метаморфич. карбонатные породы (158 образцов) от $-22,4$ до $+0,9$; от $-11,0$ до $+1,2$. Т-ра образования морских осадков, определенная по ф-ле $t = 23,9 - 4,8 \delta_o + 0,14 \delta_c^2$, лежит в пределах $8-35^\circ$. Обсуждается связь величин изотопных отношений с условиями образования, диагенезом и метаморфизмом карбонатов. Р. Хмельницкий

20934. Ограниченность радиоуглеродного метода определения возраста. Источники ошибок радиоуглеродного метода. Хердменгер (C^{14} -Altersbestimmung keine Allheilmethode. Beachtliche Fehlerquellen bei Anwendung der Radiokarbon-Methode festgestellt. Herdmenger Johannes), Forsch. und Fortschr., 1957, 31, № 8, 235 (нем.)

Указывается на 2 источника ошибок определения возраста C^{14} -методом, обусловленных наличием объектов с завышенным содержанием изотопа C^{14} и вариациями интенсивности космич. излучения, вызванными изменениями магнитного поля Земли. Величина ошибок второго типа может достигать 1000 лет для объектов 4000-летней давности. И. Задорожний

20935. Свинец в природных образованиях и его изотопный состав. Старик И. Е., Собонович Э. В., Изв. АН СССР. Сер. геол., 1957, № 9, 81—85

Для выяснения возможности фракционирования изотопов Pb применен метод возгонки с дальнейшим масс-спектрометрич. анализом возгонков Pb , полученных при разных т-рах. Исследованы иоаксимская грановая смолка (I), каледонский гранит из Терской А-Тау (II) и наиболее древний гранит из Северной Карелии (III). При возгонке I в токе водорода происходит смещение изотопного состава Pb в сторону относительного повышения содержания радиогенного Pb по мере повышения т-ры. При возгонке III Pb , обогащенный радиогенными изотопами, отгоняется при т-ре 600° . В одном образце II наблюдается заметное изменение в изотопном составе Pb , выделенного в токе водорода и в вакууме, в другом состав практически одинаков. Это различие в поведении Pb следует объяснить различием форм его нахождения в образцах. При разных т-рах преимущественно возгоняются различные формы Pb . В случае I при низких т-рах возгоняется Pb , вероятно, из сульфида. Возгонка Pb из минералов и пород может явиться ценным методом исследования формы нахождения в них Pb и определения возраста. Р. Хмельницкий

20936. Некоторые данные об изотопном составе серы сульфидов. Виноградов А. П., Чупахин М. С.,

Гриненко В. А. Геохимия, 1957, № 3, 183—186 (рез. англ.)

Продолжая работу (РЖХим, 1956, 71463), авторы исследовали изотопный состав серы 37 образцов сульфидов. Пределы отношений S^{32} : S^{34} в сульфидах из магматич. ликвационных месторождений Монче-Тундры и Норильска (15 образцов) 22,178—22,089 (включения сульфидов 22,098, рудные сульфиды 22,130), в нормальных магматич. породах (3 образца) 22,163—22,20, в сере вулканов (9 обр.) 22,184—22,244. Все изученные каменные метеориты (10 обр.) имеют одинаковый изотопный состав серы, идентичный с серой троилита железных метеоритов S^{32} : $S^{34} = 22,20$. Предполагается, что каменные и железные метеориты не подвергались процессам дифференциации. Р. Хмельницкий

20937. Спектроскоп и его применение в геммологии. Часть 36. Андерсон, Пейн (The spectroscopy and its applications to gemmology. Part 36. Anderson B. W., Payne C. J.), Gemmologist, 1956, 25, № 301, 143—144 (англ.)

Рассмотрены спектры поглощения цинковой обманки, содалита, фибролита. Часть 35 см. РЖХим, 1958, 728. Т. Ионас

20938. Применение микрорадиографии для изучения минералов. Джузеппетти, Мольтони (Esempi di applicazione della microradiografia allo studio dei minerali. Giuseppetti G., Moltoni E.), Ind. mineraria, 1957, 8, № 5, 309—319 (итал.)

Излагаются основы метода микрорадиографии применительно к изучению минералов неоднородного строения. Преимущества метода заключаются в его простоте и легкости применения, недостатки — в невозможности разделения полиморфных модификаций минералов, содержащих одни и те же хим. элементы. Метод может служить для дополнения и проверки обычных микроскопич. наблюдений. Н. Халатова

20939. К вопросу о магнитной восприимчивости пород и минералов. Паску (Contribuțiuni la studiul susceptibilității magnetice a rocilor și minereurilor din R. P. R. Pascu Mihail B.), Annarul Com. geol., 1956, 29, 77—124 (рум.)

20940. К вопросу о сжимаемости и термическом расширении минералов. Поваренных А. С., Тр. Минералог. музея, АН СССР, 1957, вып. 8, 85—98

На основании рассмотрения литературных данных установлено, что сжимаемость и объемное термич. расширение ионных и ионно-ковалентных минералов тем меньше, чем выше заряды (валентности) ионов и чем меньше расстояния между ними и меньше так называемая рыхлость структуры. Минералы, содержащие ионы с большими координационными числами, обладают небольшой сжимаемостью и значительным коэф. расширения. Предложены систематические минералов по этим двум параметрам. А. Чемоданов

20941. Устойчивые условия для образования граната и их практическое значение. Су Лян-хэ (蘇良赫), 科學記錄, Кэсюэ цзилу, Sci. Rec., 1957, 1, № 3, 43—48 (русс.)

Рассмотрены литературные данные о закономерностях образования гранатов (Г) в природных и технич. камнях. Из сопоставления минералогич. состава коррозийных огнеупоров сталеплавильных печей, учитывая, что в большинстве метаморфич. пород, в которых Г наиболее широко распространен, отношение $FeO : Fe_2O_3 > 1$, автор приходит к выводу, что решающим фактором, от которого зависят устойчивые условия для образования Г, является не давление, наличие гидротермальных р-ров, диффузия в твердом состоянии или геологич. возраст, а восстановительно-окислительный потенциал. Неудача попыток синтеза Г в прошлом обусловлена окислительными условиями. А. Чемоданов

20942. Исследования антоинита. Ниггли, Егер (Untersuchungen an Anthoinit. Niggli Ernst, Jäger Emilie), Neues Jahrb. Mineral. Abhandl., 1957, 91, № 1-3, 35-40 (нем.)

В дополнение к первым сведениям о новом минерале антоините $\text{Al}(\text{WO}_4)(\text{OH}) \cdot \text{H}_2\text{O}$ (Varlamoff N., Ann. Soc. Géol. Belgique, 1957, 70, B153-B166) авторы приводят результаты спектрального, рентгеновского, дифференциально-термич., электронномикроскопич. и электронно-дифракционного изучения этого минерала. Спектральный анализ, помимо основных компонентов — Al и W, открыл 0,1-1% Mg, Si, Fe, Cu и < 0,1% Ca, Ba, Sr, Cr, Ti, Mn, Pb и Sn. Вычисленные размеры элементарной ячейки: a_0 9,33, b_0 8,17, c_0 13,68 Å, β 95°40'.

Г. Воробьев

20943. К изучению уранового минерала трегерита. Вейсс, Таборский, Хартль, Трёгер (Zur Kenntnis des Uranminerals Trögerit. Weiss A., Taborczyk F., Hartl K., Tröger E.), Z. Naturforsch., 1957, 12b, № 6, 356-358 (нем.)

Исследован образец из Шнееберга, Саксония. Минерал обратимо присоединяет кристаллич. воду. Водн. форма зеленая, безводная канареечно-желтая. Средний хим. состав образца, высушенного при 210° (в %): UO_2 65,17, As_2O_5 22,08, P_2O_5 1,20, CaO 0,65, MgO 0,25, PbO 1,56, Bi_2O_3 8,79, CuO следы, CoO следы, H_2O (210-1000°) 0,16, H_2O (110-210°) 1,71, H_2O (110°) 7,9. Получена кристаллохим. ф-ла и определены величины элементарной ячейки для обеих разновидностей.

Р. Х.

20944. Вулканические породы и тектонические циклы. Уотерс (Volcanic rocks and the tectonic cycle. Waters A. C.), Geol. Soc. America Spec. Paper, 1955, 62, 703-722 (англ.)

Рассмотрены состав и распространение во времени и пространстве вулканич. пород в штатах Вашингтон и Орегон (США) в связи с тектонич. жизнью этой области. Автор считает, что не все вулканич. породы являются производными базальтовой магмы. Большая роль в образовании гранитных и щел. пород отводится процессам глубинного метаморфизма и переплавления осадочных пород в тектогенах.

В. Кудряшова

20945. О кайнозойском магматизме Кавказа и некоторых итогах определения абсолютного возраста кавказских пород К-Аг-методом. Афанасьев Г. Д., Изв. АН СССР. Сер. геол., 1957, № 6, 30-54

В свете общих петрологич. проблем развития магматизма Большого Кавказа рассмотрены интрузивные проявления третичного времени («неограниты»), изучение которых особенно важно для выяснения генетич. связей магматизма и рудообразования. Установлено, что щел. метасоматоз представляет закономерный этап формирования гранитоидных интрузий, связанный с эволюцией развивающегося магматич. очага. По мнению автора, выявленная с помощью Аг-метода разновозрастность отдельных минералов жильных пород массивов, не соответствующая их кажущимся геологич. соотношениям, может быть объяснена двумя причинами: 1) разновременностью образования отдельных минералов (при наложенных метасоматич. процессах) и 2) термально-динамометаморфич. воздействием последующих тектоно-магматич. циклов на уже сформированные породы. Во всех случаях явного воздействия наложенных высокотемпературных процессов слюды и полевые шпаты теряют какую-то часть радиогенного Аг, причем слюды сохраняют Аг в значительно большей степени. Искажения возраста, связанные с наложением влияния магматич. масс новых интрузивных циклов, обычно проявляются в специфич. геологоструктурной обстановке, сопровождаемой и специфич. петрографич. явлениями. В этих условиях Аг-метод, не давая истинного возраста породы, помогает уловить характер происходивших процессов. Л. Афанасьева

20946. Основные черты геологии и петрографии интрузивных пород Рудного Алтая. Чернов В. И., Гаврилова В. Н., Тр. Всес. аэрогеол. треста, 1957, вып. 3, 99-119

Приведены возрастная характеристика, морфология и условия формирования интрузий, петрография и особенности контактовых процессов. Относительная распространенность аксессуарных минералов (в порядке убывания): циркон, гранат, апатит, флюорит (галенит, церуссит, сфен), турмалин, ксенотим, монацит, рутил, ортит (золото, сфалерит, шеелит, анатаз). Относительная распространенность редких элементов по данным 140 спектральных анализов (анализы не приводятся) в Девонском, Змеиногорском и Калбинском комплексах: гранитоиды главной интрузии и фанкизидоконтакта — Cu, Mo, Pb и Zn — нормальная, W и Bi — редкая; гранитоиды дополнительных интрузий — Cu — нормальная, Pb, Zn и Bi — редкая; жилы пегматитов и аплитов — Mo — нормальная, W, Sn, Cu, Pb, Zn, Be и Li — редкая; жилы габбро-диабазов — Cu и Zn — нормальная, Mo, Sn, Co, Ni, Ag и V — редкая; жилы диорит-порфиров — Cu — редкая; жилы фельзитовых гранит-порфиров — Zn — нормальная, Cu и Pb — редкая; габброиды — Cu — частая, Sn и Zn — нормальная, Mo — редкая.

Г. Воробьев

20947. Следы верхнеплиоценового андезитового вулканизма в профиле Паксер. Криван (Felsöpleistocén (rissi) andezitvulkánosság nyomai a paksi szelvényben. Kriván Pál), Földt. közlöny, 1957, 87, № 2, 205-210 (венг.; рез. нем.)

Приведено 2 хим. анализа туфового материала.

Г. Воробьев

20948. Исследование нефтесодержащего риолитового туфа в Речк. Шолтес. Кишш-Кочи-Баньяи (A reeski olajtartalmú riolit-tufa vizsgálata. Soltész Gáspár, Kiss-Kocsisné Bánya Márta), Építanyag, 1957, 9, № 2, 74-76 (венг.)

20949. Богутинский кварцевый диорит. Дудек, Федюк (Bohutinský křemenný diorit. Dušek A., Fedjuk F.), Univ. carolina. Geol., 1956, 2, № 2, 149-160 (чешск.; рез. русск., нем.)

Геолого-петрографич. характеристика с подсчетом минералов в шлифах, вариационными диаграммами минералогич. состава и петрогенетич. выводами.

Г. Воробьев

20950. Щелочные породы Геджалинского хребта Сербской Армении. Баласанян С. И., Научн. тр. Ереванск. ун-т, 1957, 59, 11-123 (рез. арм.)

Приведены минералого-петрографич. характеристика (с подсчетом минералов в шлифах) и результаты 2 хим. анализов — сиенита и щел. сиенита.

Г. Воробьев

20951. Палеогеновая фаза вулканизма в Восточных Карпатах. Мерлич Б. В., Спитковская С. М., Геол. сб. Львовск. геол. о-во при ун-те, 1957, № 4, 171-177

В пределах Внутренней антиклинальной зоны Карпат во флишевых отложениях карпатской свиты зона обнаружены крутопадающие штокообразные тела спилитов. Эти тела являются, по мнению автора, субвулканич. образованиями, эффузивные аналоги которых уничтожены эрозией. Хим. анализ спилита из р-на с. Гаринчева (в %): SiO_2 57,00, Al_2O_3 14,20, Fe_2O_3 8,91, FeO 0,43, TiO_2 3,20, MnO 0,02, CaO 4,09, MgO 0,76, P_2O_5 0,62, K_2O 1,03, Na_2O 5,05, H_2O 0,70, п. п. 3,67, сумма 99,68, что отвечает составу андезит-базальта. Скопления кремней в пестроцветных карпатской свиты зонах и нижнемелитовой свиты нижнего олигоцена, вероятно, являются результатом гидротермальной стадии этой фазы вулканизма.

В. Кудряшова

20952. Лампрофиты Такфона. Данилова А. Д., Докл. АН ТаджССР, 1957, № 20, 15-22

Проведено петрографич. изучение дайковых керсантитов в известково-сланцевой толще силурийского возраста. Минералогич. состав: плагиоклаз (до 60 об. %), биотит, роговая обманка, кварц, К-полевой шпат, апатит, сфен, циркон, магнетит, титаномагнетит, почти во всех образцах — пирротин, халькопирит, пирит, сфалерит, касситерит, спорадически — рутил и ортит. Хорошо выражены вторичные изменения: пелитизация, эпидотизация, хлоритизация и карбонатизация. Пределы хим. состава по трем анализам (в %): SiO_2 50,08—55,52, TiO_2 0,60—0,85, Al_2O_3 13,79—15,53, Fe_2O_3 0,80—1,71, FeO 4,77—5,77, MnO 0,09—0,11, MgO 3,30—7,15, CaO 4,72—6,30, Na_2O 0,44—2,96, K_2O 3,06—4,54, $\text{H}_2\text{O}^{(1050)}$ 0,28—1,00, CO_2 2,1—12,4, SO_3 до 0,02, P_2O_5 0,09—0,36, S (сульф.) 0,05—1,06, п. п. п. 5,12—15,56. Результаты спектрального анализа 20 обр. (в %): Mn $1 \cdot 10^{-3}$ — $1 \cdot 10^{-2}$, Ni $1 \cdot 10^{-4}$ — $1 \cdot 10^{-2}$, Cu $1 \cdot 10^{-3}$ — $1 \cdot 10^{-2}$, Zn $1 \cdot 10^{-4}$ — $1 \cdot 10^{-2}$, Pb $1 \cdot 10^{-4}$ — $1 \cdot 10^{-2}$, Sn $1 \cdot 10^{-4}$ — $1 \cdot 10^{-1}$, V $1 \cdot 10^{-3}$ — $1 \cdot 10^{-2}$, Be до $1 \cdot 10^{-3}$. Керсантиты представлены следующими разновидностями: типичный керсантит, кузельит, ашафтит. В связи с процессом рудообразования на Такфонском месторождении (Таджикская ССР) установлено, что дайки образовались после скарпов, но до кварцево-сульфидных руд. Г. Воробьев

20953. К петрохимии гранитоидов гор Карамазар в Средней Азии. Соустов Н. И., Тр. Ин-та геол. руд. месторожд. петрогр., минералогии и геохимии. АН СССР, 1957, вып. 5, 56—66

Гранитоиды промежуточного состава — кварцевый диорит и граносиенит — слагают крупные батолиты среди осадочных пород девонского и нижнекаменноугольного возраста. На контакте с известняками гранитоиды за счет ассимиляции переходят в щел. сиениты. Обогащение K_2O , CaO , MgO и обеднение SiO_2 и Na_2O говорит о большой глубине этого процесса. Приведено 3 новых хим. анализа названных магматич. пород. В. Кудряшова

20954. О «габбровой полосе» Алмалыкского района (Северо-Западный Карамазар). Покровский А. В. УзССР Фанлар Акад. ахбороти. Геол. фанлари сер., Иав. АН УзССР. Сер. геол., 1957, № 3, 15—25 (рез. урб.)

Приведены геология, петрография и хим. состав (по 7 анализам) сложных дайкообразных гибридных пород типа гранодиорит-порфиров и кварцевых сиенит-диорит-порфиров, известных здесь ранее под названием габбро, диоритов и монзонитов. Г. Воробьев

20955. Петрология и выветривание железистой даймы, графства Боултер и Лаример (Колорадо). Уолстрем (Petrology and weathering of the Iron Dike, Boulder and Larimer counties, Colorado. Wahlstrom Ernest E.), Bull. Geol. Soc. America, 1956, 67, № 2, 147—163 (англ.)

Кайнозойская диабазовая дайка прослеживается с перерывами почти на 60 км в докембрийских гранодиоритах и гнейсах. Минералогич. состав свежего диабазы (об. %): плагиоклаз (лабрадор № 55—60) 49,8, пироксен (авгит) 38,4, титано-магнетит 8,5, кварц 2,3, ортоклаз 1,0 и незначительные кол-ва апатита и биотита. Плагиоклаз в центральной части дайки более богат Na, чем у контакта. В конце раскристаллизации диабазы остаточные р-ры, действуя главным образом на плагиоклаз, привели к образованию хлорита, серицита, кварца и роговой обманки. В процессе выветривания железистые минералы (авгит, хлорит) почти полностью заместились лимонитом; последний был затем перетолжен грунтовыми водами. В связи с этим максим. содержание Fe наблюдается у основания разрушенной породы, более низкое — в трещиноватых участках дайки, а миним. — на поверхности, где выщелачивается Fe вместе с Ca и Mg. Приведены хим. анализы 3 пироксенов, 11 диабазов и 2 гранодиоритов.

Построены различные вариационные диаграммы, отражающие механизм выветривания. Л. Рудовская

20956. Граниты Транкозо (Португалия): изучение микроклинизации. Шермерхорн (The granites of Trancoso (Portugal): a study in microclinalization. Schermerhorn L. J. G.), Amer. J. Sci., 1956, 254, № 6, 329—348 (англ.)

20957. Алюминиевый ферроантофиллит из горной области Китаками, северо-восточная Япония. Сэки, Ямасэки (Aluminian ferroanthophyllite from the Kitakami mountainland, northeastern Japan. Seki Yôtarô, Yamasaki Masao), Amer. Mineralogist, 1957, 42, № 7—8, 506—520 (англ.)

Новая разновидность ромбич. амфибола — алюминиевый ферроантофиллит (Ф), обнаружен в южной части горной области Китаками, в пределах которой широко распространены верхнепалеозойские отложения, интродуцированные в мезозое биотит-рогово-обманковым диоритом. Ореол контактового воздействия этого интрузива имеет ширину до 3—4 км и представлен 4 метаморфич. зонами роговиков: хлорит-серпичитовой, андалузит-биотитовой, кордиерит-альмандиновой и силлиманитовой. Антофиллит и Ф развиты только в роговиках кордиерит-альмандиновой зоны, образованных за счет сланцев и туфов. Парагенезис минералов: андалузит, кордиерит, Ф, железистый гранат, биотит, мушкет, шпинель, плагиоклаз № 37, кварц, магнетит и графит. По данным хим. анализа, роговик необычно богат Fe и Al, что способствовало образованию Ф. Хим. состав последнего (с небольшой примесью тюрингита), в %: SiO_2 37,01, Al_2O_3 19,47, TiO_2 0,45, Fe_2O_3 2,57, FeO 33,51, MnO 2,16, MgO 0,19, CaO 0,03, Na_2O 1,08, K_2O 0,04, H_2O 2,63; H_2O —0,48, F 0,12. Сумма (с поправкой на F) 99,57. Состав близок ф-ле $\text{Fe}_2\text{Al}_2\text{Si}_2\text{Al}_2\text{O}_{22}(\text{OH})_2$. Размеры ячейки: a_0 18,514, b_0 17,945, c_0 5,3155 Å. Оптич. константы: N_p 1,694, N_m 1,740, N_g 1,722, $N_g - N_p = 0,028$; (—); $2V = 82^\circ$; плеохроизм по N_p светло-зеленый, по N_m коричнево-зеленый, по N_g зеленовато-синий. Уд. в. 3,56. Обсуждается круг возможных изоморфных замещений антофиллита. Предполагается, что в Ф имеет место замещение (Mg, Fe)Si на AlAl.

Н. Солодов

20958. Изучение минеральных включений и химических примесей в алмазах уральских и сибирских месторождений. Писемская Е. М., Тр. Н.-и. горно-развед. ин-та «Нигризолото», 1957, вып. 24, 34—35

В алмазах из месторождений СССР были диагностированы сингенетич. включения оливина, хромшпиннелида, граната, пылевидного графита, алмаза, циркона, апатита, рутила и эпигенетич. включения чешуйчатого графита, карбонатов, кварца и гидроокислов Fe. Включения минералов извлекались механически и изучались методами иммерсионных жидкостей и микроскоп. р-ции. В алмазах постоянно отмечаются хим. примеси Mg, Fe, что подтверждает связь их с ультраосновными породами. В. Кудряшова

20959. Изучение морфологических особенностей отечественных алмазов и их промышленная сертификация. Писемская Е. М., Тр. Н.-и. горно-развед. ин-та «Нигризолото», 1957, вып. 22, 23—29

20960. Месторождения и генезис алмазов Центральной Индии. Енсен (Vorkommen und Genesis der Zentral-Indischen Diamanten. Jensen K.-D.), Neues Jahrb. Mineral. Monatsh., 1957, № 3, 49—67 (нем.)

Обнаруженные до настоящего времени в Центральной Индии алмазы являются исключительно россыпными. Их материнские породы следует искать в докембрийской системе Дарвар и, возможно, также в ниже лежащей системе Куданах. Мест-ния алмазов в конгломератах являются вторичными и еще более поздними, доступными для проспекторской оценки. Во

всех разрушенных переотложенных образованиях и в самих исходных породах Бундельканда нельзя ожидать находок алмазов.

20961. Природа идингсита в некоторых базальтовых породах Нью-Мексико. Сунь Мин-шань (The nature of iddingsite in some basaltic rocks of New Mexico. Sun Ming-shan), Amer. Mineralogist, 1957, 42, № 7—8, 525—533 (англ.)

Химическим, рентгеноструктурным и микроскопическими методами изучен идингсит на андезитах и базальтах штата Нью-Мексико и частично в Колорадо. Результаты приближенного хим. анализа (в %): SiO_2 28, TiO_2 0,64, Al_2O_3 4, Fe_2O_3 42, MnO 0,35, MgO 10, CaO 1, P_2O_5 0,32, H_2O^+ 10, H_2O^- 5,84, CO_2 0,1; FeO не обнаружено, Na_2O , K_2O и ZrO_2 не определялись. По частным хим. анализам, содержание SiO_2 может увеличиваться от 21 до 37%, при этом содержание Fe_2O_3 соответственно уменьшается от 22 до 9% и H_2O^+ от 33 до 19%; кол-во MgO изменяется незакономерно. Автор считает, что идингсит скорее является сложным криптокристаллич. продуктом изменения оливина, чем самостоятельным минералом. Изменение оливина является результатом воздействия сильноокисляющих р-ров, содержащих HCl , при высоких т-рах и давлении. Г. Воробьев

20962. О некоторых особенностях пегматитов бассейна реки Такоб (южный склон Гиссарского хребта). Бабаходжаев С. М., Изв. Отд. естеств. наук АН ТаджССР, 1957, вып. 19, 27—35 (рез. тадж.)

20963. К геологии пегматитов нагорья Сангилен (Юго-Восточная Тува). Мартыанов Н. Н., Докл. АН СССР, 1957, 115, № 5, 987—990

Приведено краткое описание пегматитового поля в протерозойских терригенно-карбонатных породах, метаморфизованных гранитной интрузией условно девонского возраста. Граниты характеризуются наличием олигоклаза (№ 25—28) и небольшого кол-ва биотита; акцессорные минералы — апатит, титаномagnetит, циркон, вторичные — серицит, хлорит; в аникальных фациях появляются алмазиды и мусковит; в шлихах — касситерит, швелит, молибденит, фергусонит. По данным хим. и спектральных анализов (анализы не приводятся), граниты содержат (в %): SiO_2 72—76, Fe_2O_3 4—5, CaO 0,6—1,5, MgO 0,4—0,5, K_2O 5—6, Na_2O 1—3, а также Ti, P, Sn, W, Li, B, F, Ga. На контакте с карбонатными породами увеличивается содержание CaO до 3,3%, Na_2O до 3,5%, Ti, P, F и уменьшается содержание SiO_2 до 67% и K_2O до 3,6%. Минералогич. состав пегматитов: 1) в гнейсах и сланцах — микроклин (или ортоклаз), кварц, олигоклаз № 20—25, альбит, биотит, мусковит, перл, алмазиды, редко — апатит, берилл, трифилин, титаномagnetит, пирит, флюорит, циркон, касситерит, колумбит, в зоне окисления — сиклерит, гетерозит и лимонит; 2) в карбонатных породах — плагиоклаз и микроклин на 80—95%, кварц, иногда диопсид, флогопит, корунд, графит. Г. Воробьев

20964. О закономерностях в распределении редких земель в некоторых минералах. Вайнштейн Э. Е., Тугаринов А. И., Туранская Н. В., Геохимия, 1956, № 2, 36—56 (рез. англ.)

Приведены методика и результаты рентгено-спектрального определения TR в 56 обр. монацитов (I), 27 ортитов (II) и 11 ксенотимов (III) из разных стран, 15 обр. концентратов ринколита, ловчоррита, вудъяврита, апатитов, катапелита, паризита и эвдиалита из месторождений СССР (IV), 14 обр. монацитов, ортитов и ксенотимов, взятых из одной пегматитовой жилы (V) в гранитоидах Украинского щита и содержащихся в них акцессорных минералах (VI). В I и II определены величины отношений La, Ce, Pr, Sm, Gd к Nd; в III Lu, Yb, Tu, Ho, Dy, Tb, Gd, Sm, Y к Er; в IV La, Ce, Pr, Sm, Gd, Dy, Er, Yb к Nd; в V

La, Ce, Pr, Sm, Gd к Nd и Y, Sm, Gd, Tb, Dy, Ho, Tu, Yb, Lu к Er; в VI те же, что в IV и в 1 обр. Y/Nd. Дополнительно в некоторых обр. I и II качественно обнаружены: Dy, Er, Ho, Tb, Yb. Содержание TR в IV 3,16—56,28%, в VI до 0,045% в % на породу. Содержание Y в 4 обр. IV 1,85—5,4%. В I и II пегматитового генезиса из некоторых провинций наблюдается относительное обеднение минерала наиболее легкими TR, а в тех же минералах гидротермального происхождения констатируется повышение относительного содержания Ce и La и соответственно уменьшение Sm. Общее содержание TR в породах VI остается практически постоянным и не зависит от возраста интрузий, а также процентного содержания и типа присутствующих в них акцессорных минералов. Наряду с основной массой TR в I или II некоторая часть их (преимущественно иттриевая группа) в породе связана со сфеном, цирконом, гранатами и др. Р. Хмельницкий

20965. Содержание редких щелочей в минералах пегматитовых жил Кольского полуострова по спектральным анализам. Боровик-Романова Т. Ф., Соседко А. Ф. Геохимия, 1957, № 5, 368—370 (рез. англ.)

В р-не г. Лешей в сев. части Кольского п-ва исследовано большое пегматитовое поле. Вмещающие породы — свита кристаллич. сланцев и амфиболит в толще гнейсо-гранитов. Минералы пегматитов: плагиоклаз, микроклин, кварц, турмалин, апатит, сподумен, берилл, танталит, монтебразит, клеверландит, поллуцит, лепидолит, мусковит и другие слюды, рубеллит, симсонит, стибиотанталит и др. В 30 обр. микроклинов, (в том числе 3 из соседнего р-на г. Полмос) содержится (в %): Li $9 \cdot 10^{-5}$ — $2 \cdot 10^{-2}$, Rb 0,09—2,88, Cs $8,5 \cdot 10^{-2}$ — $2,5 \cdot 10^{-1}$. Сравнительные анализы 9 обр. амезонитов из Урала и Восточного Забайкалья показали (в %): Li $7,4 \cdot 10^{-5}$ — $6,1 \cdot 10^{-3}$, Rb 0,11—0,50, Cs $1,4 \cdot 10^{-1}$ — $1,4 \cdot 10^{-2}$. В 10 обр. слюд (мусковит, лепидолит и др.) присутствуют (в %): Li 0,013—2,9, Rb 0,59—1,9, Cs 0,072—0,39. Отмечено, что Rb и Cs накапливаются в более поздних слюдах. Лепидолиты содержат 1,56—2,88% Li, молодые мусковиты $n \cdot 10^{-2}$ % Li, поздние мусковиты до 0,12% Li. Отношения составляют: мусковиты Rb: Li 13—91, Rb: Cs 5,7—10, лепидолиты Rb: Li 0,47—2,9, Rb: Cs 4—5,6. У микроклинов отмечается возрастание кол-ва названных элементов от контакта к центральным частям пегматитовых жил. Подробно описана методика спектрального анализа. Г. Воробьев

20966. Геохимические особенности ловчоррит-ринколитовых пегматитов Хибинского щелочного массива. Слепнев Ю. С. Геохимия, 1957, № 5, 408—416 (рез. англ.)

Приведены полный список минералов (40 названий), средний минералогич. и хим. состав пегматитовых зон ринчорритов и трахитоидных хибинитов, пределы содержания Y_2O_3 , Ce_2O_3 и La_2O_3 в 16 минералах по данным хим. и спектральных анализов и содержания 11 элементов TR в 9 образцах ринколита, ловчоррита и вудъяврита по данным рентгенохим. анализов. Установлено, что TR, Ti, Nb и некоторые другие элементы накапливаются преимущественно в темноватых Ca-содержащих минералах (ловчоррит, лопарит, циррохлор, сфен и др.) на поздних этапах пегматитового процесса. Г. Воробьев

20967. Структурные особенности строения метамиктных ниоботанталатов. Барсанов Г. П., Тр. Минералог. музея. АН СССР, 1957, вып. 8, 3—16

С помощью обычного минералогич. метода исследованы 23 кристаллич. и метамиктных ниоботанталата и 3 метамиктных силиката. Метамиктное превращение первых связано с изменением фазового состояния; полученная фаза по структуре в-ва отвечает колло-

дам. Метамиктный распад в минералах, обладающих различной степенью решеткой, сопровождается агрегатной перегруппировкой в-ва. Перешедшее в аморфную фазу оно может образовать автопсевдоморфозы: 1) по кристаллу, сохранившему видимые структурные элементы кристаллич. решетки; 2) с наделом разрушенными структурными элементами решетки и 3) частичной или полной перегруппировкой аморфного агрегата, давшей коллоидальные структуры. Любое зерно или кристалл иноботантата представляют собой сложную систему с широкой возможностью колебаний в составе.

Р. Хмельницкий

20968. О происхождении окислов титана, наблюдаемых в метамиктных бетафитах и эксенитах, перекристаллизованных под термическим воздействием. Орсель, Фокье (Sur l'origine des oxydes de titane observés dans les bétafites et les euxénites métamictes et recristallisés sous l'action de la chaleur. Orsel Jean, Fauquier Daniel), C. r. Acad. sci., 1957, 245, № 6, 701—703 (франц.)

Произведено рентгенографич. исследование образцов бетафита из Мадагаскара, предварительно подвергнутых продолжительному нагреванию при 100, 300, 600, 720, 1000° и при т-ре плавления (1350±20°). Линии анатаза (А) на рентгенограммах присутствуют до 600°. При 720° отчетливо появляются все линии рутила (Р) и продолжает существовать главная линия А (3,51 А). При 1000° эта линия исчезает, а все линии Р остаются. Два кристалла А из Бразилии были подвергнуты термич. обработке последовательно при 650 (23 часа), 710 и 920°. В первых двух случаях наблюдаются только отчетливые линии А. При 900° все они исчезают, за исключением сильно ослабленной главной линии, которая полностью исчезает при 1000°. Однако на термограммах не обнаружено какой-либо аномалии, соответствующей переходу А→Р. На основании этого сделан вывод, что Р возникает в ходе перекристаллизации бетафита, а не в результате изменения А. Последний является одним из продуктов разложения бетафита и эксенита. Л. Афанасьева

20969. Геология и металлогения Коммунарского-Балахнинского золоторудного района на восточном склоне Кузнецкого Алатау. Фогельман Н. А., Шабаловский А. Е., Тр. Н.-и. горноразвед. ин-та «Нигризолото», 1957, вып. 24, 24—33

20970. Исследование золотосодержащей руды. Зелев В. И., Юрченко А. В., Тр. Н.-и. горноразвед. ин-та «Нигризолото», 1957, вып. 24, 130—140

20971. Некоторые закономерности распределения полиметаллических месторождений Рудного Алтая. Горжевский Д. П., Яковлев Г. Ф., Тр. Всес. аргентол. треста, 1957, вып. 3, 142—161

20972. О присутствии эвлитита и миксита в висутом оруденении пика Костабон (Восточные Пиренеи). Гитар, Пьерро (Sur la présence d'eulytite et de mixite dans la minéralisation bismuthifère du Pic de Costabonne (Pyrénées-Orientales). Guitard G., Pierrot R.), Bull. Soc. franç. mineral. et cristallogr., 1957, 80, № 4—6, 229—231 (франц.)

Обнаружено несколько проявлений В-оруденения в тактатах и кварцевых жилах. В первых оруденениях представлено шеелитом с пиритом, халькопиритом, сфалеритом, висутом, молибденитом. В кварцевой жиле в кровле тактата найдены различные висутовые минералы и среди них миксит ($\text{Cu}_{11}\text{Bi}(\text{AsO}_4)_6(\text{OH})_{10}\text{H}_2\text{O}$) и эвлитит ($\text{BiSi}_2\text{O}_{12}$), идентифицированные с помощью микрохим. и рентгеноструктурного методов. Л. Афанасьева

20973. Проявления флюоритовой минерализации в Виссекском районе хребта Кара-тау. Хетагуров Г. В., Сб. научн. тр. Северо-Кавказск. горно-металлур. ин-та, 1957, вып. 14, 39—41

20974. Геологические поисковые критерии на сурьму и ртуть в Центральном Таджикистане. Мисников К. П., Изв. Отд. естеств. наук АН ТаджССР, 1957, вып. 19, 37—55 (рез. тадж.)

Рассмотрены тектоно-структурная схема региона, геология и генезис Sb- и Hg-месторождений, геолого-структурный контроль, характер благоприятных локальных структур, закономерности в распределении оруденения и благоприятные условия локализации, связь оруденения с магматич. очагом, некоторые физ.-хим. условия рудоотложения, возраст руд и некоторые геологич. поисковые критерии на Sb и Hg. Г. Воробьев

20975. Минералогия золотого рудника Джамант Йеллоунаиф (Йеллоунаиф, Северо-западные территории). Колман (Mineralogy of the Giant Yellowknife Gold Mine, Yellowknife, N. W. T. Coleman Leslie C.), Econ. Geol., 1957, 52, № 4, 400—425 (англ.)

Рудник расположен к северу от Большого Медвежьего озера (Канада). Оруденение приурочено к зоне разлома; минералы осадились из гидротермальных р-ров или образовались в результате взаимодействия р-ров с первичными минералами. Четко выраженной вертикальной зональности не наблюдается. Отмечено 3 периода минералообразования: 1) пирит и арсенопирит; 2) сфалерит, халькопирит и пирротин; 3) галенит, стибнит, герсдорфит, ульманнит, гудмундит, марказит, сфалерит, пирротин, халькопирит, буланжерит, менегинит, джемсонит, халькостибит, бурнонит, тетраэдрит, бертьерит, самородный свинец и самородная сурьма. От 1-го к 3-му периоду т-ра снижалась с 500 до 350° и соответственно упало давление. Основная часть золота приурочена к арсенопириту, меньшая часть — к пириту, жильным минералам и более молодым сульфидам. В результате р-ции Sb-содержащих р-ров с золотом образовался ауристит. Г. Воробьев

20976. Минералогическое описание свинцово-серебряного месторождения Кан-и-Мансур. Арбузова С. К., Изв. Отд. естеств. наук АН ТаджССР, 1957, вып. 19, 7—17 (рез. тадж.)

Кратко описаны с приведением спектральных анализов следующие минералы: гипогенные — галенит (сильные — следы Fe, Cu, Zn, до сильных As, Ag, средние — следы Mg; Al, Si, Ca, Sr, Ba, Ti, Sb, Bi, слабые — следы Mn, до слабых Mo, следы Be, до следов Cr, Ga, Cd, Sn), сфалерит (сильные Pb, средние Fe, Cd, слабые Cu, слабые — следы Mg, Al, Si, Ca, Ba, следы La, Ga, Mo, Ag), пирит (средние Ti, слабые Mg, Al, Si, Ba), халькопирит, борнит, арсенопирит, висмутин, блеклая руда (теннантит и тетраэдрит?), аргентит, гематит (сильные — слабые Si, слабые — следы Mg, Ba, до слабых Ti, Mn, Ag, Sn), кварц (сильные Al, слабые — следы Mg, следы Ca, Ti, Pb, до следов Zn, Cd), барит (сильные — средние Al, Si, средние — следы Mg, слабые Sr, до следов Ca, Ti, V, Mn, Fe, Ag, Ca, In, Sn, Sb, Hf, Pb), флюорит зеленый (до средних B, слабые — следы Mg, Al, Si, V, следы J, Zr, до следов Cr, Fe, Co, Cd, La), флюорит фиолетовый (средние Si, слабые Be, слабые — следы Mg, Al, следы Mn, Fe, Cu, Sr, Pb, до следов Ti), кальцит, халцедон; гипергенные — церуссит (слабые Fe, следы Mg, Al, Si, Ca, Sr, Ba, Ti, Cu, Zn, Mo, Ag, Bi), англезит, окислы свинца, смитсонит, серебро самородное, ковеллин, халькозин, куприт, малахит, азурит, хризокolla, каолинит, ярозит, аллофанонид, пиккерингит (сильные Al, до сильных B, средние Si, слабые Mg, следы Ti, Mn, Fe, Cu, до следов Ga, Ag, Pb), галит, гипс, лимонит, гётит, пиролюзит, псиломелан. Отмечается 7 этапов минералообразования: 1) кварцевые, гематитовые и кварц-гематитовые жилы, 2) баритовые жилы, 3) флюоритовые жилы, 4) кварцевые жилы, 5) отложение сульфидов (пирит,

сфалерит, халькопирит, борнит с гематитом, 6) гематитовые жилы с блеклой рудой и галенитом, 7) кальцитовые жилы.

Г. Воробьев
20977. Некоторые вопросы минералообразования на месторождении Уч-Кадо (Гиссарский хребет). Мадалиев Н., Изв. Отд. естеств. наук АН ТаджССР, 1957, вып. 19, 19—25 (рез. тадж.).

Месторождение сурьмяно-ртутных руд находится в среднепалеозойских сланцах и мраморизованных известняках на северном склоне Гиссарского хребта. Порядок выделения минералов в жилах: I фаза: кварц I (345—320°), халькопирит, пирит I (260—200°), арсенопирит; II фаза: 1-я стадия — пирит II, кварц II (345—310°), антимонит I (160—130°); 2-я стадия — антимонит II (110—80°); 3-я стадия — кварц III (345—310°), кальцит (250—200°), пирит III (200—100°), киноварь (45—35°); III фаза: кварц IV (380—345°), блеклые руды (260—265°) буланжерит (250—210°), галенит (245—210°), сфалерит (225—200°). Автор приходит к выводу, что локализация рудовосных р-ров происходила частично от тектонич. пульсаций и частично путем выпадения минер. агрегатов из одного р-ра в различные стадии одной фазы тектонич. процесса.

Г. Воробьев
20978. Закономерности в формировании ртутного оруденения Вышковского района (Закарпатье). Мерлич Б. В., Геол. сб. Львовск. геол. о-ва при ун-те, 1957, № 4, 89—106

В геологич. строении района принимают участие осадочно-туфогенные породы тортона, нижнего сармата и нижнего палеогена, прорванные многочисленными гипабиссальными интрузивами гранодиорит-порфиров, диорит-порфиров и кварцевых габбро-диабазов. Рудопроявление приурочено к тектонически нарушенным приконтактовым зонам интрузивов, туфов и серицитизированных аргиллитов. Выделены 2 этапа гидротермальной деятельности: 1) широко развитое изменение интрузивных пород; 2) в высокотемпературную стадию (от 200—300° до 60—75°) — образование Pb—Zn руд (кварц, пирротин, пирит, халькопирит, сфалерит, галенит, тетраэдрит, анкерит горный хрусталь, кальцит и барит), с процессами березитизации; во вторую стадию (120—60°) метациннабарит, марказит, горный хрусталь, халцедон, кальцит, сидерит, артинит, анкерит, барит, антимонит и киноварь, с процессами аргиллизации и карбонизации. По данным спектральных анализов руды и породы содержат (в %): Ga $n \cdot 10^{-4}$ — $n \cdot 10^{-3}$, Sr $n \cdot 10^{-5}$ — $n \cdot 10^{-2}$, Mo $n \cdot 10^{-4}$ — $n \cdot 10^{-2}$, V $n \cdot 10^{-3}$ — $n \cdot 10^{-2}$, Sn и Co до $n \cdot 10^{-3}$, As, Li, Zr и Cr до $n \cdot 10^{-2}$.

Л. Флерова
20979. О колломорфных рудах месторождения Дарайсо (Таджикская ССР). Арбузова С. К., Докл. АН ТаджССР, 1957, № 20, 33—36

Описаны колломорфные структуры галенита, сфалерита и марказита. Месторождение приурочено к альпийскому разлому в породах неогенового возраста. Другие гипогенные минералы: пирит и реальгар с примесями вюртцита, аурипигмента, блеклой руды, халькопирита и борнита; жильные минералы — кальцит, арагонит и целестин; в зоне окисления — церуссит, гринокит, гипс, реже малахит, азурит, хризокolla, нонтронит, самородная сера и др.

Г. Воробьев
20980. К вопросу о происхождении сульфидных никелевых руд. Бирюков В. И., Зап. Всес. минералог. о-ва, 1956, 85, № 3, 333—343

Приведены эксперим. данные о растворимости FeS, NiS₂, NiS₃, Fe₂S₃, Fe₇S₈, Fe₉S₁₀, FeS·NiS₂, FeS·NiS₃ в воде при 25, 100, 200, 300 и 440° и pH 3, 5, 7, 9 и 11. С помощью известных термодинамич. соотношений и с учетом диссоциации H₂S произведена экстраполяция этих значений и выведены расчетные ф-лы растворимости сульфидов. Полученные эксперим. и теоретич.

данные в связи с геологич. наблюдениями приводят к выводу, что нахождение значительных скоплений богатых сульфидных Ni-руд должно связываться с наличием резкой дифференциации магмы, поскольку жильные рудные тела не сингенетичны с телами радиосных интрузий. Значительные скопления богатых сульфидных никелевых руд могут находиться на некотором расстоянии от больших масс рудонесущих интрузий, залегающих во вмещающих породах. Гидротермальные изменения вмещающих пород в некоторых случаях могут служить поисковыми признаками медно-никелевых руд.

Р. Хмельницкий
20981. Минеральные месторождения Серкапуку (деп. Хуни) и перуанский минерал брукит. Миранда (El yacimiento mineral de Cersapucio (Junin) y la brunkita, mineral peruano. Miranda V. L. Aurelio), Bol. Soc. geol. Peru, 1956, 30, 243—252 (исп.)

Приведены геология, условия нахождения и результаты спектроскопич. и электронно-микроскопич. исследования брукита. Состав (в %): Pb, Mn, Fe и Bi $n \cdot 10^{-1}$ — $n \cdot 10^{-2}$, Zn, Al, Ca и Mg $n \cdot 10^{-1}$ — $n \cdot 10^{-2}$, Sb и P $n \cdot 10^{-1}$ — $n \cdot 10^{-2}$, Cu, Cd, Ba, Ga, K, Na и Ti $n \cdot 10^{-2}$ — $n \cdot 10^{-3}$, W $n \cdot 10^{-2}$ — $n \cdot 10^{-3}$, Bi, B и Ag $n \cdot 10^{-1}$ — $n \cdot 10^{-4}$, As и Hg $n \cdot 10^{-3}$ — $n \cdot 10^{-4}$, Cr, и Sn $n \cdot 10^{-4}$ — $n \cdot 10^{-5}$, Ni и V $n \cdot 10^{-5}$ — $n \cdot 10^{-6}$. Происхождение коллоидальное. Ассоциирующие минералы: галенит, пирит, лимонит, борнит, халькопирит и гематит.

Г. Воробьев
20982. Докембрийское эндогенное оруденение и его значение для решения вопросов металлогении. Ивантшин М. М. (Докембрийское эндогенное оруденение та його значення для розв'язання питань металлогенії. Івантшин М. М.), Геологічний ж. 1957, 17, № 2, 21—37

Отмечено, что докембрийская эндогенная минерализация отличается наиболее высокими конц-ями Pb, U, Au, Ni, Co, Fe, Ti, V, Cr, Cu. Месторождения Cr, Pb, Ni и Co связаны с ультраосновными породами протерозоя, а месторождения монокитов — с кислыми интрузивами — чарнокитами архея. Высказано предположение, что вынос огромных масс радиоактивных элементов в протерозое является причиной меньшего значения вертикального потока тепла в настоящее время по сравнению с общим кол-вом тепла, излучаемого радиоэлементами в приповерхностных горизонтах Земли. Формирование рудных месторождений происходило в 2 этапа. I этап — первичная ионная миграция в подкорковые участки геосинклинальных зон. Переход элементов, у которых электроны под влиянием высокого давления находились на внутренних уровнях энергии, в зоны с нормальным давлением и химизмом сопровождается выделением огромного кол-ва тепла, способствовавшего магнеообразованию. II этап — вынос элементов в приповерхностные горизонты в процессе магматич. деятельности и образование самих месторождений.

Л. Флерова
20983. Об условиях локализации никель-кобальтовых арсенидных руд в карбонатных жилах среди скарнов. Онтоев Д. О. Изв. АН СССР. Сер. геол., 1957, № 9, 49—53

Жильное оруденение локализовано в пределах скарновой зоны пород верхнего силура. Жилы сложены карбонатами (кальцит, анкерит) и арсенидами Ni и Co (никелин, раммельсбергит, шмальтин-хлорантит, скуттерудит и сафлорит); второстепенные минералы: сульфиды полиметаллов и самородный висмут. Промышленные скопления арсенидов приурочены только к зоне скарнов. При переходе жил из скарнов на глубину и по восстановлению они становятся совершенно бедными. В скарнах наблюдается интенсивные окислительные изменения — замещение минералов анкеритом.

приводит
плений бо-
гся с на-
поскольку
с телами
ления бо-
находится
с рудное
дах. Гидро-
некоторые
таками на
ельничий
Серкапуку
икит. Ма-
eersapiquo
Miranda
1956, 30

и резуль-
тич. иссле-
Fe и Si
, Sb и P
п. 10^{-2} -
п. 10^{-3} -
Cr, и Sn
Происхож-
ералы: га-
и гематит.
Воробье-
ные и его
аллогены.
эндогенные
на питаю-
гичный ж.

минераль-
-иями Th,
ния Sr, Rb,
ами проте-
-ими интруз-
-еднолюте-
-их элемен-
-его значе-
-е время до
-ого радио-
-их Земли.
-сходило в
-ия в под-
-реход эле-
-высокого
-х энергии
-ом сопро-
-ны, способ-
-ынос зам-
-процессе
-их место-
-И. Флеров
-бальтов
-еди скал-
-еол., 1957

елах скар-
сложени
ами Ni
-хлоанту,
минералы
мут. Про-
ны только
ов на глу-
ленно без-
ые около
в анкер

том, хлоритом, кварцем, альбитом и гастингситом. Процессы окolloжильных изменений и отложения рудных минералов близки по времени и связаны с одними и теми же р-рами. Тесный парагенезис арсенидов Co и Ni с карбонатами указывает, что основная масса Co и Ni привнеслась р-рами в форме бикарбонатных и комплексных бикарбонатных соединений. As переносился, вероятно, в газообразной форме H_3As . Хим. взаимодействия между этими соединениями привело к выпадению из р-ров труднорастворимых арсенидов Co и Ni.

1984. Кобейт из района р. Паринга, Южный Уэст-
ланд, Новая Зеландия. Хаттон (Kobeite from Pa-
ringa River, South Westland, New Zealand. Hutton
C. Osborne), Amer. Mineralogist, 1957, 42, № 5-6,
342-353 (англ.)

Метамиктный танталоникоботитанат, по всем признакам отвечающий кобейту, обнаружен в виде темно-коричневых призматич. кристаллов в гальках писчего гранита. Качественно установлено присутствие TR , Ta , Nb , Ti , а также Al , U , Th и H_2O . Определены простейшие физ. свойства и оптич. константы, проведены хим. испытания, получена рентгенограмма.

1965. О коллоидных агрегатах цинкита, образовавшихся из газовой фазы. Сняжков В. И., Зап. Всес. минералог. о-ва, 1957, 86, № 4, 511—514

Проведено минералогич., хим. и рентгенометрич. изучение коллоидоморфного цинкита из настелей газоотводящей доменной печи Кузнецкого металлургич. комбината. Состав из разных мест настели (в %): ZnO 84,5—88,64, Zn 1,03—1,22, SiO_2 1,78—2,73, Al_2O_3 1,23—1,50, FeO 3,0—7,10, MgO 0,25—0,42, CaO 1,19—2,76, MnO 0,10—0,20, P_2O_5 0,03—0,04, ΣC 1,36—2,19, S 0,52—0,88. Поскольку возможно образование коллоидоморфных структур минералов из газовой дисперсной фазы, присутствие их в рудах нельзя рассматривать как доказательство низкотемпературности и возникновения из газоводой. А. Чемоданов

1966. Минералогия уранового рудника Лон-Игл в районе батолита Боулдер, Монтана. Райт, Шульц (Mineralogy of the Lone Eagle uranium-bearing mine in the Boulder batholith, Montana. Wright H. D., Shulhof W. P.), Econ. Geol., 1957, 52, № 2, 115—131 (англ.).

1957. Об условиях образования эндогенного Ашари
та. Барсуков В. Л., Курильчикова Г. Е. Гео-
химия 1957, № 4, 342—349 (рез. англ.)

На контактово-метасоматич. железорудном месторождении Таежное (Южная Якутия) авторы наблюдают процесс разложения первичного боратного минерала людвигита и замещение его ашаритом и магнетитом. Сделано предположение, что под действием углекислых вод в некотором интервале t -р должно происходить разрушение людвигита и образование ашарита. Разложение людвигита и синтезирование ашарита воспроизведено в автоклаве в слабом щелочном-карбонатном p -ре при давл. 120 атм и t -ре 160°. Приведены дубаграммы природного и синтезированного ашарита. И. Задорожних

1958. Петровская графитоносная свита. Семенов М. П., Жуков Г. В. (Петрівська графітоносна свита. Семененко М. П., Жуков Г. В.), Геологічний ж. 1957. 17. № 3. 48—57 (укр.; рез. русск.)

Железистый алабадин — замечательный природный высокотемпературный смешанный кристалл. Рамдо Рамдо (Eisenalabandin, ein merkwürdiger natürlicher Hochtemperatur — Mischkristall. Ramdoh Paul), Neues Jahrb. Mineral. Abhandl., 1957, 9 № 1—3, 89—93 (нем.).

Описан алабандин с высоким (~50%) содержанием Fe из каменоломни Фоберг [Германия]. Ассоциируемые минералы: магнетит, халькопирит и небольшие

кол-ва сфалерита; в отдельных пробах обнаружены ильменит и рутил. Породообразующие минералы: сапидин, пироксен, волластонит, плагиоклаз, апатит, меланит, продукты разложения нефелина, часто необычно большое кол-во титанита. Описаны простейшие физ. свойства алабандина. Предполагается, что он возник в результате растворения FeS в MnS при метаморфизме сернистых руд, содержащих Mn -карбонаты.

20990. Основные представления Б. Б. Польнова о геохимии ландшафта. Парфенова Е. И., Почвоведение, 1957, № 9, 33—36

20991. Исправление к статье: Де-Вор «Химия поверхностных явлений в качестве химического контроля минеральных ассоциаций» (Errata. De Vore George W.), J. Geol., 1958, 64, № 3, 341 (англ.) К РЖХим. 1957. 51051.

20992. Концентрация урана в осадочных породах путем многократной миграции — аккреции. Грунер (Concentration of uranium in sediments by multiple migration — accretion. Gruner John W.), Econ. Geol., 1956, 51, № 6, 495—520 (англ.)

Автор выдвигает следующую гипотезу образования урановых месторождений в осадочных породах. У привносится гидротермальными р-рами и рассеивается в осадочных породах, а меньшая часть его осажается в жилах. В условиях полупустынного климата он выщелачивается из континентальных осадочных пород грунтовыми водами, содержащими CO_2 и бикарбонаты Ca , Mg , Na . Последние образуют с U комплексное соединение с устойчивым ионом $[\text{UO}_2(\text{CO}_3)_2]^{4-}$, что доказано автором экспериментально. Грунтовые воды могут переносить U на большие расстояния в нейтральной среде до тех пор, пока не будут встречены условия способствующие осаждению металла в виде «черных руд». Если ураноносные р-ры достигают поверхности трикарбонатный комплекс разрушается, и металл осажается в виде ураниловых минералов, снова выщелачивающихся теми же процессами. Формирование крупных месторождений U происходит путем неоднократного повторения цикла: окисление — растворение — миграция — аккреция. Этому принципу подчиняются урановые месторождения в осадочных породах независимо от их возраста и в том числе месторождения западных штатов США. И. Липов

20993. Геохимия месторождений калийных солей
Валашко М. Г. В сб.: Вопр. геол. агроп. руд. М.
АН СССР. 1956. 182—207

Изучение процесса кристаллизации калийных солей показало, что при сгущении океанич. воды, являющей-ся источником большинства крупных соляных месторождений, она характеризуется особой «солнечной» категорией метастабильных равновесий (Н. С. Курников и В. И. Николаев), тогда как категория стабильных равновесий, изученная детально Вант-Гоффом, вступает в свои права лишь при процессах диагенеза. Построенная «солнечная» хим. диаграмма позволила определить природный процесс кристаллизации (Н. С. Курников) калийных солей. В дальнейшем эта диаграмма была уточнена в отношении положения линии К силвина, а также ограниченной области выделения полигалита, что дает возможность составить нормальную колонку полного цикла солей, отлагающихся при испарении океанич. воды. Положение фигуративной точки состава солей на диаграмме дает возможность установить условия образования калийных пород, т. е. судить о составе воды бассейна, из которого происходила К. При рассмотрении физ. стороны процесса исключительно важным является то обстоятельство, что к моменту начала К объемы маточного рассола и выделившихся из него солей уравниваются и весь маточный рассол скрывается между кристаллами соли; солеродный бл.

сейн превращается, таким образом, в «сухое озеро», где не может образоваться нормальная залежь. Возможность образования такой залежи появляется только в случае интенсивного прогиба некоторого участка бассейна, где будут скопиться рассолы в кол-ве, достаточном для выделения калийных солей и их сохранения. С движениями поверхности связана также многоярусность калийных месторождений. Отмечается роль вертикальных движений территории бассейна в переотложении калийных залежей и роль хлорбромного коэф. в определении их положения. Л. Листова

20994. Генетические особенности месторождений типа медистых песчанников по результатам изучения минералогического состава руд. Сатпаева Т. А. Изв. АН КазССР, Сер. геол., 1957, вып. 1 (26), 3—24 (рез. каз.)

По генетич. особенностям месторождения медистых песчанников могут быть осадочными и гидротермальными. К 1-й группе отнесены месторождения Западного Приуралья, Донбасса, Атабасарско-Терсакканской группы, района рек Лены и Наукат. Они характеризуются рассеянным оруденением в алевролитах, аргиллитах, мергелях, доломитах и известняках на огромных площадях, не контролируемых тектонич. явлениями. Руды убогие, мономинеральные (пирит или халькозин), не дающие промышленных скопления. Месторождение 2-й группы: Джесказган, Мангышлак, Успенское, Минусинское. Оруденение приурочено к песчанникам, туфопесчанникам, конгломератам и тесно связано с резко выраженной тектоникой. Рудные залежи четко ограничены и имеют большие размеры. Состав руд разнообразный. Широко развита жильная минерализация с проявлением высокотемпературных минералов. Кроме основных рудных металлов полиметаллич. группы, а также Co и Ni, постоянно отмечаются редкие и рассеянные элементы. Эти месторождения имеют крупные промышленные значения. Генезис их, по мнению автора, эпигенетическо-гидротермальный. В. Кудряшова

20995. Лучшие залежи руд КМА, [Курская Магнитная Аномалия], приуроченные к древнему матерiku юго-западной части Воронежского кристаллического массива. Дубянский О. А. (Найкращі поклади багатих руд КМА, приурочені до найдавнішого материка південно-західної частини Воронезького кристалічного масиву. Дубянський О. А.), Геологічний ж., 1957, 17, № 3, 70—81 (укр.; рез. русск.)

20996. О присутствии хунтита в гроте департамента Эро (Ла-Кламуз). Барон, Кайер, Лагранж, Побеген (Sur la présence de huntite dans une grotte de l'Hérault (la Clamouse). Baron Guy, Cailière Simonne, Lagrange Raymonde, Robeguin Thérèse), C. r. Acad. sci., 1957, 245, № 1, 92—94 (франц.)

Приведены результаты изучения «горного молока» из грота департамента Эро (Франция). По данным спектрального анализа, наряду с Mg (главный компонент) присутствуют Ca, Si $n \cdot 10^{-3}$ — $3 \cdot 10^{-2}\%$, а также Al, Mn, Fe и Na $n \cdot 10^{-4}$ — $n \cdot 10^{-3}\%$. Найденные рентгенографически межплоскостные расстояния соответствуют хунтиту — безводн. кальциево-магниево-карбонату — $Mg_2Ca(CO_3)_4$. На рентгенограмме прокаленного минерала наблюдаются только линии окислов Ca и Mg. Для ИК-спектра характерно присутствие линий 867 и 892 и обилие линий в области 1400—1560 cm^{-1} . На дифференциальной кривой нагревания наблюдаются 2 эндотермич. перехода, при 480 и 870°. По данным хим. анализа, в очищ. продукте содержится (%): SiO_2 2,1, Fe_2O_3 0,4, CaO 16,4, MgO 33,3, H_2O-2 , CO_2 46. При этом 34,5% CO_2 выделяются при 400—650° в результате диссоциации карбоната Mg, а 11,5% — при 650—775°, что соответствует разложению карбоната

Ca. Таким образом, исследованный продукт состоит на 94,2% из хунтита. Л. Афанасьев

20997. О рентгеновском изучении минералогического состава некоторых бокситовых отложений Британской Гвианы. Бриндл, Саттон (An X-ray mineralogical study of some British Guiana bauxite deposits. Brindley G. W., Sutton Willard H.), Econ. Geol., 1957, 52, № 4, 391—399 (англ.)

По данным рентгеноструктурного анализа, главными минералами бокситов 4 месторождений являются: гиббсит и каолинит, в меньшем кол-ве присутствуют апатаз, бёмит, гётит и гематит, спорадически встречаются кварц и слюда. Розовато-бурая окраска бокситов обусловлена присутствием гётита, гематита или одного из этих минералов. В светлых разностях преобладают гиббсит и каолинит. Г. Воробьев

20998. Новые алюмосодержащие минералы бокситов. Бенеславский С. И., Докл. АН СССР, 1957, 113, № 5, 1130—1132

Продолжая работу, опубликованную ранее (РЖХим, 1956, 25460), автор исследовал 2 обр. енисейских бокситов, из которых глинозем полностью не извлекается (I), в 2 обр. высокожелезистых енисейских бокситов (II), а также диаспор (III) и бёмит (IV) из североуральских и гиббсит (V) из енисейских бокситов. Хим. состав (в %): SiO_2 I 7,9; 8,4, II 5,8; 4,8, III 0,04, IV 1,81, V 0,28; Al_2O_3 I 39,21; 32,02, II 15,3; 14,8, III 81,8, IV 73,9, V 65,21; Fe_2O_3 I 23,2; 35,2, II 66,65; 67,19, III 3,1, IV 4,4, V 0,98; TiO_2 I 5,4; 2,5, II 1,7; 1,7, III 0,3, IV 1,85, V 0,25; п. п. п. I 22,5; 20,2, II 9,8; 10,3, III 15,12, IV 16,05, V 33,08. Нерастворимые остатки I (гётит и гематит) исследовались микроскопич., хим. и рентгеноскопич. методами. На основании полученных данных сделан вывод, что Al_2O_3 в гётите, гематите и магнетите является твердым р-ром. Алюмосодержащие минералы окиси и гидроокиси Fe предлагается называть алюмогётитом, алюмогематитом и т. д. Постоянное присутствие окиси Fe в составе III, IV и V свидетельствует о наличии других твердых р-ров Fe_2O_3 в Al_2O_3 и H_2O . Твердые р-ры, видимо, характерны для большинства минералов, образующих бокситы и осадочные железные руды. Р. Хмельницкий

20999. Фосфориты Пеншовых гор около Сандомира (Свенто-Кишинские горы). Шиманская (Fosforyty gór Pieprzowych k. Sandomierza. Szymañska Halina), Przegl. geol., 1957, 5, № 9, 431—435 (польск.)

21000. Заметка по геологии углеводородов. 6-й (Appunti di geologia degli idrocarburi. VI.—), Milano, 1956, 10, № 12, 697—709 (итал.)

Рассмотрены типы давления в породах и учет их при добыче нефти. Приведена классификация нефтяных месторождений США, построенная на этом принципе. Соображение 5 см. РЖХим, 1957, 65958.

21001. О битуминозном мергеле Зеффельда, Тироля. Фишер (Über die Bitumenmergel von Seefeld in Tirol. Fischer Georg), Geol. Jahrb., 1957, 74, 63—74 (нем.)

21002. Энергетические основы органической теории происхождения нефти. Андреев П. Ф., Тр. Всесоюз. н.-и. геологоразвед. ин-та, 1957, вып. 16, 270—278

Всякая система обладает запасом свободной энергии, чем больше этот запас, тем больше потенциальная возможность ее ко всякого рода превращениям. С этой позиции рассмотрены нерешенные вопросы теории образования нефти и ее изменения в природе: 1) механизм возникновения углеводородов из кислородсодержащих остатков живой клетки при отсутствии свободного H₂; 2) направленность процессов изменения углеводородов нефти в условиях существования больших

ства нефтяных залежей; 3) относит. скорость превращения органич. в-ва на отдельных этапах; 4) некоторые особенности состава природных нефтей.

А. Фихман

21003. Люминесцентно-битуминологический метод и его применение в нефтяной геологии. Флоровская В. Н., Вестн. Моск. ун-та. Сер. биол., почвовед., геол., геогр., 1957, № 2, 131—135

21004. Изменение сорбционных свойств в генетических рядах ископаемых углей. Эттингер И. Л., Докл. АН СССР, 1957, 115, № 5, 953—956

Приведены неполные данные по исследованию 250 обр. из наиболее важных угольных бассейнов СССР. Для всех обр. были выполнены технич. испытания и определена сорбционная емкость по метану. Анализ графиков зависимости сорбции CH_4 и CO_2 ископаемыми углями от выхода летучих приводит к выводу, что основное направление изменения сорбционных свойств каменных углей в метаморфич. процессе есть создание такой суммарной пористости, которая приближает природные угли к искусственно активированным. Вопрос об исходном материале каменных углей в этих изменениях имеет подчиненное значение. Кроме природных факторов, активирующих уголь, имеются еще и факторы, дезактивирующие его.

Р. Хмельницкий

21005. Некоторые особенности распределения молибдена в породах Былымского угольного месторождения (Северный Кавказ). Королев Д. Ф. Геохимия, 1957, № 5, 420—424 (рез. англ.)

Химическим методом определено содержание Мо в углях и вмещающих породах (в %): углистые сланцы (39 образцов) до $2 \cdot 10^{-4}$, песчаники (6 образцов) до $1,6 \cdot 10^{-4}$, сидериты (8 образцов) до $3 \cdot 10^{-4}$, угли (28 образцов) $2 \cdot 10^{-4}$ — $4,3 \cdot 10^{-3}$. Спектральный анализ угля обнаружил в кол-вах выше кларка: Be, As, Sb, Co (до 1% на золу), Pb, Ga, V, Cu, Zn, Ti, Ni, Co. С помощью спец. хим. испытаний установлено, что Мо присутствует в сульфидной форме и связан в основном с золотой частью. Установлена прямая зависимость содержания Мо от соотношения $\text{Fe}^{+2} : \text{Fe}^{+3}$, что указывает на восстановительные условия накопления Мо.

Г. Воробьев

21006. О некоторых вопросах классификации псаммитовых осадков. Кукал (O některých otázkách klasifikace psamitických sedimentů. Kukał Zdeněk), Věst. Ústřed. ústavu geol., 1957, 32, № 5, 309—316 (чешск.; рез. англ.)

21007. О кремнеземистых «мергелях» меловых отложений Амвросиевского района (южная окраина Донбасса). Гречишников А. Т. (Про крейдові кремнеземисті «мергелі» Амвросієвського району (південна окраїна Донбасу). Гречишников А. Т.), Геологічний ж., 1957, 17, № 2, 60—64 (укр.)

Породы, по внешнему виду похожие на трепел, залегают среди известково-трепеловых отложений мастрихта; минералогич. состав (в %): кварц 2,0, пеллукоцит 1,0, халцедон 0,5, полевые шпаты 0,5, пелитоморфный кальцит и остатки организмов 65, опал и глинистые минералы 31,0; от залегающих выше трепелов они отличаются меньшим кол-вом опала и большим кол-вом кальцита. По данным 6 хим. анализов, эти породы являются известковистыми трепелами.

Л. Флорова

21008. Об изменении протерозойских осадочных пород Патомского нагорья [Сев. Прибайкалье] в процессе эпигенеза и начального метаморфизма. Головенко В. К. Вестн. Ленингр. ун-та, 1957, № 12, 70—82 (рез. англ.)

В нижнекембрийских и верхнепротерозойских породах бассейна р. Жуи по вторичным изменениям выделяется 3 зоны: эпигенетич., переходная и метаморфич.

ческая. Верхняя, эпигенетич. зона характеризуется регенерацией кварцевых обломков и общим окремнением песчаников, известняков и глин. В переходной зоне отмечается интенсивная карбонатизация обломков и цемента. В метаморфич. зоне развиты процессы бластеза обломочного материала и превращения глинистого в-ва в серицит и хлорит, с сильным кливажем пород. На перекристаллизацию карбонатных пород влияют главным образом примесь глинистых частиц и меньше органич. в-ва. Во всех зонах отмечается новообразование аутигенных минералов: полевого шпата, циркона, турмалина, хлорита и серицита.

В. Кудряшова

21009. Ритмические выделения гидроокислов железа среди песчаников села Косоуцы. Янулов К. П., Ротаран И. А., Уч., зап. Кишиневск. ун-та, 1957, 25, 147—149

Выделения гидроокислов Fe в нижнесилурийских песчаниках имеют форму эллипсоидов размером $25 \times 20 \times 10$ см, длинные оси которых ориентированы вдоль слоистости породы. В центральной части этих образований отмечаются ядра из мелкокристаллич. пирита и мельниковита. Вокруг них идут ритмич. выделения лимонита. Периодич. текстуры (кольца Лизе-ганга) образовались в результате хим. р-ций, протекавших в песчаниках при окислении FeS_2 . Капиллярная пористость песчаников способствовала диффузии Fe^{2+} и $[\text{SO}_4]^{2-}$, но затрудняла смещение реагирующих р-ров. Опыты показали, что для возникновения периодич. текстур необходимым условием является одновременное существование лабильного и метастабильного состояния р-ров, обеспечиваемого отсутствием концентрационных потоков; последние не могут возникнуть в тонких слоях жидкости и при росте кристаллов за счет диффузии.

В. Кудряшова

21010. Диатомиты и вулканические пенлы Армении и их строительные свойства. Кириченко Н. И., Тр. Совещания по ниж.-геол. свойствам горн. пород и методам их изучения. М., 1957, 189—194

Средний хим. состав розданских диатомитов по 7 анализам (в %): SiO_2 67,1, Al_2O_3 7,36, Fe_2O_3 3,9, TiO_2 0,23, MgO 1,51, MnO 0,21, CaO 5,1, $\text{K}_2\text{O} + \text{Na}_2\text{O}$ 0,18, H_2O (гигрос.) 6,1, п. п. п. 7,14; водорастворимых ингредиентов 0,206; pH 7,7. Для вулканич. пенлов типов А, Б, и В Акстафа-Шамхорского участка приведены данные по содержанию водорастворимых солей, водных вытяжек, нерастворимого остатка при действии 20%-ным р-ром HCl и величины pH. Определены физ. свойства обеих пород.

Т. Ионас

21011. О позднем диагенезе (эпигенезе) донецких карбоновых пород. Логвиненко Н. В. Изв. АН СССР. Сер. геол., 1957, № 7, 64—86

Освещены наименее изученные процессы изменения осадочных пород в стадию позднего диагенеза (эпигенеза) или диагенеза породы на материале среднего карбона Донецкого бассейна. См. также РЖХим, 1956, 61321.

Резюме автора

21012. Метод определения содержания слюды в песке. Мирчева-Илиева (Метод за определяне съдържанието на слюдата в пясъците. Мирчева-Илиева Недялка), Тр. Научноизслед. строит. ин-та, 1955 (1957), 1, 33—39 (болг.)

21013. Замечания к статье А. П. Виноградова и А. Б. Роннова об эволюции химического состава глин Русской платформы. Нагорский М. П., Изв. АН СССР. Сер. геол., 1957, № 9, 93—94

На основании приведенного А. П. Виноградовым и А. Б. Роновым (РЖХим, 1958, 4219) фактич. материала автор приходит к дополнительному выводу, что в эволюции состава глин наблюдается геохим. цикличность. Выделены следующие циклы: кембрий — силур, средний девон — верхний девон, нижний карбон — верхняя

пермь, триас — нижний мел, верхний мел — квартер. В первых трех циклах максим. содержание отдельных элементов приурочено к началу (Al, Ti) или к концу цикла (Mg, Ca). В двух других, более молодых циклах, наблюдается обратная закономерность. Построение графиков относит. содержания элементов (Al_2O_3/TiO_2 , SiO_2/Al_2O_3 , $Al_2O_3/п. п. п.$, $CaO + MgO + CO_2/п. п. п.$) показывает, что с ходом геохим. истории происходит необратимый процесс спиралевидного характера. Г. В.

21014. Глинистые минералы в некоторых известняках Хоксбери [Австралия], Лохнан, Голдинг (Clay minerals in some Hawkesbury sandstones. Loughnan F. C., Golding H. G.), J. and Proc. Roy. Soc. N. S. Wales, 1956, 90, № 4, 147—150 (англ.)

21015. Количественное определение смесей глинистых минералов с помощью дифракции рентгеновских лучей. Джарвис, Драгсдорф, Эллис (Quantitative determination of clay mineral mixtures by X-ray diffraction. Jarvis N. Lynn, Dragdsdorf R. Dean, Ellis Roscoe, Jr.), Soil Sci. Soc. America Proc., 1957, 21, № 3, 257—260 (англ.)

Описана методика колич. определения минералов с использованием MgO в качестве внутреннего стандарта. Анализ 2-компонентных и 3-компонентных искусств. смесей бентонита, каолинита, иллита проведен с средним отклонением 1,88% от истинного значения. Р. Хмельницкий

21016. К вопросу о направлении стадийных изменений глинистых минералов. Зхус И. Д., Докл. АН СССР, 1957, 115, № 2, 376—379

Исследования глинистых минералов морских отложений турнейского яруса в районе Калуги показали, что они представлены бейделлитом и частью гидрослюда. Приведены 3 хим. анализа фракции $< 0,001$ мм зеленовато-серых слабо известковых глин. Мол. отношение $SiO_2:Al_2O_3 = 3:1$ характерно для бейделлита. Повышенное содержание K_2O объясняется присутствием гидрослюда. Приведены результаты оптич. и термич. анализов, а также испытаний с помощью органич. красителей. Электронномикроскопич. снимки показывают, что большинство глинистых частиц имеют форму мелких шестигульничков размером $< 0,005$ мм с неясными расщепляемыми очертаниями; по морфологии эти частицы определяются, как каолинит. Автор приходит к выводу, что бейделлитизация каолинита происходила в условиях диагенеза морских осадков. Источником первичного каолинита являлась область Воронежского массива, где недавно бурением обнаружена древняя каолинистая кора выветривания. В. К.

21017. Вулканические пенлы из лёссовых толщ юга Европейской части СССР. Седлецкий И. Д., Ананьев В. П. (Cenușile vulcanice din complexele de loess din sudul părții europene a U. R. S. S. Sedletski I. D., Ananiev V. P.), An. Rom.-Sov. Ser. geol.-geogr., 1957, 11, № 5, 5—9 (рум.)

Перевод. См. РЖХим, 1957, 26566.

21018. Новые точки зрения на окислительно-восстановительные потенциалы почв: исследования некоторых типичных почв Сицилии. Джованнини, Фикера, Ди-Джорджи (Nuovi orientamenti sui potenziali di ossido-riduzione dei terreni: ricerche su alcuni terreni tipici della Sicilia. Orientale. Giovannini E., Fichera P., Di Giorgi M.), Chimica, 1957, 33, № 8, 309—322 (итал.)

21019. Оподаливание и аллимеризация. Фридланд В. М. Докл. АН СССР, 1957, 115, № 5, 1006—1009

21020. Нитраты в почве Гезира. 2. Джунт (Field nitrates in the Gezira soil. II. Jewitt T. N.), J. Agric. Sci., 1956, 47, № 4, 461—467 (англ.)

Показана зависимость между урожаями пяти сортов хлопка и содержанием нитратов в почве одной из об-

ластей Судана. В содержании нитратов в верхних почвенных горизонтах наблюдаются сезонные колебания, связанные с их вымыванием дождевой водой в более глубокие слои. Часть 1, см. 7., Agric. Sci. 1950, 40, 161.

21021. Происхождение и характеристика минералов, образующих почвы морских террас на береговой равнине штата Южная Каролина. Купер (Source and characteristics of mineral materials from which South Carolina coastal plain marine terrace soils are derived. Cooper H. P.), Soil Sci., 1955, 80, № 3, 221—228 (англ.)

Приведены данные по содержанию Ca, Mn, Fe, Co, Cu, Zn, Mo и P в двух видах растений, собранных в 1950 и 1951 гг. на побережье Южной Каролины. Исследовано влияние геологич. факторов и состава почв на конц-ию этих элементов. Рассмотрены прямые и косвенные источники минералов почв исследуемого района. О. Шипилина

21022. Исследования по классификации и генезису почв, развитых на кислых туфах в условиях влажного тропического климата. Схейленборг (Investigations on the classification and genesis of soils derived from acid tuffs under humid tropical conditions. Schuylenborgh J. v.), Netherl. J. Agric. Sci., 1957, 5, № 3, 195—210 (англ.)

Исследовано большое число обр. из 4 профилей почв, развитых на дацитовом туфовом материале (0—100 м над уровнем моря) в Индонезии. Определены величины pH, механич. состав, содержание органич. в-ва, минералогич. состав песчаной и глинистой фракций, хим. состав глинистой фракции всех горизонтов, состав лесного дерна, покрывающего почву, и отношение C:N в профиле. В зависимости от условий осушения почвы принадлежат к подзолистой латозольной или красно-желтой подзолистой группам. В плейстоценовую эпоху дацитовый материал был извержен вулканом Данау, осадился в море и смешался с песком третичных осадков. Условия выщелачивания в значительной части были одинаковыми, что привело к одинаковому распределению глинистого материала по глубине и к образованию монтмориллонита. После отступления моря начался процесс почвообразования в условиях, вызвавших разрушение глинистых минералов; процесс разрушения шел более интенсивно в верхних слоях почвы. Р. Хмельницкий

21023. Распределение микроэлементов в некоторых красно-бурых землях Южной Австралии. Мак-Кензи (The distribution of trace elements in some South Australian red-brown earths. McKenzie R. M.), Austral. J. Agric. Res., 1957, 8, № 3, 246—252 (англ.)

Исследовано 14 почвенных профилей и материнских породы: травертиновый известняк и выветрелый глинистый сланец. Содержание микроэлементов в известняке и почве (среднее по профилю в 10—3%): Cu 3,1; 2,2, Co 0,59; 0,5, Ga 4,3; 3,8, V 14,5; 13,0, Mo 0,29; 0,3, Mn 23,0; 34,0. В сланце и почве: Cu 0,85; 2,5, Co < 0,2; 0,76, Ga 1,2; 3,5, V 19,0; 14, Mo 0,5; 0,35, Mn 9,5; 45. Пределы содержания в 4 горизонтах по данным максим. и миним. содержания элемента в каждом горизонте (в 10—3%): Co < 0,2—1,5, Cu 1,2—8,5, Ga 1,8—5,5, V 6,7—23,0, Mo 0,23—0,55, Mn 18,0—98,0. В ряду $Co > Cu > Ga > V > Mo > Mn$ наблюдается снижение подвижности. Более подвижные элементы обладают большими изменениями конц-ии внутри профиля и (за исключением Mn) между профилями. Р. Хмельницкий

21024. Новообразованные минералы глин в почвах. Ярилова Е. А., Парфенова Е. И., Почвоведение, 1957, № 9, 37—48 (рез. англ.)

Колломорфные глинистые минералы выделены из 11 обр. иллювиальных горизонтов почв: подзолистых,

серах лесных, солоди и солонца разных р-нов СССР. Минералы подвергались хим., оптич., рентгенометрич., термич. и электронномикроскопич. исследованиям. Хим. состав (в % на прокаленную навеску): SiO_2 49,09—55,39, P_2O_5 следы—0,17, Al_2O_3 23,01—33,25, Fe_2O_3 9,24—15,74, CaO 0,98—2,52, MgO 2,07—3,74, K_2O 1,40—3,99, Na_2O 0,15—0,33, гумус 0,69—2,57, п.п. 7,6—15,74. Мол. отношение $\text{SiO}_2 : \text{Al}_2\text{O}_3$ 2,51—4,00; n_g 1,570—1,600, n_p 1,549—1,576, $n_g - n_p$ 0,020—0,027. Данные ана-

лизмов приводят к выводу, что все обр. представлены глинистыми минералами, обладающими трехслойной кристаллич. решеткой, в которой часть Si замещается Al. Варьирование их состава, очевидно, связано с заменой одних катионов другими в октаэдрич. слое и в моноклетчатых пространствах. Предлагается назвать эту группу минералов полинитом в честь советского ученого Б. В. Полюнова. Р. Хмельницкий

21025. Изучение коллоидно-химических свойств черномемов в Японии. Часть 1. О ζ -потенциале и растворимом алюминии в почвах Дайсэбара. Хосода, Такага, Огихара (黒土の膠質化学的性質に関する研究. 第1報. 大山原土壌の ζ と可溶性アルミニウムに就て. 細田克己, 高田秀夫, 萩原漢), 鳥取農學會報, Tottori nohaku kaihō, Trans. Tottori Soc. Agric. Sci., 1957, 11, № 2, 83—93 (японск.; рез. англ.)

Несмотря на то, что почвы Дайсэбара (префектура Тотори) содержат большое кол-во перегноя и азота, плодородие их низко. Причиной этого является, по-видимому, присутствие квасцовых колл. комплексов, связанных с вулканич. пеплом. Коллоидно-хим. изучение показало, что обрабатываемые почвы имеют меньшую замещающую кислотность поверхностного слоя и большее содержание Са, по сравнению с необрабатываемыми. Содержание растворимого Al в поверхностных слоях резко возрастает в кислой среде, начиная с pH 4. В обрабатываемых почвах эта величина смещена в сторону большей кислотности. В подпочве при pH 4,5—5,0 кол-во растворенного Al увеличивается.

Л. Левин
21026. Генезис и педохимические характеристики черных глинистых почв «Карайл» бассейна нижнего Ганга, Уттар-Прадеш. Агарвал, Мехротра, Гупта (Genesis and pedo-chemical characteristics of «Karail» black clayey soils in the lower gangetic basin of Uttar Pradesh. Agarwal R. R., Mehrotra C. L., Gupta R. N.), J. Indian Soc., Soil Sci., 1954, 4, № 2, 65—71 (англ.)

Приведены морфология, механич. и хим. состав и физ.-хим. свойства 5 горизонтов (глубина 1,5—131,4 см). Содержание нерастворимых в HCl составных частей почти не зависит от глубины. Щел.-зем. элементы из верхних слоев заметно выщелачиваются. Суммарная обменная способность с глубиной уменьшается. Образование почв связано с переносом материала базальтовых пород из области Бунделкханд водами Ганга.

А. Фуфаев
21027. Образование агрегатов гиббита в латозолях, развитых на вулканическом пепле. Шерман (Formation of gibbsite aggregates in latosols developed on volcanic ash. Sherman G. Donald), Science, 1957, 125, № 3260, 1243—1244 (англ.)

Исследованные почвы образовались в результате интенсивного выветривания андезитового вулканич. пепла в условиях жаркого и дождливого климата Гавайских о-вов. В процессе высыхания этих почв, при уменьшении объема, происходит образование гелеобразной структуры, выделяющейся при дальнейшем усыхании из основной массы. При полной дегидратации образуются светло- и темноокрашенные агрегаты, первые из которых являются гиббитом. Средний хим. состав агрегатов из 6 образцов почв (в %): SiO_2 0,72, Al_2O_3 62,46, Fe_2O_3 1,37, TiO_2 2,50, H_2O 32,55. Р. Х.

21028. Присутствие цинка и свинца в некоторых почвах Сардинии и дикорастущих растений средиземноморской флоры. Водре, Водре (La presenza dello zinco e del piombo in alcuni terreni della Sardegna e in piante spontanee e arbustacee della flora mediterranea. Vodret Francesco, Vodret Antonio), Rend. Seminar. Fac. sci. Univ. Cagliari, 1956, 26, № 3-4, 197—214 (итал.)

Авторы изучали поведение некоторых дикорастущих растений на почвах, особенно богатых Zn и Pb. Установлено, что все исследованные растения могут накапливать и удерживать значительные кол-ва Zn (101—731 мг/кг свежего материала) и Pb (17—199 мг/кг) и без всякого вегетативного вреда расти на почвах, содержащих Zn до 22 300 мг/кг почвы и Pb до 1200 мг/кг. Н. Халатова

21029. Минералогическое изучение выветривания и образования почв на оливиновых базальтах в Северной Ирландии. Смит (A mineralogical study of weathering and soil formation from olivine basalt in Northern Ireland. Smith J.), J. Soil Sci., 1957, 8, № 2, 225—239 (англ.)

21030. Содержание фосфора и калия в некоторых почвах Перуанского побережья. Гарсия-Гильянта (El contenido de fósforo y potasio en algunos suelos de la costa peruana. García Guilinta Manuel J.), Bol. Compañía administr. guano, 1957, 33, № 3, 9—10 (исп.); Bol. trimestr. exp. perim. agropes, 1954, 3, № 4 (исп.)

21031. Замечания к работе Бута: «Влияние электрических полей и излучений атмосферного и космического происхождения на воду». Бейл (Eine statistische Bemerkung zu Carmen Boute «Wirkungen elektrischer Felder und Strahlungen atmosphärischen und kosmischen Ursprungs auf das Wasser». Bijl. W. van der), Arch. Meteorol., Geophys. und Bioklimatol., 1956, B7, № 3-4, 477—479 (нем.) См. РЖХим, 1958, 4124

21032. Графический способ изображения ионного состава природных вод. Форш Т. В., Тр. Лабор. озеровед. АН СССР, 1957, 5, 116—137

Предложено графич. изображение ионного состава природных вод, позволяющее отразить абс. величины общей минерализации, значительное число объектов, абс. кол-во каждого компонента, относительный ионный состав в % мг/экв и колич. соотношение между ионами. Диаграмма представляет два равных угла (сектора), сомкнутых в вершине. В правом секторе помещены данные по анионам, в левом — по катионам. Единицей построения является 1 мг-экв. Длина дуги и ее радиус равны между собой и соответствуют $1/2$ общей минерализации. Данные анализы изображены в виде полос, длина которых соответствует сумме эквивалентов главнейших ионов. Располагают анализы в порядке возрастания общей минерализации один под другим на расстоянии, равном длине радиуса, отмеренной от одной общей точки, изображающей воду с нулевой минерализацией. Приведены примеры графич. изображения хим. состава вод важнейших рек СССР. А. Фихман

21033. Формула Курлова и толкование результатов химического анализа минеральных вод. Чисмэреску (Formula Kurlow și interpretarea analizei chimice a apei minerale. Cismărescu Gh.), Farmacia (Român.), 1957, 5, № 2, 142—146 (рум.) Рекомендуется применение ф-лы Курлова для воды источника «Борсек» CO_2 2,6 М 5,14 (HCO_3 97/Са 60 Мг 23 Na 13) \pm 8°. Б. Маноло

21034. Вертикальная гидрохимическая зональность в районах действующих вулканов. Иванов В. В., Бюл. Моск. о-ва испыт. природы. Сер. геол., 1957, 32, № 3, 172—173

Отмечено, что гидрогеохим. процессы в р-нах действующих вулканов (на примере Курило-Камчатской зоны) приводят к образованию резко кислых вод в верхних окислительных условиях, а в глубинных восстановительных — к образованию щел. хлоридных вод с т-рой 100°, рН 8,1—8,4. Основные процессы формирования вод — восстановление сульфатов и связывание H_2S железом пород. В верхних зонах идет окисление вулканич. газов и выщелачивание пород. Выделены 3 стадии гидротермальной деятельности: I — высокой активности (А), образуются хлоридно-сульфатные термы, т-ра 95—100°, рН 1,7—0,86, со свободными H_2SO_4 и HCl ; II — средней А, сульфатные воды, 68—96°, рН 1,7—6,2; III — слабой А, образуются мало минерализованные термы. Л. Флерова

21035. Геохимическое изучение бора. Сообщение 12. Сезонные изменения химического состава речной воды обычной реки. Мито, Китадазума (*ウ素の地球化学的研究, 第12報, 普通河川成分の年変化について, 武藤寛, 北爪良男), 日本化学雑誌, Нихон кагаку засси, J. Chem. Soc. Japan. Pure Chem. Sec., 1957, 78, № 1, 34—37 (японск.)

В течение года еженедельно проводился отбор и хим. анализ проб воды из р. Кири, мало подверженной влиянию человеческой деятельности. Кроме того, проводился анализ выпадающих осадков. Результаты сопоставлены с результатами анализа воды 8 рек США. Летом максим. т-ра воздуха и воды 32,5 и 26,2°, миним. — зимой 3,4 и 5,3°; рН зимой 8,2 и летом 7,1. Содержание сухого остатка (в мг/л): максим. 73,2 (октябрь), миним. в марте 43,8. Содержание Cl наиболее велико в июне — июле (12,6 мг/л), когда водой промывается свежая почва, и достигает минимума в апреле и сентябре (1,4 мг/л). Большинство компонентов, за исключением щел. элементов, имеет два максимума (в мг/л): в июне (конц-ия неорганич. компонентов) и октябре (резкое повышение уровня воды). $Fe_2O_3 + Al_2O_3$ 0,3—0,7, Ca 4,6—12,1, Mg 1,4—3,2, Na 4,8—10,5, K 0,9—2,7, SO_4 4,5—9,2, Si 4,5—8,0, B 0,0025—0,0150. Помимо этих двух максимумов, В имеет несколько повышений содержания в те периоды, когда содержание остальных компонентов достигает минимума. Весовое отношение В: Cl достигает максимума в зимние месяцы, за исключением января. Автор считает, что это подтверждает высказанное им ранее (РЖХим, 1956, 61293) предположение о том, что В поступает в речную воду из растительности. В 8 американских реках отношение В: Cl также достигает максимума в сентябре — феврале, т. е. осенью и зимой. Содержание перечисленных выше компонентов в речной воде несколько выше, чем в дождевой, за исключением Mg и В, содержание которых в речной и дождевой воде приблизительно одинаково. Содержание Ca в речной воде в 770 раз больше, чем в дождевой, что связано с тем, что река протекает по району сравнительно легко растворимых в воде известняков. Сообщение 11 см. РЖХим, 1957, 68666. Л. Левин

21036. Новые данные о среднем составе речной воды для территории СССР. Алексин О. А., Бражникова Л. В. Докл. АН СССР, 1957, 114, № 5, 1062—1065

Приведены данные среднего ионного состава речной воды территории СССР. Средняя годовая минерализация речной воды оказалась на 12,1 мг/л больше, чем была вычислена в 1951 г. Для бассейнов, имеющих сток только в океан, она равна 73,1 мг/л, для бессточных 270,9 мг/л. Сделано сопоставление среднего состава атмосферных осадков со средним составом речных вод различных районов. А. Фихман

21037. Загрязнение и самоочищение внутреннего Осло-фиорда. Бейер (Kappøpet mellom forråttelse

og fornyelse av indre Oslofjord. Beyer Fredrik, Tekn. ukebl., 1956, 103, № 46, 1045—1053 (норв.)

Загрязнение воды в фиорде является косвенной причиной массового роста микроскопич. водорослей в поверхностном слое, особенно летом. Плотность водорослей становится настолько велика, что образование O_2 оказывается невозможным уже на глубине нескольких метров под поверхностью воды из-за темноты; при гниении также происходит потребление O_2 . Поскольку приток O_2 с поверхности затруднен, а смена вод невелика, так как приливные отличия уровня в Осло-фиорде особенно малы, и лишь северный ветер иногда очищает поверхность воды, загрязнение воды значительно. В. И. Дианов-Клюш

21038. Редкие элементы в водах Венгрии. Надь, Пойник (Nyomelemek kimutatása hazai vizekben. Nagy Zoltán, Pólyik Edit), Hidrol. közl., 1957, 37, № 2, 166—167 (венг.; рез. англ.)

Изучалось содержание 19 редких элементов в минер. водах Венгрии. Спектральный анализ показал, что Al, Zn, Cu и Mn встречаются наиболее часто, конц-ия (γ/л) их достигает 20; Pb, Ag, Ba, Li, Ti, Sn, Se, V встречаются реже с конц-ией 1—20; отмечены следы Be, Cd, Cr, Co, Mo, Ni, As. Л. Флерова

21039. Шахтные воды Донбасса как «чистая генетическая линия» сульфатного типа природных вод. Дуров С. А., Научн. тр. Новочеркасский политех. ин-т, 1957, 38(52), 21—61

Шахтные воды Донбасса с содержанием SO_4^{2-} более 50 мг-экв/л представляют собой чистую генетич. линию и являются резко выраженным типом природных вод. Хим. состав их за период 30—40 лет оказался очень устойчивым, несмотря на увеличение добычи угля в Донбассе в несколько раз. Собранные материалы подтверждают повсеместное распространение сульфидов и быстрое их окисление, вследствие чего многие сульфатные воды имеют сульфатную составляющую, сходную с шахтными водами. Существуют и другие независимые признаки, подтверждающие большое значение сульфатных вод зоны окисления сульфидов, напр. содержание SO_4^{2-} выше отвечающего растворимости $CaSO_4$, содержание ионов Fe, Mn и т. д. Указанные признаки явно противоречат гипотезе о происхождении SO_4^{2-} за счет растворения гипса и последующего катионного обмена. Ставится вопрос о повышении кларка серы в земной коре. К. Богородицкий

21040. Среднее Лунцское озеро [Нижняя Австрия], питающееся ключами, с временной стратификацией, вызванной различием в концентрации солей. Рутнер (Der Lunzer Mittersee, ein Quellsee mit zeitweise meromiktischer Schichtung. Ruttner F.), Arch. Hydrobiol., 1955, Suppl. 22, № 3-4, 480—485. Diskuss., 485—487 (нем.)

В небольшом Среднем Лунцском озере, с максим. глубиной 2—3 м, осенью после засушливого лета обнаруживается двухслойная стратификация, сохраняющаяся в течение зимы. Ее возникновение объясняется тем, что при ослаблении фотосинтетич. деятельности в воде появляется свободная CO_2 , растворяющая выпавший летом на дно осадок $CaCO_3$, благодаря чему конц-ия солей в нижних слоях повышается. Весной стратификация исчезает, когда при возросшем фотосинтезе поглощение растениями CO_2 вновь вызывает выпадение $CaCO_3$. В. Коншин

21041. Установление погрешностей при параллельных измерениях содержания воды в грунтах. Лиан Сюэ-ли (土壤各種含水率測定の平行誤差規定, 梁學禮), 水力發電, Шуйли фадянь, 1957, № 18, 24—26 (кит.)

21042. Новые данные по стоку растворенных веществ с территории СССР. Алексин О. А., Бражникова Л. В., Докл. АН СССР, 1957, 114, № 4, 748—750

Приведены данные ионного стока для морских бассейнов Северного Ледовитого, Атлантического и Тихого океанов, а также для бессточных бассейнов. Общая величина ионного стока для всей территории СССР равна 358,11 млн. т. Среднее значение показателя ионного стока равно 17,9 т/км в год. Приведены ориентировочные данные стока растворенных в-в (105,18 млн. т) по разным видам: сток органич. в-в, минер. коллоидов, микроэлементов и неорганич. биогенных элементов. Основную массу стока составляет сток органич. в-в (79,34 млн. т).

А. Фихман

21043. О поглощении кислорода озерными илами. Семенович Н. И., Докл. АН СССР, 1957, 115, № 1, 130—132

В августе 1955 г. исследовалось поглощение O_2 илами мезотрофного озера Пуннус-Ярви [карельский перешеек]. В склянках с илом с глубины 10,5 м из центральной части озера потребление O_2 при 20° уменьшалось в течение периода наблюдений (6 VIII, 18 VIII и 6 IX) потреблялось соответственно 4,40; 1,88 и 0,43 мг O_2 на 1 г натурального ила или 24,90; 9,91 и 2,24 мг O_2 на 1 г абсолютно сухого ила. В самом озере на глубине 10,5 м в погруженном на дно цилиндре, колпаке из органич. стекла содержание O_2 после первоначального уменьшения стабилизировалось на 12-е сутки, в то время как вне прибора оно образует ряд пиков, вызванных сгонно-нагонными циркуляциями. Константа скорости поглощения O_2 озерным илом в склянках при 20° за август равна в среднем 0,175, в приборе в водоеме при 15° — в среднем 0,134.

В. Коншин

21044. Об изменении химического состава пластовых вод горизонтов кирмакинской свиты нефтяных месторождений Фатмаи-Балаханы-Зыхской антиклинальной зоны [Ашшерон]. Гурбанзаде А. М. (Фатмаи-Балаханы-Зыг антиклиналь зонасы нефть ятагларынын кирмаки лай дестеси горизонт суларынын кимйави теркиблеринин дейишмеси хаггында бэзи гейдлер. Гурбанзаде А. М.), АзербССР Элмлер Акад. хабәрлери, Изв. АН АзербССР, 1957, № 6, 41—52 (азерб.; рез. русск.)

Изучение хим. состава вод кирмакинской свиты (КС) проводилось с учетом условий залегания водоносных горизонтов и их литологич. состава. Отмечено, что илльные горизонты КС в месторождениях Ленинского (I), Сураханского (II) и Карачухурского (III) р-нов отличаются от более верхних горизонтов большей крупнозернистостью пород и уменьшенным кол-вом глинистых частиц. Для указанных р-нов выделены соответственно 3, 4 и 5 типов вод, изменение химизма которых связано с периодами седиментации. I район, хим. состав (мг экв): 1) Cl 14—20; SO_4 0,1—0,5, сумма карбонатов 7—11; 2) 14—24, 0,1—0,3, 10—18; 3) 15—47, 0,1—0,2, 5—17. II район: 1) 13—23, 0,1—0,6, 7—13; 2) 15—28, 0,1—0,3, 10—16; 3) 16—32, 0,1—0,7, 16—22; 4) 36—58, 0,1—0,7, 13—23. III район: 1) 11—18, 0,1—1,1, 5—9; 2) 11—14, 0,1—0,7, 9—11; 3) 11—15, 0,1—0,3, 11—14; 4) 15—30, 0,1—0,8, 14—23; 5) 39—74, 0,1—0,6, 3,1—6,4.

Л. Флерова

21045. Минеральные воды района Нальчика. Смирнова А. В., Вести. Моск. ун-та. Сер. биол., почвовед., геол., геогр., 1957, № 2, 147—160

Описаны три группы мест-ных минер. вод. Белореченское мест-ние теплых азотных вод, т-ра 18,2—27°, pH 8, минерализация (М) (в г/л) 0,39—0,83, кол-во растворенного газа (в основном N с примесью CH_4) 37,7—49,1 см³/л. При погружении водоносных пластов увеличивается т-ра и М других, солено-бромистых вод фораминиферовой свиты: в I-ом источнике (И) с М 7,0—9,0, в нем присутствуют (мг/л) H_2S 20—30, Br 17, J 3,0, SiO_2 35, во втором И с М 15,3; Br 33,0, J 5,0, SiO_2 68,0. Долинское мест-ние теплых азотных вод: т-ра 20,2°, pH 7,3, М 0,55, содержание N 41,0 см³/л. Геотер-

мич. ступень определена в 27—28 м/1°. N, насыщающий воды, имеет воздушное происхождение.

Л. Флерова

21046. Термальные воды Вишеграда, Боснии. Геохимическое изучение. Михолич (The thermal waters of Višegrad in Bosnia. A geochemical study. Miholič S.), Croast. chem. acta, 1957, 29, № 1, 39—44 (англ.; рез. сербо-хорв.)

Дается хим. анализ двух источников. Источник Соколович Бос, т-ра 34,2°, радиоактивность 6,951 ед. махе, pH 9,0. Содержание (г/кг): сумма солей 0,2794; Na+ 0,01406; K+ 0,001950; Ca^{2+} 0,0711; Mg^{2+} 0,007262; Cl^- 0,005251; SO_4^{2-} 0,01635; HCO_3^- 0,2635; SiO_2 0,02502; Al_2O_3 0,000801; Fe_2O_3 0,000801. В воде источника Кауде Бас, т-ра 33,7°, радиоактивность 50,50 ед. махе, pH 9,0. Состав (г/кг) соответственно: 0,2974; 0,01804; 0,002824; 0,005559; 0,01964; 0,005448; 0,01467; 0,2921; 0,03023; 0,003203; 0,000801. Вторичное обогащение U является результатом адсорбции U туфом и гидратом окиси Fe из очень разб. р-ров в слабощел. среде. Сравнение вод двух источников показывает, что воды теряют Ca и Fe при протекании через туф. Повышенное содержание NaCl является результатом влияния минер. источника, а повышенное содержание Mg и Si является результатом влияния подпочвы, содержащей серпантин. Повышенная радиоактивность объясняется вторичным обогащением туфа U.

Ч. Кроль

21047. К вопросу осадкообразования в скважинах глубинного водоотлива. Бородин А. А., Гидротехн. стр-во, 1957, № 8, 41—45

Указывается, что подводное оборудование в водопонизительных скважинах, пройденных в песках котлована Сталинградской ГЭС, покрывается слоем железистого осадка толщиной от 2—3 до 20 мм в год. Книзу мощность осадка увеличивается, вследствие чего скважность фильтра уменьшается. В массе осадка преобладает $Fe(OH)_3$, в эксплуатируемых водах — HCO_3^- и Ca^{2+} . Содержание Fe^{2+} в воде достигает 8 мг/л при pH 6. Предполагается, что обогащение вод Fe^{2+} идет за счет коренных пород, слагающих котлован. При этом Fe^{2+} находится в р-ре в неустойчивой форме в виде гидрокарбоната $Fe(HCO_3)_2$, дальнейшее преобразование которого идет до гидрата окиси $Fe(OH)_3$. Для предотвращения зарастания фильтра осадком автор рекомендует изолировать поверхность воды от воздуха слоем жидкого масла. Ограничивающим приемом для осадкообразования также может служить вакуум при работе иглофильтров.

К. Богородицкий

21048. Состояние подземных вод в районе Мендота — Гурон, графства Фресно и Кингс, штат Калифорния. Дейвис, Поланд (Ground-water conditions in the Mendota-Huron area Fresno and Kings Counties, California. Davis G. H., Poland J. F. Geol. Surv. Water-Supply Paper, 1957, № 1360, pp. IV, 409—588, ill., maps) (англ.)

21049. О закономерностях распространения подземных вод в платформенной части Украины и Молдавии. Бабинец А. Е. (Про закономірності поширення підземних вод в платформенній частині України і Молдавії. Бабинець А. Е.), Геологічний ж., 1957, 17, № 3, 29—39 (укр.; рез. русск.)

21050. Гидрогеохимические зоны в Средней Европе. Зыка (Hydrogeochemische Zonen in Mitteleuropa. Zýka V.), Acta geol. Acad. sci. hung., 1957, 4, № 3-4, 383—414 (нем.; рез. русск.)

В Средней Европе обнаружены следующие 9 основных типов минер. вод: кальциево-бикарбонатный, кальциево-сульфатный, ферро-сульфатный, натриево-бикарбонатный, натриево-хлоридный, кальциево-хлоридный, магниевый-хлоридный, натриево-сульфатный, магниевый-сульфатный. Данные типы вод представлены

в графиках Роджерса. Дано указание о географич. местонахождении тех или иных типов и их геологич. обстановке. Коэф. пропорциональности (Na/K, Cl/Br, Ca/Sr, Na/Li, K/Li) подсчитаны как геохим. показатели.

В. Коншин
21051. Геохимическое изучение подземных вод на равнине Танбу, префектура Аомори в северо-восточной Японии. 2. Йокояма (田名部平野の地下水. その2. 地球化学的研究. 横山寺秋), 資源 科学研究所彙報, Сагэн кагаку кэнкюсё ихо, Misc. Repts Res. Inst. Natur. Resources, 1957, № 43-44, 143—152 (японск.; рез. англ.)

Изученная территория по газовому и солевому составу подземных вод разделяется на две геохим. провинции. В центральной части территории — воды с преобладанием азота и Ag и с недостатком O_2 , содержат закисное Fe, NH_4 и NO_2 ; эти воды прежде были обогащены органич. в-вами. На северо-западе — воды с незначительным содержанием O_2 (но большим, чем в 1-й группе) и азота (меньшим, чем в 1-й группе) и с повышенным содержанием нитратов. Предыдущее сообщение см. РЖХим, 1957, 18973. М. Яншина

21052. Главнейшие особенности минеральных источников бассейна верхнего течения реки Аггев в Армянской ССР. Вартанетян Б. С., Научн. тр. Ереванск. ун-та, 1957, 59, 31—39 (рез. арм.)

Минер. источники р-на (6) локализуются вдоль разломов и приурочиваются к областям распространения интрузивных и эффузивных пород. Все источники расположены в ущелье р. Аггев, начиная от ст. Фюлетово и вниз по течению. Хим. состав вод источников № 1, 2, 3, 4 и 6 (в мг/л) соответственно: Na 240,6; 96,6; 166,3; 182,6; 186,8, Ca 756,0; 564,0; 312,6; 303,4; 238,4, Mg 149,0; 234,5; 20,8; 15,1; 13,2, Cl 78,1; 78,1; 111,8; 85,9; 71,0, SO_4^{2-} 215,0; 160,0; 40,0; 45,0; 40,0, HCO_3^- 3294,0; 2830,4; 1256,6; 1281,0; 1116,3. Сухой остаток при 105° 3126,0; 2812,0; 1320,0; 1304,0; 1164,0; H_2S только в источнике № 4 (3,0 мг/л). Т-ра 14°. Дебит 4—8 л/мин. Все исследованные источники принадлежат к гидрокарбонатно-кальциево-натриево-магниево или углекисло-щелочноземельному типу. М. Туркова

21053. Кремнезем в водах горячих источников. Уайт, Браннок, Мурата (Silica in hot-spring waters. White Donald E., Brannock W. W., Murata K. J.), Geochim. et cosmochim. acta, 1956, 10, № 1-2, 27—59 (англ.)

Изложены результаты изучения растворимости кремнезема (I) в водах горячих и некоторых холодных источниках с применением колориметрич. аммонийно-молибденового метода. Авторы пришли к выводу, что почти весь I находится в форме истинного р-ра H_4SiO_4 . Растворимость I в источнике Стимбот — Спрингс достигает 315 мг/л при 90° и 110 мг/л при 25°. Растворимость для кислых и щел. р-ров примерно одинаковая. В пересыщ. р-рах при низкой т-ре происходит медленная полимеризация мол. I в коллоидный. Этот процесс ускоряется с увеличением рН, т-ры, степени пересыщенности и присутствия ранее образованного I и других в-в. При выделении I из р-ров с относительной быстротой образуется опал. Опал, образовавшийся при ~140°, нестабилен и медленно переходит в халцедон или кварц. Непосредственное образование кварца из р-ров происходит при относительно высокой т-ре и медленном отложении из слабо пересыщ. р-ров, а халцедона — из более пересыщ. р-ров при большей скорости отложения. Утверждается возможность образования глинистых минералов из горячих источников как результат соединения мономерч. глинозема. Растворимость последнего при низкой т-ре и рН 5—9 не превосходит 1 мг/л. В результате большей растворимости и мобильности свобод-ного I в открытой системе горячих источников в усло-

виях тропич. климата может выпадать в осадок свободный глинозем, как боксит.

В. Кудринов
21054. Радиоактивность горячих источников в центральной части Японии. 5. Содержание торона и радона в горячих источниках префектуры Айти. Симоката (本邦中部の温邦泉の放射能. 第5報. 愛知縣の温泉のトロンおよびラドン含量. 下方鐵藏), 日本化学雑誌, Нихон кагаку дзасси, J. Chem. Soc. Japan. Pure Chem. Sec., 1957, 78, № 4, 427—430 (японск.)

Определено содержание Th и Rn, рН и остаток после выпаривания в 25 горячих источниках префектуры Айти. Содержание Th не обнаружено ни в одном из источников, максим. содержание Rn, 28,7 ед. махе, отмечено в одном источнике, в остальных оно < 10 ед. махе, в большинстве источников ~ 1 ед. махе. Источники с большим рН (9,7—10,1) находятся вблизи друг от друга и вытянуты в северо-западном направлении. Большинство источников имеет рН ~ 6. Т-ра источников низкая, до 20°. Часть 4 см. РЖХим, 1957, 40969.

Л. Левин
21055. Химическое изучение горячих источников Японии. XXX. Содержание бора в горячих источниках Японии. Нисимура [Chemical investigation of hot springs in Japan. XXX. Boron contents of hot springs of Japan. Nishimura M.], 日本化学雑誌, Нихон кагаку дзасси, J. Chem. Soc. Japan. Pure Chem. Sec., 1955, 76, № 584—588 (японск.)

Рассматривается связь между содержанием B и другими свойствами горячих источников в Японии. Часть 29 см. РЖХим, 1956, 61356.

Т. Ионне
21056. Устойчивость аминокислот в морских осадках. Эрдман, Марлетт, Хансон (Survival of aminoacids in marine sediments. Erdman J. Gordon, Marlett Everett M., Hanson William E.), Science, 1956, 124, № 3230, 1026 (англ.)

Содержание аминок-т определено в современных морских осадках и древних олигоцена, возраст последних исчисляется в 30 млн. лет. Колонии морских осадков длиной 120 см возраста не более нескольких тысяч лет взяты в районе шельфа Мексиканского залива. Анализы показали, что современные и древние осадки имеют близкие содержания карбонатных и органич. C и N и, напротив, различные конц-ии свободных и связанных аминок-т. Содержание (в %): C карбонатов в современных осадках 0,71, в древних 1,48; C органич. соответственно 0,53; 0,27; N органич. соответственно 0,044; 0,032; аминок-т в (моль/г) соответственно: 3,0; 0,51. Несмотря на различные конц-ии состав аминок-т в обоих типах осадков почти одинаков, за исключением нескольких видов, отсутствующих в древних осадках. Автор отмечает устойчивость аминок-т в течение длительного периода времени.

О. Шипкина
21057. Химическое исследование океана. LXII, LXIII, LXIV. Химическое исследование осадков шельфа. 15. О химическом составе осадков шельфа вдоль морского побережья префектур Вакаяма и Миэ. 16. О химическом составе осадков шельфа вдоль морского побережья префектур Тиба, Канагава и Сидзуока. 17. О химическом составе осадков шельфа вдоль морского побережья префектур Мияги, Фукусима, Ибараки. Уэда (Chemical studies on the ocean. LXII, LXIII, LXIV. Chemical studies of the shallow-water deposits. 15. On the chemical constituents of the shallow-water deposits along the sea-coasts of Wa-fayma and Mie Prefectures. 16. On the chemical constituents of the shallow-water deposits along the sea-coasts of Chiba, Kanagawa and Shizuoka Prefectures. 17. On the chemical constituents of the shallow-water deposits along the sea-coasts of Miyagi, Fukushima and Ibaraki Prefectures. Ueda Shunzō), 日本海洋学会誌 Нихон кайё гаккайси, J. Oceanogr.

Сос. Япон, 1956, 12, № 3, 81—84; 85—88, 89—92 (англ.)

15. Для исследованных 8 проб осадков шельфа вдоль берегов Вакаямы и Миэ характерно высокое содержание SiO_2 (80%) и низкое Fe_2O_3 (<2%), TiO_2 , Al_2O_3 , MgO . Содержание K_2O низкое, в среднем 1,17%, примерно то же, что наблюдалось в осадках района Аомори и Ивате (1,18%). Содержание Na_2O в целом тоже низкое 1,09—2,86%. Среднее содержание $\text{Na}_2\text{O} + \text{K}_2\text{O}$ только 2,98%.

16. На основании данных анализа 10 проб осадков установлено, что пробы черноватого песка из залива Загами имеют существенно отличный от остальных проб из упомянутых районов хим. состав. Содержание SiO_2 колеблется 56,02—79,08%; наиболее низкое в заливе Загами 56,02—60,63%. Содержание Fe_2O_3 высокое 2,03—8,70% и особенно высокое в заливе (8,08—8,70%). В осадках залива отмечается также наиболее высокое содержание TiO_2 , MnO , CaO и MgO соответственно (в %): 0,46—0,89; 0,14—0,20; 6,26—7,61; 3,64—5,53. Содержание K_2O низкое почти во всех пробах, ~1%; среднее 0,76%; особенно низкое в осадках залива 0,07—0,17%. Среднее содержание в осадках $\text{Na}_2\text{O} + \text{K}_2\text{O}$ только 2,93%.

17. Исследовано и описано 9 проб осадков, из которых 7 состоит из песка, гравия и гальки и 2 из ила. Содержание SiO_2 ниже в илах и илистых песках 58,0—64,85% и выше в желтоватых песках 79,83—79,94%. Содержание Fe_2O_3 , Al_2O_3 , TiO_2 и P_2O_5 соответственно высокое в первых и низкое во вторых. Содержание MnO в большинстве проб <0,1%. Содержание K_2O во всех пробах низкое, менее 2%, особенно низкое в районах Мяги и Фукусима. Среднее содержание K_2O 1,36%. Кол-во Na_2O колеблется от 0,78 до ~2,64%, причем ниже в илах содержание $\text{Na}_2\text{O} + \text{K}_2\text{O}$ менее 4% во всех исследованных осадках.

О. Шишкина

21058. Некоторые черты раннего диагенеза осадков северо-западной части Черного моря. Тагеева Н. В., Тихомирова М. М., Докл. АН СССР, 1957, 112, № 3, 513—515

Исследование грунтовых р-ров из осадков колонки длиной 4,5 м, взятой в Черном море к западу от г. Одессы на глубине 22 м, вскрыло черты раннего диагенеза осадков. В грунтовом р-ре по сравнению с придонной водой и с глубиной по колонке понижается общая минерализация, содержание Cl^- и щел. металлов; мало меняется содержание суммы Ca^{2+} и Mg^{2+} ; Ca^{2+} возрастает, Mg^{2+} понижается. Сильно уменьшается содержание SO_4^{2-} и увеличивается HCO_3^- , что объясняется сульфатредукцией. Грунтовой р-р относится к $\text{Cl} - \text{Mg} - \text{Na}$ -водам морского типа и характеризуется отношением $(\text{Na} + \text{K})/\text{Cl} = 0,85 - 0,87$. Присутствие в осадках доломита указывает на выпадение его из р-ра вместе с другими карбонатами. В результате сульфатредукции образуется и пирит, содержание которого — до 45% от состава минералов тяжелой фракции. Полученные данные подтверждают высказанное ранее предположение об образовании доломита в процессе диагенеза при сульфатредукции.

О. Шишкина

21059. Годовые колебания хлорности в верхнем слое [течения] Куро-сио. Итиэ (On the annual variation of chlorinities at the upper layer of the Kuroshio. Ichiye Takashi), Oceanogr. Mag., 1956, 7, № 2, 87—93 (англ.)

Годовой цикл хлорности в верхнем слое определяется как эффектом бокового перемешивания, так и адвекцией. Поскольку хлорность является фактором, менее изменчивым, чем т-ра и содержание O_2 , исследование годового цикла хлорности дает ключ к пониманию механизма перемешивания вод.

О. Шишкина

21060. Иловые воды Тихого океана и прилегающих морей. Шинкина О. В., Докл. АН СССР, 1957, 112, № 3, 470—473

Исследование основного солевого состава иловых вод осадков, отобранных по вертикали из 12-м колонки, взятой в Тихом океане на глубине 5430 м, показало, что в океанских, бедных органич. в-вом осадках темпы метаморфизации иловых вод крайне медленные и, несмотря на некоторые изменения в составе отдельных элементов, нового типа вод в течение многих сотен тысяч лет не образуется. Приведены наиболее характерные показатели изменений иловых вод: щел. резерв, содержание NH_4^+ и отношения $\text{SO}_4^{2-}/\text{Cl}^-$, $\text{Ca}^{2+}/\text{Cl}^-$ и Cl^-/Br^- . Распределение метаморфизованных иловых вод по площади морей и океана в общих чертах определяется распространением осадков, обогащенных органич. в-вом. Последнее определяет направление и интенсивность процесса формирования иловых вод отличного от морской воды хим. состава. Формирование этих вод приурочено к участкам шельфа и окраинным глубоководным впадинам.

О. Шинкина

21061. Некоторые данные по геохимическому исследованию грунтов Каспийского моря. Шойхет П. А., Сахновская Н. Д., Тр. Азерб. н.-и. ин-та по добыче нефти, 1956, вып. 4, 323—334

Материалом для исследования послужили колонки грунта длиной до 50 см. Битуминозность определялась люминесцентно-битуминологич. методом, органич. С — мокрым сжиганием, окислит.-восстановит. потенциал E_h и pH — компенсационным электродометодом, содержание солей в грунтах — методом водных вытяжек. Содержание битума колеблется от $3 \cdot 10^{-4}$ до 3%, в илах на порядок выше, чем в песках и глинах. Среднее содержание органич. С в песках и глинах 0,2—0,3%, в илах несколько выше. E_h колеблется от +28 до +457 мВ, среднее pH — 8,25. Полученные данные указывают на связь между геохим. показателями и свойствами грунта и процессами, протекающими в грунте. Специфич. влияния нефтяной залежи на геохим. обстановку в придонном слое морского грунта не обнаружено.

О. Шинкина

21062. Минерализация вод, содержащихся в осадках солоноватых бассейнов (Швеция), сопоставленная с содержанием диатомовых и других организмов в этих же осадках. Миккельсен (The salinity of the water contained in brackish-water sediments compared with the content of diatoms and other organisms in the same sediments. Mikkelsen Valdemar M.), Medd. Dansk geol. foren., 1956, 13, № 2, 104—111 (англ.; рез. дат.)

Определено естественная влажность и соленость в образцах илов на глубине 1,2 м параллельно подсчету соленобивных и пресноводных организмов. Сравнение величин минерализации вод в илах с содержанием в них тех или иных организмов показывает, что минерализация поровых вод не соответствует лаковой в водах, в которых образовались эти осадки. Теория Кулленберга об установлении (Kullenberg B., Göteborgs Kgl. Vet.-och vitterhetssambäl. handl., 1952, B6, № 6) палеосолености бассейна по минерализации поровых вод оказалась неприменимой.

Ч. Кроль

21063. Осадки западной части Мексиканского залива. Часть II. Химическое исследование осадков западной части Мексиканского залива. Траск (The sediments of the western Gulf of Mexico. Part II. Chemical studies of sediments of the western Gulf of Mexico. Trask Parker D.), Papers Phys. Oceanogr. and Meteorol. Massachusetts Inst. Technol. and Woods Hole Oceanogr. Instn., 1953, 12, № 4, 47—120 (англ.)

Ясно выраженная зависимость между содержанием

органич. в-ва в осадках районов шельфа и верхней части континентального склона и структурой осадков показывает, что на осаждение и устойчивость органич. в-ва в значительной степени влияют те же процессы, что и на осаждение неорганич. в-ва. Отношение C:N в основном постоянно в осадках континентального шельфа и склона, среднее 8,5%, оно повышается к центру абиссальных глубин до 9,5. В колонках на глубине 10—25 см содержание органич. С понижается на ~10%, органич. N — на 15—20%, C:N — на 5—10%. CaCO_3 повышается с 5% в осадках К шельфа до 30 на глубинах. Хим. состав осадков (в %): SiO_2 36,94—84,34 (выше в песках); Al_2O_3 4,78—16,04 (ниже в песках); Fe_2O_3 4—6 (ниже в песках); MgO 2,34—3,35 (выше в красной глине, ниже в песках); CaO 1,5—2,8; Na_2O 0,8—1,3 (выше в красной глине, ниже в глин. сланцах); K_2O 2,1—2,5; P_2O_5 0,1—0,25; TiO_2 0,5—0,9; MnO 0,06—0,13; Cl 1,33—2,53. Содержание SO_3 относительно низкое 0,39—0,69. Влажность, выраженная отношением веса воды к весу сухой пробы в %, определялась в верху и самом низу колонки. Максим. влажность отмечена в наиболее тонких осадках, имеющих относительно высокое содержание органич. С (2%). Библи. 26 назв.

О. Шишкина
21064. Отношение калия к хлорности в морской воде. Джентофт, Робинсон (The potassium-chlorinity ratio of ocean water. Jentoft Ralph E., Robinson Rex J.), J. Marine Res., 1956, 15, № 2, 170—180 (англ.)

Описан метод определения К в морской воде. На основании ряда анализов рассчитано отношение К/хлорность = 0,02023.

М. Яншина
21065. Содержание лигнина в морских осадках. Бейдер (The lignin fraction of marine sediments. Bader Richard G.), Deep-Sea Res., 1956, 4, № 1, 15—22 (англ.)

Лигнин, исследованный в 31 пробе поверхностных осадков залива Майн (от 44°05' до 44°28' N, от 68° до 68°30' W) и 26 пробах из двух колонок по вертикали, является крайне замечивой составной частью органич. в-ва. Колебания содержания лигнина в поверхностных осадках составляют (в % С лигнина) от 0,07 до 2,56; отношение С лигнина к С общ. (С лиг./С общ.×100) соответственно 20,0; 62,1. Таким образом, в морских осадках изменяется как общее содержание С лигнина, так и его отношение к общему содержанию С органич. в-ва. Лигнин устойчив к процессам микробиологич. разложения. Содержание С лигнина с глубиной по колонке меняется очень мало. Концентрация С в лигнине морских осадков дает представление о палеоэкологии. Отмечена связь между содержанием лигнина и отношениями C/N в силу образования азотсодержащего лигнинного комплекса. Исследование лигнина в морских осадках имеет существенное значение, так как аналогичное исследование в почвах показало, что именно лигнин обеспечивает обменную способность, приписываемую органич. в-ву.

О. Шишкина
21066. Вертикальное распределение биогенных элементов в грунтовых растворах Охотского моря. Бруевич С. В., Докл. АН СССР, 1956, 111, № 2, 391—394

Подтверждены ранее сделанные выводы об увеличении с глубиной в грунтовых р-рах (ГР) величин щелочности (Alk) и NH_4^+ и отсутствие такого изменения для Si. Для PO_4^{3-} отмечено небольшое увеличение к низу (0,2—0,3 Р мг/л), что в аэробной обстановке осадков в небольшой степени связано с растворением минер. PO_4^{3-} ; в анаэробной обстановке — с отщеплением в процессе гидролиза H_2PO_4 из ее эфиров, входящих в состав фосфорноорганич. соединений. Процессы адсорбции ограничивают накопление PO_4^{3-}

в ГР. Накопление биогенных элементов (БЭ) усиливается с увеличением глубин Охотского моря, резко выражено в Южной глубоководной впадине, где на глубинах 9 м в осадке Alk 49 мг-экв/л; NH_4^+ 58 N мг/л. Предполагается, что возрастание Alk и NH_4^+ связано с процессом редукции SO_4^{2-} в осадках этих районов. Повышение концентрации БЭ в области больших глубин отмечалось в Беринговом и Каспийском морях. Большее накопление БЭ в ГР Охотского моря по сравнению с Беринговым указывает на большее содержание в осадках органич. в-ва, а следовательно, и на большую продуктивность Охотского моря.

О. Шишкина
21067. К определению ионов щелочных металлов в минеральных водах. Коброва (Příspěvek ke stanovění iontů alkalií v minerálních vodách. Koberova Milena), Fysiater. věst., 1957, 35, № 4, 232—237 (чешск.; рез. русск., англ.)

Разработан новый метод определения щелочей в минер. водах: к пробе воды прибавляют 8%-ный р-р в 96%-ном спирте 8-оксихинона, затем доводят pH р-ра до 9—10, прибавляя 10%-ный NH_4OH по бумажке с универсальным индикатором. Часто помешивают. Если не появилось желтого окрашивания, следует добавить 8-оксихинона. Затем фильтруют через стеклянный фильтр № 4. Фильтрат выпаривают в Pt-чашке на водяной бане, потом удаляют соли аммония прокаливанием при 200°. Осадок смачивают несколькими каплями HCl и растворяют в воде, осадок удаляют фильтрованием, р-р обрабатывают хлоргидратом гидразина, повторяя операции несколько раз. Выпаренный фильтрат в Pt-чашке представляет сумму хлоридов щелочей.

М. Яншина
21068. Полевая лаборатория для определения некоторых элементов в водах и в водных вытяжках. Киреян Э. А., Изв. АН АрмССР, Сер. геол. и геогр. н., 1957, 10, № 3, 71—77 (рез. арм.)

Разработана полевая лаборатория для определения качеств. Zn, Pb и H_2S и полуколич. pH, MoO_4 , Cu, Fe^{2+} , Fe^{3+} , SO_4 ; напр. определение сульфатов ведется по объему осадка с BaCl_2 .

М. Яншина
21069 К. Минералогия полиметаллических месторождений Рудного Алтая. Т. I. Минералы Рудного Алтая. Элементы, сульфиды, сульфосоли. Вейс Б. И., Покровская И. В., Болгов Г. П. Алма-Ата, АН КазССР, 1957, 344 стр., илл., 36 р. 75 к.

21070 К. Минеральные залежи промышленного значения. Бейтман-Алан. Перевод с англ. (Yacimiento minerales de rendimiento económico. Baitman Alan M. Trad. Barcelona, Ed. Omega, 1957, 946 p. 400 ptas), (исп.)

21071 Д. Использование термоэлектродвижущих сил пирита и галенита для суждения о температуре их образования. Горбатов Г. А. Автореф. дисс. канд. геол.-минералог. н., Всес. н.-и. ин-т минеральной сырьев. М., 1957

21072 Д. Основные черты геохимии бериллия и генетические типы бериллиевых месторождений. Беус А. А. Автореф. дисс. докт. геол.-минералог. н., Ин-т минералогии, геохимии и кристаллохимии редких элементов АН СССР, М., 1957

21073 Д. Порфиры и порфириды Зырянского района и их отношение к оруденению. Ким В. А. Автореф. дисс. канд. геол.-минералог. н., Ин-т геол. наук АН КазССР, Алма-Ата, 1957

21074 Д. Минералогия зоны окисления главнейших медно-молибденовых месторождений Армении (Каджаран, Агарак, Дастакерт, Анкаван (Мисхана)). Акопян Н. А. Автореф. дисс. канд. геол.-минералог. н., 1957

лот. н., Ин-т геол. рудн. месторожд. петрогр., минералогии и геохимии АН СССР, Ин-т геол. наук АН АрмССР, Москва — Ереван, 1957

21075 Д. Основные геологические закономерности фосфоритных месторождений СССР и их генетическая классификация. Гиммельфарб Б. М. Автореф. дисс. докт. геол.-минералог. н., Геол. ин-т АН СССР, М., 1957

21076 Д. Минералогия и геохимия новообразований на четвертичных отложениях Центрально-Русской лесостепи. Добровольский В. В. Автореф. дисс. канд. геол.-минералог. н., Всес. н.-и. ин-т минеральн. сырья, М., 1957

АНАЛИТИЧЕСКАЯ ХИМИЯ

ОБЩИЕ ВОПРОСЫ

Редактор А. И. Бусев

21078. Задачи аналитической химии в свете решений XX съезда КПСС. Бабко А., Тр. Научно-техн. о-ва черной металлургии. Укр. респ. правл., 1956, 4, 5—10

21079. Физико-химический анализ аналитических систем. Тананаев И. В., Ж. аналит. химии, 1957, 12, № 5, 578—586
Обзор работ, выполненных в Советском Союзе.

А. Бусев

21080. Экстракционные методы разделения элементов. Вдовенко В. М., Ж. аналит. химии, 1957, 12, № 5, 593—599

Обзор работ, выполненных в Советском Союзе.

А. Бусев

21081. Неорганический микрохимический анализ. Коренман И. М., Ж. аналит. химии, 1957, 12, № 5, 685—687

Обзор работ, выполненных в Советском Союзе.

А. Бусев

21082. Новый принцип полуколичественного капельного анализа. Поляков М. П., Полякова В. П., Вул. научно-техн. информ. Арм. н.-и. ин-т землед., 1957, № 2, 32—38

Предлагается «глазковый» оценочный метод капельного анализа, основанный на титровании испытуемым р-ром бумаги, пропитанной индикатором и титрующим в-вом. В качестве последнего при определении хлоридов применяют Ag^+ , при определении сульфатов — Ba^{2+} . Испытуемый р-р наносят возможно меньшими порциями в центр пятна, причем каждую новую порцию добавляют лишь после того, как в бумагу впиталась предыдущая. Конец титрования устанавливают по изменению окраски индикатора. При определении хлоридов в качестве индикатора применяют K_2CrO_4 . Конц-ию в-ва определяют с помощью запироч. шкалы по величине пятна растекания. Сравнение со шкалой производят после прекращения растекания влажного пятна. Описаны метод определения Cl^- и применяемая аппаратура. Н. Полянский

21083. К вопросу о теории бесстружкового растворения сплавов. Тананаева А. Н., Тр. Уральского политехн. ин-та, 1957, сб. 69, 143—147

На основе теории электрохим. процессов и металлографич. соображений рассмотрен процесс бесстружкового растворения сталей. В случае растворения сплавов с гомог. структурой исследуемый р-р тоже должен иметь гомог. структуру. В сплавах с гетерог. структурой анализируется растворявшаяся и нерастворявшаяся часть (в сталях — железная основа и карби-

21077 Д. Условия существования урана в океанической воде. Колядин Л. Б. Автореф. дисс. канд. хим. н., Радиевый ин-т АН СССР, Л., 1957

См. также: Физ. и хим. методы анализа минералов 21191. Радиоактивность 20556. Структура, состав и св-ва минералов 20429, 20444, 20445, 20479, 20510. Состав и св-ва руд, почв и вод 21148, 21176, 21189, 21191, 21195, 21202, 21207, 21862. Распределение элементов в природных объектах 8225Бх, 8226Бх, 8233Бх. Микроэлементы и минералы в живых организмах 8225Бх, 8229Бх, 8231Бх, 8232Бх. Синтез минералов 20506

ды). Механизм растворения низко-, средне- и высоколегированных сталей одинаков. Л. Чепелева

21084. Углекислый натрий в качестве стандартного вещества в титриметрическом анализе. Истербрук (Sodium carbonate as a volumetric standard. Easterbrook W. C.), Analyst, 1957, 82, № 975, 383—390 (англ.)

Изучено применение чистого Na_2CO_3 (I) в качестве стандартного в-ва в титриметрич. анализе. Разработаны методы получения I из продажных препаратов $NaHCO_3$ (II), Na_2CO_3 (III) и $Na_2CO_3 \cdot 2H_2O$ (IV). При нагревании II или IV при $270 \pm 10^\circ$ в течение 2 час. получают продукт, вес которого при дальнейшем нагревании (в продолжение 50 час.) более не изменяется. При комнатной т-ре в обычных условиях прирост веса I ($4,5 \pm 1$, помещенного в открытый серебряный тигель) в течение 4,5 часа составил 0,12%. Содержание I в полученных препаратах определялось титрованием р-ром HCl , титр которой устанавливался весовым способом с помощью $AgNO_3$, приготовленного из Ag высокой чистоты (99,995%). Найдено, что I, полученный из IV, содержит 99,998% Na_2CO_3 . I, полученный из II, обладает почти такой же степенью чистоты, в то время как I, приготовленный из III, является менее чистым (99,97%). В связи с высокой степенью чистоты I и достаточной устойчивостью при хранении он рекомендуется в качестве стандартного в-ва в ацидиметрии. А. Немодрок

21085. Диарилдисульфимиды как вещества для установления титра. Рунге, Беренде, Эрнст (Diaryl-disulfimide als urtitersubstanzen. Runge F., Behrends J., Ernst A.), Z. analyt. Chem., 1957, 158, № 4, 286—270 (нем.)

Дифенилдисульфимид, 3,3'-динитродифенилдисульфимид, 4,4'-диоксидифенилдисульфимид и 4,4'-дихлордифенилдисульфимид являются сильными к-тами, хорошо кристаллизуются без воды, хорошо растворимы и устойчивы в твердом состоянии и в р-рах. Вследствие этого перечисленные дисульфимиды рекомендуются для установления титра р-ров щелочей с метилоранжем и фенолфталеином. Н. Чудинова

21086. Определение значения pH начала осаждения и произведения растворимости гидроксидов висмута полярографическим методом. Коваленко П. Н., Хим. наука и пром-сть, 1957, 2, № 4, 531—533

Значения pH начала осаждения $Bi(OH)_3$ (I) определены с использованием полярографич. метода. Р-ры $Bi(NO_3)_3$ (II) полярографировались на визуальном полярографе. Полярографич. максимум подавлялся 0,1%-ным р-ром метилового красного, сила тока измерялась зеркальным гальванометром. pH р-ров II постепенно повышался добавлением р-ра $NaOH$. В мо-

мент начала осаждения I конц-ия ионов Bi^{3+} начала уменьшаться, что вызывало резкое снижение высоты диффузионной волны. Найдено, что значение рН начала осаждения I зависит от начальной конц-ии р-ра II (для $1,86 \cdot 10^{-3}$, $0,83 \cdot 10^{-3}$ и $0,33 \cdot 10^{-3}$ г-ион/л оно соответственно равно 1,60, 2,1 и 2,6). При рН 4,73—4,80 осаждение I заканчивается независимо от начальной конц-ии р-ров II. Произведение активности I при 12° (вычисленное на основании полученных данных) составляет $3,1 \cdot 10^{-32}$.

А. Немодрук
21087. Термолит осадков тория. II. Соли органических кислот. Уэндландт (Thermolysis of thorium precipitates. II. Salts of organic acids. Wendlandt Wesley W.), *Anal. chim. acta*, 1957, 17, № 3, 295—299 (англ.; рез. нем., франц.)

Изучено термич. разложение осадков, образуемых $\text{Th}(4+)$ с л-метоксibenзойной, янтарной, о-хлорбензойной, адипиновой, dl-камфорной, м-йодбензойной, α-нафтилуксусной, о-метилбензойной, 4-окси-3-метоксibenзойной и л-аминобензойной к-тами. При скорости нагревания $4,5^\circ$ в 1 мин. начало уменьшения веса перечисленных осадков (в упомянутом порядке) имеет место соответственно при 255, 55, 100, 85, 50, 300, 280, 185, 310 и 75° . Полное превращение в ThO_2 достигается при 475, 600, 505, 450, 475, 540, 530, 440, 385 и 465° . Состав осадков соответствует ф-лам: $\text{Th}(\text{CH}_3\text{OC}_6\text{H}_4\text{COO})_4$, $\text{Th}(\text{OH})_2(\text{OOC}(\text{CH}_2)_2\text{COOH})_2$, $\text{Th}(\text{OH})_2(\text{ClC}_6\text{H}_4\text{COO})_2$, $\text{Th}(\text{OH})_2(\text{OOC}(\text{CH}_2)_4\text{COOH})_2$, $\text{Th}(\text{C}_6\text{H}_4(\text{COO})_2)_2$, $\text{Th}(\text{C}_6\text{H}_4\text{COO})_4$, $\text{Th}(\text{C}_{10}\text{H}_7\text{CH}_2\text{COO})_4$, $\text{Th}(\text{CH}_3\text{C}_6\text{H}_4\text{COO})_4$, $\text{Th}(\text{CH}_2\text{O}(\text{OH})\text{C}_6\text{H}_4\text{COO})_2$ и $\text{Th}(\text{OH})_2(\text{NH}_2\text{C}_6\text{H}_4\text{COO})_2$. Сообщение I см. РЖХим, 1958, 888.

А. Немодрук
21088. Титрования с непрерывным и полунепрерывным отбором проб. Сайд (Continuous and semicontinuous sampling titrations. Said A. S.), *Anal. Chem.*, 1957, 29, № 10, 1435—1439 (англ.)

Выведены ур-ния, позволяющие с успехом осуществлять титрования в таких случаях, когда конечная точка не резка, когда скорость р-ции не достаточно велика или когда титруемые исследуемые р-ры (ИР) уже находятся вблизи точки эквивалентности. Ур-ния имеют различный вид в зависимости от того, применяется ли непрерывный метод отбора проб для титрования во время одновременно и непрерывно ведущего титрования основного объема ИР или прерывный метод, когда пробы для титрования отбираются в виде конечных объемов ИР после добавления очередной порции титрующего р-ра к основному объему ИР. Индикация может производиться любым из подходящих методов, напр., по изменению интенсивности окраски цветного индикатора, рН, электропроводности, э. д. с. и т. д. Метод пояснен на двух примерах с применением полунепрерывного метода отбора проб: на примере титрования комплексом почти дотитрованного р-ра ионов Ca^{2+} с индикатором эриохром черный Т, дающим нерезкую конечную точку, со спектрофотометрич. индикацией и на примере определения зависимости между рН и составом боратного буферного р-ра с индикацией по изменению рН.

А. Горюнов
21089. Органические реагенты. Кузнецов В. И., *Ж. аналит. химии*, 1957, 12, № 5, 606—617

Обзор работ, выполненных в Советском Союзе.

А. Бусев
21090. Реакции осаждения при помощи 2,3- и 3,4-диметилфениларсеновых кислот. Пич (Fällungsreaktionen mit 2,3- und 3,4-dimethylphenylarsinsäure. Pietsch R.), *Mikrochim. acta*, 1957, № 5, 705—713 (нем.; рез. англ., франц.)

Описаны р-ции и указано рН начала осаждения ряда ионов металлов при помощи 2,3- и 3,4-диметилфениларсеновых к-т. Разработан синтез названных

реагентов. Эти изомеры отличаются как осадителем друг от друга и от α- и β-нафтиларсеновых к-т. Н. К.

21091. Аналитическое применение пентацианогератных комплексов. Херингтон (Analytical use of pentacyanogerrate complexes. Herington E. F. G.), *Industr. Chemist*, 1957, 33, № 391, 439—440 (англ.)

Обзор. Библ. 11 назв. В. Зеленин
21092. Технический анализ. Эрден (Analysis for industry. Erdey Laszlo), *Industr. Chemist*, 1957, 33, № 391, 459—461; № 392, 523—525; № 393, 575—576 (англ.)

Обзор применения некоторых хемилюминесцентных индикаторов (люцитенин, люминол, лофин, сиклоин) в аналитич. химии. А. Бусев

21093. Термическое разложение внутрикомплексных соединений 2-метил-8-хинолина (8-оксихинальдина) со скандием, торием, шестивалентным ураном и редкоземельными элементами. Уэндландт (The thermal decomposition of the 2-methyl-8-quinoline (8-hydroxyquinoline) chelates of scandium, thorium, uranium (VI) and the rare earth elements. Wendlandt Wesley W.), *Anal. chim. acta*, 1957, 17, № 3, 274—279 (англ.; рез. нем., франц.)

Сублимация самого 2-метил-8-хинолина (I) начинается при 90° (680 мм рт. ст.), протекает без разложения и полностью заканчивается при 200° . Поэтому в ряде случаев нет необходимости при сушке осадков внутрикомплексных соединений (ВКС) с I ограничиваться, как это часто рекомендуется, т-рой 130—140°. Th, Y и P33 образуют нормальные ВКС с I, Sc и U(6+) — с одной сольватной молекулой I. Т-ры начала разложения ВКС Th, Y, La, Ce, Pr, Nd, Sm и Gd с I равны 185, 65, 65, 100, 75, 60, 50 и 65° . Т-ры окончания разложения 435, 565, 645, 380, 560, 645, 605 и 635° соответственно. Потеря сольватной молекулы I у ВКС Sc и U(6+) с I начинается при 70 и 55° и заканчивается при 225 и 258° соответственно. При 225—340° и 258—290° соответственно ВКС Sc и U(6+) термически устойчивы. Полное разложение их заканчивается при 660 и 480° соответственно. В результате термич. разложения перечисленных ВКС с I во всех случаях образуются соответствующие окислы. А. Горюнов

21094. Соединения циркония с этилендиаминтетрауксусной кислотой. Гетерометрическое исследование. Бобтельский, Рафаилов (The zirconium compounds of ethylenediaminetetraacetate. A heterometric study. Bobtelsky M., Rafailoff R.), *Anal. chim. acta*, 1957, 17, № 3, 308—313 (англ.; рез. нем., франц.)

Методом гетерометрич. титрования (ГТ) изучены состав и свойства комплексов Zr с этилендиаминтетрауксусной к-той (I), образующихся в р-рах при рН 1—7. При ГТ $\text{ZrO}(\text{NO}_3)_2$ (II) р-рами I при рН 5—9 образуется труднорастворимое комплексное соединение (KC) состава Zr_2I , которое при дальнейшем прибавлении I переходит в менее растворимое KC Zr_3I . Это последнее KC больше не изменяется от увеличения кол-ва добавленного р-ра I. При рН 2—3 сначала образуется KC Zr_2I , которое при дальнейшем прибавлении р-ра I переходит в Zr_2I и, наконец, в Zr_3I . При ГТ р-ров I р-рами II при рН ~ 1 образуется растворимое KC ZrI . Увеличение кол-ва II приводит к образованию труднорастворимого KC Zr_2I и далее еще менее растворимого Zr_3I . При рН ~ 3 сразу образуется Zr_3I , при рН ~ 5 сначала образуется Zr_2I , переходящий при дальнейшем прибавлении р-ра II в Zr_3I . При рН ~ 7 образуется только Zr_3I . Чувствительность ГТ при рН 5—7 в 2 раза выше, чем при 1—3, однако при ГТ при рН 1—3 отсутствует мешающее влияние прочих элементов (Cu, Ni, Pb). Изменение соотношения Zr и I в реакционной смеси и изменение рН легко вызывают соответствующие измене-

осадители
к-т. Н. Н.
циклофос-
фитическ
он Е. Р.
40 (англ.)
Зеленый
analysis for
nist, 1957,
575-576

осциллограф
силонен)
А. Бусев
спленских
нальдина)
ураном и
дт (The
quinolind
thorium,
s. Wend-
1957, 17,

(I) паче-
без разло-
Потому
осадило
ограничи-
130-140.
с I, Se и
-ры нача-
и Gd с
ы окончи-
605 и 633
и у ВКС
и закали-
225-340
+) термиче-
канчивает-
тате тер-
всех слу-
Горюнов
аминотетра-
исследова-
The zircon-
aacetate.
a failoil
313 (англ.)

изучены
аминотетра-
х при рН
и рН 5-7
е соедине-
ишем при-
КС Zn, I
увеличе-
З сначала
и прибав-
в, Zn, I
уется рас-
иводит с
и далее
разу обра-
ется Zn,
и р-ра II
Чувствит-
чем рН
ет мешаю-
). Изме-
и изме-
е изме-

ния состава образовавшегося КС. В водн. р-рах II при рН 1-7 Zn взаимодействует в виде димерного иона $(ZnO)_2^{4+}$. А. Немодрук

21005. Рутин как реактив в неорганическом анализе. I. Сарваш, Ярабин, Деде (A rutin mint szervesen-analitikai reagens. I. (Előzetes közlemény). Szarvas Pál, Jarabin Zoltán, Dede László), Magyar kém. folyóirat, 1957, 63, № 4-5, 151-152 (венг.; рез. нем.)

В качестве реактива для качеств., а иногда и колич. определения многих ионов предложен рутинквартеин-3-рутинозид, образующий с ионами ряда металлов окрашенные соединения. Небольшие кол-ва Fe^{2+} дают с реактивом в щел. среде красно-коричневую окраску. Fe^{3+} в присутствии персульфата дает в кисл. р-рах коричнево-зеленую окраску. $U(6+)$ и $Ti(4+)$ при рН 6-8, а также $V(5+)$ в фосфорнокисл. р-рах дают в присутствии реактива оранжево-красную окраску. При подходящих условиях в присутствии Mn появляется красно-коричневая окраска. Чувствительность р-ций варьирует от 0,3 до 200 γ ионов металлов в 1 мл р-ра. Регулировкой рН, последовательностью добавления реактивов и применением комплексообразующих в-в достигается повышение специфичности р-ций. Н. Полянский

21006. Определение констант устойчивости комплексов Tl^+ с этилендиаминотетрауксусной и нитрилоуксусной кислотами. Баутен, Вербек, Экхаут (Détermination des constantes de stabilité des complexes de Tl^+ avec l'acide éthylenediaminotétracétique (EDFA) et avec l'acide nitrilotriacétique (NTA). Bouten J., Verbeek F., Eekhaut J.), Analyt. chim. acta, 1957, 17, № 3, 339-347 (франц.; рез. нем., англ.)

Полярграфическим методом определена область устойчивости комплексов Tl^+ с этилендиаминотетрауксусной (I) и нитрилотриуксусной (II) к-тами. В присутствии 100-кратного избытка I или II образование комплексов начинается при рН 6 и заканчивается для I практически уже при рН 7, а для II — лишь при рН 9. В обоих случаях образуются анионные комплексы с соотношением компонентов 1:1 состава $[TlA]^-$ и $[TlB]^-$, где А и В остатки I и II соответственно. Константы устойчивости комплексов вычислены из данных о смещении полярграфич. полуволны и найдены равными: $K_{CI} = 10^{-5,81 \pm 0,05}$ при 25°

и $\mu = 1,0$ для области рН 7-10,5 и $K_{CII} = 10^{-3,44 \pm 0,03}$ при 25° и $\mu = 1,4$ для области рН 9-10,5. Катодное восстановление $Tl(I+)$ на капельном Hg-электроде обратимо как в отношении связанного в комплекс металла, так и в отношении свободных ионов Tl^+ . А. Горюнов

21007. Новый кислотно-щелочной индикатор. Сен, Берг, Уэст (A new acid-base indicator. Sen Buddhadev, Berg Eugene W. West Philip W.), Analyt. chim. acta, 1957, 17, № 4, 355-359 (англ.; рез. нем., франц.)

Исследование спектра поглощения систем Fe^{3+} — 1,2-дифенилбензол-3,5-дисульфокислота в зависимости от рН р-ра показало, что изменение окраски происходит обратимо и воспроизводимо. При рН 1,8 и 9 р-ры бесцветны; наиболее резкое изменение окраски происходит в интервалах рН 1-2 (бесцветная — бледно-зеленая), 4-6 (темно-зеленая — светло-фиолетовая), 6-8 (светло-фиолетовая — бесцветная), 8-10 (бесцветная — светло-оранжевая), что позволяет использовать эту систему в качестве универсального индикатора в широком интервале рН. Индикатор рекомендуется также для титрования сильных к-т сильными и слабыми основаниями (рН 6-8 и 4-6) вместо метилового, оранжевого и фенолфталеина. Н. Чудинова

21098. Электрохимические методы аналитической химии. Козловский М. Т., Ж. аналит. химии, 1957, 12, № 5, 623-628

Обзор работ, выполненных в Советском Союзе.

21099. Осциллографическая полярграфия. Гейровский (Die oscillographische Polarographie. Heyrovský J.), Osterr. Chem.-Ztg, 1957, 58, № 7-8, 94-99 (нем.)

Излагаются основы осциллографич. полярграфии и указаны некоторые ее применения. Н. Полянский

21100. Полярграфический волновой анализ. Манро (Polarographic wave analysis. Munro D. C.), Nature, 1957, 180, № 4585, 540-541 (англ.)

Описывается новый вид полярграфич. анализа для определения числа электронов n , участвующих в р-циях восстановления на ртутном капельном электроде. При обратной р-ции на поверхности электрода форма полярграфич. волны восстановления описывается ур-нием Гейровского-Ильковича: $E = E_{1/2} - RT/nF \cdot \ln I/(I_d - I)$, где $E_{1/2}$ — потенциал полуволны в b , I ток в любой точке волны и I_d — окончательный диффузионный ток.

Такие волны анализируются графически в координатах $\lg I/(I_d - I) - E$ и n определяется по наклону прямолинейной участка получающейся кривой. Точность определения ограничивается такими факторами, как колебания в размерах капли, различие в коэф. диффузии продуктов восстановления и окисления и малой скоростью р-ции на поверхности электрода. Большая часть участка возрастания тока у нормальной полярграфич. волны точно описывается тангенсом угла в точке полуволны ($tg_{1/2}$). Ур-ние $tg_{1/2}$ легче всего составляется через параметр тока i , который является разностью между током в любой точке волны и в точке полуволны и представляет собой долю от половины окончательного диффузионного тока. $i = (I - 0,5 I_d)/0,5 I_d$, так что $I(I_d - I) = (I + i)/(I - i)$. В начале волны $i = -1$, в точке полуволны $i = 0$, в конце волны $i = +1$. Логарифмич. член в ур-нии Гейровского-Ильковича можно представить в виде ряда $\ln(I + i)/(I - i) = 2(i + i^3/3 + i^5/5 + i^7/7 + \dots)$. В точке полуволны, где $i = 0$, $tg_{1/2}$ описывается ур-нием $E = E_{1/2} - 2iRT/nF$.

Между началом волны ($I = 0$, $i = -1$) и ее концом ($I = I_d$, $i = +1$) прирост потенциала ΔE , определяемый этим $tg_{1/2}$, равен $-4RT/nF$; при 18° $\Delta E = -1,003/n$ вольт. Таким образом, n обратно пропорционально ΔE . Наилучшим методом определения n для какой-нибудь восстановительной р-ции является метод сравнения величины ΔE для этой р-ции с величиной ΔE для р-ции, для которой n известно. Такой метод до некоторой степени компенсирует ошибки, связанные с определением $tg_{1/2}$. Пригодность этого метода проиллюстрирована на примере определения n для р-ций восстановления ионов Tl^+ , Pb^{2+} и Bi^{3+} в $4 \cdot 10^{-3} M$ р-рах этих ионов в 1 M винной к-те. Принимая для Tl^+ $n=1$ для Pb^{2+} и Bi^{3+} получаются значения n , равные 1,8 и 2,8 соответственно. А. Горюнов

21101. Потенциометрическое кислотно-основное титрование в ледяной уксусной кислоте. Брукенштейн (Potentiometric acid-base titrations in glacial acetic acid. Bruckenstein Stanley), Res. Chem. Progr., 1957, 18, № 3, 162-178 (англ.)

Излагаются основы метода.

21102. Вольтамперометрическое поведение пар железо (II) — железо (III) и церий (III) — церий (IV) в потенциометрических титрованиях при постоянном токе и в амперометрических титрованиях с двумя индикаторными электродами. Кольтгофф, Найтингейл (Voltammetric behavior of the iron

(II) — (III) and cerium (III) — (IV) couples in potentiometric titrations at constant current and amperometric titrations with two indicator electrodes. Kolthoff I. M., Nightingale E. R., Jr, *Analyt. chim. acta*, 1957, 17, № 3, 329—338 (англ.; рез. нем., франц.)

Кривые сила тока — потенциал ($I-V$) снимались с помощью самопишущего полирографа Саржента, модель XXI, при скорости перемещения ленты в 25 мм/мин и при скорости изменения потенциала в 0,074 и 0,148 в/мин. Приложение постоянной э. д. с. к электродам в амперометрич. титрованиях (АТ) и поддержание постоянства силы тока (I) при потенциометрич. титрованиях (ПТ) осуществлялось с помощью ручного полирографа. Чувствительность электродов для р-ции окисления $Fe(2+) \rightarrow Fe(3+)$ составляла 220 мА/ммоль/л, для р-ции восстановления $Ce(4+) \rightarrow Ce(3+)$ — 160 мА/ммоль/л. Пары $Fe(2+) - Fe(3+)$ и $Ce(3+) - Ce(4+)$ на вращающемся индикаторном Рт-электроде (ВИЭ) необратимы при протекании тока через систему и ход кривых $I-V$ значительно отличается от предсказываемого на основе обратимости. Ход кривых ПТ при постоянной I с одним или двумя ВИЭ, предсказанный на основании хода кривых $I-V$, близок к ходу эксперим. кривых. Степень необратимости пары $Fe(2+) - Fe(3+)$ сильно зависит от предварительной обработки электродов. Так, кривые $I-V$, снятые для этой пары с ВИЭ, покрытым мономолекулярным слоем окиси Рт, приближаются к кривым для вполне обратимой системы, кривые же, снятые с очищенным ВИЭ, весьма далеки от этого. Эксперим. и вычисленные кривые АТ с двумя ВИЭ близки между собою, но ход их зависит от характера среды и от величины приложенной э. д. с.

А. Горюнов

21103. К методике высокочастотного титрования с горшкообразной ячейкой. Опыты на приборе с частотой 415 Мгц. Хубер, Крузе (*Zur Arbeitsweise von Hochfrequenztitrationsmetern mit Topfzellen. Versuche an einem Gerät für 415 MHz. Huber R., Cruse K.*, *Z. phys. Chem. (BRD)*, 1957, 12, № 5-6, 273—285 (нем.)). Показано, что чувствительность (Ч) высокочастотного титрования (ВТ) зависит от конц-ии титруемого р-ра. Оптимальная Ч при ВТ на приборах с частотой в пределах 1—30 Мгц наблюдается при конц-иях от 10^{-3} н. до 10^{-2} н. С увеличением частоты оптим. Ч сдвигается в сторону больших конц-ий. Установлено, что размеры и форма ячейки для ВТ также влияют на величину конц-ии, изменение которой прибор отражает с максим. Ч. Для ВТ более высоких конц-ий ($10^{-2} - 0,5$ н.) в условиях оптимальной Ч предложена схема установки с частотой колебаний 415 Мгц. Ячейка для титрования представляет собой стакан с металлич. горшкообразной подставкой (ГП), состоящей из двух частей — нижней цилиндрич. части с Си-стержнем в центре и навинчивающейся на нее верхней части, в отверстии которой находится стакан, удерживающийся в нем при помощи кольцевого выступа. Вращением верхней части ГП изменяют расстояние между дном стакана для титрования и концом Си-стержня и таким способом настраивают прибор для титрования р-ров с различной конц-ией в условиях максим. Ч. На примерах водн. р-ров HCl различной конц-ии показано, что уменьшение расстояния между дном стаканчика с р-ром и Си-стержнем максим. Ч. сдвигается в сторону больших конц-ий.

А. Немодрук

21104. Очистка молочной кислоты для хроматографических целей. Преображенский Б. К., Лилова О. М., *Заводск. лаборатория*, 1957, 23, № 9, 1071. К определенному кол-ву технич. молочной к-ты (I) прибавляют рассчитанное кол-во ZnO (~200 г/л I) в виде замешанной на воде тестообразной массы до

полной нейтр-ции I, о чем судят по прекращению выделения CO_2 после прибавления капли реакционной смеси к р-ру Na_2CO_3 . Выждав некоторое время, лактицину отфильтровывают под отсосом, отмывают порой от органич. примесей и разлагают прибавлением (с некоторым недостатком) рассчитанного кол-ва конн. H_2SO_4 . К полученной тестообразной массе, содержащей свободную I, $ZnSO_4$ и немного H_2O , прибавляют 2 или 3 раза равные или несколько большие объемы диэтилового эфира и экстрагируют I при перемешивании воздухом. Для окончательной очистки I от следов Zn и H_2SO_4 ее перегоняют в присутствии небольшого кол-ва $Ba(OH)_2$ (для связывания H_2SO_4) под вакуумом (при 122° и давл. 14 мм рт. ст.) создаваемым водоструйным насосом. Перегонку прекращают, как только т-ра перегоняющегося пара несколько снизится. Полученная чистая I пригодна для хроматографич. целей.

А. Горюнов

21105. Фотометрические методы анализа. Пенкова В. М., Антипова-Каратаева И. И., *Ж. аналит. химии*, 1957, 12, № 5, 629—636. Обзор работ, выполненных в Советском Союзе

А. Бусев

21106. Принципы абсорбиметрической йодометрии. Эрбо, Сигалла (*Principes de l'iodimétrie absorptométrique. Herbo C., Sigalla J.*, *Analyt. chim. acta*, 1957, 17, № 2, 199—207 (франц.; рез. нем., англ.)).

С целью распространения метода абсорбиметрич. йодометрии на область малых конц-ий исследованы спектры поглощения р-ров J_2 и комплексных ионов (КИ) J_3^- , J_2Br^- и J_2Cl^- , заново определены константы равновесия J_2 с перечисленными КИ и H_2O . Новые величины имеют при 25° и $\mu = 0,01$ следующие значения соответственно: $K_1 = 1,4 \pm 0,1 \cdot 10^{-4}$, $K_2 = 15 \pm 2$, $K_3 = 1,5 \pm 0,2$ и $K_4 = 4,5 \pm 1 \cdot 10^{-13}$. Установлено, что определение окислителей и восстановителей по кол-ву или образовавшегося или разрушившегося J_3^- методом абсорбиметрич. йодометрии возможно при двух условиях: 1) весь J находится в форме КИ J_3^- , 2) кол-во J_2 , образующегося за счет паразитной р-ции автоокисления J^- кислородом воздуха за время, требующееся для проведения анализа, не превышает абс. ошибки метода. Вычисление, основанное на анализе констант равновесия упомянутых р-ций, показывает, что 1-е условие выполняется на 99%, когда выдерживаются 3 следующие неравенства: $[H^+] \cdot [J^-] \geq (4,5 \cdot 10^{-13} + [H^+] \cdot [J^-])$; $[J^-] \geq 2,4[Br^-]$ и $[J^-] \geq 0,24[Cl^-]$ (при $[H^+] > 10^{-9}$, когда 1-м слагаемым 2-го члена 1-го неравенства можно пренебречь, условия упрощаются: $[J^-] \geq 1,4 \cdot 10^{-1}$). Вычисление, основанное на использовании ур-ния кинетики, показывает, что если определение производится в темноте и в отсутствие катализатора (ионов Cu^{2+}), то 2-е условие выполняется тогда, когда $[J^-] = 0,14$, $[H^+] = 0,1$ и время определения ≤ 14 мин. (в присутствии ионов Cu^{2+} $[H^+]$ следует уменьшать). Чувствительность метода равна $2 \cdot 10^{-7}$ г-экв/л окислителя или восстановителя при условии измерения светопоглощения в 5-см кювете.

А. Горюнов

21107. Спектральный анализ. Райский С. М., *Ж. аналит. химии*, 1957, 12, № 5, 618—622. Обзор работ, выполненных в Советском Союзе

А. Бусев

21108. Краткий очерк развития эмиссионного спектрального анализа в СССР. Корицкий В. Г., Нелимов В. В., Недлер В. В., Райский С. М., Русанов А. К., Филимонов Л. Н., *Успехи физ. наук*, 1957, 63, № 2, 435—454. Обзор. Библи. 75 назв.

А. Бусев

21109. Статистическое исследование однородности спектральных эталонов на цинковой основе. Ф р а н ц

Даллеманд, Фрай (A statistical study on the homogeneity of zinc-base spectrographic standards. Frank Robert C., Dallemand James E., Fry David L.), Spectrochim. acta, 1957, 9, № 4, 323—331 (англ.)

Изучена однородность распределения Mg, Pb, Sn, Cd, Fe, Si, Mn, Ni, Cr, Cu, Al в литых эталонах для спектрального анализа цинковых сплавов. Каждый эталон в кол-ве 100 штук отливали в форме болванок квадратного сечения со стороной 43 мм и длиной 100 см. Для проведения спектрального анализа каждую болванку разрезали на сегменты толщиной ~13 мм. Линейная неоднородность по длине бруска изучена сравнением результатов анализа пяти сегментов, взятых от начала, середины и конца всех болванок. Поперечную неоднородность эталонов определяли спектральным анализом в одиннадцати различных точках, расположенных по лобовой поверхности каждого сегмента. Дополнительно исследовано влияние продолжительности изготовления партии эталона на однородность его состава. Подсчет среднего квадратич. отклонения производился обычными методами. Измерения считались одинаковыми, если среднее квадратичное отклонение $\leq 5\%$. Установлены особенности в распределении примесей в отлитых эталонах. Даны рекомендации по улучшению однородности литых образцов. Работа проводилась на квантометре фирмы ARL при возбуждении спектров в низковольтной и высоковольтной искрах. При расчетах использовалась счетно-решающая машина. Л. Капорский

2110. Общий метод спектрального анализа с внутренним стандартом. Фриске (Internally standardized general spectrographic method. Frisque A. J.), Analyt. Chem., 1957, 29, № 9, 1277—1279 (англ.)

Описан метод спектрального анализа любых материалов с единым набором эталонов. В основе метода лежит разбавление анализируемого образца смесью GeO_2 и графита, взятых в отношении 1:3. Внутренним стандартом служит Ge, имеющий средние значения упругости паров и потенциалов возбуждения. Смешение в-в производят зубообрабатывающим смесителем в пластмассовой посуде. Порошки добавляемых в эталон в-в перед смешением просеивают через сито в 325 меш. Эталон с малым содержанием определяемых элементов готовят последовательным разбавлением старших эталонов. Для анализа 5 мг пробы смешивают со 100—150 мг смеси GeO_2 и графита. Спектры возбуждают в искровом режиме от генератора Mul-боуэса (300 в, 14 а, 60 мф, 480 мкн) и фотографируют на большом призматическом спектрографе с дисперсией 5 А/мм в области 3200 А. Приведены аналитич. лилии для 22 элементов и абс. чувствительность обнаружения в γ . Ошибка определения ряда элементов в различных материалах (латунь, нержавеющая сталь, огнеупоры и др.) не превышает 25%. Б. Львов

2111. Комптоновское рассеяние в рентгеновской флуоресцентной спектроскопии. Брукс, Беркс (Compton scattering interference in fluorescent X-ray spectroscopy. Brooks E. J., Briks L. S.), Analyt. Chem., 1957, 29, № 10, 1556 (англ.)

Комптоновское рассеяние (КР) первичной рентгеновской радиации, наблюдаемое для легких элементов, иногда может быть достаточно интенсивным, чтобы заметно налагаться на спектр рентгеновской флуоресценции анализируемого образца. Для флуоресцентного рентгеновского излучения КР обычно очень незначительно и поэтому наложения практически незаметны. Описан случай КР первичного рентгеновского излучения образцов люцита при использовании в качестве источника рентгеновской трубки с вольфрамовым анодом. На спектрограмме вблизи линий WL_{α_1} ; WL_{α_2} и CuK_{α} в длинноволновую сто-

рону наблюдаются широкие полосы КР, которые могут налагаться, напр. на линии TaL_{α_1} ; TaL_{β_1} и HfL_{α_2} , соответственно.

Б. Львов

2112. Применение поглощения катодных и рентгеновских лучей к качественному и количественному анализу. Ямагути (Verwendung des Absorptionseffektes der Elektronen- und Röntgenstrahlen zur qualitativen und quantitativen Analyse. Yamaguchi Sh.), Z. analyt. Chem., 1957, 156, № 2, 109—111 (нем.)

Кристаллиты, состоящие из тяжелых атомов, поглощают мягкие катодные и рентгеновские лучи и пропускают жесткие. Показана дифракционная картина, полученная от смеси порошков ThO_2 и Fe_2O_3 . Измерения параметров колец при поглощении катодных лучей различной жесткости (0,0274 и 0,0479 А) позволяют установить колич. содержание компонентов при наличии снимков с эталонных смесей. Представлена также микроскопич. картина кристаллов той же смеси, наблюдаемая в рентгеновский микроскоп. Кристаллы ThO_2 — темные, Fe_2O_3 — почти прозрачные. Колич. учет тех и других кристаллов дает состав смесей. Т. Гуревич

2113. Применение инфракрасной спектроскопии в Канко. Уолберт (Use of infrared spectrophotometry at Canco. Wolbert H. J.), Perkin — Elmer Inst. News Sci. and Ind., 1957, 8, № 4, 1, 6—7 (англ.)

Американская консервная компания широко использует методы ИК-спектроскопии для идентификации органич. слоев, покрывающих стенки металлич. тары. По ИК-спектрам поглощения определяется состав слоев и качество их изготовления. Если необходимо исследовать слой без отделения его от металла, применяют спектры отражения. По интерференционной картине определяют толщину органич. слоя. Измерения производят на спектрометре Перкин — Эльмер, модель 21. В. Истомин

2114. Пламенный спектральный анализ. 1. Гото, Икэда (炎光分光分析法. 1. 後藤秀弘, 池田重良), 日本金属学会誌, Япония киндзоку гаккайси, J. Japan Inst. Metals, 1957, 21, № 1, A7—A13 (японск.)

Обзор.

А. Сарахов

2115. Пламенная фотометрия. Бевакуа (Fotometria di fiamma. Primi principi generali. Bevacqua R. B.), Ingegneria chim., 1957, 6, № 4, 11—13 (итал.)

Излагаются основы метода.

А. Бусев

2116. Применение масс-спектрометра в химической промышленности. Росс (Mass spectrometer applications in the chemical industry. Ross G. N.), Metropol-Vickers Gaz., 1957, 28, № 459, 232—239 (англ.)

Обзор. Библ. 26 назв.

А. Бусев

2117. Применение радиоактивных изотопов в аналитической химии. Алимарин И. П., Руднев Н. А., Ж. аналит. химии, 1957, 12, № 5, 587—592

Обзор работ, выполненных в Советском Союзе.

А. Бусев

2118. Радиохимический анализ. Монье (Analyse radiochimique. Monnier Denys), Inds atom., 1957, № 9-10, 59—64 (франц.)

Изложение основ радиохим. методов анализа.

А. Бусев

2119. Радиометрические методы. Баранов В. И., Ж. аналит. химии, 1957, 12, № 5, 600—605

Обзор работ, выполненных в Советском Союзе.

А. Бусев

2120. Графики поперечных сечений активации нейтронами. Мейнк, Маддок (Neutron activation cross-section graphs. Meinke W. Wayne, Maddock R. S.), Analyt. Chem., 1957, 29, № 8, 1171—1174 (англ.)

Построены графики зависимости поперечных сечений активации медленными нейтронами от периодов полураспада образующихся дочерних ядер. Один из графиков относится к изотопам, встречающимся в природе, другой — к искусственно радиоактивным изотопам. Графики позволяют определить чувствительность радиоактивационного анализа для различных элементов, выход радиоактивных изотопов при облучении нейтронами, а также активность одного изотопа по отношению к активности другого в конкретных условиях облучения. Р-дны с очень малыми поперечными сечениями или большими периодами полураспада сопоставлены в особых таблицах. Точность определения поперечных сечений для большинства изотопов составляет 10—40%.

Н. Полянский

21121. Приготовление образцов для α -счета путем прямого выпаривания органических растворителей. Так (The preparation of samples for α -counting by the direct evaporation of organic solutions. Tuck D. G.), *Analyt. chim. acta*, 1957, 17, № 3, 271—274 (англ.; рез. франц., нем.)

Образец α -излучающего в-ва, растворенного в подходящем органич. р-рителе, помещают с помощью пипетки в виде одной или нескольких последовательных капель объемом по 50 μ л каждая в центр хорошо отполированного (с одной стороны) диска из нержавеющей стали диам. 25 мм, установленного строго горизонтально на верхнем торце полого алюминиевого цилиндра. Цилиндр нагревают с помощью намотанной на него электр. печи до т-ры, обеспечивающей необходимый градиент ее в металлич. диске от периферии к центру, при котором происходит спокойное, без вскипания, испарение р-рителя. Так как последнее происходит по окружности капли, то в высохшем образце радиоактивное в-во располагается в виде кольца довольно хорошо воспроизводимых формы и размеров. Для приготовления для α -счета Pu-образцов были испытаны 3 органич. р-рителя: бензол (I), дибутилкарбитол (II) и р-р три-*n*-бутилфосфата (III) в неимеющем запаха керосине. Все они дали хорошие результаты. 50 μ л каждого из них высыхали за несколько минут. По испарении р-рителя для закрепления Pu в металле диски дополнительно нагревают до т-ры темно-красного каления. Воспроизводимость скорости счета для образцов, приготовленных на основе II, составляет 11%, на основе III 15,7%. Метод имеет ряд преимуществ по сравнению с ранее описанными в литературе.

А. Горюнов

21122. Экспериментальные криоскопические методы определения чистоты, употребляемые в химической исследовательской лаборатории в Теддингтоне. Хандли (Experimental methods for the determination of purity by cryoscopy in current use at the chemical research laboratory, Teddington. Handley R.), *Analyt. chim. acta*, 1957, 17, № 1, 115—124 (англ.; рез. нем., франц.)

Описаны приборы, применяемые в хим. исследовательской лаборатории в Теддингтоне для определения точки плавления и затвердевания и дифференциального термич. анализа, и показано, что при помощи этих приборов можно получить кривые, пригодные, в частности, для определения $\geq 0,002$ мол.% примеси в бензоле. Методом дифференциального термич. анализа, имея образцы сравнения с определенной степенью чистоты, удается определить степень чистоты ряда проб.

Т. Леви

21123. Некоторые вопросы, касающиеся выбора способа определения чистоты криоскопическим методом. Херингтон (Some considerations governing the choice of method for purity determinations by

cryoscopy. Herington E. F. G.), *Analyt. chim. acta*, 1957, 17, № 1, 15—22 (англ.; рез. нем., франц.)

Для определения конц-ии примесей, растворимых в жидкой, но нерастворимых в твердой фазе основного компонента смеси, применяют динамич. вариант криоскопич. метода. Величину конц-ии можно определить по форме кривых затвердевания (КЗ) или кривых плавления (КП). Ввиду динамич. характера метода постоянная т-ра, достигаемая после полной кристаллизации чистого в-ва, не равна его истинной т-ре плавления. Чтобы разность между этой постоянной т-рой и положением термодинамич. равновесия была возможно меньшей, необходимо создать условия для одновременного роста (или плавления) многих кристаллов. Это достигается энергичным перемешиванием системы и хорошим контактом жидкой и твердой фазы с проводящей поверхностью. Определение процентного содержания примеси может быть выполнено по КЗ, если тепло отводится от системы с постоянной скоростью, т. е. молярная доля кристаллизующегося в-ва линейно увеличивается во времени. Для анализа КЗ используется ранее описанный метод (Schwab F. W., Wichers E. Temperature — its measurement and control in science and industry. New York, 1941, 256). По форме КЗ можно установить присутствие в-в, делающих применение динамич. метода невозможным. К их числу относятся в-ва, для которых температурное равновесие устанавливается медленно. На скорость установления равновесия между твердой и жидкой фазой при определении чистоты методом КЗ влияют вязкость среды при т-ре плавления и механич. факторы. В ряде случаев, для которых метод КЗ непригоден, может быть использован метод КП. Однако к системам с очень медленно устанавливающимся равновесием динамич. методы неприменимы. Для определения сравнительной чистоты в-в предложен простой, быстрый и точный дифференциальный метод.

Н. Полянский

21124. Бромацидиметрический метод. Х. Розенталер (Bromazidimetrische Verfahren. X. Rosenthaler L.), *Pharmac. acta helv.*, 1957, 32, № 1, 292—296 (нем.; рез. англ., франц., итал.)

Разработан бромацидиметрич. метод определения $\text{Na}_2\text{S}_2\text{O}_6 \cdot 2\text{H}_2\text{O}$ (I), $\text{Na}_2\text{S}_2\text{O}_4 \cdot 2\text{H}_2\text{O}$ (II), ронгалита $\text{NaHSO}_2 \cdot \text{CH}_2\text{O} \cdot 2\text{H}_2\text{O}$ (III), аллилтиомочевины (IV), *n*-оксибензойной (V) и тиосалициловой (VI) к-т. I, II, III, IV, V и VI реагируют с Br_2 с образованием соответственно 20, 8, 5, 10, 4 и 8 экв к-ты. Избыток Br_2 удаляют аэрацией (А) или ферроцианидным методом (ФМ). I титруют 0,1 н. NaOH с метиловым красным (VII) или фенолфталеином (VIII), II с VII; III с VIII; IV так же, как CS(NH_2)₂ (часть IX, РЖХим, 1956, 10035); V и VI: VIII. Избыток Br_2 в I, V и VI удаляют А и ФМ, II — А, в III — ФМ. Определение II дает завышенные результаты. VI трудно растворяется в воде; VI нагревают с 0,1 н. NaOH и водой до растворения, после охлаждения прибавляют эквивалентное кол-во 0,1 н. к-ты и небольшой избыток Br_2 .

С. Кобрин

21125. Анализ газов и паров, основанный на отрацательном оптико-акустическом явлении. Вейгерер М. Л., Сивков А. А., Малих Э. В., *Оптика и спектроскопия*, 1957, 2, № 6, 823—825

Описан метод оптико-акустич. анализа газов, основанный на модуляции вращающимся диском с отверстиями процесса передачи тепла посредством луча, испускаемого от исследуемого газа к холодильнику. Работавший на этом принципе прибор позволяет обнаружить CO_2 в воздухе, содержащуюся в кол-ве $\sim 0,5\%$. Описанный метод может быть применен для анализа газов с помощью длинноволновых полос ($\sim 50 \mu$), а также анализа во взрывоопасных условиях

когда исключается применение накаливаемых источников излучения.

Л. Абрамович

21126. Поправки при определении газов с помощью интерферометра. Сато, Акэхата (流動ガスの分析を干渉計で行うときの補正. 佐藤一雄, 明島高司), 化学工学, Kagaku kougaku, Chem. Engng (Japan), 1957, 21, № 8, 513—515 (японск.)

21127. Улучшение акваметрии по Фишеру. Ху И-ли (費休定水法的改進. 胡依理), 化学世界 Хуасюэ шицзе, 1957, № 9, 428—430 (кит.)

21128 К. Справочник по аналитической химии. Ред. Фрезениус, Яндер. Часть 3. Количественные методы определений и разделений. Том 5а. Элементы пятой главной группы. Азот. Ред. Лейте (Handbuch der analytischen Chemie. Hrsg. W. Fresenius, G. Jander. T. 3. Quantitative Bestimmungen- und Trennungsmethoden. Bd. 5a. Elemente der 5. Hauptgruppe. Stickstoff. Bearb. W. Leithe. Berlin—Göttingen—Heidelberg, Springer, 1957, XXIV, 244 S., ill., 58 DM) (нем.)

21129 К. Труды Республиканского научно-технического совещания по применению физико-химических методов анализа и органических реактивов в металлургической и металлообрабатывающей промышленности, состоявшегося в Днепрпетровске, 6—8 июня 1956 г. Отв. ред. Ковтун М. С. (Тр. Науко-техн. о-ва черной металлургии. Укр. респ. правл., 4). Днепрпетровск, 1956, 190 стр., илл., белол.

21130 К. Основы аналитической химии. Изд. 3-е. Рёбинш (Prinzipien der analytischen Chemie. 3. Aufl. Rößbisch Gerhard. Berlin. Dtsch. Verl. Wiss., 1957, 90 S., ill., 2.80 DM) (нем.)

21131 К. Качественный химический анализ. Полу-микрометод. Изд. 2-е. Рипан, Поппер, Литяну (Chimie analitică calitativă. Semimicroanaliza. Ed. 2-a. Ripan Raluca, Popper Ervin, Litianu Candin. București, Ed. tehn., 1957, 348 p., ill., 12 lei) (рум.)

21132 К. Газовая хроматография. Кёлеманс (Gas chromatography. Keulemans Aloysius Ignatius Maria. New York, Reinhold; London, Chapman and Hall, 1957, XXI, 217 pp., ill., 60 sh.) (англ.)

21133 П. Кулонометрическое титрование. Де-Форд, Питтс (Coulometric titration. De Ford Donald D., Pitts James N., Jr) [Research Corp.]. Пат. США 2744061, 1.05.56

Описание прибора и метода косвенного автоматич. кулонометрич. титрования (КТ), в котором, в отличие от прямого метода КТ, электролитич. генерируемый реагент образуется не непосредственно в титрационном сосуде, а в отдельной проточной электролитич. ячейке очень простой конструкции, обеспечивающей разделение потоков катионита и анионита, каждый из которых может быть использован для соответствующего КТ. Такой метод генерирования реагента не требует конструирования сложного комбинационного титрационно-электролитич. сосуда, устраняет необходимость применения стандартных р-ров, допускает индикацию конечной точки многим из существующих методов, облегчает автоматизацию процесса, расширяет область применения КТ на ряд разнообразных р-ций, повышает точность определений и сокращает затраты времени на анализ. Дополнительным достоинством метода является то, что генераторные электроды (Pt-проволока) не соприкасаются с исследуемым р-ром (ИР), благодаря чему отсутствуют всякие побочные электрохимические р-ции с компонентами ИР и создаются оптимальные условия

для электролитич. генерации реагента и протекания р-ций титрования. Метод проиллюстрирован на примере ацидиметрич. (алкалиметрич.) КТ с помощью к-ты (основания), генерируемой одновременно в непрерывно протекающем через ячейку 1 М р-ра Na_2SO_4 с индикацией по изменению рН ИР с помощью рН-метра. Имеется чертеж электролитич. ячейки и блок-схема установки.

А. Горюнов

21134 П. Высоочастотное титрование. Накано (高周波滴定法. 中楚邦夫) [東亜電波工業株式會社, Тоа дэмпа когё кабусики кайся]. Япон. пат. 2649, 9.04.56

21135 П. Определение воды в порошкообразных или зернистых веществах. Сиба, Цуцун (粉狀或は粒狀結晶質試料の水分測定法. 芝龍吉, 筒井俊正) [別府化学工業株式會社, Бэппу кагаку когё кабусики кайся]. Японск. пат. 6950, 28.09.55
См. РЖХим, 1957, 15872.

АНАЛИЗ НЕОРГАНИЧЕСКИХ ВЕЩЕСТВ

Редактор Ф. П. Судакос

21136. Использование тиосемикарбазонов в качестве реактивов в неорганическом анализе. Бхаргава, Рао (Use of thiosemicarbazones as reagents in inorganic analysis. Bhargava P. N., Rao M. J.), J. Indian Chem. Soc., 1957, 34, № 8, 568—572 (англ.)

Тиосемикарбазоны бензофенона (I), пипероналя (II), вератролового (III) и салицилового (IV) альдегидов, *n*-аминоацетофенона (V) и бензина (VI) осаждают при рН 3,42—5,89 Ag^+ , Hg^{2+} и Cu^{2+} . I осаждает также Ba и Mg. Осадки Co, Ni и Ag неустойчивы. III и IV очень чувствительны к Cu и Ni. С $[\text{Fe}(\text{CN})_6]^{4-}$, NO_2^- , $\text{Fe}(\text{CN})_6^{3-}$, MoO_4^{2-} , CrO_4^{2-} , SCN^- , BO_2^- , WO_4^{2-} , $\text{S}_2\text{O}_3^{2-}$ образуется характерное окрашивание. Для колич. определения Cu к 10 мл анализируемого р-ра добавляют 100 мл ацетатного буферного р-ра с рН 4,99, нагревают до 50—60° и при помешивании добавляют по каплям 1—2%-ный спирт. р-р I, II или VI. Выдерживают 30 мин. при 50° и через час осадок отфильтровывают через пористый тигель, промывают сначала горячей водой, а затем 2%-ным спиртом и высушивают при 100—110°. Соотношение в осадке Cu: I = 1:1, Cu: II = 1:2, Cu: VI = 1:2. Для определения Hg^{2+} к 10 мл р-ра добавляют 30 мл ацетатного буферного р-ра с рН 5,6, 2%-ный спирт. р-р II и III, через 3—4 часа осадок отфильтровывают, промывают теплой водой и 2%-ным спиртом, высушивают при 100°. Результаты несколько завышены из-за неполного удаления реагента при промывании.

Н. Чудинова

21137. Применение органических реагентов в неорганическом анализе. Сообщение 11-е. Новые реакции на тиосульфаты, йодиды, оксалаты. Крешков А. П., Сенецкая Л. П., Тр. Моск. хим.-тех. пол. ин-та им. Д. И. Менделеева, 1957, вып. 25, 17—22

Описаны новые цветные р-ции открытия $\text{S}_2\text{O}_3^{2-}$ с 1,5-нафтилэндаминовым комплексом Cu^{2+} (образуется сине-фиолетовый осадок, оптимальный рН 4—6; открываемый минимум 1,5 γ $\text{S}_2\text{O}_3^{2-}$; предельное разбавление 1:20 000; мешают J^- , Br^- , $\text{Fe}(\text{CN})_6^{3-}$ и CrO_4^{2-}) и с акридиновым комплексом Cu^{2+} (образуется оранжевый осадок; оптимальный рН 3—4; открываемый минимум 5,6 γ $\text{S}_2\text{O}_3^{2-}$; предельное разбавление 1:2660; мешают J^- , S^{2-} и $\text{Fe}(\text{CN})_6^{3-}$), р-ции J^- с тиомочевинным комплексом Bi^{3+} (образуется темно-красный кристаллич. осадок; оптимальный рН 4—11; открываемый минимум 7,5 γ J^- ; пре-

дельное разбавление 1:4000) и р-ции $C_2O_4^{2-}$ с α - или β -нафтиламинами комплексами Cu^{2+} (образуется желтый осадок; оптимальный pH 3—9; открываемый минимум 1,5 у $C_2O_4^{2-}$ для β -комплекса и 3,0 у $C_2O_4^{2-}$ для α -комплекса; предельное разбавление 1:20 000; в случае β -комплекса не мешают J^- , SCN^- , $Fe(CN)_6^{3-}$, Cl^- и Br^- , мешают S^{2-} и $Fe(CN)_6^{4-}$; в случае α -комплекса мешают многие анионы). Для определения J^- использованы также р-ции, основанные на выделении ионами Bi^{3+} кристаллич. осадков в присутствии J^- и акридина (кирпично-красный осадок) и риванола (оранжевый осадок). Сообщение 10-е см. РЖХим, 1957, 11980. Л. Горин

21138. Применение органических реактивов для открытия микроколичеств цианидов. Хуан Хэн-лу (有機試劑在檢微微量氰化物中的反應, 黃衡祿), 化學世界, Хуасюэ шицзе, 1957, № 9, 391—395 (кит.)

Обзор. Библ. 12 назв.

21139. Адсорбционно-комплексобразовательный хроматографический метод разделения металлов. Гурвич А. М., Гапон Т. Б., Заводск. лаборатория, 1957, 23, № 9, 1037—1042

Обзор применения адсорбционно-комплексобразовательных колонок (колонок, в которых инертный носитель заменен адсорбентом, содержащим комплексобразующий реактив) для разделения металлов. Отмечается возможность применения адсорбционно-комплексобразовательного метода для изучения свойств органич. реактивов, а также строения и устойчивости образуемых ими соединений с металлами. Библ. 28 назв. Л. Горин

21140. Применение метода хроматографии для разделения редких элементов. Люй Ю-лун (柱式色譜法及其在稀有元素領域的應用, 呂嶽龍), 化學世界, Хуасюэ шицзе, 1957, 12, № 8, 356, 360; № 9, 405—410 (кит.)

Обзор. Библ. 65 назв.

21141. Применение электромиграции на бумаге для разделения ионов. Часть VII. Мукерджи (Electromigration on paper in the separation of ions. Part VII. Mukerjee Hari Gopal), Z. analyt. Chem., 1957, 157, № 6, 411—414 (англ.)

Изучена электромиграция Au^{3+} в различных электролитах. Показана возможность отделения Au^{3+} от Pt (в среде 0,1 н. р-ров $H_2C_2O_4$ и сульфацианида K (I), от Pd (в 0,1 н. р-ре I), от Ru (в 0,1 н. р-рах I и KCl), от Hg (в 0,1 н. р-рах $NaNO_2$, HCl, KCl и комплексона II (II)), от Cu (в 0,1 н. р-рах $NaNO_2$, HCl, CH_3COOH , KCl, KNO_3 и II), от Bi (в 0,1 н. р-рах $NaNO_2$ тартрата Na—K (III)), от Cd (в 0,1 н. р-рах $NaNO_2$, I, HCl, CH_3COOH , $Na_2S_2O_3$, K_2SO_4 , KCl, KNO_3 и II), от Fe (в 0,1 н. р-рах $NaNO_2$, I, $H_2C_2O_4$, $Na_2S_2O_3$, NH_4Cl и KCl), от Zn (в 0,1 н. р-рах KNO_3 , K_2SO_4 , KCl, винной к-ты и CH_3COOH), от Co (в 0,1 н. р-рах $NaNO_2$, I, HCl, $H_2C_2O_4$, KJ, $Na_2S_2O_3$, K_2SO_4 , NH_4Cl , KCl и KNO_3) и от Ni (в 0,1 н. р-рах I, HCl, $H_2C_2O_4$, KJ, K_2SO_4 , NH_4Cl , KCl и KNO_3). В среде р-ров I, $Na_2S_2O_3$ и III Au^{3+} перемещается по направлению к аноду, а в среде р-ра KCl образует 2 зоны: одна зона перемещается к аноду, другая — к катоду, что, по мнению авторов, связано с образованием двух типов комплексов: катионного и анионного. Причины перемещения Au^{3+} в двух направлениях в некоторых других электролитах (вследствие электрофореза или простой диффузии) еще не выяснены. Часть VI см. РЖХим, 1958, 17530. Л. Горин

21142. Разделение ионов одного и того же элемента различной валентности методом непрерывной электрохроматографии. I. Разделение пар Fe^{2+} — Fe^{3+} , Hg_2^{2+} — Hg^{2+} , Tl^+ — Tl^{3+} , Cr^{2+} — Cr^{3+} и Cu^+ — Cu^{2+} . Биги, Трабанелли (Separazione mediante elettrocromatografia continua di ioni a diversa valenza degli stessi elementi. I Separazione

delle coppie: Fe^{2+}/Fe^{3+} ; Hg^+/Hg^{++} ; Tl^+/Tl^{+++} ; Cr^{++}/Cr^{+++} e Cu^+/Cu^{++} . Bighi C., Trabagnelli G., Ann. Univ. Ferrara, 1955, Sez. 5, 1, № 4, pp. 27—46) (итал.; рез. англ., нем., франц.)

Для разделения Fe^{2+} — Fe^{3+} , Hg_2^{2+} — Hg^{2+} , Tl^+ — Tl^{3+} , Cr^{2+} — Cr^{3+} и Cu^+ — Cu^{2+} применен модифицированный прибор Дуррума (Durrum E. L., J. Amer. Chem. Soc., 1951, 73, 4785). Оптимальные условия разделения определяли на основе предварительных опытов по микрометодам Дуррума (Durrum E. L., J. Amer. Chem. Soc., 1950, 72, 2943) или Кункеля и Тизелиуса (Kunkel, Tiselius, J. Gen. Physiol., 1951, 35, 89). Описано 4 варианта метода разделения указанных пар катионов с применением в качестве электролитов 0,1 M р-ра молочной к-ты, 0,01 н. H_2SO_4 , 0,1 M р-ра лимонной к-ты или смесь 1 M водн. р-ра NH_4OH , 0,01 M р-ра диметилглиоксима и 0,1 M р-ра тартрата Na—K (для Fe); 0,01 н. HNO_3 (для Hg); смеси 1 M водн. р-ра NH_4OH с 0,01 M р-ром тартрата Na и K (для Tl); павелевой к-ты (для Cr); смеси 0,02 н. KCl, 0,1 M р-ра комплексона III и 0,1 M водн. р-ра NH_4OH (для Cu).

21143. Высоковольтный электрофорез на бумаге органических катионов (катионы щелочных, щелочноземельных и других металлов). Гросс (High-voltage paper electrophoresis of inorganic cations: alkali, alkaline-earth and other metals. Gross D.), Nature, 1957 180, № 4586, 596—598 (англ.)

Разделение катионов Li^+ , Na^+ , K^+ , Rb^+ , Cs^+ и Mg^{2+} осуществляют электрофорезом на бумажных полосках длиной 50 см, пропитанных 0,1 M р-ром $(NH_4)_2CO_3$ с pH 8,9 при 100 в/см и 9°. Выявление пятен производят с помощью бромтимолового синего после высушивания электрофореграммы и удаления $(NH_4)_2CO_3$ при 80°. Для разделения катионов щел.-зем. металлов применяют 0,05 M р-р цитрата аммония с pH 5,5, с которым эти катионы образуют анионные комплексы. Зоны выявляют в УФ-свете после опрыскивания электрофореграммы р-ром ализарина S или 8-оксихинолина с последующей обработкой NH_3 . Fe^{3+} , Ti^{3+} и UO_2 образуют в цитратных р-рах при pH 5,5 не менее двух комплексов, вследствие чего на электрофореграмме наблюдается расщепление соответствующих зон. Лучшие результаты получаются при pH 3,1. Для отделения зоны Ti^{3+} рекомендуется pH 2,5. При этом pH отделяется также Fe^{2+} , не образующее в этих условиях комплекса, от Fe^{3+} ; наложение в этом случае повышают до 140 в/см. Sb^{3+} , Sn^{2+} , Cd^{2+} и As^{3+} разделяют при pH 5,5, а Mo^{6+} , V^{5+} и Ti^{3+} — при pH 2,9. Продолжительность анализа 20—45 мин. В. Анохин

21144. О роли температуры пламени при плазменном фотометрическом определении щелочных металлов. Пунгор, Хегедюш, Конкой-Теге, Зана (Über die Rolle der Flammentemperatur bei der flammenphotometrischen Analyse der Alkalimetalle. Pungor E., Hegedüs A. J., Konkoly Thege I., Zapp E. E.), Mikrochim. acta, 1956, № 74, 1247—1263 (нем.; рез. англ., франц.)

С учетом процессов в пламени рассмотрены некоторые помехи при плазменном фотометрич. определении щел. металлов. Влияние ионизации, термич. диссоциации и других процессов на интенсивность (I) излучения авторы объясняют изменением т-ры пламени. При применении различных горючих и расширяющих газов наряду со скоростью распыления величину I влияет также т-ра пламени. Из-за сравнительно высокого сродства к электрону у атомов Li и Na их ионизация незначительна, поэтому Li и Na не влияют на излучение K, Rb и Cs, претерпевающих значительную ионизацию. Отмечено взаимное влияние

К, Rb и Cs. И линии К повышается сильнее от Cs, чем от Rb, и Rb больше от Cs, чем от K, а И Cs сильнее от Rb, чем от K. Добавление N_2 к O_2 как газа распылителя приводит к снижению т-ры пламени более, чем на 1000° , благодаря чему возможно определение K, Rb и Cs в присутствии Li и Na, не подвергающихся ионизации в этих условиях. Установлено влияние т-ры пламени на форму градуировочного графика, особенно заметное у Cs, для которого при понижении т-ры кривая из S-формы переходит в зацикленную. Насыщенный характер кривых при низкой т-ре выражен более отчетливо, чем при высокой. Влияние анионов сводится к понижению термич. диссоциации, приводящей, в свою очередь, к снижению И. Анионы одноосновных кислот (Cl^- и др.) и анионы, сгорающие в пламени ($C_2O_4^{2-}$, ClO_4^- и др.), оказывают меньшее влияние, чем SO_4^{2-} , PO_4^{3-} и т. п.

В. Типцова

21145. Определение содержания щелочей в золе горючих веществ методом пламенной фотометрии. Шукнехт, Шинкель (Die flammenphotometrische Bestimmung des Alkaligehalts von Brennstoffaschen. Schuhknecht W., Schinkel H.), Brennstoff-Chemie, 1957, 38, № 17-18, 275-277 (нем.)
500 мг тонкоизмельченной пробы золы, содержащей 1-5% K_2O и 0,1-2% Na_2O , смешивают в Pt-чашке с небольшим кол-вом воды и дважды выпаривают досуха на песчаной бане со смесью HF и H_2SO_4 . Остаток растворяют в воде, добавляют несколько капель HCl, выпаривают, осаждают мешающие Fe и Al р-ром NH_4OH в присутствии бромкрезолового зеленого и р-р разбавляют водой до 50 мл. К 25 мл отфильтрованного р-ра добавляют 25 мл 33%-ного р-ра $Al(NO_3)_3 \cdot 9H_2O$ для подавления мешающего излучения Са. Готовят 2 серии эталонных р-ров: серия А (6 р-ров для определения К), содержащая 0,25 мг K_2O в 100 мл, и серия В (4 р-ра для определения Na), содержащая 0-10 мг Na_2O в 100 мл. В р-ры серии В добавляют переменное кол-во K_2O (0-25 мг K_2O на 100 мл). К каждому эталону добавляют 25 г р-ра $Al(NO_3)_3$. Изучение взаимного влияния К и Na при возбуждении спектров в ацетилено-воздушном пламени показало, что Na_2O золы не влияет на интенсивность линии К при конц-ии 0-25 мг K_2O на 100 мл, но K_2O влияет на определение Na_2O . Оба анализа производят из одного и того же р-ра и элиминируют влияние К, применяя пламенный фотометр Шукнехта с фильтрами для линий Na и К. Продолжительность анализа 15-20 мин. Воспроизводимость и точность результатов значительно лучше, чем при хим. определениях. Абс. ошибка определения $K_2O \pm 0,08\%$, $Na_2O \pm 0,03\%$.

Т. Гуревич

21146. Спектрофотометрическое определение карбида лития в металлическом литии с использованием комплексного соединения серебра с ацетиленом. Гилберт, Мейер, Уайт (Spectrophotometric determination of lithium carbide in metallic lithium as the acetylene-silver perchlorate complex. Gilbert T. W., Jr., Meyer A. S., Jr., White J. C.), Analyt. Chem., 1957, 29, № 11, 1627-1630 (англ.)
Описан метод определения карбида и нитрида Li в металлич. Li, основанный на измерении кол-ва NH_3 и C_2H_2 , выделяющихся при растворении анализируемых образцов в воде. NH_3 поглощают р-ром H_3BO_3 и определяют с помощью реактива Несслера. C_2H_2 поглощают 1,5 М р-ром $AgClO_4$ и определяют спектрофотометрически в форме комплекса Ag при 297 и 313 мμ (Hg-лампа). Определению мешает H_2 , восстанавливающий Ag до металла. Вследствие этого поглощение C_2H_2 проводят при 0° , затем р-р нагревают

5-10 мин. на водяной бане и отделяют металлич. Ag центрифугированием. Спектрофотометрируют при $25 \pm 0,2^\circ$. Ошибка определения 50-2500 γ C_2H_2 составляет $\sim 2,7\%$.

Н. Чудинова

21147. Количественное определение калия в катализаторе для синтеза аммиака и в железных рудах при помощи кобальтинитрита натрия. Ан Ли Тхэ, Син Чхан Сук (아질산코발트나트륨용액에 의한 암모니아합성용 촉매 및 철광석중에 함유한 칼륨의정량분석. 안 리 태, 신 장 숙), 과학과 화학공업, 1957, № 3, 149-156 (кор.)
Разработан метод выделения К при помощи $Na_2Co(NO_2)_6$ в форме осадка постоянного состава. Для повышения точности определения К к исследуемому р-ру прибавляют NaCl. Для выделения К в присутствии Fe и Al полученные путем прокаливания нитратов окислы обрабатывают р-ром NaCl. Для удаления небольших кол-в Fe^{3+} , Al^{3+} , Ca^{2+} , Mg^{2+} лучше применять разбавленный Na_2CO_3 , чем NH_3 . Фактор пересчета на K_2O равен 0,207. В навеске анализируемого в-ва должно быть 0,06-0,01 г K_2O . Метод применен для определения К в ванадиевых катализаторах. Метод не уступает перхлоратному.

Ли Чан Фен

21148. Тетрафенилборатный метод определения калия в природных водах. Резников А. А., Печаяев А. А., Информ. сб. Всес. н.-и. геол. ин-т, 1956, № 4, 145-146
Описаны весовой и титриметрич. варианты определения К при помощи $NaB(C_6H_5)_4$. Осаждение К производят либо в кислом р-ре при pH ~ 1 (не мешают Na, Mg и Ca), либо в щел. среде при pH $\sim 8-9$ в присутствии комплексона III (не мешают Mg и Ca). При весовом варианте к анализируемому р-ру прибавляют HCl (1:1) до кислотности р-ра 0,1 н. и 3%-ный водн. р-р $NaB(C_6H_5)_4$ в избытке и перемешивают. Через 10-15 мин. осадок отфильтровывают через фильтрующий тигель № 2, промывают, высушивают при $120-130^\circ$ и взвешивают. Фактор пересчета на К 0,1091. При титриметрич. варианте к подкисленному р-ру (1 мл конц. HCl на 100 мл р-ра) прибавляют 0,035 н. водн. р-р $NaB(C_6H_5)_4$ и перемешивают. Через 10-15 мин. осадок отфильтровывают через бумажный фильтр и промывают насыщ. р-ром $KB(C_6H_5)_4$. К фильтрату добавляют 10-20 мл 0,035 н. NH_4Cl (для связывания избытка $NaB(C_6H_5)_4$), выпавший осадок $NH_4B(C_6H_5)_4$ отфильтровывают и промывают 1-2 раза той же промывной жидкостью. Фильтрат нейтрализуют 0,05 н. р-ром NaOH по метиловому красному, добавляют 5 мл 40%-ного водн. нейтр. р-ра формальдегида и NH_4^+ оттитровывают 0,05 н. р-ром NaOH по фенолфталеону. Ошибка определения К по обоим вариантам 1-2%. Приведен упрощенный синтез $NaB(C_6H_5)_4$.

М. Жукова

21149. Новая микрохимическая реакция на ион меди. Подчайнова В. Н., Мишина А. Г., Тр. Уральского политехн. ин-та, 1957, сб. 69, 113-118
Изучена новая микрохим. р-ция Cu^{2+} с тиосемикарбазидом (I). При взаимодействии Cu^{2+} с I в нейтр. и кислой средах образуется мелкокристаллич. темносиний осадок ($10^{-2}-10^{-3}$ г/мл Cu^{2+}) или темно-синяя окраска ($\leq 10^{-4}$ г/мл Cu^{2+}); выделение осадка из р-ров ускоряется при добавлении твердого K_2SO_4 . Состав образующегося комплексного соединения (КС) Cu^{2+} с I характеризуется соотношением Cu:S, равным 1:3; приведена вероятная структура КС. Указанное КС хорошо растворяется в горячей воде, хуже — в холодной воде и к-тах, а также в органич. р-рителях (бензоле, толуоле, изоамиловом эфире, дихлорэтаноле и др.). Изучены некоторые кристаллооптич. свойства КС и определены некоторые константы. Наблюдаемая под микроскопом основная масса кри-

сталлов имеет форму 4- и 6-угольников, но имеются также пластинки в форме параллелограммов. Кристаллы обладают ясно выраженным плеохризмом. Описаны 2 варианта микрохим. открытия Cu^{2+} с помощью I в р-рах солей Cu^{2+} , а также в рудах, минералах, черных и цветных сплавах. Чувствительность открытия Cu^{2+} в р-рах чистых солей Cu^{2+} соответствует $5 \cdot 10^{-6}$ г/мл Cu^{2+} , а в присутствии мешающих катионов (Pb^{2+} , Hg^{2+} , Ag^{+}) — 10^{-6} г/мл Cu^{2+} . Продолжительность открытия ≤ 10 мин. Л. Горин

21150. К вопросу о дробной и капельной реакции иона меди с тетраданидодиаминохромнатом аммония. Подчайнова В. Н., Тр. Уральского политехн. ин-та, 1957, сб. 69, 107—112

Ранее описанный метод открытия и определения Cu^{2+} с помощью $\text{NH}_4\text{Cr}(\text{SCN})_4 \cdot (\text{NH}_3)_2$ (I) (Mahr C., Z. allgem. und anorgan. Chem., 1939, 225, 386—392) модифицирован путем использования для восстановления Cu^{2+} до Cu^{+} вместо K_2SnCl_4 органич. восстановителей ($\text{N}_2\text{H}_4 \cdot 2\text{HCl}$ и $\text{NH}_2\text{OH} \cdot \text{HCl}$) и применен для дробной и капельного открытия Cu^{+} . При дробном открытии Cu^{+} в пробирку с 0,2—0,5 мл анализируемого р-ра, содержащего все обычные при систематич. ходе качеств. анализа катионы и нагретого до кипения, прибавляют несколько капель конц. HCl и 0,1 г (или 1 мл насыщ. р-ра) $\text{N}_2\text{H}_4 \cdot 2\text{HCl}$ или $\text{NH}_2\text{OH} \cdot \text{HCl}$, нагревают до кипения и прибавляют по каплям 1 мл 40%-ного р-ра I; в присутствии Cu^{+} появляется желтая окраска. При капельном открытии Cu^{+} на часовое стекло или фарфоровую пластинку наносят 3—4 капли анализируемого р-ра, 2—3 капли HCl (1:1) и 1—2 капли насыщ. р-ра $\text{N}_2\text{H}_4 \cdot 2\text{HCl}$ или $\text{NH}_2\text{OH} \cdot \text{HCl}$ и нагревают до кипения. Затем на полоску фильтровальной бумаги наносят последовательно 1 каплю полученного р-ра и 1 каплю конц. р-ра I; в присутствии Cu^{+} на поверхности бумаги появляется желтое или оранжевое пятно. Предельная чувствительность открытия Cu^{+} с помощью I равна $2,5 \cdot 10^{-6}$ г/мл. Описано также открытие Cu^{+} с помощью I в черных и цветных металлах и их сплавах бесстружковым методом. Л. Горин

21151. Колориметрическое определение меди в металлургическом алюминии, кадмии, цинке и никеле пара-анизидином и роданидом калия. Подчайнова В. Н., Тр. Уральского политехн. ин-та, 1957, сб. 69, 119—125

Р-ция Cu^{2+} с л-анизидином (РЖХим, 1954, 43472) в присутствии SCN^- использована для фотометрич. определения Cu^{2+} . При определении Cu в алюминии навеску 2 г растворяют в 15—20 мл смеси конц. HCl и конц. HNO_3 , по прекращении выделения газа к р-ру прибавляют еще 5—10 мл смеси к-т и выпаривают почти досуха. К остатку прибавляют 0,2—0,3 мл конц. HCl , 10 мл воды и отфильтровывают нерастворившуюся часть остатка. К полученному р-ру прибавляют конц. NH_4OH до появления слабой муты, которую растворяют добавлением конц. HCl . Р-р нагревают до кипения, прибавляют 2—3 капли 20%-ного р-ра $\text{Na}_2\text{S}_2\text{O}_3$ (для восстановления Fe^{3+}) и 1—2 мл суспензии CdS (или 0,02—0,04 г сухого порошка CdS), перемешивают, нагревают до кипения, фильтруют и промывают стакан и осадок на фильтре подогретым 10%-ным р-ром HCl до полного растворения желтого осадка (избыток CuS). Оставшийся на фильтре темный осадок CuS обрабатывают подогретой конц. HCl до полного растворения и промывают несколько раз водой. Фильтрат и промывные воды соединяют и разбавляют до 25 или 50 мл. К 15—20 мл полученного р-ра прибавляют 1 мл конц. NH_4OH , 2—3 мл 2 н. CH_3COOH и 1—2 мл реактива (смесь равных объемов 2 н. KSCN и 0,2 н. л-анизида), разбавляют до 50 мл, перемешивают и через 15—20 мин. красновато-фиолетовый р-р фотометрируют (можно применять

также метод колориметрич. титрования). Определение Cu в никеле, кадмии и цинке проводят аналогичным образом. Отклонение от истинного содержания Cu (в %) в алюминии и никеле $\sim 0,001$, кадмии и цинке от $-0,0002$ до $+0,0001$. Продолжительность определения 40—45 мин. Л. Горин

21152. Совместное комплексометрическое определение меди и ртути. Уэно (Simultaneous complexometric determination of copper and mercury. Уэно Кэйи, Analyt. Chem., 1957, 29, № 11, 1988—1989 (англ.))

К нейтр. р-ру, содержащему Cu^{2+} и Hg^{2+} ($< 10^{-4}$ г-атом), добавляют избыток 0,01 М р-ра комплексона III (I), добавлением 1 М NH_4OH р-р устанавливают на уровне ~ 10 , прибавляют 0,1 мл мурексида и оттитровывают избыток I 0,01 М р-ром Cu^{2+} . Затем добавлением к анализируемому р-ру 1—15 мл 5%-ного р-ра KJ разрушают комплекс Hg^{2+} , а выделившуюся I оттитровывают 0,01 М р-ром Cu^{2+} . Первым титрованием определяют сумму Cu и Hg , вторым титрованием — Hg . Мешают Zn , Ni , Co , щел.-зем. металлы, NO_3^- и $\text{Fe}(\text{CN})_6^{4-}$. Н. Чудин

21153. Извлечение малых количеств золота из цианистых, солянокислых и йодных растворов с помощью анионитов. Езерская Н. А., Маркова Н. В., Ж. прикл. химии, 1957, 30, № 10, 1071—1074

Описан метод извлечения Au из различных р-ров (HAuCl_4 , $\text{NaAu}(\text{CN})_2$ и NaAuI_4) анионитами марок АН-2Ф (I), ЭДЭ-10 (II) и аспатит ТМ (III) с последующим определением Au хим. методами (по операциям пробного анализа). Аниониты предварительно обрабатывают соляной к-той для перевода в Cl^- -форму, а затем заливают исследуемым р-ром. Смесь перемешивают механич. мешалкой, анионит фильтровывают, сжигают, остаток растворяют в персиковой водке, выпаривают почти досуха и подвергают 2-кратному выпариванию с HCl . В полученном р-ре HAuCl_4 определяют Au полярографич., титриметрич. или фотометрич. методами. Установлено, что I, II и III достаточно полно извлекают Au из солянокислых р-ров (при рН 3) и цианистых р-ров при перемешивании с исследуемыми р-рами в течение 1—1,5 час. Необходимое кол-во анионитов 1,5—2 г. Из йодных р-ров Au практически полностью извлекается с помощью III после связывания J_2 сульфитом Na в присутствии Na_2CO_3 ; необходимое кол-во III 2—3 г. Р. Моторина

21154. Полярография бериллия. Банерджи Бхаттачарья (Polarography of beryllium. Banerjee T., Bhattacharya H.), J. Scient. Industr. Res., 1957, BC16, № 8, B377 (англ.)

Установлено, что полярограммы $1 \cdot 10^{-3} - 2,5 \cdot 10^{-4}$ г р-ров Be^{2+} на фоне 0,1 М LiCl или Li_2SO_4 при рН 3,5—3,8 в присутствии 0,006% агар-агара имеют 2 волны: 1-я волна, соответствующая приблизительно — 1,4 а, обусловлена восстановлением водорода, а 2-я, хорошо выраженная волна обусловлена восстановлением Be^{2+} . $E_{1/2}$ для Be равен — 1,85 в. Бериллат-ион в сильн. щел. среде полярографич. волны не обнаруживает. Л. Горин

21155. К определению бериллия с помощью ализаринового синего ББ. Адамович Л. П., Заводск. лаборатория, 1957, 23, № 9, 1140

Экспериментально установлено, что предложенный Барской С. И. и Шемякиным Ф. М. (РЖХим, 1956, 23922) реактив для фотометрич. определения йодокислый ализариновый синий ББ (I) как в аммиачном так и в других средах (H_2SO_4 , NaOH) весьма нестойкий и сразу же после приготовления начинает выцветать. При взаимодействии I с Be в аммиачной

1958 г.

Определение
аналогичных
ержания Са
мин и при
ть опреде
Л. Горин
е опреде
is comple
sury. Uo
1, 1968—1969

и Нг-
0,1 М р-р
ОН рН р-р
ляют 0,1
0,1 М р-р
емому р-р
омплексоне
0,01 М р-р
сумму Са и
Zn, Ni, Co
Н. Чудин
золота
растворов
А. Мар
7, 30, М

чных раб
онитами
ТМ (III)
годами (6
а предше
перевод
мым р-р
анионит
егают в
подверг
енном р-р
итримет
что 1, N
ляноксан
деремеш
1—1,5 тис
Из йодид
ется с
Na в р-р
2—3 г.
Моторкин
е р-р
yllium. В
Scient. an
)
2,5·10⁻⁴ М
ри рН 3,5
2 волю
но—1,4
-я, хоро
нием Be
в сильн
уживает.
Л. Горин
ую кисл
Л. П. З

доженн
Хим, 196
ения Ва
аммиачн
ьма нест
начина
аммиачн

среде оптич. плотность р-ра вследствие замедленного взаимодействия I с Be возрастает со временем. При нагревании процесс не ускоряется, а I обесцвечивается еще быстрее. Сделан вывод, что при использовании I по указанным причинам нельзя рассчитывать на получение воспроизводимых результатов даже по методу стандартных серий, не говоря уже о методе калибровочного графика. Л. Горин

21156. Пламенифотометрическое определение щелочноземельных элементов в присутствии других металлов. Адам, Этре (Alkáliföldfémek lángfotométres meghatározása fémek jelenlétében. Adám János, Etre László), Magyar kém. folyóirat, 1957, 63, № 8, 206—210 (венг.; рез. англ.)

Исследовано влияние Fe, Cu, Ni, Zr и Al на точность определения Ba, Sr и Ca, содержащихся в окисных катодах электронных ламп. Анализ проводится по линиям (в Å): Ba 4870, Sr 4607 и Ca 4226 с чувствительностью (в γ/мл): Ba 0,6, Sr 0,2, Ca 0,09. Излучения Ba, Ni, Cu и Fe суммируются. Влияние на определение Ca и Sr находится в пределах погрешности метода, но Fe понижает излучение Sr. При определении Ba вводят поправку, получаемую измерением интенсивности двух линий, при этом ошибка снижается с 100% до ±4%. Для учета влияния Fe на Sr дана поправочная кривая, показывающая кажущееся снижение конц-ии Sr от Fe. Ba, Sr, Ca могут определяться из одного р-ра. Zr вызывает кажущееся снижение конц-ии Sr и Ba, пропорциональное его содержанию, но до некоторого максимума. Поэтому в пробы вводят такое кол-во Zr, чтобы снижение было постоянно. Для устранения влияния Zr на определение Ca дается поправочная кривая. Предполагается образование комплекса Zr с щел.-зем. металлами. И. Криштофори

21157. Последовательное комплексометрическое титрование кальция и магния с использованием CI 202 и CI 203 в качестве индикаторов. Лотт, Чжэн (Stepwise EDTA titration of calcium and magnesium with CI 202 and CI 203 as indicators. Lott Peter F., Cheng K. L.), Chemist Analyst, 1957, 46, № 2, 30—31 (англ.)

Описан метод, при котором Ca²⁺ титруют р-ром комплексона III (I) при рН 13 с индикатором 1-(2-окси-1-нафтилазо)-2-нафтол-4-сульфо-кислотой (CI 202) (II), используемой в форме комплексного соединения с Zn (цинхром R) или в форме Na-соли (кальдон), а Mg — при рН 10 с индикатором эриохромом черным Т (CI 203) (III). К анализируемому р-ру, содержащему 0,5 ммоль Ca + Mg, прибавляют по каплям 10%-ный р-р NaOH до рН 13, 3 капли 10%-ного р-ра KCN, 2 капли 1%-ного р-ра желатин и 3 капли р-ра II (0,15 г кальдона или цинхрома R растворяют в 25 мл CH₃CN, содержащего 0,20 г Na₂CO₃) и титруют 0,01 М р-ром I до перехода красной окраски в синюю. Затем к этому же р-ру прибавляют 1—2 мл буферного р-ра (60 г NH₄Cl растворяют в ~ 200 мл воды, прибавляют 570 мл конц. NH₄OH и разбавляют водой до 1 л) до рН 10, кипятят несколько минут до растворения Mg(OH)₂, добавляют 1 мл буферного р-ра и 1 каплю р-ра III (0,15 г III и 0,50 г бората Na растворяют в 25 мл CH₃OH) и титруют 0,01 М р-ром I до перехода красной окраски в синюю. Небольшие кол-ва мешающих тяжелых металлов удаляют экстрагированием в форме диэтилдитиокарбаматов, а большие кол-ва — осаждением в форме гидроокисей и сульфидов. Влияние Co, Cd, Zn и Cu устраняется добавлением KCN, а Al — добавлением триэтанолamina. Введение KCN предотвращает также блокирующее влияние тяжелых металлов на индикаторы. Добавление желатин предотвращает адсорбцию индикатора на Mg(OH)₂, однако при слишком больших кол-вах желатин затрудняется растворение Mg(OH)₂. Л. Горин

21158. Фотометрическое определение кальция после осаждения его в форме нафтилгидроксамата. Амин (Photometric determination of calcium via precipitation of its naphthylhydroxamate. Amin Abdel-Aziz M.), Chemist Analyst, 1957, 46, № 2, 31, 33—34 (англ.)

Описан метод, основанный на осаждении Ca²⁺ с помощью нафтилгидроксамата Na (I), растворением осадков в избытке р-ра комплексона III (II) и фотометрировании освобождающегося в эквивалентном Ca²⁺ кол-ве нафтилгидроксамат-иона. Фильтрат после обычного отделения полутонких окислов выпаривают до ~ 20 мл и разбавляют водой до 25 мл. В 4 центрифужные пробирки емк. 10 мл помещают по 5 мл полученного р-ра, прибавляют по 1 мл буферного р-ра (13,8 г NH₄Cl растворяют в 100 мл воды, прибавляют 88 мл конц. NH₄OH и разбавляют водой до 250 мл), вводят стеклянные осколки, прибавляют по каплям при перемешивании 3 мл р-ра I (100 мл I растворяют в нескольких мл воды, прибавляют 1 каплю конц. NH₄OH и разбавляют водой до 100 мл), выдерживают 3 мин. в кипящей воде при частом перемешивании, охлаждают до комнатной т-ры, удаляют стеклянные осколки, центрифугируют в течение 2 мин. при 3000 об/мин., декантируют, снова вводят стеклянные осколки в соответствующие пробирки, прибавляют 7 мл воды и 2 мл буферного р-ра или ~ 9 мл промытого р-ра (50 мл буферного р-ра разбавляют водой до 500 мл), перемешивают, удаляют стеклянные осколки, центрифугируют в течение 2 мин., декантируют, вводят стеклянные осколки в соответствующие пробирки, прибавляют 5 мл р-ра II (37,22 г II растворяют в воде и разбавляют до 1 л) и 1 мл буферного р-ра, перемешивают, нагревают в водяной бане до полного растворения осадка, охлаждают, промывают пробирку и стеклянные осколки водой, соединяют основной р-р с промывными водами, разбавляют до 10 мл, перемешивают и фотометрируют при 410 мμ, используя в качестве р-ра сравнения воду. Закон Бера соблюдается до 7,5 γ/мл Ca²⁺. Стандартная ошибка определения Ca²⁺ 1,4 γ при применении фильтрофотометра и 0,7 γ при применении спектрофотометра. Не мешают NH₄Cl, NH₃ и II. Присутствие > 20 γ Mg²⁺ (при 100 γ Ca²⁺) мешает. Л. Горин

21159. Модифицированный йодометрический метод определения цинка. Нанда, Прасад (Modified iodometric method for the estimation of zinc. Nanda R. K., Prasad B.), J. Indian Chem. Soc., 1957, 34, № 6, 479—480 (англ.)

Описан метод определения Zn, основанный на йодометрич. титровании избытка K₃Fe(CN)₆ после осаждения Zn при рН 3—4. К анализируемому р-ру (30—120 мг Zn) в закрывающейся склянке емк. 500 мл прибавляют 3 г KJ, 5—10 г (NH₄)₂SO₄, 50 мл ~ 1 М CH₃COONH₄, 45 мл 1 н. H₂SO₄ (рН 3—4), воду до 250 мл и такое кол-во 0,1 М K₃Fe(CN)₆, чтобы избыток его в р-ре составлял ≤ 2 ммоль/л. Р-р перемешивают, выдерживают в темноте 5 мин. и выделившийся J₂ оттитровывают р-ром Na₂S₂O₃ с применением крахмала в качестве индикатора. Получены удовлетворительные результаты. Установлено, что малая точность ранее описанных вариантов йодометрич. методов обуславливалась применением большого избытка K₃Fe(CN)₆. Р. Моторкина

21160. Потенциометрическое изучение реакции между одновалентной ртутью и феррицианидом калия. Саксена (Potentiometric studies on the reaction between mercurous (mercury) and potassium ferricyanide. Saxena Ram Sahai), J. Indian Chem. Soc., 1957, 34, № 5, 415—416 (англ.)

Изучена р-ция между Hg₂(NO₃)₂ и K₃Fe(CN)₆ методом потенциометрич. титрования в водн. и водно-

спирт. р-рах с использованием Hg^{2+}/Hg_2^{2+} -электрода. В ячейку, содержащую 20 мл 0,005—0,26 М $Hg_2(NO_3)_2$ (с добавкой 1% $Hg(NO_3)_2$ для создания Hg^{2+}/Hg_2^{2+} -электрода) и 20% (от общего объема) C_2H_5OH , погружают индикаторный электрод из платинированной Pt (электрод сравнения насыщ. Hg_2Cl_2 -электрод) и титруют 0,05—0,75 М р-ром $K_3Fe(CN)_6$. Точка эквивалентности, найденная по максимуму $\Delta E/\Delta C$, соответствует образованию и осаждению $(Hg_2)_3[Fe(CN)_6]_2$. В изученных пределах конц-ии кривые прямого и обратного титрования идентичны, имеют правильную форму и четкий перегиб в точке эквивалентности. Получены точные и воспроизводимые результаты, хорошо согласующиеся с данными кондуктометрич. титрования. В водн. р-рах получаются заниженные результаты.

Л. Горин

21161. Спектральное определение бора в графите. Гартон (The spectrographic determination of boron in graphite. Garton F. W. J.) Spectrochim. acta, 1957, 9, № 4, 297—306 (англ.)

Описана методика прямого определения $2 \cdot 10^{-5}$ — $1,5 \cdot 10^{-4}\%$ В в реакторном графите, графитовых электродах, коксе и смолах. Образцы порошка графита прессуют в таблетки. Для этого 5 г порошка перемешивают с 1 г 25%-ного спирт. р-ра фенолформальдегидной смолы, полученной смесью заполняют отверстия стальной пресс-формы (диам. 6 мм, глубина 40 мм), нагретой до 150° , и прессуют при давл. 2,4 т. Через 30 сек. открывают отверстия пресс-формы, выпускают газообразные продукты распада смолы и продолжают прессование в течение 3 мин. Таблетки помещают в графитовые держатели и возбуждают спектр в дуге постоянного тока при 7 а. Чтобы уменьшить величину фона около аналитич. линии В 2497, 73 А, обусловленного молекулярными полосами NO, спектры фотографируют на большом спектрографе Хильгера. Внутренним стандартом служит линия NO 2497,17 А. Применяют высококонтрастные фотопластинки и высококонтрастный проявитель. Градуировочный график, построенный без учета фона в координатах ΔS , $I_{gC/B}$ криволинеен. Присутствие до $5 \cdot 10^{-2}\%$ Si, $1 \cdot 10^{-1}\%$ Ca и $1 \cdot 10^{-2}\%$ Fe не влияет на результаты определения В. В качестве эталонов используют проанализированные образцы графита, так как испарение В из синтетич. эталонов в начальный момент горения дуги происходит интенсивнее, чем из проб. Среднее квадратичное отклонение результатов при 2-кратном определении конц-ии $\sim 3,3\%$. Методику используют также для определения $1 \cdot 10^{-6}$ — $2 \cdot 10^{-5}\%$ В. В этом случае обычные методы микрофотометрирования непригодны для регистрации чрезвычайно малых почернений линии В. Поэтому делают развертку участка спектра на электроннолучевой трубке (Davis H. M., Webb R. J., Spectrochim. Acta, 1950, 4, 13—20). Градуировочный график строят в координатах: отношение высоты пиков, соответствующих линиям В 2497,73 А и NO 2497,17 А, конц-ии В.

Б. Львов

21162. Вариант дробной реакции открытия новых алюминия. Левин А. Б., Тр. Уральского политех. ин-та, 1957, сб. 69, 126—128

Модифицирован ранее описанный дробный метод открытия Al^{3+} (Тананаев Н. А., Дробный анализ, 1950, 57—61) путем использования для осаждения катионов II группы дробного анализа вместо едкой щелочи карбонатов (Na_2CO_3 или K_2CO_3). К 2 мл анализируемого р-ра прибавляют $\sim 0,1$ г порошка металла. Zn и вытесненные цинком катионы I группы дробного анализа (Sn^{2+} , Sn^{4+} , Sb^{3+} , Sb^{5+} и Pb^{2+}) отфильтровывают. К фильтрату прибавляют 1—2 капли пергидроля (или $\sim 0,5$ мл H_2O_2) и р-р Na_2CO_3 (или K_2CO_3) до полного осаждения, нагревают до кипения (при

этом Cr^{3+} переходит в р-р в форме CrO_4^{2-}), отстаивают, сливают жидкость декантацией, прибавляют воду, взбалтывают и декантируют. К осадку прибавляют 3 мл 20%-ного р-ра NaOH, нагревают до кипения и фильтруют. Часть фильтрата нейтрализуют сухим NH_4Cl и кипятят. При этом Zn остается в р-ре в форме аммиачного комплексного соединения, алюминат разрушается и Al^{3+} выделяется в осадок в форме гидроксида. Описанный вариант дробного открытия Al дает безошибочные результаты.

21163. Быстрый колориметрический метод определения окиси алюминия в шлаках и агломератах свинцового и медного производства. Красильникова Л. Н., Максая Л. И., Сб. тр. Всес. н.-и. ин-та цветн. мет., 1956, № 1, 159—164

Описано применение метода определения Al с помощью стильбазо при анализе продуктов цветной металлургии. 1 г шлака или агломерата сплавляют в Fe-тигле с 3 г Na_2O_2 при 650 — 700° , плав выщелачивают водой, разбавляют водой до 500 мл, перемешивают и фильтруют. К аликвотной порции полученного р-ра (3 мл для шлака и 5 мл для агломерата) прибавляют (для нейтр-ции и установления pH $\sim 5,4$) 0,5 н. H_2SO_4 (0,9 мл для шлака и 1,5 мл для агломерата), 0,2 мл 5%-ного р-ра аскорбиновой к-ты (для восстановления Fe^{3+} и Cu^{2+}) и 5 мл 0,01%-ного водн. р-ра стильбазо, разбавляют ацетатным буферным р-ром с pH 5,4 (290 мл 0,2 М CH_3COOH смешивают с 1710 мл 0,2 М CH_3COONa) до 50 мл и фотометрируют с зеленым светофильтром № 2 (530 мμ), используя в качестве р-ра сравнения р-р контрольной пробы, приведенный через все стадии анализа. Для построения калибровочного графика 0,1 г шлака или агломерата с известным содержанием Al сплавляют с 3 г Na_2O_2 , плав выщелачивают водой, разбавляют водой до 50 мл, фильтруют, отбирают аликвотные порции, нейтрализуют 0,5 н. р-ром H_2SO_4 до pH $\sim 5,4$ и далее поступают, как описано выше. Закон Бера не соблюдается, поэтому для построения калибровочного графика необходимо брать большее число точек. Мешают Pb, Zn, Cu и SiO_2 . Присутствие до 0,5 мг Cu и до 1 мг Fe в фотометрируемом р-ре после восстановления аскорбиновой к-той не мешает; при совместном присутствии Cu и Fe определение Al невозможно. Полученные результаты удовлетворительно совпадают с данными весового фосфатного метода. Продолжительность определения 40—60 мин.

Л. Горин

21164. Спектральное определение редкоземельных элементов. Батлер (The spectrographic determination of the rare earths. Butler J. R.), Spectrochim. acta, 1957, 9, № 4, 332—340 (англ.)

Разработана методика колич. определения всех редкоземельных элементов, а также Sc и Y в минералах с малым содержанием Се. При больших конц-иях Се не удастся определить Eu, Ho и Th, для которых не имеется аналитич. линий, свободных от наложений Се. Навеску образца смешивают с равным кол-вом угольного порошка (140 меш) и 15 мг смеси помещают в канал угольного электрода диам. 1,5 мм и глубиной 5 мм. Спектры возбуждают в аноде дуги при 9 а. Верхний электрод затачивают на плоскость. Аналитич. промежуток 10 мм, время экспозиции, соответствующее полному испарению пробы, 75—90 сек. Для регистрации спектра необходим спектрограф с большой дисперсией ($\sim 2,5$ А/мм в области 4000 А). Аналитич. линии для всех элементов выбраны в диапазоне 3800—5700 А. В качестве внутреннего стандарта в пробу вводят один из элементов: Y, La или Се, имеющий наименьшую конц-ию в пробе. Поправку на первоначальное содержание в образце выбранного элемента определяют спектрально. Градуировочные графики строят по искусственно приготовленным смесям

окислов, близким по составу с минералами: апатитом, самарскитом, гадолинином, монацитом, эвксенитом, сфеном, вилкиитом. Квадратичная ошибка анализа для всех элементов $< 10\%$. Для Er , Lu и Gd ошибка больше из-за неустойчивого характера испарения их окислов.

Б. Львов

21165. Аналитическое изучение флуоресценции самария в сульфате кальция. Питти, Роджерс (Analytical studies of the fluorescence of samarium in calcium sulphate. Peattie C. Gordon, Rogers L. B.), Spectrochim. acta, 1957, 9, № 4, 307—322 (англ.)

Изучена возможность применения флуоресценции Sm для определения микрограммовых кол-в Sm в водн. р-рах. Установлено, что наиболее интенсивную флуоресценцию дает $\text{Sm}(2+)$ в области 6178 Å при возбуждении образца ртутной линией 3650 Å. Присутствие равных кол-в других 3-валентных редкоземельных элементов и 10-кратного избытка $\text{Fe}(3+)$, $\text{Co}(2+)$ и $\text{Ni}(2+)$ не сказывается на интенсивности флуоресценции $\text{Sm}(2+)$. Самарий соосаждает из анализируемого р-ра вместе с CaSO_4 добавлением к 5 мл 10%-ного р-ра K_2SO_4 , содержащего $\text{Sm}(2+)$, 1 мл р-ра CaCl_2 , эквивалентного 0,1 г CaSO_4 . После 15 мин. выдержки р-ра при $\sim 80^\circ$ осадок отфильтровывают, промывают и высушивают при 128° . Образец прокаляют в течение 15 мин. при 750° и облучают пучком электронов с энергией 3 Мэв для частичного восстановления $\text{Sm}(3+)$ до $\text{Sm}(2+)$. После этого на фотометре с фильтрами и фотоумножителем 1P21 регистрируют интенсивность флуоресценции $\text{Sm}(2+)$ при 6178 Å, возбуждаемой ртутной лампой АН-4. Между интенсивностью излучения $\text{Sm}(2+)$ и содержанием $\text{Sm}(3+)$ в первоначальном р-ре при строгом соблюдении условий подготовки образца существует определенная зависимость. В логарифмич. координатах она выражается прямой линией с наклоном $\sim 0,45^\circ$. Определенная конц-ия Sm $1 \cdot 10^{-3} - 1 \cdot 10^3$ у. Отклонение результатов анализа от среднего значения $\leq 5,3\%$. Описанный метод пригоден для определения Eu по флуоресценции интенсивной линии $\text{Eu}(2+)$ 3849 Å, возбуждаемой Hg-линией 2536 Å. Градуировочный график прямолинеен при $1 \cdot 10^{-1} - 1 \cdot 10^3$ у Eu . Однако присутствие уже 15 у Sm заметно снижает интенсивность флуоресценции Eu .

Б. Львов

21166. Определение 3-валентного церия методом спектрофотометрии в УФ-области. Гринхаус, Фейбуш, Гордон (Ultraviolet spectrophotometric determination of cerium (III). Greenhaus H. L., Feibush A. M., Gordon Louis), Analyt. Chem., 1957, 29, № 10, 1531—1534 (англ.)

Описан быстрый метод, основанный на измерении светопоглощения р-ра Ce^{3+} в 1 н. H_2SO_4 при 253,6 мк. Анализируемую пробу, содержащую 1—5 мг Ce , растворяют в H_2SO_4 , упаривают до появления паров SO_3 , прибавляют 3 мл 10%-ной H_2O_2 в 1 н. H_2SO_4 , нагревают до появления паров SO_3 , остаток растворяют в 1 н. H_2SO_4 , разбавляют 1 н. р-ром H_2SO_4 до 25 мл и фотометрируют при 253,6 мк. Кривая светопоглощения Ce^{3+} в 1 н. H_2SO_4 имеет 5 максимумов (212,4; 223,0; 240,4; 253,6 и 295 мк); мол. коэф. экстинкции при 253,6 мк равен 685. Закон Бера соблюдается при 0—400 мг/л Ce^{3+} . Ошибка определения $\leq 3\%$. Присутствие K^+ , Na^+ и Cl^- не мешает определению; Ce^{4+} , NO_3^- , UO_2^{2+} , Hf , Zr , Th , Cu мешают. Допустимые кол-ва Pr , Nd , Sm , Gd , Dy , Ho , Er , Yb и Y — 100—200 мг/л, а Eu и La — до 40 мг/л. Р. Моторкина

21167. Аналитическая химия актиноидов. Палей П. Н. Ж. аналит. химии, 1957, 12, № 5, 647—664

Обзор методов (главным образом разработанных и используемых в СССР) отделения и определения U , Th , Pr , Pu и Am .

Л. Горин

21168. Отделение галлия от цинка, меди, кобальта, никеля и железа методом полного обмена. Зелянская А. И., Баусова Н. В., Изв. вост. фил. АН СССР, 1957, № 7, 51—53

Установлена возможность отделения Ga от Ni , Co , Zn и Cu ионообменным методом на основе использования амфотерных свойств Ga и способности Ni , Co , Zn и Cu образовывать устойчивые аммиачные комплексные соединения. К 100 мл анализируемого р-ра прибавляют 15 мл конц. NH_4OH , 10 мл 2 н. NaOH и пропускают через колонку (диам. 1 см, высота 50 см) с катионитом СВС в Na -форме (катионит загружают на высоту 25 см; крупность зерен 0,25—0,5 мм) со скоростью 5 мл/мин. При этом Ga полностью переходит в фильтрат, Ni , Co , Zn и Cu количественно поглощаются катионитом. Катионит промывают пропусканием 100 мл р-ра, содержащего 10 мл конц. NH_4OH и 5 мл 2 н. NaOH . Фильтрат и промывные р-ры выпаривают до 25 мл, нейтрализуют 6 н. р-ром HCl до слабокислой р-ции по метиловому оранжевому и в полученном р-ре определяют Ga полярографически в присутствии 0,1 М р-ра салицилата Na . Fe в указанных условиях также количественно поглощается катионитом и отделению Ga от Ni , Co , Zn и Cu не мешает.

Л. Горин

21169. Титриметрическое и полярографическое микроопределение следовых количеств галлия. Поль, Кокес (Die mikroanalytische und polarographische Bestimmung von Thalliumspuren. Pohl F. A., Kokes K.), Mikrochim. acta, 1957, № 3-4, 318—325 (нем.; рез. англ., франц.)

Дан крит. обзор методов выделения следовых кол-в Tl . Изучена экстракция Tl в эфир из среды HCl , HBr и HI . Для выделения следовых кол-в Tl из металл. Cd анализируемый образец растворяют в горячей HNO_3 , выпаривают, остаток растворяют в 3 н. HBr и Tl экстрагируют изопропиловым эфиром. В полученном экстракте Tl определяют полярографически или титриметрически. При полярографии, определении Tl в качестве фона используют 6 н. NH_4OH ; $E_{1/2}$ Tl лежит между 0,27 и 0,30 в (по литературным данным $E_{1/2}$ Tl 0,52 в). Чувствительность определения Tl в кадмии составляет 0,1—0,0001%. Для построения калибровочного графика используют р-ры CdBr_2 , содержащие небольшие кол-ва ацетата Tl . Tl в эфирном экстракте после соответствующей обработки экстракта можно определить также йодометрич. титрованием; 1 мк 0,01 н. $\text{Na}_2\text{S}_2\text{O}_3$ соответствует 1,022 у Tl . Определение Tl можно проводить в присутствии значительных кол-в Fe , Cu , Zn и других «дитизиновых», а также щел. и щел.-зем. металлов. Описанный метод дает возможность определять 1—1000 у Tl и применим ко всем неорганич. и органич. материалам, содержащим Tl .

Евг. Терентьева

21170. Определение свинца методом амперометрического титрования с применением индикатора. Усатенко Ю. И., Виткина М. А., Тр. Научно-техн. о-ва черной металлургии. Укр. респ. правл., 1956, 4, 44—48

См. РЖХим, 1958, 4298.

21171. Потенциометрическое титрование двухвалентного олова сульфатом четырехвалентного церия. Субраманьян (Potentiometric titration of tin (II) with ceric sulphate. Subramanian N.), J. Scient. and Industr. Res., 1957, BC16, № 8, B-375—B-376 (англ.)

Приведены результаты прямого титрования 0,0015—0,02 н. SnCl_2 (основной 0,15 н. р-р SnCl_2 готовили растворением металл. Sn в HCl в атмосфере CO_2), 0,025 н. р-ром $\text{Ce}(\text{SO}_4)_2$ (титр устанавливали с помощью $\text{K}_4\text{Fe}(\text{CN})_6$ в кислой среде (4 н.). Конечную

точку титрования определяли потенциометрически; изменение потенциала в конечной точке от +0,2 до +1,05 в. Титрование возможно даже при комнатной т-ре. Ошибка титрования равна $\pm 1,0\%$ при конц-ии Sn^{2+} 0,004–0,02 н. и значительно возрастает при конц-ии $\text{Sn}^{2+} < 0,004$ н. Точность титрования повышается при пропускании через титруемый р-р тока N_2 и при использовании для приготовления рабочих р-ров дистил. воды, свободной от воздуха. Л. Горин

21172 Комплексометрическое титрование олова в сплавах на основе меди. Киннунен, Веннер-странд (EDTA titration of tin in copper base alloys. Kinnunen Jorma, Wennerstrand Bertil), Chemist Analyst, 1957, 46, № 2, 34–35, 37 (англ.)

Описаны 2 метода определения Sn, основанные на связывании Sn^{2+} и Sn^{4+} в устойчивый при pH 1–6 комплекс с комплексом III (I) и на последующем оттитровании избытка I р-ром $\text{Th}(\text{NO}_3)_4$ (при pH 2) с индикатором ксиленоловым оранжевым (РЖХим, 1957, 44807) (1-й метод) или р-ром $(\text{CH}_3\text{COO})_2\text{Zn}$ (при pH 5–5,5) с индикатором 3,3'-диметилнафтидин-ферроцианид-феррицианид (РЖХим, 1956, 25980) (2-й метод). При определении Sn в Sn-бронзах и пушечных металлах по 1-му методу 0,25 г образца растворяют в 3 мл конц. HCl в присутствии 5–10 капель 30%-ной H_2O_2 , прибавляют 0,01 M р-р I в избытке (на 10 мг Sn требуется 8,5 мл 0,01 M р-ра I) и 20 мл насыщ. р-ра тиомочевины, прибавляют 2–5 г $\text{CH}_3\text{COONH}_4$ до pH 2 и 3 капли 0,2%-ного водн. р-ра ксиленолового оранжевого и оттитровывают избыток I 0,01 M р-ром $\text{Th}(\text{NO}_3)_4$, до перехода окраски р-ра из желтой в красную. Мешают Zr^{4+} , Bi^{3+} , Th^{4+} , SO_4^{2-} , PO_4^{3-} ; мешающее влияние Cu и Fe устраняется введением в титруемый р-р тиомочевины и аскорбиновой к-ты соответственно. Оксалат-, тартрат-, фтор- и дитио-оксалат ионы, а также 2,3-димеркаптопропанол образуют с Sn более устойчивые, чем с I, комплексы и могут быть использованы для маскирования Sn. $\text{V}(\text{OH})_5$ демаскирует Sn из фторидного комплекса. При определении Sn в Sn-сплавах по 2-му методу 0,2 г сплава растворяют в 15 мл конц. HCl в присутствии 5–10 капель 30%-ной H_2O_2 , прибавляют ~50 мл воды, кипятят для удаления Cl_2 , охлаждают, разбавляют водой до 250 мл и перемешивают. К 25 мл полученного р-ра прибавляют 0,01 M I в избытке, нагревают до кипения, разбавляют водой до 50 мл, охлаждают, прибавляют ~5 г $\text{CH}_3\text{COONH}_4$ до pH 5, 1 каплю ферри-ферроцианидного р-ра (смешивают 20 мл 10%-ного р-ра $\text{K}_3\text{Fe}(\text{CN})_6$ и 5 мл 1%-ного р-ра $\text{K}_4\text{Fe}(\text{CN})_6$ и разбавляют до 100 мл) и 5 капель р-ра 3,3'-диметилнафтидина (0,3 г реактива растворяют в 100 мл лед. CH_3COOH), титруют 0,01 M р-ром $(\text{CH}_3\text{COO})_2\text{Zn}$ (определяют сумму металлов), прибавляют 5 г твердого NH_4F , нагревают до кипения, охлаждают и продолжают титрование 0,01 M р-ром $(\text{CH}_3\text{COO})_2\text{Zn}$ (определяют Sn). Мешают Al и Ti.

Л. Горин

21173. Открытие титана с помощью сульфосалициловой кислоты и тетрафениларсониевой соли. Циглер, Глемсер (Nachweis von Titan mit Sulfosalicylsäure und Tetraphenylarsoniumsalz. Ziegler Max, Glemser Oskar), Z. analyt. Chem., 1957, 157, № 1, 17–18 (нем.)

Описан метод, основанный на экстрагировании соединения тетрафениларсониевой соли (I) с Ti-солью сульфосалициловой к-ты (II) хлороформом из водн. р-ров. К анализируемому р-ру прибавляют несколько капель 10%-ного р-ра II, 15–20 мг I, буферный р-р (70 г CH_3COONa + 50 мл CH_3COOH на 500 мл воды) до исчезновения осадка (pH 4,6) и встряхивают с миним. кол-вом CHCl_3 . По желтой окраске экстракта

судят о присутствии Ti. Открываемый минимум 0,05 γ Ti при предельном разбавлении 1:20 000 000. Р. Ларин

21174. Цветная реакция тория с кверцетином и схема отделения тория от мешающих ионов. Менис, Маннинг, Голдстейн (Color reaction between thorium and quercetin and separation scheme for interfering ions. Menis Oscar, Manning D. L., Goldstein Gerald), Analyt. Chem., 1957, 29, № 10, 1426–1430 (англ.)

Кверцетин (3,3',4',5,7-пентаоксифлавоны) (I) образует с $\text{Th}(4+)$ желтый комплекс ($\text{Th}:\text{I} = 1:2$, константа неустойчивости $\sim 1,2 \cdot 10^{-10}$) с максимумом поглощения в области 420–425 мμ. Поглощение р-ров комплекса постоянно при 422 мμ при pH 2,7–3,5 и подчиняется закону Бера в интервале конц-ий $\text{Th}(4+)$ 10^{-4} – 10^{-5} в 25 мл. Для определения $\text{Th}(4+)$ в отсутствие мешающих в-в к 15 мл анализируемого р-ра (10–150 γ $\text{Th}(4+)$) прибавляют 10%-ный р-р Na_2CO_3 до pH 2,8–3,0, переносят р-р в колбу емк. 25 мл, прибавляют 4 мл $\text{C}_2\text{H}_5\text{OH}$ + 2 мл 0,1%-ного р-ра I в $\text{C}_2\text{H}_5\text{OH}$, разбавляют до метки водой и спустя 15 мин. фотометрируют при 422 мμ (р-р сравнения содержит адекватные кол-ва используемых реактивов). Описан метод определения $\text{Th}(4+)$ в присутствии PO_4^{3-} . А. Зозули

21175. Дробный метод открытия ванадия при помощи роданового железа. Золотавин В. Л., Огаркова А. Ф., Тр. Уральского политехн. ин-та, 1957, сб. 60, 148–150

Описан новый дробный метод открытия V, основанный на обесцвечивании р-ра роданидного комплекса $\text{Fe}(3+)$ в результате восстановления $\text{Fe}(3+)$ присутствующими $\text{V}(2+)$ и $\text{V}(3+)$. 0,5–1 мл анализируемого р-ра подкисляют 2 н. р-ром HCl или H_2SO_4 , добавляют на кончике ножа порошок цинка, взбалтывают (при этом $\text{V}(5+)$ восстанавливается цинком до $\text{V}(2+)$, который под действием O_2 воздуха окисляется в $\text{V}(3+)$) и отфильтровывают осадок. Фильтрат, содержащий $\text{V}(2+)$ и $\text{V}(3+)$, вводят в р-р роданидного комплекса $\text{Fe}(3+)$ (0,5 мл 0,005%-ного р-ра $\text{NH}_4\text{Fe}(\text{SO}_4)_2 \cdot 12\text{H}_2\text{O}$ подкисляют несколькими каплями 2 н. HCl и прибавляют 1–2 капли 10%-ного р-ра NH_4SCN). В зависимости от кол-ва присутствующего V розовый р-р роданидного комплекса $\text{Fe}(3+)$ сразу или через 1–3 мин. обесцвечивается. Чувствительность метода для чистых солей V соответствует 20–30 γ при предельном разбавлении 1:12 500, а в присутствии других элементов — понижается до 75 γ при предельном разбавлении 1:3700. Продолжительность открытия V 5–8 мин. Мешают Ti^{4+} , WO_4^{2-} , MoO_4^{2-} и NO_3^- . Л. Горин

21176. Колориметрическое определение молибдена в почвах и растениях. Добрицкая Ю. И., Почвоведение, 1957, № 3, 91–100 (рез. англ.)

Модифицирован роданидный метод определения Mo. Подробно изучено влияние способа разложения почвы, конц-ии HCl, Fe^{3+} , KSCN и NO_3^- , а также природы р-рителя. Установлено, что вместо сплавления пробы со смесью Na_2CO_3 + K_2CO_3 в Pt-посуде более целесообразно применять разложение плавиковой к-той. Метод проверен при анализе различных образцов почв и растительных материалов. Чувствительность метода 0,5 γ Mo в 12,5 мл экстракта. Р. Хмельницкий

21177. Исследование внутрикомплексных соединений уранила с β-дикетонами. IV. Спектрофотометрическое определение уранил-иона с β-дикетонами. Яманэ (βジケトン-ウラニルキレート化合物の研究 第4報. βジケトンによるウラニルイオンの比色定量. 山根靖弘), 薬学雑誌, Якугаку дзасси, J. Pharmac. Soc. Japan, 1957, 77, № 4, 400–403 (японск.; рез. англ.)

Разработан метод спектрофотометрич. определения UO_2^{2+} с β-дикетонами: бензоилацетоном (I), дибензо-

минимум
20 000 000.
Р. Ларина
ерцетинном
их ионов.
on reaction
on scheme
anning
em, 1957.
образует
константа
поглощения
комплекса
тчинается
10—150 у
ствие мо-
10—150 у
до pH
и добавляют
ОН, раство-
метриче-
экватные
д опреде-
А. Зозули
и помощи
аркова
57, сб. 69.
основан-
комплекса
присут-
ализируе-
и H₂SO₄
взбалты-
инком до
кисляется
трат, со-
роданн-
ого р-ра
каплими
ого р-ра
ющего V
-) сразу
ствитель-
ветствует
12 500, а
ется до
родолжи-
WO₃,
Л. Горин
олубидна
Л. Почво-
ения Mo.
ия почв,
природы
пробы
ее целе-
и к-той.
образов-
тельность
ьничий
единичи-
метриче-
етонами.
物の研究
色定量山
mac. Soc.
з. angl.)
еделения
добенно-

метаном (II), изоникотилбензоилметаном (III) 2-фурилбензоилметаном (IV), о-, м- и п-метокси-бензоилметаном (V), (VI) и (VII). Сняты спектры поглощения и изучено влияние pH, кол-ва реактивов и спирта на кривые поглощения. Калибровочные кривые сохраняют линейность в пределах (в скобках указаны соответствующие λ (макс.)): IV 0—120 у (404 м μ), VII 0—150 у (402 м μ), III и VI 0—160 у (400 м μ), II 0—160 у (395 м μ), V 0—180 у (400 м μ), I 0—400 у (375 м μ). К 5 мл р-ра урана известной мощи добавляют 1 мл 0,2%-ного спирт. р-ра соответствующего β -дикетона и доводят объем 99%-ным спиртом до 10 мл. Измеряют оптич. плотность при соответствующих λ (макс.). Сообщение III см. РЖХим, 1958, 10821.
В. Зеленцов
21178. Определение марганца в силикомарганце бесстружковым методом. Медведева Г. А., Тр. Уральского политехн. ин-та, 1957, сб. 69, 129—131.
Описаны 2 варианта бесстружкового определения Mn в силикомарганце. По 1-му варианту на очищ. поверхности стандартного и анализируемого образцов устраивают парафиновые ванночки диам. 5—8 мм, в которые помещают по 2 капли HF. По окончании растворения (5—7 мин.) в ванночки помещают по 2—3 капли воды и р-ры переносят капиллярной пипеткой в колбы емк. 100 мл, в которые предвари-тельно наливают по 50 мл воды. Поверхности образ-цов в месте растворения промывают водой, перенося промывные воды в соответствующие колбы. Р-ры в колбах разбавляют водой до метки, перемешивают, отбирают из каждой колбы по 2 мл р-ра, прибавляют по 5 капель HNO₃ (1:1), по 5 капель 1%-ного р-ра AgNO₃ и горошину сухого (NH₄)₂S₂O₈, нагревают и колориметрируют в колориметре Эггерта на белом фоне матового стекла. По 2-му варианту в 2 колбы емк. 500 мл наливают по 300 мл воды, по 50 мл HNO₃ (уд. в. 1,40) и по 10 мл 1%-ного р-ра AgNO₃ и нагре-вают до кипения. Пока происходит нагревание, в парафиновые ванночки на поверхности стандарт-ного и анализируемого образцов помещают по 2 капли HF. По окончании растворения содержимое ванночек при помощи промывания переносят в нагретые р-ры в колбах, держа образцы над горлышком колбы. Затем в каждую колбу вводят по 50 мл 25%-ного р-ра (NH₄)₂S₂O₈, нагревают до кипения, охлаждают в про-точной воде и титруют 0,03 н. р-ром Na₃AsO₄. Абс. ошибка определения Mn по 1-му и 2-му вариантам 3 и 1,5% соответственно. Оба варианта могут быть применены как маркировочные.
Л. Горин
21179. Фотоколориметрическое определение марганца в жженой магнезии и меле. Богина Л. Л., Мартюхина И. П., Каучук и резина, 1957, № 8, 32—33.
Разработан фотометрич. вариант ранее описанного персульфатно-кобальтового метода определения Mn (РЖХим, 1953, 663) и применен к анализу окиси Mg и мела. 5 г окиси Mg растворяют в 60 мл 12%-ной (по объему) H₂SO₄. 2 г мела обрабатывают в стакане, закрытом часовым стеклом, с помощью 60 мл 6%-ной (по объему) H₂SO₄ при кипячении в течение 15—20 мин. Полученные р-ры фильтруют и фильтр промывают кипящей водой (3—4 раза по 5—7 мл). К фильтрам прибавляют 1 мл H₃PO₄ (уд. в. 1,70), 10 мл р-ра кобальто-никелевого катализатора (0,5 г CoSO₄·7H₂O и 1,5 г NiSO₄ в 100 мл воды) и 10 мл свежеприготовленного р-ра (NH₄)₂S₂O₈, кипятят 2—3 мин., до устойчивой окраски MnO₄⁻, выдержи-вают несколько минут на кипящей водяной бане до прекращения разложения (NH₄)₂S₂O₈, охлаждают в проточной воде, разбавляют до 100 мл, перемешивают и фотометрируют с зеленым светофильтром, используя в качестве р-ра сравнения воду. Для по-строения калибровочного графика применяют р-ры

KMnO₄ (0,1 мг/мл Mn), предварительно обесцвечен-ные добавлением H₂O₂. Результаты, полученные опи-санным методом, удовлетворительно совпадают с дан-ными персульфатно-серебряного метода.
Л. Горин
21180. Методы определения железа. Робинше (Méthodes de dosage du fer. Robichet O.), Ann. Inst. nat. rech. agron., 1957, A8, № 2, 257—324 (франц.; рез. англ., русск., нем.)
Обзор. Библ. 122 назв.
Ф. Судачков
21181. Спектральный анализ раствора, нанесенного на бумагу в дуге постоянного тока. Мироне (Analisi spettrochimica con l'arco a c. c. di soluzioni assorbite su carta. Mirone Paolo), Ann. chimica, 1957, 47, № 5, 526—529 (итал.)
Описан метод определения Co на спектрографе ARL (модель 6200) по аналитич. линиям Co 3453,50—Pd 3421,24 Å. На бумагу ватман № 1 (7 × 80 мм) наносят 0,1 мл р-ра, содержащего 0,1—2 у Co и 0,1 мл р-ра PdCl₂, содержащего 1 у Pd. Бумагу с исследуемым пятном прикрепляют к поверхности графитового электрода диам. 2—3 мм, при помощи капли ацето-нового р-ра ацетилцеллюлозы. Средняя ошибка ана-лиза $\pm 4,6\%$, воспроизводимость определения $\sim \pm 14\%$.
Н. Туркевич
21182. Колориметрический метод определения никеля в продуктах медного производства. Красильни-кова Л. Н., Сб. тр. Всес. н.-и. ин-та цветн. мет., 1956, № 1, 165—168.
При фотометрич. определении Ni с помощью ди-метилглюксима (I) для отделения Ni от Cu и других элементов методом экстракции вместо CHCl₃ исполь-зован CCl₄, 1 г шлака из шахтной печи или конвер-тера (либо 1 г пыли из шахтной печи, либо 0,2 г штейна) обрабатывают при нагревании последова-тельно с помощью 10 мл HCl (уд. в. 1,19), 5 мл HNO₃ (уд. в. 1,4) и 5—10 мл H₂SO₄ (1:1). Р-р выпаривают до появления паров H₂SO₄, прибавляют 50 мл воды, охлаждают, отфильтровывают PbSO₄ и нерастворимый остаток промывают 4—5 раз холодной водой, подкис-ленной серной к-той. Фильтрат и промывные воды соединяют, разбавляют водой до 100 мл и перемешивают. К aliquотной порции полученного р-ра (20 мл для шлаков из шахтных печей, 10 мл для шлаков из конвертера и пылей из шахтных печей и 5 мл для штейна) в делительной воронке емк. 50 мл прибавляют 5 мл 50%-ного р-ра лимонной к-ты, нейтрализуют аммиаком (по лакмусу), охлаждают в проточной воде, прибавляют 4 мл 1%-ного спирт. р-ра I, 3 мл CCl₄ и взбалтывают 1 мин. Экстрагирование повторяют еще 2—3 раза. К соединенным экстрактам, содержащим Ni и частично Cu, прибавляют 5 мл NH₄OH (1:50) и взбалтывают 1 мин. К аммиачному слою, содержащему только Cu, в делительной воронке прибавляют 2 мл CCl₄ и взбалтывают 1 мин. Слои CCl₄ присоединяют к основному экстракту, прибавляют 5 мл 0,5 н. HCl и взбалтывают 1 мин. Слои CCl₄ промывают 0,5 н. р-ром HCl (5 мл) и выбрасывают. Солянокислые р-ры соеди-няют, нагревают для удаления капель CCl₄, охлаждают, нейтрализуют 20%-ным р-ром NaOH (по лакмусу), добавляют избыток (1 мл) 20%-ного р-ра NaOH и 2,5 мл 3%-ного р-ра (NH₄)₂S₂O₈, перемешивают, прибавляют 2,5 мл 1%-ного спирт. р-ра I, перемешивают, разбавля-ют водой до 25 мл и через 5—7 мин. фотометрируют с синим светофильтром, используя в качестве р-ра срав-нения р-р контрольного опыта, проведенный через все стадии анализа. Для построения калибровочного гра-фика используют р-р Ni²⁺ с конц-ией 0,01 мг/мл. Ме-тод дает воспроизводимые и достаточно точные резуль-таты и применим также для определения Ni в черно-вой меди.
Л. Горин
21183. Объемный метод определения содержания никеля в катализаторных порошках. Добрынина

О. Н., Богарева К. Г., Масл.-жир. пром-сть, 1957, № 9, 40

Описан метод, основанный на комплексометрич. титровании Ni^{2+} в присутствии мурексиды (I) в качестве индикатора. 2 г анализируемого порошка растворяют в HCl (1:1) при нагревании до кипения (нагревание продолжают до прекращения выделения газов), р-р охлаждают, разбавляют водой до 250 мл и перемешивают (если р-р мутный, то его фильтруют). Затем отбирают 10 мл полученного р-ра, добавляют 30 мл воды, 20 мл NH_4OH (1:5), немного I (смешивают 0,2 г I с 10 г NaCl) и титруют 0,1 н. р-ром комплексона III до перехода зеленой окраски р-ра в фиолетовую. Титр р-ра комплексона III устанавливают титрованием р-ра катализаторной соли с известным содержанием Ni. Результаты, полученные при определении Ni в медно-никелевых порошках, удовлетворительно совпадают с данными весового диметилглиоксимового метода. Преимущества описанного метода: сокращается продолжительность анализа (на 1—1,5 часа), удешевляется его стоимость и не требуется применения дефицитных беззольных фильтров и фарфоровых тиглей. Метод применим также для определения Ni в отработанных катализаторах. Л. Г.

21184. Обнаружение микроколичеств углерода в органических и неорганических соединениях разложением при помощи магния. Юречек (Mikro-Nachweis des Kohlenstoffes in organischen und anorganischen Verbindungen mittels Magnesiumaufschlusses. Jureček M.), Mikrochim. acta, 1955, № 5-6, 1088—1089 (нем.). См. РЖХим, 1957, 48323.

21185. Количественная спектроскопия в инфракрасной области спектра. II. Определение содержания окиси углерода в газовых эталонах. Мурё, Шовен, Трюффер, Лебб (Spectrographie infrarouge quantitative. II. Détermination de la teneur en oxyde de carbone des gaz dits étalons. Moureu Henri, Chovin Paul, Truffert Louis, Lebbe Jacques), Bull. Soc. chim. France, 1957, № 10, 1155—1161 (франц.).

Для определения содержания CO в газах необходимо иметь эталоны для широкой области конц-ий. Имеющиеся в продаже газовые эталоны часто не могут быть использованы из-за недостаточно точной дозировки компонентов смеси. Разработан метод более точного определения содержания CO в эталонах по ИК-спектрам. Описано устройство для введения точно измеренных объемов газов при фиксированной т-ре. Смеси газов вводятся затем в прибор с автоматич. регистрацией ИК-излучения. Ошибка определения CO ~1%. Этот способ составления газовых смесей и их анализа применим и к другим газам, обладающим характерными ИК-спектрами. Сообщение I см. РЖХим, 1957, 51577.

В. Истомина
21186. Фотометрическое определение кремния. Та- рутани (ケイ素の比色定量. 樽谷俊和), 分析化学, Бунсэки какаку, Japan Analyst, 1957, 6, № 6, 396—398 (японск.).

Обзор. Библ. 67 назв. Ф. Судаков
21187. Газометрическое определение азидов с помощью двойного нитрата аммония и четырехвалентного церия. Мидзусима, Нагаяма (アジ化物の微量定量法. 水島容二郎, 長山征悦), 東京工業試験所報告, Tokai kōgō sikkensō hōoku, Repts Govet Chem. Industr. Res. Inst. Tokyo, 1956 51, № 8, 320—322 (японск.; рез. англ.).

Описан газометрич. метод определения малых кол-в азидов, основанный на измерении кол-ва N_2 , который выделяется в результате взаимодействия азидов с $Ce(NO_3)_4 \cdot NH_4NO_3$. 10 мг растворимых или нерастворимых азидов определяют с ошибкой $\pm 0,1\%$. Метод

высокоспецифичен и позволяет производить определения быстро и надежно при небольшом числе манипуляций. Продолжительность определения 30 мин.

Резюме автора
21188. Быстрое определение фосфина в воздухе. Нелсон, Милун (Rapid determination of phosphine in air. Nelson J. P., Milun A. J.), Analyst Chem., 1957, 29, № 11, 1665—1666 (англ.).

Определенный объем анализируемого воздуха, содержащий PH_3 (1 ч. на миллиард ч. воздуха), пропускают через трубку с силикагелем, пропитанным р-ром $AgNO_3$, который восстанавливается при взаимодействии с PH_3 , окрашивая силикагель в темный цвет. Длина окрашенного столбика пропорциональна конц-ии PH_3 в пределах 0,02—0,21 мг. Воспроизводимость результатов $\pm 5\%$. Мешают арсин, стибил и H_2S .

Н. Чудинов
21189. Полярографическое определение следовых количеств мышьяка в минералах. Вань Чжэнь (礦石中微量砷の極譜法測定. 萬植), 廈門大學學報, Сямэнь досюэ сюэбао. Цзыжанькэсюэбао. Acta scient. natur. Univ. amoensis, 1957, № 1, 130—140 (кит.; рез. англ.).

Описан метод, при котором полярографирование As производят на фоне 2 н. H_2SO_4 — 1 н. NaCl в присутствии равного объема C_2H_5OH . Fe^{3+} , Cu^{2+} , Al^{3+} , Mn^{2+} и другие ионы не мешают; хорошие результаты получаются без предварительного отделения указанных ионов. В присутствии NaCl и C_2H_5OH наблюдается одноступенчатая волна при $-0,68$ в и предельный ток быстро достигает постоянного значения. При применении этого метода для определения As в Cu - и Fe -рудах получены удовлетворительные результаты.

Резюме автора
21190. Титриметрический способ определения анион- та в присутствии фосфатов, сульфатов, оксалатов, салицилатов и тяжелых металлов. Щиголь М. Е. Ж. аналит. химии, 1957, 12, № 4, 481—484 (рез. англ.).

Описан алкалиметрич. метод определения Bi в присутствии SO_4^{2-} , $C_2O_4^{2-}$, PO_4^{3-} , салицилатов и тяжелых металлов (Zn , Ag , Fe , Al , Co , Pb и др.). К кипящему анализируемому р-ру ($\sim 0,5$ н. по HNO_3) прибавляют избыток $\sim 0,1$ н. Na_2HPO_4 и кипятят, осадок $BiPO_4$ отфильтровывают, промывают, растворяют в 40—15 мл $\sim 0,1$ н. H_2SO_4 в присутствии 0,5—1,0 г KJ , кипятят, прибавляют $\sim 0,4$ н. $Na_2C_2O_4$ до обесцвечивания, 5 г KCl , охлаждают и титруют выделившуюся свободную к-ту 0,1 н. р-ром NaOH в присутствии метилового красного. Затем к оттитрованному р-ру приливают избыток 0,1 н. NaOH, кипятят 2—3 мин, охлаждают и избыток NaOH оттитровывают 0,1 М р-ром H_2SO_4 по фенолфталеину. По разности определения кол-во Bi . Описан также быстрый метод отделения Bi от Pb : к смеси солей Bi и Pb прибавляют 5—10 мл 11%-ного насыщ. р-ра K_2SO_4 и 1 г KJ , перемешивают, через 10 мин. фильтруют, отбирают 25 мл фильтрата, прибавляют 0,4 н. $Na_2C_2O_4$ и титруют 0,1 н. р-ром NaOH по метиловому красному. Максимальная ошибка определения $\leq 0,8$ абс.

Р. Моторкина
21191. Метод определения валового количества серы в почвах, минералах, растениях и органических соединениях. Айдинян Р. Х. Почвоведение, 1957, № 9, 49—59 (рез. англ.).

Описан метод колич. извлечения S из почв, минералов, растений и органич. соединений, основанный на нагревании исследуемого материала с $KClO_3$, который при этом разлагается с выделением O , идущего на окисление S до растворимого SO_4^{2-} . 1—1,5 г тонкоизмельченного S-содержащего материала, 2 г $KClO_3$ и 8 г чистого песка (для умеренного протекания р-ции) помещают в кварцевую пробирку (длина 18 см и диам. 2,5 см), которую посредством стеклянной тру-

ли соединяют с другой пробиркой из простого стекла, служащей приемником. Приемник более чем до половины наполняют водой и прибавляют 1—2 капли 30%-ной H_2O_2 . Каучуковая пробка пробирки-приемника должна иметь отверстие для выхода образующихся газов. Сжигание смеси проводят на сильном пламени газовой горелки, начиная нагревание с конца кварцевой пробирки, и продолжают до прекращения вспыхивания и выделения пузырьков (~ 10 мин.). После окончания сжигания в остывшую кварцевую пробирку вводят 2—3 капли конц. HCl и туда же переливают жидкость из пробирки-приемника, перемешивают и фильтруют через воронку с плотным фильтром. Осадок промывают 0,1 н. р-ром KCl до получения общего объема фильтрата 250—250 мл. Фильтрат с промывной жидкостью подкисляют и осаждают SO_4^{2-} 10%-ным р-ром $BaCl_2$. Если по какой-нибудь причине в результате сжигания остаются черные несгоревшие комочки, то содержимое пробирки вместе с песком переносят в фарфоровую чашку, добавляют 0,2 г $KClO_3$, несколько капель HCl и выпаривают на водяной бане досуха, повторяя эту операцию несколько раз, или обрабатывают 1—2 раза по 2—3 мл 30%-ной H_2O_2 . Описанный метод универсален, быст, прост, не требует сложной аппаратуры и дает надежные результаты. Л. Г. 21192. Ультрамикрометод для определения сульфидов в воздухе. Джейкобс, Брейвертан, Хохейзер (Ultamicrodetermination of sulfides in air. Jacobs Morris B., Braverman M. M., Hochheiser Seymour), *Analyt. Chem.*, 1957, 29, № 9, 1349—1351 (англ.).

H_2S и другие сульфиды в воздухе при конц-ии 1 : 10^9 определяют протягиванием анализируемого воздуха через щел. суспензию гидроокиси Cd ($4,3$ г $CdSO_4 \cdot 8H_2O$ растворяют в воде, прибавляют 0,3 г $NaOH$ и разбавляют до 1 л водой). Р-р гидроокиси Cd одновременно служит для предотвращения окисления поглощенных сульфидов отбираемым для анализа воздухом. Скорость и продолжительность протягивания при конц-ии $< 20 : 10^9$ составляют 28,3 л/мин и 30 мин., а для конц-ии $\geq 20 : 10^9$ 2,83 л/мин и 15 мин. соответственно. Кол-во поглощенных сульфидов затем определяют фотометрически — методом метиленовой сини. В. Парбузин

21193. Уточнение методики определения фтора в продуктах цинкового и свинцового производства. Красильникова Л. Н., Милаев С. М., Сб. тр. Всес. н.-и. ин-та цветн. мет., 1956, № 1, 169—171. Установлено, что в результате предварительного обжига анализируемых продуктов цинкового и свинцового производств при 800° часть F улетучивается и поэтому при последующем определении F получают неправильные результаты. Для окисления сульфидной S вместо операции обжига применено сплавление навески с Na_2O_2 , 0,5—1 г пробы сплавляют в Fe -тигле с 5—6 г Na_2O_2 при 550 — 600° ; плав выпаривают водой, р-р нейтрализуют серной к-той и доводят кислотность р-ра до 1 : 1 по H_2SO_4 . Отгоняют F , дистиллят нейтрализуют р-ром $NaOH$ до щел. р-ции, упаривают до 20—30 мл и разбавляют до 50 или 100 мл. К аликвотной порции полученного р-ра (0,1—0,2 мг F) в цилиндре для колориметрирования прибавляют 5 мл р-ра перекисного сульфата Ti (0,1 мг/мл Ti) и определяют F колориметрич. титрованием. При определении F в Zn -концентрате, Pb -пыли, окиси Zn , Zn -пыли и Zn -кеке получены воспроизводимые результаты.

Л. Горин
21194. Улучшенный метод определения фторидов с помощью цирконий-эриохромцианина R. Тетчер (Modified zirconium-Eriochrome Cyanine R determination of fluoride. Thatcher L. L.), *Analyt. Chem.*, 1957, 29, № 11, 1709—1712 (англ.)

Улучшенный спектрофотометрич. метод определения F^- в природных и загрязненных водах с помощью цирконий-эриохромцианина R позволяет определять до 3 μ /мл F^- . Оптич. плотность измеряют при 540 м μ . Температурная ошибка минимальна. SO_4^{2-} предварительно осаждают в форме $BaSO_4$. Присутствующие в р-ре окислители восстанавливают добавлением твердого тиосемикарбазида. Фосфаты в сильнокислой среде ($pH \sim 0,25$) не мешают. Н. Чудинова 21195. Метод определения йода в природных водах. Беляева Е. Н. Гигиена и санитария, 1957, № 6, 72—74.

Анализируемую воду нейтрализуют 0,1 н. р-ром K_2CO_3 до слабощел. р-ции по фенолфталеину, упаривают до 20—25 мл и переносят в прибор для отгонки J_2 , состоящий из круглодонной колбы емк. 150—200 мл со впаиванной капельной воронкой (10 мл) и холодильником (20 см). Нижний конец форштосса холодильника опускают в приемник с поглотительным р-ром (1 мл 0,1 н. Na_2SO_3 и 1 мл 0,1 н. K_2CO_3), в перегонную колбу добавляют 10 мл насыщ. р-ра $K_2Cr_2O_7$ и 10 мл H_2SO_4 (1 : 1), кипятят 15—20 мин., прекращают нагревание, добавляют небольшими порциями около 20 мл насыщ. р-ра $H_2C_2O_4$ (для восстановления JO_3^-) и продолжают отгонку J_2 еще 20—25 мин. Для йодометрич. определения J дистиллят упаривают до 5—10 мл, добавляют по каплям 0,25 н. $KMnO_4$ до розовой окраски, нагревают 5 мин. на водяной бане, нейтрализуют 2 н. р-ром H_2SO_4 (по лакмусу), снова нагревают 5 мин., добавляют несколько капель 1 н. $NaNO_2$ (для удаления избытка $KMnO_4$) и 1 М р-р мочевины (для удаления избытка $NaNO_2$), упаривают до 2—3 мл, охлаждают, добавляют 0,1 мл 0,2%-ного р-ра KJ и выделившийся J_2 оттитровывают 0,001 н. р-ром $Na_2S_2O_3$ в присутствии крахмала. Для колориметрич. определения J дистиллят упаривают до 3—4 мл, переносят в колориметрич. пробирку емк. 10—15 мл, добавляют 1 н. H_2SO_4 до кислой р-ции (по лакмусу), воду до 5 мл, 0,1 мл CH_2Cl_2 и 0,5 мл 1 н. $NaNO_2$, встряхивают и через 10 мин. окраску слоя CH_2Cl_2 сравнивают со шкалой стандартной серии р-ров, приготовленных аналогичным образом. Описанный метод отделения J значительно превосходит другие методы по скорости и легкости выполнения. Р. Моторкина

21196. Обзор работ ВНИИцветмета в области рационального анализа. Христофоров Б. С., Сб. тр. Всес. н.-и. ин-та цветн. мет., 1956, № 1, 207—224.

Описан рациональный анализ (качеств. или колич. определение форм соединений интересующих элементов в исследуемом объекте) руд и продуктов обогащения на соединения Pb , шлаков Pb -плавки на соединения Pb и Fe , продуктов цинкового произ-ва на соединения Zn и шлаков Cu -плавки на соединения Pb , Zn и Cu . Л. Горин

21197. Обзор новых методов контроля в металлургической промышленности. Ляликов Ю. С., Тр. Научно-техн. о-ва черной металлургии. Укр. респ. правл., 1956, 4, 11—21. Библ. 91 назв.

Ф. Судаков
21198. Применение спектрографа при контроле работы доменной печи. I. Анализ шлаков и окалины. Зоммакаль, Порта (Lo spettrografo al servizio del controllo dell'alto forno. Sommacal Bruno, Porta Antonio), *Metallurgia ital.*, 1957, 49, № 6, 449—456 (итал.; рез. англ., нем., франц.)

Анализируемый шлак смешивают с плавнем и окисью Co , плавят, измельчают, смешивают с графитом и прессуют в таблетки при давл. 8000 кг/см 2 . Окалину смешивают с графитом и помещают в отверстие угольного электрода. Спектр возбуждают в дуговом разряде постоянного тока и фотографируют на дифракционном спектрографе ARL. При анализе окали-

ны градуировочные графики строят в координатах $\lg(I_{\text{ан}}/I_{\text{сп}})$, $\lg C_{\text{ан}}/C_{\text{Fe}}$. Аналитич. линии (в А): Si 2519,2 — Co 2517,8, Al 2567,9 — Co 2567,3, Mn 2576,4 — Co 2567,3, Mg 2776,6 — Co 2764,1, Ca 3006,8 — Co 3013,6, Si 2435,1 — Fe 2457,59, Mg 2779,8 — Fe 2759,82, Cu 3273,9 — Fe 3286,75, Al 2660,3 — Fe 2662,06, Mn 2933,06 — Fe 2926,56, Ca 4302,5 — Fe 4315,09. Г. Кибисов

21199. Колориметрический метод в применении к анализу железных сплавов. Дымов А. М., Щелкунова А. Н., Тр. Научно-техн. о-ва черной металлургии. Укр. респ. правл., 1956, 4, 32—37. Выступление, 38

См. РЖХим, 1957, 44849.

21200. Определение примесей в окисях самария и европия. Брукль, Росманит (Die Bestimmung von Verunreinigungen in Samarium- und Europiumoxyden. Brukl A., Rossmannith K.), Monatsh. Chem., 1957, 88, № 4, 569—577 (нем.)

Описано определение малых кол-в Sm в европии, Nd и Eu в самарии методом эмиссионного спектрального анализа. 5 мг пробы смешивают с углем в отношении 1:1 и помещают в отверстие анода. Спектр возбуждают при 6а и фотографируют на спектрографе Хильгера Е 478 со стеклянной призмой. Градуировочные графики строят в координатах $\lg I_{\text{ан}}/I_{\text{сп}}$, $\lg C$ с учетом фона. Остаточные загрязнения в основе для эталонов определяют методом добавок. Для определения Sm в европии применяют пару линий Sm 4424,35 — Eu 4426,4 А. Для конц-ий 0,007% Sm_2O_3 в чистой Eu_2O_3 ошибка составляет $\leq 9\%$. Nd в самарии определяют по линиям Nd 4303,57 — Sm 4299,34 и Nd 4012,25 — Sm 4011,72 А с ошибкой $\leq 7,4\%$. Для конц-ий $\sim 0,001\%$ Eu_2O_3 в Sm_2O_3 рекомендуются линии Eu 4129,73 — Sm 4128,10 А, при определении до 0,05% Eu_2O_3 наиболее пригодны линии Eu 3930,51 — Sm 3931,16 А. Ошибка анализа $\leq 7\%$. Линии Eu 4129,73 — Sm 4129,24 А служат для определения до 0,1% Eu_2O_3 . Миним. определяемые конц-ии Sm_2O_3 , Nd_2O_3 и Eu_2O_3 равны соответственно 0,005, 0,01 и 0,001%. А. Немодрук

21201. К вопросу о разложении силикатов действием фтористого аммония. Танахаев Н. А., Смышляев С. И., Тр. Уральского политехн. ин-та, 1957, сб. 69, 101—106

Показана возможность разложения большинства силикатов (39 из 42 испытанных типов) действием NH_4F . Установлено, что полнота разложения силикатов действием NH_4F вполне достаточна для качеств. анализа силикатов. Проба мелкорастертого силиката $\sim 0,1$ г, смешанная в Рт-тигле с 5-кратным избытком порошка NH_4F , при 300—400° разлагается в течение 2—3 мин. Повторная обработка фторидом аммония, не увеличивая значительно времени, ведет к более полному разложению. Для получения наиболее точных результатов обработку фторидом аммония в пределах 10—15 мин. можно производить несколько раз. Л. Горин

21202. Спектральное определение Al, Ti, Fe, Ca, Mg и Mn в силикатах. Раштон, Николс (A spectrographic scheme for the determination of Al, Ti, Fe, Ca, Mg, and Mn in silicates. Rushton B. J., Nicholls G. D.), Spectrochim. acta, 1957, 9, № 4, 287—296 (англ.)

Описан метод определения значительных конц-ий Al, Ti, Fe, Ca, Mg и Mn в рудах. Ввиду различной летучести элементов используют 2 внутренних стандарта: Sr и Y. При определении Fe, Mg, Ca и Mn образцы смешивают с SrCO_3 и угольным порошком в соотношении 1:1:6, а при определении Al и Ti — с Y_2O_3 и углем в соотношении 1:0, 23:10. Смеси растирают в агатовой ступке до 100 меш. Отверстие угольного электрода диам. 0,32 мм и глубиной 6 мм плотно на-

бивают полученной смесью. Спектры возбуждают в аноде дуги до полного испарения пробы (4 мин.). Для уменьшения разбрасывания в-ва анод нагревают перед зажиганием дуги до 105—110° и силу тока при пожиге устанавливают 3 а, после чего в течение 10 сек. увеличивают ток до 7 а. Величину аналитич. прожигутка поддерживают ~ 8 мм. Аналитич. линии (в А) и пределы конц-ий (в % в скобках): Ca 3158,9 (0,5—10), Ca 3179,3 (1,8—18), Mn 2801,1 (0,025—0,15), Fe 2929,0 (1,9—11), Fe 2947,9 (0,7—2), Mg 2779,8 (0,4—15), Mg 2795,5 (0,05—0,4); линия сравнения Sr 2931,8, Al 2652,5 — Y 2948,4 (8—25), Ti 3088,0 — Y 3086,9 (0,5—2,0). Графики, построенные по эталонным смесям из окислов и по проанализированным образцам руд, совпадают. Отклонение результатов от среднего значения при 3-кратной съемке спектров колеблется от 2,5 до 3,5% (относительных) для всех элементов. Б. Львов

21203. Исследования разложения пирита в угле при воздействии разбавленной азотной кислоты. Шмук Е. И., Изв. АН СССР. Отд. техн. н., 1957, № 8, 126—128

Изучением твердых продуктов окисления пирита в угле под микроскопом установлено, что одним из конечных продуктов взаимодействия пирита с разб. HNO_3 является элементарная S. Образование элементарной S в угле, так же как и в чистом пирите, наблюдается при 20—103° и конц-ии HNO_3 5—20%; кол-во элементарной S растет с увеличением продолжительности обработки и повышением т-ры опыта. Наличие элементарной S в конечных продуктах р-ции приводит в ряде случаев к опутным ошибкам определения содержания пиритной и органич. S в угле. Л. Горин

21204. Методика определений никеля, бора и фтора в никелевом борфтористоводородном электролите. Несмеянова К. А., Тр. Гос. н.-и. ин-та хим. пром-сти, 1956, вып. 4, 55—60

Описаны методики определения общего содержания Ni и В, а также методика определения F в форме BF_4^- и с некоторым приближением, в форме BF_3OH^- . Ni определяют титрованием щел. р-ром диметилглиоксима, а В — титрованием р-ром NaOH по фенолфталеину после предварительного разрушения борфтористоводородных комплексных анионов и выделения свободной борной к-ты. Определение F в форме BF_3OH^- основано на оттитровывании HCl, выделяющейся в эквивалентном BF_3OH^- кол-ве на холоду по р-ции $\text{Ni}(\text{BF}_3\text{OH})_2 + 3\text{CaCl}_2 + 4\text{H}_2\text{O} = 2\text{H}_3\text{BO}_3 + 3\text{CaF}_2 + \text{NiCl}_2 + 4\text{HCl}$ (разложение BF_4^- на холоду протекает медленно). Определение F в форме BF_4^- основано на оттитровывании HCl, выделяющейся в эквивалентном BF_4^- кол-ве при кипячении по р-ции $\text{Ni}(\text{BF}_4)_2 + 4\text{CaCl}_2 + 6\text{H}_2\text{O} = 2\text{H}_3\text{BO}_3 + 4\text{CaCl}_2 + \text{NiCl}_2 + 6\text{HCl}$. Практически определение F в форме BF_3OH^- сводится к титрованию аликвотной порции электролита р-ром NaOH по метиловому красному на холоду после добавления CaCl_2 , а определение F в форме BF_4^- — к титрованию того же р-ра щелочью после кипячения. Л. Горин

21205. Исследование некоторых вопросов приборного анализа с применением радиоактивных изотопов в качестве индикаторов. Фридман И. Д., Тр. Н.-и. горноразвед. ин-та «Нигризолото», 1957, вып. 24, 151—154

С помощью радиоактивных изотопов Ag^{110} и Au^{198} изучено влияние качества капелей на величину потерь Ag и Au в процессе купелирования. Установлено, что потери Ag на капелях из цемента значительно больше потерь Ag на магнетитовых и костяных чашечках, независимо от рецепта их изготовления; меньшие потери Ag наблюдаются на магнетитовых

цементных каплях с 15% цемента и на магнезитовых каплях с жидким стеклом. Капли из магнезитового кирпича дают меньшие потери, чем капли из магнезитового металлургич. порошка. Наименьшие потери Ag получаются на каплях, изготовленных из тонкоизмельченного материала. Только глубокие капли (глубина чашки 8—13 мм) позволяют в наибольшей мере снизить потери Ag при купелировании; наименьшие потери получаются на каплях с центральным углублением чашки. Снижение практич. потерь Ag на глубоких каплях происходит главным образом за счет увеличения засады неблагородных металлов в Ag-корольках, а также уменьшения потерь вследствие всасывания капелью. Изменение т-ры муфеля даже в пределах 20—30°, а также расположение капелей в муфеле оказывают существенное влияние на величину потерь Ag при купелировании.

Л. Горин

21206. Анализ смесей D_2O-H_2O с помощью интерферометра. Намба, Хаттори (干涉計による重水濃度の測定. 難波進, 服部昌男), 計測. 儀器, J. Soc. Instrum. Technol., Japan, 1957, 7, № 2, 87—91 (японск.; рез. англ.)

Для анализа смесей H_2O-D_2O использован интерферометр Райкена. Поскольку результаты измерений сильно зависят от т-ры, прибор помещают в воздушный термостат при $20 \pm 0,5^\circ$. Ячейка интерферометра имеет длину 0,5 см и предназначена для определения до 6 мол.% D_2O . Точность измерений 0,1 мол.%. Н. Полянский

21207. Метод растирания в приложении к анализу вод. Кюрегян Э. А. В сб.: Вопр. геол. и гидрогеол. АрмССР, Ереван, АН АрмССР, 1956, 216—218

Метод растирания применен для определения Mo, Cu, Ni, Mn, Fe(3+) и Fe(2+) в рудничных водах. 50—200 мл анализируемой воды выпаривают и в сухом остатке производят определение. Чувствительность определения (в г/л): для Mo 0,0003, Cu 0,0001, Fe(3+) 0,0004, Ni тысячные доли %, Mn сотые доли %. Метод особенно удобен в полевых условиях. М. Жукова

21208. Экспресс-метод анализа на отсутствие влаги в сыпучих инертных гидрофобных веществах. Ротенберг Б. Н., Заводск. лаборатория, 1957, 23, № 9, 1133—1134

Описан экспресс-метод качеств. определения влаги в сополимерах стирола с дивинилбензолом (размеры частиц 0,25—2 мм), получающихся в процессе синтеза понитов. В цилиндр емк. 10 мл всыпают 1—2 мл сополимера (после сушки), вставляют термометр и заливают 3-кратным (по объему) избытком конц. H_2SO_4 . В присутствии влаги в сополимере вследствие термич. эффекта разбавления H_2SO_4 поднимается т-ра. Метод достаточно точен и фиксирует содержание $< 0,5\%$ влаги. Л. Горин

21209. Определение щелочности в окрашенных вытяжках. Юник Ш. М., Почвоведение, 1957, № 9, 122—124 (рез. англ.)

Для определения щелочности в окрашенных водн. вытяжках применен иономер типа КФВ-И1, состоящий из двух основных частей: прибора для измерения э.д.с. цепи с градуированной в pH шкалой и двух электродов: хлор-серебряного и чашечного сурьмяного, являющегося резервуаром для исследуемой вытяжки. Для установления эквивалентных точек на шкале прибора, соответствующих нормальным карбонатам (8,05 в ед. pH) и общей щелочности (4,2), используют р-р Na_2CO_3 . При определении щелочности почвенную вытяжку, приготовленную на освобожденной от CO_2 (кипячением) воде, фильтруют через промытый фильтр (фильтровальную бумагу обрабатывают 1%-ной HCl и отмывают водой до отрицательной

р-ции на Cl-), отбирают 25 мл вытяжки, помещают в чашечный электрод иономера и титруют 0,02 н. р-ром HCl сначала до pH 8,05 (определение нормальных карбонатов), а затем до pH 4,2 (определение общей щелочности). Метод дает воспроизводимые результаты. Л. Горин

21210 К. Качественный анализ неорганических веществ. Бильц. Изд. 13-е, перераб. Фишер (Ausführung qualitativer Analysen anorganischer Stoffe. Biltz Wilhelm. 13. verb. Aufl. Fischer Werner. Leipzig, Akad. Verl. Ges., 1957, XII, 189 S., ill., 10,50 DM) (нем.)

21211 К. Лабораторное руководство по качественно-неорганическому полумикроанализу. Томпсон (A laboratory manual of semi-micro inorganic qualitative analysis: Thompson Eric Tattersall. London, Edward Arnold, 1957, 48 pp., ill., 4 sh.) (англ.)

21212 К. Химический анализ минерального сырья. Выпуск 12. Дифференциальный термический анализ. Элиаш, Штёвник, Заградник (Chemické rozborý nerostných surovin. Seš. 12. Diferenční termická analýza. Eliáš Mojmír, Št'ovík Miroslav, Zahradník Lubomír. Praha, CSAV, 1957, 154 s., il., 7,54 Kčs.) (чешск.)

21213 К. Анализ гальванических ванн и других растворов для обработки поверхности металлов. Лангфорд. Перев. с англ. (Die Analyse galvanischer Bäder und anderer Lösungen zur Oberflächenbehandlung von Metallen. Langford Kenneth E. Übers. aus dem Engl. Saugau/Wttbg., Leuze, 1957, 354 S., ill., 48.—DM) (нем.)

21214 Д. Применение ионообменной хроматографии в техническом анализе металлургического производства. Даценко О. В. Автореф. дисс. канд. хим. н., Новочерк. политехн. ин-т. Новочеркасск, 1957

21215 Д. Применение потенциометрического метода. Аргентометрическое определение следовых количеств CN- в растворах. Автоматический метод определения этого иона в воздухе. Пюрпан (Application d'une méthode potentiométrique. Au dosage par argentimétrie des traces de CN- en solution. Au dosage automatique d'une atmosphère de cet ion. Pürpan Jean. Thèse, doct. sci. phys., Fac. Sci. Marseille. Univ. Aix-Marseille. Gap, Impr. Louis-Jean, 1955, 66 p., ill.) (франц.)

АНАЛИЗ ОРГАНИЧЕСКИХ ВЕЩЕСТВ

Редактор Н. А. Фукс

21216. К вопросу об органическом капельном анализе. Фейгль, Амарал, Жентил (Beiträge zur organischen Tüpfelanalyse. Feigl F., Amaral J. R., Gentil V.), Mikrochim. acta, 1957, № 5, 726—735 (нем.; рез. англ., франц.)

Описано 6 новых капельных р-ций для открытия органич. соединений: 1. Мочевины путем обработки 0,5 н. р-ром NaClO в присутствии 20%-ного р-ра NaOH и конденсации полученного N_2H_4 с салициловым альдегидом, ведущей к образованию салицилальдазина с желто-зеленой флуоресценцией в УФ-свете (открываемый минимум (OM) 0,5 γ). 2. о- и п-Динитробензолов путем их восстановления фенилгидразином соответственно в разб. р-ре NaOH и в присутствии $MgCO_3$ до окрашенных хиноидных продуктов (OM соответственно 0,2 и 1 γ). 3. Азотистых эфиров на основе р-ции с реактивом Грисса (OM 0,2—10 γ алкилнитрита). 4. Сульфосалициловой к-ты путем нагревания пробы с KNO_3 при 100° и обнаружения образующихся

HNO_2 и HNO_3 при помощи р-ра $\text{N,N}'$ -дифенилбензидина в конц. H_2SO_4 (ОМ 3,5 у, салициловая к-та не мешает). 5. Нитратов органич. оснований путем пиролиза до HNO_2 и HNO_3 , обнаруживаемых в паровой фазе при помощи р-ра $\text{N,N}'$ -дифенилбензидина (ОМ 2,5 у нитрата кофеидина). 6. Сильных и средних органич. к-т (моно-, ди- и трихлоруксусной, монобромуксусной, павелевой, малоновой, малиновой, яблочной, миндальной) на основе выделения HNO_3 при нагревании с KNO_3 до 100° .

Т. Леви
21217. Использование парофазной хроматографии для быстрого анализа смеси растворителей. Перо (Utilisation de la chromatographie en phase vapeur pour l'analyse rapide de mélanges de solvants. Peugeot Pierre), Chimie et industrie, 1957, 78, № 1, 3—8 (франц.; рез. англ., исп.)

Для заполнения колонки (К) длиной 2 м и диам. 0,6 см применяют смесь 1 вес. ч. пентахлордифенила + 2 вес. ч. целита 545 или смесь 1 ч. силиконового масла Родорил 47 V 300 (I) + 2 ч. целита 545. Если в качестве неподвижной фазы применяют I, то внутренним стандартом при анализе смеси метанола, метилформата, этилформата, метилацетата, ацетона и этанола служат изопропилформат. Разделение проводят при 40° . Результаты анализа воспроизводятся в пределах 0,5%; продолжительность анализа < 45 мин. При разделении смеси бензола, этилового эфира, этанола и хлороформа пользуются двумя одновременно работающими хроматографич. приборами. Разделение проводят при 80° и определяют эфир и этанол на К, заполненной трикрезилфосфатом. Во 2-й К, служащей для определения CHCl_3 и C_6H_6 , в качестве неподвижной фазы применяют I. В этих анализах внутренним стандартом служит толуол. Н. П.

21218. Техника гидрирования микронавесок летучих соединений. Энгельбрехт (Microhydrogenation sample technique for volatile compounds. Engelbrecht R. M.), Analyt. Chem., 1957, 29, № 10, 1556—1557 (англ.)

При помощи тонкого шприца вводят исследуемую жидкость во взвешенный капилляр длиной ~ 55 мм для определения т-ры плавления, имеющий метку на расстоянии ~ 18 мм от запаянного конца. Капилляр заполняют до метки, после чего быстро запаивают на сильном пламени и снова взвешивают. Капилляр помещают в колбу, надевают на него стеклянный защитный колпачок, доходящий до метки, и колбу присоединяют к прибору для гидрирования. Через отросток в стенке колбы вставляют на резинке стеклянную палочку, достигающую до защитного колпачка. Оттянув палочку, ударяют ею по колпачку, последний переламывает капилляр, и исследуемая жидкость поступает в колбу, куда из бюретки подается водород. Описанным способом можно гидрировать навески в-ва до 30 мг. Точность метода ~ 2%.

Д. Васкевич
21219. Прямое определение кислорода в органических соединениях. Шефт, Катц (Direct determination of oxygen in organic compounds. Sheft Irving, Katz Joseph J.), Analyt. Chem., 1957, 29, № 9, 1322—1325 (англ.)

Метод заключается в разложении органич. в-ва продуктами распада BrF_2SbF_6 и измерении кол-ва выделившегося O_2 . Порошкообразный BrF_2SbF_6 предварительно нагревают 5 час. в Ni-сосуде, непрерывно встряхивая его, при 500° и давл. 215 мм рт. ст. После продувки сухим азотом и охлаждения прибавляют навеску исследуемого в-ва и нагревают при встряхивании в тех же условиях. По охлаждении измеряют кол-во неконденсирующихся газов и для поглощения O_2 пропускают их через трубку с медью. Вторично измеряют объем и по его уменьшению определяют кол-во O_2 . Метод применим для анализа твердых, жид-

ких и газообразных в-в. Кислород определяется с точностью до 1% в спиртах, эфирах, алифатич. и ароматич. кислотах, кетонах, фенолах, эфирах фосфорной к-ты, сульфонах и содержащих азот органич. соединениях, в которых N не связан непосредственно с O. Приведена схема аппаратуры.

Д. Васкевич
21220. Микродистилляция аммиака в методе Кьельдаля. Дитрих, Врис (La micro destilación del amoníaco en el método de Kjeldahl. Ditttrich Q. I. Simón, Vries Juan X. de), pR, 1955, 5, № 4, D78—D83 (исп.; рез. англ.)

Для отгонки NH_3 при определении 1—20 мг N по Кьельдалю рекомендуется пользоваться прибором для микродистилляции; в приемник вводят 5 мл 4%-ного р-ра H_2BO_3 , 5 капель р-ра индикатора (смесь, 5:1, 0,2%-ных спирт. р-ров бромкрезолового зеленого и метилового красного). В дистилляционную колбу добавляют по 5 мл р-ра NaOH (100 г в 200 мл) на каждый мл использованной H_2SO_4 ; при употреблении в качестве катализатора разложения Hg добавляют 10 г $\text{Na}_2\text{S}_2\text{O}_3$. Дистилляцию NH_3 ведут со скоростью 4—5 мл/мин; объем смеси в дистилляционной колбе должен составлять 30 мл. Продолжительность дистилляции 4 мин. Титруют 0,02—0,1 н. HCl .

Т. Леви
21221. Исследование по применению постоянного тока при сжигании азотсодержащих органических веществ. Веселова А. В., Научн. тр. Житомирск. с.-х. ин-т, 1957, № 4, 255—259

Для разложения азотсодержащих органич. в-в предложено окисление электрич. током напряжением ~ 1,5 в при плотности тока 1 а/дм². Разложение ведут Pt-электродами в среде 3 н. H_2SO_4 при т-ре, близкой к точке кипения. Содержание образовавшегося при разложении $(\text{NH}_4)_2\text{SO}_4$ определяют колориметрически с реактивом Несслера.

Д. Васкевич
21222. Определение галогенов и серы в органических соединениях. Мицуи (有機物中のハロゲンおよびイオウの定量分析法:三井哲夫), 有機合成化学協会誌, Юки госэй какаку кёкайси, J. Soc. Organ. Synth. Chem. Japan, 1957, 15, № 2, 92—97 (японск.)

Обзор. Библ. 9 назв.

21223. Пламеннотометрическое определение кальция в целлюлозе. Файфер (Flame photometric determination of calcium in cellulose. Phifer Lyle H.), Analyt. Chem., 1957, 29, № 10, 1528—1531 (англ.)

Анализ производят на спектрофотометре Бекмана (модели DU или DK) по линии Ca 422,7 мμ. Установлено, что вид пламени не влияет на результаты измерений. Пробу бумажной массы (целлюлозы) весом 10 г высушивают, помещают в литровую колбу Берцелиуса и добавляют 40 мл 72%-ной H_2SO_4 . Колбу нагревают на плитке до полного почернения всей массы и приливают 30%-ную H_2O_2 до обесцвечивания. Р-р осторожно упаривают, переносят в мерную колбу емк. 100 мл и разбавляют водой. При сухом озолении пробу растворяют в разб. HClO_4 , фильтруют и разбавляют в мерной колбе до 100 мл. Определение Ca в интервале конц-ий 8—550 у производят по методу добавок. Содержание Cu, Mg, Si, Mn, Fe и Pb в производственных пробах таково, что не оказывает существенного влияния на результаты анализа. Влияние Na проявляется лишь при конц-ии Na в р-ре > 0,01%. Предложенный метод более удобен, чем объемный метод определения Ca. Стандартное отклонение при 2-кратном определении ~ 10%.

Л. Капорский
21224. Определение органических нитратов титрованием сульфатом железа (2+). Шимечек (Stanovení organických nitrátů titrací siranem železnatým. Šimeček J. a G. M. J.), Chem. průmysl, 1957, 7, № 6, 285—289 (чешск.; рез. русск., англ.)

Точность определения органич. нитратов предлагаемым объемным методом зависит от температур

ных условий при растворении анализируемой пробы в H_2SO_4 и при титровании. При повышенных т-рах происходит превращение нитратного азота в нитритный, который не определяется этим методом. Нитроаминны в этих условиях подвергаются расщеплению с выделением закиси азота. Для потенциометрич. определения конца титрования сульфатом $Fe(2+)$ рекомендуется электрод из нержавеющей стали в сочетании с Pt-электродом.

21225. Хроматографический анализ углеводородов C_1-C_4 и некоторых неуглеводородных газов. Соколов В. А., Кузьмина Л. П., Заводск. лаборатория, 1957, 23, № 9, 1034—1037

Применение природных сорбентов для газовой хроматографии (РЖХим, 1957, 38026) позволяет при одновременном применении активного угля и силикагеля анализировать смеси, содержащие H_2 , CO , N_2 , O_2 , предельные и непредельные углеводороды до C_4 включительно. Применяются 3 колонки diam. 16; 8 и 4 мм, длиной соответственно 75; 45 и 75 см, заполненные силикагелем, активированным углем и одним из природных сорбентов (каолин, натролит, серпентин). На 1-й колонке разделяются углеводороды C_2-C_3 ; на 2-й H_2 , $CO + N_2 + O_2$, CH_4 ; на 3-й углеводороды C_4 . Для определения конц-ии компонентов применяется объемно-хроматографич. метод или метод теплопроводности с автоматич. записью. При объеме пробы 2—8 мл продолжительность анализа составляет 5—60 мин. в зависимости от числа компонентов; средняя ошибка 1—3%. Приведена хроматограмма разделения 13-компонентной смеси.

21226. Новый метод открытия и определения растворителей — хлорпроизводных этилена в воздухе. Бертон (Nouvelle méthode de détection et de dosage des solvants chlorés éthyléniques dans l'air. Berton Alain), C. r. Acad. sci., 1957, 245, № 16, 1317—1318 (франц.)

Для определения трихлорэтилена (I) и тетрахлорэтилена (II) в воздухе предложен фотохим. метод, основанный на разложении I и II под действием УФ-лучей на фосген и хлориды хлорацетила, обнаруживаемые при помощи реактивной бумаги, пропитанной α -диметиламинобензальдегидом и диметиланилином. Сконструирован простой портативный прибор; воздух, содержащий пары I или II, подают при помощи мембранного микроасоса в камеру, облучаемую небольшой ртутной лампой, и просасывают через реактивную бумагу, изменяющую свою окраску из белой в желтую, а затем в синюю; интенсивность окраски зависит от конц-ии I или II в воздухе. Метод может быть также использован в качестве количественного. Чувствительность определения I или II 0,1 мг/л.

21227. Определение метилкетонов путем измерения pH. Хашми (Determination of methyl ketones by pH measurement. Hashmi M. H.), Analyt. chim. acta, 1957, 17, № 4, 383—385 (англ.; рез. нем., франц.)

Быстрый и точный метод определения метилкетонов основан на измерении конц-ии ионов H^+ , выделяющихся при взаимодействии метилкетонов с $NH_2OH \cdot HCl$ по ур-нию $RCOCH_3 + NH_2OH \cdot HCl \rightarrow R(CH_3)C=N-OH + H_2O + HCl$.

21228. К методике определения органических кислот методом распределительной хроматографии на силикагеле. Сообщение 2. Пятницкий М. П., Кириач Л. И., Уч. зап. Краснодарск. гос. пед. ин-т, 1957, вып. 19, 177—196

Разделение проведено на спец. колонке с водным охлаждением (для регулирования т-ры) из силикагеля (СГ) марки КСК, обработанного 0,5 н. р-ром H_2SO_4 . СГ предварительно обрабатывался смесью бутанол-хлороформ (1:4), в качестве подвижной фазы

применялась эта же смесь. Установлено, что т-ра в пределах 5—25° не влияет на разделение. Лучшие условия разделения: влажность СГ 8—9%, частицы должны проходить через сито 100 меш. Разделены смеси лимонной, щавелевой, яблочной и янтарной к-т, а также фумаровой и янтарной к-т. Партии СГ КСК разных лет изготовления отличаются по способности задерживать щавелевую к-ту. СГ марок АСК, КСМ и «отходы суперфосфатного произ-ва» пригодны для отделения янтарной к-ты от других к-т с более высоким коэф. распределения. СГ марок КСМ, гранулированный МСМ и ШСМ непригодны для разделения органич. к-т. Сообщ. 1 эм. РЖХим, 1957, 41522. Д. В.

21229. Определение первичных алифатических аминов реакцией с 2,4-пентандионом. Критчфилд, Джонсон (Determination of aliphatic primary amino nitrogen compounds by reaction with 2,4-pentanedione. Critchfield Frank E., Johnson James B.), Analyt. Chem., 1957, 29, № 8, 1174—1176 (англ.)

Метод основан на титровании в неводн. среде избытка 2,4-пентандиона (ацетилацетона) (I), непрореагировавшего с определяемым амином. 10 мл 2,5 н. р-ра I в свежеперегнанном пиридине помещают в конич. колбу с притертой пробкой и прибавляют 10—15 мэкв исследуемого амина. Колбу выдерживают 15—120 мин. при 0°—98° в зависимости от определяемого амина. Для большинства аминов колич. результаты получаются при выполнении р-ции в течение 15—60 мин. при комнатной т-ре. После охлаждения в колбу добавляют ~1 мл 1%-ного р-ра тимолфталейна в пиридине и титруют 0,5 н. р-ром метилата Na в пиридине до первого появления ясной голубой окраски. Одновременно ставят контрольный опыт. Для определения малых конц-ий берут 0,5 н. р-р I и титруют 0,1 н. р-ром метилата Na. Аминокислоты рекомендуется определять в виде их Na-солей; титрование в этом случае следует вести в среде этилендиамина с индикатором бензопурпурином 4В до изменения окраски от розовой до голубой. Метод применим для определения первичных аминоспиртов, этиленаминов, алифатич. аминов и аммиака. Вторичные и третичные амины не мешают определению. Описаны условия устранения мешающего влияния к-т и оснований, имеющих константу ионизации $> 1 \cdot 10^{-3}$. Точность определения для большинства исследованных соединений 0,1%. Д. Васкевич

21230. Анализ ксантогенатов методом потенциометрического титрования. Некоторые химические свойства ксантоатов. Дю-Риц (Xanthate analysis by means of potentiometric titration. Some chemical properties of the xanthates. Du Rietz Carl), Svensk kem. tidskr., 1957, 69, № 6-7, 310—327 (англ.)

Метод потенциометрич. титрования ксантогенатов (K) с Ag-электродом основан на осаждении ксантогената серебра при добавлении $AgNO_3$ к анализируемому р-ру. Технич. препараты K содержат различные потенциометрически активные загрязнения, которые могут осаждаться до и после K; такие загрязнения могут быть определены потенциометрическим методом. Для определения процентного содержания K в технич. продуктах необходимо знать мол. вес K. Для этого продукт очищают, растворяя в ацетоне и осаждая K добавлением эфира. Осадок K промывают эфиром на фильтре, высушивают на воздухе, а затем берут навеску 400 мг и титруют ее водн. р-р 0,1 M р-ром $AgNO_3$. Для определения влажности берут 1 г очищ. K и медленно нагревают навеску в термостате, повышая т-ру от комнатной до 100°. По найденной влажности и содержанию K и потенциометрически активных загрязнений, рассчитывают содержание примесей, которые не титруются $AgNO_3$. Описанный метод применим для анализа других флотореагентов, напр. диалкилдитио-

фосфатов или меркаптобензотиазола. Кроме того, метод с успехом применен для определения произведений растворимости ряда KAg , Cu и Pb . Р-ция гидролиза K бимолекулярна, но в забуференном р-ре она может идти по ур-нию 1-го порядка. Энергия активации р-ции гидролиза этилксантогената составляет 17,5 ккал/моль. При действии к-т K сначала дают ксантогеновую к-ту, которая затем разлагается на спирт и CS_2 .

Н. Полянский
21231. Полярнографическое определение ксантогенатов во флотационной жидкости. Сунь Шу-чжун, Хольман (Polarographic determination of xanthates in flotation liquors. Sun Shiu-Chuan, Holzmann Richard T.), *Anal. Chem.*, 1957, 29, № 9, 1298—1300 (англ.)

Для определения применен полярнограф с ячейкой Н-типа с насыщ. к. э. и соединительной трубкой, наполненной KCl + агар. Определение ведут при 25° с фоном состава 0,05 н. по $NaOH$, 0,1 н. по KCl и 10^{-3} М по возмуну. Перед определением через р-р продувается в течение 12 мин. азот, пропущенный для удаления следов O_2 через р-р $(VO)_2(SO_4)_3$. Полярнографирование ведут в интервале от -0,1 до -0,7 в. Определяемые конц-ии ксантогенатов 0,05—2,5 μM . Примеси к флотационной жидкости практически не мешают определению. Метод применен к определению растворимых в воде этил- и изоамилксантогенатов K и может быть использован для определения других водорастворимых ксантогенатов. Продолжительность одного определения 30 мин., а при массовых стандартных определениях 15 мин. Приведены калибровочные кривые и характеристика капилляра. Библ. 19 назв. Д. Васкевич

21232. Количественное определение γ -изомера гексахлорциклогексана методом абсорбции в инфракрасной области. Контик, Крачеквич (Oznaczenie ilościowe izomeru γ -sześcioclorocykloheksanu metodą absorpcji w podczerwieni. Kontnik B., Kraszkiewicz T.), *Chem. analit.*, 1956, 1, № 4, 311—319 (польск.; рез. русск., англ.)

Разработан метод определения γ -изомера (I) гексахлорциклогексана в технич. продукте, содержащем главным образом изомер α (II), основанный на измерении абсорбции (А) в ИК-лучах. Для I применяется полоса $A \lambda 11,825 \mu$. Установлено, что коэф. А II для этой полосы равен коэф. А II для $\lambda 11,550 \mu$. Поэтому при построении рабочей кривой на оси ординат откладывают разность между А при $\lambda 11,825 \mu$ и при $\lambda 11,550 \mu$, независимую от конц-ии II. Для определения А I г пробы растворяют в 25 г нитрометана и измеряют на однолучковом спектрофотометре с призмой и абсорбционными сосудами из каменной соли толщиной 1 мм. Метод дает возможность определять I в области конц-ий от 0—100%; погрешность 3%.

А. Hulanicki
21233. Определение бензойной и салициловой кислот в их смеси дифференциальным безводным титрованием. Блейк (The determination of benzoic acid and salicylic acid mixtures by differential nonaqueous titration. Blake M. I.), *J. Amer. Pharmac. Assoc. scient. Ed.*, 1957, 46, № 5, 287—290 (англ.)

Предложен метод анализа смеси бензойной (I) и салициловой (II) к-т, основанный на дифференциальном титровании к-т в диметилформамиде (III) 0,1 н. метилатом Na (IV). Титрование проводят потенциометрически в титрометре Фишера, снабженном стеклянным и каломельным электродами, при перемешивании магнитной мешалкой. Конечная точка титрования определяется по точке перегиба кривой титрования. 0,1 н. р-р IV готовят растворением на холоду 5 г Na в 100 мл абс. CH_3OH и разбавлением р-ра 150 мл CH_3OH и 1500 мл сухого C_6H_6 . Титр р-ра устанавливают по I, II предварительно нейтрализуют р-ром IV по ти-

молловому синему. Обычно на 30 мл III идет 0,05 мл р-ра IV. Р-р IV, а также сосуд с титруемым р-ром должны быть защищены от влаги и CO_2 воздуха. Со всеми исследованными смесями получены кривые титрования с двумя точками перегиба, соответствующими содержанию I и II, причем в начале титруется II, затем I. Точность метода $\pm 0,06$ —0,07%.

М. Виталин
21234. Бромометрическое определение коричной кислоты и ее производных. Верма, Агравал, Пау (Bromometric determination of cinnamic acid and its derivatives. Verma M. R., Agrawal K. C., Paul S. D.), *J. Scient. and Industr. Res.*, 1957, BC16, № B213—B215 (англ.)

Изучено колич. определение коричной к-ты (I) и ее производных — м-кумаровой (II), о-кумаровой, п-токсикоричной, 3,4-диметоксикоричной и феруловой к-т — бромометрич. методом, состоящим в бромировании водн. р-ра соответствующей к-ты бромид-бромной смесью в кислой среде (HCl) при определенных т-ре. По кол-ву не вошедшего в р-цию Br определялось число атомов Br , связанных 1 молекулой к-ты. Изучено влияние на число атомов Br , реагирующих с 1 молекул к-ты, 1) т-ры и общей кислотности при постоянном избытке бромирующего агента (БА) и 2) избытка БА при различных т-рах, но постоянных общей кислотности. Найдено, что 1 молекула I связывает 2 атома Br в широких пределах изменения условий, а 1 молекула II 6 атомов Br при 40° и кислотности $\geq 0,5$ н. В остальных случаях надежных цифр не получено, так как р-ция бромирования не заканчивалась даже при большом избытке БА и высоких т-рах. Оптимальные условия бромирования: кислотность 0,5—0,6 н.; избыток БА $\geq 300\%$, т-ра 30—40°.

М. Виталин
21235. Количественное гидрирование в аппарате Варбурга. Определение динитрофенильных соединений. Хёрман, Ламберте, Фрис (Quantitative Hydrierungen in der Warburg-Apparatur. Die Bestimmung von Dinitrophenylverbindungen. Hörmann Helmut, Lamberts Josef, Fries Gerhard), *Hoppe-Seyler's Z. physiol. Chem.*, 1956, 306, № 42—48 (нем.; рез. англ.)

Разработан метод определения динитрофенильных (ДНФ) соединений по кол-ву поглощаемого ими при гидрировании H_2 ; 2 (ДНФ) группы поглощают 6 молекул H_2 , благодаря чему в аппарате Варбурга можно работать с кол-вами 1—4 μ моля в-ва (0,15—1,0 ммоль кислоты или коротких пептидов) с точностью $\pm 1\%$. В принятых условиях количественно восстанавливаются также N-ДНФ-группы у имидазольного кофактора тиамина и O-ДНФ-группы. Метод имеет преимущества перед прямым колориметрич. определением ДНФ-производных, так как результаты не зависят от строения в-ва. Поэтому имеет смысл пользоваться им при исследовании сложных соединений (напр., ДНФ-протеинов), а также O-ДНФ-производных, для которых λ_{\max} лежит в области коротких УФ-лучей. В 6-кодовые сосудики измерительных приборов Варбурга вносят 0,1—0,6 мг испытуемого в-ва в точно отмеренном кол-ве р-рителя (0,1—0,4 мл), а в реакционные сосудики точно 1 мл чистого р-рителя и 1 мл 5%-ной $PdO/BaSO_4$. Р-рителями могут служить CH_3COOH , 2 н. H_2SO_4 , абс. спирт или пирролидин. После тщательного продувания H_2 закрывают отводной капилляр, насыщают катализатор H_2 при встряхивании (~ 90 мин.) и устанавливают уровень в правой колоне манометра на отметку 150 мм. Затем смешивают содержимое бокового сосудика с катализатором и через ~ 30 мин. встряхивания определяют разность давлений.

Е. Каверина

21236. Количественный анализ по инфракрасным спектрам. VII. Количественный анализ смеси J-кислоты и γ-кислоты и смеси аминок-J-кислоты и аминок-G-кислоты с помощью дисков из KBr. Танака, Огава (赤外線吸収スペクトルによる定量分析. 第 7 報. KBr 錠劑法による J 酸および γ 酸 混合物ならびに アミノ J 酸および アミノ G 酸 混合物の定量. 田中誠之, 小山雅之). 分析化学, Бунсэки кагаку, Japan Analyst, 1957, 6, № 5, 285—290 (японск.; рез. англ.)

Разработан метод колич. анализа по ИК-спектрам поглощения указанных в заголовке смесей в порошкообразном состоянии. Эти в-ва не могут быть определены в р-рах. Ошибка анализа характеризуется стандартным отклонением, не превышающим 1,7%. Часть VI см. РЖХим, 1957, 19707.

21237. Хроматография промежуточных продуктов при производстве красителей. VI. Хроматография на бумаге N-ариламинафталисульфокислот. Латинак, Скалицкий (Chromatografie barvářských meziproduktů. VI. Papírová chromatografie N-arylaminaftalensulfonových kyselin. Latinák Josef, Skalický Luděk), Chem. listy, 1957, 51, № 1, 91—96 (чешск.); Сб. чехосл. хим. работ, 1957, 22, № 3, 972—978 (нем.; рез. русск.)

Исследовано хроматографич. поведение ряда N-ариламинафталисульфокислот, N-ариламинафталисульфокислот, диоксинафталисульфокислот и аминокнафталисульфокислот на бумаге. Работу вели с применением нисходящего метода на бумаге ватман № 4, не обработанной или же обработанной 5%-ным р-ром NaHCO_3 в темноте; оптим. кол-во в-ва 1—2 мл 2%-ного р-ра в-ва в 50%-ном пиридине. Примененные системы р-рителей: n-бутиловый спирт — CH_3COOH — вода (4:1:5), n-бутиловый спирт — пиридин — вода (3:1:1) и n-пропиловый спирт — вода. NaHCO_3 (2:1). Приведен хроматографич. анализ ряда технич. продуктов. Сообщение V см. РЖХим, 1957, 48363.

21238. Определение 2-[ди-(N-ацетилсульфанилил)]-аминотиазола в техническом продукте. Беллен, Мрочковская (Oznaczenie 2-[dwu-(N-acetylosulfanilo)]-aminotiazolu tzw. prontylu w produkcie technicznym. Bellen Z., Mróczkowska Z.), Chem. analit., 1956, 1, № 4, 320—330 (польск.; рез. русск., англ.)

Разработан объемный метод определения 2-[ди-(N-ацетилсульфанилил)]-аминотиазола, так называемого prontyla (I), основанный на потенциометрич. титровании р-ром NaOH ацетилсульфатиазола (II), образующегося при нагревании I с NH_3 . Лучшие результаты получены при титровании водн. р-ром NaOH пробы, растворенной в смеси ацетона и воды (4:1), с применением HgCl_2 и Sb-электродов. Определенные эквивалентной точки проводилось способом Туббса. Кислотные примеси в технич. продукте определяют тем же способом из отдельной навески. Разность между содержанием к-т после и до аммонолиза отвечает пол-пу I в пробе. Точность определения $\pm 2\%$. Взвешивают в стакане ~ 2 г пробы, прибавляют 20 мл этанола и 20 мл конц. NH_4OH , накрывают стакан часовым стеклом, нагревают 0,5 часа на кипящей бане при перемешивании, выпаривают досуха на водяной бане, добавляют 10 мл этанола, 10 мл NH_4OH и вторично выпаривают. Сухой остаток растворяют в ~ 150 мл смеси ацетона и воды и потенциометрически титруют 0,2 н. NaOH .

21239. Колориметрическое определение некоторых фосфорорганических соединений и ацилирующих агентов с помощью диизонитроацетона. Сасс, Лудеманн, Виттен, Фишер, Систи, Миллер (Colorimetric determination of certain organophosphorus compounds and acylating agents. Use of diisomitroacetone reagent. Saßs Samuel, Ludemann William D., Witten Benjamin, Fischer Valentine, Sisti Anthony J., Miller Jacob I.), Analyt. Chem., 1957, 29, № 9, 1346—1349 (англ.)

В кювету колориметра вносят 1 мл исследуемого р-ра, (5—60 γ) определяемого в-ва, прибавляют 1 мл 0,4%-ного водн. р-ра диизонитроацетона $\text{HON}=\text{CHCOCH}=\text{NOH}$ (I) в виде Na-соли и перемешивают. Прибавляют 3 мл буферного р-ра pH 8,4 и оставляют на 7 мин., после чего измеряют интенсивность окраски при 486 или 580 мμ. Содержание в-ва определяют по калибровочной кривой. В случае сильно гидролизующихся в-в р-цию ведут в безводн. среде (бензол или эфир) и прибавляют исследуемое соединение к забуференному р-ру реактива при перемешивании. Для гомогенизации смеси прибавляют ацетон или спирт. Чувствительность метода 1 γ или меньше в зависимости от окраски среды. Т-ра плавления чистого безводн. I 136° . Для приготовления моно-Na-соли I смешивают эквивалентные кол-ва $\text{C}_2\text{H}_5\text{ONa}$ (1 г Na на 50 мл $\text{C}_2\text{H}_5\text{OH}$) и I (3 г I на 50 мл абс. $\text{C}_2\text{H}_5\text{OH}$). Оранжевый или желтый осадок отфильтровывают и сушат в вакууме над P_2O_5 .

21240. Хроматографическое разделение сахаров на колонке с активированным углем. Инано, Матида (活性炭カラムクロマトグラフィーによる糖類分類. 稲野光正, 町田誠之), 化学の領域, Кагаку но рёйки, J. Japan Chem., 1957, 11, № 5, 24—29 (японск.)

Обзор. Быстрая хроматография углеводов и родственных соединений на бумаге. Гордон, Торнберг, Верум (Rapid paper chromatography of carbohydrates and related compounds. Gordon H. T., Thornburg Wayne, Werum L. N.), Analyt. Chem., 1956, 28, № 5, 849—855 (англ.)

При применении в качестве элюента смеси изопропилового спирта с пиридином, водой и уксусной к-той, 8:8:4:1 (по объему) достигнуто быстрое разделение сахаров, полиолов, уроновых к-т, пуриновых и пиримидиновых рибозидов и их фосфорнокислых эфиров на группы в-в сходного строения при хроматографировании на бумаге в восходящем потоке. Надобность в предварительной очистке исследуемых растительных соков и экстрактов от неорганич. солей отпадает, так как они резко отличаются по своей хроматографич. подвижности от углеводов и не мешают разделению последних. Приведена таблица значений R_f для 72 представителей указанных классов органич. соединений с указанием дополнительных данных о распределении в-ва внутри хроматографич. зоны, и о способах выявления путем окраски в зависимости от кол-ва в-ва в исходном пятне. Хроматографирование требует ≤ 2 час.

21242. Количественный анализ терпенов по инфракрасным спектрам. III. Спектрофотометрическое определение борнеола и изоборнеола. Такэсита, Китадзима (赤外線吸収スペクトルによるテルペンの定量. 第 3 報. 赤外線吸収によるボルネオール・イソボルネオールの定量. 竹下常一, 北島正榮), 日本化学雑誌, Нихон кагаку дзасси, J. Chem. Soc. Japan. Pure Chem. Sec., 1957, 78, № 7, 993—999 (японск.)

Сообщения I и II см. РЖХим, 1957, 12154 и 12155.

21243. Хромато-полярографические исследования. XI. Условия разделения стрихнина и бруцнина. Кемуля, Стахурский (Badania chromatopolarograficzne. XI. Warunki rozdzielania strychniny i brucyny. Kemula Wiktor, Stachurski Zbigniew), Roczn. chem., 1956, 30, № 4, 1285—1294 (польск.; рез. англ.)

Описано разделение бруцина и стрихнина методом обратной распределительной хроматографии. Конц-ию алкалоидов в алюате определяют путем измерения каталитич. волны водорода (КВВ). Носитель — резина, неподвижная фаза — бензол (I), подвижная фаза — 30%-ный водн. р-р этанола, насыщ. I, содержащий KJ (II) и боратный буфер (III) с pH 8. Присутствие O_2 в р-ре вызывает увеличение высоты КВВ, а совместное присутствие I и O_2 — нерегулярные колебания высоты КВВ. При добавлении 20% бензина к I, а еще лучше при добавлении Na_2SO_3 к подвижной фазе эти колебания значительно уменьшаются. Сообщение X см. РЖХим, 1958, 1014.

J. Chodkowski

21244. Применение метода Тролла — Кеннона к хроматографии на бумаге. Ибэ, Кавасэ, Макино, Като (Troll-Cannon 法のペーパクロマトグラフィーへの應用, 伊部與右衛門, 川瀬好生, 牧野勝雄, 加藤良雄), 醫學と生物學, Игаку то сэйбуцугаку, Med. and Biol., 1957, 42, № 1, 20—24 (японск.)

Экспериментально показана возможность применения метода Тролла — Кеннона к хроматографии на бумаге для колич. определения аминокислот.

M. Брун

21245. Количественное определение гистамина в присутствии некоторых мешающих ионов металлов. Эндрюс, Лайонс (Quantitative determination of histamine in presence of certain interfering metallic ions. Andrews A. C., Lyons T. D.), Analyst. Chem., 1957, 29, № 9, 1325—1327 (англ.)

Метод основан на связывании ионов металлов в прочный комплекс с диэтилентриаминпентауксусной к-той (I), не мешающий колориметрич. определению гистамина (II) на основании р-ции азосочетания с р-ром *л*-сульфофенилдиазония. В 5 мл 1,2%-ного р-ра Na_2CO_3 вводят 0,021 M р-р I и сразу добавляют 2 мл $5 \cdot 10^{-6}$ — $2 \cdot 10^{-4}$ M р-ра II. После перемешивания вводят 2 мл р-ра соли диазона, быстро перемешивают и вводят в 1-см кювету спектрофотометра. Светопоглощение определяют при 500 мμ через каждые 15 сек., пока разница между отсчетами будет $\leq 0,03$. Содержание II определяют по калибровочной кривой. Опре-

делению не мешают $CuCl_2$, $Co(NO_3)_2$ или $Ni(NO_3)_2$ в кол-ве ~ 20 —120% от веса II.

Д. Васкес

21246. Применение фенилантраниловой кислоты при определении гумуса по методу И. В. Тюрина. Смаков В. Н., Почвоведение, 1957, № 8, 72—73

Навеску почвы окисляют кипячением с хромовой смесью по методу И. В. Тюрина (Почвоведение, 1931, № 5-6), после охлаждения прибавляют 3—5 капель 0,2%-ного р-ра фенилантраниловой к-ты в 0,2%-ном р-ре соды и титруют 0,2 н. р-ром соли Мора до перехода вишнево-фиолетовой окраски в зеленую. Одновременно ставят контрольный опыт, в котором берется прокаленная почва.

Д. Васкес

21247 К. Анализ органических соединений. Бауэр (Analiza związków organicznych. Bauer K. H. Tłum. z niem. Warszawa, Państw. Wydawn. Techn., 1957, 572 s., il., 92 zł) (польск.)

См. также: Общие вопросы: буферные р-ры 20754; экстракция лантанидов Y и Am 20560; полярографич. метод анализа 20786; метод противоточного распределения 8272Бх; эталоны в мол. спектральном анализе 20397. Анализ неорганических в-в: разделение редземельных элементов 20554; отделение Am от Pu, Fe и U 20561; определение: Mg 8231Бх, 8232Бх; Ca 8231Бх, В 8265Бх, Zr 20923; анализ минеральных вод 21033; снега 20915. Анализ органич. в-в: отделение аминокислот от сахаров 8197Бх; идентификация аминокислот 8195Бх, полисахаридов 8206Бх, метионина 8194Бх, β-бромаллилбарбитуратов 8261Бх, флавонов 8266Бх, органич. соед. Р 8234Бх; определение: N 8228Бх, 8233Бх, 8229Бх, спирта 8242Бх, ацетона 8237Бх, оксикатехиновых аминов 8223Бх, к-т 8185Бх, 8190Бх, 8204Бх, 8237Бх, 8239Бх, 8240Бх, 8262Бх, 8269Бх, морфина 8257Бх, триптофана 8183Бх, оксипролина 8193Бх, новокаина 8248Бх, никотинамида 8216Бх, витаминного 8210Бх, 8212—8215Бх, 8255Бх, 3-окси-17-кетостероидов 8221Бх, органич. соед. H_3PO_4 , 8268Бх; фильтрационный прибор для органич. весового анализа 21299

ОБОРУДОВАНИЕ ЛАБОРАТОРИЙ. ПРИБОРЫ, ИХ ТЕОРИЯ, КОНСТРУКЦИЯ, ПРИМЕНЕНИЕ

Редактор А. И. Сарахов

21248. Система, следящая за магнитным полем, используемая в исследованиях протонного резонанса. Фукуда, Ивamoto, Мидзуно (Automatic tracing of magnetic field with proton magnetic resonance. Hukuda Kenzi, Iwamoto Hiroyasu, Miduno Zen'emom), Mem. Fac. Sci. Kyusyu Univ., 1956, B2, № 2, 87—93 (англ.)

Для регистрации изменения во времени напряженности постоянного магнитного поля авторы измеряли частоту генератора, собранного по схеме Паунда-Найта, автоматически связанную с величиной поля с помощью сервосистемы. Для измерения частота генератора смешивалась с частотой опорного генератора и дальше сравнивалась по фигурам Лисажу с частотой НЧ-генератора. Следящая сервосистема основана на использовании абсорбционного сигнала протонного резонанса, при величине модуляции, меньшей чем ширина линии. Сигнал имеет вид характеристики частотного дискриминатора (1-я производная линии поглощения). Сигнал рассогласования с частотой 100 гц (частота модуляции поля) подается на управляющую

обмотку мотора отработки, ротор которого связан с переменным конденсатором, управляющим частотой протонного генератора. Проведенный теоретич. анализ дает динамич. ур-ния для угла поворота оси мотора. Решение ур-ний дает временную зависимость расстройки частоты генератора от резонанса при различных соотношениях параметров сервосистемы. К. В.

21249. Высокостабильный спектрограф для ядерного магнитного резонанса. Бейкер, Берд (High stability nuclear magnetic resonance spectrograph. Baker Edward B., Burd L. W.), Rev. Scient. Instrum., 1957, 28, № 5, 313—321 (англ.)

Описан спектрограф для ядерного магнитного резонанса, использующий электромагнит, стабилизированный цепью обратной связи с сигналом ошибки от вспомогательного, контрольного, протонного пробника. Регулируется частота генератора, а не напряженность поля магнита, поскольку постоянная времени последнего слишком велика. Контрольный и рабочий пробники питаются от одного и того же генератора, частота которого с помощью реактивной лампы постоянно

и $(\text{NO}_2)_2$ в
Васквич
слоты при
рина. С.
72—73
хромовой
ние, 1931.
5 капаль
0,2%-ном
а до пере
ую. Одно
ом берет
Васквич

А. Бауэр
С. Н. Пш
hn, 1957.

ры 20754;
рография;
распреде
м анализ
не репо
те Рр, Fe и
Са 8231Бх,
вод 21033;
ие амнио
нионисит
на 8194Бх,
в 8268Бх,
8228Бх, 8
7Бх, шпр
Бх, 8204Бх,
морфина
а 8193Бх,
витамино
осторожн
рациональ

о связан с
частотой
метич. ана
та оси мо
зависимос
са при ра
темы. К. В.
ля ядерн
ерд (High
ograph. B.
Scient. In

тного реал
лизирован
ки от веш
обьника. Р
ряженность
ени посл
бной проб
тора, част
постоянно

поддерживается равной ларморовской частоте в-ва контрольного пробника. Реактивная лампа управляется сигналом ошибки, появляющимся в результате сдвига сигнала дисперсии (при флуктуации поля магнита) контрольного пробника относительно частоты генератора. Однако в общем случае резонансные частоты контрольного и исследуемого в-ва не одинаковы. Поэтому в пробники подается не частота F основного генератора, а боковые частоты: $F \pm f_1$ — в рабочий, $F \pm f_2$ — в контрольный пробник, получающиеся в результате смешивания частоты F и частот f_1, f_2 от низкочастотных генераторов. Кроме того, для прохождения спектра исследуемого в-ва частота периодически изменяется в определенных пределах (600—1000 гц для протонов при $F = 30 \text{ Мгц}$); частота f_2 регулируется вручную. Сигналы в обоих каналах после предварительного усиления складываются с частотой F основного генератора, поданной через фазовращатели. Выделенные частоты f_1 и f_2 опять синхронно детектируются, после чего рабочий сигнал подается на осциллограф, а контрольный — на реактивную лампу. Соответствие между делениями бумаги самописца и частотой развертки устанавливается предварительно. Дрейф частот f_1 и f_2 после двух часов работы составляет 0,5 гц.

К. Валиев

21250. Спектрометр для исследования парамагнитного и ферромагнитного резонансов в полосе частот 8700—9500 Мгц. Фрайт (Spektrometr pro výzkum paramagnetických a ferromagnetických resonancí v pásmu 8700 až 9500 MHz. Fraйт Zdeněk), Českosl. časopis fyz., 1957, 7, № 2, 193—201 (чешск.); Чехосл. физ. ж., 1957, 7, № 2, 222—233 (русск.; рез. англ.)

Прибор позволяет вести исследования при напряженности магнитного поля ≤ 12000 э. В. Мухин
21251. Электронный стабилизатор тока магнита для опытов по ядерному магнитному резонансу. Кон-стантин Ю. С., Приборы и техн. эксперимента, 1957, № 3, 61—63

Описан электронный стабилизатор для токов 3—5 а. После 15 мин. прогрева схемы изменение тока в нагрузке в течение 1,5 часа $\leq 10^{-2}\%$. В цепи обратной связи стабилизатора использован интегрирующий сервомеханизм, что сильно повысило коэф. стабилизации. Схема допускает линейное изменение тока в нагрузке на 10%.

Резюме автора

21252. Инфракрасная спектроскопия от 5 до 200 μ с малым спектрометром с решеткой. Лорд, Мак-Каббин (Infrared spectroscopy from 5 to 200 microns with a small grating spectrometer. Lord R. C., McCubbin T. K., Jr), J. Opt. Soc. America, 1957, 47, № 8, 689—697 (англ.)

Описывается способ переоборудования малых монохроматоров фирмы Перкин — Эльмер (модели 83 и 98) для использования их в качестве спектрометров в областях 2000—500 см^{-1} и 700—50 см^{-1} соответственно. В обоих случаях решетки устанавливались на держателях зеркал Литтрова и добавлялись параболич. зеркала. Для уменьшения влияния рассеянного света применялись двухходовые системы Уэлша со спец. прерывателями света. Подавление нежелательных порядков осуществлялось фильтрами, отражением остаточных лучей, избирательной модуляцией, а также использованием решеток «вне отражения» в двухходовой схеме. Приемниками энергии служили детекторы Гольца с окнам из KRS-5 и алмаза; источниками — штифт Нерста, штифт Нерста с обложкой Уэлсбаха, Нг дуга среднего давления. Разрешение приборов составляет $\sim 0,3 \text{ см}^{-1}$ в диапазоне 5—50 μ и 0,5—1 μ в более длинноволновом. Точность калибровки в большей части рабочего диапазона составляет 0,04—0,05 см^{-1} . Приведены образцы спектрограмм паров воды и других в-в.

В. Дианов — Клоков

21253. Влияние фона теплового излучения на спектроскопические процессы: Степанов Б. И., Оптика и спектроскопия, 1957, 3, № 1, 3—8

Проведен анализ и выведены ф-лы, позволяющие оценить влияние теплового излучения источника и приемника излучения, а также коэф. с исследуемым в-вом на результаты спектрофотометрич. измерений.

Резюме автора

21254. Спектрофотометрия флуоресценции в микроскопии. Руссо (Spectrophotométrie de fluorescence en microscopie. Rousseau M., M-me), Bull. microsc. appl., 1957, 7, № 4, 92—94 (франц.)

Для колич. измерений и идентификации слабой флуоресценции микроскопич. препаратов создана микроспектрофотометрич. установка, позволяющая исследовать участки препаратов размером $\sim 10 \mu$. Флуоресценция возбуждается светом Нг-лампы (линия 3650 А), идущим на объект через кварцевую конденсорную систему. Изображение флуоресцирующего препарата, даваемое объективом микроскопа, проектируется окуляром на входную щель светосильного спектрографа. На пластинку одновременно фотографированы 3 спектра: изучаемый, спектр сравнения (сплошной спектр лампы, снимаемый при тех же условиях) и линии Нг или Cd для градуировки по длинам волн. Точность измерений составляет $\sim 20\%$.

Л. Розенштейн

21255. Использование растворов сульфата $\text{Fe}(2+)$ для дозиметрии рентгеновских лучей. Бак, Миллер (Use of ferrous sulphate solutions for X-ray dosimetry. Back Margaret H., Miller M.), Nature, 1957, 179, № 4554, 321—322 (англ.)

Измерено отношение выходов мол. водорода и ионов 3-валентного Fe ($\text{H}_2:\text{Fe}^{3+}$) при облучении р-ров $\text{Fe}(2+)$ в H_2SO_4 , насыщенных кислородом, на различных установках для радиационных исследований: Co^{60} , рентгеновские трубки на 250 и 50 кэ. Установлено, что $\text{H}_2:\text{Fe}^{3+}$ возрастает по мере уменьшения энергии излучения. Отмечено, что при энергиях $< 40 \text{ кэв}$ выход будет еще более чувствительной функцией энергии излучения, и, следовательно, при работе с мягкими рентгеновскими лучами необходимо учитывать условия облучения, в частности фильтрацию первичного пучка.

Э. Финкель

21256. Точное определение констант решетки при помощи рентгеновских тонкоструктурных исследований. II. Пленочные методы. Вейерер (Genaue Gitterkonstanten-Vermessung bei Röntgen-Feinstruktur-Untersuchungen. Die Filmmethoden. II. Weyerer Hermann), Arch. techn. Messen, 1957, № 258, 151—154 (англ.)

Обзор. Библ. 9 назв. Часть I см. РЖХим, 1958, 3610.

А. Лошманов

21257. Вакуумная техника и ее применение в изучении поверхностных явлений. Итимия, Ода (真空技術と表面現象. 一宮虎雄, 織田善次郎), 應用物理, Обь буцури, J. Appl. Phys., Japan, 1957, 26, № 7, 313—325 (японск.)

Обзор. Библ. 74 назв.

А. Сарахов

21258. Ошибка, специфичная для эффузионного манометра Кнудсена, и метод ее исправления. Кук (An inherent error in the Knudsen effusion manometer and a method of correction. Cooke N. E.), Nat. Sympos. Vacuum. Technol. 1956, Trans. London — New York — Paris, Pergamon Press, 1957, 82—86 (англ.)

Создана более полная теория эффузионного манометра Кнудсена по сравнению с предложенной ранее (Knudsen M., Ann. phys., 1915, 47, 697). Показано, что соотношение $P_0 = W/A_H \sqrt{M g_c / 2\pi RT}$, где W — перенос в-ва за единицу времени, M — мол. вес, g_c — фактор конверсии, R — газовая постоянная, T — абс. т-ра,

с*

P_v — давление насыщ. паров и A_H — площадь эффузионного отверстия прибора, является точным только при $W \rightarrow 0$ и $A_H \rightarrow 0$. Истинное значение P_v может быть получено при экстраполяции к нулю прямой, построенной в осях: $P_v A_H \sqrt{M g_c / 2 \pi R T / W}$ и A_H / A_s , где A_s — площадь испаряемой поверхности для двух или более значений A_H .

А. Бабад-Захряпин

21259. Разборное уплотнение для работ с высоким вакуумом. Хиткот, Рид (A demountable seal for high vacuum work. Heathcote V. A., Read W. E.), J. Scient. Instrum., 1957, 34, № 6, 247 (англ.)
Предлагается фланцевое соединение с Cu-кольцевыми прокладками, допускающее длительный прогрев до 450°.

Э. Финкель

21260. Новое разборное соединение для сверхвысокого вакуума. Дроварт, Гольдфингер, Стенвинкел (A new demountable ultrahigh vacuum joint. Drowart J., Goldfinger P., Steenwinckel R. van), J. Scient. Instrum., 1957, 34, № 6, 248—249 (англ.)

Предлагается разновидность фланцевого соединения, в котором Cu-трубка, спаянная со стеклянной частью установки, не приваривается к фланцу, а ввинчивается в него таким образом, что торцевая ее часть приходится против фигурного выступа на другом фланце и служит уплотняющей прокладкой. Многократная сборка и разборка соединения, а также нагрев и охлаждение не нарушают его герметичности.

Э. Финкель

21261. Новый кран для сверхвысокого вакуума. Паттй, Шюрер (New ultra-high vacuum valve. Pátty L., Schürer P.), Rev. Scient. Instrum., 1957, 28, № 8, 654—655 (англ.)

Предлагается конструкция вакуумного крана, повторяющая известный принцип Hg-затвора с поплавком, управляемым магнитом; рабочим телом является In, хорошо смачивающий стекло, имеющий малую упругость паров и низкую т-ру плавления ($\sim 200^\circ$). Открывание и закрывание затвора требуют предварительного подогрева затвора до т-ры плавления In. Затвор обеспечивает полную непроницаемость и выдерживает атмосферное давление против $\sim 10^{-11}$ мм рт. ст. в высоковакуумной части.

Э. Финкель

21262. Управление вакуумными насосами эжекторного типа. Блатчли (Control of ejector type vacuum pumps. Blatchley C. G.), Nat. Sympos. Vacuum Technol. 1956. Trans. London—New York—Paris, Pergamon Press, 1957, 45—51 (англ.)

Разобраны основные системы и методы управления вакуумными насосами эжекторного типа.

А. Бабад-Захряпин

21263. Новое в области механических бустерных вакуумных насосов. Штейнхерц (Recent developments in mechanical booster vacuum pumps. Steinhertz H. A.), Nat. Sympos. Vacuum Technol. 1956. Trans. London—New York—Paris, Pergamon Press, 1957, 71—73 (англ.)

Обсуждены конструктивные достижения и характеристики механич. бустерных вакуумных насосов и их преимущества по сравнению с масляными бустерными насосами и механич. вакуумными насосами.

А. Бабад-Захряпин

21264. Теория и характеристики ротационного компрессора как механического бустерного вакуумного насоса. Ван-Атта (Theory and performance characteristics of a positive displacement rotary compressor as a mechanical booster vacuum pump. Van-Atta C. M.), Nat. Sympos. Vacuum Technol., 1956, Trans. London—New York—Paris, Pergamon Press, 1957, 62—70 (англ.)

Сформулированы условия улучшения механич. ва-

куумных насосов для области давл. $0,1-10^{-4}$ мм рт. ст. Показано, что основным требованиям отвечает ротационный компрессор, для которого разработана теория механич. бустерного вакуумного насоса (МБН). Основные выводы теории проверены экспериментально. Эксперим. кривая скорости откачки в общем совпадает с расчетной кривой. Показано, что для МБН скорость откачки в 10 раз больше, чем для некоторых других типов насосов, а область достижимых давлений ниже в 50 раз.

А. Бабад-Захряпин

21265. Микробуллиметр для определения молекулярного веса. Димбат, Стросс (Microebullimeter for determination of molecular weight. Dimbat Martin, Stross F. H.), Analyt. Chem., 1957, 29, № 10, 1517—1520 (англ.)

Описанный прибор отличается от буллиметра Мензеса — Райта (Menzies A. W. C., Wright S. L., Jr., Amer. Chem. Soc., 1921, 43, 2314) тем, что т-ра кипения исследуемого р-ра и чистой жидкости определяется в различных сосудах с помощью термисторов, причем может быть определена разность т-р $6 \cdot 10^{-5}$ град.; объем р-рителя 5 мл; нагрев посредством Cu-блока и паровой рубашки. Прибор позволяет определять мол. вес (M) образцов по 10 мг. Возможно применять прибор для очень мало растворимых в-в и для разб. р-ров в-в с $M \leq 20\,000$. Для определения константы прибора измерен M дифенила, растворенного в C_6H_6 . Приведены примеры определения M . Ошибка определения $M \leq 0,7\%$.

Б. Анвар

21266. Лабораторная установка для градуировки газовых расходомеров. Балакирев Д. А., Приборы и техн. эксперимента, 1957, № 4, 106—107

Разработана установка для тарировки расхода газа под давлением. Методика основана на равенстве объемных расходов жидкости и газа в спец. резервуаре. Расход жидкости определяется весовым способом. Измерение объемного расхода и параметров состояния позволяют определить весовой расход газа, который прямо пропорционален давлению газа на входе в расходомерное сопло. Установка компактна, проста и удобна в работе.

Э. Финкель

21267. Цельнометаллический прибор для определения плотности сжиженных газов. Джарри (All metal apparatus for the determination of the density of liquefied gases. Jarry Roger L.), Rev. Scient. Instrum., 1957, 28, № 8, 641—642 (англ.)

Разработан цельнометаллич. прибор для измерения плотности сжиженных газов. Металлич. конструкция позволяет работать при повышенных давлениях, а также с разъедающими стеклу в-вами. Основные части: пикнометр, терморегулятор и система заполнения газов. Колебания т-ры $0,002^\circ$ в 1 мин. При работе с жидким F в интервале т-р $67-103^\circ$ К погрешность в определении плотности составляет $\pm 0,1\%$.

21268. Флюорометрический анализатор урана. Берн (Fluorometric uranium analyzer. Byrne J. T.), Analyt. Chem., 1957, 29, № 10, 1408—1412 (англ.)

Разработан прибор для определения содержания U в образце по световому выходу флюоресценции, возбуждаемой Hg-дуговой лампой. Детектором служит фотомножитель (ФУ) со спец. подобранным фосфором. 2-й ФУ, на который отражается часть падающего луча света, через систему электронных ламп управляет питанием 1-го ФУ, компенсируя колебания как интенсивности лампы, так и напряжения источника питания. Прибор обладает высокой стабильностью. Нижний предел чувствительности ограничивается собственной флюоресценцией светопровода и составляет $(2-4) \cdot 10^{-9}$ г U.

Э. Финкель

21269. Растворение жидкой CO_2 в сцинтиллирующем растворе для измерения активности радиоуглерода. Барендсен (Radiocarbon dating with liquid CO_2

as diluent in a scintillation solution. Barendsen G. W.), Rev. Scient. Instrum., 1957, 28, № 6, 430—432 (англ.)

Предложен метод, позволяющий использовать жидкостные сцинтилляционные счетчики для измерения активности радиоуглерода. Для измерений (счета) ^{14}C , полученную при сжигании образцов, растворяют в толуоле жидкого сцинтиллятора. Растворение и измерение производятся при низкой т-ре в толстостенном, выдерживающем повышенное давление стеклянном цилиндре. Рассмотрено влияние растворенной ^{14}C на характеристики сцинтилляционного счетчика, а также результаты некоторых применений метода.

Г. Радзиевский

21270. Замечания по поводу жидких сцинтилляторов с двумя растворенными веществами. Авири, Вейнреб (Remarks on double solute liquid scintillators. Aviri P., Weinreb A.), Rev. Scient. Instrum., 1957, 28, № 6, 427—429 (англ.)

Обсуждаются условия, при которых добавление в р-р 2-го фосфора оказывается эффективным, т. е. приводит к усилению импульсов в счетчике с данным жидким сцинтиллятором. Авторы вывели приближенные ф-лы для оценки сравнительной эффективности добавки, исходя из известной роли 2-го фосфора в р-ре (захват энергии возбуждения от молекул 1-го фосфора и эмиссия излучения более длинноволнового, чем у 1-го фосфора, и, таким образом, меньше поглощаемого р-ром и более соответствующего спектральной чувствительности фотокатодов применяемых умножителей). Приведены некоторые эксперим. подтверждения справедливости полученных оценок.

Г. Радзиевский

21271. Обезгаживание жидких сцинтилляторов с помощью ультразвука. Клек, Зиглер (Ultrasonic degassing of liquid scintillators. Check D. J., Ziegler C. A.), Rev. Scient. Instrum., 1957, 28, № 6, 466—467 (англ.)

Описана методика удаления растворенного кислорода из жидких сцинтилляторов. Сцинтиллятор, помещенный в небольшой стаканчик, облучается ультразвуком. Над поверхностью сцинтиллятора во время облучения создается ток инертного газа (Ar). Приведены найденные эксперим. оптимальные условия для обезгаживания (частота колебаний, скорость тока Ar, время облучения), дающие максим. удаление O_2 при миним. потере р-ра.

Г. Радзиевский

21272. Изготовление пластмассовых сцинтилляторов больших размеров. Кларк, Шерб, Смит (Preparation of large plastic scintillators. Clark G. W., Scherb F., Smith W. B.), Rev. Scient. Instrum., 1957, 28, № 6, 433—437 (англ.)

Описано изготовление пластмассовых сцинтилляторов на основе полистирола весом > 100 кг и диам. > 1 м, предназначенных для исследований космич. лучей. Рассмотрены вопросы выбора смеси для приготовления сцинтилляторов, технология их изготовления и конструкция сцинтилляционных детекторов.

Г. Радзиевский

21273. Счет ^{14}C с помощью введения суспензий в сцинтиллирующие гели. Фант, Хетерингтон (Suspension counting of carbon-14 in scintillating gels. Funt B. Lionel, Hetherington Arlene), Science, 1957, 125, № 3255, 986—987 (англ.)

Рассматривается применение к ^{14}C методики счета в сцинтиллирующих гелях. Для образования гелей добавляли в сцинт. р-р стеарат Al (70 г/л). После перемешивания со сцинт. р-ром суспензии, содержащей ^{14}C , жидкость для образования геля нагревали до 80° . Исследована зависимость скорости счета от активности и от кол-ва суспензии, а также оптич. прозрачности геля.

Г. Радзиевский

21274. Полезная формула для вычисления скорости счета детектора, окруженного большим объемом газа или жидкости. Аннанссон, Эрвалль (A useful formula for calculating the counting rate of a detector immersed into extended gases and liquids. Annansson Gunnar, Erwall Lars-G.), Internat. J. Appl. Radiat. and Isotopes, 1957, 2, № 2, 166 (англ.)

Приведен вывод ф-лы для скорости счета импульсов от радиоактивного изотопа, равномерно распределенного в газе или жидкости, окружающей счетчик. Ф-ла может быть использована при работе с β - и γ -излучающими изотопами, а также для контроля загрязненности жидкостей и газов.

Г. Радзиевский

21275. Полевой радиометр-анализатор. Гольбек Г. Р., Матвеев В. В., Шляпников Р. С., Атомн. энергия, 1957, 3, № 9, 247—250

Описан полевой прибор, используемый как поисковый радиометр и анализатор спектрального состава γ -излучения. Основное назначение — определение примерного относительного содержания U и Th в радиоактивных рудах.

Г. Радзиевский

21276. Изготовление простого колпачкового счетчика со слюдяным окошком. Рейхель (Herstellung eines einfachen Glocken zählers mit Glimmerfenster. Reichel Rudolf), Chem. Technik, 1956, 8, № 8, 497—498 (нем.)

Описываются конструкция, методика изготовления, сборки и заполнения самогасящегося счетчика со слюдяным приемным окошком толщиной 0,01 мм и рабочим диам. 20 мм для регистрации β -излучения малой энергии. Напряжение питания счетчика ~ 1000 в, максим. натуральный фон ~ 20 —40 имп/мин, максим. число регистрируемых импульсов 60 000 имп/мин. Срок службы счетчика 10^8 имп., после чего требуется заново полировать и окислировать катод. Счетчик заполняется смесью, состоящей из 9 частей Ar и 1 части паров $\text{C}_2\text{H}_5\text{OH}$.

М. Людмирский

21277. Реакционная бомба для использования при высоких температурах и давлениях. Ларсен, Ледди (Reaction bomb for use at elevated temperatures and pressures. Larsen Edwin M., Leddy James J.), Rev. Scient. Instrum., 1957, 28, № 4, 292—293 (англ.)

Бомба, изготовленная из нержавеющей стали, состоит из цилиндрич. сосуда с запорной крышкой. Герметизация осуществляется Cu-прокладками. В крышке имеется клапан в виде цилиндрич. стержня с плоской запорной головкой. Клапан с помощью гайки может передвигаться в крышке. Для выпуска или отбора пробы газа во время р-ции стержень немного выдвигают в бомбу, при этом головка, отжимаясь от крышки, входит внутрь бомбы и образует кольцевой зазор. В этом зазоре обнажается цилиндрич. часть стержня с отверстием, соединенным с наружным пространством, через которое и производится отбор проб газа. Резиновое сальниковое уплотнение между крышкой и цилиндром, частью стержня удалено от горячей зоны бомбы и не подвержено нагреванию. Бомба применялась для получения трехгалонидных соединений Zr и Hf из соответствующих тетрагалонидов.

Г. Радзиевский
21278. Аппаратура для исследования кинетики окисления нагретых металлов под низким давлением. Карпентер, Мэр (An apparatus for investigating the low-pressure oxidation kinetics of hot metals. Carpenter L. G., Mair W. N.), J. Scient. Instrum., 1957, 34, № 3, 110—114 (англ.)

Описана аппаратура для исследования кинетики окисления металлов, нагретых до $\leq 1000^\circ$ при давлении $\text{O}_2 \sim 1$ м.рт.ст., основанная на измерении разности давлений с помощью двух манометров Пирани. Измерения могут быть проведены как в статич., так и в динамич. условиях. В последнем случае скорость

протекания $O_2 \sim 10^2$ мл/мин, регулируется и поддерживается постоянной с помощью спец. маностата и двух дросселирующих диафрагм. Исследуемый металл в виде проволоки помещается в реакционный сосуд и нагревается электрич. током. Приведены схема аппаратуры и ее применение; способ обработки эксперим. данных иллюстрируется на примере окисления Ti.

В. Шекин

21279. Дифференциальный термический анализ. Новый метод испытания алюмо-силикатных катализаторов. Стоун, Рейс (Differential thermal analysis. New technique for testing silica-alumina catalysts. Stone Robert L., Rase Howard F.), Analyt. Chem., 1957, 29, № 9, 1273—1277 (англ.)

В печи при t -ре $\sim 170^\circ$ в одной камере помещается испытуемый катализатор, а в другой — стандартное в-во, напр. порошок кварца. Разность t -р обеих камер измеряется дифференциальной термопарой; э.д.с. термопары усиливается и записывается самописцем. Через обе камеры пропускается сначала каталитич. яд (иперидин, водяной пар) в газообразном состоянии, а затем азот. Вначале пропускания каталитич. яда происходит хемisorбция на активных центрах с термич. эффектом, значительно большим, чем при физ. адсорбции. При пропускании азота происходит десорбция и тепловой эффект соответствует физ. адсорбции. Разность максим. э.д.с. дифференциальной термопары при адсорбции и десорбции характеризует активность катализатора. Испытание может быть выполнено за 5 мин. и дает относительные результаты, хорошо совпадающие с результатами стандартных испытаний, которые отнимают очень много времени. Этот метод может быть применен также для исследования активности каталитич. ядов и т. д.

А. Лихтер

21280. Разделение смесей веществ в градиенте температур. Беренс, Мельхиор, Талаккер (Zerlegung von Stoffgemischen im Wärmegradienten. Behrens Martin, Melchior Heinrich, Thalacker Rudolf), Naturwissenschaften, 1957, 44, № 18, 490 (нем.)

Предлагается улучшение способа разделения смесей сравнительно легко летучих в-в (РЖХим, 1954, 45088). Стекланная пробирка со смесью в-в помещается в латунную трубку длиной 15 см и толщиной стенок 2 мм, которая имеет внизу нагреватель, а сверху — холодильник (каждый длиной по 4 см). В зависимости от состава и кол-ва смеси подбирается соответствующий градиент t -р и время нагревания (15—120 мин.). Вакуум поддерживается с помощью водоструйного или масляного насоса. Летучие в-ва располагаются кольцами по высоте пробирки. Полнота разделения зависит от различия в летучести компонентов смеси. Метод может применяться для аналитич. целей (напр., определение кофеина в чае и кофе).

Н. Афонский

21281. Упрощенный калориметр для точного определения чистоты. Пилчер (A simplified calorimeter for the precise determination of purity. Pilcher Geoffrey), Analyt. chim. acta, 1957, 17, № 1, 144—160 (англ.; рез. нем., франц.)

Описан адиабатич. вакуумный калориметр, служащий для определения примеси в в-вах, подвергнутых хим. очистке до сотых долей %. При плавлении в-ва с малым содержанием примеси N_2 t -ра T зависит от доли расплавленного в-ва r по ф-ле: $T = T_1 - (N_2 \text{ тв} / A) (1/r)$, где T_1 — t -ра плавления совершенно чистого в-ва. Нанося на график измеренные T в функции $1/r$, находят T_1 , экстраполируя полученную прямую на $1/r = 0$, и из наклона прямой вычисляют N_2 . Кроме того, из результатов калориметрич. измерений вычисляют криоскопич. постоянную A и теплоту плавления. Проведены пробные измерения с метилцикло-

пентаном, n -гептаном, n -деканом, циклогексидициклогексаном и n -гексадеканом высокой степени очистки в области t -р от -142 до 18° и результаты сравнены с прежними данными.

21282. Простой измеритель производительности гелиевого сжижителя. Бэрд, Эдуардс, Лайтер (Simple helium liquefaction rate meter. Baird D.S., Edwards M. H., Lowther L. H.), Rev. Scient. Instrum., 1957, 28, № 7, 574—575 (англ.)

Для измерения скорости опускания колпака газоглидера, из которого газообразный He поступает в сжижитель, колпак через систему блоков связывают проволокой с осью потенциометра; через последний замыкается конденсатор большой емкости. Разрядный ток конденсатора пропорционален кол-ву He, сжиженного в единицу времени.

А. Лихтер

21283. Микропирометр с исчезающей нитью. Буткевич (Mikropirometr ze znikajacym włóknem. Butkiewicz Janina), Pomiaru automat, kontrola, 1957, 3, № 5, 180—184 (польск.)

Описан метод приспособления телескопа лабор. пирометра с исчезающей нитью для определения t -р предметов с линейными размерами $\sim 0,2$ мм. Для этой цели подходит линза объектива с фокусным расстоянием 7,5 см, обеспечивающим трехкратное увеличение при длине тубуса 30 см. Для полного использования разрезающей способности окуляра его увеличение должно быть не меньше пятикратного. Калибровка микропирометра при помощи термометрич. лампы может быть произведена без перерасчетов только в случае, если эффективная длина волны (ЭДЛ) области пропускания красного светофильтра и поглощающего стекла прибора совпадает с ЭДЛ эталонного пирометра, который использовался при калибровке термометрич. лампы; в противном случае необходимо вводить соответствующие поправки в опытные данные.

В. Каплан

21284. Серебряный и окислоталлиевый кулометр. Фоли (The silver and thallium oxide coulometer. Foley W. T.), J. Electrochem. Soc., 1957, 104, № 10, 638—639 (англ.)

Кулометр содержит р-р $AgNO_3$, Tl_2SO_4 , NH_4NO_3 и NH_4OH , который размешивается магнитной мешалкой. Электроды изготовлены из Pt-сетки. При рН 9,5 в кулометре протекает р-ция $4Ag^+ + 2Tl^+ + 6OH^- \rightleftharpoons Tl_2O_3 + 3H_2O + 4Ag$, поэтому не наблюдается выделения ни O_2 на аноде, ни Tl на катоде. По весу осадка Ag на катоде судят о кол-ве прошедшего электричества. Точность измерений 0,01%. Ю. Плесков

21285. Лабораторный рН-метр с вибрирующим конденсатором. Вавроух (Laboratorní pH-metr s vibračním kondensátorem. Vavrouch Dušan), Slaboproudý obzor, 1957, 18, № 7, 455—460 (чешск.; рез. русск., нем., англ., франц.)

Определены требования к рН-метру, работающему со стеклянным электродом. Кратко рассмотрена теория вибрационного емкостного модулятора и описана механич. и электрич. конструкция лабор. рН-метра, изготовленного в Институте приборостроения Чехословацкой академии наук.

Резюме автора

21286. Прибор для кондуктометрического определения растворимости. Уэйл (Apparatus for the conductometric determination of solubility. Weyl Peter K.), Rev. Scient. Instrum., 1957, 28, № 9, 722—723 (англ.)

Описан прибор для измерения растворимости минералов. Исследуемое в-во помещается в сосуд, через который многократно протекает р-р. Циркуляция р-ра осуществляется с помощью насоса, представляющего собой кольцо из стеклянной трубки с клапаном. Трубка наполовину наполнена Hg, которая при вращении всего прибора вокруг своей оси (при помощи элек-

тромотора) гонит перед собой р-р. Электропроводность жидкости в процессе экстракции непрерывно измеряется в электрохим. ячейке. Предусмотрена вторая ячейка для измерения зависимости электропроводности от т-ры. Заменяв электрохим. ячейку счетчиком, можно измерять растворимость радиоактивных в-в.

Ю. Плесков
21287. Распределительная хроматография в газовой фазе. Часть II. Конструкция лабораторной аппаратуры. Могодам (La chromatographie de partage en phase vapeur. Deuxième partie. Construction d'un appareillage de laboratoire. Moghadame P. E.), Rev. Inst. franç. pétrole, 1957, 12, № 1, 58—66 (франц.; реза. англ., исп.).

Приведены описание и схема аппаратуры, построенной по французскому Институте нефти, для распределительной хроматографии в газовой фазе. Анализируется 0,005 мл жидкости или 1—2 мл газа, причем в качестве газа-носителя служит N_2 . Колонка U-образной формы, diam. 5 мм, стационарная фаза — динокидфталат или эйкосан. Аппаратура разрешает определять составные части смеси в кол-ве 0,1%. Приведены примеры разделения смесей пентан-гексан-гептан-октан-нонан, ацетон-бензол-толуол-этилбензол-кумол, пентен-гексен-гептен-октен, метанол-этанол-изопропанол-трет-бутанол-пропанол-втор-бутанол-изобутанол-н-бутанол. Часть I см. РЖХим, 1958, 7344.

Н. Туркевич
21288. Прибор для хроматографии при низких температурах. Хюккель, Хорнунг (Eine Apparatur zur Chromatographie bei tiefen Temperaturen. Hückel Walter, Hornung Walter), Chem. Ber., 1957, 90, № 9, 2023—2024 (нем.).

Приводится схематич. чертеж колонки с охлаждающими рубашками, с помощью которой при охлаждении до -40° можно хроматографировать смеси терпенов и других легко летучих в-в без потерь из-за испарения.

В. Анохин
21289. Уточнение положения нулевой точки катарометров в газо-жидкостной хроматографии. Мадден, Кунгг, Кембалл (A method of improving the mill-point of thermal conductivity cells for gas-liquid chromatography. Madden W. F., Quigg R. K., Kemball C.), Chemistry and Industr., 1957, № 26, 892 (англ.).

Экспериментально проверена применимость ур-ния Патчетта (Patchett G. N., J. Inst. Electr. Engrs, Japan, 1946, 93, 305) к катарометру (газоанализатору по теплопроводности) в газо-жидкостной хроматографии. Исследование проводилось на переменном токе 50 гц. Разбаланс моста (РМ), одним плечом которого являлась ячейка (Я) катарометра, измерялся при помощи усилителя (У) и самописца. Изучены следующие варианты: 1) мост Уитстона, 2) У с двойной Т-цепью для исключения частоты 150 гц, 3) мост с сопротивлением с емкостью, 4) мост с емкостью и У с двойной Т-цепью. Найденно, что ур-ние верно в том случае, если показатель степени питающего напряжения Я в ур-нии равен 3. РМ уменьшается в 2 раза в варианте 3 и не чувствителен к введению емкости в мост. Хорошую комбинацию дает вариант 4. При этом чувствительность прибора составляет 3% при определении пропана в колонне длиной 180 см. Найденно, что при частоте 1000 и 3000 гц Я удовлетворительно работает в варианте 4.

А. Бабад-Захрияни
21290. Усовершенствованная рамка для контактного копирования с бумажных хроматограмм или электрофореграмм разделенных зон веществ, флуоресцирующих в ультрафиолетовых лучах. Киннон, Греко (Improved contact printing frame for ultraviolet light absorbing compounds separated on paper by chromatography or electrophoresis. Kinno-

ry David S., Greco Joseph), Analyt. Chem., 1957, 29, № 10, 1562—1563 (англ.).

Для создания плотного контакта между бумажной хроматограммой или электрофореграммой и рентгеновской пленкой, при фотокопировании по способу Маркхама и Смита (Markham, Smith, Biochem. J., 1949, 45, 294), предлагается конструкция рамки со слегка искривленным по дуге окружности поддоном, на выпуклую сторону которого натягиваются, с помощью пружинного зажима, пленка и наложенный на нее бумажный оригинал.

В. Анохин
21291. Улучшенная капельная трубка для отборника фракций со счетом капель. Баумстарк (Improved splash tube for drop counting fraction collectors. Baumstark John S.), Analyt. Chem., 1957, 29, № 10, 1561 (англ.).

Для обеспечения постоянства размеров капель элюата, отсчитываемых фотоэлектрич. счетчиком, при хроматографии на длинных колонках, работающих при повышенной т-ре, предлагается устраивать дополнительную промежуточную воронку, с концом калиброванным для получения капель желаемого размера.

В. Анохин
21292. Прибор для поддержания постоянной скорости потока элюирующего раствора электролита при хроматографии на колонках. Мейн, Кол, Брайант, Моррис (Constant rate flow device for electrolyte eluents in column chromatography. Main Raymond K., Cole Leonard J., Bryant Leroy M., Morris Stanley K.), Analyt. Chem., 1957, 29, № 10, 1558—1560 (англ.).

В предлагаемом приборе постоянство расхода р-ра обеспечивается поддержанием постоянства высоты уровня жидкости в напорном сосуде путем непрерывного его поднятия кулачковым механизмом с приводом от синхронного мотора, вращающего ось механизма со скоростью 1 об/час. Периодич. наполнение опорожненного сосуда осуществляется автоматически с помощью электронного реле. Для обеспечения непрерывности работы предлагается установка с двумя сосудами и с приводом от одной оси.

В. Анохин
21293. Реологические свойства коллоидных систем. Ортега (Comportamiento reológico de los sistemas coloidales. Ortega Juan J.), Rev. plast., 1957, 8, № 44, 65—70 (исп.).

Описан ротационный вискозиметр (В) с внешним неподвижным и внутренним вращающимся цилиндрами. Для устранения влияния дна В заполняется ртутью до уровня дна вращающегося цилиндра. Т-ра в В поддерживается с точностью до $0,1^\circ$. Приведены данные о реологич. свойствах колл. р-ров двух образцов асфальтовых смол. Начало см. РЖХим, 1958, 7778.

В. Мухин
21294. Практика автоматического дисперсионного анализа. Нассенштейн (Die Praxis der automatischen Dispersoidanalyse. Nassenstein H.), Chem.—Ingr—Techn., 1957, 29, № 2, 92—104 (нем.; реза. англ., франц.).

Описана автоматич. установка для дисперсионного анализа частиц, изображенных на фотографиях (напр., электронно-микроскопич. снимки частиц). Установка состоит из проекционного и анализирующего устройства и позволяет производить как подсчет общего числа частиц, так и строить кривую распределения частиц по размерам.

М. Людмирский
21295. Новый метод счета центров конденсации. Виланд (Eine neue Methode der Kondensationskernzählung. Wieland Walter), Geofis. pura e appl., 1955, 30, № 1, 137—143 (нем.).

См. РЖФиз, 1956, 12146.
21296. Микротитрование органических соединений. Часть VII. Автоматическая микротитрационная уста-

новка для определения кажущихся констант диссоциации. Зимон, Хельброннер (Zur Mikrotitration organischer Verbindungen. Teil VII. Vollautomatische Mikrotitrationsanlage zur Bestimmung von scheinbaren Dissoziationskonstanten. Simon W., Heilbronner E.), Helv. chim. acta, 1957, 40, № 1, 240—221 (нем.; рез. англ.)

Микротитрационная автоматич. установка работает по заданной программе. Титрование проводится путем измерения кажущихся pH^* , являющихся функцией добавленных кол-в титрующего p -ра и соответствующих в точке половины нейтрации $pK^* = -\lg K^*$, где K^* — кажущаяся константа диссоциации. Установка позволяет проводить титрование последовательно 12 p -ров за 40 мин. Точность определения составляла для $pK^* \pm 0,06$ pK и для g -экс $\pm 4,9\%$. Последняя может быть снижена до $\pm 1,8\%$. Часть VI см. РЖХим, 1958, 4444.

А. Лошманов

21297. Новый поглотитель к аппарату Орса для газообменного анализа. Низовцев А. А., Заводск. лаборатория, 1957, 23, № 9, 1135

Описан поглотитель для газового анализа, состоящий из двух сосудов: внутреннего цилиндрич., открытого снизу, оканчивающегося сверху капиллярной трубкой (которая присоединяется к гребенке прибора) и заполняемого стеклянными трубочками; наружного, закрытого снизу и расширенного в средней части, в который заливают поглотительный p -р сверху через зазор (2—3 мм) между горлышками внутренне-го и наружного сосудов. Газ, поступающий из гребенки, вытесняет реактив из внутреннего сосуда в наружный.

Б. Анваер

21298. Бюретка с автоматической записью. Гордон, Кэмпбелл (Automatic recording buret. Gordon Saul, Campbell Clement), Analyt. Chem., 1957, 29, № 11, 1706—1708 (англ.)

Описана бюретка с автоматич. записью объема вытекающей жидкости, предназначенная для измерений выделения или поглощения газов и для записи кол-ва стандартного p -ра, израсходованного в процессе объемного анализа. Изменение объема может быть записано как функция различных физ.-хим. величин (t -ра, время, pH , электропроводность, рефракция, эд.с., плотность и т. п.). Нижняя часть бюретки соединена с металлич. сильфоном, изменение длины которого в результате изменения высоты жидкости в бюретке измеряется с помощью дифференциального преобразователя линейных величин и автоматич. записывается. Наполнение бюретки p -ром и прекращение вытекания его из бюретки при достижении точки эквивалентности (при достижении заданной величины эд.с., электропроводности, pH системы и пр.) также производится автоматически. Для определения объема газа используется система реле с манометром, которая поддерживает постоянное давление в сосуде путем наполнения или опорожнения бюретки.

Ю. Плесков

21299. Фильтрационный прибор для органического весового анализа. Флетчер (Filtration apparatus for organic gravimetric analysis. Fletcher Aaron N.), Analyt. Chem., 1957, 29, № 9, 1387—1388 (англ.)

Для фильтрования разлагающихся при нагревании органич. в-в предложено устройство, состоящее из алуудового стакана, вставляемого на резиновом кольце в цилиндрич. воронку Гуча; сверху в стакан вставляется широкогорлая воронка для заливки жидкости. Устройство позволяет избежать выплывания жидкости из фильтра при вакуум-фильтрации и задерживания твердых частиц на стенках воронки.

Б. Анваер

21300. Рентгеноспектральный метод исследования химического состава в микрообъеме сплава. Боров-

ский И. Б., Деев А. П., Ильин Н. П., Тр. Ин-та металлургии АН СССР, 1957, вып. 2, 181—187

Описана установка РСАН-2, изготовленная в Ин-те металлургии АН СССР, для колич. определения состава микрообъемов сплавов, изучения диффузионных процессов и распределения элементов по зерну. Установка состоит из микрофокусной рентгеновской трубки (30—50 кэ) с катодом от электронографа ЭМ-4. Пучок электронов диам. в несколько μ попадает на шпиг исследуемого сплава, служащего антикатодом и перемещаемого микровинтами в горизонтальной плоскости со скоростью 10—160 μ /мин. В рентгеновскую трубку вмонтирован микроскоп с длиннофокусным объективом. Спектр получают на спектрографе с неподвижным кристаллом, изогнутым по цилиндрич. поверхности с радиусом 300 мм. Два подвижных связанных друг с другом плеча спектрографа несут на себе микрофокусную трубку и счетчик фотонов. Для определения интенсивности линий применяют блок аппарата УРС-50-И с записью спектра на самопишущем потенциометре. Высокую интенсивность характериз. линий получают по обращенному методу фокусировки изогнутым кристаллом Дю-Монда. Аппаратура позволяет проводить анализ состава «в точках» по записанной спектрограмме получают хим. состав. Ошибка анализа равна 2—5% при чувствительности 0,1—0,5%. Даны примеры распределения в многокомпонентном сплаве Re, W и Ni и распределения Cu по диффузионному слою Cu—Zn.

Г. Кибисов

21301. Тигель, состоящий из двух частей, для центрифугирования при работах с микрохимическими осадками. Фелдман, Элленберг (Two-piece centrifuge crucible for handling microchemical precipitates. Feldman Cyrus, Ellenburg Janus Y), Analyt. Chem., 1957, 29, № 10, 1557 (англ.)

Чтобы избежать переноса осадков из пробирки для центрифугирования в тигель для сушки или прокаливания предложена пробирка со съемной нижней частью, в которой можно сушить, прокаливать или растворять осадок. Обе части соединяются по косым поверхностям, покрытым смазкой, и скрепляются резиновой муфтой. Применяя меченые атомы Eu, авторы показали, что при осаждении Eu посредством Na_2CO_3 и Na_3PO_4 в предлагаемой пробирке в осадке после центрифугирования находится 99,9% Eu, при 100% Eu в пробе.

Б. Анваер

21302. Автоматические дистилляционные колонны лабораторного типа. Крелль (Automatische Kolonnen im Destillationslaboratorium. Krell Erich), Chem. Technik, 1957, 9, № 5, 266—274 (нем.)

Описание конструкций полуавтоматич. и полностью автоматич. лабор. дистилляционных установок.

М. Панфилов

21303. Непрерывная лабораторная дистилляция. Бирбауэр, Окли, Портер, Стеб, Стюарт (Dench scale continuous distillation techniques. Birbaauer Frank A., Oakley Howard T., Porter Carter E., Staib John H., Stewart Joseph), Industr. and Engng Chem., 1957, 49, № 10, 1673—1678 (англ.)

Стеклянные дистилляционные колонны с перфорированными тарелками и вакуумной изоляцией, предложенные Олдершоу (Oldershaw C. F., Industr. and Engng Chem., Anal. Ed., 1946, 18, 673—677), успешно применяются для исследования различных проблем дистилляции, причем получаемые результаты приложимы к промышленным установкам. Эти колонны изготовляются диам. 13—75 мм и имеют от 2 до 30 тарелок; типовые секции легко соединяются, что позволяет получить любое число тарелок. Описаны типы головок колонн; работа головок контролируется соленоидными клапанами, действующими от таймера. Непрерывная

подача исходной смеси производится насосами из мерного градуированного сосуда. Наиболее удобны шестеренчатые насосы, применяющиеся при подачах от 50 см³/час до 4 л/час, обеспечивающие равномерную подачу. Сильфонные насосы пригодны для подачи агрессивных смесей, так как в них можно создать промежуточный слой инертной жидкости. Плунжерные насосы применимы в отношении пассивных жидкостей, не вызывающих коррозии. Подача сильфонных и плунжерных насосов менее равномерна. Исходная смесь перед поступлением в колонну подогревается в стеклянном сосуде с электрообогревом. Куб колонны выполняется в виде стеклянной колбы с внешним электронагревателем. Уровень жидкости в кубе поддерживается неизменным, что достигается с помощью U-образного гидравлич. затвора, а там, где его нельзя применить (напр., при последовательно включенных колоннах), с помощью насосов, отбирающих иликий продукт в заданном кол-ве. Установки оборудованы системой автоматич. контроля, обеспечивающей устойчивую работу. Рабочие помещения имеют автоматически действующие системы отгнетения с помощью углекислоты. Особенно тщательное наблюдение требуется во время пуска установки. Кратко описаны практич. случаи использования дистилляционных установок рассматриваемого типа. Ю. Петровский

21304. Аналитическая перегонка в миниатюрных колонках. Разработка и испытание спиральной ленты из тефлона. Нерхейм (Analytical distillation in miniature columns. Design and testing of teflon spinning band. Nerheim A. G.), *Analyt. Chem.*, 1957, 29, № 10, 1546—1548 (англ.)

Повышение скорости ленты увеличивает эффективность колонок со спиральной лентой, но теплота трения ограничивает возможность повышения скорости, поэтому вместо металлич. ленты разработана лента из тефлона, обладающего миним. коэф. трения. Тефлоновую ленту можно применять для $t_p < 280^\circ$ во избежание выделения токсич. паров. Для смесей *n*-гептана с метилциклогексаном или с 2,2,4-триметилпентаном исследована зависимость числа теоретич. тарелок от скорости ленты для различных форм ленты. Сравняется зависимость производительности (скорости перегонки) от числа теоретич. тарелок, перепада давления и задержки на колонках «Гиперкол», с металлич. и тефлоновой спиральной лентой. Сравняются также результаты разгонки смеси циклогексан-бензол-*n*-гептан-метилциклогексан-*n*-октан на тех же колонках.

Б. Анявер

21305. Новая предохранительная промывная колба. Хубнер (Eine neue Sicherheitswaschflasche. Hübner Gerhard), *Chemiker-Ztg.*, 1957, 81, № 8, 265—266 (нем.)

Описывается конструкция предохранительной колбы для барботажа газа через жидкость см. рис. Конструкция обеспечивает равномерность подачи газа и предупреждает унос жидкости в систему. Дается схема действия колбы. Я. Дрозорец

21306. Насос для переливания кислот и ядовитых реактивов. Низовцев А. А., Заводск. лаборатория, 1957, 23, № 9, 1134

Насос состоит из стеклянного цилиндрич. корпуса, в который сверху впаяна стеклянная трубка, доходящая почти до дна, снабженная согнутой наклонно вниз и оканчивающаяся сапунным носиком. Внизу к корпусу и к внутренней

трубке припаяны клапаны для впуска и выпуска жидкости. Насос укрепляется на резиновой пробке в горле бутылки с жидкостью и действует при помощи разрежения создаваемого резиновой грушей, укрепленной на патрубке сверху. Прибор позволяет безопасно подавать к-ты и ядовитые жидкости на высоту 2—3 м.

Б. Анявер

21307. О спектральном распределении светочувствительности некоторых веществ и о светозащитных склянках. VI. Светозащитные склянки. Карльсен (Om lysfølsomme stoffers spektralfølsomhed og om strålingsbeskyttende beholdere. VI. Lysbeskyttende beholdere. Carlsen Tage), *Dansk tidsskr. farmaci*, 1957, 31, № 9, 182—201 (датск.; рез. англ.)

Указаны условия, которым должно удовлетворять хранение светочувствительных фармацевтич. препаратов. Часть V см. РЖХим, 1957, 54009.

Х. Багдасарьян

21308. Диатермостат. Умштеттер (Der Diathermostat. Umstätter H.), *Fette, Seifen, Anstrichmittel*, 1957, 59, № 4, 266—272 (нем.)

Рассмотрены принципы устройства термостата, в котором колебания t -ры $< \pm 0,002^\circ$. Из основного уравнения регулирования следует, что затухание $\delta = \sqrt{\omega/2a}$, где ω — частота колебаний t -ры и a — температуропроводность. Большое δ может быть получено либо в термостате с малым объемом воды и сравнительно большой мощностью нагревателя, либо в случае большого объема воды и малой мощности при очень хорошей изоляции. Для уменьшения времени нагрева и периода колебаний t -ры нагрев производится переменным током, проходящим непосредственно через воду. Для того чтобы не происходил электролиз, частота тока выбирается достаточно высокой либо плотность достаточно малой. При таком способе нагрева контактный термометр реагирует значительно быстрее. Термостат снабжен чувствительным электронным реле, поэтому ток через контакты в термометре составляет несколько μ а. Этим обеспечивается лучшая сохранность и большая чувствительность контактов. Проведено подробное исследование работы такого термостата. Колебания t -ры составляют $\pm 0,002^\circ$. Если применение воды нежелательно, то в термостате может быть использован сжатый воздух.

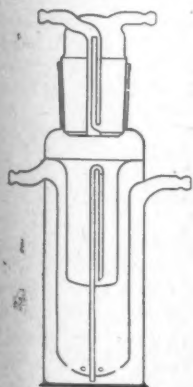
А. Лихтер

21309. Точность электронного конденсационного гигрометра. Кадахаля (光電管式露点湿度計の精度. 風早正安), *計測*, Кайсоку, *J. Soc. Instrum. Technol.*, Japan, 1957, 7, № 4, 199—202 (японск.; рез. англ.)

Приведены результаты испытаний электронного конденсационного гигрометра пропусканием через него воздуха с постоянной влажностью. Точность гигрометра $< 0,1^\circ$ для точек росы от 0° до -35° . Роса на зеркале гигрометра стабильна в случае выпадения ее в виде воды при t -рах от 0° до -10° , а в случае выпадения в виде льда — при t -ре ниже -20° . Ввиду того что зеркало во время измерения имеет t -ру, соответствующую точке росы, удается избежать свойственной другим аналогичным приборам ошибки, выражающейся в несопадении t -ры образования росы и действительной точки росы. Л. Абрамович

21310. Определение влажности с использованием хлорида лития. Брюниг (Feuchtigkeitsmessung nach dem LiCl-Verfahren. Brüning M.), *Ind. Elektron.*, 1956, 4, № 2-3, 30—31 (нем.)

Описан прибор для определения относительной и абс. влажности, действие которого состоит в том, что через ткань, пропитанную p -ром LiCl, пропускают электрич. ток. При этом p -р нагревается и часть воды, содержащейся в ткани, испаряется, вследствие чего ее сопротивление повышается. В момент, когда p -р LiCl придет в равновесие с водяным паром, содержащимся



ружьи согнутая наклонно вниз и оканчивающаяся сапунным носиком. Внизу к корпусу и к внутренней

ся в окружающем воздухе или газе, между р-ром LiCl и средой устанавливается определенная разность т-р, величина которой характерна для определенной влажности. С изменением влажности среды для установления нового равновесия между р-ром LiCl и водяным паром окружающего газа требуется < 2 мин. С помощью предложенного прибора можно проводить определение влажности воздуха или газа в пределах от -20° до $+60^{\circ}$. Прибор имеет самозаписывающее устройство, регистрирующее его показания через равные промежутки времени (2, 4, 15 или 30 сек.).

А. Немодрук

21311. Вакуумная камера для исследования электрической дуги. Джонсон, Ито (A vacuum arc study chamber. Johnson E. W. Itoh F. R.), Nat. Sympos. Vacuum. Technol. 1956. Trans. London — New York — Paris, Pergamon Press, 1957, 170—174 (англ.)

Подробно описана камера для вакуумной дуговой плавильной печи (П), позволяющая визуально наблюдать и фотографировать состояние электродов. В камере можно менять давление от атмосферного до 10^{-3} мм рт. ст. Наблюдение за дугой осуществляется в горизонтальном направлении при помощи перископич. устройства. Перемещение электродов печи производится автоматически с помощью регулятора. Вакуум создается тремя масляными диффузионными насосами бустерного типа и измеряется «альфатроном» и термоманометром.

А. Бабад-Захрянин

21312 П. Ячейка электрода сравнения. Джексон (Reference electrode units. Jackson J.). Англ. пат. 729575, 11.05.55

Патентуется конструкция каломельного электрода сравнения для измерения pH стеклянным электродом. З. Соловьева

21313 П. Аппарат для определения газов в органических жидкостях. Ойжинский (Aparat do oznaczania gazow w cieczach ustrojowych. Ojzyslawski Zdzislaw). Польш. пат. 39481, 16.02.57

Аппарат, предназначенный для определения газов в органич. жидкостях (в частности для определения O_2 и CO_2 в крови), состоит из герметически закрываемого цилиндрич. стеклянного сосуда емк. $\leq 1,5$ мл, калиброванного в единицах объема (цена деления 0,1 мл), к которому под острым углом присоединен сборник для реактива и под углом 90° , к последнему присоединена отводная трубка с краном для манометра. Трубка имеет 2 сгиба под углом 90° , причем уровень верхнего отрезка ее находится выше отверстия цилиндрич. сосуда. При выполнении определения аппарат погружают в водяную баню.

Т. Амбруш

См. также: Вакуумный рентгеновский тубус-спектрограф 20363. Рентгеновский спектрометр с кристаллом кварца 20364. Спектрометр со штарковской модуляцией 20403. Аппаратура для анализа кристаллов с помощью ядерного квадрупольного резонанса 20406. Конструкция вакуумных печей для кристаллизации 20511. Установка для измерения возраста органических материалов по C^{14} 20549. Калориметр для измерения теплот смешения 20598. Аппаратура для получения чистого кремния 20857. Прибор для автоматич. кулонометрич. титрования 21133. Приборы для опред. точки плавл. и затвердевания 21122

РЕФЕРАТИВНЫЙ ЖУРНАЛ ХИМИЯ

Рефераты 21314—21656

№ 7

10 апреля 1958 г.

II

ОРГАНИЧЕСКАЯ ХИМИЯ

ОБЩИЕ И ТЕОРЕТИЧЕСКИЕ ВОПРОСЫ ОРГАНИЧЕСКОЙ ХИМИИ

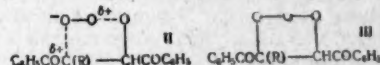
Редактор М. Е. Вольгин

21314. Озонирование и озонлиз ароматических и гетероциклических соединений с точки зрения реакционной способности циклических систем. Вибавт (Über Ozonisierung und Ozonolyse von Aromaten und Heterozyklen im Hinblick auf die Reaktionsfähigkeit des Ringsystems. Wibaut J. P.), *Chimia*, 1957, 11, № 10, 298—304; № 11, 321—328 (нем.)

Обзор работ автора по изучению строения ароматич. и гетероциклич. соединений с помощью р-ции озонирования и по исследованию механизма озонирования. Библ. 62 назв. Л. К.

21315. Озонирование 1,2-дibenзоилпропена и 1,2-дibenзоилэтилена. Правило Марковникова и первоначальная атака озона на ненасыщенную систему. Бейли, Бат (Ozonolyses of 1,2-dibenzoylpropene and 1,2-dibenzoylethylene. Markownikoff's rule and the initial attack of ozone on an unsaturated system. Bailey Philip S., Bath Sheaffers S.), *J. Amer. Chem. Soc.*, 1957, 79, № 12, 3120—3124 (англ.). Продолжая изучение р-ции озонирования непредельных соединений, авторы подвергли действию озона $C_6H_5COC(R)=CHCOC_6H_5$ (I R = H и CH_3) в CH_3OH . Предложена следующая схема р-ции: один из крайних атомов кислорода $+O-O-O-$, являющийся электрофильным центром молекулы озона, атакует I (в соответствии с правилом Марковникова). Завершает атаку либо средний атом O с образованием активного комплекса (II), либо второй крайний атом O с образованием относительно прочного промежуточного соединения (III). Образование III менее вероятно. В дальнейшем в очень мягких условиях идет расщепление II на C_6H_5COSH (IV) и дипольный ион $C_6H_5COC^+(R)OO^-$ (V). V с CH_3OH дает гидроперекись $C_6H_5COCR(OCH_3)OOH$ (VI), стойкую в чистом виде при $\sim 20^\circ$. При нагревании VI с CH_3OH , спиртом, $HCOOH$, $NaOH$ или C_6H_5N происходит гетеролитич. расщепление с образованием OH^- , C_6H_5COOH (VII) (выход до 90%) и $HOOSCH_3$ (VIII). Наряду с гетеролитич. расщеплением идет, хотя и в значительно меньшей степени, гомолитич. разложение: $VI \rightarrow HO + C_6H_5COC(R)(\dot{O})$. $OCH_3 \rightarrow VIII + C_6H_5\dot{C} = O \rightarrow C_6H_5COCOC_6H_5$ (IX). Р-ция I с HCl и HBr протекает с нарушением правила Марковникова с образованием $C_6H_5COSH(R)CHBrCOC_6H_5$, который в присутствии лед. CH_3COOH дегидратируется в 3-бром-4-Р-2,5-дифенилфуран. 0,04 моля I (R = CH_3) озонировался в 15 мл CH_3OH и 45 мл CCl_4 (-40°). По-

лучен VI (R = CH_3), выход 74%, т. пл. $60-61^\circ$ (разл.; из петр. эф., $60-68^\circ$). Из фильтрата выделено 0,6 г VII, 0,2 г IX; гидрат IV, выход 61%. При озонировании I (R = H) в аналогичных условиях выход VI (R = H) 60%, т. пл. $68-69^\circ$ (разл.; из петр. эф.), VII 1,6 г, фенилгидразона IX 0,5 г и гидрата IV 4 г. К смеси 8 г



NaJ , 5 мл CH_3COOH , 10 мл CH_3OH прибавлено 1 г VI (R = CH_3). После обработки семикарбазидом получен семикарбазон 1-фенил-1,2-пропандиона, выход 75%, т. пл. $211-212^\circ$ (из сп.). При аналогичном восстановлении VI (R = H) получен IV, выход озона 1 г.

В. Райгородская

21316. Зависимость реакционной способности функциональных групп в парафиновых углеводородах от их положения в молекуле. VII. О зависимости скорости аминолиза изомерных n -октадецилхлоридов от положения хлора в молекуле. VIII. О влиянии температуры на образование первичных хлоридов при прямом хлорировании n -октадекана. Гейзлер, Азингер. IX. О составе продуктов прямого нитрования n -октадекана. Азингер, Гейзлер, Вирт (Über die Abhängigkeit der Reaktionsfähigkeit funktioneller Gruppen in Paraffinkohlenwasserstoffen von ihrer Stellung in der Molekel. VII. Über die Abhängigkeit der Aminolysegeschwindigkeit isomerer n -Octadecylchloride von der Stellung des Chlors in der Molekel. VIII. Über den Einfluss der Temperatur auf die Bildung primärer Chloride bei der direkten Chlorierung von n -Octadecan. Geiseler Gerhard, Asinger Friedrich. IX. Über die Zusammensetzung der Produkte der direkten Nitrierung von n -Octadecan. Asinger Friedrich, Geiseler Gerhard, Wirth Wolf-Dieter), *Chem. Ber.*, 1957, 90, № 9, 1786—1789, 1790—1797, 1987—1997 (нем.)

VII. Сравнивались скорости аминолиза циклогексил-амином изомерных октадецилхлоридов с хлором в положениях 1, 2, 4 и 7 между 90 и 110° . Константы скорости при $90^\circ \cdot 10^5$ соответственно равны 1,82, 0,0211, 0,00684, 0,00668, сек.^{-1} , $E_{\text{акт}}$ составляет соответственно 14,8, 17,7, 18,1, $18,4 \text{ ккал/моль}$. Значения $\lg A$ почти одинаковы ($\sim 4,0 \pm 0,2$). Таким образом, отличия в скоростях р-ции обусловлены значениями энергии активации. Это подтверждает высказанное ранее предположение, что пространственные факторы, зави-

связи от положения функциональных групп в парафиновых цепях, почти не сказываются при очень медленно протекающих р-циях. Октадециловый спирт нагревался с SOCl_2 , после перегонки (т. кип. $140^\circ/0,7$ мм) и хроматографирования на силикагеле получен октадецилхлорид-1, т. пл. $18,3^\circ$, n_D^{20} 1,4520. Из n -гексадецилхлорида и CH_3CHO по Гриньяру получен октадеканол-2 (т. кип. $150-155^\circ/1,3$ мм, т. пл. $45-50^\circ$, выход 85%), аналогично предыдущему превращенный в октадецилхлорид-2, т. кип. $165^\circ/2$ мм, n_D^{20} 1,4507, выход 66%. Соответственно из тетрадецилхлорида и n -масляного альдегида получен октадеканол-4 (т. кип. $155^\circ/0,5$ мм, выход 75%) и из него октадецилхлорид-4 (т. кип. $130^\circ/0,3$ мм, т. пл. -1° , n_D^{20} 1,4505, выход 76%); из гексилхлорида и n -додеканаля — октадеканол-7 (выход 85%) и из него октадецилхлорид-7 (т. кип. $107-110^\circ/0,05$ мм, т. пл. $+0,5^\circ$, n_D^{20} 1,4502, выход 82%).

VIII. Используя полученные ранее данные о скорости аминолиза циклогексиламином изомерных октадецилхлоридов (см. предыдущий реферат), авторы изучили соотношение первичных и вторичных хлоридов в продуктах хлорирования n -октадекана (I). Показано, что повышение т-ры лишь незначительно изменяет соотношение между кол-вами хлора, вступающими в CH_3 - и CH_2 -группы. Тем же методом показано, что вторичные октадецилхлориды способны к образованию аддуктов с мочевиной, хотя и образуют их медленнее, чем первичные хлориды.

IX. Изучение нитрования I тремя различными методами показали, что образуются одинаковые смеси всех изомерных вторичных нитропроизводных. Прежние литературные данные об образовании исключительно 2-нитрооктадекана ошибочны: они вызваны тем, что при разделении смеси нитросоединений через семиркабазоны соответствующих кетонов всегда удаляется легче образующийся и труднее растворимый семиркабазон октадекано-2. В данной работе идентификация нитрооктадеканонов (II) проведена путем окисления К-солей ациформ II в соответствующие кетоны, которые р-цией Байера — Виллигера перевестились в эфиры, дававшие при действии NH_2OH гидроксамовые к-ты, разделявшиеся хроматографией на бумаге. Из 2 молей n -октадецилхлорида и 50 г Mg (500 мл эфира, 8 час. на водяной бане) после разложения разб. HCl при -5° , гидрирования над Ni для удаления примеси олефина получен I, т. пл. $27,2-27,5^\circ$, n_D^{20} 1,4315. Нитрование I проводилось по Коновалову (39 г I и 72 г 13% HNO_3 нагревались в трубке 6 час. при 130°); по Грудману (в 250 г I при 185° вводилось 107 г 64% HNO_3) по Гейзелеру (к 780 г I прибавлено 140 г N_2O_5 , смесь под давлением N_2 50 ат пропускалась при 180° через стальную трубку длиной 1 м и диам. 5 мм, время контакта 1 мин.). Сообщение VI см. РЖХим, 1957, 71453.

В. Потапов 21317. Изучение спиртов с помощью меченых атомов. Часть II. Обмен кислорода-18 между втор-бутиловым спиртом и водой. Бантон, Ллуэллин (Tracer studies on alcohols. Part II. The exchange of oxygen-18 between sec-butyl alcohol and water. Bunton C. A., Llewellyn D. R.), J. Chem. Soc., 1957, Aug., 3402—3407 (англ.).

Показано, что скорость рацемизации оптически деятельного втор- $\text{C}_4\text{H}_9\text{OH}$ (I) в водн. р-рах HClO_4 и H_2SO_4 при $99,8^\circ$ в 2 раза больше скорости кислородного обмена; следовательно, каждый акт обмена происходит в этих условиях с обращением конфигурации. Построены графики зависимости логарифмов коэф. константы скорости первого порядка для рацемизации и кислородного обмена от функции кислотности Хамметта. Обе линии имеют одинаковый наклон, близкий к единице, это указывает на то, что стадией, опреде-

ляющей скорость в обоих процессах, является гетеролиз оксониевого иона (II): $\text{C}_2\text{H}_5(\text{CH}_3)\text{CH}^+\text{OH}_2$ II $\xrightarrow{\text{медленно}}$ $\text{C}_2\text{H}_5(\text{CH}_3)\text{CH}^+\text{OH}_2$ (III) $\xrightarrow{\text{H}_2\text{O}}$ $\text{H}_2\text{OCH}(\text{CH}_3)\text{C}_2\text{H}_5$. В более конц. р-рах к-т (~ 4 молей) скорость рацемизации становится меньше, чем удвоенная скорость обмена. Это происходит потому, что образование оми-

фина по схеме III $\rightarrow \text{CH}_3\text{CH}=\text{CHCH}_3$, незначительно при низких конц-ях к-т, возрастает с увеличением кислотности. Скорость рацемизации измерялась при $82,0$ и $99,8^\circ$. Энергия активации рацемизации равна 36 ккал моль $^{-1}$. Вычисленная из этого энтропия активации равна $+12,3$ ккал моль $^{-1}$ град $^{-1}$. Кислородный обмен изучался при контакте обычного I с H_2O^{18} в контакте I, содержащего O^{18} , с H_2O^{16} . Предыдущую часть см. РЖХим, 1956, 46799.

Р. Кудрявцев 21318. Кинетическое сравнение влияния различных кислот на каталитическую гидратацию ацетонитрила. Травальи (Confronto cinetico tra l'azione di diversi acidi sull'idratazione catalitica dell'acetonitrile. Travagli Giuseppe), Gazz. chim. ital., 1957, 87, № 7—8, 830—836 (итал.).

Изучена кинетика гидролиза ацетонитрила в 3 и 4 р-рах HNO_3 , HClO_4 и HCl в присутствии HgO или без него (1% и 10%) при 70 , 80 и 90° . Каталитич. эффект Hg^{2+} отсутствует в р-рах HCl и наиболее сильно проявляется в HClO_4 (приведены энергии активации и лг частотного фактора): HCl , 25200, 9,4 (без и с HgO); HNO_3 , 25850, 9,85 (без HgO), 23850, 8,75 (с HgO); HClO_4 , 25700, 9,6 (без HgO), 21800, 7,6 (с HgO). Предыдущее сообщение см. РЖХим, 1958, 17769.

С. Завьялов 21319. Механизм гидратации нитрилов и мочевины, катализируемой ртутными солями. Травальи (Meccanismi delle idratazioni dei nitrili e della urea catalizzate dai sali mercurici. Travagli Giuseppe), Gazz. chim. ital., 1957, 87, № 6, 673—681 (итал.).

Приведен обзор работ автора по изучению гидролиза нитрилов, амидов, оксимов, урецинов, цианамидов и производных мочевины посредством минер. к-т в присутствии или отсутствии солей Hg^{2+} . Предложено механизм омыления нитрилов и мочевины в кислой среде. Библ. 27 назв.

С. Завьялов 21320. Интерпретация реакции алифатических первичных аминов с азотистой кислотой. Стрейтвизер (An interpretation of the reaction of aliphatic primary amines with nitrous acid. Streitwieser Andrew, Jr.), J. Organ. Chem., 1957, 22, № 8, 861—869 (англ.).

В свете недавно опубликованной работы авторов (РЖХим, 1958, 7802) обсуждаются литературные данные по механизму дезаминирования первичных аминов. Показано, что в ряде случаев р-ция протекает через диазониевый катион, распадающийся далее по различным направлениям. Библ. 112 назв.

Р. К. 21321. Кремнийорганические соединения. Часть XI. Влияние среды на реакцию между ионами триметилсилилметилбензоата и ионом гидроксидла. Иборд Паркер (Organosilicon compounds. Part XX. Medium effects in the reaction between trimethylsilylmethylbenzoate ions and hydroxide ion. Eaborn C., Parker S. H.), J. Chem. Soc., 1957, March, 955—958 (англ.).

Изучена кинетика щел. гидролиза ионов триметилсилилметилбензоатов $(\text{CH}_3)_3\text{SiCH}_2\text{C}_6\text{H}_4\text{COO}^-$ (I) в водн. CH_3OH . Р-ция исследовалась спектрофотометрически при разных конц-ях NaOH , LiOH и KOH (0,1—1 н). Эксперим. данные удовлетворительно объясняются теорией Бренстада—Бьеррума. Скорость р-ции равна $k(f_A \cdot f_B / f_{\text{св}}) \cdot c_A \cdot c_B$, где k — константа скорости р-ции при бесконечном разбавлении, f_A , f_B и $f_{\text{св}}$ — активности реагентов и активного комплекса, c_A и c_B —

ион-ин реагентов. Расчет f_i произведен по ф-ле $-\lg f_i = Z_i^2 \alpha \mu^{1/2} (1 + \beta d_i \mu^{1/2})$, где Z_i и d_i — заряд и диаметр иона i , μ — ионная сила р-ра, α и β — константы, зависящие от р-рителя и т-ры. Однако, при добавлении NaCl к реакционной смеси солевой эффект оказывается значительно меньшим, чем в случае едких щелочей. Реакционная способность I зависит от положения групп COO^- в кольце: $k_{\text{пара}} > k_{\text{орто}} > k_{\text{мета}}$, причем кажущиеся энергии активации соответственно равны 19,6, 21,2 и 21,9 ккал/моль (в воде) и 20,6, 22,4 и 22,9 ккал/моль (в 65% CH_3OH). В ином порядке происходит изменение предэкспоненциального множителя: $A_{\text{пара}} > A_{\text{мета}} > A_{\text{орто}}$, что по мнению авторов, объясняется электростатич. отталкиванием между группой COO^- и ионом OH^- . Часть XIX см. РЖХим, 1958, 17998.

21322. Катализ электролитами. III. Расщепление бензилфенилового эфира бромистым водородом в нитробензоле, хлороформе и четыреххлористом углероде. Драммонд, Истем (Electrolyte catalysis. III. The cleavage of benzyl phenyl ether by hydrogen bromide in nitrobenzene, chloroform and carbon tetrachloride. Drummond A. Y., Eastham A. M.), J. Amer. Chem. Soc., 1957, 79, № 14, 3689—3693 (англ.)

Для изучения механизма каталитич. действия электролитов на р-цию расщепления C—O-связи исследована кинетика расщепления бензилфенилового эфира (I) бромистым водородом (II) в р-рах $\text{C}_6\text{H}_5\text{NO}_2$ (III) (25%), CHCl_3 (40%), CCl_4 (25%) в присутствии ($n\text{-C}_4\text{H}_9$) $_3\text{NBr}$ (IV), ($n\text{-C}_4\text{H}_9$) $_4\text{NBr}$ (V), ($n\text{-C}_3\text{H}_7$) $_4\text{NBr}$ (VI), (C_6H_5) $_4\text{NBr}$ (VII) и бромистого пиридиния (VIII) по изменению конц-ии II в р-ре и давления паров II над р-ром. В III скорость $-d[\text{III}]/dt = k[\text{III}][\text{II}]$; введение перечисленных выше бромидов приводит к образованию комплекса бромид — II и увеличивает константы скорости в ряду VIII \approx IV < V < VI < VII без изменения вида ур-ния скорости р-ции. В CHCl_3 кинетика р-ции имеет сложный характер, отличный от ур-ния, полученного для диглилового эфира (Mayo F. R. и др. J. Amer. Chem. Soc., 1941, 63, 426), каталитич. действие бромидов растет в ряду IV < VIII < V < VI < VII. В CCl_4 р-ция почти не идет, однако ускоряется твердыми солями, действующими как гетерогенные катализаторы. Предлагается механизм р-ции, в основном сходный с данным Майо (см. ссылку выше). Каталитич. действие электролитов объясняют образованием из соли ионной пары, которая ассоциируется с переходным состоянием и служит «мостиком» между образующимися и исчезающими ионами. Сообщение II см. РЖХим, 1957, 431.

21323. Реакции, катализируемые основаниями. Сообщение VIII. Катализируемое натрием диспропорционирование фенилциклогексена. Дегидрирование и конденсация фенилциклогексана. Пайнс, Колобелский (Base catalyzed reactions. Paper VIII. Sodium-catalyzed hydrogen disproportionation of phenylcyclohexene. Dehydrogenation and condensation of phenylcyclohexane. Pines Herman, Kolobieliski Marjan), J. Amer. Chem. Soc., 1957, 79, № 7, 1698—1700 (англ.)

Фенилциклогексен (I) при нагревании 5 час. до 20—220° с Na или Na + $\text{C}_6\text{H}_5\text{CH}_2\text{Na}$ количественно диспропорционируется, образуя 2 экв. фенилциклогексана (II) и 1 экв. дифенила (III); H_2 при этом не выделяется. При повышении т-ры до 242° и увеличении продолжительности р-ции до 26 час. наблюдается значительное выделение H_2 , кол-во III увеличивается (58% II и 42% III) и образуется 3,4'-дифенилбифенил (IV), т. пл. 164—165° (из гексана-бзл.), и продукт

(V) с т. пл. 295° (из бзл.-диоксана). При кипячении 30 час. II с Na + $\text{C}_6\text{H}_5\text{CH}_2\text{Na}$ наблюдается выделение H_2 с образованием соответствующих кол-в III и тетрафенилов (ТФ). При нагревании III с Na + $\text{C}_6\text{H}_5\text{CH}_2\text{Na}$ (23 часа 240°) также образуется смесь ТФ, из которой выделен 4,4'-дифенилбифенил (VI), т. пл. 303° (из бзл.-диоксана). Авторы считают, что диспропорционирование протекает по цепному механизму через промежуточное образование карбанионов. Для выяснения влияния, оказываемого на диспропорционирование C_6H_5 -группой, проведен опыт с 1-циклогексилциклогексеном (VII), который диспропорционируется значительно труднее, чем I; после кипячения 48 час. VII с Na + $\text{C}_6\text{H}_5\text{CH}_2\text{Na}$ при 224° прореагировало лишь 24% VII (продукт р-ции представляет собой 65% II, 20% циклогексилциклогексана и 15% III). Большая реакционная способность I объясняется, по-видимому, тем, что он легко образует соответствующий карбанион, чем VII. VIII (т. кип. 127°/8 мм, n_D^{20} 1,4944) получен дегидратацией 1-циклогексилциклогексанола. Приведены УФ-спектры IV—VI. Предыдущее сообщение см. РЖХим, 1958, 18061.

21324. Реакции, катализируемые основаниями. Сообщение IX. Алкоголяты натрия и калия в качестве катализаторов карбанионных реакций углеводородов. Пайнс, Шап (Base catalyzed reactions. Paper IX. Sodium and potassium alkoxides as catalysts for carbanion reactions of hydrocarbons. Pines Herman, Schaap Luke), J. Amer. Chem. Soc., 1957, 79, № 11, 2956—2958 (англ.)

Алкоголяты Na и K при нагревании до т-ры разложения в автоклаве в атмосфере N_2 катализируют р-ции, протекающие с промежуточным образованием карбанионов, напр., изомеризацию олефинов, дегидрирование моноциклич. терпенов, алкилирование боковой цепи алкилароматич. соединений олефинами. Авторы предполагают, что на первой стадии р-ции из алкоголята образуется метидный (или этидный) ион:

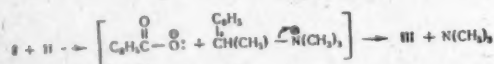
$\text{CH}_3-\text{C}(\text{CH}_3)_2-\text{O}^- \rightarrow \text{CH}_3^- + \text{CH}_3\text{COCH}_3$. Это предположение подтверждается образованием в процессе р-ции CH_4 или C_2H_6 соответственно в зависимости от исходного алкоголята. Алкоголяты третичных спиртов обладают наибольшей каталитич. активностью, алкоголяты первичных спиртов наименьшей. Р. Кудрявцев 21325. Стереохимия действия никеля Ренея. IX. Относительная скорость каталитического дейтериеобмена в ядре фенилацетамида. Боннер (The stereochemistry of Raney nickel action. IX. Relative extents of catalytic hydrogen-deuterium exchange in the nuclear positions of phenylacetamide. Bonner William A.), J. Amer. Chem. Soc., 1957, 79, № 10, 2469—2471 (англ.)

Исследован изотопный обмен (ИО) водорода в фенилацетамиде (I) при обработке его дейтерированным никелем Ренея в кипящем $\text{C}_2\text{H}_5\text{OD}$. За 6 час. обмена — 49% водорода при α -атомах углерода и 42% в ядре. Общее содержание D в ядре находилось путем окисления I в бензойную к-ту с последующим определением в ней D. Относительное содержание D в орто-, мета- и пара-положениях равно 1:1,8:1,1 (определяется превращением I в анилин, который селективно бромировался с последующим определением D в продуктах бромирования). При статистич. распределении D это отношение должно соответствовать 2:2:1. Пониженное содержание D в орто-положении авторы объясняют стерич. препятствиями. Полученные результаты (отсутствие заметной селективности для дейтериеобмена различных положений в ядре) опровергают для I предположение о промежуточном образовании адсорбированного карбониевого иона (РЖХим, 1956, 35729) ИО I в бензольном р-ре за 18 час. дает 6,5% D

в боковой цепи и 2,6% в ядре. Такое же кол-во (2,6%) D найдено при ИО чистого C_6H_6 за 36 час. Сопоставление результатов по ИО в I и C_6H_6 показывает, что в бензольном p-ре боковая цепь не влияет на ИО. Попытка дегидроксилировать амид L-миндальной к-ты для получения L-α-дейтероацетамида в тех же условиях привела лишь к оптич. неактивному веществу. Сообщение VIII см. РЖХим, 1957, 74301. Н. Высоцкая 21326. Ароматическое арилалкилирование. Часть I.

Трифенилметилирование o-крезола в смеси серной и уксусной кислот. Боннер, Клейтон, Вильямс (Aromatic arylalkylation. Part I. The triphenylmethylation of o-cresol in sulphuric acid-acetic acid. Bonner T. G., Clayton J. M., Williams Gwyn, J. Chem. Soc., 1957, July, 2867—2872 (англ.)) Изучена кинетика p-ции, протекающей в p-ре H_2SO_4 и CH_3COOH , между трифенилметанолом (I) и o-крезолом (II), приводящая к образованию (4'-оксис-3-метилфенил)-трифенилметана (III). Найденное соответствие между скоростью p-ции и степенью ионизации I в широкой области конц-ии H_2SO_4 (0—40%) и CH_3COOH (95—55%) указывает на то, что имеет место электрофильная атака иона $(C_6H_5)_3C^+$: $II + (C_6H_5)_3C^+ \rightarrow III + H^+$. Коричневая окраска реакционного p-ра, по-видимому, связана с образованием комплексной иона $(C_6H_5)_3C^+$ с II. Р. Кудрявцев

21327. Изучение механизма реакции третичных аминов со сложными эфирами. Витт С. В., Кудрявцев Р. В., Ж. общ. химии, 1957, 27, № 10, 2799—2805 Изучен механизм p-ции третичных аминов со сложными эфирами на примере взаимодействия метилового эфира бензойной к-ты (I), меченного в карбонильной группе O^{18} , и оптически активного D-(+)-N-диметил-α-фенэтиламина (II). Оказалось, что в процессе p-ции (18 час., 195°) α-фенэтильный радикал претерпевает обращение конфигурации с образованием правовращающего α-фенэтилбензоата (III), принадлежность которого к L-ряду была установлена на основании того, что продуктом его гидролиза является L-(—)-α-фенэтиловый спирт. Оказалось, далее, что избыток O^{18} , находившийся в карбонильной группе исходного I,



поровну распределен в полученном III в обоих возможных положениях — в эфирном и карбонильном. На основании этих результатов предложена схема p-ции. Контрольным опытом доказано, что усреднение изотопного состава кислорода действительно обусловлено выравниванием функций кислорода в процессе p-ции и не является результатом многократного обмена α-фенэтильного радикала между III и II. Р. Кудрявцев 21328. Исследования в области соединений, меченных C^{14} и N^{15} . Сообщение 8. Изучение механизма реакции азоксисоединения. Шемякин М. М., Майминд В. И., Вайчунайте Б. К. Изв. АН СССР, Отд. хим. н., 1957, № 10, 1260—1262

Реакция азоксисоединения $C_6H_5N^{15}O$ (I-N¹⁵) (37,2 ат. % N^{15}) с C_6H_5NNHON в токе N_2 в присутствии 7%-ного спирта. КОН (2 мин.) приводит к образованию азоксисоединения II (II, выход 92%). Для изучения изотопного состава II бромировали, полученный $C_6H_5N(O)NC_6H_4Br$ восстанавливали ($Sn + HCl$) до анилина и n-броманилина, которые разделялись в виде ацетильных производных и превращались через NH_4Cl в N_2 . Изотопный состав измеряли масс-спектрометрически. Найденно, что избыток N^{15} в исходном I-N¹⁵ распределялся поровну между обоими N-атомами II. Отсюда следует, что образованию II предшествует возникновение промежуточного $C_6H_5N^{15}(OH)N(OH)C_6H_5$ с химически рав-

ноценными N-атомами. Сообщение 7 см. РЖХим, 1958, 17756. В. Майминд

21329. К химизму перемещения арила при бекманской перегруппировке. Хейсен, Витте, Вальм-Ибра (Zum Chemismus der Arylwanderung bei der Beckmann-Umlagerung. Huisgen Rolf, Witte Josef, Walz Helmut, Jira Waltraud, Liebigs Ann. Chem., 1957, 604, № 1-3, 191—202 (нем.)) Спектральным методом измерена скорость перегруппировки 2,4,6-тринитрофениловых эфиров замест. ацетооксимов $RC_6H_4C(CH_3)=NOC_6H_4(NO_2)_3$ 2,4,6 (I), в N-тринитрофенилацетарилиды $RC_6H_4N(COCH_3)C_6H_4$



$(NO_2)_3$ 2,4,6 (II) в 1,4-дихлорбутане. Для I ниже приведены R, т. пл. в °C, $10^6 k$ в сек⁻¹ (экстраполировано на 70°), $t_{акт.}$ в ккал, lg A), т. пл. соответствующих II в °C: R, 111—112, 82,8, 25,3, 12,0, 198—199; n-CH₃, 105—106, 758, 24,4, 12,5, 171,5—172; m-CH₃, 112, 24, 25,0, 12,4, 169; o-CH₃, 83, 35500, 22,2, 12,5, 198; n-CH₃O, 93—94, 13270, 22,1, 12,2, 201; m-CH₃O, 114—115, 113, 24, 12,8, 161; o-CH₃O, 84, 68500, 21,2, 12,3, 171; n-Cl, 131,5, 132,5, 12,5, 28,7, 13,4, 193,5—194,5; m-Cl, 124—122, 25, 27,5, 11,9, 205—206; o-Cl, 132, 79,5, 28,4, 12,7, 177—178; n-F, 123—124, 32,8, 28,8, 13,9, 171; n-Br, 129—130, 11,2, 28,4, 13,1, 146,5—147,5; n-J, 133—134, 17,8, 26,3, 12,0, 151—152; n-C₆H₅, 110, 347, 24,8, 12,3, 236; n-COOC₂H₅, 142, 2,27, 29,9, 13,4, 197; n-NO₂, 162,5—163, 0,02, —, —; o-NO₂, 143, 0,17, —, —, —. Для пара- и мета-заместителей в общем соблюдается ур-ние Хамметта: $\rho = -4,1$. Полученные результаты и данные предыдущей работы (РЖХим, 1957, 22775) согласуются с тем, что миграция арила протекает на стадии, определяющей скорость через образование промежуточного катиона А. Характер влияния заместителей указывает, что эта перегруппировка является p-дией электрофильного замещения в кольце. Г. Валуева

21330. Подтверждение внутримолекулярной природы реакции Гофмана с помощью двойной метки. Проссер, Илия (Confirmation of the intramolecular nature of the Hofmann «haloamide» reaction by double labeling. Prosser Thomas J., Eliel Ernest L., J. Amer. Chem. Soc., 1957, 79, № 10, 2544—2548 (англ.))

Для подтверждения стереохимич. данных о внутримолекулярности перегруппировки Гофмана исследован изотопный состав анилина, полученного из смеси равных кол-в m-D-C₆H₄CONH₂ (I) (содержание D 43,55 ат.%) и C₆H₅CONH₂ (II) (содержание N¹⁵ в аминогруппе = 33,4 ат.%) при действии на них NaOH по методике, описанной ранее (Fones, White, Arch. Biochem., 1948, 20, 118). Изотопный анализ продуктов p-ции производился масс-спектрометрически (точность метода ~4%). Отсутствие в продуктах p-ции анилина, содержащего одновременно N¹⁵ и D, свидетельствует, по мнению авторов, о том, что p-ция по крайней мере на 96% внутримолекулярна (точность метода ~4%). I синтезирован по схеме m-D-C₆H₄CH₃ → m-D-C₆H₄COOH → m-D-C₆H₄CONH₂; II получен действием N¹⁵ на C₆H₅COCl. Н. Высоцкая

21331. Перегруппировка α,β-непредельных спиртов, насыщенных альдегидов и кетонов. Часть II. Течение перегруппировки. Грин, Хиккинботтом (The rearrangement of α,β-unsaturated alcohols to saturated aldehydes and ketones. Part II. The course of the rearrangement. Green M. B., Hickinbottom W. J., J. Chem. Soc., 1957, July, 3270—3274 (англ.)) В продолжение работы (см. часть I, РЖХим, 1958, 11172) определены константы скорости (k) превращения $CH_2=C(R)CH_2OH$ (I) и $\cdot CH_2C(R)OH \rightarrow CH_2OH$

(II), в случае $R = CH_3$, Ia и IIa, в $iso-C_3H_7CHO$ в присутствии H_2SO_4 в водно-диоксановом р-ре при $90 \pm 0,1^\circ$. Перегруппировка как Ia, так и IIa является р-цией первого порядка. Найдено, что k не зависит от исходной концентрации I и II в пределах $0,02-0,15$ моля/л. Измеренные значения k для р-ров Ia, IIa, $CH_2=CHCH_2CHCH_3$ и $HOC(CH_3)_2CH(CH_3)OH$ при конц-ях H_2SO_4 от 0,5 до 10%. k пропорциональны кислотной функции H_0 Хамметта. Приведены значения k для I и II ($0,05$ M р-р в водн. диоксане (3:1), 2%-ная H_2SO_4 , $90 \pm 0,1^\circ$). Даны R , $10^4 k$ мин.⁻¹ для I и $10^4 k$ мин.⁻¹ для II: H , 0,02, 0,02; CH_3 , 38,2, 40,8; C_2H_5 , 30,4, 34,1; C_3H_7 , 23,6, 30,6; $iso-C_3H_7$, 23,6, 27,4; C_4H_9 , 29,4, 39,1; трет- C_4H_9 , 16,4, 19,4. Сравнение k для I и II показывает одинаковое влияние замещения: заместитель в β -положении облегчает прототропное превращение, α - и γ -заместитель препятствует ему. Способность к прототропному превращению связана с величиной основности γ -С-атома. Активирующее влияние β -заместителя падает в ряду $CH_3 > C_2H_5 > iso-C_3H_7 > трет-C_4H_9$, что соответствует порядку участия этих групп в эффекте сверхсопряжения. Полученные результаты согласуются с представлением об участии в перегруппировке I и II общего промежуточного иона $CH_3C^+RCH_2OH$. К. Вадуго

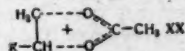
21332. Перегруппировка и расщепление кетонов в серной кислоте. Стайлс, Мейер (Rearrangement and cleavage of ketones in sulphuric acid. Stiles M., Mayer R. P.), Chemistry and Industry, 1957, № 41, 1357—1358 (англ.)

Предварительное сообщение о результатах изучения перегруппировки гексаметилацетона (I) в 3,3,4,4-тетраметилпентанон-2 (II) в смесях H_2SO_4 -вода. Построена кривая зависимости логарифма константы скорости 1-го порядка от конц-и H_2SO_4 , общая форма которой позволяет предположить такой механизм р-ции, в котором переходное состояние очень напоминает сопряженную к-ту кетона. Отсутствие параллелизма при низких кислотностях между полученной кривой и функцией кислотности Хамметта (H_0) авторы приписывают тому, что отношение коэф. активности основания и сопряженной к-ты для I меняется иным образом, чем в случае индикаторного основания, использованного для определения шкалы H_0 . Авторы считают, что перегруппировка, по-видимому, включает ступенчатый обмен метильной и третично-бутильной группы у соседних углеродных атомов. Р. Кудрявцев

21333. Перегруппировки при окислении тетраацетатом свинца. Криге, Димрот, Нолл, Зимон, Вейс (Umlagerungen bei Oxydationen mit Bleitetraacetat. Criegee Rudolf, Dimroth Peter, Noll Klaus, Simon Renate, Weiss Claus), Chem. Ber., 1957, 90, № 6, 1070—1081 (нем.)

Исследовано взаимодействие $Pb(CH_3COO)_4$ (I) с ацилацетатом (II), диоксеном (III) и n -метоксистерном (IV). При действии I на II получается 1-этоксистерм (V). I и III образуют 2,3-диацетоксистерм (VI), идентичный с в-вом, полученным из 2,3-дихлордиоксана и CH_3COOK . При действии на III CH_3COOH получается 2-оксис-3-ацетоксистерм (VII), который при ацетилировании превращается в VI. При действии HBr на VI образуется 2,3-дибромдиоксан (VIII). Авторы предполагают, что ацетоксигруппы в VI занимают диэкваториальное *транс*-положение. При взаимодействии I и IV в CH_3COOH или в C_6H_6 образуются вместо нормального продукта окисления диацетат n -метоксифенилацетальдегида (IX — альдегид). Если проводить р-цию между I и IV в CH_3OH , то образуется смесь диметилацетата IX и метилацетальдегида IX. При окислении IV $Pb(OCOC_2H_5)_4$ получается дибензоат IX. Аналогично o -метоксистерм (X) окисляется I в диацетат o -метоксифенилацетальдегида (XI). Расположение двух $OCOC_2H_5$ -групп в диацетате

IX при одном С-атоме подтверждается сравнением с диацетатом n -метоксифенилгликоля (XII), полученного действием $Pb(OCOC_2H_5)_4$ на n -метоксифенил- α,β -дибромэтан (XIII). С целью выяснения механизма р-ции синтезирован енолацетат IX (XIV). Показано, что XIV не реагирует с CH_3COOH в условиях р-ции I и IV. С той же целью исследовано окисление I, α -метил- n -метоксистерола (XV) и 1,1-бис- $(n$ -метоксифенил)-этилена (XVI). При взаимодействии I с XV, наряду с диацетатом n -метокси- α -метилстирилгликоля (XVII), образуется n -метоксифенилацетон (XVIII). I и XVI образуют дезоксианизонин (XIX). Образование XVII и XIX доказывает, что α -CH-группа исходного олефина в ходе р-ции мигрирует в β -положение, превращаясь в $-CH(OAc)_2$ -группу. Аналогичная перегруппировка должна происходить и при р-ции I с IV. Механизм, предполагающий атаку олефина в β -положении OAc^+ катионом с последующей миграцией OAc -остатка в α -положение через промежуточный циклич. катион (XX), исключается, так как при действии CH_3COOAg на изомерные n -метокси- $(\alpha$ -бром- β -ацетоксиэтил)-бензол (XXI) и n -метокси- $(\alpha$ -ацетокси-



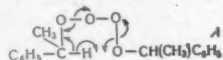
β -бромэтил)-бензол (XXII) образуется лишь XII. Авторы считают, что механизм р-ции заключается в электрофильной атаке $Pb(OAc)_3^+$ -катиона с последующим расщеплением продукта присоединения на карбонийный ион и $Pb(OAc)_2$ -анион, перегруппировке β -OAc-группы в α -положение и присоединении ацетаниона к α -С-атому образовавшегося карбониевого иона. 20 г II окисляли 95 г I в 150 мл CH_3COOH при т-ре не выше 30° . Получали V, выход 70%, т. кип. $103-105^\circ/12$ мм, $n_D^{25} 1,4133$. При проведении р-ции в абс. C_6H_6 выход V 89%, 0,38 г V встряхивали 1 час с 0,25 г хлоргидрата семикарбазида в 3 мл воды. Добавляли 0,25 г CH_3COONa и получали 0,21 г семикарбаза ацетоксигликоляльдегида (XXIII — альдегид), т. пл. 170° (разл.; из воды), n -нитрофенилгидразон XXIII, т. пл. 144° (из CH_3OH). 9,3 г III окисляли 55 г 85%-ного I в CH_3COOH . Выход VI 74%, т. пл. $104-105^\circ$ (из воды). К 52 г 41,8%-ной CH_3COOH в CH_3COOH прибавляли 6,5 г III, выдерживали 20 мин. при 40° . Получали VII, выход 58%, т. кип. $108^\circ/0,2$ мм; n -нитробензоат VII, т. пл. 121° (из CH_3OH). 4 г VI и несколько капель CH_3COOH смешивали при -80° в автоклаве с 20 г жидкой безводн. HBr. Смесь выдерживали 2 часа при 20° , испаряли и обрабатывали эфиром. Выход VIII 62%, т. пл. 62° . 15 г IV окисляли 52 г I аналогично II. Выход диацетата IX 94%, т. пл. 52° (из петр. эф.). При проведении р-ции в C_6H_6 выход диацетата IX 70%; семикарбазон IX, т. пл. $168-169^\circ$ (из бzl.). При кипячении 7,5 г диацетата IX с 0,5 г CH_3COONa в 30 мл CH_3OH получали IX, выход 42%, т. кип. $76^\circ/2$ мм. 10 г IV окисляли 43 г I в р-ре 150 мл абс. CH_3OH при охлаждении. Кристаллизацией продукта р-ции из петр. эфира получали метилацетальдегид IX, выход 57%, т. пл. 63° . Из фильтрата получали диметилацеталь IX, выход 22%, т. кип. $114-114,5/1,2$ мм, $n_D^{25} 1,5062$. Смесь 5 г IV, 26 г $Pb(OCOC_2H_5)_4$ и 50 мл абс. C_6H_6 кипятили 2 часа, фильтровали, удаляли р-ритель и остаток обрабатывали CH_3OH . Получали дибензоат IX, выход 61%, т. пл. 83° (из петр. эф.). 5 г X окисляли I аналогично II. Выход XI 64%, т. пл. 64° ; семикарбазон XI, т. пл. 159° . Смесь 20 г $Pb(OCOC_2H_5)_4$, 100 мл CH_3COOH и 10 г XIII нагревали 12 час. при 140° . Получали XII, выход 72%, т. пл. $41,5^\circ$ (из петр. эф.), т. кип. $127^\circ/0,3$ мм. Омыление 5 г XII смесью 50 мл CH_3OH , 5 г KOH и 5 мл воды дало с выходом 64% n -метоксифенилгликоль, т. пл.

80,5° (из C_6H_6). 10 г XV окисляли I, как обычно. Перегонкой выделяли XVIII, выход 48%, т. кип. 82—82,5°/0,8 мм, n_D^{20} 1,5259, семикарбазон XVIII, т. пл. 174°, и XVII, выход 19%, т. кип. 118—119°/0,8 мм. 2,5 г XVI окисляли 4,3 г I в 50 мл CH_3COOH (2 часа, 60°). Получали XIX, т. пл. 110—111°. 4 г XII смешивали с 20 мл 17%-ного р-ра HBr -газа в CH_3COOH , выдерживали 20 мин. и удаляли р-ритель в вакууме. Перегонкой выделяли ~3 г XXI (нестоек). К 28 г безводн. CH_3COONa в 200 мл CH_3COOH добавляли 50 г XIII. Смесь размешивали 1 час при 90°, разбавляли водой и извлекали эфиром. Перегонкой при 60° (в бане) и 0,004 мм получали XXII. При нагревании XXII при 160° и 10 мм и затем перегонке при 3 мм образуется n -метокси- ω -бромстирол, выход 41%, т. пл. 51°. Р-р 5,2 г XXI в 50 мл CH_3COOH прибавляли по каплям при 100° к р-ру 3,5 г CH_3COOAg в 150 мл CH_3COOH . Смесь выдерживали 3 часа при 100°, отгоняли CH_3COOH , обрабатывали водой и извлекали C_6H_6 . Получали XII, выход 79%. Аналогично из XXII и CH_3COOAg (12 час., 140°) получали XII с выходом 80%.

В. Антонов
21334. Ориентация в алифатическом замещении. IX.

Дейтерийный изотопный эффект в окислении алкилароматических углеводородов. Механизм взаимодействия перекисных радикалов. Расселл (Directive effects in aliphatic substitutions. IX. Deuterium — isotope effects in the autoxidation of alkyl hydrocarbons. Mechanism of the interaction of peroxy radicals. Russell Glen A.), J. Amer. Chem. Soc., 1957, 79, № 14, 3871—3877 (англ.)

Используя распад α,α' -азодизобутиронитрила в качестве р-ции зарождения радикалов, на основании определения скорости поглощения O_2 и содержания перекиси в продуктах при окислении кумола (I), α,β -кумола (II), этилбензола и α,β -этилбензола (III) O_2 при 60° определены: изотопный эффект ($k_H:k_D$) р-ции перекисных радикалов $ROO\cdot$ с I и II, равный



5,5 (возможно в пределах 4,5—7,2); изотопный эффект образования нерадикальных продуктов по р-ции $2C_6H_5-CD(CH_3)COO\cdot \rightarrow C_6H_5COCH_3 + C_6H_5CD(OD)-CH_3 + O_2$, равный 1,9. Рекомбинация перекисных радикалов происходит с образованием циклич. переходного состояния типа A. Анализируется зависимость изотопного эффекта в р-циях атомов и радикалов с $C-H(D)$ -связями в зависимости от реакционной способности радикалов и прочности разрываемой связи. III получен р-цией α -фенилхлорида с $LiAlD_4$. Этил-(d_4)-бензол получен дейтерированием фенилацетилена над PtO_2 , выход 41,5%. II синтезирован действием DCI на металлорганич. соединение, образовавшееся при действии K, Na-сплава на α,α -диметилбензилметилэфир.

В. Антоновский
21335. Радикальный и ионный механизм алкилирования ароматического ядра. V. Бензилирование нафталина. Цукерваниц И. П., Семешко Г. С., Ж. общ. химии, 1957, 27, № 5, 1143—1146

Изучена конденсация хлористого бензила с нафталином в различных условиях. При проведении р-ции в присутствии $AlCl_3$ образуется только β -бензилнафталин. В тех же случаях, когда возможен неионный механизм р-ции (термич. бензилирование при 180—220°, бензилирование в присутствии Sn или $ZnCl_2$ при 80—90°), преимущественно образуется α -бензилнафталин (выход соответственно 14, 60 и 49%). Сообщение IV см. РЖХим, 1958, 17780.

М. Вольпин
21336. Химия n -ксилиленов. I. Получение растворов псевдобирадикалов. Эрред, Ландрум (The

chemistry of p -xylylene. I. The preparation of solutions of pseudodiradicals. Errede L. A., Landrum B. F.), J. Amer. Chem. Soc., 1957, 79, № 18, 4952—4955 (англ.)

Показано, что при пиролизе (1000°, 4 мм, в струе) n -ксилола, 2-хлор- n -ксилола и 2-метил- n -ксилола с последующим немедленным замораживанием продуктов в гексане при -78° образуются р-ры сравнительно устойчивых псевдобирадикалов (по-видимому, хиводного строения), которые с йодом образуют дийодиды n -ксилилена [т. пл. 176—177° (из сп.)], 2-хлор- n -ксилилена [т. пл. 146,5—147,0] и 2-метилксилилена [т. пл. 152,0—154,5° (разл.)]. При нагревании р-ра до $\sim 20^\circ$ образуются поли- n -ксилилены. Добавка ингибиторов не повышает стабильности р-ров n -ксилиленов.

В. Антоновский
21337. Актуальные проблемы номенклатуры органических соединений. Терентьев А. П., Потопов В. М. (Aktuelle Probleme der organischen Nomenklatur. Terentjew Alexander P., Potapow Viktor M.), Chem. Technik, 1957, 9, № 11, 667—672 (нем.)

Критически рассмотрены Женевская и Льежская номенклатуры органич. соединений и изложены основные принципы «систематической номенклатуры» (см. РЖХим, 1957, 54326).

См. также: Строение органич. соед. 20351, 20361, 20379, 20395, 20415, 20422, 20462, 20643. Реакционная способность 20355, 20750—20753, 20874. Механизмы и кинетика р-ций. см. раздел Кинетика и рефераты 20892, 20909

СИНТЕТИЧЕСКАЯ ОРГАНИЧЕСКАЯ ХИМИЯ

Редакторы М. А. Атабекова, Н. С. Вульфсон, Б. М. Дубинин, В. А. Загоревский, Я. Ф. Комиссаров, Г. Я. Кондратьева, Л. А. Хейфиц

21338. Исследование алкиндиолов. 1. Синтез 2,5-диметилгексин-3-диола-2,5 из карбида кальция. Табата, Киносита (アルキンジオール類の研究. 第1報. カルシウムカーバイドより, 2,5-ジメチルヘキシン-3-ジオール-2,5の合成. 玉手英四郎, 木下正一), 工業化学雑誌, Koré karaku dzassin, J. Chem. Soc. Japan. Industr. Chem. Sec. 1957, 60, № 6, 729—730 (японск.)

Изучена р-ция ацетиленирования ацетона (I) с 2,5-диметилгексин-3-диола-2,5 (II) с помощью CaC_2 в присутствии KOH. Определено влияние на выход II чистоты CaC_2 (размер частиц 24 меш), мол. отношения CaC_2 :KOH и I: CaC_2 , т-ры, времени р-ции и р-рителей (C_6H_6 и диметилформамид). Максим. выход II 81%. II получен при ведении р-ции в C_6H_6 , использовании 73%-ного CaC_2 , мол. соотношениях CaC_2 :KOH: I 1:2,3:3,4 при 21° за 40 час.

Л. Яновская
21339. О спиртах с α -ацетиленовыми и δ -этиленовыми связями. Колонж, Фалькотте (Sur les alcools α -acétyléniques δ -éthyléniques. Colonge Jean, Falcotet Robert), Bull. Soc. Chim. France, 1957, № 10, 1166—1169 (франц.)

Описано получение спиртов общей ф-лы $RR'C(OH)-C\equiv CCH_2CR''=CHR'''$ (I) действием галогидных соединений аллильного типа (ГА) на Sn -производные α -ацетиленовых спиртов и расщепление I с образованием аллилацетиленовых углеводородов. К р-ру 130 г NH_4Cl и 35 г $SnCl_2$ в атмосфере N_2 прибавляют 0,33 моля ацетиленового спирта, нейтрализуют 30 мл р-ра NH_4OH , прибавляют 0,36 моля ГА, нагревают до 40° (если т-ра не поднимается самопроизвольно) и перемешивают до обесцвечивания (рН 1—2), из эфирного экстракта выделяют I перегонкой или с водяным па-

ром. Получены спирты [здесь и далее приведены спирт (исходные в-ва), выход в %, т. кип. в °C/мм, $n_D^{(t)}$, $d_4^{(t)}$ (°), т. пл. фенилуретана (из петр. эф.): гексен-5-ин-2-ол-1 (пропаргильный спирт (II) и $\text{CH}_2=\text{CHCH}_2\text{Br}$), 13, 74/13, 1,4820 (22), 0,980 (24), 63 (гидрирование над свалетным Ni дает гексанол-1); 5-метилгексен-5-ин-2-ол-1 (II и $\text{CH}_2=\text{C}(\text{CH}_3)\text{CH}_2\text{Cl}$ (III)): 13,85/14, 1,4770 (20), 0,927 (21), 70; 6-фенилгексен-5-ин-2-ол-1 (II и $\text{C}_6\text{H}_5\text{CH}=\text{CHCH}_2\text{Br}$ (IV)), в конце р-ции нагревают (3 часа, 40°), подкисляют до pH 1), 8, 143/3, 1,5873 (23), 1,061 (23), 80; 2-метилгептен-6-ин-3-ол-2 (V) [(CH₃)₂C(OH)C≡CH (VI) и $\text{CH}_2=\text{CHCH}_2\text{Cl}$ (или Br)], 53, 71/16, 1,4631 (15), 0,890 (18) (гидрирование дает 2-метилгептанол-2) —; 2,6-диметилгептен-6-ин-3-ол-2 (VII) (VI и III), 50, 75/12, 1,4640 (20), 0,886 (21), —; 2-метил-7-фенилгептен-6-ин-3-ол-2 (VIII) (VI и IV), 45, 124/2, 1,5568 (21), 1,002 (21), —; (гидрирование дает 2-метил-7-фенилгептанол-2, т. кип. 122°/3,5 мм, n_D^{22} 1,5010, d_4^{22} 0,938). К р-ру 130 г NH_4Cl и 35 г Cu_2Cl_2 в 450 мл воды (в атмосфере N_2) прибавляют 28 г VI, 30 мл р-ра NH_4OH и 70 г 2,3-дибромпропена-1, перемешивают 36 час., из органич. слоя выделяют 2-метил-6-бромгептен-6-ин-3-ол-2, выход 50%, т. кип. 110°/18 мм, n_D^{24} 1,5003, d_4^{24} 1,319. Аналогично получают 2-метил-8-хлороптен-6-ин-3-ол-2 (1,4-дихлорбутен-2 и Cu-производное VI), 28, 103/17, 1,4792 (22), 1,018 (22), и немного 2,4-диметилдодекадиен-3,9-ен-6-диола-2,11 (из фракции с т. кип. 125—130°/13 мм), т. пл. 88° (из эф.); 3-этилпентен-7-ин-4-ол-3 (Cu-производное (C_2H_5)₂C(OH)C≡CH и $\text{CH}_2=\text{CHCH}_2\text{Cl}$), 30, 87/14, 1,4650 (21), 0,889 (21); диацилиновый спирт 2-метилгептадин-3,6-ол-2 (Cu-производное VI и $\text{HC}\equiv\text{CCH}_2\text{Br}$), 32, 88/18, 1,4900 (22), 0,942 (22); аллилацетилен (V и $\text{C}_6\text{H}_5\text{ONa}$), 43, 43/760, —, 0,746 (8); 4-метилпентен-4-ин-1 (из VII), 50, 76—77/50, 1,4550 (21), 0,763 (21). Подобное расщепление VII привело лишь к продуктам осмоления. В. Р.

21340. Действие анионообменников в реакции цианэтилирования. Масталли, Ламбер, Франсуа (Action des échangeurs d'anions dans la réaction de cyanoéthylation. Mastagli P., Lambert P., M-lle, François G.), Bull. Soc. chim. France, 1957, № 10, 1108—1110 (франц.)

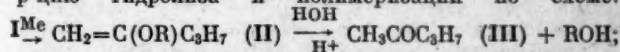
Описаны р-ции цианэтилирования в присутствии анионообменной смолы амберлит-410 (СА). К нагреваемому (100°, 4—9 час.) в присутствии СА р-ру реагента в *трет*- $\text{C}_4\text{H}_9\text{OH}$ или диоксане прибавляют $\text{CH}_2=\text{CHCN}$ в том же р-рителе. Приведены исходное в-во, кол-во в г, кол-во $\text{CH}_2=\text{CHCN}$, СА в г, продукт р-ции, его выход в %, т. кип. в °C/мм, n_D (т-ра в °C): $n\text{-C}_4\text{H}_9\text{OH}$, 45, 32/20, $n\text{-C}_4\text{H}_9\text{OCH}_2\text{CH}_2\text{CN}$, 33, 110/25, 1,415 (20); *изо*- $\text{C}_3\text{H}_7\text{OH}$, 30, 26, 21, *изо*- $\text{C}_3\text{H}_7\text{OCH}_2\text{CH}_2\text{CN}$, 26, 76—80/25, 1,408 (19); $\text{C}_6\text{H}_5\text{CH}_2\text{OH}$, 54, 25, 20, $\text{C}_6\text{H}_5\text{CH}_2\text{OCH}_2\text{CH}_2\text{CN}$, 41, 158/15, 1,513 (18); $\text{C}_6\text{H}_5\text{OH}$, 20, 11, 20, $\text{C}_6\text{H}_5\text{OCH}_2\text{CH}_2\text{CN}$, —, 110—130/5, т. пл. 60°, —; $\text{C}_6\text{H}_5\text{COCH}_3$, 40, 39, 20, $\text{C}_6\text{H}_5\text{COC}(\text{CH}_2\text{CH}_2\text{CN})_2$, —, т. пл. 126° (из целлозольва), —; циклогексанон, 29, 63, 30, 2,2,6,6-тетра-(β-цианэтил)-циклогексанон, —, т. пл. 164°, —; 2-этилбутаналь, 25, 15, 20, 2-(β-цианэтил)-2-этилбутаналь, —, 135/15, 1,446 (19); 2-этилгексаналь, 38, 17, 20, 2-(β-цианэтил)-2-этилгексаналь, —, 140—142/5, 1,455 (19); $\text{CH}_2(\text{COOC}_2\text{H}_5)_2$, 25, 8, 20, $\text{C}(\text{CH}_2\text{CH}_2\text{CN})_2(\text{COOC}_2\text{H}_5)_2$, —, 230—235/15, т. пл. 60°, —; CH_3NO_2 , 20, 53, 20, $\text{O}_2\text{NC}(\text{CH}_2\text{CH}_2\text{CN})_2$, —, т. пл. 114° (из сп.), —; HCONH_2 , 15, 36, 20, $\text{HCON}(\text{CH}_2\text{CH}_2\text{CN})_2$, —, 118—122/20, 1,449 (18).

В. Руденко
21341. Синтез хлорметилалкиловых эфиров хлорметилированием алифатических спиртов. Симамура, Ямасита (脂肪族アルコールのクロルメチル化によるクロルメチルアルキルエーテルの合成. 島村恒夫, 山下雄也), 工業化学雑誌, Korō kaigaku dzasshi, J. Chem. Soc. Japan. Industr. Chem. Sec., 1957, 60, № 5, 575—577 (японск.)

Пропусканием (10 час.) сухого HCl через смесь первичного одноатомного или двухатомного спирта с формалином или параформом (1:1 для одноатомных, 1:2 для двухатомных спиртов при 9—12° или 0° для двухатомных спиртов) получены хлорметилловые эфиры ROCH_2Cl (приведены R, выход в %, т. кип. в °C/мм, $n_D^{(t)}$): CH_3 , 82, 55—60, 1, 4110; изопропил, 83, 90—110, —; $n\text{-C}_4\text{H}_9$, 78,3, 130—137, 1,4320; $n\text{-C}_8\text{H}_{17}$, 76,5, 75—85/6, 1,4508; $n\text{-C}_{16}\text{H}_{33}$, 81, 180—195/5, твердый; ClCH_2CH_2 , 59, 46/10, —; $\text{ClCH}_2\text{OCH}_2\text{CH}_2$, 59,1, 82—87/8—10, —; при повышении т-ры р-ции (10—95°) выходы снижаются за счет образования формалей по р-ции: $\text{ROCH}_2\text{Cl} + \text{RON} \rightarrow \text{ROCH}_2\text{OR} + \text{HCl}$. Формали получены также нагреванием ROCH_2Cl с RON выше 100°: р-цией ROCH_2Cl с алкоголями и разложением $[\text{ROCH}_2\text{NC}_6\text{H}_5]\text{Cl}$ при нагревании в спирте. Получены формали $\text{ROCH}_2\text{OR}'$ (даны R, R', выход в %, т. кип. °C/мм, $n_D^{(t)}$): $n\text{-C}_4\text{H}_9$, $n\text{-C}_8\text{H}_{17}$, 83, 170—181, 1,4200; $n\text{-C}_8\text{H}_{17}$, 82, 125—134/5, 1,4821; $(\text{CH}_3)_2\text{CH}(\text{CH}_2)_2$, $n\text{-C}_4\text{H}_9$, 78,5, 180—193, 1,4271; $\text{C}_6\text{H}_5\text{OCH}_2\text{OCH}_2\text{CH}_2$, $n\text{-C}_4\text{H}_9$, 78,2, 55—63/8—9, 1,4189 (при 15°). Изучена кинетика разложения ROCH_2Cl под влиянием 2%-ного спирт. р-ра KOH , скорость разложения с удлинением цепи падает. Л. Яновская

21342. Превращение β-хлорэфилов в присутствии металлов. Исагулянц В. И., Максимова И. С., Докл. АН СССР, 1957, 114, № 1, 102—105

Изучены превращения $\text{ClCH}_2\text{CH}(\text{OR})\text{C}_3\text{H}_7$ (I) в присутствии металлов (Me) (Na , Cu , Al , Mg). Ме способствует каталитич. отщеплению HCl от I; далее HCl с Me дает хлориды, которые катализируют вторичную р-цию гидролиза и полимеризации по схеме:



$\text{II} \rightarrow [\text{CH}_2=\text{C}(\text{OR})\text{C}_3\text{H}_7]_n$. I ($\text{R} = \text{CH}_3$ и C_4H_9) не реагируют с Na на холоду, а только при нагревании до 60—70°; конверсия I 55—60%, 43,6 г I ($\text{R} = \text{CH}_3$, т. кип. 140—143°, n_D^{20} 1,4290, d_4^{20} 0,9720) с 9 г Na дают 12 г $\text{C}_3\text{H}_7\text{CH}=\text{CH}_2$ (IV) и CH_3ONa . I с Cu не реагирует при кипении (3 часа), однако при 170—300° и давл. 10—40 ата образуются II, III и продукты полимеризации II (мол. в. 400—470); конверсия I 86—96%. В присутствии Al (180—280°, 10—25 ата) р-ция идет аналогично, но с увеличением выхода полимерных продуктов; конверсия I 75—91%. При р-ции I ($\text{R} = \text{CH}_3$) в присутствии Mg (180—280°, 10—30 ат) выделены III и II ($\text{R} = \text{CH}_3$), т. кип. 85—86°, n_D^{20} 1,4020, d_4^{20} 0,8043. Е. Цветков

21343. Исследования в области несимметричных органических α-оксидов. XIV. Превращения моноокси пиперилена. Пономарев Ф. Г., Харенко О. Г., Шавкова М. Ф., Ж. общ. химии, 1957, 27, № 5, 1226—1231

Взаимодействием пиперилена (I) с монохлормочевойной (II) получена смесь 3-хлорпентен-1-ола-4 (III), 1-хлорпентен-3-ола-2 (IV) и 1-хлорпентен-2-ола-4 (V). Строение III и IV доказано превращением в соответствующие оксиды: 2,3-эпоксипентен-4 (VI) и 1,2-эпоксипентен-3 (VII). Изучены превращения VI. 136 г I, промытого 2%-ным р-ром FeSO_4 , вбалтывают 3 часа с 0,8 л 11%-ного р-ра II, органич. слой после отгонки I промывают водой, водн. слой насыщают NaCl , экстрагируют эфиром, при разгонке получено 5% смеси III, IV и V (приведены т. кип. в °C/10 мм, n_D^{20} , d_4^{20}): III, 40—41, 1,4510, 1,0520; IV, 46—48, 1,4580, 1,0594; V, 80—83, 1,4731, 1,2050. V очистить не удалось. Смесь III, IV и V (132 г) медленно по каплям прибавляют к 4-кратному избытку 60%-ной NaOH , нагретой до 100°, выделено 61,5% смеси VI и VII, мол. соотношение 3:1 (даны т. кип. в °C, n_D^{20} , d_4^{20}): VI, 78—81, 1,4135, 0,8407; VII, 102—104, 1,4330, 0,8881. При

попытке получить 2-метил- α -3,4-дигидрофуран действием конц. КОН на V выделено в-во неустановленного строения, т. кип. 126–128°, n_D^{20} 1,4275, d_4^{20} 0,9564. Из 10 г VI и 4 г 40%-ной активной Al_2O_3 при 350° в условиях, описанных ранее (РЖХим, 1955, 23625), получено 75% пентен-1-ола-4; семикарбазон, т. пл. 225°. Смесь 8,4 г VI и 36 мл 1%-ной H_2SO_4 нагревают в запаянной трубке (3 часа, 100°), эфиром извлекают 2 г пентен-4-диола-2,3 (VIII), выход 16%, т. кип. 78–79°/10 мм (?), n_D^{20} 1,4500, d_4^{20} 0,9931. К смеси 29 г ацетона и 0,19 г эфира BF_3 прибавляют при –8° 8,4 г VI, после выдержки (2 часа, 0° и 12 час., 20°) смесь промывают 20 мл насыщ. р-ра K_2CO_3 , после перегонки выход 2,25-триметил-4-винилдиоксолана (IX) 17%, т. кип. 128–130°, n_D^{20} 1,4115, d_4^{20} 0,8927. 4 г IX и 5 мл 5%-ной H_2SO_4 взбалтывают 30 мин., из смеси отгоняют ацетон, эфиром извлекают VIII, т. кип. 85–87°/10 мм (?), n_D^{20} 1,4449, d_4^{20} 0,9911. К смеси 19 г безводн. CH_3OH и 0,08 г эфира BF_3 при –8° прибавляют 7,5 г VI, через 2 часа (–8°) CH_3OH отгоняют, выход 3-метоксипентен-1-ола-4 32,6%, т. кип. 52–54°/15 мм, n_D^{20} 1,4234, d_4^{20} 0,9241. Смесь 8,4 г VI, 20,4 г $(C_2H_5)_2NH$ и 45 мл воды нагревают 9 час. при 100°, водн. слой насыщают КОН, из органич. слоя разгонкой выделяют 21,5% 3-диэтиламинопентен-1-ола-4, т. кип. 66–67°/10 мм, n_D^{20} 1,4440, d_4^{20} 0,8712. Предыдущее сообщение см. РЖХим, 1957, 7939, 54287. Е. Цветков

21344. Изомеризация α -оксальдегидов. XIV. Синтез производных глициринового альдегида. Данилов С. Н., Иващенко В. И., Ж. общ. химии, 1957, 27, № 8, 2093–2096

Акролен (I) и $(CH_3CO)_2O$ (1:1) нагревают 6–7 час. при $\sim 100^\circ$ в присутствии $CuCl$ (3% от веса I), перегоняют в вакууме, получают $CH_2=CHCH(OCOSCH_3)_2$ (II), т. кип. 72–74°/12 мм, n_D^{20} 1,4215, d_4^{20} 1,0720. Через смесь 50 г II, лед. CH_3COOH (III) (мол. соотношение II:III = 1:6) и 40–50 г CH_3COONa медленно пропускают ток Cl_2 6–7 час. при 6–9°, $NaCl$ отделяют, CH_3COOH отгоняют, эфиром извлекают $(CH_3OCO)_2CHCHCH_2CH_2OCOSCH_3$ (IV), выход 40%, т. кип. 123–124°/1,5 мм, n_D^{20} 1,4420, d_4^{20} 1,2552. IV реагирует с фенилгидразином и с аммиачным р-ром Ag . Из IV, солянокислого фенилгидразина и CH_3COONa (1:2:3) (5–10 мин., $\sim 100^\circ$) после выливания в лед. воду получен фенилоазон ацетилглициринового альдегида (V — альдегид), т. пл. 82°. Из IV и 2,4-динитрофенилгидразина (VI) получен 2,4-динитрофенилоазон V, т. пл. 278°. Смесь I с 6–8-кратным кол-вом CH_3OH , 1% гидрохинона и избытком $CaCO_3$ обрабатывают хлором, гидролизуют 5%-ной H_2SO_4 (50–60°, 3–5 час.), нейтрализуют Na_2CO_3 , извлекают эфиром, при разгонке (5–10°), добавляя $CaCO_3$, продукт отгоняют с паром, в токе CO_2 выделяют $CH_3OCH_2CHNCISCHO$ (VII), выход 25%, т. кип. 83,5–84°/18 мм, n_D^{20} 1,4420, d_4^{20} 1,1851. Из VI и VII получен 2,4-динитрофенилоазон 3-метоксиглициринового альдегида, т. пл. 282°. Сообщение XIII см. РЖХим, 1955, 92250. И. Цветкова

21345. Синтез метилгептенона и метилгептадиенона. Назаров И. Н., Яновская Л. А., Гусев Б. П., Юфит С. С., Гунар В. И., Смит В. А., Докл. АН СССР, 1957, 114, № 2, 331–334

Описаны 3 метода синтеза метилгептенона (I) и синтез метилгептадиенона (II) — важных исходных продуктов для получения природных душистых в-в изопреноидного типа. Метод А. В 200 г диметилвинилкарбинола (III) пропускают HBr -газ (избыток HBr 3%, 0°, 3 часа), через 2 часа (20°) выделяют 323 г пренилбромид, который прибавляют за 1 час к натракетоксусному эфиру (IV) (из 55 г Na , 380 г этилацетата и 650 мл спирта), смесь перемешивают 5 час. при 5–20°, затем через 16 час. (20°) нагревают

4 часа при 60°, $NaBr$ отделяют, спирт отгоняют, прибавляют 1,1 л 10%-ного $NaOH$ и через 3 часа (60–65°) подкисляют HCl , эфиром извлекают I, выход 75%, т. кип. 75,5–76°/25 мм, n_D^{20} 1,4404; семикарбазон (CK), т. пл. 135,5–136°; 2,4-динитрофенилгидразон, т. пл. 85,5–86° (из водн. сп.). Аналогично из III, HCl -газа и IV получен I, выход 60%. Метод Б. К 25 мл вазелинового масла за 6 час. (210° в масле) прибавляют 0,5 моля III и 0,55 моля ацетоксусного эфира при 160–165°, нагревают (3 часа, 160–180°) до прекращения выделения газа, выделяют I, выход 60%, n_D^{20} 1,4404; 2,4-динитрофенилгидразон, т. пл. 85,5–86° (из водн. сп.). Метод В. К 0,2 моля III в 1 мл сухого C_6H_5N добавляют по каплям при 60° 0,25 моля 83%-ного дикетена (V), смесь нагревают (15 мин., 70°), выделяют 92% ацетоацетата III (VI), т. кип. 86–88°/10 мм, n_D^{20} 1,4410. 30 г VI нагревают в атмосфере N_2 (145–160°, 2 часа), выход I 62%. К 84 г диметилэтилкарбинола (VII) добавляют 2 мл триэтиламина и по каплям при $\leq 50^\circ$ 94 г 85%-ного V, смесь нагревают (30 мин., 60°), выделяют ацетоацетата VII (VIII) 90%, т. кип. 85–86°/10 мм, n_D^{20} 1,4400. 84 г VIII нагревают в атмосфере N_2 (2 часа, 190–200°), выход II 55%, т. кип. 77–79°/8 мм, n_D^{20} 1,5300; CK, т. пл. 175–176° (из сп.). Е. Цветков

21346. Об эфире транс-транс- α,α' -диброммуконной кислоты. Го, Гордон (Sur l'ester *trans-trans*- α,α' -dibromomucanique. Gault Henry, Gordon Ginette), C. r. Acad. sci., 1957, 245, № 11, 971–973 (франц.)

При постепенном добавлении 0,5 моля 30%-ного р-ра глиоксали к взвеси 1 моля К-производного дитиолового эфира щавелевоуксусной к-ты в 0,8 л воды и подкисления образующегося р-ра разб. HCl получается ди-(2,3-дикето-4-карботокситетрагидрофурил-5), выход 70%, т. пл. 182° (из разб. сп.), бромлирующийся в воде при большом разбавлении 1 моле Br_2 в ди-(2,3-дикето-4-карботокси-4-бромтетрагидрофурил), разлагающийся при действии 33%-ного р-ра K_2CO_3 на $(COOH)_2$ и диэтиловый эфир транс-транс- α,α' -диброммуконной к-ты, выход 42%, т. пл. 123° (из разб. сп.). Л. Шукина

21347. Об ацетонате 9,10-диоксистеариновой кислоты из эланидиной. III. Есафов В. И., Паникова М. А., Ж. общ. химии, 1957, 27, № 6, 1552–1554

Доказана возможность перехода от диоксисоединений через ацетонаты к кетосоединениям на примере термич. разложения ацетоната 9,10-диоксистеариновой к-ты (I, II — к-та) с образованием 10-кетостеариновой к-ты. Показано, что при ацетонировании II наряду с I образуются в-ва сложноефирного характера. Р-р 20 г II (т. пл. 95°) в 200 мл 1%-ного р-ра HCl в сухом ацетоне оставляют на 12 дней при 15°, получают неочищ. I, n_D^{20} 1,4605, d_4^{20} 0,9524; кислотное число (КЧ) неочищ. I 117,7; через 1 час выдержки (15°) спирт. р-ра I с избытком 0,1 н. спирт. КОН КЧ 131,5; после 2 час. кипячения с 0,1 н. спирт. КОН КЧ 153,94. Для очистки от сложноефирных примесей 20 г неочищ. I (КЧ 117,7) нагревают 4 часа при $\sim 100^\circ$ с 60 мл 20%-ного водн. КОН, из смеси отгоняют большую часть жидкости, остаток растворяют в воде и подкисляют разб. HCl , осадок экстрагируют петр. эфиром, экстракт промывают водой, охлаждают (–2°) для удаления II, после отгонки р-рителя получают I, n_D^{20} 1,4565, d_4^{20} 0,9485. I при нагревании (295–336°, 1–2 часа) дает ацетон, 10-кетостеариновую к-ту, выход 8,9–30,2%, т. пл. 70–71° (из CCl_4 и сп.), КЧ 183,83–185,03; оксим, вязкое масло. Предыдущее сообщение см. Ж. общ. химии, 1938, 8, 1563. Е. Цветков

21348. Получение ω -оксипентадекановой кислоты методом «перекрестной» электролитической кон-

денсации. I. Электроконденсация ω -ацетоксиундекановой кислоты и моноэтилового эфира адипиновой кислоты. Свядковская Г. Э., Войткевич С. А., Смольянинова Е. К., Белов В. Н., Ж. общ. химии, 1957, 27, № 8, 2146—2152

Электроконденсацией ω -ацетоксиундекановой (I) и ω -оксидекакановой (II) к-т с моноэтиловым эфиром адипиновой к-ты (III) получена ω -оксипентадекановая к-та (IV) с выходом соответственно 25—27% и 7%. Через смесь 0,41 моля I и 2,05 моля III, нейтрализованную 148,5 г K_2CO_3 в 367 мл воды, пропускали при 40—45° 226 а-ч при силе тока 16 а, плотности тока на платиновом аноде 38 а/дм², напряжении 12—14 в. Масляный слой промывали водой и перегоняли в вакууме. Фракцию 174—220°/4 мм нагревали 1 час с 400 г 10%-ного спирт. КОН, кипятили 15—20 мин. с 200 мл C_6H_6 , прибавляли 400 мл воды, подкисляли HCl и C_6H_6 , выделяли 27—28,5 г IV, т. пл. 85—85,5°, кислотное число 217,7. Через смесь 0,782 моля II и 2,342 моля III, нейтрализованную 153,4 г КОН в 467 мл воды, пропускали 285 а-ч при 45—55°, силе тока 60 а, плотности тока 17,7 а/дм², напряжении 10—12 в. Из фракции 190—220°/4 мм выделено 14,2 г IV.

K. Пузицкий
21349. Новый ряд антиконвульсивных средств: α -аминоацетамиды с разветвленной цепью. Апем, Дермер (A new series of anticonvulsant drugs: branched-chain α -aminoacetamides. Upham Sidney D., Dermer Otis C.), J. Organ. Chem., 1957, 22, № 7, 799—802 (англ.)

С целью фармакологич. испытаний синтезированы α , α -диалкил- α -фталимидоацетамиды (ФА) и α , α -диалкил- α -бензамидоацетамиды (БА). ФА и БА показали высокую активность, как антиконвульсанты, причем ФА более активны. Действием $(NH_4)_2CO_3$ + NaCN на кетоны получены следующие 5,5-дизамещ. гидантоины (Г) (Henze H. R., Holder C. B., J. Amer. Chem. Soc., 1941, 63, 1943) (перечисляются заместители, выход в %, т. пл. в °C): CH_3 , C_2H_5 , 55, 144—145; C_4H_9 , C_2H_5 , 64, 163; CH_3 , *изо*- C_4H_9 , 64, 145; CH_3 , *н*- C_5H_{11} , 54, 101; C_2H_5 , *н*- C_5H_{11} , 60, 122—123; CH_3 , C_6H_5 , 52, 194—195; C_2H_5 , C_6H_5 , 38, 198; $(CH_3)_2$, 90, 215; *изо*- C_3H_7 , *изо*- C_4H_9 , 20, 205; *изо*- C_4H_9 , *изо*- C_4H_9 , 12, 147—148. К р-ру 1,5 моля Ва(OH)₂ в 1200 мл воды добавляли 0,5 моля Г и нагревали в автоклаве при 3,3—4 ат 1,2 часа, или при 1—1,3 ат 15 час. Отфильтровывали $BaCO_3$, пропускали CO_2 до pH 7, фильтровали и удаляли воду в вакууме. Получены α , α -дизамещ. аминокислотные к-ты (АК) (приведены заместители, выход в %): CH_3 , CH_3 , 80; CH_3 , C_2H_5 , 70; C_2H_5 , C_2H_5 , 67; CH_3 , *изо*- C_4H_9 , 93; CH_3 , *н*- C_5H_{11} , 51; CH_3 , C_6H_5 , 74; C_2H_5 , C_6H_5 , 50; $(CH_3)_2$, 55; *изо*- C_3H_7 , *изо*- C_3H_7 , 0; *изо*- C_4H_9 , *изо*- C_4H_9 , 11. 5,5-дифенилгидантоин (получен ранее (Sikdar J., Chosh T. N., J. Indian Chem. Soc., 1948, 25, 109)) гидролизовали 60%-ной H_2SO_4 . 0,1 моля АК смешивали с 0,1 моля расплавленного фталевого ангидрида, быстро нагревали до 180°, выдерживали 20 мин., охлаждали до 100°, добавляли 500 мл воды и кипятили 5 мин. Синтезированы α , α -дизамещ. α -фталимидоуксусные к-ты (ФК). Из α -этил- α -фенил- α -аминоуксусной к-ты вместо ФК получен 3,6-дифенил-3,6-диэтилпиперазиндион-2,5, из α , α -дифенил- α -аминоуксусной к-ты — N-бензгидрилфталимид, т. пл. 220° (из CH_3OH -воды), а α , α -пентаметил- α -аминоуксусная к-та осталась неизменной. К 1 молю ФК в C_6H_6 добавляли 1 моль PCl_5 , кипятили 30 мин., отгоняли C_6H_6 в вакууме и добавляли диоксан, р-р выливали в конц. NH_4OH при 0°. Синтезированы следующие ФА (перечисляются заместители, выход ФК в %, т. пл. ФК в °C, из CH_3OH -воды, 1:1), т. пл. ФА в °C): CH_3 , CH_3 , 76, 152—153, 258—260; CH_3 , C_2H_5 , 54, 137—138, 208; C_2H_5 ,

C_2H_5 , 57, 163—164, 190—191; CH_3 , *изо*- C_4H_9 , 70, 133—135, 170; CH_3 , C_6H_5 , 47, 186—187, —; α , α -дизамещ. α -бензамидоуксусные к-ты (БК) синтезированы р-цией АК с C_6H_5COCl по ранее описанному методу (Steiger R. E., J. Organ. Chem., 1944, 9, 396). БА получены из БК действием PCl_5 и последующей обработкой NH_4OH (приведены заместители, выход БК в %, т. пл. БК в °C, т. пл. БА в °C): CH_3 , CH_3 , 72, 196, 199; CH_3 , C_2H_5 , 54, 204—205, 158; C_2H_5 , C_2H_5 , 72, 211, 211—212; CH_3 , *изо*- C_4H_9 , 53, 179—180, 145—148; CH_3 , *н*- C_5H_{11} , 57, 131, 125; CH_3 , C_6H_5 , 44, 145—146, 127; C_2H_5 , C_6H_5 , 85, 180—181, 99; $(CH_3)_2$, 13,5, 190—191, 187.

K. Пузицкий
21350. Синтез 2-цианобутадиена-1,3. Сообщение I. Танака, Нисимура, Мурата. Сообщение II. Танака, Мурата (2-シアノ-1,3-ブタジエンの合成. I. 田中誠, 西村恒彦, 村田二郎. II. 田中誠, 村田二郎). 工業化学雑誌, Kogei Kagaku Daasshi, J. Chem. Soc. Japan, Industr. Chem. Sec., 1957, 60, № 4, 435—436; 437—438 (японск.)

I. Изучен пиролиз 3-ацетокси-3-цианбутена-1 (I) с целью получения 2-цианобутадиена-1,3 (II). В соответствии с данными Марвела (Marvel C. S., Brace N. O., J. Amer. Chem. Soc., 1948, 70, 1775) пиролизом 100 г I в трубке (40 × 1 см) со скоростью 5 мл/сек получены II с максим. выходом 30,8% (при 550—570°) и 1-ацетокси-3-цианбутен-2 (III), выход 35%, за счет аллильной перегруппировки I. Пиролиз III не проходит при 460—475°, при 550—570° из III получен II, выход 48,8%, 55% III возвращается неизменными. I, выход 82,3%, получен ацетилированием 0,8 моля циангидрина метилвинилкетона посредством 0,8 моля $(CH_3CO)_2O$ в присутствии 1,5 г CH_3COCl (175—180°, 2 часа); II, т. кип. 34—36°/33 мм, n_D^{20} 1,4468, d_4^{20} 0,8432, легко димеризуется при нагревании (70—75°, 10 час.) в C_6H_6 , образуя 2,4-дициано-4-винилциклогексен-1, выход 88,9%, т. кип. 127—129°/3 мм, т. пл. 55—56° (из водн. сп.).

II. Изучен пиролиз 1,3-диацетокси-3-цианбутана (IV). При 440—450° образуется смесь моноацетатов, содержащая по данным ИК-спектра III и 1-ацетокси-3-цианобутен-3. Дальнейший пиролиз смеси моноацетатов проходит при т-ре от 550° и приводит к II, выход 47,4% (при 590—600°). Пиролиз IV при т-ре выше 500° наряду со смесью моноацетатов дает II, максим. выход 37,1% (при 500—520°). На основании полученных результатов авторы считают, что пиролиз IV проходит в две стадии.

J. Яновская
21351. Реакция галоидцианов с серебряными солями карбоновых кислот. Пайо, Добен, Реплога (The reaction of cyanogen halides with the silver salts of carboxylic acids. Payot Pierre H., Dauben William G., Replogle Lanny), J. Amer. Chem. Soc., 1957, 79, № 15, 4136—4140 (англ.)

Взаимодействием эквимолекулярных кол-в Ag-соли карбоновой к-ты и галоидциана получены соответствующие нитрил (Н), ангидрид (А) и к-та (К), а также $AgOCN$ и CO_2 , причем выходы зависят от примененного р-рителя. Р-цию проводили при нагревании (~100°) до прекращения выделения CO_2 . Обсуждается механизм р-ции. Получены в-ва (приведены исходная к-та, галоидциан, р-ритель, выход в % Н, А, К): γ -фенилмасляная к-та (I), $BrCN$ (II), CCl_4 , 9 (т. кип. 126—127°/10 мм), 75 (т. кип. 200—205°/3 мм, т. пл. 28—29°), 1; I, II, CH_3NO_2 , 5, 15, 82; I, II, CH_3CN (в присутствии $Cu_2(CN)_2$), 32, 28, 36, 1; II, $HCON(CH_3)_2$, 17, 8, 40 (и 24% N,N-диметиламида I, т. кип. 151—152°/1,5 мм); I, II, $C_6H_5NO_2$, 21, 64, 5; I, II, трихлорэтилен, 5, 88, 5; I, JCN, CCl_4 , 1,5, 68, 18; I, $ClCN$, CCl_4 , 7, 73, 8 (и 2% 3-фенилпропилхлорида); бензойная к-та, II, CCl_4 , 5, 70, 10; C_6H_5COOH , II, CCl_4 , 17 (т. кип. 109—110°/10 мм), 75, следы.

А. Берлин
10°

21352. Свойства и реакции свободных алкильных радикалов в растворе. Часть IX. Синтез и реакции некоторых третичных нитроалканов. Тилли-Бассетт, Уотерс (Properties and reactions of free alkyl radicals in solution. Part IX. Synthesis and reactions of some tertiary nitroalkanes. Tillyne-Bassett J. F., Waters William A.), J. Chem. Soc., 1957, July, 3129—3134 (англ.)

Показано, что при нагревании α, α' -азобисбутиронитрила, 3,3'-азобис-3-цианпентана, 1,1'-азобис-1-цианциклогексана или диметилового эфира α, α' -азобисомасляной к-ты, являющихся источником, соответственно, радикалов 2-циан-2-пропила (I), 3-циан-3-пентила (II), 1-циан-1-циклогексила (III) и 2-карбокситокс-2-пропила (IV), с NO_2 в бензоле, толуоле или в других р-телях образовались нитроалканы RNO_2 (соответственно Ia—IVa), димеры RR (Ib—IVb), три-(2-циан-2-пропил)-гидроксиламин R_2NOR (Iv), а также 2-циан-2-пропиламид α -нитроизомасляной к-ты (Iг), 3-циан-3-пентиламид α -нитро- α -этилмасляной к-ты (IIв) и 1-циан-1-циклогексиламид циклогексанкарбонной к-ты (IIIв). Основные р-ции протекают по схемам: $\text{R} \cdot + \text{NO} \rightarrow \text{RNO}$; $\text{RNO} + \text{NO}_2 \rightarrow \text{RNO}_2 + \text{NO}$; $2\text{R} + \text{RNO} \rightarrow \text{R}_2\text{N} \cdot \text{OR}$. Применялось 0,5 моля NO_2 , содержащей немного N_2O_3 (способ А), 2 моля такой же NO_2 (способ Б), 1 моль такой же NO_2 (способ В), 1 моль чистой NO_2 (способ Г), 1 моль N_2O_3 (способ Д) и 1 моль NO_2 при одновременном пропускании NO через кипящий р-р (способ Е). Получены следующие результаты (перечислены исходный радикал, способ, Ia—IVa, выход в %, Ib—IIIb, выход в %, Iv—IIIv, выход в %, Iг, выход в %): I, А: Ia, 1а (т. кип. 69—72°/14 мм, т. пл. 34°), 31, Ib, (т. пл. 169°), 43, Iv (т. пл. 79°), 6,4, Iг, (т. пл. 135°), 1; I, Б: Ia, 27, Ib, 10, Iv, 1,7, Iг, 1 (и 2,2% 2-карбокситокс-2-пропиламида α -нитроизомасляной к-ты, т. пл. 174° (из хлф-ацетона)); I, Г: Ia, 18, Ib, 38, Iv, 0,8, Iг, 1,4; I, Д: Ia, 20, Ib, 35, Iv, 2,9, Iг, 2; I, Е: Ia, 12, —, —, Iv, 12,6, Iг, 0,5; II, В: IIa (т. кип. 89—92°/11 мм), 21, IIb (т. пл. 47°), 14, IIv (т. пл. 100°), 8,4, —, — (и 2,1% 3-циан-3-пентиламида α -этилмасляной к-ты, т. пл. 113,5°); III, В: IIIa (т. пл. 56°), 24, IIIb (т. пл. 223°), 30, IIIv (т. пл. 156°), 3,6, —, — (и 4,3% в-ва $\text{C}_{21}\text{H}_{32}\text{O}_4\text{N}_4$, т. пл. 145°); IV, В: IVa (т. кип. 77—79°/14 мм, т. пл. —4°), 33, —, —, —, —. При кислотном гидролизе IIa дал 3-нитропентил-3-карбоксамид, т. пл. 59° (из циклогексана). Аналогично, из IIIa образовался 1-нитроциклогексан-1-карбоксамид, т. пл. 120°. IVa также получен из Ia через хлоргидрат иминометилового эфира, т. пл. 117°. При гидролизе Ia щелочью в спирте выделено 96% NaCNO и Na-соль α -ци-2-нитропропана (V). Такие же результаты получены с IIIa. 5 г Ia и 2,5 г NaCN в 50 мл спирта кипятили 15 час.; в отгоне обнаружен $(\text{CN})_2$, в остатке — 1,3 г 2-циан-2,3-диметил-3-нитробутана, т. пл. 194°. Последний также образовался при кипячении Ia и V в спирте. Из Ia действием LiAlH_4 в эфире при кипячении с последующим бензоилированием получен N-изопропилбензамид (VI), выход 62%, т. пл. 98°. В тех же условиях IVa так же дал VI, а IIIa — N-циклогексилбензамид, т. пл. 147°. К смеси 2 г IVa и 1 г скелетного Ni в 15 мл CH_3OH при кипячении добавлено 3 мл 50%-ного NH_4NH_2 ; после бензоилирования получено 1,3 г метилового эфира α -бензамидоизомасляной к-ты, т. пл. 120°. К кипящему р-ру 10,5 г $\text{C}_6\text{H}_5\text{NO}$ в C_6H_6 прибавлен р-р 5 г NO_2 в C_6H_6 , причем образовалось 67% $\text{C}_6\text{H}_5\text{NO}_2$. Часть VIII см. РЖХим, 1957, 4221.

А. Берлин

21353. Получение азотного эфира перхлората холина. Корнакконе (La preparazione dell'estere nitrico del perchlorato di colina. Cornacchione Giacinto), Boll. chim. farm., 1957, 96, № 8, 335—336 (итал.; рез. англ.)

Описано получение азотного эфира перхлората холина (I) из карбоната холина (II). К 79 г 34%-ного р-ра II при перемешивании по каллам прибавляют 31,5 г 70%-ного р-ра HClO_4 , р-р концентрируют, вымораживают, кристаллы сушат в вакууме при низкой т-ре, получают 34 г перхлората холина (III), т. пл. 271—274°. К 5 г III в 250 мл воды при перемешивании прибавляют 100 мл конц. HNO_3 , нагревают (100°, 10 мин.), упаривают в вакууме досуха, растворяют в 35 мл воды, нагревают до кипения, добавляют несколько капель HClO_4 , выделяют 3,5 г I, т. пл. 185—186°.

В. Руденко

21354. Химия 1,4-диаминобутадиенов-1,3. I. Получение. Фегли, Бортник, Мак-Кивер (Chemistry of the 1,4-diamino-1,3-butadienes. I. Preparation. Fegley Marian F., Bortnick Norman M., McKeever Charles H.), J. Amer. Chem. Soc., 1957, 79, № 15, 4140—4144 (англ.)

1,4-диаминобутины-2 общей ф-лы $\text{R}_2\text{NCH(R')C}\equiv\text{CCH(R'')NR}_2'''$ [Ia $\text{R}=\text{R}''=\text{CH}_3$, $\text{R}'=\text{R}''=\text{H}$; б, $\text{R}=\text{R}''=\text{C}_2\text{H}_5$, $\text{R}'=\text{R}''=\text{H}$; в, $\text{R}=\text{R}''=\text{H}$, $\text{R}'=\text{R}''=\text{C}_2\text{H}_5$; г, $\text{R}_2=\text{R}_2'''=\text{O}(\text{CH}_2\text{CH}_2)_2$, $\text{R}'=\text{R}''=\text{H}$; д, $\text{R}_2=\text{R}_2'''=\text{CH}_2$, $\text{R}'=\text{R}''=\text{H}$; е, $\text{R}_2=\text{O}(\text{CH}_2\text{CH}_2)_2$, $\text{R}'=\text{R}''=\text{CH}_3$, $\text{R}''=\text{H}$; ж, $\text{R}=\text{R}''=\text{CH}_3$, $\text{R}'=\text{R}''=\text{CH}_2\text{CH}(\text{CH}_3)\text{CH}_2\text{C}(\text{CH}_3)_3$] при действии порошка Ni дают соответствующие $\text{R}_2\text{NC(R')=CHCH=C(R'')NR}_2'''$ (IIa—ж) с выходами 80—90%. Полученный α -транс-IIa превращен в изомерный транс-транс-IIa. Строение этих изомеров подтверждено ИК-спектром. Обсуждается механизм превращения I в II. Ia—ж синтезированы следующими способами. Метод А. В смесь 5 молей бис-(диалкиламино)-метана, 5,75 моля 36,2%-ного HCHO и 0,2 моля Cu_2Cl_2 при $\sim 50^\circ$ пропускают C_2H_2 при 1,33 ат и оставляют на 3 часа (50°). Метод Б. Аналогично, но с промежуточным получением алкилоламина из альдегида и втор-амина, причем может образоваться замещ. 3-диалкиламинопропин-1 (III). Метод В. Смесь 6,1 моля неочищ. алкилоламина, 6 молей III и 2 г Cu_2Cl_2 нагревают 6 час. при 170—190°. Метод Г. В смесь 2,3 моля морфолина и р-ра 13,5 г Cu_2Cl_2 в 84 г конц. HCl при 105—115° 20 час. пропускают C_2H_2 при 1,33 ат, прибавляют равный объем спирта; получен 3-морфолинобутин-1, выход 45%, т. кип. 55—62°/0,1 мм, n_D^{20} 1,4715. Получены следующие I (перечислены в-во, метод, т. кип. в °C/мм, n_D^{20}): Ia (выход 73% и 9% 3-диметиламинопропина-1, т. пл. 82°), А, 181—183/760, 1,4550; Ib, А, 95/7, 1,4587; Iv, А, 136/0,7, 1,4600; Iг, А или Б, — (т. пл. 88—90°), —; Id, Б, 97/2, 1,5008; Iе, Г и В, 112—114/1, 1,4828; Iж (выход 71%), Б и В, 140—143/1, 1,4617. К смеси 0,35 моля порошка Na в 90 мл ксилола и 500 мл гексана при 72° за 3,5 часа прибавляют 10,7 моля I; если р-ция не идет, предварительно прибавляют немного Ia. Получены II (приведены в-во, т. кип. в °C/мм, n_D^{20}): IIa, 108/15 (и 75—80/7), 1,5500; IIб, 64/0,25, 1,5155; IIв, 142/0,35, 1,5020; IIг, — (т. пл. 139—140°), —; IIд, 125—132/0,3, 1,6010; IIе, 110—115/0,3, 1,5625; IIж, 187—192/3/8, 1,4982. За 2 месяца (20°) α -транс-IIa превратился в транс-транс-IIa, т. кип. 80°/2 мм, т. пл. —3—(—1°), n_D^{20} 1,5550. В присутствии 1 капли воды или CH_3COOH р-ция шла 24 часа при 20° или 3 часа при 65—70°. Аналогично получен транс-транс-IIд, т. пл. 94—97°. Кипячение 5 час. смеси 1,07 моля Ia, 150 мл ксилола и $\text{C}_6\text{H}_5\text{OK}$ (из 0,02 моля I и 4,25 г октанола-1) дает смесь димеров. Гидрированием фракции димеров, т. кип. 115—118°/0,15 мм, n_D^{10} 1,5220—1,5250, в спирте со скелетным Ni (170° H_2 , 8,5 часа, 110—116°) получено в-во $\text{C}_{14}\text{H}_{31}\text{N}_3$, т. кип. 81—90°/0,2 мм, n_D^{20} 1,4693, и в-во $\text{C}_{16}\text{H}_{35}\text{N}_4$, т. пл. 104—105,5° (из гептана). Приведены данные УФ-спектров полученных соединений.

А. Берлин

21355. О термическом разложении гидроокиси 2,3-бис-(триметиламмоний)-бутана. Слободин Я. М., Сергеев О., Ж. общ. химии, 1957, 27, № 7, 1892—1893

Термическим разложением гидроокиси 2,3-бис-(триметиламмоний)-бутана [перегонка 12 г бромистого 2,3-бис-(триметиламмоний)-бутана с избытком 40%-ного КОН] получено 10 г тетрабромид дивинила, т. пл. 116°. Диметилацетилен и метилаллен в продуктах реакции не обнаружены (ср. Hurd Ch., Drake L., J. Amer. Chem. Soc., 1939, 61, 1943). На примере аллиламина (I) изучено отношение ненасыщ. аминов (возможных продуктов термич. разложения бис-аммонийных оснований) к Ag_2O . Так, I при действии Ag_2O дает C_3H_5COOAg .

21356. Изучение производных пропаргилового спирта. IV. Окислительная димеризация и гидратация производных пропаргиламина. Сато (Пропа-
ルギアルコール誘導體に関する研究. 第4報. プロパ-
ルギアミン誘導體の酸化縮合および水和反應について. 佐
藤正), Япон. хим. журн., 1957, 78, № 1, 184—186
(Японск.)

В продолжение предыдущих работ (см. РЖХим, 1957, 47855) изучена окислительная димеризация и гидратация N-бензоилпропаргиламина (I) и пропаргилфталимида (II). К 7,5 г Cu_2Cl_2 , 15 г NH_4Cl в 30 мл воды, подкисленной HCl (к-та) до pH 3,2, при 35° добавляют медленно 3 г I, перемешивают 2—3 часа, получают 1,6-дibenзоиламиногексадин-2,4, выход 70%, т. пл. 205° (разл.; из ацетона); гидрирование последнего в ацетоне над Pd-черной при обычных т-ре и давлении дало 1,6-дibenзоиламиногексан, выход 70%, т. пл. 155,5—156° (из метанола). Аналогично вышеописанному (80°, pH 2,8) из II получен 1,6-дифталимидаминогексадин-2,4, выход 60%, т. пл. 252° (разл.; из хлф.), а восстановлением его получен 1,6-дифталимидагексан, выход 80%, т. пл. 177—178° (из бал.-сп.). 1,5 г I добавляют медленно при 70° к смеси (в мл): воды 30, 10%-ной H_2SO_4 7, метанола 8, р-ра $HgSO_4$ 1,5 в 10%-ной H_2SO_4 (0,1 г соли в 1 мл р-ра), получают бензоиламиноацетон, выход 50%, т. пл. 84—84,5° (из эф.). Аналогичная гидратация II (при 50—60°) дала ацетонилфталимид, выход 80%, т. пл. 123—124° (из воды). Попытка окислительной димеризации и гидратации бромгидрата пропаргиламина, N-ацетилпропаргиламина и пропаргилмочевины безуспешна. Л. Я.

21357. Синтез диэтиламинометилловых эфиров диметилэтилкарбинола, диметилвинилэтилкарбинола и тетраметилбутидиола. Лагучева Е. С., Ж. общ. химии, 1957, 27, № 6, 1518—1524

Третичные ацетиленовые спирты аминотируют-ся при действии $(C_2H_5)_2NH$ и параформа по водороду HO-группы с образованием диэтиламинометилловых эфиров (ДЭ). 55 г диметилвинилэтилкарбинола (I), 40,15 г $(C_2H_5)_2NH$, 18 г $(CH_2O)_n$ и 30 мл диоксиана кипятят 6 час., массу отмывают водой от $(CH_2O)_n$, эфиром извлекают ДЭ I (II), выход 27,7%, т. кип. 88—90°/10,5 мм, n_D^{20} 1,4599, d_{20}^{20} 0,8650. В среде C_6H_6 II получен с выходом 71,8%. Аналогично в среде C_6H_6 синтезированы ДЭ (приведены исходный ацетиленовый спирт, ДЭ, выход в %, т. кип. в °C/мм, n_D^{20} , d_{20}^{20}): β-оксиэтиловый эфир I, β-диэтиламинометоксиэтиловый эфир I, 43,5, 95—97/2, 1,4634, 0,9200; тетраметилбутидиол (III), бисдиэтиламинометилловый эфир III, 63,5, 125—129/7, 1,4480, 0,8844; диметилэтилкарбинол (IV) (42 г), диэтиламинометилловый эфир 1-диэтиламино-4-метилпентин-2-ола-4 (V—спирт), 1,2 г, 138—139/6, 1,4631, —, [в качестве основного продукта выделено 26,5 г тетраэтилдиаминметана (VI)]; β-оксиэтиловый эфир IV, β-диэтиламинометоксиэтиловый эфир IV, 58,7, 90—92/5,5, 1,4448, 0,9030 [побочно выде-

лен β-диэтиламинометоксиэтиловый эфир V (VII), т. кип. 129—130°/3 мм, n_D^{20} 1,4552; при р-ции в среде диоксиана VII образуется с выходом 55,4%, d_{20}^{20} 0,9060; β-цианэтиловый эфир IV, β-цианэтиловый эфир V, 28,3, 134/6, 1,4598, — (выделен также VI). Е. Цветков

21358. Синтез меркаптоаминосоединений. I. Синтез 11-амино-10-оксундекановой кислоты и родственных ей соединений. II. Синтез 11-амино-10-меркаптоундекановой кислоты и родственных ей соединений. Маркова Ю. В., Кузьмина К. К., Щукина М. Н., Ж. общ. химии, 1957, 27, № 5, 1270—1273, 1274—1276

I. Изучены превращения производных ундециленовой к-ты по схеме: $ROC(CH_2)_9CH=CH_2$ (I) \xrightarrow{HOCl} $ROC(CH_2)_9CHONHCH_2Cl$ (II) $\xrightarrow{R'NH_2}$ $ROC(CH_2)_9CHONHCH_2NHR'$ (III); I + C_6H_5COOH (IV) \rightarrow $ROC(CH_2)_9CH=CH_2$ (V) $\xrightarrow{R'NH_2}$ III; V \xrightarrow{HCl} II, где всюду $R = OCH_2$ (а), C_6H_5 (б) или OH (в).

К 0,125 моля Iа в 50 мл $CHCl_3$ приливают 4 порции (через каждые 3 часа, 0°) по 0,25 моля р-ра активной IV в $CHCl_3$, через 12 час. (—2—0°) р-р промывают 10%-ным NaOH, водой, после перегонки выход Va 67,9%, т. кип. чистой V 168—174°/25 мм. Р-р 0,125 моля Iб в 100 мл $CHCl_3$ обрабатывают р-ром IV, как описано выше, выход Vб 76,7%, т. кип. 225—231°/15 мм, т. пл. 37°. 5,2 г Vб в 30 мл абс. эфира и 1,1 г HCl (газ) в 150 мл эфира оставляют 2 часа при 20°, эфир отгоняют, выпадает Iб, выход неочищ. 5,8 г, т. пл. 62—64° (из смеси эф.+петр. эф., 1:4). К 0,02 моля Va прибавляют 180 мл эфирного р-ра HCl (0,03 моля HCl (газа)), через 2 часа эфир отгоняют, получают 5 г IIа, т. кип. 200—202°/20 мм, т. пл. 38—41°. 2,36 г IIв и 250 мл 25%-ного водн. NH_3 перемешивают 24 часа при 20°, р-р упаривают, выход гидрата IIв ($R' = H$) 90%, после высушивания т. пл. 199—200°; хлоргидрат (XГ), т. пл. 127—128°; бромгидрат, т. пл. 119—121°. Строение IIв ($R' = H$) установлено на основании спектрографич. изучения исходной IIв и встречным синтезом из Iв через 11-бром-10-оксундекановую к-ту. 3 г Vб и 40 мл 33%-ного водн. NH_3 нагревают в запаянной трубке при 150° 8 час., выход неочищ. ди-10-(бензоил-2-оксидецил)-амина (VI) 0,9 г, т. пл. 116—118° (из сп. и $CHCl_3$). Аналогично из 1,5 г Iб и 25 мл 33%-ного водн. NH_3 получено 0,2 г VI, 1,5 г Iб и 20 мл 18%-ного спирт. р-ра CH_3NH_2 нагревают в запаянной трубке при 120° 8 час., выход XГ IИб ($R' = CH_3$) 1,3 г, т. пл. 75—80°; основание, т. пл. 78—80,5°. IIа с NH_3 не реагирует. Строение полученных в-в подтверждено спектрами. В спектрах II найдены полосы ~3500 cm^{-1} (HO-группа) и полоса ~1000—1120 cm^{-1} , характерная для C—O-связи вторичных спиртов.

II. Смесь 10 г XГ 11-амино-10-оксундекановой к-ты и 30 мл $SOCl_2$ перемешивают 3,5 часа, ~20°, затем 5 час., 50—60°, эфиром осаждают XГ 11-амино-10-хлорундекановой к-ты (VII), выход 86%, т. пл. 117,5—119,5° (разл.). Р-р 7 г VII в 50 мл безводн. спирта кипятят 8 час., выход XГ $NH_2CH_2CHCl(CH_2)_9COOH$ (VIII) 63%, т. пл. 133—135° (из абс. сп.). К р-ру 2 г VIII в 15 мл воды прибавляют по каплям одновременно 0,5 г CS_2 и 2,5 мл 22%-ного водн. NaOH, выход 2-меркапто-5-(8-карбоксиксиктил)-тиазолина (IX) 75%, т. пл. 55,5—57,5° (из 80%-ного сп.). Аналогично из 0,015 моля VIII, 0,5 г CS_2 и 0,06 моля NaOH получено 80% 2-меркапто-5-(8-карбоксиксиктил)-тиазолина, т. пл. 139—141° (из 80%-ного сп.). 3 г IX и 50 мл конц. HCl нагревают в запаянной трубке 5 час. при 150°, выход XГ 11-амино-10-меркаптоундекановой к-ты 50%, т. пл. 139—142° (из абс. сп.).

Смесь 0,01 моля $\text{CH}_3\text{OOC}(\text{CH}_2)_2\text{SCH}_2\text{O}$ и 0,02 моля

$\text{HSCH}_2\text{CH}_2\text{NH}_2$ (X) в 100 мл воды перемешивают 50 час. при 20°, выход N,S-[ди-(10-карбометокси-2-оксидецил)]-меркаптоэтиламина 10%, т. пл. 68—73°. Аналогично из 2 г $\text{C}_6\text{H}_5\text{CO}(\text{CH}_2)_2\text{SCH}_2\text{O}$ и 1,2 г X выход N,S-[ди-

(2-окси-10-бензоилдецил)]-меркаптоэтиламина 0,6 г, т. пл. 92—94° (из сп.). Е. Цветков

21359. Строение изомерных оксимочевин. Экспер (Konstitute isomernich hydroxymocovin. Ехпер Otto), Chem. listy, 1957, 51, № 3, 497—504 (чешск.)

Показано, что оксимочевина (I), т. пл. 140—141° (разл.), имеет строение карбамгидроксамовой к-ты, а так называемая изоксимочевина (II) с т. пл. 72° (разл.), полученная Кофодом (РЖХим, 1953, 8225, 1954, 37615), представляет собой О-карбамилгидроксилламин. I и II получают тоже при р-ции хлоргидрата гидроксилламина с KCNO . I и $(\text{C}_6\text{H}_5\text{CO})_2\text{O}$ нагревают (10 мин., 45°) в пиридине, упаривают (45°/вакуум) досуха и промыванием остатка бензолом выделен N-карбамил-О-бензоилгидроксилламин (III), выход 90%, т. пл. 130° (из бал.). Аналогично получают из II N-бензоил-О-карбамилгидроксилламин (IV), выход 87%, т. пл. 145° (разл.) IV кристаллизуется из спирта при частичном разложении. Бензоилированием I при помощи хлористого бензоила в течение 10 мин. в пиридине образуется не II, а дибензагидроксамовая к-та, выход 37%, т. пл. 156° (из сп.). III нагревали с CH_3ONa в CH_3OH 2 мин. до 50°, смесь разбавляли эфиром и при 0° встряхивали с водой. Водн. слой после подкисления HCl (к-той) до pH 6 дал после упарки досуха в вакууме при т-ре бани 40° с 93%-ным выходом I. Из эфирного слоя был получен с 72%-ным выходом метиловый эфир бензойной к-ты, n_D^{20} 1,5181, идентифицированный после омыления как бензойная к-та (V). Аналогичным образом был выполнен алкоголиз IV. Реакционную смесь разбавляли водой, подкисляли CH_3COOH до pH 5 и при помощи водн. р-ра Cu-ацетата осаждали Cu-соль бензгидроксамовой к-ты (92%), из которой в среде CH_3OH при помощи H_2S без доступа влаги освобождена бензгидроксамовая к-та, т. пл. 130° (из этилацетата). Нагреванием III в течение 2—4 мин. на бане т-ры 170°, охлаждением и повторным нагреванием в течение 1 мин. до 170°, экстрагированием 10%-ным р-ром соды и подкислением экстракта получена с 65%-ным выходом V. Аналогично подвергнут пиролизу IV. Кроме V, выделена из остатка, нерастворимого в р-ре соды, при помощи экстрагирования кипящей водой фенилмочевина (VI), т. пл. 148°, и из остатка, нерастворимого в кипящей воде, путем кристаллизации из спирта — N,N'-дифенилмочевина (VII), т. пл. 240°. III нагревали 15 мин. с 0,5 н. NaOH , возникшую VII (18%) отсасывали и из фильтрата после подкисления выделили V (30%). В фильтрате после V не удалось обнаружить гидразин. После аналогичного щел. разложения IV получены VII (46%) и далее VI (9%) и анилин (28%), идентифицированный как бензанилин, т. пл. 163° (из сп.). Antonin Emr

21360. Дитиолы. Часть XIX. Дальнейшее изучение деацетилирования ацетилированных дитиолов. Фитт, Оуэн (Dithiols. Part XIX. Further studies on the deacetylation of acetylated dithiols. Fitt Peter S., Owen L. N.), J. Chem. Soc., 1957, May, 2240—2249 (англ.)

В развитие предыдущих исследований (см. часть XVIII, РЖХим, 1956, 74864) синтезирован ряд S-ацетилированных дитиолов и О-ацетилированных окситолов. При взаимодействии 4,5-дибромпентанола с CH_3COSK (I) образуется тетрагидрофурурилтиолацетат, т. кип. 54—59°/0,3 мм, n_D^{22} 1,494. 4,5-бис-(аце-

тилтио)-пентилацетат (II) получен р-цией 4,5-дибромпентилацетата (III) с I. При кислотном гидролизе II образуется 4,5-димеркаптопентанол (IV), селективным ацетилированием которого получены 4,5-димеркаптопентилацетат (V) и 4,5-бис-(ацетилтио)-пентанол (VI). Щел. гидролиз V протекает без циклизации; при щел. гидролизе VI имеет место миграция CH_3CO -группы. При взаимодействии CH_3COSH (VII) с пентин-3-ил-1-ацетатом (VIII) образуется только 3-(ацетилтио)-пентен-3-ил-1-ацетат (IX). Дитиолол-а-сульфонат и тиолацетат толуол-п-сульфоната, а также диметансульфонат О-изопропилиденпентаэритрита не реагируют при нагревании с CH_3COOK , CH_3COONa или CH_3COOAg . Не удается также заменить толуол-п-сульфогруппу при р-ции толуол-п-сульфоната О-ацети-О-изопропилиденпентаэритрита (X) с I. При щел. гидролизе ди-S-ацетил-О-изопропилиденпентаэритрита (XI) образуется О-изопропилиден-4,4-бисоксиметилентитиолан-1,2 (XII). При попытке присоединения тиолуксусной к-ты к 1,4-диацетоксипентину-2 не удается выделить продукта присоединения. Восстановлением двух стереоизомерных форм метилового эфира α,α'-бис-ацетилтиоантарной к-ты (XIII) действием LiAlH_4 получены соответствующие стереоизомеры 2,3-димеркаптобутандиола-1,4 (XIV). Щел. гидролиз их ацетилтио производных сопровождается циклизацией; 2-ацетоксипентин-1,3-бис-(ацетилтио)-пропан (XV) при мягком щел. гидролизе почти не циклизуется. Циклизации при щел. гидролизе ацетатов типа $\text{CH}_3\text{COS}(\text{CH}_2)_n\text{SCOCCH}_3$ ($n = 2-5$), а также о-диацетилтиометилбензола (XVI) не происходит, что свидетельствует об отсутствии тенденции разрыва связи алкил-S в тиолацетатной группе. 30 г пентен-4-ола-1 и 48 г $(\text{CH}_3\text{CO})_2\text{O}$ (XVII) нагревают 16 час. при 100°, получают 32 г ацетата, т. кип. 149—154°, который при бромировании в CCl_4 дает III, т. кип. 92—93°/0,2 мм, n_D^{19} 1,507. 25 г III, 25 г I, 0,1 мл VII и 250 мл спирта кипятят 10 час. (атмосфера N_2). После обработки продукт извлекают CHCl_3 и перегоняют II, выход 18,6 г, т. кип. 116°/4 · 10⁻⁴ мм, n_D^{18} 1,5140. 14,5 г II, 95 мл CH_3OH , содержащего 10 мл конц. HCl (к-ты), кипятят 3 часа (атмосфера N_2), через ~12 час. (~20°) выделяют 4,3 г IV, т. кип. 102—103°/0,5 мм, n_D^{19} 1,5491. 0,9 г IV и 0,65 г XVII и 0,1 мл 10%-ной H_2SO_4 в CH_3COOH смешивают при 0° (1 час, 0°; 4 дня, ~20°), выделяют 0,7 г V, т. кип. 100—101°/0,1 мм, n_D^{20} 1,5109. К р-ру 3,04 г IV в 14 мл воды, содержащей 1,83 г NaOH , при 0° прибавляют 4,1 г XVII. Через 15 мин. (0°) выделяют 3,09 г VI, т. кип. 150—154°/0,01 мм, n_D^{19} 1,5299. К NaNH_2 в 750 мл жидкого NH_3 (из 75,5 г Na) прибавляют 114 г $\text{ClCH}_2\text{CHClCH}_3$, перемешивают еще

3 часа, прибавляют 50 г $\text{CH}_2\text{CH}_2\text{O}$ в 50 мл эфира, перемешивают еще ~12 час., выделяют пентин-3-ол-1 (XVIII), т. кип. 153—158°, n_D^{16} 1,4569. 10 г XVIII, 20 мл XVII и несколько капель $\text{C}_6\text{H}_5\text{N}$ нагревают 6 час. при 100°, через ~12 час. (~20°) выделяют 13,3 г VIII, т. кип. 65—67°/15 мм, n_D^{18} 1,4391, n_D^{20} 1,4372. 3,2 г VIII, 6,5 г VII и 2 капли аскаридола нагревают 4 часа при 100°, получают 2,4 г IX, т. кип. 96°/0,1 мм, n_D^{20} 1,4905. 19 г IX в 10 мл спирта прибавляют к р-ру 2 г 2,4-динитрофенилгидразина в 2 мл H_2SO_4 и 15 мл спирта. Через ~12 час. (~20°) (хроматографирование на Al_2O_3) выделяют 2,4-динитрофенилгидразон 1-оксипентанона-3, т. пл. 186° (из CHCl_3 + сп.). К 17,6 г О-изопропилиденпентаэритрита в 100 мл безводн. $\text{C}_6\text{H}_5\text{N}$ при 0° за 5 час. прибавляют 20 г $n\text{-CH}_3\text{C}_6\text{H}_4\text{SO}_3\text{Cl}$ в 100 мл безводн. $\text{C}_6\text{H}_5\text{N}$. Через ~12 час. (0°) удаляют р-ритель в вакууме, растворяют в CHCl_3 , выделяют 18,1 г О-изопропилиден-О-толуол-п-сульфонилпентаэритрита (XIX), т. пл. 94° (из CH_3OH). 20,5 г XIX, 50 мл безводн. $\text{C}_6\text{H}_5\text{N}$ и 35 мл

XVII (10 час., 100°) дают 16,5 г X, т. пл. 69–70° (из CH_3OH). 2 г XI после щел. гидролиза (Bladon, Owen, J. Chem. Soc., 1950, 585) дают 1,06 г XII, т. пл. 59–60° (из CH_3OH). 60 г бутин-2-диола-1,4 и несколько капель $\text{C}_6\text{H}_5\text{N}$ прибавляют к 180 г XVII. По окончании р-ции смесь нагревают 2 часа при 100°, выделяют 1,4-диацетоксипутин-2, выход (неочищ.) 61 г, т. пл. 25–27° (из CH_3OH). 60 г бутин-2-диола-1,4 и несколько капель XIII (т. пл. 118–120°) (по Owen, Sultanbawa, J. Chem. Soc., 1949, 3109), кипятят 6 час. с 37 г LiAlH_4 в 750 мл эфира. Выделяют 25 г жидкого XIV. Аналогично при взаимодействии 29 г XIII (т. пл. 69–70°) с 25 г LiAlH_4 в 600 мл эфира получают 6,75 г XIV, т. пл. 90–92° (из эф.); из маточного р-ра получено еще 6,4 г смеси XIV, 0,53 г жидкого XIV нагревают с 4,9 г XVII, содержащего следы H_2SO_4 , 12 час. при 100°. Выделяют 0,9 г тетраацетильного производного, т. пл. 118–119° (из CH_3OH). 3,1 г жидкого XIV, 3,1 г XVII и 0,01 г H_2SO_4 смешивают при 0°, затем нагревают 6 час. при 50–70°, выделяют 0,7 г ди-О-ацетильного производного, т. пл. 58–59° (из CH_3OH). 5 г жидкого XIV, 50 мл ацетона и 0,1 мл конц. HCl через неделю дают 1,2–3,4-ди-О-изопропилиден-2,3-димеркаптобутандиол-1,4 (XX), выход (неочищ.) 5,1 г, т. пл. 103–104° (из CH_3OH). 2,1 г твердого XIV, 25 мл XVII и 1 г CH_3COONa нагревают 15 час. при 100°, выделяют тетраацетильное производное, выход (неочищ.) 4,4 г, т. пл. 72–73° (из CH_3OH). 0,29 г твердого XIV в 3 мл ацетона, содержащего следы H_2SO_4 , через ~3 недели дают 1,2–3,4-диизопропилиденное производное, выход (неочищ.) 0,4 г, т. пл. 92–93° (из CH_3OH). 1,2 г XX при обессеривании над скелетным Ni дает 0,6 г бутандиол-1,4. 2 г XV, 3 г NaHCO_3 и 30 мл воды нагревают при 70° (т-ра бани)/120 мм, циклич. сульфид не образуется. При нагревании при атмосферном давлении получают 3-ацетилпропиленсульфид, выход 15%, т. кип. 130–134°/58 мм, n_D^{20} 1,5507. 20 г $\text{Br}(\text{CH}_2)_3\text{Br}$, 25 г I и 140 мл безводн. спирта кипятят 6 час. (атмосфера N_2), выделяют 14 г 1,3-бис-(ацетилтио)-пропана, т. кип. 97–98°/0,5 мм, n_D^{21} 1,5220. Аналогично из 20 г $\text{Br}(\text{CH}_2)_3\text{Br}$ синтезируют 1,4-бис-(ацетилтио)-бутан, 11,7 г, т. кип. 126°/1 мм, n_D^{17} 1,5189; из 9,1 г $\text{Br}(\text{CH}_2)_5\text{Br}$ – 1,5-бис-(ацетилтио)-пентан, выход 4,6 г, т. кип. 184–187°/0,5 мм, n_D^{20} 1,5141. Смешивают охлад. р-ры 8,8 г о-ди-(бромметил)-бензола и 8,8 г I в спирте, кипятят 15 мин., выделяют XVI, выход 7,3 г, т. кип. 140°/0,08 мм, n_D^{18} 1,5885. 18,5 г 1,2-О-изопропилиден-3-О-п-толуолсульфонилглицерина, 8 г I и 200 мл ацетона кипятят 14 час., выделяют 3-ацетилтио-1,2-О-изопропилиденпропандиол-1,2 (XXI), выход 10,2 г, т. кип. 114°/15 мм, n_D^{22} 1,4740. Через 2,5 часа (~20°) при действии $\text{CH}_3\text{OH} + 2$ н. HCl гидролизуется 50% XXI. Приведены данные УФ-спектров VI, IX, XII, XXI. Е. Караулова

21361. Дитиолы. Часть XX. Транс-тиометилирование при некоторых реакциях 2,3-бис-метилтиопропанола и родственных соединений. Фитт, Оуэн (Dithiols. Part XX. The occurrence of transthiomethylation in some reactions of 2:3-bismethylthiopropanol and related compounds. Fitt Peter S., Owen L. N.), J. Chem. Soc., 1957, May, 2250–2256 (англ.)

В связи с исследованием гидролиза ацетилированных окситиолов изучен гидролиз 2,3-бис-(метилтио)-пропилацетата (I). Щел. гидролиз I протекает нормально, но при кислотном гидролизе образуются главным образом 1,2,3-трис-(метилтио)-пропан (II), немного 1,3-бис-(метилтио)-пропанола-2 (III), CH_3SH и следы 2,3-бис-(метилтио)-пропанола. II образуется также при действии к-ты на 2,3-бис-(метилтио)-пропанол (IV) или на метиловый эфир IV (V). Предложен механизм р-ции, согласно которому миграция тиометильной группы протекает через промежуточное образова-

ние сульфониевых соединений. Наличие двух SCH_3 -групп у соседних С-атомов, видимо, способствует миграции SCH_3 -группы, так как 2-ацетокси-1,3-бис-(ацетилтио)-пропан (VI) при действии к-ты образует только немного II, а $\text{CH}_3\text{SCH}_2\text{CH}_2\text{OH}$ (VII) медленно превращается в $\text{CH}_3\text{SCH}_2\text{CH}_2\text{SCH}_3$. К 2,6 г $\text{H}_2\text{C}(\text{SH})\text{CH}(\text{SH})\text{CH}_2\text{OH}$ (VIII) в 50 мл циклогексана прибавляют р-р CH_3N_2 [из 11,4 г $\text{CH}_3(\text{NO})\text{NHCONH}_2$] в 200 мл циклогексана. Через ~12 час. выделяют I и IV, т. кип. 89°/1 мм, n_D^{21} 1,5460; нафтилуретан, т. пл. 84° (из бен.), 3,8 г IV, 1 г CH_3COONa и 25 мл $(\text{CH}_3\text{CO})_2\text{O}$ нагревают 8 час. при 100°, получают 4,9 г I, т. кип. 88°/0,1 мм, n_D^{19} 1,5131, который при щел. гидролизе дает IV. 0,6 г IV окисляют избытком 30%-ной H_2O_2 , получают 0,6 г 2,3-бис-(метилсульфонил)-пропанола (IX), т. пл. 123–124° (из сп.). IX получается при аналогичном окислении I. К 0,8 г IX в 3 мл безводн. $\text{C}_6\text{H}_5\text{N}$ прибавляют 0,4 г CH_3COCl , нагревают 0,5 часа при 100°, выделяют 0,3 г 2,3-бис-(метилсульфонил)-пропилацетата, т. пл. 117–119° (из CH_3OH). 23 г 2,3-дибромпропилметилового эфира, 25 г CH_3COSK и 300 мл спирта кипятят 2 часа (атмосфера N_2), получают 18 г 2,3-бис-(ацетилтио)-пропилметилового эфира (X), т. кип. 72–73°/0,3 мм, n_D^{20} 1,5146. 13 г X, 90 мл CH_3OH и 10 мл конц. HCl кипятят 6 час. (атмосфера N_2), выделяют 4,1 г 2,3-димеркаптопропилметилового эфира (XI), т. кип. 57–63°/2 мм, n_D^{22} 1,515. К 2,5 г XI в 20 мл 30%-ного NaOH при ~60° прибавляют 2,5 г $(\text{CH}_3)_2\text{SO}$, (атмосфера N_2), нагревают 3 часа, получают 1 г V, т. кип. 110–114°/15 мм, n_D^{21} 1,5122. Окисление V 30%-ной H_2O_2 в CH_3COOH дает 2,3-бис-(метилсульфонил)-пропилметиловый эфир (XII), т. пл. 112–113° (из CH_3OH). К р-ру 10 г VIII в 100 мл 30%-ного NaOH прибавлено 40 г $(\text{CH}_3)_2\text{SO}$, при 60°. Затем при 100° (0,5 г) выделяют II, 4,3 г, т. кип. 64–66°/1 мм, n_D^{20} 1,5155. 28 г $\text{CH}_2\text{BrCHBrCH}_3$, 35 г CH_3COSK и 200 мл спирта кипятят 8 час., выделяют 21 г 1,2-бис-(ацетилтио)-пропана (XIII), т. кип. 79–80°/0,01 мм, n_D^{22} 1,5190. При гидролизе 19 г XIII (120 мл CH_3OH , 6 мл конц. HCl , кипячение 3 часа) образуется 1,2-димеркаптопропан (XIV), выход 3,8 г, т. кип. 52–56°/25 мм, n_D^{20} 1,527–1,531. К 3,8 г XIV в р-ре 3 г NaOH в 10 мл воды прибавляют 7,5 г $(\text{CH}_3)_2\text{SO}$, выделяют 2,1 г 1,2-бис-(метилтио)-пропана (XV), т. кип. 75–76°/18 мм, n_D^{23} 1,5150. Окислением XV 30%-ной H_2O_2 в CH_3COOH получают 1,2-бис-(метилсульфонил)-пропан, т. пл. 115–117° (из CH_3OH). 8 г 1,3-димеркаптопропанола-2 в 40 мл 20%-ного NaOH нагревают с 16 г $(\text{CH}_3)_2\text{SO}$, 0,5 часа при 75–90°, выделяют 3,5 г III, т. кип. 68–68°/0,2 мм, n_D^{20} 1,5371. Окисление III H_2O_2 в CH_3COOH дает 1,3-бис-(метилсульфонил)-пропанол-2 (XVI), т. пл. 133–135° (из CH_3OH). 3 г III, 1 г $\text{CH}_3\text{CO}_2\text{Na}$ и 20 мл $(\text{CH}_3\text{CO})_2\text{O}$ нагревают 5 час. при 100°, выделяют 1,5 г 2-ацетокси-1,3-бис-(метилтио)-пропана, т. кип. 99–101°/3 мм, n_D^{20} 1,5060. К 15 г $\text{HSCH}_2\text{CH}_2\text{OH}$ в 45 мл 25%-ного NaOH прибавляют при 60–70° 25 г $(\text{CH}_3)_2\text{SO}$, перемешивают 0,5 часа, выделяют VII, выход 11,7 г, т. кип. 61°/10 мм, n_D^{20} 1,4930. 21 г I, 100 мл CH_3OH и 50 мл 2 н. HCl кипятят 3 часа (атмосфера N_2), удаляют выделяющийся CH_3SH , смесь нейтрализуют, извлекают эфиром 13,5 г масла (M). 6,7 г M окисляют избытком 30%-ной H_2O_2 в CH_3COOH , при 100° 1 час. выпаривают досуха, обрабатывают CH_3OH , в остатке – 1,2,3-трис-(метилсульфонил)-пропан (XVII), выход (неочищ.) 2,86 г, т. пл. 205–207°. Из метанольного экстракта выделяют 0,3 г XVI. Окислением фракции с т. кип. 139–142°/8 мм, полученной при перегонке M, выделяют XVII и IX (несколько мг). При гидролизе I 2 н. H_2SO_4 в CH_3OH и последующем окислении получают XVII и IX. При кислотном омылении 2,4 г IV аналогично I (5 час.) в последующем окислении образуется 0,6 г XVII. 2,2 г V, 10 мл CH_3OH и 5 мл 2 н. HCl кипятят 5 час., выделяют

ся CH_3SH , после окисления получают 0,1 г XVII и 1,2 г XII. 0,7 г VI, 4 мл CH_3OH и 2 мл 2 н. HCl кипятят 3 часа, после окисления получают CH_3SH , 0,02 г XVII и 0,23 г XVI. 2,2 г VII, 4 мл 0,7 н. HCl нагревают 20 час. при 100° (выделения CH_3SH не обнаружено), извлекают CHCl_3 , перегоняют (т. кип. 63–65°/11 мм, n_D^{20} 1,5020), 0,25 г дистиллята окисляют H_2O_2 , выделяют 1,2-бис-(метилсульфонил)-этан, т. пл. 193–194° (из воды). 4 г 2,3-бис-(бензилтио)-пропанола, 20 мл CH_3OH и 20 мл конц. HCl кипятят 2 часа, обрабатывают водой и извлекают эфиром, эфир удаляют, остаток окисляют 30%-ной H_2O_2 , выделяют 2,3-бис-(бензилсульфонил)-пропилхлорид, выход (неочищ.) 1,4 г, т. пл. 204–205° (из CH_3COOH).

Е. Караулова

21362. О присоединении меркаптокарбоновых кислот к ненасыщенным кислотам и новый метод получения сульфоновых солей. Шёберль, Ланге (Über die Addition von Mercaptocarbonsäuren an ungesättigte Säuren und eine neue Darstellungsweise von Sulfoniumsalzen. Schöberl Alfons, Lange Gisela, Liebigs Ann. Chem., 1956, 599, № 2, 140–160 (нем.).

В нейтр., кислой и щел. средах α - и β -меркаптокислоты, такие, как тиогликолевая (I), β -меркаптопропионовая (II) и др. легко присоединяются к α,β -ненасыщенным к-там, таким, как акриловая (III), метакриловая (IV) к-ты, с образованием диалкилсульфиддикарбоновых к-т (V). Присоединение протекает по ионному механизму и остаток $\text{HOOC}(\text{CH}_2)_n\text{S}$, в основном, вступает в β -положение к карбоксилу непредельной к-ты. Для сравнения получены V взаимодействием α -бром-(VI) и β -бромпропионовой (VII) к-т с динатриевыми солями меркаптокислот. V легко присоединяют III и галогеноводороды с образованием галогенных солей трикарбоксиалкилсульфония. Так же V реагируют с хлор-(VIII) и бромуксусной (IX) к-тами. Так, из получающегося взаимодействия II и III β,β -дикарбоксидиэтилсульфида (X) и III в присутствии HCl образуется β,β' -трикарбоксидиэтилсульфонийхлорид (XI): $(\text{HOOCCH}_2\text{CH}_2)_3\text{S}^+\text{Cl}^-$. С III и кротоновой к-той (XII) подобно V реагируют S-алкилтиогликолевые к-ты и $(\text{C}_2\text{H}_5)_2\text{S}$. X и S-этилтиогликолевая к-та (XIII) присоединяют CH_3I и также образуют соответствующие соли сульфония. Карбоксиметилдикарбоксиэтилсульфонийхлорид (XIV) при нагревании в водн. р-ре легко отщепляет HCl и перегруппировывается во внутрениую сульфониювую соль — ди-(β -карбоксиэтил)-тетин $(\text{HOOCCH}_2\text{CH}_2)_2\text{S}+\text{CH}_2\text{COO}^-$ (XV). Получены также карбоксиметилкарбоксиэтилтетин (XVI) и дикарбоксиметилтетин (XVII). Р-р Na-солей VII и I (1:1) нагревают (4 часа, 100°), подкисляют HCl (к-той) и эфиром извлекают метилэтилсульфид- α,β' -дикарбоновую к-ту (XVIII), выход 40%, т. пл. 94° (из эф.). Так же получают из I и VI метилэтилсульфид- α,α' -дикарбоновую к-ту, выход 31,6%, т. пл. 85°; из II и VII получают X, выход 64,3%, т. пл. 128° (из воды); из VII и тиомолочной к-ты (XIX) получают диэтилсульфид- α,β' -дикарбоновую к-ту (XX), выход 47,5%, т. пл. 65°. XVIII получена также коротким нагреванием в атмосфере N_2 I с избытком III в нейтр., кислом или щел. водн. р-ре, выход 61–100%. I присоединяется к акрилонитрилу в щел. и нейтр. среде в атмосфере N_2 и после омыления, кипячением 2 часа с HCl (к-той) выход XVIII 52,5–77%. При нагревании 2–3 дня в атмосфере N_2 до 80° II с избытком III в воде или смеси CH_3COOH и H_2SO_4 выход X 70–98%, т. пл. 128° (из воды). 18,8 ммольа XIX смешивают при 0° с 55 ммольами III, нейтрализуют и через 12 час. HCl (к-той) выделяют XX. Нейтрализованную смесь I и IV после стояния 24 часа нагревают (12 час., 100°), подкисляют HCl (к-той) и эфиром извлекают 25,8% метилпропилсульфид- α,β' -дикарбоновой к-ты (XXI), т. пл. 71–72° (из эф.-петр. эф.). Из ди-Na-

соли I и бромистых алкилов в CH_3OH получены XIII, выход 71%, т. кип. 117–118°/11 мм. S-изопронилогликолевая к-та (XXII), выход 74,7%, т. кип. 128–127°/12 мм, и S-н-бутилтиогликолевая к-та (XXIII), выход 74%, т. кип. 143°/12 мм. Для характеристики получены S-бензилтиурониевые соли следующих к-т (данные т. пл. в °C): VII, 136; β -хлорпропионовой, 146; III, 148; метионина, 207–208; диметилсульфиддикарбоновой (XXIV — к-та), 158–159; X, 152; XVIII, 156–157; XXI, 165; XIII, 155; XXII, 153–154; XXIII, 148,5. В водн. суспензию 1 г X и 0,5 г III пропускают HCl (газ), выпадает XI, т. пл. 163–164°. Из смеси 18,8 ммольа III, 55,5 ммольа III, 2 мл 50%-ной HBr и 2 мл 2 н. CH_3COOH через 12 час. выпадает 71% трикарбоксиэтилсульфонийбромид (XXV), т. пл. 151° (из абс. сп.-эф.). 109 ммольа III при 0° смешивают с 54,4 ммольа I и 5,4 мл конц. HCl , через 12 час. кристаллич. продукт промывают эфиром, из водн. р-ра остатка выпадает XV, т. пл. 136–137°, а упариванием маточного р-ра получают 55,3% XIV, т. пл. 151°; бромид, выход 64%, т. пл. 127°. Р-р XIV в воде кипятят, по охлаждению выпадает XV. XV получается также при нагревании 6 час. (85°) 11,2 ммольа ди-Na-соли X с 10,6 ммольа VIII с последующим подкислением H_2SO_4 . При стоянии 6,66 ммольа XXIV и 5,55 ммольа III с конц. HCl и упаривании промытого эфиром р-ра получают XVI, т. пл. 131°. XVII (выход 66,6%, т. пл. 156°) синтезируют нагреванием (12 час., 85° и 4 дня, 25°) нейтрализованной содой смеси 8 ммольа XXIV и 7,2 ммольа IX с последующим подкислением конц. H_2SO_4 . Из XIII, III и HCl при 0° в диоксане выход этилкарбоксиметилкарбоксиэтилсульфонийхлорида (XXVI) 91,2%, т. пл. 118° (абс. сп.-эф.); бромид, т. пл. 121°. Из 6,6 ммольа XIII и 11,6 ммольа XII и HCl в воде выпадает 94% этилкарбоксиметил- β -карбоксипропилсульфонийхлорида, т. пл. 95° (из абс. сп.); бромид, выход 89%. Из 35 ммольа XIII, 35 ммольа IV и HCl в смеси эфира и ацетона получают этилкарбоксиметил- β -карбоксиизопронилосульфонийхлорид, выход 22,4%, т. пл. 134° (из абс. сп.). Из XXIII, III и HCl в эфире — изопронилкарбоксиметилкарбоксиэтилсульфонийхлорид (XXVII), выход 83%, т. пл. 128°; бромид, т. пл. 122°. Из XXII и XII в конц. HCl (к-те) при 0° получают изопронилкарбоксиметил- β -карбоксипропилсульфонийхлорид, выход 61,5%, т. пл. 129°; бромид, выход 62%, т. пл. 123°. Полученный из XXIII и III жидкий сульфониюхлорид с солью Рейнке дает n-бутилкарбоксиметилкарбоксиэтилсульфонийрейнекат, т. пл. 106°. Из диизопронилсульфида, III и HCl получают диизопронилкарбоксиэтилсульфонийхлорид, масло; пикрат, т. пл. 147° (из воды). Из III, $(\text{C}_2\text{H}_5)_2\text{S}$ и HCl в ацетоне при 0° получают диэтилкарбоксиэтилсульфонийхлорид, т. пл. 119°; бромид, выход 62,5%. При нагревании (22 часа, 55°) 5,6 ммольа X и 6,5 ммольа VII получают с низким выходом XXV. X и CH_3I оставляют на 3 недели, разбавляют водой, промывают эфиром, из водн. слоя получают метилдикарбоксиэтилхлорид, масло; рейнекат, кристаллы. Так же из CH_3I и XIII или XXII получают метилэтил- или метилпропилкарбоксиметилсульфонийхлориды, т. пл. 104–105° и 111°. При нагревании расплавленных XI и XXV получают X. Так же при 125° разлагается XXVI (с образованием XVIII) и XXVII. И. Котляревский

21363. Синтез dl-цис-9,10-метиленоктадекановой кислоты (дигидростеркуловой кислоты) и dl-цис-11,12-метиленоктадекановой кислоты. Гофман, Орочена, Йохо (Unequivocal syntheses of dl-cis-9,10-Methyleneoctadecanoic acid (dihydrostercularic acid) and dl-cis-11,12-methyleneoctadecanoic acid. Hofmann Klaus, Orochena Salvador F., Yoho Clayton W.), J. Amer. Chem. Soc., 1957, 79, № 13, 3608–3609 (англ.)

dl-цис-9,10-метиленоктадекановая к-та (I) синтезируют

следующим образом: присоединением дибромкарбона CBr_2 к 1,4-циклогексadiену (РЖХим, 1956, 692) получают 7,7-дибромноркарбен-3, т. пл. 36,8—37,0°, который окислением переводят в *цис*-3,3-дибромциклопропандиуксусную-1,2 к-ту, т. пл. 179,4—181,2°, превращающуюся после гидрогенолиза в *цис*-циклопропандиуксусную-1,2 к-ту (II), т. пл. 131—133°. Монометилвый эфир хлорангидрида II после обработки $(\text{C}_6\text{H}_5)_2\text{Cd}$ и послед. гидролиза дает *dl*-*цис*-6-кето-3,4-метилендодекановую к-ту, последняя восстановлением переведена в *dl*-*цис*-3,4-метилендодекановую к-ту, т. кип. 153—154°/3 мм, из которой по ранее описанному методу (РЖХим, 1957, 1082) получают I, т. пл. 38,6—39,6°. I оказалась полностью идентичной с дигидростеркуловой к-той чем доказано строение последней. Из II получена также *dl*-*цис*-11,12-метиленоктадекановая к-та (III), т. пл. 31,0—33,6° (амид, т. пл. 84—85,2°), неидентичная с лактобацилловой к-той (IV). III обладает примерно вдвое меньшей промотирующей активностью в отношении роста бактерий *Lactobacillus delbrueckii*, чем IV, последняя представляет собой, по-видимому, один из стереоизомеров III.

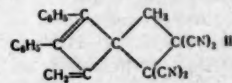
Л. Хейфиц
21364. Исследования в ряду циклобутана. Часть III. Попытки синтеза оптически активных производных 1,2-диметиленциклобутана. Киппинг, Рен (Experiments in the cyclobutane series. Part III. Attempts to obtain optically active substituted 1:2-dimethylene-cyclobutanes. Kipping F. B., Wren J. J.), J. Chem. Soc., 1957, July, 3246—3251 (англ.)

Хроматографированием 1,2-бис-(дифенилметил)-циклобутана (I) на (+)-лактозе не удалось выделить оптич. активного I. Попытки синтеза производных I с SOOH -группами в бензольных ядрах через Mg -органич. соединения также не удалось. I получен следующим путем: диэтиловый эфир α,β -дибромадициновой к-ты превращали в *рац*-*транс*-циклобутандикарбоновую-1,2 к-ту (*рац*-*транс*-II) [выход 69%, т. пл. 130,5—131° (из C_6H_5 -диоксиана, 20:1)], которую через ее среднюю соль с хинином разделили на (—)-*транс*-II, т. пл. 116—117° (из бэл.), $[\alpha]_D^{25} -158^\circ$, $[\alpha]_D^{20} -157^\circ$ (с 0,75; вода), и (+)-*транс*-II, т. пл. 105—108° (из бэл.), $[\alpha]_D^{21} +123,8^\circ$. Кипячением (—)-*транс*-II со смесью спирта и H_2SO_4 получен диэтиловый эфир (—)-*транс*-II (выход 78%, т. кип. 80,3°/1,0 мм, $n_D^{22} 1,4372$, $[\alpha]_D^{15,5} -124^\circ$, $[\alpha]_D^{20} -122^\circ$ (с 0,5; ацетон), который действием $\text{C}_6\text{H}_5\text{MgBr}$ по присоединенной ранее методике (Alberman, Kipping, J. Chem. Soc., 1951, 779) превращают в (—)-*транс*-1,2-ди-(оксидифенилметил)-циклобутан (III), выход 82%, т. пл. 174—175,5° (из водн. сл.), $[\alpha]_D^{14} -53^\circ$, $[\alpha]_D^{20} -59,0^\circ$ (с 0,5; ацетон). III выдерживают 2,25 часа при 200—210° в токе N_2 , извлекают петр. эфиром, хроматографируют на Al_2O_3 , получают оптич. неактивный I, т. пл. 182,5—183,5°, и правовращающее жидкое в-во, строение которого не устанавливалось. При попытке синтезировать аналогичным путем (—)-*транс*-1,2-ди-(оксиди-*n*-толилметил)-циклобутан (IV) получена смесь IV с 1,2-бис-(ди-*n*-толилметил)-циклобутаном, которую не удалось разделить перекристаллизацией из спирта. Эта смесь при 170° в токе N_2 превращается в смесь, не содержащую IV, хроматографирование которой привело к тем же результатам, что и в случае продуктов пиролиза III. Исследовано взаимодействие *n*-бензилоксигалоидбензолов с Mg , с тем, чтобы получить Mg -органич. соединения ввести в р-цию с эфиром *транс*-II и после гидрирования продукта р-ции гидрогенолизом отщепить $\text{C}_6\text{H}_5\text{CH}_2$ -группу и путем последующих превращений перейти к производным I с OCH_2COOH -группой в бензольном ядре. *n*- $\text{C}_6\text{H}_5\text{CH}_2\text{OC}_6\text{H}_4\text{Cl}$ (V) не реагирует с Mg , а *n*- $\text{C}_6\text{H}_5\text{CH}_2\text{OC}_6\text{H}_4\text{Br}$ также не реагирует с Mg и Li . *n*- $\text{C}_6\text{H}_5\text{CH}_2\text{OC}_6\text{H}_4\text{J}$ реагирует со сплавом Mg-Cu при кипячении в смеси эфира

с бензолом, давая *n*- $\text{C}_6\text{H}_5\text{CH}_2\text{OC}_6\text{H}_4\text{MgJ}$ (VI), что подтверждается карбоксилированием VI с образованием *n*- $\text{C}_6\text{H}_5\text{CH}_2\text{OC}_6\text{H}_4\text{COOH}$ (выход 46%) и взаимодействием VI с $\text{CH}_3\text{COOC}_2\text{H}_5$, приводящем к 1,1-ди-*n*-бензилоксифенилэтанолу, т. пл. 187—188° (из CH_3COOH). Аналогично *m*- $\text{C}_6\text{H}_5\text{CH}_2\text{OC}_6\text{H}_4\text{J}$ образует Mg -органич. соединение, которое при карбоксилировании дает *m*- $\text{C}_6\text{H}_5\text{CH}_2\text{OC}_6\text{H}_4\text{COOH}$ с выходом 36%. Этиловый эфир *рац*-*транс*-II образует с VI 1,2-бис-(ди-*n*-бензилоксифенилметил)-циклобутан (VII) [выход 21%, т. пл. 179—180° (из ацетона)] и небольшое кол-во в-ва, т. пл. 220,5—221° (VIII), неуставленного строения. При гидрировании VII под атмосферным давлением при $\sim 20^\circ$ над Pd/C не происходит ни восстановления сопряженных двойных связей (что объяснено пространственными препятствиями), ни ожидаемого гидрогенолиза бензилоксигрупп, что отнесено за счет сопряжения неподеленных пар электронов кислорода с двойными связями. В этих же условиях V превращается в *n*-хлорфенол с выходом 83%. Взаимодействием $\text{CH}_3\text{OCH}_2\text{Cl}$ с соответствующими *n*-галоидфенолятами синтезированы *n*- $\text{CH}_3\text{OCH}_2\text{OC}_6\text{H}_4\text{J}$ (выход 29%, т. кип. 89—92°/0,6 мм) и *n*- $\text{CH}_3\text{OCH}_2\text{C}_6\text{H}_4\text{Br}$ (т. кип. 72°/0,5 мм), которые бурно реагируют со сплавом Mg-Cu , не образуя при этом, однако, ожидаемых Mg -органич. соединений. Приведены ИК- и УФ-спектры VIII, УФ-спектр VII, ИК-спектр *рац*-*транс*-II. Часть II см. РЖХим, 1957, 71542.

В. Дашунин
21365. Присоединение тетрацианэтилена к дифенилдиметиленциклобутену. Бломквист, Мейнуолд (The addition of tetracyanoethylene to diphenyldimethylenecyclobutene. Blomquist A. T., Meinwald Yvonne C.), J. Amer. Chem. Soc., 1957, 79, № 19, 5316—5317 (англ.)

Тетрацианэтилен при t -ре $\sim 20^\circ$ в C_6H_6 присоединяется к дифенилдиметиленциклобутену (I), образуя аддукт спирализованной структуры (II) [выход $\sim 40\%$, т. пл. 175—176° (разл.; из эф.)], строение которого подтверждено УФ-, ИК-спектрами и спектром ядерного магнитного резонанса. II при t -ре $\sim 20^\circ$ в CCl_4 при-



соединяет по экзометиленовой группе 1 моль Br_2 , образуя дибромид (III), т. пл. 162,5—163°. I при умеренных t -рах (25—75°) не реагирует с малеиновым ангидридом, *N*-фенилмалеинимидом и эфиром ацетиленадикарбоновой к-ты (IV). При более высокой t -ре имеет место полимеризация, не приводящая к кристаллич. продуктам. При 150° I с IV дает с незначительным выходом аморфный продукт состава $(\text{C}_{20}\text{H}_{20}\text{O}_4)_n$, разлагающийся при 160—170°. Приведены УФ- и ИК-спектры II, III и спектр ядерного магнитного резонанса II.

Л. Хейфиц
21366. О некоторых специфических особенностях скелетного никель-алюминиевого катализатора при гидрогенолизе пентаметиленового цикла. Шуйкин Н. И., Черкашин М. И., Изв. АН СССР. Отд. хим. н., 1957, № 10, 1256—1258

Гидрирование 1-бутилциклопентена-1 (I) и 1-изомилциклопентена-1 (II) при 200° и атмосферном давлении на скелетном Ni-Al -катализаторе (объемная скорость пропускания 0,06 ч⁻¹) сопровождается последующим гидрогенолизом. При этом, кроме продуктов обычного гидрогенолиза 5-членного цикла, образуются углеводороды, содержащие на один или два C -атома меньше, чем исходный углеводород (I наряду с 4-метилоктаном дает 3-метилгептан и 2-метилгексан, а II наряду с 2,5-диметилоктаном — 2,5-диметилгептан). Аналогичные превращения в принятых условиях

претерпевает также и изоамилциклопентан. Во всех случаях упрощение молекулы исходных углеводов идет за счет элиминирования С-атома, входившего в состав 5-членного цикла и связанного размыкающейся С—С-связью (возможен также и парный разрыв С—С-связей 5-членного цикла). Высказано предположение, что такое поведение 5-членных циклич. углеводов объясняется особым расположением циклопентанового кольца на скелетном Ni—Al-катализаторе, при котором четыре CH_2 -группы лежат в одной плоскости, а пятая, замещ. алкилом, остается приподнятой над поверхностью катализатора.

Л. Хейфиц
21367. 1,2-диметиленциклогексан. Синтез и полимеризация. Бломквист, Лонгон (1,2-dimethylenecyclohexane. Synthesis and polymerization. Blomquist A. T., Longone D. T.), J. Amer. Chem. Soc., 1957, 79, № 14, 3916—3919 (англ.)

Синтезирован 1,2-диметиленциклогексан (I) исходя из диэтилфталата. Последний восстанавливался над скелетным Ni при 170° в диэтиловый эфир циклогександикарбоновой-1,2 к-ты (выход 94%, т. кип. $124-125^\circ/5,4$ мм, $n_D^{25} 1,4503$), который с LiAlH_4 давал 1,2-ди-(оксиметил)-циклогексан (выход 89%, т. кип. $142-143^\circ/3,8$ мм, $n_D^{25} 1,4905$), взаимодействием с PBr_3 переведенный в 1,2-ди-(бромметил)-циклогексан, выход 90%, т. кип. $112-113^\circ/2,5$ мм, $n_D^{25} 1,5413$, $d_4^{25} 1,6276$. Последний с $(\text{CH}_3)_3\text{N}$ в CH_3OH превращался в дибромметилат 1,2-бис-(диметиламинометил)-циклогексана [выход 88%; пикрат (две формы), т. пл. $192-194^\circ$ (из сп.) и т. пл. $166-167^\circ$ (из сп.)], переведенный взаимодействием с влажной Ag_2O в четвертичное аммониевое основание, нагревание которого до $115-125^\circ$ при $142-146$ мм приводило к I, выход 40%, т. кип. $73-74^\circ/136$ мм (перегнан в токе N_2), $n_D^{25} 1,4717$. I с малеиновым ангидридом дает ангидрид $\Delta^9,10$ -октагидронафталиндикарбоновой-2,3 к-ты, т. пл. $139,5-140^\circ$ (из эф.). Эмульсионная полимеризация I протекает значительно медленнее, чем для 1,2-диметиленциклобутана и 1,2-диметиленциклопентана и приводит к маслообразным или кристаллич., перезиноподобным продуктам. Отсутствие в полимере концевых метиленовых групп (установлено по ИК-спектру) свидетельствует о том, что полимеризация I, по-видимому, целиком протекает за счет *цис*-1,4-присоединения. Приведены ИК- и УФ-спектры I (в изоктане).

Н. Кологривова
21368. Исследование реакции нитрования изопропилциклогексана азотной кислотой. Топчиев А. В., Мехтиев С. Д., Новрузова А. Ш., Докл. АН СССР, 1957, 115, № 5, 931—933

Изучено нитрование изопропилциклогексана (I) 48,28 и 11%-ной HNO_3 при $50-55$, $80-85$ и $105-110^\circ$, мол. отношении I: HNO_3 от 1:1,25 до 1:2,5 и длительности р-ции 5,10,15 и 20 час. Установлено, что оптимальными условиями р-ции являются т-ра $80-85^\circ$, продолжительность 15 час. (с увеличением продолжительности р-ции увеличивается уд. значение р-ции окисления), конц-ия 48% (d 1,3) и мол. соотношение I: $\text{HNO}_3 = 1:2,5$. При этих условиях превращение I составляет 57%, а выходы неочищ. нитропродукта и мононитроизопропилциклогексана, считая на превращенный I, 98,3 и 78,6% соответственно. Установленную зависимость нитрования I от различных факторов авторы объясняют динамикой кол-ва NO_2 , образующейся из HNO_3 при различных условиях. Для подтверждения этого предпринят спец. опыт по нитрованию I в присутствии небольшого кол-ва $(\text{NH}_4)_2\text{SO}_4$, при котором, несмотря на оптимальные условия для нитрования, не образовалось даже следов нитропродукта. Л. Хейфиц

21369. Циклические диены. XX. 4-н-октил-1,2-диметиленциклогексан. Бейли, Клейн (Cyclic dienes. XX.

4-n-octyl-1,2-dimethylenecyclohexane. Bailey William J., Klein William A.), J. Amer. Chem. Soc., 1957, 79, № 12, 3124—3127 (англ.)

С целью дальнейшего изучения свойств полимеров замещ. 1,2-диметиленциклогексанов синтезирован 4-н-октил-1,2-диметиленциклогексан (I). Доступный в промышленных кол-вах *n*-октенилэтарный ангидрид восстанавливают в диоксане над скелетным Ni (100° , 160 ат) и получают *n*-октенилэтарный ангидрид (II) (выход 98%, т. пл. $62-64,5^\circ$), который при этерификации дал этиловый эфир 3-карбэтоксидекадановой к-ты (III), выход 92%, т. кип. $110^\circ/0,07$ мм, $n_D^{25} 1,4350$. Восстанавливают II LiAlH_4 (кипятят 96 час.), остаток после разложения реакционной смеси и отгонки эфира растворяют в $(n\text{-C}_4\text{H}_9)_2\text{O}$, обрабатывают 10-кратным кол-вом $(\text{CH}_3\text{CO})_2\text{O}$ в присутствии CH_3COOH (кипятят 72 часа) и получают ацетат 3-ацетоксиметилундецилового спирта (IV) (выход 78%, т. кип. $127^\circ/0,11$ мм, $118^\circ/0,04$ мм, $n_D^{25} 1,4396$), который синтезируют аналогично также и из III, выход 94%. Пиролизуют IV, пропуская его в токе N_2 при 520° со скоростью 1,5 г/мин через колонку, заполненную стеклянными спиральками с диам. ~ 3 мм (длина слоя 25 см), и получают 2-н-октилбутадие-1,3 (V) (выход 46%, т. кип. $71^\circ/4,3$ мм, $n_D^{25} 1,4514$) и смесь (выход 28%) 3-ацетоксиметилундецена-1 и ацетата 3-метилундецилового спирта. Смесь 1,60 г малеинового ангидрида (VI), 3,5 г V и 50 мл C_6H_6 кипятят 24 часа и получают ангидрид 4-н-октил-1,2,3,6-тетрагидрофталевой к-ты (VII) (VIII — к-та), выход 47%, т. пл. $51,3-51,8^\circ$ (из петр. эф.). Аналогично из V и 1,4-нафтохинона (IX) получают 2-н-октил-1,4,4а,9а-тетрагидроантрахинон, выход 67%, т. пл. $85,8-86,4^\circ$ (из сп.). Этерификацией VII получают диэтиловый эфир VIII (выход 83%, т. кип. $150^\circ/0,15$ мм, $n_D^{25} 1,4636$), который при гидрировании в спирте над скелетным Ni (100° , 170 ат) или над Pt (из PtO_2) при 22° дал диэтиловый эфир 4-н-октилгексагидрофталевой к-ты (X), выход 96%, т. кип. $140^\circ/0,10$ мм, $n_D^{25} 1,4562$. Восстановление X LiAlH_4 привело к 4-н-октилгексагидрофталовому спирту [выход 97%, т. пл. $64,0-64,6^\circ$ (из эф.-петр. эф.)], который обработкой $(\text{CH}_3\text{CO})_2\text{O}$ в присутствии CH_3COOH (кипятят 24 часа) переводит в соответствующий диацетат (XI), выход 95%, т. кип. $140^\circ/0,03$ мм, $n_D^{25} 1,4605$. При пиролизе XI при 500° (см. выше) получают I (выход 28%, т. кип. $79^\circ/0,11$ мм, $n_D^{25} 1,4707$), смесь (выход 40%) 1-метил-2-ацетоксиметил-4-н-октилциклогексана и 1-ацетоксиметил-2-метил-4-н-октилциклогексана (т. кип. $106-118^\circ/0,09$ мм) и 13% неизмененного XI. Смесь 0,59 г VI, 1,59 г I и 50 мл C_6H_6 выдерживают 2 часа при 25° , затем кипятят 15 час. и получают ангидрид 6-н-октил- $\Delta^9,10$ -октагидронафталиндикарбоновой-2,3 к-ты, выход 47%, т. пл. $103,8-105^\circ$ (из петр. эф.). Аналогично из I и IX приготавливают 2-н-октил-1,2,3,4,5,6,11,12-дикагидронафтацендион-6,11, выход 38%, т. пл. $145,8-146,6^\circ$ (из петр. эф.). Приведены УФ- и ИК-спектры I и V. Сообщение XIX см. РЖХим, 1957, 71552.

В. Андреев
21370. Приготовление диметилкетала циклогексанона. Мак-Кой, Бейкер, Голк (Preparation of cyclohexanone dimethyl acetal. McCoy Robert E., Baker Alvin W., Gohlke Roland S.), J. Organ. Chem., 1957, 22, № 10, 1175—1177 (англ.)

При подкислении р-ров или суспензий солей ациформы нитроциклогексана (САФ) в CH_3OH и при р-циях САФ с $(\text{CH}_3)_2\text{SO}_4$ или с $(\text{C}_2\text{H}_5)_2\text{SO}_4$ в CH_3OH обнаружено с помощью ИК- и масс-спектроскопии образование наряду с оксимом циклогексанона также нитроциклогексана, циклогексанона (I) и диметилкетала I (II), т. кип. $73,0^\circ/50$ мм, $n_D^{25} 1,4372$. При проведении р-ции САФ с $(\text{C}_2\text{H}_5)_2\text{SO}_4$ в других р-рителях или подкислении САФ в спирте II не получался. Строение

П подтверждено прямым синтезом из I и CH_3OH . Необычный факт прямого образования II авторы объясняют неустойчивостью CO -связи в I, что подтверждается неспособностью имеющего более устойчивую CO -связь циклопентанона давать кеталь в сравнимых условиях. Прямое получение кеталей из I и высших спиртов вследствие пространственных затруднений идет со значительно меньшими выходами (в случае спирта $\sim 10\%$). Приводятся выходы II, получаемого из смеси CH_3OH и I в присутствии HCl -к-ты или кислой ионообменной смолы при 25° (в скобках указаны кол-ва исходных I и CH_3OH): 50% (стехиометрич.), 78% (равные объемы), 92% (23,1 вес. % I), 95% (12,1 вес. % I). Приведены ИК-спектры и масс-спектрограммы II.

В. Андреев
21371. Производные (1-аминоциклогексил)-метанола. Ноланд, Неллер, Райс (Derivatives of (1-amino-cyclohexyl) methanol. Noland Wayland E., Kneller James F., Rice David E.), J. Organ. Chem., 1957, 22, № 6, 695—697 (англ.)

(1-аминоциклогексил)-метанол (I) получен гидрированием (1-нитроциклогексил)-метанола (II) над скелетным Ni ($\sim 20^\circ$, 2 ат), выход I 60%, т. кип. $84^\circ/1$ мм, т. пл. $\sim 37-39,5^\circ$, $n_D^{20} 1,4959$; хлоргидрат, т. пл. $161,5-163,5^\circ$ (из хлф.-птр. эф.); сульфат, т. пл. $237,5-240,5^\circ$ (из сн.); дибензойное производное (III), т. пл. $100-102^\circ$ (из CH_2Cl_2 -птр. эф.); диацетильное производное (IV), т. пл. $63-66,5^\circ$ (из CH_2Cl_2 -птр. эф.). Кипячение IV со спиртом в присутствии конц. H_2SO_4 (2,5 часа) приводит к (1-ацетамидоциклогексил)-метанолу (V), выход 29%, т. пл. $121-123^\circ$ (из CH_2Cl_2 -птр. эф.), а кипячение I с безводн. HCOOH (4 часа) — к (1-формилциклогексил)-метанолу (VI), выход 21%, т. пл. $124-125,5^\circ$ (из CH_2Cl_2 -птр. эф.). При нагревании I с избытком мочевины (1 час при 185° без катализатора) образуется 3-окса-1-азаспиро-[4,5]-деканон-2 (VII), выход 34%, т. пл. $82-84,5^\circ$ (из CH_2Cl_2 -птр. эф.), а при 16-часовом кипячении с диэтиловым эфиром щавелевой к-ты в диоксане I переходит в N,N' -бис-(1-оксиметилциклогексил)-оксамид (VIII), выход 14%, т. пл. $174,5-176,5^\circ$ (из CH_2Cl_2 -птр. эф.). Исходный II получен конденсацией эквимольных кол-в нитроциклогексана и параформа в присутствии 20%-ного метанольного р-ра KOH , выход $\sim 80\%$, т. кип. $136-137/5,5$ мм, т. пл. $\sim 0-4^\circ$, $n_D^{20} 1,4845$; 3,5-динитробензоат, т. пл. $131-132,5^\circ$ (из бэл.-птр. эф.). Приведены ИК-спектры I—VIII.

Л. Хейфиц
21372. Тетрагидрофталевые кислоты. Бакле (The tetrahydrophthalic acids. Buckles Robert E.), Chem. Revs., 1957, 57, № 4, 641—663 (англ.)

Обзор. Библ. 129 назв.

21373. О простом способе перехода от фульвенов к 6,6-дизамещенным циклогексацидионам. Альдер, Флок, Лессених (Über einen einfachen Weg von den Fulvenen in die Reihe des 6,6-disubstituierten Cyclohexadionens. Alder Kurt, Flock Franz Heinz, Lessenich Hans), Chem. Ber., 1957, 90, № 9, 1709—1720 (нем.)

Окислением диметилфульвена (I) (при 0°), пентаметиленфульвена (II) (при 0°) и метилфенилфульвена (III) (при $25-35^\circ$) 30%-ной H_2O_2 в щел. среде получены соответственно димер окиси I (IV) (выход 79%, т. пл. $86-88^\circ$), димер окиси II (V) [выход 70%, т. пл. $103-108^\circ$ (из лигр.)] и димер окиси III (VI), выход 74%, т. пл. $138-139^\circ$ (из лигр.) и $177-178^\circ$ (из лигр.). При пиролизе IV—VI дают соответственно 6,6-диметилциклогексацидионен (VII) [выход 40—45%, т. кип. $56/12$ мм, $n_D^{20} 1,4992$, $d_4^{20} 0,9635$; димер, т. пл. $101-103^\circ$ (из лигр.)], 6,6-пентаметиленциклогексацидионен (VIII) [выход 73%, т. кип. $78-80/0,2$ мм; димер, т. пл. 121° (из птр. эф.)] и 6-метил-6-фенилциклогексацидионен (IX) [выход 75%, т. кип. $83/0,01$ мм;

димер, т. пл. $201-202^\circ$ (из этилацетата с лигр.)], скорость димеризации которых снижается в ряду VII—IX. Строение VII подтверждено спектроскопически, а также превращением VII в o - $\text{CH}_3\text{C}_6\text{H}_4\text{OH}$ и 2,6-диметилфенол при нагревании ($550^\circ/12$ мм) и гидрированием над Pt (из PtO_2) в 2,2-диметилциклогексанон [семикарбазон (СК), т. пл. $195-196^\circ$ (разл.)]; строение VIII — гидрированием до 2,2-пентаметиленциклогексанона [2,4-динитрофенилгидразон, т. пл. $130-132^\circ$ (разл.); СК, т. пл. $208-210^\circ$ (разл.)], а строение IX — гидрированием в 2-метил-2-фенилциклогексанон; СК, т. пл. $204-207^\circ$. VII—IX при кипячении в р-ре кислоты дают аддукты (АД) с маленовым ангидридом (X), диметилловым эфиром ацетилендикарбоновой к-ты (XI) и циклопентадиеном (XII). Перечисляются АД, время взаимодействия компонентов в часах, выход в %, т. пл. в $^\circ\text{C}$ (или т. кип. в $^\circ\text{C}/\text{мм}$): VII с X, 2, 86, $130-132^\circ$ (из этилацетата-лигр.); VIII с X, 4, 82, $141-142^\circ$ (из этилацетата-лигр.); IX с X, 4, 71, $201-202^\circ$ (из этилацетата-лигр.) и $206-207^\circ$ (из этилацетата-лигр.); VII с XI, 4, 84, $118/0,01$, VIII с XI, 4, 78, $66-68^\circ$ (из этилацетата-лигр.); IX с XI, 4, 77, $100-102^\circ$ (из этилацетата-лигр.); VII с XII, 5, 76, $124/12$; VIII с XII, 5, 85, $90/0,01$; IX с XII, 8, 75, $114-116^\circ$ (из птр. эф.) и $137-139^\circ$ (из птр. эф.). АД VII—IX с XI при пиролизе (при 500°) превращаются в $\text{C}_6\text{H}_4(\text{COOCH}_3)_2$ и соответственно диметилкетен (выход 89%; димер — тетраметилциклобутандион, т. пл. $113-115^\circ$), пентаметиленкетен [выход 79%; гл. образом в виде димера, т. пл. $163-165^\circ$ (из птр. эф.)] и метилфенилкетен, выход 75%, т. кип. $74/12$ мм. Омылением АД VII—IX с XI получают $\text{C}_6\text{H}_4(\text{COOH})_2$ с выходом соответственно 81, 75 и 75%, а также $\text{изо-C}_6\text{H}_7\text{COOH}$, циклогексанкарбоновую и гидратированную к-ты. Приведены ИК-спектры IV—IX, димеров VII—IX, АД VII—IX с XII и УФ-спектры VII—IX.

С. Кустова
21374. О диазоциклогексане и его применении для синтеза спироановых соединений. Хейнс, Хейнс (Über das Diazocyclohexan und dessen Anwendung zur Synthese von spiro-Verbindungen. Heyns Kurt, Heins Arnold), Liebigs Ann. Chem., 1957, 604, № 1-3, 133—150 (нем.)

Диазоциклогексан (I) получен: 1) дегидрированием с помощью Ag_2O гидразона циклогексанона (II) и 2) щел. расщеплением N -нитрозо- N -циклогексилуретана (III) ($n_D^{20} 1,4721$), N -нитрозо- N -циклогексилмочевины (IV), т. пл. 116° (разл.; из бэл.-птр. эф.), N -нитрозо- N -циклогексилацетамида (V), т. пл. $40,5-41^\circ$ (разл.; из птр. эф. при -20°) и N -нитрозо- N -циклогексил- p -тозиламида (VI), т. пл. $46-47^\circ$ (разл.; из птр. эф. при -20°). Образование I в первом способе доказано выделением циклогексидинового эфира 3,5-динитробензойной к-ты, т. пл. $111-112^\circ$ (из водн. CH_3OH) при добавлении этой к-ты к реакционной смеси. Замена Ag_2O на HgO приводит к циклогексидиназину (VII), т. пл. $33-34^\circ$ (из птр. эф.). I получен только в р-рах, так как он легко разлагается, особенно в присутствии Ag , давая VII (в ксильных р-рах) или смесь VII и циклогексена (VIII) (в CH_3OH и CH_3OH -эф.). Константа разложения I при 20° $67,3 \cdot 10^{-4}$ мин $^{-1}$ (для диазо- n -бутана $2,3 \cdot 10^{-4}$ мин $^{-1}$). III—VI получены из соответствующих N -циклогексилациламидов при действии на них окислов азота (из HNO_3 и NaNO_2) при $-5-0^\circ$ в эфирном р-ре в присутствии MgSO_4 (выходы III 94%, IV 28%, V 12%, VI 10%) или в смеси 90% (по объему) CH_3COOH и 10% $(\text{CH}_3\text{CO})_2\text{O}$ (выходы IV 4%, V 1,5%, VI 67%). При нитровании р-ром N_2O_4 в CCl_4 в присутствии CH_3COONa и CH_3COOH получены IV, V и VI с выходами 15%, 15% и 34% соответственно. Получить V и VI действием NOCl на ациламиды не удалось. Увеличение реакционной способности и легкость разложения вторичных нитрозоалкилами-

дов (НА) и диазоалканов по сравнению с первичными авторы объясняют более сильным +J-эффектом вторичной алкильной группы. Этим же объясняется увеличение волнового числа полосы C=O-группы в ИК-спектрах НА по сравнению с алкилациламидами. Р-ция I с циклогексаноном (IX) приводит к 2-спиро-[6, 5]-додеканон-1-(2-пентаметиленциклогептанон-1) (X), наряду с образованием VIII, циклогексилметилового эфира (XI) и циклогексанола (XII). Смесь 20 г BaO, 28 г гидразингидрата и 49 г IX в 39 мл абс. спирта нагревают 5 час. при 100°, выход II 77,3%, т. кип. 81,5–84°/6 мм. К охлажд. до –15° р-ру 0,2 г II в 20 мл ксилола добавляют безводный MgSO₄ и Ag₂O (оба с 20%-ным избытком) и перемешивают 20 мин., выход I 27–28%. К р-ру 0,2–0,4 г НА в ксилоле при т-ре от –14 до –18° прибавляют р-р C₂H₅ONa в спирте, выход I 32–37% из III, 28–31% из IV, 41–53% из V, 42–94% из VI. К метанольно-эфирному р-ру 31,9 г III и 18 г IX прибавляют спирт. р-р C₂H₅ONa, оставляют стоять на 12 час. при –14°, затем т-ру повышают до 20°, из смеси выделяют VIII (выход 13,5%), XI (выход 14,1%), XII (выход 15,1%) и X, выход 9,1%, т. кип. 129–131°/12 мм; семикарбазон, т. пл. 209,5–210,5 (из CH₃OH). При проведении р-ции в CH₃OH под действием Na₂CO₃ образуются VIII (выход 14,4%), XI (выход 13,8%) и X, выход 4,8%. Приведены ИК-спектры N-н-бутилацетамида, N-метилацетамида, N-н-бутилпропионамида, N-нитрозо-N-н-бутилацетамида, N-нитрозо-N-метилацетамида и N-нитрозо-N-н-бутилпропионамида.

Н. Куплетская

21375. Изучение алициклических соединений. XII.

Синтез 2,3,6,7-дибензотропона из алициклического соединения. Амнэл, Гинзбург (Alicyclic studies. XII. An alicyclic synthesis of 2:3, 6:7-dibenzotropone. Amiel Yaacov, Ginsburg David), Tetrahedron, 1957, 1, № 1/2, 19–21 (англ.)

Циклизацией транс-2-бензилциклогексилуксусной к-ты (I) приготовлен транс-2,3-бенз-5,6-циклогексаноциклогептанон (II), восстановленный затем в транс-2,3-бенз-5,6-циклогексаноциклогептанол (III). При дегидратации III получен 2,3,12,13,14,15-гексагидро-2,3,6,7-дибензциклогептадиен-2,4 (IV), который дегидрирован в 2,3,6,7-дибензциклогептатриен-2,4,6 (V), при окислении SeO₂ давший 2,3, 6,7-дибензотропон (VI). Из 1-бензоилциклогексена описанным методом (РЖХим, 1955, 26129) получают 2-бензоилциклогексилмалоновую к-ту, т. пл. 190–191° (из CCl₄), декарбоксилирование которой приводит к смеси 2-бензоилциклогексилуксусной к-ты (VII) и ее бензильного эфира, при омылении давшей чистую VII, выход 50%, т. пл. 103–104°. При восстановлении 16 г VII по Хуан — Миллону с использованием 12,4 г КОН, 7,6 мл 100%-ного NH₂NH₂ и 90 мл диэтиленгликоля получают I, выход 15,1 г, т. кип. 158–163°/0,5 мм, т. пл. 74–75° (из петр. эф.). Смесь 17,8 г I, 45 мл SOCl₂ и 100 мл C₆H₆ кипятят 4 часа, отгоняют C₆H₆ и избыток SOCl₂, к остатку прибавляют 100 мл CS₂ и 11,4 г безводн. AlCl₃, кипятят 2 часа и получают II, выход 83%, т. кип. 142–146°/0,5 мм; 2,4-динитрофенилгидразон (ДНФГ), т. пл. 235,5–236,5° (из сп.-этилацетата); оксим., т. пл. 143,5–144,5° (из CH₃OH); семикарбазон (СК), т. пл. 205° (из сп.). Смесь 4 г I и 80 г полифосфорной к-ты перемешивают 2 часа при 100° и получают II с колич. выходом. Восстановление II NaBH₄ приводит к III, выход колич., т. пл. 128–129° (из петр. эф.). Смесь 8,24 г III, 125 мл толуола и 0,5 г моногидрата β-нафталинсульфокислоты кипятят 1 час и получают IV, т. кип. 106–108°/0,2 мм, т. пл. 37–38° (из CH₃OH). Смесь 1,5 г IV и 1,5 г 30%-ного Pd/C нагревают в атмосфере N₂ 5 час. при 300–320° и получают V, выход 1,3 г, т. пл. 130–131°. Смесь 0,5 г V, 10 мл сухого диоксана и SeO₂ нагревают 6 час. при 160° в запаянной

ампуле и получают VI, выход высокий, т. пл. 80° (из CH₃OH). При попытке получения VI из V кипячением с р-ром Na₂C₂O₇ в лед. CH₃COOH или с р-ром H₂SeO₃ в диоксане образовывался антрахинон. Приведены ИК-спектры II и VII и УФ-спектры II, IV, V, ДНФГ II и СК II. Сообщение XI см. РЖХим, 1958, 17843.

В. Андреев

21376. Окисление циклооктатетраена тетраацетатом свинца и влияние на окисление трехфтористого бора.

Финкельштейн (Notiz über die Oxydation von Cyclooctatetraen mit Bleitetraacetat und ihre Beeinflussung durch Borfluorid. Finkelstein Manu-el), Chem. Ber., 1957, 90, № 9, 2097–2100 (нем.)

Изучено окисление циклооктатетраена (I) (CH₂COO)₄Pb в различных р-рителях, а также влияние, оказываемое на скорость и направление этой р-ции присутствием BF₃. Окисление I в лед. CH₃COOH, а также в 90%-ной и 70%-ной CH₃COOH при 60–70° приводит к диацетату бицикло-[0,2,4]-октадиен-2,4-диола-7,8 (II), выход 38%, т. кип. 83–87°/0,2 мм, т. пл. 61–62° (из 70%-ной CH₃COOH). При окислении I в C₆H₆ (8-часовое кипячение) также образуются II с выходом 32%. Окисление I в абс. CH₃OH при 55–60° приводит к диметилацетату формилциклогептатриена (III), выход 30%, т. кип. 58–61°/0,8 мм, n_D²⁵ 1,4990; при этом наряду с III образуются вышекипящие продукты, строение которых не установлено. При гидрировании III превращается в диметилацеталь формилциклогептатриена (IV); семикарбазон (СК), т. пл. 152–153°. Окисление I в лед. CH₃COOH в присутствии BF₃ протекает экзотермично (применялось охлаждение до 30–35°), в главном продуктом р-ции является диацетат формилциклогептатриена (V), выход 11,1 г (из 30 г I), т. кип. 73–76°/0,1 мм, n_D²² 1,4982; аддукт с малеиновым ангидридом, т. пл. 246–247° (разл.; из хлф.). При гидрировании V над Pt (из PtO₂) в лед. CH₃COOH образуется диацетат формилциклогептатриена (VI) (выход 67%, т. кип. 81–83°/0,2 мм, n_D²¹ 1,4621), который после взаимодействия с метанольным р-ром КОН дает семикарбазидом СК IV. Восстановление VI LiAlH₄ приводит к циклогептилкарбинолу (VII) (выход 69%, т. кип. 55–56°/0,4 мм, n_D²⁰ 1,4771; фенилуретан, т. пл. 69–70°), который получен также гидролизом IV (2-часовое кипячение со смесью лед. CH₃COOH и H₂SO₄) с последующим восстановлением образовавшегося формилциклогептатриена LiAlH₄ в VII.

Л. Хейфц

21377. Исследования в ряду бицикло-[2,2,1]-гептана.

IV. Бисдекарбоксилирование некоторых алициклических дикарбоновых кислот при бромировании. Уинстон, Янгблад, Уайлдер (Studies in the bicyclo [2,2,1] heptane series. IV. Brominative bisdecarboxylation of some alicyclic dicarboxylic acids. Winston Anthony, Youngblood George T., Wilder Pelham, Jr), J. Organ. Chem., 1957, 22, № 8, 876–878 (англ.)

Бромирование Ag-солей эндо-цис-бицикло-[2,2,1]-гептандикарбоновой-2,3 к-ты (I — к-та), бицикло-[3,3,0]-октандикарбоновой-2,4 к-ты (II — к-та) и цис-циклогександикарбоновой-1,2 к-ты (III — к-та) сопровождается бисдекарбоксилированием и приводит к соответствующим дибромидам, содержащим незначительное кол-во примесей лактонного характера; эндо-цис-бицикло-[2,2,1]-гептанон-7-дикарбоновая-2,3 к-та вступает в эту р-цию. К 29,4 г I в 21,6 мл 28%-ного водн. р-ра NH₃ добавляют 54,4 г AgNO₃ в 150 мл воды, получают Ag-соль I, выход 91%; 65,0 г этой соли бромируют 17 мл Br₂ в 200 мл CCl₄ 2 часа при 15°; после прекращения выделения CO₂ смесь кипятят 4 часа и получают соответствующий дибромид (IV), выход 27%, т. кип. 78–94°, n_D²⁰ 1,5604. Аналогично получают дибромид из II (выход 32%, т. кип. 91°/1 мм, n_D²⁰ 1,5561) и дибромид из III, выход 33%, т. кип. 88–90°

5 мм, n_D^{20} 1,5465. Восстановлением 3 г IV с 9 г Na в 120 мл абс. спирта и последующим гидрированием над Pt (из PtO₂) получают норборна, выход 300 мг, т. пл. 83—85°. Сообщ. III см. РЖХим, 1957, 57179. В. Бархаш

21378. Реакция Дильса — Альдера. II. Реакция β -нафтола и малеинового ангидрида; выделение изомерного аддукта. Такеда, Нагакура, Китахоноки. III. Реакция гидрохинона и малеинового ангидрида. Такеда, Китахоноки, Игараси (Diels—Alder reaction. II. Reaction of β -naphthol and maleic anhydride, isolation of another isomeric adduct. Takeda Kenichi, Nagakura Saburo, Kitahonoki Keizo. III. The reaction of hydroquinone and maleic anhydride. Takeda Kenichi, Kitahonoki Keizo, Igarashi Ki-kuo), Pharm. Bull. (Japan), 1953, 1, 135—138; 1956, 4, 12—15 (англ.)

II. Эвлиямлярную смесь β -нафтола и малеинового ангидрида (I) нагревают при 200—240° 0,5 часа, прибавляют CH₃COOC₂H₅ (II), получают в-во, т. пл. 155—187°. Перекристаллизация из II приводит к в-ву (III), т. пл. 194—195°. Фильтрат упаривают, охлаждают, получают небольшое кол-во соединения C₁₄H₁₀O₄ (IV), т. пл. 193—194°. Т-ра плавления смешанной пробы III и IV 154—162°. Диметиловый эфир IV, т. пл. 112—113,5° (из CH₃OH); *n*-нитрофенилгидразон, т. пл. 185—186° (из CH₃OH). Восстановление IV по Клемменсену, последующая дегидратация в (CH₃CO)₂O приводит к соответствующему дезоксисоединению, т. пл. 207—208° (из II). Дипольные моменты III и IV 2,86 и 6,54 D соответственно.

Chem. Abstrs, 1955, 49, № 5, 3103.

W. T. S.

III. 40 г *n*-C₆H₄(OH)₂ конденсируют с 20 г I, нагревают 1,5 часа при 200—220° (т-ра бани) в атмосфере CO₂ и сажают аддукт (V) 100 мл эфира, выход 1,9 г, т. пл. 251—253° (разл.; из абс. ацетона). V дает отрицательную ρ -цию с FeCl₃ и C(NO₂)₄ и не гидрируется над Pd/C. V приписывается строение ангидрида 2,5-диоксобицикло-[2,2,2]-октандикарбоновой-7,8 к-ты. 0,05 г V нагревают с 5 мл воды, получают к-ту, т. пл. 248—253° (разл.); диметиловый эфир, т. пл. 181—182,5° (из CH₃OH). Структура V родственна структуре аддукта (VI) (из I и циклогексадиена-1,3) (Diels и др., Liebigs Ann. Chem., 1930, 478, 137—154), который имеет те же максимумы ИК-спектра, что и V; V и VI дают родственные бициклометаллы (VII). 4 г V в 12 мл (HSCH₂)₂ и 5 мл 45%-ного BF₃ в эфире оставляют на 2 дня при ~ 20°, получают VII, выход 2,5 г, т. пл. 235—237° (из ацетона). Десульфирование VII скелетным Ni не дает ожидаемого ангидрида, того же, что и при гидрировании VI (см. ссылку выше). 1,5 г VII в 100 мл диоксана кипятят 8 час. с 15 г скелетного Ni, получают 3,6-эндотилентексагидрофталид (VIII), т. пл. 147° (из эф. петр. эф.). ИК-спектр имеет максимум, характерный для лактона, но не ангидрида. Подобное взаимодействие VI со скелетным Ni также дает VIII, идентифицированный т-рой плавления и ИК-спектром. Скелетный Ni частично восстанавливает ангидрид к-ты в лактон и двойную связь также. Следовательно, производные бензола вступают в ρ -цию Дильса — Альдера как обычные соединения с сопряженными двойными связями. Приведены УФ-спектр V и ИК-спектр V—VIII. Сообщение I см. РЖХим, 1955, 45868.

Chem. Abstrs, 1957, 51, № 5, 3475.

H. S. French

21379. Получение и термические перегруппировки некоторых производных дициклопентадиена. Розенблум (Preparation and thermal rearrangement of several dicyclopentadiene derivatives. Rosenblum Myron), J. Amer. Chem. Soc., 1957, 79, № 12, 3179—3181 (англ.)

Окислением дициклопентадиена (1,4 моля), кипячением 3 часа с SeO₂ (0,8 моля) в водн. диоксане получен дициклопентадиенол-1 (I) (выход 57%, т. кип. 106°/7 мм, 90°/5 мм, 84°/3 мм) и небольшое кол-во дициклопентадиенона-1 (II). II [т. кип. 82—87°/4 мм, т. пл. 59—59,5° (из петр. эф.); 2,4-динитрофенилгидразон (ДНФГ), т. пл. 203,5—204° (из сп.)] образуется из I с выходом 79% при окислении I по Опшенуэру (0,36 моля I, 0,45 моля *n*-хинона и 0,36 моля (трет-С₆H₅)₃Al в C₆H₆, 6 час. при 50°). Ацетилированием I с помощью (CH₃CO)₂O в C₆H₅N получен 1-ацетоксидициклопентадиен (III), выход 87%, т. кип. 118,5—120,5°/14,5 мм. При паровом пиролизе III (440—475° в токе N₂ при 5—7 мм) образуется смесь, состоящая, по-видимому, из 1-ацетоксидициклопентадиена-2,4, 1-ацетоксидициклопентадиена-1,3, 1-ацетоксидициклопентадиена-1,4 и циклопентадиена (IV), из которой при нагревании (150°, 3 часа) и повторном пиролизе (255°, 15 мин.) получен с небольшим выходом азаулен, т. пл. 92—95° (возг.), очищ. хроматографированием на Al₂O₃ и идентифицированный по УФ-спектру. I при паровом пиролизе (450° при 5—7 мм в токе N₂) претерпевает превращение, обратное ρ -ции Дильса — Альдера, и количественно превращается в IV и циклопентен-2-он (V). IV и V (выход 42%) образуются также при перегонке I при атмосферном давлении. II при действии CH₃MgI превращается в 1-метилдициклопентадиенол-1, выход 70%, т. пл. 49—49,5° (из петр. эф.). Аналогично из II и C₆H₅MgBr получен 1-фенилдициклопентадиенол-1, выход 33%, т. пл. 65,5—66,5° (из петр. эф.).

В. Дашуни

21380. Алкилирование дифенилметана галоидальными в присутствии амида натрия. Замена или β -элиминирование. Относительная кислотность дифенилметана и аммиака. Хаусер, Хамрик (Alkylation of diphenylmethane with alkyl halides by sodium amide. Substitution versus β -elimination. Relative acidities of diphenylmethane and ammonia. Hauser Charles R., Hamrick Phillip J., Jr.), J. Amer. Chem. Soc., 1957, 79, № 12, 3442—3445 (англ.)

Дифенилметан (I) при действии NaNH₂ в жидком NH₃ образует дифенилметилнатрий (II), который алкилируется C₆H₅CH₂Cl, (C₆H₅)₂CHCl, C₆H₅CH(Cl)CH₃, C₆H₅CH₂CH₂Cl, (CH₃)₂CHCl, (C₂H₅)₂CHCH₂Br и *n*-C₆H₁₁Br, причем с высокими выходами образуются соответствующие углеводороды с бензгидрильной группой. В то же время C₆H₅CH₂CH₂Br подвергается главным образом β -элиминированию в присутствии C₂H₅ONa (Hughes E. D. и др., J. Chem. Soc., 1940, 899), хотя последний является менее сильным основанием, чем II. Преобладание ρ -ции II по α -атому C над β -элиминированием, а также высокую скорость происходящего замещения авторы объясняют взаимной активацией обеих компонент ρ -ции через координацию Na с галогеном, ведущую к низкой энергии переходного состояния. (CH₃)₂CCl вообще не реагирует с II и не подвергается аммонолизу с NH₃ в заметных кол-вах. (C₆H₅)₂CHCl, подобно C₂H₅OK (по отношению к C₂H₅ONa), более эффективен в ρ -циях β -элиминирования, чем II. Высокие выходы в ρ -ции II с галоидальными указывают на то, что в ур-нии (C₆H₅)₂CH₂ + NH₂⁻ \rightleftharpoons (C₆H₅)₂CH⁻ + NH₃ равновесие сминуто вправо, иначе амидный ион должен был бы реагировать с галоидом. При действии 1 моля C₆H₅CH₂Cl на смесь 1 моля II и 1 моля NaNH₂ образуется только 35% 1,1,2-трифенилэтилена и 62% стильбена (III); это исключает предположение о том, что в смеси может присутствовать значительная конц-ция NH₂⁻ и что (C₆H₅)₂CH реагирует с галогенпроизводным быстрее, чем NH₂⁻. Отсюда следует, что I значительно более сильная к-та, чем NH₃; и это не противоречит тому,

что рК для I и NH_3 35 и 33 соответственно, так как для первого это значение найдено при $\sim 20^\circ$ в эфире, для второго при -55° в жидком NH_3 . В то же время ($n\text{-CH}_3\text{OC}_6\text{H}_4$) $_2\text{CH}_2$ более слабая к-та, чем NH_3 , так как при р-ции ($n\text{-CH}_3\text{OC}_6\text{H}_4$) $_2\text{CH}_2$ и $\text{C}_6\text{H}_5\text{CH}_2\text{Cl}$ с Na в жидком NH_3 94% ($n\text{-CH}_3\text{OC}_6\text{H}_4$) $_2\text{CH}_2$ возвращается обратно, а III образуется с выходом 89%. К суспензии 0,1 моля NaNH_2 в 200 мл безвод. жидкого NH_3 при перемешивании прибавляют р-р 0,1 моля I в 100 мл сухого эфира, через 10 мин. быстро прибавляют р-р 0,1 моля соответствующего алкилгалоида в 100 мл сухого эфира, после исчезновения красной окраски II удаляют NH_3 , добавляют 100 мл эфира, охлаждают смесь, добавляют 100 мл воды, водн. слой экстрагируют эфиром и получают (перечислены исходный алкилгалоид, полученное в-во, его выход в %, т. пл. в $^\circ\text{C}$, т. кип. в $^\circ\text{C}/\text{мм}$, n_D^{25}): $\text{C}_6\text{H}_5\text{CH}_2\text{Cl}$, (C_6H_5) $_2\text{CHCH}_2\text{C}_6\text{H}_5$, 99, 55—56, —, —; (C_6H_5) $_2\text{CHCl}$, (C_6H_5) $_2\text{CHCH}(\text{C}_6\text{H}_5)_2$, 96, 214—215, —, —; $\text{C}_6\text{H}_5\text{CH}(\text{Cl})\text{CH}_3$, (C_6H_5) $_2\text{CHCH}(\text{C}_6\text{H}_5)\text{CH}_3$, 97, 68—71, —, —; $\text{C}_6\text{H}_5\text{CH}_2\text{CH}_2\text{Cl}$, (C_6H_5) $_2\text{CHCH}_2\text{CH}_2\text{C}_6\text{H}_5$, 88, 47 (из сп.), —, —; (CH_3) $_2\text{CHCl}$, (C_6H_5) $_2\text{CHCH}(\text{CH}_3)_2$, 86, —, 126—127/5, 1,5551; (C_2H_5) $_2\text{CHCH}_2\text{Br}$, (C_6H_5) $_2\text{CHCH}_2\text{CH}(\text{C}_2\text{H}_5)_2$, 94, —, 157—158/5, 1,5415; $n\text{-C}_8\text{H}_{17}\text{Br}$, (C_6H_5) $_2\text{CH}(\text{CH}_2)_7\text{CH}_3$, 99, —, 173—174/0,75, 1,5310. К р-ру 0,1 моля II в 250 мл NH_3 и 100 мл эфира прибавляют р-р 0,1 моля трет- $\text{C}_4\text{H}_9\text{Cl}$ в 100 мл эфира, кипятят 2 часа (в холодильнике сухой CO_2 + ацетон), добавляют еще 0,1 моля трет- $\text{C}_4\text{H}_9\text{Cl}$ в 100 мл эфира, кипятят 2 часа, добавляют 0,1 моля (C_6H_5) $_2\text{CHCl}$ в 100 мл эфира, получают 12,5 г трет- $\text{C}_4\text{H}_9\text{Cl}$ и (C_6H_5) $_2\text{CHCH}(\text{C}_6\text{H}_5)_2$, выход 94%. К р-ру 0,1 моля KNH_2 в 200 мл NH_3 прибавляют р-р 0,1 моля I в 100 мл эфира, через 10 мин. добавляют р-р 0,1 моля $\text{C}_6\text{H}_5\text{CH}_2\text{CH}_2\text{Cl}$ в 100 мл эфира, через 7 мин. удаляют NH_3 и получают стирол, выход 18%, 3,85 г I и (C_6H_5) $_2\text{CHCH}_2\text{CH}_2\text{C}_6\text{H}_5$, выход 70%. К суспензии 0,11 моля NaNH_2 в 200 мл NH_3 прибавляют р-р 0,055 моля I в 100 мл эфира, через 10 мин. быстро прибавляют р-р 0,055 моля $\text{C}_6\text{H}_5\text{CH}_2\text{Cl}$ в 50 мл эфира, удаляют NH_3 и получают III, выход 62%, и (C_6H_5) $_2\text{CHCH}_2\text{C}_6\text{H}_5$, выход 35%. Г. Швехгеймер

21381. Получение 2-хлор-1,1,1-трифенилэтана и его перегруппировка при реакции с натрием. Гровенштейн (Preparation of 2-chloro-1,1,1-triphenylethane and rearrangement in its reaction with sodium. Grovenstein Erling, Jr), J. Amer. Chem. Soc., 1957, 79, № 18, 4985—4990 (англ.)

Доказано, что в-во, синтезированное ранее (Cone L. H., Robinson C. S., Ber., 1907, 40, 2160) и описанное как (C_6H_5) $_2\text{CClCH}_2\text{Cl}$ (I), в действительности является (C_6H_5) $_2\text{C}=\text{CClC}_6\text{H}_5$ (II). Взаимодействие II с Na в жидком NH_3 (Wooster C. B., Mitchell N. W., J. Amer. Chem. Soc., 1930, 52, 1042) протекает, следовательно, по схеме: $\text{II} \rightarrow (\text{C}_6\text{H}_5)_2\text{C}=\text{CHC}_6\text{H}_5 \rightarrow (\text{C}_6\text{H}_5)_2\text{CNaCH}_2\text{C}_6\text{H}_5 \xrightarrow{\text{NH}_4\text{Cl}} (\text{C}_6\text{H}_5)_2\text{CHCH}_2\text{C}_6\text{H}_5$ (III). При действии Na в кипящем диоксане на I и последующей обработке CO_2 выделены $\text{C}_6\text{H}_5\text{CH}_2\text{C}(\text{C}_6\text{H}_5)_2\text{COOH}$ (IV) и III; если же на Na-органич. соединение действовать трет- $\text{C}_4\text{H}_9\text{OH}$ (V), то основным продуктом р-ции является III. При р-ции I с Na в смеси диоксан-V образуется преимущественно (C_6H_5) $_2\text{CClCH}_3$ (VI). В последнем случае, вероятно, промежуточный анион (C_6H_5) $_2\text{CClCH}_2^-$ (VII) присоединяет протон, превращаясь в VI. В отсутствие V происходит предварительная перегруппировка VII в (C_6H_5) $_2\text{CClCH}_2\text{C}_6\text{H}_5$. Полученные результаты не исключают, однако, возможности образования радикала (C_6H_5) $_2\text{CClCH}_2^\cdot$ (VIII), последний может перегруппироваться в двух направлениях: (C_6H_5) $_2\text{CClCH}_2\text{Na}^+ \rightleftharpoons \text{VIII} \rightarrow (\text{C}_6\text{H}_5)_2\text{CClCH}_2\text{C}_6\text{H}_5 \xrightarrow{\text{Na}^+} [(\text{C}_6\text{H}_5)_2\text{CClCH}_2\text{C}_6\text{H}_5]^- \text{Na}^+$. Встряхивают 0,0179 моля (C_6H_5) $_2\text{CCl}$, 0,097 г-атома Na, 50 мл эфира и 50 мл C_6H_6 , профильтрованный р-р приливают

к 0,79 моля CH_2Cl_2 ; выделяют I, выход 40%, т. пл. 101—101,8° (из сп.), 0,0195 моля (C_6H_5) $_2\text{C}=\text{CHC}_6\text{H}_5$ (IX) и 0,033 моля PCl_5 нагревают 2 часа при т-ре бани 190—200°; выход II 67%, т. пл. 117,8—119,3° (из сп.). В таких же условиях нагревают 0,00935 моля I и 0,021 моля PCl_5 ; получают 4,1 г смеси с т. пл. 80—113°, содержащей (по данным УФ-спектроскопии) 60% II. С PCl_5 I не реагирует. К 200 мл кипящего диоксана и 0,114 г-атома Na прибавляют за 30 мин. 0,0343 моля I, кипятят 30 мин. и по охлаждении выливают на твердую CO_2 ; получают IV с выходом 43% и 4,6 г углеводорода, из которого хроматографией на Al_2O_3 выделяют III. К 3,12 г Na в 200 мл кипящего диоксана прибавляют 10 г I, кипятят 30 мин., медленно приливают 50 мл V, кипятят 30 мин. и приливают 50 мл спирта; перегонкой выделяют 8,1 г смеси, содержащей (по данным ИК-спектрометрии) 81% III и 19% VI. При 1-часовом кипячении с диоксаном I не изменяется. 10 г I, 5,29 г Na, 110 мл диоксана и 140 мл V кипятят 1 час; получают 100%-ный выход VI, содержащего ~6% III. Прибавляют 0,0686 моля IX к 0,228 г-атома Na в 250 мл кипящего диоксана, кипятят 30 мин. и выливают на CO_2 ; выделяют 2,5 г углеводорода, являющегося, в основном, IX, и 24 г к-ты, из которой кристаллизацией из 65%-ной CH_3COOH и перегонкой в вакууме получают в-во с т. пл. 112—114°, вероятно, трифенилэтановый ангидрид (X). При повторении этого опыта, но с добавлением к концу р-ции 50 мл V, выделяют 17,3 г III. Приведены кривые УФ-спектров I, II, III, VI, IX и X и УФ-спектр IV. П. Аронович

21382. Галоидарилрование непредельных соединений ароматическими диазосоединениями. В. Кларарилрование дивинила. Синтез α -арилбутадиенов. Домбровский А. В., Терентьев А. П., Ж. общ. химии, 1957, 27, № 7, 2000—2004

Изучена р-ция дивинила с AgN_3Cl в присутствии хлорной меди. Получено 12 соединений типа $\text{AgCH}_2\text{CH}=\text{CHCH}_2\text{Cl}$, где $\text{Ag} = n\text{-CH}_3\text{C}_6\text{H}_4$ (I), $m\text{-CH}_3\text{C}_6\text{H}_4$ (II), $o\text{-CH}_3\text{C}_6\text{H}_4$ (III), $n\text{-CH}_3\text{OC}_6\text{H}_4$ (IV), $n\text{-ClC}_6\text{H}_4$ (V), $2\text{-ClC}_6\text{H}_4$ (VI), $n\text{-BrC}_6\text{H}_4$ (VII), $2\text{-BrC}_6\text{H}_4$ (VIII), $n\text{-IC}_6\text{H}_4$ (IX), $n\text{-O}_2\text{NC}_6\text{H}_4$ (X), $m\text{-O}_2\text{NC}_6\text{H}_4$ (XI), $o\text{-O}_2\text{NC}_6\text{H}_4$ (XII). Строение I—XII доказано окислением, выделением AgCH_2COOH и CH_2ClCOOH . Перечисляются 4-хлор-1-арилбутен, выход в %, т. кип. в $^\circ\text{C}/\text{мм}$, n_D^{20} , d_4^{20} , т. пл. AgCH_2COOH в $^\circ\text{C}$ (из воды): I, 52, 112—114/6, 1,5346, 1,0227, 93; II, 50, 107—109/3, 1,5354, 1,0320, 60; III, 52, 94—95/2, 1,5400, 1,0434, 88; IV, 40,6, 124—126/2, 1,5450, 1,0932, 86; V, 67, 125—126/2, 1,5518, 1,1670, 115; VI, 64, 145—148/4, 1,5677, 1,2972, 137,5 (из бал.); VII, 60, 117—118/2, 1,5728, 1,4218, 113; VIII, 62, 155—158/2, 1,6051, 1,7095, 114; IX, 30, 137—140/2, 1,6082, 1,5790, 134; X, 75, 145—146/2, 1,5740, 1,2243, 150; XI, 57, 174—175/7, 1,5680, 1,2188, 117; XII, 66, 155—156/3, 1,5692, 1,2226, 137 (из сп.). Получение I—VI, VIII и IX проводили по описанной методике (РЖХим, 1957, 54326) в присутствии $\text{Ca}(\text{OH})_2$. При получении VII вместо $\text{Ca}(\text{OH})_2$ вводили CH_3COONa , доводя pH среды до 4,5—5,5. При получении IX образуется также л-дифенилбензол, выход 20%, т. пл. 127° (из CH_3OH). Синтез X—XII вели по обычной методике, но без добавок щел. характера; р-ция хорошо шла при 0—8° в солянокислой среде (pH 1). Нагреванием I—VII и IX с КОН в диоксане по описанной методике (РЖХим, 1958, 7890) получены соответствующие α -арилбутадиены (Ia—VIIa, IXa). α -Нитрофенилбутадиены (Xa—XIIa) синтезированы из X—XII нагреванием с КОН в метаноле по известной методике (Couper E. C., Ropp G. A., J. Amer. Chem. Soc., 1948, 70, 2283). Аддукты Ia—VIIa, IXa—XIIa с малеиновым ангидридом получали нагреванием эквимолекулярных кол-в реагентов в C_6H_6 . Осадок перекристаллизовывали из лигроида или этилацетата. Перечисляются α -арилбутадиен, выход в %, т. кип.

ν в $^{\circ}\text{C}/\text{мм}$, т. пл. в $^{\circ}\text{C}$, n_D^{20} , d_4^{20} , т. пл. аддукта с маленовым ангидридом: Ia, 91, 90—91/9, 26, 1,5970, 0,9079, 117; IIa, 92, 85—87/7, —, 1,5995, 0,9212, 77—78; IIIa, 96, 80/8, —, 1,6001, 0,9256, 92—93; IVa, 78, 115—120/6, 45, —, —, 141—142; Va, 84, 104/9, 18, 1,6230, 1,0728, 107; VIa, 90, —, 54, —, —, 134; VIIa, 82, 110/3, 29, —, 139; IXa, 88, —, 60, —, —, 160; Xa, 97, —, 79, —, —, 168; XIa, 80, —, 53, —, —, 159; XIIa, 98, —, 68, —, —, 151,5. Сообщение IV см. РЖХим, 1958, 7891. Л. Иванова

21383. Бензилирование ацетилена. 1. Образование 3,4-дифенилбутина-1 и 3,4-дифенилбутадиена-1,2. Андо, Токура (Benzylation of acetylene. 1. Formation of 3,4-diphenyl-1-butyne and 3,4-diphenyl-1,2-butadiene. Ando Teisuke, Tokura Niichiro), Bull. Chem. Soc. Japan, 1957, 30, № 3, 259—263 (англ.)

При действии $\text{C}_6\text{H}_5\text{CH}_2\text{Cl}$ (I) на $\text{CH}\equiv\text{CLi}$ или $\text{CH}\equiv\text{CNa}$ вместо ожидаемого бензилацетилена получены 3,4-дифенилбутин-1 (II) и 3,4-дифенилбутадиен-1,2 (III). Последний образуется в результате изомеризации II в жидком NH_3 при $\sim 20^{\circ}$. 0,25 г-атома Li растворяют в 400 мл жидкого NH_3 , пропускают в р-р при т-ре от -45 до -55° очищ. $\text{CH}\equiv\text{CH}$ до исчезновения синей окраски и прибавляют за 25 мин. 0,25 моля I. Затем перемешивают еще 2,5 часа, оставляют в ледяной бане на ~ 18 час., после испарения NH_3 приливают 100 мл воды, прибавляют 4 н. HCl и извлекают эфиром. Эфирную вытяжку фильтруют, прибавляют немного гидрохинона, разгоняют в токе N_2 и получают III, выход 12,2%, т. кип. $135-143^{\circ}/2$ мм, полимеризуется при перегонке, и II, выход 34,6%, т. кип. $185-190^{\circ}/2$ мм. При проведении той же р-ции с $\text{CH}\equiv\text{CNa}$ в зависимости от соотношения компонентов выход II составляет 10,3—17,8%, выход III 0—5,2%. Для очистки 5,5 г II растворяют в 20 мл спирта, прибавляют р-р 10 г AgNO_3 в 20 мл воды и 40 мл спирта, нагревают 40 мин. на водяной бане, оставляют на ~ 18 час., выделившийся осадок промывают водой и спиртом, суспендируют в 10%-ном р-ре KCN и кипятят 10 час. Охлажд. смесь извлекают эфиром и из вытяжки разгонкой выделяют 4,5 г II, т. кип. $190-192^{\circ}/2$ мм, n_D^{20} 1,6040, d_4^{25} 1,0646. Для доказательства строения 2 г II гидрируют в 100 мл CH_3OH над 0,3 г Pd/C при $\sim 20^{\circ}$ и обычном давлении и получают 3,4-дифенилбутан (IV), выход 1,7 г, т. кип. $153^{\circ}/11,5$ мм, n_D^{17} 1,5882. III для доказательства строения синтезирован встречным путем: р-р 17,4 г 3,4-дифенилбутана-2 в 35 мл петр. эфира прибавлен по каплям к 25 г PCl_5 , смешанного с 35 мл петр. эфира и после нагревания (60° , 30 час.) смесь вылита в ледяную воду и извлечена эфиром; при разгонке вытяжки получено 10,3 г маслянистой жидкости с т. кип. $158-158^{\circ}/5$ мм, которая после нагревания с 10%-ным спирт. КОН (15 час.) превратилась в III (выход 1 г), идентифицированный по его ИК-спектру. Окисление 2 г III в 100 мл этилацетата озоном при -45° (1 час), разложение остатка водой и 10%-ным NaOH после удаления р-рителя и последующее окисление 10 мл 20%-ной H_2O_2 приводит к дезоксибензойну, выход 64%, т. пл. $55-56^{\circ}$ (из петр. эф.). Р-р 5 г II в 100 мл 99%-ного спирта прибавляют к 10 г КОН в 10 мл воды, кипятят 6 час., удаляют спирт в вакууме, остаток извлекают эфиром; при разгонке вытяжки получают 1 г III. 5 г II растворяют в 100 мл жидкого NH_3 , оставляют на 12 час. в автоклаве, удаляют NH_3 и извлекают эфиром III, выход 12%. Приведены кривые ИК-спектров II, III и IV.

21384. Простой способ превращения галоидариллов в соответствующие фенолы. Хоттори (Simple procedure for the conversion of aryl halides to the corresponding phenols. Hawthorne M. Frederick), J. Organ. Chem., 1957, 22, № 8, 1001 (англ.)

Разработан метод получения фенола (I), α -нафтола

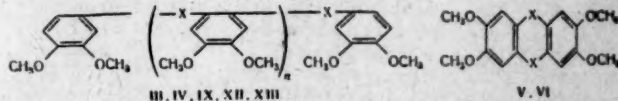
(II) и p -крезола (III) обработкой $\text{B}(\text{OCH}_3)_3$ соответствующих арилмагний галоидариллов и последующим окислением арилборных к-т H_2O_2 . К 0,33 моля $\text{B}(\text{OCH}_3)_3$ в 400 мл сухого эфира (N_2) приливали за 1 час при -80° 200 мл 1,5 М р-ра $\text{C}_6\text{H}_5\text{MgBr}$. Смесь нагревали до 20° и обрабатывали 200 мл 10%-ной HCl . Эфирный слой обрабатывали 200 мл 10%-ной H_2O_2 и размешивали 15 мин. Из эфирного слоя извлекали I 10%-ным NaOH . Подкислением получали I, выход 78%, т. пл. $40-41^{\circ}$. Аналогично получали II и III с выходами соответственно 75 и 60%. В. Антонов

21385. Ионообменные смолы как катализаторы в реакции алкилирования фенолов. Лёв, Массенгейл (Cation exchange resins as catalysts in the alkylation of phenols. Loev Bernard, Massengale John T.), J. Organ. Chem., 1957, 22, № 8, 988—989 (англ.)

Катионообменные смолы типа сульфокислот являются превосходными катализаторами при алкилировании фенола (I) олефинами. В присутствии воды алкилирование (на примере диизобутилена) не протекает. C_6H_5 и ксилол в присутствии ионообменных смол не алкилируются. Продажные смолы промывают 5%-ной H_2SO_4 до тех пор, пока промывные воды перестанут давать р-цию на Na (в пламени), промывают дистил. водой до нейтр. р-ции, сушат на воздухе 24 часа и 18 час. при $100-120^{\circ}$ в вакууме. Смесь 250 г I, 328 г диизобутилена и 17,5 г амберлита IR-112 нагревают 24 часа при $70-75^{\circ}$, получают 63 г I и 390 г n -(1,1,3,3-тетраметилбутил)-фенола, т. кип. $140-153^{\circ}/20$ мм, т. пл. $82-83^{\circ}$. Под поверхность смеси 1 моля I и 10 г амберлита IR-120 при 80° пропускают 0,92 моля изобутилена 3 часа, перемешивают 4 часа при 120° , получают 33,5 г I, 1,5 г смеси o - и n -трет-бутилфенола, т. кип. $220-228^{\circ}$, и 73,8 г n -трет-бутилфенола, т. кип. $230-234^{\circ}$, т. пл. 92° . Смесь 0,5 моля I, 0,5 моля нонена-1 и 5 г амберлита IR-112 перемешивают 24 часа при $100-110^{\circ}$, получают 7 г нонена-1, 10,6 г I и 75,2 г нонилфенола, т. кип. $297-305^{\circ}$, n_D^{20} 1,5060. Г. Швехгеймер

21386. Конденсация простых эфиров фенолов с алифатическими альдегидами. Сообщение VI. Конденсация вератрола с хлоралем. Арколео, Оливернио (Condensazione di eteri fenolici con aldeidi alifatiche. Nota VI. Condensazione del veratrolo con cloradio. Arcoleo Antonino, Oliverio Aleardo), Ann. chimica, 1957, 47, № 4, 415—432 (итал.)

При взаимодействии вератрола (I) с хлоральгидратом (II) в присутствии конц. H_2SO_4 получают продукты конденсации (III), (IV), (V), (VI) и (VII). В-во VII представляет собой не содержащую хлора кетокислоту с эквивалентным весом 370, дающую при окислении 2,3,6,7-тетраметоксинантрахион (VIII). При действии КОН на III отщепляется 2 молекулы HCl и получается в-во (IX), окисление которого приводит к смеси 4,5,3',4'-тетраметокси-2-бензоилбензойной к-ты (X), VIII и вератровой к-ты (XI). При восстановлении III отщепляются 6 атомов Cl и получается в-во (XII). Действие КОН на IV приводит к в-ву (XIII), действие КОН на V дает VI, а окисление V или VI дает VIII.



III X — CHCCl_2 , $n = 1$; IV X — CHCCl_2 , $n = 2$; V X — CHCCl_2 ; VI X — $\text{C} - \text{CCl}_2$; IX X — $\text{C} - \text{CCl}_2$, $n = 1$; XII X — CHCH_2 , $n = 1$; XIII X — $\text{C} - \text{CCl}_2$, $n = 2$.

С конц. H_2SO_4 V дает зеленое окрашивание, VI — голубое и VII — красно-фиолетовое. К смеси 13,8 г I, 24,8 г II и 50 мл лед. CH_3COOH понемногу прибавляют при охлаждении льдом 10 мл H_2SO_4 (d 1,84). Через 6 час. разлагают льдом и кристаллизацией продукта

(20 г) из спирта выделяют III, т. пл. 155,5—156°, IV, т. пл. 196,5—197,5° и V, т. пл. 190°. При времени р-ции 24 часа продукт р-ции (21 г) обрабатывают 5%-ным NaOH для удаления VII и кристаллизацией остатка получают III, IV и VI, т. пл. 210° (разл.). Аналогично при времени р-ции 20 дней после промывки NaOH получают 19 г смеси III и IV. Из щел. р-ра выделяется Na-соль VII, подкисление которой дает VII, т. пл. 315° (разл. из CH_3COOH), метиловый эфир (с CH_2N_2), т. пл. 254—255° (из сп.), *п*-нитробензиловый эфир, т. пл. 219—220° (из CH_3COOH), оксим VII, т. пл. 280° (разл. из сп.). При 250° VII меняет цвет с красного на желтый. В-ва V, VI и VII могут быть также получены, исходя из первичного продукта конденсации I и II, дивератрихлорэтана (XIV). К смеси 8 г XIV, 7 г II и 25 мл лед. CH_3COOH при охлаждении льдом понемногу прибавляют 50 мл конц. H_2SO_4 . Через 6 час. разлагают льдом и получают V, выход 9 г (неочищ.). При продолжительности р-ции 24 часа получается 9 г неочищ. VI. Если р-ция идет 20 дней, получают 7,5 г неочищ. VII. 1 г III кипятят 12 час с 40 мл спирта и 2 г КОН в 1 мл воды, получают 0,68 г IX, т. пл. 178—178,5° (из сп.). Аналогично получают 0,62 г XIII, т. пл. 196—196,5° (из сп.), и 0,68 г VI. К кипящему р-ру 2 г IX в 40 мл лед. CH_3COOH прибавляют порциями по 20 мл 120 мл р-ра $\text{Na}_2\text{Cr}_2\text{O}_7$ в CH_3COOH (1 г-атом O в 1 л). Через 12 час. отгоняют 80 мл CH_3COOH и отфильтровывают 0,12 г VIII, т. пл. 345—346° (из CH_3COOH). Из фильтрата осаждают гидроокись хрома, подкисляют, упаривают и получают 0,14 г X, т. пл. 217—218° (из разб. сп.). Из фильтрата эфиром извлекают XI. Аналогично из 0,1 г V или VI через 6 час. получают 0,03, соответственно 0,06 г VIII, а из 0,2 г VII за 12 час. получают 0,15 г VIII. К смеси 10 г сплава Ренея и 4 г XIV в 100 мл CH_3OH прибавляют 100 мл 10%-ного КОН кипятят 12 час. Получают 2,48 г 3,4,3',4'-тетраметоксифенилэтана (XV), т. пл. 77—77,5° (из сп.). Аналогично из 1 г III получают XII, т. пл. 134—135° (из сп.). При восстановлении 4 г XIV Zn в CH_3COOH получают 2,8 г XV. 0,5 г V понемногу прибавляют к 5 мл конц. H_2SO_4 . Через 6 час. получают VI. Аналогично из VI через несколько дней получают VII. Приведены УФ-спектры III, IV, V и XIV. Сообщение V см. РЖХим, 1958, 17911. В. Беликов

21387. Конденсация простых эфиров фенолов с алифатическими альдегидами. Сообщение VII. Конденсация метиленипирокатехина с муравьиным и уксусным альдегидами. Гарофано, Оливерно (Condensazione di eteri fenolici con aldeidi alifatici. Nota VII. Condensazione della metilen-pirocatechina con aldeide formica ed acetica. Garofano Torquato, Oliverio Aleardo), Ann. chimica, 1957, 47, № 7—8, 896—941 (итал.)

При конденсации метиленипирокатехина (I) с CH_2O в присутствии H_2SO_4 получают 4,5,4',5'-бисметилendioксифенилметан (II) и 1,2,4,5,7,8,10,11,13,14,16,17-гекса-(4',5'-метилendioксибенз)-циклооктадекан (III). Омыление и метилирование II приводят к 4,5,4',5'-тетраметоксифенилметану (IV). Аналогично из III получают соответствующее додекаметоксипроизводное (V). Строение II подтверждено синтезом его из 4,5,4',5'-бисметилendioксибензофенона (VI), восстановление которого изопропилом Al приводит к 4,5,4',5'-бисметилendioксибензгидролу (VII), а восстановление Na в спирте дает смесь VII и II. VI получается из пиперидила (VIII) действием NaNH_2 или через пиперидиловую к-ту (IX) с последующим окислением CrO_3 . Нитрование как II, так и III приводит к 2,2'-динитро-4,5,4',5'-бисметилendioксифенилметану (X). УФ-спектры I, II и III имеют общий характер. Конденсация I с CH_3CHO дает 4,5,4',5'-бисметилendioксифенилэтан (XI). Проведение р-ции в более жестких условиях при-

водит к 2,3,6,7-бисметилendioкси-9,10-диметилантрацену (XII), окисление которого хромовым ангидридом дает 2,3,6,7-бисметилendioксиантрахинон (XIII). Нитрование и бромирование XI приводят соответственно к 2,2'-динитро (XIV) и 2,2'-дибром (XV) производным. УФ-спектр XII аналогичен УФ-спектру 9,10-диметилантрацена. К смеси 50 мл разб. H_2SO_4 (40 объемов конц. $\text{H}_2\text{SO}_4 \times 30$ объемов воды) и 12,2 г I при $t = < 10^\circ$ за 30 мин. прибавляют 3,4 г 39%-ного CH_2O и через 30 мин выливают на лед. Продукт извлекают CHCl_3 и затем спиртом. Из спирт. р-ра выделяют III, выход 1,1 г, т. пл. $> 360^\circ$ (из нитробензола). Из остатка после отгонки CHCl_3 и I с паром получают 2,5 г II, т. пл. 150—151° (возгонка при $130^\circ/0,5$ мм). К р-ру 2 г I и 5 мл 40%-ного CH_2O в 15 мл лед. CH_3COOH понемногу прибавляют 5 мл конц. H_2SO_4 , получают 1,8 г III. Кипятят несколько дней смесь 2 г VIII, 2 г NaNH_2 и 100 мл безводн. толуола, разлагают ледяной водой, после чего выделяют 0,4 г VI, 0,1 г пиперидиловой к-ты (XVI) и I. При действии на VI NaNH_2 также получают XVI и I. К 50 г VIII прибавляют кипящий р-р 20 г КОН в 250 мл *n*-бутанола, кипятят 15 мин, прибавляют эфир и извлекают щелочью IX, выход 22 г, т. пл. 138°. 20 г IX в 100 мл лед. CH_3COOH окисляют при кипении р-ром (80 мл) CrO_3 в CH_3COOH (2 г O в 1 л) и получают 10 г VI, т. пл. 140° (из сп.); 2,4-динитрофенилгидразон, т. пл. 275—276° (разл.; из CHCl_3 сп.); оксим, т. пл. 125—126° (из сп.). Смесь 3 г VI, 20 мл изопропилового спирта и 2,26 г изопропилового Al кипятят до тех пор, пока в дистилате не перестанет обнаруживаться ацетон, выливают в разб. HCl и получают 2,6 г VII, т. пл. 92—93° (из CH_3OH). К кипящему р-ру 1 г VI в 15 мл абс. спирта понемногу прибавляют 1,2 г Na, выливают в воду и кристаллизацией из спирта выделяют II и VII. 0,25 г II в 30 мл лед. CH_3COOH нитруют 2 мл HNO_3 (d 1,41), через 8 час. получают 0,22 г X, т. пл. 217°. Аналогично из 1 г III получают 0,3 г X. 0,4 г II и 3 г PCl_5 медленно нагревают до 160° , оставляют при этой t -ре на 1 час, слегка откачивают, выливают в воду, через 18 час. фильтруют, суспандируют в 2 мл воды и в токе N_2 добавляют р-р 0,85 г NaOH в 2 мл воды. Затем добавляют 0,6 мл $(\text{CH}_3)_2\text{SO}_4$, нагревают несколько минут на водяной бане и через 6 час. отфильтровывают IV, выход 0,15 г, т. пл. 71° (из CH_3OH). Аналогично из 2 г III (нагревание до 230° и выдержка 1 час при 160 — 170°) получают 0,5 г V, т. пл. 232—233° (из лед. CH_3COOH). К р-ру 20 г I в 20 мл CH_3CHO в 120 мл лед. CH_3COOH при 0 — 5° на 1 час добавляют 20 мл конц. H_2SO_4 , через 1 час добавляют еще 10 мл CH_3CHO и оставляют на 36 час. при 0° , получают 8,5 г XI, т. кип. 165 — $170^\circ/0,05$ мм, т. пл. 60 — 61° (из CH_3OH). Если оставить реакционную смесь на 12 час. при 20° , то из 8 г I получается 0,51 г XII, т. разл. 320° . Окисление 0,5 г XII $\text{Na}_2\text{Cr}_2\text{O}_7$ в CH_3COOH (кипячение) дает 0,16 г XIII, т. разл. 320° . 0,6 г XI нитруют аналогично II, получают 0,6 г XIV, т. пл. 229 — 230° (из CH_3COOH). Бромирование 0,6 г XI в CHCl_3 дает 0,85 г XV, т. пл. 126 — 127° (из сп.). В. Беликов

21388. Полимеризация флавонов. Часть I. Конденсация метоксифениловых спиртов с фенолами. Браун, Каммингс, Сомерфилд (Polymerization of flavans. Part I. The condensation of methoxybenzyl alcohols with phenols. Brown B. R., Cummings W., Somerfield G. A.), J. Chem. Soc., 1957, Aug., 3757—3761 (англ.)

С целью изучения механизма полимеризации флавонов в таннии исследована конденсация модельных соединений: 4-метоксифенилового спирта (I), *п*-метоксифенилметанола (II) и 1-*п*-метоксифенил-3-фенилпропанола-1 (III) с ацетоуксусным эфиром (IV), фенолом (V) и резорцином (VI), а также конденсация

α -*n*-оксиген (VII) и α -*n*-метоксифенилфенетилового спирта (VIII) с VI. В смесь 1 г I и 10 мл IV пропускали (15 мин., т-ра достигает 50–60°) HCl-газ. Смесь выдерживали 30 мин. при 20° и 10 мин. при 90° и кипятили 1,5 часа с р-ром 10 г КОН в 80 мл спирта. Получали 0,45 г 4-метоксифенилметилкетона (IX); семикарбазон IX, т. пл. 168–169° (из CH₃OH); 2,4-дигидрофенилгидразон (ДНФГ) IX, т. пл. 141–142° (из сл.). Аналогично из 0,5 г II и IV получали 0,3 г α -4-метоксифенилфенетилового спирта (X), т. пл. 60–61°; ДНФГ X, т. пл. 136–137° (из CH₃OH), а из 1 г III и IV получали 0,15 г 4-*n*-метоксифенил-5-фенилгексано-на-2 (XI), т. пл. 53–54° (из петр. эф.). Полученные данные показывают, что I, II и III способны реагировать в виде карбониевых ионов. Конденсация I, II и III с V идет в пара-положение к оксигруппе. В р-р 1 г I и 1 г V в 10 мл спирта пропускали HCl-газ (10 мин.). Смесь выдерживали при 20° 7 дней и выделяли продукт конденсации, который метилировали (CH₃)₂SO₄ в 10%-ной воде. NaOH (100°, 30 мин.), получали 4,4'-диметоксифенилметан, выход 0,47 г, т. пл. 51–52°. Аналогично из 1 г II и V получали 4,4'-диметокситрифенилметан, выход 0,47 г, т. пл. 100,5–101,5° (из петр. эф.), а из 1 г III и V получали 1,1-ди-*n*-метоксифенил-3-фенилпропан, выход 0,89 г, т. пл. 43–44,5° (из петр. эф.). VII с IV и V под влиянием HCl отщепляет воду и образует исключительно 4-метоксистиленбен. Конденсация I с 1 г VI в условиях р-ции I и V дает 2,4,4'-триметоксифенилметан (XI), выход (неочищ.) 0,51 г, т. кип. 120–130°/0,02 мм. Строение XI подтверждено идентичностью его ИК-спектра и ИК-спектра продукта гидрогенолиза 2,4,4'-триметоксифенона (XII). Аналогично из II или III и VI получены соответственно 2,4,4'-триметокситрифенилметан (XIII), т. пл. 108–109° (из петр. эф.), и 1-(2,4-диметоксифенил)-1-*n*-метоксифенил-3-фенилпропан, т. кип. 150–155°/0,01 мм, а из VIII и VI получали 1-(2,4-диоксифенил)-1-*n*-метоксифенил-2-фенилэтан, т. пл. 178–179° (из бzl.). XIII получен также из C₆H₅MgBr и XII с последующим кипячением образующегося 2,4,4'-триметокситрифенилметанола (т. пл. 109–110°) с конц. HCl-к-той. Из C₆H₅MgCl и 6,1 г *n*-оксифенальдегида получали VII, выход 2,2 г, т. пл. 157–158°; бензоат VII, т. пл. (две формы) 87–88° (из сл.) и 100–101° (из петр. эф.). 0,4 г VII конденсировали с 0,25 г VI в 10 мл спирта пропусканием HCl-газа (5 мин.). Смесь нагревали до 70° и выдерживали 3 дня при 20°. Продукт выделяли бензоилированием и получали 1-*n*-бензоил-оксифенил-1-(2,4-дигидроксибензил)-2-фенилэтан, выход 0,6 г, т. пл. 213–214,5°. При нагревании VII с C₆H₅ в присутствии следов HCl образуется 4-оксистиленбен (XIV), т. пл. 187°; бензоат XIV, т. пл. 196°.

В. Антонов

21389. Получение 2,3,5- и 2,3,6-триметоксифенальдегидов. Мерчант, Наик, Маунтвалла (Preparation of 2:3:5-trimethoxy- and 2:3:6-trimethoxybenzaldehydes. Merchant J. R., Naik R. M., Mountwalla A. J., J. Chem. Soc., 1957, Sept., 4142–4143 (англ.).

Синтезированы 2,3,5-(CH₃O)₃C₆H₂CHO, т. пл. 61–62° (из петр. эф.), по способу, описанному ранее (Rajapalan и др., Proc. Ind. Acad. Sci., 1949, 30A, 270), и 2,3,6-(CH₃O)₃C₆H₂CHO (I) из 2-ОН-6-CH₃O-3-CH₃OOC-C₆H₂CHO (II, к-та III) путем окисления III в 3-НООС-2,5-(ОН)₂-6-CH₃O-C₆H₂CHO (IV), декарбоксилирования IV в 3,6-(ОН)₂-2-CH₃O-C₆H₂CHO (V) и метилирования V. 12 г 2,6-(ОН)₂-3-CH₃OOC-C₆H₂CHO, 6 мл (CH₃)₂SO₄ и 30 г C₆H₅CO₂ в ацетоне кипятили 8 час., осадок промывали водой и разб. КОН и подкисляли, выход II 3,1 г, т. пл. 131°. Из ацетонного р-ра упаркой, подщелачиванием и экстракцией эфиром выделяли 3,9 г 2,6-(CH₃O)-3-CH₃OOC-C₆H₂CHO. 5 г II гидролизали 100 мл 10%-ного

горячего NaOH 1 час, выход III 4 г, т. пл. 225° (разл.; из сл.). К 4 г III в 80 мл 10%-ного NaOH добавляли (охлаждение) 5,2 г K₂S₂O₈ в 140 мл воды, через ~12 час. подкисляли и фильтровали, в фильтрат добавляли 25 мл конц. HCl, нагревали (100°, 1 час) и экстрагировали эфиром 2,1 г IV, т. пл. 196° (из CH₃COOH). 1 г IV в 30 мл воды нагревали при 135–140° 8 час., из фильтрата экстрагировали эфиром 0,25 г V, т. пл. 85–86° (из CHCl₃-петр. эф.); метилированием V с помощью (CH₃)₂SO₄ получен I, масло; 2,4-динитрофенилгидразон I, т. пл. 221° (из CH₃COOH).

Г. Крюкова

21390. Бензоиновые конденсации с 4-ацетиламинобензальдегидом. Мерц, Плаут (Benzoinkondensationen mit 4-Acetylaminobenzaldehyd. Merz Kurt Walther, Plauth Dieter), Chem. Ber., 1957, 90, № 9, 1744–1757 (нем.).

В поисках новых бактериостатич. и местноанестезирующих в-в конденсацией 4-ацетиламинобензальдегида (I) с RC₆H₄CHO (II) а R = H, б R = 2-Cl, в R = 4-Cl, г R = 2-CH₃O, д R = 4-CH₃O, е R = 4-(CH₃)₂N синтезированы бензоины *n*-CH₃CONHC₆H₄COCH(OH)-C₆H₄R (III а R = H, б R = o-Cl, в R = n-Cl, г R = o-CH₃O) и *n*-RC₆H₄COCH(OH)-C₆H₄NHCOCCH₃ (IV а R = CH₃O, б R = (CH₃)₂N), причем во всех случаях получается также 4,4'-бис-ацетиламинобензоин (V) (не образующийся только при р-ции I с IIд); кроме того, при р-ции I с IIа — г получаются соответственно бензоин, 2,2'-дихлорбензил, 4,4'-дихлорбензил или анизил, а при р-ции I с IIб — еще соответствующие смешанные бензили. Пиридин-2-альдегид и I дают только V, выход 22%, и α -пиридон, выход 83%, т. пл. 156° (из сл.). Этим же путем синтезированы *n*-RC₆H₄COCH(OH)-C₆H₄R' где R = (CH₃)₂N, R' = H; R = (CH₃)₂N, R' = 2-Cl; R = CH₃O, R' = H; R = (CH₃)₂N, R' = 4-CH₃O, а также 3,4-метилendioкси-, 4-диметиламино-3',4'-метилendioкси- и 3,4-метилendioкси-2'-хлорбензоины. Строение всех полученных бензоинов подтверждено окислением HJO₄ в соответствующие замещ. C₆H₅COOH и хорошо согласуется с данными, основанными на определении восстановительных потенциалов исходных альдегидов. IVб гидролизован горячим спирт. р-ром КОН в 4-диметиламино-4'-аминобензоин, т. пл. 206–208° (разл.; из диоксана). IIа — г, 4'-метоксиг-4'-диметиламино-4-ацетиламинобензоины 4-часовым нагреванием при 100° с CuSO₄ в водн. C₆H₅N окислены в *n*-CH₃CONHC₆H₄COCOC₆H₄R (V); V гидролизуются кипящей 38%-ной HCl в соответствующие *n*-NH₂C₆H₄COCOC₆H₄R (VI) (указаны R и последовательно т. пл. V, хиноксилинового производного V и т. пл. VI в °C): H, 140 (из разб. сл.), 229 (из разб. сл.), 130 (из разб. сл.), 2-Cl, 152 (из сл.), 225 (из диоксана), 118; 4-Cl, 177 (из сл.), 254 (из диоксана), 156; 2-CH₃O 221–222, 135 (из сл.), 151; 4-CH₃O, 190, 246 (из диоксана), 120, и 4'-N(CH₃)₂, 171 (из разб. сл.), 250 (из водн. диоксана), 173. К р-ру 0,25 моля I в 150 мл спирта добавляли 0,25 моля IIа — е и 7 г KCN, кипятят несколько часов и выделяют (указано в-во, выход в % и т. пл. в °C): IIа, 15,6, 157 (из воды) (семикарбазон, т. пл. 198–199° (разл.)); IIб, 26,3, 148 (из сл.); IIв, 7,4, 149–150 (из сл.); IIг, 15,3, 149 (из сл.); IVа, 9,3, 168 (из водн. сл.); IVб, 20,4, 207–210 (разл.; из диоксана), и V, —, 244–246.

Д. Витковский

21391. Исследования стиленбен. VI. Синтез и реакции стиленбен-4-альдегида. Дрефаль, Хартродт. VII. 4-стирилфенилкетоны и их карбинолы. Дрефаль, Хакбарт, Мёллер. VIII. О получении стиленбенных производных гидантоина. Дрефаль, Хакбарт (Untersuchungen über Stilbene. VI. Synthesen und Reaktionen des Stilben-4-aldehyds. Drefahl Günther, Hartrodt Walter. VII. 4-Styryl-phenylketone und ihre Karbinole. Drefahl

Günther, Hackbarth Werner, Möller Rolf VIII. Notiz über die Darstellung von Stilbenhydantoin-derivaten. Drefahl Günther, Hackbarth Werner), J. prakt. Chem., 1956, 4, № 3, 124—129, 130—132, 133—135 (нем.)

VI. Из 3 способов получения стильбен-4-альдегида (I) — по Стивенсу, Меервейну или Соммле — наилучший выход I дает последний. 9,7 г *n*-метилстильбена, 8,9 г *N*-бромсукцинимид и 100 мг перекиси бензоила в 100 мл CCl_4 кипятят 3 часа, фильтруют, фильтрат нагревают до кипения с 10 г уротропина (II) в 60 мл CHCl_3 и оставляют на 12 час. Продукт присоединения растворяют в 100 мл лед. CH_3COOH , нагревают, разбавляют водой до помутнения и нагревают до кипения. При охлаждении выделяют I, выход 60%, т. пл. 116—117°; фенилгидразон, т. пл. 200°; 2,4-динитрофенилгидразон, т. пл. > 260°; азин, т. пл. 296—298°; анилин, т. пл. 191°. Взаимодействием 4-карботоксистильбена с $\text{NH}_2\text{NH}_2 \cdot \text{H}_2\text{O}$ в бутаноле синтезирован гидразид стильбен-4-карбоновой к-ты (III к-та), выход 65%, т. пл. 204°, из которого р-цией с *n*-толуолсульфохлоридом получен *n*-толуолсульфогидразид III, выход 20%, т. пл. 239°. Восстановлением по Меервейну — Пондорфу I превращен в 4-стирилбензиловый спирт, выход 70%, т. пл. 165°. Р-цией Канниццаро из I получена III, выход 70%, т. пл. 245°. Бензойная конденсация I в присутствии KCN приводит к 4,4'-дистирилбензойну, выход 85%, т. пл. 212°; последний переводят в 4,4'-дистирилбензил (IV), выход 70%, т. пл. 209°, 2,3-ди-(*n*-стирилфенил)-хиноксалин, т. пл. 240°. Бензиловой перегруппировкой из 2 г IV, 40 мл 40%-ной КОН в 300 мл пропанола получена 4,4'-дистирилбензиловая к-та, выход 85%, т. пл. 215°. Конденсацией Кневенателла из I получена 4-стирилкоричная к-та, выход 70%, т. пл. 256—258°, синтезированная также из I по Перкину. Получасовым нагреванием на водяной бане 2 г I, 1,8 г гиппуровой к-ты и 0,8 г CH_3COONa в 10 мл $(\text{CH}_3\text{CO})_2\text{O}$ получен азоктон 4-стирил-(α -бензоиламино)-коричной к-ты (V — к-та), выход 75%, т. пл. 183—184°; V, т. пл. 240—242°. Взвесь 12 г I в 300 мл эфира в течение 2 дней встряхивают с р-ром 8 г KCN и 7 г NH_4Cl в 100 мл воды, получают нитрил-4-стирилмидальную к-ту, т. пл. 135° (из бал.); ацетат, т. пл. 126°.

VII. Взаимодействием диазотированного *n*-аминопропиофенона с коричной к-той в присутствии CH_3COONa и CuCl_2 синтезирован 4-стирилпропиофенон, выход 22% т. пл. 129,5°. Аналогично из *n*-аминобензофенона получен 4-стирилбензофенон (VI), выход 25%, т. пл. 149,5°. $\text{C}_6\text{H}_5\text{MgBr}$ (из 6 г $\text{C}_6\text{H}_5\text{Br}$) освобождают от эфира, растворяют в 30 мл C_6H_6 , прибавляют р-р 2 г цианстильбена в C_6H_6 , кипятят 2 часа и разлагают смесь 1 н. HCl . Получают хлоргидрат 4-стирилбензофенонокетимина (VII), т. пл. 305° (разл.). Кипячением со спиртом HCl переводят VII в VI, выход 35%. Окислением 4,4'-дистирилбензиловой к-ты CrO_3 при нагревании получают 4,4'-дистирилбензофенон, выход 60%, т. пл. 290°. Восстановлением 4-стирилацетофенона по Меервейну — Пондорфу синтезируют 4-стирилфенилкарбинол, выход 80%, т. пл. 119,5°. Аналогично из VI получают 4-стирилбензгидрол, выход 80%, т. пл. 128°. Из стильбен-4-альдегида и $\text{C}_2\text{H}_5\text{MgBr}$ получают 4-стирилфенилэтилкарбинол, выход 90%, т. пл. 107,5°.

VIII. С целью фармакологич. испытаний взаимодействием 4-стирилфенилкетонс с NH_4HCO_3 и NaCN в 50—60%-ном спирте при 55—60° синтезированы следующие 5-замещ. 5-(4'-стилбил)-гидантоины (даны заместитель, время нагревания в часах, выход в %, т. пл. в °C с разл.): Н, 14, —, 315—320; CH_3 , 20, 8, 295—296; C_2H_5 , 14, 8, 268—270; C_6H_5 , 16 (при 110° в расплавленном ацетамиде), 12, 260.

Ф. Величко

21392. Изучение алкилбензолов. I. Гидрирование и окисление *n*-алкилфенилкетонс. Мацуда, Яна-нака, Огава (アルキルベンゼン誘導体に関する研究 第1報. *n*-アルキルフェニルケトンの変元および酸化. 松田雄雄, 山中俊夫, 小川雅彌), 工業化学雑誌. Kōgō Kagaku Zasshi, J. Chem. Soc. Japan. Indus. Chem. Sec., 1957, 60, № 5, 564—566 (японск.)

По р-ции Фриделя — Крафта из C_6H_5 и соответствующих хлорангидридов к-т получены $\text{C}_6\text{H}_5\text{COR}$ (даны R, т. кип. в °C/мм, т. пл. в °C, т. пл. в °C 2,4-динитрофенилгидразона, т. пл. в °C семикарбазона): $n\text{-C}_4\text{H}_9$, 97/5 (n^{20}_D 1,5199), —, 188—189, 184—185; $n\text{-C}_5\text{H}_{11}$, 125/4, 24,2—25,5, 164,5—166, 131,5—132,5; $n\text{-C}_7\text{H}_{15}$, 137/5, 21,5—23,5, 116,5—117,5, 126—127; $n\text{-C}_9\text{H}_{19}$, 170/5, 34,5—35,5, 116,5—117,5, 124,5—125,5; $n\text{-C}_{11}\text{H}_{23}$, 193/6, 45—46,8, 98,5—100,5, 98—99; $n\text{-C}_{13}\text{H}_{27}$, 209/4, 53,5—55,5, 99—100, 99—100; $n\text{-C}_{15}\text{H}_{31}$, —, 57—58,5, 94—96, 90,5—91,5. Гидрирование 20 г $\text{C}_6\text{H}_5\text{COR}$ с 3 г хрома меди (начальное давление $\text{H}_2 \sim 140$ ат, 250°, 3 часа) привело к образованию $\text{C}_6\text{H}_5\text{R}$ -н (даны R, выход в %, т. кип. в °C/мм, n^{20}_D): C_4H_9 , 52,6, 81/20, 1,4931; C_5H_{11} , 49,2, 75/3, 1,4882; C_6H_{13} , 56,9, 114/5, 1,4899; $\text{C}_{10}\text{H}_{21}$, 58,7, 148/5, 1,4825; $\text{C}_{12}\text{H}_{25}$, 80,2, 158/3,5, 1,4838; $\text{C}_{14}\text{H}_{29}$, 80,5, 185/3, 1,4840; $\text{C}_{16}\text{H}_{33}$, 97, 206/3, 1,4813. Одновременно с *n*-алкилбензолами образуются продукты восстановительной димеризации *n*-алкилфенилкетонс, кол-ва их велики для кетонс с короткой цепочкой. Получены (даны димер, т. кип. в °C/мм, т. пл. в °C): мезо-2,3-дифенилбутан (из ацетофенона), 131/6, 126—127; $\text{C}_{10}\text{H}_{18}$ (из $\text{C}_6\text{H}_5\text{COC}_3\text{H}_7$), 185/20, 96,5—97,5; $\text{C}_{14}\text{H}_{24}$ (из $\text{C}_6\text{H}_5\text{COC}_8\text{H}_{17}$), 140/3,5, 81—82,5; $\text{C}_{22}\text{H}_{42}$ (из $\text{C}_6\text{H}_5\text{COC}_{15}\text{H}_{31}$), 215/5, 67,5—69; $\text{C}_{32}\text{H}_{50}$ (из $\text{C}_6\text{H}_5\text{COC}_{25}\text{H}_{51}$), 245/5, 67—68,5; $\text{C}_{36}\text{H}_{58}$ (из $\text{C}_6\text{H}_5\text{COC}_{29}\text{H}_{59}$), —, 75—76; $\text{C}_{40}\text{H}_{66}$ (из $\text{C}_6\text{H}_5\text{COC}_{33}\text{H}_{67}$), —, 80,5—81,5. $\text{C}_6\text{H}_5\text{R}$ -н (R = C_6H_{13} , $\text{C}_{12}\text{H}_{25}$, $\text{C}_{14}\text{H}_{29}$, $\text{C}_{16}\text{H}_{33}$) охарактеризованы превращением в *n*-алкилацетофеноны (Zaki A., Fahim H., J. Chem. Soc., 1942, 307) и *n*-алкилбензойные к-ты (Jonson W. S. и др. J. Amer. Chem. Soc., 1946, 68, 1648). Получены *n*- $\text{RC}_6\text{H}_4\text{COC}_2\text{H}_5$ (даны R, т. пл. °C, т. пл. °C для семикарбазона): C_6H_{13} , — (n^{20}_D 1,5134), 176—177; $\text{C}_{12}\text{H}_{25}$, 46—47, —; $\text{C}_{14}\text{H}_{29}$, 54—55,5, 161—162; $\text{C}_{16}\text{H}_{33}$, 58—59, —. Получены *n*- $\text{RC}_6\text{H}_4\text{COOH}$ (даны R, т. пл. в °C): C_6H_{13} , 97,5—98,5; $\text{C}_{12}\text{H}_{25}$, 95,5—96,5; $\text{C}_{14}\text{H}_{29}$, 97—98,5; $\text{C}_{16}\text{H}_{33}$, 99—100. Изучено окисление $\text{C}_6\text{H}_5\text{COR}$ -н посредством HNO_3 . При использовании 13,44 н. HNO_3 р-ция окисления проходит быстро и приводит к бензойной к-те и соответствующим предельным к-там; с увеличением цепочки R скорость окисления увеличивается; при 90° и 9 н. HNO_3 наряду с продуктами окисления образуются продукты нитрования.

Л. Яновский
21393. Направление енолизации бензоилпирина и его производных. Иимура (ベンゾイルピリナリノおよびその誘導体のノエノール化方位. 飯村富士郎), 日本化学雑誌, Нихон Kagaku Zasshi, J. Chem. Soc. Japan. Pure Chem. Sec., 1957, 78, № 4, 50—51 (японск.)

Исследовано направление енолизации бензоилпирина (I), *n*-метокси-(II), *m*-нитро-(III) и *n*-нитро-бензоилпирина (IV). Озонирование I указывает на предпочтительную енолизацию I на 2/3 в сторону $(\text{CH}_3)_3\text{COSH}=\text{C}(\text{OH})\text{C}_6\text{H}_5$. Однако образование 3-фенил-5-трет-бутилизоксазола, т. кип. 164°/20 мм, при действии NH_2OH на I, строение которого подтверждено сравнением с 3-трет-бутил-5-фенилизоксазолом, т. кип. 167°/20 мм, полученным действием КОН на оксим дибромид бензоилпирина и действием NH_2OH на $(\text{CH}_3)_3\text{COSH}=\text{C}(\text{OCH}_3)\text{C}_6\text{H}_5$, и изучение УФ-спектров I его *Cu*-соли и бензоилпирина, указывает на предпочтительную енолизацию I в сторону $\text{C}_6\text{H}_5\text{COSH}=\text{C}(\text{OH})\text{C}(\text{CH}_3)_3$. Как показало изучение ИК-спектров в CHCl_3 , метаноле, пиридине и эфире I енолизует на 100%. I не дает эфиров енолов при

пропанте и
да, Яма-
關する研究
および酸化
化學雜誌
n. Industr.
ск.)

соответс-
COR (даны
4-динитро-
а): $n_{D_20}^{25}$
 C_5H_{11} , 125,6
37/5, 21,5-
34,5-35,8,
46,8, 99,5
00, 99-100;
трирование
ное давле-
образова-
н в °С,
5/3, 1,4882;
5/5, 1,4325;
5/3, 1,4340;
глицербен-
льной ди-
х велики
ны (даны
3-дифенил-
 $C_{20}H_{18}$ (ш
 $C_5CO_2C_5H_{11}$),
15/5, 67,5-
 C_8H_{16} (ш
 $C_{12}H_{27}$), (ш
23, $C_{16}H_{33}$)
ла, 307) и
42, 307) в
С. J. Amer.
Н. H. CO_2CH_3
арбазона:
8-47, -
Получены
97,5-98,5-
-100. Изг-
 NO_2 . При
ирирование
и соот-
ствием при
при 90° в
образова-
Яновский
инокан-
ил-пича
富士土郎)
nem. Soc.
1, 50-51

ВОИЛПИНА
п-нитро-
указывает
в сторону
не 3-фе-
мм, при
дтвержде-
ксазолом,
КОН и
действием
изучение
ина, ука-
в сторо-
о изуче-
е и эф-
олов при

действии CH_3N_2^+ ; Cu -соль I при действии $(\text{CH}_3)_2\text{SO}_4$ алкилируется к углероду и дает α -метилбензоилпинаколин, т. кип. $172-173^\circ/21$ мм, т. пл. $95-96^\circ$. При конденсации пинаколина (V) с метиловым эфиром n -метоксibenзойной к-ты под влиянием Na образуются три формы II: с т. пл. $57,5-58^\circ$ и $87-87,5^\circ$ (енольные формы, не дают Cu -солей) и с т. пл. $74-75^\circ$ (кетотформа, дает Cu -соль, т. пл. $250-251^\circ$, эта соль при действии $(\text{CH}_3)_2\text{SO}_4$ дает α -метил- n -метоксibenзоилпинаколин, т. кип. $197,5^\circ/20$ мм, т. пл. 106° . Результатом озонирования кетоформы II и образование 3-*трет*-бутил-5- n -метоксифенилизоксазола, т. пл. $74-75^\circ$, при действии NH_2OH на кетоформу II, идентичного полученному встречным синтезом действием NH_2OH на $n\text{-CH}_3\text{OC}_6\text{H}_4\text{C}(\text{OCH}_3)=\text{CHCOC}(\text{CH}_3)_3$, т. пл. $51,5-52,5^\circ$ (приготовленный действием NaOCH_3 на дибромид n -метоксibenзальпинаколина, т. пл. $89-90^\circ$), указывают на енолизацию II в сторону $\text{CH}_3\text{OC}_6\text{H}_4\text{C}(\text{OH})=\text{CHCOC}(\text{CH}_3)_3$. Эти результаты подтверждаются также изучением УФ-спектра II, его Cu -соли и n -метоксibenзальпинаколина. Конденсацией 15 г m -нитробензальдегида с 15 г V в 25 г метанола в присутствии 4 г 10%-ного NaOH (обычная т-ра, 4 дня) получено 14,2 г m -нитробензальпинаколина (VI), т. пл. $92-93^\circ$ (из см.). Бромирование 11,6 г VI в CH_3COOH при 30° дало 13,5 г дибромид (VII), т. пл. $136,5-137^\circ$ (из см.). Смесь 3,9 г VII, 50 мл безводн. метанола и р-ра 0,5 г Na в 30 мл безводн. метанола оставляют на 4 часа, кипятят 1,5 часа, упаривают, выливают в воду, получают метиловый эфир III, т. пл. 64° (из бзд.); при кипячении его в метанольном р-ре с HCl (к-та) образуются III, т. пл. $82-83^\circ$, Cu -соль, т. пл. $258-259^\circ$. Результаты озонирования III, образование 3-*трет*-бутил-5- n -нитрофенилизоксазола (VIII) (не выделен в чистом состоянии) и 3- m -нитрофенил-5-*трет*-бутилизоксазола, т. пл. $67,5-68,5^\circ$, при действии NH_2OH на III указывают на енолизацию III в двух направлениях: $m\text{-O}_2\text{NC}_6\text{H}_4\text{C}(\text{OCH})=\text{C}(\text{OH})\text{C}(\text{CH}_3)_3$ и $m\text{-O}_2\text{NC}_6\text{H}_4\text{C}(\text{OH})=\text{CHCOC}(\text{CH}_3)_3$. Это подтверждено также изучением УФ-спектра III, его Cu -соли и VI. VIII, т. пл. $116-117^\circ$, образуется при действии NH_2OH на метиловый эфир III, полученный из VII. Аналогично вышеописанному из 11,7 г n -нитробензальпинаколина (IX) получено 15,1 г дибромид IX, т. пл. 152° (из метанола), из 3,9 г IX получено 1,7 г метилового эфира IV, т. пл. $122-123^\circ$ (из метанола), а из него приготовлен IV, т. пл. 108° (из метанола). Результаты озонирования указывают на возможность енолизации IV в сторону $n\text{-O}_2\text{NC}_6\text{H}_4\text{C}(\text{OCH})=\text{C}(\text{OH})\text{C}(\text{CH}_3)_3$ и $n\text{-O}_2\text{NC}_6\text{H}_4\text{C}(\text{OH})=\text{CHCOC}(\text{CH}_3)_3$. Однако изучение УФ-спектров IV, его Cu -соли и IX, а также образование при действии NH_2OH на IV 3- n -нитрофенил-5-*трет*-бутилизоксазола, т. пл. $154,5-157,5^\circ$ (из метанола), указывают на енолизацию IV в сторону $n\text{-O}_2\text{NC}_6\text{H}_4\text{C}(\text{OH})=\text{CHCC}(\text{CH}_3)_3$. Из метилового эфира IV при действии NH_2OH образуется 3-*трет*-бутил-5- n -нитрофенилизоксазол, т. пл. $178-179^\circ$ (из метанола). Л. Яновская

21394. 2,6-диметилацетофенон. Брауде, Эрскин
(2:6-dimethylacetophenone. Braude E. A., Eers-
kine R. L.), J. Chem. Soc., 1956, Nov., 4673—4675
(англ.)

Синтезирован 2,6-диметилацетофенон (I) и сняты его ИК- и УФ-спектры. Обсуждаются пространственные затруднения в различных метилпроизводных I и пересматриваются предшествующие данные (РЖХИМ, 1957, 73677). Из УФ-спектра вычислен угол между C_6H_5 - и CO -хромософами, для I он равен 70° и для 2,4,6-триметилацетофенона 63° . Строение I доказано его превращением в 1,3-диметил-2-трихлорацетилбензол (II) и последующим омылением III в 2,6-(CH_3)₂- $C_6H_3(COOH)$ (III). При гидролизе III в медной колбе, ларяду с III, получают также 2,6-диметилмидальную

к-ту (IV). Вероятно, при этом происходит восстановление СО-группы, катализируемое Cu , или же гидрирование одной $\text{C}-\text{Cl}$ связи, сопровождаемое гидролизом и перегруппировкой образующегося 2,6-диметилфенилглиоксалия. Р-р 8,7 г 2,6-диметилбензонитрила в 120 мл анизола прибавляют к р-ру 1,1 моля CH_3MgI в 100 мл эфира, отгоняют эфир, кипятят 3 часа, добавляют насыщ. р-р NH_4Cl , экстрагируют эфиром, эфирный р-р трижды обрабатывают 1 н. H_2SO_4 (по 50 мл), водн. слой кипятят 12 час. с 50 мл толуола, отделяют толуол, водн. слой обрабатывают эфиром, эфирный р-р соединяют с толуольным слоем и перегонкой выделяют I, выход 44%, т. кип. $106^\circ/17 \text{ мм}$, $n_D^{27} 1,5141$; 2,4-динитрофенилгидразон I, т. пл. 158° (из метилциклогексана), $\lambda_{\text{макс}}$ 364 м μ (ϵ 23 000) в CHCl_3 . I нагревают 3 часа при 55° с KClO_4 ; выделяют II с выходом 75%, т. пл. $139^\circ/11 \text{ мм}$, $n_D^{23} 1,5412$. При кипячении 6 час. с 2 н. NaOH II дает III с выходом 85%, т. пл. 115° . При гидролизе II в аналогичных условиях, но в медном сосуде, получают смесь III и IV; III извлекают C_6H_6 , выход 56%; выход IV 33%, т. пл. 152° (из бэл.). Смесь 0,21 г IV, 5 мл пиридина и 0,28 г CrO_3 перемешивают 12 час. при 20° , добавляют 20 мл воды и извлекают эфиром, выделяют 2,6-диметилбензальдегид в виде 2,4-динитрофенилгидразона (V), выход 0,13 г, т. пл. 255° . Приведены ИК-спектры I, IV и V. П. Аронович

П. Аронович

21395. N- и C-бензоилирование *n*-аминоацетофенона метиловым эфиром бензойной кислоты с амидом натрия. Синтез β -дикетонов, имеющих *n*-ациламино- и *n*-оксигруппы. Хаузер, Иби (N- and C-benzoylation of *n*-aminoacetophenone with methyl benzoate by sodium amide. Synthesis of β -diketones having *p*-acylamino and *p*-hydroxy groups. Hauser Charles R., Eby Charles J.), J. Organ. Chem., 1957, 22, № 8, 909—912 (англ.)

$n\text{-C}_3\text{H}_7\text{COC}_6\text{H}_4\text{NH}_2$ (I) при последовательном действии 1 моля NaNH_2 в жидком NH_3 и 1 моля $\text{C}_6\text{H}_5\text{COOCH}_3$ (II) бензоилируется в $n\text{-C}_3\text{H}_7\text{COC}_6\text{H}_4\text{NHCOC}_6\text{H}_5$ (III); при избытке NaNH_2 и II получают III и $n\text{-C}_3\text{H}_7\text{COCCH}_2\text{COC}_6\text{H}_4\text{NHCOC}_6\text{H}_5$ (IV), образующийся также при бензоилировании III посредством II с NaNH_2 . Строение III подтверждено его синтезом из I и $\text{C}_6\text{H}_5\text{COCl}$ по Шоттену-Бауману, строение IV — циклизацией с гидразином в CH_3OH или с мочевиной в спирте в присутствии HCl (кипчение 8 дней) в 3-($n\text{-N}$ -бензоиламинофенил)-5-фенилпиразол, выход 96%, т. пл. 253—254,5°, и 2-($n\text{-N}$ -бензоиламинофенил)-4-фенил-6-оксипиридин, выход 58%; хлоридрат, т. пл. 297—299° (из CH_3OH). Аналогично из III, этилацетата и NaNH_2 синтезирован $n\text{-C}_3\text{H}_7\text{COCCH}_2\text{COC}_6\text{H}_4\text{NHCOC}_6\text{H}_5$, выход 20%, т. пл. 170,5—172° (из сп.), а из $n\text{-C}_3\text{H}_7\text{CONHC}_6\text{H}_4\text{COCCH}_3$ и II или этилацетата и $n\text{-RCOCH}_2\text{COC}_6\text{H}_4\text{NHCOC}_6\text{H}_5$, где $\text{R} = \text{C}_6\text{H}_5$, выход 20%, т. пл. 162—164° (из бэл.), или $\text{R} = \text{C}_2\text{H}_5$, выход 13%, т. пл. 135—136,5° (из бэл.). $n\text{-HOC}_6\text{H}_4\text{COCCH}_3$ бензоилируется II с NaNH_2 в $\text{C}_6\text{H}_5\text{COCCH}_2\text{COC}_6\text{H}_4\text{OH}$ -н, выход 37%, т. пл. 154—156° (из бэл.). К взвеси 0,1 моля NaNH_2 в 350 мл NH_3 добавляют 0,1 моля I, размешивают 30 мин., приливают 0,1 моля II в равном объеме эфира, размешивают 1,5 часа, испаряют NH_3 , заменяя его эфиром, размешивают 16—18 час., продукт отделяют, растирают с 6 н. HCl и получают III, выход 89%, т. пл. 199—201°. 0,15 моля NaNH_2 в 350 мл NH_3 , 0,05 моля III и 0,1 моля эфирного $p\text{-p}$ II размешивают 1 час, заменяют NH_3 эфиром, размешивают 24 часа, выливают в воду, подкисляют 6 н. HCl , продукт растворяют в спирте, приливают $p\text{-p}$ $\text{CH}_3\text{COOCH}_3$, осадок разлагают 10%-ной H_2SO_4 и получают IV, выход 52%, т. пл. 184,5—186° (из сп.).

Д. Витковский

21396. Реакция Кольбе — Шмитта. Линдсей, Джески (The Kolbe-Schmitt reaction. Lindsey Alan S., Jeskey Harold), Chem. Revs, 1957, 57, № 4, 583—620 (англ.)
Обзор. Библ. 263 назв.

21397. Некоторые свойства оксифталиимидина. Леша (Sur quelques propriétés de l'hydroxyphthalimidine. Lechat Paul), C. r. Acad. sci., 1957, 245, № 3, 326—328 (франц.)

С целью выяснения строения оксифталиимидина (I) изучены продукты его гидролиза, восстановления и окисления. При кипячении I с 25%-ным р-ром NaOH получены фталевая к-та и фталид (II). Восстановление I действием KBN₄ в водн. среде приводит к о-оксиметилбензойной к-те и II. При окислении I H₂O₂ в CH₃COOH получена фталаминовая к-та. Указанные превращения подтверждают ациклич. строение I, выражаемое ф-лой o-CHOC₆H₄CONH₂, не находясь, однако, в противоречии с его возможным циклич. строением.
Я. Штейнберг

21398. Молекулярные комплексные соединения тетраодфталового ангидрида. Бью Хой, Жаккинсон (Sur les combinaisons moléculaires dérivées de l'anhydride tétraiodophthalique. Buu-Hoi N. P., Jacquignon Pierre), Bull. Soc. chim. France, 1957, № 10, 1272—1274 (франц.)

Описан синтез тетраодфталового ангидрида (I). Взаимодействием I с ароматич. аминами получены N-арилпроизводные тетраодфталимида (II). Изучена способность I и II к образованию комплексов (КС) с полициклич. соединениями (ПС). К р-ру 5 г фталового ангидрида в 40 г 20%-ного олеума прибавляют при 65° 32 г тонкоизмельченного I₂, нагревают 3 часа при 175° и 20 мин. при 200° и выливают по охлаждению на лед; получают I, т. пл. 327° (из C₂H₅COOH). 0,1 г 3,4-(CH₃)₂C₆H₃NH₂ и 0,6 г I в C₆H₅NO₂ кипятят несколько минут, получают II [Ag = 3,4-(CH₃)₂C₆H₃], выход 85%, т. пл. 356° (здесь и далее из CH₃COOH). Аналогично получают следующие II (указаны Ag, т. пл. в °C): 2,3-(CH₃)₂C₆H₃, 344 (разл.); 2,4,5-(CH₃)₃C₆H₂, 308; 4-CH₃OC₆H₄, 338; 4-C₂H₅OC₆H₄, 349; 2-CH₃OC₆H₄, 313; 4-BrC₆H₄, 355; 2-ClC₆H₄, 257—258; 2,4-(CH₃)₂C₆H₃ (получен в CH₃COOH), 302. Подобно тетраодфталовому ангидриду, с ПС I образует КС, являющиеся, однако, менее прочными. Описаны мол. (1:1) соединения I с пиреном, т. разл. > 180°, 1,3,5-триметил-7,8-триметиленфенантроном, т. разл. 198°, 1,4,6-триметил-2,3-бензфенантроном, т. разл. 256°, 1,2,3,4-тетрагидрокарбазолом, т. разл. > 135°, 5-метилиндено-(2,3,3',2',4',5'-бензиндолом, т. разл. > 170°, флуорантеном, антантроном и 2-метилнафталином. Аналогичные КС II малоустойчивы и не могут быть выделены в чистом состоянии.
А. Травин

21399. Изучение производных бензилянтарного ангидрида и их использование. VI. Синтез производных бензилсукцинимидов и бензилсукцинимидов и их противосудорожная активность. Мацуда, Мацуда (無水マレイン酸誘導体およびその利用に関する研究. 第6報. ベンジルコハク酸アミドおよびイミド化合物の合成とその抗けいれん作用について. 松田佳雄, 松田治和), 日本化学雑誌. Нихон кагаку дзасси, J. Chem. Soc. Japan. Pure Chem. Sec., 1957, 78, № 6, 814—817 (японск.)

Получен имид бензилянтарной к-ты (I) и ряд его N-замещенных, а также имид n-метилбензилянтарной к-ты (II), испытано противосудорожное действие приготовленных препаратов в сравнении с милонтином (N-метилимид фенилянтарной к-ты). Все препараты обладают противосудорожным действием, однако или менее активны, чем милонтин, или более ядовиты. Приготовлены (даны в-во (способ синтеза), выход в %, т. кип. в °C/мм, т. пл. в °C): диамид бензилян-

тарной к-ты (—), 40, 205—205,5, —; I (диметилэтер бензилянтарной к-ты, NH₄OH, 20°, 10 час.), 81, 210/12, 93,6—94,6; N-метил-I (бензилянтарная к-та (III), 37%-ный CH₃NH₂, 210°, 40 мин.), 70, —, 78,3—78,5; N-этил-I (III, 33%-ный C₂H₅NH₂, 210°, 40 мин.), 63, —, 65,5—66,2; N-н-бутил-I (ангидрид III (IV), n-C₄H₉NH₂, 240—280°, 1 час.), 77, 176,5—178/3, 4—7; N-н-додецил-I (IV, лед. CH₃COOH, n-C₁₂H₂₅NH₂, кипячение 3 часа) 49, 235—238/4, 25—26,5; N-н-гексадецил-I (аналогично предыдущему), 23, 261—263/3, 45—47,5; N-н-октадецил-I (аналогично предыдущему), 21, —, 48,5—50,5; N-фенил-I (III, анилин, вода, 240—280°, 1 час.), 50, —, 128,8—129,8; N-β-нафтил-I (аналогично предыдущему), 43, —, 157,5—158,5; II (подобно I), 83, 197—200/5, 126—126,5. Сообщение V см. РЖХим, 1956, 71766.
Л. Яновская

21400. Некоторые реакции α-фталимидонитрилов, в том числе реакции, приводящие к получению α-амидоксимов и α-аминотиоамидов. Питерсен, Ниман (Some reactions of α-phthalimidonitriles including those leading to the synthesis of α-amidoximes and α-aminothioamides. Peterson Paul E., Niemann Carl), J. Amer. Chem. Soc., 1957, 79, № 6, 1389—1395 (англ.)

Амиды DL-, L- и D-α-фталимидо-β-фенилпропионовых к-т (Ia—v) дегидратируются P₂O₅ в кипячении CHCl₃ или бензолсульфохлоридом в пиридине в соответствующие нитрилы (IIa—v); при действии P₂O₅ в диоксане Ia превращается в DL = N-(α-фталимидо-β-фенилпропионил)-амид дихлорида фосфорной к-ты (III), образующий с CH₃OH диметилловый эфир, т. пл. 207—209° (из CH₃OH), вторичная т. пл. 220°. При гидролизе водно-метанольным р-ром NaOH при 20° в ΔL = α-(о-карбоксібенамидо)-β-фенилпропионитрил, т. пл. 165° (разл.), а при действии 36 час. конц. NH₄OH превращается в амид DL = α-фталамидо-β-фенилпропионовой к-ты, т. пл. 205—210° (разл.; из сп.), при нагревании которого выше т-ры плавления регенерируется IIa. Реагируя со смесью NH₄OH и NH₄OH·HCl IIa или IIб дают оксимы Ia (IVa) и Ib (IVб), образующие при кипячении с NH₄OH и CH₃ONa оксимы амидов DL- и L-α-амино-β-фенилпропионовых к-т (Va, б), превращенные в 0, N-диацетильные (VIa, б), N-ацетильные (VIIa, б), 0, N-дибензоильные (VIIIa, б) и N-бензоильные (IXa, б) производные. При р-ции спирт. р-ра IIa с H₂S получен с незначительным выходом амид DL = α-фталимидо-β-фенилтиопропионовой к-ты (X); при действии H₂S на IIa в насыщ. NH₃ спир. р-ре получается с хорошим выходом амид DL = α-фталамидо-β-фенилтиопропионовой к-ты (XI), образующий с CH₃OH сольват (XII). XI гидролизован р-ром NaOH при 85° или метанольным р-ром HCl (кипение 4 часа) в амид DL = α-амино-β-фенилтиопропионовой к-ты, выход 24—55%, т. пл. 135—136,3° (разл.; из сп.). Р-цией IIa в бензольном р-ре с метанольным р-ром HCl получен хлоргидрат метилового эфира имиды DL = α-фталимидо-β-фенилпропионовой к-ты (XIII), превращающийся при нагревании с 1 молем метанольного р-ра CH₃ONa в метилловый эфир последней, т. пл. 124,8—126,8° (из водн. CH₃OH), и Ia. Восстановлением IIa, б SnCl₂ и HCl синтезированы DL- и L-α-фталимидо-β-фенилпропионовые альдегиды (XIXa, б). Этиленгликолевый ацеталь (ЭГА) XIXa (XV), т. пл. 108—109,5° (из гексана) (см. РЖХим, 1957, 63656), превращен действием NH₄OH и CH₃ONa в ЭГА-DL-α-амино-β-фенилпропионового альдегида, выделенный в виде бензоильного производного (XVI). Ia, л пл. 236,8—237,2° (из сп.), и Ib, т. пл. 226—227,5° (т.з. сп.), синтезированы с 85%-ными выходами взаимно-истинным хлорангидридов соответствующих к-т с NH₄деклинацией взвеси 75 г Ia в 2,2 л CHCl₃ добавляют в течение 72 час. 90 г P₂O₅, р-р концентрируют и полу-

ают IIa, выход 78%, т. пл. 134—136°. Аналогично из 0,39 г Iв в 15 мл CHCl_3 и 0,4 г P_2O_5 получают IIa, выход 0,23 г, т. пл. 149—152°, $[\alpha]^{25}_D + 100 \pm 2^\circ$ (с 4,6; хлф.). 2,76 г IIa, 10 мл пиридина и 6 мл $\text{C}_6\text{H}_5\text{SO}_2\text{Cl}$ кипятят 10 мин., приливают воду и выделяют IIa, выход 99%; аналогично получают IIб, выход 90%, т. пл. 150—153,2° (из CH_3OH), $[\alpha]^{25}_D - 103 \pm 1^\circ$ (с 2; хлф.). К взвеси 12 г Ia в 170 мл диоксана добавляют 16,8 г P_2O_5 , нагревают до 40°, р-р декантируют, приливают 520 мл гексана и получают III, выход 14,6 г. К смеси 30 мл 1 М р-ра CH_3ONa и 69 мл 0,5 М р-ра $\text{NH}_4\text{OH} \cdot \text{HCl}$ в CH_3OH добавляют 8,28 г IIa в 120 мл CH_3OH , кипятят 3 часа и отделяют IVa, выход 71%, т. пл. 198—204° (разл.). Аналогично получают IVб, выход 73%, т. пл. 164—171° (разл.), $[\alpha]^{25}_D - 108 \pm 1^\circ$ (с 2,7; CH_3OH). К метанольному р-ру 10,7 моля NH_4OH и 10,7 моля CH_3ONa приливают 10,7 моля IVa в 150 мл CH_3OH , кипятят 2 часа, упаривают досуха и извлекают этилацетатом (XVII) Va, выход 52%, т. пл. 117—118° (из воды), р-р которого в XVII ацилируют $(\text{CH}_3\text{CO})_2\text{O}$ или $\text{C}_6\text{H}_5\text{COCl}$ в присутствии р-ра K_2CO_3 в VIa, выход 76%, т. пл. 160—162° (разл.), или в VIIa, выход 75%, т. пл. 206—207° (разл.; из CH_3CN). 0,56 г VIa в 15 мл CH_3OH или 0,4 г VIIa в 50 мл CH_3OH кипятят несколько минут с 2—4 каплями 1 н. р-ра CH_3ONa в CH_3OH и выделяют VIIa, выход 66%, т. пл. 156—158° (разл.; из воды), или IXa, выход 62%, т. пл. 200—202° (из CH_3CN). Аналогично получают Vб и VIб, выход 49% (не кристаллизуются). VIIб, выход 74%, т. пл. 167—169° (разл.), $[\alpha]^{25}_D - 11 \pm 0,4^\circ$ (с 2,1; сп.); VIIIб, выход 47%, т. пл. 204—211° (из CH_3CN), $[\alpha]^{25}_D - 38 \pm 1^\circ$ (с 2,4; диметилформамид (XVIII)) и IXб, выход 44%, т. пл. 200—203° (разл.), $[\alpha]^{25}_D - 85,2 \pm 1^\circ$ (с 2,0; XVIII). В горячий р-р 13,8 г IIa и 0,75 г триэтанол-мина в 0,3 л спирта пропускают в течение 2 дней H_2S и из р-ра выделяют X, т. пл. 160,5—162° (из сп.). 8 г IIa в 120 мл насыщ. р-ра NH_3 в CH_3OH насыщают H_2S и на следующий день отделяют XII, т. пл. 100—160°, XI, т. пл. 173—177°. Р-р 7,72 г IIa в смеси 60 мл C_6H_6 и 1 моля CH_3OH насыщают HCl и через 2 дня отделяют XIII, выход 83%, т. пл. 234—236°. Смесь 15,12 г SnCl_4 и 180 мл эфира насыщают HCl , добавляют 11,04 г IIa или IIб в 80 мл C_6H_6 и 80 мл эфира, насыщают HCl , оставляют на 5 час. при 20°, затем на 36 час. при 4°, отделяют эфирный слой, выдувают азотом HCl , встряхивают с 40 мл воды и 240 мл C_6H_6 , отгоняют C_6H_6 и получают XIVa, выход 34%, т. пл. 96,3—96,8° (из гексана); семиркабазон, т. пл. 238—240° (разл.; из CH_3CN); этилгемиацеталь, т. пл. 122—124° (разл.); н-бутилгемиацеталь, т. пл. 102—104°, или XIVб, выход 43%, т. пл. 115—117° (из лигр.), $[\alpha]^{25}_D - 157 \pm 2^\circ$ (с 2; хлф.). 3,33 моля XV в 40 мл CH_3OH , 3,33 мл 1 М р-ра NH_4OH и 3,33 мл 1 М р-ра CH_3ONa в CH_3OH кипятят 3 часа, р-р упаривают досуха, остаток извлекают XVII, бензоилируют и получают XVI, выход 36%, т. пл. 118,5°.

Д. Витковский

21401. Продукты восстановления α,α -дифенилглутаровой кислоты. Сальмон-Леганьер, Неве, Деръен (Sur les produits de réduction de l'acide α,α -diphénylglutarique. Salmon-Legagneur François, Neveu Cécile, m-me, Derrien Michel, C. r. Acad. sci., 1957, 245, № 3, 320—322 (франц.))

При восстановлении ангидрида α,α -дифенилглутаровой к-ты (I—к-та) кипячением с LiAlH_4 в диоксане получают 2,2-дифенилпентадиол-1,5, выход 90—95%, т. пл. 124°. Опыты дегидратации последнего с целью получения тетрагидропиранового цикла не приводят к положительному результату. Восстановлением по Буво и Блану монометилловых эфиров I получают соответственно α,α -дифенил- δ -валеролактон (II), вы-

ход 55%, т. пл. 111—112° (из 50%-ного сп.), и γ,γ -дифенил- δ -валеролактон (III), выход 60%, т. пл. 108°. При щел. омылении I и III получают соответственно α,α -дифенил- δ -оксивалериановую к-ту (IV), т. пл. 125°, и γ,γ -дифенил- δ -оксивалериановую к-ту (V), т. пл. 135—136°. Лактонизация V (в 50%-ном сп., 100°, в присутствии H_2SO_4) протекает в 100 раз быстрее, чем лактонизация IV, что объясняется, по-видимому, стерич. влиянием фенильных радикалов.

Я. III. 21402. Реакция ацеталей с малоновой кислотой и ее производными. К изучению реакции Кноэвенгеля — Дебнера. Клейн, Бергман (The reaction of acetals with malonic acid and its derivatives. A contribution to the knowledge of the Knoevenagel — Doebner reaction. Klein J., Bergmann Ernst D., J. Amer. Chem. Soc., 1957, 79, № 13, 3452—3454 (англ.))

Диэтилацетали ароматич. и алифатич. альдегидов (АЦ) реагируют с малоновой к-той (I) в присутствии $\text{C}_6\text{H}_5\text{N}$ (II) и пиперидина (III) по типу р-ции Кноэвенгеля. Механизм р-ции включает образование промежуточного соединения между реагирующими компонентами за счет водородных связей. АЦ получают двумя методами: А. 1 моль альдегида, 1,1 моля $\text{HC}(\text{OC}_2\text{H}_5)_2$, 3-кратное (по весу) кол-во спирта и 3 капли насыщ. р-ра HCl в спирте выдерживают 12 час. при $\sim 20^\circ$; смесь обрабатывают Na_2CO_3 , разбавляют эфиром и перегоняют. Б. Вместо HCl употребляют NH_4NO_3 (1 г), смесь кипятят 30 мин. и обрабатывают аналогично предыдущему. Перечисляются альдегид, метод получения АЦ, выход АЦ в %, т. кип. АЦ в $^\circ\text{C}/\text{мм}$: $\text{C}_6\text{H}_5\text{CHO}$, А, 83, 215—218 (IV); $n\text{-CH}_3\text{C}_6\text{H}_4\text{CHO}$ (V), А, 85, 128—130/30 (VI); $n\text{-CH}_3\text{OC}_6\text{H}_4\text{CHO}$, А, 95, 140/16 (VII); $o\text{-CH}_3\text{OC}_6\text{H}_4\text{CHO}$, А, 83, 155/30 (VIII); $n\text{-N}(\text{CH}_3)_2\text{C}_6\text{H}_4\text{CHO}$, А, 90, 155/3,5 (IX); 2,4-дихлорбензальдегид, Б, 60, 154—155/21 (X); 3,4-дихлорбензальдегид, А, 90, 175/30 (XI); $\text{C}_6\text{H}_5\text{CH}=\text{CHCHO}$, Б, 95, 155/23 (XII); $o\text{-NO}_2\text{C}_6\text{H}_4\text{CH}=\text{CHCHO}$, Б, 93, 166—170/1,5 (XIII); 2-фенил-1,2,3,6-тетрагидробензальдегид, А, 94, 124/0,9 (XIV); 2-фенилгексагидробензальдегид (АЦ получен гидрированием XIV), 98, 117/0,6 (XV); $\text{CH}_3\text{CH}=\text{CHCHO}$, А, 30, 143—145 (XVI). Смесь 0,1 моля АЦ, 0,2 моля I, 42 мл II и 2 мл III нагревают 3 часа при 100° и 30 мин. при 140° и выливают в смесь льда и конц. HCl . Перечисляются АЦ, образующаяся при р-ции к-та, выход в % и т. пл. в $^\circ\text{C}$: IV, $\text{C}_6\text{H}_5\text{CH}=\text{CHCOOH}$, 89, 133; VI, $n\text{-CH}_3\text{C}_6\text{H}_4\text{CH}=\text{CHCOOH}$, 100, 198; VII, $n\text{-CH}_3\text{OC}_6\text{H}_4\text{CH}=\text{CHCOOH}$, 100, 173; VIII, $o\text{-CH}_3\text{OC}_6\text{H}_4\text{CH}=\text{CHCOOH}$, 100, 180; IX, $n\text{-N}(\text{CH}_3)_2\text{C}_6\text{H}_4\text{CH}=\text{CHCOOH}$, 100, 216; X, 2,4-дихлоркоричная, 15, 230 (из лед. CH_3COOH); XI, 3,4-дихлоркоричная, 31, 218; XII, $\text{C}_6\text{H}_5\text{CH}=\text{CHCN}=\text{C}(\text{COOH})_2$, 27, 208, и β -стирилакриловая, 17, 165 (из бэл.); XIII, $o\text{-NO}_2\text{C}_6\text{H}_4\text{CH}=\text{CHCN}=\text{C}(\text{COOH})_2$, 35, 212, и β -(o -нитростирил)-акриловая, 25, 217; XIV, 2-фенил-1,2,3,6-тетрагидрокоричная, 30, 126; XV, 2-фенилгексагидрокоричная, 33, 115; XVI, $\text{CH}_3\text{CH}:\text{CHCN}:\text{CHCOOH}$, 20, 134; кротоновая (из $\text{CH}_3\text{CH}(\text{OC}_2\text{H}_5)_2$), 20, 72. Моноэтиловый эфир I (XVII) при нагревании с VI или с XII в отсутствие катализатора образует с выходом 60 и 89% соответственно $n\text{-CH}_3\text{C}_6\text{H}_4\text{CH}=\text{C}(\text{COOH})\text{COOC}_2\text{H}_5$ (XVIII) и $\text{C}_6\text{H}_5\text{CH}=\text{CHCN}=\text{C}(\text{COOH})\text{COOC}_2\text{H}_5$ (XIX). С V в аналогичных условиях XVII образует с выходом всего 6%. XVIII (2,2 г) легко декарбоксилируется при кипячении 30 мин. с 40 мл III, образуя 1,3 г $n\text{-CH}_3\text{C}_6\text{H}_4\text{CH}=\text{CHCOOC}_2\text{H}_5$, т. кип. 142°/1 мм. Диэтиловый эфир I в отсутствие катализатора в р-ции с VI не вступает, при проведении р-ции в присутствии III получается $n\text{-CH}_3\text{C}_6\text{H}_4\text{CH}=\text{C}(\text{COOC}_2\text{H}_5)_2$ (XX), к-та, т. пл. 214°, выход 2%; в присутствии 50 мз $n\text{-CH}_3\text{C}_6\text{H}_4\text{SO}_3\text{H}$ XX получают с выходом 5%. 10,3 г XII, 7,3 г XVII, 50 мл C_6H_6 , 3 капли III кипятят 10 час., полу-

чают XIX, т. пл. 119—120° (из бэл., CCl_4). От р-ра 9,7 г VI в 65 мл C_6H_6 отгоняют 15 мл C_6H_6 , прибавляют 7,3 г XVII, кипятят 10 час., упаривают, получают 6 г (неочищ.) XVIII, т. пл. 127° (из C_6H_6). 4 г V, 4,5 г XVII, 30 мл C_6H_6 кипятят 10 час., получают 2,8 г V и 0,5 г XVIII.

Л. Иванова

21403. Применение N-бромсукцинимиды при реакциях бромирования и расщепления. Абдель-Вахаб, Баракат (Die Verwendung von N-Bromsuccinimid bei Bromierungs- und Abbaureaktionen. Abdel-Wahab M. F., Barakat M. Z., Monatsh. Chem., 1957, 88, № 4, 692—701 (нем.).

Показано, что при взаимодействии N-бромсукцинимиды (I) с фенолами, ароматич. аминами и ароматич. окси- или аминокислотами происходит р-ция бромирования, не затрагивающая функциональных групп указанных соединений. Р-ция I с ароматич. сульфокислотами и меркаптосоединениями приводит соответственно к замещению сульфогруппы на атом Br или образованию дисульфидов. Взаимодействие I с $\text{C}_6\text{H}_5\text{CH}_2\text{COOH}$, яблочной, винной и лимонной к-тами приводит к глубокому разрушению последних, сопровождающемуся образованием альдегидов и кетонов. Многоатомные спирты (этиленгликоль (II), глицерин (III), ксилит, маннит, сорбит, инозит) при р-ции с I количественно превращаются в CO_2 и H_2O . Р-р 0,01 моля II-НОС $_6\text{H}_4$ COOH (IV) и 0,02 моля I в 100 мл CCl_4 кипятят 1,5 часа, фильтруют и из фильтрата по охлаждению получают 3,5-дибром-IV выход 76%. Аналогично при взаимодействии I с о-(V) и п-(VI) $\text{H}_2\text{NC}_6\text{H}_4\text{COOH}$, пирокатехином (VII), резорцином (VIII), о-О $_2\text{NC}_6\text{H}_4\text{NH}_2$ (IX), $(\text{C}_6\text{H}_5)_2\text{NH}$ (X) и $(\text{C}_6\text{H}_5)_3\text{N}$ (XI) получают соответственно следующие соединения (указаны в-во, продолжительность нагревания в час., выход в %): 4,5-дибром-V, 1, 90; 2-бром-VI, 2, 80; 4,5-дибром-VII, 1, 65; 2,4,6-трибром-VIII, 0,25; 92; 4-бром-IX, 2,5, 90; 2,4,2',4'-тетрабром-X, 2, 60; (?)-монобром-XI (т. пл. 94—96°), 3, 50. При нагревании эквивалентных кол-в (0,01 моля) I и салициловой к-ты (XII) в 30 мл CCl_4 в течение 30 мин. получают аддукт, состоящий из 1 молекулы XII и 1 молекулы 5-бром-XII выход 90%, т. пл. 133° (из бэл.). При молярном соотношении I: XII 2:1 (5 час.) получают 4,5-дибром-XII, выход 50%. Р-р 0,01 моля $\text{C}_6\text{H}_5\text{NHCOSCH}_3$ (XIII) и 0,01 моля I в 50 мл воды нагревают 1 час при ~100°, получают 4-бром-XIII, выход 68%. Аналогично $\text{C}_6\text{H}_5\text{NHCOC}_6\text{H}_5$ (XIV) превращают в 4-бром-XIV, выход 65%, и из 0,01 моля $\text{C}_6\text{H}_5\text{NH}_2$ (XV) с 0,03 моля I (20 мл воды, 15 мин. при ~100°) получают 2,4,6-трибром-XV (XVI), выход 93%. Р-р 0,01 моля 5-сульфо-XII и 0,02 моля I в 15 мл воды нагревают 1 час при ~100°, фильтруют и из фильтрата выделяют 4,5-дибром-XII выход 75%. Аналогично из 0,01 моля сульфаниловой к-ты и 0,03 моля I в 50 мл воды (15 мин., ~100°) получают XVI выход 95%. Р-р 0,01 моля тиосалициловой к-ты и 0,005 моля I в 30 мл CCl_4 кипятят 15 час., фильтруют и извлекают осадок горячим CHCl_3 ; нерастворившийся остаток кристаллизуют из лед. CH_3COOH , получают 2,2'-дикарбонилдифенилсульфид, выход 60%, т. пл. 296°. Описан метод колич. определения II и III, основанный на поглощении образующегося при их взаимодействии с I CO_2 р-ром Ba(OH)_2 .

А. Травин

21404. К синтезу ароматических кетокислот. Рейхель, Вилчану (Contribuții la sinteza acizilor cetonici aromatici. Reichel I., Vilceanu R., Studii și cercetări științ. Acad. RPR. Baza Timișoara. Ser. științe chim., 1956, 3, № 1—2, 17—32 (рум.; рез. русск., франц.).

С целью ослабления сильного каталитич. действия AlCl_3 в начале р-ции и получения жидкой массы к ее концу при конденсации фталевого ангидрида (I)

с C_6H_6 , $\text{C}_6\text{H}_5\text{CH}_3$ и $\text{C}_6\text{H}_5\text{Cl}$ синтезированы п- $\text{RC}_6\text{H}_4\text{COC}_6\text{H}_4\text{COOH}$ -о (II R = CH_3 , III R = H, IV R = Cl) в присутствии р-ра AlCl_3 в CH_3NO_2 , р-ция протекает в гомогенной фазе с равномерной интенсивностью и реакционная масса остается жидкой до конца; каталитич. действие AlCl_3 в CH_3NO_2 слабее, что требует повышения т-ры и большей продолжительности р-ции и приводит к меньшим выходам. Смесь 54 г AlCl_3 , 54 г $\text{C}_6\text{H}_5\text{CH}_3$ и 28 г CH_3NO_2 постепенно приливали (22—25°) к смеси 29,6 г I и 54 г $\text{C}_6\text{H}_5\text{CH}_3$; через 2 часа подняли т-ру до 30—35° и через 4 часа до 40°; через час (40°) обработали водой и осадок растирали с 5 г Na_2CO_3 , обработали 10%-ным р-ром Na_2CO_3 и осаждали II 25%-ной H_2SO_4 , выход 76,6%, т. пл. 138° (из воды). Тем же способом синтезирована III, выход 70,3%, т. пл. 124°. IV получен с очень низким выходом.

А. Марин

21405. Синтез и антибактериальные свойства ароматических амидоксимов и некоторых производных диазафурана. Леандри, Майоли, Ручцьер (Sintesi e proprietà antibatteriche di amidosime aromatiche e di alcuni diaza-furani derivati. Leandri G., Maioli L., Ruzzier L., Boll. scient. Fac. chim. industr. Bologna, 1957, 15, № 3, 57—62 (итал.). Для испытаний бактериостатич. действия синтезирован ряд соединений, содержащих группу $-\text{C}(=\text{NOH})\text{NH}_2$. Некоторые амидоксимы действием янтарного ангидрида переведены в производные диазафурана, содержащие остаток $\text{O}-\text{N}=\text{C}-\text{N}=\text{C}-$

$-\text{CH}_2-\text{COOH}$. Приведены радикал амидоксима (заместители в бензольном ядре везде в пара-положении), т. пл. в °C (р-ритель), т. пл. хлоргидрата в °C: $\text{C}_6\text{H}_5\text{SC}_6\text{H}_4$, 125—126 (сп.), 106; $\text{ClC}_6\text{H}_4\text{SC}_6\text{H}_4$, 160—161 (сп.), 186—190; $\text{O}_2\text{NC}_6\text{H}_4\text{SC}_6\text{H}_4$, 162—163 (бэл.), 205; $\text{HON}=\text{C}(\text{NH}_2)\text{C}_6\text{H}_4\text{SC}_6\text{H}_4$, 200 (разб. диоксан), 230—232; $\text{C}_6\text{H}_5\text{SO}_2\text{C}_6\text{H}_4$, 175—176 (сп.), 220; $\text{ClC}_6\text{H}_4\text{SO}_2\text{C}_6\text{H}_4$, 201—202 (сп.), 268—270; $\text{O}_2\text{NC}_6\text{H}_4\text{SO}_2\text{C}_6\text{H}_4$, 201—202 (разб. диоксан), 260—270; $\text{HON}=\text{C}(\text{NH}_2)\text{C}_6\text{H}_4\text{SO}_2\text{C}_6\text{H}_4$, 220 (разб. диоксан), 300. Все амидоксимы получены действием H_2NOH на соответствующие нитрилы по несколько измененной описанной методике (Tiemann, Krüger, Ber. Chem. Ges., 1884, 17, 126). Нитрилы получены из соответствующих аминов по р-ции Зандмейера или из к-т через амиды. Приведены промежуточные продукты синтеза амидоксимов, не описанные в литературе. Даны в-во, т. пл. в °C (р-ритель): $\text{C}_6\text{H}_5\text{SC}_6\text{H}_4\text{CN}$, т. кип. 169—170°/2 мм; $\text{ClC}_6\text{H}_4\text{SC}_6\text{H}_4\text{COOH}$, 206—207 (разб. сп.), хлорангидрид, 56—58 (петр. эф.), амид, 187—188 (разб. диоксан), нитрил, 88 (сп.); $\text{O}_2\text{NC}_6\text{H}_4\text{SC}_6\text{H}_4\text{CN}$, 148—149 (сп.), нитрил, 169 (сп.); $\text{O}_2\text{NC}_6\text{H}_4\text{SO}_2\text{C}_6\text{H}_4\text{CONH}_2$, 229—230 (сп.). Синтезированы также амидоксимы гетероциклич. ряда. Даны радикал, т. пл. в °C (р-ритель), т. пл. хлоргидрата в °C: 2-пиридил, 116—117 (бэл.), 160—161; 4-пиридил, 197—198 (вода), 260; 2-хинолил, 162—163 (сп.), 222—224; 3-хинолил, 202—203 (сп.), 236; 4-хинолил, 195 (бэл.-сп.), 236; 2-тиенил, 191—192 (бэл.), 180; 2-фурил, масло, 178—179; 2-бензфурил, 190—191 (бэл.), 188—189; 3-бензфурил, 106—107 (бэл.), 191—192. Получено три производных диазафурана, приведенны радикал, метод получения, т. пл. в °C (р-ритель): 2-пиридил, кипячение 3 часа в ксилоле, 208—210 (диоксан); $\text{C}_6\text{H}_5\text{SO}_2\text{C}_6\text{H}_4$, кипячение 2 часа в ксилоле, 212—213 (CH_3COOH); 2-хинолил, постепенное нагревание смеси до 200° и при этой т-ре 1 час, 192—193 (ксилол).

В. Великов

21406. Бромгидрат фенил-α-[N-(β-диэтиламиноэтил)-амино]-уксусной кислоты. Сарваши, Нёви (Bromhydrate de l'acide phényl α-(N-(β-diéthylaminoéthyl)-amino acétique. Szarvasi Etienne,

Neuville Liliane, m-lle), Bull. Soc. chim. France, 1957, № 8-9, 1019—1021 (франц.)

Фурфуроловый (I) и α-тетрагидропиранилметило-
вый (II) эфиры фенилбромуксусной к-ты (III) гид-
ролизуются при р-ции (4 часа, 40°) с $\text{NH}_2\text{CH}_2\text{CH}_2\text{N}-$
(C_6H_5)₂, образуя с 51—82%-ным выходом бромгидрат
фенил-α-(N-(β-диэтиламиноэтил)-амино)-уксусной
к-ты (IV—к-та), т. пл. 256—257° (разл.; из сп.-эф.),
получающейся также при щел. гидролизе дихлоргид-
рата изоамилового эфира IV в водн. $\text{C}_6\text{H}_5\text{CH}_2\text{OH}$.
Смесь 0,18 моля III с небольшим избытком тетрагид-
рофурфуролового спирта или α-оксиметилтетрагидро-
пирана, 0,5 г $n\text{-CH}_3\text{C}_6\text{H}_4\text{SO}_3\text{H}$ и 0,2 л C_6H_6 кипятят
3 часа в приборе Дина-Старка и получают I, выход
78,5%, т. кип. 150—152°/0,7 мм, n_D^{20} 1,5555, d_4^{20} 1,4267,
или II, выход 77%, т. кип. 146°/0,2 мм, n_D^{20} 1,5440,
 d_4^{20} 1,330; I получен также р-цией тетрагидрофур-
фуролового эфира миндальной к-ты с PBr_3 в $\text{C}_6\text{H}_5\text{N}$.

Д. Витковский

21407. Синтез эфиров α-(п-толил)-β-арил-β-амино-
и β-(N-замещенных амино)-пропионовых кислот из
основания Шиффа или гидрамидов и этилового
эфира п-толилуксусной кислоты в присутствии без-
водного хлористого алюминия. V. Моллов Н. М.,
Спасовска Н. Х., Докл. Болг. АН, 1956, 9, № 4,
45—48 (рез. нем.)

Конденсацией $\text{RCH}=\text{NR}'$ (I) с $n\text{-CH}_3\text{C}_6\text{H}_4\text{CH}_2\text{COO}-$
 C_6H_5 (II) в присутствии AlCl_3 получены $\text{RCH}(\text{NHR}')-$
 $\text{CH}_2(n\text{-CH}_3\text{C}_6\text{H}_4)\text{COOC}_2\text{H}_5$ (III). Выходы последних
ниже, чем для продуктов конденсации I с $\text{C}_6\text{H}_5\text{CH}_2-$
 COOC_2H_5 (см. РХХим, 1958, 17895). К 0,005 моля гид-
робензамида и 0,01 моля II в 2 мл C_6H_6 прибавляют
0,01 моля AlCl_3 , по окончании самопроизвольной
р-ции нагревают 2 часа при 70—75°, разлагают разб.
HCl и через 12 час. отфильтровывают хлоргидрат
(XГ) III ($\text{R}=\text{C}_6\text{H}_5$, $\text{R}'=\text{H}$) (IIIa), выход 12%, т. пл.
235—237° (из сл.). Обработкой XГ р-ром соды в эфире
выделяют IIIa, выход 93%, т. пл. 50—51° (из водн.
сл.), 0,001 моля XГ IIIa, 0,0015 моля KCNO , 2 мл воды
и 3 мл спирта нагревают 2 часа при ~95°, получают
5-п-толил-6-фенилдигидроурацил, выход 35%, т. пл.
283—284° (из сл.). К 0,005 моля I ($\text{R}=\beta\text{-C}_{10}\text{H}_7$,
 $\text{R}'=\text{CH}_3$), 0,005 моля II и 1 мл C_6H_6 прибавляют
0,005 моля AlCl_3 и через 20 мин. разлагают разб.
HCl, выделяют XГ III ($\text{R}=\beta\text{-C}_{10}\text{H}_7$, $\text{R}'=\text{CH}_3$), вы-
ход 20%, т. пл. 174—176° (разл.). Конденсацией I
($\text{R}=\text{R}'=\text{C}_6\text{H}_5$) с II в тех же условиях получают XГ
III ($\text{R}=\text{R}'=\text{C}_6\text{H}_5$) (IIIб), выход 15—17%, т. пл.
115—117° (из сл.); IIIб, т. пл. 145—146° (из водн. сл.).

П. Аронович

21408. Реакции 2,4-динитрофторбензола особенно с
ароматическими аминосоединениями. 1. Условия
реакции и описание полученных соединений. 2. По-
бочные продукты при реакциях 2,4-динитрофтор-
бензола. 3. Определение амидов кислот и нитрилов
с помощью 2,4-динитрофторбензола. Брэйнигер,
Шпангенберг (Umsetzungen mit 2,4-Dinitro-
fluorbenzol, insbesondere mit aromatischen Amino-
verbindungen. 1. Reaktionsbedingungen und darge-
stellte Verbindungen. 2. Nebenprodukte bei Umset-
zungen mit 2,4-Dinitrofluorbenzol. 3. Bestimmung von
Säureamiden und Nitrilen mit 2,4-Dinitrofluorbenzol.
Bräuniger H., Spangenberg K.), Pharmazie,
1957, 12, № 6, 335—338; № 7, 411—413; № 8,
488—491 (нем.)

1. Изучены условия образования 2,4-(NO_2)₂ $\text{C}_6\text{H}_3\text{N}-$
NRR' (I), [2,4-(NO_2)₂ $\text{C}_6\text{H}_3\text{NH}_2\text{R}$ (II), 2,4-(NO_2)₂ $\text{C}_6\text{H}_3\text{OR}$
(III) и [2,4-(NO_2)₂ $\text{C}_6\text{H}_3\text{O}_2\text{R}$ взаимодействием 2,4-
(NO_2)₂ $\text{C}_6\text{H}_3\text{F}$ (IV) с аминами и фенолами. Приведены
данные о влиянии на течение р-ции: конц-ии реаген-
тов, т-ры, р-рителей, воды, pH, заместителей в ядре
ароматич. амина и пространственных затруднений.

К р-ру 2 экв амина или фенола в 10 мл ацетона
прибавляют р-р 2 ммоль NaHCO_3 в 5 мл воды
и 2,5 ммоль IV, нагревают при 60°, охлаждают и под-
кисляют 60%-ной CH_3COOH ; в-во очищают кристал-
лизацией из CH_3OH , ацетона или $\text{HCON}(\text{CH}_3)_2$ или
при помощи ионообменных смол. Описанным спосо-
бом получены следующие I (указаны R, R', выход в
%, т. пл. в °C): H, C_6H_5 , 96,5, 160 (везде т-ры плаве-
ния исправлены); H, α-нафтил, 93,9, 197; H, β-наф-
тил, 95,95; 174; H, o- $\text{C}_6\text{H}_4\text{COOH}$, 89,2, 270; H, m- C_6H_4-
 COOH , 84,2, 262—263; n- $\text{C}_6\text{H}_4\text{COOH}$, 81, 312—313;
H, n- $\text{C}_6\text{H}_4\text{SO}_3\text{H}$, 41,3, 130; H, m- $\text{C}_6\text{H}_4(\text{OH})\text{COOH}$, 80,
237; H, n- $\text{C}_6\text{H}_4\text{COOC}_2\text{H}_5$, 92,3, 141—142; H, n- $\text{C}_6\text{H}_4\text{SO}_2-$
 NH_2 , 91,7, 226—227; H, n- $\text{C}_6\text{H}_4\text{SO}_2\text{NHCOCH}_3$ (Ia), 93,4,
232; H, n- $\text{C}_6\text{H}_4\text{SO}_2\text{NHCONH}_2$, 78,8, 191; H, n- $\text{C}_6\text{H}_4\text{SO}_2-$
 NHCNH_2 , 62,5, 200—201; H, n- $\text{C}_6\text{H}_4\text{SO}_2\text{NHC}(\text{=NH})\text{NH}_2$,
94,6, 278—279; H, n- $\text{C}_6\text{H}_4\text{SO}_2\text{NHCN}(\text{CH}_3)_2$, 61,5, 192;
H, n-пиридил-(2)-аминсульфонилфенил, 97,5, 251;
H, n-тиазолил-(2)-аминсульфонилфенил, 72,5, 281—
282; H, n-4-метилтиазолил-(2)-аминсульфонилфенил,
83,8, 245—246; H, n-5-этилтиодиазолил-(2)-аминсуль-
фонилфенил, 86,7, 207—208; H, 3,4-диметилтиазолил-
(5)-аминсульфонилфенил, 73,8, 204; H, 2,4-ди-
метилпиримидил-(6)-аминсульфонилфенил, 78,9,
153—154; C_2H_5 , C_2H_5 , 94,1, 79—80; H, C_3H_7 , 93,6, 95;
H, C_3H_7 , 89, 94—95; C_3H_7 , C_3H_7 , 78,5, 95; C_3H_7 ,
изо- C_3H_7 , 75, 94,5; H, C_4H_9 , 52,3, 90—91; H, C_4H_9 ,
62,6, 80; C_4H_9 , C_4H_9 , 52,5, 111,5; H, C_4H_9 ,
35,5; 45—46; H, C_8H_{17} , 80,4, 64; NRR' = пиперидил-1,
97,5, 93; H, $\text{C}_6\text{H}_5\text{CH}_2$, 97,2, 117,5; CH_3 , $\text{C}_6\text{H}_5\text{CH}_2$, 75, 147;
H, 4- $\text{NH}_2\text{CH}_2\text{C}_6\text{H}_4\text{SO}_2\text{NH}_2$ (Ib), 98,2, 196; H, $\text{C}_6\text{H}_5\text{CH}_2\text{CH}_2-$
95,8, 158; CH_3 , $\text{C}_6\text{H}_5\text{CHONHCN}(\text{CH}_3)_2$, 49,9, 101; следующие
II (указаны R, выход в %, т. пл. в °C): n- C_6H_4 , 96,6,
289; 4,4'- $\text{C}_6\text{H}_4\text{C}_6\text{H}_4$, 96,8, 347—348; остаток пиперази-
на, 95,7, 253; следующие III (указаны R, выход в %, т. пл. в °C): o- $\text{C}_6\text{H}_4\text{NO}_2$, 98,4, 136; m- $\text{C}_6\text{H}_4\text{NO}_2$, 93,5, 136;
n- $\text{C}_6\text{H}_4\text{NO}_2$, 90,2, 116—117; o- $\text{C}_6\text{H}_4\text{CHO}$, 86,8, 112;
n- $\text{C}_6\text{H}_4\text{CHO}$, 92,2, 106,5; o- $\text{C}_6\text{H}_4\text{COOC}_2\text{H}_5$, 52,3, 64—65.
Синтезирован также бис-2,4-динитрофенолловый эфир
резорцина, выход 90,5%, т. пл. 191—192°. 2,4-Динитро-
фенилацетамид получен действием $(\text{CH}_3\text{CO})_2\text{O}$ на
2,4-динитрофениламин в присутствии HClO_4 , выход
77,4%, т. пл. 156°. Описанный метод, помимо иденти-
фикации аминов и фенолов, позволяет разделять сме-
си аминов. Смесь 4- $\text{H}_2\text{NCH}_2\text{C}_6\text{H}_4\text{SO}_2\text{NH}_2$ и 4- $\text{H}_2\text{NC}_6\text{H}_4-$
 $\text{SO}_2\text{NHCOCCH}_3$ (по 2 ммоль) растворяют в 10 мл аце-
тона, добавлением 5 мл буфера доводят pH до 3, при-
бавляют 30 капель IV и нагревают 20 мин.; в осад-
ке — Ia; при подщелачивании фильтрата Na_2CO_3 по-
лучают Ib. В аналогичных опытах при pH 4, 5 и
8 осадок состоит из смеси Ia и Ib, которые могут
быть разделены хроматографией на бумаге.

А. Травин

2. Показано, что при взаимодействии IV с сульф-
аниламидом (V) в водн. CH_3OH в присутствии
 NaHCO_3 получаются 2,4-динитрофенилбензолаты V,
этилового эфира аминобензойной к-ты, сульфанилмо-
чевины и ацетилсульфаниламида, а также III
 $\text{R}=\text{CH}_3$. При применении в качестве р-рителей ди-
оксана, ацетона или диметилформамида вместо III,
 $\text{R}=\text{CH}_3$ образуется III, $\text{R}=\text{H}$, очищаемый лучше
всего хроматографированием на Al_2O_3 . Л. Шукина

3. При постепенном добавлении 0,05 моля амида
или нитрила к кипящему р-ру или взвеси 0,06 моля
 LiAlH_4 в эфире или тетрагидрофуране и последую-
щим кипячением (24 часа) образовались соответст-
вующие амины, которые нагреванием с IV в ацето-
не превращены в следующие производные I (перече-
слены исходное в-во, R и R' в I или продукт р-ции,
выход в %, т. пл. в °C): CH_3CONH_2 , H, C_6H_5 , 56, 113;
ацетанилид, C_2H_5 , C_6H_5 , 53, 113; бензамид, H, $\text{C}_6\text{H}_5\text{CH}_2$,
31,7, 116; 2,5-дикетопиперазин, N,N'-бис-(2,4-динитро-

фенил)-пиперазин, 36,6, 250; CH_3CN , H , C_2H_5 , 49,3, —; $\text{C}_6\text{H}_5\text{CN}$, H , C_6H_{11} , 25,2, 81; $\text{C}_6\text{H}_5\text{CH}_2\text{CN}$, C_6H_5 , C_2H_5 , 44,3, 158.

А. Берлин
21409. О реакциях с солями пирилия. I. Нитрование сим-м-трифенилбензола. Димрот, Брейнинггер, Нейбауэр. II. Ароматические нитросоединения из солей пирилия. Димрот, Нейбауэр, Мёлленкамп, Остерло (Über Reaktionen mit Pyryliumsalzen. I. Die Nitrierung von symm. Triphenylbenzol. Dimroth Karl, Bräuninger Georg, Neubauer Gerald. Reaktionen mit Pyryliumsalzen. II. Aromatische Nitroverbindungen aus Pyryliumsalzen. Dimroth Karl, Neubauer Gerald, Möllenkamp Heinz, Oosterloo Gerd), Chem. Ber., 1957, 90, № 8, 1634—1637, 1668—1672 (нем.)

I. Описан новый способ синтеза моонитропроизводных 2,4,6-замещ. гомологов бензола общей ф-лы $\text{RC}=\text{CHCR}'=\text{CHCR}''=\text{CNO}_2$ (I) взаимодействием CH_3NO_2

(II) с солями пирилия $\text{RC}=\text{CHCR}'=\text{CHCR}''=\text{O}+\text{X}^-$ (III). Последние получают известным способом (J. prakt. Chem., 1935, 144, 13) в виде тетрафторборатов (IIIб) или перхлоратов (IIIв). Показано, что получаемое при прямом нитровании сим-м-трифенилбензола соединение, которому ранее было ошибочно приписано строение 1,3-дифенил-5-(4'-нитрофенил)-бензола (Z. phys. Chem., 1923, 105, 245; Ber., 1929, 62, 2836), идентично с I ($\text{R}=\text{R}'=\text{R}''=\text{C}_6\text{H}_5$) (Ia). К отфильтрованному р-ру 10,7 г IIIб ($\text{R}=\text{R}'=\text{R}''=\text{C}_6\text{H}_5$); в 1 л горячего абс. спирта прибавляют суспензию 2,6 г влажного 85%-ного NaCH_2NO_2 (IV) (приготовленного из II и $\text{C}_2\text{H}_5\text{ONa}$) в 30 мл абс. спирта. Добавляют еще такое же кол-во IV в спирте, нагревают ($\sim 100^\circ$, 15 мин.) и разбавляют водой; получают 7 г Ia, т. пл. 144—145° (из $\text{iso-C}_3\text{H}_7\text{OH}$). К р-ру 32 г IIIб ($\text{R}=\text{R}'=\text{R}''=\text{C}_6\text{H}_5$) в 200 мл II прибавляют по каплям горячий р-р $(\text{CH}_3)_3\text{COK}$ (из 6,3 г K и 320 мл трет- $\text{C}_4\text{H}_9\text{OH}$), кипятят 45 мин., фильтруют и разбавляют горячей водой до появления мути; получают Ia, выход 85%. Смесь 22 г IIIв ($\text{R}=\text{R}'=\text{R}''=\text{CH}_3$) и 100 мл II нагревают до растворения, прибавляют по частям теплый р-р 8,5 г NaOH в 100 мл абс. спирта, нагревают непродолжительное время, выливают в большое кол-во воды и извлекают петр. эфиром I ($\text{R}=\text{R}'=\text{R}''=\text{CH}_3$) (Iб), выход 80%, т. пл. 41—42°. К р-ру 20 г Ia в 300 мл лед. CH_3COOH прибавляют суспензию 270 г SnCl_2 в 400 мл лед. CH_3COOH , насыщают сухим HCl, прибавляют небольшое кол-во Sn и 55 мл конц. HCl, кипятят 3 часа при размешивании и пропускании HCl, фильтруют и выливают в 5 л воды; получают 2,4,6-трифениланилин, выход 65—75%, т. пл. 136—137°. Аналогично из Iб получают мезидин.

II. Р-р 80 г сухого IIIа ($\text{R}=\text{R}'=\text{R}''=\text{C}_6\text{H}_5$) в 3,5 л кипящей воды, содержащей немного лед. CH_3COOH , обрабатывают 125 мл 40%-ной HBF_4 и осадок извлекают по частям 550 мл кипящей лед. CH_3COOH ; получают IIIб ($\text{R}=\text{R}'=\text{R}''=\text{C}_6\text{H}_5$), выход 80%. Аналогично получают другие IIIб и IIIв, которые превращают описанным выше способом в следующие I и соответствующие им амины (указаны R , R' , R'' , т. пл. IIIа, IIIб и IIIв в $^\circ\text{C}$, выход I в %, т. пл. в $^\circ\text{C}$, выход амина в %, т. пл. амина в $^\circ\text{C}$): C_6H_5 , CH_3 , C_6H_5 , 205, 236—240, 273, 51, 131—132, —, —; C_6H_5 , C_6H_5 , CH_3 , 175, —, 268—270, 48, 96—97, 45, 117—119; C_6H_5 , C_6H_5 , $(\text{CH}_3)_3\text{C}$, 139—140, 253—256, —, 44, 96—97, —, —; C_6H_5 , C_6H_5 , $4\text{-CH}_3\text{C}_6\text{H}_4$, 260, 215—218, 224, 58, 126—127, 95, 120,5—121,5; $4\text{-CH}_3\text{C}_6\text{H}_4$, C_6H_5 , $4\text{-CH}_3\text{C}_6\text{H}_4$, 258, 228—233, 278—280, 56, 140—141,5, 95, 86—87; C_6H_5 , C_6H_5 , $4\text{-ClC}_6\text{H}_4$, 276,

219—221, 239, 72, 164—164,5, 98, 147—148; C_6H_5 , C_6H_5 , $4\text{-BrC}_6\text{H}_4$, 279—280, —, 220—225, 64, 157—157,5, 100, 173—173,5; C_6H_5 , $4\text{-CH}_3\text{OC}_6\text{H}_4$, C_6H_5 , 225—227, 235—237, 257—259, 53,5, 114—116, 60, 139—140; C_6H_5 , C_6H_5 , $4\text{-CH}_3\text{OC}_6\text{H}_4$, 255—257, 207—209, 235—236, 40, 119—120, 58, 121—122; C_6H_5 , $4\text{-CH}_3\text{OC}_6\text{H}_4$, $4\text{-CH}_3\text{OC}_6\text{H}_4$, 223—225, 243—245, 236—237, 33,5, 115—116, 97, 160—162; $4\text{-CH}_3\text{OC}_6\text{H}_4$, C_6H_5 , $4\text{-CH}_3\text{OC}_6\text{H}_4$, 264—265, 262—263, 258,5—259, 67, 150, 76, 139—140; $4\text{-CH}_3\text{OC}_6\text{H}_4$, $4\text{-CH}_3\text{OC}_6\text{H}_4$, 269—270, 303—305, 289—290, 60, 124—126, 54, 154—156.

А. Транш
21410. О расщеплении α -аминонитрилов алюмогидридом лития. Направление восстановления в сторону реакции расщепления с помощью хлористого алюминия. Ле-Нн, Велварт (Sur la coupure des α -aminonitriles par l'hydrure de lithium et d'aluminium. L'orientation de la réduction au moyen de chlorure d'aluminium vers la réaction de coupure. Le Nn G. neviève, Welvart Zoltan), C. r. Acad. sci., 1957, 245, № 4, 434—436 (франц.)

Восстановление $\text{RCR}'(\text{R}'')\text{CN}$ (всюду $\text{R}=\text{N}$ -пиперидил) с помощью LiAlH_4 протекает до $\text{RCR}'(\text{R}'')\text{CH}_2\text{NH}_2$ (I). Эту р-цию можно направить в сторону гидрогенолиза с образованием $\text{RCH}_2\text{R}'(\text{R}'')$ (II), усилив электрофильный характер восстановителя добавкой AlCl_3 . Эфирный р-р α -аминонитрила прибавляют к эфирному р-ру смеси эквимолекулярного кол-ва LiAlH_4 с добавкой AlCl_3 . I и II извлекают в аппарате Сокслета и разделяют перегонкой. Перечислены R' , R'' , число молей AlCl_3 (на 1 моль LiAlH_4), выход I в %, выход II в %: $\text{R}'\text{R}''=(\text{CH}_3)_2$, 0, 80, —; $\text{R}'\text{R}''=(\text{CH}_3)_2$, 1,1, —, 72; C_6H_5 , H , 0, 80, —; C_6H_5 , H , 1,1, 34, 37; C_6H_5 , H , 0, 38, —; C_6H_5 , H , 1,1, —, 63; H , H , 0, 80, —. В последнем случае даже избыток AlCl_3 не приводит к гидрогенолизу.

Е. Караулов
21411. 1-[(2-диалкиламиноэтокс)-фенил]-2-аминопропанола-1. Меллер, Льюис (1-[(2-dialkylaminoethoxy)phenyl]-2-amino-1-propanols. Meltzer Robert I., Lewis Arnold D.), J. Organ. Chem., 1957, 22, № 6, 612—617 (англ.)

При поисках фармакологически активных соединений получен ряд 2-(или 4)- $\text{CH}_3\text{CH}(\text{NR}'\text{R}'')\text{CHONHC}_6\text{H}_4\text{OCH}_2\text{CH}_2\text{NR}_2$ (I), где $\text{R}=\text{CH}_3$ или C_2H_5 , R' и $\text{R}''=\text{H}$, алкил или арилалкил, или $\text{NR}'\text{R}''=\text{NC}_2\text{H}_5\text{O}$ (морфолил), двумя путями: а) 2-(или 4)- $\text{CH}_3\text{CH}_2\text{COC}_6\text{H}_4\text{OCH}_2\text{CH}_2\text{NR}_2$ (II) превращают в 2-(или 4)- $\text{CH}_3\text{CH}_2\text{COC}_6\text{H}_4\text{OCH}_2\text{CH}_2\text{NR}_2$ (III); б) бромирование III до 2-(или 4)- $\text{CH}_3\text{CH}_2\text{BrCOC}_6\text{H}_4\text{OCH}_2\text{CH}_2\text{NR}_2$ (IV) удалось осуществить только при o-III , $\text{R}=\text{CH}_3$ (IIIа), с образованием o-IV , $\text{R}=\text{CH}_3$ (IVа), из которого получены $\text{CH}_3\text{CH}(\text{NR}'\text{R}'')\text{COC}_6\text{H}_4\text{OCH}_2\text{CH}_2\text{NR}_2$ (V) (орто-изомеры) и гидрированы в o-I ; б) из III получают 2-(или 4)- $\text{CH}_3\text{C}(=\text{NOH})\text{COC}_6\text{H}_4\text{OCH}_2\text{CH}_2\text{NR}_2$ (VI), последние гидрируют до V, $\text{R}'=\text{R}''=\text{H}$ (Va), и далее в I, $\text{R}'=\text{R}''=\text{H}$ (Ia). Основание

(OE) IVа легко циклизуется в 2- $\text{C}_6\text{H}_4\text{COCH}(\text{CH}_3)$ -

$\text{N}(\text{CH}_3)_2(\text{Br})\text{CH}_2\text{CH}_2\text{O}$ (VII). Восстановительным алкилированием Ia посредством $\text{C}_6\text{H}_5\text{CHO}$ (VIII) (H_2 , Pt) получают I, $\text{R}'=\text{H}$, $\text{R}''=\text{C}_6\text{H}_5$ (Iб); метилирование с помощью CH_3O и HCOOH (IX) превращают Iб в I, $\text{R}'=\text{CH}_3$, $\text{R}''=\text{C}_6\text{H}_5$ (Iв); аналогично Va переводят в I, $\text{R}'=\text{R}''=\text{CH}_3$ (Iг). Из Ia действием H_2 на Pt в ацетоне (X) синтезируют I, $\text{R}'=\text{H}$, $\text{R}''=\text{H}$ (Iа); примения CH_3CHO (XI) вместо X получают сначала смесь I, $\text{R}'=\text{H}$, $\text{R}''=\text{C}_2\text{H}_5$ (Iе), и I, $\text{R}'=\text{R}''=\text{C}_2\text{H}_5$ (Iж), затем Iж; из Iе удалось выделить в чистом виде только n-Ie ($\text{R}=\text{CH}_3$). $\text{R}_2\text{NCH}_2\text{CH}_2\text{Cl}$ (XII) [из 1 моля хлоргидрата (XГ)] в C_6H_5 прибавляют к теплой смеси II и 1 экв Na в 5-кратном объеме спирта, размешивают 1 час, кипятят 2—4 часа, фильтрат выпаривают в вакууме, эфирный р-р

С₂H₅, С₂H₅,
157,5; 160,
235—236,
С₂H₅, С₂H₅,
119—120,
223—225,
160—162,
263, 258,5—
—СН₃ОС₂H₅,
124—126,
А. Травин
алюминат
в сторону
ого алюми-
des α-ami-
aluminium
le chlorure
e Ny G-e
Acad. sci.

N-пири-
R')CH₂NH₂,
гидрогено-
в электро-
к AlCl₃,
к аэриро-
AlH₃ с до-
Советы
R', число
%, выход
CH₂Br, 1,1,
37; С₂H₅,
— В по-
дит и гид-
Караулова
2 - амино-
alkylami-
tzer Ro-
nem, 1957,

с соедине-
СНОНС₂H₅,
и R' = H,
орфолла),
(II) пре-
NR₂ (III);
С₂H₅ОСН₂
при о-III,
С₂H₅ (IVa),
С₂H₅ОСН₂
ы в о-III,
С₂H₅ОСН₂,
R' = R' =
Основаие

СН(СН₃).

ым али-
(H₂, R)
гидрирова-
ащают И
о Va по-
ствием R,
H, R' =
то X по-
(Ie), и I,
ось выде-
R₂NCN₂,
С₂H₅ при-
5-кратном
2—4 ча-
ный р-р

остатка промывают 10%-ным NaOH, эфирный слой экстрагируют 6 н. HCl и конц. HCl, кислый экстракт подщелачивают и эфиром извлекают III, выход 30—50%; в случае XII, R = C₂H₅, выход > 70%. Для III приводятся R, положение заместителей, т. кип. ОЕ в °C/мм, n_D²⁰, т. пл. бромгидрата (БГ) в °C (p-ритель): CH₃, 2 (IIIa), 107—109/0,06, 1,5182, 116,5—117,5 (изо-С₂H₅ОН (XIII)); C₂H₅, 2, 126—128, 0,5, 1,5124, 100,5—102,5 (XIII); CH₃, 4, 117/0,15 (т. пл. 39—41°), 1,5303, 151—152 [абс. сп. (XIV)]; C₂H₅, 4, 137/0,4, 1,5221 (27°), 146—147 (XIV). К 1,09 моля IIIa в 1,2 л С₂H₅ОН при 10—20° прибавляют 1,09 моля Br₂ в 1,2 л С₂H₅ОН 30 мин. при облучении электролампой в 300 вт, размешивают 1 час при 15°, прибавляют ~5 мл X, отгоняют p-ритель до ~600 мл, охлаждением выделяют БГ IVa, выход 30—60%, т. пл. 167—168° (из XIV). К 3,7 моля С₂H₅NH₂ в 100 мл С₂H₅ при t-ре от -12 до -17° прибавляют 0,066 моля БГ IVa, размешивают при 2° 4 часа, оставляют на ~12 час. при ~20°, удаляют избыток С₂H₅NH₂ при 100 мм и 40° (т-ра бани), экстрагируют разб. HCl, подщелачивают, экстрагируют эфиром, экстракт выпаривают досуха, вновь растворяют в эфире, HCl (газом) осаждают дихлоргидрат (ди-ХГ) o-V, R = R' = CH₃, R'' = H, выход 7%, т. пл. 180—181° (из XIII + XIV). 0,26 моля БГ IVa прибавляют к 9,2 моля HNC₂H₅O при < 35°, размешивают 6 час., нагревают до 90° и размешивают ~12 час., охлаждая до ~20°, прибавляют 1 л эфира, фильтрат упаривают при 1 мм и 50° (т-ра бани), остаток экстрагируют эфиром, HBr (газом) осаждают ди-БГ V, R = CH₃, NR'R'' = NC₂H₅O, выход 60%, т. пл. 207,5—209° (из сп.). 0,2 моля БГ IVa прибавляют 15 молей (С₂H₅)₂NH (XV) при 25—28°, размешивают ~12 час., от фильтрата отгоняют избыток XV при 1 мм и 45° (т-ра бани), остаток растворяют в 200 мл эфира, осаждают ди-БГ V, R = CH₃, R' = R'' = C₂H₅ (Vb), выход 33%, т. пл. 173—175° (из XIII). Горячий p-р 0,24 моля БГ IVa в 900 мл XIV прибавляют к 1,33 моля (С₂H₅)₂NH в 300 мл XIV при < 10°, размешивают до достижения ~20° и еще 2 часа, отгоняют p-ритель, прибавляют 200 мл 5 н. NH₄OH и 300 мл эфира, из эфирного слоя отгоняют фракцию с т. кип. 127—130°/0,6 мм, растворяют в XIII, HCl (газом) выделяют ди-ХГ V, R = R' = R'' = CH₃, т. пл. 193—195° (из XIII). Гидрированием Vb в водн. p-ре на 10%-ном Pd/C (KAT) при 100° и 70 ат получают ди-БГ o-Иж, R = CH₃, т. пл. 216,5—217,5° (из XIV + эф.). Аналогично синтезируют соли o-Иг и o-Иж (перечисляются I, R, соль, т. пл. в °C): Иг, С₂H₅, ди-ХГ, 216—217; Иж, С₂H₅, ди-ХГ, 195—197,5; Иж, С₂H₅, ди-БГ, 183,5—186. К 76 г БГ IVa, 500 мл воды со льдом и 4 л эфира прибавляют 100 мл 20%-ного NaOH, слои разделяют как можно скорее, водн. слой экстрагируют эфиром, из экстракта через 5 дней выделяется 37,5 г VII, т. пл. 202—204°. В 0,6 моля III в 550 мл смеси XIV + эфир (2:5) при охлаждении льдом пропускают 0,8 моля HCl, постепенно прибавляют 0,9 моля С₂H₅ONO, поддерживая кипение размешивают при ~20° 2,5 часа, получают ХГ VI, выход ~100% [перечисляются R, положение заместителей, т. пл. в °C (p-ритель)]: CH₃, 2, 192—192,5 (XIV); C₂H₅, 2, 166,5—167,5 (XIV); CH₃, 4, 216—217 (XIV); C₂H₅, 4, 177—180 (XIV + С₂H₅ОН). 0,38 г ХГ VI и 1,15 моля HCl в 1 л XIV гидрируют на 11 г KAT при ~70 ат, остаток после выпаривания p-рителя разбавляют водой до 1 л, прибавляют еще 11 г KAT и продолжают гидрирование, фильтрат выпаривают досуха (в других случаях концентрируют, подщелачивают, экстрагируют С₂H₅ или эфиром), получают Ia [перечисляются R, положение заместителей, т. пл. ОЕ и соли в °C (p-ритель)]: CH₃, 2, 65—66 (эф.); ди-ХГ, 246—247,5 (С₂H₅ОН); C₂H₅, 2, —, ди-ХГ, 197—198 (XIV); CH₃, 4, 97,5—98 (бэл.), ди-БГ, 109—112 (XIII + XIV); C₂H₅, 4, 70—71,

—, — (технич. гексан). 10 ммоль Ia и 11 ммоль VIII в 50 мл XIV прибавляют к восстановленному 0,2 г PtO₂ в 25 мл XIV, гидрируют встраиванием с H₂, к фильтрату прибавляют избыток конц. HCl или HBr, выделяют соли Ib [перечисляются R, положение заместителей, соль, т. пл. в °C (p-ритель)]: CH₃, 2, ди-ХГ (3H₂O), 111—113 (С₂H₅ОН + вода); C₂H₅, 2, ди-БГ, 198—199 (XIV); CH₃, 4, ди-ХГ, 233—235 (XIV); C₂H₅, 4, ди-ХГ, 225,5—227 (XIV + С₂H₅ОН). Метилированием Ib С₂H₅O и IX получают Iv (перечисляются те же показатели): C₂H₅, 2, ди-ХГ, 202—204 (XIII + эф.); CH₃, 4, ди-ХГ, 196,5—198 (XIII). 0,02 моля ОЕ Ia, 0,2 моля 98—100%-ной IX и 0,25 моля 40%-ного С₂H₅O нагревают 3 часа при 120° и 3 часа при 145°, прибавляют 6 мл HCl, выпаривают в вакууме при ~100° досуха, прибавляют конц. HCl, вновь выпаривают досуха, получают ди-ХГ n-Иг [приводятся R, т. пл. в °C (p-ритель)]: CH₃, 255,5—257 (XIV + С₂H₅ОН); C₂H₅, 229,5—232 (XIV + С₂H₅ОН). 0,02 моля Ia в 50 мл XIV и 0,05 моля XI гидрируют на 0,02 г PtO₂ при ~20°, прибавляют еще 0,05 моля XI, гидрируют далее, фильтрат упаривают, остаток экстрагируют XIII, подкислением HCl или HBr выделяют соль n-Иж [приводятся R, соль, т. пл. в °C (p-ритель)]: CH₃, ди-ХГ, 210—212 (XIII + XIV); C₂H₅, ди-БГ, 214—215 (XIV). Аналогично, но без вторичного прибавления XI и гидрирования получают ди-ХГ n-Ие, R = CH₃, выход 25—30%, т. пл. 243,5—244,5° (из XIV + С₂H₅ОН). 0,2 моля Ia и 0,025 моля X гидрируют над Pt (2 г PtO₂ восстановлено в 25 мл XIV), выпаривают досуха, получают Id [перечисляются R, положение заместителей, т. пл. соли в °C (p-ритель)]: CH₃, 2, ди-ХГ, 183—184 (XIII) (ОЕ, т. пл. 72,5—73,5° [из технич. гексана]); C₂H₅, 2, ди-ХГ, 210,5—212 (XIII + XIV); CH₃, 4, ди-БГ, 175,5—176,5 (XIII — XIV) [ОЕ, т. пл. 87—87,5° (из бэл.)]; C₂H₅, 4, ди-БГ, 118—121 (XIII).

21412. Новый синтетический метод приготовления N,α-диметил-2-метоксифенэтиламина. Танака, Сэки (N, α-Dimethyl-2-methoxyphenethylamine の新合成法, 田中一限, 赤原也), 薬学雑誌, Якугаку дзэсси, J. Pharmac. Soc. Japan, 1957, 77, № 3, 310—311 (японск; рез. англ.).

Предложен новый метод синтеза N,α-диметил-2-метоксифенэтиламина (I). К p-ру 52 г 2-пропениланизола в 400 мл лед. С₂H₅COOH добавляют понемногу 200 г Ph₃O₄ (~40°, 2 часа), перемешивают 1 час при 40°, разбавляют водой, отгоняют в вакууме p-ритель, извлекают эфиром. Остаток после удаления эфира кипятят 3 часа с 500 мл 20%-ной H₂SO₄, навлекают эфиром, разгонкой выделяют 1-(2-метоксифенил)-пропанол-2 (II), выход 42%, т. кип. 125—130°/14 мм; семикарбазон, т. пл. 157—159°. К 30 г амальгамы Al в 200 мл спирта при перемешивании добавляют p-р 32,8 г II и 19 г С₂H₅NO₂ в 100 мл спирта, нагревают 2—3 часа на водяной бане, фильтруют, отгоняют спирт, подкисляют, промывают эфиром, подщелачивают, извлекают эфиром, разгонкой выделяют I, выход 80%, т. кип. 130—133°/15 мм; хлоргидрат, т. пл. 129—130° (из изопропанола-ацетона, 1:5).

21413. Исследование в области синтеза арилалкиламинов. I. Синтез α-метил-2-метоксифенэтиламина. II. Синтез 1-(2-метоксифенил)-пропанола-2. Хори, Цудзи, Иноэ (Arylalkylamine 類の合成研究, 第1報, α-Methyl 1-(2-methoxyphenethylamine) 類の合成, 第2報, 1-(2-Methoxyphenyl)-2-propanone の合成, 堀井善一, 辻二郎, 猪居武), 薬学雑誌, Якугаку дзэсси, J. Pharmac. Soc. Japan, 1957, 77, № 3, 248—251; 252—255 (японск; рез. англ.).

I. В связи с высоким стимулирующим действием α-метил-2-метоксифенэтиламина на симпатич. нервную систему получен ряд аминов типа α-СН₃ОС₂H₄СН₂СН₂CH(NRR')СН₃ (I), исходя из α-СН₃ОС₂H₄СН₂СН₂СН₂СН₃.

(II), где $X = Br$ (IIa), $X = J$ (IIб). К 134 г 2-аллил-фенола в 120 г 20%-ного NaOH при 55–60° за 30 мин. добавляют 189 г $(CH_3)_2SO_4$, перемешивают час при 60–70°, извлекают эфиром, разгонкой выделяют 2-аллилизол (II), выход 81–91%, т. кип. 69–70°/2 мм, приведен УФ-спектр (кривая и данные). Через 148 г II при 0° пропускают HBr до насыщения, на другой день разгонкой выделяют IIa (выход 60–79%), т. кип. 100–102°/2 мм; аналогично получен IIб, выход 74%, т. кип. 116–118°/7 мм. 0,1 моля IIa нагревают (100–110°, 6 час.) с 0,5 моля NH_3 или 0,2–0,3 моля аминов, получают I (даны R, R', выход в %, т. кип. в °C/мм, т. пл. в °C хлоргидрата): H, H, 30, 103/5, 111; H, CH_3 , 40, 100/5, 129; H, C_2H_5 , 18, 115/7, 155; H, $CH(CH_3)_2$, 13, 136/14, 168; H, $(CH_2)_3CH_3$, 20, 130/7, 129; H, $CH_2CH(CH_3)_2$, 25, 136/10, 134; H, $(CH_2)_5CH_3$, 24, 153/6, 108; CH_3 , CH_3 , 20, 123/10, 154; C_2H_5 , C_2H_5 , 14, 125/6, 123; $-(CH_2)_5-$, 15, 150/7, 197; $-(CH_2CH_2OCH_2CH_2)-$, 23, 152/7, 178. 50 г IIa нагревают с 90 г 20%-ного метанольного NH_3 аналогично вышеописанному, получают I ($R = R' = H$), выход 30%, и бис-(α -метил-2-метоксифенилэтил-амин), выход 6%, т. кип. 215–218°/5 мм, дает два хлоргидрата с т. пл. 251° и 212–214°; кроме того, образуется 19 г 2-пропилилизолола, т. кип. 65–75°/2 мм, дан УФ-спектр. I ($R = H$, $R' = CH_3$) получен также восстановительным аминированием 1-(2'-метоксифенил)-пропанона-2, приведен УФ- и ИК-спектры продукта.

II. Проведено сравнительное изучение способов получения RCH_2COCH_3 (I) (всюду $R = o-CH_3OC_6H_4$) — исходного для синтеза α -метил-2-метоксифенилэтиламина — путем гидролиза и декарбоксилирования $RCH(CN)COCH_3$ (II); конденсацией RCH_2COCl (III) с $C_2H_5OMgCN(COOC_2H_5)_2$ (IV) с последующим гидролизом и декарбоксилированием или р-цией III с $(CH_3)_2Cd$ и, наконец, путем окисления 2-пропилилизолола (V) надуксусной или надмуравьиной к-той с последующим гидролизом или превращением ацетильного производного псевдонитрозила $V RCH=C(NO_2)CH_3$ (VI) с последующим восстановительным гидролизом посредством $Fe-HCl$. Наилучшие результаты дали первый и второй способы. 136 г $RCHO$, 200 мл CH_3OH , 97,5 г 40%-ного CH_2O нагревают до 65° и добавляют по каплям 120 г 50%-ного NaOH, нагревают 1 час при 70°, получают RCH_2OH (VII), выход 80%, т. кип. 100–101°/2 мм. 138 г VII смешивают при 5° с 155 г $SOCl_2$, нагревают 2 часа при 50°, получают RCH_2Cl (VIII), выход 75–79%, т. кип. 88–89°/4 мм, т. пл. 29–30°. К кипящему р-ру 17 г KCN в 14 мл воды добавляют по каплям 31 г VIII в 50 мл спирта, кипятят 2 часа, получают RCH_2CN (IX), выход 81–93%, т. кип. 114°/3 мм, т. пл. 68,5°. Кипятят 37 г IX в 88 мл этилацетата с $NaOC_2H_5$ (из 7,5 г Na и 100 мл безводн. спирта), получают II, выход 84%, т. кип. 142–144°/4 мм, т. пл. 84–85°. 18,9 г II и 100 мл конц. HCl нагревают при 100° 10 час., извлекают эфиром, получают I, выход 58%, т. кип. 103–105°/3 мм, характеризуется УФ-спектром; семипарбазон, т. пл. 154–155°. 136 г фенилацетата добавляют за 20 мин. к плаву 186 г $AlCl_3$ и 36 г NaCl при 200°, нагревают при 240–250° 10 мин., обрабатывают конц. HCl и водой, отгоняют с паром, извлекают эфиром, разгонкой выделяют 2-оксинацетофенон (X), выход 47%, т. кип. 101–101,5°/15 мм и 4-оксинацетофенон, выход 10%, т. пл. 115°, из X и $(CH_3)_2SO_4$ в 20%-ном NaOH получен $RCOCH_3$ (XI), выход 65%, т. кип. 242–243°. По р-ции Вильгерда из 70 г XI, 40 г S, 85 г морфолина (кипчение 2 часа) получен продукт (выделен извлечением $CHCl_3$), после гидролиза которого (кипчением 12 час. с 600 мл 50%-ной H_2SO_4) получена RCH_2COOH (XII), выход 60%, т. пл. 121°. XII получена также с выходом 55% гидролизом IX кипячением со смесью 65%-ной H_2SO_4 и лед. CH_3COOH . Действием на XII $SOCl_2$ в C_6H_6 (5°)

приготовлен III, выход 95%, т. кип. 152°/20 мм. 92 г III в сухом C_6H_6 смешивают при охлаждении с 196 г IV в C_6H_6 , кипятят 1 час, разлагают 10%-ной H_2SO_4 разгонкой, выделяют $RCH_2COCH(COOC_2H_5)_2$, т. кип. 184–185°/2 мм, который кипятят с 300 г лед. CH_3COOH и 5 г конц. H_2SO_4 3 часа и получают I, выход 67%. К $CdCl_2$ (из CH_3MgJ и 5,52 г $CdCl_2$) в C_6H_6 добавляют р-р 9,3 г III в C_6H_6 , нагревают 1 час при 50°, разлагают 20%-ной H_2SO_4 , получают I, выход 54%. К смеси 10 г V, 150 мл эфира, 16 г $NaNO_2$, 40 мл воды при 0° добавляют 60 мл 20%-ной H_2SO_4 , перемешивают при 5° 3 часа, получают псевдонитрозит, т. пл. 119° (разл.; из водн. ацетона). К 10 г псевдонитрозила в 30 мл $(CH_3CO)_2O$ добавляют каплю конц. H_2SO_4 , по прекращении р-ции разбавляют эфиром, получают $RCH(CO_2CH_3)CH(NO_2)CH_3$ (XIII), выход 65%, т. кип. 157–158°/4 мм. Р-р 3 г XIII в 20 мл эфира перемешивают 3 часа с 100 мл 30%-ного KOH, получают VI, выход 87%, т. пл. 48–49° (из сп.). К 250 г VI, 500 г порошка Fe, 5 г $FeCl_2$ в 1 л воды за 7 час. добавляют 500 мл конц. HCl, отгоняют с паром, извлекают эфиром, получают I, выход 59%. К 10 г V в 20 г лед. CH_3COOH при 40° медленно добавляют 10 г 30%-ной H_2O_2 , нагревают 3 часа при 40°, подщелачивают, извлекают эфиром, остаток после удаления эфира кипятят 3 часа с 20 мл спирта в 100 мл 15%-ной H_2SO_4 , получают I, выход 32%; аналогично I получен из V при использовании 80%-ной $HCOOH$ и H_2O_2 , выход 34%. VI получен также с выходом 63% конденсацией $RCHO$ с нитрозоном в присутствии лед. CH_3COOH и CH_3COONH_4 (кипчение 3 часа).

Л. Яновская
21414. Синтез некоторых солей 3-оксипропилапропиленсульфония. Сульфониновые аналоги «Артана» (тригексифенидила) и «патилон» (тридигексифенидила). Уэйсс, О'Донoghue (Synthesis of certain 3-hydroxy-3-phenylpropylsulfonium salts. Sulfonium analogs of artane (trihexyphenidyl) and pathilon (tridihexethyl iodide). Weiss Martin J., O'Donoghue Maurice D.), J. Amer. Chem. Soc., 1957, 79, № 17, 4771–4776 (англ.).

Реакцией $RSCH_2CH_2C(OH)(R')C_6H_5$ (Ia–д; где $R = CH_3$, $R' = C_6H_{11}$; $R = CH_3$, $R' = C_4H_9$; в $R = CH_3$, $R' = C_6H_5$; $R = C_2H_5$, $R' = C_6H_5CH_2$; $R = C_2H_5$, $R' = C_6H_{11}$) с $R''X$ синтезированы биологич. активные соли 3-оксипропилапропиленсульфония ($X-RR''S^+CH_2CH_2C(OH)(R')C_6H_5$ (IIa–к) (перечисляются R , R' и $R''X$): а CH_3 , C_6H_{11} , CH_3J , C_2H_5 , C_6H_{11} , CH_3J ; в CH_3 , C_6H_{11} , $CH_3=C(CH_3)CH_2J$; г CH_3 , C_6H_{11} , $CH_3=CC(CH_3)CH_2J$; д C_2H_5 , C_6H_{11} , C_2H_5J ; е CH_3 , C_6H_{11} , $C_6H_5CH_2Br$; ж C_2H_5 , C_6H_{11} , $CH=CC(CH_3)CH_2Br$; з CH_3 , C_6H_{11} , $n-C_6H_4COCH_2Br$; и CH_3 , C_6H_5 , CH_3J ; к C_2H_5 , $C_6H_5CH_2$, CH_3J . При р-ции Ia с $n-C_4H_9J$, $n-C_4H_9J$ или $n-C_5H_{11}J$ в эфире или без р-рителя неожиданно получается йодид (выход 32, 43 и 56% соответственно, т. пл. 139–143° (из абс. сп.)), а с $C_6H_5COCH_2Br$ в ацетоне — бромид (выход 10%, т. пл. 179° [разл.; из CH_3OH]) 3-циклогексил-3-оксипропилапропиленсульфония. 16 с CH_3J образует 63%-ным выходом $(CH_3)_3SJ$, т. пл. 208° (разл.). Исходные β -метил-(III) (т. кип. 110–115°/1,1 мм, n_D^{20} 1,5687) и β -этил-(т. пл. 47–47,5° (из CH_3OH)) меркаптопропиофеноны синтезированы взаимодействием соответствующих пропионитрилов с C_6H_5MgBr . III при р-ции с CH_3J дает йодид 2-бензоилэтилдиметилсульфония, выход 100%, т. пл. 131–132°. К $C_6H_{11}MgBr$ (из 0,4 моля $C_6H_{11}Br$ и 0,4 л эфира) приливают по каплям 0,33 моля III в 0,2 л эфира, размешивают 18 час., добавляют 45 г NH_4Cl в 150 мл воды, из эфирного слоя получают Ia, выход 32%, т. кип. 150°/0,9 мм. Аналогично получают I (указаны выход в % и т. кип. в °C/мм): Ib, 50, 130/0,25; Ic, 44, т. пл. 109°; Id, 29, 157–158/0,3; Ie, 34, 182–185/2. Ia–д с избытком $R''X$ в эфире, ацетоне, CH_3OH или без р-рита-

20 мм. 92°
ни с 136°
ной H₂SO₄
2, т. кип.
д. CH₃COOH
выход 67%,
добавляют
50%, разла-
%. К смеси
ды при 9°
ают при 5°
119° (разл.);
а в 30 мл
по прекрат
RCH(CO-
кип. 157°
емешивают
VI, выход
0 г порош-
ют 500 мл
ром, полу-
COOH при
а, нагрева-
эфиром,
са с 20 мл
I, выход
льзовании
лучен так-
нитрофен-
ONH₂ (из-
Яновская
фенилпро-
«Артава»
рексинта-
of sets.
Sulfo-
and path-
ttin J.,
hem. Soc.

ли оставляют на несколько дней и получают II (ука-
заны выход в % и т. пл. в °C): Ia, 77, 138—140 (из
абс. сп.); Ib, 46, 116,5 (из CH₃OH-эф.); Ic, 70, 107—108
(из абс. сп.); Id, 58, 118—118,5 и 145 (из CH₃OH-эф.);
Ie, 77, 112—113 (из CH₃COC₂H₅); If, 30, 121,5 (из аце-
това-эф.); Ig, 21, 104—106 (из сп.-эф.); Ih, 27, 120—
122 (из абс. сп.); Ii, 81, 142 (из CH₃OH); Ik, 71, 115,5
(из CH₃OH-эф.).

Д. Витковский

21415. Исследование сульфидов и дисульфидов. Со-
общение XVIII. Окисление *n*-фенилендисульфида.

Леандри, Паллотти (Ricerche sui solfuri e di-
solfuri. Nota XVIII. Ossidazione di *p*-fenilen-disolfu-
ri. Leandri Giuseppe, Pallotti Maria), Ann.
chimica, 1956, 46, № 12, 1169—1079 (итал.).

В отличие от дисульфидов (ДС) типа RSSR, даю-
щих при окислении несимметричные сульфосульфиды
(СС) типа RSSO₂R, ДС типа RSC₆H₄SR', симметрич-
ные и несимметричные замещенные, в тех же усло-
виях дают соответствующие дисульфоксиды (ДСО)
RSCOC₆H₄SOR' (в 2 стереоизомерных формах) даже при
наличии NO₂ в конечной фенильной группе; исключе-
ние составляют полинитропроизводные, дающие СС.
Структура продуктов р-ций установлена сравнением
с изомерными СС, полученными синтезом. Дифенил-
n-фенилендисульфид (I) синтезирован р-цией р-ра
11 г C₆H₅SH (II) в 10%-ном NaOH и диазороствора
(из 20,1 г *n*-аминодифенилсульфида (III), 6,9 г NaNO₂
в виде 20%-ного р-ра, 26 мл конц. HCl и 20 мл воды)
(60°), т. пл. 82° (из сл.). Метилфенил-*n*-фениленди-
сульфид (IV) получен действием 1,3 моля (CH₃)₂SO₄
на 1 моль *n*-меркаптодифенилсульфида (V) в 3 молях
10%-ного NaOH, т. кип. 187°/6 мм. V синтезирован ана-
логично I р-цией диазороствора III (из 20,1 г) и 24 г
K-аскорбатата в 80 мл воды (40°), с последующим
окислением 5%-ным KOH (кипение 1 час), т. кип.
150°/2 мм, т. пл. 46—47°. Фенил-4-нитрофенил-(VI),
т. пл. 107° (из сл.), фенил-2,4-динитрофенил-(VII),
т. пл. 171—172° (из сп.-диоксана), и фенил-2,4,6-три-
нитрофенил-(VIII)-*n*-фенилендисульфиды, т. пл. 170°
(из сп.-диоксана), синтезированы р-цией 1 моля V и
1 моля соответственно 4-нитро-(IX), 2,4-динитро-
и 2,4,6-тринитро-(X)-хлорбензола в 15—30 мл спирта
в присутствии конц. р-ра 1 моля NaOH (кипение
6 час., 1 час и 10 мин.). Окислением 1 моля I 2 мо-
лями C₆H₅CO₂H в CHCl₃ (20—25°) получены 2 стерео-
изомерных ДСО, разделенных дробной кристаллиза-
цией, т. пл. 179—180° (из сл.) и 145—146° (из толу-
ола + лигр.). Дифенил-*n*-фениленсульфонсульфид (XI)
синтезирован р-цией 1 моля II в 4 молях 10%-ного
NaOH и диазороствора из 1 моля *n*-аминодифенил-
сульфона (70—90°, 1 час), т. пл. 97° (из петр. эф.).
При окислении IV аналогично I выделены 2 стерео-
изомерных ДСО, т. пл. 85—86° (из бzl. + лигр.) и
70—76° (неочищ.). Метилфенил-*n*-фениленсульфон-
сульфид получен аналогично XI из *n*-аминофенилметил-
сульфона, т. пл. 90° (из лигр.); изомерный фенил-
метил-*n*-фениленсульфонсульфид синтезирован р-цией
1,3 моля (CH₃)₂SO₄ и р-ра 1 моля *n*-фенилсульфонил-
тиофенола (XII) в 3 молях 10%-ного NaOH, т. пл. 115°
(из сл.). Окисление VI аналогично I привело к 2 сте-
реоизомерным ДСО, т. пл. 222° (из сп. + диоксан, 1:1)
и 162—163° (из CH₃COOC₂H₅). C₆H₅SO₂C₆H₄SC₆H₄NO₂-4
получен конденсацией XII и IX аналогично VI, т. пл.
122° (из сп.-диоксана). C₆H₅SC₆H₄SO₂C₆H₄NO₂-4, т. пл.
133° (из сл.), синтезирован действием р-ра 3,2 г II в
150 мл 10%-ного NaOH на диазороствор 8 г 4-нитро-
4-аминодифенилсульфона и 19,4 мл р-ра нитрозилсер-
ной в-ты, содержащего 10% NaNO₂ (~100°, 2 часа).
Окисление VII аналогично I привело к смеси 2 в-в:
C₆H₅SO₂C₆H₄SC₆H₄(NO₂)₂ (XIII), т. пл. 151° (из сп. +
диоксан), и C₆H₅SO₂C₆H₄SO₂C₆H₄(NO₂)₂ (XIV), т. пл.
232° (из сп. + диоксан). XIII синтезирован аналогич-

но VII из XII. XIV получен окислением XIII 1 молем
C₆H₅COOOH в CHCl₃ (~20°). Окислением VIII ана-
логично I получен C₆H₅SO₂C₆H₄SC₆H₄(NO₂)₂, т. пл. 157°
(из сп. + диоксан), который синтезирован также р-цией
1,98 г X в 25 мл спирта и 2 г XII в 20 мл спирта в при-
сутствии 0,67 г NaHCO₃ (~80°, 1 час). Сообще-
ние XVII см. РЖХим, 1957, 870. А. Сергеев

21416. О некоторых производных цистеина. Ка-
валлини, Равенна (Su alcuni derivati della ci-
steina. Cavallini G., Ravenna F.), Farmaco.
Ed. scient., 1957, 12, № 3, 151—158 (итал.; рез.
англ.).

С целью изучения изменения фармакологич. актив-
ности средств, предлагаемых для защиты от излуче-
ния и возможных гипотензивных в-в, при изменении
заместителей при N-атоме меркаптоэтиламина синте-
зированы C₆H₅CH₂SCH₂CH₂R, где R = N(C₂H₅)₂ (Ia),

NCH₂CH₂ (Ib), NHCH₂CH₂OH (Iv), NHCH₂CH₂Cl (Ir),
N(CH₂CH₂OH)₂ (Id) и N(CH₂CH₂Cl)₂ (Ie). При дебен-
зилировании Ib и Ir действием Na в жидком NH₃ вы-
делены (HOCH₂CH₂NHCH₂CH₂S)₂ (II) и (ClCH₂CH₂-
NHCH₂CH₂S)₂ (III); в остальных случаях получаются
неразделимые смеси. К 0,04 моля C₆H₅CH₂SH и 18 мл
5,1%-ного CH₃ONa при ~20° по каплям прибавляют
0,04 моля ClCH₂CH₂N(C₂H₅)₂, кипятят 30 мин., филь-
трат упаривают досуха, остаток растворяют в 100 мл
воды, подкисленной HCl, экстрагируют эфиром, води.
слой подщелачивают NaOH, извлекают эфиром, из
эфирного экстракта получают Ia, выход 5,8 г, т. кип.
98—100°/0,1 мм; хлоргидрат (XG), т. пл. 62—63° (очень
гигроскопичен). 0,025 моля C₆H₅CH₂SCH₂CH₂Cl (IV) по

каплям прибавляют к смеси 0,05 моля NHCH₂CH₂, 5 мл
безводн. CH₃OH и 0,027 моля K₂CO₃ при кипячении;
через 3 часа получают Ib, выход 1,7 г, т. кип. 110—
111°/0,4 мм. 0,27 моля IV в 200 мл абс. спирта, 0,27 моля
NH₂CH₂CH₂OH и 0,15 моля Na₂CO₃ кипятят 18 час., по-
лучают XG Iv, выход 22 г, т. пл. 127—129° (из
изо-C₃H₇OH). 0,012 моля XG Ir и 0,14 моля SOCl₂ ки-
пятят 1 час, получают XG Ir, выход 2 г, т. пл. 115—
116° (из бzl.). Из 0,2 моля IV, 150 мл абс. спирта,
0,2 моля HN(CH₂CH₂OH)₂ и 0,09 моля Na₂CO₃ (10 ат,
100°, 16 час.) получают Id, выход 13 г, т. кип. 167—
170°/0,01 мм; оксалат (OK), т. пл. 113° (из изо-C₃H₇OH).
К 0,022 моля Id в 20 мл CHCl₃ при 40° прибавляют
0,25 моля SOCl₂ в 20 мл CHCl₃, нагревают 30 мин. при
70°, получают XG Ie, выход 3,5 г, т. пл. 101—102° (из
диоксана-петр. эф.). К 0,047 моля XG Iv в 360 мл жид-
кого NH₃ прибавляют 0,1 моля Na, избыток Na разру-
шают 5,35 г NH₄Cl, удаляют NH₃, остаток высушивают
в вакууме, экстрагируют изо-C₃H₇OH, к экстракту при-
бавляют конц. H₂O₂ до отрицательной р-ции с нитро-
пруссидом Na, прибавляют вычисленное кол-во
(COOH)₂·2H₂O в миним. кол-ве спирта, получают OK
II, выход 6,5 г, т. пл. 177—178° (из сл.). К 4 г OK II
в 80 мл воды прибавляют вычисленное кол-во воды.
р-ра CaCl₂, нагревают до кипения, фильтрат выпари-
вают в вакууме при 40°, получают XG II, т. пл.
141—142°. К 0,019 моля основания II в 0,03 моля NC₆H₅
при ~20° прибавляют 0,035 моля SOCl₂, через 3 часа
прибавляют еще 0,17 моля SOCl₂ и нагревают 30 мин.
при 50°; через 12 час. избыток SOCl₂ удаляют в ва-
кууме, остаток обрабатывают 50 мл кипящего спирта,
получают XG III, выход 5 г, т. пл. 215—216° (разл.).

В. Скородумов

21417. Перегруппировка Самюэли Смайлса и сходные
с ней реакции. Найто, Домори (Samuel Smile's
反應とその類縁反応について. 内藤武男, 堂森康三),
薬学研究. Якугаку кэнкю, Japan. J. Pharmacy and
Chem., 1957, 29, № 1, 1—25 (японск.)
Обзор. Библ. 33 назв.

21418. Азотобензолы. Леандри, Ребора (Sugli azo-tio-benzoli. Leandri Giuseppe, Rebo-ra Pierluigi), Gazz. chim. ital., 1957, 87, № 5, 503—509 (итал.).

Показано, что RN_2SR (I) (продукты р-ции ароматич. тиониламинов $RNSO$ (II) с Na) являются S-аналогами азоксибензолов строения $RN=N(→S)R$; в р-цию не вступают II со следующими R: о-, м- и п- $NO_2C_6H_4$, п- $C_6H_5COC_6H_4$ и $C_6H_5SO_2C_6H_4$. Ia (R = C_6H_5) синтезирован действием 3,2 г «атомарного» Na на 10 г C_6H_5NSO в 70 мл толуола (саморазогревание, затем кипячение 15 мин.), выход ~ 40%, т. кип. 137,5°/0,01 мм. Остальные I синтезированы аналогично с выходом ~ 40% и очищены: жидкие — перегонкой в вакууме, твердые — кристаллизацией из абс. эфира; перечисляются R, т. кип. в °С/мм, т. пл. в °С: о- C_7H_7 , 126/0,01, —; м- C_7H_7 , 132/0,01, —; п- C_7H_7 , —, 48—50; о-анизил, —, 89—91; п-анизил, —, 46; о- $C_6H_5OC_6H_4$, —, 106—108; п- $C_6H_5OC_6H_4$, —, 66—68; о- ClC_6H_4 , 148—140/0,01, —; м- ClC_6H_4 , —, 45—47; п- ClC_6H_4 , —, 61; п- BrC_6H_4 , —, 107; п- $(CH_3)_2NC_6H_4$, —, 96—98; о- $C_6H_5C_6H_4$, разл., —; п- $C_6H_5C_6H_4$, —, 144—146. Нагреванием смеси Ia с 5-кратным кол-вом Zn-пыли (120°, 3 часа) получен азобензол (III), т. пл. 68°. III получен также при пропускании 10%-ного р-ра Ia в CCl_4 через колонку с Al_2O_3 . При действии на Ia HCl и HBr выделены соответственно анилин (в виде хлоргидрата) и 2,4-диброманилин, который получен также р-цией Ia и Br_2 .

21419. Восстановление сульфохлоридов 2,3-диариллиндонов. Иванов, Кичев (Върху редукцията на сулфохлоридите на 2,3-диариллиндоны. Иванов Ч. П., Кичев Е. Д.), Годишник хим.-технол. ин-т, 1955 (1956), 2, № 1, 101—112 (болг.; рез. русск., англ.).

Показано, что при восстановлении 2-(п-хлорсульфонил)-3-фенилиндола и 2-(п-хлорсульфонил)-3-п-толилиндола (в спирте, большой избыток Zn, 60 или 20°) получают соответственно, п,п'-бис-(3-фенилиндонил)-2-дифенилдисульфид, выход 90%, т. пл. 183—134° (из сп.), и п,п'-бис-(3-п-толилиндонил)-2-дифенилдисульфид, выход 83,7%, т. пл. 165—167° (из сп.). Предположение об образовании промежуточных легкоокисляющихся 2-(п-меркаптофенил)-3-фенилиндола и соответственно 2-(п-меркаптофенил)-3-п-толилиндола (выделить которых не удалось) доказываются получением их бензильных и карбоксиметильных производных. Приведены в-во, выход в %, т. пл. в °С: 2-(п-бензоилтиофенил)-3-фенилиндола, 30, 111—112; 2-(п-карбоксиметилтиофенил)-3-фенилиндола, 85, 151—151,5; и 2-(п-бензоилтиофенил)-3-п-толилиндола, 8,8, 123—125.

21420. Изучение производных флуорена. VIII. Синтез 2,3-дизамещенных флуоренов. Исигава, Хаяси (フルオレン誘導体の研究. 第8報. フルオレンの2,3-置換誘導体の合成. 石川延男, 林茂助), 有機合成化学協会誌, Юки госэй кагаку кёкайси, J. Soc. Organ. Synth. Chem., Japan, 1957, 15, № 4, 202—206 (японск.).

9,1 г 2-аминофлуорена (I) в 90 мл C_6H_6 и 10 мл пи-колина бензоилируют 8,4 г C_6H_5COCl при 35—40°, затем кипятят 15 мин. и получают 2-бензамидофлуорен (II), выход 89%, т. пл. 215—216° (из лед. CH_3COOH). К кипящей смеси 54 г I, 95 г $C_6H_5SO_2Cl$ в 400 мл лед. CH_3COOH за 20 мин. добавляют 41 г CH_3COONa , кипятят 15 мин., разбавляют теплой водой, получают 2-п-толуолсульфамидофлуорен (III), выход 92%, т. пл. 161—161,5° (из лед. CH_3COOH). Аналогично I бензоилируют 2-амино-3-нитрофлуорен (IV) и 2-амино-7-нитрофлуорен (V) и получают соответственно 2-бензамидо-3-нитрофлуорен (VI), т. пл. 201—202° (из лед. CH_3COOH), и 2-бензамидо-7-нитрофлуорен (VII), т. пл. 275—277° (разл.; из C_6H_5Cl). Нитрование 15 г II в

150 мл лед. CH_3COOH посредством 4 мл HNO_3 (d 1,44) при т-ре 53—60° в течение 15 мин. дало смесь нитро-продуктов с общим выходом 92%, фракционной кристаллизацией из лед. CH_3COOH выделены IV, выход 64,4%, и V, выход 19,5%, идентичные вышеполученным. Нитрование III в тех же условиях (30—48°, т-тем 50°, 30 мин.) дало смесь нитропроизводных, выход 97%, гидролиз которой конц. H_2SO_4 (10—25°) дало смесь нитрофлуоренов, разделенную кристаллизацией из лед. CH_3COOH на 2-амино-3-нитрофлуорен (VIII), т. пл. 201—202°, и 1-нитро-2-аминофлуорен (IX), т. пл. 168—170°. 2,3 г VIII в 50 мл лед. CH_3COOH диазотируют (0,8 г $NaNO_2$ в 10 мл конц. H_2SO_4), диазосоединение разлагают по Зандмейеру в присутствии 4 г $SnCl_2$ при 70° и затем при 90° (10 мин.) разбавляют водой, получают 2-хлор-3-нитрофлуорен (X), выход 70%, т. пл. 116—117° (из лигр.). Смесь 1,5 г X, 30 мл спирта, 4,5 г $SnCl_2$ и 5 мл конц. HCl кипятят 30 мин., добавляют 20 мл 25%-ной H_2SO_4 , осадок кипятят с 5%-ной H_2SO_4 и выделяют 2-хлор-3-аминофлуорен (XI) разб. NH_4OH , выход 69%, т. пл. 181—182° (из разб. сп.). 0,5 г XI ацетилируют (1 час, кипячение с $(CH_3CO)_2O$ и лед. CH_3COOH), получают 0,5 г 1-хлор-2-ацетамидофлуорена, т. пл. 201—202° (из сп.). По р-ции Зандмейера из диазотированного VIII и KI (25°, 30 мин., до 95° 15 мин., при 95° 15 мин.) получен 2-йод-3-нитрофлуорен (XII), выход 89%, т. пл. 124,5—125° (из сп.). Восстановление XII аналогично X приводит к 3-аминофлуорену (XIII). Приведены УФ-спектры II—XIII. Сообщение VII см. РЖХим, 1958, 1273.

21421. Синтез 7,8-бензонафто-(1',2'—3,4)-флуорена. Бью Хой, Сен-Рюф (A synthesis of 7,8-benzonaphtho-(2':1'-3:4) fluorene. Buu-Hoi Ng, P. H. Saint-Ruf G.), J. Chem. Soc., 1957, Aug., 3806—3807 (англ.).

Показано, что образование 7,8-бензонафто-(1',2'—3,4)-флуорена (I) (т. пл. 285°) при циклогидратации ЦД 1,2,3,4-тетрагидро-3,4'-нафтилметилена-4-оксофенантрена (II) происходит за счет примеси изомерного 1-кетона к 1,2,3,4-тетрагидро-4-оксофенантрону (III) — исходному соединению для синтеза II. ЦД чистого II приводит лишь к 7,8-бензонафто-(2',1'-3,4)-флуорену (IV), т. пл. 147° (РЖХим, 1955, 37273), т. пл. 138—139°. 7 г III (т. пл. 69°, получен из α-2-нафтилмасляной к-ты и H_2SO_4) конденсируют в спир. р-ре с 5,6 г α-нафталальдегида в присутствии нескольких капель 30%-ного КОН (~12 час.), выход II 6 г, т. пл. 173° (из са.). 5,5 г II в 100 мл безводн. ксилота и 4 г P_2O_5 кипятят 30 час., выливают в воду; из фракции 285—290°/0,4 мм выделяют дипикрат (V), т. пл. 175° (из бzl.), из которого добавлением NH_4OH осаждают 1 г IV, т. пл. 147° (из сп.-бzl.). Продукт ЦД II (т. пл. 152—153°) растворяют с циклогексаном (VI) и выделяют 0,1 г I, т. пл. 286—287° (из бzl.). Из остатка по упариванию VI выделяют 1,2 г V.

21422. Синтез 3-нитронафтола-3. Вудкок, Клиффорд (Synthesis of 3-nitro-2-naphthol. Woodcock D., Clifford D. R.), J. Chem. Soc., 1957, Sept., 4139—4141 (англ.).

3-нитронафтол-2 (I) получен восстановлением β-нафтола (II) в 5,6,7,8-тетрагидро-II (III) H_2 над свинцом Ni (IV) с последующим нитрованием III в 3-нитро-III (V) и обработкой V бромсукцинимидом (VI), при которой образуется монобромпроизводное $C_{10}H_6O_2NBr$ (VII), дающее после отщепления HBr I. I идентифицирован восстановлением метилового эфира I (VIII) в 3-метоксинафтиламина-2 (IX). Попытка детерминирования V действием Br_2 привела к образованию 1-бром-V (X). 200 г II восстанавливали H_2 (2 часа, 200°, 33 ат) в присутствии 5 г IV, экстрагировали эфиром, фильтровали и извлекали 2 н. NaOH; получено 106 г III, т. кип. 120—122°/2,5 мм, т. пл. 58—61° (из потр.

NO₂ (d 1,44) смесь нитро-нойной кри- IV, выки- шеполуче- (30—48°, за- водных, вы- 10—25°) да- галлизацией- рен (VIII), (IX), т. пл. (из азотирую- соединены с SnCl₄ при водной, т. пл. 70°, т. пл. спирта, 4,5 г добавляя ной H₂SO₄ азб. NH₄OH), 0,5 г XI), 0,5 г XII), 0,5 г лед. инофлуор- деймера из 95° 15 мин, рен (XII), становле- ну (XIII), не VII ст. Яновская- флуорена, 7:8-бенд- I n g. Ph., 3806—3807

о-(1,2'-3,4- гидратаци- и-4-оксофе- изомерно- ну (III)— чистого II- флуорену 138—139°, льяной к-ты с а-наф- 30%-ного (из сн.), O₂ кипит 290°/0,4 мм), из кото- т. пл. 147° 53°) расте- е I, т. пл. ни VI вы- И. Лен- с, Кляф- hoodcock 1957, Sept.

нем β-наф- ад скелет- II в 3-нит- дом (VII), ное C₁₀H₇ I. I клон- эфира I тка деги- разованию 2 часа, 200°, и эфиром, нено 106° (из пет-

эф.). Нитрование III с помощью N₂O₄ по ранее опи- санному методу (Thoms, Kross, Arch. Pharm., 1927, 285, 336) дало 27% V, т. пл. 88—89° (из водн. CH₃OH); ацетильное производное V (XI), т. пл. 102—103°. 2,5 г XI в 40 мл CCl₄, 3,8 г VI и 0,12 г (C₆H₅CO)₂O₂ кипи- тили 4 часа, фильтровали, отгоняли в вакууме CCl₄, остаток кипятили 15 мин. с 30 мл CH₃OH и 3 г без- водн. CH₃COOH, выливали на лед. осадок растирали с лед. CH₃COOH, полученный VII, т. пл. 131—133°, экстрагировали эфиром, эфир удаляли, остаток кипи- тили 3 часа с 40 мл спирта и 15 мл HCl (d 1,2) и вы- ливали в воду, получали I, т. пл. 103—104° (из петр. эф.); ацетильное производное, т. пл. 97—98°; VIII, т. пл. 81—82° (из петр. эф.); 0,5 г VIII в 10 мл CCl₄, восстанавливали H₂ над IV, получен IX, т. пл. 107—108° (из водн. CH₃OH). 1 г V обрабатывали 0,5 мл Br₂ (при 100° до прекращения выделения HBr) и 30 мин. при 180° и экстрагировали эфиром X, т. пл. 129,5—130° (из эф.-петр. эф.); ацетильное производное, т. пл. 96—97°. X получен также добавлением 0,3 мл Br₂ к 1 г V в 10 мл лед. CH₃COOH и разбавлением через час водой. Г. Крюкова

21423. Влияние аниллирования в о-оксиназосоедине- ниях. Вейсе-Берг, Вицингер (Zum Anellie- rungseffekt bei o-Hydroxy-azokörpern. Weiss-Berg Ellinger, Wizinger R.), Helv. chim. acta, 1957, 40, № 4, 1056—1059 (нем.).

Найдено, что 1-окси-2-арилнафталины (I) имеют более глубокую окраску, чем изомерные им 2-окси-1-арилнафталины (II). Аниллирование бензольного цикла вызывает у II слабый батохромный, у I — значительный гипсохромный сдвиг окраски. 2-(2',4'-динитробензолазо)-нафтол-1 получен нагреванием р-ров 3,2 г β-нафтохинона (III) и 4 г 2,4-динитрофенилгид- разина (IV) в лед. CH₃COOH (~120°, 0,5 часа), т. пл. 274—275° (разл.; из нитробензола); 2-(2',4',6'-тринит- робензолазо)-нафтол-1 получен аналогично из 3,2 г III и 5 г тринитрофенилгидразина (V) (10 мин.), с после- дующей частичной отгонкой CH₃COOH, т. пл. 236—237° (разл.; из HCOOH). Аналогично из 4,2 г фенантрен- хинона (VI) и 4 г IV синтезированы 9-окси-10-(2',4'-ди- нитробензолазо)-фенантрен, т. пл. 324—325° (разл.; из толуола), и из 4,2 г VI и 4,8 г V 9-окси-(2',4',6'-три- нитробензолазо)-фенантрен, т. пл. 284° (разл., из то- луола + петр. эф.). А. Сергеев

21424. Сульфирование 1-нафтиламина «процессом спекания». Манабэ, Хияма, Дэхара (ベーキン / 法によるα-ナフチルアミンのスルホン化. 眞鍋修, 桧山 入郎, 出原正孝), 工業化学雑誌, Koré 鋼鉄, 桧山 入郎, J. Chem. Soc. Japan. Industr. Chem. Sec., 1956, 59, № 9, 1061—1066 (японск.).

Изучено влияние условий р-ции на общий выход и состав аминафталисульфокислот (I) из кислой сер- ной соли 1-нафтиламина (II) при нагревании выше т-ры плавления (процесс спекания). Превраще- ние II в I при нагревании при 179° при обычном дав- лении в токе CO₂ (3 мл/мин) проходит медленно, для достижения выхода 90% необходимо время ~ 9 час.; при 14—23 мм процесс несколько ускоряется (86,38% за 3 часа; 90,76% за 5 час.), однако дальнейшее сни- жение давления вновь замедляет процесс (92,99% I за 6 час. при 1,2 мм). Состав I во всех случаях опре- делен хроматографически. В вышеописанных случаях I состоит из 1,4-(основной компонент), 1,7- и 1,2-изо- меров. При проведении процесса в вакууме (1 мм) превращение II в I проходит также при т-рах ниже т-ры плавления II (при 150° за 6 час. получено 53,94% I), в этом случае образуются только 1,4- и 1,2-изоме- ры I. При нагревании II (179°) в запаянной трубке достигнута выхода I 5,6—6% устанавливается рав- нение между I и II. Проведение процесса при обыч- ном давлении и высокой т-ре приводит к образова-

нию 1,4-, 1,7- и 1,2-изомеров I, а также α,α'-динафтил- амина. Добавки щавелевой к-ты благоприятствуют образованию I из II при проведении р-ции в вакууме (3—10 мм), в этом случае помимо 1,4-, 1,7-(уменьшен- ное по сравнению с обычным кол-во), 1,2-(увеличен- ное по сравнению с обычным кол-во)-изомеров I обра- зуются дисульфокислоты (III) 1-аминонафталина. Скорость превращения II в I увеличивается при нагрева- нии до 179° (ток CO₂ 3 мл/мин.) в присутствии избытка H₂SO₄ тем больше, чем больше соотношение H₂SO₄ : II, аналогично наблюдаемому ранее при сульфировании анилина (Alexander, J. Amer. Chem. Soc., 1946, 68, 1274; 1947, 69, 1599; 1948, 70, 1274); в этом случае помимо 1,4-, 1,7- и 1,2-изомерных I образуются 1,5-, 1,6- и 1,3-изо- мерных I, а также смесь III. При нагревании (179°, 5 мм) средней сернистой соли 1-нафтиламина обра- зуются 1,4-(основной компонент) и 1,2-изомеры I. На- гретие (180—181°, 1 час) нафтионой к-ты (IV) с 97,6% H₂SO₄ приводит к образованию смеси 1,5-, 1,6-, 1,3-, 1,7- и 1,2-изомеров I и III. При нагревании IV с 1-нафтиламином (179—180°, 3 часа) частично обра- зуется 1,2-изомер I. В тех же условиях при нагрева- нии IV с анилином образуются дисульфокислоты ани- лина, сульфаниловая к-та, ортаиноловая к-та, 1,2-изо- мер I, N-фенил-1-нафтиламиносульфоновая к-та (?), нафтиламин, дифениламин. При нагревании 1,2-изомер I не изомеризуется. На основании полученных ре- зультатов обсужден механизм «процесса спекания». Л. Яновская

21425. Нуклеофильное замещение сульфогруппы β-нафтохиносульфокислоты аминогруппой нафтил- амина и его сульфокислот. Сообщение 2. Влияние сульфогруппы на химические реакции. Баман, Шривер, Краус (Nukleophile Substitution der Sulfonsäuregruppe der β-Naphthochinonsulfonsäure durch die Aminogruppe von Naphthylaminen und deren Sulfonsäuren. 2. Mitteilung: zur Kenntnis des Ein- flusses der Sulfonsäuregruppe auf chemische Reaktio- nen. Baman Eugen, Schriever Karl, Kraus Christine), Arch. Pharmazie, 1957, 290/162, № 7, 334—338 (нем.).

При взаимодействии горячего водн. р-ра 6,2 г Na-соли 4-сульфонафтохинона-1,2 (I) с α- и β-нафтилами- нами (2,8 г в 45%-ном спирте) или с изомерными нафтил- аминосульфокислотами (1,2; 1,3; 1,4; 1,5; 1,6; 1,7; 1,8; 2,1; 2,5; 2,6; 2,7; 2,8) (горячий насыщ. р-р 4,9 г Na-соли в воде) получены соответствующие 4-нафтиламино- или 4-(сульфонафтиламино)-нафтохиноны-1,2, образо- вание которых связано с отщеплением сульфогруппы в I. Высказано мнение, что аналогичной р-цией объяс- няется возникновение окраски при действии света на водн. р-ры нафтиламинов и их сульфокислот. Фото- метрич. измерение скорости образования красителей показывает, что наиболее реакционноспособными яв- ляются незамещ. амины. Наличие сульфогруппы тор- мозит р-цию тем более, чем ближе она расположена по отношению к аминогруппе, что объясняется нук- леофильным механизмом замещения. Красители, по- лученные при р-ции I с изомерными нафтилами- носульфокислотами, разделены электрофорезом. Сообще- ние 1 см. РЖХим, 1956, 16042. Я. Штейнберг

21426. Ароматизация дивинилацетилена. Котля- рецкий И. Л., Занина А. С., Липович В. Г., Изв. вост. фил. АН СССР, 1957, № 4—5, 90—99

Пропускание смеси паров дивинилацетилена (I) с H₂ (разбавитель) при 500° и времени контакта 85 сек. над активированным С приводит к получению аромат- ич. углеводородов (АУ) с выходом 7%. Ароматиза- ция I над 20%-ной Cr₂O₃-Al₂O₃ (разбавитель H₂) при 500° ведет к получению АУ с выходом до 34%. При ароматизации смеси ацетилена и I на регенерирован- ном Cr₂O₃-Al₂O₃ при 500° и времени контакта 85 сек.

получено до 42% АУ (выделены C_6H_6 , нафталин и антрацен), а на регенерированном катализаторе до 85% АУ (C_6H_6 , остальное стирол и его полимеры). Использование в качестве катализатора Al_2O_3 при 500° (ацетилен в качестве разбавителя) приводит к получению АУ с выходом до 55%; как и в случае $Cr_2O_3 \cdot Al_2O_3$ в этом случае получены высококипящие продукты конденсации, вероятно, содержащие антрацен. Максимум выход АУ (41%) при контакте смеси I с N_2 на карбиде кальция получен при 630°. При 400–550° над Al_4C_3 ароматизация практически не протекает; также не протекает ароматизация I без катализаторов.

Г. Швехгеймер

21427. Приготовление 9,10-дигидро-9,10-дихлорантрацена и его свойства. Нагана, Танабэ (-9,10-ジヒドロ・アントラセン-9,10-ジクロリドの生成ならびにその性質. 永井芳男, 田邊正士), 工業化学雑誌, Korô kaigaku daissai, J. Chem. Soc. Japan. Industr. Chem. Sec., 1957, 60, № 3, 294–296 (японск.)

Хлорирование антрацена (I) 1 молем Cl_2 в CS_2 при 0° приводит к образованию нестойкого 9,10-дихлор-9,10-дигидроантрацена (II) (выделен при t_{-15°), который быстро разлагается с выделением HCl и образованием 9-хлорантрацена (III) (снята кинетика разложения II в III при 0 и 15°). При проведении хлорирования I при 15° получен только III, выход 97%. При использовании 2 молей Cl_2 при 0° в реакционной смеси, помимо 9,10-дихлорантрацена, выход 92,8%, обнаружены III и продукты полихлорирования, по-видимому, 9,10,10-тетрахлор-9,10-дигидроантрацен, 2,3,9,10-тетрахлор-9,10-дигидроантрацен и продукт разложения последнего — 2,9,10-трихлорантрацен. Л. Яновская

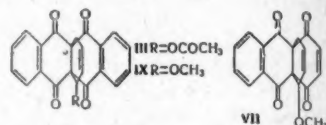
21428. Изучение антрахиноновых красителей. I. Синтез 1-(4'-оксифенил)-аминоантрахинона. Такэкава, Като, Мабути, Курано (1-(4'-オキシフェニル)アミノ・アントラキノン)の合成. 武川康男, 加藤信八郎, 馬淵道夫, 蔵野巨弘), 工業化学雑誌, Korô kaigaku daissai, J. Chem. Soc. Japan. Industr. Chem. Sec., 1957, 60, № 5, 595–596 (японск.)

Осуществлен синтез 1-(4'-оксифенил)-аминоантрахинона (I). 11,2 г 1-аминоантрахинона (II), 10 г n -хлорнитробензола, 0,6 г Cu 5,3 г Na_2CO_3 , 2,1 г CH_3COONa и 80 г $C_6H_5NO_2$ кипятят 3 часа, получают 1-(4'-нитрофенил)-аминоантрахинон (III) выход 81%, т. пл. 311° (испр., из o -дихлорбензола). Смесь 5 г III, 21 г кристаллич. сульфата Na и 150 г спирта нагревают на водяной бане 1 час, спирт отгоняют, получают 1-(4'-аминофенил)-аминоантрахинон (IV) выход 94%, т. пл. 206–206,5° (испр., из с.п.). 2 г IV в 20 г конц. H_2SO_4 + 40 г льда диазотируют при 1° 0,53 г $NaNO_2$, через 30 мин., добавляют сульфамовой к-ты, затем 40 г конц. H_2SO_4 и нагревают при 130° 15 мин., добавляют 20 г воды, осадок отделяют, извлекают спиртом 3 часа, получают I, выход 50%, т. пл. 245–246° (испр.; после хроматографии на Al_2O_3). По р-ции Зандмейера нагреванием диазотированного II с р-ром Cu_2Br_2 получают 1-бромантрахинон (V), выход 84%, т. пл. 191–192° (из $C_6H_5NO_2$). Попытки конденсации V с n -аминофенолом (кипячение 9 час. в o -дихлорбензоле с Cu_2Cl_2 и CH_3COONa) привели к восстановлению V до антрахинона (VI), который с выходом 73% образуется также при р-ции в аналогичных условиях между V и пирогаллолом. Л. Яновская

21429. Дневные реакции с хинизаринхиноном. Инхоффен, Муксфельдт, Коппе, Хейман-Трозин (Dien-Reaktionen mit Chinizarinchinon. Inhoffen Hans Herloff, Muxfeldt Hans, Koppe Volker, Heimann-Trosien Jost), Chem. Ber., 1957, 90, № 8, 1448–1455 (нем.)

В развитие прежних исследований (РЖХим, 1957, 57421) изучались дневные р-ции хинизаринхинона (I). Из I и 1-ацетоксибутадиена-1,3 (II) получен ад-

дукт (III), который также образовался из тетрагидрихинона (IV) и II. Строение III доказано расщеплением на антрахинон и фталевую к-ту при кипячении с 25%-ным р-ром КОН в CH_3OH при пропускании воздуха, а также превращением в 5,12-диоксигетерохинон (V) при нагревании (295°). Аналогично, при конденсации I с 1-метоксибутадиеном-1,3 (VI) образовался аддукт (VII), который при нагревании (10 мин. 210°) дал хинизарин (VIII), а из IV и VI полу-



аддукт (IX). Из I *цис-транс*-1,4-диацетоксибутадиена-1,3 (X) образовался 1,4-диацетокси-1,4,4а,12а-тетрагидро-IV (XI), превращенный далее в V, 1,4-диацетокси-1,4-дигидро-V (XII) и в 5а-ацетокси-11а-бром-5а,11а-дигидро-IV (XIII). Последний также получен из IV. Аналогично I превращен в 4а-ацетокси-9а-бром-4а,11а-дигидро-I (XIV). Приведены данные УФ-спектров синтезированных в-в, а также кривые УФ-спектров VII и XII. К 1 г I при 0° прибавлен р-р 5 г II в 10 мл CH_2Cl_2 через 24 часа, после хроматографирования на Al_2O_3 выделен III, выход 70%, т. пл. 190° (из CH_3OH). Смесь 1,5 г IV, 5 мл II и 40 мл лед. CH_3COOH нагревали 5 час. при 100°; после охлаждения и отделения V получено 62% III. Из 460 мг I и 5 мл VI в 6 мл CH_2Cl_2 (4 часа, 20°) образовался VII, выход 73%, т. пл. 196° (из CH_3OH). Аналогично, из 130 мг IV и 2 мл VI в 10 мл лед. CH_3COOH (12 час., 20°) получен IX, выход 72%, т. пл. 203° (из CH_3OH), при взаимодействии 625 мг I и 4,8 г X в 5 мл C_6H_6 (1 час, 50°) образовался XI, выход 80%, т. пл. 333° (из хлф.-петр. эф.; при ~150° становится красным, при ~230° — темно-красным. При кипячении (30 мин.) с 2 н. КОН в CH_3OH XI дал 61% V. К р-ру 50 мг XI в 5 мл лед. CH_3COOH при 70–80° прибавлен 1 мл насыщ. р-ра CH_3COONa в лед. CH_3COOH ; после хроматографирования продукта р-ции на силикагеле выделен XII, выход 86%, т. пл. 333°. К р-ру 10 мг XI в насыщ. р-ре $(CH_3COO)_2Pb$ в лед. CH_3COOH при 0° прибавлен р-р 40 мг Br_2 в лед. CH_3COOH и через 10 мин. смесь вылита в воду; получен XIII, выход 78%, т. пл. 211–216° (из петр. эф.; при 220° затвердевает и > 300° возгорается). В тех же условиях XIV образовался из IV с выходом 73%. Аналогично, I превращен в XIV, выход 33%, т. пл. 157° (из бал.-петр. эф.). При действии на XIV дитионита Na, КОН в CH_3OH или в условиях дневной р-ции с II образовался VIII, т. пл. 193° (из лед. CH_3COOH). Все 3-тры плавления исправлены. А. Борани

21430. Синтез динитро- и дибромантроннов и их структура. Хасимото, Като (ジニトロおよびジブロム・アントラントロンの合成と構造. 橋本泰吉, 加藤信八郎), 工業化学雑誌, Korô kaigaku daissai, J. Chem. Soc. Japan. Industr. Chem. Sec., 1957, 60, № 4, 443–445 (японск.)

Нитрование 7 г антатрона в 210 г конц. H_2SO_4 при 5° добавлением в течение 40 мин. 6,5 г KNO_3 с последующим перемешиванием (5°, 20 мин., 5–20°, 20 мин. и 20°, 2 часа) привело к смеси 4,10 (I) и 2,4-динитроантатрона (II) выход 94%. Восстановлением 8 г смеси I и II в небольшом кол-ве воды р-ром 19,5 г $Na_2S \cdot 9H_2O$ в 200 мл воды (~20°, 1 час. ~100° 3 часа) дало смесь 4,10-(III) и 2,4-диаминоантатрона (IV), выход 96%. Благодаря различной растворимости в 85%-ной H_2SO_4 III и IV разделены, выход III 61% (нерастворим), из маточного р-ра разбавлением водой до 75%-ной конц. H_2SO_4 выделен IV, выход 34%. 1,01 г III в 20 г конц. H_2SO_4 диазотируют (0,44 г $NaNO_2$

10 мл конц. H_2SO_4 , 1 час. 5°), на другой день выливают в воду, осадок обрабатывают $\text{Cu}_2\text{Br}_2\cdot\text{HBr}$ (из 3 г кристаллич. CuSO_4 , 2,5 г NaBr , 16 мл воды, 19 г HBr (д. 1,38), 1,5 г порошка Cu) при 5° 2 часа, при $\sim 20^\circ$ 3 часа, на другой день при 90° 30 мин. получают 4,10-дибромантрон (V), выход 25%, идентичный ранее описанному. Конденсация V с 1-аминоантрахиноном в $\text{C}_6\text{H}_5\text{NO}_2$ в присутствии CuO и Na_2CO_3 дала бис-(1-антрахинониламины)-антрон, который при обработке AlCl_3 (4:1, 180° , 6 час.) дал соответствующий парабазол. Аналогично V из IV получен 2,4-дибромантрон, выход 31%, который дает 2,4-бис-(1-антрахинониламины)-антрон и далее соответствующий парабазол. 0,5 моля β -нафтиламина конденсируют по Клайзену с 0,5 моля $\text{C}_6\text{H}_5\text{CHO}$ и получают бензильден- β -нафтиламин (VI), выход 94,2%, т. пл. 101° . $\frac{1}{3}$ моля VI в CHCl_3 бромруют при $10-15^\circ$, добавляют $\frac{1}{3}$ моля $\text{C}_6\text{H}_5\text{N}$ и затем еще $\frac{1}{3}$ моля Br_2 , добавляют безвод. спирт, кипятят 2 часа, фильтруют, нейтрализуют NH_4OH , получают 1,6-дибром-2-аминонафталин (VII), выход 76,3%, т. пл. 122° . 0,2 моля VII диазотируют в HCl (н-та) обычным путем при 0° и диазосоединение превращают по Барберу (J. Chem. Soc., 1943, 79) в 1,6-дибром-2-нафтонитрил, который без очистки гидролизуют кипячением (24 часа) с водой — конц. H_2SO_4 — лед. CH_3COOH (1:2:4) и получают 1,6-дибром-2-нафтоновую к-ту (VIII), т. пл. 249° . При кипячении VIII с SOCl_2 и CH_3OH (7 час.) образуется метиловый эфир VIII (IX), выход 95,8%, т. пл. 99° . 15 г IX и 10 г CuO нагревают 3 часа при $170-180^\circ$, извлекают ацетоном, получают диметиловый эфир 6,6'-дибром-1,1'-бинафтил-2,2'-дикарбоновой к-ты (X), выход 54%, т. пл. $222-223^\circ$. Омыление X ($\text{H}_2\text{O}-\text{H}_2\text{SO}_4-\text{CH}_3\text{COOH}$, кипячение 4 часа) дало с колич. выходом 6,6'-дибром-1,1'-бинафтил-2,2'-дикарбоновую к-ту (XI), т. пл. 340° (разл.; из $\text{C}_6\text{H}_5\text{NO}_2$). При нагревании 1,1 г XI с 35 г хлорсульфоновой к-ты (55° , 30 мин.) получен с колич. выходом 2,8-дибромантрон (XII), т. пл. $> 430^\circ$; XII дает 2,8-бис-(1-антрахинониламины)-антрон. Л. Яновская 21431. К изучению фурановых соединений VIII. Селективное гидрирование этиленовой связи α,β -непредельных фурановых альдегидов и кетонов в присутствии никеля Ренея. Пономарев А. А., Тиль З. В., Ж. общ. химии, 1957, 27, № 4, 1075—1078

α,β -Непредельные фурановые альдегиды или кетоны быстро гидрируются над скелетным Ni под давлением в соответствующие предельные соединения, получаемые с хорошими выходами; так, 20 г фурфуральдиметилизобутилкетона в 75 мл абс. спирта гидрированы в течение 1 часа над 2,5 г скелетного Ni при 60° и 20° в 1-(α -фурил)-5-метилгексанон-3, выход 15, 35 г, т. кип. $111-112^\circ/9$ мм, n_D^{20} 1,4630, d_4^{20} 0,9706. Аналогично получены 1-(α -фурил)-3-фенилпропанон-3, выход 81,4%, т. кип. $161-163^\circ/8,5$ мм, т. пл. 40° , и (указаны в-во, выход в %, т. кип. в $^\circ\text{C}/\text{мм}$, n_D^{20} , d_4^{20}): 1-(α -фурил)-7-метилоктанон-3 76, 26, $117-118/1,5$, 1,6338, 0,9532; 3-(α -фурил)-пропаналь, 52, 81—82/17, 1,4765, —; 1-(α -фурил)-бутанон-3, 80—87, 94—96/15, 1,4710, 1,0323; семикарбазон (СК), т. пл. $141-142^\circ$; 1-(α -фурил) пентанон-3, 72—75, 88—89/10, 1,4698, 1,0105, и 1-(α -фурил)-гексанон-5, 72, 94—96/2, 1,4705, —; СК, т. пл. $119-120^\circ$. Сообщ. VII см. РЖХим, 1957, 57502. Д. Витковский 21432. К изучению фурановых соединений. IX. Синтез и гидрирование третичных γ -фурилканолов. Пономарев А. А., Тиль З. В., Пешехонова А. Д., Решетов В. П., Ж. общ. химии, 1957, 27, № 5, 1369—1374

Реакцией 1-(α -фурил)-бутанона-3 (I), 1-(α -фурил)-5-метилгексана-3 (II) или 1-(α -фурил)-гексана-5 (III) с RMgX синтезированы фурановые спирты $\alpha\text{-C}_6\text{H}_5\text{O}\cdot\text{CH}_2\text{CH}_2\text{C}(\text{OH})(\text{CH}_3)\text{R}$ (IVa—д, где $\alpha\text{-R}=\text{C}_6\text{H}_5$, б $\text{R}=\text{C}_2\text{H}_5$, в $\text{R}=\text{n-C}_4\text{H}_9$, г $\text{R}=\text{изо-C}_4\text{H}_9$

д $\text{R}=\text{изо-C}_5\text{H}_{11}$) и 1-(α -фурил)-5-метилгексанол-5 (IVe), IVa—д гидрированы над скелетным Ni или Ni на кизельгуре в соответствующие тетрагидрофурановые спирты $\alpha\text{-C}_6\text{H}_5\text{OCH}_2\text{CH}_2\text{C}(\text{OH})(\text{CH}_3)\text{R}$ (Va—д), причем в результате циклизации части исходных спиртов образуются 2-этил-(VIa), 2-пропил-(VIб), 2-н-бутил-(VIв), 2-изобутил-(VIг) и 2-изоамил-(VIд)-2-метил-1,6-диоксаспиро-(4,4)-нонаны. К эфирному р-ру RMgX постепенно приливают 1 моль смеси I и III в эфире и выделяют IV обычным способом (здесь и далее указаны в-во, выход в %, т. кип. в $^\circ\text{C}/\text{мм}$, n_D^{20} и d_4^{20}): IVa, 87,5, 81—83/2, 92—95/5, 1,4787, 0,9942; IVб, 86,7, 113—114/8, 1,4756, 0,9793; IVв, 66,8, 114—116/3,5, 120,5—121,5/6, 1,4746, 0,9683; IVг, 66,3, 115—117/5, 1,4708, 0,9649; IVд, 80,1, 130—132/7, 1,4730, 0,9575; IVe, 63,8, 96—98/2,5, 1,4731, 0,9774. Гидрируют IVa—д в спирте при 120° и 50—100 ат над $\sim 5\%$ катализатора и разгонкой выделяют продукт р-ции (показатели те же): Va, 68,9, 114—115/9,5, 1,4608, 0,9629; Vб, 76, 129—131/10, 1,4622, 0,9551; Vв, 35, 115—117/2,5, 124—126/6, 1,4604, 0,9407; Vг, 67,4, 130—132/10, 1,4612, 0,9431; Vд, 48, 135—137/6, 1,4610, 0,9327; VIa, 23,7, 102—104/45, 1,4443, 0,9614; VIб, 16, 84—86/10, 1,4466, 0,9499; VIв, 41,3, 99—101/10, 1,4490, 0,9399; VIг, 14,3, 90—93/10, 1,4470, 0,9340, или Vд, 36, 107,5—109,5/10, 1,4483, 0,9304. Д. Витковский 21433. Исследования в области диазафуранов. Леандри, Паллотти (Ricerche sui diaza-furani. Leandri Giuseppe, Pallotti Maria), Ann. chimica, 1957, 47 № 4, 376—384 (итал.)

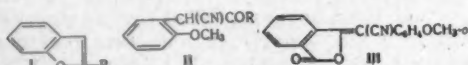
Замещенные бензонитрилы $\text{RC}_6\text{H}_4\text{CN}$ конденсируются с бензонитрилоксидом (I) в эфирном или эфирно-диоксановом р-рах (~ 5 дней, 20°), образуя 3-фенил-5-арилдиазафураны общей ф-лы $\text{N}=\text{C}(\text{C}_6\text{H}_4\text{R})\text{ON}=\text{C}(\text{C}_6\text{H}_5)$ (II), выход которых определяется характером и положением R. $\text{n-CH}_3\text{OC}_6\text{H}_4\text{CN}$ не реагирует с I. Этим путем получены следующие II [указаны R, выход в % и т. пл. в $^\circ\text{C}$ (из сп.)]: H, 12—13, 108; $\text{m-CH}_3\text{O}$, 12, 77; $\text{o-CH}_3\text{O}$, 2,5, 53—54; m-CH_3 , 10, 74—75; n-CH_3 , 0,6—0,7, 117—118; m-Cl , 5—5,5, 102—103; n-Cl , 4—4,5, 121—122; m-Br , 6—6,5, 108—109; n-Br , 4—4,5, 122; $\text{m-C}_6\text{H}_5\text{SO}_3$, 6,5—7, 148; $\text{n-C}_6\text{H}_5\text{SO}_3$, 21,5—22, 181—182; o-NO_2 , 0,6, 84—85; m-NO_2 , 19—20, 145—146; n-NO_2 , 28—29, 198—199 (из сп.-диоксана); аналогично синтезированы 5-о-пиридил-(0,5,114), 5-м-пиридил-(9—10, 121—122) и 5-н-пиридил-(18—19,159)-3-фенилдиазафураны. Д. Витковский 21434. Пироны-2. XXIV. Производные α,β -диметилглютаконового ангидрида. Вилей, Эллерт (2-pyrones. XXIV. Derivatives of α,β -dimethylglutaconic anhydride. Wiley Richard H., Ellert H. G.), J. Organ. Chem., 1957, 22, № 3, 330—331 (англ.)

В продолжение изучения р-ции конденсации глютаконового и β -метилглютаконового ангидрида с ароматич. альдегидами проводилась в условиях, описанных ранее (РЖХим, 1957, 47939; 34376), конденсация α,β -диметилглютаконового ангидрида (I) с ароматич. альдегидами. При этом образуются γ -арилден- α,β -диметилглютаконовые ангидриды (II). Получены II (приведены арилден, выход в %, т. пл. в $^\circ\text{C}$): $\text{n-дизетиламинобензилден}$, 30, 237—239 (из этилацетата); $\text{n-дизетиламинобензилден}$, 24, 163 (из бал.); 3,4-диметоксибензилден, 39, 159—160 (из этилацетата); 3,4-диэтоксбензилден, 37, 139—141 (из бал.); 1-нафтилден, 33, 192—194 (из этилацетата). Проведено также сочетание I с различными солями диазония, при этом получены арилгидразоны γ -кето- α,β -диметилглютаконового ангидрида (III). Получены III (приведены арильная группа, выход в %, т. пл. в $^\circ\text{C}$): фенил, 49, 167—170 (из лед. CH_3COOH); n-нитрофенил , 62, 214—

218 (из лед. CH_3COOH); *n*-толил, 50, 177—178 (из этилацетата-петр. эф.); *o*-анизил, 29, 185—188 (из этилацетата). Сообщение XXIII см. РЖХим, 1957, 47946.

21435. Синтезы фурановых соединений. Часть X. 2-фенилкумароны. Чаттерджи, Рой (Experiments on the syntheses of furano compounds. Part X. 2-phenylcoumarones. Chatterjea J. N., Roy S. K.), J. Indian Chem. Soc., 1957, 34, № 2, 98—100 (англ.).

Разработан простой способ получения 2-фенилкумарона (Ia) и его производных (Iб—е) циклизацией α -циано- α -(*o*-метоксифенил)-ацетофенона (IIa) или его производных (IIб—е) кипячением с HBr в CH_3COOH . Аналогично из цианокетона (IIж) получен 2-бензилкумарон (Iж). При циклизации цианокетона (IIa) наряду с 2-(*o*-оксифенил)-кумароном (Iз), т. пл. 95° (из CH_3COOH), образуется бензфурано-(2',3'-3,4)-кумарин, т. пл. 180—181° (из CH_3COOH). При попытке циклизовать цианокетон (IIи) вместо соответствующего кумарона (Iи) получено производное фталида (III), т. пл. 159—160° (из сп.). II получены конденсацией *o*-метоксифенилацетонитрила с этиловыми эфирами соответствующих ароматич. к-т в присутствии $\text{C}_2\text{H}_5\text{ONa}$ (здесь и далее приведены в-во, выход в %, т. пл. в °C): IIб, 70, 109—110 (из CH_3COOH -сп.); IIв, 68, 71—72 (из CH_3COOH); IIг, 60, 123—124 (из CH_3COOH); IIд, 70, 111—112 (из CH_3COOH); IIе, 68, 106 (из сп.); IIж, —, 96 (из CH_3OH); IIз, —, 112 (из сп.). 0,6 г IIа (см. часть IX, РЖХим, 1957, 41112), 7 мл CH_3COOH и 7 мл 48%-ной HBr нагревают 3 часа



при 150—160°, выливают в воду и получают Ia, выход 0,4 г, т. пл. 120—121° (из сп.). Аналогично получены: Iб, 85, 127—128 (из сп.); Iв, 75, 78—80 (из сп.); Iг, 15, 98 (из CH_3OH); Iд, 80, 149 (из CH_3COOH); Iе, 60, 192 (из CH_3COOH) и Iж, —, т. кип. 174°/8,5 мм. Н. В. 21436. Синтезы фурановых соединений. Часть XI.

Циклодегидратация 2-ацил-3-бензилкумаронов. Чаттерджи, Рой (Experiments on the syntheses of furano compounds. Part XI. Cyclodehydration of 2-acyl-3-benzylcoumarones. Chatterjea J. N., Roy S. K.), J. Indian Chem. Soc., 1957, 34, № 3, 155—162 (англ.).

Синтезирован ряд 2-ацил-3-бензилкумаронов (I) и изучена их циклодегидратация в β -бразаны (II). 3-метокси-II (IIа) и 3,4,8,9-тетраметокси-II (IIб) получены из 2-формил-6-метокси-3-бензилкумарона (Iа) и 3-(3',4'-диметоксibenзил)-6,7-диметоксикумарона (Iб) соответственно. Так как формилирование 3-бензилкумарона (III) по Гаттерману не идет, 2-формил-III (Iв) пытались получить через гидразид 3-бензилкумаронкарбонной-2 к-ты (IV, V — к-та). Однако при обработке эфира V $\text{N}_2\text{H}_4 \cdot \text{H}_2\text{O}$ вместо IV было выделено соединение состава $\text{C}_{16}\text{H}_{16}\text{O}_2\text{N}_4$ (VI). Iв получен восстановлением *N*-метиланилида V (Va) при действии LiAlH_4 и превращен в II. Циклизация 2-ацетил-III действием HBr- CH_3COOH не приводит к 6-метил-II. 6-окси-II (IIв) получил с хорошим выходом из хлорангидрида V (Vб) действием AlCl_3 . 6-метокси-III (VII), т. пл. 54° (из CH_3OH), получен с 50%-ным выходом из 6-метокси-3-бензилкумаронной-2 к-ты (VIII) нагреванием с Si-порошком (220°). Эфирный р-р 1,5 г VII, содержащий 1 г ZnCl_2 и 1 мл HCl, насыщают при 0° HCl, оставляют на ~12 час. и получают Ia, т. пл. 107° (из сп.); 2,4-динитрофенилгидразон (ДНФГ), т. пл. 213° (из CH_3COOH). Метилвый эфир (МЭ) VIII (из 3 г VIII и $\text{H}_2\text{SO}_4 \cdot \text{CH}_3\text{OH}$) кипятят

6 час. с 15 мл спирта и 10 мл 60%-ного $\text{N}_2\text{H}_4 \cdot \text{H}_2\text{O}$, выливают в воду и отделяют гидразид VIII (VIIIа), выход 2,2 г, т. пл. 144—148° (из сп.). К 2 г VIIIа в 12 мл $\text{C}_6\text{H}_5\text{N}$ при 0° добавляют 1,2 г $\text{C}_6\text{H}_5\text{SO}_2\text{Cl}$, охлаждают 4 часа, выливают на лед-HCl и отделяют 2,5 г сульфенилгидразида (IX), т. пл. 254—255° (разд. из сп.). К 0,6 г IX в 15 мл $\text{C}_2\text{H}_5(\text{OH})_2$ добавляют 160° 0,5 г Na_2CO_3 и получают Ia, выход 0,15 г, 1 г Ia нагревают с 10 мл полифосфорной к-ты (100°, 2 часа), выливают в воду и отделяют IIа, т. пл. 205° (из сп.). К р-ру хлорангидрида VIII (VIIIб) (из 2 г VIII) в C_6H_6 добавляют при 0° 3 г AlCl_3 , оставляют на 12 час. и выделают 0,15 г в-ва, т. пл. 225—226° (из CH_3COOH). Из маточного р-ра выделяют 6-окс-IIа (IIг), т. пл. 183—184° (из разд. сп.). Циклизация VIIIв в р-ре CS_2 приводит к неочищаемому IIг, превращенному затем в 3-метокси- β -бразанхион, т. пл. 292° (из $\text{C}_6\text{H}_5\text{N}$). Ацетоновый р-р 3,1 г 2-окси-3,4-диметоксифенил-(3',4'-диметоксibenзил)кетона [получен конденсацией 1,2,3-триметоксibenзола и гомовертролинрида в присутствии AlCl_3 , т. пл. 133—134° (из сп.)] и 4 мл $\text{BrCH}_2\text{COOC}_2\text{H}_5$ (X) кипятят 6 час. с 10 г K_2CO_3 , экстрагируют эфиром, отгоняют избыток X, остаток и р-р $\text{C}_2\text{H}_5\text{ONa}$ (из 0,4 г Na) кипятят 1 час, отгоняют р-ритель, добавляют 10 мл 10%-ного р-ра NaOH, кипятят 0,5 часа, подкисляют и отделяют 1,8 г 6,7-диметокси-3-(3',4'-диметоксibenзил)-кумаронкарбонной-2 к-ты, т. пл. 193—195° (из CH_3COOH), ее дегидробоксируют до 6,7-диметокси-3-(3',4'-диметоксibenзил)-кумарона (выход 40%), последний формилируют аналогично VII, выход 16,025 г; ДНФГ, т. пл. 214° (из CH_3COOH). 0,2 г Iб обрабатывают 5 мл H_2PO_4 (100°, 20 мин.) и выделают Iб, выход 0,17 г, т. пл. 244° (из CH_3COOH). К р-ру 3 г $\text{C}_6\text{H}_5\text{CH}_2\text{CN}$ и 3,8 г *o*- $\text{CH}_3\text{C}_6\text{H}_4\text{COOC}_2\text{H}_5$ в C_6H_6 добавляют сухой $\text{C}_2\text{H}_5\text{ONa}$ (из 0,5 г Na), кипятят 4 часа и отделяют кетонитрил (XI) выход колич., т. пл. 115° (из сп.). Р-р 2 г XI в 10 мл 48%-ной HBr и 10 мл CH_3COOH кипятят 3 часа, выливают в воду, от осадка с паром отгоняют 1 г *o*-оксифенилбензилкетона (XII), т. пл. 59°; в остатке 3-фенил-4-оксикумарин, т. пл. 234° (из сп.); ацетат, т. пл. 182° (из сп.); бензоат, т. пл. 205° (из сп.). 20 г XII конденсируют с X, как описано выше, выход V 13,5—16,6 г, т. пл. 206° (из лед. CH_3COOH); МЭ V, т. пл. 123° (из CH_3OH); Va, т. пл. 148—149° (из сп.); *n*-толуидат, т. пл. 253° (из CH_3COOH). 7 г V кипятят 3,5 часа с 35 мл хинолина (0,5 г Si-порошка), выход III 1,1 г, т. кип. 172—174°/4,2 мм, т. пл. 52° (из CH_3OH). 5 г этилового эфира V обрабатывают $\text{N}_2\text{H}_4 \cdot \text{H}_2\text{O}$ и выделают 5 г VI, т. пл. 196° (из сп.); сульфогидрида, т. пл. 235°; щел. гидролизом VI превращен в V. К р-ру Va в тетрагидрофуране добавляют р-р LiAlH_4 в том же р-рителе, через 15 мин. добавляют HCl (к-ту), Iв, выделен в виде ДНФГ, т. пл. 244—245° (из CH_3COOH). 0,08 г неочищ. Iв, 2 мл CH_3COOH и 1,5 мл 48%-ной HBr кипятят 3 часа и получают II, выход ~4 мг, т. пл. 207—208° (из бзл.-сп.). К р-ру 0,6 г V в CS_2 добавляют 3 мл SOCl_2 , р-р упаривают в вакууме, остаток растворяют в CS_2 , добавляют 2 г AlCl_3 , оставляют на ~12 час., сливают р-р, к остатку добавляют HCl (к-ту, 0°) и отделяют 0,5 г IIв, т. пл. 195° (из CH_3COOH); ацетат, т. пл. 147°. При действии HCl IIв восстанавливается до II. IIв окисляют CrO_3 и выделают β -бразанхион, т. пл. 242°.

21437. Этиловый эфир 4-циклогексилциклогексанонкарбонной-2 кислоты и его производные. Бу Хой, Лок, Сынг (Le cyclohexyl-4 cyclohexanone-2 carboxylate d'éthyle et ses dérivés. Bu-Hoi N. P., Loc T. B., Xuong N. D.), Bull. Soc. chim. France, 1957, № 10, 1270—1272 (франц.).

4-Циклогексилциклогексанон (I) может превращаться в эфир β -кетокислоты подобно циклогексанову.

$N_2H_4 \cdot H_2O$,
II (VIIIa),
2 г VIIa
 $C_6H_5SO_3Na$
255° (разл.);
выделяют при
5 г. 1 г. Ia
0°, 2 часа),
5° (из сп.),
2 г VIIb
авляют на
5—226° (на
6-оксид-IIIa)
ация VIIIa
превращает-
л. 292° (из
диметоксид-
конденсиро-
в контроле;
(из сп.)
с. с 10 г
избыток X,
тит 1 час,
ного р-ра
авляют 1,5 г
оронкарбо-
ее денар-
етоксидбен-
омидируют
г. пл. 244°
мл H_2PO_4
7 г. 2 г. пл.
N и 3,8 г
и C_6H_5ONa
метонитри-
р 2 г XI
кипятят
отгоняют
с; в остат-
); ацетат,
(из сп.),
ше, выхл.
H); M_2V ,
(из сп.),
V кипятят
та), выхл.
из CH_3OH).
 $N_2H_4 \cdot H_2O$
огидразид,
цен в V,
р-р $LiAlH_4$
р-р $LiAlH_4$
244—245°
 H_2COON
лучают II,
г. К р-ру
паривают
авляют 2 г
к остатку
IIa, т. пл.
действия
ают CrO_3
И. Левин
иклогекса-
ые. Бу
cyclohexa-
és. Вил-
Bull. Soc.
с.)
свраща-
ексанову.

На основе этилового эфира 4-циклогексилциклогекса-
милкарбонной-2 к-ты (II) синтезированы производ-
ные полициклич. соединений с ядром кумарина для
выяснения их возможной биологич. активности как
антигоистов экстрогенных гормонов и антикоагулян-
тов. 4-циклогексилциклогексанол окисляют CrO_3 в
топкой CH_3COOH , разбавляют водой и извлекают C_6H_6
1, г. кип. 145—146°/14 мм, т. пл. 32°. В р-р C_6H_5ONa
(11,5 г Na, 150 мл абс. сп.) по каплям прибавляют
смесь 90 г I и 73 г свежеперегнанного $(COOC_2H_5)_2$
и через ~24 часа (~20°) выделяют продукт р-ции,
который медленно нагревают при 120, 150 и 220°,
получают ~40 г II, т. кип. 184—185°, n_D^{20} 1,5036.
Кипятят (~15 мин.) 7 г II и 5 г 95%-ного $N_2H_4 \cdot H_2O$
в 20 мл абс. спирта, получают 5-циклогексил-4,5,6,7-
тетрагидроиндазолон, т. пл. 235° (из сп.), 1,1 г резор-
цина и 2,5 г II в 20 мл лед. CH_3COOH насыщают HCl
(газ) и через 12 час. разбавляют водой, выпадает
5-циклогексил-7-оксидциклогексен-(3,4-1',2')-кумарин,
выход 30%, т. пл. 236°. Аналогично получены следую-
щие 5-циклогексилциклогексен-(3,4-1',2')-бенз-7,8-ку-
марин (перечисляются заместители, выход в %, т. пл. в °C): пезамец. (из α-нафтола), 60, 218; 1'-окси
(из 1,5-диоксинафталина), 90, 293; 2'-окси (из 1,6-ди-
оксинафталина), 75, 298; 3'-окси (из 1,7-диоксинафта-
лина), —, 310. Соответствующие соединения получены
из фтороглюцина и пирогаллола. β-Нафтол и фенол
не реагируют. П. Соков

21438. Антоксантин. Часть V. Удобный способ
получения флавандиолю-3,4; синтез флавандиоля-3,4,
близкого к мелакацидину. Джоши, Кулкарни
(Anthoxanthins. Part V. A convenient method for the
synthesis of flavan-3:4-diols: synthesis of flavan
3:4-diols related to melacacidin. Joshi C. G.,
Kulkarni A. B., J. Scient. and Industr. Res.,
1957, B316, № 7, B307—B310 (англ.)

Описан способ получения флавандиолю-3,4 восстано-
влением $LiAlH_4$, соответствующий дигидрофлавоно-
ид. Так 6-метил-4'-метоксидигидрофлавонол (I) вос-
станавливается эфирным р-ром $LiAlH_4$ в в-во, из кото-
рого после ацетилирования $(CH_3CO)_2O$ в C_6H_5N и
хроматографии на Al_2O_3 выделены диацетаты
(IIa), т. пл. 123°, и (IIb), т. пл. 98°, пространственно
изомерных 6-метил-4'-метоксифлавандиолю-3,4 (IIIa),
т. пл. 169°, и (IIIb), т. пл. 193°, получающихся при
полн. гидролизе IIa, б. Если восстановление I прово-
дится смесью $LiAlH_4$ и $CoCl_2$ в эфире (кипение
15 час.), то получается главным образом IIb; а из
мало р-ра может быть выделено незначительное
ко-во IIIa. При восстановлении I над Pt-чернью
в CH_3COOH получается только IIIa. 3',4',7,8-тетрамет-
оксидигидрофлавонол (IV), растворенный в тетра-
гидрофуране, восстанавливается эфирным р-ром $LiAlH_4$,
или в присутствии $CoCl_2$, так и без него (кипение
25 час.), только в 1 изомер 3',4',7,8-тетраметоксиф-
лавандиоля-3,4 (V), т. пл. 179° (из сп.); диацетат,
т. пл. 123° (из сп.). Изомерный V флавандиол, т. пл.
81—132° (из сп.); диацетат, т. пл. 120° (из сп.), обра-
зуется с хорошим выходом при восстановлении IV
в CH_3COOH над Pt. Ни один из полученных диолов
не идентичен эфиру мелакацидина. Часть IV см.
РЖХим, 1958, 14459. Л. Щукина

21439. Гризеофульвин. Часть XI. 4,6-диметоксид-2'-
метилгризандион-3,4'. Мак-Милан, Сьютер
(Griseofulvin. Part XI. 4:6-dimethoxy-2'-methylgri-
sandi-3:4'-dione. MacMillan J., Suter P. J.),
J. Chem. Soc., 1957, July, 3124—3125 (англ.)

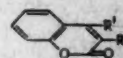
Каталитическим гидрированием деклорогризеофуль-
вина (I) получен 4,6,8'-триметоксид-2'-метилгризан-
дион-3,4' (II); при более длительном гидрировании I
получаются 4,6,8'-триметоксид-2'-метилгризандион-3 (III)
и 4,6-диметоксид-8'-метилгрizen-2'-дион-3,4' (IV), обра-

зующийся, по-видимому, в процессе выделения из II
и гидрирующийся далее в тех же условиях в 4,8-ди-
метоксид-2'-метилгризандион-3,4', т. пл. 125—126° (из
эф.), $[\alpha]_D^{20} +40^\circ$ (с 1,1; $CHCl_3$), семикарбазон, т. пл.
185—190° (разл.; из CH_3OH), отличающийся от ранее
описанного синтетич. образца (РЖХим, 1957, 37571).
3 г I в 0,3 л этилацетата гидрируют в течение 5 мин.
над Pd/C (из 1,5 г $PdCl_2$) и выделяют II, выход 1,49 г,
т. пл. 167—168° (из CH_3OH), $[\alpha]_D^{20} -12^\circ$ (с 0,91, $CHCl_3$).
Гидрируют в тех же условиях 1 г I в течение 40 мин.,
продукт хроматографируют в C_6H_6 на Al_2O_3 и вымыва-
ют смесью эфир-петр. эф. (1:1) III, выход 210 мг,
т. пл. 110—111° (из петр. эф.); затем смесью эфир-
 CH_3OH (99:1) вымывают IV, выход 146 мг, т. пл.
149—151°, $[\alpha]_D^{20} +46,5^\circ$ (с 0,95; $CHCl_3$), 2,4-динитро-
фенилгидразон, т. пл. 245—246° (из хлф.-петр. эф.).
1,25 г II в 125 мл CH_3OH кипятят 5 час. с 165 мл
7 н. H_2SO_4 , отгоняют CH_3OH и получают IV, выход
1,1 г. Часть X см. РЖХим, 1957, 37571. Л. Щукина

21440. Синтез различных 3-замещенных 4-алкил-
кумаринов. Уинер, Шрёдер, Линк (The synthe-
sis of various 3-substituted 4-alkylcoumarins. Wie-
ner Charles, Schroeder Collin H., Link
Karl Paul), J. Amer. Chem. Soc., 1957, 79, № 19,
5301—5303 (англ.)

Конденсацией этилцианоацетата (I) с o-НОС₆H₄COR
(IIa—ж) синтезированы соответствующие 3-циано-
4-алкилкумарины (IIIa—ж), превращенные действием
конц. H_2SO_4 в амиды (IVa—ж), гидролизированные
получены хлорангидриды (Vla—ж) и эфиры
(VIIa—ж). В кипящую смесь 0,5 моля IIa—ж,
10%-ного избытка I и 0,1 л C_6H_6 , содержащего 35 мл
 CH_3COONH_4 , вносят 0,5 г CH_3COONH_4 , кипятят 80 час.,
периодически добавляя порциями по 0,5 г 30,8 г
 CH_3COONH_4 , и выделяют (здесь и далее указаны в-во,
выход в % и т. пл. в °C): IIIa, 75, 139—140; IIIb, 65,
130—131; IIIв, 68, 98—99; IIIг, 70, 94—96; IIIд, 54,
105—107; IIIе, 42, 83—85; IIIж, 40, 91—92. К р-ру 10 г
IIIa—ж в 40 мл конц. H_2SO_4 добавляют при той же т-ре
0,5 мл дымящей H_2SO_4 , нагревают при той же т-ре
1 час, смесь выливают на лед и получают IVa, 97,
220—222; IVб, 93, 185—186; IVв, 98, 165—166; IVг,
96, 157—158; IVд, 92, 162—165; IVе, 95, 148—149; IVж,
93, 115—116. Кипятят IVa—ж 1—2 часа с 5%-ным
р-ром NaOH и выделяют Va, 75, 165—166; Vб, 73,
145—146; Vв, 63, 134—135; Vг, 85, 93—96; Vд, 65, 85—88;

III R—CN, IV R—CONH₂, V R—COOH,
VI R—COCl, VII R—COOC₂H₅; а R'—C₂H₅,
б R'—н-С₃H₇, в R'—н-С₄H₉, г R'—н-С₅H₁₁,
д R'—н-С₆H₁₃, е R'—н-С₇H₁₅, ж R'—н-С₈H₁₇.



Ve, 70, 84—86; Vж, 43, 85—87; VIa, 94, 115—116; VIб,
82, 124—126; VIв, 97, 120—122; VIг, 95, 105—109; VIд,
82, 60—63; VIе, 50, 73—74; VIж, 61, 55—56; VIIa, 85,
50—52; VIIб, 71, 61—63; VIIв, 75, 48—49; VIIг, 62,
65—68; VIIд, 47, 40—41; VIIе, 70, т. кип. 215°/0,7 мм,
т. пл. 13—14°; VIIж, 85, т. кип. 201°/0,5 мм, т. пл.
8—10°. Все III кристаллизуются из спирта; IV — из
разб. спирта; V — из спирта или из C_6H_6 -технич.
 C_6H_{14} ; VI и VII — из C_6H_6 -технич. C_6H_{14} . Д. Витковский
21441. Spirocyclic compounds. Part I. Получение
соединений, родственных 3,2'-дикетогризану. Дин,
Манунапичу (Spirocyclic compounds. Part I.
The preparation of compounds related to 3:2'-di-
oxogrisan. Dean F. M., Manunapichu Kam-
schorn), J. Chem. Soc., 1957, July, 3112—3123
(англ.)

В поисках путей синтеза спироциклич. соединений,
близких к гризеофульвину, исследованы р-ции 4,6-ди-
метил-(I) и 4,6-диметоксид-(II)-кумаранов-3, при-
чем получены 4,6,4'-триметил (III) и 4,6-диметоксид-
4'-метил-(IV)-грizen-3'-дионы-3,2'. Присоединением

цианистого винила (V) к I или II синтезированы 4,6-диметил- (VI) и 4,6-диметокси- (VII) 2,2-ди-(2-цианоэтил)-кумаранон-3; (цианистый аллил не присоединяется к I и II); VI гидролизован кипящим 2 н. р-ром NaOH в соответствующую к-ту, т. пл. 176—178° (из водн. CH_3OH), диметилловый эфир, т. пл. 104—105° (из разб. CH_3OH), не циклизующиеся при нагревании с $(\text{CH}_3\text{CO})_2\text{O}$ или с Na в C_6H_6 . Этиловый эфир (4,6-диметил-3-кетокумаранил-2)-гликоксилевой к-ты (VIII), полученный взаимодействием I с этилоксалатом (IX) в присутствии $\text{C}_2\text{H}_5\text{ONa}$, а также не изменяется при попытках циклизации. Конденсацией I с этилацетатом (X) по Клайзену синтезирован 2-ацетил-4,6-диметилкумаранон-3 (XI); 2-ацетил-4,6-диметоксикумаранон-3 (XII) не получается этим путем и поэтому синтезирован перегруппировкой 3-ацетокси-4,6-диметоксикумаранона (XIII), или перегруппировкой и циклизацией ацетата (XIV) 2-окси- ω -хлор-4,6-диметоксикацетофенона (XV), получающегося вместе с 4-окси- ω -хлор-2,6-диметоксикацетофеноном (XVI) при р-ции ClCH_2CN и диметилового эфира флороглоцина (XVII) по Гошу. XI и XII легко окисляются в C_6H_6 или петр. эфире при доступе воздуха, превращаясь в 4,6-диметил- (XVIII) [т. пл. 145° (из петр. эф.)] и 4,6-диметокси- (XIX) (т. пл. 189—200° (из X)) кумарандионы-2,3, причем в последнем случае, кроме XIX, получается выделяемый из маточного р-ра 2-ацетил-2-окси-4,6-диметоксикумаранон-3, т. пл. 170—176° (из бзл.-петр. эф.), образующий ацетат, т. пл. 162—163° (из бзл.-петр. эф.), получаемый также окислением XII $(\text{CH}_3\text{COO})_2\text{Pb}$ в CH_3COOH при 10°. Строение XVIII показано окислением H_2O_2 в 2-окси-4,6-диметилбензойную к-ту, т. пл. 168°; строение XIX — сравнением с образцом, полученным озонированием 2-бензилиден-4,6-диметоксикумаранона-3 при 0°. XII метилирован $(\text{CH}_3)_2\text{SO}_4$ в водно-спирт. р-ре NaOH в 2-ацетил-3,4,6-триметоксикумаранон-3, т. пл. 133° (из петр. эф.), семикарбазон (СК), т. пл. 234° (из CH_3OH), 2,4-динитрофенилгидразон (ДНФГ), т. пл. 236° (из бзл.); р-цией 3 часа р-ра XII и V в диоксане, содержащем тритон В, получен 2-(2-цианоэтил)-2-ацетил-4,6-диметоксикумаранон-3, т. пл. 140° (из разб. сп.), СК, т. пл. 234° (из разб. сп.), ДНФГ, т. пл. 195° (из сп.), гидролизанный разб. горячей H_2SO_4 в 2-(2-цианоэтил)-4,6-диметоксикумаранон-3, т. пл. 123° (из бзл.-петр. эф.); Na-соль XII (XIIa), полученная действием $\text{C}_2\text{H}_5\text{ONa}$ на спирт. р-р XII кипячением 3 часа с бромистым аллилом превращена в 2-ацетил-2-аллил-4,6-диметоксикумаранон-3, т. пл. 119—120° (из сп.), СК, т. пл. 226—227° (из разб. сп.), ДНФГ, т. пл. 190° (из сп.). При р-ции XIIa с $\text{CH}_2\text{ClCOCH}_3$ получены 2-ацетонил-2-ацетил-4,6-диметоксикумаранон-3 (XX) и 3-ацетонил-2-ацетил-4,6-диметоксикумаранон-3 (XXI). Метилакрилат присоединяется к XII в диоксане в присутствии тритона В, образуя метилловый эфир β -(2-ацетил-4,6-диметокси-3-кетокумаранил-2)-пропионовой к-ты, т. пл. 92° (из петр. эф.), СК, т. пл. 214—216° (из сп.), ДНФГ, т. пл. 166° (из сп.). XI цианэтилируется аналогично XII в в-во, т. кип. 60—70°/0,001 мм, гидролизующееся 2 н. р-ром NaOH в 2-(2-цианоэтил)-4,6-диметилкумаранон-3, т. пл. 108° (из бзл.), а Na-соль XI при нагревании (3 часа, 145°) с $\text{BrCH}_2\text{COOC}_2\text{H}_5$ конденсируется в очищаемый хроматографированием на Al_2O_3 этиловый эфир (2-ацетил-4,6-диметил-3-кетокумаранил-2)-уксусной к-ты, т. кип. 150°/0,05 мм, СК, т. пл. 214° (из сп.), гидролизующий 20%-ной HCl (кипчение 1 час) в (4,6-диметил-3-кетокумаранил-2)-уксусную к-ту, т. пл. 139° (из разб. сп.). Метилвинилкетон (XXII), присоединяясь к XI или XII, образует 4,6-диметил- (XXIII) и 4,6-диметокси- (XXIV) 2-ацетил-2-(3-кето-*n*-бутил)-кумаранон-3, циклизующиеся H_2SO_4 соответственно в III и IV; при кипячении в атмосфере N_2 с 2 н. р-ром NaOH XXIV

превращается в 1,2,3,4-тетрагидро-5,7-диметокси-3-методибензофуран, т. пл. 168—170°, ДНФГ, т. пл. 232° (из бзл.). IV восстанавливается в спирте или в X над скелетным Ni в 2'-окси-4,6-диметокси-4'-метилгризандион-3, выделенный в α - [т. пл. 163—165° (из сп.)] и β - [т. пл. 159—160° (из петр. эф.)]-формах окисляющихся CrO_3 в водн. CH_3COOH в 4,6-диметокси-4'-метилгризандион-3,2', т. пл. 186—187° (из сп.), СК, т. пл. 264° (разл.; из водн. CH_3OH), образующий также при восстановлении IV в спирте в присутствии 2%-ного Pd/C и гидролизующийся водно-метанольным р-ром NaOH в атмосфере N_2 при 80° в плохо очищающемся в-во, т. пл. ~140° (из ацетона-петр. эф.), являющийся, вероятно, 5-(4,6-диметокси-3-кетокумаранил-2)-3-метилпентановой к-той, и неидентифицированное в-во т. пл. ~114° (из ацетона-петр. эф.). Zn(MnO_4)₂ окисляет IV в водн. ацетоне в 3',4'-диокси-4,6-диметокси-4'-метилгризандион-3,2' (XXV), т. пл. 198—204° (из разб. сп.); это же в-во получается при окислении IV в пиридине OsO_4 . Строение XXV подтверждено окислением параперидатом Na ($\text{Na}_2\text{H}_2\text{J}_6$) в 50%-ной CH_3COOH в 2-окси-4,6-диметоксикумаранон-3 и XII, причем получены соответственно 2-окси-4-метоксикумаранон-3 и II. IV, VII и XXIV не окисляются NaO в CH_3COOH . К смеси 4,9 г I в 14 мл диоксана добавляют 2,5 мл тритона В, затем постепенно приливают при т-ре < 45° 7 мл V, через 4 часа смесь подкисляют разб. HCl и осаждают водой VI, выход 6,5 г, т. пл. 96—97° (из сп.). Аналогично получают VII, т. пл. 154—155° (из CH_3OH). К взвеси $\text{C}_2\text{H}_5\text{ONa}$ (на 0,7 г Na) в эфире постепенно приливают 4 г IX и 5 г I в 0,1 л эфира, через 30 мин. отделяют осадок, разлагают его разб. H_2SO_4 и получают VIII, выход 4 г, т. пл. 118°. К взвеси 1,5 г Na в 50 мл кипящего эфира приливают по каплям 3,8 мл абс. спирта, кипятят 4 часа, добавляют 25 мл X, затем 10 г I в 0,2 л эфира и через 0,5 часа выделяют (см. VIII) XI, выход 11 г, т. пл. 83° (из сп.), СК, т. пл. 206° (из сп.), ДНФГ, т. пл. 224—226° (разл.; из диоксана). 2 г II, 0,8 г CH_3COOH и 17 мл $(\text{CH}_3\text{CO})_2\text{O}$ кипятят 30 мин., выливают на лед и отделяют XII, выход 1,5 г, т. пл. 71—72° (из петр. эф.). 3 г XIII, 5 г K_2CO_3 и 20 мл C_6H_6 кипятят 5 час., и из продукта выделяют разб. H_2SO_4 XII, выход 0,9 г, т. пл. 110° (из сп.), ДНФГ, т. пл. 219—220° [из $(\text{CH}_2\text{OCH}_3)_2$]. Смесь 5,4 мл CH_2ClCN , 10 г XVII и 5 г ZnCl_2 в 250 мл эфира насыщают при 0° HCl , оставляют на несколько часов, кипятят 0,5 часа с водой и разделяют продукт кристаллизацией в спирте на XV, выход 5 г, т. пл. 149°, XIV, т. пл. 86—87° (из бзл.-петр. эф.) и XVI, выход 4,5 г, т. пл. 188°, ацетат, т. пл. 86° (из петр. эф.). Нагревают XVII с поташом и C_6H_6 (см. выше) и выделяют XII. Смесь 2 г XIIa и 8 мл $\text{ClCH}_2\text{COCH}_3$ нагревают 3 часа при 120°, приливают воду, продукт извлекают эфиром и получают XX, выход 1,5 г, т. пл. 157° (из CH_3OH), и XXI, т. пл. 116—117° (из CH_3OH). К р-ру 6,2 г XI в 1,5 мл тритона В в 20 мл диоксана приливают по каплям в атмосфере N_2 6 мл XXII, через 4 часа р-р подкисляют разб. HCl, выливают в 0,4 л воды, продукт извлекают эфиром, хроматографируют на Al_2O_3 и вымывают XXIII, выход 7,6 г, т. кип. 136—138°/0,1 мм. Аналогично получают XXIV, выход 5,4 г, т. пл. 117° (из бзл.-петр. эф.). К 0,8 XXIII или XXIV постепенно при 0° приливают 2,5 мл H_2SO_4 , через 2 дня разбавляют ледяной водой и отделяют III, выход 0,4 г, т. пл. 139° (из сп.), ДНФГ, т. пл. 188° (из сп.), или IV, т. пл. 178° (из сп.), ДНФГ, т. пл. 222—225° (из бзл.-петр. эф.).

21442. Производные бензодиоксана-1,4. IV. Хертия, Кнапе, Бек, Богарт (Derivatives of benzo-1,4-

диоксид. Part IV. Heertjes P. M., Miss, Knape B. J., Beek H. C. A. van, Boogaart K. van den), J. Chem. Soc., 1957, Aug., 3445—3447 (англ.)

Синтезированы и идентифицированы производные бензо-1,4-диоксана (I). Строение 6-метокси-7-нитро-I (II) установлено превращением 6,7-динитро-I (III) в II при взаимодействии с CH_3ONa . Строение 6-карб-окси-7-нитро-I (IV) доказано встречным синтезом из 6-амино-7-нитро-I (V) через 6-циано-7-нитро-I (VI). 180 г 6-амино-I диазотируют в 1 л 1 н. H_2SO_4 р-ром 51 г NaNO_2 в 250 мл воды, выливают в 400 мл 50%-ной H_2SO_4 и получают 6-окси-I (VII), выход 60%, т. кип. 170°/12 мм. 30 г VII растворяют в 100 мл 2 н. KOH, экстрагируют 15 мин. с 27 г $(\text{CH}_3)_2\text{SO}_4$, кипятят 30 мин., экстрагируют эфиром, перегоняют в вакууме и получают 6-метокси-I (VIII), выход 90%, т. кип. 110°/40 мм. 12 г VII кипятят 10 мин. с 10 г $(\text{CH}_3\text{CO})_2\text{O}$ в 25 мл C_6H_6 , содержащего 1 каплю конц. H_2SO_4 , и получают 6-ацетокси-I, выход 80%, т. кип. 150—152°/6 мм. К 50 г VIII в 500 мл лед. CH_3COOH за 1,5 часа добавляют при 25° 25 мл HNO_3 (d 1,4), в 68 мл CH_3COOH и получают II, выход 90%, т. пл. 144,4—144,8° (из сп.). III кипятят 15 мин. с избытком 0,1 н. р-ра CH_3ONa в CH_3OH и получают II, т. пл. 143,0—143,6°. К смеси 8 г Fe-опилок в 50 мл воды и 0,8 мл конц. HCl при кипячении за 30 мин. порциями добавляют 7 г II, кипятят 15 мин., охлаждают до 70°, подщелачивают NaOH, пропускают HCl (газ) и из полученного хлоридрата водн. щелочью выделяют 6-метокси-7-амино-I (IX), выход 90%, т. пл. 63,8—64,5°, ацетильное производное IX, т. пл. 148,6—148,9° (из водн. сп., 1:1). К суспензии 200 г AlCl_3 в 600 г CS_2 при 10—15° добавляют за 3,5 часа р-р 118 г CH_3COCl и 194 г I в 450 мл CS_2 , через 3 часа при ~20° кипятят 3 часа, выливают на 2 кг льда и получают 6-ацетил-I (X), выход 88%, т. пл. 86—87,5° (из ацетона). 9 г X мыслит порциями в 110 мл 13%-ного р-ра NaOCl при 65°, через 30 мин. добавляют 10 мл 25%-ного NaHSO_3 , охлаждают до 25°, подкисляют HCl и получают 6-карб-окси-I (XI), выход 94%, т. пл. 137—138°. К р-ру 20 г XI в 200 мл лед. CH_3COOH добавляют за 30 мин. при 20° смесь 5 мл HNO_3 (d 1,52) и 35 мл конц. H_2SO_4 , через 30 мин. выливают в 300 мл воды и получают IV, выход 70%, т. пл. 230—231°. V диазотируют в р-ре 50%-ной H_2SO_4 и добавляют за 2 часа к р-ру купро-цианида Na в кипящей воде и получают VI. Сырой VI кипятят 10 час. с 50%-ной H_2SO_4 , добавляют равный объем воды и р-р NaNO_2 и получают IV, т. пл. 226,5—227,5°, 2,7 г IV в 50 мл 97,8%-ного спирта гидрируют над скелетным Ni при 25° и получают 6-карб-окси-7-амино-I (XII), выход 65%, т. пл. 191—192° (из CH_3OH); ацетильное производное, т. пл. 231—232° (из 60%-ного сп.). Все т-ры плавления исправлены. Сообщение III см. РЖХим, 1956, 3878. Л. Виноград

21443. О некоторых новых производных 3-окситианафтена. Будэ (Memoires presentes a la societe chimique. Sur quelques derives nouveaux de l'hydroxy-3 thianaphtene. Boudet Roger), Bull. Soc. chim. France, 1957, № 6, 756—761 (франц.)

При р-ции дихлоруксусной к-ты (I) с о-меркапто-бензамидом (II) в пиридине (III) образуется бесцветное соеобразное в-во, имеющее состав хлорида N-(3-окси-3-аминотианафтил-2)-пиридина (IV), разлагающееся при действии разб. щелочей с образованием NH_3 и желтой гидроокиси N-(3-окситианафтил-2)-пиридина (V). V реагирует в 40%-ной CH_3COOH с фенилгидразином, образуя очень нестойкий гидразон, т. пл. 171°, дает в спирт. р-рах комплексные соединения с HgCl_2 , AgNO_3 , HgNO_3 , FeCl_3 и BaSO_4 ; устойчив к горячей 6 н. HCl и холодной конц. H_2SO_4 и окисляется KMnO_4 в III и моносульфоксид (т. пл. 310°) тианиндо (VI); H_2O_2 или SeO_2 окисляют V

в III и в-во, являющееся, по-видимому, дисульфоксидом VI, так как при его восстановлении и последующем бензоилировании образуется бензоат VI; при попытке ацетилирования V $(\text{CH}_3\text{CO})_2\text{O}$ или бензоилированием $\text{C}_6\text{H}_5\text{COCl}$ в III получается VI; при восстановлении Zn и CH_3COOH — III и 3-окситианафтен; семикарбазон, т. пл. 225°. 15 г I, 15 г II и 90 мл III нагревают 45 мин. при 110°, оставляют на 12 час. при 20° и отделяют IV, выход 55%, т. пл. 235° (разл.; из сп.). К р-ру 15 г IV в 0,5 л воды приливают по каплям 50 мл 30%-ного р-ра NaOH и через 2 часа отделяют V, выход 92%, т. пл. 200° (разл.; из $\text{m-C}_6\text{H}_7\text{OH}$); хлоридрат, т. пл. 186—187° (разл.); сульфат, т. пл. 156°; перхлорат, т. пл. 204°, пикрат, т. пл. 153,2—154° (из $\text{m-C}_6\text{H}_7\text{OH}$). Д. Витковский

21444. Бекмановская перегруппировка некоторых кетоксимов циклических сульфонов. Трусс, Симмс (Beckmann rearrangement of some cyclic sulfone ketoximes. Truce William E., Simms John A.), J. Organ. Chem., 1957, 22, № 6, 617—620 (англ.)

Исследована бекмановская перегруппировка оксима (I) тиаксантонсульфона (Ia), оксима (II) 4-тиахроманонсульфона (IIa), а также оксима тетрагидро-1,4-тиапириноссульфона (III). I при действии PCl_5 и POCl_3 дает лактам (IV) 2-(2'-аминобензолсульфонил)-бензойной к-ты (IVa). Бекмановскую перегруппировку II осуществить не удалось, но при нагревании его о-нитробензолсульфоната (IIb) был получен лактам 2-(2'-аминобензолсульфонил)-пропионовой к-ты (V). III перегруппировывается при действии полифосфорной к-ты, но продукта р-ции выделить не удалось. Легкость бекмановской перегруппировки изученных оксимов убывает по ряду: III > II > I. I получают из 0,041 моля Ia, 0,24 моля $\text{NH}_4\text{OH} \cdot \text{HCl}$ и 0,37 моля пиридина в 150 мл спирта (23 часа, кипячение), выход (неочищ.) 92%, т. пл. 213—214° (из безводн. сп.). К 0,034 моля I в 125 мл POCl_3 прибавляют 0,048 моля PCl_5 в 75 мл POCl_3 , кипятят 48 час., отгоняют 100 мл р-рителя, разлагают водой, извлекают эфиром и выделяют IV, выход (неочищ.) 6,3 г, т. пл. 291—292,5° (из сп.- CH_3COOH). К $\text{C}_6\text{H}_5\text{ONa}$ (из 0,65 г атома Na в 300 мл спирта) прибавляют 0,325 моля о- $\text{HSC}_6\text{H}_4\text{COOH}$ и 0,324 моля о- $\text{ClC}_6\text{H}_4\text{NO}_2$ в 300 мл безводн. спирта, кипятят 4 часа и выделяют 2- $\text{HOOCCH}_2\text{N}_2\text{S-C}_6\text{H}_4\text{NO}_2$ (VI), выход 33%, т. пл. 166—169° (из хлф.). 0,0875 моля VI окисляют избытком H_2O_2 в CH_3COOH (3 часа, кипячение) в 2- $\text{HOOCCH}_2\text{N}_2\text{SO}_2\text{C}_6\text{H}_4\text{NO}_2$ (VII), выход (неочищ.) 85%, т. пл. 198—200°. К кипящей суспензии 0,025 моля VII в 200 мл конц. HCl осторожно прибавляют 0,206 моля Sn, нагревают 3 часа при 100° и выделяют IVa, выход (неочищ.) 8,9 г. IVa при 100° циклизуется в IV. Смесь 0,0102 моля IIa, 0,612 моля $\text{NH}_4\text{OH} \cdot \text{HCl}$ и 0,918 моля пиридина в 500 мл безводн. спирта кипятят 45 час. и выделяют II; выход (неочищ.) 82%, т. пл. 193,5—194,5° (из воды). К 0,03 моля II в 225 мл воды прибавляют 0,0315 моля $\text{C}_6\text{H}_5\text{SO}_2\text{Cl}$, затем 33 мл 1 н. NaOH и выделяют бензодисульфат II, выход (неочищ.) 57%, т. пл. 150,5—151° (из эф.-хлф.). Аналогично из 0,01 моля II и 0,01 моля о- $\text{NO}_2\text{C}_6\text{H}_4\text{SO}_2\text{Cl}$ получают IIb, выход (неочищ.) 3,52 г, т. пл. 182,5° (из водн. диоксана). 0,9 г IIb в 40 мл конц. HCl нагревают в запаянной трубке (12 час., 120°), обрабатывают водой и выделяют V, выход (неочищ.) 43%, т. пл. 243—244° (из сп.-эф.). Е. Караулова

21445. 1,2,2-триарилэтилены, содержащие о- и м-заместители. Бью Хой, Леско, Симс (1,2,2-Triarylethylenes containing o- and m-substituents. Bui-Hoi Ng. Ph., Lescot Elie, Jr., Xuong N. D.), J. Organ. Chem., 1957, 22, № 9, 1057—1059 (англ.)

Взаимодействием тиаксантона с эфирными р-рами

AgCH_2MgCl и дегидратацией образующихся карбинолов нагреванием с HCOOH синтезированы с целью биол. испытаний (указаны в-во и его т. пл. в °C) 10-(2,4-дихлорбензаль)- [128 (из CH_3COOH)] 10-(3,4-дихлорбензаль)- [134 (из CH_3COOH)] и 10-(2,5-диметилбензаль)- [111 (из сп.)]-тиаксантены, бромированные Br_2 в CHCl_3 в 10-(ω-бром-2,4-дихлорбензаль)- (141), 10-(ω-бром-3,4-дихлорбензаль)- (181) и 10-(ω-бром-2,5-диметилбензаль)- (136)-тиаксантены, кристаллизованные из CH_3COOH ; аналогично получен 10-(ω-бром-2-хлорбензаль)-тиаксантен, т. пл. 157°. Из 3,4'-диметокси [т. кип. 240–241°/15 мм, n_D^{27} 1,6099, т. пл. 60° (из сп.)] или 3-метокси-4'-этокси- (т. кип. 248–250°/15 мм, n_D^{27} 1,5979, т. пл. 51° (из сп.))-бензофенонов (синтезированных по Фриделю—Крафту из $m\text{-CH}_3\text{OC}_6\text{H}_4\text{COCl}$ и анизол или фенола) и $\text{C}_6\text{H}_5\text{CH}_2\text{MgCl}$ получены 2-(*m*-метоксифенил)- (т. кип. 286–288°/3 мм) и 2-(*p*-этоксифенил)- (т. кип. 270–273°/20 мм)-1-фенил-2-(*m*-метоксифенил)-этилены, бромированные в соответствующие 1-бромпроизводные, т. пл. 132–133° (из сп.), и 136° (из CH_3COOH); аналогично из *o*- или *m*- $\text{FC}_6\text{H}_4\text{COCl}$ синтезированы *o*-фтор- [т. кип. 190°/29 мм, n_D^{22} 1,5898; 2,4-динитрофенил-гидразон (ДНФГ), т. пл. 220°] и *m*-фтор- [т. пл. 55°; ДНФГ, т. пл. 260° (из CH_3COOH)]-бензофеноны, превращенные через 2-(*o*-фторфенил)- [т. пл. 73° (из сп.)] и 2-(*m*-фторфенил)- [т. кип. 229–230°/16 мм, n_D^{27} 1,6502, т. пл. 55° (из сп.)]-1,2-дифенилэтилены в 1-бромпроизводные, т. пл. 100° и 97° (из сп.). Нагреванием тиофена, $m\text{-CH}_3\text{OC}_6\text{H}_4\text{COCl}$ и AlCl_3 в CS_2 получен 2-(3-метоксифеноил)-тиофен, т. кип. 240–242°/24 мм. Синтезирован 1,4-бис-(*o*-фторбензоиламино)-бензол, т. пл. 273° (из CH_3COOH). Все полученные в-ва не обладают или обладают слабой эстрогенной активностью.

Л. Щукина

21446. Получение и пространственные отношения *o,o'*-мостиковых дифенилов, содержащих серу или селен. Трус, Эмрик (The preparation and geometry of *o,o'*-bridged biphenyls containing sulfur or selenium in the bridge. Truce William E., Emrick D. D.), J. Amer. Chem. Soc., 1956, 78, № 23, 6130–6137 (англ.)

Для решения вопроса о возможности разделения на оптич. изомеры *o,o'*-мостиковых дифенилов, содержащих в мостике S или Se, нагреванием 2,2'-ди-(бромметил)-дифенила (I) с Na_2S синтезирован 2,7-дигидро-(3,4-5,6)-дибензотиенин (II), превращенный в йодметилат (IIa) и окисленный H_2O_2 в 2,7-дигидро-(2,3-4,5)-дибензотиениндиоксид-1,1 (III); аналогично из I и K_2Se получен 2,7-дигидро-(3,4-5,6)-дибензоселенин (IV), образующий моно-(IVa) и ди-(IVб)-йодметилаты; кроме того восстановлением диметилевого эфира 4,4'-дибромдифеновой к-ты (V) LiAlH_4 получен 4,4'-дибром-2,2'-ди-(оксиметил)-бифенил (VI), циклизованный через 4,4'-дибром-2,2'-ди-(бромметил)-дифенил (VII) в 2',3'-дибром-2,7-дигидро-(3,4-5,6)-дибензотиенин (VIII), сульфид которого (IX) превращен по Розенмунду в 2',3'-дициано-2,7-дигидро-(3,4-5,6)-дибензотиениндиоксид-1,1 (X), гидролизованный в 2,7-дигидро-(3,4-5,6)-дибензотиениндиоксид-1,1-дикарбонную-2',3'-к-ту (XI), из которой через кислоту α-цинохлорную соль получена диаммониевая соль XI, $[\alpha]_D^{20} +2,85^\circ$. XI синтезирован также нитрованием III в жестких условиях, причем получены 2'-нитро-(XII) и 2',3'-динитро-(XIII)-2,7-дигидро-(3,4-5,6)-дибензотиениндиоксида-1,1, и восстановлением XIII Zn -пылью и HCl в соответствующий диамин, т. пл. $>310^\circ$ (разл.), превращенный по Зандмейеру в XI. Попытки разделения XI на оптич. изомеры через средние соли с *l*-стрихнином, *d*-цихионом, *d*-хиинидином или *l*-α-фенилэтиламином, или через кислоту соль с α-хиинидином не дали результата;

с *l*-бруцином получены нейтр. активные соли, $[\alpha]_D^{20} +5,9^\circ$ (с 0,592; CHCl_3) и $[\alpha]_D^{20} -4,22^\circ$ (с 1,656; CHCl_3), из которых оказалось невозможным выделить оптич. активные формы XI. *d*-Камфорные соли IIa и IVa плохо кристаллизуются и поэтому не могли быть подвергнуты разделению; *d*-камфорсульфонат, кислый и средний *d*-тарtrate IIa оптич. неактивны. Проявляющие оптич. активность кислые тарtrate IVa, т. пл. 116–117°, $[\alpha]_D^{24} +8,5^\circ$ (с 1,393; вода) и т. пл. 91–93°, $[\alpha]_D^{24} +12,7^\circ$ (с 1,272; вода); средний тарtrate IVa, т. пл. 131–133° (разл.); гидрат, т. пл. 116–117°; *d*-камфорсульфонаты, т. пл. 190–191° (разл.), $[\alpha]_D^{25} +10,3^\circ$ (с 2,884; вода); гидрат, $[\alpha]_D^{20} +9,1^\circ$ (с 2,1676; вода) и т. пл. 199–200° (разл.), $[\alpha]_D^{25} +10,8^\circ$ (с 2,4213; вода), при разложении дают оптич. неактивный IVa. Изучены УФ-спектры синтезированных в-в, на основании чего установлены некопланарность молекулы III. Смесь 1,6 л CH_3OH , 80 мл воды, 0,088 моля I и 0,265 моля $\text{Na}_2\text{S} \cdot \text{H}_2\text{O}$ кипятят 24 часа, отгоняют CH_3OH , остаток смешивают с ледяной водой и получают II, выход 93%, т. пл. 89–90° (из сп.); комплексное соединение (КС) с HgCl_2 , т. пл. 182,5–183,5° (из сп.). IIa, т. пл. 139,5–140,5° (из абс. сп.). 0,047 моля II, 50 мл 30%-ной H_2O_2 и 0,1 л CH_3COOH кипятят 90 мин. и отделяют при -5° III, выход 95%, т. пл. 209–210° (из сп.). Р-р 0,22 моля K_2Se в 80 мл воды, 1,6 л CH_3OH и 0,059 моля I кипятят 24 часа, отгоняют 1,4 л CH_3OH , добавляют 0,4 г льда, отделяют IV, т. пл. 65–66° (из петр. эф.); КС с HgCl_2 , т. пл. 260°; IVa, т. пл. 123–125°; IVб, т. пл. 97–98° (из CH_3OH). К 0,27 моля метилевого эфира 5-бром-2-йодбензойной к-ты добавляют (1 час, 180–220°) 23 г порошка Cu , размешивают 1 час при 220–230° и извлекают горячим CH_3OH V, выход 75%, т. пл. 123–124° (из CH_3OH). 6 г LiAlH_4 в 0,2 л эфира и 42,5 г V в смеси 0,4 л эфира и 0,4 л диметилевого эфира диэтиленгликоля кипятят 3,5 часа, приливают этилацетат, затем 0,2 л 6 н. р-ра H_2SO_4 , от эфирного слоя отгоняют р-ритель, остаток смешивают с 1,2 л воды, оставляют на 24 часа при 0° и получают VI, выход 76%, т. пл. 136–137° (из сп.). 25 г VI и 1,8 г 48%-ной HBr кипятят 4 часа, оставляют на 24 часа при 0° и отделяют VII, выход 74%, т. пл. 144–146° (из бал. петр. эф.). 25 г VII, 33 г $\text{Na}_2\text{S} \cdot \text{H}_2\text{O}$, 1,2 л CH_3OH и 30 мл воды кипятят 48 час., отгоняют CH_3OH , остаток смешивают с 0,3 л воды и получают VIII, выход 75%, т. пл. 191–192°. 33 мл 30%-ной H_2O_2 , 19 мл $(\text{CH}_3\text{CO})_2\text{O}$, 90 мл CH_3COOH и 11,6 г VIII кипятят 3,5 часа и получают IX, выход 98%. Смесь 6 г IX, 8,02 г Cu_2CN_2 , 5 капель $\text{C}_6\text{H}_5\text{CN}$, 0,25 г CuSO_4 и 19,5 мл хинолина кипятят 3 часа, выливают в 0,2 л 20%-ной HCl , нагревают 1 час при 100° и отделяют X, т. пл. $>300^\circ$ (из $\text{CH}_3\text{COOH} \cdot \text{C}_6\text{H}_5\text{CN}$). 5 г X, 7 мл воды и 30 мл конц. H_2SO_4 кипятят 10 час. и получают XI, очищаемый кристаллизацией из диметилформамида, выход 1,8 г, 0,02 моля III в 30 мл CH_3COOH нитруют при 0° смесью 1,16 мл HNO_3 (d 1,43) и 10 мл воды, H_2SO_4 нагревают 45 мин. при 100°, приливают 10 мл CH_3COOH в 10 мл воды, оставляют на 12–14 час., отделяют XII, выход 54%, т. пл. 230,5° (из толуола), 0,02 моля III в 30 мл горячей CH_3COOH и смесь 3 мл HNO_3 (d 1,5) и 10 мл конц. H_2SO_4 нагревают 1,5 час при 100° и получают XIII, выход 26%, т. пл. 287–288° (из 90%-ной CH_3COOH).

Д. Витковский

21447. К получению 4-(пирролидил-2)-масляной кислоты, 5-(пирролидил-2)-валериановой кислоты и 1-азабицикло-[0,3,5]-декана. Джеквич, Зейверт (Zur Darstellung der 4-(Pyrrolidyl-2)-buttersäure, der 5-(Pyrrolidyl-2)-valeriansäure und des 1-Azabicyclo-[0,3,5]-decans. Djokić S., Seiwert R.), Croat. chem. acta, 1957, 29, № 2, 97–100 (нем.; сербо-хорв.)

Из этилового эфира (ЭЭ) 4-(тетрагидрофурил-2)-масляной к-ты (I) и ЭЭ 5-(тетрагидрофурил-2)-валериановой к-ты действием HBr получены $\text{Br}(\text{CH}_2)_n\text{CH}(\text{Br})(\text{CH}_2)_n\text{COOC}_2\text{H}_5$, где $n = 3$ (II) и $n = 4$ (III), которые нагреванием с спирт. NH_3 превращены соответственно в ЭЭ 4-(пирролидил-2)-масляной к-ты (IV, п-та — IVa) и ЭЭ 5-(пирролидил-2)-валериановой к-ты (V, п-та — Va). 6 г I в 15 мл абс. спирта насыщают HBr при $t \leq 45^\circ$; выход II 79%, т. кип. $98-99/0,08$ мм. 4,7 г II нагревают с ~ 50 мл 20%-ного р-ра NH_3 в CH_3OH (120—130°, 3 часа), упаривают, этерифицируют остаток кипячением с 100 мл 5%-ной спирт. HCl (1 час), вновь упаривают и кипятят со спирт. HCl . Из полученного неочищ. хлоргидрата IV в CHCl_3 р-ром K_2CO_3 выделяют IV, выход 70%, т. кип. $138-140/12$ мм. При упаривании IV с HCl (п-той) получают хлоргидрат IVa, т. пл. $120-123^\circ$ (из ацетона с последующей возгонкой в вакууме). V синтезируют из III аналогично IV, выход 52%, т. кип. $85-86/0,8$ мм; хлоргидрат Va, т. пл. $164-166^\circ$ (из воды, ацетона с последующей возгонкой в вакууме). При фракционировании V одновременно выделяют 1-азабицикло-[0,3,5]-деканон-10 (VI), перегоняющийся $>100/0,8$ мм. VI получают также нагреванием V (220°, 2 часа), т. пл. $162-165^\circ$ (после возгонки в вакууме). VI при нагревании с разб. HCl превращается в хлоргидрат Va, при действии LiAlH_4 восстанавливается в 1-азабицикло-[0,3,5]-декан, т. пл. $211-213^\circ$ (из бэл.). Г. Браз

21448. Природа так называемого соединения Гриньяра, получаемого из N-метилпиррола. Херц (Nature of the so-called Grignard reagent formed from N-methylpyrrole. Herz Werner, J. Organ. Chem., 1957, 22, № 10, 1260—1261 (англ.))

При добавлении CH_3COCl к смеси N-метилпиррола (I) и MgBr_2 в эфире в результате бурной р-ции получается 2-ацетил-N-метилпиррол (II), образующийся также при взаимодействии смеси I и $\text{C}_2\text{H}_5\text{MgBr}$ с CH_3COCl в эфире; в отсутствие MgBr_2 I не ацетируется CH_3COCl . Этот результат, а также то, что при р-ции I с $\text{C}_2\text{H}_5\text{MgBr}$ не выделяется C_2H_6 , а при карбоксилировании смеси I с $\text{C}_2\text{H}_5\text{MgBr}$ не образуется N-метилпирролкарбоновой к-ты (см. Hess K., Ber., 1915, 48, 1969), позволяет считать, что I не образует настоящего реактива Гриньяра, а образование II является результатом простого ацилирования I CH_3COCl , катализируемого MgBr_2 , образующегося по р-ции $2\text{C}_2\text{H}_5\text{MgBr} \rightleftharpoons \text{C}_2\text{H}_5\text{Mg} + \text{MgBr}_2$. Д. Витковский

21449. Строение тримера пиррола. Поттс, Смит (The structure of pyrrole trimer. Potts H. A., Smith G. F., J. Chem. Soc., 1957, 4018—4022 (англ.))

Подтверждено, что в-во т. пл. $99-100^\circ$ (из эф.); моноацетильное производное, т. пл. $174-193^\circ$ (разл.; из сп.), образующееся при действии холодной 20%-ной HCl на пиррол, имеет строение 2,5-ди-(α -пирролил)-пирролидина (I) (см. Pieroni, Moggi, Gazzetta, 1923, 53, 120). I в присутствии насыщ. р-ра KHCO_3 дает йодметилат, т. пл. $165-170^\circ$ (разл.; из сп.), количественно превращающийся при действии Na в жидком NH_3 в 1-диметиламино-1,4-ди-(α -пирролил)-бутан (II), т. пл. $83-85^\circ$, из которого при гидропротонии над скелетным Ni в спирте (80°, 100 ат) образуется 1,4-ди-(α -пирролил)-бутан, т. пл. $104-105^\circ$, полученный иначе восстановлением 1,4-ди-(α -пирролил)-бутандиона-1,4 эфирным р-ром LiAlH_4 . При р-ции II при 20° с CH_3I в ацетоне в присутствии K_2CO_3 неожиданно получен 4,5,6,7-тетрагидро-4-(α -пирролил)-идол, выход $\sim 100\%$, т. пл. $131-132^\circ$ (из бэл.), окисляющийся $\text{Na}_2\text{Cr}_2\text{O}_7$ в 50%-ной H_2SO_4 в глутаровую и янтарную к-ты, образующиеся также при окислении II. Строение всех полученных в-в согласуется

с их ИК-спектрами. Все т-ры плавления исправлены. Л. Шуккина

21450. Диметилловый эфир 3,4-диоксипирролдикарбоновой-2,5 кислоты. Получение и свойства. Вейль-стам (3,4-dihydroxy-pyrrol-dicarbonsäure-(2,5)-dimethylester Darstellung und Eigenschaften. Wahlstam Hans, Arkiv kemi, 1957, 11, № 3, 251—254 (нем.))

Конденсацией диметилового эфира (ДМЭ) иминодиуксусной (I) к-ты с $(\text{COOC}_2\text{H}_5)_2$ в присутствии метанольного р-ра CH_3ONa (24 часа, 20°) получен ДМЭ 3,4-диоксипирролдикарбоновой-2,5 к-ты, т. пл. 207° (из CH_3OH); диацетат, т. пл. 135° (из этилацетата), R_f 0,67, при хроматографировании на бумаге в насыщ. р-ре бутанола и проявлении спирт. р-ром дихлорфенолиндифенола. К горячему р-ру 130 г сульфата гидразина в 0,5 л воды постепенно добавляют 0,5 моля K_2CO_3 , охлаждают, добавляют 1 моль KCNO , через 10—12 час. фильтруют, приливают р-р 3 молей CH_2ClCOOK , оставляют на 12 час., упаривают досуха, остаток растворяют в 0,3 л метанольного р-ра HCl , через 7 дней приливают избыток NH_3 , отгоняют спирт, продукт смешивают с водой и извлекают CHCl_3 в-во, выход 35,2 г, т. пл. 143° , 5 г которого взаимодействием с 6,3 г NaNO_2 и эквивалентным кол-вом разб. HCl превращают в I, выход 2,2 г, т. кип. $123,5/16$ мм. Д. Витковский

21451. Трипиррилметены. Трейбо, Хентер-Мейер (Tripyrrylmethene, Treibs Alfred, Hintermeier Karl, Liebigs Ann. Chem., 1957, 605, № 1-3, 35—42 (нем.))

Описан общий синтез трипиррилметенов, заключающийся в конденсации пирролов с пирролкарбоновыми к-тами, их хлорангидридами (ХА) или трет-бутиловыми эфирами (ТБЭ) в присутствии POCl_3 . Этим путем из 2,4-диметил- (Ia) или 2-метил- (Ib)-3-карботоксипирролов и 2,4-диметил- (II) или 2-метил-4-карботоксиметил-5-карботоксипирролкарбоновых-3 к-т, или 2,4-диметил-3-карботоксипирролкарбоновой-5 к-ты (или их производных) синтезированы бис-(2,4-диметил-3-карботоксипиррил-5)- (III) и бис-(2-метил-3-карботоксипиррил-5)- (IV)-(2,4-диметил-5-карботоксипиррил-3)-метены, три-(2,4-диметил-3-карботоксипиррил-5)- (V), (2-метил-4-карботоксиметил-5-карботоксипиррил-3)-бис-(2,4-диметил-3-карботоксипиррил-2)- (VI) и (2,4-диметил-3-карботоксипиррил-2)-бис-(2-метил-3-карботоксипиррил-2)- (VII)-метены. Строение III—VII подтверждено гидрированием IV и V в соответствующие трипиррилметаны, т. пл. 247° (из разб. сп.) и $265-267^\circ$ (испр., из разб. сп.) соответственно, и синтезом V из 3,5,3',5'-тетраметил-4,4'-дикарботоксипиррилкетона и Ia в CHCl_3 в присутствии POCl_3 . Аналогично из 3,5,3',5'-тетраметил-4,4'-дикарботоксипиррил-3,5,3',5'-тетраметилпиррилкетон и Ia, б получены бис-(2,4-диметил-3-карботоксипиррил-5)- [выход 80%, т. пл. 193° (из сп.)] и бис-(2,4-диметилпиррил-5)- (т. пл. 186° (из разб. сп.))-2-метил-3-карботоксипиррил-5-метены и бис-(2,4-диметилпиррил-5)-2-метил-3-карботоксипиррил-5-метен, т. пл. 242° (испр., из сп.); пикрат, т. пл. 220° (разл.). 4-часовым кипячением в CHCl_3 ХА II с 3 молями 2,4-диметил-5-карботоксипиррола в присутствии POCl_3 синтезирован ди-(2,4-диметил-5-карботоксипиррил-3)-кетон, выход 50%, т. пл. 253° (из сп.), 0,01 моля Ia, 5 ммоль II, ХА II или ТБЭ II, 15—20 мл CHCl_3 и 5—10 мл POCl_3 кипятят 2 часа, отгоняют CHCl_3 и POCl_3 , остаток встряхивают с CHCl_3 и NH_3 , отгоняют CHCl_3 , продукт растворяют в горячем спирте и получают III, выход 90%, т. пл. 178° (из сп.); хлоргидрат (ХГ), т. пл. 231° (разл.; из хлф-эф.); пикрат, т. пл. 210° (из сп.); спиртовой р-р III с р-ром NiCl_2 , $(\text{CH}_3\text{COO})_2\text{Cu}$ или ZnCl_2 в разб.

NH_4OH образует комплексные соединения (КС), т. пл. 337° (испр.), 265° и 318° (испр.) соответственно. Аналогично получают (указаны в-во, выход в % и т. пл. в °C): IV, 85, 216 (из разб. сп.); пикрат, т. пл. 229–230° (из сп.); КС с NiCl_2 т. пл. 353° (испр.); V, 40, 219; VI, 86, 203 (из сп.), и VII, 50, 196. Д. Витковский

21452. Гетероциклические имины и амины. Часть VII. N-замещенные производные фталимида и их реакция с аминами. Кларк, Элвидж, Голден (Heterocyclic imines and amines. Part VII. N-substituted phthalic imidine derivatives and their reactions with amines. Clark P. F., Elvidge J. A., Golden J. H.), J. Chem. Soc., 1956, Nov., 4135–4143 (англ.).

Реакция N-замещ. диминоизоиндолина с первичными аминами в одних случаях идет с обменом заместителя в экзоциклич. имино-группе: $-\text{C}(=\text{NR})- \rightarrow -\text{NH}- + \text{NH}_2\text{X} \rightarrow -\text{C}(=\text{NX})-\text{NH}- + \text{NH}_2\text{R}$; $-\text{C}(=\text{NR})- \rightarrow -\text{NR}- + \text{NH}_2\text{X} \rightarrow -\text{C}(=\text{NR})-\text{NH}- + \text{NH}_2\text{R}$; в других случаях — с внутримолекулярной перегруппировкой: $-\text{C}(=\text{NR})-\text{NH}- + \text{NH}_2\text{X} \rightarrow -\text{C}(=\text{NX})-\text{NR}- + \text{NH}_2$; $-\text{C}(=\text{NR})-\text{NH}- + 2\text{NH}_2\text{X} \rightarrow -\text{C}(=\text{NX})-\text{NR}- + \text{NH}_2$. Строение полученных в-в определено гидролизом с HCl -к-той и подтверждено УФ-спектрами. 1 г диминоизоиндолина (I) с 5 мл CH_3J (18 час., 80°) превращены количественно в йодидат 1-амино-3-метилиминоизоиндолина (II), т. пл. 250° (разл.). 5 г I обработали 10 мл жидкого NH_4CH_3 в 20 мл спирта при 100° 16 час., упарили и кристаллизовали из C_6H_6 . Выход 1,3-диметилиминоизоиндолина (III) 56%, т. пл. 172° (разл.; из этилацетата). Тем же методом из 3 г I и 6 мл бензиламина в 25 мл спирта (кипение 24 часа) получен с выходом 76% 1,3-добензилиминоизоиндолин, т. пл. 160° (из толуола), а из 0,5 г I и 1 г м-аминоацетанилида (V) кипением ~ 12 час. в 40 мл спирта получено 0,85 г полугидрата 1,3-ди-м-ацетамидофенилимино-1-иминоизоиндолина, т. пл. 261° (разл.; из пропиленкарбоната), и 0,3 г 3-м-ацетамидофенилимино-1-иминоизоиндолина, т. пл. 240–241° (из сп.). III получен также взаимодействием 5 г фталонитрила (IV) с 10 мл жидкого NH_4CH_3 в 20 мл спирта (100°, 24 часа). Выход III 78%; пикрат, т. пл. 264° (разл.; из сп.); хлоргидрат, т. пл. 296° (разл.; из воды-диоксана). Аналогично из 5 г IV и 10 мл $\text{C}_2\text{H}_5\text{NH}$ в 15 мл спирта (100°, 36 час.) получен 1,3-диэтилиминоизоиндолин, выход 63%, т. пл. 158°. Р-ция 1 г III с избытком CH_3J (100°, 15 час.) привела к 0,22 г йодидата 3-диметиламино-1-метиличиноизоиндолина, т. пл. 269–270° (разл.). Обработкой 4,5 г 3-имино-1-оксоизоиндолина (VI) 10 мл жидкого NH_4CH_3 в 15 мл спирта (100°, 18 час.) получено 71% 2-метил-3-метилимино-1-оксоизоиндолина, т. пл. 138,5° (из CH_3OH); аналогично из 1 г VI и 1 г V (кипение, 17 час.) в 20 мл спирта получены 61% 3-м-ацетамидофенилимино-1-оксоизоиндолина, т. пл. 245–246° (из сп.), а из 2 г VI и 3 мл пиперидина (кипение, 20 час.) в 25 мл спирта — 78% 1-оксо-3-пиперидиноизоиндолина, т. пл. 143° (из этилацетата). CH_3ONa (из 5 мг Na и 25 мл CH_3OH), 1,74 г морфолина и 2,56 г IV кипятили 3 часа; получили 0,8 г 1-имино-3-морфолиноизоиндолина (VII), т. разл. 174°; пикрат, т. пл. 240° (разл.). Аналогично из 2,56 г IV и 1,46 г $\text{NH}(\text{C}_2\text{H}_5)_2$ получили 0,5 г 3-диэтиламино-1-иминоизоиндолина (VIII), т. пл. 59°; пикрат, т. пл. 212° (разл.; из сп.). К 455 мг VII в 5 мл CH_3OH прибавили 197 мг анилина (IX). Через 24 часа выделили 46% 1-имино-3-фенилиминоизоиндолина (X), т. пл. 203° (разл.). X с выходом 35% получен в тех же условиях из 1 г VIII и 460 мг IX. 433 мг VII в 5 мл бутиламина (XI) кипятили до прекращения выделения NH_3 , получили 133 мг 1,3-дибутилиминоизоиндолина (XII), т. пл. 132°. XII синтезирован также (выход 56%) кипением VIII с XI и (с выходом 49%) р-цией

2 г 1-имино-3-фенилиминоизоиндолина с 5 мл XI в 10 мл спирта (кипение, 18 час.). 0,5 г 3-морфолино-1-оксоизоиндолина кипятили 17 час. с 0,5 г IX в 10 мл спирта, выход 1-оксо-3-фенилиминоизоиндолина (XIII) 77%, т. пл. 168–171°. 2 г III и 4 г 2-аминопиридина кипятили 11 час. в 7,5 мл этилового эфира диэтиленгликоля (XIV). Повторной хроматографией бензольного р-ра на Al_2O_3 выделили 492 мг 1,3-ди-2'-пиридилиминоизоиндолина, т. пл. 179–180° (из сп.). Аналогично из 596 мг III, 2 мл IX и 5 мл XIV (кипение, 5 час., хроматография на Al_2O_3 бензольного р-ра) получили 201 мг 2-метил-1,3-дифенилиминоизоиндолина (XV), т. пл. 190–191° (из сп.). 0,32 г XV получили также кипением 12 час. 1 г II, 25 мл IX и 25 мл спирта. Взаимодействие 1,7 г III с 3,4 г 2,6-диаминопиридина в 10 мл XIV при кипении 17 час. привело к 3-(2-аминопиридилимино-6-)-2-метил-1-оксоизоиндолину (выделение хроматографией на Al_2O_3 из р-ра ацетона в C_6H_6 , 1:10), т. пл. 198° (разл.; из бал.). УФ-спектры в CH_3OH и воде показали, что III имеет максимум в области 3000 А и, следовательно, существует только в форме диминоизоиндолина. Другие диалкилпроизводные, напр. XII, имеют максимум в более длинноволновой области, что указывает на присутствие небольшого кол-ва таутомерной формы с перемещением двойной связи: $-\text{C}(=\text{NR})-\text{NR}'-\text{C}(=\text{NR})-(\text{A}) \rightarrow -\text{C}(=\text{NR})-\text{NR}'-\text{C}(=\text{NR})-(\text{B})$. N-арил и N-гетероилпроизводные существуют преимущественно в форме Б, так как имеют максимум абсорбции в области 3500 А. Часть VI см. РЖХим 1957, 23012. Л. Яхонтов

21453. Синтез дигидроизоиндола. Борнштейн, Лашуа, Буассель. (Facile synthesis of dihydroisindole. Bornstein Joseph, Lashua Sherman C., Boisselle Armand P.), J. Organ. Chem., 1957, 22, № 10, 1255–1256 (англ.).

Дигидроизоиндол, т. кип. 115°/30 мм, т. пл. 16–16,5°, n_D^{20} 1,5698, d_4^{20} 1,081; пикрат, т. пл. 195–196° (из сп.); трифторацетильное производное, т. пл. 80,5–81° (из 50%-ного CH_3OH), может быть получен с 72%-ным выходом кипением (2 часа) в атмосфере N_2 смеси 44 ммольей 2-(*n*-толуолсульфонил)-дигидроизоиндола (I), 0,13 моля фенола, 90 мл 48%-ной HBr и 15 мл спирта, последующей обработкой охлажд. смеси р-ром NaOH и извлечением продукта эфиром. К кипящему р-ру 0,1 моля дибромид а-ксилола в 150 мл спирта постепенно приливают 0,1 моля *n*-толуолсульфамида в р-ре 5 г Na в 220 мл CH_3OH , кипятят 2 часа, приливают 0,1 л воды, нейтрализуют CH_3COOH и получают I, выход 48%, т. пл. 175–176° (разл.; из сп.).

Д. Витковский
21454. Производные индола. III. Реакции 4-цианметилиндолов с диэтиловым эфиром щавелевой кислоты. IV. О получении индолдиуксеной-3,4 кислоты и некоторых ее производных. Плинингер, Зур (Indolderivate. III. Die Umsetzungen des 4-cyanmethylindots mit Oxalsäure-diäthylester. IV. Notiz zur Darstellung der Indol-Diessigsäure-(3,4) und einiger ihrer Derivate. Pleningner Hans, Suhr Klaus), Chem. Ber., 1957, 90, № 9, 1980–1984, 1984–1987 (нем.).

III. При нагревании (4 часа, 100°) диэтилового эфира щавелевой к-ты с 4-цианметилиндолом (I) в пиридине в присутствии $\text{C}_2\text{H}_5\text{ONa}$ образуется с хорошим выходом в-во, т. пл. > 300°, растворяющееся в конц. минер. к-тах и разб. р-ре NaHCO_3 и являющееся, вероятно, 3-кето-4-окси-5-циан-1,3-дигидробенза-[с,д]-индолом; на холоду эти же компоненты дают этиловый эфир (II) α-оксимино-β-циан-β-(индол-4)-пропионовой к-ты (III); оксим II, т. пл. 185° (из сп.) (образующийся вместе с неисследованным в-вом, т. пл. 111–113°), гидролизует горячим спирт. р-ром

5 мл XI-а
морфоллино-
IX в 10 мл
ина (XIII)
нопиридина
а диэтилен-
дибензоил-
2'-пириди-
п.). Анало-
кипячение,
р-ра) по-
зоидолина
получены
X в 25 мл
6-диамино-
ас. привело
сковоидно-
O₂ из р-ра
из бэл.).
III имеют
но, существ-
а. Другое
таксимум в
зывает на
й формы с
-NR'-C(=O)-
NR''-(B).
от преиму-
максимум
м. РЖХим
I. Яхонтов
етей, of dihyd-
ua Sher-
gan. Chem.
16—16,5°
(из сл.);
5—81° (из
72%-ным
N₂ смеси
изондола
и 15 мл
теси р-ром
кипящему
мл спирта
ульфамид
а, прили-
получают
(
итковский
4-цианме-
лой кисло-
кислоты и
ер, Зур
4-суанте-
Notiz zur
nd einiger
Subst.
980—1984,
этилового
ом (I) и
и с хоро-
ощее в
вляющее
бенз-[c,d]-
от этило-
ил-4)-про-
(из сл.)
и в-вом
рт. р-ром

NaOH в III, т. пл. 138° (разл.), превращающуюся при перекристаллизации из воды в α-(индолил-4)-β-оксиминпропионитрил, т. пл. 180—183°; ацетильное производное, т. пл. 234° (из сл.). При восстановлении II Zn-пилью и 99%-ной HCOOH получается с 80%-ным выходом этиловый эфир 3-(индолил-4)-аспарагина; аналогичным восстановлением оксима этилового эфира фенилцианпировиноградной к-ты получен этиловый эфир 3-фениласпарагина, выделенный в виде N-бензольного производного (БП), т. пл. 205° (из CH₃OH), гидролизированный в 3-фениласпарагин, характеризованный в виде БП, т. пл. 207—210° (из водн. CH₃OH), и ацетата, т. пл. 210°. I конденсируется также в кипящем метанольном р-ре CH₃ONa с CH₃COOC₂H₅, образуя 2-(индолил-4)-ацетатонитрил, т. пл. 91—92° (из бэл.). Улучшен выход I. Смесь 10 г 1-ацетамин-5,8-дигидронафталина, 0,3 л C₆H₆ и 0,3 л CH₃COOH обрабатывают (110 мин., 0°) 4%-ным O₂, р-р гидрируют на холоду на Pd/C, отгоняют р-ритель, добавляя смесь 150 мл CH₃OH, 5 г соды, 5 г NH₂OH·HCl и 60 мл воды, через 4 часа разбавляют 0,4 л воды; продукт экстрагируют CHCl₃, ацетируют (CH₃CO)₂O и получают 1-ацетил-4-цианметилиндолил, выход 4 г, превращаемый (см. РЖХим, 1956, 61539), в I.

IV. I аминотетилируется по Манниху в 3-диметил-аминометил-4-цианметилиндолил (IV), превращающийся при нагревании с (CH₃)₂SO₄ и р-ром KCN в 3,4-бис-цианметилиндолил (V), гидролизующийся 30%-ным р-ром NaOH в индолдиуксусную-3,4 к-ту (VI), т. пл. 213° (из CH₃OH); диметилловый эфир (VII), т. пл. 91—92°. При нагревании I с эфирным р-ром этилового эфира диазоуксусной к-ты в присутствии порошка Cu и последующем щел. гидролизе продукта получается 4-цианметилиндолюксусная-3 к-та, т. пл. 185° (из этилацетата); метилловый эфир (VIII), т. пл. 126°. При попытках циклизации по Дикману V, VI, VII или VIII образуются аморфные, неидентифицируемые продукты. Смесь 4 мл 40%-ного р-ра NH(CH₃)₂, 8 мл CH₃COOH, 2,5 мл 40%-ного CH₂O и 5 г I в CH₃OH оставляют на 1 час и выделяют IV, выход 6,3 г, т. пл. 91—92° (из сл.). Смесь 6,3 г IV, 20 мл CH₃OH и 3,3 мл (CH₃)₂SO₄ оставляют на 30 мин., добавляют 4 г KCN в 50 мл воды, нагревают 30 мин. при 100°, подкисляют CH₃COOH и извлекают этилацетатом V, выход 4,5—5 г, т. пл. 165° (из бэл.-CH₃OH). Сообщение II см. РЖХим, 1956, 9802.

31445. Конденсация с диспропорционированием. IV. 3-алкилирование индолов первичными и вторичными спиртами. Прайт, Ботмер (Disproportionative condensations. IV. The 3-alkylation of indoles by primary and secondary alcohols. Pratt Ernest F., Botimer Laurence W.), J. Amer. Chem. Soc., 1957, 79, № 19, 5248—5250 (англ.)

Показано, что индол алкилируется первичными или вторичными спиртами в кипящем n-пимоле в присутствии одноименных алкогенолов и катализатора, состоящего из смеси Ni и его оксидов, в 3-алкилиндолы, причем выделяется незначительное кол-во H₂. Р-ция может идти, хотя и значительно медленнее, в отсутствие Ni-катализатора; в этом случае она ускоряется добавкой C₆H₅CHO. 3-метилиндолил не реагирует в описанных условиях; трет-бутиловый спирт не алкилирует индола. Спирты, имеющие β-CH₂-группу, в условиях алкилирования могут самоконденсироваться; так при проведении аналогичного опыта в отсутствие индола из n-C₆H₁₃OH получен 2-гексилдеканол, выход 66%, т. кип. 133—137°/0,8 мм, n_D²⁵ 1,4476; из n-C₆H₁₃OH — 2-бутилоктанол, алкилирующий индол 3-(2-бутилоктанол)-индол, выход 60%, т. кип. 155—170°/0,3 мм, n_D²⁵ 1,5180. Предположено, что индол алкилируется в индололиновой форме RR'C=O, образуя алкил-амины при р-ции из RR'CHOH. 0,25 моля RR'CHOH

разбавляют n-пимолом до 110,4 мл, добавляют 0,04 моля КОН, кипятят ~1,5 часа с насадкой Дина — Старка, добавляют 0,125 моля индола и 1 г катализатора, кипятят несколько часов, фильтруют, приливают 25 мл эфира и выделяют (в скобках указаны выход в % и т. пл. в °C и (или) т. кип. в °C/мм соответствующих в-в) 3-бензил- (81, 106,5—107° (из CH₃OH), пикрат 114), 3-(n-метоксибензил)- (26, 87—88), 3-(n-метилбензил)- (57, 95—95,5), 3-октил- (58, 125—127/0,2, 33—34), 3-циклогексилметил- (76, 72—72,5 (из CH₃OH)), 3-(2-этилгексил)- (138—142/0,5, n_D²⁵ 1,5422), 3-(α-фенилэтил)- (45, 76,5—77,5), 3-дифенилметил- (67, 127—128 (из метилциклогексана)), 3-(2-октил)- (148—153/0,3, n_D²⁵ 1,5329) и 3-циклогексил- (92—92,5 (из CH₃OH)-индолы. Аналогично получают описанные ранее 3-(3-фенилпропил)-, 3-бензил-2-метил- и 3-бензил-2-фенилиндолы. Сообщение III см. РЖХим, 1957, 37581.

Д. Витковский 21456. Амид натрия в кипящем пиридине — реактив с разносторонними возможностями применения в химии соединений ароматического ряда. Братертон, Баннет (Sodium amide in boiling pyridine: a versatile reagent in aromatic chemistry. Brotherton T. K., Bunnett J. F.), Chemistry and Industry, 1957, № 3, 80 (англ.)

NaNH₂ в кипящем пиридине (I) при нагревании от 2—12 час. превращает ароматич. галоидпроизводные, сульфоны, сульфокислоты и арилишьяковые к-ты в арилпиридинны, расщепляет диарилловые и ариалкиловые эфиры и тиоэфиры и катализирует тримеризацию C₆H₅CN. При действии I на C₆H₅Br образуется N-фенилпиридин (II) (99%); здесь и далее цифры в скобках означают выход). Бромметиллен при действии I отщепляет атом Br и превращается в мезитиллен (53%). I расщепляет дифенилсульфон на II и C₆H₅SO₂Na, превращает C₆H₅SO₂Na в II (94%); β-нафталинсульфоновокислый Na — в N-(β-нафтил)-пиридин (91%). Фенилмышьяковая к-та в виде Na-соли при действии I дает II (46%). Фенилфосфорная и бензойная к-ты не реагируют с I. При расщеплении действием I дифениловый эфир дает 92% фенола (III) и 86% II, анизол дает 82% III и 27% N-метилпиридина, фенол образует 97% III, n-бутилфениловый эфир дает 86% III и 9% II, бензилфениловый эфир дает 90% III, дифенилсульфид — 91% тиофенола (IV) и 55% II, тиоанизол дает 21% IV и 32% II. При кипячении I с C₆H₅CN выход 2,4,6-трифенил-1,3,5-триазина составляет 45%. См. также РЖХим, 1957, 785; 57393.

Г. Браз 21457. Производные 4-карбэтокс-4-фенилпиридина. Морран, Штруббе (Analésiques centraux. Dérivés de la 4-carbéthoxy-4-phénylpyridine. Morren H., Strubbe H.), Ind. chim. belge, 1957, 22, № 7, 795—798 (франц.; рез. флам., англ., нем.)

С целью испытания в качестве анагетиков синтезирован ряд N-замещенных (Ia—л) 4-карбэтокс-4-фенилпиридина (II), содержащих в качестве заместителя эфирный радикал R [здесь и далее R а CH₃CH₂OC₂H₅, б CH₃CH₂OC₂H₅, в CH₃CH₂OC₂H₅, г CH₃CH₂OC₂H₅, д CH₃CH₂OC₂H₅, е CH₃CH₂OC₂H₅, ж CH₃CH₂OC₂H₅, з CH₃CH₂OC₂H₅, и CH₃CH₂OC₂H₅, к CH₃(CH₂)₂OC₂H₅, л CH(CH₃)OC₂H₅]. Методы синтеза: А) 0,1 моль II, 0,1 моля RCl (III), 0,15 моля N(C₂H₅)₃ (IV) и 100 мл ксилола кипятят 8 час., отделяют IV·HCl, р-р упаривают, остаток растворяют в разб. HCl, фильтруют, подщелачивают и экстрагируют C₆H₆ I. Б) 0,2 моля II, 0,1 моля III и 100 мл толуола нагревают 20 час. при 180°, экстрагируют разб. HCl, подщелачивают и экстрагируют C₆H₆ I. В) 0,4 моля II и 0,1 моля III нагревают 20 час. при 70°, добавляют C₆H₆ и NaOH и выделяют I. Г) 0,1 моля II, 0,3 моля

III и 0,2 моля IV нагревают 16 час. при 70°, добавляют C_6H_6 , отделяют IV·HCl, испаряют р-ритель, отгоняют в вакууме избыток III и IV, обрабатывают как обычно. Д) 0,1 моля II, 0,1 моля III и 0,3 моля Na_2CO_3 в 150 мл C_6H_5OH кипятят 20 час., фильтруют и перегонкой выделяют I. Е) Эфирный р-р 1 моля II и 1,1 моля окиси этилена нагревают 5 час. при 100—125° и перегонкой выделяют Ig и Iж. Ж) 0,22 моля II и 0,1 моля 2-(2-оксэтилтио)-1-хлорэтана в 100 мл эфира оставляют на 2 часа, затем кипятят 5 час., упаривают досуха, остаток экстрагируют C_6H_6 и р-ром NaOH. От органич. слоя отгоняют р-ритель и избыток реагентов, остаток растворяют в смеси C_6H_6 - C_6H_{14} , выделяют Iз. З) 0,2 г-том Na растворяют при нагревании в 2 молях $CH_2(CH_2OH)_2$ (V) (атмосфера N_2), к охлажденному р-ру добавляют 0,1 моль хлоргидрата 1-(γ-хлорпропил)-II, перемешивают 15 час. при комнатной т-ре, 10 час. при 40° и 20 час. при 65°, добавляют абс. спирт, фильтруют, отгоняют избыток V, остаток обрабатывают водой и C_6H_6 и перегонкой выделяют Iк. Получены I [приведены в-во, метод синтеза, выход в %, т. кип. в °C/мм, т. пл. хлоргидрата (XГ) в °C]: Ia, Б, 50, 135/0,01, —; Iб, Б, В, 65(В), 140/0,005, 101; Iв, В, 75, 162/0,05, —; Iг, Г, А, Д, Е, З, 82(Г) 178/0,02 (т. пл. 47), 117; Iд, Г, 70, 180/0,05, —; Iе, В, 60, 175/0,5, —; Iж, А, 35, 205/0,1, —; Iз, Ж, 20, 195/0,1 (т. пл. 74), 140; Iи, Г, 55, 145/0,02, —; Iк, З, 20, 185/0,01, —; Iл, Б, 20, 165/0,05, —. Впервые синтезированы 2-(*н*-гексилокси)-1-хлорэтан из 2-(*н*-гексилокси)-этанола и $SOCl_2$, выход 85%, т. кип. 100—102°/40 мм, и 3-(2-хлорэтокси)-2-оксипропан из 2-хлорэтанола и окиси пропилена, выход 40%, т. кип. 87°/12 мм. Приведены данные фармакологич. исследований полученных препаратов, на основании которых авторы считают, что ХГ Iг может применяться вместо ХГ морфина.

И. Леви

21458. К изучению реакции Яппа—Клингемана Хенекка, Тимлер, Лоренц, Гейгер (Zur Kenntnis der Japp-Klingemann-Reaktion. Heneka Hans, Timmler Helmut, Lorenz Rudolf, Geiger Walter), Chem. Ber., 1957, 90, № 6, 1060—1069 (нем.)

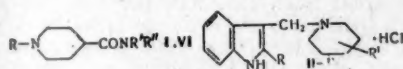
В связи с поисками удобного синтеза 5-окситринт-амина изучено сочетание солей арилдiazониев с этиловым эфиром пиперидон-2-карбоновой-3 к-ты (I) и установлено, что в слабощелочном р-ре образуются азосоединения $RC_6H_4N=NR'$, где R' — 3-карботоксиниперидон-2-ил-3 (II). Строение II подтверждается тем, что при каталитич. гидрировании они расщепляются на 3-амино-3-карботоксиниперидон-2 (III) и ароматич. амин, соответствующий исходной соли diaзония, а также данными УФ- и ИК-спектров. II устойчивы при умеренном нагревании и длительном хранении, но при обработке водно-спирт. щелочью расщепляются с образованием арилгидразонов 2,3-дикетониперидина $RC_6H_4NHN=CCH_2CH_2CH_2NHCO$ (IV) — промежу-

точных продуктов в синтезе 2-кето-2,3,4,5-тетрагидро-β-карболинов (V). Если сочетание проводят в более конц. щел. р-ре, в результате р-ции образуются IV. Превращение II в IV происходит также под влиянием к-т; в условиях синтеза индоллов по Фишеру из II непосредственно образуются V. IV получают также каталитич. гидрированием арилгидразонов этилового эфира α-кето-γ-цианмасляной к-ты $RC_6H_4NHN=C(SOOC_2H_5)CH_2CH_2CN$ (VI), сопровождаемым циклизацией VI (РЖХим, 1953, 3056 и 4589) при нагревании с CH_3COOH превращается в более низко плавящийся изомер (форма β); форма α, плавится выше и неустойчива к к-там. При синтезе VI образуются в виде формы α. На основании изучения ИК-спектров полученных VI сделан вывод, что β-изомеры представ-

ляют собой *цис*-форму, у которой *цис*-положение NH -группы и $SOOC_2H_5$ -группы фиксировано в виде внутреннего комплекса. При гидрировании α- и β-изомеров VI образуется лишь одна форма IV. Та же форма получается и при действии щелочи на II. Р-р соли diaзония из 0,25 моля *n*-анидаина II, 550 мл 1 н. HCl и 17,6 г $NaNO_2$ в 50 мл воды смешивают при 0—5° с 0,253 моля I в 125 мл воды и нейтрализуют р-ром CH_3COONa . Перемешивают 30 мин. при 0—5°, фильтруют, при охлаждении ледяной водой приливают 750 мл 1 н. NaOH и через 1 час отфильтровывают II ($R = n-CH_3O$) (IIa), выход 78,5%, т. пл. 126—127° (из водн. сп.). Аналогично синтезируют следующие II (указано значение R и т. пл. в °C): H (IIб), 91; $n-CH_3$ (IIв), 98—100; *m*- CH_3 (IIг), 105—106,5; *n*- C_7H_7O , 126; *m*- CH_3O (IIд), 92—93,5; *o*- CH_3O (IIе), 111; *n*- $NHCOCH_3$ (IIж), 200—201. 60 г IIa нагревают с 240 мл лед. CH_3COOH и 120 мл конц. HCl (100, 1 час), выливают в воду и отфильтровывают 7-токсен-V, выход 94,4%, т. пл. 280° (из сп.). Аналогично из IIб получают незамен. V, т. пл. 186—187,5. Р-р $C_6H_5N_2Cl$ из 0,2 моля анилина, 170 мл 4 н. HCl и 14 г $NaNO_2$ в 35 мл воды прибавляют к 35,4 г $CH_3COCH(COOC_2H_5)CH_2CH_2CN$ в 155 мл спирта и 155 мл 20%-ного р-ра NaOH, перемешивают 30 мин. при т-ре от 0 до —5° и нейтрализуют 4 н. HCl; выделяется VI ($R = H$) (VIa), α-форма, выход 91,8%, т. пл. 158—159° (из CH_3OH). 1 г последнего нагревают с 10 мл лед. CH_3COOH и получают β-форму VIa, т. пл. 91° (из CH_3OH). Аналогично синтезируют следующие VI (указано значение R, т. пл. α-формы и β-формы в °C): *n*- CH_3O (VIб), 129, 88; *m*- CH_3O (VIв), 129, 100; *n*- C_7H_7O (VIг), 148, 108; *n*-Cl (VIд), 157—158, 95; *m*-Cl (VIе), 143, 83; *n*- NO_2 (VIж), 162, 142; 3,4-диметоксифенилгидразон этилового эфира α-кето-γ-цианмасляной к-ты (VIз), α-форма, т. пл. 131°, β-форма, т. пл. 138°. IV ($R = n-CH_3O$) (IVa) синтезируют следующим образом: А) 30,5 г IIa в 200 мл спирта смешивают с 100 мл 1 н. р-ра NaOH и оставляют при ~20°, пока осадок, выделенный в пробе разбавлением водой, не станет плавиться при ~170°. Большую часть спирта удаляют и остаток обрабатывают водой, выход IVa 86%, т. пл. 176—178° (из сп.). Б) Р-р $n-CH_3OC_6H_4N_2Cl$ из 12,3 г VII, 84 мл 4 н. HCl и 7 г $NaNO_2$ в 20 мл воды приливают при —10° к р-ру 17,1 г I в 70 мл спирта и 70 мл 20%-ного р-ра NaOH, перемешивают ~12 час. и приливают разб. HCl до pH 6—7, выход IVa 17 г. В) 15 г α-формы VIб гидрируют в 300 мл CH_3OH над 5 г скелетного Ni (100 ат, 50—70°, 30 мин.) и получают 7 г IVa. Указанным образом синтезированы следующие IV (приведено значение R, методы получения, т. пл. в °C): H (IVб), А, Б, В, 243; *m*- CH_3O , Б, 215; *n*- C_7H_7O , А, Б, В, 182; *n*-Cl (IVв), В, 216. 123 г IIa гидрируют в 600 мл CH_3OH над 15 г скелетного Ni (90°, 50—20 ат, 1,5 часа), фильтруют, упаривают, растворяют остаток с водой и извлекают эфиром образовавшийся VII. Водн. р-р упаривают в вакууме, остаток растворяют в абс. спирте и прибавлением спирта HCl осаждают хлоргидрат III, выход 69,1%, т. пл. 183—189° (из сп.-эф.). Приведены кривые УФ-спектров IIa—ж, IVa—б, VIa (α- и β-формы), кривые ИК-спектров IIa—б и VIa (α- и β-формы), положения полос в УФ-спектре (λ_{max} и $\lg \epsilon$) VIa—з (α- и β-формы), IVa, б и частоты в ИК-спектре VIa—з (α- и β-формы). Сопоставление VIII см. Chem. Ber., 1949, 82, 112. Г. Браун

21459. Аналоги дигидроэргоалкалоидов. Амиды 1-(3-индолметил)-пиперидинкарбоновых кислот. Суэйл, Негеле (Dihydroergot analogs. 1-(3-indolylmethyl)-piperidinecarboxamides. Swain Ansel F., Naegle Sara K.), J. Amer. Chem. Soc., 1957, 79, № 19, 5250—5253 (англ.)

Взаимодействием индола, CH_2O и N,N -диалкиламидов пиперидинкарбоновых к-т (**Ia**—**ж**) синтезированы обладающие гипотензивной активностью аналоги эргонина (**II**), (**IIIa**—**в**) и (**IVa**—**и**). Для сравнения, р-вной хлоргидрата (ХГ) N,N -диэтилэтонипекотиамида (**V**) с RCl синтезированы производные **V** (**Vla**—**л**). Аммонометилированием индола по Манниху получены N -(3-яндолитилметил)-нипекотиновая [т. пл. 165—166° (разл.)] и -изонипекотиновая [т. пл. 228° (разл.)] к-ты. ХГ их метиловых эфиров, т. пл. 169—170° и 188,5—189° соответственно, и ХГ этилового эфира N -(3-индолитилметил)-нипекотиновой к-ты, т. пл. 150—151°. К 0,2 молю пикколиновой к-ты и 0,7 моля $\text{NH}(\text{C}_2\text{H}_5)_2$ в 0,1 л толуола постепенно добавляют 0,22 моля P_2O_5 , кипятят 4 часа, приливают при 0° избыток 10%-ного р-ра NaOH , органич. слой перегоняют и получают ХГ N,N -диэтилпикколинамида (**VII**), выход 46%, т. пл. 128—128,5° (из сп.). К взвеси 0,16 моля ХГ хлорангидрида никотиновой к-ты в смеси 0,1 л C_6H_6 и 27 мл пиридина добавляют 0,49 моля диэзопропиламина, кипятят 15 мин. и на следующий день выделяют N,N -диэзопропиламинпикотиамид, выход 71%, т. пл. 101° (из C_6H_{14}); ХГ, т. пл. 182—183°. Аналогичными способами получают (здесь и далее указаны в-во и т. пл. в °C): N,N -диметил-(60—60,5°, ХГ* 145—146°), N,N -диэзопропил-(102—103°, N -(α -карботоксизтил)- (67—68°) и N -этил- N -бензил- (ХГ 156—157°)-изоникотиламидами. 65 ммольей **VII** в 75 мл CH_3OH гидрируют при 3—4 ат над 0,4 г Pt (из PtO_2) и выделяют ХГ N,N -диэтилпикколинамида (**IIIb**), выход 81%, т. пл. 239—240° (гидрат, из CH_3OH -эф.). Аналогично получают: N,N -диэзопропилпикотиамид, 97—99; ХГ **Ia**, 169—170; ХГ **Ib** 162—163; ХГ **Iв**, 260—261; **Iг**, 97—99; ХГ, 300—301 (разл.); ХГ **Iд**, 180—180,5; **Iе**, 110—112; ХГ **Iж**, 229—230. 43 ммоль **VIII**, 44 ммоль индола и 44 ммоль 37%-ного CH_2O в 30 мл CH_3OH оставляют на 3 дня в темноте при ~20°, р-р разбавляют эфиром и получают **II**, выход 52%, т. пл. 169—171° (из CH_3OH -эф.); аналогично из **Ia**—**ж** с выходами до 93% получают **IIIa**, 194,5—195; **IIIб**, 188—189; **IIIв**, 177—179; **IVa**, 196—197; **IVб**, 166—167; **IVв**, 188—189; **IVг**, 170—172; пикрат, 171—172; **IVд**, 246—247 (разл.); **IVе**, 217—218 (разл.); пикрат, 187—188; **IVж**, 192—193; **IVз**, 195—196; **IVи**, 176—177. Смесь 0,05 моля **V**, 0,05 моля $\text{C}_6\text{H}_5\text{OCH}_2\text{CH}_2\text{Br}$, 75 ммольей Na_2CO_3 и 50 мл CH_3OH кипятят 26 час., приливают 0,3 л эфира, пропускают в р-р HCl и получают ХГ **VIa**, выход 47%, т. пл. 160—161°. 0,06 моля йодатилата

[illegible]

N,N -дигетилэтизоникотинамида (т. пл. $105\text{--}106^\circ$) гидрируют в CH_3OH над Pt (из PtO_2) при 3,5 ат и 20° и выделяют йодгидрат (ИГ) **VIb**, выход 91%, т. пл. $124\text{--}126^\circ$ (из CH_3OH -эф.). Аналогичными путями синтезируют ИГ **VIa**, 141–142; **VIв**, т. кип. $168\text{--}170^\circ/0,5$ мм; **XI VIг**, 221–222; **XI VIд**, 251,5–252,2; **VIж**, 96–97; **XI VIи**, 204–202; **XI VIш**, 214–215; **XI VIк**, 224–225, и **XI VIл**, 202–203.

21460. Алкоксипроизводные β -шиперидинопропиофенона и родственных соединений. Бокстальер,

Па́йт (Alkoxy derivatives of β -piperidinopropiophenone and related compounds. Bockstahler Earl R., Wright Donald L.), J. Amer. Pharmac. Assoc. Scient. Ed., 1957, 46, № 9, 542—545 (англ.)

В поисках новых местноанестезирующих и спазмолитич. в-в синтезированы хлоргидраты (XIг) β-пиперидинопропиофенонов, $n\text{-ROC}_6\text{H}_4\text{COCH}_2\text{CH}_2\text{NC}_5\text{H}_{10} \cdot \text{HCl}$ [Ia—o, где a R = C₂H₅, б R = n-C₃H₇, в R = CH(CH₃)₂, г R = n-C₄H₉, д R = изо-C₄H₉, е R = CH(CH₃)C₂H₅, ж R = n-C₅H₁₁, з R = изо-C₅H₁₁, и R = n-C₆H₁₃, к R = n-C₇H₁₅, л R = n-C₈H₁₇, м R = C₆H₅CH₂, н R = n-C₄H₉OCH₂CH₂, о R = C₆H₅OCH₂CH₂], R₆H₄COCH(R')CH₂N-C₅H₁₀ · HCl [IIa—e, где a R = 2-n-C₄H₉O, R' = H; б R = H, R' = C₂H₅; в R = H, R' = n-C₃H₇; г R = 4-n-C₄H₉O, R' = CH₃; д R = 4-n-C₆H₁₃O, R' = C₆H₅; е R = C₃H₇COO, R' = H], XIг 2,4-дигексо- (IIIa), 2,5-дигексо- (IIIб), 3,4-дигексо- (IIIв), 2,4-ди-*n*-бутоксо- (IIIг), 2,5-ди-*n*-бутоксо- (IIIд) и 3,4-ди-*n*-бутоксо- (IIIе) β-пиперидинопропиофенонов, а также XIг β-амино- (VIa), β-диметиламино- (IVб), β-метиламино- (IVв), β-диэтиламино- (IVг) и β-морфолино (IVд) *n*-н-бутоксипропиофенонов и *n*-*n*-пропокси-γ-пиперидинобутирофенона (V). Некоторые из синтезированных в-в обладают заметной местноанестезирующей и антибактериальной активностью. Исходные кетоны $n\text{-ROC}_6\text{H}_4\text{COR}'$ [VIa—e, где a R = CH(CH₃)C₂H₅, R' = CH₃; б R = n-C₇H₁₅; R' = CH₃; в R = n-C₄H₉OCH₂CH₂, R' = CH₃; г R = C₆H₅OCH₂CH₂, R' = CH₃; д R = n-C₄H₉, R' = CH₂CH₂Cl; е R = C₃H₇CO, R' = CH₃], 2-*n*-C₄H₉OC₆H₄COCH₃ (VII) и 3,4-(*n*-C₄H₉O)₂-C₆H₃COSCH₃ (VIII) синтезированы различными путями: VIa, т. кип. 119—120°/3 мм; VIб, т. кип. 164—166°/3 мм; VIв, т. кип. 150—152°/4 мм; VIг, т. пл. 141—142,5°, и VII, т. кип. 119—120°/3 мм, получены кипячением *n*- или *o*-HOC₆H₄COCH₃ с RBr в спирте в присутствии K₂CO₃; VIд, т. пл. 51—52°, и VIII, т. кип. 158—160°/3 мм, т. пл. 42—44° — из соответствующих спиртов и CH₃SiCH₂COCl или CH₃COCl; VIe, т. кип. 141°/3 мм, т. пл. 37—38°, — кипячением *n*-HOC₆H₄COCH₃ с (C₃H₇CO)₂O. Смесь 28,7 г *n*-C₂H₅OC₆H₄COCH₃, 36,3 г XIг пиперидина, 13,5 г CH₂O, 0,75 мл конц. HCl, 157,5 мл CH₃NO₂, 22,5 мл спирта и 45 мл толуюла кипятят 1 час, удаляя образующуюся воду, и получают Ia, выход 54%, т. пл. 179,5—180,5° (из CH₃COSOC₂H₅); аналогично получают (здесь и далее указаны в-во, выход в % и т. пл. в °C): Ib, 43, 165—166; Ic, 51, 181,5—183; Id, 53, 176—178; Ie, 18, 172—174; Ie, 34, 166—167; If, 64, 155,5—157; Ig, 36, 173—175; Ih, 28, 153—154; Ij, 20, 146—148; Ik, 33, 145—146; Il, 48, 165—167; Im, 27, 134—136; Io, 64, 176—178; IIa, 67, 132—134; IIб, 15, 140—142; IIв, 18, 147—149; IIг, 65, 170—172; IIд, 42, 136—137 (основание, т. пл. 63—65°); IIе, 35, 174—174,5; IIIa, 53, 159—161; IIIб, 27, 138,5—140; IIIв, 61, 181—183; IIIг, 60, 155—157; IIIд, 49, 128—128, и IIIе, 53, 166—168. IVa, т. пл. 168—170° (из CH₃OH-этилцеллата) синтезируют по Габриэлю из фталимидо-К и *n*-*n*-бутоксо-β-хлорпропиофенона (IX) через *n*-*n*-бутоксо-β-фталимидпропиофенона, т. пл. 102—103° (из сн.). Обычным способом из IX получают IVб, 77, 142—143; IVв, 10, 148—150; IVг, 52, 134,5—136, и IVд, 45, 168—170. Получение V, т. кип. 194—195°/3 мм; XIг, т. пл. 142—143° (см. Humphlett W. J. и др., J. Amer. Chem. Soc., 1948, 70, 4020).

21461. Гетероциклические соединения. 49. Спиритические обезболивающие вещества. XI. Сложные эфиры 1-карбалкоксалкил-2,5-диметил-4-пиперидолов. Назаров И. Н., Кругликова Р. И., Бухтенко Л. А. Ж. общ. химии. 1957. 27. № 1. 88—93

При взаимодействии α -формы 2,5-диметилглицеридола-4 (I) с $\text{SiCH}_3\text{COOSiC}_2\text{H}_5$ (IIa) получен тот же изомер 1-карботоксиметил-2,5-диметилглицеридола-4 (II), который образуется при гидрировании 1-карботоксиметил-2,5-диметилглицеридола-4 (III). При конденсации I с $\text{CH}_3\text{SiHBrCOOSiC}_2\text{H}_5$ (IIIa) и $\text{C}_2\text{H}_5\text{SiHBrCOOSiC}_2\text{H}_5$ (IIIb) по-

лучены соответственно α -изомеры 1- α -карботоксипропил-4 (IV) и 1- α -карботоксипропил-2,5-диметилпиперидола-4 (V). Присоединение $\text{CH}_2=\text{CHCOOCH}_3$ (Va) к I приводит к образованию α -изомера 1- β -карботоксипропил-2,5-диметилпиперидола-4 (VI). При р-ции с $(\text{CH}_3\text{CO})_2\text{O}$ (VIa), $(\text{C}_2\text{H}_5\text{CO})_2\text{O}$ (VIb) или $\text{C}_6\text{H}_5\text{COCl}$ (VIв) II, IV, V и VI превращаются в соответствующие ацетаты, пропionatoны или бензоаты. К р-ру 38 г I в 45 мл спирта прибавляют 16,6 г Ia, оставляют на 24 часа при $\sim 20^\circ$, нагревают 3 часа при $80-90^\circ$, спирт отгоняют в вакууме, остаток растворяют в 75 мл воды и экстрагируют эфиром, получают II, выход 64%, т. пл. $95-96^\circ$ [из бэл.-бзн. (1:2)]; пикрат, т. пл. $151-152^\circ$ (из сп.); хлоргидрат, т. пл. $131-132^\circ$ [из ацетона (VII)]. Водн. слой насыщают potassium и экстрагируют эфиром, получают 15,5 г I. Гидрируют 27 г III при 125 ат над 5 г скелетного Ni, получают 7,6 г II; из каждой фазы (17,5 г) после перегонки (т. кип. $125,5-126^\circ/1$ мм, n_D^{20} 1,4751) выделяют дополнительное кол-во II. Смесь 20 г I, 120 мл VII и 13,8 г IIIa оставляют на 24 часа при $\sim 20^\circ$ и нагревают 18 час. при 60° ; получают IV, выход 63%, т. кип. $129-132^\circ/5$ мм, n_D^{20} 1,4761; хлоргидрат, т. пл. $169-170^\circ$ (из VII). Смесь 35 г I, 27 г IIIb и 150 мл VII нагревают 24 часа при 60° , отделяют бромгидрат I (VIIa), фильтрат нагревают 12 час. при 60° и отделяют VIIa; из р-ра получают V, выход 54%, т. кип. $138-140^\circ/2,5$ мм, n_D^{20} 1,4798; хлоргидрат — плохо кристаллизующееся масло. Р-р 23 г I в 20 г Va нагревают 6 час. при $110-120^\circ$, получают VI, выход 75%, т. кип. $122-126^\circ/1$ мм; хлоргидрат, т. пл. $129-132^\circ$; пикрат, т. пл. $153-153,5^\circ$ (из сп.). Р-р 2 г II в 10 г VIa, насыщ. сухим HCl, нагревают 5 час. при $\sim 100^\circ$, охлаждают, пропускают сухой HCl, упаривают в вакууме и остаток обрабатывают эфиром, получают хлоргидрат ацетата II, выход 96%, т. пл. $165,5-166,5^\circ$ (пересаживание эф. из сп.). Аналогично получают: из 6 г II и 39 г VIb 7,8 г хлоргидрата пропionatoна II, т. пл. $146-147^\circ$ (пересаживание эфиром из сп.); из 10 г VI и 49,2 г VIa — 7,5 г хлоргидрата ацетата VI, т. пл. $161,5-162^\circ$ (из абс. сп.); из 11 г VI и 33 г VIb — 9,7 г хлоргидрата пропionatoна VI, т. пл. $131,5-132^\circ$ (из абс. сп.); из 2,5 г IV и 13 г VIb — 1,8 г пропionatoна IV (хлоргидрат не удалось закристиаллизовать), т. кип. $135-137^\circ/3,5$ мм. Смесь 0,7 г II, 3,2 г VIa и 0,3 г конц. H_2SO_4 нагревают 3 часа при $\sim 100^\circ$, получают 0,62 г сульфата ацетата II, т. пл. $226-227^\circ$ (разл.); из 50%-ного сп.). Р-р 4 г II в 13 г VIв нагревают 4 часа при $100-105^\circ$, избыток VIв отгоняют в вакууме, остаток обрабатывают эфиром, получают 5,2 г хлоргидрата бензоата II (VIII), т. пл. $166-167^\circ$ (пересаживание эф. из сп.). Аналогично получают: из 18 г VI и 75 г VIв — 18,9 г хлоргидрата бензоата VI, т. пл. $181-181,5^\circ$ (из сп.); из 6,5 г IV и 20 г VIв — 5 г хлоргидрата бензоата IV, т. пл. $193,5-194^\circ$ (из сп.); из 6 г V и 20 г VIв — 3 г бензоата V, т. кип. $185-190^\circ/4,5$ мм. Только VIII обладает анестезирующим действием, близким к ловакану; остальные соединения заметной физиологич. активностью не обладают; таким образом, замена алкила у азота на карбоксилальную группу в бензоатах 1-алкил-2,5-диметилпиперидолов-4 приводит к снижению анестезирующей активности соединения. Сообщение 48 см. РЖХим, 1957, 60591. Г. Швехгеймер

21462. Гетероциклические соединения. 50. Синтетические обезболивающие вещества. XIII. Действие первичных аминов на β,β -диметилдивинилкетон и 1-метоксн-5-метилгексен-4-он-3. Сложные эфиры 1,2,2-триметил-4-фенилпиперидола-4. Назаров И. Н., Макин С. М., Ж. общ. химии, 1957, 27, № 1, 94-100

Реакция $\text{iso-C}_3\text{H}_7\text{NH}_2$ (I) с β,β -диметилдивинилкетон (II) при $\sim 20^\circ$ или при $60-65^\circ$ приводит к 1-изопропиламино-5-метилгексен-4-ону-3 (III); последний

для доказательства строения гидрирован в 1-изопропиламино-5-метилгексен-3 (IV), который получен также встречным синтезом из I и $\text{CH}_3\text{CH}(\text{CH}_3)\text{CH}_2\text{COCH}=\text{CH}_2$ (IVa). Взаимодействие II с CH_3NH_2 ведет к 1,2,2-триметилпиперидону-4 (V). При действии CH_3NH_2 , $\text{C}_2\text{H}_5\text{NH}_2$ или I на 1-метоксн-5-метилгексен-4-он-3 (VI) при $\sim 20^\circ$ образуются неустойчивые метоксикетоамин $\text{CH}_3\text{OCH}_2\text{CH}_2\text{COCCH}_2\text{C}(\text{CH}_3)_2\text{NHR}$ (VII), почти полностью распадающиеся на исходные компоненты при перегонке в вакууме. В то же время действие водн. р-ра CH_3NH_2 или I на VI при $60-65^\circ$ приводит к V или 1-изопропил-2,2-диметилпиперидону-4 (VIII) соответственно. При р-ции V с $\text{C}_6\text{H}_5\text{Li}$ образуется 1,2,2-триметил-4-фенилпиперидол-4 (IX), для которого получены ацетат (X) и пропionato (XI). Хлоргидрат XI обладает анагетич. действием, равным действию морфина и составляющим 50-60% от действия промедола; хлоргидрат X не обладает обезболивающим действием. Смесь 1,5 г CH_3OH , 40 г тонкоизмельченной HgSO_4 и 2 кг $(\text{CH}_3)_2\text{C}(\text{OH})\text{C}\equiv\text{CCCH}=\text{CH}_2$ перемешивают 13 час. при $38-40^\circ$, добавляя в 2 приема через 6 и 10 час. после начала р-ции еще 35 г HgSO_4 , и промывают насыщ. р-ром K_2CO_3 , получают VI, выход 90%, т. кип. $76-79^\circ/9$ мм, n_D^{20} 1,4555. I получают из VI в присутствии $n\text{-CH}_3\text{C}_2\text{H}_4\text{SO}_3\text{H}$. К смеси 10 г I и 3 капли воды прибавляют при т-ре не выше 60° 19,4 г II и оставляют на 20 мин., получают III, выход 76%, т. кип. $68-69^\circ/2,5$ мм, n_D^{20} 1,4659, d_{20}^{20} 0,9015; хлоргидрат, т. пл. $128-129^\circ$ (из ацетона). Смесь 22 г II и 18 г 66%-ного водн. р-ра I нагревают 6 час. при $60-65^\circ$, получают III, выход 31%. Р-р 4,5 г III в 15 мл спирта гидрируют над скелетным Ni, получают 3 г IV, т. кип. $52^\circ/2$ мм, n_D^{20} 1,4365, d_{20}^{20} 0,8666; хлоргидрат, т. пл. $85-86^\circ$ (из ацетона). К 16 г IVa прибавляют при т-ре не $> 50^\circ$ за 20 мин. 9 г I и нагревают 1 час при $50-55^\circ$, получают 12 г IV. В 22 г II при 20° и перемешивании медленно пропускают 5 г газообразного CH_3NH_2 и оставляют на 2 часа при $\sim 20^\circ$, получают 5 г V, т. кип. $52-53^\circ/2,5$ мм, n_D^{20} 1,4688, d_{20}^{20} 0,9582; пикрат, т. пл. 150° (разл.; из сп.). К 21,3 г свежеперегнанного VI прибавляют за 15 мин. 20 г 25%-ного водн. р-ра CH_3NH_2 и оставляют на 1,5 часа, подкисляют на конго 18%-ной HCl, экстрагируют эфиром, водн. слой обрабатывают K_2CO_3 , экстрагируют эфиром, эфир удаляют при т-ре не выше 20° и остаток выдерживают 3 часа в вакууме 1,5 мм, получают 14,8 г неочищ. VII ($\text{R}=\text{CH}_3$) хлоргидрат — масло; аналогично получают VII, где $\text{R}=\text{C}_2\text{H}_5$ и $(\text{CH}_3)_2\text{CH}$. Смесь 284 г VI, 216 г 30%-ного водн. р-ра CH_3NH_2 и 250 мл CH_3OH нагревают в стальном баллоне 4,5 часа при 60° , подкисляют на конго 18%-ной HCl, CH_3OH отгоняют в вакууме, остаток экстрагируют эфиром, водн. слой обрабатывают твердой щелочью и экстрагируют эфиром, получают V, выход 22,5%. Аналогично (6 час., $63-68^\circ$) из 300 г VI, 250 мл CH_3OH , 150 г I и 300 мл воды получают VIII, выход 20,5%, т. кип. $58-60^\circ/2$ мм, т. пл. $40-41^\circ$ (из бзн.); хлоргидрат, т. пл. $138-139^\circ$ (из сп.). К р-ру $\text{C}_6\text{H}_5\text{Li}$ (из 2 г Li и 20,6 г $\text{C}_6\text{H}_5\text{Br}$ в 50 мл абс. эф.) при охлаждении смесью снега с солью прибавляют по 1 час 14,1 г V, перемешивают 6 час. при $\sim 20^\circ$ и 2 часа при кипении, гидролизуют 50 мл воды, водн. слой экстрагируют эфиром, эфир встряхивают с 10%-ной HCl, кислый водн. р-р обрабатывают твердой щелочью и экстрагируют эфиром; после отгонки эфира и кристаллизации остатка из бензина получают 9,5 г IX; из маточного р-ра получают еще 3,5 г IX, т. кип. $125-130^\circ/2,5$ мм; общий выход IX 60%, т. пл. $116-117^\circ$ (из бзн.); хлоргидрат, т. пл. $209-210^\circ$ (из сп.-ацетона). Смесь 2,7 г хлоргидрата IX, 6 мл CH_3COCl и 15 мл $(\text{CH}_3\text{CO})_2\text{O}$ нагревают 10 час. при $90-100^\circ$, легколетучие в-ва отгоняют в вакууме и остаток промывают эфиром, получают 2,7 г хлоргидрата X, т. пл. $223-224^\circ$

1-изопро-
получен
H₃CH₂CO-
ведет к
и CH₃NH₂
он-3 (VI)
аминны
полностью
при пере-
одн. р-ро-
в V или
соответ-
2,2-триме-
получены
I обладает
морфина и
ола; хлор-
действием,
и HgSO₄ и
от 13 час.
и 10 час.
ывают на-
%, т. кип.
в прису-
пель воды
I и остав-
т. кип.
лоргидрат,
II и 18 г
80—65°, по-
м спирта
IV, т. кип.
рат, т. пл.
т при т-ре
ри 50—55°,
мешивании
CH₃NH₂ и
V, т. кип.
рат, т. пл.
го VI при-
а CH₃NH₂
о 18%-ной
абатывают
т при т-ре
в вакууме
CH₃) хлор-
где R =
30%-ного
от в сталь-
на конго
е, остаток
вают твер-
лучают V,
з 300 г VI,
чают VIII,
0—41° (из
). К р-ру
с. эф.) при
авляют за
20 и 2 ча-
водн. слой
с 10%-ной
щелочью
ра и кри-
5 г IX; т.
кип. 125—
5—117° (из
-ацетона).
I и 15 мл
легколету-
промывают
с. 223—224°

(из ацетона). Смесь 10 г IX, 15 мл сухого C₆H₆, 35 мл C₂H₅COCl и 0,4 г Mg-стружек нагревают при 60—65° и перемешивании 5 час., летучие в-ва удаляют в вакууме, остаток промывают эфиром, растворяют в 20 мл воды, обрабатывают K₂CO₃ и экстрагируют эфиром, получают 4,4 г продукта дегидратации IX, т. кип. 95—100°/3,5 мм, n_D²⁰ 1,5547, и 5,3 г XI, т. кип. 138—142°/2,5 мм; хлоргидрат, т. пл. 169,5—170° (из ацетона). Смесь 4,9 г IX, 15 мл C₂H₅COCl, 15 мл сухого C₆H₆ и 0,3 г Mg-стружек нагревают 10 час. при 95° и перемешивании и обрабатывают как описано выше, получают 3,8 г продукта дегидратации IX, т. кип. 88—89°/3 мм; пикрат, т. пл. 130—132° (из сп.). Г. Швехгеймер

21463. Гетероциклические соединения. 51. Синтетические обезболивающие вещества. XIV. Сложные эфиры 1,2,5-триметил-4-фенилпиперидола-4 с функциональными группами при ацильном остатке. Аналоги промедола и изопромедола. I. Назаров И. Н., Малин С. М., Грапов А. Ф., Ж. общ. химии, 1957, 27, № 1, 101—110

Взаимодействием γ-изомера 1,2,5-триметил-4-фенилпиперидола-4 (I) с хлорангидридами соответствующих α-к- синтезированы: метоксинацетат I (II), этоксинацетат I (III), β-феноксипропионовый эфир I (IV), этилмеркаптоацетат I (V), β-этилмеркаптопропионовый эфир I (VI), никотиновый эфир I (VII) и изоникотиновый эфир I (VIII). Р-ция хлоргидрата I (IX) с хлорангидридами к-т приводит к получению: фенилтетрагидроолевого эфира I (X), хлорацетата I (XI), бром-ацетата I (XII), β-бромпропионового эфира I (XIII) и β-хлорпропионового эфира I (XIV). При р-ции ClCH₂CH₂COCl с I в присутствии Mg образуется акриловый эфир I (XV), очевидно, в результате дегидрохлорирования XIV во время перегонки; для доказательства строения XV гидрирован над Pd в пропионо-вый эфир I (промедол). Все попытки получения XV из I и CH₂=CHCOCl оказались неудачными. В то же время из I и CH₂=C(CH₃)COCl с хорошим выходом получается метакриловый эфир I (XVI), который при гидрировании превращается в изомасляный эфир I (XVII). При р-ции 1-изопропил-2,5-диметил-4-фенилпиперидола-4 (XVIII) с C₂H₅SCNCH₂COCl образуется β-этилмеркаптопропионовый эфир XVIII (XIX). XV и XVI обладают обезболивающей активностью, близкой к активности морфина, но они в 2—3 раза менее активны, чем промедол; IV обладает анестезирующей активностью, одинаковой с дикаином, при значительно меньшей токсичности; XIV по анестезирующему действию почти в 2 раза превосходит новокаин; остальные в-ва практически лишены физиологич. активности. Смесь 53 г CH₂=CHCN и 300 мл конц. HCl перемешивают 4 часа при 90—100°, жидкую фазу упаривают в вакууме и остаток экстрагируют эфиром, получают 55 г ClCH₂CH₂COOH, т. кип. 92—93°/9 мм; аналогично получают BrCH₂CH₂COOH. Смесь 84 г C₂H₅SCNCH₂CN и 140 г конц. HCl перемешивают 3,5 часа при 80° и 40 мин. при 100° и водн. фазу экстрагируют эфиром, получают C₂H₅SCNCH₂COOH, выход 84%, т. кип. 97—100°/2 мм, т. пл. 28—30°; аналогично получают C₆H₅OCH₂CH₂COOH, выход 95%. Смесь 53,4 г C₂H₅SCNCH₂COOH и 47,6 г SOCl₂ выдерживают 5 час. при ~20° и 1,5 часа при 40°, получают C₂H₅SCNCH₂COCl (XX), выход 96%, т. кип. 80—81°/11 мм; аналогично (используя 1,5—2-кратное кол-во SOCl₂) получают ClCH₂CH₂COCl (XXI), т. кип. 72—75°/63 мм; BrCH₂CH₂COCl (XXII), т. кип. 110—112°/190 мм; C₆H₅OCH₂CH₂COCl (XXIII), т. кип. 98°/2 мм; C₆H₅SCNCH₂COCl (XXIV), т. кип. 120—123°/12 мм. От смеси 29 г CH₃OCH₂COOH и 64 г C₆H₅COCl медленно отгоняют фракцию до т. кип. 132°, которую вторично перегоняют в присутствии 1,5 мл C₆H₅N(CH₃)₂, получают CH₃OCH₂COCl (XXV), выход 70,5%, т. кип. 109—112°/743 мм;

аналогично получают: C₂H₅OCH₂COCl (XXVI), т. кип. 125—129°; BrCH₂COCl (XXVII), т. кип. 115—117°; CH₂=CHCOCl, т. кип. 74—77°; CH₂=C(CH₃)COCl (XXVIII), т. кип. 98—100°. Смесь 6 г I, 7 мл XXV, 7,5 мл сухого C₆H₆ и 0,3 г стружек Mg перемешивают 3,5 часа при 80—90°; осадок промывают эфиром, растворяют в 30 мл воды, обрабатывают K₂CO₃ и экстрагируют эфиром, получают II, выход 75,3%, т. кип. 138—140°/1 мм; хлоргидрат, т. пл. 211—212° (из сп.-ацетона). Аналогично получают (перечислены кол-во I в г, используемый хлорангидрид, его кол-во в г, кол-во стружек Mg в г, кол-во C₆H₆ в мл, т-ра р-ции в °C, время р-ции в часах, изменения в методике, полученный эфир, его выход в г, т. кип. в °C/мм, т. пл. хлоргидрата в °C): 8, XXVI, 13 мл, 0,3, 10, 95—100, 10,5, —, III, 6,1, 120—122°/0,2, 192—193 (из ацетона-сп.); 11, XXIII, 25, 0,3, 15, 100—102, 10, после нагревания добавлено 35 мл воды, IV, 7,3, 182—185°/0,5, 181—182,5 (из ацетона); 10,9, XX, 19, 0,3, 15, 80—90, 7, —, VI, 4,8, 175—178°/2, 171—172 (из ацетона). Смесь 10 г I, 15,9 г C₂H₅SCNCH₂COCl, 0,3 г стружек Mg и 11 мл сухого C₆H₆ нагревают 9 час. при 85—98°, C₆H₆ отгоняют в вакууме, остаток растворяют в воде и обрабатывают Na₂CO₃, получают 3,05 г V, т. кип. 149—151°/1 мм; хлоргидрат, т. пл. 178—179° (из ацетона). К р-ру 7 г I в 7 мл сухого CHCl₃ понемногу прибавляют 5,2 г хлорангидрида никотиновой к-ты и оставляют на 24 часа, получают монохлоргидрат VII, т. пл. 193—195° (из ацетона); р-р 2,2 г последнего в воде обрабатывают NH₄OH и экстрагируют эфиром, получают 1,5 г VII, т. кип. 106—107,5° (из изооктана). К р-ру 8 г I в 7 мл CHCl₃ прибавляют 5,5 г хлорангидрида изоникотиновой к-ты, оставляют на 24 часа, растворяют в воде, промывают эфиром, водн. слой обрабатывают Na₂CO₃ и экстрагируют эфиром, получают 1,7 г VIII, т. пл. 134—135° (из бзн.). Смесь 6 г IX, 5 г XXIV и 4,5 мл CHCl₃ нагревают 14 час. при 120—140° и добавляют 2 мл эфира, получают 0,5 г хлоргидрата X, т. пл. 166—167° (из ацетона); маточные р-ры упаривают, промывают эфиром, растворяют в воде, обрабатывают K₂CO₃ и экстрагируют эфиром, получают 1,7 г X, т. кип. 180—185°/1,5 мм. Смесь 2 г IX, 3 мл ClCH₂COCl и 3 мл CHCl₃ нагревают 17 час. при 80°, отгоняют CHCl₃ и избыток ClCH₂COCl в вакууме и добавляют 2 мл эфира, получают 0,4 г хлоргидрата XI, т. пл. 214—215° (из сп.). Смесь 6 г IX, 4 г XXVII и 4 мл CHCl₃ нагревают 14 час. при 120—140°, отгоняют легколетучие в-ва в вакууме и добавляют 10 мл ацетона, получают 0,3 г хлоргидрата XII, т. пл. 201,5—202° (из сп.). Смесь 8 г IX, 7 г XXII и 5,5 мл CHCl₃ нагревают 17 час. при 100—120°, получают 3,2 г хлоргидрата XIII, т. пл. 169,5—170° (из сп.). Смесь 8 г IX, 8 мл XXI и 5 мл CHCl₃ нагревают 15 час. при 90° и добавляют несколько капель сухого эфира, получают 5,3 г хлоргидрата XIV, т. пл. 178—179° (из ацетона-сп.). К смеси 8 г I, 0,3 г стружек Mg и 10 мл сухого C₆H₆ прибавляют за 30 мин. при перемешивании 17 г XXI, перемешивают 5 час. при 95°, добавляют 25 мл воды, промывают эфиром, водн. р-р обрабатывают Na₂CO₃ и экстрагируют эфиром, получают 2,4 г XV, т. кип. 128—130°/0,2 мм; хлоргидрат, т. пл. 215—216° (из ацетона). Смесь 10,9 г I, 13 г XXVIII, 0,3 г стружек Mg и 10 мл сухого C₆H₆ кипятят 10 час., легкокипящие в-ва отгоняют в вакууме, остаток растворяют в 20 мл воды, промывают эфиром, водн. р-р обрабатывают Na₂CO₃ и экстрагируют эфиром, получают 10,5 г XVI, т. кип. 120—122°/0,2 мм; хлоргидрат (XVIa), т. пл. 231—232° (из ацетона). К р-ру 1 г I в 1,5 мл сухого CHCl₃ по каплям прибавляют 1,5 мл XXVIII, оставляют на сутки и добавляют несколько капель эфира, получают 0,85 г XVIa. Р-р 4,5 г XVI в 2 мл абс. спирта гидрируют над скелетным Ni, спирт удаляют в вакууме, остаток растворяют в 100 мл абс. эфира и насы-

щают сухим HCl, получают 4 г хлоргидрата XVII, т. пл. 207—208° (из ацетона). Смесь 8,2 г XVIII, 12,7 г XX, 0,2 г стружек Mg и 10 мл сухого C_6H_6 нагревают 6 час. при 93—95°; после обычной обработки получают 3,8 г XIX, т. кип. 179—181°/0,5 мм; хлоргидрат, т. пл. 160—161,5° (из ацетона).

Г. Швехгеймер
21464. Гетероциклические соединения. 52. Синтез 1-γ-алкоксипропилпиперидонов-4 и 1-γ-диалкиламинопропилпиперидонов-4. 53. Синтетические обезболивающие вещества. XV. Синтез 2,5-диметил-4-фенилпиперидонов-4 и их сложных эфиров, содержащих при азоте γ-замещенные пропильные радикалы. Аналоги промедола и изопромедола. II. Назаров И. Н., Макин С. М., Ж. общ. химии, 1957, 27, № 2, 499—509, 510—518

52. Показано, что при р-ции $R(CH_2)_3NH_2$ (I), где R = диалкиламино-, алкокси- или алкилтиогруппа, с пропенилдиэтилопропенилкетон (II), 5-метилгептадиен-2,5-оном-4 (III) или пропенил-Δ¹-циклогексенилкетон (IV) образуются производные 2,5-диметилпиперидона-4 (V), 2,5,6-триметилпиперидона-4 (VI) или 2-метил-4-кетодагидрохинолина (VII), имеющие у азота γ-замещ. пропильные радикалы. Вместо диеновых кетон в р-цию можно брать соответствующие β-метоксикетоны; в этом случае для гладкого течения р-ции необходимо присутствие воды. Легкость циклизации винилпропенилкетон (или β-метоксикетон) возрастает с увеличением основности взятого в р-цию амина. Некоторые из полученных 4-кетопроизводных восстановлены по методу Кижнера. К 1 кг 35%-ного водн. р-ра $(CH_3)_2NH$ прибавляют при 40—45° 320 г $CH_2=CHCN$, оставляют на 40 мин., насыщают щелочью, органич. слой отделяют и водн. слой экстрагируют эфиром, получают $(CH_3)_2NCH_2CH_2CN$, выход 82%, т. кип. 169—172°; аналогично синтезируют $(C_2H_5)_2NCH_2CH_2CN$, т. кип. 86—88°/20 мм, и $C_6H_{10}NCH_2CH_2CN$, т. кип. 114—115°/18 мм. К смеси 225 г $CH_2=CHCN$ и нескольких капель р-ра CH_3ONa (из 1,5 г Na и 20 мл CH_3OH , с упариванием до 1/2 объема) при перемешивании в 40—45° прибавляют 180 г CH_3OH , оставляют на ~ 12 час. и подкисляют CH_3COOH , получают $CH_3OCH_2CH_2CN$ (VIII), выход 80,5%, т. кип. 162—164°. Аналогично получают (указаны выход в %, т. кип. в °C/мм): $C_2H_5OCH_2CH_2CN$, 78, 169—172; $n-C_3H_7OCH_2CH_2CN$, 95, 85—89/24; $n-C_4H_9OCH_2CH_2CN$, 85,5, 74—75/10; $C_2H_5SCH_2CH_2CN$ (IX), 95, 100/13. Р-р 425 г VIII в 500 мл CH_3OH насыщают NH_3 при охлаждении и гидрируют при 95—100° и 90—120 ат над 25 г скелетного Ni, получают I ($R = CH_3O$), выход 63,5%, т. кип. 117—119°/734 мм; этим же методом синтезированы следующие I (указаны R, выход в %, т. кип. в °C): C_2H_5O , 50, 133—136; $n-C_3H_7O$, 50, 153—156; $n-C_4H_9O$, 71, 74—76/21 мм; $(CH_3)_2N$ (Ia), 68,8, 130—133; $(C_2H_5)_2N$, 65, 168—170; пиперидил-1, 50, 82—85/10 мм. К дисперсии 40 г Na в 150 мл безводн. толуола при 105° и перемешивании прибавляют за 45 мин. р-р 36 г IX в 200 мл абс. спирта, обрабатывают 50 мл спирта и 150 мл воды, подкисляют HCl (к-той), сгущают в вакууме, остаток промывают эфиром, обрабатывают твердой щелочью и экстрагируют эфиром, получают I ($R = C_2H_5S$), выход 28%, т. кип. 86—87°/23 мм. Смесь 18,3 г Ia, 29 г смеси II и соответствующих ему метоксикетон, 18 мл воды и 18 мл CH_3OH оставляют на 6 час. при ~ 20°, подкисляют разб. HCl (1:1), CH_3OH отгоняют в вакууме, промывают эфиром, насыщают твердым КОН и экстрагируют эфиром, получают 1-(γ-диметиламино)-пропил-2,5-диметилпиперидон-4 (Va), выход 87%, т. кип. 96—99°/2,5 мм, n^{20}_D 1,4728, d^{20}_{400} 0,9369; дихлоргидрат, т. пл. 187—188° (из оп.). Аналогично получают следующие V (перечислены радикал у азота, выход в %, т. кип. в °C/мм, n^{20}_D , d^{20}_{400} , т. пл. хлоргидрата в °C): $(C_2H_5)_2N(CH_2)_3$,

77, 118—120/2, 1,4678, 0,9146, —; γ-(N-пиперидил)-пропил, 57,5, 126—127/1, 1,4885, 0,9717, —; $CH_3O(CH_2)_3$ (Vb), 75, 110—111/3, 1,4547, 0,9564, 133—134 (из ацетона); $C_2H_5O(CH_2)_3$ (Vb), 68,7, 116—118/2,5, 1,4554, 0,9468, масло; $n-C_3H_7O(CH_2)_3$, 67, 117—119/1,5, 1,4545, 0,9357, масло; $n-C_4H_9O(CH_2)_3$, 65, 127—129/2, 1,4484, 0,9171, масло; $C_2H_5S(CH_2)_3$ (Vg), 68, 117—118/1,5, 1,4915, 0,9896, —; пикрат-масло. Смесь 10 г Ia, 16 г III, 10 мл воды и 20 мл CH_3OH оставляют на 6 час. при ~ 20°, нагревают 40 мин. при 50—60° и обрабатывают как описано выше, получают 1-(γ-диметиламино)-пропил-2,5,6-триметилпиперидон-4, выход 72%, т. кип. 104—106°/1,5 мм, n^{20}_D 1,4742, d^{20}_{400} 0,9420. Аналогично получают следующие VI (перечислены радикал у азота, выход в %, т. кип. в °C/мм, n^{20}_D , d^{20}_{400}): $(C_2H_5)_2N(CH_2)_3$, 71,5, 112—113/1,5, 1,4736, 0,9306; $CH_3O(CH_2)_3$, 71, 97—98/1,5, 1,4700, 0,9770; $C_2H_5O(CH_2)_3$, 70, 110—111/2, 1,4672, 0,9633; $n-C_3H_7O(CH_2)_3$, 73, 111—112/1,5, 1,4645, 0,9510; $n-C_4H_9O(CH_2)_3$, 70, 119—120/2, 1,4638, 0,9411. Подобным же образом, исходя из IV, получают следующие VII (перечислены радикал у азота, выход в %, т. кип. в °C/мм, n^{20}_D , d^{20}_{400}): $(CH_3)_2N(CH_2)_3$, 80, 138—140/2,5, 1,4958, 0,9884; $(C_2H_5)_2N(CH_2)_3$, 81, 146—147/2, 1,4925, 0,9719; γ-(N-пиперидил)-пропил, 64,5, 159—161/2, 1,4963, 0,9854; $CH_3O(CH_2)_3$, 82,5, 134—135/2,5, 1,4951, 1,029; пикрат, т. пл. 133—135° (из сп.); $C_2H_5O(CH_2)_3$ (VIIa), 81,7, 140—142/2,5, 1,4880, 1,0075; $n-C_3H_7O(CH_2)_3$, 83, 142—143/2, 1,4886, 0,9940; $n-C_4H_9O(CH_2)_3$, 74,5, 151—152/2,5, 1,4856, 0,9856. Смесь 11 г Vb, 17 г гидразингидрата (X), 25 мл спирта и 5 мл воды нагревают 5 час. при 70—75°, спирт удаляют в вакууме, остаток обрабатывают щелочью, экстрагируют эфиром, эфир отгоняют, остаток нагревают 3 часа при 150—160° с небольшим кол-вом КОН и экстрагируют эфиром, получают 1-(γ-метокси)-пропил-2,5-диметилпиперидин, выход 53%, т. кип. 60—62°/2,5 мм, n^{20}_D 1,4520, d^{20}_{400} 0,8874; хлоргидрат, т. пл. 131,5—133° (из ацетона). Аналогично из 5,4 г Vb, 10 мл X, 10 мл спирта и 4 мл воды получают 1-(γ-этокс)-пропил-2,5-диметилпиперидин, выход 41,5%, т. кип. 58—60°/2 мм, n^{20}_D 1,4524, d^{20}_{400} 0,8796; хлоргидрат — масло. Смесь 10 г VIIa, 15 г X, 30 мл спирта и 5 мл воды нагревают 5 час. при 75—80°, спирт отгоняют в вакууме, остаток обрабатывают щелочью, экстрагируют эфиром, эфир отгоняют, остаток разлагают КОН 5 час. при 150—160° и экстрагируют эфиром, получают 1-(γ-этокс)-пропил-2-метил-4-кетодагидрохинолин, выход 74%, т. кип. 119°/3 мм, n^{20}_D 1,4795, d^{20}_{400} 0,9380; хлоргидрат, т. пл. 120—122° (из ацетона).

53. При р-ции C_6H_5Li с Va, Vb, Vg и Vg получают 1-(γ-диметиламино)-пропил-(XI), 1-(γ-метокси)-пропил-(XII), 1-(γ-этокс)-пропил-(XIII) и 1-(γ-этилпропано)-пропил-(XIV) 2,5-диметил-4-фенилпиперидоны-4. Для XII и XIII выделены по две (из четырех возможных) стереоизомерные формы. При взаимодействии указанных пиперидолов с CH_3COCl или C_2H_5COCl в среде соответствующего ангидрида получены: ацетат XI (XV), пропionate XI (XVI), ацетат α-изомера XII (XVII), ацетат α-изомера XIII (XVIII), пропionate XIV (XIX), пропionate α-изомера XII (XX) и пропionate α-изомера XIII (XXI). При фармакологич. испытаниях найдено, что XX и XXI обладают высоким обезболивающим и местноанестезирующим действиями. Однако все препараты по обезболивающей активности значительно уступают промедолу. К р-ру C_6H_5Li (из 57 г C_6H_5Br и 5,7 г Li в 100 мл абс. эф.) при охлаждении льдом и солью прибавляют за 2,5 часа 57 г Va, перемешивают 5 час. при ~ 20°, оставляют на ~ 12 час., кипятят 2 часа, подкисляют разб. HCl (1:1), водн. слой промывают эфиром, обрабатывают твердой щелочью и экстрагируют эфиром, получают

XI, выход 56%, т. кип. 160—162°/1,5 мм; дихлоргидрат (XIIa), т. пл. 223—224°. К р-ру C_6H_5Li (из 4,5 г Li и 4 г C_6H_5Br в 260 мл абс. эф.) прибавляют при -15° на 4 часа р-р 38 г Vb в 40 мл абс. эфира, оставляют на ~ 12 час., перемешивают 4 часа при $\sim 20^\circ$ и 2 часа при кипении, прибавляют при 0° 100 мл охлажд. воды, водн. слой насыщают щелочью и экстрагируют эфиром, получают 23 г смеси изомеров XII с т. кип. 155—158°/1 мм; при добавлении бензина из смеси выделяют 8,1 г α -формы XII, т. пл. 69—70° (из бзн.); хлоргидрат (XIIa), т. пл. 197—198° (из сп.-аcetона). Незакристаллизовавшуюся смесь изомеров превращают в хлоргидраты и подвергают дробной кристаллизации из аcetона, получают 1,2 г XIIa и 1,3 г хлоргидрата β -формы XII, т. пл. 149—150°; последний обрабатывают NH_4OH и получают β -форму XII, т. кип. 150—160°/1,5 мм. К р-ру C_6H_5Li (из 48 г C_6H_5Br и 4,7 г Li в 120 мл абс. эф.) прибавляют за 2 часа при охлаждении льдом с солью 50 г Vv, перемешивают 1 час при $\sim 20^\circ$ и 3 часа при кипении, прибавляют при охлаждении 140 мл 18%-ной HCl , водн. слой насыщают $NaOH$ и экстрагируют эфиром, получают 36 г смеси изомеров XIII с т. кип. 160—165°/2 мм, которую обрабатывают как описано выше; получают 14,8 г α -формы XIII, т. пл. 63—64° (из бзн.); 1,8 г хлоргидрата α -формы XIII, т. пл. 191—192° (из аcetона), и 2,1 г хлоргидрата β -формы XIII, т. пл. 148—149° (из аcetона); основание β -формы, т. кип. 160—162°/2 мм. К р-ру C_6H_5Li (из 1 г Li и 9 г C_6H_5Br в 35 мл абс. эф.) прибавляют за 40 мин. при $\sim 20^\circ$ р-р 10,3 г Vg в 10 мл абс. эфира, кипятят 1 час и оставляют на ~ 12 час.; после обычной обработки получают 6,4 г XIV, т. кип. 178—180°/2,5 мм; хлоргидрат, т. пл. 164—165° (из аcetона-сп.). Смесь 5 г XIIa, 10 мл C_6H_5COCl и 20 мл $(CH_3CO)_2O$ нагревают 3,5 часа при 90—100°; получают 3,1 г дихлоргидрата XV, т. пл. 231—232° (из сп.-аcetона). В условиях, близких к указанным выше, получают дихлоргидрат XVI, выход 7,5 г (из 10 г XIIa), т. пл. 239—240° (из сп.); хлоргидрат XVII, выход 3,1 г (из 3 г хлоргидрата α -XII), т. пл. 177—179° (из аcetона); хлоргидрат XVIII, выход 3,5 г (из 3,5 г хлоргидрата α -XIII), т. пл. 201—202° (из сп.-аcetона); хлоргидрат XIX, выход 0,5 г (из 3,5 г хлоргидрата XIV), т. пл. 173,5—174° (из аcetона); маточный р-р от перекристаллизации последнего упаривают в вакууме, остаток растворяют в воде, обрабатывают K_2CO_3 и экстрагируют эфиром, получают 1,4 г XIX, т. кип. 165—168°/1 мм. Смесь 5 г α -формы XII, 10 мл безводн. C_6H_6 , 10 мл C_6H_5COCl и 0,2 г стружек Mg нагревают 9 час. при 80—90°, легкокипящие в-ва удаляют в вакууме при 50° остаток растворяют в 10 мл воды, обрабатывают Na_2CO_3 и экстрагируют эфиром, получают 4,7 г XX, т. кип. 160—163°/1 мм; хлоргидрат, т. пл. 193—194° (из аcetона). Аналогично из 5 г α -формы XIII (нагревание 10 час. при 95—100°) получают 4,4 г XXI, т. кип. 180—182°/3 мм; хлоргидрат, т. пл. 192—193,5° (из аcetона).

Г. Швехгеймер

21465. Исследование механизма реакции аминометилирования. VI. Переаминаметилирование. Хельман, Опиц (Beiträge zum Mechanismus der Aminomethylierungsreaktion VI. Trans-Aminomethylierungen. Hellmann, Heinrich, Opitz Günter), Chem. Ber., 1957, 90, № 1, 15—19 (нем.).

Показано, что при взаимодействии N-метоксиметилпиперидина (I) с C_6H_5Li и $LiAlH_4$ происходит р-ция трансаминометилирования, приводящая соответственно к N-бензил-(II) и N-метилпиперидину (III). С метадорганич. производными сульфонов эта р-ция протекает менее удовлетворительно. 100 мл 1 н. р-ра C_6H_5Li в эфире кипятят 3 часа, 0,077 моля I ($\sim 20^\circ$, 4) подкисляют разб. H_2SO_4 до pH 1—2, фильтруют,

подщелачивают и извлекают $CHCl_3$, получают II, выход 14,5%, т. кип. 135—136°/30 мм; йодметилат, т. пл. 147° (из сп.). Суспензию $\sim 0,25$ моля $LiAlH_4$ в 200 мл $(C_4H_9)_2O$ кипятят 2 часа с 0,25 моля I, оставляют на 12 час. при $\sim 20^\circ$, кипятят 2 часа, прибавляют 60 мл воды, подкисляют H_2SO_4 , фильтруют, подщелачивают и извлекают 200 мл эфира; из фракции с т. кип. 102,5—103°/740 мм выделяют III·HBr, т. пл. 183,5—184°; пикрат III, т. пл. 222°. При взаимодействии I с $(C_6H_5CH_2)_2SO_2$ (IV) и $C_6H_5CH_2SO_2CH_3$ (V), наряду с неизмененными IV и V и метиленидипиперидином, получают в небольшом кол-ве соответственно α -пиперидинометилдибензилсульфон; пикрат, т. пл. 188—190° (разл.), и α -(пиперидинометил)-винилфенилсульфон (VI); пикрат, т. пл. 170—171° (из воды); VI образуется, вероятно, в результате двукратного пиперидинометилирования V с последующим отщеплением одной молекулы пиперидина. Сообщение V см. РЖХИМ, 1957, 60602.

А. Травин

21466. Пиридиламиноалканы. Профт (Pyridylaminoalkane. Profft Elmar), Chem. Ber., 1957, 90, № 9, 1734—1737 (нем.).

Восстановлением соответствующих пиридилнитроалканов над скелетным Ni в спирт. р-ре NH_3 получены (указаны в-во, выход в %, т. кип. в $^\circ C/мм$ и n_D^{20}): 1-(пиридил-4)-3-аминобутан, 34, 118—119,5/12, 1,5168; 1-(пиридил-2)- (24, 137—139/15, 1,5179) и 1-(6-метилпиридил-2)- (64, 130—132/20, 1,5095) 3-аминопентаны, 1-(пиридил-2)-(I) (80, 114—115/10, 1,26—129/18, 1,5090) и 1-(6-метилпиридил-2)-(II) (82, 133—134/20, 1,30—134/12, 1,5099) 3-амино-3-метилбутаны, 1-(пиридил-2)-(III) (75,5, 141,5—142/10, 1,5133) и 1-(пиридил-4)- (58, 148,5—151/12) 3-амино-4-метилпентаны, 1-(пиридил-2)-(IV) (76, 139—141/12, 1,5108) и 1-(пиридил-4)- (49, 141—143/12, 1,5130) 3-амино-3-метилпентаны. В двух случаях восстановление (при 134 ат) сопровождалось гидрированием пиридинового цикла, причем получены 3-метил- (7,5, 124—126/13, 1,4895) и 4-метил- (70, 148—149/12, 1,4730) 1-(пиридил-2)-3-аминопентаны. При соединении акрилонитрила (V) или 2-винилпиридина (VI) к I получены 2-цианэтил- (59, 154—157/12, 1,5120) и 2-(пиридил-2)-этил- (57, 177—185/0,6, 1,5449) 1,1-диметил-3-(пиридил-2)-пропил-амины; аналогично из II и V или 2-метил-6-винилпиридина синтезированы 2-цианэтил- (64, 147—150/0,6, 1,5120) и 2-(6-метилпиридил-2)-этил- (31, 180—182/1,5, 1,5364) 1,1-диметил-3-(6-метилпиридил-2)-пропил-амины; из III или IV и VI — 1-изопропил-3-(пиридил-2)-пропил- (61,5, 183—184/0,5, 1,5421) и 1-метил-1-этил-3-(пиридил-2)-пропил- (44,5, 184—198/0,15, 1,5428) 2-(пиридил-2)-этил-амины.

Л. Шуккина

21467. Изонитрозокетоны. Стейнберг, Болджер (Isonitrosoketones. Steinberg George M., Bolger James), J. Amer. Pharmac. Assoc. Scient. Ed., 1957, 46, № 3, 188—191 (англ.).

В связи с тем, что 3-оксиминобутанон-2 (I) оказывает профилактич. действие при отравлении диэтилопропифторфосфатом и сарином, синтезированы изонитрозокетоны, $RR'NCH_2C(=NOH)COCH_3$ (II) и их соли. Эти соединения оказались слабыми антидотами и не реактивируют ацетилхолинэстеразу в указанных случаях. Характер и степень влияния аминной функции на pK_a солей II аналогичны найденным у аминокислот. II получены действием C_6H_5ONO на соответствующие аминокетоны в кислой среде по описанному ранее методу (Bachman G. B., Welton D. F., J. organ. Chem., 1947, 12, 223). После подщелачивания II извлекали эфиром и для превращения в йодметилат (ИМ) удаляли эфир и оставляли с избытком CH_3I на 12 час. Синтезированы следующие II [указаны R и R' или $RR'N$, выход хлоргидрата в %, его т. пл. в $^\circ C$ (из сп.-эф. или сп.-аcetона), значение pK_1 и pK_2 , выход

ИМ в %, т. пл. в °C (из тех же р-рителей), pK_1 , pK_2 : CH_3 , CH_3 , 59, 195, 7,05, —, 55, 180, 7,05, —; C_2H_5 , C_2H_5 , 75, 150—153, 7,05, 11,4 (с поправкой на гидролиз) (бромгидрат, т. пл. 129—134°), 35, 149—151 (или 156—158° в зависимости от скорости нагревания), 6,95, —; N-морфолино, 72,5, 221—224, 6,1, 9,15, 60, 145, 6,9, —; N-пиперидино, 55, 228, 7,05, 10,7, 75, 162, 7,15, —. Синтезирован также $RR'NCH_2CH_2C(=NOH)COCH_3$ (значения те же, что указаны выше): C_2H_5 , C_2H_5 , 22, 137, 8,0, 109, 75, 187—190, 8,6, —. pK_1 I 9,45. Приведены pK_a : 1-диэтиламинопентанона-4 10,1, 1-диэтиламино-, 1-диметиламино- и 1-(N-морфолино)-бутанона-3 9,25, 8,95 и 6,6 соответственно. Г. Браз

21468. Аналоги 4-(*n*-диметиламиностирил)-хинолина. Банер, Нили (Analogues of 4-(*p*-dimethylaminostyryl)-quinoline. Bahner Carl Tabb, Neely Robert), J. Organ. Chem., 1957, 22, № 9, 1109 (англ.)

Конденсацией *n*-диметиламиноанилина с α -нафталдегидом (5 час., 135°) или с γ -пиридинальдегидом (45 мин., 105°) синтезированы с целью биол. испытаний N-(*n*-диметиламинофенил)-1-нафталдимин, выход 17%, т. пл. 77—79° (из изопропилового эфира [I]) и N-(*n*-диметиламинофенил)-4-пиридилальдимин, выход 47%, т. пл. 195° (из I). Д. Витковский

21469. Общие синтезы пиридоксимов. Улучшенные синтезы 2-метил-3-нитро-4-этоксиметил-5-циано-6-хлорпиридина и 2-метил-3-амино-4-этоксиметил-5-аминометилпиридина. Теста, Векки (Sintesi totale della piridossima. Miglioramenti nelle preparazioni della 2-metil-3-nitro-4-etossimetil-5-ciano-6-cloropiridina e della 2-metil-3-amino-4-etossimetil-5-amino-metilpiridina. Testa Emilio, Vecchi Alberto), Gazz. chim. ital., 1957, 87, № 4, 467—469 (итал.)

Улучшены синтезы 3-нитро-5-циано-6-хлор-(I) и 3-амино-5-аминометил-(II)-2-метил-4-этоксиметилпиридинов, являющихся промежуточными продуктами в синтезах пиридоксимов. I, выход 80%, т. пл. 47—48° (из сп.), получен кипячением в течение 1 часа 2-метил-3-нитро-4-этоксиметил-5-цианопиридола-6 в C_2H_5Cl с избытком $POCl_3$ в присутствии C_2H_5N , после чего отгоняют р-ритель и $POCl_3$, растворяют остаток в воде, спирте и извлекают I петр. эфиром. Дихлоргидрат моногидрата II, выход 80%, т. пл. 193—195° (из сп.-ацетона), получен восстановлением I в разб. HCl (1:10) над 20%-ным Pd/C при ~ 3 ат.

Д. Витковский
21470. Синтез пиридоксина. Получение 2-метил-3-ацетокси-4-ацетоксиметил-5-оксиметилпиридина. Теста, Фава (Pyridoxin-Synthese. Herstellung von 2-Methyl-3-Acetoxy-4-Acetoxy-methyl-5-Oxymethylpyridin. Testa Emilio, Fava Franco), Chimia, 1957, 11, № 10, 307—309 (нем.)

Усовершенствован синтез пиридоксина (I) из 2-метил-3-амино-4-оксиметил-5-аминометилпиридина (II). К 18 г хлоргидрата (ХГ) II и 16 г NaBr в 360 мл дистил. воды приливают 9,2 г H_2SO_4 в 40 мл воды, быстро нагревают до 80°, приливают за 30 мин. р-р 12 г $NaNO_2$ в 50 мл воды, выдерживают 15 мин. при 80°, прибавляют немного NH_2SO_2OH , затем 18 г конц. H_2SO_4 в 80 мл воды и нагревают 8 час. при 80°. Выход I ~ 90% (определен колориметрически). К р-ру при +5° приливают 30%-ный NaOH до pH 7,2—7,5, прибавляют при 0—5° 80 мл $(CH_3CO)_2O$, перемешивают 30 мин. и извлекают этилацетатом 2-метил-3-ацетокси-4-ацетоксиметил-5-оксиметилпиридин (III). Вытяжку упаривают, остаток нагревают 30 мин. с 160 мл 10%-ной HCl и выделяют ХГ I, выход 70%, т. пл. 207—208° (из абс. сп.). К I в ХГ I в 25 мл воды прибавляют 0,42 г $NaHCO_3$ и основание превращают в III, как указано выше. Выход III 73%, т. пл. 90—92° (из бэл.-петр. эф.); ХГ, т. пл. 159—161°. Для доказательства строения 9 г III окисляют CrO_3 в CH_3COOH

и получают 7,03 г 2-метил-3-ацетокси-4-ацетоксиметилпиридинкарбоновой-5 к-ты (IV), моногидрат, т. пл. 172° (из абс. сп.). 2,5 г IV нагревают 45 мин. с 25 мл 10%-ной HCl, прибавляют при 5° 30%-ный NaOH до pH 7 и через 48 час. отделивают 1 г 4,5-лактона деацетилированной IV, т. пл. 272—273° (разл.).

21471. Новый синтез пиридоксина. Теста, Фава (Eine neue Pyridoxaminsynthese. Testa Emilio, Fava Franco), Chimia, 1957, 11, № 10, 310 (нем.)

6 г пиридоксальоксида (см. Viscontini M. и др., Helv. chim. acta, 1951, 34, 1834) растворяют в 75 мл лед. CH_3COOH и за 5 мин. при $t \leq 75^\circ$ прибавляют 10 г Zn-пыли. После падения т-ры до 40° обработку Zn-пылью повторяют еще дважды, фильтрат упаривают, остаток растворяют в воде, насыщают H_2S , фильтруют, подкисляют конц. HCl и упаривают. Выход дихлоргидрата пиридоксина, дигидрата, 87%, т. пл. 225—227° (разл.; из CH_3OH). Г. Браз

21472. Получение некоторых 1-(нитрофенил)-2-пиридонов и 2-тиопиридонов. Хан, Правдивич-Савдович (The preparation of some 1-(nitrophenyl)-2-pyridones and -thiopyridones. Hahn V., Pravdić-Sladović N.), Croat. chem. acta, 1957, 28, № 2, 127—129 (англ.; рез. сербо-хорв.)

Синтезированы 1-(3'-нитрофенил)-(I) и 1-(4'-нитрофенил)-2-пиридоны (II) и из них получены соответствующие 2-тиопиридоны (III и IV). Из 0,1 моля 2-аминопиридина в 100 мл 20%-ной H_2SO_4 действием 0,106 моля $NaNO_2$ получают пиридон-2, выход 75%, а по Винцу и Пету (Liebigs Ann. Chem., 1931, 489, 107) превращают в К-производное (V); моногидрат, т. пл. 269—273°. 45 ммоль безводн. V, 180 ммоль *m*- $BrC_6H_4NO_2$ и 0,3 г Si-порошка нагревают 4 часа при 240—260°, отгоняют с паром и из остатка извлекают водой I, выход 63%, т. пл. 184—185° (из сп.). К 10 ммоль I в 10 мл безводн. C_2H_5N прибавляют 10 ммоль P_2S_5 , кипятят 2 часа, выливают в 50 мл воды и выделяют (~0°, 12 час.) III, выход 84%, т. пл. 199—200° (из бэл.). II получен из безводн. V и *n*- $ClC_6H_4NO_2$ подобно I, выход 50%, т. пл. 188—189° (из сп.), IV — аналогично III, выход 73%, т. пл. 174—175° (из бэл.). Г. Браз

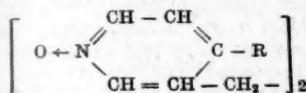
21473. Пиридинамидоксимы. Бернасек (Pyridineamidoximes. Bernasek Edward), J. Organ. Chem., 1957, 22, № 10, 1263 (англ.)

Нагреванием при 80—85° смесей 0,03 моля $NH_2OH \cdot HCl$, 15 ммоль $Na_2CO_3 \cdot H_2O$ и 10 мл воды с 29 ммоль 2- или 4-цианпиридинов получены с целью биол. испытаний 2-пиридин-[выход 98%, т. пл. 115,5—116° (из воды)] и 4-пиридин-[выход 90%, т. пл. 178—179° (из сп.)]-амидоксимы. Синтезирован также 3-пиридинамидоксим, т. пл. 127,5—128°. Д. Витковский

21474. 1-Окиси пиридинов. III. Интермолекулярное окисление 1-окиси 4-нитро- β -пикколина. Тейлор, Кроветти, Бойер (Pyridine-1-oxides. III. Oxidative coupling of 4-nitro- β -picoline-1-oxide. Taylor E. C., Crovetti A. J., Boyer N. E.), J. Amer. Chem. Soc., 1957, 79, № 13, 3549—3552 (англ.)

Описано получение из 1-окиси 4-нитро- β -пикколина (I) соединений (IIa—д). К 0,78 моля I в 3 л абс. спирта прибавляют при 0° 0,83 моля *n*- C_4H_9ONO , медленно приливают р-р C_2H_5ONa (из 0,78 г-атома Na и 500 мл абс. спирта), перемешивают 6 час. при 0° и выливают в 5 л ледяной воды; выход IIa 53%, т. пл. 242° (разл.; после переосаждения водой из р-ра в конц. HCl). К 0,2 моля I в 1,5 л абс. спирта при 0° приливают р-р C_2H_5ONa (из 0,2 г-атома Na в 250 мл абс. спирта), пропускают O_2 2 часа при 0° и 8 час. при 20°, через ~12 час. пропускают O_2 еще 1 час и выпавший осадок отделяют от темно-зеленого р-ра. Осадок извлекают горячим $CHCl_3$ и получают II, выход 38%. Из хлороформных экстрактов выделяют

Пб, выход 0,72%, т. пл. 245—246° (разл.; из сп.). Путем изменения условий проведения р-ции выход Пб можно повысить до 19%. Па не удается превратить в Пб действием р-ра C_2H_5ONa в спирте. Вероятно, I сначала дает с C_2H_5ONa 1-окись 4-этоксип-пикколина (III), которая затем окисляется в Пб. Темно-зеленый р-р (см. выше) упаривают в вакууме до небольшого объема, отделяют осадок, фильтрат упаривают досуха и извлекают эфиром III, выход 2,9%, т. пл. 139—140° (из абс. сп.). Из остатка после извлечения III выделяют гигроскопичное в-во неустойчивого строения (IV); сесквигидрат, т. пл. 242° (разл.);

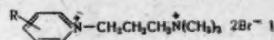


на R = NO₂, 6 R = OC₂H₅, в R = OH г, R = Cl, д R = NHON

пикрат, гемигидрат, т. пл. 161° (разл.; из воды). IV получают также при гидрировании 9,19 г Па в 320 мл HCON(CH₃)₂ над 1,5 г 5%-ного Pd/C (3 ат, 80°, 18 час.), выход 5,5 г, 0,03 моля Пб кипятят 20 час. с 0,06 моля KOH в 70 мл воды и разбавляют смесью спирта с ацетоном (1:1), получают Пв в виде дикарбонной соли, выход 69%, т. пл. 355° (разл.; из воды); Pd-соль, т. пл. 175—180°. Гидролиз Пб действием Ba(OH)₂ приводит к колич. выходом к Ba-соли Пв, из которой H₂SO₄ выделяют Пв, т. пл. 165—166° (из воды). К 90 мл CH₃COCl при 0° прибавляют 9,19 г Па, кипятят 2 часа, выливают на лед, прибавляют Na₂CO₃ до pH 6 и извлекают полученный Пг CHCl₃, выход 70%, т. пл. 219° (разл.; из сп.); дихлоргидрат, т. пл. 245° (разл.; из 10%-ной HCl). Смесь 2,73 г Пг и 100 мл жидкого NH₃ нагревают 6 час. при 150° и выделяют 4,4'-дихлор-β,β'-дипикколил (V), т. пл. 115—115,5° (из воды. см. с последующей возгонкой при 100°/0,02 мм); дихлоргидрат, т. пл. 291° (разл.; из разб. HCl-сп.); пикрат, т. пл. 228° (разл.; после возгонки при 200°/0,005 мм). V получают также при гидрировании 2,26 г Пг в 100 мл воды и 10 мл конц. HCl над 0,8 г 5%-ного Pd/C (3 ат, ~20°). 8,42 г Па гидрируют в 300 мл абс. спирта, содержащего 6 мл конц. HCl, над 5%-ным Pd/C (3 ат, 50°) и получают дихлоргидрат Пд, выход 88%, т. пл. 228° (разл.; из разб. HCl); основание, т. пл. 295—300° (разл.). 6,12 г Па в 200 мл лед. CH₃COOH гидрируют над 4,5 г 5%-ного Pd/C (3 ат, 50°); получают диакетат 4,4'-диаминодипикколила, выход колич., т. пл. 115—116° (из CH₃COOH); основание, т. пл. 250—251° (из сп.-ацетона). Сообщение II см. РЖХим, 1957, 1052.

Г. Браз 21475. Двумаммониевые соли. Несимметричные производные замещенных пиридиновых оснований, являющиеся мощными избирательно действующими гипотензивными средствами. Грей, Арчер, Спиннер, Кавалито (Bis-ammonium salts. Unsymmetric derivatives of substituted pyridine bases that are potent and selective hypotensive agents. Gray Allan P., Archer Wesley L., Spinner Ernest E., Cavallito Chester J.), J. Amer. Chem. Soc., 1957, 79, № 14, 3805—3808 (англ.) В продолжение прошлых работ (РЖХим, 1956, 28022) по изысканию фармакологически активных соединений синтезированы несимметричные дучетвертичные аммониевые соли (I). Спирт. р-р 0,1 моля BrCH₂CH₂CH₂N⁺(CH₃)₃Br⁻ (II) и 0,1 моля γ-пикколина кипятят 15 час. и охлаждают; выход I (R = 4-CH₃) (Ia) 62%, т. пл. 244—245° (из сп.), относительная гипотензивная активность (ГА) (активность гексаметония = 1) составляет < 0,1. Р-р 6 молей 4-(1-метил-3-индолилэтил)-пиридина (III) и 6 молей II в 4,5 л

CH₃CN кипятят 18 час. Выход I (R = 4-(1-метил-3-индолилэтил)) (Ib) 79%, т. пл. 133° (разл.; гигроскопичен, из изо-C₃H₇OH), ГА 80, относительное ганглио-блокирующее действие (ГБД) (действие гексаметония = 1) равно 1. Соответствующую Iб двуххлористую соль (Iв) получают пропусканием р-ра 600 г Iб в 12 л дистил. воды через колонку с амберлитом IRA 401 с последующим упариванием фильтрата в вакууме; выход Iв 86%, т. пл. 195° (разл.; из сп.-ацетона). Iв синтезирован также нагреванием (120—125° (т-ра бани), 24 часа) р-ра в HCON(CH₃)₂, III и ClCH₂CH₂CH₂N⁺(CH₃)₃Br⁻ (IV) (получен из ClCH₂CH₂CH₂Br и (CH₃)₃N, т. пл. 204—206°) с последующим пропуска-



нием через амберлит IRA 401, либо при нагревании в указанных условиях р-ра III с ClCH₂CH₂CH₂N⁺(CH₃)₃Cl⁻ (получен из IV пропусканием через аннион, т. пл. 202° (разл.)), выход 55%. К р-ру 18 ммоль Ia и 36 ммоль свежеперегнанного C₆H₅CHO в 50 мл CH₃OH прибавляют 1 мл пиридина, кипятят 4 часа и р-р разбавляют эфиром; получают I (R = 4-C₆H₅CH=CH), выход 54%, т. пл. 150° (разл.; из сп.), ГА 0,5. Сходным образом синтезированы следующие I [указаны R, т. пл. в °C (в большинстве случаев с разложением), ГА, ГБД]: 4-C₆H₅CH₂, 172—174, 1; —; 4-(C₆H₅)₂CH, 145—150 (моногоидрат), 3, 0,5; 2-(1-нафтилэтил) (Iг), 170—171, 100, 2; 4-(1-нафтилэтил) (выход 69%), 178 (из сп.-эф.), 5, —; 2-(3-инденилэтил), 188—190 (в запаянном капилляре), 40, 1; 4-(3-инденилэтил), 195—197, 15, 1; 2-(3-индолилэтил), 201—203, 50, 3; 4-(3-индолилэтил), 218—219, 20, 3; 4-(1-индолилэтил), 223—225, 150, 2; 4-(3-индолилэтил) (выход 56%), 275 (из CH₃OH-этилацетата), 4, 1; 2-(1-метил-3-индолилэтил), 139—140, 25, 1; 4-(1-бензил-3-индолилэтил), 193—194, 10, —; 2-(1-метил-3-индолилэтил)-5-этил, 173—174, 120, 0,5; 3-(2-индолил), 235—237, 0,5, —; 4-(2-индолил), 236—238, 10, —; 4-(3,3'-диндолилметил), 220, 5, —; 4-фталимидоэтил, 204, 2, —. 0,3 моля 4-бензилпиридина (V) гидрируют в 100 мл лед. CH₃COOH и 50 мл воды над 1 г Pt (из PtO₂) при ~20° и 3,3 ат 72 часа. Из фильтрата после упаривания и обработки щелочью извлекают эфиром 4-бензилпиридин (VI), выход 85%, т. кип. 90—92°/0,6 мм, n_D²⁵ 1,5357, пикрат, т. пл. 192—193° (разл.). 0,16 моля VI, 0,24 моля (CH₃)₂NCH₂CH₂Cl · HCl и 50 г безводн. Na₂CO₃ кипятят 24 часа в 200 мл n-C₄H₉OH, фильтруют, упаривают и извлекают эфиром 1-(β-диметиламиноэтил)-4-бензилпиридин, выход 31%, т. кип. 135—140°/0,5 мм, n_D²⁴ 1,5167, дихлоргидрат, т. пл. > 270° (из CH₃OH), ГА 5, дийодметилат, т. пл. 225—226° (разл.; из CH₃OH-этилацетата), ГА 5, ГБД 0,5. 1-(γ-диметиламинопропил)-4-бензилпиридин (РЖХим, 1957, 19347), ГА < 0,1, дибромметилат, т. пл. 237—238°, ГА 5. Рассматривается зависимость между хим. строением и фармакологич. активностью синтезированных четвертичных солей. Отмечается отсутствие связи между ГА и ГБД в исследованном ряду. ГА многих полученных несимметричных соединений оказалась значительно выше, чем у симметричных дучетвертичных солей с 5—6 атомами С в цепи. Iб, проходящий клинич. испытания, при внутривенном введении анестезированным собакам в дозе 0,025 мг/кг более чем на 4 часа понижает кровяное давление на 50%. Хлоргидрат 2-(1-нафтилэтил)-пиридина, являющийся исходным в-вом для Iг, получен путем алкилирования α-пикколина 1-хлорметилнафталином в присутствии NaNH₂ в жидком NH₃, т. пл. 174,5—175,5°. Для синтеза 4-фталимидоэтилпиридина (VII) 0,1 моля фталымиды, 0,15 моля свежеперегнанного 4-винилпиридина и 1 мл пиридина нагревают 5 час. при

т-ре бани 190–200°, растворяют в 10%-ной HCl, фильтруют и подщелачивают; выход VII 16,5 г, т. пл. 157–158° (из водн. изо-C₃H₇OH), хлоргидрат, т. пл. 220° (разл.), бромметилат, т. пл. 204,5–205,5° (разл.; из сп.-эф.). Бромметилат V, т. пл. 84–87°, гидрируют в 100 мл CH₃OH над 0,5 г Pt (из PtO₂) при ~20° и 2,6 ат; выход 1-метил-VI 66%, т. кип. 100–103°/3,5 мм, *n*_D²⁰ 1,5189, пикрат, т. пл. 185–186° (из сп.). Г. Браз 21476. Щелочное разложение четвертичных солей окисей аминов. Филл, Лен, Бокекхейд (Alkaline decomposition of quaternary salts of amine oxides. Feely W., Lehn W. L., Boekelheide V.), J. Organ. Chem., 1957, 22, № 9, 1135 (англ.).

При разложении разб. р-ром NaOH бромидов N-бензилокси- (т. пл. 94–96°), N-бензилокси-2-метил- (т. пл. 113–115°) или N-(2-нитробензилокси)- (т. пл. 97–98°)-пиридиниев (получаемых с 92–98%-ными выходами нагреванием N-оксией соответствующих производных пиридина с бензилбромидом в CH₃CN) образуются C₆H₅CHO, выход 90–92%, o-NO₂C₆H₄CHO, выход 60%, пиридин и α-пиколин. При взаимодействии *m*-ксилидибромидов с N-окисью пиридина образуется соль двучетвертичного основания, т. пл. 121–122°, разлагающаяся р-ром NaOH на пиридин и изофталальдегид, выход 97%. Д. Витковский 21477. Каталитический синтез гетероциклов. IX.

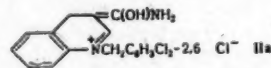
Дегидроциклизация 2-метил-5-этил-4-пиридинтиола в 6-метил-5-азатанафтен. Харш, Карпентер (Catalytic synthesis of heterocycles. IX. Dehydrocyclization of 2-methyl-5-ethyl-4-pyridinethiol to 6-methyl-5-azathianaphthene. Hansch Corwin, Carpenter Wayne), J. Organ. Chem., 1957, 22, № 8, 936–939 (англ.).

Дегидроциклизация 2-метил-5-этилпиридинтиола-4 (I) в C₆H₅N или феноле над описанным ранее катализатором (см. сообщение VIII, РЖХим, 1957, 4368) при 425° в течение 100 мин. синтезирован 6-метил-5-азатанафтен (II), выход 20–25%, т. пл. 71,5–72,5°, т. возг. 60°/0,1 мм; пикрат, т. пл. 222–224° (из сп.); йодметилат (IIa), т. пл. 240–242° (из CH₃OH). Строение II подтверждено конденсацией IIa с C₆H₅CHO (12-часовое кипячение в CH₃OH в присутствии C₆H₅N) в 1-фенил-2-[6-(5-азатанафтил)]-этен, т. пл. 290–292° (разл.), превращающийся при 280°/0,25 мм в неидентифицированное в-во, т. пл. 126–127° (из лигр.). При пропускании смеси 4-винилпиридина и H₂S при 600° над Fe/Al₂O₃ выделено растворимое в эфире в-во (пикрат, т. пл. 185–186°), являющееся, по данным анализа, продуктом присоединения 2 молей C₆H₅N к 1 молю H₂S; азатанафтен при этом не получен. I синтезирован из 2-метил-5-этилпиридина (III), окисленного 30%-ной H₂O₂ в среде CH₃COOH при 60–70° в N-окись III, т. кип. 102°/0,7 мм, *n*_D²⁵ 1,5591, нитрующуюся при медленном добавлении ее р-ра в конц. H₂SO₄ к смеси конц. H₂SO₄ и HNO₃ (d 1,49) при 105–110° и последующем нагревании р-ра 2,5 часа при 130° в N-окись 2-метил-5-этил-4-нитропиридина, выход 40–45%, т. пл. 78–79°, превращенную 5-часовым кипячением с PCl₅ в хлороформе в 2-метил-5-этил-4-хлорпиридин (IV), выход 70–75%, т. кип. 70–71°/5 мм, *n*_D²⁵ 1,5170; пикрат, т. пл. 129,5–132,5° (из сп.), кипячением которого в этиленгликоле с KHS получен I, выход 50%, т. пл. 159–161° (из ацетона). При недостатке PCl₅ или сокращении продолжительности р-ции вместо IV образуется его N-окись, т. кип. 95–100°/5 мм; пикрат, т. пл. 116–118° (из сп.). Л. III. 21478. Хинолины. IV. Производные 7-окси-5,8-хинолинхинона. Прайт, Дрейк (Quinolinequinones. IV. Derivatives of 7-hydroxy-5,8-quinolinequinone. Pratt Volanda T., Drake Nathan L.), J. Amer. Chem. Soc., 1957, 79, № 18, 5024–5026 (англ.).

В качестве возможных амбобидов синтезированы

изомерные описанным ранее (см. сообщение III, РЖХим, 1956, 50754) 6-пропил- (Ia), 6-ундецил- (Ib), 6-N-пиперидилметил- (Ic), 6-диэтиламинометил- (Id) и 6-N-гексиламинометил- (Id') 7-окси-5,8-хинолинхиноны. Исходный 7-окси-5,8-хинолинхинон (II) получен восстановлением взвеси 5,7-динитро-8-оксихинолина в воде Na₂S₂O₆ в присутствии KOH (в атмосфере N₂) в 5,7-диамино-8-оксихинолин, выделенный в виде сульфата, окисленного р-ром FeCl₃ при 45° в 7-амино-5,8-хинолинхинон-5-имин (диацетат, т. пл. 235–250° (разл.; из сп.)), также выделенный в виде сульфата, гидролизованного 12 н. р-ром H₂SO₄ в II, выход 49%, т. пл. 195° (разл.; из хлф.-петр. эф.), хиноксалиновое производное (IIa), т. пл. > 350°, полученный также по Хукеру из 7-метил-6-окси-5,8-хинолинхинона. II обладает свойствами сильной к-ты и при нагревании с CH₃OH в присутствии *m*-CH₃C₆H₄SO₃H·H₂O метилируется в 7-метокси-5,8-хинолинхинон, выход 49%, т. пл. 242,5–243° (разл.; из CH₃OH), образующий при продолжительном кипячении с *o*-фенилендиамином IIa. Алкилированием по Физеру (см. ссылку выше) перекисью бутирила или лаурилола получены Ia, выход 29%, т. пл. 136,5–138° (из петр. эф.), и Ib, выход 37%, т. пл. 104,5–105,5° (из петр. эф.), превращенный по Хукеру в 7-дицил-6-окси-5,8-хинолинхинон, выход 67%, т. пл. 90,5–91,5° (из петр. эф.). Ic, выход 92%, т. разл. 198°; Id, выход 89%, т. пл. 177–178° (разл.), Id, выход 53%, т. разл. 151°, полученные аминометилированием II по Маннику. Л. Шукля 21479. Бромистый 1-дихлорбензил-3-амидокарбоксхинолиний. Валленфельс, Куммер (N-Dichlorbenzyl-chinolin-3-carbonsäureamidbromid. Wallenfels K., Kummer W.), Angew. Chem., 1957, 69, № 15, 506 (нем.).

Синтезирован бромистый 1-(2,6-дихлорбензил)-3-амидокарбоксхинолиний (I), т. пл. 233–238° (разл.), для проверки его поведения при восстановлении действием Na₂S₂O₄ и NaBH₄. В обоих случаях образуется амид 1-(2,6-дихлорбензил)-дигидрохинолинкарбоновой-3 к-ты (II), обладающий всеми свойствами, характерными (Karrer P., Festschrift A. Stoll, Basel, 1957,



стр. 294) для *n*-дигидропроизводных пиридиниевых и хинолиниевых соединений. II необычайно устойчив к к-там и, следовательно, не может иметь строения 1,2-дигидропроизводного. На основании изучения УФ-спектра (приведены кривые для I и II) авторы приписывают II строение 1,4-дигидропроизводного. Кривые УФ-спектров II, полученные при различных концентрациях HCl, дают основание предполагать, что в данном случае имеет место полная обратимость таутомерной системы енамина — имина без побочных р-ций. В крепких к-тах II, вероятно, имеет форму (IIa). I дает с KCN цианид (Ia), которому на основании спектроскопич. данных также следует приписать строение 1,4-дигидропроизводного. В отличие от аналогичных соединений пиридинового ряда, Ia очень устойчив. Амид 1-дихлорбензилизохинолинкарбоновой-4 к-ты образует, вероятно, 1,2-дигидропроизводное (λ_{max} 271 и 337 мμ). Г. Браз 21480. Новые синтезы дигалондопроизводных 8-хинолинола. Дас, Мухерджи (A new approach to synthesis of dihalogenated 8-quinolinol derivatives. Das A., Mukherji S. L.), J. Organ. Chem., 1957, 22, № 9, 1111–1112 (англ.).

Улучшен синтез 5-хлор-7-йод-(I) и 5,7-дийод-(II)-8-оксихинолинов и получены впервые 2-метил-5-хлор-7-йод-(III) и 2-метил-5,7-дийод-(IV)-8-оксихинолины.

Показано, что при р-ции 8-окси-(V) или 2-метил-8-окси-(VI)-хинолинов с JCl_3 в конц. HCl образуются промежуточные продукты (VII), (VIII) присоединения JCl к хлоргидратам (XГ) 5-хлор-(IX) и 2-метил-5-хлор-(X)-8-оксихинолинов; а при р-ции V или VI с JCl в конц. HCl — продукты (XI), (XII) присоединения JCl к XГ 5-йод- и 2-метил-5-йод-8-оксихинолинов, разлагающиеся водой с образованием I—IV. При р-ции же VII с JCl в спирте непосредственно получается II с 90%-ным выходом. К р-ру 30 г V в 150 мл конц. HCl постепенно приливают 48 г JCl_3 в 0,3 л конц. HCl , размешивают 30 мин. и отделяют VII, выход 95%, т. пл. 148—149° (из CH_3COOH), или к 17 г JCl в 150 мл конц. HCl добавляют 15 г IX в 150 мл конц. HCl и через 30 мин. отделяют VII, выход 80%. 38 г VII размешивают с водой и получают I, выход 90%, т. пл. 181° (из CH_3COOH). Аналогично из VI получают VIII, выход ~80%, т. пл. 148° (из CH_3COOH), а из X получают III, выход 70%, т. пл. 125—126° (из сп.). 20,4 г V или VI в 0,1 л конц. HCl размешивают с 47 г JCl в 50 мл конц. HCl и отделяют XI, выход 95%, т. пл. 172° (из CH_3COOH), или XII, выход 76%, т. пл. 140—142° (из CH_3COOH), которые разлагают водой и получают II, выход 94%, т. пл. 213—214° (из бэл.), и IV, выход 64%, т. пл. 147—148° (из сп.). Л. Щукина

21481. Синтез дигалогозамещенных производных 5-аминоакридина. Мунши, Наргунд, Дхолькия (Synthesis of dihalogenated 5-aminoacridine derivatives. Munshi A. G., Nargund K. S., Dholkia P. M.), J. Indian Chem. Soc., 1957, 34, № 5, 367—370 (англ.)

Для того чтобы установить, зависит ли антималярийная активность дихлорзамещ. производных 5-аминоакридина (I) от положения атомов Cl в ядре, синтезирован ряд I. 0,1 моля 6-бром-3-метоксибензойной к-ты, 0,11 моля безводн. K_2CO_3 , 0,11 моля 2,4-дихлоранилина и 30 мл $\text{C}_6\text{H}_5\text{NO}_2$ нагревают 5 час. при 160—170° в присутствии небольшого кол-ва порошка Sn, отгоняют р-ритель с паром, остаток фильтруют и из выпавшей по охлаждению К-соли выделяют 2,4-дихлор-4-метоксидифениламинкарбоную-2 к-ту (II), т. пл. 230° (из CH_3COOH). II кипятят ~20 мин. с избытком SOCl_2 в C_6H_6 и получают хлорангидрид II, т. пл. 142° (из бэл.). Аналогично получают 3',5'-дихлоризомер II, т. пл. 221° (из CH_3COOH); хлорангидрид, т. пл. 125° (из петр. эф.), и 2',5'-дихлоризомер II, т. пл. 216° (из CH_3COOH); хлорангидрид, т. пл. 104° (из бэл.). 1 г хлорангидрида II нагревают 30 мин. с 0,47 г (C_6H_5) $_2\text{NCH}_2\text{CH}_2\text{N}(\text{CH}_3)_2$ в 30 мл безводн. C_6H_6 , отгоняют C_6H_6 , приливают 3 мл POCl_3 и кипятят 3 часа. Избыток POCl_3 отмывают петр. эфиром, остаток извлекают абс. спиртом и осаждают безводн. эфиром дихлоргидрат 7-метокси-1,3-дихлор-5-(δ-диэтиламино-α-метилбутил)-I, т. пл. 192° (из сп. эф.). Аналогично синтезированы дихлоргидраты следующих I (приведены заместители, т. пл. в °C и р-ритель для кристаллизации): 7-метокси-1,3-дихлор-5-(γ-морфолинопропил)-, 285 (разл.), спирт; 1,3-дихлор-5-(γ-пиперидинопропил)-, 220, абс. спирт-эфир; 1,3-дихлор-5-(δ-диэтиламино-α-метилбутил)-, 300, спирт-ацетон; 7-метокси-2,4-дихлор-5-(δ-диэтиламино-α-метилбутил)-, 235, спирт-ацетон; 7-метокси-2,4-дихлор-5-(γ-морфолинопропил)-, 249, абс. спирт; 7-метокси-2,4-дихлор-5-(γ-пиперидинопропил)-, 225 (разл.), спирт-эфир; 7-метокси-2,4-дихлор-5-(γ-диэтиламинопропил)-, 237 (разл.), спирт-ацетон; 2,4-дихлор-5-(γ-морфолинопропил)-, 271, абс. спирт; 2,4-дихлор-5-(δ-диэтиламино-α-метилбутил)-, 170, спирт-ацетон; 2,4-дихлор-5-(γ-диэтиламинопропил)-, 255, абс. спирт; 7-метокси-1,4-дихлор-5-(γ-морфолинопропил)-, 236, спирт; 7-метокси-1,4-дихлор-5-(γ-пиперидинопропил)-, 150 (разл.), спирт; 7-метокси-1,4-дихлор-5-(δ-диэтиламино-α-метил-

бутил)-, 185, спирт; 1,4-дихлор-5-(γ-морфолинопропил)-, 175, спирт; 1,4-дихлор-5-(γ-пиперидинопропил)-, 250, спирт; 1,4-дихлор-5-(δ-диэтиламино-α-метилбутил)-, 325, спирт. Г. Браз

21482. Пиридилэтирование соединений с активными атомами водорода. VI. Реакции кетонов, алкилпиридинов и алкилхинолинов с 2- и 4-винилпиридином. Магнус, Левин (Pyridylethylation of active hydrogen compounds. VI. Reactions of ketones, alkylpyridines and alkylquinolines with 2- and 4-vinylpyridine. Magnus George, Levine Robert), J. Organ. Chem., 1957, 22, № 3, 270—273 (англ.)

Исследованы р-ции 4-винилпиридина (I) с кетонами, а также I и 2-винилпиридина (II) с некоторыми основаниями каменноугольной смолы (ОКС). 1 моль ацетофенона (III), 0,5 моля I и 0,1 г-атома Na помещают в описанный ранее прибор (Levine R., Wilt M., J. Amer. Chem. Soc., 1952, 74, 342), перемешивают до начала экзотермич. р-ции и, когда самопроизвольное разогривание прекратится, кипятят еще 2 часа, выливают на смесь льда и 100 мл конц. HCl , извлекают CHCl_3 , водн. слой сильно подщелачивают насыщ. р-ром соды, извлекают CHCl_3 и при разгонке этого последнего экстракта получают фенил-γ-(пиридил-4)-пропилькетон (IV), выход 18,4%, т. кип. 190—195°/1,5 мм, т. пл. 78—79°, и 3-бензоил-1,5-ди-(пиридил-4)-пентан (V), выход 66%, т. кип. 232—235°/1 мм; диникрат, т. пл. 172,8—173,8°. При молярном отношении III:I:Na = 1:0,25:0,05 выход IV составил 21,6%, V — 36%. В качестве катализатора применяют также тритон Б; в этом случае в начале р-ции т-ру поддерживают при 70—75°. Аналогично проведены р-ции I со следующими кетонами (перечислены кетон, выход продукта р-ции с 1 молею I в %, т. кип. в °C/мм, т. пл. мононикрата в °C, выход продукта р-ции с 2 молями I в %, т. кип. в °C/мм, т. пл. диникрата в °C): л-метилацетофенон, 18,2, — (т. пл. 72—73°), 127—128, 46,8, 247—250/1, 173,5—174,5; пропифенон, 88,5, 198—200/4, 137—138, 41 (при молярном отношении кетон:I:Na = 1:2:0,2 наряду с продуктом р-ции кетона с 1 молею I, выход 43,4%), 245—247/1,5, 191—192; циклогексанон, 40,8, 157—160/1,5, 129,5—131, 36,4, 245—255/2, 199—200 (при этом одновременно получено 23,5 г (циклогексенил-1)-циклогексанона-2, т. кип. 136—138°/10 мм; семикарбазон, т. пл. 175—177°); ацетон, 5, 109—111/2, 113—114, —, —, —; диэтилкетон, 45, 125—128/1,5, 102—103, —, —, —; диэтилопропилькетон, 64, 125—127/1, 110,2—111,2, —, —, — [одновременно получен 1,4-ди-(пиридил-4)-бутан, выход 6,6%, т. пл. 117,5—118,5°]; диэтилопропилькетон, 48,6, 147—150/1,5, 113,5—114,5, —, —, —; метилэтилкетон (VI), 26, 136—138/4, 109—110, —, —, —; метил-изопропилькетон (VII), 64, 121—124/1,5, 125,5—126,5, —, —, —; метилбензилкетон (VIII), 75 (79,5% при применении взамен Na 5 мл тритона Б на 0,5 моля I и 0,5 моля VIII), 194—195/5, 133,5—134,5, —, —, —. 5-(пиридил-4)-пентанон-2 (IX), получаемый из ацетона и I с низким выходом, был синтезирован также другим путем: 0,4 моля $\text{CH}_3\text{COCCH}_2\text{COOC}_2\text{H}_5$ (X), 0,2 моля I и 0,6 г Na после 6 час. кипячения дали α-[β-(пиридил-4)-этил]-X, выход 67%, т. кип. 162—164°/2 мм, который при кипячении с 90 мл конц. HCl и 90 мл воды (4 часа) превратился в IX, выход 84%, т. кип. 102—105°/1 мм. Для доказательства строения продукта взаимодействия I с VI (XI), он синтезирован встречным путем: 0,5 моля α-метил-X, 0,6 моля I и 2 г Na кипятят 24 часа и полученный α-метил-α-[β-(пиридил-4)-этил]-X, выход 29,7%, т. кип. 154—157°/1,5 мм, кипятят 16 час. с 100 мл конц. HCl и 100 мл воды. Образовавшийся 3-метил-5-(пиридил-4)-пентанон-2, выход 61,7%, т. кип. 120—122°/2 мм, ока-

зался идентичным XI. Для доказательства строения продукта р-ции I с VII (XII) 0,11 моля его окислены KClO₄, получена 2,2-диметил-4-(пиридил-4)-масляная к-та (XIII), выход 11,8%, т. пл. 149,5–150,5° (из сп.). XIII для сравнения синтезирована взаимодействием 0,5 моля I с 0,5 моля (CH₃)₂CHCOOC₂H₅ в присутствии 1,5 г Na (кипчение, 3 часа) и образовавшийся этиловый эфир XIII, выход 28,5%, т. кип. 118–120°/1,5 мм; пикрат, т. пл. 85,5–86,5° (из сп.), кипячением с р-ром NaOH омылен в XIII, выход 77,5%. Полученные данные показывают, что I реагирует с VI по СН₂-группе, а с VII — по СН-группе. По аналогии с этим продукту взаимодействия I с VIII приписано строение 3-фенил-5-(пиридил-4)-пентанона-2. Условия р-ции I и II с ОКС, содержащими подвижный атом Н, иллюстрируются следующим примером: 0,5 моля 2-этилпиридина (XIV), 0,25 моля I и 1,15 г Na нагревают до 96°; при этой т-ре начинается бурная р-ция, вследствие чего необходимо охлаждать льдом. Кипятят 2 часа, прибавляют 5 мл абс. спирта и выливают в смесь воды со льдом, выход 4-(пиридил-4)-3-(пиридил-2)-бутана 34,4%, т. кип. 160–162°/6 мм; дистифнат, т. пл. 188–189°. Аналогично проведены р-ции с другими ОКС [указаны исходные в-ва, выход продукта р-ции в %, т. кип. в °С/мм, т. пл. дипикрата (ДП) или дистифната (ДС) в °С]: 2-пиколин (XV), II, 37,4, 130–135/1,5, 208–209 (ДП); XV, I, 28,2, 128–130/1, 211–212 (ДС); 4-пиколин (XVI), II, 10,1, 140–142/2, 178,5–179,5 (ДП); XVI, I, 40,6, 158–162/2 (т. пл. 62–65°), 185–186 (ДП); XIV, II, 62,5, 134–136/2, 175,5–176,5 (ДС); 4-этилпиридин (XVII), II, 37,4, 140–142/1,5, 185,5–186 (ДС); XVII, I, 50,8, 160–161/2, 192–192,5 (ДС); хинальдин (XVIII), II, 21, 182–184/1, 210–211 (ДП); лепидин (XIX), II, 17, 185–187/1, 214–215 (ДП). XVIII, XIX, 4-н-пропил- и 4-изопропилпиридин не реагируют с I. Сообщение V см. РЖХим, 1957, 26836.

21483. **Селективный гидролиз амидов на ионообменных смолах.** Коллинс (Selective amide hydrolysis by an ion exchange resin. Collins R. F., Chemistry and Industry, 1957, № 23, 736 (англ.))

Селективный гидролиз амида 4-бензоил-1,2-дигидрохинальдиновой к-ты (I, к-та) в I (т. пл. 163–164°) протекает с выходом 61% на поверхности кислой ионообменной смолы (амберлит IR-120) в среде ацетона, содержащего 1,5 моля воды. Строение I подтверждено каталитич. гидрированием (над PtO₂) в 3,4-дигидро-I.

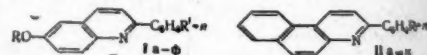
21484. 4-[4-(*n*-диметиламинофенил)-1,3-бутадиенил]-хинолин. Банер, Фейн (4-[4-(*p*-dimethylamino-phenyl)-1,3-butadienyl]quinoline. Bahner Carl Tabb, Fain John N.), J. Organ. Chem., 1957, 22, № 9, 1109–1110 (англ.).

Нагреванием (8 час., 120°) смеси 59 ммольей *n*-диметиламинокарбонического альдегида с 59 ммольями лепидина и 0,03 моля ZnCl₂ получен 4-[4-(*n*-диметиламинофенил)-1,3-бутадиенил]-хинолин, выход 7%, т. пл. 165–166° (из этилацетата); йодметилат (моногидрат), т. пл. 256° (из CH₃OH), не активный против Lymphoma 8.

21485. Каталитический синтез пара-нитро-, амино- и сульфамидопроизводных 2-фенилхинолина и 2-фенил-5,6-бензохинолина. Козлов Н. С., Козыминных О. К. Докл. АН СССР, 1957, 114, № 4, 785–788

Совместной каталитич. конденсацией CH≡CH с *n*-CH₃OC₆H₄NH₂ или *n*-C₂H₅OC₆H₄NH₂ и *n*-NO₂C₆H₄CHO синтезированы замещ. хинолины (Ia–б), а при применении 2-нафтиламина — замещ. 5,6-бензохинолины (IIa). По-видимому, CH≡CH дает с амином этилиденное производное, которое присоединяется к одновременно образующемуся шиффову основанию (ШО).

Полученный промежуточный продукт при циклизации превращается в Ia–б или IIa. Нагревают эквимолярные кол-ва амина и *n*-NO₂C₆H₄CHO в спирте, отделяют выпавшее ШО, растворяют в толуоле, добавляют эквимолярное кол-во C₆H₅NH₂, HgCl₂ (10% от веса массы), насыщают 15–20 час. CH≡CH при 80–90° и нагревают 30 мин. со смесью конц. HCl и спирта (1:2); выделенный из спирта р-ра осадок растворяют в C₆H₅N и кристаллизуют из ацетона или C₆H₅N. Выход Ia–б и IIa 50–60%, т. пл. в °С и т. пл. пикрата в °С соответственно 156–157 и 222–224 (разл.), 140–141 и 187–188, 196,5–197 и 142–143. Восстановление Ia–б и IIa Sn в конц. HCl при нагревании приводит соответственно к (Iв–г) и (IIб). Т-ры плавления оснований, пикрата и ацетиленов производного в °С: Iв, 220–221, 189–190 (разл.), 234–235; Iг, 188–189, 203–205 (разл.), 229; IIб 218–219, 181–182, 250–251. Конденсацией хлорангидридов сульфокислот с Iв–г или IIб с последующим восстановлением NO₂-группы (Fe-порошок + лед. CH₃COOH) или гидролизом CH₃CONH-группы, если они имеются, синтезированы соединения (Id–ф) и (IIв–к). Приведены т. пл. в °С I: д 222–223, е 224–225, ж 182–183, з 179–180, и 213–214, к 243–244, л 225–226, м 255–257 (разл.), н 206–207, о 215–215,5, п 223–233, р 206–207, с 209–211, т 227–228, у 211–212, ф 226–227; т. пл. в °С II: в 229–230, г 241 (разл.), д 229–230, е 228–229, ж 250 (разл.), з 215–216, и 254–255, к 225–227.



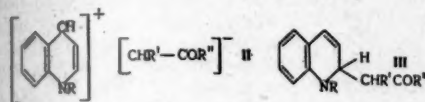
Ia R = CH₃, R' = NO₂; б R = C₂H₅, R' = NO₂; в R = CH₃, R' = NH₂; г R = C₂H₅, R' = NH₂; д R = CH₃, R' = NHSO₂C₆H₄; е R = CH₃, R' = NHSO₂(пиридил-3); ж R = CH₃, R' = NHSO₂ × C₆H₄OCH₃-*n*; з R = CH₃, R' = NHSO₂C₆H₄NO₂-*m*; и R = CH₃, R' = NHSO₂C₆H₄NHCOCH₃-*m*; л R = CH₃, R' = NHSO₂C₆H₄NH₂-*n*; м R = CH₃, R' = NHSO₂C₆H₄NH₂-*n*; н R = C₂H₅, R' = NHSO₂C₆H₄; о R = C₂H₅, R' = NHSO₂(пиридил-3); п R = C₂H₅, R' = NHSO₂C₆H₄OCH₃-*n*; р R = C₂H₅, R' = NHSO₂C₆H₄NO₂-*m*; с R = C₂H₅, R' = NHSO₂C₆H₄ × NHCOCH₃-*m*; т R = C₂H₅, R' = NHSO₂C₆H₄NHCOCH₃-*n*; у R = C₂H₅, R' = NHSO₂C₆H₄NH₂-*m*; ф R = C₂H₅, R' = NHSO₂ × C₆H₄NH₂-*n*; IIa R = NO₂, б R = NH₂, в R = NHSO₂C₆H₄, г R = NHSO₂(пиридил-3), д R = NHSO₂C₆H₄OCH₃-*n*; е R = NHSO₂ × C₆H₄NO₂-*m*; ж R = NHSO₂C₆H₄NHCOCH₃-*m*; з R = NHSO₂C₆H₄ × NHCOCH₃-*n*; и R = NHSO₂C₆H₄NH₂-*m*; к R = NHSO₂C₆H₄ × NH₂-*n*.

Г. Браз

21486. О псевдооснованиях. III. Продукты присоединения метилкетонов в ряду хинолинов и изохинолинов. IV. Дегидрирование продуктов присоединения метилкетонов и образование 2- и 4-дегидропроизводных в ряду хинолинов. Крёнке, Фогт (Methylketon-Addukte der Chinolinium- und Isochinolinium-Reihe. Über Pseudobasen III. Dehydrierung von Methylketon-Addukten der Chinolinium-Reihe in 2- und zu 4-Dehydro-Verbindungen. Über Pseudobasen. IV. Kröhnke Fritz, Vogt Isoldo), Liebigs Ann. Chem., 1956, 600, № 3, 211–228, 228–238 (нем.).

III. Подобно пиридиниевым солям (см. сообщение II, РЖХим, 1957, 60592), четвертичные соли хинолиния (I) при р-ции с метил- или метилкетонами образуют аддукты, которые могут иметь строение солеобразных соединений (II) (катион может выступать также и в других возможных таутомерных формах) или строение производных 1,2-(или 1,4)-дегидрохинолина (III) с гомеополарной связью между углеродными атомами реагирующих молекул. Аналогичные аддукты (IV) образуются также и в ряду четвертичных солей изохинолиния (V). В пользу солеобразного строения аддуктов, помимо их способности распадаться на исходные в-ва при действии минер. к-т, говорит также отщепление кетонного

остатка при гидрировании, образование альдонитро-
лов при взаимодействии с 4-ONC₆H₄N(CH₃)₂ (VI)
и р-дифенила кетонного остатка при взаимодействии
с более активными метил- и метиле-
тонами. Пиперидин (VII) образует с I и V нормаль-
ные продукты конденсации с гомеопольной связью.



Смесь 1 ммоль I или V (в виде бромидов),
1–1,5 ммоль метил- или метиле-
кетона и 20 мл
спирта обрабатывают при 20° 0,1 мл 10 н. NaOH, вы-
ход аdditа ~ 100%. Описанным способом получают
(после шифра указаны R, R', R'' (или CHR'COR''),
т. пл. в °C): II, CH₃, H, C₆H₅, 120–122 (из сп.); II,
2-ClC₆H₄CH₃, H, C₆H₅, 144–146 (из ацетона); IV,
2-ClC₆H₄CH₃, H, C₆H₅, 111–112; II, 4-ClC₆H₄CH₃, H,
C₆H₅, 108–110 (из ацетона); IV, 2,4-Cl₂C₆H₃CH₃, H,
C₆H₅ (IVa), 119–121 (из CH₃OH-диоксана); II,
2,6-Cl₂C₆H₃CH₃, H, C₆H₅, 90–93 (из сп.); IV, C₆H₅CH=CH,
H, C₆H₅, 140–143 (из сп.-диоксана); IV, флуо-
рен-9, H, C₆H₅, 129–130; II, CH₃, C₆H₅, C₆H₅,
91–93 (из сп.); II, C₆H₅CH₂, C₆H₅, C₆H₅, 130–131 (из
ацетона); II, 2-ClC₆H₄CH₃, C₆H₅, C₆H₅, 102–104 (из
сп.); IV, 2-ClC₆H₄CH₃, C₆H₅, C₆H₅, 106–108; II, 3-ClC₆H₄,
C₆H₅, C₆H₅, 126–127 (из ацетона); IV,
3-ClC₆H₄CH₃, C₆H₅, C₆H₅, 86–88 (из сп.); II, 4-ClC₆H₄,
C₆H₅, C₆H₅, 96–97 (из ацетона); IV, 4-ClC₆H₄CH₃,
C₆H₅, C₆H₅, 120–122 (из сп.); II, 2,4-Cl₂C₆H₃CH₃, C₆H₅,
C₆H₅ (IIa), 130–133 (из сп.); IV, 2,4-Cl₂C₆H₃CH₃,
C₆H₅, C₆H₅, 118–120 (из сп.); IV, 3,4-Cl₂C₆H₃CH₃,
C₆H₅, C₆H₅ (IVb), 110–112 (из сп.); II, 2,6-Cl₂C₆H₃CH₃,
C₆H₅, C₆H₅, (IIb), 173–175 (из сп.-диоксана);
IV, 2,6-Cl₂C₆H₃CH₃, C₆H₅, C₆H₅, (IVb), 125–127
(из сп.); IV, C₆H₅CH₂CH₂, C₆H₅, C₆H₅, 110–112 (из
сп.); II, (C₆H₅)₂CH, C₆H₅, C₆H₅, 150–152 (из сп.); IV,
C₆H₅CH=CH, C₆H₅, C₆H₅, 134–137 (из сп.); II,
3-O₂NC₆H₄CH₃, C₆H₅, C₆H₅, 148–150; II, 2,6-Cl₂C₆H₃CH₃,
4-CH₃OC₆H₄, C₆H₅, 154–155; II, 2,6-Cl₂C₆H₃CH₃, 2-кето-
циклогексил, 146; II, 2-ClC₆H₄CH₃, 2-кетоциклогексил,
115–120 (из сп.). Смесь 1 ммоль I или V и 8 мл
50%-ного ацетона обрабатывают при 20° 0,1 мл
10 н. NaOH; этим способом получают (указаны R,
R', R'', т. пл. в °C): II, 2,6-Cl₂C₆H₃CH₃, H, CH₃ (IIa),
122–124 (из ацетона); IV, 2,6-Cl₂C₆H₃CH₃, H, CH₃
(IVa), 87–88 (из ацетона); IV, C₆H₅CH=CH, H, CH₃
(IVa), 106–108 (из ацетона). Смесь 1 моля II и
2 моля C₆H₅CH₂COC₆H₅ в спирте кипятят 30 мин., по-
лучают IVb, выход 72%. Смесь 1 ммоль
I или V, 2 мл воды и 3 мл VII нагревают до полно-
го растворения, охлаждают до 20° и разбавляют во-
дой; указанным способом с выходом ~100% полу-
чают (указаны т. пл. в °C): 1-пиперидино-2-(2'-хлор-
бензил)-1,2-дигидроизохинолин, 91–93 (из сп.);
1-пиперидино-2-(2',6'-дихлорбензил)-1,2-дигидроизо-
хинолин (VIII) 112–114 (из водн. пиридина; содер-
жит 0,25 моля воды); 1-пиперидино-2β-стирил-1,2-ди-
гидроизохинолин (IX), 90–92 (из сп.); 1-(2', 6'-ди-
хлорбензил)-4 (или 2)-пиперидино-1,4- (или 1,2)-дигид-
рохинолин, 108–109. Смесь 1 ч. VIII и 30 ч. ацето-
на нагревают 1,5 часа при 60°, получают IVg, выход
83%. Аналогично из IX получают IVd. При обработ-
ке IVd 1 н. HClO₄ получают перхлорат N-β-стирил-
пиперидина, т. пл. 209–210°. 0,4 г IIa и 0,13 г VI в
30 мл спирта кипятят 30 мин., получают 2,6-Cl₂C₆H₃-
CH=NO-[4-(CH₃)₂NC₆H₄] (X), выход 95%, т. пл.
163–169° (из сп.), и хинолин. Аналогично получают
X из IVa и 3,4-Cl₂C₆H₃CH=NO-[4-(CH₃)₂NC₆H₄], вы-

ход 73%, т. пл. 173–175° (из сп.), из IVb 116 гидри-
руют над скелетным Ni в спирте при 20°, получают
1-(2',6'-дихлорбензил)-тетрагидрохинолин (XI), вы-
ход 89%, т. пл. 108–110° (из сп.). Выход XI при гид-
рировании IIв 41%. Аналогично гидрируют IVa, по-
лучают 1-(2',4'-дихлорбензил)-тетрагидроизохинолин;
перхлорат, т. пл. 159–160° (из воды). Смесь 0,48 г
IVb, 0,2 г 3-O₂NC₆H₄CHO, 0,1 мл 10 н. NaOH и 15 мл
спирта выдерживают 16 час. при 20°, получают
1-(3'-нитрофенил)-2-(3',4'-дихлорфенил)-2-изохино-
линий-этанол-1-бетаин, выход 95%, т. пл. 145–146° (из
водн. пиридина). В аналогичных условиях из 0,48 г
IVb и 0,45 г 2-O₂NC₆H₄CHO (XII) через 50 час. полу-
чают 0,1 г продукта неустановленного строения; ма-
точный р-р извлекают эфиром, остаток после отгон-
ки эфира растворяют в CH₃COOH и 2 дня подвергают
действию света, получают 2-(3',4'-дихлорфенил)-иза-
тоген, выход 50%, т. пл. 197–199°. Аналогично из
IVa и XII получают 2-(2',4'-дихлорфенил)-изатоген,
т. пл. 159–160°. Р-р 2 ммоль бромистого
1-(2',6'-дихлорбензил)-хинолина в 20 мл воды обра-
батывают 0,2 мл 10 н. NaOH, осадок фильтруют и су-
шат над P₂O₅, получают 0,4 г соответствующего чет-
вертичного основания (XIII). При кристаллизации
XIII из спирта и CH₃OH образуются соответственно
этилат, т. пл. 103–105°, и метилат, т. пл. 105–106°.
Р-р 1,1 г бромистого 2-(2',6'-дихлорбензил)-изохино-
лина (XIV) в 25 мл спирта обрабатывают 0,4 мл
10 н. NaOH и охлаждают до 0°, получают соответ-
ствующий этилат, выход 72%, т. пл. 80–82° (из сп.);
последний при действии 1 н. HClO₄ образует перх-
лорат, т. пл. 171°. Основание, выделенное из 0,25 г
XIV, кипятят с 2 мл VII и 1 мл воды, получают VIII,
выход ~100%. Смесь 0,3 г VIII, 0,2 г C₆H₅CH₂COC₆H₅
и 10 мл спирта кипятят 30 мин.; получают IVb, вы-
ход 85%. Р-р 1,1 г бромистого 1-(2',4'-дихлорбензил)-
изохинолина (XV) в 20 мл спирта обрабатывают
0,4 мл 10 н. NaOH, оставляют на несколько дней при
~20°, осадок растворяют в спирте и обрабатывают
1 н. HClO₄; из фильтрата после отделения перхлора-
та XV получают 2-(2',4'-дихлорбензил)-изохинолон-2,
т. пл. 150–152° (из сп.). Аналогично получают
2-(4'-хлорбензил)-изохинолон-2, выход 48%, т. пл.
141–143° (из сп.).

IV. Описанные в предыдущем сообщении II
(R' = H, R'' = CH₃) и II (R' = H, R'' = C₆H₅), за
исключением II с (R = 1-(2',6'-Cl₂C₆H₃CH₃), при дей-
ствии AgNO₃, бензохинона (XVI) и VI, подобно
своим пиридиновым аналогам, превращаются в про-
изводные 4-ацетонилиден-(XVII) или соответствен-
но 4-фенацаль-(XVIII)-1,4-дигидрохинолина. Окисле-
ние KMnO₄ приводит к образованию 2-ацетонилиден-
(XIX) и 2-фенацаль (XX)-1,2-дигидрохинолина.
В тех же условиях IV не претерпевают аналогичных
превращений. Р-р 3 ммоль I (в виде бромида или
хлорида) в 15 мл ацетона и 15 мл воды обрабаты-
вают при 80° 0,3 мл 10 н. NaOH, добавляют 20 мл аце-
тона и 3 ммоль VI, нагревают 15–20 мин., охлаж-
дают до 20° и оставляют на 4–5 час. Описанным
способом получают следующие XVII [указаны заме-
ститель в положении, выход в %, т. пл. в °C (из
сп.)]: 4'-ClC₆H₄CH₂, 57, 180–182; перхлорат, т. пл.
130–132 (из сп.); 2',4-Cl₂C₆H₃CH₂ (XVIIa), 72, 203–
204; перхлорат, т. пл. 189–190° (из сп.); 3',4'-Cl₂C₆H₃-
CH₂, 66, 188–189; C₆H₅CH=CHCH₂, 56, 170–173. Смесь
1 ммоль II (R = C₆H₅CH₂, R' = H, R'' = C₆H₅) (IIg),
1 ммоль VI и 10 мл спирта кипятят 15 мин. и охлаж-
дают до 0°; получают 1-C₆H₅CH₂-XVIII (XVIIIa), вы-
ход 56%, т. пл. 176–177° (из ацетона). Аналогично
получают следующие XVIII (указаны заместитель
в положении I, выход в %, т. пл. в °C): 2'-ClC₆H₄CH₂,
61, 214–216 (из пиридина); бромгидрат, т. пл. 204–

205° (из сп.); 3'-ClC₆H₄CH₂, 50, 157—159 (из сп.); перхлорат, т. пл. 189—190,5° (из сп.); 4'-ClC₆H₄CH₂, 60, 153—154 (из сп.); бромгидрат, т. пл. 196—198° (из сп.); сексвигидрат; 2',4'-Cl₂C₆H₃CH₂ (XVIIIb), 73, 176—178 (из сп. или ацетона); бромгидрат, т. пл. 184—186°; 3',4'-Cl₂C₆H₃CH₂, 50, 159—161 (из сп.); C₆H₅CH₂CH₂, 67, 164—165 (из сп.). При окислении IVa действием AgNO₃ или XVI выходы XVIIIb равны соответственно 48% и 55%. 3 ммоль I, 10 мл ацетона и 10 мл воды обрабатывают при 20° 0,3 мл 10 н. NaOH, добавляют 20 мл ацетона и р-р 0,63 г KMnO₄ в 10 мл воды и 10 мл ацетона, кипятят 2—3 мин., фильтруют, р-р очищают углем и разбавляют водой. Описанным способом получают следующие XIX (указаны заместители в положении 1, выход в %, т. пл. в °C (из сп.): 2'-ClC₆H₄CH₂, 57, 188—189; перхлорат, т. пл. 219—220°; 2',4'-Cl₂C₆H₃CH₂ (XIXa), 60, 166—168; перхлорат, т. пл. 203—204° (из сп.); 3',4'-Cl₂C₆H₃CH₂, 46, 186—188; 4'-ClC₆H₄CH₂, 60, 150—152 (из водн. ацетона). Смесь 3 ммоль I 1 мл C₆H₅COCH₃ и 15 мл спирта обрабатывают при 20° 1,5 мл 2 н. NaOH, через 5 час. разбавляют водой, извлекают эфиром, остаток после отгонки эфира растворяют в 25 мл ацетона, обрабатывают р-ром 0,63 г KMnO₄ в 10 мл воды и 20 мл ацетона, кипятят 2—3 мин., фильтруют, р-р очищают углем и разбавляют водой. Описанным способом получают следующие XX с небольшой примесью соответствующих XVIII (указаны заместители в положении 1, выход в %, т. пл. в °C): 2'-ClC₆H₄CH₂, 33, 186—187 (из CH₃OH-бзн.); бромгидрат, т. пл. 167—168° (из сп.); 4'-ClC₆H₄CH₂ (XXa), 60, 223—224,5 (из сп.); 2',4'-Cl₂C₆H₃CH₂, 35, 203—204 (из сп.); бромгидрат, т. пл. 190—191° (из сп., дигидрат); 3',4'-Cl₂C₆H₃CH₂, 35, 199—201 (из сп.); бромгидрат, т. пл. 208—209° (из сп.). В аналогичных условиях из IIг получают XVIIIa, выход 50%. Смесь 0,5 г XVIIIa и 6 мл р-ра НВг (газ) в CH₃COOH нагревают 2 часа при 180°, разбавляют водой и обрабатывают эфиром; из водн. р-ра осаждают пикрат 4-ацетонилхинолина, выход 85%, т. пл. 202—203,5° (из ацетона). Аналогично получают: из XIXa — пикрат 2-ацетонилхинолина, выход 88%, т. пл. 184—185° (из ацетона); из IX — бромгидрат 4-фенацилхинолина, выход 83%, т. пл. 214—217° (из сп.); основание, т. пл. 115—117° (из сп.); из XXa — пикрат 2-фенацилхинолина, т. пл. 174—174,5°; бромгидрат, т. пл. 198° (из сп.). А. Гуревич 21487. Производные изохинолина с кислородным мостиком. Гресе, Кёниг, Родер (Isochinolin-Derivate mit Oxyd-Brücken. Grewe Rudolf, Köpnick Horst, Roder Peter), Liebig's Ann. Chem., 1957, 605, № 1—3, 15—24 (нем.).

Подобно тому как β-(циклогексен-1-ил)-этилметиламин (I) при pH 6 реагирует с CH₃CHO, образуя 1,2-диметил-10-оксидекагидроизохинолин (II), а β-(циклогексен-1-ил)-этиламин (III) при нагревании с CH₂O и HCOOH дает 2-метил-10-оксидекагидроизохинолин (IV), хлоргидрат (XГ) I при р-ции (24 часа, 20°) с фенилглиоксалем в конц. метанольном р-ре циклизуется в α-10-этокс-α-метокси-1-бензил-2-метилдекагидроизохинолин (Va), т. пл. 70° (из водн. CH₃OH); пикрат (ПК), т. пл. 126° (разл.; из сп.); пикролонат, т. пл. 143° (разл.; из сп.), выделяемый в виде XГ, выход 53%, т. пл. 190° (разл.; из сп.-эф.), при кипячении 5 час. с 1%-ным метанольным р-ром HCl количественно изомеризующийся в форму (Vb), т. пл. 100° (из водн. CH₃OH); ПК, т. пл. 150° (разл.; из сп.). Va, б не восстанавливается в присутствии катализаторов и гидролизуются при 20° (Va в течение 2 мин., Vb в течение 25 час.) 1 н. HCl в очень нестойкий 1-бензил-2-метил-10-оксидекагидроизохинолин (VI), выход 86 и 63% соответственно, т. пл. 77° (из водн. CH₃OH), из которого при нагревании с

1%-ным р-ром HCl=CH₂OH регенерируется Vb. Строение Va, б и VI согласуется с их спектрографич. характеристиками. VI восстанавливается NaBH₄ в CH₃OH в диморфный 1-(α-оксibenзил)-2-метил-10-оксидекагидроизохинолин (VII), выход 84%, т. пл. 134 и 146° (из петр. эф.), ацетилирующийся (CH₃CO)₂O в пиридине в моноацетильное производное, т. пл. 145° (из разб. сп.), а при кипячении 4 часа с конц. HCl дегидратирующийся в α, 10-эпокси-1-бензил-2-метилдекагидроизохинолин, выход почти колич., т. пл. 104° (из водн. CH₃OH); ПК, т. пл. 206° (разл.; из сп.). Склонность к образованию α, 10-эпокси-1 у аналогично построенных производных 10-оксидекагидроизохинолина показана на примере 1-карбэтокс-2-метил-10-оксидекагидроизохинолина (VIII), т. кип. 110—140°/0,006 мм, n_D²⁰ 1,4940, полученного с 54%-ным выходом р-цией I с алкогалом этилового эфира глиоксиловой к-ты при pH 6 (3 дня при 20°, затем 3 часа при 80—100°); VIII при нагревании 4 часа с метанольным р-ром КОН превращается в лактон 2-метил-10-оксидекагидроизохинолинкарбонной-1 к-ты, выход 28%, т. пл. 122° (из петр. эф.); ПК, т. пл. 234° (из сп.), и восстанавливается LiAlH₄ в 1-оксиметил-2-метил-10-оксидекагидроизохинолин, выход 44%, т. кип. 140—150°/0,006 мм, т. пл. 198° (из CH₃COOH), лактонизирующий при кипячении 2 часа с разб. HCl (1:1) в неацетилирующийся и не восстанавливающийся в присутствии катализаторов α, 10-эпокси-1,2-диметилдекагидроизохинолин, т. кип. 110—120°/0,006 мм; XГ, т. пл. 232°, ПК, т. пл. 249° (из CH₃COOH), образующийся также при взаимодействии I с гликолевым альдегидом в воде при pH 5. При восстановлении VI в 1%-ном метанольном р-ре HCl над Pt (из PtO₂) при 20° получены 2 в-ва [т. пл. 145° (из водн. CH₃OH) и 86° (из водн. CH₃OH)] неустановленного строения. VII восстанавливается в смеси CH₃COOH и H₂SO₄ над Pd/BaSO₄ (40 час., 95—98°) в 1-бензил-2-метил-1,2,3,4,5,6,7,8-октагидроизохинолин; ПК, т. пл. 134° (из сп.); йодметилат, т. пл. 177—178° (из CH₃OH + CH₃COOH). К 7,8 г I приливают 1 н. р-р HCl до pH 6, добавляют 5 мл CH₃CHO и ~150 мл воды, нагревают 2 часа при 60°, добавляют еще 5 мл CH₃CHO, нагревают 2 дня при 60°, приливают 35 мл 2 н. р-ра NaOH и извлекают эфиром II, выход 75%, т. пл. 92°; ПК, т. пл. 203° (из сп.); XГ, т. пл. 212° (из сп.-эф.). 5 г III смешивают при охлаждении с 10,8 мл 85%-ной HCOOH и 9,2 мл 30%-ного CH₂O, оставляют на 1 час при 20°, подкисляют 6 мл конц. HCl, отгоняют в вакууме CH₂O и HCOOH, остаток смешивают с 40 мл 2 н. р-ра NaOH и извлекают эфиром IV, выход 81%, т. кип. 127°/12 мм, n_D²⁰ 1,5080; ПК, т. пл. 158° (из сп.), XГ, т. пл. 195° (из сп.-эф.). Д. Витковский 21488. Реакции раскрытия — замыкания цикла в ряду гетероциклических соединений. IV. Строение пиразолов, полученных из β-индолликетона. Альберти (Reazioni di apertura-chiusura nucleare nella serie eterociclica. Nota IV. Conferma dei prodotti delle reazioni di trasformazione pirazolica dei β-indolilchetoni. Alberti Carlo), Gazz. chim. ital., 1957, 87, № 6, 729—735 (итал.).

На примерах 3-метил-, 3,5-диметил- и 3-изопропил-4-(α-аминофенил)-пиразолов, дезаминированных диазотетом в 3-метил-(Ia), 3,5-диметил-(Ib) и 3-изопропил-(Iв)-4-фенилпиразолы, подтверждено строение продуктов взаимодействия β-индолликетона с N₂H₄·H₂O (см. сообщения II и III, РЖХим, 1955, 55129; 1958, 17958). Идентичность Ia — в подтверждение их синтезом по Кнорру из α-оксиметилена-α-фенилацетона (II), α-ацетил-α-фенилацетона или α-формилбензилпропионилкетона и N₂H₄·H₂O. К охлажденному р-ру 3,6 г Na в 25 мл спирта добавляют

смесь 0,7 г фенилацетона и 11 г HCOOC_2H_5 , оставляют на 60 час. при 20° , отгоняют р-ритель, остаток растворяют в холодной воде, извлекают эфиром, подкисляют при охлаждении разб. HCl и извлекают эфиром II, выход 95%, т. пл. $74-75^\circ$ (из CH_3OH). Смесь спирто-эфирного р-ра 0,05 моля II с 20%-ным избытком $\text{N}_2\text{H}_4 \cdot \text{H}_2\text{O}$ оставляют на несколько часов, кипятят несколько минут разбавляют водой и получают Ia, выход $\sim 100\%$, т. пл. $140-141^\circ$ (из CH_3OH); пикрат, т. пл. $158-159^\circ$ (из сп.). Аналогично получают Ib, т. пл. $132-133^\circ$ (из разб. сп.); пикрат, т. пл. $188-189^\circ$ (из сп.), и Ic, т. пл. $99-100^\circ$ (из воды); хлоргидрат, т. пл. $213-214^\circ$. Д. Витковский

21489. 2-алкоксимидазолины. Кейн, Клейс, Пус (2-Alkoxyimidazolines. Cain C. K., Kleis J., Pous G.), J. Organ. Chem., 1957, 22, № 10, 1283-1284 (англ.)

Нагреванием (18 час.) эквимольных кол-в 2-метилмеркапто-2-имидазолина (I) и RONa в RON получены 2-алкокси-2-имидазолины $\text{NHCH}_2\text{CH}_2\text{N}=\text{COR}$

(II) (перечисляются R, выход в %, т. пл. в $^\circ\text{C}$, т. пл. в $^\circ\text{C}$ пикрата и кислот соли с фумаровой к-той): CH_3 , 20-25 (побочно образуется 20% этиленмочевины), 70-72, 168-170, 136-139; C_2H_5 (IIa), 13, 48-50, —, 123-125; *изо*- C_3H_7 , 11, 65-67, 127-128, —; *н*- C_4H_9 , (IIb), 47 (возвращается 66% IIb), 55-58, —, 126-128. При получении IIa, б побочно образуется $\text{NHCH}_2\text{CH}_2\text{N}=\text{C}-\text{NCH}_2\text{CH}_2\text{NHCO}$, выход 10-15%, т. пл. 210° , pK_a 6,0. Приведены λ_{max} (в μ) полученных веществ. Б. Дубинин

21490. Получение некоторых соединений имидазолина и амидина. Иканов, Гисволд (The preparation of some imidazoline and amidine compound. Ecanow Bernard, Gisvold Ole), J. Amer. Pharm. Assoc. Scient. Ed., 1957, 46, № 5, 315-317 (англ.)

Исходя из предположения, что амидины являются «открытыми», а соответствующие имидазолины «закрытыми» моделями лекарственных в-в, для исследования фармакологич. и антибиотич. активностей синтезированы хлоргидраты алкильных эфиров *n*-(*N*-алкиламидино)-бензойной к-ты $\text{ROOCC}_6\text{H}_4\text{C}(=\text{NH})\text{NHR}' \cdot \text{HCl}$ (I), эфиры *n*-(2-имидазолин-2)-бензойной к-ты $\text{NHCH}_2\text{CH}_2\text{N}=\text{CC}_6\text{H}_4\text{COOR}$ (II), ами-

ды *n*-цианбензойной к-ты $\text{NCC}_6\text{H}_4\text{CONRR}'$ (III), бензимидаматы $\text{RR}'\text{NCOC}_6\text{H}_4\text{C}(\text{OC}_2\text{H}_5)=\text{NH} \cdot \text{HCl}$ (IV) и *n*-(2-имидазолин-2)-бензамиды $\text{NHCH}_2\text{CH}_2\text{N}=\text{CC}_6\text{H}_4\text{CO}-$

NRR' (V). Сообщается улучшенный метод очистки *n*-цианбензойной к-ты (VI). Неочищ. VI кипятят в эфире, декантируют и р-р упаривают. К р-ру 7-10 г алкил *n*-этоксикарбонилбензимида до pH 7,5-8 (нитратная бумажка), нагревают ($\sim 100^\circ$, 3-5 час.), упаривают продуванием воздуха до появления осадка, прибавляют воду и охлаждают (0° , 12 час.), получают II, которые кристаллизуют из разб. ацетона. Остальные в-ва синтезированы в основном ранее описанными методами (Di Gangi F. E., Gisvold O., J. Amer. Pharm. Assoc. Scient. Ed., 1949, 38, 154; РЖХим, 1954, 18018). Получены следующие I (перечисляются R, R', выход в %, т. пл. в $^\circ\text{C}$): CH_3 , $\text{C}_6\text{H}_5\text{CH}_2$, 86, 245-246; CH_3 , циклогексил, 82, 225-226; CH_3 , *изо*- C_5H_{11} , 88, 206-207; C_2H_5 , $\text{C}_6\text{H}_5\text{CH}_2$, 83, 195-196; C_2H_5 , циклогексил, 87, 170-171; *изо*- C_4H_9 , $\text{C}_6\text{H}_5\text{CH}_2$, 85, 184-185; *изо*- C_3H_7 , циклогексил, 79,5, 283-284; *изо*- C_3H_7 , *изо*- C_5H_{11} , 81,3, 258-259. Получены II (перечисляются R, выход в %, т. пл. в $^\circ\text{C}$): CH_3 , 83,2, 179-180 (хлоргидрат); C_2H_5 , 88,1, 151-152;

C_3H_7 , 79, 126-127; *изо*- C_4H_9 , 86, 173-174 (хлоргидрат); *н*- C_4H_9 , 87, 138-139; *н*- C_5H_{11} , 79, 115-116; *н*- C_6H_{13} , 82, 111-112; $\text{C}_6\text{H}_5\text{CH}_2$, 87, 145-146; циклогексил, 72, 159-160; гексагидробензил, 80,4, 171-172 (хлоргидрат). Получены III (перечисление здесь и далее, как у I): CH_3 , C_6H_5 , 65, 104-105; C_2H_5 , C_2H_5 , 62, 79-80. Получены IV: CH_3 , C_6H_5 , 77, 125-127; C_2H_5 , C_2H_5 , 70,2, 134-135. Получены V: H , H , 79, 288-289; CH_3 , C_6H_5 , 73,5, 202-203; C_2H_5 , C_2H_5 , 71,5, 136-137. Б. Дубинин

21491. I. Реакционная способность гетероциклических диамидов угольной кислоты. II. Реакционная способность *N*-карбоновых эфиров и амидов ряда имидазола и триазола. Штаб (I. Reaktionsfähige heterocyclische Diamide der Kohlensäure. II. Reaktionsfähige *N*-Carbonsäureester und *N*-Carbonsäureamide des Imidazols und Triazols. Staab H. A.), Liebigs Ann. Chem., 1957, 609, № 1-3, 75-83; 83-88 (нем.)

I. Действием фосгена на имидазол (I) и триазол (II) в безводн. тетрагидрофуране (III) получены $(\text{CH}=\text{CHN}=\text{CHN}-)_2\text{CO}$ (IV) и $(\text{CH}=\text{NN}=\text{CHN}-)_2\text{CO}$

(V) соответственно, которые показывают чрезвычайную реакционную способность (обсуждается причина этого явления с привлечением данных ИК-спектров). Уже при $\sim 20^\circ$ в течение нескольких секунд вода гидролизует IV и V выделением CO_2 ; со спиртами и фенолами образуются соответствующие эфиры угольной к-ты (VI-к-та), а с аминами — производные мочевины. Как пример многочисленных синтезов показано, что препаративное применение IV и V для введения CO-группы между двумя окси- или аминогруппами имеет преимущества по сравнению с COCl_2 (не ядовиты, не образуется HCl , высокие выходы и др.), особенно (действие IV) при превращении би- или полифункциональных аминов и оксисоединений в высокомолекулярные полиамиды и полиэфиры VI. В р-р 0,04 моля I в 100 мл III пропускают 0,01 моля сухого COCl_2 (до прекращения выделения I-HCl, избыток COCl_2 удаляют током сухого N_2), фильтрат упаривают в вакууме и получают IV, выход 100%, т. пл. $115,5-116^\circ$. Аналогично (в 150 мл III) получают V, т. пл. $134-136^\circ$. Р-ции IV с различными реагентами (перечисляются реагент, т-ра в $^\circ\text{C}$, время в минутах, продукт р-ции, выход в %): анилин (в III), 20, 30, *N,N'*-дифенилмочевина, 91; *о*-фенилендиамин (в III), 20, 30, бензимидазолон, 87; 3,4-диаминотолуол, 100, 15, 5-метилбензимидазолон, 58 (т. пл. $293-296^\circ$ (из разб. сп., 1:1)); 2,3-диаминонафталин, 120, 5, *N,N'*-(нафтилен-2,3)-мочевина, 85 (в присутствии III, 20°, 30 мин., выход 78%, т. разл. $> 320^\circ$); спирт, 78, 60, диэтиловый эфир VI, 85; фенол, 70, 30, дифениловый эфир VI, 83; пикратехин, 120, 30, *о*-фениленовый эфир VI, 86 (т. пл. $117,5-118^\circ$); гексаметилендиамин, 150, —, $(\text{C}_6\text{H}_{14}\text{N}_2\text{O})_x$, —, т. пл. $290-300^\circ$; 4,4'-диаминодифенилметан, 150, —, $(\text{C}_{14}\text{H}_{14}\text{N}_2\text{O})_x$, не плавится при 360° ; бензидин, 150, —, $(\text{C}_{12}\text{H}_{12}\text{N}_2\text{O})_x$, —, не плавится; 2,6-диаминопиридин, 150, —, $(\text{C}_6\text{H}_6\text{N}_2\text{O})_x$, —, т. разл. $> 230^\circ$; 1,5-диаминонафталин, 150, —, $(\text{C}_{11}\text{H}_8\text{N}_2\text{O})_x$, —, т. разл. 250° .

II. I и II с $\text{ClCOOC}_2\text{H}_5$ в III дают $\text{CH}=\text{CHN}=\text{CHN}-\text{COOC}_2\text{H}_5$ (VII-к-та) и $\text{CH}=\text{NN}=\text{CHNCOOC}_2\text{H}_5$

(VIII-к-та) соответственно, которые очень легко образуют с аминами уретаны, а со спиртами эфиры VI. Точно также полученные из I, II с $\text{C}_6\text{H}_5\text{NCO}$ амиды VII и VIII (VIIa и VIIIa) благодаря активирующему влиянию гетероциклич. кольца на CO-группу показывают необычно высокую реакционную спо-

способность: с аминами дают замещ. мочевины, со спиртами и фенолами карбаминные эфиры; III, содержащий воду, гидролизует их с выделением CO_2 уже при $\sim 20^\circ$. Из скорости выделения CO_2 следует, что активность VIIa равна активности IV; гидролиз VIIa протекает медленнее. Данные ИК-спектров (в cm^{-1}) в CHCl_3 (дифенилмочевина (1650 в KBr); VIIa (1730); VIIa (1751); IV (1747) и V (1781)) показывают, что сдвиг в сторону коротких волн идет параллельно увеличению активности к нуклеофильным р-циям CO -группы. 0,4 моля I в 300 мл III и 0,2 моля $\text{SiCOOC}_2\text{H}_5$ встряхивают 24 часа, фильтрат от I-HCl упаривают в вакууме, выход этилового эфира VII 80–85%, т. кип. $99-100^\circ/12 \text{ мм}$; со спиртом (кипение 1 час) дает диэтиловый эфир VI, выход 70%. Аналогично из II получают (3 дня) этиловый эфир VIII, выход 80%, т. кип. $120-121^\circ/12 \text{ мм}$. K 11,4 г I в 50 мл III прибавляют 20 г $\text{C}_6\text{H}_5\text{NCO}$ (порциями по 5 г), нагревают ($\sim 100^\circ$, 30 мин.) и отделяют VIIa, выход $\sim 100\%$, т. пл. $116-117,5^\circ$ (из III). Из 2,75 г II в 130 мл III и 4,8 г $\text{C}_6\text{H}_5\text{NCO}$ (100° , 1 час. и упаривание до 20 мл) получают VIIa, выход $\sim 100\%$, т. пл. $122-123^\circ$; с $(\text{C}_2\text{H}_5)_2\text{NH}$ (20° , 20 мин.) дает N,N-диэтил-N'-фенилмочевину, выход 88%. VIIa и анилин (60° , 30 мин.) образует $\text{C}_6\text{H}_5\text{N}-\text{HCONHC}_6\text{H}_5$, выход 83%, а с фенолом (70° , 4 часа) $\text{C}_6\text{H}_5\text{OCONHC}_6\text{H}_5$, выход 86%. Б. Дубинин

21492. Образование твердых производных альдегидов. 2-замещенные 1,3-бис-(*n*-хлорбензил)-тетрагидроимидазолы. Чень Жу-юй, Билман (Синт. органических соединений II. 2-取代-1,3-雙(對-氯苄基)二氮國-[1,3]. 陳茹玉,畢爾門,約翰,化學學報, Хуасюэ сюэбао, Acta chim. sinica, 1957, 23, № 3, 223–229 (кит.; рез.англ.). 1,2-бис-(*n*-хлорбензиламино)-этан (I) может служить для идентификации альдегидов, с которыми он образует осадки 2-R-1,3-бис-(*n*-хлорбензил)-тетрагидроимидазолов (II) (приводятся R, выход в %, т. пл. в $^\circ\text{C}$): 3,4- $\text{Cl}_2\text{C}_6\text{H}_3$, 74,6, 88,5–89; 2,4- $\text{Cl}_2\text{C}_6\text{H}_3$, 83, 89,5–90; *o*- ClC_6H_4 , 80, 92–93; C_6H_5 , 73,6, 104–105; 3,4-метилendioксифенил, 21,2, 106–107; *m*- $\text{NO}_2\text{C}_6\text{H}_4$, 30,4, 110–110,5; тиофен-3, 53,2, 119–120; *n*- ClC_6H_4 , 44, 122–123; *n*- $\text{CH}_2\text{OC}_6\text{H}_4$, 75, 122,5–123,5; $\text{C}_6\text{H}_5\text{CH}=\text{CH}$, 65,6, 131,5–132,5; *o*- $\text{CH}_2\text{OC}_6\text{H}_4$, 64, 65–66; 3,4-($\text{C}_2\text{H}_5\text{O}$) $_2$ - C_6H_3 , 80,4, 76,5–77,5; $(\text{CH}_3)_2\text{CH}$, 29,6, 79–80; 3-фурил, 63,2, 80–81; 3,4-(CH_3O) $_2\text{C}_6\text{H}_3$, 52, 79,5–80,5; C_6H_5 , 56, 84–85; 2,3-(CH_3) $_2\text{C}_6\text{H}_3$, 65,4, 87,5–88; 3- $\text{CH}_2\text{O}-4-\text{ONHC}_6\text{H}_3$, 76, 140,5–141; *o*- HOC_6H_4 , 85,2, 164–165,5; *n*- HOC_6H_4 , 48, 200–201. Впервые получены N,N'-диэтил-1, т. пл. $135-135,5^\circ$, и N,N'-дипропил-1, т. пл. $189-190^\circ$. Разб. HCl количественно разлагает II на хлоридрат I и соответствующий альдегид. С кетонами I соединений не образует. П. Соков

21493. 1-(β -аминоалкил)-бензимидазолы. Унтли, Стайнер (1-(β -aminoalkyl)-benzimidazoles. Wheatley William B., Stiner Gerald F., J. Organ. Chem., 1957, 22, № 8, 923–925 (англ.).

Присоединением акриламида (I) или метакриламида (II) к бензимидазолу (III) и 2-замещ. III в присутствии триэтана В (IV) получены амиды β -(бензимидазол-1-)-пропионовой к-ты $\text{R}'\text{C}=\text{NC}_6\text{H}_4(\text{o})\text{N}-\text{CH}_2\text{CH}_2\text{CONH}_2$ (V). В случае 5-замещ. III получается смесь изомерных 5- и 6-замещ. V. Гофмановская перегруппировка V приводит к 1-(β -аминоалкил)-бензимидазолам $\text{R}'\text{C}=\text{NC}_6\text{H}_4(\text{o})\text{NCH}_2\text{CH}_2\text{NRN}_2$ (VI), кото-

рые можно рассматривать как серотонин, содержащий вместо индольного изостерного кольца III (см. РЖХимБх, 1957, 24053). Смесь I и III (по 0,5 моля) в 150 мл $\text{C}_6\text{H}_5\text{N} + 4 \text{ мл}$ 2,5 н. водн. р-ра IV постепенно нагревают, кипятят 7 час. и получают V ($\text{R}=\text{R}'=\text{H}$) (Va), выход 78%, т. пл. $173,5-175^\circ$ (из

воды). Аналогично из I или II синтезированы следующие V [перечисляются R, R', выход в %, т. пл. в $^\circ\text{C}$ (из воды)]: H, CH_3 , 67, $195,5-197^\circ$; H, C_6H_7 , 50, $198,5-200^\circ$; H, *изо*- C_3H_7 , 61, $213,5-215^\circ$; H, $\text{C}_6\text{H}_5\text{CH}_2$, 57, $192,5-194,5^\circ$ (из *изо*- $\text{C}_3\text{H}_7\text{OH}$); CH_3 , H, 59, $183-185,5^\circ$; CH_3 , CH_3 , 48, $227,5-231^\circ$. Получены также смеси: 5(и 6)-метил-Va, выход 60%, т. пл. $162-186^\circ$; 5(и 6)-метокси-Va, выход 57%, т. пл. $159-164^\circ$, и 5(и 6)-хлор-Va, выход 44%, т. пл. $159-200^\circ$. Va получен, кроме того, омылением 1,71 г β -(бензимидазол-1-)-пропионитрила в 5 мл конц. H_2SO_4 ($\sim 20^\circ$, 24 часа), выход 88%. К 0,6 моля NaOH в 200 мл воды при $\sim 0^\circ$ прибавляют 0,12 моля Br_2 и затем сразу 0,1 моля Va, медленно нагревают, р-р кипятят 6 час. и CH_2Cl_2 экстрагируют VI ($\text{R}=\text{R}'=\text{H}$) (Via), который (11,5 г) в 100 мл CH_3OH обрабатывают сухим HCl в 300 мл эфира осаждают дихлоридрат Via, выход 27%, т. пл. $271-277^\circ$ (из CH_3OH -эф.). Аналогично получены [перечисляются R, R', выход дихлоридрата VI, в %, т. пл. в $^\circ\text{C}$ (из CH_3OH -эф.)]: H, CH_3 , 59, $286-289^\circ$; H, *изо*- C_3H_7 , 22, $140-143^\circ$ (монокристалл); H, $\text{C}_6\text{H}_5\text{CH}_2$, 31, $251,5-254^\circ$; CH_3 , H, 44, $71,5-74,5^\circ$ (основание; из бэл.-циклогексана); CH_3 , CH_3 , 64, $268,5-275^\circ$. Получены также смеси дихлоридратов 5(и 6)-метил-Via, выход 57%, т. пл. $210-218^\circ$ (полугидрат); 5(и 6)-метокси-Via, выход 47%, т. пл. $230-240^\circ$, и 5(и 6)-хлор-Via, выход 44%, т. пл. $243-247^\circ$. В. Д.

21494. Щелочная конденсация фенантрахинона с мочевиной. Данавайт (Alkaline condensation of phenanthraquinone with urea. Dunnay W. R., J. Organ. Chem., 1957, 22, № 8, 991-992 (англ.). Кипячение (5 час.) фенантрахинона с $(\text{NH}_2)_2\text{CO}$ в спирт. KOC_2H_5 (РЖХим, 1957, 11588) приводит к 4,5-дифенил-4,5-дигидроимидазолу-2, выход 89%, не плавится при 400° (из лед. CH_3COOH). Из филтраты при подкислении HCl выделено небольшое кол-во спиро-(флуорен-9,4'-имидазолидин)-диона-2, т. пл. $350-354^\circ$ (разл.; из лед. CH_3COOH). Приведены данные ИК-спектров. В. Яшунский

21495. Исследования в области полиметиленовых циклов. XXVIII. Исследование продуктов реакции взаимодействия ацетонилацетона с гидразином. Домини Н. А., Зеленина М. Н., Глебова С. С., Ж. общ. химии, 1957, 27, № 8, 2088–2093

Доказано, что при взаимодействии 1 моля ацетонилацетона с 2 молями $\text{N}_2\text{H}_4 \cdot \text{H}_2\text{O}$ получается 2-амино-3,6-диметилдигидропиридазин (I), который при окислении HgO образует 3,6-диметилпиридазин (II), т. пл. $31-32^\circ$; пикрат, т. пл. $163,5^\circ$. Строение I и II подтверждено ИК-спектрами. Продукт конденсации I с фталевым ангидридом, т. пл. $308-310^\circ$, а с $\text{C}_6\text{H}_5\text{COCl}$, т. пл. $236-237^\circ$ (из сп. и бэл.). Сообщение XXVII см. РЖХим, 1958, 17835. Ю. Розанова

21496. Хиназолон. I. Синтез 3-(ω -диалкиламиноалкил)-хиназолонов-4. Цзи Юй-фын, Шао Го-сянь (3,4-二氢化雜二氮 [1,3] 蔡-酮-[4]-1,3-(ω -二烷基)-3,4-二氢化雜二氮 [1,3] 蔡-酮-[4] 的合成. 紀育恩, 邵國賢, 化學學報, Хуасюэ сюэбао, Acta chim. sinica, 1957, 23, № 2, 112–116 (кит.; рез.англ.).

Синтезированы 3-(ω -диалкиламиноалкил)-хиназолон-4 путем конденсации антралиновой к-ты (I) и 3-хлор-I (II), полученной действием SO_2Cl_2 на I, с $\text{HCONHC}_2\text{H}_4\text{N}(\text{C}_2\text{H}_5)_2$ (III) и с $\text{HCONHC}_2\text{H}_4\text{N}(\text{CH}_3)_2$ (IV). Для получения III HCONH_2 конденсировали с $\text{H}_2\text{NCH}_2\text{CH}_2\text{N}(\text{C}_2\text{H}_5)_2$. Р-ция с III протекает с хорошими выходами (82–84,5%), тогда как в р-ции с IV выход не превышает 31%. Перечислены исходные в-ва и т. кип. или т. пл. полученных хиназолонов-4: I и III, т. кип. $153-156^\circ/0,17 \text{ мм}$; II и III, т. пл. $69-70^\circ$; I и IV, т. кип. $158-160^\circ/0,1 \text{ мм}$; II и IV, т. пл. $156-157^\circ$. Е. Головинская

21497. Исследование пириимидинов. Действие аминов и гидразина на этиловый эфир 2-метилмеркапто-4-метилпириимидинкарбоновой-5 кислоты. Цзи Юй-фын, У Юань-лю (吡啶的研究: 胺及胍對 2-甲硫基-4-甲基-嘧啶-5-羧酸乙酯的作用. 紀育豐, 吳元達), 化學學報, Хуасюэ сюэбао, Acta chim. sinica, 1957, 23, № 2, 145—152 (кит.; рез. англ.)

Конденсацией α -(этоксиметил)-ацетоуксусного эфира с сульфатом S-метилтиопсевдомочевины в присутствии C_2H_5ONa в спирте синтезирован этиловый эфир 2-метилмеркапто-4-метилпириимидинкарбоновой-5 к-ты (I, к-та II) с выходом 75%, т. пл. 53—54°. Строение I доказано переводом в II, т. пл. 169—171°. Из Ag-соли II и C_2H_5J вновь получен I. Действием на I NH_3 аминов и N_2H_4 синтезированы следующие этиловые эфиры 2-замещ. 4-метилпириимидинкарбоновых-5 к-т (приведены заместители, выход в %, т. пл. в °C): NH_2 —, 220—222; $n-C_4H_9NH$, 62, 71—73; CH_3NH , 43, 95—96; C_2H_5NH , 56, 102—104; $C_6H_5CH_2NH$, 36, 105—106; циклогексиламино, 40, 111—112; H_2NNH , 82, 173—174.

А. Точилкин
21498. Синтезы некоторых новых диалкиламино-этилпроизводных малонилмочевины и их солей. Производные, имеющие заместителей в положениях 5, 5' и 1,5. Селлери, Кити (Sintesi di alcuni nuovi derivati dialchilamminoetilici e trialchilettilammonici quaternari della malonilurea: derivati con sostituenti in posizione 5,5' e 1,5. Selleri R., Chiti W.), Farmaco. Ed. scient., 1957, 12, № 6, 449—461 (итал.; рез. англ.)

Продолжено исследование производных барбитуровой к-ты, действующих на вегетативную нервную систему. Конденсацией дизамещ. малоновых эфиров (RCH_2CH_2) ($R'CH_2CH_2$) $C(OOC_2H_5)_2$ (Ia—д, где a $R = R' = N(CH_3)_2$; b $R = R' = N(C_2H_5)_2$; c $R = N(CH_3)_2$, $R' = N(C_2H_5)_2$; d $R = H$, $R' = N(C_2H_5)_2$) с мочевиной в спирте в-ре C_2H_5ONa при 120—130° получены соответствующие 5,5-дизамещ. барбитуровые к-ты: IIa; дихлоридрат (ДХГ), т. пл. 282—283° (из CH_3OH); дийодметилат (ДИМ), т. пл. 206—207° (из абс. сп.); дийодэтилат (ДИЭ), т. пл. 190°; IIб, т. пл. 140—142° (из бzl.); ДИМ, т. пл. 236° (из абс. сп.); ДИЭ, т. пл. 175° (из сп.); IIв; ДХГ, т. пл. 275° (из CH_3OH); IIг, т. пл. 166—167° (из сп.); хлоридрат (ХГ), т. пл. 246° (из сп.); йодметилат (ИМ), т. пл. 242—243° (из сп.); йодэтилат, т. пл. 230° (из абс. сп.); IIд, т. пл. 131° (из сп.); ХГ, т. пл. 260° (из абс. сп.); ИМ, т. пл. 210° (из C_2H_5OH). Кроме того, конденсацией IIг и $ClCH_2CH_2N(CH_3)_2$ в толуоле в присутствии NH_2Na получена 1,5-бис-(диметиламиноэтил)-5-этилбарбитуровая к-та, т. пл. 112° (из петр. эф.-сп.); ДИМ, т. пл. 238° (из абс. сп.). Исходные эфиры (указаны их т. кип. в °C/мм и т. пл. в °C их ДИМ и ДИЭ): Ia, 135—137/6, 245 (из CH_3OH), 202 (из абс. сп.); Ib, 156—158/6, 167—168 (из абс. сп.), 175 (из абс. сп.); Ic, 155/8, 200, 191; Id, 115—117/1, 161 (из абс. сп.), 117—118 (из абс. сп.) и Id, 145—148/10, 169 (из абс. сп.); синтезированы алкилирование $RCH_2CH_2CNa(COOC_2H_5)_2$ соответствующими $ClCH_2CH_2R'$ в C_6H_6 (кипчение 25 час.); диметил-т. кип. 106°/5 мм; ИМ, т. пл. 115—116° (из ацетона) и диэтил-т. кип. 108—109°/4 мм)-аминометилмалоновые эфиры, необходимые в синтезе Ia, б, получены аналогично. Д. В.

21499. О некоторых гетероциклических соединениях с возможными лекарственными свойствами, полученных из цикlopentanонкарбоновой-2 кислоты. Бильино (Su alcuni composti eterociclici di possibile interesse farmaceutico ottenuti dall'acido ciclopentanon-2-carbossilico. Biglino G.), Farmaco. Ed. scient., 1957, 12, № 2, 72—76 (итал.; рез. англ.)

С целью синтеза в-в, обладающих возможными лекарственными свойствами, проведены р-ции конденсации этилового эфира цикlopentanонкарбоновой-2 к-ты (I) с гидразобензолом (II), тиомочевинной (III) и гуанидином (IV). В результате получены соответственно N,N' -дифенилциклопентанпиримидин (V), 2-тио-4-окси-6,7-дигидроциклопентанпиримидин (VI) и 2-амино-4-окси-6,7-дигидроциклопента-[d]-пиримидин (VII). К смеси 2,5 л C_6H_6 , 5 мл спирта и 100 г Na при 0° медленно добавили 606 г диэтилового эфира адипиновой к-ты и кипятили 10—12 час., получен I, выход 75%. Смесь 10 г II и 12 г I нагревали 2 часа при 130—150°, затем в течение ~1 часа отгоняли воду и спирт при нагревании до 160—175°, выделен V, т. пл. 134—135° (из бzl. осаждением петр. эф.). К р-ру 3,5 г Na в 65 мл абс. спирта последовательно добавили 6 г III, 12 г I и 10—15 мл спирта, смесь кипятили 6—7 час., получен VI, т. пл. 324° (разл.; из сп.). 1 г VI и 1 г $ClCH_2COOH$ в 10 мл воды кипятили ~4 час., получен 2,4-диокси-6,7-дигидроциклопента-(d)-пиримидин, т. пл. 320° (разл.; из сп.). Смесь 10 г углекислого IV и 15 г I в 30 мл абс. спирта кипятили 4—5 час., выделен VII, т. пл. 352—353° (разл.; из воды). Кипячением 10 ч. $POCl_3$ с 1 ч. VII в течение 50—60 мин. получен 2-амино-4-хлор-6,7-дигидроциклопента-[d]-пиримидин, т. пл. 193—194° (из сп. или воды). Г. Карпов

21500. Синтезы в ряду хиназолона. VI. Синтез 1,2,3,4-тетрагидро-2-арилхиназолинонов-4. Килро-Смит, Стивен (Syntheses in the quinoxalolone series. VI. The synthesis of 1:2:3:4-tetrahydro-2-aryl-4-oxoquinazolines. Kilroe Smith T. A., Stephen Henry), Tetrahedron, 1957, 1, № 1/2, 38—44 (англ.)

Конденсацией ароматич. альдегидов (AA) с амидом антралиновой к-ты (I, к-та) получены ариде-новые производные $o-RCH=NC_6H_4CONH_2$ (II), которые легко, обычно при действии 8%-ного NaOH (метод А), изомеризуются в соответствующие 1,2,3,4-тетрагидро-2-арилхиназолиноны-4 $o-C_6H_4NCH_2NHC(O)CH_2CH_2CH_2CH_2$.

(III). Изомеризация при действии разб. HCl (метод Б) сопровождается частичным гидролизом II. В некоторых случаях хорошие результаты дает нагревание II в вакууме выше т-ры плавления (метод В), однако II ($R = m$ - или p - $O_2NC_6H_4$) в отличие от орто-изомера при этом окисляется с образованием 2-м-нитрофенил-3Н- и 2-п-нитрофенил-3Н-хиназолонов-4. В целях идентификации некоторые III окислены $KMnO_4$ в ацетоне в соответствующие 2R-хиназолон-4 (IV). Окисление III ($R = o$ - $O_2NC_6H_4$) приводит к 2-(о-нитрофенил)-3Н-хиназолону-4, который при восстановлении переходит в описанный ранее (РЖХим, 1957, 54421) 2-(о-аминофенил)-3Н-хиназолон-4 $o-C_6H_4N=C(C_6H_4NH_2-o)NHC(O)CH_2CH_2CH_2CH_2$, что является

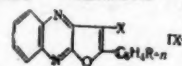
доказательством строения и новым синтезом V. С безводн. $HCOOH$ V образует хиназолон-[4,3-б]-хиназолон-8. При конденсации бензальдегида с метиловым эфиром I (Ia) в присутствии HCl получается смесь $o-CH_3OOCCH_2CH_2NHC(C_6H_5)NHC(C_6H_5)COOCH_3-o$ (VI) и 3-о-метоксикарбонилфенил-III ($R = C_6H_5$) (VII). В отсутствие HCl с C_6H_5CHO и $p-CH_3C_6H_4CHO$ образуются метиловые эфиры N-(α -оксисбензил)-I (VIII) и N-(α -окс-4-метилбензил)-I (IX), которые при обработке NH_3 дают III ($R = C_6H_5$) и III ($R = p-CH_3-C_6H_4$) соответственно. Р-р AA и амида I (по 1 моллю) в спирте кипятят несколько минут и при охлаждении получают II [перечисляются R, выход в %, т. пл. в °C (из сп.)]: $o-HOC_6H_4$, 81, 165; $o-CH_3O-C_6H_4$, 77, 159; $m-HOC_6H_4$, 70, 146; $p-HOC_6H_4$, 70, 160; $p-CH_3OC_6H_4$, 61, 158; 2,4- $C_6H_3(OH)_2$, 90, 190;

2,4-С₆H₃(ОСН₃)₂, 88, 160; 2,4-С₆H₃(ОС₂H₅)₂, 87, 177; 2,4-С₆H₃(ОС₂H₅)₂(ОН) (IIa), 72, 180; 2,4-С₆H₃(ОН)(ОС₂H₅) (IIб), 66, — (изомеризуется при перекристаллизации в III); 3,4-С₆H₃(ОН)(ОСН₃) (IIв), 50, 153 (изомеризуется); 3,4-С₆H₃(ОСН₃)₂(ОН) (IIг), 81, 187; 3,4-С₆H₃(ОС₂H₅)₂(ОН), 98, 187 (изомеризуется); 3,4-С₆H₃(ОСН₃)₂, 84, 165; 3,4-С₆H₃(ОС₂H₅)₂(ОСН₃), 60, 152; 2,3-С₆H₃(ОН)(ОСН₃), 81, 168; о-О₂NC₆H₄ (IIд), 86, 174; м-О₂NC₆H₄, 95, 199; п-О₂NC₆H₄, 93, 191; С₆H₅CH=CH, 90, 210; 2,3,4-С₆H₂(COOH)(ОСН₃)₂, 96, 208. Получены следующие III и IV (перечисляются R, метод, выход III в % и его т. пл. в °C (из сп. или СН₃ОН), выход IV в % и его т. пл. в °C): С₆H₅, —, —, 228, 70, 238 (из СН₃COOH); п-СН₃С₆H₄, —, —, 230, 73, 241 (из ацетона); о-НОС₆H₄, Б, 82, 300, —, —; м-НОС₆H₄, А, 100, 209, —, —; п-НОС₆H₄ (IIIa), Б, 70, 332, —, —; о-СН₃ОС₆H₄, А, 88, 181, 50, 208 (из сп.); п-СН₃ОС₆H₄, Б (или метилированием IIIa), 62, 195, 98, 247 (из сп.); 2,4-С₆H₃(ОН)(ОС₂H₅), В, 100, 305, —, —; 2,4-С₆H₃(ОС₂H₅)₂, А, 94, 149 (этилированием IIa или IIб), 87, 174 (из сп.); 2,4-С₆H₃(ОСН₃)₂, А, 100, 187, 75, 207 (из СН₃COOH); 2,3-С₆H₃(ОН)(ОСН₃) (IIIб), кипячение 30 мин. в лед. / СН₃COOH, 87, 279, —, —; 3,4-С₆H₃(ОСН₃)₂(ОН) (IIIв), кипячение 30 мин. в лед. / СН₃COOH, 92, 224; —, —; 3,4-С₆H₃(ОН)(ОСН₃) (IIIг), А, 100, 191, —, —; 3,4-С₆H₃(ОС₂H₅)₂(ОН) (IIIд), А, 100, 218, —, —; 3,4-С₆H₃(ОС₂H₅)₂(ОСН₃), А, 80, 89 (этилированием IIIг или метилированием IIIд), 90, 239 (из ацетона); 3,4-С₆H₃(ОСН₃)₂, А, 100 (метилированием IIIб, IIIв, IIIг, IIIд), 226 (из СН₃COOH), 65, 247 (из СН₃COOH); о-О₂NC₆H₄, А, 96 (получен также при кипячении 1 час 10 г IIд в 50 мл воды и 25 мл спирта и насыщением р-ром NaHCO₃), 192, 95, 237 (из сп.); С₆H₅CH=CH, А, 58 (или при кипячении 3 г коричного альдегида и 3 г амида I в спирте в присутствии порошка NaOH), 294, 44, 252 (из сп.); 3,4-метилendioксибензил (при выдерживании 2 дня 3 г пипероналя и 3 г Ia в спирте и насыщением NH₃; через 4 недели прибавляют конц. NH₄OH), —, 202, 75, 279 (из СН₃COOH); 2,3,4-С₆H₂(COOH)(ОСН₃)₂, А, 100 (В, 100), 296, —, —; м-О₂NC₆H₄, В, —, —, 96, 354 (разл.; из СН₃COOH); п-О₂NC₆H₄, В, —, —, 90, 365 (разл.; из СН₃COOH). Метилирование и этилирование проводилось в щел. р-ре при 0° с помощью (СН₃)₂SO₄ и (С₂H₅)₂SO₄. 15,1 г Ia и 10,6 г С₆H₅CHO в петр. эфире оставляют при ~0° на 3 дня в атмосфере СО₂, выход VIII 75%, т. пл. 77° (из петр. эф.). Аналогично из п-СН₃С₆H₄CHO получают IX, выход 65%, т. пл. 79°. VIII и IX насыщают в спирте NH₃ и оставляют при ~0° на 2 недели: выход III (R = С₆H₅) 41%, выход III (R = п-СН₃С₆H₄) 58%. Из 10 г Ia, 4 г С₆H₅CHO в 50 мл спирта + следы HCl (кипчение 40 мин.) получают осадок, который при экстракции ацетоном дает 6,9 г нерастворимого VII, т. пл. 278—280°, и 1,7 г растворимого VI, т. пл. 188—190°. Кипячением спирт. р-ра I с AA получены следующие о-НООСС₆H₄-N=CHR (перечисляются AA, I, R, выход в %, т. пл. в °C): 12,5 г 2-окси-4-этоксibenзальдегида, 10,3 г I, 2,4-С₆H₃(ОН)(ОС₂H₅), 92, 206 (из сп.); 1,66 г 2-этоксibenзальдегида, 1,37 г I, 2,4-С₆H₃(ОС₂H₅)₂(ОН), 97, 211 (разл.); 7,6 г 2-окси-3-метоксibenзальдегида, 6,85 г I (кипчение в С₆H₆), 2,3-С₆H₃(ОН)(ОСН₃), 80, 119 (из сп.). Эти соединения не образуют III при обработке NH₃. Сообщен V см. РЖХим, 1957, 54424.

Б. Дубинин
21501. Изучение хиноксалона. О 2-стирилхиноксалоне-3. Bodforss (Chinoxalon-Studien. Über 2-Styryl-Chinoxalon-(3). Bodforss Sven), Liebig's Ann. Chem., 1957, 609, № 1-3, 103—125 (нем.). Показано, что продукт р-ции о-фенилендиамина (I) и RС₆H₄CH=CHCOOH (II, а R = H) содержит

кольцо хиноксалона-3 (III) и является 2-стирил-III (IIIa) R'CH=CHC₆H₅ (здесь и далее R' = CONHC₆H₄ (-o)N=C-). Доказательства основаны на данных

УФ-спектров и на том, что полученные из IIIa R'CH₂CH₂С₆H₅ (IIIб) и R'CHBrCHBrC₆H₅ синтезированные встречным путем. Кроме того, продукт конденсации 2-метил-III с п-нитробензальдегидом является идентичным п-нитро-IIIa, полученному из I и II (R = NO₂-п). Исходя из I и II (R = Cl или NO₂), синтезированы другие аналоги IIIa. Дибромиды



(ДБ) IIIa и его аналогов с безводн. С₆H₅N образуют соли N-винилпиридиния типа R'CH=C(C₆H₄R)N⁺C₆H₅Br⁻ (IV) (обсуждается механизм р-ции и приводятся доводы в пользу ф-лы IV), которые со щелочами дают псевдоисонования (или производные глутакондальдегида) R'CH=C(C₆H₄R)NCH=CHCH=

=CHCHON (V). V (R = H) (Va) с гидразином от-

щепляет С₆H₅N и образует R'CH₂C(C₆H₅)=NNH₂ (VI), который, вероятно, является транс-соединением и поэтому неспособным к циклизации в ожидаемый 7,8-бензо-4-фенил-2,3-дигидро-2,3-диазохиноксалин (VII). Последний, однако, легко получается из 2-фенацил-III (IIIв) и N₂H₄·H₂O, вследствие того, что промежуточный гидразон имеет цис-конфигурацию. Аналогично из С₆H₅NHNH₂ получают 2-фенил-VII. Алифатич. амины расщепляют пиридиновое кольцо V с образованием R'CH=C(C₆H₅)NH₂ (VIIIa) или R'CH₂C(C₆H₅)=NH (VIIIб). На основании сравнения спектральных кривых (350—500 мμ) VIII и IIIв более вероятной является ф-ла VIIIб. При действии Н₂SO₄ IIIв ангидризуется в фенилфурохиноксалин (IX, а X = R = H), который в р-рах обладает очень сильной флуоресценцией. Фурановое кольцо IX весьма устойчиво к щелочам и к-там. При слабом нагревании 40 г IIa и 20 г I в 60 мл спирта + 60 мл лед. СН₃COOH получают 34 г IIIa, т. пл. 253°; бромгидрат, т. разл. 260°, красный порошок, гидролизуется водой и спиртом. IIIa и 1,05 моля Вг₂ в СН₃COOH дают ДБ R'CHBrCHBrC₆H₅, т. разл. 255° (промытые горячим спиртом). Аналогично получают (перечисляются R у исходного II, заместитель в положении 2 у VIII, т. пл. в °C и т. пл. ДБ в °C): п-СН₃О, п-метоксистирил (IIIг), 250, 165 (разл.); о-О₂N, о-нитростирил (при проведении р-ции в спирте выпадает 2-окси-(2-нитростирил)-1,2-дигидро-III, т. пл. 195° (из циклогексанона (X), который нагревают в лед. СН₃COOH (XI) до растворения), 265 (разл.); м-О₂N, м-нитростирил, 262 (разл.; из HCON(CH₃)₂), 240 (разл.); п-О₂N, п-нитростирил, 305, —; о-Cl, о-хлорстирил, 250 (из XI), —; п-Cl, п-хлорстирил, 275 (из XI), —. Из 10 г IIa и 10 г о-аминодифениламина (XII) в спирте с 5%-ной XI получают 2-стирил-4-фенил-III, т. пл. 180° (из XI); ДБ, т. разл. 240°. Из бензилпирдиноградной к-ты и I в спирте или встриживании IIIa с амальгамой Na в спирте получают 2-фенилэтил-III, т. пл. 214°. 2-(о-нитростирил)-4-фенил-III (из XII и II (R = NO₂-о) в спирте + XI), т. пл. 203° (из X + сп.). Из 3,4-диаминотолуола и IIa получают 2-стирил-6 (или 7)-метил-III, т. пл. 245—249° (из XI и сп.); ДБ, т. пл. 125° (разл.). Из пировиноградной к-ты и соответствующего хлорбензальдегида с КОН в СН₃OH синтезируют II (R = о-Cl), т. пл. 86° (из разб. сп. и сушки над Р₂O₅) и II (R = п-Cl), моногидрат (из разб. сп.). Из 20 г IIIa в горячей XI и 15 г NaNO₂ получают R'C(=NOH)C(=NOH)C₆H₅, т. разл. 229° (из сп. и X).

трил-III
ONHC₂H₅

данных

из Ша
теоретиче-
конденса-
является
I и II
(O₂), син-
бромидыобразуют
(N+C₂H₅)
иводится
целочаши
гута-
-CHCN=с) = NNN₂
диниемв оки-
назохи-
лучаетсявне того,
ис-конфи-
полученпри-
C₂H₅NH₂
сноваши600 мл)
а VIIIб.в фо-
торый в
й. Фура-и к-там.
мл спир-а, т. пл.
пок, гид-ля Br₂ в
255° (про-получают
в поло-н-CH₃O,
N, о-нит-выпадает
195° (изв лед.
; м-О₂N,
(2), 240

хлорети-

(из XI),
(XII) венил-III,
этилпро-ни Ша
этил-III,
XII и IIX + сп.).
л-б (илиБ, т. пл.
етсвую-езируют
шки над
зб. сп.).
олучают
п. и X).

Ша и Cl₂ (CCl₄ и немного XI) дают R'CHClCHClC₆H₅, т. пл. 206° (быстрое нагревание; из сп.). Из Ша в CHCl₃ (25% избыток) в CCl₄ получают дигидранд и родана (25% избыток) (из X). Из 2-метил-III в XI и 1 моля Br₂ получают дибром-2-метил-III, т. разл. 240°. Р-р 10 г Ag₂SO₄ в 30 мл конц. H₂SO₄ и 10 г ДБ Ша (80°, 1 час и 20°, 24 часа) дают 3,5 г 2-(α-бромстирил)-III, т. пл. 191°. Микроколичество R'CHClCHClC₆H₅ при нагревании дает 2-(α-хлорстирил)-III, т. пл. 229°; с конц. NaOH при нагревании переходит в IIIв. 40 г сухого ДБ Ша и 75 мл сухого C₆H₅N нагревают до начала бурной р-ции и через 30 мин. отделяют 26 г IV (R = H) (IVа), т. пл. 285° (из воды); обладает бактериостатич. действием; с избытком Br₂ в XI образует кристаллы дибромидов. При встряхивании IVа с избытком щелочи получают Va · H₂O, т. раз. 188° (из воды), при высушивании в высоком вакууме при 60° образуют ангидрид C₂₄H₂₂O₃N₂ · 10 г IVа, 40 г воды, 2 г NaOH и 40 мл ацетона слабо нагревают, прибавляют HClO₄ и получают C₂₄H₂₂O₃N₂ · ClO₄ (кристаллы из XI). При кипячении 30 мин. ДБ в безводн. C₆H₅N получают IV (перечисляется R, т. разл. перхлората в °C): n-CH₃O (выделяют спиртом + XI), порошок; м-О₂N, 290 (бромид; из воды + NaBr); n-О₂N, 300 (выход 10%). Аналогично из соответствующих ДБ получают: перхлорат 2-стирил-4-фенилхиноксалон-3-пиридиния, желтые иглы (из XI); перхлорат 2-стирилхиноксалон-3-β-пиколиния (3 г ДБ Ша, 15 мл β-пиколина, 0,3 г Ag₂SO₄ и 10 капель XI нагревают при ~100°, 5 час.), т. пл. 255°; бромистый 2-стирилхиноксалон-3-изохинолиний (нагревание ДБ Ша, изохинолина и 2% XI), выход 10%, т. пл. 270° (из воды); перхлорат (дигидрат), желтый осадок; бромистый 2-стирил-6-(или 7)-метилхиноксалон-3-пиридиний, выход 50%, т. пл. 295° (из воды); бромистый 2-(2-хлор)-хиноксалон-3-пиридиний (из ДБ 2-хлор-III в C₆H₅N), выход 50%; перхлорат, т. разл. 254°; хлористый 2-(α-оксис-β-хинолинийстирил)-III (5 г дихлорида Ша в 20 мл хинолина кипятят 15 мин., охлаждают, прибавляют 12 мл спирта и 12 мл XI), т. разл. >300° (из XI); кислый сульфат (при растворении в конц. H₂SO₄), т. разл. >300°. 2 г Va в 25 мл горячего спирта и 1 мл N₂H₄ · H₂O дают VI, т. пл. 237° (из C₆H₅N + сп.), который с н-нитробензальдегидом (в X-сп.) образует 4-нитробензальгидразон, т. пл. 266°, а с CH₃COSCH₂COOC₂H₅ (в XI при 100°) соединение с т. пл. 214° (из C₆H₅N). Ацетильное производное VI, т. пл. 280° (из XI). При смешении Va с избытком (C₆H₅)₂NH, этилендиамина или моноэтаноламина и после р-ции разбавления спиртом получают VIIIа или VIIIб, выход 100%, т. пл. 271° (из сп.). При кристаллизации из XI дает IIIв. С (CH₃)₂SO₄ VIII дает метилсульфометилат, т. разл. ~180° (из сп., содержит 1 молекулу сп.). IIIв (из C₆H₅COCH₂COSCOOH (XIII) и I в спирте), выход колич., т. пл. 266° (из XI). Аналогично получают 2-(4-метоксифенил)-III, т. пл. 249° (из XI). ДБ Ша с CH₃COOK в абс. спирте с очень высоким выходом дает хиноксалилбензилкетон, т. пл. 218° (из XI). Из XIII и XII в спирте получают 2-фенил-4-фенил-III, т. пл. 205° (из XI). 15 г IIIв, 15 г N₂H₄ · H₂O и 25 мл XI в 200 мл спирта кипятят 12 час. и водой осаждают VII, т. пл. 315° (из XI); продукт присоединения (CH₃)₂SO₄, т. пл. ~300° (из сп.). Фенилгидразон IIIв (получен в спирте, кипячение 2 дня и осаднение разб. XI), т. пл. 220°; в кипящей XI переходит в 2-фенил-VII, т. пл. 237° (из сп.). IXа получают несколькими методами, но лучше всего из IIIв в конц. H₂SO₄ (70°, несколько часов) и при нагревании до растворения 3 г ДБ Ша и 4 мл сухого (C₆H₅)₂N в 15 мл сухого C₆H₅NO₂, т. пл. 196° (из XI); с Br₂ в XI дает IX (X = Br, R = H), т. пл. 175°. 2 г 2-(4-метилфенил)-III (из n-метил-XIII и I) в 10 мл (CH₃CO)₂O и 2 капели конц. H₂SO₄ (кипение 1 час) дают IX

(X = H, R = CH₃), т. пл. 222° [из (CH₃CO)₂O]. Аналогично получают IX (X = H, R = CH₃O), т. пл. 210° (из XI).

Б. Дубинин
21502. Производные пиперазина. XXIX. Соли N-фенилпиперазина для использования в идентификации органических кислот. Поллард, Гидвани (Derivatives of piperazine. XXIX. Salts of N-phenylpiperazine for utilization in identification of organic acids. Pollard C. B., Gidwani Narain S.), J. Organ. Chem., 1957, 22, № 8, 992—993 (англ.).

Описывается метод получения 23 новых солей N-фенилпиперазина (I) с органич. к-тами. Соли немещ. жидких моноосновных к-т получают смешением эквимолярных кол-в I и к-ты. Для двухосновных к-т применяют 2 моля I. Р-цию с твердыми к-тами проводят в ацетоне. Перечисляются к-та, выход соли в %, т. пл. в °C (исправлены из ацетона или промывание горячим ацетоном): n-анисовая, 91, 158,3—159,3; циклогексанмасляная, 92, 87,7—88,6; циклогексануксусная, 93, 79,4—80,9; циклогексанкапроновая, 91, 91,6—93,4; циклогексанвалериановая, 90, 67,8—68,9; циклогексанпропионовая, 96, 85,2—87,2; CH₃COOH, 91, 82,0—83,0; энантовая, 40, 56,1—57,5; капроновая, 35,5, 65,2—67,3; лауриновая, 89, 60,6—61,5; левулиновая, 65,5, 82,8—84,2; HCOOH, 75,5, 112,6—113,6; изовалериановая, 70, 78,9—80,4; каприловая, 40, 58,4—60,6; валериановая, 85,5, 50,5—52,5; феноксиксусная, 97,7, 117,9—119,0; пропионовая, 33, 58,9—59,8; салициловая, 96, 184,8—185,8; ундециловая, 50, 50,5—52,5; малоновая, 93,5, 111,8—113,8; пивалевая, 95, 226,7—227,2; изопталева, 97, 184,4—185,8; фталевая, 98, 188,3—189,9. Неудовлетворительные анализы получены для продуктов р-ции I с масляной, йодуксусной, α-бромпропионовой, α-броммасляной, янтарной, винной и 4-нитрофталева к-тами. Сообщение XXVIII см. РЖХим, 1956, 58091. Б. Дубинин
21503. Синтезы с солями дипиридиния — новый путь образования феназинов. Вестфаль, Яни (Synthesen mit Bis-pyridiniumsalzen — ein neuer Weg in die Phenazinreihe. Westphal Otto, Jann Klaus), Liebigs Ann. Chem., 1957, 605, № 1-3, 8-15 (нем.). Транс-C₆H₅N+ — CH₂CH=CHCH₂N+C₆H₅ · 2Cl⁻ (I), полученный из 1,4-дихлорбутена (II) и пиридина (III), содержит две активные метиленовые группы, которые могут вступать в р-цию двойной конденсации. Так, I с n-(CH₃)₂NC₆H₄NO (IV) и пиперидином образует динитрон RN(→O)=CHCH=CHCN=N(→O)R (V), а с IV и NaCN образует RN=C(CN)CH=CHC(CN)=NR (VI), где в V и VI R = n-C₆H₄N(CH₃)₂. Аналогично из 2,3-дибромметилхиноксалина (VII) с III получен хиноксалин-2,3-ди-(метиленипиридинийбромид) (VIII), который с IV и NaCN образует ди-(циананил)-хиноксалиндальдегида-2,3 (IX). При конденсации VIII с диацетилон в присутствии дибутиламина с замыканием цикла получен бромистый 1-амино-2,3-диметилфеназин-4-N-пиридиний (X) и, таким образом, осуществлен переход из хиноксалинового ряда в феназиновый ряд. X через расщепление по методу Кронке — Фогта (РЖХим, 1955, 28951) превращен в 1,4-диамино-2,3-диметилфеназин (XI). К 18 г II в 50 мл C₆H₅CH₂OH и 40 мл III через 3 дня прибавляют 50 мл ацетона, получают I, выход 76%, т. пл. 209—210°. К 2,83 г I в 16 мл 50%-ного спирта прибавляют при ~0° р-р 3,3 г IV в 35 мл спирта и 4,2 мл пиперидина и получают V, выход 87%, т. пл. 238° (разл.; из C₆H₅NO₂). Из 1,5 г I в 10 мл 50%-ного спирта, 1 г IV в 20 мл спирта и 0,5 г NaCN в 5 мл воды при ~20° получают VI, выход 44%, т. пл. 330° (разл.). Из 10,7 г дибромдиацетила в 40 мл спирта и 6,0 г о-фенилендиамина в 60 мл спирта при ~0° получают VII, выход 85%, т. пл. 150—151° (из ацетона-сп., 7:1). К горячему р-ру 10 г VII в 50 мл ацетона и 40 мл спирта и 12 мл абс. III при добавлении эфира получают VIII, выход 80%, т. пл. 204—205°

(из абс. сп.); дигидрат, т. пл. 264—265° (из водн. сп.). К 5 г VIII в 30 мл 50%-ного спирта прибавляют при 10° 3,8 г IV в 45 мл спирта и при ~ 0° быстро 2,2 г NaCN в 8 мл воды, получают IX, выход 78%, т. пл. 266° (из III). Из 1 г VIII и 0,7 г диацетила в 10 мл спирта и 0,9 мл дибутиламина (0°, 2 часа) получают 570 мг дигидрата X, т. пл. 304—305° (из воды). 400 мг X в 2,5 мл пиперидина кипятят 4 часа и через 12 час. отделяют XI, выход 80%, т. пл. 215° (разл.; возгонка при 180°/2,10⁻³ мм). Из XI и (CH₃CO)₂O в III (кипчение 5 мин.) получают 1,4-диацетил-XI, выход колич., т. пл. 333—334° (возгонка). Аналогично из X (упаривают в вакууме досуха, прибавляют 2,5 мл пиперидина, кипятят 4 часа, упаривают, возгоняют при 240°) получают 1-ацетил-XI, выход 89%, т. пл. 253—254°. Приведены λ_{max} (в мк) X, XI и его производных.

М. Линькова

21504. Получение и свойства замещенных бензо-[с]-пиразоло-[1,2-а]-пиразолдионов-1,9 (бензо-бис-пиразолон Михаэли). Вейбель, Лиллелунд (The preparation and properties of substituted benzol(c)pyrazol(1:2-apyrazol-1:9-diones (Michaelis' benzo-bis-pyrazolones). Veibel Stig, Lillelund Hanne), Tetrahedron (Internat. J. Organ. Chem.), 1957, 1, № 3, 204—213 (англ.).

При конденсации β -кетозфиров с β -ацетил-(2-карбоксифенил)-гидразином (I) с помощью PCl₅ получают замещ. бензо-[с]-пиразоло-[1,2-а]-пиразолдионы-1,9 (II), которые превращаются: а) в водн. р-ре NaOH в замещ. 1-(α -карбоксифенил)-пиразолон-3 (III); б) в спирт. р-ре NaOH в замещ. 1-(α -алкоксикарбонилфенил)-пиразолон-3; в) в метанольном р-ре пиперидина в смесь 1-(α -метоксикарбонилфенил)-пиразолон-3 и соответствующего пиперидида. Приведены кривые титрования к-т в спирт. р-ре NaOH и оснований (в лед. CH₃COOH) HClO₄, а также кривые УФ-спектров. α -Карбоксифенилгидразин (IV) с 8—10 ч. лед. CH₃COOH кипятят 2 часа, выделяют I, выход 68%, при определении т-ры плавления переходит в бензопиразолон-3, т. пл. 244°; если к реакционной смеси прибавить 10% (CH₃CO)₂O, то выход I уменьшается, образуется еще β , β -диацетильное производное IV, выход 20—30%, т. пл. 200°. К 0,1 моля I и 0,2 моля CH₃COCH₂COOC₂H₅ прибавляют по каплям 0,2 моля PCl₅, через 2 часа (~ 20°) нагревают при ~ 100° и выделяют 3-метил-II (IIa), выход 60—70%, т. пл. 268—270° (из лед. CH₃COOH или сп.). Аналогично из 0,1 моля I и 0,15 моля CH₃COCH(C₂H₅)COOC₂H₅ получают 2-этил-3-метил-II (IIб), выход 25—28%, т. пл. 185°; из 0,05 моля I и 0,075 моля C₆H₅COCH₂COOC₂H₅ получают 3-фенил-II (IIв), выход 30—35%, т. пл. 197—300° (?) (из сп.), побочно образуется 1-ацетилбензопиразолон-3, т. пл. 214—215°, вероятно, из примешанного к I α -I. IIa—в в воде обрабатывают 2 экв NaOH, получают соответствующие ди-Na-соли III, из которых при подкислении 2 экв HCl получают 5-метил-III (IIIa), т. пл. 232—234°; 4-этил-5-метил-III (IIIб), т. пл. 215°; 5-фенил-III (IIIв), т. пл. 273—275°. К р-ру 0,01 моля IIa—в в 200—300 мл CH₃OH или спирта прибавляют (0,5—1 час) 100 мл 0,1 н. NaOH, фильтруют, р-р подкисляют 0,01 моля HCl, выделяют эфиры III, выход 70—80% (перечисляются эфиры III, т. пл. °C): метиловый IIIa, 163—164; этиловый IIIa, 160—161; метиловый IIIб, 168—169; этиловый IIIб, 150—151; метиловый IIIв, 135—136; этиловый IIIв, 129—130. 0,1 ммоль эфира III в 50 мл лед. CH₃COOH титруют 0,1 н. HClO₄ в лед. CH₃COOH. Пиперидид титруется HClO₄ как одноосновная кислота.

Ю. Розанова

21505. Синтез и изомеризация замещенных 5-амино-триазолов-1,2,3. Либбер, Чао, Рао (Synthesis and isomerization of substituted 5-amino-1,2,3-triazoles. Lieber Eugene, Chao Tai Siang, Rao C. N.

Ramachandra, J. Organ. Chem., 1957, 22, № 1, 654—662 (англ.).

Конденсацией алкил- и арилазидов с CH₂(COOC₂H₅)₂ NCCN₂COOC₂H₅ и C₆H₅CH₂CN (I) в присутствии оснований синтезирован ряд 1,4-дизамещ. и 1-замещ. 4-фенил-5-аминотриазолов-1,2,3 (II). Предложена схема механизма р-ции: I + (CH₃O)⁻ → C₆H₅CH₂CN + ArN=N⁻ → ArN=N=N⁺CH(C₆H₅)C⁺≡N → II. Необратимой изомеризацией II кипячением в пиридиновых основаниях получен ряд 4-фенил-5-ариламинотриазолов-1,2,3 (III). Влияние заместителей в положении 1 на скорость такой изомеризации аналогично найденной зависимости в ряду 1-замещ. 5-аминотриазолов (ср. РЖХим, 1957, 30473). В расплаве при 184—185° между II и III устанавливается равновесие. Существует линейная зависимость между lg K (где K — отношение III:II при равновесии) и σ — константа Хамметта для замещающих групп. Смесь 1 моля ArN, 1,1 моля I и р-ра CH₃ONa в спирте или CH₃OH (прибавление по каплям) выдерживают ~ 12 час. при ~ 0° (если II не выпадает, то нагревают несколько часов), получают III (указаны Ar, время нагревания в часах, т-ра в °C, выход в %, т. пл. в °C): C₆H₅, 5—12, ~ 20°, 99, 169—170 (из сп.); 4-CH₃C₆H₄ (IV), 45—65°, 92, 175—176 (из CH₃OH); 3-CH₃C₆H₄, 45—65°, 90, 143—144 (из этилацетата); 2-CH₃C₆H₄, 30, 65—75, 59, 116—117 (из бэл.); 4-ClC₆H₄, 5—12, ~ 20°, 99, 187—188 (из бэл.); 3-ClC₆H₄, 5—12, ~ 20°, 99, 152 (из CH₃OH); 2-ClC₆H₄, —, 95, 116—117 (из толуола); 4-ONC₆H₄, 5—12, ~ 20° (в несколько часов при кипении), 82, 182—183 (из этилацетата); 3-ONC₆H₄, 5—12, ~ 20°, 51, 171—172 (из этилацетата); 4-CH₃OC₆H₄, 10, 45—55°, 82, 163—164 (из этилацетата); 4-BrC₆H₄, —, 45—65°, 71, 188—189 (из бэл.); 2-C₁₀H₇, 5—12, ~ 20°, 89, 184—185 (из этилацетата); C₆H₅CH₂, 90, 60—65°, 59, 157—158 (из бэл.). К 0,1 моля 2-ONC₆H₄N₃ и 0,1 моля I в 100 мл эфира прибавляют при 0° по каплям за 2 часа 0,1 моля CH₃ONa в 50 мл CH₃OH, выдерживают ~ 12 час. при 0—20° и 6 час. при ~ 20° и выделяют 7,8 г 4'-фенил-(1',5'-3,4)-1',2',3'-триазоло-5,6-бенз-1,2,4-триазиноксид-1 (?) (V), т. пл. 218—219° (разл.; из этилацетата). К р-ру C₆H₅ONa (из 0,22 моля Na и 100 мл спирта) при 0—20° прибавляют 0,22 моля I и 0,194 моля C₂H₅N₃, постепенно нагревают до 60° и выдерживают (60°, 70 час.), охлаждают до -17°, получают 14,8 г 1-этил-4-фенил-4-(1'-имино-2'-фенил)-этил-5-имино-1,2,3-триазола (или 1-этил-4-фенил-5'-бензил-(3',4'-4,5)-пиразоло-1,2,3-триазола (V), т. пл. 151—152° (из бэл.); из маточного р-ра выделяют 16,1 г II (1-C₂H₅), т. пл. 111—112° (из бэл.). Аналогично из n-C₆H₁₃N₃ и I получают 1-н-гексил-5-имино-1,2,3-триазол V, т. пл. 196—197° (из толуола). 0,02 моля IV в 20 мл C₆H₅N кипятят 48 час., выливают в 500 мл ледяной воды, получают III, выход 100%, т. пл. 158—159° (из бэл.). Аналогично получают из II следующие III (указаны Ar, выход в %, т. пл. в °C): C₆H₅, 92, 167—168 (из водн. сп.); 3-CH₃C₆H₄, 90, 168—169 (из бэл.); 2-CH₃C₆H₄, 98, 98—99 (из толуола); 4-ClC₆H₄, 80, 158—159 (из водн. сп.); 3-ClC₆H₄, 96, 166—167 (из бэл.); 2-ClC₆H₄, 93, 134—135 (из толуола); 4-ONC₆H₄, 83, 164—165 (из эф.); 3-ONC₆H₄, 100 (12 час. кипячения), 136—137 (из эф.-гексана); 4-CH₃OC₆H₄, 100 (4-CH₃C₆H₄N при 141—142°), 134—135 (из толуола); 4-BrC₆H₄, 90, 174—175 (из сп.); 2-C₁₀H₇, 89, 214—215 (из водн. сп.); C₆H₅CH₂, — (в 4-CH₃C₆H₄N, 108 час. при 131—132°, изомеризация не закончилась), 121—122. А. Г.

21506. Меламин. Карьер (Melamine. Carrière G.), Chem. en pharm. techn., 1957, 12, № 26, 347—351 (гол.).

Обзор по синтезу, свойствам и применению меламин и его производных. Библ. 13 назв. В. Янушкис

21507. Разнообразные кольцевые системы уротропина. Карьер (Het urotropine-ringsystem. Carrière

е G.), Chem. en pharmac. techn., 1957, 13, № 1, 3—5

(пол.). Ю. Розанова

Обзор. Библ. 19 назв.

21508. О тиазолах. Часть XXXIII. Тиазолил-2-гидразо-

ны и тиосемикарбазоны *n*-бензохинона. Бейер,

Либен, Либен, Берг, Беренс

тиазолил-2-гидразинон. Бейер, Берг, Беренс

(Über Thiazole, XXXIII. Thiazolyl-(2)-hydrazono und

Thiosemicarbazone des *p*-Benzochinons. Beyer

Hans, Liebenow Walter, Pyl Theodor.

XXXIV. Über die Dehydrierung von Thiazolyl-(2)-Hyd-

razinen. Beyer Hans, Berg Gerhard, Behrens

Dieter), Chem. Ber., 1957, 90, № 9, 1738—1744;

2080—2087 (нем.)

XXXIII. Конденсация *n*-бензохинона (I) с H_2NNHC-

(SC_6H_5) = $NH \cdot NBr$ (II) в разб. CH_3COOH приводит к

$R=NNHCOSC_6H_5$ (III, здесь и в других ф-лах $R=$

$=CH=CHCOCH=CHC=$), а в лед. CH_3COOH к

$R=NNHC(SC_6H_5)=NH \cdot NBr$ (IV). При действии H_2S

IV переходит в $R=NNHC_6H_4NNHSCN_2H_2$ (V), который

дегидрирует в $R=NNHSCN_2H_2$ (VI). Как V, так и VI

образуют с α -галогидкетосоединениями монотиазолил-

2-гидразоны I общей ф-лы $R=NNHC=NCR'=CR''S$

(VII а $R'=CH_3$, $R''=COOC_2H_5$; б $R'=CH_3$, $R''=H$;

в $R'=C_6H_5$, $R''=H$; г $R'=R''=C_6H_5$). VIIa получен

также непосредственно конденсацией I с весьма

устойчивым 4-метил-5-карботокситиазолил-2-гидрази-

ном (VIII); остальные VII этим путем недоступны.

Синтезированы также бис-гидразоны I: семикарбазон-

тиосемикарбазон I и гуанилгидразон-(4-метил-5-кар-

ботокситиазолил-2)-гидразон I (IX). Из данных

УФ-спектров не удалось получить отчетливого заклю-

чения о существовании таутомерной *n*-оксифенилазо-

формы Ia—г. 18 г тиосемикарбазида (X) и 32 г C_2H_5Br

в 300 мл CH_3OH (или спирта) кипятят 2 часа, отго-

няют ~150 мл р-рителя и эфиром осаждают II, вы-

ход 85%, т. пл. 120°. В р-р 1 г I в 10 мл CH_3COOH мед-

ленно приливают теплый р-р 2 г II в 20 мл лед.

CH_3COOH и через 30 мин. отделяют IV, выход 73%,

т. пл. 162°; в разб. CH_3COOH образуется III, выход 60%,

т. пл. 142° (из разб. сп.), который также получают при

нагревании IV в воде, выход 80%. Смешивают горя-

чий р-р 2,1 г III и 1 г X (каждый в 25 мл лед.

CH_3COOH) и получают тиосемикарбазон III, выход

57%, т. пл. 202°. В р-р 5,8 г IV в 35 мл C_6H_5N и 7 мл

$(C_6H_5)_3N$ пропускают 4 часа слабый ток H_2S и водой

осаждают V, выход 47%, т. пл. 212—214° (разл.; из

разб. CH_3OH). Р-р 1,8 г V в 100 мл воды и 40 мл CH_3OH

при 70° смешивают порциями с р-ром 1 г I в 30 мл

спирта, из фильтрата при стоянии выпадает VI, выход

74%, т. пл. 148° (из разб. сп.); семикарбазон VI, вы-

ход 60%, т. пл. 214—215° [из $HCON(CH_3)_2$ -вода], кото-

рый получают также из 1,6 г $R=NNHCONH_2$ и 1,3 г

хлоридата тиосемикарбазида в разб. спирте. I и

хлоридат VIII (по 0,01 моля) в 25 мл воды при 0°

дают VIIa, выход 31%, т. пл. 251° (из лед. CH_3COOH),

который получают также из 0,9 г VI и 1 г α -хлораце-

туксусного эфира (XI) в 30 мл спирта (60°, 30 мин.).

с выходом 34% или из 1,8 г V и 2 г XI в 55 мл кипя-

щего спирта с выходом 42%. К кипящему р-ру

0,013 моля V в 30 мл спирта по каплям прибавляют

0,013 моля $SiCH_2COSCH_3$ в 10 мл спирта, через 45 мин.

фильтрат охлаждают, разбавляют двойным объемом

воды и отделяют VIIб, выход 40%, т. пл. 220° (из

разб. сп.). Аналогично из 1,8 г V и 1,6 г ω -хлорацето-

на получают VIIв, выход 25%, т. пл. 219° (разл.;

из разб. сп.), а из 1,8 г V и 2,3 г дезилхлорида — VIIг,

выход 36%, т. пл. 235° (из разб. сп.). К горячему р-ру

0,01 г нитрата моногуанилгидразона I в 100 мл воды

прибавляют 2,4 г хлоридата VIII и 1 мл конц. HNO_3

и при стоянии получают нитрат IX, выход 50%, т. пл. 239° (из сп.); основание IX (из спирт. р-ра осажде-нием NH_3), т. пл. 176°, получают также из 2,7 г гуанилгидразона VI и 1,7 г XI в 80 мл 50%-ного CH_3OH (кипячение до образования р-ра и прибавление к фильтрату 5 мл конц. NH_4OH), выход 70%.

XXXIV. Тиазолил-2-гидразины $SCR''=CR'N=CNHNH_2$

(XII, здесь и далее а $R'=CH_3$, $R''=H$; б $R'=H$, $R''=CH_3$; в $R'=R''=CH_3$; г $R'=CH_3$, $R''=COOC_2H_5$; д $R'=C_6H_5$, $R''=COOC_2H_5$; е $R'=C_6H_5$, $R''=H$; ж $R'=R''=C_6H_5$) при обработке HgO в нейтр. или быстрее в щел. среде переходят с выделением N_2 в тиазолы $SCR''=CR'N=CH$ (XIIIа—ж). В последнем

случае под влиянием иона OH сначала отщепляется протон из NH_2NH -группы. Действие H_2O_2 на р-р XII в 2 н. HCl зависит от заместителей в положении 4 и 5. Так XIIIа—в дают только XIIIа—в соответственно, в то время как из XIIIг—ж наряду с ожидаемыми XIIIг—ж образуются описанные ранее битиазолы-2,2' $SCR''=$

$=CR'N=C-C=NCR'=CR''S$ (XIVг—ж) и азотиазо-

лы-2,2' $SCR''=CR'N=CN=NC=NCR'=CR''S$ (XVг—ж).

Выделение продуктов проводилось хроматографией бензольного р-ра на Al_2O_3 . Для р-ции дегидрирования XII действием H_2O_2 принимается радикальный механизм (приводятся схемы). К р-ру 26 г 4-ацетил-X в 200 мл кипящего спирта по каплям прибавляют 45 г α -хлорбензоилуксусного эфира, нагревают 30 мин. и при 0° отделяют N' -ацетил-XIIд, выход 38%, т. пл. 265° (из сп.), 3 г которого при кипячении (1 час) в 50 мл спирта + 2 мл конц. HCl (осадок растворяют в спирте и обрабатывают насыщ. р-ром CH_3COONa) дают XIIд, выход 57,6%, т. пл. 180° (из сп.); при нагревании 1 час с $(CH_3CO)_2O$ переходит в триацетильное производное, т. пл. 134° (из сп.). К 8 г хлоридата XIIIа в 150 мл воды прибавляют 16,2 г свежееосажденной HgO , встряхивают 24 часа, подщелачивают и с паром отгоняют XIIIа, выход 75%, т. кип. 133° (получение XIIIб,в из XIб,в см. РЖХим, 1955, 55155). Из 11,8 г хлоридата XIIг в 500 мл спирта и 16,2 г HgO (48 час.) выделяют XIIIг, выход 61%, т. пл. 27°. К холодному р-ру 3 г хлоридата XIIд в 150 мл спирта прибавляют 4 г HgO и 50 мл насыщ. р-ра CH_3COONa , через 12 час. из фильтрата упаривают спирт и эфиром выделяют XIIд, выход 78%, т. пл. 90°. Из 1,9 г XIIе в 50 мл спирта и 3 г HgO получают XIIIе, выход 80%, т. пл. 52°. Аналогично получают XIIIж, выход 46%, т. пл. 57° (из эф.). К р-ру 0,1 моля хлоридата XIIIа в 100 мл 2 н. HCl при 60° по каплям прибавляют 50 мл 30%-ной H_2O_2 , через 2 часа подщелачивают и эфиром выделяют XIIIа, выход 43%. Аналогично получают XIIIб, выход 35%, и XIIIв, выход 34,9%. Из хлоридата XIIг получают красный осадок, из которого выделяют XIVг, выход 38,4%, и XVг, выход 7,8%, и из фильтрата — XIIIг, выход 23%. К 0,1 моля XIIд в 1 л 2 н. HCl прибавляют по каплям при 60° 50 мл 30%-ной H_2O_2 , через 2 часа осадок отделяют, настаивают с водой, осадок сушат в вакууме и кипятят со спиртом; не растворяется XIVд, выход 22,9%, т. пл. 217—218° (из бzl.). Из спирт. р-ра выделяют XVд, выход 34,3%, и XIIIд, выход 26,3%. Строение XIVд доказано встречным синтезом из $(CSNH_2)_2$ и α -хлорбензоилуксусного эфира (кипячение в спирте 3 часа), выход 10,8%. Аналогично XIIIа из XIIе получают XIVе, выход 5%; XVе, выход 0,03%, и XIIIе (упаривают, подщелачивают твердым $NaHCO_3$ и отгоняют с паром), выход 27%, масло. К смеси 250 мл 2 н. HCl и 60 мл 30%-ной H_2O_2 при 60° порциями прибавляют 26,7 г измельченного XIIг и выделяют из фильтрата

XIII, выход 8,8%, т. пл. 57°, и из осадка — XIV, выход 17%, и XV, выход 33,3%. Часть XXXII см. РЖХим, 1957, 60613.

Б. Дубинин
21509. О некоторых арилкетобензо-м-тиазилах. Конти, Леандри (Su alcune aril-cheto-benzo-m-tiazine. Conti L., Leandri G.), Boll. scient. Fac. chim. industr. Bologna, 1957, 15, № 2, 37—39 (итал.)

Взаимодействием тиосалициловой к-ты (I) с ароматич. или гетероцикл. нитрилами в присутствии HCl синтезированы биологически интересные 2-арил-4-кето-5,6-бензо-1,3-тиазины (IIa—м; где а Ar = C₆H₅, б Ar = m-NO₂C₆H₄, в Ar = n-NO₂C₆H₄, г Ar = m-CH₃C₆H₄, д Ar = n-CH₃C₆H₄, е Ar = m-ClC₆H₄, ж Ar = n-ClC₆H₄, з Ar = n-CH₃SO₂C₆H₄, и Ar = C₆H₅CH₂, к Ar = α-пиридил, л Ar = β-пиридил, м Ar = γ-пиридил). Аليفатич. нитрилы и α-RC₆H₄CN не реагируют в аналогичных условиях. Равномолекулярный р-р I и ArCN в диоксане (III) насыщают при 0° HCl, оставляют на 12 час. при 0°, нагревают до 20° и выделяют с 50—80%-ными выходами (указаны в-во и т. пл. в °C): IIa, 125 (из сп.); IIб, 212 (из сп.-III); IIв, 230 (из сп.-III); IIг, 136 (из сп.); IIд, 168 (из сп.); IIе, 178 (из сп.); IIж, 166 (из сп.); IIз, 234 (из III); IIи, 155 (из III); IIк, 177 (из сп.); IIл, 158 (из сп.); IIм, 172 (из сп.). Д. В.

21510. Побочные продукты реакции Виллгеродта с α- и γ-пиколином. Миллер, Оливер, Данин, Гейте (By-products of the Willgerodt reaction applied to α- and γ-picoline. Miller P. E., Oliver G. L., Dann J. R., Gates J. W., Jr.), J. Organ. Chem., 1957, 22, № 6, 664—666 (англ.)

При получении 2-(пиридил-4)-бензотиазола (I) из γ-пиколина (II), анилина (III) и S в описанных условиях (РЖХим, 1955, 7378), но при 180—220°, наряду с I выделен N,N'-дифениламицин изоникотиновой к-ты (IV, к-та V) (см. также РЖХим, 1955, 23770). Аналогично из α-пиколина (VI), III и S при 180—220° получены 2-(пиридил-2)-бензотиазол (VII) и N,N'-дифениламицин пиколиновой к-ты (VIII, к-та IX) 3 а-атома S, 1 моль II и 1,5 моля III нагревают 24 часа с постепенным подъемом т-ры от 180° до 220°. Реакционную смесь разгоняют, фракцию 198—220°/7 мм кристаллизуют из абс. спирта и выделившиеся кристаллы извлекают в аппарате Сокслета лигроном. Нерастворимая в лигроине часть представляет собой IV, выход 24—30 г, т. пл. 194—196° (из абс. сп.). Из лигроинового р-ра выделяют I, выход 28—36 г, т. пл. 133—134° (из абс. сп.). Для доказательства строения I синтезирован встречным путем: в р-р 0,02 моля α-NH₂C₆H₄SH в 30 мл абс. спирта пропускают 0,73 г HCl (газа) и к теплomu р-ру прибавляют 2,14 г пиридинальдегида-4. После окончания энергичной р-ции из охлажд. р-ра выделяется хлоргидрат 2-(пиридил-4)-бензотиазолина, выход 4,2 г, т. пл. 192° (из сп.). 0,004 моля бензотиазолина нагревают 15 мин. в водн. р-ре с 0,008 моля FeCl₃ и отфильтровывают I. Для доказательства строения IV 0,1 моля V нагревают с 0,33 моля SOCl₂, избыток SOCl₂ отгоняют в вакууме, к охлажд. остатку прибавляют 0,1 моля III в 100 мл C₆H₆, кипятят 1 час, осадок отфильтровывают, растворяют в холодной воде, фильтруют и прибавляют 5%-ный р-р NaOH до pH 7, получают анилин V, выход 57,5%, т. пл. 170—172° (после промывки водой). 0,0288 моля неочищ. хлоргидрата анилина V нагревают с 50 мл безводн. C₆H₆ до 50°, постепенно прибавляют 20 г PCl₅, нагревают за 1 час до 140° и после отгонки всего р-рителя прибавляют 0,1 моля III в 100 мл C₆H₆, нагревают 45 мин. и прибавляют еще 10 мл III. Затем фильтруют, осадок растворяют в 10%-ной HCl и прибавляют 5%-ный р-р NaOH до pH 4, выход IV 10,4%. 3 а-атома S, 1 моль VI и 1,5 моля III нагревают 16 час., постепенно поднимая т-ру от 180 до 220°, отгоняют избыток VI и III в вакууме, остаток растворяют в 1,5 л спирта, охлаждают,

фильтруют и упаривают до 600 мл. Из охлажд. р-ра выделяется 15 г VII, т. пл. 133—135° (из сп.). После отделения VII фильтрат разгоняют и получают фракции 140—170°/1 мм, 170—176°/1 мм. Из первой фракции после растворения в спирте выделены 45 г VII и 42 г анилида тиопикотиновой к-ты (X), т. пл. 51—53° (из сп.), из 2-й фракции выделен X, из 3-й — VIII, т. пл. 93—95° (из абс. сп. и лигроина). Для доказательства строения VII из 2-пиридинальдегида синтезирован 2-(пиридил-2)-бензотиазолин, хлоргидрат, т. пл. 166—168° (разл.), и окислен в VII аналогично указанному выше при доказательстве строения I. Для доказательства строения VIII синтезирован встречным путем из анилида IX аналогично указанному выше для IV.

Г. Браз
21511. Получение некоторых литийорганических соединений в тетрагидрофуране и их устойчивость. Гилман, Гай (Preparation and stability of some organolithium compounds in tetrahydrofuran. Gilman Henry, Gaj Bernard J.), J. Organ. Chem., 1957, 22, № 10, 1165—1168 (англ.)

Синтезированы RLi (Ia—n) (здесь и далее а R = CH₃, б R = C₂H₅, в R = C₆H₅) р-цией RCl (IIa—б) или RBr (IIIб—б) с Li в тетрагидрофуране (IV). Приводятся исходные в-во, т-ра р-ции в °C, выход I в %: IIIв, —35, 77; —40, 81; —50, 82; —60, 92; IIб, —30, 75; —25, 77; IIIб, —60, 56; IIа, —10, 70. Получить Ia действием CH₃J на Li в IV при 0° до —30° не удалось. Приводятся данные по устойчивости I — время в часах, т-ра в °C, выход в %: Ia, 0—3, 66,6; 2,5, 0—3, 50,5; 2, 25, 43,7; 12, 25, 37,0; 13, 65, 13,8; то же для Ib: 12, —30, 95; 10, 10, 20; 2, 27, 0; 22,5, 0, 60; 15, 0, 19; 9,5, 0, 0. То же для Iv: 7, 65, 1; 10, 25, 67; 2, 65, 18. Порядок устойчивости: Ia > Ib > Ib. 0,1 моля IIIв в 75 мл IV добавлен за 2 часа при —60° к 0,5 а-атома Li в 25 мл IV, перемешивают 3 часа, через 12 час. (—60°) выход Ib 97,5%, при карбоксилировании образуется C₆H₅COOH с выходом 91%. 0,7 моля IIб в 300 мл IV добавлен за 1,7 часа при —25° к 2 а-атомам Li в 300 мл IV, перемешивают 1 час, выход Ib 74%. При замене Cl на Br в IIб выход Ib 56%. К суспензии 1,33 а-атома Li в 300 мл IV при —10° добавлено за 45 мин. 0,545 моля жидкого IIа в 50 мл III, перемешивают 30 мин., выход Ia 64%. Р-цией Ia с (C₆H₅)₃SiCl получен (C₆H₅)₃SiCH₃. При пропускании газообразного IIа в суспензию 0,08 а-атома Li в 50 мл IV при —10° выход Ia 23%.

С. Иоффе
21512. Прямой синтез ариллитиевых соединений из фтористых арилов. Гилман, Содди (Direct preparation of aryllithium compounds from aryl fluorides. Gilman Henry, Soddy Theodore S.), J. Organ. Chem., 1957, 22, № 9, 1121—1122 (англ.)

Выяснены условия образования ArLi из ArF и Li. 0,22 а-атома Li и 4 г α-FC₁₀H₇ (I) в 50 мл тетрагидрофурана (II) (24—28°, 10 мин.), охлаждают до —10°, прибавляют постепенно 10 мл I в 10 мл II и спустя 25 мин. пропускают CO₂, из щел. экстракта при подкислении выделена α-нафтойная к-та (III), выход 23%. При 45° III не образуется, выделено 10% C₁₀H₈. В случае C₆H₅F и n-CH₃C₆H₄F в II р-цию инициируют добавкой C₆H₅Br или n-CH₃C₆H₄Br и прибавляют вторую порцию ArF, выход C₆H₅COOH 50%, n-CH₃C₆H₄COOH 70%.

Ф. Ведичи
21513. Карбоксилирование литиевых производных некоторых хинолинов и изохинолинов. Гилман, Содди (Carbonylation of lithium derivatives of certain quinolines and isoquinolines. Gilman Henry, Soddy Theodore S.), J. Organ. Chem., 1957, 22, № 5, 565—566 (англ.)

Описано получение 2-хинолиллития (I), 3-хинолиллития (II), 1-изохинолиллития (III) и 4-изохинолиллития (IV) из соответствующих бромхинолинов и изо-

клад. р-ра (сп.). После фильтруют, разбавляют 50 мл абс. эфира и при охлаждении обрабатывают 15 мл 0,1 н. H_2SO_4 , получают $Hg(CH_2CHO)_2$, выход 84%, т. пл. 92—94°. Ф. Величко 21515.

Взаимодействие циклопропановых углеводородов с солями окиси ртути. VII. Термический распад продуктов симметризации γ-меркурированных спиртов. Левина Р. Я., Костин В. Н., Тартаковский В. А., Ж. общ. химии, 1957, 27, № 8, 2049—2052

Строение полных Hg-соединений с вторичной или третичной OH-группой можно установить по строению продуктов их термич. распада. При нагревании в вакууме (120—130°, 15 мм) $(C_6H_5CHONHCH_2CH_2)_2Hg$ распадается на Hg , $C_6H_5CHONHCH_2CH_2$ и $C_6H_5COC_2H_5$. $[(CH_3)_2CONHCH_2CH_2]_2Hg$ при 100—110° разлагается с образованием Hg , $(CH_3)_2CONHCH_2CH_2$, ацетона и гексена-1. Сообщение VI см. РЖХим, 1957, 77145. Ф. Величко 21516.

Термическое разложение ртутных солей о- и м-нитробензойных кислот и 4-нитрофталевой кислоты. Мауранатхан (Thermal decomposition of mercuric o- and m-nitrobenzoate and 4-nitrophthalate. Mauranathan P. S.), J. Chem. Soc., 1957, Jan., 495—496 (англ.)

При термич. разложении Hg-соли о-нитробензойной к-ты (I к-та) получают $(2-(NO_2)C_6H_4)_2Hg$ (II). Hg-соль м-нитробензойной к-ты (III — к-та) не разлагается, а образует ангидро-2-оксимеркури-3-нитробензойную к-ту (IV). При галоидировании II получают о-бром- и о-йоднитробензол (V и VI). При галоидировании IV получают 2-бром- и 2-йод-4-нитробензойные к-ты (VII и VIII). При пиролизе Hg-соли 4-нитрофталевой к-ты (IX — к-та) получают ангидро-2-оксимеркури-4-нитробензойную к-ту (X). 18 г Hg-соли I нагревают 4 часа при 180°, выход II 16%. При нагревании 4 г II с пербромидом калия или периодидом калия получают 1 г V, т. пл. 39°, и 1 г VI, т. пл. 49°. 10 г Hg-соли III нагревают 6 час. при 190° и получают IV. 5 г IV с пергалогенидом калия дает 1 г VII, т. пл. 185°, и 1 г VIII, т. пл. 205°. Из 23 г IX в р-ре соды (16 г Na_2CO_3 и 20 мл воды) и 45 г $Hg(OCOCN_3)_2$ в 150 мл воды с 1 мл CH_3COOH получают Hg-соль IX. 20 г Hg-соли IX при нагревании 6 час. при 190° образуют X, из которой действием пергалогенидов калия получают VII и VIII. С. Иоффе 21517.

Реакция диборана с циклопропаном. Гре-хэм, Стоун (Reaction of diborane with cyclopropane. Graham W. A. G., Stone F. G. A.), Chemistry and Industry, 1957, № 32, 1096—1097 (англ.)

B_2H_6 (I) реагирует при 80—100° с цикло- C_3H_6 (II), образуя сложную смесь продуктов р-ции, из которой может быть выделен $(n-C_3H_7)_3B$ (III). 239 мл I и 1034 мл II нагревали 20 час. при 95°. Путем фракционной конденсации продуктов р-ции в высоком вакууме выделено 25,9 мл H_2 и получены фракции: (а), т. конд. —150°, при нормальных условиях газ, объем 84,1 мл; (б), т. конд. —78,5°, жидкость, вес 0,29 г и нелетучий остаток. Фракция а после обработки водой выделяет 5,2 мл H_2 и образует смесь (объем 83,6 мл), состоящую по величине мол. веса и масс-спектрометрич. данным из 51,85% C_3H_8 , 47,78% II и 0,31% C_2H_6 . Предполагается, что газ а представляет собой $C_3H_7B_2H_5$. Фракция б идентифицирована по величине и упругости паров как III. 0,315 г III выделены также из нелетучего остатка. Общий выход III 20,3%, считая на взятый в р-цию I. В. Вавер 21518.

Алкоксибисдиалкиламинопроизводные бора и родственные соединения. Джеррард, Лапперт, Пирс (Alkyl bisdialkylaminoboronites and related compounds. Gerrard W., Lappert M. F., Pearce C. A.), J. Chem. Soc., 1957, Jan., 381—386 (англ.)

Хинолинов действием $n-C_4H_9Li$ (V) в среде тетрагидрофурана (VI). Из C_6H_5Cl и Li в среде VI получен C_6H_5Li . При карбоксилировании I, полученного в среде VI, твердой CO_2 в VI образуется 2-хинолинкарбоновая к-та (VII). Карбоксилирование I или III, полученных в среде эфира, твердой CO_2 в эфире приводит соответственно к образованию 2,2'-дихинолилкетона (VIII) и 1,1'-дизохинолилкетона (IX) и дает только следы VII. Если действие на I CO_2 в эфире проводить при —100°, получают смесь VII и VIII. При карбоксилировании II и IV в эфирной среде образуются только хинолинкарбоновые к-ты. К охлажд. до —50° 0,025 моля V в 50 мл эфира быстро добавляют 0,025 моля 2-бромхинолина (X). К полученному р-ру I добавляют 0,025 моля бензофенона в 100 мл эфира. Выход α,α-дифенил-2-хинолилметанола 70%, т. пл. 193,5—195° (из сп.-бал.). Таким же способом готовят III, а из него получают α,α-дифенил-1-изохинолилметанол, выход 68%, т. пл. 144—145° (из сп.). При карбоксилировании I, полученного из 0,025 моля X при —50°, твердой CO_2 в эфире получают VIII с выходом 34% и VII с выходом 0,9%. Та же р-ция при —100° приводит к получению VII с выходом 25% и VIII с выходом 21%. Выход IX при карбоксилировании III 44%, т. пл. 198—199°; оксим, выход 92%, т. пл. 252,5—253°. Из 0,025 моля V в 50 мл эфира и 0,025 моля 4-бромхинолина при —50° получают IV, который при карбоксилировании дает 4-изохинолинкарбоновую к-ту с выходом 46%. Выход 3-хинолинкарбоновой к-ты при карбоксилировании II 50%. К смеси 0,29 г атома Li в 100 мл VI при 7° добавляют в течение 45 мин. 0,1 моля C_6H_5Cl в 32 мл VI. Т-ра во время р-ции повышается до 15°. При действии CO_2 получают C_6H_5COOH с выходом 54%. При карбоксилировании I, полученного в среде VI, твердой CO_2 в VI выход VII 50%. С. Иоффе 21514.

Присоединение солей ртути к простым и сложным виниловым эфирам в спиртовой среде. Несмеянов А. Н., Луценко И. Ф., Хомутов Р. М., Изв. АН СССР, Отд. хим. н., 1957, № 8, 942—948

α-Меркурированные ацетали (I) легко образуются при взаимодействии $CH_2=CHOR$ (II) или $CH_2=CHOCOR$ (III) в спирт. среде с $Hg(OCOR)_2$ (IV) в присутствии 1 экв HgO . По хим. свойствам I похожи на продукты присоединения солей ртути к олефинам: при бромировании в $CHCl_3$ образуют $BrCH_2CH(OR)_2$, с KJ в спирте дают II. $CH_2=CHCH_2CH(OC_2H_5)_2$ (V) реагирует с C_6H_5COCl в присутствии пиридина (C_6H_5 , охлаждение) с переносом реакционного центра, образуя II и $C_6H_5COOC_2H_5$. К 0,05 моля IV в 20 мл абс. спирта прибавляют, охлаждая, 0,1 моля $CH_2=CHOC_2H_5$ (VI) и затем понемногу 0,05 моля HgO , выливают в р-р 0,1 моля KCl в 60 мл воды, отделяют V (выход 73%); в аналогичных условиях V получают из III, IV и HgO , выход 70%. Так же синтезирован $BrHgCH_2CH(OC_2H_5)_2$ (VII), выход 70%; при гидролизе VII в 50%-ном спирте с 0,1 н. H_2SO_4 получен $BrHgCH_2CHO$, выход 90%. V гидролизуетс до $CH_2=CHCHO$, 1,6 г меркурацетамид, 1,2 г $CH_2=CHCO_2C_6H_5$, 1 г C_6H_5OH и 5 мл дихлорэтан нагревают до растворения компонентов, оставляют на сутки при ~20°, разбавляют эфиром, при охлаждении выделяют $CH_3CONHCH_2CH_2CH(OC_2H_5)_2$ (VIII), выход 87%, т. пл. 107—109°. 1,5 г VIII и 0,8 г IV в 3 мл спирта нагревают до образования прозрачного р-ра, при охлаждении получают $CH_3COONHgCH_2CH(OC_2H_5)_2$. Растворяют 0,025 моля HgO в смеси 0,055 моля VI, 15 мл абс. спирта и 15 мл IV, фильтруют, спирт отгоняют в вакууме при 30°, остаток растворяют в 30 мл изопентана, фильтруют, из фильтрата получают $(C_6H_5O)_2CHCH_2HgCH_2CH(OH)OC_2H_5$ (IX), выход 80%. При бромировании IX образует $BrCH_2CHO$, выход 60%, т. кип. 107—112°, n_D^{20} 1,4790, d_4^{20} 1,4790, и $BrCH_2CH(OC_2H_5)_2$, выход 71%. К смеси 0,5 моля HgO ,

4 г IV и 70 мл абс. CH_3OH прибавляют при охлаждении 1,1 моля $CH_2=CHOC_2H_5$, после растворения HgO р-р фильтруют, разбавляют 50 мл абс. эфира и при охлаждении обрабатывают 15 мл 0,1 н. H_2SO_4 , получают $Hg(CH_2CHO)_2$, выход 84%, т. пл. 92—94°. Ф. Величко 21515.

Взаимодействие циклопропановых углеводородов с солями окиси ртути. VII. Термический распад продуктов симметризации γ-меркурированных спиртов. Левина Р. Я., Костин В. Н., Тартаковский В. А., Ж. общ. химии, 1957, 27, № 8, 2049—2052

Строение полных Hg-соединений с вторичной или третичной OH-группой можно установить по строению продуктов их термич. распада. При нагревании в вакууме (120—130°, 15 мм) $(C_6H_5CHONHCH_2CH_2)_2Hg$ распадается на Hg , $C_6H_5CHONHCH_2CH_2$ и $C_6H_5COC_2H_5$. $[(CH_3)_2CONHCH_2CH_2]_2Hg$ при 100—110° разлагается с образованием Hg , $(CH_3)_2CONHCH_2CH_2$, ацетона и гексена-1. Сообщение VI см. РЖХим, 1957, 77145. Ф. Величко 21516.

Термическое разложение ртутных солей о- и м-нитробензойных кислот и 4-нитрофталевой кислоты. Мауранатхан (Thermal decomposition of mercuric o- and m-nitrobenzoate and 4-nitrophthalate. Mauranathan P. S.), J. Chem. Soc., 1957, Jan., 495—496 (англ.)

При термич. разложении Hg-соли о-нитробензойной к-ты (I к-та) получают $(2-(NO_2)C_6H_4)_2Hg$ (II). Hg-соль м-нитробензойной к-ты (III — к-та) не разлагается, а образует ангидро-2-оксимеркури-3-нитробензойную к-ту (IV). При галоидировании II получают о-бром- и о-йоднитробензол (V и VI). При галоидировании IV получают 2-бром- и 2-йод-4-нитробензойные к-ты (VII и VIII). При пиролизе Hg-соли 4-нитрофталевой к-ты (IX — к-та) получают ангидро-2-оксимеркури-4-нитробензойную к-ту (X). 18 г Hg-соли I нагревают 4 часа при 180°, выход II 16%. При нагревании 4 г II с пербромидом калия или периодидом калия получают 1 г V, т. пл. 39°, и 1 г VI, т. пл. 49°. 10 г Hg-соли III нагревают 6 час. при 190° и получают IV. 5 г IV с пергалогенидом калия дает 1 г VII, т. пл. 185°, и 1 г VIII, т. пл. 205°. Из 23 г IX в р-ре соды (16 г Na_2CO_3 и 20 мл воды) и 45 г $Hg(OCOCN_3)_2$ в 150 мл воды с 1 мл CH_3COOH получают Hg-соль IX. 20 г Hg-соли IX при нагревании 6 час. при 190° образуют X, из которой действием пергалогенидов калия получают VII и VIII. С. Иоффе 21517.

Реакция диборана с циклопропаном. Гре-хэм, Стоун (Reaction of diborane with cyclopropane. Graham W. A. G., Stone F. G. A.), Chemistry and Industry, 1957, № 32, 1096—1097 (англ.)

B_2H_6 (I) реагирует при 80—100° с цикло- C_3H_6 (II), образуя сложную смесь продуктов р-ции, из которой может быть выделен $(n-C_3H_7)_3B$ (III). 239 мл I и 1034 мл II нагревали 20 час. при 95°. Путем фракционной конденсации продуктов р-ции в высоком вакууме выделено 25,9 мл H_2 и получены фракции: (а), т. конд. —150°, при нормальных условиях газ, объем 84,1 мл; (б), т. конд. —78,5°, жидкость, вес 0,29 г и нелетучий остаток. Фракция а после обработки водой выделяет 5,2 мл H_2 и образует смесь (объем 83,6 мл), состоящую по величине мол. веса и масс-спектрометрич. данным из 51,85% C_3H_8 , 47,78% II и 0,31% C_2H_6 . Предполагается, что газ а представляет собой $C_3H_7B_2H_5$. Фракция б идентифицирована по величине и упругости паров как III. 0,315 г III выделены также из нелетучего остатка. Общий выход III 20,3%, считая на взятый в р-цию I. В. Вавер 21518.

Описаны получение и свойства $n\text{-C}_4\text{H}_9\text{OB}[\text{N}(\text{C}_2\text{H}_5)_2]_2$ (I), $n\text{-C}_4\text{H}_9\text{OB}[\text{N}(\text{C}_4\text{H}_9)_2]_2$ (II), а также $\text{B}[\text{N}(\text{C}_2\text{H}_5)_2]_3$ (III), $\text{B}[\text{N}(\text{C}_4\text{H}_9)_2]_3$ (IV) и $[(\text{C}_2\text{H}_5)_2\text{N}]_2\text{BCl}$ (V). I получен: а) из $n\text{-C}_4\text{H}_9\text{OB}[\text{N}(\text{C}_2\text{H}_5)_2]_2$ (VI) и $(\text{C}_2\text{H}_5)_2\text{NH}$ (VII), б) из $n\text{-C}_4\text{H}_9\text{OH}$ и III, в) из $n\text{-C}_4\text{H}_9\text{OH}$ и V в присутствии $(\text{C}_2\text{H}_5)_2\text{N}$ (VIII). При р-ции VI с $(n\text{-C}_4\text{H}_9)_2\text{NH}$ (IX) получен Н. Триаминопроизводные III и IV получены из BCl_3 и соответственно VII и IX, а из III и BCl_3 получен хлорид V. Дальнейшее изучение свойств III показало, что он реагирует с 5 молями HCl , расщепляясь по схеме: $\text{III} + 5\text{HCl} \rightarrow (\text{C}_2\text{H}_5)_2\text{NB}[\text{C}_2\text{H}_5]_2\text{HCl}$ (X) + $2(\text{C}_2\text{H}_5)_2\text{NH} \cdot \text{HCl}$ (XI) и присоединяет 2 моля BF_3 , образуя $(\text{C}_2\text{H}_5)_2 \cdot \text{BF}_2$ (XII). Изучено также расщепление I HCl -газом: $\text{I} + \text{HCl} \rightarrow (n\text{-C}_4\text{H}_9\text{O})_2\text{BCl}$ (XIII) + X + XI, и гидролиз и алкоголиз I $n\text{-C}_4\text{H}_9\text{OH}$. Взаимодействие I с IX протекает с вытеснением VII и образованием II. Исследована р-ция между I и BCl_3 : $\text{I} + 2\text{BCl}_3 \rightarrow \text{VI} + 2(\text{C}_2\text{H}_5)_2\text{NB}[\text{C}_2\text{H}_5]_2$ (XIV). Разделение продуктов осуществлено после обработки реакционной смеси HCl для выделения X или FeCl_3 для разложения VI. К р-ру 34,7 г VII в 250 мл $n\text{-C}_5\text{H}_{12}$ при -10° добавлен по каплям р-р 18,4 г VI в 25 мл $n\text{-C}_5\text{H}_{12}$. Через 48 час. р-р отфильтрован от XI. После промывки $n\text{-C}_5\text{H}_{12}$ получено 29 г XI. Из фильтрата выделено 77% I, т. кип. $68-68,5/0,3$ мм, n_D^{20} 1,4348, d_4^{20} 0,8419. 1,03 г $n\text{-C}_4\text{H}_9\text{OH}$ прибавлено при -20° к 3,03 г III. Получено 62% VII, т. кип. 54° и 76% I, т. кип. $57-62/0,4$ мм. К р-ру 1,42 г $n\text{-C}_4\text{H}_9\text{OH}$ и 1,92 г VIII в 100 мл $n\text{-C}_5\text{H}_{12}$ при 18° добавлен р-р 3,65 г V в 25 мл $n\text{-C}_5\text{H}_{12}$. Выход I 67%, т. кип. $52-55/0,3$ мм. Получено 2,92 г неочищ. $(\text{C}_2\text{H}_5)_2\text{NB}[\text{C}_2\text{H}_5]_2$, т. пл. $214-245^\circ$. Пентаэтиловый р-р 5,25 г VI добавлен по каплям к р-ру 17,48 г IX в 150 мл $n\text{-C}_5\text{H}_{12}$ при -2° . Р-р отфильтрован от 12,73 г неочищ. $(n\text{-C}_4\text{H}_9)_2\text{NH} \cdot \text{HCl}$ и после удаления р-рителей фракционирован в вакууме. Выход II 25%, т. кип. $124-131/0,1$ мм, n_D^{20} 1,4470, d_4^{20} 0,85 г BCl_3 в 25 мл $n\text{-C}_5\text{H}_{12}$ добавлено к р-ру 18,6 г VII в 100 мл $n\text{-C}_5\text{H}_{12}$ при -80° . Получено 13,82 неочищ. XI и 38% III, т. кип. $50-53/0,4$ мм, n_D^{20} 1,4450, d_4^{20} 0,826. Аналогично на 4,83 г BCl_3 и 31,8 г IX при -4° в $n\text{-C}_5\text{H}_{12}$ получено 62% IV, т. кип. $136-142/0,1$ мм, n_D^{20} 1,4578, d_4^{20} 0,8399. Через р-р 1,33 г III в 50 мл $n\text{-C}_5\text{H}_{12}$ при 20° в течение 40 мин. пропускали HCl -газ. 0,62 г осадка (из общего кол-ва 2,55 г) экстрагированы эфиром при 30° . Выделено 98% нерастворимого в эфире XI, т. пл. $219-221^\circ$, и 93% X, т. пл. $125-129^\circ$. К 9,85 г III при -80° добавлено 2,54 г BCl_3 . Выход V 36%, т. кип. $83-87/16$ мм, n_D^{20} 1,4549, d_4^{20} 0,85 г III насыщены при 28° BF_3 до привеса 2,66 г. Получен XII, т. пл. $65,5^\circ$. Через р-р 1,35 г I в 50 мл $n\text{-C}_5\text{H}_{12}$ при 20° в течение 25 мин. пропущен HCl -газ. 0,25 г осадка (из 1,57 г) экстрагированы эфиром при 30° . Получено 95% XI, т. пл. $220-224^\circ$, 55% X, т. пл. $132-136^\circ$ (из хлф.). Из фильтрата выделено 0,55 г XIII, n_D^{20} 1,4132, 1,15 г I гидролизваны 0,27 г H_2O . Получено 0,32 г неочищ. H_3BO_3 , 85% XI, т. пл. 224° (после обработки фильтрата HCl -газом), и 68% $n\text{-C}_4\text{H}_9\text{OH}$, n_D^{20} 1,4070, 6,46 г I смешаны с 4,22 г $n\text{-C}_4\text{H}_9\text{OH}$. Выделено 87% VII, т. кип. 55° , и 92,5% $(n\text{-C}_4\text{H}_9\text{O})_2\text{B}$, т. кип. $99/8$ мм, 2,45 г I обработаны при 20° 2,84 г IX. Получено 47% VII и 37% II, n_D^{20} 1,4455. К 3,7 г I при -80° добавлено 3,91 г BCl_3 и смесь нагрета до 18° , 2,39 г реакционной смеси обработаны HCl -газом в пентаэтиловом р-ре. Получено 97% X, т. пл. 140° (из хлф.), и 82% неочищ. VI, n_D^{20} 1,4153. Из остальных 4,85 г смеси продуктов р-ции после добавления 0,12 г FeCl_3 выделено 68% XIV, n_D^{25} 1,4350.

В. Вавер
21519. Образование трифенилбора при восстановлении фенилбихлорида. Нилсен, Мак-Юэн, Вандерверф (Formation of triphenylborane by reduction of phenyldichloroborane. Nielsen D. R.,

McEwen W. E., Vanderwerf C. A.), Chemistry and Industry, 1957, № 31, 1069 (англ.)

При восстановлении $\text{C}_6\text{H}_5\text{BCl}_2$ (I) с помощью LiAlH_4 в кипящем диоксане был получен $(\text{C}_6\text{H}_5)_3\text{B}$ (II), выход 30%, т. пл. $135-140^\circ$ (аммиакат, т. пл. $213-217^\circ$; комплекс с хинолином, т. пл. $166-172^\circ$). По мнению авторов, II является продуктом диспропорционирования первично образующегося $\text{C}_6\text{H}_5\text{BH}_2$. В результате обработки I $n\text{-C}_5\text{H}_{11}\text{Sn}$ в безвод. толуоле был получен $\text{C}_6\text{H}_5\text{B}(\text{S}-n\text{-C}_5\text{H}_{11})_2$ (выход 80%, т. кип. $144/0,3$ мм), а при взаимодействии I с $\text{C}_6\text{H}_5\text{CH}_2\text{MgCl}$ с последующим гидролизом реакционной смеси была выделена с 56%-ным выходом $(\text{C}_6\text{H}_5)(\text{C}_6\text{H}_5\text{CH}_2)\text{BOH}$, т. кип. $207-209/0,5$ мм. При обработке последней $\text{HOCH}_2\text{CH}_2\text{NH}_2$ был получен аминоэтиловый эфир, т. пл. $208-212,5^\circ$.

В. Вавер
21520. Аминные комплексы арил- и диарилборанов. Производные нового класса замещенных боранов. Хотори (Amine aryl- and diarylboranes: derivatives of a new class of substituted boranes. Hawthorne M. F.), Chemistry and Industry, 1957, № 37, 1242-1243 (англ.)

При восстановлении $\text{C}_6\text{H}_5\text{B}(\text{OC}_2\text{H}_5)_2$ или $(\text{ArBO})_3$, а также $(\text{AlkBO})_3$ с помощью LiAlH_4 при -70° в среде $(\text{C}_2\text{H}_5)_2\text{O}$ + $\text{C}_6\text{H}_5\text{N}$ с последующим гидролизом реакционной смеси водой получены следующие $\text{RBH}_2 \cdot \text{C}_6\text{H}_5\text{N}$ (перечислены R, т. пл. в $^\circ\text{C}$, выход в %): C_6H_5 , 80-83, 53; $n\text{-ClC}_6\text{H}_4$, 61-62, 17; $n\text{-CH}_2\text{OC}_6\text{H}_4$, 78-79, 61; $n\text{-CH}_2\text{C}_6\text{H}_4$, 63-65, 34; $\alpha\text{-C}_6\text{H}_5$, 140-141, 24; $\text{C}_6\text{H}_5\text{CH}_2$, 105-106, 11; $\text{изо-C}_3\text{H}_7$, масло, 25; $n\text{-C}_4\text{H}_9$, масло, 27. Аналогично синтезированы следующие $\text{R}_2\text{BH} \cdot \text{C}_6\text{H}_5\text{N}$ (перечислены R, т. пл. в $^\circ\text{C}$, выход в %): C_6H_5 , 108-109, 48; $n\text{-ClC}_6\text{H}_4$, 103-104, 28; $n\text{-CH}_2\text{C}_6\text{H}_4$, 110-113, 43; $n\text{-CH}_2\text{OC}_6\text{H}_4$, 109-110, 50. Отмечено также, что $\text{C}_6\text{H}_5\text{N}$ может быть заменен $(\text{CH}_3)_3\text{N}$ или $(\text{C}_2\text{H}_5)_3\text{N}$. $\text{C}_6\text{H}_5\text{BH}_2 \cdot \text{C}_6\text{H}_5\text{N}$ и $(\text{C}_6\text{H}_5)_3\text{BH} \cdot \text{C}_6\text{H}_5\text{N}$ (I) не восстанавливают карбонильную группу; с помощью I было осуществлено восстановление $\text{изо-C}_4\text{H}_9\text{Cl}$ в $\text{изо-C}_3\text{H}_7\text{CHO}$.

В. Вавер
21521. Структурная химия алкоколятов. Часть I. Третиные алкоколяты четырехвалентного церия. Брэдли, Чаттерджи, Уордлоу (Structural chemistry of the alkoxides. Part IX. tert-alkoxides of quadrivalent cerium. Bradley D. C., Chatterjee A. K., Wardlaw W.), J. Chem. Soc., 1957, June, 2600-2604 (англ.)

Описано получение $\text{Ce}(\text{OR})_4$ (I), где $\text{R} = \text{C}(\text{CH}_3)_2$ (Ia), $\text{C}(\text{CH}_3)_2\text{C}_2\text{H}_5$ (Ib), $\text{C}(\text{CH}_3)(\text{C}_2\text{H}_5)_2$ (Ic), $\text{C}(\text{C}_2\text{H}_5)_3$ (Id), $\text{C}(\text{CH}_3)_2$ ($n\text{-C}_3\text{H}_7$) (Ie), $\text{C}(\text{CH}_3)(\text{C}_2\text{H}_5)$ ($n\text{-C}_3\text{H}_7$) (If) и $\text{C}(\text{C}_2\text{H}_5)_2$ ($n\text{-C}_3\text{H}_7$) (Ig) из $\text{Ce}(\text{OC}_2\text{H}_5)_4$ и $\text{изо-C}_3\text{H}_7\text{OH}$ (II) обменной р-цией со спиртами. Ia и Ib твердые в-ва, возгораются в вакууме. If-Id жидкие в-ва. Приводятся для I т. кип. в $^\circ\text{C}/\text{мм}$, степень ассоциации в C_6H_6 и в толуоле (на основании эбуллиоскопич. определения мол. веса): Ia, $140-150/0,1$ (возгонка), 2,5, 2,2; Ib, $240/0,1$ (возгонка), 2,4, 2,2; Ic, $140/0,06$, 1,4, 1,1; Id, $154/0,05$, 1,1, 1,0; If, $146/0,05$, 1,4, 1,1; Ig, $132/0,5$, 1,1, 1,0; Ij, $150/0,05$, 1,0, —. Кипятят 12 час. 400 мл азеотропич. смеси C_6H_6 -трет- $\text{C}_4\text{H}_9\text{OH}$ с 6,15 г II, упаривают до 50 мл, к остатку добавляют еще 450 мл смеси C_6H_6 -трет- $\text{C}_4\text{H}_9\text{OH}$, после азеотропич. перегонки из остатка выделено 5,8 г Ia. Приводятся для остальных I загрузки II в г, соответствующего спирта в г, C_6H_6 в мл, выход I в г: Ia, 3,7, 13,5, 100, 3,1; Ib, 8,5, 50, 200, 8,2; Ic, 20, 30, 1, 50, 24; Id, 48, 27, 120, 4,5; Ig, 7, 24, 150, 4,8; Ij, 5,4, 48,4, 110, 6,2. Пропусканием NH_3 через завесь 4,5 г $(\text{C}_6\text{H}_5)_2\text{CeCl}_6$ (III) в 300 мл смеси C_6H_6 -трет- $\text{C}_4\text{H}_9\text{OH}$ получено 12 г $\text{CeCl}(\text{OC}_4\text{H}_9)_3 \cdot \text{C}_6\text{H}_5\text{N}$. Из 44 г III в 100 мл трет- $\text{C}_5\text{H}_{11}\text{OH}$ и 350 мл C_6H_6 при пропускании NH_3 получено 15 г $\text{CeCl}(\text{OC}(\text{CH}_3)_2\text{C}_2\text{H}_5)_3 \cdot \text{C}_6\text{H}_5\text{N}$. Обсуждается стереохимия алкоколятов группы IVa.

Сделано заключение, что ковалентный радиус 4-валентного Се меньше, чем у Th, и составляет 1,55—1,60 Å. Часть VIII см. РЖХим, 1958, 4666. С. Иоффе 21522. Диспропорционирование алколюатов уранила. Брэдли, Чаттерджи, Чаттерджи (The disproportionation of uranyl alkoxides. Bradley D. C., Chatterjee Amar K., Chatterjee Amiya K.), Proc. Chem. Soc., 1957, Sept., 260 (англ.)

При р-ции UO_2Cl_2 (I) с *изо*- $\text{C}_3\text{H}_7\text{ONa}$ в кипящем *изо*- $\text{C}_3\text{H}_7\text{OH}$ получено в-во промежуточного состава между $\text{UO}_2(\text{OC}_3\text{H}_7\text{-изо})_2 \cdot \text{изо-C}_3\text{H}_7\text{OH}$ (II) и $\text{U}(\text{OC}_3\text{H}_7\text{-изо})_4$ (III). При сушке продукта р-ции при 40/0,05 мм получен летучий III. Добавлением CH_3OLi к р-ру I в CH_3OH выделен $\text{UO}_2(\text{OCH}_3)_2 \cdot \text{CH}_3\text{OH}$ (IV). Образующийся при р-ции IV (7,1 г) с кипящим *изо*- $\text{C}_3\text{H}_7\text{OH}$ (193,8 г) II претерпевает диспропорционирование с образованием нерастворимого $\text{UO}_2(\text{OC}_3\text{H}_7\text{-изо})_2 \cdot 2 \text{ изо-C}_3\text{H}_7\text{OH}$ (V) и растворимого $\text{UO}_2(\text{OC}_3\text{H}_7\text{-изо})_4 \cdot \text{изо-C}_3\text{H}_7\text{OH}$ (VI). Нагреванием при 100/0,01 мм VI превращен в V и III. Аналогичные р-ции имеют место при взаимодействии IV с *трет*- $\text{C}_3\text{H}_7\text{OH}$ и *трет*- $\text{C}_5\text{H}_{11}\text{OH}$. При р-ции со спиртами, содержащими неразветвленные радикалы, диспропорционирование уменьшается. Допускается возможность структуры для алколюатов уранила $\text{UO}(\text{OH})(\text{OR})_2$ вместо $\text{UO}_2(\text{OR})_2 \cdot \text{ROH}$. С. Иоффе 21523. Органические соединения урана. VII. Алколюаты и дитиокарбаматы уранила. Джонс, Биндшадлер, Мартин, Терл, Гилман (Organic compounds of uranium. VII. Uranyl alkoxides and dithiocarbamates. Jones R. G., Bindshadler E., Martin G. A., Jr, Thirtle J. R., Gilman H.), J. Amer. Chem. Soc., 1957, 79, № 18, 4921—4922 (англ.)

Описан синтез $\text{UO}_2(\text{OC}_2\text{H}_5)_2 \cdot 3\text{C}_2\text{H}_5\text{OH}$ (I), $\text{UO}_2(\text{OC}_2\text{H}_5)_2 \cdot 4\text{C}_2\text{H}_5\text{OH}$ (II), а также $\text{UO}_2(\text{R}_2\text{NCS}_2)_2 \cdot \text{C}_2\text{H}_5\text{OH}$ (III). Приведены для III R, x, выход в %, т. кип. в °C: C_2H_5 , 4, 24, разл.; пиперидил, 6, 30, > 250; $\text{CH}_3\text{-CH}_2\text{CH}_2$, 6, 14, 156; C_3H_7 , 6, 13, 186; *n*- C_4H_9 , 6, 13, 154; *изо*- C_4H_9 , 6, 14, 188; *втор*- C_4H_9 , 6, 18, 194. Для получения I к р-ру 0,063 моля безводн. UO_2Cl_2 в 50 мл абс. спирта добавляют р-р 0,116 г-атома Na в 50 мл абс. спирта. После удаления спирта нагревают остаток 1 час при 200/0,004 мм и экстрагируют эфиром. I — желто-коричневые кристаллы, очень легко разлагаются водой. II получен в виде красных кристаллов при стоянии 3 дня в сухом воздухе р-ра $\text{U}(\text{OC}_2\text{H}_5\text{-трет})_4$ (IV) в петр. эфире (т. кип. 28—38°) либо при пропускании сухого O_2 через р-р IV в петр. эфире. Нагреванием IV в вакууме получен красный сублимиат, из которого экстракцией петр. эфиром также выделен II. К смеси 0,1 моля CS_2 и 25 мл воды, содержащих 0,1 моля KOH, добавляют по каплям 0,1 моля $(\text{C}_2\text{H}_5)_2\text{NH}$. Фильтруют и добавляют к фильтрату 0,05 моля дигидрата ацетата уранила и 0,1 моля CH_3COOK в 800 мл воды. После кристаллизации из 150 мл 95%-ного спирта получено 17 г III (R = C_2H_5 , x = 4) в виде темно-красных кристаллов. Сообщение VI см. РЖХим, 1957, 54454. С. Иоффе 21524. Элементоорганические неперелые соединения и их полимеры. Котон М. М., Успехи химии, 1957, 26, № 10, 1125—1140

Обзор. Рассмотрены ненасыщ. элементоорганич. соединения, главным образом в-ва, содержащие Si. Библ. 100 назв. Я. К. 21525. Термическая теломеризация метилдихлорсилана с олефинами. Несмеянов А. Н., Фрейдлина Р. Х., Чуковская Е. Ц., Докл. АН СССР, 1957, 112, № 2, 271—272

При цепной р-ции теломеризации $\text{CH}_3\text{SiCl}_2\text{H}$ (I) с избытком этилена или пропилена под давлением обра-

зуется смесь $\text{CH}_3\text{SiCl}_2(\text{CH}_2\text{CH}_2)_n\text{H}$ (II) и $\text{CH}_3\text{SiCl}_2(\text{C}_3\text{H}_5)_n\text{H}$ (III). Нагреванием 331 г I с C_2H_4 (260—270°, 560 ат, 2 часа) получено 499 г продуктов р-ции (конверсия I 80%), из которых выделены следующие II (перечисляются n, выход в % к сумме всех продуктов, т. кип. в °C/мм, $n^{20}\text{D}$, d_4^{20}): 1, 23,6, 100, —, —; 2, 25,6, 147—148, 1,4312, 1,0427; 3, 17,7, 91/32, 1,4390, 0,9931; 4, 13,4, 94/6, 1,4440, 0,9761; 5, 4,7, 111—114/3, 1,4490, 0,9600; 6, 3,8, 124—127/3, 1,4532, 0,9552. Р-ция между 151 г I и C_3H_6 (260—275°, 100 ат, 3 часа) приводит к смеси продуктов (216 г), из которой выделены следующие III (те же показатели, без d_4^{20}): 1, 49, 123—124, 1,4240; 2, 26,2, 82/32, 1,4400; 3, 3,9, 80—82/2, 1,4540. С увеличением значения n выходы II—III падают.

Г. Моцарев

21526. Получение некоторых кремнийорганических соединений — производных ω-ундециленового спирта. Дюффо, Кала (Obtention de quelques composés organosiliciés dérivés de l'alcool ω-undécylénique. Duffaut Norbert, Calas Raymond), Rev. franc. corps gras, 1957, 4, № 2, 69—73 (франц.)

Исходя из $\text{CH}_2=\text{CH}(\text{CH}_2)_9\text{CH}_2\text{R}$ (I) (R = OH) синтезированы 1-фенил-11-триметилсилилундекан (II), 1-диэтиламино-11-триметоксисилилундекан (III) и $(\text{CH}_3)_3\text{Si}(\text{CH}_2)_9\text{CHClCH}_2\text{C}_2\text{H}_5\text{COOC}_2\text{H}_5$ (IV). Действием SOCl_2 в присутствии $\text{C}_6\text{H}_5\text{N}(\text{CH}_3)_2$ на I (R = OH) получен I (R = Cl), выход 80%. Смесь 0,5 моля I (R = Cl) и 3,5 моля HSiCl_3 облучают 50 час. УФ-светом, выделен $\text{Cl}(\text{CH}_2)_{11}\text{SiCl}_3$ (V) (здесь и далее при описании в-в перечисляются выход в %, т. кип. в °C/мм, $n^{20}\text{D}$, d_4^{20}) 93, 189/16, 1,4688, 1,1204. 0,12 моля V нагревают с 0,18 моля C_6H_6 и 0,04 моля AlCl_3 через 4 часа (20°) после обычной обработки выделен $\text{C}_6\text{H}_5(\text{CH}_2)_{11}\text{SiCl}_3$ (VI), 70, 216—218/16, 1,4995, 1,0778. Действие избытка CH_3MgBr на VI приводит к II, 80, 176—177/3, 1,4822; 0,8618. Действием абс. CH_3OH на V в эфирном р-ре в присутствии пиридина получен $\text{R}(\text{CH}_2)_{11}\text{Si}(\text{OCH}_3)_3$ (VII) (R = Cl), 70, 187/16, 1,4426, 0,9855. Смесь 30 г VII (R = Cl), 30 г диэтиламина и 30 мл абс. CH_3OH нагревают (125°, 12 час.), выделен III, 2 г, 200—203/2,5, 1,4430, 0,9155; низкий выход III объясняется образованием большого кол-ва аминополисилоксанов. Взаимодействием I (R = OH) с PBr_3 в присутствии пиридина (20°, 100 час.) получен I (R = Br), облучение которого в смеси с избытком HSiCl_3 при 20° 50 час. УФ-светом приводит к $\text{Br}(\text{CH}_2)_{11}\text{SiCl}_3$ (VIII), 50, 198/16, 1,4833, 1,2654. При обработке VIII абс. CH_3OH в эфирной среде в присутствии пиридина получен VII (R = Br) 70, 196/16, 1,4559, 1,1192. При действии на VII (R = Br) диэтиламина образуется III с небольшим выходом. К $(\text{CH}_3)_3\text{SiCl}$ добавляют I (R = MgCl), смесь гидролизуют водой и выделяют $\text{CH}_2=\text{CH}(\text{CH}_2)_9\text{Si}(\text{CH}_3)_3$ (IX), —, 131—132/16, 1,4417, 0,8021. Смесь 0,1 моля IX, 1,5 моля $\text{CCl}_3\text{COOC}_2\text{H}_5$ и 4 г $(\text{CH}_3\text{COO})_2$ нагревают 20 час. при 50°, выделен IV, 7 г, 215—216/2,5, 1,4700, 1,0521. Приведены данные ИК-спектра II. Г. Моцарев

21527. Реакции замещения хлора у дихлорметилдихлорсилана и бис-(хлорметил)-метилхлорсилана на алкоксигруппы. Андрианов К. А., Голубенко М. А., Докл. АН СССР, 1957, 112, № 2, 257—260

$\text{Cl}_2\text{CH}(\text{CH}_3)_2\text{SiCl}$ (I) и $(\text{ClCH}_2)_2\text{SiCH}_2\text{Cl}$ (II) реагируют со спиртами подобно $\text{ClCH}_2(\text{CH}_3)_2\text{SiCl}$ (III) без отщепления Cl_2CH -группы. К 0,7 моля III и 0,74 моля $\text{C}_6\text{H}_5\text{N}(\text{C}_2\text{H}_5)_2$ добавляют при 60° (2 часа) 1 моль CH_3OH и смесь нагревают 30 мин. при 60—70°, выделен $\text{ClCH}_2(\text{CH}_3)_2\text{SiOR}$ (IV) (R = CH_3) (здесь и далее при описании в-в перечисляются выход в %, т. кип. в °C/мм, $n^{20}\text{D}$, d_4^{20}) 30, 116,5—117/750, 1,4310, 0,9890. Так же получены другие IV (указан R): C_2H_5 , 79, 131,5/745, 1,4185, 0,9512; *изо*- C_3H_7 , —, 144,5/750, 1,4192, 0,9473;

$n\text{-C}_4\text{H}_9$, 73, 37—38/3, 1,4262, 0,9406; $изо\text{-C}_5\text{H}_{11}$, 64, 38—40/1, 1,4270, 0,9118. Аналогично из I синтезированы $\text{Cl}_2\text{CH}(\text{CH}_3)_2\text{SiOR}$ (перечисляются R, исходные кол-ва I и ROH в молях): C_2H_5 , 0,75, 1,1, 67, 62—63/10, 1,4402, 1,0880; $изо\text{-C}_3\text{H}_7$, 0,2, 0,25, 65, 176/750, 1,4412, 1,0778; C_4H_9 , 0,29, 0,34, 60, 73—74/5, 1,4450, 1,0480; $изо\text{-C}_5\text{H}_{11}$, 0,2, 0,23, 82, 47—48/2, 1,4458, 1,0297. Так же из II получены $(\text{ClCH}_2)_2\text{CH}_2\text{SiOR}$ (те же показатели): C_2H_5 , 0,22, 0,43, 76, 40/2, 1,4512, 1,1198; C_4H_9 , 0,2, 0,34, 84, 62—64/2, 1,4515, 1,0684; $изо\text{-C}_5\text{H}_{11}$, 0,2, 0,23, 75, 116—118/16, 1,4522, 1,0551.

Г. Мочарев
21528. Взаимодействие хлоралкилсиланхлоридов с ароматическими соединениями в присутствии металлического алюминия. Чернышев Е. А., Долгая М. Е., Ж. общ. химии, 1957, 27, № 1, 48—51

В продолжение исследования (РЖХим, 1956, 50804) изучено действие $\text{ClCH}_2\text{CH}_2\text{SiCl}_3$ (I) на C_6H_6 , нафталин (II), $\text{C}_6\text{H}_5\text{C}_6\text{H}_5$ (III) и $\text{C}_6\text{H}_5\text{OC}_6\text{H}_5$ (IV) в присутствии металлич. Al. Нагревание смеси 50 г I, 78 г C_6H_6 и 0,2 г Al при 70° до прекращения выделения HCl приводит к $\text{C}_6\text{H}_5\text{CH}_2\text{CH}_2\text{SiCl}_3$ (здесь и далее при описании синтезов перечисляются выход в %, т. кип. в °C/мм, n_D^{20} , d_4^{20}), 72,2, 82—83/2,5, 240—241/760, 1,5170, 1,2412. Из 50 г I, 54 г III и 0,1 г Al (90—50°) получен $\text{C}_6\text{H}_5\text{C}_6\text{H}_4\text{CH}_2\text{CH}_2\text{SiCl}_3$ (V), 33,8, 172—173/3, 1,5830, 1,2783. Аналогично из II получен $\beta\text{-C}_{10}\text{H}_7\text{CH}_2\text{CH}_2\text{SiCl}_3$ (VI), 21,3, 159—163/3, 1,5812, 1,2977. При р-циях с II и III в присутствии AlCl_3 выделить V—VI не удается. При нагревании смеси 50 г I, 59,5 г IV и 0,2 г Al (130°, 25 час.) образуется $n\text{-C}_6\text{H}_5\text{OC}_6\text{H}_4\text{CH}_2\text{CH}_2\text{SiCl}_3$ (VII), 22,5, 198—204/13, 1,5590, 1,2668. Из 68 г I, 37 г IV и 1 г AlCl_3 (70—90°, 56 час.) выход VII 30%. Действие CH_3MgBr на VII приводит к $n\text{-C}_6\text{H}_5\text{OC}_6\text{H}_4\text{CH}_2\text{CH}_2\text{Si}(\text{CH}_3)_3$ (VIII), 68, 310—314/755, 1,5360, 0,9840. Аналогично при взаимодействии 35 г $\text{ClCH}_2\text{CH}_2\text{Si}(\text{C}_2\text{H}_5)_2$, 51 г IV и 1 г AlCl_3 (70—75°, 40 час.) образуется $(\text{C}_6\text{H}_5\text{OC}_6\text{H}_4\text{CH}_2\text{CH}_2)_2(\text{C}_2\text{H}_5)_2\text{SiCl}_2$ (IX), 25,3, 231—232/8, 1,5540, 1,1644; обработкой IX CH_3MgBr получен $(\text{C}_6\text{H}_5\text{OC}_6\text{H}_4\text{CH}_2\text{CH}_2)_2(\text{C}_2\text{H}_5)_2\text{Si}(\text{CH}_3)_2$, 54, 214—215/11, 1,5366, 0,9831. Для доказательства строения VIII окислен HNO_3 в $n\text{-C}_6\text{H}_5\text{OC}_6\text{H}_4\text{COOH}$.

Г. Мочарев
21529. Синтез дихлорфенилтриацетоксисилана и его оксипроизводных. Андрианов К. А., Жданов А. А., Моргунова Е. Ф., Ж. общ. химии, 1957, 27, № 1, 156—159

Взаимодействием 207 г $\text{C}_6\text{H}_5\text{Cl}_2\text{SiCl}_3$ и 226 г $(\text{CH}_3\text{CO})_2\text{O}$ (20°, 96 час.) получен $\text{C}_6\text{H}_5\text{Cl}_2\text{Si}(\text{OCOCH}_3)_3$ (I), выход неочищ. I 94,5%, т. пл. 68—69° (из эф.). При 55° образуется $[\text{C}_6\text{H}_5\text{Cl}_2\text{Si}(\text{OCOCH}_3)_2]_2\text{O}$ (II), выход 21,7%. Эфирный р-р 26 г I добавляют к 250 г льда и 250 мл воды (10—15 мин.), из эфирного слоя выделен мономерный $\text{C}_6\text{H}_5\text{Cl}_2\text{Si}(\text{OH})_3$ (III), выход 15—20%, т. пл. 188°. Аналогично из II получен $[\text{C}_6\text{H}_5\text{Cl}_2\text{Si}(\text{OH})_2]_2\text{O}$ (IV), т. пл. 155°. III и IV при нагревании полимеризуются.

Г. Мочарев
21530. Тетраацетоксисиланы в органическом синтезе. VIII. Кремнеангидриды предельных одноосновных органических кислот в синтезе кетонов ряда тиофена. Юрьев Ю. К., Еляков Г. Б., Зефирова Н. С., Высококов А. Н., Ж. общ. химии, 1956, 26, № 12, 3341—3344

2-тиенилкетоны, $\text{C}_4\text{H}_7\text{SCOR}$ (I), получены по описанному методу (Юрьев Ю. К., Еляков Г. Б., Докл. АН СССР, 1952, 86, 377) ацилированием тиофена (II) $\text{Si}(\text{OCOR})_4$ (III) в присутствии безводн. SnCl_4 . III получены взаимодействием RCOOH с SiCl_4 . Выхода I снижаются с увеличением длины и разветвленности радикала R. Ниже перечисляются R, кол-ва RCOOH , SiCl_4 , II и SnCl_4 в г, выход I в %, т. кип. в °C/мм, n_D^{20} , d_4^{20} , т. пл. в °C семикарбазона, т. пл. в °C 2,4-динитрофенилгидразона: $этер\text{-C}_4\text{H}_9$, 20,8, 24, 16,8, 36, 84, 116/12, 1,5370, 1,0640, —, 127,4; $трет\text{-C}_4\text{H}_9$, 11, 5, 7, 12, 57, 113—114/14,

1,5363, 1,0723, 130,2—130,6, 169; $n\text{-C}_7\text{H}_{15}$, 14,4, 5, 8,4, 14, 70, 152—153/8, 1,5192, 1,0110, —, 117; $n\text{-C}_8\text{H}_{17}$, 20,5, 7, 12, 63, 184/9, 1,5138, 0,9911, —, —; $n\text{-C}_{15}\text{H}_{31}$, 52, 12, 16,8, 20, 60, 211/4 (т. пл. 36°), —, —, 86; циклопентил, 9,5, 5, 7, 12, 80, 128—129/7, 1,5660, 1,1378, —, 157; C_6H_{11} , 20, 15, 12,6, 20, 81,5, т. пл. 43—44°, —, —, 152, —; $\alpha\text{-C}_6\text{H}_{11}$, 14,4, 5, 7, 12, 53, т. пл. 69—70°, —, —, —, —, Сообщение VII см. РЖХим, 1958, 8029.

Г. Мочарев
21531. Некоторые избирательные реакции Si—H групп с металлоорганическими соединениями. Гилман, Зьюк (Some selective reactions of the silicon—hydrogen group with organometallic compounds. Gilman Henry, Zuech Ernest A.), J. Amer. Chem. Soc., 1957, 79, № 16, 4560—4561 (англ.)

Изучены р-ции R_3SiH (I) (здесь и далее $\text{R} = \text{C}_6\text{H}_5$), R_2SiH_2 (II) и RSiH_3 (III) с реактивами Гриньяра в тетрагидрофуране. Взаимодействие I с RMgBr (IV) (кипение 24 часа) приводит к R_4Si , выход 14%; аналогично из I и $\text{C}_3\text{H}_5\text{MgCl}$ получен $\text{R}_3\text{SiC}_3\text{H}_5$, выход 53%. При р-ции II с IV (кипение 2 дня) получен I, выход 79%; в эфире выход I 31%. Из продуктов р-ции II с $n\text{-C}_4\text{H}_9\text{MgBr}$ выделен $n\text{-C}_4\text{H}_9(\text{R})_2\text{SiH}$, выход 72%, т. кип. 110—112°/1 мм, n_D^{20} 1,5541, d_4^{20} 0,9604. Р-ция III с IV (20°, 6,5 часа) приводит к II, выход 66%; в эфире (20°, 24 часа) выход II 52%. При р-ции III с $n\text{-C}_4\text{H}_9\text{MgBr}$ образуется $n\text{-C}_{12}\text{H}_{25}(\text{R})\text{SiH}_2$ (V), выход 78%, т. кип. 130—131°/0,6 мм, n_D^{20} 1,4480, d_4^{20} 0,8629. Продуктом р-ции V с RCH_2MgCl (кипение 18 час.) является $\text{RCH}_2(n\text{-C}_{12}\text{H}_{25})\text{RSiH}$, выход 63%, т. кип. 180—183°/0,12 мм, n_D^{20} 1,5233, d_4^{20} 0,9209.

Г. Мочарев
21532. Исследования оловоорганических соединений.

VII. Присоединение органических гидридов олова к олефиновым двойным связям. VIII. Синтез некоторых органических гидридов олова. Керк, Нолтес, Лейтен. IX. Получение некоторых диалкилолово-тиновых соединений с длинными алкильными группами. Керк, Лейтен (Investigations on organotin compounds. VII. The addition of organotin hydrides to olefinic double bonds. VIII. Preparation of some organotin hydrides. Kerk G. J. M. van der, Noltes J. G., Luijten J. G. A.), IX. The preparation of some dialkyltin compounds with longchain alkyl groups. Kerk G. J. M. van der, Luijten J. G. A.), J. Appl. Chem., 1957, 7, № 7, 356—365; 366—369; 369—374 (англ.)

VII. Предложен новый метод создания C—Sn-связей. R_3SnH (Iа — в) (здесь и далее $\text{a} = \text{R} = \text{C}_6\text{H}_5$, $\text{b} = \text{R} = \text{C}_6\text{H}_5$, $\text{c} = \text{R} = \text{C}_6\text{H}_5$) присоединяются к замещ. олефинам (II) (двукратный избыток II, без р-рителя и катализатора; Iб, в активнее, чем Iа) вопреки правилу Марковникова с образованием следующих $\text{R}_3\text{SnCHR}'(\text{CH}_2)_n\text{CHR}''\text{R}'''$ (III) [указан I, т-ра р-ции в °C, время в часах, R', R'', R''', значение n, выход в %, т. пл. в °C или (я) т. кип. в °C/мм]: Iа, 80, 5, H, H, CN (IV), 0, 85, 93—94; Iа, 80, 1,5, CH₃, H, CN, 0, 89, 103—104; Iа, 90, 3, H, H, CN, 1, 73, 80—81; Iа, 80, 4, H, H, CO₂CH₃, 0, 85, 46,5—47; Iа, 80, 6, H, OC₂H₅, OC₂H₅, 1, 90, 35,5—37,5; Iа, 80, 1,5, H, H, OH, 1, 93, 105; Iа, 80, 2, H, H, OC₂H₅, 0, 89, 82,5—83; Iа, 70, 5, H, H, CO₂CH₃, 0, колич., 45,5—46; Iа, 90, 4, H, H, пирролидон-2-ил-1, 0, 78, 74—76; Iа, 80, 0,5, H, H, C₆H₅ (V), 0, 82, 127—127,5; Iа, 80, 7, H, H, CH₃ (VI), 5, 72, 54—55; Iб, 100, 4, H, H, CN, 0, 70, 157—160/12; Iб, 100, 4, H, H, CO₂CH₃, 0, 63, 145—150/12; Iб, 80, 4, H, H, CONH₂, 0, 77, 44—47, 155—161/0,4; Iв, 80, 6, H, H, CN (VII), 0, 70, 132—138/0,2; Iв, 80, 6, H, H, CO₂CH₃, 0, 84, 140—141/0,4; Iа, 70, 2, H, H, CONH₂, 0, 90, 123—124 (р-ция проведена в спирте). Во всех случаях III извлекают из смеси петр. эфиром. В некоторых случаях р-ция протекает аномально. Из Iа и $\text{CH}_2=\text{CHCH}_2\text{Br}$ (80°, 4 часа) получен $(\text{C}_6\text{H}_5)_3\text{SnBr}$ и пропилен (VIII). Действием Iа на $\text{CH}_2=\text{CHCH}_2\text{NH}_2$ при — 20° получены $(\text{C}_6\text{H}_5)_3\text{SnH}$ с выделением VIII и NH_3 . Р-ция Iа с $\text{C}_6\text{H}_5\text{COCl}$ приво-

4, 5, 8, 14,
19, 20, 5, 7, 12,
12, 16, 8, 28,
ментил, 2, 5,
7; C_6H_{11} , 20,
—; α - $C_{10}H_{21}$.
Сообщение
Г. Монарса
КИМИ SI—H.
ИЯМИ. Гла
the silicon—
ounds. Gil
Amer. Chem.

$R = C_6H_5$,
 Гриньяр
 $RMgBr$ (IV)
 од 14%; ам-
 вых од 53
 тучен I, вы-
 тучен р-ции
 выход 72%,
 04. Р-ция III
 6%; в эфире
 II с $C_{12}H_{25}MgBr$
 выход 78%,
 829. Продук-
) является
 кии. 180-
 Г. Модар
 соедине-
 идов олово
 итез некото
 к, Полуд
 алкиломи
 ии группам
 rano-tin com-
 hydrides to
 of some or-
 der, No
 preparation
 eichen J. G. A.
 5- 366-

C-Sn-CH₃
6 R = C₆H₅
тефинам (II)
катализатор
арковников
(H₂)_nCHN⁺R'
асах, R'
и (я) т.ж.
3-94; Ia,
H, H, CN,
5-47; Ia,
.5, H, H, O,
5-83; Ia,
90, 4, C,
.5, H, H, C,
(VI), 5,
12; I6, 100,
H, H, CONH,
CN (VII),
0, 84, 140,
-124 (р-п)
извлекают
р-ция ш
(80°, 4 ч)
Действие
[(C₆H₅)₃S]
COSCl при

дот к $(C_6H_5)_3SnCl$ (IX) и C_6H_5CHO . I6 энергично реагирует с $CH_2=CHCOOH$ (X) при $\sim 20^\circ$ с образованием $(C_6H_5)_3SnOCOCH=CH_2$ с выделением H_2 , выход 83%, т. пл. 94–95°, полученный также из $(n-C_3H_7)_3SnOH$ и X. Ia при 70° образует с X неустойчивый и неразлагающийся $(C_6H_5)_3Sn+CH_2CH_2CO_2-$ (XI). Взаимодействием эквимолярных кол-в IX и $CH_3CH(CN)CO_2K$ в кипящем спирте синтезирован $(C_6H_5)_3SnOCOCH(CN)CH_3$, т. пл. 139–141°, декарбоксилированный (140° в вакууме) в $(C_6H_5)_3SnCH(CN)CH_3$, выход 27%, т. пл. 115–116° (из литр. и петр. эф.). При кипячении со спирт. NaOH IV превращается в XI. V и VI приготовлены также р-цией Гильярда из IX и $C_6H_5CH_2CH_2MgBr$ или $C_7H_{15}CH_2MgBr$, выход 40 и 54%. VII при действии Br_2 превращается в $(C_6H_5)_3Sn(CH_2CH_2CN)Br$, выход 85%, т. кип. 152–156°/0,6 мм.

VIII. К взвеси LiAlH_4 в абс. эфире прибавляют постепенно при перемешивании эквимолярное кол-во $(\text{C}_6\text{H}_5)_3\text{SnCl}$, кипятят 2,5 часа, охлаждают, добавляют 0,5 г гидрохинона, затем воду и 20%-ный р-р сегнетовой соли, выход $(\text{C}_6\text{H}_5)_3\text{SnH}$ 66%, т. кип. 79—81°/02 мм. Аналогично синтезированы следующие I (указан выход в %, т. кип. в °C/мм): Ia, 61, 168—172/0,5, т. пл. 26—28°; Ib, 75, 76—82/12; Ic, 74, 76—81/0,7—0,9. Сходно получены H_2SnH_2 (XII): XIIb, 72, 39—40,5/12; XIIa, 66, 75—76/12, а также $\text{C}_4\text{H}_9\text{SnH}_3$ (XIII), 37, 99—101. При хранении XIII разлагается. Исходный для получения XII $\text{C}_6\text{H}_5\text{SnCl}_2$, т. кип. 102—103°/12 мм, синтезирован из $\text{C}_6\text{H}_5\text{MgCl}$ в SnCl_4 с выходом 13%. При $>100^\circ$ в вакууме XIIa разлагается на $(\text{C}_6\text{H}_5)_3\text{SnH}$, H_2 и Sn .

IX. Описание синтеза R_2Sn [XIV г—ж, где $г R = n-C_8H_{19}$, $д R = n-C_8H_{17}$, $е R = (CH_3)_2CCH_2C(CH_3)(CH_2)_2$, $ж R = C_6H_9CH_2C(CH_3)(CH_2)_2$, R_2SnCl_2 (XV), R_2SnO (XVI) и R_2SnH_2 (XVII—XVIII), где X_2 — два остатка лауриновой (XIX) или один остаток малеиновой (XX) к-т. Выход XIV г, д по р-ции Вюрца выше, чем по р-ции Гриньяра. Синтезировать XIV е, ж р-цией Вюрца не удалось. К 23 г измельченного Na в 300 мл кипящего нтр. эфира прибавляють постепенно смесь 0,55 моля $n-C_8H_{19}Cl$ и 0,125 моля $SnCl_4$, кипятят 6 час., выход XIV г 51%, т. кип. $187-190^\circ/1,5$ мм. Аналогично получают XIV д с примесью 25% $[(C_8H_{17})_2Sn]$. Кипячением 0,3 моля $SnCl_4$ с 2 молями реактива Гриньяра в эфире с последующей отгонкой р-рителя, разложением смеси 7% —ной HCl и нагреванием остатка при $240-250^\circ/0,3-0,8$ мм синтезированы неочищ. XIV е, ж, выход 40 и 66,5%. Нагреванием XIV с $SnCl_4$ (1,5 часа, 100° ; 3 часа, $220-240^\circ$) получены следующие XV (указан выход в %, т. пл. в $^\circ C/мм$): XV г, 87,5, 45—47, 134—148/1,5; XV д, 83,5, 47,5—48,5, 164—165/0,16; XV е, 75, 154—157/0,1; XV ж, 65, 154—162/0,3. Действием кипящего подсолн.-спирт. NaOH на XV получены с колич. выходом XVI, из которых нагреванием с XIX или XX при $100-150^\circ$ в вакууме получены XVII и XVIII с выходом $> 80\%$. Сообщение VI см. РЖХим 1956, 74981.

Ф. Величко

1533. Действие алифатических диазосоединений на станыны. Лебр (Action des diazoïques aliphatiques sur les stannanes. Lesbre Michel), Bull. Soc. chim. France, 1957, № 10, 1204—1206 (франц.)

R_3SnH или R_3SnH_2 (I) легко реагируют с алифатич. диалкоксидириями в присутствии Cu-порошка с образованием R_3SnCH_2X (II $R = C_3H_7$, III $R = C_4H_9$) ($X = H$, $COOC_2H_5$, $COCH_3$, COC_6H_5 , CN). Взаимодействием $[C_6H_5]_3SnH$ (IV) с избытком CH_2N_2 в эфире (0° , 12 час. $t_{\text{ж}}$ $\sim 20^\circ$; избыток CH_2N_2 удаляют действием $CuSO_4$) $[C_6H_5]_3SnH$ синтезирован II ($X = H$), т. кип. $94-96^\circ/11 \text{ мм}$, $d_{20}^{25} 1,125$. В тех же условиях получены III ($X = H$), т. кип. $122-124^\circ/12 \text{ мм}$, $d_{20}^{20} 1,0901$, и $(C_2H_5)_2Sn(CH_3)_2$ (V) (из I), т. кип. $144-147^\circ$, $d_{19}^{19} 1,2319$. При действии

HCl (газа) на V образуется $C_2H_5(CH_3)_2SnCl_2$, выход 92%, т. пл. 51,5°. Действием $N_2CHCOOC_2H_5$ в C_6H_6 на IV (65°, 1 час) получен II ($X = COOC_2H_5$), т. кип. 217—219°. Аналогично при 107° синтезирован III ($X = COOC_2H_5$), т. кип. 159—163°/10 мм. Из $(C_4H_9)_2SnH$ (VI) и CH_3COCHN_2 в C_6H_6 при 60° получен неочищ. III ($X = COCH_3$), т. кип. 130—134°/14 мм, при восстановлении распадается Sn—C-связь. Аналогично синтезированы (p-ителъ — смесь C_6H_6 с эфиром) II ($X = COC_2H_5$), т. кип. 155—160°/3 мм, и III ($X = COC_2H_5$), т. кип. 200—205°/3 мм, семиркабазон, т. пл. 80°. Действием $NaNO_2$ на насыщ. p-p $NH_2CH_2CN \cdot HCl$ (—5°, несколько часов) с последующей многократной экстракцией эфиром и очень осторожной перегонкой в токе N_2 за защитным экраном (продукт летуч с эфиром и взрывает с большой силой в присутствии O_2 или окислов металлов), синтезирован $CNCHN_2$ (VII), т. кип. 48—50°/16 мм. Взаимодействием 29,1 г VI с 8 г VII в 100 мл толуола получено 19 г III ($X = CN$), т. кип. 145—148°/1,4 мм, n_D^{20} 1,4814. При действии минер. к-т на III ($X = CN$) на холоду образуется CH_3CN и $(C_4H_9)_2SnX$ ($X =$ анион к-ты). Ф. Величко

21534. Аналоги гексафенилэтана. VI. Трифенилгер-
милтрифенилолово. Гилман, Героу (Analoge of
hexaphenylethane. VI. Triphenylgermyltriphenylin.
Gilman Henry, Gerow Clare W.), J. Organ.
Chem., 1957, 22, № 3, 334—336 (англ.)

Связь Ge—Sn в R_3GeSnR_3 (I) (здесь и далее $R = C_6H_5$), полученном взаимодействием R_3GeK (II) и R_3SnCl (III), легко расщепляется йодом с образованием R_3GeI и R_3SnI , а также Li-органич. соединениями. Смесь, полученная при взаимодействии I с C_6H_5Li в эфире, содержит R_4Ge и R_4Sn . Из продуктов р-ции I с C_6H_5Li выделен R_3GeGeR_3 (IV). В эфире I довольно инертен по отношению к сплаву Na-K, но при добавлении тетрагидрофурана легко реагирует с образованием IV и других в-в. При $\sim 20^\circ$ в $CHCl_3$ устойчив на воздухе. В кипящем ксилоле I частично разлагается даже в отсутствие воздуха. К суспензии II в эфире (из 0,05 моля R_4Ge и Na-K) прибавляя суспензию 0,05 моля III в эфире, смесь перемешивают ~ 12 час., выливают в насыщ. р-р NH_4Cl , отделяют осадок и получают I, выход 60%, т. п. 284–286° (из бэл.). Обратный порядок смешения реагентов приводит к сложной смеси продуктов. Сообщение V см. РЖХим, 1958, 17996. Ф. Величко

21535. Реакция диалкилфосфитов с хинонами. Рамирес, Дершовиц (Reaction of dialkyl phosphites with quinones. Ramirez Fausto, Dershowitz Samuel), J. Organ. Chem., 1957, 22, № 10, 1282—1283 (англ.).

Присоединением избытка $(\text{RO})_2\text{P}(\text{O})\text{H}$ к хлорангилу (I) в атмосфере N_2 получены 2,3,5,6- Cl_4 -4-(HO) $\text{C}_6\text{OP}(\text{O})(\text{OR})_2$ (II), где $\text{R} = \text{CH}_3$ (IIa) и $\text{R} = \text{C}_2\text{H}_5$ (IIб). Приводятся т-ра р-ции в $^\circ\text{C}$, время р-ции в часах, выход в % IIa, IIб: 25, 4,5, 26, 24 (в темноте); 25, 4,5 (облучение УФ-светом 360–370 мк), 64, 66; через 15–20 час. (в темноте), колич. выход; 25, 3 дня, 100, 97 (в темноте); 100, 1, 95, 91 (в темноте). Р-ция протекает по радикально-цепному механизму с образованием дирадикала I. IIa, т. пл. 236–238 $^\circ$ (из CH_3OH), растворим в водн. NaOH. IIб, т. пл. 180–181 $^\circ$ (из C_6H_{12}). II ($\text{R} = \text{C}_2\text{H}_5$) получены с низким выходом. Приведены данные ИК-спектров IIa и IIб. С. Иоффе

21536. Получение диэтилового эфира 2-диэтиламино-этилфосфиновой кислоты и его распад. Кадоган (The preparation and decomposition of diethyl 2-diethylaminoethylphosphonate. Cadogan J. I. G.), J. Chem. Soc., 1957, Sept., 4154—4155 (англ.).

Из (RO)₂P(O)Na (I) (здесь и далее R = C₂H₅) и ClCH₂CH₂NR₂ (II) получен R₂NCH₂CH₂P(O)(OR)₂ (III). При нагревании III образуется CH₂=CHP(O)(OR)₂.

(IV) и R_3N . К I (из 4,6 г Na, 27,6 г к-ты в 400 мл оксида) добавляют 27 г II и кипятят 1,5 часа, выход III 18 г, т. кип. 125–130°/12 мм, n_D^{20} 1,4378. Получить III из II и $(RO)_3P$ без р-рителя или в C_2H_5OH не удалось. Действием R_3N на $BrCH_2CH_2P(O)(OR)_2$ получен IV, т. кип. 99°/16 мм, n_D^{20} 1,4268. В. Гилларов

21537. Эфиры β -кетофосфиновых кислот. Сообщение 2. Эфиры ароматического и карбоциклического рядов. Арбузов В. А., Виноградова В. С., Изв. АН СССР. Отд. хим. н., 1957, № 3, 284–291

Для изучения кетоенольной таутомерии получены $C_6H_5COC(R')P(O)(OR)_2$ (Ia $R' = R'' = H$; Ib $R' = H$, $R'' = CH_3$; Ic $R' = R'' = CH_3$, R везде C_2H_5), $OC(CH_3)_2CH_2P(O)(OR)_2$ (II), $OC(CH_3)_2CR'P(O)(OR)_2$ (IIIa $R' = H$,

IIIb $R' = CH_3$), α -фосфонкамфора (IV) из α -карбонильных соединений и $(RO)_3P$ (V) (метод А) или $(RO)_2PONa$ (VI) (метод Б). II, IIIa и IV получить методом А не удалось. Перечисляются в-ва, метод синтеза, выход в %, т. кип. в °C/мм, n_D^{20} , d_4^{20} и процент неопределенности по данным титрования Br_2 : Ia, А, 84, 170–173/2,5, 1,5120, 1,1650, 9,1; Ib, Б, 36, 165/5, 1,4990, 1,1615, 7,2; Ic, А, 65, 156,5–158/1,5, 1,5075, 1,1328, 3,0; II, А, 75, 137–138,5/1,0, 1,4990, 1,1052, 0; IIIa, Б, 32, 104–105/1,0, 1,4560, 1,1408, 5,0; IIIb, Б, —, —, —, 7,7; IIIc, А, 83,7, 118–120/1,0, 1,4565, 1,0860, 10,0; IIIB, Б, 36,5, 119,5–121,5/1,0, 1,4675, 1,0902, —; IV, Б, 59, 116–116,5/0,5, 1,4600, 1,0842, 1,1. Для сопоставления приведены данные о содержании енола аналогично построенных карбонильных соединений. I–IV, за исключением Ia и Ib (метод А), не дают окраски в спирте с $FeCl_3$. Ia дает сильную, Ib — слабую буро-оранжевую окраску с $FeCl_3$. Для Ia (метод А) УФ-спектр (в CH_3OH) 2420, 2800, 3200 Å [похож на спектр $CH_3COC_6H_5$ и $C_6H_5COC(CH_3)_2COCCH_3$]. Сравнение УФ-спектров Ia и Ib указывает на некоторую енолизацию Ia. Отмечено увеличение енолизации Ia и Ib в р-ре CH_3ONa в CH_3OH (увеличение поглощения при 2850–3200 Å и уменьшение поглощения при 2450 Å). УФ-спектр в гексане похож на спектр в CH_3OH , в воде уменьшается поглощение при 2850 Å. УФ-спектр Ia (метод Б) отличается от спектра Ia (метод А) отсутствием максим. поглощения при 2850 Å и менее характерен. УФ-спектры II, IIIa и IV не имеют отчетливых максимумов. Приведены УФ-спектры IIIB (метод А и Б). Ib получают добавлением по каплям 17,55 г V к 24 г $C_6H_5COCCH_2Br$, нагретому до 160°. II получают добавлением р-ра VI (из 6,4 г Na и 38,2 г $(RO)_2P(O)H$ в 200 мл лигроида) к 30 г $OC(CH_3)_2CH_2Cl$

в лигроида. Сообщение 1 см. РЖХим, 1958, 14575. В. Г. 21538. Химия органических соединений фосфора.

Часть IV. Термическое разложение галоидных тетраарилоксифосфониев: новый метод получения галоидных арилов. Ко, Райдон, Тонг (The organic chemistry of phosphorus. Part IV. The thermal decomposition of tetra-aryloxyphosphorus monohalides: a new method for the preparation of aryl halides. Coe D. G., Rydon H. N., Tonge B. L.), J. Chem. Soc., 1957, Jan., 323–327 (англ.)

Разработан препаративный метод получения галоидных арилов по схеме: из $AgOH$ и PCl_5 получают $(AgO)_3PCl_2$ (I), который с $AgOH$ образует $(AgO)_4P$ ($Ag'O$)PX (II) ($X = Cl$); пиролизом II получают AgX и $Ag'X$. Выход $Ag'X$ повышается при наличии в Ag' заместителя, обладающего более электроакцепторными свойствами, чем в Ag . Поэтому более удобным для получения I оказался n -трет- $C_4H_9C_6H_4OH$. II ($X = Cl$) при кипячении 2 часа с избытком C_2H_5Br и CH_3J дает III ($X = Br, J$). II получают также из $(AgO)_3P$ (III) и Cl_2 . Предложен механизм термич. разложения II. Метод применим для получения хлор-

замен. азотистых гетероциклов (XAG) и неприменим к 8-оксхинолину (IV). III хлорируют при размешивании и охлаждении до присоединения 1 моля Cl_2 . После затвердевания продукта добавляют $AgOH$, нагревают 72 часа при 120–140° в инертной атмосфере, и AgX и $Ag'X$ отгоняют при атмосферном давлении или в вакууме. Перечисляются для II Ag, Ag', X выходы в % $AgCl$ и $Ag'Cl$: $C_6H_5, C_6H_5, 88, —$; C_6H_5, n - $CH_3C_6H_4, 67, —$; C_6H_5, n - $C_2H_5C_6H_4, 47, 37$; C_6H_5, n - $ClC_6H_4, 43, 18$; m - $CNC_6H_4, 29, 56$; C_6H_5, o - $NO_2C_6H_4, 7, 45$; C_6H_5, m - $NO_2C_6H_4, 42, 54$; C_6H_5, n - $NO_2C_6H_4, —, 68$; n - $CH_3C_6H_4, C_6H_5, —, 66$; n - $CH_3C_6H_4, n$ - $ClC_6H_4, 12, 57$. Охарактеризованы $(C_6H_5O)_2P(O)(n$ - $CH_3C_6H_4O)PO$, т. кип. 156–158°/0,002 мм, т. пл. 18–20°, и $(n$ - $ClC_6H_4O)(C_6H_5O)_2PO$, т. кип. 155–156°/0,0025 мм, n_D^{20} 1,5724, 40,5 г $(C_6H_5O)_2PCl$ в эфире добавляют по каплям к р-ру 25,5 г n - $C_6H_5C_6H_4OH$ (V), 12 г C_6H_5N в эфире (0°), выход $(C_6H_5O)_2P(n$ - $C_6H_5C_6H_4O)P$ (VI) 76%, т. кип. 190–195°/0,015 мм. При действии Cl_2 и V на VI и пиролизе выходы C_6H_5Cl и n - $C_6H_5C_6H_4Cl$ 39 и 55%. Пиролизом II ($Ag = Ag' = C_6H_5, X = Cl, Br$ или J, 250–300°) получают AgX (выходы при $X = Cl, Br, J$ соответственно в %: 95, 92 и 82). 0,2 моля PCl_5 нагревают 4–5 час. при 100° с 0,6 моля C_6H_5OH или n -трет- $C_4H_9C_6H_4OH$ (120–140°). После охлаждения добавляют 0,2 моля $AgOH$ или 0,1 моля $Ag(OH)_2$ и смесь нагревают 10–20 мин. Перечисляются AgX , т-ра пиролиза в °C, выход в % при $Ag = C_6H_5$: n - $NO_2C_6H_4Cl$, 200, 81; n - $NO_2C_6H_4Br$, 200, 77; n - $NO_2C_6H_4J$, 200, 53; при $Ag = n$ -трет- $C_4H_9C_6H_4$: n - $NO_2C_6H_4Cl$, 250, 92; n - $NO_2C_6H_4Br$, 250, 82; n - $NO_2C_6H_4J$, 250, 60; o - $NO_2C_6H_4Cl$, 250, 74; n - C_6H_4Cl , 300, 71; n - ClC_6H_4Br , 250, 45; n - $CH_3C_6H_4Cl$, 300, 87; n - $CH_3C_6H_4Br$, 300, 51; α - $C_{10}H_7Cl$, 300, 60; β - $C_{10}H_7Cl$, 300, 65; II (из V и o - $C_6H_4(OH)_2, m$ - $C_6H_4(OH)_2$ и n - $C_6H_4(OH)_2$) при 360° дает n -трет- $C_4H_9C_6H_4Cl$ выходы соответственно 83, 44, 69%. Перечисляются XAG, т-ра пиролиза II в °C при $Ag = C_6H_5$: 2- ClC_6H_4N , 250, 88; 3- ClC_6H_4N , 250, 84; 2- ClC_6H_4N , 250, 79; 2,4-дихлорпиримидин, 200, 88; 2,4,6-трихлорпиримидин, 200, 80, т. кип. 81–82°/8 мм. Часть III см. РЖХим, 1958, 14568. В. Гилларов

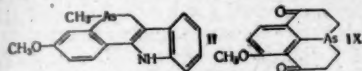
21539. О получении диалкилхлортиофосфатов. Мельников Н. Н., Мандельбаум Я. А. В сб.: Химия и применение фосфорорганических соединений. М. АН СССР, 1957, 185–193

Дана сравнительная оценка методов получения $(C_2H_5O)_2PSCl$ (I) и $(CH_3O)_2PSCl$ (II). Лучший способ получения I заключается в предварительной р-ции PCl_5 с абс. спиртом с образованием $C_2H_5OPSCl_2$ (III) и последующем взаимодействии III со спиртом в $NaOH$, выход I 60–65,5%. Выход I при р-ции III с $(C_2H_5O)_2Mg$ составляет 72%. Выходы II по различным вариантам спиртово-щел. метода составляют 70–89%. С. Иоффе

21540. Реакция фосфорсодержащих ферментных ядов с некоторыми производными гидроксиламина. Палпингер, Оуэнс (The reaction of phosphorus-containing enzyme inhibitors with some hydroxylamine derivatives. Plapinger Robert E., Owens Omer O.), J. Organ. Chem., 1956, 21, № 10, 1486–1487 (англ.)

Амидоксимы $RC(NH_2)=NOH$, где R — фенил, метил или пиридил, смешивали в водн. среде при pH 7,8 с эквимольным кол-вом зарина (изопропилового эфира метилфторфосфиновой к-ты) или диизопропилфторфосфата. По окончании р-ции смесь подкисляли и продукт р-ции отделяли фильтрованием или экстрагированием $CHCl_3$ или эфиром. При этом образуются фосфорилированные амидоксимы [для зарина $RC(NH_2)=NOPO(CH_3)OC_2H_5$]. При длительном кипячении в воде фосфорилированного зарина с амидоксимами из смеси удалось извлечь небольшое кол-во фенилмочевины, которая образуется в результате перегруппировки бензамидоксима. В. Розенталь

21541. Строение и свойства некоторых полициклических индоло- и хинолинопроизводных. Часть VIII. Производные 1,2,3,4-тетрагидро-4-оксоарсинолина и 1,6-диоксоарсулолидина. Манн, Уилкинсон (The structure and properties of certain polycyclic indole and quinolino-derivatives. Part VIII. Derivatives of 1:2:3:4-tetrahydro-4-oxoarsinoline and of 1:6-dioxoarsulolidine. Mann Frederick G., Wilkinson A. J., J. Chem. Soc., 1957, Aug., 3346—3352 (англ.)). Из 1,2,3,4-тетрагидро-1-метил-4-оксо-7-метоксиарсинолина (I) через его фенилгидразон (ФГ) синтезирован 1,2-дигидро-1-метил-7-метоксииндоло-(3, 2, 3, 4)-арсинолин (II). Аналогично получены 1'-метил-II (III) и 1'-фенил-II (IV). При конденсации I с α -аминобензальдегидом (V) образуется 1,2-дигидро-1-метил-7-мето-



оксииндолино-(3,2,3,4)-арсинолин (VI). 4-карбоксив- (VII), полученную из I и изатина (VIII), не удалось дикарбоксилировать в VI. Аналогично I, из 1,6-диоксо-7-метоксиарсулолидина (IX) получены 6-оксо-7-метоксииндоло-(2',3',4,2)-арсулолидин (X) и 6-оксо-7-метоксииндолино-(2',3',4,2)-арсулолидин (XI). Строение полученных в-в подтверждено УФ- и ИК-спектрами. Приведены соображения о тонкой структуре II, VII и родственных соединений. Смесь р-ра 0,5 г ФГ I в 5 мл лед. CH_3COOH и 0,5 г ZnCl_2 кипятят в N_2 15 мин. и к горячему р-ру прибавили воду до помутнения; выделился II, т. пл. 137—139° (из водн. сп.). Аналогично из метил-ФГ I получен III, выход 48%, т. пл. 115° (из сп.), а из ди-ФГ I—IV, т. пл. 157° (из сп.). К 475 мл воды при 90° последовательно прибавлено 105 г $\text{FeSO}_4 \cdot 7\text{H}_2\text{O}$, 0,5 мл конц. HCl , 6 г α -нитробензальдегида, 25 мл конц. р-ра NH_4OH и затем 3 раза по 10 мл р-ра NH_4OH через 2 мин.; через 8 мин. смесь подвергнута быстрой перегонке с паром, получено 55% V. Р-р 0,25 г I и 0,13 г V в 10 мл спирта обработан 0,5 мл 40%-ного NaOH (3 дня, 20°), выход VI 39%, т. кип. 180°/0,002 мм, т. пл. 136° (из сп.); хлоридат, т. пл. 206° (разл.); пикрат, т. пл. 192°; йодметилат, т. пл. 225° (разл.); йодидат тригидрата йодметилата, т-ра плавления до 225°. При действии р-ра KMnO_4 в ацетоне на VI получен оксид VI, т. пл. 232° (разл.; из сп.); пикрат, т. пл. 192° (разл.; из сп.). Р-р 0,5 г I, 0,3 г VIII и 0,4 г KOH в смеси 4 мл воды кипятят в N_2 48 час., выделена VII, выход 53%, т. кип. 250°/0,0005 мм, т. пл. 220—250° (разл.). К р-ру 0,25 г ди-ФГ IX в 2,5 мл лед. CH_3COOH прибавлено 0,25 г ZnCl_2 и смесь кипятят 3 часа в N_2 , получен X, т. пл. 232° (из водн. сп.). Из р-ра 0,2 г IX, 0,18 г I и 0,7 мл 40%-ного NaOH в 20 мл спирта через 5 дней (20°) получен XI, выделенный в виде пикрата с 1 молем спирта, т. пл. 164—166° (из сп.). Часть VII см. РЖХИМ, 1956, 32510.

21542. Производные фторуглеродов. II. Циклические нитриды. Симмонс, Гофман, Бек, Холлер, Кац, Кошар, Ларсен, Малвани, Полсон, Роджерс, Синглатон, Спаркс (Fluorocarbon derivatives. II. Cyclic nitrides. Simmons Thomas C., Hoffmann Friedrich W., Beck R. B., Holler H. V., Katz T., Koshar R. J., Larsen E. R., Mulvaney J. E., Paulson K. E., Rogers F. E., Singleton B., Sparks R. E.), J. Amer. Chem. Soc. 1957, 79, № 13, 3429—3432 (англ.).

Описано электрохим. фторирование пиридина (I), 1,4'-дипиридилметана (II), 4-пропилипиридина (III), 4-изопропилипиридина (IV), морфолина (V) и N-метилморфолина (VI) при 5—5,6 в и 2—5-мол. % в-ва в безводн. HF. Проводятся вес исходного в-ва, сила тока в в, кол-во пропущенного электричества в фарадеях,

выход полученных в-в: 2370 г I, 26, 483, 491 г NF_3 , 888 г перфторпиридина (VII), 93 г перфтордипиридила (VIII), 2346 г C_6F_{12} ; 1374 г II, 22,2, 235, 260 г NF_3 , 205 г VII, 178 г перфтор-1-метилпиридина (IX), 1100 г C_6F_{12} ; 1695 г III, 30,3, 295, 85,7 г перфтор-4-пропилипиридина (X), 754 г перфтор-3-этилгексана (XI); 1452 г IV, 32,8, 299, 260 г перфтор-4-изопропилипиридина (XII), 582 г C_6F_{12} (смесь изомеров); 675 г V, 29,4, 80,8, 260 г перфторморфолина (XIII), 97 г $(\text{C}_2\text{F}_5)_2\text{O}$; 80 г VI, 4,2, 11,4, 33,7 перфтор-1-метилморфолина (XIV). Проводятся т. кип. в °C, n_D^{25} , d_4^{25} полученных в-в: VII, 49,5, 1,2752, 1,7043; VIII, 72/51 мм; 1,3022, 1,870; IX, 66, 1,2754, 1,7426; X, 123,5, 1,2965, 1,8395; XI, 103, 1,2744, 1,809; XII, 124,5, 1,3010, 1,8461; XIII, 15/356 мм, —, —; XIV, 51, 1,2659, 1,700. Для идентификации полученных в-в использованы спектры ядерного магнитного резонанса. Сообщение I см. РЖХИМ, 1958, 8040. С. Иоффе

21543. Синтетические растительные гормоны. Часть V. (+)- и (—)-2,4-дихлорфеноксифтор- и дифторуксусная к-та. Магуайр, Шоу (Synthetic plant hormones. Part V. (+)- and (—)-2:4-dichlorophenoxyfluoro- and -difluoroacetic acid. Maguire M. H. Miss, Shaw G.), J. Chem. Soc., 1957, June, 2713—2715 (англ.).

С целью изучения новых ростовых в-в синтезированы 2,4-дихлорфеноксифтор- (I) и 2,4-дихлорфеноксидифторуксусная к-та (II). Заметной активностью обладает (+)-I. Р-р 58 г 2,4-дихлорфенола, 50 г $\text{FCICH}_2\text{COOC}_2\text{H}_5$ в 300 мл спирта и $\text{C}_2\text{H}_5\text{ONa}$ (из 8,2 г Na в 80 мл спирта) кипятят 2 часа, через 4 дня (20°) получено 40,6 г этилового эфира I, т. кип. 121—122/1,5 мм, n_D^{25} 1,5108; I, т. пл. 91—93° (из бал.-петр. эф.). При помощи стрихнина в смеси ацетона и воды и (+)- α -метилфенилэтиламина в эфире выделены (+)-I, т. пл. 104—105° (из бал.-петр. эф.), $[\alpha]_D^{25} +57,1 \pm 0,3^\circ$ (с 1,505; хлф.), и (—)-I, т. пл. 103—105° (из бал.-петр. эф.), $[\alpha]_D^{25} -57,1 \pm 0,3^\circ$ (с 1,504; хлф.). Смесь 25 г 2,4- $\text{Cl}_2\text{C}_6\text{H}_3\text{ONa}$ и 54 г $\text{F}_2\text{CICH}_2\text{COOC}_2\text{H}_5$ кипятят 41 час; выделено в-во с т. пл. 200—203° (из CH_3COOH) и II, выход 8,4 г, т. пл. 68—71° (из петр. эф.); n -толуидиновая соль, т. пл. 134—135 (из этилацетата- C_6H_{13}); этиловый эфир, т. кип. 80—88°/0,5 мм, n_D^{25} 1,4833. Часть IV см. РЖХИМ, 1958, 14573.

21544. Токсические фтористые вещества XIV. Некоторые ω -фторалкилазотистые соединения. О'Нилл, Паттисон (Toxic fluorine compounds. XIV. Some ω -fluoroalkyl nitrogen compounds. O'Neill G. J., Pattison F. L. M.), J. Amer. Chem. Soc., 1957, 79, № 8, 1956—1958 (англ.).

Описано получение $\text{F}(\text{CH}_2)_n\text{NCO}$ (I), $\text{F}(\text{CH}_2)_n\text{NCS}$ (II), $\text{F}(\text{CH}_2)_n\text{NHCONHC}_6\text{H}_5$ (III) и $\text{F}(\text{CH}_2)_n\text{NHCONH}(\text{CH}_2)_4\text{F}$ (IV), а также ω -фторалкилбарбитуровых к-т $\text{F}(\text{CH}_2)_n\text{C}(\text{C}_2\text{H}_5)(\text{CONH})_2\text{CO}$ (V). I являются сильными лакриматорами, неустойчивы на влажном воздухе. Строение II подтверждено ИК-спектрами. Одинаковая токсичность II ($n = 4$) и IV, а также легкость перехода II в IV под действием воды указывает на вероятность такого превращения в организме. По способности угнетать центральную нервную систему V значительно уступает нефторированным аналогам. 0,092 моля $\text{F}(\text{CH}_2)_2\text{COCl}$ и 0,11 моля NaN_3 в 50 мл C_6H_6 нагревают 4 часа до прекращения выделения N_2 , выделен I ($n = 4$), выход 85%, т. кип. 72—72,5°/42 мм, LD_{50} (здесь и далее на мышах внутривенно в мг/кг) 4,7. I ($n = 2$) получен из $\text{F}(\text{CH}_2)_2\text{COCl}$ с выходом 44%, т. кип. 100—101°, LD_{50} 16,5; I ($n = 3$) получен из $\text{F}(\text{CH}_2)_3\text{COCl}$, выход 49%, т. кип. 126°, LD_{50} 10—20. К смеси 0,124 моля CS_2 , 0,124 моля NaOH и 50 мл воды, охлажд. до -15° , добавляют за 30 мин. 0,124 моля $\text{F}(\text{CH}_2)_5\text{NH}_2$ в 30 мл воды, нагревают до $\sim 20^\circ$, снова охлаждают до -15° и добавляют за

30 мин. 0,124 моля $\text{ClCOOC}_2\text{H}_5$, перемешивают еще 30 мин. при $\sim 20^\circ$ и экстрагируют эфиром II ($n=5$), выход 56%, т. кип. $104,5-105,9^\circ$ мм, n_D^{25} 1,4917, LD_{50} 67. Из $\text{F}(\text{CH}_2)_n\text{NH}_2$ получен II ($n=6$), выход 48%, т. кип. $116-118,5^\circ/8$ мм, n_D^{25} 1,4882, LD_{50} 11,2. При добавлении к р-ру I ($n=2$) в C_6H_6 р-ра $\text{C}_6\text{H}_5\text{NH}_2$ в петр. эфире образуется III ($n=2$), т. пл. $144-145^\circ$, $\text{LD}_{50} > 100$. III ($n=3$), т. пл. $105-105,5^\circ$; III ($n=4$), т. пл. $117,5-118^\circ$, LD_{50} 16,8. I ($n=4$) смешивают с водой, через 12 час. ($\sim 20^\circ$) отделяют IV, т. пл. $67-67,5^\circ$, LD_{50} 4,4. 0,156 моля $\text{C}_2\text{H}_5\text{CH}(\text{COOC}_2\text{H}_5)_2$ (VI) и 0,155 моля $\text{F}(\text{CH}_2)_2\text{J}$ прибавляют по каплям к р-ру $\text{C}_2\text{H}_5\text{ONa}$ (из 5,4 г Na и 90 мл сп.), смесь кипятят 3 часа и получают $\text{F}(\text{CH}_2)_4\text{C}(\text{C}_2\text{H}_5)(\text{COOC}_2\text{H}_5)_2$ (VII), выход 79%, т. кип. $140-142^\circ/10$ мм, n_D^{25} 1,4277. К р-ру $\text{C}_2\text{H}_5\text{ONa}$ (из 1 г Na и 50 мл сп.) прибавляют 2,2 г мочевины, нагревают до растворения, добавляют 6 г VII и нагревают в автоклаве 5 час. при 110° , выход V ($n=4$) 36%, т. пл. $141,5-142^\circ$ (из водн. сп.). $\text{F}(\text{CH}_2)_5\text{C}(\text{C}_2\text{H}_5)(\text{COOC}_2\text{H}_5)_2$ (VIII) получен аналогично VII, выход 48%, т. кип. $152-153^\circ/12$ мм, n_D^{25} 1,4286. Из VIII синтезирован V ($n=5$), т. пл. $118-118,5^\circ$. Сообщение XIII см. РЖХим, 1958, 14581. С. Иоффе

21545. Токсические фтористые вещества. XV. Некоторые ω -фтор- β -кетостеры и ω -фторкетоны. Фрейзер, Миллингтон, Паттисон (Toxic fluorine compounds. XV. Some ω -fluoro- β -ketoesters and ω -fluoroketones. Fraser R. R., Millington J. E., Pattison F. L. M.), J. Amer. Chem. Soc., 1957, 79, № 8, 1959-1961 (англ.)

Исследованы токсикологич. свойства $\text{F}(\text{CH}_2)_n\text{COCH}_2\text{COOC}_2\text{H}_5$ (I), $\text{FCH}_2\text{CO}(\text{CH}_2)_n\text{CH}_3$ (II), $\text{FCH}_2\text{CO}(\text{CH}_2)_n\text{F}$ (III), $\text{F}(\text{CH}_2)_n\text{COOH}$ (IV), $\text{F}(\text{CH}_2)_n\text{CO}(\text{CH}_2)_n\text{CH}_3$ (V), $\text{F}(\text{CH})_n\text{CO}(\text{CH}_2)_m\text{F}$ (VI) и $\text{F}(\text{CH}_2)_n\text{COC}_6\text{H}_5$ (VII). Токсичность I в зависимости от n изменяется так же, как у эфиров ω -фторкарбоновых к-т. Токсичность II, по видимому, связана с их окислением в ω -фторкетокислоты, а в случае III с образованием $\text{F}(\text{CH}_2)_n\text{COOH}$. Наблюдается повышенная токсичность IV при четных значениях n . Это указывает на то, что в соответствии с правилом Попова, из двух возможных путей расщепления $\text{IV} \rightarrow \text{F}(\text{CH}_2)_n\text{COOH} + \text{HCOOH}$ и $\text{IV} \rightarrow \text{F}(\text{CH}_2)_{n-1}\text{COOH} + \text{CH}_3\text{COOH}$ преобладает последний. Это толкование распространяется и на токсичность V и VI, VII ($n=6, 8, 9$) мало токсичны. Приводятся LD_{50} в мг/кг для мышей внутривенно для I-VI (значения n указаны в скобках): I (1), $\sim 2,5$; (5), 1,3; (6), 67; (9), 1,95; II (4), 60; (5), 8-10; (7), 7,5; III, 0,68; IV (6), 3; (7), 16; (8), 1,2; (9), 11,8; (10), 1,5; V, 4,5; VI (в скобках указаны n, m) (6,5) 2,2; (6,6), 9,6; (9,9), ~ 40 . Для получения I ($n=1$) 0,1 моля $\text{CH}_2(\text{COOH})(\text{COOC}_2\text{H}_5)$ добавляют за 2 часа при $< 30^\circ$ к р-ру 0,15 моля дигидропирана в 100 мл C_6H_6 , подкисленного 2 каплями конц. H_2SO_4 , через 30 мин. добавляют 8 г KOH, перемешивают еще 30 мин., декантируют жидкость, удаляют р-рители в вакууме при $< 30^\circ$, а остаток в 100 мл C_6H_6 добавляют к суспензии 2,3 г Na в 200 мл C_6H_6 при $< 35^\circ$, добавляют 0,1 моля FCH_2COCl в 100 мл C_6H_6 , через 12 час. фильтрат кипятят 2 часа с 10 мл CH_3COOH и 0,5 г n -толуолсульфокислоты, получено 10 г неочищ. I ($n=1$). Для очистки I ($n=1$) растворяют в 50 мл абс. спирта, 75 мл C_6H_6 и 5 мл конц. H_2SO_4 и нагревают 16 час. в аппарате Сокслета (в гильзе 25 г безводн. MgSO_4), выход очищ. I ($n=1$) 35%, т. кип. $78-80^\circ/12$ мм, n_D^{25} 1,4180; 2,4-динитрофенилгидразон, т. пл. $91-91,5^\circ$ (из CH_3OH). I ($n=5$) получен из $\text{F}(\text{CH}_2)_5\text{COCl}$, очищен промыванием р-ра в петр. эфире 10%-ным NaHCO_3 , выход 49%, т. кип. $107^\circ/3$ мм, n_D^{25} 1,4223. I ($n=6$) синтезирован из $\text{F}(\text{CH}_2)_6\text{COCl}$,

выход 43%, т. кип. $122^\circ/1,7$ мм, n_D^{25} 1,4247. I ($n=9$) — из $\text{F}(\text{CH}_2)_9\text{COCl}$, выход 42%, т. пл. $47-47,5^\circ$ (из петр. эф.); фенилпиразолоновое производное, т. пл. $96-96,5^\circ$ (из CH_3OH). Для получения II ($n=4$) добавляют 0,06 моля $n\text{-C}_5\text{H}_{11}\text{COCl}$ к 0,3 моля охлажд. эфир. р-ра CH_2N_2 , перемешивают 2 часа, после удаления эфира остаток в 40 мл эфира медленно добавляют к 5 г безводн. HF, через 12 час. ($\sim 20^\circ$) выливают на 20 г безводн. KF, выход II ($n=4$) 38%, т. кип. $54^\circ/13$ мм, n_D^{25} 1,4048. II ($n=5$), выход 23%, т. кип. $70^\circ/11$ мм, n_D^{25} 1,4112. II ($n=7$), выход 40%, т. кип. $99^\circ/11,5$ мм, n_D^{25} 1,4205. III получен из $\text{F}(\text{CH}_2)_5\text{COCl}$, выход 60%, т. кип. $102-104^\circ/42$ мм, n_D^{25} 1,4115. С. Иоффе

21546. Токсичные фторсодержащие вещества. XVI. ω -Фторкарбоновые кислоты разветвленного строения. Паттисон, Вулфорд (Toxic fluorine compounds. XVI. Branched ω -fluorocarboxylic acids. Pattison F. L. M., Woolford R. G.), J. Amer. Chem. Soc., 1957, 79, № 9, 2308-2311 (англ.)

Получены $\text{F}(\text{CH}_2)_n\text{CH}(\text{CH}_3)(\text{CH}_2)_m\text{COOH}$ (I) и $\text{F}(\text{CH}_2)_n\text{C}(\text{CH}_3)_2\text{CH}_2\text{COOH}$ (II). I ($n=5, 7, 8, m=1$) синтезированы совместным электролизом $\text{F}(\text{CH}_2)_{n-1}\text{COOH}$ (III) с $\text{HOOCCH}_2\text{CH}(\text{CH}_3)\text{CH}_2\text{COOCH}_3$ (IV). Для получения II подвергают электролизу III ($n=4$) с $\text{HOOCCH}_2\text{C}(\text{CH}_3)_2\text{CH}_2\text{COOCH}_3$ (V). Синтез I ($n=7, m=2$) проводят из $\text{F}(\text{CH}_2)_7\text{CHCH}_3\text{CH}_2\text{COCl}$ (VI) и CH_2N_2 . I с четными значениями n токсичны независимо от числа m . Предлагается окислительный механизм распада I, при котором в случае нечетных значений m образуются ω -фторкарбоновые к-ты с общим содержанием n углеродных атомов. При четных значениях m происходит β -окисление и токсичность полученных продуктов соответствует таковой для неразветвленных к-т состава $\text{F}(\text{CH}_2)_{m+n-1}\text{COOH}$. Приводятся для I значения n, m и LD_{50} в мг/кг для мышей внутривенно: 5, 1, 118; 7, 1, 65; 8, 1, 2,42; 7, 2, 52; 8, 8, 2,7 (Na-соль); для II 121. I ($n=5, m=1$) получена электролизом 0,167 моля III ($n=4$), 0,334 моля IV в 70 мл CH_3OH и 0,025 моля Na в течение ~ 10 час. при 1,7 а, разбавляют водой, подкисляют CH_3COOH , экстрагируют эфиром, остаток после удаления р-рители гидролизуют кипячением 3 часа с 300 мл 10%-ного NaOH, выход 30%, т. кип. $97-98^\circ/0,15$ мм, n_D^{25} 1,4287; выход $\text{F}(\text{CH}_2)_8\text{F}$ (VII) 10%, т. кип. $70^\circ/10$ мм, n_D^{25} 1,3943; выход $(\text{HOOCCH}_2\text{CH}(\text{CH}_3)\text{CH}_2)_2$ (VIII) 36%, т. кип. $172-174^\circ/0,4$ мм, т. пл. $87-90^\circ$. Подвергают электролизу 4,5 часа смесь 0,081 моля III ($n=6$), 0,163 моля IV и 12 ммоль Na в 70 мл CH_3OH , выход 42%, т. кип. $120-121^\circ/0,5$ мм, n_D^{25} 1,4392; выход $\text{F}(\text{CH}_2)_{12}\text{F}$ 20%, т. кип. $120^\circ/10$ мм, n_D^{25} 1,4177, выход VIII 35%. I ($n=8, m=1$) и I ($n=8, m=8$) получены по описанному методу (РЖХим, 1958, 1390), метиловый эфир I ($n=8, m=1$), выход 92%, т. кип. $95,5-96^\circ/0,2$ мм, n_D^{25} 1,4330. II получен электролизом 0,167 моля III ($n=4$) и 0,333 моля V (10 час., 70 мл CH_3OH , 25 ммоль Na), выход 30%, т. кип. $124-125^\circ/1$ мм, n_D^{25} 1,4340; выход VII 10%, выход $(\text{HOOCCH}_2\text{C}(\text{CH}_3)_2\text{CH}_2)_2$ 38%, т. пл. $169-170^\circ$. Из 29 ммоль I ($n=7, m=1$) и 40 ммоль SOCl_2 (2 часа, 100°) получают VI, выход 81,5%, т. кип. $112-114^\circ/1,5$ мм, n_D^{25} 1,4410. Добавляют р-р 24 ммоль VI в 25 мл эфира к охлажд. эфирному р-ру 0,14 моля CH_2N_2 , перемешивают 3 часа при 0° и 3 часа при $20-25^\circ$, после удаления эфира остаток растворяют в 100 мл диоксана и добавляют к смеси 2 г Ag_2O , 5 г Na_2CO_3 и 3 г $\text{Na}_2\text{S}_2\text{O}_3$ в 200 мл воды при 70° , поддерживают эту т-ру 2 часа с периодич. добавкой Ag_2O , нагревают 10 час. при 90° , выход I ($n=7, m=2$) 27%, т. кип. $150-151^\circ/0,2$ мм, n_D^{25} 1,4393. С. Иоффе

21547. Токсичные фторсодержащие вещества. XVII. Некоторые 1-фторалканы, ω -фторалкены и ω -фтор

АЛКИНЫ. Паттисон, Норман (Toxic fluorine compounds. XVII. Some 1-fluoroalkanes, ω -fluoroalkenes and ω -fluoroalkynes. Pattison F. L. M., Norman J. J., J. Amer. Chem. Soc., 1957, 79, № 9, 2311—2316 (англ.))

Описано получение $\text{CH}_3(\text{CH}_2)_n\text{F}$ (I), $\text{F}(\text{CH}_2)_n\text{CH}=\text{CH}_2$ (II), $\text{F}(\text{CH}_2)_n\text{C}\equiv\text{CH}$ (III). I синтезированы из алкилхлоридов или бромидов и KF в диэтиленгликоле (IV) (метод А) или из $\text{CH}_3\text{SO}_2\text{OR}$ и KF (метод Б). Установлена высокая токсичность I с четным числом атомов C. Приводятся для I значения λ , метод синтеза, выход в % (в скобках), LD_{50} в мг/кг на мышах внутривенно: 5, А (52), Б (67), 1,7; 6, А (39), 35; 7, А (48), 2,7; 8, А (31), 21,7; 9, Б (48), 1,7; 10, А (66), 15,5; 11, А (57), 2,5. Из ω -галогалдалкенов и безводн. KF в IV получены следующие II (приводятся значения λ , выход в %, т. кип. в °C/мм, n_D^{25} , LD_{50}): 3, 42, 61—62/745, 1,3748, 5,4; 4, 40, 91,5/740, 1,3874, 2,8; 9, 46, 84—85/11, 1,4236, 9,3. Для следующих в-в приводятся выход в %, т. кип. в °C/мм, n_D^{25} , LD_{50} : $\text{F}(\text{CH}_2)_n\text{CH}=\text{CH}_2$ (V), 60, 73/740, 1,3670, 6,1; $\text{FCH}_2\text{CH}(\text{OH})\text{CH}_2\text{OH}$ (VI), 76, 100—101/10, 1,4220, 16,8; $\text{F}(\text{CH}_2)_n\text{CH}(\text{OH})\text{CH}_2\text{OH}$, —, —, —, т. пл. 42—43°, 1,75; $\text{FCH}_2\text{CH}(\text{OH})\text{COOC}_2\text{H}_5$ (VII), 36, 74/12, 1,4076, > 100; 3,5-динитробензоат, т. пл. 91—91,5° (из сп.). III получают действием $\text{HC}\equiv\text{CNa}$ на ω -фторалкилбромиды или йодиды (метод В) или действием KF на ω -хлоралкины (метод Г). Приводятся для III значения λ , метод синтеза, выход в % (в скобках), т. кип. в °C/мм, n_D^{25} , т. пл. в °C Hg-солей (из сп.), LD_{50} : 3, В (—), выделена только Hg-соль, т. пл. 118,5—119°; 4, В (89), Г (57), 106—106,5/745, 1,4058, 81—81,5, 5,7; 5, В (53), 131—131,5/748, 1,4103, ~ 15°, т. пл. Cu-соли 122—123,5° (из ацетона), 53; 6, В (63), 77—78/50, 1,4165, 66,5—67, 7,5; 7, Г (26), 66—66,5/12, 1,4192, 54,5—55, 79. $\text{F}(\text{CH}_2)_n\text{C}\equiv\text{CH}$ (VIII), т. кип. 87—88°/742 мм, n_D^{25} 1,3884; $\text{FCH}_2\text{C}\equiv\text{CCH}_2\text{Cl}$ (IX), т. кип. 54,5—55°/50 мм, n_D^{25} 1,4455. Для получения I ($n=10$) нагревают 23 часа при 135° смесь 0,26 моля KF, 0,18 моля $\text{C}_{11}\text{H}_{23}\text{Cl}$ и 80 г IV, т. кип. 102—102,5°/23 мм, n_D^{25} 1,4131. Добавляют 0,703 моля $\text{Br}(\text{CH}_2)_9\text{CH}=\text{CH}_2$ к нагретой до 110° смеси 1,05 моля KF и 200 г IV и отгоняют образующийся II ($n=3$). Нагревают 2 часа при 90° смесь 0,18 моля $\text{Br}(\text{CH}_2)_9\text{CH}=\text{CH}_2$, 0,3 моля KF и 70 г IV и отгоняют II ($n=4$) в вакууме. II ($n=9$) получен из 0,28 моля $\text{Br}(\text{CH}_2)_9\text{CH}=\text{CH}_2$, 0,58 моля KF и 80 г IV (6 час., 180°). V получают из 0,37 моля $\text{Cl}(\text{CH}_2)_n\text{CH}=\text{CH}_2$, 1,2 моля KF и 150 г IV (2,5 часа, 115°). Нагревают в автоклаве 8,5 моля этилхлоргидрина и 12,1 моля KF 5,5 часа при 215—225° и получают этилхлоргидрин (X) с выходом 50%. При кипячении 1 час 0,213 моля X, 2 мл 10%-ной H_2SO_4 и 16 мл воды образуется VI. 0,76 моля X добавляют 15 мин. к нагретой до 100° смеси 20 мл конц. HNO_3 и 58 мл воды, добавляют еще 100 мл конц. HNO_3 , нагревают 3 часа, через 12 час. (~ 20°) после отгонки воды и HNO_3 в вакууме добавляют 1 л горячей воды и 70 г CaSO_3 , фильтруют при 60°, подкисляют фильтрат 100 мл конц. HCl и экстрагируют эфиром VII. Добавляют по каплям 0,5 моля $\text{F}(\text{CH}_2)_4\text{I}$ к $\text{HC}\equiv\text{CNa}$ (из 0,56 моля Na), через 5 час. добавляют 50 мл NH_4OH и 1 л воды, экстрагируют эфиром III ($n=4$). К смеси 0,9 моля KF и 200 г этиленгликоля при 120° добавляют по каплям 0,36 моля $\text{Cl}(\text{CH}_2)_9\text{C}\equiv\text{CH}$ и выделяют III ($n=4$). Действием SOCl_2 на р-р $(\text{HOCH}_2\text{C}\equiv)_2$ в NC_5H_5 при ~ 20° получен $\text{Cl}(\text{CH}_2)_9\text{C}\equiv\text{CH}$ (XI) с выходом 85%, т. кип. 50—60°/13 мм, n_D^{25} 1,5040. К смеси 0,6 моля KF и 200 г этиленгликоля при 120° добавляют 0,41 моля XI, получено 0,75 г VIII и 0,5 г IX. С. Иоффе

21548. Синтез диэтиламиноэтанола, меченного радиоуглеродом C^{14} в одной из этильных групп. Дашкевич Л. В., Ж. общ. химии, 1957, 27, № 10, 2874—2875

75 г лед. $\text{CH}_3\text{COOH} + \text{CH}_3\text{C}^{14}\text{OOH}$ (радиоактивность 10 мкюри) нагревают с избытком $(\text{NH}_4)_2\text{CO}_3$ 1 час до слабого кипения, при 210—216° перегоняют $\text{CH}_3\text{C}^{14}\text{ONH}_2$ (I). После нагревания смеси 35 г I и 52 г P_2O_5 и насыщения K_2CO_3 получают $\text{CH}_3\text{C}^{14}\equiv\text{N}$ (II), т. кип. 81—82°. 13 г II в 180 мл безводн. спирта восстанавливают металлич. Na, $\text{CH}_3\text{C}^{14}\text{H}_2\text{NH}_2$ (III) улавливают конц. HCl, выход хлоргидрата III 13 г. При взаимодействии III с избытком $\text{C}_2\text{H}_5\text{Br}$ получают 6 г $\text{CH}_3\text{C}^{14}\text{H}_2\text{NHC}_2\text{H}_5$ (IV), т. кип. 56—58°. IV и 6,5 г этиленхлоргидрина нагревают 3 часа, после охлаждения прибавляют KOH, эфиром извлекают $\text{CH}_3\text{C}^{14}\text{H}_2\text{N}(\text{C}_2\text{H}_5)\text{CH}_2\text{CH}_2\text{OH}$, выход 6,5 г, т. кип. 57—58°/14—15 мм, радиохим. выход 5—6%. Т. Шаткина

21549. Полициклические ароматические углеводороды, меченные C^{14} . Часть I. Синтезы антрацена-[9- C^{14}] и некоторых метилазамещенных антраценов. Катч, Эванс (^{14}C -labelled polycyclic aromatic hydrocarbons. Part I. The synthesis of [9- ^{14}C] anthracene and some methylsubstituted anthracenes. Catch J. R., Evans E. A., J. Chem. Soc., 1957, June, 2787—2789 (англ.))

Описаны новые методы синтеза антрацена-[9- C^{14}] (I), 9-метилантрацена-[9- C^{14}] (II), 1-метилантрацена-[10- C^{14}] (III), 2-метилантрацена-[9- C^{14}] (IV) и 2-метилантрацена-[10- C^{14}] (V). К р-ру $\text{C}_6\text{H}_5\text{MgBr}$ (из 1,3 г Mg и 8 г $\text{C}_6\text{H}_5\text{Br}$) в 30 мл эфира прибавляют 9 г о-бромбензальдегида (VI) в 25 мл безводн. эфира, перемешивают 30 мин., обрабатывают избытком насыщ. р-ра NH_4Cl , водн. слой экстрагируют эфиром, экстракт упаривают, остаток растворяют в 150 мл лед. CH_3COOH , добавляют 3 г J_2 , 3 г красного P и 15 мл воды, смесь кипятят 24 часа, фильтруют, разлагают льдом, нейтрализуют 10%-ным р-ром NaOH, навлекают эфиром о-бензилбромбензол (VII), выход 62%, т. кип. 82°/10—3 мм, n_D^{25} 1,6060. К р-ру о- $\text{CH}_3\text{C}_6\text{H}_4\text{MgBr}$ (из 0,72 г Mg и 5 г о-бромтолуола) в 25 мл эфира прибавляют по каплям 5 г VI в 25 мл эфира, отделяют вторичный спирт, восстанавливают 2 г красного P и 2 г J_2 , как описано выше, выход о-бром-2-метилбензилбензола (VIII) 71%, т. кип. 105°/10—2 мм, n_D^{25} 1,6047. Из 5 г VI и п- $\text{CH}_3\text{C}_6\text{H}_4\text{MgBr}$ получают также о-бром-4-метилбензилбензол (IX), выход 64%, т. кип. 103—104°/10—4 мм, n_D^{25} 1,6002; а из 4 г VI и м- $\text{CH}_3\text{C}_6\text{H}_4\text{MgBr}$ о-бром-3-метилбензилбензол (X), выход 67%, т. кип. 103—104°/10—3 мм, n_D^{25} 1,6016. В р-р Гриньяра (из 0,8 г VII, 85 мг Mg и 15 мл эфира), замороженного жидким N_2 и выдержанного в вакууме 15 мин., пропускают C^{14}O_2 (из 0,564 г $\text{BaC}^{14}\text{O}_3$, радиоактивность а 1 мкюри), через 30 мин. (20°) вновь замораживают, перемешивают 15 мин. при 20°, прибавляют 15 мл воды и подкисляют конц. HCl, водн. слой извлекают эфиром, эфирный р-р экстрагируют 2 н. NaOH, щел. р-р подкисляют конц. HCl, выход о-бензилбензойной- C^{14} к-ты (XI) 95% (А), т. пл. 115—116° (из водн. сп.), из маточного р-ра после добавления 200 мг нерадиоактивной XI получают 270 мг XI (Б). В р-р Гриньяра (из 1,85 г VIII и 0,18 г Mg) конденсируют C^{14}O_2 (из 0,985 г $\text{BaC}^{14}\text{O}_3$, а 150 мкюри), как описано выше, выход о-2-метилбензилбензойной- C^{14} к-ты (XII) 100%, т. пл. 116—119°. Также из IX и X соответственно получают о-4-метилбензилбензойную- C^{14} к-ту (XIII), выход ~ 100%, т. пл. 127—129°, и о-3-метилбензилбензойную- C^{14} к-ту (XIV), выход 93%, т. пл. 101—102° (из водн. сп.). 570 мг XI А обрабатывают безводн. фторидом (8—10 мл), через 10 мин. выливают на лед, выход антрацена-9- C^{14} (XV) (А) 90%, т. пл. 154—155°; из 220 мг XI Б получают 99% XV (Б). 150 мг XV А кипятят 3 часа с 1 г Zn-пыли, 10 мл 2 н. NaOH и 5 мл толуола, водн. слой экстрагируют бензолом, выход I 73,5%, т. пл. 214—215° (из толуола), а 400 мкюри/ммоль; из 200 мг XV Б получают 75 мг I, т. пл. 215°, а 48,6 мкюри/

/ммоль. 1,2 г XII перемешивают в 30 мл безводн. HF 30 мин., продукт циклизации отделяют, как описано выше, восстанавливают 5 г Zn-пыли, 50 мл 5 н. NaOH и 25 мл толуола (кипчение, 6 час.), выход III 0,57 г, т. пл. 84–85° (из CH_3OH), а 31 мкюри/ммоль. Также из 1,2 г XIII получают IV, после сублимации в вакууме выход 52%, считая на C^{14}O_2 , т. пл. 204–205°, а 30 мкюри/ммоль, и из XIV получают V, выход 25%, т. пл. 204–205°, а 30 мкюри/ммоль. К р-ру CH_3MgI (из 72 мг Mg и 430 мг CH_3I) в 10 мл эфира прибавляют 100 мг XV A в 5 мл бензола, кипятят 3–4 часа, охлаждают, прибавляют избыток 50 об.-% ной HCl, водн. слой экстрагируют бензолом, получают 70% II, т. пл. 77–79° (из водн. сп.), а 414 мкюри/ммоль.

Т. Шаткина

21550. Полициклические ароматические углеводороды, меченные C^{14} . Часть II. Синтезы 1,2-бензантрацена и некоторых метилазамеченных бензантраценов- C^{14} . Эванс (^{14}C -labelled polycyclic aromatic hydrocarbons. Part II. The synthesis of 1:2-benzanthracene and some methyl-substituted ^{14}C -benzanthracenes. Evans E. A.), J. Chem. Soc., 1957, June, 2790–2796 (англ.)

Синтезированы 1,2-бензантрацен-[9- C^{14}] (I), 1,2-бензантрацен-[10- C^{14}] (II), 5-метил-1,2-бензантрацен-[9- C^{14}] (III) и 9,10-диметил-1,2-бензантрацен-[9- C^{14}] (IV) из C^{14}O_2 . 50 г 1-бром-2-метилнафталина (получение см. Hall, Mitchell, J. Chem. Soc., 1951, 1375), 40 г N-бромсукцинимид и 0,5 г перекиси бензоила в 100 г CCl_4 нагревают в токе N_2 2 часа, прибавляют 50 мл CCl_4 , выход 1-бром-2-бромметилнафталина (V) 53 г, т. пл. 107–108°, 40 г V в 100 мл кипящей лед. CH_3COOH обрабатывают 20 г гексаметилентетрамина, нагревают ~ 30 сек., прибавляют 75 мл воды, выход 1-бромнафталяльдегида-2 (VI) 15,5 г, т. пл. 147–148° (из CH_3COOH). Взаимодействием VI с $\text{C}_6\text{H}_5\text{MgBr}$ получают 2-бензил-1-бромнафталин (VII), т. кип. 136–138°/10–4 мм, т. пл. 39–40°, n_D^{20} 1,6690. Из VII, Mg, CH_3I и кристаллика J_2 в эфире получен реактив Гриньяра, который карбоксилированием C^{14}O_2 превращают в 2-бензилнафтойную- C^{14} к-ту (VIII). Последнюю циклизуют действием безводн. HF и восстанавливают 2 н. NaOH до I, радиоим. выход 83%, т. пл. 157–158° (из CH_3OH), радиоактивность а 0,96 мкюри/ммоль. Аналогично из 1,2'-бромбензилнафталина получают II, выход 24%, т. пл. 153–154°, а 104 мкюри/ммоль; а из 1-бром-2,2'-метилбензилнафталина — III, выход 59%, т. пл. 152–153°, а 1,1 мкюри/ммоль. VIII превращен в 1,2-бензантрон-10 (IX) (см. пред. реф.). Р-р 240 мг IX (а ~ 1 мкюри) в 10 мл лед. CH_3COOH нагревают до кипения, прибавляют 6 мл 30%-ной H_2O_2 , кипятят 5 мин., разбавляют 15 мл воды, выход 1,2-бензантрахинона-[9- C^{14}] (X) 200 мг, т. пл. 165–166° (из CH_3COOH). К р-ру CH_3MgI (из 1,2 г Mg и 8 г CH_3I) в 15 мл эфира прибавляют 720 мг X в 5 мл бензола, нагревают 30 мин., оставляют на 18 час. при 2° в атмосфере N_2 , выливают при 0° в р-р 12 мл HI (d 1,7) в 35 мл CH_3OH , прибавляют 35 мл лед. CH_3COOH , осадок растворяют в 40 мл диоксана с 2 мл конц. HCl, прибавляют 8 г SnCl_2 в 30 мл диоксана с 20 мл конц. HCl, после 5 мин. кипячения р-р оставляют на 30 мин., прибавляют ~ 250 мл воды, выдерживают при 0° 2–3 часа, выход IV 330 мг, радиоим. выход 18%, т. пл. 122–123°, а 124 мкюри/ммоль. Описан синтез IV из I с таким же выходом. Приведен также синтез I из нафталяльдегида-[1- C^{14}] через 1-(а-окс-2-метилбензил)-нафталин с радиоим. выходом 6% и попытка синтеза I из тетралона-1.

Т. Ш.

21551. Полициклические ароматические углеводороды, меченные C^{14} . Часть III. Синтезы 1:2-5:6-дибензантрацена-[9- C^{14}]. Катч, Эванс (^{14}C -labelled polycyclic aromatic hydrocarbons. Part III. The synthesis of 1:2-5:6-[9- C^{14}] dibenzanthracene. Catch

J. R., Evans E. A.), J. Chem. Soc., 1957, June, 2796–2800 (англ.)

К 5 г LiAlH_4 в 300 мл эфира прибавляют по каплям (перемешивание) 25 г нафталяльдегида-1 в 25 мл безводн. эфира, избыток LiAlH_4 разлагают водой, добавляют избыток 25 об.-% H_2SO_4 , эфирный р-р упаривают в вакууме, выход 1-нафтилметилового спирта (I) 23 г, т. пл. 63–64° (из бал.-циклогексана). 18 г I в 150 мл C_6H_6 нагревают при 55° 2 часа с 9,5 мл PBr_3 + 2 капли пиридина, прибавляют лед, из органич. фракции получают 1-бромметилнафталин (II), выход 18 г, т. пл. 54–55° (из петр. эф.). К р-ру Гриньяра (из 1,6 г Mg и 13 г II) в 100 мл эфира прибавляют 14 г 1-бромнафталяльдегида-2 в 100 мл C_6H_6 , кипятят 5 час., прибавляют избыток насыщ. р-ра NH_4Cl , р-рителем отгоняют в вакууме, остаток в 150 мл лед. CH_3COOH нагревают 24 часа с 3 г P, 3 г J_2 и 25 мл воды, охлаждают, фильтрат нейтрализуют 10%-ным NaOH, экстрагируют эфиром, эфирный р-р извлекают петр. эфиром и хроматографируют на Al_2O_3 , выход 1-бром-2,1'-нафтилметилнафталина (III) 10 г, т. пл. 96–97° (из петр. эф.). В р-р Гриньяра (из 0,13 г Mg и 1,5 г III) в 20 мл эфира конденсируют C^{14}O_2 (из 0,394 г $\text{BaC}^{14}\text{O}_3$, а 46 мкюри), выход 2,1'-нафтилметилнафтойной-1- C^{14} к-ты (IV) 98%, т. пл. 191–192° (из бал.-циклогексана). Приведен метод получения IV из $n\text{-C}_4\text{H}_9\text{Li}$ и III, выход 67%, 1,2-4,5-дибензантрацен-[9- C^{14}] (V) получают из IV по описанному методу (см. сообщение I), после хроматографии на Al_2O_3 выход V 35%, т. пл. 259–281° (из бал.- CH_3OH). Приведены $\lambda_{\text{макс}}$ в УФ-свете для V. Описаны попытки синтеза V из тетралона-1 и нафталяльдегида- C^{14} .

Т. Шаткина

21552. Синтезы меченного 6-азаурацила и 6-азатимина. Моравек (Syntheses of labelled 6-azauracil and 6-azathymine. Morávek J.), Chemistry and Industry, 1957, № 42, 1387–1388 (англ.)

Описана схема синтеза азаурацила-[4,5- C^{14}] (I) и азатимина-[4- C^{14}] (II). Щавелевую-[1,2- C^{14}] к-ту восстанавливают до глиоксиловой-[1,2- C^{14}] к-ты (III) (см. Murtagh и др., J. Amer. Chem. Soc., 1952, 74, 2405); циклизацией III с тиосемикарбазоном получают тиоазаурацил-[4,5- C^{14}], который обработкой кипящей SiCH_2COOH переводят в I, выход 40–50%, радиоактивность 1 мкюри/ммоль. Аналогично получают II из пировиноградной-[1- C^{14}] к-ты. Дополнительное кол-во I или II получают из маточных р-ров хроматографированием на целлюлозе с последующим вымыванием $\text{C}_6\text{H}_5\text{OH}$, насыщ. водой.

Т. Шаткина

21553 К. Некоторые вопросы химии и токсического действия органических соединений, содержащих фосфор и фтор. Сондерс (Some aspects of the chemistry and toxic action of organic compounds containing phosphorus and fluorine. Saunders Bernard Charles. Cambridge, Univ. Press, 1957, XVI, 231 pp., ill., 32 sh. 6 d) (англ.)

21554 Д. Борорганические соединения ацетилена. Бирр (Über organische Borverbindungen des Acetylen. Birr Karl-Heinz. Diss., Naturwiss.-phil. Fak. Techn. Hochsch., Braunschweig, 1957, 32 S.), Dtsch. Nationalbibliogr., 1957, B, № 17, 1315 (нем.)

См. также разделы Промышленный органический синтез и Промышленный синтез красителей и рефераты: Соединения алифатич. 20865, 21333, 22440, 22449; алициклич. 20395, 20722, 22455, 22456, 22461, 22462; ароматич. 20378, 20780, 21315, 21323, 22443, 22448, 22450–22454, 22457–22460, 22552, 22590; гетероциклич. 20379, 20422, 20781, 22442, 22444, 22445, 22447, 22464–22467, 22469–22471, 22606–22608; элементоорганич. 20865, 20885, 22508, 22515, 22557

ПРИРОДНЫЕ ВЕЩЕСТВА И ИХ СИНТЕТИЧЕСКИЕ АНАЛОГИ

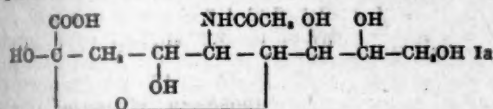
Редакторы Л. Д. Бергальсон, М. М. Богачиник,
А. Д. Кузовков, В. В. Некрасов, И. В. Торгов,
Л. М. Уткин, В. В. Шпанов

21555. Новые наблюдения над окислением инозита молочной кислотой. Флери, Ле-Дизе (Nouvelles observations sur l'oxydation de l'inosite par l'acide periodique. Fleury Paul, Le Dizet L. M-me), Bull. Soc. chim. biol., 1955, 37, № 11, 1099—1113 (франц.)

Изложены результаты опытов по окислению инозита HIO_4 . Показано, что гликолевая к-та при этом образуется в меньших кол-вах, чем это было сообщено ранее (Fleury Paul, Ann. pharm. franc., 1947, 5, 209). Найден, что в качестве промежуточного продукта при окислении образуется глиоксиловая к-та. Это наблюдение позволяет авторам предложить новую схему выделения CO_2 во время р-ции.

21556. Конфигурация лактаминной кислоты. Кун, Вросмер (Die Konfiguration der Lactaminsäure. Kuhn R., Wrossmer R.), Angew. Chem., 1957, 69, № 16, 534 (нем.)

р-(-)-Лактаминная к-та (I) при р-ции с $\text{C}_2\text{H}_5\text{SH}$ и HCl превращается в этилмеркаптал γ-лактона (II), т. пл. 124—125°, $[\alpha]^{25}_D - 83^\circ$ (с 1; CH_3OH). Левое вращение II указывает на L-расположение OH у $\text{C}_{(4)}$. Мутаротация I от $[\alpha]^{25}_D - 115^\circ$ до -24° (в диметил-



сульфониде за 30 мин.) указывает на L-расположение OH у $\text{C}_{(2)}$. На основании имеющихся данных (РЖХим, 1958, 11406; РЖХимБх, 1958, 4103) β-I имеет строение Ia.

21557. Ангидросахара. IV. 2,3-ангидро-α- и β-D-метил-лисометилозиды. Чжан Пан, Лю Юй-тин (内酯糖的研究. IV. 2,3-内酯-5-去氧-α-和β-D-来麻糖甲基-糖, 劉育亭), 化學學報, Хуасюэ сюэбао, Acta chim. sinica, 1957, 23, № 1, 68—75 (кит.; рез. англ.)

IV. Синтезирован ряд производных 2,3-ангидро-D-метил-лисофуранозидов (V). Смесь α-V и β-V превращают в 5-л-толуолсульфо-α-V, выход 61%, т. пл. 80—81°, $[\alpha]^{25}_D + 24,5^\circ$ (с 1,0; CHCl_3), и в 5-л-толуолсульфо-β-V, выход 78%, т. пл. 76—77°, $[\alpha]^{25}_D - 89^\circ$ (с 1,0; CHCl_3), из которой получены 5-деокси-5-йод-α-V, выход 73,2%, т. пл. 77—78°, $[\alpha]^{25}_D + 70^\circ$ (с 1,0; CHCl_3), и 5-деокси-5-йод-β-V, выход 71%, т. пл. 62—64°, $[\alpha]^{25}_D - 113^\circ$ (с 1,0; CHCl_3). Из последних соединений получают 2,3-ангидро-α-D-метил-лисометилозид (α-VI), выход 42,3%, т. кип. 61—68°/7—8 мм, $[\alpha]^{25}_D + 55,5^\circ$ (с 1,0; CHCl_3), и (β-VI), выход 45%, т. кип. 72—82°/8—9 мм, $[\alpha]^{25}_D - 28^\circ$ (с 1,0; ?). В процессе исследования получены также известные 2-л-толуолсульфо-3,5-изопронилиден-α-D-метил-лисофуранозид (α-VII), т. пл. 82—83°, $[\alpha]^{25}_D + 70^\circ$ (с 1,0; CHCl_3), и +83° (с 1,0; CHCl_3), и (β-VII), т. пл. 121—122°, $[\alpha]^{25}_D - 56^\circ$ (с 1,0; CHCl_3) и -50° (с 1,0; CHCl_3). При гидролизе α-VII выделен 2-л-толуолсульфо-α-D-метил-лисофуранозид, т. пл. 93—94°, $[\alpha]^{25}_D + 120^\circ$ (с 0,5; CHCl_3). Сообщение III см. РЖХим, 1958, 14595.

Резюме авторов

21558. Некоторые производные D-глюкозамина и жирных кислот. Иноуэ, Онодера, Китаока, Хирано (Some fatty acid derivatives of D-glucos-

amine. Inouye Yoshiyuki, Onodera Koshin, Kitaoka Shozaburo, Hirano Shigehiro), J. Amer. Chem. Soc., 1956, 78, № 18, 4722—4724 (англ.)

Из D-глюкозамина (I) и ангидридов (II) и хлорангидридов (III) предельных жирных к-т с четным числом C-атомов получены N-ацил-D-глюкозамины (IV) и N-ацетилтетра-O-ацил-D-глюкозамины (V): A — действием II на I в CH_3OH ; B — действием смешанного уксусно-масляного ангидрида на I в CH_3OH ; B — действием III в NaOH на I в воде; Г — из II и I в $\text{C}_6\text{H}_5\text{N}$; Д — из II и хлорангидрата I (VI) в $\text{C}_6\text{H}_5\text{N}$; Е — из III и VI в $\text{C}_6\text{H}_5\text{N}$ и CHCl_3 ; Ж — из III и I в $\text{C}_6\text{H}_5\text{N}$ и CHCl_3 ; З — из II и IV в $\text{C}_6\text{H}_5\text{N}$; И — из III и IV в $\text{C}_6\text{H}_5\text{N}$ и CHCl_3 . Получены следующие соединения (в-во, метод получения, выход в %, т. пл. °C, $[\alpha]_D$): IV, N-ацетил, A, колич., 208, +40,5° (вода); B-бутироил, A, B, колич., 212, +149° ($\text{C}_6\text{H}_5\text{N}$); B-каприлоил, A, B, колич., 215, +129° ($\text{C}_6\text{H}_5\text{N}$); B-каприноил, A, B, колич., 217—218, +114° ($\text{C}_6\text{H}_5\text{N}$); B-каприноил, A, B, колич., 212—213, +100° ($\text{C}_6\text{H}_5\text{N}$); B-лауроил, A, B, колич., 208—209, +98° ($\text{C}_6\text{H}_5\text{N}$); B-миристоил, A, B, колич., 198, +79° ($\text{C}_6\text{H}_5\text{N}$); B-пальмитоил, A, B, колич., 202—203, +79° ($\text{C}_6\text{H}_5\text{N}$); B-стеарилоил, A, B, колич., 194—195, +78° ($\text{C}_6\text{H}_5\text{N}$); V-пентаацетил, Д, 3, —, 138—139, +92° (хлф.); пентабутироил, Г, 3, 71, сироп, +30° (хлф.); пентакаприлоил, Г, Ж, И, 63, сироп, +23° (хлф.); пентакаприноил, Ж, И, —, сироп, +21° (хлф.); пентакаприноил, Ж, И, 23, 97—100, +9° (хлф.); пенталауроил, Ж, 40, 97—98, +14° (хлф.); пентамиристоил, Е, 74, 82—83, +8° (хлф.); пентастеарилоил, Е, 66, 75—76, +9° (хлф.); N-ацетилтетра-O-каприноил, И, —, сироп, +17° (хлф.); N-каприноилтетра-O-ацетил, З, —, сироп, +51° (хлф.); N-ацетилтетра-O-лауроил, И, 88, 84—86, +10° (хлф.); N-ацетилтетра-O-пальмитоил, И, 92, 80—84, +16° (хлф.); N-каприноилтетра-O-пальмитоил, И, 90, 63—64, +14° (хлф.); N-стеарилоилтетра-O-каприноил, И, —, 53—54, +12° (хлф.).

А. Юркевич

21559. Изучение аминокетоз. IV. N-деацилирование гидразинном и дезаминирование азотистой кислотой — ключ к структуре аминополисахаридов. Мацусима, Фудзиси (Studies on aminohexoses. IV. N-Deacetylation with hydrazine and deamination with nitrous acid, a clue to the structure of aminopolysaccharides. Matsushima Yoshio, Fujii Noriko), Bull. Chem. Soc. Japan, 1957, 30, № 1, 48—50 (англ.)

Установление 2:5-ангидроманиозной структуры дифенилгидразона, полученного из продуктов дезаминирования хитозана, указывает на наличие хитозы в этих продуктах, на основании чего авторы предлагают схему процесса дезаминирования, при котором происходит внутримолекулярная перегруппировка и образование очень лабильных 2:5-полуацеталей. Для деацилирования амидных групп в полисахаридах был применен метод гидразинолиза (Akabori и др., Bull. Chem. Soc. Japan, 1952, 25, 214). 4,57 г Ва-хондритинсульфата нагревают с 11,1 г безводн. гидразина (10 час., 100°), избыток последнего удаляют в вакууме, растворяют в 20 мл воды, очищают диализом, из р-ра получено 0,5 г в-ва; к 0,4 г его в 4,6 мл воды добавляют р-р 0,87 г AgNO_3 и 3,4 мл 1 н. HCl , выдерживают (24 часа, 20°), осаждают Ag^+ и разлагают избыток HNO_3 мочевиной, доводят pH до 5,8, р-р концентрируют и хроматографируют на бумаге с р-рителем бутанол-спирт-вода-уксусная к-та (35:35:30:10). Хроматограммы проявляются реактивами кетоз-резорцин- HCl и мочевины- HCl , что указывает на 2:5-ангидрокетозную структуру образовавшихся в-в. Сообщение III см. РЖХим, 1955, 9558.

Л. Шаповоский

21560. Синтез некоторых β-D-тиолактозидов. Хельферих, Тюрк (Synthese einiger β-D-Thio-laktoside. Helferich Burckhard, Türk

Dietmar), Chem. Ber., 1956, 89, № 10, 2216—2219 (нем.)

Описан синтез β-D-тиогалактозидов (I) из ацетобромгалактозы (II) и меркаптидов калия в метаноле. Образующийся в результате р-ции тетраацетил-I (III) омылился действием CH_3ONa (IV) в абс. CH_3OH и получили I. Из $\text{CH}_3\text{S}^{35}\text{K}$ получен метил-β-D- S^{35} -тиогалактозид (V). Растворяют 0,01 моля K в 5 мл абс. спирта, прибавляют 0,011 моля меркаптана, смешивают с 0,01 моля II, отделяют KBr, фильтрат выпаривают в вакууме и полученный II обрабатывают 20 мл абс. CH_3OH , в которых растворены 2 капли 2 н. IV (20 час., ~20°); после отгонки р-рителя в вакууме получают I. Получены следующие в-ва (в-во, выход в %, т. пл. в °C, $[\alpha]_D$): *n*-пропил-III, 80, 81, —13,3° (хлф.); *n*-пропил-I, 84, 94—94,5, —30,1° (вода); *n*-бутил-III, 80—85, сироп, —; *n*-бутил-I, колич., 95,5, —28,2° (вода); *n*-гексил-I, колич., 96, —37,3° (CH_3OH); изопропил-I, 84, 109,5—110,5, —31,4° (вода); бензил-III, —, 97,5—98,4, —81,6° (хлф.); бензил-I, 80, 115—115,5, —126,8° (вода); β-фенилэтил-III, —, 53,5—56°, —19,2° (хлф.); β-фенилэтил-I, —, 108°, —32,2° (CH_3OH); циклогексил-I, —, 107,5—108,5, —39,8°, метил-β-D- S^{35} -III, 70, 104—106°, —; V, 95, 170—173° —.

А. Юркевич
21561. Синтез некоторых тиоглюкуронидов. Хельферих, Тюрк, Штёбер (Die Synthese einiger Thioglucuronide. Helferich, Burckhardt, Türk Dietmar, Stoeber François), Chem. Ber., 1956, 89, № 10, 2220—2224 (нем.)

Действием меркаптидов калия (I) на метиловый эфир ацетобромглюкуроновой к-ты (II) получены, после омыления, β-D-тиоглюкурониды (III). Схема превращений: I + II → метиловый эфир триацетил-β-D-тиоглюкуронида (IV) + CH_3ONa → III. Методику см. пред. реф. Получены следующие в-ва (в-во, выход в %, т. пл. в °C, $[\alpha]_D$): метил-IV, 67, 118—119°, —21,8° (хлф.); метил-III, 79, 135,5—136,5°, —57,5° (вода); этил-IV, 60, 106—107, —38° (хлф.); этил-III, 48, 154—155,5, —90,4° (вода); пропил-IV, 40, 95—96, —42,2° (хлф.); пропил-III, 70, 136—139, —84,9° (вода); изопропил-IV, 37, 110—115°, —36,9° (хлф.); фенил-IV, 79, 119,5—120, —22,2° (хлф.); фенил-III, 60, 159, —90,9° (вода); β-оксипропил-IV, 62, 132,5°, —46,4° (хлф.).

А. Юркевич
21562. О селективном окислении меркапталей глюкозы. Готье, Ванискотт (Sur l'oxydation sélective des mercaptals du glucose. Gauthier Bernard, Vaniscotte Christian), Bull. Soc. chim. France, 1956, № 1, 30—35 (франц.)

Синтезированы меркапталы глюкозы: этилен (Ia), 3-оксипропилен-1,2 (Ib), бис-(2-фенилэтил) (Iv), диоктил (Iv) из соответствующих тио- и дитиоспиртов. Окисление I посредством H_2O_2 приводит к образованию дисульфоксидов, KMnO_4 -дисульфонов. Действие Br_2 приводит к элиминированию циклич. дисульфидов и освобождению альдегидной группы. Обработкой (CH_3CO)₂ и $\text{C}_6\text{H}_5\text{N}$ из Ia—г получены пентаацетаты Ia, Ib, Iv (IIa, IIb, IIv) и гексаацетат Ib (IIb). Ia с ($\text{C}_6\text{H}_5\text{CO}$)₂ в $\text{C}_6\text{H}_5\text{N}$ дал пентабензоил-Ia (III). Из 1,2-дихлорэтана и тиомочевины получен дихлоргидрат изотиурониевого производного этандитиола, т. пл. 290°, давшего при гидролизе смесь этандитиолагликоля (IV) и 3-тиапентандитиола-1,5. Из гликоля по методу Франка и Смита (Frank R. L., Smith P. V., J. Amer. Chem. Soc., 1946, 68, 2103) IV получен с выходом 49%, т. кип. 94°/190 мм, 108°/301 мм. Аналогично из фенилэтилового спирта — 2-фенилэтанитиол-1, выход 65%, т. кип. 105°/23 мм, а из октиллового спирта — 70% октантиола-1, т. кип. 94,4—94,6°/25 мм. К р-ру 0,1 моля глюкозы (V) в 20 мл конц. HCl, прибавляют 0,1 моля меркаптана (в случае Ib 0,2 моля, в случаях Ia 2 г ZnCl_2 , а Iv 1 г ZnCl_2 и 2 г CaCl_2) и перемешивают от 2 до 5 час. при

10—15°; получают (указаны в-во, выход в %, т. пл. в °C, $[\alpha]_D$ (т-ра измерения, р-ритель), Ia, 50, 142—10,56 (18°, вода); Ib, 56, 155—156, +13,22 (18° CH_3COOH); Iv, 20, 140,9—114, +5,31 (19° CH_3COOH); IIa, 113,8—114, +4,10 (CH_3COOH). Ацетаты и бензоаты (данные в-во, выход в %, т. пл. в °C, $[\alpha]_D$ (хлф.)): IIa, 98, 100,9—101, +5,03; IIb, 96, 101,3—101,5, +25,05; IIv, 95, —, —; IIg 97, —, —; III, —, 174,5—175,5, +26,18 (ацетон). К р-ру 2 г дибензилмеркаптал в смеси 20 мл CH_3COOH и 20 мл диоксана прибавляют 30%-ную H_2O_2 , некоторое время перемешивают, затем нагревают до кипения, после чего выливают в воду; выход 1,1-бен-(фенилметансульфинил)-1-дезоксиглюкозы 28%, т. пл. 215—217° (из сп.), $[\alpha]_D^{20} + 55,55^\circ$ (CH_3COOH). Р-р I в 12 мл CH_3COOH обрабатывают 5%-ным р-ром KMnO_4 и получают 66% 1,1-ди-(октансульфонил)-1-дезоксиглюкозы, т. пл. 151—152,2° (из сп.), $[\alpha]_D^{20} + 5,47^\circ$ (CH_3COOH), из Iv образуется 61% моносulf-оксид IIa, т. пл. 165,1—165,3° (из сп.), $[\alpha]_D^{20} + 38,83^\circ$ (CH_3COOH), аналогично из IIa образуется моносulf-оксид IIa, выход 49%, т. пл. 150—150,2° (из сп.), $[\alpha]_D^{20} + 1,59$ (хлф.). К р-ру I в 5 мл CH_3COOH прибавляют 4 мл воды и Br_2 , до постоянного желтого окрашивания, образовавшийся дисульфид отделяют с помощью $\text{Ph}(\text{CH}_2\text{COO})_2$ и выделяют 67% альдегида 2,3,4,5,6-пентаацетата V, т. пл. 116,9—117,1°.

А. Юркевич
21563. Исследование некоторых производных цианамидов. 47. Синтез соединений гуанидинов и их производных. IX. Синтез 2-амино-D-аработетраоксибутил-4-изоимидазола. Ода, Кавано (グアニジン化合物の合成的研究. 第9報. D-グルコサミンのグアニジン化による 2-アミノ-D-アラビノテトラヒドロキシブチル-4-イソイミダゾール鹽の形成. 大野賢太郎), 日本化学雑誌, Нихон кагаку дзасси, J. Chem. Soc. Japan Pure Chem. Sec., 1957, 78, № 1, 17—21 (японск.)

Изучена р-ция гуанидирования глюкозамина (I). При использовании S-метилизотиомочевинны р-ция не проходит. Хлоргидрат I реагирует с 1,5 моля цианамидом в водн. р-ре при pH 7 (добавка 5,6 н. NaOH) при 60° (7 час.) с образованием 2-амино-D-аработетраоксибутил-4-изоимидазола (II), выход 38%; пикрат, т. пл. 180° (разл.); хлоргидрат, т. пл. 178° (разл.), $[\alpha]_D^{20} - 26,49^\circ$ (с 2,392); нитрат, т. пл. 137° (разл.), $[\alpha]_D^{20} - 29,22^\circ$ (с 9,283). При 30° (72 часа) р-ция не проходит; при pH 5,8 (80°, 5 час.) или pH 8,3 (55—60°, 5 час.) выход II значительно снижается; р-ция проходит также в отсутствие щел. добавки непосредственно с хлоргидратом I (Ia) (30°, 792 часа или 80°, 5 час.), по-видимому, за счет легкого гидролиза Ia, однако выходы II малы (3,5 соответственно 12,7%). Вопреки данным Миллера (J. Chem. Soc., 1949, 2722) при кипячении 1 моля Ia с 2 молями цианамидом в 60%-ном спирте в течение 5 час. образуется не N'-D-глюкозилбигуанид (III), а O-этилизоомочевина (IV); пикрат, т. пл. 186° (разл.); сульфат, т. пл. 166° (разл.); O-метилизомочевина (V); пикрат, т. пл. 192° (разл.); сульфат, т. пл. 168° (разл.), и II; пикрат, т. пл. 189—190°, выделенный Миллером, является не пикратом III, а по-видимому, пикратом IV или V. Сообщ. VIII см. РЖХим, 1958, 8158. Л. Яновская

21564. О дубильных веществах сосновой коры. V. Окислительное расщепление глюкозида «Е». Грасман, Эндрес, Брокхаус, Меркле (Über die Gerbstoffe der Fichtenrinde. V. Oxydative Spaltung des Glucosides «E». Grassmann Wolfgang, Endres Horst, Brockhaus Rudolf, Merkle Kurt), Chem. Ber., 1957, 90, № 10, 2416—2422 (нем.)

Обе молекулы глюкозы, содержащиеся в глюкозидах «Е», из дубильного в-ва сосновой коры связаны с двумя из пяти ароматич. OH-групп, расположенными в двух ароматич. ядрах, разделенных стильбеновой двойной связью. Окислительное расщепление стильбеновой

связи показывает, что одно из ароматич. ядер входит в состав производного протокатаеховой к-ты, в котором глюкоза связана с ОН при С₍₃₎. Доказано, что в аглюкозе C₁₀H₁₆-10O₅ все 5 ОН обладают фенольным характером. При обработке «Е» CH₃N₂ образуется триметоксис-«Е» (I), при действии динитрофторбензола (ДНФБ) — трис-динитрофенил-«Е» (II). Кислотный гидролиз II с последующей обработкой CH₃N₂ дает трис-динитрофенилдиметоксиглюкозу (III). Обработка гидролизата I ДНФБ дает триметоксис-бис-динитрофенилглюкозу (IV). При окислении KMnO₄ из III получают (C₆H₅(NO₂))₂-C₁₀H₈-3O₃ (CH₃)₂(COOH) (V) и 4-(динитрофенил)-ваниллиновую к-ту (VI). Из II в этих условиях образуются (CH₃)₂-C₁₀H₈-3O₃(C₆H₅(NO₂))₂(COOH) (VII) и 3-(динитрофенил)-изованиллиновая к-та (VIII). 10 г сырого «Е», освобожденного от этилацетата, растворяют в 10 мл воды (100°), пропускают CO₂, содержащего следы SO₂, охлаждают, вводят кристаллик чистого «Е», осадок смешивают с водой (0°), центрифугируют (0°), выход кристаллич. «Е» 35,2%, т. пл. 227°. К р-ру 1 г «Е» в 20 мл теплой воды прибавляют 150 мл 1%-ного р-ра ДНФБ в спирте и 30 мл насыщ. р-ра NaHCO₃; через 3 часа промывают осадок лед. CH₃COOH и спиртом, выход II 80%, т. пл. 155° (из этилацетата-сп.). 1 г II растворяют в 500 мл лед. CH₃COOH (при нагревании), прибавляют 450 мл 2,5%-ной HCl (к-ты), нагревают 3 часа, выход трис-динитрофтор-аглюкона 99% (IX), аморфный. Обработкой р-ра I г IX в 100 мл тетрагидрофурана 100 мл эфириного р-ра CH₃N₂ (из 10 г NH₂CONCH₃ (NO)) получают III, выход 95,3%, т. пл. 200—210° (разл.). К р-ру 500 мг III в 300 мл лед. CH₃COOH прибавляют р-р 300 мг KMnO₄ в 300 мл лед. CH₃COOH, через 10 мин. развешивают MnO₂ и KMnO₄, пиросульфитом натрия, пропаривают р-р выпаривают в вакууме, к остатку прибавляют 10 мл 25%-ной HCl и исчерпывающе извлекают последовательно эфиром, этилацетатом, диоксаном; соединенные экстракты выпаривают в вакууме, остаток сушат над КОН, выход 500 мг. Продукт окисления разделяют на компоненты хроматографией на целите или на основе различной растворимости компонентов. Выделены: VI, выход 79,4%, т. пл. 185° (из эф.), и V, выход 73%, т. пл. 112° (из этилацетата). 800 мг I растворяют в 125 мл CH₃OH, гидролизуют кипячением (5 час.) (без доступа O₂) с 15 мл 10%-ной HCl; выпариванием р-ра получают триметоксиглюкозу (X), выход 97%, стекловидная красная масса. К р-ру 370 мг X в 50 мл спирта прибавляют р-р 1,5 г ДНФБ в 150 мл спирта, 50 мл насыщ. р-ра NaHCO₃, через 3 часа разбавляют 300 мл 2%-ного р-ра NaHCO₃, осадок промывают водой, переосаждают водой из 40 мл ацетона, выход IV 86%, т. пл. 158° (из ацетона). IV окисляют в тех же условиях, что и III, получают VIII, выход 79,9%, т. пл. 160° (из эф.), и VII, выход 94%, аморфный. Ацетилирование X (CH₃CO)₂O в C₆H₅N дает триметоксидиацетилаглюкозу, выход 68,6%, аморфный. Сообщение IV см. РЖХим, 1958, 11504. Е. Алексеева

21565. Строение глюкофруктана из клубней гавайского растения «ti» (*Cordyline terminalis*). Богс, Смит (The constitution of the glucofructan of the tuber of the hawaiian «ti» plant (*Cordyline terminalis*). Boggs L. A., Smith F.), J. Amer. Chem. Soc., 1956, 78, № 9, 1880—1885 (англ.)

Научно строение глюкофруктана (I), [α]_D²⁰ — 37° (с 1,0; вода), выделенного из клубней гавайского растения «ti» (*Cordyline terminalis*). Показано, что в I на 13 остатков D-фруктофуранозы (II) приходится один остаток D-глюкопиранозы (III). После гидролиза метилированного I выделены 4 моля 1,3,4,6-тетраметил-D-фруктозы, 2 моля 1,3,4-триметил-D-фруктозы, 5 молей 3,4,6-триметил-D-фруктозы, 2 моля 3,4-диметил-D-фруктозы и 1 моль 2,3,4-триметил-D-глюкозы. Авторы пред-

лагают структуру I: A—6-(III)-4—2-(II)-1—A, где A = —2-(II)-6—2-(II)-6—2-(II)-1—2-(II)-1—2-(II)-1—2-(II).

А. Юркевич

21566. Углеводы *Gramineae*. IX. Строение глюкофруктана эндосперма пшеницы. Монтомери, Смит (The carbohydrates of gramineae. IX. The constitution of a glucofructan of the endosperm of wheat (*Triticum vulgare*). Montgomery R., Smith F.), J. Amer. Chem. Soc., 1957, 79, № 2, 446—450 (англ.)

Глюкофруктаны (I), выделенные из пшеничной муки экстракцией 70%-ным спиртом, после инактивации фермента кипячением с 82%-ным спиртом очищены через комплексы с Ba(OH)₂ и ацетилированы. Дезацетилированием выделен I с [α]_D²⁰ + 21° (вода). При гидролизе I получена D-глюкоза (12,5%) и D-фруктоза (87,5%). Легкость гидролиза указывает на фуранозную форму D-фруктозы. Ацетат I метилировали диметилсульфатом в среде 30%-ного NaOH, затем CH₃I + Ag₂O, полученный продукт ([α]_D²⁰ — 36° (ацетон), OCH₃ 45,3%) гидролизовали. Хроматографически (на целлюлозе-гидроцеллюлозе) выделены 3,4-диметил-D-фруктоза (II), 1,3,4-триметил-D-фруктоза (III), 1,3,4,6-тетраметил-D-фруктоза (IV) и 2,3,4,6-тетраметил-D-глюкоза (V) в мол. отношениях II:III:IV:V = 2:3:3:1. Так как I не редуцирует, то ему можно приписать строение цепочки фруктофуранозных остатков (ФФО), соединенных в положении β-2 → 6, заканчивающейся остатком сахарозы. К четным ФФО в положении 1 → β-2 присоединены по одному ФФО. Сообщение VIII см. РЖХимБх, 1957, 24982.

Л. Михайлова

21567. Строение внеклеточного полисахарида *Aerobacter aerogenes* A3 (S1) (*Klebsiella* тип 54). Аспиналл, Джеймисон, Уилкинсон (The structure of the extracellular polysaccharide of *Aerobacter aerogenes* A3(S1) (*Klebsiella* Type 54). Aspinall G. O., Jamieson R. S. P., Wilkinson J. F.), J. Chem. Soc., 1956, Sept., 3483—3487 (англ.)

Продолжено изучение внеклеточного полисахарида (I) из *Aerobacter aerogenes* A3 (S1). При частичном гидролизе I получена целлобиоза, что подтверждает наличие в нем 1,4-β-глюкозидной связи. Из метилированного по методу Фир и Мензеса (Fear and Menzies, J. Chem. Soc., 1926, 937) I после гидролиза и хроматографирования на целлюлозном порошке получены вымыванием смесью бензина с бутанолом-1, насыщ. водой (7:3), затем бутанолом-1, насыщ. водой, и, наконец, водой 9 фракций, из которых выделены: 2,3,4,6-тетраметил-D-глюкоза, 2,3-диметил-L-фукоза, неопианная 3,5-диметил-L-фукоза (II), 2-метил-L-фукоза, кроме того, обнаружены следы 2,3,4-триметил-D-глюкозы, 2,3,6-триметил-D-глюкозы, 2,6- и 3,6-диметил-D-глюкозы, 2- и 3-метил-D-глюкозы. Найдена фракция уроновых к-т, которые не могли быть идентифицированы последующим восстановлением LiAlH₄. Высказано предположение, что I является высокооразветвленным полисахаридом с боковыми цепями, присоединенными к остаткам фукозы в положении 3 и 4 (или 5). При окислении I NaJO₄ образуется 1 моль HCOOH на 3 остатка сахара, что указывает на большое содержание невосстанавливающих концевых групп или остатков D-глюкозы (III), связанных 1,6-глюкозидной связью. Культуру выращивали на среде, содержащей III в качестве единственного источника С (рН 7,3), и выделили I по ранее описанному методу (см. РЖХим, 1955, 14718). II выделена из 4-й фракции, т. пл. 118—121°, [α]_D²⁰ — 100° → —89° (24 часа постоянное; с 0,42; вода); окислением II получен 6-дезоксис-3,5-диметилгексолактон (IV), сироп, [α]_D²⁰ 20 + 66° → +51° (7 дней постоянное; с 0,66; вода); IV был превращен в некристаллизующийся амид, который дал положительную р-цию Веермана.

А. Юркевич

21568. Линалилхлорид и его свойства. Пигулевский Г. В., Бакина Л. А., Ж. общ. химии, 1957, 27, № 3, 816—817

Действием PCl_5 на природный *d*-линалоол (I) при -4° выделен линалилхлорид (II), т. кип. $79-80^\circ/6$ мм, $[\alpha]_D^{20} -4,7^\circ$, $n_D^{20} 1,4777$, $d_4^{20} 0,9368$. Нитрозат II получен при действии на охлажд. до -16° смесь 1 г I, 1 г этилнитрита и 1 г CH_3COOH 2 мл р-ра HNO_3 в CH_3COOH (1:1), т. пл. 109° (из хлф.-петр. эф.). К р-ру 21,6 г II в 135 мл спирта при охлаждении добавляют р-р 23,8 г AgNO_3 в 66 г водн. 64%-ного спирта, фильтруют, фильтрат нейтрализуют NaHCO_3 . После перегонки получают 8,66 г *l*-линалоола (III), т. кип. $68-70^\circ/3$ мм, $[\alpha]_D^{20} -3,93^\circ$, $n_D^{20} 1,4630$, $d_4^{20} 0,8664$. Приведены данные о спектрах комб. расс. II и III.

Ж. Красная 21569. О дегидратации под каталитическим влиянием щелочей. I. Новый метод получения алифатических 1,3-диенов терпенового ряда. Олофф (Zur basenkatalysierten Dehydratisierung. I. Eine neue Methode zur Darstellung aliphatischer 1,3-Diene der Terpenreihe. Ohloff Günther), Chem. Ber., 1957, 90, № 8, 1554—1559 (нем.)

При дегидратации в присутствии КОН 3,7-диметил-октадиен-3,6-ол-1 (I) 3-метил-7-метилоктен-6-ол-1 (II), 3-метилгераниол (III) и 3,7-диметил-6-метилоктен-2-ол-1 (IV) дают соответственно аллооцимен (V), мирцен (VI), 3-метилмирцен (VII) и 3,6-диметил-7-метилоктен-1 (VIII). VI получают также дегидратацией гераниола. Диевая конденсация VII и VIII с винилметилкетонем (IX) приводит к 4-(3',4'-диметилпентил-1')-1-ацетилциклогексену-3 (X) и к 4-(3'-метил-4'-метилпентил-1')-1-ацетилциклогексену-3 (XI). Одну часть дегидратируемого спирта в 2 частях CH_3OH добавляют в стальной реакторе со скоростью 80 капель/мин. к 2 частям нагретого до 200° КОН, отгоняя продукт р-ции с такой же скоростью в токе N_2 . Дистиллят разгонкой разделяют на углеводородную и спирт. фракции, последнюю используют для вторичной дегидратации. Этих путем получены: из (30 г) — V, выход 79,4%, т. кип. $73-75^\circ/14$ мм, $d_4^{20} 0,8090$, $n_D^{20} 1,5390$; из II (30 г) — VI, выход 86,8%, т. кип. $64-65^\circ/14$ мм, $d_4^{20} 0,7903$, $n_D^{20} 1,4700$; из III (20 г) — VII, выход 67%, т. кип. $70^\circ/9$ мм, $d_4^{20} 0,8100$, $n_D^{20} 1,4608$; из IV (70 г) — VIII, выход 71%, т. кип. $70^\circ/10$ мм, $d_4^{20} 0,8028$, $n_D^{20} 1,4640$. Аддукт V с малеиновым ангидридом (XII) имеет т. пл. $83-84^\circ$; аддукт VI с XII, т. пл. 35° ; дикарбоновая к-та, т. пл. 130° (из петр. эф.); VII и VIII дают с XII некристаллич. аддукты. 12 г VII и 7 г IX нагревают в присутствии фенил- β -нафтиламина в закрытом сосуде 3 часа до 150° . Разгонкой выделяют X, выход 10 г, т. кип. $136^\circ/0,7$ мм, $d_4^{20} 0,9255$, $n_D^{20} 1,4874$; семикарбазон, т. пл. 169° . Аналогично из 16 г VIII и 10 г IX получают XI, выход 13 г, т. кип. $130-131^\circ/2,5$ мм, $d_4^{20} 0,9225$, $n_D^{20} 1,4850$; семикарбазон, т. пл. 145° ; фенилсемикарбазон, т. пл. $89,5^\circ$. Смесь 60 г 3,6,7-триметилгептадиен-1,7-ола-3, 40 г $(\text{CH}_3\text{CO})_2\text{O}$ и 40 г лед. CH_3COOH кипятят 6 час. Разгонкой выделяют 20 г неочищ. VII и 30 г ацетата III, т. кип. $78-85^\circ/0,5$ мм. Омылением последнего получают III, т. кип. $76-77^\circ/0,3$ мм, $d_4^{20} 0,8895$, $n_D^{20} 1,4805$. Аналогично из 100 г 6-метил-3,7-диметилгептен-1-ола-3 получают 31 г VIII и 52 г IV, т. кип. $75,5-77^\circ/0,3$ мм, $d_4^{20} 0,8784$, $n_D^{20} 1,4727$. В условиях щел. дегидратации спиртов VI не изменяется.

Л. Бергельсон 21570. О побочных продуктах при синтезе сопряженных диенов из третичных этилкарбинолов и ацетоуксусного эфира. Нав, Ардиццо, Вольф (Sur les produits secondaires de la préparation de diénones conjuguées à partir d'éthynyl-carbinols tertiaires et d'esters acétylacétiques. Naves Yves-René, Ardizio Pierre, Wolf Bertrand), C. r. Acad. sci., 1957, 244, № 19, 2393—2396 (франц.)

При синтезе псевдоиона из дегидролиналоола и ацетоуксусного эфира (см. РЖХим, 1956, 6733, 7822) образуется побочно 1-метил-3-изопропилиден-2-(2'-кетобутил)-циклопентен-1 (I), выход 23%, т. кип. $78-79^\circ/1,3$ мм, $n_D^{20} 1,48290$, $d_4^{20} 0,9176$; семикарбазон, т. пл. $137,5-138^\circ$; 2,4-динитрофенилгидразон, т. пл. $88-89^\circ$. Строение I подтверждено озонлизом, ИК- и УФ-спектрами, каталитич. гидрированием (PtO_2 , этилацетат, 20° , 730 мм) до дигидрокетона, т. кип. $89-90^\circ/2,5$ мм, $n_D^{20} 1,46848$, $d_4^{20} 0,9034$; семикарбазон, т. пл. $139,5-140^\circ$; 2,4-динитрофенилгидразон, т. пл. $94-96^\circ$; восстановлением семикарбазона I по Кижнеру до углеводорода $\text{C}_{11}\text{H}_{22}$, т. кип. $57-58^\circ$, $n_D^{20} 1,46870$, $d_4^{20} 0,8307$, гидрирование которого (PtO_2 , CH_3COOH , 60° , 730 мм) привело к 1-метил-3-изопропил-2-н-бутилциклопентану (II), т. кип. $66^\circ/1,8$ мм, $n_D^{20} 1,44552$, $d_4^{20} 0,8086$; восстановлением I (PtO_2 , CH_3COOH , 60° , 730 мм) до насыщ. спирта, дегидратацией его в $\text{C}_{11}\text{H}_{24}$, т. кип. $56-57^\circ/1,3$ мм, $n_D^{20} 1,45603$, $d_4^{20} 0,8224$, посредством KHSO_4 и гидрированием последнего (PtO_2 , этилацетат, 20° , 730 мм) с образованием II. Строение II подтверждено его встречным синтезом по схеме: конденсация $\text{m-C}_4\text{H}_9\text{MgBr}$ со смесью *цис*- и *транс*-дигидрокамферонов, дегидратация полученного трет-спирта посредством KHSO_4 в 1-метил-3-изопропил-2-н-бутилциклопентен-1 и гидрированием последнего. 2-н-пропиламентан, т. кип. $68-70^\circ/2$ мм, $n_D^{20} 1,45202$, $d_4^{20} 0,8228$, полученный аналогичным образом из смеси *цис*- и *транс*-карвоментонов отличается от II. Аналогично II при синтезе псевдоиона образуется 1,3-диметил-3-изопропилиден-2-(2'-кетобутил)-циклопентен-1 (III), выход 16%, т. кип. $88-89^\circ/1,5$ мм, $n_D^{20} 1,48640$, $d_4^{20} 0,9239$; характеризован ИК-спектром; семикарбазон, т. пл. $148-149^\circ$; 2,4-динитрофенилгидразон, т. пл. $107-109^\circ$; дигидрокетон, т. кип. $95-96^\circ/2$ мм, $n_D^{20} 1,47412$, $d_4^{20} 0,9082$; семикарбазон, т. пл. $152,5-154^\circ$; 2,4-динитрофенилгидразон, т. пл. $107,5-109^\circ$; восстановлением семикарбазона III по Кижнеру получен 1,3-диметил-3-изопропилиден-2-бутилциклопентен-1, т. кип. $60^\circ/1,4$ мм, $n_D^{20} 1,47388$, $d_4^{20} 0,8433$; каталитич. гидрирование последнего привело к $\text{C}_{11}\text{H}_{22}$, т. кип. $75-76^\circ/2,4$ мм, $n_D^{20} 1,45515$, $d_4^{20} 0,8286$. При синтезе 9-метилпсевдоиона получен 1,3-диметил-3-изопропилиден-2-(2'-кето-2'-метобутил)-циклопентен-1, т. кип. $96-97^\circ/3$ мм, $n_D^{20} 1,48802$, $d_4^{20} 0,9265$; семикарбазон, т. пл. $152-153^\circ$. При использовании для р-ции смеси циклогексильден- γ -пропилэтилметилкарбинола и циклогексенил- γ -пропилэтилметилкарбинола получен 1-метил-3-гексенил-2-(2'-кетобутил)-циклопентен-1 (IV), насыщ. спирт из него (PtO_2 , CH_3COOH , 60° , 729 мм), т. кип. $140-141^\circ/2,4$ мм, $n_D^{20} 1,48880$, $d_4^{20} 0,9445$; соответствующий кетон, семикарбазон, т. пл. $142-143^\circ$; 2,4-динитрофенилгидразон, т. пл. $51-52^\circ$. IV не гидратируется кислотными агентами; бромид (PBr_3 , пиридин), т. кип. $120-125^\circ/1,5$ мм, $n_D^{20} 1,49980$, $d_4^{20} 1,1177$; не дегалогенируется полностью металлами.

Л. Яновская

21571. Синтез *dl*-пиперитона из ацетоуксусного эфира. Мисрок, Черч (Synthesizing *dl*-piperitone from ethyl acetoacetate. Misrock S. Leslie, Church James M.), Industr. and Engng Chem., 1957, 49, № 5, 822—824 (англ.)

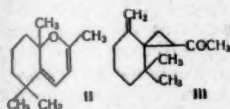
Синтезирован *dl*-пиперитон (I) по следующей схеме: алкилированием ацетоуксусного эфира ($\text{CH}_3)_2\text{CHBr}$ в присутствии $\text{C}_2\text{H}_5\text{ONa}$ получают α -изопропилацетоуксусный эфир (II), выход 40—50%, т. кип. $98^\circ/20$ мм. II (0,4 моля) взаимодействием (~ 12 час. при кипячении) с 1,3-дихлорбутеном-2 (0,4 моля) и 7,43 г Na в виде 50%-ной дисперсии в изоктане превращают в α -изопропил- α -(γ -хлоркротил)-ацетоуксусный эфир, который при кипячении с конц. H_2SO_4 в р-ре C_6H_6 пре-

Налогов и
733, 732)
2-2) кото-
р. 78-
азон, т. д.
л. 88-89

октан дает I, выход 0,15 моля (40%, считая на II), т. кип. 232-233°/768 мм. Восстановлением I (0,3 моля) Na (56 г в виде 50%-ной дисперсии в $\text{iso-C}_6\text{H}_{10}$) в диэтилолфторкарбонате (1,6 моля) получают ментол (III), содержащий ~ 77% $d\text{-iso-III}$ и ~ 23% $d\text{-III}$. Описание технолог. схема синтеза I.

С. Кустова

на технологич. схема синтеза I. С. Кустова
21572. Органические реакции, катализируемые све-
том. 6. Изомеризация некоторых диенонов. Бюхи,
Ян (Light-catalyzed organic reactions. 6. The isome-
rization of some dienones. Büchi G., Yang N. C.),
J. Amer. Chem. Soc., 1957, 79, № 9, 2318—2323 (англ.).
При облучении ртутной лампой малой интенсивно-
сти транс-β-ионон (I) переходит в пирановое соедине-
ние (II) и в спирокетон (III). В тех же условиях псев-
дионон и 6-метилгептадиен-3,5-он-2 полимеризуются,
а транс-транс-критонилиденанетон (IV) изомеризуется
в 5,6-диц-гептадиен-3,5-он-2 (V). При каталитич. гид-
рировании II переходит в тетрагидропроизводное (VI),
содержащее в в-вом, синтезированным ранее иным пу-



тем (Stoll M. и др., *Helv. chim. Acta*, 1950, 33, 900, 1502). С семикарбазидом II дает семикарбазон (VII) при β -ионах (VIIa). В присутствии J_2 II изомеризуется в I. При озонировании III образуются CH_2O и 2,2-диметилглициновая α -та (VIII); авторы считают, что разрыв циклопропанового кольца III происходит не в процессе озонирования, а при обработке озонидом H_2O_2 . В кислой среде III изомеризуется в нонен (IX). При каталитич. гидрировании III присоединяет $3H_2$; при окислении III $C_8H_5CO_2N$ расходует 1 моль окислителя. Авторы считают, что первой стадией фотохим. изомеризации I является его обратимое превращение в VIIa. Р-р 24 г I в 600 мл спирта облучают ртутной лампой в кварцевой аппаратуре (35—40°, 48 час.), р-тель удаляют в вакууме, остаток перегоняют, т. кип. 35—60°/0,05 мм. Разгонкой объединенного дистиллята из 5 аналогичных опытов на колонке выделяют II, выход 30%, т. кип. 70—71°/1 мм, $n_D^{25} 1,4992$. Разгонкой вышекняющей фракции из 6 аналогичных опытов (облучение по 72 часа) выделяют 8,4 г III, т. кип. 81—82°/1 мм, $n_D^{25} 1,4860$; семикарбазон, т. пл. 170—171° (из сл.); фенилсемикарбазон, т. пл. 144—145° (из сл.). Спирт. р-р 22 г II освещают, как указано выше (35°, 46 час.). Разгонкой на колонке выделяют пореагировавший П (4,8 г), 3,5 г III и 4,4 г I. Р-р 2 г I в 0,1 г J_2 в 40 мл C_6H_6 выдерживают 2 часа при 18°. Получают I, выход 1,2 г, 1,9 г II гидрируют с PtO_2 в лед. CH_3COOH . После фильтрования продукта р-ции через Al_2O_3 (в петр. эф.) выделяют VI, выход 1,56 г, т. кип. 45—48°/0,05 мм, $n_D^{25} 1,4714$. Взаимодействием 4 г II с ацетатом семикарбазид в CH_3OH в присутствии O_2 (24 часа) получают VII, т. пл. 184—185° (из лед. CH_3OH). Смесь 3,6 г VII и 3,6 г фталевого ангидрида подвергают перегонке с паром. Из дистиллята выделяют II, выход 0,7 г. При длительном стоянии над водой II переходит в в-во $C_{13}H_{22}O_3$ (X), т. пл. 130° (ваз.; из бал.-петр. эф.). Р-р 240 мг III в 80%-ном водн. CH_3OH , содержащем 0,4 г H_2SO_4 , кипятят 1 час. 30 мин. Хроматографированием продукта р-ции на Al_2O_3 выделяют IX, т. кип. 48—50°/0,05 мм, $n_D^{25} 1,5205$. Из III гидрируют с PtO_2 в лед. CH_3COOH (12 час.), продукт р-ции окисляют CrO_3 в CH_3COOH до α -тетрагидропириона; семикарбазон, т. пл. 173—174°. 1 г III озонируют в среде CCl_4 при 0—5°, р-тель отгоняют в вакууме, остаток нагревают 4 часа при 85° с 10%-ной водн. H_2O_2 , продукт хроматографируют на силикагеле.

Смесью SnCl_4 -этилацетат (7:3) вымывают VIII, выход 38%. Р-р 20 г IV в 600 мл спирта освещают 24 часа. Разгонкой на колонке выделяют V, выход 0,7 г, т. кип. 62–64°/21 мм, n_D^{25} 1,5040. Гидрированием V с Pd/CaSO₄ в абс. спирте получают гептанон-2; семикарбазон, т. пл. 73–74° (из CH_3OH). Приведены данные об УФ-спектрах II, III, VII и об ИК-спектрах II, III, VII и X. Сообщ. V см. РЖХим, 1957, 7993. Л. Бергельсон 21573. β -Долабрин — новый природный трополон. Нодзоэ, Такасаэ, Огата (β -Dolabrin: a new natural tropolone. Nozoe T., Takase K., Ogata M.), Chemistry and Industry, 1957, № 31, 1070 (англ.)

Из кислой фракции эфирного масла *Thujaopsis dolabrata*, т. пл. 100—140°/10 мм, изолированы β-туяплицин (I) и β-долабрил $C_{10}H_{10}O_2$ (II); последний является 4-изопропенилтрополоном, т. пл. 58—59° (из петр. эф.), и при гидрировании над Pt/C дает I. При окислении II (H_2O_2 в $HCOOH$, затем в HJO_4) образуются НСНО и 4-ацетилтрополон, т. пл. 129°; оксим, т. пл. 216°; семикарбазон, т. пл. 251° (разл.). II устойчив к щелочам, изменяется при нагревании с минер. к-тами, при бромировании в присутствии CH_3COONa дает в-во $C_{10}H_6O_2Br_2$, т. пл. 93°. Приведены данные об УФ- и ИК-спектрах II. С. Давыдов

21574. Катализируемая кислотами перегруппировка
циненовой кислоты. III. Строение образующегося
при перегруппировке лактона и его синтез. Мей-
нуолд, Хуан (The acid-catalyzed rearrangement of
cinenic acid. III. Structure and Synthesis of the lac-
tonic product. Meinwald Jerrold, Hwang Ho
Chien), J. Amer. Chem. Soc., 1957, 79, № 11, 2910—
2912 (англ.)

Встречным синтезом показано, что лактон (I), образующийся наряду с героновой κ -той при перегруппировке α -цианеновой κ -ты (II) в кислой среде (Rupe H., Hirschmann H., *Helv chim. acta*, 1933, 16, 505), обладает строением лактона 3-оксн-1,3-диметилциклогексанкарбоновой-1 κ -ты. Диеновая конденсация изопрена (III) с этилметакрилатом (IV) приводит к смеси эфиров (V), образующих при омылении в кислой среде I и лактон 4-оксн-1,4-диметилциклогексанкарбоновой-1 κ -ты (VI). Строение I и VI доказано их деградацией до m -ксилола (VII) и n -ксилола (VIII) соответственно. Ранее описанным методом (см. ссылку выше) из 30 г III получают I, выход 15%, т. пл. 50—51° (из петр. эф.). Смесь 200 г IV, 20 г III и 2 г гидрохинона нагревают в автоклаве 12 час. при 200°. Разгонкой выделяют V, выход 95% (считая на IV), т. кип. 66—72°/2,3—2,5 мм. 1 г V кипятят 2 дня с 50%-ной H_2SO_4 , нейтр. продукт p -дин (выход 85%) хроматографируют (из петр. эф.) на магнезоле-целите (1:1). Получают I, выход 7%, и немного VI, т. пл. 48—49° (возгонка). Р-р 10 г V в 30 мл лед. CH_3COOH , содержащий 1 мл конц. H_2SO_4 , выдерживают 96 час. при 20°. После обработки выделяют I, выход 2,9 г, т. кип. 70—72°/1,5 мм, и VI, выход 4 г, т. кип. 79—81°/1 мм. Смесь 1 г I, 300 мг 10%-ного Pd/C и 3 г BaO нагревают на пламени микрорегорелки, отгоняя VII, выход 80%, нитрованием которого получают 2,4,6-тринитро- m -кислот, т. пл. 177—180° (из сл.). В тех же условиях 0,5 г VI дают VIII с выходом 88%. 40 г V кипятят 70 час. с 210 мл 5%-ного KOH. Получают смесь κ -т, выход 82%, т. кип. 104—105°/1 мм, из которой выпадает 1,4-диметилциклогексен-3-карбоновая κ -та (IX), т. пл. 62—64° (возгонка в вакууме). Р-р 2,76 г IX в 10 мл лед. CH_3COOH , содержащей 0,25 мл конц. H_2SO_4 , выдерживают 12 час. при 20°. Выделяют VI, выход 69%. Дегидрированием 0,5 мг IX (как I) получают VIII, выход 58%. Сообщение II см. РЖХим. 1957, 47820. Л. Бергельсон

21575. Структура гермакрона (гермакрола). Огни-
нов, Иванов, Героут, Горак, Плива, Шорм

(The structure of germacrone (germacrol). Ognjanoff I., Ivanoff D., Herout V., Horak M., Pliva J., Sorm F.), Chemistry and Industry, 1957, № 25, 820—821 (англ.)

Доказано строение гермакрона (I), кристаллич. компонента масла *Geranium macrorrhizum* L., названного ранее неверно гермакролом. Изучением УФ-, ИК- и Раман-спектров показано наличие в I $>CH=CH-$ и $-CO-$ группы. Гидрирование I над PtO_2 в CH_3COOH привело к гексагидропроизводному (II), которое при восстановлении $LiAlH_4$ дало гексагидрогермакрол (III). Восстановление I Al -изопропилатом или $LiAlH_4$ привело к гермакролу $C_{15}H_{24}O$ (IV), который дегидрированием с S превращен в квазиазулен; тринитробензолат, т. пл. 151°. Гидрированием IV над PtO_2 в CH_3COOH получен селинан. Дегидратация IV (кипчение с $HCOOH$ или пиролиз) привела к углеводороду, имеющему четыре двойные связи и дающему при гидрировании в CH_3COOH элман. Восстановлением I с предварительной защитой $C=O$ -группы получен тетрагидрогермакрол (V), который был восстановлен $LiAlH_4$ в тетрагидромакрол. Последний при гидрировании претерпевает гидрогенолиз, давая 1,7-диметил-4-изопропилциклодекан (VI). Это же в-во получено при дегидратации III в присутствии $KHSO_4$ и последующим гидрированием в CH_3COOH . Строение VI подтверждено спектроскопически и согласуется с изопроновым правилом. Озонирование I привело к ацетону (1,5 экв), а окисление I с $KMnO_4$ в ацетоне — к левулиновой и щавелевой к-те. При озонировании V образовался 1 экв ацетона. На основании этих превращений для I предложено строение $\Delta^{5,8}$ -5,9-диметил-2-изопропилциклодекадиен-1 и показана правильность ф-лы, предложенной ранее (Treibs, Liebigs Ann. Chem., 1952, 576, 116). Приведены данные об ИК-спектрах II, V и VI и данные об УФ-спектре V.

Г. Сегаль
24576. О происхождении терпеновой структуры мицелианамида и микофеноловой кислоты. Мевалоновая кислота — необратимый промежуточный продукт биосинтеза терпенов. Берч, Инглиш, Масси-Уэстропп, Смит (The origin of the terpenoid structures in mycelianamide and mycophenolic acid. Mevalonic acid as an irreversible precursor in terpene biosynthesis. Birch A. J., English R. J., Massy-Westropp R. A., Smith Herchel), Proc. Chem. Soc., 1957, Aug., 233—234 (англ.)

Добавлением в питательную среду *Penicillium griseofulvum* и *Penicillium brevi-compactum* CH_3COOH , $(CH_3)_2C=CHCOOH$ и мевалоновой к-ты (I), меченных C^{14} в $C_{(a)}$, установлено, что CH_3COOH является исходным, а I промежуточным продуктом биосинтеза мицелианамида (II) и микофеноловой к-ты (III). По мнению авторов, превращение I в II и III начинается с окисления до альдегидокислоты и включает декарбоксилирование и гидрогенолиз.

С. Кустова
24577. Исследование методом ИК-спектроскопии положения этиленовой связи в недавно открытой палустровой кислоте. Брун (Infrared investigation of the location of the ethylenic bonds in the newly discovered palustric acid. Bruun Henrik), Acta chem. scand., 1957, 11, № 5, 907—909 (англ.)

На основании изучения ИК-спектра палустровой к-ты (I), напоминающего спектр дигидроабетиновой к-ты, авторы считают вероятным, что двойные связи в I занимают положения 7—8 и 13—14.

Л. Иванова
24578. Полный синтез стероидов через производные гидрохризена. VIII. *dl*-13 β ,11 β -диоксандростан-он-17. Джонсон, Паппо, Джонс (Steroid total synthesis — hydrochrysene approach. VIII. *dl*-13 β ,11 β -dihydroxyndrostane-17-one. Johnson William S.,

Rappo Raphael, Johns William J. Amer. Chem. Soc., 1956, 78, № 24, 6339—6347 (англ.)

По общему методу, описанному в предыдущем обзоре (РЖХим, 1958, 18079), из транс-анти-транс-метокси-8 β ,11 β -диокси-10 α -метил-4 β ,5,6,8 α ,7,8,9,10,10b,11,12-додекагидрохризена (I) (см. РЖХим, 1956, 11423) синтезированы *dl*-андростандиол-3 β ,11 β -он-17 (II) и его 13-изо-эпимер (III). Восстановление *анти-транс*-8 α -изомера I (IV) посредством Li и спирта в жидком NH_3 приводит к смеси *dl*-18-нор-*D*-гомо- Δ^{13} (14)-этиохолендиол-3 α ,11 β -она-17 α (V) и его Δ^{14} -изомера, образующих при каталитич. гидрировании в среде *dl*-18-нор-*D*-гомоэтиохолендиол-3 α ,11 β -он-17 α (VI). Конфигурация VI доказана его окислением по Оппенгауэру до *dl*-18-нор-*D*-гомоэтиохолендиол-11 β -диола-3,17 α (VII), переходящего при бромировании-дегидробромировании в смесь *dl*-18-нор-*D*-гомо- Δ^4 -этиохолендиол-11 β -диола-3,17 α (VIII) и Δ^{16} -изомера VIII (IX). Восстановление VIII Li в жидком NH_3 приводит к *dl*-18-нор-*D*-гомоандростандиолу-3 β ,11 β ,17 α (X), синтезированному также аналогичным восстановлением *dl*-18-нор-гомоандростандиол-3 β ,11 β -она-17 α (XI), конфигурация которого доказана независимым путем. К р-ру 6,16 г в 800 мл абс. спирта и 1,5 л жидкого NH_3 добавляли за 2 часа 82 г Li и (в течение второго часа) 1,23 г абс. спирта и 1,7 л жидкого NH_3 , продукт р-ции кипятят 1 час в атмосфере N_2 с 275 мл спирта, 27,5 мл конц. HCl и 5,5 мл воды и получают смесь α,β -непредельных кетонов (выход 69%), которую обрабатывают ториям метилэтилкетонем; нерастворимая часть (3,17 г) представляет собой *dl*-18-нор-*D*-гомо- Δ^{13} (14)-андростандиол-3 β ,11 β -он-17 α (XII), т. пл. 276—277° (из n - $C_8H_{17}OH$), затем возгонка при 200°/0,01 мм). Хроматографированием на флоризиле из фракции, растворимой в метилэтилкетоне, выделяют 0,164 г в-ва (вымывают $CHCl_3$), образующего при ацетилировании (изопропенилацетат и n - $CH_3C_6H_4SO_3H \cdot H_2O$ (XIII) в ацетоне) диацетат Δ^{16} -изомера XII (XIV), т. пл. 204—205° (из сп., затем возгонка при 195°/0,03 мм). 3,17 г неочищ. XII гидрируют с 10%-ным Pd/C в спирте в присутствии 0,36 г KOH (20°, 3 ат., 1 час) до XI, выход 89% (неочищ.), т. пл. 256—257° (из CH_3OH и метилэтилкетона, затем возгонка при 191°/0,01 мм). В тех же условиях, но без выделения промежуточных продуктов, из 38,3 г неочищ. I получают 4,75 г неочищ. XI. К р-ру 2,84 г XI в 300 мл CH_3OH добавляют 5,7 мл фурфурола и 45 мл 15%-ного водн. $NaOH$; через 1 час 35 мин. и через 15 час. добавляют по 100 мл воды, охлаждают и отфильтровывают 17-фурфуриденное производное XI (XV), выход 86%, т. пл. 227—229° (из сп. и метилэтилкетона); диацетат XV (ацетируют, как указано выше), т. пл. 246—248° (из CH_3OH). Смесь 2,34 г XV, 200 мл $CHCl_3$, 20 мл дигидропирана и 0,1 г XIII выдерживают 3 часа при 20°, получают дитетрагидропиранильный эфир XV (XVa), выход 3,27 г, т. пл. 162—165° (из петр. эфира). К р-ру 3,27 г XVa в 30 мл C_6H_6 добавляют (4 часа) 50 мл CH_3I и р-р 8 г K в 230 мл *трет*- C_4H_9OH , перешивают 15 час. при 20°, продукт р-ции кипятят 2 часа 15 мин. с 250 мл CH_3OH , 50 мл воды и 0,25 г β -нафталинсульфокислоты, нейтрализуют, отгоняют р-ритель в вакууме, обработкой остатка метилэтилкетонем выделяют 0,37 г XV, из маточных р-ров после ацетилирования получают 0,262 г 3-ацетата (XVI) *dl*-17-фурфуриден-*D*-гомоандростандиол-3 β ,11 β -она-17 α (XVII), т. пл. 268—269,5° (из метилэтилкетона и толуола), и 0,675 г диацетата 13-изоэпимера XVII (XVIII), т. пл. 242—243° (из сп. и CH_3OH). Ацетилирование XVI изопропенилацетатом (20°, 15 час.) приводит к диацетату XVII (XIX), т. пл. 256—258° (из сп.). 0,5 г неочищ. XVIII озонируют при -70° в этилацетате. После разложения озонида (H_2O_2 , CH_3COOH , 20°, 19 час.) и метилирова-

нии (CH_2N_2 , эф.- CH_2OH) получают диметилловый эфир (XX) дицетата *dl*-3 β ,11 β -диокси-13-изоэтилоаллогомобилиновой к-ты (XXI, диоксикислота), т. пл. 143,5–144,5° (из метилциклогексана). При нагревании неочищ. продукта озонирования 68 мг XVIII с 10%-ным NaOH (100°, 3 часа) и подкислении конц. HCl до pH 2 выделяют 11,17-лактон XXI (XXII), выход 82%, т. пл. 264–266° (из метилэтилкетона), образование которого подтверждает конфигурацию XVIII и XXI. Смесь 0,3 г XX, трет.- $\text{C}_2\text{H}_5\text{OK}$ (из 0,7 г K) и 50 мл C_6H_6 кипятят 4 часа в атмосфере N_2 и выдерживают 16 час. при 20°. Продукт р-ции нагревают с водн. диоксидом в запаянной ампуле 35 мин. при 200–210°, р-ритель отгоняют, остаток кипятят 2 часа с водно-метанольным р-ром NaOH. Хроматографированием продукта р-ции на флоризиле (вымывают смесью C_6H_6 -эф., 4:1) выделяют III, выход 52%, т. пл. 216–217° (из бзл.). Озонированием 0,234 г XIX (как XVIII) синтезируют дицетат 3 β ,11 β -диоксиэтилоаллогомобилиновой к-ты (XXIII), выход 97%, т. пл. 227–231° (из эф.); диметилловый эфир XXII (XXIV), т. пл. 131,5–133°. Циклизация и димеризация (как XX) 0,14 г XXIV приводит к II, выход 48%, т. пл. 249–251,5° (из метилэтилкетона); дицетат II (пиридин, $(\text{CH}_3\text{CO})_2\text{O}$, 20°, 24 часа), т. пл. 217–217,5° (из этилацетата и CH_3OH). В условиях восстановления I 0,32 г IV переводят в V, выход 0,5 г, т. пл. 227–227,5° (из этилацетата). Δ^6 -Изомер IV выделить в чистом виде не удалось. К р-ру 126,3 г *цис-анти-транс-1-метокси-8 α -ацетокси-10 α -метил-4 β ,5,6,7,8,9,10,10 α ,10 β -декагидрохризена (XXV) в 600 мл C_6H_6 добавляют при 5° 1,1 л 0,393 M бензольного р-ра $\text{C}_6\text{H}_5\text{CO}_2\text{O}$, через 24 часа (5°) добавляют 29 г $\text{C}_6\text{H}_5\text{CO}_2\text{N}$ и выдерживают 24 часа при 25°. Продукт р-ции восстанавливают Li в жидком NH_3 (как I) до смеси спиральных эфиров, из которой кристаллизацией из C_6H_6 выделяют *dl*-17 α -метокси-18-нор-*D*-гомо- $\Delta^{14,17}$ -этиохоландиол-3 α ,11 β (XXVI), выход 35%, т. пл. 194° (из этилацетата). Гидролиз 41,48 г неочищ. XXVI (75 мл минц. HCl в 1,5 л водн. спирта, кипячение 1 час в атмосфере N_2) приводит к смеси неопределяемых кетонов (XXVII) с выходом 37%, считая на XXV. В аналогичных условиях, но без выделения XXVI, из 2,22 г XXV получают XXVII с выходом 32%. Хроматографированием маточных р-ров на флоризиле выделяют *dl*-18-нор-*D*-гомо- $\Delta^{13(14)}$ -этиохоланол-3 α -он-17 α (XXVIII) (вымывают эф.-петр. эф., 8:2), выход 6%, т. пл. 137–138° (из эф.), и 0,89 г *dl*-18-нор-*D*-гомо- $\Delta^{13(14)}$ -этиохоландиол-3 α ,11 α -она-17 α (XXIX), т. пл. 211–212° (из этилацетата). 0,255 г V гидрируют с 10%-ным Pd/C в спирте в присутствии KOH (10°, 760 мм, 20 мин.) до VI, выход 77%, т. пл. 184–189° (из ацетона). Аналогично (0,5 ат) из 41,5 г XXVII получают 29,17 г VI. К кипящему р-ру 0,22 г VI в 10 мл толуола и 5 мл циклогексана добавляют (5 мин.) 0,7 г трет.-бутила Al в 15 мл толуола, кипятят 1 час в атмосфере N_2 , продукт хроматографируют на флоризиле. Смесью эфир-петр. эфир (2:3) вымывают 0,16 г VII, т. пл. 193–195° (из ацетона). 35 мг Вг в 3 мл HCON(CH_3)₂ и 35 мг XII добавляют (20 мин.) к р-ру 68 мг VII в 2 мл HCON(CH_3)₂, выдерживают 45 мин., неочищ. бромиды нагревают (110°, 2 часа) с 0,51 г LiCl в 20 мл HCON(CH_3)₂, продукт р-ции хроматографируют на флоризиле. Смесью эфир-петр. эфир (4:2) вымывают IX, выход 32 мг, т. пл. 190–193° (из этилацетата) содержит VII, а вымыванием CHCl_3 выделяют VIII, выход 12 мг, т. пл. 211–233° (из ацетона). 0,54 г XI восстанавливают Li в жидком NH_3 (как I) до X, выход 93%, т. пл. 249–250° (из метилэтилкетона); триацетат (CH_3COOH , $(\text{CH}_3\text{CO})_2\text{O}$, XIII, 20°, 12 час.), т. пл. 201–203° (из CH_3OH). В аналогичных условиях из 5 мг VIII получают 6 мг триацетата X (очищают хроматографированием на флоризиле, вымывают эф.). Приведены дан-*

ные об УФ-спектрах V, VIII, XII, XIII, XV, XVI, XVIII, XIX, XXVIII, XXIX и об ИК-спектрах II, III, XVI, XVIII–XX, XXII, XXVI и XXIX. ИК-спектры XXIV и дицетата II не отличаются от спектров соответствующих оптически деятельных в-в, полученных из природных источников.

Л. Бергельсон
21579. Действие озона на холестерин. Летре, Ян (Zur Wirkung von Ozon auf Cholesterin. Lettré Hans, Jahn Alex), Liebigs Ann. Chem., 1957, 608, № 1–3, 43–53 (нем.)

Изучено озонирование холестерина (I) и его ацетата (II) в различных р-рителях. Озонирование I и II в CCl_4 в присутствии спиртов приводит к образованию 5,6-секо-5,6-перокси-3, 5-диокси-6-алкоксихолестанов (III) и соответственно их 3-ацетатов (IV) (в III и IV алкоксид $\text{C}_2\text{H}_5\text{O}$, 6 $\text{C}_2\text{H}_5\text{O}$ и в *изо*- $\text{C}_3\text{H}_7\text{O}$). При озонировании II при -50° в CCl_4 и в чистом CHCl_3 образуются смолообразные продукты, содержащие хлор и активный кислород. При проведении р-ции в петр. эфире из продуктов превращения II выделены не содержащие активного кислорода в-ва состава $\text{C}_{27}\text{H}_{46}\text{O}_6$, выход 1,8%, т. пл. 126° (из ацетона), и $\text{C}_{27}\text{H}_{46}\text{O}_8$, выход 3,2%, т. пл. 197–198° (из петр. эф.). При восстановлении IVa получен 5,6-секопропаностантриол-3 β ,5,6 (V). Р-р 5 г II и 3 мл CH_3OH в 300 мл CCl_4 озонируют при -40° ; р-ритель отгоняют в вакууме и из остатка кристаллизацией из ацетона выделяют IVa, выход 60%, т. пл. 145–146°. I в этих условиях дает IIIa, полученный также при кипячении IVa 1 час с 1%-ным р-ром KOH. При замене CH_3OH равным объемом *изо*- $\text{C}_3\text{H}_7\text{OH}$ из II получают IVb, т. пл. 131° (из ацетона). При озонировании 5 г II при -40° в 300 мл петр. эфира в присутствии 3 мл спирта образуется IVb, выход 60%, т. пл. 140° (из сп.), полученный также при кипячении IVa в спирте (30 мин.). IVb при кипячении в CH_3OH дает IVa. Озонирование I при -50° в CHCl_3 , содержащем 1% спирта, приводит к IIIb, выход 45%, т. пл. 137° (из этилацетата). IIIb получен также омылением IVb. Продукт озонирования 0,023 моля II в CHCl_3 в присутствии спирта растворяют в 150 мл абс. эфира и р-р прибавляют по каплям к р-ру 0,1 моля LiAlH_4 в 400 мл абс. эфира, смесь выдерживают 12 час. при $\sim 20^\circ$ и выделяют V, выход 60%, т. пл. 193° (из CH_3OH), *бис*-3,5-динитробензоат, т. пл. 206–208° (из CH_3OH -ацетона), *бис*-4-нитробензоат, т. пл. 81–85° (из этилацетата- CH_3OH) (не этерифицируется, по-видимому, 5-оксигруппа). Аналогично V получен из I (выход 36%) и из IVa (выход 60%). V не дает циклич. карбоната при действии фосгена, что указывает на *транс*-расположение гидроксильных групп в положениях 3 и 5. При действии *n*- $\text{CH}_3\text{C}_6\text{H}_4\text{SO}_2\text{Cl}$ на V в смеси $\text{C}_6\text{H}_5\text{N}$ и ацетона (4°, 8 дней) получено в-во состава $\text{C}_{27}\text{H}_{46}\text{O}_8\text{S}$, выход 70%, т. пл. 129° (из CH_3OH). Приведена кривая ИК-спектра IVa.

В. Коптюг

21580. О 3,5-цикло- Δ^6 -стероидах. Ромео, Виллотти (Sui 3,5 ciclo- Δ^6 steroidi. Romeo Aurelio, Villotti Riccardo), Ann. chimica, 1957, 47, № 6, 684–692 (итал.)

При хроматографировании на Al_2O_3 3,5-цикло-6-метоксистероиды превращаются в соответствующие 3,5-цикло- Δ^6 -стероиды. 2,3 г метилового эфира 3,5-цикло- Δ^{22} -стигмастенола-6 (I), $[\alpha]_D^{20} + 34,6^\circ$, хроматографируют на 69 г Al_2O_3 , получают 25 мг I (гексан), метиловый эфир стигмастерина (II) (CH_3OH) и 0,32 г 3,5-цикло- $\Delta^{6,22}$ -стигмастидина (III) (гексан-бзл.). При контакте 3 часа с Al_2O_3 I нацело переходит в II и III. 15 г Al_2O_3 в 5 мл гексана и 0,5 г метилового эфира 3,5-циклохостанола-6 в 4–6 мл гексана тщательно перемешивают и выдерживают 1 час. при 20°, эфиром извлекают 3,5-цикло- Δ^6 -хостен, выход 85%, т. пл. 73–73,5° (из ацетона), $[\alpha]_D^{20} - 47^\circ$. Аналогично получают (приведены исходный метоксистероид, время кон-

такта с Al_2O_3 , Δ^6 -стероид, выход в %, т. пл. в $^\circ\text{C}$, $[\alpha]_D^{20}$: I, 1 час, III, 90, 80—81 (из ацетона), -71° ; метиловый эфир 3,5-циклостигматанола-6 (IV), 1 час; 3,5-цикло- Δ^6 -стигматен, 85, 67—68 (из ацетона), -40° ; 6-метокс-3,5-циклоаллопрегнанон-20, 5 дней, 3,5-цикло- Δ^6 -прегненон-20 (V), 70, 138—140 (из CH_3OH), $+46^\circ$ (CH_3OH); 6-метокс-3,5-циклоандростанон-17, 5 дней, 3,5-цикло- Δ^6 -андростанон-17 (VI), 60, 137—138 $^\circ$ (из CH_3OH), $+13^\circ$ (с 0,5; CH_3OH). 0,36 г тозилата 22, 23-дигидростигматерина кипятят 4 часа с 21 мл абс. CH_3OH и 0,38 г CH_3COOK , после хроматографирования на Al_2O_3 № 3 (гексан) выделяют 0,2 г IV, $[\alpha]_D^{20} +45^\circ$. Смесь 0,1 г V, 5 мл ацетона и 0,75 мл 66%-ной H_2SO_4 кипятят 4 часа, после хроматографии на Al_2O_3 № 4 (гексан, бал.) получают 0,07 г 3 β -окс- Δ^6 -прегненона-20. Аналогично VI дает 3 β - Δ^6 -андростенон-17. $[\alpha]_D$ приведены для CHCl_3 (с 1), исключения оговорены. Т-ры плавления не исправлены. С. Завьялов

21581. О методе очистки 3 β -окс- Δ^6 -стероидов. Ромео, Виллотти (Su di un metodo per purificare i 3- β -idrossi- Δ^6 -steroidi. Romeo Aurelio, Villotti Riccardo), Atti Accad. naz. Lincei. Rend. Cl. sci. fis., mat. e natur., 1957, 22, № 6, 733—738 (итал.).

Описан метод очистки 3 β -окс- Δ^6 -стероидов на примере холестерина (I) и 22,23-дигидростигматерина (II). К 1,5 г смеси, состоящей из 2 ч. I и 1 ч. холестеранола, в 42 мл $\text{C}_6\text{H}_5\text{N}$ добавляют 3,9 г *n*-толуолсульфохлорида, через 4 дня ($\sim 20^\circ$) разлагают льдом и эфиром извлекают смесь тозилатов (2,2 г), которую кипятят 3 часа с 110 мл абс. CH_3OH и 2,2 г CH_3COOK , угревают, обрабатывают водой, извлекают эфиром 1,6 г масла. Р-р 1 г последнего в гексане оставляют на 2 часа в контакте с 30 г Al_2O_3 № 1и затем вымывают гексаном 0,3 г в-ва, которое кипятят 3 часа с 12 мл ацетона и 1,5 мл 65%-ной H_2SO_4 . Выпавший осадок (0,17 г) хроматографируют на Al_2O_3 № 2 (гексан и бал.). Из бензольной фракции выделяют чистый I, выход 30%. Аналогично очищают II, полученный при селективном гидрировании стигматерина.

С. Завьялов

21582. Реакция N-бромсукцинимидом с алифатическими спиртами. Ромео (Reaction of NBS with allylic alcohols. Romero Miguel A.), J. Organ. Chem., 1957, 22, № 10, 1267—1268 (англ.).

Δ^4 -Холестандиол-3 β , 6 β (420 мг) при нагревании (100°) с 400 мг N-бромсукцинимидом (I) в смеси 75 мл диоксана и 2 мл воды до полного растворения осадка дает смесь Δ^4 -холестенол-6 β -она-3 (II) и холестандиона-3,6 (III), разделенную кристаллизацией из C_6H_6 -пентра: эфир: II, выход, 17%, т. пл. 191—193 $^\circ$; III, выход 42%, т. пл. 169—170 $^\circ$, $[\alpha]_D +3,2^\circ$ (хлф.). 7 β -оксистерин (IV, 450 мг) при действии 280 мг I (25° , 6 час.) в смеси 6 мл диоксана и 0,8 мл воды дает 5 α -бромхолестандиол-3 β , 6 β , 7 β (V), выход 57%, т. пл. 179—180 $^\circ$ (из петр. эф.), $[\alpha]_D +28,6^\circ$ (хлф.). Из дибензоата IV (VI) получен 3,7-дибензоат V (VII), выход 89%, т. пл. 142—143 $^\circ$, $[\alpha]_D -60,6^\circ$. V при кипячении 1 час с 2%-ным KOH превращается в β -окс-IV (VIII), выход 92%, т. пл. 166—167 $^\circ$ (из петр. эф.), $[\alpha]_D +50^\circ$ (хлф.), которая при действии HBr вновь дает V. Из VII получена β -окс-IV, выход 64%, т. пл. 151—153 $^\circ$, $[\alpha]_D +86^\circ$ (хлф.). При кипячении 800 мг IV 6 час. с 800 мг нафталевой к-ты в 40 мл эфира получена α -окс-IV, выход 30%, т. пл. 153—155 $^\circ$, $[\alpha]_D +12^\circ$ (хлф.) (побочно образуется VIII, выход 12%). В. Коптюг

21583. Изучение стероидов. 17. Реакция окисления стероидов цианурхлоридом. 18. Реакция хлороксилирования Δ^3 -стероидов с помощью цианурхлорида. Мукава (ステロイドの研究. 第17報. イソシアマルクロリドによるオキシステロイドの酸化反応. 第18報. イソシアマルクロリドによる Δ^3 -ステロイドの次亜塩素酸付加反応. 武川文一), 日本化学雑誌, Нихон

кагаку дзасси, J. Chem. Soc. Japan. Pure Chem. Sec., 1957, 78, № 4, 450—454 (японск.).

17. Цианурхлорид (I) является окислителем, пригодным в особенности для избирательного окисления стероидов. Р-ция окисления проводится кратковременным нагреванием р-ра стероида в C_6H_6 в присутствии $\text{C}_6\text{H}_5\text{N}$ с I или длительным стоянием р-ра стероида в ацетоне с I при 20° в присутствии 0,5% NaHCO_3 . При проведении р-ции в C_6H_6 из 0,2 г холерой к-ты (II) получено 0,14 г дегидрохолерой к-ты (III), из глюко-оксистероидов (IV) при нагревании 10 мин. получены III; при нагревании 5 мин. из 0,2 г IV получено 0,18 г 3,7-дикетохолерановой к-ты, из холестеранола (нагревание 10 мин.) получен холестеранон-3; при ведении р-ции в ацетоне (20 час.) из 0,3 г II получена 3 α ,12 α -диокс-7-кетохолерановая к-та, что подтверждено восстановлением ее по Хуан-Минлоу и последующим этерификацией до этилового эфира дезоксистероидовой к-ты, выход 0,15 г. При ведении р-ции в трет-бутаноле (кипчение 15 мин., затем 20 час. при 20°) из 0,1 г холестерандиола-3 β ,5 β получено 70 мг 5 β -оксистеранола-3 (V), превращенного в 2,4-динитрофенилгидразон Δ^4 -холестенона-3 (VI); при ведении р-ции в ацетоне ($\sim 20^\circ$, 100 час.) получен неочищ. V, давший VI с выходом 60%. Окисляемость стероидов посредством I зависит от их строения. Холестандиол-3 β ,6 β окисляется I в C_6H_6 + $\text{C}_6\text{H}_5\text{N}$ (кипчение 10 мин.) до холестандиона-3,6, выход 75%, в тех же условиях холестерандиол-3 β ,5 β ,6 β дал 6-кетохолестандиол-3 β ,5 β , выход 80%; 5-метоксистерандиол 3 β ,6 β дал 5-метокс-6-кетохолестанол-3 β , выход 71, т. пл. 139—141 $^\circ$ (из водн. ацетона); 2,4-динитрофенилгидразон, т. пл. 165—166 $^\circ$ (разл.); 5-хлор-, 5-бром- и 5-метилхолестандиол-3 β ,6 β в этих условиях не окисляются. Борнеол и изоборнеол ($\text{C}_{30}\text{H}_{50}$, $\text{C}_{30}\text{H}_{50}\text{N}$, кипение 5 мин.) окисляются I в камфоры.

18. При действии I на Δ^5 -стероиды в смеси CH_3COOH , воды и ацетона проходит р-ция хлороксилирования. В случае холестерина (22, 24 час.) хлористого холестерила (кипчение 5 мин.), тозилата и бензоата холестерина (кипчение 5 мин.) присоединение алифатических HClO проходит против правила Марковникова и образуются соответственно 5-хлорхолестандиол-3 β ,6 β , выход 20%, т. пл. 167 $^\circ$, 3 β ,5-дихлорхолестанол-6 β , выход 69%, т. пл. 93 $^\circ$. 3-монотозилат 5-хлорхолестандиола-3 β ,6 β , выход 83%, т. пл. 173 $^\circ$, и 3-бензоат 5-хлорхолестандиола-3 β ,6 β , выход 60%, т. пл. 205 $^\circ$. В случае Δ^5 -холестенона-3 и его этиленкетали (кипчение 10 мин.) присоединение HClO проходит только по правилу Марковникова и образуется (в случае кетал после омыления) 6 β -хлорхолестанол-5-он-3, выход 43—48%, т. пл. 206—207 $^\circ$. Из ацетата холестерина (кипчение 5 мин.) получены продукты присоединения HClO как по, так и против правила Марковникова: 3-ацетат 5-хлорхолестандиола-3 β ,6 β , выход 56%, т. пл. 201 $^\circ$, 3-ацетат 6 β -хлорхолестандиола-3 β , 5, выход 5%, т. пл. 188 $^\circ$. Сообщение 16 см. РЖХим, 1957, 60674.

Л. Яновский

21584. О некоторых свойствах эфиров *n*-толуолсульфонкислоты 17 β -оксистероидов. VIII. О положении двутретиной двойной связи 3 β -ацетатов 17-метил-18-норандростенола и андростандиола. Мадава О. С., Ж. общ. химии, 1957, 27, № 9, 2573—2578.

Получен ацетат 17-метил-18-нор- Δ^{13} (17)-андростандиола-3 β (I, спирт) и доказано его строение. Гидрированием 3-ацетата Δ^5 -андростандиола-3 β ,17 β в CH_3COOH с PtO_2 получают (после хроматографирования на Al_2O_3) 3-ацетат андростандиола-3 β ,17 β (II, т. пл. 114—116 $^\circ$ (из CH_3OH)). К р-ру 0,27 г II в 0,4 мл сухого пиридина постепенно при охлаждении прибавляют 0,36 г *n*- $\text{C}_7\text{H}_7\text{SO}_2\text{Cl}$ и оставляют на 20 час при 20° . После обработки получают тозилат II (III),

смесью пентана и C_6H_6 , 9:1, выход 66%, т. пл. 102–103° (из эф.- CH_3OH), $[α]_D^{20} +110°$ и полукеталь (IX) (вымывание эфиром), выход 14%, т. пл. 175–176° (из эф.-пентана), $[α]_D^{20} +31°$. Аналогично из Iб (см. Heard R. D. H., Ziegler R., J. Amer. Chem. Soc., 1951, 73, 4036) получают III, выход 25%, т. пл. 172–173° (из эф.-пентана), $[α]_D^{20} +134°$; ацетат, т. пл. 158–160° (из CH_3OH), $[α]_D^{20} +122°$; а из Iв (см. РЖХим, 1954, 21700) получают IV, выход 0,36 г (из 4 г Iв), т. пл. 155–157° (из эф.- CH_3OH), $[α]_D^{20} +235°$ и полукеталь (X), т. пл. 178–180° (из ацетона-гексана), $[α]_D^{20} +37°$. К кипящему р-ру 1 г V в 30 мл C_6H_6 прибавляют р-р трет- C_4H_9OK (из 300 мг K и 10 мл трет- C_4H_9OH) и затем р-р 3 мл CH_3J в 30 мл C_6H_6 , смесь кипятят 5 мин., охлаждают, добавляют 0,5 мл воды и р-ритель отгоняют в вакууме; продукт р-ции, выделенный из остатка извлечением эфиром, кристаллизуют из CH_3OH и получают 4,4-диметил- $Δ^4$ -холестенон-3 (XI), выход 450 мг, т. пл. 172–174°; из в-в, содержащихся в маточном р-ре, хроматографией на 20 г Al_2O_3 выделяют XI (вымывание пентаном), выход 35 мг; II (вымывание смесью пентана и C_6H_6 , 9:1, выход 5%, и V, выход 15%. Отмечено, что превращение II в XI в этих условиях происходит не менее легко, чем V в II. Смесь 250 мг III и 125 мг SeO_2 кипятят 8 час. в 5 мл трет- C_4H_9OH , содержащего 0,05 мл лед. CH_3COOH (атмосфера N_2), затем добавляют 125 мг SeO_2 и кипятят еще 16 час.; продукт р-ции хроматографируют на 10 г Al_2O_3 и вымыванием C_6H_6 выделяют VI, очищ. вазонкой в вакууме, выход 29%, т. пл. 188–190°, $[α]_D^{20} +46°$. Аналогично из ацетата III получают ацетат VI (XII), выход 21%, т. пл. 175–178° (из пентана-эф.), $[α]_D^{20} +60°$. Р-р 55 мг XII в 15 г $n\text{-}CH_3C_6H_4SO_3H$ в 5 мл $(CH_3CO)_2O$ нагревают 3 часа при 100°; в-во, выделенное извлечением эфиром, кипятят 1 час в атмосфере N_2 с 0,5 г KOH в 15 мл CH_3OH и получают VII, выход 73%, т. пл. 125–129° (из $CH_2Cl_2\text{-}CH_3OH$), $[α]_D^{20} +155°$. Для полученных в-в приведены данные УФ- и ИК-спектров. Все $[α]_D$ измерены при 20° в $CHCl_3$. По предварительным данным III обладает 40% андрогенной и 120% миотрофич. активности тестостерона (на кастрированных мышах), а IV наполовину слабее прогестерона (на кроликах).

В. Коптюг

21587. 19-норстероиды. Сообщение I. О 17-циангидрине $Δ^4$ -19-норандростендиона-3,17; улучшение синтеза 17α-гомологов 19-нортестостерона. Руджери (19-nor-steroidi. Nota I. Sulla 17-cianidrina del 19-nor-androst-4-en-3,17-dione; un miglioramento alla sintesi dei 17α-omologhi del 19-nortestosterone. Ruggieri Pietro de), Gazz. chim. ital., 1957, 87, № 6, 795–804 (итал.)

При восстановлении этиленкетала метилового эфира эстрона (I) посредством Li в NH_3 получен $Δ^4$ -19-норандростендион-3,17 (II), который с $(CH_3)_2C(OH)CN$ дал 17-циангидрин II (III). Действием C_2H_5 в присутствии трет- C_4H_9OK или CH_3MgBr и C_2H_5MgBr на энольные эфиры или этиленкетали II и III получены соответственно 17α-этинил- (IV), 17α-метил- (V) и 17α-этил-19-нортестостерон (VI). Смесь 4 г метилового эфира эстрона, 200 мл $CHCl_3$, 4 мл этиленгликоля и 200 мг $C_7H_5SO_3Na$ кипятят 5 час., выделяют I, выход 97%, т. пл. 100–101,5° (из CH_3OH), $[α]_D^{20} +18,1°$ (C_6H_5N). К 20 г I в 500 мл эфира и 1 л NH_3 20 мин. добавляют 20 г Li, через 30 мин. вводят 210 мл абс. спирта (за 20 мин.), получают энольный эфир, т. пл. 129–130° (из CH_3OH), $[α]_D^{20} +68,8°$ (C_6H_5N), который без очистки обрабатывают 1 л CH_3OH и 800 мл 3 н. HCl (15 мин. 60°), выделяют 9,4 г II, т. пл. 170–171° (из эф.), $[α]_D^{20} +139°$ (хлф.). Смесь 10 г II и 20 мл $(CH_3)_2C(OH)CN$ слегка нагревают до растворения II, разбавляют водой и получают III, выход 98%, т. пл. 160–161° (из этилацетата), $[α]_D^{20} -21,4°$ (диоксан).

6 г сухого III, 50 мл C_6H_6 , 7 г $(C_2H_5O)_3CH$, 3,5 мл абс. спирта и 0,3 мл спирт. р-ра 19 мг HCl нагревают 1 час при 65°, выделяют 3-этокси-17-циан- $Δ^{3,5}$ -19-норандростендиол-17 (VII), выход 93%, т. пл. 178–180° (разл.; из ацетона), $[α]_D^{20} -147°$ (диоксан). Нагреванием из водяной бани (30 мин.) 1 г VII с 5 мл C_6H_5N и 0,5 мл воды получают 900 мл 3-этокси- $Δ^{3,5}$ -19-норандростендиона-17 (VIII), т. пл. 140–141°, $[α]_D^{20} -87°$ (C_6H_5N). Аналогично I из III получают 3-этилендиокси-17-циан- $Δ^4$ -19-норандростендиол-17 (IX), выход 96%, т. пл. 199–200° (разл.; из эф.), $[α]_D^{20} \pm 0°$ (диоксан). 1 г IX при нагревании с C_6H_5N , как указано выше переходит в 900 мг 3-этилендиокси- $Δ^4$ -19-норандростендиона-17, т. пл. 131–132° (из CH_3OH), $[α]_D^{20} +175°$ (C_6H_5N). К р-ру алколата (из 10 г K и 250 мл трет- C_4H_9OH) прибавляют 10 г VII в 250 мл толуола и затем в течение 12 час. при ~20° пропускают C_2H_2 , получают IV, выход 89%, т. пл. 200–202° (из этилацетата), $[α]_D^{20} -25°$ (хлф.). К 10 г IX в 200 мл C_6H_6 добавляют р-р CH_3MgBr (из 7,3 г Mg), получают V, выход 90%, т. пл. 156–157° (из эф.-гексана), $[α]_D^{20} +32°$ (хлф.). Аналогично IX и C_2H_5MgBr дают VI, выход 51%, т. пл. 140–141° (из CH_3OH). VI получают также с выходом 76% при гидрировании IV над 5%-ным Pd/C в диоксане. Для II, V, VII и VIII приведены λ_{max} в УФ-спектре. $[α]_D$ указаны для с 1%.

С. Завьялов

21588. Био-реагенты. Вудфорд (Living reagents. Woodford F. P.), Chem. Ind. and Engng, 1956, 7, № 3, 31–37 (англ.)

Обзор по применению микробиологич. методов окисления у неактивных-способных С-атомов в стероидах и тритерпеноидах. Библ. 16 назв.

А. Камерницкий

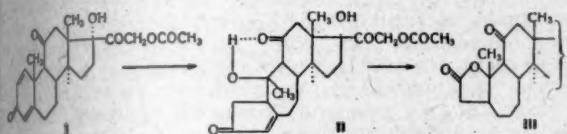
21589. Некоторые новые активные кортикостероиды. Гулд, Шапиро, Херцог, Джентлс, Хершберг, Чарни, Гилмор, Толксдорф, Эллер, Перлман, Пеше (Some new active corticosteroids. Gould David, Shapiro Elliot L., Herzog Hershel L., Gentles Margaret I., Hershberg E. B., Charney William, Gilmore Marilyn, Tolksdorf Sibylle, Elller Milton, Perlman Preston L., Pechel Maurice M.), J. Amer. Chem. Soc., 1957, 79, № 2, 502–503 (англ.)

Синтезированы и испытаны на биологич. активность $Δ^4$ -дегидропрединзон (I) и $Δ^6$ -дегидропрединзон (II). Бромирование 21-ацетата преднизона N-бромсукцинимидом привело к 21-ацетату 6-бром- $Δ^{1,4}$ -прегнандиол-17 α, 21-триона-3, 11, 20 (III), т. пл. 185–188° (разл.), $[α]_D^{20} +173°$, который дегидробромировался кипячением с коллидином в 21-ацетат I (Ia), т. пл. 225–228°, $[α]_D^{20} +265°$. При дибромировании 21-ацетата кортизона в CH_3COOH и последующем дегидробромировании с коллидином также был получен Ia. С другой стороны, микробиологич. дегидрирование $Δ^4$ -дегидрокортизона (IV) или 21-ацетата IV (IVa) с помощью *Bacillus sphaericus* привело к I, две формы, т. пл. 235° (разл.) и 225° (разл.), $[α]_D^{20} +246°$. 3-семикарбазон IVa был превращен в 3,20-дисемикарбазон IVa, т. пл. 320°, который при восстановлении $NaBH_4$ дал 3,20-дисемикарбазон $Δ^6$ -дегидрокортизола, т. пл. 320°, расщепленный с помощью CH_3COOH и $n\text{-}CH_3C_6H_4SO_3Na$ в $Δ^6$ -дегидрокортизол (V), т. пл. 239–241°, $[α]_D^{20} +177°$. Дегидрирование V с помощью *B. sphaericus* привело к II, т. пл. 239–243°, $[α]_D^{20} +100°$. Расщеплением I с помощью $NaBiO_3$ получен $Δ^{1,4}$ -андростатриентрион-3,11,17, т. пл. 215° (разл.), $[α]_D^{20} +309°$ (ацетон), идентичный с полученным путем бромирования $Δ^{1,4}$ -андростадиентриона-3,11,17 с помощью N-бромсукцинимидом и дегидробромирования образовавшегося 6-бром- $Δ^{1,4}$ -андростадиентриона-3,11,17, т. пл. 168° (разл.), $[α]_D^{20} +197°$, с коллидином.

Биологич. испытания I и II показали следующие результаты (действие кортизона принято за 1): проба на отложение гликогена в печени 2,2 и 4,9, обмен аминокислот 1 и 1, инволюция зубной железы 2,1 и 2,5, возникопение 1 и 1,9 соответственно. Все [α]_D определены при 25° и, кроме отмеченных, в диоксане. Для всех полученных в-в приведены спектральные характеристики.

А. Камерницкий
21590. Фотохимия ацетата преднизона. Бартон, Тейлор (The photochemistry of prednisone acetate. Barton D. H. R., Taylor W. C.), Proc. Chem. Soc., 1957, March, 96 (англ.)

Облучение ацетата преднизона (I) в CH₃COOH УФ-светом приводит к фотоаналогу I (II), т. пл. 240–243° (из CH₃OH), [α]_D +134° (с 0,51); 2,4-динитрофенилгидразон II, т. пл. 270–275° (из CHCl₃-



CH₃OH). Строение II подтверждается его озонлизом (–50°, CHCl₃), приведем к γ-лактону (III), т. пл. 143–145°, [α]_D +128° (с 0,66). [α]_D определены в CHCl₃. Приведены ИК- и УФ-спектральные характеристики II и III.

А. Камерницкий
21591. Гликозиды и агликоны. Сообщение 174. Гликозиды семян индийской конопли *Corchorus capsularis* L. и *Corchorus olitorius* L. Идентификация коркорина, коркоренина и коркселларина с строфантинидом. Сен, Чакрабартти, Крейс, Тамм, Рейхштейн (Die Glykoside der Jutesamen *Corchorus capsularis* L. und *C. olitorius* L. Identifizierung von Corchorin, Corchorogenin und Corchsularin mit Strophanthidin. Glykoside und Aglykone. 174. Mitteilung. Sen N. K., Chakrabarti J. K., Kreis W., Tamm Ch., Reichstein T.), Helv. chim. acta, 1957, 40, № 3, 588–592 (нем.)

Показано, что выделенные ранее из *Corchorus capsularis* L. и *Corchorus olitorius* L. коркорин, коркоренин и коркселларин (Soliman S., Saleh W., J. Chem. Soc., 1950, 2198; Sen N. K., J. Indian Chem. Soc., 1930, 7, 8; 1927, 4, 205; 1928, 5, 759; РЖХим, 1955, 40289) идентичны строфантиниду (I). Вероятно, и корхортосин, описанный Карпером (Karper P., Banerjee P., Helv. chim. acta, 1949, 32, 2385), также идентичен I, что подтверждается близостью точек плавления обоих в-в и их производных. Таким образом, среди ранее выделенных из индийской конопки кристаллич. продуктов только два в-ва действительно представляют собой гликозиды: коркорозид А (II) и коркорозид В (РЖХимБх, 1955, 3579). Гидролиз II приводит к I. Сообщение 173 см. РЖХим, 1958, 4771.

Г. Сегаль
21592. Гликозиды и агликоны. Сообщение 175. Гликозиды семян *Corchorus capsularis* L. Крейс, Тамм, Рейхштейн (Die Glykoside der Samen von *Corchorus capsularis* L. Glykoside und Aglykone. 175. Mitteilung. Kreis W., Tamm Ch., Reichstein T.), Helv. chim. acta, 1957, 40, № 3, 593–604 (нем.)

Из семян индийской конопки *Corchorus capsularis* L. без предварительной ферментации была извлечена с помощью CHCl₃-CH₃OH смесь гликозидов, которая, судя по данным хроматографирования на бумаге, состоит в основном из двух в-в: гликозида D (I) и гликозида E (II). Фракция а, выход 0,36%, выделенная экстракцией смесью CHCl₃-CH₃OH (4:1), содержит главным образом аморфный I, тогда как из фрак-

ции б, выход 0,66%, извлеченной с помощью CHCl₃-CH₃OH (3:2), хроматографированием на Al₂O₃ выделен аморфный II. При кипячении в CH₃OH в присутствии разб. H₂SO₄ в течение 30 мин. I и II дают строфантинид (III), т. пл. 136–140° (из CH₃OH-эф.), [α]_D²⁰ +43,5±2° (с 1,4848; CH₃OH). Расщеплением 140 мг фракции а с помощью фермента улитки *Helix pomatia* по известной методике (Reichstein T. и др., Helv. chim. acta, 1951, 34, 46) получен продукт, который хроматографируют на кизельгуре. С помощью CHCl₃ вымывают 45 мг смеси, из которой хроматографированием на Al₂O₃ выделяют 17,9 мг (вымывают смесью CHCl₃-CH₃OH 99:1 и 95:5) коркорозид А (IV) (см. РЖХимБх, 1955, 3579) с тройной т. пл. 163–168°, 175°, 190–218° (из сп.-эф.), [α]_D²⁰ +19,2±2° (с 1,393; CH₃OH), +18,5±1,5° (с 1,764; CH₃OH). Ди-О-ацетильное производное IV, т. пл. 141–145° (из ацетона-эф.), [α]_D²⁰ +25,4±2° (с 1,17; хлф.). Аналогичное расщепление 300 мг фракции б привело к 35,4 мг IV. Расщеплением 1,051 г фракции а с помощью 2,1 г строфантобины (Schmutz J., Reichstein T., Pharmaz. Acta Helv., 1947, 22, 359) в 300 мл воды в 5 мл CH₃C₆H₅ (рН 5; 33°; 120 час.) и последующим экстрагированием CHCl₃ получают смесь, из которой хроматографированием на Al₂O₃ выделяют 326 г IV (вымывают CHCl₃-CH₃OH, 99:1 и 98:2). Аналогично из 300 мг фракции б получают 30 мг IV. Кислым гидролизом в вышеуказанных условиях из 0,2 г IV получают 0,12 г III и 51,2 г сиропа, из которого выделена D-б-виноза, т. пл. 76–81° (из ацетона-эф.), [α]_D²⁰ –0,5°+1,0±2° (конечное значение, с 1,368; вода); –10,4°+1,9±2° (конечное значение, с 1,807; CH₃OH). На основании данных, полученных при хроматографировании на бумаге, заключено, что I является дигликозидом (IV + 1 моль D-глюкозы), а более полярный II – тригликозидом (IV + 2 моля глюкозы или IV + 1 моль гентиобиозы). Сравнением мол. вращений установлено, что IV является β-D-б-винозидом III.

Г. Сегаль
21593. Гликозиды и агликоны. Сообщение 176. Гликозиды листьев *Digitalis grandiflora* Mill. Ренич, Тамм (Die Glykoside der Blätter von *Digitalis grandiflora* Mill. (= *Digitalis ambigua* Murr.), Glykoside und Aglykone 176. Mitt. Repic R., Tamm Ch.), Helv. chim. acta, 1957, 40, № 3, 639–662 (нем.)

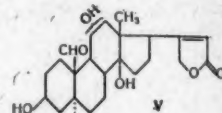
Из 2,3 кг сухих листьев *Digitalis grandiflora* Mill. после предварительной ферментации и очистки, как описано ранее (Reichstein и др., Helv. chim. acta, 1951, 34, 1821), извлечены смеси гликозидов: а) эфиром – фракция а, выход 0,223%, б) с помощью CHCl₃ – фракция б, выход 0,165% и смесью CHCl₃-спирт (4:1) – фракция в, выход 0,177%. Выходы отдельных фракций существенно не изменяются, если не проводится предварительной ферментации. Выделить индивидуальные кристаллич. гликозиды не удалось, поэтому все фракции были подвергнуты кислому гидролизу и образовавшиеся генины выделены хроматографированием на Al₂O₃. Из фракции а выделяют: генин В (I) C₂₁H₃₀O₄ (вымывают C₆H₆-CHCl₃, 99:1), выход 93 мг, т. пл. 278–282° (разл.; из бзл. и CH₃OH-хлф.-эф.), [α]_D²⁰ +67,0±1,5° (с 1,423; хлф.), дигитоксигенин (II) (вымывают тем же р-рителем), выход 80,2 мг, т. пл. 250–256° (из CH₃OH-эф. и хлф.-эф.), [α]_D²⁰ +19,7±1,5° (с 1,31; CH₃OH); генин D (III) C₂₁H₃₀O₅ или C₂₁H₃₂O₅ (вымывают смесью C₆H₆-CHCl₃, 1:1), выход 73,2 мг, двойная т. пл. 284–286° и 296–304° (разл.; из CH₃OH-эф.), [α]_D²⁰ –25,4±2° (с 1,05; хлф.-CH₃OH, 9:1), генин Е (IV) C₂₁H₃₀O₅ или C₂₁H₃₂O₅ (вымывают тем же р-рителем), выход 46,2 мг, т. пл. 252–260° (испр., из CH₃OH-эф.), [α]_D²⁰ –12,6±2° (с 0,65; CH₃OH); а также следы

аморфного в-ва А (V). Из фракции б аналогично выделяют: 8,6 мг I; 31,8 мг II; 22,8 мг III; смесью CHCl_3 - CH_3OH (95:5) вымывают генин F $\text{C}_{21}\text{H}_{34}\text{O}_5$ (VI), выход 73,2 мг, т. пл. 238–242° (из CH_3OH -эф.), $[\alpha]^{22}_D$ 16,0 ± 1,5° (с 1,39; CH_3OH), и гитоксигенин, выход 2,3 мг, т. пл. 230–236° (из CH_3OH -эф.). Из фракции в выделяют тем же методом 47,8 мг II; 13,2 мг III и смесью C_6H_6 и $\text{C}_6\text{H}_5\text{-CHCl}_3$ (99:1) вымывают генин Н (VII), выход 16 мг, т. пл. 160–162° (из бэл.-петр. эф.). Моноацетат I (VIII) имеет т. пл. 301–310° (из хлф.-бэл.-петр. эф. и сублимация), $[\alpha]^{22}_D$ +49,9 ± 2° (с 1,15; хлф.); диацетат III (IX), т. пл. 208–215° (разл.; из эф.-петр. эф.), $[\alpha]^{22}_D$ -161,5 ± 2° (с 0,86; хлф.); диацетат VI (X), т. пл. 222–228° (разл.; из бэл.-петр. эф.), $[\alpha]^{22}_D$ +27,9 ± 2° (с 0,9; хлф.). Из углеводной фракции выделены D-дигитоксоза (XI), т. пл. 104–114° (из ацетона-эф.), $[\alpha]^{22}_D$ +28,4 ± 2° (с 1,02; CH_3OH), $[\alpha]^{22}_D$ 46,6 ± 2° (конечное значение, с 0,95, в воде), и при гидролизе без предварительной ферментации — дигиландобоза, т. пл. 224–230° (из водн. CH_3OH), $[\alpha]^{22}_D$ +32,6 ± 4° (с 0,55; в воде); кроме того, хроматографированием на бумаге установлено присутствие глюкозы и в-ва, которое может быть либо XI, либо цимарозой. *N*-Нитрофенил-*n*-сульфонилгидразон XI, т. пл. 133–139° (из CH_3OH -эф.). I, III, IV, VI и VII по своим физ. и хим. свойствам родственны дигингенину (XII) и отнесены к группе C_{21} -генинов. На основании колориметрич. анализа по методу Фукса (Sci. pharm., 1951, 19, 73) показано, что исходная смесь гликозидов содержит примерно 75% тридигитоксидов C_{21} -генинов и 25% тридигитоксидов карденолидного типа (дигитоксин и гитоксин). На основании данных, полученных при хроматографировании на бумаге, предположено, что V является ангидродигитоксигенином. Судя по хим. свойствам, УФ- и ИК-спектрам в I, III и IV имеются насыщ. пятичленный цикл с СО-группой, а также изолированная двойная связь. I и IV содержат, вероятно, α-оксидогруппировку, а в III имеется ненасыщ. шестичленный цикл с СО-группой или СНО-группа; VI имеет эфирную С—О—С-группировку, а также насыщ. шестичленный цикл с СО-группой или алифатич. СО-группу, но не содержит двойной связи; I имеет одну ОН-группу, III и IV — две, а VI, вероятно, три ОН-группы, из которых одна в последнем в-ве не ацетируется. На основании аналогии с гликозидами, выделенными из *Digitalis purpurea* L., сделано предположение, что в *Digitalis grandiflora* Mill. гликозиды являются тетрагликозидами (3 моля VIII и 1 моль D-глюкозы), которые благодаря энзимам, содержащимся в листьях, гидролизуются в тридигитоксиды. Приведены данные R_f для полученных в-в, кривые УФ-спектров I, III, VI, X и XII, данные об УФ-спектре VIII, кривые ИК-спектров I, III, IV, VI, VIII — X и XII. Г. Сегаль

21594. Калотоксин из калотропина; к строению калотропагенина. Гейгер, Хессе, Леттенбауэр, Шильдкнехт (Calotoxin aus Calotropin; zur Konstitution des Calotropagenins. Geiger W., Hesse G., Lettenbauer G., Schildknecht H.), Naturwissenschaften, 1957, 44, № 11, 328 (нем.).

При стоянии р-ров калотропина $\text{C}_{29}\text{H}_{40}\text{O}_9$ (I) на воздухе и на свету поглощается 0,5 моля O_2 и образуется калотоксин $\text{C}_{29}\text{H}_{40}\text{O}_{10}$ (II). В темноте эта р-ция не происходит, а при искусств. освещении она сильно ускоряется. Согласно литературным данным, такое поведение характерно для сердечных ядов, имеющих у $\text{C}_{(10)}$ альдегидную группу и транс-сочленение колец А и В. I в отличие от II имеет в УФ-спектре дополнительный максимум поглощения, дает моно- и диоксим, а при титровании поглощает 1 экв щелочи.

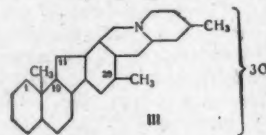
II дает только монооксим и поглощает 2 экв щелочи, что указывает на наличие в II 10-СООН-группы. Дегидрирование с помощью Se ушарилина (III), ранее химически связанного с I (Hesse G. и др., Liebig's Ann. Chem., 1939, 537, 67), привело к изопроницилопентенофенантрону (IV); аддукт IV с тринитрофлуореноном имеет т. пл. 120,5°. Таким образом, III,



а следовательно, I и II имеют стероидную структуру. Калотропагенин (V) имеет, судя по УФ-спектру и хим. превращениям, такие же кислородные функции, как и коротоксигенин (РЖХим, 1956, 78234) и одну дополнительную ОН-группу, которая ацетируется и находится в кольце С, что установлено следующим путем: дегидрирование V с Se привело к углеводороду (т. пл. 148–152°) ряда 1,2-бензопирена, образующемуся через предварительный переход в С-нор-D-гомостероид, что может иметь место только при наличии ОН-группы в кольцах С и D. Единственная ОН-группа кольца D легко отщепляется и находится у $\text{C}_{(10)}$. При кислотной обработке V получен диеп с сопряженной системой двойных связей (УФ-спектр) в кольце С, что говорит о возможности нахождения ОН-группы в положении 11α, а не 12α, как предполагалось ранее (Hirschmann R. и др., J. Amer. Chem. Soc., 1952, 2694).

21595. Исследование алкалоидов видов *Fritillaria* XL. Доказательство идентичности сипенина с импералином. Чжу Цзы-цин, Хуан Вэнь-куай, Лу Жэнь-жуи. XII. Дегидрогенизация пенина селеном и окислация и редукция пенина. Чжу Цзы-цин, Лу Жэнь-жуи, Хуан Вэнь-куай, Хэ Фын-цин. XIII. Функции третьего атома кислорода пенина, пенимина и сипенина. Хэ Фын-цин, Лу Жэнь-жуи, Лю Чжу-цзинь, Чжу Цзы-цин. XIV. Некоторые новые производные сипенина и различные молекулярного вращения. Хуан Вэнь-куай, Лу Жэнь-жуи, Лю Чжу-цин, Чжу Цзы-цин. (Исследования по ботанике. XI. 西貝素與 Imperialis 系同一物的証明. 朱子清, 黃文魁, 陸仁榮. XII. 貝素甲的硒脫氫及貝素乙的氧化與脫氧. 朱子清, 陸仁榮, 黃文魁, 何鳳珍. XIII. 貝素甲, 貝素乙及西貝素第三氧原子的功能. 何鳳珍, 陸仁榮, 劉錦管, 朱子清. XIV. 西貝素的新衍生物及旋光差. 黃文魁, 陸仁榮, 劉錦管, 朱子清). 科學通報, Касюэ тунбао, Научн. вестн., Scientia, 1957, № 7, 207–208; № 12, 371–372, 372; № 13, 404 (кит.).

XI. Сравнением свойств оснований, солей и различных производных показано, что алкалоид сипенина (I), выделенный авторами ранее из китайских видов



Fritillaria, идентичен алкалоиду импералину (II), выделенному Бойтом из *Fritillaria imperialis* L. (РЖХим, 1955, 3854). Т-ры плавления смешанных проб оксимов и изотиоцианатов I и II не дают депрессии. ИК-спектры I и II идентичны.

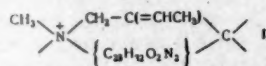
XII. При дегидрировании пенина (I) селеном при 340–350° получено кристаллич. основание, идентич-

ное верантридину. Показано, что I и пейминин (II) имеют скелет строения (III). Окислением II CrO_3 получен дикетон пейминин $\text{C}_{27}\text{H}_{41}\text{O}_3\text{N}$ (IV), т. пл. 154° , $[\alpha]_D^{20} -58,3^\circ$ (сп.), $[\alpha]_D^{25} -58,5^\circ$ (CHCl_3). Хлоргидрат дикетона IV, т. пл. $> 350^\circ$. Восстановлением IV по методу Кижнера-Хуан-Миллона получен пейминан $\text{C}_{27}\text{H}_{45}\text{N}$, т. пл. $123-124^\circ$, $[\alpha]_D^{20} -36,3^\circ$ (CHCl_3), растворим в разб. к-те, эфире, бензоле, трудно растворим в CH_3OH , $\text{C}_2\text{H}_5\text{OH}$; пикрат, т. пл. 224° .

XVII. Установлено, что в молекуле пеймина (I) $\text{C}_{27}\text{H}_{45}\text{O}_2\text{N}$, пейминина (II) $\text{C}_{27}\text{H}_{43}\text{O}_3\text{N}$ содержится три атома O. В I два атома O находятся в виде вторичных OH-групп, во II один атом O карбонильный, другой в атор-OH-группе. Третий атом O в I и II сравнительно не активен. В I определено 3 активных атома H (по Церевитинову), два определены при 20° , третий при 75° ; очевидно, третий атом O в I и II находится в виде третичной OH-группы. В сипеимине (III) $\text{C}_{29}\text{H}_{49}\text{O}_2\text{N}$ три атома O находятся в карбониле, атор-OH и трет-OH, что подтверждено ИК-спектром. При ацетилировании III получено триацетильное производное $\text{C}_{33}\text{H}_{49}\text{O}_5\text{N}$ (по евольной форме), т. пл. 118° , $[\alpha]_D^{20} -34,0^\circ$ (в CHCl_3). Из дезокси-III $\text{C}_{27}\text{H}_{45}\text{O}_2$ получено диацетильное производное $\text{C}_{31}\text{H}_{49}\text{O}_4\text{N}$, т. пл. 222° , $[\alpha]_D^{20} 0^\circ$ (CHCl_3).

XIV. Дезоксисипеимин (I) $\text{C}_{27}\text{H}_{45}\text{O}_2\text{N}$ при окислении CrO_3 дает дезоксисипеиминон $\text{C}_{27}\text{H}_{43}\text{O}_3\text{N}$, т. пл. $189-190^\circ$, $[\alpha]_D^{20} +18,7^\circ$ ($\text{C}_2\text{H}_5\text{OH}$), $[\alpha]_D^{25} +25,5^\circ$ (CHCl_3). Ацетильное производное I $\text{C}_{29}\text{H}_{47}\text{O}_3\text{N}$, т. пл. 222° , $[\alpha]_D^{20} +4,9^\circ$ (CHCl_3). Бензоильное производное II (II — сипеимин) $\text{C}_{31}\text{H}_{47}\text{O}_4\text{N}$, т. пл. 186° , $[\alpha]_D^{20} -20,2^\circ$ (CHCl_3). Бензоильное производное I $\text{C}_{31}\text{H}_{49}\text{O}_3\text{N}$, т. пл. 212° , $[\alpha]_D^{20} -1,4^\circ$ (CHCl_3). Ацетильное производное II при действии $\text{C}_6\text{H}_5\text{CO}_2\text{H}$ дает соответственно N-окис $\text{C}_{29}\text{H}_{45}\text{O}_5\text{N}$, т. пл. $244-246^\circ$. При восстановлении II LiAlH_4 получено азосипеиминол $\text{C}_{27}\text{H}_{45}\text{O}_3\text{N}$, т. пл. 201° , $[\alpha]_D^{20} -7,4^\circ$ (сп.). При гофмановском расщеплении или окислении $(\text{CH}_3\text{COO})_2\text{Pb}$ II не подвергается изменению. Дегидратировать II или сипеиминон не удалось. Приведены данные мол. вращения II и его производных. Сообщение X см. РЖХим, 1958, 11441. Чань Чан-бай 21596. Об алкалоидах из калебасс. Сообщение 24. К изучению С-калебассина и изо-калебассина. Бернауер, Шмид, Каррер (Zur Kenntnis des C-Calebassins und Isocalebassins. 24. Mitteilung: über Calebassenalkaloide. Bernauer K., Schmid H., Karrer P.), Helv. chim. acta, 1957, 40, № 3, 731-736 (нем.).

Бесцветный калебассин (I) под действием сильных окислителей переходит в желтый изокалебассин (II). Йодид I при каталитич. гидрировании дает тетрагидрокалебас-



синийодид (III), который под действием к-ты изомеризуется в йодгидрат изо-тетрагидрокалебассина (IV). Последний при гидрировании в 0,01 н. NaOH претерпевает расщепление по Эмде, причем получается тетрагидрооснование, которое при модифицированном окислении CrO_3 дает, кроме CH_3COOH , пропионовую к-ту и метилтилуксусную к-ту (V). Одна из CH_3 -групп в V происходит из метиленовой группы при N (b) IV, другая из этилиденовой боковой цепи, присутствие которой в I и II доказывается результатом озонирования. Положение этилиденовой группы по отношению к N (b) такое же, как в алкалоидах мавакурине, футорокурине, С-курарине, С-алкалоиде Т и тетрафилдине. 140 мг йодида I с 0,5 мл конц. HCl нагревают 2 мин. на кипящей водяной бане, высушивают,

пропуская струю N_2 , остаток кристаллизуют из 5 мл 0,1 н. HCl при прибавлении 45 мг NaI, выход йодгидрата йодида II, $\text{C}_{40}\text{H}_{50}\text{O}_2\text{N}_4\text{J}_2 \cdot \text{HJ}$ (VI) 57 мг. 6,82 мг VI в 10 мл 0,01 н. NaOH гидрируют с 80 мг PtO_2 при 20° , через 40 мин. (поглощаются 2 моля H_2) выделяют 4 мг основания Эмде, $\text{C}_{40}\text{H}_{52}\text{O}_2\text{N}_4$. 56,3 мг йодида I гидрируют с Pt из 350 мг PtO_2 при $18^\circ/711$ мм, выделяют 30 мг III, $\text{C}_{40}\text{H}_{54}\text{O}_2\text{N}_4\text{J}_2 \cdot 2\text{H}_2\text{O}$. 15 мг йодгидрата III с 0,2 мл конц. HCl нагревают 100° 2 мин., высушивают, пропуская N_2 , поступают аналогично выделению йодида I, получают 10,3 мг йодида IV, $\text{C}_{40}\text{H}_{54}\text{O}_2\text{N}_4\text{J}_2 \cdot \text{HJ}$ (VII). 7,66 мг VII гидрируют с Pt из 134 мг PtO_2 при 20° в 10 мл 0,01 н. NaOH, после поглощения 0,460 мл H_2 выделяют продукт р-ции, который окисляют CrO_3 , хроматограмма показывает присутствие CH_3COOH , пропионовой к-ты и V. Сообщение 23 см. РЖХим, 1958, 8125. К. Уткина 21597. О Δ^1 -пиперидине и родственных соединениях.

Сообщение VI. Превращение Δ^1 -пиперидина в тетрагидроанабазин в условиях клетки. Шэфф, Браун, Комцак (Über Δ^1 -Piperidin und verwandte Verbindungen. VI. Mitteilung. Der Übergang von Δ^1 -Piperidin in Tetrahydro-anabasin unter zellmöglichen Bedingungen. Schöpf Clemens, Braun Franz, Komzak Alfred), Chem. Ber., 1956, 89, № 8, 1821-1833 (нем.).

В условиях, близких к условиям в клетке растений, Δ^1 -пиперидин (I) превращается путем альдольной конденсации в тетрагидроанабазин (II). Одновремен-

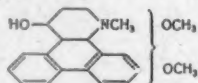


ное существование в р-ре I при pH 3-8 двух таутомерных форм: Ia и Ib обеспечивает высокий выход II (88%; pH 7,8). В сильнощел. среде (pH ≥ 13) ввиду отсутствия в Ib активной CH_2 -группы имеет место тримеризация Ib (по типу образования альдегидамина) до α - и β -тримеров. Сильно зависящая от pH скорость р-ции I \rightarrow II достигает максимума при pH 7,8. Подробно обсуждаются механизм р-ции и кинетика. Авторы считают весьма вероятным, что благодаря легкости синтеза II в условиях клетки он является исходным в-вом в биогенезе некоторых алкалоидов. Р-цию вели с 0,1 M водн. р-ром I-HCl в буферных смесях при 25° . Сообщение V см. РЖХим, 1956, 77997. А. Беликов 21598. Аконитовые алкалоиды. XXXIII. Идентификация γ -оксодельфинина. Пеллетьер, Джейкобс, Ратгеб (The aconite alkaloids. XXXIII. The identity of γ -oxodelphinine. Pelletier S. William, Jacobs Walter A., Rathgeb Paul), J. Organ. Chem., 1956, 21, № 12, 1514-1515 (англ.).

При нагревании и действии HNO_3 главным продуктом превращения дельфинина (I) является оксидельфинин $\text{C}_{33}\text{H}_{45}\text{O}_{10}\text{N}$ (II). Положение гидроксильной группы в II углерода, соседнего с N-атомом, и ее вторичный характер доказаны окислением II KMnO_4 в ацетоне с образованием нейтр. γ -оксодельфинина (III), который, как первоначально полагали, отличается от β -оксодельфинина (IV) (см. РЖХим, 1957, 57634). Однако окисление тщательно очищ. II (т. пл. $190-194^\circ$ (из абс. сп.); $[\alpha]_D^{20} -0,8^\circ$; с 2,5; абс. сп.) приводит к продукту, идентичному IV. Сообщение XXXII см. РЖХим, 1957, 60702. В. Быковский 21599. Об алкалоидах *Thalictrum minus* L. Строение тальмина. Юнусов С. Ю., Исманов З. Ф., Докл. АН УзССР, 1956, № 12, 21-24 (рез. узб.).

Изучено строение тальмина $\text{C}_{20}\text{H}_{23}\text{O}_3\text{N}$ (I) (РЖХимБх, 1958, 2007) и предложена его ф-ла. При действии CH_3COCl на I получено неосновное в-во, после окисления которого конц. HNO_3 (d 1,4) выделена к-та

$C_{16}H_{12}O_{10}N_2$ (III), т. пл. 251—253°; диметилловый эфир, т. пл. 150—151°. При нагревании йодметилата I с 30%-ным р-ром KOH в CH_3OH получен дес-N-метилталмин (III), т. пл. 108—112°; хлоргидрат, т. пл. 124—126°; пикрат, т. пл. 175—177°. II получают также при окислении I и III конц. HNO_3 . III с CH_3I дает йодметилат, т. пл. 148—150° (разл.), при гофманском распаде которого отщепляется $(CH_3)_3N$ и образуется безазотистое в-во $C_{18}H_{18}O_3$ (IV), т. пл. 211—212°; ацетильное производное, т. пл. 235—237°; фенилуретан, т. пл.



271—272°. IV восстановлено с Pt из PtO_2 до дигидропроизводного (V), т. пл. 172—173°; ацетильное производное V, т. пл. 202—203°. При окислении V $KMnO_4$ получены к-ты: $C_{16}H_{14}O_6$ (VI), т. пл. 281—283°; диметилловый эфир, т. пл. 94—95°, и пропионовая. VI образуется также при окислении I CrO_3 и $KMnO_4$ и III — $KMnO_4$. При нагревании VI с меднохромовым катализатором в хинолине получено нейтр. в-во $C_{14}H_{14}O_2$, т. пл. 79—80°; при перегонке VI с Zn-пылью — дифенил. Это указывает, что VI является диметоксидифеновой к-той. При перегонке I с Zn-пылью образуется фенантрин. Авторы предполагают, что I является производным фенантрена, конденсированного с пиридином в положениях 9 и 10. Авторы предлагают для в-в, выделенных из растений и имеющих в своей основе эту систему, название производных трифенилидина.

Т. Платонова

21600. 16-кетонихимбан. Хилл, Минч (16-ke-toyohimbane. Hill Richard K., Muench Karl), J. Organ. Chem., 1957, 22, № 10, 1276—1277 (англ.)

Апононихимбановая к-та (I) по р-ции Шмидта превращена в 16-кетонихимбан (II). Последний восстановлен в нихимбан (III). 6.7 г хлоргидрата I в 30 мл конц. H_2SO_4 перемешивают до окончания выделения HCl (газа) и прибавляют по каплям 60 мл 0,6 н. р-ра NH_3 в $CHCl_3$, через 30 мин. смесь выливают в ледяную воду, водн. р-р подщелачивают NH_4OH и экстрагируют $CHCl_3$, выход II 20%; II $\cdot \frac{1}{2}H_2O$, т. пл. 283—285° (из сп.); II, т. пл. 274—276° (разл.; из ксилола); оксим, т. пл. 316—319° (разл.; из CH_3OH). 0,46 г II, 0,2 г $NaOH$ и 3 мл 85%-ного $N_2H_4 \cdot H_2O$ кипятят 70 мин. в 8 мл диэтиленгликоля, воду и N_2H_4 отгоняют, остаток нагревают 4 часа при 197°, разбавляют водой и экстрагируют $CHCl_3$, выход III 75%, т. пл. 204—206° (возгонен при 150°/0,01 мм; перекристаллизован из сп.).

Е. Цветков

21601. Четвертичные аммонийные соли, полученные из (—)-лупинина. Фодор, Шаллаи, Дутка (Quaternary ammonium salts derived of (—)-lupinine. Fodor G., Sallay I., Dutka F.), Acta phys. et chem. Szeged, 1956, 2, № 1—4, 77—79 (англ.)

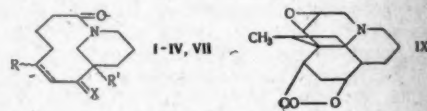
Изучена конфигурация оксиметильной группы относительно N-атома в (—)-лупинине (I). Действием на I $CH_3COOC_2H_5$ (II) получены эпитермические йодиды. При $\sim 20^\circ$ из 1,07 г I и 1,284 г II в 3 мл абс. C_6H_6 получен эпитерм (III) с т. пл. 154°, $[\alpha]^{24}_D -49,06^\circ$ (с 1,591). При 95° (22 часа в запаянной трубке, затем 43 часа при $\sim 20^\circ$) из 0,354 г I и 0,428 г II в 1 мл абс. спирта и 3 мл абс. C_6H_6 получен эпитерм (IV), т. пл. 148—150°, $[\alpha]^{24}_D -84,76^\circ$ (с 1,05). Кипячением в 10 мл воды в запаянной трубке (24 часа при 95°) III (0,15 г) превращен в в-во (V), т. пл. 150—152°, $[\alpha]^{24}_D +16,67^\circ$ (с 1,5). При действии избытка Ag_2O в 25 мл воды (встряхивание 2 часа) и последующем кипячении

(5 час.) III (1,532 г) образует бетанин, т. пл. 244°, $[\alpha]^{24}_D +9,91^\circ$ (с 1,029). Кипячение бетанинов, полученных из III, IV, V с HBr или HJ , к лактонизации не приводит. Все $[\alpha]_D$ измерены в воде.

Л. Нейман

21602. Изучение строения аннотинина. Уиснер, Эр, Фаулер, Валента (Definition of the periphery of annotinine. Weisner K., Ayer W. A., Fowler L. R., Valenta Z.), Chemistry and Industry, 1957, № 18, 564—565 (англ.)

Для кетовэфира $C_{17}H_{23}O_4N$, т. пл. 200° (РЖХим, 1957, 23171) предложена частичная ф-ла (I). При окислении SeO_2 получена смесь 4 в-в: $C_{17}H_{21}O_4N$ (II), т. пл. 144—145°; $C_{17}H_{21}O_5N$ (III), т. пл. 246,5—247°; в-во (IV) (рассматривается как эпитерм III), т. пл. 212—213°; $C_{17}H_{19}O_4N$ (V), т. пл. 127—128°. Обработкой I Br_2 в CH_3COOH получен дибромид $C_{17}H_{21}O_4NBr_2$ (VI), т. пл. 163—163,5°. Гидролиз VI $NaOH$ в дioxане с последующей реэтерификацией приводит к в-ву IV с выходом 60%. Гидрирование V с Pt из PtO_2 в CH_3COOH приводит к ранее описанному оксифуру $C_{17}H_{25}O_4N$ (VII). $NaBH_4$ восстанавливает II в спирт $C_{17}H_{25}O_4N$ (VIII), т. пл. 235—236°. CH_3ONa в кипящем метаноле изомеризует VIII в I. При окислении IV $KMnO_4-HJO_4$ получены HCOOH и янтарная к-та. Из I с конц. выходом получено бензилденное производное $C_{22}H_{27}O_4N$.



I R = α -COOCH₃, R' = H, X = O; II R = COOCH₃, R' = H, X = O; III, IV R = COOCH₃, R' = OH, X = O; VII R = β -COOCH₃, R' = H, X = α -H + β -OH. I, VII — простая связь, II—IV — двойная связь

т. пл. 212—213°; этим же путем было получено аморфное фурфурилиденное производное, которое после озонирования и разложения в CH_3COOH с H_2O_2 образует к-ту, теряющую при 110—160° 1 моль CO_2 , и превращается в дикарбоновую к-ту $C_{15}H_{21}O_7N$, т. пл. 304°. Предложена возможная ф-ла аннотинина (IX).

Л. Шаховский

21603. Синтез диктаминина. Сато, Ота (ジクタミンの合成に関する研究. 佐藤 匡, 大田正樹), 日本化学雑誌, Нихон катэку дзасси, J. Chem. Soc. Japan. Pure Chem. Sec., 1956, 77, № 10, 1630—1631 (японск.)

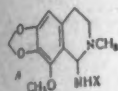
Алкалоид *Skimmia repens* Nakai диктаминин (I) синтезируют из 2,4-дихлор-3- β -хлорэтилхинолина, который после 3 час. обработки по Грандону (РЖХим, 1956, 68358) дает смесь 2-окси-3- β -хлорэтил-4-хлорхинолина, т. пл. 190°, и дигидро-I (II), т. пл. 113°. При кипячении с Na в CH_3OH эта смесь полностью превращается в II. Последний 45 мин. обрабатывают N-бромсукцинимидом с добавкой $(C_6H_5COO)_2$, получают монобромид, т. пл. 120°, который при 2-часовом нагревании с CH_3OH и Na до 100° дает I.

Н. Швецов

21604. Проблемы строения производных котарнина.

II. Структура продуктов конденсации котарнина с азотсодержащими соединениями. Беке, Харшани (Kotarninszármazékok szerkezeti problémái. II. A kotarnin nitrogénvegyületekkel képezett kondenzációs termékeinek szerkezete. Beke Dénes, Haršan yi Kálmán), Magyar kém. folyóirat, 1956, 62, № 6, 201—204 (венг.; рез. нем.); Acta chim. Acad. Sci. hung. 1957, 11, № 3-4, 303—307 (нем.; рез. русск., англ.); Ж. общ. хим., 1957, 27, № 8, 2108—2112. Проведено каталитич. гидрирование на Pd продуктов конденсации котарнина с анилином — анилин-гидрокотарнина («котарнинанила») (I), с гидроксил-

амином — β -1-гидрокотарнилгидроксиламина (II), с фенилгидразином — α -(1-гидрокотарнил)- β -фенилгидразина (III), с фталимидом — 1-фталимидогидрокотарнином (IV) и 1-урендогидрокотарнином (V). В результате гидрогенолиза I образовались гидрокотарнин и анилин (с выходом, близким к теоретич.) вместо замещ. фенилбензиламина, ожидаемого на основании ранее предполагавшейся структуры с открытой цепью. Аналогичные продукты получили и при гидрогенолизе II, III, IV, V: гидрокотарнин и соответствующее азотсодержащее соединение. Под влиянием NaHSO_3 I, II, III, IV, V очень легко разлагаются с образованием Na-соли гидрокотарнина-1-сульфокислоты. Эти р-ции можно объяснить, лишь предположив, что вышеуказанные соединения имеют кольцевую структуру (A), что подтверждается отсутствием полосы сопряжения двойной связи с ароматич. ядром A в УФ-спектре I,



IX — C_6H_5 , II X — OH, III X — NHC_6H_5 ,
IV H + X — $(\text{CO})_2\text{C}_6\text{H}_4$, V X — CONH_2 ,

а в случае II — его способностью образовывать наряду с монохлоргидратом дихлоргидрат (VI). Для получения VI растворили при нагревании 2,52 г β -1-гидрокотарнилгидроксиламина в смеси из 10 мл абс. спирта и 5 г 30%-ного р-ра HCl в абс. спирте. После охлаждения получили 2,04 г VI. Гидрирование всех вышеуказанных соединений протекало очень легко, тогда как N-бензоилкотарниноксим, заведомо имеющий структуру с открытой цепью, в тех же условиях не гидрировался. К р-ру 4,5 г фенилгидразина и 4,8 г CH_3COONa в 45 мл воды добавляют 7,11 г котарнина и 10% р-р NaOH до щел. р-ции на фенолфталеин. Выход III 95%, т. пл. 80—82° (из петр. эф.), разлагается при хранении. Сообщение I см. РЖХим, 1958, 4779.

А. Хаусманн

21605. Проблемы строения производных котарнина.

III. Структура «гидрокотарнинукусной кислоты». Беке, Харшаньи, Кёрёши (Katarninszármaszék szerkezeti problémái. III. A «hidrokotarninecsav» szerkezete. Beke Dénes, Harsányi Kálmán, Kőrösi Jenő), Magyar kém. folyóirat, 1956, 62, № 6, 204—208 (венг.; рез. нем.); Acta chim. Acad. Sci. hung., 1957, 11, № 3-4, 309—306 (нем.; рез. русск., англ.); Ж. общ. хим., 1957, 27, № 10, 2760—2767

Для доказательства того, что «гидрокотарнинукусная к-та» (I), ставшаяся до сих пор 6-метокси-4,5-метилendioкси-2-(β -метиламиноэтил)-коричной к-той (Ia), не содержит двойной связи, ее подвергли каталитич. гидрированию (на Pd, скелетным Ni, Pt при ~20° и 1 ата в CH_3OH , лед. CH_3COOH и воды) и восстановлению 3%-ной амальгамой Na. При этом присоединения H_2 не наблюдалось. При бромировании I происходит не присоединение, а замещение H на Br с образованием бромгидрата 1-(5-бромгидрокотарнил)-укусной к-ты (II), что подтверждается также идентичностью II с к-той, полученной из 5-бромкотарнина, малоновой к-ты и пиридина. Поведение I по отношению к гидрированию и бромированию можно объяснить, предположив для нее кольцевую структуру, подтверждаемому и спектроскопич. данными: в спектре I в УФ-области не наблюдается характерного для производных стирола $\lambda_{\text{макс}}$ 330 мμ. Следовательно, I имеет строение 2-метил-8-метокси-6,7-метилendioкси-1-карбоксиметил-1,2,3,4-тетрагидропроизинолина (1-гидрокотарнилукусной к-ты) (III). При нагревании III с $(\text{CH}_3\text{CO})_2\text{O}$ получили N-ацетильное производное. Из метилового эфира III действием CH_3J получен йодметилат метилового эфира III (IV), т. пл. 119°. При

кипячении IV со смесью 1 мл воды и 2 мл 10%-ного NaOH (1,5 часа) не наблюдалось отщепления триметиламина, которого можно было бы ожидать на основании структуры с открытой цепью. Следовательно, IV имеет кольцевую структуру, отвечающую приведенному названию. Правильность этого положения доказали следующим путем: действием HJ на 6-метокси-4,5-метилendioкси-2-(β -диметиламиноэтил)-коричную к-ту, полученную при кипячении IV с NaOH, получили соль, которая не идентична соединению, образующемуся при присоединении 1 моля HJ к III. Под влиянием избытка HJ и NaOH удалось получить и йодметилат метилового эфира I (V), т. пл. 199—200°. При кипячении V с NaOH отщепляется триметиламин, после подкисления щел. р-ра выделяется 2-винил-4,5-метилendioкси-6-метоксикоричная к-та. Из этого можно сделать вывод, что образование гидрата IV протекает в 2 стадии: вначале образуется йодметилат, имеющий кольцевую структуру, а затем под влиянием избытка HJ кольцо раскрывается, чему способствует присутствие активного H в α -положении и аминогруппы в β -положении. Синтез III из котарнина (VI) и малоновой к-ты не противоречит кольцевой структуре VI.

А. Хаусманн

21606. Синтезы в ряду каротиноидов. Сообщение 9.

Новый синтез симметричных каротиноидов. Ислер, Монтавон, Рюэгг, Целлер (Synthesen in der Carotinoid-Reihe, 9. Mitt. Neuer Aufbau symmetrischer Carotinoide. Isler O., Montavon M., Rüegg R., Zeller P.), Liebigs Ann. Chem., 1957, 603, № 1—3, 129—144 (нем.)

Синтезирован ряд симметричных каротиноидов по принципу $\text{C}_{14} + \text{C}_{12} + \text{C}_4 = \text{C}_{30}$. Р-цией 168 г тиглинового альдегида с $\text{BrMgC}\equiv\text{CMgBr}$ синтезируют 167 г 3,8-диметилдекадиен-2,8-ин-5-диола-3,7, т. пл. 67—68°, который (40 г) под влиянием 10%-ной H_2SO_4 (24 часа, 20°, атмосфера N_2) претерпевает аллильную перегруппировку (АП) в 3,8-диметилдекадиен-3,7-ин-5-диол-2,9 (I), выход 37 г, т. пл. 90—93° (из бэл.). Окислением 40 г I MnO_2 (24 часа, 20°, атмосфера N_2) получают 36 г 3,8-диметилдекадиен-3,7-ин-5-диола-2,9 (II), т. пл. 108—109° (из CH_3OH). Р-ция 86,5 г II с $\text{HC}(\text{OC}_2\text{H}_5)_2$ (III) в абс. спирте в присутствии H_3PO_4 и $n\text{-CH}_3\text{C}_6\text{H}_5\text{SO}_3\text{H}$ приводит к 152 г 3,8-диметил-2,2,9,9-тетраэтоксидекадиен-3,7-ина-5 (IV), n^D_{20} 1,4920, который при кипячении с $(\text{CH}_3\text{CO})_2\text{O}$ или POCl_3 в смеси толуола с пиридином дает 78 г 3,8-диметил-2,9-диэтоксидекатетраен-1,3,7,9-ина-5 (V), т. пл. 59—60° (из CH_3OH). Конденсацией 186 г 4-(2',6',6'-триметилциклогексен-1'-ил)-2-метил-1,1-диэтоксидекадиена-2 с 79 г V в присутствии 10%-ного р-ра ZnCl_2 в C_6H_5 -этилацетате при (20°, 15 час.) и последующим гидролизом (CH_3COONa -води. CH_3COOH , 95°, 5 час. атмосфера N_2) синтезируют 131 г 1,18-ди-(2',6',6'-триметилциклогексен-1'-ил) - 3,7,12,16-тетраметилоктадекагексаен-2,4,7,11,14,16-ин-9-диола-6,13 (VI), т. пл. 172—173° (из $\text{CH}_2\text{Cl}_2\text{-CH}_3\text{OH}$ или петр. эф.), который при восстановлении Al-изопропилом дает соответствующий диол. Последний при обработке 23%-ным р-ром HCl в спирте претерпевает АП и дегидратацию (ДГ), образуя 93 г 15,15'-дегидро- β -каротина (VII), который при частичном гидрировании и изомеризации переходит в β -каротин (VIII). В условиях синтеза VI 22,4 г 4-(2',6',6'-триметилциклогексен-1'-ил)-2-метил-1,1-диэтоксидекадиена-2 и 9,85 г V дают 10 г 1,18-ди-(2',6',6'-триметилциклогексен-1'-ил) - 3,7,12,16-тетраметилоктадекагексаен-2,4,7,11,14,16-ин-9-диола-6,13 (IX), т. пл. 153—154° (из $\text{CH}_2\text{Cl}_2 + \text{CH}_3\text{OH}$). Восстановлением последнего Al-изопропилом, последующей АП и ДГ (как при синтезе VII) получают 3,4,3',4',15,15'-трисдегидро- β -каротин (X), т. пл. 165—167° (из $\text{CH}_2\text{Cl}_2\text{-CH}_3\text{OH}$), который переводят (как VIII) в 3,4,3',4'-бисдегидро- β -каротин (XI). Дей-

ствием III на 25 г 8-(2',6',6'-триметилциклогексен-1'-ил)-2,6-диметилтетрагидро-2,4,6-али-1 (0,6 мл H_2PO_4 , 10 мл абс. спирта, 20°, 24 часа) синтезируют 31 г 9-(2',6',6'-триметилциклогексен-1'-ил)-2,6-диметил-1,1-диэтокситетрагидро-2,4,6 (XII), $n_D^{25} 1,5320$, 25 г, которого при конденсации с 8,9 г V (в условиях синтеза VI) дают 1,26-ди-(2',6',6'-триметилциклогексен-1'-ил)-3,7,11,16,20,24-гексаметил-8,10,10,17,17,19-гексаэтоксигексакозаоктаен-2,4,6,11,15,20,22,24-ин-13, $\lambda_{\text{макс}}$ 280, 292 мк (E 1230, 1005; в петр. эф.). Гидролиз последнего приводит к 10 г 1,26-ди-(2',6',6'-триметилциклогексен-1'-ил)-3,7,11,16,20,24-гексаметилгексакозадекаен-2,4,6,8,11,15,18,20,22,24-ин-13-дионо-10,17 (XIII), т. пл. 167—168° (из бэл.-сп.). Восстановлением, АП и дегидратацией (как при синтезе VII) 8 г XIII переводят в 3,5 г 19,19'-дегидродекапено- β -каротина (XIV), т. пл. 189—190° (из бэл.-петр. эф.), который при частичном гидрировании над катализатором Линдлара дает декапено- β -каротин (XV), т. пл. 193—195° (из бэл.-сп.). При испытаниях на крысах, на активность витамина А, XV оказался на 10% менее активным, чем VIII. Конденсация 7,6 г 4-(2',6',6'-триметил-4'-ацетоксигексен-1'-ил)-2-метил-1,1-диэтоксигексана-2 и 2,75 г V в последующий гидролиз в вышеуказанных условиях приводит к 1,18-ди-(2',6',6'-триметил-4'-ацетоксигексен-1'-ил)-3,7,12,16-тетраметилгексакозадекаен-2,4,7,11,14,16-ин-9-диону-6,13 (XVI) (3,2 г), т. пл. 174—175° (из этилацетата или $\text{CH}_2\text{Cl}_2 + \text{CH}_3\text{OH}$). Восстановлением, ДГ и АП из 2,6 г XVI получают 0,9 г 15,15'-дегидрозеаксантина (XVII), т. пл. 207—208° (из $\text{CH}_2\text{Cl}_2 + \text{CH}_3\text{OH}$). Частичным гидрированием 0,8 г XVII переводят в 15,15'-цис-зеаксантин, который при кипячении в петр. эфире (20 час., атмосфера N_2) изомеризуется в сполна транс-изоидный зеаксантин (XVIII) (0,6 г), т. пл. 205—206° (из этилацетата- CH_3OH). Этерификацией 0,65 г XVIII хлорангидридом пальмитиновой к-ты синтезируют 1,15 г физалиена (XIX), т. пл. 95—96° (из $\text{CH}_2\text{Cl}_2 + \text{CH}_3\text{OH}$). XVII получают также и другим путем. Конденсацией 23,5 г 4-(2',6',6'-триметил-4'-кетогексен-1'-ил)-2-метил-1,1-диэтоксигексана-2 с 10 г V в присутствии ZnCl_2 и эфирата BF_3 с последующим гидролизом получают смесь, которую хроматографируют на Al_2O_3 . Петр. эфиром- CH_2Cl_2 (1:1) вымывают 12 г в-ва с $\lambda_{\text{макс}}$ 295, 372 мк (E 415, 920), 31 г которого восстанавливают изопропилом Al. После ДГ и АП выделяют 4,4 г XIII. Приведены данные об УФ-спектрах I—XIX. Сообщение 8 см. РЖХим, 1958, 1454. Г. Сегаль

21607. Синтезы в ряду каротиноидов. Сообщение 10. Применение реакции Виттига для синтеза эфиров биксина и кроцетина. Ислер, Гутман, Монтавон, Рюэгг, Ризер, Целлер (Synthesen in der Carotinoid-Reihe. 10. Mitteilung. Anwendung der Wittig-Reaktion zur Synthese von Estern des Bixins und Crosetins. Isler O., Gutmann H., Montavon M., Rüegg R., Ryser G., Zeller P.), Helv. chim. acta, 1957, 40, № 5, 1242—1249 (нем.; рез. англ.)

Синтезируют эфиры полиендикарбонных к-т, норбиксина (I) и кроцетина (II) общей ф-лы $\text{Z}(\text{COOR})_2$ (где I и II а R = CH_3 , б R = C_2H_5 , в R = $n\text{-C}_{16}\text{H}_{33}$) по методу Виттига. Ia, б, в получают из 2,6,11,15-тетраметилгексакозадекапентаен-2,4,6,8,10,12,14-диаля-1,16 (III) и $(\text{C}_6\text{H}_5)_3\text{P}=\text{CHCOOR}$ (IV), приготовленного из BrCH_2COOR (V) через $\text{BrP}(\text{C}_6\text{H}_5)_2\text{CH}_2\text{COOR}$ (VI). На, б, в синтезируют конденсацией 4,9-диметилдодекапентаен-2,4,6,8,10-диаля-1,12 (VII) с $(\text{C}_6\text{H}_5)_3\text{P}=\text{C}(\text{CH}_3)\text{COOR}$ (VIII), полученного из $\text{CH}_3\text{CHBrCOOR}$ (IX) через $(\text{C}_6\text{H}_5)_3\text{PCH}(\text{CH}_3)\text{COOR}$ (X) (здесь и далее для IV, V, VI, VIII, IX и X а R = CH_3 , б R = C_2H_5 , в R = $n\text{-C}_{16}\text{H}_{33}$). К р-ру 262 г $(\text{C}_6\text{H}_5)_3\text{Li}$ в 1200 мл C_6H_6 прибавляют по каплям (перемешивание, 30 мин.) 144 г Va, переме-

шивают 12 час. Отфильтровывают осадок, промывают C_6H_6 , петр. эфиром, получают VIa, выход 345 г, т. пл. 163°. Аналогично получают из Vб и Vв соответственно VIб, т. пл. 158°, VIв, т. пл. 223—224°. 42,9 г Vв в 1000 мл воды при обработке разб. NaOH (до р-ции) переводят в IVб, т. пл. 116—117° [из этилацетата (ЭА) + петр. эф.]. В аналогичных условиях из VIa получают IVa, т. пл. 162—163° (из ЭА + петр. эф.), из VIв получают IVв, т. пл. 90—91° (из CH_3COOR). Смесь 262 г $(\text{C}_6\text{H}_5)_3\text{Li}$ в 1200 мл C_6H_6 и 158 г IXa перемешивают (2 часа, 70°), упаривают р-ритель, получают Xa, т. пл. 178—180° (из эф.). Обработка водн. р-ра Xa разб. натронной щелочью приводит к VIIa, т. пл. 152—153° (из ЭА + петр. эф.). Аналогично из IXб и IXв, соответственно, через Xб, т. пл. 199—200°, и Xв, т. пл. 203°, получают VIIб, т. пл. 156—157° (из ЭА + петр. эф.), и VIIв, т. пл. 68—69 (из ЭА). Смесь 1,5 г III и 4,3 г IVa в 50 мл абс. C_6H_6 кипятят 6 час. (N_2), отфильтровывают осадок, промывают CH_3OH , получают Ia, выход 2 г, т. пл. 203°. С природным соединением депрессии т-ры плавления не дает. Из 1,08 г VII и 4,4 г VIIIa получают аналогично IIa, выход 1,5 г, т. пл. 225—227° (из бэл.). С природным IIa депрессии т-ры плавления не дает. Р-р 68 г VIб в 300 мл CH_2Cl_2 смешивают с 75 мл 2 н. р-ра CH_3ONa в CH_3OH , перемешивают 30 мин. и прибавляют р-р 19 г III в 300 мл CH_2Cl_2 , кипятят 5 час. (N_2), получают Iб, фильтруют через 1 кг Al_2O_3 , выход 22 г, т. пл. 189° (из бэл.). Аналогично 28 г Xб в 150 мл CH_2Cl_2 обработкой 26 мл 2 н. CH_3ONa в CH_3OH переводят в VIIIб и без выделения прибавляют к нему 5 г VII в 100 мл CH_2Cl_2 , кипятят 5 час. (N_2), получают IIб, выход 4 г, т. пл. 216—218° (из бэл.). Аналогично получают Ib, т. пл. 114° (из бэл.), и IIв, т. пл. 90° (из бэл.). Приведены кривые ИК-спектров для природных и синтетич. Ia, IIa и УФ-спектров для синтетич. Ia, IIa.

Г. Воробьева

21608. Синтезы в ряду каротиноидов. Сообщение 11.

Получение α,β -ненасыщенных карбонильных соединений из аллилгалогенидов с помощью нитропарафинов. Монтавон, Линдлар, Марбет, Рюэгг, Ризер, Соси, Целлер, Ислер (Synthesen in der Carotinoid-Reihe, 11. Mitteilung. α,β -Ungesättigte Carbonylverbindungen aus Allylhalogeniden mittels Nitroparaffinen. Montavon M., Lindlar H., Marbet R., Rüegg R., Ryser G., Saucy G., Zeller P., Isler O.), Helv. chim. acta, 1957, 40, № 5, 1250—1256 (нем.; рез. англ.)

Предложен новый метод получения α,β -ненасыщ. алифатич. и алициклич. моно- и диальдегидов и кетон-ов из аллилгалогенидов (I) с помощью нитропарафинов (II) по схеме: $>\text{C}=\text{CRCH}_2\text{R}'\text{Hal I} + \text{O} \rightarrow \text{N}(\text{ONa}) = \text{C} < \text{II} \rightarrow >\text{C}=\text{CRCH}_2\text{R}'\text{ON}(\rightarrow \text{O}) = \text{C} < \text{III} \rightarrow >\text{C} = \text{CRCH}_2\text{R}' = \text{O (IV)} + \text{OHN} = \text{C} < \text{V}$. В р-ции могут быть использованы как первичные, так и вторичные I и II. Промежуточные в-ва (III) неустойчивы и разлагаются при низкой т-ре или незначительном нагревании на ненасыщ. карбонильное соединение (IV) и оксим. Данным методом успешно синтезирован ряд каротиноидных соединений: цитраль (V), ϵ -метилцитраль (VI), фарнезал (VII), 2,6,6-триметилциклогексил-иденацетальдегид (VIII), 3-метилпентен-2-ин-4-аль-1 (IX), 2,7-диметилгексадиен-2,6-ин-4-аль-1,8 (X), 3,8-диметил-2,9-диоксидекадиен-3,7-ин-5 (XI). Синтез V осуществлен, исходя из линалоола (XII) через геранилбромид (XIII). Р-р 27,8 г XII в 50 мл абс. эфира обрабатывают 23,8 г PBr_3 (—5°, перемешивание) и перемешивают 1 час при —5°. Реакционную смесь выливают на лед, отделяют эфирный слой, из которого получают 43,4 г неочищ. XIII. К р-ру К-соли (XIVa) 2-нитропропана (XIV) (из 19,6 г XIV и 13,8 г KOH) в 22 мл воды и 140 мл изопропанола прибавляют при

перемешивании 43,4 г неочищ. XIII и выдерживают 20 мин. при 40–50°; добавляют 500 мл воды и экстрагируют петр. эфиром (т. кип. 40–50°). Эфирный р-р промывают 1 н. NaOH и 1%-ным р-ром NaHCO₃, сушат Na₂SO₄ и упаривают р-ритель, получают V, выход 21,6 г, т. кип. 70–72°/0,1 мм. Из природного и синтетич. неролидола обработкой PBr₃ и полученного фармилбромида — К-солью XIV получают VII; 2,4-дигидрофенилгидразон (ДНФГ), т. пл. 102–103° (из 1 см CH₂Cl₂ + CH₃OH). Аналогично, исходя из 3,6,7-триметилпентадиен-1,6-ола-3, получают VI, т. кип. 70°/15 мм, n_D²⁰ 1,4900. VIII синтезируют из 2,6,6-триметилциклогексанола-1 (XV) через 2,6,6-триметил-4-этилциклогексанола-1 (XVI), 2,6,6-триметил-1-винилциклогексанола-1 (XVII) и 2,6,6-триметилциклогексил-дигидробромид (XVIII). 28 г XVI, приготовленного из LiC≡CH и XV в среде жидкого NH₃, гидрируют в 150 мл петр. эфира (т. кип. 80–100°) в присутствии 3 г катализатора Линдлара и 0,3 г хинолина, получают 28,3 г неочищ. XVII. Р-р неочищ. XVII в 60 мл абс. C₆H₆ смешивают с 16,7 г PBr₃ при перемешивании и нагревают до 50°; затем поддерживают т-ру ~ 65° и перемешивают 1 час (50–60°). Выделение XVIII проводят аналогично XIII, получают 37,6 г неочищ. XVIII. К р-ру 11,3 г КОН в 15 мл воды и 50 мл HCON(CH₃)₂ (XIX) прибавляют при перемешивании и охлаждении 16,2 г XIV и перемешивают 1 час при ~ 20°, затем прибавляют р-р 37,6 г неочищ. XVIII в 100 мл XIX и перемешивают 18 час. при 30°, разбавляют 300 мл воды и экстрагируют петр. эфиром, получают 25 г неочищ. VIII. Для очистки р-р VIII в петр. эфире фильтруют через 150 г Al₂O₃, т. кип. 101–102°/11 мм, n_D²⁰ 1,4977; фенилсемикарбазон, т. пл. 129–130° (из CH₃OH). Для синтеза IX эфирный р-р 96 г 3-метилпентадиен-2-ин-4-ола-1 обрабатывают эфирным р-ром 36 мл PBr₃ в присутствии C₆H₅N (–15°) и перемешивают 2 часа (~ 20°), получают 1-бром-3-метилпентадиен-2-ин-4 (XX), выход 125 г, т. кип. 45–50°/14 мм, n_D²⁰ 1,5185–1,5203. Р-р Na-соли XIV (из 94 мл XIV и 37,5 г NaOH) в 37,5 мл воды и 183 мл CH₃OH, приготовленный путем перемешивания в течение 1 часа (т-ра 8–10°), прибавляют при 0–5° и перемешивания в 125 г XX в 100 мл CH₃OH. Реакционную массу перемешивают 5 час. (охлаждение), добавляют следы токоферола, выливают в ледяную воду, экстрагируют петр. эфиром, получают IX, выход 40 г, т. кип. 40–44°/14 мм, n_D²⁰ 1,4970–1,4995; ДНФГ, т. пл. 152°. IX неустойчив во воздухе, 2,7-диметил-3,6-диоксипентадиен-1,7-ин-4 в CH₂Cl₂ обработкой 60%-ной HBr (25°, перемешивание 1 час) переводят в 1,8-дибром-2,7-диметилпентадиен-2,6-ин-4 (XXI). К р-ру 348 г NaOH в 1200 мл CH₃OH и 30 мл воды прибавляют 840 г XIV (перемешивание, охлаждение, атмосфера N₂, т-ра < 10°), перемешивают 1 час при 5–10°. Приготовленный таким образом р-р Na-соли XIV прибавляют (1–2 часа, 4–8°) к суспензии 1060 г XXI в 4200 мл CH₃OH и перемешивают 5 час. при 4–8°, выливают на лед и извлекают в-во C₆H₆, получают X, выход 340–360 г, т. пл. 68–69° (из изо-C₅H₇OH или петр. эф.). Обработкой эфирного р-ра 3,8-диметил-4,7-диоксипентадиен-2,8-ина-5 PBr₃ (0°, перемешивание 16 час.) получают 3,8-диметил-2,9-дибромпентадиен-3,7-ин-5 (XXII). 260 г неочищ. XXII прибавляют к р-ру XIVa (из 177 г XIV и 108 г КОН) в 1300 мл ацетона и 54 мл воды (25–30°, перемешивание 16 час.), получают XI, выход 86,5 г, т. пл. 108–109° (из CH₃OH).

Г. Воробьева
1969. Синтезы в ряду каротиноидов. Сообщение 12. Синтез 11,11'-ди-цис-β-каротина по новому принципу строения. Ислер, Шопар-ди-Жан, Монтанон, Рюгг, Целлер (Synthesen in der Carotinoid-Reihe. 12. Mitt. Synthese von 11,11'-Di-cis-β-carotin nach einem neuen Aufbauprinzip. Isler O.,

Chopard (dit-Jean) L. H., Montavon M., Rüegg R., Zeller P.), Helv. chim. acta, 1957, 40, № 5, 1256–1262 (нем.; рез. англ.)

Осуществлен новый синтез 11,11'-ди-цис-β-каротина (I) по схеме: C₁₄ + C₁₂ + C₁₄. Углеводород C₁₂, 3,8-диметилпентадиен-3,5,7-дин-1,9 (II), получают, исходя из 1-бром-3-метилпентадиен-2-ина-4 (III). Последний действием нитропропана (см. предыдущий реферат) переводят в 3-метилпентадиен-2-ин-4-аль (IV), а обработкой (C₆H₅)₃P в 3-метилпентадиен-2-ин-4-трифенилфосфонийбромид (V). Взаимодействие V с C₆H₅Li и полученного фосфорана с IV по р-ции Виттига дает II. Конденсация ди-Ли-II с β-C₁₄-альдегидом (VI), используемым в синтезе витамина А, приводит к C₄₀-диолу (VII); дегидратация которого и избирательное гидрирование 11,12,11'12'-бис-дегидро-β-каротина (VIII) дает I. Биохим. испытания показали, что I обладает 30% активности сполна транс-β-каротина (IX). К р-ру 110 г II в 100 мл этилацетата (ЭА) прибавляют (0°, перемешивание) 185 г (C₆H₅)₃P в 1000 мл ЭА и перемешивают (24 часа, ~ 20°). Осадок отфильтровывают, промывают ЭА, эфиром и сушат (40°, вакуум), получают 271 г V, т. пл. 153–157°. К суспензии 170 г V в 600 мл абс. эфира прибавляют (15 мин., N₂, перемешивание 0–10°) 420 мл 1 н. эфирного р-ра C₆H₅Li; перемешивают 1 час (~ 0°) и приливают р-р 36 г IV в 100 мл абс. эфира, кипятят 1 час, осадок отфильтровывают, промывают эфиром. Фильтрат упаривают, остаток смешивают с CH₃OH и охлаждают, получают II, выход 4 г, т. пл. 96° (после кристаллизации из CH₂Cl₂ + CH₃OH или возгонки в высоком вакууме при 60°). К р-ру 7,2 г II в 200 мл абс. C₆H₆ прибавляют (перемешивание, N₂, ~ 20°) 110 мл 0,87 н. эфирного р-ра C₆H₅Li и нагревают 2,5 часа при 60°. К суспензии приливают по каплям р-р 20 г VI в 100 мл эфира и нагревают 16 час., 60°, получают VII. Неочищ. VII в 500 мл CH₂Cl₂ и 25 мл CH₃COOR дегидратируют в присутствии 20 мл 60%-ной HBr (1,5 часа от –30 до –35°) и перемешивают после добавления 500 мл ледяной воды (3 часа, 0–5°), получают VIII, который хроматографируют на 1,5 кг Al₂O₃ (вымывание производят петр. эф. + 5% C₆H₆), выход 10–15 г, т. пл. 98–100° (из баз. + CH₃OH или изо-C₅H₇OH). 900 мг VIII гидрируют в 20 мл CH₃COOR над катализатором Линдлара, получают I, т. пл. 154° (из CH₂Cl₂ + C₆H₆ + + сп.). Приведены кривые УФ- и ИК-спектров для I, II, VIII.

Г. Воробьева
21610. К химии и биохимии «кобаламинов». I. Алкилирование В₁₂-фактора III и витамина В₁₂. II. О разложении «кобаламина» в присутствии гидроокиси церия (Ce(OH)₃). 7-(D-рибофуранозидо)-аденин — продукт отщепления псевдовитамина В₁₂. III. О расщеплении фактора А гидроокисью трехвалентного церия. Фридрих, Бернхауэр (Beiträge zur Chemie und biochemie der «Cobalamine». I. Über die Alkylierung von В₁₂-Faktor III und Vitamin В₁₂. II. Über den Abbau der «Cobalamine» mit Cer(III)-hydroxyd. 7-[D-Ribofuranosido]-adenin, ein Abbauprodukt des Pseudovitamins В₁₂. III. Über den Abbau des Faktors A mit Cer(III)-Hydroxyd. Friedrich Wilhelm, Bernhauer Konrad, Chem. Ber., 1956, 89, № 9, 2030–2044, № 11, 2507–2512; 1957, 90, № 4, 465–470 (нем.).

I. Алкилированием «фактора III» витамина В₁₂ (I) получены 5-этоксисбензимидазолкобаламин (II), 5-метоксисбензимидазолкобаламин (III), 3-(N)-метил-5-оксисбензимидазолкобаламин (IV) и 3-(N)-метил-5-метоксисбензимидазолкобаламин (V). Из витамина В₁₂ метилированием получен 3,5,6-триметилбензимидазолкобаламин (VI). Показано, что в I гидроксил находится в положении 5 по отношению к остатку сахара. В смесь 50 мг I, 300 г Na₂CO₃ · 10H₂O и 250 мл воды

вводят (4 часа, 37°) 37,5 мл $(\text{CH}_3)_2\text{SO}_4$ (VII), затем еще 150 мл воды, 125 мл 80%-ного водн. $\text{C}_6\text{H}_5\text{OH}$, перемешивают (1 час, 37°), оставляют на ~12 час., добавляют 100 мл *o*-дихлорбензола, затем $\text{C}_6\text{H}_5\text{OH}$ и эфир; переводят кобаламины в водн. р-р и последующей хроматографией на целлюлозе выделяют III, выход 58%. Аналогично из I и $(\text{C}_2\text{H}_5)_2\text{SO}_4$ получают II, выход 68,4%. При действии VII в тех же условиях, но в присутствии 1 г NaCN и с заменой Na_2CO_3 на 63 г NaHCO_3 получены IV, V и VI, все три аморфны. При взаимодействии 10–40 мг III, IV, V или VI с 1,5–3 мл HClO_4 (3–4 часа, ~20°) образуются нуклеотиды, гидролизовавшиеся нагреванием с 6 н. HCl (150°, 5,5 часа); получены: из III — 5-оксбензимидазол; из IV — 1,5,6-три-метилбензимидазол; из IV и V — 1-метил-*o*-оксбензимидазол (VIII). Р-р 1,6 г 3-нитро-4-аминофенолэтилового эфира в 5 мл $\text{C}_6\text{H}_5\text{N}$ нагревают (100°, 2,5 часа) с 1,9 г $n\text{-CH}_3\text{C}_6\text{H}_4\text{SO}_2\text{Cl}$, выделяют 2-нитро-4-этоксанилид n -толуолсульфокислоты, выход 82%, т. пл. 90–92° (из сп.); его метилируют VII + NaOH, получают N-метил-2-нитро-4-этоксанилид n -толуолсульфокислоты, выход 50%, т. пл. 92–93° (из сп.), который гидролизуют нагреванием с конц. H_2SO_4 + CH_3COOH и выделяют N-метил-2-нитро-4-этоксанилин (IX), выход 26%, т. пл. 75–77° (после возгонки). Продукт восстановления IX посредством Sn + HCl конденсируют с HCOOH (кипение, 2,5 часа), отгоняют избыток HCOOH , кристаллич. остаток нагревают с 6 н. HCl (150°, 5 час.) для отщепления $\text{C}_2\text{H}_5\text{O}$ -группы, получают 1-метил-5-оксбензимидазол (X), выход 50%, т. пл. 263–265° (из воды). Аналогично из 4-нитро-3-аминофенолметилового эфира последовательно получены: 2-нитро-5-метоксанилид n -толуолсульфокислоты, выход 63%, т. пл. 139° (из сп.); N-метил-2-нитро-5-метоксанилид n -толуолсульфокислоты, выход 77%, т. пл. 143° (из сп.); N-метил-2-нитро-5-метоксанилин, выход 81%, т. пл. 116° (из сп.); VIII, выход 66%, т. пл. 246–248° (из воды). Приведены хроматографич. данные для I–VI, кривые УФ-спектров IV, V, VI, VIII, X и нуклеотидов I, IV и VI и данные УФ-спектров этих в-в и нуклеотидов III и V. Микробиол. активность II 50%, III 60–90% от активности витамина B_{12} ; IV, V и VI неактивны.

В. Шибнев
II. Гидрат окиси церия $\text{Ce}(\text{OH})_3$ катализирует в водн. р-рах при pH 7 и 9,5 расщепление витаминных группы B_{12} (XI) на этикобаламин, нуклеозид и фосфорную к-ту. Добавление CN⁻ ускоряет расщепление XI. Указывается на значение этой р-ции для получения чистого этикобаламина. Нуклеозид, полученный при расщеплении псевдовитамина B_{12} , был охарактеризован как 7-(*D*-рибофуранозидо)-аденин.

А. Труфанов
III. К 500 мг фактора А в 64 мл воды добавляли 0,333 моля $\text{Ce}(\text{NO}_3)_3 \cdot 6\text{H}_2\text{O}$ в 38 мл воды, 32 мл 1 н. NaOH, 1,92 мл 10% HCN и нагревали на кипящей водяной бане 45 мин. $\text{Ce}(\text{OH})_3$ отфильтровывали при pH 8,5. Фильтрат подщелачивали до pH 10,3 и пропускали через колонку с дауекс-2 (форматная форма). Этикобаламин элюировали 0,25% р-ром NH_4OH , а нуклеозид — водой. Фракцию с поглощением света при 276 мμ упаривали в вакууме и пропускали через колонку с амберлитом 9RC-50 (H-форма). Нуклеозид элюировали со средней части колонки р-ром NH_4OH (pH 10,3). Элюат упаривали в вакууме и осадок перекристаллизовывали из горячей воды. Т-ра плавления тригидрата нуклеозида 143–145°, нуклеозида 219–220° (из CH_3OH). При нагревании с 0,05 н. HCl (15 мин., 100°) нуклеозид расщепляется на 2-метил-аденин и *D*-рибозу. Исследованием растворимости, редуцирующих свойств и спектра поглощения установлено, что нуклеозид из фактора А является 2-метил-7-(*D*-рибофуранозидо)-аденином. Его можно

отделить от нуклеозида из псевдовитамина B_{12} электрофорезом на бумаге при pH 2,6.

Ю. Захаркин
21611. К химии и биохимии «кобаламинов». IV. «Этикобаламин — фосфорибоза». Деллвер, Бернхауэр (Zur Chemie und Biochemie der «Cobalamine». IV. «Aetiocobalaminphosphoribose». Dellweg Hanswerner, Bernhauer Konrad, Arch. Biochem. and Biophys., 1957, 69 Compl., 74–80 (нем.).

Из гнилой слизи описанным ранее методом (см. РЖХим, 1957, 6902Бх, 71783) выделена этикобаламин-фосфорибоза (I). При электрофорезе I при pH 2,7 нейтрально (вероятно, моноцианокомплексе), при pH 6,5 является одноосновной к-той (дицианокомплекс). При действии $\text{Ce}(\text{OH})_3$ (см. пред. реф., сообщение II) из I образуется «фактор В», т. е. этикобаламин (II), H_3PO_4 и рибоза; последняя, по-видимому, находится в I в форме пиранозы. По микробиол. активности (*E. coli*) I и II близки. Для I и II приведены значения R_f и данные УФ-спектра.

Г. Воробьяна
21612. К химии и биохимии «кобаламинов». V. Некоторые новые феноловые эфиры фактора III. Гросс, Фридрих, Бернхауэр (Beiträge zur Chemie und Biochemie der «Cobalamine». V. Über einige neue Phenolläther des Faktors III. Gross Gisela, Friedrich Wilhelm, Bernhauer Konrad, Chem. Ber., 1957, 90, № 7, 1202–1208 (нем.).

Исходя из «фактора III» (I) синтезированы его О-эфиры: 2,4-динитрофениловый (II), 2,4-динитро-5-оксифениловый (III), 2,4-динитро-5-бензилоксифениловый (IV), бензиловый (V), 2-оксэтиловый (VI), аллиловый (VII) — все кристаллич., и 2,4,2',4'-тетранитро-5-оксифениловый-5 (VIII) — аморфный. К смеси 50 мг I, 20 г NaHCO_3 , 300 мл воды добавляют 3 мл 2,4-динитрофторбензола (37°, 4 часа). Обычной обработкой (см. сообщение I, РЖХим, 1958, 21610) выделяют 43 мг II. Аналогично получены (в скобках выход из 50 мг I): с 1,5-дифтор-2,4-динитробензолом 27,1 мг III; с 5,5'-дифтор-2,4,2',4'-тетранитродифенилом 15 мг VIII; с $\text{C}_6\text{H}_5\text{CH}_2\text{Br}$ 35 мг V; с $\text{HO}(\text{CH}_2)_2\text{Br}$ 12 мг VI; с $\text{CH}_2=\text{CHCH}_2\text{Br}$ 32 мг VII. Из III и $\text{C}_6\text{H}_5\text{CH}_2\text{Br}$ образуется IV, выход 5%. При получении V и VII вместо NaHCO_3 применялся Na_2CO_3 . При получении III и VIII фторпроизводное вводилось растворенным в $\text{CH}_3\text{CO}_2\text{C}_2\text{H}_5$. Приведены данные УФ-спектров и хроматографич. данные для I–VIII и данные их микробиол. активности.

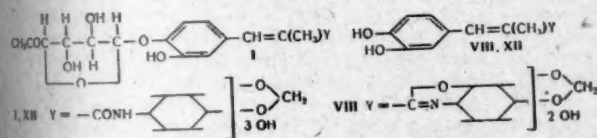
В. Шибнев
21613. Разделение оптических изомеров пантолактона с помощью (+)- α -фенилэтиламина. Ожерский, Херинг (Die Trennung der optischen Isomeren des Pantolactons mit Hilfe von (+)- α -Phenyläthylamin. Ożegowski W., Haering H., Pharmazie, 1957, 12, № 5, 254–255 (нем.).

Для получения биологически активной *D*-формы пантоленовой к-ты разработан метод расщепления р-цемич. пантолактона (DL-I) с помощью (+)- α -фенилэтиламина (II), взамен алкалоидов, применявшихся ранее для этой цели. DL-I переводился в Ва-соль DL- α - γ -диокси- β , β -диметилмасляной к-ты, которая клятилась с сульфатом II в водн. р-ре. После удаления воды в вакууме и добавления диоксана кристаллизуют соль *D*-формы (III), в маточном р-ре остается соль *L*-формы (IV). III нагревается с 1,2 г H_2SO_4 в 25 мл воды, *D*-I извлекается 10 раз CH_2Cl_2 , перегоняется в вакууме, кристаллизуется. Общий выход *D*-I на исходный DL-I 23%. *L*-I получается аналогично *D*-изомеру. Приведены свойства полученных в-в (перечисляются т. пл. в °C, р-ритель для кристаллизации, $[\alpha]_D^{20}$: *D*-I, 90–91, C_6H_6 + лигроиин, –50,1° (с 2; вода, 20°); *L*-I, 88, C_6H_6 + лигроиин, +48,3° (22°); III, 124, диоксан, затем этилацетат, +20,6° (с 1; CH_3OH , 21°); IV, 99–100, дихлорэтан, +48,2° (22°). Для II найдено $[\alpha]_D^{20} + 24,5$ (с 1; вода).

В. Векслер

21614. Гигромицин. III. Изучение строения. Манн, Вульф (Hydromycin. III. Structure studies. Mann Robert L., Woolf D. O.), J. Amer. Chem. Soc., 1957, 79, № 1, 120—126 (англ.).

Гигромицин (I) (РЖХимБх, 1955, 16653; 1956, 15522) аморфный антибиотик из *Streptomyces hygroscopicus* (Jensen) состава $C_{23}H_{29}NO_{12}$. Константы кислотности, спектральные данные и р-ции указывают на наличие фенольной и карбоксильной групп. I содержит C—CH₃-группу и нетитрующийся амидный азот. При нагревании I с 2 н. H₂SO₄ выделяется формальдегид (II). При кислотном гидролизе I получен хлоргидрат аммиака (III) и его оптически неактивные гексаацетильное (IV) и N-ацетильное (V) производные. III не восстанавливает р-ры Фелинга или Бенедикта, при окислении с NaJO₄ не образует II, что указывает на его циклич. строение. При дезаминировании III получен мио-инозит (VI). На основании изучения свойств III в работ Постернака (Posternak T., Helv. chim. Acta, 1950, 33, 1597) III приписана конфигурация нео-инозамина-2. При щел. гидролизе I выделена 3,4-диоксиг-метилкоричная к-та (VII). При гидролизе I разб. HCl при 20° получен желтый хлоргидрат, из которого выделено основание (VIII) C₁₇H₁₉NO₇. На основании аналитич. и спектральных данных VIII приписано оксазолиновое строение. При нагревании VIII с к-той выделен II. При меркаптанализе I с C₂H₅SH в присутствии HCl (газ) выделен продукт (IX) C₁₇H₂₁NO₈, при гидролизе которого получены III и VII. Спектральные и аналитич. данные, а также константы диссоциации позволили приписать IX амидную структуру. Сахарную часть молекулы при этих условиях выделить не удалось. При обработке I NaBO₃ восстановлена карбонильная группа с образованием производного (X). При меркаптанализе X с C₂H₅SH в 6 н. HCl выделен диметилмеркаптал I-фукозы (XI) и продукт (XII) амидного характера состава C₁₇H₂₁NO₈, при гидролизе которого получены II, III и VII. При обработке XII HCl получен хлоргидрат VIII, а последний при действии щелочи обратно превращен в XII. При метилировании I диазометаном выделено метоксильное производное, при гидролизе которого получена 4-оксиг-3-метокси-α-метилкоричная к-та (XIII), что указывает на присоединение сахарной части молекулы в положении 4. При обработке C₂H₅SH в 1 н. HCl I не расщепляется, но образует меркаптал I (XIV), который при действии HgCl₂ обратно превращается в I. При гидрогенолизе XIV получен дигидродиксиггигромицин (XV), в котором кетогруппа восстановлена до —CH₂-группы. При меркаптанализе XV получен меркаптал C₁₀H₂₂S₂O₃ (XVI). При окислении XVI NaJO₄ выделен пропионовый альдегид, чем доказано строение XVI, как меркаптал-5,6-дидеоксикарабонгексозы. Тем самым установлено, что сахарная часть молекулы I является 5-кето-6-деоксикарабонгексозой (XVII). На основании изучения продуктов гидролиза: II, III, VII и XVII предложена частично развернутая



фа I (в тексте указано присоединение гексозного остатка в положении 3). I выделяют по ранее описанному способу (РЖХимБх, 1955, 16653), очищают методом противоточного распределения (300 ступеней, смесь р-рителей: амиловый сп.-вода-CH₃COOH). Р-р I в 5 мл воды прибавляют к р-ру 800 мг 2,4-динитрофенилгидразина в 200 мл воды, содержащему 30 мл конц. HCl. Охлаждают до 5°, выделяют 1260 мг гидра-

зона, т. пл. 154—156° (вода). Р-р 300 мг I в 20 мл 2 н. H₂SO₄ кипятят 2 часа. Продукт р-ции отгоняют в р-р 300 мг димедона в 75 мл воды, получают 56 мг димедонпроизводного II. Р-р 52 г I в 1 л 6 н. HCl кипятят 17 час., экстрагируют эфиром. Водн. часть концентрируют в вакууме до 500 мл, прибавляют 2 л C₂H₅OH, получают 17,3 г хлоргидрата III, т. пл. 215—216°, рК_a 7,6. Из р-ра хлоргидрата III в воде подщелачиванием до pH 10,0, прибавлением C₂H₅OH выделяют основание III, т. пл. 234—236° (вода). К р-ру 100 мг хлоргидрата III в 1,5 мл воды и 0,2 мл лед. CH₃COOH прибавляют при 0° 250 мг Ba(NO₃)₂ в 1,25 мл воды, оставляют на 16 час. при 5°. Барий осаждают H₂SO₄, фильтрат концентрируют в токе N₂ до 1 мл, получают 15 мг VI. К р-ру 1 г хлоргидрата III в 10 мл безводн. пиридина прибавляют 5 мл (CH₃CO)₂O, нагревают 10 мин. и выливают в 60 мл ледяной воды, получают 580 мг IV, т. пл. 277—279° (вода, сп.). Р-р 130 мг IV в 4 мл CH₃OH насыщают NH₃, оставляют при 5° на 12 час., выделяют 54 мг V, т. пл. 238—242° (вода, CH₃OH). Р-р 4 г I в 250 мл 10%-ного NaOH и 15 г Zn кипятят 16 час., подкисляют до pH 2,0, экстрагируют эфиром. Эфир, раствор обрабатывают 5%-ным NaHCO₃, щел. р-р подкисляют 5 н. H₂SO₄ до pH 2,0, извлекают эфиром и добавляют бензол. После упаривания в вакууме выделяют 1,4 г VII, т. пл. 160—162°, идентичного с синтетич. образцом, полученным следующим образом: 4,5 г пиперонала, 3,27 г Na-пропионата и 5 мл пропионового ангидрида кипятят 2 часа при 155°, прибавляют 150 мл воды, подщелачивают до pH 8,0, извлекают эфиром непрореагировавший альдегид. Водн. р-р подкисляют до pH 1,5 и экстрагируют эфиром. Эфир. р-р извлекают 0,5 н. NaOH, подкисляют получают 1,85 г неочищ. пиперонилметакриловой к-ты. 618 мг последней нагревают 10 мин. с 1,87 г PCl₅ и 1,5 мл POCl₃. Р-р концентрируют в вакууме, разбавляют 25 мл холодной воды, кипятят 1,5 часа, полученный р-р концентрируют до 3 мл, получают 75 мг VII, т. пл. 160—162° (вода). VII содержит две титрующиеся группы рК_a 8,9 и 4,5 (вода). 140 мг VII сплавляют с 0,7 г КОН при 240°. Дополнительно прибавляют 0,7 г КОН и нагревают еще 10 мин. при 300°. Слав растворят в ледяной воде, подкисляют до pH 1,5, экстрагируют эфиром, получают 20 мг 3,4-дигидроксикарбонгексозной к-ты. Р-р 5 г I в 250 мл 4 н. HCl экстрагируют в экстракторе 6 дней эфиром, водн. р-р упаривают в вакууме до 10 мл, оставляют на 12 час. при 5°, получают 480 мг хлоргидрата VIII, т. пл. 221—226° (сп., HCl). ИК-спектр С. полоса 6,30 м и ср. полоса 6,63 м. Из 120 мг хлоргидрата VIII обработкой амберлитом (JR-45) получают основание VIII, т. пл. 248—249° (диметилформамид (ДМФА) + вода). Р-р 50 мг хлоргидрата VIII в 10 мл 6 н. HCl кипятят 4 часа, обрабатывают углем, прибавляют 20 мл спирта, выделяют 15 мг хлоргидрата III. Р-р хлоргидрата VIII в 10 мл 10%-ного NaOH и 0,3 г Zn кипятят 4 часа. Гидролизат подкисляют до pH 1,5, экстрагируют эфиром, сушат, прибавляют 5 мл бензола, отгоняют эфир в вакууме, получают 20 мг VII. При отгонке р-ра 50 мг хлоргидрата VIII в к-те получают 20 мг димедонпроизводного II. 2 г I суспендируют в 40 мл C₂H₅SH, насыщают сухим HCl, оставляют на 12 час. при 5°, получают 978 мг IX, т. пл. 251—252° (вода). ИК-спектр: полоса 6,13 м, С-полосы 6,24 м и 6,52 м, рК_a 9,50 (33% ДМФА) и 10,8 (66% ДМФА). При гидролизе IX в кислой среде и щел. среде получают III и VII с выходом 85 и 60%. К р-ру 100 г I в 800 мл CH₃OH прибавляют р-р 3,34 г NaBO₃ в 50 мл CH₃OH. После 1,5 час. (20°) р-р подкисляют до pH 6,5 6 н. HCl, упаривают в вакууме, остаток растворяют в CH₃OH и снова упаривают. Получают сухого в-ва X 106 г, из которого 5 г очищают методом противоточного распределения (60 ступеней, система р-рителей: бутанол-вода-

CH_3COOH , 24:24:1). ИК-спектр очищ. X не показал полосы 5,8, характерной для карбонильной группы, содержащейся в I. Микробиол. активность X равна примерно половине активности I. Р-р 10 г X в 6 н. HCl и 20 мл $\text{C}_2\text{H}_5\text{SH}$ оставляют при 5° на 2 дня. Водн. слой отделяют, разбавляют двумя объемами воды, оставляют на 12 час. при 5°, отделяют 3,5 г выделившегося осадка XII, т. пл. 108—112° (вода). ИК-спектр мало отличается от спектра IX и показывает полосы при 6,29 и 6,75 μ . При гидролизе к-той и щелочью из XII получены II, III и VII соответственно (в %) 31, 68, 30. Р-р 100 мг XII в 100 мл 4 н. HCl оставляют при 20° на 4 дня, упаривают в вакууме до 10 мл, оставляют на 4 дня при 5°. Выделяют 10 мг желтых кристаллов, идентичных хлоргидрату VIII. Р-р 50 мг хлоргидрата VIII в 10 мл воды в атмосфере N_2 доводит до pH 10,5, нагревают 2,5 часа на водяной бане, нейтрализуют 2 н. H_2SO_4 , отделяют выделившийся аморфный осадок, фильтрат упаривают до 2 мл, охлаждают, получают 14 мг XII. Смесь 13,5 г X, 28 мл 6 н. HCl и 25 мл $\text{C}_2\text{H}_5\text{SH}$ оставляют на 2 часа при 20°. Избыток $\text{C}_2\text{H}_5\text{SH}$ декантируют. Выделившиеся кристаллы отделяют, получают 2,4 г XI, т. пл. 161—162° (вода). Из фильтрата после разбавления двумя объемами воды и 2-дневного стояния выделяют 2,8 г XII. К р-ру 5 г I в 100 мл CH_3OH на холоду прибавляют избыток р-ра диазометана в 130 мл CH_2Cl_2 , оставляют стоять при 20° 12 час., концентрируют в вакууме, получают метоксипроизводное I, не содержащее титрующей фенольной группы. 1 г метоксипроизводного I, 50 мл 10%-ного NaOH, 3 г Zn кипятят 2,5 часа. Гидролизат подкисляют до pH 1,5, экстрагируют эфиром. После отгонки эфира в вакууме остаток растворяют в $\text{C}_2\text{H}_5\text{OH}$. При разбавлении водой выкристаллизовывалось 300 мг XIII, т. пл. 167—168° (CH_3OH , вода). Смесь 9,6 г плавящего пропионата Na, 13,7 г ванилина и 15,5 мл пропионового ангидрида нагревают 3 часа при 135°. По охлаждении выливают в 50 мл воды, экстрагируют эфиром, эфир. р-р извлекают 2 н. NaOH, подкисляют H_2SO_4 , получают 2 г XIII, т. пл. 166—167° (CH_3OH , вода) (pKa) 10,4 и 5,58 (33% ДМФА), —12,0 и 7,33 (66% ДМФА). Смесь 10 г I, 20 мл $\text{C}_2\text{H}_5\text{SH}$, 15 мл 1 н. HCl оставляют при 20° на 2,5 часа, образуется три слоя. Нижний слой после промывки водой растворяют в спирте. После отгонки р-рителя получают 7 г аморфного в-ва XIV (pKa 11,2 в 66% ДМФА). ИК-спектр указывает на отсутствие карбонильной группы. 1 г XIV в 20 мл спирта и 900 мг HgCl_2 кипятят 15 мин., оставляют на 1 час при 20°. Выпавший этилмеркаптит отделяют, из фильтрата H_2S осаждают избыток Hg. Р-р нейтрализуют амблентом JR-45, упаривают в вакууме, получают I. Смесь 20 г XIV, 250 г скелетного Ni, 400 мл спирта кипятят 4 часа. Отделяют Ni, промывают 100 мл спирта. Спирт. р-р упаривают в вакууме, получают 9 г XV. ИК-спектр отличается от спектра I отсутствием полосы 5,84 μ . Смесь 8 г XV, 15 мл 6 н. HCl и 25 мл $\text{C}_2\text{H}_5\text{SH}$ перемешивают 3,5 часа. Этилмеркаптаный слой отделяют и концентрируют в вакууме. Остаток растворяют в горячей воде, получают 1,3 г XVI, т. пл. 108—109° (вода). 100 мл XVI растворяют в 50 мл воды, прибавляют 1 г NaJO_4 и оставляют на 1,5 часа. Исрасходовано 6 молей NaJO_4 . При кипячении из р-ра отгоняется альдегид, поглощаемый р-ром 50 мг 2,4-динитрофенилгидразина в 50 мл 2 н. HCl. Получают 68 мг гидразона (выход 72%), идентифицированного с 2,4-динитрофенилгидразоном пропионового альдегида. Сообщение II см. РЖХимБх, 1956, 15522. М. Рабинович

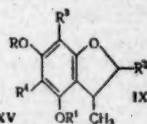
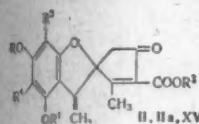
21615. Уснинная кислота. Часть XIII. Строение и синтез усниновой кислоты. Дин, Эванс, Франсис, Робертсон (Usnic acid. Part XIII. The orientation and synthesis of usnic acid. Dean F. M.,

Evans C. A., Francis Thomas, Robertson Alexander), J. Chem. Soc., 1957, Apr. 1577—1582 (англ.)

Ранее (РЖХим, 1954, 35956) было показано, что усниновая к-та (I) под влиянием H_2SO_4 подвергается изомеризации, сопровождающейся сужением кольца алициклич. группировки. Было высказано предположение, что полученный изомер I является усниновой к-той, строение которой может быть выражено ф-лами (II) или (IIIa). Для доказательства строения последней проверено несколько путей синтеза соответствующих спирокумаранов. Исходя из метилфтороглюцина (III), получен 2,4-диацетил-6-метилфтороглюцин (IV), из которого при селективном метилировании не удалось получить 2,4-диацетил-6-метил-3,5-диметоксифенола (V). V был получен омылением его 1-ацетильного производного. Из V были синтезированы: феноксизацетат (VI), 5-феноксизаллил-(VII) и 5-феноксизэтилкритонат (VIII). Однако получить из последних соединения типа кумарона не удалось из-за омыления продуктов омыления и дегидратации. Производные спирокумаранов были получены следующим путем: 4,6-диметокси-3,5-диметилкумарилловую к-ту (IX) и 4,6-диметокси-3,7-диметилкумарилловую к-ту (X) декарбоксилировали до кумаронов (XI) и (XII), из которых получены соответствующие 2-формильные производные (XIII) и (XIV). Последние конденсировались с тишуроной к-той из азлактон, из которых получены соответствующие производные пировиноградных к-т. Окисление последних приводит к образованию 4,6-диметокси-3,5-диметилкумарон-2-илуксусной к-ты (ди-О-метилпироустиновой к-та) (XV) и соответственно 4,6-диметокси-3,7-диметилкумарон-2-илуксусной к-ты (XVI). Из хлорангидридов XV и XVI действием метоксимагний производного метилового эфира ацетоуксусной к-ты (XVII) получены дикетоэфиры, которые обработкой H_2SO_4 превращены в 4,6-диметокси-3-метоксикарбонил-5,2-диметил-3-метил-4'-оксоциклопент-2-ен-1'-спиро-2-кумаран (XVIII) и 4,6-диметокси-3'-метоксикарбонил-7,2'-диметил-3-метил-4'-оксоциклопент-2'-ен-1'-спиро-2-кумаран (XIX). Однако ввести ацетильную группу в ароматич. кольцо указанных спиро соединений не удалось. Согласно другому варианту синтеза II, при действии (CH_3CO)₂O в присутствии BF_3 из XV получена 4-О-метилусниновая к-та (XX). Из хлорангидрида последней обработкой XVII и H_2SO_4 был получен соответствующий спирокумарон (XXI), идентичный с метиловым эфиром О-метил II. Осуществить деметилирование XXI с целью получения II не удалось. Поэтому был предпринят синтез 4,6-добензилокси-3,7-диметилкумарилловой к-ты (XXII), но декарбоксилировать последнюю или превратить в соответствующий гомолог CH_3COOH также оказалось невозможным. Наконец, синтез II был осуществлен следующим образом: из XX действием MgI_2 с хорошим выходом получена усниновая к-та (XXIII). Из диацетата XXII синтезирован хлорангидрид О-диацетилусниновой к-ты (XXIV). При взаимодействии последнего с XVII и последующей обработкой H_2SO_4 получен метиловый эфир II (XXV), омылением которого дигидратом H_2SO_4 получена II, чем и было доказано строение последней.

Р-р 5 г триацетил-III в 20 мл CH_3COOH насыщают трехфтористым бором при —10°. После обработки водой получают 4 г IV, т. пл. 170° (водн. $\text{C}_2\text{H}_5\text{OH}$). Р-р 1 г IV в 50 мл ацетона метилируют 1,2 г (CH_3O)₂ SO_2 в присутствии 2 г K_2CO_3 , получают 0,4 г триметилового эфира IV, т. пл. 66—67° (петр. эф.), и 0,2 г 1-метилового эфира IV, т. пл. 97° (разб. сп.). Применение CH_3J дало тот же результат. Р-р 1 г 1-ацетата V в водн. NaOH нагревают 25 мин., получают 0,6 г V, т. пл. 64°. При взаимодействии 1 г V, 0,8 г этилбромацетата и 1 г K_2CO_3 в ки-

пиперидином получают после обработки NaOH 50 мг VI, т. пл. 139—140° (петр. эф.). Р-р 1 г V и 1 г бромистого аллила в ацетоне кипятят в присутствии



Указанные R везде H; II R¹ = COCH₃, R² = CH₃; III R¹ = CH₃, R² = COCH₃; IX R = R¹ = R² = CH₃, R³ = COOH; X R = R¹ = R² = CH₃, R³ = COOH; XI R = R¹ = R² = CH₃; XII R = R¹ = R² = CH₃; XV R = R¹ = R² = CH₃, R³ = CH₂COOH; XVI R = R¹ = R² = CH₃, R³ = CH₂COOH; XVIII R = R¹ = R² = CH₃, R³ = CH₂COOH; XX R¹ = R² = CH₃, R³ = CH₂COOH; XXIII R¹ = R² = CH₃, R³ = COCH₃, R⁴ = CH₃; XXV R¹ = R² = CH₃, R³ = COCH₃.

2 г K₂CO₃, получают 0,8 г VII, т. кип. 170°/0,05 мм. При восстановлении 1 г VII в 150 мл CH₃OH и 1 г 1%-ного Pd/C получают 0,4 г V, т. пл. 64°, и 0,6 г *m*-пропилативного эфира V, т. кип. 120° (баня)/0,05 мм. Р-р 1 г V, 1,5 г этилового эфира γ -бромпропановой к-ты в ацетоне нагревают в присутствии 2 г K₂CO₃, получают 1,3 г VIII, т. пл. 94° (петр. эф.). При нагревании с разб. NaOH или NaOCH₃ VIII осмоляется. Из 10 г 3-хлор-5,7-диокси-4,8-диметилкумарина, 15,5 г бензилбромиды и 20 г K₂CO₃ в ацетоне при кипячении и последующей обработке получают 15 г 5,7-добензилокси-3-хлор-4,8-диметилкумарина, т. пл. 223° (бзл.). При нагревании 2 г последнего с 0,6 г КОН в «карбитоле», разбавленном водой и подкисленным получают 1,5 г XXII, т. пл. 207° (разл.). Метилловый эфир XXII, т. пл. 116—118°. XXII остается неизменным при нагревании в «карбитоле», глицерине или хинолине, также в присутствии солей Cu. 5 г IX и 0,5 г CuCO₃ нагревают 10 мин. при 220°, получают 3 г XI, т. кип. 125° (баня)/0,05 мм. Р-р 1,5 г производного 2-пировиноградной к-ты XI в 15 мл 2 н. NaOH окисляют при -5° H₂O₂, подкисляют, осадок растворяют в эфире и хроматографируют из C₆H₆ на Al₂O₃, получают 0,9 г XV, т. пл. 127° (бзл., водн. CH₃OH). Р-р 0,8 г XV в 2 мл CH₃COOH и 0,6 г (CH₃CO)₂O насыщают BF₃ без охлаждения, разбавляют водой, экстрагируют эфиром, эфирный р-р извлекают NaHCO₃, подкисляют, получают 0,8 г XX, т. пл. 166° (бзл.). Из 500 мг XX при ацетиловании (CH₃CO)₂O в присутствии следов H₂SO₄ получают 60 мг ацетата XX, т. пл. 134° (бзл.). 0,4 г XX и 1,5 г H₂O₂ нагревают в токе N₂ 1 час при 190°. Остаток нагревают с 2 н. H₂SO₄, экстрагируют эфиром, извлекают NaHCO₃ и подкисляют HCl, получают 0,1 г XXIII, т. пл. 198—199°. 0,5 г XXIII ацетируют (CH₃CO)₂O, получают 0,25 г диацетата XXIII, т. пл. 177° (водн. CH₃OH). 5 г X декарбоксируют, как описано для IX, получают 3 г XII, т. кип. 140° (баня)/0,05 мм, т. пл. 95—96°. К р-ру 3 г XII в 75 мл эфира прибавляют 0,2 г ZnCl₂, 3 мл HCN, насыщают при 0° H₂ (газ) и через 3 дня промывают эфиром, гидролизуют горячей водой, получают 3 г XIV, т. пл. 158° (CH₃OH, бзл.). Роданид, новое производное XIV, т. пл. 207° (ацетон). Смесь из 3 г XIV, 5 г гипсировой к-ты, 1 г CH₃COONa и 20 мл (CH₃CO)₂O нагревают 1,5 часа в кипящей водяной бане, обрабатывают 50% C₂H₅OH, осадок промывают водой, получают азлактон, т. пл. 177° (ацетон); 4 г последнего, 8 г КОН и 40 мл 50% C₂H₅OH нагревают 10 час. до прекращения выделения H₂O, разбавляют водой и насыщают SO₂. Осадок отжимают, р-р нагревают 20 мин. с 15 мл HCl, получают 1,7 г производного 2-пировиноградной к-ты XII, т. пл.

196° (бзл.). После окисления 1,7 г последнего в р-ре 2 н. NaOH действием H₂O₂ получают 1 г XVI, т. пл. 158—159° (CH₃OH, бзл.). К XVII, полученному из 0,12 г Mg, 0,18 г абс. CH₃OH, 0,6 г метилового эфира ацетоксусной к-ты и ~1 капли CCl₄ в абс. эфире, прибавлен эфирный р-р хлорангидрида XV, полученный из 1 г XV и 1 г PCl₅ в CHCl₃, смесь нагревают 2 часа, обрабатывают 2 н. CH₃COOH. Из эфирного р-ра получают соответствующий декетозифр. Последний обрабатывают при 0° 2,5 мл H₂SO₄. Выделившееся масло растворяют в эфире, промывают NaHCO₃, эфир отгоняют, остаток растирают с CH₃OH, хроматографируют из C₆H₆ на Al₂O₃, получают 0,6 г XVIII, т. пл. 141° (разб. CH₃OH), $\lambda_{\text{макс}}$ 235, 267, 323 м μ (10⁻³ ε: 28,2; 14,8; 11,3). С реактивами Эрлиха и Легали дает синюю окраску. Из 1 г XVI тем же путем, что из XV, получают 0,8 г XIX, т. пл. 143°, $\lambda_{\text{макс}}$ 223, 233, 287 м μ (10⁻³ ε: 27,5; 27,5; 19,1). С реактивами Эрлиха и Легали дает темно-синюю окраску. 1 г 6-ацетата XX в р-ре CHCl₃ превращают с PCl₅ в хлорангидрид. После отгонки CHCl₃ и POCl₃ нагревают 1 час. с XVII в р-ре эфира, охлаждают, обрабатывают 2 н. CH₃COOH, экстрагируют NaHCO₃, из щел. экстракта получают 0,2 г исходного в-ва, эфир отгоняют, остаток обрабатывают при -2° 2,5 мл H₂SO₄, извлекают эфиром, промывают NaOH и после удаления эфира получают 0,25 г XXI, т. пл. 131° (CH₃OH). Эфирный р-р XXIV, полученного из 0,5 г диацетата XXIII и 0,32 г PCl₅, нагревают 1 час с XVII, из образовавшегося декетозифра, после обработки с H₂SO₄ при -2° и хроматографирования на силикагеле (из хлф.-бзл.), получают 100 мг XXV, т. пл. 202° (CH₃OH, бзл.). 0,05 г XXV нагревают 15 мин. при 60° с 2,5 мл H₂SO₄ (дигидрат), р-р разбавляют водой, экстрагируют эфиром, извлекают р-ром NaHCO₃, подкисляют, получают 0,03 г II, т. пл. 230° (водн. CH₃OH). Предыдущее сообщение см. РЖХим, 1957, 15345.

М. Рабинович

21616. Реакция аминов с N-карбоксангидридами аминокислот. Коппл. (The reaction of amines with amino acid N-carboxy anhydrides. Kopple Kenneth D.), J. Amer. Chem. Soc., 1957, 79, № 3, 662—664 (англ.).

Реакция аминов (I) с N-карбоксангидридами (II) α -аминокислот приводит к уреидокислоте (III) или к амиду α -аминокислоты (IV). Направление р-ции определяется пространственным строением I, его кониц-ией, основностью и р-рителем. Получен ряд новых III. Обсуждается механизм р-ции. К суспензии 0,5 г II DL-фенилаланина в 5 мл CH₂Cl₂ (0°) прибавляют при 0° 5 мл I, выдерживают 3—4 часа при 0°, оставляют на ~12 час. при ~20°, р-ритель и избыток I отгоняют в вакууме, остаток экстрагируют 15 мл 2 н. HCl, затем CH₂Cl₂ (3 × 30 мл) и упариванием досуха получают III (перечисляются I, выход III в %, т. пл. III в °C): (C₂H₅)₂NH, 80, 103,5—104,5; трет-С₄H₉NH₂, 60, 153—154; изо-С₃H₇NH₂, 35, 143,5—144; C₂H₅NH₂, 10, —; (CH₃)₂NH, 2,5 133—134; C₆H₅NH₂, 0, —. III перекристаллизовывают из смеси CHCl₃ с петр. эфиром. ИК-спектры III, полученные из первичных I, 1730 см⁻¹, 1625 и 1575 см⁻¹. В случае C₆H₅NH₂ получается в-во с ИК-спектром поли-DL-фенилаланина. Водно-кислотный слой, содержащий IV, подщелачивают 4 н. NaOH, экстрагируют CH₂Cl₂ (3 × 50 мл), экстракт концентрируют и выделяют IV в виде пикратов (перекристаллизовывают из сп.). Получены пикраты IV со следующими I (перечисляются I, т. пл. пикрата IV в °C): изо-С₃H₇NH₂, 224—225; трет-С₄H₉NH₂, 222—224,5; (C₂H₅)₂NH, 242—245. При использовании в качестве р-рителя диоксана смесь выдерживают 2 часа ~10° и оставляют на ~12 час. при ~20°. При использовании в качестве р-рителя (CH₃)₃N

смесь выдерживают 4 часа при 0°, затем удаляют $(\text{CH}_3)_3\text{N}$ нагреванием до $\sim 20^\circ$ и выделяют в-ва аналогично вышеописанному. В случае *трет*- $\text{C}_4\text{H}_9\text{NH}_2$ наряду с соответствующей III получают полифенилаланин (по-видимому, тетрапептидные цепи). Р-ция I с II глицина и саркозина проводится, как описано выше. После удаления р-рителя и избытка I остаток растворяют в 10 мл воды и выделяют III с помощью смолы даукс 50×8 (Н-форма) (перечисляются I, выход III в %, т. пл. III в $^\circ\text{C}$): *изо*- $\text{C}_3\text{H}_7\text{NH}_2$, 45, 166—166,5; *трет*- $\text{C}_4\text{H}_9\text{NH}_2$, 90, 146. Взаимодействием $(\text{C}_2\text{H}_5)_2\text{NH}$ с II DL-аланина и L-лейцина получены соответственно N-(N',N'-диэтилкарбамил)-DL-аланин, т. пл. 120—121, выход 70%, и L-лейцин, т. пл. 109—109,5°, $[\alpha]_D^{25} -5,3^\circ$ (с 5; сп.). Ю. Швачкин

21617. Реакция цистина и лантанина с водным раствором гидрата окиси кальция. Идентификация 2-метилтиазолидин-2,4-дикарбоновой кислоты. Данн, Оливер, Гейте (The reaction of cystine and lanthionine with aqueous calcium hydroxide. The identification of 2-methylthiazolidine-2,4-dicarboxylic acid. Dann J. R., Oliver G. L., Gates J. W., Jr), J. Amer. Chem. Soc., 1957, 79, № 7, 1644—1649 (англ.). Р-ция I-цистина (I) с водн. р-ром $\text{Ca}(\text{OH})_2$ (20°, 4-месяца) и последующей этерификацией получен хлоридат диэтилового эфира соединения (II) (выход эфира 6,4—9,3%), который разделен на две фракции: Па, т. пл. 142—144° (разл.), и Пб, т. пл. 122—127° (разл.). Па идентифицирован как хлоридат диэтилового эфира 2-метилтиазолидин-2,4-дикарбоновой к-ты (III), который синтезирован из L-цистеина и пировиноградной к-ты. Пб является рацематом III, т. е. при рацемизации III (в спирт. р-ре NaOH) получается хлоридат Пб. Кроме того, III и Пб дают одинаковые конечные продукты: 1) при обработке 30% H_2O_2 — дихлоридат диэтилового эфира цистина, 2) при обработке *n*-нитрофенилгидразином — *n*-нитрофенилгидразон этилового эфира пировиноградной к-ты. Аналогично I лантанин (IV) при обработке водн. р-ром $\text{Ca}(\text{OH})_2$ (52 дня) дает Па и Пб (общий выход эфира 9,1%). Идентичность в-в во всех случаях подтверждена УФ- и ИК-спектрами. Механизм р-ции состоит, по-видимому, в расщеплении I и IV с образованием остатка цистеина и β -аминоакриловой к-ты (V) (в случае I выделяется элементарная сера). V дезаминируется до CH_3COCOON , которая при р-ции с остатком цистеина образует II. Р. Костяновский

21618. Реакция дженколовой кислоты с водным гидратом окиси кальция. Выделение и идентификация рацемической тиазолидин-4-карбоновой кислоты. Данн, Гейте (The reaction of djenkolic acid and aqueous calcium hydroxide. The isolation and identification of racemic thiazolidine-4-carboxylic acid. Dann J. R., Gates J. W., Jr), J. Amer. Chem. Soc., 1957, 79, № 7, 1650—1651 (англ.).

Реакцией дженколовой к-ты (I) с водн. $\text{Ca}(\text{OH})_2$ [30 г I и 30 г $\text{Ca}(\text{OH})_2$ в 750 мл воды, 25°, 53 дня] и последующей этерификацией получено соединение II [выход 32,2%, т. кип. 80—84/3 мм; для хлоридата (III), т. пл. 121—122°, идентичное по составу, УФ- и ИК-спектрам поглощения этилового эфиру тиазолидин-4-карбоновой к-ты (IV) для хлоридата (V), т. пл. 141°]. V, в отличие от III, обладает оптич. активностью. Рацемизацией небольшим кол-вом спирт. р-ра NaOH получен хлоридат IV (т. пл. 118—120), полностью идентичный III (см. пред. реф.).

Р. Костяновский

21619. Изучение стереохимии. Сообщение X. DL-Фенилсеринолы. Новый синтез и стереохимические данные (3). Раскрытие цикла DL-трео-2-фенил-4-фенилоксиметил- Δ^2 -оксазолина в основных средах. Тагучи, Томоэда (Studies in stereochemistry.

X. DL-phenylserinol: a new synthesis and its stereochemical findings. (3). Ring opening of DL-threo-2-phenyl-4-phenyl-hydroxymethyl- Δ^2 -oxazoline in basic media. Taguchi Tanezo, Tomoeda Munemitsu), Pharmac. Bull., 1956, 4, № 6, 473—476 (англ.).

Определялось строение полученного ранее из бромгидрата DL-трео-1-фенил-1-бензоилокси-2-амино-3-бромпропана (I) и NaHCO_3 в C_6H_6 в-ва $\text{C}_{15}\text{H}_{15}\text{O}_2\text{N}$ (II). Из I получают также II при действии безводн. Na_2CO_3 в абс. спирте; наряду с DL-трео-1-фенил-2-бензоиламинопропанолином-1,3 (III) при действии CH_3COOK в 90%-ном спирте и наряду с DL-трео-2-фенил-4-фенилоксиметил- Δ^2 -оксазолином (IV) при действии 1%-ного NaOH в 90%-ном CH_3OH . II является DL-1-фенил-2-бензоиламинопропен-1-олом-3 или DL-1-фенил-2-бензоилиминопропанолом-3. II содержит OH- и N-бензоильную группы, растворяется в разб. к-тах, но не дает солей, содержит сопряженные двойные связи. При гидрировании II поглощает 1 моль H_2 и превращается в DL-1-фенил-2-бензоиламинопропанол-3 (V), который получают также из DL-1-фенил-2-аминопропанола-3 (VI). II получают также из Δ^2 -DL-трео-2-фенил-4-фенилацетоксиметилоксазолина (VII) при обработке CH_3COOK в спирте. Предполагают, что при обработке I основными реагентами образуется оксазолидиниевый катион, который превращается или в II или в III. IV превращается в II в результате отщепления воды и присоединения воды к образовавшемуся бензидиленоксазолину с расщеплением цикла. Р-р 2 г I и 4 г безводн. CH_3COOK в 60 мл 90%-ного спирта кипятят 15 час. и продукт р-ции перекристаллизовывают из этилацетата. Получают 190 мг III, из маточных р-ров 150 мг II. Аналогично получают II из IV и из VII. Кипятят 8,5 часа 4 г I с 4 г Na_2CO_3 в 70 мл абс. спирта. Получают 200 мг II. 2 г I и 5 мл 10%-ного NaOH кипятят в 45 мл CH_3OH 3 часа. Получают 150 мг II и 520 мг IV (легче растворим в эф., чем II). При кипячении 20 час. 100 мг IV с 0,25 мл 10%-ного NaOH и 2,25 мл CH_3OH получают 90 мг II. В результате кипячения 15 час. 50 мг IV в 5 мл 90%-ного спирта получают 30 мг II и 10 мг III (не растворим в HCl). Гидрируют 100 мг II в 15 мл абс. спирта над 50 мг 10%-ного Pd/C при 16°, получают 90 мг V, т. пл. 148—150° (из этилацетата). Из 290 мг VI по Шоттен-Бауману получают 290 мг V. Приведены v_{max} и n_D^{25} II и V. Предыдущее сообщение см. РЖХим, 1957, 26777. Н. Швецов

21620. Превращение глутаминовой кислоты и глутмина в пирролидонкарбоновую кислоту, а последней в глутаминовую. Дюбур, Девилье (Transformation de l'acide glutamique et de la glutamine en acide pyrrolidone carboxylique et de ce dernier en acide glutamique. Dubourg Jean, Devillers Pierre), Bull. Soc. chim. France, 1956, № 10, 1351—1353 (франц.).

Для получения аминокислот из мелассы изучены условия циклизации глутаминовой к-ты (I) и глутмина (II) в пирролидонкарбоновую к-ту (III) и пирролиз III в I. Опыты проводились с 10%-ным р-ром I 4 часа при 95° и 2 часа при 135°, pH 3—12. Наиболее высокий выход III получают при pH 3—5 и т-ре 135°. В сильно кислой и сильно щел. средах циклизация I не происходит. При нагревании 10%-ного р-ра II 4 часа, при 95° pH 4—11, выход III 70—80%. Гидролиз III в I протекает в сильно кислой и сильно щел. средах, однако при этом устанавливается равновесие между III и I, которое зависит от pH и от т-ры. И. Матвеев

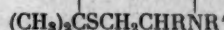
21621. Неожиданное образование ангидросоединений при синтезе аспарагиновых и глутаминовых пептидов. Гипп, Кацояannis, Хесс, Седман (Unexpected formation of anhydro compounds in the synthesis of asparaginy and glutaminy peptides. Gish Duane T., Katsoyannis G., Hess George P., Stedman R. J.), J. Amer. Chem. Soc., 1956, 78, № 22, 5954 (англ.)

При конденсации N-карбобензоксип-(КБЗ)-L-аспарагина (I) с метиловым эфиром S-бензил-L-цистеина (II) под действием трифосфита в р-ре диэтилфосфита кроме ожидаемого метилового эфира N-КБЗ-L-аспарагил-S-бензил-L-цистеина (III) (выход 35%, т. пл. 199—200°) образуется также ангидропроизводное III (IV), выход 27%, т. пл. 128—129°, $[\alpha]_D^{25} - 42,1^\circ$ (с 1; CH_3COOH). При проведении реакции под действием дициклогексилкарбодиимида (V) в тетрагидрофуране образуется 39% III и 26% IV. При получении III из смешанных ангидридов I с карбоновыми к-тами не происходит образования IV; лучший выход III (58%) достигается при получении смешанного ангидрида из хлорангидрида изовалериановой к-ты. Аналогично из N-тозил-L-глутамил-L-аспарагина и II при действии V образуется 40% метилового эфира N-тозил-L-глутамил-L-аспарагил-S-бензил-L-цистеина, т. пл. 228—229°, $[\alpha]_D^{25} - 30,7^\circ$ (с 1; диметилформамид), и 15% его ангидропроизводного, т. пл. 210—211°, $[\alpha]_D^{25} - 33,5^\circ$ (с 1; диметилформамид). В меньшей степени происходит дегидратация при получении метилового эфира N-КБЗ-L-глутамил-S-бензил-L-цистеина (VI): при действии тетраэтилпирофосфата образуется 70% VI, т. пл. 201°, $[\alpha]_D^{25} - 28,0^\circ$ (с 1; диметилформамид) и лишь 5% ангидропроизводного VI, т. пл. 103—104°, $[\alpha]_D^{25} - 35,0^\circ$ (с 1; диметилформамид); при действии V в тетрагидрофуране образуется 76% VI и не образуется ангидропроизводного. С. Аваева

21622. Синтезы на основе фталимидокислот. Часть IX. Модельные вещества для синтеза глутатиона; ангидрид фталил-L-глутаминовой кислоты как исходное вещество для получения α -глутамилпептидов. Кинг, Кларк-Льюис, Уэйд (Syntheses from phthalimido-acids. Part IX. Model compounds for a synthesis of glutathione, and phthalyl-L-glutamic anhydride as a source of α -glutamylpeptides. King F. E., Clark-Lewis J. W., Wade Roy), J. Chem. Soc., 1957, Febr., 886—894 (англ.)

В продолжение прежних исследований (РЖХим, 1957 74583) показано, что конденсация L-3-формил-2,2-диметилтиазолидинкарбоновой-4 к-ты (I) с метиловым или этиловым эфиром глицина (II и III) в присутствии PCl_5 протекает с рацемизацией I и приводит к рацемич. метиловому или этиловому эфиру 4-карбоксиметилкарбамоил-3-формил-2,2-диметилтиазолидина (IV и V). При действии анилина в присутствии PCl_5 на соответствующие к-ты получены анилид I, анилид бензоилглицина (VI), анилид фталилглицина (VII). Р-цией в присутствии PCl_5 получают также этиловый эфир бензоилглицина (VII). Аммонолизом IV или конденсацией I с глицинамидом получен L- и DL-4-карбаомилметилкарбамоил-3-формил-2,2-диметилтиазолидин (IX) и показано, что при деформилировании IX действием метанового HCl вместо ожидаемого 4-карбаомилметилкарбамоил-2,2-диметилтиазолидина получается 4-карбометокси-метилкарбамоил-2,2-диметилтиазолидин (X). При гидролизе метилового эфира фталил- γ -DL-глутамилглицина (XI) смесью ацетона и разб. HCl образуется фталил- γ -DL-глутамилглицин (XIa), однако в тех же условиях 4-карбометокси-метилкарбамоил-2,2-диметил-3-(фталил-L-глутамил)-тиазолидина (XII) превращается в фталил-L-глутаминовую к-ту (XIII), а метиловый эфир XII (XIV) гидролизует до метилового эфира XIII; все эти данные указывают на лабильность 3-ацильных производных тиазолидина. Ангидрид фталил-L-глутаминовой

к-ты (XV) использован для синтеза ряда производных XIII. Получены γ -метиловый (XVI), γ -бензиловый (XVII), α -метиловый- γ -бензиловый (XVIII) и α -метиловый (XIX) эфиры XIII, хлорангидриды, анилиды и N-карбоксиданилиды XVI и XIX, диметилловый эфир фталил- α -L-глутамилглицина (XX). Изучены условия получения S-бензил-N-фталил-L-цистеина (XXI) и превращения его в S-бензил-N-фталил-L-цистеинилглицина (XXII) и затем в S-бензил-L-цистеинилглицин (XXIII).



I R = COOH, R' = CHO; IV R = CONHCH₂COOCH₃, R' = CHO; V R = CONHCH₂COOCH₂CH₃, R' = CHO; IX R = CONHCH₂CONH₂, R' = CHO; X R = CONHCH₂COOCH₂CH₃, R' = H; XII R = CONHCH₂COOCH₃, R' = CO(CH₂)₂CH(COOCH₃)N(CO)C₆H₅; XIV R = CONHCH₂COOCH₂CH₃, R' = CO(CH₂)₂CH(COOCH₂CH₃)N(CO)C₆H₅. 2,5 мл PCl_5 прибавляют к р-ру 3,9 г III в 30 мл абс. C_6H_6 и 30 мл диоксана, встряхивают 5 мин., прибавляют 5,5 г I и кипятят до прекращения выделения HCl. Р-р упаривают, остаток обрабатывают 15%-ным р-ром Na_2CO_3 и экстрагируют этилацетатом, выделяют DL-V, выход 40%, т. пл. 94—95° (из этилацетата). Аналогично из II и I получают DL-IV, выход 55%, т. пл. 107—108° (из этилацетата). Из 1,5 г I, 1,1 мл анилина, 0,9 мл PCl_5 и 50 мл C_6H_6 (3 часа) аналогично получают анилид I, выход 90%, т. пл. 187—188° (осажден водой из р-ра в сп.), $[\alpha]_D^{20} - 115,5^\circ$ (с 1,1; сп.). Анилид I получают также действием анилина на смешанный ангидрид, полученный из I и изобутилового эфира хлоруглеродной к-ты (XXIV), выход 75%, т. пл. 189—190° (из этилацетата-птр. эф.), $[\alpha]_D^{20} - 179^\circ$ (с 0,07; сп.), —280° (с 2; хлф.). Деформилирование анилида I (0,5 г) нагреванием 5 мин. с 25 мл метанового 2% HCl приводит к хлоридату анилида 2,2-диметилтиазолидинкарбоновой-4 к-ты, выход 100%, т. пл. 120°. 3,6 г бензоилглицина (XXV), 2,8 мл анилина, 1,5 мл PCl_5 и 100 мл C_6H_6 кипятят 2 часа, упаривают, обрабатывают, 15%-ным р-ром Na_2CO_3 , получают VI, выход 95%, т. пл. 208—209° (из сп.). Аналогично из фталилглицина получают VII, выход 90%, т. пл. 213—232° (из CH_3COOH); из III и XXV получают VIII, выход 50%, т. пл. 119—120° (из воды). К р-ру 0,5 г DL-IV в 3 мл CH_3OH прибавляют 25 мл насыщ. при 0° р-ра NH_3 в CH_3OH . Через несколько дней р-р упаривают, выход DL-IX ~ 100%, т. пл. 164—165°. Из L-IV получают L-IX, т. пл. 188—189° (из CH_3OH), $[\alpha]_D^{20} - 95,6^\circ$ (с 1,4; CH_3OH). I действием XXIV превращают в смешанный ангидрид и обрабатывают глицинамидом в диметилформамиде (в присутствии триэтиламина), получают L-IX, выход 90%. 1 г L-IX нагревают 5 мин. с 80 мл 2%-ного р-ра HCl в CH_3OH и упаривают досуха; после отделения NH_4Cl получают 0,73 г хлоридата X, т. пл. 120° (разл.). Для получения XI 5,2 г XV прибавляют при перемешивании к р-ру 2,5 г хлоридата II и 2,8 мл триэтиламина в 50 мл CHCl_3 . Через ~ 12 час. р-р упаривают, остаток экстрагируют р-ром NaHCO_3 , который затем подкисляют, выход XI 75%, т. пл. 157—158° (из воды). Кипячением 1 г XI с 12 мл 4 н. HCl и 12 мл ацетона получено 0,9 г XIa, т. пл. 206—207° (из воды). Для получения XIV 1 г XIX в 15 мл CHCl_3 превращают в смешанный ангидрид действием 0,43 г XXIV и 0,48 мл триэтиламина и затем прибавляют 0,9 г хлоридата X и 0,48 г триэтиламина в 10 мл CHCl_3 . Через ~ 12 час. р-р промывают водой и водн. NaHCO_3 и упариванием выделяют некристаллизующийся XIV. Кипячение 0,6 г XIV с 12 мл 4 н. HCl и 12 мл ацетона приводит к XIX, т. пл. 135—136°. 15 г XV кипятят 15 мин. с 200 мл CH_3OH и упаривают, получают XVI, выход 80%, т. пл. 136—137° (из этилацетата-птр. эф.), $[\alpha]_D^{20} - 40,5^\circ$ (с 27; CHCl_3). XVI действием SOCl_2 (14 час., ~ 20°) переведен в хлорангидрид; при кипячении с

SOCl_2 (1 час) происходит рацемизация. Обработкой хлорангидрида XVI анилином в C_6H_6 получен α -анилид XVI, т. пл. 138—130°, $[\alpha]^{20}_D - 1,0^\circ$ (с 2; CHCl_3). α -Анилид XVI получен также через смешанный ангидрид XVI и XXIV. Из хлорангидрида XVI и этилового эфира n -аминобензойной к-ты получен α - n -карбоксамидил XV, выход 65%, т. пл. 126—127° (из этилацетата-птр. эф.), $[\alpha]^{20}_D - 1,5^\circ$ (с 2; хлф.). Конденсацией 2 г хлорангидрида XVI в 15 мл абс. C_6H_6 с 0,9 г хлоридрата II и 2,1 мл триэтиламина в 10 мл CHCl_3 получают XX, выход 85%, т. пл. 82—83° (из этилацетата-птр. эф.), $[\alpha]^{20}_D - 3,1^\circ$ (с 1,4; хлф.). 15 г XV нагревают 2 часа при $\sim 100^\circ$ с 22 мл свежеперегнанного бензильного спирта и экстрагируют водн. р-ром NaHCO_3 . Подкислением водн. р-ра и экстракцией эфиром выделяют 16,4 г XVII, т. пл. 66—67° (из C_6H_6 -птр. эф.; содержит C_6H_5), $[\alpha]^{20}_D - 30,4^\circ$ (с 3; хлф.). 10 г XVII обрабатывают избытком эфирного р-ра CH_2N_2 , избыток CH_2N_2 разлагают CH_3COOH , р-р выпаривают. Получившийся XVIII гидрируют в этилацетате над 5%-ным Pd/C . После поглощения 50% H_2 от теории р-р экстрагируют водн. NaHCO_3 и вновь гидрируют и экстрагируют NaHCO_3 . Подкислением водн. р-ра выделяют XIX, выход 65%, т. пл. 138° (из этилацетата), $[\alpha]^{20}_D - 55,9^\circ$ (с 3,2; этилацетат). Из XIX действием SOCl_2 в C_6H_6 при $\sim 20^\circ$ получают хлорангидрид, а из него обработкой анилином — γ -анилид XIX, выход 90%, т. пл. 152—153° (из этилацетата-птр. эф.), $[\alpha]^{20}_D - 29,5^\circ$ (с 0,6; CH_2OH). Кипячение XIX с SOCl_2 вызывает рацемизацию; γ -анилид dl-XIX , т. пл. 110° (из водн. сп.). Получена также L-2,2-диметил-3-фталилглицилтиазолидинкарбоновая-4 к-та конденсацией фталилглицилхлорида с L-2,2-диметилтиазолидинкарбоновой-4 к-той, выход 95%, т. пл. 202—203° (из водн. сп.), $[\alpha]^{20}_D - 38,5^\circ$ (с 2; сп.). XXI получают нагреванием (30 мин., 110—115°) S-бензил-L-цистеина (XXVI) с XV, выход 32%, т. пл. 128—129° (из бал.), $[\alpha]^{20}_D - 150,1^\circ$ (с 1,1; CH_2OH); S-бензилтиуроиневая соль, т. пл. 153—154°; удалением фталильной группы получен вновь оптически чистый XXVI. При получении XXI при 135—140°, либо при кипячении в лед. CH_3COOH выход достигает 70%, однако при этом происходит частичная рацемизация. XXI с $[\alpha]_D - 35^\circ$ превращают через хлорангидрид в XXII, выход 60%, т. пл. 164—165° (из водн. сп.); по методу смешанных ангидридов выход 70%. Из XXII обработкой гидразином получен XXIII, выход 30%, т. пл. 200° (разл.). С. Аваева

21623. Инсулин: химия и строение. Уокер (Insulin: chemistry and structure. Walker G. T., Manufact. Chemist, 1957, 28, № 8, 366—369 (англ.))

Обзор работ по методам выделения, свойствам и установленному строению инсулина. Библ. 22 назв. С. А.

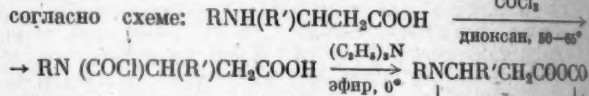
21624. Аминокислоты и белки, синтез и анализ. Берленге (Acides aminés et protéines; synthèses et analyses. Berlinguet Louis), Laval méd., 1957, 22, № 1, 83—135 (франц.))

Приведен обзор разработанных автором методов синтеза природных и не встречающихся в природе аминокислот, а также аминокислот. Обсуждаются методы разделения и исследования аминокислот и белков (хроматография на бумаге и на колонках, электрофорез, ферментативное разделение антиподов и др.). Методы синтеза аминокислот и аминокислот основаны на восстановлении и гидролизе производных малонового эфира и этилового эфира ацетамидоциануксусной к-ты. Предложена схема р-ций для производных малонового эфира: $\text{HCR}(\text{COOC}_2\text{H}_5)_2 \rightarrow \text{CH}_2(\text{NH}_2)\text{COOH} + \text{CH}(\text{NH}_2)_2 + \text{CH}(\text{NH}_2)(\text{CH}_2\text{OH})\text{COOH}$, где $\text{R} = \text{NHCOOC}_2\text{H}_5$, NHCHO , $\text{NHCOOC}_6\text{H}_5$, $\text{N}(\text{CO})_2\text{C}_6\text{H}_5$. Возможно подобрать условия, в которых основным

продуктом р-ции при восстановлении NaBH_4 в воде или спиртовой среде является оксиминокислота. При синтезе аминокислот проводят омыление одной из эфирных групп у продукта конденсации Na-малонового эфира с галоидным алкилом, декарбоксилируют, восстанавливают вторую эфирную группу LiAlH_4 на холоду, после чего отщепляют ацетильный остаток. Выходы для фенилаланинола, тирозинола и лейцинола составляют от 70 до 80%. Конденсация γ -феноксипропана с этиловым эфиром ацетамидоциануксусной или ацетамидоциануксусной к-ты с последующим гидролизом и декарбоксилированием приводит к γ -фенокси- α -аминовалериановой к-те (I); выход 40—50%; пикрат I, т. пл. 165°; гидантоин I, т. пл. 160°; ф-урид I, т. пл. 149°. α -амино- γ -феноксиапроновая к-та (II), получена из 1,4-дибромпропана. Выход 60%; бензойное производное II, т. пл. 148°; ф-урид, т. пл. 160°; α -амино- γ -этоксимасляная к-та (III); из β -этоксипропиональдегида по Штрекеру получен аминонитрил, который с $(\text{NH}_4)_2\text{CO}_3$ дал гидантоин. Последний при омылении расщепляется в III. Выход 30%. Бензойное производное III, т. пл. 107°; ф-урид III, т. пл. 130°; гидантоин III, т. пл. 128°. По той же схеме р-ций из циклич. кетонов получают N-алкилированные циклопентенаминокислоты к-ты. Перед омылением нитрила необходимо в этих случаях ацетилировать вторичный амин, чтобы избежать обратного расщепления до кетона. Предложен метод разделения серина (IV) и глицина (V) хроматографией на бумаге в среде пиридин: вода (80:20). R_f IV 0,30; V 0,19. Е. Каверанева

21625. N-карбангидриды β -аминокислот и их полимеризация. Биркофер, Модич (N-Carboxy- β -aminoacids and their Polymerisation. Birkofer Leonhard, Modic Rudolf), Liebigs Ann. Chem., 1957, 604, № 1—3, 56—62 (нем.)

N-карбангидриды β -аминокислот синтезируются согласно схеме:



Таким способом получены: 1) ангидрид N-карбокси-N-фенил- β -аланина (I), выход 71%, т. пл. 128° из N-фенил- β -аланина через N-хлорформил-N-фенил- β -аланин (II), выход 75%, т. пл. 86—88°; ангидрид N-карбокси-N-толил-DL- β -аминомасляной к-ты (III), выход 41,5%, т. пл. 75—76° из N-л-толил-DL- β -аминомасляной к-ты, через N-хлорформил-N-л-толил-DL- β -аминомасляной к-ты (IV), выход 71%, т. пл. 93—94°. Ангидриды I и III устойчивы в холодной воде; при нагревании наступает сначала растворение с постепенным выделением CO_2 , затем в случае I выделяется смолообразный продукт полимеризации, в то время как у III р-р остается прозрачным. Полимеризация I проводилась двумя способами: 1) в диоксане, катализатор — H_2O , при 25—30° в течение 5—6 дней, а также 5 недель; 2) при нагревании ангидрида выше т-ры плавления в течение 1 часа. $n\text{I} + \text{H}_2\text{O} = n[\text{N}(\text{C}_6\text{H}_5)\text{CH}_2\text{CH}_2\text{CO}]_n\text{OH} + n\text{CO}_2$, $n=18-20$, в первом случае получился полимер с мол. в. 2800 (19 аминокислотных звеньев) с т. пл. 226—228° (начинает спекаться при 220°); т-ра плавления и мол. вес зависят от продолжительности полимеризации. Полимер не растворим в воде, легко растворяется в лед. CH_3COOH (IV) и горячем диметилформамиде (V), из последнего высаживается эфиром. По второму способу I медленно нагревали до 145° при 0,4 мм рт. ст., при плавлении начинает отщепляться CO_2 , образующийся при этом полимер несколько хуже растворим в IV и V, начинает спекаться при 240° без заметной т-ры плавления, мол. вес полимера 16300 (111 аминокислотных звеньев).

Получены также карбанилидо-N-фенил-β-аланин из II и анилиды и n-толуидиды из I и III по схеме: I или III + H₂NR' → R_NHCH(R')CH₂CONHR'.

Е. Родионова

21626. Новые методы синтеза пептидов. Сообщение II. Применение алкил- и аралкилмеркаптоформил-производных. Коллонич, Габор, Хайош (Neue Methoden zur Peptidsynthese. II. Mitteilung: Die Anwendung von Alkyl- und Aralkyl-mercapto-formyl-Abkömmlingen. Kollonitsch János, Gábor Valéria, Hajós Andor), Chem. Ber., 1956, 89, № 10, 2293—2301 (нем.)

Для защиты аминогруппы при синтезе пептидов предложено использовать метил-, этил-, бутил- и бензил-меркаптоформильные группы (ММФ, ЭМФ, БУМФ и БФМФ соответственно), вводимые посредством меркаптоформилхлоридов. Наиболее удобными оказались БУМФ- и БМФ-группы. Удаление защитных групп осуществляется действием пербензойной к-ты (I): а) 7,7 г этилового эфира глицина (II) обрабатывают при 0° 3,3 мл ММФ-хлорида (III) в 60 мл СНСl₃, через 12 час. промывают водой, 2 н. НСl, упаривают в вакууме и промывают петр. эфиром. Выход этилового эфира N-ММФ-глицина (IV) 72%, т. пл. 55—56°. Кипятят 11,2 г IV с 45 мл СН₃COOH и 45 мл конц. HCl 15 мин., упаривают в вакууме, промывают смесью диэтилового и петр. эфиров (1:1), выход N-ММФ-глицина (V) 95%, т. пл. 119—119,5° (из этилацетата); б) к 1,5 г глицина (VI) и 1,06 г Na₂CO₃ в 20 мл воды прибавляют р-р 2,3 г III в 20 мл абс. диоксана и еще 1,06 г Na₂CO₃, встряхивая 1,5 часа при 20°, извлекают этилацетатом и упаривают в вакууме, выход V 16,5%, т. пл. 117—119° (из петр. эф. и этилацетата). Аналогично (а) из 1,74 г этилового эфира *трео*-β-D,L-фенилсерина и 0,36 мл III в 20 мл СНСl₃ получают 0,49 г этилового эфира N-ММФ-*трео*-β-D,L-фенилсерина, т. пл. 123—125° (из сп.). К 1,81 г *трео*-β-D,L-фенилсерина и 0,6 г MgO в 30 мл воды прибавляют 0,88 мл III в 10 мл диоксана, встряхивают 45 мин. при 20°, подкисляют 6 мл 5 н. HCl, концентрируют, р-цией в 15 мл воды экстрагируют этилацетатом и упаривают экстракт в вакууме, выход N-ММФ-*трео*-β-D,L-фенилсерина 1,41 г, т. пл. 128—131° (из эф.). 0,74 г V в 15 мл лед. СН₃COOH обрабатывают при 0° 1,7 г I в 55 мл C₆H₆, спустя 1 час упаривают в вакууме, остаток встряхивают 30 мин. с 20 мл воды (50°), промывают эфиром, водн. слой пропускают через амберлит I R4B (3 г, аммонийная форма) и элюат (води.) сгущают, выход VI 60%, т. пл. 232° (разл.). 20,6 г II в 140 мл СНСl₃ обрабатывают при 0° 12,35 г ЭМФ-хлорида (VII) в 60 мл СНСl₃. Выход этилового эфира N-ЭМФ-глицина (VIII) 82%, масло. 16,8 г VIII кипятят с 70 мл лед. СН₃COOH и 70 мл конц. HCl, выход N-ЭМФ-глицина (IX) 56%, т. пл. 80—81° (разл.; из хлф.). Взаимодействие 0,75 г VI с 1,24 г VII в присутствии Na₂CO₃ также приводит к IX, выход 32%, т. пл. 80—82° (из хлф.). Аналогично из D,L-аланина (X) получают N-ЭМФ-аланин, выход 36%, т. пл. 159—160° (из хлф.). 30 мл жидкого СОСl₂ обрабатывают при 20° 40,8 г C₆H₅CH₂SH и 0,3 г AlCl₃, через 12 час. (—5—+5°) реагируют при 0,001 мм, выход БМФ-хлорида (XI) 27 г, т. кип. 65—70° (0,001 мм), т. заст. 12°. К 6 г VI и 16,8 г NaHCO₃ в 120 мл воды прибавляют по каплям р-р 11 мл XI в 80 мл диоксана, встряхивают 45 мин. и подкисляют 5 н. HCl, выход N-БМФ-глицина (XII) 70,5%, т. пл. 153—153,5°. Аналогично получены (с MgO) перечисляются выход в %, т. пл. в °C): N-БМФ-D,L-аланин, 78,5, 176—178; N-БМФ-L-аланин, 126—127°, [α]_D—20° (с 1; абс. сп.); N-БМФ-D,L-серин, 82, 146—147 (петр. эф.-эф.); N-БМФ-D,L-фенилаланин (с Na₂CO₃), 82, 104—106; N-БМФ-L-глутаминовая к-та, 52,5, 117—120°, [α]_D—14° (с 1, диоксан). 0,5 г XII обрабатыва-

ют 2 мл SOCl₂ (10 мин., 60°) и сгущают в вакууме, получено 0,49 г N-БМФ-глицилхлорида (XIII). К 0,97 г XIII в 10 мл СНСl₃ прибавляют при 0° 0,87 г II в 10 мл СНСl₃, через 12 час. (~20°) сгущают в вакууме, выход этилового эфира N-БМФ-глицилглицина (XIV) 44%, т. пл. 117—119,5° (из сп.). 1,68 г XII, 0,76 г (C₂H₅)₃N и 0,77 мл изовалерилхлорида в 15 мл толуола оставляют на 2 часа при 0° и прибавляют 1,55 г II в 5 мл толуола через 12 час. (8°), промывают водой, 1 н. HCl, 5% NaHCO₃ и упаривают в вакууме выход XIV 36%, 1,13 г XII, 0,52 г II и 1,13 г N,N'-дициклогексилкарбодимид в 30 мл СНСl₃ перемешивают 7 час. После фильтрования и упаривания в вакууме выход XIV 53%. Аналогично получены (перечисляются выход в %, т. пл. в °C): этиловый эфир N-БМФ-D,L-аланилглицина (XV), 73, 120—121° (из абс. сп.); этиловый эфир N-БМФ-D,L-аланилглицина (XVI), —, 105—106° (абс. сп. + эф.); этиловый эфир N-БМФ-глицил-D,L-фенилаланина (XVII), 50, 108—109° (из абс. сп.), 1,13 г XII в 10 мл толуола, обрабатывают 0,48 мл хлоругольного этилового эфира и 0,7 мл (C₂H₅)₃N. Спустя 1 час прибавляют 0,7 г хлоргидрата II и 0,7 г (C₂H₅)₃N в 10 мл СНСl₃, через 24 часа (0°) промывают 3% NaHCO₃ и водой, сущат и упаривают в вакууме, выход XIV 0,28 г. 1,65 г II в 6 мл СНСl₃ обрабатывают 0,28 мл PCl₅ в 2 мл толуола, через 30 мин. (0°) к фильтрату прибавляют 1,45 г XII, нагревают 3 часа до 130°, фильтрат упаривают в вакууме, выход XIV 1,26 г. К 14,7 г хлоргидрата этилового эфира глицилглицина (XVIII) в 150 мл СНСl₃ прибавляют по каплям 12 мл XI и 20 мл (C₂H₅)₃N, через ~12 час. (0°) разбавляют 100 мл СНСl₃, промывают 2 н. HCl и водой и упаривают в вакууме, выход XIV 69,5%. 1,05 г XIII в 15 мл диоксана встряхивают с 0,32 г VI и 0,26 г MgO в 10 мл воды, спустя 1 час подкисляют 5 н. HCl, выход N-БМФ-глицилглицина (XIX) 0,53 г, т. пл. 175—178° (из сп.). К 1,87 г моногидрата солинокислого глицилглицина и 1,2 г MgO в 15 мл воды прибавляют 1,6 мл XI в 10 мл диоксана. После подкисления выделяют XIX, выход 80%. 5 г XIV нагревают с 10 мл лед. СН₃COOH и 8 мл конц. HCl, 20 мин. при 100—110°, охлаждают и выливают в 30 мл воды, выход XIV 3,27 г. 1,7 г XIX в 30 мл диоксана + 0,5 мл воды обрабатывают 2,08 г I в 36 мл C₆H₆ и 10 мл лед. СН₃COOH, через 3,5 часа упаривают в вакууме, остаток растворяют в 20 мл воды, извлекают эфиром и пропускают через «дауэкс-50» (6 г, водородная форма), элюируют 2% NH₄OH, элюат упаривают в вакууме, выход глицилглицина (XX) 64%, т. пл. 220—222°. В безводн. среде выход XX 53%. Действие I на XIV и XIX в иных условиях приводит к бензолсульфонатам XVII и XX соответственно. Действие I в р-ре C₆H₆ на XIV в диоксане в присутствии воды дает XX (45%). Аналогично получению XX из XIX получен, исходя из XV, этиловый эфир D,L-аланилглицина, выход 59%, из XVII — этиловый эфир глицил-D,L-фенилаланина, выход 70%, из XVI — этиловый эфир L-аланилглицина, выход 38%. К 30 мл СОСl₂ прибавляют при —15° 26 мл C₆H₅SH и 0,2 г возогнанного AlCl₃, выдерживают смесь 3 часа при —10°, затем ~12 час. при 0° и разгоняют при 40 мм, выход БУМФ-хлорида (XXI) 30—38 г, т. кип. 63—66°, 40 мм. К 0,89 г X и 0,93 г Na₂CO₃ в 20 мл воды прибавляют 1,53 г XXI в 15 мл абс. диоксана и еще 0,95 г Na₂CO₃ (~0°, 1 час), после подкисления выход N-БУМФ-D,L-аланина (XXII) 68%, т. пл. 158° (из этилацетата). Аналогично получены (перечисляются выход в %, т. пл. в °C): N-БУМФ-D,L-фенилаланин (XXIII), 73,5, 105—107 (из эф. + петр.); N-БУМФ-D,L-серин, 55, 56—58 (из эф. + петр. эф.); N-БУМФ-D,L-глутаминовая к-та, 99—100 (из эф. + петр. эф.), 5,6 г XXIII обрабатывают в 60 мл толуола при 0° 2,4 мл изовалерилхлорида в присутствии 2,8 мл (C₂H₅)₃N, через 1,5 часа прибавляют 2,8 г хлоргидрата

II в 60 мл CHCl_3 и 2,8 мл $(\text{C}_2\text{H}_5)_3\text{N}$, выход этилового эфира N-БУМФ-D,L-фенилаланилглицина (XXIV) 70%, т. пл. 104—105°. Аналогично получают этиловый эфир N-БУМФ-D,L-аланилглицина, выход 74,5%, т. пл. 110—111° (из этилацетата). Действием изовалерилхлорида на XXII в присутствии $(\text{C}_2\text{H}_5)_3\text{N}$ и последующим прибавлением VI получают N-БУМФ-D,L-аланилглицин, выход 33%, т. пл. 160—163° (из этилацетата). Обработка XXII в лед. CH_3COOH в присутствии воды р-ром I в C_6H_6 дает X. Аналогично из XXIV получают D,L-фенилаланилглицин, выход 47%, т. пл. 272—274° (из сп.). Приведены R, полученных пептидов. Сообщение И. см. РЖХим, 1957, 48133. Ю. Швачкин

21627. Неферментативное переаминирование между пептидами и пиридоксалем. Выделение 2,4-динитрофенилгидразонов некоторых кетопептидов. Ченнамо, Карафолли, Бонетти (Non-enzymatic transamination between peptides and pyridoxal. Isolation of the 2,4-dinitrophenylhydrazones of some ketopeptides. Cennamo Carlo, Carafoli Bianca, Bonetti Erik P.), J. Amer. Chem. Soc., 1956, 78, № 14, 3523—3527 (англ.)

При нагревании 30 мин. при 100° в запаянных пробирках 0,01 моля D,L-аланилаланина, L-аланилглицина, L-лейцилглицина, L-лейцилаланилглицина, L-лейцил-L-тирозина, α -L и γ -L-глутамилглицина или соответствующих 0,01 M N-конечных аминокислот с 0,01 M пиридоксалем, 0,001 M р-ром $\text{KAl}(\text{SO}_4)_2 \cdot 12\text{H}_2\text{O}$ и 0,2 M ацетатным буфером pH 5,0 пептиды и аминокислоты переаминируются с пиридоксалем (причем последние быстрее). Оптимум р-ции переаминирования лежит при pH 4,5; в отсутствие Al^{3+} р-ция не идет. После нагревания 1—4 часа смесей, содержащих 0,1 моля субстрата, из них выделены в виде 2,4-динитрофенилгидразонов пирувоилглицин (т. пл. 245—246°), пирувоилаланин (т. пл. 215—217°), α -кетонизокапроилглицин (т. пл. 97—98°), α -кетонизокапроилглицилглицин (т. пл. 157—159°), α -кетонизокапроилтирозин (т. пл. 98—99°) и α -кетоглутарилглицин (т. пл. 115—116°). Приведены спектры поглощения этих соединений и значения R, полученные при хроматографии на бумаге, которые сопоставлены с таковыми для 2,4-динитрофенилгидразонов кетокислот, соответствующих N-конечным аминокислотам пептидов. (см. РЖХим, 1954, 43101). Т. Ассовова

21628. Синтез ряда изолейцилпептидов и некоторые их свойства. Теодоропулос, Крейг (The synthesis of several isoleucyl peptides and certain of their properties. Theodoropoulos D., Craig L. C.), J. Organ. Chem., 1955, 20, № 9, 1169—1172 (англ.)

С целью изучения зависимости между оптич. конфигурацией пептидов и интенсивностью окраски (ИО) на гидриновом комплексе синтезированы изолейцил-L-фенилаланин (I), L-изолейцил-D-фенилаланин (II), L-изолейцил-L-лейцин (III), D,L-изолейцилглицин (IV), а также D,L-изолейцил-DL-серин (V) и карбобензоксипептидов в % (считая ИО изолейцина (VII) за 100%): изолейцилфенилаланин из бацитрацина A 25; I 48; II 28; III 59; IV 45. К р-ру 0,8 г KB3-L-VII в 10 мл CHCl_3 и 0,3 г $(\text{C}_2\text{H}_5)_3\text{N}$ (VIII) при 0° прибавляют 0,325 г $\text{SiCO}_2\text{C}_2\text{H}_5$ (IX) и (через 10 мин.) р-р 0,8 г метилового эфира L-фенилаланина в CHCl_3 . Через 30 мин. р-р промывают 1 н. HCl , NaHCO_3 и водой и упаривают в вакууме. Остаток растворяют в 15 мл 90%-ного спирта и обрабатывают при перемешивании 2,5 мл 1 н. NaOH . Спирт отгоняют в вакууме, прибавляют 40 мл воды и из водн. р-ра, после промывания его эфиром, осаждают к-той 0,8 г KB3-I, т. пл. 166—167° (из водн.

сп.). 0,4 г KB3-I в 10 мл абс. спирта и 6 мл воды гидрируют над Pd/C, выход I 0,22 г. Аналогично получают II—IV. Т-ра плавления KB3 III 130—131°, т-ра плавления KB3-IV 154—156°. К р-ру 25 мг I в 60%-ном спирте прибавляют избыток 2,4-динитрофторбензола (ДНФБ) и нагревают (40°, 10 мин.), поддерживая pH > 7 прибавлением 10%-ного KHSO_4 . Спирт упаривают, избыток ДНФБ экстрагируют эфиром; из водн. р-ра осаждают к-той ДНФБ-I, т. пл. 175—177° (из сп.). Аналогично получают ДНФБ-II, т. пл. 170—171°. К р-ру 0,6 г KB3-D-L-VII в 10 мл CHCl_3 и 0,228 г VIII при 0° прибавляют 0,244 г IX и (через 10 мин.) охлаждающую смесь 0,6 г хлоргидрата метилового эфира серина, 10 мл CHCl_3 и 0,4 г VIII. Т-ру р-ра за 30 мин. доводят до ~20°, р-р промывают разб. HCl , NaHCO_3 и водой и упаривают. 0,57 г из остатка суспендируют в 3 мл спирта и порциями прибавляют (~20°, 20 мин.) 1,8 мл 1 н. NaOH . Обрабатывают далее, как при получении KB3-I, и получают 0,49 г KB3-V, т. пл. 138—139° (из воды). KB3-V гидрируют, как описано для KB3-I. Очищают V методом противоточного распределения в системе 2-бутанол—вода, выход 70 мг. Из 1 г KB3-фенилаланина, 0,34 г VIII, 0,36 г IX и 1,6 г метилового эфира гистидина получают, как описано для KB3-V (исключая промывания HCl), метиловый эфир KB3-VI (в виде масла), который гидролизуют. KB3-VII осаждают CH_3COOH (pH 4,6), выход 0,9 г, т. пл. 198—200° (разл.; из сп.). Г. Равдан

21629. Изучение полипептидов. VII. Синтез пептидов аргинина. Гофман, Пеккем, Рейнер (Studies on polypeptides. VII. The synthesis of peptides containing arginine. Hofmann Klaus, Peckham William D., Rheiner Alfred), J. Amer. Chem. Soc., 1956, 78, № 1, 238—242 (англ.)

Описан метод синтеза пептидов L-аргинина (I) из нитро-L-аргинина (II). Получены 2 ряда пептидов с пептидной связью по карбоксилу I или по аминогруппе I. К смеси 40 мл дымящей HNO_3 и 25 мл 30%-ного олеума при охлаждении (лед с солью) и перемешивании прибавляют 30 г I и затем 15 мл конц. H_2SO_4 . Смесь перемешивают при охлаждении 1 час, выливают на лед, прибавляют конц. NH_4OH до pH 8—9 и затем лед. CH_3COOH до pH 6. Выход II 81,5%, т. пл. 251—252° (из воды), $[\alpha]^{25}_D + 24,3$ (с 4,12; 2 н. HCl). В суспензию 10 г II в 150 мл CH_3OH пропускают HCl (1 час), кипятят 15 мин. и упаривают в вакууме. Операцию повторяют. Остаток растворяют в 40 мл CH_3OH и прибавляют эфир; выход хлоргидрата метилового эфира II (III) 97%, т. пл. 159—161° (из CH_3OH -эф.), $[\alpha]^{25}_D + 17,5$ (с 3,20; CH_3OH). К р-ру 1,1 г III в 10 мл CH_3OH прибавляют 8 мл 0,5 н. р-ра CH_3ONa в CH_3OH и упаривают в вакууме. Образовавшийся метиловый эфир II растворяют в 10 мл диоксана и прибавляют смешанный ангидрид, полученный из 0,84 г карбобензоксипептида (KB3)-глицина в 25 мл диоксана, 0,96 мл три-n-бутиламина и 0,38 мл хлоругольного эфира при 11—12°. Смесь встраивают 45 мин. и упаривают в вакууме. Остаток растворяют в этилацетате, промывают 1 н. HCl , водой, 1 M р-ром NaHCO_3 , водой и высушивают. Упариванием выделяют эфир, гидролизом которого щелочью получают KB3-глицилнитро-L-аргинин (V), выход 54%, т. пл. 142—145° (из водн. CH_3COOH), $[\alpha]^{25}_D + 3,2$ (с 1,13; лед. CH_3COOH). Аналогично из KB3-L-фенилаланина получают метиловый эфир KB3-L-фенилаланилнитроаргинина, выход 70%, т. пл. 160—161° (из CH_3OH -эф.), $[\alpha]^{25}_D - 16,2$ (с 1,12; CH_3OH), а его омылением водно-метанольным р-ром NaOH —KB3-L-фенилаланилнитро-L-аргинин, выд. 87%, т. пл. 185—186° (из 50%-ного сп.), $[\alpha]^{27}_D + 1,5$ (с 1,59; NC_5H_5); анало-

гидро получают КБЗ-Л-аланилнитро-Л-аргинин, выход 66%, т. пл. 171—172° (из водн. сп.), $[\alpha]^{25}_D -9,4^\circ$ (с 1,29; CH_3OH); КБЗ-Л-пролилнитро-Л-аргинин, выход 60%, т. пл. 197—198°, $[\alpha]^{30}_D -32,7^\circ$ (с 3,92; CH_3OH); метиловый эфир α , ϵ -ди-КБЗ-Л-лизилнитро-Л-аргинина, выход 64%, т. пл. 70—72° (из CH_3OH -эф.), $[\alpha]^{25}_D -10,6^\circ$ (с 3,58; CH_3OH), и из него гидролизом 0,5 н. р-ром NaOH — α , ϵ -ди-КБЗ-Л-лизилнитро-Л-аргинин, выход 91%, т. пл. 142—145° (из 50%-ного сп.), $[\alpha]^{27}_D -6,2^\circ$ (с 2,64; NC_5H_9); р-р 1 в IV в 25 мл 10%-ного р-ра лед. CH_3COOH в CH_3OH гидрируют над Pd (12 час.). Фильтрат упаривают в вакууме. Остаток растворяют в CH_3OH и осаждают эфиром. После 2-кратного переосаждения получают ацетат глицил-Л-аргинина, выход 67% (высущен, 24 часа при 56° и 0,03 мм), $[\alpha]^{25}_D +1,6^\circ$ (с 4,31; вода), дает дипикрат. Аналогично из соответствующих производных получены ацетаты: Л-аланил-Л-аргинина, выход 77%, т. пл. 166—168° (из водн. сп.), $[\alpha]^{27}_D +8,7^\circ$ (с 3,32; вода); Л-фенилаланил-Л-аргинина (V), выход 75%, $[\alpha]^{25}_D +7,0^\circ$ (с 3,16; вода); Л-пролил-Л-аргинина, выход 76%, т. пл. 182—183°, $[\alpha]^{27}_D -28,6^\circ$ (с 2,59; вода); диацетат Л-лизил-Л-аргинина, выход 64%, $[\alpha]^{25}_D +15,5^\circ$ (с 2,13; вода). V при обработке пикриновой к-той превращается в пикрат дикетопиперазина V, выход 25%, т. пл. 254—255° (из водн. CH_3COOH). Карбобензоксигидрированием II по Бергману (Bergmann M. и др., Z. physiol. Chem., 1934, 224, 40) получают КБЗ-нитро-Л-аргинин (VI), выход 85—90%, т. пл. 134—136° (из водн. сп.), $[\alpha]^{27}_D -3,5^\circ$ (с 1,02; CH_3OH). Для получения эфиров КБЗ-нитро-Л-аргиниламинокислот к р-ру VI в абс. диоксане (10 мл на ммоль VI) прибавляют три-н-бутиламин (0,24 мл на ммоль) и при 11—12° и перемешивании хлоругольный эфир (0,096 мл на 1 ммоль). Через 15 мин. смесь прибавляют к диоксановому р-ру соответствующего эфира аминокислоты (1 ммоль на 1 ммоль VI), встряхивают 45 мин. и упаривают при 40—50°. Остаток растворяют в этилацетате, р-р промывают 1 н. HCl , водой, 1 н. Na_2CO_3 -водой, высушивают над Na_2SO_4 и упаривают в вакууме. Остаток кристаллизуют из CH_3OH . Этим методом получены анилид VI (из VI и анилина), выход 56%, т. пл. 167—168° (из CH_3OH +эф.), $[\alpha]^{25}_D -3,5^\circ$ (с 1,1; CH_3OH); метиловый эфир КБЗ-нитро-Л-аргинилглицина (VII), выход 44%, т. пл. 70—73° (из ацетона-эф.), $[\alpha]^{25}_D -13,8^\circ$ (с 3,60; CH_3OH); метиловый эфир КБЗ-нитро-Л-аргинил-Л-аланина, выход 46%, т. пл. 157—159° (из CH_3OH -эф.), $[\alpha]^{25}_D -18,8^\circ$ (с 0,98; CH_3OH); метиловый эфир КБЗ-нитро-Л-аргинил-Л-лейцина, выход 60%, т. пл. 170—171° (из CH_3OH -эф.), $[\alpha]^{30}_D -23,4^\circ$ (с 0,94; CH_3OH); метиловый эфир КБЗ-нитро-Л-аргинил-Л-фенилаланина, выход 65%, т. пл. 132—133° (из CH_3OH -эф.), $[\alpha]^{25}_D -8,2^\circ$ (с 1,18; CH_3OH); метиловый эфир КБЗ-нитро-Л-аргинил-Л-тирозина, выход 66%, т. пл. 159—160° (из CH_3OH -эф.), $[\alpha]^{25}_D -3,6^\circ$ (с 1,22; CH_3OH); метиловый эфир КБЗ-нитро-Л-аргинил-Л-триптофана, выход 48%, т. пл. 63—65° (из ацетона-эф.), $[\alpha]^{25}_D -0,5^\circ$ (с 1,54; CH_3OH); метиловый эфир КБЗ-нитро-Л-аргинил-Л-глутаминовой к-ты, выход 52%, т. пл. 108—110° (из CH_3OH -эф.), $[\alpha]^{25}_D -21,3^\circ$ (с 1,50; CH_3OH). Суспензию VII в 0,5 н. NaOH встряхивают 1 час при ~20°, экстрагируют этилацетатом и подкислением конц. HCl выделяют КБЗ-нитро-Л-аргинилглицин (VIII), выход 78%, т. пл. 111—113° (из водн. сп.), $[\alpha]^{25}_D -16,8^\circ$ (с 1,05; CH_3OH). Аналогично из соответствующих эфиров получены КБЗ-нитро-Л-аргинил-Л-аланин, выход 76%, т. пл. 207—208° (из 50%-ного сп.), $[\alpha]^{25}_D -5,9^\circ$ (с 1,80; NC_5H_9); КБЗ-Л-

аргинил-Л-лейцин, выход 89%, т. пл. 165—167° (из 50%-ного сп.), $[\alpha]^{27}_D -5,0^\circ$ (с 1,73; NC_5H_9); КБЗ-нитро-Л-аргинил-Л-фенилаланин, выход 98%, т. пл. 225—226° (из 50%-ного сп.), $[\alpha]^{25}_D +13,1^\circ$ (с 0,63; NC_5H_9); КБЗ-нитро-Л-аргинил-Л-тирозин, выход 90%, т. пл. 171—173° (из водн. ацетона), $[\alpha]^{25}_D +17,9^\circ$ (с 3,46; NC_5H_9); КБЗ-нитро-Л-аргинил-Л-триптофан, выход 88%, т. пл. 202—203° (из 50%-ного сп.), $[\alpha]^{30}_D +20,8^\circ$ (с 1,45; NC_5H_9); КБЗ-нитро-Л-аргинил-Л-глутаминовая к-та, выход 87%, т. пл. 224—225° (из 50%-ного сп.), $[\alpha]^{27}_D 0,0^\circ$ (с 0,95; $\text{C}_5\text{H}_9\text{N}$). Р-р 1 в VIII в 25 мл 10%-ного р-ра CH_3COOH в CH_3OH гидрируют над Pd (12 час.). Упариванием фильтрата в вакууме и обработкой остатка ацетоном получают кристаллич. ацетат Л-аргинилглицина (в форме сольвата с CH_3COOH), выход 88%, т. пл. 167—169° (из CH_3OH — CH_3COOH), $[\alpha]^{25}_D +38,9^\circ$ (с 5,75; вода). Аналогично получены ацетаты: Л-аргинил-Л-аланин, выход 83%, т. пл. 173—174° (из водн. сп.), $[\alpha]^{32}_D +9,7^\circ$ (с 2,38; вода); Л-аргинил-Л-лейцин, выход 89%, т. пл. 205—206° (из CH_3OH — CH_3COOH), $[\alpha]^{25}_D +9,6^\circ$ (с 1,35; вода); Л-аргинил-Л-фенилаланин, выход 63%, т. пл. 172—173° (из водн. сп.), $[\alpha]^{25}_D +29,5^\circ$ (с 1,81; вода); Л-аргинил-Л-тирозина, выход 81%, т. пл. 157—158° (из водн. сп.), $[\alpha]^{32}_D +33,3^\circ$ (с 1,53; вода); Л-аргинил-Л-триптофана, выход 52%, гигроскопичный порошок (из CH_3OH -эф.), $[\alpha]^{25}_D +5,1^\circ$ (с 4,94; вода); и Л-аргинил-Л-глутаминовая к-та, выход 96%, т. пл. 251—252° (разл.; из водн. сп.), $[\alpha]^{25}_D +24,8^\circ$ (с 1,90; вода). Приведены R, полученных пептидов в различных системах р-рителей. Сообщение VI см. РЖХимБх, 1958, 2825. С. Авабиа

21630. Изучение полипептидов. VIII. Синтез пептидов, родственных кортикотропину. Гофман, Йель, Фурленмейер, Каппелер (Studies of polypeptides. VIII. Synthesis of peptides related to corticotropin. Hofmann Klaus, Jöhl Albert, Furlenmeier Andreas E., Kappeler Heini), J. Amer. Chem. Soc., 1957, 79, № 7, 1636—1641 (англ.).

Синтезирован ряд ди-, три- и тетрапептидов и пептид-Л-серил-Л-тирозил-Л-серил-Л-метионил-Л-глутаминовая к-та (I), входящих в состав полипептидной цепи гормона кортикотропина. Разработано видоизмененное азидного метода синтеза пептидов, позволяющее получать сложные ацилированные пептиды в гетерог. водно-эфирных р-рах. 3 г L-серина в 20 мл воды и 7,2 г n-толуолсульфохлорида в 100 мл этилацетата (II) встряхивают 4 часа, постепенно прибавляя 38 мл 2 н. NaOH . Подкислением водн. слоя получают n-толуолсульфо-Л-серин (III), выход 78%, т. пл. 235—236° (из воды), $[\alpha]^{25}_D -32,3^\circ$ (с 2,06; пиридин). Суспензию 6 г III в 150 мл абс. CH_3OH насыщают HCl , упаривают. Остаток растворяют в 35 мл CH_3OH , прибавляют 4 мл гидразингидрата и охлаждают 15 час.; выход гидразида III 79%, т. пл. 179—181° (из сп.). К 4 г L-метионина и 6,8 г NaHCO_3 в 120 мл воды прибавляют при перемешивании 5 г карбобензоксигидрида, перемешивают при охлаждении еще 2 часа, подкисляют 6 н. HCl и экстрагируют эфиром. Упариванием эфирного р-ра и прибавлением петр. эфира выделяют КБЗ-Л-метионин (IV), выход 83%, т. пл. 67—68° (из эф.-петр. эф.), $[\alpha]^{25}_D -16,6^\circ$ (с 2,47; сп.). Р-р 8 г хлоргидрата метилового эфира L-метионина в 30 мл абс. спирта и 5,5 мл триэтиламина выпаривают в вакууме и остаток экстрагируют II. К полученному р-ру прибавляют при 5° 100 мл эфирного р-ра азида КБЗ-Л-серина (из 7,6 г гидразида) и встряхивают 20 час. при 5° и 4 часа при ~20°. Р-р упаривают, остаток экстрагируют II, экстракты промывают 2 н. HCl , насыщ. NaHCO_3 и

водой и упаривают. Выход метилового эфира КБЗ-Л-серил-Л-метионина (V) 65%, т. пл. 101—102° (из сп.). Из 2,5 г V в 25 мл абс. спирта и 0,5 мл гидразингидрата при ~20° (12 час.) получают гидразид КБЗ-Л-серил-Л-метионина, выход 64%, т. пл. 215—216° (из сп.). К 3,3 г V в 10 мл CH_3OH (под N_2) прибавляют 9,5 мл 1 н. NaOH и через 30 мин. 100 мл воды. Р-р экстрагируют II, подкисляют 2 н. HCl, выпавший осадок растворяют в этилацетате, промывают водой и упаривают в вакууме. Выход КБЗ-Л-серил-Л-метионина (VI) 67%, т. пл. 128—129° (из сп.), $[\alpha]^{25}_D - 24,2^\circ$ (с 3,2, насыщ. NaHCO_3). К р-ру 1,5 г VI в 100 мл жидкого NH_3 прибавляют при перемешивании 0,37 г Na, затем 7 г дауекс-50 (аммонийная форма), перемешивают 10 мин., NH_3 упаривают и следы его удаляют в вакууме на Na_2SO_4 . Остаток суспендируют в 40 мл воды, фильтрат подкисляют лед. CH_3COOH до pH 5 и упаривают в вакууме. Выход Л-серил-Л-метионина (VIa) 74%, т. пл. 215—216° (из водн. сп.), $[\alpha]^{27}_D - 11,4^\circ$ (с 5,6, 1 н. HCl). VIa получают также гидрированием VI в 90-ной CH_3COOH над Pd/BaSO₄, выход 62%. 2,31 г хлоргидрата этилового эфира Л-тирозина, 20 мл диоксана и 1,31 мл триэтиламина встряхивают 15 мин., к фильтрату при охлаждении прибавляют р-р азида КБЗ-Л-серина (из 1,5 г гидразида) в II. Через 40 час. (5°) р-р выпаривают в вакууме, остаток растворяют в II, промывают насыщ. р-ром NaCl, 1 н. HCl (насыщ. NaCl), р-ром NaHCO_3 , насыщ. р-ром NaCl. Упариванием выделяют этиловый эфир КБЗ-Л-серил-Л-тирозина (выход 84%) (масло), который омыляют 2 н. NaOH в CH_3OH (30 мин., ~20°). Выход КБЗ-Л-серил-Л-тирозина (VII) 50%, т. пл. 189—190° (из воды), $[\alpha]^{24}_D + 37,4^\circ$ (с 1,92; сп.). Обработкой метилового эфира VII гидразингидратом в CH_3OH получают гидразид VII, выход 89%, т. пл. 213—214°. VII гидрируют над Pd в $\text{CH}_3\text{OH} + \text{CH}_3\text{COOH}$ (6:1), выход Л-серил-Л-тирозина, моногидрат, 88%, т. пл. 254—256° (из воды), $[\alpha]^{24}_D + 38,4^\circ$ (с 1; вода). К р-ру 1,25 г гидразида III в 20 мл воды прибавляют 1,5 мл конц. HCl и при 0° 0,37 г NaNO_2 в 5 мл воды. Азид III экстрагируют II, р-р промывают при 0° р-ром NaHCO_3 и водой, высушивают над Na_2SO_4 и затем прибавляют к р-ру метилового эфира Л-тирозина (из 2,11 г хлоргидрата) в диоксане. Через 20 час. (при 5°) р-р выпаривают в вакууме, остаток растворяют в II, промывают водой, 2 н. HCl, р-ром NaHCO_3 и упаривают. К остатку в 9 мл CH_3OH прибавляют 0,4 мл гидразингидрата, через 20 час. (при ~20°) выделяют гидразид-тирозил-Л-серил-Л-тирозина, выход 63%, т. пл. 200—202° (из водн. CH_3OH). Смешанный ангидрид, полученный из 2 г IV в 15 мл диоксана, 1,67 мл три-н-бутиламина и 0,76 г хлоругольного эфира, прибавляют к р-ру этилового эфира глицина в диоксане (из 1,4 г хлоргидрата) и через 30 мин. при 8—10° и 1 час при ~20° р-р упаривают. Выход этилового эфира КБЗ-Л-метионилглицина 77%, т. пл. 95—96° (из эф.-птр. эф.), $[\alpha]^{27}_D - 20,0^\circ$ (с 4,6; абс. сп.); омылением последнего 1 н. NaOH в CH_3OH (1 час. при ~20°, подкисление р-ра 2 н. HCl и упаривание) получают КБЗ-Л-метионилглицин, выход 94%, т. пл. 135—136° (из воды), $[\alpha]^{26}_D - 16,0^\circ$ (с 2,2; абс. сп.). Обработкой Na в жидком NH_3 (как в случае VII) получают Л-метионилглицин, выход 71%, т. пл. 211—212° (разл.; из водн. сп.), $[\alpha]^{26}_D + 85,0^\circ$ (с 1,9; вода). Смешанный ангидрид, полученный аналогично из 4,06 г IV, прибавляют за 30 мин. к р-ру диэтилового эфира Л-глутаминовой к-ты (из 3,6 г хлоргидрата в 30 мл диоксана и 2,4 мл триэтиламина), перемешивают 1 час при 8—10°, упаривают, и остаток растворяют в II. Р-р промывают (см. выше) и упаривают. Прибавлением птр. эфира осаждают диэтиловый эфир КБЗ-Л-метионил-Л-глутаминовой к-ты, выход 82%, т. пл. 95—96° (из этилацетата-птр. эф.), $[\alpha]^{25}_D - 20,9^\circ$ (с 1,27; сп.), омылением которого 2 н. NaOH в CH_3OH

получают КБЗ-Л-метионил-Л-глутаминовую к-ту, выход 92%, т. пл. 138—140°, $[\alpha]^{25}_D - 13,5^\circ$ (с 1; сп.). Последнюю восстанавливают Na в жидком NH_3 , NH_3 удаляют, остаток растворяют в 50%-ной CH_3COOH , упаривают в вакууме и остаток трижды упаривают с CH_3OH . Выход 1-метионил-Л-глутаминовой к-ты (VIII) 79%, т. пл. 205—206° (из водн. сп.), $[\alpha]^{25}_D + 18,6^\circ$ (с 2,6; 1 н. HCl). 1 г Л-глутаминовой к-ты в 10 мл воды и 3 мл триэтиламина встряхивают 4 часа с р-ром азида КБЗ-глицина (из 1 г гидразида) в II. Смесь подкисляют 2 н. HCl, экстрагируют II и упариванием экстрактов получают КБЗ-глицил-Л-глутаминовую к-ту, выход 65%, т. пл. 160—162° (из воды). К р-ру 2,3 г гидразида VII в 25 мл воды, 1,8 мл конц. HCl и 2,5 мл лед. CH_3COOH прибавляют при 0° 0,42 г NaNO_2 в 15 мл воды и р-р экстрагируют II. Экстракты промывают при 0° р-ром NaHCO_3 и водой и прибавляют при 0° к р-ру метилового эфира серина (из 1,72 г хлоргидрата и 1,6 мл триэтиламина) в 70 мл II. Через 15 час. при 5° р-р промывают водой, 2 н. HCl, р-ром NaHCO_3 и упаривают в вакууме; выход метилового эфира КБЗ-Л-серил-Л-тирозил-Л-серина 86%, т. пл. 191—192° (из диоксан-птр. эф.), $[\alpha]^{25}_D - 3,9^\circ$ (с 1,77; пиридин); действием гидразингидрата в CH_3OH получают гидразид КБЗ-Л-серил-Л-тирозил-Л-серина, выход 100%, т. пл. 210—213° (из воды). 0,4 г глицил-Л-глутаминовой к-ты в 10 мл воды и 0,82 мл триэтиламина встряхивают 18 час. при 5° с р-ром азида КБЗ-Л-серина (из 0,5 г гидразида) в II. Водн. слой встряхивают затем 10 мин. с 3 г дауекс-50 (ацетатная форма), фильтрат упаривают в вакууме; выход КБЗ-Л-серилглицил-Л-глутаминовой к-ты 44%, т. пл. 106—107° (из воды). Аналогично (42 час. при 5°, водноэфирная среда) из VIII получают КБЗ-Л-серил-Л-метионил-Л-глутаминовую к-ту (IX), выход 46%, т. пл. 117—121° (из воды), $[\alpha]^{25}_D - 22,5^\circ$ (с 1; сп.). 0,13 г л-глутаминовой к-ты в 7 мл воды и 0,23 мл триэтиламина встряхивают 40 час. при 5° с эфирным р-ром азида VII, полученным из 0,7 г гидразида. Водн. слой обрабатывают 2,5 г дауекс-50, как описано выше, выход КБЗ-Л-серил-Л-тирозил-Л-глутаминовой к-ты 37%, $[\alpha]^{25}_D - 23,5^\circ$ (с 1; сп.). 0,4 г IX восстанавливают Na в жидком NH_3 (как в случае VI), полученное трижды упаривают с CH_3OH , суспендируют в 10 мл спирта (+ 3 капли лед. CH_3COOH) и отделяют осадок Л-серил-Л-метионил-Л-глутаминовой к-ты (X), выход 86%, $[\alpha]^{25}_D - 26,1^\circ$ (с 1; вода). Суспензию 2,6 г VIa в 80 мл CH_3OH насыщают на холоду HCl, упаривают в вакууме и получают 3,2 г хлоргидрата метилового эфира VIa. К 2,35 г последнего в 30 мл CH_3OH прибавляют 9,1 мл 0,9 н. р-ра CH_3ONa в CH_3OH , упаривают и остаток растворяют в 20 мл диоксана и 20 мл II. К р-ру прибавляют азид VII (из 2,74 г гидразида) в II, встряхивают 20 час. при 5° и упаривают в вакууме. Остаток растворяют в II, промывают 1 н. HCl, р-ром NaHCO_3 и водой. Упариванием выделяют метиловый эфир КБЗ-Л-серил-Л-тирозил-Л-серил-Л-метионина, выход 2,45 г, т. разл. 190°, $[\alpha]^{27}_D - 39,0^\circ$ (с 0,7; CH_3OH), который обработкой гидразингидратом переводят в гидразид КБЗ-Л-серил-Л-тирозил-Л-серил-Л-метионина, выход 67% (разл. при нагревании). Р-р 0,17 г VIII в 8 мл воды и 0,17 мл триэтиламина с эфирным р-ром азида VII (из 0,5 г гидразида) получают (аналогично IX) КБЗ-Л-серил-Л-тирозил-Л-метионил-Л-глутаминовую к-ту, выход 32% (осаждена водой из р-ра в CH_3OH), $[\alpha]^{25}_D - 22,7^\circ$ (с 1; лед. CH_3COOH). Обработкой последней Na в жидком NH_3 (аналогично IX) получают Л-серил-Л-тирозил-Л-метионил-Л-глутаминовую к-ту, выход 50%, $[\alpha]^{25}_D - 8,6^\circ$ (с 1; вода). Р-р 0,27 г X в 10 мл воды и 0,21 мл триэтиламина встряхивают 48 час. при 5° с эфирным р-ром азида VII (из 0,82 г гидразида). Водн. слой фильтруют и фильтрат встряхивают 10 мин. с 4 г дауекс-50 (в ацетатной форме)

ту, выхон
...). После
удалют,
упаривают
H₂OH. Вы-
99%, т. пл.
1 н. HCl).
... триэтил-
33-глицина
2 н. HCl,
получают
%, т. пл.
VII в 25 мл
COOH при
р-е экстр-
р-ом
ру метилок-
и 1,6 мл
при 5° р-р
и упари-
БЗ-Л-серил-
з диоксана-
действию
вид КБЗ-Л-
пл. 210—213°
в 10 мл
18 час. при
гидразид) в
мин. с 3 г
идируют в вы-
иновой к-ты
но (42 час)
учают КБЗ-
(IX), выход
—22,5° (с 1 г)
и 0,23 мл
с эфирным
азидом. Водя-
исаво выше,
ой к-ты 37%,
вливают Na
ученное в-во
в 10 мл
пляют осадок
(X), выход
2,6 г VI в
упаривают в
метилового
CH₃OH при
H₂OH, упари-
ана и 20 мл
гидразид)
ивают в ва-
ют 1 н. HCl.
деляют метил-
ил-Л-метионил-
39,0° (с 0,2 г)
ратом переоса-
рил-Л-метионил-
ния). Р-ции
этиламна с
азидом) при-
озил-Л-метионил-
аждена водой
т. CH₃COOH).
аналогично X
глутаминовой
(X). Р-р 0,27 г
в экстракции
II (из 0,32 г)
льтрат встра-
итной форме)

выпавший КБЗ-пептид растворяют добавлением спирта. Р-р фильтруют, упаривают в вакууме до малого объема и охлаждают 12 час., выпадает КБЗ-Л-серил-Л-тирозил-Л-серил-Л-метионил-Л-глутаминовая к-та (XI), которую переосаждают водой из спирт. р-ра, выход 52%, $[\alpha]_D^{25} -13,2^\circ$ (с 1; лед. CH₃COOH). Обработкой XI Na в жидком NH₃ (аналогично X), затем экстракцией 3 раза по 5 мл спирта и переосаждением спиртом из водн. р-ра получают I, выход 63%, $[\alpha]_D^{25} -20,6^\circ$ (с 1,95; 2 н. HCl). Приведены значения R_f для полученных пептидов. С. Аваева

21631. О флаваноидах и новом веществе ряда катехина в ядре древесины *Gleditsia japonica* Miquel. Мицуро, Иосидзак (サイカチ心材のフラボノイド及び一新カテキンについて. 三ツ野 間 治, 吉崎正雄), 藥學雑誌, Якугаку дзасси, J. Pharmac. Soc. Japan, 1957, 77, № 5, 557 (японск.).

Из ядра древесины *Gleditsia japonica* Miquel выделены флаванониды: фисетин, фустин и новое в-во ряда катехина — 3,7, 3',4'-тетрагидрофлаван, т. пл. 124—125°, $[\alpha]_D^{25} +33,6^\circ$ (ацетон-вода, 1:1). Л. Яновская

21632. Природные производные фурана. Часть I. Синтез периллактона. Мацуура (Natural furan derivatives. Part I. The synthesis of perillaketone. Matsuura Tetsuo), Bull. Chem. Soc. Japan, 1957, 30, №4, 430—431 (англ.).

Взаимодействием хлорангидрида фуранкарбоновой-3-к-ты с Cd (изо-C₅H₁₁)₂ синтезирован β-фурилизамилитон (I), т. кип. 72—73°/3 мм, $n_D^{20} 1,4741$, $d_4^{20} 0,9924$; оксал, т. пл. 65—66° (из петр. эф.); 2,4-динитрофенилгидразон, т. пл. 149—150°. I идентичен с природным периллактоном. Приведены данные ИК-спектра I.

Д. Чернышева

21633. Аутоокисление полифенолов. Часть III. Аутоокисление в нейтральном водном растворе флаванов, близких к катехину. Хатсуэй, Сикине (Autoxidation of polyphenols. Part III. Autoxidation in neutral aqueous solution of flavans related to catechin. Hathway D. E., Seakins J. W. T.), J. Chem. Soc., 1957, Apr., 1562—1566 (англ.).

Изучено образование полимеров и H₂O₂ во время аутоокисления катехина (I) и ряда оксифлаванов измерением адсорбции O₂, элементарными анализами, спектрами поглощения и цветными р-циями диализованных полимеров. I и 5,7,3',4'-тетраоксифлаваны (II) полимеризуются через хиноны, и полимеры содержат остаток флороглюцина; окислительное сочетание 5,7-ди-О-метилкатехина (III) и 3',4'-диоксифлавана (IV) сходно с такой-же р-цией пирокатехина (V). При наличии свободных OH-групп в положении 3' и 4' наблюдается накопление H₂O₂, что связано с образованием хинона. 5,7-диоксифлаван (VI) и 5,7-диокси-3',4'-диметоксифлаван (VII) не имеют смежных OH-групп и могут быть регенерированы через несколько дней. Полимеры гидратированы (1,7—3,3 моля воды на 1 моль исходного в-ва), что подтверждается наличием в ИК-спектре полосы при 1627—1635 см⁻¹ после длительной сушки полимера в вакууме при 70°. В отличие от соответствующих мономеров, полимеры I и II не реагируют с ванилином, полимер III дает положительную р-цию. Для исследования синтезирован рид в-в. VI, т. пл. 196°. При частичном метилировании (+)-I, действием (CH₃)₂SO₄ и 2,5 н. NaOH, в присутствии NaBO₃, образуется (+)-III, т. пл. 218—219° (из водн. сп.), $[\alpha]_D^{20} -1,0^\circ$ (с 1,1; ацетон). Применение эфира вместо C₆H₅NO₂ при синтезе 5,7-диокси-3',4'-диметоксифлаванона (VIII) повышает выход до 25%, в пл. 202°; при восстановлении VIII по Клемменсену образуется VII, т. пл. 260° (из ксилола). Аналогично VIII получают эриодиктиол (IX), выход 20%, т. пл. 207°. Восстановление IX приводит к II C₁₅H₁₄O₅·H₂O,

т. пл. 185° (из воды). При конденсации спирт. р-ра 3,4-диоксиацетофенона с о-ОНС₆H₄CHO в 40%-ном р-ре KOH (1 неделя, в среде N₂) образуется 3,4,2-триоксифлаван (X), т. пл. 189° (из водн. сп.). Гидрирование спирт. р-ра X, в присутствии PtO₂ (20°, 1 ат) до насыщения с последующим бензоилированием дает 3,4,2'-трибензоилокси-α,β-дигидрофлаван, т. пл. 113° (из сп.); из него восстановлением LiAlH₄ получен IV, т. пл. 132° (из петр. эф.). 3',4'-диметоксифлаван, т. пл. 99—100°, образуется при р-ции CH₃N₂ с IV в эфире или при восстановлении LiAlH₄, 2'-бензоилокси-α,β-дигидро-3,4-диметоксифлавана. Приведены кривые УФ-спектров полимеров I, II, III, IV и V. Часть II см. РЖХим, 1956, 39444.

А. Лютенберг

21634. Исследования биологического расщепления.

III. Синтез некоторых имидов глутаровой кислоты. Гофман, Кебрле, Шмид (Biologische Abbauforschung III. Über die Synthese einiger Glutarsäureimide. Hoffmann K., Kebrle J., Schmid H. J.), Helv. chim. acta, 1957, 40, № 2, 387—394 (нем.; реза. англ.).

Дана предположительная схема образования в организме α-фенилглутаримидов из нового снотворного в-ва «дорида» — α-фенил-α-этилглутаримид (I). Синтезированы предусмотренные схемой промежуточные продукты расщепления I: α-фенил-α-винилглутаримид (II) и α-фенил-α-(1'-оксиптил)-глутаримид (III). Получить α-фенил-α-(2-оксиптил)-глутаримид не удалось. К р-ру 71,5 г нитрила α-фенилкротоновой к-ты 31,8 г нитрила акриловой к-ты и 55 мг гидрохинона в 245 мл трет-бутанола + 7,5 мл воды добавлял р-р 4 мл «тритона В» в 25 мл трет-бутанола (0—5°, 1,5 часа, затем 10°, 1 час), получают динитрил α-фенил-α-винилглутаровой к-ты (IV), выход 29,9 г, т. кип. 132—135°/0,15 мм. При нагревании 1,96 г IV в 4,6 мл лед. CH₃COOH с 1,64 г 78%-ной H₂SO₄ (125—130°, 1 час) образуется II, выход колич., т. пл. 98—99° (из изо-C₆H₅OH), т. кип. 120—125°/0,03 мм. При гидрировании II с Pt образуется I. Окислением II посредством C₆H₅COOH в CHCl₃ (10 дней, ~20°, в темноте) получен α-фенил-α-оксидэтилглутаримид (V), т. пл. 144—146° (из изо-C₆H₅OH). Гидрированием с Pd/C в CH₃OH V превращают в III, т. пл. 144—146° (из этилацетата + пентан). При кипячении 125 мг V с 25 мл 2 н. H₂SO₄ (3 часа) образуется α-фенил-α-(β-карбоксиптил)-β-оксиптиролактон (VI), выход 120 мг, т. пл. 145—146° (из этилацетата + пентан), с III дает депрессию т-ры плавления. Из C₆H₅CH₂Cl и NaNH₂ в диоксане с последующим добавлением NaI и CH₃COOCH₂CH₂Cl получен α-(β-ацетоксиптил)-бензилцианид (VII), т. кип. 105—110°/0,02 мм. При обработке 10,2 г VII «тритоном В» и метиловым эфиром акриловой к-ты в диоксане (60—70°) образуется метиловый эфир γ-фенил-γ-циан-ε-ацетоксикапроновой к-ты (VIII), выход 10,2 г, т. кип. 128—130°/0,03 мм. Из 4,3 г метойдида α-фенил-α-диэтиламиноэтилглутаримид (Tagmann и др., Helv. chim. acta, 1952, 35, 1235) действием Ag₂O (из 2 г AgNO₃) с последующим нагреванием четвертичного основания (3 часа, 160—180°/0,01 мм) получен α-фенил-α-(β-карбаминоэтил)-бутиролактон (IX), выход 2 г. При кипячении 5,06 г VIII с 5 г 85%-ной H₂SO₄ в 25 мл лед. CH₃COOH (3 часа) образуется α-фенил-α-(β-карбоксиптил)-бутиролактон (X) C₁₃H₁₄O₄, выход 3,5 г, т. пл. 95,0—96,6° (из бал. + гексан). Приведены данные УФ-спектра IV и ИК-спектров II, III и V. Т-ры плавления исправлены. Сообщение II см. РЖХимБх, 1957, 25063.

В. Некрасов

21635. Структура наиболее важного глицерида масла какао и главного олеодинасыщенного глицерида свиного сала. Чапман, Кроли, Дейвис (The structure of the major component glyceride of cocoa

butter, and of the major oleodisaturated glyceride of lard. Chapman D., Crossley A., Davies A. C.), J. Chem. Soc., 1957, Apr., 1502—1509 (англ.)

Масло какао (МК) кристаллизуют из ацетона при 0°, эту операцию повторяют 2 раза с твердой фракцией (при 0 и 15°), получают фракцию (65,4% МК) с йодным числом (ИЧ) 31,5 (а); она содержит значительное кол-во олеодинасыщ. глицеридов; две жидкие фракции (ЖФ) с ИЧ 50,1 составляют 26,9% МК. Аналогично получают концентрат (0°, из ацетона) динасыщ. глицеридов свиного сала (ИЧ 67); твердую фракцию кристаллизуют 2 раза из ацетона при 22,5 и 23°. Последние 2 ЖФ кристаллизуют при 0°, получают фракцию (б) с ИЧ 35 (19% исходного сала), содержащую много олеодинасыщ. глицеридов. Синтезированы: 2-олеодистеарин (I), 2-олеодипальмитин (II), 2-олеопальмитостеарин (III), 2-пальмитостеарин (IV) и 2-стеароолеопальмитин (V). Действием SOCl_2 на очищ. пробы олеиновой, пальмитиновой и стеариновой к-т приготовлены хлорангидриды этих к-т; 1-моностеарин (VI) и 1-монопальмитин (VII), затем 1,3-дистеарин и 1,3-дипальмитин, которые превращены в I и II (Craig и др., J. Amer. Oil Chem. Soc., 1952, 29, 169), т. пл. 42,5, 35,5°, ИЧ 28,5, 30,2, число омыления 189,8, 202,8. Аналогично получают 1-пальмито-3-стеарин из VII и стеароилхлорида; 1-олео-3-стеарин и 1-олео-3-пальмитин из VI и VII с 1 молем олеилхлорида (т-ра р-ции до 30°), т. пл. 71,5, 49, 44°. Их превращают в III, IV и V, т. пл. 37,5—38, 40,5—41, 41—41,5°; ИЧ 29,2, 29,4, 29,3. Приготовлены искусст. смеси, сходные по составу глицеридов с МК А (55% III, 21%, I, 4% II, 20% ЖФ; В (21% I, 4% II, 55% IV, 20% ЖФ); С (21% I, 4% II, 55% V, 20% ЖФ); Д (69% III, 26% I, 5% II); Е (26% I, 5% II, 60% IV). Приведены кривые охлаждения: МК, а, смеси А, б, III, IV, V и смесей III, IV, V с МК (1:1). Сняты спектры дифракции лучей Рентгена: МК, а, смесей А, В, С, Д, Е, III, IV, V и б. Приведены кривые ИК-спектров полиморфных форм МК, А, В, III, IV и фракции сала. На основании этих исследований главным глицеридом МК является III; главным динасыщ. глицеридом сала — IV.

А. Лютенберг
21636. Изучение α -липоовой кислоты и родственных соединений. IV. Об ацетилировании этилового эфира DL-дигидро- α -липоовой кислоты. Накано. V. Активность DL-диметилдигидро- α -липоовой к-ты при окислении эфирами CH_3COCOON . Накано, Нагасаки (α -Lipoic Acid 及びその類縁化合物の研究. 第4報. Ethyl DL-Dihydro- α -lipoate のアセチル化反応について. 中野勇, 第5報. DL-Dimethyldihydro- α -lipoic Acid の焦性葡萄糖酸化能について. 中野勇, 長崎吉), 薬学雑誌, Якутаку дзасси, J. Pharm. Soc. Japan, 1956, 76, № 10, 1207—1209; № 12, 1443—1444 (японск.; рез. англ.)

IV. Ацетилирование 5,9 г этилового эфира дигидро- α -липоовой к-ты посредством 2,6 г $(\text{CH}_3\text{CO})_2\text{O}$ в 2 г пиридина (12 час. охлаждение, 28 час., 10—15°) привело к этиловому эфиру DL-S⁶-ацетилдигидро- α -липоовой к-ты (I), выход 40%, т. кип. 141—145°/0,3 мм, n_D^{20} 1,4955, и небольшому кол-ву (0,5 г) этилового эфира DL-S⁶, S⁶-диацетилдигидро- α -липоовой к-ты (II). Строение I подтверждено метилированием посредством эфирного р-ра CH_3N_2 (0°; 3 дня) с образованием этилового эфира DL-S⁶-метил-S⁶-ацетилдигидро- α -липоовой к-ты (III), выход 89%, т. кип. 153°/0,5 мм, n_D^{20} 1,4940; III дезацетилирован посредством NaNH_4 в CH_3OH (охлаждение 1 час 20 мин., ~20°, 30 мин.; 50°, 30 мин.) до этилового эфира DL-S⁶-метилдигидро- α -липоовой к-ты (IV), выход 84%, т. кип. 135,5°/0,3 мм, n_D^{20} 1,4951. Бензилирование IV посредством $\text{C}_6\text{H}_5\text{CH}_2\text{Cl}$ (абс. сп., $\text{C}_2\text{H}_5\text{ONa}$, кипячение 2 часа) дало этиловый эфир DL-S⁶-бензил-S⁶-метилдигидро- α -липоовой к-ты (V), выход 49%,

т. кип. 194—195°/0,1 мм. Омыление V спирт. КОН (~20°, ~12 час.) дало свободную к-ту, бензгидриламиновая соль, т. пл. 74—75,5° (из изопропилового эф.), идентична ранее описанной (сообщение II, РЖХИ, 1957, 77229). Аналогичной серией р-ций II превращен в DL-S⁶, S⁶-дигидро- α -липоовую к-ту, т. кип. 67—69° (из бал.-петр. эф.), что подтвердило строение II.

Л. Яновский
V. Проведен манометрич. анализ по способу проф. Гунзалус с *Streptococcus faecalis* (штамм 10CL). Установлено, что способность DL-диметилдигидро- α -липоовой к-ты окислять CH_3COCOON значительно слабее, чем у DL- α -липоовой к-ты. Сообщение III см. РЖХИ, 1957, 77229.

Г. Челпанова
21637. Липиды. Часть V. Полный синтез ксиминовой кислоты, гоморичинстеароловой кислоты и двух жирных оксикислот с алленовыми боковыми цепями. Кромби, Джэклин (Lipids. Part V. Total synthesis of ximenynic acid, homoricinostearic acid, and two fatty hydroxy-acids with allenic side-branches. Crombie L., Jacklin, A. G.), J. Chem. Soc., 1957, Apr., 1622—1631 (англ.)

Ксиминовая или транс-октадецен-11-ин-9-овая-1 к-та (I) синтезирована из децен-3-ина-1 (II) и 1-хлор-7-йодгептана (III) через нитрил. Приготовлены метиловый (IV) и этиловый эфиры 11-бромундецен-9-овой-1 к-ты (V) и метиловый эфир 12-бромдодецен-10-овой-1 к-ты (VI). При р-ции Реформатского VI образует смесь 11-окси-10-винилдигексадекановой к-ты (VII) и 13-оксинадецен-10-овой-1 или гоморичинстеароловой к-ты (VIII). Аналогично синтезируют 10-оксинадецен-9-овую-1 к-ту (IX). К р-ру 8,4 г $n\text{-CH}_3\text{C}_6\text{H}_4\text{SO}_2\text{Cl}$ в 4 мл пиридина (0°) добавляют 6,2 г децен-1-ола-4, содержащего аллен, через 12 час. добавляют воду и извлекают эфиром; полученный неочищ. п-толуолсульфонат (X) обрабатывают р-ром $n\text{-C}_4\text{H}_9\text{ONa}$ (из 1 г Na и 45 мл бутанола), выход II 49%, т. кип. 65°/10 мм, n_D^{20} 1,4500. Из 7,7 г Na в 500 мл жидкого NH_3 получают NaNH_2 (XI), добавляют 52 г X, получают II, выход 79%. Из 3,32 г II, 6,5 г 1-хлор-6-йодгексана и XI (из 0,62 г Na) образуется 16-хлоргексадецен-9-ин-7 (XII), выход 1,66 г, т. кип. 108—113°, n_D^{20} 1,4809. Превращение XII в йодид и его р-ции с Na-малоновым эфиром не дали ениновой к-ты. К реакционной смеси XI (из 0,848 г Na) и р-ра 4,45 г II в абс. эфире (перемешивание, 3,5 часа) добавляют 8,7 г III, перемешивают 15 час., получают 17-хлоргексадецен-7-ин-9 (XIII), выход 65%, т. кип. 100—104°/10—4 мм, n_D^{25} 1,4790. 2,5 г XIII, 1 г NaJ, 1 г NaCN в 12 мл 80%-ного спирта кипятят 40 час. (в среде Na), добавляют 5 г КОН в 12 мл воды и нагревают (20 час.) до прекращения выделения NH_3 . Кислый продукт р-ции растворяют в 50 мл горячего CH_3OH , содержащего 15 г мочевины; после разложения кристаллич. соединения (0°) разб. HCl получают I, т. пл. 30—40° (из петр. эф.). Получение III: к 4,2-тетрагидропирилоксипентин-1 добавляют XI, затем избыток $(\text{CH}_3)_2\text{O}$ в эфире, получают 7,2-тетрагидропирилоксипентин-3-ол-1 (XIV), выход 50—61%, т. кип. 143—158°/0,1 мм, n_D^{21} 1,4798—1,4805. При кипячении (2 часа) 271 г неочищ. XIV в 1,8 л CH_3OH с 3 г $n\text{-CH}_3\text{C}_6\text{H}_4\text{SO}_2\text{ONa}$, добавлении 1 г КОН и гидрировании упаренного до 500 мл р-ра над скелетным Ni (20°—30, 130 ат) образуется гептандиол-1,7 (XV), выход 91—100%. XV превращают через 1,7-дихлоргептан (выход 69%, т. кип. 106—110°/15 мм, n_D^{19} 1,4591) в III, выход 40%, т. кип. 82—84°/0,5 мм, n_D^{23} 1,5136. Ундецен-10-овая-1 к-та (XVI), выход 79%. (Синтезы органич. препаратов. М. Изд-во ин. лит. 1953, 494); ее метиловый эфир, выход 92%, т. кип. 78°/0,04 мм, n_D^{20} 1,4452. 97 г XVI нейтрализуют 500 мл водн. р-ра NaOH, добавляют Cu_2O (из 70 г CuCl), 500 мл 40%-ного р-ра

спирт. КОН
гидрилам-
ового эф.),
РЖХИИ,
превраще-
ту, т. пл.
тросение II.
Яновская
субо проф.
м 10СL),
дигидро-
ельно сла-
III см.
Чешанова
кислоти
боновыми
s. Part V.
cistearolic
lenic side-
J. Chem.

ин-9-овая-1
и 1-хлор-
ены мети-
ин-9-овая-1
и 10-овая-1
образует
к-ты (VII)
истеароло-
10-окси-
ру 8,4 г
ляют 6,2 г
нас. добав-
и неочищ.
н-С₁₈H₃₅Na
и, т. кип.
и жидкого
X, полу-
хлор-6-йод-
хлоргенса-
108—113,
его р-ции
-ты. К ре-
4,45 г II
добавляют
7-хлоргеп-
ти. 100—
1 г NaCN
среде N₂,
г (29 час.)
продукт
содержа-
исталлич.
л. 39—40°
гидропира-
избыток
опирианил-
т. кип.
кипачении
ОН с 3 г
ирировании
и (20—30,
, выход
хлоргептан
591) в III,
36. Унде-
езы орга-
4); ее ме-
м, n²¹D
ра NaOH
ного р-ра

НСОН и 4 г СаСО₃, нагревают 40 час. (~100°, в среде N₂), подкисляют 2 н. HCl, продукт р-ции кипятят с 300 мл СН₃ОН + 300 мл C₆H₆ + 40 мл H₂SO₄ (10 час., в среде N₂), получают метиловый эфир 12-оксидодецин-10-овой к-ты (XVII), выход 33%, т. кип. 131—136°/0,03 мм и 162—172°/0,3 мм, т. пл. 20°, n²¹D 1,4656; 1-нафтилуретан, т. пл. 63—63,5° (из петр. эф.). Омылением XVII получена 12-окси-10-додecin-10-овая к-та, т. пл. 73° (из ацетона-петр. эф., 1:1); n-бромфенацетил эфир, т. пл. 63,5° (из сп.). При р-ции 7,29 г XVII в 12 мл абс. эфира и 0,5 мл пиридина с 3,22 г PBr₃ (0°, 1 час, 20°, 30 мин.) образуется VI, выход 61%, т. кип. 136°/10⁻³ мм; n²³D 1,4860. Взаимодействием 1,2 г активированного Zn со смесью 5,01 г VI, 2,31 г гоптальдегида (XVIII) и 20 мл тетрагидрофурана + 50 мг HgCl₂ (кипачение 45 мин.) с последующим омылением получают смесь к-т; из нее осаждением избыточного соединения с мочевиной в СН₃ОН выделяют VIII (30,5%), т. пл. 52—53°, в р-ре VII (69,5%), т. пл. 61° (обе из петр. эф.). При озонировании VII в смеси этилацетата и лед. СН₃COOH образуется 11-окси-10-оксогептадекановая к-та (XIX), т. пл. 68,5°, и выделяется 1 моль НСОН. Из 57,2 г децин-9-овой-1 к-ты (XX) и НСОН (как при синтезе XX) получают метиловый эфир 11-оксидодецин-9-овой-1 к-ты (XXI), выход 11 г, т. кип. 123—124°/0,002 мм, n²³D 1,4646. Аналогично из этилового эфира XX образуется этиловый эфир 11-оксидодецин-9-овой к-ты, т. кип. 130—131°/10⁻⁴ мм, n²¹D 1,4654. Из XXI аналогично VI получают IV, выход 65%, т. кип. 132—133°/2 × 10⁻⁴ мм, n²¹D 1,4810. V. т. кип. 117—121°/0,03 мм, n¹⁸D 1,4830. Из 3,63 г V, 1,7 г XVIII и 1,1 г активированного Zn, аналогично синтезу VIII (с 3 каплями HC≡CCH₂Br, 15 час., 100°), получают IX, т. пл. 52—52,5° (из петр. эф.). Приведены данные УФ-спектров: I, II, XII, XIII, ИК-спектров: I, VI, VII, IX, XIII, XVII, XIX, XXI, и метилового эфира XX. Часть IV см. РЖХИИ, 1957, 63672.

А. Лютенберг

21638. Липиды. Часть VI. Полный синтез α- и β-олеостеариновых и пуниковой или трихозановой кислот. Кромби, Джэклин (Lipids. Part VI. Total synthesis of α- and β-oleostearic and punicic (Trichosanic) acid. Crombie L., Jacklin A. C.), J. Chem. Soc., 1957, Apr., 1632—1646 (англ.).

Изучена стереохимия природных октадекатриен-9,11,13-овых-1 к-т. Показано, что α-олеостеариновая к-та (α-1) является соответственно *цис-транс-транс-*; β-1 полностью *транс-*, а пуниковая к-та (II) *цис-транс-цис-*изомером. II идентична с трихозановой к-той. 1,1-диэтоксигептин-2 гидрируют над 3%-ным Pd/BaSO₄ в этилацетате, выделяют 1,1-диэтоксигептен-2, выход 75%, т. кип. 86°/10 мм, n¹⁹D 1,4261, который при кипячении (45 мин.) с разб. H₂SO₄ дает гептен-*транс-*2-аль (III), выход 86%, т. кип. 70—73°/19 мм, n²⁰D 1,4480. Р-цией III с Zn и HC≡CCH₂Br (IV) в тетрагидрофуране получен децен-5-ин-1-ол-4 (V), выход 42%, т. кип. 72—75°/0,02 мм, n²²D 1,4642—4666; тетрагидропириновый эфир (ТППЭ), т. кип. 92—96°/0,04 мм, n²²D 1,4682. При действии на V n-CH₃C₆H₄SO₂Cl (VI) и пиридина (0°), затем (~15 час., 20°) с последующей обработкой продукта р-ции Na-бутилатом образуется декадецен-3,5-ин-1 (VII), выход 30—36%, т. кип. 72—74°/12 мм, n²¹D 1,5022. При применении (вместо VI) PCl₅ (+KOH) или POCl₃ выход VII соответственно 31 и 23%. Обработкой VII в эфире NaNH₂ в жидком NH₃ (5 час.) и затем 1-хлор-7-йодгептаном (VIII) (15 час.) получен 17-хлоргептадекадецен-5,7-ин-9 (IX), выход 51%, т. кип. 132—135°/0,05 мм, n²¹D 1,5112. При кипячении 217 мг IX с 135 мг NaJ, 95 мг NaCN в 3 мл спирта + 0,5 мл воды (41 час., в среде N₂) образуется 17-дианогептадекадецен-5,7-ин-9 (X), выход 107 мг, т. кип. 148—152°/0,02 мм, n²⁰D 1,5058. Омыле-

нием X (KOH) получена октадекадецен-*транс-11-транс-13-ин-9-овая-1* к-та (XI), выход 20% (очищена через комплекс с мочевиной), т-ра плавления к-ты 45—46° (из пентана); n-бромфенацетил эфир, т. пл. 62—63° (из сп.). Гидрирование 106 мг XI в 5 мл этилпропионата с 115 мг катализатора Линдлара и 33,6 мг хинолина (24°/719 мм) до поглощения 9,40 мл H₂ дает α-I, выход 21 мг, действием J₂ превращена в β-I. Взаимодействием гептин-2-аля-1 с IV и Zn (как для V) получен декадецен-1,5-ол-4 (XII), выход 45%, т. кип. 79—82°/1 мм, n¹⁹D 1,4729—4749; ТППЭ, выход 89%, т. кип. 90°/0,05 мм, n²¹D 1,4756. К продукту р-ции 8,06 г XII в 15 мл эфира + 1 мл пиридина с 4,2 мл PBr₃ (0°, 1 час) добавляют 2 н. H₂SO₄, выделяют бромид, его кипятят (15 мин., в среде N₂) с 10 г КОН в 50 мл спирта, получают децен-3-дин-1,5 (XIII), выход 35%, т. кип. 64—65°/5 мм, n²²D 1,5080—1,5097. Действием NaNH₂ и VIII (как для IX) XIII превращен в 17-хлоргептадецен-7-дин-5,9 (XIV), выход 54%, т. кип. 134—138°/10⁻⁴ мм, n²²D 1,5140—1,5159, который (как IX) переведен в октадецен-*транс-11-дин-9,13-овую-1* к-ту (XV), выход 40%, т. пл. 76° (из петр. эф.). Гидрированием XV (как XI) получена II, выход 70%. Из n-С₁₈H₃₅CHO и IV (как из III) образуется октин-1-ол-4 (XVI), выход 42%, т. кип. 77—85°/10 мм, n²⁰D 1,4462—1,4485, который действием n-CH₃C₆H₄SO₂N в пиридине и затем NaNH₂ превращен в октен-3-ин-1 (XVII), выход 55%, т. кип. 126—128°, n²²D 1,4431. Действием на XVI SOCl₂ получен 4-хлор-октин-1, выход 58%, т. кип. 90—105°/40 мм, n²⁰D 1,4500—1,4510. Смесь 8,4 г XVII и 13 г децин-9-овой-1 к-ты в СН₃ОН с р-ром 33 г CuCl и 100 г NH₄Cl в 250 мл 0,08 н. HCl встряхивают 80 мин. в среде O₂, кислотный продукт р-ции действием СН₂N₂ превращают в метиловый эфир октадецен-*транс-13-дин-9,11-овой-1* к-ты (XVIII), выход 24%, т. кип. 137—141°/0,001 мм, n¹⁹D 1,5129, при гидролизе спирт. р-ром КОН образует маслянистое в-во, не дающее комплекса с мочевиной. Гидрированием XVIII (как XI) с последующим омылением получена очень нестойкая октадекатриен-*цис-9, цис-11, транс-13-овая-1* к-та (XIX), т. пл. 35—38° (из пентана, при —70°). Смесь этиловых эфиров 11-бром-ундецен-9-овой-1 и 9-бромундецен-10-овой к-т обработана 4,2 г трифенилфосфината в C₆H₆ (48 час.); образующаяся соль фосфония при действии C₂H₅ONa и затем n-С₆H₁₃CHO дает этиловый эфир октадекадецен-9,11-овой-1 к-ты (XX), выход 19%, т. кип. 118—120°/5 × 10⁻⁴ мм, n²¹D 1,4772, который омылением превращен в октадекадецен-*транс-9, транс-11-овую-1* к-ту (XXI), т. пл. 53,5° (из петр. эф.). Приведены кривые и данные ИК-спектров α-I, β-I, II, XIX, данные ИК-спектров V, VII, X, XI, XIII, XIV, XV, XVI, XVII, XVIII, XX, XXI, аландиновой и ксиминовой к-т и данные УФ-спектров α-I, β-I, II, III, VII, X, XIX, XX, XXI, децен-3-ина-1, додекадецен-3,5-ина-1, 17-хлороктадекадецен-5,7-ина-9, гептен-5-дин-1,3 и децен-2-дин-4,6-ола-1.

А. Лютенберг

21639. Получение триоксистеарина. Пигулевский Г. В., Сапрохина А. Е., Ж. прикл. химии, 1957, 30, № 7, 1104—1105

При окислении 300 г масла *Euphorbia lathyrus* действием избытка СН₃CO₂H в эфире (4 дня) получают триглицерид окиси оленовой к-ты (I), C₅₇H₁₀₄O₈, выход 130 г, т. пл. 57—58° (из сп. и петр. эф.). При гидрировании 8 г I в СН₃COOH с Pd-чернью (60°, 3 часа) образуется триоксистеарин, выход 4,76 г, т. пл. 65—65,5° (из сп.).

А. Лютенберг

21640. Хромоген III реакции Моргана — Эльсона. Кун, Крюгер (Das Chromogen III der Morgan — Elson Reaktion. Kuhn Richard, Krüger Gerd), Chem. Ber., 1957, 90, № 2, 284—277 (нем.)

В продолжение предыдущих работ (РЖХИИ, 1957,

37740) из N-ацетил-D-глюкозамина (I) или N-ацетил-D-галактозамина (II) получен D-(+)-5-диоксиэтилацетаминифуран (D-хромоген III) (III). N-ацетил-L-глюкозамина и I (1:1) в этих условиях дают рацемат DL-хромогена

II (IV). Строение III доказано синтезом IV, исходя из урандикарбоновой-3,5 к-ты (V). Гидрированием III с последующим деацетилизированием и метилированием получен тетрафенилборат 5-диоксиэтилтетрагидрофурил-3-триметиламмония (VI). Приведены УФ- и ИК-спектры III и IV. Кипятят 48 час. 50 г I в 2 л C_6H_5N , отгоняют 1,5 л C_6H_5N , затем упаривают в вакууме, остаток растворяют при нагревании в 200 мл C_4H_9OH , фильтруют и хроматографируют на Al_2O_3 получают III, выход 40%, т. пл. 115—117° (из сп.), $[\alpha]^{20}_D +12,1^\circ \pm 1$ (с 1,32, вода), $[\alpha]^{20}_D +15,7^\circ$ (с 5,0, абс. сп.), O,O-диацетат, т. пл. 62—64° (из эф.-петр. эф.). Аналогично из 430 мг II в 25 мл C_6H_5N (40 час.) получают III, выход 23%. К р-ру 3 г хлоридат (XГ) D-глюкозамина и 3 г XI L-глюкозамина в 100 мл CH_3OH с 640 мг Na добавляют 10 мл $(CH_3CO)_2O$, через 0,5 часа упаривают в вакууме досуха, остаток кипятят 48 час. в 250 мл C_6H_5N , обрабатывают, как указано выше, и получают IV, выход 2,5%. Размешивают р-р 9,2 г V в 100 мл абс. CH_3OH с эфир. р-ром CH_3N_2 (из 45 г нитрозометилмочевины (VII)) (т-ра $<10^\circ$), упаривают досуха и получают диметилэфир V (VIII), выход 83%, т. пл. 104—107° (из CH_3OH). К теплomu р-ру 27,1 г VIII в 90 мл абс. CH_3OH прибавляют 8,232 г КОН в 90 мл абс. CH_3OH , кипятят 1 час, по охлаждению до 0° К-соль отфильтровывают, фильтрат упаривают досуха, растворяют К-соль в 200 мл воды и добавлением 3 н. HCl (0°) выделяют 3-карметоксифуранкарбоновую-5 к-ту (IX), выход 99%, т. пл. 126—130° (из воды); хлорангидрид (XA), т. пл. 83° (из CCl_4). К р-ру CH_3N_2 (из 40 г XII) в 400 мл эфира прибавляют по каплям (т-ра $<10^\circ$) р-р 11,1 г XA IX в 100 мл эфира, через ~1 час, упаривают в вакууме до начала кристаллизации и по охлаждению (-20°) получают 3-карметоксифурил-5-диазокетон (X), выход 82,5%, т. пл. 105—109° (разл.; из эф.). В 75 мл CH_3COOH при 60—70° вносят порциями 16,5 г X, р-р кипятят 10 мин., добавляют 1 г CH_3COOK , кипятят 1 час, разбавляют двойным объемом воды и по охлаждению получают 3-карметоксифурил-5-ацетоксиметилкетон (XI), выход 52,5%, т. пл. 123—126° (из CH_3OH). К р-ру 1 г XI в 100 мл CH_3OH за 10 мин. прибавляют порциями 65 мг $NaNH_4$ в 10 мл воды, через 0,5 часа добавляют 2 н. CH_3COOH (рН 6), упаривают в вакууме р-ритель, остаток кипятят 4 часа в 50 мл CH_3OH с 1 г КОН и хроматографируют р-ра К-соли получают DL-5-диоксиэтилфуранкарбоновую-3 к-ту (XII), выход 50%, т. пл. 144° (из CH_3OH -эф.-петр. эф.). Смешивают 1 г XII с 10 мл $(CH_3CO)_2O$ и 4 мл C_6H_5N , через ~16 час. ($\sim 20^\circ$) р-р выливают в 50 мл воды, через 0,5 часа добавляют 25 мл 2 н. H_2SO_4 , экстрагируют $CHCl_3$ и получают диацетат XII (XIII), выход 985 мг, т. пл. 91—93° (из хлф.-петр. эф.). Кипятят 3 часа 1,95 г XIII в 10 мл абс. C_6H_6 с 20 мл $SOCl_2$ и перегонкой в вакууме (90—110°/10⁻³ мм) получают XA XIII, выход 85%. Смешивают при 0° 1,79 г XA XIII в 20 мл ацетона с 0,47 г HN_3 в 12 мл воды, дают стоять 2 часа при 20°, добавляют 40 мл воды, упаривают наполовину в вакууме (т-ра 40°), экстрагируют эфиром, эфир отгоняют в вакууме (т-ра 20°) и получают азид XIII, выход 96%. Р-р 1,7 г азиды XIII быстро нагревают до 50—60°, затем 0,5 часа до 95°, оставляют при этой т-ре на 1 час, разбавляют 30 мл смеси $(CH_3CO)_2O$ — CH_3COOH (1:1), нагревают 1,5 часа при 95—100°, отгоняют в вакууме р-ритель, остаток растворяют в 10 мл $CHCl_3$, разбавляют равным объемом C_6H_6 и хроматографируют на Al_2O_3 получают DL-5-диацетоксиэтил-3-ацетаминифуран (XIV), выход 21%, т. пл. 107—110° (из бzl.). Не выделяя XIV, массу после ацетилирования раство-

ряют в 50 мл CH_3OH , разбавляют 1 мл 1 н. CH_3ONa , кипятят 10 мин., добавляют 1 мл 2 н. CH_3COOH и отгоняют в вакууме р-ритель. Остаток растворяют в 2 мл CH_3OH и 8 мл C_4H_9OH и хроматографируют на Al_2O_3 получают IV, выход 74,4 мг, т. пл. 114—115°. Гидрируют р-р 5 г III в 100 мл спирта над 1 г Pt (из PtO_2), фильтрат упаривают в вакууме, остаток кипятят 1 час с 50 мл конц. HCl и 50 мл воды, упаривают в вакууме, экстрагируют 100 мл воды, вновь упаривают в вакууме и остаток растворяют в CH_3OH . Кипятят 1,5 часа 7,5 мл этого р-ра с 3 г Na_2CO_3 и 25 г CH_3J , добавляют еще такие же порции в-в, вновь кипятят 1,5 часа, разбавляют CH_3OH , фильтруют, фильтрат упаривают в вакууме, остаток экстрагируют 50 мл воды, водн. р-р смешивают с 2,5 г NaBr (C_6H_5 в 75 мл воды и по охлаждению получают VI, выход 75%, т. пл. 174—176° (из водн. ацетона), $[\alpha]^{20}_D -2,0^\circ \pm 0,66$ (с 1,5; ацетон), XГ, $[\alpha]^{20}_D -5^\circ$ (с 4; вода). Р. Журин

21641. 2-Ацилпроизводные циклических 1,3-дионов. Часть IV. Структура дегидролептоспермона. Чжань, Хассалл (2-acyl derivatives of cyclic 1:3-dione). Part IV. The structure of dehydroleptospermon. Chan W. R., Hassall C. H., J. Chem. Soc., 1956, Dec., 4983—4985 (англ.).

Дегидролептоспермон $C_{15}H_{20}O_4$ (I), т. пл. 125—130° (из петр. эф.), является 3,3,5,5-тетраметил-8-изопринил-7-оксацикло- (4,3,0)-нонен-1(6)-трионом-2,4,9 и образуется из продукта бромирования лептоспермона при нагревании (4 часа, 130—140°) или при кипячении его с γ-коллидином (1,5 часа) или с CH_3COOK в CH_3OH (2 часа). Енолацетат I, т. пл. 94—95° (из петр. эф.). 6-ацетил-2,2,4,4-тетраметилциклогексантрион-1,3,5 (II) (ср. РЖХим, 1956, 75074), т. пл. 35,5—36°, пинеронилденное производное, т. пл. 153—154° (из CH_3OH). Бромированием 615 мг II в $CHCl_3$ (аналогично получению I) с последующим кипячением продукта р-ции с CH_3COOK в CH_3OH (1 час) получен 3,3,5,5-тетраметил-7-оксацикло- (4,3,0)-нонен-1(6)-трион-2,4,9 (III), выход 166 мг, т. пл. 173—175° (из CH_3OH). Енолацетат III, т. пл. 100—101° (из петр. эф.). Приведены данные УФ- и ИК-спектров I, III и их ацетатов и УФ-спектра II. Часть III см. РЖХим, 1957, 73736. Г. Сегаль

21642. Вещества, входящие в состав *Eleutheria bulbosa* (Mill.) Urb. VIII. Синтез элеутеринола. Фрей, Шмид (Inhaltsstoffe aus *Eleutheria bulbosa* (Mill.) Urb. VIII. Synthese des Eleutherinols. Frei Hermann, Schmid Hans), Liebigs Ann. Chem., 1957, 603, № 1—3, 169—177 (нем.).

Синтезом элеутеринола (I) подтверждено его строение, предложенное ранее (РЖХим, 1955, 16487). Из 80 г диметилбензамида и C_2H_5MgBr (из 75 г Mg) в присутствии 22,5 г $HgCl_2$ (в эф., кипячение, 68 час., атмосфера N_2) получен 3,5-диметокситропионофенон (II), выход 88%, т. кип. 98—100/0,08 мм; семикарбазон (CK), т. пл. 132—133°. Без $HgCl_2$ р-ция не идет, в анизоле образуется 3,5-диметоксисбензонитрил. При бромировании II в $CHCl_3$ в присутствии р-ра NBr в лед. CH_3COOH с мешалкой из Cr-Ni-стали (кипячение, затем 0°) образуется α-бром-3,5-диметокситропионофенон (III), выход 68%, т. пл. 48—49° (из сп.). При бромировании со стеклянной мешалкой или в дисоксане образуется смесь, содержащая дибромид $C_{11}H_{12}O_5Br_2$, т. пл. 128—134° (из эф.-петр. эф.). При бромировании II в эфире (0°) образуется трибромид $C_{11}H_{10}O_5Br_3$, т. пл. 135,5—137° (из эф.-петр. эф.). Из III и Na-пропаноидного этилового эфира малоновой к-ты в спирте + бензол (кипячение, 24 часа) с обработкой продукта р-ции р-ром КОН в водн. CH_3OH (кипячение, 8 час.) и последующим декарбоксилированием (100—110°, 12 мм) получена β-(3,5-диметоксисбензил)-масляная к-та (IV), выход до 59%, т. пл. 105,5—106,5° (из эф.-петр. эф.); CK, т. пл. 160—161° (из водн. сп.). Гидри-

н. CH_3ONa ,
 COOH и от-
 ают в 2 ма-
 ровании на
 114—115°.
 над 1 г Рг
 остатков на-
 ды, упари-
 вные упари-
 в CH_3OH ,
 CO_2 и 25 г
 вновь ки-
 уют, филь-
 руют 50 мл
 4) в 75 мл
 выход 75%,
 $-2,0^\circ \pm 0,06$
 Р. Жури-
 1,3-диоме-
 Чжана,
 1:3-dione,
 oserphone,
 Soc., 1956,

125—130°
 л-8-напро-
 м-2,4,9
 оспермона
 кипячении
 К в CH_3OH
 Петр. эф.).
 1,3,5 (II)
 пероля-
 (ОН). Бро-
 лучению
 р-ции с
 тетраметил-
 (III), вы-
 олацетат
 ы данные
 Ф-спектра
 Г. Сегал
 herine bul-
 а. Фрей-
 oza (Mitt.)
 ei Het-
 nem., 1957,

дено его
 55, 16487).
 75 г Mg)
 е, 68 час.,
 иофенов
 икарбазон
 ет, в ан-
 При бро-
 Вг в лед.
 ипичение,
 иофенов
 и броми-
 оксиде
 $\text{H}_2\text{O}_2\text{Vg}$
 ировании
 $\text{H}_2\text{O}_2\text{Vg}$
 Na-проп-
 спирте +
 продукта
 8 час.)
 100—110°.
 масляная
 (из эф-
). Гидри-

рованием с PdO в лед. $\text{CH}_3\text{COOH} + 1\% \text{HClO}_4$ IV пре-
 ращена в β -метил- γ -(3,5-диметоксифенил)-масляную
 к-ту (V), выход 98%, масло. При нагревании с поли-
 фосфорной к-той (165°, 20 мин.) V циклизуется с об-
 разованием 3-метил-6,8-диметокситетралона-1 (VI), вы-
 ход 79%, т. пл. 89,5—90,5° (после возгонки в вакууме);
 2,4-динитрофенилгидразон, т. пл. 228,5—229,5° (из этил-
 ацетата + водн. сп.). VI бромруют с CS_2 (35—55°,
 7 час., освещенное), продукт р-ции кипятят с $\text{C}_6\text{H}_5\text{N}$ -
 $(\text{CH}_3)_2$, получают 3-метил-6,8-диметоксинафтол-1 (VII),
 выход 53,4%, т. пл. 82—83,5° (из CH_3OH); ацетат, т. пл.
 98,5—99,5° (из этилацетата + Петр. эф.), т. кип. 120—
 140°/0,02 мм. При нагревании VII с этиловым эфиром
 ацетоуксусной к-ты (250—260°, 4,5 часа) образуются
 дегидрацетовая к-та и диметилловый эфир I, выход
 37% (на вошедший в р-цию VII), который при нагре-
 вании со смесью УФ-спектров диацетата I, 2,3-диметил-
 нафто-1',2',5,6-пирона-4 и 2-метилнафто-1',2',6,5-пиро-
 на-4. Сообщение VII см. РЖХим, 1958, 4819. В. Некрасов
 21643. Синтез соединений, родственных мускаруфи-
 ну. II. 3,6-диоксид-2,5-бис-(2-карбоксифенил)-бензохи-
 нон. Нильссон (Synthesis of compounds related to
 muscarufin. II. 3,6-dihydroxy-2,5-bis-(2-carboxyphenyl)-
 benzoquinone. Nilsson Martin, Acta chem.
 scand., 1956, 10, № 9, 1377—1380 (англ.).

Синтезирован 3,6-диоксид-2,5-бис-(2-карбоксифенил)-
 бензохинон (I), аналог мускаруфина и полипоровой
 к-ты. 3,6-дигидро-2,5-диметоксидбензохинон (II) получен
 с небольшим выходом из йоданила через диметилполу-
 ацеталь дигидродиметоксидбензохинона. При восстановле-
 нии фенилгидразином и метилировании $(\text{CH}_3)_2\text{SO}_4$ II
 дает 3,6-дигидро-1,2,4,5-тетраметоксидбензол (III), т. пл.
 136—137° (из CH_3OH). При нагревании 11 г III, 21 г
 $\text{e-BrC}_6\text{H}_4\text{COOCH}_3$ с 60 г Sn-бронзы (~270°) получен
 2,3,5,6-тетраметоксид-1,4-бис-(2-карбоксифенил)-
 бензол (IV), т. пл. 122—129°. При действии HNO_3
 (3,42) IV дает метилловый эфир I (V), т. пл. 178—180°.
 После омыления V щелочью получен I, т. пл. 370—375°
 (разл.). При восстановительном ацелировании I об-
 разуются дилактон 3,6-диацетоксид-2,5-диоксид-1,4-бис-(2-
 карбоксифенил)-бензола, т. пл. ~340° (из $(\text{CH}_3\text{CO})_2\text{O}$;
 разл.). Действием HBr (к-ты) на IV получен дилактон
 3,6-диоксид-2,5-диоксид-1,4-бис-(2-карбоксифенил)-
 бензола, т. пл. ~316° (из CH_3COOH). При возгонке или
 длительном нагревании в вакууме (200°) I дает дилак-
 тон. Сообщение I см. РЖХим, 1957, 48159.

Н. Соломоник
 21644. 3-Карбоксиметил-4-(2'-карбоксиэтил)-пиррол-
 дикарбоновая-2,5 кислота при окислении уропорфи-
 рина. Николаус, Николетти (Acido 4-acetico-
 3-propionico-2,5-pirroldicarbonico nell'ossidazione dell'
 uroporfirina. Nicolaus Rodolfo Alessandro,
 Nicoletti Rosario, Ricerca scient., 1957, 27,
 № 5, 1527—1530 (итал.; рез. англ., нем., франц.).

Подтверждено, что при окислении уропорфирин
 KMnO_4 образуется лишь 3-(карбоксиметил)-4-(2'-карб-
 оксизтил)-пирролдикарбоновая-2,5 к-та (I), т. пл. 216—
 218° (разл.; из CH_3COOH); при хроматографировании
 на бумаге R 0,06 (спирт-вода-33%ный NH_4OH , 20:
 4:1), 0,58 (бутанол- CH_3COOH -вода, 4:1:5); К-соль,
 $\text{C}_{11}\text{H}_{10}\text{O}_8\text{NK}$, т. пл. 171° (разл.; из воды). При медленной
 возгонке I (200°, 0,3 мм) образуются опсопирролкарбо-
 новая к-та и другая к-та неустановленного строения
 (ср. РЖХим, 1957, 37823).

Л. Песин
 21645. Хлорофилл и родственные вещества. Часть IV.
 Положение дополнительных водородных атомов в
 хлорофилле. Окисление пиррофеорбида А. Фик-
 кен, Джонс, Линстед (Chlorophyll and related
 compounds. Part IV. The position of the extra hydro-
 gens in chlorophyll. The oxidation of pyropheophor-

hide-a. Ficken G. E., Johns R. B., Linstead
 R. P.), J. Chem. Soc., 1956, July, 2272—2280 (англ.).

Из продуктов окисления пиррофеорбида А (I) по-
 средством $\text{CrO}_3 + \text{H}_2\text{SO}_4$ (—10°) выделен имид (—)
 транс-дигидрогематиновой к-ты (II), масло, $[\alpha]_D^{25} +50^\circ$,
 $[\alpha]_D^{25} +50^\circ$, $[\alpha]_D^{25} +50^\circ$ (в CH_3OH); его бензилами-
 новая соль (BAC), т. пл. 168° (из этилацетата- CH_3OH),
 $[\alpha]_D^{25} -25^\circ$ (CH_3OH). Это доказывает, что в I допол-
 нительные Н-атомы находятся в транс-положении при
 $\text{C}_{(7)}$ и $\text{C}_{(8)}$ в кольце IV в соответствии с ф-лой Фи-
 шера. Высказано предположение об аналогичном
 строении хлорофилла В и бактериохлорофилла. Кроме
 II, при окислении I обнаружены: $(\text{COOH})_2$, $(\text{CH}_3\text{CO}-$
 $\text{OH})_2$, имид этилметилмалениновой к-ты, 3-этил-4-метил-
 пирролдикарбоновая-2,5 к-та, т. разл. 202°, идентифи-
 цирована по УФ- и ИК-спектрам ее диметилловый эфи-
 ра (III), масло; транс-ид-дигидрогематиновая к-та
 (цис- и транс- указывают на расположение Н-атомов
 относительно плоскости гетероцикла. кольца в ими-
 дах; термины цисид- и трансид- относятся к соответ-
 ствующим соединениям с открытой цепью. Ред.); к-ты,
 образующие BAC (IV) (т. пл. 165°) и BAC, т. пл.
 127—128° (из этилацетата- CH_3OH); следы летучего
 альдегида, 2,4-динитрофенилгидразон, т. пл. 155°. Раз-
 работан метод хроматографии на бумаге смеси ими-
 дов из спирта. Приведены данные ИК-спектров II, III
 и IV и УФ-спектров III и IV. Часть III см. РЖХим,
 1957, 19390. Р. Топштейн

21646. Хлорофилл и родственные вещества. Часть V.

Дигидрогематиновые кислоты и их имиды. Фик-
 кен, Джонс, Линстед (Chlorophyll and related
 compounds. Part V. Dihydrohematinic acids and their
 imides. Ficken G. E., Johns R. B., Linstead
 R. P.), J. Chem. Soc., 1956, July, 2280—2283 (англ.).

Описан синтез цисид- и трансид-дигидрогематино-
 вых к-т, $\text{HOOCCH}(\text{CH}_3)\text{CH}(\text{COOH})\text{CH}_2\text{CH}_2\text{COOH}$ (соот-
 ветственно I и II) и их имидов с 5-членным циклом и
 приведены их предполагаемые конфигурации по сопо-
 ставлению с α,α' -диметилэтантарными к-тами. Диэтило-
 вый эфир α -циано- α' -метилэтантарной к-ты (III) полу-
 чен из этиловых эфиров циануксусной и α -бромпро-
 пионовой к-т, выход 81%, т. кип. 173—176°/30 мм. Кон-
 денсация Na-соли III с нитрилом β -хлорпропионовой
 к-ты приводит к диэтиловому эфиру α -циано- α' -(β -циан-
 этил)- α' -метилэтантарной к-ты (IV), выход 63%, т. кип.
 189°/0,8 мм, $n_D^{20} 1,4563$. Из 133 г IV (кипячение с HCl)
 получено 24,4 г I, т. пл. 176—178°, и 14,3 г II, т. пл.
 143—144° (обе из ацетона). Гидрированием 495 мг ге-
 матиновой к-ты над Pd/C также получена I, выход
 196 мг. II возгоняется (150°/95 мм) с образованием
 транс-ангидрида (V), выход 1,01 г из 1,74 г I, т. пл.
 94—95°. Нагреванием I (180—185°, 3 часа) с последую-
 щей возгонкой (140°/0,1 мм) также получен V. Кипя-
 чение I с CH_3COCl приводит к маслу, являющемуся,
 по-видимому, цис-ангидридом. Кипячением I с $(\text{CH}_3-$
 $\text{CO})_2\text{O}$ и последующей регенерацией получена II. При
 нагревании с водой (5 час., 200°) I переходит в ангид-
 рид II, выход 470 мг из 534 мг I; при действии $\text{Ba}(\text{OH})_2$
 (225°) из I образуется ~20% II, а из II ~15% I.
 Сплавлением I с мочевиной (155—160°, 80 мин.) полу-
 чен транс-имид (VI), т. е. транс- β -(4-метил-2,5-диоксо-
 3-пирролидинил)-пропионовая к-та; бензиламиновая
 соль (BAC), выход 65%, т. пл. 163—164° (из этилаце-
 тата-сп.); гидролиз соли (кипячением с HCl) приводит
 к II. Из BAC VI выделен (HCl , на холоду) свободный
 VI, выход 95%, т. пл. 85—87° (из этилацетата-бэл.).
 Описанным ранее методом (Fischer, Wenderoth, Lie-
 bigs, Ann. Chem., 1940, 545, 140) получено ди- Ag -пропа-
 водное VI; бензилтиурониевая соль VI, т. пл. 150—151°
 (из разб. сп.). При сплавлении II с мочевиной (175—
 180°) выход BAC VI 46%. Имид гематиновой к-ты (VII)
 получен, как описано ранее (Muir, Neuberger, Biochem.

J., 1949, 45, 164), но сплавление производилось при более низкой т-ре (140—145°); БАС VII, т. пл. 155° (из этилацетата-сп.). Гидрирование VII над 10%-ным Pd/C приводит к цис-имиду дигидрокислоты (VIII), выход колич.; БАС VIII, выход 92%, т. пл. 160—161° (из сп.). Из БАС VIII выделен VIII, т. пл. 125—126°. Кипячение VIII с HCl приводит к I с некоторой примесью II. Получено ди-Ag-производное VIII (см. VI). Сплавление VIII с мочевиной (160—165°, 105 мин.) приводит к маслу, переведенному в БАС VI. Приведены данные ИК-спектров для I, II, VI, БАС VI, БАС VII, VIII, БАС VIII и УФ-спектра БАС VII.

Р. Топштейн
21647. Хлорофилл и родственные вещества. Часть VI. Синтез октаэтилхлорина. Эйсер, Лихтарович, Линстед (Chlorophyll and related compounds. Part VI. The synthesis of octaethylchlorin. Eisner Ulli, Lichtarowicz Aleksandra, Linstead R. P.), J. Chem. Soc., 1957, Febr., 733—739 (англ.)

Осуществлен синтез октаэтилхлорина (I) и октаэтилпорфина (II). Этиловый эфир β-кетовалериановой к-ты обрабатывали NaNO₂ в CH₃COOH (0°), продукт р-ции конденсировали с ацетилацетатом и восстанавливали Zn-пылью в присутствии CH₃COONa. Получали этиловый эфир 4-ацетил-3-этил-5-метилпирролкарбоновой-2 к-ты (III), выход 55%, т. пл. 118,5° (из сп.). III гидрировали со скелетным Ni (2 часа, 160°, 150 ат), выход этилового эфира 3,4-диэтил-5-метилпирролкарбоновой-2 к-ты (IV) 83%, т. пл. 77° (из петр. эф.). При взаимодействии 18 г IV с 21 мл SO₂Cl₂ в эфире (30 час., 0°) с последующим гидролизом (кипчение с р-ром CH₃COONa) образуется 3,4-диэтил-5-карбоэтоксипирролкарбоновая-2 к-та (V), выход 70%, т. пл. 196°, а также этиловый эфир 3,4-диэтил-5-формилпирролкарбоновой-2 к-ты, т. возг. 100°/20 мм, т. пл. 53° (оба из водн. сл.). V также образуется с выходом 24% при бромировании IV в эфире последующей обработкой неочищ. бромпроизводного (т. пл. 88°) SO₂Cl₂ в эфире. При увеличении кол-ва SO₂Cl₂ из IV вместо V получена 3,4-диэтилпирролдикарбоновая-2,5 к-та (VI), выход 40%, т. пл. 264° (разл.; из водн. сл.); диметиловый эфир VI (с CH₃N₂), т. возг. 100°/20 мм, т. пл. 82°. VI также получается при кипячении V с 10%-ным р-ром NaOH (1,5 часа). При попытке декарбоксилировать V кипячением 1 час с 2-аминоэтанолом (АЭ) был выделен β-оксипиридин 3,4-диэтилпирролкарбоновой-2 к-ты, т. пл. 114° (из петр. эф.). Нагреванием 62 г V с 100 г NaOH и 650 мл воды в автоклаве (атм. N₂, 2,5 часа, 180°) получен 3,4-диэтилпиррол (VII), выход 72%, т. пл. 13°, т. кип. 82°/9 мм, n_D²⁰ 1,4912; он же образуется при кипячении VI с АЭ (выход 49%). 2,6 г VII в р-ре CH₃OH обрабатывали смесью 1,8 г (CH₃)₂NH·HCl, 2,1 г CH₃COOK, 1,6 г 40%-ного водн. р-ра CH₃O и 8 мл воды (—10—0°, 9 час., атмосфера N₂), получали 2-диметиламиноэтил-3,4-диэтилпиррол (VIII), выход 79%; пикрат VIII, т. пл. 118° (из CH₃OH). Аналогично из 4,32 г VII, 3,14 г пиридина и 2,71 г 40%-ного водн. р-ра CH₃O в среде CH₃OH получали 2-пиперидиноэтил-3,4-диэтилпиррол (IX), выход 72%, т. пл. 80° (из ацетона при —80°); пикрат IX, т. пл. 124° (из CH₃OH). Ранее описанным способом (РЖХим, 1957, 19390) получен I, выход из VIII ~ 13%, из IX ~ 20,6%, т. пл. 232° (из петр. эф.-CH₃OH); одновременно образуется II, выход 30—40%, т. пл. 318° (из бал.). Су-комплекс I получали из I и (CH₃COO)₂Cu в кипящем C₆H₆, выход 90%. При обработке I 2,3-дихлор-5,6-дициан-1,4-бензохиноном в C₆H₆ (20°) образуется II, выход 64,4%. При восстановлении Fe-комплекса II (Na в кипящем изо-C₆H₁₁OH) образуется I. Приведены данные УФ-спектров I, Cu-I и II.

В. Антонов
21648. Соединения, выделенные из масла *Centalla asiatica*. Часть III. Исследование индийской разновидности. Бхаттачарья (Constituents of *Centalla*

asiatica. Part III. Examination of the Indian variety. Bhattacharyya S. C.), J. Indian Chem. Soc., 1956, 33, № 12, 893—898 (англ.)

Из спирт. экстракта 9 кг *Centalla asiatica* после концентрирования и разбавления водой выделяют смесь трихлореновых к-т (ТК), выход 160 г; из водн. маточного р-ра получают индоцентелозид (I). ТК превращают в бромидную соль (БС), выход 60 г, [α]_D²⁰ —77° (с 1,37; сп.). Разложением БС минер. к-той получена индопентовая к-та C₃₀H₄₈O₆ (II), т. пл. 272° (из сп.), [α]_D²⁰ +38,6° (с 1,464; пиридин). Вероятно, II является пространственным изомером центовой к-ты (см. часть II, РЖХим, 1957, 71746). Диацетат II аморфен, т. спекания 140—145°, образует стекловидную массу при 150°. Из II действием CH₃N₂ получен метиловый эфир (III), т. пл. 173—175° (из эф.). Из I и III в 10 мл ацетона с 4 каплями конц. HCl (к-ты) образуется диэтилопропиденопроизводное III C₃₇H₅₈O₆, выход 0,6 г, т. пл. 213° (из ацетона). При дегидрировании II с Se образуются, по-видимому, 1,7-диметилнафталин и 1,8-диметил- или 1,7,8-триметилнафталин. I является гликозидом II.

А. Лютенберг
21649. О пигментах *Morus alba*. Ацетилирование морина. II. Спада, Камерони, Бернабей (Sui pigmenti del *Morus alba*. Acetilazione della morina. II. Spada Alberto, Cameroni Riccardo, Bernabei Maria Teresa), Gazz. chim. ital., 1957, 87, № 1, 35—42 (итал.)

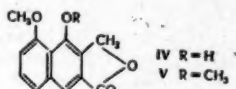
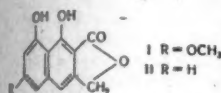
Морин (I) извлекают из древесины *Morus alba* кипящим CH₃OH, очищают хроматографией на целлюлозе, затем на Al₂O₃, выход 0,3—0,44%. Его пентаацетат (II) диморфен, т. пл. 146—147° (из сл.) и 115—116° (из эф. на холоду). При хроматографии II на бумаге R_f 0,95 (этилацетат, насыщ. водой). Приведены кривые и данные УФ-спектров I и II. Сообщение I см. РЖХим, 1958, 8181.

С. Завьялов
21650. Синтез дамнакантола и дамнакантала. Хирозе (Synthesis of damnacanthol and damnacanthol. Hirose Yoshie), 薬学雑誌, Якугаку даасси, J. Pharm. Soc. Japan, 1956, 76, № 12, 1448—1449 (англ.)

Структурные ф-лы, установленные ранее (РЖХим, 1957, 71812, 1958, 4810) для дамнакантала (1-метокси-2-формил-3-оксинантрахинон) (I) и дамнакантола (1-метокси-3-оксис-2-ω-оксиметилантрахинон) (Ia) подтверждены синтезом. I и Ia получены из 2,4-диоксис-3-метилбензофенонкарбоновой-2' к-ты, при р-ции которой с конц. H₂SO₄ и H₃BO₃ происходит замыкание кольца и образуется рубиадин, который затем по Робертсону (Jones C. T., Robertson Alex., J. Chem. Soc., 1930, 1699) превращается в 1-метил-3-ацетилрубиадин (II). Бромирование II реактивом Воля — Циглера дает 1-метокси-2-ω-бромметил-3-ацетоксинантрахинон, т. пл. 169—170°; при обработке последнего (CH₃CO)₂O и CH₃COONa образуется 1-метокси-2-ацетоксиметил-3-ацетоксинантрахинон (1-метил-2,3-диацетиллуцидин) (III), т. пл. 155—156°. Гидролиз III спирт. щелочью дает Ia, т. пл. > 290°, метилированием Ia ((CH₃)₂SO₄ и K₂CO₃ в ацетоне) получают 1,3-диметил-2-ω-оксиметилантрахинон (IV), т. пл. 173°. Ia и IV идентичны природному Ia в его метиловом эфире. Окисление Ia (двуокисью марганца в этилацетате) дает I, т. пл. 211—212°.

В. Гуревич
21651. Строение α- и β-соригенина. Хаббер, Никун, Шмид, Яги (Die Struktur von α- und β-Sorigenin. Haber R. G., Nikuni Z., Schmid H., Yagi K.), Helv. chim. acta, 1956, 39, № 6, 1654—1663 (нем.)
Для α-соригенина (I) и β-соригенина (II), агликонов двух примеров — соответственно α- и β-соригенинов (выделенных ранее из коры *Rhamnus japonica*) установлены новые структурные ф-лы. Строение I и II, как и многих других природных фталидов, со-

формации НО-группы (приведен обзор), согласуется с правилом Берча — Донована (РЖХимБх, 1955, 198) — так называемым биохим. «ацетатным правилом». Из 5,2 мг элеутероловой к-ты (III), 0,5 мл 39%-ного р-ра HCHO и 0,3 мл конц. HCl (к-ты) в 5 мл лед. CH₃COOH (16—18°, 5 час.) получен 3'-метокси-4-окси-(бензо-2',4':



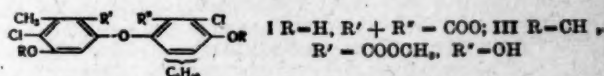
5,6)-фталид (IV), выход 19,5 мг, т. пл. 247,5—248,5° (из сп., после возгонки при 150—170° (т-ра бани)/0,02 мм)). При кипячении с CH₃J + K₂CO₃ в ацетоне (15 час.) из IV образуется его 4-метилловый эфир (V), т. пл. 173—184° (из CH₃OH, после возгонки при 160° (т-ра бани)/0,01 мм). Восстановлением V (LiAlH₄ в эфире + тетрагидрофуран в присутствии HgCl₂) получен 1,8-диметил-2,3-ди-(оксиметил)-нафталин (VI), очищен хроматографированием из CH₂Cl₂ на Al₂O₃, т. пл. 148—149° (из эф., под давлением). При восстановлении диметиллового эфира (DMЭ) II (LiAlH₄ в эфире) также образуется VI. Расщеплением IV (5%-ный р-р KOH, кипячение, атмосфера N₂) получены HCHO и III; в этих условиях II не расщепляется. Приведены кривые УФ-спектров I, II, IV, V, VI DMЭ II и метил. эфира элеутерола и данные ИК-спектров I, DMЭ II, II метил. эфира II, DMЭ II, IV, V и элеутерола. В Некрасов

21652. Новая первичная смоляная кислота из *Pinus caribaea*. Хамитон (A new primary resin acid from *Pinus caribaea*. Hampton Burt L.), J. Organ. Chem., 1956, 21, № 8, 918—920 (англ.)
Из смолы *P. caribaea* выделена новая смоляная к-та — «карибеевая к-та» (I), C₂₀H₃₀O₃, выход ~3%, аморфна, [α]_D +32° (с 2%; сп.). I найдена в маточном р-ре после кристаллизации циклогексиламиновых солей смоляных к-т. I не осаждается в виде соли с 1-метило-2-метилпропанолом-1 в ацетоне. При гидрировании с PtO₂ в спирте I поглощает 1,96 моля H₂; продукт гидрирования при нагревании с 5%-ным Pd/C (310—320°, 4 часа) образует, судя по УФ-спектру, пинитрен или ретен. В продуктах озонизации I в C₂H₅Cl (—80°, 2 часа) обнаружен HCHO. В смоле *P. palustris* I не найдена. Приведены данные УФ- и ИК-спектров I.

Н. Соломоник
21653. Химия грибов. Часть XXVI. Дехлороноридулин. Дин, Эрн, Робертсон (The chemistry of fungi. Part XXVI. Dechloronornidulin. Dean F. M., Erni A. D. T., Robertson Alexander), J. Chem. Soc., 1956, Sept. 3545—3548 (англ.)

Из мицелия *Aspergillus nidulans* наряду с нидулином и норидулином (РЖХим, 1956, 39728), выделен дехлороноридулин C₁₉H₁₆O₅Cl₂ (I), т. пл. 212—214° (из CH₃OH); при действии CH₃J + K₂CO₃ в кипящем ацетоне образует диметилловый эфир I (II), т. пл. 156° (из CH₃OH). При кипячении с CH₃ONa в CH₃OH (5 час.) II дает метилловый эфир дехлор-О-О-диметилноридулиновой к-ты (III), т. пл. 125—126° (из водн. CH₃OH). Взаимодействием 0,5 г III с 0,5 мл HNO₃ (1:1,47) в 6 мл CH₃COOH (10 мин.) получены: метилловый эфир 6-хлор-4-нитроэверниновой к-ты (IV), т. пл. 87—87° (из петр. эф.), и немного метилового эфира 4-хлорэверниновой к-ты (V), т. пл. 143—145° (из CH₃OH). Строение IV и V доказано их синтезом. Хлорорсин действием Zn(CN)₂ в эфире + HCl (газ) в последующим гидролизом алдимида превращен в 6-хлор-3,5-диокси-2-формил-1-метилбензол (VI), т. пл. 171—173° (из водн. сп.), при ацетилировании образует 6-хлор-о-орсидентетраацетат C₆H₅Cl(OCOCH₃)₄, т. пл. 115—116° (из сп.). Конденсацией 4 г VI с 6 г ClCOOCH₃

в 40 мл ацетона + 26,8 мл 2 н. NaOH (0°) получен 6-хлор-3,5-ди-(метоксикарбонил)-о-орсидиновый альдегид, выход 5,3 г, т. пл. 138° (из петр. эф.), при окисле-



нии его (KMnO₄ в водн. ацетоне, 50—55°) образуется 6-хлор-о-орселиновая к-та (VII), т. пл. 194° (разл.; из водн. ацетона). Из VII и CH₂N₂ получен V, а из V нитрованием — IV. Для сравнения из метилового эфира п-орселиновой к-ты и SO₂Cl₂ в эфире получен метилловый эфир 3-хлор-п-орселиновой к-ты, т. пл. 120—121° (из CH₃OH), превращенный гидролизом (NaOH в водн. спирте, 100°, 1,5 часа) в 3-хлор-п-орселиновую к-ту, т. пл. 198—199° (разл.; из воды). Приведены данные УФ-спектров II и III и кривые УФ-спектров III, метилового эфира 4,6-дихлорэверниновой к-ты и метилового эфира О-метилнидулиновой к-ты. Предыдущее сообщение см. РЖХим, 1957, 63686.

Н. Соломоник

21654. Ядовитые вещества зеленых мухоморов. XI. γ-Аманитин — новый ядовитый компонент. Виланд, Дудензинг (Über die giftstoffe des grünen Knollenblätterpilzes, XI. γ-Amanitin, eine weitere giftkomponente. Wieland Theodor, Duden-sing Christoph), Liebigs Ann. Chem. 1956, 600, № 2, 156—160 (нем.)

Из *Amanita phalloides* выделено незначительное кол-во γ-аманитина (I) — нового токсич. циклопептида, содержащего цистеин и аланин; УФ-спектры γ-I, как и α-I (приведены кривые), обнаруживают присутствие нидольного хромофора. Токсичность γ-I 0,5—1 γ на 1 г веса белой мыши. Разработан микрометод выделения чистого γ-I хроматографированием на бумаге, пропитанной 0,05 М водн. р-ром буры, р-ритель — смесь ацетон-метилэтилкетон-вода (1:10:4), R_f: α-I 0,17, β-I 0,05, γ-I 0,28, фаллоидина 0,17.

Сообщение X см. РЖХим, 1958, 4812. Н. Соломоник

21655. Изомеры пеллиторины. III. Синтез N-изобутиламид декадиен-транс-4-транс-6-овой кислоты и строение спилантола. Джейкобсон (Pellitorine isomers. III. The synthesis of N-isobutyl-trans-4-trans-6-decadienamide and the structure of spilanthal. Jacobson Martin), J. Amer. Chem. Soc., 1956, 78, № 19, 5084—5087 (англ.)

Синтезирован N-изобутиламид декадиен-транс-4-транс-6-овой к-ты (I), по свойствам отличный от природного спилантола. Строение последнего не может считаться установленным. Выделить спилантол из цветков *Spilanthes americana*, var. *repens* не удалось. Из 2,54 молей гексен-2-аля и 2,4 молей малононой к-ты в 400 г пиридина получают октадиен-транс-2-транс-4-овую к-ту (II), выход 24%, т. пл. 76° (из петр. эф.), которую восстанавливают 15%-ным избытком LiAlH₄ в октадиен-транс-2-транс-4-ол-1 (III), выход 73%, т. кип. 70—73°/2 мм, n_D²⁵ 1,4865. Из III действием PBr₃ + пиридин в n-пентане получают 1-бромоктадиен-транс-2-транс-4, выход 66%, т. кип. 53°/1,2 мм, n_D²⁵ 1,5205, который при конденсации с натрмалоновым эфиром образует диэтиловый эфир октадиен-транс-2-транс-4-илмалоновой к-ты (IV), выход 67%, т. кип. 123—125°/1 мм, n_D²⁵ 1,4662. Омыляя IV 75%-ным избытком конц. р-ра KOH (~20°, 23 часа), выделяют свободную к-ту, выход 35%, т. пл. 108° (из бzl-петр. эф.), которую декарбоксилируют (160°, 3 часа), получают декадиен-транс-4-транс-6-овую к-ту (V), выход 64%, т. пл. 39°, т. кип. 138°/4 мм. Из V и SOCl₂ в пентане образуется хлорангидрид, выход 87%, т. кип. 80°/1,8 мм, n_D²⁵ 1,4895, из которого конденсацией с изобутиламином в эфире получен I,

выход 90%, т. пл. 60°, т. кип. 156°/1,5 мм. Аддукт I с малейновым ангидридом выделить не удалось. Аналогично из II синтезирован N-изобутиламид октадиен-транс-2-транс-4-овой к-ты (VI), выход 81%, т. пл. 94° (из петр. эф.). VI — сильный сжиготог, I — очень слабый; по отношению к домашним мухам VI мало токсичен, I не токсичен. Приведены данные УФ-спектров I и VI. Т-ры плавления исправлены. Сообщение II см. РЖХим, 1954, 23373.

Я. Нехлин
21656. Активные компоненты *Digenea simplex* Ag. и родственные соединения. XV, XVI. Изомеризация и изомеры каиновой кислоты. (1, 2). Изомеризация каиновой кислоты уксусным ангидридом: β-каиновая кислота. Моримото (海人草有効成分ならびに関連化合物の研究. 第15報. 第16報. Kainic Acidの異性化ならびに異性体に関する研究. 1, 2. Kainic Acidの無水酢酸による異性化 β-Kainic Acid. その1. 森本浩), 薬学雑誌, Якугаку даасси, J. Pharm. Soc. Japan, 1955, 75, № 8, 901—905; 906—909 (японск.; рез. англ.)

XV. 5 г α-каиновой к-ты (I) и 10 мл (CH₃CO)₂O в 40 мл безводн. C₆H₆ кипятят 2 часа, р-р отгоняют в вакууме и получают ангидрид β-N-ацетилкаиновой к-ты (II), C₁₂H₁₅O₄N, выход 5 г, т. пл. 186° (из (CH₃CO)₂O), [α]_D²⁰ +36,4±1,2°. 2 г α-N-ацетилкаиновой к-ты (II), C₁₂H₁₅O₄N, выход 5 г, т. пл. 186° (из 2 часа, далее как описано выше. Получают 1,7 г II. 0,9 г II в 10 мл воды нагревают 1 час, упаривают и получают β-изомер III (IIIa), выход 0,8 г, т. пл. 197°, [α]_D²⁰ +54,5±0,5°. 2 г IIIa и 40 мл 10%-ного КОН кипятят 5 час., затем разбавляют водой до 1 л, пропускают через 150 мл амберлита IRC-50 (H-форма). Вымывные воды упаривают. Остаток в 20 мл воды нагревают 1 час (100°) с 40 мл 9%-ного Ba(OH)₂, оставляют на 12 час. при 20°. Осадок отфильтровывают, нейтрализуют H₂SO₄, удаляют BaSO₄. Р-р упаривают и получают β-изомер I (Ia), т. пл. 244° (разл.: из горячей воды (ГВ)), [α]_D²⁰ +45±0,5°. 0,5 г Ia в 20 мл воды восстанавливают с Pd/C (поглощает 72 мл H₂) и получают β-дигидрокаиновую к-ту (IV), выход 0,3 г, т. пл. 230° (разл.), [α]_D²⁰ +24,3±0,6°. 4 г Ia в 300 мл CH₃OH при 0° обрабатывают сухим HCl, оставляют на 12 час., затем упаривают в вакууме. Остаток в 10 мл воды при 0° экстрагируют 10 раз 40 мл этилацетата, насыщают каждый раз K₂CO₃ и отгоняют диметиловый эфир Ia (V), выход 2 г, т. кип. 143—144°, [α]_D²⁰ +33,6±0,5°. 1 г V и 40 мл 10%-ного Ba(OH)₂ нагревают 2 часа, затем нейтрализуют H₂SO₄, фильтруют, фильтрат упаривают и получают Ia, выход 0,8 г, т. пл. 244° (разл.). К 0,22 г Ia в 10 мл воды добавляют по каплям 0,8 мл (CH₃CO)₂O, размешивают 1 час, упаривают в вакууме и получают IIIa, выход 0,25 г, т. пл. 197° (из ГВ), 1,3 г IIIa в 10 мл CH₃OH обрабатывают избытком CH₂N₂, выдерживают 1 час и

упаривают. Остаток экстрагируют C₆H₆. После удаления р-рителя получают диметиловый эфир (Va), IIIa, т. пл. 65—67° (из (CH₃)₂CO-петр. эф.), [α]_D²⁰ +29,9±0,5°. 1 г V и 2 мл (CH₃CO)₂O оставляют на 12 час. Продукт в 10 мл C₆H₆ промывают раствором NaHCO₃, HCl и водой, получают Va, т. пл. 65—67°. 1 г Va и 20 мл 10%-ного Ba(OH)₂ кипятят 2 часа и далее как обычно. Получают IIIa, т. пл. 197°. 1 г Va с 1 мл N₂H₄ (нагревают 30 мин., (100°), затем охлаждают) дает дигидразид β-N-ацетилкаиновой к-ты (VI), выход 0,8 г, т. пл. 212° (из CH₃OH), [α]_D²² +75,7±0,5°. 0,2 г II с 10 мл CH₃OH (кипятят 1 час, CH₃OH удаляют) дает монометиловый эфир β-N-ацетилкаиновой к-ты (VII), C₁₂H₁₉O₅N, выход 0,2 г, т. пл. 183—184° (из ГВ), [α]_D²¹ +50,4±0,5°. 0,75 г VII в 20 мл CH₃OH обрабатывают избытком CH₂N₂ в эфире, упаривают и получают Va, т. пл. 65—67° (из (CH₃)₂CO-петр. эф.). 0,9 г Va и 10 мл конц. NH₄OH выдерживают 7 дней, затем упаривают в вакууме. Получают VII, т. пл. 183—184° (из ГВ). 0,5 г VII и 10 мл 9%-ного Ba(OH)₂ кипятят 2 часа. Далее как обычно. Получают IIIa, выход 0,2 г, т. пл. 197°. 1 г VII и 20 мл 10%-ного КОН кипятят 5 час., затем разбавляют водой, пропускают через амберлит. Промывные воды упаривают. Остаток кипятят с Ba(OH)₂-водой, далее как обычно. Получают Ia, выход 0,3 г, т. пл. 244° (разл.).

XVI. 0,87 г Ia в 50 мл воды озонируют 3 часа со скоростью 300 мл/мин, упаривают до 20 мл, дистиллят обрабатывают 0,4 г димедона в 10 мл CH₃OH и упаривают 1 час. Получают 0,3 г формальдимедона (VIII), т. пл. 188°. Остаток выпаривают досуха и получают β-форму 4,2,3-CH₃CO(НООС) (НООСН₂)C₄H₈N (IX) (где C₄H₈N — трехзамещ. пирролидиновое ядро), т. пл. 280° (разл.; из CH₃OH-вода), [α]_D²⁰ -25±0,5; семикарбазон, т. пл. >300° (разл.), [α]_D²⁴ -20°. Аналогично озонлизом 1 г IIIa получают 0,13 г VIII и 1-СОСН₂-производное IX (X), некристаллич. порошок. X в 20 мл 5%-ной H₂SO₄ кипятят 4,5 часа, нейтрализуют Ba(OH)₂, фильтруют, фильтрат упаривают в вакууме, получают 0,5 г IX, т. пл. >280° (из CH₃OH-вода; разл.). 0,4 г Ia и 2 мл (CH₃CO)₂O в 2 мл сухого C₆H₆ кипятят 2 часа, фильтруют, фильтрат упаривают до 0,5 мл, получают 0,3 г II, т. пл. 186°. 0,5 г IIIa и 1 мл (CH₃CO)₂O в 2 мл C₆H₆ кипятят 2 часа, далее как описано выше, получают 0,35 г II, т. пл. 186°. Сообщение XIV см. РЖХим, 1958, 18159.

Chem. Abstrs, 1956, 50, № 7, 4904—4905. К. Kitsuta

См. также: Стероиды 22481; 8221Бх. Алкалоиды 20751, 22472, 22475; 8791Бх. Витамины 22476; 8294Бх, 8450Бх, 8545Бх. Антибиотики 22483, 22484, 22486; 8634Бх. Аминокислоты и белки 20685, 22325, 23655, 22446; 8286Бх, 8293Бх, 8294Бх, 8303Бх, 8486Бх

1958 г.

РЕФЕРАТИВНЫЙ ЖУРНАЛ ХИМИЯ

Рефераты 21657—22289

№ 7

10 апреля 1958 г.

III

ХИМИЧЕСКАЯ ТЕХНОЛОГИЯ. ХИМИЧЕСКИЕ ПРОДУКТЫ И ИХ ПРИМЕНЕНИЕ (Часть 1)

ОБЩИЕ ВОПРОСЫ

Редакторы В. И. Елинек, Н. А. Ширяева

21657. Расширение области применения глинозёма в народном хозяйстве. Кузнецов Г. Д., Бюл. цветн. металлургии, 1957, № 11—12, 66—67

21658. Нефелин — новый вид комплексного сырья (Практика освоения комплексной переработки нефелинов на Волховском алюминиевом заводе). Талмуд И. Л., Бюл. цветн. металлургии, 1957, № 8, 30—34

Рассмотрена схема комплексной переработки нефелиновых концентратов на глинозем, содовые продукты (поташ, сода) и портланд-цемент. Приведены некоторые технологич. данные (по процессу спекания в печах, выщелачиванию сбека, фильтрации в вакуум-фильтрах), а также расходные коэф. и себестоимость продукции. В. Матвеев

21659. Некоторые замечания об европейской химической промышленности. Паж (Regard sur l'industrie chimique européenne. Page Roger du), Chimie et industrie, 1957, 78, № 3 bis, 35—36 (франц.)

Обзор, посвященный некоторым экономич. вопросам хим. пром-сти в странах Западной Европы. Н. Ш. 21660. Сотрудничество Советского Союза с другими социалистическими странами в области развития химической промышленности. Афанасьев П. С., Хим. пром-сть, 1957, № 7, 443—448

Приведены данные о строительстве в НРБ, ПНР, РНР, КНР, КНДР ряда хим. предприятий по проектам советских организаций на основе оборудования, поставляемого из СССР. Указывается на научно-технич. сотрудничество и взаимный обмен технич. документацией между указанными странами и СССР по каучуку, шинной и анилокрасочной пром-сти, азотным и фосфорным удобрениям, пластмассам, синтетич. волокну и др. В. Матвеев

21661. Развитие греческой [химической] промышленности. Георгантас (L'évolution récente de l'industrie en Grèce. Goargantas Constantin O.), Chimie et industrie, 1957, 78, № 3 bis, 24, 29—35 (франц.)

Обзор условий и стадий развития греческой хим. пром-сти за 1930—1956 гг. По сравнению с 1939 г. в 1955 г. индекс произ-ва хим. пром-сти (к-ты, соли) составлял 192, в 1956 г. 150, произ-ва резины и каучука соответственно 273 и 289,5. Уровень других отрас-

лей хим. пром-сти близок к уровню 1939 г. Для дальнейшего развития хим. пром-сти Греции решающее значение имеет увеличение произ-ва электроэнергии (намечена соответствующая программа) и в связи с этим увеличение добычи горючих ископаемых. За последние годы развивается произ-во азотных удобрений и никеля (Крупн), но с другой стороны, программа расширения выпуска азотных удобрений, а также солей и соды не выполняется. Развитие этих отраслей хим. пром-сти играет огромную роль (вслед за металлургией) в проблеме индустриализации Греции. Л. Херсонская

21662. Ракетное топливо, атомная энергия и другие новые области производства изменяют тенденции развития промышленности неорганических веществ. Костер (Melodrama for inorganics. Koster W. R.), Chem. and Engng News, 1957, 35, № 35, 62—71 (англ.)

Рассматриваются пути развития пром-сти важнейших неорганич. в-в и сжатых и ожиженных газов в США. Приведены данные о произ-ве и потреблении этих продуктов в 1955 г. и о росте произ-ва за последние 10 лет. Г. Рабинович

21663. Научная организация производства в химической промышленности. Апостолиде (Organizația științifică a producției în industria chimică. Apostolide Ana), Rev. chim., 1957, 8, № 8, 505—508 (рум.; рез. русск., франц., нем., англ.)

Рекомендации II конгресса Ассоциации научных работников и инженеров в РНР по вопросам: развития хим. пром-сти, профилирования и кооперирования хим. з-дов, планирования, технологич. дисциплины и качества продукции. Н. Ширяева

21664. Анализ ошибок при проектировании заводов химической промышленности. Барвинский (Analiza błędów projektowania zakładów przemysłu chemicznego. Barwiński E.), Przem. chem., 1956, 12, № 11, 619—621 (польск.)

В дискуссионной статье рассмотрены особенности проектирования заводов хим. пром-сти и возможные ошибки, связанные с неправильным выбором места, с недостатками в вентиляционной системе, в системе удаления и очистки сточных вод. С. Яворовская

21665. Ионный обмен. Эверест (Ion exchange. Everest D. A.), Chem. and Process Engng, 1956, 37, № 10, 346—348, 372 (англ.)

Обзор. Области применения ионообменной технологии: 1) извлечение U из разб. р-ров, получаемых при выщелачивании урановых руд; 2) концентрирование ценных продуктов из Au-содержащих цианистых р-ров

с получением раздельных элюатов Au и Ag, Cu и Fe, Ni, Co; 3) очистка и умягчение воды; 4) очистка разб. сернокислых р-ров от ионов Fe^{2+} , включая электролиз с мембраной из ионообменного материала; 5) очистка HCl (к-та) от ионов Fe^{2+} ; 6) очистка р-ров хромовой к-ты от примесей Cr^{2+} , Fe^{2+} , Zn^{2+} и Cd^{2+} . Библ. 16 назв. Л. Херсонская

21666 К. Механизация в химической промышленности. Фарский (Mechanisace v chemickém průmyslu. Farský Libor. Praha, SNTL, 1957, 287 s., il., 27.50 Kčs) (чешск.)

ПРОЦЕССЫ И АППАРАТЫ ХИМИЧЕСКОЙ ТЕХНОЛОГИИ

Редакторы В. А. Жутиков, Б. Г. Лукьянов, Б. Г. Фастовский

21667. Приближенные вычисления в процессах и аппаратах химической технологии. Черчилл (Approximate operational calculus in chemical engineering. Churchill Stuart W.), A. I. Ch. E. Journal, 1957, 3, № 2, 289—293 (англ.)

В качестве примеров рассматриваются расчет скорости радиоактивного распада, распределения т-р и длинном цилиндрич. стержне, т-ры сферич. частиц в потоке лучистой энергии, а также неустановившейся теплопроводности в полубесконечной плите с учетом теплоотдачи за счет излучения и конвекции от ее поверхности. В. Коган

21668. Определение дисперсного состава фракций, получаемых в гравитационных сепараторах. Донат Е. В. В сб.: Пром. вентиляция, вып. 6. Свердловск. Металлургиздат, 1957, 66—77

Приведены методика и результаты исследования влияния формы и высоты аппарата, высоты слоя материала и дисперсного состава исходного порошка на величину и дисперсный состав уноса в процессе воздушной сепарации. Опыты велись с двумя видами порошков, приготовленных просеиванием на ситах: а) тяжелым порошком — медным с частицами фракций 0—40 м, 40—70 м и 74—100 м; б) легким — магнетитом с частицами фракций 70—180 м и 180—340 м. Найдено, что величина уноса высокодисперсного материала из псевдооживленного слоя зависит не только от скорости движения газа, но и от скорости витания частиц, содержания фракции в слое, веса материала в слое, скорости движения газа, расстояния от уровня слоя до выходного отверстия аппарата. Для установления определенной зависимости между этими переменными нет пока достаточных данных. Предложен способ определения дисперсного состава уноса при известном составе исходного порошка с помощью эксперим. кривых. Ю. Скорецкий

21669. К гидравлическому расчету газопроводов коксового газа. Кондуков Н. Б., Кокс и химия, 1957, № 1, 30—32

Предложены уточненные ур-ния для определения сопротивления новых стальных труб диам. 52—1400 мм в пределах $Re = 3 \cdot 10^3 + 3 \cdot 10^6$ при изотермич. движении жидкостей и газов. Г. Стельмах

21670. Течение суспензий в турбулентной области. Йогвих (Das Fließverhalten von Suspensionen im turbulenten Bereich. Jogwisch A.), Forsch. Geb. Ingenieurwesens, 1957, 23, № 3, 81—90 (нем.)

Исследовано течение водн. суспензий полевого шпата в трубках при объемной конц-ии твердой фазы $(\varphi) \leq 42\%$ и $Re \leq 1.8 \cdot 10^5$. Было найдено, что коэф. внешнего трения λ , рассчитанный по ур-нию Блазиуса, отличается от опытных. Это отклонение объясняется осаждением

частиц на стенках трубы, вследствие чего происходит изменение ее размера. Предложено при расчете λ по ур-нию Блазиуса применять эквивалентный диаметр трубы (d_h), который определяется из следующего ур-ния:

$$d_h / d_0 = 1 - 1,032 \varphi [1 - e^{-4v_0 L / (\pi w d_0)}], \text{ где } d_0 - \text{диаметр}$$

чистой трубы, v_0 — скорость осаждения частиц, w — средняя скорость течения, L — расстояние от начала трубы до рассматриваемого сечения. В. Дунский

21671. Зависимость между падением давления и расходом в коротких капиллярных трубках при небольших числах Рейнольдса. Крейт, Эйзенштадт (Pressure drop and flow characteristics of short capillary tubes at low Reynolds numbers. Kreith Frank, Eisenstadt Raymond), Trans. ASME, 1957, 79, № 5, 1070—1078 (англ.)

Экспериментальным путем изучалась зависимость между расходом и падением давления в коротких капиллярных трубках (отношение длины капилляра к диаметру L/D от 0,4 до 18) при малых Re ($8 < Re < 1500$). Диаметр капилляров изменялся от 0,4 мм до 12,7 мм. Установлено, что в диапазоне значений безразмерного параметра $L/D \cdot Re$ от $4 \cdot 10^{-3}$ до $3 \cdot 10^{-1}$ эксперим. данные согласуются с точностью до 45% с математич. теорией Лангхаара (Langhaar H. L., Trans. ASME, 1942, 64, A-55—58), а при значениях этого же параметра, превышающих $3 \cdot 10^{-1}$, полученные эксперим. данные мало отличались от значений, рассчитанных в соответствии с теорией ламинарного потока Пуазейля. Было также установлено, что расход Q через короткую капиллярную трубку может быть найден из эмпирич. ур-ния: $Q = \Delta p^N$, где Δp — потеря напора в капилляре; N — показатель степени, представляющий собой функцию отношения L/D , изменяющийся от 0,5 при $L/D = 0,4$ до 0,91 при $L/D = 18$. Кривая, выражающая зависимость между N и L/D асимптотически приближается к прямой, выражаемой ур-нием: $L/D = 1$. Полученные результаты исследования могут найти применение в расчетах автоматич. регулирующих устройств, использующих капиллярные трубки в качестве гидравлич. сопротивлений. В. Реутский

21672. Экспериментальное изучение потери напора при движении жидкости в кольцевом диафрагмированном пространстве. Нагиев М. Ф., Каразин П. В., Мэ'рузэлэр. АзербССР Элмэр Анад. Докл. АН АзербССР, 1957, 13, № 8, 847—852 (рез. азерб.)

Приведено эмпирич. ур-ние для определения падения давления в кольцевом диафрагмированном пространстве теплообменных аппаратов типа «труба в трубе». М. Панфилов

21673. Номограмма для определения диаметра диафрагм. Голдстейн (A nomograph for the determination of concentric orifice diameters. Goldstein Alexander), Water and Sewage Works, 1957, 104, № 10, 448—451 (англ.)

21674. Стандартные методы испытания пылеуловителей. Иноуэ (集塵装置標準試験法について. 井上一郎), 化学工学, Kagaaku kōgaku, Chem. Engng (Japan), 1957, 21, № 8, 519—526 (японск.)

21675. Усовершенствование газо-жидкостного сепаратора. Родерик, Хиронс (The development of a gas/liquid separator. Roderick D. I. J., Hierons C. E.), Brit. Chem. Engng, 1957, 2, № 4, 180—184 (англ.)

Описывается усовершенствованное циклонное устройство в сочетании с трубой Вентури, применяемое для отделения капелек воды от пара. Кратко сообщается о методике и результатах опытов, проведенных на стеклянной модели этого сепаратора, показавшего эффективность 70—95%. Ю. Скорецкий

21676. Изучение скруббера Вентури. Сообщение 1. Анализ эффективности улавливания в горловине скруббера. Уэока (ベンチユリスラツバに關する研究, 第1報, のど部における捕集効率の理論的考察, 上開), 日本機械學會論文集, Нихон кикай гаккай ромбунсю, Trans. Japan Soc. Mech. Engrs, 1957, 23, № 129, 309—313 (японск.; рез. англ.)

Скруббер Вентури успешно используется для улавливания из газового потока взвешенных в нем твердых или жидких частиц с размерами $\leq 1 \mu$. Предполагается, что процесс улавливания состоит в присоединении частиц к капелкам распыляемой в горловине скруббера жидкости за счет соударений, число которых определяет эффективность улавливания. Сообщается о методике и результатах теоретич. исследования эффективности улавливания в горловине скруббера. Результаты исследования показывают, что длина горловины оказывает существенное влияние на эффективность улавливания. Ю. Скорецкий

21677. Осаждение равномерно диспергированных суспензий в отстойниках периодического действия. Иосеюка, Хотта, Танака (均質スラリーの同分沈降における諸特性 吉岡直哉, 堀田豊, 田中哲), 化学工学, Kagaku kougaku, Chem. Engng (Tokyo), 1955, 19, № 12, 616—626 (японск.; рез. англ.)

Изучались процессы естественного осаждения суспензий глины, портланд-цемента и CaCO_3 . Установлено, что константа K в ур-нии для периода отстаивания с замедленной скоростью в отстойниках без перемешивания $dH/dt = -K(H-H_\infty)$ (где H — высота отстаивающегося слоя, см; H_∞ — высота отстаивающегося слоя при $t = \infty$, см; t — время, мин.) обратно пропорциональна произведению начальной концентрации дисперсной фазы на начальную высоту слоя, т. е. кол-ву твердой фазы, приходящемуся на единицу поперечного сечения отстойника. Установлено также, что в случае осаждения суспензий в отстойниках со скребковыми мешалками период осаждения с постоянной скоростью сменяется последовательно двумя периодами осаждения с падающей скоростью, причем длительность первого периода с падающей скоростью довольно велика. На опытах с суспензиями, предварительно перемешанными с окрашенными частицами, установлена полная аналогия между кривыми осаждения $[H = f(t)]$ суспензий и кривыми осаждения окрашенных частиц. Эта аналогия положена в основу метода расчета распределения концентрации по высоте суспензии в произвольный момент времени. Выведено ур-ние распределения концентрации суспензии в отстойнике с перемешиванием. В. Реутский

21678. Изучение статической удерживающей способности слоя частиц. Яги, Ямадзак, Исси (充填層の静止時ホールドアップについて, 矢木榮, 山崎 第三郎, 一志道生), 化学工学, Kagaku kougaku, Chem. Engng (Japan), 1957, 21, № 7, 426—433 (японск.; рез. англ.)

Исследовалось распределение влаги в колонне квадратного сечения со стороной квадрата 40 мм и высотой 1 м, заполненной однородными частицами песка или кварца, размер которых изменялся от 0,14 до 0,6 мм. Результаты опытов показали, что в колонке имеются три различные зоны: нижняя зона, в которой имеет место насыщение влагой, верхняя — зона малой влажности и средняя — переходная зона. Исходя из теоретич. анализа, показано, что содержание влаги может быть выражено степенью насыщения, равной отношению объема воды к объему пор. Высота зоны насыщения h_s , см, выражается следующим ур-нием, основанным на допущении, что слой частиц эквивалентен пучку капиллярных трубок переменного диаметра: $r_p g h_s / (\sigma \cos \theta) = k$, где r_p — радиус час-

тиц, заполняющих колонку, см; g — уд. вес жидкости, г/см³; g — ускорение силы тяжести; σ — поверхностное натяжение жидкости, дин/см; θ — угол контакта влаги со сферич. частицей и k — константа, зависящая от размера частиц слоя. Влажность в зоне малой влажности обусловлена задержкой воды между частицами за счет капиллярных сил, а также адсорбцией воды на поверхности частиц. Второй фактор имеет малое значение для частиц относительно большого диаметра. Найдено, что в расчете на равномерное распределение влаги по поверхности частиц толщина пленки жидкости составляет $\sim 2 \mu$. В. Коган

21679. Значение распределения размеров частиц для технической центробежной сепарации. Бергнер (The importance of particle size distribution for technical centrifugal separation. Bergner N. E.), Trans. Instn Chem. Engrs, 1957, 35, № 3, 181—194 (англ.)

Предложены теория и методика расчета процесса центробежной сепарации твердых частиц суспензий. Эффективность сепарации определяется распределением размеров частиц в обрабатываемой суспензии. Любой скорости подачи соответствует граничная величина S_0 константы седиментации S частиц. Частицы с $S > S_0$ полностью отделяются, а с $S < S_0$ сепарируются до степени, зависящей от отношения $S:S_0$. Связанная с размерами частиц величина эффективности сепарации K не может быть заранее вычислена и определяется экспериментально для каждого вида сепарируемых продуктов. Содержание твердых частиц в вытекающей жидкости понижается с уменьшением скорости подачи суспензии, начальной концентрации твердых частиц и с увеличением K . Объем шлама, собранного в сепараторе за единицу времени при малых скоростях подачи, не зависит от дисперсности частиц. Даны примеры проверки метода расчета с помощью практич. кривых сепарации для суспензии фарфоровой глины в воде и альбита ($\text{NaAlSi}_3\text{O}_8$) в тяжелом жидком топливе (при малых конц-ях).

Ю. Скорецкий

21680. Промышленная установка для получения эмульсии при помощи ультразвукового жидкостного эмульгатора. Синькова С. Н., Пузырев С. А., Коллонди. ж., 1957, 19, № 3, 387—389 (рез. англ.)

Эмульгируемая жидкость поступает на вибрирующую пластинку, погруженную в жидкость, которая является сплошной фазой. Установка позволяет получать стойкие эмульсии даже трудноэмульгируемых жидкостей без применения эмульгаторов и имеет большую производительность при малом расходе энергии. З. Хаймский

21681. Перемешивание жидких химических продуктов. Олдшу (Fluid mixing of chemical specialties. Oldshue James Y.), Soap and Chem. Specialties, 1957, 33, № 6, 141, 143, 145, 147, 201, 203 (англ.)

Рассматривается структура потоков жидкости, создаваемых различными мешалками (лопастными, пропеллерными, турбинными) в резервуарах различной формы с отражательными перегородками и без них. Излагаются требования к аппаратам для перемешивания в различных производственных процессах, в частности к аппаратам, где осуществляется передача тепла, смешение взаимнорастворимых жидкостей и растворение или суспензирование твердых частиц в жидкости. С. Светов

21682. Смешение взаимнорастворимых жидкостей в аппаратах с мешалками. Часть II. Вуссе (Mixing by agitation of miscible liquids. Part II. Vusse V and e), Chem. Engng Sci., 1955, 4, № 5, 209—220 (англ.)

Приводятся соотношения для расчета мощности, потребляемой плосколопастными, турбинными и про-

пеллерными мешалками, а также некоторые, ранее недостаточно изученные, зависимости расхода мощности мешалками в сосудах без перегородок, исследованные автором. Дается сравнение смешения при помощи механич. мешалок и струями из сопел. В последнем случае потребление энергии приблизительно в 4 раза выше, чем в первом. Приводятся ур-ние для определения времени смешения при наличии движения жидкости через сосуд с механич. мешалкой: $1/T = 1/T_1 + 1/T_2 + 0,5/\sqrt{T_1 T_2}$, где T — время смешения в сек; T_1 — время смешения при периодич. процессе (при отсутствии потока жидкости через сосуд) в сек.; T_2 — время смешения, осуществляемого в непрерывном процессе в результате перемещения жидкости в сосуде при отсутствии перемешивания, в сек. Часть I см. РЖХим, 1957, 62668. М. Панфилов

21683. Изучение турбулентного потока в смесительных резервуарах. Ямамото, Кавахигаси (攪拌槽内の流動状態について. 山本一夫, 河東準). 化学工学 杂志, 1956, 20, № 12, 685—694 (японск.; рез. англ.)

Изучалось турбулентное движение жидкостей в вертикальных цилиндрич. смесителях без перегородок с применением 2-лопастной мешалки. В результате проведенной работы: 1) выведены ур-ния распределения скоростей и получены эксперим. значения коэф., входящих в это ур-ние; 2) определены потребляемая мощность и крутящий момент, сообщаемый мешалкой жидкости; 3) измерено фотографич. методом распределение во времени красящего в-ва, которое диффундировало вдоль основного потока; на основании полученных данных вычислены: а) коэф. диффузии в вихревом слое, б) средняя квадратичная скорость турбулентного потока, в) длина перемешиваемого слоя, г) время, необходимое для нарушения однородности поля скоростей вихря; 4) распределение касательных напряжений, скорости рассеяния энергии, средний объем вихревой зоны и турбулентная вязкость.

Б. Сумм

21684. Смешение в ламинарном потоке. Мор, Сакстон, Дженсон (Mixing in laminar-flow systems. Mohr W. D., Saxton R. L., Jerson C. H.). Industr. and Engng. Chem., 1957, 49, № 11, 1855—1856 (англ.)

В промышленной практике иногда возникает необходимость смешения вязких жидкостей (Ж), в отношении которых неприменимы обычные методы, основанные на турбулизации Ж. В таких случаях неоднородная смесь Ж, движущаяся ламинарно, подвергается воздействию сдвигающего усилия, что приводит к возникновению напряжений сдвига между отдельными слоями Ж и «растиранию» частиц одной Ж в массе другой. Рассмотрен процесс смешения двух вязких Ж, одна из которых содержится в значительно большем кол-ве, а другая первоначально беспорядочно распределена в массе первой в виде частиц кубич. формы. Предполагается, что смешение обусловлено только действием сдвигающего усилия и не осложнено побочными явлениями (растворимостью, диффузией, уменьшением мол. веса). В результате «растирания» частиц Ж, присутствующей в меньшем кол-ве, в смеси образуются чередующиеся слои двух различных Ж, причем расстояние g между ближайшими слоями одной и той же Ж является мерой полноты смешения: чем меньше g , тем лучше смешаны Ж. В предельном случае $g \rightarrow 0$ и достигается совершенное смешение. Теоретически выведено ур-ние, определяющее значение g в зависимости от размера исходных частиц Ж, содержащейся в меньшем кол-ве, вязкости обеих Ж и величины сдвигающего усилия.

Ю. Петровский

21685. Смешение вязких ньютоновских и псевдопластичных жидкостей. Ли, Финч, Вулидж (Mixing of high viscosity newtonian and non-newtonian fluids. Lee R. E., Finch C. R., Woolledge J. D.). Industr. and Engng. Chem., 1957, 49, № 11, 1849—1854 (англ.)

Исследован процесс смешения вязких ньютоновских и псевдопластичных жидкостей (Ж) при помощи различных турбинных мешалок. Опытная установка состояла из стеклянного цилиндрич. сосуда диам. 150, 250 или 560 мм, расположенного на горизонтальном круглом вращающемся диске; турбинное колесо мешалки диам. $D = 75, 125, 150$ и 350 мм, укрепленное на вертикальном валике электродвигателя, погружалось в смешиваемые Ж и приводилось во вращение. По окружности диска расположен желобок, в котором размещалась гибкая проволока, охватывающая его и создающая тормозящее действие под влиянием уравновешивающего груза; такое устройство обеспечивало измерение мощности. Опыты проводились при смешении полистирола с мол. в. 250 000 (неньтоновская Ж) с этилбензолом при различных соотношениях (10—50% полистирола), а также при смешении поли- α -метилстирола и кукурузного сиропа (вязкие ньютоновские Ж). Переменные изменялись в следующих пределах: число оборотов мешалки $N = 40 \div 1600$ об/мин.; вязкость жидкостей $\mu = 29 \div 86 000$ спуз; уд. в. $\rho = 0,97 \div 1,376$ г/см³. Опытные данные представлены графически в форме зависимости безразмерного критерия мощности $[P \cdot g / (D^3 \cdot N^3 \cdot \rho)]$ от критерия Рейнольдса $Re = D^2 N \rho / \mu$ (здесь P — затрачиваемая мощность, g — ускорение силы тяжести). Для исследованных ньютоновских Ж получено хорошее соответствие с выводами Рапсона и др. (Rushton J. H., Costich E. W., Everett H. J., Chem. Engng. Progr., 1950, 46, 395, 472). Р-ры полистирола в этилбензоле при небольших напряжениях сдвига ведут себя как ньютоновские Ж, но в области высоких напряжений сильно отличаются от них. Исследовано влияние ряда переменных на величину затрачиваемой мощности (числа перегородок в сосуде, числа турбинных колес, уровня их размещения и диаметра). Для оценки качества перемешивания проведены опыты с добавлением красящего в-ва, которое вводилось по оси мешалки на расстоянии 25 мм от колеса; при этом фиксировалось время, необходимое для равномерного распределения красящего в-ва в объеме Ж. Для определения требуемой мощности приведено эмпирич. ур-ние: $(PD)^{1/3} = K^1 \cdot \mu$, где $K^1 = Re[N / (g \rho^2)]^{1/4}$.

Ю. Петровский

21686. Изучение процесса перемешивания. Сообщение 1. Определение интенсивности работы мешалок при размешивании взвесей. Павлушенко И. С., Костин Н. М., Ячкула Б. Н. Сообщение 2. Определение скорости движения жидкости в аппарате с пропеллерной мешалкой. Костин Н. М., Павлушенко И. С., Тр. Ленингр. технол. ин-та им. Ленсовета, 1957, вып. 41, 118—130, 131—144

1. На основе анализа явления осаждения частиц твердой фазы (ТФ) в жидкости в аппаратах с мешалками предложено интенсивность работы мешалок (M) при размешивании взвесей характеризовать определяющим числом оборотов M (n_0), при котором аксиальная составляющая скорости потока обеспечивает подъем ТФ, и, следовательно, обеспечивается равномерное распределение ТФ в жидкой фазе. Эффективность M предложено характеризовать мощностью, потребляемой M при n_0 . Методом анализа размерностей получена критериальная зависимость для n_0 , указывающая направление исследования перемешивания взвесей. Эксперим. исследованием перемешивания

и пеннотон-
дж (Mixing
tonian fluids
dge J. D.),
11, 1849—1854

ньютоновский
помощи рас-
установка со-
да diam. 150,
ризонтиальном
колесо мешал-
репленное на
погружалось
вращение. По-
т, в котором
ающая его и
иниянием урав-
обеспечивало
при смешива-
(ньютонов-
соотношениях
ешении поли-
ающие ньютон-
в следую-
шалки $N =$
тей $\mu = 20 +$
 см^2 . Опытные
орме зависи-
ти $[P \cdot g / (D^2 \cdot$
 $2Nq / \mu$ (адес-
ние силы та-
кий Ж полу-
Раштона и др.
Н. J., Chem.
полистрол
ениях сдвига
области высо-
них. Исследо-
ризацию затра-
в сосуде, чи-
вления и дви-
жения прове-
ва, которое
ни 25 мм от
необходимое
ящего в-ва в
пожности при-
 μ , где $K =$
О. Петровский
ния. Сообще-
боты мешалок
енко И. С.,
Сообщение 2,
кости в аппа-
сти Н. М.,
технол. ин-та
131—144

дения частиц
атах с мешал-
мешалок (М)
овать опреде-
котором акси-
обеспечивает
вается равно-
зе. Эффектив-
мощностью,
ализа размер-
мощность для
перемешива-
еремешивания

насос в гладкостенном сосуде при работе двух-
фазной плосколопастной М с углом наклона лопастей
6°, трехфазной того же типа и рамной М опре-
делена возможность установления величины μ_0 . Опы-
ты проведены на системах, в которых в качестве ТФ
служили апатит и кварцевый песок, а жидкой — гли-
церин, серная к-та 68% и CCl_4 .

2. Методом анализа размерностей получено критери-
альное уравнение, выражающее зависимость линейной ско-
рости жидкости w , м/сек, от числа оборотов n , 1/сек,
диаметра сосуда D , м, диаметра винта d_m , м, расстоя-
ния r , м, от оси вращения до точки, в которой опреде-
ляется скорость, плотности жидкости ρ_c , кг/сек³/м³, и
вязкости жидкости μ , кг/сек/м², имеющие следующий
вид: $K_\omega = c \text{Re}_c^{-h} \text{Fr}_c^{-q} \Gamma_1^p \Gamma_2^l$, где $K_\omega = \omega / (nd_m)$ —
критерий скорости, $\text{Re}_c = \rho_c nd_m^2 / \mu$ — центробежный
критерий Рейнольдса, $\text{Fr}_c = n^2 d_m / g$ — центробежный
критерий Фруда, g — ускорение силы тяжести, м/сек²,
 c, h, q, p, l — опытные коэф. Используя шаровой зонд,
измерены скорости потока в различных точках сосуда
и ее составляющие (аксиальная, тангенциальная и ради-
альная) при перемешивании пропеллерными мешалками
воды, р-ра глицирина и CCl_4 в гладкостенном сосуде.
В процессе исследования n изменялось от 75 до
700 об/мин, $D = 300$ мм, $d_m = 75, 100$ и 150 мм. В ре-
зультате обработки опытных данных для исследованной
модели ($0,25 D < r < 0,45 D$) определены следующие зна-
чения коэф.: $c = 0,26$; $h = -0,15$; $q = 0$; $p = -0,8$ и
 $l = -0,6$. М. Панфилов

21687. Перемешивание слоя монообменных смол в
колонне. Яно, Юкава, Номура (式イオン交換
層における樹脂の混合について, 矢野武夫, 湯川
正文, 野村稔), 工業化学雑誌, Korô kagaku dзасси,
J. Chem. Soc. Japan Industr. Chem. Sec., 1956, 59,
№ 3, 364—368 (японск.)

Изучалось перемешивание потоком воздуха анионо-
обменных и катионообменных смол (Duolite C-20 или
A-41 и Dowex-50 или -2) в колонне. Определялось
влияние скорости потока воздуха, продолжительности
перемешивания, диаметра колонны, высоты воды. Слой
в слое монообменных смол и способа подачи воздуха.
Установлено, что для указанных смол оптимальными
условиями перемешивания являются: диаметр колон-
ны > 50 мм; высота слоя смолы 50 см; скорость воз-
духа 0,6 л/см² мин при давл. 375 мм рт. ст.; высота
воды, слоя — для смол Duolite 60 мм, для смол Dowex
40 мм; продолжительность перемешивания 3—5 мин.
Наилучшим оказался способ подачи воздуха с по-
мощью 4 трубок, расположенных по спирали. Приве-
дена схема лабор. установки. В. Иоффе

21688. Месильные машины. Виттенбергер
(Knetter. Wittenberger Walter), Chem. Labor
und Betrieb, 1957, 8, № 7, 289—293 (нем.)

Рассмотрены конструкции некоторых месильных и
перемешивающих машин, применяемых для обработ-
ки пастообразных и сыпучих материалов.

В. Гриншпун

21689. Высота всасывания для дозирующих насосов.
Хефлер (Figure NPSH for proportioning pumps.
Hefler John R.), Petrol. Refiner, 1956, 35, № 6,
161—169 (англ.)

Рассмотрен упрощенный метод расчета наибольшей
достижимой высоты всасывания (ВВ) для поршневых
насосов. При выводе расчетных уравнений для определе-
ния ВВ принималось во внимание только максим.
падение давления, имеющее место в момент, когда
поршень насоса движется с максим. скоростью. При-
ведены уравнения для насосов одинарного и двойного
действия, отдельно для ламинарного и турбулентного
режимов. В. Реутский

21690. Теория паровых эжекторов для получения
вакуума. Фазоли (Teoria degli eiettori a vapore
nella formazione del vuoto. Fasoli Ugo), Termo-
technica, 1957, 11, № 9, 465—472 (итал.)

21691. Скользящие кольцевые уплотнения для цент-
робежных насосов в химической промышленности.
Шаффер (Gleitringdichtungen für Kreiselpumpen
der chemischen Industrie. Schaffer Rudolf),
Chem.-Ingr-Techn., 1957, 29, № 4, 241—249 (нем.;
рез. англ., франц.)

Описаны различные конструкции кольцевых уплот-
нений. Рассмотрены гидравлич. и механич. явления,
имеющие место в уплотняющей щели, а также влия-
ние точности изготовления и материала колец на ка-
чество работы уплотнений. Приведены данные о рас-
ходе уплотняющей жидкости, потере мощности,
влиянии т-ры, давления и свойств транспортируемой
жидкости на продолжительность службы уплотнений.

В. Гриншпун

21692. Нестационарная теплопроводность. Лейт-
нер (Nichtstationäre Wärmeleitung. (Lösung durch
Parabelverfahren). Leitner A.), Allgem. Wärme-
technik, 1956, 7, № 5-6, 112—121 (нем.)

Рассмотрен процесс распространения тепла в пла-
стине конечной толщины при подводе тепла с одной
или обеих сторон. Температурное поле в пластине
определено приближенным методом, как степенная
функция с изменяющимся показателем степени.
Разобраны случаи распределения т-ры в пластине
при постоянном кол-ве подводимого тепла в единицу
времени к единице поверхности, а также при постоян-
ном градиенте т-ры по времени на поверхности пла-
стины. Начало см. РЖХим, 1957, 62675. Э. Нигин

21693. Применение способа конечных разностей для
решения уравнений теплопроводности, в частности
вблизи поверхностей с конвективной теплоотдачей.
Элрод (New finite-difference technique for solution
of the heat-conduction equation, especially near sur-
faces with convective heat transfer. Elrod H. C.,
Jr), Trans. ASME, 1957, 79, № 7, 1519—1525. Discuss.,
1525—1526 (англ.)

21694. Теплоотдача к движущейся по трубе смеси
газа и твердых частиц. Фербер, Моурли (Heat
transfer to flowing gas-solids mixtures in a circular
tube. Farbar Leonard, Morley Morgar J.),
Industr. and Engng Chem., 1957, 49, № 7, 1143—1150
(англ.)

Исследована теплоотдача к смеси аллюмосиликатного
катализатора (I) и воздуха, движущейся в трубе с
внутренним diam. 5 мм и длиной 840 мм. Коэф. тепло-
отдачи α к смеси быстро возрастает с увеличением от-
ношения расхода I к расходу газа ($G_{\text{тв}}/G_{\text{г}}$) при
 $G_{\text{тв}}/G_{\text{г}} > 1$. Меньшая степень зависимости α от $G_{\text{тв}}/G_{\text{г}}$
для более высоких скоростей потока указывает на влия-
ние I как на граничный слой, так и на теплоемкость
смеси. При $G_{\text{тв}}/G_{\text{г}} \leq 1$ существует переходная область,
в которой на теплоотдачу оказывает влияние в основ-
ном рост теплоемкости смеси. При постоянной скорости
потока газа отношение увеличения т-ры I к увеличению
т-ры газа ($\Delta t_{\text{тв}}/\Delta t_{\text{г}}$) — величина постоянная и не зави-
сит от $G_{\text{тв}}/G_{\text{г}}$. Величина $\Delta t_{\text{тв}}/\Delta t_{\text{г}}$ уменьшается с уве-
личением скорости газа или уменьшением времени пре-
бывания частиц I в теплообменнике. М. Панфилов

21695. Исследование теплоотдачи при конденсации
фреона-22. Соколова Е., Холодильная техника,
1957, № 3, 71—75

Экспериментально исследована теплоотдача при кон-
денсации фреона-22 на одиночных горизонтальных мед-
ных и стальных гладких и ребристых трубках. Внутрен-
ний диаметр труб $d = 14-20$ мм, диаметр по основанию

ребер $d_0 = 18 + 23$ мм, шаг и высота ребер ~ 2 мм, толщина их у основания и вершины 1,6 и 0,5 мм. Опыты проводились при т-рах конденсации t_n 30, 40 и 50°. Наблюдения показали, что во всех опытах поверхность труб покрывалась сплошной пленкой жидкости, причем, когда тепловая нагрузка превышала $7000 \text{ ккал/м}^2 \text{ час}$ для гладких труб и $14000 \text{ ккал/м}^2 \text{ час}$ для ребристых, движение пленки жидкости приобретало волнистый характер. Опытные данные по теплоотдаче выражаются критериальным ур-нием $Nu = 0,72 C (Ga \cdot Pr \cdot K)^{0,25}$, где Ga — критерий Галилея, Pr — критерий Прандтля, K — критерий конденсации. При вычислении критериев за определяющий геометрич. размер принят d_0 , за определяющую т-ру — средняя арифметич. между т-рами t_n и основной поверхности (у основания ребер) t_0 , $\Delta t = t_n - t_0$. Для медной трубы $C = 2,27$, для стальной $C = 1,93$. Кол-во передаваемого тепла для ребристой трубы увеличивается в 2 раза по сравнению с гладкой трубой без существенного увеличения размеров.

А. Ровинский

21696. Теплоотдача при кипении подогретой воды в трубах. Аладьев И. Т., Додонов Л. Д., Удалов В. С., Теплоэнергетика, 1957, № 9, 64—67, 2 (рез. англ.)

Экспериментально исследована теплоотдача при кипении подогретой воды в стальных вертикальных трубах диам. 8,2 и 15 мм. Опыты проводились при давл. $P = 1 + 181 \text{ атм}$, тепловых потоках $q = (0,5 + 4) \cdot 10^6 \text{ ккал/м}^2 \text{ час}$, скоростях циркуляции $w = 0,5 + 10 \text{ м/сек}$ и разностями между т-рой кипения воды и т-рой подогретой воды $1 - 140^\circ$. Нагревание труб осуществлялось пропусканием через них постоянного тока. Т-ра жидкости $t_{ж}$ измерялась термометрами, установленными до и после трубки. Т-ра стенки трубы измерялась термометром сопротивления. Установлено влияние на т-ру стенки $P, q, w, t_{ж}$. Указано, что в области слабого кипения, а также в области теплообмена при наличии однофазной жидкости эксперим. данные описываются ур-нием М. А. Михеева (Изв. АН СССР, Отд. техн. н., 1952, № 10) с погрешностью 15—20%.

Р. Артым

21697. Обобщение данных по критическим тепловым нагрузкам при кипении жидкостей, нагретых до температуры кипения. Розенау, Гриффит (Correlation of maximum-heat-flux data for boiling of saturated liquids. Rohsenow Warren, Griffith Peter), Chem. Engng Progr. Sympos. Series, 1956, 52, № 18, 47—49 (англ.)

На основе представления о переходе пузырькового кипения в пленочное, вследствие слияния паровых пузырей на поверхности нагревания, получен критерий кризиса кипения $q_{кр} / (r_2 r / D_0)$, где $q_{кр}$ — крит. тепловая нагрузка; r_2 — плотность пара; r — теплота испарения; f — частота отрыва пузырей; D_0 — отрывной диаметр пузыря. В результате обработки опытных данных ряда авторов по крит. тепловым нагрузкам при кипении жидкостей установлено обобщенное ур-ние $q_{кр} / (r_2 r) = 43,59 [(\rho_1 - \rho_2) / \rho_2]^{0,6} \text{ м/час}$, где ρ_1 — плотность жидкости. Величина $f D_0$ предполагалась одинаковой для всех жидкостей и была опущена. Полученное ур-ние описывает эксперим. данные с максим. отклонением $\pm 11\%$.

Р. Артым

21698. Теплопередача в слоях насадки. Кольдербанк, Погорский (Heat-transfer in packed beds. Colderbank P. H., Pogorski L. A.), Trans. Instn Chem. Engrs, 1957, 35, № 3, 195—207 (англ.)

Исследована теплопередача от стенки к слою насадки, обдуваемой воздухом с весовой скоростью G . Опыты проводились в медных трубах диам. $D = 50 + 125$ мм,

обеспечивающих хорошую теплопроводность в аксиальном направлении; трубки нагревались электрич. спирально, теплоизолировались и поддерживались при постоянных т-рах от комнатной до 200° . В качестве насадки применялись силитовые цилиндрики с диам. $d = 3,2$ и $6,3$ мм, а также алундовые шарики с $d = 6,3$ и $12,7$ мм. Исследование охватывает область значений модифицированного критерия Рейнольдса $Re_m = Ga^{0,5} / \mu$ до 7500, где a — поверхность одной гранулы насадки и μ — вязкость воздуха. Полученные значения общего эквивалентного коэф. теплопроводности λ_e выражаются ур-нием $\lambda_e - \lambda_0 = 0,00066 (D/d)^{0,5} Re_m^{0,69} \text{ ккал/м}^2 \text{ час град}$, где λ_0 — статич. теплопроводность слоя. Эффективный коэф. теплопроводности слоя может быть определен по ур-нию: $\lambda_e = 0,297 + 0,00137 Re_m$. Значения коэф. теплоотдачи от стенки к слою насадки h_w выражаются ур-нием $h_w \cdot d / \lambda = 3,6 (dG / \mu \cdot \eta)^{0,365}$, где λ — коэф. теплопроводности воздуха и η — доля свободного объема слоя.

А. Ровинский

21699. Образование тумана и расчет охлаждаемых конденсаторов и абсорберов. Гарднер (Fog formation and the design of cooler-condensers and cooler-absorbers. Gardner C. G.), Brit. Chem. Engng, 1957, 2, № 6, 296—301 (англ.)

На основе аналогии между процессами конденсации паров из паро-газовых смесей и абсорбции паров пленкой жидкости, стекающей по охлаждаемой поверхности, разработана методика расчета охлаждаемых конденсаторов и абсорберов. Рассмотрено явление образования тумана в массе паро-газовой смеси и показано, что его возникновение определяется условиями в пограничной пленке вблизи охлаждаемой поверхности.

А. Ровинский

21700. Тепловой и материальный баланс выпаривания. Хассетт (Evaporator heat balance and material calculations. Hassett N. J.), Brit. Chem. Engng, 1957, 2, № 9, 478—483 (англ.)

Предложен упрощенный, но достаточно точный метод расчета выпарных аппаратов; приведена примерная схема расчета трехступенчатой выпарной установки.

Н. Кондуков

21701. Расчет монокорпусной выпарной установки. Хассетт (Multiple effect evaporator calculations. Hassett N. J.), Industr. Chemist, 1957, 33, № 399, 331—337 (англ.)

Предложен метод расчета многокорпусной выпарной установки, основанный на ур-ниях материального и теплового балансов и отличающийся тем, что кол-во тепла, передаваемого в каждом корпусе, рассматривается как состоящее из двух частей: 1) тепла, передаваемого в процессе изотермич. конденсации и испарения; 2) разности между кол-вами тепла, передаваемого в реальном и изотермич. процессе. Применение выведенных ур-ний иллюстрируется численными примерами; погрешность вычислений по предложенному методу не превышает 5%.

В. Коган

21702. Погружные испарители. Остин (Submerged combustion evaporators. Austin J.), Brit. Chem. Engng, 1957, 2, № 9, 490—494 (англ.)

В выпарном аппарате (ВА) ниже уровня п-ра устанавливается горелка в виде вертикального цилиндра, открытого внизу. В горелку под необходимым давлением подаются горючее и воздух; продукты сгорания выходят из-под нижней кромки цилиндра, бурбуют через слой п-ра и удаляются из ВА вместе с паром. При такой системе нагревания п-ра достигается: а) совершенное перемешивание п-ра; б) высокие тепловые нагрузки ВА благодаря большой поверхности газовых пузырей, большой разности т-р и высокому

значению коэф. теплоотдачи при большой относительной скорости газа и жидкости; в) более полное использование тепла, так как разность между t -рами отходящих газов и p -ра может быть снижена до 1° ; г) отходящие продукты сгорания смешиваются с паром над p -ром и уменьшают его парц. давление, что приводит к уменьшению t -ры кипения на $10-20^\circ$ и, следовательно, к еще более полному использованию тепла; д) при работе погружных газовых горелок избыток воздуха против стехиометрич. соотношения может не превышать $5-10\%$, что приводит к увеличению t -ры газов и уменьшает потери тепла с отходящими газами до 4% от теплоотворной способности топлива. Погружные испарители удобны при выпаривании агрессивных жидкостей, напр. K_2O , так как здесь полностью избегается теплопередающая поверхность. Интенсивная циркуляция p -ра приводит к существенному уменьшению отложения твердых осадков, а отсутствие поверхности сложного профиля облегчает удаление выпавших осадков из аппарата. Рассмотрены схемы ВА и погружных горелок, а также приведены некоторые технич. данные о действующих ВА с погружными горелками. А. Ровинский

21703. Установки для быстрого получения льда. Вальбушенич (The rapid-ice manufacturing system. A review of eight years' development work. Wilbushewich Eugen), Mod. Refrig., 1957, 60, № 715, 407-410 (англ.)

Обзор за 8 лет. Г. Фонарева
21704. Скорости термического разложения $CHCl_3$ и CF_3Cl . Нортон (Rates of thermal decomposition of $CHCl_3$ and CF_3Cl . Norton Francis J.), Refrig. Engng, 1957, 65, № 9, 33, 34, 62, 63 (англ.)

Измерена скорость термич. разложения фреона-12 (CF_2Cl_2) и фреона-22 ($CHClF_2$) в области t -р $175-570^\circ$. Опыты проводили в кварцевой ампуле, заполненной исследуемым хладагентом, запаянной и размещенной в термостатированной печи; ампула микрокапиллярной трубкой сообщалась с системой вакуумных насосов через камеру масс-спектрометра, который регистрировал конц-ию в отсасываемом газе SiF_4 , образующегося при соединении F —продукта разложения фреона, с Si , содержащемся в кварцевой оболочке ампулы. Исследовано также влияние различных материалов, встречающихся в холодильных машинах, на скорость разложения фреонов. Найдено, что скорость разложения фреонов в присутствии кварца или чистых металлов ничтожна, но наличие окислов Fe и Cu резко ускоряет их термич. разложение.

А. Ровинский
21705. Тепло- и массообмен для влажных газов. I. Бошнякович (Wärme- und Stoffaustausch bei feuchten Gasen (I). Bošnjaković F.), Kältetechnik, 1957, 9, № 9, 266-270 (нем.; рез. англ., франц.)

Описывается метод расчета массо- и теплообмена между влажным газом и охлаждаемой стенкой с помощью диаграммы Молье (теплосодержание — влажосодержание), который применен к решению ряда практич. задач — процессов увлажнения воздуха и испарения. В. Коган

21706. Массо- и теплообмен при наличии единичных шарообразных и цилиндрических тел при малых числах Рейнольдса. Фридлендер (Mass and heat transfer to single spheres and cylinders at low Reynolds numbers. Friedlander S. K.), A. I. Ch. E. Journal, 1957, 3, № 1, 43-48 (англ.)

Рассмотрены процессы массо- и теплообмена на основе теории пограничного слоя в предположении распределения скорости в нем согласно ур-ниям Навье-Стокса. Критерий Нуссельта (Nu) для теплообмена с шаром в этом случае является функцией только критерия Пекле (Pe). При $Pe > 10^3$ справед-

ливо ур-ние $Nu = 0,89 Pe^{1/4}$, при $Pe \leq 1$ аналитич. решение дает $Nu = (4/Pe) \ln[1/(1 - Pe/2)]$, а при $Pe < 10^{-1}$ $Nu \approx 2$. Эксперим. величины на $10-40\%$ превышают теоретич. расчетные значения. Теплообмен с единичным цилиндром определяется ур-нием $Nu = 1,035 (Pe \approx [2(2,00223 - \ln Re)])^{1/4}$ при $Re < 10^{-3}$. При больших значениях Re решение ур-ний производится численным интегрированием, что дает, напр., $Nu = 0,557 Pe^{1/4}$ при $Re = 10^{-1}$. Теоретич. расчеты для малых значений Re не могут быть сопоставлены с эксперим. данными ввиду отсутствия последних, но хорошо подтверждаются для больших чисел Re . Э. Нигин

21707. К расчету массопередачи в сплошных набухающих пленках высокомолекулярных соединений. Алявдин Н. А., Научн. тр. Моск. технол. ин-та легкой пром-сти, 1957, сб. 9, 66-78

Показано, что ур-ния, выражающие законы Фика и Генри, не могут применяться для расчета диффузионных процессов в набухающих сплошных пленках высокомолекулярных соединений. Для этих процессов предложено ур-ние: $Q = [m_r D' \cdot H^{m+n}] \cdot [P_{cr}^{n+mr-1} \cdot \{(P_1 - P_2) / F \tau / l\}]$, где Q — кол-во передаваемого v -ва; P_1 и P_2 — давление его паров по обе стороны пленки; P_{cr} — среднее давление паров; D' — коэф. диффузии; l — длина пути диффузии; F — поверхность через которую происходит диффузионный процесс; τ — время; H' — константа в ур-нии, выражающей зависимость давления от конц-ии $C = H' P'$; значения n , m и r — постоянные. Константа n для идеальных p -ров равна нулю, а константа $m = 1$. Данные по диффузии паров воды через пленки из различных пластмасс подтвердили пригодность предложенных расчетных ур-ний.

В. Коган
21708. О переносе вещества между двумя его фазами. Руккенштейн (Despre transportul de materie între două faze. Ruckenstein E.), Comun. Acad. RPR, 1956, 6, № 3, 405-411 (рум.; рез. русск., франц.)

Рассмотрена теория пленочной ректификации бинарной смеси в полой вертикальной трубке, учитывающая, в отличие от ранее выполненного исследования (РЖХим, 1957, 62695), сопротивления как в паровой, так и в жидкой фазах.

Б. Брук
21709. Аналитический метод расчета теоретического числа ступеней при разделении бинарных смесей. Куценко В. С., Тр. Ленингр. технол. ин-та им. Ленсовета, 1957, вып. 41, 92-117

Предложен метод расчета числа теоретич. ступеней n в противоточных процессах разделения бинарных смесей (ректификации, адсорбции, экстракции). Дано аналитич. решение для случая, когда в данном интервале конц-ий равновесная и рабочая линии выражаются прямыми. При этом $n = \lg \{1 - [(K_1 - K) / K_1] [(X_0 - X_n) / (X_0 - X_1)]\} / \lg K / K_1$, где K и K_1 — угловые коэф. прямых равновесия и рабочих конц-ий; X_0 и X_n — начальная и конечная конц-ии одной из фаз и X_1 — конц-ия исходной смеси. Если равновесная линия отображается кривой, то n определяется заменой кривой равновесия в интервале $X_0 - X_n$ эквивалентной прямой, которая дает такое же число ступеней изменения конц-ии. Описываются различные способы нахождения эквивалентной прямой.

В. Коган
21710. Ректификация смеси метанол-этанол-вода на колонне непрерывного действия. Азров М. Э., Мотина Г. Л., Потарин М. М., Ж. прикл. химии, 1957, 30, № 7, 1100-1103

Изучена ректификация смесей метанола, этанола и воды на лабор. ректификационной колонне непрерывного действия с 20 решетчатыми тарелками с опреде-

лением распределения конц-ий по высоте колонны. Отмечается, что этанол в истощающей части колонны является низкокипящим, а в укрепляющей части — высококипящим компонентом. Опытные данные по распределению конц-ий по высоте колонны удовлетворительно согласуются с расчетными по фазовым соотношениям данной тройной смеси.

В. Коган

21711. Пути снижения расхода пара при перегонке. Стабников В. Н., Пром. энергетика, 1957, № 5, 14—18

Описаны возможные методы экономии пара при перегонке: объединение выпарного аппарата с ректификационным (нагревание куба вторичным паром); многоступенчатая ректификация с применением теплового насоса и эжекторов.

З. Хаимский

21712. Колонны с орошаемой насадкой. Ватаран (灌液充填反塔について. 渡會正三), 最近の化学工業, Сайкино-кагаку когаку, 1955, Токио, 1955, 67—84 (японск.)

21713. Физическая химия молекулярной перегонки. IX, X, XI. Диас Роман, XII. Марин-Горрис, Рамос-Гарихо, Фернандес-Бьярхе (Fisicoquímica de la destilación molecular. IX, X, XI. Díaz Román, XII. Marín-Górriz A., Ramos-Garijo R., Fernández-Biarge), An. Real soc. esp. fis. y quim., 1956, B52, № 1, 5—12, 13; № 2, 73—76, 77—84 (исп.; рез. англ.) [Chem. Abstr., 1956, 50, 13, 9109a, b; 19, 13525 b, c.]

IX. Коэфф. испарения K_e для бутилстеарата и дибутилфталата составляет $1 \pm 0,1$ в пределах т-р 60—120°. Применялся аппарат для мол. дистилляции со стекающей пленкой. Величина K равна приблизительно 1 при условии непрерывного обновления поверхности. Давления паров, вычисленные по скоростям дистилляции при $K_e = 1$, согласуются с соответствующими значениями, вычисленными по ур-нию Клаузиуса — Клайперона.

X. Выведено ур-ние для скорости испарения мало летучего компонента из его смеси со значительно менее летучим растворителем в стекающей пленке. Принято во внимание изменение конц-ий летучего компонента на границе раздела жидкость — пар, обусловленное диффузией в направлении к этой границе и испарением с последней. Теория проверена на основании данных, полученных при дистилляции бутилстеарата и дибутилфталата из смеси их с особо нелетучим компонентом оливкового масла (мол. фракция эфира составляет около 0,2). Данные по скоростям дистилляции в зависимости от т-ры очень хорошо соответствуют теории для бутилстеарата (80—120°), но заметно отклоняются при более низких т-рах (< 90°) для дибутилфталата (60—100°). Отклонения объясняются отличиями свойств р-ров от свойств идеальных р-ров.

XI. Ранее выведенное ур-ние применено для вычисления скоростей испарения стеариновой, олеиновой, пальмитиновой, миристиновой и лауриновой к-т из некоторых растворителей. Расхождение между вычисленными и эксперим. скоростями объяснено отклонениями свойств р-ров от свойств идеальных р-ров.

XII. Выведено ур-ние, которое позволяет вычислить кривые выделения в-в в аппарате для молекулярной дистилляции со стекающей пленкой даже при условии полного удаления летучего в-ва из р-ра. См. РЖХим, 1957, 18458.

R. Nelson Smith

21714. Абсорбция образующимися каплями и струями жидкости. Яно, Каван (液滴生成時のガス吸収—炭酸ガス—水系. 矢野武夫, 河合健次郎), 化学工業, Кагаку когаку, Chem. Engng (Japan), 1957, 21, № 7, 413—419 (японск.; рез. англ.)

Проведено эксперим. изучение процесса абсорбции CO_2 образующимися каплями и струями воды. Капли получались при помощи спец. стеклянного сопла, помещенного в абсорбционный сосуд. Изменением диаметра выходного отверстия сопла изменялся диаметр капли; время образования капли изменялось от 0,5 до 6,0 сек. и т-ра от 20 до 50°. Полученные данные по абсорбции каплями выражены ур-ниями: для времени образования капли < 3 сек: $Sh = 0,60 (d/d_1)^{-1,15} Re_L^{0,8} Sc^{1/4}$; для времени образования капли > 3 сек: $Sh = 1,65 (d/d_1)^{-1/2} Re_L^{1/2} Sc^{1/4}$. Данные по абсорбции струей выражены ур-нием: $Sh = 2,0 (1 + 0,276 Re_L^{1/2} Sc^{1/4})$, где $Sh = k_L d / (D - \text{критерий Шервуда; } k_L - \text{общий коэф. массопередачи в см/сек, } d - \text{диаметр капли в см, } D_1 - \text{коэф. диффузии в см}^2/\text{сек; } d_1 - \text{диаметр отверстия сопла в см, } Re_L = dV_{in}/\mu, \rho - \text{плотность воды в г/см}^3, \mu - \text{вязкость воды в г/см-сек, } V_{in} - \text{величина, эквивалентная скорости: } V_{in} = 2d^3 / (3d_1^2 t_p); t_p - \text{время образования капли в сек, } Sc - \text{критерий Шмидта. С. Крашенинников}$

21715. Определение плотности орошения в промышленных аппаратах. Апахов И. А., Тр. Уральского н.-и. хим. ин-та, 1957, вып. 4, 138—139

Для определения плотности орошения в различных точках абсорбционных башен через люки в крышке башен на проволоке быстро погружается цилиндр с калиброванным верхним отверстием и включается секундомер. По истечении определенного промежутка времени t цилиндр также быстро извлекается и измеряется кол-во находящейся в нем жидкости V . Плотность орошения G подсчитывается по ур-нию $G = V/(Ft)$, где F — площадь отверстия в верхней части цилиндра.

А. Ровинский

21716. Общие принципы дегазации жидкостей над вакуумом при комнатной температуре. Желе (Généralités sur le dégazage sous vide à température ambiante. Geller R.), Vide, 1957, 12, № 69, 194 (франц., англ.)

21717. Влияние концентрации при отделении ионов от недиссоциирующих веществ с применением рециркуляции. Симпсон, Бауман (Concentration effects of recycling in ion exclusion. Simpson D. W., Bauman W. C.), Industr. and Engng Chem., 1954, 46, № 9, 1958—1962 (англ.)

21718. Расчет экстракции в системе жидкость — жидкость. Эллис (Equilibrium liquid — liquid extraction calculations. Ellis S. R. M.), Industr. Chemist, 1956, 32, № 380, 434—437 (англ.)

Изложен метод расчета процесса непрерывной экстракции в системе жидкость — жидкость, основанный на применении модифицированной диаграммы Пошона — Савари (РЖХим, 1957, 67986). Приведен пример определения числа теоретич. ступеней при извлечении ацетона из эквимольного водн. р-ра с помощью 1,1,2-трихлорэтилена. Результаты расчета, выполненного с применением модифицированной диаграммы, хорошо согласуются с результатами расчета ступенчатым методом.

Ю. Петровский

21719. Скорость экстракции при образовании капель. Уэяма, Кида (滴生成時の抽出. 上山惟恒, 木田浩之), 化学工業, Кагаку когаку, Chem. Engng (Japan), 1957, 21, № 4, 188—193 (японск.; рез. англ.)

Исследовались системы: бензол — уксусная к-та — вода и нормальный бутиловый спирт — вода. Процесс экстракции проводился как из сплошной фазы в каплю, так и наоборот. Диаметр выходного отверстия d_1 составлял 0,053—0,303 см. Полученные результаты выражены критериальным ур-нием: $Sh = \beta Re_L^{0,94} Sc^{0,94}$

Здесь: $Sh = k \cdot \bar{d}_p / D$ — критерий Шервуда; $Re = 4\rho u_v / (\eta_{\text{ж}} \cdot \bar{d}_p)$ — критерий Рейнольдса; $Sc = \mu / (\rho D)$ — критерий Шмидта (k — пленочный коэф. массопередачи (см/сек); \bar{d}_p — средний диаметр капли (см); D — коэф. диффузии (см²/сек); ρ — плотность (г/см³); U_v — расход дисперсной фазы (см³/сек); μ — вязкость (пуаз); β — коэф., несколько зависящий от d_N . Индекс d означает дисперсную фазу).

К. Сакодынский
21720. Исследование работы струйного экстрактора (применительно к экстракции пенициллина). Кафаров В. В., Жуковская С. А., Мед. пром-сть СССР, 1957, № 5, 23—32

Исследована гидродинамика и массопередача в струйном экстракторе. Для расчета гидродинамич. характеристик струйных экстракторов предложены ур-ния при $Re < 14000$; $Eu [L d_{\text{вн}} / (d'_{\text{вн}})^2]^{0.74} = 2,35 Re - 0.264$ (1); при $Re > 14000$; $Eu [L d_{\text{вн}} / (d'_{\text{вн}})^2]^{0.74} = 1,85$ (2); где L — высота экстрактора, м; $d_{\text{вн}}$ — диаметр выходного отверстия сопла, м; $d'_{\text{вн}}$ — диаметр отверстия подсоса, м. Зависимость между коэф. подсоса, геометрич. характеристикой струйного экстрактора и расходом рабочей жидкости имеет вид: $q_{\text{пр}} [F_1 / (F_2 - F_3)]^{0.5} (\gamma_n / \gamma_{\text{б. а}})^{0.5} (d_d - d_{\text{вн}}) / L = 2,62 V_p^{-0.586}$ (3), где $q_{\text{пр}}$ — предельный коэф. подсоса; F_1 — площадь выходного отверстия сопла; F_2 — площадь начального сечения камеры смещения; F_3 — площадь сечения сопла по наружному диаметру; γ_n — уд. вес подсосываемой жидкости; $\gamma_{\text{б. а}}$ — уд. вес бутилацетата; V_p — расход рабочей жидкости; d_d — диаметр сопла у выхода. Основные определяющие размеры струйного экстрактора $d_{\text{вн}}$ и $d'_{\text{вн}}$ при известных значениях $q_{\text{пр}}$, V_p и потере напора в экстракторе находятся при совместном решении ур-ний (1), (2) и (3). Эффективность работы струйных экстракторов оценивалась по величине к. п. д. Установлено, что при достаточной скорости рабочего потока (скорость истечения активной жидкости из сопла > 13 м/сек) к. п. д. для всех систем составляет 100% в широком интервале значений коэф. подсоса q . Исследована зависимость коэф. массопередачи от q для разных режимов истечения активной жидкости. Оказалось, что струйный экстрактор обеспечивает получение высокого значения коэф. массопередачи. Для проведения опытов использован ряд систем, в том числе и система вода — пенициллин — бутилацетат.

К. Сакодынский
21721. Межфазное сопротивление, наблюдаемое при экстракции уранилнитрата в системе жидкость — жидкость. Льюис (An interfacial barrier observed during liquid-liquid extraction of uranyl nitrate. Lewis J. B.), Nature, 1956, 178, № 4527, 274—275 (англ.)

Исследован процесс переноса уранилнитрата в обоих направлениях между водой и одним из 3 р-рителей: дибутилкарболом, метилизобутилкетонем и трибутилфосфатом (последний применялся в виде 20%-ного р-ра в керосине, C_6H_6 и CCl_4). Аппаратура и методика измерений описаны ранее (РЖХим, 1957, 65261). Проведенные опыты показывают, что в начальной стадии переноса уранилнитрата межфазовое сопротивление не проявляется в значительной степени; затем во время опыта скорость переноса заметно падает, достигая в ряде случаев $1/5$ начальной величины.

С. Бык
21722. Экстракция в системе жидкость — жидкость. Часть III. Расчеты процессов экстракции в системе жидкость — жидкость. Часть IV. Непрерывная противоточная экстракция при постоянном флегмовом

числе. Часть V. Непрерывная противоточная экстракция при переменных потоках растворителей. Эллис, Фрешуотер (Liquid-liquid extraction. Part III. Liquid-liquid extraction calculations. Part IV. Continuous countercurrent extraction at constant reflux ratio. Part V. Continuous countercurrent extraction with varying molal overflow. Ellis S. R. M., Freshwater D. C.), Perfum. and Essent. Oil Rec., 1956, 47, № 10, 369—371; № 11, 410—412; № 12, 445—449 (англ.)

III. Изложен метод графо-аналитич. расчета одноступенчатой периодич. экстракции в системе жидкость — жидкость с использованием треугольной диаграммы и графика, подобного диаграмме Мак-Кеба и Тиле. В некоторых случаях осуществляется последовательный ряд операций периодич. экстракции с подачей рафината из одного аппарата в следующий и с подачей в каждый из серии экстракторов чистого р-рителя. Показано применение треугольной диаграммы и диаграммы Мак-Кеба и Тиле к расчету такого процесса экстракции.

IV. Изложена методика расчета процесса непрерывной противоточной экстракции в системе жидкость — жидкость при постоянном флегмовом числе, что предполагает полную несмешиваемость обоих р-рителей. В качестве примера рассмотрено извлечение ацетальдегида водой из р-ра его в толуоле.

V. При частичной взаимной растворимости компонентов в процессе непрерывной противоточной экстракции соотношение потоков обрабатываемого р-ра и р-рителя изменяется от ступени к ступени. Изложена методика расчета этого наиболее распространенного в практике процесса экстракции с применением треугольной и прямоугольной диаграмм. Для иллюстрации приведен пример определения числа теоретич. ступеней, необходимых для экстракции ацетона из 50%-ного водн. р-ра с помощью 1,1,2-трихлорэтана в противоточной тарельчатой колонке при 25°. Часть II см. РЖХим, 1957, 59771.

Ю. Петровский

21723. Экстракция в системе жидкость — жидкость.

Часть VI. Противоточный многоступенчатый процесс с дефлегмацией. Часть VII. Экстракция двумя растворителями. Часть VIII. Экстракционное оборудование. Часть IX. Заводские экстракционные аппараты. Эллис, Фрешуотер (Liquid-liquid extraction. Part VI. Countercurrent multiple contact liquid-liquid extraction with reflux. Part VII. Liquid-liquid extraction equipment. Part IX. Large scale extraction apparatus. Ellis S. R. M., Freshwater D. C.), Perfum. and Essent. Oil Rec., 1957, 48, № 2, 90—92; № 3, 140—142; № 4, 192—195; № 5, 261—264 (англ.)

VI. Рассмотрены способы дефлегмирования. Приведен пример расчета по разделению смеси метилциклогексана и n -гексана при помощи анилина.

VII. Отмечено, что экстракция двумя р-рителями применяется для разделения близкочисляющих в-в. Рассмотрен графический метод определения числа теоретических ступеней. Приведены соображения о выборе р-рителя.

VIII. Рассмотрены основные типы лабор. экстракторов: смеситель-отстойник, роторные и насадочные колонны.

IX. Рассмотрены основные типы заводской экстракционной аппаратуры: смеситель-отстойник, насадочные колонны и колонны с перфорированными тарелками.

К. Сакодынский
21724. Использование радиоактивного изотопа для определения характеристики потоков в экстракционной колонне для системы жидкость — жидкость. Маркас, Бекман (Radioisotope technique for

the determination of flow characteristics in liquid-liquid extraction columns. Markas S. E., Beckmann R. B., A. I. Ch. E. Journal, 1957, 3, № 2, 223—229 (англ.)

В насадочной колонне диам. 150 мм с системой вода — толуол изучено явление удерживания дисперсной фазы насадкой из колец Рашига размером 12—25 мм. Толуол содержал γ -активный йод в виде соединения, не растворимого в воде. Кол-во дисперсной фазы определялось сравнением активности горизонтального слоя насадки при заполнении колонны одним толуолом и при осуществлении противоточного процесса. Применение меченого йода позволило показать, что остающаяся в насадке дисперсная фаза испытывает перемещение по колонне и, следовательно, принимает участие в массообмене. Установлено также, что плохое распределение дисперсной фазы имеет место при соотношении диам. колонны к размерам насадки ≤ 8 .

К. Сакодинский
21725. Вычисление минимального расхода свежего растворителя при ступенчатой экстракции. Вендер (Calculation of minimum consumption of fresh solvent in multiple extraction. Vender M.), Сб. чехосл. хим. работ, 1957, 22, № 3, 697—704 (англ.; рез. русск.)

Перевод см. РЖХим, 1957, 67995.

21726. Механические экстракторы для системы жидкость — жидкость. Часть II. Торнтон (Mechanical contactors for liquid-liquid extraction. Part 2. Thornton J. D.), Nuclear Engng, 1956, 1, № 5, 204—209 (англ.; рез. франц., исп.)

Описаны различные типы экстракторов: кольцевые, роторные, пульсационные. Приведены ф-лы для расчета диаметра и высоты этих экстракторов. Предыдущее сообщение см. РЖХим, 1957, 57957.

К. Сакодинский
21727. Исследование процесса сушки в поле высокой частоты. Лыков А. В., Максимов Г. А., Тр. Моск. технол. ин-та пищ. пром-сти, 1957, вып. 8, 133—142

При высокой интенсивности испарения влаги внутри тела имеет место неравновесный кинетич. процесс нагревания, при котором давление пара в порах и капиллярах тела выше давления насыщ. пара при данной t -ре тела. В результате возникает градиент избыточного давления, который является движущей силой мол. переноса пара. Для этого явления составлена система дифференциальных ур-ний, обработка которых методами теории подобия дала ряд новых критериев подобия. Закономерности переноса в-ва в процессе интенсивной сушки исследованы при нагревании влажного кварцевого песка, древесины и глины в поле высокой частоты; при этом измерялись t -ра, давление и время от начала опыта путем одновременного фотографирования на кинолентку менисков термометра и манометра, а также стрелки большого секундомера, по которым строились затем кривые кинетики нагревания. T -ра тела вначале быстро возрастает, приближается к t -ре кипения и затем рост ее замедляется. Разность между давлениями внутри тела и вне его сначала отсутствует (перенос в-ва только по законам неизотермич. теплопроводности), а затем (при $t = 45 \div 95^\circ$) быстро растет, в результате чего сушка резко интенсифицируется. Из кривой кинетики релаксации избыточного давления при выключении нагревания определен коэф. мол. переноса пара k_p , который оказался приблизительно в 100 раз выше коэф. массопроводности влаги при движении ее под действием градиента влагосодержания. Кривые распределения избыточного давления можно в первом приближении описать ур-нием $p = p_c / [1 - A(x/l)^2 + B(x/l)^4]$, где $A = 1/[1 - (l/x)^6]$, $B =$

$= 1/[6(x/l)^8 - 1]$, p_c — давления в центральной точке тела; p — давление в точке, отстоящей от центра на расстояние x ; l — характерный размер тела, например толщина пластины; индекс s относится к точке перегиба на эксперим. кривой кинетики изменения давления в центральном слое. Эксперим. измерения поля давления показывают, что при быстром нагревании внутри тела возникают давления, выше атмосферного при t -ре $< 100^\circ$; чем интенсивнее нагревание, тем при более низкой t -ре это происходит. При высокоинтенсивном нагревании равновесие между жидкостью и паром нарушается, в результате чего внутри тела возникает значительное падение давления, приводящее к дроблению влажного капиллярно-пористого тела. Это явление исследовалось количественно путем нагревания в ВЧ-поле различных фракций частиц сланца; в процессе нагревания некоторые частицы измельчались и отсевались. Установлено, что мелкие частицы измельчаются больше, и это может быть объяснено только закономерностями объемно-напряженного состояния частиц в процессе сушки.

А. Ровинский

21728. Массопередача через сжимаемые турбулентные пограничные слои. Шервуд, Брайант (Mass transfer through compressible turbulent boundary layers. Sherwood T. K., Bryant H. S., Jr), Canad. J. Chem. Engng, 1957, 35, № 2, 51—57 (англ.)

Исследовалась массопередача при скоростях воздуха до 520 м/сек в процессе сублимации нафталина, тимона и камфоры. Указанные в-ва наносились слоем постоянной толщины на цилиндрич. металлич. стержень диам. 8,2 мм; наружный диаметр стержня с нанесенным на него в-вом составлял 10,3 мм. Указанное устройство помещалось вдоль оси каналов различных размеров, имеющие форму трубки Вентури. Коэф. массопередачи определялся по убыли веса испытуемого в-ва. Полученные данные обрабатывались в виде зависимости $i_D = (K_g RT/V_0) Sc^{1/3}$ от Re (K_g — коэф. массопередачи, г-моль/сек·см² атм; V_0 — скорость потока воздуха, м/сек; R — универсальная газовая постоянная, см³ атм/г-моль⁰К; T — абс. t -ра, °К; $Sc = \mu/\rho D$ — критерий Шмидта; μ , ρ — вязкость и уд. вес газа и D — коэф. мол. диффузии). Полученные данные показывают, что при малых скоростях воздуха i_D больше половины коэф. трения C_f . На величину i_D оказывает большое влияние значение критерия Маха (M). С увеличением M при постоянном Re величина i_D уменьшается. При $M > 1$ скорость испарения значительно понижается вследствие влияния сжимаемости газа. При сверхзвуковых скоростях воздуха скорость сублимации составляла до 50% от величин, получающихся при одинаковых значениях Re при дозвуковых скоростях. Сравняется влияние M на K_g и C_f . Показано, что характер влияния M на эти величины аналогичен.

В. Коган

21729. Регулирование температуры в контактных аппаратах. Долинин Н. П., Хим. пром-сть, 1957, № 5, 292—297

Предложен метод регулирования t -ры в реакционной зоне при испарительном охлаждении контактного аппарата (КА) с использованием образующегося пара в котлах-утилизаторах (КУ), располагаемых над КА для осуществления естественной циркуляции теплоносителя (Т). КА и КУ — кожухотрубные аппараты с вертикальным размещением трубок. Испарение Т в КА и конденсация паров его в КУ происходит в междутрубных пространствах, соединенных двумя трубами: паропроводом с дроссельной заслонкой и трубой для стока конденсата; сечение междутрубного

пространства в КА в несколько раз больше, чем в КУ. Заслонка отрегулирована так, чтобы при полном ее открытии вследствие падения Δp между давлениями пара в паровых объемах КА и КУ, обусловленном гидравлич. сопротивлением при движении пара через заслонку, уровень конденсата в КУ был в самой нижней части теплообменных трубок; при этом Т в КА кипит при $t_{ре}$, соответствующей нижней границе диапазона регулирования. Если несколько прикрыть заслонку, то Δp увеличится и уровень конденсата в КУ поднимется. При этом сократится поверхность трубок, контактирующая с паром, и ухудшится процесс конденсации, что приведет к повышению давления в паровых пространствах КА и КУ, а следовательно, и к повышению температуры кипения. Получены уравнения и графики, позволяющие рассчитать систему регулирования в каждом случае.

А. Ровинский

21730. Связь между увеличением поверхности и энергией при дроблении твердых веществ. Шульц, Кук, Пайрет (Energy-new surface relationship in the crushing of solids. Schulz N. F., Cooke S. R. B., Piret Edgar L.), Chem. Engng Progr., 1957, 53, № 5, 254—258 (англ.)

Исследовалось влияние $t_{ры}$ на энергию, затрачиваемую на образование новой поверхности, при дроблении твердых в-в. Дробление производилось с помощью падающего стального шара весом 2,52 кг. Во всех опытах в прибор загружалось 8 см³ твердого в-ва, в качестве которого применялись кварц, стекло, бурый и магнитный железняк. Раздробленная проба разделялась на 5 фракций. Поверхность твердого в-ва в отдельных фракциях определялась по проницаемости воздуха с помощью известного метода (Kwong I. N. S., Adams J. T., Jr., Johnson J. F., Piret E. L., Chem. Engng Progr., 1949, 45, 508). Затрачиваемая работа определялась с введением к. п. д., учитывающего упругую деформацию. Спец. опытами, в которых в прибор загружалась алюминиевая проволока, было установлено, что к. п. д. составлял 77%. $T_{ра}$ изменялась от -58 до 400°. Данные опытов показывают, что $t_{ра}$ практически не влияет на процесс дробления.

В. Коган

21731. Изогнутое сито. Усовершенствование оборудования для мокрого просеивания тонкоизмельченных материалов. Фонтейн (The D. S. M. sieve bend. Recent developments in apparatus for wet screening at fine sizes. Fontein F. J.), S. Afric. Mining and Engng J., 1957, 68, № 3354, 989, 991, 993, 995, 997 (англ.)

Сито (С) состоит из изогнутой рамы, к которой прикреплены тонкие стержни с клиновидным поперечным сечением, расположенные параллельно друг другу с таким расчетом, чтобы ширина щелей между ними находилась в определенном соответствии с размерами зерен просеиваемого продукта. Суспензия, содержащая подлежащие классификации частицы, подается тангенциально к поверхности С. Двигаясь по изогнутой траектории, поток суспензии набегает на выступающие друг из-за друга кромки стержней. При этом в каждую щель ответвляется тонкий слой суспензии, увлекающей за собой частицы, размер которых обычно не превышает 1/2 ширины щели. Благодаря такому соотношению ширины щели и размера частиц забивка С становится невозможной. Преимуществом новой конструкции С по сравнению с обычными грохотами является его высокая производительность. На С могут просеиваться частицы размером 0,1—5 мм. С неприменимо для работы с абразивными в-вами вследствие быстрого истирания кромок клиновидных стержней. Приводятся примеры использования С в различных отраслях пром-сти.

В. Реутский

21732 П. Центробежные сепараторы для очистки запыленных газов. Картер (Centrifugal separators for particle-laden gaseous media. Carter William Rupert) [Superior Separator Co.], Пат. США 2747687, 29.05.56

Центробежный сепаратор состоит из вертикального цилиндрич. кожуха с гладкими внутренними стенками и плоскими крышкой и дном. Внутри кожуха вращается полный цилиндрич. ротор, имеющий в нижней части форму усеченного конуса; стенки ротора перфорированы. Ротор вращается с линейной скоростью 1500—5000 м/мин. Скорость тем больше, чем меньше размеры и уд. вес взвешенных в газе частиц пыли. Запыленный газ с помощью вентилятора направляется в кожух и вращением ротора вовлекается в спиральное движение. Равномерное распределение входящего газа в радиальном и тангенциальном направлениях обеспечивается спец. устройством в верхней части ротора. В кольцевом пространстве между кожухом и ротором газ образует быстро вращающийся нисходящий вихрь. При этом относительно тяжелые частицы пыли отбрасываются центробежной силой к стенкам кожуха, а частично освобожденный от пыли газ проходит через отверстия в нижней части ротора в его внутреннюю полость, где образует второй восходящий спирально вращающийся вихрь. При этом оставшиеся в газе более легкие частицы пыли отбрасываются к стенкам ротора и через отверстия в стенках выносятся в кольцевое пространство. Обеспыленный газ уходит через патрубок в верхней части кожуха. Собирающаяся на дне кожуха пыль удаляется шнеком через газонепроницаемый затвор.

Ю. Скорецкий

21733 П. Усовершенствование электрофильтров (Perfectionnements apportés aux électro-filtres) [Soc. de Purification Industrielle des Gaz]. Франц. пат. 1127512, 18.12.56

Для нормальной работы электрофильтра (Э) необходимо равномерное распределение пыли в массе газа и равномерное распределение газа по поперечному сечению Э. Для этой цели в трубопроводе, подводящем очищаемый газ в Э, перпендикулярно его оси устанавливается решетка из полос жести. Последние не доходят до стенок трубопровода. В результате образования вихрей у длинного края полос и продольных потоков газа у торца полос происходит интенсивное перемешивание газа и однородное распределение пыли. Край полос могут быть отогнуты под тупым или острым углом к направлению потока; при чередовании таких полос достигается интенсивное перемешивание газа.

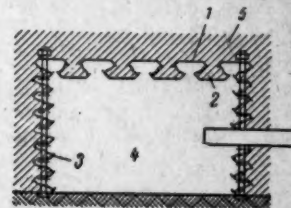
З. Хаймский

21734 П. Способ и устройство для магнитной фильтрации. Фатерберг (Sätt och anordning för magnetisk filtrering. Fagerberg B. G.) [Luossavaara-Kurunavaara AB]. Шведск. пат. 157001, 27.11.56

Устройство для фильтрации суспензий магнитных частиц отличается тем, что один или несколько стационарных или вращающихся электромагнитов обращены полюсами к фильтрующей поверхности (ФП) барабанных фильтров и установлены внутри барабана у фильтра с наружной ФП и снаружи барабана у фильтра с внутренней ФП.

К. Герифельд

21735 П. Поддерживающая решетка для зернистых, фильтрующих материалов. Дрегер (Grille de support pour matières filtrantes. Dräger Otto Heinrich). Франц. пат. 1117456, 23.05.56



Решетка образуется из отбортованных пластин 1, 2 и Z-образных пластин 3, которые образуют камеру 4, куда проходит фильтрат. 1, 2, и 3 собираются таким образом, чтобы линия, соединяющая края соседних пластин, образовала с горизонтом угол, меньше угла естественного откоса, так что фильтрующий материал 5 не просыпается в 4.

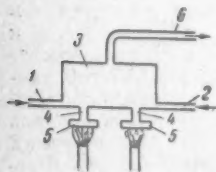
3. Хаимский
21736 П. Новый фильтрующий материал для очистки жидкостей. Паран (Nouvelle matière filtrante et son application à l'épuration des liquides. Parent Jean) [Ets. Fortin & Saunier, Ets. Caillet]. Франц. пат. 1124541, 12.10.56

Фильтрующий материал состоит из зерен кварцита, связанных терморезактивной смолой (расход смолы 5—6%). Сопротивление материала на разрыв 50 кг/см^2 , на сжатие 350 кг/см^2 .

3. Хаимский

21737 П. Способ и устройство для эмульгирования жидкостей. Эше, Шауфлер (Verfahren und Einrichtung zum Emulgieren von Flüssigkeiten. Esche Rolf, Schaufler Erwin) [Siemens-Schuckertwerke A.-G.]. Пат. ФРГ 960272, 21.03.57

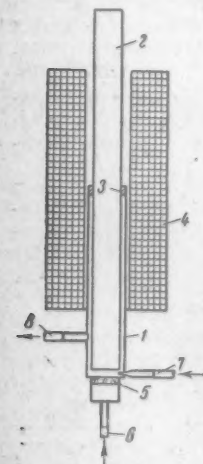
Предлагаемый способ отличается применением для эмульгирования «ударного испарителя». Жидкости, подлежащие эмульгированию, по трубам 1 и 2 подаются



в сосуд 3, соединяющийся патрубками малого диаметра 4 с ударными испарителями 5, к которым подводится тепло. Холодная жидкость, попадая на нагретые стенки 5, быстро испаряется, в результате чего в 5 повышается давление, при этом пар с большой скоростью поступает в 3 и конденсируется. После испарения всей жидкости в 5 давление в нем падает и по 4 туда поступает новая порция жидкости, которая вновь испаряется. Частота получающихся пульсаций зависит от размеров 4 и 5. За счет этих пульсаций происходит образование эмульсии, которая удаляется по трубе 6.

В. Коган
21738 П. Диспергирующее устройство. Саутер, Шёфер (Vorrichtung zum Dispergieren. Sauter Eugen, Schöfer Rudolf) [Siemens-Schuckertwerke A.-G.]. Пат. ФРГ 952707, 22.11.56

Предложено устройство для диспергирования жидкостей или газов в среде других жидкостей за счет применения колебаний звуковой или ультразвуковой частоты, создаваемых магнитострикционным генератором. Устройство состоит из камеры 1, стенки которой выполнены из немагнитного материала, ферромагнитного стержня 2, опущенного нижним концом через герметизирующее кольцо 3 в 1, электромагнитной катушки 4, пористой перегородки 5, смонтированной в днище 1, труб 6 и 7, служащих соответственно для подачи диспергируемых жидкостей или газа и жидкости, являющейся дисперсионной средой, и трубы 8 для отвода полученной эмульсии. В отличие от применявшихся до сих пор диспергирующих устройств, основанных на использовании звуковых или ультразвуковых колебаний



данное устройство, отличающаяся простотой, обладает вместе с тем большей эффективностью за счет поступления диспергируемой жидкости в 1 через пористую перегородку.

В. Реутский

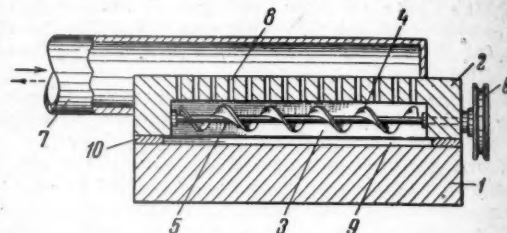
21739 П. Аппарат для перемешивания жидких, пастообразных, порошкообразных, гранулированных или волокнистых веществ (Dispositif pour mélanger de matières liquides, pâteuses, pulvérentes, granuleuses ou fibreuses) [Penicillin-Ges. Daulsberg & Co.]. Франц. пат. 1125651, 5.11.56

Аппарат представляет собой сосуд, имеющий форму тетраэдра, который вращается на оси, проходящей вблизи его центра тяжести. Перемешивание в таком аппарате происходит очень эффективно. Для повышения производительности перемешивания ведут в нескольких сосудах, вращающихся на одной оси.

3. Хаимский

21740 П. Перемешивающее приспособление для термодиффузионного аппарата. Гэри (Fluid mixing device for thermal diffusion apparatus. Gary James H.) [The Standard Oil Co.]. Пат. США 2751082, 19.06.56

Описана конструкция термодиффузионного аппарата, состоящего из двух параллельных плит 1 и 2, снабженного приспособлением для перемешивания исход-

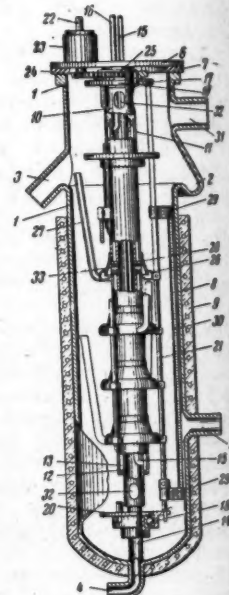


ной смеси. Приспособление помещается в углублении 3 в 2 и представляет собой шнек 4, вал которого 5 выходит наружу, где на нем установлен приводной шкив 6. Исходная смесь, подаваемая по трубе 7, через ряд отверстий 8 поступает в 3, откуда по силосной щели равномерно вытекает в рабочее пространство 9, размер которого фиксируется прокладкой 10. Число оборотов 5 выбирается таким, чтобы обеспечивалось равномерное перемешивание исходной смеси без турбулизации ее на входе в 9.

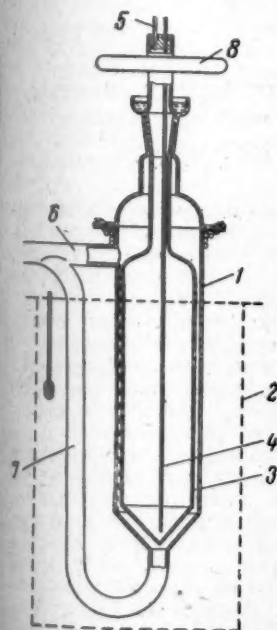
В. Коган

21741 П. Аппарат для дистилляции под вакуумом. Перри, Кокс (Vacuum distillation apparatus. Perry Edmond S., Cox Dean S.) [Eastman Kodak Co.]. Пат. США 2749292, 5.06.56

Описывается конструкция аппарата (А) с многократным испарением, характеризующегося весьма малым гидравлич. сопротивлением. А имеет оболочку 1 из стекла или другого материала, в верхней части которой устроен кольцевой сборник 2 и отводная трубка 3, а в нижней части — трубки 4 и 5. Горловина 1 закрывается крышкой 6 и уплотняется прокладкой 7. Оболочка 1 по всей высоте ниже 2 обогревается электрич. спиралью 8, смонтированной в слое изоляционного материала 9; выше 2 оболочка свободно охлаждается воздухом. К 6 приварен отрезок трубы 10, к нижней



части которого коаксиально приварены две трубы, идущие к низу А. Внешняя труба 11 в точке 12 приварена к внутренней трубе 13, а последняя заканчивается стержнем 14, вставляемым в 4; нижний конец 14 имеет канавку, по которой жидкость из 1 может стекать в 4. По кольцевому пространству между 11 и 13 циркулирует вода или другая охлаждающая жидкость, которая подается по трубе 15 в нижнюю часть А и удаляется по трубе 16. Трубы 10, 11, 13 и стержень 14 образуют неподвижную ось А, на которой укреплены два подшипника 17 и 18, несущие подвижную систему из двух дисков 19 и 20, связанных тремя вертикальными стержнями 21. Верхний диск вращается мотором через вал 22, проходящий в герметизированном подшипнике 23, и пару зубчатых колес 24 и 25. На 21 укреплен ряд кольцевых сборников 26, каждый из которых снабжен трубкой 27, идущей к стенке А и вверх на высоту, примерно вдвое большую, чем расстояние между 26. В 26 входят конусы 28, укрепленные на 11. Кроме того, на 21 с помощью конштейнов 29 смонтированы гибкие шнуры 30, при своем движении размазывающие жидкость по поверхности 1. Воздух из А откачивается системой вакуумных насосов до остаточного давл. 10 мм рт. ст. или ниже через трубу 31. Для уменьшения гидравлич. сопротивления неконденсирующиеся газы откачиваются не только по сечению между 1 и 11, но также и по каналу внутри 13, который соединен с паровым пространством сверху и снизу А отверстиями 32 и трубками 33, шарнирными под каждым 28. Разгоняемая смесь подается по 5, стекая вниз, она размазывается по внутренней поверхности 1 и частично испаряется; остаток удаляется по 4 в сборник и при необходимости может быть возвращен для повторной дистилляции. Пары поднимаются вверх и постепенно конденсируются на 11: сначала более высококипящие, а выше — легкокипящие; вращающиеся 27 турбулизируют пар и улучшают его движение. Образовавшийся на 11 конденсат стекает вниз и по 28 попадает в нижележащий 2, под действием центробежной силы поднимается по 27, разбрызгивается на 1, размазывается с помощью 30 и стекает по стенке 1 вниз, частично испаряясь. Многократное испарение с поверхности, орошаемой жидкостью, обогащенной легкокипящими компонентами, сопровождается ректификационным действием и приводит к более четкому разделению смеси. Легкая фракция собирается в 2 и удаляется по 3. А. Р. 21742 П. Аппарат для молекулярной фракционной возгонки (Appareil à sublimation moléculaire fractionnée) [Société d'électrochimie, d'électro-metallurgie et des aciéries électriques d'Ugine]. Франц. пат. 1116278, 7.05.56



Аппарат предназначен для мол. возгонки под вакуумом теплотворных в-в (ТВ), которые разлагаются ниже т-ры плавления. ТВ в виде вертикальной полоски на-

сится на внутреннюю поверхность корпуса 1, изготовленного из прозрачного материала и помещенного в термостат 2. Внутри 1 находится конденсатор 3, охлаждаемый водой или другим охлаждающим в-вом, которое поступает в 3 по трубке 4 и уходит из него по трубке 5. Вакуум создается при помощи вакуум-насоса, соединенного с 1 трубками 6 и 7. Толщина кольцевого пространства между 1 и 3 выбирается так, чтобы оно было меньше длины свободного пробега молекул возгоняемого в-ва при данном вакууме. Последовательными поворотами маховика 8 на несколько градусов можно ступенчато регулировать скорость поступления охлаждающего в-ва и соответственно изменять т-ру поверхности конденсатора 3, в результате чего достигается фракционированная возгонка ТВ. После каждого поворота 7 против полоски ТВ оказывается новый участок конденсатора 3, на котором откладывается очередная фракция ТВ. Таким образом может быть получено по 20 фракций возгоняемого в-ва. С. Гинзбург

21743 П. Аппарат для фракционирования. Бергман (Fractionating apparatus. Bergman Donald J.) [Universal Oil Products Co.]. Пат. США 2753166, 3.07.56

Описывается конструкция колпачковой тарелки для ректификационных колонн, обеспечивающая интенсивное взаимодействие жидкости и паров и работающая



с миним. разностью уровней жидкости. Колпачки выполнены из листового металла штамповкой в виде прямоугольных параллелепипедов, открытых снизу и погруженных частично в слой жидкости на тарелке. Нижняя кромка колпачка имеет прорези, форма которых показана в плане на рис. слева; справа показан боковой вид колпачка. Пары, поднимающиеся с нижележащей тарелки, через прорези проникают в жидкость, вызывая энергичное ее перемешивание и заставляя двигаться в определенном направлении.

Ю. Петровский

21744 П. Устройство для контактирования жидкости и газа. Уэлти (Liquid-gas contacting device. Welty Albert B., Jr) [Esso Research and Engineering Co.]. Пат. США 2754096, 10.07.56

Колонна, отличающаяся высокой производительностью при миним. уносе жидкости, выполнена в виде цилиндрич. вертикального корпуса 1, внутри которого размещены наклонные сплошные направляющие перегородки 2, верхний конец которых совпадает с хордой, образуя отверстие в форме сегмента для прохода поднимающихся газов или паров. Нижний конец перегородок 2 вертикален и образует с выступающей перегородкой 3 гидравлич. затвор. Свободное пространство внутри 1 засыпается насадкой 4 (кольца Рашига, седлообразные элементы).



Ю. Петровский

21745 П. Конструкция тарелок для осуществления контакта жидкости и газа (Perfectionnements aux plateaux à fentes pour mise en contact des liquides et des gaz) [L'Air Liquide (Son. An. pour l'Étude et l'Exploitation des Procédés Georges Claude)]. Франц. пат. 1113755, 4.04.56

Предложена конструкция тарелки, изготавливаемой из тонких металлич. листов путем выполнения ряда параллельных просечек и выдавливания под плоскость листа узких полосок металла. При этом образуется ряд щелей, через которые проходят пары, осуществляющие интенсивное перемешивание жидкости на тарелке.

З. Хаимский

21746 П. Устройство для смешения жидкостей с газами. Хальтмейер (Vorrichtung zum Mischen von Flüssigkeiten mit Gasen. Haltmeier Alfred) [Farbenfabriken Bayer A.-G.]. Пат. ФРГ 960270, 21.03.57

Конструкция барботажных колпачков отличается тем, что на наружной поверхности колпачка 1 укрепляется ряд расположенных по спирали направляющих ребер 2, обеспечивающих подъем газа (пара) в виде пузырьков и равномерное течение жидкости, контактирующей с газом.

Для предотвращения проникновения газа за пределы 2 при больших его скоростях 1 снабжается наружным козырьком 3.

В. Коган

21747 П. Уплотнительное устройство для тарелок в колоннах, предназначенных для массообмена между жидкой и газообразной фазами. Фаринад (Dispositif d'étanchéité des extrémités de déversoirs et biefs des plateaux pour colonnes d'échange entre phase gazeuse et phase liquide. Farcinade Réma) [Société des Etablissements Barber]. Франц. пат. 1109913, 3.02.56

Для осуществления возможности перемещения в вертикальном направлении перегородки 1 переливного устройства и одновременного достижения герметичности в месте соединения 1 с корпусом 2 колонны предложено применять

применять цилиндрич. прокладку 3 из подходящего эластичного материала. Уплотнение достигается в результате деформации прокладки 3 под действием пластины 4, перемещаемой в горизонтальном направлении при помощи клина 5, приводимого в движение посредством винтового устройства (на рис. не показано).

С. Гинзбург

21748 П. Аппарат для молекулярной дистилляции. Мареш (Vakuumový destilační přístroj. Mareš Vojtěch). Чехосл. пат. 82844, 1.09.54

Описывается конструкция аппарата для мол. дистилляции с вращающимся испарительным устройством, на внутренней поверхности которого происходит растекание дистиллируемой жидкости и ее испарение.

Е. Стефановский

21749 П. Кристаллизационная установка непрерывного действия. Нурелль (Anordning för kontinuerlig kristallisation. Norell K. T.) [AB Bofors]. Шведск. пат. 156712, 30.10.56

Установка для кристаллизации из расплава состоит из одного или нескольких последовательно установленных сосудов с рубашками и мешалками. Над первым сосудом установлен предварительный кристаллизатор

(ПК), который представляет собой небольшой сосуд с мешалкой, но без рубашки; в ПК непрерывно вводятся расплав и рубитель, в присутствии которого идет кристаллизация, и непрерывно через перелив отводятся из ПК в первый сосуд р-р, обогащенный зародками кристаллизации. В последующих сосудах происходит упаривание кристаллизующей смеси и выпадение кристаллов, которые из последнего сосуда выводятся с помощью шнека.

К. Герцфельд

21750 П. Устройство для подачи гранулированных материалов в закрытый сосуд. Пенник, Пейн (Apparatus for the introduction of granular solids into a closed vessel. Penick Joe E., Payne John W.) [Socony Mobil Oil Co., Inc.]. Пат. США 2745705, 15.05.56

Предлагается конструкция загрузочного устройства непрерывного действия, которое обеспечивает равномерную толщину гранулированного слоя в реакторе. В качестве гранулированных материалов могут использоваться бокситы, древесный и активированный уголь с частицами различной формы (оптимальный размер частиц 15—30 меш.). Устройство состоит из двух вертикальных, концентрично расположенных труб, установленных над реактором. Снизу трубы закрыты общим днищем. По внутренней трубе (ВТ) сверху, из бункера, сыпается материал. В боковой поверхности ВТ имеется несколько продольных щелей, между которыми в кольцевом пространстве установлены поперечные вертикальные перегородки, приваренные к наружной трубе. Одновременно ВТ служит направляющей для цилиндрич. муфты, которая может перемещаться по вертикали с помощью троса и системы блоков, обеспечивая тем самым плавное изменение рабочей поверхности щелей. Гранулированный материал из ВТ через щели направляется в кольцевое пространство загрузочного устройства, откуда он по вертикальным трубам, вваренным в днище, поступает в реактор.

Б. Сумм

См. также: Измерение т-ры в холодильной технике 21758. Теплоизоляционные огнеупоры 22138. Вспенивание в выпарных аппаратах 22961. Выпарные аппараты 22959. Камерная сушилка 22115. Дистилляция под вакуумом 22404

КОНТРОЛЬНО-ИЗМЕРИТЕЛЬНЫЕ ПРИБОРЫ. АВТОМАТИЧЕСКОЕ РЕГУЛИРОВАНИЕ

Редакторы А. М. Дробиз, Н. Я. Феста

21751. Улучшение процессов и проектирование производств. Лант (Process development and plant design. Lunt S. T.). Trans. Soc. Instrum. Technol., 1957, 9, № 3, 87—97. Discuss., 97—103; Process Control and Automat., 1957, 4, № 5, 166—169 (англ.)

Рекомендуется применение электронных счетно-решающих устройств как для ведения процесса, так и для расчета расширения произ-ва и проектирования новых произ-в. Наиболее целесообразно применение самонастраивающихся устройств, которые при помощи пробных расчетов определяют наилучшее ур-ние, по которому следует вести подсчеты. Приводится пример составления опросного листа для выбора точек контроля и регулирования колонны дистилляции. В заключение приведена обширная дискуссия о применении стандартных электронных машин для расчета промышленных процессов.

И. Ихлов

21752. Регулирование химических реакторов непрерывного действия. Билу, Блок, Пайрет (Control of continuous-flow chemical reactors. Bilous Olegh, Block H. D., Piret Edgar L.). A. I. Ch. E. Journal, 1957, 3, № 2, 248—261 (англ.)

I. С помощью теории непрерывных реакторов и частотного метода анализа динамич. систем исследуются различные хим. р-ции. Составляются ур-ния материального и теплового балансов и находятся дифференциальные ур-ния для одностадийного непрерывного реактора. Методом линеаризации находится система из 3 линейных дифференциальных ур-ний 1-го порядка, связывающих изменения входных параметров (т-ра и концентрации питания) с изменением выходных параметров. Определяется передаточная функция, связывающая изменение конц-ии продукта с изменением конц-ии питания при постоянной т-ре питания. Делается вывод, что реактор в этом случае устойчив при любых параметрах. Приводится численный пример для р-ции второго порядка. Вычисляются амплитудно-фазовые характеристики для случая изменения только конц-ии питания и затем для одновременного изменения конц-ии и т-ры питания. Выводится условие устойчивости. Реактор неустойчив только в случае экзотермич. р-ции с большим тепловыделением. Графики амплитудно-фазовых характеристик показывают, что в случае эндотермич. р-ции конц-ия выходного продукта менее чувствительна к изменениям состава питания, чем в случае экзотермич. р-ции. Методика исследования обобщается для случая, когда в р-ции участвуют реагенты. С помощью матриц находятся передаточные функции при различных возмущениях. Дается пример для $m = 4$. Приводится таблица передаточных функций для различных хим. р-ций.

II. Результаты части I используются для вычисления частотных характеристик цепочки из n реакторов. Вычисляются амплитудно-фазовые характеристики для различного числа реакторов в цепочке. Показывается, что для предельного случая $n = \infty$, соответствующего трубчатому реактору, амплитудно-фазовая характеристика представляется окружностью с центром в начале координат. Выводятся условия устойчивости трубчатого реактора. С помощью интегрального критерия исследуется качество регулирования систем с различными регуляторами и с объектами из одного и нескольких реакторов. Для исследования таких сложных систем регулирования предлагается использовать моделирующие установки. Приводятся, как пример, одна из систем моделирования таких систем и графики процесса регулирования, полученные моделированием при различных настройках регулятора. Рассматривается влияние чистого запаздывания.

Б. Вольтер

21753. Применение проникающих излучений и радиоактивных изотопов в технике. Лобанов Е. М., Стародубцев С. В. В сб.: Атомн. энергия в мирных целях. Л., Госэнергоиздат, 1957, 46—72

Приводятся описание методов и различных приборов контроля, основанных на использовании законов поглощения γ - и β -излучения в-вом. Рассмотрены толщиномеры, α -, β - и γ -толщиномеры, различные указатели и измерители уровня и счета предметов; приборы контроля, основанные на использовании законов рассеяния излучения в-вом (толщиномеры и плотнометры). Приводятся примеры использования метода измерения атомов.

М. Людмирский

21754. Применение в химической промышленности приборов для измерения радиоактивности. Нисибори, Миёси (放射線測定器の化学工業への應用, 無精美, 三好克彦), ケミカル エンジヤリング, Коммуналу эндиэиарингу, Chem. Engng, 1957, 2, № 2, 150—164, 165 (японск.)

21755. Датчик перемещений нового типа. Минтер (A new type displacement transducer. Minter Clarence C.), ISA Journal, 1956, 3, № 1, 21—22 (англ.)

Теплопроводность Не при малых абс. давлениях сильно зависит от давления. На этом свойстве основан датчик перемещений. 4 термокондуктометрич.

ячейки включаются в электр. мостовую схему, а газовые линии этих ячеек соединяются с 2 сильфонами, заполненными Не, находящимися под малым абс. давлением. Эти сильфоны механически связаны друг с другом так, что при сжатии одного из сильфонов второй сильфон растягивается. При этом давление в одной паре ячеек возрастает, а в другой — падает. В результате нарушается равенство теплопроводности газа в ячейках и появляется разбаланс моста, измеряемый обычными методами. Так можно обнаруживать перемещения порядка 10^{-6} мм. Связав эту комбинацию сильфонов с мембраной дифманометра (эфф. сечением 20 см^2), можно получать на выходе моста 3 мв, при перепаде давления 2,5 мм вод. ст. Применяя более чувствительные схемы, можно обнаруживать изменения давления порядка 10^{-7} кг/см^2 . При симметрии объемов камер и сильфонов датчик перемещения нечувствителен к изменению окружающей т-ры и давления. Показана схема такого прибора для измерения абс. давления. Датчик абс. давления чувствителен к изменению т-ры вследствие изменения упругих свойств сильфонов. Дрейф нуля при изменении т-ры от 24 до 42° не превышает 50 мв рт. ст. Изменение чувствительности, при этих же условиях, $\leq 6\%$.

И. Ихлов

21756. Методы определения давления водяного пара в условиях сушки сублимацией. Рогожинская Н. И., Тр. Моск. технол. ин-та пищ. пром-сти, 1957, вып. 8, 143—155

Экспериментально исследованы методы определения давления водяного пара (ВП) при низких давлениях паровоздушной смеси применительно к процессам сушки сублимацией. Предложена методика создания в замкнутом объеме атмосферы ВП с заданным давлением пара, основанная на введении в вакуумную систему и испарении в ней определенной дозы воды с последующим расчетом по ф-ле Менделеева — Клапейрона. Для определения относительной влажности ϕ в условиях, характерных для сушки сублимацией (относительно глубокий вакуум порядка $1-0,01$ мм рт.ст. и $\phi < 30\%$), применен волосной гигрометр. Найдено, что волос как датчик влажности в вакууме дает вполне удовлетворительную воспроизводимость показаний, но обладает значительной инерционностью, увеличивающейся с понижением давления до 20—25 мин.

А. Ровинский

21757. Успехи в области технического измерения температуры. Линддорф (Fortschritte auf dem Gebiete der technischen Temperaturmessung. Linddorf H.), Draht, 1957, 8, № 9, 395—398 (нем.)

Рассмотрены области применения различных измерителей т-ры. Показано значение динамич. параметров измерителей, в частности постоянной времени, времени установления 50 и 98% от установившегося показания. Приведены краткие описания термометров сопротивления и термопар. Для измерения э.д.с. термопар применяют или схему прямого измерения или автоматич. компенсационные схемы. Компенсация изменения т-ры холодных спаев осуществляется термостатированием этого спая или использованием термочувствительного сопротивления. Компенсационные схемы позволяют измерять э.д.с. практически, без отбора тока и делятся на два основных типа: а) с постоянным сопротивлением и с изменяющимся током; б) с неизменным током и с изменяющимся сопротивлением. При использовании гальванометра класса 0,5 и Pt/PtRh термопары первого типа имеют погрешность $\pm 5^\circ$ при измерении т-ры 1500° ; приборы второго типа $\pm 4^\circ$. Указанные погрешности включают колебания окружающей т-ры на $\pm 10^\circ$ и напряжения сети на $\pm 10\%$ и подавление начальной части шкалы.

И. Ихлов

21758. Проблема измерения температуры в холодильной технике. Целль (Temperaturmeßprobleme in der Kältetechnik. Zell H. G.), Kältetechnik, 1957, 9, № 10, 340 (нем.)

При измерении т-ры поверхности в холодильных установках, а также т-ры внутри и снаружи охлаждаемых продуктов, возникают затруднения, связанные с отсутствием термочувствительных элементов с малой теплоемкостью. В последнее время для этих целей выпущен электронный прибор «Термофил», в котором в качестве чувствительного элемента использован полупроводниковый термистор из Ge с защитным наконечником из стекла или металла. Диаметр термистора 0,25 мм, вследствие чего он отсасывает очень мало тепла от измеряемого объекта и обладает малым временем установления показаний. Сопротивление термистора — 500 ком, что позволяет пренебрегать сопротивлением соединительных проводов. Прибор включает электронный усилитель и указывающий вторичный прибор. Выпускается переносная модификация прибора с питанием от встроенных сухих батарей. Вес такого прибора 850 г. Диапазоны измерения от $(-50) - 160^\circ$ до $(-1) - 32^\circ$ с разделением на 3 поддиапазона и ценой деления соответственно 1 и 0,1°. Предполагается выпуск стационарных приборов с профильным вторичным прибором и с регистратором и регулятором. И. Ихлов

21759. Современные приборы для определения и измерения рудничных газов. Кейенбург (Nezeitliche Geräte zur Feststellung und Messung von Grubengasen. Keienburg F.), Bergbau-Rundschau, 1955, 7, № 7, 357—364 (нем.)

Для анализа CH_4 разработаны несколько типов приборов (П). Так называемый «Метанометр» — переносной П, работающий по методу сжигания CH_4 на горячей платиновой нити и определения повышения т-ры этой нити при помощи мостовой схемы и гальванометра, питается от аккумулятора рудничной лампы и имеет две шкалы: 0—2% и 0—5% CH_4 . П выполнен во взрывобезопасном исполнении. Другой П работает по методу измерения уменьшения объема газа после сжигания CH_4 на платиновой проволоке, нагреваемой электрич. током от аккумулятора. Отсчет конц-ии CH_4 производится по подъему столбика жидкости в трубке жидкостного манометра. Диапазон измерения 0—3% CH_4 ; цена деления 0,5%; вес 3,15 кг. Третий П — интерферометр рудничного газа. В этом П луч света от электрич. лампочки оптич. системой делится на две части: одна направляется через кювету, наполненную чистым воздухом, а другая — через кювету, заполняемую исследуемым воздухом. После двухкратного прохождения через кюветы оба луча снова собираются и проектируются на шкалу, наблюдаемую в микроскоп. Наблюдаемые интерференционные линии смещаются пропорционально содержанию CH_4 . Шкала 0—6% CH_4 . Вес П 1,4 кг. Наличие CH_4 или повышенное содержание CO_2 можно также определять спец. бензиновой лампой по цвету пламени. Для определения CO и H_2S применяются патроны с цветным индикатором, через которые просасывается анализируемый воздух. По высоте окрашенного слоя судят о конц-ии примеси. Чувствительность патронов для CO 0,001 об.%, для H_2S 0,0005 об.%, максим. конц-ия 0,3%. Приводятся данные о влиянии CO и H_2S на человеческий организм в зависимости от конц-ии и времени воздействия. И. Ихлов

21760. Эксплуатация pH-метров. Линевег (Grundsätzliches über Wartung von pH-Meßanlagen. Lieneveg Fritz), Chem.-Ingr.-Techn., 1957, 29, № 10, 641—644 (нем.; рез. англ., франц.)

Даны рекомендации по выбору типа электрода для измерения величины pH. Стеклоэлектрод обладает большей точностью измерений, но более сложен

в эксплуатации в связи с наличием усилителя с высокоомным входом. Более прост в эксплуатации Sb-электрод, допускающий непосредственное подключение обычных гальванометров без усиления. Если желательно избежать погрешности от изменения сопротивления электролитич. ключа, то и при Sb-электроде применяют усилители. Рассмотрены основные проверки устройств для измерения pH (сопротивление изоляции проводов, их экранировка, усилитель). Проверку работы усилителя рекомендуется производить с включенным последовательно со входом сопротивлением в 300 Мом. Сопротивление сравнительного полуэлемента по отношению к земле не должно превышать 20 ком. Особое внимание необходимо обратить на содержание в сухом состоянии клеммных головок электродов. При Sb-электроде необходима периодич. проверка его показаний с помощью лабор. потенциометра и стеклянного электрода. В случае повышенной погрешности необходимо прочищать электрод и электролитич. ключ, а в случае необходимости заменять полуэлемент. И. Ихлов

21761. Паровая калориметрия. Поттер (Steam calorimetry. Potter J. H.), Combustion, 1957, 29, № 1, 51—55 (англ.)

Приведены принципиальные схемы калориметров. В пром-сти применяют только два типа калориметров: а) универсальный, в котором использованы принципы сепарации пара путем изменения направления его потока на 180° и одновременного дросселирования и б) дроссельный калориметр. И. Ихлов

21762. Автоматические методы контроля в производстве нитросоединений. Портнов М. А., Томлов Б. И., Хим. пром-сть, 1957, № 5, 287—291

Описание разработанного авторами метода определения азотной к-ты в смесях с серной к-той, основанного на измерении повышения т-ры в адиабатич. калориметре, которое происходит вследствие экзотермич. р-ции определяемого в-ва с соответствующим подобранным реагентом (63% *n*-фенолсульфокислоты, 23% H_2SO_4 , 14% H_2O). Метод применим для контроля отработанной к-ты в процессах нитрования. Относительная погрешность составляет $\pm 5\%$ при колебаниях содержания серной к-ты в отработанной к-те $\pm 1,5\%$ и общем содержании нитрозилсерной к-ты до 0,7%. Приводится описание принципа действия и конструкции автоматич. прибора, основанного на рассмотренном методе. При разработке оптимальных условий и автоматич. непрерывного контроля промыски мононитрохлорбензола в качестве параметра контроля для воды промыски был выбран метод измерения электропроводности и для содовой промыски — измерение pH. Электропроводность измерялась с помощью кондуктометра Э-38 ЦНИЛКИП. Точность измерения $\pm 2\%$. Ячейка — стеклянная с платинированными платиновыми электродами. Константа ячейки $3,94 \text{ см}^{-1}$. Т-ра при измерении поддерживалась с точностью $\pm 0,2^\circ$. При контроле содовой промыски применялись сурьмяные электроды, которые отливались в форме стержней из технич. сурьмы марки СУ-0. Измерительный прибор — ламповый потенциометр ЛП-5. За счет автоматизации контроля промыски расход соды и кол-во сточных вод можно сократить в 2—3 раза. Отмечается, что дальнейшее сокращение кол-ва сточных вод можно получить за счет возврата промывной воды после содовой промыски на водн. (кислую) промывку. Тем самым кол-во вредных стоков, нуждающихся в спец. очистке, можно уменьшить в 4—5 раз. М. Людмирский

21763. Применение в химической промышленности прибора для обнаружения металлических примесей. Минами (化学工業における金属検出機の利用. 南洋一), ケミカル. エンジン ヤリッダ,

Каминару эндзинярингу, Chem. Engng, 1957, 2, № 1, 92—94 (японск.)

21764. Дистанционное измерение и диспетчерское управление. Донован (Remote metering and supervisory control. Donovan W. H., Jr.), Gas Age, 1957, 119, № 11, 12—15, 44 (англ.)

Сообщается о применении компанией Alabama Gas Corp. (США) диспетчерского управления системой распределения газа в Бермингеме. Система обслуживает ~115 000 потребителей и имеет протяженность ~1900 км. Для передачи показаний приборов и команд управления используются телефонные линии. По одному каналу передается ~20 различных сигналов одновременно. Специально разработанное оборудование и аппаратура работают на принципе модулирования одной несущей частоты с использованием нескольких звуковых сигналов. Приводится общая схема контроля данной системы распределения газа в краткое описание отдельных ее узлов. Б. Вольтер

21765. Автоматика тепловых агрегатов огнеупорной промышленности. Шумилин А. А., Тр. Научно-техн. о-ва черной металлургии. М-во черной металлургии, 1957, 12, 114—132. Дискусс. 153—169. Рассмотрены основные принципы автоматизации работы печей огнеупорной пром-сти. Выводятся ур-ния горения и тяги и дается их анализ. На основании полученных ур-ний определяются условия, которыми должна удовлетворять схема автоматизации и основные регуляторы, а также схема стабилизации. Дается оценка разработанных в настоящее время схем автоматизации различных тепловых агрегатов (туннельных сушил с полочными вагонетками для изделий пластич. формирования; сушильных барабанов; туннельных сушил с печными вагонетками; вращающихся печей; туннельных печей; шахтных и газокammerных печей). Рассматриваются перспективы автоматизации в огнеупорной пром-сти. М. Людмирский

21766. Автоматизация периодического процесса. Бридлау (Automatic control comes to the batch process. Breedlove Harry B.), Petrol. Process., 1957, 12, № 5, 220—221 (англ.)

В 1954 г. фирма Esso Standard Oil Co.'s Baton Rouge La. осуществила автоматич. регулирование установочного периодич. действия для удаления воска из пропана путем охлаждения. Приведено краткое описание схемы автоматизации. П. Романков

21767. Технические детали автоматической установки для производства льда. Шагалов, До (Engineering details of the servel automatic ice maker. Shagaloff H. C., Deaux R. E.), Metal Prod. Manufact., 1957, 14, № 8, S—2—S—5; Internat. Enamelist, 1957, 7, № 3, 15—18 (англ.)

Приведена принципиальная схема и краткое описание конструкции установки для автоматич. приготовления пищевого льда. Все циклы приготовления льда происходят полностью автоматически и продолжительность отдельных операций контролируется по времени или окончанием предыдущей операции. И. И.

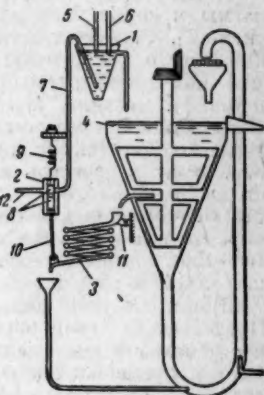
21768. Автоматизация производства конфет. Вейтер (From kettle to Campfire. Vater D. F.), Instrumentation, 1956, 9, № 2, 10—11 (англ.)

Ведущая в США кондитерская фирма Cracker Jack Co. применила при изготовлении конфет (К) автоматич. регуляторы и регистраторы. Приведена технологич. схема процесса, в котором автоматически регулируется т-ра в процессах варки массы, сушки и складывания крахмала, применяемого для пересыпки К. Регистрируются т-ра и влажность помещения, где выдерживаются К. Для этой цели установлен регистратор т-ры с сухим и влажным термометрами сопротивления. Кроме того, установлены регуляторы для доведения консистенции патоки в цистер-

нах до степени, позволяющей перекачку ее насосом. Применение автоматич. регуляторов сэкономило рабочую силу, сырье и топливо и повысило качество К. И. Ихлов

21769 П. Устройство для автоматического регулирования удельного веса жидкостей. Мацумура, Куваги (重液比重自動調整装置. 松村守夫, 桑木元三) [住友機械工業株式会社, Сумитома кикай когэ кабу-сики кайся]. Японск. пат. 2954, 29.05.54

Устройство состоит из резервуара 1, золотника 2 и змеевика 3. 1, служащий для непрерывной подачи р-ра с большим уд. весом в аппарат 4, снабжен трубами 5 и 6 (по которым осуществляется непрерывный подвод суспензии и воды), а также воздушным барботером 7. Регулирование уд. веса р-ра в 1 производится за счет регулирования подачи воздуха в 7 при помощи 2, который состоит из двух связанных поршней 8. Верхний поршень прикреплен пружиной 9 к регулировочному винту, а нижний поршень соединен тягой 10 с 3, верхний конец которого опирается на шарнир 11. Воздух поступает в 2 по линии 12, а объемная скорость его подачи в 1 определяется положением верхнего поршня. Уменьшение уд. веса р-ра, часть которого непрерывной струей поступает в 3, немедленно вызовет ослабление натяжения 9. Сокращение 9 заставит подняться верхний поршень, вследствие чего откроется входное отверстие в 7. В. Реутский



21770 П. Устройство для измерения давления газа в закрытых сосудах. Лам, Фабрициус (Apparatus for measuring gas pressure in sealed vessels. Lamb Fredrick S., Fabritius George J.) [General Electric Co.]. Пат. США 2719426, 4.10.55

Предлагается система для измерения давления газа в закрытом сосуде при помощи V-образного Hg-манометра. Она отличается тем, что для устранения погрешности измерения, вызванной изменением объема газа за счет присоединения манометра и перемещением столба Hg, перед открытием соединительного вентиля в линии, соединяющей манометр с сосудом, создается давление, примерно равное давлению в сосуде. Перед измерением давление в обеих трубках манометра выравнивается (внешним источником давления), и после открытия запорного вентиля, соединяющего манометр с сосудом, измеряется только разность между установленным ранее давлением и давлением в сосуде. И. Ихлов

21771 П. Непрерывный регистратор упругости паров. Миллиган, Помпео, Ролфсон (Continuous vapor pressure recorder. Milligan William B., Pompeo Domenick J., Rolison Francis B.) [Shell Development Co.]. Пат. США 2722826, 8.11.55

Устройство состоит из закрытого длинного вертикального сосуда с расширением сверху. Внутри этого сосуда помещен второй такой же сосуд, но открытый сверху. Исследуемая жидкость поступает в наружный сосуд снизу, поднимается вверх, переливается во внутренний сосуд и уходит снизу через регулирующий клапан, которым поддерживается уровень во внутреннем сосуде. Уровень в этом сосуде регулируется при помощи емкостного датчика. Внешний сосуд термо-

статирован. При помощи таймера избыточное давление паров периодически стравливается в атмосферу. При этом в верхней части сосудов устанавливается давление, соответствующее упругости пара. Это давление измеряется и регистрируется обычными приборами. И. Ихлов

21772 П. Определение температуры газа. Уайлд-хак (Determining temperature of a gas. Wildhack W. A.). Англ. пат. 713322, 18.04.49

Предлагается пневматич. метод измерения т-ры газа, при котором газ продувают через трубку, в которой последовательно помещены диафрагма и сопло. Скорость газа через сопло поддерживается выше крит. Если давление и т-ра газа в исследуемом трубопроводе (у диафрагмы) P_1 и T_1 , а давление и т-ра газа перед соплом P_2 и T_2 , то справедливо ур-ние: $P_2/P_1 = (1 + K_2 T_1/K_1 T_2)^{-0.5}$, где K_1 и K_2 — постоянные диафрагмы и сопла. Измерив T_2 , P_1 и P_2 , можно определить T_1 . Рекомендуется поддерживать T_2 постоянной. Вместо диафрагмы можно также установить сопло или регулируемый дроссель, применив схему пневматич. мостика. Можно воспользоваться вторым соплом как термометром для измерения т-ры агрессивных жидкостей и газов, для чего последними омывают этот дроссель и определяют T_2 из указанного выше ур-ния. И. Ихлов

21773 П. Прибор для непрерывного количественного определения газов. Гилмонт, Шварц (Apparatus for the continuous quantitative determination of gases. Gilmont Roger, Schwartz Morris J.). [Benjamin Cooper]. Пат. США 2749221, 5.06.56

Предлагается стационарный термохим. газоанализатор с использованием тепла р-ции на насыпном катализаторе, предназначенный для определения наличия в воздухе малых конц-ий СО или др. горючих газов. Прибор отличается конструкцией термохим. блока, его термостатирования и термобатарей. И. Ихлов

21774 П. Прибор для непрерывного анализа загрязнений в газах. Кон (Apparatus for the continuous analysis of contaminants in gases. Cohn Johan Gunther) [Baker & Co., Inc.]. Пат. США 2751281, 19.06.56

Предлагается термохим. газоанализатор (Г) для определения наличия малых конц-ий O_2 в газе, содержащем H_2 . Термохим. ячейка Г содержит слой катализатора, через который пропускается исследуемый газ. На входе и выходе из катализатора помещены спай термобатарей (хромель-константан). Соединения термобатарей с выводными Си-проводами также помещены в ячейку. Ячейка окружена вакуумной теплоизоляцией и погружена в жидкость с барботажным перемешиванием, чем устраняется влияние градиента т-ры. Термостатирования жидкости не требуется. В электр. схеме Г предусмотрен питаемый от выпрямителя делитель напряжения, служащий для установки нулевой точки прибора (устранение асимметрии термопар). Второй делитель включен параллельно выходу термобатарей и служит для установк. диапазона шкалы Г при калибровке. При конц-ии 0,0002% O_2 разность т-р газа, измеряемая термобатарей, составляет 0,0264°. Г калибруется методом электrolитич. дозирования O_2 . Для того, чтобы Г можно было калибровать газом с большими конц-иями O_2 , в схеме предусмотрена дополнительная ячейка, которая при пропускании через нее газа снижает конц-ию O_2 в определенное число раз. Для этого в ячейку помещено малое кол-во катализатора, вследствие чего получается неполное сгорание. При соответствующем выборе катализатора Г можно использовать и для измерения других газов. Так при использовании р-ции образования CH_4 этим Г можно определять такие смеси, как СО и CO_2 в газе, содержащем H_2 . И. И.

21775 П. Устройства, чувствительные к влажности. Шлукхтер (Humidity sensing devices. Schluckter Alfred W.). [General Motors Corp.]. Пат. США 2756295, 24.07.56

В чувствительных элементах для измерения влажности газов ток может разложить гигроскопич. соль (LiCl или LiBr). Для устранения этого дефекта рекомендуется работать с током повышенной частоты (500—15 000 гц). И. Ихлов

21776 П. Прибор для определения содержания влаги и других аналогичных компонентов в изолирующих жидкостях. Кофман (Apparatus for measuring the content of water and similar compounds in insulating liquids. Coffman John A.). [General Electric Co.]. Пат. США 2760368, 28.08.56

Для определения влажности трансформаторного масла предлагается методика, аналогичная определению относительной влажности газов. Для этой цели внутри сосуда с маслом помещают полосу из целлюлозы, способной менять свои геометрич. размеры в зависимости от влагосодержания масла. Истинная влажность определяется с учетом поправок на т-ту (по таблицам). Приводятся различные конструкции чувствительного элемента и его связи со стрелкой указателя. И. Ихлов

21777 П. Устройство для измерения pH жидкостей. Энгельхардт (Einrichtung zur Messung der Ionenkonzentration, z. B. des PH-Wertes, von Flüssigkeiten. Engelhardt Heinz) [Hartmann & Braun A.-G.]. Пат. ФРГ 962205, 18.04.57

Предлагается ячейка для измерения pH жидкостей, отличающаяся тем, что для уменьшения помех от блуждающих токов рабочий и сравнительный электроды, а в случае наличия и компенсирующий термометр размещены симметрично относительно потока жидкости. И. Ихлов

21778 П. Стекланные электроды. Гилберт (Glass electrodes. Gilbert Paul T.). [Beckman Instruments, Inc.]. Пат. США 2756203, 24.07.56

Патентуется форма стеклнного электрода, в котором прочность стеклнной мембраны соизмерима или даже превосходит прочность стеклнного стержня электрода. Для этой цели рекомендуется делать электрод не в виде шарика, как обычно, а в виде части сферы (от 0,6 до 0,4 площади сферы). При этом получается более однородная толщина стекла и прочность на удар возрастает от 4 раз (при 0,6 сферы) до 13 раз (при 0,5). Прочность на раздавливание возрастает, соответственно в 2,4—3,4 раза. Применяя электроды с маленьким диаметром сферы (1—8 мм) и толщиной стекла 0,1—0,5 мм, при спец. стекле с высокой электропроводностью, можно сделать стеклнные электроды, выдерживающие сравнительно высокие давления и достаточно прочные, чтобы их можно было использовать в качестве мешалок или для замеров в порошкообразных средах. Кроме того, патентуется конструкция оправы такого электрода и вывода кабеля. И. Ихлов

21779 П. Прибор для определения и фиксирования в виде кривой состава зернистых и сыпучих тел в зависимости от величины зерна. Миватара, Аракава, Адати (粒度分布曲線記録装置. 水原英二, 荒川正文, 安達政一) [株式会社島津製作所, Кабусики Кайся Симадзу Сайсакусё]. Японск. пат. 7290, 11.10.55

Прибор для определения размеров частиц сыпучих материалов методом седиментационного анализа по изменению плотности. Для этой цели исследуемое тело смешивается с жидкостью и взвесь помещается в измерительный сосуд прибора, где непрерывно определяется ее плотность. Плотность взвеси определяется автоматич. торзионными весами, к которым подвешен

влажности.
Schluch-
Pat. США

рения электро-
скопич. со-
эффекта рез-
ной частоты
И. Ихлов
мания мини-
солируют
measuring the
in insulating
Electric Co.

орматорного
а. Истинная
отой плав-
из плавко-
ч. размеры
а. Истинная
вок на т-ру
конструкция
со стрелкой
И. Ихлов
жидкостей,
essing der
von Flüssig-
nn & Braun

жидкостей,
а помех от
ынный элек-
ций термо-
льно потока
И. Ихлов
ерт (Glas-
man Instru-

ода, в кото-
мерима или
го стрелки
делать элек-
в виде части
этом полу-
и) до 13 раз
возрастает,
электроды
и толщине
сокой элек-
ые электро-
давления
ало исполь-
ов в порош-
ля конструк-
табеля.

И. Ихлов
скисривания
мучных ма-
иватарк.
тв. 水渡英二
島津製作所,
понск. пат.

иц сыпучих
анализа по
дуемое в-во
помещается
ывно опре-
ределяется
м подвешен

находящийся в жидкости поплавок. При возникнове-
нии разбаланса весов флажок, прикрепленный к коро-
мыслу, перекрывает лучи света, падающие на фото-
элементы, в результате чего начинает вращаться
агрегат, закручивающий торсионную пружину в сто-
рону достижения равновесия. Одновременно этот
балансирующий мотор переставляет перо регистратора,
вычерчивающего кривую изменения плотности жидко-
сти, а следовательно — оседания взвеси. Картину рас-
пределения частиц по размерам получают путем диф-
ференцирования указанной кривой. И. Ихлов

21780 П. Усовершенствование прибора для опреде-
ления и фиксирования в виде кривой состава зерни-
стого или сыпучего материала в зависимости от
скорости оседания в жидкостях. Миватарк,
Аракава, Адати (洗降速度差を利用する粒度分析
装置の改良. 水渡英二, 荒川正文, 安達政一), 株式會
社島津製作所, [Кабусики кайся симадзу сэйсакусё].
Японск. пат. 7291, 11.08.55

Усовершенствование прибора для седиментацион-
ного анализа заключается в том, что частицы оседают
на пластинку, подвешенную к автоматич. торсионным
весам, и регистрируется увеличение веса этой пла-
стинки, чем определяется гранулометрич. состав ана-
лизируемого сыпучего в-ва. И. Ихлов

21781 П. Усовершенствование прибора для опреде-
ления и фиксирования в виде кривой состава зерни-
стого или сыпучего материала в зависимости от
скорости оседания в жидкостях. Миватарк,
Аракава (洗降速度差を利用する粒度分析装置の改良.
水渡英二, 荒川正文) [株式會社島津製作所, Кабу-
сикай кайся симадзу сэйсакусё]. Японск. пат. 7292,
11.10.55

Усовершенствование прибора для седиментацион-
ного анализа, заключающееся в том, что производится
автоматич. измерение простота кол-ва в-ва на тарел-
ке весов под действием оседающих на нее частиц. При
этом с помощью спец. таймера через заранее опреде-
ленную промежуток времени показания прибора сбра-
сываются и начинается новая запись. Движение бу-
маги регистратора производится скачкообразно в
момент сброса показаний регистратора. Весы уравно-
вешиваются балансирующим мотором при помощи
цепочки, наматываемой на вал, связанный с этим
мотором. Второй конец цепочки прикреплен к коро-
мыслу весов. Мотор управляется контактами, укреп-
ленными на коромысле весов. Вал связан с механиз-
мом записи через электромагнитную муфту, управ-
ляемую таймером. Запись получается в виде ряда
штрихов, местоположение которых указывает средний
размер частиц (время оседания), а высота — кол-во
частиц данного размера. И. Ихлов

21782 П. Гидравлическое сопротивление с темпера-
турной компенсацией. Силверстейн (Tempera-
ture compensated hydraulic resistor. Silverstein
Abraham) [The United States of America as
represented by the Secretary of the Navy]. Пат. США
2752951, 3.07.56

Для изготовления дроссельного устройства с гидрав-
лич. сопротивлением, увеличивающимся с повыше-
нием т-ры, предлагается внутри трубочки из мате-
риала со сравнительно малым коэф. теплового расши-
рения, напр. металла, установить вдоль оси полосу
из тефлона, после чего трубочку заполнить эпокси-
дной смолой типа «Ардалит Е134». После затверде-
вания смолы полоска удаляется и в результате полу-
чается щелевидный дроссель, сечение которого умень-
шается с повышением т-ры, так как смола имеет зна-
чительно больший коэф. теплового расширения, чем
трубочка. Такой дроссель можно с успехом применять
в качестве сопротивления в цепях гидравлики, где

вязкость масла значительно изменяется с изменением
т-ры. И. Ихлов

См. также: Современная измерительная аппаратура
при произ-ве, распределении, потреблении газа 22658.
Градуировка газовых расходомеров 21266. Влагомер
21310. Конструкция каломельного электрода сравне-
ния pH-метра 21312. Фотоэлектродориметр для рас-
творов кислотных красителей 22385. Определение и
регулирование вязкости тяжелых топлив 22713. Авто-
матизация лакокрасочной пром-сти 23332. Автомати-
зация контроля кубового крашения 23603. Автомати-
зация мукомольной пром-сти 23045

КОРРОЗИЯ. ЗАЩИТА ОТ КОРРОЗИИ

Редактор И. Я. Клинов

21783. О мерах по борьбе с коррозией. Сигэно
(防蝕対策について. 重野準太), 化学工業,
Kagaku kōgō, Chem. Ind. (Japan), 1957, 8, № 7, 2—7
(японск.)

21784. Проблемы коррозии металлов в атомных реак-
торах. Ито (原子炉用金属材料の腐蝕について. 伊藤佐
郎), 電気化学, Дэнки кагаку, J. Electrochem.
Soc. Japan, 1957, 25, № 4, 148—156 (японск.)

21785. Исследование коррозии, проведенное в метал-
лургических лабораториях Авеста (Швеция). Уве-
Берг (Ricerche sulla corrosione effettuate presso i
laboratori dell'acciaieria di Avesta (Svezia). Owe
Berg T. G.), Acciaio inossidabile, 1956, 23, № 3—4,
47—87 (итал.)

Отчет о результатах ряда исследовательских работ,
проведенных в Швеции в области изучения физ-хим.
свойств конц. р-ров к-т, физики металлов и кинетики
р-ций, относящихся к растворению и пассивности
металлов в к-тах. Я. Лаппи

21786. Завод Electro-Chemical Engineering.— (Electro-
Chemical Engineering. New factory builds plant,
mixes chemicals and analyses solutions.—), Corros.
Technol., 1956, 3, № 8, 258—259, 265 (англ.)

Описание нового з-да фирмы Electro-Chemical Engi-
neering, Co., Ltd, предназначенного для произ-ва и
испытания автоматов Efco-Udylite, применяемых для
нанесения гальванич. покрытий, составления рецеп-
тур ванн, принятых в гальваностегич. процессах, и
анализа электролитов. Е. Зарецкий

21787. Коррозия железа в растворах различной
ионной силы. Марагина А. А., Уч. зап. Ленингр.
гос. пед. ин-т им. А. И. Герцена, 1957, 140, 73—75
Изучение зависимости между ионной силой (ИС)
р-ра и скоростью коррозии (СК) Fe в 1 М и 2 М р-рах
H₂SO₄ с добавками сульфатов Na, Zn и Al показало,
что эти добавки увеличивают ИС р-ра и вместе с тем
снижают СК Fe. Влияние сульфатов несколько раз-
лично в зависимости от свойств входящих в них
катионов. М. Кристаль

21788. Повреждения конденсаторных трубок кон-
денсационной турбины вследствие электрохимической
коррозии. Зелль (Zerstörungen an Kondensator-
rohren einer Kondensations-turbine durch elektrolyti-
sche Korrosionen. Sell F. E.), Energietechnik, 1957,
7, № 9, 413—418 (нем.)

Исследование причин коррозии конденсаторных
трубок из латуни (Cu 71,8%, Zn 27,5% и Sn 1,05%)
конденсационной турбины (охлаждающая вода имела
жесткость ~7 мг-экв/л, pH 8,0, щелочность 5,0 мг-экв/л;
шлам содержал 30—50% С, 0,6—0,9% Zn и 3,5% Cu)
показало, что повреждения трубок вызваны действием
местных элементов, возниканию которых способ-
ствовало загрязнение воды угольным шламом (вблизи

электростанции была размещена установка для сушки кокса). Коррозия под действием блуждающих токов происходила во время проведения сварочных работ и имела второстепенное значение. Защитная пленка на поверхности латуни имеет сопротивление 40—50 ом и очень прочна; местные повреждения ее приводят к явленной коррозии. Рекомендуется производить сушку кокса не вблизи градирни; вести наблюдения за источниками постоянного тока и качеством их изоляции; вести текущие исследования электропроводности охлаждающей воды и содержания в ней растворимых металлов; часто контролировать состояние заземления; принимать соответствующие предосторожности (хорошо проводящие зажимы, надежные заземления и т. д.) при выполнении сварочных работ; тщательный контроль за подкислением охлаждающей воды и недопущение передозировки к-ты. А. Мамет

21789. Влияние среды на коррозионное растрескивание латуни. Ханнон (Atmosphere affects the stress-corrosion failure of high brass. Hannon C. H.), Corrosion, 1957, 13, № 6, 75—76 (англ.)

Исследование образцов латуни 70/30 во влажной атмосфере, насыщ. озоном (I), показало, что в этих условиях быстро образуется хорошо сцепленная шоколадно-коричневого цвета пленка, состоящая из закиси и окиси Cu, и окиси Zn, при этом не наблюдается ни появления хрупкости, ни изменения в показателях прочности на разрыв и удлинение. Испытания образцов, подвергнутых растягивающим напряжениям, близким к пределу прочности латуни, во влажном I и во влажной закиси азота (II) в течение 253 и 132 дней соответственно не вызвали видимого растрескивания; опыты в 10%-ном водн. р-ре NH_4OH привели к образованию множества мелких трещин. При статич. нагрузке образцов испытания в парах NH_3 , смеси этих паров с II или с O_2 вызвали растрескивание образцов в течение 24 час. В смеси NH_3 с I образцы не подверглись разрушению в течение 240 час. и при прекращении доступа I разорвались через 24 часа. Иммунизирующее влияние I в присутствии NH_3 объясняется образованием стойкой пленки, обеспечивающей защиту основного металла.

А. Рейхштадт

21790. Коррозионное растрескивание латуни. Невядомский (Pęknięcie korozyjne mosiądzu. Niewiadomski Cyryl), Rudy i metale niezel., 1957, 2, № 1, 13—20 (польск.)

Обзор по вопросам влияния внутренних напряжений, хим. состава, микроструктуры, условий произ-ва и агрессивной среды на явление коррозионного растрескивания латуни, а также по мерам его предупреждения. Библ. 36 назв.

В. Левинсон

21791. Исследование коррозионной стойкости твердых растворов металлов. III. Система Cd—Hg. Грацианский Н. Н., Каплан М. Л., Ж. физ. химии, 1957, 31, № 2, 418—423 (рез. англ.)

В продолжение исследования коррозионной стойкости бинарных систем с полной растворимостью в твердом состоянии изучены сплавы Hg—Cd с содержанием 15—70% атомных Hg. Отмечается существование границы коррозионной стойкости у сплавов Hg—Cd в 1 н. HCl (к-та) при 50—60 ат.% Hg, в 3%-ном р-ре NaCl такой границы не обнаружено. Это различие объяснено, исходя из общей предпосылки, согласно которой граница защитного действия может возникнуть лишь при условии, когда скорость диффузии атомов твердого р-ра не успевает восполнить потерю неблагоприятного компонента сплава, вследствие его растворения с поверхности. Сообщение II см. РЖХим, 1957, 39916.

А. Шаталов

21792. Первое сообщение — надзор за варочными котлами. Смит (First report — regional digester

activity. Smith C. W.), Tappi, 1956, 39, № 5, 340—342 (англ.)

Приведены результаты обследования состояния варочных котлов (K) 47 предприятий, имеющих 391 K. Установлено, что средняя скорость коррозии K, по сравнению с данными предыдущих обследований, увеличилась. Отмечается необходимость уточнения причин коррозии K сульфит- и сульфатцеллюлозных заводов и методов борьбы с ней.

21793. Защита от коррозии оборудования заводов сульфированных масел. Барлинг (The protection of a sulphating plant. Barling T. P.), Corros. Prevent. and Control, 1957, 4, № 10, 61—63 (англ.)

Приводятся условия произ-ва сульфированных жирных масел, которые вызывают коррозию при высокой влажности, больших конц-ях SO_2 ; кроме того рассматривается коррозия оборудования при контакте его с 96%-ной H_2SO_4 , с NH_4 - и Na-солями, и NaOH. Неудовлетворительны окраски окисью железа и хлорированным каучуком. Хорошие результаты дали покрытия на основе эпоксидных смол. Продукты сульфирования в результате применения этих покрытий не нуждались в очистке от окислов железа, содержание которых снизилось на 75%. А. Шалаева

21794. Борьба с коррозией теплосилового оборудования. Стивенс (Corrosion experience at plant McManus. Stephens W. M., Jr), South. Power and Ind., 1957, 75, № 2, 50—52 (англ.)

Силовая 40 000-квт станция Мак-Манус расположена на реке Тёртл, соленая вода которой вызывает интенсивную коррозию оборудования. Антикоррозионные мероприятия сводятся главным образом к катодной защите отдельных узлов. Кроме того, осуществлена изоляция больших вентилях. Хлорирование засолонной воды полностью разрешило проблему борьбы с морскими организмами. Не разрешена еще проблема предотвращения точечной коррозии и эрозии труб конденсатора и теплообменника, однако предварительные опыты показали целесообразность установки труб из Cu—Ni-сплава (70% Cu, 30% Ni).

В. Лукинская

21795. Коррозия металлических поверхностей, вызванная потом рук, и способы защиты от нее. Часть II. Эльцер, Эльснер (Die durch Handschweiß verursachte Korrosion metallischer Oberflächen und Wege zu ihrer Verhütung. Elze J., Oelsner G.), Blech, 1957, 4, № 4, 35—38 (нем.)

Описаны результаты лабор. ускоренных коррозионных испытаний, проведенных с целью выбора замедлителя коррозии (ЗК) для защиты оцинкованных стальных деталей от агрессивного воздействия пота рук рабочих. В качестве агрессивной среды, примерно соответствующей по составу поту рук, применялся р-р, содержащий в 1 л NaCl 4 г, мочевины 1 г, NH_4Cl 3,5 г, молочную к-ту (90%) 3 мл, CH_3COOH (99%) 0,5 мл, масляную к-ту 1 мл, пировиноградную к-ту 0,5 мл; pH среды доводился до 4,7 с помощью Na_2CO_3 после предварительного удаления CO_2 из р-ра кипячением. В каждом отдельном случае к среде добавлялись различные ЗК в кол-ве 1 моль/л (бензоат Na, гликоль, стеарат Mg, аскорбиновая к-та, глюкоза и др., а также ряд высокоактивных азотсодержащих ЗК с конденсируемым бензольным кольцом). Результаты испытаний показали, что наилучшую степень защиты обеспечивают последние в-ва и в особенности препарат AN в присутствии 4 мл гликоля, который после получасового инкубационного периода снижает коррозию до ~0 (степень защиты равна 94,8%). Гликоль в данном случае служит для увеличения растворимости AN. Выбранный ЗК AN + гликоль, наносимый тонким слоем на оцинкованные детали, обеспечивает также наилучшую защиту от коррозии в промышленной атмосфере. На основе лабор. результатов рекомен-

дуется защитное средство от пота рук в виде пленки, получаемой путем погружения деталей в спирт. р-р, содержащий выбранный ЗК. Конц-ия спирта берется из расчета получения на поверхности металла прозрачной пленки толщиной от 2 до 4,5 г/м². Производственные испытания показали, что этот ЗК в большинстве случаев обеспечивает 100%-ную степень защиты оцинкованных деталей, за исключением тех случаев, когда руки рабочих загрязнены к-тами или металлич. пылью (Cu и латуны); в этих случаях степень защиты снижается до 74%. Часть I см. РЖХим, 1957, 67905.

Я. Матлис
21796. Выбор и защита от коррозии материалов для сетей холодного и горячего водоснабжения. Образование накипи и коррозии при тепловом водоснабжении. Янссен. Указания на внешние условия, способствующие борьбе с коррозией. Zandveld (Keuze, aantasting en bescherming van materialen voor koud- en warmwatervoorzieningen. Steenvorming en corrosie bij warmwatervoorziening. Janssen C. Wijziging van de uitwendige omstandigheden ter bestrijding van corrosie (o. a. kathodische bescherming). Zandveld B.), Water, 1955, 39, № 11, 148—153; № 14, 195—202 (гол.).

Предыдущее сообщение см. РЖХим, 1956, 18082.
21797. Коррозия котлов сернистыми соединениями, содержащимися в топливе. — (Enquête sur la corrosion des chaudières provoquée par les matières sulfureuses contenues dans les combustibles. —), Inds therm., 1957, 3, № 8—9, 436—440 (франц.).

Коррозия (K) котлов, чаще стальных, чем чугунных, наблюдается при применении жидкого, реже угольного, топлива, содержащего до 2—3,5% S. Причинами K являются недостаточная очистка и плохое состояние вытяжной системы топки, конденсация влаги под сажей и золой, в результате чего разрушается поверхность, соприкасающаяся с продуктами сгорания. В частности, у чугуна изменяется структура. С целью борьбы с K рекомендуется правильный уход за котлом при эксплуатации его и при установках и устранение конденсации влаги, и для чугуна — увеличение содержания Cr.

Т. Шалаева
21798. Изучение коррозии трубчатых холодильников. Вышомирский, Рюдигер, Бахман, Дамм (Beitrag zur Klärung der Korrosion von K hlerrohren. Wyszomirski A., R diger H., Bachman E., Damm O.), Energietechnik, 1957, 7, № 9, 403—413 (нем.).

Рассмотрены общие вопросы коррозии (K) трубчатых холодильников под действием охлаждающей воды. Исследование коррозионного действия естественной охлаждающей воды на опытные стальные трубки (сварные и бесшовные) при содержании Cu 0,25 и 0,50% и различной обработке поверхности металла показало, что K в искусственно аэрированной воде меньше, чем в водопроводной с ограниченным содержанием O₂. Склонность металла к язвенной K не определяется состоянием его поверхности, и зависит от взаимодействия металла с охлаждающей водой. Общая (равномерная) K определяется в основном содержанием O₂ и мало зависит от содержания CO₂ и электропроводности воды. Агрессивность воды сильно меняется по временам года, что вызывается с изменениями конц-ии O₂. Решающее влияние на K оказывает структура пленки продуктов взаимодействия металла с водой. При неаэрированной воде образуется рыхлая темная пленка, а при аэрации — плотная защитная пленка светлого цвета, содержащая значительно больше CaCO₃ и гораздо меньше окислов Fe. Таким образом, агрессивность охлаждающей воды увеличивается с ростом конц-ии O₂, пока не возникнет пленка продуктов K металла и выделившихся из

воды осадков. При достаточно высокой конц-ии O₂ эта пленка содержит большее кол-во CaO и обладает защитными свойствами. Рыхлая пленка, возникающая при недостатке O₂, мало влияет на ход K, и толщина ее увеличивается значительно быстрее, чем плотная пленка, образующаяся при избытке O₂. В обоих случаях пленка состоит из карбонатов Fe и Ca и окиси Fe; при аэрации воды преобладает CaCO₃, а в рыхлой пленке больше всего окислов Fe. Аэрация воды значительно ускоряет распад бикарбонатов в присутствии Fe. Проведены испытания устойчивости покрытия труб горячей сушки на основе формальдегидной смолы (лаки на силиконовой основе не дали положительных результатов). Опыты по покрытию труб лаком по фосфатированной поверхности при толщине пленки 0,012—0,015 мм показали, что пленка устойчива при t-ре металла трубы не выше 50—55°. Опытный холодильник при t-ре воды 50—55° работал в течение 11 месяцев и лаковая пленка оставалась в хорошем состоянии (сохранился даже блеск). Отложения накипи на поверхности лаковой пленки рыхлые и легко смываются водой. Согласно данным опытных измерений, коэф. теплопередачи при толщине лаковой пленки 0,1 мм уменьшается на 21 и 30% при скорости потока воды 1 и 2 м/сек, а при толщине 0,15 мм соответственно на 27 и 35%.

А. Мамет
21799. Флюс, не вызывающий коррозии. Руппин (Korrosionsfreie Flu mittel und Reaktionsl te. Ruppink K.), Maschinenmarkt, 1956, 62, № 69, 6 (нем.).

При пайке легких металлов мягкими припоями, в результате взаимодействия флюса, состоящего из ZnCl₂, с поверхностью Al, образуются пары AlCl₃ и металлич. Zn, который сплавляется с Al, благодаря чему разрушается окисная пленка, препятствующая паянию. Такое же действие оказывают AgCl, AgBr и AgI, смесь KCl и KJ, ZnCl₂ и NaCl. К числу недостатков припоя, содержащего Zn и Sn, относится высокая t-ра пайки, превышающая 400°, и неполное удаление окисной пленки. Флюс, содержащий (%): ZnCl₂ 47; SnCl₂ 43; NH₄Cl 8 и NaF, вступающий в р-цию с Al при 320°, целесообразно использовать в сочетании с порошком припоя, состоящего (%): из Sn 40; Zn 40; Cd 20.

Е. Зарецкий
21800. О коррозионной стойкости в морской воде трубопроводов из меди и ее сплавов. Эйххорн (Zur Korrosionsbest ndigkeit von Seewasserleitungen aus Kupfer und Kupferlegierungen. Eichhorn K.), Werkstoffe und Korrosion, 1957, 8, № 8—9, 453—456 (нем.).

Для увеличения срока службы трубопроводов в морской воде рекомендуется вместо Cu-труб применять трубы из сплава Cu с 5% Ni, 1% Fe и 0,5% Mn или из алюминиевой латуны с 2% Al и 0,04% As. В первом случае скорость потока воды по трубопроводу можно увеличить до 5 м/сек, во втором до 4,6 м/сек, хотя на практике не применяют скоростей > 3 м/сек. Соединение указанных труб рекомендуется осуществлять при помощи Ag-припоя. В. Левинсон
21801. Влияние различных факторов на скорость коррозии стали морской водой при периодическом смачивании. Абрамов Д. М., АзербСР Элмлер Акад. х б рл ри, Изв. АН АзербСР, 1957, № 8, 31—40 (рез. азерб.).

Исследование скорости коррозии (СК) стали состава (%): С 0,10, Mn 0,36, Si 0,018, P 0,017, S 0,037 при переменном погружении в дистил. воду, воду каспийского моря и искусственно приготовленные р-ры, состоящие из солей, входящих в каспийскую морскую воду: NaCl (I), MgCl₂ (II), MgSO₄ (III), CaCO₃ (IV), показало, что: 1) при периодич. смачивании морской или речной водой СК представляет электрохим. про-

цесс, идущий с кислородной деполаризацией; 2) р-ры I и II более агрессивны, чем III и IV; при одновременном присутствии хлоридов (I и II) и сульфатов (III и IV) последние несколько уменьшают СК; этим объясняется меньшая СК стали в морской воде, чем в р-рах хлоридов той же конц-ии; 3) при периодич. смачивании максим. коррозия в р-ре I наблюдается при конции 70 г/л; 4) увеличение частоты смачивания значительно увеличивает СК, но при частом смачивании (через 1—3 мин.) СК не зависит от частоты смачивания; 5) наибольшая в начальный период испытания СК со временем значительно падает, достигая некоторой практически постоянной величины; 6) повышение т-ры интенсифицирует коррозионный процесс. Опыты с морской водой при периодич. смачивании показывают значительное увеличение СК с повышением т-ры от 5 до 27°. Этим объясняются случаи усиленной коррозии стальных конструкций при периодич. смачивании в летние месяцы в южных районах страны. А. Тумовский

21802. Исследование коррозии металлов под действием переменного тока. I. Интенсивность коррозии железа под действием переменного тока. Торигоз (交流腐蝕に関する研究. 第1報. 鉄の交流腐蝕効率について. 鳥越泰), 電気化学, Дэнки кагаку, J. Electrochem. Soc. Japan, 1957, 25, № 4, 203—208, E47—E48 (японск.; рез. англ.)

Изучено электрохим. поведение Fe в р-рах H_2SO_4 и Na_2SO_4 при наложении переменного тока различной плотности (кривые катодной и анодной поляризации, скорость растворения Fe и выделения H_2). Автор объясняет наблюдаемые явления, исходя из предположения о том, что на поверхности Fe-электрода в цепи переменного тока могут протекать два сопряженных процесса $Fe \rightleftharpoons Fe^{2+} + 2e$; $H_2 \rightleftharpoons 2H^+ + 2e$. Установленная зависимость от pH интенсивности коррозии Fe и ионизации H_2 обусловлена задержкой процессов ионизации Fe и заряда H-ионов во время положительного и отрицательного полупериодов, замедляющихся по мере увеличения pH р-ра. А. Шаталов

21803. Коррозия пудлингового железа. Коллари (La corrosione del ferro puddellato. Collari Nello), Calore, 1957, 28, № 4, 147—153 (итал.)

Приведен результат эксперим. работ по вопросам коррозии и пудлингового железа. Описана структура коррозионного слоя в зависимости от его толщины. Я. Лашин

21804. Тантал как конструкционный материал в химической промышленности. Хампел (Tantalum makes some products feasible. Hampel Clifford A.), Industr. and Engng Chem., 1956, 48, № 11, 1979—1981 (англ.)

Общие сведения о свойствах Ta. Отмечается возможность замены стеклянной аппаратуры для хим. процессов на аппаратуру, изготовленную из Ta. Скорость коррозии Ta в 98%-ной H_2SO_4 , составляющая при 175° 2,5 м в год, возрастает при 300° до 8,7 мм в год. Ta устойчив в большинстве расплавленных металлов. Отмечается применение Ta для изготовления аппаратуры для дистилляции высококипящих кислотных органич. в-в, а также для изготовления теплообменной аппаратуры. В дистилляционных колоннах, работающих при 260°, изготовленных из пропитанного графита, толщина стенок Ta-труб $\approx 0,38$ мм. С 1939 г. применение Ta в хим. пром-сти возросло на 1300%.

Е. Зарецкий

21805. Алюминий и его сплавы, используемые для производства химического оборудования. Накаяма (化学工業装置用のアルミニウムとその合金. 中山孝廉), 金属, Киндзоку, Metals, 1957, 27, № 6, 430—437 (японск.)

21806. Взаимодействие горячей воды с поверхностью алюминия. Сато (加熱水のアルミニウム表面への作用. 佐藤 一郎), 電気化学, Дэнки кагаку, J. Electrochem. Soc. Japan, 1957, 25, № 1, 8—12 (японск.; рез. англ.)

С целью исследования процесса взаимодействия горячей воды с поверхностью Al-фольги (99,951%) и механизма наполнения анодной окисной пленки измерены электродный потенциал (П) Al в H_2O с различными pH, р-ре 1% $H_3BO_3 + NH_4OH$ (pH 7,0) и насыщ. р-ре KCl, а также определялось изменение состояния поверхности. В кипящей воде (pH 6,0) и $H_2O + NaOH$ (pH 9,0) П имеет очень отрицательные значения, причем при pH 9,0 более отрицательные, чем при pH 6,0; в насыщ. р-ре KCl П более отрицательный, чем в р-ре 1% $H_3BO_3 + NH_4OH$. Если Al выдерживается на воздухе или в H_2O после кипячения, то его П смещается в более положительную область. Al высокой степени чистоты в кипящей H_2O (pH 9,0) положительно, чем П Al более низкой чистоты. П анодированного Al в кипящей H_2O (аномирование постоянным током в р-ре 1% $H_3BO_3 + NH_4OH$ (pH 6,9) при $E = 150$ в течение 1 часа и анодирование переменным током в 3%-ном р-ре $(COOH)_2$ при $Da = 15$ ма/см² в течение 1 часа) смещается к очень отрицательным значениям, а в кипящем р-ре 1% $H_3BO_3 + NH_4OH$ — к несколько более положительным значениям. При введении больших добавок (0,005—0,0005 M) ионов PO_4 , AsO_4 , WO_4 , Mo_7O_{24} , CrO_4 потенциал становится более положительным. При воздействии горячей воды на поверхность Al (анодированного и неаноированного) ионы Al движутся в направлении от поверхности металла, и при этом образуется пленка типа бемита ($\alpha-Al_2O_3 \cdot H_2O$). Однако эта пленка не обладает хорошими защитными свойствами в кипящей H_2O , и поэтому поверхность Al растравливается, причем П принимает очень отрицательные значения. После промывания или сушки вторичные продукты ионов Al осаждаются на анодных участках активной поверхности в виде гидроокиси, вследствие чего П быстро изменяется от отрицательных значений к положительным. Таким образом бемит не образуется при гидратации существовавшей до того окисной пленки, а возникает в процессе коррозии Al. П. Шитлов

21807. О коррозии чистейшего алюминия. Нахтигалль (Über das Korrosionsverhalten von Reinstaluminium. Nachtigall E.), Aluminium (BDR), 1957, 33, № 2, 95—100 (нем.; рез. англ., франц.)

Химически чистый Al (99,996%) и его сплав с 0,5% Mg, при продолжительном действии кипящей H_2O в условиях повышенной т-ры t и давления p (близких к условиям в атомных реакторах), подвергались мелкокристаллитной коррозии (K) уже через 1—2 суток выдержки в автоклаве с дистил. водой. Технич. Al (99,5%) и некоторые сплавы на его основе лучше себя ведут в этих условиях, чем ч. ч. Al. Исследование влияния t показало, что переход к повышенной K ч. ч. Al и его сплава с Mg наступал уже при 105°, интенсивность K возрастала по мере дальнейшего повышения t до 150—180°. Первоначально K ч. ч. Al при повышении p и t сосредоточивалась на границах зерен, постепенно захватывая самые зерна. Образцы Al при этом увеличивались в размерах и быстро теряли механич. прочность. Для защиты от K ч. ч. Al при высоких p и t рекомендуется добавка хромата или силката. А. Шаталов

21808. Механизм коррозии алюминия в воде при 100°. Карлсен (Mechanisms of aqueous corrosion of aluminum at 100°C. Carlsen K. M.), J. Electrochem. Soc., 1957, 104, № 3, 147—154 (англ.)

Металлографическим методом изучались начальные стадии коррозии (K) чистейшего Al (99,99%) и его

сплавов с 1% Ni, 1% Fe, 2% Cu, 1% Si в горячей дистил. воде. К Al и сплавов на его основе распределяется в местах нарушений защитной пленки и носит неравномерный характер. Автор рассматривает механизм K, исходя из р-ции $Al + 3H_2O = Al(OH)_3 + \frac{3}{2}H_2$. Чистый Al при 100° подвергался усиленной микрокристаллитной K по границам зерен, 2-фазные сплавы Al-Ni и Al-Fe также обнаруживали под микроскопом признаки избирательной K. Высказано предположение, что в результате анодной или катодной поляризации, причиной разрушения окисной пленки является отсутствие анионов, способных восстанавливать ее, либо местное защелачивание р-ра за счет катодного выделения H_2 . Обсуждая механизм явления т-ры на K Al, автор связывает ее усиление с ростом ионного произведения H_2O при повышенных т-рах, благодаря которому область стабильности защитной пленки перемещается в сторону меньших pH и дистил. вода становится более агрессивной средой, чем кислые р-ры.

А. Шаталов
21809. Коррозионное воздействие щелочей на различные материалы. Зингер (Actiunea corozivă a alcalilor asupra diferitelor materiale. Singer M.), Rev. ind. aliment. prod. vegetale, 1957, № 5, 14—15 (рум.)

Рассматривается коррозионная стойкость Fe, чугуна, стали, бронзы, латуни, Pb, Sn, Zn, графита, каучука, пластмасс, фарфора в условиях воздействия р-ров Na_2CO_3 , NaOH, KOH различных конц-й при различных т-рах. Даны общие рекомендации по применению конструктивных материалов, соприкасающихся со щел. р-рами.

Я. Матлис
21810. Железо в щелочных растворах, содержащих аммиак. Нильссон (Über das Verhalten von Eisen in ammoniakalischen Lösungen. Nilsson Gustav), Chem. Technik, 1957, 9, № 8, 479 (нем.)

Приведен пример коррозии образцов Fe в р-ре, содержащем нитрат аммония, аммиак и хлорат натрия. Показано, что в щел. р-рах возможно различное поведение Fe в зависимости от активности поверхности. Отмечается, что Fe с необработанной поверхностью пассивно. Поверхность Fe может быть активирована электрохим., механич. или хим. способом. Наиболее часто активирование происходит электрохимически путем контактирования Fe с Zn.

М. Кристаль
21811. Защитные покрытия для промышленного оборудования. Роберте (Protective plating equipment. Roberts K. D.), Corros. Prevent. and Control, 1957, 4, № 8, 54—56 (англ.)

Обзор, посвященный вопросам нанесения и применения различных видов антикоррозионных покрытий.

И. Ерусалимчик
21812. Хранилище и трубы из коррозионностойких сталей. Ширхольд (Behälter und Rohre aus korrosionsbeständigen Stählen. Schierhold P.), Techn. Mitt., 1957, 50, № 7—8, 267—272 (нем.)

Приведены статистич. данные по выпуску нержавеющей сталей (НС) в 1955 г. в Германии и Америке, хим. состав и механич. свойства выпускаемых в Германии для аппаратостроения нержавеющей и кислотоустойчивых сталей. Приведены также хим., физ. и механич. свойства Ni-сплавов Реманит НА (I), НВ (II), НС (III) и НР (IV). Отмечается, что при изготовлении сварной аппаратуры из сплавов I, II и III следует учитывать возможность выпадения в определенном интервале т-р интерметаллич. соединения NiMo и связанное с этим повышение прочностных свойств и снижение коррозионной стойкости (КС). Приведены данные по КС I, II и III в HCl (к-та) в зависимости от т-ры отпуски в интервале 300—1200° и времени выдержки при указанных т-рах. Отмечается необходимость термообработки при 1200° после сварки толсто-

стенных аппаратов из сплавов I и III. Приведено описание выпускаемых в Германии видов биметаллов с плакирующим слоем — нержавеющей сталью, хим. составы и механич. свойства плакируемых металлов.

М. Кристаль
21813. Способ травления в металлообрабатывающей промышленности. Поллак (Sparsames Beizen in der metallverarbeitenden Industrie. Pollack A.), Industriekurier Wochenausg. Techn. und Forsch., 1956, 9, № 27, 327—328 (нем.)

Описывается способ травления (Т) стали в к-тах. Приводятся требования, предъявляемые к травильным присадкам, к числу которых относятся соединения тиомочевины, дибензилсульфоокиси и некоторые ненасыщ. спирты сульфокислот жирных к-т и др. Отмечается, что для ускорения процесса Т в травильный р-р (ТР) вводят поверхностноактивные в-ва, представляющие ионизирующиеся эмульсии, как продукты конденсации окиси этилена, сульфированный изопропилафталин и сульфированные производные нефтепродуктов. В США с целью увеличения скорости Т нагревают ТР до высокой т-ры, что позволяет использовать слабоконц. р-ры. В последнее время получил применение осуществляемый на автоматах метод струйного травления стали с использованием фосфорной к-ты, поступающей под давл. 1,2—1,5 атм. Регенерация сернокислотного ТР производится путем его охлаждения или концентрирования при т-ре > 100°. Т при 480—540° в расплавленном NaOH с добавкой 2% гидрида натрия позволяет избежать травильной хрупкости. Разработанный в США способ газового Т предусматривает непрерывную обработку деталей при 550—750° в атмосфере, состоящей (в %): из HCl 20, CO₂ 40 и N₂ 42. Окалина превращается в FeCl₂, которое улетучивается. По сравнению с Т в к-те при Т с использованием ультразвука стоимость процесса снижается приблизительно на 30%. При частоте ультразвуковых колебаний, равной 3—30 кГц, расход звуковой энергии составляет ≈ 2 Вт/см².

Е. Зарецкий
21814. Некоторые вопросы травления нержавеющей стали. Клячко Ю. А., Урюпина Л. М., Сб. тр. Моск. вец. металлург. ин-т, 1957, вып. 2, 257—273

Исследован и установлен состав окисных пленок на поверхности сталей 1X13, 4X13, X18H9T и сплава ХН, рентгенографич., электронографич., металлографич. и хим. методами. Показано, что: 1) в результате взаимодействия в-в, составляющих окалину, с расплавленным NaOH происходит частичное растворение окислов, обладающих амфотерностью. В присутствии окислителя ход процесса меняется: окисел Cr почти полностью переходит в хромат, закись-окись Fe — в окись Fe; 2) различная травимость сталей марок 1X13, 4X13 зависит от кол-ва содержащегося С. Большое содержание С в стали 4X13 вызывает образование большого кол-ва карбидов Cr в основном металле, что уменьшает диффузию атомов Cr во внешний слой для образования окисла на поверхности основного металла. В составе окислы содержатся меньше кол-во окисла Cr, что уменьшает степень разрыхления окислы при щел. методе и, следовательно, затрудняет ее удаление; 3) предложен новый кислотный способ травления с применением поверхностного наклепа листов. Лабор. исследования показали, что применение нового метода дает хорошие результаты: получается гладкая белая поверхность без перетрава.

Р. Салем
21815. Подготовка поверхности металла дробеструйной обработкой. Карл (Shotblasting developments in metal surface preparation. Carle J.), Corros. Prevent. and Control, 1957, 4, № 5, 49—55 (англ.)

Дробеструйная обработка (ДО) применяется для удаления окислы и обнаружения дефектов поверхности после прокатки. ДО легко осуществляется очистка

внутренней поверхности изложниц, она применяется также для деталей самолета, сочетая очистку поверхности с ее чистовой обработкой. ДО оказывает влияние на механич. свойства материала, упрочняя последний и увеличивая продолжительность его службы. Описаны технологич. процесс и аппаратура, применяемые при различных видах ДО. В. Лукинская

21816. Выбор способа отделки цинка. Джеймс (Choosing the right zinc finish: a report of a discussion. James C.), Prod. Finish., 1956, 9, № 11, 73—75 (англ.)

Обсуждаются различные способы отделки поверхности Zn. Рассматриваются условия фосфатирования Zn с последующим напылением пигментированной эмалевой краски горячей сушки, процесс шерардизации и нанесение металлизационных, гальванич. и др. покрытий. Е. Зарецкий

21817. Обработка поверхности металлов и их защита. Гофман (Oberflächenbehandlung und-schutz. Hofmann W.), Maschinenmarkt, 1957, 63, № 76, 16—20 (нем.)

Описаны установки для подготовки металлич. изделий под покрытие, а также способы нанесения на них некоторых покрытий, напр. фосфатных. Рассмотрены также практич. вопросы окраски в электростатич. поле, напыления в высоком вакууме и нанесения покрытий металлизацией. В. Левинсон

21818. Защита от коррозии путем электролитического кадмирования. Норриш (Corrosion prevention by cadmium plating. Norrish P. E.), Corros. Prevent. and Control, 1957, 4, № 8, 51—53 (англ.)

Указывается на положительность защиты изделий от коррозии путем анодного покрытия кадмием по сравнению с покрытиями из Cu, Sn, Ni и Cr, которые защищают только механически. Приводятся данные о необходимой толщине покрытия и о преимуществах Cd-покрытий перед цинковыми. Сообщается, что последние достижения в разработке Cd-покрытий позволили применить их для защиты от коррозии никелированных стальных изделий при высокой т-ре. Проблема защиты от коррозии удовлетворительно решается путем применения Ni-покрытий толщиной 5—10 микрон 2,5—5 м Cd, продиффундированного при 332,2° в течение 1 часа. Рекомендуется состав и режим работы: CdCN 12,47—24,94 г/л; NaCN 24,94—49,88 г/л; добавка в виде органич. в-в. D 1,07—3,22 г/дм³, т-ра комнатная, катодный выход по току 85—98%. Беспрерывность работы ванны обеспечивается контролем свободного циана и поддержанием оптимального значения конц-ии металла. Наличие примесей в ванне в виде Pb, As, Tl, Sb, Sn и Ag вызывает изменение цвета Cd-покрытия, в связи с чем подчеркивается необходимость в применении анодов высокой чистоты. Испытания в солевом тумане показали, что дополнительная пассивация в хромовых р-рах увеличивает срок службы деталей, обеспечивает однородность внешнего вида покрытия, предотвращает образование белых продуктов коррозии и отслаивания покрытия. А. Рейхштадт

21819. Антикоррозионные свойства железа, защищенного гальваническими покрытиями. Накаяма (Anti-corrosiveness of plating iron. Nakayama Masakazu), Repts. Electr. Commun. Lab., Nippon Teleg. and Teleph. Public Corp., 1956, 4, № 2, 8—14 (англ.)

Рассматривается скорость коррозии (СК) образцов Fe, покрытых Zn, Cu, Ni и Cd. Испытания проводились в морской и промышленной атмосфере, а также в условиях обрызгивания 10%-ным р-ром NaCl при 60 ± 5°. Сделана попытка установить соответствие между испытанием в атмосферных и лабор. условиях. Судя по внешнему виду, при никелировании одинако-

вая СК отвечает испытаниям длительностью соответственно 6—7 месяцев в промышленной атмосфере и 3 час. в брызгах NaCl, а в случае кадмирования — 20 месяцев и 15 час. При хромировании, приводящему к образованию на поверхности тонкого Zn-покрытия, состав которого может быть выражен ф-лой $\text{Cr}_2\text{O}_3 \cdot \text{CrO}_3 \cdot n\text{H}_2\text{O}$, коррозия в морской атмосфере возникала через 9—11 месяцев, а в брызгах NaCl — через 7 час. Е. Зарецкий

21820. Кадмиевые и цинковые защитные покрытия. Райт (Cadmium and zinc protective plating. Wright T. E.), Corros. Prevent. and Control, 1957, 4, № 6, 67 (англ.)

Указывается на ошибочность существующего мнения о том, что Zn-покрытия уступают по защитному действию Cd и применяются только вследствие меньшей стоимости. Это мнение основано, по-видимому, на испытаниях при распылении 3%- и 20%-ного р-ров NaCl. Исследования в атмосферных условиях показали, что Zn-покрытия толщиной 72,5 микрон дают такую же защиту, как Cd толщиной 150 микрон. Подобные результаты получены при испытаниях в естественной морской воде. Cd-покрытия устойчивее Zn только в некоторых особых случаях: при высокой влажности или высоко агрессивной морской атмосфере. Ю. Аронов

21821. Металлизационные покрытия для повышения жаростойкости. Франклин (Metallized coatings for heat corrosion protection. Franklin J. R.), Corros. Technol., 1956, 3, № 10, 326—327 (англ.)

Сопоставляются способы термодиффузионного и горячего алитирования, а также металлизации стали распылением, проводимым с целью повышения жаростойкости. Отмечается, что увеличение жаростойкости стали достигается металлизацией Ni-Cr- и Al-сплавами или же только Al с последующей пропиткой и нагревом покрытия. При нанесении Al для пропитки применяют битумные в-ва. Процесс 33, предназначенный для защиты Fe и C от коррозии в газах, содержащих небольшое кол-во S, при 880—990°, заключается в металлизации Ni-Cr-сплавом и нанесении краски, содержащей суспензию Al, легко диффундирующего через металлизационное покрытие. Процесс 45 предусматривает эффективную защиту Fe и Cr от коррозии в серосодержащих газах при 1000°. На поверхность металла напыляется Ni-Cr-сплав, затем Al, после чего наносится краска-уплотнитель. При нагревании происходит расплавление Al, его быстрая абсорбция Ni-Cr-сплавом и образование Fe-Al-Cr-Ni-сплава. Избыток Al образует защитную пленку Al_2O_3 . Этот процесс применим также для обработки деталей из Ni-Cr-сплава. В случае Cu и Cu-сплавов вследствие большого сродства Al к Cu рабочая т-ра изделий должна быть < 600—650°. Е. Зарецкий

21822. Поведение металлизационных цинковых и алюминиевых покрытий в коррозионных средах. Мансфорд (Sprayed aluminium and zinc in corrosive environments. Mansford R. E.), Corros. Technol., 1956, 3, № 10, 314—316 (англ.)

Общие сведения о металлизации (М) и факторах, влияющих на свойства металлизационных покрытий (П) (пористость П, выбор металла для М, Zn и Al торговой и высшей чистоты, примеси в Al и др.). В пресной воде Al более эффективно защищает сталь от коррозии, чем Zn. В воде, насыщ. CO_2 , стали с металлизационным слоем Al толщиной < 125 микрон в течение 48 час. ржавеют, а через несколько дней образование ржавчины прекращается. В отличие от мягкой воды в горячей жесткой воде Zn защищает сталь от коррозии. При нанесении 2-слойных П, состоящих из Zn и Al, подслоем обычно служит Zn. Е. Зарецкий

21823. Новый ускоренный способ горячего лужения тонкой медной проволоки. Хаугвиц (Neues Warmverzinnungsverfahren mit hoher Geschwindigkeit für Kupferfeindrähte. Haugwitz O.), Draht, 1957, 8, № 8, 336—339 (нем.)

Описана установка для горячего лужения Cu-проволоки (МП) diam. 0,1—0,4 мм. В установке применен принцип прямолинейного движения МП, что увеличивает скорость ее движения до 1800 м/мин и дает возможность применять алмазный калибр для снятия избытка Sn и, следовательно, значительно снизить себестоимость и увеличить производительность установки.

В. Левинсон

21824. Защита от коррозии конструкций воздушных линий цинковыми покрытиями. Краус (Rostschutz bei Freileitungsbauten durch Verzinkung. Kraus H.), Technik und Betrieb, 1957, 9, № 8, 117—118 (нем.)

Приведены данные о коррозионной стойкости (КС) горячих Zn-покрытий (ЦП) в различных атмосферных условиях. Указана толщина ЦП для стальной проволоки (diam. 2,95—4 мм и более), стальных мачт и арматуры на стали и чугуна. Рассматривается возможность применения в некоторых случаях металлизационных ЦП толщиной $\geq 0,2$ мм, которые, однако, имеют КС горячих ЦП. Отмечается возможность дополнительной защиты ЦП с помощью окраски и рекомендуется нанесение окраски не на свежее ЦП, а на ЦП после того, как ему придана шероховатость.

М. Кристаль

21825. Фосфатирование. Фишлок (Phosphating — a review of the scope of the process. Fishlock D. J.), Mech. World and Engng Rec., 1956, 136, № 3448, 486—489 (англ.)

Приводятся общие сведения о процессе фосфатирования (Ф) и свойствах фосфатных пленок. Отмечаются преимущества процесса струйного Ф. Указывается, что продолжительность электролитич. Ф переменным током в нагретой ванне при плотности тока 2,7—5,4 а/дм² равна 2—4 мин. Приводятся данные по весу различных фосфатных пленок и продолжительности Ф стали, Al, а также стали и Fe, подвергнутых горячему цинкованию и электролитич. кадмированию.

Е. Зарецкий

21826. Ускоренное фосфатирование. Хорев Г. Н., Технол. трансп. машиностроения, 1956, № 7, 27—28

Описан способ ускоренного фосфатирования (УФ) стали и чугуна в ванне, содержащей (в г/л): Zn(NO₃)₂ 5—40, «Мажеф» 30—40, Ba(NO₃)₂ 1,2—1,5, при 98—99° в течение 4—5 мин. Испытания проводились при полном погружении в 3%-ный р-р NaCl. Установлено, что по сравнению со щел. оксидированием и обычным фосфатированием по способу «Мажеф» в результате УФ образуется более коррозионностойкое покрытие. Пассивация фосфатной пленки проводилась в 5—10%-ном р-ре бихромата при 18—25° в течение 5—10 мин. Метод УФ, внедренный на э-де транспортного машиностроения, может быть использован для борьбы с задирами трущихся шестерен.

Е. Зарецкий

21827. Усовершенствованный способ нанесения антикоррозионных неметаллических покрытий методом распыления. Фойгт (Sur une technique améliorée de dépôt au pistolet de revêtements anticorrosifs non métalliques. Comptes rendus du VI^e Congrès des fabrications mécaniques. Voigt P.), Galvano, 1956, 25, № 238, 39—41 (франц.)

Описан процесс нанесения неметаллич. покрытий на сталь, серый чугун, стальное литье, легкие и цветные металлы, бетон, керамич. изделия с помощью спец. распылителя, запатентованного в Германии. При нанесении пластмасс в виде вязкой жидкости или порошка, напр. полихлорвинила, порошка поли-

этилена, полиамида, полистирола, тиксола, полиметакрилата и др., обеспечивается получение сплошного беспористого покрытия с хорошей адгезией. После первого прохода получается толщина покрытия 0,2—0,5 мм.

Я. Ланин

21828. Исследование физико-химических свойств расплавленного переохлажденного, стекловидного и перекристаллизованного базальтов. Сообщение 3. Химическая устойчивость расплавленного и перекристаллизованного базальта. Абрамян А. В., Изв. АН АрмССР. Сер. хим. н., 1957, 10, № 3, 181—188 (рез. арм.)

Исследования хим. стойкости естественного фарфоровидного и крупнокристаллич. базальтов (Б) показали, что: 1) перекристаллизованные Б имеют высокую кислотоупорность (> 95%) и щелочуюпорность (не ниже 92,5%) в крепких и разб. реагентах; 2) потери веса исследуемого Б постепенно уменьшаются в парабол. зависимости от времени, и через 16 час. образец практически превращается почти в 100%-ный кислотоупорный материал; 3) кусковой неизмельченный Б химически более устойчив, чем в измельченном состоянии. Кусковой Б даже после 800-часовой выдержки в крепких р-рах к-т и щелочей практически не изменяется в весе; 4) при обработке перекристаллизованного Б к-тами и щелочами происходит частичное побеление. После хим. обработки образцы покрываются прочным защитным механич. слоем. Образование пор и шероховатостей не наблюдается; 5) в хим. составе происходят некоторые изменения: содержание SiO₂ и Al₂O₃ увеличивается за счет переходящих в р-ре щелочей и окислов Fe при кислотной обработке образцов. Сообщение 2 см. РЖХим, 1957, 51037.

Р. Салем

21829. Поглотительная система для вредных паров, изготовленная из керамики, металлов и пластических масс. Геттиг (Toxic fume exhaust system uses ceramics, metals, plastics. Gettig Joseph H.), Mater. and Methods, 1957, 45, № 6, 126—128 (англ.)

Описана установка для обезвреживания паро-газовой смеси, выделяющейся при извлечении драгоценных металлов из руд (смесь содержит Cl₂, HCl, окислы азота, пары воды и взвешенные частицы металла). Газопровод из керамич. труб скреплен на прокладках и гибких гофрированных соединениях из фторопласта. Конденсатор выполнен из стали с обкладкой двухслойным полихлорвинилом. Трубные решетки — из полихлорвинила, трубы — из боросиликатного стекла. Интенсивная теплопередача обеспечивается тем, что вода стекает по внутренним стенкам труб в виде пленки, а не заполняет все сечение труб. Поглотитель — скруббер выложен полихлорвинилом, из которого изготовлены и рамы фильтров. Сопла форсунок изготовлены из нержавеющей стали. Сменные патроны фильтров набиты стеклянкой ватой. Размеры скруббера ~ 0,75 × 2,4 × 4,5 м.

Ю. Аропсон

21830. Покрытия для металлических изделий на основе фенольных смол. Янг (Phenolic coatings for metal products. Young R. B.), Mater. and Methods, 1957, 45, № 1, 106—109 (англ.)

Описаны 4 основных типа фенольных покрытий. 1. Чистые 100%-ные фенольные смолы. 2. Замещ. или полиоксифенольные смолы (крезолные или резорциновые смолы). 3. Замещенные или блокфенольные смолы, обладающие кроме хим. стойкости, присущей обычным фенольным смолам, еще стойкостью к конц. р-рам щелочей, мыл и детергентов и к сильным окислителям. Эти смолы обладают также лучшей совместимостью с эпоксидными, виниловыми и алкидными смолами. 4. Фенольно-масляные лаки, применяемые в примерах в качестве вяжущего из-за быстрого вы-

сыхания пленки и ее прочности, эластичности, водостойкости и стойкости к маслам и р-рителям. Прозрачные фенольные покрытия обладают хорошей адгезией к неполированной поверхности стали, бронзы, Cu и особенно хорошей к Al, Mg, Zn и Cd, а также к дереву, стеклу, волокну, керамике и многим пластикам. Покрытия имеют гладкую блестящую поверхность и золотистый цвет. Они не теряют блеска после пребывания в течение 3 лет во влажных условиях, в случае защиты их от УФ-лучей. Хорошей эластичностью отличаются фенольно-масляные лаки. Прозрачные фенольные покрытия стойки к кратковременному сухому нагреву до 371°. Фенольные покрытия обладают хорошей стойкостью к минер. и органич. к-там и многим р-рителям. Однако они не рекомендуются для HCl и HNO₃ с конц-ией > 20%. Но их можно применять для H₃PO₄ любой конц-ии и H₂SO₄ до 50%. Особенно надо отметить фенольно-эпоксидные смолы, совмещающие в себе лучшие свойства обеих смол. Фенольные смолы можно наносить распылением, погружением и т. д. Т-ра отверждения лежит в пределах 150—205°. При применении катализатора некоторые смолы могут отверждаться при комнатной т-ре, хотя пленка, отвержденная при комнатной т-ре, обладает меньшей хим. стойкостью. Лучшая адгезия достигается, если последующий слой наносится на не полностью отвержденный предыдущий, и только последний слой отверждается полностью. Т. Фабрикант

21831. Трубы из полиэтилена. Сорта, размеры, свойства, способ укладки и соединения. Кёлер (Polyäthylen — Plastikrohre. Lieferarten, Dimensionierung, Eigenschaften, Verlegung und Verbindung. Köhler W.), Werkstoffe und Korrosion, 1957, 8, № 2, 69—73 (нем.; рез. англ., франц.)

Описаны размеры, физ. и хим. свойства, а также способы укладки и соединения выпускаемых в ФРГ полиэтиленовых труб марки «Supralen». В. Левинсон

21832. Защита электротехнических изделий в условиях тропического климата. Часть 2. Исследование сырья и полуфабрикатов. Фриче, Каль (Tropenschutz elektrotechnischer Erzeugnisse. 2. Teil: Untersuchungen von Werkstoffen und Halbfabrikaten. Fritsche O., Kahl W.), Dtsch. Elektrotechnik, 1956, 10, № 6, 230—236 (нем.; рез. русск., англ.)

Результаты испытаний во влажной камере, имитирующей условия тропич. климата (10 дней при 38° и относительной влажности (ОВ) 95% с последующим охлаждением до 25—28° и многодневной выдержкой при точке росы), электроизоляционных свойств некоторых материалов, применяющихся в электрич. машинах низкого напряжения для приводной и пазовой изоляции, показали, что применение для указанной цели пресс-шпана вызывает понижение электросопротивления во влажных условиях. Полиэтилен также ухудшает свои электроизоляционные свойства во влажной камере, несмотря на небольшую способность к поглощению влаги. Для ряда материалов (полиэтилен, перфоль, триацетат, целлит В, диацетат) определялись влагопоглощение и напряжение пробоя (НП) при выдержке во влажной камере (80% ОВ) над водой и 10%-ными р-рами HCl, HNO₃, H₂SO₄, NH₄OH. Наименьшее влагопоглощение показал полиэтилен, максим. — более 7% — диацетат. Все материалы после продолжительного выдерживания при высокой влажности покрывались плесенью. Полученные кривые НП — время почти во всех случаях после крутого падения в течение первых суток в последующее время имеют горизонтальный ход. По величине НП, измеренного через 100 дней выдержки при 80% ОВ, изученные материалы располагаются в ряд: ацетилфольга, полиэтилен, триацетат, целлит В, диацетат, перфоль.

Часть 1 см. РЖХим, 1957, 33201. А. Шаталов

21833. Стабильность асфальтовых эмалей. Брамбл (Stability of asphalt enamels. Bramble Lloyd F.), Pipe Line News, 1957, 29, № 8, 35—36, 38 (англ.)

Покрытия асфальтом обладают большой стойкостью к коррозионным почвам, изменениям погоды и воде. Правильно подготовленные и нанесенные на трубы асфальтовые эмали защищают металл на все время его службы. Т. Фабрикант

21834. Горячий способ покрытия из каменноугольной смолы с целью защиты от коррозии в морских условиях. — (Suggested coating specifications for hot application of coal tar enamel for marine environments. NACE technical unit committee T-4M on corrosion of oil and gas/well producing equipment in offshore installations.—), Corrosion, 1957, 13, № 3, 79—80 (англ.)

Рассматриваются методы подготовки поверхности и способы нанесения грунтовки и эмали из каменноугольной смолы, а также требования, предъявляемые к качеству эмалей и покрытий. В. Лукинская

21835. Защита металла обкладками из эластомеров. Уэрнер (How to protect metals with elastomeric linings. Woerner L. A.), Mater. Design Engng, 1957, 46, № 2, 95—98 (англ.)

Приводится сравнительное описание синтетич. обкладочных материалов: неопрена, нитрильного и бутил-каучука, хипалона, поливинилхлорида и натурального каучука. Покрытия из неопрена более теплостойки, чем покрытия из натурального каучука, и обладают хорошей хим. стойкостью, особенно в NaOH, фтористых соединениях, жирных к-тах, маслах и др. алифатич. углеводородах. Покрытия из нитрильного каучука стойки к скипидару, толуолу, ксилолу, сероуглероду и ацетальдегиду. Обкладка из бутил-каучука применяется для сильнокоррозионных и окислительных сред при сравнительно повышенной т-ре: 50%-ная H₂SO₄ при 93°; 70%-ная H₂SO₄ при 60°; 20%-ная HNO₃ при 82° и 30%-ная HNO₃ при 71°; 60%-ная HF при 82°. Бутил-каучук стоек ко всем водн. р-рам хим. в-в (за исключением HCl), к животным и растительным маслам. Обкладки из хипалона обладают хорошей хим. стойкостью, стойкостью к окислению и сохраняют эластичность при высоких т-рах. Они стойки к маслам и р-рителям, H₂O₂ (50%-ной), фосфорной к-те до 85%; H₂SO₄ до 80% при 70°, к HNO₃ до 20% при 70°, HF до 48% при 70°. Покрытия из поливинилхлорида устойчивы к азотной и хромовой к-там и применяются для обкладок травильных ванн (20% HNO₃ + 4% HF при 60° и окиси хрома 6,2 г/л при 71°).

Т. Фабрикант

21836. Защитное покрытие внутренней поверхности жестяных банок. Чу (That protective coating on the interior of beverage cans. Chew J. A.), Industr. Finish., 1957, 33, № 3, 32—34, 36, 40 (англ.)

Дано описание автоматизированного процесса изготовления жестяных банок для пива и др. напитков, который состоит в грунтовке поверхности листа, предназначенного для изготовления банок, их пайки и нанесения винилового покрытия на их внутреннюю поверхность, а также высушивания их в конвекционных газовых печах. В. Лукинская

21837. Свинцовые краски для защиты от коррозии. Хабберлинг (Werden die Bleifarben im Rostschutz «entbehrlich»? (Ergänzungen zu Beitrag. Haberling Hans), Werkstoffe und Korrosion, 1957, 8, 6, 345 (нем.)

Отмечается, что электрохим. действие Pb₂O₃ не зависит от хим. состава связующего, и что защитное действие пигмента не обусловлено, как до сих пор считали, образованием Pb-мыл. В ряде случаев определенным защитным действием обладают также дру-

компонентные грунты, содержащие окись Zn, хроматы и фосфорную к-ту, так называемые Ваш-прайм-ры. Начало см. РЖХим, 1957, 25451. Ф. Сломанская 21838. Изучение защитных свойств лакокрасочных покрытий электрохимическим методом. Каргин В. А., Карякина М. И., Берестнева З. Я., Хим. пром-сть, 1956, № 5, 20—24

Описан электрохим. метод определения защитных свойств лакокрасочных покрытий. Установлено, что прочность сцепления пленки с поверхностью металла является одним из основных факторов, определяющих качество покрытия. Для улучшения сцепления с лакокрасочной пленкой поверхность металла следует фосфатировать, грунтовать, полировать и т. д. Катодная поляризация приводила к выделению на Fe водорода, диффундирующего через пленку в р-р, а при плохом сцеплении пленки с металлом — к отрыву пленки. При последующей анодной поляризации в участках отрыва пленки от металла возникала коррозия. При катодной поляризации кривая стойкости лака (электроды покрывались лаком КФБ) в зависимости от его толщины для полированной, фосфатированной, а также для поверхности, обработанной шкуркой, проходит через максимум. С увеличением напряжений в пленках кол-во образующихся очагов коррозии возрастало. Е. Зарецкий

21839. Электрофоретическое нанесение лаковых пленок на поверхность металлов. Кошурников Г. С., Сб. науч. тр. кафедр матем., механ., химии. Ленингр. ин-т точной механ. и оптики, 1957, вып. 24, 91—94

При электрофоретич. способе нанесения лака на поверхность мягкого железа пленка имеет лучшие защитные свойства, чем пленка, нанесенная методом погружения в 10%-ный р-р HCl. Коэфф. усиления защитного свойства пленки равен 5—6. Пленки, нанесенные по этому способу, в 1,2—1,3 раза толще пленок, нанесенных методом погружения. Т. Фабрикант

21840. Применение антикоррозионного органического покрытия по оксидированной поверхности мягкой стали и алюминия. Кошурников Г. С., Немцова И. В., Сб. науч. тр. кафедр матем., механ., химии. Ленингр. ин-т точной механ. и оптики, 1957, вып. 24, 95—102

Хорошая адгезия антикоррозионного покрытия с поверхностью металла улучшает качество покрытия. Исследования, проведенные с целью увеличения прочности покрытия из лака 41-Т, показали, что нанесение его на предварительно оксидированную поверхность мягкой стали и Al значительно повышает коррозионную стойкость пленки лака к 10%-ной HCl (к-та). Оксидирование производилось путем обработки стали конц. HNO_3 с последующей сушкой. Т. Фабрикант

21841. Контроль и повторное окрашивание стальных баков для воды. Джексон (Inspecting and repainting steel water tanks. Jackson J. O.), Water and Sewage Works, 1957, 104, № 4, 153—156 (англ.)

Приводятся данные по подготовке поверхности к окраске резервуаров для воды и рассмотрены вопросы коррозии сосудов, работающих под давлением. Я. Лапин

21842. Новые области применения игурита. Хейдер, Бопп (Neuere Entwicklung auf dem Igiturgebiet. Heyder W., Bopp A.), Chem. Technik, 1955, 7, № 5, 249—252 (нем.)

Описаны теплообменники и центробежные насосы, выполненные из щелоче- и кислотостойкого игурита. Ельцов

21843. Правило поверхностей и тормозящее действие замедлителей при электрохимической коррозии. Хей

миг (Flächenregel und Inhibitorwirkung bei der elektrochemischen Korrosion. Hömig H. E.), Werkstoffe und Korrosion, 1957, 8, № 6, 321—324 (нем.; реф. англ., франц.)

Классическое правило поверхностей можно выразить ф-лой $d_1 : d_2 = e_2 : e_1$, где d_1 и d_2 — глубинные показатели коррозии, а e_1 и e_2 — соответствующие значения отношения поверхности анода к сумме поверхностей анода и катода. Выведено ур-ние с широкой областью применимости: $d_1 : d_2 = [\varphi(e_1) : \varphi(e_2)] \cdot (e_2 : e_1)$, где $\varphi(e) = 2e(e-1)/e \exp \beta : (\beta + \alpha)$, β и α — положительные величины в ур-ниях поляризации соответственно катода и анода, характеризующие поляризуемость этих электродов. Классич. правило является частным случаем этого ур-ния и справедливо только при электрохим. коррозии со смешанным контролем. Имеются определенные условия, когда это правило соблюдается точно, а в других условиях — приблизительно. Допуская ряд упрощений, показана связь между правилом и действием анодных замедлителей коррозии; эта зависимость подтверждается практически. А. Мамет

21844. Полифосфаты натрия и их применение в качестве замедлителей коррозии. Инделли (I polifosfati di sodio e li loro impiego come inibitori di corrosione. Indelli A.), Metallurgia ital., 1957, 49, № 5, 333—336, 340 (итал.; реф. франц., англ., нем.)

Натриевые соли конденсированных фосфорных к-т относятся термодинамич. метастабильностью и отсчитываются к инертности, препятствующей быстрому превращению их в простые фосфаты. Некоторые из этих в-в (низкомолекулярные) имеют кристаллич., а другие (высокомолекулярные) явно коллоидную структуру. Имеется также много соединений промежуточного характера. Замедление этими в-вами скорости коррозии Fe требует наличия в р-ре кислорода и ионов Са, а также интенсивной подачи фосфатов к поверхности металла путем перемешивания жидкости. Это явление связано, с другой стороны, с образованием на металле тонкой защитной пленки, различаемой интерференцией. А. Мамет

21845. Необходимое количество антикоррозионного адсорбента влажности. Балаж (A korrozógátló páraelvonó szükséges mennyisége. Balázs Pál), Csomagolótechnika, 1956, 1, № 3—4, 19—22 (венг.)

Рассматриваются условия, определяющие необходимое кол-во влагозащитного адсорбента, применяемого при транспортировке упакованных изделий. Д. Пюшпек

21846. Торможение коррозии медно-свинцовых деталей при эксплуатации дизелей. Томас, Харл, Ричардсон, Боумен (Copper-lead bearing corrosion inhibition in diesel service. Thomas J. R., Harle O. L., Richardson W. L., Bowman L. O.), Industr. and Engng Chem., 1957, 49, № 10, 1703—1708 (англ.)

Изложены теоретич. соображения и результаты исследований по вопросам механизма коррозии Cu-Pb деталей дизельных двигателей под действием окисленных смазочных масел. Рассмотрены также вопросы торможения коррозии с учетом наличия в конструкциях современных дизелей Ag-сплавов, которые корродируют под действием обычных присадок, содержащих S. А. Мамет

21847. Применение мылонафта для защиты порошкообразной меди против коррозии. Помосов А. В., Крымакова Е. Е., Тр. Уральского политехн. ин-та, 1957, сб. 69, 74—77

См. также РЖХим, 1957, 29228

21848. Протекторные свойства сплавов алюминия с элементами второй группы периодической системы.

Сейфер А. Л., Элм эсэрлэр, Азерб. ун-в. Уч. зап. Азерб. ун-т, 1957, № 1, 39—53 (рез. азерб.).

Проведенные эксперим. работы позволяют судить о протекторных свойствах бинарных и тройных сплавов Al с элементами второй группы периодической системы. Опыты проводились с морской водой, р-рами поваренной соли и сульфата натрия. Приведены таблицы и кривые зависимости электродных потенциалов исследованных сплавов от плотности тока и р-ра электролита.

П. Клепцов

21849. Одновременное применение красок и катодной защиты металлических конструкций в пресной воде. Готода, Сато (淡水中における気電蝕と塗装の併用に関する研究. 後藤田正夫, 佐藤靖), 電気化学, Дэнки кагаку, J. Electrochem. Soc. Japan, 1957, 25, № 4, 208—213, E49—E51 (японск.; рез. англ.)

Исследование ряда красок с точки зрения их пригодности для применения совместно с катодной защитой для предохранения от коррозии сооружений гидростанций и резервуаров питьевой воды в поездах показало, что маслорастворимые краски подвергаются значительному разрушению, в то время как краски, изготовленные на основе кумароно-индоловой смолы, поливинилхлорида или хлорированного каучука, ток не влияет. Измерялось также распределение потенциала на поверхности стальных изделий, покрытых краской в сочетании с Mg-анодами. Установлено, что однородность распределения потенциала зависит от условий нанесения покрытия. В целом авторы считают, что применение красок и катодной защиты может обеспечить коррозионную стойкость металлич. конструкций и изделий в пресной воде.

В. Левинсон

21850. Катодная защита баков пивоваренного завода. Хаббард (Cathodic protection of brewery liquor tanks. Hubbard A. W.), Corros. Prevent. and Control, 1957, 4, № 10, 57—58 (англ.)

Для осуществления катодной защиты баков с холодной жидкостью на пивоваренном з-де достаточен однофазный ток с частотой 50 периодов и напряжением 230 в, подаваемый через выпрямитель на графитовые аноды, закрепленные в изолирующих подставках на днищах баков. Защитные потенциалы установились через месяц. Внутренняя поверхность баков покрылась белым налетом известковых солей и коррозия прекратилась.

Т. Шалаева

21851. Катодная защита корпусов судов. II. Исследование потенциала корпуса плавящего судна. Юхневич (Katodowa ochrona kadłubów okrętowych. II. Badanie potencjału kadłuba pływającego statku. Juchiewicz R.), Przem. chem., 1957, 13, № 5, 273—276 (польск.; рез. русск., англ.)

Измерение потенциала (П) корпуса судна (КС), движущегося с различной скоростью (до 8 узлов), показало, что П практически остается постоянным по всей длине КС и имеет значение от —645 до —660 мв. На значение П не влияет работа гребного винта, носовой части, а также ветер, дождь и волнение воды. Т-ра воды оказывает заметное влияние на П КС. Для обеспечения катодной защиты КС как в движении, так и во время стоянки необходимо снизить его П на 150—200 мв (в зависимости от т-ры морской воды) по отношению к Ag/AgCl-электроду. Сообщение I см. РЖХим, 1957, 67928.

В. Левинсон

21852. Справочник по катодной защите. Осборн, Шриббер, Врукс, Дюргенсен, Дуглас (Cathodic protection handbook. Osborn Oliver, Schrieber C. F., Brooks W. B., Jorgensen R. C., Douglas Burke), Petrol. Refiner, 1957, 36, № 6, 116—129 (англ.)

Описаны условия катодной защиты (КЗ) конденса-

торов и теплообменников. Приводятся ряд значений потенциалов различных металлов в морской воде относительно медносульфатного электрода. Дается конструкция Mg-анода и сроки его работы в воде различного уд. сопротивления. Описывается защита внутренней поверхности трубопроводов большого диаметра для морской воды. Дается описание КЗ судов, лодок и барж. Выход тока анодов регулируется нанесением на анод слоя пластмассы. Необходимый защитный ток в морских условиях для стационарных неизолированных поверхностей составляет 21,5—32,3 ма/м², для движущихся неизолированных 54—107 ма/м² и для движущихся окрашенных 43—86 ма/м². Приводятся защитные плотности тока для различных скоростей движения воды при КЗ изолированных и неизолированных поверхностей пшучевых стенок, решеток, задвижек, деталей насосов и т. д. При КЗ подвешенных трубопроводов критерием защиты является защитный потенциал от —0,80 до —0,85 в по медносульфатному электроду. Трубопровод должен быть изолирован и обернут. Приводятся величины интервалов между отдельными анодами для участков различного сопротивления при различных диаметрах труб от 4" до 36". Отдельно приводятся величины интервалов для выделенных участков пониженного сопротивления, находящихся в зонах общего, более высокого сопротивления. Дается выход тока из различных анодов, стоимость КЗ. В. Притула

21853. Основы катодной защиты. II. Морган (Fundamentals of cathodic protection (2). Morgan John H.), Corros. Prevent. and Control, 1956, 3, № 10, 33—37 (англ.)

Рассматриваются основные положения электрохим. защиты. В случае применения гальванич. Zn- или Mg-анодов необходима засыпка из глины и типа, уменьшающая сопротивление анода и увеличивающая его эффективность. В почвах высокого сопротивления, однако, обычно применяют катодную защиту с наложенным током. В качестве анода применяются графитовые стержни, пропитанные парафином или смолой. Графит не рекомендуется применять при плотности тока на аноде более чем 21,5 а/м², хотя имеются случаи успешного применения его и при плотностях в 54—86 а/м². Наибольшие потери напряжения имеют место в заземлении. Приводятся формулы для расчета сопротивления заземления и ф-лы распределения потенциала вдоль защищаемой линии для станций бесконечной и конечной длины. В случае защиты массивных сооружений ограничение защиты может зависеть от изменения потенциала в электролите, что связано с конфигурацией катодной поверхности или с удаленностью анода. Первый случай носит название электролитного контроля, а второй — контроля расположением. Пример 1-го контроля имеет место при внутренней защите труб, примером 2-го является защита корпуса судна. Наиболее труден для расчета контроль сопротивлением, который имеет место при одновременной защите нескольких параллельных объектов. Для устранения вредного влияния токов катодной защиты на соседние сооружения рекомендуется применять небольшие по мощности установки и увеличивать переходные сопротивления конструкции — почва как на защищаемой, так и на соседней поверхности, что достигается путем их изоляции. Защитные покрытия почти всегда применяются одновременно с катодной защитой. В морской воде катодной защите сильно помогают отложения солей на защищаемой поверхности, главным образом карбонатов Ca и Mg. Поэтому иногда искусственно создают пленку таких солей, применяя в начале повышенный ток. Так, напр., в течение первых дней применяют ток плотностью 320—430 ма/м², после

что для поддержания защиты бывает достаточно плотности всего 21—32 $\text{мг}/\text{м}^2$. Некоторые металлы, как, напр., Pb и Al, могут корродировать в катодных условиях. Однако в случае контакта со сталью Al, напр., может быть защищен сдвигом своего естественного потенциала в $-0,65$, $-0,70$ в до значений $-0,85$ в. При катодной защите необходимо, чтобы перерыв длился не больше дня, при суммарных перерывах защиты не более чем на половину общего срока действия защиты. Сообщение I см. РЖХим, 1957, 29231. В. Притула

21854. Катодная защита от коррозии балластных танкеров. Леппер (Katodiskt korrosionsskydd av ballasttankar. Løpper J.), Tekn. tidskr., 1957, 87, № 33, 751—756 (шведск.)

Обзор. Схема и принципы катодной защиты (K3) металлов, в частности Fe, и практич. применение K3 для предотвращения коррозии (точечной и др.) балластных танкеров. Рекомендуются Mg-аноды, которыми в определенном порядке размещаются в танке. М. Голомбик

21855. Ускоренные испытания гальванических покрытий в камерах с обрызгиванием. Мендизца (The standard salt-spray test is a valid acceptance test? Mendizca A.), Plating, 1957, 44, № 2, 166—171, Discuss., 171—175 (англ.)

Описаны результаты обширных эксперим. исследований по вопросу о возможности применения стандартных испытаний ASTM при оценке эффективности гальванич. покрытий в условиях морской атмосферы (метод B-117 ASTM). Испытанию подвергались следующие покрытия (толщина в м.м.): 0,038 Ni; распыленная Cu + 0,038 Ni; 0,023 Cu + 0,015 Ni; 0,032 Ni; 0,023 Ni и 0,019 Ni. Поверхностный слой составлял 0,0005 м.м. Cr. Оценка производилась по числу образовавшихся коррозионных пятен. Продолжительность испытаний 48—96 час. Из представленных диаграмм можно видеть, что однозначных выводов по коррозионной стойкости одинаковых образцов не представляется возможным сделать. Во многих случаях большое число коррозионных пятен приходится на более толстые пленки. Е. Калинин

21856. Объемный метод исследования коррозии металлов при периодическом смачивании их электролитами. Розенфельд И. Л., Жигалова К. А., Заводск. лаборатории, 1957, 23, № 6, 687—689

Описывается конструкция прибора, позволяющая изучать кинетику коррозионного процесса по кол-ву поглощенного O_2 как при любой упругости пара, создаваемой смачивающим электролитом, так и при любой заданной упругости пара, а также при различных режимах смачивания и при погружении в электролит, в пленке электролита, наносимой на металл. Поверхность перед опытом. Показано, что малоуглеродистые стали при периодич. смачивании 0,5 н. NaCl в невозобновляемой пленке электролита имеют скорость коррозии в 2—3 раза выше, чем в объеме. При смачивании образца 1—4 раза в сутки скорость коррозии возрастает в 4—7 раз. Установлено, что сталь 3, смачиваемая 0,5 н. NaCl один раз в час при 65%-ной относительной влажности воздуха, поглощает O_2 больше, чем при влажности 98%, и что увеличение скорости коррозии с уменьшением влажности воздуха связано с увеличением скорости катодного процесса при испарении электролита с поверхности металла. Р. Салем

21857 К. Химическая аппаратура из кислотоупорной керамики. Смирнов Л. А., Кантакузен А. В. (Коррозия в хим. произ-вах и способы защиты, вып. 10). М., Госхимиздат, 1957, 166 стр., илл., 6 р. 25 к.

21858 П. Способ нанесения защитного покрытия. Слай, Линч, Ранк (Protective coating method. Slyh John A., Lynch James F., Runch Roger J.) [Battelle Development Corp.]. Пат. США 2749254, 5.06.56

Патентуется состав (C) и режим нанесения на поверхности графита для защиты последнего от окисления и разрушения при высокой т-ре. Композицию получают путем смешения 79,4% порошка дисилицида Mo, размолотого до тонкости — 200 меш, с 7,8% термореактивной водорастворимой смолой и 13% воды. Фенолформальдегидные, фенолфурфурольные и метилцеллюлозные смолы дают удовлетворительные результаты. На предварительно очищ. и смоченную водой поверхность графита наносят C методами распыления, окунания или натирания щеткой, затем его высушивают на воздухе и подогревают при 176,67° в течение 30 мин. для удаления воды и полимеризации смолы. Для окончательной полимеризации смолы покрытое изделие подогревают в атмосфере аргона при 2148,89—2260° в течение 10 мин. После охлаждения на поверхности графита образуется плотное, хорошо сцепленное, твердое защитное покрытие в виде глазури. При испытании в сильноокислительной атмосфере при 1982,22° покрытие не было разрушено после 12 циклов 30 сек. экспозиции. Те же испытания незащит. образца показали полное его окисление и разрушение. А. Рейхштадт

21859 П. Способ покрытия изделий металлическими слоями, особенно для пайки плохо спаивающихся металлов, путем применения колебаний высокой частоты. Маркс, Шпёнеманн (Verfahren zum Überziehen von Körpern mit Metallschichten, insbesondere zum Löten schwer lötharer Metalle unter Anwendung von Schwingungen hoher Frequenz. Marks Hans, Spönnemann Karl) [Siemens-Schuckertwerke A.-Ges.]. Пат. ФРГ 943151, 9.05.56

Патентуется способ получения металлич. покрытий, обладающих способностью спаиваться, путем применения механич. колебаний высокой частоты. Покрытие наносится методом окунания. Отличительной особенностью метода является нагревание изделий перед погружением в ванну. Е. Зарецкий

21860 П. Торможение коррозии. Уокер, Стилман (Corrosion inhibition. Wachter Aaron, Stillman Nathan) [Shell Development Co.]. Пат. США 2752221, 26.06.56

Патентуется способ защиты металлоизделий от коррозии с помощью летучих замедлителей коррозии (ЛЗК), в качестве которых обычно применяются соли азотистой к-ты и органич. основания, обладающие упругостью паров при $21^\circ \geq 0,0002$ м.м. рт. ст. Для стабилизации ЛЗК добавляется азотсодержащее органич. основание или его соль карбоновой к-ты. Содержание указанного основания должно несколько превышать 0,4% от веса обоих реагентов, смесь которых можно также пропитывать упаковочную бумагу. К таким смесям относятся нитрит дициклогексиламмония и дициклогексиламин, нитрит дивазопропиламония и другие нитриты диалкиламония и соответствующие диалкиламины. Приведены результаты опытов, показывающие эффективность указанных ЛЗК. А. Мамет

См. также: Существование флуде-потенциала на нигрированном железе 20774. См. раздел Лаки, краски и рефераты: Применение пластмасс для химич. оборудования 23166. Краски на основе хлорированного каучука 23407. Фторсодержащие эластомеры, стойкие против действия высоких т-р и агрессивных сред 23416.

ПОДГОТОВКА ВОДЫ. СТОЧНЫЕ ВОДЫ

Редактор М. И. Лапшин

21861. Достижения в определении жесткости воды комплексометрическим методом. Нильш (Fortschritte in der komplexometrischen Wasserhärtebestimmung. Nielsch Walter), Glas-Email-Keram-Technik, 1956, 7, № 8, 287—291; № 9, 331—355 (нем.; рез. англ., франц.)

Приведена пропись раздельного определения общей, кальциевой и магниевой жесткости неумягченной и умягченной воды титрованием комплексом III в отсутствие мешающих примесей (индикаторы — мурексид и эриохромчерный Т), а также при высоких конц-ях бикарбонатов и фосфатов. Присутствие Al^{3+} маскируют добавкой триэтанолamina; присутствие Fe (и других тяжелых металлов) — добавкой пирролидиндитиокарбамата, 2—3-димеркантопропанола и KCN.

М. Лапшин

21862. Применение фотометрии в анализе воды. Польский (Application of photometry to water analysis. Polsky J. W.), Amer. Ceram. Soc. Bull., 1956, 35, № 11, 433—436 (англ.)

Описано фотометрич. определение сульфатов, основанное на переведении их в $BaSO_4$ в кислой среде в присутствии глицерина. В интервале конц-й 0—40 мг/л абсорбция света прямо пропорциональна конц-и SO_4^{2-} . Метод особенно рекомендуется для конц-и SO_4^{2-} 0—10 мг/л.

Г. Крушель

21863. Определение фенолов в воде и в промышленных сточных водах. Сравнение аналитических методов. Молер, Джейкоб (Determination of phenolic-type compounds in water and industrial waste waters. Comparison of analytical methods. Mohler Edward F., Jr, Jacob Lawrence N.), Analyt. Chem., 1957, 29, № 9, 1369—1374 (англ.)

Произведено сравнение следующих методов: 1) стандартного по Гибсу, 2) нитрозофенольного, 3) 4-аминоантипиринового, 4) ИК-спектрофотометрич., 5) УФ-спектрофотометрич. Дана подробная характеристика точности и интервала конц-й, при которых может применяться каждый метод, их преимуществ и недостатки, время, потребное для анализа. Наибольшей точностью и чувствительностью (порядка 1 мкг/л) обладает 4-аминоантипириновый метод.

Б. Краснов

21864. Определение малых количеств акрилонитрила в сточных водах. Даус, Хамнер (Determination of small amounts of acrylonitrile in aqueous industrial streams. Daues G. W., Hamner W. F.), Analyt. Chem., 1957, 29, № 7, 1035—1037 (англ.)

Определение акрилонитрила (I) в малых конц-ях основано на концентрировании его азеотропной перегонкой с CH_3OH (II) и полярографич. анализе. Смешивают 500 мл СВ, 5 мл конц. H_2SO_4 и 25 мл II и перегоняют со скоростью 1 мл/мин. Первые 12 мл погона собирают тремя отдельными равными фракциями. Длительность перегонки ~ 45 мин. (В присутствии полярографически активных альдегидов или кетонов одновременно с H_2SO_4 добавляют избыток 2,4-динитрофенилгидразина и кипятят 1 час с обратным холодильником до прибавления II). При конц-и I в СВ 100—1000 мг/л 1-ю фракцию разбавляют в 100 раз 0,1 М р-ром водистого тетраметиламмония, 2-ю и 3-ю в 10 раз. При конц-и I < 100 мг/л используют только 2 первые фракции, разбавляя их в 10 раз. Для каждой фракции находят кривую зависимости напряжение — сила тока (в интервале от —1,3 до —2,1 в). Электрод сравнения — Нг. Гладкая кривая и большая плоская площадка указывают на отсутствие других полярографически активных примесей. Диффузион-

ный ток измеряют при —2,05 в и определяют конц-ю I по предварительно составленной калибровочной кривой. Минимально определяемые конц-и ~ 0,1 мг/л.

М. Пасманин

21865. Видоизмененный метод определения меди в котловой воде. Паркхаус (A modified method for the determination of copper in boiler feed water. Parkhouse D.), Chemistry and Industry, 1957, № 8, 224—225 (англ.)

С целью сокращения затраты времени комплекс Cu^{2+} с диэтилдитиокарбаматом рекомендуется экстрагировать CCl_4 однократно (не добиваясь полноты) в строго стандартных условиях и также готовить р-ры для построения калибровочной кривой. При фотокolorиметрировании применяют фиолетовый фильтр 601. Метод позволяет работать с точностью до 1 мкг/л. Для определения общей конц-и Cu пробу отбирают в колбу емк. 1 л, содержащую 0,5 мл конц. HNO_3 .

Н. Полянский

21866. Колориметрическое определение фосфатов в котловой воде в виде синего фосфорномolibденового комплекса. Фудзита (井田弘治), 比色定量法について. 藤田弘治), 資源科学研究所集報. Сигэн какаку кэнкюсё ихо, Misc. Repts Res. Inst. Natur. Resources, 1956, № 41—42, 81—86 (японск.; рез. англ.)

Для создания оптимальных условий рекомендуется следующие конц-и реагентов в р-ре: H_2SO_4 1 н, $(NH_4)_2MoO_4$ 0,75%, $SnCl_2$ 0,024%. При данной кислотности кремнекислота и танин не мешают определению. Допустимо присутствие $NaCl$ в конц-и 10 г/л, Na_2CO_3 2 г/л, Na_2SO_3 60 мг/л. Помехи, создаваемые $NaNO_3$, устраняют добавлением 8 г NH_4Cl на 1 л $NaNO_3$ с последующим кипячением 20 мин. Фосфаты взаимодействуют с находящимися в осадке $CaCO_3$ и $Mg(OH)_2$; поэтому осадок должен быть отфильтрован тотчас же по отборе проб.

Н. Канаев

21867. Определение кислорода в котловой воде. Янссен, Смит (Die Bestimmung des Sauerstoffgehaltes von Kesselspeisewasser. Janssen C., Smit G. B.), Analyt. chim. acta, 1957, 16, № 3, 276—284 (нем.; рез. англ., франц.)

Проведено сопоставление точности определения следующими методами: (1) Винклера; (2) Вилкорта (Vom Wasser, 1950/51, 18, 337); (3) Мак-Крама и Кени (J. Amer. Water Works Assoc., 1929, 21, 400); (4) Адамса, Бернетта и Келлера (Proc. Amer. Soc. Testing Materials, Preprint, 1943, 43, 1240); (5) Алмера, Рейнара и Деккера (Proc. Amer. Soc. Testing Materials, Preprint, 1949, 43, 1258). Наибольшей точностью и чувствительностью обладают методы (4) и (5). Погрешность определения методом (5) меньше. Погрешность определения 0,4 мкг/л. Изучено влияние присутствия Cu^{2+} , Fe^{2+} , Fe^{3+} , NO_3^- , NO_2^- , SO_4^{2-} . Установлено, что Cu^{2+} , NO_3^- , SO_4^{2-} не мешают определению. Для устранения мешающего влияния других примесей рекомендуется предварительное фильтрование воды через лабор. Н-ОН-ионитный фильтр; конц-я O_2 при такой обработке не изменяется. А. Н.

21868. Санитарно-гигиеническая характеристика

реки Вислы между Варшавой и Плоцком. Цабейшек, Козёровский, Мальяновский, Стениславская (Charakterystyka higieniczno-sanitarna rzeki Wisly na odcinku Warszawa—Plock. Cabszyszek Irena, Koziorowski Bohdan, Malanowski Zbigniew, Stanislawski Janina), Gaz, woda, techn. sanit., 1957, 31, № 5, 165—172 (польск.)

Исследования, проведенные в 1956 г., показали, что с гигиенич. точки зрения Висла выше Варшавы загрязнена незначительно. Сильное загрязнение обнаружено на участке от устья главного коллектора в

Вершаве до устья Буга. Ниже вода Вислы становится значительно чище вследствие впадения большого количества бужской воды. Библ. 21 назв. Т. Бржевская 21869. Влияние промышленных сточных вод на р. Волгу и Куйбышевское и Сталинградское водохранилища. Гусев А. Г., Тр. пробл. и темат. сообщений. Зоол. ин-т АН СССР, 1957, вып. 7, 121—126

Изучено загрязнение Волги промышленными СВ в районе от Чебоксар до Саратова. Установлено, что в большинстве случаев влияние сброса СВ в осенне-летнее время ликвидируется в 8—10 км ниже их сброса; зимой в маловодные годы местами наблюдается замор рыбы. Наиболее стойким является загрязнение реки нефтепродуктами (I), конц-ия которых в районе Куйбышева и Саратова составляет 3—31 мг/л. I распространяются на 200—300 км по течению, что вызывает гибель рыбы или портит ее вкусовые качества. В лабор. условиях при конц-ии I 0,5 мг/л рыбы приобретали запах нефти через сутки пребывания в воде. Ожидается, что Куйбышевское водохранилище будет чище Сталинградского. Их использование для рыбного хозяйства станет возможным при улучшении очистки СВ от I. М. Губарь

21870. Опыты по исследованию процессов загрязнения грунтовых вод. Форнелл, Дей, Пейдж (Experimental ground water pollution at Anchorage, Alaska. Fournelle H. J., Day E. K., Page W. B.), Public Health Repts, 1957, 72, № 3, 203—209 (англ.)

Описана методика и приведены результаты многолетнего исследования путей и скорости распространения хим. и биологич. загрязнений в грунтовых водах (ГВ). Опыты проводились на участке с глубиной залегания ГВ 1,5—1,8 м. Установлено, что поступающие в ГВ загрязнения распространяются узкими клиньями преимущественно в одном каком-либо направлении со скоростью до 0,6 м в сутки для красителя (уранин) и до 0,15 м в сутки для бактерий. Дальность продвижения одной дозы: красителя 30 м, бактерий 15 м. Краситель обнаруживался в 38 из 48 проб ГВ через 2 года и 10 месяцев после поступления в ГВ. Наиболее стойкий вид бактерий (*Streptococcus zymogenes*) обнаруживался в течение 327 дней.

Ю. Скорецкий

21871. Сравнительная оценка некоторых показателей загрязнения морских вод. Алфимов Н. Н., Гигиена и санитария, 1957, № 1, 25—29 (рез. англ.)

Исследование прибрежных вод Балтийского и Черного морей показало, что NH_4^+ и NO_2^- могут отсутствовать даже в сильно загрязненных участках вследствие потребления их фитопланктоном. Надежными показателями загрязнения служат окисляемость и, особенно, БПК₅. Добавление к морской воде 1% бытовых СВ увеличивало окисляемость в 1,5 раза, БПК₅ — в 3,5 раза. М. Губарь

21872. Биология водохранилищ Шасток и Гартли. Уайтхед (Shustoke and Bartley reservoirs biology. Whitehead R. C.), J. Instn Water Engrs, 1957, 11, № 3, 289—299 (англ.)

Приведены результаты еженедельного (за период 8 лет) качеств. и колич. определения фитопланктона и хим. характеристики воды. Для борьбы с цветением водохранилищ применяется $\text{CuSO}_4 \cdot 5\text{H}_2\text{O}$, доза которого зависит от жесткости и т-ры воды. Приведены (безвредные для рыб) альгицидные дозы $\text{CuSO}_4 \cdot 5\text{H}_2\text{O}$ в отношении различных представителей диатомовых, зеленых и сине-зеленых водорослей. Е. Дианова

21873. Исследование влияния фторидирования на организм. Добе (Fluoridation. A study in confusion of function. Dobbs Geoffrey), Water and Water Engng, 1957, 61, № 735, 201—205 (англ.)

Введение в организм человека F⁻ сказывается не только на состоянии зубов. F⁻ влияет на процесс образования тромбина, гликолиз эритроцитов и т. п. При хронич. приеме 20—80 мг F⁻ в сутки возникает деформирующий флюороз скелета, при длительном приеме 2—8 мг/сутки F⁻ у детей в первые 8 лет жизни развивается флюороз зубов. Дозы 1—1,5 мг/сутки F⁻ снижают кариес зубов. В. Клячко

21874. Содержание фтора в зубах детей (Израиль) и распространение кариеса в зависимости от концентрации фтора в питьевой воде. Гдалия, Ярдени (Fluorine in teeth of Israeli children, in relation to fluorine in domestic waters and to dental caries prevalence. Gdalia, Jtzhak, Yardeni Jacob), J. Dental Res., 1957, 36, № 2, 203—207 (англ.)

Установлено, что в зубах детей (в возрасте от 6 до 13 лет), употреблявших для питья воду с конц-ией F⁻ < 0,35 мг/л, содержание F составляет в среднем 7,3—7,8 мг% от веса золы зубов; употреблявших воду с конц-ией F⁻ 0,6—0,9 мг/л — 21,1—30,3 мг%; употреблявших воду с конц-ией F⁻ 0,9—1,3 мг/л — 34,1—36,5 мг%. Частота заболевания кариесом (обследовано свыше 6000 детей) обратно пропорционально содержанию F в зубах. В. Клячко

21875. Допустимое содержание *Coli*-бактерий в исходных водах в зависимости от методов очистки. Уолтон (Relation of treatment methods to limits for coliform organisms in raw waters. Walton Graham), J. Amer. Water Works Assoc., 1956, 48, № 10, Part 1, 1281—1289 (англ.)

В водах, используемых для централизованного водоснабжения в США, среднемесячное содержание (СС) *Coli*-бактерий должно быть ≤ 5 тыс. в 100 мл. При очистке воды на скорых фильтрах с последующим хлорированием допускается превышение СС *Coli*-бактерий в ≤ 20% проб. Вследствие возросшего загрязнения водоемов СС *Coli*-бактерий в исходных водах часто превышает установленный предел. На основании данных бактериологич. анализов по 27 водопроводам показано, что при СС *Coli*-бактерий 5 тыс. — 1 млн. очищ. вода обычно отвечает требованиям стандарта (отсутствие *Coli*-бактерий в 90% проб по 10 мл). Учитывая достаточный эффект обеззараживания, рекомендуется пересмотреть нормы исходной воды. М. Губарь

21876. Осаждение и осаждение при коагуляции. Лопес-Кабальеро (Sedimentacion simple y con coagulacion. López Caballero Albino), Scientia (Valparaiso), 1955, 22, № 3, 151—171; № 4, 233—250; 1956, 23, № 1, 32—58 (исп.)

Рассмотрены конструкции прямоугольных и радиальных отстойников; дан подробный анализ их работы. Приведены краткие сведения о процессах коагуляции. М. Лапшин

21877. Новые методы обеззараживания воды и их влияние на коррозию. Хазе (Moderne Verfahren der Wasserentkeimung in Beziehung zur Korrosion. Haase L. W.), Vom. Wasser, 1955, 22, Weinheim, 1956, 420—430 (нем.)

На основании опытов по коррозии трубопроводов из железа, оцинкованного железа, латуни и меди под действием воды, содержащей растворенный O_2 , H_2O_2 и различные соединения Cl_2 , отщепляющие атомарный О, сделаны следующие выводы. При обеззараживании воды необходимо избегать введения избытка свободного Cl_2 . Менее опасными в коррозионном отношении являются соединения Cl_2 , отщепляющие атомарный О, который пассивирует железо. В случае применения оцинкованных труб необходимо учитывать возможность поступления в воду Zn^{2+} в конц-иях, вредных для здоровья. При наличии в

воде NO_3^- может происходить восстановление их до NO_2^- . Опасность коррозии латунных труб возникает только в случае, когда содержание в них меди $< 63\%$.

В. Генкин
21878. Экспериментальное исследование эффективности препаратов серебра применительно к обеззараживанию питьевой воды грунтовых колодцев. *Oberzill W.* (Experimentelle Grundlagen der Trinkwassersilberung unter besonderer Berücksichtigung der Verhältnisse bei Behandlung ländlicher Hausbrunnen mit Silberpräparaten. *Oberzill W.*, Arch. Hyg. und Bakteriologie, 1957, 141, № 3, 217—234 (нем.; рез. англ., франц.))

В лабор. условиях изучалось бактерицидное действие (БД) препаратов: Mikropur (содержание $1\% \text{Ag}$), Movidyn (содержание $3\% \text{колл. Ag}$) и AgNO_3 в отношении кишечной палочки (I). Установлено, что БД не зависит от типа препарата, но зависит от исходной конц-ии Ag^+ в воде. БД заметно снижается (при контакте до 24 час.) при уменьшении конц-ии Ag^+ с 3000 до 3 $\mu\text{г/л}$, а также при увеличении кол-ва $\text{I} > 40$ тыс. в 1 мл и конц-ии органич. примесей воды, особенно при низкой т-ре (6°). Частичная замена воды в сосуде свежей, не содержащей Ag , снижает БД. Единые правила применения изученных препаратов не могут гарантировать гибель I в любом колоде, так как БД зависит от многих местных условий.

М. Губарь
21879. Удаление из воды радиоактивных изотопов при помощи ионитов. Лейси, Линдстен (Removal of radioactive contaminants from water by ion exchange slurry. Lacy William J., Lindsten Don C.), *Industr. and Engng Chem.*, 1957, 49, № 10, 1725—1728 (англ.)

Исследовалась эффективность удаления из воды радиоактивных изотопов (Ba^{140} , La^{140} , Cd^{115} , $\text{Ce}^{141,144}$, Pr^{144} , Cs^{137} , Ba^{137} , I^{131} , P^{32} , Sr^{90} , Y^{90} , Ru^{106} , Rh^{106} , Ta^{182} , Zr^{95} , Nb^{95} и смесь продуктов деления) в условиях контакта (при перемешивании) с ионитами (Amberlite MB-3, Amberlite XE-69, Zeo-Dur и Permutit Q) в дозах 450, 900, 1350, 1800 и 2700 мг/л . Р-ры готовились на водопроводной воде (рН 7,9, жесткость 2,2 мг-экв/л , щелочность 2 мг-экв/л), β -активность которой доводилась до ~ 4000 отсчетов в 1 мин. в 1 мл. Полученные данные представлены в виде кривых, дающих зависимость % удаления радионуклидов от времени контакта с ионитами и % удаления отдельных изотопов от дозы ионитов. Наиболее эффективным оказался Amberlite MB-3 (смесь ионитов, применяемая при совместно Н—ОН-ионировании). Доза его 2700 мг/л при времени контакта 90 мин. обеспечивала удаление 98% всех изотопов. Увеличение времени контакта > 15 мин. оказывает малое влияние на % удаления радионуклидов при всех дозах.

О. Мартынова
21880. Формы нахождения фторидов в питьевой воде. Фелдман, Моркен, Ходж (The state of fluoride in drinking water. Feldman Isaac, Morken Donald, Hodge Harold C.), *J. Dental Res.*, 1957, 36, № 2, 192—202 (англ.)

Определены формы, в виде которых может находиться F в питьевой воде при применении Na_2SiF_6 для ее фторидирования. Эксперим. исследование процесса гидролиза SiF_6^{2-} : $\text{SiF}_6^{2-} + 3\text{H}_2\text{O} \rightleftharpoons \text{H}_2\text{SiO}_3 + 4\text{H}^+ + 6\text{F}^-$ показало, что константа гидролиза $K_{\text{гидр}} = \text{C}_{\text{H}_2\text{SiO}_3} \cdot \text{C}_{\text{H}^+}^4 / \text{C}_{\text{SiF}_6^{2-}} = 7 \cdot 10^{-22}$ (при 29°). Расчет показывает, что при фторидировании воды Na_2SiF_6 дозами (в пересчете на F) $< 16 \text{ мг/л}$ при рН > 5 ион SiF_6^{2-} практически полностью гидролизован. В питьевой воде могут присутствовать комплексные катионы $[\text{CaF}]^+$ и $[\text{MgF}]^+$. Исходя из констант нестойкости этих комплексных ионов, по-

казано, что при конц-ии $\text{F}^- < 1 \text{ мг/л}$ в виде Ca-комплекса будет находиться $\sim 0,03\%$ F^- в мягких водах и $\sim 2,8\%$ в очень жестких водах. В виде Mg-комплекса может находиться кол-во F^- в ~ 10 раз большее.

В. Клименко
21881. Удлинение межпромывочного периода работы фильтров применением комбинированного фильтрующего слоя из песка и антрацита. Рафт (Combination sand-anthracite media provides longer filter plant runs. Raft Frank S., Jr., *Water Works Engng.*, 1956, 109, № 10, 934—935 (англ.))

Вода из артезианской скважины, содержащая 3 мг/л Fe^{2+} , хлорировалась, аэрировалась и фильтровалась через песок. Наблюдалась быстрая забивка фильтрующего слоя, промывка которого производилась 4—5 раз в сутки. Лабор. опытами установлено, что песок хорошо задерживает $\text{Fe}(\text{OH})_3$, но быстро забивается, антрацитовая же крошка не забивается, но дает проскок до 0,3—0,9 мг/л железа. На основании этих данных в качестве фильтрующей загрузки был применен 75-см слой песка, на котором расположен 75-см слой антрацитовой крошки. Ввиду большого различия в уд. весах перемешивания слоев при промывке не происходит. При интенсивности промывки 16 $\text{л/м}^2 \cdot \text{сек}$ выноса антрацита не наблюдается. Фильтры с комбинированной загрузкой работали со скоростью фильтрования 8,2 л/сек , при межпромывочном периоде 24—30 час. Наблюдалось полное удаление железа.

Г. Крушель
21882. Обессоливание воды. Дженкинс (Fresh water from salt. Jenkins David S.), *Scient. Amer.*, 1957, 196, № 3, 37—45 (англ.)

Описан термокомпрессионный дистиллятор новой конструкции. Исходная вода, предварительно подогретая в теплообменнике до 52° , поступает во внутреннюю полость вращающегося барабана, где под действием центробежной силы растекается по поверхности тонким слоем. Часть воды испаряется, а остаток собирается в кольцевом слое на периферии барабана, откуда непрерывно выводится через теплообменник. Пар отсасывается из барабана компрессором, пройдя который он нагревается до 65° (за счет работы сжатия) и, поступая в кожух, окружающий вращающийся барабан, конденсируется на его наружной поверхности. Конденсат непрерывно отводится из нижней части кожуха. Так как аппарат работает при низких т-рах, то наблюдается лишь слабое накипобразование. Размеры и производительность аппарата ограничены. Экономичное использование тепла достигается также группированием термокомпрессионных испарителей в каскад до 20 аппаратов, соединенных последовательно. Затрата электроэнергии 8—11 квт-ч/м^3 .

О. Ленчевский
21883. Исследование селективных свойств ионитовых мембран в сильно концентрированных растворах. Маджвик (The selective behaviour of ion-exchange membranes at high concentrations. Madgwick G. G.), *Chem. Engng Sci.*, 1957, 6, № 3, 97—104 (англ.; рез. франц.)

Исследования проводились с мембранами Permaplex A-10 Permaplex C-10 в конц. р-рах NaCl . Определялись числа переноса в зависимости от величины средней конц-ии и отношения конц-ий ионов в р-рах, разделенных мембраной. В интервале активности ионов a_1^{\pm} и a_2^{\pm} среднее значение чисел переноса t_1 селективнопроходящих ионов определяется ф-лой $t_1 = (E_0 + E) : 2E_0$, где E — потенциал мембраны; E_0 — максим. значение концентрационного потенциала $[E_0 = RT/F \times \ln(a_1^{\pm}/a_2^{\pm})]$. Массообмен через ионитовые мембраны осуществляется в результате: 1) нормального электролиза; 2) диффузии ионов; 3) осмоса; 4) электроосмоса. Перенос ионов за счет нормального электролиза

может быть вычислен с учетом селективности действия мембраны. Если за данный интервал времени через катионитовую мембрану к катоду проходит M^+ катион, а в противоположном направлении (за счет неидеальных селективных свойств мембраны) проходит x^- анионов, то к. п. д. мембраны $\eta_K = (M^+ - x^-) / (M^+ + x^-) = (t_k^+ - t_k^-) / (t_k^+ + t_k^-) = 2t_k^+ - 1$, где t_k^+ — число переноса катионов в катионитовой мембране; t_k^- — то же — анионов. Аналогично для анионитовой мембраны $\eta_A = 2t_a^- - 1$. К. п. д. ячейки является средним арифметич. из η_K и η_A $\eta_{\text{ячейки}} = (t_k^+ + t_a^-) - 1$. Реальный к. п. д. ячейки несколько иной, так как у-ние не учитывает остальных процессов массообмена. Опыты показали, что вышеуказанные мембраны проявляют селективность во всех конц-ях NaCl, вплоть до насыщения, где числа переноса через мембрану достигают значения 0,6. Для данной средней конц-и ионов обе мембраны проявляют большую селективность действия при более высоких значениях отношения конц-ий (градиента конц-ий). Используемая в опытах 3-камерная ячейка позволила получить значения истинной селективности мембран. Обратная диффузия продуктов электролитических процессов ограничивалась высокими скоростями потока и малой продолжительностью отдельных опытов. К. п. д. установки оказался на 20% ниже значений, полученных, исходя из чисел переноса. О. Мартынова

1984. Обработка воды гексаметафосфатом натрия для предотвращения выпадения железа. Ван Уиклер (Metaphosphate treatment corrects iron troubles. Van Wickler Fred R.), Water Works Engng, 1957, 110, № 2, 156, 158 (англ.)
Вода г. Уэст-Хемпстед (США), получаемая из артезианских скважин, содержит железо. Вместо ее обезжелезивания применена стабилизирующая обработка (NaPO_3), вводимым в виде р-ра в приемные клапаны всасывающих труб насосов. Конц-ия (NaPO_3) в несколько мг/л не только стабилизирует железо в р-ре, но создает также защитную пленку на поверхности труб водопроводной сети, предотвращая их коррозию.

В. Клячко
1985. Затруднения в подготовке питательной воды, связанные с загрязнением водотоков. Кёле (Schwierigkeiten der Speisewasseraufbereitung, verursacht durch die Verschmutzung der Wasserläufe. Köhle Herbert), Vom Wasser, 1955, 22, Weinheim, 1956, 355—367 (нем.)

В результате возросшего сброса СВ окисляемость воды верхнего Рейна возросла с 5 (1938 г.) до 18 мг/л (1953 г.). Повышение доз $\text{Al}_2(\text{SO}_4)_3$ (I) при коагуляции не всегда дает нужный эффект (приведен пример, когда коагуляция воды р. Рура 10 мг/л I снижала окисляемость с 69 до 7 мг/л и когда дозы I в 10 мг/л давали снижение окисляемости с 33 только до 27 мг/л). При невозможности удаления органич. примесей коагулированием рекомендуется перехлорирование воды. Для удаления масел, задержанных флотантами, рекомендуется промывка их 2—3% NaOCl. При невозможности применения NaOCl (нититные фильтры) рекомендуется разб. р-р соды. Рассмотрены затруднения, возникающие в работе установок катионирования и нонитного обессоливания при сбросе в водоток СВ травильных цехов (непосредственно в после нейтр-ции).

В. Генкин
1986. Развитие паропромывочных устройств для удаления кремниесилок. Коултер (Development of steam washers for silica removal. Coulter E. E.), Proc. Amer. Power Conf., 1956, 18, Chicago, Ill., (1956), 629—638 (англ.)

Один из наиболее рациональных путей удаления SiO_2 из пара — промывка его питательной водой или

конденсатом. При этом устанавливается равновесное распределение SiO_2 между паровой и жидкой фазами. Величина коэф. распределения ($K = C_{\text{SiO}_2(\text{пар})} / C_{\text{SiO}_2(\text{жид})}$) является функцией давления и pH воды. Для pH 10,8 K имеет значение: 70 ат ~ 0; 155 ат 0,05; 240 ат 0,15; дальнейшее повышение давления приводит к чрезвычайно резкому увеличению K. Подробно рассмотрены некоторые наиболее удачные конструкции паропромывочных устройств, позволяющих снижать кремнесодержание пара на 50—90%. Приведены графики оптимальных соотношений скоростей пара и воды при промывке и достигаемый при этом процент удаления SiO_2 . О. Мартынова

21887. Химический способ очистки водных холодильников и конденсаторов от отложений. Гальбьяти (Le incrostazioni dei refrigeranti o condensatori ad acqua e la loro eliminazione per via chimica. Galbiati Ambrogio), Termotecnica, 1957, 11, № 2, 91—100 (итал.)

Рассматриваются процесс отложения накипи в охлаждающих устройствах (конденсаторных трубках, теплообменниках и т. д.) и факторы, способствующие этому явлению (качество охлаждающей воды). Сопоставляются механич. и хим. способы удаления накипи. Отдается предпочтение хим. способу с применением 5—10%-ного р-ра HCl с ингибитором (CH_3CO 5%). Даны примерный расчет, описание и схемы стационарной и передвижной установок для хим. очистки. А. Смирнов

21888. Предотвращение выпадения из воды осадка карбоната кальция триполифосфатом натрия. Табаков (Essai de vaccination d'une eau calcaire par le tripolyphosphate de sodium. Tabakoff V.), Ind. chim., 1957, 44, № 476, 73 (франц.)

Исследовалась возможность предотвращения выпадения осадка CaCO_3 из воды, содержащей $\text{Ca}(\text{HCO}_3)_2$, при испарении воды при комнатной т-ре. Показано, что введение в воду (общая жесткость ~ 8,7 мг-экв/л, карбонатная жесткость ~ 5 мг-экв/л) 0,5—1,0 мг/л триполифосфата Na предотвращает выпадение осадка в течение 10 месяцев свободного испарения воды при условии ежедневной замены $\frac{1}{3}$ объема воды свежей. В. Клячко

21889. Развитие водоподготовки в промышленности, производящей телевизионные трубки. Чейс (Advances in treating water for TV picture tube manufacture. Chase E. E.), Plant, 1957, 15, № 3, 62—65 (англ.)

Описаны этапы развития за период 1942—1956 гг. В настоящее время обессоливание воды осуществляется методом совместного Н—ОН-ионирования. Использование воды открытых водоемов в качестве исходной признано нецелесообразным из-за трудностей удаления органич. примесей, ухудшающих технологич. качества анионитов. Одними из основных показателей качества воды являются конц-ии Fe и Cu (допустимая конц-ия последней $\leq 0,005$ мг/л). Определение Cu производится с применением карбамата или неокупроина с последующей экстракцией Cu-комплекса. Н. Субботина

21890. Сравнительное исследование обеззараживания воды, применяемой в пивоваренной промышленности, физическими и химическими методами. Живель, Скиба (Badania potownawcze nad odkażaniem wody metodami fizycznymi i chemicznymi na potrzeby przemysłu piwowarskoślodowniczego. Zywieli Jerzy, Skiba Olimpia), Prace inst. i lab. badawcz. przem. roln. i spożywc., 1956, 6, № 3, 79—106 (польск.; рез. русск., англ.)

Сопоставление хлорирования, УФ-облучения и электрокатадионирования показало, что хлорирование

является самым дешевым и дающим вполне надежные результаты методом. При наличии в воде фенолов следует применять один из физ. методов. Применение УФ-облучения может практиковаться только в малом масштабе ввиду высоких эксплуатационных расходов.

Г. Крушель
21891. Применение очищенных сточных вод для промышленного водоснабжения. Пауэлл (Adaptation of treated sewage for industrial use. Powell Sheppard T.), Industr. and Engng Chem., 1956, 48, № 12, 2168—2171 (англ.).

В качестве примера рекламации СВ (РЖХим, 1958, 1745) указано на целесообразность (особенно в засушливых районах) использования СВ после биохим. очистки для промышленного водоснабжения, в частности для целей охлаждения. Вода при этом подвергается хлорированию и коагулированию, затраты на дополнительную обработку окупаются уменьшением затрат на водоснабжение. Применение такой схемы на ряде вод не вызывало осложнений в эксплуатации. Следует, однако, учитывать, что повышенные концентрации NH_3 совместно с растворенным O_2 вызывают интенсивную коррозию медных сплавов, и поэтому приходится заменять их на сталь, чугун и др. металлы. Широкое распространение радиоизотопов, повлекшее к повышению радиоактивности СВ, препятствует применению их для отраслей промышленности, связанных с производством фотоматериалов.

Г. Крушель
21892. Исследование нового метода оценки сточных вод. Кёппен (Versuche zu einer neuartigen Abwasser-Beurteilung. Köppen R.), Vom. Wasser, 1955, 22, Weinheim, 1956, 324—339 (нем.).

Для характеристики СВ предложено использовать влияние их на процесс каталитич. разложения H_2O_2 , который тормозится различными токсич. примесями и интенсифицируется в присутствии ферментов, образуемых бактериями при разложении органич. в-в. Описаны методика постановки опытов и применявшаяся аппаратура. Скорость р-ции разложения H_2O_2 определялась по объему выделившегося O_2 . Использовались высокоактивные Pt-катализаторы. Исследовались СВ, содержащие KCN и различные белковые в-ва. Замедление процесса разложения H_2O_2 указывало на наличие в СВ токсичных примесей, ускорение — на протекание процессов разложения органич. в-в.

В. Генкин
21893. Определение времени отстаивания сточных вод перед их биохимической очисткой. Чепан (A szennyvíz ülepítési idejének meghatározása a biológiai tisztítási eljárások függvényében. Csépai Lajos), Hidrol. közl., 1956, 36, № 3, 218—220 (венг.; рус., англ.).

Введено понятие «скорость очистки», являющееся снижением БПК за данное время в процентах от полного БПК. Исходя из значения скорости очистки, определяются уд. затраты на достижение различной степени очистки СВ отдельными способами (отстаиванием, биохим. окислением). Сопоставление этих уд. затрат позволяет определять оптимальное время отстаивания, при котором суммарные затраты на очистку СВ окажутся минимальными.

М. Лапшин
21894. Влияние синтетических детергентов на активный ил. Манганелли (Effects of synthetic detergents on activated sludge. Manganelli R. M.), Water and Sewage Works, 1956, 103, № 9, 424—427 (англ.).

Приводятся результаты лаб. исследований влияния анионоактивных (Nassopon N. R.), катионоактивных (Seergrun) и неионогенных (Tween 80) синтетич. детергентов (СД) на характеристику активного ила и на процесс очистки СВ. Неионогенные СД биохимически окисляются и нетоксичны по отношению к

микрофлоре, осуществляющей процесс очистки. Анионоактивные СД при $\text{pH} < 7$ и катионоактивные СД при $\text{pH} > 7$ уменьшают концентрацию активного ила и увеличивают вынос взвешенных в-в. Повторное введение СД приводит к подавлению процесса очистки СВ.

В. Разнощик
21895. Опыты очистки сточных вод в прудах. Нид. Гопкине (Experimental lagooning of raw sewage. Neel Joe K., Hopkins Glen J.), Sewage and Industr., Wastes, 1956, 28, № 11, 1326—1356 (англ.).

В США, особенно в штатах Северная и Южная Дакота, практикуется очистка СВ в прудах. Для уточнения режима работы в г. Карни (шт. Небраска) в 1954 г. организована очистка городских СВ в пруду (одна ступень) площадью ~ 4 га; грунт — песок с гравием. Средняя т-ра июля 27° , февраля -7° . Слой налива СВ 1,2 м. Грунтовые воды близки к поверхности. СВ подаются по дамбе в центр пруда. С 15 мая по 15 сентября в пруд поступает все кол-во СВ (расход ~ 5000 м³; суммарное БПК₅ 740 кг/сутки), в остальное время $1/2-3/4$ от общего расхода. 80% СВ профильтровывается, 20% отводится в реку по трубам. Очистка СВ по БПК₅ достигает: летом 80%, зимой 40%. За год эксплуатации в пруду накопился слой осадка толщиной 7,5 см. В пробах грунтовых вод из скважины в районе пруда временами наблюдаются хлориды (до 80 мг/л) и синтетич. детергенты (~ 5 мг/л).

В. Разнощик
21896. Предварительная очистка сточных вод в прудах. Мерз, Меррелл, Стоун (Investigation of primary lagoon treatment at Mojave, California. Merz Robert C., Merrell John C., Stone Ralph), Sewage and Industr. Wastes, 1957, 29, № 2, 115—123 (англ.).

Для предварительной очистки СВ перед подачей на орошение (~ 10 га) применены: 1 одноступенный и 1 двухступенный пруды общей площадью 0,37 га, глубиной 1,8 м. Расход СВ ~ 700 м³/сутки, среднее БПК₅ = 178 мг/л. Испарение и инфильтрация в прудах составляют 20% расхода СВ. Годичное колебание среднемесячных т-р от 33 до 2° . Авторы считают, что при нагрузке 110 кг БПК₅ на 1 га в сутки обеспечивается 60%-ный эффект очистки. Схема дешева и эффективна при малых расходах СВ.

В. Разнощик
21897. Культивирование водорослей в сточных водах с целью предотвращения развития их в водоемах. Букстег (La culture des algues dans les eaux résiduaires en vue d'empêcher les pollutions secondaires dans les cours d'eau. Bucksteeg W.), Bull. Centre belge étude et docum. eaux, 1957, № 36, 83—89 (франц.).

В открытых бассейнах проводились опыты по разведению одноклеточных водорослей (В) *Scenedesmus obliquus* в СВ, предварительно насыщ. $20-30$ мг/л CO_2 , для улучшения роста В. После коагуляции В AlCl_3 в СВ наблюдалось снижение концентрации NO_3^- (с 100 мг/л до 0 за 48 час.), PO_4^{3-} (на 96% за 24 час.), NO_2^- , NH_4^+ , K^+ , окисляемости, БПК₅, кол-ва бактерий. По мнению автора, культивирование В, значительно снижая кол-во питательных в-в, поступающих со СВ в водоемы, может при благоприятных климатич. условиях применяться в качестве метода очистки СВ.

М. Губарь
21898. Сброс промышленных сточных вод в городские канализационные системы. Общая дискуссия. I. Введение. Крейн. II. Некоторые основные принципы. Стивенс. III. Контроль за сбросом промышленных сточных вод и вопросы финансирования. Хесс. IV. Очистка бытовых сточных вод при сбросе в них промышленных сточных вод. Финн. V. Опыт совместной очистки цианамидных и бытовых сточных вод. Габачча. VI. Непредви-

денные осложнения при совместной очистке сточных вод. Спенсер (Discharge of industrial wastes into municipal sewer systems—a panel discussion. I. Introduction. Crane Frederick W. II. Some general principles. Stevens Donald B. III. Industrial views. Hess Raymond W. IV. Municipal treatment. Fynn George F. V. An industry's experience. Gabaccia A. J. VI. The case against. Spencer Charles C.), Sewage and Industr. Waster. 1957, 29, № 2, 183—195 (англ.)

21899. Исследование химических способов очистки радиоактивных сточных вод. Дежонг, Д'Он (Quelques études en rapport avec le traitement chimiques d'effluents radio-actifs. Dejonghe P., D'Hont M.), Energie nucl., 1957, 1, № 1, 27—33 (франц.)

Исследовались способы удаления Ru^{106} и U . Осаждение Ru^{106} (исходная конц-ия 10^{-2} мкюри/мл) производилось обработкой р-ра: 1) смесью Na_3PO_4 и CaO (200 и 100 мг/л); 2) $\text{Al}(\text{NO}_3)_3$ (100 мг/л); 3) FeCl_3 (250 мг/л); 4) FeSO_4 (250 мг/л). Лучшие результаты (снижение конц-ии Ru^{106} на 99,6%) получены при применении FeSO_4 . Значительно труднее удаление U^{238} , окисленного HNO_3 или $\text{H}_2\text{O}_2 + \text{NaOH}$. В этом случае необходимо предварительное восстановление U^{238} действием NaHSO_3 . Осаждение U (6-валентного) производилось таннином и фосфатами. При исходной конц-ии U 200 мг/л оптимальная конц-ия таннина (снижение конц-ии U на 99%) составляет 70 мг/л. Процесс сильно зависит от рН р-ра, имея максимумы при рН 5 и 12. Необходимо наличие Ca^{2+} в конц-ии ≥ 60 мг/л. Для снижения конц-ии U (исходная 100 мг/л) на 98% под действием Na_3PO_4 конц-ия последнего должна быть ≥ 80 мг/л, рН > 4 . Одновременное присутствие в р-ре версена затрудняет осаждение. Версен должен быть предварительно разрушен действием KMnO_4 . Исследована возможность применения для глубокой очистки СВ ваты, целлюлозы, фильтровальной бумаги, соломы и древесных опилок. Наиболее пригодны опилки тополя. В колонке диам. 13 мм, высотой 18 см при расходе р-ра 35 мл/час поглощалось $> 99\%$ Sr , Cs , U , Zr , Ce и др. В нейтр. среде емкость поглощения опилок 0,2 мг-экв/г, в щел. среде — большая. Ионы Na^+ не препятствуют поглощению Cs и Sr . Ca^{2+} и другие 2- и 3-валентные ионы уменьшают емкость поглощения.

21900. Использование процесса соосаждения для обезвреживания радиоактивных сточных вод. Бернс, Стедуэлл (Volume reduction of radioactive waste by carrier precipitation. Burns R. E., Stedwell M. J.), Chem. Engng Progr., 1957, 53, № 2, F93—F95 (англ.)

Описан примененный в Ханфорде (США) способ удаления Cs^{137} и Sr^{90} из высокоактивных СВ путем соосаждения. Cs^{137} соосаждается с $\text{Ni}_2[\text{Fe}(\text{CN})_6]$, Sr^{90} — с $\text{Ca}_2(\text{PO}_4)_2$ или с фосфатом и сульфатом неактивного Sr . На процесс сильно влияет рН. При исходных конц-иях Cs^{137} и Sr^{90} до 100 мкюри/мл остаточные конц-ии их при рН 7, 8, 9, 10, 11 и 12 составляют (соответственно, мкюри/мл): Cs^{137} 0,033; 0,043; 0,055; 0,10; 24,0; 34,0; Sr^{90} 0,54; 0,15; 0,09; 0,05; 0,08;—. Очистка осуществляется по следующей схеме. К кислым СВ сначала добавлялись $\text{Na}_2[\text{Fe}(\text{CN})_6]$ и $\text{Sr}(\text{NO}_3)_2$, а затем NaOH и NiSO_4 до рН $\sim 9,5$ (колебания $\pm 0,5$ pH). Общая конц-ия Cs^{137} и Sr^{90} в отстоенных СВ составляет 0,1 мкюри/мл; дальнейшее снижение ее осуществляется адсорбцией глинистыми фракциями почвы.

О. Мартынова
21901. Фиксация радиоактивности сточных вод. Амфлетт (Fixation of radioactive effluent.

Amphlett C. B.), Nuclear Engineering, 1956, 1, № 3, 119—122 (англ.; рез. франц., нем., исп.)

Рассмотрено удаление радиоактивных примесей СВ путем адсорбции их различными почвами с последующим прокаливанием последних. Метод рекомендуется для частного отделения долгоживущих и высокоактивных изотопов (Cs^{137} и Sr^{90}). В присутствии легко летучего RuO_4 необходимо проводить прокалывание в восстановительной атмосфере.

Л. Кузьмина
21902. Адсорбция радиоактивного рубидия на биофильтрах. Фаулер, Бауман, Амброс (Adsorption of radioactive rubidium on trickling filters. Fowler Eric B., Baumann E. Robert, Ambrose Homer, Jr.), Sewage and Industr. Wastes, 1957, 29, № 4, 397—399 (англ.)

Исследования проводились на станции очистки СВ производительностью 10 000 м³/сутки. Rb^{86} вводился в первичные отстойники. Приведены кривые изменения во времени (за период 60 час.) активности СВ, поступающих и выходящих с биофильтра. За 30 мин. активность фильтрата понизилась на 91%. Кол-во Rb^{86} , адсорбированного единицей массы биофильтра, увеличивается с глубиной. При активности биомассы на поверхности 11 отсчетов в 1 мин. на глубине 0,3 м она составляла 128 отсчетов в 1 мин. Насадка биофильтра, освобожденная от пленки, показала лишь весьма малую активность (2—3 отсчета в 1 мин.). Отмечается возможность использования биофильтров для удаления Rb^{86} из СВ.

О. Мартынова
21903. Допустимые нормы сброса сточных вод цехов гальванических покрытий при совместной очистке их с бытовыми сточными водами. Киттрелл (What are safe limits for treating metal plating wastes with sewage? Kittrell F. W.), Wastes Engng, 1957, 28, № 5, 232—235, 256 (англ.)

Приведены сравнительные данные о воздействии примесей, содержащихся в СВ цехов гальванич. покрытий, на отдельные сооружения для биохим. очистки. Предельная конц-ия CN— 1—2 мг/л. При условии постепенной акклиматизации активного ила возможно повышение их конц-ии до 100—132 мг/л. Повышение конц-ии активного ила в аэротенке с 2,5 до 8,5—12,5 г/л позволяет повысить конц-ию в 2 раза. Биофильтры с рециркуляцией (10:1) дают в 5 раз больший эффект снижения конц-ии Cu^{2+} , CN— и Cr^{3+} по сравнению со стандартными. При анаэробном сбраживании допускаются следующие предельные конц-ии (в мг/л): CN— 1, Cu^{2+} 1, Cr^{3+} 5, Zn^{2+} 5. При сбросе СВ в водоемы предельными считаются конц-ии (в мг/л): CN— 0,3, Cr^{6+} 0,05, Cd^{2+} 0,4, Zn^{2+} 0,3, Ni^{2+} 2. При сбросе в канализационную сеть предельные конц-ии CN— (с учетом безопасной работы персонала) 20 мг/л для малых и 10 мг/л для разветвленных сетей.

С. Конобеев
21904. Обработка дымовыми газами щелочных сточных вод от процессов сернистого крашения. Биш, Биш. Дискуссия. Поргес (Treatment of alkaline sulfur dye wastes with flue gas. Beach Charles J., Beach Malcolm G. Discussion. Porges Ralph), J. Sanit. Engng Div. Proc. Amer. Soc. Civil Engrs, 1956, 82, № 5, 1078—1078-3; discuss. 1957, 83, № 2, 1227-3—1227-4 (англ.)

СВ имеют БПК₅ 250 мг/л, содержат до 3000 мг/л грубодисперсных примесей и до 30 мг/л сульфидов; рН колеблется в пределах 2—11 (в среднем 9). Для биохим. очистки СВ необходима предварительная нейтр-ция их H_2SO_4 или CO_2 . В полупроизводственных условиях опробована обработка СВ дымовыми газами (12—14% CO_2). СВ через насадку подавались в скруббер (диам. 100 мм) и перемешивались с засасываемыми газами. При подаче СВ ~ 73 л/мин (вре-

ми контакта 20 мин.) pH снижался до 6,4, конц-ия H_2S — на 98%. В дискуссии отмечается, что способ приводит к загрязнению воздуха H_2S . Указываются возможности: 1) удаления сульфидов $FeSO_4$; 2) непосредственной очистки СВ совместно с бытовыми; 3) регенерации красителя при обработке СВ $Al_2(SO_4)_3$.

С. Конобеев

21905. Проблема использования тепла и устранения запаха сточных вод текстильной промышленности. Вукашинович (Problem ochladivania i odstranjanja neugodnog mirisa otpadnih voda. Vukašinić Milan), Tekstil, 1956, 5, № 8, 642—643 (сербо-хорв.; рез. нем., англ., франц.)

СВ из автоклавов от произ-ва искусств. волокна имеют t -ру $> 100^\circ$ и неприятный запах. Приведен расчет теплообменника для их охлаждения, после которого СВ теряют свой запах и идут на дальнейшую очистку. Нагретая охлаждающая вода используется в произ-ве.

З. Бобырь

21906. Использование сточных вод молочных ферм для орошения дождеванием. Мак-Ки (Dairy waste disposal by spray irrigation. McKee Frank J.), Sewage and Industr. Wastes, 1957, 29, № 2, 157—164 (англ.)

Мелкие молочные фермы, расположенные в сельской местности, орошают дуга неочищ. СВ. Трубопроводы алюминиевые, со спринклерными насадками на стояках. Нагрузка 4—15 m^3/ga в сутки (в зависимости от характера грунта и трав). Зимой необходимо оберегать насадки. Отмечаются случаи выжигания трав СВ от цехов мойки бутылок.

В. Разнощик

21907. Загрязнение воды сточными водами пивоваренных заводов в Швеции. Энебу, Сандегрен (Brauerieabwasser als Wasserverunreinigung in Schweden. Enebo Lennart, Sandegren Evald), Brauwelt, 1957, B97, № 43—44, 758—761 (нем.; рез. англ., франц.)

В связи с новым законом об охране от загрязнения источников водоснабжения проведено обследование СВ двух пивоваренных з-дов производительностью 10 000 и 300 000 ga пива в год. Расход СВ на 1 m^3 пива составляет (соответственно) 15 и 12,8 m^3 при БПК 240 и 220 mg/l . Данные близко совпадают с данными бельгийских з-дов. БПК СВ в США более высокое, в Германии — значительно ниже.

А. Жвирблинская

21908. Пастеризация осадков. I. Исследования на опытной установке. Хаммарстрём (Slampastörisering. I. Modellförsök. Hammarström Ernst), Nord. hyg. tidskr., 1957, 38, № 1—2, 1—16 (шведск.; рез. англ.)

Показано, что нагревание осадков СВ в течение 1 часа при 55° (при тщательном перемешивании) снижает кол-во *Coli*-бактерий в 10^6 раз. Предполагается (ввиду сходной резистентности), что нагревание окажет такое же влияние на другие патогенные бактерии и на яйца гельминтов. Высказаны соображения о конструкции пастеризаторов производственного типа. Библ. 95 назв.

М. Лапшин

21909 П. Обеззараживание воды озонированием в трубопроводах (Procédé pour la stérilisation de l'eau dans la conduite par l'ozone ou des mélanges gazeux contenant de l'ozone et dispositif pour la mise en oeuvre de ce procédé) [Rhen A.-G.]. Франц. пат. 1112378, 13.03.56

Обеззараживание осуществляется инъекцией O_3 непосредственно в водопроводную магистраль. Перемешивание газа с водой в течение времени, необходимого для обеззараживания, обеспечивается турбулентным движением воды, осуществляемым спец. устройствами, вмонтированными в трубопровод. При наличии насосов O_3 инъецируют в воду выше насоса или во

всас насоса. При отсутствии насосов используют смесители, вмонтированные в трубопровод, в виде бесконечного винта или пористых пластин. А. Смирнов

21910 П. Метод обесфеноливания сточных вод. Вейгенд (Verfahren zur Entphenolung von Abwässern. Weigend Bruno). Пат. ГДР 12526, 27.12.56

Для обесфеноливания небольших кол-в СВ, содержащих фенолы (I) в конц-ии 5—12 g/l , рекомендуется предварительно отстоянные СВ подвергать хлорированию. Образующиеся труднорастворимые хлорфенолы осаждаются в течение 2—3 час. Остаточная конц-ия I 200—300 mg/l . Для более полного снижения конц-ии I СВ после удаления хлорфенолов нейтрализуют фильтрованием через известняк или доломит и одновременно еще раз обрабатывают небольшими кол-вом Cl_2 . При правильном регулировании процесса очисти. СВ содержат лишь следы I и могут быть направлены в водоем. Формальдегид и другие примеси повышают расход Cl_2 . Дана принципиальная схема установки.

В. Генкин

См. также: Анализ: абсорбциометрич. подометрич. 21106; пламеннофотометрич. определение щелочных металлов 21144; K^+ 21148; Ca^{2+} и Mg^{2+} 21157; Ca^{2+} 21158; F^- 21194; J^- 21195. Св-ва примесей: состояние кремния в природных водах 21053; кристаллическая структура: $Ca(AlO_2)_2$ 20449; $Ca_3H(PO_4)_2 \cdot 3H_2O$ 20453; гипса 20479; гидратированный моноалюминат Ca 20866. Физ.-хим. основы технологии: принципы дегазации 21716; расчет экстракции 21718; 21722, 21723; рост кристаллов 20507; влияние $(NaPO_3)_6$ на скорость роста кристаллов 20518; статистическая теория кристаллизации 20608. Иониты: обзор 20824, 20825, 21665; сорбция целочной фенольноформальдегидной смолой 20826; излостность твердых поверхностей 20814; перемешивание слоя ионитов 21687; ионитовые мембраны 20828; синтез 23325. Коррозия: теплосилового оборудования 21794; сетей холодного и горячего водоснабжения 21796; холодильников 21798. Утилизация и удаление отходов: СВ от пр-ва фенольноформальдегидных смол 23216. Водоемы и водотоки: графический способ изображения ионного состава воды 21032; средний состав воды рек СССР 21036. Реагенты: механизм разложения гипохлоритов до хлоратов 20668; основные сульфаты и хлориды Al 20869; диспергирующее действие пирофосфата на $CaCO_3$ 20847

ТЕХНИКА БЕЗОПАСНОСТИ. САНИТАРНАЯ ТЕХНИКА

Редакторы Н. Ф. Кононов, Н. В. Саноцкий

21911. Заметки о гигиене труда на химических заводах ГДР. Роубал, Вашак (Hygienické poznámky ze studijní cesty po chemických závodech Německé demokratické republiky. Roubal Jan, Vašák V.), Pracovní lékař., 1957, 9, № 3, 241—251 (чешск.)

Описана организация службы охраны труда в хим. пром-сти ГДР. Изложены мероприятия по охране труда в различных отраслях хим. пром-сти, а также при планировке и строительстве хим. предприятий, обращении с промышленным сырьем, гигиенич. требования для отдельных хим. процессов в произ-ве Al , соединений Cr , Mn , поливинилхлоридов, капролактама, полиакрилонитрила, синтетич. каучука и др. Рассмотрены методы определения конц-ий вредных в-в в воздухе на рабочих местах (определение содержания Hg , Pb , SO_2 , Co , F и др.). Т. Бржевская

21912. Опасности, связанные с применением радиоактивных веществ в промышленности. Кароцци

(Una rassegna dei rischi industriali da radiazioni ionizzanti. Carozzi L.), Folia med., 1956, 39, № 10, 937—960 (итал.; рез. франц., англ.)

Обзор.

1913. К вопросу о гигиенических проблемах в производстве серной кислоты. Здраžil, Пиха, Заорáлек (Přispěvek k hygienické problematice výroby kyseliny sírové. Zdražil Josef, Pícha František, Zaorálek František), Pracovní lékař., 1956, 8, № 1, 11—15 (чешск.; рез. русск., англ.)

При исследованиях, проведенных на одном из чехословацких заводов по выработке H_2SO_4 , в воздухе рабочих помещений не обнаружено, как правило, повышенных концентраций SO_2 , на рабочих местах с повышенным содержанием SO_2 в воздухе обслуживающий персонал занят только непродолжительные периоды времени (ремонт оборудования, введение его в действие после ремонта). Окислы азота, As в воздухе обнаружены в концентрациях ниже предельно допустимых, однако As определялся в моче рабочих в течение 2 дней (142—150 μ/l) после чистки пылевых каналов, электростатич. камер и фильтров, после транспортировки выхлопной гарды. В воздухе обнаружено высокое содержание пыли Fe_2O_3 (2,275—4,4 mg/l). Рекомендовано повышение защитных масок при ремонте оборудования, применение спец. тележек для перевозки бабблос с HNO_3 , механизация, герметизация пылевого оборудования. Библ. 6 назв.

1914. К гигиенической проблематике, связанной с электролитическим хромированием. Ганслиан (K hygienické problematice elektrolytického chromování. Hanslian Lubomír), Pracovní lékař., 1957, 9, № 3, 204—208 (чешск.; рез. русск., англ.)

При обследовании 21 цеха электролитич. хромирования обнаружено, что в 10 из них концентрация CrO_3 в воздухе рабочих помещений выше предельно допустимой, в 10 — ниже ее, в 1 случае CrO_3 не обнаружен. Наибольшие концентрации CrO_3 найдены на расстоянии 30—60 см от поверхности ванны для хромирования. Рекомендовано устройство эффективных отсосов над ваннами, применение защитного слоя из керосина, полипропиленовых или стеклянных шариков. Приведены данные для установки отсасывающих устройств. Библ. 1 назв.

1915. Лихорадка, вызванная вдыханием дыма окиси цинка. Pore (Metal-fume fever from inhaling zinc oxide. Pore C.), Arch. Industr. Health, 1957, 16, № 1, 42—47 (англ.)

Описано 3 случая заболевания, вызванного вдыханием паров окиси Zn, образовавшихся при сварке оцинкованной жести и при работе полировочной машины, применяемой для чистки оцинкованных резервуаров. Указаны профилактич. мероприятия (улучшение вентиляции, применение респираторов). М. Ф.

1916. Гигиеническое значение соединений марганца в воздухе при некоторых производственных процессах. Тученко М. М., Дубейковская Л. С., Тр. Юбилейн. научн. сессии, посвящ. 30-летней деятельности. Ин-та гигиены труда и профзаболеваний. Л., 1957, 139—145

Наиболее высокие концентрации Mn в зоне дыхания обнаружены при сварке открытой дугой электродами ЦМ-7 (до 76,87 mg/m^3 , кол-во пылевых частиц 600—1800 тыс. $1/cm^3$). При различных сварочных процессах в зоне дыхания обнаружено до 0,45 mg/l SiF_4 . У рабочих отмечены «металлич. лихорадка», интоксикация Mn I и II степени. В зоне дыхания рудничных рабочих при бурении вертикальным бурением концентрация Mn достигала 0,9 mg/m^3 , пыли — 378,0 mg/m^3 . Рекомендовано снижение кол-ва Mn в обмазке электродов и во флюсах, применение аппаратуры для мокрого бурения, эффективная вентиляция сварочных цехов, запрещение сва-

рочных работ в резервуарах без средств индивидуальной защиты и др.

Т. Бржевская
21917. Диагностическое значение комплексона (кальциевой соли версена) при сатурнизме. Кадлец, Висковил (Diagnostický význam komplexonu (CaNa₂ EDTA) u saturnismu. Kadlec Karel, Vyskočil Jiří), Pracovní lékař., 1957, 9, № 2, 134—137 (чешск.; рез. русск., англ.)

У 14 больных с интоксикацией Pb разной тяжести после вливания Ca-версената (2 г в 500 cm^3 физиологич. р-ра внутривенно в течение 5 час.) в 4—7 раз увеличилось выделение Pb с мочой, причем в большинстве случаев в первые 24 часа после введения Ca-версената. Повышение уровня Pb в крови после введения Ca-версената отмечено только в 3 случаях. Кол-во базофильнозернистых эритроцитов в крови и порфирина в моче не изменялось. Осмотич. стойкость эритроцитов изменялась в среднем на 0,4% NaCl. При повышении осмотич. стойкости эритроцитов содержание билирубина в сыворотке повышалось на 0,1—0,2 $mg\%$. В опытах на кроликах установлено, что при внутривенном введении 1 г 20%-ного Ca-версената в течение 1 мин. повышается кровяное давление, уменьшается частота и увеличивается амплитуда дыхательных движений.

Т. Бржевская
21918. Опасность при работе с окисью этилена и ее предупреждение. Канцлер (Gefahren beim Arbeiten mit Äthylenoxyd und deren Verhütung. Cantzler A.), Chem.-Ingr-Techn., 1957, 29, № 4, 291—293 (нем.)

Описаны физ.-хим. свойства, симптомы отравления окисью этилена, правила хранения, техника безопасности при работе с ней.

К. Никонова
21919. Карциногенность нефтепродуктов. Экардт (Carcinogenicity of petroleum products. Eckardt Robert E.), Industr. Med. and Surg., 1957, 26, № 8, 396—398 (англ.)

Обзор клинич. и эксперим. данных. Установлено, что карциногенная активность нефтяных смазок (НС) более низкая, чем у смазочных продуктов другого происхождения. Обсуждаются: механизм повреждающего действия НС на кожу и возникновения преанкротических состояний (дерматиты, гиперкератозы), а также меры профилактики. Возможность возникновения рака легких при ингаляции НС считают не вполне доказанной; рекомендуют максим. ограничение возможности ингаляции НС. Библ. 6 назв.

Н. Кулагина
21920. Интоксикация тринитротолуолом как профессиональное заболевание и борьба с ней. Бранисавлевич (Značaj borbe protiv intoksikacije trinitrotoluolom kao profesionalnog oboljenja. Branisavljević Mića), Radovi. Nauč. društvo NR BiH, 1956, 6, 103—122 (сербо-хорв.; рез. англ., франц., нем.)

При медицинском обследовании рабочих, имеющих контакт с тринитротолуолом (I), в 1952 г. была обнаружена интоксикация I у 39 из 66 обследованных, а в 1955 — только у 24 из 123. Подчеркнуто значение постоянного медицинского контроля и соблюдения правил техники безопасности в деле снижения числа профессиональных отравлений I. Рекомендовано: организация эффективной вентиляции в рабочих помещениях, меры индивидуальной защиты (головные уборы, обувь, спецодежда), соблюдение правил личной гигиены, усиленное питание, богатое белками, углеводами, витаминами, метионином и кальцием, медицинские осмотры 1 раз в месяц с обязательным анализом крови, медико-профессиональный отбор. Противопоказана работа с I лицам, имеющим заболевания печени, крови, почек, легких и кожи, а также лицам, физически слабо развитым, беременным женщинам и подросткам до 19 лет. Библ. 11 назв. Т. Бржевская

21921. Токсическое действие стирола и α -метилстирола. Блинова Т. А., Рылова М. Л., Сб. работ токсикол., лабор. Гос. н.-и. ин-т гигиены труда и профзаболеваний, 1957, вып. 6, 6—26

При однократных 2-часовых затравках животных парами стирола (I) и α -метилстирола (II) в конц-ях 5, 10 и 15 мг/л боковое положение наступало у 50% животных при 15 мг/л I (картина отравления напоминала отравление бензолом), II бокового положения не вызывал. В миокарде, печени и почках определены дегенеративные изменения. Погружение $\frac{2}{3}$ длины хвоста мышей в жидкие I и II (ежедневно на 1—6 час. в течение месяца) вызывало омертвление тканей. Хронич. затравки парами I и II (в конц-ях 3 мг/л по 3 часа в день в течение 100 дней) не вызывали задержки роста животных. Многократные отравления парами I и II (1 мг/л по 3 часа ежедневно) снижали время плавания мышей. При вдыхании паров I и II (1 мг/л ежедневно по 7 час. в течение 60 дней для I и 106 дней для II) в крови кроликов отмечен лейкоцитоз, увеличение числа патологически зернистых псевдоэозинофилов, моноцитов, рецикулоцитов, увеличение кол-ва эритроцитов с уменьшением их объема, снижение цветного показателя, ускорение РОЭ, увеличение скорости свертывания крови и др. Миним. действующая на ЦНС кроликов конц-я I 0,25—2,0, II 0,06—1,0 мг/л, порог раздражающего действия на слизистые оболочки человека 0,02 мг/л. В качестве ориентировочной предельно допустимой конц-и паров I и II в воздухе предлагается 0,05 мг/л.

Т. Бржевальская

21922. Токсичность парадихлорбензола. Холлингсуэрт, Роу, Ойен, Хойл, Спенсер (Toxicity of paradichlorobenzene. Hollingsworth R. L., Rowe V. K., Oyen F., Hoyle H. R., Spencer H. C.), Arch. Industr. Health, 1956, 14, № 2, 138—147 (англ.)

В опытах на белых мышах, крысах, морских свинках, кроликах, обезьянах установлено, что при повторных ингаляциях парадихлорбензол (I) в конц-ях 4,8—2,05—1,04 мг/л поражает печень, почки, легкие; в конц-ях 0,95—0,58 мг/л признаков интоксикации не обнаружено. При однократном введении в желудок 20% и 50%-ного р-ра I в оливковом масле все крысы и морские свинки погибли при дозе 4,0 и 2,8 г/кг, выжили — соответственно при 1,0 и 1,6 г/кг. При повторном введении 0,5—25%-ного р-ра I в желудок крыс (10—376 мг/кг), уток и кроликов (500 и 1000 мг/кг) ни в одном случае не развивалась катаракта, даже при выраженной интоксикации некоторых животных. Установлено, что при длительном контакте I вызывает легкое раздражение кожи, через неповрежденную кожу I не всасывается. В условиях произ-ва конц-и I в разное время были 0,03—4,35 мг/л. Конц-и I 0,48—0,96 мг/л вызывали у работающих резкое раздражение слизистых оболочек глаз и носа; слабый запах I ощущался при 0,09—0,18 мг/л. При повторном медицинском обследовании 58 работающих (стаж работы от 8 месяцев до 25 лет) никаких признаков нарушения здоровья не обнаружено; развитие катаракты не наблюдалось. Рекомендуется в качестве предельно допустимой конц-и I 0,45 мг/л. Библи. 31 назв.

Н. Шумская

21923. К токсикологии некоторых хлорированных стиролов. Русин В. Я., Сб. работ токсикол. лабор. Гос. н.-и. ин-т гигиены труда и профзаболеваний, 1957, вып. 6, 26—42

Установлено, что миним. конц-и (в мг/л) *n*-хлорстирола (I) и 2,5-дихлорстирола (II), действующие на условно-рефлекторную деятельность кроликов (по методу Люблиной) соответственно равны 1,25—2,5 и 1,25—2,5 и более. При хронич. воздействии (6—7 час.

ежедневно в течение 116 дней для I и 142 дней для II, конц-и I 3,0, II 1,0) обнаружено снижение газообмена, повышение устойчивости к недостатку O_2 , уменьшение времени плавания (особенно в опытах с II); в крови уменьшение числа эритроцитов и содержания Hb, лейкоцитоз (лимфоцитарный при действии II и смешанный лимфоцитарно-псевдоэозинофильный при действии I); нарушение протромбинообразовательной функции печени. При патологоанатомич. исследовании найдены микро- и макроскопич. изменения в щитовидной железе, печени и легких. Порог раздражающего действия на верхние дыхательные пути для кроликов 1,25—2,5 мг/л для I и 0,31—0,62 мг/л для II для людей (экспозиция — 1 мин.) 0,9 мг/л для I и 0,5 мг/л для II. При нанесении на кожу I и II вызывают жжение, гиперемию. В качестве ориентировочной предельно допустимой конц-и для I и II предлагается 0,05—0,1 мг/л. При работе с I и II рекомендуется ношение защитной одежды, проведение периодич. медицинских осмотров с обязательным анализом крови. Библи. 26 назв.

Т. Бржевальская

21924. Алифатические галогенопроизводные — источник травматизма. Пелнард (Alifatické halogenidy zdroj nebezpečí úrazu. Pelnář Rudolf), Bezpečn. a hyg. práce, 1957, 7, № 9, 270—272 (чешск.)

В популярной форме описаны случаи отравления метилбромидом, тетрахлорметаном, хлороформом, трихлорэтиленом, наступившие в результате незнания рабочими правил обращения с алифатич. галогенопроизводными и несоблюдения правил личной гигиены.

Т. Бржевальская

21925. Материалы к токсикологии альдегидов жирного ряда. Ван Вэнь-янь, Сб. работ токсикол. лабор. Гос. н.-и. ин-т гигиены труда и профзаболеваний, 1957, вып. 6, 42—60

При 2-часовой затравке белых мышей парами ацетальдегида (I), формальдегида (II), пропилового (III) и масляного (IV) альдегидов LD₅₀ оказалась равной соответственно (в мг/л): 0,49; 21,8; 20; 36; наркотич. конц-и для I, III и IV 17,2; 16,4; 23,8; конц-и, вызывающая боковое положение, 14,6; 9,8; 11,8. Патологоанатомически обнаружены отек легких (наибольший при II), эмфизема, кровоизлияния. Для крыс и морских свинок смертельная конц-я I 40, III 75, IV 150; для кроликов I 40, IV 75. Экспериментально установлено (30-минутная экспозиция), что раздражающее действие в ряду II—I—III—IV усиливается с удлинением углеводородной цепочки (пороговые конц-и, вызывающие слюнотечение у кошек, соответственно равны 0,029; 0,51; 2,55; 5,4; снижение частоты дыхания у кроликов 0,0075; 0,106; 1,04; 1,44). Для человека пороговая конц-я, вызывающая ощущение запаха, 0,0014; 0,0031; 0,0014; 0,0022. Конц-я, вызывающая раздражение слизистых оболочек, 0,0024; 0,0124; 0,0138; 0,0088. Пороговая конц-я, действующая на ЦНС кроликов (метод Люблиной), 0,016 для II и 0,1 для IV. Изменение условно-рефлекторной деятельности кроликов наблюдалось при 0,036—0,072 мг/л IV. Рекомендуется снизить предельно допустимую конц-ю II до 0,001—0,002 мг/л, I до 0,005 мг/л, для III и IV установить их в пределах 0,001—0,005. Библи. 12 назв. Т. Бржевальская

21926. О ядовитом действии гидразина. Бройхан (Über die Giftwirkung des Hydrazins. Broihahn F.), Zbl. Arbeitsmed. und Arbeitsschutz, 1957, 7, № 3, 62—66 (нем.)

Подробная характеристика гидразина (I). Приведены: физ. и хим. свойства, область применения, особенности биол. действия при остром, подостром и хронич. воздействии в эксперименте на животных, биохим. изменения, фармакологич. анализ действия I на различные органы и системы, а также данные по

тогелетич. терапии отравления I в эксперименте с применением различных кетокислот. Рассматривается опасность I для человека. Библи. 8 назв.

Н. Кулагина

21927. Папиллома мочевого пузыря у работников химической промышленности. Рекомендуемые аналитические методы определения бензидина и β -нафтиламина в воздухе. Батт, Страффорд (Papilloma of the bladder in the chemical industry. Analytical methods for the determination of benzidine and β -naphthylamine, recommended by A. B. C. M. subcommittee. Butt L. T., Strafford N., J. Appl. Chem., 1956, 6, № 12, 525—539 (англ.))

Описаны методы определения канцерогенных аминов — бензидина (I) и β -нафтиламина (II) в воздухе, в одежде и в пыли. Для выделения аминов из воздуха их поглощают 0,1 н. HCl; одежду обрабатывают 2 н. спирт. р-ром КОН и экстрагируют эфиром; эфирную вытяжку экстрагируют 0,2 н. р-ром HCl; аналогично извлекают амины из пыли, остатков, различных полупродуктов и т. д. Для определения I применяют метод с хлорамином Т, метод сочетания с 2,3-оксинафтойной к-той и хроматографич. метод с 1,2-нафтахиноном. Для определения II применяют хлоритный метод, метод сочетания с 2,3-оксинафтойной к-той и хроматографич. метод, включающий сочетание с R-солью. Приведены подробные прописи методов выделения I и II и методов их определения.

Т. Леви

21928. Токсикологическая и гигиеническая характеристика нового инсектицида — хлортена. Войтенко Г. А., Гигиена труда и проф. заболеваний, 1957, № 4, 51—53

Эксперим. исследованиями установлено, что технич. продукт хлортен (I) (сложная нестандартная смесь бициклич. хлорированных углеводов) близок по токсичности к ДДТ и гексахлорциклопексану, хотя превосходит их по токсичности при ингаляционном воздействии; обладает местным раздражающим и общетоксич. действием; способен к кумуляции в организме; может проникнуть в организм через неповрежденную кожу. Отравление I характеризуется возбуждением, одышкой, судорогами. Абсолютная смертельная доза I при введении в желудок кошкам 50 мг/кг, при нанесении на кожу кроликам 1 г/кг. Смертельная конц-ия для кошек при однократной 4-часовой экспозиции 0,07 мг/л. При применении 0,5—4%-ной эмульсии I в сельском хозяйстве наиболее низкие конц-ии обнаружены при авиаопрыскивании (0,0004 мг/л), наиболее высокие — при применении ранцевой аппаратуры (0,04). Установлено значительное загрязнение продуктом открытых поверхностей тела у работающих с I. Воспроизведенные в эксперименте производственные конц-ии (0,002 мг/л) вызвали смерть эксперим. животных на 18—45-й день. Библи. 7 назв.

Н. Кулагина

21929. Действие некоторых фосфорорганических и хлорорганических инсектицидов на токсичность мышечных релаксантов. Грехэм, Лу, Олмарк (The effect of some organophosphorus and chlorinated hydrocarbon insecticides on the toxicity of several muscle relaxants. Graham R. C. B., Lu F. C., Allmark M. G., J. Pharmacy and Pharmacol., 1957, 9, № 5, 312—319 (англ.))

В опытах на животных исследовано влияние острого и хронич. действия инсектицидов (паратина, малатиона, одриина) на токсичность характерных представителей группы в-в, расслабляющих тонус мышц (I), тубокурарин (II), мифенезин (III), бензимидазол (IV), суксаметоний (V) и декаметоний (VI). Отмечено, что предварительное введение па-

ратина и малатиона в сублетальных дозах повышает токсичность (Т) I, III, V, не влияет на Т II и VI, понижает Т IV. Предварительное введение сублетальных доз одриина вызывает повышение Т I, V, VI, понижает Т IV и не изменяет Т III. Прибавление малатиона к диете крыс в кол-ве 500 ч. на 1 млн. в течение 31 дня не повлияло на Т V. Изменение Т релаксантов объясняется понижением уровня активности холинэстеразы и, возможно, других ферментов. Обсуждается возможная вредность совместного действия инсектицидов и релаксантов на человека и с.-х. животных.

Н. Кулагина

21930. Токсикология некоторых новых пластификаторов. Чекунова М. П., Сб. работ токсикол. лабор. Гос. ж.-д. ин-та гигиены труда и профзаболеваний, 1957, вып. 6, 92—103

При хронич. отравлении аэрозолями хлорированного парафина (I), (300—400 тыс. частиц в начале и 150—100 тыс. в конце опыта в 1 мл воздуха по 4 часа ежедневно в течение 2,5 месяцев) у животных отмечалась небольшая задержка роста, выпадение шерсти. Картина крови не изменялась. Гистологически в легких обнаружено большое кол-во альвеолярных макрофагов в ткани межальвеолярных перегородок и в просвете альвеол. Печень и почки без изменений. При нагревании I до 100—150° в печени отмечалось жировое перерождение, в селезенке — дегенеративные изменения. При добавлении в пищу кислых и щел. вытяжек I в течение 1,5 месяцев у крыс отмечено замедление роста. При ежедневном воздействии I на кожу в течение 15 дней наблюдались гиперемия и шелушение. Хронич. затравки аэрозолями эфиров себадиновой к-ты (II) — дибутилсебадиноматом и диоктилсебадиноматом (ежедневно в конц-ии 400—500 мг/м³ в начале и 70—100 мг/м³ в конце опыта в течение 100 дней) — вызвали задержку роста животных; в крови отмечено некоторое снижение числа эритроцитов, незначительный лейкоцитоз. Гистологически в легочной ткани обнаружены альвеолярные макрофаги, в селезенке (при отравлении диоктилсебадиноматом) — дегенеративные изменения. II не проявили раздражающего действия на кожу и слизистые оболочки. На произ-ве рекомендована осторожность при технич. обработке I, запрещение применения I для изготовления посуды и медицинских инструментов; широкое применение для произ-ва пластмасс диоксилсебадината как наименее токсичного.

Т. Бржевская

21931. К анализу повреждения тканевых белков кремневой кислотой и условий их восстановления в исследованиях с помощью радиоактивных веществ. Казанцева Т. И., Тр. Юбилейн. научн. сессии, посвящ. 30-летней деят-сти Гос. н.-и. ин-та гигиены труда и профзаболеваний. Л., 1957, 231—237

В опытах на изолированных тканях печени и почек крыс установлено, что воздействие SiO₂ и мочевины увеличивает включение радиометионина (I) в белки тканей и понижает включение радиофосфора в белки печени и почек, что свидетельствует о денатурации тканевого белка SiO₂. Прибавление к тканям нерадиоактивного метионина или гидролизата казеина (II) уменьшает включение I. На целом организме мышьяк показано, что SiO₂ увеличивает включение I в ткани внутренних органов, введение животным II значительно умеряло это действие SiO₂. Т. Бржевская

21932. К вопросу о распространенности эмфиземы среди рабочих фабрики асбестовых изделий. Навратил, Кржечек, Цвахова (K otázce výskytu emfyzému u pracujících v továrně na asbestové zboží. Navrátil M., Křeček V., Svachova L., Pracovní lékař., 1957, 9, № 2, 111—116 (чешск.; рез. русск., англ.))

При медицинском обследовании (клинич., рентгенологич. исследование, спирометрия, определение вентиляционных эквивалентов) у рабочих ф-ки асбестовых изделий (средний возраст 47—50 лет) обнаружены эмфизема и хронич. бронхит, если стаж работы превышал 10 лет. У группы рабочих хим. непылевого произ-ва (возраст тот же), привлеченной к обследованию в качестве контроля, состояние органов дыхания было значительно лучшим. Т. Бржевская

21933. Приборы для определения малых концентраций газа. Венигер (Gasspürgeräte. Weniger), *Energietechnik*, 1957, 7, № 9, 422—423 (нем.)

Описываются приборы для быстрого определения в воздухе малых конц-ий токсич. газов — CO , NH_3 , HCN , Cl_2 , COCl_2 , SO_2 и др. Прибор состоит из заборной трубки и корпуса с мехами, при помощи которых сиквозь камеру, заполненную соответствующими химикатами, просасывается определенное кол-во газа. Результаты определения даются на шкале прибора. Время определения — несколько секунд. Чувствительность приборов (в мг/л): для NH_3 0,05—10; CO 0,012—3,6; Cl_2 0,002—0,3; COCl_2 0,002—0,3; SO_2 0,02—3.

Я. Дозорец

21934. К проблеме борьбы с пылью на заводах грубой керамики. Шюфлер (Zur Problematik der Staubbekämpfung in der Grobkeramik. Schöffler Julius), *Staub*, 1957, № 51, 562—563 (нем.)

Вредность керамич. пыли, мероприятия по борьбе с ней, пылеудаление и индивидуальная защита рабочих. Я. Дозорец

21935. Борьба с пылью в производстве кремнезема. Хаук (Ein Beitrag zur Staubbekämpfung in einem Kieselskreibetrieb. Hauck Adolf), *Staub*, 1957, № 51, 598—603 (нем.; рез. англ., франц.)

Вредность кремнеземной пыли. Борьба с пылеобразованием, пылеудаление и индивидуальная защита рабочих. Я. Дозорец

21936. Мероприятия по защите от пыли в цехах размола кварца. Линдеман (Staubschutzeinrichtungen in einem Quarzmahlwerk. Lindemann H.), *Staub*, 1957, № 51, 593—597 (нем.; рез. англ., франц.)

Вредность кварцевой пыли. Мероприятия по борьбе с ней, пылеудаление и индивидуальная защита рабочих. Я. Дозорец

21937. Мероприятия по борьбе с пылью на заводах тонкой керамики. Вальтер (Staubbekämpfungsmaßnahmen in der Feinkeramik unter besonderer Berücksichtigung der Ausbildung der Saughauben und Verschaltungen am Arbeitsplatz. Walter E.), *Staub*, 1957, № 51, 586—592 (нем.; рез. англ., франц.)

Мероприятия по борьбе с пылью делятся на две группы: прямые — пылеулавливание и индивидуальная защита рабочих — и косвенные — изоляция источников пыли и изменение технологич. режима. Приводится обзор практич. мероприятий по борьбе с пылью и описание пылеулавливающих устройств. Я. Дозорец

21938. Загрязнение атмосферного воздуха выбросами суперфосфатного завода. Линдберг З. Я., Сб. научн. работ. Рижск. мед. ин-та, 1956, вып. 5, 99—107

При анализе атмосферы вокруг суперфосфатного з-да установлено, что даже на расстоянии 3 км от него содержание SO_2 , аэрозоля H_2SO_4 , окислов азота, соединений F в несколько раз превышает предельно допустимые конц-ии. Содержание пыли не превышает предельно допустимой конц-ии. Среднесуточные конц-ии вредных в-в на расстоянии 500 м от з-да превышали предельно допустимые: для SO_2 в 13,8 раза, для аэрозоля H_2SO_4 в 42,4 раза, для окислов азота в 66,2 раза, для соединений F в 28,4 раза. Резкое увеличение загрязнения воздуха (в 2 раза) отмечалось при работе з-да с перегрузкой. В радиусе 2,5 км от з-да наблюдалось значительное поражение растительности. Рекомендуется оборудовать з-д высокоэффективными улавливающими устройствами, увеличить высоту труб, расширить санитарно-защитную зону. Т. Бржевская

21939. Предотвращение дымовых выбросов от промышленных котельных. Спаркс (Abatement of pollution from industrial boilers. Sparkes W. J.), *Mining Electr. and Mech. Engr.*, 1957, 38, № 442, 20—31. Discuss., 32—33 (англ.)

Приводятся причины повышенных выбросов в атмосферу дыма, шлаковой мелочи и пыли из труб котельных промышленных предприятий. Указываются способы уменьшения выбросов посредством правильного сжигания топлива и устройства надлежащих топочных и тяговых устройств. Ю. Скореецкий

21940. Распространение из дымовых труб частиц, загрязняющих атмосферу. Гарриес (Spread of particulate contamination from stacks. Harris William B.), *Arch. Industr. Health*, 1957, 15, № 4, 274—283 (англ.)

Обзор. Рассмотрены литературные данные о распространении по поверхности земли при свободном падении и осажении дождем твердых частиц из дымовых труб. Отмечены отклонения результатов исследований от теоретич. расчетов. Библи. 15 назв. А. Чемоданов

21941. Уничтожение запахов на kraft-целлюлозных заводах. Райт (The reduction of kraft mill odors. Wright R. H.), *Paperi ja puu*, 1956, 38, № 4, 227—229 (англ.)

Неприятные запахи в произ-ве kraft-целлюлозы связаны с образованием меркаптанов и других сернистых соединений, выделяющихся при регенерации Na_2S из черных щелоков. Дезодорация состоит в окислении атмосферным воздухом слабых р-ров черных щелоков при пропускании их параллельным потоком с воздухом через абсорбционные башни. Насадка башен состоит из асбестовых профильных пластин, увеличивающих время пребывания щелоков в башне. При последующем восстановлении Na_2S в регенерационных печах не выделяются дурнопахнущие сернистые соединения. Ю. Скореецкий

21942. Обезвреживание газов, выделяющихся при производстве олиф. Богословский С. Г., *Маслоб. жир. пром-сть*, 1955, № 6, 27—28

Дано описание эксперим. установок для очистки выделяющихся при произ-ве олиф газов от вредных и дурнопахнущих в-в. Установка работает по принципу многократного промывания газов мелкой распыленной водой при прохождении их по газопроводу. Расход воды в среднем $\sim 7 \text{ м}^3$, электроэнергии 7 кВт-ч на 1 т олифы окосль. Установка очищает газы от большинства вредных примесей, однако дурной запах полностью не устраняется. С. Энталь

21943. Защитные респираторы для сельскохозяйственных пестицидов. Фултон, Мак-Клеллан (Respiratory protective devices for agricultural pesticides. Fulton R. A., McClellan W. D.), *Phytopathology*, 1957, 47, № 1, 56—57 (англ.)

Определялась фильтрующая способность промышленных респираторов для фунгицидов и нематодов (динеб, фербам, вапам, черезан М, панаген, террахлор, Д-Д, дибромэтан и др.). Методика анализа загрязненного и очищ. воздуха аналогична описанной ранее (РЖБиол, 1956, 63744). Рекомендованы респираторы для практич. применения, даны указания о пользовании ими, а также о дополнительных мерах предосторожности при работе с ядами. Ю. Фадеев

21944. Хранение нефтепродуктов. Чиппиндейл (The storage on oil fuel. Chippindale T.),

1. Inst. Heat. and Ventil. Engrs, 1957, 25, Apr., 1—13. Discuss., 13—17 (англ.)
Приводятся правила пожарной безопасности при хранении нефтетоплив (устройство резервуаров и коммуникаций, обращение с топливом при его перемещении и пр.).
А. Равикович
21945. Свойства пламени при горении жидкостей. Расбаш, Роговский, Старк (Properties of fires of liquids. Rasbash D. J., Rogowski Z. W., Stark G. W. V.), Fuel, 1956, 35, № 1, 94—107 (англ.)
Для разработки способов тушения пламени необходимы данные о его свойствах. Были исследованы свойства пламени, образующегося при горении метилового спирта, бензола, нефти и керосина в открытом сосуде диам. 30 см. Измерялись т-ра горящей жидкости на разной глубине сосуда и т-ра пламени. Определены размеры пламени, скорости его роста и величина его излучения. Показано, что в пламени, образующемся при горении углеводородов, передача тепла в окружающую среду осуществляется преимущественно путем радиации, а при горении спирта — путем конвекции, что объясняется различием в свойствах пламени. Для подсчета скорости роста пламени V в см/сек предложена ф-ла $V = aL + bT + c$, где a, b и c — эмпирич. постоянные, L — высота пламени над уровнем жидкости в см, T — время горения в мин.
3. Векслер
21946. Исследования огнегасительных свойств галогидропроизводных углеводородов. Фридрих (Untersuchungen über die Löschwirkung halogenierter Kohlenwasserstoffe. Friedrich Max), VFDB — Zeitschrift, 1957, 6, № 2, 59—65 (нем.; рез. англ., франц.)
Эффективность огнетушения галогидропроизводных углеводородов (ГУ) возрастает при содержании в них галогенов с большим мол. весом и наличии насыщ. связей. ГУ располагаются по убывающей степени их эффективности в следующем порядке: $\text{CH}_3\text{J} > \text{C}_2\text{H}_5\text{J} > \text{C}_6\text{H}_5\text{J} > \text{C}_6\text{H}_5\text{Br} > \text{C}_2\text{H}_5\text{Br} > \text{CCl}_4$. Представлены в форме графиков зависимости времени тушения от кол-ва их подачи в зону тушения для ряда горючих в-в (бензол, толуол, ксилолы, бензин, этиловый спирт и пр.). Начало см. РЖХим, 1957, 65377.
Я. Дозорец
21947. Оплата издержек противопожарного водоснабжения. Рут, Кемп (Equitable charges for fire protection. Root Darrell A., Camp Thomas R.), Water and Sewage Works, 1956, 103, 15 June, 35—41 (англ.)
Дается экономич. анализ издержек и оплаты общего противопожарного водоснабжения. Анализ включает графики зависимостей стоимости единицы длины трубопровода от производительности при средних, повышенных расходах воды и расходах ее на тушение пожара. Приводятся подсчеты стоимости гипотетич. водопроводных систем по двум существующим и новому методу. Показано, что новый метод дает более низкую стоимость воды для нужд противопожарной защиты.
Ю. Скореецкий
21948. Случай взрыва при гашении горящих жиров водой. Петерс (Explosionsgefahren beim Löschen von brennendem Fett mit Wasser. Peters Hermann), Chem. Ind., 1957, 9, № 91, 59—60 (нем.)
При тушении водой горящих жидкостей (Ж) с уд. $\rho < 1$ (масла, жиры) могут произойти взрывы. Это объясняется тем, что вода, погружаясь в Ж, быстро испаряется. Пары воды давлением в несколько атмосфер (в зависимости от т-ры Ж) разбрызгивают Ж и способствуют интенсивности ее испарения и горения, что в ряде случаев сопровождается взрывами.
Я. Дозорец

21949. Об опасности электростатических зарядов в производстве лаков. Кунце (Über Gefahren durch elektrostatische Aufladungen in der Lackindustrie. Kunze Franz), Dtsch. Farben-Z., 1957, 11, № 10, 399—402 (нем.)

В произ-ве лаков применяются жидкости, которые могут заряжаться электростатич. электричеством. Возникновение зарядов обуславливается обычно трением жидкостей при движении ее по трубопроводам. Наличие электростатич. зарядов может привести к взрывам и пожарам. Дается теоретич. обоснование возникновения электростатич. зарядов, искр и меры борьбы с ними.
Я. Дозорец

21950. Установки кондиционирования воздуха. Слейд (Air conditioning installations. Slade F. H.), Text. Manufacturer, 1957, 83, № 991, 337—341 (англ.)

Необходимость кондиционирования воздуха (КВ) в текстильной пром-сти вызывается применением синтетич. волокон, для переработки которых требуются постоянные т-ра и влажность воздуха. Даны рекомендации по КВ текстильных ф-к.
Ю. Скореецкий

21951. Кондиционирование воздуха в производстве пластмасс. Бендер (Plastic compounds made in rigidly conditioned air. Bender George M.), Plastics Ind., 1957, 15, № 1, 32—34 (англ.)

Описана система очистки и кондиционирования воздуха в произ-ве мочевиновых и меламиновых смол и пресс-материалов на з-де пластмасс (США).
Л. Песин

21952. Вентиляционные проблемы красильных и сушильных камер. Коблер (Lufttechnische Probleme der Farbspritz- und Trockenkabinen. Cobler W. W.), Gesundh.-Ingr, 1957, 78, № 15-16, 231—233 (нем.)

Описана подача подогретого и отсос отработанного воздуха из камер для окраски и сушки корпусов автомашин. Система приточно-вытяжной вентиляции должна обеспечить безопасную работу камер.
Я. Дозорец

21953 К. Охрана труда в химической промышленности. (Учебник). Камил (Protecția muncii în industria chimică. Manual pentru școli profesionale. Camil J., Ministerul Industr. Chim., Direct. cadre și învățămînt. București, 1956, 188 p., il.) (рум.)

21954 К. К вопросу о действии сероуглерода на организм. Реакция организма на атмосферу производства, загрязненную парами сероуглерода. Драгна (Studii cu privire la acțiunea sulfurii de carbon asupra organismului. Reactivitatea organismului fața de mediul industrial impraficat cu vapori de sulfura de carbon. Dragnea M. București, Ed. med., 1957, 271 p., il.) (рум.)

21955 Д. Вопросы гигиены труда в производстве синтетических жирных кислот и жирных спиртов. Непочатых А. П. Автореф. дисс. канд. мед. н., Ин-т гигиены труда и проф. заболеваний Акад. мед. наук СССР, Курск, 1957

21956 П. Метод обезвреживания воздуха от кристаллической кремниевой кислоты. Шипке (Verfahren zum Unschädlichmachen von Schwebeteilchen kristalliner Kieselsäure in Luft. Schipke Jobst), Pat. ФРГ 962287, 18.04.57

Патентуется метод обезвреживания воздуха от взвешенных в нем мелких частиц пыли кварца или кремниевой кислоты, вызывающих заболевание силикозом. В загрязненный воздух вводятся NH_3 или H_2S в кол-ве, безвредном для здоровья. Молекулы этих газов, адсорбируясь на поверхности пылинок, инактивируют последние и делают их безопасными для дыхания.
Я. Дозорец

21957 П. Метод и аппаратура для очистки воздуха или газа от масляного тумана. Ландграф (Method and apparatus for cleaning air or gas laden with oil mists. Landgraf George F.) (Trion, Inc.). Пат. США 2742974, 24.04.56

Масляный туман собирается под зонтом, отсасывается вместе с воздухом и подается на электрофильтр (Э), где масло осаждается, а очищ. воздух выбрасывается в атмосферу. Вследствие высокой т-ры в месте подачи масла часть его окисляется, приобретает большую вязкость и, осаждаясь в Э, не стекает с осадительных электродов, образуя на их поверхности прочную изоляционную пленку, резко ухудшающую эффективность работы Э. Для ликвидации этого недостатка запатентован метод дополнительной подачи распыленного свежего масла в кол-ве $\sim 17 \text{ г/м}^3$ воздуха на входе его в Э. Это масло осаждается в Э совместно с окисленным и растворяет последнее, причем р-р хорошо стекает с электродов. Масло после обработки может быть снова использовано. Приводится схема установки для очистки воздуха.

Ю. Скореецкий

21958 П. Способ и прибор для защиты органов дыхания. Мелер (Verfahren und Vorrichtung zum Schutz der Athmung durch Zuführen von reiner Frischluft nach den äußeren Atmungsorganen. Möhler Erhard) [Institut für Arbeitsökonomik und Arbeitsschutzforschung]. Пат. ГДР 12971, 8.04.57

Патентуется прибор для защиты органов дыхания от пыли и вредных газов. Чистый воздух подается струей вдоль лица снизу вверх. Струя воздуха отбрасывает запыленный воздух и создает защитную зону для дыхания. Основное преимущество прибора —

отсутствие маски. Приводится схема действия прибора.

21959 П. Система хранения жидкостей. Брейтенбак (Fluid storage system. Breitenbach Vernon A.) (The Standard Oil Co.). Пат. США 2747774, 29.05.56

Патентуется способ хранения не смешивающихся с водой горючих или легко воспламеняющихся углеводородных жидкостей (Ж) (нефть, смазочные масла, керосин, бензин, газолин и др.). Для экономичного и безопасного хранения Ж сооружается резервуар (Р), погруженный в воду естественного или искусственного происхождения. Р постоянно заполнен Ж и водой; почти одинаковое гидростатич. давление внутри и снаружи Р позволяет изготавливать его из тонких листов конструктивного материала. Относительно низкая т-ра воды понижает испарение Ж, а отсутствие взрывных паро-воздушных смесей обеспечивает безопасность эксплуатации. Прилагается схема установки для хранения и описание ее эксплуатации. Ю. Скореецкий

21960 П. Средство для защиты от огня. Шулленбург (Feuerschutzmittel. Schulenburg Wilhelm) [Deutsche Gold- und Silber-Scheideanstalt vormals Roessler]. Пат. ФРГ 962824, 25.04.57

Патентуется метод защиты горючих материалов от загорания покрытием их слоем акролеин-мочевинных или формальдегид-мочевинных смол. Слой наносится погружением или опрыскиванием материалов. Я. Доворцов

См. также: Токсикология радиоактивных в-в 9467Бх.

21961. Токсичность миним. конц-ий окиси углерода при длительном действии на организм человека 9471Бх. Отравление гексахлорциклогексаном 9475Бх.

ХИМИЧЕСКАЯ ТЕХНОЛОГИЯ. ХИМИЧЕСКИЕ ПРОДУКТЫ И ИХ ПРИМЕНЕНИЕ (Часть 2)

ХИМИКО-ТЕХНОЛОГИЧЕСКИЕ ВОПРОСЫ ЯДЕРНОЙ ТЕХНИКИ

Редакторы В. И. Елинек, В. Д. Матвеев

21961. Ядерная цепная реакция и ее влияние на изучение и использование химических установок, в которых применяются расщепляющиеся материалы. Гиллисон (La criticité et son effet sur l'étude et l'exploitation des installations chimiques traitant les matières fissiles. Gillieson A. H.), Energie nucl., 1957, 1, № 1, 17—19 (франц.)

Доклад на XXIX Международном конгрессе работников хим. пром-сти, прочитанный 21 ноября 1956 г. в Париже. Краткое изложение положений по технике безопасности, транспортировке, хранению и обработке расщепляющихся в-в. Ю. Михайленко

21962. Усовершенствование процесса щелочного разложения монацита. Меерсон Г. А., Каплан Г. Е., Успенская Т. А., Атомн. энергия, 1957, 3, № 9, 259—260

Обзор методов обработки монацита. С целью интенсификации процесса выщелачивания монацита и отказа от предварительного тонкого измельчения концентрата, а также для уменьшения расхода NaOH используют метод хим. разложения минералов в обогреваемой шаровой мельнице. Опыты проводили с образцами концентратов, содержащих 90—95% монацита. Содержание основных компонентов составляло: 60—70% — сумма окислов редких земель и Th и 25—27% P_2O_5 . Крупность измельчения исходных концен-

тратов достигала 1—5 мм. Монацит разлагается р-ром NaOH (конц-ия 650 г/л) при 130° в течение 4 час. По окончании разложения осадок гидроокисей обрабатывают горячей водой для удаления фосфата натрия и растворяют в HCl (к-та). Степень разложения устанавливают по содержанию Th и редких земель в нерастворимом остатке. Результаты выщелачивания показали, что извлечение > 99,5%, если расход NaOH составляет 150—200% от веса исходного концентрата. Для сокращения расхода NaOH были проведены опыты с использованием двухстадийной обработки. В I-й стадии концентрат разлагают, используя 75% NaOH от веса сырья; полученные гидроокисы растворяют в HCl, а нерастворимые остатки от десяти загрузок объединяют и во II-й стадии обрабатывают р-ром NaOH (150% от веса остатков) в обогреваемой шаровой мельнице. Разложение на 2-й стадии практически полное. Библ. 18 назв. Н. Ширяев

21963. Химическая переработка ядерного горючего. Николс, Спенс (Chemical processing of nuclear fuels. Nicholls C. M., Spence R.), J. Brit. Nuclear Energy Conf., 1957, 2, № 4, 384—391. Discuss. 392—394 (англ.)

См. РЖХим, 1957, 77538.

21964. Регенерация ядерного горючего. Ч. II. Коу (De reconditioning van nucleaire grondstoffen II. Kooij J.), Chem. weekbl., 1957, 53, № 24, 313—316 (гол.; рез англ.)

Обзор. Регенерация ядерного горючего с выделением Pu различными методами. Библ. 13 назв. Часть I см. РЖХим, 1958, 5197. В. Матвеев

21965. Метод экстракции плутония магнием для отделения его от урана. Уинш, Беррис (Magnesium extraction process for plutonium separation from uranium. Wunsch Irvin O., Burris Leslie, Jr., Chem. Engng Progr., 1957, 53, № 5, 237—242 (англ.))

Описан высокотемпературный процесс извлечения Pu из U экстракцией Pu расплавленным Mg с последующей отгонкой Mg. Растворимость U в Mg 0,1—0,2 вес. % при 1000—1400°; растворимость Mg в U 0,004 вес. % при 1150°. Равновесный коэф. распределения Pu между Mg и U при 1150° ~ 2 и не зависит от концентрации Pu в U вплоть до его 1%-ного содержания. В качестве материала для аппаратуры при t-ре до 1150° пригодны металлич. Ta, графит и Al_2O_3 . Описана установка для проведения процесса и приведен эксперим. результаты: за 4 экстракции из сплава U с 5% Cr (с t-рой плавления сплава ~ 860°), содержащего 1% Pu, извлечено ~ 85% Pu. Библ. 6 назв. В. Левин

21966. Непрерывно работающая ловушка-конденсатор для отгонки фторидов урана. Брисси, Ларсон (Continuous cold trap for fluoride volatility processing of uranium. Bresse J. C., Larson P. R.), Industr. and Engng Chem., 1957, 49, № 9, Part 1, 1349—1354 (англ.))

Применительно к схеме отделения U от продуктов распада, в частности для выделения UF_6 из газовой смеси (ГС), предложен и исследован на лабор. модели вариант непрерывно работающей конденсационной ловушки с псевдооживленным слоем (ПС). Рабочая ГС UF_6 - F_2 имитировалась ГС N_2 с парами J_2 . Опыты проводились в 750-мм колонке (диам. 37 мм) из боросиликатного стекла с внутренним охлаждением. Конденсация J_2 из вдуваемой в нижнюю часть колонки ГС J_2 - N_2 происходила на частицах подаваемого сверху инертного (стеклянный порошок с преобладающей фракцией ~ 0,18 мм) носителя (Н), поддерживаемого в состоянии ПС. Изучение процессов тепло- и массообмена на описанной установке показало, что конденсация на Н в ПС позволяет снизить необходимую поверхность теплообмена в 10 раз по сравнению с периодически работающими конденсаторами. Подтвердились данные о снижении внутреннего коэф. теплопередачи (ВКТ) при значительном увеличении и при резком снижении скорости газа (нарушение ПС). Восстановление ПС увеличивает ВКТ в 25—100 раз до 488 ккал/м² час °C. Применительно к системе UF_6 - F_2 процесс может быть осуществлен при непрерывном удалении Н из конденсационной ловушки. Н поступает в десорбционную колонку, где UF_6 десорбируется с него перегретым паром UF_6 . Освобожденный Н возвращается в цикл. Библ. 9 назв. Л. Херсонская

21967. Получение Co^{60} для промышленного применения. Брантон (Cobalt 60 readied for industry. Brunton D. C.), Canad. Chem. Process., 1957, 41, N 4, 50, 52 (англ.))

Сообщение о строительстве (1957—1958 гг.) реактора, предназначенного для произ-ва радиоактивных изотопов, в частности Co^{60} . Планируемая производительность 10⁶ кюри в год. Установка одновременно будет снабжать близлежащие предприятия технологич. паром в кол-ве 20 т/час. Рассмотрены полезные свойства изотопа Co^{60} с технико-экономич. точки зрения. Л. Херсонская

21968. Цирконий. Часть 3. Свойства и применение. Миллер (Zirconium. Part 3. Properties and uses. Miller G. L.), Nuclear Engng, 1956, 1, № 4, 164—168 (англ.; рез. франц., нем., исп.)

Приведены важнейшие физ. свойства Zr. Дано сопоставление механич. свойств металла, полученного

Кроллевским и йодидным методами, после холодной обработки, отжига и холодной вытяжки. Обсуждается влияние различных примесей на коррозионную устойчивость Zr, приведен список в-в, вызывающих коррозию металла. Коррозионное воздействие чистой воды выражено ур-нием $\Delta N = kt^n$. Начальное значение n соответствует 0,5, затем оно по времени возрастает до определенной точки перелома. Наиболее вредными примесями, снижающими коррозионную устойчивость Zr, являются N и C, однако небольшие добавки Sn в значительной степени нейтрализуют их действие. Приведен состав сплава «Циркалло-2» и некоторые данные о способности Zr к образованию сплавов и возможностях его применения в атомных реакторах. Часть II см. РЖХим, 1958, 18500. Л. Херсонская

21969 П. Загрузочное устройство для испарительного аппарата. Крон (Charge boat for volatilization. Krohn Roy) [United States of America as represented by the United States Atomic Energy Commission]. Пат. США 2747972, 29.05.56

Патентуется загрузочное устройство для подачи галогенных соединений U в сублимационный аппарат периодич. действия. В-во загружается на полки цилиндрич. камеры, которая помещается в муфельную печь. Цилиндрич. камера герметично соединяется с конденсатором, в котором происходит сублимация паров галогенных соединений U. Аппарат работает под разрежением (остаточное давл. ~ 50 мм рт. ст.). Охлаждение конденсатора осуществляется с помощью наружных змеевиков, по которым циркулирует хладагент. Аппарат изготавливается из коррозионностойкого сплава с большим содержанием Ni и Cr с добавкой Co, W, Mo и Mg и рассчитан на загрузку 30—100 кг сырья. Б. Сумм

21970 П. Получение двойных фторидов щелочных металлов и циркония или гафния. Уэйнер (Preparation of alkali metal double fluorides of zirconium and hafnium. Wainer Eugene) [United States of America as represented by the United States Atomic Energy Commission]. Пат. США 2743160, 24.04.56

Тонкоизмельченную (—325 меш) руду Zr (или Hf) смешивают с окисью или карбонатом щел.-зем. металла (предпочтительно CaO или $CaCO_3$) и хлоридом щел.-зем. металла ($CaCl_2$); смесь дополнительно размалывают. На каждый моль ZrO_2 и SiO_2 берут по 1 моль CaO ; кол-во $CaCl_2$ составляет ~ 10 мол. % от CaO ($CaCO_3$). Шихту спекают при ~ 1200—1300° в течение 1—3 час. Образующийся спек Ca_2ZrSiO_6 охлаждают, размалывают и суспендируют в воде при T: Ж ~ 1:5. В суспензию при энергичном перемешивании по возможности быстро вводят конц. H_2SO_4 (или H_3PO_4), образующую с соответствующим щел.-зем. металлом нерастворимую соль. Желатинообразную реакционную массу вновь суспендируют в воде, и после тщательного перемешивания при ~ 90—100° к ней добавляют нагретый конц. р-р фторида щел. металла (NaF , KF , NH_4F). Смесь выдерживают при этой t-ре в течение 1 час. Фторид вводит в небольшом избытке против стехиометрически необходимого по р-ции: $Ca_2ZrSiO_6 + 6KF + 4H_2SO_4 \rightarrow 2CaSO_4 + 2K_2SO_4 + K_2ZrF_6 + SiO_2 + 4H_2O$. Нерастворимый остаток отделяют от р-ра, из которого после упаривания выкристаллизовывают K_2ZrF_6 высокой чистоты. Добавки небольших кол-в KCl способствуют колич. осаждению фторцирконата. Извлечение Zr 90%. Метод может быть применен для очистки технич. ZrO_2 . Подобный метод применяют для получения двойных фторидов Hf и щел. металлов. Л. Херсонская

ЭЛЕМЕНТЫ. ОКИСЛЫ.

МИНЕРАЛЬНЫЕ КИСЛОТЫ. ОСНОВАНИЯ. СОЛИ

Редакторы В. И. Елинек, В. Д. Матсеев, Н. А. Ширяева

Серная кислота, сера и ее соединения

21971. Мировая проблема серы. Санчес-Марко (El problema mundial del azufre. Sánchez Marco Godotredo), Ion, 1957, 17, № 194, 499—505; № 195, 556—561, 588 (исп.)

Предыдущее сообщение см. РЖХим 1958, 1866.

21972. Производство серной кислоты из ангидрита. Халл, Шон, Цирнгибль (Sulfuric acid from anhydrite. Hull William Q., Schon Frank, Zirngibl Hans), Industr. and Engng Chem., 1957, 49, № 8, 1204—1214 (англ.)

Обзор. Приведены история развития произ-ва H_2SO_4 из гипса и ангидрита, список з-дов, теория процесса разложения сульфата Са, данные о произ-ве и потреблении H_2SO_4 в Англии, описание з-да в Уайтхеве и экономика процесса. Библ. 14 назв. Г. Рабинович

21973. Отличительные особенности сернокислотного завода. — (This acid plant is different. —), Chem. Engng, 1955, 62, № 9, 128, 130 (англ.)

Описаны усовершенствования процесса регенерации H_2SO_4 из кислого гудрона на з-де в Байтауне (Техас, США) производительностью 400 т/сутки H_2SO_4 , отличающие его от з-да в Батон Руж (РЖХим, 1956, 68939). 1. Установлен только 1 агрегат. 2. Для поддержания баланса воды в системе слабая (7—10%-ная) H_2SO_4 — конденсат из газовых холодильников и электрофильтров (после отдувки SO_2 воздухом) проходит вспомогательный концентратор, из которого 30—50%-ная H_2SO_4 направляется в камеру сжигания. 3. Ввиду большого содержания углеводородов в гудроне, для предупреждения чрезмерного повышения т-ры в камере сжигания, предусмотрена рециркуляция слабой к-ты из скруббера в камеру сжигания; при малом содержании углеводородов необходим подвод тепла за счет сжигания природного газа. 4. Пыльная камера приспособлена для замены камеры сжигания во время ремонта последней. 5. Газ после пыльной камеры охлаждается в котле-утилизаторе, благодаря чему уменьшается расход воды в скруббере и сокращается кол-во водяных паров, которые должны быть сконденсированы перед сушильной башней; окончательное охлаждение газа происходит в графитовых холодильниках. 6. Дымовая труба проходит через середину водонапорной башни. 7. Баланс пара в системе регулируется автоматически с помощью вспомогательного котла с газовой топкой. 8. Продувка хранилищ гудрона производится обратно в систему, благодаря чему исключаются выделения и коррозия. Г. Рабинович

21974. Применение скрубберов Вентури в производстве серной кислоты. — (ベンチュリ スクラバーの硫酸工業への應用), 硫酸, Рюсан, J. Sulphuric Acid Assoc. Japan., 1957, 10, № 1, 21—23 (японск.)

21975 II. Циклический процесс получения серы из сероводорода. Конрой, Идс, Уэст (Cyclic process for recovering sulfur from hydrogen sulfide. Conroy Edward H., Jr, Eads David K., West James R.), [Texas Gulf Sulphur Co.], Пат. США 2765217, 2.10.56

Газ, содержащий H_2S , с добавлением O_2 (воздуха) и SO_2 в стехиометрич. кол-вах, необходимых для конверсии H_2S в S, пропускают через камеру сжигания 1-й ступени (с катализатором или без него). Газы, выходящие из 1-й камеры, охлаждают (напр., последовательно в котле-утилизаторе, теплообменнике и т. д.),

отделяют сконденсировавшуюся S, добавляют к газам O_2 (воздух) в кол-ве, необходимом для сжигания оставшихся H_2S и S в SO_2 , и пропускают их через камеру сжигания 2-й ступени. Из газов после 2-й камеры SO_2 поглощают абсорбентом; оставшиеся газы выбрасывают в атмосферу. Из абсорбента выделяют SO_2 пропусканием O_2 (воздуха), причем получается смесь O_2 + SO_2 в соотношении, необходимом для добавления в 1-ю ступень цикла. Г. Рабинович

21976 II. Аппарат для очистки серной кислоты с концентрацией до 78% и соляной кислоты от мышьяка (Vorrichtung zum Entarsenieren von Schwefelsäure bis 60° B \acute{e} und von Salzsäure) [Johann Schneider], Пат. ФРГ 929545, 27.06.55

В дополнение к пат. ФРГ 920126 (РЖХим, 1957, 27419) патентуются следующие изменения аппарата: змеевик имеет волнистые витки (для улучшения контактирования H_2S с к-той); к-та поступает в змеевик сверху, а H_2S снизу; верхний конец змеевика проходит через днище сборника к-ты и покрыт колоколом для отвода газа, а нижний конец соединен со сборником очищ. к-ты. Приведена схема. Г. Рабинович

Азотная промышленность

21977 II. Производство водорода. Ипатиев, Монро (Production of hydrogen. Ipatieff Vladimir N., Monroe George S.), [Universal Oil Products Co.], Пат. США 2750261, 12.06.56

H_2 с малым содержанием СО получают р-цией алифатич. (парафиновых) углеводородов (CH_n) с водяным паром [2÷20 (5÷15) молей H_2O на 1 моль CH_n], протекающей главным образом по ур-нию: $CH_4 + 2H_2O \rightarrow 4H_2 + CO_2$, при 450—700° давл. 0—17,5 атм над катализатором Ni-Cu-SiO $_2$, полученным восстановлением смеси, содержащей (в %): CuO 5—10, NiO 60—75 (67—72) и SiO $_2$ 20—30 (23) (последний в виде диоксида); после восстановления катализатора Ni и Cu в нем находятся в виде металлов. Приведены методики приготовления катализаторов и результаты их испытаний. Г. Рабинович

21978 II. Способ каталитического получения аммиака. Байер (Verfahren zur katalytischen Herstellung von Ammoniak. Bayer Richard) [Metallgesellschaft A.-G.], Пат. ФРГ 964042, 16.05.57

Патентуется колонна синтеза для работы под давл. ~ 700 ат с несколькими слоями катализатора, подводом холодного свежего газа между слоями для охлаждения проконтактировавшего газа до оптимальной т-ры синтеза и охлаждением газа в последнем слое до 500—530° путем теплообмена со свежим подогретым газом в двойных трубках. Г. Рабинович

21979 II. Способ получения аммиака. Глемзер (Verfahren zur Herstellung von Ammoniak. Glemser Oskar) [Farbwerke Hoechst A.-G. vormals Meister Lucius und Brünig], Пат. ФРГ 956674, 24.01.57

Р-цию синтеза NH_3 проводят при т-ре близкой к комнатной и давлении около атмосферного в присутствии катализаторов — Мо-соединений, содержащих Мо-Н-связи и ОН-группы, напр. $H_2MoO_7(OH)_2$. Эти катализаторы получают восстановлением MoO_3 водородом в момент выделения или с помощью $LiAlH_4$; они чувствительны к воздуху, которого следует избегать. Катализатор можно применять в виде суспензии в воде или в твердом виде, а также на носителях (пемза, кизельгур, асбест). Пример: 500 мг MoO_3 при внешнем охлаждении льдом в отсутствие воздуха обрабатывали 150 мл 20%-ной HCl (к-та) и 25 г гранулированного Zn для образования равномерной оливково-зеленой окраски суспензии (1 час). После декантации осадок промыли дистил. водой, не содержащей воздуха.

Затем через суспензию осадка в 40 мл воды, не содержащей воздуха, при комнатной т-ре и атмосферном давлении в течение 4 час. пропускали 20 л $3\text{H}_2 + \text{N}_2$ — смеси и получили 40 мл NH_3 , который поглощали 0,1 н. H_2SO_4 .

Г. Рабинович
21980 П. Способ получения концентрированной не содержащей кислот аммиачной воды. Шмаленбах (Verfahren zur Herstellung von verdichtetem, entsäuertem Ammoniakwasser. Schmalenbach Adolf) [Heinrich Koppers G. m. b. H.]. Пат. ФРГ 945754, 19.07.56

Доп. к пат. ФРГ 931645 (РЖХим, 1957, 31230). Часть слабой аммиачной воды (АВ), подогретой до 75—80° за счет теплообмена с выходящей из диссоциатора слабой АВ, очищ. от кислых газов, можно подавать в середину диссоциатора. Остальную слабую АВ подают в верх диссоциатора при нормальной т-ре (до ~25°). Выходящие из диссоциатора кислые газы практически не содержат NH_3 и промывка их водой не нужна.

Г. Рабинович
21981 П. Способ извлечения гидразина (Procédé de récupération de l'hydrazine) [Fairmount Chemical Co., Inc.]. Франц. пат. 1121843, 27.08.56

Смесь, полученную при р-ции мочевины или NH_3 с р-ром NaOCl и содержащую соответственно 1—4% или 0,5—2% N_2H_4 , NaOH , Na_2CO_3 (только в случае применения мочевины), NaCl и воду, подают в кипящей при 125—150° конц. р-р едкой щелочи, предпочтительно в 30—50%-ный NaOH . При этом происходит быстрое испарение N_2H_4 и H_2O ; пары направляют на ректификацию. Часть р-ра отводят для отделения накапливающихся в нем солей.

Г. Рабинович
21982 П. Получение синильной кислоты из природных газов, аммиака и атмосферного воздуха. Сасаки (天然ガス、アンモニア、空気より青酸製造法。佐々木一雄). Японск. пат. 8413, 21.12.54

В целях удешевления процесса получения HCN из природных газов, NH_3 и воздуха предлагается вместо дорогостоящих катализаторов (К) из Pt и Pt-Rh -сплава использовать К из окислов Ti , Al , Mg , Be , Th или из смешанных окислов этих элементов с добавлением к ним 5—10% Pt . Пример. Вначале из Al_2O_3 изготовляют небольшие цилиндры диам. 3 мм и высотой 3 мм. Эти цилиндры погружают в водн. р-р $(\text{NH}_4)_2\text{PtCl}_6$ с таким расчетом, чтобы они поглощали до 10% Pt . Затем их помещают в камеру, где находится пары формалина. Здесь происходит их сушка и восстановление. Слой К толщиной 8 мм помещают в печь. Сверху под слой К пропускают нагретый (электронагревателем) до 850° воздух и, когда т-ра воздуха над К достигнет 500°, подогревание и подачу подогретого воздуха прекращают и над слоем К пропускают смесь природных газов, NH_3 и воздуха со скоростью 2 л/см² мин. Выход HCN составляет 70—80% от общего кол-ва NH_3 . При использовании К из $\text{Pt-Al}_2\text{O}_3\text{-ThO}_2$ при соотношении его компонентов 0,10 : 0,85 : 0,05 выход HCN 75—83%.

В. Зломанов

См. также: Получение NH_3 и HCN в качестве побочных продуктов при сухой газоочистке 22660

Содовая промышленность

21983. О регулировании соотношения NH_3/CO_2 в осадительных колоннах. Шетинский В. В., Тр. Всес. ин-та сод. пром-сти, 1956, 9, 83—94

Статистический анализ (описана методика) данных обследования режима осадительной колонны (ОК) показал, что основной причиной колебаний титра связанного NH_3 в жидкости, выходящей из ОК, являются значительные колебания конц-ии NH_3 в рассоле; конц-ия Cl^- в рассоле поддерживается достаточно по-

стоянной. Титр связанного NH_3 стабилизируют, под-держивая постоянной конц-ию NH_3 в рассоле (что может быть достигнуто автоматизацией станции абсорбции). Для автоматич. регулирования соотношения NH_3/CO_2 в ОК наиболее рациональной является схема с регулятором т-ры верха ОК.

Г. Рабинович
21984. Определение парциальных упругостей паров NH_3 , CO_2 и H_2O над жидкостями теплообменника дистилляции. Сообщение 1. Угличев Н. Я., Алферова В. Н., Гришко Л. В., Тр. Всес. ин-та сод. пром-сти, 1956, 9, 95—106

Определены статич. методом парц. упругости паров (р) CO_2 , NH_3 и H_2O от верха до низа скрубберного теплообменника дистилляции (ТДС) над жидкостями и флегмой при 65—95°. Данные о зависимости р и общего давления от т-ры и состава жидкостей приведены в таблице и графиках. Относительный рост величины p_{CO_2} увеличивается с повышением т-ры жидкости. Увеличение конц-ии NH_3 в жидкости понижает p_{CO_2} , ухудшая отгонку. Это снижение тем больше, чем ниже т-ра дистилляции. $p_{\text{H}_2\text{O}}$ при постоянных т-рах, содержания NH_4Cl и NaCl и изменении конц-ии CO_2 и NH_3 в жидкости остается практически постоянной. Приведена таблица расчета содержания NH_3 и CO_2 в парогазовой фазе над жидкостями при постоянных давлениях. Процесс дистилляции по высоте ТДС представлен на диаграмме $\text{NH}_3 - \text{CO}_2 - \text{H}_2\text{O}$, из которой видно, что выделение CO_2 из жидкости происходит по всей высоте ТДС, а содержание NH_3 в парах достигает максимума (42—50%) в середине ТДС.

Г. Рабинович
21985. Потенциометрическое определение Na_2CO_3 и NaHCO_3 в жидкости на выходе из декарбонатора при производстве очищенного бикарбоната натрия. Войцеховский А. Е., Страшнов А. Ф., Тр. Всес. ин-та сод. пром-сти, 1956, 9, 107—112

В стакан для титрования с двумя электродами (из Sn и Cd), подключенными к гальванометру, сначала вводят точно отмеренное кол-во 1 н. р-ра NaOH , а затем анализируемую пробу. При этом кол-во NaOH берут с таким расчетом, чтобы после перехода NaHCO_3 в Na_2CO_3 в р-ре оставался некоторый избыток его (2—3 мл), затем производят титрование (вначале титруется избыток NaOH , а потом Na_2CO_3). По объему р-ра HCl (отсчитанному после первого и второго скачков потенциала) рассчитывают содержание Na_2CO_3 и NaHCO_3 . Преимущество метода в том, что на выполнение анализа требуется 4—5 мин.

В. Борисова
21986. Расчет распределения концентрации карбонатов соды в промышленных диллязаторах. Хасигути, Синохара (アルカリ透析機内の濃度計算について. 橋口絵, 篠原久), 九州大学工学集報, Кюсю дайгаку когаку сюхо, Technol. Repts Kyushu Univ., 1957, 29, № 4, 268—271 (японск.)

Остальные элементы, окислы, минеральные кислоты, основания, соли

21987. Стабилизация концентрированных растворов перекиси водорода. Шамб (Stabilization of concentrated solutions of hydrogen peroxide. Schumb Walter C.), Industr. and Engng Chem., 1957, 49, № 10, 1759—1762 (англ.)

Исследовано влияние стабилизирующих добавок, в частности $\text{Na}_2\text{SnO}_3 \cdot 3\text{H}_2\text{O}$ (I), на скорость разложения (CP) конц. р-ров H_2O_2 . Исследования CP 90%-ной товарной H_2O_2 в посуде из боросиликатного стекла показали, что добавка небольших кол-в I более эффективна, чем редистилляция р-ра. Так, если CP (в % за час) снижается от 0,005 до 0,0022 при добавке 0,001% $\text{Na}_4\text{P}_2\text{O}_7 \cdot \text{H}_2\text{O}$ (II) (считая на $\text{P}_2\text{O}_7^{4-}$) и до ~0,0017 —

при редистилляции, то при добавках 0,002% I (считая на SnO_2) СР составляет 0,0006. Одновременная добавка I (0,002%) и II (0,001%) снижает СР только до 0,012 и до 0,0009 в случае редистилляции стабилизированного р-ра. Оптимальная конц-ия I для 90%-ной H_2O_2 0,002%. Опыты с 10–90%-ными р-рами H_2O_2 , стабилизированными 0,0035% I, как и с 40–90%-ными, стабилизированными 0,0001% I или 0,0001% I + 0,0005% II, показали, что СР практически не зависит от конц-ии H_2O_2 . Добавки II и в этом случае не повышают стабилизирующих свойств I. I эффективен только в случае загрязнения H_2O_2 такими каталитически ускоряющими разложение примесями, как ионы Fe и Cu, и не эффективен при загрязнении р-ра ионами Cr или CrO_4^{2-} .

Л. Херсонская

21988. Транспорт концентрированной перекиси водорода в полевых условиях. Киф, Рейли (Field transportation of concentrated hydrogen peroxide. Keefe John H., Raleigh Charles W.), Amer. Rocket Soc. [Preprints], 1956, № 328, 17 pp., ill.; Jet Propuls., 1957, 27, № 6, 663–664, 677, 737 (англ.).

Описаны (с указанием технич. условий на изготовление) барабаны, автомобильные и ж.-д. цистерны для транспорта 90%-ной H_2O_2 , а также вспомогательное оборудование для их обслуживания (насос, вентили и трубопроводы, контрольно-измерительные приборы и др.). Приведены иллюстрации. Библ. 4 назв.

Г. Рабинович

21989. Влияния насыщенных растворов поваренной соли на прочность каменной соли из копей «Окна Мурешулуй». Стаматиу (Cercetări referitoare la influența soluțiilor saturate de clorură de sodiu asupra rezistenței la eforturi mecanice a sării geme de la salina Ocna Mureșului. Stamatiu M.), Rev. minei, 1956, 7, № 9, 399–413 (рум.; рез. русск., нем.).

Результаты определения механич. свойств (сопротивляемость сжатию, растяжению, разрыву, изгибу и срезу) 364 образцов из каменной соли копей «Окна Мурешулуй» после их выдержки в течение 7 дней в насыщ. р-ре NaCl. Эти величины сравниваются с данными для сухих образцов. Образцы в форме кубиков, выдержанные в насыщ. р-ре NaCl, дают увеличение сопротивления на сжатие на 4–16%. У выдержанных в NaCl образцов в виде тонких призм сопротивление на срез на 21% больше, чем у сухих. Увеличение сопротивления на сжатие и срез у сырых образцов объясняется отложением мелких кристаллов NaCl в порах и шероховатости поверхности образцов. Сопротивление изгибу и растяжению уменьшается на 50%, что объясняется снижением сцепления между кристаллами соли вследствие действия насыщ. р-ра NaCl. Изменение механич. свойств зависит от степени проникновения р-ра NaCl вглубь образца. Образцы белой соли показали более низкую сопротивляемость излому по сравнению с образцами соли синеватого оттенка из полосатой соли благодаря отличию структуры и текстуры между этими разновидностями солей. Библ. 7 назв.

Я. Матлис

21990. Исследование океанских солей. Часть 1. О двойных солях, кристаллизующихся из пятикомпонентной системы $\text{Na} - \text{K} - \text{Mg} - \text{Cl} - \text{SO}_4 - \text{H}_2\text{O}$. Накаяма (海洋鹽類に関する研究. 第1報. Na-K-Mg-Cl-SO₄-H₂O系より析出する複鹽について. 中山道夫), 日本鹽學會誌, Нихон сёо гаккайси, Bull. Soc. Salt Sci., Japan, 1957, 11, № 1, 25–35 (японск.; рез. англ.).

Известно 9 двойных солей (ДС), кристаллизующихся из пятикомпонентной системы $\text{Na} - \text{K} - \text{Mg} - \text{Cl} - \text{SO}_4 - \text{H}_2\text{O}$, в частности: астраханит (I), карналлит, глазерит (II), кайнит, лангбейнит (III), леонит, вантоффит, шенит, дэвент. Американское общество испытания материалов (ASTM) приводит данные, касаю-

щиеся только трех из этих ДС: I, II и III. В данной работе с 9 искусственно приготовленными ДС проведены микрофотографич., а затем рентгенографич. (на дифрактометре со счетчиком Гейгера с использованием $\text{K}\alpha$ -излучения Cu) исследования. Установлено: 1. Для I наиболее интенсивная линия $d = 3,25 \text{ \AA}$, приведенная ASTM, разделена на два максимума $d = 3,28$ и $3,24 \text{ \AA}$. Соответственно линию наибольшей интенсивности следует отнести к $d = 4,53 \text{ \AA}$. Кроме того, установлен ряд небольших максимумов, вообще не приведенных ASTM. 2. Для II установлено, что максимум d не $4,07 \text{ \AA}$ (d_{101}), как приводится в таблицах ASTM, а $4,87 \text{ \AA}$ (d_{100}). Соответственно определены константы решетки: решетка гексагональной системы, $a = 5,64 \text{ \AA}$, $c/a = 1,298$. Исправлены коэф. интенсивности. 3. Данные, полученные при исследовании III, хорошо согласуются с величинами, опубликованными ASTM. Определена каждая дифракционная линия. 4. Для каждой из остальных шести солей найдены величины d , решетки и соотношения интенсивности дифракционных линий. Библ. 21 назв.

Л. Херсонская

21991. Применение железа для осаждения золота. Суворовская Н. А., Сб. научн. тр. Моск. ин-та цветн. мет. и золота и ВНИТО цветн. металлургии, 1957, № 26, 35–40.

Ау осаждают пропусканием Au-содержащего цинистого р-ра через стеклянный тигель с пористым дном (диам. 2 см, высота 8 см), на которое плотно укладывается Fe-стружка (10 г). Из первого тигля р-р поступает во второй. Фильтрация р-ра производится в течение 2-х час. со скоростью $\sim 1,5 \text{ см}^3/\text{мин}$. Найдено, что при подкислении р-ра осаждение Au с помощью Fe дает удовлетворительные результаты. Н. Ширяев

21992. Использование руд и производство хлористого аммония. Аравамутхан (Mineral utilisation and production of ammonium chloride. Aravamuthan V.), Industr. India, 1957, 8, № 5, 11, 13 (англ.).

Обзор. Рассмотрены возможности получения NH_4Cl при хим. обработке бедных руд HCl (газом или ж-той) или Cl_2 при получении: $\text{Al}(\text{OH})_3$, Mn-концентрата, CaHPO_4 , MgCO_3 , Zr-гидроокиси, TiO_2 , $\text{Cr}(\text{OH})_3$, Pb, S и электролитич. Fe, ZnO и S, Cu, S и электролитич. Fe, Sb, S и электролит. Fe; Na_2SO_4 и карбоната цемента. Г. Рабинович

21993. Водосодержание и устойчивость отбеливающих порошков. Тан Ю-ци, Хуа Тун-вэнь, Ляо Гуй-фан, Чи фан-цзе, Линь Цан-хуан (漂白粉的水分及其穩定性唐有祺. 華彤文, 廖桂芬, 池訪傑, 林子煊), 化學學報, Хусюэ сюэбао, Acta chim sinica, 1957, 23, № 1, 52–67 (кит.; рез. англ.).

При исследовании образцов (О) отбеливающего порошка (ОП) и сырого гипохлорита Ca, представляющих собой смесь $\text{Ca}(\text{OCl})_2$, $\text{Ca}(\text{OCl})_2 \cdot 3\text{H}_2\text{O}$, $\text{CaCl}_2 \cdot 6\text{H}_2\text{O}$ и $\text{CaCl}_2 \cdot \text{Ca}(\text{OH})_2 \cdot \text{H}_2\text{O}$, установлено, что основным критерием для определения устойчивости ОП является содержание в нем H_2O . Устойчивость ОП определялась индексом, показывающим отношение в процентах кол-ва активного хлора в О после нагревания до 90° к кол-ву активного хлора в О до нагревания. О нагревали 8 час. в маленьких трубках, закрытых стеклянными пробками. В случае высушивания ОП или сырого гипохлорита Ca при 25° и давл. 0,1 мм рт. ст. индекс устойчивости достигал 100%. При этом происходила полная дегидратация $\text{Ca}(\text{OCl})_2 \cdot 3\text{H}_2\text{O}$ (при 5 мм рт. ст.) и частичная $\text{CaCl}_2 \cdot 6\text{H}_2\text{O}$ до $\text{CaCl}_2 \cdot \text{H}_2\text{O}$ (при 1 мм рт. ст.). Регулируя кол-во удаляемой воды в О, можно изменять индекс устойчивости от 0 до 100%. Скорость разложения ОП связана линейной зависимостью с кол-вом удаляемой воды. Тщательно высушенные образцы не разлагаются даже при 90° , разложение группы OCl^- , вероятно, происходит почти исключительно в фазе $\text{Ca}(\text{OCl})_2 \cdot 3\text{H}_2\text{O}$. Линейная за-

зависимость скорости разложения от кол-ва удаляемой воды свидетельствует о том, что скорость разложения при 90° изменяется линейно в соответствии с содержанием в ОБ компонента — $\text{Ca}(\text{OCl})_2 \cdot 3\text{H}_2\text{O}$. Приведены способы расчетов скорости разложения ОП при их срабатывании. Библ. 21 назв.

Л. Херсонская

21994. Экстракция хлористого цинка фурфуролом из раствора сульфата цинка. Гарун, Уинтерботом (Liquid-liquid extraction of zinc chloride from sulfate with furfural. Garwin Leo, Winterbottom James M.), Industr. and Engng Chem., 1957, 49, № 9, Part 1, 1355—1360 (англ.)

Экспериментально найдены константы распределения (КР) ZnCl_2 (I) и ZnSO_4 (II) для системы вода — фурфурол. Установлена возможность селективного выделения I в органич. фазу (ОФ) с последующей его экстракцией и получением чистого I. Исследования с р-рами, содержащими ~ 2—20% I и ~ 5—35% II, показали, что при 25° КР для I колеблется в пределах от ~ 0,01 до 0,6 — в зависимости от конц-ии I и отношения II к I в исходном р-ре. Повышение как конц-ии I, так и указанного отношения увеличивает КР. Несовершенно снижается КР при повышении т-ры до 50° и в большей степени при подъеме т-ры до 75°. II при этом в ОФ практически не переходит. Полученные данные могут быть использованы в промышленной технологии, в частности для очистки загрязненных I маточных р-ров обычного процесса перекристаллизации II. В соответствии с диаграммой растворимости разб. р-ры, содержащие II и I, рекомендуется перед экстракцией упарить вначале при 38—49° (с получением сульфата гексагидрата), а затем при 70—75° с последующим нагревом до рабочей т-ры и получением продуктивного р-ра, подаваемого в экстрактор. Из рафината при охлаждении можно выделить кристаллич. II, а маточник возвратит в цикл. I из ОФ реэкстрагируют водой. При непрерывной противоточной экстракции и КР ~ 0,1 необходимое рабочее соотношение растворитель : вода ≈ 15—20, которое обеспечивает 85%-ную Э I. Библ. 23 назв.

Л. Херсонская

21995. Исследования по определению температур, необходимых для вскрытия галимба-бокситов, и в частности по установлению оптимального режима переработки так называемых «трудно вскрываемых» венгерских бокситов. Богарди (Halimbai-bauxit feltárási hőfokvizonyainak tanulmányozása, különös tekintettel az ún. «rosszul-feltáráható» hazai bauxit-féleségek optimális üzemi feldolgozására. Bogardi Endre), Kohász. lapok, 1956, 11, № 5, 225—232 (венг.; рез. англ., нем.)

В последнее время наблюдается прогрессирующее ухудшение вскрываемости галимба-бокситов, а также других венгерских бокситов (напр., Нипрадских). В связи с этим предприняты исследования по определению оптимальных т-р автоклавного процесса (АП). Установлено, что некоторые сорта венгерских бокситов чувствительны к температурному оптимуму в ходе АП; доказана необходимость разработки новых технологич. режимов вскрытия. С целью внедрения в промышленность проведены опыты по ведению АП с комбинированным нагревом и, кроме того, экспериментально получены мало известные до сих пор точные соотношения между т-рой кипения и упругостью пара пульпы (щелок и тонкоразмолотый боксит). Полученные данные применимы к условиям произ-ва Al_2O_3 в Венгрии.

Л. Херсонская

21996. Влияние соединений серы на дисперсионный состав гидроокиси алюминия в процессе декомпозиции алюминатных растворов. Кузнецов С. И., Важенни С. Ф., Ж. прикл. химии, 1957, 30, № 2, 287—299; Тр. Уральского политехн. ин-та, 1957, сб. 68, 68—70

При добавлении Na_2SO_3 к алюминатному р-ру (АР) увеличивается крупность $\text{Al}(\text{OH})_3$, получаемой при декомпозиции АР, что, вероятно, происходит за счет увеличения вязкости р-ра; степень разложения АР при этом снижается. Добавление Na_2S в кол-ве до 5,4% Na_2O сульфид от $\text{Na}_2\text{O}_{\text{общ}}$ не оказывает влияния на дисперсионный состав $\text{Al}(\text{OH})_3$, но снижает степень разложения АР.

Г. Рабинович

21997. Материальный баланс по сере в производстве глинозема по методу Байера. Кузнецов С. И., Важенни С. Ф., Тр. Уральского политехн. ин-та, 1957, сб. 58, 71—72

Приведен баланс по S глиноземного цеха. Накопление S в алюминатных р-рах может достигать > 6 г/л в пересчете на $\text{Na}_2\text{O}_{\text{сульф.}}$. Источниками S в процессе являются бокситы (76%), фильтрат цеха кальцинации, используемый для промывки $\text{Al}(\text{OH})_3$ (13%), и вода для промывки красного отвального шлама (9,8%). Из цикла S выводится с красным шламом (74%) и продукционной $\text{Al}(\text{OH})_3$ (23%).

Г. Рабинович

21998. Синтез полисульфидов водорода. Мейснер, Конуэй, Микли (Synthesis of hydrogen persulfides. Meissner H. P., Conway E. R., Mickley H. S.), Industr. and Engng Chem., 1956, 48, № 8, 1347—1353 (англ.)

Водные р-ры свежеприготовленных Na_2S_x ($x = 1,5 + 5$) приливали при перемешивании и охлаждении до 0° к р-ру неорганич. к-ты и получали «сырые масла» (СМ) состава H_2S_n ($n = 4 + 10$) с растворенными в них H_2S и S, которые с трудом отделялись от р-ров; при р-циях выделялся H_2S и осаждалась S. При прилипании к-ты к р-ру Na_2S_x СМ получить не удалось. Исследовано влияние различных факторов на выход и состав СМ. HCl (к-та) дает лучший выход и меньшее n, H_3PO_4 — меньший выход и большее n, H_2SO_4 — средние результаты. При увеличении x увеличивается выход и n. При увеличении скорости перемешивания увеличивается выход и уменьшается n; при этом при наличии в сосуде отражательных перегородок кривая выхода имеет максимум, а кривая n — минимум. При уменьшении конц-ии Na_2S_x в р-ре от 2 до 1 моля выход увеличивается, а n уменьшается. Изменение конц-ии HCl (к-та) от 10 до 37 вес. % влияет мало, а изменение конц-ии H_2SO_4 — значительно, причем при 35% кривая выхода имеет максимум, а кривая n — минимум. Повышение т-ры несколько увеличивает выход и уменьшает n. Рассмотрен механизм образования полисульфидов Na и H_2S_n . Библ. 18 назв.

Г. Рабинович

21999. Производство двуокиси титана. У Юн-цин (二氧化钛的制造. 吳永慶), 化學世界, Хуасюэ шицзе, 1956, № 12, 602—605 (кит.)

В реактор, содержащий 65%-ную H_2SO_4 , нагретую до 120°, постепенно вводят порошок льменита (сито № 325), в кол-ве, соответствующем р-ции: $2\text{FeTiO}_3 + 7\text{H}_2\text{SO}_4 \rightarrow \text{Fe}_2(\text{SO}_4)_3 + 2\text{Ti}(\text{SO}_4)_2 + 7\text{H}_2\text{O}$. Смесь нагревают до кипения (135—145°) в течение 3 час. Гелеобразный продукт р-ции разбавляют водой до уд. в. 1,5, охлаждают до 80° и затем восстанавливают с помощью Fe-опилок, получая при этом р-р $\text{Ti}(\text{SO}_4)_2$ и FeSO_4 . Полученный р-р фильтруют для отделения большей части FeSO_4 , фильтрат направляют в кристаллизатор, футерованный свинцом, где при охлаждении р-ра выпадает кристаллич. FeSO_4 . После отделения FeSO_4 к р-ру, содержащему $\text{Ti}(\text{SO}_4)_2$, добавляют воду и кипятят в течение 2 час. В результате гидролиза выпадает H_2TiO_3 , которую промывают, сушат и прокалывают. Состав готового продукта (в %): TiO_2 96,3—98,84, Fe_2O_3 0,05—0,2, S 0,06—0,31.

С. Ширяев

22000. Сульфатизирующий обжиг сульфида марганца. Панцулая Т. В., Бучукур Я. Г., Тр. Груз. политех. ин-та, 1956, № 5 (46), 92—97 (рез. груз.)

Опыты показали, что при t -ре > 650 — 700° степень сульфатизации MnS уменьшается значительно, а при 800° $MnSO_4$ после 50—60 мин. обжига полностью разлагается. Степень сульфатизации увеличивается при увеличении тонны помола и продолжительности контактирования обжиговых газов с твердой фазой, однако в первые 10—15 мин. образуется 60—70% общего кол-ва сульфата. При обжиге MnS в атмосфере O_2 в статич. условиях можно повысить степень сульфатизации MnS при 600° за 1 час. до 80,1%. Библ. 11 назв.

22001. Окисление окислов железа. Лечнар (Utle-
nianie tlenków żelaza. Leczna Franciszek),
Hutnik (Polska), 1956, 23, № 11, 413—418 (польск.)

Изучен вопрос окисления восстановленных окислов железа FeO (I) и Fe_2O_3 (II) во время их охлаждения до γ - Fe_2O_3 (III) и α - Fe_2O_3 (IV). Окисление до IV связано с исчезновением магнитных свойств. Установлено существование зависимости между содержанием немагнитных в-в в окисленных продуктах и t -рой и продолжительностью восстановления лимонита (JI), а также продолжительностью охлаждения полученного из него II. Порошкообразный JI, восстановленный до II при 750, 850 и 950° и затем охлажденный в печах и на воздухе в течение 25—95 мин., окисляется до III. JI, восстановленный до I при 850 и 950° и охлажденный на воздухе, окисляется до II. Наименьшие потери Fe дают I и II при охлаждении от 800 до 950° . Переход III в IV наблюдается при медленном охлаждении от 650° . JI прокаливали в открытых железных тиглях; продолжительность восстановления считали с момента выравнивания t -р печи и тигля. Библ. 11 назв.

22002. Кобальт — металл для промышленности и химическое сырье. Хакен (Kobalt-Werkmetall und Chemierohstoff. Haken W. von), Shem.-Ingr-Techn., 1957, 29, № 9, 635—636 (нем.)

Приведены данные информационного центра в Брюсселе о ценах и объеме произ-ва Co. В 1956 г. мировое произ-во Co (без СССР) составило 14 829 т, из них 1620 т произведено в Канаде, 1410 т в США, 9089 т в Бельгийском Конго и 1200 т в Северной Родезии. Перечислены компании и фирмы, вырабатывающие Co; охарактеризованы перерабатываемое сырье и получаемый металл.

22003. Производство окиси кобальта. Мяо-Цюань-юань (氧化鈷的製造. 繆泉源), 化學世界, Хуасюэ шицзе, 1956, № 5, 221—225 (кит.)

Плав, полученный восстановительной плавкой Со-руды, в присутствии окислителя (измельченная руда), растворяют при продолжительном кипячении в разб. H_2SO_4 при $pH \sim 3$ —4. Осадок, состоящий в основном из $Fe_2(OH)_4SO_4$, отделяют; из р-ра (содержание Co ~ 5 г/л) осаждают Co и примеси действием Na_2S . Сульфиды выпадают в следующей последовательности: CuS , ZnS , CoS , NiS , MnS . При добавлении к осадку сульфидов избытка р-ра, содержащего $CoSO_4$, почти весь MnS переводят в $MnSO_4$; последний отделяют многократным промыванием (отношение Co : Mn в осадке сульфидов $\approx 100 : 3$). Осадок смеси сульфидов сушат и прокаливают в отражательной печи при 500 — 600° (окисление), получая при этом соответствующие сульфаты, которые затем растворяют в горячей воде. Из р-ра (содержание Co 60 г/л) удаляют тяжелые металлы (главным образом Cu) путем кипячения его вместе с CoS (полученном ранее при осаждении). В результате р-ции $CuSO_4 + CoS \rightarrow CoSO_4 + CuS$ осадок CuS отделяют. Оставшееся в

р-ре малое кол-во Mn (2%) удаляется в виде MnO путем введения в р-р небольших кол-в окислителя (сернистый р-р $KMnO_4$; $pH = 2$, t -ра 80°). Осаждение Co в виде $Co(OH)_2$ и отделение его от Ni производят в несколько стадий обработкой р-ра смесью $NaOCl$ и Na_2CO_3 . $Ni(OH)_2$ не выпадает, так как $NiSO_4$ окисляется труднее. Осадок $Co(OH)_2$ сушат, вымачивают и прокачивают при 600° . Получают окись Co.

22004. Исследование коагулянтов для осаждения, уплотнения осадка и фильтрации в процессе Шеррит Гордона. Эванс, Кунда, Цзян (Studies on flocculants for settling, thickening and filtration in the Sherritt Gordon process. Evans D. J. I., Kunda W., Chiang P.), Canad. J. Chem. Engng, 1957, 35, № 1, 25—32 (англ.)

В процессе выщелачивания сульфидного концентрата с целью растворения сульфидов Ni, Cu и др. получают содержащие Fe и Si студенистые осадки, которые должны быть отделены от р-ра. Приводятся результаты испытаний 16 различных в-в в качестве коагулянтов, обеспечивающих улучшение условий отделения этих осадков путем отстаивания и фильтрации. Библ. 19 назв.

22005. Грануляция пылевидных материалов с крепкой серной кислотой. Гецкин Л. С., Батюк А. Г., Цыб П. П., Цветн. металлы, 1957, № 7, 23—25

Разработан способ сульфатизации пыли, содержащих Pb, Cu, Zn, Cd, As, редкие металлы, Cl и F. Пыль и конц. H_2SO_4 подается раздельно на вращающийся чашевой гранулятор, изготовленный из обычной стали и закрытый кожухом для отсоса газов. При гранулировании выделяется теплота и t -ра повышается (в зависимости от состава пыли, напр., до 200°); при этом выделяется до $\sim 80\%$ Cl и F в виде HCl и HF . Для полной отгонки As, происходящей при 300 — 350° , полученные гранулы подают на 2-й гранулятор, имеющий внешний электрообогрев. Процесс автоматизирован. Библ. 1 назв.

22006 П. Способ получения борогидридов щелочных металлов. Шектер (Verfahren zur Herstellung von Alkalimetallborhydriden. Schechter William Howard) [Callery Chemical Co.], Пат. ФРГ 958646, 21.02.57

В очень тонкую суспензию щел. металла в инертной высококипящей жидкости (напр., в минер. масле) при t -ре 250 — 265° (до 350°) непрерывно вводят сухие B и одно или несколько соединений B (борогалогениды, алкилбораты, B_2O_3 , соединения типа $NaBF_4$). Существенным является поддержание металла в суспензионном состоянии до конца процесса, что достигается, в частности, с помощью механич. мешалок, делающих 3—6 тыс. об/мин. Р-ция образования борогидридов проходит с достаточной скоростью при t -рах выше 255 — 300° и избыточном давл. 7—10 ат. В другом варианте щел. металл распыляется током H_2 и вместе с ним поступает в горячую инертную жидкость. После охлаждения реакционной массы осадок промывают и из него экстрагируют борогидрид 70—95%-ной чистоты (в зависимости от характера соединения B).

22007 П. Получение борогидрида лития. Виберг, Клейнот (Verfahren zur Herstellung von Lithiumborhydrid. Wiberg Egon, Klejnnot Olgerd) [Metallgesellschaft A.-G.], Пат. ГДР 12585, 28.01.57

Процесс получения $LiBH_4$ из LiH и BF_3 проводится в 2 стадии (С). На 1-й С получают B_2H_6 обычным способом по р-ции между LiH и BF_3 в присутствии катализатора. На 2-й С B_2H_6 в присутствии катализатора обрабатывают 4-кратным против стехиометрич. кол-вом LiH. После отделения $LiBH_4$ избыточный LiH

иде MnO_2
кислота
Осажде-
Ni про-
а смесь
как $NiSO_4$
г, измел-
кисл. Со-
С. Ширин
саждения
еесе Шер-
Studies on
nitration in
Kanda
1957, 35,

концентра-
др. полу-
адки, кото-
редства ре-
овый отде-
льстрации.
В. Коган
ов с кре-
тук А. Г.,
23—25
и, содержа-
и Ф. Пиль-
щающий
ычной ста-
При гре-
овывается
200°; при
HCl и HF
и 300—350°;
атор, имен-
омативиро-
Рабинович

щелочных
stellung von
William
ФРГ 958646

на в инерт-
нер. масле)
дят сухие H_2
галогениды
(BF_3). Суще-
в суспенди-
достигает
алок, делая
борогидри-
и т-ра из-
г. В другом
 H_2 и вместе
кость. После
ромывают
и-ной чистоты
В).

Херсонская
Виберг,
von Lithium-
Olgierd)
5, 28.01.57
проводит
 H_2 обычным
присутствии
и катализ
техиметрич.
точный LII

вместе с катализатором (предпочтительно этиловым спиртом) передается на 1-ю С.

22008 П. Способ получения хлорида лития из карбоната лития. Йоппен (Verfahren zur Herstellung von Lithiumchlorid aus Lithiumcarbonat. Joppen Rudolf) [Metallgesellschaft A.-G.]. Пат. ФРГ 961707, 11.04.57

Li_2CO_3 смешивают с NH_4Cl , взятым в небольшом избытке против кол-ва, необходимого для получения $LiCl$; смесь выдерживают при $t \sim 335^\circ$. В другом варианте Li_2CO_3 и NH_4Cl располагают отдельными слоями, так что пары сублимирующегося NH_4Cl про- нимают слой Li_2CO_3 и реагируют с ним.

22009 П. Получение борогидридов натрия или калия. Баумгарт (Verfahren zur Herstellung von Borhydriden des Natriums oder Kaliums. Baumgart Horst) [Deutsche Gold- und Silber-Scheidanstalt vormals Ressler]. Пат. ФРГ 956037, 10.01.57

Борогидриды Na или K получают по р-ции между соответствующими гидроксидами и BF_3 при мол. соотношении $BF_3 : NaH(KH) = 1 : 4$. Р-цию проводят в присутствии эквивалентного NaH кол-ва триметилового эфира борной к-ты (I) в тетрагидрофурановом р-ре. BF_3 применяют в виде продукта присоединения его к тетрагидрофурану (II). В частности, к 10 г 95%-ного NaH при $t \sim 60-65^\circ$ в течение 20 мин. прибавляют 200 мл смеси I и II (44 г I). После получасовой выдержки при $72-75^\circ$ реакционную смесь охлаждают до комнатной т-ры и, продолжая охлаждение и перемешивание, в течение 20 мин. прибавляют 10,4 мл насыщ. BF_3 тетрагидрофуранатерата (6,6 г BF_3), разб. 25 мл II. Через 1 час. заканчивается выделение осадка $NaBH_4$ и NaF; за 30 мин. смесь нагревают до т-ры кипения и еще 30 мин. кипятят с возвратом дистиллята. Затем т-ру поднимают до $80-100^\circ$ и отгоняют II вместе с выделившимся I. Остаток высушивают в вакууме при 250° . Выход $NaBH_4$ в пересчете на NaH составляет 97,6% от теоретич. Для выделения борогидрида Na или K из смеси с NaF или KF применяют экстракцию соответствующими р-рителями, в частности изопропиламином.

22010 П. Способ превращения нитритов в нитраты. Земель, Леман (Verfahren zur Überführung von Nitriten in Nitrate. Semel Georg von, Lehmann Heinz) [Pintsch Bamag A.-G.]. Пат. ФРГ 958381, 21.02.57

Для превращения нитрита в нитрат к р-ру добавляют немного (0,5—1%) HNO_3 и обрабатывают р-р O_2 под давл. > 2 атм при $t \geq 70^\circ$. Пример: к р-ру, содержащему $NaNO_2$ и $NaNO_3$ (по 10 или по 20%), добавили 1% HNO_3 и обрабатывали р-р кислородом под давл. 5 атм при 100° . Через 2 часа 99% нитрита превратилось в нитрат.

22011 П. Способ производства неплавящего, крупнозернистого и прочного к истиранию хлористого калия. Ауценрих, Рике (Verfahren zur Erzeugung staubfreien, grobkörnigen und abriebfesten Chlorkaliums. Autenrieth Hans, Rieke Heinz) [Verkaufsgemeinschaft Deutscher Kaliwerke G. m. b. H.]. Пат. ФРГ 933567, 29.09.55

Способ включает технологию произ-ва, изложенную ранее (РЖХим, 1957, 41670). Р-р KCl охлаждают в многоступенчатой вакуумной установке в присутствии 3—20 мг/л поверхностноактивных в-в (первичные алифатич. амины или их соли с числом атомов C 8—20), а также сульфаты и сульфаты первичных алифатич. спиртов с числом атомов C в прямой цепи 8—14), а затем вводят в классификатор. После разделения получают 20—50% крупных кристаллов и подают их во вторую стадию кристаллизации, где при прибавлении солей тяжелых металлов ($PbCl_2$, $SnCl_2$, соли

Bi^{3+} и др.) происходит получение готового продукта, а оставшуюся суспензию мелких кристаллов концентрируют и возвращают в 1-ю стадию процесса для заправки. Способ отличается тем, что соли тяжелых металлов прибавляют равномерно на все ступени 2-й стадии процесса так, чтобы конц-ия их в р-ре несколько превышала нижний предел (0,01—0,03 г/л), предотвращающий выпадение мелких кристаллов. При этом расход тяжелых металлов составляет 18% от кол-ва, применяемого в ранее изложенном способе.

22012 П. Способ получения покрытых смолой частиц калиевых солей. Шельд, Эгбом (Resin-coated potassium salts and method of making the same. Schoeld Edmund A., Egbon Clarence W.) [Potash Co. of America]. Пат. США 2734002, 7.02.56

Патентуется способ обработки кристаллич. или зернистых гигроскопич. тонкодисперсных частиц солей K (напр., KCl) для уменьшения их склонности к агломерированию и слеживанию зерен при хранении. Тонкое покрытие (в виде пленки) поверхности отдельных частиц соли мочевино- или фенольноформальдегидной смолой производится смешиванием частиц KCl с водн. (25%-ными) р-рами смол при $pH < 7$, до полимеризации смолы, с последующим высушиванием продукта. Обработанные соли становятся менее гигроскопичными.

22013 П. Получение борогидридов щелочноземельных металлов. Виберг, Хартвицмер (Verfahren zur Herstellung von Erdalkaliborhydriden. Wiberger Egon, Hartwimmer Robert) [Metallgesellschaft A.-G.]. Пат. ФРГ 961706, 11.04.57

В суспензию алкоголята щел.-зем. металла в тетрагидрофуране (I), кипящую в сосуде с обратным холодильником, вводят B_2H_6 (II). По окончании р-ции избыток алкоголята отделяют от р-ра, из которого отгоняют I, эфир борной к-ты и растворенный II. К концу отгонки получают белые кристаллы борогидрида щел.-зем. металла (Ca, Sr), содержащие кристаллизационный I. Из р-ра в I борогидриды осаждают также путем добавления углеводорода парафинового ряда, в частности петр. эфира.

22014 П. Процесс осаждения безводного хромата кальция и содержащего его продукта. Дани, О'Брайен (Process of precipitating substantially anhydrous calcium chromate and product resulting therefrom. Dunn Holbert E., O'Brien Ellis J.) [Vanadium Corp. of America]. Пат. США 2745764, 15.05.56

К р-ру Na_2CrO_4 медленно добавляют р-ры силиката, а затем алюмината Na. Вместо последнего может быть использована смесь NaOH и $Al_2(SO_4)_3$. Полученную суспензию (C) выдерживают в течение 2—15 мин. (в зависимости от т-ры) при $21-88^\circ$ ($49-88^\circ$) и $pH 7,2-12$ ($7,4-8,2$), при этом образуется алюмосиликат Na (I), частицы которого в дальнейшем служат центрами кристаллизации $CaCrO_4$ (II). К C затем добавляют твердый $CaCl_2$ или его р-р, предварительно нагретый до 49° . $CaCl_2$ берут в кол-ве 120% от стехиометрически необходимого для осаждения II. Т-ру C повышают до $93-102^\circ$, что ведет к осаждению смешанного продукта (СП), состоящего в основном из безводн. кристаллич. II и 2,5—6,5 вес. % (от общей массы в-ва) дискретных, аморфных, молочного цвета частиц геля I, состав которых отвечает ф-ле $Na_2O \cdot Al_2O_3 \cdot 6SiO_2$. Нагрев ведут при поддержании с помощью NaOH $pH 8,2$. II осаждается в виде устойчивых к истиранию и дегидратации иглообразных или столбчатых кристаллов диам. 5—15 м и длиной 50—150 м. СП имеет вязкий (0,144—0,720 г/см³) объемный вес; кол-во исходных алюмината и силиката Na подбирают так, чтобы содержание SiO_2 и Al_2O_3 в СП составило соот-

ветственно 2,3—4,5 и 0,65—1,2%. Осадок отфильтровывают и сушат. Извлечение Cr в СП $\leq 80\%$.

Л. Херсонская

22015 П. Способ осаждения очень чистых сульфидов с однородной дисперсностью из растворов солей металлов при действии сероводорода. Браунхольц (Verfahren zur Ausfällung von Sulfiden größter Reinheit und Homogenität aus Metallsalzlösungen mit Schwefelwasserstoff. Braunholz Franz). Пат. ГДР 11897, 27.07.56

Для предупреждения роста кристаллов сульфида и повышения их выхода осаждение проводят быстро, создавая большую поверхность контактирования H_2S -газа с р-ром соли металла. Для этого отмеренное кол-во р-ра распыляют в реакторе, в котором находится в избытке H_2S , предпочтительно под давлением (2 атм), и (или) пропускают р-р через насадку противотоком или прямотоком с H_2S . Способ дает возможность получить чистый тонкодисперсный сульфид, в частности пригодный для люминесцентных составов (напр., ZnS , 70% частиц $< 1 \mu$, 3% $> 5 \mu$). Приведена схема.

Г. Рабинович

22016 П. Очистка концентрированных растворов солей. Дейвис (Purification of concentrated salt solutions. Davis Clyde W.) [The Dow Chemical Co.]. Пат. США 2746840, 22.05.56

Для очистки от примесей (II) (Fe, Mn, Cu, Cr, Pb, Mo) конц. р-ров $ZnCl_2$ (служащих средой для полимеризации алкилнитрила) или конц. р-ров $ZnCl_2$ в смеси с $CaCl_2$ и $MgCl_2$ (используемых для коагуляции латекса), к нагретому до т-ры $> 50^\circ$ ($> 100^\circ$, напр., 125°) $\sim 40\%$ -ному (60%-ному) р-ру $ZnCl_2$ или $ZnCl_2$, $CaCl_2$ и $MgCl_2$ добавляют растворимый в воде персульфат (I) K, Na, NH_4 (или любой другой I), растворимость которого в воде $\geq 1\%$. I применяют в избытке к присутствующим в виде II Fe, Cu и другим загрязняющим металлам. Коричневый желатинообразный осадок, содержащий II, отфильтровывают, а р-р для разложения избытка I нагревают при перемешивании до кипения. (В случае очистки р-ров с $CaCl_2$ и $MgCl_2$ в р-ре вплоть до окончания разложения I должны присутствовать небольшие кол-ва CaO и MgO). К кипящему р-ру добавляют цинковый порошок в виде водн. суспензии (вместо порошка Zn, служащего восстановителем и коллектором для осаждения Cu, возможно применение других видов металлич. Zn с хорошо развитой поверхностью). Кипячение продолжают в течение ~ 1 часа, затем р-р охлаждают и отфильтровывают от Zn, с которым осаждается практически вся Cu. Для нейтр-ции ZnO, MgO и CaO к р-ру добавляют HCl (к-та).

Л. Херсонская

22017 П. Способ получения криолита из фторсодержащих промывных вод и отбросных щелоков. Вендт (Verfahren zur Herstellung von Kryolith aus natriumfluoridhaltigen. Wasch- und Ablaugen. Wendt Günther) [Vereinigte Aluminium-Werke A.-G.]. Пат. ГДР 13524, 22.07.57

Из р-ров, содержащих NaF (50 г/л), осаждают Na_2AlF_6 путем прибавления свежеприготовленного р-ра AlF_3 . При приготовлении р-ра AlF_3 исходят из примерно стехиометрич. кол-ва $Al(OH)_3$ и 80%-ной HF; к-ту вводят в водн. суспензию $Al(OH)_3$ и по окончании р-ции прекращают перемешивание во избежание кристаллизации AlF_3 . Р-р AlF_3 , нагретый за счет тепла р-ции до 90—95°, одновременно с р-ром NaF подают в реактор с мешалкой; перемешивание продолжают в течение 2—3 час. Выход 90—98%-ного криолита 99%.

Л. Херсонская

22018 П. Способ получения порошкообразной гидроокиси алюминия, преимущественно для фармацевтических целей. Лангер (Verfahren zur Herstellung von pulverförmigem Aluminiumhydroxyd, vor-

zugsweise für pharmazeutische Zwecke. Langer Kurt) [C. F. Asche und Co. A.-G.]. Пат. ФРГ 954451, 20.12.56

Гель $Al(OH)_3$ замораживают при т-ре $(-8) - (-12^\circ)$ и затем медленно его оттаивают; образовавшуюся хлопьевидную $Al(OH)_3$ осаждают. Основную часть водн. р-ра над хлопьевидным осадком декантируют или сифонируют, а затем отсасывают, удалив в общем $\sim 60\%$ воды, находившейся в исходном геле. Осадок высушивают при т-ре $\leq 30^\circ$ до содержания Al_2O_3 50%. Полученный порошок $Al(OH)_3$ обладает низким насыщенным весом и весьма удобен для фармацевтич. целей. Наилучшие результаты дает CO_2 -содержащий гель $Al(OH)_3$, образующийся при осаждении с помощью Na_2CO_3 и $NaHCO_3$ из разб. р-ра соли Al.

Л. Херсонская

22019 П. Непрерывный метод вскрытия материала, содержащего двуокись титана. Кирп, Мосхель (Verfahren zum kontinuierlichen Aufschluß von titandioxydhaltigem Gut. Kyri Hans, Moschel Wilhelm) [Farbenfabriken Bayer A.-G.]. Пат. ФРГ 955495, 3.01.57

TiO_2 -содержащий материал смешивают с разрыхлителем и таким кол-вом конц. H_2SO_4 , которое обеспечивает получение плотной, допускающей гранулирование массы. В частности, к 1000 вес. ч. 79%-ного по TiO_2 шлама прибавляют 520 вес. ч. кизельгура и 2080 вес. ч. 96%-ной H_2SO_4 ; гранулированную смесь обрабатывают в обычной вращающейся печи в течение 4 час. при 220—230°. Выщелачивание проводят при 50° 5000 вес. ч. воды; выход Ti 96—100%. Кизельгур сушат и возвращают в цикл.

Л. Херсонская

22020 П. Рафинирование металлического титана. Исицука (金屬チタニウムの精製方法. 石塚清) Японск. пат. 7854. 28.10.55

Губчатый Ti , полученный путем восстановления $TiCl_4$ металлич. Mg, просушивают, подогревая до $\sim 135^\circ$, т. е. до т-ры, несколько выше той т-ры, при которой происходит выпаривание воды, содержащейся в $MgCl_2$. Затем его нагревают в вакууме до 250°. В результате получают металлич. Ti , который при плавлении не дымит и не разбрызгивается. Содержание Cl в таком Ti в 4 раза ниже, чем в металлич. Ti , полученном обычным путем.

В. Зломинов

22021 П. Способ получения ванадия. Бём, Гавеман, Хенкель (Gewinnung von Vanadin. Böhm Benno, Glissmann Albert, Henkel Paul) [Farbenfabriken Bayer A.-G.]. Пат. ФРГ 957262, 31.01.57

Хромовую руду после перевода в растворимую форму обрабатывают водой и CO_2 при т-рах выше 50°. К р-ру дополнительно рекомендуется добавлять карбонаты, в частности карбонат или бикарбонат Na. Вместо чистой CO_2 могут применяться отходящие печные газы, в состав которых входит CO_2 . Такая обработка способствует получению р-ров хроматов с повышенным содержанием V.

Л. Херсонская

22022 П. Метод выделения металлических окислов. Саладин, Шорштейн, Фрей (Method of recovering metallic oxides. Saladin Otto, Schornstein Waldemar, Frey Walter). Канадск. пат. 517914, 25.10.55

Для выделения тонкодисперсного окисла металла (OM) из горячей суспензии (С) OM в газах (содержащих Cl_2 и O_2), полученной разложением и окислением летучего галогенида металла в присутствии избытка O_2 при т-ре $\geq 800^\circ$ (напр., при приготовлении пигментной TiO_2 из $TiCl_4$), вначале быстро охлаждают эту С до т-ры $\leq 600^\circ$. Охлаждение производят смешением С с холодными газами (образовавшимися ранее при таком разложении и окислении), не содержащими OM. Затем охлаждают С в ряде охлаждающих

Langer
PT 954451

(-8)-

образова-

Основную

деканта-

удаления

в ном геол.

удержания

обладает

фарма-

CO₂-содер-

саждения

соли Al

ерсонская

материала,

Моше

von Hahn-

hel Wil-

Pat. ФРГ

разрыхле-

ние обеск-

гранулиро-

%-ного по-

льбура и

ую смесь

и в теч-

проводит

ф. Кисель

ерсонская

титана

石碱沸)

ановления

гревая до

т-ры, при

принадлеж-

250°. В ре-

при плаве-

рижания Cl

Ti, полу-

Зломанов

м, Гавс-

in. Böhm

el Paul)

PT 957262

имую фор-

выше 50°

влять кар-

обонат Na

иющие печ-

акала обра-

атов с по-

Херсонская

к окислов

method of re-

Schorga-

Канадск.

а металла

сах (содер-

и окислов

твствии по-

готовления

ро охлаж-

производят

ванни

не содер-

хладитель-

ных вои отводом тепла от охлаждаемых извне и непроницаемых для газа стенок, сделанных из металлов. Al, покрытого с внутренней стороны тонкой пленкой из Al₂O₃. Окончательное охлаждение C и отделение OM от газов производят в зоне осаждения, изготовленной из Al с внутренним покрытием из Al₂O₃.

В. Шацкий

22023 П. Способ и аппаратура для получения карбидов металлов IV-а группы периодической системы, в частности карбида титана. Krall (Verfahren und Vorrichtung zur Herstellung von Carbiden der Metalle der Gruppe IVa des Periodischen Systems, insbesondere von Titancarbid. Krall Friedrich) [Deutsche Gold- und Silber-Scheideanstalt vormals Roessler]. Пат. ФРГ 955320, 3.01.57

Карбиды металлов IV группы, в частности TiC, получают по р-ции между соответствующими окислами и твердым C в вакууме. С целью интенсификации процесса рекомендуется охлаждение полученного карбида проводить в спец. камере, отделенной от реакционного пространства. В частности, процесс карбидизации ведут в графитовой трубе, а охлаждение — в медной, снабженной охлаждающей рубашкой. CO, выделяющийся в процессе р-ции собирают в газометре, из которого возвращают в реакционное пространство для снятия вакуума при продвижении горячей лодочки с карбидом в холодильник. Охлаждение ведут также в атмосфере CO.

Л. Херсонская

22024 П. Очистка технического сульфата свинца. Вебер (Verfahren zur Reinigung von technischem Bleisulfat. Weber Wilhelm) [Th. Goldschmidt A.-G.]. Пат. ФРГ 960094, 14.03.57

Технический PbSO₄ суспендируют в H₂SO₄ конц-ии <40%, причем весовое отношение PbSO₄:H₂SO₄ в смеси ≈ 1:2. Суспензию центрифугируют в течение 15 мин. при скорости 4000—5000 об/мин, в результате чего примеси с меньшим уд. весом механически удаляются. Для начала процесса рационально применять 80%-ную к-ту, так как она затем разбавляется влагой из воздуха и очищаемого материала. Для компенсации снижения уд. веса, к-ты рекомендуется прибавлять к ней насыщ. водн. р-р соли, напр. NaNO₃, Na₂SO₄, или растворять соль непосредственно в к-те. Растворимые примеси из PbSO₄ предварительно удаляются путем кислотной обработки, для которой применяется как H₂SO₄, выведенная из цикла центрифугирования, так и другие к-ты, в частности конц. HCl. Процесс контролируется по распределению добавленных к исходному материалу окрашенных в-в одинакового уд. веса с удаляемыми примесями.

Л. Херсонская

22025 П. Гранулированный фосфор и способ и аппарат для его приготовления (Phosphore granulé et procédé et appareil pour son obtention) [Pierrefitte Kalaa Djerda (Soc. Générale d'Engrais et Produits Chimiques)]. Франц. пат. 1113666, 3.04.56

Расплавленный фосфор из резервуара, снабженного рубашкой для обогрева, вытекает по каплям и проходит через слой холодной жидкости (воды), находящейся в вертикальном трубчатом аппарате, снабженном сверху рубашкой для обогрева, а ниже — рубашкой для охлаждения жидкости. Падающие капли P затвердевают в гранулы, которые собираются в резервуаре в нижней части аппарата. Приведена схема.

Е. Бруцкус

22026 П. Способ извлечения хлора [из газовых смесей]. Хукер, Миллер (Method for chlorine recovery. Hooker Thomas, Miller Robert H.) [Hooker Electrochemical Co.]. Пат. США 2750002, 12.06.56

Смесь Cl₂ с менее растворимыми в воде газами (в частности, продувочные газы с установки для сжиже-

ния Cl₂, содержащие CO₂ и другие неконденсирующиеся газы) пропускают через абсорбер с насадкой, орошаемой водой с т-рой 10 ÷ 100° (12—30°). При этом поддерживают парц. давление CO₂ < 1,5 ата (при большом содержании CO₂ смесь газов можно разбавить, напр., воздухом). Cl₂ поглощается водой при общем давл. 0,7—10 ати. Р-р Cl₂ из абсорбера подается в десорбер, где при снижении давления почти до атмосферного Cl₂ выделяется. Р-р после десорбции возвращается в цикл. Особенно целесообразно проводить десорбцию в смесительном холодильнике для горячего Cl₂-газа из электролизеров, поступающего затем в установку для осушки и сжижения. После десорбции остаток Cl₂ выдувают из воды. паром. Приведена схема процесса.

Г. Рабинович

22027 П. Получение хлористого водорода. Нафziger (Production on HCl. Nafziger George A.) [Columbia-Southern Chemical Corp.]. Пат. США 2765049, 2.10.56

Горячий, почти кипящий, не содержащий твердых в-в конц. водн. р-р гигроскопичной соли, напр. 30—60%-ный (45—55%-ный) р-р CaCl₂ с т-рой 120—140°, подают в верх колонны с насадкой. В середину колонны подают водн. 20—45%-ный р-р HCl, поддерживая здесь самую низкую в колонке т-ру (90—105°). В низ колонны подают пар и отсюда же отводят р-р CaCl₂ с более низкой конц-ией и т-рой (на 10—20°), чем при подаче. Р-р CaCl₂ концентрируют и возвращают в цикл. HCl (газ), выходящий из верха колонны охлаждают до —20, +50°, при этом конденсируется H₂O; конденсат возвращают в колонну вместе с HCl (к-той). Приведена схема.

Г. Рабинович

22028 П. Способ получения двуокиси хлора. Пехукас.—Пехукас, Карлсон (Method of making chlorine dioxide. Pechukas Alphonse.—Pechukas Alphonse, Carlson Gordon Andrew) [Columbia-Southern Chemical Corp.]. Пат. США 2765214 и 2765215, 2.10.56

Р-р, приготовленный при т-ре < 40°, содержащий хлорат щел. металла, напр. Na и Cr₂(SO₄)₃, взятый с избытком 20—120% (50—100%) по сравнению со стехиометрич. соотношением 1 моль Cr₂(SO₄)₃ на 3 моля хлората, а также к-ту, напр. H₂SO₄ (2—4 моль/л), подают в верх колонны (с насадкой или с барботажными тарелками). Снизу в колонну подают инертный газ, напр. водяной пар, в кол-ве, необходимом для нагревания р-ра до т-ры > 40° (80—100°), разбавления образующейся ClO₂ до взрывобезопасного содержания [≥ 5 (≥ 9) объемов разбавителя на 1 объем ClO₂] и удаления ClO₂ из колонны (сверху). Смесь ClO₂ с водяным паром поступает снизу в конденсатор-скруббер, орошаемый водой; р-р ClO₂ отводится в сборник. Для предупреждения образования вакуума в конденсатор подают воздух. Выходящий из колонны р-р обрабатывают SO₂ (или другим восстановителем) для регенерации Cr. При наличии хлората р-р предварительно охлаждают до т-ры < 40° для предупреждения выделения ClO₂. Регенерированный р-р возвращают в цикл. Приведена схема. По второму варианту при полном восстановлении хлората р-р можно регенерировать без охлаждения.

Г. Рабинович

22029 П. Получение двуокиси хлора. Дей, Фенн (Chlorine dioxide production. Day George A., Fenn Edward F.) [Brown Co.]. Пат. США 2736636, 28.02.56

ClO₂ чистотой > 89% получают р-цией хлората Na, K, Ca или Mg в водн. р-ре с твердым или жидким (с низким давлением паров) органич. восстановителем, напр. крахмалом (предпочтительно гидролизованном нагреванием с H₂SO₄), мелассой, небеленой крафт-целлюлозой, черным щелоком произ-ва крафт-целлюлозы и т. п., взятым с избытком > 60% (~ 215%)

против стехиометрич., в присутствии 1—3 молей H_2SO_4 на 1 моль хлората при конц-и к-ты 3—14 н. (начальной ~ 9 н. в присутствии катализатора ~ 6 н.). Р-ция ускоряется катализаторами, напр. V_2O_5 , Co_2O_3 , UO_2 (CH_3COO)₂, сульфат V или Cr, H_2WO_4 . Выход ClO_2 > 80%. Приведены результаты испытаний различных восстановителей и катализаторов. Г. Рабинович

22030 II. Способ термического разложения нитратов металлов. Носсен (Process for the thermal decomposition of metal nitrates. Nossen Ernest Samuel) Пат. США 2737445, 6.03.56

Нитраты металлов нагревают до т-ры выше т-ры разложения. Для предупреждения разложения выделяющейся N_2O_5 (на N_2O_4 , диссоциирующую на NO_2 и O_2) процесс проводят в присутствии большого избытка O_2 (воздуха) или инертного газа и водяного пара, взятого в кол-ве, достаточном для образования HNO_3 . Последнюю быстро удаляют из зоны р-ции (предпочтительно вращающийся барабан) и конденсируют. Можно применять водн. р-ры нитратов (лучше в виде тонкой пленки) и проводить разложение так, чтобы в парах находилось необходимое кол-во воды; это достигается непрерывным добавлением свежего р-ра. Если металл образует 2 окисла (напр., NiO и Ni_2O_3), то высший окисел получается при разложении нитрата в присутствии O_2 , а низший — в атмосфере инертного газа или водяного пара. Нитраты Ag, Au и Pt разлагаются с выделением металла. В примерах указаны условия разложения нитратов Al, Fe, Zn, Co, Ni, Cr, Mn, Bi, Pb, Hg и Cd. Г. Рабинович

22031 II. Производство мела [для писания]. Кадзи (白墨製造方法, 可兒重一). Японск. пат. 4164, 18.06.55

3 г карбоксиметилцеллюлозы растворяют, тщательно перемешивая, в 230 см³ воды. Добавляют к р-ру 1 г полиэтиленгликоля и, если полиэтиленгликоль растворится не полностью, р-р будет мутным, то его фильтруют и получают р-р (I). 3 г соевого масла смешивают с 5 г кальцинированной соды, растворенной в 100 см³ воды, подогревают до 60°, в результате чего происходит слабое омыление масла (не следует допускать сильного омыления). К этому омыленному р-ру добавляют 1 г стеарата Al, подогревают до 50° и получают взвесь (II). К полученному р-ру I постепенно добавляют омыленный р-р соевого масла с добавкой стеарата Al II и все это тщательно перемешивают с получением продукта (III). К 987 г $CaCO_3$ понемногу добавляют взвесь III. Все это тщательно перемешивают при помощи шаровой мельницы или мешалки, делают замес и получают тесто, которое формуют под давлением в виде ученич. мелков необходимой длины, последние просушивают сначала на воздухе, а затем обычным путем. Если необходимо получить цветные мелки, то в процессе их изготовления добавляют красители необходимого цвета. Особенностью этих мелков является то, что ими можно писать на любом материале и в том числе на японской бумаге.

В. Зломанов

УДОБРЕНИЯ

Редактор И. Л. Гофман

22032. Непосредственное применение азотных удобрений. Адамс, Шолл (Nitrogen fertilizer materials for direct application. Adams J. Richard, Scholl Walter). Comm. Fertilizer, 1957, 94, № 1, 27, 30, 32—34, 36 (англ.)
См. РЖХим, 1957, 58002.

22033. Непосредственное применение аммиака в качестве удобрения продолжает возрастать. Адамс (Direct application NH_3 continues rise. Adams J.

Richard), Agric. Ammonia News, 1957, 7, № 5, 42 (англ.)

Приведены данные о потреблении NH_3 непосредственно в качестве удобрения в США в период 1947—1956 гг., которое в 1956 г. достигло 312 000 т; это составляет ~ 30% всего потребления N -удобрений.

Г. Рабинович

22034 II. Усовершенствование производства фосфорных удобрений (Perfectionnements à la fabrication des engrais phosphatés) [Potasse et Engrais Chimiques]. Франц. пат. 1124508, 12.10.56

Природный фосфат (ПФ) разлагают при т-ре ~ 50° минер. к-той, Са-соль которой растворима в воде (напр., HCl (к-та), HNO_3), конц-ией 4—5 г-моль/л при перемешивании, достаточном для поддержания ПФ в виде суспензии, но недостаточном для диспергирования глины. Затем в течение 0,5—1 часа при т-ре ~ 50° и интенсивном перемешивании добавляют $CaCO_3$ до pH 3,5, причем осаждаются $CaHPO_4$, который легко фильтруется. К $CaHPO_4$ добавляют Mg-соль, напр. $MgSO_4$, в кол-ве 1% Mg (считая на P_2O_5) для предотвращения ретроградации P_2O_5 . После сушки продукт содержит 33% P_2O_5 , из них 95% в цитратнорастворимой форме. Часть маточного р-ра можно использовать для разбавления поступающей конц. к-ты, а остальную — выпарить для получения Са-соли этой к-ты. Е. Бруцус

22035 II. Способ получения фосфорных удобрений, содержащих органические вещества. Репперт (Verfahren zur Herstellung von Phosphatdüngemitteln mit einem Gehalt an organischer Substanz. Repert Rüdiger Lothar von) [Chemische Werke Albert]. Пат. ФРГ 960464, 21.03.57

Дополнение к пат. ФРГ 940707 (РЖХим, 1957, 31307). Обезвоженный активный ил и торф и (или) компостированные или некомпостированные городские отбросы, не содержащие крупных частиц, смешивают с обычными удобрениями и (или) микроудобрениями и (или) пестицидами. Смесь разлагают H_2SO_4 и (или) H_3PO_4 и (или) HNO_3 , полученную пульпу аммонизируют, и еще теплую массу смешивают с сульфитным цеолком (предпочтительнее содержащим NH_4HSO_3), а затем гранулируют в тарельчатом или барабанном грануляторе. Е. Бруцус

22036 II. Способ получения цитратнорастворимого удобрения, содержащего дикальцийфосфат. Фольмер, Фрелих (Verfahren zur Herstellung eines ammonicitratlöslichen Dicalciumphosphat enthaltenden Düngemittels. Vollmer Wilhelm, Fröhlich Fritz) [Gewerkschaft Victor]. Пат. ФРГ 959100, 28.02.57

Природный фосфат разлагают HNO_3 и перед нейтрацией добавляют к р-ру (для предотвращения ретроградации P_2O_5) 0,4—0,5 вес.% алифатич. соединения с 2 или более $COOH$ -группами и 1 или более OH -группами, напр. винной, лимонной или яблочной к-ты, или ароматич. соединения с 2 $COOH$ -группами или по 1 $COOH$ - и OH -группе, напр. салициловой к-ты. Можно также добавлять вышеуказанные в-ва в кол-ве 0,3 вес.% после предварительной нейтрации до pH 3,2. Затем для получения сложного удобрения р-р нейтрализуют NH_3 до pH 6,8—7,0, пропускают NH_3 и CO_2 для конверсии $Ca(NO_3)_2$ в $CaCO_3$ и т. д. Для получения $CaHPO_4$ р-р нейтрализуют NH_3 до pH 7—7,5, отфильтровывают $CaHPO_4$ (содержащий нерастворимые примеси) и промывают его 2%-ым р-ром лимонной или винной к-ты (для предупреждения ретроградации P_2O_5 при сушке); эта операция необходима, так как добавленная ранее к-та переходит большей частью в маточный р-р. Е. Бруцус

22037 П. Усовершенствования производства сложных удобрений (Perfectionnements à la fabrication des engrais complexes) [Potasse et Engrais Chimiques]. Франц. пат. 1124524, 12.10.56

Природный фосфат разлагают HNO_3 , р-р нейтрализуют NH_3 и отделяют $\text{Ca}(\text{NO}_3)_2$. Часть полученной пульпы высушивают, измельчают в порошок и добавляют к остальной части пульпы в таком кол-ве, чтобы получилась масса с влажностью, необходимой для гранулирования. Сушку целесообразно проводить в распылительной сушилке горячим воздухом; в этом случае дробление не нужно. Пример: 335 кг марокканского фосфорита (33,4% P_2O_5) разлагали 628 кг 30%-ной HNO_3 . К р-ру добавили 36 кг $\text{MgSO}_4 \cdot 7\text{H}_2\text{O}$, 40 кг NH_3 и 202 кг KCl (60% K_2O), а затем одновременно 40 кг NH_3 и 60 кг CO_2 . 1050 кг полученной пульпы высушили, а затем гранулировали вместе с остальной пульпой. После окончательной сушки получили удобрение 13-11-12, содержащее 98% P_2O_5 в цитраторастворимой форме. Е. Бруцкус

22038 П. Способ получения безбалластных микроудобрений. Йост (Verfahren zur Herstellung von ballastfreien Spurenelement-Düngemitteln aus Metallabfällen, insbesondere aus Metallschrott. Jost Walter). Пат. ФРГ, 961628, 11.04.57

Отходы металлов (лом и т. п.) смешивают в соотношении, соответствующем составу получаемых микроудобрений, плавят смесь в ванне, добавляют в ванну в случае необходимости недостающие микроэлементы, удаляют балластные в-ва (шлаки) и перерабатывают оставшийся плав известными способами (распыление, гранулирование и т. п.) в порошок или мелкие гранулы, которые смешивают с обычными удобрениями в желательном соотношении. Е. Бруцкус

ПРОИЗВОДСТВО КАТАЛИЗАТОРОВ И СОРБЕНТОВ

Редакторы В. И. Елинек, В. Д. Матвеев, Н. А. Ширяева

22039. Пути повышения производительности катализаторных фабрик. Санамова С. С., Зельцер Я. И., Новости нефт. техн. Нефтепереработка, 1957, № 7, 12—15

Рассмотрены мероприятия по увеличению производительности катализатора на катализаторной фабрике Ново-Грозненского нефтеперерабатывающего завода в связи с развитием каталитич. крекинга нефти согласно плану VI пятилетки. И. Руденская

22040. Сравнительная оценка дегидратирующих свойств глины и опок Саратовской области. Котелков Н. З., Забугина Е. А., Тр. Саратовск. с.-х. ин-та, 1957, 10, 373—377

Рядом опытов установлено, что некоторые природные алюмосиликаты, такие, как каолинит, монтмориллонит, разложенные туфы и др., могут применяться в качестве сорбентов и катализаторов как без активации, так и с предварительной активацией их к-тами. Особенно хорошими дегидратирующими свойствами (или дегидратации изопропилового спирта) обладают отбеливающие земли. Исследование вела проточным методом. Спирт подавали со скоростью 0,05 мл/мин. При 400° при применении глины и гумбина степень дегидратации изопропилового спирта равна 67,57—82,76%, а при опоках 78,14—98,04%; зикеевская опока при 350° давала степень дегидратации спирта 99,84%. Библ. 12 назв. Н. Ширяева

22041 П. Метод приготовления железных катализаторов для гидрирования окиси углерода при боль-

ших нагрузках по газу. Гросс, Роттинг, Ройен, Шенк; Роттинг; Роттинг (Verfahren zur Herstellung von Eisenkatalysatoren, die für die insbesondere unter hoher Gasbelastung durchgeführte katalytische Kohlenoxydhydrierung geeignet sind. Gross Hans-Werner, Rottig Walter, Roven Paul, Schenk Karl; Rottig Walter; Rottig Walter) [Ruhrchemie A.-G.]. Пат. ФРГ 919288, 18.10.54; 923128, 3.02.55; 925346, 21.03.55

Метод приготовления Fe-катализатора на носителе или без него, с активирующими добавками (Cu и др.), состоит в том, что горячий р-р нитратов металлов осаждают р-ром соды при pH 6,8—7,2. Осадок промывают водой до содержания щелочи 0,5 г (в пересчете на K_2O) на 100 г Fe, размешивают сначала с малым, а затем с большим кол-вом воды и в полученную суспензию добавляют жидкое стекло в кол-ве 20—25 г SiO_2 на 100 г Fe, после чего обрабатывают таким же кол-вом HNO_3 , чтобы после фильтрования отношение $\text{K}_2\text{O}:\text{SiO}_2$ составляло от 1:4 до 1:5; массу сушат, формуют и восстанавливают при скоростях порядка 1—2 м/сек $\text{N}_2 + \text{H}_2$ — смесью при 200—350° (250—300°), до восстановления Fe на 30—50%. Обработку азотной к-той можно исключить путем ввода части SiO_2 в виде активированного силикагеля (АС) или других в-в, содержащих SiO_2 , причем АС должен содержать $\text{Al}_2\text{O}_3 < 10\%$, и $\text{CaO} < 10\%$. Пример. 1000 л горячего р-ра, содержащего в 1 л 40 г Fe в виде $\text{Fe}(\text{NO}_3)_3$ и 2 г Cu в виде $\text{Cu}(\text{NO}_3)_2$ смешивают с 1050 л горячего р-ра Na_2CO_3 с конц-ней 100 г/л. Смесь размешивают и подогревают до прекращения выделения CO_2 ; pH после осаждения ~ 7,0. Осадок фильтруют, промывают 30 мин. горячей водой под давл. 3 кг/см². Промытый осадок в кол-ве 100 кг размешивают с 30 л, а затем с 350 л воды и прибавляют 17 кг жидкого калиевого стекла, содержащего 8,1% K_2O и 20,5% SiO_2 . Смесь разлагают, добавляя при сильном размешивании на каждые 100 кг влажной массы 2,1 л (считая на 48%-ную) разбавленной HNO_3 и осадок отфильтровывают. Он содержит 4,6 г K_2O и 23 г SiO_2 на 100 г Fe; его формуют в таблетки диам. 2—4 и высотой 3—6 мм. Восстановление ведут смесью $\text{N}_2 + \text{H}_2$ в течение 60 мин. при скорости 1,5 м/сек. Готовый катализатор содержит 42% восстановленного Fe. А. Мосин

22042 П. Производство активированного березового угля. Хорншут, Сакаи (白樺を原料とする活性炭の製造法, 堀内昌一, 酒井健次). Японск. пат. 4268, 15.07.54

На горячий слой топлива толщиной 8—10 см загружают березовые чурки, открывают сопла и в печь подают воздух. Березовые чурки начинают быстро обугливаться и выделять горючие газы. Регулируя поступление воздуха, добиваются того, чтобы газы горели только на поверхности чурок и таким образом происходила постепенная карбонизация чурок. Когда карбонизация первого слоя березовых чурок почти заканчивается, их перемешивают, чтобы сделать пламя равномерным, затем загружают второй слой чурок и весь процесс повторяют вновь. Так загружают до 5 слоев чурок. Когда закончится карбонизация последнего слоя, прекращают доступ воздуха и охлаждают печь. Процесс карбонизации продолжается 10—12 час., охлаждение 6—8 час. Выход готовой продукции 10—12% (от загрузки). Для повышения активности полученного угля его подвергают вторичной активации обычным путем. В. Зломанов

См. также: Методы приготовления катализаторов для гидрирования метилового эфира 22295. Приготовление Pt- и Pd-катализаторов для реформинга лигроида 22778

ЭЛЕКТРИЧЕСКИЕ ПРОИЗВОДСТВА. ЭЛЕКТРООСАЖДЕНИЕ. ХИМИЧЕСКИЕ ИСТОЧНИКИ ТОКА

Редактор М. М. Мельникова

22043. Сообщение комитета по хлорщелочным производствам при отделении промышленной электротехники за 1956 г. Кол, Мак-Маллин (Report of the Chlor-Alkali Committee of the Industrial Electrolytic Division for the year 1956. Cole Jeff C., Mac-Mullin R. B.), J. Electrochem. Soc., 1957, 104, № 9, 587—588 (англ.)

В 1956 г. выработка основных продуктов хлорной промышленности в США составила: хлора 3,78 млн. т, NaOH 4,21 млн. т, в том числе ~ 89% электролитич. каустика, KOH 92 тыс. т, NaClO₂ 55 тыс. т. За этот год возросло потребление хлора в произ-ве TiCl₄, пластиков, р-рителей, ядохимикатов, текстиля. Потребление каустика выросло в металлургич., бумажной, текстильной, хим., нефтяной пром-сти. В алюминиевой пром-сти усилилась тенденция к замене кальцинированной соды каустиком. Приведена таблица, показывающая потребление хлора и каустика некоторыми произ-вами.

В. Ельцов

22044. Регенерация катионитов электролитическим методом. Запан, Врăблеску, Сассу, Хершковиц (Regenerarea cationitilor prin electroliză. Zapan M., Vrăbлеску Elvira, Sassu Ruxandra, Herşcovici I.), Rev. chim., 1957, 8, № 8, 524—528 (рум.: рев. русск., франц., нем., англ.)

Регенерация сульфогеля производилась в лабор. условиях в электролизере, состоящем из вертикальной стеклянной трубки диам. 14—16 мм, наполненной 10 г катионита. В нижней части трубки помещался Al-электрод, присоединенный к отрицательному полюсу источника постоянного тока. Положительный полюс присоединялся к Al-пластинке, расположенной над массой катионита. Регенерация осуществлялась с помощью 1,5%-ного р-ра H₂SO₄ или 10%-ного р-ра NaCl, которые помещались в воронку, вставленную в верхнюю часть электролизера. Опыты показали, что при регенерации H₂SO₄ и одновременном пропускании тока в течение 60—90 мин. напряжением 8 в ионовобменная способность увеличивается до 15% по сравнению с ионовобменной способностью сульфогеля, регенерируемого H₂SO₄ без пропускания тока. В случае применения р-ра NaCl необходимое напряжение равно 8—12 в. Простота предлагаемого метода делает возможным его применение в пром-сти.

Я. Матлис

22045. Аппаратура, применяемая при отделке металлов. Водяной сепаратор в приборе для обезжиривания в паровой фазе. Рандалл (Finishing pointers. The water separator in vapor degreasing. Randall Max), Metal Finish., 1957, 55, № 5, 60, 64 (англ.)

Рассматриваются способы поступления влаги в аппарат для обезжиривания деталей в парах трихлорэтилена. Принцип действия водяного сепаратора, препятствующего накоплению влаги в аппарате, основан на том, что конденсат, накапливающийся в сепараторе, образует 2 несмешивающихся слоя: верхний — H₂O и нижний — трихлорэтилен. При помощи спец. устройства H₂O выводится из сепаратора.

И. Ерусалимчик

22046. Полирование деталей в барабанах. Колер (Barrel finishing. Kohler Arthur S.), Metal Finish., 1957, 55, № 8, 58—64 (англ.)

При выборе процесса полирования в барабанах необходимо учитывать форму деталей и размеры, состояние поверхности, оттенок, блеск и т. д. Применявшиеся прежде при полировании масло и жидкое стекло в

настоящее время заменяют более дешевыми материалами. Для полирования в барабанах применяют воду, мыло, щелочь и к-ту в разных пропорциях в сочетании с различного рода абразивами, в том числе мраморной крошкой. Обычная скорость вращения барабана для деталей небольшого размера составляет 40—45 об/мин. Скорость вращения барабанов для полирования больших деталей составляет 10—20 об/мин. Действие центробежной силы имеет место при вращении барабанов со скоростью > 100 об/мин и выражается в перемещении деталей вокруг барабана без скольжения. Рассмотрены различные схемы расположения деталей при вращении барабанов; приведены основные классификации и определения для разных видов обработки деталей, включая обдирку, голтовку, шлифование, полирование, глянцевку и хонинг; рассмотрены конструкции и приведена классификация барабанов, деталей и материалов. В настоящее время изготавливают горизонтальные барабаны большой и малой емкости, 200—900 мм в диаметре и 200—1500 мм в длину. Существуют виды барабанов с наклонной осью, погружные герметизированные, барабаны «тройного» действия и бутылеобразные.

Н. Короленко

22047. Механизм электрополировки углеродистой и нержавеющей стали. 3. Изменение состава электролита при электрополировке переменным током. Ниномия, Сасаки (炭素鋼および不銹鋼の電解研磨機構に関する研究. 第3報. 交流電解の場合の電解液の組成変化. 二宮清, 佐々木龍三), 工業化学雑誌, Kōgaku Kagaku Zasshi, J. Chem. Soc. Japan. Industr. Chem. Sec., 1955, 58, № 8, 550—551 (японск.)

Изменение состава электролита изучалось при электрополировке углеродистой и хромированной стали в водн. р-рах H₂PO₄ и H₂SO₄ переменным током. В качестве катодов были взяты Pb-пластины. После окончания электролиза электролит фильтровали с целью удаления PbSO₄ и определяли кол-ва Fe и Cr, растворившихся в электролите. Установлено, что при полировке углеродистой (0,15% C) и хромированной сталей в водн. р-ре H₂PO₄ при небольшой D в анодный период тока на стальной пластинке образуется окисная пленка и металл находится в пассивном состоянии, в катодный же период тока происходит восстановление, железо и хром переходят в электролит в виде Fe²⁺ и Cr³⁺ и образования блестящей поверхности на металле не наблюдается. При сравнительно высокой D в анодный период на поверхности металла хотя и образуется окисная пленка, но металл, проходя сквозь поры окисной пленки, растворяется в электролите в виде ионов с высокой валентностью, и по мере увеличения времени электролиза эта окисная пленка разрушается, растворяясь в электролите, или же растворяется в результате р-ции восстановления в катодный период тока. При электрополировке в H₂PO₄ при сравнительно высокой D можно получить стальные пластины с ровной блестящей поверхностью. H₂SO₄ значительно сильнее H₂PO₄, поэтому при перемене направления тока происходит травление поверхности стальных пластин и сглаживания поверхности не происходит. Сообщение 2 см. РЖХим, 1957, 55012.

З. Завьялов

22048. Электролитическое полирование как способ точной обработки. Хубер (Elektrolytisches Polieren als Feinbearbeitung. Huber W.), Techn. Rundschau, 1957, 49, № 32, 25—26 (нем.)

Обзор.

П. Щиголов

22049. Образование окисных пленок при анодировании кремния. Шмидт, Мичел (Anodic formation of oxide films on silicon. Schmidt P. F., Michel W.), J. Electrochem. Soc., 1957, 104, № 4, 230—236 (англ.)

Плотные окисные пленки образуются при анодировании монокристаллич. Si как p, так и n типа. Если

в качестве электролита применяют конц. HNO_3 или H_2PO_4 , то полученные пленки имеют пробивное напряжение < 200 в. В р-ре KNO_3 (I) в N-метилацетамиде (II) можно получить анодную пленку с пробивным напряжением 560 в. Электрич. поле в процессе анодирования достигает $2,6 \cdot 10^7$ в/см. Наибольшее пробивное напряжение имеет анодная пленка, полученная в 0,04 н. р-ре I во II при комнатной т-ре и $D_a = 0,7$ а/см². Перед анодной обработкой Si p и n типа протравливался в смеси $\text{HNO}_3 + \text{HF}$ (2:1) и высушивался на воздухе. Толщина пленки определялась весовыми, оптич. методами и измерениями емкости. Авторы отмечают, что процессы анодирования Si p и n типа несколько различаются, причем свет оказывает заметное влияние на образование пленки на Si n типа.

Е. Ерусалимчик

22050. Плотность и пористость анодных покрытий на алюминии. Мейсон (Density and porosity of anodic coatings on aluminum. Mason Ralph B.), Metal Finish., 1957, 55, № 8, 55—57, 67 (англ.)

Разработан точный метод определения плотности (Пл) (уд. веса) и пористости (Пр) анодных окисных пленок на Al, основанный на применении закона Архимеда. Пл и Пр ненаполненных анодных пленок определяются по данным взвешивания анодированного образца на чувствительных аналитич. весах сначала на воздухе, а затем в толуоле. Исходя из потери веса образца в толуоле рассчитывается истинный (фактический) объем окисной пленки. Разница между объемами ненаполненной и наполненной пленок соответствует объему пор. Зная вес и фактич. объем пленки, можно определить ее Пл. Окисные пленки, полученные анодированием Al в 15%-ном р-ре H_2SO_4 при стандартном режиме (т-ра 21,1°; $D_a = 1,3$ а/дм², время 30 мин.), имеют Пл 2,96 и Пр 15,8 об.%; Пл наполненных пленок равна 2,65. Увеличение продолжительности анодирования незначительно влияет на Пл и Пр пленок. С повышением т-ра Пл несколько уменьшается, а Пр значительно возрастает, напр., при т-ре 10° Пр равна 10,8 об.%, а при 32,2° 29,2 об.%. Подобная закономерность наблюдается и при повышении конц-ии H_2SO_4 . Изучено также влияние чистоты Al на указанные характеристики анодных пленок. Определены Пл и Пр анодных пленок, полученных в других электролитах ($\text{H}_2\text{C}_2\text{O}_4$, H_2CrO_4 , NaHSO_4). В $\text{H}_2\text{C}_2\text{O}_4$ получаются менее пористые пленки (11—12 об.%), а в H_2CrO_4 и р-ре NaHSO_4 — наиболее пористые (20—21 об.%). В. Щ.

22051. Некоторые замечания о тонкой серебряной проволоке. Вогринц (Einiges über versilberte Feindrähte. Wogrinz A.), Maschinenwelt und Elektrotechnik, 1957, 12, № 17-18, 276—277 (нем.)

Описан расчет скорости прохождения подлежащей серебряной проволоки через ванну, глубины погружения и силы тока.

З. Соловьева

22052. Задача изучения производства электролитической меди на опытном заводе. (Electrolytic copper production is goal of Bagdad Pilot Plant study.—), Mining World, 1957, 19, № 9, 50—53 (англ.)

Рассматриваются некоторые проблемы (технологич. и экономич.) заводского произ-ва электрофенированной Cu.

З. Соловьева

22053. Электролитическое получение медного порошка. Кэлушару (Prepararea electrolitică a pulberii de cupru. Călușaru A.), Rev. chim., 1957, 8, № 5, 369—375 (рум.)

Приведены результаты лаб. исследований, проведенных с целью выявления оптимальных условий получения порошка Cu высокой степени чистоты. На основе полученных поляризационных кривых и визуальных наблюдений за качеством осадков высказано мнение о том, что при образовании губчатых осадков

следует учитывать потенциал, при котором появляется металлич. губка. Порошок Cu возникает при потенциалах, лежащих между —0,430 и —0,450 в по отношению к неполяризованному медному электроду. Для р-ра, содержащего 0,02 н. $\text{CuSO}_4 + 1$ н. H_2SO_4 , переход от плотного осадка к рыхлому наблюдается при —0,430 в; в р-ре 0,05 н. $\text{CuSO}_4 + 1$ н. H_2SO_4 — при —0,450 в; в р-ре, содержащем 0,2 н. $\text{CuSO}_4 + 1$ н. H_2SO_4 — при —0,454 в. Эти результаты показывают, что губчатая Cu возникает при потенциалах больших, чем потенциалы, соответствующие началу предельного тока и значительно более низких, чем потенциалы, соответствующие началу разряда водорода. ВТ падает с ростом D_k и растет с конц-ией и т-рой р-ра. Рекомендуется получение порошков Cu из электролита, содержащего (в г/л): CuSO_4 15—45, H_2SO_4 150, при $D_k = 5$ —50 а/дм² и т-ре 20—40°. При этом ВТ находится в пределах 20—70% в зависимости от условий работы. Уд. поверхность получаемых порошков колеблется между 800—1800 см²/г, а об. вес — между 0,67 и 1,1 г/см³. Наиболее чистые порошки получаются после 15—20-кратной промывки осадка дистил. водой и сушки смесью спирта и бензола в соотношении 1:1. Приводятся микрофотографии получаемых порошков, выявляющие наличие определенного направления роста осадков и полное отсутствие окислов несмотря на то, что снимки были сделаны спустя 2 месяца после получения осадков.

Я. Матлис

22054. Определение размера частиц электролитических порошков кадмия при помощи седиментометрических весов Фигуровского. Грицан Д. Н., Булгакова А. М., Уч. зап. Харьковск. ун-та, 1957, 82, Тр. Хим. фак. и Н.-и. ин-та химии, 16, 69—75

Проведен седиментометрич. анализ электролитич. порошков Cd в бензоле с применением весов Фигуровского. Установлено, что величина частиц электролитич. Cd колеблется от 1 до 24 м, с преобладанием частиц 1—6 м. Изменение D_k от 7 до 55 а/дм² не влияет на степень дисперсности порошков. Из р-ра $\text{Cd}(\text{NO}_3)_2$ получаются порошки Cd, содержащие больший процент высокодисперсной фракции, чем из р-ра CdSO_4 .

З. Соловьева

22055. Некоторые экспериментальные и практические стороны электроосаждения толстых родиевых покрытий. Рид (Some experimental and practical aspects of heavy rhodium plating. Reid F. H.), Trans. Inst. Metal Finish., 1955—1956, 33, 105—140 (англ.)

Изучено влияние состава электролита и условий осаждения на ВТ, качество и внутренние напряжения (ВН) Rh-покрытий в сернокислых (I), фосфатносернокислых (II), фосфатных (III), фторборатных (IV) и сульфаматных электролитах (V). В I (50 г/л Rh и 20 мл/л H_2SO_4) при комнатной т-ре растрескивание осадков незначительно, но увеличивается при повышении т-ры до 70°. ВТ при $D_k = 3$ а/дм² ~75%. С увеличением D_k ВТ уменьшается и осадки из гладких становятся более грубыми. При комнатной т-ре уменьшение конц-ии Rh с 50 до 20 г/л вызывает уменьшение ВТ с 75 до 30%, а при 70° — не влияет. ВН осадков довольно высокие и мало меняются с изменением конц-ии H_2SO_4 и D_k . Увеличение конц-ии H_2SO_4 уменьшает ВТ при комнатной т-ре, но уменьшает растрескивание осадков. В II (Rh в виде фосфата 20 г/л и H_2SO_4 150 г/л) ВТ при комнатной т-ре низкий и увеличивается до 70% при т-ре 70°. При повышении т-ры уменьшается растрескивание осадков и блеск их. Твердость Rh-осадков ниже, чем в I, а ВН — выше. ВН уменьшаются с увеличением к-ты в электролите и с уменьшением конц-ии Rh. Повышение т-ры сильно уменьшает ВН. Rh-осадки из III такие же, как в I,

но более склонны к растрескиванию. ВТ при комнатной т-ре малы, но увеличиваются при повышении т-ры и конц-ии Rh. В IV осадки такие же, как в I и III. ВТ при комнатной т-ре аналогичны I, но падают при повышении т-ры, особенно для конц. р-ров. V отличаются тем, что даже при высокой конц-ии Rh вид осадков и их растрескивание мало меняется с т-рой и постоянством цвета р-ра. ВТ низкий при комнатной т-ре, но увеличивается при повышении ее. Сравниваются изученные электролиты и высказывается мнение о преимуществе I при осаждении толстых Rh-покрытий вследствие больших ВТ, относительно меньших ВН и большей твердости осадков, большей простоты состава электролита (для поддержания). IV труднее готовить и они не дают преимуществ в свойствах осадков. Обсуждаются факторы, влияющие на растрескивание толстых осадков Rh (ВН, природа подкладки, сцепляемость, толщина осадков) и приводятся практич. рекомендации приготовления I и оптимальных условий электролиза для осаждения Rh-покрытий толщиной 2,5—25 м, а также подготовка поверхности ряда обычно применяемых подкладок.

З. Соловьева
22056. Нанесение гальванических покрытий на алюминий. Детнер (Das Galvanisieren von Aluminium. Dettner H. W.), Aluminium (BRD), 1957, 33, № 10, 665—668 (нем.; реф. англ., франц.)

Описано нанесение гальванич. покрытий на Al сплавы Al с высоким содержанием Si, Mn и Cu. В настоящее время на Al вначале наносят слой Cu, Zn, Ni или Fe, а затем — необходимое гальванич. покрытие. Технология подготовки Al перед покрытием состоит в обработке в щел. р-ре или травлении в р-ре, содержащем 100—400 г/л соли при 60—90° в течение 20—30 сек. После полировки деталей производят очистку их от пасты или обезжиривание в органич. р-рителях и обезжиривают электролитич. путем в течение 1—2 мин. на катоде; анод — Ni или стальные никелированные пластины; напряжение 7 в. Применяют обезжиривание путем кипячения и обработки в р-ре 1 ч. HF (48%-ная) + 3 ч. HCl (конц.). Покрытие Ni и другими металлами осуществляют в зависимости от назначения покрытия толщиной 12—40 м, а хромирование для декоративных целей до 0,5 м. Подробно описано оборудование, применяемое для этих целей.

Н. Короленко

22057. Химическое никелирование кремния с целью получения омических контактов. Сулливан, Эйглер (Electroless nickel plating for making ohmic contacts to silicon. Sullivan Miles V., Eigler John H.), J. Electrochem. Soc., 1957, 104, № 4, 226—230 (англ.)

Описано никелирование Si в р-ре состава (в г/л): $\text{NiCl}_2 \cdot 6\text{H}_2\text{O}$ 30, $\text{NaH}_2\text{PO}_4 \cdot \text{H}_2\text{O}$ 10, $(\text{NH}_4)_2\text{HC}_2\text{H}_3\text{O}_7$ 65, NH_4Cl 50; pH р-ра доводится до 8—10 добавками NH_4OH . Одна часть образцов перед обработкой шлифовалась корундовым порошком и химически травилась в р-ре состава (в %): HNO_3 44, HF 18, H_2O 38. Другая часть образцов обрабатывалась в горячем щел. р-ре. Прочность сцепления осадка с Si характеризовалась силой, необходимой, чтобы оторвать контакт от образца. Наилучшим сцеплением обладают осадки толщиной 1—2 м. В полученных осадках содержится до 11% P. Авторы подробно исследовали изменение с т-рой контактного сопротивления для р и n типов. Подобным образом можно никелировать Ge. Г. Ерусалимчик

22058. Некоторые особенности осадков и технологии пористого хромирования. Аробелидзе А. К., Тр. Груз. политехн. ин-та, 1957, № 3 (51), 11—20 (рез. груз.)

Изучено влияние анодной обработки на характер образования пористой структуры Cr в зависимости от исходной структуры Cr-покрытия. Установлено, что

анодная обработка Cr-покрытия, состоящего из основного слоя Cr, не имеющего сетки трещин, но достаточно напряженного, и дополнительного более тонкого слоя с сеткой трещин, приводит к появлению в основном слое густой сетки трещин соответственно режиму получения трещин в дополнительном слое Cr. На основании исследования предложен метод получения пористого Cr путем двойного хромирования: 1) нанесение основного слоя при высокой D_k и более выгодных параметрах технологич. процесса и 2) последующее нанесение дополнительного слоя Cr требуемой пористости при соответствующем режиме осаждения в составе электролита. Двухслойное хромирование осуществляется в раздельных ваннах, но можно и в одном электролите.

З. Соловьева
22059. Предварительное исследование образования трещин в твердых хромовых электролитических осадках и выделения водорода в процессе осаждения. Бриттен, Смит (A preliminary investigation of the formation of cracks in hard chromium electro-deposits and the evolution of hydrogen during deposition. Brittain C. P., Smith G. C.), Trans. Inst. Metal Finish., 1955—1956, 33, 289—300. Discuss., 301—305 (англ.)

Проведено микроскопич. исследование катодной поверхности в процессе электроосаждения Cr из р-ра 50 г/л CrO_3 + 0,5 г/л H_2SO_4 при т-ре 45° и $D_k = 20 \text{ а/дм}^2$. Установлено, что выделение пузырьков H_2 с поверхности катода происходит не непрерывно, а периодически через определенные интервалы времени (порядка 3 мин.). После каждого цикла бурного выделения H_2 на поверхности Cr-осадка появляются дополнительные трещины. На основании результатов наблюдения авторы связывают растрескивание Cr-осадка с процессом освобождения H_2 из него.

З. Соловьева

22060. Выбор оптимальных соотношений толщин покрытий в двухслойном покрытии никель-хром. Васильева Г. С., Федуркин В. В., Материалы по обмену опытом и научн. достиж. в мед. пром-сти, 1957, № 3 (22), 43—50

Исследовались пористость, сцепление и защитная способность Ni-, Cr- и Ni-Cr-покрытий при различном соотношении толщин слоев. Определялось влияние хим. и электрохим. декапирования на эти показатели. Последнее осуществлялось в р-ре состава (в вес. ч.): H_2PO_4 60, H_2SO_4 10, H_2O 30, при т-ре 40° и $D_a = 30 \text{ а/дм}^2$, время обработки 30 сек. Установлено, что после электрохим. декапировки осаждаются более плотные Ni-осадки. Оптимальными сочетаниями слоев в отношении плотности осадков являются Ni 5 м + Cr 4 м; Ni 8 м + Cr 3 м, Ni 10 м + Cr 2 м. Наилучшие результаты по защите медицинского инструмента от коррозии показало покрытие Ni 10 м + Cr 2 м. Во всех случаях сцепление осадков с основой было хорошее.

В. Е.
22061. Комбинированное хромирование стальных деталей медоборудования. Соломина Е. П., Федуркин В. В., Материалы по обмену опытом и научн. достиж. в мед. пром-сти, 1957, № 3, (22), 51—59

Для некоторых типов деталей медицинского оборудования, работающих при повышенной влажности и одновременно работающих на трение, целесообразно вместо обычного покрытия Ni-Cu-Ni-Cr применять комбинированное двухслойное хромирование. Для хромирования использовался электролит состава (в г/л): CrO_3 250, H_2SO_4 3 и Cr^{3+} (в расчете на Cr_2O_3) 2,5. Молочное хромирование осуществлялось при 70°, $D_k = 30 \text{ а/дм}^2$, блестящее хромирование при 50° и $D_k = 50 \text{ а/дм}^2$. В результате исследований установлено, что оптимальным соотношением толщин в комбинированном осадке является 6 м слоя молочного хрома и 6 м слоя блестящего хрома. Осадки комбинированного

хрома легко полируются, не обнаруживая пор, начиная с общей толщины покрытия 12 μ . И. Е. Соловьева

22062. Осаждение латуни из пиррофосфатной ванны. Сри, Рама-Чар (Brass plating from the pyrophosphate bath. Sree Vasanta, Rama Char T. L.), J. Scient. and Industr. Res., 1957, A16, № 7, 325—326 (англ.)

Изменением условий осаждения Zn можно получить осадки сплава, содержащего 40—99% Cu на Pt-, Cu- и стальных катодах. Осадки гладкие, мелкокристаллич., хорошо сцепляющиеся, цвет их меняется от красного до желтого в зависимости от состава. Осадки, содержащие < 40% Cu, можно получить на Pt при высокой D_k , но они неравномерны. Содержание Cu в осадке увеличивается с увеличением конц-ии Cu в р-ре, уменьшением D_k , увеличением т-ры (40—80°) и скорости вращения катода. Изменение общей конц-ии металла в р-ре, конц-ии пиррофосфата и pH р-ра мало влияет на состав осадков. Испробованные добавки не меняли состава сплава и не увеличивали содержания Cu. Наилучшие осадки были получены с добавкой 1 г/л H_2MoO_4 и 10 г/л $Na_2C_2O_4$. Катодная поляризация уменьшается с уменьшением D_k , увеличением т-ры и скорости перемешивания, с увеличением конц-ии Cu в р-ре. Рассеивающая способность — удовлетворительная. Аноды из сплава 43% и 70% Cu растворяются беспрерывно. З. Соловьева

22063. Электроосаждение сплавов олова из пиррофосфатной ванны. Вайд, Рама-Чар (Electrodeposition of tin alloys from the pyrophosphate bath. Vaid J., Rama Char T. L.), J. Scient. and Industr. Res., 1957, A16, № 7, 324—325 (англ.)

Изучены условия электроосаждения качеств. осадков сплавов Sn с Cu, Zn, Ni и Pb из пиррофосфатной ванны, влияние различных факторов на состав сплава и ВТ, катодный потенциал (КП) и структуру осадков. Установлено, что изменением условий электролиза можно получить качеств. осадки сплавов Sn-Cu, Sn-Zn, Sn-Ni и Sn-Pb любого состава. ВТ_к \approx 100%. Содержание более благородного металла в сплаве увеличивается с возрастанием его конц-ии в р-ре, уменьшением D_k , увеличением т-ры и скорости перемешивания. Изменение общей конц-ии металлов и пиррофосфата в р-ре мало влияет на состав сплава. В случае сплавов Sn-Cu и Sn-Zn предельная D для обоих металлов увеличивается при соосаждении. Влияние D сильнее выражено в случае Sn-Cu, в некоторых участках поляризационной кривой происходит внезапное изменение КП и состава сплава. Добавки увеличивают КП и процент менее благородного металла в осадке. КП уменьшается с уменьшением D , увеличением т-ры и скорости перемешивания. PC р-ра хорошая. Осадки сплавов более мелкозернисты, чем отдельных металлов. В случае Sn-Cu обнаружено существование фаз α (богатой Cu), $\gamma + \eta$ (60—40% Cu) и $\eta + \beta$ (богатой Sn). В сплаве Sn-Ni не удалось идентифицировать какие-либо фазы, богатые Sn сплавы показывают систему Sn. Сплавы Sn-Zn и Sn-Pb дают твердые р-ры. Изменение КП при осаждении Sn-Cu соответствует осаждению различных фаз. При осаждении Sn-Zn и Sn-Pb аноды из сплавов легко растворяются. При осаждении Sn-Cu применяются нерастворимые аноды, так как сплав растворяется с трудом. Sn-Ni-аноды ведут себя как Sn, поэтому в этом случае применяются нерастворимые аноды. Приведены оптимальные условия электроосаждения сплавов. З. Соловьева

22064. Электроосаждение сплавов олово-кадмий из цианистого раствора. Дейвис (The electrodeposition of tin-cadmium alloys from stannate-cyanide solutions. Davies A. E.), Trans. Inst. Metal Finish., 1955—1956, 33, 85—99. Discuss., 100—101 (англ.)

Изучено электроосаждение сплава Sn-Cd из цианистого р-ра. Установлено, что гладкие сцепляющиеся осадки Sn-Cd различного состава можно осадить из горячего р-ра, содержащего Na_2SnO_3 , $Cd(CN)_2$, NaCN и NaOH. Замена солей Na на K сильно увеличивает ВТ. Состав сплава зависит главным образом от соотношения конц-ий Cd и Sn^{4+} . Чем больше конц-ия Cd, тем больше ВТ. ВТ увеличивается с увеличением конц-ии NaCN и т-ры и уменьшается с увеличением конц-ии NaOH и D_k . Содержание Sn в осадке растет с увеличением конц-ии NaCN и т-ры, уменьшается с увеличением конц-ии NaOH и не зависит от D_k . Аноды, богатые Cd, растворяются с меньшим ВТ, чем богатые Sn. Увеличение конц-ии NaCN, уменьшение конц-ии NaOH и уменьшение D_k увеличивает ВТ_к. Осадки, содержащие 25% Sn, получают с ВТ_к 80% при $D_k = 2$ а/дм² и т-ре 65° из р-ра состава (в г/л): Sn 30, Cd 5, NaCN 50, NaOH 14. Осадки, содержащие 50% Sn, получают с ВТ = 60% при конц-ии Cd 2 г/л и NaCN 25 г/л.

З. Соловьева

22065. Электроосаждение сплавов олово-кадмий из фтористо-силикатных растворов. Дейвис (The electrodeposition of tin-cadmium alloys from fluoride-fluorosilicate solutions. Davies A. E.), Trans. Inst. Metal Finish., 1955—1956, 33, 74—84 (англ.)

Изучено влияние состава электролита и условий электролиза на состав и качество осадков при электроосаждении сплава Sn-Cd из р-ра, содержащего $SnSiF_6$, $CdSiF_6$, NH_4F и неионные органич. добавки. Установлено, что можно получать гладкие матовые осадки сплава, содержащего 25—50% Sn, при комнатной т-ре, pH электролита 2,5, $D_k = 2$ а/дм². Состав сплава является функцией D_k и конц-ии Cd и Sn. С увеличением D_k содержание Sn в осадке уменьшается. Ионы фторсилката играют второстепенную роль и служат главным образом для поддержания достаточно высокой конц-ии Sn и Cd. Успех процесса зависит от наличия ионов F^- и неионных органич. добавок. Конц-ия ионов F^- должна быть достаточно для перевода всех ионов Sn^{2+} в комплекс SnF_4^{2-} и SnF_6^{2-} . Добавление Sn^{2+} в ванну должно сопровождаться добавлением достаточного кол-ва NH_4F (на каждый ион Sn^{2+} — 6 ионов F^-). Форма кривой зависимости состава осадка от D_k объясняется на основании влияния органич. добавок на катодный потенциал Sn в электролитах, содержащих F^- и Sn^{2+} .

З. Соловьева

22066. Опыт приближенного контроля стоимости гальванических процессов. Аламеда (A tentative approach to cost control in electroplating. Alameda J. M.), Electroplat. and Metal Finish., 1957, 10, № 7, 213—215, 239 (англ.)

22067. Защитные покрытия для аппаратуры, применяемой в гальваностегии. Перес (Coatings for protection of electroplating equipment. Perez Michael), Metal Finish., 1957, 55, № 4, 62—64 (англ.)

Описан ряд изоляционных лаков, красок и пластмасс, применяемых для изоляции ванн, бачков и прочего оборудования. Приводятся сведения о методах нанесения защитных покрытий. И. Ерусалимчик

22068. Применение радиоактивных изотопов для исследования механизма «пассивации» катодов в магнетонном электролизере. Стрелок Х. Л., Мужавлев К. Д., Цветн. металлы, 1957, № 6, 52—56

Для выяснения причины пассивации катодов в анодный контакт помещался образец Fe^{59} с периодом полураспада 45,5 суток и определялась радиоактивность проб пленок катода и всплывавшего Mg. Установлено, что Fe анодного контакта переходит в электролит и частично осаждается на катоде, что является

причиной его пассивации и снижения ВТ на электролизерах с боковым вводом анодов. Б. Ленинских

22069 П. Танталовый электролитический конденсатор. Дженин, Стивенсон (Tantalum electrolytic capacitor. Jenny Alfred L., Stephenson Donald H.) [General Electric Co.]. Пат. США 2749487, 5.06.56

В качестве электролита применяется смесь состава (в %): дистил. H_2O 33—35, этиленгликоль 30—34, KNO_3 33—35. Конденсатор работает в интервале т-р от 85 до -55° . И. Ерусалимчик

22070 П. Процесс электролитической гидрогенизации. Уолли (Electrolytic hydrogenation process. Wahlin Hugo B.) [Wisconsin Alumni Research Foundation]. Пат. США 2749293, 5.06.56

Патентуется процесс гидрогенизации органич. в-в, основанный на диффузии водорода в металлы. Полная камера (труба) из Fe, Al, Pd используется в качестве катода. Электролит — H_2SO_4 , анод — Pt. Через стенки трубки выделяющийся водород проходит во внутреннюю полость, где помещается ненасыщ. органич. в-во. Скорость диффузии при комнатной т-ре достигает $1,5 \text{ см}^3$ через 1 см^2 поверхности в 1 мин. При этом давление во внутренней полости может составить 40—45 кг/см^2 и даже достичь нескольких десятков атмосфер. Проведенные эксперименты показали, что Nb, Ni, Ta, Mo обладают слабой трансмиссионной способностью. Приведена схема устройства для гидрогенизации. Н. Короленко

22071 П. Осаждение золотых сплавов. Таормина, Маринаро, Пакман (Cold alloy plating. Taormina Silvio C., Marinaro Alfred T., Packman Louis) [Platers Research Corp.]. Пат. США 2754258, 10.07.56

Патентуется электроосаждение сплавов Au, содержащих $> 90\%$ Au и 0,005—0,05% Mo, обладающих большей стойкостью к истиранию, чем не содержащие Mo, из электролита состава (в г/л): Au 4, KCN своб 15, K_2MoO_4 4 и KOH 7,5. Вместо K_2MoO_4 можно вводить 2 г/л MoO_3 , 2 г/л NaCN и 1,5 г/л $Zn(CN)_2$. Электроосаждение Au-сплавов, содержащего 90—95% Au и 0,05—5% U, который обладает большей стойкостью к истиранию, чем Au или Au-сплав без U, производится из р-ра состава (в г/л): Au 4, K_2CO_3 30, KCN своб 15, $U(NO_3)_4$ 4. З. Соловьева

22072 П. Электролитический марганец. Карозелла (Electrolytic manganese. Carosella Michael C.) [Union Carbide and Carbon Corp.]. Пат. США 2750338, 12.06.56

Для получения плотных, гладких и не содержащих посторонних включений электролитич. осадков Mn рекомендуется добавлять 2—15 г/л H_3BO_3 в катодит, содержащий растворимую соль Mn, $(NH_4)_2SO_4$ и некоторое кол-во растворенного SO_2 . Пример. Состав катодита (в г/л): Mn 12; $(NH_4)_2SO_4$ 131; H_3BO_3 4; SO_2 0,5; pH $\sim 8,5$; аноды — сплав Pb + 1% Ag; катод — нержавеющая сталь, $D_k = 4 \text{ а/дм}^2$. И. Ерусалимчик

22073 П. Электроосаждение сурьмы. Эрхардт (Electroplating with antimony. Ehrhardt Robert A.) [Bell Telephone Laboratories, Inc.]. Пат. США 2753299, 3.07.56

Патентуется метод электролит. нанесения Sb на Ge из р-ра состава (в г/л): KOH 300, Sb 15—25, (Sb анодно растворяется в электролите). Т-ра электролита 87—95°, $D_k = 5,8—11,4 \text{ а/дм}^2$. И. Ерусалимчик

22074 П. Электроосаждение сурьмы и сплавов сурьмы. Сمارт (Electrodeposition of antimony and antimony alloys. Smart Clarence F.) [General Motors Corp.]. Пат. США 2750333, 12.06.56

Электролит представляет собой водн. р-р цитрата

аммония (двухосновный) в кол-ве 80—200 г/л, тарта-та Sb-K (10—80 г/л) и моно-, ди-, три- или тетра-Na-соль (или другого щел. металла) этилендиаминтетрауксусной к-ты в кол-ве 30—60 г/л. Для осаждения сплава Sb к электролиту добавляются растворимые соединения Pb, Cu, Sn, Cd, Fe, Zn и In. Напряжение на ванне 1—4 в, $D_k = 0,5—5 \text{ а/дм}^2$, т-ра 52° , pH 4—6. З. Соловьева

22075 П. Способ закрепления стекловидных эмалей. (Procédé pour fixer des émaux vitrifiés) [Poer et Ca]. Франц. пат. 1118553, 7.06.56

При подготовке стали, содержащей 0,02—0,2% C, для безгрунтового эмалирования на поверхность ее наносят слой Se или S ($\sim 0,2 \text{ мг/дм}^2$). Для закрепления этого слоя одновременно или поверх него электролитич. путем наносят тонкий слой металла. Sb, As или Bi. Состав электролита (в г): Sb_2O_3 37, As_2O_3 12, Se 3, смачивающее в-во 0,1. HCl (18° Be) 1 л. Изделия погружают в р-р под током. $D_k \sim 1 \text{ а/дм}^2$, длительность электролиза 8—50 сек. После такой подготовки на изделия наносят эмали. М. Серебрякова

22076 П. Электроосаждение хрома. Браун, Миллидж (Chromium electrodeposition. Brown Henry, Millage Donald R.) [The Udylyte Research Corp.]. Пат. США 2750335, 12.06.56

В электролит ($CrO_3 + H_2SO_4$) для уменьшения образования брызг и тумана добавляется соединение, имеющее ф-лу $CF_3(CF_2)_nCH_2N(R_1)(R_2)(R_3)$, где $n = 2—6$, R_1 , R_2 и R_3 — группы H и CH, причем сумма атомов C в радикалах $R_1 + R_2 + R_3 \leq 6$, x — анион. Конц-ия добавки, по крайней мере, 0,05 г/л. Пример. Состав электролита (в г/л): CrO_3 150—250, SO_4^{2-} 1,5—3, 1,1-дигидроперфторгексилламин 2; т-ра 20—30°, $D_k = 10—30 \text{ а/дм}^2$. З. Соловьева

22077 П. Электроосаждение хрома. Браун (Chromium plating. Brown Henry) [The Udylyte Research Corp.]. Пат. США 2750336, 12.06.56

В электролит ($CrO_3 + H_2SO_4$) для уменьшения образования брызг и тумана вводится добавка соединения, имеющего ф-лу $N(CF_2CF_2)_x(CH_2)_yZM$, где Z — радикал из группы, состоящей из $-SO_3-$ и $-OSO_3-$, M — катион, $x = 2—10$, $y = 1—3$. Эти соединения почти полностью устраняют образование брызг и тумана, устойчивы к электролитич. окислению. Добавка вводится в виде свободной к-ты или соли, содержащей различные ионы (Na, K, Li, NH_4 , Ca, Cr^{3+} , Sr, Mg, Fe, Al, Zn, Ni, Co, пиридин и др.). Конц-ия добавки 0,01—10 г/л. Пример. Состав электролита (в г/л): CrO_3 150—400, SO_4^{2-} 1—6, $N(CF_2CF_2)_x \cdot CH_2SO_3H$ 0,05—3; т-ра 20—80°, $D_k = 10—50 \text{ а/дм}^2$. З. Соловьева

22078 П. Стержень анода. Уилер (Anode core. Wheeler Roger M.) Пат. США 2749299, 5.06.56

Стержень анода (спираль из железной проволоки) заливается металлом, имеющим более отрицательный потенциал, чем Fe (Al, Mg, Zn или их сплавы), образуя анод с большой поверхностью контакта. Верхняя часть спирали состоит из впадин, примыкающих друг к другу витков, образующих патрон, в котором закрепляется провод. Этот патрон размещается в полости, в виде усеченного конуса, оставленной при отливке анода, которая заполняется пластмассой (гудроном) после припайки провода к виткам патрона, обеспечивая простое и удобное закрепляющее устройство. Шаг витков спирали увеличивается по мере приближения стержня к концу анода, что приводит к уменьшению поверхности контакта и, следовательно, к более медленному растворению нижней части анода, обеспечивая равномерное растворение его по всей длине. А. Рейхштадт

22079 П. Способ и устройство для непрерывного нанесения гальванического покрытия на серебряную

поверхность зеркал. Грей (Method and apparatus for continuous plating. Gray William R.) [Pittsburgh Plate Glass Co.] Пат. США 2753298, 3.07.56
Зеркальные листы в установке перемещаются по горизонтали по гуммированным роликам. Аноды в виде пластин с загнутыми кромками расположены над ними в 2 ряда также горизонтально. В установке имеется 18 рядов роликов, расположенных на расстоянии 63 мм один от другого. Электролит подается самотоком из бачка, расположенного над установкой, и стекает в поддон, откуда при помощи насоса перекачивается снова в бачок. Электролит — р-р состава (в вес. %): CuSO_4 10—40, H_2SO_4 1, H_2O — остальное; pH р-ра ~ 2. Возможно использование электролита состава (в вес. %): CuSO_4 50, сегнетова соль 60, триэтанол-амин 45, H_2O до 1 л, pH 7. Максим. время нанесения покрытия ≤ 150 сек.; вес Cu-покрытия 0,01 г/дм², $D_k = 0,5$ —15 а.

Н. Корбенко

22080 П. Подвески для гальванических ванн (Ein-hängegestell für galvanische Bäder od. dgl.) [Werner Burmeister]. Пат. ФРГ 956110, 10.01.57

Присоединение крупногабаритных деталей к контактным шинам осуществляется при помощи спец. разъемных втулок и муфт, изолированных при помощи пластмасс. Надежный контакт осуществляется при помощи мягких металлич. прокладок на шинах и пружинных зажимов.

Н. Короленко

22081 П. Приспособления для изготовления деталей методом гальванопластики. Осман (Electroplating rack. Osman Mitchell G.) [Radio Corp. of America]. Пат. США 2751345, 19.06.56

Способ изготовления плоских дисков или звукозаписывающих матриц состоит в том, что на форму или диск наосят подслоя, который покрывает ребра и кромки. Это необходимо для того, чтобы увеличить сцепление подслоя с диском и обеспечить отделение полученной гальванки от него. С этой целью поверхность диска пассивируют или оксидируют. Диски монтируют на подвески и помещают в гальванич. ванны для нанесения подслоя, после чего вынимают из ванны, демонтируют, изолируют и осуществляют экранирование кромок, после чего снова монтируют на подвески и помещают в ванны. Подвесочные приспособления, согласно изобретению, поддерживают покрываемую форму и снабжены двумя экранировочными дисками, что обеспечивает проведение процесса без промежуточного демонтажирования подвесок.

Н. К.

22082 П. Метод нанесения титанового покрытия на тугоплавкие изделия. Росс (Method of forming titanium coating on refractory body. Ross Harry F.) [E. I. du Pont de Nemours & Co.]. Пат. США 2746888, 22.05.56

Патентуется метод нанесения на тугоплавкие изделия (из железа, стали, никеля, серебра, хрома, стекла и керамики). Ti-покрытия электролитич. путем в расплаве галогенидов Ti^{2+} и какого-либо щел. или щел.-зем. металла. Анод — Ti, катод — Ti, сталь, углерод, никель; т-ра 600—800°, напряжение 2—3 в, $D_k = 4$ —25 а/дм²; время 20—10 мин.

И. Ерусалимчик

См. также: Исследование гальванических элементов с твердыми электролитами 20785. Электроосаждение на металлических усах 20770. Форма связи Se в анодном шламе 20772. Получение Ti электролизом расплавов 20784. Анализ Ni-борфтористоводородного электролита 21204. Анализ р-ров гальванических ванн 21213. Защитные составы для гальванич. ванн 23245. Анодные явления при электролизе формиата Pb 20779. Электролиз о-фенилендиамина 20780. Электрохимическое окисление β-пиколина 20781. Электролиз перхлоратов 20783.

КЕРАМИКА.

СТЕКЛО. ВЯЖУЩИЕ ВЕЩЕСТВА. БЕТОНЫ

Общие вопросы

Редакторы П. П. Будников, С. И. Горелкина, А. С. Пантелеев

22083. Влияние некоторых добавок на модификационные изменения кварца в интервале температур 1400—1600°. Назаренко М. Ф., Разумова В. Л., Огнеупоры, 1957, № 7, 318—324

Проведено микроскопич. исследование влияния добавок $\text{CoCl}_2 \cdot 6\text{H}_2\text{O}$, $\text{NiCl}_2 \cdot 6\text{H}_2\text{O}$, CrO , Fe_2O_3 , Cr_2O_3 , MnO_2 , H_2WO_4 (в кол-ве 1% в расчете на катион добавки) на превращения кварца. Образцы обжигали при 1400, 1500 и 1600° в течение 24—30 час., выдержка при конечной т-ре 4 часа. Наиболее сильное влияние на полиморфные превращения кварца оказывают добавки Fe^{3+} , Ni^{2+} , Cu^{2+} . В присутствии Fe^{3+} , Mn^{4+} , Ni^{2+} , Co^{2+} стабильной формой при 1600° является преимущественно тридимит, а в эталоне и в присутствии W^{6+} , Cr^{3+} , Cu^{2+} — кристобалит. При всех т-рах добавка Cr_2O_3 не способствует, а задерживает модификационные превращения кварца.

Н. Синельников

22084. Новый быстрый метод определения величины зерен, особенно каолинов. Мозер, Шмидт (Eine neue Schnellmethode zur Korngrößenbestimmung, insbesondere von Kaolinen. Moser Heribert, Schmidt Wolfgang). Das Papier, 1957, 11, № 9-10, 189—194 (нем.; рез. англ., франц.)

Методика основана на измерении поглощения света в процессе центрифугирования суспензии частиц каолина (K) радиусом от 1 до 10 м. Прибор состоит из источника света, центрифуги, фотоэлемента и самопишущего регистратора. Вычисления производят с помощью номограммы, позволяющей сразу находить процентное содержание частиц K различной величины. Исследовано 9 образцов различных каолинов и 15 образцов их смесей. При тщательном приготовлении суспензии (~0,5 г каолина в 1 л) и составлении градуировочных кривых получают безукоризненную воспроизводимость результатов; случайные ошибки не превышают 2%. В производственной лаборатории серийные анализы могут выполняться (с подготовкой и подсчетом) в 30—50 мин. Методика пригодна для определения распределения величины частиц не только K, но и других в-в.

Ю. Вендельштейн

22085. Метод контроля качества глины и регулирования режима сушки. Зарипов С. З., Новости нефт. техн. Нефтепромысл. дело, 1957, № 9, 12—13

22086. Изменение в морфологии отечественных каолинов и им подобных материалов при обжиге. Юхас (Hazai kaolinok és kaolinok jellegű anyagok morfológiájának változása égetés során. Juhász Zoltán). Épitőanyag, 1957, 9, № 4, 194—198 (венг.)

22087. Дальнейшие результаты химико-геологического и геологического исследования некоторых горных пород чешского мела как сырья для облегченных строительных материалов. Цегак, Земан (Další výsledky chemicko-geologického a ložiskového výzkumu některých hornin české křídly jako surovin lehčejných staviv. Čehák Karel, Zeman Miroslav). Věst. Ústřed. ústavu geol., 1957, 32, № 3, 153—172 (чешск.; рез. англ.)

Наиболее выгодными для эксплуатации и добычи строительных материалов облегченного веса являются месторождения спонгилитов, расположенные западнее Праги (Джбан, Передняя Копанина, Репы и др.); содержание в породах SiO_2 54—87%, об. в. ≤ 2 г/см³, п.п.п. $\leq 10\%$; запасы такого сырья составляют 40—60 тыс. м³/га площади месторождений.

С. Глебов

См. также: Анализ силикатов 21201

Керамика

Редакторы С. В. Глебов, С. Н. Горелкина,
С. В. Клыккова

22088. Керамическая промышленность в Австралии. Вильямсон (Industries dependent on the chemical industry. The ceramic industry in Australia. Williamson W. O.), Proc. Roy Austral. Chem. Inst., 1957, 24, № 8, 422—427 (англ.)

22089. О глиноземистой шпинели. $AlO \cdot Al_2O_3$. Филоненко Н. Е., Лавров И. В., Андреева О. В., Певзнер Р. Л. Докл. АН СССР, 1957, 115, № 3, 583—585

При микроскопич. исследовании продуктов восстановления твердым углеродом составных частей высокоглиноземистой шихты (для получения электрокорунда) была обнаружена резорбция корунда с образованием изотропной фазы со светопреломлением 1,77—1,80. Для исследования условий образования и природы этой изотропной фазы были проведены опыты по ее синтезу путем изготовления шихты из специально очищ. высокодисперсного ($2-0 \mu$) γ -глинозема (сумма примесей $< 0,2$) и нефтяного кокса (зернистостью $50-0 \mu$), содержавшего $\sim 0,5\%$ золы. Шихта состояла из 100 вес. ч. глинозема и 4 вес. ч. нефтяного кокса в соответствии с р-цией $3Al_2O_3 + C = 2Al_2O_3 + CO$. Прессованные брикеты $d = 15$ мм и $h = 8$ мм подвергались термич. обработке в печи Таммана до $t-p$ 1500, 1600, 1750 и 1800°. Продукты синтеза подвергались микроскопич., хим., рентгенографич. и спектральному анализам. Установлено, что взаимодействие глинозема с твердым углеродом в интервале $t-p$ 1600—1800° синтезирована шпинель состава $AlO \cdot Al_2O_3$, (т. пл. 1980—1990°), обладающая высокой микротвердостью ($H = 2070$ кг/мм²), а также хим. устойчивостью. Г. Масленникова

22090. Влияние ввода в фарфоровые массы обожженного черепка на результаты их рационального анализа по методу Берделя. Функ, Чижек (Vliv pálených střepů na rozbor porcelánových hmot racionální metodou podle Berdela. Funk K., Čížek O.), Skláf a keramik, 1957, 7, № 10, 295—296 (чешск.)

При рациональном анализе (РА) фарфоровых масс по методу Берделя (Skláf a keramik, 1952, № 9, 168) в лабораториях фарфоровых з-дов Чехословакии наблюдаются большие отклонения от фактич. состава масс. Причиной неточности результатов РА является ввод в массы утильного и особенно высокообоженного фарфорового черепка. При этом кол-во найденного по РА полевого шпата увеличивается, а кол-во глины и кварца уменьшается. Значительное влияние на результаты РА оказывает также размер зерен молотого черепка. По указанным причинам РА по Берделю нельзя применять для фарфоровых масс, в состав которых входит фарфоровый бой. С. Глебов

22091. Состав органических примесей в керамическом сырье и различные методы его определения. Шмид, Штейнер (Zusammensetzung der organischen Substanz, sowie verschiedene Bestimmungsmethoden derselben in keramischen Rohmaterialien. Schmied Walther, Steiner Heinz), Keram. Z., 1957, 9, № 9, 479—482 (нем.)

Углерод присутствует в керамич. сырье в виде органич. соединений и карбонатов. Описываются: методы (М) его колич. определения; косвенные М с тиосульфатом или с дихроматом и дифениламинсульфоновой к-той; адсорбциометрич. М; М элементарного анализа путем сгорания. Сравнение полученных результатов показывает, что наиболее точные результаты дают М элементарного анализа и адсорбциометрич. М. Последний наиболее быстрый и дешевый. А. Говоров

22092. Упругое расширение глин и шамотных масс при полусухом прессовании. Огарков А. Ф., Мамкин П. С., Огнеупоры, 1957, № 9, 398—406

Приводятся результаты определения упругого расширения образцов из глин и шамотных масс. Установлено, что образцы из глин и каолинов обладают наиболее высоким упругим расширением, мало зависящим от природы глинистых материалов и при небольшой их влажности (1—3,4%) изменяющимся в небольших пределах (6—8%). С повышением влажности глины уменьшают расширение, каолины — увеличивают, что объясняется различной связующей способностью этих материалов. Шамотный порошок показывает по сравнению с глинами значительно меньшее расширение (3,5%). Изменение зернового состава шамота в массах с 50%-ным отощением в пределах, имеющих практич. значение, мало влияет на расширение образцов. Зависимость упругого расширения от прессового давления в значительной мере определяется влажностью масс. При умеренной их влажности (6,8—8,2%) с повышением давления от 150 до 400 кг/см² расширение значительно увеличивается. При повышенной влажности масс (9,9—11,2%) при давл. 150 кг/см² расширение масс составляет 3,8—4,2%, при повышении давления до 250 и 400 кг/см² оно снижается до 3,2—3,4%. Указывается, что упругое расширение масс является одним из факторов, вызывающих возникновение перепрессовочных трещин. На возникновение последних могут также оказывать влияние неравномерность пропрессовки и запрессованный воздух. Г. Масленникова

22093. Проблемы в производстве фарфора. Розенталь (Problems with porcelain. Rosenthal Ernst), Pottery and Glass, 1957, 35, № 9, 290—292 (англ.)

Отмечается механизация и модернизация германской (ФРГ) фарфоровой пром-сти, позволившая последней снизить себестоимость продукции и выгодно реализовать ее продажу как у себя, так и за границей. Ввиду большого разнообразия вырабатываемых изделий и частей по требованию рынка смен форм изделий и их раскрасок механизация произ-ва фарфоровой посуды пошла в ФРГ главным образом по линии создания непрерывного потока, широкого применения полуавтоматов, конвейерных сушилок, транспортеров и туннельных печей для обжига продукции. Приводятся снимки с отдельных механизированных участков наиболее модернизированной фарфоровой ф-ки Авилла-на в Баварии. С. Туманов

22094. Разжижение фарфоровой массы оптимальным количеством воды. Гезкий (Ztekucování porcelánové hmoty optimálním množstvím vody. Hezký V.), Skláf a keramik, 1957, 7, № 9, 265—272 (чешск.)

При контроле качества шликера (Ш) фарфоровых з-дов Чехословакии содержание в нем воды часто оказывается равным 32—36% при нормативе по технологич. процессу 30%. Улучшение разжижения добавкой щел. разжижителей (Р) и защитных коллоидов, в частности жидкого стекла, позволяет снизить влажность Ш и облегчить процесс отливки. Проведены опыты подбора комбинированных Р для фарфорового Ш (вес.%): каолина 42,1, кремня 14,6, полевого шпата 34,7, черепка 8,6. При подборе Р определяли вязкость Ш (путем измерения скорости его истечения 100 мл в 1 сек.) и скорость набора черепка по гипсовой форме. Используя комбинированные Р, состоящие из соды, гумината аммония и лимонной к-ты, при добавке жидкого стекла, удалось снизить содержание воды в Ш до 25—26%, причем набор черепка на форме происходил быстро, без появления трещин и морщиноватости. Рекомендуются пользоваться комбинирован-

ных масс
Ф., Ма-
—406

того рас-
асс. Уста-
обладают
ало зави-
при пе-
и влажно-
— увели-
шпонок по-
меньшее
става ша-
пределах,
а расши-
рения от
редельно-
нажности
150 до
чивается.
2%) при
6—4,2%,
/см³ оно
упругое
ов, вызы-
ции. На
казывать
ессован-
еникова
Розен-
entahl
290—292

манской
оследней
реализо-
ей. Вви-
изделий
иделий и
ой посу-
создания
я полу-
отеров и
иводятся
ков нап-
Авилла-
Туманов

мальных
porcelá-
kú V),
ск.)
форовых
сто ока-
техноло-
обавкой
идов, в
влаж-
ны опы-
ового Ш
шпата
язкость
100 мл
ой фор-
из со-
добавке
воды в
ме про-
рционно-
ирован-

ными Р для Ш, подобранными для каждой шихты в зависимости от ее состава и особенностей. С. Глебов 22095. Механическая прочность фарфора. Маттасовский-Жолнай (Mechanical strength of porcelain. Mattyasovsky-Zsolnay László), Amer. Ceram. Soc., 1957, 40, № 9, 299—306 (англ.) Механическая прочность фарфора, в котором стекловидная фаза является главной составной частью, более зависит от величины сжатия стекловидной фазы, нежели от кол-ва и величины образующихся кристаллов муллита. Кварц обладает большим коэф. расширения, чем стекловидная фаза, и он вызывает в ней сжатое состояние. Большим силам растяжения, возникаемым в кварце, наиболее противостоят его зерна в пределах 15—30 м. Если применяются более тонкие фракции кварца, то они растворяются при обжиге в стеклофазе, и сжатие стеклофазы не имеет места. Максимум сжатого состояния стеклофазы наступает, когда радиус зерен кварца в три раза больше растворившегося при обжиге его поверхностного слоя. Иллит как флюс растворяет лишь тонкий слой кварца при спекании фарфора и усиливает его действие в создании напряженного состояния. Другим фактором является температурный градиент внутри черепка в процессе обжига, который, вследствие растворения кварца, обуславливает градиентную разницу в коэф. расширения. Если коэф. расширения у поверхности зерна становится ниже, чем в центре, то этим дополнительно увеличивается сжатие стеклофазы. С. Туманов 22096. Электротехнический фарфор с повышенной механической прочностью на базе циркона. Феррер-Ольмос (Porcelana electrotécnica de elevada resistencia mecánica a base de circon. Ferrer Olmos L.), Rev. cienc. apl., 1957, 11, № 4, 301—305 (исп.)

Получены термостойкие массы электротехнического фарфора с повышенными механич. характеристиками с обжигом на т-ру 1350°. Исследовано 34 массы, которые можно разделить на 3 группы по содержанию циркона: 1) тальк + > 20% циркона; 2) тальк + от 20 до 50% циркона; 3) тальк + < 50% циркона. Добавка 10—15% циркона увеличивает интервал спекания стеатитовых масс, разрешает получать изделия с весьма значительными изменениями в размерах, что очень важно в производстве изоляторов для высоких напряжений. Механич. прочность фарфора на базе циркона выше классич. фарфора. Термостойкость ниже стеатитовых масс, но выше кардиеритовых. С. Горелкина 22097. Роль некоторых факторов в оценке диэлектрической прочности изоляционного фарфора. Ширауз, Хит, Смотерс (Influence of selected factors in evaluating dielectric strength of porcelain. Shearouse Lee A., Heath D. L., Smothers W. J.), Amer. Ceram. Soc. Bull., 1956, 35, № 10, 391—395 (англ.)

На основе сопоставления литературных данных рассмотрена зависимость диэлектрич. прочности (ДП) изоляционного фарфора от: а) формы и геометр. размеров испытываемых образцов; б) формы электродов и способа их крепления к образцу; в) наличия тонкого слоя полупроводникового материала на поверхности образца, смежной с электродом; г) среды, в которой ведется испытание на пробой и д) качества окончательной обработки поверхности образца. Оценка ДП производилась по данным измерения пробивного напряжения на дисках и трубках изоляционного фарфора, полученных протяжкой, прессованием, литьем, механич. обработкой. Испытания показали, что а) конц-ия электрич. напряжений или так называемый краевой эффект, понижающий измеряемое значение ДП изоляционного фарфора, может быть уменьшен путем замены плоско-параллельных дисков двоя-

ковогнутыми образцами; расхождение в величинах измеряемого пробивного напряжения на таких образцах $\leq 5\%$; б) в надлежащих условиях сухим прессованием можно получать образцы, обладающие такой же ДП, как и образцы, полученные протяжкой; в) чем лучше отполирована поверхность фарфора, тем выше его ДП; г) величина ДП может быть косвенной характеристикой однородности пластич. массы, получаемой на вакуумной глиномалке; д) искажение заготовок из пластич. массы при ручной обработке вызывает снижение ДП; е) ДП зависит от однородности распределения и одинаковой ориентации твердых частиц в массе образца. А. Борисенко

22098. Предварительное изучение зубных фарфоров. Ходсон (A preliminary study of dental porcelains. Hodson Jean), Amer. Ceram. Soc. Bull., 1957, 36, № 8, 313—316 (англ.)

Шихта зубного фарфора состоит из 81% полевого шпата, 14% кремния и 5% каолина. Обжиг зубов производится при т-ре 1200°. Дается описание зубопротезных керамич. процедур и требований, предъявляемых к качеству материалов. С. Туманов

22099. Причины и образование пор в полевошпатных стеклах. VII. Изучение микроструктуры фарфоровых черепков. Хамано (長石質ガラス中に生成する気泡についての二、三の知見, 陶磁器素地の微構造に関する研究. 第7報. 浜野 健也.), 窯業協會誌, Егё-кайси, 1957, 65, № 735, 44—54 (японск.; рез. англ.)

Изучались причины образования пор в процессе обжига фарфора в калиевых полевошпатных стеклах (КПС), являющихся важнейшей составной частью фарфорового черепка. Поры натриевых полевошпатных стекол (НПС) сравниваются с порами КПС. В результате исследования делаются след. выводы: 1) Вследствие больших потерь при прокаливании полевого шпата (ПШ), большое кол-во пор дают ПШ — стекла; 2) Прокаливанию некоторых образцов при 1000° в течение 2 час. не приводит к образованию пор; 3) Кол-во пор в стеклах не зависит от кол-ва воздуха, заключенного между зернами ПШ — образца; 4) Добавление каолинита к ПШ не увеличивает кол-ва пор; 5) Часть газа в КПС удаляется при нагревании таких примесей как глинистые минералы, входящие в состав ПШ. Этот газ может задерживаться даже при плавлении и затем способствовать образованию пор; 6) С повышением т-ры газы расширяются и поры исчезают; 7) Во время выдержки при данной т-ре поры объединяются, их кол-во постепенно уменьшается, а размеры заметно увеличиваются; 8) Поры расширяются или исчезают при плавлении КПШ, уже при 1370° или после выдержки в течение 7 час. при 1300°; 9) НПС содержат больше пор (почти на 50—100%) по сравнению с КПС, причем размеры пор в НПС несколько меньше, чем в КПС. И. Михайлова

22100. Высокотемпературные керметы. Рихтер (Mischkeramische Werkstoffe für hohe Temperaturen. Richter Walter), Silikatechnik, 1957, 8, № 9, 387—389 (нем.; рез. англ., русск.)

Изучены жаростойкость, жаропрочность и термостойкость керметов на основе Al_2O_3 с Fe, Cr и Mo. Al_2O_3 была использована в α -форме. Размер частиц Fe и Cr был соответственно < 0,5 и 40 м. Размер зерен Mo составлял несколько микрон. Порошки смешивали в футерованной корундом шаровой мельнице и из смесей формовали образцы для исследований. Образцы спекали в атмосфере CO, H_2 , инертного газа или в вакууме. Для определения жаростойкости спеченные образцы помещали в закрытую с одного конца трубу из спеченного корунда, непроницаемую для газов даже при 1400°. Трубу, предварительно вакуумированную до давл. 10^{-3} мм рт. ст., заполняли необходимым газом (H_2 , CO, O_2 , воздух). О степени окисления

судили по привесу образцов после 1,2 и 4 час. выдержки при определенной т-ре. Образцы, содержащие 15—17% Fe и имеющие пористость 2—3%, а также образцы, содержащие 10 и 28% Mo и имеющие пористость 0,2%, значительно окислялись выше 800°. Образцы, содержащие 30% Cr и имеющие 6,5% пористости, незначительно окислялись выше 900°, а образцы с таким же содержанием Cr и нулевой пористостью почти совсем не окислялись до 1400°. Предел прочности при изгибе был определен на образцах сечением 4×4 мм и длиной 40 мм. При этом было установлено, что предел прочности повышается с уменьшением пористости. Образцы, содержащие 30% Cr и 70% Al_2O_3 и имеющие незначительную пористость, обладали пределом прочности при изгибе при комнатной т-ре, равным 35 кг мм^{-2} . С повышением т-ры до 1000° прочность практически не изменяется, а при 1400° составляет 23 кг мм^{-2} . Предел прочности на изгиб при комнатной т-ре у образцов, содержащих 30% Mo, составляет 40—50 кг мм^{-2} . Однако незначительная жаростойкость таких образцов не позволила провести исследования при высоких т-рах. Термостойкость образцов определяли путем закалки их в воде с 1200°. После закалки прочность образцов сильно уменьшается, на образцах появляются трещины, которые не исчезают при повторном нагреве до 1200°. После 5-кратного нагревания и охлаждения с температурным градиентом 200° прочность образцов, содержащих Cr, составляет 0,5—0,6 от первоначальной прочности.

В. Кушаковский

22101. Технические проблемы развития тонкой керамики. Копка (Technický rozvoj užité keramiky. Kopa Gustav), Sklář a keramik, 1957, 7, № 11, 333—335 (чешск.)

22102. Развитие керамической технологии. Грин (The development of ceramic technology. Green A. T.), Refractories J., 1957, 33, № 10, 436—444 (англ.)

22103. Автомат для разбраковки тонких керамических дисков по толщине. Кашин Н. В., Секиро О. И., Радиотехн. произ-во, 1957, № 10, 48—50

22104. Высокочастотный прибор для быстрого определения влажности сыпца. Мильшенко Р. С., Тр. Научно-техн. о-ва черной металлургии. М-во черной металлургии СССР, 1957, 12, 288—290. Дискус., 299—347

Описывается ВЧ-влажномер, используемый на Семилукском з-де для определения влажности сыпца, позволяющий сократить продолжительность определения влажности полуфабриката до 30 сек. (вместо 1 часа в сушильном шкафу при 180—200°). Отмечена удовлетворительная точность определения.

Г. Масленникова

22105. Испытание керамических изделий на морозостойкость. Рёберт (Die Prüfung keramischer Erzeugnisse auf Frostbeständigkeit. Róbert Siegfried), Silikattechnik, 1957, 8, № 9, 378—386 (нем.; рец. англ., русск.)

Существующие стандарты по испытанию керамич. изделий на морозостойкость (М) не удовлетворительны. Изучение методики испытания позволяет выявить причины недостатков этих методов и помогает их устранению. Необходимо уточнить наилучший способ отбора проб: отбор средних проб или проб с явно выраженными признаками недостаточной М. Полное насыщение водой испытываемых образцов не соответствует условиям службы. Предлагается выдерживать образцы двое суток, частично погруженными в воду, и двое суток полностью погруженными. Нужно уточнить наиболее подходящую скорость охлаждения образцов до —15°. Определение на глаз поврежденных образцов недостаточно. Рассматриваются следующие критерии

для определения М: понижение механич. прочности на изгиб, прочности на сдвиг, прочности на разрыв, коэф. водонасыщения, величина расширения образца в момент замораживания воды, изменения скорости прохождения ультразвука, капиллярное всасывание воды. Необходимы дальнейшие серийные испытания для оценки трех первых критериев. Коэф. водонасыщения может служить критерием М лишь в сочетании с другими критериями. Неполное замораживание воды в порах вследствие явлений переохлаждения может влиять на определения коэф. водонасыщения; были сделаны попытки определять степень замораживания калориметрич. методом. Дилатометрич. измерение расширения образца в момент замораживания воды довольно хорошо отражает М, как показывают проведенные опыты на описанном ртутном дилатометре, но имеет также и ряд недостатков. Измерение скорости прохождения ультразвука через образец дает хороший критерий М, но требует дорогой аппаратуры. Измерения капиллярного всасывания воды не дает результатов. Повышение жесткости условий замораживания не рекомендуется из-за отклонения от условий службы. Библ. 31 назв.

А. Говоров

22106. Глина, как сырье для строительных материалов. Лепингль (La arcilla, materia prima para materiales de construcción. Lepingle Marcel), Ingenieria civil (Cuba), 1957, 8, № 7, 443—452 (исп.)

22107. О чувствительности кирпичных глин к охлаждению. Шолль (Betrachtungen über die Kühlempfindlichkeit von Ziegeltonen. Scholl Fritz), Ziegelindustrie, 1956, 9, № 24, 898—904 (нем.)

Установлено, что в первом приближении чувствительность глин пропорциональна коэф. расширения. На двух примерах показан вывод рационального графика охлаждения по дилатометрич. кривым. Библ. 10 назв.

М. Карапетянц

22108. К проблеме выцветов. Хиндль (Ein Beitrag zum Ausblühungsproblem. Hiendl Heribert), Ziegelindustrie, 1957, 10, № 6, 180—181 (нем.)

Во избежание выцветов на кирпиче, изготовляемом из глины, содержащей соединения S, рекомендуется: для разрушения сульфатов обжиг проводить при более высоких т-рах; применять высококалорийный уголь с незначительным содержанием S; при наличии сульфатов в глине добавлять $CaCO_3$, при наличии в глинах пирита — NH_4Cl . Последний может способствовать устранению вспучивания раба спекающихся глин.

С. Туманов

22109. Выцветы углекислого кальция на кирпиче, обожженном в гофманской печи с отоплением металлом. Эмилиани, Векки (Efflorescenze di carbonato di calcio su laterizi cotti in una fornace Hoffmann a metano. Emiliani T., Vecchi G.), Ind. ital. laterizi, 1957, 11, № 2, 53—58 (итал.; рец. англ., нем., франц.)

Были изучены состав и причины появления обильных выцветов беловатого цвета на кирпиче, изготовленном из мергелистой кирпичной глины желто-бурого цвета, содержащей ~15% $CaCO_3$. Обжиг проводили в кольцевой печи при 1040° с отоплением природным газом. При обжиге в кольцевой печи с угольным отоплением выцветы наблюдались лишь на отдельных кирпичах. Согласно хим. анализу в выцветах имелось много $CaCO_3$, мало SO_4^{2-} и лишь следы Fe^{2+} , Al^{3+} и Na^+ . Проведенными контрольными обжигами и электрич. лабор. печи образцов из той же глины и двух других мергелистых глин, содержавших соответственно 22 и 24% карбонатов, было установлено, что основной причиной появления выцветов является образование в кирпичах при обжиге легко гидролизующегося на воздухе соединения $2CaO \cdot Fe_2O_3$.

прочности
на разрыв,
на образцы
прочности
анализа воды.
гания для
насыщения
ни с дру-
и в порах
влиять на
деланы по-
калоримет-
асширения
по хорошо
опыты на
также в
охождения
интерьер М.
капилляр-
Повыше-
коммунду-
л. 31 наза.
А. Говоров
к материа-
gima para
Margell),
443—452

и к охла-
die Kühl-
Fritz),
м.)

чувствитель-
спирения.
ного гра-
м. Биба.
рапетанд
in Beitrag
eribert),
м.)

товляемом
медуется:
ь при бо-
лорийный
и наличии
наличия в
пособство-
хся глина.
Туманов
кирпиче,
нем мета-
di carbo-
Hoffmann
Ind. ital.
нгл., нем.

ия обиль-
е, изготов-
елто-бур-
проводили
природным
ным отоп-
отдельных
х имелось
т, Al³⁺ и
и гами в
глины в
ших соот-
гановлено,
является
гидроли-
CaO · Fe₂O₃

по р-ции: $2\text{CaO} \cdot \text{Fe}_2\text{O}_3 + 3\text{H}_2\text{O} \rightarrow 2\text{Ca}(\text{OH})_2 + \text{Fe}_2\text{O}_3 \cdot \text{H}_2\text{O}$. Духальцев феррит легко образуется при обжиге уже при t -ре 500—550° в тех глинах, где Fe присутствует в виде окисных соединений; если же Fe находится в виде закиси, то при обжиге (на t -ру ~ 700°) происходит образование тройного соединения $\text{CaO} \cdot \text{FeO} \cdot \text{SiO}_2$, которое гидролизу не подвергается и не дает выцветов. Усиление выцветов на кирпиче, обожженном в пламени метана, объясняется присутствием в отходящих газах 13—14% H_2O против 2—3% H_2O в газах печей с угольным отоплением. Обычно принятое объяснение выцветов присутствием в кирпиче свободной CaO является несостоятельным. Для борьбы с выцветами полезно введение в формовочную массу кирпича угля, облегчающего перевод Fe^{3+} в Fe^{2+} и препятствующего образованию $2\text{CaO} \cdot \text{Fe}_2\text{O}_3$. С. Глебов

22110. Стеновые материалы как источник выцветов на облицовке. Янг (Backup materials as a source of efflorescence. Young James E.), J. Amer. Ceram. Soc., 1957, 40, № 7, 240—243 (англ.)

Исследовалась возможность образования выцветов на поверхности облицовочного кирпича путем переноса растворимых солей из керамич. или бетонных блоков основной кладки к наружной поверхности стен. Был определен колич. хим. состав растворимых солей, содержащихся в исследуемых 9 бетонных блоках, одном керамич. блоке, 2 облицовочных кирпичах, а также в р-ре. После миграции солей с влагой на поверхность облицовочного кирпича они присутствовали преимущественно в виде $(\text{KNa})_2\text{SO}_4$, Na_2SO_4 , K_2SO_4 , $\text{Ca}(\text{OH})_2$, CaSO_4 , KHCO_3 . Возможность миграции растворимых солей из керамич. или бетонных блоков в облицовочный кирпич была доказана сначала в лаборатор. условиях. Затем из керамич. и бетонных блоков с кирпичной облицовкой была сооружена закрытая камера, в которой, в течение 2 недель, распылением воды поддерживался искусств. туман. Выцветы на поверхности облицовочного кирпича появились на третий день, если они соприкасались с бетонными блоками, и на восьмой день в случае керамич. блоков, причем над первыми появились значительно больше выцветов, чем над вторыми. А. Говоров

22111. Черная сердцевина в строительных изделиях из глины. Браунелл (Black coring in structural clay products. Brownell Wayne E.), J. Amer. Ceram. Soc., 1957, 40, № 6, 179—184, Discuss. 185—187; Brit. Clayworker, 1957, 66, № 784, 140—143; № 785, 166—169; № 786, 204—205 (англ.)

Образование черной сердцевины обусловлено науглероживанием материала. Свойства такой сердцевины зависят от степени окисления присутствующего в глине Fe. Во избежание образования черной сердцевины необходимо создать окислительную атмосферу при обжиге. Описывается режим окисления. Окислению черной сердцевины способствует добавка в шихту FeCl_3 и NH_4OH . Описываются дефекты, связанные с образованием черной сердцевины. В. Белеванцев

22112. Проблемы производства цветных облицовочных плиток. Куттанова-Корешова (Problèmes de fabrication de carreaux de revêtement colorés. Kuttanová-Koršová V.), Stavivo, 1957, 35, № 10, 409—411 (чешск.; рез. русск., англ., нем., франц.)

Приведены основные предпосылки и требования, предъявляемые к изделиям, сырью и формовочным массам; описан процесс произ-ва. И. Михайлова

22113. Тонкостенные керамические трубы. Штутгофф (Dünnwandige Steinzeugrohre. Stutthoff Hans), Silikattechnik, 1957, 8, № 2, 65—66 (нем.)

Рассматриваются некоторые особенности произ-ва тонкостенных керамич. труб. Отмечается необходи-

мость более тщательного подбора масс, исключающего искривление труб во время сушки. Для обжига наиболее пригодными считаются четырехугольные печи объемом 24 м³, емк. 6—7 т. Продолжительность обжига в таких печах 46 час., расход топлива 8—9 т каменноугольного брикета.

П. Беренштейн

22114. Исследование влияния способа садки, рециркуляции на сушку керамических изделий в камерных сушилках. Шерли (A rakási mód, a recirkuláció és a lépcsős szárítás hatásának vizsgálata téglaiipari kamrás műszárítókna. Serly Gusztáv), Épitőanyag, 1957, 9, № 4, 169—184 (венг.)

22115. Камерная сушилка с циркуляцией теплоносителя от центра к торцам камеры. Вёль (Umwälztrockner im Zweistromprinzip. Wöhl Emil), Ziegelindustrie, 1957, 10, № 10, 333—336 (нем.)

В середине камеры в полу установлен вентилятор, с помощью которого теплоноситель (смесь части отработанного воздуха из камеры с поступающим горячим воздухом от печи) подается в камеру и, двигаясь в 2 противоположных направлениях (от середины к концам камеры), поступает обратно в канал. Часть теплоносителя отводится в вытяжную трубу, а другая часть снова подается в камеру. Преимущества сушилки: возможность одновременно сушить изделия различного ассортимента; равномерное распределение t -р и относительной влажности в камере; отсутствие «влажных гнезд» и «мертвых углов» при обычной длине камер; возможность переоборудования сушилки в сушилку непрерывного действия; простота устройства и обслуживания. В качестве теплоносителя можно использовать: воздух от печи без дополнительного его подогрева (для з-дов с предварительной естественной сушкой сырья и з-дов, применяющих горячую обработку массы); воздух от печи с подогревом его до поступления в камеру (для з-дов с сушкой сырья только в сушилке и при наличии сырья, не чувствительного к сушке); воздух от печи с подогревом его в камерах посредством батарей с горячей водой (для сырья чувствительного к сушке).

А. Мошкина

22116. Обжиг кирпича. Эверхарт (Solving firing problems. Everhart J. O.), Ceramic Age, 1957, 69, № 3, 28—31 (англ.)

Рассматриваются причины брака обжига строительной керамики (дугик, трещина, мушка) и методы их устранения. В. Терман

22117. Теплотехнический анализ работы печей для обжига кирпича. Кудрасе (Wärmetechnische Betrachtung der Ziegelbrennanlagen. Kudrass K.), Techn. Rundschau, 1957, 49, № 12, 25, 27, 29, 31 (нем.)

Анализ работы печей с целью выяснения соответствия существующих конструкций основным теплотехнич. требованиям, заключающимся в достижении максим. к. п. д. печи и максим. использования тепла обожженного товара и дымовых газов. Наиболее соответствующими этим требованиям считаются туннельные печи, использующие жидкое или твердое топливо (загрузка шур-аппаратами).

П. Бернштейн

22118. Новый прессующий механизм для прессов СМ-143 завода «Красный Октябрь». Левин Я. Б., Тр. Научно-техн. о-ва черной металлургии. М-во черной металлургии СССР, 1957, 12, 419—423 Дискус., 455—472

22119. Изделия из окисной керамики — плавенного глинозема, магнезии, окиси циркония, шпинели и других плавенных окислов как исходных материалов. Егер (Oxydkeramische Labor-Geräte. Sinter-tonerde, Sintermagnesia, Sinterzirkonerde, Sinterspinell und andere gesinterte Oxyde als Werkstoffe.

Jaeger), Chem. Rundschau, 1957, 10, № 18, 422—423 (нем.)

Обзорная статья по вопросам окисной керамики и ее применению в различных областях техники. Приведены некоторые характеристики и указаны области применения плавненных Al_2O_3 , MgO , ZrO_2 , а также окислов La_2O_3 , CaO , U_2O_3 , V_2O_5 , BeO , ThO_2 .

С. Туманов

22120. Изменения в строении пор огнеупорных изделий вследствие изменения содержащихся в них расплавов. Конапицкий (Die Veränderungen im Poren Aufbau feuerfester Erzeugnisse durch die Wanderung der flüssigkeithaltigen Schmelzen. Kona-picky K.), Ber. Dtsch. keram. Ges., 1957, 34, № 9, 302—307 (нем.)

Изучено изменение пористости, величины и формы пор шамотных и dinasовых кирпичей во время службы. Размер пор определяли по кол-ву вдавливаемой ртути при определенном давлении, а структурные изменения черепка изучали в пилифах в проходящем свете. Установлено, что при 1000° жидкая фаза, образующаяся в кирпиче, частично заполняет крупные поры за счет освобождения мелких. В горячей зоне ($> 1250^\circ$) число крупных пор снова увеличивается, хотя изменений в хим. составе не наблюдается. Описанное явление объясняется различной смачивающей способностью жидкой фазы (стекла), которая увеличивается с ростом t -ры. При низкой смачивающей способности жидкость заполняет крупные поры, а при высокой — мелкие поры. В холодной зоне (ниже 900°) никаких изменений в величине пор не наблюдается. Кроме того, обнаружено, что в горячей зоне поры закрываются вследствие присутствия жидкой фазы и фазовых превращений остаточных зерен кварца.

В. Кушаковский

22121. Определение теплопроводности огнеупоров в вакууме. Шахтин Д. М., Вишневский И. И., Заводск. лаборатория, 1957, 23, № 8, 927—929

Приведено описание прибора для определения коэф. теплопроводности λ огнеупоров в вакууме при t -рах до 1600° . В качестве нагревателей служат графитовые или Та-стержни; образцы для испытания выполняются в виде полых цилиндров, охватывающих нагреватели; разрежение 10^{-4} — 10^{-5} мм рт. ст. Приведены данные по линейной зависимости λ от t -ры и пористости образцов для Al_2O_3 до 1500° , для ZrO_2 до 1700° ; для Al_2O_3 λ имеет отрицательный, для ZrO_2 положительный температурный коэф.; с увеличением пористости образцов λ уменьшается.

С. Панич

22122. Спектральный метод определения химического состава магнетитовых огнеупоров на заводе «Магнетит». Боброва Г. Г., Тр. Научно-техн. о-ва черной металлургии. М-во черной металлургии СССР, 1957, 12, 363—366. Дискус., 379—402

На з-де «Магнетит» освоен спектральный метод определения хим. состава магнетитовых сырья и огнеупоров. При этом используется методика испарения пробы из отверстия в угольном электроде, позволяющая определять SiO_2 , Fe_2O_3 , Al_2O_3 , CaO . В результате годового опыта работы установлено, что при использовании спектрального анализа данные по полному хим. составу магнетита могут быть получены за 50—60 мин. (при хим. анализе не менее чем за 8 час.); при определении малых конц-ий элементов ($< 1,5\%$) получаются более точные результаты; возможно быстрое определение (за 1—1,5 часа) полутонных окислов и наличия таких элементов, как Ti, Cr, Mn.

Г. Масленникова

22123. Определение электропроводности огнеупорных материалов в вакууме до $2200^\circ C$. Люличев А. Н., Чупринин Ф. И., Коваленко С. И., Заводск. лаборатория, 1957, 23, № 8, 931—934

Описана схема прибора и методика определения электросопротивления ρ огнеупорных материалов (Al_2O_3 , MgO и ZrO_2) контактным способом в вакууме ($5 \cdot 10^{-5}$ мм рт. ст.) при t -рах до 2200° . Образцы-таблетки, диам. 8 мм, толщиной 2 мм; на торцы напыляют слой Mo, нагревателями служат графитовые пластинки. Определение ρ производили на постоянном и переменном токах. В обоих случаях наблюдалось падение ρ при росте t -ры; повторяемость результатов удовлетворительная. При измерении ρ проводимость «вакуума» не учитывали, ибо введение поправки весьма сложно. Такое упрощение для MgO и ZrO_2 допустимо и лишь для Al_2O_3 истинное значение до 1400° несколько выше полученного.

С. Панич

22124. Контроль качества на заводах огнеупоров. Хант, Аллен (Quality control in a refractories plant. Hunt Ergel B., Allen Kirkby K.), Refractories J., 1957, 33, № 10, 454—458, 460 (англ.)

22125. Новые печные установки фирмы Нортон для плавки высокоогнеупорных материалов. — (Norton's new electric furnace plant for producing high temperature materials. —), Industr. Heat, 1956, 23, № 12, 2662, 2664, 2666—2667, 2706 (англ.)

22126. Опыт организации автоматизированного потока производства огнеупорных изделий полусухим способом прессования. Майхровский Ю. В., Тр. Научно-техн. о-ва черной металлургии. М-во черной металлургии СССР, 1957, 12, 415—418. Дискус. 455—472

Описываются проведенные на Запорожском огнеупорном з-де работы по автоматизации и механизации произ-ва по переделам подготовки порошков и приготовления массы и прессования изделий.

Г. Масленникова

22127. Производство и свойства синтетического корунда. Барта (The production and properties of synthetic corundum. Barta C.), Industr. Diamond Rev., 1957, 17, № 201, 147—150, 152 (англ.)

Дан историч. обзор развития произ-ва синтетич. корунда, описываются метод Вернейля, формы (бульки, стержни) и свойства синтетич. корунда.

В. Злочевский

22128. Опыт получения плотного электроплавляемого корундового огнеупора в лабораторной печи. Соломин Н. В., Тр. Всес. н.-и. ин-та стекла, 1957, вып. 37, 32—35

Для понижения пористости плавленного корунда Институтом стекла проведен опыт плавки корундового огнеупора из чистого Al_2O_3 в лабор. короткозамкнутой печи с замедленной кристаллизацией. Полученный сплав был плотным, без пузырей и раковин; уд. вес 3,882, об. в. $3,62 \text{ г/см}^3$, истинная пористость 6,7%. Существенную роль сыграла хорошая дегазация расплава.

С. Панич

22129. Производство высокоглиноземистых изделий на Семилукском заводе. Савкевич Н. А., Тр. Научно-техн. о-ва черной металлургии. М-во черной металлургии СССР, 1957, 12, 263—268. Дискус. 299—347

Описывается процесс произ-ва высокоглиноземистых изделий на Семилукском з-де. В качестве основного сырья используется технич. глинозем, сухой помол которого производится в трубной мельнице. Молотый глинозем содержит 28—33% зерен $< 1 \mu$. Смешение тонкомолотого глинозема с глиной производится в короткометражной трубной мельнице. Высокоглиноземистый шамот с содержанием 65—68% Al_2O_3 обжигается до 1600 — 1620° и имеет водопоглощение до 3%; шамот с содержанием 70—80% Al_2O_3 обжигается до 1620 — 1650° и имеет водопоглощение до 4%. Основана технология произ-ва высокоглиноземистых изделий из диаспорового концентрата. Брикет готовится полу-

сущим прессованием массы, состоящей из 90% диаспорового концентрата и 10% латенской глины. Обжиг его производится в туннельной печи до 1600—1620°. Дальнейший процесс произ-ва такой же, как и многошамотных изделий. Т-ра обжига 1500—1610°. Освоено произ-во высокоплотного доменного кирпича на основе применения тонкомолотого высокоглиноземистого шамота. Приводятся результаты испытаний в службе высшего кирпича из высокоглиноземистого огнеупора с содержанием $> 55\%$ Al_2O_3 и диаспорового концентрата. Г. Масленникова

22130. Анализ качества огнеупоров и их служба в металлургическом производстве. Уралов М. А., Тр. Научно-техн. о-ва черной металлургии. М-во черной металлургии СССР, 1957, 12, 85—93. Дискус., 153—160

22131. Химико-минералогические изменения шамота в процессе его службы в кладке доменной печи. Белякин Д. С., Иванов Б. В., Басов В. Т. В сб.: Исслед. доменного процесса. М., АН СССР, 1957, 196—214

Исследованы 3 образца шамотного кирпича из верхней части и распара доменной печи, отработавшей 3 года 4 месяца. Установлено сильное проникновение шпательной в огнеупор и их хим. взаимодействие с образованием щел. алюмосиликатов главным образом $KAlSiO_4$ (до 55%). Источник щелочей в печи находится в железной руде и золе кокса. Со шлаком щелочи удаляются лишь частично, поскольку обладают характерной способностью накапливаться в различных участках кладки печи, что и приводит к постепенному ее разрушению. С. Панич

22132. Поведение свода основной мартеновской печи во время третьей кампании. Ригби, Ричардсон (Roof performance in the third campaign of an all-basis open-hearth furnace. Rigby G. R., Richardson H. M.), Trans. Brit. Ceram. Soc., 1957, 56, № 1, 22—36 (англ.)

В основной качающейся мартеновской печи емк. 40 т, с мазутным отоплением з-да Стюарт и Ллойд в Билстоне, в течение 106 недель произведено рекордное число плавков (2205) и выплавлено ~126 900 т стали. Описывается конструкция свода печи из хромомагнезитового кирпича. Изучались хим. и минералогич. состав и определялись физ. свойства: а) не подвергшегося огневому воздействию сводового кирпича; б) куски толщиной 102 мм, отделившегося после 633 плавков от горячей поверхности свода и в) кирпичей (стандарт. 137 мм), взятых в конце кампании. Установлено, что на горячей поверхности происходит поглощение окиси железа и извести (и, возможно, SiO_2) и наблюдается миграция последних внутрь кирпича. Участок с окисью железа простирается на глубину ~75 мм, а участок с известью — на ~100 мм. Испытания на крип показали способность всех зон кирпича выдерживать нагрузки при т-ре выплавки стали. Самым крит. периодом службы печи является время первых нескольких недель; удачно минуя этот период, она может работать очень долгое время.

В. Роговцев
22133. Использование шамотного кирпича в сталеразливочных ковшах. Отчет об опытах с исследованием вопросов конструкции футеровки. Лар (Use of fireclay bricks in steel ladles. Report of trials with special reference to lining construction. Lahr R. R.), Iron and Coal Trades Rev., 1956, 172, № 4588, 481—485 (англ.)

Назоежен опыт английского металлургич. з-да Dorman Long Ltd по использованию шамотного кирпича (ШК) для футеровки (Ф) сталеразливочных ковшей. На з-де было испытано 16 видов ШК с содержанием 34—43% Al_2O_3 . Оказалось, что стойкость ШК зависит

не столько от хим. состава, как от его пористости; наилучшую стойкость имел ШК с пористостью 10—14%, в том числе одна марка американская и одна немецкая, обе с низким содержанием Al_2O_3 (отношение $SiO_2:Al_2O_3 = 2,6—2,7$). Метод произ-ва (пластич. или полусухой) имеет малое влияние на стойкость ШК. Значительное повышение стойкости Ф (с 10 до 12 плавков в мартеновском цехе со стационарными печами и с 12 до 16 плавков — с качающимися печами) было достигнуто путем выкладки ШК на полукислом мертеле и применением в нижних, более изнашиваемых рядах, кладки особо плотного ШК. Отмечено благоприятное влияние на стойкость ковшей ступенчатой Ф или замены изношенных нижних рядов ШК при промежуточных ремонтах. Опыт выкладки высокоглиноземистым кирпичом (63—78% Al_2O_3) позволил повысить стойкость Ф до 16 плавков.

А. Полинковская
22134. Износ шпинельных кирпичей для футеровки разливочных ковшей. Ота, Футами, Танамура, Баба (スピネル質取鋼煉瓦の損耗について. 太田善造, 二見博, 種村文敷, 馬場信之), 耐火物工業, Тайкабуцу корё, Refractories, 1957, № 37, 29—30 (японск.)

22135. О футеровочном кирпиче для дна разливочного ковша мартеновской печи. Мисаки (平炉用取鋼底煉瓦に就て. 美崎敬之), 耐火物工業, Тайкабуцу корё, Refractories, 1957, № 37, 30—31 (японск.)

22136. К вопросу технологии изготовления капсул из карбида кремния. Гезкий (Beitrag zur Technologie der Siliziumkarbidkapseln. Hezky Vilem), Silikattechnik, 1956, 7, № 1, 16—21 (нем.)

Проведено исследование капсульных масс, составленных из следующих материалов в различных соотношениях: огнеупорных глин, каолина, бентонита, SiC (10—60%), полевого шпата, шамота, Al_2O_3 , MgO и талка; изучена зависимость физ.-мех. свойств масс от их состава. Замена части SiC шамотом повышает ударную прочность черепка на изгиб. Введение в массы сырого каолина придает черепку трещиноватость в обжиге; добавка до 4% MgO полезна, особенно при низких т-рах. Талк положительно влияет на $\sigma_{изг}$ черепка при обжиге до т-ры 1280°, но несколько снижает стойкость в службе. Добавка бентонита (в кол-ве до 1%) повышает $\sigma_{изг}$, а добавка Al_2O_3 полезна лишь при тонком совместном помоле его с глиной и повышении т-ры обжига до 1500—1530°. Наилучшей оказалась масса (в вес. %): SiC с зерном 0—3 мм 40, смесь огнеупорных глин 37,8, отмученный каолин 8,5, шамот с зерном 0—1 мм 10, пегматит 3, Na_2CO_3 0,5, декстрин 0,2. Массу готовили с паровлажнением (до 22,8% H_2O), затем подсушивали до содержания воды 14%, прессовали капсулы, обжигали их сначала на бисквит (850°), покрывали обмазкой из огнеупорной глины + технич. Al_2O_3 (1:1) и обжигали окончательно на 1410°. Приведен ряд других данных по технологии и использованию капсул из SiC. А. Полинковская

22137. Подготовка огнеупорного сырья для обжига во вращающихся печах и мероприятия по уменьшению уноса пыли. Ливсон З. А., Тр. Научно-техн. о-ва черной металлургии. М-во черной металлургии СССР, 1957, 12, 371—374. Дискус., 379—402

Исследованы основные процессы при мокром способе подготовки огнеупорного сырья (ОС) к обжигу. Рекомендуется применение непрерывно действующих дисковых или барабанных вакуум-фильтров для обезвоживания шламов, влажность шламов при этом снижена с 30—32% до 15—18%, производительность печей увеличивается на 17%, а расход топлива уменьшается на 18%. Для уменьшения уноса пыли можно вводить

добавки (в %): при обжиге магнезита Fe-содержащие глины 3—5 или растворимого стекла 0,25—0,5; при обжиге каолина $MgCl_2$ или $Ca(OH)_2 \leq 1$. Применением быстрого нагрева ОС во вращающихся печах можно сократить продолжительность обжига, повысить производительность печей и снизить расход топлива. Это позволяет применять короткие вращающиеся печи.

Б. Варшал

22138. Теплоизоляционные (легковесные) огнеупоры. Пирогов А. А., Ракина В. П., Тр. Научно-техн. о-ва металлургии. М-во черной металлургии СССР, 1957, 12, 279—287. Дискус., 299—347

Новый теплоизоляционный материал, освоенный пром-стью, — легковесный дианас изготавливается по методу выгорающих добавок. Проведены работы по применению вакуум-фильтрации для частичного обезвреживания шамотно-опилочных масс для литья в формах, что дало возможность сушить литые изделия без форм. Для получения шамотно-опилочных масс применялись тонкомолотый шамот с содержанием 50% фракций $< 0,088$ мм при максим. крупности зерна 0,5 мм, часов-ярская глина (15% по весу) и опилки хвойных пород дерева. В результате получены теплоизоляционные огнеупоры с об. в. 0,8—0,9 г/см³ и $\sigma_{сж}$ 30—60 кг/см². Проведены исследования с целью получения на основе метода пенообразования легковесного пеношамотного кирпича для пром-сти искусств. жидкого топлива. Установлено, что для получения пеношамота улучшенного качества необходимо применение легко спекающихся огнеупорных глин, тонкого помола шамота, введение в шликер небольшого кол-ва мелких опилок, а также проведение форсированного режима сушки полужабриката. Приводятся свойства освоенного пром-стью ультралегковеса, а также разработанных Харьковским институтом огнеупоров пенокаолинового, пенокорундового и пенодианасового огнеупоров.

М. Масленникова

22139. Тепловые свойства изоляционных огнеупоров. Альм, Лапужад (Caractéristiques thermiques des isolants réfractaires. Halm L., Mlle, Lapoujade P., Mm e), Matér. et techn. engins-fusées et aviat. T. 1. Paris, A. E. R. A., 1956, 253—269 (франц.; рез. англ., нем.)

См. РЖХим, 1956, 69162.

22140. Об углах заточки керамических инструментов. Сикман, Совинский (What angles are best for ceramic tools? Siekmann H. J., Sowinski L. A.), Metalwork. Prod., 1957, 101, № 36, 1573—1575 (англ.)

Геометрия инструмента является одним из главных факторов эффективности обработки металла резанием. Опыт показал, что геометрия карбидных резцов не подходит для керамики. Описаны результаты опытов с керамич. резами 12,5 × 12,5 × 4,7 мм, закрепленными в державку для обычного карбидного реза, при обточке стали AISI-1045 на токарном станке, со скоростью резания 610 м/мин, при глубине резания 28 мм и подаче 0,25 мм на каждый оборот. У резцов меняли задний и боковой углы заточки и радиус режущего лезвия, определяя затрачиваемую мощность и съем металла в единицу времени; признаком окончания опыта служили поломка или износ реза на 0,38 мм. Наилучшие результаты были получены при заднем угле — 20°, боковом — 10° и радиусе острого лезвия 1,5 мм.

А. Новиков

22141. Масса и способ изготовления прочных пористых сферических тел правильной формы. Галлоуей, Эпштейн (A mixture and method for making tough porous uniform spheres. Galloway L. R., Epstein N.), Canad. J. Technol., 1956, 34, № 2, 92—93 (англ.)

Для изучения влияния геометрии упаковки на усло-

вия испарения воды в потоке воздуха возникла необходимость изготовить высокопористые сферич. тела (СТ) правильной формы; тела должны поддаваться механич. обработке для соединения близлежащих полусфер между собой. Полусферы изготавливали с небольшим припуском по высоте в Al-формах из массы следующего состава (в вес. %): цемент 37,5, коллоидальный каолин 12,5; на 100 г массы вводили 130 ± 1 мл воды. Формы с массой сушили при $t_{ре} \sim 120^\circ$; высушенные полусферы обжигали в электропечи при 1000° в течение 4 час. с последующим охлаждением в печи в течение 14 час. Припуск по плоскости шлифовывали до получения точных СТ, которые затем склеивали органич. смолой Araldite AN-104. Диаметр СТ 17 ± 0,01 мм, кажущаяся пористость 67%; при длительном погружении в горячую и холодную воду разрушений не было.

В. Злочевский

22142. Новый метод соединения металлических арматуры с цилиндрическими стержнями из керамики. Терехов К. С., Шавыкин М. И., Радиотехн. произ-во, 1957, № 10, 52—54

22143. Вертикальная печь для оплавления керамических оснований сопротивлений МЛТ. Рыбинский О. А., Радиотехн. произ-во, 1957, № 10, 45—46

22144 К. Стекло, фарфор, керамика, посуда. Справочник по торговле и промышленности. Изд. 4-е. Кёртинг (Glapo. Nachweis f. Glas, Porzellan, Keramik, Tafelgeräte. Ein Handbuch f. Handel und Industrie. 4. Aufl. Körtting W. Bamberg, Fachverlag Körtting und Meisenbach, 1957, 579 S., ill., 16. DM) (нем.)

22145 К. Кирпичное производство. Соуха (Čiřlářská výroba. Soucha Antonín. Praha, SNTL, 1957, 343 s., il., 22 Kčs) (чешск.)

22146 К. Руководство по производству кирпича и черепицы. Булавин И. А., Гончар П. Д. (Indreptar pentru fabricarea cărămizilor și țiglelor. Bulavin I. A., Gonciar P. D. București, Ed. tehn., 1956, 384 p., il.) (рум.)

22147 К. Контроль производства керамических строительных материалов. Певзнер Р. Л. М., Промстройиздат, 1957, 204 стр., илл., 7 р. 65 к.

22148 П. Устройство для просеивания глинистых масс, преимущественно каолина. Мош (Einrichtung zum Sieben schlammiger Massen, vorzugsweise zum Sieben von Kaolin. Mosch Wilhelm) [Siemens-Schuckertwerke A.-G.]. Пат. ФРГ 955209, 27.12.56

Устройство состоит из вертикального вращающегося цилиндрич. сита с вибратором. Просеиваемый материал подвергается одновременно вибрации и центробежным усилиям. Электромагнитный вибратор состоит из неподвижного сердечника внутри сита и якоря в форме кольца, закрепленного на сите.

А. Леонов

22149 П. Способ производства слоистых изделий из огнеупорных материалов (Procédé de fabrication de pièces composites en matériaux réfractaires) [The Plessey Co Ltd]. Франц. пат. 1119055, 14.06.56

Для получения огнеупорных изделий, состоящих из Al_2O_3 (сердечник) (С) с тонким покрытием из $MoSi_2$ отдельно готовят суспензию, состоящую из мелкозернистого $MoSi_2$ и связующего р-ра (напр., 5%-ный р-р ацетобутирата целлюлозы в двуххлористом этилене), наносят ее в виде тонкой пленки на временную подложку (напр., на стекло) и высушивают до получения тонкой, гибкой пленки, состоящей в основном из $MoSi_2$, с небольшим кол-вом связки. Из этой пленки нарезают заготовки, близкие по форме к С, на которой она должна быть нанесена. С — сырец из мел-

зника пооб-
ферич. тем
поддаваться
ближе к
овляли с на-
тах из массы
0, алуином
5; на 100 г
массой сушн-
феры обща-
час. с пос-
14 час. При-
лучения то-
нич. смолы
кажуща
ени в гор-
ыло.

В. Злочевский
металлически
ни из пер-
М. Н. Радио-

ения керам-
Г. Рыбин
№ 10, 45-46

осуда. Спра-
Изд. 4-е
as, Porzellan,
Handel und
erg, Fachwer-
579 S., Ill.

руха (Cil-
Praha, SNTL

ирница и че-
I. D. (Indrep-
lelor. Bule-
d. tehn., 1956

ических стро-
И. М., Пром-
к.

глинисты
(Einrichtung
ungsweise
n) [Siemens-
9, 27.12.56

вращающе-
Проектируем
вибрации в
ый вибратор
внутри сита
на сите.

А. Леонов
изделий из
fabrication de
etaires) (Thy-
.06.56

состоящих из
тем из MoSi_2
из мелкозер-
5%-ный р-р
ом этилене),
ременную под-
т до получе-
основном в
этой пленки
С, на кото-
ец из мел-

зернистой Al_2O_3 получают формованием любым спо-
собом. На сердечник-сырец накладывают пленки из
 MoSi_2 ; готовые изделия получают методом горячего
прессования в графитовых формах при высокой т-ре.
Полученное слоистое изделие характеризуется нали-
чием корундового С, поверхность которого покрыта
прочно связанным с ним MoSi_2 . Для повышения тер-
мостойкости или облегчения последующего нанесения
на поверхность MoSi_2 гальванич. покрытий или пайки
в состав MoSi_2 можно вводить некоторые добавки,
напр. Cu; для понижения т-ры спекания Al_2O_3 в со-
став шихты С можно вводить $\sim 3\%$ SiO_2 или MgO .

В. Злочевский
22150 П. Керамическая композиция и процесс ее
изготовления. Шварцвальдер, Барлетт (Cera-
mic composition and process for making same.
Schwartzwalder Karl, Barlett Helen
Blair) [General Motors Corp.]. Пат. США 2760895,
23.08.56

Патент касается изготовления запальных свечей из
высокоглиноземных масс, обладающих повышенной
термич. стойкостью и стойкостью к действию свинцовых
солей. Обычно керамика запальных свечей пред-
ставляет собой кристаллы корунда, прочно связанные
стекловидной фазой. Эта керамика обладает высоки-
ми механич. и диэлектрич. свойствами, но она чув-
ствительна к действию свинцовых солей, которые
образуются при сгорании смеси бензина с соедине-
ниями свинца, и в расплавленном состоянии реаги-
руют с стекловидной фазой керамики, понижая ее
физ.-мех. и электрич. характеристики. Установлено,
что ввод в стекловидную фазу окислов Mg и Sr повы-
шают как термич. стойкость стеклофазы, так и ее
стойкость к действию свинцовых солей. Рекомен-
дуется следующий улучшенный состав керамики для
запальных свечей: 90% Al_2O_3 , 4,5% каолина из Фло-
риды, 5% талька и 0,5% SrCO_3 . После обжига на т-ру
 $\sim 1590^\circ$ керамика имеет следующий хим. состав
(в %): Al_2O_3 91,9, SiO_2 5,7, MgO 1,6, SrO 0,4, примеси
(PbO , Fe_2O_3 , K_2O , Na_2O , CaO и т. д.) 0,4. Уд. вес этой
керамики 3,52, коэф. расширения $6,95 \times 10^{-6}$, тепло-
проводность 0,32 кал/град см/сек. Изолятор из этой ке-
рамики обладает отличной механич. прочностью, высо-
кими изоляционными свойствами даже при повыше-
нии т-ры и дополнительно к этому повышенной
термостойкостью и стойкостью к коррозионному дей-
ствию свинцовых соединений.

С. Туманов
22151 П. Сухие контактные выпрямители. Мейер,
Хилл (Dry contact rectifiers. Mayer Simon
Ernst, Hill Ronald Alfred) [International
Standard Electric Corp.]. Пат. США 2749489, 5.06.56

Предметом изобретения являются двуслойные вы-
прямители переменного тока, один слой которых
состоит из одного или нескольких металлич. окислов
полупроводникового типа, а второй, находящийся в
тесном механич. и электрич. контакте с первым, из
одного или нескольких окислов с металлич. проводим-
ностью. В качестве полупроводящих могут служить
окислы Ni, Zn, Ti порозны и в комбинации с боратом
свинца; в качестве окислов с металлич. проводим-
ностью — двуокись свинца, окись таллия или смесь
этих окислов. Полупроводниковая пластина может
быть изготовлена путем прессования замешанной на
масле пасты из полупроводящих окислов, просушива-
ния, прессования и обжига прессовки в нейтр. ат-
мосфере при 1300° , после чего рекомендуется обработка
в течение нескольких минут при 500° на воздухе
с целью окисления восстановленных с поверхности
окислов. Слой окислов с металлич. проводимостью
изготавливается прессованием порошков окислов в
пресс-форме и затем механически скрепляется с полу-
проводниковой пластиной либо наносится на пластину

в виде смеси с легко возгорающейся связкой, которая
удаляется при просушивании.

В. Соини
22152 П. Магнитные составы. Кроули (Magnetic
composition. Crowley Henry L.) [Henry L.
Crowley and Co., Inc.]. Пат. США 2734034, 7.02.56

Для техники связи предлагаются смешанные фер-
риты, приготавливаемые из смеси окисей Fe, Zn, Li, Mg.
Характерной особенностью таких ферритов является
наличие в них мельчайших частиц металлич. Fe, рав-
номерно рассеянного в массе феррита. Металлич. Fe
образуется в результате частичного восстановления
 Fe_2O_3 при двукратной термической обработке в восстано-
вительной атмосфере смеси высокодисперсных окислов
металлов с органич. добавками (декстрин, крахмал,
фенол-формальдегидные смолы и др.). Тонкость по-
мола исходных материалов определяется 5% остатка
на сите с 17000 от/см^2 . Восстановительная атмосфера
в печи поддерживается подачей воздуха в кол-ве, не-
достаточном для полного сгорания жидкого топлива.
Предлагается способ получения магнитных мате-
риалов и изделий из них путем термообработки смеси,
состоящей из (в вес. %): Fe_2O_3 50—90, ZnO 12—22,
MgO 1—10, Li_2CO_3 1—6 в неокислительной атмосфере
при $800\text{—}1200^\circ$, размола полученного материала, прес-
сования порошка в изделия требуемой формы и по-
следующего обжига при $1100\text{—}1450^\circ$ тоже в неокис-
лительной среде. Такая термообработка и последую-
щее постепенное охлаждение от 1000 до 300° в вос-
становительной атмосфере способствует образованию
закисного железа, которое частично восстанавливает-
ся до крипнокристаллич. металлич. Fe. Предлагается
способ получения магнитных материалов и изделий
из них путем термообработки при $800\text{—}1200^\circ$ исход-
ной смеси, содержащей (в вес. %): Fe_2O_3 50—90, ZnO
12—22, MgO 1—10, Li_2CO_3 1—6 и углеродистых соеди-
нений 1—5, которые способствуют частичному восста-
новлению FeO до Fe, и последующего размола обож-
женного материала, смещения тонкомолотого порош-
ка с 1—3 вес. % органич. связки, прессования, обжига
прессовок при $1100\text{—}1450^\circ$ в неокислительной среде
и постепенном охлаждении от 1000 до 300° в той же
среде. Предлагаемые материалы характеризуются сле-
дующими свойствами: начальная магнитная про-
ницаемость $\mu_0 = 450 \text{ гс/э}$, максим. магнитная про-
ницаемость $\mu_{\text{макс}} = 1200 \text{ гс/э}$, магнитная индукция
 $B_{\text{макс}} = 3000 \text{ гс}$, коэрцитивная сила $H_c = 0,6 \text{ э}$.

А. Борисенко

22153 П. Пустотелые строительные камни. Мон-
кюи-де-Буакюй (Matériau de construction tel
que brique. Moncuit de Boiscuille. Jacques-Ma-
rie-Louis de). Франц. пат. 1125639, 5.11.56

Шихту для произ-ва пустотелых строительных кам-
ней готовят из смеси выгорающих добавок, ускоряю-
щих сушку и обжиг, и чистой глины (или смеси гли-
ны с песком). В качестве выгорающих добавок могут
применяться древесные опилки и угольная мелочь
или отходы древесного угля и древесная мука. При-
мерный состав массы (в %): древесные опилки 20,
угольная мелочь 10, мелкозернистый песок 20, гли-
на 50. Готовые камни отличаются низким об. весом
и хорошей адгезией со штукатуркой. Для улучшения
тепло-звукоизоляционных свойств, камни можно де-
лать увеличенной толщины по сравнению с нормаль-
ными, не вызывая при этом перегрузки полов.

В. Злочевский

22154 П. Способ изготовления строительного кир-
пича и черепицы, не дающих выцветы. Мертен
(Verfahren zur Herstellung von ausblühungsfreien
Mauer- und Dachziegeln. Merten Theo F.). Пат.
ФРГ 951979, 8.11.56

Для связывания имеющихся в кирпичной глине

карбонатов и сульфатов Са в силикат Са, в глину предлагается вводить SiO_2 . SiO_2 в глину можно вводить или вместе с водой затворения в виде геля и золя кремневой к-ты в кол-ве 0,1—0,2% (из расчета на сухую глину), или добавляя твердый SiO_2 , предварительно активированный катионами Na^+NH_4^+ в мельницу при сухом смешении шихты. Активирование твердого SiO_2 достигается нагреванием его в автоклаве с соответствующим кол-вом катионов при воздействии пара и без него. Для активирования требуется 0,9% Na^+ из расчета 98%-ного твердого сухого SiO_2 . Д. Шапиро

22155 П. Производство безобжиговых основных огнеупоров. Нагано, Ханасиро, Ондзуми (特殊不焼成耐火物製造法, 長野藩蔵, 花城清文, 大泉洋) [大阪窯業耐火煉瓦株式會社, Осака ёгё тайка рэнга кабусики кайся]. Японск. пат. 1530, 3.03.56

Из известняка и кварцита, или др. кремнеземистого материала, содержащего $\geq 70\%$ SiO_2 , с добавкой стабилизатора структуры $2\text{CaO} \cdot \text{SiO}_2$ (фосфата Са, суперфосфата, хромита и др.) готовят сухим или мокрым способом смесь (или шлам), отвечающую по составу $2\text{CaO} \cdot \text{SiO}_2$. Смесь обжигают во вращающейся или др. печи. Полученный клинкер дробят, размалывают, рассеивают на фракции и составляют смесь из зерен (в вес. %): 3—5 мм 50—60, 0,15—1,2 мм 25, < 0,044 мм 20—40. К смеси добавляют ~5% портландского или глиноземистого цемента и ~2% CaCl_2 или MgCl_2 , увлажняют, перемешивают и прессуют изделия под давл. 700 кг/см^2 ; затем их высушивают и используют без обжига. Свойства изделий: огнеупорность > 1820°, $\sigma_{\text{сж}} \sim 520 \text{ кг/см}^2$, т-ра начала деформации под нагрузкой 2 кг/см^2 1410°, об. в. 2,41 г/см^3 , кажущаяся пористость 19,7%, не гидратируются в автоклаве при давл. 10 кг/см^2 в течение 3 час. М. Гусев

22156 П. Способ производства огнеупорных волокон с покрытием (Procédé de fabrication de fibres réfractaires enduites) [Owens-Corning Fiberglass Corp.] Франц. пат. 1118837, 12.06.56

Слоистые огнеупорные волокна (В) из стекла или керамич. материала (напр., Al_2O_3) получают методом вытягивания из расплава, непосредственно после чего на поверхность В непрерывным процессом наносят покрытие (П), состоящее из одного или нескольких слоев металлич. или минер. в-ва. В качестве металлов могут применяться Ti, Cu, Ni, Zn, Cr, Fe, Sn, Mo, Zr, Al, Pb, Mg и др. П могут состоять также из боратов, цирконатов, титанатов, фосфатов или окислов металлов, полученных в результате диссоциации оксихлоридов, оксигидридов или гидридов металлов. П можно наносить на В любым из известных способов, напр. погружением в ванну с расплавом соли, металлизацией, электролизом, осаждением из газовой фазы и т. д. В некоторых случаях целесообразно до нанесения П наносить на огнеупорное В промежуточный слой, напр. из легкоплавких металлов Pb, Sn, Bi, Sb и др., для улучшения адгезии между В и П. Из слоистых огнеупорных В образуют волокнистую массу, связывая В между собой при помощи минер. или органич. в-в, с применением подогрева и давления или без них. Даны чертежи установки для электролитич. металлизации В. Готовый продукт обладает низким об. весом, может работать при 260—650°, сохраняя при этом достаточную механич. прочность.

22157 П. Приспособление для поддержания свободной стоящего керамического изделия в обжигательной печи. Мюллер (Vorrichtung zur Abstützung freistehender keramischer Körper im Brennofen. Müller Josef) [Wistra Ofenbau G. m. b. H.]. Пат. ФРГ 952515, 15.11.56

Для предотвращения искривления в обжиге сво-

бодно стоящих полых керамич. изделий, напр. изоляторов высокого напряжения, предложены приспособления, состоящие из керамич. трубчатых стержней (С), проходящих через свод печи и входящих во внутреннюю полость изолятора. На верхнюю часть изолятора надевается крышка из массы того же состава; в крышке сделано отверстие, в которое входит центрирующий С. Число отверстий для С в своде печи соответствует числу обжигаемых изделий. А. Леонов

22158 П. Метод получения на керамических изделиях прочного металлического покрытия, способного образовывать прочные спай. Шваб (Verfahren zur Herstellung von festhaftenden, hartlötfähigen Metallüberzügen auf keramischen Körpern. Schwab Viktor Vinzenz) [Philips Patentverwaltung G. m. b. H.]. Пат. ФРГ 956922, 24.01.57

Метод заключается в приготовлении суспензии смеси порошков (в вес. %): Mo 60,0, Fe 2,0, Mn 32,5, Na_2BeF_4 5,5 в органич. жидкостях, нанесении суспензии на керамику и обжиге последней при 1200° в течение 1/2 часа. Для получения пористых покрытий вместо Mn рекомендуется вводить MnO_2 . В. Кушаковский

22159 П. Абразивные ленты. Хейвуд (Coated abrasives. Haywood George L.) [Norton Co.] Пат. США 2755607, 24.07.56

Обычно абразивные ленты и шкурки имеют ровную поверхность. Патентуется получение абразивных лент (АЛ) с волнистой поверхностью, образованной параллельными рядами гребней и углублений, расстояние между которыми может меняться от 0,85 до 8,5 мм. Оси гребней могут быть прямыми или волнистыми линиями, направленными вдоль длины ленты. Для изготовления АЛ указанного типа предложен станок, схема которого приведена в патенте. Использование волнистых АЛ повышает их производительность в 4—5 раз по сравнению с гладкими.

22160 П. Способ изготовления пористых керамических изделий. Шнейдер (Verfahren zur Herstellung von porösen keramischen Formkörpern. Schneider Josef) [Deutsche Gold- und Silber-Scheideanstalt vormals Roessler]. Пат. ФРГ 962053, 18.04.57

Способ изготовления пористых керамич. изделий из шамота, магнезита, Al_2O_3 , SiO_2 и других материалов путем смешения их с водой, кислородотдающими в-вами типа H_2O_2 или MnO_2 и клеящими в-вами растительного или животного происхождения, последующей отливки, сушки и обжига. Пример. Замешивают массу из 250 г глины, 400 г шамота с зерном до 1 мм и 200 г с зерном до 3 мм, 950 мл воды, 14 мл 2%-ного клея; затем добавляют 7 мл конц. HCl , 8,5 мл 35%-ного р-ра H_2O_2 и 4 г MnO_2 . Смесь отливают в формы, изделия высушивают и обжигают при 1300°. В ходе отливки крупные зерна шамота опускаются к дну формы, вследствие чего получаются теплоизоляционные изделия, пористость которых постепенно увеличивается по направлению кверху формы; средний об. вес изделий ~ 0,74 г/см^3 . А. Леонов

22161 П. Установка для автоматического забора массы из подвалов. Мижон (Installation de reprise automatique de terre molle et mi-dure. Migeon Albert) [Франц. пат. 1124401, 10.10.56]

Предлагаемая установка состоит из подвала для выживания массы, в который масса поступает сверху при помощи транспортера; над отверстием в полу подвала установлена неподвижная решетка; с помощью ножей, перемещающихся вперед и назад над этой решеткой, масса проходит через перекладки решетки вниз, падая на широкий ленточный транспортер. Регулирование производительности устройства осуществляется вариактором скорости, а измене-

направления движения ножей — реверсивным электр. или механич. устройством. Скорость ножа ~ 1 м/мин. его износ незначителен, замена ножа может осуществляться вне подвала. Регулирование расстояния между переключателями осуществляется при монтаже в соответствии со свойствами и твердостью массы. При высокой производительности и длинном подвале на одном механизме устанавливаются несколько ножей. В. Злочевский

См. также: Борьба с пылью в керамич. пром-сти 21934, 21937. Автоматизация тепловых агрегатов 21765

Стекло

Редакторы О. К. Богвинкин, С. Н. Горелкина, С. Н. Иофе

22162. Подготовка песка для получения бесцветных стекол. Сегров (The production of sand for making colourless glasses. Segrove H. D.), J. Soc. Glass Technol., 1956, 40, № 195, T363—T375 (англ.)

Обсуждаются физ. и хим. основы обогащения стекольных песков механич. способами и типовая аппаратура, применяемая для удаления определенных групп примесей. Особенно обстоятельно рассмотрены теоретич. основы флотации и р-ции, происходящие при хим. обработке песков. Описывается принятая на английской обогатительной ф-ке схема обогащения, где применена пенная флотация для обогащения кварцевых песков. В 1951 г. здесь дополнительно организована процесс хим. обработки песка р-ром плавиковой к-ты в присутствии гипосульфита. Таким способом перерабатывается 1 млн. т песка в год. Указаны продолжительность хим. обработки, pH среды на различных стадиях, способы защиты аппаратуры от истирающего действия песка и от коррозии. Очищ. песок после промывки, флотации и хим. обработки содержит 0,025—0,030% Fe_2O_3 и 0,0002—0,0005% $5\text{Cr}_2\text{O}_3$. Остаточная влажность песка при погрузке в вагоны составляет $\sim 8\%$. Дан краткий перечень предприятий и схем обогащения песка в некоторых странах Европы и США.

Э. Житомирская
22163. Влияние физических свойств материалов шихты на процесс стекловарения и качество стекла. Пул (Influence of physical characteristics of batch materials on glass melting processes and quality. Poole James P.), Glass Ind., 1957, 38, № 4, 193—195, 226 (англ.)

Цель исследования — показать, насколько физ.-хим. свойства стекольного сырья отражаются на качестве стекла (С). Колебания в содержании главных окислов в сырье не должны превышать $\pm 0,3$ — $0,5\%$. Гранулометрич. состав отрегулировать сложнее; поэтому в песке обычно ограничиваются только удалением наиболее крупных и наиболее мелких фракций. Для смешивания и расслаивания шихты большое значение имеет увлажнение шихты до 4—5%. Отклонения в содержании щелочей в пробах стекломассы могут составлять $\pm 0,5\%$ $\pm 0,2\%$ или меньше в зависимости от характера смешивательной аппаратуры. Увлажнение и в этом случае оказывает также положительное влияние на провар С. Вредное влияние на срок службы ванной печи оказывают мелкие фракции; унос пылевидных частиц разрушает насадки регенератора, верхнее строение печей и т. п. Проведенные анализы брусков, разведенных продуктами уноса, показывают, что состав продуктов разведения можно предсказать на основании содержания мелких фракций в отдельных материалах. Это подтверждено расчетными и фактич. данными.

Э. Житомирская
22164. Растворимость кварца в полевошпатовых расплавах и показатели преломления образующихся

стекол. Хамано (長石熔融物中への石英の溶解量とその生成ガラスの屈折率. 浜野健也), 窯業協会誌, Ege kôkaiji, J. Ceram. Assoc., Japan, 1956, 64, № 731, 236—246 (японск.; рез. англ.)

Проведено микроскопич. исследование растворимости кварца в полевошпатовых расплавах (ПР). Установлено, что альбит не превращается в иную форму вплоть до т-ры плавления, которая обычно $> 1150^\circ$. Кол-во растворенного кварца в расплаве растет с повышением т-ры и длительности выдержки; так, при 1300° и выдержке 3 часа растворяются 25—33% SiO_2 ; при 1400° и выдержке 3 часа 60—100% SiO_2 от веса ПР. Скорость растворения кварцевых зерен в расплаве ортоклаза выше, чем в расплаве альбита, однако общее кол-во растворенного в ПР кварца примерно одинаково. Показатели преломления образующихся стекол для этих двух расплавов отличаются незначительно; значение их уменьшается при росте кол-ва растворенного в расплаве кварца (с 1,488 до $\sim 1,493$).

Н. Синельников
22165. Вязкость высокоглиноземистых шлаков. Михайлов В. В., Братчиков С. Г., Тр. Уральского политехн. ин-та, 1957, сб. 67, 108—113

При т-ре 1600° вязкость высокоглиноземистых шлаков (ВШ), содержащих до 42% CaO и ниже 8% SiO_2 , не превышает 6 пуаз, а при т-ре 1500° — 10 пуаз. Возможна выплавка в доменной печи ВШ, подходящих по хим. составу для цементной и алюминиевой пром-сти, т. е. шлаков, содержащих (в %): CaO 40—42, $\text{SiO}_2 < 8$.

И. Михайлова
22166. Исследование химического состава и устойчивости поверхности стекла. Ягич (Undersökning av glasytors kemiska sammansättning och resistens. Jagitsch Robert), Glastekn. tidskr., 1956, 11, № 5, 127—136 (шведск.; рез. нем.)

Изучались выщелачиваемость и разведение полых изделий из стекла (С) состава (в %): SiO_2 74,6, R_2O_5 16, CaO 7,9, Na_2O 15,2 (в том числе K_2O 0,3), путем сплошного травления их рабочей поверхности плавиковой к-той (на общую глубину 300 А) и хим. анализа каждого слоя. Рассматривается разведение поверхности С различными реагентами — водой, слабощел. р-рами и р-рами солей при повышенной т-ре, а также возможность повышения устойчивости изделий при обработке поверхности С газами кислого состава и повторным нагревом выщелоченной поверхности. Установлено, что содержание отдельных окислов (Na_2O , CaO , Al_2O_3) различно в отдельных слоях С, считая от рабочей поверхности на глубину 30 000 А. При обработке поверхности С водой при высокой т-ре одновременно с выщелачиванием происходит разведение, однако на поверхности С частично задерживаются CaO и Al_2O_3 , что приводит к повышению ее устойчивости. Сильное разведение С слабощел. солями лимонной к-ты связано со способностью последних растворять CaO , что приводит к обогащению поверхности щелочами. Полученные результаты могут быть отнесены не только к полному С, но и к листовому, стекловолокну и др.

А. Полинковская
22167. Повышение химической устойчивости медицинских стеклянных изделий. Климова Н. А., Бриль И. Л., Мед. пром-сть СССР, 1957, № 7, 37—41
Описан термохим. метод повышения хим. устойчивости медицинских изделий из малостойких стекол марки МТ и АБ-1 путем обработки рабочей поверхности при нагреве до 350, 450 и 550° сульфатами, фосфатами, хлоридами, нитратами, щавелевокислым и винноокислым аммонием и другими солями. Объекты исследования — рецептурные склянки емк. 30 мл. В склянки, установленные в электропечи, после достижения намеченной т-ры вводили брикеты солей (весом 0,15; 0,30 и 0,45 г) и нагревали 10—120 мин.

После обработки определяли хим. устойчивость изделия (2 час. кипячением в нем дистил. воды с pH 5,2—5,3 и последующим определением pH или титрованием). Установлено, что описанный метод обеспечивает повышение хим. устойчивости, особенно значительное для стекла МТ. Наилучшие результаты получены при применении $Al_2(SO_4)_3$, $(NH_4)_2SO_4$, Fe_2SO_4 , $Fe_2(SO_4)_3$, NH_4Cl и железо-алюмо-аммиачных квасцов. Метод термич. обработки прост и может быть совмещен с процессом отжига изделий. Хим. устойчивость обработанных изделий при длительном хранении с водой не изменяется. Устойчивость склянок из стекла МТ после обработки приближается к устойчивости высокостойких борных стекол НС-1. А. Полинковская 22168. Влияние гранулометрического состава пегматита на качество стекла. Вадова М. В., Левченко М. И., Стекло и керамика, 1957, № 9, 25

Ввод вместо глины в шихту стекольного завода Дзержинского молотого пегматита Кондопожского з-да с величиной зерна $< 0,75$ мм позволил увеличить содержание B_2O_3 в стекле с 0,5 до 1,5%, несколько повысить объемы стекломассы, а также облегчил процесс варки. Опытные варки и наблюдение за работой ванной печи показали, что при более тонком помоле пегматита (величина зерна $< 0,54$ мм) уменьшается кол-во шпиров и свили на ленте стекла и улучшается его качество. А. Полинковская

22169. Контроль качества в стекольной промышленности. Казен (Quality control in the glass industry. Cousen A.), Centr. Glass and Ceram. Res. Inst. Bull., 1956, 3, № 4, 174—181 (англ.)

Для обработки данных контрольных испытаний предлагается применять методы математич. статистики. Приводятся полученные таким путем результаты испытания прочности изделий на разрыв (с приложением давления изнутри) и их термостойкости. Результаты представлены в виде кривых распределения кол-ва не выдержавших испытания изделий в зависимости от давления и перепада т-ры. Предложенный метод позволяет определить оптимальное давление и допустимый перепад т-ры. А. Полинковская

22170. Нагрев стекла. Бартенев Г. М., Горшкова З. С., Стекло. Информ. бюлл. Ин-та стекла, 1957, № 2, (96), 24—31

Проведено исследование по разработке метода расчета нагрева плоского стекла для частного случая, когда задана т-ра печи, в которую загружается образец (режим закалки). Исследовался интервал т-р от 400 до 660° на двохенных образцах стекла общей толщиной 6—50 мм, помещенных в электропечь. Результаты испытаний установили области применения «а_{ср}» при расчетах нагрева стекла в зависимости от т-ры и толщины его и определили значения коэф. теплоотдачи для всех практически интересных случаев. Библ. 5 назв. М. Степаненко

22171. О разогреве стекла тепловым излучением. Жукова А. Ф., Тр. Н.-и. ин-та. М-во радиотехн. пром-сти СССР, 1957, вып. 7, (43), 131—146

Даны результаты расчета и эксперим. исследований по разогреву стекла (С) тепловым излучением. Приведен приближенный расчет времени разогрева С тепловым излучением от реального источника, в соответствии с которым такой разогрев требует меньше времени, нежели при нормально падающем тепловом потоке. Математич. анализ разогрева С тепловым потоком монохроматич. излучения позволил определить распределение т-ры и напряжений по толщине пластины. Проверен приближенный расчет скорости одностороннего разогрева С тепловым излучением от реального источника некоторых образцов С. Доказана возможность разогрева С тепловым излучением при со-

блюдении определенных условий с любой сколь угодно большой скоростью без его разрушения. М. С.

22172. Автоматика на печах периодического действия для отжига стеклонизделий. Слюсаревский П. П., Материалы по обмену опытом и научн. достиж. в мед. пром-сти, 1957, № 1 (20), 90—92

Для предотвращения порчи стеклонизделий от пережога на Полтавском стекольном з-де изготовлен и установлен автоматич. отключатель печей при любой заданной т-ре в пределах от 100 до 800°.

Г. Людмирский

22173. Актуальные проблемы горшковых печей.

И. Дуба (Aktuální otázky pánvových pecí. I. Duba Josef), Sklář a keramik, 1957, 7, № 4, 106—108 (чешск.)

Исследуются причины, которые влияют на интенсивность износа и срок функционирования печи: качество огнеупоров и строительных работ, характер технологич. процесса и пригодность конструкции печи, эксплуатация, обслуживание, контроль и уход за печью. Основным недостатком печи является усадка подовых плит и появление между ними трещин. Испытания показали, что усадка плит зависит от качества применяемого материала. Типы подовых плит должны выбираться с учетом т-ры осветления стекломассы. Указывается на необходимость соблюдения сроков планово-предупредительных и капитальных ремонтов печи и на роль технич. контроля в период реконструкции печи. Предыдущее сообщение см. РЖХим, 1957, 64126.

О. Брыкин

22174. О высоте пламенного пространства стекловаренных печей. Захариков Н. А., Мазаева О. Д., Стекло и керамика, 1957, № 9, 6—12

Приводятся результаты исследования теплообмена на эксперим. установке, отапливаемой газом, с подымным плоским сводом и калориметрами на поду. В печах с не лимитированной т-рой кладки и высокой т-рой тепловоспринимающей поверхности (напр., стекловаренные ваннные печи) понижение высоты свода всегда увеличивает теплопередачу и повышает экономичность их работы. В высокотемпературных печах с лимитированной т-рой кладки (напр. в мартеновских) присутствие слоя охлажд. газов над факелом или некоторое увеличение высоты свода может иметь положительное значение. Однако в существующих конструкциях стекловаренных ваннных печей преимуществе высоких сводов не используются, так как они не приспособлены к сжиганию большого кол-ва топлива и горелки не обеспечивают жесткого настильного факела. Даются рекомендации по получению высокопроизводительной ванной печи для варки стекла. М. Степаненко

22175. Исследования пламени. Методы и результаты. Гюнтер (Untersuchungen an Flammen — Verfahren und Ergebnisse. Günther Rudolf), Glastechn. Ber., 1956, 29, № 11, 417—426 (нем.; рец. англ., франц.)

Обзор исследований процессов движения газовых потоков в пламени сименс-мартеновской печи, а также в стекловаренных печах, на основании работ, сделанных в Германии, Англии, Японии и России. Библ. 44 назв. В. Кречмар

22176. К вопросу газификации торфобрикетов на стекольных заводах. Филиппов Н. В., Полинковская В. Л., Стекло. Информ. бюлл. Ин-та стекла, 1957, № 1 (96), 32—34

Рассматривается экономич. целесообразность частичной замены кускового торфа торфяными брикетами. Доказывается технико-экономич. эффективность на примере строительства мощной торфобрикетной ф-ки на 80—100 тыс. т брикетов в год на одном из торфяных массивов для обслуживания нескольких

крупных и мелких стекольных заводов района; стоимость ф-ки окупается в течение 4—5 лет. М. Степаненко

22177. Сравнительные эксперименты по сжиганию топлива в стекловаренных печах. Джэк, Ричардсон (Fuel trials of two glass melting furnaces. Jack H. R. S., Richardson D. A.), J. Inst. Fuel, 1957, 30, № 195, 173—187, 232. Discuss., 188—192 (англ.)

Измерения проводились на двух больших ваннах печей (П) аналогичной конструкции, отапливаемых генераторным газом и служащих для выработки листового стекла; при этом одна П испытывалась в середине кампании, а другая — перед капитальным ремонтом. Цель измерения заключалась в определении пола и распределении тепла в отдельных частях

опытной установки и установлении уд. расхода топлива. П работали в условиях нормального производственного режима и с постоянной выработкой. Испытание проводилось в течение трех периодов продолжительностью две недели каждый. Описывается схема

опытной установки с обозначением мест измерения и ввятия проб. Приводятся таблицы для газогенератора и П с подробным указанием контролируемых показателей и способов измерения. Предлагаются диаграммы теплового баланса опытной установки. Рассматриваются причины погрешностей в материальном балансе. Исследование газа, прошедшего через регенераторы, обнаружило присутствие свободного углерода в дымоходах горелок. Библ. 25 назв. В. Роговцев

22178. Влияние различных шамотных масс на физические свойства горшков для оптических стекол. Часть IV. Изучение горшков, применяемых для варки оптического стекла. Оно (シヤモット種類差の光学ガラス坩堝素地の物理的諸性質に及ぼす影響. 光学ガラス坩堝用坩堝に關する研究. 第4報. 大野正夫). 窯業協會誌, 1957, 65, № 737, 104—122 (японск.; рез. англ.)

Изучались свойства материала для стекловаренных горшков, который приготавливался из 40 ч. связующих, состоявших из равных кол-в различных глин и каолина, и 60 ч. различных шамотных (Ш) масс. Получены следующие результаты: 1. При т-ре обжига шамота добавленный Al_2O_3 слабо спекался с каолином, добавленный кварцит способствовал спеканию только при

высокой т-ре, но заметное спекание имеет место при низкой т-ре в смеси шамота и полевого шпата (ПШ). 2. Кол-во H_2O (I), необходимой для сообщения текучести шликеру, возрастает линейно с абсорбцией I Ш. Кол-во I во время усадки при сушке этих шликеров остается почти постоянным независимо от сорта Ш и т-ры обжига. 3. Установлена гиперболич. зависимость между объемным весом высушенных и обожженных Ш. 4. Ш, приготовленный из каолина с 5% кварцита и ПШ, смешанный со связующим материалом и обожженный при высокой т-ре, давал более плотный черепок, чем с 10% ПШ. Черепок получался более плотным, когда для приготовления Ш или связующего

взяли смесь из 4 видов глины, или чем в случае, когда Ш готовили только из одной глины. 5. Устойчивость к растрескиванию определялась при двух т-рах, соответствовавших нагрузке шихты в горшок и выемке горшков со стекла из печи. Добавление ПШ к сырой глине для приготовления Ш уменьшает устойчивость к растрескиванию, в то время как добавка глинозема или кварцита несколько повышает это свойство. 6. Устойчивость к растрескиванию зависит от физ. свойств зерен Ш. 7. Горшковый бой, многократно применявшийся в даве Ш после быстрого или медленного охлаждения, не давал более плотных черепков, чем Ш, приготовленные из одной глины. Различия в характере охлаждения горшка не отражались на качестве полученных черепков. 8. Плотные, но устойчивые к растрескиванию черепки могут быть

легко получены путем выбора соответствующего Ш. Часть III см. РЖХим, 1957, 75074. И. Михайлова

22179. Смачивание, электрический потенциал и разделение в системах огнеупор — стекломасса. Понг (Bevochtiging, elektrische potentiaal en aantasting bij systemen gevormd door vloeibaar glas en vuurvast materiaal. Jong J. de), Chem. weekbl., 1957, 53, № 39, 517—524 (гол.; рез. англ.)

Исследование разделения огнеупоров типа $SiO_2 - Al_2O_3$ стеклами состава (вес.%): I — SiO_2 69,5, CaO 7,8, Al_2O_3 4,2, B_2O_3 1,4, $Na_2O + K_2O$ 16,1 и II — B_2O_3 36, Al_2O_3 27, BaO 27, MgO 10, показало отсутствие зависимости степени разделения от краевого угла и электрич. потенциала на границе стекломасса — огнеупор. С увеличением содержания Al_2O_3 в огнеупоре разделение уменьшается. Пористость увеличивает степень разделения, которое было наименьшим у плотно спекшегося огнеупора. К. Герцфельд

22180. О приэлектродном слое стекла в стекловаренных электрических печах. Манвелян М. Г., Мелик-Ахназарян А. Ф., Костанян К. А., Налчаджян С. О., Изв. АН АрмССР. Сер. техн. н., 1957, 10, № 4, 53—60 (рез. арм.)

Для проверки существования в стекломассе около охлаждаемых электродов (Э) «гарниссажа» — холодной пленки стекла (в которой наблюдается падение напряжения до 30%) проводились опыты в двух полупромышленных печах электроварки стекла Химического ин-та АрмССР. Размеры Э $600 \times 400 \times 200$ мм, сила тока ≈ 600 а, охлаждение воздушное, т-ра наружной стороны $\approx 860^\circ$, т-ра стекломассы на расстоянии от рабочей поверхности Э 1—2 см 1210° , 10 см 1270° .

Потери тепла через охлаждающий воздух и излучение 7800 ккал/час. Падение напряжения в приэлектродном слое изучалось с помощью спец. сконструированного прибора. Проверка показала отсутствие «гарниссажа». Конц-ия Fe_2O_3 одинакова в основной массе стекломассы и в слоях стекла около Э, что также подтверждает отсутствие «гарниссажа». Авторы считают нецелесообразным для уменьшения коррозии стекломассой применять усиленное охлаждение Э, вызывающее большие потери тепла. Рекомендуются применять для Э жароупорные и химически стойкие по отношению к стекломассе материалы. А. Полинковская

22181. О влиянии состава и температуры стекломассы на процесс формирования изделий, вырабатываемых автоматом ВС-24. Кутуков С. С., Научно-исслед. тр. Всес. н.-и. ин-та стекл. волокна, 1957, сб. 5, 77—88

Изучались скорости твердения и кристаллизации 2 типичных составов стекол для формирования стаканов (составы приведены). Определялись кол-во и характер брака при формировании. Выявлено, что при снижении процента MgO скорость твердения уменьшается и качество изделий повышается (понижается процент брака из-за разнотолщинности и неравномерности заливки дна). Уменьшение содержания MgO ниже 1,6—1,8%, однако, нецелесообразно, так как при этом возрастает скорость кристаллизации стекломассы (С) и ухудшаются ее формовочные свойства. Исследование показало, что при снижении т-ры поверхностного слоя С в боте (на глубине 5 мм), составляющей обычно $1060 - 1070^\circ$ на 10° и $20 - 25^\circ$, значительно повышается кол-во недодутых изделий, брак из-за разнотолщинности и плохо сформованного ранта и др. Отрицательно сказывается на процессе формирования неравномерное распределение т-ры на поверхности С. Тепловое равновесие (при прочих нормальных условиях) устанавливается примерно через 15—20 мин. после пуска машины. А. Полинковская

теплообмен газом, с полуметрами ш

ой кладки и поверхности

онжение и передачу и по

скокотемпературы

ладки (напр. газ, на

оты свода можно в случае

важных и используются, или больше

ают жесткую и по получе

ни для вари

М. Степаненко

и результаты

men — Verfab

f), Glastechn

англ., франц.

ения газовой

печи, а так

и работ, пре

и в России

В. Кречин

обрикетов и

В., Позн

кла, 1957, № 1

Бразность ч

тыми брикет

эффективнос

робринетной

на одном ш

и несколько

21 Химия, № 7

22182. Обесцвечивание стекла. Скорняков М. М. Научно-исслед. тр. Всес. н.-и. ин-та стекл. волокна, 1957, сб. 5, 64—77

Изучено влияние NaNO_3 , As_2O_3 , Sb_2O_3 и др. хим. обесцвечивателей, а также содержания B_2O_3 и Al_2O_3 на светопоглощение (СП) и цветной оттенок (ЦО) стекла состава (в вес. %): SiO_2 74,0, CaO 8,5, Na_2O 16,5 и K_2O 1,0. Установлено, что с увеличением кол-ва NaNO_3 в шихте (0—16,5%) СП и ЦО стекла уменьшаются; добавка 0,1% As_2O_3 и 0,1% Sb_2O_3 еще более их снижает. Дальнейшее повышение кол-ва As_2O_3 и Sb_2O_3 при содержании в стекле $\sim 0,05\%$ Fe_2O_3 не улучшает обесцвечивания. Добавка кремнефтористого Na и замена SiO_2 на B_2O_3 и Al_2O_3 (в кол-ве 1,2 и 3%) при содержании в шихте 5,5% NaNO_3 , 0,1% As_2O_3 и 0,5% Sb_2O_3 также не изменяют СП и ЦО. Предполагается, что с увеличением процента NaNO_3 в шихте уменьшается кол-во FeO и Fe_2O_3 и увеличивается Fe_2O_3 и Fe_3O_4 за счет уменьшения FeO . Оптимальным составом обесцвечивателя является (в вес. %): NaNO_3 1, As_2O_3 0,1, Sb_2O_3 0,3 и марганцевокислого K 0,05. Этот состав обесцвечивает (при содержании в стекле 0,05% Fe_2O_3 и 0,0005% Cr_2O_3) СП $\sim 2\%$ на 1 см и очень слабый зеленоватый ЦО (при толщине стекла 10 см); процесс варки ускоряется на 2—3 часа.

22183. Смачивающая способность стекла и прочность спаев стекло—металл. Вейсс (Benetzungseigenschaften und mechanische Festigkeit bei Glas-Metall—Verschmelzungen. Weiss Werner), Glastechn. Ber., 1956, 29, № 10, 386—392 (нем.; рез. англ., франц.)

Исследовалось смачивание платины, молибдена и вольфрама стеклами различного состава в окислительной и восстановительной атмосфере при 1300°, а также зависимость прочности сцепления стекла (С) и платины от угла смачивания и поверхностного натяжения С. Смачиваемость определялась в электрич. трубчатой платиновой печи под вакуумом. Стеклый шарик диам. 2,5—3,0 мм помещали на металлич. пластинку $1,0 \times 1,0$ см, и его растекание наблюдалось путем проектирования на экран; установлено, что угол смачивания оставался постоянным после выдержки 0,5—10 час. Точность определения угла смачивания $\pm 3^\circ$. Металлич. пластинки тщательно очищали перед опытом. Состав исходного С (в мол. %): $\text{SiO}_2 + \text{Na}_2\text{O}$ 80; B_2O_3 18; Al_2O_3 2. В дальнейшем SiO_2 замещался на K_2O , Li_2O , MgO , CaO , BaO , Al_2O_3 . Опыты показали, что R_2O и RO улучшают смачиваемость С всех трех металлов; R_2O_3 при содержании до 20 мол. % ухудшает смачиваемость, при большем кол-ве его — смачиваемость снова улучшается. Смачивание происходит лучше в окислительной атмосфере. Между смачивающей способностью и поверхностным натяжением С не наблюдается зависимости. Сцепление между С и платиной (в окислительной атмосфере) тем прочнее, чем меньше угол смачивания и чем выше поверхностное натяжение С.

22184. Развитие производства и применение стекланных волокон. Дейвиз (The development and use of glass fibres. Davies A. Hudson), J. Roy. Soc. Arts, 1957, 105, № 5002, 437—455 (англ.) См. РЖХим, 1957, 58213.

22185. К идентификации минеральных волокон. Бобет, Мюллер (Zur Identifizierung anorganischer Faserstoffe. Bobeth Wolfgang, Müller Ulrich), Faserforsch. und Textiltechnik, 1956, 7, № 11, 497—504 (нем.; рез. англ., русск.)

Минеральные волокна с помощью микрофотографии, двойного лучепреломления, показателя прелом-

ления и явлений люминесценции идентифицируются большей частью в неудовлетворительной степени. С помощью микроскоп. методов с применением H_2SO_4 и HF в различных конц-ях удается определить минер. волокна столь полно и быстро, что возможно разработать таблицу для определения всех видов минер. волокон.

22186. Завод Фибривер.— (Visite à l'usine Fibriver.—), France-indus, 1956, 3, № 17, 35—37, 39 (франц.)

Во Франции производится более 35 марок стеклнного волокна. Описывается организация произ-ва этого волокна и стеклянных шариков, применяемых в качестве сырья на других з-дах стекловолокна. Хорошее качество продукта обеспечивается точной дозировкой компонентов и высокой степенью автоматизации произ-ва.

22187. Использование окиси алюминия для получения искусственных драгоценных камней. Процесс термического разложения аммиачных квасцов. Окада, Куваима (人造宝石原料アルミナの研究. ミヨウバンの熱分解過程. 岡田辰三, 桑島謙臣), 工業化學雜誌, Korô Kagaku Zasshi, 1956, 59, № 11, 1301—1304 (японск.)

22188. Поверхностное натяжение легкоплавких глазури. Кукуре (Stiklu un glazuru virsmas spraugums. I. Pētījumi par stiklu virsmas spraugumu. Kukuris O.), LatvPSR Zinātņu Akad. vēstis, Изв. АН ЛатвССР, 1957, № 8, 143—159 (лат.; рез. русск.)

Коэф. поверхностного натяжения σ Ph, B, бессвинцовых и безборных глазури в интервале т-р 900—1100° больше, чем у обычных стекол и имеет отрицательный знак. Fe_2O_3 увеличивает σ расплавленных фритт (связь между кол-вом Fe_2O_3 и σ непропорциональна). При введении окиси Mn дополнительно к составу фритты X-278 σ последней не меняется. Уменьшение σ наблюдается при эквимольном замещении Na_2O на MnO ; σ увеличивается пропорционально кол-ву SiO_2 в глазури. В интервале т-р 950—1100° σ глазури понижается пропорционально кол-ву PhO. В присутствии TiO_2 σ прозрачных глазури снижается. В присутствии Cr_2O_3 σ глазури повышается при т-ре ниже 1000°; при более высоких т-рах σ уменьшается, σ многокомпонентных бессвинцовых и безборных глазури в интервале т-р 1000—1150° выше, чем у обычных стекол; σ расплавленных глазури не зависит от продолжительности помола фритт. Библи. 37 назв.

22189. Возможность использования остатков жидкого золота. Бирбрауэр (Verwendungsmöglichkeiten für Glanzgold-Reste. Bierbrauer Gebhard), Keram. Z., 1957, 9, № 9, 497—498 (нем.)

Высохшие остатки жидкого золота во флаконе, на пробке и расправочном стекле могут быть эффективно использованы. При растворении их в скинидаре до соответствующей консистенции и последующем пропитывании ангоба после обжига можно получать разной силы пурпуровые окраски. Можно также пропитывать им утильный черепок и получать затем подглазурные розово-пурпуровые окраски. Золотые остатки можно использовать для получения пурпуровых и красно-коричневых майоликовых красок, а также люстров.

22190. Золочение средневековых глазурованных изделий строительной керамики в Венгрии. Дума (Középkori mázas építékerámiák aranyozása Magyarországon. Duma György), Építőanyag, 1957, 9, № 4, 204—211 (венг.)

22191. Анализ или синтез? Йохман (Analyse oder Synthese? Jochmann Fritz), Sprechsaal Keramik, Glas, Email, 1957, 90, № 17, 416—417 (нем.)

Автор обращает внимание на то обстоятельство, что при изготовлении эмалей из сырых материалов имеет место разница между анализом и синтезом. Хим. поведение в сплавах фторсодержащих материалов, как, напр., криолита и кремнефтористого натра, не отвечает их ф-ле. $3\text{NaF} \cdot \text{AlF}_3$ распадается на NaF и AlF_3 , последний же переходит в Al_2O_3 , а освобождающийся F_2 связывается с Na или Ca , вызывая тем самым сильное глушение эмали. См. также РЖХим, 1957, 31521. С. Туманов

22192. Сцепление эмали и изменения структуры серого чугуна. Хаутман (Emailhaftung und Gefügeumwandlungsverhalten von Grauguß. Hauttmann A.), Mitt. Vereins Dtsch. Emailfachleute, 1957, 5, № 8, 63—71 (нем.)

Прочность сцепления эмали с чугуном определяется на разрывной машине по величине нагрузки, необходимой для отрыва друг от друга образцов Т-образной формы после совместного обжига при данной т-ре. Определялось влияние т-ры, состава и способа подготовки чугуна, условий хранения и др. Результаты представлены в форме кривых, характеризующих наиболее вероятные величины сцепления. Величина сцепления в зависимости от условий составляет от 0 до 120 кг/см^2 . Чугун с содержанием $\text{Si} \sim 2,2\%$ дает наименьшие величины прочност. и сцепления, с увеличением содержания Si прочность сцепления возрастает. Благоприятно влияет упрочнение чугуна. Положительно сказываются добавки в грунт окиси кобальта 0,05—0,10%. М. Серебрякова

22193 К. Научное исследование в стекольной промышленности. (Сб. н.-и. работ в стекольной пром-сти). (Věda a výzkum v průmyslu sklářském. Sb. výzkum. prací v prům. sklářském. R. 2.—1956. Praha, SNTL, 1957, 104 s., il., 12,40 Kčs) (чешск.; русск., нем.)

22194 П. Термический способ обработки стеклянных изделий (Procédé pour le traitement thermique des objets en verre) [Soc. An. des Manufactures des Glaces et Produits chimiques de Saint-Gobain, Chauny et Cirey]. Франц. пат. 1117631, 24.05.56

Предлагается способ термич. обработки всего стеклянного изделия или его части при различных температурных режимах и рассматривается возможность регулирования термич. обработки (Т). Нанесением покрытия на изделие создается возможность влияния на условия теплообмена его поверхности с внешней средой, а после проведения Т с изделия снимают покрытие. Различная степень закалки изделия достигается выбором материала для покрытия, которое должно быть одновременно проводником и отражателем. Это достигается смещением в определенных пропорциях отражающих и поглощающих в-в. Такие покрытия наносятся различными способами: кисточкой, пистолетом-распылителем и др. Применяемые в-ва не должны реагировать со стеклом при Т и должны легко сниматься после окончания операции. Для этой цели можно применять сажу, тальк, кизельгур, слюдяную крошку, металлич. порошок и т. п. С. Иофе

22195 П. Стекло, пропускающее ультрафиолетовые лучи. Цуцун (紫外線透過硝子. 筒井康夫) [松下電子工業株式会社, Мацусита Дэнси Когё Кабусики Кайся]. Японск. пат. 7223, 10.10.55

Для этой цели применяются стекла, содержащие (в %): SiO_2 61—67, Al_2O_3 1—3, B_2O_3 5—8, окислы двухвалентных металлов 5—13 (напр., Ba , Ca , Mg), окислы щел. металлов 16—20. Плавка производится в обычных стеклоплавильных печах или в спец. тиглях. Примерный сост. в (в %): SiO_2 64, Al_2O_3 2, B_2O_3 8, CaO 8, K_2O 12 и Na_2O 6. Из этого стекла изготавливаются

ртутные лампы; оно пропускает УФ-лучи длиной 2537 А. В. Зломанов

22196 П. Приспособление и способ шлифовки линзовых заготовок. Сейферт (Overlay for and method of grinding lens blanks. Seifert William C.) [Donald W.]. Пат. США 2752738, 03.07.56

Описывается приспособление для шлифовки стеклянных линз, состоящее из спец. держателя и шаблона, между которыми закрепляется стеклянная заготовка; в зазоры между обрабатываемой заготовкой и деталями приспособления вносятся абразивный материал. А. Леонов

22197 П. Улучшение качества электропроводящих материалов. Лайтл (導電性物品の良. ウィリアム, オーランド. ライトル) [Питтсбург, Плейт, Глас, Компани, Pittsburgh Plate Glass Co.]. Японск. пат. 4937, 18.07.55

На прозрачное стекло или какой-либо жароупорный материал наносят покрытие из какого-нибудь прозрачного электропроводящего материала. Берут р-р, состоящий из (в вес. ч.) 100 $\text{SnCl}_4 \cdot 5\text{H}_2\text{O}$, воды 10, солянокислого фенилгидразина 2,5. 0,5 мл этого р-ра наносят на стеклянную пластинку размером $15 \times 15 \text{ см}$ и толщиной 2 мм, предварительно нагреваемую в электропечи 2,25 мин. при 615° . После того как вся площадь стеклянной пластинки покрыта ровным слоем р-ра, ее охлаждают, промывают водой и полируют. Помимо солянокислого фенилгидразина могут быть использованы и другие р-рители для SnCl_4 , как напр. метанол, этанол, *n*-пропанол, изопропанол, изобутанол, изоамиловый спирт, циклогексанол, дипентен, карбитолацетат, целлозальв, ацетат, бутилкарбитол и др. М. Гусев

22198 П. Получение стекла для стеклянных электродов, применяемых для измерения pH растворов. Суга (水素イオン濃度測定用硝子電極の硝子の製造法. 須賀長市). Японск. пат. 6681, 20.09.55

Для этой цели получают стекло хим. состава (в %): SiO_2 67,7, Li_2O 14,5, BaO 17,8. Электрич. сопротивление такого стекла (при 25°) $130 \cdot 10^6 \text{ ом}$, э. д. с. 60,0 мВ рН (при 30°). Хим. состав стекла может колебаться в пределах (в %): SiO_2 66—68, Li_2O 15—18, BaO 14—19. Такое стекло обладает высокой механич. прочностью и хим. устойчивостью. Электроды из этого стекла могут применяться для измерения рН высокощелочных р-ров в пределах 10—14 с точностью $\pm 0,02$.

В. Зломанов
22199 П. Способ и приспособление для проплавления отверстий в стекле, кварце и колбах для электрических ламп (Sätt och anordning att åstadkomma hål i föremål av glas eller kvarts, jämte hölje för elektriska lampor med sådant hål) [K. W. H. Heider]. Швед. пат. 156153, 18.09.56

Способ проплавания отверстий в стеклянных или кварцевых изделиях отличается тем, что отверстия проплавляют вращающейся раскаленной иглой из тугоплавкого металлич. сплава, напр. W-сплава, причем острие иглы прижимают к стеклу, пока стекло не размягчится и игла не пройдет через размягченное стекло. Впаивание прозодников в колбы для электрич. ламп производят через отверстия, сделанные описанным способом. К. Герпфельд

22200 П. Боросиликатное стекло для электронных и электрических ламп. Абэ (管球用珪硼酸ガラス. 安部俊夫) 東芝電機株式会社, Токё сибатура дэнки кабусики кайся]. Японск. пат. 641, 4.02.54

Предлагается в составе боросиликатного стекла для электронных и электрич. ламп в обычном боросиликатном стекле, содержащем 4—6% окислов щел. металлов, 5,5—7,5% PbO и $\text{Al}_2\text{O}_3 > 1\%$, уменьшить содержание Al_2O_3 до 0,8—0,2%. Уменьшение кол-ва Al_2O_3 до указанных выше пределов снижает коэф. ли-

нейного расширения с 41×10^{-7} — 39×10^{-7} (у обычных боросиликатных стекол) до 35×10^{-7} и т-ру трансформации до $440-455^\circ$, повышает т-ру размягчения до $640-650^\circ$ и значительно снижает брак стекла, имеющий место при произ-ве ламп в результате образования закалочных трещин. В. Зломанов

22201 П. Способ нанесения рельефных рисунков на поверхность стекла (Procédé pour produire un dessin en saillie sur une surface vitreuse) [Graphire Corp.]. Франц. пат. 1118417, 6.06.56

Способ нанесения рельефного рисунка на поверхность стекла (С) осуществляется с помощью пистолета, разбрызгивающего пасту из керамич. плавня с летучим связующим. Плавень нагревается до т-ры ниже точки размягчения С. В состав пасты входит драгоценный металл, напр. колл. Au. После термич. обработки и удаления летучей связки Au остается на поверхности С в виде рельефного рисунка. Ст. Иофе

22202 П. Способ соединения двух листов стекла с образованием между ними герметической полости (Procédé pour accoupler deux feuilles de verre en ménageant entre elles un espace creux) [Pirelli (Società per Azioni)]. Франц. пат. 1109037, 20.01.56

Патентуется способ получения герметически закрытого пространства между двумя параллельными листами стекла, состоящий в том, что по всему периметру стеклянного листа накладывается лента, состоящая из двух слоев: каучука с добавками смолы, обладающего сильной адгезией к стеклу, и обычного каучука. Для более прочного соединения необходимо применять подогрев и давление, что осуществляется посредством горячей жидкости, оказывающей равномерное давление на собираемую систему. Ст. Иофе

22203 П. Способ и аппаратура для изготовления изделий из стекла и подобных ему материалов с нанесением на них покрытия (Procédé et machine pour la fabrication de pièces en verre et matériaux similaires pourvus d'un revêtement) [Soc. des Cristalleries et Verreries Réunies de Choisy-le-Roi]. Франц. пат. 1117647, 24.05.56

Патентуется способ изготовления труб или других изделий из стекла или аналогичного материала с непрерывным нанесением покрытия на внутреннюю поверхность трубы по мере ее изготовления. При этом используют высокую т-ру, необходимую для формования изделия и расплавления материала для покрытия. На горячую поверхность трубы направляется струя воздуха и материал покрытия под давлением 2 кг/см^2 (частицы диам. $0,34-0,12 \text{ мк}$). Аппаратура включает приспособления для формования стеклянной трубы и для нанесения покрытия в расплавленном состоянии. В формующем приспособлении имеется вращающаяся оправка, через которую подается сжатый воздух. Ст. Иофе

22204 П. Предварительная обработка стеклянного волокна. Вата (ガラス繊維の後処理法. 和田三郎) [日本ファイティングダクトル株式会社, Нихон файсингу дактуру кабусики кайся]. Японск. пат. 7943, 29.10.55

Для повышения адгезии стеклянного волокна к смоле и увеличения его прочности вначале обрабатывают его р-ром CrO_3 или р-рами солей хромовой к-ты. Для этого к разб. р-ру CrO_3 или к р-рам солей хромовой к-ты добавляют разб. р-р неорганич. к-ты (напр., H_2SO_4 или фосфорной) или какой-либо органич. к-ты (напр., щавелевой). В полученный р-р погружают стеклянное волокно или стеклоткань из щел. или бесщел. стекла (С) или же наносят этот р-р на поверхность С. Затем стекловолокно или ткань дормывают водой и сушат, после чего обрабатывают смолой. В результате этого значительно возрастает адгезия смолы к стекловолокну, увеличиваются его

механич. прочность и теплостойкость С и улучшается электропроводность. В. Зломанов

22205 П. Состав для склеивания стекол. Цукада, Цукада, Комэмура (硝子接着劑. 辻大次郎, 津田知道, 米村健) [東京芝浦電気株式会社, Токио сибэура дэнки кабусики кайся]. Японск. пат. 8193, 11.12.54

Для склеивания берется смесь из фенольной и сосновой смол и шеллака с добавкой $0,25-0,5\%$ «силасана», в качестве наполнителя берется измельченный камень; в результате получают состав с высокой гидрофобностью. Термином «силасан» автор называет кремнийорганич. соединения, получаемые при взаимодействии вторичного амина на хлорсиланы алкиловой или ариловой группы. Примерный состав (в ч.): розола 7,2, шеллака 2,5, сосновой смолы 2,1, измельченного камня 82,0 и денатурированного спирта 6,2. К этой смеси добавляют 5% -ный р-р «силасана» в бензоле и нагревают 80 сек. при 155° . Электрич. лампы, колбы которых укреплены на цоколях при помощи этой смеси, после $40-120$ -минутного пребывания в кипящей воде выдержали испытания на 100% , после 200 мин. на 80% и после 280 мин. на 50% . В. Зломанов

22206 П. Способ производства глазурованных керамических изделий. Снодди (Method of producing glazed ceramic objects. Snoddy John H.) [Malinite Corp.]. Пат. США 2741008, 10.04.56

Патентуется способ произ-ва керамич. посуды, основанный на тщательной обработке керамич. массы, состав компонентов которой находится в определенном мол. соотношении. Кроме того, состав покрывающей глазури сходен по составу с массой: она плавится при той же т-ре, имеет высокое поверхностное натяжение, что способствует хорошему выделению газов при обжиге и предотвращает образование различных дефектов: пузырей, вздутий и т. п. Обжиг изделий производится один раз после нанесения глазури. Материалы подбираются таким образом, что после обжига масса имеет следующее мол. соотношение компонентов: $1,0 \text{ NaKO}$, $2,0-8,0 \text{ MgO}$, $1,0-3,5 \text{ Al}_2\text{O}_3$ и $8,0-22,0 \text{ SiO}_2$. Приводится состав глазури. Указывается, что состав глазури свободен от фосфора или P_2O_5 . Если глазурь наносится на пористый черепок, то в ее состав рекомендуется вводить окись циркония или силикат циркония в кол-ве $8-24\%$ по весу. Мол. ф-ла глазури: $1,0 \text{ RO}$, $0,18-0,35 \text{ Al}_2\text{O}_3$, $1,8-3,5 \text{ SiO}_2$ и $0,2-0,7 \text{ B}_2\text{O}_3$. В. Кочегаров

22207 П. Способ получения на металлических, особенно на железных изделиях, кристаллических мерцающих типа хром-авентюриновых стекол эмалевых покрытий. Рикман, Рикман (Verfahren zur Herstellung von kristallin schimmernden Emailüberzügen nach Art der Chrom-Aventurinlaser bzw. Glasuren auf Gegenständen aus Metall, insbesondere Eisen. Rickmann Ernst, Rickmann Fritz) [Dr. Rickmann und Rappe]. Пат. ФРГ 955284, 3.01.57

Способ состоит в добавлении в мельницу перед помолу прозрачной, незаглушенной эмали 2% (от веса сухой эмали) грубокристаллич. окиси Cr. Эмаль наносится обычным порядком, обжигается и охлаждается. Готовое эмалевое покрытие получается известного хромавентюринового стекла. Кол-во добавляемой окиси Cr может лежать в пределах $0,1-4\%$. С. Туманов

22208 П. Способ получения химически, механически и термически стойких изолирующих эмалей. Вагнер (Sätt vid tillverkning av emaljer med stor mekanisk, kemisk och termisk motståndsförmåga och god isoleringsförmåga. Wagner A. R.) [Svenska Flygmotor AB]. Шведск. пат. 154654, 29.05.56

Способ получения эмалей с высокой хим., механич. и термич. стойкостью, отличающийся тем, что приготавливают фритту, содержащую $1-90\%$, лучше $5-50\%$

MgO или соответствующее кол-во соединения, превращаемого при обжиге в MgO, напр., $MgCO_3$, 1—30% асбеста, 1—50% содового шлака, а также иные компоненты, входящие в состав обычных эмалей; к такой фритте, после ее помола, добавляют до 20% асбеста. Содовый шлак — технич. отход состава (в %): SiO_2 38, Al_2O_3 12, CaO 10, MgO 10, Na_2O и K_2O 32. Пример состава фритты (в %): полевого шпата 20—15, каолина 20—15, MgO 30—41, плавикового шпата 12—18, содового шлака 18—10, CoO 0,01—0,5, NiO 0,01—1,0, асбеста 1—3. Назначение эмалей — покрытие частей газовых турбин.

К. Герцфельд
22209 П. Процесс эмалирования стали. Уайтхаус, Кендалл, Голар (Process of enameling steel. Whitehouse Irving P., Kendall Fred E., Golar Paul) [Republic Steel Corp.]. Пат. США 2748000, 29.05.56

Сталь для безгрунтового эмалирования подготавливают путем удаления с поверхности слоя металла толщиной ~0,002 мм и нанесения электролитич. или контактным способом слоя Ni толщиной ~0,0002 мм. Для этого изделия обезжиривают, травят в 22%-ном р-ре HNO_3 при 70° в течение 10 сек., затем промывают и травят в 10—20%-ном р-ре H_2SO_4 при 71—82° в течение 10 сек. После тщательного промывания на изделие наносят слой Ni из р-ра, содержащего (в г/л): $NiSO_4 \cdot 6H_2O$ 250, $NiCl_2$ 50, H_3BO_3 40. Т-ра р-ра 50—70°, pH 3—5, плотность тока 0,66 а/см². Изделия промывают и сушат в токе горячего воздуха. М. Серебрякова

См. также: Развитие науки о стекле за 40 лет 20258

Вязущие вещества. Бетоны и другие силикатные строительные материалы

Редакторы Ю. М. Бутт, А. С. Пантелеев

22210. Ионизационный метод рентгеноструктурного анализа в исследовании строительных материалов. Коновалов П. Ф., Волконский Б. В. В сб.: Строит. материалы. Л., Гос. изд-во лит. по стр-ву и архитект., 1957, 65—71

Разработана ионизационная рентгеноструктурная установка (ИРУ), позволяющая снимать рентгенограмму за 15 мин. ИРУ оборудована высокотемпературной платиновой печью, позволяющей снимать рентгенограммы при т-рах до 1500°. В качестве источника рентгеновских лучей использовалась рентгеновая трубка типа БСВ 4 с медным анодом. ИРУ смонтирована на базе рентгеновского гониометра. Рентгеновская радиация после газового усилителя и электрометрич. усилителя подается на зеркальный гальванометр и записывается на фотобумаге. С помощью ИРУ были исследованы полиморфные превращения двухкальциевого и трехкальциевого силикатов и процессы их гидратации. Установлены следующие границы существования полиморфных модификаций C_3S : до 760° — γ -модификация, 760—900° — β -модификация, 900—1230° — β' -модификация, 1230—1420° — α' -модификация, выше 1420° — α -модификация. При исследовании продуктов гидратации четко выраженной кристаллич. решетки каких-либо новообразований силикатов кальция на рентгеноионизационных кристаллах не наблюдается, причем это относится ко всем срокам гидратации.

Б. Варшал
22211. Применение полиорганосилоксанолов для повышения водостойкости строительных материалов. Воронков М. Г., Долгов В. Н., Шабарова З. И., Ж. прикл. химии, 1957, 30, № 8, 1221—1227

Для повышения водостойкости строительных материалов их поверхность покрываются 3—5%-ным р-ром полиорганосилоксанолов (П) в органич. р-рителях.

Образующаяся после испарения р-ра гидрофобная пленка увеличивает срок службы материалов. При гидрофобизации поры материала не закрываются, в связи с чем почти не меняется скорость прохождения через материал паров. Расход П на 1 м² обрабатываемой поверхности составляет 150—500 мл. При большей концентрации р-ров П, а также их смешении с пигментами, возможна полная закупорка пор поверхностного слоя и создание водо- и газонепроницаемой пленки, являющейся химически, термически и атмосферостойкой. Приводятся результаты опытных покрытий цементных растворов и бетонных образцов, глиняного кирпича и цементно-известково-песчаных образцов. Описывается метод получения П.

Г. Копелянский
22212. О развитии известковой промышленности. Тарасенко М. С., Механиз. трудобмких и тяж. работ, 1957, № 10, 38—41

22213. Обжиг известки в порошкообразном состоянии. Роса, Петр, Шмагел (Pálení vápna v práškovém stavu. Rosa J., Petr V., Šmahel I.), Stavivo, 1957, 35, № 7, 259—265 (чешск.; рез. русск., англ., франц., нем.)

Описан опыт обжига известки во вращающихся печах с теплообменником. Производительность печи 100 т в сутки, расход теплоты 900—1000 ккал на 1 кг обожженного продукта.

Е. Стефановский
22214. Экономия топлива в известковообжигательных шахтных печах при применении специальных «теплоносителей». Эйген (Brennstoffsparnis durch Verwendung von Wärmeträgern im Kalkschachtöfen, Eigen H.), Zement-Kalk-Gips, 1957, 10, № 8, 324—329 (нем.; рез. англ., франц.)

Термический к. п. д. известковообжигательной шахтной печи может быть повышен при применении так называемых «теплоносителей», представляющих собой пустотелые огнеупорные камни, в пустоты которых заложены мотки стальной проволоки.

Е. Штейн
22215. Влияние некоторых добавок и зернового состава смесей на процесс диссоциации известняка. Бабин П. Н. КазССР Гылым. Акад. хабарлары, Изв. АН КазССР, Сер. горн. дела, металлургии, стр-ва и стройматериалов, 1957, вып. 3, 70—77 (рез. каз.)

При диссоциации известняка протекают одновременно р-ции между CaO и SiO_2 . Скорость р-ции зависит от соотношения компонентов в смеси и от активности кремнекислородного иона. На термограмме эти процессы отмечаются только при очень больших кол-вах добавки, когда тепло, выделяющееся при силикатообразовании, становится соизмеримым эндотермич. эффекту диссоциации известняка.

М. Майнц
22216. Значение пара высокого давления в производстве силикатных изделий. Боженков П. И., Суворова Г. Ф., Петренко З. М. В сб.: Строит. материалы. Л., Гос. изд-во лит. по стр-ву и архитект., 1957, 40—49

Исследовалось влияние режима гидротермальной обработки известково-песчаных изделий (ИПИ) при давлении водяного пара до 300 атм. Показано, что наибольшее значение в формировании прочности ИПИ играет время спуска давления. При повышенном давлении ускоренный подъем давления и замедленный спуск исключают необходимость выдержки при максим. давлении. Это позволяет значительно сократить время гидротермальной обработки. Для исследования полученных ИПИ был использован дифференциальный термич. анализ (ДТА). Из полученных эффектов характерными являются эндотермич. эффект при 640—750°, свидетельствующий о дегидратации гидросиликатов кальция (ГСК): экзотермич. эффект при 800—850° рассматривается

как результат рекристаллизации безводн. гидратов. Изучение с помощью ДТА показывает, что в изученном диапазоне режимов автоклавной обработки ИПИ происходит полное связывание извести с кремнеземом. Новообразования — ГСК разного состава, возникающие при обработке паром до 25 атм, образуют гелевую структурную составляющую, эндотермич. распад которой происходит при 100—400°. Образующиеся кристаллич. продукты дегидратируются при 620—740°, а рекристаллизация обезвоженных ГСК сопровождается значительной экзотермич. р-цией при 800—850°. Прочность ИПИ зависит от структуры и кол-ва новообразований и соотношения гелевой и кристаллич. структурных составляющих. Низкотемпературная обработка (10 атм) приводит к преобладанию гелевой фазы, а высокотемпературная (25 атм) — к преобладанию гидросиликатов кристаллич. структуры. Использование водяного пара высокого давления в произ-ве ИПИ позволяет значительно сократить цикл запаривания.

22217. Стеновые блоки на извести-кипелке. Фальков И. А., Тр. совещания по применению вибропомола в пром-сти строит. материалов. М., Промстройиздат, 1957, 209—223

Предложена технологич. схема произ-ва известково-глинощесчаных изделий, включающая в себя вибропомол извести-кипелки, гипса и подсушенной глины и тепловлажностную обработку отформованных блоков при т-ре 100°. Блоки, изготовленные по этой схеме, имеют прочность до 45 кг/см² и выдерживают 15 циклов попеременного замораживания и оттаивания.

22218. Вяжущие материалы на базе вибропомола кабардинских пумицитов. Олененко К. П., Сб. техн. информ. Саратовгипрогорсельстрой, 1957, июнь, 36—42

Описывается технологич. схема изготовления известково-пумицевого цемента, основанная на совместном вибропомоле пумицита и негашеной комовой извести. В схеме для сушки пумицита используются трубчатые виброколонны с использованием отходящих газов от котельной.

22219. Вяжущие на основе золы-уноса бурых алесандрйских углей. Слободяник, Лисина (В'яжучі на основі попелу-виносу бурого олександрийського вугілля. Слободяник І., Лисіна Н.), Буд. архітектура, 1957, № 9, 27 (укр.); Стр-во и архитектура, 1957, № 9, 27—28 (русс.)

Сверхтонкий помол увеличивает прочность известково-зольного цемента из золы бурых углей Александрйских месторождений в 2,7—3,3 раза против обычного помола. Приведены составы цементов и результаты механич. испытаний.

22220. Методы исследования трассовых пород. Уйхейн (A trászanyagok vizsgálatának módszereiről. Ujhelyi János), Építőanyag, 1957, 9, № 2, 80—89 (венг.)

На основании проведенных в Венгрии испытаний трассов (Т) установлено, что характер затвердевания смеси Т и извести зависит от пропорции составных частей, воды и величины усадки Т. Добытые в различных местах Т по-разному реагируют на кол-во добавляемых извести и воды. На затвердевание Т положительно действует добавление гипса. При применении смеси известь + Т в качестве вяжущего в-ва лучшим составом является 37% тонкомолотой негашеной извести или гидратной извести, 3% гипса и 60% Т.

22221. Гипс и его применение в строительстве в Англии. Вильчинский (Gips i jego zastosowanie w budownictwie brytyjskim. Wilczyński

Andrzej A.), Budown. wiejskie, 1957, 8, № 8, 13—15, 18 (польск.)

Гипс в английском строительстве применяется в основном в виде тонких плит для внутренних перегородок, гипсовой штукатурки и различных строительных деталей. Для придания изделиям гидрофобных свойств к р-ру добавляется спец. битумная эмульсия. Намечается изготовление гипсовых плит с добавкой до 12% опилок для строительства малоэтажных крыш.

22222. Методика определения коэффициентов активности и растворимости гипса в растворах, пересыщенных собственными ионами и содержащих ионы посторонних электролитов. Розенберг Т. И., Ратинов В. Б., Сб. тр. Всес. н.-и. ин-та железобетон. изделий и нерудн. материалов, 1957, вып. 1, 36—48

Изложен комплексометрич. метод определения растворимости гипса в воде и водн. р-рах электролитов. Предлагаемый метод обеспечивает высокую точность анализа и позволяет производить измерения в 1—2 мл р-ра за 2—3 мин. Разработан аналитич. метод расчета растворимости двуводного гипса в р-рах, пересыщ. собственными ионами и содержащих ионы посторонних электролитов. Найдены границы применимости этого метода и ошибка расчета.

22223. Влияние некоторых органических и неорганических добавок на пластические свойства гипса. Богаутдинова Г. Г., Ратинов В. Б., Розенберг Т. И., Смирнова Н. А., Сталикова Г. Д., Сб. тр. Всес. н.-и. ин-та железобетон. изделий и нерудн. материалов, 1957, вып. 1, 71—78

Показано, что в присутствии неорганич. добавок кинетику структурообразования гипса в раннем возрасте удобно контролировать по изменениям вязкости и предельного напряжения сдвига теста. Описаны приборы и методика работы.

22224. Влияние добавок на прочность и объемные изменения гипса. Ратинов В. Б., Розенберг Т. И., Рубинина Н. М., Сб. тр. Всес. н.-и. ин-та железобетон. изделий и нерудн. материалов, 1957, вып. 1, 79—89

Изучен механизм действия ускорителей и замедлителей твердения. Дана методика определения объемных изменений гипса, позволяющая одновременно изучать и кинетику усадки, и кинетику расширения. Изложены теоретич. основы регулирования объемных изменений гипса с помощью двухкомпонентных добавок, которые практически не снижают прочности гипса.

22225. Получение высокопрочного гипса в варочных котлах. Ипатьева В., Костюк Б., Строит. материалы, 1957, № 8, 31

Предлагается во время варки гипса вводить в варочный котел при т-ре 115—120° р-р поваренной соли. При этом создаются влажностные условия, благоприятствующие образованию α-полугидрата — основной части высокопрочного гипса. Введение соли в кол-ве 0,1% снижает В/Г на 20—30%. Прочность гипса на разрыв повышается с 13—14 до 34—39 кг/см². Сроки схватывания сокращаются до 12—15 мин.

22226. Предложения по определению и производству высокопрочного гипса «ГР» и его применение в строительстве. Передерий И. А. (A «GR» nagyszilárdságú gipsz meghatározása és gyártásának megszervezése s az építészetben való felhasználásához vonatkozó utasítások. Peredarij I. A.), Építőanyag, 1957, 9, № 2, 70—74 (венг.)

Приводятся исходные данные для проектирования гипсового з-да, технологии и контроля произ-ва. Рассматриваются вопросы изготовления строительных

элементов (несущих балок, стеновых блоков и др.) из чистого гипса, а также с различными добавками.

С. Типольт

22227. Первый завод сухой гипсовой штукатурки в шт. Аризона. Атли (Union Gypsum's board-and-lath plant—Arizona's first. Utley Harry F.), Pit and Quarry, 1957, 49, № 7, 106—107, 112 (англ.). Дано описание з-да.

Б. Левман

22228. Новые исследования реакций при обжиге цементных сырьевых материалов. Часть III. Расчет фазового состава. Дал (New study on reactions in burning cement raw materials. Part III. Procedure in computation of phase composition. Dahl L. A.), Rock Prod., 1955, 58, № 7, 78, 82, 84, 86, 98, 100 (англ.). Дается метод расчета минералогич. состава клинкера, основанный на результатах исследований и теоретич. соображениях, изложенных в предыдущих частях статьи. В процессе расщепления сырьевой смеси жидкая фаза образуется в избытке по отношению к твердым фазам. Этот процесс может продолжаться до исчезновения одной из твердых фаз. Содержание этой фазы в расчетном составе смеси определяет кол-во образующейся жидкой фазы. По мере увеличения доли известняка в сырьевой смеси может быть достигнута точка, в которой исчезающей твердой фазой становится CaS . Повышенное содержание извести в смеси вызывает уменьшение кол-ва жидкой фазы и затрудняет обжиг. Существует «теоретич. предел извести» (ТПИ), т. е. то максим. кол-во CaO , которое может содержаться в сырьевой смеси без опасности появления свободной CaO как равновесной фазы. Величина ТПИ выражается ур-нием $\text{CaO} = 2,80 \text{ SiO}_2 + 1,18 \text{ Al}_2\text{O}_3 + 0,65 \text{ Fe}_2\text{O}_3$. Если ТПИ в сырьевой смеси превышен, образующаяся свободная CaO может исчезнуть лишь при очень медленном охлаждении. Идеальное соответствие между расчетным и фактич. фазовым составом может быть достигнуто только в условиях очень медленного охлаждения. Если фазовое равновесие установилось при высокой т-ре, способ охлаждения определяет хим. природу конечного продукта. Часть II см. РЖХим, 1957, 38500. Б. Левман

22229. Использование радиоактивного индикатора для определения скорости перемещения материалов во вращающихся печах. Белецкий М. С., Илсавский Ю. В., Леоненкова Т. А., Потапова Т. А., Тр. Всес. алюмин.-магн. ин-та, 1957, № 39, 147—149. Предлагаемый способ заключается в том, что радиоактивный изотоп Co^{60} , помещенный в фарфоровую ампулу, примерно таких же размеров, как и кусочки спекшейся шихты, перемещается вместе с материалом, находящимся в печи. Большая жесткость γ -излучения Co^{60} дает возможность сравнительно легко обнаружить местонахождение препарата. Приведены данные скорости перемещения шихты, полученные с точностью до 10—20 см. М. Степанова

22230. Влияние хлористого кальция и некоторых фтористых соединений на связывание извести при обжиге цементного клинкера. Курдовский (Wpływ chlorku wapnia oraz niektórych związków fluorowych na wiązanie tlenku wapnia podczas wypалу klinkru cementowego. Kurdowski Wiesław), Cement. Wapno. Gips, 1957, 13, № 9, 177—189 (польск.).

Проводились опыты по применению хлористого кальция в качестве минерализатора при обжиге клинкера. Вязкий для исследований CaCl_2 представлял собой отходы произ-ва соды. Полученные результаты показали, что при обжиге обычного сырья (содержание $\text{CaO} \sim 44\%$) добавка р-ра CaCl_2 в кол-ве 0,3—2,0% (к весу сухой сырьевой муки) повышает содержание «свободной CaO в клинкере. Можно полагать, что до-

бавка CaCl_2 оказала бы благоприятное влияние на процесс обжига сырья с повышенным содержанием соединений калия. Добавка CaCl_2 увеличивает вязкость сырьевого шлама. Установлено, что CaCl_2 влияет на минералогич. структуру клинкера, вызывая увеличение размера кристаллов. Опыты с введением в качестве минерализаторов различных фтористых соединений подтвердили, что эти добавки значительно ускоряют связывание извести при обжиге и весь процесс спекания клинкера. Среди других фтористых соединений заслуживает внимания промышленный отход — нефелиновый шлам, содержащий до 13,5% CaF_2 . Он может быть применен в качестве минерализатора при условии, если содержащиеся в нем калиевые соединения и P_2O_5 не окажут вредного действия на качество цемента. Б. Левман

22231. Ускоренный метод определения SO_3 в цементе. Блага (Rychlometoda pro stanovení SO_3 v cementu pomocí katexy. Bláha J.), Stavivo, 1957, 35, № 9, 373—374 (чешск.; рез. русск., англ., нем., франц.).

Предлагается катионитный метод определения гипса в цементе. Приводится методика. М. Степанова

22232. Влияние тонкого помола цемента на его свойства. Рояк С. М., Власова М. Т., Тр. совещания по применению вибропомола в пром-сти строит. материалов. М., Промстройиздат, 1957, 102—113.

Изложены результаты исследований свойств цементов, подвергнутых виброизмельчению. Рекомендуются домол цемента в вибромельницах на з-дах железобетонных изделий. М. Маянц

22233. Помольные установки для цементной промышленности. Вальдер (Mahlanlagen für die Zementindustrie. Walder E.), Escher Wyss Mitt., 1957, 30, № 1, 15—18 (нем.).

Описание установки фирмы «Эшер Висс» для помола цементного клинкера, работающей по замкнутому циклу. Клинкер поступает через дозирочные устройства в двухкамерную мельницу; размолотый продукт доставляется норией в сепаратор для отделения крупных частиц, вновь направляемых в мельницу. Пылесудание осуществляется обычным способом посредством рукавного фильтра или электрофильтров. Задержанные фильтрами грубые частицы возвращаются в мельницу для помола. Г. Конелянский

22234. Применение нового подогревателя шлама снизило расход тепла и потери с пылью. Пек (National's new slurry preheater kiln equipment cuts heat and dust losses to minimum. Peck Roy L.), Pit and Quarry, 1957, 49, № 8, 102—103, 106—107, 110 (англ.).

22235. Влияние вибропомола малоактивного доменного шлама на качество бесклинкерного цемента. Будников П. П., Матвеев М. А., Тр. совещания по применению вибропомола в пром-сти строит. материалов. М., Промстройиздат, 1957, 120—133.

В качестве оптимального состава шлакового бесклинкерного цемента на основе малоактивного доменного шлама рекомендуется следующий состав (в %): шлак, размолотый до уд. поверхности 6000 $\text{см}^2/\text{г}$ (по Товарову), 90%, ангидрит 5%, обожженный доломит 5%. Цемент наиболее целесообразно применять для произ-ва строительных деталей по методу безавтоклавной водотермич. обработки. М. Маянц

22236. Активизация вяжущих свойств доменных шлаков. Румянцев П. Ф., Торопов Н. А., Тр. Ленингр. технолог. ин-та им. Ленсовета, 1957, вып. 41, 20—43.

При обогащении огненножидких доменных шлаков CaO , BaO и Fe_2O_3 возможно получать соответственно портланд-цемент (ПЦ), бариевый цемент (БЦ) и руд-

ные цементы (РЦ). Для изготовления ПЦ обогащенный шлак плавится до т-ры 1700—1800° и подвергается грануляции. БЦ получаются плавлением до 1400—1500° соответственно обогащенного шлака. РЦ получают плавлением при 1600—1750° шихты, обогащенной СаО до КН, равного 0,75—0,9, и Fe₂O₃ в кол-ве 8—12%. Добавка к шлакам NaF увеличивает гидравлич. свойства шлаков, имеющих в своем составе 2СаО·SiO₂, и снижает т-ру плавления всех шлаков. Добавка 1% ПЦ к шлаковым расплавам перед их грануляцией повышает активность получаемых цементов на 20—30%. Гидравлич. свойства плавящихся цементов увеличиваются с уменьшением размеров кристаллов и увеличением дефектов кристаллич. решетки, которые проявляются в искажении характерной для данного минерала формы кристалла.

М. Майяц

22237. Экономичный расход цемента в бетоне. Козак (Ekonomiczne dozowanie cementu w betonie. Kozak Roman), Inz-ia i budown., 1957, 14, № 8, 294—296 (польск.)

В целях более экономичного расхода цемента при изготовлении бетона велись исследования по выбору оптимальных видов заполнителей и изучению их свойств в бетоне. Прочность бетона зависит от кол-ва содержащегося в нем песка, определяющего расход цемента и водопотребность смеси. Уменьшение содержания мелких фракций песка повышает прочность бетона. Большое значение имеют минералогич. структура и форма зерен заполнителя, а также его водонепроницаемость и прочность. Ввиду большого разнообразия составов бетона и способов изготовления, прежние кривые зернового состава заполнителей перестали удовлетворять своему назначению. Ф-ла Болломея действительна только для бетонов марки «400» и ниже.

Б. Левман

22238. Измерение влагосодержания в бетоне с помощью нейтронов. Павлов, Спинкс (Neutron moisture meter for concrete. Pawliw J., Spinks J. W. T.), Canad. J. Technol., 1957, 34, № 8, 503—513 (англ.)

Разработанный авторами метод позволяет очень быстро измерять влагосодержание в бетоне без разрушения образца. В качестве источника нейтронов применяется термич. детектор. Сам прибор для измерения влагосодержания состоит из предварительного усилителя, литого железного отражателя и счетной генераторной трубки. Литой отражатель служит для ослабления потока нейтронов. Полевые испытания показали высокую чувствительность прибора. С. Круглов

22239. Бетон в агрессивных водах. Диблик, Почтова (Agresivní účinky vody na beton. Diblík M., Počtová Z.), Vodní hospodářství, 1957, № 10, 277—278 (чешск.; рез. русск., англ., нем.)

22240. Поведение бетона и цемента в морской воде. Кронсбейн (Beton und Zement im Seewasser. Kronsbein W.), Bauwirtschaft, 1957, 11, № 37, 1090—1093, Zement — Kalk — Gips, 1957, 10, № 7, 288—291 (нем.; рез. англ., франц.)

Автор считает целесообразным применение доменного цемента в строительстве морских сооружений. Поскольку доменный цемент обладает малой водонепроницающей способностью, рекомендуется добавление трасса и т. п. Применение трасса целесообразно также и потому, что он заменяет собой мельчайшую фракцию заполнителя (< 0,2 мм), часто отсутствующую в гравелисто-песчаных смесях. Г. Конелянский

22241. Морозо- и износостойкость вакуумированного бетона. Нюгорде (Frostbeständighet och avnötningsskallfasthet hos vakuumbehandlad betong. Nygård Joh. A.), Nord. betong, 1957, 1, № 3, 251—262 (шведск.; рез. англ.)

Обработка бетонных дорожных плит вакуумированием — наложением на них квадратной формы, уплотненной по краям, и откачкой из нее воздуха повысило его морозостойкость: число циклов замораживания — оттаивания повысилось от 700 до 830—850, а легкого бетона — от 655 до 835 независимо от времени вакуумирования (6—15 мин). Содержание цемента в бетоне 325 кг/м³. Вакуумирование бетонных плит повысило вдвое сопротивление истиранию поверхности железным диском; содержание цемента влияния не оказало, с укрупнением заполнителя износостойкость увеличилась.

К. Герцфельд

22242. Технология вакуум-бетона. Копыцкий (A vákuum-beton technológiája. Kopycinski Bronislaw), Magyar tud. akad. Műsz. tud. oszt. közl., 1957, 21, № 1-4, 229—242 (венг.)

Приведены данные о величине отсоса в различных слоях бетона, происходящего во время вакуумирования, о кол-ве отсасываемой воды и усадке бетона. Приведены также данные об увеличении прочности бетона и экономии цемента, которые могут быть достигнуты с помощью вибрирования.

С. Типольт

22243. Морозостойкость монолитного бетона. Орт (Die Frostbeständigkeit von Massbeton. Orth J.), Schweiz. Arch. angew. Wiss. und Techn., 1957, 23, № 6, 179—188 (нем.)

Обзор работ, проводимых исследовательской лабораторией в Альбертвилле (Франция), по изучению зависимости морозостойкости бетонов (Б) от вида цемента и его расхода; величины В/Ц и общего содержания воды в Б; формы зерен заполнителей; их минералогич. состава; зернового состава заполнителей; добавки пластифицирующих и воздухововлекающих и-в; качества приготвления бетонной смеси, ее транспортировки и уплотнения; качества и характера опалубки; обработки Б рабочих швов; ухода за уложенным Б и воздействия низких т-р на Б. Приводятся данные о зависимости между скоростью прохождения звука и прочностью Б, а также между скоростью прохождения звука и удлинением Б при воздействии низких т-р; о морозостойкости различных французских цементов.

Е. Штейн

22244. Дискуссия по статье: Бутчер, Гопкинс «Распределение частиц в бетонных смесях». — Ответ автора (Discussion of a paper «Particle interference in concrete mixes» by B. J. Butcher and H. J. Hopkins. — Authors' closure), Amer. Concrete Inst., 1957, 28, № 12, 1269—1276 (англ.)

К РЖХим, 1957, 61299.

22245. Новые данные об усадке бетона. Мейер, Нильсен (Neue Erkenntnisse über das Schwinden des Betons. Meyer Erik V., Nielsen Knud E. C.), Betonstein-Ztg, 1957, 23, № 8, 573—583 (нем.; рез. англ., франц.)

Рассматривается природа усадки бетона (Б) и ее влияние на изменение формы, трещинообразование и прочность бетонных изделий. При этом Б рассматривается как двухфазная система, состоящая из цементной массы и заполнителей. Усадка Б определяется как изменение объема или тенденция к изменению объема, обусловленные гидратацией цемента и гигроскопичностью цементного геля. Усадка, в первую очередь, воздействует на цементную массу, в то время как заполнители, будучи инертными, оказывают значительное влияние на размер усадки. Важнейшими факторами, влияющими на степень усадки Б, являются качество цемента (его хим. состав и тонкость помола), величина В/Ц, величина модуля упругости, зерновой состав заполнителей, состав бетонной смеси, интенсивность процесса ее изготовления, интенсивность и длительность обработки бетонной смеси, тепловлажностные условия окружающей

среды, величина и форма бетонных изделий, а также другие условия, как напр. армирование и внешние нагрузки.

Г. Копелянский

22246. Испытания нового метода измерения объемных изменений в кладке из бетонных блоков. Фергусон, Калоусек, Смит (Tests of a new method for evaluating volume changes of concrete masonry units. Ferguson M. W., Kalousek G. L., Smith C. W.), J. Amer. Concrete Inst., 1957, 10, № 28, 947—959 (англ.)

Испытаниям подвергались блоки, прошедшие автоклавную обработку, и блоки из литого бетона. Наиболее точные результаты дал метод, получивший название «реверсивного». По этому методу блоки сначала подвергаются сушке, а затем насыщаются влагой. Новый метод позволил установить, что объемные изменения автоклавных блоков и блоков из литого бетона существенно не отличаются. Разница заключается лишь в том, что блоки, прошедшие автоклавную обработку, достигают окончательного объема через 4 часа после насыщения влагой, а блоки из литого бетона продолжают расширяться в течение 3 недель. Повышение т-ры при сушке блоков из литого бетона не привело к сокращению объемных изменений.

С. Круглов

22247. Опыты по приготовлению высокопрочных бетонных смесей на заводе бетонных блоков. Херинг (Versuche zur Herstellung eines hochfesten Betons für eine Formsteinfabrik. Härig Siegfried), Betonstein-Ztg, 1957, 23, № 5, 313—316 (нем.; рез. англ., франц.)

Использованы в качестве заполнителей рейнский песок крупностью от 0 до 3 мм и доменный шлак крупностью 15—30 и 30—40 мм. В качестве вязущего применялся шлако-портланд-цемент марки «325». Смесью, приготовленная из этих компонентов, оказалась наиболее экономичной и дала лучшие показатели по прочности. Использование в качестве вязущего портланд-цемента марки «425» не дало сколько-нибудь заметного возрастания прочностных показателей бетонной смеси.

С. Круглов

22248. Некоторые вопросы технологии высокопрочных быстротвердеющих бетонов. Иохельсон Я. Е., Кунцевич О. В., Бетон и железобетон, 1957, № 8, 325—329

Изложены вопросы технологии высокопрочного бетона применительно к изготовлению элементов сборной железобетонной обделки тоннелей Ленинградского метрополитена.

М. Маянц

22249. Свойства бетонов на мелкозернистых песках, обогащенных гранулированным шлаком. Лещинский М. Ю., Бетон и железобетон, 1957, № 7, 286—289

Наибольшее повышение прочности бетона обеспечивают кислые шлаки полусухой грануляции, примененные в качестве мелкого заполнителя. Применение основных шлаков, вследствие малой прочности их зерен, не дает положительного эффекта и их не рекомендуется применять в качестве обогащающей добавки к мелкозернистым пескам. Обогащение мелкозернистых песков гранулированными шлаками дает возможность получать достаточно морозостойкие бетоны.

М. Маянц

22250. Дискуссия по статье: Валор «Изоляционные бетоны». — Ответ автора (Discussion of a paper «Insulating concretes» by R. C. Valore, Jr.—Authors' closure), Amer. Concrete Inst., 1957, 28, № 12, 1249—1256 (англ.)

К РЖХим, 1957, 58278.

22251. Использование летучей золы в бетоне. Тиммс, Гриб (Use of fly ash in concrete. Timms

Albert G., Grieb William E.), Proc. Amer. Soc. Test. Mater., 1956, (1957), 56, 1139—1157. Discuss., 1158—1160 (англ.)

См. РЖХим, 1957, 77848

22252. Бетон с пористыми заполнителями. Веше (Beton aus porigen Stoffen. Wesche Karlhans), Betonstein-Ztg, 1957, 23, № 7, 515—522 (нем.; рез. англ., франц.)

Дается обзор видов и свойств пористых заполнителей. Приводятся рекомендации по применению пористых заполнителей и дозировке компонентов бетонной смеси.

С. Круглов

22253. Керамзитобетон в сейсмостойком строительстве. Сердюков М. М., Строит. пром-сть, 1957, № 8, 40—42

Относительные коэф. сейсмостойкости, определенные при сравнимых условиях проведения экспериментов, равны: для керамзитобетонных образцов 109, для шлакобетонных 91, для образцов из обычного бетона 84 и для образцов из кирпичной кладки 60. Применение керамзитобетона позволяет обеспечить высокую сейсмостойкость 5—6-этажных зданий и сооружений, а также способствует снижению стоимости (до 30%) и сокращению сроков строительства. Изложена технология произ-ва керамзита из суглинков.

М. Маянц

22254. О тедаамтубетоне. Ломадзе Д. Р. Тр. Ин-та строит. дела АН ГрузССР, 1957, 6, 133—141 (груз.; рез. русск.)

Легкий бетон, изготовленный на заполнителях из тедаамтубетона, не обладает достаточной воздухо-стойкостью и в воздушно-сухой среде характеризуется падением прочности во времени. Степень падения прочности в течение нескольких лет достигает таких размеров, что практически этот бетон оказывается негодным для возведения конструкций наземных зданий и сооружений.

М. Степанова

22255. Крупнопористый бетон на легких заполнителях. Джикаева Г. А., Тр. Ин-та строит. дела. АН ГрузССР, 1957, 6, 167—179

22256. Установка по выпуску заполнителей производительною 1500 т/сутки. Херод (Lynchburg stone service erects 1,500 t. p. d. plant. Herod Buren C.), Pit and Quarry, 1957, 49, № 7, 208—210, 212 (англ.)

Дано описание работы и оборудования установки.

Б. Левман

22257. Завод по производству заполнителей. Троффер (Leffler's aggregate plant producer in southeastern Michigan uses scrubber, log washer, and screw washer. Trauffer Walter E.), Pit and Quarry, 1957, 49, № 10, 145, 146, 148, 150 (англ.)

22258. О производстве легких заполнителей на агломерационных установках. Васильков С., Строит. материалы, 1957, № 7, 15—17

Изложение основных положений технологии изготовления искусств. заполнителей на агломерационных решетках и сравнение с процессом обжига идентичного сырья во вращающихся печах. Приводятся результаты лабор. и производственных исследований по агломерации различных видов глинистого сырья и в том числе негорелых шахтных пород Мосбасса. Предлагается подразделение сырья на три группы по степени вспучивания и рекомендуется обжиг во вращающихся печах лишь сильно вспучивающихся глинистых пород. Об. вес заполнителей в куске колеблется в зависимости от вида сырья от 600 до 1900 кг/м³ и в россыпи в зависимости от крупности фракций от 400—700 до 600—1100 кг/м³. Прочность при сжатии составляет 20—110 кг/см²; водопоглощение 14—38% (по весу). Прочность бетона при сжатии равна от 30—

60 кг/см² (при об. в. 950—1100 кг/м³) до 150—170 кг/см² (при об. в. 1500—1700 кг/м³). Модуль упругости для бетонов марки 50 равен 73 000 кг/см² и марки 250—200 000—210 000 кг/см². Среднее значение предельной прочности при растяжении составляет 0,10—0,11 от предела прочности при сжатии.

Г. Копелянский
22259. Вспученные глинисто-слюдистые сланцы как заполнители в легком бетоне. Расулов И. Р., УзССР Фанлар Акад. докладари, Докл. АН УзССР, 1957, № 8, 41—45 (рез. узб.)

Опытами установлено, что глинисто-слюдистые сланцы с преобладанием закиси Fe (5,46 и 6,46%) и пониженным содержанием окиси Fe (0,64—0,74%), а также большим кол-вом углеродистого в-ва и слюдистых минералов при т-ре обжига порядка 1200—1250° дают очень интенсивное вспучивание. Рекомендуются широко использовать глинисто-слюдистые сланцы для произ-ва высококачественного керамзита.

М. Степанова
22260. Заделка стыков сборных железобетонных конструкций в зимних условиях. Утенков В. Ф., Власова М. А., Строит. пром-сть, 1957, № 9, 5—10

Обеспечение прочности и монолитности стыков достигается добавкой в бетон CaCl₂, NaCl, NH₄Cl или их смеси. Для стыков, воспринимающих расчетные усилия и не содержащих металлич. элементы, рекомендуются бетоны с добавкой 4% CaCl₂ и 1% NaCl. Для стыков, воспринимающих расчетные усилия и имеющих открытые металлич. части, рекомендуются бетоны с добавкой 2% CaCl₂, 2% NH₄Cl и 1% NaCl.

М. Маянц
22261. К вопросу о производственной технологии дегтебетона. Темме (Gedanken zum Aufbau des Teerbetons. Temme Th.), Bitum., Teere, Asph., Pechе und verw. Stoffe, 1957, 8, № 8, 283—286 (нем.)

Обзор западно-германских норм и технич. условий произ-ва дегтебетона (ДБ). Указывается, что существенным условием высокого качества дегтебетонной смеси является плотное строение каменного остова. Изучение плотных минер. смесей позволило установить наличие взаимосвязи между размером крупных заполнителей и их кол-вом в смеси: чем больше размер зерен, тем меньше должно быть их содержание в смеси. Согласно западно-германским нормам DIN 1996, при применении для изготовления заполнителей ДБ, размером до 8 мм, пустотность смеси заполнителей не должна превышать 25%. В качестве вяжущего обычно применяется нек средней вязкости (140/240 и 250/500). Согласно упомянутым нормам, ДБ отвечает технич. условиям, если при вдавливании пуансона весом 52,5 кг в течение 5 час. на кубик с размером ребра 7 см при т-ре ~ 20° глубина отпечатка не превышает 10 мм. Недостатком ДБ является необходимость применения горячих дегтей.

Г. Копелянский
22262. Применение абетиновой смолы при строительстве бетонных покрытий. Защепин А. И., Виноградова О. А., Автомоб. дороги, 1957, № 7, 10—11

22263. Новый путь получения быстрохватывающихся цементных растворов для целей проводки скважин на Ромашкинском нефтяном месторождении. Бережной А. И., Татарская нефть, 1957, № 7, 12—15

Присутствие в цементе гипса, способствующего образованию сульфалоюмината кальция, является нежелательным для получения быстрохватывающихся тампонажных цементов (БТЦ). Проведены исследования по получению БТЦ на базе безгипсового цемента (цементного клинкера). Рассматривалось влияние водоклинкерного отношения, уд. поверхности клинке-

ра, механич. перемешивания и разных добавок на начало и конец схватывания, которые должны быть в интервале между 25 и 65 мин., и растекаемость, которая должна быть ≥ 16 см. В результате работы установлено, что наиболее благоприятные результаты получаются при В:Ц 0,4—0,5; уд. поверхности от 2300 до 3000 см²/г и добавке сульфитно-спиртовой барды от 0,1 до 0,17%.

Б. Варшад
22264. Производство асбестоцементных изделий. Белицкий (Intersujaca galaz wytworzości — przemysł azbestowo-cementowy. Bielicki Wojśław), Przegl. techn., 1957, 78, № 15, 583—587 (польск.)

Рассматриваются возможности развития в Польше асбестоцементной пром-сти. Б. Левман

22265 К. Армированный бетон. Максвелл-Кук (Reinforced concrete. Maxwell-Cook John Charles. London, English Univ. Press, 1957, X, 380 pp., ill., 32 sh. 6 d) (англ.)

22266 Д. Исследование процессов кристаллизационного структурообразования в суспензиях полуводного гипса. Измайлова В. Н. Автореф. дисс. канд. хим., н., МГУ, М., 1957

22267 П. Обжигательная установка по производству извести и аналогичных материалов. Азбе (Calcining apparatus for producing lime or the like. Azbe Victor J.) [Azbe Corp.]. Пат. США 2742276, 17.04.56

Патентуется новый вид обжигательной установки, состоящей из печи непрерывного действия и системы газогенераторов. В конструкции печи предусмотрен усовершенствованный контроль т-р печи и газогенераторов, а также рециркуляция горячих газов с высоким содержанием CO₂.

С. Круглов
22268 П. Производство высокопрочного гипса. Мицуги, Кита (高強度煨石膏の製造法, 三津木力, 多正義) [工業技術院長, Kogē гидзюцуинтё]. Японск. пат. 1868, 16.03.56

Порошок природного гипса, сухой или с небольшим кол-вом воды, формуют под давлением до получения плотной массы. Полученный таким образом гипс обрабатывают перегретым паром до получения мелкокристаллич. CaSO₄·0,5H₂O.

В. Зломанов
22269 П. Гипсовые составы и изделия. Кроэ, Шатлуэрт (Plaster compositions and products. Croce Michele, Shuttleworth Clarence G.) [Certain-Teed Products Corp.]. Пат. США 2744022, 1.05.56

Для изготовления жаростойких гипсовых составов, образующих при затворения водой пластичную массу, а также литой гипсовой штукатурки для строительства предложены следующие компоненты: обожженный гипс, тонкоизмельченный невспученный вермикулит и стеклянное волокно длиной от 6 до 25 мм. Добавка вермикулита, измолотого до размера < 0,6 мм, обеспечивает такое внутреннее напряжение р-ра или изделия, которого достаточно для предупреждения усадки твердеющего гипса под действием огня. Стеклянное волокно, соединенное в пучки с помощью спец. вяжущего в-ва, растворимого в воде, служит арматурой изделия.

Б. Левман
22270 П. Форма для изготовления цементных труб. Синоука, Танабэ (製管用外型・篠塚實・田邊清). Японск. пат. 2844, 16.04.56

Патентуется устройство для изготовления железобетонных труб центробежным способом.

М. Гусев
22271 П. Черепица. Такуми (瓦. 工義直). Японск. пат. 6834, 26.09.55

Предлагается способ изготовления водонепроницаемой черепицы, заключающийся в обработке поверхности ее гидрофобными смолами, в частности винилацетатом.

М. Гусев
22272 П. Устройство для изготовления цементной черепицы. Суто (セメント瓦製造装置, 須藤重三郎). Японск. пат. 4789, 3.08.54

Патентуется пресс для производства плоской черепицы, обеспечивающий свободное снятие черепицы с пресс-формы без деформации.

М. Гусев
22273 П. Автоматическое устройство для производства цементной черепицы. Футиками (セメント瓦自動製造装置, 淵上静磨). Японск. пат. 3338, 19.06.54

Предлагается способ произ-ва черепицы, при котором в цементно-песчаный р-р (для лучшего формования) добавляется тонкодисперсный углерод в виде графита, угля и т. п.

М. Гусев
22274 П. Состав для покрытий на основе латекса и глиноземистого цемента. Мор (Latex-aluminous cement coating composition. Mohr Wilfred J.) [The Patent and Licensing Corp.]. Пат. США 2742441, 17.04.56

Состав содержит 10—20 вес.% стабилизированного бутаденистирольного латекса, 20—40 вес.% глиноземистого цемента и 50—75% мелкого песка. В качестве стабилизатора латекса применяют (на 100 г каучука) 8—12 ч. казеина и 4—8 ч. алкиларилсульфоната.

И. Шмурак
22275 П. Цементная краска. Арригини (Cement paint. Arrighini Artile) [Rocwall Co.]. Пат. США 2751308, 19.06.56

Добавка значительного кол-ва коротких асбестовых волокон к цементной краске (I) улучшает сцепление ее с поверхностью бетона, шлако-бетона и др. Кроме того, I с добавкой асбеста дает более ровную поверхность, заглаживает не только мелкие поры, но и всякие неровности, и создает хорошую основу для штукатурки. Добавка асбеста должна составлять от 1 до 5% (по весу). Состав I (в вес. ч.): белого цемента 150—225, извести 75—175, песка (очень тонких фракций) 25—75, песка (40—60 меш) 75—125, асбеста 5—25.

Б. Левман
22276 П. Вяжущее вещество для строительных целей и способ его изготовления (Bindemittel für Bauzwecke und Verfahren zu seiner Herstellung) [Robasit-Bindemittel G. m. b. H.]. Пат. ФРГ 955577, 3.01.57

Получаемое из доменных шлаков вяжущее в-во, отличается тем, что к молотому или мелкозернистому доменному шлаку добавляется до 2% метасиликата кальция, полученного варкой 65% CaO в виде известковой воды с 35% активного кремнезема. Кроме метасиликата кальция, к доменному шлаку добавляется до 0,3% сиштофа и до 20% глинозема. Метасиликат кальция, сиштоф и глинозем до введения в доменный шлак кратковременно обжигаются при 400° в отдельности или совместно. Помимо метасиликата кальция, сиштофа и глинозема, в вяжущее вводится также водоотсасывающая буферная добавка, напр. цемянка или др. молотое или гранулированное, гигроскопич. органич. или неорганич. в-во в кол-ве до 2%.

Г. Копелянский
22277 П. Способ изготовления высокопрочного бетона для нагруженных дорог, рольгангов, заводских павильонов и т. п. Вейзе (Verfahren zur Herstellung von Hartbeton für Verkehrsstraßen, Rollbahnen, Fabrikhallen u. dgl. Weise Walther). Пат. ГДР 10350, 27.08.55

Способ изготовления высокопрочного бетона для сильно нагруженных дорог, рольгангов, заводских павильонов и т. п. с применением в качестве заполнителей щебня, горных пород (кварца, диабаз, базальта

и т. д.) и искусств. материалов, как, напр., доменного шлака различных фракций, отличается тем, что заполнители применяются крупностью до 10 мм, преимущественно следующего зернового состава: до 0,2 мм ~ 4%; 0,2—1,0 мм ~ 10; 1,0—3,0 мм ~ 23%; 3,0—7,0 мм ~ 33% и 7,0—10,0 мм ~ 30%. Отношение между горными породами и искусств. заполнителями принимается от 70:30% до 30:70%, предпочтительно 55:45%. Отношение цемента к заполнителям составляет от 1:2 до 1:3.

Г. Копелянский
22278 П. Приготовление вещества для ускорения твердения бетона. Фукая (マグネシウム礦石より直ちにコンクリート強化剤を製造する方法, 深谷鑛一) [森田化学工業株式会社, Морита какаку когэ кабусики кайся]. Японск. пат. 538, 28.01.56

Смесь из талька, серпентина и периодита измельчается (предварительно смесь может быть обожжена при t-ре 600°), затем к ней может быть добавлено некоторое кол-во порошка какого-либо минерала, содержащего SiO₂. Смесь помещают в 20%-ный р-р HF, в результате образуется MgSiF₆ и некоторое кол-во H₂SiF₆. К р-ру добавляют некоторое кол-во ZnO и нейтрализуют излишек H₂SiF₆, после чего р-р фильтруют и удаляют нерастворившиеся в-ва. Фильтрат сгущают, охлаждают и получают кристаллы с содержанием ~ 75% MgSiF₆ и ~ 25% ZnSiF₆. В. Зломанов

22279 П. Способ и средство для предупреждения прилипания дерева к бетону. Фольта, Кулеша, Новаковская (Sposób zapobiegania przywieraniu drewna do betonu i środek służący do tego celu. Folta Zbigniew, Kulesza Janina, Nowakowska Jadwiga). Польша. пат. 38201, 5.11.55

Для предупреждения прилипания дерева к бетону на поверхность опалубки, соприкасающуюся с бетонной смесью, наносится изоляционный слой, состоящий из р-ра парафина и натриевых или аммониевых солей фенола на основе органич. р-рителей. Этот слой одновременно предохраняет опалубку от гниения.

Б. Левман
22280 П. Быстротвердеющий водонепроницаемый цементный раствор. Сёдзи (セメントモルタル, コンクリートの急硬, 耐水, 防水剤, 庄司峰雄). Японск. пат. 1324, 25.02.56

Для ускорения затвердевания и повышения водонепроницаемости цементного р-ра и бетона добавляют смесь из CaCl₂, алюмината натрия, C₂H₂O₄ и (NH₄)₂C₂O₄.

В. Зломанов
См. также: Полиморфизм 2CaO·SiO₂ 20448. Кристаллич. структура гипса 20479. Техника безопасности в асбестовом произ-ве 21932

ПОЛУЧЕНИЕ И РАЗДЕЛЕНИЕ ГАЗОВ

Редактор В. Г. Фастовский

22281. Очистка инертных газов.— (Advances in the purification of inert gases.—), Brit. Chem. Engng, 1957, 2, № 8, 424—425 (англ.)

Изложены результаты исследования процесса очистки аргона и других редких газов на нагретой меди, опубликованные Торочешниковым Н. С., Бродяжским В. М., Портным Р. И. и Захаровым В. Г. (См. РЖХим, 1956, 78942).

А. Ровинский
22282. Усовершенствованный сжижитель гелия с детандером и устройством для очистки газа под давлением. Мейснер, Шмейснер, Видеман (Verbesserter Heliumverflüssiger mit Expansionsmaschine und Hochdruckreiniger. Meissner W., Schmeissner F., Wiedemann W.), Kältetechn.

nik, 1957, 9, № 7, 194—199 (нем.; рез. англ., франц.)

В предлагаемой модели теплообменная аппаратура и детандер размещены во внутренней полости, заполненной He и имеющей вакуумную изоляцию; в вакуумном пространстве размещен металлич. экран, охлаждаемый жидким воздухом. Дополнительная очистка He от газообразных примесей, а также от масла производится в отдельном угольном адсорбере, охлаждаемом жидким воздухом; адсорбер снабжен теплообменником якорного типа и вакуумной изоляцией. He поступает в адсорбер под давл. 50 кг/см^2 и выходит из него под давл. 35 кг/см^2 , направляясь в сжижитель; недорекуперация на теплом конце теплообменника перед адсорбером составляет 2° . Для предварительного охлаждения адсорбера расходуется $1,7 \text{ кг}$ жидкого воздуха, а в установившемся режиме $0,3 \text{ кг/час}$. Расход жидкого воздуха для предварительного охлаждения сжижителя 5 кг , а в рабочем режиме $1,4 \text{ кг/час}$. Пусковой период 45 мин . Установка вырабатывает до 3 л/час жидкого He при производительности компрессора $35 \text{ м}^3/\text{час}$; при этом недорекуперация на теплом конце предварительного теплообменника составляет 8° .

Ю. Петровский
22283. Выбор метода получения водорода. Эйкмейер (Which way to hydrogen? Eickmeyer A. G.), Chem. Engng Progr., 1957, 53, № 7, 361—362 (англ.)

Рассматриваются факторы, обуславливающие выбор промышленного метода получения H_2 . Г. Рабинович

22284. О взаимодействии железных руд с метаном в условиях «кипящего» слоя. Лавровский К. П., Розенталь А. Л., Эглит А. Х., Докл. АН СССР, 1957, 112, № 4, 724—727

Лабораторные опыты показали, что при $850\text{—}900^\circ \text{C}$, CH_4 активно восстанавливает железные руды в псевдооживленном слое. При получении H_2 для восстановления железных руд можно применять газы с высоким содержанием CH_4 . Г. Рабинович

22285. Сжижение водорода по циклу с двумя давлениями. Челстон, Макинко, Дин (Hydrogen liquefaction by a dual pressure process. Chelton D. B., Macinko J., Dean J.), Refrig. Engng, 1957, 65, № 8, 39—41, 62 (англ.)

Для крупных установок по сжижению водорода (H_2) целесообразно осуществление более сложных и экономичных циклов, чем простой регенеративный цикл Линде. Цикл Линде с двумя давлениями (100 и 40 кг/см^2 или 80 и 30 кг/см^2) позволяет получать жидкий H_2 с затратами $0,48\text{—}0,49 \text{ квт-ч/л}$; при замене дроссельного вентиля детандером для расширения H_2 с высокого до промежуточного давления расход энергии снижается до $0,35\text{—}0,356 \text{ квт-ч/л}$. Отношение давлений на входе в детандер и выходе из него для указанных оптимальных условий составляет $\sim 3,0$, а работа детандера происходит на таком температурном уровне, где исключена возможность сжижения части H_2 в конце расширения. Это позволяет создать машину, работающую с большой эффективностью. При осуществлении цикла Клода давление сжатия лежит в пределах $18\text{—}40 \text{ кг/см}^2$, причем H_2 поступает в детандер при $t\text{-ре } 65^\circ \text{K}$; расход энергии составляет $0,57\text{—}0,38 \text{ квт-ч/л}$, соответственно. При оптимальном давлении (40 кг/см^2) отношение давлений на входе в детандер и выходе из него слишком велико, чтобы сделать возможной работу поршневого детандера с высоким к.п.д. Поэтому применение цикла Клода нецелесообразно.

Ю. Петровский
22286. Морские холодильники с двуокисью углерода. Аренд (Marine carbon dioxide systems. Arend A. G.), World Refrig., 1957, 8, № 9, 503—506 (англ.)

22287. Разделение газовых смесей методом термодиффузии. Томас, Уоткинс (The separation of

multicomponent mixtures of common gases by thermal diffusion. Thomas W. J., Watkins S. B.), Chem. Engng Sci., 1956, 6, № 1, 26—34 (англ.; рез. франц.)

Исследовано влияние добавки CO_2 на разделение смеси $\text{H}_2\text{—CO}$ и влияние CO на разделение смеси $\text{H}_2\text{—CO}_2$. Опыты проводились в концентрич. термодиффузионной колонке (ТК) (длина $1,83 \text{ м}$, ширина кольцевого зазора $1,8 \text{ см}$) при атмосферном давлении. Т-ра горячей стенки 270° , разность т-р составляла 250° . Влияние CO_2 на разделение смеси $\text{H}_2\text{—CO}$ изучено при периодич. и непрерывном режимах работы ТК. Конц-ия CO_2 в исходной газовой смеси изменялась в пределах $6,2\text{—}43\%$, а скорость отбора $\sigma = 76 \div 10^3 \text{ см}^3/\text{мин}$. Влияние CO на разделение смеси $\text{H}_2\text{—CO}_2$ изучено в периодич. режиме работы ТК при изменении конц-ии CO от $2,2$ до $20,8\%$. Установлено, что наличие 3-го компонента существенно улучшает разделение. Для периодич. режима работы ТК найдены оптимальные значения конц-ий CO_2 и CO (10 и 13% соответственно), при которых разделение бинарных смесей $\text{H}_2\text{—CO}$ и $\text{H}_2\text{—CO}_2$ достигает максимума. Указывается, что с увеличением σ влияние 3-го компонента на разделение уменьшается и становится незначительным при $\sigma = 10^3 \text{ см}^3/\text{мин}$. Увеличение разделения при введении 3-го компонента объясняется уменьшением перемешивающего эффекта обычной диффузии, что, в свою очередь, обусловлено меньшей скоростью диффузии тяжелого компонента бинарной смеси через поток молекул 3-го компонента по сравнению со скоростью диффузии его через слой молекул легкого компонента. Этому способствует также улучшение рабочих характеристик ТК вследствие уменьшения вязкости и плотности смеси. Подчеркнуто, что ур-ния переноса, полученные для разделения изотопных газовых смесей, неприменимы при расчете ТК, предназначенной для разделения обычных газовых смесей. Предыдущее сообщение см. РИХИМ, 1957, 69576.

Р. Артем
22288. Способы изоляции больших сосудов для хранения жидких водорода и гелия. Скотт (Thermal design of large storage vessels for liquid hydrogen and helium. Scott Russell B.), J. Res. Nat. Bur. Standards, 1957, 58, № 6, 317—325 (англ.)

Подробный обзор методов тепловой изоляции сосудов для хранения и транспортировки жидких водорода и гелия. Ю. Петровский

22289 П. Метод обработки газа, включающий его очистку. Палмер, Скапердас (Method of gas treatment, including impurity removing steps. Palmer George H., Skaperdas George T.), [The M. W. Kellogg Co.], Пат. США 2753704, 10.07.56

Патентуется технологич. схема воздухоразделительной установки низкого давления, отличающаяся способом обеспечения незамерзаемости теплообменников (Т). Воздух сжимается до давл. 7 атм и охлаждается в реверсивном Т, где одновременно происходит удаление из воздуха влаги и углекислоты. При переключениях, производящихся через каждые 3 мин , обратный поток азота выносит выкристаллизовавшиеся примеси, освобождая от них теплообменную поверхность. Кислород выводится все время по одному и тому же каналу, не загрязняясь влагой и углекислотой. Незамерзаемость Т достигается путем отбора из него части холодного азота при $t\text{-ре}$, лежащей в пределах от -62° до -120° , и присоединения его с помощью газодувки к обратному потоку азота, вследствие чего т-ра повышается до -163° и разность т-р на холодном конце Т уменьшается до 5° ; в то же время увеличивается кол-во азота, проходящее через Т. Приведены 4 варианта схемы. Ю. Петровский

РЕФЕРАТИВНЫЙ ЖУРНАЛ ХИМИЯ

Рефераты 22290—23742

№ 7

10 апреля 1958 г.

IV

ХИМИЧЕСКАЯ ТЕХНОЛОГИЯ. ХИМИЧЕСКИЕ ПРОДУКТЫ И ИХ ПРИМЕНЕНИЕ (Часть 3)

ПРОМЫШЛЕННЫЙ ОРГАНИЧЕСКИЙ СИНТЕЗ

Редакторы С. З. Тайц, Б. П. Фабричный

22290. Новые реакции органического синтеза. Ода (有機工業化學, 新しい合成反應例. 小田良平), 科学, Кагаку, 1957, 12, № 2, 8—11 (японск.)

Обзорная статья о новом синтезе глицерина, синтезе эфиров циклопропанкарбоновой к-ты и α-бром-метилакриловой к-ты, получении бензилкалия, поливинилбутилового эфира, полиоксидов нитропарафинов. Рассмотрены р-ции окиси стирола с фенил-п-толуол-сульфамидом, р-ция Эрлиха—Закса, р-ции соединений гидразина. Также описано получение окисей из эфиров жирных к-т, р-ции ароматич. диазосоединений и эфиров диазокислот жирного ряда. Библ. 11 назв.

Н. Швецов

22291. Современное развитие химии ацетилена и окиси углерода. Гольдштейн (Une récente évolution de la chimie de l'acétylène et de l'oxyde de carbone. Goldstein Henri), Schweiz. techn. Z., 1956, 53, № 41, 836—839 (франц.; рез. нем.)

Обзор важнейших синтезов на базе ацетилена (I) и CO, напр. винилирование, этилирование, цикло-полимеризация, карбонилирование; указано применение этих синтезов в пром-сти. Описан способ произ-ва I неполным сжиганием CH₄. Библ. 8 назв.

В. Красева

22292. Синтез высших спиртов жирного ряда методом прямого окисления парафиновых углеводородов. А. Н. Башкиров, Хим. наука и пром-сть, 1956, 1, № 3, 273—281

Дан критич. обзор методов получения высших жирных спиртов (СП). Разработаны научные принципы и технология процесса прямого окисления парафиновых углеводородов (УВ) в присутствии H₂BO₃ как этерифицирующего агента при т-ре 165—170°. Миним. образование продуктов дальнейшего окисления СП, кетонов, к-т и др. будет при миним. конц-ии способных СП в зоне р-ции. Этого достигают регулированием скорости окисления путем изменения парциального давления O₂ в зоне р-ции. Оптимальный выход при миним. образовании побочных продуктов достигнут при окислении УВ смесью с 3—4% кислорода. Установлено, что выделенные СП являются вторичными, в основном содержат то же число углеродных атомов, что и исходный УВ. Изложены особенности технологии СП жирного ряда методом прямого окисления парафиновых УВ. Приведена схема получения

высших жирных СП при окислении парафиновых УВ в присутствии H₂BO₃. Р. Ошер

22293. Образование спиртов и олефинов при применении катализаторов Фишера—Тропша. Гибсон (The formation of alcohols and olefins with Fischer—Tropsch catalysts. Gibson E. J.), Chemistry and Industry, 1957, № 21, 649—650 (англ.)

Проведено исследование, подтверждающее, что при применении указанных катализаторов вначале образуются первичные спирты, а в результате последующих р-ций из них образуются углеводороды. Смесью C₂H₆, H₂ и CO, содержащего радиоактивный изотоп C¹⁴ (H₂ 46%, C₂H₆ 49%, CO 5%), пропускают над Co-ThO₂-MgO-кисельгуровым катализатором, продукт разгоняют, получая при этом азеотропную смесь гептана и n-пропанола (I), фракцию промывают H₂O. При промывании H₂O гексановой фракции также получают I; сожжением и анализом радиоактивности подтверждено, что оба образца I обладают одинаковой активностью. Общий выход I составляет 4% от жидких продуктов. Для определения распределения радиоактивности между тремя атомами C I дегидрируют в пропилен, который окисляют KMnO₄, и определяют активности CO₂ и уксусной к-ты; общая регенерация активности 92%, 85% которой падает на CO₂. Радиоактивность (на 1 моль) I оказалась в 11 раз больше, чем у пропана, образовавшегося в этом же опыте, и составляет > 1/3 активности исходного CO. Очевидно, что весь I образуется по следующей схеме: CH₂=CH₂ + CO $\xrightarrow{H_2}$ CH₃CH₂CH₂OH. И. Дорман

22294. Гидрирование альдегидов C₇—C₁₀, полученных карбонилированием непредельных углеводородов синтетических фракций над медно-хромовыми катализаторами. Кецлах М. М., Рудковский Д. М., Химия и техн. топлива, 1956, № 12, 23—29

Исследован процесс гидрирования альдегидов C₇—C₁₀ в спирты при давл. 1—200 ат. Выход спиртов из альдегидов C₇—C₉ при их содержании в смеси 54—76% над Cu-Cr-Ba-катализатором при 160—200° и объемной скорости 0,16—0,25 составляет 90—96 вес.%. Аналогичные результаты (выход 95—100%) получены при гидрировании альдегидов в газовой фазе над Cu-Cr-Ca-катализаторе при 175—300° и объемной скорости 0,2—1,75. При гидрировании альдегидов на Cu-Cr-Ba-катализаторе отмечается их значительная конденсация (7—13 вес.%), которая может быть почти полностью подавлена при применении р-ров альдегидов в углеводородах. Исследовано гид-

рирование как периодическое, так и непрерывное, причем для последнего приведена технологич. схема.

Н. Кельцев

22295. Каталитическое гидрирование метилового эфира лауриновой кислоты в лауриловый спирт. Чарч, Абдель-Джелиль (Catalytic hydrogenation of methyl laurate to lauryl alcohol. Church James M., Abdel-Gelil Mohamed A.), Industr. and Engng Chem., 1957, 49, № 5, 813—817 (англ.)

Исследованы катализаторы, их кол-ва и методы приготовления, а также т-ра, давление и скорость перемешивания при гидрировании метилового эфира лауриновой к-ты (I) в лауриловый спирт (II). Лучшие выходы II (>90%) получены при гидрировании I при $300^\circ \pm 10^\circ$ и 185—210 ат над 4% меднохромитного катализатора в течение 15—20 мин. Потери в выходе II происходят из-за дальнейшего гидрирования II до углеводорода, а также из-за образования лаурилового эфира лауриновой к-ты (в результате переэтерификации I образовавшегося II). Для приготовления катализатора 260 г $\text{Cu}(\text{NO}_3)_2 \cdot 3\text{H}_2\text{O}$ и 31 г $\text{Ba}(\text{NO}_3)_2$ растворяют в 900 мл дистил. воды при 80° и прибавляют при перемешивании к р-ру 151 г $(\text{NH}_4)_2\text{Cr}_2\text{O}_7$ в 900 мл дистил. воды и 250 мл 28%-ного NH_4OH , доводят pH до 6,5, осадок промывают теплой дистил. водой (3 раза по 100 мл), сушат 12 час. при $86\text{—}90^\circ$, измельчают до <100 меш, нагревают 1—2 час. в тонком слое при $310^\circ \pm 10^\circ$ до полного почернения (перемешивание), получают катализатор, часть которого промывают 10%-ной CH_3COOH , а затем дистил. водой и сушат при 125° . Для гидрирования 0,25—6 г катализатора растирают с I до образования пасты, которую размешивают в таком кол-ве I, чтобы его общее кол-во было 100 ч., после гидрирования анализируют реакционную смесь, определяя гидрокислотное число, число омыления и кислотное число. Ва почти не оказывает промотирующего действия на катализатор; также мало повышается активность катализатора при промывании 10%-ной CH_3COOH или прокаливании при 500° . Одинаковые выходы (95%) II получаются при гидрировании на Cu-Cr -катализаторами, полученными из Na- или NH_4 -хромата, однако, в первом случае время гидрирования значительно меньше (при 300° и 175 ± 21 ат 68 и 160 мин. соответственно). Для определения времени жизни катализатора он был использован еще 6 раз, причем выход II составлял ~90% (300° , 190 ат, 15—30 мин.). При нагревании смеси до 300° гидрируется ~50% I, через 5 мин. после достижения 300° I гидрируется на ~75%, через 15 мин. ~90% и через 70 мин. 95%. Повышение давления H_2 эффективнее при более низкой (2—3%) конц-ии катализатора. По расчету выход II ~100% может быть получен (300° , время гидрирования 20 мин.) при 315 ат. Важным фактором для сокращения скорости гидрирования является увеличение скорости перемешивания реакционной смеси. Для непрерывного гидрирования I в II 4% катализатора энергично размешивают в I, пропускают смесь через теплообменник, где нагревают до 250° , гидрируют при 315—350 ат H_2 , для завершения р-ции пропускают через трубчатый автоклав при 300° , катализатор отделяют и возвращают в процесс, перегоняют II в высоком вакууме (получают 90—95% II), остаток также возвращают; когда активность катализатора падает, вводят свежую порцию, а старый регенерируют нагреванием при $300\text{—}350^\circ$ в течение 30 мин. Этот метод можно использовать для гидрирования эфиров других жирных к-т в соответствующие спирты.

Г. Швехгеймер

22296. Синтез α -формилстеарата и его производных. Тэрамура, Итагаки, Ода (α -ホルミルステア

リン酸エチルエステル合成並びに反應. 寺村一廣, 板垣宏, 小田良平), 工業化學雜誌, Koré kaagaku daasshi, J. Chem. Soc. Japan Industr. Chem. Sec., 1954, 57, № 2, 126—127 (японск.) [Chem. Abstrs, 1955, 49, 11625e (англ.)]

Рассматриваются р-ции этил- α -формилстеарата (I) и некоторых соединений. 10,2 г I и 5,7 г $n\text{-HO}_2\text{SC}_6\text{H}_4\text{NHNH}_2$ нагревают на водяной бане в течение 20 час. с 60 мл 1 н. NaOH; получают 3,7 г Na-соли 1-(n -сульфофенил)-4- n -гексадецил-2-пиразолин-5-она — оранжево-красный порошок (из H_2O), поверхностное натяжение 0,01%, 0,1%- и 0,25%-ных водн. р-ров при $7,2^\circ$ соответственно 72,3, 57,0 и 55,7 дн/см. 10,2 г I обрабатывают 5,7 г $\text{C}_6\text{H}_5\text{OH}$ при охлаждении в присутствии 20 мл лед. CH_3COOH и добавляют смесь 20 мл конц. H_2SO_4 и 20 мл лед. CH_3COOH при т-ре <15°, перемешивают 3 часа при охлаждении и 5 час. — при т-ре ~20°, выливают на лед, получают 4,3 г $n\text{-C}_{16}\text{H}_{33}\text{CH}[\text{CH}(\text{C}_6\text{H}_4\text{ON})_2]\text{CO}_2\text{C}_2\text{H}_5$, т. пл. 28—28,5° (из $\text{C}_2\text{H}_5\text{OH}$). 10,2 г I, 7,3 г $\text{C}_6\text{H}_5\text{N}(\text{CH}_3)_2$ и 3 г безводн. ZnCl_2 нагревают на водяной бане 5 час. и по прибавлении $(\text{C}_2\text{H}_5)_2\text{O}$ получают 3,4 г $n\text{-C}_{16}\text{H}_{33}\text{CH}[\text{CH}(\text{C}_6\text{H}_4\text{N}(\text{CH}_3)_2)_2]\text{CO}_2\text{C}_2\text{H}_5$, т. пл. 82° (из $\text{C}_6\text{H}_5\text{OH}$). 10 г I и 7 г этаноламина перемешивают при 110—120° 8 час; получают 2,2 г $n\text{-C}_{16}\text{H}_{33}\text{CH}[\text{CH}(\text{NHCH}_2\text{CH}_2\text{OH})_2]\text{CO}_2\text{C}_2\text{H}_5$, т. пл. 56—57° (из $\text{C}_2\text{H}_5\text{O}$); поверхностное натяжение 0,01%; 0,1%- и 0,25%-ных водн. р-ров при $7,2^\circ$ соответственно 74,0, 61,6 и 49,7 дн/см. Предыдущее сообщение см. РЖХим, 1955, 40052.

И. Брусов

22297. Обратимость реакции диенового синтеза. Сёно, Ода (ジエン反應の逆反應に關する研究. 庄野達哉, 小田良平), 工業化學雜誌, Koré kaagaku daasshi, J. Chem. Soc. Japan Ind. Chem. Sect., 1955, 58, № 4, 276—278 (японск.)

Акрилонитрил (1,5 моля) и антрацен (0,5 моля) нагревают во вращающемся автоклаве 10 час. при 160—170°. Получают коричневое масло, которое после отгонки и смешения с эфиром дает белый аддукт диенового синтеза (I) с т. пл. 90—110°. I при нагревании с RMgX 2,5—4,5 часа в эфире (R — метил, этил, пропил, бутил или трет-бутил) дает соответствующие кетоны (за исключением р-ций с трет-бутилмагнийгалогенидом) с выходом 72,5—81%; (указаны R и т. пл.) CH_3 145—148, C_2H_5 101,5—103; C_3H_7 85,5—88, C_4H_9 87—88,7°. Кетоны разлагаются между 240—270° и 300—310° в присутствии гидрохинона или N-фенил- β -нафтиламина, образуя винилалкилкетоны с выходом 52—65%. Один из оптических изомеров I, выделенный из эфирного р-ра, имел т. пл. 146—149°, $[\alpha]_D^{20}$ 82,3 (в виде монокристалла). Других оптических изомеров получено не было. Chem. Abstrs, 1956, № 6, 4102.

И. Брусов

22298. Изучение каталитического действия активированного каолина. III. Взаимодействие высших жирных кислот с фенолами. Ватанабэ (活性白土の接觸作用に關する研究. 第3報. フェノールと高級脂肪酸との反應について. 渡邊誠一), 工業化學雜誌, Koré kaagaku daasshi, J. Chem. Soc. Japan Industr. Chem. Sec., 1954, 57, № 8, 579—581 (японск.)

Образование фениловых эфиров было изучено главным образом на лауриновой к-те, при различных молярных соотношениях фенол:к-та в присутствии 1—20% активной глины. Кислотность уменьшается очень быстро в первые 30 мин. Наилучшие условия: соотношение фенол:к-та—1:4, содерж. катализатора 2,5%, т-ра 190° и время р-ции 2 часа. Сообщение II см. РЖХим, 1957, 52324.

И. Брусов

22299. Нефтехимические процессы производства уксусного ангидрида. Шервуд (Petrochemical processes for acetic anhydride manufacture. Sherwood Peter W.), Industr. Chemist, 1955, 31, № 362, 115—123 (англ.)

Обзор промышленных методов синтеза уксусного ангидрида через этилидендиацетат, окислением ацетальдегида, крекингом уксусной к-ты и ацетона. Приводятся данные по произ-ву CH_3COOH в США: 1935 г. 53 000 т, 1940 г. 120 000 т, 1950 г. 410 000 т, 1951 г. 443 000 т, 1952 г. 310 000 т; планируется довести выработку до 520 000 т в 1960 г. и до 820 000 т в 1975. Библ. 10 назв.

Г. Марголина

22300. Реакции метилвинилкетона. III. Реакции метилвинилкетона с метиламином, диметиламином и N-этиланилином. Мурата, Аран (Метилвинилкетонの反応に関する研究. 第3報. メチルビニルケトンとメチルアミン, ジメチルアミンおよび N-エチルアニリン, との反応. 村田二郎, 新井秀男), 工業化学雑誌, Kagaku kaaku zasshi, J. Chem. Soc. Japan. Industr. Chem. Sec., 1954, 57, № 8, 578—579 (японск.).

$\text{CH}_3\text{COSH}=\text{CH}_2$ (I) (т. кип. 78—82°) обрабатывают CH_3NH_2 (30%-ный водн. р-р) при 20—30° при перемешивании 1,5 ч.; перегоняют и получают фракцию с т. кип. 80—120°/10 мм, которую обрабатывают эфиром; растворимый продукт — белые кристаллы (т. пл. 85°), нерастворимый с т. пл. 130°. Эти соединения являются изомерами 1,4-диметил-3-ацетил-4-оксипиридина (II). 1,4-диметил-3-ацетил-1,2,5,6-тетрагидропиридин (т. кип. 98—103°/10 мм) получают из II восстановлением $\text{HCl}-\text{Zn}$ с выходом 40%. II в 32%-ном метанольном р-ре CH_3NH_2 при 20° в течение 1 часа дает с выходом 84% $\text{CH}_3\text{COSHCH}_2\text{N}(\text{CH}_3)_2$, т. кип. 56,5—58°/20 мм. Аналогично получают N-(β-ацетил-этил)-N-этиланилин (т. кип. 123—127°/3 мм, выход 70%) из I и этиланилина при 35—40° в течение 1 часа. Часть II см. РЖХим, 1956, 74893. И. Брусов

22301. О последовательности реакций в процессе деструктивной гидрогенизации бензола. Калечин Н. В., Павлова К. А., Тр. Вост.-Сиб. фил. АН СССР, 1956, вып. 4, 87—93

Для доказательства консекутивности р-ций при деструктивной гидрогенизации (ДГ) бензола: $\text{C}_6\text{H}_6 \rightarrow \text{C}_6\text{H}_{12}$ (I), $\text{C}_6\text{H}_{12} \rightarrow$ метилциклопентан (II), метилциклопентан \rightarrow циклопентан + гексаны (III) — проводились опыты ДГ бензола на лабор. проточной установке над WS_2 (50 г) при давл. 300 ата, т-ре 420° и при объемных скоростях, от 0,5 до 4, соответствовавших различному времени контакта. Для процессов I, II, III были приняты у-ния первого порядка и из данных по составу гидрогенизатов были рассчитаны соответствующие константы скорости р-ции: K_1 1,36; K_2 1,8; K_3 0,5. Обратные рассчитанные составы гидрогенизата по константам и в зависимости от времени контакта отклонялись от эксперим. значений в большинстве случаев не более 5% и в единичных точках не более 10—12%. Полученные результаты подтверждают для принятых условий ДГ консекутивность р-ций I, II, III и что расщепление циклогексана происходит не непосредственно, а после изомеризации в метилциклопентан. А. Равикович

22302. Разделение о-м- и п-ксилолов и этилбензола химическим путем. Буржоль (Séparation des xylènes ortho-, méta- et para- et de l'éthylbenzène par voie chimique. Séparation sélective en continu de manière à pouvoir utiliser des appareils en ferrosilicium. Bourjol Georges), Chimie et industrie, 1957, 78, № 3, 214—219 (франц.; рез. англ., исп.)

Усовершенствован способ разделения ксилолов и этилбензола с помощью сульфирования м-ксилола (I) с последующим селективным десульфированием (Д). Процесс Д можно проводить непрерывно, что позволяет применять аппаратуру из сплава Fe—Si, устойчивого против 60%-ной H_2SO_4 при 115—160°. Предлагается метод позволяет получать ксилолы 98—99%-ной чистоты. Неочищ. ксилол, содержащий 52% I, обрабатывают при 25—30° таким кол-вом 90%-ной

H_2SO_4 , чтобы после сульфирования получить в водн. фазе отношение $\text{H}_2\text{SO}_4 : (\text{H}_2\text{SO}_4 + \text{H}_2\text{O}) = 0,77$, и перемешивают 9 час., постепенно повышая т-ру от 30 до 70°. При этом сульфировается 97% I и ~20% других изомеров. При применении 80—82%-ной H_2SO_4 достигают почти полной селективности сульфирования, но при этом нужное кол-во к-ты увеличивается в 4—5 раз. Для Д смесь сульфокислот поступает в колонну (K) из Fe—Si высотой 85 см, наполненную стеклянными кольцами Рашига и кусочками пемзы. Т-ру поддерживают 105—108° и добавляют воду, чтобы отношение $\text{H}_2\text{SO}_4 : (\text{H}_2\text{SO}_4 + \text{H}_2\text{O})$ было 0,6. При этом отделяют несulfированные углеводороды. Затем для Д метанизомера жидкость поступает во 2-ю K (т-ра 120—125°). В 3-й K при 130—135° идет Д п-изомера. В 4-й колонне при т-ре 145—150° Д заканчивают и получают разб. H_2SO_4 , которую регенерируют. Приведена схема колонны. В. Красева

22303. Хлорирование бензола в двухтрубчатом барботажном реакторе. Хатта, Сёдзи (二重管気泡式反応器によるベンゼンの塩素化の研究. 八田四郎次, 庄千喜代治), 化学工学, Kagaku kaaku, Chem. Eng. (Tokyo), 1955, 19, № 10, 482—486 (японск.; рез. англ.)

Хлорирование бензола проводилось в спец. сконструированном двухтрубчатом реакторе с целью получения высоких выходов хлорбензола и предупреждения образования дихлорбензола. Реактор загружают бензолом через внутреннюю трубку, которая изготовляется из железа и имеет несколько отверстий в нижней части для циркуляции жидкости из кольцевого внешнего пространства. Cl_2 смешивают с N_2 и вводят во внутреннюю трубку снизу, он реагирует с Fe с образованием FeCl_3 , которое является катализатором хлорирования. Выходы хлор- и дихлорбензола определялись при т-рах 30, 50 и 70°. Получены следующие результаты: 1) применение инертного газа (N_2) очень эффективно для циркуляции жидкости и предотвращения образования дихлорбензола; 2) при т-ре 30° хлорбензол получен с очень высокими выходами (в некоторых опытах свыше 98%) без заметного образования дихлорбензола; 3) хлорирование замедлялось наличием в газе небольшого кол-ва воды. И. Брусов

22304. Способ получения терефталевой кислоты из толуола и хлорангидрида карбаминной кислоты. Рунге, Рейнхардт, Кюнханс (Über ein Verfahren zur Herstellung von Terephthalsäure aus Toluol und Harnstoffchlorid. Runge Franz, Reinhardt Herbert, Kühnhanss Gerhard), Chem. Technik, 1956, 8, № 11, 644—649 (нем.)

Терефталевую к-ту (I) и ее эфиры получают по схеме: $\text{C}_6\text{H}_5\text{CH}_3 + \text{ClCONH}_2 \rightarrow n\text{-H}_5\text{NCOC}_6\text{H}_4\text{CH}_3 \rightarrow \text{NaOOC}_6\text{H}_4\text{CH}_3 \rightarrow \text{NaOOC}_6\text{H}_4\text{COOK} \rightarrow \text{HOOC}_6\text{H}_4\text{COOH} \rightarrow \text{ROOC}_6\text{H}_4\text{COOR}$. Хлорангидрид карбаминной к-ты (II) получают пропуская смесь COCl_2 и NH_3 в соотношении 1,05:1 через аппарат из чистого Ni при 500° и времени р-ции 8—10 сек. Продукты р-ции необходимо быстро охлаждать, так как при т-рах > 25° II быстро разлагается. Аппарат производительностью 40 моль/час II состоит из трубки (600—700 мм длиной), смесителя и двух холодильников. В зависимости от т-ры выход II от 15% при 200° возрастает до 90—92% при 410—500° и падает до 54% при 590°. II можно стабилизировать превращением в твердый аддукт с AlCl_3 ; образование аддукта экзотермично (13,6 ккал/моль); II устойчив в течение 24 час. в р-ре $\text{ClCH}_2\text{CH}_2\text{Cl}$ или других органич. р-рителях при охлаждении. В реактор, устойчивый к коррозии, емк. 100 л помещают 25 л $\text{ClCH}_2\text{CH}_2\text{Cl}$, охлаждают до 0°, прибавляют р-р 11,2 л свежеприготовленного II в 7 л $\text{ClCH}_2\text{CH}_2\text{Cl}$, при перемешивании и

охлаждении прибавляют 26,7 кг техн. безводн. $AlCl_3$ в течение 1 часа при t -ре не выше 20° , постепенно прибавляют 19 кг $CH_3C_6H_5$, t -ра растет до 40° , а через час смесь нагревают медленно до 55° и перемешивают при этой t -ре 2—3 часа, охлаждают до 20° , выливают на измельченный лед, отгоняют с паром $ClCH_2CH_2Cl$ (который содержит следы $CH_3C_6H_5$ и после высушивания может быть использован снова), охлаждают, осадок отделяют на центрифуге, получают 39—40 кг n - $H_2NCOC_6H_4CH_3$, содержащий 20—30% воды, т. пл. 121 — 142° ; выход 82—90%. Замена $AlCl_3$ на $FeCl_3$ приводит к падению выхода до 45—50%; при использовании смеси $AlCl_3 : FeCl_3 = 1 : 1$ выходы такие же, как с чистым $AlCl_3$, однако аддукт n - $CH_3C_6H_4CONH_2FeCl_3$ не растворим в $ClCH_2CH_2Cl$; при использовании $AlCl_3$, содержащий Fe (до 5%) выходы падают до 62—70%. Р-ция в лабор. масштабах проходит с выходами выше 92%. При омылении неочищ. n - $CH_3C_6H_4CONH_2$ 16%-ным NaOH в течение 6—8 час. получают n - $CH_3C_6H_4COONa$ с выходом 84—90% (в полупромышленных масштабах); щелочь берут с 50%-ным избытком; выделяющийся NH_3 можно использовать при получении II. К горячему р-ру, полученному в результате омыления n - $CH_3C_6H_4CONH_2$, прибавляют 15%-ный водн. р-р $KMnO_4$ (115—122% от теоретич. кол-ва); нагревают 8 час. при 80 — 90° , избыток $KMnO_4$ восстанавливают, отфильтровывают MnO_2 , фильтрат подкисляют конц. HCl , получают I, выход 90%, чистота 99,5—99,7%. При окислении чистой n - $CH_3C_6H_4COONa$ выход I 90—92%; окисление экзотермично (184 ккал/моль). Одновременно омыление и окисление не выгодно, так как после р-ции остаются небольшие кол-ва $HOOCCH_2CONH_2$. Сильнощел. смесь $NaMnO_4$ — MnO_2 дает возможность проводить омыление и окисление в одну стадию: смесь $NaMnO_4$ — MnO_2 кипятят 10 час. с сырым n - $CH_3C_6H_4CONH_2$ в воде, получают I, выход 85%; $HOOCCH_2CONH_2$ отсутствует. Всушенную I этерифицируют смесью CH_3OH и H_2SO_4 с выходом 87—93%, т. пл. 141° (из CH_3OH). Этерификация I через $ClCOCH_2H_4COCl$ -n (получают с помощью $COCl_2$ или PCl_5) CH_3OH проходит быстро, но этот путь дороже первого. Синтез проведен в полупромышленном масштабе с производительностью 700—800 кг I в месяц. Общий выход I, считая на II, в среднем 59—60% и максим. 62,4%. Достоинство процесса — высокая чистота I, доступность исходных и вспомогательных в-в; недостаток — многоступенчатость и необходимость использования больших кол-в $AlCl_3$. Приводится технологич. схема процесса.

Г. Швехгеймер
22305. Получение мононитро- n -цимола. Коб, Лангуэрти (Mononitration of p -cymene. Kobe Kenneth A., Langworthy Eugene M.), Industr. and Engng Chem., 1957, 49, № 5, 801—806 (англ.). Эксперименты проводились в реакторе-смесителе при перемешивании со скоростью 15 000 об/мин двумя мешалками, вращающимися в противоположных направлениях. В реактор загружают половину всего кол-ва H_2SO_4 , включают мешалки, медленно при перемешивании прибавляют весь n -цимол (I), смесь к-т (всю HNO_3 и другую половину H_2SO_4) добавляют с постоянной скоростью в течение определенного времени, удерживая t -ру в пределах $\pm 1^\circ$ добавлением твердой CO_2 ; реакционную смесь перегоняют с паром. Наилучший выход 2-нитро- n -цимола (II) (89%) получен при следующих условиях проведения процесса: t -ра 10° , мол. соотношение $HNO_3 : I = 0,9$, вес. соотношение $H_2SO_4 : I = 4$, начальная конц-ия H_2SO_4 85%. В качестве побочного продукта образуется ~ 12% n -нитротолуола. 3-нитро- n -цимол не образуется. При вышеуказанной начальной конц-ии H_2SO_4 динитропродукт образуется лишь в следах, его

кол-во может увеличиваться до нескольких процентов при конц-ии H_2SO_4 90%. Основной побочный процесс — окисление в этих условиях t -ры, конц-ии к-ты и эмульгирования снижается до минимума. Показана роль эмульгирования — при применении одной мешалки вместо двух выход II снижается до 65—72%. Эмульгируемость I и $C_6H_5CH_3$ очень близка, а C_6H_6 эмульгируется немного труднее. Однако при нитровании I эмульгируемость играет значительно более важную роль, чем для других ароматич. углеводородов. Данный процесс может быть применен для нитрования других легкоокисляющихся углеводородов и может быть использован в промышленности.

Г. Швехгеймер
22306. Образование изомеров при нитровании хлорбензола. Биббер, Шериг (Effect of process conditions on formation of isomers in nitration of chlorobenzene. Bieber Harold N., Schurig W. Fred), Industr. and Engng Chem., 1957, 49, № 5, 832—837 (англ.).

Изучалось влияние содержания HNO_3 , конц-ии H_2SO_4 , t -ры и времени нитрования на соотношение изомеров при нитровании C_6H_5Cl . К 143 г C_6H_5Cl прибавляют нитрующую смесь при перемешивании 685 об/мин. в течение 120 мин. при определенной t -ре, перемешивают 2 часа при той же t -ре, охлаждают $< 70^\circ$, органич. слой промывают при 70° горячей водой (2 раза по 100 мл), затем 100 мл 2%-ного Na_2CO_3 и еще раз 100 мл горячей воды; кислый слой из р-ции разбавляют равным весовым кол-вом льда, объединяют с промывными водами, экстрагируют $CHCl_3$ (3 раза по 200 мл), $CHCl_3$ -р-р нейтрализуют, промывают и упаривают на паровой бане, остаток объединяют с органич. слоем и отгоняют все в-ва, кипящие до $90^\circ/711$ мм, в остатке получают продукт р-ции. Проведен подсчет материального баланса по HNO_3 (во всех случаях, кроме одного опыта, $> 95\%$). Изменение конц-ии HNO_3 от 3 до 25%, при начальной конц-ии (НК) H_2SO_4 75—80%, t -ре 30 — 70° и мол. избытке HNO_3 2—8%, не оказывает существенного влияния на соотношение изомеров в продукте р-ции. Нитрование при 75° (смесь к-т прибавляют 1,5 часа, перемешивают 1 час), мол. избытке HNO_3 1,3 и 5% и постоянном составе смеси к-т также не вызывает изменений в соотношении изомеров. При определенной t -ре нитрования (50 и 70°) образование изомеров является линейной функцией конц-ии H_2SO_4 в отработанной кислой смеси; содержание n -нитрохлорбензола уменьшается с увеличением конц-ии H_2SO_4 , а также с увеличением t -ры; содержание o -нитрохлорбензола увеличивается с повышением конц-ии H_2SO_4 и повышением t -ры; содержание m -нитрохлорбензола понижается с повышением конц-ии H_2SO_4 . Ряд опытов, проведенных при НК 70% (50 — 110°), 75% (15 — 110°), 80% (от -5 до -90°) и 85% (50 и 70°), показывает, что образование изомеров является линейной функцией t -ры нитрования при постоянной НК и может быть выражено: процент n -нитрохлорбензола = $[-0,0027 (\% H_2SO_4 \text{ в отработанной смеси к-т}) + 0,13]t + 70,2$ (где t — t -ра нитрования в $^\circ C$). Время нитрования не влияет на соотношение изомеров в продукте р-ции. Исходя из предположения, что изменение распределения изомеров с t -рой является функцией энергии активации, авторы дают ф-лы для определения скоростей образования всех трех изомеров.

Г. Швехгеймер
22307. Извлечение ди(2-фурил)-метана из полимера фурфуролового спирта. Сёно, Хатихама (フルフリアルコール初期縮合物よりジ-2-フルリメタンの分離. 庄野利之, 八浜義和), 工業化学雑誌. Korô karaku dзасси, J. Chem. Soc. Japan Industr. Chem. Sec., 1954, 57, № 11, 861—862 (японск.).

Фурфуроловый спирт полимеризуют в присутствии H_2SO_4 при 95° в течение 15 мин. или же при длительной перегонке с паром. Экстракцией эфиром выделяют ди-(2-фурил)-метан — бесцветное масло с т. кип. $63-67^\circ/\text{ж}$ мм, n_D^{20} 1,4912; Hg -производное $\text{C}_8\text{H}_7\text{O}_2 \cdot \text{HgCl}_2$, т. пл. 149° . И. Брусов

22308 П. Способ выделения ненасыщенных простых эфиров из продуктов расщепления ацеталей. Роттиг, Литен (Verfahren zur Isolierung von ungesättigten Äthern aus Acetal-Splaltprodukten. Rottig Walter, Liethen Otto) [Ruhchemie A.-G.]. Пат. ФРГ 952805, 22.11.56

Ненасыщенные простые эфиры, получаемые термич. расщеплением ацеталей при атмосферном или повышенном давлении, выделяют азеотропной разгонкой, используя в-ва, дающие с присутствующим спиртом азеотропную смесь, т-ра кипения которой лежит ниже т-ры кипения продукта расщепления. В качестве в-в, образующих азеотроп, применяют ароматич. (C_6H_6 и $\text{CH}_3\text{C}_6\text{H}_5$), алифатич. (C_5H_{12} , C_6H_{14} , C_7H_{16} , C_8H_{18} или соответствующие олефины) и нафтеновые (циклогексан, метилциклогексан) углеводороды, а иногда галогенпроизводные этих углеводородов в кол-ве на 10–20% больше, чем необходимо для образования азеотропа. Отгоняющийся азеотроп может быть вновь использован для ацетализации с добавлением соответствующего кол-ва альдегида. Перед разгонкой можно удалить часть спирта промыванием водой. Продукты расщепления ацеталей могут содержать некоторые кол-ва сложных эфиров, которые удаляют кратковременным нагреванием с небольшими кол-вами щелочи (напр., NaOH или KOH); образующиеся соли удаляют промыванием водой после перегонки. Этим методом можно обрабатывать продукты разложения ацеталей, получаемых из альдегидов или спиртов, синтезированных р-циями карбонилирования. Альдегиды можно частично гидрировать до спиртов, чтобы получить смесь альдегида и спирта в стехиометрич. кол-вах, необходимых для получения ацетала. 400 г продуктов расщепления (при 150°) ацетала (полученного взаимодействием 1 моля $\text{C}_2\text{H}_5\text{CHO}$ и 2,2 моля $\text{C}_4\text{H}_9\text{OH}$ в присутствии HCl (к-ты) и C_6H_{14} для удаления воды) смешивают с 700 г $\text{CH}_3\text{C}_6\text{H}_5$ и фракционируют; при 105° отгоняется азеотроп $\text{C}_4\text{H}_9\text{OH} - \text{CH}_3\text{C}_6\text{H}_5$, содержащий 30% $\text{C}_4\text{H}_9\text{OH}$; после отгонки всего $\text{C}_4\text{H}_9\text{OH}$ т-ра возрастает до т-ры кипения $\text{CH}_3\text{C}_6\text{H}_5$; при 121° начинается переход $\text{CH}_3\text{CH}=\text{CHOC}_4\text{H}_9$ (чистота 96%), содержащий небольшое кол-во высокомолекулярных спиртов и сложного эфира. Если перед азеотропной разгонкой к смеси добавить 2,5 г KOH и 7,5 г CH_3OH и кипятить 2 часа, а затем обработать, как описано выше, то содержание сложного эфира в $\text{CH}_3\text{CH}=\text{CHOC}_4\text{H}_9$ уменьшается в 10 раз; такой же результат получен без прибавления CH_3OH . Если вместо $\text{CH}_3\text{C}_6\text{H}_5$ использовать $n\text{-C}_7\text{H}_{16}$, то азеотроп $\text{C}_4\text{H}_9\text{OH} - \text{C}_7\text{H}_{16}$ имеет т. кип. 94° и содержит ~17% $\text{C}_4\text{H}_9\text{OH}$; продукт содержит 97% $\text{CH}_3\text{CH}=\text{CHOC}_4\text{H}_9$, 3% спиртов и немного сложного эфира. 698 г азеотропа $\text{C}_4\text{H}_9\text{OH} - \text{CH}_3\text{C}_6\text{H}_5$ смешивают с 1 молем $\text{C}_2\text{H}_5\text{CHO}$ и конденсируют в присутствии 0,01 г $n\text{-C}_3\text{H}_7\text{SO}_3\text{H}$ с добавкой 86 г $n\text{-C}_6\text{H}_{14}$, получают 21 г водн. фазы, содержащей 1 г $\text{C}_2\text{H}_5\text{CHO}$; при расщеплении отгоняется $n\text{-C}_6\text{H}_{14}$ ($\sim 70^\circ$), затем отгоняется азеотроп $\text{C}_4\text{H}_9\text{OH} - \text{CH}_3\text{C}_6\text{H}_5$ ($\sim 105^\circ$), после этого — $\text{C}_6\text{H}_5\text{CH}_3$ ($\sim 110,5^\circ$) и при $\sim 150^\circ$ происходит расщепление $\text{CH}_3\text{CH}_2\text{CH}(\text{OC}_4\text{H}_9)_2$ на $\text{CH}_3\text{CH}=\text{CHOC}_4\text{H}_9$ и $\text{C}_4\text{H}_9\text{OH}$. Смесь 563 г ($\text{CH}_3\text{CH}=\text{CHOC}_4\text{H}_9 + \text{C}_4\text{H}_9\text{OH}$), 4 г KOH и 820 г циклогексана кипятят 2 часа и разгоняют; при $\sim 75^\circ$ отгоняется азеотроп $\text{C}_6\text{H}_{12} - \text{C}_3\text{H}_7\text{OH}$, содержащий 18% $\text{C}_3\text{H}_7\text{OH}$, затем при 80° C_6H_{12} , а при $95-96^\circ$ $\text{CH}_3\text{CH}=\text{CHOC}_4\text{H}_9$ 97,5%-ной чистоты, содержащий небольшое кол-во спирта. Г. Швейхгеймер

22309 П. Способ непрерывного получения изопропилнитрата. Бентли, Трастон (Verfahren zur fortlaufenden Herstellung von Isopropylnitrat. Bentley Roy, Thruston Mervyn Nisbet) [Imperial Chemical Inds Ltd]. Пат. ФРГ 946892, 9.08.56

Изопропилнитрат (I) получают непрерывной отгонкой легколетучих продуктов из нагретой смеси HNO_3 и $i\text{-C}_3\text{H}_7\text{OH}$ (II), которые вводят раздельно в реакционную массу; в последней для разложения HNO_3 поддерживают значительную конц-ию (не менее 3%) мочевины (III); II вводят в газообразной форме с небольшим перегревом под поверхность реакционной смеси. II применяют в форме азеотропной смеси с водой или с большим содержанием воды. Конц-ия HNO_3 должна быть 35–60%, включая связанную с III. В 40%-ную HNO_3 , содержащую 10 вес.% III, нагретую до 106° , по-отдельности вводят 70%-ную HNO_3 , 42%-ный водн. р-р III и под поверхность жидкости 87%-ного водн. I в соотношении 120:19:69. От реакционной смеси при т-ре жидкости 106° и т-ре паров 102° отгоняют смесь продуктов (отгонка должна быть непрерывной, во избежание энергичного разложения), которую охлаждают до 20° , причем отделяется верхний слой — азеотропная смесь II с водой и нижний слой I, который промывают двойным объемом воды, выход I — 76%. Приведена схема технологич. процесса. В. Уффингс

22310 П. Способ получения окиси этилена. Ландау (Process for the preparation of ethylene oxide. Landau Ralph) [Chempatents, Inc.]. Пат. США 2766261, 9.10.56

Газовую смесь [0,5–10 об.% этилена (лучше 1,5–5%), 3–20 об.% O_2 (лучше 5–8%) и инертные газы (до 10% CO_2 , остальное — N_2)] пропускают со скоростью 1,5–18 м/сек (лучше 6,1–13,8) через трубчатую реакционную зону (длина трубок 3,5–7,6 м, диам. 12,5–50 мм с Ag -содержащим катализатором (K) при $150-400^\circ$ (предпочтительно $220-280^\circ$) и 1–35 атм (лучше 10,5–15,8 атм); в результате частичного окисления уходящие газы содержат 0,1–3,0% окиси этилена (O_2) и 0,1–8% этилена; падение давления по длине трубок составляет 0,42–3,5 атм, время контактирования 0,1–6 сек. (предпочтительно 0,4–1,5 сек.). K представляет собой смесь 3–30 вес.% порошка Ag и 1–25 вес.% щел.-зем. солей карбоновых к-т (считая на Ag) в качестве активатора, нанесенного на инертном неорганич. носителе, в виде гранул неправильной формы с поверхностью 0,002–10 м² на 1 г и средним диам. 0,5 см, но не более половины диаметра трубки. Реактор, состоящий из ряда вертикальных трубок из нержавеющей стали диам. 22 мм, длиной 6,8 м, заключенных в терморегулирующую баню при 247° (дифениловый эфир), заполняют K на длину 6,1 м. Для получения K смешивают водн. р-р AgNO_3 с небольшим избытком NaOH , осадок Ag_2O тщательно промывают, переносят в водн. кислый р-р лактата Ca или Ba (рН 4–6,5), содержащий 5–12 вес.% Ca или Ba , считая на Ag , затем добавляют плавящийся глинозем в гранулах диам. $\sim 0,95$ см, смесь, слегка помешивая, медленно испаряют, гранулы сушат при $105-110^\circ$ в течение 4–10 час., прокалывают 1–5 час. при $330-400^\circ$ на воздухе или в атмосфере инертного газа; гранулы должны обладать следующими свойствами: пористость 41–45 об.%, поглощение H_2O 20–23 вес.%, плотность 2,1–1,9 г/см³, поверхность 0,0025–0,0057 м²/г. Смесь O_2 и этилена под давл. 10,5 атм пропускают через реактор со скоростью 8,85 м/сек, затем смесь подают в скруббер, который при 10 атм орошается р-ром, поглощающим O_2 , из которого в регенераторе извлекается O_2 ; время контактирования 0,7 сек. При подаче смеси, состоящей из 5% CO_2 , 5% этилена, 6% O_2 , остальное — N_2 , выходя-

щие газы содержат 1% О₂. В другом примере К, активированный, как указано выше, лактатом Ва (носитель — карбид кремния) в гранулах диам. 0,95 см, загружают в вертикальный трубчатый реактор диам. 25 мм на высоту 107 см. В трубки со скоростью 200 л/час подают смесь 5% этилена, 6% О₂, 89% N₂, при этом конверсия 29%, выход ОЭ 76,3%. При этих параметрах процесс может продолжаться 200 час., в случае применения в качестве активатора ацетата бария — свыше 400 час.

22311 П. Способ переработки водорастворимых продуктов карбонилирования. Пистор, Кёльш (Verfahren zur Aufarbeitung von wasserlöslichen Carboxylierungsprodukten. Pistor Joachim, Kölsch Walter) [Badische Anilin- und Soda-Fabrik A.-G.]. Пат. ФРГ 950549, 11.10.56

Водорастворимые продукты карбонилирования (ПК), содержащие Ni- или Co-соединения в растворимой форме, разгоняют на предгон, содержащий только небольшое кол-во ПК, главную фракцию, состоящую почти из чистого ПК, и остаток, представляющий прозрачный р-р, и подвергают противоточной экстракции смеси предгона и остатка органич., не смешивающимся с водой и плохо растворяющимся ПК р-рителем и водой. Органич. р-рители, применяющиеся для противоточной экстракции, должны иметь низкую т-ру кипения (насыщ. алифатич. углеводороды, C₆H₆ и его гомологи, алициклич. углеводороды, — напр., циклотексан); экстракцию проводят при обычной т-ре, лучше непрерывным способом; в органич. р-ритель экстрагируются высококипящие органич. побочные продукты. Кол-во воды для экстракции регулируют таким образом, чтобы получать водн. р-р катализатора желаемой конц-ии; нет необходимости отделять ПК от этого водн. р-ра. ПК, содержащий в основном C₂H₅COOH и полученный в присутствии Ni-катализатора, разделяют в ректификационной колонне на предгон, содержащий 23% C₂H₅COOH, основную фракцию, состоящую из почти чистой C₂H₅COOH, и остаток, содержащий 91% C₂H₅COOH и 7,8% Ni; предгон и остаток вместе содержат 5% от общего кол-ва C₂H₅COOH. 500 вес. ч./час остатка и 100 вес. ч./час предгона вводят в экстракционную колонну, в которую сверху подают 4000 вес. ч./час воды, а снизу 100 вес. ч./час октана; снизу колонны получают 4300 вес. ч./час водн. р-ра, содержащего 10,9% C₂H₅COOH и 0,9% Ni, а сверху отводят 90 вес. ч./час октана, содержащего 2,2% C₂H₅COOH. Таким способом выделяется ~98% C₂H₅COOH из предгона и остатка и 99% Ni, используемого в р-ции карбонилирования. Обрабатываемый водн. р-р катализатора можно снова использовать в синтезе C₂H₅COOH. Приводятся технологич. схема экстрактора и его описание.

22312 П. Способ получения дигалогидзамещенных простых диэфиров и их применение. Бондиу, Линтнер (Procédé de préparation de diéthers-oxydes dihalogénés, produits ainsi obtenus et leurs applications. Bondiou Jean-Claude, Lintner Josef) [Bozel-Maletra (Soc. Industrielle de Produits Chimiques)]. Франц. пат. 1114902, 18.04.56

Для получения дигалогидзамещ. диэфиров общей ф-лы ROCHXCHXOR и R'OCHXCHXO, где X — галогид, R — алкил, R' — алкенил, глиоксаль (I), вводят в р-цию со спиртом или гликолем и с газообразным НХ (I в виде конц. водн. р-ра или полимера). Полученный дигалогидзамещ. диэфир отделяют кристаллизацией или экстрагируют р-рителем, напр. CH₂Cl₂, CCl₄, C₂H₅OS₂C₂H₅. В смесь 220 ч. I в виде 78%-ного порошка и 425 ч. CH₃OH вводят 10 ч. HCl-газа, затем при перемешивании нагревают до 40—50° до полного растворения I. Охлаждают до 0—15° и пропускают 365 ч. сухого HCl. Кристаллы отсасывают, промывают холод-

ным CH₃OH и эфиром. Получают 380 ч. CH₃OSCHCl-CHClOSCH₃, выход 80%, т. пл. 70,5°. Применяя 810 ч. HBr-газа, получают H₃COCHBrCHBrOCH₃, т. пл. 72° (из CCl₄). К 435 ч. I в 435 ч. воды прибавляют 1330 ч. CH₂Cl₂ и при 0° пропускают HCl-газ до насыщения, затем при той же т-ре приливают 690 ч. C₂H₅OH, доливая насыщение HCl-газом. Отделяют нижний слой, сушат над CaCl₂ и отгоняют CH₂Cl₂. Остаток перегоняют в вакууме. Получают 1100 ч. C₂H₅OSCHClCHClOC₂H₅, т. кип. 90°/40 мм, d₂₀ 1,135, т. пл. 17°. Смесь 500 ч. 60%-ного I, 284 ч. (НОСН₂)₂ и 800 ч. CCl₄ при 5° насыщают под небольшим давлением HCl-газом. Отделяют нижний слой, содержащий CCl₄ и 2,3-дихлордиоксан (II), к нижнему слою добавляют 800 ч. CCl₄ и опять насыщают HCl, эту операцию повторяют 3 раза. Порции, содержащие II, объединяют, отгоняют р-ритель и перегоняют в вакууме. Получают 193,5 ч. чистого II, т. кип. 89—95°/23 мм. Полученные в-ва являются промежуточными продуктами для синтезов.

В. Красева

22313 П. Получение метилизобутилкетона. Бройх, Мёнкемейер (Verfahren zur Herstellung von Methylisobutylketon. Broich Franz, Mönckemeier Karl) [Chemische Werke Hüls A.-G.]. Пат. ФРГ 961619, 23.05.53

Диациетоновый спирт (I) обрабатывают H₂ в присутствии катализатора гидрирования и органич. или минер. к-ты (фосфорная, борная, борновольфрамная, HCOOH, H₂CCOOH, H₃C₂COOH, жирноароматич. карбоновые к-ты) при повышенной т-ре и желательном под давлением. 857 ч. I обрабатывают H₂ в присутствии 17 ч. лед. CH₃COOH и 18 ч. Cu-Cr-контакта (без носителя) 4 часа при 200° и 270 атм в качающемся автоклаве емк. 1 л. Получают (в %): 36,5 ацетона, 19,2 метилизобутилкетона (II), 20,7 изо-C₃H₇OH (III), 4 метилпентанола и 10 высококипящих в-в (остальное вода). 857 ч. 10 высококипящих в-в (остальное вода). 857 г. I в тех же условиях, но в присутствии 430 ч. воды образуют 45% продуктов распада и воды и 48% II. В трубу для гидрирования помещают катализатор (17,3% Cu, 16,6% H₃PO₄, 0,41% Cr на силикателе) и пропускают 0,2 л/час I на 1 л катализатора при 200° и давлении H₂ 300 атм. Органич. фаза содержит (в %): 12,4 ацетона, 6,6 III, 7,2 II и 7,9 окиси мезитила. С учетом в-в, содержащихся в водн. фазе, получают (в %): 13,9 воды, 10,4 ацетона, 7,4 III, 60,6 II (70% теор.) и 6,6 окиси мезитила. II является р-рителем и исходным в-вом для дальнейших синтезов.

22314 П. Оксосинтез. Паркер, Хиллард (Oxosynthesis process. Parker Paul T., Hillard George O., Jr) [Esso Research and Engineering Co.]. Канадск. пат. 518756, 22.11.55

Альдегиды получают в аппарате А из олефинов, имеющих на 1 атом С меньше, чем получаемый альдегид, СО и H₂ в присутствии слоя катализатора, содержащего металл, способный к образованию карбониллов (напр., Со). Образующийся карбонил металла растворяется в жидких продуктах р-ции. Последние отделяют от газов и подают в аппарат Б, где при повышенной т-ре в присутствии H₂ карбонил разлагается, СО-содержащий газ удаляется, а металл осаждается на слое твердого носителя. Свободные от карбонила альдегиды выводят и восстанавливают. При понижении кол-ва металла в катализаторе, находящемся в А, до критически минимального, периодически переключают потоки в-в, проводя оксосинтез, напр., в Б и разложение в А. Приводится технологич. схема.

22315 П. Синтез органических соединений из СО и H₂. Мак-Грат, Хилл (Synthesis of organic compounds. McGrath Henry C., Hill Luther Randolph) [M. W. Kellogg Co.]. Канад. пат. 515751, 16.08.55

Вещества с >1 атомом С получают из СО и H_2 в удлиненном реакторе, вводя в него снизу газ (со скоростью в реакторе $>1,5$ м/сек, лучше 2,5 м/сек) и пылевидный Fe-катализатор, активированный щелочью, по крайней мере часть частиц которого >250 м. В суспензии катализатора в газе при плотности $\rho \leq 400$ кг/м³ при 288—344° и 0,7—35 ат реагирует большая часть СО. Т-ру в реакторе регулируют непрямым обменом с в-вом, т-ра которого в основном ниже т-ры р-ции. Вверху реактора газы проходят узкий канал, отделяются от катализатора в сепараторе с фильтрами и охлаждаются. Из жидкой фазы выделяют целевые продукты, а по крайней мере часть газов возвращают в цикл при соотношении (по объему) возврата к свежему газу от 0,5:1 до 10:1. Из сепаратора катализатор вводят в реактор в кол-ве $\geq 64,2$ кг/м³ газа при $\geq 294^\circ$. По крайней мере часть катализатора в сепараторе отдувают H_2 содержащим газом. Дана схема реактора.

Ю. Гольнец
22316 П. Способ получения кислородсодержащих органических соединений. Нинбург, Кёльш, Эккерт (Verfahren zur Herstellung sauerstoffhaltiger organischer Verbindungen. Nienburg Hans Jürgen, Kölsch Walter, Eckert Ernst) [Chemische Verwertungsgesellschaft Oberhausen m. b. H.]. Пат. ФРГ 946621, 2.08.56

Олефины, содержащие >5 атомов С, обрабатывают СО и H_2 при нагревании под давлением в присутствии водн. р-ра Со-соли. Водн. р-р Со-соли вводят в аппарат сверху, а снизу вверх пропускают газ и жидкий олефин; одновременно удаляют со дна аппарата отработанный водн. р-р катализатора. В вертикальную трубу (объем 3,5 л, высота 2 м), наполненную 2 л колец Рашига (диам. 6 мм), вводят при т-ре р-ции 180° 1000 мл/час смеси гексиленов [т. кип. 60—70°, йодное число (ИЧ) 300, d^{20}_4 0,698] и 100 мл 5%-ного водн. р-ра Со-ацетата и одновременно снизу вводят такое кол-во газа ($\text{CO}:\text{H}_2 = 1:1$) при давл. <300 ат, чтобы удалялось 0,5 м³/час отработанных газов. Снизу удаляют 100 мл/час водн. р-ра. Продукты р-ции, отходящие сверху, пропускают через холодильник в сепаратор, из которого удаляют ~ 900 г/час смеси гептаналей, выход 96,5%, ИЧ ~ 10 , d 0,830. В нижнюю часть трубы при 180° вводят 500 мл/час диизобутилена, в верхнюю треть 50 мл свежеприготовленного 5%-ного водн. Со-ацетата и одновременно снизу такое кол-во газа ($\text{CO}:\text{H}_2 = 1:1$) при давл. <350 ат, чтобы удалялось 0,25 м³/час отработанных газов; снизу удаляют 50 мл/час водн. жидкости, из которой 50% содержавшегося в ней Со переходит в органич. фазу; одновременно перекачивают 1 л/час этого водн. р-ра Со-катализатора из нижнего конца в верхнюю треть трубы. Удаленный р-р катализатора после доведения до нормального содержания Со возвращают в процесс. Из продуктов р-ции, уходящих из верхней части трубы, выделяют ~ 410 г/час смеси нонаналей, выход $\sim 97\%$, ИЧ ~ 6 , d 0,808.

В. Уфимцев
22317 П. Способ очистки кислородсодержащих органических соединений. Нинбург, Эккерт, Кёльш, Гойлав, Пистор (Verfahren zum Reinigen von sauerstoffhaltigen organischen Verbindungen. Nienburg Hans Jürgen, Eckert Ernst, Kölsch Walter, Gölav Malte, Pistor Hans Joachim) [Chemische Verwertungsgesellschaft Oberhausen m. b. H.]. Пат. ФРГ 953606, 6.12.56

Продукты, получаемые при оксосинтезе, освобождают от Со и ацеталей противоточной обработкой водой или разб. к-тами при повышенном т-ре и повышенном давлении в колонне, снабженной распределительным устройством. В качестве исходных в-в подходят такие, которые не смешиваются полностью с водой (напр., из пропилена или высших олефинов).

Освобождение от Со проводят при $>100^\circ$ (лучше 150—250°) и давлении, возникающем в результате испарения воды или создаваемым инертным газом (напр., N_2). Время обработки тем меньше, чем выше т-ра; для подавления побочных р-ций время контакта необходимо сокращать до минимума. При использовании к-т предпочтительна 1—10%-ная фосфорная к-та; время от времени или непрерывно выводят часть отработанной жидкости и вводят эквивалентное кол-во свежей. В вертикально расположенную трубку для высоких давлений емк. 3 л и длиной 2 м, наполненную 2 л колец Рашига диам. 6 мм, подают снизу 2,5 л/час сырого продукта оксосинтеза [получен при обработке гексиленовой фракции (т. кип. 60—70°) смесью СО и H_2 (1:1) при 180—300 ат], одновременно сверху подают 0,5 л/час 5%-ную водн. H_3PO_4 ; обработка производится при 220° и 25 атм (N_2); органич. слой отбирают сверху; водн. к-та выводится из низа колонны и вводится в рецикл со скоростью 3 л/час; а 0,5 л/час разб. к-ты выводится из процесса; из головы колонны продукт проходит через холодильник в сепаратор, из которого отводят в 1 час 30 л газов и 2,5 л неочищ. альдегида, который характеризуется следующими данными (в скобках — данные до обработки): йодное число 10(10), число нейтр-ции 8(8), число омыления 12(12), гидроксильное число 80(30), карбонильное число 320(309), содержание Со 0% (0,06%); увеличение гидроксильного числа указывает на расщепление ацеталей. В аналогичном опыте вместо водн. H_3PO_4 используют чистую воду (Со отделяется в виде гидрата окиси), получают альдегид такой же чистоты, как и в первом опыте.

Г. III.
22318 П. Способ получения кетополенинов. Дорп, Арене, Инхоффен (Verfahren zur Herstellung mehrfach ungesättigter Ketone. Dorp David Adriaan van, Arens Josef Ferdinand, Inhoffen Hans-Herloff) [Schering A.-G.]. Пат. ФРГ 946985, 9.08.56

Нитрилы полиенкарбонных к-т обрабатывают алкил-Mg-галогенидами, продукты взаимодействия разлагают и выделяют соответствующие кетоны. Р-цию проводят в отсутствие воздуха в высококипящих р-рителях, в особенности в простых эфирах фенолов, напр. в анизоле. К р-ру CH_3MgBr (из 12,3 г Mg) в 100 мл эфира (в атмосфере чистого сухого N_2) прибавляют 125 г анизола, высушенного над Na, нагревают до 90° и при размешивании добавляют по каплям р-р 69 г ионилиденацетонитрила в 80 мл анизола в течение ~ 30 мин.; нагревают еще 30 мин. при 90°; по охлаждению отделяют эфирный слой, промывают, сушат и перегонкой выделяют 40,5 г кетона ф-лы $\text{C}_{16}\text{H}_{26}\text{O}$, желтое масло, т. кип. 90—100°/10⁻³ мм. Для очистки р-р 20,25 г этого кетона в 50 мл спирта при 50° смешивают с р-ром 7,5 г Na-ацетата и 9,9 г хлоргидрата семикарбазиды в 25 мл воды и размешивают до гомогенности; после 16 час. выкристаллизовывается 11,3 г семикарбазона, т. пл. 168—169° (испр.), из фильтрата дополнительно выделяют еще 1 г. Семикарбазон (20 г) встряхивают при 20° со смесью 20 г конц. H_2SO_4 , 30 мл воды и 150 мл спирта, прибавляют 100 мл петр. эфира и 100 мл воды, отделяют органич. слой, а водн. слой дважды извлекают петр. эфиром, органич. слой промывают водой, сушат и перегонкой выделяют 10,5 г очищ. кетона ф-лы $\text{C}_{16}\text{H}_{26}\text{O}$, т. кип. 104—107°/10⁻² мм; в колбе остается в-о с т. пл. 114—115,5° (из петр. эф.). Полученные кетоны применяют в качестве душистых в-в, а также для дальнейшей переработки и получения других полиенов. В. Уфимцев
22319 П. Окисление углеводородов. Чапман, Косби (Hydrocarbon oxidation. Chapman Wilbur F., Cosby John N.) [Allied Chemical and Dye Corp.]. Пат. США 2734067, 7.02.56

Углеводороды окисляют в жидкой фазе газообразным O_2 при 150—200° под давлением с получением $HSOON$, CH_3COOH , C_2H_5COOH , ацетона и эфиров. Используются насыщ. алифатич. и алициклич. углеводороды и их смеси, кипящие в пределах 27—100° (напр. газолитин, освобожденные от бутановой фракции (Г)). Окисление можно осуществлять воздухом, а также воздухом, обогащенным или обедненным O_2 , в присутствии катализаторов, промотирующих частичное окисление углеводородов. Для получения низших алифатич. к-т и уменьшения кол-ва ацетона и эфиров необходимо поглощение 590—726 г O_2 на 453,6 г углеводородов; для увеличения образования ацетона и эфиров необходимо поглощение 317,5—544,3 г O_2 на 453,6 г углеводородов. При нормальном течении р-ции окисления воздухом содержание CO_2 в хвостовых газах (ХГ) должно быть 3,5—8,5%, а содержание O_2 не больше 3%. При использовании для окисления других газов, содержащих O_2 , содержание CO_2 в ХГ должно быть в пределах от 3,5 г/20% до 8,5 г/20%, а содержание O_2 не выше 3 г/20% (г — содержание O_2 в процентах в газе, используемом для окисления). Отделение воды и к-т водн. фазы осуществляют фракционной разгонкой или нейтр-цией к-т щелочами, упариванием и кристаллизацией солей, экстракцией солей водой и другими р-рителями, а также комбинацией перегонки, экстракции и хим. р-ций. Если исходная смесь содержит C_6H_6 или другие ароматич. углеводороды, то их удаляют из смеси, возвращаемой в рецикл. Степень окисления выражается ф-лой $K = a/bc$ (K — степень окисления, изменяющаяся в пределах значений CO_2 и O_2 в ХГ; a — скорость пропускания O_2 ; b — скорость удаления окисленных продуктов в жидкой фазе; c — скорость подачи свежих углеводородов). Процесс может быть проведен как непрерывным способом, так и периодически. Окислительную колонну загружают 1000 ч. (здесь и далее вес. ч.) Г, 0,25 ч. $Mg(CH_3COO)_2$ и 0,25 ч. $Co(CH_3COO)_2$, растворенных в водн. CH_3COOH (поверхность жидкости в колонне на 122 см выше трубки, вводящей воздух), воздух подается при 49—70 ат; колонну нагревают до 150°; содержание O_2 и CO_2 при вводе 17—18 и 0,2%, при выводе 0—0,2 и 3,6—5,8% соответственно; воздух прекращают пропускать, когда содержание O_2 в ХГ вырастает до 11%; отделяют водн. слой от масла; водн. слой фракционируют, отбирая фракцию с т. кип. 100—110°; конденсаты, образующиеся в ловушке и угольном абсорбере в процессе окисления, низко- и высококипящую фракции из ректификационной колонки смешивают с 212 ч. свежего Г (всего 1120 ч.), возвращают в окислительную колонну и повторяют процесс; добавляют 155 ч. конденсатов из ловушек и угольного абсорбера, р-цию прекращают, когда содержание O_2 и CO_2 поднимается до 7,4 и 8,6% соответственно; снова отделяют водн. слой от масляного и водн. слой фракционируют; после этого вышеописанную стадию проводят еще 6 раз, каждый раз прекращая окисление при возрастании содержания O_2 в ХГ с 3 до 10—12%, причем получают (указаны: кол-во свежего Г в ч., т-ра кип. фракции, отбираемой из водн. слоя, в °C, и ее кол-во в ч.): 1000, 100—110, 232; 212, 100—133, 301; 179, 101—142, 328; 329, 102—150, 341; 318, 101—142, 326; 280, 103—139, 322; 275, 100—139, 327; 261, —, 340; на 100 ч. газолитина получают 61,3 ч. CH_3COOH , 13 ч. $HSOON$ и 9,4 ч. C_2H_5COOH . В другом опыте окисляют тексасский Г, повторяя процесс 4 раза; получают на 100 ч. газолитина 57,2 ч. CH_3COOH , 12,9 ч. $HSOON$ и 9,1 ч. C_2H_5COOH . В аппарат, содержащий остаточную жидкость после завершения предыдущего окисления тексасского Г, загружают 9,09 л тексасского Г, 4,55 л низкокипящей фракции и 4,55 л высококипящего остатка от окис-

ления, проведенного в присутствии $Mg(CH_3COO)_2$, нагревают до 160°, пропускают воздух под давл. 49 ат, отводят ХГ со скоростью 84,95 дм³/мин до установления непрерывного окисления газолитина и в-в, возвращенных в рецикл, при 190° и 49 ат с отбором ХГ со скоростью 141,58—0,54 дм³/мин, подачей свежего Г 12,51 л/час, отделением низкокипящей фракции и высококипящего остатка от водн. фазы и возвращением в рецикл по мере их образования; водн. фазу отбирают с такой скоростью, чтобы поддерживался постоянный уровень жидкости в окислительной колонне (на ~427 см выше вводного распределителя воздуха); в колонне непрерывного действия от водн. фазы отгоняют фракцию с т. кип. 70—90°, которую фракционируют в колонне периодич. действия, отбирая фракцию с т. кип. 40—60° (неочищ. ацетон), а остаток возвращают в окислительную колонну; остаток из колонны непрерывного действия разгоняют в другой колонне непрерывного действия, отбирая фракцию с т. кип. 100—110°, а остаток возвращают в рецикл; чтобы избежать осаждения твердой фазы (в основном янтарной к-ты) в коммуникациях, пропускают остаток от разгонки через кристаллизатор и фильтр перед возвращением остатка в рецикл. Содержание O_2 в ХГ от 0 до нескольких десятков процентов, а CO_2 5—6,5%. На каждые 100 ч. Г получают 48 ч. CH_3COOH , 11,8 ч. C_2H_5COOH , 17,7 ч. $HSOON$, 3 ч. $(CH_3COOH)_2$, 18 ч. CH_3COCH_3 , 28,8 ч. низко- и высококипящих в-в. Дана схема непрерывного процесса окисления Г. Ш. 22320 П. Димерные жирные кислоты. Гаррисон, Мак-Калейб (Dimeric fatty acids. Harrison Stuart A., McCaleb Kirtland E.) [General Mills, Inc.] Пат. США 2731481, 17.01.56

Димеры моноолефиновых жирных к-т с 8—22 атомами С, напр. олеиновой к-ты (I) и их эфиров с низшими 1-атомными спиртами, получают нагреванием их при т-ре > 100° (130—150°), в течение 12—48 час. в присутствии 5—30 мол.%, органич. перекиси ф-лы $ROOR'$, где R — трет-алкил, а R' — трет-алкил или трет-алкилпероксипропан, 2,2-бис-трет-бутилпероксибутан, 2,2- или 3,3-бис-трет-бутилпероксибензол. Так, 20 г I (кислотное число 198,4; йодное число 88,7) и 0,75 г ди-трет-бутилперекиси нагревают в атмосфере N_2 24 часа при 130° без перемешивания в закрытом сосуде, после чего добавляют 0,75 г перекиси и нагревают еще 24 часа. Летучие продукты отгоняют в вакууме и остаток подвергают высоковакуумной разгонке, после отгонки исходной к-ты получены димерная фракция и полимерный остаток. Димерная фракция отличалась следующими показателями (в скобках приведены теор. данные для димерной к-ты с 2 несопряженными этиленовыми связями): мол. в. 548 (565); кислотное число 186,5 (198); йодное число 91,7 (89,9). Получаемые димеры могут найти применение в лакокрасочной пром-сти и пром-сти пластмасс и волокон. Я. Кантор

22321 П. Способ получения бутан-1,2,4-трикарбоновой кислоты. Блазер, Ширп (Verfahren zur Herstellung von Butan-1,2,4-tricarbonsäure. Blaser Bruno, Schrip Hubert [Henkel & Cie G. m. b. H.]. Пат. ФРГ 957940, 14.02.57)

Гексагидро-п-оксibenзойную к-ту (I) или ее эфиры окисляют 60—65%-ной HNO_3 при 65—100°, возможно, в присутствии катализаторов (NH_4VO_3). Этерификацией неочищ. бутан-1,2,4-трикарбоновой к-ты (II) спиртом с низким мол. весом можно выделить чистую II в виде ее эфира. К 132 г 60% HNO_3 , 0,1 г меди в порошок и 0,1 г NH_4VO_3 при 70° и сильном размешивании по каплям прибавляют 66 г этилового эфира I. После прекращения выделения нитрозных газов прибавляют еще 25 мл 65%-ной HNO_3 и т-ру повышают

постепенно до 90° и р-р выпаривают. Полученный остаток растворяют в этилацетате, нагревают на водяной бане с активированным углем и фильтруют. Прибавлением к фильтрату петр. эфира осаждают кристаллы II. Выход 60%, т. пл. 120°. К 175 г 60%-ной HNO₃ при 70° и сильном размешивании медленно прибавляют 80 г этилового эфира I, в течение 4 час. т-ру повышают до 95°, при этом прибавляют 90 мл конц. HNO₃. Смесь обрабатывают, как и выше. Выход II 54,1 г. В аналогичных условиях с катализатором и без него можно окислять I. II служит средством для увеличения твердости искусств. смол, а также промект. продуктом для мягчителей и пластмасс. Л. Д. 22322 П. Способ получения изопропиловых эфиров карбоновых кислот. Мансьон, Года (Verfahren zur Herstellung von Carbonsäureisopropylestern. Mention Maurice, Godet Pierre) [Soc. An. Les Usines de Melle]. Пат. ФРГ 949823, 27.09.56

Непрерывный процесс получения изопропиловых эфиров алифатич. к-т, содержащих 2—8 атомов С, действием на них пропилена (I) в присутствии сильных минер. к-т, отличающийся тем, что в реакционную смесь (РС), содержащую 20—30 вес.% H₂SO₄, 5—30 вес.% соответствующей алифатич. к-ты, 5—10 вес.% ее изопропилового эфира, 0,5—10 вес.% воды и 20—69,5 вес.% изопропилсульфата, вводят при 60—80° соответствующую алифатич. к-ту, в таких кол-вах, чтобы состав РС оставался постоянным и 2—5 м³/час на 1 кг РС газов, содержащих ≥ 30 об. % I, отделяют из отходящих газов большую часть изопропилового эфира, а газ, еще содержащий I, возвращают в р-цию. Вследствие того что образующийся эфир тотчас удаляется из РС, снижается образование полимеров I. Можно использовать либо чистый I, либо газы, содержащие I, и не взаимодействующие с алифатич. к-той и H₂SO₄ (напр., C₃H₈, CH₄, C₂H₆, воздух, N₂, C₄H₁₀ и др.). При использовании газовых смесей нужно постоянно отбирать часть газов и вводить в рецикл вычисленное кол-во свежего газа. Для достижения лучшей абсорбции обычно используют газы с содержанием 50—90 об. % I. Изопропиловые эфиры извлекают из отходящих газов орошением либо самой к-той, либо другими подходящими р-рителями. Дается технологич. схема процесса. В примерах описано получение (перечислены: кол-ва H₂SO₄ в кг, алифатич. к-та, ее кол-во в кг, эфир, его кол-во в кг, кол-ва воды и кислото изопропилсульфата в кг, подача алифатич. к-ты в кг/час, ее чистота в %, кол-во алифатич. к-ты, идущей в рецикл, в кг, ввод I в м³/час, его чистота в об. %, отвод I в м³/час, его чистота в об. %, т-ра р-ции в °С, скорость пропускания I в м³/час, кол-во эфира в кг/час): 3,2, CH₃COOH, 5,2 CH₃COOC₃H₇-изо 1,3, 1, 9,3, 16, 99, 7,4, 3,85, 99,4, 0,33, 93, 65, 85, 14,6; 3,95, C₃H₇COOH, 2,84, C₃H₇COOC₃H₇-изо, 0,9, 0,7, 8,65, 7,5, —, 0,9, 1,8, 99,4, 0,02, 46, 80, 60, 9,75; 2,96, C₃H₇COOH, 2,25, C₃H₇COOC₃H₇-изо, 1,12, 0,95, 9,7, 11, —, 3,2, 2,25, 99,8, 0,064, 93, 70, 70, 11,5; 3,15, C₇H₁₁COOH, 1,1, C₇H₁₁COOC₃H₇-изо, 80, 0,95, 9,75, 3,06, 98, 0,06, 0,713, 95, 0,223, 84, 77, 75, 3,8. Г. Ш. 22323 П. Получение ненасыщенных эфиров. Литман, Бускине (Verfahren zur Herstellung ungesättigter Ester. Littmann Ernst, Buskies Dietrich). Пат. ГДР 12693, 8.02.57

Ненасыщенные к-ты нагревают с избытком спирта в присутствии катионообменных смол, преимущественно вофатитов, взятых в кол-ве 10—20% от веса к-ты, по крайней мере 10 час. при т-ре кипения. Продажный вофатит F (I) обрабатывают 24 часа чистой конц. HCl, затем отфильтровывают, промывают дистил. водой до отсутствия р-ции на Cl⁻ и высушивают при 80°. 500 г кротоновой к-ты, 1000 г CH₃OH и 100 г обработанного I кипятят 15 час., I отфильтровывают, фильтрат фракционируют. При 118—120°/760 мм отбирают

425 г чистого метилового эфира кротоновой к-ты. После обработки I может быть использован повторно. Аналогично получают (указаны т-ры кипения и выход в %): этиловый эфир кротоновой к-ты, 136—139°/760 мм, 79; метиловый эфир фурилакровой к-ты (II — к-та), 110—113°/12—14 мм, 86,5; этиловый эфир II, 139°/20 мм, 80; этиловый эфир коричной к-ты, 160—165°/20 мм, 75. Эфиры могут применяться для получения полимеров. Метиловый эфир II после гидрирования при обработке HCl превращается в ω,ω'-бифункциональное соединение, пригодное для приготовления полиамидов. Б. Ф. 22324 П. Эфиры алкоксиметиленащавелевоуксусной кислоты (Esters of alkoxyethyleneoxalacetic acids) (Lilly & Co, E.). Англ. пат. 721348, 5.01.55

Соединения общей ф-лы ROOCC(=CHOR')COCOOR, где R — алкил с 1—6 атомами С, R' — углеводородный радикал, получают р-цией эфира щавелевоуксусной к-ты с алкильным эфиром ортомуравьиной к-ты. При нагревании этилового эфира щавелевой и уксусной к-ты и этилортоформиата в присутствии (CHCO)₂O получают диэтиловый эфир этоксиетиленащавелевоуксусной к-ты. В. Красева

22325 П. Получение N,N-дибензил-α-аминокислот. Амьяр, Эмес, Веллюз (Procédé pour la préparation de N,N-dibenzyl-α-amino-acides. Amiard G., Heumès R., Velluz L.). Франц. пат. 1115786, 30.04.56

Рацемическую или оптич. активную аминокислоту вводят в р-цию с 3—10-кратным (лучше 5-кратным) избытком бензилгалогенида в присутствии NaOH или KOH, связывающего образующийся галоидоводород, подкисляют и экстрагируют р-рителем, не смешивающимся с водой, омыляют бензильный эфир аминокислоты и экстрагируют N,N-дибензил-α-аминокислоту общей ф-лы (C₆H₅CH₂)₂NCH(R)COOH, где R — H, алкил, арил, аралкил или гетероциклич. остаток. R может содержать OH-группу и группу C₆H₅CH₂X, где X — O, соединенный с бензольным ядром. 18 ч. DL-аланина в 30 мл 65%-ного спирта кипятят с 6 мл 7 н. KOH, прибавляют в течение 5 мин. 10 мл C₆H₅CH₂Cl (I), кипятят еще 1 час, отгоняют спирт, подкисляют CH₃COOH и экстрагируют CH₂Cl (II). Экстракт промывают, сушат, испаряют II, остаток экстрагируют 5 мл 20%-ного KOH в пропиленгликоле, кипятят 5 мин., прибавляют 5 мл воды, подкисляют, экстрагируют II, промывают, сушат, испаряют II и кристаллизуют из 5 мл гексана. Получают 3,8 г DL-дибензилаланина, т. пл. 98°, выход 70%. Аналогично из L (—) лейцина, с выходом 86% получают L (—) N,N-дибензиллейцин, т. пл. 104—106°, [α]_D²⁰ —68° ± 1° (с = 2%, CH₃OH). Из 9 ч. L (—) тирозина с выходом 72% получают L (—) O,N,N-трибензилтирозин, т. пл. 118—119°, [α]_D²⁰ = —15 ± 0,5° (с = 2%, CH₃OH). Гидрогенолиз этого в-ва в присутствии Pd на угле приводит к исходному L (—) тирозину. Из 10,5 г DL-серина с выходом 75% получают DL-N,N-дибензилсерин, т. пл. 146°. Из 11,9 г DL-треонина с выходом 56% получают DL-N,N-дибензилтреонин, т. пл. 142—143°. В. Красева

22326 П. Способ отделения капролактама из его растворов в серной кислоте или олеуме (Verfahren zur Trennung von Caprolactam aus seinen Lösungen in Schwefelsäure oder Oleum) [Directie van de Staatsmijnen in Limburg]. Австрал. пат. 175884, 25.08.53 [Chem. Zbl., 1954, 125, № 31, 7056—7057 (нем.)]

Капролактамы выделяют из его р-ров в серной к-те или олеуме нейтр-цией NH₃ или аммонийными солями. Отделенное после нейтр-ции масло смешивают со щел. агентами, напр. NaOH, KOH, Na₂CO₃, K₂CO₃, Ba(OH)₂, Ca(OH)₂ и K₂SiO₃, и после отделения от твердых в-в перегоняют. Л. Р.

22327 П. Получение N-монозамещенных моноуренинов глиоксали. Вёрнер, Рюменс (Verfahren zur

lung substituiert Brenztraubensäureoxime. Voeller Fritz [C. F. Boehringer & Soehne G. m. b. H.]. Пат. ФРГ 956947, 24.01.57

Продукты конденсации альдегидов с роданином разлагают щелочью и образовавшиеся соответствующие тиопириновиноградные к-ты обрабатывают р-ром гидроксиламиносульфокислоты или солью NH_2OH при pH 6,6—6,9; оксим выделяют подкислением р-ра 75 ч. 3,4-диметоксибензилиденроданина, т. пл. 230°, вносят в 350 ч. 15%-ного NaOH и нагревают до кипения. После охлаждения к перемешиваемому р-ру прибавляют 115 ч. 24%-ного р-ра сернокислого гидроксиламина и доводят pH р-ра прибавлением H_2SO_4 до 6,6—6,9. Через 1 час отдувают H_2S азотом, р-р отделяют от S, фильтрат подкисляют минер. к-той (по конго). Получают 57 ч. оксима 3,4-диметоксифенилпириновиноградной к-ты, т. пл. 157—159°, выход 91%. 114,5 ч. фурфурилиденроданина, т. разл. 204°, растворяют в 667 ч. 15%-ного NaOH и после охлаждения смешивают с 230 ч. 20%-ного р-ра сернокислого гидроксиламина и оставляют на длительное время при pH 6,7. Р-р фильтруют, подкислением фильтрата (по конго) выделяют коричневую массу, которая после кристаллизации из C_6H_6 имеет т. пл. 114. Выход β -фурил- α -оксиминопириновиноградной к-ты 85%. Получаемые оксимы являются полупродуктами для синтеза лекарственных в-в, напр. папаверина.

22332 П. Выделение триметиламина. Хорст (Verfahren zur Gewinnung von Trimethylamin. Horst Horst-Dietrich von der). Пат. ГДР 13031, 8.04.57

Триметиламин (I) выделяют из газовой смеси, содержащей I и NH_3 , селективным растворением NH_3 водн. р-ром CaCl_2 , содержащим алифатич. полиоксисоединение (гликоль, глицерин, триметилпропан), причем в колоннах не образуется твердых отложений и получается 90%-ный I вместо 60—70%-ного при работе обычным способом. К насыщ. при т-ре $\sim 20^\circ$ водн. р-ру CaCl_2 прибавляют глицерин (15 объемн. ч. на 100 объемн. ч. р-ра CaCl_2). Через этот р-р пропускают смесь газов, содержащую 87,3 вес. ч. NH_3 , 0,5 вес. ч. $(\text{CH}_3)_2\text{NH}$ и 12,2 вес. ч. I, из верхней части адсорбционной колонны получают смесь газов, содержащую 90% I и 10% NH_3 .

22333 П. Изомеризация диаминобутинов. Фегли, Бортник (Isomerization of diaminobutyne. Fegley Marian F., Bortnick Newman M.) [Rohm & Haas Co.]. Пат. США 2752343, 26.06.56

Соединения общей ф-лы $\text{R}^1(\text{R}^2)\text{NC}(\text{R}^3)=\text{CHCH}=\text{C}(\text{R}^4)\text{N}(\text{R}^5)\text{R}^6$ (I) получают изомеризацией соединений ф-лы $\text{R}^1(\text{R}^2)\text{NCH}(\text{R}^3)\text{C}\equiv\text{CCH}(\text{R}^4)\text{N}(\text{R}^5)\text{R}^6$ (II), обрабатывая их при 0° — 250° (лучше 20 — 150°) мелкодисперсным Na или Li, а также Na-органич. соединениями в присутствии инертного органич. р-рителя (керосин, бензол, ксилол, диоксан, изопропиловый эфир) при соотношении катализатор : II, равном 1 : 5—1 : 100 (предпочтительно 1 : 20—1 : 50); $\text{R}^1, \text{R}^2, \text{R}^5, \text{R}^6$ каждый в отдельности представляет углеводородный радикал, R^1 и R^2, R^5 и R^6 совместно могут быть 2-валентными остатками, желательнее с числом атомов $\text{C} \leq 18$, напр., $-\text{CH}_2\text{CH}_2\text{OCH}_2\text{CH}_2-$, $-\text{CH}_2\text{CH}_2\text{SCH}_2\text{CH}_2-$, $-\text{CH}_2\text{CH}_2\text{CH}_2\text{CH}_2-$, $-\text{CH}_2\text{CH}_2\text{CH}_2\text{CH}_2\text{CH}_2-$; $\text{R}^3, \text{R}^4 = \text{H}$, алкил с числом атомов $\text{C} \leq 11$, фенил. II получают конденсацией втор-амина (2 моля), альдегида и ацетилена (1 моль) в присутствии тяжелого металла первой или второй группы периодической системы (Cu и ее соли) при т-ре до 120° . 121 ч. керосина и 4,5 ч. Na, диспергированного в толуоле, помещают в реактор, нагревают до 63° на масляной бане, медленно прибавляют 342 ч. II ($\text{R}^1, \text{R}^2, \text{R}^5, \text{R}^6 = \text{CH}_3, \text{R}^3, \text{R}^4 = \text{H}$) (III) при 60 — 80° , смесь кипятят 2 часа р-рителем удаляют, остаток разгоняют, отбирая следующие фрак-

ции [перечислены т. кип., кол-во продукта ф-лы I ($\text{R}^1, \text{R}^2, \text{R}^5, \text{R}^6 = \text{CH}_3, \text{R}^3, \text{R}^4 = \text{H}$ (IV), его чистота, n_D^{20}): 100—109°/20 мм, 145 ч., 96%, 1,5475; 112/27 мм, 57 ч., 95—96%, 1,547; 53—59°/0,1—0,13 мм, 108,5 ч., 95,7%, 1,5475; 63—73°/1,1—0,65 мм, 15 ч., 97,2%, 1,5492; III изомеризуется на 89%, не входит в р-цию 3,2%. Так же получают из соответствующих II: I ($\text{R}^1, \text{R}^2, \text{R}^5, \text{R}^6 = \text{C}_2\text{H}_5, \text{R}^3, \text{R}^4 = \text{H}$), т. кип. $64^\circ/0,25$ мм, n_D^{20} 1,5155; 1,4-дипириролидинобутадие-1,3, т. кип. $115^\circ/0,35$ мм и $118^\circ/0,9$ мм, n_D^{20} 1,5988; 3,6-бис-(диметиламино)-2,7-диметилтетрадиен-3,5 образуется с выходом 65% (30 ч. керосина, 10 ч. $\text{C}_6\text{H}_5\text{CH}_2\text{Na}$, 20 ч. $\text{C}_6\text{H}_5\text{CH}_3$, кипячение 2 час.); 1,4-диморфолинобутадие-1,3, т. пл. 138,5—139,5° (163 ч. диоксана, 10 ч. 50%-ной дисперсии Na в диоксане, 112 ч. 1,4-диморфолинобутана-2, 20 час при 83°). При II, имеющих в N-заместителях >4 атомов C, скорость р-ции значительно снижается, однако если Na диспергировать в III и смесь использовать для изомеризации вышеуказанных II, то процесс идет с достаточной скоростью и высокой степенью конверсии. Так, 50 ч. керосина, 4 ч. 50% дисперсии Na в ксилоле нагревают до 40° и медленно добавляют 14 ч. III, затем в течение 40 мин. при 60 — 70° добавляют 136 ч. 6,9-бис-(диметиламино)-2,2,4,11,13,13-гексаметилтетрадецина-7, после выдержки в течение 2,5 час. при 70 — 80° р-рителем удаляют перегонкой смеси, получают 10 ч. IV (т. кип. 68 — $132^\circ/2,8$ —5 мм) 131 ч. I ($\text{R}^1, \text{R}^2, \text{R}^5, \text{R}^6 = \text{CH}_3, \text{R}^3, \text{R}^4 = \text{C}_6\text{H}_{17}$), т. кип. 187 — $192^\circ/4,4$ —3,2 мм, n_D^{20} 1,4986 (чистота 98%). Аналогично получают из соответствующих II: I ($\text{R}^1, \text{R}^2, \text{R}^5, \text{R}^6 = \text{C}_4\text{H}_9, \text{R}^3, \text{R}^4 = \text{H}$) (чистота 92%), т. кип. $142^\circ/0,35$ мм, n_D^{20} 1,5020; I ($\text{R}^1, \text{R}^2, \text{R}^5, \text{R}^6 = \text{CH}_3, \text{R}^3, \text{R}^4 = \text{изо-C}_3\text{H}_7$), т. кип. 68 — $75^\circ/0,22$ мм, n_D^{20} 1,4948; I ($\text{R}^1, \text{R}^2, \text{R}^5, \text{R}^6 = \text{CH}_3, \text{R}^3, \text{R}^4 = \text{C}_6\text{H}_5$), т. кип. 169 — $174^\circ/0,15$ мм, n_D^{20} 1,593. Из морфолина, CH_3CHO и C_2H_2 получают соединение

ф-лы $\text{CH}_2\text{CH}_2\text{OCH}_2\text{CH}_2\text{NCH}(\text{CH}_3)\text{C}\equiv\text{CH}$, которое при CH_2O и $\text{NH}(\text{CH}_3)_2$ в присутствии Cu_2Cl_2 дает 4-морфолино-1-диметиламинопентин-2, т. кип. 112 — $113^\circ/1$ мм, n_D^{20} 1,4828. Это соединение при 74° обрабатывают в керосине дисперсией Na в толуоле (11 г Na на 1 г моль пентина) в течение 2,7 час. и получают

бутадие-н ф-лы $\text{CH}_2\text{CH}_2\text{OCH}_2\text{CH}_2\text{NC}(\text{CH}_3)=\text{CHCH}=\text{CHN}(\text{CH}_3)_2$, т. кип. 110 — $115^\circ/0,3$ мм, n_D^{20} 1,5625. Также из 1 морфолино-1-фенил-4-диметиламинобутана-2 получа-

ют $\text{CH}_2\text{CH}_2\text{OCH}_2\text{CH}_2\text{NC}(\text{C}_6\text{H}_5)=\text{CHCH}=\text{CHN}(\text{CH}_3)_2$, т. кип. 150 — $160^\circ/0,5$ мм. NaNH_2 , применяемый как катализатор, способствует превращению II в димерные продукты. II подвергаются переаминированию. Так, IV, реагируя с морфолином, дает 1,4-бис-(морфолино)-бутадие-н-1,3, т. пл. 62 — 65° . После нагревания этого в-ва и перекристаллизации из эфира получают чистый один изомер с т. пл. 139 — 140° . Полученные соединения применяются как полупродукты для синтеза, а IV — как антикоррозийный агент.

22334 П. Получение динитрила α -ацетокси- α -метилглютаровой кислоты. Курц, Дисселянкёттер (Verfahren zur Herstellung von α -Acetoxy- α -methylglutarsäuredinitril. Kurtz Peter, Disselnköter Hans) [Farbenfabriken Bayer A.-G.]. Пат. ФРГ 962072, 18.04.57

В суспензию небольшого кол-ва цианида щел. или щел.-зем. металла в инертном р-рителе одновременно вводят при перемешивании эквивалентные кол-ва метилвинилкетона и HCN (I) при 40 — 80° , после прибавления 1-го эквивалента I при т-ре 20° или немного выше вводят 2-й эквивалент I, реакционную смесь подкисляют и образовавшийся динитрил α -окси- α -метилглютаровой к-ты без выделения превращают в $\text{NCC}(\text{OOCCH}_3)(\text{CH}_3)\text{CH}_2\text{CH}_2\text{CN}$ (II) нагреванием с $(\text{CH}_3-$

CO)₂O в присутствии кислого катализатора. В качестве побочного продукта получают нитрил леулиновой к-ты. К перемешиваемой смеси 25 мл C₆H₆ и 0,2 г KCN при 50° одновременно прибавляют 50 г сухого метилвинилкетона и 30 мл I в течение 45 мин. После падения т-ры до 30° прибавляют по каплям еще 30 мл I, смеси дают охладиться до ~20°, затем охлаждают до -10°, добавляют небольшое кол-во H₃PO₄ и прибавляют по каплям в нагретую до 60° смесь 74 мл (CH₃CO)₂O и 0,5 мл H₂SO₄. Смесь быстро нагревается до кипения. После охлаждения C₆H₆ и CH₃COOH отгоняют, остаток выливают в 100 мл воды и извлекают эфиром. Экстракт нейтрализуют NaHCO₃ и сушат Na₂SO₄. Перегонкой выделяют 17,1 г (25%) нитрила леулиновой к-ты, т. кип. 95—109°/12 мм, и 64,5 г (55%) II, т. кип. 125—130°/0,01 мм. II является промежуточным продуктом для дальнейших синтезов.

В. Красева

22335 II. Получение α-ацетилпропионитрила. Окада, Таникути, Кадзи, Сакимото, Кикутти (α-アセチルプロピオニトリルの製造法. 桶田秀雄, 谷口卓藏, 加治有恒, 先本亂次, 菊池正義) [日本曹達株式会社. Нихон сода кабусики кайся]. Японск. пат. 6872, 27.09.55

3-хлорбутанон-2 с NaCN (через Na-производное диангидрида) превращается в нитрил α,β-диметилглицидиной к-ты (I). Из I и цианидов щел. металлов (через алкоголяты 2,3-дициано-2-оксидбутана) получают α-ацетопропионитрил (II). К р-ру 59 ч. NaCN в 118 ч. воды добавляют 97 ч. I, нагревают 5—10 мин. при 95—100° и добавляют 100 ч. холодной воды. Получают II, выход 52%, т. кип. 78—80°/20 мм. В водн.-бензольной эмульсии и в спирте выход II составляет 46 и 43%. Н. III.

22336 II. Усовершенствованный способ получения органических изоцианатов. Аллен, Чадвик (Procédé; perfectionne de production d'isocyanates organiques. Allen Tull C., Chadwick David H.) [Monsanto Chemical Co.]. Франц. пат. 1079611, 1.12.54 [Chimie et industrie, 1955, 74, № 6, 1242 (франц.)]

Карбонилгалогенид (фосген или COBr₂) вводят в р-цию с галогидридом первичного амина (алкил-, циклоалкил-, алкиларил-, аралкил-, ариламины). Р-ция проводится в присутствии инертного органич. р-рителя и BF₃ как катализатора в кол-ве, достаточном для заметного повышения выхода р-ции. Реагенты применяют в соотношении, стехиометрически необходимом для полного превращения аминогруппы исходного амина в изоцианатные группы.

Л. Бельский

22337 II. Процесс производства сероуглерода. Фолкинс, Миллер, Хенниг (Process for the production of carbon disulfide. Folkins Hollis O., Miller Elmer, Hennig Harvey) [Food Machinery and Chemical Corp.]. Канадск. пат. 517574, 18.10.55

CS₂ получают из серы и углеводородных газов, содержащих значительные кол-ва C₂ и высших углеводородов, в присутствии твердого катализатора. Раздельно нагретые до т-ры 482—704° (напр., 566°) газы и пары S (до т-ры 618°) смешивают непосредственно перед входом на контакт, на котором поддерживают т-ру ~600°. Во избежание заметного крекинга газов, время контакта выбирается достаточно малым, напр. 0,4 сек. Образующийся CS₂ отделяется. Приведена технологич. схема.

В. Щекин

22338 II. Сульфокислоты фторуглеродов и их производные. Брайс, Тротт (Fluorocarbon sulphonic acids and derivating. Brice Thomas S., Trott Paul W.) [Minnesota Mining Manufacture Co.]. Пат. США 2732398, 24.01.56

Сульфокислоты фторуглеродов общей ф-лы R SO₃H (I), где R₁ — насыщ. перфтор-алифатич. или -цикло-алифатич. радикал n- или изо-ряда, содержащий

1—18 атомов C, а также их производные (ангидриды, соли, амиды и галоидангидриды) получают электролизом при 4—6 в смеси галоидангидрида (в частности фторангидрида) соответствующей насыщ. или ненасыщ. алифатич., ароматич. или жирноароматич. сульфокислоты с безводн. HF (II), причем образуется R₁SO₂F, из которого получают свободную сульфокислоту и ее производные. Электролизом галоидангидридов дисульфокислот в II получают смесь фторангидридов ди- и моносульфокислот, которую разделяют ректификацией. Электролизер — 40- или 50-амперный, бездиафрагменный, катод — Fe, анод — Ni, расстояние между электродами ~3—6 мм, активная поверхность ~2250 см², плотность тока ~1,8 а/дм². Смесь 2 кг I и 80 г CH₃SO₂Cl подвергают электролизу в течение 46 час. при 15—17°. Конц-ия органич. соединений ~4%, что достигается периодич. добавлением реагентов, сила тока 40 а, напряжение 5—6 в. Общее кол-во введенного в р-цию хлорангидрида — 740 г. Выделяющиеся газы (II) конденсируются в обратном холодильнике) пропускают над NaF для освобождения от примеси II и конденсируют в ловушке, охлажденной жидким воздухом. Конденсат (1018 г) разгоняют и получают 634 г фторангидрида I, т. кип. 23° (R₁ — CF₃) (III-к-та). Гидролизом его 20%-ным КОН (10%-ный избыток) при 95° и ~67 ат в течение 3 час. получают 283 г К-соли III, т. пл. 230° (из сп.), устойчива до >375°. Аналогично получают Na-соль, т. пл. ~300°, устойчива до 400°. Гидролизом 100%-ной H₂SO₄ получают III, т. кип. 166°, растворима в воде, спирте, эфире, не растворима в CCl₄, бал., гептане, фторуглеродах. 11,5 г Ag₂O медленно прибавляют к 15 г III, затем добавляют 50 мл воды. Смесь нагревают, фильтруют и фильтрат испаряют досуха. Получают Ag-соль III (из бал.) с выходом 95%. Действием 100 г PCl₅ на 65 г III при 105° получают 38 г хлорангидрида III, т. кип. 33°/735 мм и 12 г ангидрида с т. кип. 80,5°. Из последних и эфирного р-ра анилина получают анилид III, т. пл. 65—66° и C₆H₅NH₂-соль III, т. пл. 250—255°. Амид III, т. пл. 117—119°. Из 77 г Ag-соли III и 100 мл CH₃I в течение 2 час. образуется 33,8 г метилового эфира, т. кип. 97—97,5°/736 мм, n_D²⁵ 1,3238, легко гидролизуется на воздухе. 40 г фторангидрида III с 0,5 моля CH₃MgI в эфире дают 8,2 г CF₃SO₂CH₃, т. кип. 130°/745 мм, n_D²⁵ 1,3462 и 1,9 г CF₃SO₂CH₂O₂SCF₃, т. кип. 191°/745 мм. Электролиз 735 г C₂H₅SO₂Cl в II при 50 а и 5 в в течение 41 часа приводит к фторангидриду I (R₁ — C₂F₅) (IV-к-та), т. кип. 7,5°. Гидролизом последнего при действии 50%-ного КОН при 150° и 65 ат с последующей обработкой К-соли 100%-ной H₂SO₄ получают 310 г IV, т. кип. 175°, коэффициент поверхностного натяжения (КПН) — 21 дин/см при 25°. Na-соль IV, т. пл. 370—390°, стабильна до >420°, К-соль, т. пл. 280°, стабильна до >425°, Ag-соль, т. пл. 265—290°. 120 г (CH₃)₂CH(CH₂)₂SO₂Cl и 1950 г II подвергают электролизу при 40 а и 5—6 в в течение 106 час. при 18° и атмосферном давлении. Разгонкой нижнего слоя (695 г) получают фторангидрид I [R₁ — (CF₃)₂CF(CF₂)₂] (V-к-та), т. кип. 89—91°, n_D²⁵ 1,2884; V · H₂O (получена через К-соль), т. пл. 129—130°, т. кип. 212°, КПН 3,7%-ного водн. р-ра 39 дин/см при 25°. Из 200 г CH₃(CH₂)₅SO₂Cl и 1956 г II при 40 а, 5—6 в и 20—24° (конц-ия органич. в-ва ~10%) получают фторангидрид I [R₁ — CF₃(CF₂)₅], т. кип. 114—115°, n_D²⁵ 1,2918, гидролизом которого получена соответствующая к-та, т. кип. 95°/3,5 мм. Электрохим. фторированием 120 г n-CH₃C₆H₄SO₂Cl в 1950 г II при 17°, 35 а и 5,5 в получают через соответствующий фторангидрид 63 г К-соли I (R₁ — 4-CF₃C₆H₄), из которой получают к-ту с т. кип. 240°, КПН 1,4%-ного водн. р-ра 33 дин/см при 25°, Na-, Ag-

и NH_4 -соли. Из 670 г $\text{CH}_3(\text{CH}_2)_7\text{SO}_2\text{F}$ и 2 кг II при 18–20°, 5,7–6 в и плотности тока $\sim 3 \text{ а/см}^2$ в течение 69 час. получают 298 г $\text{CF}_3(\text{CF}_2)_7\text{SO}_2\text{F}$. Аналогично получают: $\text{C}_6\text{F}_{11}\text{SO}_2\text{F}$, $\text{C}_6\text{F}_{11}\text{SO}_2\text{H}$, $2\text{-CF}_3\text{C}_6\text{F}_{10}\text{SO}_2\text{F}$, т. кип. 131°, $n_D^{25} 1,318$, соответствующая к-та и ее К-соль; $\text{C}_6\text{F}_{17}\text{SO}_2\text{F}$, т. кип. 154,5°/744 мм, $n_D^{25} 1,2993$, $\text{C}_6\text{F}_{17}\text{SO}_2\text{H}$, КПН 1 вес. %-ного р-ра в 90 %-ной HNO_3 — 36 дин/см, 5 %-ного р-ра — 28 дин/см, 0,04 %-ного р-ра в керосине — 20,5 дин/см при 25°, Ag-соль, ангидрид, т. кип. 260–275°, хлорангидрид, т. кип. 194°, $n_D^{25} 1,3200$, n -толуидид, т. пл. 93–95°, пиперидид, т. пл. 75–76,5°, морфолдид, т. пл. 127–129°, аллиламид, т. пл. 84,8–85,5°, амид, т. пл. 151–152° (из хлф.), $\text{CF}_3(\text{CF}_2)_n\text{SO}_2\text{F}$ (приведены n и т. кип.): 9, 190°; 11, 222°; 13, 250°; 15, 275°; 17, 295°. $4\text{-C}_2\text{F}_5\text{C}_6\text{F}_{10}\text{SO}_2\text{F}$, т. кип. 150–151°, $n_D^{25} 1,321$, $4\text{-(CF}_3)_2\text{CFC}_6\text{F}_{10}\text{SO}_2\text{F}$, т. кип. 170°, $n_D^{25} 1,323$, $4\text{-(C}_2\text{F}_5)_2\text{CF}_2\text{C}_6\text{F}_{10}\text{SO}_2\text{F}$, т. кип. $\sim 190^\circ$, $4\text{-C}_{12}\text{F}_{25}\text{C}_6\text{F}_{10}\text{SO}_2\text{F}$, т. кип. $\sim 300^\circ$. Перфторированные сульфокислоты, содержащие 5–18 атомов С, их соли (в особенности К и Na) и амиды являются поверхностноактивными в-вами и пригодны для употребления при повышенной т-ре в присутствии сильных к-т или щелочей. К-соли III и IV в расплаве могут применяться в качестве теплоносителей и высокотемпературных смазок. $4\text{-CF}_3\text{C}_6\text{F}_{10}\text{SO}_2\text{H}$ ингибирует коррозию Al в HCl-к-те. Л. Герман

22339 П. Получение Na-соли N-метилтаурина. Швалленберг (Verfahren zur Herstellung von N-Methyltaurin-Natrium. Schwalenberg Albert) [VEB Farbenfabrik Wolfen]. Пат. ГДР 13101, 23.04.57

Водный р-р Na-соли 2-хлорэтан-1-сульфокислоты вводят в р-цию с 10–12-кратным кол-вом водн. р-ра CH_3NH_2 (I) при обычном давлении. К перемешиваемому р-ру 103 г Na-соли 2-хлорэтан-1-сульфокислоты в 482 мл воды постепенно прибавляют при т-ре ~ 20 – 30° 720 г 32,6 %-ного водн. I, смесь перемешивают 6 час., затем постепенно приливают 53 г 50 %-ного NaOH, избыток I удаляют нагреванием р-ра, удаливая I водой, остаток I отгоняют с паром. Выход Na-соли N-метилтаурина 98 %.

22340 П. Способ получения N-замещенных сульфамов. Фейхтингер, Туммес (Verfahren zur Herstellung von N-substituierten Sulfamen. Feichtinger Hans, Tummes Hans) [Ruhchemie A.-G.]. Пат. ФРГ 935129, 10.11.55

Сульфамы общей ф-лы $\text{RSO}_2\text{NHR}'$, где R — насыщ. нормальный или разветвленный алкилен с 3–4 атомами С, X — CH_2 , SO_2 или CO, а R' — H, или органич. радикал, получают действием алкил-, аларкилгалогенидов или галоидангидридов карбоновых или сульфоновых к-т на соответствующие сульфамы RSO_2NH в

виде их щел. солей или в присутствии сильной щелочи (NaOH, KOH). Р-цию проводят в водн. р-ре или в органич. р-рителе или без разбавителя. В качестве р-рителей применяют бзл., эф., толуол или диоксан, вода (5–10 ч. на 1 ч. щел. сульфата). С галоидангидридами карбоновых к-т р-ция протекает уже на холоду; с ароматич. сульфохлоридами необходимо 2-часовое нагревание при 50–80°, а с алкилгалогенидами (предпочтительно йодидами) — 10–24-часовое нагревание при 100–150°. С медленно реагирующими галоидопроизводными р-цию щел. сульфамов лучше проводить без разбавителя с избытком галоидоалкила. С ароматич. сульфохлоридами р-ция протекает в течение нескольких минут при сплавлении эквимол. кол-в обоих реагентов при 50–150°. Исходные сульфамы получают взаимодействием хлоргидратов алифатич. аминов с SO_2 и Cl_2 , с последующей обработкой образовавшихся хлоргидратов аминсульфохлоридов основа-

нием, термич. циклизацией хлорированных алифатич. сульфамидов или действием NH_3 на ω -оксипансульфамиды (герм. пат. 740814). Через р-р 30 г $\text{n-C}_4\text{H}_9\text{NH}_2$ в 300 мл CCl_4 пропускают HCl (газ) до кислой р-ции по лакмусу, после чего при 30–40°, освещении ртутной лампой и энергичном перемешивании массу обрабатывают $\text{SO}_2 + \text{Cl}_2$ (1,3 : 1 по объему) в течение 6 час., отсасывают выпавшие кристаллы, промывают их 50 мл CHCl_3 , растворяют в 250 мл лед. воды, медленно обрабатывают при 0° и перемешивании 9 н. NaOH до постоянной щел. р-ции (по лакмусу), оставляют на 2 часа при комнатной т-ре, после чего подкисляют небольшим кол-вом HCl, экстрагируют в перфораторе эфиром, отгоняют эф. и воду в вакууме на водяной бане и получают 30 г бесцветного масла, из которого в течение 3–5 дней выделяется ~ 5 г кристаллич. чистого δ -бутансульфата $\text{CH}_2\text{CH}_2\text{CH}_2\text{CH}_2\text{SO}_2\text{NH}$; остаток (~ 25 г) представляет практически чистый α -метил- γ -пропансультам $\text{CH}_2\text{CH}_2\text{CH}(\text{CH}_3)\text{SO}_2\text{NH}$. К 13,5 г последнего в 100 мл абс. бзл. добавляют 2,3 г Na и смесь нагревают при 60–70° с перемешиванием до полного растворения Na. Одновременно выпадает объемистый осадок $\text{CH}_2\text{CH}_2\text{CH}(\text{CH}_3)\text{SO}_2\text{NNa}$, который, не выделяя из суспензии в бзл., вбалтывают с 14 г $\text{C}_6\text{H}_5\text{COCl}$, через час отсасывают осадок, упаривают фильтрат и остаток промывают сначала небольшим кол-вом эфира, потом водой. После перекристаллизации из разб. сп. получают 15,1 г N-бензоил- α -метил- γ -пропансульфата, т. пл. 118°. Аналогично получают N- n -толуолсульфонил- (т. пл. 179°), N-(4-ацетиламинобензолсульфонил-1)- (т. пл. 203°), N-(4-аминобензолсульфонил-1)- (т. пл. 153°), N-метил- ($n_D^{20} 1,4750$), N-бензил- и N-ацетил- α -метил- γ -пропансультам ($n_D^{20} 1,4905$), N- n -нитробензоил- (т. пл. 95°) и N- n -толуолсульфонил- γ -бутансультам (т. пл. 172°) и N-ацетил- γ -пропансультам. Продукты применимы в фармации, а также в качестве исходных в-в в органич. синтезах. Я. Кантор

22341 П. Аминоалкильные эфиры. Бенневилл, Симс (Aminoalkyl esters. Benneville Peter L., Sims Homer J.) [Rohm & Haas Co.]. Пат. США 2744885, 8.05.56

Соединения ф-лы $(\text{CH}_3)_2\text{C}(\text{NH}_2)(\text{CH}_2)_3\text{CH}(\text{CH}_3)(\text{CH}_2)_2\text{-OOCCH}_2\text{R}$ (I) (R — H или CH_3) получают нагреванием эфиров $\text{CH}_2=\text{C}(\text{R})\text{COOR}'$ (R — H или CH_3 ; R' — CH_3 , C_2H_5 , C_3H_7 или C_4H_9) с 7-амино-3, 7-диметил-октано-1-ом (II) при 60–160° (лучше 65–125°) в присутствии катализаторов переэтерификации при нормальном, повышенном или пониженном давлении с отгонкой смеси образующегося спирта и избытка алкилакрилата. В качестве катализаторов обычно используют: $\text{Al}(\text{OC}_2\text{H}_5)_3$, $\text{Al}(\text{OC}_3\text{H}_7)_3$ (изо), $(\text{iso-C}_3\text{H}_7\text{O})_4\text{Ti}$ и $(\text{C}_4\text{H}_9\text{O})_4\text{Ti}$ в кол-ве 0,1–3% (от веса реагентов). Р-цию проводят в присутствии ингибиторов полимеризации (ди- β -нафтол, n -оксидифениламины или гидрохинон). Полученные I могут быть использованы как промежуточные в-ва в органич. синтезе, а также для получения полимеров и сополимеров. Смесь 57,6 ч. II, 66,6 ч. $\text{CH}_2=\text{C}(\text{CH}_3)\text{COOCH}_3$, 2 ч. $\text{Al}(\text{OC}_3\text{H}_7)_3$ и 7,2 ч. ди- β -нафтола кипятят 8 час. с отбором CH_3OH , получают 74 ч. I (R — CH_3), т. кип. 120–146/0,9 мм. Смесь 57,6 ч. II, 100 ч. $\text{CH}_2=\text{CHCOOCH}_3$, 5 ч. гидрохинона и 2 ч. $(\text{C}_4\text{H}_9\text{O})_4\text{Ti}$ нагревают при кипении, а затем с отгонкой азеотропа метанол- $\text{CH}_2=\text{CHCOOCH}_3$ получают 75 ч. I (R — H), т. кип. 115–135°/1 мм. Полимеризацию I проводят в присутствии азо-бис-(α -метилбутиронитрила), азо-бис-(α , γ -диметилвалеронитрила), амида азодизомасляной к-ты, диметилового, диэтилового или дибутилового эфира азодизомасляной к-ты или диметилового эфира азобисвалериановой к-ты в кол-вах 0,1–2% или пере-

кисей: бензоила, капроила, ацетила, кумола, метилэтилкетона, бутилового эфира бензойной к-ты, а также гидроперекиси третичного бутила в кол-вах 0,1–5%. Для блочной полимеризации нагревают смесь I ($R-H$), I ($R-CH_3$) и 1% диметилового эфира азодизомасляной к-ты 16 час. при 70°, получают прозрачную смолу, растворимую в органич. р-рителях, ее применяют для улучшения индекса вязкости смазочных масел, в качестве ингибитора коррозии и диспергента. Полимеризация в р-ре: смесь 40 ч. I ($R-CH_3$), 0,3 ч. нитрила азодизомасляной к-ты (III) и 10 ч. $C_6H_5CH_3$ медленно прибавляют в реакционный сосуд при перемешивании и 110°, смесь выдерживают 20 час. при 110°, время от времени добавляя небольшие кол-ва катализатора в $CH_3C_6H_5$, добавляют $CH_3C_6H_5$ до содержания 40% нелетучей фазы; полимер может быть использован как присадки к маслам; аналогично полимеризуют I ($R-H$). Смесь 30 ч. I ($R-CH_3$), 70 ч. смеси лаурилового и миристилового эфиров акриловой к-ты, 0,125 ч. III и 5 ч. $C_6H_5CH_3$ медленно прибавляют в реакционный сосуд при перемешивании и 110° в токе N_2 , во время сополимеризации прибавляют катализатор (через 3 часа 0,05 ч. III в 5 ч. $C_6H_5CH_3$, через 4 часа 0,02 ч. III в 1 ч. $C_6H_5CH_3$, через 5 час. 0,01 ч. III в $C_6H_5CH_3$, а через 6,8 час. добавляют $C_6H_5CH_3$ до 200 ч., получают продукт, содержащий 41,3% нелетучего в-ва (выход сополимера 82,7%), имеющего вязкость 161 сст при 35°. Как компоненты для сополимеризации с I также можно использовать: алкиловые эфиры акриловой и метакриловой к-т, диалкиловые эфиры итаконовой и фумаровой к-т, стирол, *n*-метилстирол, простые виниловые эфиры, сложные виниловые эфиры, алиловые эфиры, винилипиридины, винилпирролидины, акрилонитрил, метакрилонитрил, амиды акриловой к-ты (включая *N*-замещ. амиды) и др. Г. Швехгеймер 22342 П. Способ получения иллов фосфора. Виттиг, Поммер (Verfahren zur Herstellung von Yliden des Phosphors. Wittig Georg, Pommer Horst) [Badische Anilin- & Soda-Fabrik A.-G.]. Пат. ФРГ 943648, 24.05.56

Соединения общей ф-лы $(R)_3PC(R')R''$ (I), где R — одинаковые или разные арилы или алкилы, которые могут содержать заместители (напр. окси-, алкокси-, —COOH, COOR'', CONH₂ или CN-группы и изолированные или сопряженные двойные или тройные связи; R' и R'' — H, одинаковые или различные алкилы или арилы, подобные R) образуются при обработке четвертичных фосфониевых солей $[(R)_3PCN(R')(R'')X^-]$ (где R, R' и R'' — те же, что и в I; X — галоген) в-вами, связывающими галогеноводороды (напр. алколатами щел. или щел.-зем. металлов) в отсутствие влаги и кислорода воздуха. Р-цию проводят в присутствии безводн. р-рителей или разбавителей (напр., C_6H_6 , эфир, тетрагидрофуран или спирты). I образуются уже при комнатной т-ре, однако иногда полезно нагревание. При использовании в качестве р-рителей спиртов образуются р-ры I, которые быстро реагируют с алдегидами, значительно медленнее с кетонами, а с эфирами, амидами и нитрилами в заметной степени только в течение нескольких дней. К р-ру 11,5 ч. Na в 150 ч. абс. спирта при 20–30° быстро добавляют р-р 200 ч. $[(C_6H_5)_3(C_6H_5CH_2)P]Cl^-$ в 150 ч. абс. спирта (через 10 мин. р-р имеет рН 7–8), получают р-р, из которого частично выпадают красные ромбич. кристаллы I ($R=R'=C_6H_5$, $R''=H$). К р-ру 260 ч. $(C_6H_5)_3P$ в 1300 ч. C_6H_6 прибавляют 122 ч. $ClCH_2COO-C_2H_5$ и кипятят смесь 5 час., осадок промывают C_6H_6 , получают 340 ч. $[(C_6H_5)_3(CH_2COOC_2H_5)P]Cl^-$, т. пл. 142°; р-р 194 ч. этого соединения в 400 ч. абс. спирта быстро прибавляют при 20° и перемешивании к р-ру 11,5 ч.

Na в 150 ч. абс. спирта, получают р-р $H_5C_2OOCCH=PC(C_6H_5)_3$ выход ~100%. Смесь 266 ч. $(C_6H_5)_3P$, 900 ч. C_6H_6 и 75 ч. $ClCH_2CN$ кипятят 8 час., получают 270 ч.

$[(C_6H_5)_3(CH_2CN)P]Cl^-$, т. пл. 244°; р-р 175 ч. последнего в 60° ч. абс. спирта быстро прибавляют при перемешивании и 20° к р-ру 11,5 ч. Na в 130 ч. абс. спирта, перемешивают 30 мин., получают р-р $NCCN=PC(C_6H_5)_3$, из которого выделяется кристаллич. порошок, очевидно, продукт присоединения спирта. Аналогично из 266 ч. $(C_6H_5)_3P$ 93 ч. $ClCH_2CONH_2$ в 900 ч. C_6H_6 получают 300 ч. $[(C_6H_5)_3(CH_2CONH_2)P]Cl^-$, т. пл. 176°; р-р 180 ч. последнего в 450 ч. спирта прибавляют при 40–50° и перемешивании к р-ру 11,5 ч. Na в 120 ч. абс. спирта (через 10 мин. р-р имеет нейтр. р-цию), получают с выходом ~100% $H_2NCOCH=PC(C_6H_5)_3$, который быстро реагирует с 40 ч. $CH_3CH=CHCHO$, образуя $(C_6H_5)_3PO$ и 33 ч. амида сорбиновой к-ты, т. пл. 167–168°. Г. Швехгеймер

22343 П. Ди-(тригалосил)алкены и метод их получения. Уайнер, Пайнс (Di (trialkylsilyl) alkenes and method for preparation thereof. Wagner George H., Pines Arthur N.) [Union Carbide and Carbon Corp.]. Пат. США 2740802, 3.04.56

Ди-(тригалосил)алкены получают дегидрогалогенированием ди-(тригалосил)алкилов, содержащих 2–5 атомов C, в присутствии $AlCl_3$ при т-ре 100–200°. В сосуд загружают 175 г 1,2-ди-(трихлорсил)хлорэтана и 0,5 г $AlCl_3$, соединяют с 12-тарельчатой колонной, способной работать под вакуумом. Т-ру сосуда постепенно повышают, пока она не достигнет 180°, при этом начинается дегидрохлорирование; давление также повышают до 740 мм рт. ст. Получают 161 г дегидрохлорированного продукта с т. кип. 180–185°, который является смесью *цис*- и *транс*-1,2-ди-(трихлорсил)этилена. *Транс*-изомер, т. кип. 191°, т. пл. 36°; *цис*-изомер, т. кип. 187°, т. пл. —28°, n_D^{20} 1,4939, d_4^{25} 1,58. Р-цией трихлорсилана с β-хлорвинилтрихлорсиланом получают 148 г смеси 1,1- и 1,2-ди-(трихлорсил)хлорэтанола, добавляют 1 г $AlCl_3$ и нагревание продолжают при 85 мм рт. ст., затем давление повышают так, чтобы установилась т. кип. 195°; при этом выход смеси *цис*- и *транс*-1,2-ди-(трихлорсил)этилена и 1,1-ди-(трихлорсил)этилена 134 г. 1,1-ди-(трихлорсил)этилен выделяют ректификацией: т. кип. 189°, т. пл. <—80°, d_4^{25} 1,51, n_D^{20} 1,487. Этим способом могут быть дегидрогалогенированы также ди-(тригалосил)галогенпропан, бутан и пентан. Получаемые галосиланы могут быть исходными продуктами для гидролиза в силосаны или для других кремнеорганич. синтезов. И. Д. 22344 П. Получение Pb^{2+} -алкоколатов. Лангханс (Verfahren zur Herstellung von Blei-(II)-alkoholaten. Langhans Heinrich) [Chemische Werke Albert]. Пат. ФРГ 955321, 03.01.57

Доп. к пат. ФРГ 951626 (РЖХим, 1957, 67181). Способ, отличающийся от указанного в пат. 951626 тем, что горячий р-р безводн. $(CH_3COO)_2Pb$ в многоатомном спирте [напр. гликоле (I)] прибавляют к горячему р-ру эквивалентного кол-ва Na-алкоколата многоатомного спирта. К перемешиваемому горячему (128°) р-ру 0,2 моля $(CH_3COO)_2Pb$ в 2,5-кратном кол-ве I быстро прибавляют горячий (131°) р-р 0,4 моля Na в 149 г I. Смесь охлаждают при частом встряхивании, отсасывают продукт, промывают горячим I и ацетоном и высушивают в вакууме. Получают Pb^{2+} -гликолят, содержащий 76,72% Pb и 0,006% Na. В. Красева

22345 П. Изомеризация алканов и циклоалканов. Элкинс (Isomerization of alkanes and cycloalkanes. Elkins Robert H.) [Sinclair Refining Co.]. Пат. США 2766302, 9.10.56

Алканы или циклоалканы контактируют при 340–

540° с Pt-катализатором на кислом носителе (платина на активированном фторидами Al_2O_3) в присутствии небольшого кол-ва H_2S или меркаптанов для подавления образования ароматики и гидрокрекинга при давл. 14—70 ат. В реактор подается H_2 в соотношении с углеводородом 1—20:1 и соединение S в кол-ве 0,7—1 вес.% к реакционной смеси. Объемная скорость жидкости от 0,5 до 8. Фракция циклогексана с 0,76 вес.% S в виде третичного бутилмеркаптана была пропущена над катализатором, содержащим 0,3% платины, 0,75% F на алюмогеле при 485°. Конечный продукт содержал 87% метилциклопентана и 13% циклогексана. Только 4,8% присутствующих нафтенов были крекированы в алифатич. соединения, а 11,5% были дегидрированы в бензол. Метод пригоден также для изомеризации нормальных алканов.

И. Дорман
22346 П. Метод получения 1-метилциклогексена-1. Ламберт, Полфриман (Verfahren zur Herstellung von 1-Methylcyclohexen-(1). Lambert Arthur, Palfreeman Herbert) [Imperial Chemical Inds Ltd]. Пат. ФРГ 947474, 16.08.56

1-метилциклогексен-1 (I) получают жидкофазной дегидратацией при 120—150° 1-метилциклогексанола-2 (II) (содержащего, напр., 35—40 вес.% *цис*- и 60—65% *транс*-изомеров) в присутствии активированной κ -той отбеленной глины. Р-цию проводят как при нормальном, так и при повышенном давлении. На 162 ч. II берут 10 ч. катализатора при нормальном давлении или 32,5 ч. при повышенном (5,3 ат). Отгоняют азеотроп вода—I при т-ре 82—90°. I отделяют и перегоняют, т. кип. 110°. Выход 85—90%. I в очищ. или неочищ. виде можно применять как исходное соединение для получения антиоксидантов (напр., конденсацией 2 молей I и 1 моля *бис*-(2-окси-5-метилфенил)-метана). Ю. Г.

22347 П. Получение 1,2-эпоксидциклооктана. Пахалли, Шлихтинг (Verfahren zur Herstellung von 1,2-Epoxycyclooctan. Pachaly Heinz, Schlichting Otto). Пат. ФРГ 962073, 18.04.57
Циклооктен (I) при обычной или слегка повышенной т-ре обрабатывают небольшим избытком водн. (лучше 35%-ной) H_2O_2 и 0,3—2 молями $NaOH$; кол-ва H_2O_2 и $NaOH$ подбирают так, чтобы не образовывался гомог. р-р. Способ можно осуществлять непрерывно. К охлаждаемой и перемешиваемой смеси 1100 ч. I и 1250 ч. 35%-ной H_2O_2 постепенно прибавляют 230 ч. конц. $NaOH$. Смесь перемешивают при т-ре $\sim 30^\circ$ 24 часа, отделяют верхний слой и промывают его водой, разб. $NaOH$ и р-ром $NaHSO_3$. Если в-во затвердевает, к нему прибавляют углеводород или хлорированный углеводород. Водн. слой экстрагируют тем же р-рителем. На колонне отгоняют 140 ч. непрореагировавшего I, остаток (1028 ч.) имеет т. пл. 48—52° и в некоторых случаях может применяться без очистки. Фракционированием выделяют 957 ч. (87%) чистого 1,2-эпоксидциклооктана (II), т. кип. 82,5°/22 мм, 98—102°/50 мм, т. заст. 57,3—57,8°. II является полупродуктом для лекарственных в-в и пластич. масс.

В. Красева
22348 П. Получение производных 3-кето-4-метилциклогексилметана. Абэ, Харукава, Исикава, Мики, Цуно, Тога (3-ケト-4-メチルシクロヘキシルメタン置換体の製造法. 阿部泰夫, 春川忠二, 石川尚, 三木卓一, 角正夫, 梅正) [武田薬品工業株式会社, Такада якухин когё кабусики кайся]. Японск. пат. 7080, 3.10.55

Гидрированием соединений общей ф-лы $CH_2COCH(R)(CHO)CH_2CH_2CH(R)(R')COOR''$ (I), (R и R'—H или C_6H_5 , R'—H или $COOC_nH_{2n+1}$) в спирте или CH_3OH над Pd-катализаторами при 20°, нормальном давлении, получают производные 3-кето-4-метилциклогексилуксусных и малоновых к-т. Р-р 4,2 г I, R = R'—

CH_3 , R'—H, гидрируют в 40 мл CH_3OH над 1 г 10%-ного Pd/C 30 мин. Получают 3 г метилового эфира α -(3-кето-4-метилциклогексил)-пропионовой к-ты, т. кип. 150—155°/16 мм, семикарбазон, т. пл. 168°. Аналогично получают диэтиловый эфир 3-кето-4-метилциклогексилметилмалоновой к-ты, т. кип. 120—130°/1 мм, семикарбазон, т. пл. 167—168° (из CH_3OH).

Н. Швецов

22349 П. Производство N,N-полиоксиэтилированных смоляных аминов. Сандберг (Production of N,N-polyoxyethylated rosin amines. Sundberg Robert L.) [General Aniline & Film Corp.]. Пат. США 2742555, 17.04.56

N,N-Полиоксиэтилированные смоляные амины (I), свободные от примеси свободных первичных и вторичных смоляных аминов (CA), получают р-цией одного моля CA сначала с 2—5 молями окиси этилена (ОЭ) без катализатора и р-рителя при т-ре 100—150° под давл. 1—3 ат, а затем с 35 молями ОЭ в присутствии цел. катализатора ($NaOH$, KOH , $NaOCH_3$ и др.) при т-ре 60—200° под давл. 1,5—3,5 ат. Полученные этим методом I содержат от 2 до 40 оксиэтильных групп, причем растворимость I в воде возрастает с увеличением их содержания. 317 CA D, представляющего собой смесь первичных аминов, полученных из смеси дегидроабетиновой, дигидроабетиновой и тетрагидроабетиновой к-т, обрабатывают медленным добавлением избытка ОЭ (газ) при давл. 1,5—2,5 ат и т-ре 150° до прекращения поглощения ОЭ (за 7 час. поглощается 104 г ОЭ). Полученный вязкий продукт цвета янтаря свободен от примеси первичных или вторичных аминов; молярное соотношение ОЭ к CA—2,36. 317 г CA D обрабатывают 92 г ОЭ при 110° и давл. 2 ат в течение 4,5 час.; к концу этого периода давление упало до 0,35 ат. В образце, взятом из автоклава, оказалось менее 1% первичного и 3% вторичного аминов (мол. вес первичного амина принят 317, а вторичного—361). Молярное соотношение ОЭ к CA—2,1. Затем в автоклав при 2 ат добавляют 1,24 г $NaOH$ и 704 г ОЭ в течение 8,5 час. при т-ре 110°. Полученный цвета янтаря продукт растворим в воде во всех соотношениях; молярное отношение ОЭ к CA—19,0. Продукт, получаемый в 1-й стадии, может быть использован как добавка к эмульсиям при сверловке и как ингибитор коррозии в травильных ваннах. Продукт с низким содержанием оксиэтильных групп является как водотак и маслорастворимым. I с 8—30 (8—15) оксиэтильными группами обладают прекрасными моющими свойствами для целлюлозных материалов. I с 30—40 оксиэтильными группами может применяться как деэмульгатор нефтей и флотореагент.

И. Дорман
22350 П. Получение бензола и его производных.

Нагасава, Мацусав, Хасидзумо, Йосида (ベンゼン又はその誘導体の製造法. 長澤不二男, 松澤勝人, 橋爪源次郎, 吉田清) [三菱化成工業株式会社, Мицубиси касэй когё кабусики кайся]. Японск. пат. 5622, 13.08.55

Ацетилен в присутствии триалкил- и триарилфосфинов (ТФ) в атмосфере N_2 дает над Ni-катализаторами ароматич. соединения в тех условиях, в которых без ТФ образуется циклооктатетраен. Смесь 500 мл C_6H_6 , 2 г ацетилацетата-Ni (I), 7 г CaC_2 и 2 г $(C_6H_5)_3P$ (II) при 50—150°, 3—30 ат за 4 часа поглощает 100 л ацетилена, который на 80% превращается в C_6H_6 и на 11% в стирол. В 500 мл тетрагидрофурана вносят 12 г $Ni(CN)_2$, 10 г CaC_2 и 1 г II при 80°, 20 ат пропускают ацетилен и добавляют пропаргильный спирт (III). Получают триоксиметилбензол (IV). В смесь 400 г C_6H_6 , 2 г ацетилацетонида-Ni, 10 г CaC_2 и 1 г II при 80°, 20 ат 10 мин. подают ацетилен. Получают 50 г фенилацетилена. В смесь 500 мл C_6H_6 с 2 г I, 7 г CaC_2 и 2 г II при 70°, 25 ат 10 мин. пропускают ацетилен,

затем 4 часа добавляют 50 мл III и 30 л ацетилен. Получают 22 г бензильного спирта, 11 г ксилитенгликоля и 2 г IV.

Н. Швецов

22351 П. Получение *n*-цимола. Крёнер (Verfahren zur Herstellung von *p*-Cymol. Kröner Hugo) [Badische Anilin- & Soda-Fabrik A.-G.]. Пат. ФРГ 961979, 18.04.57

Бициклические терпены [скипидар (I), α -пинен, β -пинен или их смеси] дегидрируют над катализатором (K), содержащим 10–50% Cu (лучше ~30%), желателно в присутствии Co, Ni или Ag, при 120–300° (150–200°). Медь может быть использована в виде ее сплавов или CuO. Для приготовления K носитель (силикагель, асбест, силикаты, Al_2O_3) пропитывают смесью *p*-ров Cu-соли и соли Co, Ni или Ag, а также соли металла активатора (Cr, Zn, Mn, Ba), сушат в токе O_2 при 300–400°, восстанавливают H_2 при 150–200°; K применяют в виде таблеток или палочек. Дегидрирование проводят в жидкой или паровой фазе. 150 мл K, содержащего ~30% Cu, нанесенной на силикат Mg, активированного добавкой 0,5% Cr_2O_3 , формованного в виде палочек (диам. 3 мм, длина 5 мм), помещают в трубу диам. 25 мм, обогреваемую через рубашку парами анилина. Через трубу пропускают 0,02 $м^3$ H_2 и 30 мл в час I (d 0,86), состоящего на 95% из α - и β -пинена. Получают 26 г продукта, т. кип. 160–180° (основная фракция имеет т. кип. 175–177°), содержащего (%): 80 *n*-цимола, 1 *m*-цимола, 16 дипентена и 3 остатка. В фарфоровую трубку емк. 500 мл с электр. обогревом помещают K, восстановленный при 200°, состоящий из формованного силикагеля, 25% Cu, 15% Ni и 1% Mn. Над K при 250–300° пропускают 50 мл/час I. Из 100 ч. продукта, наряду с 5–6 ч. фракции, кипящей до 150°, и 50 ч. I, получают 40 ч. цимола (95% *n*-цимола и 5% *m*-цимола). Остаток ~4–5 ч.

Б. Фабричный

22352 П. Получение хлоранила. Шефлер, Шулце (Verfahren zur Herstellung von Chloranil. Schäffler Alfred, Schulze Dieter). Пат. ГДР 12224, 11.10.56

Побочные водорастворимые продукты, образующиеся в кол-ве 3–8% при бекмановской перегруппировке циклогексаноксима H_2SO_4 или олеумом, хлорируют в присутствии воды и полученный неочищ. хлоранил (I) обработкой CH_3OH освобождают от примесей. В 1600 мл воды, *p*-ра, в основном содержащего вышеуказанные побочные продукты (капролактан экстрагируют трихлорэтиленом), пропускают 3–4 часа мелкими пузырьками Cl_2 со скоростью 30–50 л/час, затем нагревают до 90–100°. После охлаждения отфильтровывают 50 г неочищ. I, перемешивают с 300 мл CH_3OH , суспензию нагревают до кипения, охлаждают, фильтруют и промывают осадок 100 мл CH_3OH . Получают 10 г I с т. пл. 266°, после перекристаллизации из CH_3OH , т. пл. 288–289°. Химизм процесса не выяснен.

В. Красева

22353 П. Производство ароматических моноокислосоединений из ароматических кислот. Толанд (Manufacture of monohydroxy aromatic compounds from aromatic carboxylic acids. Toland William G., Jr) [California Research Corp.]. Пат. США 2762838, 11.09.56

Ароматические монокарбоновые к-ты, имеющие <13 атомов C (напр., бензойная, *трет*-бутилбензойная, толуиловые, нафтольные), окисляют в жидкой фазе (расплав или *p*-р) в эфире соответствующих фенолов O_2 -содержащим газом при 200–345° в присутствии Cu-катализатора в кол-ве от 0,1 до 10 вес.% окислительной к-ты [можно Cu_2O , $Cu(CH_3COO)_2$, $CuCO_3$, $CuSO_4$, $Cu(C_6H_5COO)_2$, Cu], гидролизом которых получают фенолы. В качестве *p*-рителей применяют эфиры, получающиеся в результате *p*-ции, углеводороды, стойкие

к окислению (дифенил), пергалоидные соединения (гексахлорбутадиеп), H_2O . Окисление сопровождается перегруппировкой заместителей в бензольном кольце из орто-положения в мета-, из мета- в орто- и пара-положения, из пара- в мета-положение. 122 г C_6H_5COOH и 1,2 г CuO помещают в стеклянный сосуд емк. 200 $см^3$, нагревают до 246° и вводят O_2 со скоростью 190 $см^3/мин$ в течение 40 мин. Реакционную смесь кипятят с 60 г NaOH, растворяют в 500 мл H_2O и 50 мл этанола и оставляют на 12 час., после чего отгоняют этанол, фильтруют, подкисляют HCl до pH 6, фенол экстрагируют эфиром, после разгонки получают 11,1 г фенола 82%-ной чистоты, причем головная фракция (180–183°) содержит 6,1 г фенола 95%-ной чистоты; C_6H_5COOH регенерируют (109 г). Аналогично получают (перечислены продукт *p*-ции, выход, исходное в-во, скорость подачи воздуха (в $см^3/мин$), *t*-ра и время нагревания смеси в часах, % конверсии): фенилбензоат, 41,5%, C_6H_5COOH , 250, 250°, 3, 63,5%; *m*-*трет*-бутилфенол, 56,5 вес.%, *n*-*трет*-бутилбензойная к-та, 250, 260°, 1,75, 37,5%; *m*-крезол, 2,6 г, *o*-толуиловая к-та (34 г), 200, 249–285°, 2,5. 61 г C_6H_5COOH , 20 г CuO и 15 мл ксилола нагревают до 260–300° в течение 5,5 часа, смесь охлаждают, разбавляют ксилолом, фильтруют, разгоняют при 20 мм Hg, выход фенилбензоата 31 г, конверсия 61,4%. Аналогично получают (перечислены продукт, выход, исходное в-во, *t*-ра и время *p*-ции, % конверсии: *m*-*трет*-бутилфенол, 50,5%, *n*-*трет*-бутилбензойная к-та, 288°, 8 час, 75,5%; смесь равных кол-в *o*- и *n*-крезолов, 69% *m*-толуиловая к-та, 260–288°, 9 час; *m*-крезол (21,1 г), *m*-толуиловая к-та (68 г), 249–299°, 16,5 часа, 93%).

И. Дорман

22354 П. Дегалогирование галоидзамещенных оксисоединений. Глейм (Dehalogenation of halo-substituted hydroxy aromatic compounds. Gleim William K. T.) [Universal Oil Products Co.]. Пат. США 2766295, 9.10.56

Дегалогирование проводят обработкой дегалогинирующими агентами, такими, как H_2O , NH_3 , первичные алифатич. амины, ароматич. амины, циклоалкиламины, при повышенных *t*-рах (150–300°, лучше 225–260°) и давлении (2–200 ат, предпочтительно 15–50 ат) в атмосфере N_2 в течение 2–12 час. Процесс можно вести периодически или непрерывно. В описанных примерах процесс велся при *t*-ре 250°, давл. 20 ат в течение 4 час. При этих условиях, применяя: а) 1 моль *o*-хлорфенола (I) и 3 моля анилина, б) 1 моль I и 3 моля аммиака, в) 1 моль *n*-хлорфенола и 3 моля анилина вместе с 1 молем HCl и 500 г воды, г) 1 моль I и 3 моля диэтилентриамина, д) 1 моль I и 500 г воды, е) 1 моль I, 500 г воды и 100 г конц. HCl, было дегалогинировано соответственно 54, 60, 55, 29, 32, 40%, первоначально взятого хлорфенола с образованием C_6H_5OH .

И. Дорман

22355 П. Способ очистки фенолов. Массон (Procédé de purification des phénols bruts. Masson R.) [Hoillères du Bassin de Lorraine]. Франц. пат. 1116526, 8.05.56

Фенол (I) очищают от минер. примесей, обрабатывая его H_2SO_4 (II) при *t*-ре <50°. После разделения II, оставшуюся в I, нейтрализуют NH_3 -газом или воды. NH_3 , вышедшие соли отфильтровывают. Отработанную II можно использовать для выделения I из фенолатов. 1 г I (16% воды) и 12,8 г золы на 1 кг перемешивают с 65 кг II (60° Bé). Смесь отстаивают 2 часа. Получают I (5% воды, 0,35 г золы, 4,7 г II на 1 кг I). После перемешивания с 5 л воды. NH_3 (18° Bé) и отделения выпавших солей получают I (5,4% воды, 0,2 г/кг золы, 1 г/кг связанного NH_3). При перегонке очищ. I в кубе не происходит накопление минер. веществ.

В. К.

22356 П. Получение ароматических карбоновых кислот. Лист (Verfahren zur Herstellung von aroma-

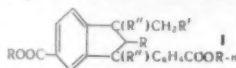
tischen Carbonsäuren. List Ferdinand) [Chemische Werke Hüls A.-G.]. Пат. ФРГ 962788, 25.04.57

Ароматические в-ва, имеющие боковые цепи [толуол, ксилол, моно-, ди- и триэтилбензол, фенилэтиловый спирт, фенилалкоголь, ацетофенон (I)], окисляют гипохлоритом в водн. эмульсии. В качестве эмульгаторов применяют сульфаты высших парафинов или алкилнафталинов в кол-ве $\sim 1\%$. Из 1000 ч. р-ра NaClO (70 ч. активного Cl), 20 ч. NaOH , 40 ч. I и 1 ч. парафинульфата (получен сульфохлорированием высших парафинов и последующим омылением) при 20° и интенсивном перемешивании готовят эмульсию и постепенно нагревают ее до 60°. После исчезновения активного Cl избыточный I отгоняют с паром. Подкислением выделяют $\text{C}_6\text{H}_5\text{COOH}$ с выходом $\sim 100\%$. Аналогично из *n*-диэтилбензола получают терефталевую к-ту (II), выход $\sim 100\%$; из *n*-ксилола — II, выход 80%. К смеси 2000 ч. воды и 275 ч. NaOH добавляют 50 ч. продукта окисления *n*-диизопропилбензола воздухом в присутствии Со-солей до поглощения 40% теоретич. кол-ва O_2 , необходимого для окисления *n*-диизопропилбензола в II, прибавляют 5 ч. эмульгатора и, перемешивая при 80–90°, вводят сильный ток Cl_2 . После пропускания 237 ч. Cl_2 подкислением выделяют II, выход 95%. Диметилэфир полученной II после 1-кратной кристаллизации имеет т. пл. 140,5°. Б. Ф. 22357 П. Выделение фталевой ангидрида в расплавленном виде. Смит (Recovery of molten phthalic anhydride. Smith Calvin S., Jr) [California Research Corp.]. Канадск. пат. 518012, 1.11.55

Подходящие углеводороды подвергают окислению во фталевый ангидрид (I) р-цией в паровой фазе с избытком O_2 -содержащих газов в присутствии катализатора, содержащего окислы V, при т-ре 315–650°. Из горячих газов, выходящих из зоны окисления, выделяют I пропусканием их снизу через слой гранулированного твердого материала; охлажд. газы удаляют сверху, а полученный жидкий I из средней части. В частности указано: а) введение газов с т-рой 204–338° противотоком к движущемуся потоку холодного твердого теплообменного материала; т-ра газов при этом понижается ниже т-ры кипения I, но выше его т-ры плавления, жидкий I отделяют, а газообразную смесь, практически не содержащую I, удаляют при т-ре $< 93^\circ$; б) указанный теплообменный материал в самой верхней части смачивают водой I, и малеиновый ангидрид, содержащийся в газах, улавливают в жидкой форме в средней части теплообменного слоя и разделяют последующей фракционной перегонкой, а отходящие газы удаляют при т-ре $< 65^\circ$. В. Уфимцев

22358 П. Эфиры арилиндандикарбоновой кислоты. Пайне (Arylindandicarboxylic acid esters. Pines Herman) [Universal Oil Products Co.]. Пат. США 2742493, 17.04.56

Соединения общей ф-лы I, где R — углеводородный, оксигуглеводородный остаток или остаток спирта, гликоля, фенола, чаще всего полноксисалкиленовый оста-



ток полигликоля общей ф-лы HO ($\text{C}_n\text{H}_{2n}\text{O}_x\text{OH}$ (II) ($n = 2-5, x = 2-20$), R' и R'' — H, алкил, циклоалкил (предпочтительно алкил), получают этерификацией арилиндандикарбоновой к-ты ф-лы I ($\text{R} = \text{H}$) спиртом, фенолом, гликолем или II: а) нагревают смесь реагентов почти до кипения в водн. р-ре в присутствии минер. к-ты (0,5–10 вес.%), б) I ($\text{R} = \text{H}$) обрабатывают PCl_5 , выделяют дихлорангидрид, конденсируют его с II нагреванием до $\sim 20^\circ$ или выше, пока не прекратится выделение HCl , в) конденсируют I ($\text{R} = \text{H}$) с

соответствующей окисью алкилена, нагревая смесь реагентов при 50–150° под давлением до тех пор, пока длина полиоксисалкиленовой цепи будет достаточна, чтобы обеспечить желаемую степень растворимости в воде конечного продукта. I ($\text{R} = \text{H}$) получают окислением алкильных групп у соответствующих алкиларил-инданов, которые синтезируют конденсацией *n*-диалкилбензолов, напр. *n*-втор-алкилтолуола, в присутствии олефина с разветвленной цепью или циклоолефина (триметилэтилен, дигидролимонен, метилциклогексен, 1,1,3-триметилциклогексен, ментен) и катализатора (H_2SO_4 , HSO_3Cl , HF, H_3PO_4 или AlCl_3 , AlBr_3 , FeCl_3 , BF_3 , а также эфиров, алколюлятов, ацетонатов, последних при т-ре от -30° до 200° и давл. до 100 ат.). Селективное окисление алкильных групп, присоединенных к бензольным кольцам, проводят в водн. среде хромовой к-той, перманганатом, разб. HNO_3 при 20–200°. Конденсацией *n*-втор-бутилтолуола в присутствии 4-метилциклогексена и HF при т-ре 0° получают смесь соединений, из которых выделяют фракцию, кипящую в диапазоне 163–169°/4 мм, n_D^{20} 1,5565, представляющую собой 1,2,3,6-тетраметил-3-этил-4-*n*-толилиндан. Это соединение окисляют хромовой к-той при $\sim 20^\circ$ (7 г хромовой к-ты, 30 мл CH_3COOH , 30 мл H_2O , 5 мл H_2SO_4) в соответствующую дикарбоновую к-ту I ($\text{R} = \text{H}$, $\text{R}' = \text{R}'' = \text{CH}_3$), т. пл. 309–312°, которую растворяют в бензоле (10 г к-ты на 100 мл бал), смесь энергично перемешивают, нагревая в реактор окис. этилена при 50° и 15 ат в течение 15–20 мин. После удаления бензола получают эфир, содержащий ~ 15 оксисалкиленовых групп в каждом R. Получаемые эфиры арилиндандикарбоновых к-т могут применяться как эффективные пеногасители в неводн. (R — алкил, арил или их оксипроизводные), а также в водн. средах (R — полиоксисалкилен, либо алкил, имеющий гидрофильные заместители — SO_3H , NH_2 и др.). И. Д. 22359 П. Способ получения цианбензолкарбоновых кислот (Procédé de préparation d'acides cyanobenzène carboxyliques) [California Research Corp.]. Франц. пат. 1417376, 22.05.56

Бензонитрил, в котором 1–3 атома H в ядре замещены низшими алкилами, окисляют газом, содержащим O_2 , при 150–260° (175–225°) в присутствии растворимого катализатора (K), содержащего металл с переменной валентностью, напр. Со-, Mn-, Cr-, Ni- или Pb-соли толуиловой или нафтоновых к-т. Кол-во K, считая на металл, 0,001–0,05%. Без K выходы ниже. Окисление можно проводить при обычном давлении, но лучше при давл. ~ 7 ат. Смесь изомерных циантолуолов (I) и такое кол-во Со-солей нафтоновых к-т, чтобы содержание Со в реакционной массе было 0,005%, при 196° в течение 5–6 час. окисляют воздухом. В р-цию входит 35% I. Получают цианбензойную к-ту (II) с выходом 76,4%, считая на вошедший в р-цию I. Окислением 1-циан-3,5-диметилбензола получают в тех же условиях 5-цианизофталевую и 5-циан-3-метилбензойную к-ты. Из 3-этилцианбензола получают II, 3-цианацетофенон и небольшое кол-во метил-(3-цианфенил)-карбинола; из изопропилцианбензола получают II. В. Красева

22360. Получение нитропроизводных ароматических аминов. Наканиси, Хори, Набэсава (芳香族アミノ化合物のニトロ誘導体の製造方法. 中西榮二, 堀原芳, 鍋澤誠三) [三菱化成工業株式会社, Митсубиси касэй когё кабусики кайсэ]. Японск. пат. 8928, 7.12.55

Ароматические амины (A) обрабатывают $\text{CO}(\text{NH}_2)_2$ или COCl_2 . Получают $\text{N,N}'$ -диарилмочевины, которые при нитровании дают динитро- $\text{N,N}'$ -динитроарилмочевины (DM). В результате омыления последних получают нитропроизводные A. Получены следующие DM: $\text{N,N}'$ -ди-(*n*-нитро-фенил)-, $\text{N,N}'$ -ди-(*o*-хлор-*n*-нитрофенил)-, $\text{N,N}'$ -ди-(*o*-нитро-*n*-хлорфенил)-, $\text{N,N}'$ -ди-(*n*-ни-

тро-о-толил)-, N,N'-ди-(о-нитро-п-толил)- (I), N,N'-ди-(о-нитро-п-анизил)-, N,N'-ди-(п-нитро-о-фенетил)-, N,N'-ди-(о-нитро-п-фенетил)-мочевина. Из о-анизида и мочевины после 20 час. кипячения в хлорбензоле получают N,N'-ди-о-анизилмочевину, выход 86%, т. пл. 170—180°, которую нитруют 5 час. при 40—45° 62%-ной HNO₃. Получают N,N'-ди-(п-нитро-о-анизил)-мочевину, выход 95,6%, т. пл. 286°. 36,2 ч. последней омыляют 500 ч. воды с 2 ч. активированного угля 5 час. при 240—245°, 10—11 ат. Получают 31 ч. п-нитро-о-анизида. Тем же путем получают N,N'-ди-п-толилмочевину, выход 83,5%, т. пл. 255°, которую нитруют при 55—60° 4 часа, и получают I, выход 93%, т. пл. 245°. Омыление проводят при 180—190°, 9—10 ат, получают о-нитро-п-толидин, выход 94%. Н. Шведов

22361 П. Получение п-нитро-N-(2-диэтиламиноэтил)-бензамида. Ямадаки, Сэки, Цукамото (パネトロ-N(2-ジエチルアミノエチル)ベンツアミドの製造法. 山崎道雄, 關誠治, 塚本義二) [田邊製薬株式会社, Табе сойяку кабусики кайся]. Японск. пат. 5974, 26.08.55

Из гидрата п-нитробензаминиоэтилового эфира (I) и β-(диэтиламино)-этиламина (II) получают хлоридат п-нитро-N-(2-диэтиламиноэтил)-бензамида (III), который в спирт. р-рах превращают в п-нитро-N-(2-диэтиламиноэтил)-бензамид (IV), полупродукт для синтеза прокаиноподобных в-в. К 205 г I в 300 мл безводн. спирта добавляют при 0—5° 103 г II и пропускают HCl-газ. Получают 250 г III, который превращают в основание (10%-ным NaOH) и нагревают 5 час. в 750 мл спирта и 750 мл воды. Получают IV, выход 70% и немного п-NO₂C₆H₄CONH₂. При нагревании основания III в 50%-ном CH₃OH получают IV, выход 68%.

Н. Шведов

22362 П. Получение N-трет-алкилариламинов, имеющих отрицательные заместители. Глейм (Production of negatively substituted N-tertiaryalkylarylamines and derivatives thereof. Gleim William K. T.) [Universal Oil Products Co.]. Пат. США 2766277, 9.10.56

Первичные ариламины, имеющие в пара- или орто-положениях отрицательные заместители (—CN, —COOH, —SO₃H, —NO₂), алкилируют трет-алифатич. спиртом, содержащим от 4 до 20 атомов C, при т-ре ~ 20—100° в присутствии кислого катализатора (H₃PO₄, H₃P₂O₇, полифосфорные к-ты, сульфоновые к-ты общей ф-лы RSO₃H, где R — алкил или арил). 1 моль п-нитроанилина растворяют в 85% H₃PO₄, добавляют при перемешивании 1,5—2 моля трет-бутанола при т-ре ≤ 60°, медленно нагревают без перемешивания от 70° до 80° в течение 3 час., разбавляют 10-кратным объемом H₂O для осаждения N-трет-бутил-п-нитроанилина (I), который смешивают с конц. р-ром NaHCO₃, экстрагируют эфиром, растворяют в CS₂ для удаления непрореагировавшего п-нитроанилина. Фракционным осаждением из бэл. пентаном получают I, выход 90%. Нитрозированием I получают не растворимый в воде нитрозамин с т. пл. 135°. I растворяют в этилацетате и гидрируют H₂ при 20° в присутствии Ni-кизельгурового катализатора (60 вес.% Ni) или Pd на CaCO₃, получают N-трет-бутил-п-фенилендиамин, который при алкилировании трет-бутилоидом дает N,N'-ди-трет-бутил-п-фенилендиамин. Эти соединения могут применяться как эффективные антиоксиданты газолинов, а также растительных, животных и синтетич. масел. Когда отрицательный заместитель находится в мета-положении к аминогруппе, выход N-алкилированного продукта незначителен (10%). Аналогично получают (перечислены: продукт, т. кип., выход, продукт нитро-зирования, его т. пл.): трет-бутил-о-нитроанилин, 75—90°/0,05—0,1 мм, 60%, N-трет-бутил-N-нитрозо-о-нитроанилин, 159°; трет-бутил-м-нитроанилин, 80—95°/0,1—0,2 мм, 10%, N-трет-бутил-N-нитрозо-м-нитроанилин,

112°; N-трет-бутил-п-аминобензойная к-та, т. пл. 152°; N-трет-бутил-N-нитрозо-п-аминобензойная к-та, т. пл. 192°.

И. Дорман

22363 П. Получение бензолсульфогидразида. Мёбнус, Кроне (Verfahren zur Herstellung von Benzolsulfoghydrazid. Möbhus Ernst, Krone Wigand). Пат. ГДР 12894, 9.03.57

Бензолсульфогидразид (I) получают действием C₆H₅SO₂Cl (II) на N₂H₄·H₂O. II применяют в виде эмульсии. Реагенты можно сначала смешивать в нейтр. или кислой среде, охлаждать смесь до 0° и вызывать р-цию добавлением щел. в-ва. 42 кг гидразида сульфата смешивают с водой до образования кашицы, к смеси добавляют 26 кг Na-ацетата и затем прибавляют при перемешивании водн. эмульсию II, взятого в кол-ве, эквивалентном 1/2 примененного гидразида сульфата. Смесь охлаждают до 0° и добавляют 10—30%-ный избыток NH₄OH до pH > 7, т-ру постепенно поднимают до 35°. Выпавший I отфильтровывают, промывают и высушивают. Выход I ~ 11 кг (90—100%), т. пл. ~ 106° (разл.). I применяют как поробразователь при произ-ве пористых резин и пластич. масс. В. К.

22364 П. Каталитическое восстановление нитробензола аммиаком. Хьюбер, Керст (Catalytic reduction of nitrobenzene by ammonia. Huber Melvin L., Kirst William E.) [E. I. du Pont de Nemours and Co.]. Пат. США 2739985, 27.03.56

Смесь паров нитробензола (I) и аммиака (II) в соотношении 5—200 молей II на 1 моль I (предпочтительно 5—10: 1) пропускают над активированным водородом катализатором (K) при 250—400° со скоростью, обеспечивающей время контакта от 0,1 до 6 сек. Процесс идет при атмосферном давлении, жидкий I вводят в смесительную камеру в кол-ве от 0,1 до 0,25 объема жидкого I на единицу объема K в час. Избыток II обеспечивает почти полное использование I. 40 см³ хромита никеля активируют H₂ при скорости последнего 16 л/час. После активации K его нагревают до 300° и пропускают II со скоростью 1,47 моля в час и I со скоростью 0,08 моля в час. После прохода через K пары направляют в холодильник, конденсат, содержащий анилин, воду и бензол, экстрагируют и перегоняют. Сырой продукт содержит 99,1% анилина и только 0,03% непрореагировавшего I. Аналогично применяя разные K, были получены следующие результаты (даны K, кол-во молей II на моль I, т-ра, время контакта в сек., выход анилина в %): никель на глиноземе, 29, 250, 1,9, 73; молибдат никеля, 14,2, 350, 1,7, 84; хромит никеля-железа, 37,5, 300, 1,9, 83; хромит никеля-кадмия, 31,5, 350, 1,9, 78; хромит меди-бария, 13,5, 350, 4,1, 97; хромит меди-цинка, 13,5, 350, 4,1, 86; хромит меди-магния, 13, 350, 4,1, 88; окись меди и цинка, 15, 350, 4,1, 90; молибдат меди, 15, 372, 1,8, 94; молибдат кобальта, 32, 400, 1,8, 96.

И. Дорман

22365 П. Способ получения аракилнитрилов. Денгель (Method of producing aralkyl cyanides. Dengel Ferdinand) [Knoli A.-G. Chemische Fabriken]. Пат. США 2734908 14.02.56

Усовершенствование способа получения аракилнитрилов действием щел. цианида на аракилгалогениды состоит в том что р-цию проводят в присутствии NaJ, KJ, NaBr или KBr в среде инертного органич. р-рителя, в котором щел. цианид растворим хотя бы на 0,1—1%. Йодиды применяют в кол-ве 0,5—5%, а бромиды — в кол-ве ≥ 10% от веса аракилгалогенида. В качестве р-рителя особенно пригоден ацетон, но применимы и другие кетоны, в частности CH₃COC₂H₅, C₂H₅COC₂H₅, циклогексанон. По сравнению с известными методами этот способ дает более высокие выходы нитрилов за счет сведения к минимуму побочных р-ций. Он особенно применим к аракилгалогенидам с непрочной связанным галогеном, как, напр., бензил-

Л. 152°
Т. III.
Дорман
Мё-
н Вен-
Коне

ственным
в виде
вать в
и вы-
дражи-
ашины,
триба-
вятого
дражи-
от 10—
епенно
от, про-
-100%),
разова-
сс. В. К.
тробен
e reduc-
elvin
Jemou

(II) предпочтительным во-
роосты. Пр-т I вво-
до 0,2
с. Избы-
вание
корост
гравим
ля в ча
да чере
с, содер
и пер
лина
чно пр-
резул
а, врем
на гл
350, 1
хром
и-барв
4,1, 9
мед
1,8, 9
Дорм
в. Де
s. De
abriki

параллельно
галоген-
сутствии
органич.
хотя бы
5—5%, а
алогени-
етон, но
 $\text{C}_2\text{H}_5\text{COC}_2\text{H}_5$,
известны
выходы
побочных
огенидам
бензиль-

анизил-, пиперонил- и вератрилхлориды. 39 г NaCN и 2,5 г NaI вводят в р-р 50 г $C_6H_5CH_2Cl$ в 250 мл ацетона, кипятят смесь с обратным холодильником на водяной бане 24 часа, фильтруют, фильтрат выпаривают досуха, маслянистый остаток растворяют в эфире, эфир. р-р промывают водой, после сушки отгоняют эфир и получают в остатке желтый маслянистый $C_6H_5CH_2CN$, который при омылении водноспиртовым р-ром NaOH дает 50,6 г $C_6H_5CH_2COON$ (т. пл. 75–76°). Выход нитрила составляет ~ 94%. Аналогично получены анизилнитрил, т. кип. 147–150°/12 мм, выход 94%, вератрилнитрил, т. кип. 140°/1 мм, выход 95%, пиперонилонитрил, выход 96%, 3-фтор-4-метоксифенилацетонитрил, т. пл. 45–46°, выход 82%, фенаentren-9-ацетонитрил, выход 92% и 2-метилнафтил-1-ацетонитрил, т. пл. 77° выход 95,4%. Я. Кантор

2396 П. Получение *n*-аминофенилэтилового эфира.
Хак, Донат (Verfahren zur Herstellung von *p*-Aminophenyläthyläther. Haack Erich, Donat Joachim) Joachim Donat, VEB Chemische Fabrik von Norddeut. Пат. ГДР 10991. 9.12.55

н-фенилгидразина (I) получают восстановлением *n*-нитро-фенола Fe и разб. минер. к-той в присутствии вышесказанных спиртов, не смешивающихся с водой, которые играют в качестве экстрагента для I. Это упрощает процесс и улучшает выход I. 30 вес. ч. чугунных опилок и 60 объемн. ч. бутанола (II) нагревают при перемешивании в железном котле до 60°, затем прибавляют 5 объемн. ч. воды и 8,5 объемн. ч. 34%-ной HCl и при 60–70° в течение 1 часа прибавляют 50 вес. ч. *n*-нитрофенола. Смесь перемешивают еще 7 час. при 60–70°, вносят 7 вес. ч. соды или соответствующее количество *r*-NaOH, отделяют окись Fe и промывают ее сначала II, а затем водой. После отделения водн. слоя, часть которого может быть использована повторно, отгоняют II, а затем I, т. кип. 127–129°/14 мм. Выход 85%. Вместо II можно применять амилловый спирт.

Б. Фабричный

22967 П. Усовершенствование способа получения хлорофенилцианоакриловых кислот и их производных. Лиджетт, Вулф (Perfectionnements aux acides chlorophényl-cyano-acryliques et leurs dérivés et à leur procédé de préparation. Ligett Waldo R., Wolf Calvin N.). [Ethyl Corp.]. Франц. пат. 1080769, 45.12.54 [Chimie et industrie, 1955, 74, № 6, 1221 (Франц.)]

Хлорбензальдегид конденсируют с солями или эфирами цианкусовой или дициантулусковой к-ты. Полученные продукты вводят, если нужно, во взаимодействие с соединением, содержащим группу, способную к образованию сложного эфира, либо грушу или атом, способные к образованию соли. Р-ция проводится при повышенной т-ре в водн. среде, как правило, с перемешиванием.

Д. Веленький

Л. Беленький

2368 П. Получение тетрафенилборатов. Прен, Франк (Verfahren zur Herstellung von Tetraphenylboraten des Natrium, Magnesium, Strontium, Calcium und Barium aus Tetraphenylborkalium bzw. Tetraphenylborrubidium oder Tetraphenylborammonium. Prenz Axel, Frank Harald). Пат. ГДР 12575. 25.01.57

Гетерофилбораты Na, Mg, Sr, Ca или Ba получают обычным разложением $[(C_6H_5)_3B]K$ (I) или $[(C_6H_5)_3B]Rb$ в соответствующих перхлоратах в среде безводной щелочи (II). 10,8 г I растворяют в 240 мл II и смешивают с р-ром 3,6 г $NaClO_4$ в 30 мл II. Через некоторое время отделяют $KClO_4$ от фильтрата отгоняют II. Осадок промывают CH_3OH или (лучше) C_2H_5OH . Нерастворимый I отфильтровывают, фильтрат упаривают. Остаток, состоящий из неочищ. $[(C_6H_5)_3B]Na$ (III), растворяют с $CHCl_3$ и отсасывают. Остающийся чистый III получают при 70°. Выход 70—80%. Вместо $CHCl_3$ можно

применять CS_2 или другие р-рители, не растворяющие III, но удаляющие продукты разложения тетрафенилбора, напр. дифенил. III применяется в аналитич. химии как реактив для определения калия.

Б. Фабричный

22369 П. Получение смесей с высоким содержанием нафтохинона частичным окислением нафталина. Диксон, Трайбиг, Фьюгейт (Partial oxidation of naphthalene to produce mixtures containing a high proportion of naphthoquinone. Dixon James Kenneth, Tribit Samuel W., Fugate Wesley O.) [American Cyanamid Co.]. Пат. США 2765323, 2.10.56

Смеси паров нафталина с воздухом, содержащую 0,5–2 мол. % нафталина, пропускают при 250–425° через псевдооживленный слой катализатора (К), состоящего из V_2O_5 , силикагеля, соли щел. металла в качестве стабилизатора и промотора — окисла металла III и IV групп, причем т-ру и время контактирования (8–50 сек.) подбирают так, чтобы в выходящих газах находилось по крайней мере 20% подаваемого нафталина. Для получения К 13,8 кг 17%-ной H_2SO_4 быстро при помешивании добавляют к р-ру 14,3 кг (d 1,27) силиката калия в 39 кг H_2O , доводят pH до 8,0 добавлением конц. NH_4OH , прибавляют 3,88 кг NH_4VO_3 в р-ре, содержащем 12 кг H_2O и 350 cm^3 NH_4OH , затем добавляют 342 г $KAl(SO_4)_2$ и 2,1 л горячей H_2O (или 135 г $Zr(NO_3)_4$ в 1,5 л H_2O). После этого массу концентрируют выпариванием до половины объема, образовавшийся гель сушат при 100°, прокачивают при 450° и мелко растирают. Аналогично получают $Al_2O_3-V_2O_5-K$ по другой рецептуре: 953 вес. ч. р-ра силиката калия (d 1,27), 2600 вес. ч. H_2O , 57 вес. ч. NH_4VO_3 , 920 вес. ч. 17%-ной H_2SO_4 , рН 6,0 или 8,0, р-р 9 вес. ч. $Zr(NO_3)_4$ в 100 вес. ч. H_2O или р-р 13,5 вес. ч. $Th(NO_3)_4$ в H_2O . В ряде опытов с $Al_2O_3-V_2O_5-K$ были получены следующие результаты (перечислены катализатор, конц-я паров нафталина в мол.%, т-ра в °C, время контактирования в сек., выход в кг нафтохинона и фталевого ангидрида на 45,36 кг нафталина): $V_2O_5-Al_2O_3$ (K_1), 1,1, 300, 8, 10,5–11,8, 20,4–25; K_1 1,1, 290, 11, 9,1–11,3, 22,7–27,2; K_1 2,0, 305, 11, 9,1–11,3, 22,7–27,2; K_1 1,3, 315, 8, 9,1–10,5, 25–27,2; K_1 1,7, 310, 11, 9,1–10, 25–29,5; K_1 1,6, 305, 13, 8,6–10, 5, 20,4–25, $ZrO_2-V_2O_5$ (при pH 6) (K_2), 1,0, 330, 8, 11,3–15,9, 18,2–27,2; K_2 1,0, 320, 12, 11,3–15, 20,4–27,2; K_2 2,0, 330, 12, 11,3–15, 20,4–27,2; $ZrO_2-V_2O_5$ (при pH 8) (K_3), 1,0, 300, 8, 9,1–11,8, 20,4–22,7; K_3 1,0, 290, 11, 9,1–11,3, 22,7–27,2; $ThO_2-V_2O_5$ (при pH 8), 1,0, 310, 8, 10,5–11,3, 22,7–27,2; $ThO_2-V_2O_5$ (при pH 6) 1,0, 330, 8, 11,3–15,4, 20,4–27,2. И. Дорман

И. Дорман

22370 П. Получение 1,4-динитроантрахинон-2-карбо-
новой кислоты. Эбель, Рупп (Verfahren zur Her-
stellung von 1,4-Dinitroanthrachinon-2-carbonsäure.
Ebel Friedrich, Rupp Walter) [Badische
Anilin- & Soda-Fabrik A.-G.] Пат. ФРГ 981806,
11.04.57

С-метилантрахион-1(N)-2-изоксазол (I) или полученное из него обработкой HNO_3 или HNO_2 при t -ре $\sim 40^\circ$ 1,4-нитрогидроксиамино-, динитрозо- или динитропроизводное 2-ацетилантрахиона окисляют при t -ре $> 50^\circ$ ($100\text{--}120^\circ$) по крайней мере 45%-ной HNO_3 , содержащей окислы N. 100 ч. водн. пасты, содержащей 26,3 ч. I, вносят при перемешивании в 2000 ч. 50%-ной желтой HNO_3 . Смесь постепенно нагревают до 110° , пока не прекратится выделение окислов N, затем перемешивают при 110° (до полного растворения пробы в разб. щелочи), охлаждают, отсасывают, промывают 40%-ной HNO_3 и водой. Высушивают и получают 27,4 ч. 1,4-динитроантрахион-2-карбоновой к-ты (II), т. пл. 265° . 100 ч. 1-(или 4-) гидроксиламино-2-ацетилантрахиона (получен обработкой 108 ч. I в 200 ч. 50%-ной

H_2SO_4 , 32 ч. NaNO_2 при 50°) нагревают на водяной бане с 1500 ч. 65%-ной HNO_3 до полного растворения пробы в разб. NaOH . Дальнейшей переработкой получают II, выход 25 ч. II дает характерную Na-соль, имеющую 2 молекулы кристаллизационной H_2O , которая теряется при 150° . II является полупродуктом для красителей.

22371 П. Получение азотсодержащих производных 2-ацетилантрахинона. Эбель, Рупп (Verfahren zur Herstellung von stickstoffhaltigen Derivaten des 2-Acetylanthrachinons. Ebel Friedrich, Rupp Walter) [Badische Anilin- & Soda-Fabrik A.-G.] Пат. ФРГ 961805, 11.04.57

C-метилантрахион-1(N)-2-изоксазол (I) или полученный из него обработкой HNO_3 1-(или 4)-нитрозо-4-(или 1-)-гидроксиламино-2-ацетилантрахион обрабатывают при $\sim 40^\circ$ примерно рассчитанным кол-вом HNO_3 , желательно с небольшой примесью окислов N. Конц-ия HNO_3 в реакционной массе должна быть $\leq 20\%$. В перемешиваемую суспензию 93 ч. тонкоизмельченного I в 2000 ч. 40%-ной H_2SO_4 при $20-25^\circ$ вводят 40 ч. желтой 60%-ной HNO_3 , смесь перемешивают 48 час. при 35° , пока масса не станет светложелтой. Продукт отсасывают, промывают до нейтр. р-ции и сушат. Получают 95 ч. 1,4-динитрозо-2-ацетилантрахиона, т. пл. 256° (из диметилформамида), 112 ч. 4-(или 4-)-нитрозо-4-(или 1-)-гидроксиламино-2-ацетилантрахиона (получен обработкой 108 ч. I в 200 ч. 50%-ной H_2SO_4 , 32 ч. NaNO_2 при 5°) растворяют в 784 ч. лед. CH_3COOH , при перемешивании и 10° постепенно прибавляют смесь 24 ч. конц. HNO_3 и 88 ч. лед. CH_3COOH . Перемешивание при $\sim 10^\circ$ продолжают до прекращения выделения нитрозных газов, продукт обрабатывают, как указано выше. Получают 100 ч. 1,4-динитрозо-2-ацетилантрахиона. Б. Фабричный

22372 П. Получение производных фурфурола. Проффт, Воляник (Verfahren zur Herstellung von Furfuralabkömmlingen. Profft Elmar, Wolnik Otto) Пат. ГДР 13163, 25.04.57

Фурфуральдиалкикетоны или фурфуральдиалкифенилкетоны нагревают с тиофенолом, его гомологами или продуктами замещения в присутствии кислых или щел. катализаторов [пиридинацетат (I), гидроокись триметилбензиламмония], 1,24 кг тио-*n*-крезола (II) смешивают с 1,5 кг фурфуральацетона и нагревают до 45° , к смеси прибавляют 35 мл 40%-ного р-ра I в CH_3OH , т-ра быстро повышается до 80° . Смесь нагревают 4 часа при $95-100^\circ$ и перегоняют. Получают 1,8 кг фракции с т. кип. $165-177/18$ мм и 820 г предгона, т. кип. $115-153/18$ мм. Дополнительное кол-во 4-(фурил-2)-3-тио-*n*-крезилбутанона можно выделять из предгона, но лучше использовать его повторно, т. к. он состоит в основном из II. К р-ру 256 г *n*-пропоксибензил-(фурил-2)-кетона и 124 г II в 1 л спирта прибавляют 17 мл 44%-ного р-ра I в CH_3OH , т-ра повышается на 10° . Вскоре выпадает 352 г 2-(фурил-2)-1-тио-*n*-крезил-1-*n*-пропоксибензоилэтана, т. пл. 77° . Продукты могут быть использованы для регенерации резины, мастикации резины и для получения средств борьбы с вредителями. В. Красева

22373 П. Карбоксилирование тиофена, его гомологов и производных. Кюнханс, Рейнхардт, Тейбелль (Verfahren zur Carboxylierung von Thiophen und Abkömmlingen mit Harnstoffchlorid und Oxalylchlorid. Kühnhauss Gerhard, Reinhardt Herbert, Teubel Johannes) [VEB Hydrierwerk Zeitz] Пат. ГДР 13495, 15.07.57

Тиофен (I), его гомологи или производные карбоксилируют действием хлормочевины (II) в отсутствие катализаторов (в присутствии р-рителей или без них) при т-ре от -10° до 50° или действием оксалилхлорида (III) при т-ре от 20 до т-ры кипения смеси и обычном

или повышенном давлении. К 84 г I при 20° прибавляют 79,5 г II, происходит выделение HCl . Через ~ 20 час. смесь затвердевает. Избыточную II и продукты конденсации II разлагают льдом и отгоняют с паром 25 г I, оставшийся р-р фильтруют горячим. При охлаждении выпадает амид 2-тиофенкарбоновой к-ты (IV — к-та), т. пл. 179° , выход 65%, омылением которого 4 н. NaOH получают IV, т. пл. 129° . При добавлении 2-кратного кол-ва II в тех же условиях выход амида IV 76,5%. Из 59,3 г 2-хлортиофена и 48 г II (48 час., 20° , кол-во не вошедшего в р-цию 2-хлортиофена 43 г) получают амид 5-хлор-2-тиофенкарбоновой к-ты, выход 10%, т. пл. $166-168^\circ$. Омылением амида 4 н. NaOH получают 5-хлортиофенкарбоновую к-ту, т. пл. 147° . 42 г I и 63,5 г III кипятят 60 час. Перегонкой выделяют фракцию, т. кип. $115-120/21$ мм, омылением которой получают IV, выход 36,5%, 49 г тиоф. метилтиофена (смесь изомеров) кипятят 4 часа с 63,5 г III, перегонкой выделяют хлорангидрид метилтиофенкарбоновой к-ты, т. кип. $122-135/20$ мм, выход 60%. Р-цией этого хлорангидрида с р-ром NH_3 в эфире получают соответствующий амид, т. пл. $109-112^\circ$, к-та, полученная из хлорангидрида, имеет т. пл. $90-93^\circ$.

22374 П. Галонирование пиридинов. Бавли, Харфенист (Halogenation of pyridines. Bawley Abraham, Harfenist Morton) [Chas. Pfizer & Co., Inc.] Пат. США 2742479, 17.04.56

Диоксипиридины общей ф-лы $\text{N}=\text{C}(\text{OH})\text{CH}=\text{C}(\text{R})$

$\text{CH}=\text{CON}$ (I) (R — H, алкил, арил, галонд, карбоксил) нагревают с POCl_3 или POBr_3 при молярном соотношении 1:3 и т-ре от 80° до т-ры кипения смеси, с одновременным удалением из реактора HX (X — галоген). Р-цию проводят в автоклаве при $180-230^\circ$ (лучше 200°) и давл. 7—10,5 атм в течение 2—5 час. 488 г I (R = COOH) смешивают с 1500 г POCl_3 и кипятят в течение 4,5 час. при $90-108^\circ$. Смесь переносят в автоклав и выдерживают при 220° 2,75 час. (давление в начале поднимается до 7 атм, а через 10 мин. падает до 5,25 атм, через час опускается ниже 3,4 атм). Автоклав охлаждают до 22° и смесь выливают в 4 л теплой H_2O , происходит энергичная р-ция гидролиза, после охлаждения смеси до 10° отфильтровывают коричневые кристаллы 2,6-дихлорпиридин-4-карбоновой к-ты (II). Общий выход II 81%, т. пл. $205-206,4^\circ$. Полученные соединения могут применяться как полупродукты для органич. синтеза, в частности II — для получения никотиновой к-ты. И. Дорман

22375 П. Получение тетразолов. Виберт, Милло (Verfahren zur Herstellung von Tetrazolen. Wiberg Egon, Michael Horst) Пат. ФРГ 962798, 25.04.57

Нитрилы, амиды тиокислот или тиолактамы в присутствии р-рителя (тетрагидрофуран) при нагревании с азидом Al и обработке к-той образуют соответствующие тетразолы. Вместо азиды Al можно применять смесь AlCl_3 и NaN_3 . 1,33 г AlCl_3 растворяют в 20 мл сухого тетрагидрофурана, к р-ру прибавляют 1,03 г бензонитрила и затем 2,9 г измельченного NaN_3 . Перемешиваемую смесь кипятят 24 часа в отсутствие влаги, затем разлагают равным объемом разб. HCl . Смесь длительное время экстрагируют эфиром (в перфораторе), эфир отгоняют, остаток кристаллизуют из спирта. Получают 1,46 г 5-фенилтетразола, выход $\sim 100\%$. Аналогично из 6,6 г AlCl_3 , 11,7 г NaN_3 и 3,75 г тиоацетамиды получают 5-метилтетразол, выход 63,6%; из 20,6 г AlCl_3 , 11 г NaN_3 и 20 г тиокапролактама (продукт р-ции экстрагируют CHCl_3) после перегонки получают пентаметилтетразол, т. кип. $150/1,5-2$ мм, выход 65,6%.

22376 П. Получение 5-амино-1,2,4-тиодиазолов. Гёрделер, Вормс (Verfahren zur Herstellung von 5-Amino-1,2,4-thiodiazolen. Goerdeler Joachim, Worsche Gerhard) [Farbenfabriken Bayer A.-G.]. Пат. ФРГ 955684, 10.01.57

В отличие от способа, предложенного в пат. ФРГ 82346, к р-ру соли амидина и щелочи в CH_3OH прибавляют роданид или же в метанольный р-р соли амидина и роданида вводят щелочь и галогид. К перемешиваемому р-ру 11 г хлоргидрата пропонамида в 50 мл CH_3OH , охлажденному смесью льда с NaCl в течение 10 мин. одновременно прибавляют р-р 0,2 моля NaOCH_3 в 50 мл CH_3OH и р-р 16 г Br_2 в CH_3OH . К бесцветному р-ру при охлаждении прибавляют р-р 10 г KSCN в 50 мл CH_3OH , перемешивают еще 0,5 часа и затем оставляют на 1—2 часа в ледяной воде. Смесью окисляют лед. CH_3COOH , окислители удаляют прибавлением конц. р-ра Na_2S в CH_3OH , фильтруют и упаривают досуха в вакууме; остаток растирают и промывают 25 мл воды, затем кристаллизуют из C_6H_6 , выход 5-амино-3-этил-1,2,4-тиодиазола 8 г (64%), т. пл. 116—117°. К перемешиваемому охлажденному р-ру 12 г хлоргидрата бензамидина и 8 г безводн. NaSCN в 60 мл CH_3OH прибавляют 0,5 часа по каплям 32,5 мл 46% н. NaOCH_3 и 12 г Br_2 в 30 мл CH_3OH при т-ре от -5 до -40°. Смесью нейтрализуют конц. HCl , выдерживают 1 час при т-ре ~20° и затем разбавляют водой до объема 400 мл. Осадок отсасывают, промывают и высушивают. Получают 8 г неочищ. 3-фенил-5-амино-1,2,4-тиодиазола, т. пл. 153°. Продукт кристаллизуют из разб. спирта или C_6H_6 , т. пл. 156°. В. Красева

22377 П. Получение замещенных меркапто-1,3,4-тиадиазолов. Янг (Process for preparing substituted mercapto-1,3,4-thiadiazoles. Young Richard William) [American Cyanamid Co.]. Пат. США, 2744908, 8.05.56

Соединения общей ф-лы $\text{RC}=\text{NN}=\text{C}(\text{SR}')\text{S}$ (I), где R—H, алкил, арил или гетероцикл (CH_3 , C_2H_5 , C_6H_5 , тиазол, пиридил, фурил, $n\text{-NO}_2\text{C}_6\text{H}_4$, $n\text{-ClC}_6\text{H}_4$, $n\text{-C}_6\text{H}_4\text{OC}_2\text{H}_5$), R'—алкил или арил (CH_3 , C_2H_5 , C_6H_5 , 2,4-(NO_2) $_2\text{C}_6\text{H}_3\text{CH}_2$), образуются при р-ции соединений $\text{RC}(\text{O})\text{NHNHC}(\text{S})\text{SR}'$ (II), где R и R' те же, что и выше, с сильными органич. или неорганич. к-тами при т-ре 20—400°. В качестве циклизующих агентов применяют к-ты с $\text{pH} \leq 3,5$ (напр., H_2SO_4 , полифосфорная к-та, моногидрат толуолсульфокислоты, H_3CCOOH и HCOOH). Для проведения р-ции можно либо действовать сильными к-тами на заранее полученное II, либо превратить $\text{NHNHC}(\text{S})\text{SR}'$ в соответствующие II [при р-ции с $(\text{CH}_3\text{CO})_2\text{O}$ или $(\text{C}_2\text{H}_5\text{CO})_2\text{O}$], а последние без выделения обработать сильной к-той. При использовании HCOOH отпадает стадия ацилирования, так как сама HCOOH является превосходным формилирующим агентом, а образующееся формилпроизводное немедленно циклизуется в тиадиазол. 1 г II ($\text{R}=\text{C}_6\text{H}_5$, $\text{R}'=\text{CH}_3$) (III) растворяют в 10 мл конц. H_2SO_4 , причем т-ра поднимается до 40°, через 3 мин. р-р выливают на лед, получают I ($\text{R}=\text{C}_6\text{H}_5$, $\text{R}'=\text{CH}_3$), выход 85%, т. пл. 55—56°. 9,3 г III нагревают 15 час. при 85° с полифосфорной к-той, обрабатывают водой, кристаллизуют из петр. эфира, получают I ($\text{R}=\text{C}_6\text{H}_5$, $\text{R}'=\text{CH}_3$). Р-р 1 г III в 25 мл C_6H_6 кипятят 2 часа с 0,1 г моногидрата толуолсульфокислоты, оставляют на 12 час., промывают насыщ. р-ром NaHCO_3 и водой, упаривают, получают 0,68 г I ($\text{R}=\text{C}_6\text{H}_5$, $\text{R}'=\text{CH}_3$). III кипятят 3 мин. с избытком F_3CCOOH , выливают на лед, получают I ($\text{R}=\text{C}_6\text{H}_5$, $\text{R}'=\text{CH}_3$). 2 г II ($\text{R}=\text{C}_6\text{H}_5$, $\text{R}'=\text{C}_6\text{H}_5\text{CH}_2$) растворяют в 20 мл конц. H_2SO_4 , через 3 мин. выливают на 125 г льда, получают I ($\text{R}=\text{C}_6\text{H}_5$, $\text{R}'=\text{C}_6\text{H}_5\text{CH}_2$), выход 67%, т. пл. 107—109° (из сп.). Аналогично из 20 г II ($\text{R}=\text{CH}_3$, $\text{R}'=\text{C}_6\text{H}_5\text{CH}_2$) (IV)

и 200 мл конц. H_2SO_4 получают 5,7 г I ($\text{R}=\text{CH}_3$, $\text{R}'=\text{C}_6\text{H}_5\text{CH}_2$), т. пл. 62—63° (из абс. сп.); если 12,8 г IV растворяют в 65 мл конц. H_2SO_4 и выливают в воду, получают то же соединение с выходом 59%, т. пл. 62,5—64° (из водн. сп.). Р-р 10 г $\text{NHNHC}(\text{S})\text{SCH}_2\text{C}_6\text{H}_5$ (V) в 100 г $(\text{CH}_3\text{CO})_2\text{O}$ нагревают несколько минут, осторожно охлаждают, избегая кристаллизации IV, прибавляют по каплям 50 мл конц. H_2SO_4 при т-ре не выше 45° (охлаждение), выливают на лед, получают I ($\text{R}=\text{CH}_3$, $\text{R}'=\text{C}_6\text{H}_5\text{CH}_2$). 10 г V растворяют при 20° в 79,5 г 98%-ной HCOOH , нагревают до 45°, прибавляют 5,15 г $(\text{CH}_3\text{CO})_2\text{O}$, нагревают 10 мин. при 70°, выливают на лед, получают I ($\text{R}=\text{H}$, $\text{R}'=\text{C}_6\text{H}_5\text{CH}_2$), выход 83%, т. пл. 58,5—60° (из 50%-ного сп.). Последний эксперимент можно проводить без $(\text{CH}_3\text{CO})_2\text{O}$, выходя неочищ. I ($\text{R}=\text{H}$, $\text{R}'=\text{C}_6\text{H}_5\text{CH}_2$) 92% (т. пл. 56—58°) в 79% после перекристаллизации из 5%-ного водн. спирта. I могут быть использованы в качестве средства борьбы с личинками и как промежуточные в-ва в синтезе сульфамидных производных (для этого 2-аралкилмеркаптотиадиазол действием Cl_2 может быть превращен в соответствующий сульфохлорид, а последний обработан NH_3). Г. Швехтеймер

См. также: Полиэтилен, применение 22400. Ароматич. эфиры акриловых к-т, синтез, применение 22559. Циклооктатетраен 21376. Дициклопентадиен, синтез, св-ва 21379. Этилендиаминтетрауксусная к-та, применение 22405, 22502. Изоцианаты, получение 22443. Кремнийорганич. соединения 21525—21531. Непредельные элементорганич. соединения, обзор 21524. Нафтамин, сульфирование 21724. Алкилфенилкетоны, гидрирование 21392. Галоксифенилпанакриловые к-ты, применение 22562. Производные кумарина, применение 22463. Производные 8-оксихинолина, синтез, применение 22470; замещ. 2-иминоплазонионы, синтез 22464. Меламин, обзор 21506. Гексаметилентетрамин, обзор 21507

ПРОМЫШЛЕННЫЙ СИНТЕЗ КРАСИТЕЛЕЙ

Редактор Н. А. Медзыговская

22378. Обзор по вопросам о производстве красителей в Японии. Ямагути (染料業界の展望. 山口四郎), 有機合成化学協会誌, Юки госэй кагаку кёкайшй J. Soc. Organ. Synth. Chem. Japan, 1957, 15, № 6, 207—209 (японск.)

22379. Фторпроизводные анилина в качестве диазосоставляющих для сочетания с нафтолом AS. Инукава, Хосокава (ナフトールベース用フッ素置換アミン誘導体について. 犬飼鑑, 細川研三), 工業化学雑誌, Kōgō kaгаку дзасси, J. Chem. Soc. Japan. Industr. Chem. Sec., 1955, 58, № 8, 592—594 (японск.)

Получены следующие фторпроизводные: о-фторанилин (I), м-фторанилин, п-фторанилин, 3-(трифторметил)-6-нитроанилин, 3-(трифторметил)-2-нитроанилин, 3-(трифторметил)-4-нитроанилин, о-(трифторметил)-анилин, м-(трифторметил)-анилин (II) и п-(трифторметил)-анилин. Полученные из вышеуказанных аминов красители окрашивают в цвета от оранжевого до красного. Наилучшими красящими свойствами, устойчивостью к нагреванию, стирке и трению обладают красители, полученные из I и II. Приведенные спектры абсорбции полученных красителей обсуждены в отношении положения радикала в бензольном ядре.

Л. Герман
22380. Исследования строения некоторых сернистых красителей и их синтезы. II. Гидроновый синий G. Оно (特殊硫黄染料の構造並に合成に関する研究. 第2報. Hydron Blue G に就いて. 小野信次郎), 有機合成化

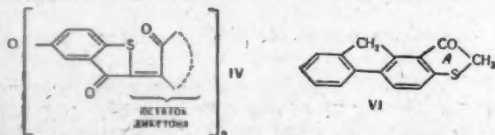
學協會誌, Юки госэй кагаку кёкайси, J. Soc. Organ. Synth. Chem. Japan, 1955, 13, № 6, 264—268 (японск.).

22381. Синие и черные сернистые красители для винилона, содержащего карбоксильные группы. Куроки, Такаока, Ота, Кониси (カルボキシル基を有するビニロン用青色および黒色系硫化染料について, 黒木宣彦, 高岡昭, 太田榮一, 小西謙三), 工業化学雑誌, Kōgō kagaku daasshi, J. Chem. Soc. Japan. Industr. Chem. Sec., 1954, 57, № 11, 864—867 (японск.).

22382. Сернистые красители для винилона из N-арилморфолина. Куроки, Катаяма, Нисино, Кониси (N-アрилモルホリン系硫化染料によるビニロンの染色, 黒木宣彦, 片山明, 西野潤, 小西謙三), 工業化学雑誌, Kōgō kagaku daasshi, J. Chem. Soc. Japan. Industr. Chem. Sec., 1954, 57, № 11, 863—864 (японск.).

22383. Исследование индигоидных красителей. Часть XVII. Тиюиндигоидные красители — производные дисульфокислоты дифенилового эфира. Часть XVIII. Тиюиндигоидные красители — производные флуорен-2-сульфокислоты. Датта, Мандал (Studies in indigoid dyes. Part XVII. Thioindigoid dyes derived from diphenyl ether disulphonic acid. Part XVIII. Thioindigoid dyes derived from fluorene-2-sulphonic acid. Dutta Paresh Chandra, Mandal Dasrath), J. Indian Chem. Soc., 1956, 33, № 1, 54—56; № 6, 410—414 (англ.).

XVII. 4,5:4',5'-бис-(3"-окс-1"-тиофен)-дифениловый эфир (I) получают из 4,4'-дисульфокислоты дифенилового эфира (II, дифенилового эфира — III) превращением последней по схеме: II → дисульфохлорид → димеркаптан → дитиогликолевая к-та → I. Конденсацией I с различными о-дикетонами получены соответствующие бис-тиуюиндигоидные красители общей ф-лы (IV) и изучены их колористич. свойства. Полученные красители показывают лишь слабое углубление цвета, сравнительно с аналогичными монотиуюиндигоидными красителями, так как эфирный —O— мостик прерывает конъюгацию составных частей бис-тиуюиндигоидного красителя, оказывая влияние на окраску лишь в качестве слабой хромофорной группы. Смесь 35 г



К-соли II и 50 г PCl_5 нагревают 2 часа при 100° , выливают на лед и после 16 час. стояния выделяют 4,4'-дисульфохлорид III, т. пл. 131° (из CHCl_3). Этот сульфохлорид восстанавливают Sn и HCl (к-той) в течение 12 час., отфильтровывают, промывают конц. HCl и затем водой, навлекают C_6H_6 , сушат, фильтруют и отгонкой р-рителя выделяют 15 г 4,4'-димеркаптана III, т. пл. $103\text{—}104^\circ$ (из сл.). К р-ру 4,8 г 4,4'-димеркаптана III в водн. NaOH прибавляют предварительно нейтрализованный NaOH водн. р-р 4 г ClCH_2COOH , нагревают 1 час при 100° , после фильтрования подкисляют HCl (к-той) и выделяют 6,2 г 4,4'-дитиогликолевой к-ты III, т. пл. 164° . I получают из 4,4'-дитиогликолевой к-ты III по способу, аналогичному с получением 4,5:4',5'-дифенил-бис-(3"-окс-1"-тиофен)-метана из 4,4'-дитиодифенилгликолевой к-ты III (см. РЖХим, 1957, 45736), и без выделения применяют в форме уксуснокислого р-ра для конденсации с о-дикетонами. Кипячением 30 мин. смеси р-ров изатина и I в CH_3COOH с прибавлением 0,5 мл конц. HCl получают 4,5:4',5'-бис-тиофено-(дифениловый эфир)-3,3-бис-индигоидного, фиолетово-красные кристаллы, т. пл. $> 300^\circ$ (из $\text{C}_6\text{H}_5\text{NO}_2$), окрашивает хлопковые волокна из желтого гидросульфитного куба в розово-фиолетовый цвет. Аналогично получены следующие красители [указаны исходный

о-дикетон, наименование красителя, характерный вид его и окраска им хлопковых волокон; т-ра плавления всех красителей $> 300^\circ$ (из $\text{C}_6\text{H}_5\text{NO}_2$): аценафтенхинон, 4,5:4',5'-бис-тиофено-(дифениловый эфир)-2,2-бис-аценафтилендиного, розовые иглы, розовый; фенантрахинон, 4,5:4',5'-бис-тиофено-(дифениловый эфир)-4,4-бис-фенантрахинон, темно-коричневые кристаллы, коричневый; ацеантрахинон, 4,5:4',5'-бис-тиофено-(дифениловый эфир)-1,1-бис-ацеантрахинон, коричнево-фиолетовые кристаллы, медно-красный.

XVIII. Из флуорен-2-сульфокислоты (V) через соответствующие сульфохлорид, меркаптан и тиюиндиголевую к-ту синтезирован 4,5-флуорено-3-окси-1-тиофен, (ф-ла VI), конденсацией которого с различными о-дикетонами синтезированы соответствующие тиюиндигоидные красители, в которых группировка $-\text{C}-\text{CO}-$

(остаток дикетона) присоединена к кольцу A, и изучены их колористич. свойства. Полученные ранее тиюиндигоидные красители из дифенил-4-сульфокислоты (часть XIII см. РЖХим, 1957, 16874) дают на хлопковом волокне более темные и интенсивные оттенки; тиюиндигоидные красители из VI мало растворимы в щел. р-рах $\text{Na}_2\text{S}_2\text{O}_4$ и дают более светлые окраски. 16,6 г флуорена растворяют при 20° в 75 мл CHCl_3 и к полученному р-ру постепенно при хорошем перемешивании и охлаждении льдом приливают р-р 12 г ClSO_3H в 30 мл CHCl_3 . После стояния в течение 1 часа при 20° отфильтровывают, осадок кипятят с водой, горячий фильтруют, фильтрат нейтрализуют поташом до слабощел. р-ции, кипятят, фильтруют горячим и по охлаждении отделяют из фильтрата и перекристаллизовывают из воды К-соль V, выход 19 г. Из 50 г К-соли V, 50 г PCl_5 и 20 мл POCl_3 (1 час, 140°) получают 40 г флуорен-2-сульфохлорида, т. пл. 159° (из хлф.), восстановлением которого Sn и HCl (к-той) получают флуорентиол-2, выход 80—85%, т. пл. 127° (из сл.). К профильтрованному р-ру 10 г флуорентиола-2 в 50 мл 10%-ного р-ра NaOH прибавляют нейтрализованный NaOH р-р 5 г ClCH_2COOH и нагревают 1 час при 100° , отделяют полученную Na-соль VII (VII — флуорен-3-тиогликолевая к-та), растворяют ее в большом объеме горячей воды и подкислением HCl (к-той) выделяют 9 г VII, т. пл. $143\text{—}144^\circ$ (из разб. сл.). К суспензии 2 г VII в 20 мл петр. эфира прибавляют 2 г PCl_5 и 2 капли пиридина, кипятят 1 час до растворения, фильтруют и при охлаждении выделяют постепенно затвердевающую массу с т. пл. 85° . Ее растворяют в 20 мл петр. эфира, прибавляют 2 г AlCl_3 и кипятят 12 час., полученный комплекс после фильтрования разлагают смесью льда и конц. HCl, растворением полученного осадка в разб. NaOH при нагревании и осаждением HCl (к-той) получают VI, выход плохой. Смешивают уксуснокислые р-ры VI и изатина с прибавлением 5 капель конц. HCl, нагревают 30 мин. до окончания р-ции в горячим отфильтровывают 2-(4,5-флуорентиофен)-3'-индигоидного, фиолетовый, т. пл. $> 300^\circ$ (из $\text{C}_6\text{H}_5\text{NO}_2$); окрашивает хлопковые волокна из желтого куба в светло-розовый цвет. Аналогично получены следующие красители (указаны исходный о-дикетон, краситель, внешний вид и цвет выкраски на хлопковых волокнах; т-ры плавления красителей $> 300^\circ$): м-бромизатин, 2-(4,5-флуорентиофен)-3'-(6'-броминдол)-индиго, темно-фиолетовый, светло-фиолетовый; 5,7-динитроизатин, 2-(4,5-флуорентиофен)-3'-(5',7'-динитроиндол)-индиго, серовато-фиолетовые кристаллы, шоколадно-фиолетовый; аценафтенхинон, 2-(4,5-флуорентиофен)-2'-аценафтилендиного, медно-красные иглы, фиолетовый; 5-бромаценафтенхинон, 2-(4,5-флуорентиофен)-2'-(5'- или 6'-бромаценафтилен)-индиго, фиолетовые иглы, фиолетовый; 5-нитроаценафтенхинон, 2-(4,5-флуорентиофен)-2'-(5'- или 6'-нитро-

ацефталилен)-индиго, темный, светло-синий; 5,6-динитроацефталиенин, 2-(4,5-флуоренотифен)-2'-(5',6'-динитроацефталилен)-индиго, темный, зеленый; фенантренин, 2-(4,5-флуоренотифен)-1'-фенантрениндиго, темный, светло-фиолетовый; ацеантрахинон, 2-(4,5-флуоренотифен)-1'-ацеантрениндиго, коричневый, светло-коричневый. Нагреванием VI с р-ром соединения глиоксала с NaHSO_3 в CH_3COOH с прибавлением 10 мл конц. HCl получают 2-(4,5-флуоренотифен)-этилениндиго, фиолетовые кристаллы, т. пл. $> 300^\circ$ (из $\text{C}_6\text{H}_5\text{NO}_2$), окрашивает из коричневого куба хлопковые волокна в светлый синева-фиолетовый цвет. Часть XVI см. РЖХим, 1957, 45736. В. У.

22384. Образование пиразолового синего при электролизе переменным током. Мотом (交流電解によるピラゾールブルーの生成. 元井操一郎), 化学の領域, Кагаку-но рёнки, J. Japan Chem., 1955, 9, № 7, 66—67 (японск.).

22385. Фотоэлектроколориметрия растворов кислотных азокрасителей как объективный метод определения их концентрации. Козлов В. В., Солищева Р. Р., Сб. научн. работ. Моск. ин-т нар. х-ва, 1957, вып. 11, 220—237.

Изучено фотоколориметрирование р-ров кислотных красителей (К) с помощью цветомера ЦЗ-А. Точность определений превышает точность колористич. оценки. Для синих и оранжевых К результаты анализа по цветомуру отличаются от хим. анализа на 0,2—0,5%, для красных до 1%, для желтых до 1,5%, в то время как допустимое стандартом отклонение колористич. оценки равно 5%. Применение светофильтров, пропускающих преимущественно лучи, поглощаемые испытуемым р-ром, увеличивает точность измерений. Поэтому работу с цветомером лучше проводить, имея спец. набор светофильтров со спектрофотометрич. характеристиками. Чувствительность измерений остается высокой только в оптимальных конц-ях колориметрируемых р-ров: для синих и зеленых до 0,01 г/л, для красных 0,01 г/л и для желтых 0,02 г/л. При определении конц-и технич. К необходимо ориентироваться только на калибровочную кривую типового К. Примеси других К, составляющие более 10%, резко влияют на показания прибора. Определение конц-и К смесовых марок на цветомере невозможно. В. У.

22386. Некоторые наблюдения по выцветанию красителей под действием атмосферных влияний. Нидерхаузер (Alcune osservazioni sulla degradazione delle tinte all'azione delle intemperie. Niederhauser J. P.), Tintoria, 1956, 53, № 12, 515—522 (итал.).

Проведены сравнительные испытания по определению прочности 35 красителей к свету и светопогоде (СП). Выцветание красителей под действием СП происходит значительно быстрее, нежели под действием одного света; особенно это заметно в области синих красителей. Для установления прочности красителей к СП требуется длительная экспозиция их выкрасок в разных климатич. условиях. Л. Песин

22387 К. Таблицы красителей. Т. 1. Изд. 2 (Colour index. Vol. 1. 2nd ed. Bradford (Yorks.), Soc. Dyers and Colourists; Lowell (Mass.), Amer. Assoc. Text. Chemists and Colorists, 1956, XIX, 1001—1809 pp., 5 L per set of 4 vols.) (англ.)

22388 П. Способ получения не растворимых в воде моноазокрасителей. Хагеллох (Verfahren zur Herstellung von wasserunlöslichen Monoazofarbstoffen. Hageloch Günter) [Farbenfabriken Bayer A.-G.] Пат. ФРГ 953549, 6.12.56

Не растворимые в воде моноазокрасители получают окислением в кислой среде диазосоединений, содержа-

щих по крайней мере 1 отрицательный заместитель, с фенилмочевинами, содержащими в мета-положении к мочевинному остатку алкокси- или оксикалкосигруппу; составляющие не должны содержать карбоксильных, сульфо- или оксигрупп. Азосоставляющие для синтеза красителей получают превращением, лежащих в их основе, преимущественно замещенных м-аминофенольных эфиров в соответствующие моноарилмочевины, напр., обработкой KCNO аминосоединений. Красители окрашивают волокна простых и сложных эфиров целлюлозы, в особенности ацетилцеллюлозы (АЦ), и полиамидные волокна (ПА) в желтые до оранжево-коричневого цвета с очень хорошими прочностями к свету и мокрому обработкам. Р-р 3,65 ч. м-метоксибензилмочевина (I) (т. пл. $134,5^\circ$) в 100 ч. воды и 5 ч. HCl (к-ты) при охлаждении льдом до 10° сочетают с 3 ч. диазотированного л-нитроанилина (II), отфильтровывают и промывают водой краситель, окрашивающий АЦ в желтовато-оранжевый, ПА в оранжевый цвет. Описаны аналогичные красители (приведены состав красителя, т. пл. производного мочевина, цвета окрасок на АЦ и ПА): II \rightarrow 2,5-диметоксибензилмочевина, 153° , красновато-оранжевый, желтовато-красный; 2-метил-4,5-дихлоранилин \rightarrow I, красновато-желтый, сильно красноватый желтый; 2-хлор-4-нитроанилин (III) \rightarrow м-этоксифенилмочевина, 112° , красновато-оранжевый, оранжево-коричневый; III \rightarrow м-оксизетоксифенилмочевина, 134° , оранжевый, оранжево-коричневый.

В. Уфимцев

22389 П. Дисазокрасители и их комплексы с тяжелыми металлами, способ их получения (Colorants disazoiques et leurs composés complexes de métaux lourds, et procédé de préparation de ces colorants) [J. R. Geigy Soc. An.] Франц. пат. 1113327, 28.03.56

Дисазокрасители (I) общей ф-лы $\text{A}-\text{N}=\text{N}-\text{B}-\text{SO}_2\text{NH}-\text{C}(\text{R})(\text{R}')-\text{C}(\text{R}'')(\text{R}''')-\text{NH}-\text{SO}_2-\text{B}'-\text{N}=\text{N}-\text{A}'$ (А — остаток азосоставляющей, содержащей оксигруппу в соседнем положении к азогруппе; А' — остаток азосоставляющей, содержащей енольную или фенольную оксигруппу в соседнем положении к азогруппе; В и В' — остатки бензольного ряда, связанные с азогруппой в орто-положении к цепи, соединяющей каждое ядро; R, R', R'', R''' — H, алкил или часть органич. цикла), в частности, получают диазотированием соединения ф-лы: $\text{A}-\text{N}=\text{N}-\text{B}-\text{SO}_2\text{NH}-\text{C}(\text{R})(\text{R}')=\text{C}(\text{R}'')(\text{R}''')-\text{NH}-\text{SO}_2-\text{B}'-\text{NH}_2$ и его последующим сочетанием с азосоставляющей, сочетающейся в соседнее положение к оксигруппе, и обработкой полученного красителя непосредственно или на волокне металлоотдающими (Cr или Co) реагентами получают их металлич. комплексы, содержащие 1 атом металла на ≥ 1 молекулу красителя. I и, в особенности, их металлич. комплексы, пригодны для крашения кератинсодержащих волокон из нейтр. или слабосидовой ванны, а также для лаков. К р-ру 37 ч. этилен-бис-(2-аминобензолсульфамида) (II) в 400 ч. лед. CH_3COOH прибавляют 58 ч. конц. HCl и при $15-20^\circ$ диазотируют конц. р-ром 14 ч. NaNO_2 размешивают 1 час, смешивают с р-ром 29,7 ч. β -нафтола (III) в 100 ч. лед. CH_3COOH и при размешивании прибавляют 56 ч. Na-ацетата. Полученный краситель III \leftarrow II \rightarrow III суспендируют в 750 ч. этиленгликоля и прибавляют NaOH до слабощел. р-ции пробы разб. водой на мимоза-бумажку, смешивают с 32 ч. Cr-ацетата ($=9,1$ ч. Cr_2O_3) и при размешивании нагревают при $120-130^\circ$ до окончания комплексобразования, выливают в р-р NaCl и отфильтровывают Cr-комплекс III \leftarrow II \rightarrow III, окрашивающий шерстяные волокна (ШВ) и нитроцеллюлозные лаки в красно-коричневый цвет. Краситель III \leftarrow II \rightarrow III нагревают при $130-140^\circ$ с 250 ч. ацетамида и 30 ч. Со-ацетата ($=7,1$ ч. Со) до окончания комплексобразования и выливанием в р-р NaCl выделяют Со-комплекс

III \leftarrow II \rightarrow III, окрашивающий ШВ в оливково-зеленый цвет. Аналогично бисдиазотируют 43,9 ч. этилен-бис-(2-амино-4-хлорбензолсульфамида) (IV) и сочетают с р-ром 47 ч. 2-нафтол-6-сульфокислоты (V) в 100 ч. лед. CH_3COOH и 56 ч. Na-ацетата, по окончании сочетания разбавляют водой и выделяют краситель V \leftarrow IV \rightarrow V, который суспендируют в 750 ч. воды и NaOH до слабощел. р-ции, смешивают с 260 объемн. ч. р-ра NH_4 -хромсалицилата ($=9,2$ ч. Cr_2O_3), кипятят 10 час. и высаживают NaCl выделяют Cr-комплекс V \leftarrow IV \rightarrow V, окрашивающий ШВ в красно-коричневый цвет. Приведены примеры получения аналогичных красителей (указан состав красителя и цвет окраски ШВ его Cr-комплекса): 1-фенил-3-метилпиразолон-5 (VI) \leftarrow α -(2-аминобензолсульфамидо)- β -(2-амино-4-хлорбензолсульфамидо)-этан \rightarrow VI, зеленовато-желтый; III \leftarrow α -фенилен-бис-(2-аминобензолсульфамид) \rightarrow III, коричневый; 1-(3'-сульфамидофенил)-3-метилпиразолон-5 (VII) \leftarrow α -(2-амино-4-хлорбензолсульфамидо)- β -(2-ацетамидобензолсульфамидо)-этан (щел. гидролиз) \rightarrow III, оранжево-коричневый. Приведены аналогичные красители (указаны состав красителя, комплексобразующий металл и цвет окраски металл. комплексом): *n*-*m* *pet*-амилфенол (VIII) \leftarrow II \rightarrow VIII, Cr, желтовато-коричневый; 3,4-диметилфенол (IX) \leftarrow II \rightarrow IX, Cr, желтовато-коричневый; 5,8-дихлор-1-нафтол (X) \leftarrow II \rightarrow X, Cr, фиолетово-коричневый; 1-карбометоксиамино-7-нафтол (XI) \leftarrow II \rightarrow XI, Cr, фиолетово-коричневый; 1-(3'-хлорфенил)-3-метилпиразолон-5 (XII) \leftarrow II \rightarrow XII, Cr, зеленовато-желтый; VII \rightarrow IV \rightarrow VII, Cr, зеленовато-желтый; III \leftarrow IV \rightarrow III, Cr, красно-коричневый; III \leftarrow IV \rightarrow III, Co, оливково-зеленый; III \leftarrow 1,2-бис-(2'-аминофенилсульфамидо)-циклогексан (XIII) \rightarrow III, Cr, красно-коричневый; 1-(2'-толил-5'-метилсульфонил)-3-метилпиразолон-5 (XIV) \leftarrow XIII \rightarrow XIV, Cr, зеленовато-желтый; 2-нафтол-6-сульфамид (XV) \leftarrow II \rightarrow VI, Cr, оранжево-коричневый; III \leftarrow этилен-бис-(2-амино-5-нитробензолсульфамид) \rightarrow III, Cr, коричневый; XV \leftarrow IV \rightarrow XV, Cr, красно-коричневый. V \leftarrow II \rightarrow III, Cr, красно-коричневый. Указаны также другие аналогичные продукты, пригодные для получения этих красителей.

В. Уфимцев

22390 П. Смеси, содержащие кристаллический фиолетовый. Кларк, Драутц (Crystal violet composition. Clarke Wallace G., Drautz Walter G.). Пат. США 2752255, 26.06.56

Смеси красителей для гектографских чернил, содержащие кристаллич. фиолетовый (I), получают пропусканием водн. суспензии, содержащей ~ 40 – 80% твердых в-в, в том числе $\geq 30\%$ I, над обогреваемой (до 132 – 182°) подвижной поверхностью (напр., вращающейся воздушной барабанной сушилки) в течение 5–30 сек., после чего порошкообразный продукт, высушенный до содержания влаги $< 2\%$, удаляют в течение 5–30 сек. В частности, патентуется сушка суспензии, содержащей ~ 40 – 80% твердого материала, состоящего из ~ 35 – 45 ч. I, 40 – 45 ч. хризонидина и 15 – 20 ч. родулина синего. Приведены примеры сушки 5 аналогичных смесей. Полученные красители особенно пригодны для получения гектографских чернил с низкой вязкостью.

В. Уфимцев

22391 П. Обработка полихлорфталопианина меди. Барнхарт (Treatment of polychloro copper phthalocyanine. Barnhart George) [E. I. du Pont de Nemours and Co.]. Пат. США 2765319, 2.10.56

Улучшения колористич. свойств Cu-полихлорфталопианина (I) достигают получением суспензии I в H_2SO_4 (98–99%-ной начальной конц-ии), содержащей кристаллы комплекса $\text{Na}_2\text{SO}_4 + \text{H}_2\text{SO}_4$, указанную суспензию размешивают при 15 – 35° в течение времени, достаточного для набухания I, после чего разбавлением суспензии водой и фильтрованием выделяют I.

Размешивание 1 ч. I в 3–20 ч. 98–99%-ной H_2SO_4 , содержащей 5–20 ч. Na_2SO_4 на 100 ч. H_2SO_4 (частично в кристаллич. форме), проводят в течение ≥ 1 часа при 15 – 35° до превращения красителя в однородную зеленую массу (при наблюдении под микроскопом). Комплекс $\text{Na}_2\text{SO}_4 + \text{H}_2\text{SO}_4$ получают растворением Na_2SO_4 , NaHSO_4 или Na-бората при нагревании в H_2SO_4 и последующим охлаждением с выделением кристаллов комплекса. В смеситель загружают 200 ч. I и 200 ч. безводн. Na_2SO_4 , при размешивании в течение 30 мин. прибавляют 650 ч. 98%-ной H_2SO_4 , полученную густую массу размешивают 8–10 час., а затем суспендируют в 3000 ч. воды, отфильтровывают, отмывают от к-ты водой и сушат; полученный пигмент отличается яркостью и интенсивностью окраски. Приведены еще 3 аналогичных примера.

В. Уфимцев

22392 П. Способ получения галоидсодержащих кубовых красителей. Вильке, Грёйне, Шлихемайер, Польтман (Verfahren zur Herstellung von halogenhaltigen Küpenfarbstoffen. Wilke Karl, Greune Heinrich, Schlichenmaier Hans, Pohlmann Heinrich) [Farbwerke Hoechst A.G. vormals Meister Lucius und Brünig]. Пат. ФРГ 955085, 27.12.56

Галоидсодержащие кубовые красители (КК) получают обработкой водн. суспензии Bz2-фенилбензотрипиразолантрона (I) галоидом в момент выделения при низких *t*-рах в присутствии или в отсутствие катализаторов. КК окрашивают в яркие зеленоватосиние цвета с хорошими прочностями к свету, стирке, кипячению с содой и к хлору. В суспензию 10 ч. I в 120 ч. конц. HCl при 20° в течение 7 час. при размешивании приливают р-р 1 ч. NaClO_3 в 140 ч. воды и отфильтровывают КК, содержащий 6,29% Cl и окрашивающий хлопковые волокна из синего куба в яркий зелено-синий цвет, выход очень хороший, т. н. 398–400%. Этот КК получают аналогично из 10 ч. I, 50 ч. конц. HCl и р-ра 1,33 ч. KMnO_4 в 120 ч. воды (8 час., 20°). Аналогичные красители получают (указаны исходные в-ва, условия р-ции, *t*-ра плавления красителя и процентное содержание галоида): а) из 10 ч. I, 250 ч. конц. HCl и р-ра 2,1 ч. $\text{K}_2\text{Cr}_2\text{O}_7$ в 80 ч. воды, 8 час., 20° , 413°, 4,94% Cl; б) 8 ч. I, 60 ч. воды, 25 ч. конц. HCl, 2,58 ч. KJ и 0,6 ч. NaClO_3 в 100 ч. воды, 5 час., 20° , —, —; в) 5 ч. I, 100 ч. конц. HCl и 1,2 ч. NaClO_3 в 50 ч. воды, 3 часа, 35° , —, —; г) 5 ч. I, 50 ч. конц. HCl, 0,5 ч. SnCl_2 и 1,2 ч. NaClO_3 в 50 ч. воды, 4 часа, 20° , —, 9% Cl; д) 5 ч. I, 100 ч. 25%-ной H_2SO_4 , 6,6 ч. 48%-ной HBr, 1 ч. MnSO_4 и 1,7 ч. NaBr, в 100 ч. воды, 4 часа, 50° , —, 10,6% Br; е) 5 ч. Bz2-фенилбензотрипиразолантрона, 100 ч. конц. HCl и 1,2 ч. NaClO_3 в 50 ч. воды, 3 часа, 20° , —, —.

В. Уфимцев

22393 П. Растворимые в воде соли сульфохлоруксусных эфиров лейкосоединений кубовых красителей и способ их получения. Эккерт, Кюне (Water-soluble sulfochloro-acetic ester salts of leuco dyestuffs and process of preparing the same. Eckert Wilhelm, Kühne Rudolf) [Farbwerke Hoechst A.G. vormals Meister Lucius & Brünig]. Пат. США 2765309, 2.10.56

Соли сульфохлоруксусных эфиров лейкосоединений кубовых красителей общей ф-лы $\text{R}-\text{O}-\text{CO}-\text{CH}(\text{Cl})-\text{SO}_3\text{Na}$ (R — остаток индигоидного, тиоиндигоидного, дифензантронового, дифенилпиренхинонового или бензотрипиразоантрахинонового кубового красителя, $n \geq 2$) получают обработкой лейкосоединений кубовых красителей галоидангидридами сульфохлоруксусной к-ты в присутствии третичного основания и последующим превращением в устойчивую и растворимую в воде соль. Полученные соли устойчивы в об-

сти $pH \leq 7$ и легко расщепляются разб. щелочами с превращением в присутствии окислителя в исходный кубовый краситель (чем резко отличаются от солей серноокислых эфиров лейкосоединений кубовых красителей), а также обладают хорошим средством к хлопчатобумажным волокнам. 2 вес. ч. Bz 2Bz 2'-диметоксибензантрацена при размешивании нагревают в токе CO_2 до 50° в смеси 10 объемн. ч. пиридина, 1 вес. ч. Fe-порошка и 1 вес. ч. хлоргидрата пиридина до окончания восстановления, прибавляют ацилирующую смесь (приготовленную р-цией 7 вес. ч. неочищ. сульфохлоруксусной к-ты с 7,5 вес. ч. *n*-толуолсульфохлорида в 50 объемн. ч. пиридина при 35–40°) и размешивают при 50–55° до полного растворения пробы в разб. водн. р-ре соды. Через ~4 часа отфильтровывают Fe-шлам фильтрат выливают при размешивании в холодную смесь 300 объемн. ч. воды и 40 вес. ч. конц. H_2SO_4 и отфильтровывают продукт, который для перевода в Na-соль, растворяют при 40–50° в 100 объемн. ч. воды с прибавлением 0,8 ч. соды и высыпают NaCl Na-соль сульфохлоруксуснокислого эфира лейкосоединения кубового красителя, легко регенерирующего исходный краситель при действии щелочи в присутствии окислителя. Приведены примеры получения аналогичных эфиров следующих кубовых красителей: Bz, 2, Bz 2'-диметоксибензантрацена (2 примера), 5,5', 7,7'-тетраброминдиго, дибромдигениндирина, 4,4'-диметил-6,6'-дихлортиониндиго, 5,5'-дихлор-7,7'-диметилтиониндиго, Bz 1-(α -антрахинониламидо)-бензантрацена и некоторых других. В. У.

22394 П. Получение хинизарина. Шрейдер (Production of quinizarin. Shrader Marvin O.) [General Aniline & Film Corp.]. Пат. США 2752364, 26.06.56

Предложено улучшение способа получения хинизарина (I) нагреванием смеси *n*-хлорфенола (II), фталового ангидрида (III), H_2BO_3 и H_2SO_4 при ~150–220°, заключающееся в добавлении $C_6H_5Cl_3$ в кол-ве, достаточном для образования сплошной пленки на поверхности массы, благодаря чему предотвращается испарение, понижается потеря III с выделяющимся HCl-газом и повышается выход I. Смесь 75 ч. H_2BO_3 , 109 ч. II, 180 ч. III, 42,5 ч. $C_6H_5Cl_3$ и 660 ч. 20%-ного олеума нагревают 2 часа до 200–205° и 8 час. при этой т-ре, выливают на 2200 ч. воды и в течение 4 час. пропускают водяной пар для разложения комплекса I + H_2BO_3 и отгонки $C_6H_5Cl_3$, разбавляют холодной водой для охлаждения до 70°, отфильтровывают, промывают водой и очищают пересаживанием в содовый р-р, получают 183 ч. I. При применении вместо $C_6H_5Cl_3$ смеси углеводородов нефти с т. кип. ~215°, наблюдается вспенивание и потеря 62,3 ч. III в форме возгона, выходы I составляют только 157,5 ч. В. Уфимцев

См. также: Хроматографич. промежуточный продукт для красителей 21237. Изучение антрахинон. красителей 21428. Полупродукт для антрахин. красителей 22370. Трифенилметановый краситель с бактериостатической активностью 8620Bx

ЛЕКАРСТВЕННЫЕ ВЕЩЕСТВА. ВИТАМИНЫ. АНТИБИОТИКИ

Редактор Н. А. Медзыховская

22395. Основные принципы стерилизации с точки зрения практического аптечного работника. Хазельштейн (Sterilisationsrichtlinien vom Standpunkt des praktischen Apothekers. Hagelstein F.), Pharmazie, 1956, 11, № 6, 396–406 (нем.)

Описаны методы стерилизации теплоустойчивых и других фармакопейных лекарственных препаратов (самых по себе или в составах, растворенных в воде) в бутылках и в ампулах: 1) Sol. Sacch. amylac. 5,4–60%, 2) Sol. Novocain. hydrochloric, 3) стабилизаторы для кровезаменителей, 4) р-ры, содержащие $NaHCO_3$, 5) р-ры пантокаина, 6) Natr. glutaminic, 7) Cholinum chloratum, 8) аскорбиновая к-та, 9) тиосульфат Na, 10) водн. р-ры алкалоидов, 11) ПАСК. Приведена таблица с указанием различных методов стерилизации теплоустойчивых лекарственных в-в в водн. р-ре после предварительной стерильной фильтрации р-ров. Начало см. РЖХим, 1957, 67320.

Л. Михельсон

22396. Перспективы развития промышленности медицинских препаратов. Ито (醫藥品工業の展望. 伊藤西一), 有機合成化学協会誌, Юки госэй какаку кейкайси, J. Soc. Organ. Synth. Chem., Japan, 1956, 14, № 11, 686–690 (японск.)

22397. Проблема направленного синтеза новых лекарственных препаратов. Аничков С. В., Вести. Акад. мед. наук СССР, 1956, № 6, 33–45

Обсуждается проблема синтеза лекарственных препаратов по принципу подражания метаболитам или естественным физиологически активным в-вам. Изменены структурных элементов молекулы естественного в-ва, при сохранении ее общего строения, позволяет создавать новые препараты, действующие в том же направлении (карбохолин и мехолин — аналоги ацетилхолина, алеудрин — аналог адреналина), или препараты, обладающие противоположенным действием (пиритамин, пантоилтаурин, А-метоптерин, дифенилуксусный эфир холина, дибутоллин, соединения полиметилена-бис-триметиламмониевого ряда и др.). В ряде случаев, руководствуясь принципом подражания, удалось прийти к активным в-вам упрощенного строения (синэстрол, как заменитель эстрадиола).

А. Травин

22398. Новые направления в области лекарственных средств. Чуди-Штейнер (Almindeling orientering om de nyeste lægemidler. Tschudi-Steiner Irma), Arch. pharmaci og chemi, 1955, 62, № 13, 499–508 (датск.)

Обзор свойств и применения новых лекарственных в-в: антибиотиков, средств против лейкемии, антигистаминных в-в и производных фентанина (ларгактил).

Э. Тукачинская

22399. Контроль лекарственных средств во Франции. Доманж, Маскр, Парм, Ламбен, Валетт (Control of drugs in France. Domange L., Mascré, Paris R., Lambin Suzanne, Valette G.), Indian Pharmacist, 1955, 10, № 7, 179–182, 184–192 (англ.)

Приведены данные о методах морфологич. физ.-хим. и аналитич. контроля лекарственных средств во Франции.

К. Т.

22400. Вопросы применения полиэтиленов для хранения фармацевтических веществ. Мартен (L'emploi des polyethylenes dans le conditionnement pharmaceutique. Martin Charles), Probl. et techn., 1956, № 31, 13, 15, 17, 19, 21, 23, 25, 27, 29, 31, 33, 35 (франц.)

Приведены физ.-хим. и механич. свойства полиэтиленов с различными средними мол. весами, потери в весе при хранении в них различных лекарственных в-в, проницаемость для паров воды, действие полярных и неполярных р-рителей и др. Ю. Вендельштейн

22401. Значение антиокислителей для аптекаря-практика. Зос (Die Bedeutung der Antioxydantien für den praktischen Apotheker. Soos E.), Österr. Apoth.-Ztg., 1956, 10, № 37, 547–553 (нем.)

Л. М.

22402. Способ действия аэрозолей, полученных при низком давлении. Часть I. Мина (Mode of action of ultra-low pressure aerosols. Part I. Mina Francis A.), Drug and Cosm. Ind., 1956, 78, № 1, 45, 47, 96 (англ.)

Описывается способ получения аэрозолей при низком давлении ($0,7-1,1 \text{ кг/см}^2$), нашедших широкое применение в лекарственной терапии и других областях.

Г. Дикарева

22403. Покрытия, стойкие к желудочному соку. VI. Фталевые моноэфиры сахаров и многоатомных спиртов. Какэми, Уно, Кусуда, Кавамата, Танака (エンテリツク、コーティングの研研、第6報、糖類並びに多價アルコールのフタル酸モノエステルについて、掛見喜一郎、宇野豊三、楠田多樹、川眞田正信、田中榮太郎), 薬学雑誌, Якугаку даасси, J. Pharm. Soc. Japan, 1955, 75, № 8, 976-979 (японск.; реф. англ.)

Описано получение фталевых моноэфиров (I) сахаров и многоатомных спиртов, применяемых для таблеток KCl. I декстрина, лактозы, сахарозы, маннита и глюкозы не изменяются при погружении на 4 часа в искусств. желудочный сок, но распадаются при погружении на 20 мин. в искусств. кишечный сок. Таким образом I являются хорошим покрытием, способствующим усвоению лекарственного средства в кишечнике. Часть V см. РЖХим, 1958, 5583.

Э. Т.

22404. Дистилляция под вакуумом. Китагава, Накагава (真空蒸留、北川浩、中川洋), 高圧ガス協会誌, Коацу гасу кёкайси, J. Soc. High Pressure Gas Ind., 1957, 24, № 1, 5-13 (японск.)

Описаны особенности и способы дистилляции под вакуумом, а также установки для мол. дистилляции, в частности при получении витамина А.

М. Гусев

22405. Этилендиаминтетрауксусная кислота. Купер (Ethylenediamine tetra-acetic acid (E. D. T. A.). Cooper Peter), Pharmac. J., 1955, 175, № 4797, 376-377 (англ.)

Обзор свойств этилендиаминтетрауксусной к-ты и ее применения в анализе, для стабилизации лекарственных препаратов и в терапевтической практике. А. Т.

22406. Добавочные вещества в пищу как терапевтические агенты. Часть 1. Вейс (Ergänzungstoffe der Nahrung als Therapeutika. 1. Teil. Weis W.), Subsidia med., 1957, 9, № 5, 165-183 (нем.)

Обзор.

Э. Т.

22407. Потребности и производство витаминов и витаминных препаратов в Японии. Танака (医薬品としてのビタミンの需要供給、田中正一), Витамин, Vitamins, 1955, 9, № 2, 92-99 (японск.)

22408. Промышленное производство концентратов витамина А методом молекулярной дистилляции. Коган М. И. В сб.: Технол. и применение витамина А и каротина, М., 1956, 58-69

Приведена схема опытной установки для получения концентратов витамина А (I) из рыбьих жиров молекулярной дистилляцией (пропускная способность 20 л/час) и описана аппаратура. Технологич. испытание показало выход I в концентратах $\geq 75\%$, потери $\leq 3-5\%$ от исходного содержания I в сырье при подаче до 15 л жира в час. При исходном содержании 20900 м. е. I на 1 г , средняя активность концентратов $\geq 150-200 \text{ м. е.}$ Производительность однокубовой установки $0,4 \text{ трлн. м. е. I}$ в год (фактически $0,33 \text{ трлн.}$ за 1954 г.) при среднем выходе I $84,6\%$ и потерях $3,2\%$. Батарейная трехкубовая установка дает в год концентрат I с активностью до $1,2 \text{ трлн. м. е.}$ Исследование показало отрицательное влияние примесей свободных жирных к-т и перекисей в исходном жире на качество готового продукта и стойкость I, причем после хранения концентратов в них обнаружены спектрофотометрически продукты окисления I

и самого жира. Критерием для суждения о степени окисления жира и полученных концентратов может служить величина отношений конф. поглощения $E_{1\text{ см}}^{1\% 230/328} \text{ м. е.}$ и $E_{1\text{ см}}^{1\% 360/328} \text{ м. е.}$ Опыт работы установкой показал, что кислотное число рыбьего жира не должно превышать $0,5$. Исследования показали повышение скорости дистилляции с увеличением числа оборотов ротора (оптимум при 1200 об/мин) и уменьшение скорости дистилляции при увеличении скорости подачи жира с 10 до 15 л/час , но при незначительном повышении конечной т-ры дистилляции последний недостаток устраняется с сохранением активности. Предложено уточнить технич. условия на концентрат I с учетом необходимости стабилизации его токоферолом.

Ю. Вендельштейн

22409. Разработка экономичного способа производства концентрата витамина А из рыбьего жира. VI. Этерификация концентрата витамина А. 1. Ацетилование и пальмитирование при помощи хлорангидрида. Кинумаки (天然ビタミン油よりビタミンA濃縮物を経済的に製造する方法の研究、VI ビタミンA濃縮物のエステル化、其の1. 酸クロリドによるアセチル化並にパルミチル化、衣巻豊輔), 日本水産学会報, Нихон суйсан гаккайси, Bull. Japan. Soc. Scient. Fisheries, 1955, 20, № 11, 1027-1034 (японск.; реф. англ.)

Приведена методика ацетилирования (АЦ) и пальмитирования (П) концентрата витамина А. Продолжительность р-ции АЦ 5 мин. , П 10 мин. Выход витамина А в обоих случаях близок к 100% . Часть V см. РЖХим, 1957, 49261.

Э. Тукачинский

22410. Испытание кобаламина методом меченых атомов. Отчет о совместном исследовании объединенной комиссии Фармакопей и национального репертария США. Брунинг, Ньюсс, Нумеров, Клайн (Cobalamin assay by the radioisotope tracer method. A collaborative study report of the U. S. P.-N. F. joint panel. Bruening C. F., Neuss J. D., Numerof P., Kline O. L.), J. Amer. Pharm. Assoc. Sci. Ed., 1957, 46, № 1, 66-72 (англ.)

На четырех образцах концентратов кобаламина и экстрактов печени проверен метод меченых атомов (РЖХимБх, 1956, 4344), предложенный для определения биологич. активности препаратов витамина В₁₂. Принцип метода состоит в добавлении к препарату определенного кол-ва Co^{60} -меченого цианкобаламина, превращении всех кобаламинов препарата в цианкобаламин, выделении последнего в чистом состоянии и измерении его радиоактивности. Подтверждено, что в отличие от микробиологич. метода испытания, который регистрирует не только противоанемич. факторы, но и неактивные кобаламиноподобные компоненты («красные пигменты»), метод меченых атомов дает истинное представление об антиперницициозноанемич. активности препаратов.

А. Травин

22411. Завод для производства антибиотиков. (Antibiotic production plant.), Engineer, 1956, 201, № 5240, 779-781 (англ.)

Описан завод для произ-ва тетрациклина (I) и Сандвиче и фармацевтич. предприятие, перерабатывающее I, в Фолкстоуне (Англия).

А. Травин

22412. Устойчивость пенициллина в растворах диэтаноламиндиодоната. Тролле-Лассен, Вейс-Фог (Om holdbarheden af penicillin i diodon-diethanolaminopløsninger. Trolle-Lassen C., Weis-Fogh O.), Arch. pharmaci og chemi, 1954, 61, № 26, 1029-1032 (датск.)

В 35% -ном р-ре диэтаноламиновой соли $3,5$ -дидиод-4-пиридон-N-уксусной к-ты 75% добавленного Na-бензилпенициллина (5000 м. е. на 1 мл) каталитически распадается при pH $7,5$ в течение 24 час.

Э. Т.

22413. Устойчивость антибиотиков в растворах, содержащих диодонаты. Тролле-Лассен, Вейс-Фог (Om holdbarheden af antibiotika i opløsninger indeholdende diodon som salt af forskellige aminer. Trolle-Lassen C., Weis-Fogh O.), Arch. pharmaci og chemi, 1955, 62, № 15, 577—583 (дат.)

Каталитич. разложение пенициллина в диетаноламиддиодонате (I) (см. предыдущий реферат) вызывается действием аминной части молекулы. Другие аналогичные амины оказывают такое же действие; сам диодон не влияет на пенициллин. В р-рах I (35%, pH 7.5) синтомицина 5 мг/мл, сульфат стрептомицина 10 мг/мл, сульфат неомидина 200 м. е. на 1 мл и сульфат полимиксина в 25 000 м. е. на 1 мл были устойчивы в течение 3 месяцев при 20—22°. Бацитрацин 500 м. е. на 1 мл в тех же условиях терял ~60% активности через 2 месяца. Неомидин является хорошим антибиотиком вследствие его широкого спектра и незначительного побочного влияния на организм.

Э. Тукачинская

22414. Кондуктометрическое определение влажности в наперстянке и спорынье. Уир, Тайлер (The conductometric determination of moisture in digitalis and ergot. Wier J. K., Tyler V. E., Jr.), Drug Standards, 1956, 24, № 4, 117—121 (англ.)

Показано, что кондуктометрич. метод определения влажности хлебного зерна и сена пригоден также для определения влажности в наперстянке и спорынье. Метод отличается быстротой и, ввиду своей простоты, может быть осуществлен в полевых условиях. Измельчение листьев наперстянки и рожков спорыньи не является необходимым.

А. Травин

22415. Определение настоек и настоев, содержащих сердечные гликозиды. Рапапорт Л. И., Аптеч. дело, 1956, 5, № 6, 15—19

Разработаны чувствительные р-ции обнаружения указанных препаратов наперстянки и ландыша в чистом виде и в лекарственных смесях, основанные на образовании розового окрашивания от прибавления 10%-ного р-ра *n*-диметиламинобензальдегида в конц. H₂SO₄. Предложен капельный метод идентификации настоек и настоев наперстянки и ландыша. Изучены р-ции обнаружения настоек строфанта и чернопорки в чистом виде и в лекарственных смесях.

Л. М.

22416. Фармакогностическое исследование растения *Ceranium phaeum* L. Григореску, Зоммер (Studiul farmacognostic al plantei *Ceranium phaeum* L. Grigorescu E., Sommer Lia), Farmacia (Roman), 1957, 5, № 1, 30—41 (рум.; рез. русск., франц., англ., нем.)

Методом хроматографии на бумаге установлено наличие в указанном растении, которое может найти фармацевтич. применение, четырех неизвестных танниновых соединений.

Е. П.

22417. Оценка жидкого экстракта *secalis cornuti*. Педерсен (Vaerdibestemmelse af extractum fluidum *secalis cornuti*. Pedersen Victor), Arch. pharmaci og chemi, 1955, 62, № 18, 675—680 (дат.)

При определении алкалоида в экстракте *secalis cornuti* (Датская Фармакопея 1948) следует пользоваться свежеприготовленным диметиламинобензальдегидом, иначе могут быть получены заниженные результаты.

Э. Тукачинская

22418. О приготовлении и стабилизации жидкого экстракта спорыньи. Гштинер, Мюллер (Über die Herstellung und Stabilisierung des Mutterkornflüextraktes. Gstinер F., Müller H. O.), Arch. Pharmazie, 1955, 288/60, № 8-9, 393—400 (нем.)

Наиболее эффективным р-рителем для получения жидкого экстракта спорыньи является 45—70%-ный спирт, с добавкой 0,5—1% винной к-ты. При употреблении 70%-ного спирта для извлечения 90% алкалон-

дов достаточно 2-кратного кол-ва р-рителя; при меньшей крепости спирта соотношение между сырьем и р-рителем должно быть равно 1:4. Экстракт 1:2 содержит 0,003—1,08% жира, присутствие которого не влияет на стабильность алкалоидов. Последняя не зависит также от крепости спирта и конц-ии водородных ионов. Для стабилизации к экстракту добавляют 1 или 2% аскорбиновой к-ты (I); устойчивость экстракта достигает в этом случае соответственно 3 и 4 месяцев. Стабилизирующее влияние I может быть усилено пропусканьем в экстракт азота: при 45%-ном спирте и 1% I пропускание азота увеличивает устойчивость экстракта до 10 месяцев; в аналогичных условиях при 70%-ном спирте и 2% I экстракт устойчив в течение 7 месяцев. Хлоргидрат цистеина (в кол-ве 1%) стабилизирует только экстракты на 96%-ном спирте; в этом случае экстракты устойчивы в течение 10 месяцев без пропускания азота.

А. Травин

22419. Стабилизация щелочных растворов салицилатов. Линдемарк (Om stabilisering af den alkaliske salicylmikstur. Lindemærk O.), Arch. pharmaci og chemi, 1955, 62, № 19, 704—709 (дат.)

Изменение цвета р-ров салицилатов в присутствии Na₂CO₃ и особенно NaHCO₃ вызывается каталитич. окислительным действием Mn. Это явление устраняется при связывании Mn в комплекс с этилендиаминтетраацетатом Na, которого требуется всего 0,04%. При этом потемнение не наступает даже в присутствии H₂O₂. Последнее указывает на то, что изменение цвета не вызывается продуктами разложения салицилатов.

Э. Тукачинская

22420. Устойчивость раствора ацетилсалициловой кислоты в спирте. Уинг (Stability of acetylsalicylic acid in alcohol. Wing W. T.), Pharm. J., 1956, 177, № 4844, 158 (англ.)

Предложен способ приготовления инъекционных р-ров аспирина (I): помещенный в ампулу р-р 1:2 I в 8 мл абс. спирта стерилизуют в автоклаве и перед употреблением смешивают с 500 мл стерильного физиологич. р-ра. Показано, что 10%-ный р-р I в абс. спирте, а также в спирте, содержащем 0,5—1% воды, выдерживает нагревание в автоклаве и длительное (до 2 лет) хранение при 37° без значительного разложения I. Максим. степень гидролиза I, наблюдаемая для спирт. р-ра с 1% воды, не превышает 4%.

А. Т.

22421. Вещества, способные к внутреннему комплексообразованию, как стабилизаторы окраски растворов хлоргидрата эпинефрина. Роско, Холл (Chelating agents as color stabilizers for epinephrine hydrochloride solutions. Roscoe Charles W., Hall Nathan A.), J. Amer. Pharm. Assoc. Scient. Ed., 1956, 45, № 7, 464—470 (англ.)

Исследовано влияние динатриевой соли этилендиаминтетрауксусной к-ты (I), тринатриевой соли N-оксипиридиндиаминтриуксусной к-ты (II), Na-соли N,N-ди-(оксипиридин)-глицина (III) и препарата Перма-Клир 80 (IV) на р-ры хлоргидрата адреналина (V) в присутствии или в отсутствие ионов Fe³⁺. Оценка стабилизирующего действия указанных препаратов произведена на основании спектрофотометрич. изучения изменений в окраске р-ров V на протяжении 45 дней. Найдено, что при отсутствии примеси Fe³⁺ добавление I—IV почти не оказывает влияния на скорость появления окраски; дополнительное введение NaHCO₃ не улучшает в этих условиях действия препаратов. При наличии в р-рах V ионов Fe³⁺ добавление I—IV задерживает появление окраски, причем по силе стабилизирующего действия указанные препараты располагаются в следующий ряд: I > II > IV > III. В этом случае добавление NaHSO₃ дает положительный результат.

А. Травин

22422. Определение гидролитического разложения хлорамфеникола в водных препаратах. Брунцелль (Determination of the hydrolytic decomposition of chloramphenicol in water-containing preparations. Brunzell Arne), Svensk. farm. tidskr., 1957, 61, № 6, 129—138 (англ.)

При гидролизе хлорамфеникола образуется 1-нитрофенил-2-аминопропандиол-1,3 (I). Для установления степени гидролиза в лечебных препаратах, содержащих воду, особенно глазных каплях, был разработан фотометрич. способ, основанный на конденсации с NH_2 -группой I 1,2-нафтохинон-4-сульфоната Na с образованием окрашенного p-ра, который затем фотометрически сравнивают с эталонным p-ром I.

О. Магидсон

22423. Улучшение качеств каламиновой примочки. Уиллитс, Холстиус (Calamine lotion — suggested improvements. Willits Lyle W., Holstius E. A.), J. Amer. Pharm. Assoc. Pract. — Pharmacy, 1956, 17, № 2, 87, 108—109 (англ.)

В поисках смачивающего агента, позволяющего быстро и равномерно распределить нерастворимый материал в примочке с миним. затруднениями, авторы остановились на неионном смачивающем в-ве «Pluonic F-68», не токсичном и не вызывающем раздражения, и испытали на хранение в течение 5 месяцев ряд образцов каламиновой примочки, причем хорошие результаты дало применение указанного препарата в конц-ии 0,1%. Существенно отражается на качестве примочки величина частиц каламина и ZnO : уменьшение размеров их частиц, несмотря на некоторую склонность осажденной части закусевать, предупреждает спекание осажденной части после хранения; легкое встряхивание осевшей примочки дает равномерную и легко выливающуюся суспензию. Предлагаемые препараты совместимы с фенолом.

Ю. Вендельштейн

22424. О физиологической переносимости поверхностноактивных веществ, особенно производных полиэтиленоксида, применяемых в качестве солюбилизаторов или эмульгирующих препаратов. Ульман (Über die physiologische Verträglichkeit der als Lösungsvermittler und Emulgatoren verwendeten oberflächenaktiven Substanzen unter besonderer Berücksichtigung der Polyäthylen-oxydderivate. Ullmann Elsa), Arch. Pharmazie, 1957, 290/62, № 1, Mitt. Dtsch. pharmaz. Ges., 1—8 (нем.)

На основании литературных данных обсуждается проблема медицинского применения моногенных и немоногенных поверхностноактивных в-в, с точки зрения их влияния на обмен в-в, на систему кроветворения и действия на кожу и слизистые оболочки. Относительно производных полиэтиленоксида (простые и сложные эфиры полимеров окиси этилена, твин 20, твин 40, твин 60, твин 80 и т. д.) высказано мнение, что вопрос о пригодности их для инъекционных p-ров и для препаратов наружного применения нуждается еще в дополнительном изучении. Подчеркиваются данные о том, что некоторые препараты этого типа обладают канцерогенным действием. Библ. 48 назв.

А. Травин

22425. О возможности комбинирования некоторых местных анестетиков с растворами сульфамидов и вяжущих препаратов для инстилляционных целей. Кёхель (Über Kombinationsmöglichkeiten einiger Lokalanästhetika mit Lösungen von Sulfonamiden und Adstringentien für Instillationszwecke. Köchel F.), Arch. Pharmazie, 1956, 289/61, № 9-10, Mitt. Dtsch. pharmaz. Ges., 149—154 (нем.)

Исследована возможность введения ларокаина (I), новокаина (II) и пантокаина (III) в инстилляционные p-ры, применяемые в гинекологич. и урология.

практике. Большинство применяемых для инстилляционных целей сульфамидных препаратов (альбунд, аристамид, норсульфазол, сульфидин, этазол, ладогал и протоцил), ввиду щел. характера их p-ров ($\text{pH} > 7$), не совместимы с указанными анестетиками. Вполне устойчивыми (после стерилизации при 100°C в течение 30 мин.) являются препараты, получающиеся смешением 90 мл 20—30%-ного p-ра бацинала или 10—20%-ных p-ров гантризина (IV), ладогала и соли супронала с 10 мл 7,5%-ного p-ра I, 10%-ного p-ра II или 1%-ного p-ра III. Исследование полученных таким образом p-ров методом хроматографии на бумаге обнаруживает лишь незначительное разложение анестетиков, сопровождаемое образованием л-аминобензойной к-ты. В качестве вяжущего инстилляционного препарата рекомендован 0,1%-ный водн. p-р AgNO_3 , содержащий 0,1% нитрата III.

22426. Аппарат для фильтрования жидкостей для внутривенных вливаний. Стенберген (Ein apparat zur filteren van vloeistoffen voor intraveneuze infusie. Steenbergen H. A. M. van), Pharm. Weekbl., 1955, 90, № 6, 177—181 (гол.). Дано описание и схема аппарата для получения p-ров для вливаний, свободных от волоконобразующих и взвешенных примесей.

Э. Тукачинская

22427. Несовместимая смесь хлоральгидрата и тофиллизиниленамина. Боццолла (Una associazione incompatibile: cloradio idrato tofillina etilendiamina. Bozzola R.), Bol. chim. farm. 1956, 96, № 8, 353—356 (итал.)

Указывается на разложение указанной смеси при хранении.

Л. М.

22428. О таблетках. I. Общие сведения. Хейне (Über Tabletten. I. Eine allgemeine Einführung. Heine E. W., Heine R. M.), Pharmazie, 1955, 10, № 8, 490—493 (нем.)

Обзор. Библ. 30 назв.

Л. М.

22429. Дражирование таблеток с адетамини. Крумхардт (Dragering of adetaminipiller. Krumhardt Erik), Arch. pharm. og chemi, 1955, 82, № 4, 121—130 (датск.)

Описано несколько ступеней процесса дражирования: предварительная обработка, окраска, наведение глянца на поверхность. Для последней операции рекомендуется применение смеси 15 г талька-порошка, 35 г гуммиарабика и 5 г эмульсии (масло какао, белый воск и церезин, парафиновое масло с гуммиарабиком, дистил. вода и спирт.).

Э. Тукачинская

22430. Цемент из окиси цинка и эвгенола. Термансен (Zinkoxyd-eugenol-cement. Termanen J. B.), Arch. pharm. og chemi, 1954, 61, № 26, 1032—1033 (датск.)

Для получения цемента из технич. ZnO и эвгенола необходимо прибавить 5—10% воды. ZnO и эвгенол растирают вместе и затем прибавляют 1—2 капли воды на 1 г пасты. Через несколько минут получают плотный цемент.

Э. Тукачинская

22431. Свойства различных дезинфицирующих средств. Маттила, Эрйяя (Desinfektioista ja eri aineiden desinfektioivista ominaisuuksista. Mattila Antti, Eräjä Vappu), Kotitalous, 1957, 21, № 8, 209—217 (финск.)

22432. Четвертичные аммониевые соединения как дезинфицирующие средства. Виккерс (The quaternary ammonium disinfectants. Vickers I. A.), Pharm. J., 1956, 177, № 4841, 103—104 (англ.)

О способах получения и областях применения четвертичных аммониевых соединений, обладающих бактерицидными свойствами и содержащих лауриловый, цетиловый и другие алифатич. остатки с длинными цепями.

О. Магидсон

22433. К вопросу о количественном определении бигуаля. Печеный М. И., Аптеч. дело, 1956, 5, № 4, 41—42

Изучена возможность применения объемных методов для колич. определения бигуаля (I). Найдено, что при титровании 0,1 н. р-ром NaOH в присутствии фенолфталеина или тимолфталеина определение является недостаточно точным. Вполне удовлетворительный результат получен при меркурометрич. и ортентометрич. определении I. Точную навеску (~ 0,3 г) препарата растворяют при нагревании в 25 мл воды, добавляют по охлаждению 4—5 капель конц. HNO₃, 5—7 капель р-ра дифенилкарбазона и титруют 0,1 н. р-ром HgNO₃ (1 мл р-ра соответствует 0,02802 г I) до перехода окраски осадка из светлорозовой в сине-фиолетовую. При титровании 0,1 н. р-ром AgNO₃ в присутствии бромфенолового синего к р-ру I прибавляют несколько капель CH₃COOH до широкого фиолетовой окраски в зеленовато-желтую; титруют при сильном взбалтывании до перехода окраски осадка в фиолетовый цвет. При титровании 0,1 н. р-ром AgNO₃ с 1%-ным спирт. р-ром флуоресцина к р-ру I добавляют 5—10 мл 0,5%-ного р-ра крахмала, 4—5 капель индикатора и титруют до перехода окраски во всем объеме жидкости в розовато-красную.

А. Травин

22434. Исследование эфира 3,5,5-триметилциклогексанола и мандиальной кислоты (циклопазмол). Эйкед, Эрнстинг, Реккер, Наута (Investigation into 3,5,5-trimethylcyclohexyl mandelate (cyclopaasmol). Eijkkel G., Ernsting M. J. E., Rekker R. F., Nauta W. Th.), Pharmac. weekbl., 1956, 91, № 3, 81—90 (англ.)

Разработаны методы идентификации и колич. определения циклопазмол (I) и содержащихся в нем примесей (мандиальной к-ты, 3,5,5-триметилциклогексанола (II), эфиров II с фенилглиоксалевого и фенилуксусной к-тами, хлоридов, сульфатов, железа и тяжелых металлов). Предложен проект фармакопейной статьи для I.

А. Травин

22435. Весовое определение камфоры в виде ее семикарбазона. Кайстха (Gravimetric estimation of camphor via its semicarbazone. Kaistha K. K.), Drug Standards, 1956, 24, № 4, 141—144 (англ.)

Смесь 0,2 г камфоры (I), 5 мл 80%-ного спирта (не содержащего альдегида), 2 г хлоргидрата семикарбазона и 1,5 г свежепереохлажденного CH₃COOK нагревают 3 часа при 70°, прибавляют 20 мл воды, охлаждают, собирают осадок на взвешенный фильтр Гуча и высушивают при 100° до постоянного веса; 1 г осадка соответствует 0,727 г I. Метод пригоден также для определения I в скипидарных линиментах и в скипидарных р-рах I.

А. Травин

22436. Определение среднего молекулярного веса препаратов поливинилпирролидона рассеянием света. Грехэм (The weight average molecular weight of polyvinylpyrrolidone preparations as determined by light scattering. Graham W. Donald, J. Pharmacy and Pharmacol., 1957, 9, № 4, 230—236 (англ.)

Исследованы 7 заменителей плазмы различного происхождения, 4 высушенных фракции поливинилпирролидона (ПВП), пригодных для клинич. применения, и 5 образцов ПВП с мол. весом выше и ниже применяемого для клинич. целей. Водн. р-ры ПВП различных конц-ий фильтровали через фильтр с макс. величиной пор 1—2 м (контрольный опыт с фильтрованной дистил. водой). На отсчеты в фотометре с применением синего света ($\lambda = 436$ мμ) вводили поправку на флуоресценцию (Ф), деполаризацию определяли с желтым фильтром. С применением зеленого света (546 мμ) точность повышается за счет сни-

жения Ф, но понижается за счет уменьшения интенсивности рассеянного света. Измерения в водн. р-рах дали лучшие результаты, чем в метанольных. Приведены результаты измерений, показывающие возможность определения среднего мол. веса (СМВ) ПВП. Исследование влияния солей в р-рах ПВП (0,9%, 1,8% и 3,6%-ные р-ры NaCl, а также р-ры обычной физиологич. смеси солей) показало отсутствие влияния солей на определение СМВ. Параллельные опыты определения характеристик вязкости р-ров ПВП показали приближенность такого метода определения СМВ ПВП.

Н. Энергетова

22437. Ускоренный способ количественного определения алкалоидов, производных тропана. Бурмистров Ф. Л., Аптеч. дело, 1956, 5, № 6, 19—22

Автор предлагает упрощенный метод Н. И. Либзова в применении к колич. определению алкалоидов, производных тропана, исключив из него некоторые стадии, в частности заменив 2-кратную очистку суммы алкалоидов от балластных в-в однократной. Предлагается вариант хода анализа.

Л. Михельсон

22438. Реакции некоторых синтетических анальгетиков в сравнении с морфином и его производными. Хедикке, Кунце (Reaktionen einiger synthetischer Analgetica im Vergleich zu Morphin und seinen Derivaten. Hädicke M., Kuntze Marianne), Pharmaz. Zentralhalle, 1957, 96, № 4, 152—153 (нем.)

Показано, что с помощью фосфорномолибденовой к-ты в р-ре NH₄OH можно наблюдать различные качеств. р-ции хлоргидратов 2-диметиламино-4,4-дифенилгептанона (5) (I), 1-диметиламино-3,3-дифенилгексанола (4) (II) и этилового эфира 1-метил-4-карбонил-4-фенилпиридина (III), морфина и его производных. I, II и III дают характерные р-ции с реактивом Маркиса и смесью HNO₃ и H₂SO₄.

В. Шибнев

22439. Колориметрическое определение дигидрострептомицина и стрептомицина. Натараджан, Таял (Colorimetric estimation of dihydrostreptomycin and streptomycin. Natarajan R., Tayal J. N.), J. Pharmacy and Pharmacol., 1957, 9, № 5, 326—329 (англ.)

Метод состоит в измерении обычными колориметрич. средствами интенсивности красной окраски, вызванной смешением р-ров дигидрострептомицина (I) и стрептомицина (II) в виде их сульфатов с α-нафтолом и гипобромитом натрия в щел. среде. Готовили стандартные р-ры I и II в дистил. воде (от 0,25 до 2,5 мг/мл). В отобранные пробы по 1 мл добавляли 1 мл 10%-ного NaOH и 2 мл α-нафтола. Смеси тщательно встряхивались и отстаивались 15 мин. Затем добавляли 1 мл р-ра NaOBr и спустя полминуты последовательно со встряхиванием добавляли 10 мл CCl₄ и 5 мл абс. этанола. Слои отстаивались. Водн. слой колориметрировался. Миним. предел 530 мμ. Т-ра ~ 20°. Вычерчивались стандартные кривые, которыми руководствовались для определения конц-ий I и II в р-рах.

В. Рабинович

22440 П. Снотворные. Бавли, Мак-Ламор (Hypnotic agents. Bavyly Abraham, McLamore William M.) [Chas. Pfizer & Co., Inc.] Пат. США 2750428, 12.06.56

Патентуются новые снотворные соединения общей ф-лы: (R)(R¹)C=C(R²)C(OH)(R³)C≡CR⁴ (I) (R и R¹ — H, метил или этил, R² — H или метил, R³ — алкил, содержащий до 5 атомов C, и R⁴ — галоид, напр. Cl или Br), в частности соединения ф-лы I, где R, R¹, R² — H, R³ — метил и R⁴ — Br, и 1-бром-3-этилпент-1-ин-4-енол-3 (II) и 1-хлор-3-этилпент-1-ин-4-енол-3 (III). Патентуется также способ получения этих соедине-

ний р-цией соединения ф-лы I, где R^4 — Н, с водн. щел. р-ром гипохлорита, напр., действием гипохлорита К в водн. р-ре КОН на 3-метилпент-1-ин-4-ен-3-ол (IV), причем образуется 1-бром-IV. Примеры. В р-ре 90 г КОН в 400 мл воды растворяют 39 г Br_2 при 0°, продувают N_2 и размешивают 30 мин. с 16,5 г 3-этилпент-1-ин-4-ен-3-ола (V), полученное масло экстрагируют дважды эфиром, промывают насыщ. р-ром NaCl и сушат над Na_2SO_4 . После удаления эфира перегоняют и собирают 24,7 г (87% теоретич.) II, т. кип. 90—94°/12 мм, $d_4^{20} = 1,375$, $n_D^{25} = 1,5$. Аналогично (но с NaOH) из IV получают с выходом 79% 1-бром-IV, т. кип. 76—80°/8—9 мм, $d_4^{20} = 1,450$, $n_D^{25} = 1,5068$; обработкой щел. р-ром гипохлорита Na V получают III, т. кип. 67—68°/12 мм, $d_4^{20} = 1,05$, $n_D^{25} = 1,5735$, из 3-н-бутилпент-1-ин-4-ен-3-ола (VI) — 1-бром-VI (90,6%), т. кип. 49—50°/0,14 мм, $d_4^{20} = 1,25$, $n_D^{25} = 1,4934$; из 3,4-диметилпент-1-ин-4-ен-3-ола (VII) — 1-бром-VII, т. кип. 89—90°/15 мм, $d_4^{20} = 1,375$, $n_D^{25} = 1,5051$. Световое действие на животных вызывает дозы 0,05—0,5 г на 1 кг веса. Соединения устойчивы и могут применяться в смесях перорально и для инъекций, напр. в р-ре в пропиленгликоле.

Н. Эвергетова

22441 П. Способ получения сульфамидного соединения, обладающего очень сильным терапевтическим действием. Жизен (Förfaringssätt för framställning av en sulfonamidförening med särskilt hög terapeutisk verkan. Gysin H.) [J. R. Geigy A.-G.] Шведск. пат. 453460, 21.02.56

6-амино-2,4-диметилпиримидин ацилируют в отсутствие воды реакционноспособным производным бензолсульфокислоты, имеющим в пара-положении заместитель, способный к превращению в NH_2 -группу, напр. *п*-нитро-, *п*-ацетиламино-, 4-карбоксаминию или 4-хлорбензолсульфохлоридом. Р-цию лучше вести в присутствии органич. р-рителя (углеводороды, хлорированные углеводороды, кетоны). В полученном промежуточном продукте заместитель превращают в NH_2 -группу. 1 моль чистого 6-амино-2,4-диметилпиримидина суспендируют в 300 объемн. ч. безводн. пиридина, к суспензии прибавляют по каплям р-р 1 моля $n-O_2NC_6H_4SO_2Cl$ в $CHCl_3$, смесь кипятят ~16 час. с обратным холодильником, $CHCl_3$ и пиридин отгоняют с водяным паром, горячий водн. р-р фильтруют. Нитросоединение, выпадающее при охлаждении р-ра, имеет т. пл. 201° (из разб. C_2H_5OH). 22 ч. полученного нитросоединения гидрируют H_2 над Ni при ~20° в среде 500 объемн. ч. спирта и 50 ч. воды, катализатор отфильтровывают, фильтрат упаривают, остаток кристаллизуют из разб. спирта. Получают 6-(*п*-аминобензолсульфонил)-амино-2,4-диметилпиримидин, т. пл. 233°.

Б. Фабричный

22442 П. Кетоны, содержащие основные группы. Эрхарт, Бестман (Verfahren zur Herstellung von basischen Ketonen. Ehrhart Gustav, Bestman Walter), [Farbwerke Hoechst A.-G. vormals Meister Lucius & Brüning]. Пат. ФРГ 896491, 12.11.53 [Chem. Zbl., 1955, 126, № 16, 3687 (нем.)]

Эфиры карбоновых к-т, содержащие у α -С-атома замещ. или незамещ. фенил, гетероцикл и основной замещ. алкильный остаток, вводят в р-цию с алкилмагнийгалогенидом. Из фенил-пиридил-(2)-уксусноэтилового эфира и *N*-(β -хлорэтил)-пирролидина при помощи $NaNH_2$ получают α -фенил- α -пиридил-(2)- γ -*N*-пирролидиномасляноэтиловый эфир, из которого с C_2H_5MgBr образуется 1-*N*-пирролидино-3-фенил-3-пиридил-(2)-гексанон-(4), т. кип. 165—170°/0,15 мм. Аналогично получают 1-диметиламино-3-фенил-3-пиридил-(2)-гексанон-(4), т. кип. 151—155°/0,4 мм; 1-*N*-морфолино-3-фенил-3-пиридил-(2)-гексанон-(4); 2-диметиламино-4-фенил-4-пиридил-(2)-гепта-

нон-(5), т. пл. 147—148°; 1-диметиламино-3-фенил-3-пиридил-(4)-гексанон-(4), т. кип. 185—190°/3 мм; 1-*N*-пирролидино-3-фенил-3-тиазолил-(2)-гексанон-(4), т. кип. 180—185°/0,6 мм; 1-*N*-морфолино-3-фенил-3-тиазолил-(2)-гексанон-(4), т. кип. 190—195°/0,6 мм; 1-диэтиламино-3-фенил-3-тиазолил-(2)-гексанон-(4), т. кип. 170—175°/0,6 мм; 1-диметиламино-3-(3'-метокси-фенил)-3-тиазолил-(2)-гексанон-(4), т. кип. 175—180°/0,6 мм; 1-диметиламино-3-фенил-3-пиримидил-(2)-гексанон-(4), т. кип. 155—160°/0,5 мм. Соединения эти обладают анальгетич. действием.

О. Магидсон

22443 П. Способ получения изоцианатов, содержащих сульфохлоридные группы. Хильгер, Альтнер (Verfahren zur Herstellung von Sulfochloridgruppen tragenden Isocyanaten. Hilger Josef, Altner Wilhelm) [Farbenfabriken Bayer A.-G.]. Пат. ФРГ 947159, 9.08.56

Изоцианаты, содержащие сульфохлоридные группы, применяемые в качестве промежуточных продуктов в синтезах лекарственных и других в-в, получают обработкой фосгеном (I) в инертном р-рителе при 100—200° ароматич. аминсульфокислот или их солей, не содержащих помимо амино- и сульфогрупп других заместителей с активным атомом Н. Примеры. 262,2 г тонкоизмельченной *о*-сульфаниловой к-ты размешивают с 980 г $C_6H_5NO_2$ и пропускают при 160° в течение 12 час. ток I из расчета 100 г I в час, избыток растворенного I удаляют продуванием CO_2 при той же т-ре, горячий р-р фильтруют, удаляя 2,7 г нерастворенного в-ва, фракционированием прозрачного р-ра получают 240 г *о*-хлорсульфонилфенилизотиоцианата, т. кип. 132—138°/0,6 мм. Аналогично получены 4-хлорсульфонилфенилизотиоцианат (II), т. кип. 132—140°/2 мм; 4-хлорсульфонилфенилен-1,3-динизотиоцианат, т. кип. 164—170°/1,2—2,5 мм; 6-хлорсульфонилнафтил-4-изотиоцианат, т. кип. 210—215°/3—4 мм; 4-хлорсульфонилнафтил-1-изотиоцианат, т. кип. 112—192°/0,35—2,3 мм; 2-метил-5-хлорсульфонилфенилизотиоцианат, т. кип. 136—170°/0,5—1,8 мм; 3-хлорсульфонил-4-хлорфенилизотиоцианат, т. кип. 140—151°/0,4 мм; 3-хлорсульфонилфенилизотиоцианат, т. кип. 138—153°/2 мм; 7-хлорсульфонилнафтил-1-изотиоцианат, т. кип. 198—222°/0,7 мм. В суспензию 237 г тонкоизмельченной и высушенной Na-соли сульфаниловой к-ты (содержащей 72,9% свободной к-ты) в 980 г нитробензола пропускают 15 час. при 160° I (по 100 г I в час), I выдувают CO_2 , фильтруют от NaCl и нерастворенных в-в (166 г), прозрачный фильтрат перегоняют в вакууме и получают 116,9 г II, т. кип. 122—137°/0,18 мм.

Ю. Вендельштейн

22444 П. Способ получения производных *п*-аминобензолсульфамида. Чеше, Фокс (Verfahren zur Herstellung von *p*-Aminobenzolsulfonamid-Abkömmlingen. Tschesche Rudolf, Fox Hermann) [Schering A.-G.]. Пат. ФРГ 944731, 21.06.56

В доп. к пат. ФРГ 933340 (см. РЖХим, 1958, 5608), по которому в соединениях ф-лы $NH_2C_6H_4SO_2NHR$, X обозначает различные гетероцикл. остатки, в настоящем пат. X — пирразинил, содержащий в качестве заместителей максимально 2 CH_3 -группы. В 30 мл пиридина растворяют 15 г аминопирразина и при охлаждении вносят 32 г ацетаминобензолсульфохлорида, смесь нагревают 30 мин. при 60°, затем выливают в воду, доводят 2 н. к-той до pH 8, отделяют осадок, промывают водой и затем спиртом, нагревают в 2 н. р-ре NaOH 1 час. По охлаждении подкисляют CH_3COOH , осадок отфильтровывают, промывают горячей водой, спиртом и получают 2-сульфаниламидопирразин, т. пл. 245—248° (с потемнением). Противокочковый препарат.

О. Магидсон

22445 П. Новые альдегидные производные и способ их получения (Nouveaux dérivés d'aldéhyde et leur

procédé de préparation) [Cilag Soc. An.] Франц. пат. 110657, 15.02.56

Обладающие противомикробным действием и малой токсичностью пиридиновые производные общей ф-лы $\text{R}_3\text{C}_4\text{H}_4\text{NCONHCH}_2\text{OH}$ (R — оксиметилкарбамид, находящийся в положении 2,4,5,6 пиридинового цикла) получают р-цией CH_2O с карбамидной группой в щел. среде. К суспензии 370 г моноамида пиридин-3,5-дикарбоновой к-ты в 830 мл воды прибавляют 160 мл 0,1 н. NaOH до pH 9, нагревают до 80°, доводят pH р-ром NaOH до 9—10, прибавляют уголь, фильтруют, подкисляют муравьиной к-той до pH 7, приливают 18 г ацетона и охлаждают. Через 24 часа отделяют осадок, промывают ацетоном и сушат при 30—40°. Получают 470 г (97%) Na-соли моно-N-оксиметил-амида пиридин-3,5-дикарбоновой к-ты, растворимость в воде 20%. Смешивают 40 г диамида пиридин-3,5-дикарбоновой к-ты с 120 мл 36%-ного CH_2O , доводят pH 2 н. Na_2CO_3 до 8, нагревают до растворения, охлаждают до 0° и выдерживают 20 час., выпаривают в вакууме досуха, растворяют в 350 мл горячей воды, смешивают с углем, фильтруют и разбавляют прозрачный фильтрат 100 мл спирта. При охлаждении выкристаллизовывается 27—30 г бис-N,N'-оксиметиламида пиридин-3,5-дикарбоновой к-ты, т. разл. 210—215°. Аналогично получают β-N-оксиметиламид хинолиновой к-ты, изоцинхомероновой и цинхомероновой к-ты. О. Магидсон

2446 II. Способ получения глутаминовой кислоты. Като, Нисивара, Канао (グルタミン酸製造法. 加藤 二郎, 石原等, 金尾清造) [味の素株式会社, Ми-но-со кабусики кайся]. Японск. пат. 3477, 15.06.54. Глутаминовую к-ту (I) получают гидролизом этилового эфира α-ацетамин-α-карбоксо-γ-цианмасляной к-ты (II), полученного р-цией диэтилового эфира ацетаминомалоновой к-ты (III) с щел. металлом и β-хлорпропионитрилом (IV) в спирт. среде. В р-ре 2,3 г Na в 50 мл абс. спирта растворяют 21,7 г III и 9,5 г IV, смесь кипятят 5—7 час. на водяной бане, по окончании нейтрализуют до нейтр. р-ции на лакмус, отфильтровывают NaCl, спирт отгоняют и кристаллизацией остатка из спирта выделяют 16,7 г II, т. пл. 107°. 13,5 г II гидролизуют ~ 6 час. кипячением с конц. HCl, упаривают в вакууме, остаток растворяют в небольшом кол-ве воды, нейтрализуют до pH 3 конц. водн. р-ром NH_3 , отфильтровывают I и кристаллизуют из горячей воды, выход 4,2 г, т. пл. 199°. С. Петрова

2447 II. Производные тиобарбитуровой кислоты. Вейс (Verfahren zur Herstellung von Thiobarbitursäurederivaten. Vasey Charles Henry) [Imperial Chemical Ind. Ltd.]. Пат. ФРГ 896491, 12.11.53 (Chem. Zbl., 1955, Ind., № 16, 3687 (нем.))

Для получения соединений общей ф-лы $\text{CO}-\text{CR}^1\text{R}^2-$

$-\text{CO}-\text{NR}^3-\text{CS}-\text{NR}^4$ (R^1 — фенил, замещ. галоидом или CH_3 , или алкил, алкенил ≤ 5 атомов C; R^2 — алкил, алкенил ≤ 5 атомов C, R^3 и R^4 — CH_3 , C_2H_5) вводят в р-цию в-ва, ф-лы $\text{R}^1\text{R}^2\text{C}(\text{OX})_2$ (X — галоид) с соединениями ф-лы: $\text{R}^3\text{NHCNHR}^4$ или же с $\text{R}_3\text{R}_3\text{NCSNHR}^4$ нагревают 14 г диэтилмалонилхлорида с 7,4 г N,N'-диметилтиомочевины 6 час. при 95—100°, прибавляют 30 мл CH_3OH и кипятят 5 мин., прибавляют 200 мл H_2O и извлекают 100 мл легкого бензина (т. кип. 60—80°). После сушки и отгона бензина остаток перегоняют в вакууме. Собирают 5,5-диэтил-2-тиобарбитуровую к-ту, т. кип. 160°/21 мм, т. пл. 24—25°. Аналогично получают следующие соединения (ТБ-2-тиобарбитуровая к-та): 1,3,5,5-тетраметил-ТБ, т. пл. 80°; 1,3,5,5-тетраэтил-ТБ, т. кип. 160°/17 мм; 1,5,5-триэтил-3-метил-ТБ, т. кип. 164—168°/22 мм; 1,3-диметил-5,5-ди-н-пропил-ТБ, т. пл. 39°; 5,5-диаллил-1,3-диметил-ТБ, т. кип.

178°/26 мм, т. пл. 42°; 1,3,5-триметил-5-фенил-ТБ, т. пл. 78°; 5-этил-1,3-диметил-5-фенил-ТБ, т. пл. 111—112°; 1,5-диэтил-3-метил-5-фенил-ТБ, т. кип. 208°/18 мм; 1,3,5-триэтил-5-фенил-ТБ, т. пл. 74—75°; 1,3-диметил-5-фенил-5-изопропил-ТБ, т. пл. 95°; 5-этил-1,3-диметил-5-н-толил-ТБ, т. пл. 113°; 5-н-хлорфенил-5-этил-1,3-диметил-ТБ, т. пл. 75°; 5-н-хлорфенил-5-этил-1,3-диметил-ТБ, т. пл. 109°. Нагревают 90 мин. при 200° 2,5 г этилфенилмалонилхлорида с 1,2 г N,N,N'-триметилтиомочевины, по охлаждении прибавляют 20 мл CH_3OH , нагревают до кипения, охлаждают, фильтруют и получают 5-этил-1,3-диметил-5-фенил-2-тиобарбитуровую к-ту, т. пл. 111° (из CH_3OH) — противосудорожные и противоэпилептические средства. О. Магидсон

22448 II. Получение α-(3-амино-2,4,6-трийодбензил)-пропионовой кислоты и ее солей. Арчер (Verfahren zur Herstellung von α-(3-Amino-2,4,6-trijodbenzyl)-propionsäure und deren Salzen. Archer Sydney) [Sterling Drug Inc.]. Пат. ФРГ 944491, 14.06.56

Обрабатывают при нагревании в кислой среде α-(3-аминобензил)-пропионовую к-ту (I) избытком JCl (II) и переводят полученную йодированную к-ту в нетоксич. соли. Р-р 51,8 г α-(3-нитробензаль)-пропионовой к-ты и 10 г NaOH в 500 мл H_2O с 10 г скелетного Ni гидрируют при 70—80°, выделяют I. Растворяют 36 г I в 180 мл 6 н. HCl, нагревают до 70°, прибавляют постепенно при размешивании в течение 20 мин. р-р 107 г II в 200 мл 6 н. HCl, затем 500 мл H_2O , подерживая 65—70°, нагревают 1 час, добавляя в это время еще 500 мл H_2O . По охлаждении отделяют твердое в-во и промывают водой, выход 110 г. В-во растворяют в миним. кол-ве разб. NaOH, прибавляют NaCl до начала выпадения Na-соли, охлаждают до 0° и отделяют Na-соль α-(3-амино-2,4,6-трийодбензил)-пропионовой к-ты, промывают р-ром NaCl и из миним. кол-ва H_2O (1500 мл) выделяют свободную к-ту SO_2 и кристаллизуют из 900 мл CH_3OH , пока т-ра плавления не будет 180—181° (испр.). Выход 22,2 г. Пригодно для холецистографии. О. Магидсон

22449 II. Получение аминокарбоновых кислот и их N-замещенных производных. Опферман (Verfahren zur Herstellung von Aminocarbonsäuren und deren N-substituierten Derivaten. Opfermann Adolf Christian Josef). Пат. ГДР 10994, 20.12.55

Лактоны общей ф-лы XC(X)RC(O)O (R — замещ. или незамещ. углеродная цепь, содержащая ≥ 1 атома C, X — H или углеводородный остаток), в частности лактоны, способные к р-ции с NH_3 , нагревают с амидами алифатич., ароматич. или гетероциклич. карбоновых к-т (желательно в отсутствие влаги), полученные N-замещ. аминокислоты в случае надобности омыляют в аминокислоты действием щелочей (NaOH) или к-т (HCl). Для получения N-замещ. аминокислот применяют лактоны, содержащие ацилируемые группы. 18 г α-амино-γ-бутиролактона (I) и 8,2 г HCONH₂ нагревают ~ 1 час при 180°; 6 г полученной аминокислоты ф-лы HCONH(CH₂)₂CH(NH₂)COOH, перекристаллизованной из ацетона, нагревают 2 часа при перемешивании с 50 мл 5%-ной HCl до 60—80°, смесь упаривают и получают хлоргидрат α,γ-диаминомасляной к-ты. Перемешиваемую смесь 165 г α-бром-γ-бутиролактона и 67,5 г формамида нагревают 6 час. при 105—120°, при перегонке получают HCONH(CH₂)₂CHBrCOOH, т. кип. 123°/5 мм, выход 45%. 20 г I и 27,15 г салициламида нагревают 1 час при 180°. Продукт кристаллизуют из ацетона, получают о-ОНС₆H₄CONH(CH₂)₂CH(NH₂)COOH, выход 95%. 20 г I и 56 г амида стеариновой к-ты нагревают 1 час при 180°, продукт кристаллизуют из ацетона. Получают CH₃(CH₂)₁₆CONH(CH₂)₂CH(NH₂)COOH, выход 90%. Получаемые

в-ва тормозят свертывание крови и воспалительные процессы.

22450 П. Эфиры оксаминобензойных кислот и замещенных при N аминокислот. Гримме, Шмиц (Verfahren zur Herstellung von Estern der Oxyaminobenzoessäuren mit am Stickstoffatom substituierten Aminoalkoholen. Grimme Walter, Schmitz Heinrich) [Rheinpreußen A.-G. für Bergbau und Chemie]. Пат. ФРГ 943110, 9.05.56

Соли указанных к-т или их сложные эфиры вводят соответственно в р-цию с галоидированным алифатич. или ариалфатич. амином, или в р-цию переэтерификации с замещ. при N аминокислотами. 15 г безводн. Na-соли I (I—2-окси-4-аминобензойная к-та), 6,8 г 1-хлор-2-диэтиламиноэтанола и 200 мл безводн. изопропанола (III) нагревают 24 часа при 80—90° и размешивании; NaCl отфильтровывают, р-р упаривают в вакууме, остаток обрабатывают хлороформом, р-р фильтруют, выпаривают в вакууме и получают 10 г (β-диэтиламино)-этилового эфира I, хлоргидрат, т. пл. 153°. В р-р 2,3 г Na в 200 мл III вносят при размешивании 15,3 г 2-окси-5-аминобензойной к-ты (II), кипятят 1 час, прибавляют в течение 15 мин. 14 г 2-диэтиламиноэтилхлорида, размешивают и нагревают 2 часа, отделяют от непрореагировавшей Na-соли II и NaCl, р-р упаривают; выпавшее масло (20 г) растворяют в разб. HCl, р-р фильтруют и подщелачивают K₂CO₃; выделяющийся в виде масла β-диэтиламиноэтиловый эфир II навлекают изопропилхлоридом, промывают водой, сушат, р-ритель отгоняют в вакууме; выход 15 г (60% теория); для получения хлоргидрата основание растворяют в III, прибавляют разб. HCl до слабокислой р-ции, упаривают, масло кристаллизуют добавлением ацетона и перекристаллизовывают из абс. III, т. пл. 174—175° (разл.). Аналогично из Na-соли I и 1-хлор-2-пиперидинэтилового эфира I с выходом 80% теория, т. пл. 227° (из воды, разл.). Смесь 30 г метилового эфира I и 100 г β-диэтиламиноэтанола (IV) нагревают 20 час. при 130—135°, избыток IV удаляют в вакууме, остаток обрабатывают водой, подкисляют CH₃COOH, остатки IV удаляют эфиром, р-р подщелачивают K₂CO₃ и навлекают хлороформом β-диэтиламиноэтиловый эфир I; после выпаривания хлороформа остается 5 г эфира в виде масла, пикрат, т. пл. 195°. Некоторые из названных эфиров представляют фармацевтич. интерес.

22451 П. N- (3-окси-2-кетопропил)- л-аминобензоаты и их получение. Уэйсблат, Магерлейн, Ролфсон (N-(3-hydroxy-2-ketopropyl)-l-aminobenzoate compounds and their preparation. Weisblat David I., Mogerlein Barney J., Rolfsen Stanley T.), [Upjohn Co.]. Пат. США 2737524, 6.03.56

Для получения указанных в-в гидролизуют щелочью соединение, имеющее ф-лу: $n\text{-XCH}_2\text{COCH}_2\text{N}(\text{Z})=\text{C}_6\text{H}_4=\text{CO}[\text{NHCH}(\text{COOR}')\text{CH}_2\text{CH}_2\text{CO}]_n\text{OR}'$ (I), где R'—II и алкильный радикал; n—0 или 1; X—Cl, Br и J, Z—H или арилсульфонильный радикал. При этом получают соединения общей ф-лы I (где X—OH) (II). Гидролиз ведут одним эквивалентом щелочи в среде водорастворимого органич. соединения, напр. кетона. Описано получение окислением CrO₃ из соединения ф-лы I, где Z—арил-SO₂; n=0, R'—этил, напр. этилового эфира N-(3-хлор-2-кетопропил)-N-(п-толуолсульфонил)-л-аминобензойной к-ты, т. пл. 106—113°. Пример 1. Смесь из 5 г этилового эфира N-(п-толуолсульфонил)-л-аминобензойной к-ты и 3,4 мл эпихлоргидрина нагревают до 135° и прибавляют 2 капли C₆H₅N. Происходит бурная р-ция; через 5 мин. смесь охлаждают, растворяют в 50 мл спирта и обрабатывают 3 раза активным С. После отгона

в вакууме этанола и избытка эпихлоргидрина получают этиловый эфир N-(3-Cl-2-оксипропил)-N-(п-толуолсульфонил)-л-аминобензойной к-ты и используют его для дальнейших р-ций без очистки. Таким же способом получают метиловый эфир данной к-ты, а также n-бутиловый эфир N-(3-Cl-2-оксипропил)-N-(β-нафтилсульфонил)-л-аминобензойной к-ты и додециловый эфир N-(3-Cl-2-оксипропил)-N-(л-хлорбензолсульфонил)-л-аминобензойной к-ты. Пример 2. Для получения диэтилового эфира N'-[N-(3-Cl-2-оксипропил)-N-(п-толуолсульфонил)-л-аминобензоил]-глутаминовой к-ты смесь 2,85 г диэтилового эфира N'-[N-(п-толуолсульфонил)-л-аминобензоил]-глутаминовой к-ты и 1,1 г эпихлоргидрина встряхивают при 135°, прибавляют 2 капли C₆H₅N и продолжают встряхивать при 135° еще 5 мин. Избыток эпихлоргидрина отгоняют в вакууме. Таким же способом получают соответствующие диэтиловый, диизобутиловый и дидодециловый эфиры замещ. глутаминовой к-ты. Взяв в р-цию соответственно эпихлоргидрин или эпихлоргидрин, получают соответствующие эфиры, содержащие Br или J, вместо Cl.

22452 П. Терапевтически активные 1-(3',4'-диоксифенил)-1-оксо- или 1-оксо-2-аралкиламинопропанамиды. Кюльц (Verfahren zur Herstellung von therapeutisch wirksamen 1-(3',4'-Dioxyphenyl)-1-oxo-oder 1-oxo-2-aralkylaminopropanen. Külz Fritz) [Tropenwerke Dinklage & Co.]. Пат. ФРГ 945413, 3.05.56

Указанные терапевтически активные 1-оксо-соединения ф-лы (OH)₂C₆H₃CHONCH(CH₃)NHR₁C₂H₅(A) и соответствующие им 1-оксо-соединения ф-лы (B), в которых R—2-валентный углеводородный остаток предпочтительно с 2—6 атомами С, получают, отщепляя фенолметильные остатки и восстанавливая СО-группу в фенолметильных эфирах кетонов В каталитич. гидрированием в присутствии палладиевого катализатора в одной операции, и другими методами. Пример 3. β-хлоргидрата 1-(3',4'-дихлорфенил)-2-(β-фенилэтиламино)-пропанола-(1) с т. пл. 210—211° в 30 мл CH₃OH встряхивают с 0,5 г 10%-ного катализатора Pd/BaSO₄ при ~20° и атмосферном давлении припускании H₂. Через 50 мин. поглощается 2 моля водорода и гидрирование прекращается. Фильтруют без доступа воздуха для отделения катализатора, упаривают, фильтрат в вакууме и обрабатывают эфиром. Выкристаллизовывается хлоргидрат 1-(3',4'-диоксифенил)-2-(β-фенилэтиламино)-пропанола-(1), т. пл. 165—166° (из CH₃OH + эф.). Для получения исходного в-ва вышеописанной р-ции 4,5 г хлоргидрата 1-(3',4'-дихлорфенил)-2-(β-фенилэтиламино)-1-оксопропана суспендируют в 150 мл метанола, содержащего 0,75 г диэтиламина; встряхивают с 0,3 г PtO и H₂; при этом через 2 часа поглощается точно 1 моль водорода. Отфильтровывают от катализатора, упаривают в вакууме и обрабатывают остаток 2 н. HCl-кислотой, из которой выкристаллизовывается требуемый хлоргидрат с т. пл. 210—211°. Описано получение хлоргидратов 1-(3',4'-дихлорфенил)-2-(α-метилфенилбутиламино)-пропанола-(1), т. пл. 158—159°; 1-(3',4'-диоксифенил)-2-(α-метил-β-фенилбутиламино)-пропанола-(1), т. пл. 172—174°; 1-(3',4'-диоксифенил)-2-(β-фенилэтиламино)-пропанола-(1); 1-(3',4'-диоксифенил)-2-(γ-фенилпропиламино)-пропанола-(1); 1-(3',4'-диоксифенил)-2-(α-метил-γ-фенилпропиламино)-пропанола-(1); 1-(3',4'-диоксифенил)-2-(γ-фенилпропиламино)-пропанола-(1); 1-(3',4'-диоксифенил)-2-(α-метил-γ-фенилпропиламино)-пропанола-(1); хлоргидрат 1-(3',4'-диоксифенил)-2-(γ-фенилпропиламино)-пропанола-(1), т. пл. 148—150°.

Л. Михальсон

22453 П. Расщепление DL-трео-1-*n*-нитрофенил-2-аминопропандиола-1,3 на оптически активные антиподы. Каррара (Verfahren zur Trennung von DL-treo-1-*p*-nitrophenyl-2-amino-1,3-propandiol in seine optisch aktiven Antipoden. Carrara Gino) [Lepetit S. G. A.] Пат. ФРГ 943946, 7.06.56

Концентрированный кипящий р-р DL-трео-формы 1-*n*-нитрофенил-2-аминопропандиола-1,3 (I) и эквимольное кол-во D-винной к-ты в метаноле (II) кипятят короткое время и отфильтровывают кислый D-тарtrat L-трео-I, который, по желанию, перекристаллизовывают в воде и обработкой щелочами превращают в основание L-трео-I; выкристаллизовывающийся при долгом стоянии из метанольного фильтрата кислый D-тарtrat D-трео-I обработкой щелочами превращают в D-трео-I. 10 г DL-трео-I растворяют в 80 мл II, нагревают до кипения, прибавляют горький р-р 7 г D-винной к-ты в 70 мл II, после нескольких минут кипячения выпадает кислый D-тарtrat L-трео-I, который быстро отфильтровывают (т. пл. 189—190°, выход 13 г) и перекристаллизовывают из равного объема воды, т. пл. 191—193°. $[\alpha]_D^{25} 3,96^\circ$ ($c = 5\%$ в H₂O); продукт отфильтровывают, растворяют в небольшом кол-ве воды, р-р подщелачивают NaOH, свободное основание L-трео-I (7,5 г) экстрагируют этилацетатом, экстракты упаривают и получают продукт с т. пл. 164—165°. $[\alpha]_D^{25} -27,1^\circ$ ($c = 5\%$ в воде). При долгом стоянии метанольного маточника выпадает кислый D-тарtrat D-трео-I, т. пл. 168—169°, $[\alpha]_D^{25} +25,5^\circ$ ($c = 5\%$ в воде). Выпариванием остающегося маточника получают неизмененное DL-основание. Выход L-трео-I ~ 75%.

Ю. Вендельштейн

22454 П. Получение N-алкил- и N-аралкил-1-(*m*-окси-фенил)-2-аминобутанолов-(1) (Verfahren zur Herstellung von N-Alkyl- und N-Aralkyl-1-(*m*-oxyphenyl)-2-amino-butanolen-1) [Troponwerke Dinklage & Co.] Пат. ФРГ 945244, 5.07.56

Для получения соединений общей ф-лы: $m\text{-OH}-C_6H_4CH(OH)CH(NHRX)CH_2CH_3$ ($X = H, C_6H_5$; R — алкил с 1—5 атомами C) эфиры общей ф-лы $m\text{-OR}'-C_6H_4CH(OH)CH(NHRX)CH_2CH_3$ ($R' = CH_3, C_6H_5, C_6H_4$) обычными методами переводят в OH-соединения, или же конденсируют 1-(*m*-оксифенил)-2-аминобутанол с альдегидами или кетонами с одновременным каталитич. гидрированием, или же соединения ф-лы $m\text{-NH}_2-C_6H_4CH(OH)CH(NHRX)CH_2CH_3$ диазотируют и затем кипячением переводят в OH-соединения, или же гидрируют соединения ф-лы $m\text{-OH}-C_6H_4COCH(NHRX)CH_2CH_3$. Растворяют в 100 мл C_6H_5OH 7,5 г хлоргидрата 1-(*m*-бензилоксифенил)-2-(*β*-фенилэтил-амино)-бутанола-(1) (I), т. пл. 157° и гидрируют с 2%-ного Pd/BaSO₄, отделяют катализатор, упаривают р-р и осаждают кристаллич. хлоргидрат 1-(*m*-окси-фенил)-2-(*β*-фенилэтиламино)-бутанола-1 (II), т. пл. 22°. Исходный хлоргидрат получают бензилированием *m*-оксибутирофенона, бромированием *m*-бензилокси-бутирофенона, т. пл. 35°, р-цией бромсоединения с 2 молями *β*-фенилэтиламина, и переводом образовавшегося 1-(*m*-бензилоксифенил)-2-(*β*-фенилэтиламино)-бутанола, т. пл. 163—166°, гидрированием в I. Растворяют 3,5 г монохлоргидрата 1-(*m*-аминофенил)-2-(*α*-метил-*β*-фенилпропиламино)-бутанола-(1) (III), т. пл. 215—216°, в 20 мл 2 н. HCl и диазотируют рассчитанным кол-вом KNO₃ при 0—3°, выдерживают 15 мин. при 0° и нагревают при 50°; через 5 мин. выделяется хлоргидрат 1-(*m*-оксифенил)-2-(*α*-метил-*β*-фенилпропиламино)-бутанола-(1) (IV), который очищают осаж-дением из спирта эфиром; т. пл. 244—247°. Для получения III бромируют *m*-нитробутирофенон, т. пл. 63°, и конденсируют с 2 молями 1-фенил-3-аминобутана в 1-(*m*-нитрофенил)-2-(*α*-метил-*β*-фенилпропиламино)-

бутанон, т-ра плавления хлоргидрата 207°, который гидрируют с PtO₂ в III. Основание 1-(*m*-оксифенил)-2-(*α*-метил-*β*-фенилпропиламино)-бутанола (V), выделенное из хлоргидрата с т. пл. 157°, гидрируют в CH_3OH над PtO₂ и получают стереометр IV с т-рой плавления хлоргидрата 173—175°, аналогично из хлоргидрата стереомера V с т. пл. 75° получают IV с т. пл. 244—247°. Р-р 4,3 г хлоргидрата 1-(*m*-окси-фенил)-2-аминобутанола-(1), т. пл. 233—235°, в 50 мл CH_3OH смешивают с 2,4 г $C_6H_5CH_2CHO$ и 1,4 г $(C_2H_5)_2NH$ гидрируют над 0,2 г PtO₂. Получают после обработки II, т. пл. 220—222°. Полученные в-ва способствуют кровообращению и оказывают респираторное действие.

О. Магидсон

22455 П. Способ получения бициклогептил- или бициклогептиламин. Клафен (Verfahren zur Herstellung von Bicycloheptyl- bzw. Bicycloheptylaminen. Klavehn Wilfrid) [Knoll A.-G. Chemische Fabriken] Пат. ФРГ 945391, 5.07.56

Для получения указанных в-в общей ф-лы $R^1CH_2CH(NR^2R^4)R^3$, где R^1 — бициклогептильный или гепте-нильный остаток, который в качестве заместителя может иметь низкомолекулярный алкил или группу OH; $R^2 = H$, алкил или алкенил; R^3 и $R^4 = H$ или насыщ. или ненасыщ. алкил-, циклоалкил-, аралкил-, цикло-алкилазамещенный алкильный или бициклоалкильный остаток, или образующий с N гетероциклич. остаток, обрабатывают бициклически замещ. алкилгалоидсо-держащий продукт общей ф-лы $R^1CH_2CH(Γ)R^2$ (Γ — галоген, R^1 и R^2 — как указано выше), аммиаком, первич. или вторич. аминами, или конденсируют бициклически замещ. карбонильные соединения $R^1CH_2COR^2$ с аммиаком, первичными или вторичными аминами с одновременным восстановлением. Приведены также другие варианты получения. 20,3 г 2-Br-1-(6-цикло-[2,2,1]-гептил-2)-этана и 56,7 г анилина 3 часа нагревают в трубке при 120—130°; избыток анилина отгоняют, остаток растворяют в разб. HCl-к-те. Выпадет хлоргидрат 2-анилидо-1-(6-цикло-[2,2,1]-гептил-2)-этана. Кристаллизуется, т. пл. 170° (из ацетон-н-тр. эф.), выход 75%. Получены хлоргидраты: 2-диэтил-амино-1-(6-цикло-[2,2,1]-гептил-2)-этана, т. пл. 153° (бицикло-[2,2,1] = I); 2-амино-1-(Δ^5 -I-гептенил-2)-этана, т. пл. 251°; 2-метиламино-1-(Δ^5 -I-гептенил-2)-этана, т. пл. 164°; 2-диметиламино-1-(Δ^5 -I-гептенил-2)-этана, т. пл. 248°; 2-амино-1-(Δ^5 -I-гептенил-2)-пропана, т. пл. 135°; 2-метиламино-1-(Δ^5 -I-гептенил-2)-пропана, т. пл. 113° ($c = 0,5$ моля кристалл. воды 89°); 2-метиламино-1-(1-гептил-2)-пропана, т. пл. 101°; 2-диметиламино-1-(Δ^5 -I-гептенил-2)-пропана; 2-циклогексиламино-1-(Δ^5 -I-гептенил-2)-пропана, т. пл. 240°; 2-(Δ^5 -I-гептенил-2)-метиламино-1-(Δ^5 -I-гептенил-2)-пропана, т. пл. 236°; 2-аллилметиламино-1-(Δ^5 -I-гептенил-2)-пропана, т. пл. 112°; 2-метиламино-1-(Δ^5 -I-гептенил-2)-этана, т. пл. 206°; 2-пиперидин-1-(Δ^5 -I-гептенил-2)-этана, т. пл. 247°; 2-метиламино-1-(1-гептил-2)-пропана; 2-аллиламино-1-(1-гептил-2)-пропана, т. пл. 124°; 2-метиламино-1-(Δ^5 -I-гептенил-2)-пропана, т. пл. 135°; 2-изопропиламино-1-(Δ^5 -I-гептенил-2)-пропана, т. пл. 173°; 2-изобутил-амино-1-(Δ^5 -I-2)-пропана, т. пл. 166°; 2-метиламино-1-(Δ^5 -I-2)-бутана, т. пл. 152°; 4-метиламино-5-(Δ^5 -I-гептенил-2)-2-метилпентана, т. пл. 167°.

Л. Михельсон

22456 П. Способ получения N-оксидов циклоалкилзамещенных циклоалифатических третичных аминов. Исидата, Сакураи (環状脂肪族第3級アミンハロゲン置換体-N-オキシドの製造法. 石館守三, 櫻井欽夫) [財団法人薬理研究會, Дзайдан ходзин якури кэнкюкай]. Японск. пат. 6118, 31.08.55

N-оксид галоидзамещ. циклоалифатич. третичных аминов получают окислением перекисью органич. к-ты циклоалифатич. третичных аминов, содержащих галоидалкильный остаток при 1 или 2 атомах N, 28,4 г

дихлоргидрата N,N' -бис-(β -хлорэтил)-пиперазина (I) растворяют в 60 мл воды, прибавляют 105 г NaHCO_3 и при перемешивании в течение 15 мин. при 25° прибавляют к смеси 105 г NaHCO_3 и 1600 мл 0,25 н. водн. р-ра CH_3COOH , размешивают 15 мин., подкисляют конц.-HCl до кислой р-ции на конго, упаривают досуха на водяной бане при ~40° в вакууме, прибавляют 50 мл ацетона, р-ритель отгоняют в вакууме, остаток извлекают горячим спиртом и прибавлением эфира выделяют 24 г осадка, который растворяют в воде и прибавлением конц. HCl выделяют 10 г дихлоргидрата диокиси-I, иглы, т. пл. 220–222° (разл.). Аналогично из 18,6 г хлоргидрата N -(β -хлорэтил)-морфолина (II) в 15 мл воды, 88 г NaHCO_3 и 1250 мл 0,25 н. CH_3COOH получают 13 г хлоргидрата окиси-II, пластинки, т. пл. 146–148° (разл.). 2,84 г дихлоргидрата I и 6,72 г NaHCO_3 растворяют в 200 мл воды и прибавляют в течение 15 мин. при 25° при перемешивании 200 мл 0,2 н. $\text{C}_6\text{H}_5\text{COOH}$ в CHCl_3 , CHCl_3 -слой отделяют, водн. слой подкисляют конц. HCl и аналогично выделяют 1 г дихлоргидрата диокиси-I. Аналогично из 1,86 г хлоргидрата II, 5,05 г NaHCO_3 , 200 мл воды и 100 мл 0,2 н. $\text{C}_6\text{H}_5\text{COOH}$ в CHCl_3 получают 1,1 г хлоргидрата окиси-II. С. Петрова

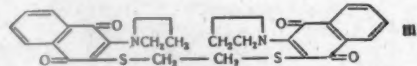
22457 П. Способ получения α -(α -хлорфенил)- α -метилсукцинимидов (Fremgangsmåde til fremstilling af α -(α -klorfenyl) α -metylsuccinimider) [Parke, Davis & Co.] Дат. пат. 79773, 29.08.55

Имеющие терапевтич. значение в-ва общей ф-лы

$\alpha\text{-ClC}_6\text{H}_4\text{C}(\text{CH}_3) \cdot \text{CON}(\text{R}) \cdot \text{COCH}_2(\text{R}-\text{H или CH}_3)$ получают р-цией α -(α -хлорфенил)- α -метилантарной к-ты (I) или ангидрида I с ≥ 1 экв NH_3 или CH_3NH_2 (II) и нагреванием полученного промежуточного продукта при 100–350° (лучше при 190–210°). NH_3 или II лучше применять в избытке. 14 г I постепенно прибавляют к 20 мл конц. р-ра NH_3 , воду и избыток NH_3 отгоняют до т-ры остатка 200° (прекращение выделения NH_3). Остаток растворяют в миним. кол-ве абс. спирта, р-р обрабатывают углем и фильтруют. Охлаждением фильтрата выделяют α -(α -хлорфенил)- α -метилсукцинимид, т. пл. 152–155°, выход 79%. 9 г I постепенно прибавляют к 15 мл 40%-ного водн. р-ра II, воду и избыток II отгоняют до т-ры остатка 200°. Остаток кристаллизуют из абс. спирта, получают N -метил- α -(α -хлорфенил)- α -метилсукцинимид, т. пл. 122°, выход 74%. 10 г ангидрида I постепенно прибавляют к 10 мл конц. водн. NH_3 , воду и избыток NH_3 отгоняют. Остаток выдерживают 15–60 мин. при 210° (до прекращения выделения NH_3), растворяют в абс. спирте и обрабатывают углем. Охлаждением фильтрата выделяют α -(α -хлорфенил)- α -метилсукцинимид, т. пл. 153–155°, выход 82%. Б. Фабричный

22458 П. Способ получения производных алкилениминохинонов. Гаусс, Петерсен, Домат (Verfahren zur Herstellung von Alkyleniminon-derivaten. Gauss Walter, Petersen Siegfried, Domagk Gerhard) [Farbenfabriken Bayer A.-G.] Пат. ФРГ 943166, 16.08.56

Обладающие способностью задерживать развитие опухолевых клеток производные алкилениминохино-



нов получают р-цией галонд- α , β -алкилениминохинона с щел. соединениями спиртов, меркаптанов, фенолов или тиофенолов. Пример. К р-ру 57,5 г металлич. Na в 2 л CH_3OH прибавляют 259 г неочищ. 2,5-дихлор-

3,6-бис-(этиленимино)-бензохинона-(1,4) и перемешивают смесь около 100 час. при ~20°. Продукт р-ции отсасывают, промывают CH_3OH , водой, снова CH_3OH и сушат на воздухе. Получают 206 г красно-коричневого кристаллич. продукта с т-рой разложения 190,5–192,5°. Его перекристаллизовывают из 12-кратного кол-ва ацетата гликольмонометилового эфира и получают 175 г 2,5-диметокси-3,6-бис-(этиленимино)-бензохинона-(1,4) с т. разл. 192,5°. Описано также подробно получение: 2,5-диэтокси-I, т. пл. 137–138° [I = 3,6-бис-(этиленимино)-бензохинон-(1,4)] 2,5-ди- n -пропокси-I, т. пл. 101,5–102,5°; 2,5-ди- n -бутокси-I, т. пл. 84,5–85,5°; 2,5-ди-(β -метокси-этокси)-I, т. пл. 78,5–79,5°; 2,5-ди-(β -этокси-этокси)-I, т. пл. 78,5°; 2,5-ди-этилмеркапто-I, т. пл. 133–133,5°; 2,5-ди-бензилмеркапто-I, т. пл. 155,5°; 2-этокси-3-этилениминонафтохинон-(1,4), т. пл. 66–66,5°, [3-этилениминонафтохинон-(1,4) = II] 2-этилмеркапто-II, т. пл. 84,5–85°; 2-бензилмеркапто-II, т. пл. 67–67,5°; соединение ф-лы (III), т. пл. 189,5–190,5°; 2,5-ди-(β -диэтиламиноэтилмеркапто)-I, т. пл. 75–76°; 2,5-ди-(β -диметиламиноэтокси)-I, т. пл. 60,5–61,5°; 2-метилмеркапто-II, т. пл. 90,5–91°; 2,5-ди-метилмеркапто-I, т. пл. 164,5–165°; 2,5-диэтокси-3,6-бис-(2-метилэтиленимино)-бензохинон-(1,4), т. пл. 126,5–127°; 2,5-диэтилмеркапто-3,6-бис-(2-метилэтиленимино)-бензохинон-(1,4), т. пл. 121–121,5°; 2,5-ди-фенилмеркапто-I, т. пл. 179°; 2,5-ди- n -метоксифенилмеркапто-I, т. пл. 172,5–173,5°; 2-фенокси-3-этилениминонафтохинон-(1,4). Л. Михельсон

22459 П. Способ получения 7-окси-3-метилфталата.

Хорри, Окумура (7-ヒドロキシ-3-メチルフタル酸の製造法. 堀井善一, 奥村健太郎) [田邊製薬株式会社, Табэ сэйяку кабусики кайся]. Японск. пат. 4032, 14.06.55; 7077; 7078; 3.10.55

Пат. 4032. 7-Окси-3-метилфталат (I) получают из метилового эфира 2-ацетиламино-6-ацетилбензойной к-ты (II) восстановлением Na-амальгамой до 7-ацетиламино-3-метилфталата (III), гидролизом ацетильного остатка с образованием 7-амино-3-метилфталата (IV) и, наконец, заменой аминогруппы на оксигруппу через диазореакцию. Смесь 4 г метилового эфира 2-амино-6-ацетилбензойной к-ты (V; к-та = VI), 4,4 мл лед. CH_3COOH и 2,5 мл $(\text{CH}_3\text{CO})_2\text{O}$ нагревают 1 час при 50°, после 30 мин. стояния прибавляют 30 мл воды, через 30 мин. отгоняют в вакууме воду, остаток прибавляют 15 мл воды и после 16 час. стояния выделяют 2,8 г II, т. пл. 87–88°. Маточный р-р упаривают, остаток извлекают этилацетатом, промывают водой, сушат Na_2SO_4 и удалением р-рителя дополнительно выделяют 1,1 г III, общий выход II 80%. 1,1 г II суспендируют в 30 мл воды в несколько приемов прибавляют 45 г 3%-ной Na-амальгамы, через 16 час. осадок растворяется, отделяют Hg, подкисляют 30%-ной HCl до слабокислой р-ции, охлаждают до 0° и отфильтровывают 0,7 г III, выход 73%, т. пл. 106–107° (из петр. эф.). К 1,6 г III прибавляют 30 мл 10%-ной HCl, кипятят 30 мин., прибавляют активированный уголь и кипятят 10 мин., по охлаждении фильтруют и нейтрализуют 20%-ным р-ром NaOH до слабокислой р-ции, прибавляют насыщ. водн. р-р NaHCO_3 до pH 8 и отфильтровывают кристаллизующееся масло, получают 0,96 г IV, выход 76%, т. пл. 76–76,5° (из петр. эф.). 0,487 г IV при нагревании растворяют в 20 мл 10%-ной H_2SO_4 , охлаждают и диазотируют при 0°–2° р-ром 0,21 г 98%-ного NaNO_2 в 10 мл воды, после 10 мин. стояния диазореактор прибавляют при 92–95° к 50 мл кипящей 1%-ной водн. H_2SO_4 , кипятят 15 мин., прибавляют активированный уголь, фильтруют горячим, охлаждают фильтрат и после 16 час. стояния отфильтровывают 0,34 г I + H_2O , выход 62%, т. пл. 109–110° (из петр. эф. или CH_3OH); динитропроизводное, т. пл. 188–189°; ацетильное производное, т. пл. 89–90°.

Пат. 7077. I получают восстановлением VI или ее алкильных эфиров Na-амальгамой до IV и последующей заменой аминогруппы на оксигруппу через диазореакцию. 0,3 г VI суспендируют в 15 мл воды, прибавляют в несколько приемов 7 г 3%-ной Na-амальгамы, после 16 час. стояния отделяют водн. жидкость, при охлаждении подкисляют 10%-ной HCl, а затем нейтр-цией 10%-ным р-ром NaOH до pH 8 выделяют 0,11 г IV, выход 40%, т. пл. 76—76,5°. Из IV аналогично указанному выше получают I + 1H₂O, выход 62%, т. пл. 110—112°. 0,3 г V (т. пл. 62—64°) суспендируют в 15 мл воды и аналогичным восстановлением 17 г 3%-ной Na-амальгамы получают 0,098 г IV, выход 39%.

Пат. 7078. I получают диазотированием VI или ее алкильных эфиров, обменом диазогруппы на оксигруппу и, в случае необходимости, гидролизом эфирной группы, после чего полученную 6-окси-2-ацетилбензойную к-ту (VII) восстанавливают Na-амальгамой. 1,8 г VI при нагревании растворяют в 10%-ной H₂SO₄, охлаждают до 0°, диазотируют при т-ре от —5 до 0° прибавлением р-ра 0,7 г 98%-ного NaNO₂ в 10 мл воды, соль диазония отфильтровывают при —5°, растворяют при 0° и после 10 мин. стояния приливают к 60 мл кипящего 1%-ного р-ра H₂SO₄, прибавляют активированный уголь, кипятят 10 мин., охлаждают, фильтруют и высаливанием фильтрата выделяют после стояния кристаллы с т. пл. 103—105°. Их извлекают 30 мл, а затем 20 мл этилацетата, экстракт промывают 5%-ным водн. р-ром NaHCO₃, органич. слой сушат Na₂SO₄ и отгонкой р-рителя выделяют 0,42 г 6-оксиацетофенона, т. пл. 92—94°. Водн. слой подкисляют HCl (к-той), насыщают NaCl и извлекают этилацетатом, сушат CaCl₂ и отгонкой р-рителя выделяют 0,92 г VII, выход 51%, т. пл. 140—145°. 5,8 г V при нагревании растворяют в 90 мл 10%-ной H₂SO₄, диазотируют при т-ре от —5 до 0° р-ром 2,15 г 98%-ного NaNO₂ в 20 мл воды, после 10 мин. стояния в течение ~15 мин. приливают к 100 мл кипящего 1%-ного р-ра H₂SO₄ и кипятят 10 мин., фильтруют, охлаждают, насыщают NaCl и 3 раза извлекают этилацетатом, экстракт промывают 5%-ным р-ром NaHCO₃ и разделяют слоями. Органич. слой сушат Na₂SO₄ и перегонкой выделяют 2,2 г метилового эфира VII, т. кип. 141—144°/5 мм. Водн. слой насыщают NaCl и фильтруют, при охлаждении нейтр-цией фильтрата до слабкокислой р-ции выделяют продукт с т. пл. 102—103° (после кристаллизации из воды, т. пл. 104—106°); его извлекают этилацетатом, экстракт сушат CaCl₂ и отгонкой р-рителя выделяют 2,15 г VII, выход 40%. 1 г метилового эфира VII гидролизуют в течение 1 часа при 100° 60 мл 5%-ного р-ра NaOH, фильтруют, фильтрат нейтрализуют HCl (к-той) до кислой р-ции, высаливают NaCl кристаллы, которые извлекают 100 мл эфира, экстракт промывают 5%-ным р-ром NaHCO₃ и выделяют из экстракта 0,5 г VII, т. пл. 143—144,5°. 0,3 г VII суспендируют в 15 мл воды, прибавляют 17 г 3%-ной Na-амальгамы и оставляют стоять 16 час., р-р фильтруют, подкисляют HCl (к-той) до слабкокислой р-ции и выделяют 0,18 г I, выход 59%.

С. Петрова
22460 П. Способ получения 6-амино-3-метилфталотида. Хориш, Ямамура (6-アミノ-3-メチル・フタリ・ドの製造法. 堀井善一, 山村雄一). Японск. пат. 6116, 31.08.55

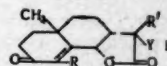
6-амино-3-метилфталид (I), обладающий антисептич. действием, получают каталитич. восстановлением H₂ 6-нитро-3-метилфталотида (II) в среде лед. CH₃COOH в присутствии Pt-катализатора или скелетного Ni. К р-ру I в 10 мл лед. CH₃COOH прибавляют 0,15 г скелетного Ni и восстанавливают H₂ при 20° и нормальном давлении, в течение ~6 час. поглощается ~350 мл H₂, катализатор отфильтровывают, из фильтрата в вакууме при 60—80° на водяной бане отгоняют р-ри-

тель и остаток, застывающий при трении стеклянной палочкой, кристаллизуют из 40%-ного спирта, получают 0,65 г I, выход 75,5%, желтоватые иглы, т. пл. 126—127°. К р-ру 9 г II в 100 мл лед. CH₃COOH прибавляют 0,05 г PtO₂ и при 20° и нормальном давлении восстанавливают H₂, в течение 40—50 мин. поглощается 2930 мл H₂, катализатор отфильтровывают, фильтрат упаривают на водяной бане при 80—100 мм рт. ст. до 20 мл, прибавляют 10%-ный р-р NaOH до щел. р-ции и извлекают эфиром, экстракт сушат, отгоняют р-ритель и кристаллизацией остатка из спирта выделяют 6,5 г I, выход 85,5%.

С. Петрова

22461 П. Способ получения лактонов (2-кето-8-окси-10-метил-2,3,4,5,6,7,8,10-октагидронафтил-7)-уксусной кислоты и ее замещенных. Абэ, Харукава, Исекава, Мики, Цуно (2-ケト-8-ハイドロキシ-10-メチル-2,3,4,5,6,7,8,10-オクタハイドロナフチル-(7)-酢酸ラクトン及びその置換体の製造法. 阿部泰夫, 春川忠二, 石川尙, 三木卓一, 角正夫) [武田薬品工業株式会社, Такада якухин когё кабусики кайся]. Японск. пат. 5223, 21.08.54

Аналоги сантонина общей ф-лы (I) (R и R' — H или алкил; Y — H, карбоксильная группа или ее функциональные производные) получают обработкой сложных



эфиров (2-кето-8-галонд-10-метил-2,3,4,5,6,7,8,10-октагидронафтил-7)-уксусных к-т и их замещ. с образованием лактонной связи за счет атома галонда в положении 8 и карбоксильной группы в положении 11. 2 г метилового эфира DL-α-(2-кето-8-бром-1,10-диметил-2,3,4,5,6,7,8,10-октагидронафтил-7)-пропионовой к-ты [изомерная форма A = (II), т. пл. 61°; получен бромированием метилового эфира DL-α-(2-кето-1,10-диметил-2,3,4,5,6,7,8,10-октагидронафтил-7)-пропионовой к-ты] растворяют в 20 мл лед. CH₃COOH, прибавляют 3 г Ag-ацетата, перемешивают 20 час. при ~20° до окончания р-ции, отфильтровывают AgBr и избыток Ag-ацетата, из фильтрата в вакууме отгоняют CH₃COOH, остаток извлекают эфиром, экстракт промывают р-ром NaHCO₃ и водой, сушат Na₂SO₄, эфир отгоняют, кристаллич. остаток обрабатывают небольшим кол-вом эфира и отфильтровывают 1 г лактона DL-α-(2-кето-8-окс-1,10-диметил-2,3,4,5,6,7,8,10-октагидронафтил-7)-пропионовой к-ты (изомерная форма A, (III)) = DL-3,4-дигидросантонин A) палочки, т. пл. 87° (из эф.-петр. эф.). Аналогично из дигетилового эфира (2-кето-1,10-диметил-8-бром-2,3,4,5,6,7,8,10-октагидронафтил-7)-метилмалоновой к-ты, Ag-ацетата и лед. CH₃COOH получают лактон этилового эфира (2-кето-1,10-диметил-8-окс-2,3,4,5,6,7,8,10-октагидронафтил-7)-метилмалоновой к-ты, т. пл. 110° (из петр. эф.). 1,9 г II растворяют в 50 мл смеси эфира с диоксаном (1:1), прибавляют Ag₂O, полученную из 7 г AgNO₃, перемешивают 5 час. при 50°, отфильтровывают Ag-соединения, отгоняют р-ритель и отфильтровывают 0,9 г III.

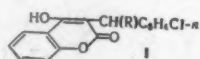
С. Петрова

22462 П. Способ получения лактонов (2-кето-3-галонд-8-окс-10-алкил-2,3,4,5,6,7,8,10-октагидронафтил-7)-малоновой кислоты и ее замещенных. Абэ, Харукава, Исекава, Мики, Цуно, Тога (2-ケト-3-ハロゲン-8-ハイドロキシ-10-アルキル-2,3,4,5,6,7,8,10-オクタハイドロナフチル-(7)-マロン酸ラクトン及びその置換体の製造法. 阿部泰夫, 春川忠二, 石川尙, 三木卓一, 角正夫, 梶正) [武田薬品工業株式会社, Такада якухин, когё кабусики кайся]. Японск. пат. 5173, 27.07.55

Промежуточные продукты для получения аналогов сантонина общей ф-лы (см. пред. реф.), содержащие галонд в положении 3, получают методами, изложен-

ными в пред. реф. 5,9 г (2-кето-1,10-диметил-2,3,4,5,6,7,8,10-октагидронафтил-7)-метилмалоновой к-ты (т. пл. 190°, разл.) суспендируют в 300 мл эфира, приливают по 3 капли р-р 6,4 г Br₂ в 70 мл лед. CH₃COOH при ~ 20°, нагревают 15 мин. при 30° до исчезновения окраски Br₂. Отгоняют в вакууме эфир, прибавляют 500 мл воды и отфильтровывают 1,7 г кристаллич. лактона (2-кето-1,10-диметил-3-бром-8-окси-2,3,4,5,6,7,8,10-октагидронафтил-7)-метилмалоновой к-ты, т. пл. 188° (разл., из CH₃OH). К эфирному р-ру 6,2 г моноэтилового эфира (2-кето-1,10-диметил-2,3,4,5,6,7,8,10-октагидронафтил-7)-метилмалоновой к-ты (т. пл. 154°) при ~ 20° по каплям приливают р-р 6,4 г Br₂ в 70 мл лед. CH₃COOH, отгоняют в вакууме эфир, разбавляют водой и полученное масло извлекают эфиром. Эфирный экстракт сушат, упаривают и отфильтровывают 2,1 г лактона моноэтилового эфира (2-кето-1,10-диметил-3-бром-8-окси-2,3,4,5,6,7,8,10-октагидронафтил-7)-метилмалоновой к-ты, т. пл. 185° (разл., из CH₃OH). С. Петрова 22463 П. Производные кумарина и способ их получения (Coumarin derivatives and process for the manufacture of these derivatives) [Roche Products, Ltd]. Англ. пат. 734823, 10.08.55

Патентуются производные кумарина общей ф-лы (I) (R — алкил с ≤ 3 атомами C) получают конденсацией производных щел. металлов соответствующих диэфиров [(4-хлорфенил)-алкилметил]-малоновой к-ты,



у которых этерифицирующая группа является низшим алкилом, с хлорангидридом ацетилсалициловой к-ты и нагреванием полученного диэфира [1-(4'-хлорфенил)-алкил]-(2-ацетоксибензоил)-малоновой к-ты с кислотными или основными средствами (напр., алколатами щел. металлов) с образованием 3-[1'-(4'-хлорфенил)-алкил]-4-оксикумарина. Диэтиловый эфир [1-(4'-хлорфенил)-пропил]-малоновой к-ты превращают в Na-соединение, которое обрабатывают хлорангидридом ацетилсалициловой к-ты и полученную реакционную смесь нагревают с CH₃ONa с образованием [1'-(4'-хлорфенил)-пропил]-4-оксикумарина. Диалкиловые эфиры [1-(4'-хлорфенил)-алкил]-малоновой к-ты, в частности диэтиловый эфир [1-(4'-хлорфенил)-пропил]-малоновой к-ты получают р-цией n-хлорбензальдегида с бромистым алкил-Mg, заменой оксигруппы в полученном карбиноле на атом галоида (напр., р-цией с PBr₃) и конденсацией галоидпроизводного с эфиром малоновой к-ты или его соединением со щел. металлом. В. Уффингев

22464 П. Способ получения замещенных 2-иминотиазолидинов. Альберт (Verfahren zur Herstellung von substituierten 2-Iminothiazolidinen. Albert Walter) [Knoll Akt.-Ges. Chemische Fabriken]. Пат. ФРГ 944551, 21.06.56

В доп. к пат. ФРГ 942027 (см. РЖХим, 1958, 9040) нагревают замещен. аминокислоты ф-лы RCH(OH)CH(R')NHR'' (R-арил, R' и R'' — алкилы) или их соли вместо тиомочевинны с NH₄CNS. Нагревают 1,5 часа 10,1 г хлоргидрата dl-эфедрина с 17,2 г NH₄CNS при 200—210°. По охлаждению размешивают с водой и выделяют 7 г (53%) роданистой соли 2-амино-3,4-диметил-5-фенилтиазолидина, т. пл. 192°.

О. Магидсон

22465 П. 5,5-Дипиридил-(2')-гидантоины. Зегер, Котлер (Verfahren zur Herstellung von 5,5-Dipyridyl-(2)-hydantoinen. Seger Ernst, Kottler August) [Dr. Karl Thomae G. m. b. H.]. Пат. ФРГ 945510, 12.07.56

Обладающие противосудорожным действием 5,5-дипиридил-(2')-гидантоины общей ф-лы (α-C₅H₄N)₂

CNR/CXNRCO (R — H, замещ. алкил, арил, аранж.

циклоалкил или гетероцикл; R' — H, ацил; X — O, S) получают конденсацией в присутствии щелочи или алкоголята в инертном р-рителе α-пиридила (I) с замещ. или незамещ. мочевиной (II) и тиомочевинной (III). Полученный гидантоин может затем быть замещен по N. В кипящий р-р 25 г Na в 3 л абс. спирта прибавляют 60 г II, а затем 120 г I. Через 30 мин. кипячения отгоняют большую часть спирта и по охлаждению прибавляют 2%-ный объем воды, немного CH₃COONa, фильтруют и насыщают CO₂. Выпадают 5,5-дипиридил-(2')-гидантоин (ДПГ), т. пл. 260° (из CH₃OH). Выход 80 г. Аналогично из 8 г Na, 26 г CH₃OH и 40 г I и кипячения в течение 1 часа получают 40 г 3-CH₃-ДПГ, т. пл. 195° (из CH₃OH); из Na, C₄H₉ и I — 3-C₄H₉-ДПГ, т. пл. 124—125°; из Na, циклогексил и I — 3-циклогексил-ДПГ, т. пл. 172—173°; из Na, C₆H₅ и I — 3-фенил-ДПГ, т. пл. 208°; из этилата Na, бензил и I — 3-бензил-ДПГ, т. пл. 158—159°. Кипятят 10 г ДПГ в 100 мл CH₃COOH 4 часа. Получают 1-ацетил-ДПГ, т. пл. 237—238°. В 300 мл ацетона кипятят 12 г ДПГ с 10 г K₂CO₃ и 6 г (CH₃)₂SO₄, выделяют 10 г 3-метил-ДПГ. К горячему р-ру 28 г CH₃ONa в 1,5 л CH₃OH прибавляют 38 г III, а затем 60 г I. Через 30 мин. разбавляют равным объемом воды, фильтруют и нейтрализуют CH₃COOH. Выделяют 83 г 5,5-дипиридил-(2')-2-тиогидантоина (ДПТГ), т. пл. 255°. Далее описаны: 3-метил-ДПТГ, т. пл. 193—194°; 3-аллил-ДПТГ, т. пл. 196—197°; 3-фенил-ДПТГ, т. пл. 240°; 3-бензил-ДПТГ, т. пл. 198—200°; 3-циклогексил-ДПТГ, т. пл. 217—218°. О. Магидсон

22466 П. Способ получения алкилированных диоксопиперидинов. Луц, Фрик (Verfahren zur Herstellung von alkylierten Dioxopiperidinen. Luc August-Hans, Frick Heinrich) [Hoffmann-La Roche & Co. A.-G.]. Пат. ФРГ 946540, 2.08.56

Названные соединения общей ф-лы COSH(CH₂)_nCH₂N

(R)COC(R')(R'') (I) (R — H или CH₃, R' и R'' — низ-

шие алкилы) получают обработкой 2,4-диоксо-3,3-диалкилпиперидина (II) или его N-метилпроизводного (III) эфиром муравьиной к-ты — СНООН'' (IV) в присутствии щел. металла и восстановлением полученных 5-оксиметил-II (V) или 5-оксиметил-III (VI) в I. Превращение V и VI в I может быть осуществлено также через промежуточную стадию 5-амино-, 5-алкиламино- и 5-диалкиламино-(VII) — метил-производных II и III. К 24 г Na, распыленного в 100 мл абс. C₆H₆, прибавляют при 25—28° смесь 150 г IV, где R'' — CH₃, 165 г II (R' = R'' = C₂H₅) и 900 мл абс. C₆H₆, размешивают 12 час., обрабатывают 200 мл 0,6 н. р-ра NaOH и вода. слой подкисляют на конге 35%-ной HCl; получают с хорошим выходом V, где R' = R'' = C₂H₅ (Va), т. пл. 140—141° (из CHCl₃ — петр. эфир). Аналогично получают V, где R' = R'' = n-C₄H₉; R'' — CH₃, Na распылен в C₆H₆CH₃ (Vb), т. пл. 103—105°; где R' и R'' — CH₃ и C₂H₅; R' — C₂H₅ (Vc); VI, где R'' — CH₃, R' = R'' = CH₃ (VIa), т. пл. 111—112°. Смесь 39,4 г Va и 27 г (C₄H₉)₂NH нагревают под давлением при 150°; получают VII, где R' = R'' = C₂H₅, диалкил при N = (C₂H₅)₂ (VIIa), т. пл. 77° (из петр. эф.). Р-р 5 г Va в 25 мл CH₃OH гидрируют над 2 г скелетного Ni при 120° и 100 атм до поглощения 2 моль H₂; получают I (R = H, R' = R'' = C₂H₅) (Ia), выход 90%, т. кип. 178—185°/16 мм, т. пл. 74—75°. Аналогично получают другие I (указаны R, R', R'', выход в %, т. кип. в °C/мм, т. пл. в °C): H, n-C₃H₇, n-C₄H₉, 90, 107 (из C₆H₆ — петр. эф.); CH₃, CH₃, CH₃, 95, 143/12; —, H, CH₃, C₂H₅, 95, 172—175/19, 97—98 (из петр. эф.). Р-р 31 г VIIa в 150 мл спирта и 6 г лед. CH₃COOH

гидрируют над 10 г скелетного Ni при 120° и 100 атм; получают Ia, выход 90%.

22467 П. 3,4,5,6-тетрагидропириимидиновые и имидазолиновые местные анестетики. Сайнерхолм, Фост, Сахиун (3,4,5,6-tetrahydropyrimidine and imidazoline local anesthetics. Synerholm Martin E., Faust John A., Sahyun Melville) [Sahyun Laboratories]. Пат. США 2733244, 31.01.56

Соединения общей ф-лы: $n\text{-HRNC}_6\text{H}_4\text{C}\equiv\text{N}-(\text{CH}_2)_n\text{-NH}$ (R—H, низший алкил, $n=2-3$) получают

нагреванием эфиров соответствующей n -аминобензойной к-ты с этилен- или триметилендиаминном или же нагреванием n -аминобензонитрила (I), или его алкиламиноманалогов с моно- n -толуолсульфонатом этилен-(II) или триметилендиамина (III) до 175–200°. Для получения n -(n -бутиламино)-бензонитрила (IV) берут смесь 23,6 г I, 27,4 г n -бутилбромида и 26,5 г безводн. Na_2CO_3 ~ 4,5 часа в интервале t -р 90–160°. По охлаждению разбавляют водой, извлекают эфиром. Выход IV 14,6 г (42%), т. кип. 167–170°/2 мм, т. пл. 48–49°. Таким же образом приготавливают 4-метиламино-, 4-этиламино-, 4-пропиламино-, 4-пентиламино-, 4-гексиламинобензонитрилы. Нагревают смесь 17,7 г I и 37 г II 2 часа до 200–210°, пока не прекратится выделение NH_3 ; растворяют в 175 мл кипящей воды и обесцвечивают углем. Выделяют 42 г (83%) n -толуолсульфоната 2-(n -аминофенил)-имидазолина, т. пл. 212–213°; выделенное из него основание дает моногидрат, т. пл. 94–96°, который при 1–2 мм перегоняют (200–220° в бане), безводн. основание гигроскопично, т. пл. 146–148°; битартрат-дигидрат, т. пл. 206–207°; его 1%-ный р-р имеет рН 3,7; фосфат, т. пл. 277–284°. Смесь 5,2 г IV и 7 г II нагревают 190–210° 2 часа. Плав растворяют в разб. HCl-к-те, обесцвечивают углем и выделяют основание, перекристаллизовывают из изопропанол-петр. эф. и переводят в хлоргидрат, выход 2,1 г (28%) хлоргидрата 2- n -(n -бутиламино)-фенилимидазолина, т. пл. 229–231°. Аналогично из 8,7 г IV и 12,6 г III и 2,2 г основания III при нагревании 190–210° получают 3,1 г n -толуолсульфоната 2- n -(n -бутиламино)-фенил-3,4,5,6-тетрагидропириимидина, т. пл. 161–162°, дихлоргидрат, т. пл. 202–204°.

О. Магидсон
22468 П. Пиразолидины (Pyrazolidines). [Geigy Ak.-G., J. R.] Англ. пат. 727405, 30.03.55

Патентуется способ получения 3,5-диоксопиразолидинов (ДП) ф-лы $\text{C}_6\text{H}_5\text{NCOCH(R)CONC}_6\text{H}_5$, где R—ра-

дикал, содержащий O- или S-атом, отделенный от пиразолидинового кольца алифатич. цепью C_1-C_4 . Общее число членов радикала $\text{R} \leq 10$, включая гетероатом и фенильный остаток. Напр., при нагревании β -метилмеркаптоэтилмалонового эфира, гидроксибензола и $\text{C}_2\text{H}_5\text{ONa}$ в $\text{C}_2\text{H}_5\text{OH}$ образуется 1,2-дифенил-3,5-диоксо-4-(β -метилмеркаптоэтил)-пиразолидин. Аналогично из β -метоксиэтилмалонового эфира образуется 1,2-дифенил-3,5-диоксо-4-(β -метоксиэтил)-пиразолидин. 1,2-дифенил-3,5-диоксопиразолидин нагревают с $\text{C}_6\text{H}_5\text{OCH}_2\text{CHO}$ в спирту в присутствии скелетного Ni в атмосфере H_2 (20 ат), при этом получают 1,2-дифенил-3,5-диоксо-4-этоксипиразолидин. Указаны ДП, в которых R— β - n - или β -пропил-, фенил-, n -толил-, 4-диметилфенил-, n -хлорфенил- или α -этилмеркаптоэтил-, γ -фенилмеркаптопропил-, δ -фенилмеркаптобутил-, или β - n -пропокси-, n -бутокси- или β -феноксипирил. ДП обладают анальгетич. и антипиретич. свойствами.

В. Смит
22469 П. Способ получения гетеродиазолов. Эйнуэрт (Process for production of heterodiazoles. Ainsworth Cameron) [Eli Lilly and Co.]. Пат. США 2733245, 31.01.56

Гетеродиазолы общей ф-лы $\text{RC}\equiv\text{N}-\text{N}=\text{C(R')}-\text{X}$

(R—незамещ. или замещ. арил или гетероциклич. арил, химически инертный к действию орто-эфиров; R'—H или алкил, преимущественно с 1–8 атомами C; X—O или S) получают нагреванием гидразидов к-т общей ф-лы $\text{R}-\text{C}(=\text{X})-\text{NHNH}_2$ с орто-эфирами общей ф-лы $\text{R'}-\text{C}(\text{OR}'')_2$ (R''—алкил, преимущественно с 1–8 атомами C). Р-цию проводят при t -ре $> 80^\circ$ (100–200°). Смесь 30 г гидразида бензойной к-ты и 200 г этилортоформата (I) умеренно кипятят 15 час., испаряют в вакууме избыток I и спирт и перегонкой выделяют 30 г 2-фенилоксидиазола-1,3,4, т. кип. 125°/5 мм, т. пл. ~ 34°. Аналогично из 7 г гидразида изоникотиновой к-ты и 25 г этил-ортопропионата получают 6,1 г 2-этил-5-(пиридил-4)-оксидиазола-1,3,4, т. кип. 130–140°/1 мм, т. пл. ~ 50–52°; из 2 г тионобензгидразида и 10 г I (кипячение, 24 часа)—2-фенилтиадиазол-1,3,4, т. кип. 115°/0,1 мм, т. пл. ~ 40°. Аналогично получены следующие 2-замещ. оксидиазолы-1,3,4 (указаны заместители в положениях 2 и 5, выход в процентах, т. пл. в °C или т. кип. в °C/мм): 2-(o -метоксифенил), 80, 47–49; 2-(n -хлорфенил), 78, 134; 2-(n -нитрофенил), 78, 156–157; 2-(пиридил-4), 82, 120–121; 2-(пиридил-3), 68, 75; 2-(пиридил-2), 60, 115; 2-(нафтил-1), 63, 65; 2-фенил-5-метил, 68, 67; 2-фенил-5-этил, 81, 105/0,1; 2-(o -метоксифенил)-5-этил, 78, 135/0,05; 2-(n -хлорфенил)-5-этил, 87, 93; 2-(n -нитрофенил)-5-этил, 91, 133–134; 2-(нафтил-1)-5-этил, 80, 160/0,1; 2-(пиридил-4)-5-этил, 70, 50–52; а также n -фенилен-бис-(2-оксидиазол-1,3,4), 92, 275, и 2-фенил-5-метилтиадиазол-1,3,4, 35, 103–105. Полученные соединения обладают снотворным действием.

В. Уфимцев

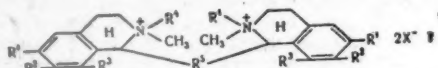
22470 П. Галондированные производные 8-оксихинолина. Беркхолтер (Verfahren zur Herstellung von halogenierten 8-Oxychinolinverbindungen. Burckhalter Joseph Harold) [Parke, Davis & Co.]. Пат. ФРГ 944854, 28.06.56

Имеющие в положении 5 галонд (в частности Cl) 8-оксихинолины, содержащие группировку R'R''N (R' и R''—одинаковые или различные низшие алкилы или оксипалкилы, или же насыщ. гетероциклы, особенно пиперидино-, морфолино- и пирролидино-остатки) в положении 7, получают р-цией галондо-8-оксихинолина с CH_2O и амином ф-лы R'R''NH или его солью, или с продуктом конденсации указанного амина с CH_2O . Процесс проводят в алкогольной среде при кипячении. Кипятят 30 мин. смесь 0,8 г 5-хлор-8-оксихинолина (I), 1,35 г параформальдегида (II) и 5 мл $(\text{C}_2\text{H}_5)_2\text{NH}$ (III) в 500 мл спирта, охлаждают, фильтруют, отгоняют спирт, остаток растворяют в безводн. эфире и насыщением HCl выделяют 74% дихлоргидрата 5-хлор-7-диэтиламинометил-8-оксихинолина (IV), т. пл. 197–198° с разл. Из р-ра в воде IV-основание выделяют Na_2CO_3 , извлекают эфиром, сушат K_2CO_3 и насыщают HBr, получают дибрмгидрат; аналогично приготавливают фосфат. В последующем 8-оксихинолин-ОХ. Из смеси 4,5 г I, 1,2 г II и 2,1 г $(\text{CH}_3)_2\text{NH} \cdot \text{HCl}$ в 100 мл спирта кипячением 3 часа получают 84% монохлоргидрата 5-хлор-7-диметиламинометил-ОХ, т. пл. 232–234° с разложением. Аналогично образуются монохлоргидраты следующих ОХ: 5-хлор-7-пиперидинометил, т. пл. 222–224° и 5-хлор-7-морфолинометил. Описаны также следующие дихлоргидраты-ОХ: 5-хлор-7-[этил-(β -оксипропил)-аминометил], т. пл. 180–182° с разложением; 5-хлор-7-(ди- n -пропиламинометил); 5-хлор-7-(ди- n -бутиламинометил); 5-бром-7-диэтиламинометил, т. пл. 197–198°; полуидрат 6-хлор-7-пиперидинометил, т. пл. 198–199°; 5-хлор-7-пирролидинометил; 6-хлор-7-диэтиламинометил; 5-фтор-7-диэтиламинометил-(основа-

ние, т. пл. 78—80°); дибромгидрат 5-бром-7-(метил-этиламинометил)-; моноклоргидрат 6-хлор-7-диметил-аминометил. Средства против амёбной дизентерии, особенно 5-хлорпроизводные.

О. Магидсон
22471 II. Четвертичные аммониевые соли бис-тетрагидроизохинолил-(1)-производных. Нейбенхауэр (Bis-tetrahydro-1-isoquinolyl quaternary ammonium salts. Nabenhauer Fred P.) [Smith Kline & French Lab.]. Пат. США 2744901, 8.05.56

Указанные в-ва ф-лы (I) (R^1, R^2 и R^3 — CH_3O или OH, R^4 — CH_3 или C_2H_5, R^5 — полиметиленовый радикал с 4—12 C, 1,4-фенилен или *p*-ксилилен, X — Cl, Br, J, CH_3SO_4 или $C_2H_5SO_4$) обладают курареподобным действием. Суспензию 5 г дихлоргидрата рацемич. бис-(6,7-диметокси-1,2,3,4-тетрагидроизохинолил-1)-бу-



тана (II, основание) в 100 мл воды подщелачивают 5 мл 40%-ного р-ра NaOH, прибавляют 15 мл 85%-ной HCOOH и 10 мл 37%-ного формалина, кипятят ~30 мин. до прекращения выделения CO_2 , прибавляют избыток 40%-ного р-ра NaOH, извлекают теплым C_6H_6 и вытяжку после высушивания упаривают; полученный неочищ. N,N'-диметил-II растворяют в 50 мл спирта и оставляют на некоторое время стоять с 5 мл CH_3J ; получают рацемич. I (R^1, R^2 — CH_3O, R^3 — H, R^4 — CH_3, R^5 — $(CH_2)_4, X$ — J) (Ia), т. пл. 268—269° (из воды). Аналогично из дихлоргидратов рацемич. или оптически активных соединений типа II, отличающихся от последнего значением R^5 или замещением бензольного цикла, получают следующие рацемич. или оптически активные I (указаны $R^1, R^2, R^3, R^4, R^5, X$, т-ра плавления рацемата, т-ра плавления менее растворимого стереоизомера, т-ра плавления более растворимого стереоизомера в °C): $CH_3O, CH_3O, H, CH_3, (CH_2)_6, J$ (Ib), —, 241—242, 230—232; $CH_3O, CH_3O, H, CH_3, (CH_2)_7, J$, —, 174—175, 177—178; $CH_3O, CH_3O, H, CH_3, (CH_2)_8, J$ (Iv), —, 237—239, 241—242; $CH_3O, CH_3O, H, CH_3, (CH_2)_9, J$, 300—302, —, —; $CH_3O, CH_3O, H, CH_3, (CH_2)_5, J$ (рацемат), —, —, —; $CH_3O, CH_3O, H, C_2H_5, (CH_2)_3, J$ (рацемат), —, —, —; $CH_3O, CH_3O, H, CH_3, CH_2, J$ (рацемат), —, —, —; $CH_3O, CH_3O, H, CH_3, CH_2, J$ (рацемат), —, —, —; $CH_3O, CH_3O, H, CH_3, CH_2, J$ (рацемат), —, —, —; $CH_3O, CH_3O, CH_3O, CH_3, (CH_2)_3, J$ (Iv) (рацемат), —, —, —; $CH_3O, CH_3O, CH_3O, H, CH_3, 1,4-C_6H_4, J$ (рацемат), —, —, —; $CH_3O, H, H, C_2H_5, (CH_2)_6, Br$ (рацемат), —, —, —; $CH_3O, CH_3O, H, CH_3, 1,4-CH_2C_6H_4CH_2, J$, 250—253, —, —. Смесь Ia с конц. HJ, содержащей небольшое кол-во фосфорноватистой к-ты, кипятят 30 мин. до прекращения выделения CH_3J и по охлаждении прибавляют *изо*- C_3H_7OH ; получают I ($R^1 = R^2 = OH, R^3 = H, R^4 = CH_3, R^5 = (CH_2)_4, X = J$). Аналогично из Ib с т. пл. 241—242°, Iv с т. пл. 237—239° и рацемич. Iv получают соответственно I ($R^1 = R^2 = OH, R^3 = H, R^4 = CH_3, R^5 = (CH_2)_6, X = J$), I ($R^1 = R^2 = OH, R^3 = H, R^4 = CH_3, R^5 = (CH_2)_8, X = J$), т. пл. 250—252°, и I ($R^1 = R^2 = R^3 = OH, R^4 = CH_3, R^5 = (CH_2)_8, X = J$).

А. Травин
22472 II. Способ получения алкалоидов из листьев лекарственных растений. Шинске, Штейн (Verfahren zur Gewinnung von Alkaloiden aus Blattdrogen. Schinske Horst, Stein Alfred). Пат. ГДР 11732, 5.06.56.

Для избежания образования эмульсий при извлечении алкалоидов р-рителями, не смешивающимися (РН) с водой (напр., хлф.) полученные экстракты обрабатывают р-рителем, смешивающимся (РС) с водой, подкисляют смесь и разделяют добавлением воды; или же перколируют РС с водой (напр.,

CH_3OH), экстракт обрабатывают РН с водой (напр., $CHCl_3CHCl_2$), подкисляют и разделяют водой; можно также извлекать смесью РС и РН с водой, напр., $CH_3OH + CHCl_3$, экстракт подкисляют и разделяют водой. Так 1 кг листьев дурмана исчерпывающе перколируют 5 л аммиачного CH_3OH , смешивают перколят с $\frac{1}{5}$ объема CCl_4 , подкисляют HCl и при перемешивании прибавляют $\frac{2}{3}$ объема воды, по разделении жидкой слой, содержащий хлорофилл, удаляют, а верхний подщелачивают и извлекают из него хлф. чистый гиосциамин. При аналогичной обработке 20 кг листьев *Datura Metel* 120 л аммиачного метанола выпадают маслянистые основания, дающие хороший выход бромгидрата скополамина.

О. Магидсон
22473 II. Способ получения легко эмульгируемого формина хинина. Мисава, Ногами (乳化したキキノホルムの製造法. 三澤敏義, 野上壽). Японск. пат. 8198, 11.12.54

9 ч. формина хинина и 1 ч. карбоксиметилцеллюлозы смешивают с 6—7 ч. воды, сушат при 100° и измельчают в порошок.

Э. Тукачинский
22474 II. Способ получения природных сердечных гликозидов из *Bovaea volubilis*. Цутаверн, Штелин, Шенк (Verfahren zur Gewinnung der natürlichen herzwirksamen Glykoside aus *Bovaea volubilis*. ZutaVERN Philipp, Stählin Ernst, Schenck Gerhard) [Knoll A.-G. Chemische Fabriken]. Пат. ФРГ 942944, 9.05.56

Общую массу гликозидов (I) из *Bovaea volubilis* выделяют экстракцией метанолом (II) с последующим переводением в водн. р-р, извлечением из него I экстракцией искусным эфиром (III), сушкой и упариванием эфира. Свежее растение предварительно обрабатывают безводн. II для осаждения ферментов, жидкую часть отделяют фильтрованием, остаток еще раз исчерпывающе экстрагируют на холоду с помощью II. Выделенные I очищают обработкой не смешивающимися с водой органич. р-рителями, затем, растворив в спирте, снова высаживают одним из упомянутых р-рителей. В качестве варианта метода предложено водн. р-р I, перед экстракцией III подвергнуть предварительной очистке экстракцией одним из вышеупомянутых, не смешивающихся с водой р-рителей. Пример. 1 кг свежих луковиц *Bovaea* превращают в тонкую кашеобразную массу и измельчают в аппарате с прибавлением 3 кг безводн. II, и 1 час сильно перемешивают. Затем р-р фильтруют, остаток 3—4 раза обрабатывают трехкратным кол-вом по весу II и снова отделяют от тех пор, пока 5 мл после упаривания не дадут остатка, не дающего положительной р-ции Келлера—Килиани. Объединенные вытяжки II упаривают в вакууме до 1 л и по добавлении 1 л воды вновь упаривают до 1 л. Не содержащий II и почти прозрачный водн. экстракт несколько раз встряхивают с равными объемами III до отсутствия у остатка от упаривания (2 мл) указанной р-ции. Для этого требуется встряхивать со свежими порциями III 10—15 раз. Этот процесс экстракции с помощью III можно производить также путем перфорации водн. экстракта с помощью III; при этом для предохранения I следует вести работу в вакууме или в атмосфере N_2 . Объединенные III-экстракты осторожно упаривают до 1 л, сушат над $CaCl_2$, отсасывают, промывают основательно безводн. III, и фильтрат упаривают в вакууме. После сушки остатка в вакууме остается красно-коричневый остаток, который освобождают от липоидных в-в, растворяя многократно с 2—3-кратным кол-вом гексана; при этом экстракт превращается в рыхлый светло-коричневый порошок. Для дальнейшей очистки смесь I растворяют в 8-кратном кол-ве абс. спирта, р-р фильтруют и тонкой струей при перемешивании

наивысший в 30%-кратный объем дибутилового эфира; при этом почти бесцветным выпадает 85% порошка I. Осадок отсасывают, промывают дибутиловым эфиром и сушат в вакууме. При упаривании спиртово-дибутилового р-ра выпадает еще 5% I. Выход 3 г. Активность смеси I составляет 1,6—1,7 млн. ме/г.

Л. Михельсон

22475 П. Выделение и (или) очистка протOVERATРИНА из чемерицы. Брукер (Recovery and/or purification of protoveratrine from Veratrum album. Brooker Robert M.) [Allied Lab. Inc.]. Пат. США 2720520; 2720521; 2720522; 11.10.55.

Выделение протOVERATРИНА (I) из смеси алкалоидов (A) чемерицы (Ч), плохо растворимых в эфире (II), проводят по пат. 2720520 экстракцией измельченных корней Ч бензолом, подщелоченным NH_4OH . Бензольный р-р А экстрагируют водн. р-ром CH_3COOH ; экстракт подщелачивают и обрабатывают бензолом; бензольный экстракт упаривают досуха. Сухой остаток экстрагируют II. В остатке получают I вместе с другими трудно растворимыми в II А. Смесь обрабатывают ацетоном, в котором растворяются все А, кроме I, который выделяют в чистом виде. По пат. 2720521 вначале поступают так же, как в вышеописанном пат. 2720520, но упарив бензольный р-р досуха, проэкстрагировав остаток II и получив нерастворимый в II остаток, обрабатывают смесь этих А n -бутилхлоридом, растворяющим все А, кроме I, который таким образом выделяют в чистом виде. По пат. 2720522 поступают, как описано в вышеприведенных патентах, но полученный остаток смеси А после упаривания бензольного р-ра досуха растворяют в горячем n -бутилхлориде, исключив экстракцию II, и из р-ра выделяют I.

Л. Михельсон

22476 П. Способ получения производных витамина В₁. Мацукава Кавасаки (新規ビタミンB₁誘導体の製造法. 松川泰三, 川崎式) [武田薬品工業株式会社. Такада якухин когё кабусики кайся]. Японск. пат. 8422, 21.12.54

Производные витамина В₁ получают ацилированием гомовитамина В₁ (I) или его сложных эфиров или S-ацилированием тиолов производных I или его сложных эфиров. 1 ч. хлоргидрата I растворяют в 7 ч. воды, прибавляют 3,5 ч. 10%-ного р-ра NaOH, насыщают NaCl и при перемешивании по каплям приливают 1 ч. $(\text{CH}_3\text{CO})_2\text{O}$ с одновременным прибавлением р-ра NaOH до щел. р-ции. При этом выделяется вскоре затвердевающее масло, его отфильтровывают и кристаллизацией из смеси C_6H_6 с петр. эфиром выделяют 0,8 ч. диацетилпроизводного I ф-лы $\text{R}-\text{CH}_2-\text{N}(\text{CHO})-\text{C}(\text{CH}_3)=\text{C}(\text{SCOC}_6\text{H}_5)(\text{CH}_2\text{CH}_2\text{OCOC}_6\text{H}_5)$, палочки, т. пл. 113—114° (разл.). 1 ч. хлоргидрата I растворяют в 15 ч. воды, прибавляют 3,5 ч. 10%-ного р-ра NaOH, при перемешивании приливают по каплям 1 ч. $\text{C}_6\text{H}_5\text{COCl}$ с одновременным прибавлением NaOH до щел. р-ции, масло отделяют, извлекают этилацетатом, промывают водой и сушат Na_2SO_4 , этилацетат удаляют в вакууме и получают в остатке масло. Полученное масло растворяют в небольшом кол-ве спирта, прибавляют спирт. HCl и большое кол-во эфира, отфильтровывают и кристаллизацией из смеси спирта с эфиром выделяют 0,8 ч. хлоргидрата дибензонильного производного I ф-лы $\text{R}-\text{CH}_2-\text{N}(\text{CHO})-\text{C}(\text{CH}_3)=\text{C}(\text{SCOC}_6\text{H}_5)(\text{CH}_2\text{CH}_2\text{OCOC}_6\text{H}_5)$, палочки, т. пл. 171—173° (разл.). С. Петрова

22477 П. Гидрированные формилптерины (Hydrogenated formyl pterins) [American Cyanamid Co.]. Англ. пат. 733130, 6.07.55

Патентуются 5,6,7,8-тетрагидро-5-формилптероилглютаминная к-та (I), ее щел. соли и способ их получения, заключающийся в нагревании со щелочами р-ра щел. солей соответствующего 5,6,7,8-тетрагидро-10-

формилптерина. После нагревания р-р нейтрализуют, обрабатывают адсорбентом из группы активированных силикатов (напр. силикатом Mg), отделяют силикат, фильтрат подкисляют до pH 4 и выделившуюся I поглощают на угле; последний обрабатывают спирт. р-ром NH_3 .

А. Травин

22478 П. Производные стильбэстрола и их получение (Stilbestrol derivatives and preparation thereof) [Asta-Werke A. G. Chemische Fabrik]. Англ. пат. 732286, 22.06.55

Патентуются фосфорные эфиры диэтилстильбэстрола (I), воднорастворимые соли I и способ их получения. Моно- или дифосфорные эфиры получают взаимодействием диэтилстильбэстрола соответственно с I или 2 молями POCl_3 , предпочтительно при т-ре кипения, в присутствии органич. основания (напр. пиридина), кол-во которого должно быть достаточным для связывания образующегося при р-ции HCl. Очистку I производят через их аддукты с эфиром, которые разлагают нагреванием в вакууме. Для получения Na-солей р-ры I в NaOH осаждают органич. р-рителем (напр. ацетоном) или р-ры I в абс. спирте обрабатывают натрием.

А. Травин

22479 П. Получение стеринов. Миллер, Берри (Production of sterols. Miller Sidney E., Berry Charles Manly) [General Mills, Inc.]. Пат. США 2729655, 3.01.56

Предложен способ получения стеринов из животных или растительных жиров и, особенно, продуктов их переработки. Исходный материал подвергают омылению, смесь жирных к-т этерифицируют метиловым спиртом, реакцию смеси (или остаток после отгонки метиловых эфиров) растворяют в петр. эфире или дихлорэтано и из р-ра выделяют стерин в виде гидратов или нерастворимых комплексов. Смесь 200 г остатка, полученного после отгонки жирных к-т из омыленного соевого масла, 22 г 97%-ного NaOH и 400 мл CH_3OH кипятят 2,5 часа, прибавляют 54 г H_2SO_4 и 200 мл CH_3OH , кипятят 2,25 часа, обрабатывают по охлаждению 700 мл воды, извлекают петр. эфиром, вытяжку промывают водой и упаривают; получают 204 г продукта, который обрабатывают одним из описанных ниже способов: 1) р-р 50 г продукта в 50 мл теплого петр. эфира обрабатывают 2,5 мл воды и охлаждают до 5°; получают 4,6 г кристаллич. в-ва, которое очищают кристаллизацией из $\text{iso-C}_8\text{H}_{17}\text{OH}$; выход очищ. стеринов 3,7 г, т. пл. 134—136°; 2) р-р 40 г продукта в 35 г дихлорэтана обрабатывают при 60—70° суспензией щавелевой к-ты в 50 г дихлорэтана; при охлаждении получают комплексное соединение, которое разлагают кипячением с водой; выход очищ. стеринов 3,6 г (из $\text{iso-C}_8\text{H}_{17}\text{OH}-\text{H}_2\text{O}$); 3) 100 г продукта перегоняют при 20—35 мм; получают 44,5 г дистиллята и 54 г остатка; из последнего описанными выше двумя способами выделяют стерин.

А. Травин

22480 П. Выделение стеринов. Берри, Миллер (Isolation of sterols. Berry Charles Manly, Miller Sidney E.) [General Mills, Inc.]. Пат. США 2729656, 3.01.56

Предложен способ выделения стеринов из животных или растительных масел и, особенно, из продуктов их переработки. Исходный материал кипятят с NaOH или KOH в среде абс. CH_3OH и из кристаллич. массы, выпадающей при охлаждении, дихлорэтаном или ацетоном извлекают стерин. Смесь 701 г остатка, полученного после отгонки жирных к-т из омыленного соевого масла, 75 г NaOH и 960 г абс. CH_3OH кипятят до полного омыления; часть реакционной смеси, соответствующую 100 г исходного материала, разбавляют CH_3OH до соотношения 4:1 (по весу) и оставляют на несколько часов при ~20°; получают 27 г кристаллич. смеси, которую отделяют фильтра-

40 мл воды, прибавляют 50 мл 80%-ного CH_3OH , оставляют стоять 24 часа при 35°, кристаллы отделяют и обрабатывают абс. CH_3OH , получают 6,5 г безводн. кристаллич. I, выход 95%, т. разл. $\sim 50^\circ$. 20 мл 20%-ного водн. р-ра I прибавляют к 100 мл 87%-ного CH_3OH , из 73%-ного CH_3OH выделяется I, содержащий 40% воды; его оставляют 12 час. стоять при 40°, выделяют кристаллич. I, который хорошо промывают CH_3OH , обрабатывают абс. CH_3OH и получают 3,8 г безводн. кристаллич. I, выход 95%. С. Петрова

22487 П. Очистка солей стрептомицина или дегидрострептомицина. Кубо, Цуруми, Хориуги (ストレプトマイシン鹽又はジヒドロストレプトマイシン鹽の精製法. 久保秀雄, 筒見正夫, 堀口嘉夫) [株式会社科薬研究所, Кабусики кайся кагаку кэнкюсё]. Японск. пат. 447, 29.01.54

Водный р-р стрептомицинсульфата (I), содержащий 700 ед. на 1 мг, обрабатывают р-ром $[2,4 = \text{HO}(\text{H}_2\text{N}) - \text{C}_6\text{H}_3\text{COO}]_2\text{Ca}$ в 50%-ном CH_3OH до прекращения образования CaSO_4 . Р-р фильтруют, фильтрат обрабатывают большим кол-вом CH_3OH , осадок фильтруют, фильтрат обрабатывают H_2SO_4 до pH 4—5. В осадок выпадает I, содержащий 740 ед. на 1 мг. Р-р CH_3OH содержит 2,4- $\text{HO}(\text{H}_2\text{N})\text{C}_6\text{H}_3\text{COOH}$. Е. Тукачинская

22488 П. Комплексные соединения антибиотиков группы тетрациклина с циркониевыми солями оксикислот. Майкл, Питерсен, Локхарт (Tetracycline antibiotic zirconium hydroxyacid complexes. Michel George Herman, Petersen Clifford Everett, Lockhart Merton Cooke) [American Cyanamid Co.]. Пат. США 2736735, 28.02.56

Патентуются комплексные соединения, образующиеся при взаимодействии хлортетрациклина (I) и окситетрациклина (II) с Zr-солями α -оксикарбоновых к-т. Р-р 4 г δ -лактона глюконовой к-ты (III, к-та IV) в 50 мл дистил. воды подщелачивают 20%-ным р-ром NaOH до pH 11,5, смешивают с р-ром 6,4 г $\text{ZrOCl}_2 \cdot 8\text{H}_2\text{O}$ в 50 мл воды, подщелачивают 20%-ным р-ром NaOH до pH 7,3, прибавляют 2,89 г хлоргидрата I (V), подщелачивают 20%-ным р-ром NaOH до pH 7,4, фильтруют, прибавляют к фильтрату 1 л ацетона, осадок отделяют, промывают 100 мл ацетона и высушивают при 40° в вакууме (~ 16 час.); получают комплексное соединение I с Zr-солью IV; выход 9,9 г. То же соединение получают при утилизации IV, вместо III. Описано получение комплексных соединений I и II с Zr-солью лимонной к-ты. Аналогично получают комплексные соединения с Zr-солями винной, молочной, яблочной, аскорбиновой, мандиальной и пировиноградной к-т. В твердом виде препараты назначают для приема внутрь (в виде таблеток и капсул) или для наружного применения (в форме мази). Водн. р-ры препаратов применяют парентерально и per os.

А. Травин

22489 П. Усовершенствование способа получения ангидрохлортетрациклина и его солей с кислотами. Брошард, Крупка (Perfectionnements au procédé de préparation de l'anhydrochlorotétracycline et de ses sels d'addition à des acides. Broschard Robert, Krupka George) [American Cyanamid Co.]. Франц. пат. 1111525, 1.03.56

Патентуется способ получения ангидрохлортетрациклина (I), основанный на дегидратации хлортетрациклина (II) действием минер. к-т. Р-р 15 г II в 50 мл конц. HCl нагревают 10 мин. при $\sim 100^\circ$, прибавляют 150 мл воды, отделяют центрифугированием осадок хлоргидрата I, растворяют его в 1,5 л воды, подщелачивают в р-ром NaOH до pH 5 и извлекают равным объемом эфира, получают I, выход 10,5 г, т. пл. 220—235° (разл.), $[\alpha]_D^{25} + 16^\circ$ (в целосолье), вместо конц. HCl применяют эквивалентные кол-ва других минер. к-т (HBr , H_2SO_4 , H_3PO_4), не обладающих сильно вы-

раженными окислительными или восстановительными свойствами.

А. Травин

22490 П. Терапевтические препараты из неомидина, грамицидина и четвертичных аммониевых солей тонзиламина. Маст, Фанд (Therapeutic compositions comprising neomycin, gramicidin and quaternary ammonium salt of thonzylamine. Mast George W., Fand Theodore I.) [Nepera Chemical Co., Inc.]. Пат. США 2730483, 10.01.56

Патентуются составы для лечения порезов, ссадин, ран и внутренних полостей тела, состоящие из соли, напр., сульфата I; (I — неомидин), грамицидина (II) и четвертичной соли (ЧС) тонзиламина (III) (N-(2-пиримидил-N-(*n*-метоксибензил)-N',N'-диметилэтилендиамин) в качестве диспергирующего в-ва. ЧС III получают р-цией III с галоидальным с длинной цепью, напр., с цетил- или лаурилбромидом. Совместно применяемые I и II значительно более активны, (напр., против *Staphylococcus aureus*) в меньших конц-ях, чем применяемые порознь в более высоких конц-ях. Кроме I, II и ЧС III в составы могут входить вязкие носители, напр., глицерин или пропиленгликоль, водн. носители, забуференные до pH 6,1, сосудосуживающие в-ва, основания мазей и носители для суппозиторий. Предложены следующие составы (в вес. %): а) сульфата I — 0,1—0,5, II — 0,001—0,01, хлоргидрата III — 0,5—5,0, хлоргидрата фенилэфрина — 0,1—0,5, ЧС III — 0,025—0,1 в водн. среде, забуференной фосфатным буфером до pH 6,1 (pH слизи носоглотки); б) сульфата I — 0,1—0,5, II — 0,001—0,1 и ЧС III 0,01—0,1, диспергированных в основании мази; в) хлоргидрата III — 0,5—5,0, сульфата I — 0,1—0,5, II — 0,001—0,01 и ЧС III 0,025—0,1 в смеси глицерина и пропиленгликоля (для лечения уха) и г) сульфата I — 0,1—0,5, II — 0,001—0,01 и ЧС III 0,01—0,1 в носителе для суппозиторий. В примерах приведены рецептуры составов с изменениями в указанных выше пределах с применением консервирующих в-в (метил- и (или) пропил-п-оксибензоатов), гидрофильных и гидрофобных оснований мазей, связывающих гелеподобных носителей (гуммиарабика, трагаканта, смолы акации, метилцеллюлозы и алгината Na) и масла какао или моностеарата пропиленгликоля (для суппозиторий).

Ю. Вендельштейн

22491 П. Способ получения средства против опухолей — калиомидина. Ямамото, Умэсава (抗腫瘍物質カリオマイシンの製法. 山本正, 梅澤浜夫) [財団法人日本抗生物質学術協議会, Дзайдин ходин нихон кансёй бусицу гакаудзюу кёгикай]. Японск. пат. 396, 26.01.55

Калиомидин (I) получают выражением *Streptomyces filamentosus* o-Kami et umezawa в питательной среде (ПС); последнюю при нейтр. или кислой р-ции отделяют от микроорганизмов и извлекают из нее I. В ПС, содержащей глюкозы 1%, мясного экстракта 0,5%, пептона 0,5% и NaCl 0,5%, при pH 7 и t-ре 26—28° в течение 72 час. разводят *S. filamentosus*, центрифугированием отделяют от микроорганизмов 170 л жидкости, которую при pH 2 извлекают 85 л бутилацетата. Экстракт упаривают при 50—60° в вакууме до сиропообразного состояния и извлекают 2 л C_6H_6 из бензольного р-ра удалая в вакууме р-рителя, причем получают в остатке ~ 50 мл сиропа, содержащего I. При инъекции 1 мл этого сиропа белым мышам, зараженным раком Йосида, через 2—4 часа происходит разрушение опухолевых клеток; в результате $\sim 50\%$ мышей выжило. 5 л той же ПС, после 4 дней культивирования на ней *S. filamentosus*, извлекают 2,5 л этилацетата, отгоняют в вакууме этилацетат и остаток извлекают 200 мл петр. эфира, после отгонки р-рителя в вакууме получают 100 мл сиропа, содержащего I.

С. Петрова

22492 П. Способ деполимеризации декстрана в нейтральной среде. Лиллиеншюльд, Вилленберг (Verfahren zum Abbau von Dextran in neutralem Medium. Lillienstjöld Montagne von, Willenberg Werner), [Montagne von Lillienstjöld], Пат. ФРГ, кл. 30 h, 2/30. № 938209, 26.01.56

Деполимеризацию декстрана (Д) проводят в нейтр. водн. среде при $\sim 120^\circ$ (предпочтительно при $120-160^\circ$) под давлением и в присутствии нейтр. соли, предпочтительно NaCl, причем сырой Д перед обработкой подвергают набуханию в конц. р-ре соли. Патентуемый способ позволяет получать р-ры Д любой вязкости, не окрашенные продуктами окисления, не содержащие редуцирующих сахаров и выдерживающие стерилизацию без изменения степени полимеризации. Примеры: а) 100 г сырого Д дают набухнуть в р-ре 125 г NaCl в 400 мл воды, прибавляют 1,6 л воды, полученную массу нагревают 3 часа в автоклаве с мешалкой при 120° и получают фильтрат с относительной вязкостью (ОВ) 1,82 при общем содержании сухого в-ва (ССВ) 5,92%, соотв. 2,28% Д. Для отделения от NaCl переосаждают в спирте и получают Д с содержанием 12,3% NaCl и ОВ в водн. р-ре 3,33 при ССВ 6,07%, соотв. 5,32% Д; б) как а, но сначала несколько минут при 145° , затем 1 час при 130° , после чего нерастворенным осталось 4,7% загруженного Д; ОВ 1,62 при ССВ 5,68%, соотв. 2,21% Д; после осаждения в сп. получен р-р Д с ОВ 2,94 при 6,04% остатка (из них 0,19% NaCl); в) как а, но 1 час при $150-155^\circ$ и получают очень подвижный р-р с ОВ (после фильтрования) 1,255 при 6,02%; после удаления главной массы NaCl ОВ 1,69 при ССВ 6,11%, из них 0,75% NaCl и 5,36% Д.

Ю. Вендельштейн
22493 П. Терапевтический препарат для приема внутрь (Therapeutic preparation for oral administration) [American Home Products Corp.], Англ. пат. 721514, 5.01.55

Патентуется препарат для лечения атеросклероза, содержащий холин или его соли (одно- и трехзамещенный цитрат, хлоргидрат, битартрат), инозит и поверхностноактивные в-ва неионного (напр., полиоксиэтиленлаурат), анионного (напр., тетрадецилсульфат Na) или катионного (напр., бромистый лаурилтриметиламмоний) характера. Препараты применяются в форме капсул, которые, кроме главных ингредиентов, могут содержать также глицерин, сахар, сахарин, апельсиновое масло и Na-соль бензойной или пропионовой к-ты.

А. Травин
22494 П. Светозащитная мазь. Энгельхард, Хальтер, Бретт (Lichtschutzsalbe. Engelhard Hermann, Halter Klaus, Brett Reinhart), Пат. ФРГ 919505, 25.10.54

В качестве в-в, поглощающих УФ-лучи, мазь содержит галоидированный (в частности, в пара-положении, предпочтительно бромом) бензил- α -пиридилдиметиламиноэтиламины (I) или его соль, а также л-аминосалициловую к-ту или ее соль, в том числе ее соль с I. Эти в-ва не вызывают раздражения кожи и, благодаря их местноанестетич. свойствам, оказывают одновременно болеутоляющее действие при ожогах. Действие мази усиливается при введении в нее небольших кол-в красителей, обычно применяемых в пудре для лица, напр. охры или ализаринового краплака.

Я. Кантор
22495 П. Индикатор для стерилизации облучением частицами с высокой энергией. Голдблит (Indicator for high energy radiation sterilizing processes. Goldblith Samuel A.), Пат. США 2738429, 13.03.56

Предложена упаковка (У), приспособленная для прохождения через подлежащее стерилизации лекарственное или другое в-во высокой лучистой энергии

и имеющая штампованную метку на наружной стороне У, сделанную спец. индикатором (И), представляющей собой композицию тетраэзолиевой соли с другими составными частями И-смеси. И, будучи подвергнут действию энергии в 100 000 эв в кол-ве $> 10 000$ фэр, превращается в четко-окрашенный вишнево-красный или пурпурный продукт, благодаря образованию краски формазанового типа, вследствие р-ции с продуктами ионизации воды под влиянием лучистой энергии. В примерах приведены составы бесцветных типографских чернильных штампов для указанной цели: 1) желтый декстрин (10 ч.), гуммиарабик (35), глицерин (20), вода (35), сантоцел С-мягкий силикагель (4), бензоат Na (2), дианизол-бис-дифенилтетразолий-хлорид (0,25); 2) растворимый в воде поливиниловый спирт (30), глицерин (10), вода (70), бензоат Na (2), дианизол-бис-дифенилтетразолийхлорид (0,5).

Л. Михельсон
22496 П. Способ очистки препаратов для инъекций от жароповышающих веществ. Судзук, Мидзугути (注射用薬物の發熱性物質除去法. 鈴木周一, 水口純). Японск. пат. 7899, 29.11.54

Р-ры для инъекций с целью удаления жароповышающих в-в обрабатывают хлоранилом, бензохиноном, толухиноном, нафтохиноном, антрахиноном или другими производными хинонов. 1 л 20%-ного р-ра глюкозы нагревают с 5 г л-бензохинона, оставляют стоять 5 час. при 20° , прибавляют небольшое кол-во активированного угля и после фильтрования получают р-р, не содержащий жароповышающих в-в. К 1 л $\sim 5\%$ -ного р-ра Са-соли глюконовой к-ты (I) прибавляют 100 г $\sim 1\%$ -ного спирт. р-ра антрахинона и 10 г мела, перемешивают 8 час. при $\sim 40-80^\circ$, по охлаждению фильтруют, после обезвреживания активированным углем получают р-р чистой I, который вместе с мелом упаривают под вакуумом до значительного пересыщения, фильтруют горячим, охлаждают, вносят затравку кристаллов и через 1 день выделяют зернистые кристаллы очищ. I. С. Петрова

22497 П. Светостойкий препарат витамина B₂ для инъекций. Яги (光に安定なビタミンB₂注射液の製造. 八木千代光). Японск. пат. 8200, 11.12.54

Водный р-р, содержащий 100 μ /мл витамина B₂, обрабатывают птерином, напр. 100 μ /мл ксантоптерина, после чего прибавляют 0,85% NaCl.

Э. Тукачинская
22498 П. Способ приготовления стойких, активных растворов или суспензий антибиотических средств. Мюктер (Verfahren zur Herstellung von haltbaren und gut wirksamen Lösungen oder Suspensionen antibiotischer Mittel. Mückter Heinrich) [Chemie Grünenthal G. m. b. H.], Пат. ФРГ 942534, 3.05.56

Способ основан на том, что антибиотик (пенициллин, стрептомицин или комбинированные препараты их) и водн. вытяжка из *Echinacea* суспендируются или растворяются в суспензии, р-рителе или смеси р-рителей, или в воде. Напр., р-р 50 000 м. е. пенициллина-G-Na в 2 мл дважды перегнанной воды через 24 часа обладают активностью в 40 000 м. е., а через 120 час. — действием в 8000 м. е. Напротив этот р-р, к которому прибавлена водн. вытяжка из *Echinacea purpurea* Moench, через 24 часа еще обладает активностью в 40 000 м. е., а через 120 час. активностью в 32 000 м. е. Приведено еще 5 других примеров.

Л. Михельсон
22499 П. Инъекционный препарат пенициллина в масле. Идэ, Ода, Гото (ベシリン油性製剤の製造方法. 井出勝彦, 小田武, 後藤諒) [八洲化学株式会社, Ясу кагаку кабусики кайся]. Японск. пат. 8199, 11.12.54

К персиковому маслу прибавляют 2% смеси поливинилацетата и поливинилового спирта (5:6) и на-

гревают при 100°. 1 мл полученного р-ра соединяют с 300 000 ед. прокаинпенициллина. Э. Тукачинская
 22500 П. Водная суспензия прокаинпенициллина. Аухаген, Бауэр (Aqueous suspension of procaine penicillin. Auhagen Ernst, Bauer Klaus) [Schenley Industries, Inc.]. Пат. США 2731387, 17.01.56

Патентуется способ приготовления пригодных для инъекции высокопроцентных устойчивых водн. суспензий прокаинпенициллина (I) и других нерастворимых в воде производных пенициллина. В качестве стабилизатора применяют 0,1—1% очищ. бычьей желчи или очищ. щел. солей 3-окси-II (II — холановая к-та), 3,12-диокси-II, 3,7-диокси-II и 3,7,12-триокси-II. Суспензии могут содержать также защитные коллоиды. Для приготовления препаратов смешивают, напр.: 1 ч. I с 2 ч. 0,2%-ного водн. р-ра очищ. бычьей желчи, можно также прибавить коллоиды, напр. Na-карбоксиметилцеллюлозу и буферных в-в, или 1 ч. I с 2 ч. 0,7%-ного водн. р-ра Na-соли 3,12-диокси-II; 1 ч. I с 2 ч. 0,2%-ного водн. р-ра очищ. бычьей желчи, содержащего 0,5% поливинилпирролидона или 0,1% гуммиарабика; 1 ч. 3-н-бутокси-N-изобутилбензиламиновой соли пенициллина с 4 ч. 1%-ного водн. р-ра очищ. бычьей желчи. А. Травин

22501 П. Способ получения растворов 1,3-замещенных ксантинов. Кох, Вейсенбургер (Verfahren zur Herstellung von Lösungen von in 1,3-Stellung substituierten Xanthenen. Koch Rupprecht, Weissenburger Helmut) [Byk-Gulden Lomberg, Chemische Fabrik G. m. b. H.]. Пат. ФРГ 944518, 14.06.56

Для приготовления устойчивых инъекционных р-ров теофиллина (I) и кофеина предложено применять соли моно- или дикарбоновых к-т пиридинового ряда с неорганич. и органич. основаниями (щел. и щел.-зем. металлы, аммоний, этилендиамин (II), оксиэтиламин, диэтанолламин, триэтанолламин, бутиламин, эфедрин, адреналин, папаверин, хинидин и т. д.), а также амиды и сложные эфиры этих к-т. К р-рам с нейтр. pH могут быть добавлены другие физиологически активные в-ва (глюкозы, строфантин, дигитоксин и т. п.). Смесь 2 г I, 4 г Na-соли никотиновой к-ты (III — к-та), (или Na-соли α -пикотиновой) и 50 мл воды нагревают до растворения и после охлаждения добавлением воды доводят объем р-ра до 100 мл; получают р-р с pH 6,9. Аналогично готовят р-ры из 2 г I, 3 г III, 1,075 г 70,5%-ного $\text{NH}_4\text{CH}_2\text{CH}_2\text{NH}_2$ и 50 мл воды или из 2 г I, 3,5 г амида III и 50 мл воды. Добавлением небольшого кол-ва III (в первом случае) или ~6,75 мл 0,1 н. р-ра NaOH (во втором случае) pH р-ров доводят до 6,8.

А. Травин
 22502 П. Кальциевая соль этилендиаминтетрауксусной кислоты. (Calcium ethylene diamino tetraacetate) [Farbenfabriken Bayer A. G.]. Англ. пат. 733105, 6.07.55

В качестве кальциевого лекарственного препарата для приема внутрь патентуется гексагидрат дикальциевой соли этилендиаминтетрауксусной к-ты (I, к-та). Препарат получают: а) взаимодействием водн. суспензии I с 2 молями $\text{Ca}(\text{OH})_2$ или CaCO_3 ; соль кристаллизуется при стоянии; б) взаимодействием солей, образованных 1 и 4 эквивалентами щел. металла, аммония или амина, с 2 молями CaCl_2 в водн. среде; в) взаимодействием CaNa_2 -соли I с 1 молем CaCl_2 в водн. среде. А. Травин

22503 П. Препараты для рентгенографии органов и полостей тела (Compositions for the X-ray visualization of the organs and cavities of the body) [Dow Chemical Co.]. Англ. пат. 736432, 7.09.55

Патентуются препараты для рентгенографии, со-

держающие $\geq 50\%$ свинцово-натриевых внутрикомплексных производных синтетич. полиаминополикарбоновых к-т: этилен- или пропилендиамин I (I — тетрауксусная к-та), триметилендиамин I, 1,2-диаминоциклогексан I, моно-(оксиэтил)-этилендиамин триуксусной к-ты, монобензилэтилендиамин триуксусной к-ты. Na_2Pb -этилендиамин I получают смешением небольшого избытка карбоната Pb с к-той и подщелачиванием смеси р-ром NaOH до pH 7,3; осадок, содержащий избыток Pb, удаляют фильтрацией.

А. Травин
 22504 П. Противоядие от яда гадюки. Такадзи, Сэкигута (蛇毒の解毒注射液の製法. 高地良平, 開口源治). Японск. пат. 6599, 15.10.54

50 ч. вероната в 200 ч. воды обрабатывают р-ром 20 ч. $\text{CuSO}_4 \cdot 5\text{H}_2\text{O}$ в 100 ч. воды. Осадок фильтруют, промывают водой и обрабатывают 200 ч. 10%-ного NH_4OH , получают комплексную соль с pH 11. Этот р-р обрабатывают 300 мл 5%-ного NH_4 -альгината и получают 500 мл р-ра, содержащего 60 ч. комплексной соли; 1—2 мл р-ра применяют для внутримышечных и подкожных инъекций. Э. Тукачинская

22505 П. Массы для пломбирования зубов (Dental impression composition) [Dental Perfection Co.]. Англ. пат. 727520, 6.04.55

Указанная масса содержит загущающий компонент, состоящий из Na-, K- или NH_4 -карбоксиметилцеллюлозы; металлч. соль, образующую с ними в р-ре эластичный гель и фтористую соль щел. металла, способную образовывать твердую и гладкую поверхность. В качестве металлч. соли берут: гидратированный сульфат Ca, моносилкат Pb, дисилкат Pb, основной сульфат Pb, основной карбонат Pb, BaSO_4 , силикат Zn, силикат циркония и соли Sr. Прибавляют также замедлители: Na_2CO_3 , полифосфат Na, о-, м- и пиррофосфат Na и соли щел. металлов замещ. к-т этилендиамина, а также наполнители: порошкообразный тальк, глину, инфузорию землю, CaCO_3 и SiO_2 . Л. Михельсон

22506 П. Волокнистые вещества для тампонов и подобных им материалов. Хемстед (Fibrous materials, more especially for tampons and the like. Hemsted C. E.). Англ. пат. 735370, 17.08.55

Растворимые тампоны готовят из растворимых волокнистых в-в различных физ. и хим. свойств, комбинируемых в разных соотношениях. Напр., в массу могут входить волокна из альгината и эфира целлюлозы, пропитанные биологически активными или терапевтически эффективными в-вами. На ткани одного рода растворимого волокна располагают слой волокна другого рода, и такую комбинированную ткань затем режут на короткие отрезки и скатывают в цилиндр. тампоны. Л. Михельсон

22507 П. Способ консервирования разлагающихся веществ. Бем (Verfahren zur Konservierung zersetzlicher Stoffe. Boehm Erich) [Nipa Laboratories Ltd. und Dr. Erich Boehm.]. Пат. ФРГ 947827, 23.08.56

Для консервирования различных в-в патентуется применение таких моноэфиров этиленгликоля, одна OH-группа которого этерифицирована чисто ароматич. группой, напр. фенильной или нафтильной, а также смесей одного из них или их смеси с монометилловым, моноэтиловым, монопропиловым или монобутиловым эфиром этиленгликоля или с их смесью. Эти эфиры применяют как таковые или внесенные в р-ритель, эмульгатор, субстрат или основу. Антисептич. действие, напр. бактерицидное, значительно повышается при применении смеси указанных эфиров. Примеры: мазь для дезинфекции из 2,5 ч. монофенилового эфира этиленгликоля (I), 7,5 ч. гли-

церина или этиленгликоля и 90 ч. вазелина (также смеси I с моно-н-бутиловым эфиром (II) пропиловым или бензиловым эфиром этиленгликоля); дезинфицирующая пудра для лица из 2 ч. I и 98 ч. порошка талька, крахмала или их смеси; консервирующий р-р яичного белка препарат из 1 ч. I, 1 ч. II и 98 ч. р-ра белка; добавление к желатине, содержащей 3% глюкозы, 1 ч. I или 0,4% моно-н-хлорфенилового эфира этиленгликоля (III) предохраняет от инфицирования плесенью, бактериями брожения и другими везде присутствующими микроорганизмами; добавление 1,2% I или 0,5% III сохраняет несколько недель стерильность мясного бульона или сыворотки; смесь 4 ч. II и 1 ч. I и 95 ч. крахмальной пасты предохраняет последнюю от гниения даже во влажном помещении; 2 ч. моно-β-нафтилового эфира этиленгликоля (IV) (или смесь IV с α-нафтиловым эфиром этиленгликоля (по 0,75%) или смесь 0,5% моно-α-хлорфенилового эфира этиленгликоля и 0,5% III) с 98 ч. молочного сахара убивает болезнетворные бактерии, напр. *Streptococcus pyogenes* в несколько мин.; для всех видов дезинфекции применяют смесь, содержащую 3 ч. II и 1 ч. I, 0,5 ч. III; и 97 ч. воды; прибавление 0,5% I и 0,2% III к латексу каучука защищает последний от плесневения; р-р 2% II, 2% I и 0,2% III в дистил. стерильной воде стерилизует кетгут; для стерильного хранения инструментов и аппаратов применяют р-р 2% I и 2% II в стерильной воде. Приведена таблица активности патентуемых эфиров против ряда бактерий.

Н. Эвергетова

См. также: Лекарств. в-ва: общие вопросы 9368Бх; органич. 21349, 21390, 21405, 21411, 21413, 21416, 21457, 21459—21464, 21467, 21475, 21478, 21481, 21490, 21498, 21499, 21634, 22361, 22374; 8620Бх, 9401Бх, 9455Бх. Природные в-ва животного происхождения 21623. Глюкозиды 9410Бх. Гликозиды 8799Бх, 8806Бх, 9411Бх. Витамины 21470, 21610—21613; 8212Бх, 8438Бх, 8439Бх, 8602—8604Бх. Гормоны 21578, 21580, 21581, 21589, 21590; 8531Бх, 8597Бх, 8598Бх. Антибиотики 21614; 8629Бх, 8632Бх, 8634Бх, 8639Бх. Лекарств. формы 9462Бх. Анализ 21233; 8214—8216Бх, 8222Бх, 8224Бх, 8261Бх.

ПЕСТИЦИДЫ

Редакторы Ю. А. Васкаков, Н. Н. Мельников

22508. Получение и инсектицидная активность диалкилтиофосфорилмеркаптантарных кислот и их производных. Брукнер (A dialkoxitiofoszforilmerkaptoborostyánkösav és néhány származékának előállítása és inszekticid hatása. Bruckner Györgyi), Növénytermelés, 1956, 5, № 4, 343—348 (венг.; рез. русск., англ.)

Ряд производных диалкилтиофосфорилмеркаптантарной к-ты с общей ф-лой $(RO)_2P(S)(S)(CH_2COOR')$ — CH_2COOR' (I) получен присоединением при 20° диалкилдитиофосфатов (II) к ангидриду (III), к-те и моноалкиловым эфирам малеиновой к-ты. Одностадийным методом получения из II, III, воды или спирта получены следующие I (дано R, R', R'', n²⁰D, t-ра разложения, гибель *Doralis fabae* (в %) при экспозиции (в час.) с 1%-ным dustom в-ва): CH₃, H, —, 102°, 0,24; C₂H₅, H, H, —, 85°, 40, 24; CH₃, CH₃, H, 1,5156, —, 100, 7; CH₃, C₂H₅, H, 1,5133, —, 70, 24; C₂H₅, CH₃, H, 1,5084, —, 30, 24; C₂H₅, C₂H₅, H, —, 1,5026, 20, 24; CH₃, CH₃, CH₃, 1,5078, —, 100, 1; CH₃, C₂H₅, C₂H₅, 1,4943, —, 100, 4; C₂H₅, CH₃, CH₃, 1,4962, —, 100, 1; C₂H₅, C₂H₅, C₂H₅, 1,4881, —, 100, 6, а также (показате-

ли те же): (CH₃O)₂PSCHC(O)OC(O)CH₃, 1,5433, —, 100, 24; (C₂H₅O)₂P(S)SCHC(O)OC(O)CH₃, 1,5258, —, 0, 24.

22509. Применение инсектицидов на фермах. (Some uses of insecticides on the farm.—), N. Z. J. Agric., 1956, 93, № 4, 325, 327 (англ.)

Для борьбы с вредителями на старых пастбищах рекомендуют ДДТ (2,24 кг/га); на новых пастбищах, засеянных кормовыми травами, люцерной, шпиней на зеленый корм и кормовой капустой — ДДТ (1,12 кг/га) и линдан (0,56 кг/га); с вредителями зерновых культур — ДДТ (1,12 и 2,24 кг/га), с вредителями кормовых культур (рапс, брюква, турнепс и браункалл) и с семенниками капусты — линдан (0,56 кг/га).

А. Седых

22510. Устойчивость *Culex quinquefasciatus* на острове Окинава к хлороорганическим инсектицидам. Джентри, Хьюберт (Resistance of *Culex quinquefasciatus* to chlorinated hydrocarbons on Okinawa. Gentry James W., Hubert Alexander A.), Mosquito News, 1957, 17, № 2, 92—93 (англ.)

На острове Окинава в результате широкого применения ДДТ в борьбе с комарами выработалась устойчивость их к ДДТ, которая впервые отмечена в 1954 г., а в 1955 г. в результате лабор. опытов установлено, что личинки комара *Culex quinquefasciatus* приобрели устойчивость к ДДТ и хлордану (I). Лабор. опыты 1955—1956 гг. подтвердили наличие устойчивости этого вида комара к ДДТ, I и другим хлороорганич. инсектицидам и определили ее величину. LD₅₀ в мг/л для личинок *C. quinquefasciatus*: ДДТ 1—0,6; I 1,2; дильдрин 0,2; линдан 0,2, малатион 0,01. Восприимчивой расы в опытах не было, но по литературным данным степень устойчивости изученной расы весьма высока.

Ю. Фадеев

22511. Инсектициды и сортовая устойчивость тыквенных в борьбе с *Melittia cucurbitae* (Harr.) на юго-западе Онтарио. Миллер (Insecticides and varietal resistance in the control of the squash vine borer, *Melittia cucurbitae* (Harr.), in southwestern Ontario. Miller L. A.), Canad. J. Agric. Sci., 1956, 36, № 4, 309—313 (англ.)

Обработка тыквенных альдрином (2,5%), дильдрином (2,5%), метоксихлором (3%) и ДДТ (3%) при норме расхода 11,2—16,8 кг/га полностью уничтожила гусеницы *Melittia cucurbitae* (Harr.).

А. Седых

22512. Продолжительность действия почвенных инсектицидов в борьбе с проволочниками, повреждающими овощные культуры. Ланг, Карлеон (Residual soil insecticides for the control of wireworms affecting vegetable crops. Lange W. Harry, Carlson Elmer C.), Hilgardia, 1956, 26, № 1, 60—75 (англ.)

Приведены результаты 7-летних опытов (1947—1953 гг.) по борьбе с проволочником в основном *Leptotus canus* (Le Conte) с помощью внесения в почву хлороорганич. инсектицидов (указаны инсектицид, дозы (кг/га) и продолжительность действия (в годах)): ДДТ, 11,2—44,8, 4,5; хлордан, 5,6—11,2, 1,0—2,0; альдрин, 2,24—5,6, 1,5—2,0; дильдрин 2,24—5,6, 2,0—2,5; гептаклор, 2,24—5,6, 1,0—2,0; γ-ГХЦГ, 0,28—1,12, 1,0—2,5 и линдан 0,28—2,24, 1,0—3,5. Эндрин и изодрин эффективны в дозах 2,24—5,6 кг/га, но продолжительность действия еще не определена. Паратион в дозе 5,6 кг/га дает прекрасный начальный эффект, но действует кратковременно и не может обеспечить достаточной степени защиты.

Ю. Фадеев

22513. Строение и действие биологически активных соединений. Сообщение IV. Несодержащие фосфора галоидсодержащие органические инсектициды.

Перков (Konstitution und Wirkung biologisch aktiver Verbindungen. IV. Mitteilung. Weitere halogenhaltige, phosphorfreie organische Insektizide. Perkow Werner), Z. Naturforsch., 1957, 12b, № 2, 92—95 (нем.).

Носителем биологич. активности пестицидов являются во всех случаях только органич. часть молекулы или отдельные ее атомы. Существующее в таких «биологически активных центрах» (АЦ) распределение электронов одинаково для всех членов биологически активной группы родственных соединений. Напр., соединения группы ДДТ отличаются пониженной плотностью электронов у находящегося в середине молекулы третичного атома С. Введение других заместителей к этому атому повышает или снижает плотность электронов, что сказывается в изменении инсектицидной активности (ИА) соединений. АЦ являются основной частью молекулы инсектицида, которая вступает в обменную р-цию с ферментом, строение других частей молекулы инсектицида должно только облегчать это взаимодействие. Незначительное изменение тонкой структуры отдельных частей молекулы без изменения АЦ может привести к сдвигу спектра действия инсектицида. При замене в молекуле ДДТ атома Н у третичного атома С на гидроксил плотность электронов не меняется, и полученное соединение действует на нервную систему насекомых. Однако спектр действия соединения меняется: образовавшийся ди-*n*-хлорфенилтрихлорэтанол теряет ИА, но приобретает акарицидную активность. По-видимому, акарицидное действие соединения тесно связано с наличием гидроксила, так как последний содержится и в молекуле других акарицидов: этиловом эфире 4,4'-дихлорбензиловой к-ты, ди-*n*-хлорфенилэтаноле и *n*-хлорфенилтрихлорметилкарбиноле. Ди-*n*-хлорфенилтрифторэтан, близкий аналог ДДТ, также имеет акарицидные свойства. Во всех этих соединениях АЦ образуется благодаря индуктивному действию *n*-хлорфенильных групп. Пониженная плотность электронов у центрального атома С имеется в молекулах акарицидов: ди-*n*-хлорфенилметане, *n*-хлорбензил-*n*-хлорфениловом эфире и ди-*n*-хлорфеноксиметане. В последних двух случаях сдвиг электронов вызывают *n*-хлорфеноксигруппы. Зависимость биологич. активности от изменения плотности электронов вокруг центрального атома вследствие индуктивного влияния *n*-хлорфенильных групп подтверждается также отсутствием ИА у родственных ДДТ соединений — ди-*n*-хлорфеноксиметане и ди-*n*-хлорфеноксипропане. У хлорированных инсектицидов — гентахлора, хлордана, альдрина и дильдрина, также имеются АЦ с сильно пониженной плотностью электронов. Некоторые алифатич. галогенированные углеводороды (CHCl_3 , CCl_4 , трихлорэтан, C_2Cl_6 , дихлорпропан, дихлорпропен и др.), имеющие атом С с пониженной плотностью электронов, обладают инсектицидным и наркотич. действием на теплокровных. Галогид может быть заменен другими атомами или группами, имеющими сродство с электронами, как напр. в случае инсектицидов: нитрометан, трихлорацетонитрил и пикрилхлорид. Атом галогена не является носителем инсектицидного действия, он снижает плотность электронов у активного С-атома и повышает растворимость соединения в липидах. Предлагаемый механизм АЦ приложим к другим биологически активным в-вам. Сообщение III см. РЖХим, 1958, 4793Бх.

К. Бокарев

22514. Метаболизм и избирательность действия О,О-диметил-2,2,2-трихлор-1-оксипропанфосфоната и его ацетильного и винильного производных. Артур, Касида (Metabolism and selectivity of O,O-dimethyl 2,2,2-trichloro-1-hydroxyethyl phosphonate and its

acetyl and vinyl derivatives. Arthur B. W., Casida J. E.), J. Agric. and Food Chem., 1957, 5, № 3, 186—192 (англ.).

Приведен синтез и исследован метаболизм и избирательная токсичность меченых P^{32} О,О-диметил-2,2,2-трихлор-1-оксипропанфосфоната (I) (L 13/59), О,О-диметил-2,2,2-трихлор-1-ацетоксиэтилфосфоната (II) и О,О-диметил-2,2-дихлорвинилфосфоната (III), образующегося при дегидрохлорировании I. P^{32}Cl_3 , полученный хлорированием P^{32} , медленно прибавляют к 3 г-ам безводн. CH_3OH , образовавшийся при этом $(\text{CH}_3\text{O})\text{P}^{32}\text{OH}$ смешивают с эквимолекулярным кол-вом хлорала и выделяют с 34%-ным выходом I (уд. активность 1 мкюри/г). I очищен на колонке, наполненной гелем Si (IV), элюированием CHCl_3 . Продукт содержит хлоралгидрат. Из части радиоактивного I обработкой $(\text{CH}_3\text{CO})_2\text{O}$ получают II с выходом 70%, уд. активность II 1 мкюри/г. II очищен на колонке, наполненной IV, элюированием $n\text{-C}_6\text{H}_{12}$. Другую часть радиоактивного I дегидрохлорируют эквимолекулярным кол-вом спирта. КОН, выход III 62%, уд. активность 1 мкюри/г. Метаболизм I в организме собак изучали при помощи биоанализа личинок 3-го возраста *Aedes aegypti* L. Распределение I в органах насекомого изучали на *Periplaneta americana* L. Антиэстеразная активность I, II и III зависит от способности соединений диметилфосфорилировать ферментативно активные центры. III более токсичен, но обладает меньшей избирательностью действия. II способен энзиматически диацетилироваться с образованием более активного I. Большую активность I можно объяснить образованием водородной связи между I и эстеразой. Ни одним из испытанных методов не удалось доказать дегидрохлорирования I in vivo с образованием III. Низкую токсичность I для животных можно объяснить гидролизом фосфоната эстеразой сыворотки и выведением трихлорсодержащей части молекулы с мочой в виде трихлорэтилглиокорида. Изучена фитотоксичность, летучесть и разложение in vivo в различных насекомых и растениях, а также скорость кислотного и щел. гидролиза I, II и III. При pH 11,6 I дегидрохлорируется, перегруппировывается и дает III, который затем гидролизуются. Для II фосфонатное расщепление в щел. среде идет быстрее, чем диацетилирование. В кислой среде устойчивости соединений падает в ряду: I > II > III.

К. Швецова-Шилова

22515. Метаболизм в растениях дитиосистокса и тимета. Меткаф, Фукуто, Марч (Plant metabolism of dithio-Systox and Thimet. Metcalf Robert L., Fukuto T. R., March Ralph B.), J. Econ. Entomol., 1957, 50, № 3, 338—345 (англ.).

Для изучения метаболизма в бобах, люцерне, хлопчатнике и лимонах синтезированы в чистом виде меченые P^{32} дитиосистокс (I), тимет (II) и их метаболиты, образующиеся в растениях. 4 г красного P^{32} , 10,2 г S и 1,74 г P_2S_5 нагревали в токе N_2 до плавления, затем 5 час. при 280° охлаждали до 80° , прибавляли 15 мл C_6H_6 и 13,2 г абс. $\text{C}_2\text{H}_5\text{OH}$, нагревали при кипении 6—8 час., отфильтровывали и получали 7,5 г $(\text{C}_2\text{H}_5\text{O})_2\text{P}^{32}(\text{S})\text{SH}$ (III), т. кип. $50^\circ/0,3$ мм. К 0,57 г $(\text{NH}_4)_2\text{CO}_3$. H_2O в 20 мл C_6H_6 прибавляли 1,3 г III, нагревали до исчезновения осадка, прибавляли 1,21 г $\text{ClCH}_2\text{CH}_2\text{SC}_2\text{H}_5$, нагревали несколько часов при кипении, промывали H_2O , сушили, отгоняли C_6H_6 под вакуумом и получали 99%-ный I. R, I для хроматографирования на пропилленгликолевой бумаге 0,99, J_{50} I для холинэстеразы головы мухи $> 1 \times 10^{-4}$ M (ниже R, и J_{50} приведены для тех же объектов). К 10 г I в 15 мл ацетона прибавляли эквивалентное кол-во 30%-ной H_2O_2 , нагревали 1 час при 50° , прибавляли Na_2SO_4 , оставляли на 3 дня,

отфильтровывали, отгоняли, р-ритель, остаток растворяли в C_6H_6 , промывали H_2O , сушили, подвергали мол. разгонке типа падающей пленки и получали 5 г O , O -диэтил- S -этил-2-сульфинилэтилдитиофосфата (IV), т. кип. $150^\circ/0,05$ мм, R_f 0,18, J_{50} 7×10^{-5} М. O , O -диэтил- S -этил-2-сульфонилэтилдитиофосфат (V), т. кип. $170^\circ/0,1$ мм (мол. разгонка), R_f 0,64, J_{50} $3,5 \times 10^{-6}$ М), получен по Лоренцу (РЖХим, 1955, 32864) из 12 г $C_6H_5SO_2CH=CH_2$ и 18,6 г III. К 2 г III в 15 мл ацетона прибавляли 0,75 г K_2CO_3 и 1,3 г $C_6H_5SCH_2Cl$ (VI), смесь перемешивали 2 часа при 20° , отфильтровывали через целит, отгоняли р-ритель и получали II, радиоактивность которого составляла 99% исходной, R_f 0,99, J_{50} $2,5 \times 10^{-5}$ М. К 30 г Na -соли диэтилтиофосфата в 100 мл безводн. толуола прибавляли 17,3 г VI, перемешивали 2 часа при 50° и получали O , O -диэтил- S -этилмеркаптометилтиофосфат (VII), т. кип. $110^\circ/0,1$ мм, n_D^{20} 1,4925, R_f 0,53, J_{50} 5×10^{-7} М. К смеси 10 г VII и 50 мл $CHCl_3$ прибавляли при 0° 6 г C_6H_5COOH (VIII) в 190 мл $CHCl_3$, смесь оставляли на ночь при 0° и получали $(C_6H_5O)_2P(O)SCH_2S(O)C_2H_5$ (IX), т. кип. $150^\circ/0,2$ мм, n_D^{20} 1,4981, R_f 0,0, J_{50} 4×10^{-7} М. $(C_6H_5O)_2P(O)SCH_2SO_2C_2H_5$ (X) (т. кип. $170^\circ/0,1$ мм, n_D^{20} 1,4863, R_f 0,05, J_{50} 1×10^{-7} М), получен аналогично IX с использованием двукратного избытка VIII. $(C_6H_5O)_2P(S)SCH_2S(O)C_2H_5$ (т. кип. $150^\circ/0,1$ мм, n_D^{20} 1,5365, R_f 0,31, J_{50} $3,7 \times 10^{-6}$) получен окислением II эквивалентным кол-вом VIII, как описано выше для IX. $(C_6H_5O)_2P(S)SCH_2SO_2C_2H_5$ (т. кип. $150^\circ/0,1$ мм с разложением, n_D^{20} 1,5251) получен окислением II двумя эквивалентами VIII. Определены также значения R_f и J_{50} (указаны в скобках) для следующих возможных метаболитов I: $(C_6H_5O)_2P(O)SCH_2CH_2SC_2H_5$ (0,80 и $3,5 \cdot 10^{-6}$ М), $(C_6H_5O)_2P(O)SCH_2CH_2S(O)C_2H_5$ (XI) (0,00—0,04 и $1,5 \cdot 10^{-6}$ М), $(C_6H_5O)_2P(O)SCH_2CH_2SO_2C_2H_5$ (XII) (0,03—0,08 и $6,0 \cdot 10^{-7}$ М). I и II абсорбируются и переносятся растениями примерно с одинаковой скоростью, составляющей 0,5—0,75 от скорости переноса тиолового изомера систокса, принятой за 1. Основным процессом метаболизма I и II является окисление. I очень быстро образует IV, который более медленно переходит в V. При окислении IV и V по тиоловой S образуется XI и XII. Через несколько дней и до 1 месяца после обработки I в растениях находятся IV, V, XI и XII, а I отсутствует. II ведет себя аналогично, но скорость метаболизма у него ниже.

К. Швецова-Шилова

22516. Применение в Калифорнии фосфорорганических препаратов для борьбы с москитами и комарами. Стайверс (Phosphate use in California mosquito control. Stivers John O.), Mosquito News, 1956, 16, № 2, 87—91 (англ.).

Паратон (0,112—0,084 кг/га) и малатион (0,56—0,366 кг/га) полностью уничтожали личинок и взрослых особей москитов и комаров. При применении этих препаратов в Калифорнии в течение 4 лет не было ни одного случая отравления людей со смертельным исходом. А. Седых

22517. Опыты по борьбе с личинками кожного овода с помощью системного инсектицида доу ЭТ-57. Джонс, Брандретт (Ranch tests against cattle grubs with the systemic insecticide Dow ET-57. Jones Robert Henry, Brundrett H. M.), Agric. Chemicals, 1957, 12, № 7, 45, 95—96 (англ.).

При пероральном введении коровам и телкам системного инсектицида доу ЭТ-57 в дозе 110 мг/кг получено значительное снижение пораженности скота кожным оводом (*Hypoderma lineatum* De Vill.): в одном опыте число личинок на 1 контрольное и об-

работанное животное в среднем было равно соответственно 12,2 и 1,6, что соответствует снижению пораженности на 86,9%, а в другом опыте число личинок на контрольных и обработанных животных было соответственно 13,4 и 1,8 (снижение на 84,9%). Ни в одном случае не отмечено токсич. действия препарата на животных.

22518. Токсичность 15 фосфорорганических инсектицидов для различных насекомых и крыс. Кругер, Касида (Toxicity of fifteen organophosphorus insecticides to several insect species and to rats. Krueger H. R., Casida J. E.), J. Econ. Entomol., 1957, 50, № 3, 356—358 (англ.).

Определена токсичность для насекомых и животных следующих фосфорорганических соединений (приводится в-во, токсичность (в мг/г) для *Blattella germanica* L., *Macrosiphum pisi* (Harris), *Attagea piceus* (Oliv.), *Prodenia eridania* (Crauv.), *Musca domestica* (L.), токсичные концентрации (в мг/л) для личинок *Aedes aegypti* и смертельные дозы (в мг/л) для взрослых крыс при подкожном впрыскивании): дитерена, 30, 20, > 1000, 2, 13, 0,09, 400; фосдрин, 7, 0,75, 7,5, 1,2, 1,0, 0,04, 0,8; параксон, 0,75, 0,5, 3, 1,8, 0,5, 0,01, 0,5; диэтил-2,4,5-трихлорфенилфосфат, 60, 2,5, 160, 4, 4,5, 0,045, 150; пиразоксон, 70, 30, > 1000, > 1000, 150, 6, 7; O -этил- O - n -нитрофенилфенилфосфонат, 2, 1,2, 10, 1,5, 1,5, 0,03, 0,6; диэтилопропилфторфосфат, 160, 5, > 1000, 90, 12, 0,9, 1,4; O -этил- O , O -бис-(n -нитрофенил)тиофосфат, > 1000, 600, > 1000, > 1000, > 1000, > 100; O -2-(этокси)-этил- O , O -диэтилфосфат, 45, 20, 120, 140, 30, 0,17, 500; O , O -диэтил-5-изопропилтиофосфат, 15, 0,75, 20, 85, 2, 0,001, 2; S -(2-оксирендиоэтил)- O , O -диэтилдитиофосфат, 180, 0,5, 980, > 1000, 120, 4,9; метилпаратон, 2, 0,5, 1,5, 3, 1,5, 0,0015, 6; малатион, 120, 0,75, 10, 18, 30, 0,04, 1000; прадап, > 1000, 10, > 1000, > 1000, > 1000, 37, 9; минафокс, 20, 20, 630, 80, 7, 9, 75.

22519. Относительная токсичность, синергетическая активность и парализующее действие для комарных мух опрыскиваний смесями пиперонилбутоксида с аллетрином, его транс-фракцией и изомерами. Герсдорф, Митлин, Пикетт (The relative toxicity, synergistic activity, and knockdown effectiveness of mixtures of piperonyl butoxide with allethrin and its trans-fraction and isomers as house fly sprays. Gersdorff W. A., Mitlin Norman, Piquett P. G.), J. Econ. Entomol., 1957, 50, № 2, 150—156 (англ.).

Испытаны смеси пиперонилбутоксида (I) с аллетрином (II), а также (10:1), с его *dl*-транс-фракцией (III) и изомерами *l-d* (IV), *d-l* (V), *l-l* (VI), *d*-аллетролон-*d*-трансхризантематом (VII). Смеси испытаны в р-ре очищ. керосина по методу вращающегося стола Кампбелла на *Musca domestica* (L.). Токсичность смесей II с I, III, IV, V, VI и VII по отношению к токсичности одного II равнялась соответственно: 3,03, 3,86, 1,93, 0,41, 0,029 и 10,34. В такой же степени повышалось и парализующее действие смесей.

22520. Эффективность инсектицидов на гранулированных глинистых носителях в борьбе с личинками комаров. Лабрек, Но, Гахан (Effectiveness of insecticides on granular clay carriers against mosquito larvae. Labrecque G. C., Noe J. R., Gahan J. B.), Mosquito News, 1956, 16, № 1—3, (англ.).

При лабор. испытаниях на личинках IV возраста *Anopheles quadrimaculatus* Say с 1%-ным гранулированным дильрином установлено, что наполнители пирофиллит В и диатомит более эффективны, чем атапульгит (А и В) или бентонит, хотя все они дают

хорошие гранулы (Г). Препараты с Г размером $\frac{1}{16}$ — $\frac{1}{8}$ меш дали равный эффект. Г, сделанные с использованием высоколетучих р-рителей (CCl₄, гексан, ацетон, бензин и ксилол) и р-рителей с низкой летучестью (дизельное топливо, высокомолекулярные спирты и керосин), также равны по эффективности. 1%-ные, гранулированные на аттапульгит инсектициды: паратион (I), ЭПН (II), соединения 4124, 12 008, 12 009, ТДЕ, Байер 21/199 (III), этильный гомолог ДДВФ и диазинон в конц-ии 0,00001% дали 100%-ную смертность личинок *A. quadrimaculatus*; F- и Br-аналоги ДДТ, ДДВФ, эндрин, N-карбэтоксиметиламид O,O-диэтилтиофосфорной к-ты, линдан, дильдрин, хлордан, токсафен, метоксихлор, пропильный гомолог ДДВФ, o, n'-ДДТ, гептахлор, хлорированный изоборнилфенилсульфон (66% Cl), хлордан и альдрин в этих же условиях дали соответственно 96, 84, 98, 78, 76, 74, 64, 60, 54, 52, 50, 48, 44, 40, 34 и 24%-ную смертность личинок. В полевом опыте I, II и III (0,112 кг/га) высокоэффективны в отношении личинок *A. quadrimaculatus* и *A. crucians* (Wied.).

22521. Остаточное действие четырех инсектицидов при борьбе с некоторыми вредителями кукурузы. Пфефл (Residual effect of four insecticides in controlling certain insects on corn. Pfaeffle William O.), Turrialba, 1956, 6, № 4, 74—80 (англ.; рез. исп.).

Для определения продолжительности сохранения токсич. действия токсафена (I), метилпаратиона (II) и дильдрина (III) в лабор. условиях растения кукурузы в возрасте 1 недели погружали в эмульсии инсектицидов и оставляли в лаборатории при отсутствии солнечного света, ветра и дождя. Периодически листья с растений срезали и помещали в чашки Петри, куда подсаживали гусениц кукурузной совки *Heliothis zea* (Hübner), и определяли смертность гусениц при 24-часовой экспозиции (указаны инсектициды, доза в г/м², смертность в % начальная и при подсадке через 120 час.): I, 0,459, 84 и 31; II, 0,229, 80 и 62; III, 0,384, 100 и 0. Для определения токсичности и скорости исчезновения I, II, III и ДДТ при воздействии солнечного света и ветра, но в отсутствие дождя, растения опрыскивали эмульсиями I, II, III и суспензией ДДТ, после чего на растения периодически подсаживали гусениц совки *Laphygma frugiperda* (S., A.) и определяли их гибель (указаны инсектициды, конц-ия в %, смертность в % начальная и через 168 час.): I, 0,48, 70 и 40; II, 0,06, 100 и 0; III, 0,06, 70 и 30; ДДТ, 0,036, 100 и 0. Проведены также опыты в полевых условиях, где остатки инсектицидов подвергали воздействию всех климатич. факторов. Растения опрыскивали I, II, III и ДДТ в дозах соответственно 2,67, 0,34, 0,34 и 1,34 кг/га. На початки опрыснутых растений подсаживали гусениц кукурузной совки сразу и через 1 неделю после опрыскивания. Токсичность I, II, III и ДДТ через 1 неделю снизилась соответственно на 83,6, 100, 89,0 и 61,5%. Таким образом, II и III вели себя в лабор. и полевых условиях совершенно различно. В лабор. условиях II дольше сохранялся и в поле быстрее терялся, а III — наоборот. I и ДДТ занимали в этом отношении промежуточное положение. Ю. Фадеев

22522. Полевые опыты с применением акарицидов в борьбе с клещами на грушах и яблонях. Мадсен, Борден (Field tests of acaricides for control of mites on pears and apples. Madsen Harold F., Borden Arthur D.), Hilgardia, 1956, 26, № 1, 7—18 (англ.).

Приведены результаты 3-летних опытов по испытанию различных акарицидов в борьбе с клещами *Tetranychus pacificus* (Harvey.) и *Metatetranychus*

ulmi (Koch.) на грушах и яблонях. При двукратном опрыскивании груш (с интервалом ~ 5 недель) препаратами (указаны применяемые дозы): арамит (I) 1,96—2,1 кг/га, генил-923 (II) 8,2—11,3 л/га; овотран (III) 2,63—2,85 кг/га; малатион (IV) 4,7—5,3 л/га; сульфенон (V) 5,6—10 кг/га; диазинон (VI) 4 кг/га; генил-876 (VII) 4,76—5,17 кг/га; хлорбензилат (VIII) 3,2—3,36 кг/га; димит (IX) 3,34—3,41 л/га, систокс (X) 1,13 л/га и 0,012—0,074%, — все обработки были эффективны и обеспечивали защиту от обоих видов клещей. ОМПА (XI) в конц-ии 0,043% и митокс (XII) в конц-ии 0,012—0,074% испытывались только против *M. ulmi*; XII оказался неэффективным. I и II даже при однократной обработке обеспечивали защиту груш от клеща в течение 9 недель, IV и V — в течение 6 недель. Обработка I вызывала образование на плодах ржавых пятен небольшой интенсивности, II образовывал проходящие желтые пятна. III и эмульсия V фитотоксичностью не обладали, суспензия V вызывала пожелтение листьев. VII вызывал образование черных пятен на плодах и не повреждал листья. VI эффективен также против тлей и листовых минеров *Lithocolletis* sp. IV и X также эффективны против тлей, но неэффективны против минеров. На яблонях изучены все акарициды, кроме VI, XI и XII, и в целом все дали хорошие результаты. При двукратной обработке примерно в таких же дозах, как и на грушах, I и VII высоко эффективны против *T. bimaculatus*, но неэффективны против *M. ulmi*. II и X, наоборот, эффективны против *M. ulmi* и неэффективны против *T. bimaculatus*. III и IX эффективны против обоих видов. Эффективность V и VIII была ниже, чем у предыдущих препаратов, а IV при хорошей эффективности не обладал достаточной продолжительностью действия, чтобы обеспечить длительную защиту от клеща, но полностью защищал деревья от красной кровавой тли. X уничтожил тлю на кроне, но на стволах и скелетных ветвях колонии тли остались. Другие препараты заметной эффективности против тли не обладали. II вызывал образование на плодах черных пятен, а VII — бурых. Другие препараты фитотоксичностью не обладали.

Ю. Фадеев
22523. Опыты по борьбе с хризантемовой галлицей (*Diurhronomyia chrysanthemi* Ahlberg.). Уайз (Trials for control of chrysanthemum gall midge (*Diurhronomyia chrysanthemi* Ahlberg). Wise K. A. J.), N. Z. J. Sci. and Technol., 1957, A38, № 7, 728—734 (англ.).

Эмульсии паратиона в конц-иях 0,025 и 0,0125% при еженедельном опрыскивании предотвращают заражение и убивают личинок галлицы *Diurhronomyia chrysanthemi* в галлах на хризантеме. При опрыскивании 1 раз в 2 недели заражение растений не предотвращается, но обработки эффективны против находящихся в галлах личинок. Из других инсектицидов только никотинсульфат в конц-ии 0,1% при еженедельной обработке непораженных растений обеспечивал частичную защиту. ДДТ и γ-ГХЦГ неэффективны. Отмечается, что различные разновидности культивируемых хризантем значительно отличаются по устойчивости к поражению галлицей. Ю. Фадеев

22524. Эффективность фумигации дибромэтаном персиков в борьбе с *Ceratitis capitata* Wied. Вьел, Катло-Гольдман (Efficacité sur *Ceratitis capitata* Wied des fumigations des pectes au dibrométhane. Viel G., Catelot-Goldman C., Mme), Phytiatr-phytopharmac., 1957, 6, № 1, 15—17 (франц.).

22525. Репелленты и вещества, привлекающие насекомых. Холл, Грин, Бероза (Insect repellents and attractants. Hall Stanley A., Green Na-

than, Beroza Morton), J. Agric. and Food Chem., 1957, 5, № 9, 663—667, 669 (англ.)

Отчет о работе н.-и. лаборатории пестицидных в-в в Белтсвилле. Из нескольких тысяч синтезированных и испытанных в качестве репеллентов в-в активны только немногие. Для защиты от москитов для использования на коже в армии США применяют смеси (в скобках указаны компоненты смесей и их содержание в вес.%): «6-2-2» (диметилфталат (I) 60, индалон 20, 2-этил-1,3-гександиол (II) 20); М-2020 (I 40, II 30, диметилкарбат 30). М-2043 (I 40, II 30, О-пропил-N,N-диэтилсукцинамид 30). Для защиты от клещей высокоэффективна смесь М-1960, содержащая бензилбензоат 30%, N-бутилацетанилид 30%, 2-бутил-2-этил-1,3-пропандиол 30%, эмульгатор «твин 80» 10%. При пропитке одежды смесью М-1960 в дозе 21,5 г/м² отпугивающее действие сохраняется в течение нескольких недель. В последнее время получен лучший индивидуальный репеллент — N,N-диэтилтолуамид. В-ва, привлекающие насекомых, как правило, активны только для одного вида насекомых. 2-Аллилокси-3-этоксibenзальдегид привлекает оба пола *Dacus dorsalis* Hende, анизилацетон — самцов *D. cucurbitae* Coq., масло из семян ангелики — *Ceratitis capitata* (Wied.), эфиры 6-метил-3-циклогексан-1-карбоновой к-ты (по активности эфиры располагаются в ряд: C₈H₁₇ > изо-C₈H₁₇ > C₄H₉). Изучаются в-ва, привлекающие: *Anthonomus grandis* Boh., *Pectinophora gossypiella* (Saund.), *Porthetria dispar* (L.), *Amphimallon majalis* Raz. и *Laspeyresia caryona* Fitch. К. Швецова-Шиловская

22526. Использование гранулированных инсектицидов в борьбе с *Pyrausta nubilalis* (Hbn.) в 1955 г. Кокс, Лавли, Бриндли (Control of the European corn borer with granulated insecticides in 1955. Cox H. C., Lovely W. G., Brindley T. A.), J. Econ. Entomol., 1956, 49, № 6, 834—838 (англ.)

Изучалась эффективность ряда гранулированных инсектицидов (ГИ) в борьбе с *Pyrausta nubilalis* (Hbn.) в зависимости от размера гранул, сроков и норм применения, применяемого оборудования и т. д. Установлено, что гранулированные препараты эндрина, гептахлора, альдрина, дильдрина, изодрина и паратиона эффективнее эмульсии ДДТ; гранулированные ДДТ и малатион так же эффективны, как и препараты для опрыскивания; размер гранул в пределах 15/30, 30/40 и 30/60 меш мало влияет на эффективность ГИ. Гранулированные 4—7,5%-ный препарат ДДТ при дозе 16,8—22,4 кг/га дает хорошую смертность *P. nubilalis*, причем 2—3-кратное применение ГИ эффективнее однократного. Приведены таблицы и графики результатов испытаний. См. также РЖХим, 1957, 1476. Б. Акимов

22527. Применение машин для гранулированных инсектицидов. Лавли, Кокс, Бриндли (Application equipment for granulated insecticides. Lovely W. G., Cox H. C., Brindley T. A.), J. Econ. Entomol., 1956, 49, № 6, 839—846 (англ.)

В борьбе с *Pyrausta nubilalis* (Hbn.) испытывались машины и дозирующие механизмы (ДМ) для применения гранулированных инсектицидов (ГИ). Определялся режим работы ДМ и нормы расхода ГИ в зависимости от применяемого ГИ, об. веса и угла скока ГИ, наполнителя и скорости движения машины. Испытания проводились на гранулированном ДДТ с содержанием последнего 4, 7,5 и 10%. Установлено, что такой метод борьбы с *P. nubilalis* весьма эффективен и не зависит от природы наполнителя гранул, типа применяемых машин и ДМ. Приведены таблицы и графики результатов испытаний и схема ДМ. См. также пред. реф. Б. Акимов

22528. Опрыскивающая система для приготовления смесей удобрения и пестицида. — (A sprayer-system

for making F—P mixtures.—), Agric. Chemicals, 1958, 11, № 9, 46—47 (англ.)

Изучались способы получения смесей (С) пестицида (П) с удобрением и методы равномерного распределения П в С с применением различных смесителей и разбрызгивающих сопел. При приготовлении С использовали масляные р-ры или смачивающиеся порошки П и гранулированное удобрение. Проведенные полевые испытания таких С, содержащих альдрин, хлордан, изодрин, эндрин или дильдрин, показали хорошие результаты в борьбе с вредителями, повреждающими корни.

22529. Цветная реакция 2,6-дибром-N-хлор-п-хинонимина с тиофосфатными инсектицидами на бумажных хроматограммах. Менн, Эрвин, Гордон (Color reaction of 2,6-dibromo-N-chloro-p-quinoneimine with thiophosphate insecticides on paper chromatograms. Menn J. J., Erwin W. R., Gordon H. T.), J. Agric. and Food Chem., 1957, 5, № 8, 601—602 (англ.)

Простой и быстрый метод определения эфиров тиофосфорных к-т на основе хроматографии на бумаге заключается в опрыскивании хроматограмм 0,5%-ным р-ром 2,6-дибром-N-хлор-п-хинонимина в циклогексане. Обработанные хроматограммы сушат 7 мин. при 110°. С большинством из изученных инсектицидов получено различное окрашивание (даны название инсектицидов, миним. определяемое кол-во в мг и окраска): систокс, 1, красно-коричневая; изосистокс, 2, желтая; паратион, 2, красно-коричневая; изопаратион, 20, —; тритион, 1, оранжево-коричневая; тимет, 1, оранжево-коричневая; малатион, 2, оранжево-коричневая; доу ET-14, 3, красно-коричневая; гутион, 2, оранжево-коричневая; динтерекс, 20, —; фосдрин, 20, —. Метод применим для идентификации инсектицидных остатков в растениях и животных. Л. Вольфсон

22530. Определение инсектицидов. Колориметрический метод определения циклетрина. Сунн, Вильямс (Insecticide determination, colorimetric method for the determination of cyclothrin. Sweeney J. P., Williams H. L.), J. Agric. and Food Chem., 1957, 5, № 9, 670—672 (англ.)

К навеске 3-(2-циклопентил-2-метил-4-оксо-циклопентил)монохризантата (циклетрина) (I), 10,8—76,6 γ прибавляют 5 мл 85%-ной ортофосфорной к-ты, смесь перемешивают 1 мин., нагревают 40 мин. при 100°, охлаждают 15 мин. до 10°, переносят в трубку (15 × 150 мм) и измеряют поглощение света на спектрофотометре в интервале 545—550 мμ, в котором соблюдается закон Бера. Красную окраску, образующуюся при нагревании, подавляют пиперонилбутоксид (II) и сульфоксид (III), от которых освобождаются, пропуская р-р в петр. эфире (IV) (25—90 γ I и ≤ 10-кратного избытка II или III в 5 мл IV), через колонку, наполненную 2 ч. (по весу) кремниевой к-ты и 1 ч. целита 545 (элюирующий р-р: 10 об.% эф. в IV). II и III остаются на абсорбенте. Аналогичную окраску дает пиретрин I, однако в этом случае максим. окраска образуется через 3 мин. при 100° и дальнейшее нагревание уничтожает окраску. Вероятно, образование окраски связано с наличием боковой цепи из 5 атомов С, содержащей неопределенные связи. Цинерин I и аллетрин в изученных условиях окраски не дают. Метод (чувствительность 10 γ) пригоден для определения чистого I, в смесях для опрыскивания и в остатках на обработанных поверхностях.

К. Швецова-Шиловская
22531. Определение инсектицидных остатков в растительных материалах (овощи и фрукты) и определение отдельных средств борьбы с вредителями при помощи хроматографии на бумаге. Мюллер, Эрнст, Шох (Der Nachweis von Insektizidrücksta-

den auf Pflanzenmaterial (Gemüse und Früchte) und die Trennung einzelner Schädlingsbekämpfungsmittel mit Hilfe der Papierchromatographie. Müller R., Ernst G., Schoch H., Mitt. Geb. Lebensmitteluntersuch. und Hyg., 1957, 48, № 3, 152—197 (нем.; рез. англ., франц.)

Описан метод экстракции из различных фруктов и овощей, а также разделения и идентификации при помощи хроматографии на бумаге следующих инсектицидов: альдрина, дильдрина, ДДТ, ГХЦГ, паратиона, хлортиона, диазинона и малатиона. Исследованы остатки на следующих фруктах и овощах: яблоки, груши, абрикосы, персики, земляники, вишни, салат шпинат, цветная капуста, помидоры, картофель. Метод анализа включает экстракцию в течение 6—8 час. растительного материала, очистку полученного экстракта, определение остатка инсектицида в очищ. экстракте хроматографией на бумаге. В качестве р-рителей применяли: петр. эфир гексан и пентан. Фрукты и овощи измельчали ножом на маленькие кусочки, для обезвреживания которых в процессе экстракции в прибор помещали Na_2SO_4 . Полученный экстракт делят на 3 ч.: 1 и 2 ч. служат для определения в них группы хлорированных углеводородов или эфиров фосфорной к-ты, 3—остается в резерве. Экстракт для очистки от жиров, восков, масел и липоидов обрабатывают CH_3CN , вымораживают или взбалтывают с дымящейся H_2SO_4 (п-той), а затем пропускают через колонку с окисью Al . В случае определения хлорированных углеводородов хроматограмму проявляют обработкой последовательно 0,05 н. р-ром AgNO_3 , формальдегидом, 2 н. р-ром KOH и смесью $\text{HNO}_3 + \text{H}_2\text{O}_2$. Для определения эфиров фосфорной к-ты хроматограмму обрабатывают 5%-ным р-ром Br_2 в CCl_4 и затем облучают кварцевой лампой. Чувствительность метода 10—200 μ . Приведены рисунки применяемых приборов и приспособлений.

Л. Вольфсон

22532. Разделение и идентификация хлорированных органических пестицидов методом хроматографии на бумаге. Х. Чувствительность хроматогенного агента для открытия пестицидов в хроматограммах. Митчелл (Separation and identification of chlorinated organic pesticides by paper chromatography. X. The sensitivity of the chromogenic agent for the detection of pesticides in the chromatogram. Mitchell Lloyd C.), J. Assoc. Agric. Chemists, 1957, 40, № 1, 294—302 (англ.)

Проверена чувствительность хроматогенного агента, состоящего из AgNO_3 и 2-феноксизанола в водн. $\text{C}_2\text{H}_5\text{OH}$, при экспозиции сильным УФ-светом. Удовлетворительные положительные пробы, без перегрузки бумаги, получаются с 37 из 40 исследованных пестицидов при наличии в-ва в кол-ве 5 $\mu\text{г}$ или 5 $\mu\text{л}$. Исследованы следующие препараты: альдрин; арамит; ГХЦГ; бутиловый, изопропиловый и γ -бутоксипропиловый эфир 2,4-Д; γ -бутоксипропиловый эфир 2,4,5-Т; калтан; хлордан; хлортион; глиодин; 2,4-Д; ДДА; ДДД (ротан); ДДЕ; ДДТ; 2,4-дихлорбензофенон; 4,4-дихлорбензофенон; 2,4-дихлорфенол; 2,4-дихлорфеноксизанол; далапон; дильдрин; диптерекс; дилан; илдрин; гептахлор; изодрин; линдан; 2М-4Х; метоксизанол; тритизан; пертан; о-фенилфенол; фигон; спертон; сульфенок; 2,4,5-Т; тирам; токсафен; 1,2,4-трихлорбензол.

Л. Вольфсон

Часть IX см. РЖХим, 1958, 15562

22533. Основанный на отгонке в вакууме метод определения соотношения летучей и нелетучей части в аэрозольных препаратах. — (Tentative method for determining volatile-non-volatile ratios of aerosol formulations — vacuum distillation method.), Soap and Chem. Specialties, 1957, Blue Book and Catalog, 238, 269 (англ.)

Навеску препарата (~ 50 г) нагревают ~ 30 мин. в колбе при 49°/0,028 мм, затем колбу взвешивают и повторяют операцию 3—4 раза до достижения постоянного веса колбы. Содержание летучей части находят по разности в весе.

К. Швецова-Шиловская
22534. Изучение действия средств защиты растений и регуляторов роста на состав растений, особенно на биохимические свойства. Шуфан, Шлотман, Вейнман (Maßnahmen zur Prüfung der Wirkung phytoprotektiver und wachstumsregelnder Mittel auf Pflanzenqualität, insbesondere auf biochemische Wertmerkmale. Schuphan W., Schlottmann H., Weinmann W.), Dtsch. Lebensmitt.-Rundschau, 1957, 53, № 4, 73—80 (нем.)

Изучались влияние пестицидов на пищевые качества капусты и томатов и токсичность обработанных продуктов для теплокровных.

А. Седых
22535. Об опасности хронического отравления, связанного с применением фитофармацевтических препаратов в сельском хозяйстве. Дормаль (Les risques d'intoxication chronique inhérents à l'usage des produits phytopharmaceutiques en agriculture. Dormal Simone), J. pharm. Belgique, 1956, 11, № 9—10, 426—468 (франц.; рез. флам., англ., нем.)

Обзор. Библ. 127 назв.

А. Травин
22536. Возможные остатки линдана или γ -ГХЦГ в хлебных продуктах из пшеницы, обработанной этим инсектицидом. Часть 1. Остатки линдана в хлебе. Броджони (Sulla entità di eventuali residui di lindano o gammaesano nei prodotti di trasformazione degli sfarinati di frumento disinfestato con tale composto. Nota I. I residui del lindano nel pane. Brogioni Manlio), Chimica, 1957, 33, № 8, 323—325 (итал.)

В хлебе разного веса, выпеченного из пшеничной муки, к которой добавлен линдан (I) в кол-ве 1 и 2 г/кг, I был найден только в мякише, но не в корке. Кол-во найденного I возросло с весом выпеченного хлеба и влажностью его мякиша.

К. Герцфельд
22537. Влияние почвенных инсектицидов на вкус овощных культур. Хинрейнер, Саймон (Effects of soil insecticides on flavor of vegetable crops. Hinreiner Elly, Simone Marion), Hilgardia, 1956, 26, № 1, 76—85 (англ.)

ГХЦГ даже в дозе 0,56 кг/га придает сильный посторонний запах консервированной моркови и батату (Б). Этот запах выражен менее интенсивно у свежих корнеплодов и сильнее в их соке. Линдан (I) также сообщает посторонний запах консервированным овощам. В дозе 1,12 кг/га даже 99,9%-ный γ -ГХЦГ (II) сообщает значительный привкус картофелю, однако Б и морковь, обработанные ГХЦГ, хотя и отличались от контроля, но не имели нежелательного привкуса. Значительных преимуществ II перед I не отмечено. В случае применения на Б не выявлено преимуществ I даже перед технич. ГХЦГ, так как хотя в случае применения I привкус Б был менее неприятным, все же наличие его не позволяет применять I на овощах, подлежащих консервированию. Морковь, выращенная в 1-й год после внесения в почву 0,56 кг/га ГХЦГ или 1,12 кг/га I, в обоих случаях обладала посторонним привкусом, на 2-й год морковь на участках с ГХЦГ обладала таким же посторонним запахом, как и в 1-й год, а на участках с I заметного ухудшения вкусовых качеств не наблюдалось. Альдрин (III) и дильдрин (IV) при рациональном применении влияния на вкус овощей не оказывают. Применение IV даже в дозе 11,2 кг/га вызвало значительное изменение вкуса Б лишь в одном случае, однако повторные опыты не подтвердили этого результата. При дозе III 5,56 кг/га отмечено незначительное ухудшение вкусо-

вых качеств моркови и Б. Эндрин в дозе 5,56 кг/га влияния на вкусовые качества всех трех культур не оказывал. Обработанный изодрином свежий и консервированный Б обладал посторонним запахом, а на вкусовые качества свежего картофеля этот инсектицид не влиял. Хлордан и гентахлор даже при сравнительно высоких дозах (22,4 и 11,2 кг/га) не вызвали ухудшения вкусовых свойств; хотя отмечена тенденция к появлению слабого постороннего запаха у консервированных продуктов через 6 месяцев хранения. ДДТ и паратион испытаны только на картофеле в течение года. Ни в одном случае изменения вкусовых свойств не обнаружено.

Ю. Фадеев 22538. Действие на человека малатиона при его применении в населенных областях. Калвер, Канзан, Тилен (Consideration of human exposure to malathion used in populated areas. Culver Dwight, Caplan Paul, Thielen William), Mosquito News, 1956, 16, № 2, 81—83 (англ.).

При авиаопрыскивании малатином (I) (0,51 кг/га) кол-во препарата, попадающее на кожу и вдыхаемое человеком, находящимся на открытом воздухе, во время обработки соответственно в 50 000 и 70 000 раз меньше доз, смертельных для теплокровных. Не отмечено изменения активности холинэстеразы в крови человека, находившегося в течение 2 недель в зоне опрыскивания I и получившего 696 мг I, путем вдыхания и 2,565 мг нанесением на кожу. На основании полученных данных сделан вывод о безопасности проведения однократного опрыскивания I (0,51 кг/га) для борьбы с москитами в населенных пунктах.

А. Седых 22539. Послеуборочные остатки инсектицидов в овощах и полевых культурах при обработке листьев и почвы. Эрвин, Мискус, Хоскине (Harvest residues of insecticides in vegetable and field crops resulting from foliage and soil application. Erwin W. R., Miskus R. P., Hoskins W. M.), Hilgardia, 1956, 26, № 1, 86—106 (англ.).

На большом числе опытов изучена продолжительность сохранения остатков инсектицидов на различных растениях при обработке надземных частей и почвы. При обработке надземных органов 1,5%-ным дустом линдана (I) первоначально довольно большие остатки (11 мг/кг на брокколи и 3,1 мг/кг на кочанной капусте) через 9 дней снизились до 0,2—0,3 мг/кг, а через 17 дней до < 0,1 мг/кг, на сельдерее при той же обработке первоначальный остаток был 1,5—2,0 мг/кг, а через 7 дней снизился до < 0,1 мг/кг. На соцветиях артишоков через 12 и 24 дня после интенсивного опрыскивания обнаружено соответственно 0,9 и < 0,1 мг/кг I. Дусты гентахлора (3%) (II), альдрина (3%) (III) и дильдрина (1,5%) (IV) ни в одном случае не дали на зрелых томатах даже начальных осадков выше 0,05 мг/кг вследствие плохого прилипания дустов к зрелым томатам. Остатки в мякоти арбузов через 26—41 день после обработки их 1,5%-ным дустом и эмульсией IV составляли ≤ 0,1 мг/кг, но наружный слой толщиной в 3 мм содержал от 0,2 до 0,4 мг/кг IV. Остатки паратиона (V) при обработке 2%-ным дустом на сформировавшихся головках артишоков равны 0,7—2,8 мг/кг, а на брюссельской капусте 0,9 мг/кг, но в течение 2 недель в обоих случаях снизились до < 0,1 мг/кг. Начальные остатки V на листьях артишоков, равные 9—17,7 мг/кг, снижались через 9 дней до ≤ 0,3 мг/кг. На шпинате, собранном и законсервированном через 5 дней после обработки дустом V, остатки равнялись 0,9 мг/кг, а через 17 дней < 0,05 мг/кг. Малатион на артишоках едва обнаруживался (< 0,2 мг/кг) через 2 дня после опиливания 4%-ным дустом, а остатки на капусте, равные 9,6 мг/кг, снизились за 5 дней до 0,6 мг/кг. Начальный остаток

хлортиона на артишоках 0,8—1,2 мг/кг за 9 дней снизился до ≤ 0,5 мг/кг. Остатки ОМПА (VI) на брюссельской капусте равны через 14 дней 8,3 мг/кг, 21 день 2,1 мг/кг и с трудом обнаруживались через 44 дня. Через 1 неделю после опрыскивания сахарной свеклы VI в целых растениях содержались 0,5 мг/кг VI, а в корне < 0,1 мг/кг. При обработке почвы технич. ГХЦГ (VII) в дозе 28 кг/га в моркови содержалось 0,6 мг/кг VII, что было эквивалентно 0,1 мг/кг γ-изомера (VIII) при определении биологич. методом. После консервирования содержание VIII снизилось до < 0,05 мг/кг. Такие же результаты получены с бататом. Консервированная спаржа и консервированные томаты, выращивавшиеся на почве, обработанной VII в дозах соответственно 31 и 22,4 кг/га, не содержали определяемых кол-в VIII. Остатки I при обработке почвы в основном такие же, как и при обработке VII. При дозе 5,56 кг/га моркови к моменту уборки содержала 0,4—0,5 мг/кг I, а батат совсем не содержал остатков I. Анализ почвы показал, что через 43—57 дней содержание VIII равно 0,05—0,12 мг/кг. Хлордан нельзя было определить биометодом ни в батате, ни в свежей или консервированной моркови, выращивавшихся в почве, обработанной дозой 11,2 кг/га. При дозе 11,2 кг/га содержание II в моркови и батате было < 0,05 мг/кг. Содержание III в свежей моркови при дозе 11,2 кг/га составляло 0,05 мг/кг по биометоду и 0,15 мг/кг при анализе на Cl. При дозе 5,56 кг/га III в свежей и консервированной моркови не обнаружен. В батате и картофеле определение III при этой дозе проводилось только на Cl и дало отрицательные результаты. Содержание остатков III в спарже при дозе 8,5 кг/га через 3 дня было 0,4 мг/кг, а через 21 день 0,1 мг/кг. Найдены остатки изодрина в консервированных моркови и батате при обработках почвы в дозах 3,36—5,56 кг/га, а остатки эндрина и IV в моркови и картофеле не обнаружены.

Ю. Фадеев 22540. Оценка эффективности некоторых акарицидов и инсектицидов и влияние их на вкусовые качества культур. Линсли (Evaluation of certain acaricides and insecticides for effectiveness, residues, and influence on crop flavor. Linsley E. Gorton), Hilgardia, 1956, 26, № 1, 1—6 (англ.).

Арамит (I) эффективен против клещей *Tetranychus bimaculatus* (Harvey) на яблонях, грушах и персиках, против *T. pacificus* (Mc Gregor) на миндале и *Metatetranychus ulmi* (Koch) на яблонях и грушах. Остатки I были < 0,1 мг/кг на свежих и консервированных грушах и в яблочном соке. Однако плоды груш через 2,5—11 месяцев и персиков через 1,5—7,5 месяцев хранения обладали привкусом. Хлорбензилат, генит-876 и димит также эффективны против этих клещей и дают небольшое кол-во остатков, но после продолжительного хранения обработанные плоды изменяют вкусовые качества. Генит-923 эффективен против *T. bimaculatus* и *M. ulmi* на грушах и против *T. pacificus* на персиках и миндале; при обработке до цветения на вкусовые качества персиков и груш отрицательного влияния не оказывает. Овогран наряду с высокой эффективностью против перечисленных видов клещей не влияет на вкусовые качества плодов. Сульфенон дал противоречивые результаты и оказывал отрицательное влияние на вкусовые качества. Малатион и диазинон дают хороший первоначальный токсич. эффект, но не обладают длительным действием. Систокс дал блестящие результаты. Отрицательного влияния на вкусовые качества все 3 препарата не оказывают. ОМПА эффективен против *M. ulmi* и не влияет на вкусовые свойства. В борьбе с проволочником *Limonius canus* (Le Conta) хорошие результаты дали почвенные обработки (указаны дозы в кг/га):

амидрином (II) 2,24—5,56, гептахлором (III) 2,24—5,56, амидрином (IV) 2,24—5,56, хлорданом (V) 5,56—1,12, амидрином (VI) 2,24—5,56, изодрином (VII) 2,24—5,56 и ДДТ 11,2—44,8. Обработки эффективны в течение года или нескольких лет. Остатки II, III, IV, V и VI не обнаружены и соответственно не отмечено влияние на вкусовые качества овощей. В консервированных моркови и батате найдено небольшое кол-во остатков VII, а через 3 месяца хранения отмечен посторонний запах. В одном из опытов свежий батат с почвы, обработанной VII, обнаружил нежелательное изменение вкусовых свойств, но остатков VII в нем не обнаружено.

Ю. Фадеев
22541. Влияние акарицидов на вкусовые качества миндаля и консервированных фруктов. Хинрейкер, Саймон (Effects of acaricides on flavor of almonds and canned fruits. Hinreiner Elly, Simone Marion), Hilgardia, 1956, 26, № 1, 35—45 (англ.).

Изучено влияние акарицидов генита-923 (I), овотранна (II), арамита (III), сульфенона (IV), малатнона (V), хлорбензилата (VI), диазинона (VII), димита (VIII), генита-876 (IX) и систокса (X) на вкусовые качества миндаля и других плодов. I отрицательно влияет на вкусовые качества груши, однако при обработке деревьев в стадии порозовения бутонов эта опасность невелика, а через 4,5 месяца хранения различия во вкусовых качествах обработанных плодов и контрольных исчезают. I и II не оказывают отрицательного влияния на вкусовые качества миндаля. III и IV в опытах на грушах оказали неблагоприятное влияние. V отрицательного влияния на виноград, арбуз и сушеный инжир не оказывал и только в 2 опытах отмечено некоторое ухудшение вкусовых качеств яблочного сока. VI, VII и VIII не вызывали изменений вкусовых качеств груш вскоре после консервирования, но после более длительного хранения развивался посторонний запах. X отрицательного влияния не оказывал, за исключением яблочного сока после хранения его в течение 6,5 месяцев. Не влиял на вкусовые качества также и IX.

Ю. Фадеев
22542. Послеуборочные остатки акарицидов, применяемых на листопадных плодовых деревьях. Мискус, Эруин, Хоткинс (Harvest residues of acaricides used on deciduous fruits. Miskus R. P., Erwin W. R., Hoskins W. M.), Hilgardia, 1956, 26, № 1, 46—59 (англ.).

В 3-летних полевых опытах изучено содержание остатков арамита (I), хлорбензилата (II), димита, генита-876, генита-923 (III), овотранна (IV), диазинона, ОМПА (V), малатнона, колофога, каратана, неотрана, нитокса и систокса на плодах груш, персиков и яблок. Обработки проводили обычными дозами за 24—27 дней до уборки урожая. Как на свежих, так и на консервированных плодах груш, только IV, а III только на свежих, дали остатки > 0,1 мг/кг. Содержание остатков III и IV на персиках равно соответственно 0,4—3,5 и 0,7—2,3 мг/кг. Это, очевидно, связано с тем, что поверхность персиков ворсистая и лучше задерживает препарат. В других опытах значительное содержание остатков на персиках дали I 0,3—0,8 мг/кг; на свежих грушах II 0,03 мг/кг, а V 0,6—1,2 мг/кг на свежих плодах и 0,1 мг/кг на консервированных. Содержание I в соке обработанных яблок составляло 0,7 мг/кг. Содержание остатков остальных препаратов на плодах было < 0,1 мг/кг.

Ю. Фадеев
22543. Сообщение об опытах по применению молотой серы на мелких участках каучуконосов в районе Кегалла в 1955 г. Пирис (Report on the trial sulphur-dusting of rubber smallholdings in the Kegal district in 1955. Pieris W. I.), Quart. Circ. Rubber Res. Inst. Ceylon, 1955, 31, № 3-4, 92—97 (англ.).

22544. Борьба с корневой гнилью, вызываемой *Rhizoctonia crocorum* (Pers.), в Онтарио. Уитни (The control of violet root rot in Ontario. Whitney N. J.), Canad. J. Agric. Sci., 1956, 36, № 4, 276—283 (англ.).

В полевых опытах обработка почвы против *Rhizoctonia crocorum* (Pers.) 4%-ным р-ром формальдегида (I) (1,196 л/м²), известью (33,9 г/м²), Bleaching powder (67,8 г/м²) и CH₃Br (II) (93,3 мл/м²) дала соответственно в год обработки 38,52, 35,9 и 5,7% пораженных корней моркови при 76,8% в контроле и на 2-й год после обработки 25,2; 38; 52,8 и 13,7% пораженных корней моркови при 59,5% в контроле. Обработка почвы тирамом (21,5 г/м²), аэроцианамидом (31,1 г/м²), 4- и 10%-ными р-рами I (1,196 л/м²) и II (46,8 мл/м²) дала соответственно 53,7; 84,2; 64,2; 42,7 и 11,7% пораженных корней моркови при 68,2% в контроле. На основании проведенных опытов для борьбы с *R. crocorum* рекомендуют I и II.

А. Седых
22545. Выбор фунгицидов для материалов, применяемых в кабельной промышленности. Яшин В. Б., Кабельн. техника, 1957, № 1-2, 42—46

С целью изыскания стойких фунгицидов, пригодных для предохранения материалов, используемых при произ-ве кабеля, исследовано 120 хим. препаратов. При предварительных испытаниях хорошие фунгицидные свойства показали: α- и β-нафтол, тимол, оксидифенил, трихлорфенолят Cu (I), трихлортиофенол (II), тетрахлор- и пентахлорфенол (III), Na-соль III, этилмеркурфосфат, этилмеркурхлорид, фенилмеркуролеат (IV), фенилмеркурацетат (V), S, каптакс (VI), тиурам (VII), смесь альбихтола (VIII) и VII, сульфонафтол, трикрезилфосфат (IX), трибутираттриэтанолламин (X), гликолевый эфир β II (XI), динитрофениловый β дихлорфенола, этиловый β диметилдитиокарбаминной к-ты (XII), салициланилид (XIII). Na- и Zn-соль XIII (XIV), хлордан, динитроортодихлорбензол, препарат БЯ-2, диоксид, динитротрихлорбензол (XV). Фунгициды обладают свойствами ди-β-цианэтилсульфид, метилантранилат, фенилэтилуретан, оксациетофенон. После введения в резиновые и полихлорвиниловые смеси VI, VII, IX и X сразу потеряли свои фунгицидные свойства; после теплового старения резины (30 суток, 65°) фунгицидными свойствами обладали IV, V, VIII, XI, XIII, XIV и XV. В кабельные полихлорвиниловые пластики вводились I, VI, VII, VIII, XII и XIII. После теплового старения (30 суток, 70°) испытание выдержал только I, однако он значительно снижает диэлектрич. свойства и придает зеленую окраску пластику. Для придания изоляционным и планговым резинам устойчивости к воздействию плесневых грибов рекомендуется в резиновую смесь вводить VIII, в планговые резины, кроме VIII, можно вводить XIII. Наилучший эффект достигается в присутствии VII.

И. Мильштейн
22546. Определение остатков после опрыскивания яблок тетраметилтиурамдисульфидом и диметилдитиокарбаматом. Барр, Кларк, Джекс (Determination of tetramethyl thiuram disulphide and dimethyldithiocarbamate spray residues on apples. Barr Helen E., Clark P. J., Jacks H.), N. Z. J. Sci. and Technol., 1957, B38, № 5, 425—432 (англ.).

Описан микрометод определения тетраметилтиурамдисульфида (I) и диметилдитиокарбаматов (II), на кожуре яблок, основанный на извлечении I и II CHCl₃, расщеплении их серной к-той, отгонке образующегося диметиламина с водяным паром в присутствии избытка щелочи и колориметрич. определения его по методу Холла и др. (Hall S. A. и др., Anal. Chem. 1951, 23, 1866). Результаты анализов показали, что на яблоках, подвергшихся многократному опрыскиванию, остатки I и II составляют 0,1—2,2 и 0,8—4,6 мг/кг со-

ответственно, т. е. меньше допускаемого в США кол-ва. М. Щербачева

22547. Первая восточноафриканская конференция по гербицидам. 1. Общее введение и обзор трудов конференции. Расселл. 2. Краткое изложение докладов и обсуждения. Дати. 3. Избирательность действия гербицидов. Уэйи. 4. Главные проблемы применения гербицидов в тропических и субтропических странах. Пфейффер. 5. Проблема сорняков в злаках в Восточной Африке. Канингем-ван-Сомерен. 6. Честерфордский логарифмический опрыскиватель. Грегори (The 1st East African herbicide conference. A general introduction and review of the proceedings. Russell E. W. 2. Summary of papers and discussion. Duthie D. W. 3. Selectivity of herbicides. Wain R. L. 4. General aspects of chemical weed control in tropical and sub-tropical countries. Pfeiffer R. K. 5. The weed problem in East Africa with particular reference to cereals. Cunningham-van Someren G. R. 6. The Chesterford Logarithmic Sprayer. Gregory P.), E. Afric. Agric. J., 1957, 23, № 1, 1-5; 6-21; 22-24; 25-28; 29-33; 34-37 (англ.)

3. 2,4-Дихлорфенокси- и 2-метил-4-хлорфеноксимасляные к-ты не вредят бобовым даже в дозе 2,24 кг/га, а также могут быть использованы для борьбы с сорняками в посевах кукурузы и злаков в очень ранние фазы их роста. Наиболее злостный сорняк чайных и кофейных плантаций Восточной Африки — росичку (*Digitaria scalarum*) успешно уничтожает в малых дозах далапон.

4. Изложены предложения по улучшению и углублению исследований по борьбе с сорняками в тропиках. Гербициды при их испытании следует сравнивать не в чистом виде (действующие в-ва), а учитывая вводимые в препарат поверхностноактивные и вспомогательные в-ва. Не следует стремиться к очень быстрому поражению сорняков — это приводит к применению сверхвысоких доз, что отражается на урожае. 2М-4Х в условиях тропиков эффективнее 2,4-Д и дает большую прибавку в урожае.

5. Описаны наиболее распространенные сорняки-влаки Восточной Африки. Для уничтожения *Polygonum convolvulus*, *Silene anglica*, *Spergula arvensis* и *Galium spurium* применяют динитро-препараты.

6. Описаны принципы работы Честерфордского логарифмич. опрыскивателя (ЧЛО). Использование ЧЛО позволяет быстро установить оптим. дозу применения гербицидов в различных условиях, легко сравнить ряд препаратов по их эффективности, применить смесь препаратов, используя один гербицид в определенной концентрации при изменяющейся конц-ии другого. Опырыскиватель закрепляется на самоходной тележке, которая движется с постоянной скоростью. Логарифмы доз вычисляются по номограмме. Приводятся эксперим. данные испытаний ЧЛО в Великобритании и Кении. Л. Стонов

22548. Испытание новых препаратов для предуборочного удаления листьев хлопчатника. Куликова М. В., Соц. с. х. Узбекистана, 1957, № 7, 19-22

В качестве дефолиантов для хлопчатника испытаны: 2%-ный р-р CaCN_2 ; хлорат Mg (I); хлорат-пентаборат Na (II); этилксантогенат Na (III); тройная смесь III + $(\text{NH}_4)_2\text{SO}_4$ + эндотал; пентахлорфенол, а также десикант — арсенит Na . Наиболее эффективными дефолиантами при опрыскивании в ранние и поздние сроки являются I, II и III, причем I (в ранние сроки обработки) и III вызывают некоторое снижение урожая хлопчатника. В. Лившиц

22549 П. Производство гексахлорциклогексана в железных реакционных камерах. Туайхаус,

Приндл (Production of benzene hexachloride in iron reaction chambers. Twiehaus Robert C. Prindle Quentin T.) [Columbia-Southern Chemical Corp.]. Пат. США 2744145, 1.05.56

Метод получения ГХЦГ аддитивным хлорированием C_6H_6 в жидкой смеси, содержащей C_6H_6 и Cl_2 (с добавкой или без добавки N_2), в присутствии катализатора (или облучении) при полном отсутствии или при наличии H_2O в кол-ве < 50 ч. на 1 млн., в реакторе с достаточно большой железной поверхностью, находящейся в контакте с жидкой смесью. Р-ция протекает при т-ре $(-100) - 75^\circ$. При проведении р-ции при низких т-рах к смеси добавляют р-рителю: CF_2Cl_2 , CFCl_3 и другие полностью хлорированные или фторированные углеводороды, а также SO_2Cl_2 , SOCl_2 , CH_3COOH , $\text{C}_2\text{H}_5\text{COOH}$, $\text{C}_2\text{H}_5\text{Cl}$, CHCl_3 , CH_2Cl_2 , CH_3CCl_3 и соответствующие бромиды, йодиды и фториды. Продукт р-ции после отделения р-рителя и непрореагировавшего C_6H_6 содержит ГХЦГ с 21% γ-изомера. Л. Вольфсон

22550 П. Алкиламидопирофосфорные инсектициды. Кувер (Alkyl amido pyro-phosphorus insecticides. Coover Harry W., Jr.) [Eastman Kodak Co.]. Пат. США 2756250, 24.07.56

Метод получения алкиламидов пирофосфорной (I) и полифосфорной к-ты основан на конденсации алкиламидов фосфорной к-ты с ангидридами органич. н-э, которая происходит при нагревании в присутствии катализатора (органич. и неорганич. к-ты, ангидриды, эфиры, BF_3 и его эфирный комплекс) и сопровождается отщеплением сложного эфира. Так, из 1 моля тетраметилдиамида метилфосфорной к-ты, 0,5 моля $(\text{CH}_3\text{CO})_2\text{O}$ в присутствии следов BF_3 после 3 час. нагревания при $175 - 180^\circ$ и отгонки 1 моля $\text{CH}_3\text{COOCH}_3$ (II) получен октаметилтетрамид пирофосфорной к-ты (III). Из 3 молей диметиламида фосфорной к-ты и 2 молей $(\text{CH}_3\text{CO})_2\text{O}$ в присутствии трибутилбората ($175 - 180^\circ$, 4,5 часа) после отгонки 3,6 молей II получен продукт, состоящий в основном из сим-гексаметиламида диметилфосфорной к-ты. Аналогично получены: гексаметиламин диэтилтрифосфорной к-ты, октаметилтетрамид диметилтетрафосфорной к-ты, октаэтилтетрамид III. В виде дустов, р-ров и водн. эмульсий I применяют в качестве инсектицидов. Рекомендованы смеси I с солями никотина, а также с ДДТ. Некоторые I являются также хорошими р-рителями для ацилированных углеводородов, в частности для C_2H_2 и диацетиленов, и могут применяться для вытеснения из газовых смесей. Г. Швиндлерман

22551 П. Способ удаления хлористой серы из содержащих ее диалкилхлортиофосфатов. Йонас (Verfahren zur Entfernung von Chlorschwefel aus chlorschwefelhaltigen Dialkoxypyosphorsulfochloriden. Jonas Heinz) [Farbenfabriken Bayer A.-G.]. Пат. ФРГ 951718, 31.10.56

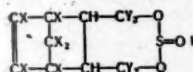
Для удаления S_2Cl_2 из содержащих ее диалкилхлортиофосфатов (применяемых в качестве промежуточных продуктов для получения инсектицидов, добавок к смазывающим в-вам и флотаторов) последние обрабатывают водн. р-ром SO_2 или соли H_2SO_3 , предпочтительно на холоду. Примеры. Реакционную смесь, полученную хлорированием 0,75 г-моля Cl_2 р-ра 0,5 г-моля О,О-диэтилдитиофосфорной к-ты в 200 мл C_6H_6 , постепенно при $0 - 10^\circ$ вносят при размешивании в 450 мл насыщ. р-ра Na_2SO_3 , причем реакционная смесь почти теряет окраску; ее размешивают еще 15 мин., декантируют бензольный р-р и, после перегонки, получают 0,45 г-моля (~90%) очень чистого диэтилхлортиофосфата. Аналогично из 1 г-моля О,О-диметилдитиофосфорной к-ты получают 0,85 г-моля диметилхлортиофосфата высокой чистоты. Н. Эвергетова

loride in
bert C.
n Chemi-

рованием
Cl (с до-
катализа-
ния при
реакторе
нахо-
проте-
ции при
CF₃Cl₂
фтори-
SOCl₂
CH₃Cl
и фто-
ля и не-
% у-изо-
Вольфон
ктициды.
ecticides.
Co.). Пат.

ной (I) и
и алкил-
ничи. к-
сутствии
агидра-
опрово-
з 1 моли
0,5 моли
час на-
COOCH₃
ной к-ты
и к-ты в
илбората
II полу-
и-гекса-
алогично
осфорной
ной к-ты
и в воде.
идов. Ре-
также с
и р-рато-
ности
для на-
длерми
из се-
Йонас
refel an
chloriden.
-G.). Пат.

или в смеси с другими инсектицидами, овицидами, фунгицидами, гербицидами или удобрениями. При старении личинок *Musca domestica* казеина, содержащего 0,0125% гексахлорбицикло-[2,2,1]-гептен-2-бисоксиметилена-5,6-сульфата (II), 100%-ная смертность личинок достигается через 1—3 дня. 0,01%-ная эмульсия препарата № 1 (15% II + 75% дигексана + 10% алкилфенилового эфира полиэтиленгликоля (III)) убивает *Cimex lectularius* через несколько часов; 0,05%-ная эмульсия препарата, содержащего 15% II + 75% циклогексана + 10% III, уничтожает *Euproctis chrysorrhoea* через 1—2 дня. Против листовых тлей (*Aphidae*) на *Cineraria* или *Chrysanthemum* препарат № 1 применяют в концентрации 0,015%, против *Lymantia dispar* и против азиатской саранчи — в концентрации 0,1%. 1 мл 0,3%-ного р-ра пентахлорбицикло-[2,2,1]-гептен-2-бисоксиметилена-5,6-сульфата (IV) вызывает через 45 мин. 100%-ную смертность *M. domestica*, находящихся на чашке Петри. IV сохраняет токсичность в чашке Петри (т-ра ~20°) в течение нескольких недель. 3%-ный дуст IV (наполнитель — смесь 88% талька + 9% каолина (СТК)) применяют против различных видов тараканов, напр. *Periplaneta americana*. 0,5%-ную водн. эмульсию смеси 30% IV + 50% ацетона + 20% нонилфенилового эфира полиэтиленгликоля применяют в плодоводстве для борьбы



или в смеси с другими инсектицидами, овицидами, фунгицидами, гербицидами или удобрениями. При старении личинок *Musca domestica* казеина, содержащего 0,0125% гексахлорбицикло-[2,2,1]-гептен-2-бисоксиметилена-5,6-сульфата (II), 100%-ная смертность личинок достигается через 1—3 дня. 0,01%-ная эмульсия препарата № 1 (15% II + 75% дигексана + 10% алкилфенилового эфира полиэтиленгликоля (III)) убивает *Cimex lectularius* через несколько часов; 0,05%-ная эмульсия препарата, содержащего 15% II + 75% циклогексана + 10% III, уничтожает *Euproctis chrysorrhoea* через 1—2 дня. Против листовых тлей (*Aphidae*) на *Cineraria* или *Chrysanthemum* препарат № 1 применяют в концентрации 0,015%, против *Lymantia dispar* и против азиатской саранчи — в концентрации 0,1%. 1 мл 0,3%-ного р-ра пентахлорбицикло-[2,2,1]-гептен-2-бисоксиметилена-5,6-сульфата (IV) вызывает через 45 мин. 100%-ную смертность *M. domestica*, находящихся на чашке Петри. IV сохраняет токсичность в чашке Петри (т-ра ~20°) в течение нескольких недель. 3%-ный дуст IV (наполнитель — смесь 88% талька + 9% каолина (СТК)) применяют против различных видов тараканов, напр. *Periplaneta americana*. 0,5%-ную водн. эмульсию смеси 30% IV + 50% ацетона + 20% нонилфенилового эфира полиэтиленгликоля применяют в плодоводстве для борьбы

с гусеницами *E. chrysorrhoea*. 3%-ный дуст тетра-хлорбицикло-[2,2,1]-гептен-2-бисоксиметилена-5,6-сульфата (V) (наполнитель — СТК) предохраняет зерновые запасы от *Calandra granaria* при применении в отношении к весу зерна 1:1000. Дуст 20% пентахлорнитробензола и 20—40% II на тальке в дозе 2 г на 1 кг зерна применяют для защиты зерновых запасов от *C. granaria*, *Acanthoscelides oblectus*, проволочников и других вредителей. I не влияют отрицательно на всхожесть семян.

А. Грапов
22554 П. Средство для отпугивания кровососущих насекомых. Кебиш (Abschreckmittel gegen blut-saugende Insekten. Kabisch Gerhard) [Deutsche Gold- und Silber-Scheideanstalt vormals Roessler]. Пат. ФРГ 959751, 14.03.57

В качестве репеллентов для кровососущих насекомых предложено применять фенилгликоль (I) и его производные: моно- и ди-простые и сложные эфиры, смешанные простые и сложные эфиры, циклич. ацетали (напр., 4-фенил-1,3-диоксалан), и замес. в ядре I. В-ва применяют как составную часть масел, кремов, жидкостей и масел для волос, масел против загара, мыла, моющих средств, парфюмерии и т. п. При нанесении на кожу фенилгликольмоноацетат, фенилгликольмоноэтиловый эфир и метиловый эфир фенилгликольмоноацетата полностью предохраняли от *Aedes aegypti* в течение 5 час., фенилгликольдиацетат — в течение 8 час., а взятый для сравнения диметилфталат — в течение 4 час.

К. Швецова-Шилова
22555 П. Способ получения пестицидных дустов. Гёрниц, Дрейер, Протце (Verfahren zur Herstellung staubförmiger Pflanzenschutz- und Schädlingsbekämpfungsmittel. Görnitz Karl, Dreyer Ferdinand, Protze Gernot). Пат. ГДР 13421, 25.06.57

Для получения пестицидных дустов действующее начало (ДДТ, ГХЦГ, хлорированные камфен (I) и производные нафталина, ротенон, динитрокрезол, *n*-хлорфенил-*n*'-хлорбензолсульфонат, *N*-трихлорметилтиотетрагидрофталимид (II)) сплавляют с жирными к-тами (III) и плав размалывают с носителями с добавкой соединений цинка, тяжелых металлов, которые переводят III в нерастворимые в воде мыла. Примеры: а) 5 ч. ДДТ сплавляют с 1,5 ч. легкой фракции III, после охлаждения плав размалывают с 30 ч. каолина (IV), 63,05 ч. шиферной муки (V) и 0,45 ч. Ca(OH)₂; б) плав 4,5 ч. ДДТ, 0,4 ч. γ-ГХЦГ и 1,5 ч. отходов стеарина размалывают с 93,1 ч. V и 0,45 ч. Ca(OH)₂; в) плав 5 ч. I с 1 ч. III из сурепного масла размалывают с 25 ч. IV, 68,65 ч. V и 0,35 ч. Mg(OH)₂; г) 5 ч. II сплавляют с 1,5 ч. пальмитиновой к-ты и плав размалывают с 81,5 ч. IV и 0,75 ч. Mg(OH)₂, взмученного в двойном кол-ве воды, перед окончанием размала прибавляют 10 ч. гипса.

А. Грапов
22556 П. Способ защиты кабелей и проводов инсектицидными, фунгицидными и бактерицидными средствами. Зейдель (Verfahren zum Schutz von Kabeln und Leitungen durch Insektizide, Fungizide und Bakterizide. Seidel Karl-Heinz). Пат. ГДР 10010, 16.12.52

Для защиты кабелей, проводов и оплеток применяют не имеющие тенденции к кристаллизации р-ры инсектицидов (И) в мягчителях (палатинол, мягчитель ВН, трикрезилфосфат (I), церезин и т. д.) с добавками фунгицидов (Ф) и бактерицидов (Б) (крезол (II), *o*-оксидифенил (III), хлорамин и т. д.). ГХЦГ может быть также нанесен возгонкой на наполнитель каучука (каолин, мел, аморфит, литопон и т. д.), который затем пропитывают жидким Ф или Б (напр., II) или р-ром Ф или Б в трудно летучем органич. р-рителе (напр., III). Для получения исходного И тех-

вич. ГХЦГ экстрагируют трихлорэтиленом, отделяют нерастворившуюся часть и получают продукт, содержащий 40% γ-ГХЦГ. С этой же целью применяют обогащенный ГХЦГ (29–30% γ-изомера), полученный хлорированием бензола при освещении светом с определенной длиной волны. Примеры. В 175 ч. парафина или церезина растворяют 8–14 ч. ГХЦГ, обработанного вышеописанным образом, 8–14 ч. обогащенного ГХЦГ и 5 ч. II. В 175 ч. палатинола АН или I растворяют 20 ч. обработанного ГХЦГ и 50 ч. II. Полученные составы применяют при изготовлении пластмасс. На мел, аморфит, каолин и литопон сублимацией наносят 4–10% смеси изомеров ГХЦГ (13–15% γ-изомера), затем пропитывают 3%-ным II и состав применяют как наполнитель для пластмасс и резиновых смесей. А. Грапов

22557 П. Протравители семян (Désinfectants de semences) [Farbenfabriken Bayer A.-G.] Франц. пат. 1108594, 16.01.56

Новые протравители семян (ПС), обладающие фунгицидным и защитным действием, имеют общие ф-лы $R'As(SCOR)_2$ и $(R')_2AsCOR$, где R и R' — алифатич., ароматич. и гетероциклич. радикалы. Описано получение следующих соединений. К р-ру 36 г мононотиобензоата K (I) в 200 мл воды приливают р-р 10,6 г окиси метиларсина (II) в 100 мл воды, смесь перемешивают, подкисляют разб. CH_3COOH и выделяют 33 г димонотиобензоата метиларсина, т. пл. 62° (из петр. эф.). Аналогично из 40 г n-хлормонотиобензоата K (III) получают 40,2 г ди-n-хлормонотиобензоата метиларсина, т. пл. 122°, а из 70 г пентахлормонотиобензоата K 61 г дипентахлормонотиобензоата метиларсина. К р-ру 10 г I в 100 мл ацетона прибавляют р-р 14 г хлористого фениларсина в 100 мл ацетона, смесь кипятят 2 час, добавляют воды и получают 18,3 г мононотиобензоата фениларсина, т. пл. 169°. К 15,2 г мононотиобензоата фениларсина в 100 мл C_6H_6 прибавляют р-р 10,6 г II в 100 мл C_6H_6 и получают 22 г димонотиобензоата метиларсина, т. кип. 148–150°. К р-ру 33,8 г окиси фениларсина и 12 г NaOH в 1 л воды прибавляют р-р 40 г I в 500 мл воды и получают димонотиобензоат фениларсина, т. пл. 131–132°. Р-р 14,2 г хлористого дифениларсина в 130 мл тетрагидрофурана кипятят с 12 г III и выделяют мононотиобензоат дифениларсина, т. пл. 87–88°. Смеси новых ПС с тальком, содержащие 5–075% As, эффективнее Hg-органич. препаратов и формальдегида. С. Яворовская

22558 П. Уничтожение вредителей, в особенности грибов, поражающих растения. Дост. Беркенбос (Bekämpfung von hauptsächlich Pflanzen befallenden Schädlingen, insbesondere von Pilzen. Dost Nicolaas, Berkenbosch Rinke) [N. V. De Bataafsche Petroleum Maatschappij]. Пат. ФРГ 964547, 23.05.57

Комплексы (I) N-моно- и дизамещенных o-, m- и p-нитроанилинов, каждый радикал которых при N имеет ≤ 16 атомов C, с солями металлов ($CuCl$, $CuCl_2$, $FeCl_2$, $FeCl_3$, $Fe(NO_3)_3$, $FeSO_4$, $Fe_2(SO_4)_3$, $NiCl_2$, $Ni(NO_3)_2$, $Ni(ClO_4)_2$, $HgCl_2$, $Hg(NO_3)_2$, $CdCl_2$, $CoCl_2$, $MnCl_2$, $SnCl_2$, $SbCl_3$ и $CaCl_2$) применяют как фунгициды в виде дустов на тальке, меле или глине, водн. суспензий, эмульсий, р-ров в CCl_2Br_2 , $CH_3OC_2H_5$, эфире или в виде аэрозолей. Размер частиц I в водн. суспензиях ≤ 5 μ, что достигается добавлением в реакционную смесь при получении I 0,5–5% ионогенных диспергаторов (третич. X-155 (II), спец. свин). К 1 молю n-(CH_3)₂NC₆H₄NO (III) в 600 мл ацетона прибавляют 0,5 моля $CuCl_2$ в 70 мл CH_3OH и получают 2 · (n-(CH_3)₂NC₆H₄NO) · $CuCl_2$ (IV), выход 90%. К р-ру 0,05 моля $CuCl$ в 60 мл формамида прибавляют 0,05 моля III в 32 мл ацетона и выделяют n-(CH_3)₂NC₆H₄NO · $CuCl$ с выходом 80%. В р-р 260 г n-(C_6H_5NH)C₆H₄NO (V) и 20 г II в

2,6 л ацетона вносят 113 г $CuCl_2$ в 120 мл CH_3OH и получают 2 (n-(C_6H_5NH)C₆H₄NO) · $CuCl_2$ (VI) с выходом 97%, размер частиц 3 μ. 0,1 моля V и 0,033 моля $FeCl_3$ дают аналогично 3 · (n-(C_6H_5NH)C₆H₄NO) $FeCl_3$ (VII). В р-р 0,25 моля n-(C_2H_5)C₆H₄NO и 0,5 г II в ацетоне прибавляют 0,125 моля $CuCl_2$ · 2H₂O в 20 мл CH_3OH и получают с выходом 80% 2(n-(C_2H_5)C₆H₄NO) $CuCl_2$ · 2H₂O. IV применяют в виде водн. суспензии, VI в виде водн. суспензии препарата, содержащего 50% VI, 46% аттапульгита и 4% стир-алкилсульфата Na. Препарат, содержащий 24% VII, 40% Rectiflow 65 (углеводородное масло с т. кип. 316–409°), 30% H₂O и 6% II, применяют в виде масляной эмульсии. Фунгицидная активность I изучена в борьбе со ржавчинами бобов и ржи, с *Septoria* на сельдерее и с фитофторой на картофеле и томатах. По силе действия IV, 2((CH_3)₂NC₆H₄NO) · $CdCl_2$ и VI превосходят хлорокись Cu (конепрокс) в 24,6–91 раз, диметилдитиокарбамат Fe (аафертис) — в 12,9–20,2 раза и этиленбисдитиокарбамат Na (дитан) — в 9,7–11,9 раз. А. Грапов

22559 П. Фунгицидные и бактерицидные средства. Беке, Флиг, Штадлер (Fungizide und bakterizide Mittel. Becke Friedrich, Flieg Oskar, Stadler Robert) [Badische Anilin- & Soda-Fabrik A.-G.]. Пат. ФРГ 960866, 28.03.57

Фенольные и галоидфенольные эфиры акриловой и метакриловой к-ты, активные в качестве фунгицидов и бактерицидов, получают взаимодействием фенолов и галоидфенолов с соответствующими хлорангидридами к-т в присутствии в-в (гидрохинон, пирогаллол, аминофенолы), задерживающих полимеризацию, а также взаимодействием замещ. и незамещ. фенолов с $CH \equiv CH$ и CO_2 . К 47 ч. фенола при 70° прибавляют 56 ч. $CH \equiv CHCOCl$, содержащего гидрохинон, и после нагревания смеси (2–3 час., 70°) получают 30 ч. фенилакрилата (I), т. кип. 90–91°/4 мм. Аналогично получают n-хлорфенилакрилат (II) и метакрилат, т. кип. 115°/14 мм, 2,5-дихлорфенил- (III) (т. кип. 118°/4,9 мм), 2,4,5-трихлорфенилакрилаты (IV), т. пл. 64–65°, а также соответствующие эфиры n-хлор-о-крезола и хлорированных ксиленолов. Перечисленные эфиры в виде р-ров в подходящем р-рителе или дустов на тальке, кизельгуре, каолине или меле применяют для консервирования бумаги, текстиля и дерева, защиты растений и дезинфекции. Полное подавление *Aspergillus niger* получено при применении (указаны в-во и конц-ия в %): I, 1,25; II, 0,15; III, 0,15; IV, 0,038; фенола, 5, n-ClC₆H₄OH (V), 1,25; 2,5-Cl₂C₆H₃OH (VI), 0,3; 2,4,5-Cl₃C₆H₂OH (VII), 0,075; а также при применении эфиров пропионовой к-ты и фенола, V, VI и VII при конц-ии 10, 0,63, 0,31 и 0,15% соответственно. А. Г.

22560 П. Приготовление концентрированного клея-кого противогнильного состава из бурых водорослей. Такахаеи (耐腐性紅藻濃液糊の製造法. 高橋武雄) [高橋武雄, 八木熊吉, Такахаеи такоэ, Ямакумакити]. Японск. пат. 2848, 26.04.55

Противогнильный состав получают осаждением из водорослей гексаметилентетрамина. Для этого 10 кг водорослей *Gloiopeltis furcata* обрабатывают 1 час р-ром 5 кг конц. HCl (к-та) в 100 л воды при 20°. К 120 кг полученной массы добавляют 5 кг NH_4OH , затем 5–10 л формалина. Аналогично 10 кг водорослей «Глинансо» (произрастают на о-ве Хоккайдо) 1 час обрабатывают водн. р-ром Na_2O_2 , затем 2 кг H_2SO_4 в 30 л воды оставляют на 24 часа, обрабатывают NH_4OH и формалином. Н. Швецов

22561 П. Метод и состав для уничтожения растительности. Масселл (Method and composition for the control of the growth of vegetation. Mussell Dorsey R.) [The Dow Chemical Co.]. Пат. США 2747982, 29.05.56

Активные в качестве гербицидов 4-галоид-2,6-ди-втор-бутилфенолы (I) (где галоид — Cl или Br) получают действием Cl_2 -газа или Br_2 на 2,6-ди-втор-бутилфенол при 25—60° с последующим фракционированием в вакууме; 4-хлор-2,6-ди-втор-бутилфенол имеет т. кип. 170°/2 мм., 4-бромпроизводное кипит при 170,5°/10 мм. I применяют как для внесения в почву на глубину $\geq 1,25$ см до прорастания семян (22—44 кг/га), так и для опрыскивания растений (3,3—28 кг/га); в больших количествах I стерилизуют почву. С помощью I достигнута 100%-ное подавление роста ростки, немецкого и японского проса без вреда для кукурузы, ржи, хлопчатника, сорго, лугового мятлика, овсяницы красной. I применяют в виде водн. эмульсий, которые готовят из концентратов (состоящих, напр., из 25 вес. ч. I, 10 вес. ч. поверхностно-активного в-ва (тритон X-155) и 65 вес. ч. ксилола).

Г. Швиндлерман

22562 П. Регулирование роста растений с помощью хлор(бром)фенилцианакриловых кислот и их производных. Лиджетт, Вулф (Plant growth regulation with chlorophenyl cyanoacrylic acids and derivatives). Пат. США 2749229, 5.06.56; (Bromophenyl cyanoacrylic acids and derivatives). Пат. США 2749231, 5.06.56 (Ligett Walde B., Wolf Calvin N.) [Ethyl Corp.].

Соединения типа $\text{XC}_6\text{H}_4\text{CH}(\text{CN})\text{CO}_2\text{Y}$ (I) (где X — α , β -Cl- (пат. 2749229), α -, β -, или γ -Br- (пат. 2749231) — α -циано- β -(галоидфенил)-акриловые к-ты (II) и их эфиры, соли с металлами, органич. основаниями, металлоорганич. соли) являются активными регуляторами роста растений. С изменением Y I приобретают необходимые вторичные свойства — растворимость в воде или органич. р-рителях, летучесть, стойкость к выветриванию, бактериостатич. и фунгицидные свойства и т. д. Для получения I, где X = α -Br, Y = ONa (III), 8,5 г циануксусной к-ты (IV) в 34 мл воды нейтрализуют 5,3 г Na_2CO_3 в 9 мл воды; при 40° добавляют 0,6 г NaOH в 42 мл воды, затем в течение 1 часа прибавляют 17,5 г α -бромбензальдегида (V) и 2 часа перемешивают при этой же т-ре. После охлаждения до 25° выпадает кристаллич. продукт; выход 18,6 г. Аналогично (взяв вместо V 13,8 г α -хлорбензальдегида) с 90%-ным выходом получают I, где X = α -Cl, Y = ONa (VI). Подкисляя водн. р-ры III и VI HCl-к-той, в осадке почти количественно получают соответствующие к-ты — I, X = α -Br, Y = OH, т. пл. 206—210°; I, X = α -Cl, Y = OH, т. пл. 189—191,5°. Аналогично получена I, X = β -Cl, Y = OH, т. пл. 169—171°. Эфиры II получают взаимодействием соответствующих эфиров IV с галоидбензальдегидом; в случае $\text{BrC}_6\text{H}_4\text{CHO}$ катализатором служит пиперидинбензоат. Соли II получают нейтр-цией оснований II; металлоорганич. соли — из Na-солей II и металлоорганич. галоидпроизводных. I способны задерживать рост растений, образование почек, цветов, плодов. Так, при опрыскивании молодых растений томатов суспензиями I растения в течение 21 дня отставали в росте и при этом необычно кустились, давая множество пазушных побегов; в дальнейшем обработанные растения догоняли по высоте необработанные. Торможение роста с помощью I достигнуто на кукурузе, травах, бобовых культурах, овощах, цветах. Бархатки, опрысканные II, цвели на 4—12 дней позже обычного; при этом цветы имели нормальный цвет и вид. С помощью I задерживается почкование и цветение цитрусовых, яблонь, груш, вишни, персиков, а также декоративных деревьев и кустарников. I задерживают прорастание клубнеплодов, в частности картофеля, на срок до 4 месяцев. Чтобы I действовали на растение, достаточно обработать хотя бы один лист; так, у томатов обработанный лист увядал, а само

растение через 10 дней было в три раза ниже, чем контрольные растения. I применяют как самостоятельно, так и в смеси с гербицидами, инсектицидами и т. д., а также с удобрениями. Для опрыскивания растений готовят суспендируемые в воде порошки, содержащие I, инертный наполнитель и поверхностно-активное в-во; применяют также р-ры I в органич. р-рителях и эмульсии типа «масло в воде», которые готовят из концентратов, содержащих I, р-ритель и поверхностно-активное в-во. I могут быть применены также для внесения в почву. Для обработки семян наиболее пригодны dustы I с глиной, тальком и т. п. наполнителями.

Г. Швиндлерман

См. также: Инсектициды: синтез 21539; анализ 21232; 8259Бх; токсикология 21922, 21928, 21929; 9391Бх. Бактерициды и фунгициды: синтез 21405; проп-во 22352; анализ 23033, 23082; зависимость активности от хим. строения 8620Бх; консервирование древесины 22812, 22815, 22816, 22820—22822, 22843—22847, 22849. Регуляторы роста: синтез 21543; выделение из растений 8264Бх; проп-во 22367; анализ 8662Бх; действие на растения 8825Бх, 8826Бх; защитное действие против излучений 9035Бх

ДУШИСТЫЕ ВЕЩЕСТВА. ЭФИРНЫЕ МАСЛА. ПАРФЮМЕРИЯ И КОСМЕТИКА

Редактор В. Н. Белов

22563. Новая исследовательская лаборатория фирмы Firmenich & Cie. Штотль (Das neue Forschungslaboratorium von FIRMENICH und CIE. Gekürzter Vortrag von Max Stoll.—), *Riechstoffe und Aromen*, 1957, 7, № 7, 193, 194, 196 (нем.)

Описана планировка, организация и оборудование исследовательской хим. лаборатории.

А. Войцеховская

22564. Успехи исследования эфирных масел в Италии. Ла-Фаче (Fortschritte bei der Erforschung der Essenzen in Italien. La Face Francesco), *Parfüm. und Kosmetik*, 1957, 38, № 3, 152, 157—158 (нем.)

Обсуждаются успехи Италии в области механизации технологич. процессов получения цитрусовых масел (подготовка материала, экстракция, отделение), анализа с применением УФ-спектрофотометрии, исследования условий произрастания и видов различных эфиромасличных культур.

Е. Шенеленкова

22565. Эфирные масла ветиверии и цитронеллы, выращенных в Сомали. Пьетрамеллара (Su essenze di vetiver e di citronella da coltivazioni della Somalia. Pietramellara Filippo), *Riv. ital. essenze profumi, piante offic., olii veget., saponi*, 1957, 39, № 2, 60—63 (итал.)

Доклад на I Международном конгрессе по изучению эфирных масел (Италия, март 1956 г.). Описаны свойства эфирных масел ветиверии (*Vetiveria zizanioides*) и цитронеллы (*Cymbopogon nardus* и *C. winterianus*) в настоящее время интродуцируемых в Итальянском Сомали.

А. Верещагин

22566. О присутствии оксидов сесквитерпенов в эфирных маслах Трейбс (Sulla presenza di ossidi sesquiterpenici negli olii essenziali. Treib W.), *Riv. ital. essenze profumi, piante offic., olii veget., saponi*, 1957, 39, № 1, 9—12 (итал.)

Доклад на I Международном конгрессе по изучению эфирных масел (Италия, март 1956 г.). Описаны сесквитерпеновые оксиды, встречающиеся в эфирных маслах герани, валерианы, гвоздики и сандалового дерева. Предложена классификация сесквитерпенов

по составу продуктов дегидрирования: 1) образующие продукты ароматич. ряда; 2) образующие продукты типа азуленов; 3) образующие как ароматич. в-ва, так и азуланы. Указано, что окиси являются продуктом биохим. превращения терпенов. А. Вережанин

22567. Эфирные масла из цветов в парфюмерии. Ресман (Važnost prirodnih cvjetnih ulja u parfumeriji. Resman Andrija), Kemija u industriji, 1956, 5, № 9, 221—225 (сербо-хорв.)

22568. Осветление ароматизирующих и вкусовых веществ центрифугированием. Джейкобс (Centrifugal clarification of flavoring materials. Jacobs Morris B.), Amer. Perfumer and Arom., 1957, 70, № 1, 59—61 (англ.)

Излагается принцип действия центрифуги. Описывается устройство наиболее распространенных машин для осветления эфирных масел, фруктовых экстрактов и соков. Рассматриваются преимущества центрифугирования перед другими способами осветления — фильтрованием и отстаиванием. С. Светов

22569. Возбудители запаха. Монкрифф (The stimulus for smell. Moncrieff R. W.), Perfum. and Essent. Oil Rec., 1957, 48, № 7, 345—348 (англ.)

Высказано суждение, что обоняние связано с сорбционным процессом, что подтверждается дезодорированием воздуха, пропущенного через адсорбент и через носовую полость только что убитого животного. Е. Смольянинова

22570. Концентрация запахового порога. Мидлтон (Smell — threshold concentration. Middleton A. W.), J. Soc. Cosmetic Chemists, 1957, 8, № 1, 41—43 (англ.)

Трактовка понятия запахового порога с точки зрения адсорбционной теории. Библ. 6 назв.

М. Землянухина
22571. Химические исследования в парфюмерии. Шифтан (L'influence de la recherche chimique sur la parfumerie. Shiftan Ernest), Inds parfum. et cosmét., 1957, 12, № 9, 281—285 (франц.)

Показано значение синтетич. душистых в-в (СДВ) в парфюмерной пром-сти, применяющихся для замены натуральных душистых в-в и как продукты с оригинальным запахом. СДВ позволяют неограниченно увеличивать ассортимент новых отдушек, изготовлять их в большем кол-ве и делать их более дешевыми.

Е. Смольянинова
22572. Синтетические душистые вещества в парфюмерии. Шалейе (Synthetic aromatics in perfumery. Chaley Philip E.), Amer. Perfumer and Arom., 1957, 70, № 2, 39—42 (англ.)

Обзор синтетич. душистых в-в, заменяющих природные душистые в-ва. В частности, указано на синтетич. линалоол (синтезирован из ацетиленов и ацетона), неролидол и их эфиры, а также синтетич. проп. ионов, геранилацетон. Дана характеристика их запаха и влияния его на общий запах отдушки.

Е. Смольянинова
22573. Описание новых синтетических ароматических веществ. Катц (Highlights on newly developed Flavoring aromatics. Katz Alexander), Food Technol., 1955, 9, № 12, 636—638 (англ.)

Приведен перечень синтетич. в-в, применяемых в пищевой пром-сти (63 назв.), а также вновь синтезированных (44 назв.) с указанием их т-ры кипения, коэф. рефракции, характеристики запаха и рекомендуемой дозировки.

В. Гурин
22574. Запах клёна. Джейкобс (Maple flavor. Jacobs Morris B.), Amer. Perfumer and Arom., 1957, 69, № 5, 59—60. (англ.)

Запах сиропа клёна приписывается смеси в-ва, содержащих л-кониферилловый альдегид. Описан метод получения пахучего начала сиропа клёна: ванилин,

гваякол, Са-соль яблочной к-ты и уксуснокислый марганец нагревают (1 час) в слабокислой среде, подслащивают содой, кипятят 4—5 час., нейтрализуют HCl и экстрагируют эфиром; получают аморфный порошок (т. пл. 73°) с характерным запахом и вкусом сиропа клёна. Е. Смольянинова

22575. Отдушивание аэрозолей. Демейе (Die Parfümierung von Aerosolen. Demeilliers A.), Parfüm. und Kosmetik, 1957, 38, № 6, 345—346 (нем.)

О характере запаха и причинах нестойкости аэрозольных и обычных парфюмерных отдушек. Е. Ш.

22576. Характеристика некоторых веществ, применяемых в косметике. Бергвейн (Fachwörter der Kosmetik. Bergwein Karl), Riechstoffe und Aromen, 1956, 6, № 2, 43—44 (нем.)

Дана характеристика некоторых в-в, применяемых в косметике, и кратко описаны хим. и физ. свойства витаминов D, E, K и P и отмечаются нарушения, вызванные недостаточностью этих витаминов. Приводится содержание витаминов в некоторых пищевых продуктах. А. Войцеховская

22577. Новое применение лекарственных растений в косметике. Ровести (Recherches sur les nouvelles applications des plantes officinales et cosmétologie. Rovesti Paolo), Parfum. mod., 1956, 48, № 54, 55—59 (франц.)

Изучено применение в масках для кожи соков, выделенных (в большинстве случаев отжиманием) из следующих растений: смягчающие соки — *Malva sylvestris* L. из цветущего растения, выход 70%, аналогичным действием обладает сок из корней; *Althaea officinalis* L. слизь из сухих корней; *Plantago major* L. и *lanceolata* L. из наземных частей растения, выход 53%; вяжущие соки — *Vaccinium myrtillus* L. из листьев; *Castanea vesca* Gärtn. из листьев, выход 45%; *Corylus avellana* L. из листьев, выход 39%; успокаивающие соки — *Hypericum perforatum* из цветов, выход 42%; *Lactuca sativa* L. из листьев, выход 75%; особенно рекомендуется вытяжка арахисовым маслом из сухих цветов ромашки, смоченных спиртом. Все испытанные соки дали положительный результат, но они быстро портятся и более эффективны, когда получены из свежего непросушенного сырья. Е. Смольянинова

22578. Косметические препараты на основе соков овощей. Ровести (Produits de beauté à base de sucs de légumes. Rovesti P.), Inds parfum. et cosmét., 1957, 12, № 9, 305—307 (франц.)

Показано положительное действие на кожу бентонитовых масок, пропитанных свежими соками моркови, огурцов, салата-латука, томата, сельдерея, шпината или тыквы. Пастеризованные соки для этой цели не пригодны. Е. Смольянинова

22579. Концентрированные и стабилизированные соки фруктов. Файо, Ривера (Les hormo-fruits ou jus de fruits concentrés et stabilisés. Fayaud Adrien, Rivera Silvio), Inds parfum. et cosmét., 1957, 12, № 8, 265—266 (франц.)

Рекомендуется применять в косметич. препаратах свежие соки фруктов и овощей, а также соки, содержащие стимулины (полученные методом Филатова). Указанные соки оказывают положительное действие на кожу. Е. Смольянинова

22580. Поливинилпирролидон, его производство, свойства и применение в косметике. Гринфилд (Polyvinylpyrrolidone, its manufacture, properties and use in cosmetics. Greenfield I.), J. Soc. Cosmetic Chemists, 1957, 8, № 4, 196—211 (англ.)

Рекомендуется применять поливинилпирролидон (П) в препаратах для волос (кремах, лаках, красках и др.), в гриме, в лосьонах для бритья, в зубных пастах, губных помадах. П растворим в воде и во многих органич.

в-вах (последние подробно перечислены), нерастворим в углеводородах, образует комплексы с различными органич. в-вами (красками, антибиотиками и др.), ведет себя подобно природному альбумину, гигроскопичен, стоек, однороден, не обладает вредным физиологич. действием и придает коже мягкость. Возможно I найдет применение в парфюмерных отдушках в качестве фиксатора, благодаря своему свойству образовывать комплексы с органич. в-вами. Описан синтез I из ацетиленов и формальдегида.

Е. Смольянинова

22581. Эмульсии и эмульгаторы в косметической промышленности. Штейн (Emulsiile și emulgătorii din industria cosmetică. Stein Sandu), Rev. ind. aliment. prod. vegetale, 1957, № 6, 14—15 (рум.).

Рассмотрены широко применяемые ионогенные и неионогенные эмульгаторы с указанием на их хорошее действие как в кислых, так и в щел. средах и малое влияние на их свойства электролитов. Отмечено все более широкое применение четвертичных солей аммония для получения эмульсий масла в воде. А. М.

22582. Анализ красителей для волос с помощью хроматографии на бумаге. Сообщение II. Якобелли-Тури (Analisi delle tinture per capelli.—Nota II. Jacobelli Turi Carla), Rend. Ist. super. sanità, 1957, 20, № 6, 570—589 (итал.; рез. англ., нем., франц.). Приведены результаты анализов 10 различных средств для окраски волос (экстракцией исследуемой краски различными органич. р-рителями (в кислой, щел. среде или р-ре NaHCO_3) и определением и идентификацией составных частей экстрактов хроматографией на бумаге). Сообщение I см. РЖХим, 1957, 75548.

И. Милованова

22583. Моющие агенты в косметике. Бергвейн (Foaming agents in cosmetics. Bergwein Karl), Drug and Cosm. Ind., 1957, 81, № 2, 163—165, 236, 238 (англ.).

Отмечено преимущество применения синтетич. моющих детергентов — сульфатов жирных спиртов, алкиларилсульфонатов, алкилсульфонатов и продуктов конденсации жирных к-т с протеиновыми в-вами — по сравнению с мылами. Эти в-ва могут также применяться как смачивающие агенты и стабилизаторы дисперсных систем. Приведены рецепты различных шампуней.

И. Вольфензон

22584. Современные препараты для ухода за волосами. Нейман (Moderne Haarpräparate. Neuman Gregor), Seifen-Öle-Fette-Wachse, 1957, 83, № 10, 276—277 (нем.; рез. англ., франц., исп.).

Дана рецептура приготовления жидкостей для горячей перманентной завивки и средств, укрепляющих волосы, поврежденные перманентной завивкой и синтетич. шампунями: лаков (в виде аэрозолей), препаратов, придающих волосам блеск и укрепляющих волосы.

Е. Шепеленкова

22585. Восстановительный потенциал и значение г или окислительно-восстановительное действие в косметике. Мейер (Redoxpotential und g-wert oder die oxydations-Reduktionskraft in der Kosmetik. Meyer F. O. W.), Parfüm. und Kosmetik, 1955, 36, № 12, 606, 608 611 (нем.; рез. англ., франц.).

22586. Смеси Nipa-эфиров как предохраняющие и антисептические средства. Бём, Джонс (Nipa-ester combinations as preservatives and antiseptics. Boehm Erich, Jones Elizabeth), J. Soc. Cosmetic Chemists, 1957, 8, № 1, 30—40 (англ.).

Установлена высокая активность, как ингибиторов, некоторых смесей двух или более эфиров n-оксисоединенной к-ты, широко применяемых как антисептич. добавки для ряда зубных средств, эликсиров, лосьонов, пудр и кремов. Рекомендуется применение этих сме-

сей также для предохранения от порчи ряда простых сиропов, пенициллина с новокаином, глазных капель и других препаратов. Исследованы некоторые хим. и физ. свойства смесей эфиров и действие их на различные микроорганизмы (грамположительные и грамотрицательные бактерии, дрожжевые и другие грибки, плесень). Наилучшей является смесь «Nipa-82121», добавление которой в кол-ве 0,14% при $\sim 20^\circ$ убивает все испытываемые микроорганизмы в течение 30 мин. Приведена методика анализа связанной n-оксисоединенной к-ты в смеси.

А. Землянухина

22587. Бактерицидные свойства губных карандашей и воды для полоскания рта. Швейсхеймер (Lippenstift und Mundwasser als Bakterienvernichter. Schweisheimer W.), Seifen-Öle-Fette-Wachse, 1957, 83, № 2, 37—38 (нем.).

Обсуждается значение некоторых косметич. и санитарно-гигиенич. препаратов (губная помада, вода для полоскания рта) с точки зрения их влияния на бактериальную флору полости рта.

А. Травин

22588. Заболевания кожи, вызванные косметическими препаратами. 2. Мыла, средства для очистки кожи, краски для волос, лак для ногтей. Бауэр (Hauterkrankungen durch Kosmetika. (2. Seifen, Hautreinigungsmittel, Haarfärbemittel. Nagellack). Bauer Gerhard G.), Seifen-Öle-Fette-Wachse; 1957, 83, № 4, 83—84; № 5, 110—111 (нем.; рез. англ., франц., исп.).

Часть I см. РЖХим, 1957, 6008

А. В.

22589. Алюминиевые контейнеры для аэрозолей. Тарангер (Aluminum aerosol containers. Tanager Axel), Soap and Chem. Specialties, 1957, 33, № 7, 109, 111, 113 (англ.).

Рекомендуется применять для аэрозолей алюминиевые контейнеры, изготовляемые из цельного блока металла, выдерживающие давл. 12 атм. Описан метод их покрытия.

Е. Смольянинова

22590. Способ получения полиалкилинданов и их производных. Полак (Polyalkylindanes et produits en dérivant ainsi que procédé de fabrication desdits. Polak Ernest H.) [P. F. W. of America, Inc.]. Франц. пат. 1109699, 31.01.56

Патентуется способ получения новых продуктов для парфюмерной пром-сти, обладающих запахом мускуса, являющихся карбонильными соединениями полиалкилиндана (I). Бензольное ядро I имеет карбонильсодержащий заместитель (формил, CH_3CO — или $\text{CH}_3\text{CH}_2\text{CO}$ —) и иногда алкильную группу с 1—3 атомами С, атомы Н в циклопентановом кольце замещены 4,5 или 6 алкильными группами, с 1—3 атомами С. Для получения I углеводороды ряда стирола (II), напр. II, $\text{C}_6\text{H}_5\text{C}(\text{CH}_3)=\text{CH}_2$ (III), $n\text{-CH}_3\text{C}_6\text{H}_4\text{CH}=\text{CH}_2$, n -, o - или $m\text{-CH}_3\text{C}_6\text{H}_4\text{C}(\text{CH}_3)=\text{CH}_2$, $n\text{-C}_2\text{H}_5\text{C}_6\text{H}_4\text{C}(\text{CH}_3)=\text{CH}_2$, $n\text{-C}_3\text{H}_7\text{C}_6\text{H}_4\text{C}(\text{CH}_3)=\text{CH}_2$ или $n\text{-изо-C}_3\text{H}_7\text{C}_6\text{H}_4\text{C}(\text{CH}_3)=\text{CH}_2$, конденсируют с алкенами ($\text{CH}_3\text{C}(\text{CH}_3)=\text{CH}_2$, $\text{CH}_3\text{CH}_2\text{C}(\text{CH}_3)=\text{CH}_2$, $\text{CH}(\text{CH}_3)\text{C}(\text{CH}_3)_2$, $(\text{CH}_3)_2\text{C}=\text{C}(\text{CH}_3)_2$, $\text{CH}_3\text{CH}(\text{CH}_3)\text{C}(\text{CH}_3)=\text{CH}_2$, $\text{CH}_3\text{C}_2\text{H}_5\text{C}(\text{CH}_3)=\text{C}(\text{CH}_3)_2$ или $(\text{CH}_3)_2\text{CCH}=\text{CH}_2$ в присутствии катализатора (смесь CH_3COOH и конц. H_2SO_4 80—95%-ная H_2SO_4 или BF_3 -эфират) и в-ва, препятствующего полимеризации II и алкенов. Для получения формильного производного в бензольное ядро I вводят хлорметильную группу, затем действуют уротропином в 50%-ной CH_3COOH , или Na-солью 2-нитропропана, суспендированной в спирте. Ацетильную и пропионильную группы вводят действием хлорангидрида или ангидрида соответствующей к-ты в присутствии катализатора. 450 г III и 265 г $(\text{CH}_3)_2\text{C}=\text{CHCH}_3$ прибавляют по каплям при перемешивании в течение 1,5 часа при $10\text{--}30^\circ$ к смеси 375 г 98%-ной CH_3COOH и 375 г конц. H_2SO_4 и перемешивают еще 2,5 часа.

Смесь выливают в воду, отделяют масляный слой, промывают разб. водн. NaOH и водой до нейтр. р-ции. Перегоняют с эффективной колонкой, получают 1,1,2,3,3-пентаметилиндан, т. кип. 68—72°/мм n_D^{20} 1,509—1,510. Остаток содержит полимеры III. Вместо указанной смеси CH_3COOH и H_2SO_4 можно взять 12 г BF_3 -эфирата и 2,5 г бензохинона. В тех же условиях из 495 г $n\text{-C}_5\text{H}_5\text{N}_4\text{C}(\text{CH}_3)=\text{CH}_2$ и 315 г $(\text{CH}_3)_2\text{C}=\text{C}(\text{CH}_3)_2$ получают 1,1,2,2,3,3,5-гептаметилиндан (IV), т. кип. 82—86°/0,7 мм, 98°/2 мм, т. пл. 65—66° (из сп.), n_D^{20} 1,5204. 140 г AlCl_3 растворяют в 400 г $\text{C}_6\text{H}_5\text{NO}_2$ (V), охлаждают до 30°, прибавляют в течение 3 час. смесь 216 г IV, 85 г CH_3COCl и 200 г V и перемешивают до прекращения выделения HCl и еще 30 мин. Вязкую массу выливают при перемешивании в смесь льда с конц. HCl. Тяжелое масло промывают водой и водн. CH_3COONa . Отгоняют 390 г V и получают ~120 г 6-ацетил-1,1,2,2,3,3,5-гептаметилиндана, т. пл. 55,5—56° (из CH_3OH). Если вместо 85 г CH_3COCl взять 95 г $\text{CH}_3\text{CH}_2\text{COCl}$, получают 6-пропионил-1,1,2,2,3,3,5-гептаметилиндан, т. кип. 126°/0,1 мм, т. пл. 40—41°. Из $n\text{-C}_5\text{H}_5\text{N}_4\text{C}(\text{CH}_3)=\text{CH}_2$ и $(\text{CH}_3)_2\text{C}=\text{C}(\text{CH}_3)_2$ получают 1,1,2,2,3,3,3-гексаметил-5-этилиндан, т. кип. 108°/2 мм, n_D^{20} 1,515, d_4^{20} 0,918, из которого действием CH_3COCl получают 6-ацетил-1,1,2,2,3,3,3-гексаметил-5-этилиндан, т. кип. 130°—0,5 мм, т. пл. 60—61°. Действием на 1,1,2,3,3,5-гексаметилиндан, т. кип. 85°/2 мм, n_D^{20} 1,5119, d_4^{20} 0,9119, параформальдегида в присутствии безводн. ZnCl_2 в токе HCl-газа при 58—62° получают 6-хлорметил-1,1,2,3,3,5-гексаметилиндан, т. кип. 124—150°/2 мм, т. пл. 64—66° (из сп.). 452 г этого в-ва медленно прибавляют к нагретой смеси 74,8 г NaOH, 173 г $\text{CH}_3\text{CH}(\text{NO}_2)\text{CH}_3$ и 1110 г $\text{C}_2\text{H}_5\text{OH}$ и кипятят 15 мин. Отфильтровывают NaCl, отгоняют $\text{C}_2\text{H}_5\text{OH}$, остаток разбавляют водой и экстрагируют C_6H_6 . Промывают 10%-ным NaOH и водой. Получают 6-формил-1,1,2,3,3,5-гексаметилиндан, т. кип. 133—138°/3,5 мм, т. пл. 66,5—67,5° (из 50%-ного сп.). Аналогично из IV получают 6-хлорметил-1,1,2,2,3,3,5-гептаметилиндан, т. кип. 121—130°/0,5 мм, т. пл. 91—93 (из сп.). 42 г этого в-ва кипятят 2 часа с 44 г уротропина, 65 мл лед. CH_3COOH и 65 мл воды. Затем добавляют 25 мл 36%-ной водн. HCl и кипятят еще 20 мин. Экстрагируют бензолом, перегоняют и получают 29 г 6-формил-1,1,2,2,3,3,5-гептаметилиндана, т. кип. 125—140°/1 мм, т. пл. 91,5—93°. Получены следующие I (перечислены т-ры кипения, n_D^{20} и d_4^{20}): 1,2,3,3,5-пентаметилиндан, 78°/2 мм, 1,5105, 0,9090; 1,1,3,3,5-пентаметилиндан, 67°, 1,5038, 0,8948; 1,1,3,5-тетраметил-3-этилиндан, 63°/0,3 мм, 1,5066, 0,9016; 1,1,5-триметил-3,3-диэтилиндан, 93°/2 мм, 1,5088, 0,9085; 1,1,3,3-тетраметил-5-этилиндан, 77°/2 мм, 1,5028, 0,8926; 1,1,2,3,5-пентаметил-3-этилиндан, 96°/2 мм, 1,5107, 0,9125; 1,1,2,3,3-пентаметил-5-этилиндан, 92°/2 мм, 1,5064; 0,9907; 1,1,3,3,5-пентаметил-2-этилиндан, 97°/2 мм, 1,5140, 0,9170; смесь 1,1,2,2,3,5-гексаметил-3-этилиндана и 1,1,2,3,3,5-гексаметил-2-этилиндана, 108°/2 мм, 1,5161, 0,9220; 1,1,3,5-тетраметил-3-изопропилиндан, 89°/2 мм, 1,5048, 0,8984; 1,1,2,3,3-пентаметилиндан, 68°/2 мм, 1,5108, 0,9146. Получен ряд соединений, обладающих запахом мускуса (даны т-ры кипения, т-ры плавления, n_D^{20} , d_4^{20}): 6-ацетил-1,2,3,3,5-пентаметилиндан, —, 67,5—69°; —, —; 6-ацетил-1,1,3,3,5-пентаметилиндан, 114°/1 мм, 60—61°; —, —; 6-ацетил-1,1,3,5-тетраметил-3-этилиндан, 114°/0,7 мм, 31,5—33°; —, —; 6-ацетил-1,1,5-триметил-3,3-диэтилиндан, 118°/0,1 мм, —, 1,5322, 0,9804; 6-ацетил-1,1,3,5-тетраметил-3-изопропилиндан, 100°/0,1 мм, 66,5—67,5°; —, —; 6-ацетил-1,1,3,3-тетраметил-5-этилиндан, 140°/2 мм, 50,5—52°; —, —; 6-ацетил-1,1,2,3,3,5-гексаметилиндан, —, 59—59,8°; —, —; 6-ацетил-1,1,2,3,3,5-пентаметил-3-этилиндан, 116°/0,2 мм, —, 1,5300, 0,9767; 6-ацетил-1,1,2,3,3-пентаметил-5-этилиндан, 141°/2 мм, 74—75°; —, —; 6-ацетил-1,1,3,3,5-пентаметил-2-этилиндан, 138°/1 мм, —, 1,5339, 0,9881; смесь 6-ацетил-1,1,2,2,3,5-гексаметил-2-этилиндана и 6-ацетил-1,1,2,3,3,5-гексаметил-2-этилиндана, 131°/0,3 мм, —, 1,5281, 0,9709; 6-ацетил-1,1,2,3,3-гексаметил-5-этилиндан, 130°/0,5 мм, 60—61°; —, —; 6-ацетил-1,1,3,3-тетраметилиндан, —, 49—50,5°; —, —; 6-ацетил-1,1,2,3,3-пентаметилиндан, 127°/2 мм, 47—48°, 1,5332, 1,0023; 6-формил-1,1,2,3,3-пентаметилиндан, 119—120°/0,2 мм, 48,5—50°; —, —; 6-ацетил-1,1,2,2,3,3-гексаметилиндан, 140°/2 мм, —, 1,5367, 0,9928. В. Красева

22591 П. Способ производства душистых предметов. Рудницкая (Procédé de fabrication d'objets odorants. Roudnitska Edmond). Франц. пат. 1115039, 18.04.56

Способ состоит в том, что предметы, предназначенные для отдушки (О), полностью или частично покрываются тонким прозрачным слоем в-ва абсорбирующего О. Абсорбирующим в-вом является «жир анфлеража» (Ж) свежий или в частично или полностью удаленными душистыми в-вами. Ж расплавляют, добавляют О, опускают в него бумагу, ткань и т. п., вынимают и охлаждают. Указанный способ особенно рекомендуют для отдушки бумаги для абакжуров, так как она при этом становится прозрачной. В. Красева

22592 П. Получение мазей и туалетных вод. Саккал (Herstellung von Salben und Hautwässern. Szakall Alexander) [August Luhn und Co. G. m. b. H.]. Пат. ФРГ 939283, 16.02.56

Предлагается получать мази и туалетные воды, в состав которых входит смазывающее в-во, с прибавлением алифатич. альдегидов с 2—6-атомами С, напр. ацетальдегид в кол-ве 0,35 молей на 1 кг, преимущественно 0,035—0,25 молей на 1 кг. Такой состав быстро восстанавливает нормальный рН кожи. О. Магидсон

22593 П. Способ изготовления лечебных мазей, косметических кремов и подобных средств. Меженский, Щенская-Деркач (Sposób wytwarzania mazi leczniczych, kremów kosmetycznych i środków podobnych. Mierzecki Henryk, Szczesna-Derkacz Maria). Польш. пат. 38843, 10.05.56

Конский жир перетапливают, вываривают в воде и фильтруют через полотно, а затем декантируют. Полученный таким образом жир расплавляют на водяной бане с добавлением пчелиного воска в кол-ве 10%, а затем воды при перемешивании до образования однородной массы светло-кремового цвета. К полученной массе добавляют по потребности лечебные средства. М. Рейбах

22594 П. Новые косметические продукты и способ их получения (Nouveau produit cosmétique, d'hygiène ou de beauté, et son procédé de fabrication) [Jean d'Albret (S. A. R. L.)]. Франц. пат. 1116942, 14.05.56

В косметические продукты (КП), напр. кремы, пудру, румяна, губную помаду, бриллианты, зубную пасту, мыло и т. п., вводят пылицу (П) цветовой одного вида или их смесь в кол-ве 0,5—20%. П вводят на любой стадии приготовления КП в виде взвеси или р-ра в эфире. Окрашенную П подвергают предварительной отбелке действием моноэтилового эфира этиленгликоля или другим способом. Введение П, содержащей протеины, витамины, некоторые гормоны и т. п., повышает качество КП. В. Красева

22595 П. Вода для волос. Опферман (Haarwasser. Opfermann Adolf Christian Joseph). Пат. ФРГ 595585, 7.03.57

Патентуется вода для волос, содержащая ацетин (I) и диацетин (II). I легко растворим в воде, в разб. этиловом спирте, в изопропиловом спирте или в смеси этих р-рителей. I и II проявляют особое косметич.

действие, полностью растворяют перхоть. В качестве основных компонентов I и II содержат душистые р-ва и краски. Также применяют в воде для волос моно- и триацетин, хорошо растворимые в разб. спирте. Пример. Смешивают (в г) 450 спирта, 230 воды, 250 диацетина; прибавляют 2 мл отдушки.

И. Милованова

22506 П. Жидкость для восстановления натурально-го цвета седых волос. Тер-Газарова (Płyn do przywracania siwym włosom naturalnej barwy blond. Ter-Gazarowa Maria). Польш. пат. 37414, 20.05.55

Предложена жидкость для придания седым волосам светлой окраски, состоящая (в вес. ч.) из отвара шелухи испанского лука 100, 3%-ного р-ра H_2O_2 0,4, этилового спирта 0,6.

С. Войткевич

См. также: Искусственные пищевые эссенции 23146, 23147

ФОТОГРАФИЧЕСКИЕ МАТЕРИАЛЫ

Редактор В. С. Чельцов

22597. Польская фотографическая промышленность в довоенный период. Илинский (Polski przemysł fotochemiczny w okresie przedwojennym. Iliński Mikołaj), Techn. Kinematogr., 1957, № 7-8, 11—12 (польск.; рез. франц.)

Обзор развития произ-ва фотографич. материалов в Польше, основание которого относится к 1890 г. Указан ассортимент фотографич. материалов, выпускаемых ф-ками. По данным автора, довоенное произ-во фотографич. материалов в Польше удовлетворяло ~60% потребности страны, кроме киноплёнки, которая в Польше до войны не производилась.

А. Вжежинский

22598. Фотографическая промышленность Польши в послевоенный период. Илинский (Przemysł fotochemiczny w Polsce powojennej. Iliński Mikołaj), Techn. kinematogr., 1957, № 7-8, 41—44 (польск.; рез. франц.)

Описано восстановление в послевоенный период двух наиболее крупных ф-к, производящих позитивную киноплёнку, любительскую фотоплёнку, фотографич. пластинки и фотобумагу. Приведен ассортимент фотографич. материалов, выпускаемых ф-ками, и указаны перспективы его расширения. Дан обзор н.-и. работ и направления дальнейшего развития польской фотографич. пром-сти.

А. Вжежинский

22599. Польские фотографические материалы на зарубежных рынках. Липский (Polskie wyroby fotochemiczne na rynkach zagranicznych. Lipski Jerzy), Techn. kinematogr., 1957, № 7-8, 45 (польск.; рез. франц.)

Обзор ассортимента фотографич. материалов, производимых ф-ками Польши на целлулоидной, стеклянной и бумажной основе и выпускаемых в продажу под общим названием Фотон. Указаны страны, в которые экспортируются материалы Фотон, и причины большого спроса на эти фотографич. материалы.

А. Вжежинский

22600. Бумага как подложка для фотографического эмульсионного слоя. Венцль (Paper as a photographic emulsion support. Wenzl Hermann F. J.), Sci. and Applicat. Photogr. London, Roy Photogr. Soc. Gr. Brit., 1955, 49—52 (англ.)

Рассмотрено влияние на свойства фотографич. материала способа изготовления бумажной подложки, анизотропии набухания бумаги, качества баритового слоя и проклейки бумаги, диффузии составных частей эмульсии и обменных р-ций между компонентами эмульсии и бумажной подложки.

С. Бонгард

22601. Антитормозящие вещества желатин. Штейгман (Antiretardateurs de la gélatine. Steigmann Albert), Sci. et inds fotogr., 1956, 27, № 8, 300—302 (франц.)

Антитормозящими в-вами часто называют в-ва, на самом деле являющиеся хим. сенсibilizаторами (С). Турбидиметрич. определения наличия С в ивертных желатинах, полученных обработкой активным углем, показало, что иногда они дают большее повышение мутности, чем исходные желатины. Таким образом, можно, по-видимому, различать антитормозящие в-ва и С. Скорость роста мутности солей $AgBr$ или $AgBr - AgI$ (без защитного коллоида) при 15-минутном кипячении заметно снижается в присутствии ионов Pt^{4+} , Pd^{2+} и Ir^{4+} и повышается при наличии Au^{+} , Au^{3+} и отчасти Hg^{2+} .

Н. Спасокукоцкий

22602. Светочувствительность и проявление; старые и новые проявители. Андреани (Sensibilité et développement. Révélateurs anciens — Révélateurs nouveaux. Andréani Robert), Photo-revue, 1956, 68, mai, 97—99 (франц.)

Применение малоэнергичных проявителей (П) при длительном проявлении приводит к увеличению вуали с потерей деталей в тенях. Повышение т-ры П сокращает длительность обработки при росте вуали, а применение антивуалирующих в-в снижает светочувствительность. Сильнощел. П энергично проявляют наименее освещенные места, но вызывают большую зернистость и чрезмерный контраст. Мелкозернистые слабощел. П с р-рителями $AgBr$ плохо используют светочувствительность и требуют передержек. Ввиду роста чувствительности фотоматериалов без увеличения зернистости можно было бы продолжать применение мелкозернистых П, не полностью использующих чувствительность слоя. Новые энергичные П (неофин, капитол, промикрол, фенидон) полностью используют светочувствительность слоя, имея некоторые преимущества. Испытания старых и новых П при съемке объекта с глубокими тенями и яркими светами (от 3-кратной недодержки до 16-кратной передержки) показали, что П старого типа — метологидрохиноновые и люмиксол (типа родинала) проявляют детали в тенях так же хорошо, как П нового типа. Метологидрохиноновые П дают непропечатывающиеся света, значительную агломерацию зерен и чрезмерный контраст. n-Аминофеноловый П (люмиксол) хорошо проявляет детали в тенях при снижении разрешающей способности. Новый П атомал хорошо проявляет недодержки и значительно более энергичен при очень мелком зерне. Фенидоногидрохиноновый П с бурой уже за 10 мин. проявляет детали в недодержках, а за 20—30 мин. проявляют полноценные изображения. Другие новые П с большим восстановительным потенциалом хорошо проявляют недодержанные снимки при мелком зерне.

К. Мертц

22603. Отделение графика. Фретчер, Беннетт (Graph-strip. Fretcher Karl W., Bennett Charles W.), Mod. Lithography, 1956, 24, № 8, 45—49, 121 (англ.)

Разработан способ фотографич. изготовления карт с отделением графика как со стекла, так и с подложки из пластика. Применяемые светочувствительные смолы могут длительно храниться перед экспозицией и обработкой. Процесс состоит из нанесения очень тонкого слоя этилцеллюлозы из р-ра в этаноле, бензоле и целлозолье на пластинку, покрытия слоем воды, р-ра пластифицированного поливинилового спирта с конго красным, небольшим кол-вом глицерина и жидкого фенола, высушивания его, заливания сухого слоя светочувствительным в-вом — диазосоединениями, поливиниловыми эфирами органич. к-т, поливинилацетофеноном и др. После сушки материал экспонируют

под позитивом, проявляют, промывают денатурированным спиртом и высушивают. Травление проводят в водн. р-ром CaCl_2 с добавкой молочной к-ты. Линии окрашиваются в темно-синий цвет, затем обесцвечиваются. Травящий р-р стирают с пленки, которую затем погружают в спирт (30 сек.) и сушат. Сухую травленную пластину заливают окрашенным спирт. р-ром шеллака, заполняющим углубленные линии и указывающим часть, которую надо снять. Окрашенные участки снимают с пластины и накладывают нужные оттенки.

Б. Брейтман

22604. Денситометрия линзоростровой пленки для записи телевизионного изображения с кинескопа. Браун, Комс, Смит (Densitometry of an embossed kinescope recording film. Brown W. R. J., Combs C. S., Smith R. B.), J. Soc. Motion Picture and Telev. Engrs, 1956, 65, № 12, 648—651. Discuss., 651 (англ.)

Описаны условия образования цветодельных изображений при записи изображения для цветного телевидения с экрана кинескопа на линзоростровую черно-белую пленку Истмен тип 5209. Рассмотрены требования к оптич. системе денситометра для измерения распределения плотности в трех пространственно разделенных цветодельных изображениях, экспонированных в красной, зеленой и синей спектральных зонах. Результаты измерения этим денситометром плотности телевизионного изображения на линзоростровой пленке вполне сравнимы с микроденситометрич. измерениями.

Л. Крупенин

22605 П. Способ студения слоев из белковых веществ и его применение, в частности, в фотографии (Procédé de gélification de couches protéiniques, ses applications, notamment en photographie, et nouveaux produits obtenus) [Kodak-Pathé]. Франц. пат. 1078960, 24.11.54 [Chimie et industrie, 1955, 74, № 5, 987 (франц.)]

Для быстрого студения нанесенного на подложку слоя водн. р-ра белка в этот р-р вводят от 0,25 до 50% (от веса белка) альдегида, в частности формальдегида, глиоксала или акролеина. После нанесения на подложку слой подвергают действию NH_3 -газа или паров аммиака.

С. Бонгард

22606 П. Способ получения симметричных и несимметричных карбоцианинов, замещенных в мезоположении полиметиновой цепи (Verfahren zur Herstellung von am mittelständigen Kohlenstoffatom der Methinkette substituierten, symmetrischen und unsymmetrischen Carbocyaninen) [Agfa A.-G. für Photofabrikation]. Пат. ФРГ 917330, 10.01.55

Взаимодействием ацилметановых производных ге-

тероциклич. оснований ф-лы $\text{R}-(\text{Z})\text{N}-\text{C}=\text{CHCOR}'$ (I) с P_2S_5 в органич. р-рителе (лучше всего в хлф.) получают тиокетоны ф-лы $\text{R}(\text{Z})\text{N}-\text{C}=\text{CHC}(\text{S})\text{R}'$ (II), кото-

рые обычными алкилирующими в-вами переводят в четвертичные соли тиоэфиров ф-лы $[\text{R}(\text{Z})\text{N}=\text{CCH}=\text{C}(\text{SR}'')\text{R}']^+\text{X}^-$ (III). Взаимодействием III с четвертичными солями гетероциклич. оснований с активной метильной группой нагреванием компонент в пиридине с триэтиламиноном получают карбоцианины ф-лы

$[\text{R}(\text{Z})\text{N}=\text{CCH}=\text{C}(\text{R}')\text{CH}=\text{C}(\text{CH}=\text{CH})_n\text{N}(\text{Z}')\text{R}'']^+\text{X}^-$ (IV). В ф-лах I—IV: R и R' — алкил или аралкил; R' — алкил, аралкил или арил; R'' — алкил; Z и Z' — неметаллич. атомы для построения гетероциклич. остатков; n = 0 или 1; X — анион. Пример. 1 моль 1-этил-5,6-диметил-2-ацетилметилбензтиазолина растворяют в хлороформе и постепенно добавляют 2 моля P_2S_5 . Через несколько часов отделяют р-р в хлоро-

форме, разлагают остаток водой, затем разб. р-ром NaOH , экстрагируют хлороформом, экстракт соединяют со слитым р-ром в хлороформе, сушат над K_2CO_3 , очищают активированным углем и отгоняют хлороформ. После перекристаллизации из бензола, получают 3-этил-5,6-диметил-2-тиоацетилметилбензтиазолин (V); т. пл. 200—204°. 1 моль V растворяют в 5—7 л бензола и добавляют при 50° 2 моля $(\text{CH}_3)_2\text{SO}_4$. Нагревают 30 мин. до 70°; после выделения кристаллов и промывки осадка петр. эфиром, получают метилсульфат 3-этил-5,6-диметил-2-(2'-метилмеркаптопропенил)-бензтиазола; т. пл. 200—202°. Аналогично получают: перхлорат 3-этил-2-(2'-метилмеркаптопропенил)-6,7-бензбензтиазола, т. разл. 170—180°; 1,3,3'-триметил-2-тиоацетилметилениндолин, т. пл. 98—100°; перхлорат 1,3,3'-триметил-2-(2'-метилмеркаптопропенил)-индоленина, т. разл. ~ 190°; 3-этил-5,6-диметил-2-тио (фенилацетил) метилбензтиазолин, т. пл. 187—196°; метилсульфат 3-этил-5,6-диметил-2-(2'-метилмеркапто-3'-фенилпропенил)-бензтиазола, т. разл. 160—170°; перхлорат 3-этил-2-(2'-метилмеркаптостирил)-6,7-тетраметилбензтиазола, т. разл. 180—185°; 3-этил-5-метокси-2-тиобензотилметилбензселеназолин, т. пл. 173—182°; метилсульфат-3-этил-5-метокси-2-(2'-метилмеркаптостирил)-бензселеназола, т. разл. 134°; 3-этил-2-тиопрониломметил-6,7-бензбензтиазолин, т. пл. 144—150°. Ниже приведены карбоцианины (K), получающиеся из этих четвертичных солей и их максимумы поглощения в мк (р-ритель не указан): 3,1'-диэтил-5,6,9-триметилтиахино (2')-K-роданид, 615—620; 3,1'-диэтил-5,6,9-триметилтиахино (4')-K-перхлорат, 645; 3-этил-5,6,9,1'-тетраметилтиапиридо (2')-K-перхлорат, 560—570; 3,3'-диэтил-5,6,5',8',9-пентаметилтиа-K-роданид, 555—560; 3,3'-диэтил-5,6,5',9-тетраметил-4'-карботоксантиазоло-K-перхлорат, 55—560; 3-этил-3'-β-карбоксантиазоло-5,6,9-триметилтиа-K-бромид, 530—565; 3-этил-3'-β-карбоксантиазоло-5,6,9-триметилтиаселена-K-йодид, 562—567; 3,3'-диэтил-5,6,9-триметил-5'-метокситиаселена-K-хлорид, 563—573; 3,3'-диэтил-5,6,9-триметил-5,8'-диметокситиаселена-K-бромид, 568—583; 3,1,9-триэтил-5,6-диметилтиахино (2')-K-перхлорат, 605—615; 3,1',9-триэтил-5,6,6'-триметилтиахино (2')-K-роданид, 610—620; 3,1',9-триэтил-5,6-диметилтиахино (4')-K-перхлорат, 650; 3,9-диэтил-5,6-1'-триметилтиахино (4')-K-перхлорат, 650; 3,9-диэтил-5,6,1'-триметилтиапиридо (2')-K-перхлорат, 660—670; 3,3,9-триэтил-5,6-диметилтиаселена-K-перхлорат, 575—585; 3,3,9-триэтил-5,6,5'-триметил-4'-карботоксантиазоло-K-перхлорат, 560—565; 3,9-диэтил-5,6-диметил-3'-β-карбоксантиазоло-K-бромид, 555—565; 3,9-диэтил-5,6-диметил-3'-β-карбоксантиазоло-5'-метокситиаселена-K-роданид, 555—570; 3,3,9-триэтил-5,6-диметил-4',5'-тетраметилтиа-K-бромид, 565—580; 3,3,9-триэтил-5,6-диметил-4',5'-бензотиа-K-бромид, 570—590; 3,3,9-триэтил-5,6-диметил-5',6'-диметокситиаселена-K-роданид, 575—590; 3,1'-диэтил-9-метилтиахино (2')-K-йодид, 600—610; 3,1'-диэтил-9-метилтиахино (4')-K-перхлорат, 635; 3-этил-1',9-диметилтиапиридо (2')-K-роданид, 545—555; 3-этил-3-β-карбоксантиазоло-9-метилтиа-K-бромид, 550—560; 3-этил-3'-β-карбоксантиазоло-9-метилтиаселена-K-йодид, 552—562; 3,1'-диэтил-9-фенил-6,7-бензотиахино (2')-K-перхлорат, 620—630; 3,1'-диэтил-9-фенил-6,7-бензотиахино (4')-K-перхлорат, 665; 3,3'-диэтил-9-фенил-6,7,6',7'-дибензотиа-K-роданид, 585—595; 3,3'-диэтил-5',6'-диметил-9-фенил-6,7-бензотиа-K-перхлорат, 595; 3,3'-диэтил-9-фенил-6'-диэтиламино-6,7-бензотиа-K-перхлорат, 615—630; 3,3'-диэтил-5'-метокси-9-фенил-6,7-бензотиа-K-перхлорат, 603—613; 3,3'-диэтил-5',6'-диметоксид-9-фенил-6,7-бензотиа-K-перхлорат, 605—615; 3,3'-диэтил-4',5',9-трифенил-6,7-бензотиазиазоло-K-перхлорат, 590—605; 3,1',9-триэтил-5-метоксиселенахино (2')-K-перхлорат, 600—615; 3,1',9-триэтил-6'-метил-5-метоксиселенахино (2')-K-перхлорат, 595—615; 3,3,9-триэтил-5,5'-ди-

метоксиселена-К-перхлорат, 575—585; 3,3'-триэтил-5'-метоксиселена-К-перхлорат, 560—570; 3,3',9'-триэтил-5,6-диметил-5'-метоксиселена-К-перхлорат, 570—585; 3,3',9'-триэтил-5,6,5'-триметоксиселена-К-роданид, 580—600; 3,3',9'-триэтил-5'-метокси-6,7-тетраметил-9-бензилтиа-К-перхлорат, 570—590; 1,3,3,9-тетраметил-3'-этил-5'-метоксиселена-К-перхлорат, 545—555; 1,3,3,9-тетраметил-3'-этил-5'-метоксиселена-К-перхлорат, 555—565; 1,3,3,5,6,9-гексаметил-3'-этилдиоселена-К-перхлорат, 555—570; 3,3'-диэтил-5,6-диметил-5'-метокси-9-бензилтиаселена-К-роданид, 570—590; 3,3'-диэтил-5,6,5',6'-тетраметил-9-бензилтиа-К-роданид, 565—585; 3,3'-диэтил-5,6-диметил-6',7'-бензо-9-бензилтиа-К-бромид, 565—585; 3,3'-диэтил-5,6-диметил-6',7'-тетраметил-9-бензилтиа-К-бромид, 565—585; 3,3'-диэтил-5,6-диметил-6'-диэтиламино-9-бензилтиа-К-йодид, 610; 3,1'-диэтил-5,6-диметил-9-бензилтиахино(2')-К-перхлорат, 610—630; 3,3'-диэтил-6,7-тетраметил-6'-диэтиламино-9-фенилтиа-К-перхлорат, 580—590 и 610—620; 3,1'-диэтил-6,7-тетраметил-9-фенилтиахино(4')-К-роданид, 600—670; 3,1'-диэтил-6,7-тетраметил-6'-метил-9-фенилтиахино(2')-К-бромид, 610—630; 3,3'-диэтил-5,6-диметил-5'-метокси-9-фенилтиаселена-К-роданид, 590—600; 3,3'-диэтил-5-метокси-5',6'-диметил-9-фенилтиаселена-К-бромид, 600—608; 3,3'-диэтил-5,5'-диметокси-9-фенилтиаселена-К-бромид, 602—610; 3,3',9'-триэтил-6,7-бензо-6'-диэтиламино-9-фенилтиа-К-йодид, 600—620. Н. Спасокукоцкий

22607 П. Способ получения 3-пиразолидонов. Рейнольдс, Ринкер (Process of preparing 3-pyrazolidones, Reynolds George A., Tinker John F.) [Eastman Kodak Co.]. Пат. США 2743279, 24.04.56

3-Пиразолидоны ф-лы $N(R)-NH-CO-CH_2-CH_2-$

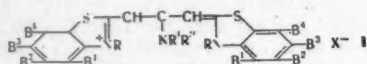
(R — арил или гетероциклич. остаток ряда бензотиазола) получают нагреванием гидразидов жирных β-оксикислот ф-лы $(R)NHNHCO(CH_2)_nOH$ (I) ($n=2-4$) в инертном р-рителе с т. кип. $\geq 110^\circ$ (ксилол, толуол) с кислотным катализатором дегидратации, напр. *n*-толуолсульфокислотой (ТСК), метилсульфокислотой (МСК), H_2SO_4 . I получают взаимодействием соответствующих гидразинов с β-пропиолактоном, β-, γ-валеролактоном или γ-бутиролактоном. *n*-β-Оксиэтилфенилгидразин (т. пл. 127—129°), полученный обработкой водн. р-ра *n*-β-оксиэтилфенилдиазонийхлорида $NaHSO_3$, растворяют в смеси бензол-диоксан, прибавляют эквимолекулярное кол-во β-пропиолактона (II) и получают *N*-β-оксипропио *N'*-*n*-β-оксиэтилфенилгидразид (III), т. пл. 137—138,5° (из сп.). К р-ру 10 г III в 400 мл ксилола добавляют 10 мл 0,5 н. р-ра ТСК в ксилоле, кипятят 1 час, охлаждают, добавляют 100 мл лигнрина, выдерживают 30 мин. при 0—5°, р-р декантируют, оставшийся тонкий слой экстрагируют этилацетоном, выпаривают до небольшого объема, охлаждают, получают 5,9 г (64%) 1-(*n*-β-оксиэтилфенил)-3-пиразолидона, т. пл. 82—100°; из этилацетата, т. пл. 106—109°; из этилацетатагексана, 109—110°. К р-ру 44 г (0,2 моля) II в 100 мл бэл. при перемешивании добавляют 21,6 г (0,2 моля) фенилгидразина, нагревают на паровой бане 1 час, охлаждают до 10°, получают 28,5 г (80%) *N*-β-оксипропио-*N'*-фенилгидразида (IV), т. пл. 141—142°; 10 г IV растворяют в 75 мл горячего ксилола, добавляют 0,5 г ТСК и кипятят в приборе Дина-Старка до прекращения выделения воды; охлаждают, отфильтровывают 1-фенил-3-пиразолидон (V), т. пл. 115—117°; 120—121° (из этилацетата). К р-ру 11,2 г *n*-толуолгидразина в 35 мл бэл. добавляют 5,7 мл II, оставляют на 4 часа при комнатной т-ре, охлаждают, получают 5,6 г (31%) 1-*n*-толил-*N'*-β-оксипропиогидразида (VI), т. пл. 132—136°; 135—136° (из этилацетата). 10,8 г VI, 1 г ТСК, 25 мл ксилола кипятят 2,5 часа, отгоняют 85 мл кси-

лола, охлаждают, фильтруют, фильтрат упаривают, снова охлаждают и фильтруют; получают 7,3 г (75%) 1-*n*-толил-3-пиразолидона, т. пл. 152—156°; 159—161° (из этилацетата). 50 г *n*-нитрофенилгидразина в 650 мл диоксана обрабатывают 20 мл II, оставляют на ночь, выпаривают, отфильтровывают осадок, получают 24 г (33%) *N*-*n*-нитрофенил-*N'*-β-оксипропиогидразида (VII), т. пл. 160—171°; 174—175° (из сп.). 23 г VII, 2 г ТСК и 500 мл ксилола кипятят 80 мин. в приборе Дина-Старка, охлаждают до 25°, отфильтровывают осадок, получают 5,3 г (25%) 1-*n*-нитрофенил-3-пиразолидона, т. пл. 194—197°; 212—214° (из этилацетата-сп.). 21,5 г *n*-цианфенилгидразина в 400 мл горячего бэл. обрабатывают 11 мл II, кипятят 2 часа, охлаждают до комнатной т-ры, фильтруют, фильтрат упаривают и получают 9,7 г (30%) *N*-*n*-цианфенил-*N'*-β-оксипропиогидразида, т. пл. 159—160° (из этилацетата) (VIII). 4,5 г VIII в 300 мл ксилола нагревают до кипения, добавляют 10 мл 0,5 н. р-ра ТСК в ксилоле, кипятят 1 час, удаляя воду, охлаждают, декантируют ксилол, остаток дважды кристаллизуют из смеси этилацетат-этанол, получают 0,6 г (15%) 1-*n*-цианфенил-3-пиразолидона, т. пл. 194—195°. Аналогично получают 1-*n*-β-метилсульфонамидоэтилфенил-3-пиразолидон, т. пл. 142—144°. 17,5 г *n*-β-метилсульфонамидоэтилфенилгидразина в 250 мл диоксана обрабатывают 4,8 мл II, оставляют на некоторое время, добавляют 30 мл насыщ. водн. р-ра K_2CO_3 ; смесь перемешивают несколько часов, верхний слой отделяют, сушат K_2CO_3 , упаривают; полученный остаток дважды кристаллизуют из смеси этилацетат-этанол, получают 4,1 г (18%) *N*-*n*-метилсульфоамидоэтилфенил-*N'*-β-оксипропиогидразида, т. пл. 113—114°. 15 г 2-гидразинбензотиазола, 100 мл бэл., 250 мл диоксана и 6 мл II кипятят 2 часа, охлаждают до комнатной т-ры и фильтруют; получают 3,1 г *N*-2-бензотиазолил-*N'*-β-оксипропиогидразида, т. пл. 200—201° (IX). 2,8 г IX, в 200 мл 1,1,2-трихлорэтана нагревают до кипения, добавляют 2 мл МСК и кипятят 2 часа; охлаждают, отделяют кристаллы, получают 100 мг 1-(2-бензотиазолил)-3-пиразолидон, т. пл. 215—216° (из сп.). Аналогично получают 1-(*o*-толил)-3-пиразолидон, т. пл. 195—197°, из *N*-β-оксипропио-*N'*-*o*-толилгидразида, т. пл. 138—139° (из сп.); 1-(*m*-толил)-3-пиразолидон, т. пл. 178—179° (из *N*-β-оксипропио-*N'*-*m*-толилгидразида, т. пл. 117—118°. 16 г *N*-*n*-гидразинбензилморфолина растворяют в бэл., фильтруют, добавляют 4,8 мл II; через несколько дней выпаривают бэл., перекристаллизовывают из этилацетата, получают 5,4 г (25%) *N*-β-оксипропио-*N'*-4-(4-морфолинометил)-фенилгидразина, т. пл. 132—134°, из которого получают *bis*-4-(3-оксо-1-пиразолидино)-бензиловый эфир. Бензиловый р-р фенилгидразина (X) обрабатывают 20,5 г β-валеролактоном, оставляют на ночь; охлаждают, отфильтровывают 19,3 г *N*-β-гидроксисалеро-*N'*-фенилгидразида, т. пл. 117—118° (из этилацетата), 100 мл X и 100 мл γ-валеролактона нагревают при 90°, смесь охлаждают, получают 95 г сырого *N*-γ-оксисалеро-*N'*-фенилгидразида, т. пл. 82—83° (из этилацетата). Л. Волкова

22608 П. Сенсibilизированные галоидосеребряные эмульсии. Брукер, Уайт (Sensitized photographic silver halide emulsions, Brooker Leslie G. S., White Frank L.) [Eastman Kodak Co.]. Пат. США 2735770, 21.02.56

Симметричные тиакробоцианины (ТКЦ), содержащие в положении 9 ациламиногруппу, ф-лы I (R — алкил; R' — алкил, аралкил или арил; R'' — алкил; B¹ и B² — N или вместе бензогруппа, B³ и B⁴ — N или вместе бензогруппа (B² и B³ могут быть также другими группами); X — кислотный остаток) для оптич. сенсibilизации AgBr-эмульсий получают из 9-аминозамещ. ТКЦ (II) кипячением с 5-кратным избытком

ангидрида *к*-ты в пиридине с высаживанием эфиром. II получают из 9-алкилмеркапто-ТКЦ (см. пат. США 2520358, 29.08.50), кипячением с 10-кратным избытком соответствующего амина в пиридине, иногда с триэтиламином. Пример: смесь 2,77 г (1 моль) 3,3'-диметил-9-метилмеркапто-ТКЦ-*н*-толусульфоната и 7,53 г



(1 моль и 1000% избытка) *н*-фенетицина в 20 мл пиридина кипятят 15 мин. Смесь по охлаждению разбавляют 250 мл эфира. Осадок отфильтровывают и промывают эфиром, размешивают с горячим ацетоном, охлаждают и промывают на фильтре ацетоном. Выход 3,3'-диметил-9-*н*-фенетидино-ТКЦ-толусульфоната 100%, после двух перекристаллизаций из спирта 50%; оранжевые кристаллы, т. пл. 229—230° (разл.), сенсибилизируют AgBr-эмульсию до 625 мс с максимумом (МС) около 595 мн. 1,29 г (1 моль) этого красителя, 1,22 г (1 моль и 500% избытка) (CH₃COO)₂O в 15 мл пиридина кипятят 7 мин. и по охлаждению разбавляют 250 мл эфира. После аналогичной обработки выход 3,3'-диметил-9-*н*-ацетофенетидино-ТКЦ-толусульфоната 79%, после двух кристаллизаций из эф. 58%; темно-зеленые кристаллы, т. пл. 191—192° (разл.); МС ~ 625 мн. Ниже приведены названия красителей, выход (до кристаллизации), цвет кристаллов, т. пл. (все с разл.), граница сенсибилизации и МС (в мн) AgBr, J-эмульсии: 3,3'-диметил-9-анилино-ТКЦ-толусульфонат, 100%, оранжево-красные, 186—187°, 650, 600; 3,3'-диметил-9-(*м*-хлоранилино)-ТКЦ-толусульфонат, —, красные с зеленоватым отливом, 234—235°, 635, 600; 3,3'-диметил-9-(*п*-толуидино)-ТКЦ-толусульфонат, —, оранжево-красные, 223—225°, 630, 600; 3,3'-диметил-9-(*м*-толуидино)-ТКЦ-толусульфонат, —, коричнево-желтые с зеленоватым отливом, 147—149°, 640, 600; 3,3'-диметил-9-*н*-гептиламино-ТКЦ-толусульфонат, —, оранжевые, 144—146°, 530, 500; 3,3'-диметил-9-бензиламино-ТКЦ-толусульфонат, —, светло-оранжевые, 174—177°, 550, 500; 3,3'-диметил-9-амино-ТКЦ-толусульфонат, —, коричнево-оранжевые, р-р в метиловом спирте желтый; 3-этил-3'-метил-9-(*н*-фенетидино)-ТКЦ-толусульфонат, 75%, красноватые, 191—192°, 600, —; 3,3'-диметил-4,5,4',5'-дibenзо-9-(*н*-фенетидино)-ТКЦ-хлорид, 97%, темно-зелен., 210—211°, 680, 650; 3,3'-диметил-9-(ацетил-*м*-хлоранилино)-ТКЦ-толусульфонат, темные с зеленоватым отливом, 206—209°, 640, 625; 3,3'-диметил-9-ацетиланилино-ТКЦ-толусульфонат, темно-синие, 188—189°, 650, 625; 3-этил-3'-метил-9-ацетил-*н*-фенетидино-ТКЦ-толусульфонат, бронзовые, 157—158°, 630, 620; 3,3'-диметил-9-ацетил-*м*-толуидино-ТКЦ-толусульфонат, голубоватые, разл. при 152°, 640, 625; 3,3'-диметил-9-ацетил-*п*-толуидино-ТКЦ-толусульфонат, зеленые, 169—173°, 645, 625; 3,3'-диметил-4,5,4',5'-дibenзо-9-ацетил-*н*-фенетидино-ТКЦ-толусульфонат, пурпурные, 187—189°, 685, 670; 3,3'-диметил-9-ацетил-*н*-гептиламино-ТКЦ-толусульфонат, голубовато-зеленые, 220—221°, 645, 630; 3,3'-диметил-9-ацетил-бензиламино-ТКЦ-толусульфонат, темно-красные с зеленоватым отливом, 223—224°, 640; 3,3'-диметил-9-ацетил-*н*-β-нафтиламино-ТКЦ-толусульфонат, медные, разл. при 198°, 640, 625; 3,3'-диметил-9-ацетиланино-ТКЦ-толусульфонат, медные, 208—210° (AgBr, Cl-эмульсия), 595—560. Применяя ангидриды других *к*-т, получают производные с различными ацильными группами.

Н. Спасокукоцкий
22609 П. Способ проявления фотографических снимков с применением обращения. Гейсхеймер, Салль (Verfahren zur Umkehrentwicklung fotogra-

fischer Aufnahmen. Geisheimer Erich, Salje Güther) [Dr. Bergerhoff-Kameragesellschaft m. H.]. Пат. ФРГ 955925, 10.01.57

В способе обращения при сильной недодержке получают позитивное изображение (ПИ) без промежуточного освещения обработкой в энергичном проявителе с едкой щелочью. Проявляется только кол-во AgBr, необходимое для ПИ. Одновременно значительно повышается светочувствительность, что позволяет проводить съемку при неблагоприятном освещении, с малыми выдержками или при сильном диафрагмировании. Для построения ПИ используется только часть оставшегося AgBr. При отбеливании в H₂CrO₄ серебро превращается в Ag₂CrO₄; около частично проявленных зерен AgBr, окруженных р-ром NaBr, образуется свободный бром, образующий с желатиной соединения в виде тонкой пленки, более прочной и непроницаемой в тех местах, где образовалось больше NaBr при первом проявлении, т. е. в светах. Второй проявитель, называемый активирующим щелочом, служит для растворения Ag₂CrO₄ и активирования AgBr, причём это активирование сильнее в местах, где упомянутая пленка тоньше, т. е. в тенях. Решающее значение для активирования AgBr имеет то обстоятельство, что оно уже подвергалось первому проявлению. При втором проявлении AgBr проявляется в соответствии со степенью его активирования. Фиксирование обычное.

К. Мархленц
22610 П. Способ фотографической обработки. Аткинсон (Method of photographic processing and developer therefor. Atkinson Ralph B.), Пат. США 2759824, 21.08.56

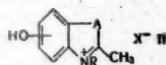
Недостатком некоторых чернящих р-ров для второго проявления является выделение H₂S и вуалирование пленки, обрабатываемой в машине, а также заснение чернящего р-ра в первый проявитель. Предложен способ обработки при последовательности операций: зарядка пленки, первое проявление, промывка, отбеливание, промывка, осветление, второе проявление, промывка, после чего начинается новый цикл обработки пленки. Установлено, что ионы некоторых тяжелых металлов в первом проявителе могут реагировать с заносимым сульфидом или тиомочевной, предотвращая их вредное влияние. Рецепт первого проявителя: гидроксид 22,5 г, Na₂SO₃ 30 г, едкий натр 22,5 г, борная к-та 5,0 г, KBr 5,0 г, аммиак (22%-ный) 5,0 мл, Pb(CH₃COO)₂ 0,25 г или CuSO₄ 2,0 г, вода до 1 л. Вторым проявителем может служить р-р NaOH или тиомочевины, напр: тиомочевина 10—100 г, едкий натр. 10—100 г, вода до 1 л.

К. Мархленц
22611 П. Фотографический ферротипный процесс. Пикетт (Photographic ferrotyping process. Pickett Roy L.). Пат. США 2760883, 28.08.56

В ферротипном процессе для получения высокого глянца и повышенной гибкости, а также уменьшения скручивания отпечатков, прилипания их к поверхности ферротипных пластинок или барабана и исключения образования пятен применяют неожиданный, неогнеопасный и допускающий при глянцевании более высокую т-ру сушки отпечатков водн. р-р эфира целлюлозы, напр. метил-, этил-, пропил-, изопропил-, *н*-бутил- и бензилцеллюлозы, а также различных карбоксилатцеллюлоз и оксаминиоцеллюлоз, а также смеси простых эфиров целлюлозы в конц-ии от 0,25% до 1,5%, предпочтительно от 0,4% до 0,7% (по объему). Рекомендуются прибавлять смачивающее или диспергирующее в-во, напр. Na-соль диоктил-, дибутил- и диоксилсульфаттарной *к*-ты в конц-ии в рабочем р-ре от 0,05 до 5%. Пример 1. Растворяют 56,6 г метилцеллюлозы в ~227 мл воды при 44° и прибавляют р-р до ~908 мл водой при т-ре 0,5°. Полученный р-р разбавляют в отношении 1:8 водой при 21°

Время обработки отпечатков 3 мин., после чего отпечатки вынимают и накатывают на нагретый ферротыпный барабан; т-ра сушки $\sim 82^\circ$. К. Мархилевич 22612 П. Усовершенствование светочувствительных веществ для диазотипии. Валь (Perfectionnements aux produits photosensibles pour diazotypie. Wahl Henri). Франц. пат. 1123399, 20.09.56

В диазотипии для получения темных синих, фиолетовых или черных тонов вместо смеси нескольких компонентов можно пользоваться только одной компонентой, представляющей собой гетероциклич. соединение (I) с четвертичным атомом N и с CH_3 -группой в



орто-положении по отношению к этому атому, конденсированное с бензольным ядром, содержащим, по крайней мере, одну гидроксильную группу. I содержит пятичленный гетероцикл и имеют ф-лу (II) (X — анион, A—S или Se, R — алкил или арилалкил). Пример. На обычную подложку (бумагу, пленку) наносят Р-р состава: аминодифениламиндиазонийхлорид 25 г, ингибитор а-та 20 г, стабилизатор — Na-соль нафталинидиосульфокислоты 40 г, антиоксидант — тиомочевина 20 г, компонента — диметилсульфат 2-метил-6-оксисбензселеказона 15 г, вода 1 л. После экспонирования под ориенталом NH_3 -газом проявляются черные с фиолетовым оттенком линии на белом фоне. К. Мархилевич 22613 П. Способ повышения светочувствительности цветных пленок, в особенности с обращением. Нейгебауэр (Verfahren zur Steigerung der Empfindlichkeit von photographischen Emulsionen für Farbfilme, insbesondere Umkehrfilme. Neugebauer Gustav) [Dr. C. Schleussner Fotowerke G. m. b. H.]. Пат. FRG 957990, 14.02.57

Светочувствительность эмульсий повышается при введении в них, кроме комплексных роданистых солей йода, в-в ф-лы $\text{C(R)}=\text{C(Y)C(R')}=\text{C(R'')C(R''')}=\text{C(X)}$

(I), в которой X—H, OCH_2OR или SCH_2OR ; Y— OCH_2OR или SCH_2OR ; R — алкил с 1—4 атомами C, а R'—H или алкил; либо X— OCH_2OR или SH_2OR , а Y— NH_2 , причем R также алкил с 1—4 атомами C, а R'—H или алкил. I применяют, вводя в эмульсию перед или во время второго созревания. Указаны 3-аминометилфенол, 3-метилметилфенол, изопропилфенол и др. I вводят в очень малых кол-вах порядка 0,1 γ на 1 кг эмульсии. Пример. При введении 0,08 γ дитиореозорил-диметилсульфира на 1 кг эмульсии, содержащей компоненту сине-зеленого красителя и сенсibilизированной к красным лучам, светочувствительность увеличивается в два раза при той же градации. К. Мархилевич

См. также: Оптическая сенсibilизация 20736. Дублирование фотослов 23629, 23630, 23633. Проявление 20766. Обработка фотоматериалов 20846. Цветное проявление 20800

ВЗРЫВЧАТЫЕ ВЕЩЕСТВА. ПИРОТЕХНИЧЕСКИЕ СОСТАВЫ. СРЕДСТВА ХИМИЧЕСКОЙ ЗАЩИТЫ

Редактор М. С. Фишбейн

22614. Расчеты по внутренней баллистике. Зейц (Innerballistische Berechnungen. Seitz Georg), Explosivstoffe, 1957, 5, № 3, 53—57 (нем.)

Рассмотрены случаи: 1) когда движение снаряда начинается только после того, как один сорт пороха

полностью сгорает, 2) когда движение снаряда и горение обоих сортов пороха начинается не одновременно, 3) когда из двух порохов один горит прогрессивно и 4) когда движение снаряда и горение пороха начинаются одновременно. Предыдущее сообщение см. РЖХим, 1957, 61807. М. Фишбейн

22615. Азотистый ниприт. Дельман (Stickstofflost. Dähmann Heinz), Zivil. Luftschutz, 1957, 21, № 3, Techn.-chem. Sonderbeil., 5—8 (нем.)

Обзор хим. р-ций трихлортриэтиламина (I): р-ции с окислителями, присоединение к-т, р-ции с минер. солями и органич. соединениями. Анализы I: предварительные испытания, капельные пробы и экстракционные способы открытия. Предыдущее сообщение см. РЖХим, 1958, 12420. В. Уфимцев

22616. О термостойкости и влагостойкости спичек. Поспелов В. А., Деревообработ. пром-сть, 1957, № 2, 14—15

Исследовался способ повышения стойкости спичек к воздействию высоких т-р (от 20 до 70°) и влаги окружающего воздуха (от 20 до 100% относительной влажности). Установлено, что основной причиной ухудшения зажигательных свойств спичек является изменение процентного содержания бертолетовой соли и хромпика в зажигательной массе, вследствие диффундирования в в-во головки парафина (или его легких фракций), применяемого для пропитки спичечной соломки, что значительно уменьшает соотношение между кол-вами горючего материала и окислителем и этим понижает чувствительность спичек к зажиганию. Кроме того, под влиянием высокой т-ры хромпик раскисляется, превращаясь в нерастворимую окись хрома, окисляя при этом белковые в-ва животного клея, входящего в состав спичечной массы, и задубливает его, переводя в нерастворимое состояние, чем нарушается пеносuspensionная структура спичечной головки, ухудшаются абразивные свойства спичек, и они становятся менее чувствительными к зажиганию. Для предотвращения указанных дефектов рекомендуется: 1) применять высокоочищенный белый натуральный или синтетич. парафин, как обладающий меньшей диффундирующей способностью, 2) вводить в массу спичечной головки избыток бертолетовой соли для компенсации потери хромпика, вызываемой его разложением при повышенных т-рах, 3) применять для изготовления спичек только высоковязкие мездровые клеи, совершенно исключив применение костного клея, а также гуммитраганта как пенообразователя. М. Фишбейн

22617 К. Химия отравляющих веществ (Боевые отравляющие вещества и некоторые сильнодействующие инсектициды). Кириллов, Фабрикант [Химия на отравляющие вещества, (Бойни отрави и някои силно действащи инсектициди). Кириллов М., Фабрикант А.]. София, Наука и изкуство, 1956, 596 стр., 14. 40 лв. (болг.)

22618 П. Способ торпедирования нефтяных скважин (нитроглицерином). Берроуз, Кук (Oil well torpedo. Burrows Lawton A., Cook Melvin A.) [E. I. du Pont de Nemours and Co.]. Канадск. пат. 511803, 12.04.55

Для уменьшения чувствительности к механич. воздействиям нитроглицерина, применяемого для торпедирования нефтяных скважин, в нем растворяют 50—20 вес. % смеси динитротолуола с тринитротолуолом, взятых в соотношении от 1:1 до 4:1. Напр., используют смесь состава (в %): нитроглицерина 60, динитротолуола 28 и тринитротолуола 12. М. Фишбейн

ПЕРЕРАБОТКА ТВЕРДЫХ ГОРЮЧИХ ИСКОПАЕМЫХ

Редакторы И. Ф. Богданов, М. О. Хайкин

22619. Методы определения параметров, принятых в международной классификации каменных углей.

Левин Е. В. Кокс и химия, 1957, № 6, 58—62

Описаны методы определения спекаемости и коксующести каменных углей, принятых в качестве параметров в Международной классификации каменных углей. Спекаемость углей рекомендовано определять по индексу вспучивания или по методу Poga (Польша), а коксующесть — с помощью дилатометра Одибера — Арню или по методу Грэй — Кинга (Англия).

Д. Цикарев

22620. Основные положения нового проекта классификации энергетических углей в Польше. Мелецкий, Игнатович, Шарафинский (Zasady nowego projektu normy klasyfikacji węgla energetycznych. Mielecki Tadeusz, Ihnatowicz Andrzej, Szarafinski Zygmunt), Przegl. gorniczy, 1957, 13, № 7-8, 379—384 (польск.).

В рассматриваемом проекте характеризующие угли параметры разделены на две группы: 1) основные — теплота сгорания рабочего топлива в ккал/кг (по каждому из 9 классов углей указывается нижний предел); зольность рабочего топлива в процентах (указывается высший допустимый предел); 2) ориентировочные — влажность общая в процентах; содержание балласта в рабочем топливе в процентах (зола + влага общая); влажность воздушно-сухого угля, высушенного при 18—20°, в процентах, теплота сгорания в пересчете на сухой беззольный уголь в ккал/кг. Приводятся обоснования новых норм и замечания по методам анализов углей для их классификации. К. 3.

22621. О состоянии работ по проблеме «Новая техника коксования и обогащения углей», Вестн. АН СССР, 1957, № 9, 101

В Президиуме АН СССР рассмотрены работы по освоению процесса непрерывного коксования, применению нового метода коксования к углям восточных месторождений, комплексному использованию минер. части углей и метода эффективного сухого обескислечения и обеззоливания углей (паро-воздушно-магнитный метод), проведенные ин-тами АН и другими организациями; по рассмотренным работам приняты решения. М. Пасманик

22622. Структура каменных углей как область исследования. Кревелен (Die Steinkohlestruktur als Forschungsgebiet. Krevelen D. W. Van), Vest. Slov. kem. društva, 1956, 3, № 3-4, 81—111 (нем.; рез. словенск.)

Лекция в Высшей технической школе в Белграде в мае 1956 г. Обобщены результаты физ.-хим. исследований структуры каменных углей (КУ). В качестве основных структурных параметров КУ предложены: показатель конденсации колец, ароматичность и средние размеры многоядерной ароматики. Показаны структурные изменения КУ в процессе углефикации, а также изменения электрич. (диэлектрич. постоянная) и механич. (упругость, дробимость и проч.) свойств в зависимости от степени углефикации. Рассмотрен характер пористости (размеры и кол-во пор) КУ. Библ. 21 назв. Д. Цикарев

22623. Ароматический характер и окраска угля. Фридел (Aromaticity and colour of coal. Friedel R. A.), Nature, 1957, 179, № 4572, 1237—1238 (англ.)

На образцах Питтсбургского витрена (84% С) проведены спектральные измерения в области УФ- и видимого света. Определены интенсивность поглощения витрена и различных многоядерных ароматич. соеди-

нений. Предположено, что окраска угля определяется наличием свободных радикалов, имеющих ароматич. структуру, а также наличием электрич. проводимости у отдельных комплексов, входящих в структуру угля.

Д. Цикарев

22624. Теплота смачивания и влажность ацетилярованного угля. Мазумдар, Бхангале, Лахари (Heat of wetting and moisture of acetylated coal. Mazumbar B. K., Bhargale P. N., Lahiri A.), Fuel, 1957, 36, № 2, 254—256 (англ.)

Исследованы теплоты смачивания (ТС) ацетилярованных образцов угля и витрена и их влажность. Показано, что ТС метанолом витрена после ацетилирования при 100 и 140° понижается с 23,1 до 13,8 и 11,8 кал/г, а влажность с 12,5 до 5,6 и 3,5%. ТС и влажность ацетилярованного каменного угля понижалась с 20,9 до 13,4 кал/г и с 12 до 4%. ТС и влажность неацетилярованного витрена, нагретого 3 часа с водой при 100° и с р-ром CaCl₂ при 140° остались без изменения. Проведенными опытами подтверждается предположение авторов о том, что резкое понижение ТС и влажности образцов угля и витрена обусловлено блокированием значительной части полярных ОН-групп в процессе ацетилирования. М. Липец

22625. Образование органических кислот из битуминозного угля при окислении в щелочной среде. Камия (アルカリ水溶液中における石炭の酸化による有機酸の生成について. 神谷佳男), 工業化学雑誌, 1956, 59, № 2, 197—202 (японск.).

В автоклаве емк. 600 мл загружали 45 г NaOH, 15 г битуминозного угля с измельчением 60—120 меш и 300 мл воды. Смесь при начальном давл. O₂ 27—65 ат нагревали со скоростью 5° в 1 мин. до т-ры 200—270° и выдерживали при этой т-ре 0—240 мин. Определали кол-во нерастворившегося угля, выход растворимых и нерастворимых в воде и эфире к-т. Расход O₂ 1—2 г на 1 г растворившегося угля. Общий выход к-т 50—60%; средний мол. вес их ~230; эквивалентный вес 80—90. При применении в качестве катализатора CuO (1 ч. на 1 ч. взятого С) скорость р-ции возрастала примерно в 10 раз. Большая часть полученных к-т представляла собой порошок желтого цвета, легко растворимый в ацетоне и спирте. Ю. Ермаков

22626. Роль влажности при окислении углей при низких температурах. Мукхерджи, Лахари (Die Rolle der Feuchtigkeit bei der Oxydation der Kohlen bei niedrigen Temperaturen. Mukherjee P. N., Lahiri A.), Brennstoff-Chemie, 1957, 38, № 3-4, 55—58 (нем.)

Изучено окисление двух углей (У) с различной степенью обуглероживания при пропускании сухого и влажного воздуха (40% относительной влажности) при т-рах 70, 100 и 120° со скоростью 1 л/час. Скорость окисления определялась по разности содержания O₂ в исходном воздухе и в газе, выходящем из аппарата, а также по образованию CO₂. Скорость поглощения O₂ из влажного воздуха у высокообуглероженого У была больше, чем из сухого воздуха, а у низкообуглероженого — наоборот. По данным изменения в ходе р-ции отношения CO₂/CO авторы пришли к заключению об участии воды в окислении У.

Н. Гаврилов

22627. О координировании газознергетического хозяйства. Шпилевич (O skoordynowaniu gospodarki gazoenergetycznej. Szpilewicz Aleksander), Koks, smoła, gaz, 1957, 2, № 1, 3—6 (польск.; рез. русск., англ., нем.)

В энергетич. балансе Польши высококалорийные газы составляют только ~2,5%, а потери газов за год составляют по коксовым газам 60 млн. м³ и по доменным 1,6 млрд. м³. Высказаны соображения, мотивиро-

1958 г.

делается
роматч.
одности
ру угл.
Цикарев
еталиро-
ахир
coal. Ma-
iri A.),еталиро-
ости. По-
илрова-
13,8 и
и влаж-
нижалась
ность по-
с водой
без наме-
ся пред-
ение ТС
словлено
ных ОН.
М. Липец
битумен-
еде. Ка-
による有
化学雑誌
Industr.,
к.)ОН, 15 г
и меш и
27—65 ат
200—270
предела
раствора-
расход O_2
выход H_2
личны 140°.М. Липец
22631. О некоторых вопросах флотации каменно-
угольной мелочи. Дочкал (Některé otázky flotace
černouhelných moudří. Dostkal Milan), Uhlí, 1957,
7, № 2, 52—55 (чешск.; рез. русск., англ., нем.,
франц.)Экспериментально установлено, что путем увеличе-
ния скорости вращения импеллера можно увеличить
степень аэрации флотационной пульпы и тем самым
повысить удельную производительность флотомашин.
Применяемый на некоторых углеобогадательных
фазах Чехословакии коллектор «флотокол» обладает
недостаточной селективностью по сравнению с окис-
ленными нефтяными маслами, сосновым маслом и
флотационными маслами з-да Урекс. Наиболее эффек-
тивным из испытанных реагентов является флотаци-
онное масло з-да Урекс.У. Андрес
22632. Мокрое обогащение угольной мелочи с зер-
ном до 2 мм с помощью циклонов. Пир (Le lavage
par cyclones des charbons fins de dimension inférieure
à 2 mm. Resultats industriels obtenus au charbonnage
de Ressaix. Pire E.), Ann. mines Belgique, 1956,
Núm. spec. juin, 31—37 (франц.)Описана технологич. схема промышленной установ-
ки по мокрому обогащению углей с зерном < 2 мм
в Рессо (Бельгия), на которой применены циклоны
диам. 350 мм. Обсуждаются результаты работы этой
установки.

К. З.

22633. Петрографический анализ сырого и обога-
щенного материалов. Лахир (Petrographic analy-
sis of raw and washed products. Lahiri K. C.), In-
dian Mining J., 1956, 4, № 9, 100—105 (англ.)

важные расчетным примером организации сопряжен-
ного газотеплоэнергетич. хозяйства группы предприятий:
коксхим. з-д — металлургич. з-д — з-д хим. синтезов,
о необходимости координации в пром-сти газового и
теплогенератив. хозяйства. Показаны преимущества такой
координированной системы. К. З.

22628. Новые методы исследования и управления
процессом измельчения углей для коксования.
Бурстлейн (Eine neue Methode der Untersuchung
und Lenkung des Mahlvorganges von Koks-kohle.
Burstlein Eugene), Bergakademie, 1957, 9,
№ 2, 51—61 (нем.)

С помощью кривых измельчения исследовано дроб-
ление различных углей в зависимости от типа дроб-
ильного агрегата, прочности компонентов шихты и
т. д. Предложены схемы регулируемого процесса из-
мельчения. Г. Стельмах

22629. Селективная и петрографическая обработка
углей для коксования. Кудела (Selektivní a petro-
grafická příprava uhlí pro výrobu koksu. Kúdela
V.), Paliva, 1957, 37, № 7, 221—225 (чешск.)

Изложены теоретич. основы и технологич. вариан-
ты селективного и петрографич. метода обработки
углей для коксования (метод «Совако»), заключающе-
гося в комбинированном измельчении и просеивании
углей с получением шихты требуемых качеств. К. З.

22630. Краевой угол смачивания ртути на поверхно-
сти угля и кокса. Инглс (The contact angle of
mercury at coal and char surfaces. Ingles O. G.),
Fuel, 1957, 36, № 2, 252—254 (англ.)

Краевые углы смачивания (θ_0) на границе Hg —
уголь и кокс измерены в метаноле, CCl_4 , C_6H_6 и эфире.
Показано, что в зависимости от применяемой жидко-
сти θ_0 имеет значения для лигнина 98—99, для полу-
антрацита 103—107 и для кокса, полученного при 500,
600 и 900°, соответственно 108—115; 114—119 и 120—
125°. Проведено измерение плотности кокса в пере-
численных жидкостях, показавшее согласие с величи-
нами, найденными в Нс. Найденное значение θ_0 на
границе Hg — уголь меньше обычно принимаемой ве-
личины 140°. М. Липец

22631. О некоторых вопросах флотации каменно-
угольной мелочи. Дочкал (Některé otázky flotace
černouhelných moudří. Dostkal Milan), Uhlí, 1957,
7, № 2, 52—55 (чешск.; рез. русск., англ., нем.,
франц.)

Экспериментально установлено, что путем увеличе-
ния скорости вращения импеллера можно увеличить
степень аэрации флотационной пульпы и тем самым
повысить удельную производительность флотомашин.
Применяемый на некоторых углеобогадательных
фазах Чехословакии коллектор «флотокол» обладает
недостаточной селективностью по сравнению с окис-
ленными нефтяными маслами, сосновым маслом и
флотационными маслами з-да Урекс. Наиболее эффек-
тивным из испытанных реагентов является флотаци-
онное масло з-да Урекс.

У. Андрес
22632. Мокрое обогащение угольной мелочи с зер-
ном до 2 мм с помощью циклонов. Пир (Le lavage
par cyclones des charbons fins de dimension inférieure
à 2 mm. Resultats industriels obtenus au charbonnage
de Ressaix. Pire E.), Ann. mines Belgique, 1956,
Núm. spec. juin, 31—37 (франц.)

Описана технологич. схема промышленной установ-
ки по мокрому обогащению углей с зерном < 2 мм
в Рессо (Бельгия), на которой применены циклоны
диам. 350 мм. Обсуждаются результаты работы этой
установки.

К. З.
22633. Петрографический анализ сырого и обога-
щенного материалов. Лахир (Petrographic analy-
sis of raw and washed products. Lahiri K. C.), In-
dian Mining J., 1956, 4, № 9, 100—105 (англ.)

Обычные методы петрографич. анализа требуют
больших затрат времени и плохо применимы к индий-
ским углям, содержащим много минер. в-в. Предло-
жено определять колич. петрографич. состав по сокра-
щенным средним пробам, измельченным до 36 меш и
спрессованным под давл. ~ 210 кг при 130° со связую-
щим. По охлаждении брикет шлифуют, полируют и
рассматривают под микроскопом с планиметрич. оцен-
кой содержания отдельных петрографич. компонентов
при помощи 6-клавишного интеграционного столика,
монтируемого на микроскопе. Проведенная проверка
точности нового метода показала, что он дает сопо-
ставимые с обычными методами результаты при опре-
делении мацерального и нигредентного состава углей
и показывает достаточную воспроизводимость при
анализе параллельных проб. Петрографич. изучение
продуктов обогащения показало, что в классах 100—
3 мм содержание витринита и экинита постепенно
снижается от легких фракций к тяжелым, а opak-мас-
сы (фузинит, микринит и др.), сланцев и пирита —
возрастает. Основным преимуществом предлагаемого
метода является значительное сокращение времени на
анализы и возможность исследования измельченных
средних проб. А. Шахов

22634. О технических свойствах брикетов из бурого
угля (в основном, водостойкости), высушенного ды-
мовыми газами. Рамлер, Шмидт (Beitrag über
das brikettiertechnische Verhalten von mit Feueergasen
getrockneter Braunkohle, insbesondere hinsichtlich
der Wasserbeständigkeit der Briketts. Rammeler
Erich, Schmidt Reinhardt), Freiburger For-
schungsh., 1957, A, № 72, 109—124 (нем.)

Проведены опыты сушки угля дымовыми газами в
барabanной сушилке диам. 3 м, длиной 15 м. Исследо-
вано влияние размера зерна, давления прессования,
примесей циклонной угольной пыли на качество бри-
кетов. Показано, что при сушке угля дымовыми газа-
ми происходит, по сравнению с паровой сушкой, не-
которое снижение прочности брикетов. Водостойкость
повышается с уменьшением размера зерна и увеличе-
нием давления прессования. Добавка пыли до 5%
увеличивает прочность брикетов. С. Гордон

22635. Усреднение угольной шихты на коксовых за-
водах. Киевская (Uśredniczenie mieszanek węglow-
ych w koksozniach. Kijewska Alina), Koks,
smola, gaz, 1957, 2, № 1, 16—19 (польск.; рез. русск.,
нем., англ.)

Отмечая значение тщательности перемешивания
шихты перед загрузкой ее в коксовые печи, автор
рассматривает путь, проходимый углями, входящими
в состав шихты, начиная с приемных бункеров, кон-
чая угольными башнями у коксовых батарей. Прове-
ден анализ процесса перемешивания на каждой из
стадий продвижения шихты и даны практич. замеча-
ния по усовершенствованию процесса. К. З.

22636. Свободные радикалы при спекании ангрес-
ских углей. Гарифьянов Н. С., Козырев Б. М.,
Кривовяз И. М., Химия и технол. топлива и ма-
сел, 1957, № 2, 29—32

Спекание гумусовых углей (У) и образование кокса
трактуются как химич. взаимодействие свободных ра-
дикалов, что обосновывается исследованием парамаг-
нитных свойств ангресских бурых У и твердых про-
дуктов их термич. обработки. Порошки ангресского
бурого У при нагревании вначале показали резкое
увеличение интенсивности парамагнитного резонанса,
доходящей до максимума при 550°, а затем падение до
0° при 950°. В брикетах эффект парамагнитного резо-
нанса исчезал при 700—750°. Н. Гаврилов

22637. Исследование механизма явлений, протекаю-
щих в каменном угле при пластическом его состоя-
нии, путем экстракции растворителями. Хейль-

перн (Badania mechanizmu zjawisk zachodzących w stanie plastycznym w węglu kamiennym przez ekstrakcję rozpuszczalnikami. Heilpern Stanisław), Koks, smoła, gaz, 1957, 2, № 1, 8—11 (польск.; рез. русск., англ., нем.)

Исходя из предположения, что процесс пептизации угольных зерен в пластик. состоянии в период коксования аналогичен процессу их диспергирования, протекающему при экстракции угля органич. р-рителями, автор провел опыты экстрагирования углей 10 сортов (от газо-пламенных до антрацитов) в автоклаве антраценовым маслом и дифенилом при t -ре 400°; величина зерна 2—3 мм. Показано, что для испытанных углей с содержанием летучих в-в $> 21\%$ повышение растворимости отвечает повышению их спекаемости и степени углефикации. Опыты с изменением времени экстракции (от $1/2$ до 3 час.) показали, что до 1,5 час. растворимость возрастает, после чего увеличение дисперсности прекращается; установлено также, что влияние начальной крупности зерна на степень растворимости и конечную дисперсность значительно больше, чем влияние времени экстракции. К. З.

22638. Исследование коксуемости каменных углей Чехословакии. Часть I. Теиницкий (Výzkum černých uhlí CSR s hlediska jejich koksovacích vlastností. Část I. Tejnický Bohumír), Sbírka prací výzkumn. úst., 1957, A8, № 17-26, 110—134 (чешск.; рез. русск., англ., нем.)

Для расширения применения низкосортных каменных углей в произ-ве кокса и перевода некоторых коксовых з-дов, ранее получавших низкокачественный кокс, на произ-во доменного кокса, испытано 40 проб угля из различных пластов. Пригодность примененных лабор. методов определения коксуемости угля доказана результатами испытаний качества кокса, полученного при промышленных коксованиях.

А. Шахов

22639. Применение югославских углей для коксования. Слокан, Коцмур, Оцекер (Separiranje domaćih prenogov za dodatek pri koksanju. Slockan Karel, Kočmur Ivan, Ošček Drago), Rud. metal. zb., 1957, № 1, 1—14 (словенск.; рез. нем.)

Обсуждаются экономика углеподготовки югославских углей и возможности применения их для коксования.

М. Пасманик

22640. Коксование саарских углей. Шрёдер (Veredelung der Kohle an der Saar. Schroeder Wilhelm), Bergfreiheit, 1957, 22, № 3, 111—117 (нем.)

Коксование богатых летучими в-вами саарских углей (У) с малой добавкой привозных У достигается применением трамбования или предварительного брикетирования. В качестве отошающей добавки вводят тонко измолотую коксовую мелочь с содержанием влаги до 1%. Доменный кокс также получают из смеси состава (в %): жирных У 70, пламенных У 17, полуккокса 13. На 1 т кокса из саарских У получается 50—55 кг смолы, 8—10 кг сульфата аммония, 15—17 кг бензола, 450 мм³ газа с теплотворностью 4800 ккал/мм³. Налажена откачка метана из угольных шахт в кол-ве до 100 000 м³ в месяц. Дано описание отдельных коксохимич. з-дов.

Н. Гаврилов

22641. Устранение уноса из коксотушильных башен. Портмут (Elimination of carry-over from coke quenching towers. Portmouth A. P.), Gas J., 1957, 290, № 4902, 751—752 (англ.)

Исследован состав и кол-во уноса (У) из тушильных башен при мокром тушении кокса и предложено приспособление для улавливания капель уносимой влаги и коксовой пыли. Наблюдения велись на установке для коксования производительностью 296 т угля в сутки, при этом в тушильной башне производилось тушение 80 загрузок горячего кокса по 2,6 т. Продол-

жительность тушения 90 сек., расход воды 4,48 м³. При каждом тушении до установки водоотделителя уносилось 158 л воды (размер капель 70—240 мк) и ~113 г коксовой пыли. Испытана конструкция водоотделителя для улавливания уносимой капельной влаги, состоящая из 2-слойной отбойной перегородки с размерами брусев 76 × 12 мм и шагом 70 мм; расстояние между слоями 25 мм. Перегородка устанавливается под углом 70°. В результате У воды снизился на ~75%. Высказано предположение, что при этом будут удаляться и частицы коксовой пыли тех же размеров.

Д. Цикарев

22642. Природа каменноугольного пека. Франк (Die wahre Natur des Steinkohlenteerpechs. Franch Heinz-Gerhard), Bitum., Teere, Asph., Pech., und verw. Stoffe, 1955, 6, № 2, 42—46 (нем.)

См. РКХим, 1956, 7659.

22643. Состав и строение каменноугольного пека.

Вуд, Филлипс (The constitution and structure of coal-tar pitch. Wood L. J., Phillips G.), J. Appl. Chem., 1955, 5, № 7, 326—338 (англ.)

Пять торговых образцов пеков (П), окисленный П (продукт 2 часа воздуха при 325°) и нефтяной битум прямой гонки фракционированы р-рителями (петрол. эф., бэл. нитробензол, хинолин) и определены мол. веса и элементарный состав фракций. Низшие фракции П, составляющие до 50%, имели мол. в. 150—300, высшие — от 1400 (низкотемпературный П) до 5700 (П из горизонтальных реторт). Мол. веса битума и окисленного П превышали 5000. Фракции П коксовых печей состояли из конденсированных ароматич. молекул преимущественно углеводородного характера, метилированных лишь в незначительной степени. Содержание ароматич. в П из смолы горизонтальных реторт было меньше. Автор предлагает рассматривать П как переохлажденную жидкость, физич. свойства которой можно разъяснить, не прибегая к кол. теории.

А. Кузьмина

22644. Новая установка для сортировки и хранения кокса в Англии. — (The Garston coke preparation and storage plant.), Coke and Gas, 1957, 19, № 24, 89—95 (англ.)

Описывается технологич. схема и конструкции новой установки на станции Гарстон в районе Ливерпуля. Емкость бункерного склада 2125 т, производительность сортировки 75 т/час. Установка состоит из 2 секций. Одна секция предназначена для сортировки и хранения кокса с нового коксового з-да с периодически разгружаемыми вертикальными коксовыми печами, вторая обслуживает 8 непрерывно действующих вертикальных коксовых реторт. Раздельно складываются классы: +73,4; 73,4—49; 49—30,6; 30,6—18,4; 18,4—3,0 и 3,0 мм.

У. Андрес

22645. Комплексное обогащение сырого антрацита. Гофтман М. В., Емельянова В. П., Тр. Уральского политехн. ин-та, 1957, сб. 59, 47—66

Исследованы методы получения обогащенного антрацена (I) и карбазола (II) промывкой р-рителями, прессованием на холоду и при 50—70° и ректификацией на колонне на 10 теоретич. тарелок с последующей кристаллизацией. Показано, что последний метод является наиболее экономичным и дает возможность получить сразу после ректификации 42%-ный (324—340°) I и 72%-ный II (343—360°) с выходом обоих продуктов ~50%. Предварительное освобождение сырого I от фенолов и оснований не требуется. После рекристаллизации из фурфурола получен 82—87%-ный I, который очищен до 90—91% вторичной кристаллизацией из фурфурола или бензола и сублимирован с получением 95,5%-ного продукта. Кристаллизацией II из бензола получен 85%-ный продукт и 93%-ный после сублимации. Фенантрен получен сульфирован-

шлом остатков кристаллизации I (60—65%-ный продукт) и пригоден для получения фталевого ангидрида. Фракция сырого I, кипящие в пределах 292—302°, содержат 61% флуорена, подвергнуты прессованию при 450 ат с последующей перекристаллизацией из фурфурола; получен 82%-ный продукт. Из 100 кг сырого антраценового масла получено (в кг): 92%-ного флуорена 0,240; 93%-ного I 8,1; 63%-ного фенантрена 2,97 и 93%-ного II 9,32. С. Гордон

22646. Полукоксование румынских лигнитов в печах типа Лурги. Штефанеску (Semicocsificarea lignitilor din R. P. R. in cuptor Lurgi. Ștefanescu I.), Rev. minelor, 1957, 8, № 7, 314—324, 301—302 (рум.; рез. русск., англ., нем., франц.)

Опытами полукоксования в печи Лурги показана возможность получения полукокса из румынских лигнитов при сравнительно высоких т-рах. До разрешения вопроса обеззоливания сырья и рационального использования смолы процесс не может быть внедрен вследствие нерентабельности. М. Пасманик

22647. Влияние низкотемпературной обработки сланца на его технологическую характеристику. Макаров Г. Н., Шмук В. А., Юрцева Т. Г., Пулькина М. К., Тр. Моск. хим.-технол. ин-та им. Д. И. Менделеева, 1957, вып. 25, 154—162

Показано, что предварительная подсушка сланца до 150° практически не изменяет его технологич. характеристику; подсушка и термич. переработка сланца размером > 100 мм нецелесообразны. На лабор. установке исследовали подсушку сланца газообразным теплоносителем, а также определяли степень окисленности и т-ру воспламенения сланца. Установлено, что при подсушке сланца дымовыми газами, содержащими до 10% O₂, возгорание сланца происходит при т-ре > 250°.

В. Загребельная
22648. Получение высококалорийного газа из сланца в прямоточно-пиролизном газогенераторе. Безмогилн Э. С., Ицкисон Б. С., Синельников А. С., Тр. Всес. н.-и. ин-та по переработке сланцев, 1956, вып. 5, 142—153

На опытном газогенераторе производительностью 5 т сланца в сутки проведено получение газа на паровоздушном и паро-кислородном дутье. Шахта газогенератора состояла из камер сушки, пиролиза и газификации. Дутье подавалось снизу. Газ-теплоноситель с т-рой 100—1100° поступал в верхнюю часть камеры пиролиза и отводился снизу ее с т-рой 600—700°. Сырой сланец подсушивался дымовыми или пиролизными газами. Приведены условия процесса и характеристика продуктов. Средняя теплотворность газа пиролиза 2360 ккал/м³, газа газификации до и после отмывки от CO₂ 1600—1800 и 4030 ккал/м³. Выход товарного газа 417 м³/т. Преимущества прямоточно-пиролизного процесса заключаются в полном использовании органич. массы сланца, лучшем сходе топлива и возможности создания агрегатов с большей производительностью. Н. Ланидес

22649. Динамика газообразования в слое на подогретом дутье. Сунцов Г. Н., Всес. н.-и. ин-т металлург. теплотехн. Бюл. научно-техн. информ., 1957, № 2, 13—23

Исследование процесса газификации коксика на подогретом дутье на эксперим. установке показало, что могут быть выделены две характерные зоны — кислородная, высотой 40—50 мм, где происходит интенсивное тепловыделение за счет р-ции горения углерода, и восстановительная, высотой 300—350 мм, которая по характеру работы имеет 2 участка: нижний, высотой 60—100 мм, в котором происходит интенсивное разложение H₂O и восстановление CO₂, и верхний, высотой 250—300 мм, в котором содержание CO₂, CO и H₂ изменяется плавно. Увеличение присадки

пара и подогрева дутья снижает интенсивность восстановления CO₂. Продуктами первичных р-ций в зоне восстановления являются CO и H₂. Опытная константа равновесия (K_{оп}) р-ции CO + H₂O ⇌ CO₂ + H₂ в нижних участках зоны восстановления равна рассчитанной по равновесным соотношениям (K_{теор}); при невысоких присадках пара, на выходе из слоя K_{оп} < K_{теор}, а при больших присадках пара K_{оп} = K_{теор} по всей высоте слоя. М. Пасманик

22650. Влияние размеров частиц топлива на условия горения и процесс газификации. Артур, Смит (The size of solid fuel in relation to the behaviour of combustion and gasification appliances. Arthur J. R., Smith W. D.), Monthly Bull. Brit. Coal Utilis. Res. Assoc., 1956, 20, № 11, 429—444 (англ.)

Рассмотрены факторы, влияющие на процессы горения угля в различных топочных устройствах. Показан рост внутреннего потребления низкосортных углей в США за последние годы. Даны рекомендации о размере частиц топлива различных топочных устройств. Рассмотрены вопросы применения пылевидного топлива. Подчеркнута нецелесообразность дополнительного размолла малоценного топлива. Библ. 83 назв. О. Кальницкий

22651. Гидрокарбонизация угля в высококалорийный газ. Часть I. Ньюман, Пайпилен (Hydrocarbonization of coal for high btu gas... Part I. Newman L. L., Pipilen Arnold P.), Gas Age, 1957, 119, № 10, 16—21 (англ.)

Теоретически рассмотрены три возможных пути получения CH₄ из угля: 1) парокислородная газификация с метанированием, 2) частичная гидрогенизация с парокислородной газификацией и 3) гидрогенизация с каталитич. крекингом. В идеальных условиях применение гидрогенизации увеличивает термич. эффективность на 12—15%. Исследован выход продуктов при обработке угля в токе N₂ и H₂. Показано, что даже при атмосферном давлении в среде H₂ выход углеводородных продуктов вдвое выше, чем в N₂. Показано также влияние щел. добавок на эффективность газификации. На основании проведенных работ делается вывод, что газы с высоким содержанием CH₄ и высокой теплотворностью получаются при более низких давлениях. Однако кол-во газифицируемого С увеличивается с повышением давления. Достигнутая степень газификации составляет 96%, содержание CH₄ в газе 73,8%. Из петрографич. разностей угля наиболее реакционноспособным является витрен и наименее фузен. С. Гордон

22652. Газификация землистого бурого угля УССР под давлением с паровоздушным дутьем на полупромышленной установке. Толубинский В. И., Рабинович М. И., Газ. пром.-сть, 1957, № 8, 7—11

Опыты газификации украинских бурых углей с паровоздушным дутьем под давлением проведены на опытной полупромышленной установке при давл. 5—19 ат и форсировках до 1350 кг/м²·час. Установлены основные режимные показатели процесса и их влияние на качеств. и колич. выходы продуктов. Показана практич. возможность ведения устойчивого процесса с получением газа теплотворностью 1700—1750 ккал/м³, которая после отмывки CO₂ и H₂S может быть повышена до 2000—2100 ккал/м³. Сопоставление данных опытов позволяет рассчитывать на возможность дальнейшей интенсификации процесса газификации в слое на паровоздушном дутье путем применения еще более высоких давлений. Н. Гаврилов

22653. Опытнотехнологическая газификация с инжекцией газа в районе Северной Темзы (Англия). Грант, Льюис (Large scale carrier gas carbonization in the North Thames Area. Grant A. F.,

Lewis C. H.), Gas J., 1955, 282, № 4797, 369—372, 373—375; № 4798, 453—457 (англ.)

На з-де в Кенсал-Грин в нижнюю часть реторт Вудол-Дакхема производительностью по углю 7 т/сутки производится инжекция газа-теплоносителя. Переработка угля в обычных вертикальных ретортах непрерывного действия с одновременным вдуванием подогретого газа в реторты отличается теми преимуществами, что производительность реторт увеличивается, а выход смолы повышается. Инжекция газа, содержащего углеводороды, нежелательна, поскольку их крекинг снижает теплотворность газа. Перерабатываемый уголь должен быть равномерен по сытовому составу. В дискуссии показана возможность повышения теплотворности газа и улучшения качества кокса.

В. Загребельная

22654. Газ из бурого угля Виктории. Андриус (Gas from Victoria's brown coal. Andrews R. S.), Australas. Manufacturer, 1956, 41, № 2124, 50, 53—54 (англ.)

На базе больших залежей бурого угля в штате Виктория построен з-д для получения бытового газа газификацией под давлением на парокислородном дутье. Первая очередь состоит из 6 генераторов и дает 0,42 млн. м³ газа в день. Газ транспортируется по газопроводу diam. 45 см в Мельбурн и по пути смешивается с газом нефтепереработки для повышения теплотворности до 4200 ккал/м³.

С. Гордон

22655. Мероприятия по улучшению работы газогенераторов. Обливальный Ф. А. В сб.: Газифик. твердого топлива. М., Гостоптехиздат, 1957, 52—57

С целью повышения производительности газогенераторной станции с газогенераторами типа Керпелли на Лисичанском стекольном з-де проведен ряд мероприятий, в частности подогрев воздуха дутья до 130—140°, достигнуто повышение теплотворности газа с 1450 до 1600 ккал/м³, форсирован режим работы газогенераторов и среднегодовая интенсивность газификации в них увеличена с 192 до 236—250 кг/м² в 1 час. Указано мероприятие по механизации и автоматизации работы станции.

Н. Кельцев

22656. Увеличение производительности газогенераторов и повышение качества газа при газификации коксика. Рейфер М. С. В сб.: Газифик. твердого топлива. М., Гостоптехиздат, 1957, 37—46

Описаны экспериментально-наладочные работы и конструктивные усовершенствования, проведенные на двух газогенераторных станциях, работающих на коксике, для повышения их производительности.

В. Кельцев

22657. Малая рационализация газогенераторных станций. Гродский Я. С. В сб.: Газифик. твердого топлива. М., Гостоптехиздат, 1957, 46—52

Рассмотрены некоторые рационализаторские мероприятия, способствующие повышению технико-экономич. показателей работы и надежности эксплуатации газогенераторных станций на з-дах черной металлургии.

В. Кельцев

22658. Современная измерительная аппаратура при производстве, распределении и потреблении газа. Доммер (Stand moderner wärmetechnischer Meßeinrichtungen für gasgewinnende, gasverteilende und gasverwendende Betriebe. Dommer O.), Gaswärme, 1957, 6, № 4, 132—139 (нем.)

Краткая характеристика технич. газов и типов контрольно-измерительных приборов для измерения кол-ва и состава газов, т-ры, давления, скорости воспламенения и пр. Представлена схема предложенного автором прибора для регистрации и автоматич. регулировки теплового потока, поступающего при сжигании газов на обогрев коксовых и других про-

мышленных печей. Действие прибора основано на одновременной регистрации кол-ва проходящего газа (с помощью диафрагмы и кольцевых весов) и теплового потока (посредством термоэлектрич. схем с электронными усилителями и самописцами). В электр. схему включено управление дроссельной задвижкой, установленной на газо- или воздухоподводящей линии.

Д. Цакарев

22659. Кондиционирование газа для транспортировки под высоким давлением и распределения в городской сети. II. — (Condizionamento del gas per il trasporto ad alta pressinone e per la distribuzione urbana. II. —), Gas (Ital.), 1956, 6, № 2, 39—50 (итал.)

Рассматриваются вопросы старения прокладочных материалов, отложения смол и углеводородных гидратов в газопроводах, а также одоризации газа. В. Ш. 22660. Абсорбция NH₃ при сухой серочистке по способу Бранда. Зоммер (NH₃-Absorption in der trockenen Reinigung bei Anwendung des Brand-Verfahrens. Sommer W.), Neue Deliwa-Z., 1957, № 3, 81 (нем.)

Освещается опыт эксплуатации установки для сухой серочистки газа с одновременным поглощением HCN и NH₃. Конц-ия в газе H₂S 300 г, NH₃ 60—100 г и HCN 5 г в 100 м³. Установка имела помимо четырех обычных камер с поглотительной массой дополнительную камеру размером 2×3×1 м, заполненную в нижней и в верхней части коксом с очистной массой и в середине отработанной массой, содержащей Fe₂S₃ (для связывания NO). Газ вводится в середину ящика, а выводится сверху и снизу, при этом он очищается от остатков смолы, механич. примесей, а также от окислов азота, HCN и частично от NH₃. Масса для серочистки является катализатором р-ции между NH₃ и HCN. В результате предварительной очистки газа условия эксплуатации установки значительно улучшаются, на 50% увеличивается емкость очистной массы. Конц-ия NH₃ после 1-й камеры снижается до 5—15 г/100 м³; остаточный NH₃ вымывается водой в скруббере после прохождения всех башен. Вода спускается в канализацию. По данному способу для очистки 2,4 млн. м³ газа требуется 12 т очистной массы люкс.

И. Марьясин

22661. Промышленные газовые горелки и их применение для сжигания различных газов. Швидесен (Die industriellen Gasbrenner und ihre Anwendung bei verschiedenen Brenngasarten. Schwiedesen), Gaswärme, 1957, 6, № 1, 34—35 (нем.)

Предложено различать 4 типа горелок: 1) с параллельными потоками газа и воздуха, смешивающимися у отверстия горелки, 2) с вихревым движением смеси, 3) тангенциально-аксиальные, в которых газ движется по оси горелки, а воздух поступает в смесительную камеру тангенциально и 4) инжекторные, в которых воздух засасывается за счет большой скорости движения газа. Выбор типа горелок производится по ряду факторов, важнейшими из которых являются давление газа и воздуха, длина пламени, диапазон изменения производительности, а также свойства газов. Все горелки являются приспособлениями для смешения газа и воздуха; чем интенсивнее смешение, тем лучше идет сжигание.

М. Марьясин

22662. Об образовании отложений в опытных установках для сжигания пылевидного топлива. Марскелл, Миллер (Some aspects of deposit formation in pilot-scale pulverized-fuel-fired installations. Marskell W. G., Miller J. M.), J. Inst. Fuel, 1956, 29, № 188, 380—387 (англ.)

Описаны два типа опытных установок для сжигания пылевидного топлива, на которых изучалось влияние отдельных компонентов угля на образование отложений и которые использовались для оценки

технич. мероприятий, примененных для снижения скорости нарастания отложений. Проверились эффективность увлажнения подаваемого для сжигания воздуха и рециркуляция горячих газов. Показано, что оба эти мероприятия дают некоторый результат. Установлено, что содержащийся в угле С1 имеет важное значение, так, напр., наличие HCl в газах сгорания заметно влияет на характер и скорость нарастания отложений. Л. Пашковская

22663. Практическое применение теории отбора проб углей. Вудхаус (The practical application of coal sampling theory. Woodhouse G.), J. Inst. Fuel, 1957, 30, № 196, 249—262 (англ.)

Показано, что при отборе проб для определения зольности на расхождение результатов анализа влияют гранулометрич. состав проб, характер распределения зольности между фракциями различного размера и среднее содержание зольности. Максим. отклонение для кусков одинакового размера наступает при зольности ~30%. Предложена ф-ла расчета отклонений, вызываемых гранулометрич. составом. Д. Цикарев

22664. Применение дифференциального термического анализа при исследовании углей. Кирш (Die Anwendung der Differentialthermoanalyse bei der Kohlenuntersuchung. Kirsch Helmut), Brennstoff-Chemie, 1957, 38, № 5-6, 87—92 (нем.)

Методом дифференциального термич. анализа можно идентифицировать и полуколич. определить состав минер. примесей в угле (У). В восстановительной атмосфере с помощью термограмм можно определить степень углефикации и коксующие свойства У. Термограммы всех У имеют небольшие эндотермич. эффекты при 180°, являющиеся следствием отщепления воды. В пределах 400—600° наблюдаются два эндотермич. эффекта, связанные с отщеплением летучих и образованием жидких продуктов. Характер эффекта и т-ра, при которой он имеет место, связаны с кол-вом летучих. С увеличением степени углефикации температурные пределы эндотермич. эффекта повышаются. Установлена связь между характером и т-рой эндотермич. эффекта и коксующими свойствами угля. С. Гордон

22665 К. Новые направления в зарубежной технике брикетирования угля. Хотунцев Л. Л., Ремесленников И. Д., Махалов П. Н. М., Углетехиздат. 1957, 103 стр., илл., 3 р.

22666 К. Новые методы производства газа в странах Западной Европы. Терехов С. Л. Л., Гостоптехиздат, 1957, 108 стр., илл., 4 р. 80 к.

22667 К. Карманный справочник по газу и воде. Часть II. Газ. Научно-технические основы практики газоснабжения. Издание Германского союза специалистов по газу- и водоснабжению. Ред. Лаурин (Taschenbuch für das Gas- und Wasserfach. II. Teil. Gas. Wissenschaftlich-technische. Arbeitsunterlagen für die Gasversorgung. Hrsg. Dtsch. Verein Gas- und Wasserfachmännern. Gesamtbearb. Laurien Helmut München, R. Oldenbourg, 1957, XX, 353 S., илл., 16—DM) (нем.)

Подробно см. РЖХим, 1958, № 1, стр. 523.

22668 Д. Исследование термического разложения диэтиленового сланца. Сийрде А. К. Автореф. дисс. канд. техн. н., Таллинск. политехн. ин-т, Таллин, 1957

22669 С. Общая классификация углей (временный стандарт). (General classification of coal. (Tentative). U. D. C. 662.66, 620. 168.3, (083.74) (54).). Инд. стандарт, IS № 770: 1955 (англ.)

22670 П. Гравитационное обогащение угля, руд и т. п. Ленсен (Schwimm- und Sinkaufbereitung

von Kohlen, Erzen od. dgl. Lenssen Hans Adolf) (Gewerkschaft Zeche Heinrich) Пат. ФРГ 942203, 26.04.56

Устройство для гравитационного обогащения в тяжелых жидкостях (ТЖ) углей, руд и подобных зернистых материалов, состоящее из ванны, в которой с помощью транспортера с малой скоростью движутся плоские полки, укрепленные перпендикулярно направлению движения и достигающие дна ванны. Полки, дно и стенки ванны образуют ряд камер, непрерывно движущихся по всей длине ванны. Дно и стенки камер могут быть также образованы лопатками транспортеров, расположенных по дну и вдоль стенок ванны и двигающихся с той же скоростью, что и полки. Непрерывно движущиеся полки подхватывают подаваемую с переднего края ванны разделяемую смесь и ТЖ и перемещают ее по всей длине ванны. За время перемещения камер происходит расслаивание смеси. Высота столба жидкости в камере регулируется кол-вом подаваемой смеси. Всплывшие в ТЖ фракции обогащаемого материала выносятся движущимися камерами через заднюю наклонную стенку ванны. Устройство позволяет сократить время обогащения. Приведены схемы устройства. Д. Цикарев

22671 П. Приспособление для обогащения углей и других минералов методом всплывания. Грюнвальд (Vorrichtung zur Schwimm- und Sinkscheidung von Steinkohlen oder anderen Mineralien. Grünwald Ernst-Otto) [Klöckner-Humboldt-Deutz]. Пат. ФРГ 951201, 25.10.56

Обогащение в тяжелых суспензиях производится в заполненной тяжелой жидкостью U-образной трубе, к которой присоединено наклонное колено для стока жидкости с погружившимися частицами материала. Предложено устройство, позволяющее вводить в U-образную трубку выше и ниже колена воздух под давлением. Н. Гаврилов

22672 П. Способ и аппаратура для приготовления однородной смеси угля и смолы (Procédé d'obtention d'un mélange homogène de charbon et de brai et appareil pour l'application dudit procédé) [Société commerciale d'affrètements et de commission]. Франц. пат. 1109141, 23.01.56

Частицы угля ссыпают непрерывно из дозатора на ленточный транспортер (Т) и орошают жидкой смолой в точках, надлежащим образом расположенных по всей ширине ленты, производя разжижение смолы посредством водяного пара низкого давления, после чего сошедший с Т уголь тщательно перемешивают. Аппаратура состоит из ленточного Т, дозатора и смесителя. Н. Гаврилов

22673 П. Подготовка угля для коксования. Круппа, Ринкхофф (Processed coking coal. Kруппа W. J., Rinckhoff J. B.). Англ. пат. 724774, 23.02.55

Предложен способ подготовки слабо-коксующихся и всплывающихся углей для брикетирования и последующего коксования, заключающийся в быстром нагреве их в псевдооживленном состоянии с последующим окислением воздухом при т-ре 380—425° и быстрым охлаждении. Уголь измельчается до пылевидного состояния и подсушивается в струе горячего воздуха, являющегося одновременно и средством транспорта, и затем подается в змеевиковый теплообменник, где происходит его нагрев и окисление. Обработанный уголь по трубопроводу поступает в оросительный холодильник, быстро охлаждается и направляется в циклон, где отделяется от воздуха и поступает на брикетирование или в бункер для хранения. Коксование осуществляется за счет сжигания газов, получаемых при сухой перегонке брикетов. Д. Цикарев

22674 П. Сухая перегонка. Силсби (Distillation process, Silsby Charles Forbes) [Allied Chemical & Dye Corp.]. Пат. США 2743217, 24.04.56

Метод карбонизации тонкоизмельченного угля, способного к агломерированию (А) при t -ре коксования. Поток угля при t -ре не менее чем на 100° ниже t -ры его А вводится в верхнюю часть вертикальной зоны коксования на расстоянии $\sim 1,5$ м от боковой ее стенки и проходит во взвешенном состоянии через зону в токе горячего инертного газа, который вводится в нижнюю часть зоны при t -ре $> 800^\circ$; кол-во вводимого газа устанавливается таким, чтобы время падения частиц было в 1,5—3 раза меньше, чем в статич. условиях. Частицы угля при прохождении через зону не контактируют с ее стенками до нагрева их до t -ры А. Изменением кол-ва подаваемого газа можно менять скорость падения частиц и осуществлять процесс полной отгонки летучих продуктов и коксования. Приложена схема. С. Гордон

22675 П. Способ получения реактивного кокса. Эгалон, Жюлли (Procédé de préparation de coques réactifs. Egalon R., Jullu Ch.). [Manufactures de Produits Chimiques du Nord (Ets Kuhlmann)]. Франц. пат. 1119248, 18.06.56

Для получения кокса с повышенной реакционной способностью из коксовой мелочи угольную мелочь перед коксованием тщательно смешивают с порошкообразной Fe_2O_3 в кол-ве $\leq 6\%$, предпочтительно 0,5—1% (можно применять пиритные огарки). Полученный кокс обрабатывают водн. р-ром одного или нескольких хлоридов щел. металлов. Можно применять р-р NaCl или силивинита с конц-ней 15 г/м³, либо морскую воду. М. Пасманик

22676 П. Получение плотного кокса путем уменьшения вспучивания при коксовании. Уэнделл (Production of dense coke by retarding from formation during coking. Wendell Charles B., Jr.). Пат. США 2744856, 8.05.56

Процесс коксования угля с получением кокса повышенной плотности отличается тем, что поверхность слоя коксуемого угля непрерывно орошается летучими жидкими углеводородами (У), задерживающими при своем испарении вспучивание угля. Подача У производится до полного удаления летучих компонентов шихты. Процесс может быть осуществлен также нагревом снизу слоя коксуемого угля до t -ры 815° , при которой начинается вспучивание, и равномерным орошением поверхности летучими У. Используемые для орошения У могут состоять из летучих продуктов коксования. Осуществление этого процесса дает в среднем увеличение плотности кокса на 20%. Дана схема. С. Гордон

22677 П. Методы работы стационарных вертикальных реторт (Methods of operating static vertical retorts) [Didier-Werke A.-G.]. Аангл. пат. 732418, 22.06.55

Предлагается при работе на стационарных вертикальных ретортах вначале или раннем периоде коксования в верхнюю часть основной массы загружаемого угля вводить подушку из неспекающего угля или кокса с тем, чтобы к моменту новой загрузки наверху образовался слой рыхлого кокса, имеющего ту же t -ру, что и нижний слой. Рекомендовано для загрузки применять воронку с удлиненной насадкой, имеющую объем, равный объему подушки. Д. Цикарев

22678 П. Устройство для сухого тушения кокса (Installation pour le refroidissement de coke par voie sèche) [Heinrich Koppers G. m. b. H.]. Франц. пат. 1109887, 2.02.56

Предложено устройство для охлаждения кокса, выдаваемого из коксовых печей, турбулентным потоком холодного инертного газа в наклонно установлен-

ных камерах охлаждения (КО); КО предназначено для охлаждения кокса только из одной коксовой печи. КО состоит из бетонного, прямоугольного сечения, газонепроницаемого корпуса, внутри которого монтирован цилиндрич. формы каркас, состоящий из продольных стержней или труб; через просветы между стержнями проходит газ, подаваемый на охлаждение в КО; для спуска охлаждаемого кокса внутри каркаса, по продольной его оси, имеется плоская решетка с размером отверстий 80—100 мм, переходящая в винтообразную у места вывода кокса из КО. На входе и выходе кокса в КО устроены сопла для ввода газа или пара; на выходе имеются также сопла для ввода воды. Приложены схемы. С. Гордон

22679 П. Аппарат для управления тушением кокса в тушильной башне (Apparatus for controlling the quenching of coke in a cokequenching tower) [Kippers Ges., H.]. Англ. пат. 725454, 2.03.55

Аппарат состоит из водн. оросительной системы с питательным клапаном, имеющим соленоидный привод, включаемый с локомотива, подающего тушильный вагон к башне. Управление осуществляется при помощи кнопок, реле времени, вспомогательного реле и сигнальной лампы. При входе вагона в башню цепь соленоида замыкается и по ней идет ток, зажигающий сигнальную лампу, но недостаточный для открытия клапана оросительной системы, которое осуществляется только после нажатия кнопки водителем. Через известный промежуток срабатывает реле времени и соленоид закрывает питательный клапан. В случае неполноты тушения водитель может повторить орошение. А. Шахов

22680 П. Коксотушильная станция (Coke quenching stations), [Koppers Co., Inc.]. Англ., пат. 730224, 26.10.55

Отличительная особенность — наличие зумпфа, разделенного фильтрующей сетчатой, керамич. или наборундовой перегородкой на отделения для чистой и грязной воды, и скреперного конвейера, непрерывно удаляющего коксовую мелочь из зумпфа. Во время тушения вода самотеком поступает из напорного бака в оросительную систему, а когда тушение не производится, то перекачивается из чистого отделения зумпфа в напорный бак. Очистку фильтра можно производить путем создания обратного тока воды при помощи спец. трубы с вентилем. Питательный клапан гидравлически открывается и закрывается при помощи реле времени, контролирующего также работу насоса и скреперного транспортера. А. Шахов

22681 П. Способ получения фенолов из масел, их содержащих. Бемман (Verfahren zur Gewinnung von Phenolen aus solche enthaltenden Ölen. Bemmann Rudolf). Пат. ГДР 12135, 24.09.56

Предлагается способ получения фенолов из масел, их содержащих путем обработки масел водн. р-ром карбоната щел. металла (I), предпочтительно Na_2CO_3 , под давлением и при t -ре $> 100^\circ$, с удалением образующейся при этом свободной CO_2 и с образованием фенолята. Способ отличается тем, что обработка под давлением производится в колонне с двумя расположенными друг над другом слоями насадки, причем к верхнему слою подводится I, а к нижнему — масло, подлежащее обесфеноливанью; под нижний слой подается быстрый пар; образующаяся смесь паров и газа удаляется сверху колонны без образования флегмы. Для окисления фенолятного р-ра может быть использована CO_2 , образовавшаяся в процессе, а образующийся при этом I направлен вновь в процесс. Фенольный конденсат, получаемый при охлаждении CO_2 -содержащих паров, может быть целиком или частично вновь возвращен в процесс. Изменением соотношения между I и маслом может быть достигнуто неполное,

но селективное обесфеноливание последнего. Пример. В колонну ежесекундно подается 2000 объемн. ч. 10%-ного р-ра Na_2CO_3 ; одновременно на нижний слой насадки вводится 3000 объемн. ч. подлежащего обесфеноливанню масла, полученного прямым гидрированием бурого угля под высоким давлением; это масло выкипает при 80–205° и содержит 154,6 г/л фенолов. Под нижний слой подводится водяной пар под давл. 10 ат. Сверху колонны отбирается конденсат воды и масла, содержащий 34,2 г/л фенолов, а снизу колонны фенолят, содержащий 16% фенолов. После пропускания CO_2 из последнего получается фенолы, свободные от нейтр. масла. Приводится схема.

Б. Энглин
22682 П. Очистка сырых фенолов. Джонс, Ньюорт (Purification of tar acids. Jones Benjamin W., Newworth Martin B.) [Pittsburgh Consolidation Coal Co.]. Пат. США 2766296, 9.10.56

Предложен способ очистки фенолов среднего каменного угольного масла. Масло с т. кип. 160–240° разгоняется на 2 фракции: 160–190°, содержащую все фенолы и часть крезолов, и 190–240°, содержащую часть крезолов, но в которой отсутствуют фенолы. Фракции подвергаются двойной селективной экстракции — легкой парафиновым дистиллятом (Д) с т. кип. 60–130° и уд. в. < 0,8 и 40–55%-ным водн. р-ром метанола (М), а тяжелая Д и 55–75%-ным р-ром М. Р-р М подается сверху колонны, а Д — снизу. На 1 объем фракции берут по 0,5–5,0 объемов р-ра М и Д. Соотношение объемов Д:р-р М = 0,25–4,0. После отпарки М фенолы подвергаются четкой ректификации. Для получения неокрашенных фенолов р-р М после экстракции легкой фракции подвергается анионному обмену, а затем смешивается с экстрактом из тяжелой части и подвергается катионному обмену для удаления смоляных примесей. Кол-во материала для анионного обмена ~ 10% от веса фракции. Остаточное содержание нейтр. масел < 0,1%.

Д. Цикарев

22683 П. Способ очистки труб смолоразгонной печи. Калиновский, Гродонь (Sposob oczyszczania rur pieca destylacyjnego. Kalinowski Bohdan, Grodziej Alojzy) [Zakłady Koksochemiczne «Zabrze»]. Польск. пат. 38187, 30.09.55

Для очистки труб непрерывнодействующей смолоразгонной печи от отложений кокса предложено продувать их попеременно водяным паром и воздухом при повышенной т-ре. Это позволяет производить очистку без демонтажа печи, в течение ~ 10 час. вместо 3–8 суток при обычной очистке.

К. З.

22684 П. Аэросмеситель для угольной пыли (Pulverized coal feeding and pressurizing system) [Union Carbide and Carbon Corp.]. Австрал. пат. 200021, 1.12.55

Аппарат для непрерывного суспендирования пылевидного материала, напр. угля, подаваемого при атмосферном давлении, в струе газа, напр. кислорода, находящегося под давлением выше атмосферного, состоит из бункера (Б) для пыли, вводимой питателем из открытой приемной воронки, и закрытого конвейера для подачи пыли в камеру смешения (КС). В Б имеется приспособление для регулирования уровня угольной пыли по ее весу и устройство, получающее импульс от перепада давления газа между Б и КС и регулирующее поток газа, подаваемого в КС, в результате чего давление в Б поддерживается большим, чем в КС.

М. Робин

22685 П. Способ получения высококалорийного генераторного газа из влажного топлива, например торфа, бурого угля, дерева и пр. Фегершёльд (Förfäringssätt för framställning av högvärldig generatorgas av yngre fuktigt bränsle, sasom ved, torv,

brunkol etc. Fägerskiöld I. S. F.), Шведск. пат. 150499, 28.06.55

Способ получения генераторного газа из влажного топлива в генераторе с двумя шахтами, с обращенным дутьем в верхней шахте и общим отбором газа из обеих шахт, отличающийся наличием сушильной зоны с т-рой $\leq 270^\circ$ в верхней части верхней шахты. Из сушильной зоны топливо поступает в зону сухой перегонки, где его нагревают циркулирующим генераторным газом, вводимым несколько ниже этой зоны; при таком ведении процесса в верхней шахте генератора для газификации используются: влага топлива, продукты его сухой перегонки, а также тепло сухой перегонки.

К. Герцфельд

22686 П. Способ производства синтез-газа. Штейншлегер (Procédé pour la production de gaz de synthèse. Steinschlaeger Michel). Франц. пат. 1110785, 16.02.56

Для произ-ва синтез-газа, содержащего 0–2 объема H_2 на 1 объем CO , твердое, жидкое или газообразное горючее подвергается неполному сжиганию с воздухом при давл. ~ 1 ат в присутствии паров H_2O и (или) CO_2 или без них. Полученный бедный газ (БГ) после частичного или полного удаления CO_2 , пыли и S-соединений фракционируют при низкой т-ре или разделяют с помощью активированного угля (гиперсорбция). Пример: БГ получают сжиганием жидкого топлива, богатого ароматич. углеводородами, полученного при каталитич. крекировании. После очистки от пыли и S-соединений БГ содержит (об. %): CO_2 6, CO 16, H_2 8, CH_4 1 и N_2 69. Затем из БГ удаляют CO_2 промывкой моноэтаноламином и фракционируют его с охлаждением по циклу Линде (до -192°). В результате получают из 1 млн. м^3 : а) 10 000 м^3 CH_4 ; б) 270 000 м^3 синтез-газа, содержащего CO 59,3, H_2 29,6 и N_2 11,1; в) 660 000 м^3 N_2 .

А. Равикович

См. также: Происхождение твердых горючих ископаемых 21004, 21005; св-ва твердого топлива 21203; обогащение углей 21321; анализ газов 21225; сжигание твердых топлив 21797, 21939, 21940

ПЕРЕРАБОТКА ПРИРОДНЫХ ГАЗОВ И НЕФТИ. МОТОРНОЕ И РАКЕТНОЕ ТОПЛИВО. СМАЗКИ

Редакторы И. М. Руденская, М. О. Хайкин

22687. Нефтепродукты для народного хозяйства. Жалин Н. Е., Стандартизация, 1957, № 5, 36–38

Указан ряд мероприятий в области стандартизации, направленных на улучшение продукции нефтяной промышленности.

И. Руденская

22688. Исследовательские работы на нефтеперерабатывающем заводе Humble Oil and Refining Co (Texaco). Грини, Гамильтон (Operations research activities at Humble. Greaney T. J., Hamilton J. P.), Chem. Engng Progr., 1955, 51, № 11, 504–506 (англ.)

22689. Посещение Голландии группой членов французской ассоциации нефтяников-технологов (Юго-западная группа 26–28 сентября 1955 г.). Орловский. Исследовательский институт Ролл Деч Шелл в Амстердаме. Гераль (Visite de la Hollande par un groupe de membres de l'A. F. T. P. (Groupe sud-ouest les 26, 27 et 28, 27, 28 septembre 1955). Avant-propos. Orlovsky N. Visite au laboratoire Royal Dutch-Shell Amsterdam. Gayral Roland), Bull. Assoc. franç. techniciens. petrole, 1955, № 116, 125–127; 1956, № 116, 139–145 (франц.)

Крупнейший из исследовательских ин-тов Шелла в Амстердаме с численностью работников 1600 человек

имеет 3 основных отдела: нефтяной, изучающий вопросы добычи и переработки нефти; нефтехимический, разрабатывающий процессы получения различных хим. продуктов, а также занимающийся вопросами промышленной реализации разработанных процессов; фундаментальных исследований, который в отличие от предыдущих отделов исследует общенаучные и теоретич. проблемы.

В. Шекин
22690. Люминесцентно-капиллярные свойства фракций нефтей. Шкляр И. В., Каплан З. Г., Тр. Всес. нефт. н.-и. геологоразвед. ин-та, 1957, вып. 105, 37—50

22691. Результаты исследования сизанской нефти. Масумян В. Я., Ашумов Г. Г., Велиев Ш. В. В сб.: Вопр., исслед. нефтей и нефтепродуктов, разработки процессов переработки нефти и обслед. заводов установок. Вып. I, Баку, 1957, 3—5

Нефть месторождения Сизань (Прикаспий) содержит 0,2 S, 18% акцизных смол, 1,2% парафина и до 50% светлых продуктов: 18,57% бензина и 30,97% керосина (бензин с 4 мл этиловой жидкости на 1 кг имеет октановое число 86,8). Из сизанской нефти можно получать дизтопливо «Л» с цетановым числом 45,2, топливо «Т-1» и автобензин, удовлетворяющие технич. нормам. Получение кондиционных автотракторных масел возможно при применении селективной очистки.

Е. Покровская
22692. Структурно-групповой анализ тюленовской нефти. Панков, Радев (Структурно-группов анализ на тюленовская нефт. Панков Г. Ц., Радев Р. И.), Минно дело, 1957, 12, № 2, 73—79 (болг.)

Произведена разгонка тюленовской (НРБ) нефти под вакуумом на четырнадцать 25°-ных фракций, определены физ.-хим. показатели этих фракций и по ним групповой состав нефти. На основании полученных данных сделаны выводы о способах переработки этой нефти.

К. З.
22693. Природа ванадия, содержащегося в нефти. Бич, Шумейкер (The nature of vanadium in petroleum. Beach Leland K., Shewmaker James E.), Industr. and Engng Chem., 1957, 49, № 7, 1157—1164 (англ.)

Соединения V, содержащиеся в нефти, при каталитич. крекинге сильно повышают коксообразование и интенсифицируют коррозию аппаратуры. С целью изучения кол-ва и характера соединений V последние экстрагировались из нефти и изучались их физ.-хим. свойства. Авторы разделяют соединения V в нефти на 2 класса: соединения V, экстрагируемые (I) и неэкстрагируемые (II) из нефти водн. р-ром пиридина. I имеют структуру мономерных летучих порфиринов с т. кип. 585—650° и мол. в. 543—800. Центральная часть молекулы всех I, содержащая V—N группировку, структурно идентична, что видно из их констант поглощения и постоянства в расположении спектральных пик на кривых длин волны различных фракций. Различные значения летучести и коэф. экстракции отдельных фракций I объясняются различным положением периферийных групп. II, содержащиеся в большом кол-ве в нефти, не экстрагируются водн. р-ром пиридина благодаря большому молекулярному весу или уплотненной молекулярной структуре. По-видимому, II содержат порфирины, боковые цепи которых больше, чем центральная молекула, и по природе являются асфальтовыми или полимерными соединениями. I и II могут различно влиять на отравление катализатора при каталитич. крекинге.

Н. Ланидес
22694. Новые установки нефтеперерабатывающего завода в Пти-Курони (Приморская Сена, Франция). Антони (Les nouvelles installations de la raffinerie de pétrole de Petit-Couronne (Seine-Maritime).

Antoni A.), Génie civil, 1957, 134, № 17, 349—358 (франц.)

Приведены описания и схемы установок для переработки нефтей Среднего Востока и Венесуэлы. На установке каталитич. крекинга получают высокооктановый бензин с октановым числом > 96 в этилированном виде. Пропускная способность новых установок в ближайшее время будет доведена до 10—11 тыс. т/сутки.

Е. Покровская
22695. Подземное хранение нефти и нефтепродуктов. Слыш (Podziemne magazynowanie ropy i produktów naftowych. Słysz Tadeusz), Wiedza o naft., 1957, 3, № 6, 12—14 (польск.)

По опыту США и Швеции рассмотрены основные условия сооружения и эксплуатации естественных и искусств. подземных резервуаров (каверн, пещер, горных выработок, вымываемых пещер в соляных пластах и т. п.) для хранения нефтей и нефтепродуктов; даны экономич. показатели, иллюстрирующие преимущества подземных резервуаров перед наземными.

К. З.
22696. Хранение газа в естественных подземных резервуарах. Грингов (Le stockage du gaz en structures enterrées. Gringov E. S.), Techn. et appl. pétrole, 1957, 12, № 136, 5147—5149 (франц.)

Сообщается о подземном хранении газа в районе Парижа, вмещающем 300 млн. м³, и о компрессорной станции, обслуживающей его. Газ нагнетается под давл. 45 атм тремя компрессорами с газовыми двигателями мощностью по 400 лс; очистка газа осуществляется в фильтрах с активированным углем.

К. З.
22697. Болгарская нефть, ее добыча и обработка. Василев (Нашият нефт, неговото добиване и преработване. Василев Д.), Техника пром.-ст, 1957, 4, № 5, 30—32 (болг.)

Рассмотрены способы добычи, сепарации и хранения болгарской нефти, отличающейся высокой вязкостью.

К. З.
22698. Перспективы оснащения оборудованием нефтяной промышленности Франции. Лора, Аяра (L'équipement pétrolier de la France dans les perspectives métropolitaines et sahariennes. Lauras P., Henry G.), Bull. Assoc. franç. techniciens pétrole, 1957, № 124, 317—334 (франц.)

Краткий обзор по оснащению аппаратурой и материалами французской нефтяной пром.-сти и перспектив в этом направлении для метрополии и Сахары, в которой разведаны большие запасы нефти.

Е. П.
22699. Экономика повышения октанового числа моторных топлив. Керстен, Уоррен (The economy of octane improvement. Kersten R. C., Warren T. W.), Oil and Gas J., 1958, 54, № 65, 176, 178, 180, 182, 184—185, 187 (англ.)

Приведены экономич. показатели современных процессов нефтепереработки, имеющих целью повышение октановых чисел бензинов, в том числе реформинга, полимеризации, алкилирования, изомеризации, комбинирования различных процессов, а также добавки тетраэтилсвинца.

Н. Кельдр
22700. Каталитический крекинг высококипящих фракций тюленовской нефти. Каншев (Каталитично крекиране на високипящи фракции от тюленовския нефт. Каншев Крум), Техника пром.-ст, 1957, 6, № 3, 31—32 (болг.)

Проведены лабор. опыты крекинга фракции 350—450° тюленовской нефти на микропористом Al—Si-катализаторе при 450—460° и объемной скорости 0,7. За один проход получено до 34—36% высококачественного крекинг-бензина; газ содержит 19—23% неонаса, и 59—62% насыщ. углеводородов. Сделан вывод, что высококипящие фракции тюленовской нефти могут служить сырьем для каталитич. крекинга.

22701. Проблема коксообразования при каталитическом крекинге. Часть 1 и 2. Шервуд (Problèmes résultants de la formation du coke au cours du cracking catalytique. Sherwood Peter W.), Techn. et appl. pétrole, 1957, 12, № 136, 5139, 5141, 5145; № 137, 5193—5194, 5226 (франц.)

Суммируются результаты опубликованных в 1953—1956 гг. работ по влиянию на степень отложений кокса на катализаторе (K) условий крекинга при одно- и двухступенчатом процессе с неподвижным и псевдоожиженным K: т-ры давления, начальной активности K, состава сырья, отношения K: сырье. Библ. 10 назв. А. Равикович

22702. Реформинг как процесс повышения октанового числа моторного бензина. Лагоцинский (Reformowanie jako proces podnoszenia liczby oktanowej benzynu motorowych. Łahociński Zygmunt), Nafta (Polska), 1957, 13, № 7-8, 191—197 (польск.). Даны краткие сведения о современных процессах каталитич. и некаталитич. реформинга бензинов. К. З.

22703. Каталитический реформинг. Космин, Одор (Reformarea catalitică. Cosmin M., Odor C.), Petrol și gaze, 1957, 8, № 8, 405—414 (рум.; рез. русск., нем., франц., англ.)

Изложены основы процесса каталитич. реформинга, приведены характеристики сырья и получаемых продуктов, а также основные р-ции процесса. И. Руденская

22704. Применение алкилирования в производстве углеводородов. Женин (L'alcoylation dans la production industrielle de structures hydrocarbonées. Jénnu R.), Rev. Inst. franç. pétrole, 1957, 12, № 5, 576—598 (франц.; рез. англ., исп.)

Изложены принципы алкилирования и описаны основные процессы и схемы при произ-ве этилбензола (I), кумола (II), додецилбензола (III) и высокооктановых алкилатов из изобутана и олефинов C_2 — C_4 . При произ-ве I из C_4H_8 (IV) и C_2H_4 чаще применяют жидкофазное алкилирование с $AlCl_3$ (V), чем парофазное с $P_2O_5-SiO_2$. II из IV и $CH_3CH=CH_2$ получают почти исключительно парофазным процессом с $P_2O_5-SiO_2$; имеется только одна установка, где используется для этого жидкофазное алкилирование с H_2SO_4 (VI). Алкилирование IV тетрамером пропилена при получении III чаще осуществляется в присутствии VI и HF, чем V. Для получения высокооктановых алкилатов применяют алкилирование с VI, HF, V и термич. алкилирование; наиболее распространены процессы с VI и HF. Библ. 23 назв. А. Равикович

22705. Гидрогенолиз нефтяного сырья. Шульц, Линден (Hydrogenolysis of petroleum oils. Shultz Eugene V. Jr., Linden H. R.), Industr. and Engng Chem., 1956, 48, № 5, 895—899 (англ.)

Нефтяное сырье подвергалось газификации в реакторе периодич. действия при т-рах 650—730°, давл. 140—310 атм и соотношении H_2 к сырью 0,7—2,25 м³/л. Подробно разбирается зависимость глубины превращения от времени пребывания в зоне р-ции и т-ры, соотношения H_2 к сырью и свойств сырья. Приводятся типовые зависимости выхода газа от продолжительности пребывания в зоне р-ции, а также данные анализов различного сырья, условия опытов и полученные результаты. См. РЖХим, 1957, 64378. Ю. Коган

22706. Установка платформинга на нефтеперерабатывающем заводе в Винни (Texas). Даунер (Winnie processing plant installs platformer. Downer Whit), Petrol. Engr, 1957, 29, № 2, C26—C29 (англ.)

Приведены результаты работы установки платформинга, перерабатывающей 28 т в сутки лигровина (интервал кипения 93—204°) в высокооктановое мо-

торное топливо. Выход 90% этилированного 97-октанового продукта, 80—83% 100-октанового (октановое число по исследовательскому методу). C_3H_8 и $изо-C_4H_{10}$ выпускаются как товарные продукты, $n-C_4H_{10}$ как добавка. Даны примеры контроля за качеством продукции, в том числе за октановым числом по анилинным точкам, содержанием водорода по уд. весу газа и др. Н. Кельцев

22707. Автотермический крекинг газов нефтепереработки и бутана. Ребуль (Craquage autothermique des gaz de raffinerie et du butane. Reboul J.), Rev. Inst. franç. pétrole, 1957, 12, № 1, 86—120 (франц.; рез. англ., исп.)

Описаны опыты автотермич. крекинга углеводородных газов нефтепереработки и бутана для получения более низкокалорийного потребительского газа (ПГ) путем частичного окисления воздухом. Опыты проводились на трех французских промышленных установках с генераторами разных типов: 1) Gaz de France P₂ (Г1) — вертикальная камера, заполненная контактной массой из активированной Al_2O_3 , т-ра ~ 1050°; 2) G. E. I. M. (Г2) — пустотелая вертикальная цилиндрич. камера, т-ра 500—650°; 3) Nasche (Г3) — камера в виде горизонтальной U, заполнена фасонным кирпичом из Al_2O_3 , образующим в кладке трубчатые проходы для газов, перерабатываемая смесь воздуха и газа поступает попеременно в одну из горизонтальных ветвей камеры и продукт р-ции выводится из другой, т-ра 700—900°. Приведены схемы генераторов. Изучены рабочие процессы при разном составе сырья и разных отношениях воздух/сырье и качества полученного при этом ПГ, особенно в отношении его транспортирования под давлением. ПГ с наименьшей конденсацией при компрессии получают в Г3, несколько уступает ему ПГ из Г1, значительно хуже ПГ из Г2. ПГ из Г2 и ПГ из Г3 содержат диеновые углеводороды, являющиеся потенциальным источником смол при транспорте. Предложена теоретич. зависимость между т-рой процесса, кол-вом воздуха и составом ПГ. А. Равикович

22708. Газификация нефтяного сырья в вертикальных печах. Вурц (Nuovo procedimento per la produzione di gas d'olio nei forni a camere verticali. Wurz Fritz), Gas, 1956, 6, № 3, 82—83 (итал.)

Доклад по газификации нефтяного сырья, в котором используются ранее опубликованные материалы по этому вопросу. В. Шекин

22709. Нефтяные продукты как сырье для производства городского газа в Англии. Дейвис (Petroleum products as raw materials in the manufacture of town gas in Great Britain. Davis J. E.), Gas World, 1956, 143, № 3750, 1513, 1528 (англ.)

22710. Производство городского газа из жидких или газообразных топлив. Лотон (The manufacture of town gas from liquid or gaseous fuels. Lawton E. J.), Gas J., 1957, 291, № 4906, 181—182, 186—187, 190 (англ.)

Обзор промышленных методов произ-ва городского газа с теплотворностью 400—11 600 ккал/м³ главным образом из нефтяного сырья. Кратко описываются термич. крекинг и каталитич. крекинг с паром, а также неполное окисление углеводородов кислородом. С. Гудков

22711. Каталитический крекинг нефтяных остатков. Джонсон, Эберлайн, Дентон (Catalytic cracking of petroleum residuum. Johnson Paul H., Eberline C. R., Denton R. V.), Industr. and Engng Chem., 1957, 49, № 8, 1255—1258 (англ.)

Проведены исследования каталитич. крекинга (K) нефтяных остатков (мазута — M) с промышленным глинистым (монтмориллонитовым) катализатором в псевдоожиженном состоянии. K проводили при 480°,

давл. 0,7 ат, объемных скоростях 0,7—3 кг на 1 кг катализатора в 1 час и продолжительности процесса от 5 до 25 мин. К М добавлялся пар в кол-ве от 85 до 455 кг/м³ М. Результаты опытов сравнивались с результатами, полученными при К газойля (Г) в тех же условиях. При К М кол-во отложившегося С растет с увеличением объемной скорости, тогда как при К Г оно неизменно. При одинаковой степени конверсии выход бензина при К М всего на ~ 5% ниже, чем при К Г. Полученный бензин содержит несколько больше S, а его детонационная характеристика немного ниже. Октановые числа (ОЧ) бензинов отличаются на 3—4 пункта. Масла, идущие на повторный К, обладают повышенным содержанием ароматики, но имеют пределы выкипания, близкие к таковым для масел, полученных при К Г. Увеличение подачи пара в установку К с 145 до 735 кг/м³ М снизило кол-во отложившегося С на 2%. При этом выход бензинов и бутенов увеличился на 1,5 и 0,9%. ОЧ бензина увеличилось на 1 пункт. Присутствующие в М тяжелые металлы ухудшают свойства катализатора. Содержание 0,3% NiO + V₂O₅ увеличивает кол-во отложившегося С и снижает выход бензина на ~ 2%. В газах К сильно возрастает кол-во Н₂. Неожиданные результаты получены при К смешанного сырья (М + Г). На чистом катализаторе при К смешанного сырья увеличивается выход бензина, падает выход газа, а кол-во отложившегося С остается неизменным, либо несколько снижается. Смешение М и Г улучшает избирательность К.

Н. Лапидес

22712. Фракционирование натриевых и кальциевых солей нефтяных сульфокислот. Апухтина Н. П., Короткина Д. Ш., Химия и технол. топлива и масел, 1957, № 8, 47—50

Исследован фракционный состав нефтяных контактов (газойлевые и соляровые) из углеводородов бакинского происхождения на основе растворимости натриевых солей нефтяных сульфокислот (НС) в бутиловом спирте и кальциевых — в воде. Показано, что нефтяные контакты состоят в основном из двух групп НС, отличающихся по мол. весу и растворимости их Са-солей. Соляровый контакт отличается от газойлевого большим содержанием высокомолекулярных НС (до 65%); содержание последних в отдельных образцах газойлевого контакта ~ 40—50%. Приведена методика исследования.

А. Нагаткина

22713. Определение и регулирование вязкости тяжелых топлив. Зюсс (Messung und Regelung der Viskosität von Schwerölen für Dieselmotoren. Kessel und Ofen. Süß R.), GEIG-Ber., 1957, 3, № 2, 81—89 (нем.; рез. англ., франц.)

В связи с значительным использованием на транспорте и в пром-сти тяжелого нефтяного топлива особое внимание уделяется методике определения его качества. Показателей, в частности измерения вязкости. Разработан аппарат для непрерывного контроля вязкости, напр. в нефтепроводах, основанный на измерении времени истечения продукта через капилляр или измерении величины перепада давления в капилляре. Указана возможность регулирования вязкости тяжелых топлив смешением продуктов различной вязкости и т-ры.

И. Большов

22714. Кислые гудроны в качестве топлива для нефтеперерабатывающих заводов. Валигурский, Цихий (Smole porafinacyjne jako opał w przemyśle rafineryjnym. Waligórski Edward, Cichy Karol), Gospod. węglem, 1956, 5, № 9, 193—195 (польск.)

Приведен состав и физ.-хим. характеристика кислых гудронов, скопившихся на одном из нефтеперерабатывающих з-дов ПНР. 3-месячный опыт сжигания гудрона в смеси с углем (зерно 0—10 мм) в соотно-

шении 30:70 на установке типа Вилькок — Бабкок показал отсутствие коррозии аппаратуры. Учитывая опыт сжигания свежих кислых гудронов в топках нефтеперегонных установок, сделан вывод о несомненной возможности применения кислых гудронов в качестве топлива. Даны практич. замечания по технике извлечения гудронов из котлована, их измельчению, смешению с углем и сжиганию в топках.

22715. Современная практика сжигания нефтетоплив. Самбрук (Modern practice in oil firing. Sambrook K. H.), Year Book Heat and Ventil. Ind., 1956, London, 1956, 4—25 (англ.)

Рассматриваются характеристики топлива, существенно влияющие на процесс горения и условия эксплуатации, а именно: вязкость, уд. вес, т-ра застывания, т-ра вспышки и содержание S; условия хранения и подогрева топлива; типы и характеристики горелок; отопительное оборудование, предназначенное для отопления зданий. Разбираются достоинства и недостатки различных отопительных систем, работающих на нефтетопливах.

Л. Пашковская

22716. Сжигание пылевидного кокса. Парселс (Firing fluid coke. Parcels C. F.), Ind. Power, 1957, 72, № 3, 12—13, 36—38 (англ.)

Описана техника сжигания в топках паровых котлов нефтяного кокса, имеющего форму сферич. частиц размером ~ 35 меш. Кокс транспортируется в котлам по трубам сжатым воздухом и вдувается в топку через распылители, изготовленные из карбида вольфрама, чтобы они могли противостоять абразивному действию кокса. Путем сжигания газа или жидкого топлива в топках поддерживается стабилизирующее пламя.

В. Кельцев

22717. Сжигание пылевидного кокса. Керуэн (Fluid coke burns satisfactorily. Curwen Darcy), Electr. World, 1957, 147, № 4, 112—114, 236 (англ.)

Пылевидный кокс, получаемый в качестве побочного продукта нефтепереработки, содержит 90 вес. % углерода, имеет теплотворность ~ 7770 ккал/кг, небольшое кол-во летучих в-в и малую истираемость; содержание S, зависит от ее кол-ва в исходном сырье. Из всего кол-ва кокса этого типа, получаемого в США, ~ 23% используется в качестве топлива. По сравнению с углем пылевидный кокс дает некоторое увеличение эффективности паровых котлов, при этом для поддержания горения вместе с коксом должно сжигаться 9—30% дополнительного топлива.

Л. Пашковская

22718. Котлы для дожигания СО-содержащих газов. Пеннелс (Co boiler pays off in fuel savings and produces zero CO. Pennells N. E.), Paper. Amer. Soc. Mech. Engrs, 1956, № A-198, 5 pp., ill. (англ.)

Дано описание и эскизы паровых котлов — утилизаторов, в топках которых сжигается СО-содержащий газ, получаемый при регенерации катализатора крекинга на нефтезаводах. Газы регенерации (ГР), теплотворностью 130—180 ккал/м³, смешиваются с воздухом и поступают в 1-ю топку, где сжигается дополнительное газообразное или жидкое топливо для подогрева ГР до т-ры 790°; полное дожигание СО в СО₂ осуществляется во 2-й топке котла. Сжиганием ГР достигается предотвращение загрязнения атмосферного воздуха и утилизация физ. и хим. тепла ГР. На нефтеперегонном з-де в Хюстоне, где установлены такие котлы, дополнительно используется ~ 80 млн. ккал/час тепла, содержащегося в ГР, в том числе физ. тепла 45 и хим. тепла 35 млн. ккал/час.

В. Кельцев

22719. Усовершенствование кислотно-щелочной очистки осветительного керосина. Кострин К. В., Нефтяник, 1957, № 9, 13—15

Для снижения расхода олеума и каустич. соды, ликвидации затрат на ремонт и эксплуатацию оборудова-

с — Бабкин
Учитывая
в топках
несомнен-
но в ка-
технике
мелоченно,
К. З.
нефтепро-
ing. Sam-
tilat. Ind.
ва, суще-
условия
ра засти-
ния хране-
истики го-
значенное
инства и
работав-
шниковская
Гареева
wer, 1957,

овых кот-
ерич, ча-
руется в
дувается
в карбид
абразив-
или жид-
лазирую-
Кельцов
Керуэн
Dagay),
(англ.)
обобщено
90 вес.%,
небольш-
и; содер-
жания. Из
в США,
сравне-
е увели-
том для
но сни-

иковская
их газов.
ngs and
t. Amer.
англ.)
утилизир-
ождающий
ра кре-
тепло-
охлаждо-
наитель-
догрева
осуще-
досто-
ого воз-
нефте-
танки
скал/час
шла 45
Кельцов
ой очи-
К. В.,

ы, лик-
рудова-

ния для перемешивания воздухом, уменьшения пожар-
ной опасности, устранения отравления атмосферы
вредными газами и улучшения условий труда на
Утинском нефтеперерабатывающем з-де произведено
усовершенствование установки для кислотно-щелоч-
ной очистки осветительного керосина. Воздушное
перемешивание керосина и олеума в кислотной ме-
шалке заменено циркуляционным перемешиванием с
применением инжекторных смесителей. В цел. мешал-
ке перемешивание воздухом также заменено на цир-
куляционное с введением керосина путем барботаж-
а в р-р каустич. соды.

В. Зрелов
22720. Новый процесс обессеривания сырья для ре-
форминга. Филлипс (New process for removing
reformer feed stock sulfur. Phillips R. J.), Petrol.
Refiner, 1956, 35, № 11, 202—204 (англ.)

Эффективное обессеривание сырья для реформинга
достигается при весьма совершенном смешении 88%-
ной серной к-ты с очищаемым продуктом созданием
в смесителях электростатич. поля, что достигается
введением в смесители электродов с потенциалом
20—25 000 в. В электростатич. поле увеличивается
скорость перемещения молекул к-ты в смеси и дости-
гается эффективное контактирование их с молекула-
ми сернистых соединений. Для очистки можно исполь-
зовать также к-ты — отходы процессов алкилирования
или полимеризации. Продолжительность очистки ме-
нее 10 мин. Потери к-ты, которую берут с 10%-ным
избытком против стехиометрич. соотношения, менее
0,003%. Это кол-во нейтрализуется во 2-й стадии обра-
ботки слабой щелочью 5—10° В6 с использованием
также электростатич. перемешивания в отдельном
щел. смесителе. Очисткой достигают снижения серы
от 0,02% до 0,002—0,005%. Расходы на строительство
установки, а также эксплуатационные расходы ниже,
чем при процессах гидроочистки.

В. Зрелов
22721. Парофазное гидрообессеривание нефтяных
фракций. Абботт, Лидхолм, Сарно (Vapor-
phase hydrosulfurization. Abbott M. D., Lied-
holm G. E., Sarno D. H.), Petrol. Refiner, 34, № 6,
118—122 (англ.)

22722. Очистка дизельных топлив путем каталитиче-
ского гидрирования. Шмелинг (Raffination von
Dieselkraftstoffen durch katalytische Hydrierung.
Schmeling Frithjof), Erdöl und Kohle, 1956,
9, № 7, 450—452 (нем.)

Описана промышленная реализация способа гидро-
очистки дизельных топлив и дана схема технологич.
процесса.

В. Шекин
22723. Очистка масла в магнитном фильтре. Кше-
минский (Oczyszczanie oleju w filtrze magnetycz-
nym. Krzeminski J. L.), Przegl. mech., 1957, 16,
№ 2, 65—66 (польск.)

Описание и эскизы промышленного образца магнит-
ного фильтра, предназначенного для очистки обрабо-
танных масел от металлич. (ферромагнитных) приме-
сей. Приводятся результаты испытаний фильтра при
скоростях подачи масла до 20 л/мин; при скорости
7,5 л/мин степень очистки составила 70%.

К. З.
22724. Электроочиститель для кислотной обработки
масел. (Petroco designs electrofines for acid-treating
process.—), Petroleum interamer., 1957, 15, № 5, 56—58
(исп., англ.)

Описаны 2 установки производительностью ~ 500 и
2000 м³ в день на з-дах США, где для кислотной обра-
ботки масел установлен электроочиститель, представ-
ляющий собой цилиндрич. резервуар с конич. дном,
емк. 14 м³ и имеющий 2 электрода, которые обеспечи-
вают максим. осаждение кислого гудрона. Установка
работает под давл. 2,5 ат при 38° для масел с вязко-
стью 7,5—9,0 сст (при 38°) и при 78° для масел с вяз-
костью > 43 сст (при 38°). Расход 98%-ной H₂SO₄

~34—140 кг/м³. Преимущества электроочистителя в
непрерывности процесса, миним. времени контактиро-
вания, малых кол-вах к-ты, отсутствии загрязнения
атмосферы и др.

Г. Марголина
22725. Состав и сопротивление на разрыв парафи-
нов. Эдуарде (Composition and tensile strength
of paraffin waxes. Edwards R. T.), Industr. and
Engng Chem., 1955, 47, № 12, 2555—2558 (англ.)

Подтверждено, что максимум прочности парафина
на разрыв связан с оптимальным содержанием угле-
водородов, имеющих цепь разветвленного строения.
Наиболее эффективны те углеводороды с разветвлен-
ной цепью, мол. веса которых значительно превосхо-
дят мол. веса углеводородов нормального строения.

С. Энгель
22726. Катионные эмульсии при кислом pH. Теория.
Приготовление. Применение. Сентре (Les émulsions
cationiques a pH acide. Théorie. Fabrication.
Utilisation. Ceintrey), Construction (France),
1956, 11, № 9, 303—310 (франц.)

Обзор. Применение битумных эмульсий в дорожном
строительстве. Библ. 23 назв.

А. Кузьмина
22727. Битумные эмульсии. Успехи в изучении их
свойств. Нюссель, Бус (Bitumen-Emulsionen.
Neuere Fortschritte in der Kenntnis ihrer Eigenschaf-
ten. Nüssel Hans, Buss Albert), Bitum., Teere,
Asph., Pechе und verw. Stoffe, 1956, 7, № 11, 423—427
(нем.)

Способность битума к эмульгированию зависит от
содержания в нем высокомолекулярных нафтеновых
к-т, характеризующегося числом нейтр-ции (ЧН)
битума, выраженным в мг КОН/г. Битумы с ЧН
1,6—3 дают в цел. среде тонкие дисперсии с величи-
ной частиц 0,6—0,8 м. Выведено ур-ние ЧН · r = const,
где r — диаметр битумных частиц в эмульсии в см.
При низких значениях ЧН битумы можно эмульгиро-
вать лишь применяя интенсивное механич. дисперги-
рование в смесителях типа Гурреля. Исследовано
влияние различных факторов на вязкость битумных
эмульсий. Построены кривые вязкости битумных
эмульсий в зависимости от конц-ии, а также кривые
зависимости поглощения воды битумами в зависи-
мости от времени выдерживания эмульсии при 90°.
Предложено бороться с загустеванием битумных
эмульсий при хранении добавлением к водн. фазе
перед эмульгированием 0,1—0,4% KCl, или 10%-ного
р-ра KCl к готовой эмульсии. Библ. 17 назв.

А. Кузьмина
22728. Битумные эмульсии. Табачник (Emul-
sion de bitum. Tabacnik I.), Petrol și gaze,
1957, 8, № 8, 414—419 (рум.; рез. русск., нем., франц.,
англ.)

Описаны методы применения битумных эмульсий
за границей и подчеркнута необходимость расширения
произ-ва и применения их в РНР.

И. Руденская
22729. Облагораживание битуминозных дорожно-
строительных материалов. Скопник, Боле
(Studien über die Veredelung bituminöser Straßen-
baustoffe. Skopnik von, Boie Gerda), Straßen-
und Tiefbau, 1956, 10, № 3, 137—140; Bitum.,
Teere. Asph., Pechе und verw. Stoffe, 1956, 7, № 6,
223—226 (нем.)

Обзор, посвященный применению каучука и три-
нададского асфальта для улучшения свойств битуми-
нозных дорожных вяжущих материалов. Библ.
22 назв.

А. Кузьмина
22730. Получение чистого метана из природного
газа. Прохазка (Příprava čistého methanu ze
zemního plynu. Procházka Vladimír), Sblíka
prací výzkumn. úst., 1957, A8, № 17-26, 35—46
(чешск.; рез. русск., англ., нем.)

Разработан метод получения значительных кол-в

СН₄ из природного газа, который в проведенных опытах характеризовался содержанием (в %): СО₂ 0,1; С₂H₆ 0,2; О₂ 0,2; Н₂ 0,1; N₂ 4,2; C_nH_{2n+2} 0,2; СН₄ 95,0 и S-соединений 0,029 г/м³. Для очистки использованы активированный уголь, металлич. Са и способ многократной конденсации. При очистке удаляются СО₂, предельные и непредельные углеводороды, водяные пары, О₂ и другие газы. Описаны аналитич. методы, использованные для контроля чистоты получаемого СН₄.

А. Шахов
22731. Влияние состава газа на процесс сажеобразования в диффузионном пламени. Робинсон Е. Я., Тр. Всес. н.-и. ин-т природн. газов, 1957, вып. 1 (9), 74—85

Исследовалось влияние разбавления природного газа (ПГ) азотом и водородом и обогащения его углеводородами (пропан, гексан, бензол) на выход сажи, ее дисперсность и коэф. интенсификации процесса сажеобразования (ИПС) в диффузионном пламени. Опыты проводились на мелитопольском и дашавском газах с цилиндрич. горелкой diam. 3,0 мм, при расходе ПГ 1,1 л/мин. При разбавлении ПГ азотом выход сажи падает, а ее дисперсность увеличивается более интенсивно, чем при разбавлении водородом; так, при конц-ии в ПГ 20% N₂ уд. поверхность сажи увеличивается ~ 1,6 раза и составляет 182 м²/г, а при 20% Н₂ — только 122 м²/г; коэф. ИПС с разбавлением растет и достигает максим. величины 169 × 10¹³ г⁻¹ при 20% N₂ и 224 × 10¹³ г⁻¹ при ~ 40% Н₂. При обогащении ПГ пропаном, парами гексана и бензола резко возрастает высота свободного пламени, увеличивается высота ограниченного пламени, соответствующая максим. выходу сажи, а также выход сажи; последний составляет при добавлении 1,5% С₃H₈ 19,3, 4,5% С₆H₁₄ 29,6 и 4,5% С₆H₆ 62,3 г/м³, против 9,8 г/м³ для исходного газа. Дисперсность сажи и коэф. ИПС при добавлении и ПГ углеводородов падают, особенно сильно при добавлении С₃H₈.

Б. Энглин
22732. Использование фактора абсорбции для снижения кратности циркуляции поглотительного масла. Ланз (Absorption factor to keep lean oil rate down. Lanz W. T.), Oil and Gas J., 1957, 55, № 28, 88—91 (англ.)

Рассматривается упрощенный метод расчета процесса абсорбции, основанный на использовании фактора (коэф.) абсорбции. Применение метода дает возможность оператору установки обеспечить максимум извлечения при экономичных условиях работы и миним. степень извлечения нежелательных компонентов. Приведен вывод расчетного ур-ния, примеры его использования и номограммы.

Т. Мухина
22733. Каталитическое обогащение продуктов термического разложения бакинского гудрона. Алиев В. С., Тер-Саркисов Б. Г., Штейншайдер М. М. В сб.: Вопр. исслед. нефтей и нефтей и нефтепродуктов, разработки процессов переработки нефти и обслед. заводск. установок. Вып. 1, Баку, 1957, 23—27

Обработка дистиллята автобензина, полученного при термоконтактном разложении бакинского гудрона, над алюмосиликатным катализатором в кипящем слое при т-ре 420° позволяет улучшить качество дистиллята (выход бензина 72,6%); полученный бензин содержит 0,042% S против 0,22% в исходном, имеет октановое число 84,5 с 1,5 этиловой жидкости на 1 кг и увеличенное содержание циклонов (22% вместо 2,1). При аналогичной обработке в условиях т-ры 300° дистиллята дизтоплива того же происхождения получают с выходом 85,9% продукт со сниженным содержанием непредельных (ИЧ 17,3 вместо 79) 0,49% S вместо 0,7% и с цетановым числом 42,4 вместо 39,2.

Е. Покровская

22734. Стоимость повышения октанового числа. Нелсон (Cost of upgrading octane number. Nelson W. L.), Oil and Gas J., 1955, 54, № 18, 129—130 (англ.)

Повышение октанового числа (ОЧ) бензина достигается добавкой ТЭС или включением в схему 2-х установок, производящих высокооктановые компоненты (термич. и каталитич. крекинг, полимеризация, каталитич. реформинг, алкилирование). Тот или иной путь повышения ОЧ выбирается в зависимости от уровня ОЧ по э-ду, кол-ва пунктов, на которые надо повысить ОЧ и ряда других факторов. В статье приводятся таблицы и график, иллюстрирующие стоимость повышения ОЧ на один пункт, бензинов с различными ОЧ и стоимостью их произ-ва комбинацией различных технологич. процессов.

Ю. Коган
22735. Бензин с октановым числом 104, с установкой Реформинг.— (Rexforming unit makes 104 octane.—), Petrol. Refiner, 1956, 35, № 10, 138—140 (англ.)

На э-де в Биг Спринг (Техас) установка Реформинг, перерабатывая 615 м³ в сутки техасского прямогонного лигроина и депентанизированного газового бензина, дает бензин с октановым числом 104 (этилированный) и выходом жидких продуктов не менее 79 об.%. Установка запроектирована для получения высокооктанового компонента авиабензина и премиального автобензина или высококачественного компонента для реактивного топлива. Предполагается довести октановое число получаемого реформата минимум до 98 (исслед. метод, неэтилированный). Приводится схема установки и ее фракционировочной части с соответствующими описаниями, а также данные по качеству сырья и получаемого продукта.

Ю. Коган
22736. Стабилизация бензина параоксидифениламином. Дудникова С. Т., Новости нефт. техн. Нефтепереработка, 1957, № 6, 3—4

Приведена технологич. схема стабилизации этилированного бензина параоксидифениламином на спец. установке. Стабилизатор добавляется к бензину в кол-ве 0,0044% в виде р-ра в бензоле или пиробензоле (в 1 г пиробензола содержится 40 кг параоксидифениламина).

Г. Марголина
22737. О стабилизации авиационного бензина после начала разложения в нем тетраэтилсвинца. Козырева Л. С., Тр. Центр. н.-и. лабор. Гл. упр. гос. материальн. резервов при Сов. Мин. СССР, 1956, вып. 4, 167—171

Показана возможность повышения периода стабильности авиабензина Б 100/130 (при наличии в нем осадка соединений свинца) с 1 до 8—11 час. путем введения 0,003—0,004% параоксидифениламина; при хранении бензина в условиях комнатной т-ры в течение ~ 6 месяцев его период стабильности не снижается. Результаты работы использованы на нефтебазах при стабилизации авиабензинов с низким периодом стабильности.

А. Нагаткина
22738. О стабильности тетраэтилсвинца в бензинах различного углеводородного состава. Козырева Л. С., Тр. Центр. н.-и. лабор. Гл. упр. гос. материальн. резервов при Сов. Мин. СССР, 1956, вып. 5, 40—45

Влияние хим. состава бензинов (Б) и сроков хранения этиловой жидкости (ЭЖ) изучались на бакинских Б Б-100/130, Б-95/130 каталитич. крекинга, смеси базового бакинского прямогонного Б с эталонным изоктаном и технич. алкилбензолом, а также на некоторых индивидуальных углеводородах (У). Добавляя ЭЖ Р-9 четырехлетнего и полугорючего хранения, Р-9 свежеприготовленную и 1-ТС трехмесячного хранения. Определением периода стабильности показано, что углеводородный состав нестабилизированных Б

оказывает большое влияние на стабильность их процесса выпадения осадка соединений Pb. Из ароматич. У наименее стабильны ксилон (3 часа), толуол (5 час.), а наиболее стабилен бензол (9 час.). Большой период стабильности имеют изоктан и циклогексан (> 24 час.). Срок хранения ЭЖ практически не оказывает влияния на период стабильности Б и индивидуальных У.

И. Руденская

22739. Из опыта хранения неэтилированного автомобильного бензина. Минин М. М., Дадаян С. Н. Тр. Центр. н-и лабор. Гл. упр. гос. материалы, резервов при Сов. Мин. СССР, 1956, вып. 5, 46—49

Исследование изменений физ.-хим. свойств автобензинов в зависимости от условий хранения в различных климатич. зонах с целью выявления возможности удлинения сроков хранения проводили в лабор. условиях и на нефтебазах на обычных бензинах, в большинстве случаев стабилизированных древесносмольным антиокислителем марки «Б». Показано, что за время хранения в течение 13 месяцев в северной зоне и до 12 месяцев в средней зоне кондиции автобензинов не вышли за пределы допустимых норм. А. Н.

22740. Современные данные по применению жидкого топлива. Креспи (Données actuelles pour l'emploi des combustibles liquides. Crespi S.), Chaleur et ind., 1955, 36, № 358, 157—176; № 359, 197—211 (франц.)

22741. Улучшение свойств остаточных топлив для газовых турбин. Бакленд, Сандерс (Modified residual fuel for gas turbines. Buckland B. O., Sanders D. G.), Trans ASME, 1955, 77, № 8, 1199—1208, discuss. 1208—1209 (англ.)

На, содержащийся в золе топлива для газовых турбин, вызывает при сжигании топлива быстрое образование отложений, а также коррозию деталей. Для очистки остаточных топлив от большей части (90% и более) Na и от части Ca была использована следующая схема работы. Исходное топливо нагревают, обрабатывают деэмульсатором, тщательно смешивают с промывным р-ром, пропускают через две последовательно расположенных центрифуги, собирают осадок топлива в резервуары, а осадки в отстойник, откуда верхний слой непрерывно возвращается на первую ступень флуирования для полного отделения топлива от воды и твердых в-в. Плотность промывной жидкости должна быть выше плотности топлива на 2—6%. Было найдено, что р-р сульфата магния удовлетворяет требованиям, предъявляемым к промывной жидкости. Для предупреждения коррозии, вызываемой V_2O_5 , рекомендуется присадка к топливу солей Mg. При т-рах ниже 900° Mg — лучший ингибитор против коррозии от V_2O_5 , нежели Ca; в пределах конц-ий от 0,001 до 0,013% Mg не влияет на скорость выпадения зольных отложений. Испытания обессоленных топлив на турбинах длительностью в 50 и 1500 час. показали, что можно почти полностью избежать образования осадков, при остаточном содержании Na и Ca в топливе ниже 0,001%. При сжигании топлив с низким содержанием Na и Ca за период 475 час. к.п.д., турбины падал на 2%, а эффективность регенератора на 5%. Анализы, произведенные при испытаниях, показали, что относительное содержание Na, Ca и Mg в отложениях и в золе топлив близки, содержание V в отложениях ниже (в 2,5 раза), чем в золе. На основе результатов проведенных работ в октябре 1953 г. была предложена спецификация на улучшенное топливо, которое можно получить описанным методом обессоливания. Спецификацией предусмотрен определенный состав золы топлива, а именно: 1) вес. соотношение Na: V не выше 0,3, 2) содержание Na не выше 0,001% и 3) вес. соотношение Mg: V не ниже 3,0 (для топлив с содержанием V, равным или ниже 0,0002%, этот

пункт отпадает). В случае необходимости Mg вводят в состав топлива в виде маслорастворимой композиции или в виде водн. р-ра нитрата или сульфата. Необходимо тщательное перемешивание топлива и водн. р-ра для получения тонкой и однородной суспензии, которая должна быть сожжена вскоре после изготовления.

З. Векслер

22742. Развитие методов исследования и ассортимента ракетных топлив. Дешер (Applfield research and product development for rocket propellants. Deschere Allen R.), Industr. and Engng Chem., 1957, 49, № 9, Part 1, 1333—1336 (англ.)

Прежде чем использовать твердые ракетные топлива (ТРТ) в ракетных установках, производится лабор. исследование качества топлив стандартными лабор. методами, аппаратура для которых приводится на 13 фото. Одной из первых характеристик ТРТ является оценка их взрывоопасности, что осуществляется в лабор. условиях на стандартном приборе, с взрывом от удара. На спец. приборах производится оценка сгорания топлив, измеряется сопротивление на разрыв, ползучесть и др. Оценка воспламеняемости топлив производится на спец. «микродвигателе», позволяющем снять качеств. характеристику воспламенения топлива. В стендовых условиях на стандартном двигателе производится измерение тяги, давления и других характеристик процесса, необходимых для оценки возможности использования ТРТ на реальном двигателе. Окончательным испытанием ТРТ подвергаются в летных условиях, подтверждающих заключения о надежной работе двигателя на данном ТРТ.

В. Зрелов

22743. Гомогенные твердые ракетные топлива и химическая промышленность. Боннер (Homogeneous solid propellants and the chemical industry. Bonner Lyman G.), Industr. and Engng Chem., 1957, 49, № 9, Part 1, 1344 (англ.)

Для обеспечения ракетных двигателей и снарядов, работающих на двухкомпонентном твердом топливе (смесь нитроцеллюлозы и нитроглицерина), хим. пром-сть должна вырабатывать в необходимых кол-вах целлюлозу, глицерин, азотную к-ту, эфир, спирт и ацетон. Для произ-ва 40 тыс. т твердых топлив в месяц потребуется не менее 250 тыс. т целлюлозы и 50 тыс. т глицерина.

В. Зрелов

22744. Производные фтора как жидкие ракетные топлива. Голл (Fluorine-derived chemicals as liquid propellants. Gall John F.), Industr. and Engng Chem., 1957, 49, № 9, Part 1, 1331—1332 (англ.)

Для резкого повышения мощности жидкостно-ракетных двигателей (ЖРД) значительные возможности имеются при использовании в качестве окислителей фтора и его производных. Топливные композиции: фтор + гидразин; дифтористый кислород + +м-октан; смесь трехфтористого азота и фтора в соотношении 1:1 + аммиак дают возможность получить наивысший удельный импульс в пределах 295—315 кг/кг·сек. По энергетич. возможностям топлива на основе F_2 , F_2O и NF_3 равноценны топливам; окислителем в которых является O_2 . Другие фтористые производные: ClF_3 , BrF_3 по своим энергетич. возможностям равноценны широко используемой в настоящее время в качестве окислителя красной азотной к-те, содержащей ~ 22% двуокиси азота. Наиболее эффективным из галогидных производных фтора является ClF_3 , удельный импульс которого выше чем у азотной к-ты. На основе BrF_3 может быть получено топливо с высоким уд. весом, что важно для конструкции ракет. При применении фтора и его производных в ЖРД возникают большие трудности. Наиболее эффективные производные фтора газообразны и очень ядовиты. Они транспортируются и хранятся в

баллонах под давлением или же в жидком виде при значительном охлаждении. Надежные средства защиты должны быть предусмотрены при испытании жидкого фтора на двигателях вследствие его взрывоопасности. Не меньшую опасность при испытаниях на ЖРД вызывают продукты сгорания топливных смесей фтора с водородосодержащими горючими. Продукты сгорания этих смесей, в частности фтористый водород, чрезвычайно коррозионно агрессивны и ядовиты. Произ-во в США фтора и его производных в пересчете на F_2 в настоящее время составляет 10 тыс. т в месяц, что может обеспечить планируемые эксперим. работы. В. Зрелов

22745. Контроль влажности ракетного топлива. Томас (Humidity control vital aspect for rocket fuel development. Thomas F. M.), Industr. Lab., 1955, 6, № 5, 34—36 (англ.)

Разработаны новые виды твердого ракетного топлива (ТРТ), горящего ровным пламенем с выделением неокисляющих газов. ТРТ состоит из недорогих доступных ингредиентов, получаемых в промышленном масштабе. В состав ТРТ входит хим. окислитель, смешанный со связующим агентом, который служит в качестве горючего. При горении ТРТ не требует подвода извне O_2 . Основной недостаток ТРТ — гигроскопичность некоторых его компонентов. Физ. и баллистич. свойства ТРТ зависят от присутствия влаги в воздухе, в процессе его изготовления. Для кондиционирования влажности воздуха в помещении испытательных камер применяется спец. установка, в которой воздух промывается р-ром хим. агента; влагопоглощательная способность последнего является функцией т-ры и конц-ии. Обезвоженный воздух с т-рой 35,6° и относительной влажностью 17% подается в камеры. З. В.

22746. Об энергетическом пределе для жидких ракетных топлив. Торми (Liquid rocket propellants — is there an energy limit? Tormey John F.), Industr. and Engng Chem., 1957, 49, № 9, Part 1, 1339—1343 (англ.)

Оценка энергетич. возможностей жидких ракетных топлив (ЖРТ) по величине уд. импульса, получаемого при их сжигании, показывает существование максим. энергетич. уровня, который примерно на 50% выше величины энергии, которая достигается при сжигании современных ЖРТ. Главными факторами, способствующими получению высокого уд. импульса, являются: высокая т-ра сгорания в камере жидкостно-реактивного двигателя (ЖРД) и низкий мол. вес образующихся продуктов сгорания. Однако величина т-ры в камере сгорания ЖРД в свою очередь зависит от хим. природы реагирующих компонентов и величины мол. диссоциации образующихся продуктов сгорания. При сжигании компонентов, имеющих слабые внутримолекулярные хим. связи, такие как N—H, C—H и F—F, могут быть получены большие т-ры, чем при сжигании в-в, имеющих прочные связи C—O, C—C, C—N и O—O. По мере увеличения мол. диссоциации продуктов сгорания, кол-во тепловой энергии, образовавшейся при сжигании ЖРТ, будет уменьшаться. Наиболее устойчивыми продуктами сгорания по отношению к мол. диссоциации являются HF, CO и N_2 , которые практически не диссоциируют при 4500—5500°; наименее устойчивы CO_2 и H_2O . Сопоставление энергетич. возможностей 12 ЖРТ показало, что наибольшее влияние на величину уд. импульса оказывает мол. вес продуктов сгорания; т-ра сгорания имеет несколько меньшее влияние. Показано, что наивысшими энергетич. возможностями обладают ЖРТ, имеющие мол. вес продуктов сгорания 8,9—9,0, в частности максимально возможный энергетич. предел (уд. импульс 375 кг/кг сек) может быть достигнут при сжигании топливной смеси водород + фтор.

Это дает возможность ожидать появления новых ЖРД с более высокой мощностью, чем у существующих в настоящее время.

22747. Жидкое топливо из угля. Джонсон (Coal beats oil here. Johnson W. B.), Petrol. Refiner, 1956, 35, № 12, 222—228 (англ.)

Описание нового завода по синтезу горючего из угля в Южной Африке близ Йоганнесбурга. Местный низкосортный уголь, содержащий влаги 6—8%, и золь 25—30%, газифицируется парокислородным путем под давлением по способу Лурги. Газ подвергается очистке и каталитич. конверсии содержащихся в нем углеводородов в CO и H_2 . Синтез углеводородов проводится двумя методами: в псевдоожидженном слое с Fe-катализатором (способ Келлога) и со стационарным катализатором (способ Руркеми-Лурги). Продукция з-да составляет (в м³/сутки): а) от установок системы Келлога — жидких газов 3,8; бензина 580; дизельного топлива 22,5; парафинового масла 7,3; метанола 2,3; этанола 48; метилэтилкетона 3,5; ацетона 2,5; б) от второй установки — бензина 66; керосина 7,3; дизельного топлива 35,6; мазута 14,1; мягкого парафина 3,9; среднего парафина 10,6; твердого парафина 25; в) от установок газификации угля, кроме газа, — сырых фенолов 15,2; гидрированного лигроида 16,7; бензола 14,7; толуола 3,1; тяжелого лигроида 0,4; креозота 16,7. В. Кельца

22748. Реакция водяного газа с водой и ее роль в образовании углеводородов. Пиха, Пиетилäinen (Die Wassergasreaktionen im Wasser und ihre Beziehungen zur Bildung von Kohlenwasserstoffen. Piha Päiviö, Pietiläinen Lauri), Erdöl und Kohle, 1957, 10, № 5, 293—297 (нем.)

Теоретически рассмотрены условия р-ций C_2 и H_2O жидк. с образованием CO и H_2 , а также продуктов углеводородного характера. Выказаны соображения об условиях образования нефти в природе. С. Гордон

22749. Некоторые данные о крекинге генераторной смолы с хлористым цинком. Файгольд С. И., Валлас К. Р. ENSV Teaduste Akad. toimetised. Tehn. ja Füüs.-Matem. Teaduste Seer., Изв. АН ЭССР. Сер. техн. и физ.-матем. н., 1957, 6, № 3, 245—252 (рез. эст., англ.)

Крекинг обесфеноленной фракции (до 325°) среднего масла генераторной смолы проводился в жидкой фазе в автоклавах с катализатором $ZnCl_2$ — 10% от исходного сырья. В этих условиях крекинг начинается при т-ре 230—250° и интенсивно протекает при 400—425°. При крекинге получено 30,4% бензина, превосходящего по качеству сланцевый бензин сернокислотной очистки, и 29,5% тракторного керосина. В условиях крекинга с $ZnCl_2$ образования воды не наблюдается, происходит перераспределение водорода и идет процесс ароматизации. М. Пасмани

22750. Экспериментальное исследование процессов сгорания в карбюраторных двигателях. Арнео (Ricerche sperimentali sulla combustione nei motori a carburazione. Arneodo Carlo), Atti e rass. tech., 1956, 10, № 1, 7—15 (итал.)

Рассматривается пригодность различной аппаратуры для изучения предпламенных процессов явлений детонации, самовспышки и т. п. в карбюраторных двигателях. В. Щекин

22751. Исследование воспламенения нагретой поверхности в условиях двигателя. Воннов А. И., Докл. АН СССР, 1957, 113, № 6, 1259—1262

На установке одиночного рабочего цикла проводилось исследование по определению т-р нагретой поверхности, требуемых для воспламенения различных топлив при изменении в широких пределах т-р и давления

сжатия. При низких t -рах сжатия ($T_{\text{сж}}$) (550°K) различия в t -рах поджигания ($T_{\text{п}}$) отдельных топлив невелики и колеблются в пределах $1150-1200^\circ \text{K}$. С повышением $T_{\text{сж}}$ различия в $T_{\text{п}}$ резко возрастают, при этом некоторые топлива меняются местами. Зависимости $T_{\text{п}} = f(T_{\text{сж}})$ первоначально прямолинейные, начиная с некоторой $T_{\text{сж}}$, различной для каждого топлива, круто загнбаются вниз по мере приближения $T_{\text{сж}}$ к значениям, достаточным для самовоспламенения данного топлива за счет одного лишь сжатия. Чем ниже ОЧ топлива, тем при более низкой $T_{\text{сж}}$ наблюдается увеличение угла наклона для зависимости $T_{\text{п}} = f(T_{\text{сж}})$. Аналогично протекает и зависимость $T_{\text{п}} = f(P_{\text{сж}})$. Анализ индикаторных диаграмм свидетельствует о том, что резкое снижение $T_{\text{п}}$ совпадает с началом развития в горячей сжатой смеси предпламенных r -ций, сопровождающихся повышением P и T смеси (холодно-пламенная стадия окисления). Многощелевая фоторегистрация процесса сгорания показала, что во всех случаях от нагретой поверхности берет начало распространение фронта пламени, тождественное фронту пламени от свисы. Воспламенение носит точечный характер.

Б. Энглин

22752. Особенности сгорания в двигателе топлива, состоящего из смеси компонентов, различающихся по химическому составу. Сороко-Новицкий В. И., Тр. Кафедры «Автомобили и тракторы» Всес. авиацион. машиностроит. ин-т, 1937, вып. 1, 75—88.

Теоретическое исследование и метод расчета скорости сгорания топлива (T), состоящего из химически разных компонентов (K), и применение полученных результатов к смеси газолина и этилового эфира. Расчет подтвердил опытные данные о наличии двух максимумов на кривой скорости сгорания газолино-эфирной смеси в зависимости от коэф. избытка воздуха. Когда K принадлежит к одному типу химич. соединений, кривая имеет, как правило, один максимум, а при химически разных K и в зависимости также от их числа может быть получено два максимума и больше. Неудачный подбор K сложного T приводит к неустойчивой работе двигателя и перерасходу T , тогда как соответствующим подбором K можно облегчить работу карбюратора.

А. Равикович

22753. Влияние гамма-излучения на товарные смазочные материалы. Карролл, Калиш (Some effects of gamma radiation on commercial lubricants. Carroll J. G., Calish S. R., Jr), Lubricat. Engng, 1957, 13, № 7, 388—392 (англ.)

Исследовано влияние γ -излучения на физ.-хим. и противознозные свойства 28 образцов разнообразных нефтяных смазочных материалов (СМ). Образец СМ (150 г) в банке из белой жести, с герметичной крышкой и предохранительным клапаном, отрегулированным на $0,14 \text{ кг/см}^2$, помещали внутри стойки с отработанными радиоактивными стержнями, извлеченными из реактора для испытания материалов. Защитный слой воды над стержнями 7 м. Доза облучения в течение 1 часа $2 \cdot 10^6$ рентген. Время облучения от 50 до 450 час., а общая доза облучения от 10^5 до $9 \cdot 10^8$ рентген. Т-ра 27° . Облучение в дозах $5 \cdot 10^5$ рентген практически не влияет на свойства СМ. Более интенсивное облучение вызывает повышение вязкости масел (M) при $37,8^\circ$ на $5-43\%$, одновременно растет индекс вязкости M . Противознозные свойства облученных M ухудшаются. Все M при облучении темнеют и приобретают резкий запах, характерный для окисленных нефтепродуктов. Однако число нейтр-ции M возрастает незначительно (до $0,5 \text{ мг KOH}$). Особенно сильно облучение сказывается на свойствах M с присадками.

Некоторые хлорсодержащие присадки разлагаются с выделением HCl , что ухудшает антикоррозионные свойства M . При облучении гидравлич. жидкости вначале наблюдалась деполимеризация содержащейся в ней высокополимерной присадки и соответственно падение вязкости. При дальнейшем облучении вязкость жидкости начинает возрастать за счет полимеризации базового M , входящего в ее состав. Облучение консистентных смазок приводит к увеличению их пенетрации. Иногда смазки полностью разжижаются. Т-ра каплепадения изменяется в пределах от $+21$ до -47°K к ее исходному значению. Облучение ухудшает антиокислительные свойства и работоспособность смазок в подшипниках качения. Интенсивное облучение влияет на структуру смазок; наблюдалось диспергирование волокон мыла в натриевой смазке (доза облучения $7,7 \cdot 10^8$ рентген). Действие облучения на СМ в общем сходно с результатами их окисления в жестких условиях. Найдено, что отдельные сорта СМ могут использоваться в атомной пром-сти при дозах облучения порядка 10^8 рентген.

В. Силицын

22754. Дизельные смазочные масла, их выбор и применение на основании щелочности масла. Дайсон, Ричардс, Вильямс (Diesel engine lubricants: their selection and utilization, with particular reference to oil alkalinity. Dyson A., Richards L. J., Williams K. R.), Scient. Lubricat., 1957, 9, № 6, 34—36, 40; Chartered Mech. Engr., 1957, 4, № 4, 200—201 (англ.)

Дизельные масла (M) с присадками для тяжелых условий работы должны обладать щелочностью (Π), чтобы предотвратить чрезмерный износ и нагарообразование; при работе двигателя Π снижается вследствие нейтр-ции продуктами сгорания топлива (T). Результаты испытаний дизелей на T с разным процентом S (до 2,8) и на M с разной начальной Π (до $6,4 \text{ мг KOH}$ на 1 г) показаны на графиках, иллюстрирующих зависимость между Π и чистотой канавок поршней, износом колец, продолжительностью работы с доливом и без долива M , а также между скоростью нейтр-ции Π и расходом T . Поршни оставались чистыми, пока Π не снижалась во время работы ниже определенного минимума, установленного для исследованных M в $\sim 1 \text{ мг KOH}$ на 1% S в T . Скорость нейтр-ции пропорциональна кол-ву S , сожженному с T , и не зависит от начальной Π . Приводятся ф-ла и график для выбора M со значением начальной Π в зависимости от процента S в T и расхода M в процентах к T . В морских двигателях возможно использование T с высоким процентом S , при этом нужны M со Π 40—50 мг KOH на 1 г.

А. Равикович

22755. Ухудшение свойств смазочных материалов в двигателях, работающих в тяжелых условиях. Тюма, Такэда (機械設備用エンジンの潤滑油劣化について. 中馬豊, 竹田策三), 農業土木研究, Норе добоку кэнкю, J. Agric. Engng Soc. Japan, 1956, 24, № 1, 23—28 (японск.)

Исследовано ухудшение качества смазочных материалов, применяемых в двигателях, работающих в обычных и в тяжелых условиях эксплуатации.

Л. Левин

22756. Деэмульсационная характеристика масел в динамических условиях. Бреннан, Мойер (Dynamic demulsibility characteristics of oils. Brennan E. W., Moyer R. G.), Lubricat. Engng, 1957, 13, № 3, 146—150 (англ.)

Для оценки деэмульсационной характеристики масел (M), применяемых в циркуляционных системах, разработан метод, условия которого близки к эксплуатационным. M и вода тесно перемешиваются в смеси-теле прибора при помощи Т-образной мешалки и смесь закачивается в термостат-отстойник, отстаиваясь

37,5 мин. при t -ре, в зависимости от вязкости масла, 27 или 54°. М сверху отстойника самотеком непрерывно поступает в смеситель; вода подается из отдельной емкости в кол-ве 5% к потоку М. Испытание длится 6 час., после чего определяют центрифугированием содержание воды в разб. лигроином пробе М сверху отстойника и содержание М в спущенном нижнем слое. Ряд М оценивался по новому методу в сравнении с существующими — паровым и Гершеля, в противоположность которым новый метод дает оценку М, отвечающую их эксплуатационному поведению, и позволяющую оценивать М с присадками.

А. Равикович
22757. Исследование возможностей оценки масел и эмульсий с присадками, применяемых в условиях граничной смазки. Кадмер (Ein Beitrag zur Beurteilung grenzflächenwirksam-«legierter» Oele und Emulsionen. K a d m e r E. H.), Schweiz. Arch. angew. Wiss. und Techn., 1956, 22, № 6, 185—196 (нем.)

Испытания проводились на лабор. машинах трения пяти типов — упрощенной машине Тимкена, машине Виланда-Оммена, 4-шариковом аппарате по двум методам, весах трения Ганноверского исследовательского нефтяного института и шестеренном стенде Нимана. Оценочные показатели, полученные на разных машинах, пересчитывались на 100%-ную шкалу по методу автора, с целью их сопоставления. Испытывались смазочные масла без присадок — минер., синтетич., жиры и жирные к-ты, минер. масла с присадками, содержащими хлор, серу, азот и фосфор и 6 рыночных гипонидных масел. Последние, в основном, дали высокие показатели на всех машинах трения, остальные масла с присадками и без присадок дали в большинстве случаев разноречивые показатели. Условия применения эмульсий для обработки металлов не позволяют производить их оценку на машинах трения.

А. Равикович
22758. Применение масел с присадками в автомобильных карбюраторных двигателях. Часть 2. Присадки. Часть 3. Автомобильный двигатель. Часть 4. Износ, отложения в двигателе, расход масла. Часть 5. Трансмиссионные масла. Наттол («Miles per quart». Part 2. Additives, part 3. The petrol engine, part 4. Wear, engine sludge, oil consumption, part 5. Transmission and chassis lubricants Nuttall J.), Scient. Lubricat., 1956, 8, № 1, 19—20; № 2, 18—18, 20—24; № 4, 19—23; № 5, 17—22 (англ.)

2. Рассмотрены назначение и функции присадок к автомобильным моторным и трансмиссионным маслам: ингибиторов окисления, ингибиторов коррозии, диспергирующих (моющих) присадок, депрессоров, вязкостных присадок, ингибиторов ржавления, присадок, повышающих смазывающую способность масла, противопенных и других.

3. Обсуждены условия работы масла в карбюраторных автодвигателях на высокотемпературном и низкотемпературном режимах, а также возникающие при этом неполадки: коррозия подшипников, образование углеродистых отложений в масляных фильтрах, картере, а также на поршнях, клапанах и свечах.

4. В общем виде рассмотрено влияние качества топлива на возникновение детонации, преждевременное воспламенение рабочей смеси и кристаллообразование, вызывающее закупорку жиклеров карбюратора. Перечислены способы предотвращения различных видов износа деталей двигателя (коррозионного, абразивного и др.) путем добавления спец. присадок к маслам. Изложен механизм осадкообразования в двигателях. Показано влияние вязкости масла, его испаряемости и индекса вязкости, а также содержания присадок в масле на расход последнего в двигателях. Приведены соображения о рациональных сроках смены масла в двигателе.

5. Приведена принятая в США классификация автомобильных масел. Дана характеристика условий работы автомобильных трансмиссионных масел. Изложены способы очистки автомобильных двигателей от углеродистых отложений. Показан эффект, получаемый от применения масел с присадками в автомобильных двигателях. Часть 1 см. РЖХим, 1957, 38759. А. Винер

22759. Корреляция результатов испытаний моторных смазочных масел на стенде и в эксплуатации. Валент (Corelarea rezultatelor încercărilor de uleiuri lubrifiante pentru motoare la banc și în exploatare. Valent Robert), Petrol și gaze, 1957, 8, № 5, 265—268 (рум.; рез. русск., нем.)

Описаны систематич. исследования смазочных масел для двигателей внутреннего сгорания, проведенные Исследовательским нефтяным ин-том РНР; приведены результаты испытаний масел с присадками в лабор. условиях на моторных стендах, а также в эксплуатации. Г. Марголина

22760. Негорючие смазочные материалы для паровых турбин. Кноп (Brandfeste Dampfturbinen-Schmiermittel. Erste Überlegungen und Erkenntnisse aus der Praxis der USA. Knoor E.), Erdöl und Kohle, 1956, 9, № 9, 613—616 (нем.)

Обсуждается опыт применения негорючих смазочных материалов (синтетич. масла, силиконы, водн. жидкости, содержащие различные присадки) для паровых турбин в США.

В. Щеня
22761. Природа и свойства некоторых консистентных смазок с неорганическими загустителями. Петерсон, Аччинелли, Бонди (Nature and performance of some inorganic base greases. Peterson W. H., Accinelli J. B., Bondi A.), Lubricat. Engng, 1956, 12, № 2, 95—101 (англ.)

Описываются приготовление, свойства и методы испытаний консистентных смазок, загущенных неорганич. гелями.

В. Щеня
22762. Предел прочности (предельное напряжение на сдвиг) как характеристика эксплуатационных свойств консистентных смазок. Эванс, Хаттон, Маттьюс (Yield stress as a factor in the performance of greases. Evans D., Hutton J. F., Matthews J. B.), Lubricat. Engng, 1957, 13, № 6, 341—346 (англ.)

О качестве консистентных смазок (КС) более определенно можно судить по измерению их предела прочности (τ_0) и вязкостных свойств. τ_0 КС авторы определяют как напряжение сдвига, характеризующее скачкообразный переход от ньютоновского течения к весьма высокой вязкостью ($\sim 10^{11}$ пуаз) к аномально вязкому потоку с вязкостями на несколько порядков ниже. Для оценки τ_0 КС предлагается использовать конич. пластометр. КС после 60-кратного перемешивания в мешалке от пенетromетра помещают в углубления (диам. 6 см, глубина 1,5 см) термостатируемого диска. К поверхности КС подводится алюминированный конус с углом 90° и высотой 15 мм. Конусу дают возможность свободно погружаться в КС под действием собственного веса (с добавочным грузом) в течение 5 мин. Затем микрометром измеряют глубину погружения конуса. Изменяя вес дополнительного груза, добиваются того, чтобы глубина погружения лежала в пределах 7,5—8,5 мм. τ_0 подсчитывают по формуле $\tau_0 = P/a$, где $P = (L - \pi d^3 q/3) \pi d^2$ [г/см²], L — нагрузка на конус, d — его диаметр, q — плотность смазки (0,95 г/см³), a — коэф., зависящий от угла конуса и наличия скольжения смазки вдоль его стенок. Авторы предлагают использовать для характеристики смазок не τ_0 , а величину P — коэф. сопротивления погружению конуса. Приведенные данные показывают, что величина P характеризует сопротивление КС к сдвигу из разнородных подшипников качения при скорости

вращении 2000 об/мин. и повышенной т-ре. Найдена зависимость между Р и подтеканием КС к всасывающему патрубку насоса для перекачки КС. Увеличение Р приводит к уменьшению сброса КС и к ухудшению ее подкачки к насосу.

22763. Смазка современных машин. Болтз (Lubricating modern machines. Boltz C. L.), Edgar Allen News, 1957, 36, № 421, 154—155 (англ.)

Описывается применение MoS_2 для смазки машин различного назначения.

М. П. 22764. Двусернистый молибден в качестве смазочного материала. Шпенглер, Деммель (Molybdädisulfid — ein neuartiges festes Schmiermittel. Spengler G., Demmel M.), Umschau, 1956, 56, № 11, 327—329 (нем.)

Приводятся данные о кристаллич. структуре MoS_2 , его важнейших физ.-хим. свойствах, а также сообщается о возможности его применения как смазочного материала в различных областях современной техники.

А. Некрасов 22765. Двусернистый молибден в качестве смазочного материала. Банктё (L'évolution de la lubrification. Bencteu Michel), Mach-outil franç., 1956, 21, № 114, 101, 103, 105, 107 (франц.)

Исследовалось трение между шаровой поверхностью ползуна из сплава Ag-Cu-MoS_2 и стальным диском при скоростях скольжения до 2400 м/мин и нагрузках до 16 200 кг/см². Сплав ползуна содержал 5 вес. % Си, переменные кол-ва MoS_2 , остальное Ag . Оптимальной конц-ией MoS_2 оказалась 10%-ная, при меньших конц-иях значительно возрастают коэф. трения (КТ) и износ, при больших конц-иях КТ уменьшается, но износ возрастает. При конц-иях MoS_2 менее 5% КТ уменьшается с увеличением скорости скольжения, для конц-ий 5% и выше КТ практически не зависит от скорости и составляет 0,22—0,17 для конц-ий MoS_2 5—35%. Исследование поверхностной трения при сплаве с 15% MoS_2 показало, что смазывание происходит за счет переноса частиц MoS_2 на трущуюся поверхность диска и ползуна. А. Равинович

22766. Потенциометрический метод определения сульфида карбонила в нефтяных газах. Браесс, Уайлд, Питере (Potentiometric method for determination of carbonyl sulfide in petroleum gases. Bruss Douglas B., Wyld Garrard E. A., Peters Edward D.), Analyt. Chem., 1957, 29, № 5, 807—809 (англ.)

Из нефтяных газов COS поглощается спирт. р-ром моноэтаноламина и определяется потенциометрич. титрованием р-ром AgNO_3 . Пробу газа пропускают через 2 скруббера (С). В 1 С, содержащем 20 мл 30%-ного спирта. р-ра NaOH , поглощается H_2S и мер-кантины, 2 С, в котором поглощается COS, содержит 20 мл 5%-ного спирта. р-ра моноэтаноламина. Пробы газа отбирают в таком кол-ве, чтобы расход 0,01 н. р-ра AgNO_3 при последующем титровании составил 5—10 мл (как правило, 8—12 мл). Газ пропускается со скоростью 150—180 мл/мин. Р-р из С2 разбавляют до 15 мл кислотным разбавителем (2,7 г $\text{CH}_3\text{COONa} \cdot 3\text{H}_2\text{O}$, растворяют в 20 мл не содержащей O_2 воды, добавляют 975 мл безводн. $\text{C}_2\text{H}_5\text{OH}$ и 4,6 мл лед. CH_3COOH и пропускают 10—15 мин. N_2) и потенциометрически титруют со стеклянным и Ag_2S -электродами ~0,01 н. р-ром AgNO_3 . Потенциал в конечной точке соответствует ~+50 мВ. Содержание COS (мл/м³) вычисляют по ф-ле $x = \Delta V \cdot 30\,000/V$, где ΔV — кол-во р-ра AgNO_3 , V — объем пробы, приведенной к нормальным условиям, N — нормальность р-ра AgNO_3 . На титрование 1 М COS расходуется 2 моля AgNO_3 . Определяемый минимум COS составляет 2 мг/м³.

Т. Леви 22767. Анодное полярографическое определение али-фатических сульфидов в нефти. Друшель, Ми-ла-ер

(Anodic polarographic estimation of aliphatic sulfides in petroleum. Drushel Harry V., Miller James F.), Analyt. Chem., 1957, 29, № 10, 1456—1461 (англ.)

Для определения алифатич. сульфидов (I) в нефти предложен метод анодной полярографии (II) со стационарным Pt-электродом и электродом сравнения Ag-AgCl . Р-рителем — электролитом служит р-р $\text{C}_6\text{H}_5\text{NO}_2$ в CH_3OH (с HCl) в соотношении 3,5:1,5. Описывается калибровка электродов и эксперим. методика. Для П брались фракции нефти, подвергнутые молекулярной перегонке. При П точность определения I в образцах нефти 2—3%, а при комплексном йодном методе 5%. Максимумы тока для чистых I воспроизводимы в пределах 1%. П дает возможность определять циклич. и нециклич. I, а также алкиларилсульфиды. А. Некрасов

22768. Определение бензола в углеводородах крекинга. Кромптон, Рид (The determination of benzene in cracked hydrocarbons. Crompton T. R., Reid V. W.), Analyst, 1955, 80, № 953, 605—607 (англ.)

22769. Об определении смол в этилированном бензине. Меликзадзе М. М., Яснопольский В. Д., Баскова А. А. В сб.: Вопр. исслед. нефтей и нефтепродуктов, разработки процессов переработки нефти и обслед. заводск. установок. Вып. 1, Баку, 1957, 81—82

При определении фактич. смол в этилированных и неэтилированных бензинах было установлено повышение кол-ва смол в случае присутствия тетраэтилсвинеца на 0,8—2,0 мг/100 мл, что указывает на необходимость удаления антидетонатора перед определением. Это удаление осуществляется двукратным встряхиванием этилированного бензина с равным объемом р-ра $(\text{NH}_4)_2\text{S}$, с последующим отделением PbS фильтрованием, после чего содержание фактич. смол при определении оказывается равным таковому в исходном бензине.

Е. Покровская 22770. Письмо редактору. Терентьева Е. М., Розенберг Л. М., Изв. АН СССР, Отд. хим. н., 1957, № 9, 1144

Предложена новая цветная качеств. р-ция для определения примеси изопарафинов (ИП) к парафинам нормального строения (НП), основанная на частичном хлорировании ИП при нормальной т-ре водн. р-ром FeCl_3 , причем Fe^{3+} восстанавливается в Fe^{2+} , которое обнаруживается р-цией с ферроцианидом К. Образующаяся при этой р-ции турбулентная смесь дает зеленовато-синее кольцо на границе раздела углеводород — водн. р-р. Р-ция позволяет обнаружить в смеси парафинов примесь 1—2% ИП. Хлорирование ИП протекает на 0,5% и поэтому р-ция не может быть применена для разработки колич. метода определения ИП.

И. Руденская 22771. О присутствии воды в жидких топливах и маслах. Лоти (Sur la présence de l'eau dans les combustibles liquides et les huiles. Lautie Raymond), Forces aeriennes franç., 1956, 2, № 118, 545—550 (франц.)

Для расчета конц-ии воды (С г/100 г р-рителя), содержащейся в растворенном виде в керосинах, предлагается пользоваться ф-лой $\lg C = a - B/T$ (а и В константы, Т — т-ра в °К), выведенной при допущении независимости растворимости воды в углеводородах от т-ры. Для керосинов с брутто-ф-лой $\text{C}_{12}\text{H}_{24}$, т. кип. $\leq 290^\circ$ и мол. в. 160—190, средняя растворимость воды выражается ур-нием $\lg C \cdot 10^3 = 7,560 - 2010/T$, применимым в интервале -10° до $+60^\circ$ с точностью $\pm 5\%$.

В. Щекля 22772. Метод оценки высокотемпературных свойств консистентных смазок. Дреэп (Predicting high temperature performance of lubricating greases. Dre-

her J. L.), NLGI Spokesman, 1957, 21, № 2, 13—15 (англ.)

По вновь предлагаемому методу для оценки высокотемпературных свойств смазок последние наносят на металлич. пластинку, толщина слоя смазки 0,8 мм, ширина 22 мм, длина 63 мм. Пластинку помещают в термостат при 120, 150 или 175° (предпочтительно 150°), через определенные промежутки времени извлекают ее из термостата и отмечают изменение внешнего вида смазки (затвердение, расплавление, отделение масла и др.). По скорости и степени изменения внешнего вида смазок можно сравнительно судить о высокотемпературных свойствах смазок сходных типов. Метод использовался для подбора дисперсионных сред, оценки эффективности антиокислительных присадок и разработки рациональной технологии произ-ва высокотемпературных смазок. Отмечается удовлетворительная сходимост результатов, получаемых по предлагаемому методу с результатами испытаний смазок в реальных механизмах.

В. Силицын
22773. Метод оценки склонности консистентных смазок к изменению пенетрации при хранении. Эккерт (A method for the prediction of hardness changes of greases in storage. Eckert G. W.), NLGI Spokesman, 1957, 21, № 5, 17—22 (англ.)

Для оценки склонности консистентных смазок (КС) к уплотнению или размягчению в условиях хранения испытывали два метода. Первый метод, основанный на выдерживании КС при повышенной т-ре (80°) в термостате, оказался неэффективным, вследствие большой длительности испытания (месяцы). Второй рекомендуемый метод предусматривает использование бомбы, обычно применяемой для определения химич. стабильности КС. Два сосуда емк. по 57 г каждый, наполненные КС, устанавливают в бомбу, КС выдерживают при т-ре 65° и давл. 7,7 кг/см² в течение 2, 4, 6 и 8 дней. После окончания заданного срока хранения непосредственно в сосудах определяют микропенетрацию смазки при 25°. Показана удовлетворительная сходимост между изменением консистенции смазок в условиях реального хранения (1—2 года) и результатами оценки по предлагаемому методу. Авторы считают, что 1 час испытания смазки в бомбе соответствует 2, 4 месяца хранения в эксплуатационных условиях.

В. Силицын
22774. Метод оценки реологических свойств асфальто-битумов. Ортега (Un nuevo metodo de deducir el caracter reologico de los betunes asfalticos. Ortega Juan J.), Rev. obras públicas, 1956, 104, № 7, 378—390 (исп.)

Описывается метод и аппаратура (торзионный вискозиметр) для определения реологич. характеристик битумов: вязкости, пластичности, отклонений от свойств ньютоновской жидкости и т. д.

В. Щекин

22775 К. Технические нормы на нефтепродукты (Справочная книга). Изд. 16-е, испр. и доп. Ред. Пучков Н. Г. М., Гостоптехиздат, 1957, 451, стр., илл., 17 р. 80 к.

22776 П. Способ разрушения нефтяных эмульсий типа вода в масле. Керкпатрик (Method of breaking water-in-oil emulsions. Kirkpatrick Willard H.) [Visco Products Co.]. Пат. США 2754271, 10.07.56

Для разрушения нефтяных эмульсий (НЭ) их обрабатывают продуктом конденсации (ПК) двухатомного спирта, имеющего ≤ 6 атомов С и группы ОН у разных атомов С, напр., диэтиленгликоля (I), с окисью 1,2-пропилена (II) или со смесью окиси этилена (III) и II, при отношении III : II в смеси ≤ 3 . ПК должен иметь мол. в. > 1200 , или мол. вес за счет II ≥ 1000 ,

а за счет смеси ≥ 1200 . Вместо указанных ПК могут применяться и другие полиоксидалькеновые диолы с одной ациклич. цепью, в которую входят II и III при отношении III : II ≤ 3 , и имеющие мол. в. ≥ 1500 , или мол. вес за счет II ≥ 1000 . В описании приводятся результаты испытания разных ПК: на 100 мл НЭ, содержащей 50% Н₂O, добавляли 0,06 мл 5%-ного р-ра ПК, смесь взбалтывали на холоду и при 60° и отстаивали. Наиболее эффективными деэмульгаторами оказались следующие технич. сорта ПК «Ucosol»: 40-HDG-1028, 40-HDG-1703, 40-HDG-2412, 25-HDG-2157, 75-H-6000 и 75-H-90 000, где приняты обозначения: цифры впереди букв — содержание III в смеси, Н — конденсация проведена со смесью II и III, DG — исходный спирт I, цифры после букв — мол. вес. Пример приготовления ПК: в течение ~ 2,5 часа при давл. 2—2,5 ат и 109—121° в реактор к 20 ч. I и 1 ч. извлеченного NaOH добавляли при перемешивании равное кол-во (в зависимости от желаемого мол. веса ПК) смеси, имевшей отношение III к II, равное 1 : 3. После добавления смеси II и III продолжали перемешивание и нагрев 1,5 часа. Полученные ПК представляли смешивающиеся с Н₂O жидкости и имели мол. вес 1500—3300 и вязкости 18—73 сеп при 99°. А. Равиконг
22777 П. Метод и аппаратура для процессов конверсии углеводородов с движущимся контактным материалом. Бергстром, Сорф (Method and apparatus for conducting moving contact material hydrocarbon conversion processes. Bergstrom Eric V., Sorf Edward R.) [Secony Mobil Oil Co., Inc.]. Пат. США 2723224, 8.11.55

В процессе конверсии углеводородов гранулированный контактный материал (КМ) в плотном слое циклически проходит через вертикальную удлиненную камеру, включающую зоны конверсии и реактивации, где контактируется с соответствующими газовыми потоками. Учитывая, что при быстром нагреве свежего КМ, содержащего влагу, интенсивное разрушение зерна происходит при 480—540°, предложено вначале смешивать свежий КМ с горячим циркулирующим КМ, имеющим т-ру 370—700°, в таком соотношении, чтобы т-ра слоя после смешения была 150—260°, и при этой т-ре отдувать влагу горячим сухим газом; отдувка продолжается ≥ 1 мин., причем т-ра газа должна быть такой, чтобы не изменять т-ру КМ после смешения потоков. Только после отдувки влаги производится подмешивание этого потока КМ к основному кол-ву циркулирующего КМ. Описана аппаратура. Н. Келлогг

22778 П. Реформинг лигроина с платиновыми и палладиевыми катализаторами. Риблетт, Берто, Лефрансуа (Naphtha reforming reactions catalyzed by platinum and palladium catalysts. Riblett Earl W., Burton William P., Lefrancois Philip Andrew) [M. W. Kellogg Co.]. Пат. США 2743215, 24.04.56

Катализатор (К) готовят смешением летучего соединения (СI) Hg, Zn или Cd, в том числе и самих металлов, и соединения Pt или Pd (CII), разлагающегося при прокаливании носителя, преимущественно диспергированного в воде геля Al₂O₃ (ДГ), и прокаливания полученной смеси при 204—816° (316—649°) (ниже т-ры деактивации К) в течение времени, достаточного для разложения CII и испарения CII, илп. 2—6 час. При изготовлении К можно сначала приготовить смесь водн. р-ра Hg-ацетата и ДГ, имеющую рН 3—8 (4—6) и вес. отношение Hg : Al₂O₃ 0,0001—0,1, а затем эту смесь смешать с CII (взвесью Pt-сульфида) из расчета 0,01—5 вес.% Pt или Pd в К, или можно смесь водн. р-ра Hg-ацетата и взвеси Pt-сульфида смешать с ДГ. Добавка CII повышает активность К. Реформинг лигроина (Л) в присутствии К можно вести в условиях: 0,5—20 молей Н₂ на 1 моль Л,

ПК могут
диолы с
и III при
≥ 1500,
приводит
00 мл H₂O
и 5%-ного
при 60° в
ульгатора
K «Ucon»
HDC-2157,
заачени
меси, H—
DG—м
с. Принцип
при давл.
ч. измел
ни разн
веса ПК)
: 3. Посл
ремени
дставля
мол. вес
Равиков
ов конве
ным мате
and app
rial hydro
Eric V.
Inc.]. Пат.

тулирован
ном слое
длинную
активации
газовыми
ве свежего
ление э
о вначале
ющим KM
ни, чтобы
и при этой
; отдува
а должна
сле смеш
производит
ому кол-ву
Н. Кельце
ми и раз
Вертод,
ons cataly
Riblett
François
Пат. США

его соеди
мих метал
гающего
венно дис
прокалива
—649°) (м
ени, доста
CI, напр
та пригото
ющую р
001—0,1,
-сульфид)
или моно
t-сульфид
ивность K.
K можно
1 моль J.

316—566°, 3,5—70 атм, объемная скорость 0,05—10 л/л K в 1 час. Пример. Р-р 5682 г $\text{AlCl}_3 \cdot 6\text{H}_2\text{O}$ в 48 л H_2O был осажден 4400 мл 28%-ного водн. р-ра NH_3 , осадок отфильтровывался и суспендировался в 16 л 0,28%-ного р-ра NH_3 7 раз, эта операция была повторена в 8-й и 9-й раз с 0,14%-ным р-ром NH_3 , в 10-й раз с 0,07%-ным р-ром NH_3 и в 11-й раз с 5 л H_2O , суспензия содержала 13,1% или 1135 г Al_2O_3 ; добавлено 63,9 мл лед. CH_3COOH в смеси с равным объемом H_2O , произошло диспергирование геля Al_2O_3 при снижении pH до 4,5. Половина полученного ЛГ смешана с р-ром 18 г Hg-ацетата в 100 мл H_2O и 3 мл лед. CH_3COOH и суспензией Pt-сульфида, полученной путем насыщения H_2S в течение 30 мин. 400 мл водн. р-ра 8 г $\text{H}_2\text{PtCl}_6 \cdot 6\text{H}_2\text{O}$. Смесь высушена 65 час. при 116°, измельчена, прокалена 3 часа при 538°, таблетирована в шарики диам. 5 мм и вновь прокалена 3 часа при 538°. Гидроформинг Л производился на лабор. установке стационарным слоем K, изготовленного, как вышеуказано, либо с K, изготовленным так же, но без Cl. Условия гидроформинга: 468—478°, 35 атм, объемная скорость 2—3 кг на 1 кг K в 1 час, H_2 866—939 м³ на 1 м³ Л в 1 час. Л: т. кип. 140—220°, процент ароматич. 9, ОЧ 29,9. Бензин гидроформинга с K, изготовленным с и без Cl: об. % выхода 89 и 80, ОЧ 69,6 и 80,3 (моторн. метод) процент ароматич. 37 и 49.

А. Равикович
22779 П. Гидроформинг. Хеммингер (Hydroforming. Hemminger Charles E.) [Esso Research and Engng Co.]. Пат. США 2746909, 22.05.56

Непрерывный процесс гидроформинга лигроина (Л), в котором Л контактируется в зоне гидроформинга (ЗГ) с катализатором (К) в псевдооживленном слое в присутствии H_2 -содержащего газа, сухого и не содержащего S-соединения, при 10,5—23 (3,5—35) ат. Отработанный К из ЗГ поступает в зону регенерации, где выжигается при помощи O_2 -содержащего газа, выводится из ЗГ, обрабатывается для удаления S- и O₂-содержащих в-в H_2 -содержащим газом, сухим и не содержащим S-соединений, поступает в зону отпаривания (ЗО), расположенную в верхней части ЗГ, где обрабатывается парами продукта гидроформинга, выходящими из ЗГ, для удаления еще оставшихся S- и O₂-содержащих в-в и возвращается в ЗГ. Выведенный из ЗГ К до поступления в ЗР может быть продукт H_2 -содержащим газом для удаления летучих соединений. Регенерированный К из ЗО перед поступлением в ЗГ может быть обработан Cl-содержащим в-вом. Пример. Л (т. кип. 93—191°, ОЧ 35, процент S 0,03) контактировался в ЗГ при 510° и 14 ат с K, содержащим 0,5% Pt на Al_2O_3 с частицами ~65 м, в присутствии 712 м³ газа (90% H_2) на 1 м³ Л. В ЗГ вводился (вес. ч.) 0,05 регенерированного K на 1 л. Бензин гидроформинга: т. кип. 47—216°, выход 84 вес. %, процент S 0,0001, ОЧ 95 (иссл. метод). Активность регенерированного K повышается.

А. Равикович
22780 П. Получение пека из кислого гудрона. Кушиэ (石油廢酸スラッシュリピッチの製造法. 國枝繁). Японск. пат. 7594, 18.11.54

1 т кислого гудрона при 120° смешивают с 30 кг нитрацена; отделяющуюся H_2SO_4 отбирают снизу. Нитревая смесь до 140°, продувают воздухом и получают 70—75% пека (т. пл. 80°) с зольностью 0,4%, содержащего следы H_2SO_4 , 85,5% летучих в-в и 14,1% C. Полученный продукт используют как сырье для произ-ва брикетов.

Э. Тукачинская
22781 П. Способ обессеривания нефтяных углеводородов. Лангермерш (Procédé d'adoucisement des hydrocarbures de pétrole. Langermeersch A. van) [Esso Standard (Soc. An. Française)]. Франц. пат. 1417570, 24.05.56

Способ отличается тем, что к щел. или спирт. р-рам, применяемым для удаления меркаптанов из нефтяных продуктов, добавляют 1—30% (предпочтительно 2—10%) мыла ненасыщ. жирной к-ты с 10—24 атомами C, имеющей одну или несколько двойных связей.

Г. Марголина

22782 П. Двуступенчатая очистка бензина термического крекинга от активных сернистых соединений. Гордон, Маллатт (Two stage thermal naphtha sweetening process. Gordon Moses, Mallatt Russell C.) [Standard Oil Co.]. Пат. США 2754251, 10.07.56

Бензин (Б) термич. крекинга, содержащий значительно более 5 мг меркаптановой S на 100 мл Б, т. е. имеющий меркаптанное число (МЧ) > 5, контактируют в 1-й зоне (З1) с водн. р-ром NaOH в присутствии катализатора окисления (КО) меркаптанов полиоксисбензольного типа, как гидрохинон или галловая к-та, в кол-ве 0,29—0,57 кг на 1000 м³ Б на МЧ исходного Б и в присутствии O_2 , причем условия контактирования и кол-во O_2 выбираются такими, чтобы Б после З1 имел МЧ ~5. Во 2-й зоне (З2) контактируют Б после З1 с водн. р-ром крезилата Na, содержащим 5—20 об. % нефтяных крезолов ≥ 2 об. % алкилфенолов) и 15—25 вес. % NaOH при 27—82° (49—71°) в присутствии 100—250% теоретич. кол-ва O_2 и 2,9—5,1 (4,0—4,6) кг свободной S на 1000 м³ Б на одно МЧ поступающего в З2 Б. После очистки в З2 Б выдерживает испытание на коррозию. Сырой Б с МЧ 30—50 до поступления в З1 рекомендуется промыть водн. р-ром NaOH для удаления H_2S , благодаря чему МЧ снижается до 20—30. Приводимое описание опытов показывает, что полная очистка Б с КО только в З1 приводит к ухудшению его цвета и повышенному расходу КО, тогда как очистка Б только в З2 дает продукт с пониженным октановым числом. Предлагаемый способ неполной очистки Б в З1 и конечной очистки в З2 лишен указанных недостатков.

А. Равикович

22783 П. Регенерация фурфурола при выделении циклических углеводородов путем экстрактивной дистилляции. Лирн, Уэлш, Мейзел (Recovery of furfural in extractive distillation purification of cyclic hydrocarbons. Leary Robert F, Welch Lester M, Maisel Daniel S.) [Esso Research and Engng Co.]. Пат. США 2742411, 17.04.56

Применение фурфурола (I) в качестве экстрагента при выделении циклич. углеводородов C_6 — C_7 путем экстрактивной дистилляции затрудняется значительными потерями I, образующего азеотропную смесь с алифатич. углеводородами C_7 — C_8 . Предлагается способ, при котором исключается образование азеотропной смеси, а также метод регенерации I, обеспечивающий получение очищ. безводн. I, пригодного для повторного использования. При отделении циклич. углеводородов C_6 — C_7 от алифатич. углеводородов, кипящих в пределах 80—125°, в колонну экстрактивной дистилляции подается экстрагент — безводн. I, причем ввод I расположен выше ввода сырья. Для уменьшения содержания I в головном продукте, выше ввода I, на верх колонны подается небольшое регулируемое кол-во воды, которая полностью уходит из колонны с парами головного продукта. После конденсации головного продукта от углеводородов путем отстоя отделяется водн. слой, содержащий небольшое кол-во I. При дистилляции из водн. слоя получается конц. I (95%) с небольшим содержанием воды (5%), которая подается в верхнюю часть стриппинг-колонны для разгонки экстракта на циклич. углеводороды и воду (головной продукт) и безводн. I (остаток), возвращающийся в колонну экстрактивной дистилляции. При отделении ароматич. углеводородов от других

углеводородов, кипящих в пределах 80—125°, во избежание накопления полимеров в циркулирующем I, часть I после отгонки ароматич. углеводородов поступает в дополнительную колонну, где острым паром I отгоняется от полимеров. Полученный вода. I направляется в стриппинг для отгонки ароматич. углеводородов. Кол-во воды, подаваемой в колонну экстрактивной дистилляции, составляет 10—20 вес. % от углеводородов головного продукта. Т-ра в колонне от точки ввода сырья до куба изменяется от 125 до 152°. Пример. Рафинат, отделенный от толуола в колонне экстрактивной дистилляции с 50 тарелками, содержал 6,4 вес. % I. Вследствие образования азеотропной смеси при отгоне рафината от I в колонне с 30 тарелками, при флегмовом числе 20 головной продукт (углеводороды) содержал 1,8—8,7% I. При подаче 15% воды в колонну разгонки рафината, содержание I в головном продукте снизилось до 0,1—1,8% соответственно, при том же флегмовом числе. С. Розенер

22784 П. Удаление парафиновой муты из смазочных масел. Шипман (Removal of wax haze from lubricating oils. Shipman Frank H., Jr) [Cit-Con Oil Corp.]. Пат. США 2754250, 10.07.56

Депарафинизацию масла производят отфильтровыванием парафина (П) из охлажд. смеси масла и р-рителя (Р) с последующим отгоном Р из фильтрата (Ф). Усовершенствование, предназначенное для освобождения депарафинированного масла от парафиновой муты, заключается во вторичной фильтрации холодного Ф (до отгона Р) на 2-м фильтре (2Ф) через устройство, позволяющее отфильтровывать частицы П с diam. > 8 м и удалять лепешку П при помощи Р. Через 2Ф фильтруют Ф до перепада давлений ≤ 21 ат, после чего останавливают подачу Ф на 2Ф и удаляют лепешку П, пропускают Р, нагретый до т-ры выше т-ры плавления П, напр. до 82—93°, через 2Ф, в направлении потока Ф. Для поддержания жидкого состояния горячей Р может находиться под давлением. Р, содержащий П, удаляемый с 2Ф, направляют в емкость Р, откуда Р расходуется на депарафинизацию. Перед новой фильтрацией 2Ф охлаждают до -18°, для чего пропускают через него охлажд. Р и затем холодный Ф, который после 2Ф направляют в ту же емкость Р. А. Равикевич

22785 П. Метод обесцвечивания масел. Майерс (Method of decolorizing oil. Myers Harold C.), [Socony Mobil Oil Co., Inc.]. Пат. США 2748064, 29.05.56

Цвет масла улучшают доочисткой адсорбентом (А) с зернами < 100 меш, полученными из Al-Si-геля. К смеси масла с р-рителем (Р) типа кетона, способным отмывать из А окрашивающие масло в-ва, подмешивают А. Смесь масла, Р и А вводят в отпарную колонну, где отпаривается большая часть Р, в то время как А удаляют из масла окрашивающие в-ва. Масло вместе с А выводят из отпарной колонны, промывают горячей водой и отстаивают от воды и А. Отстаивающий А подают на регенерацию, которая проводится растворением адсорбированных в-в в р-рителе, получаемом из головного погона отпарной колонны. Регенерированный А возвращается на исходную ступень смешения с маслом. Р отделяют от окрашивающих в-в и возвращают в систему. Приведена схема. Ю. Коган

22786 П. Битумный продукт и его получение. Илман (Asphalt product and preparation thereof. Iilman John C.) [Shell Development Co.]. Пат. США 2755223, 17.07.56

Для модификации свойств нефтяного остатка, содержащего ≥ 1 вес. % химически связанного азота и характеризующегося средним диаметром частиц 0,5—200 м, содержанием ≥ 30 вес. % мальтенов и 50 вес. %

асфальтенов, напр. порошкообразного пека, полученного при перегонке в вакууме или продукта, выделенного при деасфальтировании пропаном (с глубиной проникания иглы 0—1,5 мм при 25°), его контактируют с газом (воздухом), содержащим 1—10 (в некоторых случаях 0,5—100) вес. % галоидоводорода (напр. HCl), при 15—50° (20—40°) в течение от 0,5 мин. до 2 час. (1—60 мин. и 1—15 мин.). Полученный продукт диспергируют в масле, представляющем собой нефтяную фракцию, кипящую выше керосиновой фракции и содержащую 15—60% ароматич. углеводородов. Получают битум, по свойствам близкий к окисленному битуму, пригодный для дорожных покрытий.

М. Пасманни
22787 П. Жидкие антидетонаторы. Хершлер, Айриш (Antiknock fluids. Hirschler Daniel A., Jr, Irish Glenn) [Ethyl Corp.]. Пат. США 2728658, 27.12.55

Патентуется композиция детонационностойкого бензина, содержащего алкилсвинца (тетраэтилсвинца (II)) и растворимое в бензине органич. соединение лития, не содержащее связей Li—C и характеризующееся тем, что связь между атомами Li и C осуществляется посредством атомов N, O или S и соединение содержит только атомы Li, C, H, O, S и N. Может применяться координационное соединение Li, напр., образованное сложным эфиром β -дикетокислоты, а также порфири, фталоцианина или меркаптида Li. Отношение Li:Pb может составлять 0,001:1, 10:1, 0,5:1, 5:1. Бензин может содержать 0,13—1,6 мл I в 1 л и Li-октацетатацетат (II) так, что отношение Li:Pb лежит в пределах 0,5:1—5:1. Пример: к кол-ву этиловой жидкости, эквивалентному 3 мл I, добавляется 0,95 г II, содержащего 3,14 вес. % Li. Образующаяся жидкость содержит (вес. %): I/58,9, бромистого этилена 17,1, хлористого этилена 18, II, 19,5, инертные в-ва 1,8. При прибавлении этой смеси в кол-ве 2,2 г/л углеводородного топлива в нем содержится 0,8 мл I в 1 л и атомное отношение Li:Pb равно 0,103:1. Этот состав особенно эффективен для предупреждения самовспышки топлива. В. Щекни

22788 П. Топливные смеси, содержащие выноситель свинца. Юст, Бейм (Lead scavenger composition. Yust Venard E., Bame John L.). Канадск. пат. 515128, 2.08.55

Топливная смесь для двигателей внутреннего сгорания состоит главным образом из стабильного бензина, антидетонатора — тетраалкилсвинца в кол-ве 0,55—1,6 мл на 1 л бензина и галоидоамец. углеводородного выносителя (ГУВ) для указанного антидетонатора, а также агента, предупреждающего загрязнение запальных свечей. Таким агентом является соединение фосфора (СФ), напр., алкилфенилфосфат или алкилфенилфосфит. Общее число атомов С в алкилах всех таких алкилфенильных радикалов ≤ 6 , а общий конц-ия ГУВ и СФ 0,4—2,0 от теоретич. (на антидетонатор). Конц-ия СФ 0,05—0,6 от теоретич. Теоретич. соотношение ГУВ и СФ от 3:2 до 15:1. Антидетонатором может служить тетраэтилсвинец, а СФ — крезилфосфат. М. Павловский

22789 П. Антидетонационные смеси. Каллингарт, Уинтрингем (Antiknock mixture. Calingaert George, Wintringham John S.) [Ethyl Corp.]. Канадск. пат. 510147, 15.02.55

Композиция, состоящая из свинцового антидетонатора и выносителя, основной компонент которого ароматич. углеводород ряда бензола с 5—8 атомами С, имеющий 2—3 атома Cl, присоединенных непосредственно к бензольному кольцу, с упругостью паров $\sim 0,2$ —6 мм рт. ст. при 50°. В качестве выносителя может применяться трихлорбензол, трихлортолуол или смесь бром- и хлорпроизводных углеводородов. И. Р.

22790 П. Новые промышленные продукты, используемые в качестве горючего для реактивных двигателей, топливных компонентов или антидетонаторов. **Прюне** (Produits industriels nouveaux utilisables comme carburants pour appareils à réaction et comme carburants d'addition ou produits indétendants. Prunet Jean). Франц. пат. 1119681, 22.06.56

Предлагаются композиции, состоящие из органич. жидкостей или легкоплавких либо растворимых в органич. р-рителях соединений металлов с большой теплотой сгорания, как напр. Al, Mg, щел. металлы (алюминаты этих металлов, напр., изопропилят Al). В указанных композициях нельзя применять металлорганич. соединения, в которых металлы находятся в сильно окисленном состоянии. **Г. Марголина**

22791 П. Ракетное топливо, состоящее из нитропарафинового геля. **Мейснер** (Propellant composition comprising nitroparaffin gel. Maisner Herman) [Aerojet-General Corp.]. Пат. США 2712989, 12.07.55

Ракетное топливо, состоящее из 10—50% нитроцеллюлозы, 50—90% нитрометана и до 3% ацетилацетоната Cr.

М. Фишбейн

22792 П. Смазочное масло. **Райан, Хейс** (Schmierröl. Ryan Julian Gilbert, Hayes George Louis) [N. V. de Bataafsche Petroleum Maatschappij]. Пат. ФРГ 947417, 16.08.56

Для улучшения свойств минер. или синтетич. смазочных масел рекомендуется добавка смеси двух присадок различного характера, каждую из которых вводят в кол-ве от 0,01 до 10 вес. % на композицию. Первая присадка — фенол или тиофенол, замещ. в орто- или пара-положении к OH- или SH-группе органич. радикалами, причем по крайней мере один из заместителей — алкильный остаток. Вторая присадка — соединение терпенового ряда, в состав которого вводят R, или одновременно R и S или же R и Se и которое может применяться в виде продукта взаимодействия с органич. азотистыми основаниями. Приведены составы рекомендуемых композиций и результаты моторных испытаний для некоторых из них.

Н. Кельцев

22793 П. Осерненные углеводороды, содержащие фосфор. **Джонс, Хилл, Муди** (Phospho-sulfurized hydrocarbons. Jones Robert H., Hill Max W., Moody Leonard E.) [Esso Research and Engineering Co.]. Пат. США 2734863, 14.02.56

Предлагается способ получения моющей присадки из неолефиновых (парафиновых, ароматич., циклоалифатич.) углеводородов из нефтяных фракций (брайстока сольвентной очистки), обработкой их сульфидом фосфора, напр. P_2S_5 при т-ре 90—316° в неокисляющей атмосфере и дальнейшем взаимодействии полученного продукта с гуанидином или его производным (карбонатом гуанидина) или же с реакционноспособным олефиновым углеводородом, напр. диизобутиленом. После обработки P_2S_5 или в процессе получения, или же готовая присадка обрабатывается металлом (Fe или Cu) при т-ре 150—260° в течение 0,5—10 час., давая стабильный, без запаха и коррозионноустойчивый продукт, содержащий в сумме $\geq 1\%$ R и S, добавляемый к смазочному маслу в кол-ве 0,001—20 вес. % или же применяемый в виде концентрата, содержащего 20% присадки, растворенной в смазочном масле. Пример: 67,5 кг брайстока фенольной очистки из Мидконтинентской нефти загружалась в стеклянный реактор и нагревалась при 120—135° при перемешивании и продувке N_2 . Затем добавлялось 6,8 кг P_2S_5 , смесь нагревалась до 204° в течение 3,5 час. и выдерживалась при этой т-ре еще 8 час. Полученный продукт содержал 1,91% R, 3,98% S и имел число нейтр-ции 24; 200 г этого продукта размешивались в

стеклянном реакторе с 20 г порошкообразного Fe при непрерывном пропускании через смесь тока N_2 при т-ре 220° в течение 3 час., после чего продукт отфильтровывался. 150 г этого продукта обрабатывались 15 г карбоната гуанидина растворенного в 30 г воды; смесь постепенно нагревалась до 160°, выдерживалась при этой т-ре 1 час и затем фильтровалась. Полученный продукт при пробе на бронзовую пластинку дал потери веса 1,27 мг/г, против 1,80 мг/г у необработанного продукта.

В. Щекин

22794 П. Комплексные соли сульфокислот и их композиции с минеральными маслами. **Отто, Вильямс** (High metal content complex salts of sulfonic acids and mineral oil compositions thereof. Otto Ferdinand P., Williams Robert H.) [Socony Mobil Oil Co. Inc.]. Пат. США 2739124, 20.03.56

Растворимую у углеводородах соль сульфокислоты (СК) получают контактированием р-ра СК в р-ре углеводорода с комбинацией реагентов, обеспечивающей наличие в реакционной смеси $\geq 1,4$ —1,7 экв гидроокиси, $\sim 0,3$ экв хлорида и $\sim 0,3$ экв карбоксилата алифатич. к-ты с 1—20 атомами C в цепи такого металла, как Ca, Mg, Ba, считая эквивалент на СК, с последующим обезвоживанием смеси и фильтрованием. Приготовление нефтяной СК: к минер. маслу в течение 2 час. при т-ре 38—49° и продувании воздуха приливают 103—104%-ную H_2SO_4 в кол-ве 30% от веса масла. Продукт разбавляют водой (6% от веса масла) при т-ре 46—71°. Выделившееся кислое масло (KM) отстаивается 18 час., после чего продувается воздухом при 71° для удаления SO_2 и снова отстаивается 50 час. при 71°. Выход KM составляет 97 вес. % от загрузки масла. Из полученной СК приготовлена комплексная соль кальцийхлоридацетатсульфоната: 400 г KM (число нейтр-ции 24,1), 3,2 г лед. уксусной к-ты (0,3 экв, считая на KM), 3,8 г 77%-ного $CaCl_2$ (0,3 экв), 11,1 г извести, содержащей 96% $Ca(OH)_2$, 100 мл H_2O и 20 г облегчающей фильтрование присадки из диатомовой земли. Операцию ведут при 75°, затем нагревают 1,5 часа при 100° для удаления избытка воды и фильтруют в горячем состоянии через воронку Бюхнера. Получают 375 г продукта с содержанием в %: Ca 1,25; S 1,27; Cl 0,16; кинематич. вязкость при 98,5—21,14°. Присадка улучшает свойства смазочных масел и обладает свойствами детергента.

Г. Марголина

22795 П. Гелеобразующие вещества для органических жидкостей. **Флойд** (Organic solvent gels. Floyd Don E.) [General Mills, Inc.]. Канадск. пат. 511579, 5.04.55

Загущающие в-ва для углеводородных жидкостей, содержащих ≥ 6 атомов C (напр., минер. масла) и добавляемых в кол-ве $\sim 1,5\%$ представляют полиамиды, содержащие диацильную группу с ф-лой $-CO(R)CHCO-$ (R — алифатич. углеводородный компонент, содержащий от 6 до 16 атомов) и полиаминогруппу с ф-лой $-HN-X-NH-$, где X — двувалентный органич. радикал, ≥ 3 атома C, разделяющий аминогруппы и состоящий из целой углеродной цепи или прерванной азотом. В частности патентуется полиамидный гелеобразующий агент, имеющий длину ячейки по меньшей мере 8 и содержащий диацильную группу с ф-лой $-COCH(C_1H_5)CO-$ и диаминогруппу $-HNCH_2CH_2CH_2NH-$.

М. Липец

22796 П. Стабильные жидкости с суспендированными магнитными частицами. **Бонди** (Magnetic fluids. Bondi Arnold A.) [Schell Development Co.]. Пат. США 2751352, 19.06.56

Стабильная жидкость представляет собой смесь 60—90% железных частиц размером 5—30 μ (7—10 μ), 10—40% жидких углеводородов (минер. масло) и 0,01—5% алкиленгликоля (этилен- или пропиленгли-

коля) в качестве суспендирующего агента. Жидкость может состоять из частиц железа размером 7—10 м и керосина, взятых в соотношении 6:1, и 0,1% этиленгликоля (на всю смесь).

Г. Марголина
22797 П. Синтетические смазочные материалы. Фиш, Гарвуд, Саханен, Сигер (Synthetic lubricants. Feasley Charles F., Garwood William E., Sachanen Alexander N., Seger Francis M.) [Socony Mobil Oil Co. Inc.]. Пат. США 2743281, 24.04.56

Масло с относительно высоким уд. весом, высоким индексом вязкости и низкой т-рой застывания выделяют из продукта, получаемого конденсацией при 80—140° в течение 5—10 час. 1 моля *n*-α-моноолефина с 8—18 атомами С, 0,01—0,5 молей перекиси третичного бутила или перекиси бензоила (I) и 1—6 молей диоксана (II). Пример. 420 г *n*-децена-1, 264 г II и 72 г I нагревались 9¼ час. при 87°. Из продукта р-ции были отогнаны низкомолекулярные соединения и остаток — масло промыт целочью. Масло: выход 153, вязкость 7,95 сст при 99°, индекс вязкости 108, т. заст. < -34°, броуновое число 13,1, уд. вес. 0,9042, кислотное число 1,5; Н 12,67%, С 81,88%.

А. Равикович

См. также: Происхождение нефти 20948, 21000, 21002, 21003. Св-ва нефтепродуктов 21945. Хранение нефтепродуктов 21944, 21959. Ракетное топливо 21926. Анализ природных газов 22225. Синтез углеводородов 22293, 22294, 22315. Сжигание жидких топлив 21797

ЛЕСОХИМИЧЕСКИЕ ПРОИЗВОДСТВА. ГИДРОЛИЗНАЯ ПРОМЫШЛЕННОСТЬ

Редактор А. П. Хованская

22798. Строение и свойства кренивой древесины хвойных. Оллимаа (Navurpuiden lylypuun rakenteesta ja ominaisuuksista. Ollinmaa P. J.), Paperi ja Puu, 1955, 37, № 11, 544—549 (финск.; рез. англ.). Изучены анатомич. особенности, хим. состав, физ. свойства кренивой древесины (КД) хвойных и причины ее образования. Прочность КД не выше, чем нормальная, содержание в ней целлюлозы понижено, лигнина — повышено. Содержание КД в древесных стволах может достигать десятков процентов и хим. и технологич. свойства КД заслуживают изучения.

Н. Рудакова

22799. Использование данных о составе коры при проектировании топок. Андерсон (Application of bark data to furnace designs. Anderson J. D.), Pulp and Paper Mag. Canada, 1955, 56, № 13, 111—112 (англ.).

Кора содержит 72—79% летучих в-в (в пересчете на сухой вес), 17—24% связанного С и 2—4% золы. Теплота сгорания коры хвойных пород 4744 ккал/кг. Основные компоненты С 52,5%, Н 6% и О 38,5%. Состав золы: соединения Si, Al, Fe₂O₃ и CaO (~70—80%). Из них CaO 43—68%. Т-ра спекания золы ~1482—1571°.

М. Белецкая

22800. Удельная теплоемкость и теплота смачивания древесины. Хирмон, Берчам (Specific heat and heat of wetting of wood. Hearmon R. F. S., Burcham J. N.), Nature, 1955, 176, № 4490, 978; Chemistry and Industry, 1956, 31, 807—808 (англ.).

Определяли уд. теплоемкость (C₀) и теплоту сорбции буковых опилок при различной т-ре и содержании влаги. Для сухой древесины при т-рах 30, 40, 50, 60° C₀ = 0,31; 0,32; 0,33; 0,34 соответственно. Ошибка при определении C₀ составляла ~0,005, тогда как у Р-н Келсея и Кларке допускало ошибки ~10%. Из хорошего согласования опытных данных с результатами

Kelsey и Clarke, полученными для различных образцов древесины, делается заключение, что значение C₀ не будет сильно колебаться для различных образцов древесины, содержащей влагу.

М. Чочиева

22801. Устойчивость метоксильных групп в древесине и лигнине. Вацек, Лимончев, Ос (Stability of methoxyl groups in wood and lignin. Wacek A. V., Limontschew W., Aas Chr.), Industr. and Engng Chem., 1957, 49, № 9, Part 1, 1389—1390 (англ.).

Исследована устойчивость метоксильных (М) ванильной к-ты (I), 3-метилглюкозы (II), древесины сосны, бука, препарата лигнина Фрейденберга и природного лигнина Браунса и др. при гидролизе 5%-ным р-ром NaOH при 23° (Г-1) и 20%-ным NaOH при 100° (Г-2). В обоих случаях гидролиза М в виде ароматических эфиров в I и других к-тах оказались устойчивыми; половина М, присутствующих в виде простых алифатич. эфиров в II, отщепляется при Г-1 и почти при Г-2; 2-, 3- и 4-метоксисбензойные к-ты не отщепляются М при обработке 20%-ным р-ром NaOH при 20°. Кислотный гидролиз дает аналогичные результаты. При Г-1 древесина сосны и бука отщепляет всего 2—3% М, при Г-2 несколько больше — 5—6%. Лигнины Фрейденберга и Браунса отщепляют ~3% общего кол-ва М при Г-1 и ~8% Г-2. Исследована также прочность М различных препаратов лигнина, обработанных по Класону и КОН и экстрагированных водн. ацетоном, водн. CH₃OH и абс. CH₃OH; приведено кол-во М в экстрактах и остатках после экстрагирования.

Ю. Вендельштейн

22802. Энергетические расчеты в лесохимической промышленности. Визенак (Energiekennzahlen in der chemischen Holzindustrie. Wiesenack G.), Holz Roh- und Werkstoff, 1955, 13, № 3, 95—101 (нем.).

22803. Некоторые сведения о производстве древесного угля. Скофилд (Other chapters on charcoal-making. Schofield M.), Edgar Allen News, 1956, 36, № 416, 35—37 (англ.).

Описаны существующие процессы и печи для сухой перегонки древесины (Д). Отмечено, что последние конструкции ретортных печей в США снабжены изоляцией. Процесс сухой перегонки поддерживается за счет экзотермич. р-ции сгорания Д. В Швейцарии для поддержания т-ры в ретортных печах осуществлена циркуляция дымовых или инертных газов. С. Гордон

22804. Изучение взаимодействия хлористого сульфорила с моноциклическими терпенами. Яворская В. Ф., Научн. тр. Львовск. лесотехн. ин-та, 1957, 3, 130—139

Показано, что направление р-ции при взаимодействии SO₂Cl₂ и терпингидрата меняется в зависимости от условий (в среде разбавителя или без него). В присутствии разбавителя резко увеличивается выход дихлорпроизводных и не образуется моногалогидропроизводного. Получены три дихлорпроизводных C₁₀H₁₆Cl₂ с различным положением двойной связи. Выказано предположение о вероятном механизме р-ции.

А. Хованская

22805. О технологии получения и облагораживания канифоли. Хунтенбург (Zur Technologie der Gewinnung und Veredlung von Harz. Huntenburg Wilhelm), Bitum., Teere, Asph., Pechе und verw. Stoffe, 1956, 7, № 2, 73—75 (нем.).

Обзор. Описаны состав смолы елей, получение смол методом подсочки и экстракционные способы получения смол. Приведены способы переработки древесины смол в различные продукты. Библи. 40 назв. Предыдущее сообщение см. РЖХим, 1957, 56040. Г. Степных

22806. Абиетиновая кислота. Тейбер (Die Abietinsäure. Teuber Wolfgang), Riechstoffe und Aromen, 1956, 6, № 11, 358—362 (нем.).

Обзор (способы выделения из смоляного и таллового масла, а также из битуминозного угля, области использования, методы анализа и материалы, применяемые при изготовлении аппаратуры для получения абнетиновой к-ты). Библи. 43 назв. Н. Р.

22807. О составе смоляных кислот таллового масла. Комнилов Н. Ф., Летомяки М. Н., Ж. прикл. химии, 1957, 30, № 10, 1570—1572

Показано, что до вакуумной разгонки смоляные к-ты таллового масла в основном состоят из низкоплавкой абнетиновой к-ты (I), т. пл. 174° , $[\alpha]_D^{20} -105,93^\circ$ (в спирте) и декстропимаровой к-ты, а после перегонки при остаточном давл. 3 мм рт. ст. в основном из высокоплавкой I. т. пл. $186-188^\circ$, $[\alpha]_D^{20} +15,45^\circ$ (в спирте), декстропимаровой к-ты, т. пл. $210-211^\circ$, $[\alpha]_D^{20} +72,45^\circ$; низкоплавкой I и вероятно неоабнетиновой к-ты. Сделан вывод, что высокоплавкая I не может быть отнесена к дигидроабнетиновым к-там. А. Хованская

22808. Изучение канифоли из таллового масла. I. Каянне, Хонканен (Studies on tall oil rosin. I. Kajaane Raavo, Honkanen Erkki), Paperi ja puu, 1957, 39, № 4a, 171—177 (англ.)

Предложен метод расчета для одновременного спектрофотометрич. определения смесей абнетиновой и дегидроабнетиновой к-т. Приведен анализ одного образца кристаллич. канифоли из продажного финского таллового масла. Фракция смоляных к-т, свободная от жирных к-т и неомыляемых в-в, содержала (в %): абнетиновой к-ты 42, неоабнетиновой 1, дегидроабнетиновой 27, дигидроабнетиновой 5, декстропимаровых к-т 19 и тетрагидроабнетиновых 8. В. Высотская

22809. Применение уловителя бензиновых паров на канифольно-экстракционных предприятиях. Гломб, Венцковский (Zastosowanie łapaczy par benzynowych w zakładach ekstrakcji karpiny. Głomb August, Wiąckowski Jacek), Przem. drzewny, 1955, 6, № 8, 36 (польск.)

22810. Использование коры. Часть II. Изучение реакции Стайси для определения многоатомных фенолов в экстрактах коры хвойных. Виссинг (The utilization of bark. II. Investigation of the Stiasny reaction for the precipitation of polyphenols in pine bark extracts. Wissing Arne), Svensk papperstidn., 1955, 58, № 20, 745—750 (англ.)

Указанный метод дает сравнимые результаты лишь для близких конц-ий танинов и в узких пределах рН. Н. Р.

22811. Технический контроль продуктов экстракции живицы пневого осмола. Сижек (Kontrola techniczna produkcji w fabrykach ekstrakcji żywicy z karpiny. Siwek Kazimierz), Przem. drzewny, 1956, 7, № 8, 14—17; № 9, 25—27; № 10, 20—23 (польск.)

Отмечается необходимость правильного ведения технич. контроля как продуктов, так и технологич. процесса. Пневый осмол в зависимости от влажности делится на 3 группы: I-я влажность $< 20\%$; II-я влажность $20-25\%$; III-я влажность $> 25\%$. Содержание смолистых в I-ой $10-15\%$, цвет апельсиновый, во II-й $16-25\%$ цвет красный, в III-й $> 25\%$ коричневого цвета. Самым характерным показателем технологич. процесса экстрагирования является конц-ия живицы в бензине и в р-ре, поступающем из головного экстрактора в сборник мисцеллы. Режимы технологич. процесса экстракции для различных сортов живицы пневого осмола должны быть разработаны. Е. Гурвич

22812. О некоторых ошибках в определении влажности пневого осмола. Чарниковский, Венцковский, Бабицкий (O niektórych błędach określania wilgotności karpiny. Czarnkowski Augustyn, Wiąckowski Jacek, Babicki

Ryszard), Przem. drzewny, 1956, 7, № 10, 30 (польск.)

Влажность осмола определяют сушкой в термостате при 105° в течение 3—4 час. или перегонкой с ксилолом. Колебания в результате определения по первому способу $1-2\%$. По разнице в результатах определения влажности методом сушки и методом перегонки для одного и того же осмола находят содержание скипидара в осмоле. Е. Гурвич

22813. Определение смоляных кислот в смеси с жирными кислотами. Линдер, Перссон (Determination of rosin acids in mixtures with fatty acids. Linder A., Persson V.), J. Amer. Oil. Chemists' Soc., 1957, 34, № 1, 24—27 (англ.)

Усовершенствование метода, описанного ранее (Svensk Papperstidning, 1949, 52, 331—337), основано на разнице в скорости этерификации жирных к-т (ЖК) и смоляных к-т (СК). Для достижения полноты этерификации ЖК воду удаляют с помощью азеотропной перегонки с бензолом, а для замедления этерификации СК добавляют катализатор. Рекомендована в качестве катализатора H_2SO_4 и применение колонки для увеличения содержания бензола в паровой фазе. Приведен эскиз аппарата и метода определения. Метод особенно пригоден для анализа продуктов из таллового масла. Продолжительность р-ции этерификации 20 мин., а всего анализа 45 мин. В. Высотская

22814. Таблица для определения кубатуры деревянных столбов при пропитке. Андерсен, Кнудсен, Винтер (En kubiktabel for imprægneringsmaster. Andersen K. F., Knudsen M. V., Winther C. M.), Dansk skovfor. tidsskr., 1956, 41, № 1, 1—15 (датск.; рев. англ.)

Усовершенствованные таблицы для определения кубатуры столбов для электропередач, для длины столбов 6,7—18,2 м, при верхнем диаметре 12—23 см составлены в 2 вариантах: с 2 и 3 десятичными знаками. В основу таблиц положено известное уравнение ($V = \alpha \cdot T \beta \cdot L \gamma$), в котором α , β и γ представляют собой константы, вычисленные на основании статистич. обработки экспериментального материала. М. Нагорский

22815. Новый способ консервирования древесины на длительный срок путем ее химического изменения: Смит, Боттомс, Эйбрамс, Миллер (A new method for long term preservation of wood by chemical modification. Smith F. G., Walton, Bottoms Robert R., Abrams Edward, Miller Sigmund M.), Forest Prod. J., 1956, 6, № 9, 340—345 (англ.)

В древесине (Д), обработанной разб. водн. р-ром муравьинокислой Cu , при нагревании образуется комплекс « Cu —целлюлоза», устойчивый к выщелачиванию пресной и морской водой, а также аммиаком и предохраняющий Д от гниения и разрушения древоточцами. Доски из Д сосны, дуба, вяза предварительно выдерживали 30 мин. при $711-737$ мм рт. ст., пропитывали р-ром формата меди (максим. содержание Cu — $0,8\%$ от абсолютно сухого веса древесины) 1,5 часа при $12,5$ ат и после удаления пропиточного р-ра пропаривали 3—6 час. при $108-125^\circ$. Консервирование медными солями не влияет на электроизоляционные свойства Д и ее способность к окраске. Щела из консервированной Д пригодна для получения целлюлозы сульфатным и сульфитным способом. Бумага, изготовленная из такой целлюлозы, не поражается плесенью. Н. Рудакова

22816. Возможности контроля химической защитной обработки древесины в строительной практике. Кёртинг (Kontrollmöglichkeiten chemischen Holzschutzes im Bauwesen. Körtting A.), Holz-Zbl., 1957, 83, № 59, 757—758 (нем.)

Описаны способы контроля, применяемые при консервировании древесины фтористыми препаратами на стройках (определение конц-ии пропиточных р-ров по уд. весу, глубины пропитки, цирконизированной р-цией и др.).

Н. Рудакова

22817. Исследование возможности использования радиоактивных отходов атомных электростанций в качестве средств для защиты древесины. Зандерман, Кастен (Untersuchungen über die Verwertbarkeit radioaktiver Abfallstoffe von Atomkraftwerken als Holzschutzmittel. Sander mann Wilhelm, Casten Reinhard), Holz Roh- und Werkstoff, 1958, 14, № 1, 11—14 (нем.)

В связи с предполагаемым использованием отходов атомных электростанций для защиты древесины исследована возможность применения Sr^{90} для предохранения древесины и бумаги от термитов. Пропитка р-ром нитрата Sr^{90} с радиоактивностью 1 мюри в 1 мл предохраняла материалы от повреждения. Тела мертвых термитов были радиоактивны. Несмотря на хорошие защитные свойства Sr^{90} не может быть рекомендован из-за большой опасности радиоактивного излучения для людей и домашних животных.

М. Б.

22818. Исследования проникающей способности масляных и водных средств для борьбы с домовым жуком при наличии буровых ходов в древесине. Шульце (Untersuchungen über das Eindringvermögen ölgiger und wässriger Hausbock-Bekämpfungsmittel beim Vorhandensein von Bohrgängen im Holz. Schulze Bruno), Holz Roh- und Werkstoff, 1956, 14, № 6, 210—217 (нем.)

Проведены испытания подъемной и проникающей способности в стеклянных трубках и на модельных образцах древесины (Д) с искусственно пробурованными ходами, заполненными измельченной Д, образовавшейся в результате деятельности жука. Водн. средства (напр., смесь солей фтористоводородной к-ты) обладают такой же проникающей способностью, как и масляные средства. Однако масляные средства распространяются по буровым ходам, а водн. средства распространяются также и в глубь Д по сторонам бурового хода.

В. Высотская

22819. Статистические сведения большой электростанции о состоянии деревянных матч линий электропередач, пропитанных маслами и соевыми антисептиками. Варрельман (Feststellungen an öl- und salzpräparierten Holzmasten nach der Statistik eines großen Elektrizitätsversorgungsunternehmens. Warrelmann E.), Elektrizitätswirtschaft, 1956, 55, № 23, 869—873, Diskuss., 873—874 (нем.; рез. англ., франц., исп.)

Наблюдениями над более 400 тыс. деревянных матч линий электропередач установлено, что при пропитке солями в 88% случаях разрушаются наружные слои древесины, главным образом на уровне почвы, при обработке маслянистыми антисептиками в 76% случаях повреждается ядро древесины, наиболее сильно на высоте ~2 м от поверхности земли. Консервирование солями предпочтительнее.

Н. Рудакова

22820. Защита деревянных конструкций от древо-точцев. Крейшман К. К. (Zinātn. raksti. Latv. univ.), Уч. зап. Латв. ун-та, 1957, 13, 75—99

Обзор. Вибл. назв. 25.

22821. Биологические исследования поражений *Limnoria tripunctata* пропитанной креозотом древесины. Бекман, Мензис, Уэйкман (The biological aspects of attack on creosoted wood by *Limnoria*. Beckman Carolyn, Menzies R. J., Wake-man S. M.), Corrosion, 1957, 13, № 3, 32—34 (англ.)

Сваи из древесины, пропитанной креозотом (К), находившиеся под водой в течение 7 лет, были сильно

разрушены *Limnoria tripunctata*. Плотность популяции *L. tripunctata* в древесине, обработанной К, была значительно меньше, чем в необработанной. К понижает способность *L. tripunctata* к воспроизводству потомства, но не влияет на величину взрослых и молодых организмов.

Н. Руданов

22822. Выщелачивание пентахлорфенолата натрия и способы защиты от выщелачивания. Нисimoto, Фусэ (P. C. P. ソーダ鹽の溶脱性とその防止法について. 西本孝一, 布施五郎), 木材工業, Мокудай когё, Wood Ind., 1957, 12, № 122, 17—19 (японск. рез. англ.)

Приведены данные о выщелачивании пентахлорфенолата Na из древесины. В качестве защиты от выщелачивания указывается обработка меламиновой смолой, 2%-ной силиконовой смолой в течение 1 часа, амальсией $ZrSiO_4$ (I), 5%-ным водн. р-ром $Al_2(SO_4)_3$ (II) в течение 10 мин., расплавленным парафином в течение 1 мин. Наиболее эффективна обработка I и водн. р-ром II.

М. Савельева

22823. Предхранение деревянных деталей от повреждения влаги. Мэтьюсон (How wrapping keeps wood parts stable. Mathewson J. S.), Wood and Wood Prod., 1955, 60, № 8, 26, 48—49 (англ.)

Исследована эффективность предохранения деревянных изделий от увлажнения обертыванием их бумагой (крафт-бумага, пропитанная различными составами, или армированная фольгой). Наиболее эффективную защиту обеспечивали бумаги, армированные алюминиевой и виниловой фольгой.

М. Белецкий

22824. Развитие гидролизной промышленности. Шарков В. И., Хим. наука и пром-сть, 1957, 2, № 4, 402—407

Описаны основные в-ва, получаемые при гидролизе, их применение, способы гидролиза. Рассмотрены основные направления в области научных исследований.

А. Х.

22825. Сырьевые ресурсы гидролизного производства. Басин Д. М., Лопухов Е. И., Хим. наука и пром-сть, 1957, 2, № 4, 487—489

Рассмотрены возможные сырьевые ресурсы гидролизного произ-ва (лиственная древесина, отходы лесопиления и деревообработки, кукурузная кофейная камыш, хлопковая шелуха, подсолнечная лузга и др.), профиль гидролизных произ-в и их размещение.

А. Х.

22826. Опыт полунепрерывного гидролиза древесины. Ефимов В. А., Матусьяк Б. И., Гандеева А. И., Гидролизная и лесохим. пром-сть, 1957, № 7, 20—21

Описана схема опытно-промышленной установки для полунепрерывного гидролиза. При полунепрерывном гидролизе увеличивается съем сахара (С) с одной варки на 42% и выход С от веса абсолютно сухой древесины на 12%; конц-ия С в гидролизате повышается на 22%; гидромодуль выдачи снижается на 10%, производительность 1 м³ полезной емкости гидролизатора повышается на 26%.

А. Хованский

22827. Производство этилового спирта гидролизом древесины разбавленной серной кислотой. Беляевский И. А., Хим. наука и пром-сть, 1957, 2, № 4, 432—436

Изложены принципы гидролиза и описан технологич. процесс. на з-дах, обеспеченных дешевым сырьем (отходы лесопиления) рекомендуется работа на сокращенном гидромодуле, т. е. 11—13. Для з-дов, перерабатывающих дровающую древесину, даны основные принципы, на основе которых должен быть разработан режим гидролиза.

А. Х.

22828. Гидролиз лузги подсолнечника малыми количествами концентрированной серной кислоты

Кальвина В. К., Зиле А. С., Latv PSR Zinātņu Akad. vēstis, Изв. АН ЛатвССР, 1957, № 8, 95—100 (рез. лат.).

Описаны опыты по гидролизу лузги подсолнечника при совмещении процессов размола на вибромельнице и гидролиза конц. H_2SO_4 (I) при модулях к-ты 1:0,3 и 1:0,2 с последующей термич. обработкой гидролизованной лузги при 80° и инвертированием 5%-ной I. В результате 15-мин. гидролиза и термич. обработки макс при модуле 1:0,3, так и при модуле 1:0,2 получен выход редуцирующих в-в 54—55% от абсолютно-сухой лузги. Расход I 0,36 кг на 1 кг сахара. А. Х.

22829. Пищевая кристаллическая глюкоза из древесины. Лебедев Н. В., Любин Б. О., Хим. наука и пром-сть, 1957, 2, № 4, 437—443

Обзор (технологич. схема произ-ва глюкозы из древесины конц. HCl; метод гидролиза конц. H_2SO_4). Библ. 30 назв. А. Х.

22830. Фурфурол. Мельников Н. П., Хим. наука и пром-сть, 1957, 2, № 4, 425—431

Обзор (процесс образования фурфурола, методы получения и применения). Библ. 48 назв. А. Х.

22831. Отходы целлюлозной промышленности как сырье для бродильной промышленности. Карчевская (Odrady przemyslu celulozowego jako surowiec dla przemyslu fermentacyjnego. Karszewska Helena), Przem. spożywczy, 1957, 11, № 10, 436—438 (польск.; рез. русск., англ., нем., франц.).

Отработанные сульфитные щелока рекомендуются использовать для произ-ва спирта с повышенным выходом (применение соответствующих штаммов дрожжей), произ-ва дрожжей и других различных продуктов брожения (ацетон, бутанол). А. Х.

22832. Микробиологическая переработка отработанного сульфитного щелока. Уайли (The microbiology of spent sulphite liquor. Wiley Averill J.), Tappi Monogr. Ser., 1955, № 15, 226—254 (англ.).

Рассмотрены микробиол. способы переработки щелоков (III) в этиловый и бутановый спирты, ацетон, молочную к-ту, летучие к-ты, метан, 2,3-бутиленгликоль и другие в-ва. Библ. 98 назв. Ю. Ч.

22833. Содержание серы в сульфитном спирте и спиртах иного происхождения. Пельтонен, Нейеншвандер, Суомалайнен (Der Schwefelgehalt von Sulfitspirit und Spritsorten anderen Ursprungs. Peltonen Risto J., Neuenschwander P., Suomalainen Heikki), Z. Lebensmittel-Untersuch. und-Forsch., 1956, 104, № 5, 335—339 (нем.).

Среднее общее содержание серы в исследованных образцах сырого сульфитного спирта (СС) составило 0,55 мг/л; в пробах, свободных от метанола, — 0,47 мг/л; в спирте-сырце из картофеля и зерна от 1,25 до 1,93 мг/л; в очищ. образцах сульфитного и картофельного спиртов 0,22 и 1,18 мг/л, соответственно. По содержанию в отдельных фракциях СС серы имеются индивидуальные различия между продуктами разных э-дов. Л. Х.

22834. Подбор урожайных дрожжей для дрожжевых цехов сульфитно-спиртовых заводов. Крючкова А. П., Коротченко Н. И., Гидролизная и лесохим. пром-сть, 1957, № 7, 24—27

Для работы дрожжевых цехов рекомендуются расы СК-4 и СК-5 дрожжей. *C. tropicalis*, а также складчатая раса этого вида СК-5. При выращивании дрожжей, способных к брожению, в среде с глюкозой SO_2 связывается с С-О группой и вредное его влияние снижается, 0,4% альдегидносвязанного SO_2 и 0,2% титруемого SO_2 прекращает рост дрожжей рода *Candida*, выделенных на сульфитно-спиртовых з-дах.

А. Хованская

22835. Производство и использование кормовых дрожжей. Крючкова А. П., Фишер П. Н., Хим. наука и пром-сть, 1957, 2, № 4, 451—458

Приведены данные по составу кормовых дрожжей и использованию. Описана технология их произ-ва и ее развитие в Советском Союзе. А. Х.

22836. Новая схема производства дрожжей на Бирюсинском гидролизном заводе. Доценко И. П., Таланцева К. К., Гидролизная и лесохим. пром-сть, 1957, № 7, 16—18

Описана новая технологич. схема выделения дрожжей методом непрерывной флотации. При работе по этой схеме выход товарных дрожжей от общего содержания редуцирующих в-в повысился до 30%, содержание белка в дрожжах возросло до 47—50%. Расход хим. пеногасителя на 1 т товарных дрожжей составляет 25 кг (снижение в 2 раза против плана). Расход электроэнергии сократился до 2400 кет-ч в сутки, сократилось число рабочих и текущий ремонт.

А Хованская

22837 К. Химическая технология древесины. Учебник для III и IV курсов лесных техникумов по специальности механическая технология древесины. Христов, Латинов, Аладжов (Горская химическая технология. Учебник за III и IV курс на горските техникуми, специалност Механична технология на дървесината. Христов Цв., Латинов Гр., Аладжов В. София, Нар. просв., 1956, 288 стр., ил., 9 лв.) (болг.).

22838 К. Химическая технология древесины. Пособие для 4-годичных техникумов лесной промышленности. Войцеховский (Chemiczna technologia drewna. Podręcznik dla (4-letnich) techników przemysłu leśnego. Wojciechowski Tadeusz, Warszawa, Państw. Wydawn. Roln. i Leśne, 1955, 242, 2 ниб. s., ил., 9.10 zł) (польск.).

22839 Д. К химии терпенов. 1. Изучение живичного скипидара с аномальной температурой кипения и продуктов его каталитической изомеризации. 2. Продукты каталитического формилирования камфена. Крекель (Beiträge zur Chemie der Terpene. 1. Untersuchung eines Terpentinsöls abnormer Siedelage und dessen katalytischer Umlagerungsprodukte. 2. Betrachtung der katalytischen Formylierungsprodukte des Camphens. Krekel Georg.— Diss., F. f. allg. Wiss., T. H., Aachen, 1954, 55, Bl., ил.—Maschinenschr.) (нем.).

22840 Д. О выделении восков из хвойных. Панеш (Über Wachsabscheidungen von Koniferen. Papesch Ernst. Diss. Graz, 1955, 108,6 Bl. Maschinenschr., Oesterr. Bibliogr., 1955, № 20, 15 (нем.).

22841 Д. Получение фурфурола из местных и новых видов сырья и его стабилизация. Щербakov А. А. Автореф. дисс. канд. хим. н., Ин-т лесохоз. промблем АН ЛатвССР, 1957

22842 П. Очистка сырого ацетона. Джорис (Purification of crude acetone. Joris George G.) [Allied Chemical and Dye Corp.]. Канадск. пат. 510466, 1.03.55
Загрязненный альдегидами ацетон (I) обрабатывают пропитанными гидроокисью щел. металла активированным углем, графитом, трепелом, асбестом, пемзой, коксом, MgO или анонообменивающими сульфированными фенолформальдегидными смолами. Напр., I пропускают через активированный древесный уголь, содержащий 4—30% (6—20) NaOH. Отделенный от продуктов полимеризации альдегидов перегонкой очищ. I удовлетворяет технич. условиям. NaOH регенерируют вымыванием водой при повышенной т-ре.

М. Щекина

22843 П. Сосуд для пропитывания древесины под давлением через просверленные отверстия. Хезе (Druckbehälter zur Bohrlochtränkung von Holz. Heese Bodo) [Hans Hauenschild Chemische Fabrik K. G.]. Пат. ФРГ 928161, 7.04.55

Сосуд имеет цилиндрич. камеру, сквозь крышку которой проходит шпindel, соединенный посредством пружины с поршнем; в днище камеры устроено сопло для ввода под давлением пропитывающего средства в просверленные в древесине отверстия. Приложен чертеж.

Г. Брахман

22844 П. Способ защиты древесины от разрушения. Кацман (Verfahren zum Schutz von Holz gegen Angriffe der Bohrmuschel. Katzschmann Ewald) [Imhausen Werke G. m. b. H.]. Пат. ФРГ 932453, 1.09.55

Для защиты подводн. сооружений от *Teredo navalis* древесину обрабатывают жирными к-тами (I) с цепью из 4—12 атомов С, напр. I из первого погона продуктов окисления парафинов или смесями I. К I можно добавлять высокохлорированные нафталины. Пример: Еловые бревна диам. ~25 см, пропитанные в кол-ве 3,6% (от их веса) I и сосновые бревна, пропитанные 36,2% — (от их веса) 5%-ным р-ром высокохлорированного нафталина в I в течение 4 сезонов в воде не подвергались разрушению *T. navalis*.

В. Нагорский

22845 П. Способ пропитки древесины. Зимон, Рабовский (Verfahren zum Imprägnieren von Hölzern. Simon Arthur, Rabowsky Hans). Пат. ГДР 10075, 11.07.55

Для пропитки древесины рекомендуется масляная паста, содержащая смоляное масло и консервирующие соли (бихромат, арсенат и фторид), pH которой доводят до ~8 для предупреждения восстановления бихромата в неспособные к диффузии соединения 3-валентного Cr и повышения устойчивости консервирующих свойств пасты. Пример 1. 12 ч. хромата калия (I), 10 ч. динатрийарсената (II), 1 ч. отработанного сульфитного щелока (III), 2 ч. воды, 2 ч. трепела и 12 ч. масла из каменноугольной смолы (IV) перемешивают при pH до ~8, до образования пасты. Пример 2. 20 ч. I, 10 ч. II, 10 ч. NaF, 2 ч. отработанного III, 5,4 ч. воды, 20 ч. III смешивают при pH ~8 до образования пасты.

К. Бокарев

22846 П. Средство против гниения и плесневения древесины, бамбука, волокна, рыболовных сетей и т. д. Танаба (木材, 竹, 纖維, 漁網の防霉, 防虫並びに防虫劑の製造方法. 田邊浦郎). Японск. пат. 6500, 13.09.55

В эмульсии или суспензии синтетич. смол непосредственно растворяют пентахлорофенолят Na или аммония, либо вводят их водн. р-ры. В качестве смол используют винилхлорид, винилацетат, винилиденхлорид или сополимеры винилхлорида и винилацетата, винилхлорида и винилиденхлорида, винилхлорида и акрилонитрила. В качестве пластификаторов используют: трикрезилфосфат, дибутилфталат, диоктилфталат, диоктиладипат. Методы обработки: впрыскивание под давлением, пропитка, покрытие, обрызгивание с последующей сушкой. Пример: в 100 кг эмульсии сополимера винилхлорида и винилацетата распускают 5 кг пентахлорофенолята Na.

А. Фрадкин

22847 П. Способ защиты органических материалов от разрушения организмами (Sätt att skydda organiska ämnen mot biologiska angrepp) [J. Marian]. Шведск. пат. 155552, 7.08.56

Органические материалы покрывают продуктами конденсации тиомочевны (I), или ее гомологов с альдегидами (II) с добавлением соединений Cu, Zn, Cd, Pb, Co, Ni, Fe, Cr, Mn или Ag; помимо I, ее гомологов и продуктов ее замещения, применяют анало-

гичные смолообразующие в-ва; в качестве II применяют формальдегид (III), его гомологи или алифатич. или гетероциклич. Соединения и продукты их замещения, как напр. ацетальдегид, бензальдегид или фурфурол. К р-рам этих в-в добавляют эмульгаторы и диспергаторы. Пример. Свежераспиленным сосновые доски покрывают или погружают в 2%-ной водн. р-р Cu-комплекса продукта конденсации I и III, содержащего 0,3% Cu; высушенные доски устойчивы к синей гнили.

К. Герифальд

22848 П. Способ пропитки тканей и дерева огнеупорными составами. Руйе (Procédé pour imprégner les matériaux d'une produits ignifuge et matériaux conformes à ceux obtenus. Rouyer B. J.). Франц. пат. 1059618, 26.03.54 [Chem. Zbl., 1955, 12, № 24, 5687 (нем.)]

Строительный лес пропитывают р-ром силиката K с конц-ией ~24° Bé, а фанеру и другие изделия из древесины, а также ткани, платки и ковры — р-ром силиката K с конц-ией 14° Bé. Пропитанный материал окрашивают составами, сделанными огнеупорными указанным способом.

Ю. Вендельштейн

22849 П. Водосвязывающие средства для консервирования древесины паст, содержащих щелочные вещества. Даймлер, Лоренц (Wasserbindungsmittel für alkalische Stoffe enthaltende, Nährige Osmotierungspasten für Holz. Daimler Karl, Lorenz Viktor) [Farbwerke Hoechst A. G. vorm. Meister Lucius & Brüning]. Пат. ФРГ 930952, 28.07.55

Для предотвращения смывания с поверхности древесины консервирующих паст, содержащих щел. в-ва (феноляты, нафтоляты), предложено введение в состав паст водорастворимых солей гумиановых к-т, применяемых в виде щел. гуматов в кол-ве ~8% от общего состава пасты или в виде 33%-ной водн. пасты из размолотого бурого угля (22% от состава пасты) с добавлением щелочей (~5% 45%-ного р-ра NH_4OH , Na_2CO_3 , $(\text{NH}_4)_2\text{CO}_3$).

Ю. Вендельштейн

22850 П. Изготовление сложных клееных деревянных частей (Method of forming composite glued wooden members, and wooden members formed by the method) [Instytut badawczy Lesnictwa]. Англ. пат. 716347, 6.10.54

Матцы, сваи, строительные балки или железобетонные шпалы изготавливают спрессовыванием клееных деревянных элементов (Э) оставшая внутри свободные проходы. На поверхности Э наносят клеящую и связывают Э так, чтобы в поперечном сечении готовой части было одинаковое число протоков для равномерного нагревания и пропитки. Спрессовывание части пропитывают в креозоте при 140°, оставая в нем до охлаждения.

Ю. Вендельштейн

22851 П. Способ защиты поверхностей строительных материалов. Шмюккер (Verfahren zum Schützen von Baustoffoberflächen. Schmücker Bernhard) [Deutsche Bundesbahn, vertreten durch das Bundesbahn-Zentralamt Minden]. Пат. ФРГ 909185, 15.04.54 [Chem. Zbl., 1955, 126, № 29, 6828—6839 (нем.)]

На свежую, еще клейкую грунтовку, которой открыто дерево, филленка, прессованное дерево или штукатурка, наносят покрытие, содержащее преимущественно эмульсию поливинилацетата или поливинилакрилата, наклеивают слои пряжи, ткани или материалов, подобных бумаге, и снова покрывают или опрыскивают указанными эмульсиями.

Ю. В.

22852 П. Способ перегонки сброженного сульфитного отработанного щелока. Седерквист (Sätt att destillera jäst sulfittavfallsut. Cederquist K. N.) [Stora Kopparbergs Bergslags AB]. Шведск. пат. 153849, 27.03.56

Выделение содержащих спирт паров из сброженного щелока и концентрирование спирт. конденсата про-

наводит в отдельном корпусе. Пары, отходящие при дистилляции, используют для получения свежего пара, а вновь поступающий сброженный щелок подогревают отходящим отогнанным р-ром; свежий пар, получаемый при дистилляции, сжимают и возвращают в тот же перегонный аппарат в качестве острого пара для отгонки спирта из новой порции сброженного щелона; тепло утилизируют полностью с использованием пара, получаемого при концентрировании щелока, проводимом при более высоком давлении, чем дистилляция. Приложена схема оборудования.

М. Нагорский

См. также: Ферментативный синтез лигнина 8809Бх. Колл. анализ терпенов по ИК-спектрам 21242

ЖИРЫ И МАСЛА. ВОСКИ. МЫЛА. МОЮЩИЕ СРЕДСТВА. ФЛОТОРЕАГЕНТЫ

Редактор А. А. Зиновьев

22853. Успехи маслосебно-жировой промышленности за годы Советской власти, Маслосеб.-жир. пром-сть, 1957, № 10, 1—5

22854. Жиры и масла. Миккель (Masti i ulja. Mikijel) Duro L., Nova trgovina, 1956, 9, № 1, 43—50 (серб.-хорв.)

22855. Сравнительные абсолютные выходы неочищенного и нейтрального масел при различной подготовке хлопковой мятки. Ивс, Молейсон, Поллард, Спадаро (Comparative absolute yields of crude and neutral oils from variously prepared cottonseed meats. Eaves P. H., Molaison L. J., Pollard E. F., Spadaro J. J., J. Amer. Oil Chemists' Soc., 1957, 34, № 4, 156—159 (англ.))

В лабор. условиях исследовано влияние на выход неочищ. и нейтр. хлопковых масел способа подготовки материала к экстракции. Показано, что: 1) способ подготовки экстрагируемого материала оказывает существенное влияние на выход неочищ. масла, но не оказывает влияния на выход нейтр. масла: весьма незначительная разница в выходах последнего находится в пределах ошибки определения; 2) наибольший абсолютный выход неочищ. масла (включая и содержание жира в шроте) получен при экстракции лепестка сырой мятки, средний выход — при обычном темпировании мятки с увлажнением ниже т-ры кипения воды и наименьший выход — при жарении мятки; 3) разница в выходах неочищ. масла при разных способах подготовки материала к экстракции объясняется, главным образом, различным содержанием в нем оксигириных к-т и госсипола; 4) содержание фосфатидов в неочищ. масле, полученном при первых двух способах подготовки материала одного и того же порядка, при третьем — значительно меньше; 5) содержание неомыляемых в неочищ. масле при всех способах подготовки экстрагируемого масла одинаковое; содержание свободных жирных к-т уменьшается в том же порядке, как и выход неочищ. масла.

Г. Фрид
22856. Переработка семян подсолнечника без отделения оболочки. Кириллов Ф. Г., Маслосеб.-жир. пром-сть, 1957, № 3, 4—5

Проверен способ переработки по схеме «форпрессование — экстракция» семян (С) высокомасличного подсолнечника в необрушенном виде, но предварительно измельченных на гуллерах, а затем на 5-валковых станках. Сравнительные показатели, полученные при переработке С без отделения лузги и в обрушенном виде, составили соответственно: производительность экстрактора 194,6 и 215,8 т семян в сутки, продолжительность одного оборота шнека загрузочной колонны 72 и 108 сек., средняя масличность шрота

0,91 и 1,29%; общие потери масла 0,58 и 0,82%, выход шрота 56,28—56,55% и 34,91%, содержание протеина в шроте 34,6—35,6% и 48—50%, уд. вес форпрессового масла в общем выходе масла 67,7 и 80,7%. И форпрессовое и экстракционное масло из необрушенных С имеют нормальную цветность и хорошо рафинируются с 10—20%-ным избытком щелочи. Помимо устранения потерь масла с отходящей лузгой и снижения общих потерь, технологич. схема допускает исключение ряда машин и транспортных элементов и высвобождение производственных площадей. Недостатки способа (пониженная производительность экстрактора и уменьшение выхода форпрессового масла по отношению к экстракционному) устраняются надлежащей подготовкой оборудования, более тщательной отработкой режима влаготепловой подготовки материала и прессованию, подбором зерных зазоров и соответствующих чисел оборотов прессующего вала. Г. Фрид

22857. О модернизации и выборе масложатрэкционных установок. Лучин Б. Г., Маслосеб.-жир. пром-сть, 1957, № 3, 11—14

Описаны конструктивные изменения, внесенные в аппаратуру масложатрэкционных цехов, а именно: установка между жатрэкционной колонной и шнековым испарителем (И) спец. приспособления для отжима бензина (слабой мисцеллы) из шрота; установка в верхней части жатрэкционной колонны дополнительного зернового фильтра-контролера для предотвращения перебросов р-рителя; дооборудование нижнего узла жатрэктора насосом и системой форсунок для обеспечения интенсивной рециркуляции р-рителя и ускорения процесса жатрэкции; установка форсунок на каждой царге загрузочной колонны с подводом к ним мисцеллы или чистого р-рителя с целью гидравлич. размыва запрессовок на отдельных участках колонны; изготовление составных, соединенных муфтами, бильных валов И; перевод на работу под вакуумом трех нижних секций И в связи с различными условиями конденсации паров, выходящих из верхней и нижней секций И; установка самостоятельных сухих и мокрых шротоловушек для очистки паров бензина, выходящих из каждой секции И; увеличение диаметра сухой шротоловушки; затем горизонтального конденсатора вертикальным с одновременным увеличением поверхности охлаждения со 100 до 150 м²; замена действующих фильтрпрессов для мисцеллы патронными фильтрами непрерывного действия меньшего веса. Принята двухступенчатая система дистилляции, первая ступень которой будет производиться в вертикальных аппаратах с развитой поверхностью испарения, а мисцелла на окончательную дистилляцию будет подвергаться перегреву и вырскиваться в аппарат, работающий под вакуумом, для ее распыления и мгновенного испарения бензина. Предусматривается осуществление дистанционного управления всеми аппаратами с размещением пульта управления в изолированном помещении цеха. Приведена характеристика и дана оценка современных промышленных конструкций непрерывно действующих жатрэкторов. Описано аппаратное оформление и показаны преимущества и недостатки способа фильтрации-жатрэкции.

Г. Фрид
22858. Опыт работы масложатрэкционного завода в Финляндии. Колтыпин А. Л., Минасян М. А., Маслосеб.-жир. пром-сть, 1957, № 4, 38—41

Описаны элеваторное хозяйство для приема и хранения семян, сушилки, способ транспортировки сырья в силосы и из последних в произ-во, а также оборудование масложатрэкционного з-да Вехна в г. Турку. Подробно описана схема процесса жатрэкции и режим работы отдельных видов оборудования.

Г. Фрид

22859. Экстракция масла *Bassia longifolia* селективными растворителями. Натх, Шаха (Solvent segregation of mohua oil. Nath A. K., Saha A. N.), Indian Soap J., 1955, 21, № 6, 125—127 (англ.)

Проведены результаты разведывательных опытов по селективному фракционированию масла *B. longifolia* этиловым спиртом, перегнанным над негашеной известью при 60°, и смесью 5% бутилового и 95% этилового спиртов при 30° с целью отделения насыщ. глицеридов от ненасыщ. и извлечения неомыляемых в-в. Показано, что указанные р-рители не обладают селективностью по отношению к ненасыщ. глицеридам, т. к. йодные числа (ЙЧ) полученных фракций мало отличались от ЙЧ исходного масла.

М. Землянухина

22860. Поведение фаз в системах «жирные кислоты — хлорированный растворитель». Прекшот Нурри (Phase behavior of fatty acids — chlorinated solvent systems. Preckshot George W., Nouri F. J.), J. Amer. Oil Chemists' Soc., 1957, 34, № 4, 151—155 (англ.)

Изучена растворимость пальмитиновой (I), стеариновой (II) и олеиновой (III) к-т (со степенью чистоты 99%) в х. ч. дихлорэтаноле (IV), CCl_4 (V) и трихлорэтилене (VI) при различных т-рах, а также тройных систем I—III—IV, I—III—V, II—III—IV и II—III—VI. Влияние III на взаимную растворимость с I больше, чем влияние II. Наибольшая взаимная растворимость получается при использовании IV. В. Белобородов

22861. Инертный газ в промышленности растительных масел. Деппер (Inertgas in der Pflanzenölinindustrie. Depmer W.), Seifen-Öle-Fette-Wachse, 1957, 83, № 15, 443 (нем.)

В США широко распространено применение инертного газа как защитного средства при процессах экстракции, что в ряде случаев (остановка экстракторов и т. д.), устраняет возможность взрыва. Инертный газ рекомендуется также применять при складировании пищевых масел для предупреждения их окисления. Этот метод начал распространяться и в Германии, причем применение генераторов в 7,5 раз удешевляет газ (по сравнению с баллонами). Приведена таблица свойств применяемых в Германии инертных газов. М. Пасманик

22862. О составе периллового масла. Тисшер (Über die Zusammensetzung von Perillaöl. Tischer J.), Fette, Seifen, Anstrichmittel, 1957, 59, № 5, 313—317 (нем.; рез. англ., франц., исп.)

Исследованы три образца периллового масла (М), полученных экстракцией бензином из семян *Perilla ocimoides* L., разного происхождения. Содержание М в семенах соответственно: 38,29; 44,96 и 45,59%; воды: 6,04; 6,11 и 5,52%. Физ. константы М (уд. вес и рефракция) не отличаются от констант ранее исследованных М, но последние содержат больше линоленовой к-ты. Показано влияние климатич. условий на содержание в М линоленовой, линолевой и олеиновой к-т. С. Корз

22863. Изучение масел семян семейства «Cucurbitaceae», богатых кислотами с сопряженными связями. (Жирные кислоты *Momordica dioica* and *Trichosanthes cucurmerina*). Чакрабартти, Бхаттачария, Десаи, Пател (Studies on the seed fats of «Cucurbitaceae» family rich in conjugated acids. (The component fatty acids of *Momordica dioica* and *Trichosanthes cucurmerina*). Chakrabarty M. M., Bhattacharyya S., Desai M. J., Patel S. A.), Naturwissenschaften, 1956, 43, № 22, 523—524 (англ.)

Изучены свойства и состав масел из семян *Momordica dioica* и *Trichosanthes cucurmerina*. Установлено, что М. *dioica* и Т. *cucurmerina* принадлежат к двум различным классам семейства *Cucurbitaceae* и в состав

их жирных к-т входят, кроме олеиновой и линолевой, к-ты с тремя сопряженными двойными связями. При анализе масла семян найдено (для М. *dioica* и Т. *cucurmerina* соответственно) содержание масла (в %) 33,5 (на ядро, ядро составляет 65% от семян); 28 (от семян); неомыляемых 0,9; 1,2. Свободных жирных к-т (считая на олеиновую) 1,4 17,0. n_D^{40} 1,4945; 1,4841; число омыления 296,0; 300,8. ИЧ (по Вийсу, 30 мин.) 114,0; 134,7. Цвет масел М. *dioica* и Т. *cucurmerina* темно-коричневый. Физ.-хим. характеристика смесей жирных к-т (для М. *dioica* и Т. *cucurmerina* соответственно): число омыления 282,1; 287,0. ИЧ (по Вийсу) 120; 143,8. Е (1%, 1 см) при 270,5 мμ (неизомеризованных): 970; 635; при 268 мμ (изомеризация при 170°, 15 мин. 880; 575 при 234 мμ (изомеризация при 130°, 60 мин.); 240. Состав смеси жирных к-т (в вес. %): насыщ. к-т 27,1; 11,87; ненасыщ. к-т: олеиновой (норазности) 9,2; 32,84, линолевой 8,8; 19,83; с тремя сопряженными связями (на α-элеостеариновую) 54,9; 35,46. По составу жирных к-т эти масла принадлежат к числу высыхающих и могут быть использованы в лакокрасочной пром-сти. Т. Кефели

22864. Масло *Ongokea gore* (Hua), Pierre. Де-Врие (L'huile de boleko. De Vries Edward), Oléagineux, 1957, 12, № 7, 427—431 (франц.)

Масло (М) ядер плода *Ongokea gore* (Hua) содержит (в %): изановую к-ту (I) 51,4±0,4; изанолевую к-ту (II) 40±0,3; насыщ. твердые и жидкие жирные к-ты (ЖК) 3,0±0,5; линоленовую к-ту 1,6; ненасыщ. ЖК с низким мол. в. 4,0±0,5. Рекомендуется выделять М не прессованием, а экстракцией при 15° петр. эфиром или гексаном, что дает М лучшего качества (светлое, стойкое, не вязкое), богатое I. Конечная экстракция дает вязкое, темное М, богатое II. Для улучшения качества М испорченные ядра предварительно обрабатывают метанолом. М легко полимеризуется, образуя сухие, твердые, устойчивые по отношению к-тре пленки, пригодные для покрытия металлич. поверхностей, а также в лакокрасочной пром-сти и произ-ве линолеума. При обработке фталевым ангидридом и глицерином получают смолы, применяемые в живописи. При обработке М формалином образуются дезмультирующие в-ва. Кроме того, М может быть применено в резиновой, авиационной (незамораживающие покрытия), нефтяной пром-сти и в пром-ве нейлона. Е. Смольянинова

22865. Некоторые лабораторные исследования гидратированного хлопкового масла. Сайкс (Some laboratory investigations of degummed cottonseed oil. Sikes James K.), J. Amer. Oil Chemists' Soc., 1957, 34, № 2, 72—75 (англ.)

Гидратация хлопкового масла в гексановой мисцелле (конц-ия 8%) перемешиванием ее с 2,5% воды при 49° протекает без затруднений и в полученном масле содержится меньше свободного госсипола, чем в обычном гидратированном масле вследствие значительного повышения растворимости госсипола в гексане (с 25 до 66,6%) при повышении т-ры с 25 до 70°. Однако рафинация гидратированного указанным способом масла в мисцелле встречает затруднения, когда образующийся soapstock находится в масле в суспендированном виде. Для определения нейтр. масла в образце предложен хроматографич. метод. Предварительно взвешенный образец растворяют в эфире, пропускают через тщательно приготовленный столбик пылевидной окиси алюминия и затем вторично взвешивают образец после удаления из него р-рителя на водяной бане. Потери в весе представляет собой, однако, не действительные ожидаемые потери при рафинации, а сумму всех нелипидных компонентов масла (свободных жирных к-т, красящих в-в и т. п.); остаток — нейтр. масло. Г. Фрид

22866. К распознаванию этерифицированных масел, отличающихся от оливкового масла. Бартоли (Contributo al riconoscimento degli oli esterificati di natura diversa da quelli di oliva. Bartoli Aldo), Olearia, 1957, 11, № 12, 20—23 (итал.).

Для контроля чистоты оливкового масла рекомендуется метод определения т-ры застывания жирных к-т.

Л. Фрейдкин

22867. Влияние технологических процессов на питательную ценность растительных жиров. Рутковский, Макус (Wplyw procesow technologicznych na wartość odżywczą tłuszczów roślinnych. Rutkowski Antoni, Makus Zdzisław), Przem. drożdżowy, 1957, 11, № 8, 333—337 (польск.; рез. русск., нем.).

Указано, что снижение питательной ценности растительных жиров происходит в основном в процессах рафинирования и отверждения, поэтому следует эти процессы проводить с особенной тщательностью. Приводятся параметры, оказывающие влияние на питательную ценность растительных жиров. М. Рейбах

22868. Получение фосфатидного концентрата и масла повышенного качества. Баглай Г. И., Паткадов Е. Т., Ржехин В. П., Семенов Е. А. Маслоб.-жир. пром-сть, 1957, № 7, 7—10

Описана простая схема непрерывной гидратации с получением масла повышенного качества и пищевых фосфатидов (Ф). Производительность ~ 75 т масла в сутки при среднем выходе Ф ~ 1,5% к весу масла. Схема обеспечивает высокую степень диспергирования небольших кол-в воды в масле (0,2—0,5%), что дает меньший расход воды и возможность применять дистил. воду.

И. Вольфензон

22869. Способ отделения фосфатидов от растительных масел. Лу Ин-лунь (植物油脫脂法, 陸穎倫), 化學世界, Хуасюэ шицзе, 1955, № 9, 428 (кит.).

22870. Спектрофотометрический метод определения пигментов в растительных маслах. Стерлин В. Я., Миронова А. Н., Маслоб.-жир. пром-сть, 1956, № 4, 10—12

С помощью спектрофотометрич. анализа исследовалось содержание различных пигментных групп (хлорофилл, каротиноиды, госсипол) в растительных маслах (подсолнечном, хлопковом, соевом и рапсовом) после рафинации различными способами. Установлено, что для пищевых масел желательно ограничивать степень рафинации, при которой удаляются лишь определенные пигменты, так как при отбелке из масла удаляется значительная часть каротиноидов и в глицеридной части масла появляются изомеры жирных к-т с сопряженными связями. В. Капников

22871. Скваленовое число. Вильяльба-Гомес (Indice de escualeno. Villalba Gomez Gladys M.), Rev. sanidad y asist. social, 1956, 21, № 3—4, 155—169 (исп.).

Ввиду того, что характерным по сравнению с другими растительными маслами компонентом оливкового масла является сквален, предложено для открытия и оценки оливкового масла определять так называемое «скваленовое число» (СЧ). СЧ выражается в мг сквалена (в мг), находящегося в 100 г исследуемого масла. Ранее описанным методом определения С (Fihelson, J. Assoc. Offic. Agric. Chem., 1943, 26, 400, Assoc. Offic. Agric. Chem., 1950, 422) найдено СЧ (данные приведены в таблицах) для многих образцов оливкового масла; показано, что миним. СЧ составляет 32, максим. 576 (среднее арифметич. 387, 54). Полученные результаты приведены в таблицах. Т. Леви

22872. Оценка вкуса и запаха жиров и масел. Эванс (Flavor evaluation of fats and oils. Evans C. D.), J. Amer. Oil Chemists Soc., 1955, 32, № 11, 595—604 (англ.).

Указано, что вкус и запах до сих пор определяют лишь органолептически; методы объективного контроля отсутствуют. Альдегиды с короткой цепью и жирные к-ты, образующиеся в процессе окисления жиров, ощутимы в конц-ии порядка 4·10⁻⁵%. Органолепт. оценка требует спокойной обстановки. Масла лучше пробовать теплыми (45°). Величина пробы 7,5—10 мл на одного эксперта. Прогорклость жиров органолептически улавливается гораздо тоньше, чем методами аналитическими.

В. Мазюкевич

22873. Соапсток хлопкового масла. Пандия (Cottonseed oil soap stock. Pandya Y. L.), Bombay Technologist, 1957, 7, Febr., 95—99 (англ.).

Описаны состав, свойства и возможные способы обработки соапстока, полученного при рафинации хлопкового масла на индийских з-дах. Рассматриваются возможные способы выделения из соапстока свободных жирных к-т, обесцвечивания соапстока и выделения из него фосфатидов. Библи. 22 назв. Б. Хомутов

22874. К вопросу о характеристике копытных масел. Чамис (Unele completări în problema uleiurilor de corpi. Ceamis M.), Ind. ușoară, 1957, 4, № 7, 284—287 (рум.; рез. русск., нем., франц., англ.).

Приведены методики Г. Ланге и немецких стандартов DJN DVM для определения точки затвердевания копытных масел (М). Подчеркивается трудность обнаружения в них добавок растительных масел. Указаны следующие требования, предъявляемые к М 1 сорта: не мутнеть до -10°, тонкий слой М не должен высыхать в течение 24 часа. при 50°, йодное число должно быть в пределах 65—90. М не должны содержать растительных масел. Содержание окислителей (в пересчете на олеиновую к-ту) < 2%. А. М.

22875. Доказательство наличия рафинированного свиного жира I: «Анилиновая точка». Кауфман, Тиме II. Ультрафиолетовый спектр поглощения. Кауфман, Тиме, Фольберт (Der Nachweis der Raffination von Schweineschmalz I. Der Anilinpunkt. Kaufmann H.-P., Thieme J. G., II. Das UV-Absorptionsspektrum. Kaufmann H. P., Thieme J. G., Volbert F.), Fette, Seifen, Anstrichmittel, 1956, 58, № 8, 585—592; № 11, 995—996 (нем.; англ., франц., исп.).

I. Для отличия свежего нерафинированного свиного жира от подвергнутого рафинации какого-либо пищевого жира предложен метод, основанный на определении т-ры, при которой начинается расслоение смеси жира и анилина («анилиновая точка» (А)). Величина А зависит от физ.-хим. показателей жира, и она тем ниже, чем выше число омыления (ЧО), кислотное число и йодное число (ИЧ) жира, причем зависимость А от ИЧ выражается формулой $K = 3,12 A + ИЧ$, где $(K = 167,5 \text{ в среднем})$, при ЧО 190—200. $K = A_0 \cdot A + ИЧ$, где A_0 — тангенс угла наклона прямой, графически представляющей зависимость А от ИЧ, а К численно равно ИЧ при $A = 0$. Повышение содержания продуктов окисления жира и его гидроксильного числа снижает величину К. При рафинации несвежего, порченного жира, подвергнутого окислительным процессам, величины А и К заметно снижаются. Для установления факта рафинации испытуемого жира рекомендуется также определение его гидроксильного числа.

Г. Фрид

II. Метод основан на обнаружении спектральным путем сопряженных диенов и триенов в рафинированных жирах. Указанные сопряженные диены и триены в нерафинированных жирах практически отсутствуют.

Г. Шураев

22876. Порча растительного масла. Руккенштейн (Alterarea uleiului vegetal. Ruckenstein C.), Rev. ind. aliment. prod. vegetale, 1957, № 6, 11—13 (рум.).

Обсуждаются физ.-хим., биохим. и хим. явления, наблюдающиеся при порче растительных масел, и факторы, их вызывающие. Приведены методики определения в них перекисных чисел, содержания кетонных и альдегидов.

А. Марин
22877. Кинетика окисления жиров. Кнорре Д. Г., Ляскова Ю. Н., Эмануэль Н. М., Изв. АН СССР. Отд. хим. н., 1957, № 6, 678—683

Изучена кинетика окисления свиного жира-сырца (Ж), который вытапливался и хранился под вакуумом. Сняты кинетич. кривые накопления перекисей при окислении Ж при различных т-рах. Установлено, что процесс окисления состоит из двух стадий: начальной с несильным автоускорением и энергией активации (Е) 20—25 ккал и второй, протекающей с большой скоростью до достижения максим. конц-ии перекисей. Даны кинетич. кривые зависимости скорости окисления Ж от т-ры на двух стадиях окисления и значения Е. Изучено влияние агрегатного состояния Ж на Е при окислении Ж. Сняты кинетич. кривые окисления Ж без антиокислителя и в присутствии третичного бутилоксианизола. Добавка третичного бутилоксианизола удлиняет первую стадию окисления, не влияя на Е этой стадии, но резко затормаживает окисление на второй стадии. Однако после некоторой задержки скорость р-ции окисления увеличивается вследствие уничтожения ингибитора. Высказано мнение, что наличие двух стадий окисления связано с наличием в Ж природного антиокислителя, по истощении которого начинается быстрое окисление.

А. Войцеховская
22878. Действие ионизирующего облучения на эфиры жирных кислот. Чипаулт, Приветт, Мидзуно, Никкелл, Лундберг (Effect of ionizing radiations on fatty acid esters. Chipault J. R., Privett O. S., Mizuno G. R., Nickell E. Christense, Lundberg W. O.), Industr. and Engng Chem., 1957, 49, № 10, 1713—1720 (англ.)

Изучено влияние β- и γ-лучей на метилпальмитат, метилолеат, метиллинолеат, эфиры мансового масла, мансовое масло, свиной жир, сливочное масло и другие продукты, при облучении их в воздухе, в токе азота и в вакууме. Навески помещались на ленточный транспортер и пропускались с такой скоростью, чтобы они получали дозу радиации в 2—10⁶ фэр за один проход, и в другой серии опытов навески получали ту же дозу радиации за 20—30 мин. При облучении жиров в вакууме и в N₂ навески предварительно несколько раз дегазировались, затем через них пропускался азот для полного удаления растворенного O₂. Во всех опытах для миним. самоокисления навески после облучения плотно закрывались и помещались в рефрижератор с сухим льдом. В облученных в-вах определялись перекисные числа (ПЧ), карбонильные числа (КЧ), наличие сопряженных связей, а также проводилась органолептическая оценка. В жирах, облученных в воздухе, найдены значительные кол-ва перекисных соединений (ПС) и карбонильные соединения (КС). При облучении образуются окислы азота и озон, что также оказывает влияние на вкус и аромат. Органолептические изменения жиров наблюдались и при облучении их в вакууме, при этом ПС образуются мало, а КС — значительное кол-во. При облучении ненасыщ. жиров, содержащих 5% воды, β-лучами наблюдалось повышение ПЧ и КЧ. При облучении γ-лучами этого явления не наблюдалось. При облучении насыщ. жиров с 5% воды как в воздухе, так в вакууме, ПЧ и КЧ понижались. Вкусовые качества в обоих случаях не менялись. Результаты приведены в таблицах и графиках.

И. Вольфензон
22879. Действие аскорбиновой кислоты на окисление жира. Изучение соленой сельди. Маркузе

(Zur Wirkung von Ascorbinsäure auf die Fettantioxidation. Versuche mit Salzheringen. Marcuse R., Fette, Seifen, Anstrichmittel, 1956, 58, № 12, 1063—1066 (нем.; рез. англ., франц., исп.)

Изучено антиокислительное действие аскорбиновой к-ты (I), введенной в различные типы соленой сельди. Сельдь измельчали, добавляли I (0,1—5%) и в виде кашицы хранили в темноте по 20 г в чашках Петри при 10—20°. Периодически определяли перекисное число, внешний вид, запах. Малые конц-ии I могут ускорять процесс окисления, в то время как более высокие конц-ии I оказывают антиокислительное действие. Установлено, что с возрастанием pH от 5 до 7 антиокислительное действие I усиливается, а при малых конц-иях I приобретает антиокислительные свойства. Для исландской сельди переход от ускоряющего в замедляющее процесс окисления действие происходит при более низких pH. Полученные данные представлены графически.

А. Войцеховская
22880. Действие антиокислителей на йодное число жиров самоокисляющихся на воздухе. Карта (Effect of antioxidants on the iodine value of fats autoxidizing in air. Kartha A. R. S.), J. Scient. and Industr. Res., 1957, BC16, № 6, B271—B272 (англ.)

Изучены изменения йодных чисел (ИЧ) при усилении самоокисления жиров с антиокислителями (А) — гидрохиноном и бутилоксианолом. К навескам арахидного масла (перекисное число 190 ммоль O₂ на 1 кг жира) добавляли 0,05; 0,15; 0,25 или 0,50% А и выдерживают при 60° и 99° при периодич. перемешивании. Через определенные промежутки времени определяют ИЧ. Найдено, что ИЧ масел с А понижается значительно медленнее, чем без А, и чем выше конц-ия А, тем меньше понижение ИЧ. ИЧ масла, содержащего 16% перекисей, после прибавления 0,5% гидрохинона или бутилоксианола и выдерживания при 60° в течение 2600 час. не изменилось.

И. Вольфензон
22881. О проокислительном действии антиокислителей. Хейман, Пецольт (Über die prooxygene Wirkung von Antioxygenen. Heimann W., Pezold H. von), Fette, Seifen, Anstrichmittel, 1957, 59, № 5, 330—338 (нем.; рез. англ., франц., исп.)

Испытано действие синтетич. d, l-α-токоферола (I), введенного в различных конц-иях в свиной, говяжий жир, соевое масло и масло земляного ореха. Образцы жира по 25 г в открытых чашках Петри окисляли в сушильном шкафу при 60°. Определяли перекисные числа и рассчитывали защитный фактор — отношение индукционного периода (времени достижения перекисного числа 10) для образца, содержащего I, к индукционному периоду образца без антиоксиданта. Для животного жира антиокислительное действие I растет до достижения оптимальной конц-ии (~0,05%), затем падает. Для растительного масла при конц-ии I > 0,001% процесс окисления ускоряется. Приведены графич. зависимость роста перекисного числа от времени для жиров, содержащих I. Для системы свиной жир — I изучено влияние т-р (20—120°) на антиокислительное действие различных конц-ий I. Обсуждается кинетика действия I. Данные выражены графически и представлены в таблицах.

А. Войцеховская
22882. Антиокислительная активность протениновых компонентов коровьего молока. Сообщение I. Устойчивость витамина А в маргарине в присутствии компонентов молока. Ногуты, Баба (牛乳の成分とそのビタミン A 抗酸化作用について. I. マーガリン中の乳成分とビタミン A の安定性. 野口洋介, 堀崎春夫), 栄養学雑誌, Эйгэку дзасэн, Japan. J. Nutrition, 1956, 13, № 4, 17—20 (японск.; рез. англ.)

Изучено стабилизирующее действие протениновых компонентов молока по отношению к витамину А

продажном маргарине. Антиокислительное действие контролировалось перекисными числами, возрастание которых совпадало с уменьшением кол-ва витамина А.

Т. Кефели

22883. Гидрирование хлопкового масла связанным водородом. Соколовский Д. В., Гумарова Р. З., Докл. АН СССР, 1956, 111, № 3, 609—612

Изучено влияние различных факторов (т-ры, катализаторов, и др.) на сопрягаемые процессы системы тетралин (I) — хлопковое масло при атмосферном давлении. Дегидрирующая активность катализаторов возрастает в ряду $Ni | ZnO < Ni | Cr_2O_3 < Ni + Cu | Al_2O_3 < Ni | Al_2O_3$. При гидрировании хлопкового масла ($n_{D20}^{20} 1,475$, $d_4^{15} 0,91$) свободным H_2 уд. активность катализаторов одинакова. В случае связанного H_2 наименьшую активность имеет $Ni | ZnO$ (19% Ni), наибольшую $Ni | Al_2O_3$ (64% Ni); требуемая конц-ия донора H_2 соответственно 0,55 и 0,364 мол. долей. При увеличении конц-ии I (катализатор $Ni | Al_2O_3$) возрастает скорость дегидрирования, но снижаются скорость гидрирования и энергия активации с 8500 до 2000 кал/моль. Для сохранения максим. скорости гидрирования при понижении т-ры от 230 до 200° необходимо увеличить конц-ию I с 0,34 до 0,5 мол. долей. Наибольший эффект сопряжения достигается при т-ре прокалывания катализатора 325—350°, наименьший при 450—500°. Установлено, что метилолеат гидрируется на $Ni | Al_2O_3$ свободным H_2 полностью, а связанным только на 18—20%.

Н. Близняк

22884. Непрерывная гидрогенизация растительных масел в колонных аппаратах под давлением. Дерябин С. А., Зубов И. И., Дмитриевская М. В., Маслоб.-жир. пром-сть, 1957, № 6, 22—25

Описана схема полувзаводской установки колонного типа для непрерывной гидрогенизации жиров (производительность 12—14 т/сутки, рабочее давл. 15—30 атм). Расход медно-никелевого катализатора на 1 т масла 0,45—0,32 кг (в пересчете на Ni).

Н. Близняк

22885. Селективная гидрогенизация тунгового масла. Mills M. R., J. Oil and Colour Chemists' Assoc., 1957, 40, № 1, 10—22. Discuss., 22—23 (англ.)

Исследовано применение Ni-катализатора, искусственно отравлявшегося с помощью S и Se, для каталитич. изомеризации высыхающих масел; установлено, что селективность гидрогенизации тунгового масла в этих случаях сильно увеличивалась. Все опыты проводили при 140°. Как Se, так и S оказывали существенное влияние на избирательность р-ции. На различных стадиях гидрогенизации определяли скорость полимеризации.

Б. Шемякин

22886. К вопросу о селективности гидрогенизации подсолнечного масла в присутствии форматникелевого катализатора. Колесников Г. И., Тр. Красноподск. ин-та пищ. пром-сти, 1956, вып. 13, 23—26

Изучено влияние увеличения кол-ва катализатора на «радикальную» селективность гидрогенизации подсолнечного масла в присутствии свежего форматникелевого катализатора (0,075—0,15% в пересчете на Ni) при скорости водорода 3 и 0,5 л/мин (условия эксперимента см. РЖХим, 1956, 56473). Установлено, что селективность гидрогенизации не зависит от увеличения кол-ва катализатора при 180—220° и от величины подачи водорода. В обоих случаях степень проявления «радикальной» селективности остается постоянной.

Н. Близняк

22887. К вопросу фракционирования синтетических жирных кислот. Замышляева А. М., Болотин И. М., Ващенко М. З., Тр. Всес. н.-и. ин-та жиров, 1957, вып. 16, 120—130

В проведенных двух дистилляциях жирных к-т (ЖК), полученных при окислении парафина кислоро-

дом воздуха (среднее кислотное число (КЧ) ЖК 231,55, средний мол. в. 242,31), общий выход дистил. ЖК 79,67—85,09%. Проверен с положительным результатом и предложен метод отбора фракций ЖК по их КЧ. Этот метод более точен, так как разность между величинами КЧ, смежных в гомологич. ряду ЖК, значительно больше, чем разность между т-рами кипения тех же фракций. Рекомендованы следующие пределы КЧ для отдельных фракций: для (C_5-C_6) 516, (C_7-C_8) 391, $(C_{10}-C_{12})$ 295,5, $(C_{14}-C_{17})$ 252, $(C_{18}-C_{20})$ 188, выше C_{20} 165,3. Проверен также метод дробного осаждения в виде Ва-селей для исследования состава ЖК отдельных фракций, который дал хорошие результаты для фракций (C_5-C_6) , (C_7-C_8) и $(C_{10}-C_{12})$; для высокоплавких фракций метод сопряжен со значительными затруднениями в ходе анализа и не всегда достаточен. В этих случаях необходимо вести исследование метиловых или этиловых эфиров ЖК.

Г. Фриль

22888. К вопросу об очистке водорода. Сергеева А. Г., Маслоб.-жир. пром-сть, 1957, № 6, 20—22

Описаны схемы установок очистки водорода от влаги путем компримирования до давл. 30 атм (с последующим охлаждением) и от кислорода сжиганием части водорода в контактных печах с медным катализатором (стружка). При высоте слоя стружки 400 мм 1 см² ее площади очищает 0,3 м³/час водорода. Т-ра в реакторе 300—340°. Срок службы катализатора 1 год.

Н. Близняк

22889. Исследовательские работы по синтезу жирных кислот. Облуй (Badania nad syntezą kwasów tłuszczowych. Oblój J.), Przem. chem., 1955, 11, № 8, 457—462 (польск.; рез. русск., англ.)

Изучено каталитич. жидкофазное окисление парафина в жирные к-ты при атмосферном давлении и 100—160°. Лучшие результаты получены в присутствии 0,15% $KMnO_4$, с применением Са-пальмитата или Ва-стеарата результаты хуже. Оптимальные условия 120—140°, скорость пропускания воздуха 60—80 л/час на 1 кг парафина, время р-ции 18—25 час. При более длительном пропускании (до двух суток) возрастает кол-во оксикислот и эфиров. Отделение неомыляемых в-в перегонкой снижает качество продукта, потери составляют ~ 20%; при экстракции бензином (т. кип. 80—100°) потери ~ 5%.

И. Матвеева

22890. Промышленное применение дистиллированных жирных кислот льняного масла. Роу (Uses of distilled linseed oil fatty acids in industry. Rowe Richard), Plastics and Paint, 1957, 1, № 4, 29—31 (англ.)

22891. Разделение жирных кислот соевого масла при помощи мочевиного комплекса и влияние концентрации мочевины. Сакураи, Фудзивара (大豆油脂肪酸の尿素付加物生成による分離と尿素溶液の濃度条件. 櫻井光, 藤原正雄), 工業化学雑誌, Koré karaku dzasshi, J. Chem. Soc. Japan Industr. Chem. Sec., 1956, 59, № 1, 33—36 (японск.)

Разделение жирных к-т соевого масла при помощи продукта присоединения мочевины проводили при различных т-рах (5—30°) с р-рами мочевины разных конц-ий, соответствующих конц-ии насыщения при разных т-рах (10—30°). Отношение известной конц-ии мочевины и конц-ии насыщения названо относительной степенью насыщения (ОСН). Как показало сопоставление результатов, полученных при определенной ОСН, выход практически не зависит от т-ры р-ции. Р-цию предпочтительно проводить в пределах 10—25°.

Е. Гаврина

22892. Селективное присоединение мочевины к жирным кислотам. Субрахманьям, Ачая (Selective addition of urea with fatty acids. Subrahmanyam V. V. R., Achaya K. T.), J. Scient. and Industr. Res., 1957, BC16, № 6, B269—B270 (англ.)

Для изучения индукционного периода и скорости р-ции присоединения жирные к-ты (ЖК) сафролового масла и топленого говяжьего жира смешивают с 6 ч. 80%-ного этилового спирта, перемешивают при 28° (250 об/мин), добавляют 4 ч. мочевины в течение 30 сек. и продолжают перемешивать. Через определенный промежуток времени образовавшийся осадок быстро отфильтровывают под вакуумом, промывают 25 мл 95%-ного этилового спирта и определяют йодные числа (ИЧ) осажденных и оставшихся в р-ре ЖК. Найдено, что ИЧ для ЖК сафролового масла, оставшихся в р-ре после 5 мин. обработки мочевиной (178,1), близко к ИЧ линолевой к-ты (I) (181,4), и что этот метод может быть применен для выделения почти чистой I из сафролового масла с выходом 64%. С увеличением времени р-ции выход I уменьшается. В случае говяжьего жира даже после осаждения 87% ЖК в р-ре остаются насыщ. к-ты и ИЧ почти не меняется. Изменение кол-ва добавляемой мочевины также не приводит к селективному разделению к-т.

И. Вольфензон

22893. Применение кристаллических комплексных соединений мочевины в химии жиров. Мартинес-Морено (Applications des complexes cristallins de l'urée à la chimie des matières grasses. Martinez Moreno Juan M.), Olii miner., grassi e saponi, colori e vernici, 1957, 34, № 4, 139—149 (франц.; рез. итал., англ., нем., исп.)

История развития теоретич. представлений о комплексных соединениях мочевины и их структурных особенностях.

Г. Ф.

22894. Изучение отделения жирных кислот образованием комплекса с мочевиной. I. Регенерация мочевины. II. Образование устойчивых комплексов и эмульгированных продуктов при продолжительном применении мочевины. Сакураи (尿素附加物生成による脂肪酸の分離に関する研究. 第1報. 尿素の回収について. 第2報. 尿素の反覆使用による強固な附加物および乳化性物質の生成について. 櫻井洗), 油脂化学協会誌, Юся какаку кикайси, J. Oil Chemists's Soc. Japan, 1954, 3, № 6, 263—265, 265—267 (японск.)

I. С практич. точки зрения регенерация мочевины (I) из гетерог. реакционной среды легче, чем из гомог. в метиловом спирте. Эксперименты проводили с рисовым маслом. Т-ра (35—48°) разложения комплекса с I тем выше, чем меньше воды присутствует. Водн. р-р I может быть использован повторно в образовании комплекса с I.

II. Если водн. р-р I и жирные к-ты в бензоле подвергать взаимодействию в течение долгого времени (20 час., т-ра 25°) и оставить стоять этот комплекс (20 час., 10°), то его можно разложить только при высокой т-ре (46—48°). Высшие спирты (за исключением миристинового спирта) не образуют такого устойчивого комплекса при этих же условиях.

Chem. Abstr., 1955, 49, № 12, 8614. Sinitiro Kawamura

22895. Глицерин — его прошлое, настоящее и будущее. Паттисон (Glycerine — past, present and future. Pattison E. Scott), Soap and Chem. Specialties, 1957, 33, № 3, 43—45, 107, 109 (англ.)

Указано, что в 1956 г. в США произведено 111,6 тыс. т (в пересчете на 100%) неочищ. глицерина (I), в том числе 85,8 тыс. т — как побочный продукт мыловарения при расщеплении жиров или при произ-ве жирных спиртов.

Г. Фрид

22896. Получение химически чистого глицерина методом обессоливания. Меберг (The manufacture of chemically pure glycerine by the demineralising process. Meeberg N. V. D.), Indian Soap J., 1957, 22, № 7, 143—149 (англ.)

Описаны процесс и аппаратура для очистки глицериновых вод (ГВ) методом обессоливания путем про-

пуска их через ионитовую батарею из шести фильтрующих колонн, из которых 3 наполнены катионообменными, а 3 — анионообменными смолами. Пропускная способность батареи обратно пропорциональна содержанию золы в ГВ, поэтому целесообразна их предварительная очистка, при которой может быть снижено и содержание органич. остатка, что весьма существенно, так как эфиры, сахара и т. п. плохо или вовсе не абсорбируются в ионообменниках. Преимущество способа обессоливания ГВ перед их дистилляцией: 1) снижение потерь глицерина и в первую очередь в связи с исключением образования полиглицеринов; 2) возможность получения исключительно ч. глицерина, в то время как при дистилляции часть дистиллята получается обычно худшего качества и требуется повторная дистилляция; 3) высокое качество очищ. продукта по запаху и цвету; 4) снижение эксплуатационных расходов в целом примерно на 10%.

Г. Фрид

22897. Технология пищевых масел и жиров. Дезодорация. Липка (Technologie der Speiseöle und -Fette. Geruch- und Geschmackslosmachen (Desodorisieren). Lipka E.), Nahrung, 1957, 1, № 2, 179—187 (нем.; рез. англ., франц., русск.)

Доказывается целесообразность перехода на непрерывную обработку жиров паром, приводятся основные условия такой обработки и схематич. чертеж установок.

А. Емельянов

22898. Производство пищевого подсолнечного масла. Карретти (El aceite de girasol comestible su elaboracion. Carretti Felix R.), Industria y quimica, 1956, 47, № 11, 704—712 (исп.)

Обзор. Библ. 38 назв.

И. Гонсалес

22899. Применение жидких масел в производстве пищевых жиров. Чаплицкий, Невядомский (Zastosowanie olejów w napowietrzonych tłuszczach kuchennych. Czapliski Jerzy, Niewiadomski Henryk), Prace inst. i lab. badawcz. przem. roln. i spożywc., 1957, 7, № 1, 26—33 (польск.; рез. русск., нем.)

Добавление до 20% жидкого масла (М) в пищевой жир (ПЖ) не оказывает существенного влияния на консистенцию ПЖ, сохранность и питательную ценность. Вкус и запах ПЖ с добавкой до 25% репейного или до 30% арахисового М не изменился после 40 дней хранения в летнее время. При добавлении до 20% М в ПЖ не изменяется время охлаждения, вследствие чего не снижается производительность з-да. Добавка М в ПЖ снижает себестоимость произ-ва без ущерба на реконструкцию предприятия.

М. Рейбах

22900. Новое в производстве маргарина. Кнолленберг (Vernieuwingen op het gebied der margarine-fabricage. Knollenberg R.), Olien vetten en zoer, 1955, 39, № 14, 213—215 (гол.)

22901. Влияние вида масел на расширение и твердость саломаса для производства маргарина. Тарандт (Einfluß der Ölarthen auf die Dilatation bzw. Penetration der gehärteten Öle für die Margarine-Herstellung. Tharandt W.), Nahrung, 1957, 1, № 2, 188—190 (нем.; рез. англ., франц., русск.)

На основании анализа 3100 проб различных отвержденных масел с примерно одинаковой т-рой полного просветления (36,2—37,5°) показано различие в величинах их расширения при 20° (моржовая ворвань 891, сурешное масло 1228). Поскольку расширение связано с твердостью жиров, устанавливаемой пенетрометром, имеется возможность по результатам этих испытаний установить последовательный ряд жиров по степени их твердости.

А. Емельянов

22902. Влияние цветной упаковочной тары на изменение характерных чисел жиров. Гофман (Wpływ barwnych opakowań na zmiany charakterystycznych

Низb tłuszczów. Hofmann Tadeusz), Opaikowanie, 1957, 3, № 1, 21—24 (польск.; рез. русск., англ., нем.)
 Приводятся результаты исследований, проведенных с целью определения влияния цвета упаковочной тары на изменение кислотного, йодного числа и числа омыления жиров. Наилучшие результаты дает зеленый целлофан, предохраняющий жир от воздействия света и, следовательно, от окисления. М. Рейбах

22903. Искусственные воски из этилена как заменители дорогих высокоценных натуральных восков. Фрейтаг (Kunstwachse aus Äthylengas als Austauschstoffe für teure, hochwertige Naturwachse. Freitag Rudolf), Sprechsaal Keramik, Glas, Email, 1957, 90, № 18, 439—440 (нем.)
 Указано, что синтетич. воски, получаемые из этилена, имеют т. пл. 90—106°, в тонких пленках эластичны и прочны. Цвет от кремового до белого. Хорошо смешиваются с натуральными восками, натуральными и искусств. смолами. При 83° и выше хорошо растворимы в бензине и бензоле. Могут получить широкое применение в тех же областях, что и натуральные воски. Г. Шураев

22904. Получение ланолина из сточных вод после мытья шерсти. Гейдлер, Рейхштедтер (Získání lanolinu z odpadních vod přádelny vlny. Heidler Karel, Reichstädter Bohumil), Textil, 1955, 10, № 9, 274—276 (чешск.)
 22905. Обзор методов фирм-поставщиков и американских стандартных методов определения кислотных чисел, чисел омыления и американского стандартного метода D1342 определения содержания углеводородов в восках. Фулд (Compilation of acid and saponification numbers according to suppliers testing methods and ASTM proposed methods including hydrocarbon content by ASTM D1342 for waxes. Fuld Melvin), Soap and Chem. Specialties, 1957, Blue Book and Catalog, 240—246, 270 (англ.)

Указано, что имеются расхождения в применяемых при определении кислотного числа (КЧ) и числа омыления (ЧО) р-рителях, величине навески испытуемого образца, применяемых при титровании реактивах, их конц-ях и индикаторах, продолжительности нагрева с обратным холодильником (при определении ЧО). Показано, что для определения КЧ и ЧО для всех натуральных восков следует: 1) брать навеску испытуемого образца в 1 г в связи с обычно темным цветом восков; 2) применять 0,1 н. КОН вместо 0,5 н. КОН в процессе определения ЧО, что позволяет получить относительно большую разницу при титровании в слепом опыте и с испытуемой навеской; 3) для приготовления р-ров щелочи предпочтительно применять *n*-пропиловый, *n*-бутиловый и *n*-амиловый спирты, диэтиленгликоль; 4) при применении этих спиртов вести омыление в течение 1 часа. Г. Фрид

22906. Измерение теплового расширения восков. Розенберг, Броц (Beitrag zur Messung der Wärme-Ausdehnung von Wachsen. Rosenberg G. Frhr., Brotz W.), Fette, Seifen, Anstrichmittel, 1957, 59, № 8, 580—594 (нем.; рез. англ., франц., исп.)
 Указывается, что в области литья, пропитывания и точного моделирования величина объемного расширения восков является основным показателем. Описан сконструированный авторами dilatометр (даны рис.) и подробно изложена методика работы. Аппарат измеряет объемное расширение (сжатие) восков в широком интервале т-р (20—120°). Рабочая жидкость — ртуть. Плотность воска определяется методом взвешенного состояния в жидкости. Увеличение или уменьшение плотности жидкости до плотности воска достигается добавлением р-ра соли или метанола. Частицы воска должны иметь размеры 0,1—2 мм. Расширение воска производится под вакуумом. Приве-

дены таблицы расширения (сжатия) воска через каждые 5° от 20 до 110° и от 110 до 20°. Даны dilatометрич. кривые. Г. Шураев

22907. Немецкая промышленность мыл и моющих средств за 1955 г. Маннек (Die deutsche Seifen- und Waschmittel-Industrie im Jahre 1955. Mannes H.), Seifen — Öle — Fette — Wachse, 1956, 82, № 3, 51—52 (нем.)

Дана качеств. характеристика мыловаренной продукции, активных моющих, дезинфицирующих и дезодорирующих добавок и пр. Предыдущее сообщение см. РЖХим, 1956, 8500; 1957; 52886. Г. Ш.

22908. I. Мыла. II. Получение мыл из нефти. Матяс (I. O saponátach. II. Priprava saponátov z ropu. Mat'as Michal), Chem. průmysl, 1955, 5, № 7, 284—285; № 9, 376—378 (словацк.)

22909. Мыла и другие моющие средства. Миккель (Sapuni i druga sredstva za održavanje čistoće. Mikijelj Đuro L.), Nova trgovina, 1957, 10, № 4, 263—268 (серб.-хорв.)

22910. Быстрое определение ортокремневой кислоты в мыле. Богман (Snelle bepaling van het kiezelzuergehalte van zeep. Boogman J.), Oliën, vetten en zeep, 1955, 39, № 18, 271—273 (гол.)

22911. Промышленность синтетических моющих средств за рубежом и в СССР. Петров А. Д., Химия и технол. топлива и масел, 1957, № 8, 1—4

22912. Номенклатура поверхностноактивных веществ. Стас, Лонуа, Верхегген (Contribution à la nomenclature des agents tensio-actifs. Stas, Mme, Launoit J. de, Verheggen G.), Ind. chim. belge, 1957, 22, № 6, 683—695 (франц.; рез. флам., англ., нем.)

22913. Применение поверхностноактивных веществ в производстве волокон. Танака (纖維工業における界面活性剤. 田中豊), 帝人タイムス, Тайдзин таймусу, 1957, 27, № 6, 2—6 (японск.)

22914. Неионные поверхностноактивные вещества. Часть I. Растворимость хлорсилепола в водных растворах моноэтилового эфира полиэтиленгликоля 1000. Малли, Меткаф (Non-ionic surface-active agents. Part I. The solubility of chloroxyleneol in aqueous solutions of polyethylene glycol 1000 monocetyl ether. Mulley B. A., Metcalf A. D.), J. Pharmacy and Pharmacol., 1956, 8, № 10, 774—779. Discuss., 777—780 (англ.)

Приведена кривая растворимости хлорсилепола (I) в водн. р-рах моноэтилового эфира полиэтиленгликоля 1000 (II) при 20°. Повышенная растворимость I обусловлена его вхождением в мицеллы. Кривая показывает, что растворимость I прямо пропорциональна конц-ии II и что предел растворимости достигается при мол. соотношении I:II ~ 1:9:1. Установлено на основании УФ-спектра поглощения I в циклогексане и в II, что водородные связи образуются между группами OH фенола и эфирными цепями II. Предполагается, что выпадение в осадок образованного водородными связями комплекса I, II и воды на пределе растворимости обусловлено снижением гидрофильности мицеллы. Л. Михельсон

22915. Современные моющие средства на основе алкиларилсульфонатов. Кыслингер (Novodobé práci prostředky na bázi alkylarylsulfonátů. Kyslinger Vladimír), Textil, 1956, 11, № 2, 51—53 (чешск.)

22916. Моющие средства для шерсти. Пастернак (Srodki do prania wełny. Pasternak H.), Przem. spożywczy, 1957, 11, № 6, 273 (польск.)

К смеси кокосового масла и глицерина, залитой в реактор, добавляется при 45—50° малыми порциями конц. H₂SO₄ при быстром перемешивании содержимого реактора в течение 4—5 час. При этом происхо-

дит этерификация масла с одновременным сульфированием полученных эфиров. Кислый продукт сульфирования малыми порциями вливается в 30%-ный р-р NaOH. Во время щел. обработки (при $\leq 30^\circ$), проводится энергичное перемешивание содержимого реактора, а также интенсивное охлаждение. pH обработанного продукта доводится до ~ 7 . Полученный продукт содержит $\sim 24\%$ активного в-ва. Синтезированное моющее средство применяется как в жидком, так и в порошкообразном виде (при смешении с сухим Na_2SO_4). Указывается на возможность применения этого моющего средства в качестве компонента зубной пасты.

М. Рейбах

22917. Детергенты, основанные на гидрогенизированном растительном масле. Сатковский, Беннет (Detergents based on tall oil. Satkowski W. B., Bennet W. B.), Soap and Chem. Specialties, 1957, 33, № 7, 37—39 (англ.)

Приводятся хим. и физ. свойства конденсатов гидрогенизированного растительного масла с оксидом этилена, являющихся поверхностноактивными в-вами неионного типа. Отмечаются хорошая моющая способность, небольшое пенообразование, слабые смачивающие и хорошие эмульгирующие (систем ароматич. р-рителю — хлорированные углеводороды) свойства, а также невысокая стоимость этих конденсатов; перечислены случаи их применения.

А. Вавилова

22918. Этилендиаминотетрауксусная кислота. Маурри (El EDTA. Maurri Luis), Textil. Supl. téch. y inform., 1957, 3, № 158, 13—15 (исп.)

Описано применение этилендиаминотетрауксусной к-ты в крашении, текстильной пром-сти и в печати. Приведен ряд моющих смесей, в состав которых она входит. Начало см. РЖХим, 1957, 52318.

22919. Наполнители синтетических моющих средств. Джоши (Builders for synthetic detergents. Joshi R. G.), Bombay Technologist, 1957, 7, Febr., 118—121 (англ.)

Обзор. Библ. 13 назв.

Ф. Н.

22920. Моющее действие смесей алкилбензолсульфонатов и мыла. Профиц (Ueber Waschkraft einiger Alkylbenzol-sulfonate-Seife Kombinationen Profic Jan), Olii miner, grassi e saponi, colori e vernici, 1957, 34, № 5, 230—231 (нем.; рез. англ., франц., итал.)

Опытные стирки искусственно загрязненной хлопчатобумажной ткани в дистил. и в жесткой (10° нем.) воде (в лаудерометре при 70° и конц-ии смеси алкилбензолсульфоната (I) и мыла 0,5%) показали, что в дистил. воде наблюдается только очень небольшое взаимное влияние I и мыла, но имеется минимум при более низком содержании I в смеси и максимум при более высоком содержании I. Влияние добавленной щелочи (кальцинированная сода 5 г/л и силикат 0,5 г/л) очень мало, даже наблюдается слабое отрицательное действие. Моющая способность смесей, которые содержали мыла эруковой к-ты, ниже, чем смеси с мылом из животного жира и кокосового масла. В жесткой воде минимум и максимум, а также влияние щелочей выражены слабее, чем в дистил. воде.

Ф. Неволлин

22921. Изучение поведения загрязнений по отношению к текстильным изделиям из синтетических волокон. Ольденрот (Untersuchung über das Verhalten von Wäscheschmutz gegenüber Textilerzeugnissen aus Chemiefasern auf Synthesebasis. Oldenroth O.), Wäscherei — Techn. und — Chem., 1957, 10, № 6, 431—434, 436 (нем.)

Приведен анализ загрязнений, извлеченных из нижних сорочек и наволочек. Состав загрязнений (в %) сорочек: жир 7,1, мочевины 5,0, белковые в-ва 21,3, NaCl 18,3, остаток после прокалывания (в пересчете

на CaCO_3) 22,5; наволочек: жир 18,3, мочевины 0,8, белковые в-ва 48,0, NaCl 3,4, остаток после прокалывания 19,3. Подопытные ткани загрязнялись смесью шерстяного жира с уличной пылью, растворенной в тетрагидрофуране, и затем после удаления р-рителю обрабатывались р-ром NaCl. Показано, что нейтр. р-ром алкилсульфата жирсодержащие пигментные загрязнения вымываются неудовлетворительно. Р-р смеси алкилсульфата и щелочи стирает лучше, но наилучшие результаты дают р-ры мыла со щелочами при проведении стирок при 60° . Повышение т-ры до 90° не оказывает существенного влияния.

Ф. Неволлин

22922. Выбор фона для определения моющей способности. Стивенс, Браун (Choice of background for detergent efficiency evaluation. Stephens D. W., Brown C. B.), ASTM Bull., 1956, № 214, 45—46; Text. Manufacturer, 1956, 82, № 981, 478—479 (англ.)

Обсуждается влияние фона при фотометрировании образцов исходной, загрязненной и выстиранной ткани на результаты определения моющей способности. Для стандартизации метода определения моющей способности рекомендуется белый фон.

Ф. Неволлин

22923. Применение органических ионообменивающих веществ при анализе продажных образцов неизвестного состава. Винтершейдт (Die Anwendung organischer Ionenaustauscher bei der Untersuchung von Handelsmustern unbekannter Zusammensetzung. Winterscheidt Horst), Seifen-Öle-Fette-Wachse, 1957, 83, № 13, 361—367; № 14, 392—393 (нем.; рез. англ., франц., исп.)

Обсуждается применение органич. ионообменивающих в-в для анализа продуктов неизвестного состава. Приведены примеры применения этого метода для анализа детергентов, азотсодержащих в-в и поверхностноактивных соединений фосфора.

Г. Шураев

22924. Выделение и определение ионообменным методом неионных поверхностноактивных веществ. Уикс, Гинн, Бейкер (Isolation and determination by ion exchange technique of nonionic surfactants. Weeks Lloyd E., Ginn Martin E., Baker Charles E.), Soap and Chem. Specialties, 1957, 33, № 8, 47—50, 113, 115 (англ.)

Определяли гравиметрически неионную часть смеси поверхностноактивных в-в (ПВ), сорбируя ионные ПВ из водн. р-ра этилового спирта на ионообменных смолах, причем сначала удаляли анионы сорбцией на основной анионообменной смоле, а затем катионы — сорбцией на кислотной катионообменной смоле. Приводятся результаты анализов большого кол-ва ПВ. Метод показал достаточную точность и воспроизводимость и, как указано, может быть использован для практич. анализов.

А. Вавилова

22925. Очистка и дезинфекция. Тиман (Reinigen en desinfecteren. Tieman G. W.), Olieën, vetten en zeep., 1955, 39, № 4, 60—62; № 5, 71 (гол.)

Предыдущее сообщ. см. РЖХим, 1957, 67683.

22926. Моющие средства для механической мойки молочных посуды. Йетгор, Хорберг, Гунберсен, Буэ (Yaskemidler for mekanisk vask av melkeflasker. Ystgaard Ole M., Haarberg Kåre, Gundersen Knut, Bue William), Meieriposten, 1955, 44, № 23, 479—489; № 24, 501—508; № 26, 565—574; № 27, 594—597; № 28, 610—615; № 29, 636—644; № 30, 653—659 (норв.; рез. англ.)

22927 П. Аппарат для экстракции масла из масляного сырья (Appareil pour l'extraction de l'huile à partir d'oléagineux) [Socam]. Франц. пат. 1122150, 3.09.56

Патентуемый аппарат предназначен для извлечения масла из вязкой массы, образованной маслянистым сырьем, напр. оливками после удаления из них косточек. Он состоит из ванны, в нижней части которой вместо дна прикреплена перфорированная корзина, несущая на себе фильтровальное полотно. На горизонтальном валу, проходящем вдоль всей ванны, вращается устройство для перемешивания массы, состоящее из ряда спиральных лопастей, расположение которых показано на схематич. чертеже, приведенном в патенте. А. Емельянов

22928 П. Усовершенствования рафинации растительных масел (Perfectionnements apportés au raffinage d'huiles végétales) [A. E. Staley Manufacturing Co.] Франц. пат. 1116454, 8.05.56

Рафинацию масел (соевого, хлопкового, льняного, арахисного, кукурузного и др.) проводят последовательно ангидридами к-т (уксусной, пропионовой, масляной, маленовой, янтарной) в кол-ве 0,05% к весу масла, после чего масло смешивают с водой (в кол-ве 1,5% к весу масла) при 40—100° в течение 5 мин. Дезодорируют масло водяным паром при повышенных т-ре и давлении и собирают дистиллят, содержащий жирные в-ва, отогнанные с паром. Масло отбеливается до дезодорации. Пример. Смешивают 22,5 г холодной воды с 2 г $(\text{CH}_3\text{CO})_2\text{O}$ и добавляют к 1500 г неочищ. соевого масла, полученного экстрагированием. Смесь перемешивают и выдерживают при 60° в течение 20 мин., затем центрифугируют и получают масло, не дающее мути по пробе Гарднера. А. Емельянов

22929 П. Процесс и устройство для нейтрализации жирных масел (Procédé et dispositif pour la neutralisation d'huiles grasses) [Aktiebolaget Separator]. Франц. пат. 1121350, 8.08.56

Приводится описание и чертеж устройства, в котором нейтр-цию жирных масел проводят водн. р-ром щелочи. Масло и р-р вводят отдельно при 90—100° во вращающуюся камеру аппарата для центрифугирования; в аппарате происходит разделение нейтрализованного масла и мыла в течение ~0,5 сек. (предпочтительнее ≤ 0,1 сек.). Пример. Нейтрализуют пальмовое масло с содержанием 3,5% свободных жирных к-т 4,5 н. щелочью. После сепарации потери рафинации составляют 5,0%, нейтрализованное масло содержит 0,05% свободных жирных к-т. А. Емельянов

22930 П. Антиокислители для жиров и масел. Главачек (Antioxidants for fats and oils. Hlavacek Robert J.) [Swift & Co.] Канадск. пат. 513804, 14.06.55

Способ предупреждения возврата окраски жирных в-в (Ж), обесцвеченных обработкой (напр., противоточной) окисленными углеводородами (в нормальных условиях газообразными), состоит в добавлении к Ж в жидком состоянии небольшого кол-ва фосфорнонатристой к-ты (I), напр. 0,3—1,0 вес.%. Добавлять I можно до обесцвечивания Ж, причем обработанные таким образом Ж выдерживают ≥ 1 часа при повышенной т-ре (82—93°) до обесцвечивания. А. Равикович

22931 П. Метод обработки смесей ненасыщенных масел с водой и аппаратура для этого. Таунсенд (Method of treating aqueous liquors containing unsaturated oils and apparatus therefor. Townsend Ch.) [Protamin, Ltd.] Англ. пат. 738746, 19.10.55

Патентуется метод электролитич. гидрогенизации ненасыщ. масел, находящихся в смеси с водой. Напр., жидкость, полученная в качестве отхода после обработки паром морских животных и рыб, проводят через систему никелевых труб, в которых помещены электроды в виде стержней из цинка, марганца, никеля, железа или стали. Для перемешивания жидкости на

внутренних стенках деталей, соединяющих трубы между собой, делается геликоидальная нарезка или монтируются мешалки (приведена схема). При прохождении жидкости по трубам, выполняющим роль анодов, масло гидрируется водородом, образующимся на катодах, и превращается в твердый жир. Перед обработкой рекомендуется добавлять протеолитич. ферменты для разрушения белков. После гидрогенизации жидкость может быть сконцентрирована до пасты или распылена и высушена. При применении переменного тока пользуются никелевыми катодами. К. Беляева

22932 П. Приготовление светлых рафинированных восков с высоким содержанием монтановой кислоты. Престинг, Вальтер (Herstellung von hellen Wachraffinaten mit hohem Montansäuregehalt. Presting Willi, Walther Gerhard). Пат. ГДР 11873, 23.07.56

Способ изготовления светлого рафинированного воска с высоким содержанием монтановой к-ты из неочищ., содержащего смолы, горного воска заключается в обработке смеси его (> 60%) с парафином (< 40%) посредством HNO_3 при ~100° и в присутствии H_2SO_4 или H_3PO_4 (< 5%). При такой обработке смолы окисляются и выпадают в осадок. Свободный от смолы продукт рафинируют общеизвестным способом посредством H_2SO_4 . Полученный рафинат растворяют при кипячении с обратным холодильником в бензине, р-р медленно охлаждают при размешивании при ~20°, в результате чего свободные к-ты и воск выкристаллизовываются, а парафин остается в р-ре. Пример: сплавляют 80 ч. неочищ. горного воска с 20 ч. парафина, т. пл. 50—52°, при т-ре ~98° и при перемешивании прибавляют 1 ч. 70%-ной H_2SO_4 , и затем в течение 4 час. постепенно прибавляют 66 ч. 40%-ной HNO_3 . Т-ру при этом постепенно повышают до 100°. Расплавленный воск легко освобождается от кислой смолы, выделяющейся на дне сосуда. Получают ~84 ч. воскового рафината; его нагревают до 120° и добавляют при постепенном повышении т-ры до 190° и размешивании в течение 3 час. 40 ч. конц. H_2SO_4 . Проба свободного от минер. к-ты рафината имеет кислотное число (КЧ) 73 и число омыления (ЧО) 102. Полученный рафинат, включая кислый гудрон, растворяют теперь в 300 ч. бензина, т. кип. 80—110°, при перемешивании и нагревании с обратным холодильником, затем охлаждают в течение 8 час. до 20°. Отделяют бензиновый слой. После отгонки бензина остается 29,5 ч. смеси, состоящей главным образом, из парафина и небольшого кол-ва низших к-т и их эфиров, представляющих собой мягкое желтоватого цвета воскообразное в-во, которое применяют вместо парафина при обработке следующей партии горного воска. 31,5 ч. выделившегося в осадок твердого воска, не отделяя от него образовавшегося кислого гудрона, обрабатывают при 80° 250 ч. бензина и полученный р-р при кипении обрабатывают в течение 2 часов в 5 ч. отбелочной земли и 4 ч. угля. После фильтрации и испарения бензина получают 30,5 ч. белого с желтым оттенком твердого воска, имеющего КЧ 90 и ЧО 115, т-ру затвердевания 80° и т. капл. 83°. В других примерах указано, что к HNO_3 при окислении смолистых примесей вместо H_2SO_4 может быть прибавлена H_3PO_4 . А. Зеленоцкая

22933 П. Защита препаратов воска от окисления. Робинсон (Wax composition inhibited from oxidative deterioration. Robinson Harry R.) [The Texas Co.] Пат. США 2744834, 8.05.56

Способ предохранения восков от окислительной порчи путем добавления к ним 10^{-7} — $3 \cdot 10^{-6}$ вес.ч. антиоксиданта, получаемого экстракцией зеленых частей растений (предпочтительно альфальфы) и со-

державшего 15–25% растворимого в масле хлорофилла, 25–35% растительного масла, 10–25% воска типа сложных эфиров, 5–15% фосфолипидов и 5–10% каротиноидов. Антиоксидант получают экстракцией сухого растения смесью углеводородного р-рителя (40–90%) и кетона или спирта (10–60%), содержащего до 6 атомов С (напр., ацетона, метилэтилкетона, метилбутилкетона, этилового спирта, изопропилового спирта) при ~ 20 – 95° . Получаемый в виде масла (после отгонки р-рителя в вакууме) антиоксидант растворяют в углеводородном р-рителе (напр., гептане) в кол-ве 1–3% и р-р добавляют при размешивании к расплавленному воску при 60– 70° . Стабилизированные таким способом препараты воска устойчивы при 95– 120° .

22934 П. Изготовление свечей, сохраняющих твердость в тропиках. Любен, Коллинг (Verfahren zur Herstellung tropfenfester Kerzen. Lüben Robert, Kolling Helmut) [Ruhchemie A.-G.]. Пат. ФРГ 947820, 23.08.56

В качестве исходного материала предложено применять плиточный парафин (I) с т. затв. 56– 62° , содержащий 5–15% (лучше 10–12%) кипящего > 460° твердого воскообразного в-ва (II), полученного при каталитич. гидрировании по Фишеру — Тропшу. Можно также I смешивать с 50–200% (лучше 100%) парафиновой фракции с т. затв. 68– 75° , полученной обезмасливанием II. Пример. 90 г свободного от масла, очищ. I с т. затв. 58° сплавляют вместе с 10 г очищ. II с т. затв. 96,5°. Из полученного плава изготавливают 25-мм свечи, сгорающие без стекания капли и сгибающиеся при 43,3° из вертикального положения в одну сторону за 3 часа лишь на 6°.

22935 П. Способ нанесения надписей и рисунков на формованные изделия из пластичных масс, например на куски мыла. Штессер (Verfahren zum Bedrucken und Bebildern von Formstücken aus plastischen Massen, z. B. von Seifenstücken. Stoesser Kurt von) [Dalli — Werke Mäurer & Wirtz]. Пат. ФРГ 947102, 9.08.56

Надписи или рисунки наносят на заготовки призматич. или цилиндрич. формы, которые после некоторой подсушки прессуют для окончательного формования, причем изделия получают в форме шаров, полусфер или эллипсоидов. Применяемые для нанесения надписей или рисунков переводные картинны, клише или штампы в случае необходимости содержат также искажения, чтобы рисунки или надписи после окончательного формования получались нормальными.

22936 П. Процесс и аппарат для повышения вязкости и растворимости в воде пластичных материалов (Process and apparatus for increasing the viscosity and water-solubility of plastic materials) [Micro Processing Equipment, Inc.]. Англ. пат. 727646, 6.04.55

Вязкость и растворимость в воде пластичных материалов, содержащих кристаллич. фазу (напр., мыло и синтетич. моющие средства, напр., сульфированные моноглицериды), может быть увеличена продавливанием твердого пластичного материала через зону сдвига и уплотнения, состоящую из двух стенок с расстоянием между ними $\leq 0,4$ мм. Сдвиг и уплотнение пластичного материала происходит в результате относительного движения этих стенок в направлении их длины. Давление, оказываемое на пластичный материал при входе в эту зону, достаточно для полного заполнения зоны, т-ра же поддерживается на уровне ниже т-ры плавления. Конструктивно зоны сдвига и уплотнения оформлены в виде двух металлич. щелевых устройств (коробок), через которые проходит ме-

таллич. лента, огибающая два шкива, так что расстояние между лентой и стенками щели не превышает 0,4 мм. Это устройство оснащено питательными шкивами, ножами для снятия с ленты приставшего материала. К описанию приложены два чертежа.

22937 П. Азотсодержащий замедлитель потускнения в моющей смеси. Сильвестер (Nitrogen-containing tarnish inhibitors in detergent compositions. Sylvester Herbert Smith) [Colgate-Palmolive Co.]. Пат. США 2731420, 14.02.56

Для предотвращения потускнения медных поверхностей при действии на них моющих смесей, состоящих из полифосфатов и синтетич. моющих средств (алкиларилсульфонаты), к смесям добавляют $\sim 0,5$ –5 вес.% азотсодержащих соединений (гидроксиаммония, диазмонийфосфат, нитрат аммония, сульфат аммония, этилендиамин, диэтилентриамин, триэтилентетрамин, таурин, метилтаурин, глицин, моноэтанламин, 2-аминоэтилсерная к-та и др.). Пример. 20 мл 1%-ного водн. р-ра моющего средства, состоящего (в %) из 35 натрийдодецилбензолсульфоната, 40 триполифосфата Na, 3 силиката Na, 0,8 карбонметилцеллюлозы, 0,06 оптич. отбеливающего средства (бланкофор MV1) и сульфата натрия, помещают в 30 мл мензурку, погруженную в горячую баню. После достижения т-ры $\sim 50^\circ$ в р-р опускают полосу предварительно отшлифованного германского серебра (белый металл, $\sim 18\%$ никеля, 65% меди, 17% цинка). На поверхности металла возникает темное окрашивание. Добавление к р-ру моющей смеси азотсодержащего соединения предотвращает окрашивание.

22938 П. Метод обработки белков хлорангидридами кислот (Method for reacting fatty acid chlorides with proteins) [Armour & Co.]. Англ. пат. 736584, 14.09.55

Моющую композицию предложено готовить из продукта, полученного обработкой окислителем гидролизированных белков с последующим взаимодействием их с галоангидридами жирных к-т. Пример. Копыта крупного рогатого скота кипятят с водн. р-ром NaOH и затем последовательно обрабатывают H_2O_2 и хлорангидридом лауриновой к-ты. После этого добавляют NaCl или Na_2SO_4 и р-р высушивают. Вместо хлорангидрида лауриновой к-ты можно применять хлорангидриды пальмитиновой, олеиновой, стеариновой к-т, а вместо копыт — кровь, волосы, соевый белок, кроме указанных выше солей можно применять фосфаты, карбонат и силикат натрия.

22939 П. Процесс выделения сульфонатов. Давкан, Гатри (Procédé de séparation des sulfonates. Dunoan Gordon W., Guthrie Donald A.) [Standard Oil Development Co.]. Франц. пат. 1107535, 3.01.56

Патентуется способ выделения сульфонатов, заключающийся в обработке углеводородных (гексан, петрол, керосин, газойль и др.) р-ров сульфонатов щелочесоединениями (глицерин, этиленгликоль, пропиленгликоль), которые образуют с сульфонатами нерастворимые комплексные соединения. Последние отделяют от р-рителя центрифугированием, а затем разлагают водой или дистиллированной полиоксисоединения. Пример. К 3%-ному р-ру сульфоната кальция присыпают этиленгликоль (примерно 7 молей гликоля на 1 моль Са-соли). Полученную смесь перемешивают в течение 10 мин. при обычной т-ре. Смесь оставляют на сутки, после чего на дне выпадает красноватый смолообразный осадок. Его отделяют и отгоняют этиленгликоль нагреванием в атмосфере азота при нормальном давлении. Са-соль сульфоната получается в виде тяжелой смолообразной массы.

22940 П. Средства очистки для применения в автоматических промышленных очистных сооружениях. Вебер (Reinigungsmittel zur Verwendung in automatischen industriellen Reinigungsanlagen. Weber Jacob). Пат. ГДР 11725, 5.06.56

Рекомендуется для предотвращения пенообразования при применении поверхностно-активных в-в в автоматич. промышленных очистных сооружениях добавление р-ров неионогенных окислительных алкилфенолов (изо-октилфенолполигликолевого эфира и т. п.). П. Кандзас

См. также: Св-ва триглицеридов пищевых жиров 23149. Структура глицеридов масла какао и свиного сала 21635. Испытание дрожжей для произ-ва глицерина 8564Бх. Гигиена труда в произ-ве синтетич. жиров к-т 21955. История 20261, 20263—20268

УГЛЕВОДЫ И ИХ ПЕРЕРАБОТКА

Редактор М. С. Гарденин

22941. Сорбит. Йонген (Sorbit. Jongen F. K. G. P.), Zucker- und Süßwaren-Wirtsch., 1957, 10, № 15, 592—594 (нем.)

Распространение в природе, метод произ-ва, физ.-хим. свойства, физиологич. значение, области применения и торговые сорта d-сорбита. Н. Гарденин

22942. К вопросу об упорядочении технической терминологии. Зеликман И. Ф., Сахарная пром-сть, 1957, № 9, 11—12

См. РЖХим, 1957, 78590. М. Г.

22943. Кристаллизация сахарозы из низкокачественных сиропов. Фостер, Дейвис, Сокхилл (Crystallization in low purity syrups. Foster D. H., Davies G. H., Sockhill B. D.), Sugar J., 1957, 20, № 2, 27—31 (англ.)

Опыты по кристаллизации сахарозы из низкокачественных р-ров (меласса с доброкачественностью 40,9—53,5 ед.) и искусств. смесей (фруктоза, глюкоза, тиозин, аспарагиновая к-та) позволили установить влияние отдельных несахаристых в-в на скорость кристаллизации. Расчет величин скорости кристаллизации сахарозы производился на основе изменения во времени содержания сухих в-в в маточном р-ре при кристаллизации сахарозы в течение до 5 суток при 25 и 40°.

Г. Бенин
22944. Наблюдения в производстве 1956/57 г. Шнейдер (Aus der Kampragne 1956/57. Schneider F.), Zucker, 1957, 10, № 16, 352—357 (нем.)

Описаны мероприятия по борьбе с бактериальной порченностью в произ-ве. Рассмотрены конструктивные изменения в непрерывнодействующих диффузионных аппаратах фирм ВМА, Busckau, Oppermann & Deichmann, установленных к этому сезону на ряде э-дов.

Приведены схемы и описание двухступенчатых, гидродиффузионных установок для отделения песка от известкового молока и шлама из сока 2-ой сатурации. Потери известки составляют 0,03% от веса свеклы.

См. прошедший через гидродиффузоры, требует дополнительной фильтрации для удаления оставшейся известки (0,004% СаО). Кратко описана ионообменная установка для обработки зеленой патоки перед ее уваркой на утфель последней кристаллизации. Замена ~20% ионов щел. металлов на Mg⁺⁺ увеличивает выход сахара на 0,2—0,3% от веса свеклы, при одновременном снижении доброкачественности мелассы на 3—4 ед.

Описан процесс для брикетирования сухих: свекловичной резки, жома и ботвы. Влажность брикетов 12—14%, их насыщенный объем составляет 40% от объема материала до прессования. Н. Гарденин

22945. Уменьшение содержания золы в рафинированном сахаре. Лопес-Онья (Ash reduction in refined sugars. Lopez-Ona J. M., Jr), Sugar J., 1957, 20, № 3, 53, 55—56, 58 (англ.)

На рафинадных э-дах, перерабатывающих сахар-сырец, для снижения содержания золы в рафинированном сахаре < 0,012% рекомендуется применять на дефекации, кроме СаО, также и каустич. соду с таким расчетом, чтобы очищ. сок имел рН 6,8—7,2. Г. Бенин

22946. О вязкости рафинадных патоков. Зеликман И. Ф., Абдуллаев Т. А., Докл. АН УзССР, 1956, № 12, 29—33

Исследованы 8 образцов рафинадных патоков 6 э-дов. Полученные результаты сопоставлены с имеющимися ур-ниями и номограммами зависимости вязкости и конц-ии. Выяснено, что вязкости патоков выше вязкости мелассы и поэтому средний Бр. нормальных рафинадных патоков на ~1° Бр. ниже Бр. мелассы установленного для таких же условий. М. Гарденин

22947. Применение версена в сахарной промышленности. Рамая (Use of versene in sugar industry. Ramaiah N. A.), Indian Sugar, 1957, 7, № 1, 43, 45—47, 49 (англ.)

Обзор применения версена (этилендиаминтетрауксусная к-та) для определения Са²⁺ и Mg²⁺ в соках, при определении редуцирующих в-в для устранения ошибки при поляризации сахарных р-ров в присутствии уксуснокислого свинца, для удаления накипи, при стирке фильтр-прессного холста. Библ. 32 назв. Г. Бенин

22948. Электролитическое получение глюконата. Менон (Electrolytic preparation of gluconate. Menon V. Sarada), Bull. Centr. Electrochem. Res. Inst., 1954, 1, № 2, 31—33 (англ.)

Получение глюконата кальция из сахаросодержащих продуктов. Библ. 10 назв. Г. Бенин

22949. Из исследований способов очистки известкового молока. Годвод, Заремба, Гащинский (Z badań nad sposobami oczyszczania mleka wapniennego. Godwod Stanisław, Zaręba Zbigniew, Haszczyński Janusz), Gaz. cukrown., 1956, 58, № 12, 310—313 (польск.)

Рассмотрены применяемые методы очистки известкового молока (ИМ). Сравнивается эффект очистки ИМ на двух э-дах, имеющих вибраторы (В), и в двух — декантаторы (Д). Установлено, что лучшие результаты дают В, занимающие меньше места, чем Д; недостатком В является быстрый износ сетки, продолжительность работы которой в среднем ~2 недели. Эффект очистки зависит от применяемой на В плотности сетки. Предлагается после отделения непрогашенной известки в аппарате Микса обрабатывать ИМ на В, а после процеживания направлять в бак с мешалкой, из которого насосом подавать на дефекацию. М. Brzeski

22950. Количественное определение углеводов в продуктах сахарного производства методом бумажной распределительной хроматографии. Бенин Г. С., Дербенцева Н. А., Сахарная пром-сть, 1957, № 9, 58—61

На основе анализа нескольких известных методов разработан колич. метод, заключающийся в извлечении из хроматограмм различных сахаров воды. экстракцией, обработкой вытяжки р-ром антраона в конц. Н₂SO₄ и установлении интенсивности окраски вытяжки электрофотокolorиметром ФЭК-М. Полученное значение оптич. плотности р-ра пересчитывается на конц-ию в нем определяемого углевода по калибровочным кривым. Испытываемые паточные р-ры разбавляют водой до содержания 21—23% сухих в-в и наносят каплями по 0,002 мл на хроматографич. бумагу в двух точках (одна контрольная). Р-рителем

служит смесь *n*-бутанола, этанола и воды (7:3:2). Хроматограмму развивают по способу нисходящего движения в течение 36–48 час. Проявлением (спирт. р-ром α -нафтола) контрольной пробы определяют место расположения пятна определяемого углевода на хроматограмме. Вырезанные полоски, содержащие пятно в стаканчике, экстрагируют определенным объемом дистилл. воды, встряхивая 30 мин. 2 мл отфильтрованной вытяжки смешивают с 2 мл антронового реагента (0,2%-ного р-ра антрона в конц. H_2SO_4) в пробирке диам. 1,5 см, высотой 12 см, нагревают на водяной бане до 90°, быстро охлаждают и определяют ее оптич. плотность, которую пересчитывают на конц-ию углевода по контрольной кривой. Установлено хорошее совпадение параллельных определений, что подтверждает возможность использования метода для относительно быстрого определения как рафинозы, так и других углеводов в продуктах сахарного произ-ва.

М. Гарденин
22951. Быстрое хроматографическое определение рафинозы в кормовой патоке. Силла Н. П., Сахарная пром-сть, 1956, № 8, 41–45

Разработан метод доступный для заводских лабораторий, позволяющий проводить колич. определения. Кружок диам. 9–15 см расчерчивают на сектора (напр. 8), в центре окружности диам. 20 мм. В отверстие, сделанное в центре, вставляют фитиль из фильтровальной бумаги. Кружок помещают на чашку Петри, в которой стоит чашка с р-рителем. Кружок должен быть больше чашки и его покрывают крышкой диаметром большим чашки. После разделения кружок сушат при 90° и проявляют; сушат при ~20° несколько минут и при 90° 3–5 мин., проявляют и немедленно рассматривают против света, сравнивая интенсивность окраски пятен рафинозы патоки и контрольных смесей. Р-ры исследуемой патоки и контрольный должны иметь 20 г сухих в-в в 100 мл. Контрольный р-р (сахароза, рафиноза KCl) должны иметь доброкачественность 60 ед. Объем калли 0,001 мл. Р-ритель: *n*-пропанол, этилацетат и вода (7:1:2) или *n*-бутанол, уксусная к-та и вода (65:5:30). Проявитель 1%-ный р-р α -нафтола в спирте, разведенный перед проявлением ледяной H_3PO_4 (1:10). Анализ рафинозы занимает 2,5–3 часа, а при наличии кестоны 5 час.

М. Гарденин
22952. Сахароскоп. Шибко Н. А., Сахарная пром-сть, 1957, № 6, 35–36

Описание прибора, монтируемого на вакуум-аппарате, для непрерывного наблюдения на светящемся экране за ростом кристаллов при варке утфеля. М. Г.

22953. Опрыскивание листьев сахарного тростника инвертированной мелассой как средство улучшения качества сока. I. Рао, Рао (Foliar sprayig of «inverted» molasses as a means of improving juice quality—I. Rao N. V. Mohan, Rao G. Narasimha), Indian Sugar, 1957, 7, № 4, 277, 279 (англ.)

Опрыскивание за месяц до уборки р-ром, содержащим глюкозу, сахарозу или инвертированную мелассу, увеличило содержание сахара и доброкачественность сока.

Г. Бенин
22954. Определение урожая тростника. Лал (Cane yield analysis. Lal Cirdhari), Indian Sugar, 1957, 7, № 1, 57–60 (англ.)

Описан метод выбора пробных участков и определения урожая тростника и сахара с 1 га.

Г. Бенин
22955. Ошибка при поляризации тростникового сахара-сырца при освещении уксуснокислым свинцом. Деккер (The lead error in the polarisation of raw cane sugar. Dekker K. Douwes), S. Afric. Sugar J., 1957, 41, № 7, 543 (англ.)

Сообщается, что поправки к показаниям поляриметра при применении уксуснокислого свинца для

освещения р-ров сахара-сырца, предложенные английским национальным комитетом Международной комиссии по единообразным методам исследования сахаросодержащих продуктов, не совпадают с величинами поправок, полученных при анализе сахара-сырца в Австралии, и что этот вопрос подлежит дальнейшему уточнению.

Г. Бенин
22956. Исследования мелассы тростникового сахарного производства. Гомес-ди-Фария, Фигейреду, Рауль, Кейрус-Арожу (Estudo sobre os melacos de canas. Gomes de Faria, Figueiredo Nilza H., Raoul Waldemar, Queiroz Araujo Nancy de), Rev. brasil. quim., 1957, 43, № 258, 340, 342, 344, 346, 348, 350, 352, 354, 356, 358, 360 (порт.)

Исследованы образцы мелассы бразильских тростникового сахара. Найдено: истинная доброкачественность — 37,61 (31,16–58,68); кажущаяся — 32,46 (31,14–51,14); зольность 9,60 (5,89–13,72)%; редукрующих сахаров — 17,67 (9,67–26–25)%; общего сахара — (по инвертированному) 56,94 (48,74–65–92)%; азот — 0,56 (0,30–0,76)%. К. Герцфельд

22957. Центрифуга периодического действия с автоматическим управлением. Фрикке (Die programmgesteuerte Zentrifuge. Fricke Paul), Zucker, 1957, 10, № 17, 391–392 (нем.)

Описано автоматизированное устройство для подачи утфеля в корзину центрифуги сжатым воздухом, состоящее из герметического бункера и сообщенного с ним утфелераспределителя. Такое устройство увеличило среднюю производительность центрифуги с 500 до 600–700 кг/час тростникового сахара.

Н. Гарденин
22958. Непрерывная фильтрация сатурационного сока в сахарной промышленности. Лория (Proces continuu la filtrarea zeturilor de carbonatare la industria zaharului. Logean M.), Rev. ind. aliment. prod. vegetale, 1957, № 5, 3–4 (рум.)

Описана установка непрерывной фильтрации сатурационного сока, имеющая на каждые 1000 т ежесуточно перерабатываемой сахарной свеклы один грязесгуститель (длина 2,6 м, диам. 5,5 м, площадь 104 м²) и один вращающийся вакуумфильтр типа Eimco (диам. 2,4 м, длина 1,2 м и площадь 33 м²). Грязесгуститель доводит уд. вес осадка до 1,2 и объем до 15% кол-ва сатурационного сока. Расход воды 6 л на 100 кг свеклы. Качество фильтрации анаково с фильтрпрессами.

А. Марин
22959. Выпарные аппараты специального назначения. Часть I. Перк (Evaporator vessels of special design. Part I. Perk Chs. G. M.), S. Afric. Sugar J., 1957, 41, № 7, 549–552 (англ.)

Рассмотрены типы выпарных станций (трех, четырех и 5-корпусных), работающих под разрежением и давлением, и области их применения в тростниковом сахарной пром-сти. Детально описаны аппараты системы Кестнера.

Г. Бенин
22960. Пропарка вакуум-аппаратов второго продукта при закрытом шибере. Софронюк Л. П., Сахарная пром-сть, 1957, № 8, 44–45

Сравнительные испытания показали, что пропаривание при закрытом шибере ускоряет процесс пропаривания и уменьшает расход пара; подогрев вакуум-аппарата и то, что пропарка имеет более высокую доброкачественность, чем зеленая патока, благоприятно отражается на первоначальной стадии варки.

М. Гарденин
22961. Пенение и унос жидкости в выпарных аппаратах. Анантанараянан, Саха (Frothing and entrainment in evaporators. Ananthanarayana P. S., Saha Gopewar), Indian Sugar, 1957, 7, № 4, 275–276 (англ.)

Рассмотрены некоторые причины, вызывающие при выпаривании жидкостей пенение и унос капелек с паром. Рекомендуется в выпарных аппаратах иметь достаточное надсоковое пространство и соответствующих размеров ловушки. Замечено, что с повышением т-ры при выпаривании уменьшается унос жидкости.

Г. Бенин
22962. Упорядочить работу известковых отделений на сахарных заводах. Церман М. Д., Шмагало Е. Д., Сахарная пром-сть, 1957, № 7, 24—26. Описана перекомпоновка отделения на з-де «Крептин», где установлен изготовленный на з-де удобный скиповый подъемник: гасильные аппараты подняты на 2,5 м и все остальное оборудование размещено на уровне пола 1-го этажа. Это улучшило условия труда, дало возможность следить за качеством молока и обеспечило бесперебойную работу з-да.

М. Гарденин
22963. Влияние состава воды, получаемой сахарным заводом, на технологические процессы производства. Сили П. М., Сахарная пром-сть, 1957, № 7, 15—16. Соображения о роли жесткости воды в произ-ве.

М. Г.
22964. Исследование нитрования смесью кислот. I. Кунц, Тот (Tanulmányok a kevert savval való nitrálás területén. I. Nitrokeményítő; nitrálás időtartama; degradáció. Kunz Alfons, Tóth István), Magyar kém. folyóirat, 1957, 63, № 8, 204—206 (венг.; рез. нем.).

Описаны методика, аппаратура и результаты экспериментов по нитрованию крахмала смесью к-т (HNO_3 и H_2SO_4 ; HNO_3 и H_3PO_4 и P_2O_5) и исследованию вязкости получаемых продуктов. Установлено, что р-ция нитрования крахмала при хорошей его дисперсии протекает очень быстро при применении активных смесей и необходимой т-ры. Характер кривых (в трех-угольной диаграмме) при одинаковой длительности р-ции и т-ре идентичен как для азотной к-ты, так и для ее смеси с другими к-тами. Кривая зависимости между скоростью р-ции нитрования и т-рой для смеси к-т очень близка к прямой. При нитровании смесью к-т р-ция модификации молекул крахмала (определяемая по изменению вязкости) сначала протекает исключительно быстро, а затем, по мере накопления продуктов нитрования, относительно замедляется, р-ция замедляется и при понижении т-ры.

Н. Баканов
22965. О некоторых факторах, влияющих на качество декстринового клея. Рошка (Considerate asupra unor factori care influențează calitatea cleiului de dextrină. Roșca Florica), Rev. ind. aliment. prod. vegetale, 1957, № 2, 25—26 (рум.).

Установлено, что вода, применяемая для изготовления декстринового клея, должна иметь жесткость $\sim 1 \text{ мг-экв/л}$, а кислотность декстрина $\leq 80 \text{ мг } 0,1 \text{ н. NaOH}$, оптимальные их соотношения для получения клея для сигарет (в кг) 6:12, для склеивания пачек 10:16. Декстрин добавляют к воде 80° , при помешивании, нагревают 3 часа при $60-70^\circ$ и используют через 72 часа после изготовления. В жестяной посуде клей хорошо сохраняется свыше 6 недель. А. Марин

22966. Качественный анализ крахмальных патоки методом хроматографии на бумаге. Войцехович, Андрилович (Ocena jakościowa syropów skrobiowych na podstawie analizy chromatograficznej bibulowej. Wojciechowiec Maria, Andrejowicz Antonina), Roczn. Państw. zakł. hig., 1958, 8, № 2, 161—175 (польск.; рез. русск., англ.).

Описаны методы и результаты анализа 11 сортов крахмальных патоки (карамельной, желтой и халвичной) и солодового экстракта «Мальто». Установлено наличие глюкозы, мальтозы, мальтотриозы с изомаль-

тозой, мальтотетразы с панозой, панта-, гекса-, гепто-олигосахаридов и высших декстринов. На проведенных хроматограммах патоки и экстракта «Мальто» отмечено значительное различие в интенсивности пятен и полос высших олигосахаридов и декстринов.

Н. Баканов
22967. Выявление добавок крахмальной патоки в пищевых продуктах с помощью хроматографического анализа. Андрилович, Войцехович (Wykrywanie jakościowe dodatku syropu skrobiowego w produktach spożywczych metodą analizy chromatograficznej. Andrejowicz Antonina, Wojciechowiec Maria), Roczn. Państw. zakł. hig., 1957, 8, № 2, 177—188 (польск.; рез. русск., англ.).

Методика и результаты исследований искусств. сахарного и паточного меда, халвы и «ововитина» (продукта, содержащего лактозу) для установления содержания в них крахмальной патоки. Для сравнения использовались хроматограммы крахмальных патоки, экстракта «Мальто» и сахаров глюкозы, фруктозы, мальтозы, сахарозы и лактозы. Установлено наличие в паточном меде и халве крахмальной патоки, а в «ововитине» — экстрактов «Мальто» и лактозы; в искусств. сахарном меде обнаружены только продукты гидролиза сахарозы и реверсии глюкозы. Н. Баканов

22968. Пектин из корзинок подсолнечника. Стойков С. А. (Пектин от слънчогледови пшти. Стойков С. А.), Химия и индустрия, 1957, 29, № 4, 23—24 (болг.).

Краткий обзор. Библ. 12 назв. М. Г.
22969. Пектины. Безанже — Бокен (Les pectines. Bézanger — Beauquesne Lucienne), Prod. pharmas., 1957, 12, № 8-9, 530—534 (франц.).

Обзор. К. Т.
22970. Кленовый сироп. X. Влияние на вкус и цвет кленового сиропа заражения кленового сока чистыми культурами микроорганизмов. Нагски, Рид, Уиллис (Maple sirup. X. Effect of controlled fermentation of maple sap on the color and flavor of maple sirup. Naghski J., Reed L. L., Willits C. O.), Food Res., 1957, 22, № 2, 176—181 (англ.).

Найдено, что в конце сезона кленовый сироп получается по качеству значительно хуже, чем в его начале. Показано, что заражение сока чистыми культурами *Pseudomonas Flavobacterium* и дрожжами, с последующим хранением перед сгущением в течение 3—10 дней при $0,5-2,5^\circ$, в значительной степени влияет на вкус и цвет полученного сиропа, как правило, улучшая его. В некоторых случаях микроорганизмы преимущественно дрожжи, вызывают развитие в сиропе карамельного привкуса, что связано с образованием редуцирующих сахаров. Часть IX см. РЖХим, 1957, 53160.

Т. Сабурова
22971. Методы экстракции сахарозы из сорго. Прайс, Файф (Methods for extraction of sucrose from sorgo. Price Charles, Fife J. M.), J. Agric. and Food Chem., 1957, 5, № 7, 526—528 (англ.).

Лабораторные опыты показали, что для определения содержания сахарозы в сорго лучшим методом является горячая водн. дигестия навески измельченных стеблей сорго. Приведены содержание сахарозы, клетчатки и общего и вредного азота в одном из лучших сортов сорго Rex, выращиваемого в Калифорнии для получения сахара.

Г. Бенин
22972. Стандартные цветные стекла для оценки цвета меда. Брайс, Тернер, Уайт (Glass color standards for extracted honey. Brice B. A., Turner A. Jr., White J. W., Jr.), J. Assoc. Offic. Agric. Chemists., 1956, 39, № 4, 919—937 (англ.). Более светлая окраска меда обычно ассоциируется с тонкими вкусовыми качествами, а более темная —

с сильно выраженным вкусом и запахом и с менее привлекательным внешним видом. Подробно изложена методика исследований, с помощью которой были установлены шесть стандартных стекол и простой компаратор для оценки цвета меда. Эти стекла близки по хроматичности карамельно-глицериновым р-рам при толщине слоя в 31,5 мм и соответствуют шкале по цветомеру, который принят в США для определения цвета меда. Предусмотрена возможность определения цвета мутного меда.

В. Грживо
22973. Камедь катингвейры. Розенталь (A goma de catingueira. Rosenthal Feiga Rebeca T.), Rev. brasil. quim., 1956, 42, № 250, 242, 244, 246, 248 (порт.)

Камедь дерева *Catingueira*, под которым подразумевают различные деревья вида *Caesalpinia*, содержат (в %) арабина 52,00; кератина 11,97; бассорина 3,03. Гидролизом камеди идентифицированы: арабиноза (легко кристаллизовалась), ксилоза, рибоза, рамноза и галактоза. Найдено (в %) — пентозанов 20,89, галактанов — 29,82.

К. Герцфельд

22974 П. Способ экстракции сахарной свеклы слабо щелочными жидкостями (Förfarande för svagt alkalisk urläkning av sockerbeto) [H. G. Loof, W. Pohl]. Швед. пат. 156520, 9.10.56

Способ экстракции сахарной свеклы слабо щелочными жидкостями с возвратом на экстракцию диффузионной и жомо-прессовой воды отличается тем, что экстракцию свекловичной стружки производят жидкостью, содержащей 0,013% щелочи, а возвращаемые на экстракцию воды доводят до содержания щелочи $\leq 0,021\%$, подогревают до 72° и пропускают перед экстракцией через спец. сепаратор для отделения тончайшей пульпы.

К. Герцфельд

22975 П. Способ очистки свекловичного сока. Ульфхеден (Saftreningsstörfarande. Ulfheden T.) [Svenska Sockerfabriks AB]. Швед. пат. 153323, 31.01.56

Способ отличается тем, что: 1) грязевой сок, полученный от сатурации сока до 0,03 г/мл СаО после предварительной (ПД) и окончательной дефекации (ОД), присоединяют к идущему на ПД сырому соку в кол-ве до 30% от последнего; 2) кол-во СаО для дефекации сока распределяют: на ПД 0,025% и на ОД — 1% от веса свеклы, переработанной на сырой сок; 3) до 30% сырого сока после ПД, фильтрации и ОД подвергают сатурации до 0,03% СаО и, не отделяя от осадка, отводят на ПД, а остальную часть сока после ОД перерабатывают обычным способом на сатурационный сок; 4) сатурацию сока после ПД, фильтрации и ОД производят в один прием до нормальной конечной щелочности 2-й сатурации — 0,015 г/мл СаО и до 30% грязевого сока сатурации отводят на ПД; 5) до 70% сырого сока, прошедшего ПД, и его грязевой сок направляют на ПД, а остаток сока после ПД и ОД перерабатывают обычными двумя сатурациями; 6) на ПД возвращают грязевой сок после ПД и сатурации до 0,03% СаО; 7) СаО вводят на ПД в смеси с дефекованным или сатурованным или фильтрованным соками или грязевым соком ПД. Преимущества способа: при ступенчатой дефекации с постепенно растущей щелочностью повышается выделение псаха, улучшается фильтрация после дефекаций, осадок после сатурации состоит из кристаллич. СаСО₃ и из отходов произ-ва можно получать корм для скота.

К. Г.

22976 П. Способ обработки сахарных соков. Зензес (Verfahren zur Behandlung von Zuckersäften. Zenzes Alexander M.) [Magnëtrik Akt.-Ges.]. Пат. ФРГ 954410, 13.12.56

Патентуемый способ очистки сахарсодержащих соков, включая сырой диффузионный сок свеклосахар-

ного и тростниково-сахарного произ-ва, может применяться при рафинировании р-ров сахара сырца. Способ заключается во взаимном обмене в сахарном соке MgCO₃ (I) с известью или другим основанием. Гидратный I получается при взаимодействии CO₂ и водн. взвеси MgO или в-в, содержащих MgO. Для очистки соков применяется 1·3H₂O или 1·H₂O с добавлением бикарбоната магния; I может применяться также с добавлением балласта в виде мела и др. Предложено после сатурации сахарных соков до pH < 10 еще раз добавить известь с достижением pH > 10, после чего соки фильтровать. Рекомендовано добавлять гидратный I к сахарному соку еще раз, после 2-й сатурации. Практические соки предварительно обрабатывают преимущественно известью до pH 10,6—11,0, затем обрабатывают гидратным I и после сильного нагревания фильтруют.

Г. Таращанский

22977 П. Установка для получения сахара-рафинада из сырца. Петер (Anläggning för utvinande av vitt socker ur rasocker. Peter R.) [Escher Wyss Maschinenfabriken Akt. Ges.]. Швед. пат. 149008, 3.05.55

Установка для получения рафинада из сахара-сырца, питаемая паро-силовой станцией, отличается тем, что термокомпрессоры выпарной станции имеют привод от конденсационной турбины паросиловой станции.

К. Герцфельд

22978 П. Метод обнаружения и определения тростникового сахара в водном растворе. Швабе (Verfahren zur Anzeige und Messung von Rohrzuckergehalten in wässriger Lösung. Schwabe Kurt). Пат. ГДР 12298, 30.10.56

Регистрируется сила тока, возникающего при электролизе исследуемого р-ра (напр., конденсата парочной станции). В конденсаторопровод монтируют 2 электрода: анод-поляризующийся (Pt) и катод-неполяризующийся (напр., каломелевый), которые держат под напряжением, немного меньшим потенциала разложения данного р-ра. Появляющийся в р-ре сахар, деполаризуя анод, вызывает электролиз. По возникшей силе тока в цепи можно судить о колич. содержании сахара. В цепь можно включать световые и звуковые сигналы. Даны чертеж монтажа электродов и таблица зависимости между силой тока и конц-ей сахара в водн. р-рах Na₂SO₄ и NaHPO₄.

Н. Гарденин
22979 П. Способ выделения крахмала из крахмального молока (Fremgangsmåde til at udvinde stivelse af stivelsemaelk) [Aktiebolaget Separator]. Дат. пат. 80940, 30.04.56

Способ отличается тем, что на отстойной центрифуге (ОЦ) возвращают ранее отделенные загрязнения, содержащие тонкие зерна крахмала, после предварительного процеживания или возвращают на ОЦ процеженные и сгущенные (совместно или раздельно), соковую воду и загрязнения первого центрифугирования, а также промывную воду и отмытые ею загрязнения.

К. Герцфельд

22980 П. Паста. Довберг, Довберг (Paste composition. Dovberg Ike, Dovberg Maurice S.). Пат. США 2718472, 20.09.55

Клеевая паста содержит (в %): соли 10,4, сахара 41,7, метилцеллюлозы 41,7, декстрина 5,5, щел. соли тетрагидрата ортофенилфената 0,8, жидкий фенол и р-р сока алоэ.

Н. Баханов

См. также: Пищевая глюкоза из древесины 22839. Электрофоретич. метод отделения аминокислот от сахаров 8197Бх. Определение состава карамелизованного сахара 23071. Определение полисахаридов при помощи р-ра тимоло в серной к-те 8206Бх. Т-ра клейстеризации ржаного крахмала 9352Бх. Превращения галактиновой к-ты 21620. История 20269, 20270

БРОДИЛЬНАЯ ПРОМЫШЛЕННОСТЬ

Редакторы А. М. Емельянов, Г. А. Новоселова

22981. Обмен веществ хранящихся дрожжей. Бергандер, Барман (Studien über den Stoffwechsel lagernder Hefen. Bergander E., Bahrmann K.), Nahrung, 1957, 1, № 1, 74—87 (нем.; рез. англ., франц., русск.)

Изучен обмен в-в в прессованных, формованных или нашинченных в воде дрожжей в процессе хранения для выяснения быстрого метода определения их стойкости. Хим. и хроматографич. методами доказано участие в углеводном обмене не только гликогена и камеди, но и других углеводов дрожжевой клетки: общее кол-во остаточных углеводов составляет 50—60% от исходного. Стойкие дрожжи, сохраняющиеся 150—200 час. при 35°, характеризуются хорошо выраженными дыхательными ферментами. Хроматография на бумаге выявляет скорость автолиза дрожжей по накоплению различных аминокислот в воде. взвеси дрожжей 1:1 при 50°. Предложен быстрый способ определения стойкости дрожжей: определением pH взвеси дрожжей, содержащейся в термостате при 50° при помощи лифавской индикаторной бумаги и одновременно электрометрич. хингидронным методом выявляют степень автолиза дрожжей, при наблюдении в течение 6 час.

Е. Плевако

22982. Изучение аэробного брожения. IV. Коэффициент поглощения кислорода как фактор размножения дрожжей. Ямада, Такахаси, Носимура, Яно (好気培養に關する基礎的研究. 第4報. 酵母の培養條件としての酸素吸收速度係數. 山田浩一, 高橋義二, 養吉村卓也, 矢野俊正), 日本農藝化學會誌, Нихон ноуги кагаку кайси, J. Agric. Chem. Soc. Japan, 1956, 30, № 1, 22—26 (японск.; рез. англ.)

Опытами с дрожжами *Saccharomyces cerevisiae*, Fleischmann установлено, что в стадии интенсивного размножения дрожжей скорость расходования сахара (ds/dt) прямо пропорциональна скорости роста дрожжей (dm/dt) или $ds/dt = Kdm/dt$, где: K — коэф. расходования сахара. Когда коэф. поглощения кислорода $Kd = 1.2 \cdot 10^{-6}$, dm/dt достигает максимума, а K — минимума и остается в дальнейшем без изменения при увеличении Kd , что указывает на нецелесообразность интенсификации аэрирования сверх определенного предела. Форма сосуда и способ аэрирования практич. значения не имеют. Основным фактором роста дрожжей является значение Kd . Часть III. См. РЖХим, 1957, 75876.

Г. Опмян

22983. Производство спирта из топинамбура. Бартфан, Сабадкай (A csicsoka szeszipari feldolgozása. Bártfay József, Szabadkai Gyula), Élelm. ipar, 1957, 11, № 1, 24—30 (венг.)

22984. Обнаружение применения несброженных можжевеловых ягод при приготовлении водки типа Штайнхегер и метод оценки ее аромата. Плёттнер (Über den Nachweis der Verwendung unvergorener Wacholderbeeren bei der Steinhäger — Herstellung und eine Methode zur Prüfung des Aromas von Steinhägern. Plöttner Dietmar), Dtsch. Lebensmitt.-Rundschau, 1956, 52, № 8, 189—191 (нем.)

Новая рецептура приготовления водки типа Штайнхегер в ФРГ допускает применение наряду с можжевеловой бражкой незначительной примеси несброженных можжевеловых ягод (НМЯ). Применение НМЯ может быть обнаружено по муте, появляющейся при разбавлении 250 мл 40%-ной водки до 800 мл 10%-ным р-ром NaCl, причем по интенсивности муты можно судить о кол-ве НМЯ. Метод основан на том, что в процессе перегонки в отгон переходят извлекаемые из НМЯ терпеновые соединения, образующие муть при

разбавлении водки р-ром NaCl. Описанный способ позволяет также вскрыть частичное присоединение к отгону 1-го сорта головных или хвостовых погоннов.

Г. Опмян

22985. Изучение ячменя и солода. XI. Замачивание водочувствительного ячменя при соложении. Керсон, Поллок (Studies in barley and malt. XI. Steeping in relation to water-sensitivity in malting barleys. Kirsop B. H., Pollock G. R. A.), J. Inst. Brew., 1957, 63, № 5, 383—385 (англ.)

Для устранения вредного влияния водочувствительности на всхожесть ячменя при соложении замачивание зерна проводят в течение 8—16 час. (при 13°), затем удаляют воду и выдерживают зерно на воздухе 12—24 час. при этой же т-ре, после чего снова замачивают 24 часа при 13°. При таком способе замачивания водочувствительный ячмень дает больший процент всхожести, более равномерное прорастание и больший выход экстракта, чем при непрерывном замачивании. Сообщение X см. РЖХим, 1957, 73157.

А. Емельянов

22986. Пневматические солодовни без воды. Хильдебрандт (Pneumatische Mälzerei ohne Wasser? Hildebrandt Hartmut), Brauwelt, 1957, 97, № 69, 1240—1242 (нем.)

Расчетами показано, что при загрузке ящика солодовни (10 т ячменя) зеленым солодом выделяется определенное кол-во тепла, 1/5 ч. которого при максим. дыхании удаляют в течение одного дня охлаждением. В последующие дни применяют периодич. проветривание в условиях полной герметичности. С увеличением размеров ящиков естественное удаление тепла теряет свое значение и требуется полностью искусств. охлаждение. С точки зрения качества солода снабжение зеленого солода воздухом без насыщения его водой опасно. Экономия в расходовании воды возможно получать за счет тонкого ее распыления, что может быть достигнуто применением турбораспылителей и спец. форсунок. Соложение в пневматич. солодовнях без применения распыления воды для охлаждения рощи возможно для устройств с загрузкой ≤ 10 т ячменя и при условиях, обеспечивающих нормальное проращивание.

Р. Залманзон

22987. Ячмень и хмель урожая 1957 г. в Бельгии. Исебарт (Les orges et les houblons de la récolte 1957 en Belgique. Isebaert), Petit j. brasseur, 1957, 65, № 2669, 718—720 (франц.)

22988. Химические методы оценки хмеля. Соудек, Петричек (Chemické metody hodnocení chmele. Soudek J., Petříček D.), Chmelářství, 1957, 30, № 9, 139—140 (чешск.)

В основу химич. исследования положена методика Вельмера, основанная на неодинаковой растворимости отдельных компонентов горьких в-в хмеля в разных органич. р-рителях. Этим методом определяется общее кол-во смол, мягких смол, α -к-та (гумулон), β -к-та (лупулон) и твердые смолы.

В. Гржибов

22989. Определение влажности хмеля. Хае, Флейшман (Determination of moisture in hops. Haas Gerhard J., Fleischman Alan I.), J. Agric. and Food Chem., 1957, 5, № 10, 776—779 (англ.)

Исследованы 3 метода: 1) сушка хмеля в течение 1 часа при 104°; 2) перегонка воды с бензолом (2 кпп. 80,1°), толуолом (110,8°) и изоктаном (99,3°); 3) титрование реактивом Карла Фишера. Влажность, определенная титрованием и перегонкой с изоктаном, оказалась меньше, чем при сушке или перегонке с толуолом и бензолом, что объясняется выделением воды из компонентов хмеля вследствие хим. разложения и уменьшения гидроксильных групп. Метод Карла Фишера признан наиболее простым и точным.

А. Емельянов

22990. О кондуктометрическом методе анализа хмеля. Гудкоп, Хартонг (Conductometric hop analysis. Goedkoop W., Hartong B. D.), J. Inst. Brew., 1957, 63, № 5, 386—390 (англ.) См. РЖХим, 1958, 15313.

22991. Опытные варки хмеля, обработанного фосфорными инсектицидами. Котрла-Гапалова (Varní pokusy s chmelý ošetřovanými fosforečnými insekticidy. Kotrla-Hapalová Milena), Kvasný průmysl, 1957, 3, № 6, 122—125, 2 и 3 стр. обл. (чешск.; рез. русск., нем., англ., франц.)

Безопасность применения фосфорорганич. инсектицидов (систокса, метасистокса (I) и экатокса (II) в смеси с куприколом (III) исследовалась на опытных варках. Установлено, что препараты оказывают слабое стимулирующее действие на процесс образования хмелевых дубильных в-в, I и II оказали слабое ингибирующее действие на образование горьких в-в. Хмель, обработанный фосфорорганич. инсектицидами, оказался лучше хмеля, обработанного смесью с III.

А. Грапов

22992. Электрохимическое измерение потребления кислорода дрожжевой суспензией и влияние на него температуры. Тёдт, Циммерман (Die elektrochemische Messung des Sauerstoffverbrauches von Hefesuspensionen und seiner Beeinflussung durch die Temperatur. Tödt F., Zimmermann F.), Branntweinwirtschaft, 1957, 79, № 13, 276—278 (нем.)

Применена модификация метода Тёдта; в качестве электродов взята амальгама золота — цинк; 0,5%-ную суспензию готовили из пивоваренных дрожжей верхового брожения на фосфатном буфере по Зёренсену с pH 5,4 с добавлением 1% глюкозы и электролитов. Поглощение кислорода дрожжами определяли по силе тока в системе и изображали графически. Дана ф-ла для определения частного значения кол-ва кислорода Q_{O_2} для различных дрожжевых суспензий при равных условиях. Выявлена сильная зависимость Q_{O_2} от т-ры: при 10° оно равно 5,6, при 44° достигает максим. значения ~ 150; при дальнейшем повышении т-ры Q_{O_2} резко снижается; при 58,5° оно равно нулю, что свидетельствует о повреждении дыхательных систем дрожжей. Метод позволяет вести непрерывные наблюдения и измерения жизненных процессов и изучать прямое влияние на них различных условий. А. Жвирблинская

22993. Об изготовлении пива закрытым способом под давлением. Лёфль (Das Bayerische Druck-Brauverfahren. Löffl Karl), Brauwelt, 1957, 97, № 75, 1371—1373 (нем.)

Приведено схематич. изображение устройства и размещения оборудования для изготовления сусла закрытым способом. Все оборудование з-да, состоящее из котельной, работающей на твердом или жидком топливе, заторного чана, сусловарочного котла, перколятора для выщелачивания хмеля, холодильников, бродильного чана и лагерного танка расположено на одном этаже. Все технологич. емкости герметично связаны между собой и изолированы от доступа воздуха, что обеспечивает проведение фильтрации сусла под давлением, а также необходимую стерильность процесса произ-ва пива. Все сосуды имеют цилиндрич. форму и отличаются друг от друга только емкостью. Заторный чан, работающий и как фильтр-чан, снабжен особым пневматическим устройством для выгрузки дробины. Подобные установки могут быть изготовлены для получения 50—200 ел сусла на один затор. Дается примерный баланс затрат воды, тепла, холода и электроэнергии при изготовлении пива на подобных установках.

П. Буковский

22994. Об охлаждении сусла. Кернбах (Ueber die Kühlung der Würze. Kärnbach K.), Wiss. Beilage «Brauerie», 1957, 10, № 8, 91—96 (нем.)

Рассмотрен процесс выпадения белкового осадка (БО) на различных стадиях пивоваренного произ-ва и способы его отделения. Грубый БО отделяют от горячего сусла фильтрацией через хмелевую дробину, с последующим использованием отстойного чана. Полное отделение БО, выпадающего в горячем состоянии, лучше достигают центрифугированием. Ввиду трудности отделения мелкого БО, выпадающего на холоду, более целесообразно совместное отделение мелкого и грубого БО сепарацией после отстаивания. Тонкий БО, выпадающий на холоду, может быть отделен в сусле, частично или нацело отделен. В последнем случае применяется фильтрация через кизельгуровый фильтр. Регулярное продувание воздухом горячего и холодного сусла создает благоприятные условия для выпадения БО, способствует удалению компонентов, ухудшающих вкус пива, и одновременно повышает приток O_2 для дрожжей. Закрытое охлаждение сусла имеет ряд преимуществ перед открытым отстаиванием и оросительным холодильником; экономится время и место, уменьшается трудоемкость работы, исключается опасность инфекции, облегчается контроль произ-ва.

Р. Залманзон

22995. Проверка формулы Баллинга для расчета начальной плотности сусла по готовому пиву. Булаков Н. И., Шмидт Л. Г., Тр. Всес. н.-н. ин-та пивовар. пром-сти, 1957, вып. 6, 162—178

В результате проверки в лабор. и заводских условиях показано, что плотность начального сусла для жигулевского, рижского и московского пива, рассчитанная по ф-ле Баллинга, соответствует данным анализа сусла после задачи дрожжей. Для ленинградского пива ф-ла Баллинга дает завышение на 0,2%. При задаче дрожжей в сусло плотность последнего уменьшается на 0,06—0,08% в зависимости от кол-ва дрожжей, их консистенции и степени промывки.

А. Емельянов

22996. Рефрактометрическое определение зерновых экстрактов. Пирацкий (Refraktometrische Messungen an Cerealien-Extrakten. Piratzky W.), Nahrung, 1957, 1, № 1, 88—95 (нем.; рез. англ., франц., русск.)

Определение экстракта в солодовом сусле или в сусле с добавлением несоложенных материалов: ячменя, риса, пшеницы предлагается производить измерением рефракции. Наиболее близкое совпадение с пикнометрич. данными получают при измерении рефракции интерферометром, дающим в среднем ошибку $\pm 0,027$ и отклонение от пикнометра 0,05%, что соответствует ошибке при расчете выхода экстракта 0,2%, т. е. в пределах допустимых ошибок опыта. Для заводского контроля вполне пригоден погружной рефрактометр, дающий отклонение от интерферометра на 0,08%. Интерферометрич. показания при исследовании преломляющих свойств водн. экстрактов пшеницы, риса, ячменя и солода изменяются в зависимости от материала. Метод пригоден для изучения скорости протекания ферментативных р-ций, процессов клейстеризации и растворения крахмала, а также для изучения его структуры.

Р. Залманзон

22997. Критический обзор способов определения цвета сусла и пива. Линдеман (Kritische Betrachtungen zur Farbebestimmung in Würze und Bier. Lindemann Max), Brauwelt, 1957, B97, № 77, 1486, 1488—1489 (нем.)

Отмечается, что на практике в большинстве случаев следует применять способ Бранда (Zeitschrift f. ges. Brauwesen, 1899, 22, 251) или пользоваться компаратором Европейской пивоваренной конвенции. Даются практич. указания для максим. уменьшения ошибок при определении. Приводится сравнительная таблица

показателей цветности по Бранду и единиц по системе ЕВС.

22998. Хроматографическое определение сахаров в процессе пивоварения при главном брожении и дображивании. Влчек (Chromatografické stanovení cukrů při pivovarském hlavním kvašení a dokvašování. Vlček Jiří), Kvasný průmysl, 1957, 3, № 8, 169—172 (чешск.; рез. русск., нем., англ., франц.)

Приведены результаты дипломной работы, являющейся продолжением работы Винклера (см. РЖХим, 1957, 25161). Предложен видоизмененный метод круговой хроматографии, пригодный для применения в заводских лабораториях. Для колич. определения сахаров наиболее пригодной оказалась методика визуального сравнения величины и интенсивности пятен различных сахаров на хроматограммах исследуемых образцов и р-ров стандартных сахаров точно известной концентрации. Хроматографич. методом изучали превращение сахаров при брожении сусла в зависимости от разных типов пивоварения. Описано простое оборудование для круговой хроматографии, состоящее из двух прилегающих друг к другу крышек от эксикаторов с вложенным между ними кружком хроматографич. бумаги с радиусом на 2 см больше радиуса крышки. Р-тель подводится к центру кружка бумаги снизу из стеклянной воронки через стеклянный капилляр, соединенный с воронкой каучуковой трубкой и проходящий через пробку, вставленную в тубус крышки. На хроматограммах идентифицировали декстрины, мальтотетраозу, мальтотриозу, мальтозу, сахарозу, глюкозу и фруктозу.

В. Грживо

22999. Сравнение биологической стойкости и микрофлоры пива, вырабатываемого по новой и старой схемам. Веселов И. Я., Шиль В. Н., Тр. Всес. н.-и. ин-та пивовар. пром-сти, 1957, вып. 6, 3—7

Проведено сравнительное изучение биологич. стойкости и микрофлоры пива, изготовленного в условиях аэрации и насыщения сусла CO_2 . В исследованных образцах жигулевского пива найдены молочнокислые бактерии, кокки и дрожжи. Микроорганизмов, специфических для пива, вырабатываемого по новой схеме, не обнаружено.

А. Емельянов

23000. Получение препаратов-стабилизаторов для повышения белково-коллоидной стойкости пастеризованного пива. Веселов И. Я., Салманова Л. С., Тр. Всес. н.-и. ин-та пивовар. пром-сти, 1957, вып. 6, 179—186

Описано получение и испытание препаратов из техн. культуры *Aspergillus oryzae*, из зеленого ячменного солода и из отходов пенициллинового произ-ва (микрофлора *Penicillium*). Показано, что препараты из *As. oryzae* и *Penicillium* увеличивают скорость фильтрации готового пива на ~30% и повышают белково-коллоидную стойкость пастеризованного пива в 2 раза при добавлении этих препаратов в бродящее сусло в кол-ве 5 г/л.

А. Емельянов

23001. Применение активированного угля на пивоваренных заводах. Кайзер (Die Aktivkohle und ihre Verwendung im Brauereigewerbe. Kaiser Alfons), Brauwelt, 1957, № 67, 1203—1208 (нем.)

Активированный уголь (АУ) применяют в пивоваренной пром-сти для улучшения качества воды, очистки сжатого воздуха и удаления машинного масла из конденсата, используемого для котлов. Для очистки воды и конденсата используют «гидрафиллы», для сжатого воздуха «дезорекс», для облагораживания сусла и пива «спурокарбон С». Этот сорт АУ применяется во многих странах для получения светлых сортов пива (добавляется в сусло в кол-ве 10—20 г/л). Использование промывных вод, выщелачивающих дробину, для затора последующей варки, часто вызывает потемнение и горечь пива. Этого избегают предварительным

кипячением промывных вод с 10—20 г угля на 1 гл в течение 15—20 мин. Для улучшения качества остаточного пива перед отделением его от дрожжей и задатей завитков к нему добавляют АУ (15 г/л), который остается в фильтрмассе или кизельгуре. Посторонний привкус в пиве может быть удален добавлением в танк 20—25 г АУ на 1 гл пива и последующей 8—10-дневной выдержкой.

Р. Залманзон

23002. Летучие ароматические вещества винограда Мускат Александрийский (Vitis vinifera). Уэбб, Кепнер (Some volatile aroma constituents of Vitis vinifera var. Muscat of Alexandria. Webb A. Dinsmoor, Kepner Richard E.), Food Res., 1957, 22, № 4, 384—395 (англ.)

Методом хроматографии идентифицированы и в ряде случаев количественно определены в-в, обуславливающие аромат винограда Мускат Александрийский. В составе летучих ароматич. в-в обнаружены (в мг на 1 кг ягод винограда): метанола 3,7, этанола 111,0, *n*-бутанола 0,03, 3-метилбутанола 0,01, *n*-гексанола 0,49, *cis*-3-гексенола 0,26, ацетальдегида 0,85, *n*-гексанола 0,03, 2-гексенола 0,05, 2-бутанола 0,01, 2-пентанола 0,01, метилацетата 0,08, этилкапроата 0,04, других эфиров 0,16, обнаружены ацетали. Свободных к-т и терпенов не обнаружено. Указывается, что *cis*-3-гексенол и 2-гексенол обладают «зеленым» или «травянистым» запахом муската. Рассмотрена роль ацетилкоэнзима А в образовании ароматич. в-в винограда. Образование метанола связывают с полиметилгалактуронатами и метоксилированными полифенолами. Виноград содержит низкокипящие, простые ароматич. органич. соединения, общие для всех плодов и высококипящие компоненты, которые и характеризуют сорт или вид винограда.

И. Скурихин

23003. Влияние условий переработки винограда на качество вина. Фаркаш (Spracovanie hrozna a jeho vplyv na kvalitu vina. Farkaš Ján), Vinafstvi, 1957, 50, № 10, 146—147 (словацк.)

23004. Виноградные сусла Алжира урожая 1956 г. Бремон, Мурзо (Les moutis de raisins d'Algerie de la recolte 1956. Bremond E., Murzeau G.), Vignes et vins, 1957, № 54, 5—8 (франц.)

Приведены данные хим. анализа виноградных сусел Алжира урожая 1956 г., произведенного службой борьбы с фальсификацией совместно с энтомологической лабораторией при национальной с.-х. школе Алжира.

Н. Простосердова

23005. Новое в технологии приготовления красных сухих вин. Зайцева Е. Х., Виноделие и виноградарство СССР, 1957, № 6, 7—10
См. РЖХим, 1957, 78665.

23006. Железо и медь в вине. Кордонье (Un des aspects du problème du fer et du cuivre dans les vins. Cordonnier R.), Vignes et vins, 1956, № 53, 9—11 (франц.)

Многочисленными исследованиями установлено, что главным источником железа и меди в вине, вызывающим железный или медный касс, являются аппаратура и оборудование. Во избежание содержания в вине (> 5—7 мг/л) железа рекомендуют умеренное прессование винограда, отделение сусла последнего прессования, отстой сусла перед брожением, покрытие спец. лаком металлич. частей винодельческой аппаратуры, соприкасающихся с суслом и вином, или замена железа деревом, спец. пластмассами, нержавеющей сталью. Во избежание введения в сусло меди рекомендуют при обработке виноградников в конце сезона медные соли заменять другими фунгицидами. Винодельческая аппаратура, коммуникации и мерная посуда не должны иметь незащищенных соприкасающихся с суслом и вином медных поверхностей.

Н. Простосердова

23007. О дрожжевом помутнении вина. Блага (O kvasničných zákalech vín. Blaha Josef), Kvasný průmysl, 1957, 3, № 6, 137—138, 2 и 3 стр. обл. (чешск.; рез. русск., нем., англ., франц.)

Описаны обычные приемы биологич. стабилизации вин (стерильная фильтрация, обработка теплом и т. д.). И. Скурихин

23008. О масках и осадках при бутылочном производстве шампанского. Сорокин В. М., Виноделие и виноградарство СССР, 1957, № 6, 52—54

Рассмотрены возможные причины образования масок и осадков в шампанском. Г. Н.

23009. Новая технологическая схема производства шампанского. Родопуло А. К., Майоров В. С., Виноделие и виноградарство СССР, 1957, № 6, 16—21

Установлено, что термич. обработка шампанских виноматериалов в присутствии O_2 ухудшает качество шампанского. Рекомендованы 2 схемы термич. обработки виноматериалов в отсутствие O_2 , улучшающей вкусовые качества шампанского. Г. Н.

23010. Применение автолизатов дрожжей при тепловой обработке крепких и десертных вин. Герасимов М. А., Кишковский З. Н., Бабкина О. Т., Виноделие и виноградарство СССР, 1957, № 6, 58—60

Установлено, что нагревание десертных вин в течение 30 дней с 5 г/л шампанских дрожжей (предварительно выдержанных в течение 6 час. при -18°) улучшает их органолептические свойства. Г. Новоселова

23011. О механизме образования танатов при оклейке вина. Ратушный Г. Д., Виноделие и виноградарство СССР, 1957, № 6, 10—16

Установлена несостоятельность адсорбционной теории взаимодействия белковых оклеивающих в-в с танидами. Это взаимодействие следует рассматривать как хим. процесс, а танаты, как амфотерные хим. соединения, образующиеся при молекулярном сцеплении белка за счет танидных мостиков, возникающих по месту основных аминных и пептидных групп. Г. Новоселова

23012. Определение Eh вина и коньячного спирта при минимальной поляризации электродов. Скурихин И. М., Виноделие и виноградарство СССР, № 6, 57—58

Разработан метод определения Eh, исключая поляризацию электродов. К искомой точке на реохорде потенциометра подходят поочередно с противоположных сторон. При этом каждый последующий замер уничтожает результирующее поляризующее влияние предыдущего замера ввиду противоположного направления возникающих токов. Точность определения Eh обеспечивается попеременными, по возможности одинаковыми отклонениями стрелки гальванометра. Г. Н.

23013. Определение сернистого и серного ангидридов в органических жидкостях. Применение к исследованию вин, виноградных соков и растворов кристаллического сахара. Дейбнер, Бенар (Dosage de l'anhydride sulfureux total et de l'ion sulfurique dans les liquides organiques. Application aux vins, aux jus de raisin et aux solutions de sucre cristallisé. Deibner Léonce, Benard Pierre), Inds aliment. et agric., 1955, 72, № 11, 673—676 (франц.)

Для определения ионов SO_3^{2-} 100 мл вина доводят дистил. водой до 200 мл и добавляют 10 мл 2 н. HCl, доводят до кипения и по каплям вносят 10 мл 0,82 н. $BaCl_2 \cdot 2H_2O$, нагревают на кипящей водяной бане 2 часа и по весу выпавшего осадка $BaSO_4$ определяют содержание иона SO_3^{2-} в вине. Ошибка определения до 5%. Если вино было сульфитировано, то его десульфитируют в спец. дистилляционном аппарате (см. РЖХим, 1957, 62436). SO_2 определяют йодометрически после отгонки его в указанном дистилляционном аппарате. Г. Валушко

23014. Механизация переработки винограда. Частый (Mechanizácia pri spracovaní hrozna. Čistý L'udovít), Vinařství, 1957, 50, № 10, 147—148 (словацк.)

23015. Испытание нового горизонтального пресса с распределителем давления. Бенвенгнин, Амме (Essai d'un nouveau presseoir horizontal avec répartiteur de pression. Benvegnin L., Hammei G.), Rev. romande agric., vitic. et arboric., 1957, 13, № 8, 59—61 (франц.)

Испытан новый пресс системы Васлена, состоящий из горизонтальной корзины, вращающейся с помощью электромотора на закрепленном валу. При этом для прессующих диска внутри корзины движется по нарезке вала к центру корзины, производя отжатие сока из раздавленного винограда. Дополнительное давление от центра к стенкам корзины создается резиновым мешком. Регулируют первоначальное давление, создаваемое водой в мешке, можно доводить конечное давление на выжимку до 6 кг/см². Процесс загрузки, выгрузки и перемешивания мезги автоматизирован. Отбор сусла-самотека производится в корзине пресса. При сравнительных испытаниях этого пресса с прессом Уилмса и обычным гидравлич. прессом установлено, что содержание танина в сусле, полученном на 1-м и 2-м меньше, чем на 3-м, особенно в прессовых фракциях, а содержание Fe в прессовых фракциях 1-го значительно больше, по сравнению со 2-м и даже с 3-м. Необходимо все металл. части, соприкасающиеся с вином, изготавливать из нержавеющей стали, после чего пресс может быть с успехом применен для прессования мезги. Г. Валушко

23016. Бромированные масла в лимонадах. Бенк, Молль (Bromierte Oele in Limonaden. Benk E., Moll F.), Riechstoffe und Aromen, 1957, 7, № 6, 170—172 (нем.)

Обзор литературы по применению при произ-ве лимонадов различных бромированных масел, полученных бромированием оливкового, макового, соевого, льняного и других масел. Библи. 8 назв. С. Кустова

23017. Отдушка безалкогольных напитков. Джейкобс (Beverage flavoring. Jacobs Morris B.), Amer. Perfumer and Arom., 1957, 69, № 4-61, 64, 66 (англ.)

Краткий обзор прибавляемых в напитки сахаров и отдушек и предъявляемые к ним требования. Е. Смольянинова

23018. Существующие и проектируемые линии для мойки, наполнения и закупорки бутылок. Служа (Lahvarenské linky dnes a zítřa. Sluka Josef), Průmysl potravin, 1957, 8, № 8, 431—433 (чешск.; рез. русск., англ., франц., нем.)

Описание отдельных агрегатов и общая оценка механизированных цехов. А. Е.

23019. Практические указания по приготовлению водных растворов сернистой кислоты для стерилизации бутылок и пробок. Гейсс (Praktische Wink zur Herstellung von wässrigen Lösungen der schwefligten Säure für die Flaschen- und Korksterilisation. Geiss W.), Dtsch. Wein-Zeg, 1957, 93, № 22, 376, 378, 380 (нем.)

Описаны физ.-хим. свойства SO_2 и водн. р-ров SO_2 , способы приготовления 1,5- и 2%-ного р-ров SO_2 и мероприятия по предотвращению загрязнения воздуха производственных помещений SO_2 . Г. Опшин

23020. Автомат упаковки бутылок в бумагу. Озолина З. В., Спирт. пром-сть, 1957, № 7, 48

Описан автомат для упаковки бутылок, выполняющий передвижку бутылок с разливного конвейера на транспортер упаковочного автомата и перевод их в горизонтальное положение, резку бумаги, завертывание бутылок, закрутку бумажного чехла у горлышка

и заделку его на донышке, передачу упакованных бутылок на укладку с переводом их в вертикальное положение. Производительность автомата 3000 бутылок в час.

Г. Новоселова

23021 П. Способ и аппаратура для получения высококачественного этилового спирта (Procédé et appareillage pour l'obtention d'alcool éthylique de haute qualité), [Lepage, Urbain & Cie]. Франц. пат. 1116645, 9.05.56

Патентуется способ получения спирта (I) высшей очистки, заключающийся в подогреве до 130–140°, при котором примеси I либо разлагаются, либо увлекаются выделяющимися парами I, причем предусматривается также возможность одновременного каталитического действия. Подогрев I производится в трубчатом теплообменнике (ТТ), к основанию которого подводит обрабатываемый I. При подогреве и продвижении через ТТ образуется смесь парообразного и жидкого I. Очищ. жидкий I отводится из верхней части ТТ в сборник готовой продукции через холодильник и спиртовой фонарь, тогда как пары I совместно с примесями и продуктами их разложения отводятся из верхней части ТТ в конденсатор ректификационной колонны. Предусмотрены варианты термохим. очистки I-сирца или ректификата в ТТ в ходе перегонки и ректификации или раздельно. Эффект термохим. очистки I повышается со степенью загрязненности его примесями. При исходном 0,7 мг% альдегидов в I, поступающем в ТТ, очищ. I при выходе из ТТ содержит 0,2–0,3 мг% альдегидов в пересчете на безводный I.

Г. Опшмян

23022 П. Напитки с нормальным пенообразованием. Тулмин (Normally foam-producing beverages. Toulmin Harry A. Jr) [The Commonwealth Engng Co. of Ohio]. Пат. США 2758926, 14.08.56

К солодовым напиткам, подвергаемым сбраживанию (напр., к пиву, элю, портеру), добавляют для стабилизации пены 0,5 г на 100 г напитка карбоксиметилового эфира декстрана, прдленного микробиологии. путем. Пример. Пиво сбраживают как обычно и фильтруют через грубый фильтр. К каждому 100 вес. ч. пива добавляют 5 вес. ч. 1%-ного водн. р-ра карбоксиметилдекстрана. Смесь выстаивают 48–76 час. и фильтруют через инфузорную землю. Получают прозрачный р-р красивого цвета, который при налипании образует объемистую, устойчивую пену.

А. Емельянов

См. также: Новая схема произ-ва дрожжей 22836. Исслед. продажных дрожжей 8562Бх. Произ-во кормовых дрожжей 22835. Произ-во этилового спирта из древесины 22827. Отходы целлюлозной пром-сти как сырье для бродильной пром-сти 22831. Ректификация на колонне непрерыв. действия 21710. Расчет тепловой стерилизации бродильных сред 9353Бх. Влияние аскорбиновой к-ты на ОВ — потенциал и качество вина 9354Бх. Сточные воды пивоваренных з-дов 21890, 21907. Радиация защита баков пивоваренных з-дов 21850. История 20271

ПИЩЕВАЯ ПРОМЫШЛЕННОСТЬ

Редакторы А. М. Емельянов, Г. А. Новоселова, А. Л. Прогорович

23023. Вопросы питания в некоторых странах. Кемпбелл (Food technology in some developing countries. Campbell L. E.), Chemistry and Industry, 1957, № 43, 1396–1400 (англ.)

Соображения об источниках пищевого белка (помимо сухого молока) для улучшения детского питания

в слабозажитых странах (пищевая рыбная мука, продукты из соевых бобов, жмыхов арахиса, семян хлопчатника и кукурузного семени), а также о задачах секций Отдела питания ООН.

А. Емельянов

23024. Натуральные и искусственные пищевые продукты. Навелье (Aliments naturels et aliments artificiels. Navellier Pierre), Rev. conserve France et Union franç., 1957, juin, 51–56, 58–61; Cahiers rational., 1957, № 162, 88–114 (франц.)

Доклад на конференции Союза рационализаторов о произ-ве молочных консервов, кофе и хлеба и о значении в питании добавляемых к ним вкусовых, ароматиз., красящих, консервирующих, эмульгирующих, антиокислительных и других в-в, как натуральных, так и синтетических. Приведен перечень таких добавок.

Г. Титов

23025. Гамма-излучение некоторых пищевых продуктов в Швеции. Сиверт, Густафссон, Рюландер (Gamma radiation from some Swedish foodstuffs. Sievert R. M., Gustafsson S., Rylander C. G.), Arkiv fys., 1957, 12, № 5, 481–489 (англ.)

При исследовании сухого молока, говядины, костей и овощей (образцы 1952–1956 гг.) отмечено во всех случаях заметное повышение их γ -излучения, объясняемое влиянием осадков от разрывов атомных бомб.

А. Емельянов

23026. Сушка методом сублимации в вакууме. Саву (Uscarea prin sublimare in vid. Savu A.), Rev. ind. aliment. prod. vegetale, 1957, № 3, 1–4 (рум.)

Рассмотрен механизм сушки сублимацией. Описана опытная установка для замораживания (–30–40°) жидких пищевых продуктов и их сушки сублимацией в течение 7–12 час. при 1 мм рт. ст. до влажности 3–4%.

А. Марин

23027. Определение целесообразной продолжительности стерилизации при консервировании пищевых продуктов. Кызлинка (Stanovení účelné sterilizační doby při konzervaci potravin. Kyzlink Vladimír), Průmysl potravin, 1957, 8, № 10, 525–531 (чешск.; рез. русск., англ., нем.)

Рассмотрены соотношения между т-рой и эффективностью нагревания при стерилизации консервов. Приведены примерные расчеты режимов стерилизации.

А. Емельянов

23028. Некоторые виды консервов для детского питания. Кочетова Л. Т., Консервы и овощесуш. пром-сть, 1957, № 8, 20–23

Разработана схема произ-ва гомогенизированных консервов: суп-пюре томатный, суп-пюре мясосоветной с зеленым горошком и пюре из печени с рисом. Измельчение всех составных частей пюре производят одновременно на протирочной машине, установленной за варочным аппаратом.

Г. Н.

23029. Опыт витаминизации пюреобразных консервов. Кудрова Р. В., Консервы и овощесуш. пром-сть, 1957, № 8, 24–26

При изготовлении опытной партии, в 350 г пюреобразных консервов вводили аскорбиновой к-ты (I) 50 мг, тиамин (II) 1 мг и рибофлавин (III) 1 мг. Вкус консервов не изменялся. Потери I после стерилизации составляли 26–64% и после хранения в течение 24 месяцев 6–37% (по сравнению с содержанием в начале хранения). Для предотвращения разрушения I необходимы стеклянные или лакированные жестяные банки. Потери II при стерилизации 37–47%, при хранении 0%. Сохраняемость III 35–50%, хранение не оказывало влияния.

Г. Новоселова

23030. Опыт работы по усовершенствованию технологических режимов при производстве пищевых концентратов. Федотова Т. Т., Мески-

на Ф. А., Консервн. и овощесуш. пром-сть, 1957, № 8, 35

Описаны новые режимы обработки гороха и мелких круп для произ-ва концентратов (гидротермич. обработка), обеспечивающие улучшение качества продукции и повышающие производительность оборудования.

Г. Н.

23031. Сухие пайки для армии. Тишер (Quick-serve meals for the army. Tischer Robert G.), Food Engng, 1957, 29, № 2, 64—67 (англ.)

Описание разработанных в США сухих пайков, предназначенных для питания армейских групп в различных тактич. условиях атомной войны.

А. Емельянов

23032. Исследование пищевых продуктов. Пеллет (Food investigation, 1956. Pellett P. L.), Nature, 1957, 180, № 4591, 844—845 (англ.)

Краткий обзор н.-и. работ, проведенных в 1956 г. Отделом питания М-ва научных и промышленных исследований (Англия).

А. Емельянов

23033. Изучение фунгицидов. V. Определение бутил-*n*-оксисбензоата. Сибасаки, Мацуда (抗微生物に関する研究. 第5報. バラオキシ安息香酸ブチルの分離定量について. 芝崎島, 松田敏生), 醸酵工學雜誌, Хакко когаку дзасси, J. Ferment. Technol., 1957, 35, № 7, 282—287, 25 (японск.; рез. англ.)

Разработан метод определения бутил-*n*-оксисбензоата в пищевых продуктах (соевом соусе, плодовых соках, уксусе). 5 мл продукта обрабатывают (в 2—3 приема) 100 мл эфира или этилацетата. Экстракт промывают 3—4 раза 1%-ным р-ром NaHCO_3 , а затем водой, упаривают в вакууме досуха. Остаток растворяют в 20 мл 1 н. NaOH , гидролизуют при 100° в течение 15 мин., подкисляют 3 н. H_2SO_4 , экстрагируют ~ 75 мл этилацетата, промывают водой, экстрагируют (в 2 приема) ~ 40 мл 0,2 н. $\text{NaHCO}_3\text{--Na}_2\text{CO}_3$ (1:1), охлаждают $< 3^\circ$, добавляют 2 мл 3%-ного водн. р-ра 4-аминоантипирина и 10 мл 2%-ного водн. р-ра $\text{K}_3\text{Fe}(\text{CN})_6$, экстрагируют (в 2 приема) ~ 30 мл хлороформа и полученный окрашенный р-р фотометрируют при 460 мμ. Часть IV см. РЖХим, 1957, 12433.

Г. Новоселова

23034. О научно-исследовательских работах по зерну во Франции. Шилига (Francuskie prace naukowo-badawcze z dziedziny przetworstwa zbozowego. Szyliga Jan), Przegl. zboz.-mlynarski, 1957, 1, № 7, 19—20 (польск.)

23035. Влияние комбайновой уборки на качество зерновых хлебов. Мейнкс, Вальтль (Der Einfluß des Mähdrusches auf den Verarbeitungswert von Getreide. Meinx Robert, Waltl Kurt), Bodenkultur, 1957, Sonderh. № 8, 81—88 (нем.)

Исследованиями хлебопекарных качеств пшеницы и ржи комбайновой уборки показано, что оптимальной стадией зрелости является полная зрелость. Дальнейшее созревание зерна ведет к незначительным колебаниям хлебопекарных качеств в положительную или отрицательную сторону. В стадии «желтой» зрелости зерно не достигает еще требуемых для хлебопечения качеств. Статич. обработка материалов показала, что при уборке комбайнами вполне созревшего зерна оно не отличается по качеству от зерна, убранного обычными способами.

А. Емельянов

23036. Сушка горячим воздухом. Туднем (Varm-luft for tørking. Todnem Odd), Norsk landbruk, 1957, № 19, 398—401, 403 (норв.)

Описаны принципы конструкции зерносушилок.

К. Герцфельд

23037. Сушка нагретым воздухом одного слоя пшеничного зерна в естественно влажном и увлажненном состоянии. Дитрих (Warmlufttrocknung von naturfeuchtem und künstlich befeuchtetem Weizen-

Einzelkorn. Dietrich N.), Landtechn. Forsch., 1957, 7, № 5, 140—146 (нем.; рез. англ., франц., исп.)

Процесс сушки зерновых хлебов в значительной степени определяется строением зерен, изменением их поверхности и других физ. свойств под действием тепла. При нагревании $\geq 50^\circ$ происходит денатурация плазмы алейронового слоя; вследствие этого скорость отдачи влаги увеличивается. Различия в ходе сушки естественно влажной и искусственно увлажненной спелой пшеницы тем больше, чем выше начальная влажность и чем ниже т-ра воздуха сушки.

А. Емельянов

23038. Изменение качественного состояния зерна пшеницы, ржи и овса в процессе хранения. Макаров В. В., Тр. Центр. н.-и. лабор. Гл. упр. гос. материальн. резервов при Сов. Мин. СССР, 1956, вып. 4, 43—65

Приводятся результаты опытного хранения пшеницы (яровой), ржи и овса, проведенного с момента сбора зерна для выяснения изменений в зависимости от типа хранилища, т-ры зерновой массы, влажности зерна, высоты насыпи, внутрискладской обработки и сроков хранения. Зерно хранилось в деревянных и железобетонных силосах элеваторов до 4 лет. Установлено, что всхожесть и энергия прорастания зерна различных культур изменяется независимо от типа хранилища; наибольшее значение для этих изменений имеет влажность зерна. При перемещении и обработке повреждаются оболочки и зародыш зерна, что снижает его вес, всхожесть и стойкость при хранении. Всхожесть и энергия прорастания зерна снижается со временем хранения, причем величина этого снижения зависит от влажности зерна и внешних факторов. Активность амилазы несколько возрастает, а каталазы падает с увеличением сроков хранения зерна. Клейковина не претерпевает значительных изменений, за исключением растяжимости, которая снижалась через 4 года у твердой с 17 до 10,2 см, у мягкой с 18 до 14 см. Мукомольные и хлебопекарные свойства зерна не изменились после 4 лет хранения.

А. Емельянов

23039. Изменение качества зерна пшеницы при длительном хранении. Козлова Л. И., Некрасов Б. П., Тр. Центр. н.-и. лабор. Гл. упр. гос. материальн. резервов при Сов. Мин. СССР, 1956, вып. 4, 66—80

Приводятся результаты исследования изменений качества 10 партий пшеницы при хранении до 16 лет. Установлено, что при длительном хранении (> 5 лет) зерно становится потускневшим, всхожесть и энергия прорастания его снижаются, причем, потеря жизнеспособности зерна ускоряется после повторной гаша-ции и замораживания. Наблюдается снижение гидрофильности коллоидов и уплотнение белковых молекул зерна; клейковина становится более упругой, коротковусшейся. Также наблюдается и при хранении зерна, подвергнувшегося жесткому режиму сушки. Изменение биохим. и хлебопекарных достоинств зерна в значительной степени зависит от исходного качества зерна. Так, пшеница хорошего качества с содержанием $\geq 28\%$ клейковины при хранении в нормальных условиях сохраняет хорошие хлебопекарные свойства при хранении ≥ 10 лет.

А. Емельянов

23040. О теплоемкости зерна пшеницы. Егоров Г. А., Тр. Моск. технол. ин-та пищ. пром-сти 1957, вып. 9, 44—61

Подробно рассмотрены результаты работ по определению теплоемкости (Т) зерна; зависимость Т от влажности и т-ры, влияние сорта, а также данные собственных опытов. На тепловые свойства неподвижного слоя пшеницы влияет стекловидность зерна, что особенно заметно при появлении свободной воды (со-

отношение последней к связанной воде зависит от сорта пшеницы. Для пшеницы с влажностью 10–20% предлагается следующая ф-ла: $C = 0,245 + 0,010 W_c$, где C — уд. теплоемкость в ккал/кг. град. неподвижного слоя пшеницы, W_c — влажность зерна в процентах. Эта ф-ла выражает зависимость C от W независимо от сорта и стекловидности пшеницы. Библиография 30 назв.

А. Емельянов
23041. О механических свойствах зерна при сдвиге. Наумов И. А., Тр. Моск. техн. ин-та пищ. пром-сти, 1957, вып. 9, 10–18

Приводятся данные о прочности зерна при угловой деформации, а также о хрупкости и пластичности его в зависимости от влажности и стекловидности. Они получены на специально сконструированном приборе, приспособленном для разрушения единичных зерен, описание и схема устройства которого приводятся. При одинаковой влажности наибольшее сопротивление сдвигу оказывают зерна твердой пшеницы, затем пшеницы восточных и центральных районов. Сопротивление сдвигу уменьшается с увеличением влажности зерна. При начальном врезании рифли в зерно, зерно мучнистое и влажное обладает пониженной упругостью по сравнению с зерном стекловидным и сухим. Зерно пшеницы с влажностью 10,2–10,5% разрушается при небольших остаточных деформациях. При увлажнении до 16,8–17,2% пластич. свойства его увеличиваются (у пшениц восточных больше, чем у пшениц центральных районов).

А. Емельянов
23042. Определение твердости зерен и эндосперма. Хампель (Beiträge zur Bestimmung der Korn- und Mehlkernhärte. Hampel G.), Getreide und Mehl, 1957, 7, № 11, 91–96 (нем.)

Обзор методов. Библиография 15 назв.
А. Е.
23043. Влияние степени спелости на мукомольные и хлебопекарные качества твердой красной озимой пшеницы. Скотт, Хейн, Финни (Development of the hard red winter wheat kernel in relation to yield, test weight, kernel weight, moisture content and milling and baking quality. Scott Gene E., Heyne E. G., Finney K. F.), Agron. J., 1957, 49, № 9, 509–513 (англ.)

Исследованы изменения физ. и хлебопекарных свойств пшеничного белка в процессе созревания зерна на 3 сортах озимой твердой пшеницы. Урожайность, натура и вес 1000 зерен, определяемые начиная с 11 дня после цветения до созревания зерна, регулярно увеличивались в течение 26–27 дней после цветения. Максимумы их установлены при 40%-ой влажности пшеницы. Опытными выпечками и характеристиками физ. свойств теста показано, что хлебопекарные качества достигают максимума в тот же период развития зерна.

А. Емельянов
23044. Скрытое поражение плесневыми грибами — причина порчи семян кукурузы. Аквис С. И., Сообщ. и реф. н.-и. ин-та зерна и продуктов его переработки, 1957, вып. 3, 14–15

Для предупреждения плесневения семян кукурузы, снижающего его всхожесть, продовольственные и кормовые качества, применяют активное вентилирование воздухом, сушку початков и зерна.

А. Емельянов
23045. Об автоматизации мукомольной промышленности. Рейс (Problema automatizării în industria molară. Reusz Gheorghe), Rev. ind. aliment. prod. vegetale, 1957, № 6, 23–28 (рум.)

Рекомендуется заменить на перестраивающихся мельницах и мукомольных комбинатах паровые двигатели и дизельмоторы электродвигателями. Рассмотрены экономич. преимущества снабжения каждого механизма отдельным электромотором, что облегчает управление, контроль и автоматизацию произ-ва и повышает производительность предприятия на 16,5%.

Описана примерная схема световой сигнализации работы цеха упаковки муки в мешках и их внутренней транспортировка до погрузки в вагоны.

А. Марин
23046. Новый мукомольный комбинат в Финляндии. Грайндрод (New Finnish milling and grain storage plant is the result of co-operative planning. Grindrod John), Australas. Baker, and Millers' J., 1957, 60, № 8, 21, 23, 25 (англ.)

23047. Измерение величины частиц муки. Нюре, Шёфтер (A propos de la granulométrie des farines. Nuret H., Schoeffter J.), Bull. Ecole franç. meunerie, 1957, № 159, 109–121 (франц.)
Критический обзор методов просеивания, седиментации и воздушной сепарации муки. Библиография 8 назв.

А. Емельянов
23048. Перевозка муки в полужестких контейнерах. Файнгерш А., Бороховский Л., Мукомольеват. пром-сть, 1957, № 10, 22–23

Описание и схематич. чертежи складывающегося контейнера (каркас из металлич. труб, обтянутый водонепроницаемым брезентом) для перевозки муки, крупы и других сыпучих продуктов, емк. 700 кг, весом нетто 155 кг.

А. Емельянов
23049. Сушка свежесобранного риса. Часть I. Принципы сушки. Часть II. Практические применения. Десикачар, Субрахманьян (The curing of freshly harvested paddy: Part I. Principles of curing. Part II. Applications. Desikachar H. S. R., Subrahmanyan V.), J. Scient. and Industr. Res., 1957, 16A, № 8, 365–367, 368–370 (англ.)

I. Обработка влажным теплом или пропаривание свежесобранного риса-сырца снижает тестообразование при варке рисовой крупы. Для устранения положительных пропаривание ведут при 110° в течение 15 мин. Для сравнения кулинарных качеств риса применено определение вязкости каши, сваренной в определенных условиях, а также определение потерь сухих в-в, осаждаемых 70 об.% спиртом.

II. Для производственных условий предложено пропаривать рис-сырец 15–30 мин. при 100°, затем выдерживать его в течение 1–2 час. перед сушкой в затененном месте. После такой обработки рис приобретает кулинарные свойства старого риса, т. е. не образует клейкой массы при варке. Приводятся описание кастрюли и способа приготовления риса в домашних условиях.

А. Емельянов
23050. Влияние обработки кислотой при пропаривании риса-сырца на содержание аневрина в готовом продукте. Реймонд, Скуайре (The effect of acid treatment during the parboiling of paddy on the aneurin content of the resultant rice products. Raymond W. D., Squires M. J. A., Miss), Colon. Plant and Animal Prod., 1956 (1957), 6, № 2, 117–119 (англ.)

Исследовано содержание аневрина (I) в неполированном и полированном рисе, а также в оболочках и мучели, полученных после предварительной обработки (выдержка в горячей или холодной воде с последующей сушкой) риса-сырца 3 сортов без добавления и с добавлением уксусной к-ты в кол-ве 0,3–0,4%. Показано, что добавление уксусной к-ты в указанных конц-ях, устраняющее неприятный запах, свойственный пропаренному (недоваренному) рису, не оказывает существенного влияния на кол-во I в пропаренном полированном рисе.

А. Емельянов
23051. Обогащение риса витаминами. Джаканелли (La vitaminizzazione del riso. Giacanelli E.), Selez. tecn. molit., 1957, 8, № 8, 51–54 (итал.)

Описаны 2 метода обогащения риса витаминами. Метод, применяющийся в Павии (Италия), состоит в смачивании неочищ. риса теплой (50°) водой с по-

следующей обработкой паром в автоклаве; крахмал частично превращается в декстрин, а водорастворимые витамины проникают с водой в глубь зерен. Рис приобретает окраску слоистой кости и привкус, к которому легко привыкают. По другому методу рис во вращающихся барабанах опрыскивают конц. р-рами синтетич. витаминов и солей железа, которые образуют на поверхности зерен устойчивые пленки. На 1 ч. такого риса (рис «премикс») добавляют 199 ч. обрушенного риса, тщательно смешивают и используют в кулинарии или, в виде муки, для изготовления кондитерских изделий.

23052. Влияние зараженности зерна насекомыми вредителями на его состояние при хранении. II. Исследования, проведенные с обрушенным, толченым вручную, шлифованным сырым и пропаренным шлифованным рисом. Пингале, Кадкол, Рао, Сваминатхан, Субрахманьян (Effect of insect infestation on stored grain. II. Studies on husked, hand-pounded and milled raw rice, and parboiled milled rice. Pingale S. V., Kadkol S. B., Rao M., Narayana, Swaminathan M., Subrahmanyan V.), J. Sci. Food and Agric., 1957, 8, № 9, 512—516 (англ.)

Опытами хранения до 8 месяцев образцов риса одного ботанич. сорта (разновидность *Halubbulu*), зараженных рисовым долгоносиком, установлено, что обрушенный рис больше, чем другие образцы, пострадал от насекомых и уже через два месяца был признан непригодным для потребления. Менее всего изменились образцы сырого и пропаренного шлифованного риса. Зараженность риса увеличивает потери крахмала при варке каши, особенно заметно в образцах обрушенного риса. Наблюдается кроме того, увеличение кислотности жира и снижение содержания тиамина. Значительных изменений в содержании азотистых в-в не найдено. Сообщение I см. РЖХимБХ, 1955, 2786.

23053. О пригодности озимой пшеницы Арнаутки для изготовления макарон. Болдя (Contribuții la studiul calitativ al grîului Arnăut de toamnă pentru fabricarea pastelor făinoase. Boldea Elena), Bul. științ. Acad. RPR. Sec. biol. și științe agric. Ser. agron., 1957, 9, № 2, 113—126 (рум.; рез. русск., франц.)

На основании заводских опытов рекомендовано применение Арнаутки для изготовления макаронных изделий.

23054. Значение поврежденного крахмала в оценке качества пшеницы. Берд (Role of damaged starch in the evaluation of wheat quality. Bird L. H.), Nature, 1957, 180, № 4590, 815 (англ.)

Повреждение крахмала при помоле вызывает увеличение водопоглотительной способности муки, снижение объемного выхода хлеба и ухудшение структуры мякиша. При определении реологич. свойств теста необходимо учитывать это кажущееся улучшение его физ. свойств, которые лучше всего проверяются в данном случае опытными выпечками.

23055. Влияние прорастания пшеницы на качество хлеба. Жофруа (Effets de l'avarie par germination à la panification. Geoffroy R.), Bull. Ecole franc. meunerie, 1957, № 159, 126—131 (франц.)

Исследованы 5 образцов пшеницы (1 здоровый, 4 содержащие большее или меньшее кол-во проросших зерен) в мучных болтушках, в опытах с приготовлением теста и выпечкой хлеба. Показано, что присутствие проросших зерен в кол-ве >2% ведет к увеличению диастатич. активности теста, особенно во время выпечки хлеба, и к снижению его качества вследствие более интенсивного превращения α -амилазой крахмала (уже частично измененного) в мальтозу и декстрины.

А. Емельянов

23056. Применение альвеографа Шопена для определения хлебопекарного качества муки. Блоксма (L'emploi de l'alvéographe Chopin pour la détermination de la valeur boulangère des farines. Blokksma A. H.), Inds aliment. et agric., 1957, 74, № 9—10, 653—657 (франц.; рез. англ.)

Приводятся данные сравнительного определения величин W и V и объемного выхода хлеба. Вычисление последнего по W или V, найденных с помощью альвеографа Шопена, для отдельных образцов муки неточно. Более точные результаты получаются при пользовании средними данными для группы образцов муки.

23057. К оценке хлебопекарной способности ржаной муки. Рорлих, Нернст (Zur Beurteilung der Backfähigkeit von Roggen. Rohrlisch M., Nernst Ch.), Mühle, 1957, 94, № 44, 575—578 (нем.)

В результате сравнительного испытания различных методов оценки хлебопекарной способности ржаной муки (цветная р-ция на активность α -амилазы (I), определение содержания декстринов и мальтозы, метод клейстеризации) показано, что между ними нет определенной связи, поскольку они определяют разные стороны разложения крахмала. Максимум вязкости и активности I снижается при небольшом добавлении молочной к-ты, приводящей среду к оптимальному значению pH. Буферные свойства ржаной муки в отношении молочной к-ты зависят от содержания в ней минер. и белковых в-в и влияют на качество теста. Для характеристики хлебопекарных качеств ржаной муки предложено пользоваться одновременно тремя методами (снятие амилограмм, цветная р-ция на I и определение мальтозы). Приводится краткое содержание дискуссии по этому сообщению.

23058. Поддержание требуемой температуры теста. Максимович (Podešavanje temperature testa. Maksimović Milan), Proizv. i prerada brašna, 1957, 6, № 2, 35—36 (сербо-хорв.)

Приведены ф-лы и таблицы, по которым, зная т-ру муки (закваски), определяют т-ру воды, добавляемой к ним при замесе теста, чтобы получить последнее с требуемой т-рой.

23059. О брожении теста в хлебопекарном производстве и при изготовлении сухарей. Одо (La fermentation panaire dans les pâtes de boulangerie et plus particulièrement dans les pâtes de biscuits. Hodeau J.), Rev. techn. ind. aliment., 1957, 4, № 45, 50—61 (франц.)

Обзор физ.-хим. изменений при дрожжевом брожении теста. Библи. 7 назв.

23060. Витаминизация хлеба и добавление к нему минеральных веществ. Вискья (I nuovi concetti nella panificazione integrale e la minaccia del pan sintetico. Vischia Q.), Selez. tecn. molit., 1957, № 9, 111—112 (итал.)

23061. Опыты определения консервантов в хлебохроматографией на бумаге. Момтаз эль-Гинди, Древе (Erfahrungen beim papierchromatographischen Nachweis einiger Konservierungsmittel in Backwaren. Momtaz El-Gindy M., Drews E.), Brot und Gebäck, 1957, 11, № 10, 224—228 (нем.)

В опытах с 6 образцами ржаного хлеба, приготовленными с добавлением 0,2% сорбиновой к-ты, 0,05% муравьиной к-ты, 0,1% бензоата Na, 0,3% пропионата Ca и смеси 0,1% сорбиновой к-ты, 0,2% пропионата Ca и 0,05% бензоата Na, показана применимость метода круговой хроматографии для определения присутствия этих консервантов в хлебе. Приводится описание метода и фотоснимки хроматограмм.

А. Емельянов

23062. О новом типе хлеба. Москеда-Суарес (El nuevo tipo de pan: de trigo y arroz. Mosqueda Suarez Alejandro), Acta cient. venezolana, 1957, 8, № 4, 84—87 (исп.; рез. англ.)

Предлагается выпекать пшеничный хлеб с заменой 30% муки рисом. Содержание белков уменьшается при этом до 11,78% вместо 12,73% в пшеничном хлебе, но зато повышается их полноценность. При изготовлении теста необходимо увеличивать кол-во дрожжей на 25% и при прямом тестоведении увеличивать время расстойки теста на 15 мин.

А. Емельянов
23063. Черствение хлеба. Максимович (Ustojalost hleba. Maksimović Milan), Proizv. i pregrada brašna, 1957, 6, № 2, 33—34 (сербо-хорв.)

23064. Сохранение свежести хлеба теплом. Штефан (Brotfrischhaltung durch Wärme. Stephan H.), Brot und Gebäck, 1957, 11, № 10, 215—221 (нем.)

Опытным хранением ржаного, пшеничного и смешанного хлеба при т-ре 35—65° и относительной влажности воздуха 50—95% установлено, что лучшие результаты по сохранению свежести хлеба (до 42 час.) получаются при хранении при 50° и относительной влажности воздуха 75—80%. При выпечке хлеба не следует сильно подрумянивать корку, так как при хранении в этих условиях происходит ее дальнейшее потемнение. Напротив, желательнее получение глянца на корке. При двухсуточном хранении рекомендуется унаковывать хлеб.

А. Емельянов
23065. Новые машины для хлебопечения. Липенский (Nové stroje pro pekárny. Lipenský Jan), Průmysl potravin, 1957, 8, № 8, 424—425 (чешск.; рез. русск., англ., франц., нем.)

Описание автоматич. регистрирующих весов для сыпучих тел, месильной машины и сит для просеивания муки.

А. Емельянов
23066. Оборудование новых хлебопечерных линий в Чехословакии. Барчок (Strojní vybavení nových pekárenských linek. Barčok I.), Průmysl potravin, 1957, 8, № 8, 420—423 (чешск.; рез. русск., франц., англ., нем.)

23067. Механизированная поточная линия по выпечке хлеба Украинська палиница на хлебозаводе № 5 в Киеве. Бугайчук А. Г., Фузик Г. Г., Рыбачук В. Н., Хлебопек. и кондитерск. пром-сть, 1957, № 10, 42—44

Технология произ-ва украинской палиницы, круглого плодового штучного хлеба (1 кг) с гребешком, изготовляемого на опаре из пшеничной муки 1-го сорта.

А. Емельянов
23068. Предупреждение появления трещин у кексов. Рот (Das Vermeiden von Haarrissen bei Keksen. Rotsch A.), Bäcker und Konditor, 1957, 11, № 7, 20—24 (нем.)

Обсуждаются причины появления мелких трещин у кексов и предлагаются следующие мероприятия: надлежащая выпечка; охлаждение изделий при высокой относительной влажности воздуха и более длительная выдержка свежеспеченных изделий в тепле; увеличение продолжительности вымешивания теста; замена сахаров инвертом. Кол-во трещин снижается также при замене муки мелкого помола более грубым, мелкокристаллич. сахара — крупным, а также при увеличении процента жиров в тесте.

М. Серебряков
23069. О возможности уменьшения содержания жиров в изделиях из слоеного теста. Ротте (Voor korstwerk wordt te veel vetstof gebruikt. Rotte P. G.), Consudel, 1957, 14, № 3, 110—111 (гол.)

23070. Рецептуры мучных кондитерских изделий. Харуки (菓子パンの配合について. 春木悦夫), 製菓パン, Сэйка сэйпан, Baking and Confection, 1957, 23, № 8, 120—121 (японск.)

23071. Состав карамелизованного сахара, полученного нагреванием. Рамая, Агарвал, Агарвал (Composition of caramel prepared by heating sugars. Ramaiah N. A., Agarwal S. K. D., Agarwal J. K. P.), Current Sci., 1957, 26, № 3, 81—82 (англ.)

Методом хроматографии на бумаге установлено, что состав карамелизованного сахара зависит не от природы исходного сахара, а от способа карамелизации.

В. Никифорова

23072. Разработка и освоение поточных линий производства карамели. Смоляницкий М. Е., Соколовский А. Л., Хлебопек. и кондитерск. пром-сть, 1957, № 7, 14—18

Описан опыт работы по организации в СССР поточного произ-ва карамели. Для создания поточных линий был разработан ряд новых непрерывных технологич. процессов: растворения сахара, охлаждения карамельной массы, введения из дозаторов добавочных в-в, обработки и вытягивания массы, одностадийного охлаждения карамели без выстойки. Для осуществления непрерывного производственного процесса были разработаны и освоены новые машины и аппараты: секционный сиропный аппарат, модернизированный вакуум-аппарат, охлаждающая машина с дозаторами, тинкующая машина, шкафной охлаждающий аппарат и др. Основная часть поточной линии, включающая оборудование от вакуум-аппарата до шкафного охлаждающего аппарата, показана на схеме. На линии осуществляются процессы уваривания карамельного сиропа, охлаждения и обработки карамельной массы, формования и охлаждения карамели. Внедрение поточных линий обеспечивает повышение производительности труда на 30—50%, улучшение качества продукции, сокращение потребных площадей и потерь. Экономия на 1 т изделий составляет ~70 руб.

З. Сергеева

23073. Опыты по ферментации бобов какао в Западной Африке. Хауат, Пауэлл, Вуд (Experiments on cocoa fermentation in West Africa. Howat G. R., Powell B. D., Wood G. A. R.), J. Sci. Food and Agric., 1957, 8, № 2, 65—72 (англ.)

Проведены опыты по ферментации бобов какао в районе Золотого берега в 1954 г. и в Тафо в 1955 г. Изучены сравнительные условия ферментации в кучах, деревянных ящиках, больших и малых стальных сосудах при регулируемой т-ре. В период ферментации определяли изменение влажности бобов, pH семян и плодовой мякоти, состав газов, окружающих бобы. Бобы хорошего качества получены при ферментации в ящиках (длительность 6 дней, загрузка 90—317 кг, перелопачивание на 2 и 4 сутки). Способ прост и доступен, он вытесняет ферментацию в кучах, хотя в последнем случае также могут быть получены бобы удовлетворительного качества. Как вспомогательное средство для ферментации могут быть использованы стальные термостаты (загрузка 63—226 кг). В ящиках успешно ферментируют бобы, извлеченные из плодов через неделю после их сбора, а также из недозрелых плодов. Транспортирование влажных бобов и задержка ферментации на 24 часа после поступления не дает отрицательных результатов. Выход ферментированных и высушенных бобов для Амелонадо 44%, для Амазонии 38%.

В. Гурни

22074. Цвет какао продуктов и шоколада. Коби (Color in cocoa and chocolate products. Kobe Francis X.), Confect-Ice Cream World, 1957, 57, № 3, 6, 23 (англ.)

Пищевым законодательством США запрещено добавление красителей в какао-продукты и шоколад, разрешено введение красителей в нестандартизированные полуфабрикаты какао для обсыпки и глазировки тортов и мороженого. Рассмотрены факторы, влия-

- ющие на цвет какао-продуктов и шоколадных изделий. В. Гурни
23075. Исследование влияния моностеарата сорбитана на шоколад. Дак (A study of the action of sorbitan monostearate on chocolate. Duck William N.), *Manufact. Confectioner*, 1957, 37, № 7, 14—16 (англ.)
- Обзор литературы по применению моностеарата сорбитана для предотвращения седения шоколада. Библ. 7 назв. В. Никифорова
23076. Нормализация качества шоколадных батончиков. Бертен (La norme du chocolat en tablettes. Bertin Monique), *Courrier normalis.*, 1956, 23, № 132, 615—618 (франц.)
- На примере нормализации рецептур и способа обработки шоколадной массы для изготовления батончиков с начинкой показано влияние сырья и условий производства на качество готовой продукции. В. Гурни
23077. Направление и результаты исследований процесса производства шоколада в ФРГ. Хейсс (Trends and results of chocolate research in Germany. Heiss R.), *Manufact. Confectioner*, 1957, 37, № 7, 17—21 (англ.)
- Обзор работ микробиологич. ин-та в Тринидаде по ферментации бобов какао ин-та пищевой технологии в Мюнхене по изучению изменений аромата шоколада при коншировании, измельчении и разжижении шоколадных масс, а также вопросам седения шоколада и глазури и подбора рациональных упаковочных материалов. М. Антокольская
23078. Применение шоколада в качестве вкусового вещества. Кемпф (The use of chocolate as a flavour. Kempf Norman W.), *Confect. Manufact.*, 1957, 2, № 12, 501—502; *Manufact. Confectioner*, 1957, 37, № 6, 85—87 (англ.)
23079. Регулирование кристаллической структуры помады путем изменения соотношений между ингредиентами рецептуры. Кинг (Crouquant to fondant ingredient ratio determines crystal structure. King James A.), *Candy Ind.*, 1957, 109, № 2, 55, 58 (англ.)
- Кристаллическую структуру и консистенцию помады можно регулировать путем изменения в рецептуре содержания сахара, патоки, инвертного сиропа и воды. Приведены рецептуры и основные параметры технологич. процесса при изготовлении карамели, помадных, молочных и сбивных конфет с различной консистенцией. З. Сергеева
23080. Витаминизация конфет хлоргидратом аневрина. Козловский, Мюллер (Witaminizacja cukierków chlorowodorkiem tiaminy. Kozłowski Z., Müller K.), *Przem. spożywczy*, 1957, 11, № 8, 342—344 (польск.; рев. русск., франц., нем.)
- Установлено, что в процессе произ-ва конфет разлагается 16,8% добавленного хлоргидрата аневрина. После 3-месячного хранения в магазине остается 0,25% добавленного кол-ва витамина. Обогащение конфет синтетич. витамином В в 118 раз дешевле, чем витаминизирование дрожжевым экстрактом. Введение в изделия кол-ва витамина, обеспечивающего полную суточную его дозу в 100 г продукта в течение гарантированного срока их хранения, повышает издержки произ-ва на ~ 6,15%. Г. Новоселова
23081. Определение и характеристика фенольных веществ плодов. Смит (The determination and characterization of the phenolic substances of fruit. Smit C. J. B.), *S. Afric. Industr. Chemist*, 1957, 11, № 5, 93—95 (англ.)
- Обзор. Библ. 24 назв. А. К.
23082. Определение дифенила в плодах цитрусовых. Бёме, Берглинг (Zur Bestimmung von Diphenyl in Citrusfrüchten. Böhme Horst, Bertling

Ludwig), *Z. Lebensmittel-Untersuch. und Forsch.*, 1957, 105, № 4, 311—318 (нем.)

Разработан спектрофотометрич. метод определения содержания дифенила в плодах цитрусовых. После отделения от дистиллата эфирных масел взбалтыванием с конц. H_2SO_4 и последующей обработке р-ра $AlCl_3$ р-р спектрофотометрируют при 250 мμ. Н. Токмачева

23083. Микроскопирование пищевых продуктов. 15. Стручковый перец и горчица. 16. Яблоки. 17. Гурни и айва. Эссекс, Шелтон (Food microscopy. 15. The capsicums and mustard. 16. Apple. 17. Pear and quince. Essex C. D., Schelton J. H.), *Food*, 1957, 26, № 306, 111—113; № 307, 152—153; № 308, 194—195 (англ.)

15. Приведена сравнительная характеристика формы, анатомич. строения и картины микроскопич. исследования стручковых перцев: кайенского (*Capsicum frutescens* L.), паприки (*C. annuum*) и испанского красного перца пименто, а также горчицы: черной (*Brassica nigra* Koch.) и белой (*Sinapis alba* L.). Описаны приемы фальсификации этих пряностей и методы обнаружения примесей под микроскопом.

16. Описана техника микроскопич. анализа яблок и продуктов их переработки. Приведены 9 микрофотографий. 17. Описана техника микроскопич. анализа плодов груш и айвы. Сообщ. 14 см. РЖХим, 1958, 19738.

В. Гурни

23084. Физиология созревания в связи с хранением в холодильнике. Влияние срока сбора на длительность хранения и на качество яблок сорта Стрейт Уайнсен. Треккани (Fisiologia della maturazione in rapporto alla conservazione in frigorifero. Influenza dell'epoca di raccolta sulla conservazione e sui caratteri commerciali della mela «Stayman Wine-sap». Treccani Cesarina Poma), *Ann. Agrarim. agrar.*, 1956, 10, № 6, 2117—2142 (итал.; рев. англ.)

Для определения степени зрелости плодов были выбраны: р-ция крахмала мякоти с р-ром J в KJ (наиболее стойкий признак), степень окраски плодов, легкость отделения плода от плодоножки. Необходима совокупность всех трех показателей, так как каждый в отдельности в разные годы может меняться. Для опыта брали плоды периферийной части кроны. Установлено, что поздний сбор обеспечивает сохранность плодов при хранении. У плодов раннего срока сбора вкусовые качества хуже, аромат слабее, кислотность выше. Б. Соколов

23085. Изучение хранения винограда сорта Император в контролируемой атмосфере с фумигацией без фумигации SO_2 . Уота (Preliminary study on storage of Emperor grapes in controlled atmosphere with and without sulfur dioxide fumigation. Uota M.), *Proc. Amer. Soc. Hortic. Sci.*, 1957, 69, 250—253 (англ.)

Хранение винограда в течение 177 дней при 0° в герметичной металлич. камере снижало в ~ 10 раз потерю веса при хранении. В атмосфере, содержащей 5% CO_2 и 2% O_2 или 5% CO_2 и 5% O_2 , портится 50% винограда, а при 10% CO_2 и 10% O_2 ~ 12%. Введение в камеру 500 μ/g SO_2 с интервалами в 7 дней снижает порчу винограда до приемлемого в практике уровня, а 1000 μ/g полностью ее предотвращает. При этом улучшается внешний вид винограда (по сравнению с контролем), что объясняют повышенной влажностью воздуха в камере. Г. Новоселова

23086. Вещества, выделяемые при дыхании плодов, хранящихся в холодильнике. II. Изучение летучих душистых веществ, выделяемых персиками сорта Хале во время созревания при 3—20°. Дегетта, Форти, Мончини (Il problema del prodotti di respirazione delle frutta conservate in celle frigo-

refere. Nota III. Ricerche sui composti odorosi volatili emessi da pesche «Hale» durante la maturazione alle temperature di 3°C a 20°C. Daghetta Alberto, Forti Giorgio, Monzini Andrea, Ann. sperim. agrar., 1956, 10, № 1, 321—327 (итал.; рез. англ.)

Изучено содержание эфиров, спиртов, к-т и карбонильных соединений в летучих душистых в-вах, выделяемых персиками Хале при 3 и 20°. А. Марин

23087. Влияние температуры и продолжительности хранения на качество замороженных продуктов. 6. Замороженная земляника в мелкой расфасовке. Гуадальни, Ниммо, Джансен (Time-temperature tolerance of frozen foods. 6. Retail packages of frozen strawberries. Guadagni D. G., Nimmo S. C., Jansen E. F.), Food Technol., 1957, 11, № 7, 389—397 (англ.)

При прочих равных условиях скорость изменения качества земляники, замороженной в сахаре (4:1), ухудшение вкуса, изменение окраски, понижение содержания аскорбиновой к-ты зависит от района произрастания ягод, от сезонных климатич. условий, и, в основном, от способа упаковки. Наилучшие результаты дает упаковка земляники в герметич. тару. При хранении земляники при t -ре выше -18° повышение t -ры хранения на 3° увеличивает скорость понижения качества в 2—3 раза. При -7° заметное ухудшение качества ягод наступает через 4—6 недель. Сообщение 5 см. РЖХим, 1958, 12791.

Т. Сабурова

23088. Овощи для консервирования. Харди (Vegetables for the cannery. Hardy Eric), Canning and Packing, 1956, 26, № 306, 5; № 307, 6 (англ.)

7. Шпинат. Описание общепринятой технологии консервирования шпината в виде пюре или цельных листьев, залитых 1—1,5%-ным р-ром NaCl. Указывается на высокую питательную ценность шпината, богатого солями Fe, P, K, аскорбиновой к-той и содержащего значительное кол-во витамина B₂.

8. Репа и брюква. Краткое описание технологии консервирования брюквы и репы (богатых минер. солями) ломтиками. Они хорошо сохраняются в сыром виде и консервируются в меньшем кол-ве, чем другие овощи. Сообщение 6 см. РЖХим, 1956, 73541.

Т. Сабурова

23089. Улучшить качество сушеного картофеля и овощей. Волков Е. Н., Шеламова А. С., Консерв. и овощесуш. пром-сть, 1957, № 9, 1—3

Рассмотрены пути повышения качества сушеного картофеля и овощей и снижения потерь при их произ-ве и хранении.

Г. Н.

23090. Изменение физико-химических показателей сушеных быстрорастворяющихся корнеплодов и капусты в процессе хранения. Бугрова Л. Н., Консерв. и овощесуш. пром-сть, 1957, № 9, 31—33

Установлено, что качество быстрорастворяющихся сушеных моркови, свеклы, капусты и овощей обычной сушки, выработанных на одном произ-ве, не ухудшалось за 12—13 месяцев опытного хранения. Все образцы лучше сохранялись в герметич. таре. Для быстрорастворяющейся капусты обязательна герметич. тара. Бланшированносульфитированная быстрорастворяющаяся капуста хорошо сохранялась в течение 13 месяцев даже в негерметич. таре.

Г. Новоселова

23091. О причинах потемнения маринованной пастеризованной капусты и способе сохранения ее натурального цвета. Марх А. Т., Фельдман А. Л., Кротов Е. Г., Каган И. С., Марх З. А., Консерв. и овощесуш. пром-сть, 1957, № 8, 14—16

Установлено, что потемнение маринованной капусты обусловлено р-циями меланоидинообразования и расщеплением аскорбиновой к-ты на в-ва, образующие с аминокислотами окрашенные соединения типа мелано-

идинов. Меньшую роль играют продукты окисления фенолов, соединений железа и сульфиды металлов. Добавление сухих специй усиливает потемнение. В воде, используемой для изготовления маринованной капусты, допустимо содержание солей Fe $\leq 0,3$ мг/л. Обязательно бланширование в воде в течение 1 мин. с последующим охлаждением. Обработка перед бланшированием 0,23%-ным р-ром SO₂ в течение 3 мин. сохраняет белый цвет консервов. Сульфитация капусты сохраняет при мариновании до 50% аскорбиновой к-ты. Желательна вакуумизация банок с маринованной капустой.

Г. Новоселова

23092. Продукты из плодов хлебного дерева. VI. Консервированные незрелые плоды хлебного дерева в рассоле или остром соусе. VII. Сушеные и соленые маринованные незрелые плоды хлебного дерева. Бхатия, Сиддана, Лал (Development of products from jack fruit. Part VI. Canned green jack fruit in brine and in curry. Part VII. Dried green jack fruit & jack pickle. Bhatia B. S., Siddappa G. S., Lal Girdhari), Indian Food Packer, 1956, 10, № 8, 7—8, № 9, 13—14 (англ.)

VI. Нарезанные кубиками незрелые плоды хлебного дерева укладывают в жестяные банки, заливают горячим 2%-ным р-ром NaCl, эксгаустируют и стерилизуют. По другому способу нарезанные кубиками плоды хлебного дерева иногда в смеси с другими овощами, заливают острым соусом, в рецептуру которого входят растительное масло, соль, пюре из тамаринда, горчица, перец и другие пряности. Полученные консервы хорошо сохраняют свое качество при 20° в течение 15 месяцев.

VII. Перед сушкой незрелые плоды рекомендуется погружать на 30 мин. в 0,1%-ный р-р K₂S₂O₈. Солнечная и огневая сушка дают продукт одинакового качества. Высушенный продукт хорошо набухает в кипящей воде в течение 15 мин. В герметичной таре сушеные плоды хлебного дерева хорошо сохраняются при $\sim 20^\circ$ в течение одного года. При посоле нарезанные ломтиками плоды хлебного дерева заливают р-ром соли, постепенно повышая конц-ию рассола до 15%, добавляя 2% сахара. Процесс брожения ведут до содержания в рассоле 0,7% молочной к-ты. Затем плоды вымачивают в воде для удаления избытка соли и заливают укусным маринадом с добавлением или без добавления растительного масла и сахара. Приведены рецептуры маринадов. Часть V см. РЖХим, 1958, 19645.

Т. Сабурова

23093. Развитие сырьевой базы консервной промышленности. Луговкин В. Д., Консерв. и овощесуш. пром-сть, 1957, № 10, 16—19

Рассмотрены пути обеспечения сырьем предприятий, вырабатывающих овощные консервы.

Г. Н.

23094. Сорта сладкого перца для консервирования. Вишневский С. И., Консерв. и овощесуш. пром-сть, 1957, № 9, 34—37

Приведены данные, характеризующие качество и динамику поступления на консервные заводы плодов перца, основного принятого для изготовления консервов «Перец фаршированный» сорта Болгарский 79, а также рекомендуемых сортов Крымский белый, Армянский круглый 67, Консервный красный 211.

Г. Новоселова

23095. Улучшение технологии производства консервов из стерилизованного зеленого горошка. Попов (Подобряване технологията при производството на консервата стерилизиран зелен грах. Попов В.), Лека промишленост, 1956, 5, № 7, 30—34 (болг.)

Присутствие NaCl вызывает в консервах из зеленого горошка помутнение заливки и образование белого осадка на дне банок. Установлена возможность сокращения длительности стерилизации и, следова-

тельно, улучшения качества консервов и снижения содержания NaCl в заливке, в особенности при стерилизации консервов ≥ 20 мин. А. Марин

23096. К вопросу о выборе рациональной конструкции поверхности нагрева паромасляной печи. Смирнов Н. И., Консервн. и овощесуш. пром-сть, 1957, № 9, 20—23

На основании анализа различных конструкций поверхностей нагрева паромасляных печей для обжаривания овощей и рыбы рекомендуется однорядная поверхность нагрева с уд. поверхностью нагрева $10,5 \text{ м}^2/\text{м}^2$. Г. Н.

23097. Хранение консервной продукции на складах консервных предприятий в разборных металлических клетях. Гердт П. А., Консервн. и овощесуш. пром-сть, 1957, № 9, 25—26

Описана конструкция металлич. разборной клетки для штабелирования банок без применения фанеры. Клеть для одного штабеля состоит из 6 разборных секций ($321 \times 1425 \times 1425 \text{ мм}$), каждая из которых по высоте вмещает 3 банки 83-1 или 2 банки 83-2. Вместимость штабеля 4426 банок. Г. Н.

23098. Усовершенствование поводка этикетировочного автомата. Тимофеев А. Г., Консервн. и овощесуш. пром-сть, 1957, № 9, 24—25

Описано изменение конструкции толкателя на поводке этикетировочного автомата Одесского консервного з-да им. Калинина. Толкатель сделан съемным (обеспечена возможность его установки на любой высоте в зависимости от размера банки) и двойным (касается верхней и нижней части банки во избежание опрокидывания). Г. Н.

23099. Уход за оборудованием на консервных заводах. Уэст (Maintenance and the small canner. West John H.), Canad. Food. Inds, 1957, 28, № 6, 16—18 (англ.)

Перечень мероприятий по уходу за зданиями и оборудованием на малых консервных з-дах по переработке плодов и овощей. С. Светов

23100. Технология плодовых соков и проблема качественных норм и предписаний для соков. Бурмейстер (Über die Technologie der Fruchtsäfte und die Problematik ihrer Qualitätsnormen und Deklarationsvorschriften. Burmeister H.), Dtsch. Lebensmitt.-Rundschau, 1957, 53, № 5, 109—116 (нем.) Обзор. Библ. 20 назв. Н. Т.

23101. Новые фруктовые соки. Самсонова А. Н., Ресина Н. Г., Консервн. и овощесуш. пром-сть, 1957, № 8, 16—20

Описаны опыты произ-ва соков с добавлением тонкоизмельченной мякоти, выпускаемых за рубежом под названием «жидкие плоды». (В США к сокам добавляют 3—10% мякоти, в Чехословакии 50—60%). Клюкву, черную смородину, землянику, крыжовник после термич. обработки или без нее дробили и измельчали на протирочной машине, смешивали с сахарным сиропом, гомогенизировали в гомогенизаторе типа ОГБ и деаэрировали в вакуум-аппарате. Разлив, укупорку и стерилизацию проводили так же, как при произ-ве абрикосового сока. Полученные соки имели хорошие органолептические свойства. Для произ-ва яблочного сока эта схема не пригодна. Яблоки измельчали на томатной дробилке ХДМ, отжимали при помощи экстрактора сок с частицами мякоти и гомогенизировали. Содержание мякоти и выход сока зависят от степени измельчения и от степени зрелости яблок. Стабильность соков с мякотью обусловлена величиной частиц мякоти и вязкостью жидкой фазы. Произ-во соков с мякотью возможно на отечественном оборудовании. Г. Новоселова

23102. Консервирование плодов мгновенным замораживанием. Бамберже (La conservation des fruits

par la congélation ultra-rapide. Bamberger Jean), Fruits, 1957, 12, № 4-5, 223—225 (франц.)

Мгновенное замораживание (МЗ) сохраняет питательную ценность плодов и предохраняет их от порчи. Вполне спелые, здоровые и не очень крупные плоды немедленно после сбора замораживают при -18° и хранят также при -18° . Землянику замораживают с добавкой сахара (1 вес. ч.: 4 вес. ч.), малину с мелким опудриванием сахаром, смородину иногда с добавкой 10% сиропа, вишню без косточек с сахаром, крыжовник в незрелом состоянии; абрикосы и марабеллы без косточек, после их смачивания р-ром аскорбиновой к-ты или SO_2 . По другому способу плоды замораживают в 40—50%-ном сиропе с добавлением 1% аскорбиновой к-ты. Может быть заморожена также мякоть плодов и ягод с дальнейшим хранением при -15° . Ее используют для варенья и приготовления соков. Качество соков не изменяется при замораживании. Содержание аскорбиновой к-ты остается высоким. Замороженные плоды упаковывают в коробки с обертыванием целлофаном или парафинированным картоном. Во Франции в 1956 г. выпущено 1719 т замороженных плодов. С. Матвеев

23103. Сушка плодовых соков лиофилизацией. Конан (A propos de la lyophilisation des jus de fruits. Conan Jean), Fruits, 1957, 12, № 4-5, 227—229 (франц.)

Сообщение о проведенных во Франции опытах по сушке соков апельсинов, лимонов, ананасов, персиков, земляники, томатов, винограда. Результаты получились вполне удовлетворительные. Сухие соки легко растворяются в воде, полученные соки имеют вкус свежих. Анализ показал, что сушка лиофилизацией не вызывает хим. изменений соков. С. Матвеев

23104. К вопросу о производстве концентрированных томатпродуктов. (В порядке обсуждения). Мойжес М. А., Консервн. и овощесуш. пром-сть, 1957, № 8, 2-7

Рассмотрена необходимость и пути увеличения произ-ва томатов в зонах консервных з-дов, повышения содержания сухих в-в в сырье и эффективности использования оборудования и производственной площади. Экономически не целесообразно уваривать томатную пульпу только до 20% (вместо 30%). Сокращение уровня максим. поступления в пик сезона в значительной степени увеличит сезонную выработку продукции. Г. Новоселова

23105. Молочная промышленность в Дании. Де (Dairying in Denmark. De Sukumar), Indian Dairyman, 1957, 9, № 4, 151—156; № 5, 204—207 (англ.)

23106. Влияние муки из подсолнечного жмыха на свойства молока. Аннибальди (Influenza della farina di neuk sulle caratteristiche del latte. Annibaldi Sergio), Latte, 1957, 31, № 10, 681—682 (англ.)

Физ.-хим. и микробиологич. анализы молока показали, что в основном состав молока не изменялся при добавлении к сучному рациону дойных коров муки из подсолнечного жмыха (в первые 9 дней по 2 кг, в следующие по 4 кг) за исключением незначительного повышения азотистых в-в (до 3,7%) и зольности (до 0,65%) и малого снижения жиров (до 3,1%), лактозы (до 4,7%) и кислотности. А. Марин

23107. Влияние температуры и времени на отстаивание сливок в молоке коров, буйволиц, овец и коз. Фахми, Сирри, Сафват (Effect of temperature and time on the creaming of cow, buffalo, sheep and goat milk. Fahmi A. H., Sirry I., Safwat A.), Indian J. Dairy Sci., 1956, 9, № 2, 80—86 (англ.)

Объем слоя сливок при отстаивании зависит от т-ры. При 22° максим. объем слоя сливок (ОСС) в коровьем и буйволином молоке наблюдался через 2 дня.

в козьем и овечьем молоке ОСС увеличивался до 5-го дня. При 10° в коровьем молоке максим. ОСС отмечался в первый день и затем понижался, в буйволином, овечьем и козьем молоке ОСС увеличивался в течение 5 дней и достигал большей величины, чем при 22°.

Н. Баранов

23108. Изучение редуцирующих свойств молока. Роль ксантиноксидазы. Нильссон (Studies concerning the reducing properties of milk. The role of xanthine oxidase. Nilsson Gerd, Kgl. lantbruks-högskol. ann., 1954 (1955), 21, 445—456 (англ.))

Найдено, что молоко (М) от коров, больных маститом, имеет повышенное содержание ксантиноксидазы по сравнению с М здоровых коров. Рекомендуется прямое определение падения окислительно-восстановительного потенциала по р-ции Шардингера. К 10 мл М добавляют 0,25 мл р-ра, содержащего 5 мл насыщ. р-ра метиленового голубого, 5 мл формалина и 190 мл воды и определяют время обесцвечивания. Эта р-ция пригодна для быстрого диагностирования мастита на фермах, а также для определения примеси М коров, больных маститом, к нормальному. Библ. 20 назв.

Л. Карунинна

23109. Болезнетворные бактерии в молоке и молочных продуктах (Krankheitserreger in Milch und Milchprodukten. I. H.), Schweiz. Milchzeitung, 1956, 82, № 73, 493—494 (нем.)

Н. С.

23110. «Bacto-strip» — новый метод определения B. coli, дрожжей и плесеней на молочных и сыродельных заводах. Шнейдер (Bacto-strip ein neues Verfahren für den Coli-, Hefe- und Schimmelnachweis im Molkerei- und Käseereibetrieb. Schneider K., Schweiz. Milchzeitung, 1956, 82, № 45, 315 (нем.))

При контроле по методу Bacto-strip применяют полоски бумаги, пропитанные питательной средой, благоприятной для определяемой группы бактерий. Данным методом можно определять наличие в молоке и молочных продуктах бактерий группы кишечной палочки, дрожжей и плесеней. Приведен состав питательных сред для каждой группы микроорганизмов. Вследствие своей простоты метод Bacto-strip может найти широкое применение при контроле производства при отсутствии хорошо оборудованных лабораторий.

В. Богданов

23111. Статистический анализ результатов сортировки молока по качеству на основании подсчета бактерий чашечным способом, редуктазной и реазуриновой проб. Гаррис, Томас, Блэк (A statistical analysis of reduction times in relation to plate counts. Harris Eugene K., Thomas Robert C., Black Luther A., J. Milk and Food Technol., 1956, 19, № 9, 243—247 (англ.))

Сравниваются результаты сортировки 407 образцов молока по качеству (на классы А, В и С) разными способами в различные периоды года. При низком содержании бактерий процент несоответствия между результатами хим. и бактериологич. оценки выше, чем при высоком.

Т. Титов

23112. Гомогенизация молока в клапанном гомогенизаторе. Барановский Н., Молочн. пром-сть, 1957, № 2, 29—33

Дана общая гидравлич. характеристика гомогенизирующего клапана. Высота клапанной щели (КЩ) зависит от удельного расхода жидкости, проходящей через клапан, ее вязкости, размера клапана и давления гомогенизации. Определен вид этой зависимости. При гомогенизации молока основная часть энергии расходуется на повышение скорости движения жидкости в начале КЩ, где в связи с этим происходит резкое падение давления жидкости. Градиент скорости по сечению потока, длина КЩ, а также скорость по-

тока на выходе струи из-под клапана не оказывают заметного влияния на степень дисперсности гомогенизированного молока. Гидравлич. фактором, определяющим последнюю, является скорость потока при входе его в КЩ. Предложено новое объяснение механизма диспергирования в клапанном гомогенизаторе (Г). Средний диаметр жировых частиц в гомогенизированном молоке изменяется пропорционально квадратному корню из давления гомогенизации и может быть определен по ф-ле $d_{ср} = 12/\sqrt{\Delta p}$, где $d_{ср}$ — средний диаметр шариков в м, Δp — перепад давлений в атм. Рабочий орган Г можно рассчитывать при проектировании на различную высоту КЩ (обычно от 40 до 80 м при давл. 200 атм). Внутренний диаметр клапана Г может быть определен по удельному расходу и производительности. Характер зависимости степени дисперсности от давления свидетельствует о нецелесообразности применения при гомогенизации очень высокого давления; последнее может быть снижено с 250—300 до 120—140 атм.

А. Титов

23113. Замороженное молоко. Антониани (Il latte congelato. Rivendichiamo un primato italiano. Antoniani Claudio), Alimentazione, 1956, 6, № 4, 5—8 (итал.)

Изложены результаты опытов по замораживанию молока при —25 и —40°. Молоко через 5 месяцев сохранило полностью свои физ.-хим. свойства.

А. Марин

23114. Йогурт и другие кисломолочные продукты, приготовляемые на чистых культурах. Часть III. Дэйвис (Yoghurt and other cultured milks. Part III. Davis J. G.), J. Soc. Dairy. Technol., 1956, 9, № 4, 160—165 (англ.)

Изложены пороки йогурта, его действие на желудочно-кишечный тракт; дана краткая характеристика кисломолочных продуктов на чистых культурах, вырабатываемых в разных странах. Часть II см. РЖХим, 1957, 70517.

Г. Т.

23115. Влияние фермерской обработки на качество сливок в производстве масла. Хиллинг, Джордан (The effect of farm practices on cream quality in the manufacture of butter. Hillig Fred, Jordan R. C.), J. Assoc. Offic. Agric. Chemists, 1956, 39, № 2, 454—468 (англ.)

Описано влияние различных способов обработки сливок на фермах на содержание в них водонерастворимых жирных к-т и их разложение под влиянием различных факторов.

Н. Баранов

23116. Актуальные вопросы изготовления стойкого в хранении сливочного масла. Кёнен (Aktuelle Fragen der Lagerbutter-Herstellung. Koenen Karl), Molk- und Käser-Ztg, 1956, 7, № 45, 1531—1535 (нем.)

Рассмотрено значение для стойкости сливочного масла кормов, характера и качества закваски, пастеризации, биологич. и физ. созревания сливок, а также сбивания, промывки, посолки, обработки и упаковки масла, условий его хранения, оттаивания замороженного масла и его расфасовки.

А. Т.

23117. Аномалия, встречающаяся в натуральном коровьем масле. Армандола (Anomalie riscontrate nei burri genuini. Armandola Paolo), Latte, 1956, 30, № 6, 421—422 (итал.; реф. англ.)

У образцов натурального коровьего масла, выработанного маслозаводами провинции Наварра с 2 октября 1955 г. по 28 апреля 1956 г. число Поленске изменялось от 1,2 до 2,7; число Вольни от 20 до 29 и коэф. рефракции от 44 до 50. На показатели натурального масла влияют порода и возраст животного, состояние здоровья, питание, период лактации.

Б. Хавкина

23118. Привкус кокосового масла как порок молочного жира. I. Выделение веществ, образующих привкус, из молочного жира и их идентичность с δ -декалактоном. Кини, Паттон (The coconut-like flavor defect of milk fat. I. Isolation of the flavor compound from butter oil and its identification as δ -decalactone. *Keeney P. G., Patton Stuart*), *J. Dairy Sci.*, 1956, 39, № 8, 1104—1113 (англ.)

Появление привкуса кокосового масла в молочном жире при хранении и нагревании связано с присутствием в нем лактонов и декалактонов. Выделенные в-ва, образующие этот привкус, оказались тождественными с δ -декалактоном (лактон 5-оксикаприновой к-ты). Методом хроматографии на бумаге получен гомологич. ряд γ -лактонов. Аналогично можно получить гомологич. ряд δ -лактонов. Н. Бойко

23119. Масложотовитель непрерывного действия. Машек (Kontinuální zmláselňovač. *Mašek A.*), *Strojirenství*, 1957, 7, № 8, 629—630 (чешск.; рез. русск., нем., англ.)

Описание новой конструкции масложотовителя, позволяющей организацию механизированных линий непрерывного произ-ва масла. А. П.

23120. О пригодности различных методов для доказательства разбавления пахты водой. Кирмейер, Пирнер (Über die Eignung verschiedener Methoden zum Nachweis der Wässerung von Buttermilch. *Kiermeier Friedrich, Pirner Gertraud*), *Z. Lebensmittel-Untersuch. und- Forsch.*, 1956, 103, № 6, 437—441 (нем.)

Изучалась пригодность методов определения содержания воды, т-ры замерзания, коэф. рефракции и плотности для определения разбавления пахты водой. Метод определения т-ры замерзания не пригоден, так как отсутствует линейная зависимость последней от добавления воды, и метод дает большие ошибки. Для массового контроля свежей пахты рекомендуется определение плотности по Шульцу и Дигезеру (*Schulz M., Digeser A.*, *Molkerei-Ztg* (Hildesheim), 1937, 51, 781), не требующее сложной аппаратуры и быстрого по выполнению. Для контроля пахты, хранящейся > 48 час., пригоден только метод определения содержания воды. Е. Жданова

23121. Связь научно-исследовательской работы и практики в сыроделии. Альфонзус (Eine Brücke zwischen Wissenschaft und Praxis in der Käseerei. *Alfonzus Herbert*), *Milchwissenschaft*, 1956, 11, № 12, 454—459 (нем.)

Обсуждение основных задач сыроделия. Краткий обзор достижений в произ-ве сыров. Предложены мероприятия по улучшению качества немецких сыров. В. Б.

23122. Необходимость и целесообразность применения чистых культур. Древес (Notwendigkeit und Zweckmässigkeit der Verwendung von Reinkulturen. *Drewes Karl*), *Dtsch. Molkerei-Ztg.*, 1956, 77, № 36, 1213—1215 (нем.)

Для произ-ва кисломолочных сыров необходимо применять творог с кислотностью 400—450° Тернера и pH 3,8—4,1. Достижение достаточной и равномерной кислотности творога возможно только с помощью спец. культур, содержащих наряду с обычными молочно-кислыми стрептококками палочки. Для крупных предприятий рекомендуется применять быстрое сквашивание при 41—42° с добавлением 1—1,5% закваски. На небольших предприятиях следует применять обычный способ, с добавлением 4—5% культур при 35—38°. Рекомендуется использовать чистые культуры для масла, с добавлением 1/4 молочно-кислых палочек, или культуры для йогурта. Культуры плесеней используют в виде конц. суспензий. В. Фавстова

23123. Содержание белка, выход и реализация сыра Фрикке (Eiweißwert, Käseausbeute und Käseverwertung. *Fricke Albert*), *Dtsch-Molkerei-Ztg.*, 1956, 77, № 47, 1603—1604 (нем.)

Обзорная статья

23124. Аминокислоты и амины, содержащиеся в эментальском сыре на 180 день созревания (экспериментальные исследования). Часть III. Салерно, Де-Паолис (Gli amino acidi e le ammine presenti nel formaggio emmenthal a 180 giorni di età. *Ricerche sperimentali*) *Nota III. Salerno Alberto, De Paolis Polito*, *Latte*, 1956, 30, № 9, 664—666 (итал.)

В процессе созревания эментальского сыра содержание почти всех свободных аминокислот имеет тенденцию сперва к увеличению, затем к уменьшению и последующему увеличению. Содержание глицина, пролина, аланина, глутамина и треонина уменьшается до 90-го дня созревания, а затем увеличивается, не достигая, однако, первоначальных кол-в. Тирамин (I) и аминомасляная к-та (II) сохраняются в минимальных величинах до 30—90-го дня, достигая к 180-му дню значительного содержания (I 0,20—0,40, II 0,10—0,30 мг/г). Изменение содержания аминокислот отражает возможные изменения бактериальной флоры во время созревания сыра. Часть II см. *РЖХим*, 1958, 12905. Н. Славина

23125. Сыр стилтон. Скотт (Stilton cheese. *Scott R.*), *Irish Agric. and Creamery Rev.*, 1956, 18, № 21, 9—12. *Repr. Dairyman* (англ.)

История произ-ва и распространение сыра стилтон, краткое описание технологич. процесса. Н. Б.

23126. Вопросы качества продукции на заводах, вырабатывающих тильзетский и аппенцельский сыр. Техника выработки и применение сычужного фермента. Шеллибаум (Qualitätsfragen in der Tiltter und Appenzeller-Käseerei. Lab- und fabrikationstechnische Neuerungen gegen Vielsatz. *Schällibaum U.*), *Schweiz. Milchzeitung*, 1956, 82, № 20, 129—131 (нем.)

23127. Упаковка сыра и хранение его в домашних условиях. Часть I. Упрмот (Cheese packaging (with a note on domestic storage of cheese). Part I. *Wearmouth W. G.*), *Dairy Inds*, 1956, 21, № 1, 695—697 (англ.)

При хранении нарезанного сыра чеддер и чеддер в комнатных условиях при 15,5° и относительной влажности 80% и в домашнем холодильнике при 2,2° и относительной влажности 60% потеря влаги была почти одинаковой и после 8 дней сыр был непригоден в пищу. При хранении сыра в коробках в холодильнике происходило быстрое плесневение, но замедлилось высыхание сыра. Завертывание сыра в полиэтиленовую пленку замедляет высыхание в течение первых трех недель, предотвращает появление плесени при < 4,4° и дает возможность сохранять сыр в течение ≥ 1 недели при 4,4—7,2°. Л. Каруни

23128. Микрофлора мяса и мясных продуктов. Лар (Mikroflora masa a masných výrobků. *Lat Jaromir*), *Průmysl potravin*, 1957, 8, № 7, 342—348 (чешск.; рез. русск., англ., нем.)

Обсуждена необходимость разработки единых показателей для микробиологич. оценки мяса и колбасных изделий. Отмечено, что при оценке соленого мяса и мясных продуктов нельзя руководствоваться теми же принципами, что и при оценке свежего мяса, воды или молока, так как некоторые виды микроорганизмов, являющиеся показателем недопустимого загрязнения в перечисленных продуктах, принимают участие в образовании окраски, аромата или в созревании соленого мяса или колбасных изделий. А. Прогорова

23129. Сохранение скоропортящихся пищевых продуктов при помощи антибиотиков. Тейлор (Antibiotics extend the freshness of perishable foods. Taylor J. H., Agric. Rev., 1956, 2, № 4, 37—39 (англ.). Обзор по вопросу применения хлортетрациклина для консервирования битой птицы, мяса и рыбы.

А. Травин
23130. О практическом значении оценки качества мяса. Шён, Стосек (Zur Fleischqualitätsforschung in ihrer Bedeutung für die Praxis. Schön L., Stosiek M.), Fleischwirtschaft, 1957, 9, № 10, 619—620 (нем.; рез. англ., франц., исп.).
Обзор. Библ. 19 назв.

А. П.
23131. Пенообразование как один из показателей качества яиц. Шенула (Pienistość jako jeden z parametrów oznaczania jakości masy jajowej. Szczepuła Wanda), Przem. spożywczy, 1956, 10, № 8, 329—333 (польск.; рез. русск., англ., нем.).

Разработан метод определения пенообразования замороженной яичной массы (объемный и весовой). Установлена зависимость между частичной денатурацией белковых в-в и содержанием воды в яичной массе, определяемом рефрактометрически. С. Светов

23132. Хранение трески во льду. Хансен (Icing cod with salt water ice. Hansen Paul), Industr. Refrig., 1956, 131, № 5, 20, 51; World Refrig., 1957, 8, № 1, 53—55 (англ.).

Для хранения трески применяли 3 вида льда: пресноводный, из соленой воды, содержащей 1% соли, и из морской воды, содержащей 3% соли; соотношение льда к рыбе 3:2. Рыба, охлажденная во льду из пресной воды, имела т-пу от $-0,2$ до $-0,4^{\circ}$ в течение всего периода хранения при т-ре окружающего воздуха $2-5^{\circ}$; во втором случае т-ра рыбы в течение первых дней колебалась в пределах от $-0,3$ до -1° , затем снижалась до $-1,3^{\circ}$ и снова возрастала в конце второй недели до $-0,5^{\circ}$. Рыба, помещенная в лед из морской воды, на третий день имела т-пу -2° , которая повысилась на 17-й день до $-0,5^{\circ}$; при этом содержание соли во льду снизилось с 3 до 0,1%. Образование кристаллов льда в мясе рыбы наблюдалось при т-ре $-0,8^{\circ}$. Структура ткани и вкус трески не изменяется при хранении во льду из морской воды. Нежелательное действие на рыбу более концентрированного р-ра соли, собирающегося при таянии льда на дне ящиков, можно предотвратить добавлением небольшого кол-ва пресной или морской воды ко льду во время замораживания. С. Елманов

23133. Изменения температуры карпа и линя при хранении во льду из морской воды. Сави, Браччо (Ricerche sul comportamento della temperatura in carpe ed in tinche immerse in ghiaccio d'acqua di mare. Savi Paolo, Braccio Guido), Freddo, 1956, 10, № 4, 45—47 (итал.).

При хранении рыбы во льду из морской воды при т-ре воздуха 19° т-ра внутри мышечной ткани рыб через 1 час снизилась до $-1-0^{\circ}$. Дальнейшее понижение т-ры не наблюдалось. А. Марин

23134. Изучение физико-химических свойств морских продуктов. I. Набухание, эластические свойства и термическое сокращение сухой каракатицы. Кисimoto, Мицухаси, Фудзита (Studies on physico-chemical properties of marine products and related substances. I. Swelling and elastic behavior of thermally contracted dried cuttle-fish. Kishimoto Akira, Mitsuhashi Kaoru, Fujita Hiroshi), Нихон суйсан гаккайси, Bull. Japan. Soc. Scient. Fish., 1956, 22, № 5, 289—292 (англ.).

Рассмотрена зависимость степени полного набухания образцов сухой каракатицы в воде и р-рах Натрия сульфата и мочевины различной концентрации от т-ры,

а также напряжение термич. сокращения образцов при нагревании их в воде и указанных р-рах при различных т-рах. С. Елманов

23135. Изучение процесса порчи японского рыбного паштета камабоко. IX. О красной пигментации при порче. Кимата, Каван (水産凍製品の腐敗に関する研究. XI. 赤變について. 木俣正夫, 河合章), 日本水産學會誌, Нихон суйсан гаккайси, Bull. Japan. Soc. Scient. Fish., 1956, 22, № 7, 440—443 (японск.; рез. англ.).

Появление на поверхности паштета при его порче красных пятен является результатом жизнедеятельности бактерий *Serratia marcescens* Bizio. Часть VIII см. РЖХим, 1958, 9736.

В. Гурин
23136. Хроматографическое изучение некоторых соединений обжаренного кофе. Клементс, Дегридж (A chromatographic study of some of the compounds in roasted coffee. Clements Robert L., Deatherage F. E.), Food Res., 1957, 22, № 2, 222—232 (англ.).

Хроматографический метод применен для изучения нелетучих к-т и кислых и нейтр. карбонильных соединений зеленого и обжаренного кофе и для изучения в-в, осаждаемых к-той из заваренного кофе. Этот метод позволяет определить ингредиенты, от которых зависит вкус и аромат кофе. Методом хроматографии на бумаге обнаружено 10 нелетучих ингредиентов; 7 из них флуоресцировали в УФ-свете и по крайней мере 6 оказались фенолами. Колонка забуференного силикагеля показала присутствие значительных кол-в пяти летучих к-т. 4 из них ориентировочно идентифицированы как валерьяновая, масляная, пропионовая и уксусная к-ты. 5-я не соответствовала какой-либо простой алифатич. к-те. Уксусная к-та оказалась преобладающей. В продуктах кислотного гидролиза в-в, осаждаемых к-той из заваренного кофе, обнаружено 9 аминокислот. А. Кононов

23137. Регулирование влажности табака на Клужской сигаретной фабрике. Ионеску (Constatări privind dozarea umidității tutunului la fabrica de țigărețe din Cluj. Ionescu Angelo), Rev. ind. aliment. prod. vegetale, 1957, № 1, 20—22 (рум.).

Изучены способы дозирования влажности табака и методы контроля влажности производственных партий табака весом 1000 кг. Установлено, что равномерного распределения влаги в порции табака достичь не удастся, в результате чего данные определения влажности как различными, так и одним методом не совпадают. Изменения веса тары табака при его увлажнении вызывают отклонения влажности табака от расчетной на 1—2% и более. А. Марин

23138. Теплота набухания табака. Дорохов П. К., Максимов Г. А., Рожкова Е. В., Табак, 1957, № 2, 47—52

Образцы листовых табаков имели различную интегральную теплоту набухания ($17-28$ кал/г сухого в-ва). Табаки с большим содержанием углеводов и малой пористостью выделяли меньше теплоты набухания, а табаки с малым содержанием углеводов и большой пористостью — больше. Гидратационная влажность одинакова у различных табаков. Дифференциальная теплота набухания табаков достигает 560 кал на 1 г поглощенной влаги и коррелирует с пористостью табака. Г. Новоселов

23139. Исследование химического состава табака и табачного дыма. Капетанович, Слиепчевич (Споредбени, испитувања на хемијској состав на тутунот и тутунскиот чад. Капетановиќ Адем, Слиепчевиќ Звонимир), Тутун, 1957, 7, № 5, 167—175 (макед.).

Исследована зависимость между качеством некоторых югославских сигарет и хим. составом табака в

них и табачным дымом. В табаке определяли водорастворимые углеводы, полифенолы, сумму редуцирующих в-в, никотин, белковые в-ва, NH_3 , общий азот, рН воды, вытяжек, а также число Шмука, полифенольное, азотное и ленинградское числа. Установлено наличие зависимости между качеством сигарет и содержанием в дыме перечисленных в-в, кроме никотина, а также величинами рН, числа Шмука и ленинградского числа. В дыме определяли рН и содержание никотина. Найдено, что величина рН увеличивается с понижением качества сигарет и влажности табака в них. Добавка к табаку глюкозы ведет к снижению рН, прибавление глицерина смещает р-цию в обратную сторону. Приводятся также данные о влиянии на рН продолжительности горения. Содержание никотина в дыме снижается при уменьшении объема воздуха, проходящего через сигарету при затяжке и при повышении влажности табака сверхнормальной.

А. Марин

23140. Машины для табачной промышленности. Алойова (Stroje pro tabákový průmysl. Aloyová Albína), Průmysl potravin, 1957, 8, № 8, 440—442 (чешск; рез русск., англ., франц., нем.)

Описание машин для табачной пром-сти, выпускаемых в Чехословакии и экспонируемых на III машиностроительной выставке в Брно.

Г. Н.

23141. Новые добавки к препаратам пряностей. Бенк (Neuartige Zusätze zu Gewürzpräparaten. Benk E.), Riechstoffe und Aromen, 1956, 6 № 4, 104—106 (нем.)

Обсуждается целесообразность применения препаратов и смесей пряностей с добавлением 1—2% аскорбиновой, никотиновой, глутаминовой и адипиновой к-т или их солей в мясной пром-сти, в частности в произ-ве колбас.

В. Г.

23142. Значение цвета пищевых продуктов. Геммилл (Appetizing food colors boost appeal of your products. Gemmill Arthur V.), Food Engng, 1957, 29, № 4, 116—117, 119—120 (англ.)

Рассмотрено применение натуральных и искусств. красителей в пищевой пром-сти.

А. Кононов

23143. Применение пищевых красителей и их гигиеническая оценка. Соколан, Малкус (Súčasný stav používania potravinárskych farbív a ich hodnotenie z hľadiska hygieny. Szokolay A., Malkus Z.), Ceskosl. hyg., 1957, 2, № 6, 355—365 (словацк; рез русск., англ.)

Обзор по вопросу канцерогенности и других неблагоприятных свойств пищевых красителей. Приведен перечень красителей, разрешенных в 8 странах и рекомендованных на 3 международных конференциях. Библи. 54 назв.

Г. Н.

23144. Новый краситель. Арктандер (Ein neuer alter Farbstoff. Arctander Steffen), Parfüm. und Kosmetik, 1957, 38, № 5, 260, 263 (нем.)

Обсуждается возможность получения натурального красного красителя настаиванием с водой цветов растения *Hibiscus Sabdariffa* семейства *Malvaceae*, произрастающих в Судане. 1 кг сухих цветов настаивают последовательно с 500, 300, 200 мл кипящей воды и промывают кипящей водой до полного извлечения. Такой настой (1:1) имеет рН 4,0—4,5 из-за наличия виннокислотной к-ты. Добавление 8 мл 2н H_2SO_4 снижает рН до 3,5—3,8, при этом р-р приобретает наиболее интенсивный соответствующий цвету подкисленного р-ра красный цвет, как и р-р 12 г обычного продажного пурпурно-красного анилинового красителя в 1 л воды. Краситель может найти применение для пищевых продуктов.

Е. Шепеленкова

23145. Разделение разрешенных пищевых красителей двухмерной хроматографией и электрофорезом на бумаге. Андерсон, Лок, Мартин (The

separation of permissible food dyes by two-dimensional chromatography and electrophoresis on paper. Anderson J. R. A., Lock L. C., Martin E. C.), Austral J. Appl. Sci., 1957, 8, № 2, 112—119 (англ.)

Определены значения R_F двадцати разрешенных пищевых красителей (К) методом распределительной хроматографии на бумаге. Измерено их передвижение при электрофорезе на бумаге в кислой и щел. среде. Выполнено разделение К из их смесей двухмерной хроматографией (р-рител: смесь равных объемов 95%-ного этанола, бутанола, воды и смесь 66 г фенола, 32 мл воды и 2 мл 60%-ной муравьиной к-ты) и электрофорезом. Из пищевых продуктов К предельно экстрагируют бутанолом, насыщ. 2н HCl . Выполнено разделение смеси К из печенья и желе.

А. Кононов

23146. Искусственные отдушки. Зейдман (Artificial flavours. Seidman Michael), Food Manufacture, 1957, 32, № 3, 122—123 (англ.)

Обсуждаются некоторые проблемы и достижения в области произ-ва пищевых отдушек.

С. Кора

23147. Бульоноподобный запах. Джейкобе (Broth-like flavor. Jacobs Morris B.), Arom. Perfumer and Arom., 1956, 67, № 3, 59—60 (англ.)

Описаны методы получения 3-метилмеркаптопропионового альдегида, который имеет бульоноподобный запах и может применяться как новый материал в качестве отдушки.

Г. Мелешкина

23148. Плакарт — новый упаковочный материал. Хаммер (Placart — un nou material pentru ambalaje. Hammer M.), Ind. lemn., 1957, 6, № 3, 104—106 (рум.)

Кратко описано произ-во плакарта — более или менее тонких листов из различных пород дерева, покрытых с обеих сторон упаковочной бумагой, на которую нанесен слой водонепроницаемых в-в толщиной 0,2—0,4 мм. Размеры листов 2500—3500 × 1200 × 1,5—4 (преимущественно 2,5) мм, 1 м² весит 700 г при толщине листа 3 мм и 800 г при толщине 5 мм. Применяется для изготовления тары и мебели.

А. М.

23149 Д. Изучение свойств триглицеридов в молочном жире и в других пищевых жирах. Бхалерао (A study of the properties of triglycerides in butterfat and other edible fats. Bhalerao Vasant Ramchandra, Doct. diss., Univ. Illinois, 1955), Dissert. Abstrs, 1955, 15, № 10, 1825—1826 (англ.)

23150 П. Способ и устройство для непрерывной обработки зерновых продуктов, в особенности злаковых. Амме, Шлюндер (Verfahren und Vorrichtung zum kontinuierlichen Vorbereiten von körnigem Gut, insbesondere von Getreide. Amme Joachim, Schlünder Walter) [MAG Mühlenbau- und Industrie G. m. b. H.] Пат. ФРГ 952678, 22.11.56

Для облегчения удаления оболочек при помоле, а также для улучшения хлебопекарных свойств и цвета муки предлагается непрерывная обработка зерна в тонком текущем слое смесью водяного пара и SO_2 . Обработку производят в колонке, разделенной на несколько секций. Зерно непрерывным потоком проходит через колонку. При выходе из приемной воронки оно протупает на вращающийся распределитель, диаметр которого больше выпускного отверстия воронки, распределяется тонкой струей и подвергается воздействию парогазовой смеси. Приводится описание и схематич. чертеж устройства.

А. Емельянов

23151 П. Способ обработки риса-сырца. Озай-Дуррани (Method for processing rice paddy. Ozai-Durrani Ataulah K.) Пат. США 2758031, 7.08.56

Для получения клейстеризованного с пониженным содержанием влаги продукта, стабильного при хране-

нии, рис-сырец непосредственно после сбора урожая и обычной механич. очистки подвергают обработке, включающей следующие операции: 1) рис-сырец с содержанием влаги $< 17-18\%$ при непрерывном движении нагревают с поверхности в струе пара при $90-110^\circ$ в течение 5-15 сек. для стерилизации внешних оболочек зерен и инактивирования ферментов при нагревании зерна $< 60^\circ$, после чего его быстро охлаждают обрызгиванием холодной водой и опускают в воду с т-рой $20-50^\circ$ (предпочтительно 40°) на 5-8 час. до поглощения им влаги в кол-ве $\sim 29\%$; 2) затем рис обсушивают при $100-110^\circ$ (чтобы т-ра зерна была $> 50^\circ$) и в течение некоторого времени (0,5-2,0 часа) выдерживают для равномерного распределения поглощенной влаги внутри зерна; 3) затем рис поступает в атмосферу, заполненную паром при т-ре $90-110^\circ$ и давл. 0,35-1,05 атм, и находится в ней в течение времени, необходимого для полной клейстеризации зерна ($\sim 6-8$ мин.) и увеличения влажности до $\sim 35\%$; 4) после этого рис быстро охлаждают до т-ры $< 60^\circ$ и затем высушивают в воздушной сушилке до 9-14% влажности. При обработке риса-сырца с влажностью в пределах 18-28% предварительное подогревание, быстрое охлаждение и пропитывание водой могут быть опущены; рис после поверхностного нагревания при т-ре $100-110^\circ$ поступает в камеру для клейстеризации и затем обрабатывается в том же порядке, как и рис с влажностью $< 17-18\%$. Приведены чертежи и описание установки. С. Светов

23152 П. Витаминизация риса. Тани, Кано, Арисака (品質を損せざる強化米の製造法. 谷穀雄、廣野忠雄、有坂幸子) [農林省食糧研究所長, Нориносё сёкурё кэнкюсётё]. Японск. пат. 2876, 17.04.55

Раствор витамина В₁ разбрызгивают или вводят по лопаткам в обрушенный рис, перемешивают его и обрабатывают паром. Р-р легко проникает внутрь зерна, что предохраняет витамины от вымывания. Обработанный рис по цвету, глянцеваемости, запаху и твердости ничем не отличается от натурального. Пример. В воде, кол-во которой увеличивает содержание влаги в зернах до 5%, растворяют 50 г витамина В₁. Помешавая обрушенный рис (100 кг), обрызгивают и пропитывают его р-ром. Затем слегка влажным паром обрабатывают 20 мин. и быстро охлаждают до $3-6^\circ$. При этом р-р рис выдерживают 2-5 час., а затем сушат на ветру при $3-10^\circ$. Через определенное время наружный слой зерна желатинизируется без внутренних повреждений. А. Фрадкий

23153 П. Способ приготовления вспомогательного лекарственного средства, заменяющего дрожжи (Verfahren zur Herstellung eines Backhilfe- und Hefeersatzmittels) [Johann Schmoll]. Швейц. пат. 311785, 15.02.56

Экстрагируют хмель водой с сахаром (0,5:34:4), варят 2 часа, охлаждают до 30° , удаляют нерастворимые в-ва. Готовят два теста: 1) из пшеничной муки, хмелевого отвара, спелой закваски и дрожжей (9-10:12:1:0,25), 2) из отрубей, хмелевого отвара, закваски, молотого тмина и дрожжей (5:10:1:0,2:0,2). Оба теста дают выродить до готовности, затем их соединяют и нагревают с 10-12 ч. хмелевого отвара до 20° . Полученное тесто перерабатывают в плотную массу, добавляя к нему 2 ч. спелой закваски, 1,5 ч. дрожжей и 100 ч. ячменной муки крупного помола. Оставляют бродить в течение 16 час. Для предупреждения разложения каталазы готовят болтушку из 2 л теплой воды, 2 ч. дрожжей, 1 ч. сахара и 1 ч. спелой закваски. Эту болтушку добавляют к объединенному сброженному тесту, после чего ему дают бродить еще 8 час. Полученный продукт высушивают и измельчают в порошок. А. Емельянов

23154 П. Метод очистки противней и форм для хлебопечения. Динли, Данкан (Methods for cleaning food containers and the like. Dinley Clarence F. Jr., Duncan Ira J.) [Detra Corp.]. Пат. США 2740734, 3.04.56

Патентуется метод очистки от нагара противней и форм для хлебопечения, предусматривающий последовательную их обработку парами хлор-, трихлор- или перхлорэтилена, 10-20%-ным водн. р-ром триполифосфата щел. металла и промывку струей воды. К. Беляева

23155 П. Способ и состав для сохранения свежести некоторых пищевых продуктов. Лера (Procédé et produit pour la conservation de certains produits alimentaires. Lerat René) [Soc. d'Exploitation de Marques de Produits Alimentaires]. Франц. пат. 1126649, 27.11.56

При изготовлении некоторых улучшенных хлебных, а также мучных кондитерских изделий предлагается заменить часть сахара в р-рах, применяемых для смазывания теста при их формовке, смесью, состоящую из 30-90% сахаров, 0,5-20% камеди сладких корней, 0,01-2% виннокислотной к-ты, 0,01-10% солей. Влажность смеси 5-30%. А. Емельянов

23156 П. Способ поточного производства сухого гранулированного картофеля. Нил, Кол (Method of continuously blending streams of potato granules. Neel George H., Cole Manley W.) [United States of America as represented by the Secretary of Agriculture]. Пат. США 2732307, 24.01.56

Патентуется способ поточного произ-ва сушеного (гранулированного) картофеля в цилиндрич. аппарате при непрерывном смешивании нескольких потоков гранулированного продукта. Очищ. и нарезанные клубни варятся в пару, поступающем через пористое дно аппарата, разминаются, и полученное пюре смешивается с ранее высушенным картофелем. Смесь, с влажностью $\sim 40\%$, сушится затем в токе сухого воздуха (содержащего летучий консервант и в-во, улучшающее вкус и запах продукта), поступающего под давлением через пористое дно цилиндра. Сухие гранулы, выходящие из аппарата, просеиванием через сита, делаются на фракции, используемые как готовый продукт (16-20%) и для рециркуляции. Способ пригоден также для сушки и смешивания других гранулированных продуктов: сахара, злаков, сухого молока, яиц, хим. реагентов, детергентов. М. Серебряков

23157 П. Способ производства сухого апельсинового сока. Сакамото (オレンジジュースパウダーの製造法. 坂本義久). Японск. пат. 9132, 15.12.55

Эмульгатор смешивают с конц. апельсиновым соком, добавляя лактозу и средний фосфат кальция и сушат при низкой т-ре. Апельсиновое масло при распылении смешивают с глюкозой и сушат при низкой т-ре. Лимонную к-ту смешивают с l-аскорбиновой к-той. Смешивают полученные три полуфабриката. Пример. 30 кг эмульгатора смешивают с 4,5 кг конц. в вакууме апельсинового сока, добавляют смесь 15 кг лактозы и 0,5 кг среднего фосфата кальция, сушат при $30-40^\circ$ 3-5 час. Смешивают 10 кг глюкозы с 5 кг апельсинового масла, сушат при $30-40^\circ$ 6-8 час. Смешивают 15 кг лимонной к-ты с 0,3 кг l-аскорбиновой к-ты. Смешивают полуфабрикаты в соотношении 18:9:6. А. Фрадкий

23158 П. Способ обработки табака и подобных продуктов для повышения их горючести. Трюшо (Procédé pour le traitement des tabacs et produits analogues en vue d'augmenter leur combustibilité. Truchot Francis). Франц. пат. 1115647, 26.04.56

Для повышения горючести и равномерности сгорания табака с одновременным изменением структуры

тепла и ослаблением едкости дыма, без влияния на другие его дегустационные свойства, табак обрабатывают сначала щел. р-рами солей К и Na для растворения смол и замещения свободного NH_3 и отчасти никотина, затем р-рами, содержащими к-ты и этанол, для нейтрализации остатка щелочи, изменения структуры тканей и затем р-рами, повышающими гигроскопичность табака и улучшающими вкус его дыма. Р-ры могут содержать катализаторы окисления, соли органич. и минер. к-т типа ацетатов, тартратов, битартратов, оксалатов, малатов, сульфатов, карбонатов, цитратов, хлористых щел. и щел.-зем. металлов, понизители поверхностного натяжения спирт. р-ров типа эказола, многоатомные спирты, напр. глицерин, силикаты Al, Mg, Li, а также отбеливающие в-ва, напр. гипохлорит, H_2O_2 . Эти р-ры вводят в табак в виде аэрозолей или путем комбинирования хим. и физ. методов, используя изменения давления или т-ры. Пример. Табаки восточного типа подогревают до 15° , затем на 15 мин. при вакууме (50 см рт. ст.) погружают в р-р, содержащий в 1 л битартрата калия 50 г, оксалата натрия 50 г, K_2CO_3 20 г, цитрата натрия 30 г, KHCO_3 50 г и эказола 0,5 г. После удаления р-ра т-ру табака быстро повышают до 25° и выдерживают табак при повышенном вакууме (20 см рт. ст.) в течение 10 мин. при $\geq 25^\circ$ для понижения влажности табака до 18%. Затем табак под давл. 2 кг/см² и при $\sim 20^\circ$ погружают на 10 мин. в р-р, содержащий в 1 л Na_2SO_4 30 г, лед. уксусной к-ты 20 г, H_2O_2 30 г, 90° этанола 50 г, подогревают до 25° и в течение 2 мин. постепенно снижают давление до атмосферного, после чего удаляют р-р, и сушат табак под вакуумом при 20° до влажности 12%. Затем табак опрыскивают (5 л р-ра на 100 кг табака) р-ром, содержащим в 1 л: глицерина 100 г, рома 50 г, эказола 0,5 г и FeCl_2 5 г.

Г. Диккер
23159 П. Способ придания курительных свойств табача одного происхождения курительным свойствам табача другого происхождения. Гримм, Грунвальд (Verfahren zur Umstimmung der Rauchqualitäten von Tabak einer Provenienz auf die Rauchqualitäten von Tabak einer anderen Provenienz. Grimm Hans Georg, Grunwald Georg) [Hans Georg Grimm]. Пат. ФРГ 952511, 15.11.56

На основании сравнительного хим. анализа низкого качества и высококачества табачов состав их выравнивается добавлением к первому недостающих углеводов, ароматич. в-в, никотина, пектина, пентозанов, органич. к-т, полученных из отходов табача путем экстракции различными р-рителями и в необходимых случаях путем фракционной разгонки экстрактивных в-в. Пример. Отходы табака сигаретного типа подвергают экстрагированию гидрофобным р-рителем, напр., трихлорэтиленом; полученный экстракт растворяют в 3-кратном кол-ве (по весу) кипящего спирта, выпавший после охлаждения осадок отделяют и промывают свежим спиртом, который после этого приливают к полученному р-ру. Последний выпаривают до 10%-ной конц-ии и 26 см³ этого р-ра, содержащего, в частности, ароматич. в-ва, распылением равномерно вводят в 100 г низкокачественного табака.

Г. Диккер
23160 П. Способ упаковки мягких пластичных пищевых продуктов. Питерс (Soft plastic food package. Peters Leo). Пат. США 2752251, 26.06.56
Патентуется тонкая мягкая прокладка из термопластич. пленки для форм, заполняемых мягким, пластичным пищевым продуктом. После освобождения от формы продукт с покрывающей его пленкой упаковывают в картонную тару с применением цилиндрич. ограничителя, предотвращающего деформацию продукта.

См. также: Прибор для определения состава смеси зерна 21779. Выявление добавок крахмальной патоки в пищевых продуктах 22967. Концентрация и стабилизация фруктовых соков 22579. Осветление центрифугированием экстрактов и соков 21568. Автоматизация произ-ва конфет 21768. Моющее средство для молочной пром-сти 22926. Сточные воды молочных ферм 21906. Синтетич. ароматич. в-ва для пищевой пром-сти 22573. Применение пластмасс для упаковки пищевых продуктов 23169, 23187. Применение эпоксидных смол для аппаратуры пищевой пром-сти 23212. Защитные покрытия для жестяной тары для напитков 21836. История 20272—26274

ХИМИЧЕСКАЯ ТЕХНОЛОГИЯ. ХИМИЧЕСКИЕ ПРОДУКТЫ И ИХ ПРИМЕНЕНИЕ (Часть 4)

СИНТЕТИЧЕСКИЕ ПОЛИМЕРЫ. ПЛАСТМАССЫ

Редакторы А. А. Жданов, Н. С. Левкина

23161. Развитие пластмасс в Англии. Коруэн (Divers aspects de l'industrie des plastiques en Angleterre. Curwen D.), Ind. plast. mod. 1957, 9, № 4, 14—17 (франц.)

Развитие пластических масс в Англии основано главным образом на достижениях нефтехим. пром-сти. В 1958 г. предполагается довести произ-во полиэтилена до 110 000 т в год. В настоящее время выпускают полистирол с высокой теплоустойчивостью в кол-ве 30—35 тыс. т в год; произ-во полиметилметакрилата достигло 12 000 т в год, из-за высокого спроса со стороны авиации, телевидения и др.; произ-во стеклопластиков на основе полиэфирных смол еще недостаточно развито, так в 1955 г. было выпущено 1000 т полиэфирных смол; мало изучены процессы формования, отверждения и старения. Приведены некоторые данные об автоматизации в пром-сти пластмасс. С. Иофе

23162. Тенденция в английской промышленности пластмасс. Ярсли (Trend in plastics manufacture in Great Britain. Yarsley V. E.), Chem. Ind. and Engng, 1957, 9, № 3, 32—33 (англ.)

В 1956 г. в Англии выпущено 324 000 т пластмасс (1/3 мировой продукции); предполагается, что в ближайшие 5 лет произ-во пластмасс будет доведено до 500 000 т в год в основном при росте выпуска термопластов. Увеличится выпуск полиэтилена высокой плотности, эпоксидных смол, сополимеров стирола с бутадиеном (соответственно 85:15 и 50:50). Возоблился интерес к пластмассам на основе эфиров целлюлозы: в Англии развернуто промышленное произ-во триацетата целлюлозы.

Л. Песин
23163. Потребление и производство пластмасс во Франции в 1956 году. Комбетт (Consumption française en 1956: 160.000 tonnes. Combette Jacques), Ind. plast. mod., 1957, 9, № 5, 1—8, 13 (франц.)

Потребление пластмасс во Франции в 1956 г. составило 160 000 т, произ-во 128 000 т (1955 г. 96 000 т;

1954 г. 73 000 т), в том числе ~ 40 000 т на основе поливинилхлорида (в расчете на смолу), ~ 17 000 т на основе полистирола, ~ 16 000 т фенопластов, ~ 13 000 т аминопластов, 8000 т поливинилацетата, ~ 6000 т пластмасс на основе эфиров целлюлозы и ~ 6000 т полиэтилена, ~ 2500 т полиэфиров, 1250 т на основе полиметилметакрилата, 1550 т полиамидов и т. д. В 1956 г. на предприятиях по переработке пластмасс установлено 250 новых прессов и 775 машин для литья под давлением.

Л. Песин
23164. Подбор пластмасс по их свойствам. Шренк (Welchen Kunststoff soll ich wählen? Betrachtungen über die Auswahl von Kunststoffen auf Grund ihrer Eigenschaften. Schrenk Ernst), Techn. Rundschau, 1957, 49, № 19, 9, 11, 13, 15 (нем.)

Обзор свойств основных типов пластмасс и их характерных особенностей, на основании которых производится подбор материалов для изготовления изделий, применяемых в пром-сти.

Л. Песин
23165. Некоторые применения пластмасс. Пуч (Curiözas aplicaciones de los plásticos. Puig Ignacio), Goma, 1956, 5, № 48, 10—12 (исп.)

Пластмассы применяются в сварных и клееных конструкциях, в кабельной изоляции («протокол»), для покрытия террас и балконов (полиэтиленовая пленка), в качестве клея для бумаги (поливиниловый спирт «альвакол»), для склейки материалов (резорцинформальдегидный клей), для изготовления инструмента («девокон», состоящий из 20% смолы и 80% мелкого порошка) и т. д.

Л. Песин
23166. Тенденции в области применения пластмассовых материалов для химического оборудования. Номагути (プラスチック材料を化学機器に應用する世界の動向について. 野間口兼良), 化学工学, Kagaku kōgaku, Chem. Engng (Japan), 1957, 21, № 8, 527—529 (японск.)

23167. Применение пластмасс для изготовления влагопроницаемых упаковочных материалов. Асинара (躍進するプラスチックの防湿包装への應用. 斎原喜), 化学工業, Kagaku kōgō, Chem. Ind. (Japan), 1957, 8, № 5, 5—11 (японск.)

Сравнительные данные физ.-мех. свойств полиэтиленовых, поливинилхлоридных, ацетиленовых, целлофановых, полиэфирных и других пленок.

В. Иоффе
23168. Применение труб из пластмасс в промышленности. Бауман (Upotreba cijevi od plastičnih masa u industriji. Bauman Egon), Zašt. mater., 1957, 5, № 1, 12—15 (сербо-хорв.; рез. англ.)

Краткий обзор свойств (в частности, антикоррозионных) и применения труб из пластмасс на основе: полиэтилена, ацетобутирата целлюлозы, сополимеров стирола, поливинилхлорида, поливинилиденхлорида, полиэфиров и асбо-фенопластов.

Л. Песин
23169. Применение пластмасс для нужд военного интенданства. Кигер (Emploi des plastiques pour les besoins de l'intendance militaire. Kiger), Ind. plast. mod., 1957, 9, № 5, 14—17 (франц.)

Пластмассы применяются для упаковки пищевых продуктов, предназначенных для довольствия войск [на основе эфиров целлюлозы (ЭЦ), полиэтилена, виниловых смол (ВС), полиэтилентерефталата и др.]; в войсковом обмундировании и снаряжении [на основе полиамидов (П), ЭЦ и др.] и в качестве легких касок [из слоистых фенольных и полиэфирных пластинок, либо отлитых под давлением из ЭЦ, П и ВС]. Описаны методы циклич. испытания пластмасс на старение, принятые во французском интенданстве: в термокамере, климатич. и тропич. камерах установках для облучения и др.

Л. Песин
23170. Применение пластмасс в строительстве надземных сооружений и для внутренней отделки.

(Kunststoffe in Hochbau und Innenarchitektur. Er. W. Im. A.), Schweiz. techn. Z., 1957, 54, № 43—44, 936—945 (нем.)

Обзор.

23171. Спекание термопластов. Энгель (Das Sintern von thermoplastischen Kunststoffen. Engel Thomas), Plastverarbeiter, 1957, 8, № 4, 131—134 (нем.)

Описаны методы получения изделий и покрытий из пластмасс на основе полиамидов, полиэтилена, полиметакрилатов и ацетобутирата целлюлозы при помощи спекания пластиков в порошкообразной форме.

Л. Песин
23172. Нефть и природный газ — сырьё для пластмасс. Байер (Erdöl und Erdgas als Rohstoffquellen für Kunststoffe. Bayer Erich M.), Kunststoff-Rundschau, 1957, 4, № 2, 49—54 (нем.)

Окончание обзора. Библ. 15 назв. Начало см. РЖХим, 1957, 75584.

Э. Левина
23173. Определение полноты отверждения изделий из меламиновых прессматериалов. Мандлер (Zur Bewertung der Aushärtung von Formteilen aus Melaminharz-Preßmassen. Mandler H.), Plaste und Kautschuk, 1956, 3, № 10, 252 (нем.)

Описаны спец. виды испытаний (проба на кипячение, циклич. испытания на кипячение, проба на действие кипящей 1%-ной H_2SO_4 , проба на действие кипящей 1%-ной H_2SO_4 с родамином, нигрозиновая проба), посуды из меламиновых прессматериалов.

Л. Песин
23174. Количественное определение мочевины в меламине в смесях мочевино- и меламиноформальдегидных продуктов конденсации. Видмер (Quantitative Bestimmung von Harnstoff und Melamin in Gemischen von Harnstoff- und Melamin-Formaldehyd-Kondensationsprodukten. Widmer G.), Kunststoffe, 1956, 46, № 8, 359—362 (нем.; рез. англ., франц., исп.)

Мочевину определяют аммонолизом навески бензил-амином. 0,5 г смолы кипятят 12 час. при 180—210° с 10 мл бензиламина, охлаждают, подкисляют 1 н. HCl (конго), выпавшую дибензилмочевину (I), растворяют в маточнике нагреванием до 60°, вновь охлаждают, отфильтровывают I, промывают водой (3×10^{-4} мл) и сушат 2 час. при 105°. В присутствии наполнителя после подкисления и охлаждения к р-ру добавляют 30 мл абс. CH_3OH , отфильтровывают осадок, промывают его CH_3OH (3×5 мл) и удаляют CH_3OH из фильтрата вакуумированием. Выпавшую I обрабатывают далее, как указано выше. Меламин определяют аммонолизом водн. NH_3 . 0,5 г смолы и 10 мл 22%-ного NH_3 нагревают 10—20 час. в металлч. пробирке при 160°. Содержимое смывают водой в стакан, кипятят до удаления NH_3 , фильтруют, добавляют горячий р-р 2 г пикриновой к-ты в 150 мл воды, охлаждают, через 2,5 часа отфильтровывают осадок, промывают водой (2×5 мл), сушат 2 час. при 105° и взвешивают. Точность определения составляет ~ 90—98% теоретической.

Л. Песин
23175. Свойства и испытания пластмасс. Часть 5. Электрическая прочность, удельное сопротивление, поверхностное перекрытие, коэффициент мощности. Ливер, Рис (The properties and testing of plastics materials-part 5. Electric strength, resistivity, tracking, power factor. Lever A. E., Rhys J.), Plastics, 1956, 21, № 226, 176—178 (англ.)

Обзор. Библ. 54 назв. Часть 4 см. РЖХим, 1958, 19764.

Л. Песин
23176. Свойства и испытания пластмасс. Часть 6. Разделы 1—5. Растворимость, химическая стойкость, маслостойкость, водостойкость, проницаемость. Разделы 6—11. Потери летучих, степень полимеризации и отверждения, плеснеустойкость. Л.

вер, Рис (The properties and testing of plastics materials — Part 6. Sections 1—5 solubility, chemical resistance, resistance to oil, water resistance, permeability. Sections 6—11. Volatile loss, degree of polymerization and cure, fungus resistance. Lever A. E., Rhys J.), *Plastics*, 1956, 21, № 227, 210—212; № 228, 255—256 (англ.)

Обзор. Библ. 129 назв.

Л. Песин

23177. Новые методы механических испытаний материалов. Джоблинг (Some recent developments in the mechanical testing of materials. Jobling A.), *J. Oil and Colour Chemists Assoc.* 1955, 38, № 12, 739—751 (англ.)

Рассмотрен вопрос применения к материалам, промежуточным между жидкими и твердыми телами, законов классич. механики. Для установления механич. свойств вязкоупругих жидкостей проводили испытания на сдвиг осциллирующими гармонич. колебаниями (ОГК) и однонаправленным непрерывным сдвигом (ОНС). Если при исследовании ОГК амплитуды деформаций достаточно малы, то направления деформаций и напряжений параллельны и начальная структура материала претерпевает миним. возмущение, так что его можно рассматривать находящимся в исходном состоянии. При исследовании ОНС между направлениями напряжений и деформаций имеется угловое смещение, структура материала нарушается, поэтому такой вид испытания не дает представления о материале в исходном состоянии. Описан прибор, реогониометр, позволяющий определять различные составляющие напряжений и деформаций в трех пространственных направлениях и во времени. Показано преимущество нового метода испытаний осциллирующими гармонич. колебаниями и приведены примеры его практич. использования.

Е. Хургия

23178. К определению текучести формовочных масс. Мейзенбург (Zur Prüfung des Fließverhaltens von Kunststoff-Formmassen. Meysenbug C. M. von), *Kunststoffe*, 1957, 47, № 1, 14—17 (нем.; рез. англ., франц., исп.)

Приведена характеристика кривых для термореактивных прессматериалов и термопластичных литевых композиций, снятых на приборе, описанном в РИХим, 1957, 39239.

Л. Песин

23179. Применение изотопов в производстве синтетических смол. Полимеризация под действием радиоактивных излучений. Мацуда (アイソトープの合成樹脂製造への利用. 放射線重合. 松田龍夫), *日化協月報*, Никакё гэнпо, 1957, 10, № 7, 353—358 (японск.)

Обзор. Библ. 34 назв.

23180. Трубы из термопластов. Келлам (Thermoplastic pipe. Kellam B.), *S. P. E. Journal*, 1957, 13, № 1, 31—34 (англ.)

Показано изменение веса жесткого поливинилхлоридного пластика и сополимера стирола с акрилонитрилом после выдержки 28—45 недель в 6 водн. и 3 масляных р-рах при 36 и 60°. Приведены примеры применения полиэтиленовых труб для пьезометрич. целей и электр. кабеля.

Л. Песин

23181. Новодур. Шнейдер, Вундерер (Novodur. Schneider P., Wunderer A.), *Kunststoffe*, 1957, 47, № 4, 147—151 (нем.; рез. англ., франц., исп.)

Даны свойства, методы переработки и изделия и применения новодура (основан на сополимерах бутадиена, стирола и акрилонитрила), выпускаемого с 1956 г.

Л. Песин

23182. Светодеградация пленок из пластмасс. Бьоркстен, Лаппала (Photodegradation of plastic films. Bjorksten Johan, Lappala Risto P.), *Plastics Technol.*, 1957, 3, № 1, 25—27 (англ.)

Испытания прочности пленок на основе поливинилхлорида, полиэтилена, поливинилиденхлорида и полиэфиров после 6-месячной экспозиции во Флориде (близ океанского побережья) показали, что наиболее сильным изменениям подверглись образцы, подвергавшиеся одновременному воздействию солнца и влаги (испарявшейся из влажного песка и конденсировавшейся на внутренней стороне пленки).

Л. Песин

23183. Высокомолекулярные полиэтилены. Фелд (High molecular weight polyethylenes. Feld Michael), *Rubber and Plast. Age*, 1957, 38, № 3, 251—252 (англ.)

Отмечено, что полиэтилен низкого давления (Н) неразветвленный, предложено называть «полиметиллен» обладает примерно на 50% большей величиной предела прочности на разрыв и в 4 раза меньшей газопроницаемостью, по сравнению с полиэтиленом высокого давления (П); т-ра переработки I в изделия примерно на 50° выше, чем у П.

Л. Песин

23184. Влияние наполнителей на свойства полиэтилена. Фрисселл (Effect of fillers in polyethylene. Frissell W. J.), *Plastics Technol.*, 1956, 2, № 11, 723—729, 746 (англ.)

Исследовано влияние различных типов наполнителей (Н) на физ. свойства полиэтилена (П), а также на его окраску и светостойкость. В качестве исходного материала был взят I марки DYNH фирмы Bakelite, среднего мол. веса, со скоростью плавления 1,5—2,4 г/10 мин. В I вводили 26 типов Н, применяемых в пром-сти (Al(OH)₃, короткое асбестовое волокно, мел, бентонитовая глина и др.). Все образцы изготовлялись в одинаковых условиях, в которых определяли прочность на растяжение, модуль упругости, твердость, предел текучести, т-ру деструкции, сопротивление срезу, т-ру хрупкого разрушения, разрушающие напряжения, светостойкость и окрашивание I различным Н. Разработана система качеств. оценки свойств каждой композиции, в зависимости от типа Н. Отмечено, что образец с Н из стекловолокна показал наибольшие значения предела текучести и модуля упругости; коротковолокнистый асбест значительно повышает долговечную прочность; меньше всего связывается на повышение механич. характеристик введение в I Al(OH)₃ и мела. Вывод: введение Н в I изменяет свойства I в широких пределах.

С. Нол

23185. Окрашивание полиэтилена. Хайнс (Coloring of polyethylene. Hines F. J.), *Mod. Plastics*, 1957, 34, № 8, 168, 170, 172, 242, 244—245 (англ.)

Описаны свойства различных красителей для полиэтилена, предъявляемые требования к ним и их применение.

Л. Черныш

23186. Полиэтиленовая пленка в хозяйстве и промышленности. (Die polyäthylenfolie in Wirtschaft und Industrie.—), *Plastverarbeiter*, 1957, 8, № 4, 142—144 (нем.)

Обзор применения полиэтиленовой пленки в упаковочном деле, садоводстве, строительстве и электротехнике.

Л. Песин

23187. Полиэтиленовая пленка в качестве упаковочного материала. Марколини (Die Polyäthylenfolie als Verpackungsmaterial. Marcolini Rudolf), *Verpack.-Wirtsch.*, 1957, 5, № 4, 2—3 (нем.)

Описаны технич. свойства полиэтиленовой пленки (ПП), печатание ПП, изготовления мягкой тары из нее и применение ПП для упаковки пищевых продуктов, химикалий, бытовых изделий и инструментов.

Л. Песин

23188. Герметическая укупорка для стеклянной посуды из полиэтилена. Томпсон (The eluvium leak—proof polythene bottle closure. Thompson L. J.), *Packag. Rev.*, 1957, 77, № 126, 54—56, 58 (англ.)

Ряд рекомендуемых конструкций укупорки и методы их изготовления.

Л. Песин
23189. Исследования ударной вязкости полистирола. Хёгберг (Untersuchungen über die Schlagzähigkeit von Polystyrol. Högberg Hilding), Kunststoffe, 1956, 46, № 8, 350—358 (нем.; рез. англ., франц., исп.)

Ударную вязкость по Шарпи (УВ) определяли у образцов (О) из полистирола четырех марок, при этом конструкцию литьевых прессформ и условия изготовления О меняли. Испытания показали, что: 1) с увеличением диаметра литника увеличивается УВ О; 2) увеличение уд. давления литья и длительности движения материального плунжера вперед приводит к незначительному увеличению УВ; 3) УВ сильно зависит от т-ры цилиндра (Ц); при высокой т-ре получается меньший разброс значений УВ, т. е. структура деталей получается более равномерной; с другой стороны, наибольшие значения УВ получаются при низких т-рах Ц; 4) О с надрезом не дают более правильного суждения о поведении материала при ударных нагрузках, чем О без надреза; 5) метод испытания падающим грузом не применим для исследования полистирола; 6) для обеспечения наибольшей изотропности и равномерности качества изделий необходимо работать с высокой и постоянной т-рой Ц, малой длительностью хода материального плунжера вперед, высоким давлением, сравнительно высокой т-рой прессформы, миниатюрным впуском в полость формы, короткими каналами литниковой системы; 7) лучшее представление об УВ и механич. анизотропии может быть получено при испытаниях двух различных О, из которых один отливается в продольном направлении, а другой — в поперечном направлении.

Е. Хургин
23190. Электрические свойства полистирола. Миллэне (Las propiedades eléctricas del poliestireno. Millane J. J.), Plasticos, 1956, 4, № 17, 51—57 (исп.)

Приведены уд. поверхностное сопротивление полистирола и его зависимость от атмосферной влажности; диэлектрич. проницаемость и угол диэлектрич. потерь, в зависимости от частоты, условий формирования; электрич. прочность полистирола в сухом состоянии и после выдержки в воде.

Л. Песин
23191. Изоляционный материал из полистирола. Альквист (Isoleringsmaterial av polystyren. Ahlqvist David), Kyltekn. tidskr., 1957, 16, № 2, 50—53. (шведск.)

Приведена технич. характеристика полистирольного пенопласта «Styrofoam» и описано применение его для изоляции холодильных камер, изотермич. автомашин, труб и др.

Л. Песин
23192. Некоторые опыты по определению активности галогеносодержащих пластификаторов по отношению к поливинилхлориду. Тиниус, Шварц (Einige Erfahrungen über die Wirksamkeit halogenhaltiger Weichmacher für Polyvinylchlorid. Thinius K., Schwarz W.), Plaste und Kautschuk, 1957, 4, № 2, 48—51 (нем.)

Исследовали хлорированные алифатич. соединения, производимые в ГДР под марками WK3 (I), WG25 (II), WG30 и хлорафин произ-ва США, хлорированные дифенилы и хлорированные многоатомные системы. Для хлорпарафинов (XII) даны основные физ.-хим. свойства, а для I и II приведены кривые зависимости вязкости и коэф. преломления от т-ры. При изготовлении пластика (ПЛ) поливинилхлорида (ПВХ) [соотношение между III и пластификатором (П) 60:40, вальцевание 10 мин. при 165°, толщина листа 0,43—0,95 мм], в котором соотношение между XII (I и II) и фталатами, составляло от 3:7 до 1:9, вальцованные листы имели прочность на разрыв от 1,45 до

1,93 кг/мм² при удлинении от 612 до 758%, при этом термостабильность (Т) и светостойкость (С) ПЛ была недостаточно удовлетворительна, а водопоглощаемость от введения XII снижалась. I и II обладают горючестью и изготовленные с их применением листы ПЛ III (60:40) продолжают гореть после удаления пламени. Т-ра растворения III в хлордифенилах зависит от содержания в них Cl, а также от сорта III, при этом р-ры получаются недостаточно стабильны и при их охлаждении III вновь выпадает. Хлордифенилы с содержанием Cl ~ 60% рекомендуют в качестве добавки к другим П для III, но могут применяться и самостоятельно. Получек материал с прочностью на разрыв 2,45 кг/мм² при удлинении 159%, с малой водопоглощаемостью, удовлетворительной С, но недостаточной Т. В композиции с П типа сложных эфиров получены ПЛ III хорошего качества, а также ПЛ, горение которых прекращается после удаления источника нагревания. При применении хлордекалина для пластификации эмульсионного III получен ПЛ с прочностью на разрыв 2,27 кг/мм² при удлинении 337%, с плохой Т и неудовлетворительной С и почти не горючий. Аналогичные свойства показали ПЛ со смесью хлордекалина с трикрезилфосфатом или эфирами из спиртов C₇—C₉ и фталевой к-ты.

С. Шишкин
23193. Применение дисперсий виниловых смол. Ларсон (Applications of vinyl dispersion resins. Larson V. L.), Austral. Plastics, 1957, 13, № 139, 17—19 (англ.)

Обзор свойств и применения дисперсий на основе поливинилхлоридных смол и сополимеров винилхлорида и винилацетата.

Л. Песин
23194. Винилиденхлоридные смолы. — (Vinylidene chloride resins. — Corrosion, 1957, 13, № 3, 81—84 (англ.)

Выпущено 2 типа винилиденхлоридных смол (BC): сополимеры винилиденхлорида с винилхлоридом и винилиденхлорида с акрилонитрилом. Оба вида BC характеризуются весьма высокой водостойкостью, стойкостью к горючим и газам, р-рам солей, к-там (50%-ной H₂SO₄, конц. и разб. HCl-к-те и др.) и окислителям слабой активности (3%-ной H₂O₂, 10%-ной HClO₄); к щелочам и ряду р-рителей BC достаточно стойки. Рекомендуется использовать BC для антикоррозионных покрытий.

Л. Песин
23195. Гранулирование и высушивание в пластикаторе. Цёбелейн (Granulieren und Trocknen mit dem Plastifikator. Bauart Werner und Pfeleider, System Wacker. Zoebelein Hugo), Kunststoffe, 1957, 47, № 5, 287—288 (нем.; рез. англ., франц., исп.)

Описан аппарат барабанного типа для пластикации и гранулирования термопластов производительностью 180 кг/час поливинилхлоридного пластика. Аппарат можно также использовать для сушки бисерного поливинилацетата и других суспензионных полимеров.

Л. Песин
23196. Применение и обработка виниловых и акриловых пластиков. Вальт (The uses and manipulation of the vinygls and acrylics. Walt N. T. van der), Industr. Rev. Africa, 1956, 8, № 5, 76—77 (англ.)

Кратко описаны формирование жесткого листового поливинилхлоридного пластика (I), склейка и сварка I и поливинилхлоридного пластика, методы формирования акриловых пластмасс, а также применение. См также РЖХим, 1957, 64691.

Л. Песин
23197. Текучесть на холоду поливинилхлоридного пластика. Такасима, Одзона, Окада (寒田用塩化ビニールのクリープ挙動について. 高嶋四郎, 小曾根義生, 植田一正七), 日本理学会誌, Нихон сию гаккайси, Bull. Soc. Salt. Sci., Japan, 1956, 10, № 5, 212—214 (японск.; рез. англ.)

Показано, что старение поливинилхлоридного пластика характеризуется изменением его текучести на холоду.

Л. Песин
23198. Производство виниловых пленок и листов.— (The production of vinyl film and sheeting.—), Manufact. and Industr. Engng, 1957, 35, № 2, 22—25 (англ.)

Кратко описано оборудование (в том числе и приспособления для регулирования толщины продукции) и технология произ-ва листов и пленок из поливинилхлоридного пластика и сополимеров винилхлорида и винилацетата.

Л. Песин
23199. Колпаки из пластмассовых пленок для работ под защитным газом. Эрлих, Хейн, Кюниль (Haube aus Kunststoff-Folie für Arbeiten unter Schutzgas. Ehrlich Paul, Hein Hans Jürgen, Kühn Hubert), Chemiker-Ztg, 1957, 81, № 10, 329—330 (нем.)

Описаны колпаки (типа воздушного колокола) из жесткого поливинилхлоридного прозрачного пластика, толщиной 0,4 мм.

Л. Песин
23200. Поливинилхлорид для паст и его применение. Дюваль (Les chlorures de polyvinyle pour pâte et quelques-unes de leurs applications. Duval P.), Rev. gén. caoutchouc, 1957, 34, № 3, 254—258, 279, 292, 294, 296 (франц.; рез. англ., нем., исп., итал.)

Поливинилхлорид (I), в виде очень мелких зерен, можно переводить в форму пасты (II) при миним. кол-ве пластификатора. При этом поверхность зерен должна быть обработана для воспрепятствования «созревания» зерен и мол. вес. I должен быть высоким. Так как реологич. свойства II (расширение и тиксотропия) имеют большое практич. значение, то они определяются текучестью по Матису и вязкостью по истечению. Применяются II для отливки сплошных или полых изделий или поверхностных покрытий.

С. Шинкин
23201. Фторсодержащие органические соединения и их применение в электротехнике. Деэ (Les composés fluorés organiques et leurs applications en électrotechnique. Dehez A.), Ind. chim. belge, 1957, 22, № 3, 263—270 (франц.; рез. флам., англ., нем.)

Методы получения, физ.-мех. и электр. свойства, методы переработки и применение политетрафторэтилена, политрифторхлорэтилена и эластомера Kel-F.

Л. Песин
23202. О поливиниловом спирте и его изготовлении. Корбанка (Über Polyvinylalkohol und seine technische Darstellung. Korbanka Helmut), Chem. Technik, 1957, 9, № 2, 67—71 (нем.)

Рассмотрены условия получения поливинилового спирта различного мол. веса омылением поливинилацетата (I) и указано влияние катализаторов, р-рителей и т-ры р-ции на скорость омыления и содержание ацетильных групп. Описаны методы получения I и отмечено влияние добавок, инициаторов и р-рителей на скорость полимеризации и мол. вес.

С. Каменская
23203. Исследования в ряду поливинилацетата. Низшие полимеры винилацетата, получаемые полимеризацией в водной суспензии. Костеску, Матееску, Опреску (Studii in seria acetatului de polivinyl polimeri inferiori de acetat de vinil, prin polimerizare în suspensie apoasă. Costescu Dan C., Mateescu M., Oprea N.), Studii și cercetări chim., 1955, 3, № 3—4, 301—312 (рум.; рез. русск., франц.)

Применение масляного альдегида в качестве регулятора роста цепей, в эквимолекулярном кол-ве по отношению к инициатору (перекись бензоила), позволяет получать полимеризацией в водн. суспензии низшие полимеры винилацетата, обычно получаемые в пром-с и полимеризацией в р-ре. Основные преимуще-

ства предлагаемого метода: экономичность и меньшая опасность воспламенения или отравления. Степень полимеризации регулируют кол-вом инициатора: при изменении кол-ва перекиси бензоила от 0,5 до 3% значение $K \times 10^3$ в ур-нии Фикенчера снижается от 40 до 10.

Л. Песин
23204. Физико-химические и механические исследования полиметилметакрилата. Фогель (Physikalisch-chemische und mechanische Untersuchungen an Polymethylmethacrylat. Vogel Walter. Ber. Eidgenöss. Materialprüf.- und Versuchsanstalt Ind., Bauwesen, und Gewerbe, Zürich, 1954, № 185, 38 s.) (нем.)

Определены мол. вес и полидисперсность промышленного блочного полиметилметакрилата (I). Охарактеризованы механич. свойства I в зависимости от т-ры и времени. Освещено влияние длительного воздействия тепла и влаги на свойства I, а также изменение свойств I при адсорбции различных жидкостей. Сделана попытка теоретич. истолкования полученных результатов. Библ. 65 назв.

Е. Хурри
23205. Новые высокопрочные термoplastы.— (Tough new thermoplastics.—), Australas. Manufacture, 1955, 40, № 2073, 54, 56, 58 (англ.)

Обзор свойств и применения «сайкола» — сополимера акрилонитрила, бутадиена и стирола, характеризующегося высокой уд. ударной вязкостью.

Л. Песин
23206. Гомологи полиоксэтилена. Косгрейв (The polyoxyethylene homologues. Cosgrave C. A.), Canad. Chem. Process., 1956, 40, № 2, 36, 38—39, 42 (англ.)

Перечислены и обсуждены области применения гомологов полиоксэтиленов, в качестве смачивающих агентов, стабилизаторов для каучуковых латексов и консистентных смазок, для пластификации эфиров целлюлозы, при изготовлении косметических препаратов и т. д.

С. Шинкин
23207. Фурановые смолы.— (フuran樹脂について), ラバーダイジェスト, Раба дайзэсто, Rubber Digest, 1957, 9, № 4, 83—90 (японск.)

Описаны химизм получения смол, свойства и основные области их применения (клеи, отделка деревянных и других изделий, лаковые покрытия и др.).

В. Иоффе
23208. Пентон — новый хлорсодержащий простой полиэфир. Кронин (Penton... A new chlorine-containing polyether. Cronin E. W. Paper Amer. Soc. Mech. Engrs, 1956, № A—182, 5 pp., ill.) (англ.)

Пентон (I) — хлорсодержащий полиэфир $-(CH_2-C(CH_2Cl)_2-CH_2O-)_n$, содержит ~45,5% Cl и имеет высокую стабильность. Ни по одному из своих физ. свойств I не превосходит другие пластики, однако по совокупности свойств является ценным материалом. I хорошо формуется, имеет малую усадку, не имеет внутренних напряжений и имеет очень малую водопоглощаемость (до 0,01%). Прочность I на разрыв сравнительно мало снижается при 100° или в кипящей воде; I имеет очень малую хладотекучесть. I имеет высокие электроизолирующие свойства, которые почти не снижаются при воздействии влаги, и применяется для изготовления вентиля на паропроводах (поддерживая без изменения размеров 18-месячное воздействие пара давл. 4,2 кг/см²), на коммуникациях HCl, для пазовой изоляции и изготовления пазовых клиньев двигателей холодильников, в изготовлении подшипников, часовых механизмов, регулирующих устройств, шестерней и других деталей, от которых требуется большая стабильность размеров. Отмечено, что представлял интерес пленочные материалы из I с высокой прочностью на разрыв (такой же, что и у полиэтилентерефталата), прозрачностью и выдержи-

вающие процесс стерилизации. Канаты из I имеют более высокую стойкость к истиранию, прочность на разрыв и химстойкость, чем манильский канат.

С. Шишкин

23209. Свойства сополимеров стирола и полиэфиров. Черч, Беренсон (Properties of styrene-polyester copolymers. Church James M., Berenson Congrad), Industr. and Engng Chem., 1955, 47, № 12, 2456—2462 (англ.)

Оптимальный комплекс свойств (твердость, стабильность размеров, прочность на разрыв, т-ра размягчения, химстойкость) имеют сополимеры полиэфирной смолы на основе малеинового ангидрида и триэтиленгликоли с кислотным числом 25—50 при содержании стирола, близком к теоретическому (31%).

Л. Песин

23210. О пластмассах на основе полиэфирных смол. Алкалай (O plastičnim masama na bazi poliesterskih smola. Alkalaj Tatjana D.), Kemija u industriji, 1957, 6, № 1, 15—16 (сербо-хорв.)

Кратко описаны методы получения, свойства и применение ненасыщ. полиэфирных смол и пластмасс на их основе.

Л. Песин

23211. Неармированные полиэфирные смолы. Бенке (Polyesterharze ohne Glasfaserarmierung. Behnke Edith), Gummi und Asbest, 1957, 10, № 4, 209—215 (нем.)

Приведены физ.-мех. свойства неармированных полиэфирных смол (НПС) сравнительно со свойствами полиэфирных стеклопластиков, получение отливок из НПС, диэлектрич. свойства отливок и области применения НПС.

Л. Песин

23212. Новые области применения эпоксидных смол. Мейерханс (Neue Anwendungsgebiete der Epoxylvinharze. Meyerhans K.), Kunststoff-Rundschau, 1957, 4, № 5, 191—197 (нем.)

Рассмотрены свойства эпоксидных смол после изготовления (консистенция, сроки хранения и т. д.) в процессе отверждения (влияние отвердителей, времени и т-ры отверждения, усадка) и после отверждения (физ.-мех., электрич. и термич.). Описаны новые области применения эпоксидных смол: для изготовления моделей частей скелетов животных; облицовки ванны медицинского назначения, изготовления кранов, деталей, труб, емкостей и т. д. для хим. и пищевой про-сти; лакокрасочных покрытий (стен, котлов, арматуры и трубопроводов в хим. пром-сти), грузовых автомобилей (конструктивный материал); изоляционных цилиндров высоковольтных установок; герметизации сопротивлений, конденсаторов, измерительных трансформаторов; изготовления крупногабаритных опорных изоляторов, сухих трансформаторов, высоковольтных выключателей; герметизации обмоток статоров водопогружных электродвигателей; изготовления печатных схем, для произ-ва моделей, форм шаблонов и т. д.; конструктивного и изоляционного материала в ракетной технике.

С. Шишкин

23213. Эпоксидные смолы. Применение эпоксидных смол в электропромышленности, в частности для электронного оборудования. Манфилд (Epoxyde resins. Electrical applications of epoxide resins particularly in the electronics industry. Manfield H. G.), Chemistry and Industry, 1957, № 18, 530—536 (англ.)

Рассмотрены электроизолирующие свойства эпоксидных смол (ЭС) и зависимость их от т-ры, частоты и действия влаги; термич. свойства, в том числе теплопроводность и морозостойкость, а также вопросы повышения морозостойкости ЭС введением пластификаторов и наполнителей (Н). Отмечено, что механич. свойства ЭС зависят в основном от выбора Н и от соотношения между Н и смолой. Описаны преимуще-

ства и недостатки применяемых отвердителей (аминов и к-т), а также применение ЭС.

С. Шишкин

23214. Штампы из пластмасс. Эсдейл (How to choose plastic dies. Esdale W. J.), Automot. Inds., 1956, 115, № 4, 56—57, 100 (англ.)

Отмечено, что штампы, облицованные эпоксидными смолами, имеют эксплуатационные преимущества по сравнению с целлюлозными штампами.

Л. Песин

23215. Изделия из найлона, полученного методом спекания. Халлер (Sintered nylon is versatile and long-lasting. Haller John), Production, 1956, 37, № 5, 84—86 (англ.)

Многие технич. детали (Д) делаются из найлона (I) спеканием, так как такой I имеет исключительно высокую стойкость против износа. Процесс произ-ва таких изделий сходен с процессом, принятым в порошковой металлургии (Д сначала прессуются на холоду, а потом спекаются). При спекании в масляной ванне Д пропитываются маслом, и коэф. трения получается ниже, чем в обычном (не спеченном) I. Спекание при т-ре ниже точки плавления позволяет сделать добавку различных наполнителей. Типичной твердой смазкой для Д является MoS_2 , при этом трущиеся Д работают почти без износа при т-рах до 74°. Даны примеры составов (в %): 15 графита и 85 I; 30 графита и 70 I; 20 силиката циркония и 80 I; $10MoS_2$ и 90 I. Уд. давление при прессовании таких деталей, как кулачки, составляет 3500 кг/см^2 . Отмечено, что спекание производят в отсутствие воздуха (в защитной атмосфере, под вакуумом, или в масле) и наполнители добавляют в I смешиванием во вращающемся барабане. Приведены некоторые данные испытания на износ подшипников, изготовленных из вышеприведенных составов.

Е. Хургин

23216. Обесфеноливание и утилизация надсмольных вод от производства фенолформальдегидных смол. Хессен (Entphenolung und Nutzbarmachung der bei der Herstellung von Phenol-Formaldehyd-Harzen anfallenden Abwässer. Hessen R.), Plaste und Kautschuk, 1957, 4, № 2, 51—53 (нем.)

Описана технология (методом цел. конденсации, содержащихся в водах фенола и формальдегида), аппаратура и дана общая схема установки для обесфеноливания надсмольных вод.

Л. Песин

23217. Использование отходов с помощью пластиков. Диккинсон (Plastics aid residual products conversion. Dickinson Thomas A.), Plastics, 1955, 20, № 221, 414—415 (англ.)

Отходы древесины, кожи и других в-в могут быть превращены в полноценные материалы при использовании в качестве связующего пластиков в кол-ве обычно < 10% от веса измельченных отходов. Даны примеры изготовления прессизделий из древесной массы; использования очесов хлопка, отходов слюды и металлическ. пыли для электростатич. осаждения совместно со смолой на движущуюся ткань с последующим прессованием; приготовления искусств. кожи из кожаной пыли диспергированием последней в р-ре смолы и отливкой пленок на стекле или металле.

Е. Хургин

23218. Высокомолекулярные пластификаторы на основе сложных эфиров. Классификация, состав, испытания и технологические свойства. Цёер, Мерц (Hochmolekulare Ester-Weichmacher. Einteilung, Zusammensetzung, Prüfung und technologische Eigenschaften. Zöhrer K., Merz A.), Kunststoffe, 1957, 47, № 3, 102—113 (нем.; рез. англ., франц., исп.)

Приведены торговые названия высокомолекулярных пластификаторов (П), изготавливаемых фирмами различных стран на основе эфиров себаценовой, адипи-

новой, фталевой к-т, высокомолекулярных эфиров неизвестного состава, эпоксицированных масел, а также физ.-хим. и электр. свойства П и методы определения их характеристик. Даны свойства листовых пластинок (ПЛ), изготовленных при соотношении между эмульсионным поливинилхлоридом (I) и П 60:40, в том числе летучесть из ПЛ, поглощение и потери в различных р-телях, миграция по отношению к нитроцеллюлозе, коже, резине и полиэтилену, механич. и диэлектрич. свойства. Рассмотрены преимущества и недостатки отдельных групп П, влияние на свойства ПЛ добавок к высокомолекулярным П низкомолекулярных эфиров, влияние на свойства ПЛ сорта I, совместимость высокомолекулярных полимеров с I, явления выпотевания П, активность П, стабилизация смесей, физиологич. действие высокомолекулярных П.

С. Шипши.

23219. Органические пигменты для окрашивания пластмасс и каучука. Кениг (Organische Pigmente zum Anfärben von Platen und Kautschuk. König R.), Plaste und Kautschuk, 1957, 4, № 2, 70—71 (нем.)

Дана характеристика пигментов, изготовленных фирмой J. R. Geigy AG., Basel и успешно применяемых для окраски термореактивных пластмасс, термопластов (поливинилхлоридных пластинок) и эластомеров. Приведены рецепты и методы окрашивания.

Л. Песин

23220. Стабилизаторы для поливинилхлорида. Производные свинца, сурьмы, висмута и железа. Феррари (Gli stabilizzanti per resine cloroviniliche. I derivati del piombo, dell'antimonio, del bismuto e del ferro. Ferraris E.), Materie plast., 1957, 23, № 2, 126—130 (итал.)

Обзор хим. и токсич. свойств, а также стабилизирующего действия в отношении поливинилхлорида производных Pb, Sb, Bi и Fe, преимущественно по патентным данным.

Л. Песин

23221. О применении тетраалкилсиликатов как вспомогательных веществ для переработки высокополимеров. Тиниус (Über die Eignung von Tetraalkylsilikaten als Verarbeitungshilfsmittel für Hochpolymeren. Thinius Kurt), Plaste und Kautschuk, 1956, 3, № 1, 3—5 (нем.)

Тетраметилсиликат (I) может быть использован как р-тель для высокополимеров. I хорошо растворяет нитроцеллюлозу любой степени нитрации, этилцеллюлозу, полиметилакрилат, полибутилметакрилат, поливинилацетат, капрофол, кумароновые и модифицированные алкидные смолы. Нитроцеллюлозные лаки, изготовленные с применением в качестве р-теля I, имеют хорошую адгезию к стеклу. Высшие тетраалкилсиликаты (тетрабутил-, тетрадодецилсиликат) обладают хорошими растворяющими свойствами по отношению к высокополимерам. Тетра-(β-хлорэтил)-силикат, благодаря наличию в радикале отрицательных групп, растворяет этил- и бензилцеллюлозу и в смеси с 50% спирта — ацетилцеллюлозу (вторичный ацетат), смешанные полиамиды и ацетобутират целлюлозы. Он также вызывает желатинизацию поливинилхлорида при нагревании. Тетра-(ω-хлортриметил)-силикат обладает более слабой растворяющей способностью по отношению к указанным полимерам. Тетрагидрофурурилсиликат (II) может быть использован как пластификатор для поливинилхлорида, однако он легко вымывается водой из композиции (потери в весе 13,1% через 168 час. в воде для композиции 50:50) и имеет большую испаряемость (22% через 168 час. при 50° для композиции 50:50). В этом отношении несколько лучшими свойствами обладают смешанные эфиры гликоля и П, полученные перегонкой II гликолем.

А. Жданов

23222. Принципы процессов разминания, диспергирования и пластифицирования. Эшбах (Grundsätze über Knet-, Dispergier- und Plastifizier-Prozesse. Aeschbach J.), Kunststoffe, 1957, 47, № 5, 247—250 (нем.; рез. англ., франц., исп.)

Отмечено, что смешение, разминание и диспергирование необходимо проводить в высоковязком состоянии материала (М); кол-во М, обрабатываемого элементом смесителя (С), должно быть минимальным; необходимо избегать мертвых зон; самым эффективным является С, в котором разминание происходит между неподвижными зубьями и движущимся шнеком; с экономич. точки зрения наиболее выгодны С, работающие по непрерывному методу, особенно в тех случаях, если требуется большая производительность при постоянных рецептурах перерабатываемых М. Кратко описано диспергирование красителей (сажи в полиэтилене); смешение и разминание пластмасс с наполнителями, смазками и т. п.; пластифицирование и другие процессы с указанием применяемого оборудования.

В. Лапшин

23223. Экструзия нейлона типа 6. Хьюз (Extrusion of nylon 6. Hughes Robert L.), Plastics Technol., 1957, 3, № 6, 463—465, 480 (англ.)

Кратко описаны свойства нейлона и указано, что при изменении условий полимеризации вязкость расплава нейлона можно менять в широких пределах с целью приспособления к условиям экструзии (Э). При Э важно контролировать распределение т-ры по длине цилиндра с целью предупреждения преждевременного расплавления гранул. Приведены рекомендации по проведению Э труб; температурные режимы для Э пленок на машине с червяком диам. 63 мм и некоторые данные по устройству оборудования при Э листов.

В. Лапшин

23224. Экструзия жесткого поливинилхлорида. Малон (Extrusion of rigid vinyl. Malone Jean P.), S. P. E. Journal, 1957, 13, № 4, 48—49 (англ.)

Рассмотрены особенности экструзии (Э) труб в обычных машинах с одним или двумя червяками (Ч). Отмечено, что очень важен постоянный контроль т-ры (колебания допустимы в пределах 5°) цилиндров (не менее чем в двух точках) и мундштука. Приведены конструктивные особенности Ч: постоянный шаг; уменьшение глубины впадины между витками от входа к концу Ч; соотношение длины Ч к внешней диаметру (минимум 15:1); соотношение сжатия (приблизительно 1,7:1); конец Ч не должен образовывать мертвые зоны при течении материала; Ч хромируется и полируется. Приведены рекомендации по устройству и определению размеров мундштука. Кратко рассмотрены методы контроля размеров изделия, оборудование для охлаждения и работа отключенного устройства. Рекомендуется тонкие трубы охлаждать в ванне, имеющей в начальной секции т-ру 38°.

В. Лапшин

23225. Температура формования полиэтилена. Фачинелли (La temperatura di stampa del polietilene. Fachinelli Elvio), Poliplasti, 1957, 5, № 19, 30—41 (итал.)

В результате исследования параметров литья под давлением полиэтилена с числом текучести 8 и 23 найдено, что лучше применять полиэтилен с более высоким числом текучести и поддерживать низкую т-ру прессформы, так как при этом увеличивается степень прозрачности изделий, мех. прочность и сокращается цикл процесса.

Л. Песин

23226. Регулирование химических и физических параметров при работе с литыми смолами. Николс (Control of chemical and physical factors in the application of casting resins. Nichols Peter L.), S. P. E. Journal, 1956, 12, № 11, 26—31, 34—38 (англ.)

Простое литье изделий из литых смол требует умения управлять — жизнеспособностью смолы и изменением объема во время отверждения (О). Приведены выводы ур-ний, определяющих О как функцию времени, также отмечено, что на О оказывает большое влияние тепло р-ции, для удаления которого требуются: 1) добавление инертных наполнителей (Н) или пластификаторов (П), 2) применение в самом начале частично полимеризованной смолы и 3) удаление тепла р-ции введением ее стадиями. Уменьшение объема во время О, или усадке, может быть связана с: 1) превращением мономера в полимер и 2) разрывом тепловыми коэф. расширения смолы и введенных в нее составных частей. Для решения проблемы усадки рекомендуется добавка П или Н. Приведены также ф-лы теплопередачи и математич. трактовка вопросов теплопередачи с учетом свойств смол. Рассмотрено влияние на механич. свойства отлитых изделий, добавление П в инертных Н, которыми регулируют жизнеспособность и усадку смолы.

Е. Хургин
2327. Вакуумное формование. Ридли (Vacuum forming. Ridley K. A.), *Plastics Inst. Trans. and J.*, 1957, 25, № 59, 75—76 (англ.)

Для вакуумного формования (ВФ) характерны два способа: применение негативной и позитивной формы. В последнем случае перед воздействием вакуума производится частичная вытяжка нагретого материала салин пуансоном. При негативном методе трудно формовать глубокие детали с большим отношением высоты к основанию и почти невозможно формовать детали с толстыми стенками. Кратко изложены требования, предъявляемые к современным машинам для ВФ, а также некоторые вопросы технологии ВФ: нагревание, охлаждение и удаление изделия из формы. Высказано предположение, что ВФ может быть связано с вальцами или шприц-машиной непрерывным процессом.

В. Лапшин
2328. Вакуумная установка с гидравлическим прессом для формования листовых термопластов. Фабрициус (Bygning af et vacuumanlaeg med hydraulisk presse til formning af termoplastiske plastic-plader. Fabricius C. C.), *Ingeniøren*, 1957, 166, № 16, 383—390 (датск.)

Рассмотрены методы формования листовых термопластов. Описана установка для комбинированного формования с применением гидравлич. давления, вакуума и сжатого воздуха и приведен пример расчета установки.

Л. Песин
2329. Применение пластмасс в самолетостроении. Фьорио (Aeroplastics. Fiorio Franco), *Interviu*, 1957, 12, № 2, 148—149 (англ.)

Приведены преимущества применения пластмасс в самолетостроении, их свойства и области применения. Отмечено, что слоистые пластики являются основными типами пластиков, из которых фенольные слоистые пластики способны работать непрерывно при 260° и короткое время выдерживать действие т-р до 540°; разрабатываются слоистые кремнийорганич. пластики, сохраняющие высокую прочность при т-рах до 540°.

Л. Песин
2330. Сотовые панели в строительстве. Эрколи (Pannelli sandwich per edilizia. Ercoli E.), *Materie plast.*, 1957, 23, № 2, 92—100 (итал.)

Технические характеристики основных типов сотовых конструкций, применяемых в строительстве. Отмечено, что для наклейки слоистых пластиков к сотовым панелям применяют в качестве клеев: модифицированные полиэфирные смолы (для полиэфирных стеклопластиков), фенольные смолы [для слоистых древеснофенольных пластиков (ДФП)], мочевиновые смолы (для ДФП и фанеры), пластифицированные

поливинилацетатные эмульсии (для фанеры, ДФП) и неопреновый клей (для слоистых меламиновых пластиков и др.).

Л. Песин
2331. Армированные стеклопластики — новые материалы. Ладженский (Les plastiques armés, matériaux nouveaux. Ladyjensky J.), *Rev. univers. mines*, 1957, 13, № 4, 134—141 (франц.)

Популярно описаны исходные материалы, способы формования, важнейшие области применения, свойства (уд. прочность, модуль упругости, плотность, прочность на удар, теплостойкость, электроизоляционные, оптич. и др.), расчеты и конструирование. Отмечена экономич. эффективность армированных стеклопластиков.

С. Иофе
2332. Исследование химической обработки стеклотканей, применяемой в производстве стеклопластиков. Дани, Нолан (An investigation of chemical finishes for glass fabrics used in the manufacture of reinforced plastics. Dani A. de, Nolan J.), *Reinforced Plast.*, 1957, 1, № 10, 12—15 (англ.)

Изучали влияние хим. обработки стеклотканей (СТ) на свойства стеклопластиков (СП), получаемых контактным формованием. Бесщел. СТ (толщина 0,2 мм) обрабатывали при нагревании, «воланом», «гараном», винилтрихлорсиланом, винилтриэтоксисиланом, аллилтрихлорсиланом, составами А-172, У-1100, NOL-24, D-9132, а также новыми соединениями FG-1 и FG-2 (продукты конденсации о- или п-гидроксibenзальдегида с аллилтрихлорсиланом), а затем изготовляли СП из 9—12 слоев СТ, уложенных параллельно основе на связующих: полиэфирной, эпоксидной и фенольной смолах; толщина готового материала составляла 3,1 мм при содержании СТ 45—50%. Влияние обработки характеризовали прочностью СТ на изгиб, определяемой непосредственно после изготовления материала и после 2-часового кипячения в воде. Наивысшие показатели прочности на изгиб получили в случае применения полиэфирных смол и при обработке СТ гараном, А-172, D-9132 и NOL-24 (для всех ~ 4000 кг/см²); для СП на эпоксидных смолах — при обработке NOL-24, D-9132 и «воланом» (~ 4300 кг/см²); для СП на фенольной смоле — при обработке NOL-24 и D-9132 (соответственно (в кг/см²) 5300 и 4500). Применение NOL-24 во всех случаях дает наивысшие показатели прочности.

Л. Петрова
2333. Получение армированных слоистых стеклопластиков при низком давлении. Миро (GFR process for fiberglass-resin low-pressure laminates. Mireau E. Chris), *Plastics Technol.*, 1957, 3, № 2, 120—123 (англ.)

Разработан процесс произ-ва нефтяных цистерн из армированных слоистых стеклопластиков (АСС), основанный на автоматич. распределении центрифугальным способом нарезанного стекловолокна и смолы. Центрифуга работает со скоростью 280—1000 об/мин., сопло, подающее материал, передвигается со скоростью 0—762 мм/мин. Для получения слоя АСС толщиной 3,2 мм в изделии диам. ~ 460 мм скорость движения сопла равна 254 мм/мин. Получены крупногабаритные изделия диам. 1118 мм и длиной 3 м. Для изготовления АСС в данном процессе применяли полиэфирную смолу марки AR-403 и стеклянную ровницу фирмы Owens-Corning № 851, обработанную кремнийорганич. азпретурой. Полученный после центрифугирования полуфабрикат отверждается в автоклавах, в индивидуальных нагревателях или в спец. печах. В процессе изготовления деталей из АСС в них могут быть заделаны упрочняющие металлич. кольца, а также ребристые утолщения в поперечных и продольных направлениях. Механич. свойства полученных АСС в сухой и влажной среде соответственно равны (в кг/см²): прочность на растяжение 3760 и 3360, проч-

ность на сжатие 2350 и 1300, прочность на изгиб 4210 и 2600, модуль упругости $0,185 \times 10^6$ и $0,157 \times 10^6$.

С. Иофе

23234. Формование армированных стеклопластиков. Уимма (Glassreinforced plastics moulding. Westmuss A. C.). Corros. Technol., 1957, 4, № 3, 90 (англ.)

Приведены отличительные свойства армированных стеклопластиков на основе полиэфирных смол и перспективы их применения.

С. Иофе

23235. Футеровка резервуаров армированными стеклопластиковыми на основе полиэфирных смол. Бодде (Das Auskleiden von Behältern mit glasfasergewirktem Polyesterharz. Bode Karl-Heinz), Plastverarbeiter, 1957, 8, № 2, 60—61 (нем.)

Армированные стеклопластики (АСП) применяют для футеровки (Ф) как вновь изготовленных, так и находившихся в работе резервуаров. Для получения прочной Ф применяют в качестве армирующего материала стеклянную ткань толщиной 0,1—0,15 мм, что обеспечивает высокое сопротивление удару и устойчивости к толчкам. Кратко описан процесс нанесения Ф из АСП в зависимости от условий работы хим. аппаратуры и конструкции последней.

С. Иофе

23236. Изготовление резервуаров из стеклопластиков на основе полиэфирных смол. Бодде (Fabrikation kubischer Behälter aus Polyesterharz. Bode Karl-Heinz), Plastverarbeiter, 1957, 8, № 4, 139—141 (нем.)

Описаны недостатки металлич. прямоугольных резервуаров (Р), применяемых в химич. и других отраслях пром-сти, и преимущества Р из стеклопластиков (СП) на основе полиэфирных смол. Дана схема технологич. процесса изготовления Р из СП и указаны способы соединения отдельных деталей С. Иофе

23237. Новый материал для постройки автомобильного кузова. Пфейль (Ein neuer Werkstoff für den Karosseriebau. Pfeil Georg), Auto, Motor und Zubehör, 1957, 45, № 6, 234, 236 (нем.)

Кратко описан способ изготовления кузовов малолитражных автомобилей в ФРГ. Приведена схема установки для изготовления крупногабаритных изделий из стеклопластика (на основе стекловолокна и полиэфирной смолы) вакуумным способом (способ Марко).

С. Иофе

23238. Испытание на усталость древесно-слоистых пластиков, изготовленных на основе фенольной смолы. Хара, Окусэ, Кикутти (強化木の曲げ疲れ試験に関する資料. 原朝茂, 大橋淳, 菊地得夫), 鉄道業務研究資料, Тоцудо гёму кюнкё сирё, J. Railway Engng Res., 1955, 12, № 18, 25—29 (японск.; рез. англ.)

Испытания на усталость при статич. изгибе, натяжении и повторном изгибе образцов древесно-слоистых пластиков, с главной массой волокон, расположенных в одном направлении, показали, что вертикальные слои более устойчивы к усталости на изгиб, чем горизонтальные, но при испытании на прочность при статич. изгибе между ними нет заметной разницы.

Ю. Вендельштейн

23239. Древесные пластики. Верити (Now you can make wood just like iron. Verity Frank), Canad. Plast., 1957, Apr., 50—51 (англ.)

Кратко описаны методы изготовления слоистых древесных пластиков на основе фенольной смолы, основные физ.-мех. свойства их и изделия, изготовляемые из них.

Л. Песин

23240. Применение пластмасс для имитации ценных пород древесины. Вейгель (Edelholzimitationen unter Zuhilfenahme von Kunststoffen. Weigel K.), Prakt. Chem., 1955, 6, № 12, 332—334 (нем.)

Кратко описаны способы имитации древесины с помощью текстурной бумаги, пропитанной смолами, и

наклейки прессованного древесного шпона; показано применение стеклопластиков в мебельной пром-сти.

С. Иофе

23241. Полиэтиленовые слоистые материалы. Часть II. Анкава (ポリエチレンラミネート. II. 相川澄南), Пластмассы, Пурасутикукусу, Japan Plastics, 1957, 8, № 3, 10—15 (японск.)

Рассмотрены способы нанесения покрытий из полиэтилена на бумагу и принципиальное устройство применяемого оборудования. Часть I см. РЖХим, 1957, 72878.

В. Иофе

23242. Применение пенопласта из полистирола (стирофома). Шок (Styrofoam finds wide use. Schock W. S.), Refrig. Engng, 1957, 65, № 3, 57, 104, 106 (англ.)

Краткий обзор свойств и применения. Л. Песин

23243. Полистирольный пенопласт из вспенивающихся гранул. Эдберг (Polystyrene foam from expandable beads. Edberg Edwin A.), Refrig. Engng, 1957, 65, № 3, 54—57 (англ.)

Кратко описаны методы получения пенопласта и свойства материала.

Л. Песин

23244. Получение и применение пеноматериала «изошаум». Бауман (Die Verarbeitung und Anwendung von Isoschaum. Baumann H.), Plastverarbeiter, 1957, 8, № 2, 62—63 (нем.)

Из водн. р-ра мочевиноформальдегидной смолы и вспенивателя (такой двухкомпонентный состав называется «изошаум») получают вспениванием по месту применения изоляционный материал с об. в. 10 кг/м^3 и теплопроводностью $0,025 \text{ ккал/м} \cdot \text{час}$ (при 0°). Аппаратура для вспенивания и нанесения вспененного состава состоит из емкостей для смолы и вспенивателя, из которых последние подаются под давл. 4,5 атм в распылитель, где смешиваются, вспениваются, а затем образовавшаяся пена наносится на изолируемые поверхности. Нанесенная влажная пена схватывается через несколько минут и высыхает за 24 часа.

Л. Песин

23245. О рецептурах клеев, защитных составов и мастик. Торричелли (Appunti e note su formule. Torricelli Giorgio) Ingegneria chim., 1956, 5, № 6, 15—22 (итал.)

Описаны рецептуры и методы нанесения защитных составов (на основе пластифицированного поливинилхлорида) для гальванич. ванн; мастик для обуви (на основе НК и некоторых природных и синтетич. смол); термклеев для бумаги (на основе этилцеллюлозы, капилолы или эфира гарпиуса и пластификатора (дибутилфталата); аппретуры для фетра (на основе нитроцеллюлозы); водно-эмульсионных клеев для шпифовальных шкурок (на основе каучукового латекса).

Л. Песин

23246. Склеивание стекла и керамики эпоксидами смолами. Прохазка (Spojování skla a keramiky epoxydovými pryskyřicemi. Procházka S.), Sklar a keramik, 1957, 7, № 3, 72 (чешск.)

Для склеивания стекла и керамики, а также стекла и керамики с металлами, в Чехословакии применяют эпоксидную смолу «Урон 1001», отверждаемую нагреванием в течение 20 мин. при 200° ; и «Ероху 1200», отверждаемую 4%-ми отвердителя в течение 24 час при $\sim 20^\circ$. Прочность на разрыв фарфора, склеенного «Ероху 1200», обычно равна 200 кг/см^2 , а в ряде случаев превышает 300 кг/см^2 .

Л. Песин

23247. Клей на основе резорциновых смол. Бергер (Resorcinová lepidla. Berger V.), Dřevo, 1957, 12, № 2, 49—51 (чешск.)

Из фенолрезорциноформальдегидных смол изготовлены клеи FR-63 (I) (содержание сухого остатка $63 \pm 3\%$) и FR-80 (II), (содержание сухого остатка $73 \pm 3\%$), которые применяют для склейки древесных

в различных конструкциях (железнодорожных шпал, составных балок, узлов в судостроении), для склейки пластмасс с древесиной и др. Склейку производят при $\sim 20^\circ$ в присутствии отвердителя для I параформа в кол-ве 15% (конц-ия $\text{CH}_2\text{O} \geq 93\%$) и для II применяют формалин (в кол-ве 50% с конц-ией ≥ 36 вес. %); время желатинизации клея из I при 15° 4 часа, при 20° 2 часа, из II, соответственно, 2,5 часа и 1 час. Расход клея 200—300 г/м², давление при склейке 3—10 кг/см², выдержка под давлением с I при 15° 12 час., при 20° 8 час., с II соответственно 8 и 6 час.; максим. прочность склейки (склейка бук) в этих условиях как у I, так и у II через 3 суток достигает 150 кг/см² (миним. прочность склейки 90 кг/см², разрыв по древесине), после 24 час. вымачивания в воде 100 кг/см² (миним. 70 кг/см²).

Л. Песин

23248. Запахи формалина в фанере, проклеенной клеями на основе мочевиноформальдегидных смол. Хориока, Ногутти (元素樹脂接合劑による合板のホルマリン臭について. 堀岡邦典, 野口美保子), 木材工業, Мокудзай когё, Wood Ind., 1957, 12, № 119, 13—16 (японск.; рез. англ.)

Существенного уменьшения выделения CH_2O из фанеры можно достигнуть применением смолы (C) с пониженным отношением CH_2O (I) к мочедине (II) в реакционной смеси. Так в C промышленного выпуска содержание свободного CH_2O , выраженное в %, кол-во выделяющегося CH_2O из фанеры за 4 часа (в 2/900 см³) и прочность склейки (в кг/см²) соответственно составляли: 4,2; 0,4276; 20,5, а в C, полученных при мол. соотношении II:I = 1:1,6—0,597; 0,0856; 25,0 и при I:I = 1:1,3—0,256, 0,0222, 26,0. Некоторое уменьшение выделения CH_2O из фанеры (в 2—3 раза) достигают также добавлением 5% меламина или реорипина, 2—5% мочевины к клеевому составу или применением в качестве разбавителей соевой муки или кровяного альбумина (27%).

Л. Песин

23249. Дугостойкость прессовочных материалов и покрытий. Стерлинг (Arc-resistant molding materials and finishes. Sterling R. F.), Commund. and Electronics, 1957, № 28, 776—780 (англ.)

Для повышения дугостойкости (Д) фенольных смол вводили в фенопласты и пластмассы на основе замещ. фенольных смол тонкоизмельченные огнестойкие наполнители (Н), такие как окислы Si, Al, Be, Zr и Ti и их комбинации в виде силикатов, титанатов и цирконатов, а также нитрида бора и продукта взаимодействия монтмориллонита с анилином. Установлено, что при введении этих Н до 10% значительно повышается Д пластмасс и некоторых покрытий, не оказывая серьезного влияния на механич. свойства прессованных изделий. Повышение Д обратно пропорционально диаметру частиц Н, при диаметре выше ~ 5 мк эффект добавки Н в основном исчезает. Повышение Д зависит от процентного содержания Н и обнаруживается уже при 1 вес. % Н, однако значительно больше Д появляется при добавке 10%. Важное значение имеет равномерное распределение Н в прессовочном порошке (или в эмали). Поэтому смешивание с Н должно производиться на обогреваемых дифференциальных вальцах. На Д пластмасс, которые сами по себе являются достаточно Д, напр. аминопластов, добавка Н заметного влияния не оказывает. Испытания Д прессматериалов проводили по методике ASTM 485-48T при 10 ма, влияние больших токов не исследовали и испытания в силовой аппаратуре не производили.

С. Шипкин

23250. Силиконовая изоляция в электромашиностроении. Каллас (Siliconisation im Elektromaschinenbau. Kallas Hans), Energie und Technik, 1957, 9, Apr., 115—116 (нем.)

Благодаря ценным физ. и хим. свойствам, силиконы находят все более широкое применение в электромашиностроении. Термоустойчивые изоляционные материалы (стеклянная ткань, слюда, асбест) с покрытиями из силиконовых смол имеют длительный срок службы, значительно расширяют температурный интервал применения электромашины, позволяют повысить мощность и удешевляют стоимость электроэнергии.

Л. Херсонская

23251. Применение пластмасс в кабельной технике. Брандт (Verwendung von Kunststoffen in der Kabeltechnik. Brandt Paul), Eisenbahningenieur, 1957, 8, № 5, 107—111 (нем.)

Пластмассы на основе поливинилхлорида, полиэтилена, полистирола и ненасыщ. полиэфиров применяют в кабельной технике. Приведены примеры кабельной продукции.

Л. Песин

23252. Установки для производства пластических масс. Кирберг (Anlagen zur Herstellung von Kunststoffen. Kirberg Rudolf), Progressus, 1955, 22, ND 6, 41—44, 58 (нем.)

Описан ряд выпускаемых в ФРГ лабораторных, полувзводских и заводских установок для произ-ва синтетич. смол, олиф, пластификаторов и т. п. Для опытных и малых произ-в изготавливаются универсальные установки, на которых можно готовить поочередно различные продукты. Рассмотрены различные системы высокотемпературного обогрева реакторной: топочными газами, жидкими теплоносителями, водяным паром высокого давления и индукционным. Е. Хургин

23253. Основные характеристики каландра для изготовления пленок из поливинилхлорида. Зигель (Hauptmerkmale eines PVC-Folien-Ziehkalenders. Siegel Peter), Kunststoffe, 1957, 47, № 5, 242—244 (нем.; рез. англ., франц., исп.)

Максимально допустимый диаметр валков (В) 700 мм.; максимально допустимая длина В может быть в 2,5 раза больше диаметра В; уменьшения прогиба В можно достигнуть при уменьшении внутреннего отверстия в В и правильным соотношением диаметра В к его длине. Кратко описано устройство для обогрева В и вспомогательные устройства каландра.

В. Лапшин

23254. Автоматическая намотка пленок из пластмасс. Шмитт (Automatisches Wickeln von Kunststoff-Folien. Schmitt Walter), Kunststoffe, 1957, 47, № 5, 244—246 (нем.; рез. англ., франц., исп.)

Приведены ур-ния для вычисления длины наматываемой пленки (П) из диаметра рулона или кол-ва слоев и установлено наилучшее соотношение между диаметром рулона и диаметром гильзы для намотки П. Рассмотрены требования, предъявляемые к устройствам для непрерывной намотки в связи с увеличением скорости машин для изготовления П. Дана схема и описано приспособление для намотки П с автоматич. отрезанием и накладывающим устройством.

В. Лапшин

23255. Высокочастотная сварка термoplastов. Шмид (HF-Verschweißen thermoplastischer Kunststoffe. Schmid Wilhelm), Industrieblatt, 1957, 57, № 3, 87—89 (нем.)

Методы и аппаратура для ВЧ-сварки пленок из пластмасс на основе поливинилхлорида (жестких и мягких), ацетилцеллюлозы и полиамидов.

Л. Песин

23256. Переработка пленок из пластмасс в высокочастотном поле. Клиньер (Die Verarbeitung von Kunststoff-Folien im hochfrequenten Feld. Klinzner Hans), Kunststoff-Rundschau, 1957, 4, № 4, 147—150 (нем.)

Описание оборудования для ВЧ-сварки (в том числе автоматической) пленок из поливинилхлоридного пластика.

Л. Песин

23257. Поверхностная обработка изделий из пластмасс. Часть 1. Окраска и лакировка. Часть 2. Горячее тиснение, печатание и электроосаждение. Фаззард (Surface treatment of mouldings. Fuzzard Maurice), Brit. Plastics, 1955, 28, № 10, 413—415, 437; № 11, 452—454 (англ.)
Обзор.

С. Шишкин

23258 К. Хлористый винилиден и его сополимеры. Гордон Г. Я. М., Госхимиздат, 1957, 123 стр., илл., 4 р. 50 к.

23259 К. Эпоксидные смолы; их применение и технология. Ли, Невилл (Epoxy resins; their applications and technology. Lee Henry, Neville Kris. New York, McGraw-Hill, 1956, 316 pp., ill., 8 doll.) (англ.)

23260 К. Силиконы. Сайкс (The silicones. Sykes Peter. (Mod. sci. mem. № 36). London, 1957, 16 pp., 1 sh. 6 d) (англ.)

23261 К. Пластификаторы. 2-е изд. Батри (Plasticizers. 2nd ed. Buttrey Douglas Norton. London, Cleaver-Hume Press, 1957, viii, 213 pp., ill., 35 sh.) (англ.)

23262 К. Стеклопластики. Изд. 2. Ред. Морган (Glass reinforced plastics. 2nd ed. Ed. Morgan Phillip. London, Iliffe; New York, Philos. Libr., 1957, XV, 276 pp.; ill., 45 sh.) (англ.)
См. РЖХим, 1956, 69920

23263 П. Способ непрерывной полимеризации ненасыщенных виниловых соединений. Фукава, Нисикава, Хата (ビニル基を有する不飽和化合物の連続粒状重合法. 深谷直蔵, 西川新三, 羽田育三) [三菱レイヨン株式会社, Мицубиси район кабусики кайся]. Японск. пат. 7895, 29.11.54

Водный р-р, содержащий соль, диспергированную в неполимеризованном или частично полимеризованном ненасыщ. виниловом соединении в форме гранул, непрерывно подают в 1-ю полимеризационную колонну. Частично полимеризованную массу подают во 2-ю колонну, где процесс завершается при интенсивном перемешивании. Э. Тукачинская

23264 П. Высокомолекулярный твердый полиметиллен и способ его получения. Остхофф, Кантор (Procédé pour préparer un polyméthylène solide, à poids moléculaire élevé et produit nouveau obtenu. Osthoff Robert C., Kantor Simon W.) [Co. Française Thomson-Houston]. Франц. пат. 1101013, 27.09.55 [Chimie et industrie, 1956, 76, № 3, 515 (франц.)]

Диазометан, растворенный в диалкиловом или алкиларилловом эфире, напр. в $(C_2H_5)_2O$, разлагают в присутствии BF_3 или его эфирата. Я. Кантор

23265 П. Полимеризация этилена. Циглер (Procédé pour la polymérisation de l'éthylène. Ziegler K.). Франц. пат. 1099257, 1.09.55 [Chimie et industrie, 1956, 76, № 3, 515 (франц.)]

К триалкилалюминию добавляют миним. кол-во Ni, Co или Pt в качестве активаторов, что позволяет заметно снизить т-ру полимеризации. Ю. Васильев

23266 П. Способ получения полиизобутилена с катализатором в виде суспензии. Геринг, Мистретта (Process for the preparation of polyisobutylene with a slurry catalyst. Goering Hans G., Mistretta Vincent F.) [Esso Research and Engng Co]. Пат. США 2739143, 20.03.56

Изобутилен растворяют в гексане, охлаждают р-р до -40° , постепенно добавляют к р-ру 0,01—2% (от веса изобутилена) $AlCl_3$; получающийся полимер растворяется в гексане. Р-р нейтрализуют каустич. содой для удаления катализатора и удаляют р-ритель. $AlCl_3$ вводят в виде 5%-ной суспензии в гексане, со-

держащем примеси, снижающие активность катализатора и уменьшающие мол. вес полиизобутилена. Для уничтожения вредного влияния примесей и увеличения мол. веса полимера смещение $AlCl_3$ с гексаном производят при $t_{ре} \leq -23^\circ$. Б. Киселев

23267 П. Получение полимеров на основе винилароматических углеводородов (Préparation de produits polymérisés à partir d'hydrocarbures vinyl-aromatiques) [Petrocarbon Ltd «Pechinev» Cie de Produits Chimiques et. Electrometallurgiques]. Франц. пат. 1102660, 25.10.55 [Chimie et industrie, 1956, 76, № 3, 516 (франц.)]

Винилароматические углеводороды полимеризуют в присутствии частично алкилированного углеводорода и катализаторов — активных земель типа фторидина, бентонита или монтмориллонита (2—5%), поддерживая конц-ию мономера $\sim 10\%$ (от веса реакционной среды). Полимеризацию проводят в отсутствие O_2 , вводя смесь углеводородов в нагретый реактор, содержащий активную землю в виде суспензии в углеводороде. Ю. Васильев

23268 П. Способ понижения горючести полистирола. (Procédé pour diminuer l'inflammabilité des polymères du styrolène) [Badische Anilin- & Soda Fabrik A.-G.]. Франц. пат. 1101025, 27.09.55. [Chimie et industrie, 1956, 76, № 3, 515 (франц.)]

К полистиролу добавляют сильно хлорированный низкомолекулярный полистирол. Ю. Васильев

23269 П. Продукт взаимодействия олефин-диолефиновой и кумаронинденовой смол. Мак-Кей (Reaction product of olefin-diolefin resin with a coumaronindene resin. McKay John F., Jr) [Esso Research and Engineering Co.]. Пат. США 2733227, 31.01.56

Температуру размягчения ненасыщ. углеводородной смолы повышают, нагревая ее при $240-280^\circ$ с кумаронинденовой смолой в вес. соотношении 100:5—50 соответственно. Ненасыщ. углеводородную смолу получают полимеризацией смеси углеводородов, образующихся при паровом крекинге и имеющих т. кип. $20-280^\circ$. Смесь углеводородов, содержащую 10—35% диолефинов, 30—65% олефинов и 0—60% ароматич. соединений, парафинов и нафтенных полимеризуют при $t_{ре}$ от -100 до 100° в присутствии катализатора Фриделя-Крафуса. Напр., 225 г ненасыщ. смолы из смеси с т. кип. $30-130^\circ$, содержащей $\sim 14\%$ диенов, 42% олефинов и 42% ароматич. и насыщ. углеводородов, полученной полимеризацией при 20° в присутствии 0,25—2,5% $AlCl_3$ (могут быть также использованы $AlBr_3$, BF_3) и имеющей т. размягч. 85° , смешивают с 75 г кумаронинденовой смолы и нагревают при 280° в атмосфере N_2 в течение 3 час. Полученная модифицированная смола имеет т. размягч. 105° . А. Петрашко

23270 П. Соплимер трифторхлорэтилена и винилиденфторида. Дитман, Пассино, Титере (Copolymer of trifluorochloroethylene and vinylidene fluoride. Dittman Albert L., Passino Herbert J., Teeters Wilber O) [The M. W. Kellogg Co.]. Пат. США 2738343, 13.03.56

Термопластичный сополимер получают при сополимеризации трифторхлорэтилена (I) и 0,5—6 мол. % (лучше 1—4 мол. %) винилиденфторида (II). Повышение содержания II (>10 мол. %) приводит к снижению мол. веса сополимера и увеличивает деструкцию под влиянием т-ры. Пленка сополимера при $t_{ре}$ от 100 до 200° не теряет своей эластичности. Соплимер имеет физ. и хим. свойства, аналогичные политефторэтилену по хим. устойчивости, набуханию пленки под действием р-рителей и электр. свойствам. Соплимеризацию I и II проводят при $t_{ре}$ от -20 до 40° в течение 30 мин.—12 дней в зависимости от т-ры и катализатора. В качестве инициатора

применяют различные галогензамещ. органич. перекиси (напр., перекиси трихлорацетила, 2,4-дихлорбензола). При эмульсионной или суспензионной полимеризации в качестве инициаторов используют неорганич. перекиси, напр. персульфаты, пербораты или перфосфаты, кол-во которых составляет 0,01—5% от веса мономеров. Для нанесения сополимера на металл. поверхность последний применяют в виде дисперсии с конц-ней 10—30%, величина частиц которой составляет 0,1—10 μ . В качестве дисперсионной среды применяют алифатич. и ароматич. эфиры, кетоны (напр., диизобутилкетон, циклогексанон, метоксипропанол, метилацетат), а в качестве разбавителей — ароматич. углеводороды (напр., ксилол, толуол, а также алифатич. спирты, незамещ. эфиры, воду). После нанесения дисперсии диспергирующую среду удаляют и сшивают или спекают сополимер при 225—250° в течение от 30 сек. до 25 мин. Сополимер можно также наносить из р-ра в фторхлоруглеводородах (напр., в перфторхлорбутане).

23271 П. Применение эфиров фосфорной кислоты в качестве эмульгаторов для полимеризации хлорсодержащих органических соединений. Якоби (Verwendung von Phosphorsäureestern als Emulgatoren für die Emulsionspolymerisation von polymerisierbaren chlorhaltigen organischen Verbindungen. Jacobi Bernhard) [Chemische Werke Hüls A.-G.] Пат. ФРГ 954009, 13.12.56

В качестве эмульгаторов для полимеризации хлорсодержащих органич. соединений применяют эфиры фосфорной к-ты ф-лы $P(=O)(OR^1)(OR^2)$, где R^1 — алкил, циклоалкил, арил или аралкил, содержащий ≥ 6 атомов С, R^2 — атом щел. металла или NH_4 , R^3 — H , R^1 или R^2 . Напр., 300 ч. винилхлорида эмульгируют в 700 ч. 1,5%-ного р-ра монолаурилдинатрий-фосфата и полимеризуют в присутствии 1 ч. $K_2S_2O_8$. Эмульсию высушивают распылением и получают поливинилхлорид с хорошей стабильностью. М. Альбам

23272 П. Получение пластизолов поливинилхлорида. Барилле (Amélioration à la préparation de plastisols de chlorure de polyvinyle et plastisols ainsi obtenus. Barillet M. F.) [Manufactures de Produits Chimiques du Nord, Ets Kuhlmann]. Франц. пат. 1100098, 15.09.55 [Chimie et industrie, 1956, 76, № 3, 515 (франц.)]

К пластизолам поливинилхлорида добавляют для уменьшения вязкости 0,2—10 ч. (на 100 ч. пластизола) жирных спиртов, т-ра кипения которых превышает т-ру желатинизации пластизола и которые содержат 1—15 атомов С в молекуле.

23273 П. Пластическая масса. Ямагути (合成樹脂を主體とする可塑物の製造法. 山口敬三) [三共油化工業株式会社, Занкё юка когё кабусики кайся]. Японск. пат. 7039, 27.10.54

Смесь (в %): поливинилхлорида 30, пластификатора (жидкое каменноугольное масло, из которого при $\sim 30^\circ$ удалены кристаллич. компоненты) 26, стеарата Pb (стабилизатор) 0,60, каолина 48,4 и сурика 5 пропускают через вальцы при 130—150°. Получают листовой материал (толщина 3 мм), применяемый для покрытия полов.

23274 П. Улучшение электроизоляционных свойств винилхлоридных смол. Кувада, Сугахара (重合ダイニール樹脂の絶縁性改良法. 桑田勉, 菅原勇次郎) Японск. пат. 7890, 29.11.54

100ч. поливинилхлорида, 50 ч. пластификатора, 3 ч. стабилизатора и 1,5 ч. стеариновой к-ты смешивают с 7—10% каолина, прокаленного при 550°. Получают материал с электр. сопротивлением $3,12 \cdot 10^{14}$ ом см.

23275 П. Способ изготовления пасты из винилхлоридной смолы. Исиды (重合ビニール樹脂ペーストの製

造法. 石田英吉) [長島銀蔵, Исиды хидэёси Нагасима гиндзо]. Японск. пат. 3792, 28.06.54

Пасту получают, смешивая (в ч.): 100 мелкодисперсного поливинилхлорида, 10 ди-2-пропенилitaконата, 15 триоктилфосфата, 25 диоктилфталата и 1,5 стеарата Са. Паста образует водо- и морозостойкую пленку.

Э. Тукачинская

23276 П. Способ получения каучукоподобных масс для уплотнителей, устойчивых к действию моторного топлива (Verfahren zur Herstellung gummielastischer, treibstoffester Dichtungsmassen) [Chemieprodukte G. m. b. H.]. Пат. ФРГ 953917, 6.12.56

К пластифицированным полимерам винилхлорида добавляют ди- или триизоцианаты, линейные поли-эфиры (или насыщ. многоатомные спирты) и смесь графита и S, массу тщательно перемешивают и нагревают при повышенном давлении. Напр., смесь (в вес. ч.) поливинилхлорида 50, пластификатора 30 (эфиры себаценовой к-ты), фенилен-1,3-диизоцианата 2—7, бутиленгликоля 1—4, S 6, графита 11 и 2—4 ридинолеата Sn обрабатывают на вальцах и формуют в прессе при 300 kg/cm^2 и т-ре 190° в виде пластины, из которых вырезают уплотняющие детали.

М. Альбам

23277 П. Горячая вытяжка листового поливинилового спирта. Нагано, Морита, Кодама (ビニルアルコールシートの熱延伸方法. 長野清一, 森田榮一, 小玉操) [倉敷レイオン株式会社, Курасики район кабусика кайся]. Японск. пат. 7344, 9.10.54

Листы из поливинилового спирта толщиной 1 мм (влажность 12,1%) нагревают 10 сек. при 100°, вытягивают вдвое, подвергают термообработке в воздухе (10 сек., 100°) и через 2 мин. охлаждают до $\sim 20^\circ$. Получают материал с сопротивлением разрыву 10,4 kg/mm^2 и относительным удлинением 65%.

Э. Тукачинская

23278 П. Растворы полимеров акрилонитрила в смесях пропиленкарбоната и воды. Джонс, Тодд (Solutions of acrylonitrile polymers in mixtures of propylene carbonate and water. Jones Evan IsIwyn, Todd Minor) [Imperial Chemical Industries Ltd]. Пат. США 2733978, 7.02.56

Полиакрилонитрил (I) растворяют в смеси воды (14—40%) с пропиленкарбонатом (II). I получают сополимеризацией 85—100 ч. акрилонитрила с 0—15 ч. винилового соединения в присутствии 5—40% (от графт-полимера) водорастворимого высокомолекулярного в-ва с мол. в. > 1000 . После тщательного перемешивания I и р-рителя при 95—100° в течение ≥ 30 мин. р-р используют для получения волокон и пленок. Регенерацию II в коагуляционной ванне производят либо охлаждением до 0°, либо введением бензола с последующим охлаждением до т-ры $\leq 25^\circ$; выделившийся II отделяют от воды. Пример. В смесь 16 ч. II и 4 ч. воды, нагретую до 50°, при энергичном перемешивании добавляют 2,2 ч. сополимера акрилонитрила с 2-винилпиридином (93:7). При этой т-ре смесь перемешивают в течение 30 мин., нагревают до 98—100° и перемешивают еще 30 мин. Получают 10%-ный р-р сополимера с вязкостью 9 пуаз при 100° и т-рой осаждения 85°.

А. Петрашко

23279 П. Способ улучшения свойств полиакрилонитрила и его сополимеров с другими виниловыми соединениями. Зейдель (Verfahren zur Verbesserung der Eigenschaften von Polyacrylnitril und Mischpolymerisaten von Acrylnitril mit anderen Vinylverbindungen. Seydel Robert) [Farbenfabriken Bayer A.-G.]. Пат. ФРГ 919665, 2.11.54 [Chem. Zbl., 1955, 126, № 33, 7798 (нем.)]

Указанные полимеры (в виде волокна или пленки) обрабатывают галонидными соединениями бора (BF_3). обычно в газовой фазе.

Р. Франкфурт

23280 П. Способ получения матированных сополимеров, содержащих более 50 молярных процентов акрилонитрила. Хопш (Verfahren zur Herstellung getrübert, zu mehr als 50 Molprozent aus Acrylnitril aufgebauter Polymerisate bzw. Mischpolymerisate. Hoesch Ludwig) [Röhm & Haas G. m. b. H.]. Пат. ФРГ 951303, 25.10.56

Способ получения матированных полимеров или сополимеров, содержащих >50 мол. % акрилонитрила (напр., сополимера из 70 % акрилонитрила и 30 % метилметакрилата), отличается тем, что к мономеру или к смеси мономеров добавляют эфир кремневой к-ты (напр., 0,1—5% этилового эфира поликремневой к-ты), а также красители и (или) наполнители. Полученные полимеры применяют, напр., при изготовлении ламп. Напр., при полимеризации смеси (в вес. ч.) 70 акрилонитрила, 30 метилметакрилата и 5 тетраэтоксилана получают белый матовый полимер, который при кратковременном нагревании при 150° становится не темнее кремово-желтого. М. Альбам

23281 П. Гидролиз полимеров и вещества для структурирования почвы (Hydrolysis of polymers and soil-conditioning agents comprising the hydrolyzed polymers) [Monsanto Chemical Co.]. Англ. пат. 732912, 29.06.55

Полиакрилонитрил, полиметакрилонитрил или их сополимеры со стиролом, α-метилстиролом, винилацетатом, винил- или винилиденхлоридом и эфирами акриловой, метакриловой или малеиновой к-ты диспергируют в смеси воды и 50—95% спирта ф-лы $\text{HOC}_m\text{N}_n\text{H}_{2n} \cdot (\text{OC}_m\text{N}_n)_x$, где m и n — целые числа от 1 до 4, x — целое число от 0 до 3. Суспензию нагревают до t > 40° в присутствии гидроокисей щел. металлов. Гидролизованные полимеры используют для структурирования почвы. Б. Киселев

23282 П. Способ получения сополимеров винилиденхлорида, винилхлорида и эфиров акриловой или метакриловой кислот в водной суспензии. Йост (Verfahren zur Herstellung von Mischpolymerisaten aus Vinylidenchlorid, Vinylchlorid und Acrylsäure — bzw. Methacrylsäureestern in wässriger Suspension. Jost Konrad). [Badische Anilin- & Soda-Fabrik A.-G.]. Пат. ФРГ 950813, 18.10.56

Смесь винилиденхлорида (> 75%), винилхлорида и эфира акриловой или метакриловой к-ты (0,1—3%) полимеризуют в водн. суспензии. Напр., в эмалированный автоклав последовательно загружают (в ч.) при 25° и в отсутствие O_2 20 000 дистил. воды, 200 Na_2HPO_4 , 50 NaH_2PO_4 , 4 NaHSO_3 , 220 нитрила азонизмассляной к-ты, 60 метилметакрилата, 1800 винилхлорида и 10 200 винилиденхлорида нагревают смесь до 50° и полимеризуют 12 час. Твердый гранулированный полимер (10 400 ч.) отделяют в центрифуге от водн. фазы, промывают водой и сушат. Продукт полностью растворим в тетрагидрофуране, при прессовании (175°, 200 атм) дает однородные пластины, а при шприцевании — однородный прозрачный прутко с прочностью 250 $\text{кг}/\text{см}^2$. Без добавления эфиров ненасыщ. к-т сополимер только частично растворим в тетрагидрофуране и при шприцевании дает прутко, содержащий включения в виде узлов. М. Альбам

23283 П. Получение термопластичных композиций (Procédé de fabrication de compositions thermoplastiques et produits obtenus) [Semtex Ltd Soc. An. des Pneumatiques Dunlop]. Франц. пат. 1100426, 20.09.55 [Chimie et industrie, 1956, № 3, 516 (франц.)]

Мономер или аналогичный низкомолекулярный полимер смешивают с каменноугольной смолой и полимеризуют смесь, в которую можно также добавлять и другие компоненты. Ю. Васильев

23284 П. Композиции, содержащие смесь глицидных полиэфиров двухатомных фенолов. Уайлс, Илам (Compositions containing a mixture of glycidyl polyethers of dihydric phenols. Wiles Quentin T., Elam Daniel W.) [Shell Development Co.]. Пат. США 2735829, 21.02.56

Композиция состоит из смеси глицидного полиэфира 2-атомного фенола с 3—20 вес. % другого глицидного полиэфира 2-атомного фенола. Оба полиэфира содержат цепь с чередующимися остатками глицерина и 2-валентными ароматич. радикалами, связанными эфирными атомами О. Полиэфиры имеют ф-лу $\text{OSCH}_2\text{CHCH}_2(\text{OROSCH}_2\text{CHONCH}_2)_n\text{OROSCH}_2\text{CHCH}_2\text{O}$ (R — 2-валентный ароматич. углеводородный радикал), причем 1-й полиэфир имеет т. пл. < 25° (по Дюррану), и содержит 1,7—2 эпокси группы и 1—15 ароматич. радикалов в молекуле; 2-й полиэфир имеет т. пл. > 75° (по Дюррану), содержит 1,2—1,8 эпокси группы и ≥ 4 ароматич. радикалов в молекуле. Ароматич. радикалы в глицидных полиэфирах могут быть производными 1,1-бис-(4-оксифенил)-этана, или 2,2-бис-(4-оксифенил)-пропана и могут быть одинаковыми или различными. Композиции применяют для изготовления клеев, покрытий и пластмасс. Я. Кантор

23285 П. Получение полиэтилентерефталата. Сандбек, Изли, Баллентайн, Ли, Изли (Fabrication de téréphthalate de polyéthylène. Sundbeck E. H., Easley W. K., Ballentine J. B., Lea K. R., Easley W. K.) [The Chemstrand Corp.]. Франц. пат. 1099655, 8.09.55 [Chimie et industrie, 1956, № 3, 519 (франц.)]

Этиленгликоль нагревают с диметилтерефталатом в присутствии каталитич. кол-ва соли Cd, Co, Mn или Zn и жирной к-ты, содержащей 2—6 атомов С, или алифатич. двусосновой к-ты с 2—10 атомами С, до прекращения выделения метанола. Р-цию продолжают в присутствии того же катализатора при повышенной t -ре и уменьшенном давлении до получения линейного полиэфира, имеющего требуемую степень полимеризации. Ю. Васильев

23286 П. Получение полиэтилентерефталата с применением в качестве катализатора соединений сурьмы. Биллика, Каррел (Production of polyethylene terephthalate using an antimony compound as catalyst. Billica Harry R., Carriel Jonathan Turner) [E. I. du Pont de Nemours and Co.]. Пат. США 2739957, 27.03.56

Полиэтилентерефталат получают переэтерификацией этиленгликолем эфира терефталевой к-ты и первичного насыщ. алифатич. спирта, содержащего 1—4 атома С. Р-цию проводят в присутствии катализатора, в качестве которого (для первой стадии р-ции переэтерификации) используют любое соединение Са, напр. гидрид, окись, карбид или цианамид Са или Са-соли бромистоводородной, борной, вольфрамовой, муравьиной, уксусной, гликолевой или стеариновой к-т. Кол-во катализатора составляет 0,00035—0,011 г/атома Са на 1 моль диметилтерефталата (I) или (лучше) 0,001—0,003 г/атома Са на 1 моль I. В качестве катализатора второй стадии процесса (поликонденсации) применяют соединения Sb, напр. Sb_2O_3 , оксихлорид Sb, SbF_3 , антимонооксиацетат Na или антимоноилтарtrat K. Кол-во катализатора составляет 0,0003—0,0013 г/атома Sb на 1 моль I. Катализаторы можно вводить одновременно. Пример: смесь (в ч.) 58 диметилтерефталата, 40 этиленгликоля, 0,0174 г/атома Са и 0,0174 Sb_2O_3 нагревают до 118° и в течение 3,5 часа отгоняют метанол. Продукт конденсируют в автоклаве при 275° и 0,5 мм рт. ст. в течение 5,1 часа. Полимер имеет приведенную вязкость 0,66. А. Петраши

23287 П. Получение полиэфиров с использованием в качестве катализатора основного уксуснокислого железа. Салливан (Production of polyesters using basic ferric acetate as catalyst. Sullivan John K.) [Goodyear Tire & Rubber Co.]. Пат. США 2740768, 3.04.56

Реакция переэтерификации между гликолем и эфирами терефталевой или изофталевой к-ты или их смесью с последующей конденсацией полученных сложных эфиров протекает в присутствии основного уксуснокислого железа ф-лы $\text{Fe}(\text{OH})_2(\text{C}_2\text{H}_3\text{O}_2)_2$, являющегося катализатором, кол-во которого составляет 0,003—0,05 % от веса эфиров. Напр., смесь, состоящую из 12 ч. этиленгликоля, 12 ч. смеси диметилтерефталата и диметилизофталата (75:25) и 0,0038 ч. основного уксуснокислого Fe нагревают при 197° в атмосфере N_2 при обычном давлении в течение 3,5 час. После выделения ~ 90% метанола давление постепенно понижают до 0,1 мм рт. ст. и удаляют непрореагировавший гликоль. Конденсацию далее проводят при 260° и давл. 1 мм рт. ст. в течение 5,5 час. Полученный полиэфир имеет вязкость 19,62 пуаз при 280°.

Ю. Петрашко

23288 П. Получение полиэфиров из циклических шестичленных сложных эфиров. Клейне (Procédé de préparation de polyesters à partir d'esters cycliques à six chaînons. Kleine Johannes). Франц. пат. 1115278, 23.04.56

Полиэфиры с высоким мол. весом получают из циклич. шестичленных сложных эфиров, напр. гликолидов или лактидов (напр., из δ -валеролактона, триметилкарбоната или этиленоксала), полимеризуя или сополимеризуя их в присутствии 0,1—0,3 вес. % металлов II или IV группы периодической системы, их алколятов, окисей, гидроокисей или солей слабых к-т (напр., в присутствии MgO , $\text{Ca}(\text{OH})_2$, PbO , ZnO , PbCO_3 , $\text{Ca}(\text{OOCCH}_3)_2$), растворимых полностью или частично в исходных в-вах или продуктах их полимеризации. Катализаторы можно вводить по частям через определенные промежутки времени. В р-цию можно вводить регуляторы длины цепи. Процесс проводят непрерывно, без доступа воздуха, при необходимости в присутствии р-рителей или разбавителей, при 130—200° (или 130—170°). Полимеры можно подвергать термич. обработке при т-рах выше или ниже т-ры собственно полимеризации. Напр., смешивают 100 г лактида с 0,1 г ZnO , нагревают, перемешивая 1 час до 130°, и полимеризуют 12—18 час. при 150°. По охлаждению получают твердое, почти бесцветное, прозрачное, не липкое в-во с т. размягч. ~ 80°.

Ю. Васильев

23289 П. Металлоорганические катализаторы для получения полиэфиров. Колдуэлл, Колдуэлл, Рейнолдс (Nouveaux catalyseurs organométalliques et procédé de préparation de polyesters, portant application de ces catalyseurs. Caldwell John R., Caldwell John R., Reynolds Delbert D.) [Kodak-Pathe]. Франц. пат. 1101621, 10.10.55 [Chimie et industrie, 1956, 76, № 3, 516 (франц.)]

Линейные полиэфиры из ароматич. дикарбоновых к-т и гликолей получают с использованием в качестве катализаторов щел. солей, содержащих комплексные радикалы типа $[\text{Al}(\text{OR})_2]^-$ или $[\text{Ti}(\text{OR})_2]^{2-}$.

Ю. Васильев

23290 П. Продукты реакции фурановых смол с талловым маслом. Фрей (Furan resin-tall oil reaction product. Frey Raymond M.) [McGraw Electric Co.]. Пат. США 2735826, 21.02.56

Термореактивные смолы получают сополимеризацией 30—50% таллового масла, 0—100% фурфурола и 0—100% фурфурилового спирта (или других фурановых производных — тетрагидрофурфурилового спир-

та, фурфурилацетата, тетрагидрофурана, фуруиламида или фуруилгалогенида) в присутствии кислотных катализаторов — HCl , H_2SO_4 , P_2O_5 , FeCl_3 и др. Р-ция смолообразования протекает вначале экзотермически. По окончании экзотермич. фазы продолжают нагревание смеси до достижения необходимой вязкости. Напр., смесь таллового масла, фурфурола и фурфурилового спирта нагревают с 2% диэтилсульфата на водяной бане от ~ 20 до 82° в течение 30 мин. По истечении этого периода т-ра смеси самопроизвольно поднимается на ~ 10°. Смесь охлаждают до 82° и выдерживают при этой т-ре до достижения желаемой вязкости. Готовую смолу с вязкостью 400—500 пуаз при 60° отливают в формы и отверждают при 79—82° в течение 4—5 час. или при ~ 20° в течение 2—4 дней. Точные соотношения компонентов приведены на треугольной диаграмме, приложенной к описанию патента.

Я. Кантор

23291 П. Прессматериал из аминопласта. Акита, Нагаш (アミノ樹脂成型材料製造法. 秋田務, 長井登之雄) [理研合成樹脂株式会社, 理研合資会社]. Японск. пат. 8040, 7.12.54

Продукт первичной конденсации, полученный нагреванием смеси 39 ч. мочевины, 12 ч. $(\text{NH}_2)_2\text{CS}$ и 120 ч. формалина в присутствии аммиачного катализатора, смешивают с 0,1—0,5 ч. 1- $(\text{H}_2\text{N}-\text{CH}_2\text{SO}_3\text{NH})-\text{C}_{10}\text{H}_7$ и 35 ч. древесной муки.

Э. Тукачинская

23292 П. Меламиноформальдегидная смола для слоистых материалов. Элмер, Анас, Райдер (Melamine-formaldehyde laminating syrup. Elmer Curtis, Anas Thomas, Rider Stuart H.) [Monsanto Chemical Co.]. Пат. США 2740737, 3.04.56

Меламиноформальдегидную смолу для слоистых материалов получают конденсацией смеси (в молях) 1 меламин, 2—5 формальдегида, 0,1—1,0 толуолсульфамида и 0,0006—0,006 аммилина, аммилида, циануровой к-ты или их смеси (~ 20% аммилида и ~ 80% циануровой к-ты). Напр., 126 ч. меламин, 202 ч. формалина (конц-ия 37%) и 0,5 ч. аммилина диспергируют в 60 ч. воды. рН дисперсии доводят до 8,5 с помощью NaOH и нагревают при т-ре кипения и атмосферном давлении в течение 30 мин. при непрерывном перемешивании. Затем в смесь добавляют 40 ч. л-толуолсульфамида, понижают рН до 7—8 муравьиной к-той и продолжают нагревание смеси в указанных условиях до т-ры помутнения ~ 10—20°. Полученной смолы, разбавленной до конц-ии 40—60% водой или смесью воды с алифатич. спиртом (метанолом, этанолом, пропанолом, изопропанолом, 20—30 ч. спирта на 100 ч. воды), пропитывают бумагу, древесину или ткань и т. п. Пропитанные материалы сушат при 120° и прессуют при 150° и давл. 70,3 кг/см².

Ю. Петрашко

23293 П. Модифицированная меламиноформальдегидная смола. Элмер, Анас, Райдер (Modified melamine-formaldehyde resin. Elmer Curtis, Anas Thomas, Rider Stuart H.) [Monsanto Chemical Co.]. Пат. США 2740736, 3.04.56

Модифицированную меламиноформальдегидную смолу получают соконденсацией при рН 8—10 1 моля меламин с 2—4 молями CH_2O в присутствии аммилина, аммилида, циануровой к-ты или их смесей (напр., смеси 80% циануровой к-ты и 20% аммилида) в качестве модификатора. Вместо CH_2O можно использовать параформальдегид. Модификатор берут в кол-ве 0,0006—0,006 моля. Напр., 126 ч. меламин, 202 ч. формалина (37%-ного) и 0,5 ч. аммилина диспергируют в 60 ч. воды, доводят рН среды до 8,5 с помощью NaOH и конденсируют при нагревании. Модифицированная смола обладает повышенной т-рой размягчения по сравнению с немодифицированной, при т-ре 130—160° переходит в неплавкое и нерастворимое состояние и

применяется для изготовления слоистых пластиков. Нанос смолы на бумагу в произ-ве слоистых пластиков составляет 60—65%. Прессование производят под давл. 70,3 кг/см² при 150° в течение 3 мин. для 12 слоев бумаги.

23294 П. Способ стабилизации водных растворов конденсационных смол из мочевины и (или) меламмина и формальдегида. Шлейпен (Verfahren zur Stabilisierung harzartiger, in Wasser gelöster Kondensationsprodukte aus Harnstoff und/oder Melamin und Formaldehyd. Schleipen Raymond) [Raymond Schleipen und «Sachtleben» Akt.-Ges. für Bergbau und chemische Industrie]. Пат. ФРГ 954293, 13.12.56

Водные р-ры конденсационных смол из мочевины и (или) меламмина и CH_2O стабилизируют с помощью небольших добавок дитионита. Напр., 3 моля мочевины и 10,4 моля 40%-ного р-ра CH_2O конденсируют при 80—85° в течение 30 мин. при pH 6,5, отгоняют воду и избыточный CH_2O под вакуумом и получают прозрачную густую смолу (конц-ия > 80%), растворимую в воде. В таком виде смола переходит в состояние нерастворимого в воде геля через ~ 1 месяц. При добавлении 5% р-ра $\text{Na}_2\text{S}_2\text{O}_4$ (конц-ия 10%) смола остается растворимой в воде даже при хранении > 2 лет.

23295 П. Получение смешанных полиамидов. Друитт, Хардинг (Production of interpolyamides. Drewitt James G. N., Harding Gordon F.) [Camille Dreyfus]. Канадск. пат. 512813, 10.05.55

Для получения полиамидов конденсируют в эквивалентных кол-вах смесь дифункциональных диаминов и дикарбоновых к-т (или их производных). В составе диаминов находится ≤ 25 мол.% первичных ароматич. диаминов, диацетильные производные которых имеют т. пл. ≥ 230°; остальную часть представляют алифатич. диамины. Напр., смесь диаминов содержит 5—15 мол.% бензидина или ≤ 20 мол.% диаминов бензидинового ряда, диацетильные производные которых имеют т. пл. ≥ 270°.

23296 П. Полиэфирамиды, модифицированные аминокислотами, и способ их получения. Кропа (Amino acid modified polyester-polyamide condensation products and process of producing the same. Kropa Edward L.) [American Cyanamid Co.]. Канадск. пат. 512666, 10.05.55

Смесь 1 моля моноалкилоламина, аминокислоты, не выделяющей NH_3 при нагревании, и 1 моля дикарбоновой к-ты (не образующей при нагревании ангидрида и не имеющей двойной связи в α, β-положении) нагревают при 180—220° до тех пор, пока образующаяся смола не будет иметь кислотное число и аминокислотное < 5. В качестве исходных в-в служат этаноламин, ε-аминокапроновая к-та, производные белков и себакиновая к-та.

23297 П. Формованные изделия из полиамидов. Шезо (Nouveaux articles conformes à bases de superpolyamides. Chezaud Jean) [Rhodiaceta]. Франц. пат. 1099407, 5.09.55 [Chimie et industrie, 1956, 76, № 3, 519 (франц.)]

Изделия с матовой поверхностью из полиамидов содержат 0,5—5% матирующих в-в и небольшие кол-ва ионов Mn и Cu. Эти изделия значительно более светостойки, чем содержащие то же кол-во ионов одного Mn или Cu.

23298 П. Способ разложения полиуретанов. Ринке (Verfahren zur Aufspaltung von Polyurethanen. Rinke Heinrich) [Farbenfabriken Bayer A.-G.]. Пат. ФРГ 951268, 25.10.56

Полиуретаны обрабатывают водой при высоком давлении, причем до, во время или после этой обработки добавляют окислы или гидраты окисей щел.-зем.

металлов или Mg, и из смеси продуктов гидролиза выделяют отгонкой ди- или полиамин и диол. Способ применяют при переработке отходов. Напр., 70 ч. линейного полиуретана из 1,4-бутандиола и 1,6-гександиоцианата быстро нагревают в автоклаве до 240° с 125 ч. воды и 187 ч. тонкого порошка $\text{Ba}(\text{OH})_2 \cdot 8\text{H}_2\text{O}$ при давл. 37 ат, выдерживают 2 часа при этой т-ре, быстро охлаждают, отсасывают осадок и промывают его несколько раз. Сконцентрированный р-р разгоняют в вакууме: диамин отгоняют при 100°/15 мм и бутандиол — при 125—130°/15 мм. Выход 29,2 ч. гексаметилендиамина (96%) и 21,3 ч. бутандиола (88%).

23299 П. Способ получения кремнийорганических соединений. Виберг, Бухгейт (Process for the production of silicones. Wiberg Egon, Buchheit Paul) [Firma Sud-Chemie A.-G.]. Пат. США 2738858, 13.03.56

Способ состоит в том, что эфиры ортокремневой к-ты ф-лы $\text{H}_n\text{Si}(\text{OR})_{4-n}$ или простые эфиры ф-лы ROR обрабатывают галоидсиланами, имеющими общую ф-лу H_nSiX_4-n , где R — органич. радикал (напр., CH_3- , C_2H_5- , $n\text{-C}_3\text{H}_7-$, $\text{изо-C}_3\text{H}_7-$, $n\text{-C}_4\text{H}_9-$ или $\text{изо-C}_4\text{H}_9-$), X — галоид, n = 0 или 1, в присутствии элементарных Na, Li, Mg, Cd, Zn, Hg, Al или сплавов Fe-Si, Si-Al, Al-Fe-Si, способных взаимодействовать с алифатич. соединениями, радикал которых имеет электроотрицательный характер. В качестве галоидсиланов используют, напр., SiCl_4 , SiBr_4 , HSiCl_3 . Металл берут в кол-ве, эквивалентном содержанию галоида. Р-ция протекает при т-ре > 100° (до 300°) и давл. 1,5—130 атм. Напр., смесь 0,134 моля тетрахлорсилана, 0,136 моля тетраэтилового эфира ортокремневой к-ты и 15 г Mg, активированного йодом, нагревают в течение 6 час. при 160—180° и избыточном давл. 800 мм рт. ст. Продукт р-ции экстрагируют диэтиловым эфиром, экстракт выпаривают и полученное желтоватое масло с вязкостью 10—11 сст разгоняют в вакууме.

23300 П. Способ разъемного соединения деталей из любых материалов. Едличка (Verfahren zur lösbaren Verbindung beliebiger Materialien. Jedlicka Helmut). Пат. ФРГ 948073, 30.08.56

Доп. к пат. ФРГ 935690 (РЖХим, 1957, 21054). Детали соединяют силиконовой пастой и одновременно обычными способами (болтами, заклепками, гвоздями), которые принимают на себя статич. нагрузку.

23301 П. Пленкообразующая композиция на основе ацетата целлюлозы. Фордайс, Грамки (Cellulose acetate film-forming composition and a film made therefrom. Fordyce Charles R., Gramke Bruce E.). [Eastman Kodak Co.]. Пат. США 2739069, 20.03.56

14—19%-ный р-р ацетата целлюлозы (с содержанием ацетильных групп 42,5—44%) в трехкомпонентном р-рителе, состоящем из 83—93% метилхлорида, 2—5% метилового спирта и 5—12% бутилового спирта, используют для отливки пленки. Пленка может быть пластифицирована трифенилфосфатом, трикрезилфосфатом, диэтилфталатом, дибутилфталатом и другими пластификаторами в кол-ве 10—20%, а также может содержать красители.

23302 П. Прочная термостойкая пластмасса. Диггс (High strength heat resistant plastic material. Diggles Frederick W.) [North American Aviation, Inc.]. Пат. США 2742443, 17.04.56

Материал содержит 100 вес. ч. метилметакрилата, 20—25 вес. ч. ацетобутирата целлюлозы, имеющего 38% бутиратных групп и катализатор полимеризации — бензонин или перекись бензонла.

А. Петрашко

23303 П. Очистка и обесцвечивание эфиров. Фиелли (Purification and decolorization of esters. Fielli Anthony F.) [The Goodyear Tire & Rubber Co.] Пат. США 2748159, 29.05.56

Эфиры фталевых к-т, применяемые как пластификаторы, общей ф-лы $ROOC-C_6H_4COOR$, где: R — алифатич. цепь с 1—20 атомами С или цепь с 3—20 атомами С с боковыми алкильными, арильными, алкиларильными или алициклич. группами, обесцвечивают катионообменными смолами с последующей обработкой адсорбентом. Очищаемые эфиры обычно имеют мол. в. > 190, вязкость > 9 сантипуаз при 20° и т. кип. > 150°/4 мм. Катионообменные смолы содержат группы SO_3H , $COOH$, остатки фосфиновой к-ты или фенольные OH -группы, а также могут быть неорганич. соединениями типа алкмосиликатов. В качестве адсорбентов используют активированные уголь, окись Al, окислы Mg, Co или Ba, тальк, пемзу, песок, порошок стекла, известняк. Напр., 150 г перегнанного 1 раз ди-2-этилгексилфталата, цветностью в условных единицах > 100, смешивают с 15 г сульфированного полистирола, встраивают 10 мин. и оставляют стоять 15 час. Затем к фильтрату добавляют 15 г активированного угля, поднимают т-ру до 160° и медленно перемешивают. Через 1 час горячую смесь отфильтровывают, охлаждают до 20°. Цветность продукта снижается до 0.

В. Сергеев

23304 П. Способ получения негорючих пластмасс. Самюэль (Procédé d'obtention de matières plastiques ininflammables. Samuel André-Albert). Франц. пат. 1109057, 20.01.56

Полимер (полистирол или полиэфир) тщательно смешивают с гексахлорэтаном и вводят в небольшом количестве (< 15% от смеси) другие гасящие в-ва (Sb_2O_3 , трикрезилфосфат). Напр., 90 ч. полистирола тщательно перемешивают на вальцах с 5 ч. C_2Cl_6 и 5 ч. трикрезилфосфата при повышенной т-ре. Получают негорючий и значительно менее хрупкий материал, чем аналогичный материал, содержащий ~ 10% C_2Cl_6 .

Я. Кантор

23305 П. Стабилизация галогенсодержащих полимеров против действия тепла и света с помощью солей эпоксилированных жирных кислот (Procédé de stabilisation de substances polymères contenant des halogènes contre l'action de la chaleur et de la lumière à l'aide de sels d'époxydes d'acides gras) [Buffalo Electro-Chemical Co. Inc.]. Франц. пат. 1108148, 9.01.56

Для повышения тепло- и светостойкости галогенсодержащих полимеров (поливинилхлорида) в последние вводят 0,5—5% солей металла (Ca, Ba, Sr, Mg, Zn, Cd, Al, Zr, Pb, Sn, Sb, Cr, Mn, Co) и замещ. или незамещ. алифатич. эпоксилированных к-т с прямой или разветвленной цепью из 11—22 атомов С, являющихся производными высших жирных к-т.

Я. Кантор

23306 П. Стабилизация винилхлоридных смол. Сиромацу, Хасимото (鹽化ビニール系合成樹脂の安定化方法. 白松豊太郎, 橋元周三郎) [日本電信電話公社, Нихон дэнсин дэнва кося]. Японск. пат. 7343, 9.11.54

Сополимер CH_2CHCl , $CH_2CHNOOCCN_3$, $CH_2CHCO_2C_2H_5$ и CH_2CCl_2 (по 100 ч.) обрабатывают 0,5—20 ч. малеиновой к-ты или ее алкиловых эфиров.

Э. Тукачинская

23307 П. Способ цветостабилизации полимеров, содержащих акрилонитрил. Прайс, Роч (Color stabilization process for polymers containing acrylonitrile. Price Raymond M., Roche Arthur F.) [The Dow Chemical Co.]. Пат. США 2739140, 20.03.56

Твердый полимер получают полимеризацией смеси, состоящей из 20—40% акрилонитрила и 80—60% стирола, α -метилстирола (I) или их смеси. В смесь моно-

вую, глиоксильную или муравьиную к-ты. Напр., смесь 25 ч. акрилонитрила, 32 ч. стирола, 32 ч. I и 0,9 ч. ненасыщ. димера I полимеризуют в присутствии 0,2% $C_2H_2O_4 \cdot 2H_2O$. Полученный полимер обладает повышенной цветоустойчивостью.

Ю. Петрашко

23308 П. Полимеры акрилонитрила, стабилизированные алкиловыми эфирами тиогликолевой кислоты. Стантон, Элерс (Acrylonitrile polymers stabilized with certain alkyl esters of thioglycolic acid. Stanton George W., Ehlers Forrest A.) [The Dow Chemical Co.]. Пат. США 2745821, 15.05.56

Сополимеры акрилонитрила с изобутиленом, винилхлоридом или винилацетатом, содержащие $\geq 60\%$ звеньев акрилонитрила, стабилизируют этиловым (бутиловым или амыловым) эфиром тиогликолевой к-ты. Стабилизатор добавляют от 1 до 20 вес.%, предпочтительнее 5—15 вес.%. Получают полимеры мало или совсем не изменяющие цвета, менее хрупкие под влиянием УФ-света, чем полимеры без стабилизатора.

В. Сергеев

23309 П. Пластический материал и его изготовление (Produit à base de plastique son procédé de préparation et son application, notamment à la confection de joints) [Société française de peintures Bitumineuses A.-E. Petit et Fils (S.A.R.L.: Bitulac)]. Франц. пат. 1109579, 31.01.56

Пластическая масса, используемая в виде уплотняющих паст в строительной технике и приобретающая пластич. свойства на холоду, содержит тонкий порошок винилового полимера (поливинилхлорида, хлор-ацетата, -бутирата или -ацетата) и смесь пластификатора и р-рителя. Напр., в смесь 40 ч. трикрезилфосфата и 10 ч. циклогексана перед употреблением вводят 15 ч. талька и 35 ч. поливинилхлорида.

Ю. Васильев

23310 П. Способ и устройство для подготовки термопластичных смол к дальнейшей переработке. Бреннер (Verfahren und Vorrichtung zum Vorbereiten thermoplastischer Kunststoffe zwecks weiterer Verarbeitung. Brenner Friedrich) [Pfälzische Gummiwerke G.m.b.H.]. Пат. ФРГ 917871, 13.09.54 [Chem. Zbl., 1956, 126, № 18, 4229 (нем.)]

Рыхлый слой обладающего текучестью прессматериала толщиной 10—50 мм проводят через ВЧ-поле, после чего подвергают дальнейшей переработке, напр. вальцеванию. Для транспортировки массы через ВЧ-поле применяют ленту из силиконового каучука или из резиновой смеси, изготовленной с применением силиконового каучука.

Р. Франкфурт

23311 П. Аппарат и способ производства пластмассовых стержней, армированных стеклянными нитями. Панхерц (Apparatus and method of manufacturing rods of glass fiber-reinforced plastic. Pancherz Hans). Пат. США 2741294, 10.04.56

Стеклянные нити разматываются с подающих катушек и поступают в бак с жидкой термореактивной смолой, способной отверждаться при низком давлении (напр., содержащей ненасыщ. полиэфир). Нити с нанесенной на них смолой собирают в жгут и протягивают через металлич. трубу, соединенную непосредственно с баком со смолой. Труба, которая придает пластику форму стержня, помещена в туннельной печи. В первой секции печи поддерживают т-ру 60°, а во второй и третьей — т-ру 110°. Проходя по трубе, пластик затвердевает, а в третьей секции печи, выйдя из трубы, окончательно полимеризуется. Движение стержня осуществляется спец. тянущим механизмом. Готовый материал нарезают на отрезки нужной длины. В середине формирующей трубы может быть помещен стержень; в этом случае пластик, проходя между стержнем и стенками трубы, будет принимать форму трубки. Приведены схематич. чертежи аппарата.

та для изготовления описываемого материала и основных его узлов.

23312 П. Материалы на основе минеральных волокон и их получение (Agglomérés à base de fibres minérales et leur fabrication) [Karlholms Aktiebolaget]. Франц. пат. 1115213, 20.04.56

Материалы из минер. волокон получают связыванием воды, суспензии минер. волокон воды, р-рами целлюлозы (напр., медноаммиачным р-ром или р-ром цинката) или ее производных, напр., карбоксиметилцеллюлозы, метилэтилцеллюлозы и др., осаждавая полимер на волокне подкислением к-той, напр. H_2SO_4 , или солями 2- или 3-валентных металлов, напр. квасцами или $Fe_2(SO_4)_3$ при $pH \sim 4$; затем суспензию обезживают, волокна, покрытые пленкой целлюлозы или ее производного, прессуют и сушат, получая прочный, легкий и негорючий материал. Предпочтительно воду, суспензию волокон подкисляют квасцами или H_2SO_4 , и прибавляют р-р целлюлозы при размешивании.

Ю. Вендельштейн

23313 П. Развальцовывание и вытягивание пленок. Вон, Хоккетт (Stretching and laminating thermo-stretchable film. Vaughan Paul J., Hockett Norman W.). [Goodyear Tire & Rubber Co.]. Пат. США 2740741, 3.04.56

Вытянутую в горячем состоянии пленку (из хлорированного каучука, полиэтилена или поливинилхлорида) склеивают с подложкой, в качестве которой используют металлич. фольгу, бумагу, пергамин, пергамент, целлофан, макулатурный картон или ткань в зависимости от назначения материала. Склеивание пленки и подложки с нанесенным на нее клеем осуществляется на нагретых до 100° каландрах. Пленку предварительно размятчают при $\sim 93^\circ$ и вытягивают за счет того, что вал, подающий пленку, имеет окружную скорость в 4 раза меньшую, чем каландры.

Ю. Петрашко

23314 П. Изготовление облицовочных материалов. (Procédé pour la production de matières de revêtement.) [Badische Anilin- & Soda-Fabrik (I. G. Farbenindustrie A.-G. «In Auflösung»)]. Франц. пат. 1059324, 24.03.54 [Chem. Zbl., 1955, 126, № 20, 4712 (Франц.)]

Нейтральные или кислые эфиры многоосновных карбоновых к-т и одноатомных низкокипящих спиртов нагревают с 3-атомными спиртами также в присутствии катализаторов и полученную смолу смешивают на вальцах с наполнителями. Продукт р-ции, полученный перэтерификацией, эластичнее и мягче, чем полученный прямой конденсацией. Эластичность можно еще повысить, добавляя при перэтерификации двуатомные спирты (бутан-, бутен- или бутиндиолы или их моноалкиловые эфиры) или высококипящие одноатомные спирты, а также, вводя в процессе перэтерификации кислые или нейтр. эфиры одно- или двусосновных к-т и одно- или двуатомных спиртов. В качестве многоосновных к-т применяют малоновую, щавелевую, янтарную, малеиновую, глутаровую, адипиновую, себадиновую, тно- или оксодимасляную, бутиден-1,4-диоксидипропионовую или фталевую к-ту. Напр., 166 вес. ч. диэтилмалоната и 125 вес. ч. триметилпропана нагревают постепенно до $100-140^\circ$, затем до 150° при 30—40 мм рт. ст.; смешивают (в вес. ч.): 200 полученной смолы, 200 пробковой муки, 120 древесной муки, 25 окиси железа, 100 мела и 15 канифоли и накатывают смесь на джутовую ткань.

Н. Аграненко

23315 П. Процесс и установка для изготовления волокнистых плит (Procédés et dispositif pour la fabrication de plaques de fibrine) [Sud West Chem. G. m. b. H.]. Франц. пат. 1109706, 1.02.56

Установка для изготовления сухим способом плит из неорганич. волокон (минер. шерсти, шлаковаты

или стеклянного волокна) имеет следующую конструкцию: волокно загружают через бункер в конусовидную камеру, куда подают вентилятором сильный ток воздуха, образующего с волокном однородную, движущуюся по спирали воздушную завесу. Во избежание мертвых пространств ввод воздуха можно производить в нескольких точках. К волокну можно добавлять склеивающее в-во (термореактивную фенолформальдегидную смолу). В этом случае воздух подогревают электроподогревателем. Из камеры смесь по трубе поступает к вращающемуся барабану, который имеет отверстия на поверхности и по оси — отсос воздуха, благодаря чему волокна притягиваются к поверхности барабана в виде тонкого слоя, который непрерывно снимают ножом, укладывающим слой волокна на транспортер. Над транспортером установлено устройство для отрезания и пневматич. сжима слоев материала, или же непрерывный лист материала наматывают на приемный вал. Для отверждения смолы плиты или лист проходят через нагревательную камеру. Воздух, отсасываемый из барабана, может циркулировать по замкнутому циклу с помощью вентилятора, подающего воздух в камеру смешения. Другой вентилятор служит для пневматич. сжима. Установка может выпускать также цилиндрич. втулки.

Ю. Васильев

23316 П. Способ армирования изделий из пластического материала. Леннарц (Reinforcing and supporting means of plastic material for articles consisting of the same material. Lennartz Walter). Пат. США 2741572, 10.04.56

Пакеты или пакки из листового пластич. материала, закрытые с двух или трех сторон, для повышения их прочности армируют лентой из такого же или более прочного и упругого материала, имеющей U-образную форму с утоплением в нижней части, что обеспечивает ее жесткость. Армирующую ленту надевают на торцы пакета или конверта и прикрепляют к последнему обычными методами (приклеиванием, сваркой и т. д.).

А. Петрашко

23317 П. Профилированные полосы из пластических материалов. Хагелторн (Plastic strips. Hageltorn Brog Henrik) [Svenska Aktiebolaget Polva]. Пат. США 2739089, 20.03.56

Полосы из эластичных пластич. материалов, применяемые для изоляции труб, электр. кабелей и обмотки различных изделий, имеют в сечении выступы и впадины, расположенные вдоль полосы, с разных сторон. При намотке по спирали выступ попадает во впадину и образует плотное замковое соединение по кромке полосы. Полоса для большей эластичности может иметь гофрировку.

Б. Киселев

23318 П. Нескручивающийся материал для перепечатывания. Аснес (Non-curling transfer material. Asnes Benjamin) [Dennison Manufacturing Co.]. Пат. США 2733997, 7.02.56

Материал для перепечатывания узоров и других декоративных элементов на поверхности различных типов состоит из пористой бумаги, толщиной $\sim 0,127$ мм, покрытой клеем с нанесенным на него узором; поверх клеевого слоя нанесено лаковое покрытие, а между бумагой и клеем расположен промежуточный слой, предназначенный для предохранения материала от скручивания при изменении влажности окружающей среды. Промежуточный слой состоит из мелких ($< 5 \mu$) частиц каолина, талька, $BaSO_4$, $CaSO_4$, $CaCO_3$ или TiO_2 , связанных между собой цементирующим составом. Весовое соотношение наполнителя и цементирующего состава 1:3 — 1:10. Частицы должны быть связаны таким образом, чтобы между ними оставались незаполненные промежутки для прохождения воды. Цементирующий состав не должен растворяться

в воде и набухать, чтобы не закрыть доступ воды к клеевому слою. Промежуточный слой можно наносить из смеси равных кол-в каолина, α -протеина (конц-ия 17%) и воды. α -Протени предварительно растворяют в воде, содержащей аммиак и буру. Вместо α -протеина используют эмульсии поливинилацетата, поливинилхлорида, сополимера бутадиена и стирола или р-р нитроцеллюлозы. Двухслойное клеевое покрытие (нижний слой) наносят из смеси (в вес. ч.) животного клея 30, канифоли 30, эмульсии поливинилацетата (конц-ия 55%) 37, метоксиполиэтиленгликоля 2 и воды 150. Верхний слой клея состоит из декстрина, смешанного с животным клеем и глицерином с добавкой некаля.

А. Петрашко

23319 П. Способ изготовления сцинтилляторов из пластмасс. Эйхгольц, Хорвуд (Method of making plastic scintillation phosphors. Eichholz Geoffrey G., Horwood John L.) [Her Majesty the Queen in the right of Canada, as represented by the Minister of Mines and Technical surveys]. Пат. США 2733216, 31.01.56

Сцинтилляторы для обнаружения и измерения проникающей радиации, напр. γ -лучей, изготавливают из полистирола. В качестве флуоресцирующих в-в в пластик добавляют трифенил, флуорен, хризен, фенантрен, ниден или антрацен в кол-ве 0,2—20% от полистирола (оптимально 1—7% в зависимости от используемого в-ва). В пластик добавляют также дифенилгексатриен, сдвигающий спектр флуоресценции в видимую область, в кол-ве 0,002—0,05%. Напр., 1,6 г трифенила и 0,01 г дифенилгексатриена смешивают с 50 г измельченного в порошок полистирола, смесь помещают в форму и нагревают до 85—105° при давл. 70—140 кг/см² для удаления воздушных включений. Затем поднимают давление до 280—1400 кг/см² и нагревают до т-ры, которая должна быть выше т-ры плавления флуоресцирующего в-ва. При применении трифенила т-ра формования составляет ~220°, при применении флуорена 160—180°. Получаемый сцинтиллятор однороден по всему объему с точки зрения преобразования энергии радиации, механически прочен, стабилен в широком диапазоне т-ры и влажности и может быть изготовлен любой формы и размеров.

А. Петрашко

23320 П. Способ введения жидких пенообразователей в полимеры стирола. Шастный, Буххольц (Verfahren zum Einbringen von flüssigen Treibmitteln in Styrolpolymerisate. Stastny Fritz, Buchholz Karl) [Badische Anilin- & Soda-Fabrik A.-G.]. Пат. ФРГ 951299, 25.10.56

Полимер стирола и жидкий пенообразователь (1—15 ч, лучше 3—8 ч, на 100 ч. полимера), не содержащий или содержащий небольшие кол-ва разбавителей, интенсивно перемешивают в закрытом сосуде при т-ре, выше т-ры кипения пенообразователя и ниже т-ры размягчения полимера. Смешение вначале можно проводить при ~20°, и затем нагревать смесь до необходимой т-ры. Полученные пеноматериалы применяют для изготовления изоляционных, плавучих и строительных изделий. Напр., 500 вес. ч. гранулированного сополимера из 85% стирола и 15% бутилакрилата и 40 вес. ч. смеси из 95% петр. эфира ст. кип. 44—55°, 2,5% толуола и 2,5% CH_2Cl_2 перемешивают 24 часа при ~20° в герметически закрытом сосуде; затем при продолжающемся перемешивании повышают т-ру до 55°, выдерживают 96 час. и охлаждают. Полученный материал применяют для изготовления формованных пористых изделий нагреванием в перфорированной металлич. форме в атмосфере водяного пара при 110° в течение 20 мин.

М. Альбам

23321 П. Способ изготовления простого поливинилформали. Вильсон (Method of making porous

polyvinyl formal. Wilson C. L.), Англ. пат. 732509, 22.06.55

В водн. р-ре, содержащем поливиниловый спирт, CH_2O и кислый катализатор, диспергируют воздух и понижают давление для образования пены. Р-р спирта и к-ты можно отдельно вводить в общую камеру смешения; смесь охлаждают, добавляют водн. CH_2O и перемешивают в контакте с воздухом, пропуская через щели между движущимися поверхностями или создавая турбулентные потоки в массе.

Б. Киселев

23322 П. Способ сохранения свойств искусственных губок (Method for preserving the properties of artificial sponges) [M. A. P. L. A. Soc. R. L.]. Англ. пат. 724786, 23.02.55

Для сохранения свойств искусств. губок в процессе хранения материал нарезают на куски нужных размеров и обрабатывают в водн. р-ре гидрофильного в-ва, обладающего свойством повышать эластичность губки. В качестве гидрофильных в-в используют глицерин, гликоль, глюкозу, CaCl_2 или MgCl_2 . Избыток водн. р-ра одного из указанных выше соединений отжимают с таким расчетом, чтобы в материале осталось 10—20% р-ра (от веса сухой губки). Обработанную таким образом губку заворачивают в водонепроницаемую пленку из поливинилхлорида, хлорированного каучука или полиэтилена и заклеивают для герметичности липкой лентой или заваривают.

А. Петрашко

23323 П. Способ обработки губчатого поливинилацетата для изготовления фильтров. Амамаса, Ясухара (スポンジ状ポリビニルアセタール濾材の処理法. 天正登美夫, 安原健雄) [鐘淵紡績株式会社, かながふти босэки кабусики кайся]. Японск. пат. 3790, 28.06.54

Пластину из необработанного губчатого поливинилформала нагревают при 140°, прессуют до половины первоначальной толщины и охлаждают; получают материал, пригодный для фильтрования мелких частиц без уменьшения фильтрующей способности.

Э. Тукачинская

23324 П. Способ сульфирования нерастворимых ароматических полимеров. Бауман, Уитон (Method of sulfonating insoluble aromatic materials. Bauman William C., Wheaton Robert M.) [The Dow Chemical Co.]. Пат. США 2733231, 31.01.56

Твердый нерастворимый сополимер алкилароматич. соединения ф-лы $\text{ArC(R)}=\text{CH}_2$, где Ar — одновалентный ароматич. радикал ряда бензола и $\text{R}=\text{H}$ или CH_3 (напр., стирола, винилтолуола, винилксилола, хлорстирола, α -метилстирола или α -метил- n -метилстирола), и поливинилароматич. соединения (напр., дивинилбензола, метилдивинилбензола, этилдивинилбензола или их смеси) в мелкоизмельченном виде погружают в жидкий SO_2 , где он набухает в течение 5—60 мин., а затем действуют на него сульфлирующим соединением (жидким SO_2 или хлорсульфоновой к-той) при т-ре от -60 до 40°. Можно также вводить полимер в смесь SO_2 и сульфлирующего соединения при т-ре <-30° с последующим нагреванием смеси до т-ры взаимодействия полимера с сульфлирующим соединением (~10°). Кол-во сульфлирующего соединения берут с таким расчетом, чтобы на одно ароматич. ядро сополимера приходилось 0,5—1,5 сульфокислотной группы. Напр., 50 г сополимера, содержащего в связанном виде 83,8 вес.% стирола, 7,2% этилвинилбензола и 9% дивинилбензола, измельчают до величины частиц 20—60 меш и погружают в жидкий SO_2 , охлажденный до -55°, где выдерживают в течение 30—60 мин. При этом частицы набухают на 1—2%. К смеси добавляют 75 г хлорсульфоновой к-ты, перемешивают в течение 75 мин. и нагревают до -10°; при этом

происходит испарение SO_2 и взаимодействие сополимера с хлорсульфоновой к-той. Сульфированный полимер в виде сферич. частиц янтарного цвета промывают водой. Объем полученного продукта 160 см^3 . Ионообменная способность полимера составляет 1,59 моля NaOH на 1 л.

23325 П. Способ получения катионообменной смолы. Когами, Нисока (陽イオン交換樹脂製造法. 小南次夫, 西岡謙一) [倉敷レイヨン株式会社, [Курасики район кабусики кайся]. Японск. пат. 3796, 28.06.54 1 ч. альдегидной смолы, получаемой в качестве побочного продукта конденсации CH_3CHO при изготовлении бутанола, приводят во взаимодействие с 8 ч. конц. H_2SO_4 при 90—100°; продукт охлаждают, промывают водой и сушат. Получают смолу с ионообменной способностью 120 мг/г смолы дл. 0,5 н. NaOH .

23326 П. Способ склеивания металлов с помощью тонкой металлической фольги, покрытой с обеих сторон клеем. Едличка (Verfahren zur Verklebung von Metallen mit Hilfe von beiderseitig mit Klebstoff versehenen dünnen Metallfolien. Jedlicka Helmut). Пат. ФРГ 946307, 26.07.56

На тонкую фольгу из легкоплавкого металла (Sn или сплав Sn-Pb) с обеих сторон наносят слой эпоксиidной смолы или смесь ее с другими смолами. При склеивании место склейки нагревают настолько, что фольга плавится, и клей с обеих сторон фольги соединяется в одно целое; этим обеспечивается высокая прочность склеивания.

23327 П. Крепление листов из синтетических смол к другим материалам. Сугано (合成樹脂膜板を他物體に接着する方法. 菅野憲治) [金澤昌王, Сугано кэндзи, канадзава масатама]. Японск. пат. 7882, 29.11.54

Клей, состоящий из 1000 ч. поливинилхлорида (I) (мол. в. 1200) или сополимера I с $\text{CH}_2 = \text{CHCOOCH}_3$ (90:10), 200 ч. порошкообразного шеллака и 150 ч. дициклогексилфталата, наносят на листы из синтетич. смолы, нагревают до 60—80°, поверх накладывают наклеиваемый материал и нагревают до 150° под давлением.

23328 П. Клей для скрепления пластин из виниловых смол с деревянными или металлическими пластинами. Вата (木質板若くは金属板と硬化ダイニール樹脂板とを接合する方法. 和田清一) [日本ダストキヤ株式会社, Нахон дасутокаина кабусики кайся]. Японск. пат. 8039, 7.12.54

100 г $\text{C}_6\text{H}_5\text{OH}$, 150 г формалина и 5 мл 1 н HCl при 90° смешивают и постепенно обрабатывают 30 г поливинилового спирта. Через 30 мин. воду декантируют и остаток разбавляют $(\text{CH}_3)_2\text{CO}$ до консистенции сиропа (А). В смесь 100 г сополимера бутадиена и $\text{CH}_2 = \text{CHCN}$, 150 г С, 5 г S, 1 г меркаптобензотиазола и 5 г ZnO вводят на вальцах диоктилфталат и затем 200 г продукта начальной конденсации $\text{C}_6\text{H}_5\text{OH}$ и CH_2O при 70°; полученный продукт разбавляют $(\text{CH}_3)_2\text{CO}$ до консистенции сиропа (Б). Готовят 5%-ный р-р (Р) $\text{C}_6\text{H}_5\text{SO}_3\text{H}$ в CH_3OH . А смешивают с 5% Р и этой смесью покрывают деревянную или металлич. плиту; Б смешивают с 5% Р и покрывают плиту из винилового смолы. Через некоторое время обе плиты соединяют и нагревают под давлением до 70°.

23329 П. Слоистый материал со специальной поверхностью на основе термореактивной смолы и способ его изготовления. Кеппл (Thermoset synthetic resin laminate with special surface and method of making same. Kepple Charles G.) [Westinghouse Electric Corp.]. Пат. США 2739881, 27.03.56

Изоляционный слоистый материал на основе термореактивной смолы имеет спец. поверхность для нанесения печатных схем, для лучшего сцепления прово-

дящего материала с изоляционной основой. На поверхность материала нанесены мелкие (180—320 меш) частицы, вдавленные с одной стороны в изоляционный материал, а с другой — в проводящий, что улучшает сцепление слоев. В качестве подложки используют бумагу, хлопчатобумажную, асбестовую или стеклянную ткань, а в качестве связующего — фенольные, эпоксиidные, кремнийорганич. и другие смолы. Пропитанный смолой материал (нанос смолы 65—85%) высушивают до содержания летучих ~ 0,8% и лакируют термореактивным лаком, дающим на поверхности тонкую пленку смолы, на которую наносят в мелко-мельченном виде карбонат Ca , Mg , доломит или металлы, напр. Fe , Al , Cu , Au , Ag , Sn или Ni . Лаковая пленка должна быть достаточно клейкой для удержания частиц и очень тонкой, чтобы при последующем прессовании частицы не были полностью покрыты смолой. Клеящую смолу получают сооконденсацией смеси фенола (25—75%) и крезола (75—25%) с альдегидом (напр., формальдегидом) и термопластичным эфиром канфоли. Формальдегид берут в кол-ве 1—2 молей на 1 моль фенолов, а эфир — в кол-ве 5—20% к весу фенолов. В качестве катализатора применяют р-р аммиака. Напр., смесь (в ч.), состоящую из 450 фенола, 150 крезола, 9 р-ра аммиака (26° Ве), 520 формалина (37%-ного) и 60 метилового эфира абетиновой к-ты конденсируют при т-ре кипения, продукт конденсации сушат в вакууме 561—612 мм рт. ст. и 100—110°, после чего растворяют в 320 ч. бутилового спирта. Лак наносят на поверхность пропитанного материала из расчета 8—12 г/м^2 , посыпают доломитом (180—240 меш, 70—80 г/м^2), сушат для перевода смолы в стадию В, а затем кладут в качестве верхнего листа прессуемого слоистого пластика и прессуют при давл. ~ 70 кг/см^2 и 160°. Поверхность затем покрывают тонким слоем Cu (~ 0,05 мкм), который полностью закрывает частички доломита (или наносит слой металла через трафарет). На медном слое кислотоустойчивой краской наносят электрич. схему, после чего незащищенную поверхность металла травлят к-той. Приведен схематич. чертеж процесса изготовления материала.

23330 П. Электропроводящий материал. Браун, Додж, Бюркстен (Electrically conductive material. Brown Edgar H., Jr., Dodge Ence H., Bjoorksten Johan A.) [Bjorksten Research Lab., Inc.]. Пат. США 2739083, 20.03.56

Материал состоит из непроводящего слоя, поверхность которого испещрена мелкими бороздами, заполненными электропроводящим материалом, покрытым сверху электроизоляционной пленкой полимера. Поверхностное сопротивление проводящего слоя составляет 10 ом — 1000 Мом . Проводящий слой получают напылением мелких частиц материала, содержащего металл с т. пл. < 1100° (Ag , Pb); т-ра плавления металла или сплава должна быть ниже таковой для непроводящего слоя. В качестве покровного слоя используют пленку из полиэлектrolита с сопротивлением < 7000 Мом на всю площадь изделия, напр. пленку из сополимера метилметакрилата и метакриловой к-ты.

23331 П. Способ печатания на пленках из пластичного материала. Пинто (Method of printing on plastic films. Pinto Silvio). Пат. США 2733180, 31.01.56

Для нанесения узора на пленку из поливинилхлорида желаемый рисунок или узор сначала наносят на бумагу, предварительно обработанную таким образом, чтобы предотвратить проникновение в нее красок. Поверх рисунка лакированием, обрызгиванием или кистью наносят тонкий слой материала, совмещающегося с поливинилхлоридом (напр., р-р, состоящий

(в %) из 20 поливинилхлорида, 39,6 метилизобутилкетона, 39,6 толуола, 0,4 окиси пропилена и 0,4 кислого α -бутилового эфира фосфорной к-ты или 0,4 малеино-вой к-ты и пластификатора), и высушивают. Приготовленный таким образом рулонный материал пропускают вместе с поливинилхлоридной пленкой между вальцами до 64,5° вальцами, обеспечивающими давл. 42—70 кг/см². При этом узор или рисунок, благодаря нанесенному на него полимеру, переходит на пленку поливинилхлорида и прочно на ней удерживается. Бумагу отделяют, а пленку с нанесенным на нее рисунком промывают в воде для удаления остатков пленки, которым рисунок был прикреплён к бумаге, и сушат. Рисунок может быть нанесен на обе стороны пленки. В процессе печатания пленка может быть нужным образом вырезана. Приведены схемы, иллюстрирующие описанный способ. А. Петрашко

См. также раздел Химия высокомолекулярных в-в и рефераты: Общие вопросы 23333, 23722. Ионнообменные смолы 21340, 21385. Сырье 22304, 22326. Испытания 23686. Кремнийорганич. соединения 21321, 21525—21531, 22343. Привитые и стереоспецифич. сополимеры 23682, 23701, 23702, 23705. Полисилоксаны 21524, 23410, 23411, 23418, 23693, 23728—23731. Эпоксидные смолы 23356, 23725. Полиэтилен 23664, 23683, 23691. Политрихлорфторэтилен 23659. Поливинилхлорид 23688. Полимеризация 23695—23700. Полиакрилонитрил, фракционирование 23670, 23684. Свойства пластич. материалов 23689, 23692. Влияние радиации на полимеры 23706—23708, 23716. Применение пластич. материалов в произ-ве бумаги 23503, 23509, 23510

ЛАКИ. КРАСКИ. ЛАКОКРАСОЧНЫЕ ПОКРЫТИЯ

Редактор М. Ф. Сорокин

23332. Автоматика в лакокрасочной промышленности. Часть I и II. Энгельс (Automation in der Lackindustrie. I, II. Engels Kaspar), Farbe und Lack, 1957, 63, № 1, 1—4; № 2, 70—75 (нем.)

Кратким разбором типичных стадий произ-ва (складирование, дозировка, замешивание, перетир и расфасовка) сделана попытка выявить объем и характер технич. и экономич. затруднений, которые возникают при автоматизации лакокрасочной пром-сти.

Н. Гарденин

23333. Взаимосвязь между сырьем лакокрасочной промышленности и промышленностью пластмасс. Хильперт (Beziehungen zwischen Lackrohstoffen und Kunststoffen. Hilpert R.), Fette, Seifen, Anstrichmittel, 1957, 59, № 3, 143—148 (нем.)

Сырье, перерабатываемое обоими видами пром-сти, по химич. составу во многих случаях идентично или близко друг к другу. Приведены некоторые статистич. данные по произ-ву синтетич. в-в и лакокрасочной продукции в мировом масштабе, в США и Германии за 1954—1955 гг.

Н. Гарденин

23334. Рационализация процессов лакокрасочной промышленности. Бескин (Improving materials handling. Beskin J. M.), Paint Manufact., 1957, 27, № 5, 173—178 (англ.)

Обсуждаются возможность применения общих достижений техники в лакокрасочном произ-ве и улучшения, полученные в результате исследования производственных процессов — улучшения упаковки и конвейеризации движения поступающих в произ-ве материалов, механизации и модернизации их обработки.

Б. Шемякин

23335. Алкидные смолы на базе изофталевой кислоты. Киттель (Alkydharze aus Isophthal-

säure. Kittel), Dtsch. Farben-Z., 1957, 11, № 5, 161—163 (нем.)

Приведена таблица рецептур некоторых показател. технологич. режима варки и скорости высыхания лаков, изготовленных на основе алкидных смол из изофталевой к-ты, содержащих 40—90% масел. Отмечено, что положение кислотных групп изофталевой к-ты препятствует образованию низкомолекулярных соединений циклич. строения. Кратко охарактеризованы ненасыщ. полиэфир, полиэфир, модифицированные аминсодержащими, силиконсодержащими поликонденсаты и пластификаторы, изготавливаемые с применением изофталевой к-ты. В отдельных случаях при изготовлении продуктов конденсации с высокой т-рой плавления (> 230°) с успехом применяется смесь из изо- и терефталевой к-ты.

Н. Гарденин

23336. Замена глицерина ксилитом при изготовлении эфиров канифоли. Фридман Г. А., Гидролизная и лесохим. пром-сть, 1957, № 4, 11—14

Исследована и установлена возможность замены глицерина при этерификации канифоли ксилитом, получаемым из растительных отходов — хлопковой шелухи. Опыты показали, что увеличение кол-ва ксилита сверх теоретически необходимого значительно ускоряет процесс этерификации, оптимальное кол-во должно составлять 25% от веса канифоли, оптимальной т-рой этого процесса следует считать 280—290°, этерификация в вакууме в течение 30 мин. повышает т-ру размягчения эфира до 85°; 0,1% CaO или 0,15% Ca(OH)₂, введенные в реакционную смесь через 4,5 часа после начала этерификации, сокращают время последней до 10 час. В атмосфере CO₂ без катализатора продолжительность этерификации сокращается до 11 час., в присутствии 0,1 CaO — до 8 час. Эфир, полученный в атмосфере CO₂, значительно светлее, а полученная смола приближается по внешнему виду к физ.-хим. показателям к глицериновому эфиру канифоли.

Б. Шемякин

23337. Пленкообразующие свойства масляных алкидов на основе Δ -4-эндометилентетрагидрофталевой кислоты. Томш (Filmotvorné vlastnosti olejových alkydů na bázi kyseliny Δ -4-endomethylentetrahydrofthalové. Tomš Jifi), Chem. průmysl, 1957, 7, № 5, 276—279 (чешск.; рез. русск., англ.)

Сравнительное исследование высыхающих алкидов, в которых фталевый ангидрид (I) замещен полностью или частично на ангидрид Δ -4-эндометилентетрагидрофталевой к-ты (II), показало, что это замещение приводит к значительному улучшению цвета лаков: при 50%-ном замещении I на II с 20 мг J до 10 мг J, а при полном замещении I на II до 6 мг J. Одновременно происходит некоторое замедление высыхания (соответственно 160 мин. и 200 мин., при 140 мин. у контрольного образца), а также к увеличению хрупкости и твердости пленки. Установлено, что в высыхающих алкидах I можно заменить на II в кол-ве до 50%, а в невысыхающих алкидах (резинах) — полностью.

Л. Песин

23338. Этерификация касторового масла фталевым ангидридом. Часть I. Митра, Саха (Esterification of castor oil with phthalic anhydride. Part I. Mitra Asoke, Saha A. N.), Sci. and Culture, 1957, 22, № 9, 510—511 (англ.)

Этерификация трех OH-групп триглицерида рицинолевой к-ты в касторовом масле двусосновой к-той приводит к образованию алкидных смол. 25 г касторового масла и 10—11 г тонкомолотого порошка фталевого ангидрида растворяли в ацетоне. Кислотное число (KЧ) смеси определяли после выпаривания ацетона, в небольшой пробе. Основной р-р наливали в шесть конич. колб, соединенных с обратными холодильниками, и колбы помещали в соляную баню с т-рой 245—250°.

из которой поочередно, через каждые 15 мин., вынимали по одной колбе и определяли КЧ прореагировавшей массы. Приведены результаты определения КЧ первых шести образцов и результаты анализа (КЧ, число омыления, эфирное число, содержание фталевого ангидрида) основного образца, содержащего 37,5% спиртонерастворимых и 62,5% спирторастворимых в-в.

Б. Шемякин
23339. Стабильность лаков холодной сушки. Даггетт (The stability of cold-cure lacquers. Daggett W. F.), Paint Technol., 1957, 21, № 236, 170 (англ.)

Смеси мочевиноформальдегидных смол с алкидами, модифицированными невысыхающими или полувискозными маслами, представляют собой лаки холодной сушки, к которым непосредственно перед их применением добавляют небольшое кол-во р-ра кислотного отвердителя (I) в спирте, напр. бутаноле. Кол-во I зависит от требуемой скорости отверждения; желаемых свойств пленки, соотношения между алкидами и аминсмолами и от кислотного числа алкидов. Во многих случаях меньшее кол-во I повышает водостойкость пленок; избыток I приводит к желатинированию лака в течение нескольких часов, если начальная вязкость не очень низка. Очень небольшие кол-ва I не уменьшают стабильность лакового состава, но I исчезает при взаимодействии с алкидами. Смесь, содержащая значительное кол-во алкидов с кислотным числом ~35, может сохраняться в течение года, несмотря на содержание твердых в-в > 50%.

Б. Шемякин
23340. Жидкий полибутадиев. Шоттон, Вулф (Liquid polybutadiene. Shotton J. A., Wolfe C. W.), Amer. Paint J., 1957, 41, № 19, 78, 80, 82, 84, 86, 88 (англ.)

Жидкий реакционноспособный полибутадиев был предложен в качестве основы для защитных покрытий горячей сушки с улучшенной хим. стойкостью и термостойкостью, для спиртовых лаков воздушной сушки (с нафтенатым сиккативом), с улучшенной адгезией и блеском, как модифицирующее в-во, уменьшающее степень сгущения высыхающих масел и алкидных смол и ускоряющее их высыхание, а также в качестве связующего для теплоустойчивых при средних и высоких т-рах пигментированных Al-пудрой внешних и внутренних покрытий. Жидкий полибутадиев устойчив при обычных т-рах, растворим в ароматич., алифатич. и хлорированных углеводородах, нерастворим в воде, ограниченно растворим в ацетоне, низших спиртах, карбитоле и целлозолье. Оптимальные свойства пленок лака на основе жидкого полибутадиев, растворенного в уайт-спирите, наблюдаются при отверждении их в процессе горячей сушки при 190—218° в течение 5—15 мин.

Б. Шемякин
23341. Лак для отделки мебели, фанерованной шпоном из свилеватой березы. Морущкин Г. В., Деревообработ. пром-сть, 1957, № 7, 27

Лак готовят из 60—65% мебельного лака НЦ-312, 30—35% терпено-коллоксилинового лака ТК-3 и 4—5% нитроканифольной грунтовки; последняя состоит из 95—98% 50%-ного р-ра канифоли и р-рителя АМР-1 и 2—5% 3%-ного спиртового р-ра хризифенина или другого спирторастворимого красителя. Лак имеет вязкость 7,5 сек. по воронке НИИЛК, содержит 19—20% сухого остатка, наносится способом распыления, образует гладкое покрытие без пузырей. Первое покрытие высыхает в течение 30—40 мин., последующие покрытия — в течение 45—60 мин.

Б. Шемякин
23342. Значение высокополимеров. Рейтер (What role do the high polymers play? Reiter R. W.), Canad. Paint and Varnish Mag., 1956, 30, № 11, 18—21, 46, 48, 50 (англ.)

Указано важное значение поливинилацетатных

эмульсий для покрытий, описаны свойства пленок во взаимосвязи с мол. структурой и мол. весом.

Б. Шемякин
23343. Изучение суспензий и паст берлинской лазури. Ефремов И. Ф., Тр. Ленингр. технол. ин-та им. Ленсовета, 1957, вып. 37, 120—131

На примере паст берлинской лазури (I) обсуждается вопрос о природе сил взаимодействия между молекулами частицами с учетом эффектов поляризации. Исследовали золи I, подвергавшиеся воздействию электролитов и неэлектролитов. Подтверждено, что действие первых подчиняется с небольшими отклонениями правилу валентности; при добавлении неэлектролитов (р-ров сахарозы, мочевины и формалина, а также 95,5%-ного спирта и ацетона) к 0,05%-ному золю в нем не происходило видимых изменений, даже в случае их больших кол-в (2:1). В случае конц. зольей спирт или ацетон вызывает процесс осаждения дисперсной фазы, устойчивость диализованных зольей несколько повышена сравнительно с недиализрованными; поведение порошка I в воде совершенно иное.

Б. Шемякин
23344. Изготовление краски, обратимо изменяющей цвет при различных температурах. Вэй, Ка-чэн (低温可逆性變色漆の製造. 魏克誠), 化學世界, Хуасюэ шицзе, 1956, № 6, 320 (кит.)

Для получения краски, обратимо меняющей цвет с изменением т-ры, к р-ру 450 г HgI₂, 350 г KI добавляли р-р 335 г AgNO₃, осадок промывают водой и спиртом и высушивают. 3 ч. осадка смешивают с 2 ч бесцветного лака. При < 45° цвет лака — желтый, при 50° — красновато-желтый, при 60° — оранжевый, выше 70° — красный, цвет перестает изменяться выше 140°.

М. С.
23345. Наполнители в строительных красках, стойких к вспузыриванию. (Extender pigments in blister-resistant house paint.), Offic. Digest, 1956, 28, № 382, 1078—1082 (англ.)

Проведено испытание строительных красок с объемной конц-ией пигментной части (I) 20, 30 и 40%. Пигментная часть состояла из рутильной TiO₂ и наполнителей (II). Во всех красках отношение рутила к связующему сохранилось постоянным; II вводился в кол-ве, необходимом для создания требуемой I. Всего было испытано 11 различных II. Краски наносились кистью на кедровые щиты с одной стороны двумя слоями. После пребывания в везерометре в течение 100 час. они помещались в камеру с т-рой 54°. Установлено, что ни один из испытанных II не ухудшил стойкости красок к вспузыриванию. За исключением диатомитового кальция и грубодисперсного карбоната Ca все краски с 40% I склонны к растрескиванию. С повышением содержания I сеткообразование и цветоустойчивость уменьшаются, растрескивание и меление увеличиваются. II на основе Ca (сульфат, силикат и карбонат) обладают хорошей цветоустойчивостью и стойкостью к растрескиванию и мелению, но склонны к образованию сетки. У грубодисперсного силиката Mg и слюды цветоустойчивость несколько хуже, но остальные свойства очень хороши.

М. Гольдберг
23346. Работы по созданию лакокрасочных материалов медицинского назначения. Горовой Б. Я., Материалы по обмену опытом и научн. достиж. в мед. пром-сти, 1957, № 2 (21), 58—70

Исследована стойкость лакокрасочных материалов (I) к моющим и дезинфицирующим составам. Большинство применяемых I достаточно стойки к действию водн. р-ра мыла, недостаточно стойки к действию водн. р-ра хлорамина и быстро разрушаются водн. р-рами карболовой к-ты. Наименее стойки I на основе глифталевых смол, модифицированных раст.

тальными маслами, и мочевиноформальдегидные I; недостаточную, но несколько большую стойкость имеют пентафталевые I. Для повышения стойкости I проведена работа по их модифицированию полимерами дивинилацетилена, получены новые пленкообразующие в-ва, на основе которых изготовлены I медицинского назначения: грунт МГ-I, эмаль ЭМСК, эмаль ЭМЗ.

2347. Объяснение недостатков при пигментировании лаков при помощи современных физических методов исследования. Хейнле (Die Aufklärung von Pigmentierungsstörungen in Lacken mittels moderner physikalischer Untersuchungsmethoden. Heinle K.), Dtsch. Farben-Z., 1957, 11, № 6, 217—226 (нем.; рез. англ., франц.)

Рассматриваются результаты систематич. исследований причин очень часто наблюдающихся недостатков при пигментировании лаков некоторыми сортами коричневого окиси железа; эти дефекты заключаются в недостаточном ровном растекании краски при ее нанесении на поверхность, хлопьеобразовании и оседании пигментов. Проведено большое число исследований для выяснения причин этих дефектов. Установлено, что агломерация пигментных частиц не является плохой смазываемостью последних или электростатич. силами. Окись железа содержит две модификации: $\alpha\text{-Fe}_2\text{O}_3$ и $\gamma\text{-Fe}_2\text{O}_3$; последняя модификация является ферромагнитной и это приводит к агломерированию ее частиц. В этой связи становится понятным также влияние стальных шаров шаровой мельницы при размоле пигмента, содержащего частицы $\gamma\text{-Fe}_2\text{O}_3$. В последнем случае магнитич. силы усиливаются при перетире на лаке окиси железа.

2348. Вспучивающиеся, замедляющие действие огня краски на белковой основе. 1. Кривые пиролиза белков и продуктов их гидролиза. Сикадзано, Канама (蛋白質系發泡性防火塗料の研究. 第1報. 蛋白質およびその加水分解物の加熱分解曲線付グラフとソーダ調味料の加熱分解曲線. 鹿岡直治, 金山忠雄), 東京工業研究所報告, Tokai kōgō shikensō shokoku, Repts Govt Chem. Industr. Res., 1956, 51, № 7, 275—285, XXVII—XXVIII (японск.; рез. англ.)

С целью использования белков для указанного типа красок изучалась зависимость уменьшения веса различных белков, продуктов их гидролиза и аминокислот от т-ры, при скорости повышения ее на 50° в течение 5 мин. Были получены соответствующие кривые для 18 видов белков и содержащих их продуктов. Сравнение полученных данных показало, что характер кривых во всех случаях идентичный и что сначала происходит выделение влаги, а затем резкое уменьшение веса, протекающее в две стадии. Белок и продукты гидролиза его сравнивались по способности к вспучиванию от нагревания; проведена классификация на три группы. Исследование пиролиза моногидратной соли глутаминовой к-ты показало, что распад ее протекает следующим образом: при 155° выделяется кристаллизационная вода, а при 225° имеет место внутримолекулярная дегидратация. М. Ваньян

2349. Противообрастающее влияние токсичных красок на смежные площади, не содержащих этих красок. Стаббингс (The antifouling influence of toxic paints over adjacent non-toxic areas. Stubbing N. G.), J. Oil and Colour Chemists' Assoc., 1957, 40, № 5, 350—360 (англ.)

Противообрастающая краска, чаще всего содержащая соединения меди, при выщелачивании в окружающую ее воду отравляет последнюю. При достаточно высокой скорости выщелачивания смежные площади и трещины в покрытиях, не содержащих токсич. красок, становятся защищенными от обраста-

ния при соприкосновении с р-ром токсичного материала, получающегося из противообрастающих покрытий. Это пограничное влияние может и не проявляться, вероятно, вследствие разбавления токсичного р-ра.

2350. Современные огнезащитные покрытия. Ризе (Moderne feuerhemmende Anstrichsysteme. Riese Wolfram A.), Dtsch. Farben-Z., 1957, 41, № 5, 174—176 (нем.; рез. англ., франц.)

Активность огнезащитных покрытий зависит от состава пигментной части и связующего, а также от их объемного соотношения в пленке. В рецептуру вводятся в-ва, выделяющие при высоких т-рах инертные, негоряемые и огнетушащие газы, а также низкоплавкие минер. в-ва, создающие на покрытиях при высоких т-рах жидкий огнезащитный поверхностный слой. При нагревании покрытие должно приобретать ровное пористое строение (вспучиваться) с низкой теплопроводностью. Приведены рецептуры покрытий на масляной и смоляной (алкидные и полиамидные смолы) основах, специальных дисперсионных красок, а также мастик с низкой теплопроводностью, наносимых слоем в 5—15 мм на металлич. конструкции. Из пигментов и наполнителей рекомендуются: CaCO_3 , BaSO_4 , TiO_2 , PbCO_3 , ZnB_2O_7 , асбест и др. Из в-в, вызывающих вспучивание покрытий, пригодны: $\text{NH}_4\text{H}_2\text{PO}_4$, казеин, крахмал, полиамидные смолы, мочевины, формальдегид, аминоексусная к-та. Пластикатором служит хлорированный парафин. Связующими в дисперсионных составах хорошо себя оправдали поливиниловые смолы, полиакрилаты и неопределенный латекс.

2351. Фракционирование полимеризованного льняного масла с помощью мочевины и ацетона. Мехта, Шарма (Fractionation of heat-bodied linseed oil with urea and actone. Metha T. N., Sharma S. A.), J. Amer. Oil Chemists' Soc., 1956, 33, № 1, 38—44 (англ.)

Льняное масло полимеризовали в течение 1,5—5,0 час. при 300° (при давл. 10 мм рт. ст.) до вязкости 25—80 пуаз. Мол. вес ацетонорастворимой фракции при нагревании масла остается постоянным и кол-во мономерных глицеридов (с небольшой примесью димеров) также не меняется. В то же время мол. вес полимеров, нерастворимых в ацетоне, увеличивается по мере нагревания. Строение продуктов р-дий изучали фракционированием с помощью $\text{CO}(\text{NH}_2)_2$ полимеризованного масла, а также метиловых эфиров жирных к-т. Во фракции, выпадавшей в виде аддукта, не было обнаружено линоленовой к-ты. Следовательно, эта к-та в виде циклич. продукта превращения содержится во фракции, не образующей аддукты. Данные о мол. весе и йодном числе (ИЧ) циклич. продукта свидетельствуют о его диеновой природе. Сделано заключение, что резкое падение ИЧ в начале полимеризации происходит вследствие циклизации цепей жирных к-т.

2352. Практическое применение синтетических эмалей. Уэстэлл (Practical aspects of synthetic enamelling. Westall F.), Engr and Foundryman, 1956, 20, № 11, 41—43, 64 (англ.)

Детали стиральных машин, изготовленные из Al, покрывают синтетич. эмалью, устойчивой к действию горячих р-ров мыла. До нанесения эмали поверхность металла обезжиривается, обрабатывается в р-ре «Алохром», промывается водой и разб. к-той. Составы эмали и р-ра не приводятся.

2353. Лаки на основе полиэфирных смол в деревообрабатывающей промышленности. Детлинг (Möglichkeiten und Gefahren bei der Verarbeitung von Polyester. Dettling Hubert), Industrie-Lackier-Betrieb, 1957, 25, № 4, 94—97 (нем.)

Описаны полиэфирные лаки, появившиеся в промышленности в последние годы, изготавливаемые на основе синтетич. смол и состоящие из двух или трех компонентов, смешиваемых непосредственно перед лакированием. Основной компонент, наряду с ненасыщ. полиэфирами, ускорителями и парафином, содержит моноэтиленгликоль или другие мономерные соединения, частично испаряющиеся в процессе отверждения. Вторые компоненты содержат органич. перекиси, пластификаторы и небольшое кол-во легколетучих р-рителей. Изложены положительные свойства покрытий по дереву из этих лаков (быстрое отверждение, механич. прочность, термо- и водостойкость, возможность нанесения толстыми слоями и пр.). Указаны условия лакирования кистью, распылением и поливом (ручное и машинное). Приведены микрофотоснимки дефектов покрытий, возникающих при несоблюдении этих условий. Отмечена необходимость строгого соблюдения правил техники безопасности при лакировании, так как частицы распыленного лака при попадании в глаза вредно влияют на зрение. Н. Гарденин

23354. Химическая обработка стальных оконных рам до их окраски. Кеттерль (Die chemische Vorbehandlung zum Lackieren im Stahlfensterbau. Ketterl H.), Metalloberfläche, 1957, 11, № 5, 169—174 (нем.)

Приведены данные испытаний стойкости металлич. образцов с различной подготовкой поверхности под окраску. Н. Гарденин

23355. Радиоактивные изотопы в химии красок. Клауш (Radioaktive Isotope in der Chemie der Anstrichmittel. Klaus W.), Dtsch. Farben — Z., 1957, 11, № 7, 257—258 (нем.)

Путем введения радиоактивных изотопов в пластификаторы можно проследить мигрирование последних в лакокрасочных пленках или пластмассах. Подобным образом можно определять проникновение влаги в лаковые пленки. Важным вопросом для лакокрасочной промышленности является предотвращение оседания пигментов в лаках. Применение изотопов атомов, входящих в пигмент, дает возможность определить и прекратить процесс оседания пигментных частиц. В. Шемякин

23356. Способы идентификации эпоксидных смол. Радд, Зонсвелд (Procédés d'identification pour les résines «époxydes». Rudd H. W., Zonsveld J. J.), Peintures, pigments, vernis, 1957, 33, № 1, 35—37 (франц.)

Фукри (M. Foucgy) разработаны два простых и быстрых способа идентификации эпоксидных смол (получаемых на основе дифенилолпропана). Первый состоит в обработке 1 мл р-ра смолы или экстракта, содержащего смолу, в H_2SO_4 (6,25 г смолы в 25 мл 98%-ной H_2SO_4) одним мл 63%-ной HNO_3 . После перемешивания и 5-минутного отстаивания смесь выливают в 100 мл 1 н. NaOH. Красно-оранжевое окрашивание характерно для присутствия эпоксидной смолы или ее эфира. Второй способ заключается в действии на 1 мл р-ра смолы в H_2SO_4 5 мл особого реактива (отфильтрованный р-р 2,5 г HgO в 50 мл воды с 10 мл конц. H_2SO_4). После перемешивания и 30-минутного отстаивания происходит выпадение красно-оранжевого осадка, характерного для эпоксидной смолы и ее производных. Присутствие различных масел и других смол (фенольных, мочевиноформальдегидных, меламиноформальдегидных и др.) не влияет на результаты опытов. Аналогичные опыты для ряда других смол, масел и р-рителей дали отрицательный результат. Б. Брейтман

23357. Растрескивание и эффект мороза у эмалей газо-печной сушки. Поджи-Поллини (Lo scopolamento degli smalti a fuoco nei forni a gas.

Poggi Pollini Amerigo), Pitture e vernici, 1957, 13, № 2, 109—114 (итал.)

В результате исследования факторов, влияющих на образование микротрещин (эффекта мороза) у покрытий из масляноалкидных эмалей (1) газо-печной сушки, установлено, что наибольшей склонностью к микрорастрескиванию обладают I, содержащие италийское древесное масло, и в меньшей степени I на дегидратированном касторовом и льняном маслах. «Стиролизация» I также понижает их способность к образованию сетки микротрещин и при содержании в них ~40% стирола эффекта мороза получить уже не удастся. Эпоксидные группы не оказывают заметного влияния на способность I к микрорастрескиванию. У алкидных смол, модифицированных насыщен. жирными к-тами, совершенно отсутствует способность к микрорастрескиванию. Добавление аминосмол к I резко понижает их склонность к образованию микротрещин и при соотношении алкидной смолы : мочевиновой смолы = 1 : 1 и алкидной смолы : меламиновой смолы = 2 : 1 эффекта мороза вызвать не удастся. Установлено, что склонность к растрескиванию у покрытий из I тем больше, чем более ненасыщ. являются модифицирующие масла. Причиной образования микротрещин на покрытиях является действие O_3 , содержащегося в газах, применяемых для высушивания; NO_2 оказывает ингибирующий эффект. В отсутствие NO_2 конц-ия в 13 ч. O_3 на 1 млн. ч. газа вызывает эффект больший, чем конц-ия в 140 ч. O_3 в присутствии 40 ч. NO_2 на 1 млн. ч. газа; при соотношении $O_3 : NO_2 = 0,84$ O_3 даже при конц-ии в 163 ч. на 1 млн. ч. газа никакого действия не оказывает. Ингибиторами микрорастрескивания пленок I являются также антиоксиданты (β -нафтол, дифенилгуанидин, антрахинон, гидрохинон и др.). Л. Песин

23358. Точный метод измерения светостойкости. Мадд (Precise measurement of fading on a time-intensity basis. Mudd J. S.), J. Soc. Dyers and Colourists, 1957, 73, № 2, 47—52 (англ.)

Существующие методы определения выцветания различных материалов, основанные на применении искусств. света (напр., ртутная и угольная дуговые лампы), приводят к результатам, не совпадающим с полученными при дневном свете. Предложен новый простой метод, дающий сравнимые результаты. Определение проводится с помощью ксеноновой лампы мощностью в 100 вт. Основным преимуществом метода является сохранение в течение значительного времени постоянной интенсивности света, падающего на испытываемые образцы, что дает возможность точно выразить светостойкость образца кол-вом света, необходимым для выцветания его до допустимого предела. М. Ваннел

23359. О высыхании покрытий из канифольного лака. Корчемкин Ф. И., Гидролизная и лесохим. пром-сть, 1957, № 3, 13—14

Покрытия из канифольного лака, в состав которого входят кубовые остатки от ректификации флотационных масел на канифольно-экстракционных э-дах, высыхают значительно быстрее, если в лак добавлен Mn в виде резината. Высыхание покрытий из такого лака связано не только с улетучиванием р-рителей, но и с окислением в-в, образующих эти покрытия.

Н. Гарденин

23360. Количественный метод определения Pb в красках, при содержании его в пределах 1%. Уэстгейт, Шерте, Адаме («Determination of lead in paints at the one per cent level». Westgate M. W., Shurts R. B., Adams E. F.), Circ. Nat. Paint, Varnish and Lacquer Assoc. Scient. Sec., 1956, № 773, pp. 8—17 (англ.)

Приведены результаты определения содержания Pb в сухих пленках различных эмалей, приготовленных с введением 0,0—6,0% Pb, путем добавки в краску соответствующего кол-ва $PbCrO_4$. Определение Pb производилось по обычному и несколько модифицированному авторами хроматному методу. Сравнение процента содержания Pb, определенного в пленке аналитич. путем, с кол-вом Pb, введенного в краску, показало, что хроматный метод дает более совпадающие результаты, чем колориметрический. Эксперим. проверка показала, что этот метод может быть успешно применен также при определении Pb, содержащегося в красках в виде примеси. М. Ваньян

23361. Пигментирование лаков, изготовленных на основе полиэфирных смол. Хейнле (Die Pigmentierung von Lackpolyesterharzen. Heine K.), Fette, Seifen, Anstrichmittel, 1957, 59, № 3, 149—152 (нем.; рез. англ., франц., исп.)

Пигментирование лаков (I), изготовленных на основе неашищ. полиэфирных смол, используемых главным образом в деревообрабатывающей пром-сти, позволяет расширить область их применения. При вводе пигментов в I в отдельных случаях наблюдается ухудшение способности полученного покрытия лакироваться и полироваться. Установлено, что изменение этих свойств в основном зависит от влияния пигментов на характер процесса отверждения и конечную твердость пленки. Предварительное лаб. изучение процесса отверждения пленки желаемой композиции позволяет заранее определить применимость выбранного для этой цели пигмента и его оптимальное кол-во. Результаты исследований приведены в форме графиков и таблиц. Н. Гарденин

23362. Прибор для определения состояния лакокрасочного покрытия. Мур, Дженесс (An instrument for determining the condition of a surface coating. Moore Howard R., Jenness James R., Jr., Paint Ind. Mag., 1957, 72, № 1, 16, 18 (англ.)) Предложен прибор, дающий возможность определить состояние красочной, лаковой или другой пленки с момента нанесения до полного высыхания или отверждения. Метод основан на определении трения качения, которое возникает при движении стального шарика по наклонной окрашенной или лакированной поверхности. Отношение между коэф. трения качения и радиусом применяемого стального шарика служит характеристикой состояния поверхности. Приведено схематич. описание прибора и метода определения.

М. Ваньян
23363. Пожелтение красочных покрытий. Вуатюрье (Le jaunissement des peintures. Voituriez Maurice), Bâtir, 1957, № 64, 15—18 (франц.)

На пожелтение пленок красок оказывают влияние два основных фактора — свет и влажность. Экспериментально установлено, что пожелтение масляных красок усиливается в большей степени под влиянием света красной части спектра, чем света синей области спектра. Пожелтению покрытий способствуют аммиак и H_2S , находящиеся в промышленной атмосфере. Нитроцеллюлозные лаки желтеют вследствие разложения нитроцеллюлозы или пластификатора; УФ-свет ускоряет это разложение. УФ-свет ускоряет также пожелтение канифольных лаков; модифицирование канифоли малеиновым ангидридом уменьшает пожелтение вследствие блокирования реакционноспособных двойных связей канифоли. Р-рителы на пожелтение не оказывают влияния. Пигменты непосредственно не влияют, но могут катализировать пожелтение покрытий, напр., пигменты основного характера, содержащие ОН-группы. Пигментированные покрытия в большинстве случаев желтеют в меньшей степени, чем непигментированные — присутствие пигмен-

тов более или менее задерживает лучи света и делает покрытия менее чувствительными к пожелтению.

Б. Шемякин

23364. О целесообразности применения ускоренных методов испытаний покровных материалов для крыш и лакокрасочных материалов. Плетке (Zweckmäßigkeit der Schnellbewitterungsprüfung von Dachbelägen sowie Anstrichmitteln. Pletke Karl), Bitum., Teere, Asph., Pechе und verw. Stoffe, 1957, 8, № 2, 54—55 (нем.)

В связи с большим разнообразием природных условий в США разработаны для различных климатов 3 цикла испытаний. Цикл А: холод 1,75 часа, вода 1 час, свет 1,5 часа, вода 2 часа, свет 16,5 часа. Цикл В: вода 0,25 часа, холод 1,75 часа, свет — вода 4 часа, вода 0,5 часа, свет 17 час. Цикл С: свет — вода 22 часа, холод 1,75 часа. Цикл А применяется для условий относительного сухого климата, цикл В — для влажного климата, цикл С — для жаркого и влажного климата. Целесообразно сопоставлять результаты, полученные при ускоренном и длительном испытании в реальных условиях.

М. Марьясин

23365. Об образовании пузырьков в покрытиях по металлу. Хауг, Ванлер, Хаман (Über die Blasenbildung in Metallanstrichen. Haug R., Wapler D., Hamann K.), Dtsch. Farben-Z., 1957, 11, № 5, 170—174 (нем.; рез. англ., франц.)

Установлено, что образование пузырьков под покрытием обуславливается наличием на поверхности окрашиваемого металла незначительных кол-в водорастворимых солей, которые могут оставаться после подготовки поверхности под окраску. Описана применявшаяся методика испытаний, исследованы факторы, стимулирующие образование пузырьков: хим. состав и кол-во солей и органич. в-в (мочевина, сахар, стеарат Na), оставшихся на металл. поверхности перед окраской, методы обработки поверхности перед окраской (обезжиривание, различные методы фосфатирования), степень проницаемости покрытия для паров воды, состав пигментной части, соотношение объемов пигментов и связующего в пленке.

Н. Гарденин

23366. Свойства австралийских сортов древесины воспринимать и сохранять краску. Риббит, Басселл (The paint-holding properties of Australian woods. Rischbieth J. R., Bussell K. R.), J. Oil and Colour Chemists' Assoc., 1957, 40, № 4, 306—320 (англ.)

Приведена программа и результаты проведенных (в течение 4 лет) сравнительных испытаний, имеющих важное значение для лакокрасочников при оценке качества красок и представляющих практич. интерес для строителей.

Б. Шемякин

23367. Почернение белых красок для наружной окраски зданий под действием H_2S . (Blackening effect of hydrogen sulphide on exterior white house paints.—), Offic Digest, 1956, 28, № 382, 1089—1100 (англ.)

Белые краски с объемной конц-ией пигмента в пределах 25—40% были накрашены двумя слоями на плиты из желтой сосны и испытывались в камере на действие H_2S во влажном воздухе, причем влажность варьировалась. Конц-ии H_2S соответствовали условиям атмосферы промышленных районов. Установлено, что чернеют только те накрашки, которые содержат металл. Pb, и тем в большей степени, чем больше содержание Pb независимо от типа краски. Почернение даже во влажной атмосфере не происходит, если накрашка не смочена водой. Почернение от действия H_2S усиливается с увеличением конц-ии H_2S . Пока накрашка еще глянцевая и не подверглась разрушению от атмосферных воздействий, она чернеет

мало. Краски с высоким содержанием пигмента темнеют поэтому быстрее. Обычное кол-во нафтената Pb, содержащееся в дымостойкой краске (без Pb-пигмента), не вызывает заметного почернения. Испытывавшаяся алкидная краска оказалась более склонной к потемнению, чем масляные. М. Гольдберг

23368. Действие растворителей на пленки высыхающих масел. Часть I. Столоу (The action of solvents on drying-oil films: Part 1. Stolow N.), J. Oil and Colour Chemists' Assoc., 1957, 40, № 5, 377—402 (англ.)

Исследовали воздействие органич. р-рителей и их смесей на пленки высыхающих масел типа льняного масла для более подробного изучения способов и техники реставрации (осветления и очистки) старых картин. Установлено, что экстрагируемость пленок зависит от продолжительности обработки р-рителем, возраста пленки и, отчасти, от типа р-рителя. Процесс удаления низкомолекулярных компонентов пленки протекает медленно до полного завершения, но он ускоряется в процессе набухания пленки. Приведены характерные кривые набухания пигментированных и непигментированных пленок, показывающие течение процессов набухания и экстрагирования. Выведены эмпирич. ур-ния соотношения равновесия между степенью набухания и плотностью экстрагированной пленки. Б. Шемякин

23369. Программная автоматика в лаковарении. Маргулис В. Г., Кудрявцев В. В. В сб.: Работы М-ва электротехн. пром-сти СССР по механике и автоматиз. нар. х-ва 2. М., 1956, 72—75. Описана принципиальная схема установки для автоматич. регулирования т-ры и времени нагрева для лаковарочных котлов. М. С.

23370. Глянцевые краски и лакировочная олифа. Орлова Е. И., Гаврилова М. А., Полигр. пром-во, 1957, № 3, 25—28

Для получения блестящих оттисков на мелованной бумаге снижают провидаемость красок в бумагу, выбирая в качестве связующего алкидную смолу, модифицированную льняным и касторовым маслами, с добавлением этерифицированного пентаэритром продукта модификации канифоли малеиновым ангидридом, что повышает вязкость краски. Для уменьшения провидаемости в связующее вводят, кроме того, стеарат Al. Различие глянца, получающегося у красок разных цветов, зависит от смачиваемости пигментов связующим и от диспергирования пигмента при растирании. Различие глянца при одинаковой дисперсности пигментов зависит от их конц-ии в краске. Кол-во пигмента в глянцевых красках не должно превышать 23%. Для разбавления красок хорошо вводить керосиновую фракцию. Блестящую поверхность оттиска можно получить также нанесением на него лакировочной олифы того же состава, что связующее для глянцевых красок. М. Гольдберг

23371. Красители для чернил шариковой ручки. Андерсон (Dyes for ball point pen inks. Anderson Norman L.), Amer. Ink Maker, 1957, 35, № 2, 38—39, 63, 65 (англ.)

Большинство чернил для шариковых ручек выпускается на основе спирторастворимых красителей, с вязкостью 8 000—15 000 спуз (при 25°), которая в общем регулируется кол-вом и природой красителя, хотя иногда и добавляют смолистые материалы; вязкость чернил с изменением т-ры должна изменяться очень незначительно. В качестве связующих рекомендуется применять многоатомные спирты, гликоли и высококипящие пластификаторы. Б. Шемякин

23372 К. Синтетические лаковые смолы. Лазарев А. И., Сорокин М. Ф. Перев. с русск. (Zywiec syn-

tetyzue. Lazariew A. I., Sorokin M. F., Труды гос. Warszawa, Panstw. Wydawn Techn., 1957, 348 s., il., 58 zl) (польск.)

23373 С. Составы для ухода за полами (Bohnemittel. Fußbodenpflegemittel). Стандарт ГДР, TGL, № 2831, 1956 (нем.)

23374 П. Процесс изготовления копала, пригодного для промышленного применения. Лакруа, Вюанья (Procédé de fabrication d'un copal convenant à des usages industriels. Lacroix Louis, Vuagnat Gino). Франц. пат. 1108333, 11.01.56

Для превращения природных копалов в состояние, пригодное для произ-ва лаков и красок, копал измельчают, обрабатывают его в жидкой среде к-той (серной, соляной, уксусной, фосфорной, щавелевой или муравьиной), основанием (NaOH, KOH, Na₂CO₃, K₂CO₃, NH₃ или триэтиламино), минер. или органич. солью (Na₂SO₄, Na₂PO₄, NaCl, CH₃COONa, CH₃COOK, (CH₃COO)₂Pb, соли Sn и т. д.), растворяют после сушки в р-рителе или смеси р-рителей (напр., 80% бензола и 20% изобутанола) при т-ре ~ 100°, близкой к т-ре кипения р-рителя, вводят в этот р-р муравьиную к-ту или буру, облегчающие окисление, и затем в течение 5—14 час. в-во, выделяющее кислород, напр. H₂O₂ (кол-во O₂ должно соответствовать ~ 10% веса сырого копала). Затем вводят в р-р восстановитель (H₂ или альдегид, напр. CH₃O), обрабатывают продукт восстановления минер. или низшей алифатич. к-той или солью, затем промывают продукт водой, фильтруют и удаляют р-ритель дистилляцией. На 100 кг сырого копала берут 300 кг р-рителя. Б. Брейтман

23375 П. Модифицированная высыхающим маслом триаминотриазинформальдегидная смола. Бейсон, Харт (Drying oil substituted triamino triazine-formaldehyde resin. Bacon Jack C., Hart William F.) [American Cyanamid Co.] Канадск. пат. 519438, 6.12.55

Процесс конденсации альдегида (напр., формальдегида) с продуктом взаимодействия хлортриазина с амином высыхающего, напр. соевого масла. В применяемом хлортриазине имеются только хлор-, амин- и алкиламино-замещающие группы (напр. хлордиаминотриазин). Продукт конденсации содержит один молярный эквивалент амина на каждый хлор-атом триазина. Альдегид берут в кол-ве от ~ 1 до ~ 6 молей на 1 моль триазина; в частности, если применяется 2-хлор-4,6-диамино-1,3,5-триазин, то формальдегид берут в кол-ве от ~ 1,5 до 4 молей на 1 моль триазина. М. Гольдберг

23376 П. Клеи, замазки, шпаклевки, лаки и др. из полимеризующихся веществ или их смесей, применяемые по меди, цинку или их сплавам. Бедер, Швейцгер (Klebstoffe, Kitten, Spachtelmassen, Lacke u. dgl. aus polymerisierenden Stoffen oder solche enthaltenden Gemischen für die Anwendung auf Kupfer, Zink oder ihren Legierungen. Bäder Erich, Schweitzer Otto) [Deutsche Gold- und Silberscheideanstalt vormals Roessler]. Пат. ФРГ 953454, 29.11.56

Для повышения адгезии (к меди, цинку и их сплавам) клеев, замазок, шпаклевок, лаков и др., изготовляемых из составов, содержащих полимеризующиеся в-ва, предлагается вводить в эти составы ацетилацетон, бензоилацетон или оксикинолины. Под полимеризующимися в-вами подразумеваются соединения, образующие после полимеризации полиэтилены, полистиролы, полиуретаны и др. Пример составов для двухкомпонентного клея: Компонент А. В 100 объемах смеси, состоящей (в %) из 77 стирола, 9 глико-

малеинового полиэфира 8 акриловой к-ты, 4 диэтанол-л-толуидина и 2 ацетилацетона, растворяют 84 вес. ч. полистирола. К полученному р-ру добавляют 0,01 вес. % гидрохинона (стабилизатор). Компонент В. В 1000 объемн. ч. смеси, состоящей из 89% стирола, 9% гликольмалеинового полиэфира и 2% ацетилацетона, растворяют 5 вес. ч. перекиси бензоила и 84 вес. ч. полистирола. К полученному р-ру добавляют 0,2 вес. % гидрохинона. Поверхность одной склеиваемой детали намазывают составом А, а другой — составом В. Намазанные детали складывают друг с другом при умеренном давлении. Схватывание идет при комнатной т-ре, и уже через полчаса достигается практически нужная прочность.

Н. Гарденин
23377 П. Грунты для лаковых покрытий на базе полимеризационных смол. Гизин, Тримборн (Grundiermittel für Lacküberzüge auf Basis von Polymerisationsharzen. Gysin Werner, Trimborn Werner) [Badische Anilin- & Soda-Fabrik, A.-G.]. Пат. ФРГ 953897, 6.12.56

Патентуются составы грунтов, обладающих высокой адгезией и состоящих из р-ров или дисперсий отверждаемых синтетич. смоляных продуктов (напр., смол, полученных на базе мочевины, меламина, фенола и формальдегида) и твердых высокомолекулярных полимеров (напр., поливинилхлорида с коэф. полимеризации 60—80 и более), вводимых в грунт предпосредственно в виде тонкодисперсных порошков. В состав грунта могут входить также пигменты и наполнители. Связующее для последующих слоев покрытия должно быть изготовлено на основе синтетич. смол, идентичных или совместимых с порошкообразным полимером в грунте. Пример. Состав, содержащий (в вес. ч.) 30 порошкообразного поливинилхлорида (с коэф. полимеризации 60—80), 30 талька, 50 мочевиноформальдегидной смолы, пластифицированной алкидной смолой из адипиновой к-ты и триметилолпропана (50%-ный р-р пластифицированной смолы в бутаноле), и 40 тетрагидронафталина, подвергают тонкому перетиру (напр. в шаровой мельнице). Этот состав после разведения смесью из тетрагидронафталина и моноэтилового эфира этиленгликоля (в соотношении 8:2) до консистенции, допускающей окраску распылением, наносят тонким слоем на лакируемую поверхность (напр., жель) и нагревают 3—5 мин. при 150—160°. Поверх грунта наносят несколько тонких слоев покрытия, состоящего из пасты (в форме органоволя), того же поливинилхлорида и тетрагидронафталина. Каждый слой сушат при 150—160°. Продолжительность сушки нижних слоев по 5 мин., верхнего — 15 мин. Получаемое стойкое эластичное и механически прочное покрытие обладает высокой адгезией.

Н. Гарденин
23378 П. Связующее для фосфоресцирующих слоев (Method of applying a film of organic material to phosphor layer and composition therefor) [Philco Corp.]. Англ. пат. 732565, 29.06.55

Связующее для фосфоресцирующих экранов катодных трубок состоит из небольшого кол-ва нитроцеллюлозы, нерастворимого в воде пластификатора (сложного эфира), октилацетата и р-рителя — смеси пропилового и (или) бутилового спирта и большого кол-ва пропил- и (или) бутилацетата. Лучшими р-рителями служат пропиловые производные. Напр., композиция содержит (в %): 3,5—5 нитроцеллюлозы, 1,5—3 пластификатора, 5—25 октилацетата, 5—25 спирта и 50—80 летучего сложного эфира.

Ю. Васильев
23379 П. Морозостойкий лак. Хакен (Kältebeständiger Lack. Haken Heinrich) [Siemens-Schuckertwerke A.-G.]. Пат. ФРГ 947819, 23.08.56

Патентуется рецептура морозостойких лаков, не те-

ряющих эластичности при т-рах —50° и ниже и применяемых для целей импрегнирования, антикоррозионной защиты и электроизоляции. В основу состава лака входят тунговое масло и смолы, способные вступать с ним в химич. р-цию. Пример. 30 ч. тунгового масла и 15 ч. алкилфенолформальдегидной смолы нагревают и полученную основу разводят р-рителем (напр., сольвент-нафтой). В лак добавляется один из известных сиккативов, содержащий 0,5% Pb, 0,02% Mn и 0,02% Co в пересчете на вес тунгового масла. В состав морозостойкого лака в зависимости от его назначения могут вводиться, в дополнение к тунговому, другие масла (напр., льняное) или готовый лак иного состава.

Н. Гарденин
23380 П. Красочные материалы и метод их производства. Робинсон, Ханкок (Paint materials and methods of making the same. Robinson Cecil, Hancock Henry E.) [Tri Foods Co.]. Пат. США 2739072, 20.03.56

Патентуется связующее, состоящее из ферментированной молочной сыворотки (I) и ненасыщ. растительного высыхающего масла. Ферментацию I проводят при нагревании (до ~27—38°) и относительной влажности воздуха >60% до достижения содержания молочной к-ты в I, примерно, 1—2%, с последующим перемешиванием сыворотки с льняным или тунговым маслом до образования однородной эмульсии. Краска может содержать 5,44 кг жидкой сыворотки (с 1—2% молочной к-ты), 4,08 кг льняного масла и 6,35 кг пигмента; последний может состоять из 2,27 кг TiO₂ и 4,08 кг наполнителя — тяжелого шпата, или состоять полностью из пасты свинцовых белил.

В. Шемякин
23381 П. Получение эмульсионной краски на основе синтетических полимеров. Куvasима, Идзуми, Оно (合成重合体エマルジョン塗料の製造方法. 桑島謙太郎, 泉美佐夫, 小野民重) [東亜ペイント株式会社, Тоа пэйнто кабусики кайся]. Японск. пат. 4790, 3.08.54

Тщательно перемешивают (в ч.) 15 титановых белил, 14 литопона, 1 Cd-желтого, 10 каолина, 15 эмульсии (5%-ной) парафина и 5 водн. р-ра (2%-ного) Натальгината. К полученной смеси добавляют 30 сополимера бутадиена со стиролом (70 стирола и 30 бутадиена, 180 воды, 0,2 Na-соли сернокислого эфира высшего спирта) и 10 р-ра казеина в NH₄OH (1,5 казеина, 0,5 (28%-ного) NH₄OH, 0,5 Cl₂C₆ONa и 8 воды).

В. Мискинянц
23382 П. Способ получения водной эмульсии полимеризованных масс, экстрагированных из пробки, и продукты, полученные этим способом. Озак-де-ла-Мартини (Procédé de mise en émulsion dans l'eau d'une matière plastique tirée du liège et produits obtenus par ce procédé. D'Auzac de la Martinie Jean) [Suber]. Франц. пат. 1055875, 23.02.54 [Chem. Zbl., 1955, 126, № 30, 7095 (нем.)]

С помощью минер. или органич. оснований производится частичная или полная нейтр-ция масс, образующихся при частичной полимеризации жирных к-т пробки. Нейтрализованные массы, которые растворимы в воде, имеют т. пл. ~40°. При нанесении кистью эмульсии образуют антикоррозионные покрытия. При прибавлении пигментов или других красителей получают водостойкие краски.

М. Альбам
23383 П. Способ получения ZnS, обладающего пигментными свойствами. Грасман (Verfahren zur Herstellung von Zinksulfid mit Pigmenteigenschaften. Grassmann Wolfgang) [Sachtleben A.-G. für Bergbau und chemische Industrie]. Пат. ФРГ 938977, 9.02.56

Более дешевый и простой (без прокалывания и применения повышенного давления) по сравнению с

обычным, способ получения ZnS , обладающего пигментными свойствами, с более высокой укрывистостью и лучшей красящей способностью (интенсивностью), состоит в длительном осаждении пигмента из возможно более конц. р-ра $ZnSO_4$ пропусканием тока H_2S . Предпочтительным является осаждение пигмента из р-ра при конц-ии $Zn \geq 80-100$ г/л, при обычной или слегка повышенной ($20-30^\circ$) т-ре; осаждение следует продолжать до содержания в р-ре Zn в кол-ве $\leq 3-4\%$, так как $\sim 97\%$ -ное осаждение Zn необходимо для получения пигмента с хорошей интенсивностью (≥ 200). Осадок промывают $5-40\%$ -ной, преимущественно $10-16\%$ -ной H_2SO_4 при $60-100^\circ$ или продолжительно отстаивают в сернокислотном р-ре, промывают водой, высушивают и размалывают; выход пигмента ZnS $97-98\%$. Можно получать ZnS с интенсивностью 340, с выходом $96,3\%$ из р-ра $ZnSO_4$ с содержанием Zn 80 г/л при пропускании H_2S в течение 48 час.

Б. Шемякин
23384 П. Силикатные пигменты. Берторелли (Silicate pigments. Bertorelli Orlando Leonard) [J. M. Huber Corp.]. Пат. США 2739073, 20.03.56

Патентуется метод произ-ва новых улучшенных белых силикатных пигментов с диаметром частиц, в основном $< 1 \mu$ (большая часть $< 0,5 \mu$), применяемых для покрытий по бумаге, в типографских и обычных красках, для окраски пластмасс и подобных материалов. Пигмент представляет собой осажденный белый порошкообразный состав (уд. в. $2,10-2,26$), состоящий из Na_2O (I), Al_2O_3 (II) и SiO_2 (III), при мол. соотношении III: I $\sim 4:1$ и I: II от $0,8$ до $1,2:1$. Соотношение III: I может изменяться до 1 и $3,5:1$. Пигмент получают из разб. щел. р-ра силиката при растворении метасиликата натрия ($Na_2O \cdot SiO_2$) в воде и разбавлении р-ра р-ром $Al_2(SO_4)_3$. Реакционный котел загружают водой, включают мешалку и тонкой струей р-р силиката вливают непосредственно в воду, находящуюся в вихревом движении при вращении пропеллерной мешалки со скоростью 900 об/мин.; в то же самое время, также тонкой струей вводят р-р $Al_2(SO_4)_3$. Оба р-ра добавляют в течение ~ 15 мин., при этом скорость притока регулируется таким образом, чтобы значение pH массы оставалось в пределах $8-12$; после введения всех составных частей, pH понижается до $9,5$. Процесс проводят при т-ре $26-32^\circ$ и дополнительном размешивании в течение 15 мин. Осадок тщательно промывают, отфильтровывают и высушивают при 110° ; получается рыхлый, легко раздробимый порошок, $\sim 97\%$ которого имеют в этом случае размер частиц $< 0,1 \mu$ в диаметре. По этому примеру пигмент содержит (в %): $51,1$ SiO_2 , $24,81$ Al_2O_3 , $13,03$ Na_2O , $0,94$ SO_2 и $10,2$ воды, теряемой при прокаливании.

Б. Шемякин
23385 П. Процесс изготовления ультрамарина. Кьюминс (Process for making ultramarine pigment. Cumins Charles A.) [Interchemical Corp.]. Пат. США 2738288, 13.03.56

Метод получения синего ультрамарина состоит из следующих операций: прокалика глины при $550-950^\circ$ (в частности, при 800°) в течение $1-3$ час.; обработка кальцинированного продукта каустич. содой, взятой в кол-ве, превышающем требуемое для превращения всей Al_2O_3 , содержащейся в глине, в алюминат Na; промывка; приготовление однородной смеси промытого продукта, серы и соли, образованной щел. металлом и кислым соединением (компоненты смеси берут в соотношениях, требуемых для получения синего ультрамарина, кислые соединения для соли выбирают из группы, состоящей из ароматич. соединений, содержащих карбоксильную группу, ароматич. соединений, содержащих фенольную гидроксильную группу, ароматич.

соединений, содержащих сульфокислотную группу, и ароматич. соединений, содержащих сульфамидную группу, в которой один кислотный Н присоединен к азоту амида; нагрев в восстановительной среде не менее чем $1,5$ часа при т-ре порядка $600-900^\circ$ (в частности, при $750-900^\circ$) в течение $1-3$ часа; понижение т-ры до $500-800^\circ$ и поддержание этой т-ры в окислительной атмосфере в присутствии окислов серы в течение ≥ 1 часа; охлаждение; промывка продукта. В качестве соли щел. металла и кислого соединения может служить бензоат Na. В этом случае нагрев в восстановительной среде проводят при т-ре до 850° 1 час, в частности при т-ре 800° в течение от 20 мин. до 3 час., понижая затем т-ру до $500-600^\circ$ и подерживая ее в окислительной атмосфере ~ 3 часа. В смеси с бензоатом Na можно добавлять тонкодисперсный SiO_2 в кол-ве до 30% от веса кальцинированной глины, проводя нагрев в восстановительной среде при т-ре до 850° от 30 мин. до 3 час. (в частности, с 25% SO_2 при 800° , 3 часа), понижая затем т-ру до 500° и подерживая ее в окислительной атмосфере в присутствии окислов S $1-3$ часа. Пример. 2280 г каолина прокалывают при 775° в течение 3 час. и по охлаждению загружают в 16700 мл 10% -ного р-ра NaOH, содержащего 600 г инфузальной земли. Сосуд нагревают до т-ры кипения (выше 104°) и выдерживают при этой т-ре 16 час., после чего продукт с помощью декантации отмывают от избытка щелочи и сушат. 550 г сухого продукта смешивают в барабане с 320 г Na-соли n -(n -диметиламинофенил-азо)-бензойной к-ты, 2050 г порошкообразной S и 15 г резината Na, загружают в муфельную печь с т-рой 500° , повышая т-ру без доступа воздуха за 1 час до 850° , затем снижают т-ру до 800° и подерживают ее на этом уровне 1 час, вводя SO_2 . После охлаждения в воде от продукта отмывают декантацией водорастворимые соли, продукт измельчают в шаровой мельнице, промывают и сушат.

М. Гольдберг
23386 П. Усовершенствование огнестойких вспучивающихся покрытий. Стилберт, Каммингс, Талли (Perfectionnements relatifs à des compositions de revêtement intumescents. Stilbert Elmer K. Jr, Cummings Ira James, Talley James P.) [The Dow Chemical Co.]. Франц. пат. 1408119, 9.01.56

Покрытие горючих, целлюлозных строительных материалов (напр., волокнистого картона), замедляющее воспламенение, гибкое, стойкое к мытью и истиранию получают из водн. дисперсии, содержащей смесь $70-85\%$ твердого непленкообразующего материала (I) и $30-15\%$ пленкообразующего полимера (латекса). I содержит вспенивающиеся в-ва (II) — первичный и вторичный фосфат аммония, фосфорную к-ту, сульфат и сульфамат аммония, бромистый аммоний, Na-соль вольфрамовой к-ты, Na-борат, многофункциональные соединения ($10-70\%$ от веса II) — гексит, центит, моно- и дитетрит, моно- или дипентаэритрит, смесь крахмала с пентаэритритом (кол-во крахмала $< 15\%$ от веса II), аминокислоты ($0-55\%$ от веса II) — мочевины, диметилмочевину, гуанидин, дициандиамида. Латекс содержит $\sim 50\%$ твердого в-ва, представляющего собой сополимер винилиденхлорида и винилхлорида, винилиденхлорида и акрилонитрила, стирола и бутадиена. Композицию составляют, перемешивая инертные ингредиенты (пигменты, красители, фунгициды, вспенивающие агенты) с водой, затем вводят набухающие в-ва и, наконец, латекс. Содержание твердого в-ва в стойкой композиции $\sim 50\%$, т-ра сушки покрытия $50-200^\circ$. Пример (в вес. ч.): моноаммонийный фосфат 56 , дициандиамида 10 , крахмал $15,9$, пентаэритрит $5,3$, TiO_2 12 , альгинат Na $0,6$, вода 75 , латекс (сополимер 75% винилхлорида

с 25% винилиденхлорида, пластифицированный 10% моноэтилдифенилфосфата) 21. Повышение содержания латекса увеличивает число циклов истирания и уменьшает степень набухания.

Б. Брейтман
23387 П. Краска, содержащая металл. Стец, Роджерс (Metallic paint. Stetz Robert J., Rogers Edmund) [The Engine Parts Manufacturing Co.]. Пат. США 2731436, 17.01.56

Бронировочная краска содержит тонкоизмельченный (до 200—400 меш) металл. пигмент (напр., Cu-Zn -сплав), полиалкилакрилатную смолу (напр., полиметилметакрилат) с р-рителем для нее и смесь дифтордихлорметана с трифторхлорметаном в кол-ве, приблизительно равном по объему остальным ингредиентам. Конц-ия смолы в р-ре 8—50%, в частности, для полиметилметакрилата 20—30%. На 227—681 ч. пигмента расходуется 3,8 л р-ра смолы и 3,8 л смеси дифтордихлорметана с трифторхлорметаном (1:1). Р-рителем для смолы служат ксилол или другие низкокипящие моноциклич. ароматич. углеводороды (напр., бензол или толуол) и, если нужно, добавки метилового или этилового спирта; фторхлорметаны служат в качестве разбрызгивающих в-в (пропеллентов) и стабилизаторов краски, предотвращающих гелеобразование.

М. Гольдберг

23388 П. Состав для покрытия, стойкий к износу и мелению. Уэршинг (Coating material resistant to deterioration and chalking. Wirshing Ralph J.) [General Motors Corp.]. Пат. США 2731354, 17.01.56

Состав (I) для защитных и декоративных покрытий, используемый как наружное блестящее покрытие на автомобилях и тому подобных изделиях, подверженных во время эксплуатации действию влаги и солнечного света, содержит органич. связующее (напр., из натуральных и синтетич. смол, синтетич. смол, модифицированных маслами, высыхающих масел и смесей этих продуктов) пигмент (напр., TiO_2 , ZnO и их смеси), 0,25—10 вес. % окислителя, задерживающего коррозию и меление, органич. р-ритель, необходимый для нанесения I в текучем состоянии на поверхность. Окислителем служат бихроматы или перманганаты щел. металлов. Иногда в I вводят небольшие добавки цветных пигментов, напр. ламповую сажу, соединений Fe и др. Пример получения I (в вес. %): тунговое масло 9, льняное масло 27, глифталевая смола 36, мочевиноформальдегидная смола 1, TiO_2 25,5, фталоцианиновый синий 0,5, KMnO_4 1.

М. Гольдберг

23389 П. Ускорители высыхания покрытий. Эрбе (Trocknungsbeschleuniger für Anstrichstoffe. Erbe Friedrich) [Farbwerke Hoechst A.-G. vormals Meister Lucius & Brüning]. Пат. ФРГ 947727, 23.08.56

Патентуется применение шиффовых оснований из α -пиридинальдегида и первичных аминов с двумя и более аминогруппами (напр., ди-(α -пиридиныл)-гидразин или ди-(α -пиридиныл)-этилендиамин) как ускорителей сушки лакокрасочных составов, высыхающих при действии кислорода воздуха (напр., содержащих высыхающие, полувсыхающие масла, дегидратированное касторовое масло и др.). Эти ускорители можно добавлять в лакокрасочные составы совместно с обычными сиккативами, и они особенно активны в комбинации с сиккативами, содержащими Fe и Mn. В отдельных случаях, когда состав для покрытия уже содержит Ca или Zn, или Pb, или другие металлы, добавка обычных сиккативов может быть уменьшена или не производиться вовсе. Приведены в форме таблиц эксперим. данные скорости высыхания пленки обычной льняной олифы, содержащей в сиккативе Fe, с добавкой или без патентуемых ускорителей. Напр., время высыхания пленки, содержащей 0,14% Fe, 16—20 час., то же с добавкой 1% ди-(α -пириди-

нал)-этилендиамина 8,25 ч. и с добавкой 1% ди-(α -пиридиныл)-гидразина — 6 час.

Н. Гарденин

23390 П. Поливинилацетатный цементующий состав. Робинсон (Polyvinyl acetate cement compositions. Robinson William D.) [E. I. du Pont de Nemours and Co.]. Пат. США 2733995, 7.02.56

Безводный состав для покрытия содержит 1 ч. (или > 5%) вододиспергируемого поливинилацетата, 1—10 ч. (или $\geq 65\%$) гидравлич. (портландского) цемента, гашеной извести, кремнистого песка и пигмента. Состав хорошо сохраняется в сухом состоянии и при смешивании с водой пригоден для защитных и декоративных покрытий каменных и особенно бетонированных поверхностей. Покрытие хорошо сохнет, имеет хорошие пластичность и адгезию, очень стойко против пенетрации воды или ее паров. Поливинилацетат применяется в виде тонкодисперсного сухого порошка, содержащего достаточное кол-во в-ва, способствующего его диспергированию и стабильности при смешивании с водой. Пример (в ч.): 80 портландского цемента, 15 гашеной извести, 5 TiO_2 , 19,95 сухого порошка поливинилацетата и 100 воды; общее содержание твердых в-в 54,3%. В качестве пигмента можно применять литопон, сернистый цинк и т. д.

Б. Шемякин

23391 П. Цветная политура в способ ее получения. Нак, Уолди (Stain and method of its preparation. Nack Herman R., Waldie William A.) [Chadeloid Corp.]. Пат. США 24130, 13.03.56

В качестве цветной политуры (II) патентуется состав, получаемый из продукта р-ции Na-карбоксиметилцеллюлозы (I) и солей $\text{Fe}_2(\text{SO}_4)_3$, CuSO_4 или CrCl_3 , диспергированного в тетрагидрофуруриловом спирте (II), содержащем не свыше 1% NaOH. Состав получают взаимодействием р-ра 2 вес. ч. I в 100 ч. воды с 40 ч. насыщ. водн. р-ра $\text{Fe}_2(\text{SO}_4)_3$ (или другой упомянутой соли). Образующийся смолистый осадок промывают, высушивают и диспергируют его в II, содержащем 0,5% NaOH. Пример. Р-р 2 вес. ч. низковязкой I в 100 вес. ч. воды (при 20°) медленно прибавляют, при постоянном размешивании к 40 вес. насыщ. р-ра $\text{Fe}_2(\text{SO}_4)_3$, темно-коричневый осадок промывают водой, сушат и растворяют при размешивании в 20° в 100 вес. ч. II, содержащего ~0,5 вес. % NaOH; конц. р-р полученной II, применяемой для окраски дерева, можно разбавлять CH_3OH , толуолом или ксилолом; сульфат Fe можно заменять другими солями, напр., хлоридами Fe.

Ю. Вендельштейн

23392 П. Способ получения на поверхностях гомогенных слоев, содержащих синец. Хельмхольц (Verfahren zur Herstellung von Homogenen, Bleimetall enthaltenden Schichten auf Oberflächen. Helmholtz Kurt) [Margarete Kitti Helmholtz, geb. Rahmig, Waltraut Helga Elisabeth Helmholtz]. Пат. ФРГ 940669, 22.03.56

Патентуется способ получения на поверхностях гомог. слоев, содержащих Pb, отличающийся тем, что высохшая краска, состоящая из ≈ 4 ч. Pb-порошка и 1 ч. смеси хлоркаучука, хлорированного дифенила и органич. р-рителя, шлифуется и полируется.

Е. Зарецкий

23393 П. Материал против обледенения. Фейн, Хьюитт, Розенблатт (De-icing material. Fain Jacob M., Hewitt Norman L., Rosenblatt William) [United States of America as represented by the Secretary of the Navy]. Пат. США 2731353, 17.01.56

Состав против обледенения (I) содержит (в вес. ч.): LiCl 5,0—45,0; р-ритель для LiCl (напр., воду) 55,0—95,0; загуститель водн. р-ров, совместимый с LiCl (из группы карбоксиметилцеллюлозы, поливинилового спирта, метилцеллюлозы) 0,1—2,0. В I можно также

вводить совместимые с р-ром LiCl ингибитор коррозии (напр., K_2CrO_4) 0,2—3,0 и смачивающее в-во (напр., изоктилфениловый эфир полиэтиленгликоля) 0,1—1,0. При нанесении I на обледеневшую поверхность он оказывает действие как в тонком, так и в толстом слое, удаляя лед в температурных пределах от 0 до -26° ; после удаления льда I предотвращает повторное его образование в течение 0,5—10 часа. Т-ра застывания I ниже -26° , он не кристаллизуется и не расслаивается в пределах от -26° до 77° , не горюч и не токсичен, легко изготавливается и может вырабатываться в виде продукта, непосредственно готового к употреблению, или разбавляемого предварительно водой. Пример (в вес. ч.). I состоит из LiCl 39,0, воды 60 и карбоксиметилцеллюлозы 0,8, K_2CrO_4 1,0, изоктилфенилового эфира полиэтиленгликоля 0,5.

М. Гольдберг

23394 П. Лак для покрытия по типографской краске, содержащий масляный алкид, жидкий галогенированный ароматический углеводород и полиметилсиликон. Райан (Wet ink finishing varnish comprising an oil, alkyd, a liquid halogenated aromatic hydrocarbon and a polymethyl silicone. Ryan Jerome A.) [Sherwin-Williams Co.]. Пат. США 2732355, 24.01.56

Светлый лак состоит из алкидной смолы (I), модифицированной высыхающим или полувсыхающим маслом, 4—8 об. % жидкого галоидопродуцента ароматич. углеводорода (II) (напр., дифенила, с содержанием галогена 30—35% и с т. кип. $\sim 200^\circ$) и 0,001—2 вес. % полиметилсиликона с вязкостью 75—150 сст. Иногда в лак добавляют 1—3% парафина. В качестве I можно применять глифталевую смолу, модифицированную соевым маслом, а в качестве II — хлорированный дифенил, содержащий 30—35% Cl, в частности 3,3-дихлордифенил. Покрытие лаком производят по свеженанесенному слою краски, нанесенной на металл, после чего производят сушку. Пример. Состав лака: глифталевая смола, модифицированная соевым маслом 193,8 л, пентафталевая смола, модифицированная соевым маслом 126,6 л, 10%-ный р-р нафтената Pb в уайт-спирите 5,7 л, 15%-ный р-р парафина в керосине 7,6 л, полиметилсиликон 181 г, хлордифенил (30—35% Cl) 207,9 л, уайт-спирит 5,7 л. Лак имеет следующие свойства: сухой остаток 51%, вязкость 1,65 пуаз, уд. в. 0,95, цвет 7 (по Гарднеру), прозрачность — полная. При нанесении по слою краски лак не проникает в него.

М. Гольдберг

23395 П. Типографские краски. Ратклифф (Printing inks. Ratcliffe George L.) [National Lead Co.]. Пат. США 2739067, 20.03.56

Краска содержит основу, суспендированную в связующем, в котором коллоидально диспергирована обработанная глина. Обработка глины, в исходном состоянии обладающей значительной обменной способностью, заключается в замещении имеющегося в ней катиона (напр., Na^+) катионом продуктов замещения аммония (аминов или их солей). После обработки глина приобретает органомфильность и способность образовывать в связующем гель с характерными для геля свойствами. В качестве обработанных глин применяют аминобентониты, напр. октадециламинобентонит, диметилдикодециламинобентонит, додециламинобентонит. Глину вводят в связующее, повышая его вязкость до величины, достаточной для суспендирования основы. Пример состава типографской краски (в кг): минер. масло 45,4, какифоль 1,8, сажа 6,8, аминобентонит 0,5—1,8. Для нагнетения аминобентонита 4320 г бентонита диспергируют в 124 л воды, и взвесь оставляют стоять на 2 часа для осаждения загрязнений неглинистого характера. При этом $\sim 10\%$ от веса глины поступает в отход. Растворяют 1415 г

диметилдикодециламинхлорида в 10 л теплой воды. При добавлении р-ра соли аммиака к взвеси глины в воде происходит флокуляция аминобентонита и выпадение его в осадок. После фильтрования осадок промывают, сушат и измельчают.

М. Гольдберг
23396 П. Покрывной лак для нанесения по литографской краске. Грубел (Finishing varnish for application over lithographic ink. Greubel Paul W.) [American Can Co.]. Канад. пат. 519130, 519131, 519132, 519133, 6.12.55

Покрывной лак для нанесения по невысохшей литографской краске состоит из синтетич. смолы (I) (растворимой в органич. р-рителе и играющей роль пленкообразующего), несмешивающегося с маслом водорастворимого полярного жидкого флокулянта (II), для пигмента, содержащегося в литографской краске и летучего р-рителя (III) для I и II. III способен смешиваться со связующим краски и содержит достаточное кол-во в-ва, удерживающего в р-ре в одной жидкой фазе I и II. Это в-во состоит из незамещ. одноатомного предельного спирта с 4—8 атомами C и моноэфира гликоля с 2—4 атомами C в гликолевой части молекулы и с одной гидроксильной группой свободной, а другой — этерифицированной замещающей алифатич. углеводородной группой. В пат. 519130 в качестве II применяется 1—12% воды, а в качестве I могут применяться алкидные смолы (IV), полимеризованные эфиры двусоевных к-т и пена-мищ. одноатомных спиртов (V), поливиниловые эфиры органич. к-т (VI), смолообразные конденсационные полимеры аминов и альдегидов (VII), смолообразные конденсационные полимеры альдегидов и поливинилового спирта (VIII), сополимеры солей галоидоалкогольных к-т и виниловых эфиров органич. к-т (IX). В пат. 519131 в качестве II применяется 2—15% формамида, а в качестве I—VII или IX. В пат. 519132 в качестве II применяется 2—13% молочной к-ты, а в качестве I—IV, V, VII, VIII и IX, или смолообразные полиэфиры полигидроксисоединений (X); в пат. 519133 в качестве II применяется 1—17% в-ва типа ненасыщ. одноатомных спиртов с 1—3 атомами C или гликолей с 2—4 атомами C, в частности этиленгликоль, а в качестве I—IV, VII, VIII, IX или X. М. Г.

23397 П. Процесс покрытия в производстве кровельных гранул, отражающих излучение. Хартрайт (Coating process of producing radiationreflective roofing granules. Hartwright George) [United States Gypsum Co.]. Пат. США 2732311, 24.01.56

Процесс произ-ва кровельных гранул, покрытых тонкими металлич. чешуйками порошка (I) Al, Sn или бронзы, отражающими световое излучение, состоит в том, что минер. гранулы покрывают смесью глины и силиката щел. металла (напр., Na) при отношении окиси щел. металла к SiO_2 не ниже 1:2, частично высушивают полученное покрытие до сохранения им липкости, наносят на покрытие чешуйки I и нагревают гранулы до т-ры от $\sim 260^\circ$ до т-ры плавления I с целью связывания покрытия с I.

М. Гольдберг

См. также: Эпоксидные смолы, применение 23212. Полиглицидные эфиры фенолов 23284. Синтетические латексы, обзор 23399. Пластификаторы 23218. Защита от коррозии покрытиями 21811, 21830, 21837—21841. Окраска пластмасс 23257. Подготовка поверхности 21815—21817, 21825, 21826. Применение изотопов в произ-ве смол 23179. Определение мочевины и меламина в смолах 23174. Влагопроницаемость синтетических пленок 23689. Пластмассы для химич. оборудования 23266. Образование статистического электричества в произ-ве лаков 21949. Вентиляция в окрасочных цехах 21952

КАУЧУК НАТУРАЛЬНЫЙ И СИНТЕТИЧЕСКИЙ. РЕЗИНА

Редактор Д. М. Сандомирский

23398. **Натуральный латекс.** Глимф (Natural latex. Glimph E. M.), Rubber Age, 1957, 81, № 5, 814—817 (англ.)

В последние годы резко повысили выход и качество натурального латекса (Л) путем селекции каучуковых деревьев, прививки, скрещивания и применения стимуляторов выхода (напр., 2,4-дихлорфеноксиуксусной к-ты) (см. РЖХим, 1958, 3181). Перед транспортированием Л концентрируют чаще всего центрофугированием или отстаиванием (с помощью альгината NH_4) до концентрации 66—68%, реже — электродекацией и выпариванием. Для предотвращения деятельности бактерий, разрушающих защитную белковую оболочку глобул, Л консервируют главным образом NH_3 в кол-ве 1,75% на водн. фазу. Для оценки разрушительной деятельности бактерий в Л определяют содержание летучих жирных к-т. Для устранения некоторых недостатков NH_3 как консервирующего агента (необходимость его частичного удаления при изготовлении губки, отравление воздуха при улетучивании, необходимость промывки тары, ускорение гидролиза белков) предложено консервировать Л малым кол-вом NH_3 (0,1—0,2%) в сочетании с пентахлорфенолятом Na, 0,05—0,25% диметилдитиокарбамата Zn, 0,2% олеата NH_4 , солью щел. металла и этилендиаминтетрауксусной к-ты или смесью борной и лауриновой к-т. При этом повышается также устойчивость Л к старению и действию ZnO . Высокие физ.-мех. свойства геля и пленки из Л позволяют получать высококачественные изделия даже при сильном наполнении инертными в-вами (напр., мелом). Л применяют также в сочетании с бутадиенстирольным латексом (напр., SBR 2105). И. Ш. 23399. **Производство синтетических латексов.** Лебедев А. В., Фермор Н. А., Хим. наука и пром-сть, 1957, 2, № 3, 339—347

Обзор. Библ. 13 назв. И. Шмурак 23400. **Образование микрогеля при ускоренном старении неопренового латекса.** Селигман (Formation of microgel during accelerated aging of neoprene latex. Seligman Kurt L.), Industr. and Engng Chem., 1957, 49, № 10, 1709—1712 (англ.)

Исследовали образование микрогеля при ускоренном старении (50°) неопренового латекса (Л). В щел. среде аллильный Cl гидролизует, происходит аллильный перегруппировка, что приводит к поперечному сшиванию эфирной связью. Определяли характеристич. вязкость (ХВ) и светорассеяние р-ра полимера в смеси бензола и пиридина, который получают, не выделяя неопрен из Л (вистексная методика). Высокомолекулярную фракцию выделяли из р-ра полимера центрофугированием. При старении Л ХВ сначала возрастает, а затем снижается. Начальный подъем ХВ связан с образованием разветвленных линейных молекул, по мере связывания которых в компактный микрогель ХВ падает. Это подтверждается изменением всех свойств полимера в процессе старения. Медленный рост вязкости по Мунн и модулей вулканизаторов сменяется быстрым именно в точке максимума ХВ, где начинается образование плотного микрогеля. Там же имеют максимум сопротивление разрыву и относительное удлинение. Усадка полимера после вальцевания резко возрастает еще до достижения максимума ХВ, снижаясь к концу старения до величины меньшей, чем у исходного каучука.

И. Шмурак 23401. **Бутадиенстирольный латекс.** Мак-Кензи (Butadiene-styrene latex. McKenzie J. P.), Rubber Age, 1957, 81, № 5, 817—818 (англ.)

Приведены фирменные наименования и краткая характеристика бутадиенстирольных латексов (Л), производимых в США. Концентрация Л высокотемпературной полимеризации (2000—2006) составляет 27—60%, низкотемпературной (2101—2105, 2111, 2112 и др.) 20—60%. Содержание стирола в полимере колеблется от 0 до 50%. Эмульгаторы — мыла жирных к-т и канифоли. Высококонц. Л низкотемпературной полимеризации должен обладать малой вязкостью, т. е. иметь крупные частицы. Для этого полимеризацию ведут с миним. содержанием эмульгатора и при низкой конверсии (~60%), что затрудняет регулирование процесса и снижает выход Л. Замораживание приводит к укрупнению частиц без коагуляции, что позволяет получить 60%-ный Л с малой вязкостью. Бутадиенстирольные Л применяют для обработки текстильных изделий и бумаги, пропитки шинного корда, производства губчатых изделий, жевательной резины, красок и проч.

И. Шмурак 23402. **Приготовление латексных смесей.** Уотерман (Latex compounding. Waterman R. R.), Rubber Age, 1957, 81, № 5, 819—820 (англ.)

Дана характеристика ингредиентов латексных смесей: стабилизаторов, вулканизующих агентов, антиоксидантов, наполнителей, мягчителей, в-в, придающих клейкость, загустителей и способов изготовления смесей.

И. Шмурак 23403. **Применение антиоксидантов и антиозонантов в латексе.** Стюарт, Уотерман (Use of antioxidants and antiozonants in latex. Stewart J. C., Waterman R. R.), Rubber Age, 1957, 81, № 4, 626—627 (англ.)

Противостарители (П) для латексных изделий (И) должны удовлетворять повышенным требованиям в связи с условиями работы И (большая уд. поверхность, наличие солей Cu в аппаратуре в случае резинотканевых И) и спецификой их применения (предметы санитарии и гигиены). В качестве П применяют в-ва типа аминов в повышенных дозировках, а для И, работающих в статич. условиях, — воска, масла, смолы.

И. Шмурак 23404. **Применение латекса для обработки текстиля, волокон и бумаги.** Борг (Use of latex in textiles, fibers and paper. Borg E. Leonard), Rubber Age, 1957, 81, № 5, 820—821 (англ.)

Латекс (Л) применяют для обработки тканей в качестве связующего материала, а также адгезива при их дублировании. Прочность связи на границе раздела ткань — пленка обеспечивается применением как неполярных (натуральный и бутадиенстирольный (БСЛ)), так и полярных (карбоксилатный и винилпиридиновый) латексов. Для пропитки хлопкового шинного корда с целью улучшения его сцепления с резинами применяют БСЛ, вязкого — смесь БСЛ с бутадиенвинилпиридиновым, нейлона — бутадиенвинилпиридиновый Л в комбинации главным образом с резорцинформальдегидной смолой. Бутадиенстирольным и нитрильным Л низкотемпературной полимеризации обрабатывают оборотную сторону ковров и тканей для обивки мебели с целью удержания ворса и улучшения их внешнего вида. Для повышения влагостойкости, прочности, сопротивления раздиру и удлинению бумаги ее пропитывают или вводят Л в бумажную массу в кол-ве 10—20%. В первом случае Л должен иметь низкое поверхностное натяжение и малый размер частиц, во втором — следует применять анионоактивный эмульгатор, так как для коагуляции Л рН снижают квасцами до 4—4,5. Для этого применяют БСЛ или (предпочтительнее) бутадиеннитрильный Л с высоким наполнением мелом. Применяя для пропитки бумаги Л термопластичного полимера при высоком уровне насыщения (до 100 ч. полимера на 100 ч.

бумаги), получают кожеподобный материал, пригодный для изготовления многослойных изделий с рельефным рисунком. Наноси на поверхность бумаги непрерывную пленку из воды дисперсий полимеров, ей придают масло- и жиростойкость (бутадиенитрильный Л) одновременно с паро- и влагостойкостью (поливинил- и поливинилиденхлоридный Л). Обработка поливинилным Л с последующим проглаживанием горячим валиком ведет к получению гляцевитой бумаги, а покрытие БСЛ облегчает нанесение на бумагу красящего пигмента.

И. Шмурак
23405. Отливка моделей в латексных формах. Берджесс (Casting small antiquities from latex moulds. Burgess E. Martin), Rubber India, 1957, 9, № 4, 27—28 (англ.)

Описывается изготовление латексных форм для получения точных гипсовых слепков музейных экспонатов. Эти формы не дают никакой усадки, что обеспечивает сохранение размеров и конфигурации оригинала.

Н. Павлов
23406. Применение радиации в резиновой промышленности. Пирсон (Scope for radiation in the rubber industry. Pearson R. W.), New Scientist, 1957, № 15, 42—43 (англ.)

Популярная статья.
В. Р.
23407. Краски на основе хлорированного каучука. Дулигал (Chlorinated rubber paints. Duligal E. A.), Prefabric. and New Build. Techn., 1957, 4, № 47, 510—511 (англ.)

Обзорная статья об изготовлении и свойствах красок на основе хлорированного каучука, применяемых для различных промышленных объектов и обладающих высокой стойкостью к атмосферным и хим. воздействиям.

Л. Золотаревская
23408. Дешевые синтетические каучуки, полученные при использовании нефтяных газов. Соломон, Попеску (Despre cauciucuri sintetice ieftine prin valorificarea gazelor petroliere. Solomon O., Popescu I.), Rev. chim., 1957, 8, № 7, 453—466 (рум.; рез. русск., франц., нем., англ.)

Сравнительная экономич. оценка различных способов получения бутадиеновых и бутадиенстирольных каучуков. Рентабельность получения бутадиена из бутанбутиленовой фракции нефти.

В. Шершнев
23409. О бутадиенстирольных каучуках. Светлик (Précisions sur les caoutchoucs butadiène-styrène. Svetlik J. F.), Rev. gén. caoutchouc, 1957, 34, № 7, 673—679, 717, 724, 726, 727 (франц.; рез. англ., нем., исп., итал.)

Обзор влияния условий полимеризации и рецептуры смесей на свойства резин из бутадиенстирольного каучука 42 марок.

Ю. Марголина
23410. Синтез полисилоксанового каучука и изучение его свойств. Ставицкий И. К., Хим. наука и пром-сть, 1957, 2, № 3, 331—338

Обзор. Библ. 54 назв.

Ю. Дубинкер
23411. Силиконовые каучуки высоко- и низкотемпературной вулканизации и их применение в технике. Вик (Heiß- und kaltvulkanisierende Silikonkautschuktypen und ihre Verwendung in der Technik. Wick M.), Elektrotechnik und Maschinenbau, 1957, 74, № 15-16, 355—363 (нем.)

Обзор. Библ. 21 назв.

А. Лукомская
23412. О прививке метилметакрилата к натуральному каучуку. Механизм прививки. Кобринер, Бандре (Sur le caoutchouc greffé par le polyméthacrylate de méthyle. Mécanisme de greffage. Kobryner Waldemar, Banderet Albert), C. r. Acad. sci., 1957, 245, № 6, 689—692 (франц.)

Изучали кривые распределения мол. весов полиметилметакрилата, привитого к НК в латексе (привитый полиметилметакрилат отделялся в результате озонолитического расщепления).

за НК), и полиметилметакрилата, не связанного с молекулой НК. Прививка мономера к НК происходит в результате взаимодействия растущего полимерного радикала с радикалом НК. Предложена общая схема р-ций иницирования, роста и обрыва цепи, происходящих в системе: НК — мономер — инициатор.

В. Кулезнев
23413. Привитые и блок-полимеры на основе натурального каучука. Аллен, Фил (Polymères greffés et «block polymers» à partir du caoutchouc naturel. Allen P. W., Phil D.), Ind. plast. mod., 1957, 9, № 6, 56—57 (франц.)

Краткий обзор способов механ. и хим. иницирования р-ции стирола и метилметакрилата с НК и методов анализа получаемых продуктов. Библ. 12 назв.

В. Кулезнев
23414. От модифицированного натурального каучука к привитым полимерам. Ле-Бра (Von modifizierten Naturkautschuken zu Pfropfpolymerisaten. Le Bras Jean), Kautschuk und Gummi, 1957, 10, № 8, WT194—WT200 (нем.)

Обзор способов присоединения и прививки различных непредельных соединений к НК и СК в латексе, р-рах и в массе и идущих при этом р-ций. Библ. 52 назв.

В. Кулезнев
23415. Сополлимер фтористого винилидена и гексафторпропилена. Диксон, Рексфорд, Рэгг (Vinylidene fluoride—hexafluoropropylene copolymer. Dixon Stanley, Rexford D. R., Ragg J. S.), Industr. and Engng. Chem., 1957, 49, № 10, 1687—1690 (англ.)

Витон А (Viton A) $\text{—NCF}_2\text{CH}_2\text{CF}(\text{CF}_3)\text{CF}_2\text{—}$ получают сополимеризацией в эмульсии при 100°. Инициатор — смесь персульфата и бисульфата, эмульгатор — перфтороктанат NH_4 , коагуляция NaCl или HCl . Мол. вес полимера 150 000, он аморфен и не кристаллизуется даже при растяжении. В состав сополимера входят до 70% гексафторпропилена, с ростом его содержания уменьшается сопротивление разрыву, увеличивается эластичность. Вулканизуется аминами, перекисями (в прессе) 30—60 мин. при 121—150° и γ - и β -лучами $\geq 7 \cdot 10^6$ ф. э. р. с последующей довулканизацией на воздухе 4—6 час. с подъемом т-ры от 121 до 205° и прогревом до 24 часа. при 205°. Физ.-мех. свойства улучшаются при прогреве до 16 час. после чего практически не изменяются. Амины обеспечивают легкую обработку смеси, перекиси — высокое сопротивление вулканизатов агрессивным средам, β -облучение — высокую эластичность и малое остаточное сжатие. Последние два типа вулканизатов светлорокрашены, первый — темный. Особенно активны производные аминов, напр. гексаметилендиаминкарбамат. Сопротивление разрыву и относительное удлинение вулканизатов витона А за 100 дней старения при 205° уменьшаются только на 10—20%. При 316—371° полезные свойства вулканизата сохраняются лишь несколько часов. Вулканизаты витона А обладают высокой маслостойкостью при повышенных т-рах. Т-ра хрупкости — 22°. Сажа и SiO_2 не оказывают усиливающего действия, но повышают жесткость вулканизатов, SiO_2 обеспечивает более высокое относительное удлинение, чем сажа. Мягчители: трикрезилфосфат, триэтилфосфат, диоктилсебацат (5 ч. на 100 ч. каучука). Во избежание пористости иногда охлаждают форму под давлением после вулканизации.

В. Кулезнев
23416. Фторсодержащие эластомеры, стойкие против действия высоких температур и агрессивных сред. Райли (The fluoro-elastomers: latest wear against heat and fluids. Riley Malcolm W.), Mater. and Methods, 1957, 46, № 1, 90—98 (англ.)

Описаны свойства и применение новых типов фторсодержащих эластомеров. Кель-Ф — сополимер три-

фторхлорэтилена и винилиденфторида, хорошо сопротивляется озонному и атмосферному старению. SiO_2 действует как усилитель (возрастают модули и сопротивление раздиру). Усиливают также ткани из хлопка, нейлона, полиэфира, тетрафторэтилена. Кель F-3700 обладает хорошими механич. свойствами, высокой термостойкостью, стойкостью к горючим жидкостям, смазочным маслам и минер. к-там. Его применяют для работы в среде горячих жидкостей, при транспортировке масел и смазок, для уплотнений и рукавов для горючих жидкостей при высоких т-рах, рукавов, клапанов, диафрагм и сальников при транспортировке минер. к-т и щелочей. Кель F-5500 обладает особой стойкостью к сильным окислителям (дымца HNO_3). Применяют в смеси с сополимерными смолами для рукавов, уплотнений, диафрагм, баков, защитных покрытий и перегородок в среде хромовой к-ты и дымящей HNO_3 . Из обоих типов Кель-Ф производят электр. изоляцию, работающую в агрессивных средах при высоких т-рах. Эластомер Силастик LS-53 — фторалкилсиликоновый каучук, обладает хорошей стойкостью к р-рителям при т-рах от -62 до $+260^\circ$. Эластомеры 1F-4 и 2F-4 — перфторбутилкарилатные каучуки, стойкие до $204-232^\circ$; обладают особо высокой озоностойкостью и стойкостью к действию смазок типа диэфиров. Т-ра хрупкости 2F-4 на $22-30^\circ$ ниже, чем 1F-4. Витон А — сополимер винилиденфторида и перфторпропилена, наиболее стойкий к р-рителям эластомер (от -53 до 316°). Выше 260° выделяет ядовитые продукты. Сопротивление разрыву и относительное удлинение уменьшаются с повышением т-ры. Обладает малым остаточным сжатием и деформациями при высоких т-рах. Хорошо сопротивляется действию излучений высоких энергий при повышенных т-рах. Его применяют для изготовления кольцевых уплотнителей и сальников, работающих в гидравлич. системах, горючих жидкостях и смазках; пористых уплотнительных прокладок люковых затворов; баков для горючего, работающих при т-ре до 260° ; рукавов высокого давления; электр. изоляции проводов в схемах с низким напряжением и частотой; защитных покрытий и адгезивов, получаемых из р-ров аластомеров. Фторированный полиэфир (не имеет фирменного названия) — гексафторэтанметиленадиат, стоек от -70 до 149° в среде масел и р-рителей, включая диэфирные масла. В. Шершнев

23417. Влияние нефтяных масел на потемнение и изменение цвета резиновых смесей. Трэймутт, Андерсон, Ростлер, Уайт (Influence of petroleum oils on staining and discoloration of elastomeric compounds. Tramutt Henry M., Anderson Ervin G., Rostler Fritz S., White Richard M.), Industr. and Engng Chem., 1957, 49, № 8, 1283—1292 (англ.)

Вулканизаты GR-S, светлого крепа, бутилкаучука, полибутадиенакрилнитрила, неопрена, хайпалона, поливинилхлорида, содержащие масла с различным содержанием азотистых оснований, первых и вторых ацидаффинов и парафинов, облучали искусств. или солнечным светом различные промежутки времени. Изменение оттенка или интенсивности окраски образцов регистрировали с помощью спектрометра Бекмана (свет с длиной волны $425 \text{ м}\mu$), фотоэлектрич. рефлектометра «Фотовольт», денсхрона Вельха 3830A и визуальным сравнением со стандартами. С помощью компаратора Хеллиджа определяли также изменение окраски самих масел. Самые надежные данные дает прибор Вельха с темно-голубым светофильтром, другие фильтры дают либо повышенные, либо заниженные данные, при этом главную роль играет выбор светофильтра, а не конструкции прибора. Удаление липких и фенольных в-в способствует повышению цве-

товой стабильности масла, но мало влияет на стабильность вулканизата. Особенно сильно ухудшают сохранение цвета азотистые основания и первые ацидаффины, вторые ацидаффины нейтральны только в образцах из GR-S. Допустимый предел содержания азотистых оснований в масле $\sim 10\%$, первых ацидаффинов $15-20\%$. Различные полимеры в присутствии масла цветостойки не в одинаковой степени. Полибутадиенакрилнитрил и неопрен менее чувствительны к составу масла, чем GR-S; поливинилхлорид, хайпалон и НК более чувствительны. Образцы из бутилкаучука и хайпалона иногда при облучении светлеют. Хлорсодержащие полимеры не только желтеют, но и меняют оттенок цвета, колич. сравнение измерений интенсивности окраски возможно только при сохранении оттенка. На белых боковинах на стандартном рецепте, содержащих ультрамарин, появляется желтый оттенок. В отсутствие ультрамарина появляется сероватый оттенок менее заметный для глаза. В. Кулезнев

23418. Титановые белила как усилитель для силиконовых каучуков. Калуженина К. Ф., Ермолаева Т. А., Тр. н.-и. ин-та резин. пром-сти, 1957, сб. 4, 42—50

Исследовано влияние условий получения TiO_2 на его усиливающее действие в силиконовых резинах. Основными факторами, влияющими на качество вулканизата, усиленного TiO_2 , являются: способ помола, состав и кол-во коагулянтов, добавляемых для осаждения стабилизированной TiO_2 , чистота отмывки, фильтрация и сушка. Навлучшие результаты по длительности вулканизации и усиливающему действию TiO_2 были получены при применении новой его марки Т-С. Полученные резины на основе силиконового каучука, усиленные указанным наполнителем, имели сопротивление разрыву $38-41 \text{ кг/см}^2$, относительное удлинение 290% и остаточное удлинение $\sim 2\%$. Эти резины обладали повышенным сопротивлением тепловому старению и имели ровную блестящую поверхность. Н. Павлов

23419. Изготовление резиновых смесей на основе регенерата с применением «затравок». Виницкий Л. Е., Тр. Гос. н.-и. ин-та хим. пром-сти, 1956, вып. 4, 25—31

С целью изыскания сокращенных режимов изготовления на вальцах однородных регенератных смесей исследован метод смешения с применением затравок от 2,5 до 20% того же состава, что и вновь изготавливаемая смесь. Увеличение дозировки затравки (в указанных пределах) ведет к сокращению общего цикла смешения, повышая производительность смешительного оборудования на $\geq 30\%$, и обуславливает получение более однородных резиновых смесей.

Л. Золотаревская

23420. Полиэтилен-каучуковые смеси. Краус (Rubber-polyethylene blends. Kraus Gerard), Rubber and Plast. Age, 1957, 38, № 8, 707—708 (англ.)

Описаны свойства смесей каучука низкотемпературной полимеризации с полиэтиленом низкого давления — маркекс 50. Вулканизаты обладают высоким сопротивлением разрыву, истиранию и утомлению. Кол-во сажи может быть уменьшено. С увеличением содержания полиэтилена повышается модуль, улучшается газопроницаемость и бензостойкость. Эти смеси применяют в подошвенных и протекторных резинах, в последнем случае наблюдается меньшее теплообразование. Смеси обладают хорошими рабочими свойствами. А. Вавилова

23421. Пары воды как порообразователь. Солдатенко Б. Т., Науч. тр. Моск. технол. ин-та легкой пром-сти, 1957, сб. 8, 95—98

Вода, содержащаяся в компонентах резиновой смеси,

может привести к значительной пористости резины.

23422. Определение минеральных компонент в резинах методом спектрального анализа. Хлебников Л. Я., Сеткина О. Н., Сб. научн. тр. кафедр. матем., механ., химии. Ленингр. ин-т точной механ. и оптики, 1957, вып. 24, 140—145

На стилоскопе СЛ-9 производили спектральное определение в резинах Ba, Ti, Na — качественно, Mg, Zn, Ca — количественно. Единичное определение требует 3—4 мин., погрешность определения Mg, Zn, Ca — 10% от содержания. Из предварительных опытов по определению S следует, что S, образуя легколетучие окислы, выгорает в первые секунды после включения разряда. Для определения S следует производить предварительную хим. обработку (минерализацию) резины, что позволяет перевести S в более устойчивое соединение и избавляет от органич. в-в, создающих спектр вспышки. Л. Золотаревская

23423 Д. Исследование влияния химической природы растворителей на термическое окисление каучука в растворах. Дегтева Т. Г. Автореф. дисс. канд. хим. н., Моск. ин-т тонкой хим. технол. Н.-и. ин-т резин. пром-сти, М., 1957

23424 П. Химически модифицированные эластомеры (Chemically modified elastomers) [United States Rubber Co.] Англ. пат. 739634, 2.11.55

Синтетические эластомеры (сополимеры бутадиена, изопрена, пиперилена или 2,3-диметилбутадиена со стиролом, метилстиролом, акрилонитролом, метакрилонитрилом, акриловым или метакриловым к-той и их алкиловыми эфирами, акриламидами, N-замещ. акриламидами, винилпиридинами, эфирами фумаровой к-ты, винилиденхлоридом, метилвинилкетонами, метилизопронилкетонами) смешивают механически в сухом состоянии с малеиновым ангидридом и смесь нагревают в отсутствие органич. перекисей или р-рителей, в присутствии ингибиторов радикальной полимеризации при $t \geq 150^\circ$ и желателно в отсутствие O_2 . Полученные аддукты применяют в качестве водостойкого покрытия и для изготовления сложных металлизационных изделий. В качестве ингибиторов можно применять производные фенола, ароматич. аминов или их хиноидные производные, продукты конденсации ароматич. аминов с альдегидами или кетонами, органич. эфиры фосфорной или фосфористой к-ты, приведенные в пат. США 2587477. Для получения продукта, не имеющего поперечных связей, рекомендуется применять смесь ингибиторов, один из которых препятствует поперечному сшиванию при 150° (арилфосфаты). До или после введения ингибиторов в смесь можно вводить мягчители, пластификаторы, наполнители. Пластичность аддуктов (равная или большая, чем пластичность исходного эластомера) увеличивается при холодном вальцевании. Полученные продукты могут смешиваться друг с другом, они растворимы в тех же р-рителях, что и исходные эластомеры, и вулканизуются окисями, гидроокисями и карбонатами двухвалентных металлов. Б. Киселев

23425 П. Производные каучука от сложных эфиров фумаровой кислоты. Даззи (Rubber derivatives from fumaric esters. Dazzi Joachim) (Monsanto Chemical Co.) Пат. США 2757218, 31.07.56

При нагревании смеси НК со сложным эфиром фумаровой к-ты $ROOCC(Y')=C(Y)COOR'$ при $180-250^\circ$ при атмосферном или повышенном давлении в массе, латексе или инертном р-рителе $\kappa \geq 5\%$ двойных связей присоединяются 1—3 моля эфира. R и R' — алкил с 1—8 атомами C, алкоксиалкил с 2—8 атомами C, алициклалкил с 4—8 атомами C, алицикл.

диал с 3—6 атомами C, арил с 1—12 атомами C, арилалкил с 7—11 атомами C, фурфурил или тетрагидрофурфурил. Y и Y' — H, Cl или CH_3 . Если эфир способен легко полимеризоваться, добавляя ингибитор. С увеличением т-ры р-ции или уменьшением мол. веса R и R' кол-во присоединенного эфира возрастает. Продукты с высоким содержанием эфира используют в качестве смазывающих добавок, с низким содержанием эфира в качестве адгезивов, особенно для крепления вискозного корда к резине в шинах. Эфиры могут также подвергаться гидролизу при нагревании с гидроокисями металлов или NH_4OH , давая водорастворимые соли. В кислой среде такие соли дают свободные поликарбоновые к-ты. В. Кулезнев

23426 П. Формующиеся полиуретановые каучуки. Брокуэй (Cast polyesterurethane rubbers. Brockway Charles E.) [The B. F. Goodrich Co.] Пат. США 2753319, 3.07.56

Вулканизованные изделия с низкими гистерезисными потерями и остаточными удлинениями получают из р-ров полиуретанов при р-ции 1 моля полиэфира (ПЭ), имеющего концевые OH-группы, с 1,3—1,6 молями диизоцианата (Д). В качестве вулканизирующего агента применяют 0,1—0,4 моля алифатич. полигликоля (ПГ). Перед введением Д для предотвращения образования пузырей в готовом изделии добавляют 10—50 вес. ч. (на 100 вес. ч. ПЭ) органич. пластификатора (дифенилдиоктилфосфат, трикрезилфосфат, полиэфиры, метилфталат, бензилфталат, бензилсебацат и др.). Во избежание получения мягких вулканизатов с низкими механич. свойствами кол-во Д на 0,2 моля больше суммы кол-в ПЭ и ПГ. ПЭ получают этерификацией алифатич. дикарбоновых к-т (малеиновая, янтарная, глутаровая, адипиновая, пимелиновая, себаценовая, пробковая, малеиновая и др.) или их ангидридов с мол. избытком гликолей (этиленгликоль, 1,3-бутандиол, 1,4-бутандиол, пентаметилен, гексаметилен, диэтилен-, триэтиленгликоли и др.) при атмосферном давлении и 190° в течение 5 час. Воду удаляют пропусканием тока N_2 и постепенным снижением к концу р-ции давления до 1 мм рт. ст. в течение 10—15 час. Получают ПЭ мол. в. 600—2000. Д: *n*-фенилен-, *m*-фенилен-, нафтилен-1,5-, дифенилметан-*n,n'*-, трифенилметан-*n,n'*-, *m*-толил-, гексаметилендиизоцианаты. ПГ: глицерин, 1,1,1-триметилпропан, триметилгексан, этаноламин, диэтианоламин и др. Предпочтительным полиэтиленадипат, фенилендиизоцианат и глицерин. Пример. К 50 г безводн. полиэтиленадипата с мол. в. 1300 добавляли 25 г трикрезилфосфата при 120° . Дегазацию р-ра вели в вакууме (0,5 мм рт. ст.) в течение 10 мин. Затем к жидкой смеси добавляли 9,24 г *n*-фенилендиизоцианата при 90° и перемешивали 6 мин., добавляли 0,48 г этиленгликоля и вновь перемешивали 2 мин. Смесь дегазировали 1 мин., помещали в предварительно прогретую и смазанную силиконовой смазкой форму и вулканизовали в печи 10 час. при 120° . Полученный продукт подвергали атмосферному старению несколько дней. Вулканизаты данного состава имели миним. твердость, гистерезисные потери, остаточное удлинение отсутствовало. В. Шершнев

23427 П. Смеси полистирольных смол, бутадиеновых каучуков и привитых полимеров стирола на бутадиеновых каучуках. Хейс (Compositions of styrene resins, butadiene rubbers and graft copolymers of styrenes on butadiene rubbers. Hayes Robert A.) [The Firestone Tire & Rubber Co.] Пат. США 2755270, 17.07.56

Приготовляют смесь: А 5—95% (от общего веса А, В и С) + В 5—80%, + С 20—95% (обе от веса В и С). А — стирольная смола, полученная полимеризацией стирола в латексе или сополимеризацией его с α -метилстиролом и (или) с 10% другого мономера

(напр., винилхлорида, винилстеарата, акрилонитрила и др.), в том числе $\leq 3\%$ в-в с двумя несопряженными двойными связями. Содержание стирола $\geq 55\%$. В-бутадиеновый полимер или сополимер бутадиена ($\geq 60\%$) со стиролом и (или) α -метилстиролом, а также с $\leq 10\%$ другого мономера. С-привитый в латексе полимер стирола (10–80%) на В. Смесь получают смешением нужных кол-в латексов А, В и С на вальцах или в закрытом смесителе. Смесь не обнаруживает признаков несовместимости. В нее можно вводить наполнители, красители, пластификаторы, стабилизаторы и пр. в кол-ве $\leq 25\%$ от общего веса. Смесь имеет высокие ударную прочность, т-ру размягчения, модули эластичности и сопротивление разрыву. Смесь, содержащая 55–85% полистирола, применимы в форме относительно жестких тяжелых листов для последующего формирования различных изделий. Можно применять также литье под давлением и шприцевание. Если В содержит $\leq 20\%$ стирола, смесь имеет хорошую морозостойкость. В. Кулезнев

23428 П. Обработка бутадиенвинилпиридиновых каучуков. Хауленд, Ларсен (Processing butadiene-mono-vinyl-pyridine rubbers. Howland Louis H., Larsen Bernhard N.) [United States Rubber Co.]. Пат. США 2757162, 31.07.56

Гелеобразование в бутадиенвинилпиридиновом каучуке при пластикации на вальцах или закрытом смесителе устраняют введением в латекс 0,1–3 ч. (предпочтительно 1 ч.) продукта конденсации ацетона и дифениламина и 0,1–3 ч. (предпочтительно 1 ч.) 2,5-ди-трет-*n*-крезола. Пластикацию ведут при 121–149° до требуемой вязкости по Муни в присутствии или отсутствии сажи, после чего т-ру снижают и вводят вулканизирующий агент и ускоритель, смесь формируют и вулканизируют. С пиридиновым кольцом могут быть связаны также алкильные радикалы (1–6 атомов С).

В. Кулезнев
23429 П. Стабилизация каучуков, вулканизирующихся серой, смесью 6- и 8-алкоксидигидротриалкилхинолинов. Гаррис, Мечнер (Stabilization of a sulfur vulcanizable rubber with a mixture of 6- and 8-alkoxy dihydrotrialkylquinolines. Harris James O., Metzner Wendell P.) [Monsanto Chemical Co.]. Пат. США 2748100, 29.05.56

Смесь (С) 6- и 8-алкоксидигидротриалкилхинолинов, в частности, в соотношении 65:35, защищает каучук, содержащие двойные связи, от теплового и особенно озонного старения при статич. и динамич. нагрузке. Активность С эквивалентна активности первого компонента, тогда как второй неактивен. С получают конденсацией смеси 65:35 соответствующих орто- и пара-алкоксанилинов с кетоном в присутствии J_2 , Bz_2 , бензолсульфокислоты, толуолсульфокислоты и т. п. или раздельной конденсацией с последующим смешением изомеров. С вводят в резиновую смесь на вальцах или в латекс перед коагуляцией в виде эмульсии. В примерах приведены метокси-, этокси-, изопропокси-, бutoксипроизводные. В. Кулезнев

23430 П. Способ крепления текстильных волокон к резинам и применяемый для этой цели продукт. Калафус (Process of adhering textile fibers to rubbers and product thereof. Kalafus Edward F.) [The General Tire and Rubber Co.]. Пат. США 2748049, 29.05.56

Для крепления текстильного материала (напр., шнурового корда) из искусств. и синтетич. волокон к резинам из НК и СК применяют композицию, состоящую из 70–95 вес. ч. сополимерного латекса, считая на сухое в-во, и 5–30 вес. ч. смолообразного продукта конденсации. Сополимер состоит из 65–90 вес. ч. алифатич. углеводорода с сопряженными двойными связями, имеющего ≤ 7 атомов С (напр., бутадиена), и 10–

35 вес. ч. ненасыщ. альдегида общей ф-лы $R = C(R') - CHO$, где $R = 2$ -валентный алифатич. радикал с ≤ 4 атомами С (напр., CH_2), $R' = H$, CH_3 или C_2H_5 . Продукт конденсации состоит из альдегида (напр., CH_2O) и в-ва, способного реагировать с ним (напр., резорцина). Применение для пропитки корда бутадиенметакроленового латекса вместо бутадиенвинилпиридинового приводит к увеличению ходимости шин на 10–30%.

И. Шмурак
23431 П. Способ получения уплотнительной пасты для камер. Хайд, Браун (Verfahren zur Herstellung einer Dichtungspaste für Luftschläuche. Hayd Lorenz, Braun Franz). Пат. ФРГ 954633, 20.12.56

В деревянных баках, в дистил. или кипяченой воде, замачивают просеянную пробковую муку (диаметр частиц 0,3–3,5 мм). После перемешивания (1 час) и набухания (24 часа) содержимое баков подают в мешалку, куда после 10 мин. перемешивания постепенно добавляют каучуковую крошку (из невулканизованного НК), затем трагант и глюкозу, холодный казеиновый клей, жидкий мягчитель и сажу, а под конец консервирующее в-во. После введения каждого из ингредиентов перемешивают 10 мин. Пример рецепта (в вес. ч.): пробковая мука 5–10, невулканизованный каучук 15–25, дистил. вода 4–7, трагант 5–8, глюкоза 6–10, казеиновый клей (жидкий) 10–15, антифриз 8–12, жидкий мягчитель 3–6, сажа 2–5, консервирующее в-во 1–2.

М. Монастырская
23432 П. Конвейерные ленты. Маршалл (Conveyor belts. Marshall D. D.) [Greengate & Irwell Rubber Co., Ltd.]. Англ. пат. 736997, 21.09.55

Конвейерная лента состоит из ряда слоев, пропитанных фрикционными составами на основе НК или невоспламеняющихся синтетич. каучукоподобных материалов, напр. сополимеров бутадиена со стиролом или акрилонитрилом, и заключенных в невоспламеняющуюся внешнюю оболочку из поливинилхлорида или сополимеров винилхлорида с винилацетатом или винилиденхлоридом, которая может содержать пластификатор, напр. трикрезилфосфат. Каркас ленты может состоять из слоев хлопчатобумажных, вискозных, нейлоновых или других синтетич. волокон, заключенных в оболочку из ткани, покрытой снаружи невоспламеняющимися, а изнутри — фрикционным составом, причем внешний слой может быть нанесен до или после вулканизации. Для улучшения адгезии можно применять изоцианаты и резорцинформальдегидные смолы.

В. Пахомов
23433 П. Способы и устройство для получения ячеистой резины (Verfahren und Vorrichtung zur Herstellung von Zellkautschuk) [Gerhard Saffran]. Пат. ГДР 12613, 2.02.57

Пористую резину получают при вулканизации резиновой смеси, содержащей порообразователи, выделяющие N_2 . Вулканизацию ведут в прессе в две стадии. Сырую пластину перекладывают тканевыми прокладками, пропитанными мыльным р-ром, и закладывают между пресс-рамками. В течение 90 сек. дают давл. 20 kg/cm^2 при 140°; затем пресс несколько раскрывают, происходит вспенивание, и немедленно в пространство между рамками и плитой пресса вдвигают горизонтальные распорные клинья, создающие боковые уплотнения. Последующая вулканизация идет 180 сек. при 0,5 kg/cm^2 . Окончательное выполнение объема происходит при освобождении резины из пресса.

М. Монастырская
23434 П. Новый эластичный материал и его применение. Корбери (Nouveau matériau élastique et ses applications. Corbery René-Didier-Jean). Франц. пат. 1117261, 22.05.56

Губчатый эластичный материал в виде листов, лент

и др. и готовые изделия: матрацы, подушки, сидения, подошвы, стельки и др., получают пропиткой текстильных нитей и отходов (натуральных или синтетич.), и смешением их с латексами, НК, СК, синтетич. смолами и др. продуктами, способными давать при соответствующей хим. или физ. обработке материал ячеистой структуры; нити и другие текстильные компоненты могут находиться в этом материале в виде ориентированных, рядов или в беспорядочном состоянии.

Ю. Марголина
23435 П. Способ изготовления жестких или гибких резиновых печатных форм. Ведекинд (Verfahren zur Herstellung starrer oder biegsamer Kautschukdruckformen. Wedekind Karl) [Metallgesellschaft A.-G.]. Пат. ГДР 12683, 25.02.57

Невулканизованную каучуковую пленку накладывают на несущую плиту из металла или пластмассы, привулканизация происходит одновременно с тиснением рисунка или шрифта. Крепление резины к металлу осуществляют также через наложение промежуточных слоев из каучука или пластмасс и различных связующих в-в: хлоркаучук с гемоглобином в дисперсии НК или СК, хлорированные сополимеры бутадиена и стирола или акрилонитрила, высокохлорированный поливинилхлорид, полихлоропрен, полиизоцианаты; эти же в-ва можно вводить непосредственно в основную резиновую смесь. Каучуковую пленку можно наклеивать на гальванич. покрытие.

М. Монастырская

См. также: Полиэтилен, строение 23664, св-ва 23683. Полистирол, строение 23661. Полимеризация 23697, 23670. Кель-Ф, изменение структуры при термообработке 23659, кристалличность 23678. Полиакрилонитрил 23670. Сополимеризация акрилонитрила и стирола 23698. Сополимеры акрилонитрила, св-ва 23684. Действие ионизирующих излучений, света, тепла 23706, 23708, 23711. Окисление вулканизатов НК 23715. Озонирование дивинилового каучука 23714. Окислительное разложение озонида На-дивинилового каучука 23713. Вулканизация 23712. Вязкость GRS 23689. Влагодонная проницаемость пленок из синтетич. материалов 23689. Окраска каучука 23219. Каучукоподобные массы для уплотнителей 23276

ИСКУССТВЕННЫЕ И СИНТЕТИЧЕСКИЕ ВОЛОКНА

Редактор В. А. Деревницкая

23436. Химия синтетических волокнообразующих веществ. Хенке (Chemie schafft Stoffe. Henke R.), Schweiz. Maschinenmarkt, 1957, 57, № 33, 63—66 (нем.)

Популярное изложение методов синтеза волокнообразующих полимеров и формования из них волокон.

В. Деревницкая
23437. Вискозиметрические свойства растворов полиакрамоида в концентрированной серной кислоте. Давыдов (Über das viskosimetrische Verhalten von Polycapromidlösungen in konzentrierter Schwefelsäure. 2. Mitt. Dawydoff Wladimir), Faserforsch. und Textiltechnik, 1957, 8, № 7, 267—274 (нем.; рез. русск., англ.)

Для проведения вискозиметрич. исследований в качестве р-рителей полиамидов чаще всего применяют м-крезол, HCOOH и конц. H₂SO₄ (I). Преимуществом работы с химически чистой I (96%) является гарантированное содержание воды в к-те ≤ 4%; однако в этом случае возможно искажение результатов вследствие быстрой деструкции полиамида. С целью опре-

деления пригодности конц. I в качестве р-рителя для вискозиметрич. целей исследованы разб. р-ры полиакрамоида в конц. I. Такие р-ры при хорошем темперировании и строгом выдерживании т-ры при замерах с точностью ± 0,2° дают хорошо воспроизводимые значения для относительной вязкости. Величина относительной вязкости возрастает с повышением конц-ии I, обнаруживая линейную зависимость в пределах 92—96,5%, что делает возможными соответствующие пересчеты. В некоторых случаях для очень разб. р-ров наблюдается полиэлектролитич. эффект, который можно объяснить частичной ионизацией амидогрупп в молекуле полиамида. Многочисленные опыты показали высокую устойчивость при хранении р-ров полиакрамоида в конц. I, которая уменьшается с повышением степени полимеризации и при удалении низкомолекулярных фракций. Полученные результаты сопоставлены с аналогичными данными других исследователей. Ч. I. см. РЖХим, 1955, 15377.

Р. Нейман

23438. К вопросу о реакционной способности вискозной целлюлозы. Роговин З. А., Бум. пром-сть, 1957, № 7, 2—5

Рассматривается связь реакционной способности (РС) целлюлозы (I) к вискозобразованию с различными ее показателями. Подчеркнута необходимость учитывать все факторы, которые влияют на РС I: однородность по мол. весу (микронеднородность) и по длине волокон (макронеднородность), условия произрастания I-содержащих материалов и выделения из них I (морфологич. и анатомич. неоднородность) и неоднородность структуры. Для этого необходима разработка дополнительных методов характеристики I. Автор считает, что для повышения РС I к вискозобразованию необходимо, чтобы I была однородна по мол. весу и не содержала низкомолекулярных и высокомолекулярных фракций; из препаратов I должны быть удалены короткие волокна (мелочь), обладающие низкой РС. При получении I, а иногда дополнительной обработкой, необходимо обеспечить возможно полное разрушение первичной клеточной стенки и прочных связей между макромолекулами.

В. Деревницкая

23439. Волокна из поливинилового спирта. Сакурада (Textilfasern aus Polyvinylalkohol. Sakurada Ichiro), Textil-Rundschaу, 1956, 11, № 8, 451—458 (нем.)

Описаны условия получения поливинилового спирта (I) формования из I волокна винилон (В) и последующей обработки волокна (ацеталирование, термообработка) и его свойства. В имеет влагопоглощение 3,5—7%, дает усадку в горячей воде на 2—3%. Т-ра размягчения В в сухом состоянии в пределах 210°, в мокром 110°. Модуль эластичности В достигает 250—1100 кг/мм², вискозного волокна 900, ацетатного 400, дакрона 200—400, найлона 140 кг/мм². По остальным свойствам винилон не отличается от других синтетич. волокон. В окрашивается субстантивными, кислотными, хромовыми красителями, дисперсионными и азокрасителями, оно устойчиво к хим. реагентам, устойчивость к к-там выше, чем у найлона. Приведены методы хим. модификации В путем обработки его вместо СН₂О другими альдегидами, диальдегидами и их производными, напр. Ванилон С получается при взаимодействии волокна из I с хлорацетальдегидом. Винилон АН получают обработкой винилона С аммиаком или аминами, напр. этилендиаминном, это придает волокну сетчатую структуру. Винилон АН имеет т. размягч. 110—140°, окрашивается кислотными красителями. Волокно винилон S получают ацеталированием волокна из I ацеталилсульфидом (СН₃О)₂—СН—СН₂—С_x—СН₂—СН—(ОСН₃)₂, где x = 1, 2, 4. Т-ра

размягчения после ацеталирования повышается с 110 до 130°.

23440. Сравнительные данные о продолжительности реакций в некоторых аппаратах непрерывного действия при изготовлении вискозного волокна. Келбасинский, Кашицкий (Porównanie rozrzu- tu czasów reakcji w niektórych aparatach przemysłu włókien wiskozowych przy pracy ciągłej. Kiełba- siński W., Kaszycki A.), Przem. chem., 1957, 13, № 5, 249—256 (польск.)
Библ. 4 назв.

23441. Приготовление щелочной целлюлозы в лабо- раторных условиях способом непрерывного измель- чения при ее обработке. Шер, Маффат (Labora- tory preparation of alkali cellulose according to the slurry steeping-continuous shredding process. Schur Milton O., Muffat Peter C.), Tappi, 1955, 38, № 10, 588—592 (англ.)

23442. Влияние условий прядения на тонкую струк- туру вискозного шелка. Мукояма, Цуда (ビスコ- ー紡糸条件によるレーヨンの内部構造の變化. 向山定孝, 津田誠三), 纖維學會誌, Сэнгэ гаккайси, J. Soc. Text. and Cellulose Inds. Japan, 1957, 13, № 5, 318—321 (японск.; рез. англ.)

Для вискозных волокон, сформованных в осадит- ельной ванне, содержащей от 6% до 8% H_2SO_4 , и от 0 до 6,5% $ZnSO_4$ (I), определены набухание, форма поперечного среза и плотность ориентационной рубашки (с помощью прокрашенных микросрезов). При уменьшении содержания I наблюдается частичное нарушение ориентационной рубашки, при этом набу- хание волокна увеличивается. С увеличением содер- жания I в ванне плотность ориентационной рубашки волокна возрастает и площадь ее увеличивается, так что она заполняет почти все сечение волокна, набу- хание волокна при этом уменьшается. С изменением концентрации H_2SO_4 и I в ванне получаются волокна с различной формой поперечного среза. А. Пакшвер
23443. Определение общего содержания серы в виско- зе. Демус (Zur Gesamt-Schwefelbestimmung in Viskose. Demus Heinrich), Faserforsch. und Textiltechnik, 1956, 7, № 6, 268—275 (нем.; рез. русск., англ.)

Подробно описаны различные методы определения S в вискозе и приведены сравнительные данные, по- лученные этими методами.

23444. Приготовление волокон из небольших объемов растворов белков. Хьюман (The preparation of fibers from small quantities of protein solutions. Huma n J. P. E.), Text. Res. J., 1956, 26, № 6, 439—440 (англ.)

На спец. изготовленном лабор. приборе, позволяю- щем работать с объемами р-ров в 0,5—1 мл, были исследованы р-ры фракций А—F шерсти, полученные по методу Гилдеспи и Леннокса (см. РЖХим, 1957, 22085Bx). К навеске каждой фракции в 0,2 г добав- лили 1 мл воды, каплю 0,1 M тиогликолевой к-ты и каплю 5 M КОН, а затем полученные р-ры после фильтрования пропускали через прибор, применяя в качестве осадительной ванны р-р 270 г H_2SO_4 и 600 г Na_2SO_4 в 1830 мл воды. Выявлено, что регенерирован- ные нити можно получить только из фракции В и (значительно менее прочные) из фракции С. Это сов- падает с результатами Харрапа (см. РЖХим, 1957, 9292Bx), установившего для названных фракций большую сравнительно с остальными величину мол. веса.

23445. Об удлинении штапеля из поликапроамида. Фрицше, Радиг (Zur Dehnung von Polycap- roactam-Stampelfasern. Fritzsche Ehrhard, Ra- digk Rudolf), Faserforsch. und Textiltechnik, 1957, 8, № 8, 302—309 (нем.; рез. русск., англ.)

Исследована возможность получения штапельного волокна из поликапроамида с пониженным удлине- нием. Установлено, что обработка паром при 100—120° приводит к снижению удлинения на 5—10% без по- вышения кратности вытяжки за счет фиксации. Удли- нение может быть понижено еще на 10—15% повы- шением кратности вытяжки при термогидрообработке. Дальнейшее снижение удлинения (до 30—40%) дости- гается при усадке и сушке волокна на жесткой па- ковке. Другие методы обработки: горячим воздухом, ИК-лучами, ВЧ-обогрев — не дают положительных ре- зультатов. Рассмотрено влияние удлинения штапеля на качество готовых изделий.

23446. Защита полиамидных волокон против дей- ствия активного кислорода. Дитмар, Науйоке (Schutz von Polyamidfasern gegen den Angriff von Aktivsauerstoff. Dithmar K., Naujoks E.), Mel- liand Textilber., 1957, 38, № 8, 904—910. Diskuss. 910, 911 (нем.; рез. англ., франц., исп.)

При отбелке полиамидных волокон H_2O_2 наблю- дается разрушение волокна. При добавлении опреде- ленных кол-в серной, щавелевой, соляной или уксу- ной к-т или некоторых их солей разрушение волокна при отбелке H_2O_2 не наблюдается. При отбелке H_2O_2 при высоких т-рах (90°) разрушение волокна без до- бавки защитных в-в может достигнуть после 50 обра- боток 18—65%. Наиболее эффективным средством оказался «Провентин». Добавление 0,15 г/л провенти- на к отбелочной перекисной ванне значительно умень- шает потерю разрывной прочности волокна даже при многократной отбелке при высоких т-рах. Приведены рецепты отбелики полиамидных волокон с помощью перекисей и даны условия применения различных ма- рок провентина.

23447. Синтетическое полиэфиное волокно терилен. Павлов Н. Д., Козырева З. М., Каучук и ре- зина, 1957, № 9, 36—39

Обзор. Библ. 16 назв.
23448. Дальнейшее развитие производства перлона и новые данные о полиэфином волокне тревира. Еле (Die weitere Entwicklung des Perlons und neuere Erkenntnisse auf dem Gebiet der Polyester- Faser Trevira. Jehle K.), Kautschuk und Gummi, 1957, 10, № 4, WT97—WT99 (нем.)

Рассматриваются свойства перлона и факторы, влияющие на его прочность, термостойкость, вытяж- ку. Описываются свойства немецкого полиэфиного волокна тревира (I) из полиэтилентерефталата. Тех- нич. данные I: уд. в. 1,38, разрывная прочность 7 г/дене, удлинение 10—12%, т. пл. 257°, поглощение влаги при 30° и 65% влажности 0,4%. Стойкость I к многократному изгибу (150 000) вдвое меньше, чем у перлона. I предполагают применять в произ-ве рука- вов, транспортных лент, клиновидных ремней и др.

23449. Проблема качества искусственных белковых волокон. Вронский (Zagadnienie jakości sztucz- nych włókien białkowych. Wroński W.), Przem. chem., 1957, 13, № 4, 199—204 (польск.)
Библ. 19 назв.

23450. Набухание и растворение волокон. Зоркин (Quellen und Lösen von Fasern. Sorkin M.), Textil- Rundschau, 1957, 12, № 5, 249—258 (нем.)

Приведены эксперим. данные, характеризующие растворимость и набухание (по центрифугальному ме- тоду) различных волокон (В) в воде и ацетоне. Из ве- личин набухания вычислен объем пор в сухом и влаж- ном В (набухание определялось соответственно в ацетоне и в воде). Объем пор на 100 мл сухого В ко- ледблется в широких пределах и равняется при опре- делении в ацетоне от 26% для поливинилхлоридного В термовиль до 10% для хлопка и 2% для грилона.

При набухании в воде полученные величины объема пор значительно больше и равны: для хлопка 120—110%, для вискозного и медноаммиачного В ~ 100%, для орлона, перлона и терилена, стеклянного В 10%.

А. Пакишвер

23451. Эксплуатационные свойства целлюлозных волокон, окрашенных в массе. Вебер (Spinngefärbte Zellulosefasern, vom Verbraucherstandpunkt gesehen. Weber F.), Prakt. Chem., 1957, 8, № 7, 212 (нем.)

При крашении вискозных волокон в массе применяют кубовые красители, фталоцианины, нафтолрот — диазокрасители, азосоединения и графит. Оптимальная величина частиц красителя составляет 0,1—0,5 м. Светостойкость и прочность выкрасок очень высоки. Рассмотрены светостойкость различных красителей, а также изменение прочности волокон при введении красителей.

С. Зеликман

23452. Сравнительная инфракрасная спектрография коммерческих полиамидных волокон. Бурио (Spectrographie infra-rouge comparative des fibres polyamidiques commerciales. Bouriot P.), Bull. Inst. text. France, 1957, № 68, 7—13 (франц.; рез. англ.)

Исследование ИК-спектров в интервале 2—15 мк найлона, перлона и рильсана в виде тонких пленок, полученных из р-ров в HCOOH, дает возможность точно отличить эти волокна друг от друга.

С. Савина

23453. Воспроизводимость измерений степени полимеризации в куприэтилендиамине и набухания вискозного штапеля (Статистическая обработка результатов). Флёрн, Рейтцер (La reproductibilité des mesures de degré de polymérisation dans la cupriéthylènediamine et de gonflement sur la fibrane viscoise (Interprétation statistique des résultats). Fleury J. P., Reitzer M. Th.), Bull. Inst. text. France, 1957, № 68, 15—30 (франц.; рез. англ.)

Рассмотрены факторы, влияющие на воспроизводимость результатов измерения степени полимеризации (СП) и равновесного набухания штапельного волокна. Показано, что разница в результатах по определению СП получается главным образом вследствие колебаний вискозиметрич. измерений.

С. Савина

23454. Количественное определение содержания полиакрилонитрильных и полиэфирных волокон в их смеси с шерстью, хлопком, штапельным и медноаммиачным волокном. Фризер (Die quantitative Bestimmung von Polyacrylnitril- und Polyesterfasern neben Wolle, Baumwolle oder Zellwolle und Kupferspinnfaser. Frieser E.), Reyon, Zellwolle und and. Chemiefasern, 1957, 7, № 9, 623—627 (нем.)

Указаны названия полиакрилонитрильных (ПА) и полиэфирных (ПЭ) волокон, выпускаемых различными фирмами. Методы определения волокон основаны на их различной растворимости в органич. и неорганич. р-рителях. Шерсть растворима в р-рах КОН, ПЭ — в нитробензоле, ПА — в конц. фосфорной к-те, гидратцеллюлозные волокна — в смеси HCOOH с ZnCl₂. Определены: потеря второго компонента, ошибка определения; показаны преимущества и недостатки указанных методов.

С. Зеликман

23455. Об использовании изделий из хлоринированного волокна. Геллер Б. Э., Хим. пром-сть, 1957, № 5, 307—308.

Приведены области применения, условия эксплуатации и свойства хлоринированного волокна.

В. Деревницкая

23456. Новые смеси волокон в текстильной промышленности. Хейнер (Neue Textillegierungen. Heiner H.), Kunststoffe-Plastics, 1957, 4, № 1, 57—58 (нем.)

23457. Снятие электрических зарядов с одежды из синтетических волокон. Серван (La suppression des effets d'électrisation des vêtements en fibres

synthétiques. Servant Claude), Ind. text., 1957, № 849, 603—604 (франц.)

Белье из синтетич. волокон (найлона, орлона) электризуется при носке, вызывая неприятные ощущения. Для снятия зарядов изделия обрабатывают антистатич. средствами, которые не смыываются при стирке, напр. Zelec DX, DP фирмы Дюпон и др.

С. Савина

23458 П. Получение смесей полимеров на основе акрилонитрила. Крейг (Acrylonitrile polymer blends and process of producing them. Craig Alfred B.) [The Chemstrand Corp.], Пат. США 2749325, 5.06.56

Для получения смеси сополимеров, содержащей в каждом компоненте сополимер на базе акрилонитрила и другого винилового производного и пригодной для формования волокон, готовят смесь мономеров, содержащую $\geq 85\%$ акрилонитрила, $\leq 15\%$ другого моноолефина. Эту смесь вносят в водн. эмульсию сополимера, содержащего 20—80 вес.% винилпиридинового производного общей ф-лы $(CH_2=CH)-(R)C_5H_5N$, где R—H или алкил, содержащий 1—4 атома C, и 20—80% какого-либо алкилакрилата, алкилметакрилата, винилизопропенил производного ароматич. углеводорода, винилиденхлорида, метакрилонитрила, акрилонитрила и проводят полимеризацию в эмульсии сополимера в присутствии водорастворимого перекисного катализатора и прерывают, когда в полимеризацию вступило $\leq 75\%$ акрилонитрила. Полученный продукт содержит 2—10% первоначального сополимера. Напр., смешивают 50 г акрилонитрила и 50 г 2-винилпиридина в 125 мл воды, содержащей 2 г стеарата Na. К смеси добавляют 1 г водорастворимого катализатора в 25 мл воды. По окончании р-ции неполимеризованный мономер отгоняют, а стойкую эмульсию используют для приготовления смеси полимеров. 187 мл этой эмульсии смешивают с 700 мл воды и добавляют 285 г акрилонитрила, 15 г винилацетата и 0,6 г тиогликолевой к-ты. Одновременно в смесь вносят р-р 4 г K₂S₂O₈ в 150 мл воды. После окончания р-ции остаток мономеров отгоняют с паром. Готовый полимер после сушки содержит 6% винилпиридина и растворяется в диметилацетамиде. Полученные из таких полимеров волокна лучше окрашиваются.

А. Пакишвер

23459 П. Способ получения формованных изделий из термопластичных полимеров. Крессуэлл (Verfahren zur Herstellung von geformten Gebilden aus thermoplastischen Polymerisationsprodukten. Cresswell Arthur) [American Cyanamid Co.], Пат. ФРГ 940670, 22.03.56

Термопластичные полимеры, содержащие $>50\%$ акрилонитрила, напр. сополимер 90—95 вес.% акрилонитрила, и 10—5% метилакрилата или акриламида, с мол. в. 15 000—30 000, растворяют в конц. водн. р-рах ($\sim 60\%$ -ных) солей с сильно гидратированными ионами, напр. тиоцианата (конц-ей полимер ~ 7 —20%, лучше — 15%), продавливают подогретый до 60—100° р-р через фильеру в водн. осадительную ванну с т-рой $\leq +10^\circ$ (лучше от -15° до $+5^\circ$), и волокно вытягивают, преимущественно на $>100\%$, в горячей водн. ванне с т-рой 70—110°. Осажденный продукт в гелеобразном состоянии может быть обработан водн. р-ром смачивателя, напр. полигидроксилсоединений (различных многоатомных спиртов и других OH-содержащих соединений) с конц-ей 10—90%, лучше 30—50%; такая обработка ускоряет и улучшает крашение волокон ацетатными красителями.

М. Альбем

23460 П. Способ получения прядильных растворов из полиакрилонитрила или его сополимеров. Пирот (Verfahren zur Herstellung von Spinnlösungen

xt, 1957,
орлово)
ые ому-
батыва
отся пр
др.
С. Сави
а осине
polyme
Craig
т. США
кашей
лонитри
ригодной
номеров,
другого
ио сопо-
диного
H₂N, где
20—80%,
а, вына-
теводоро-
крилопи-
и сопо-
ексного
ризации
ый про-
олимера.
2-винил-
рата №.
катализ-
имеризи-
мульски
имерон.
ды и до-
детата
и есть вво-
кончания
Готовый
идина и
е из те-
н.
Пакшвер
издели
я (Ver-
iden aus
Cress-
nat. FRG
50% ак-
крило-
амида, с
н. р-рах
и пона-
20%, луч-
100° р-р
с т-рой
ытыва-
ди. ван-
леобро-
ром сма-
зличных
щих со-
; такал
волокна
Альба
аствор
ов. Па-
lösungen

aus Polyacrylnitril bzw. seinen Mischpolymerisaten. Pirot Ernst) [Vereinigte Glanzstoff-Fabriken A.-G.] Пат. ФРГ 941683, 19.04.56

Полиакрилонитрил или его сополимеры растворяют в смеси р-рителей, состоящей из нитрила гликолевой к-ты и диэфира общей ф-лы $\text{CH}_3(\text{CH}_2)_n\text{CO}\cdot\text{O}\cdot\text{CH}_2\cdot\text{O}\cdot\text{CO}(\text{CH}_2)_m\cdot\text{CH}_3$, где $n=0-2$. В полученных р-рах отсут- ствует нежелательное гелеобразование, затрудняющее прядение. Напр., 200 г полиакрилонитрила с вязкостью по Фикенчеру 85 суспендируют в 800 г смеси, состоя- щей из 80 вес.% нитрила гликолевой к-ты и 20 вес.% метилгликоляацетата при $\sim 15^\circ$. При перемешива- нии включается вакуум для удаления воздуха из дис- персии. Затем смесь в течение 1 часа нагревают до $110-115^\circ$, и продолжают перемешивание 1 час при этой т-ре. Полученный р-р применяют для сухого пря- дения. Нити в 2 ступени подвергают при нагревании вытягиванию в 8—10 раз и получают волокно с рав- номерным сечением и с высокой прочностью (40 раз- рывных к.м. при удлинении 7—8%). М. Альбам

23461 П. Производство синтетического волокна с высокой усадкой. Танияма, Иоснока, Имото (收縮性少なき合成繊維の製造法. 谷山雅一, 吉岡民雄, 井本立也) [東邦レーヨン株式会社, Хигасикуни раён кабусики кайся]. Японск. пат. 5566, 9.08.55

Виниловые волокна формируют в осадительной ванне, содержащей 1—5 г/л поверхностноактивного в-ва и мочевиноформальдегидную смолу. Напр., приготавли- вают при $\sim 20^\circ$ р-р 1 моля мочевины и 2 молей CH_2O и прибавляют NaOH до pH 8,0, нагревают при 65° 30 мин., при этом pH падает до 6,2. Получен- ный 37%-ный р-р смолы разбавляют водой до 5%-ной кон- ц-ции и добавляют 1 г/л поверхностноактивного в-ва. В приготовленной ванне при т-ре 19° формируют волокно из р-ра поливинилхлорида в тетрагидрофура- не. Сформованное волокно сушат теплым воздухом при 90° , а затем при 130° вытягивают. После этого во- локно погружают в р-р моющих средств (1 г/л, т-ра 80°) на 10 мин., при этом происходит усадка волокна. Ким Хван

23462 П. Сушка и термообработка волокна из поли- винилового спирта с помощью инфракрасных лучей. Сугихара, Тада, Хамада (ポリビニールアルコ- ル系合成繊維の赤外線に依る乾燥, 熱処理法. 杉原公 平, 多田義光, 浜田美治) [倉敷レイヨン株式会社, Кураики раён кабусики кайся]. Японск. пат. 2165, 30.03.55

Из известных методов сушки волокна (В): с по- мощью теплового воздуха, токов высокой частоты и ИК-лучами, сушка током высокой частоты неудобна тем, что требует дополнительного подогрева В теплым воздухом. Сушка только теплым воздухом продол- жительна. Применение ИК-лучей не требует прогре- ва теплым воздухом, но является продолжительной. Для сокращения времени сушки ИК-лучами в пря- дильный р-р прибавляют красители, которые окраши- вали бы В в черный, голубой, зеленый или красный цвета и обесцвечивались при последующих промыва- ниях, ацетилизации и отбелке В. Напр., из 15%-ного р-ра, куда вводят 0,02% красителя, формируют В 100 денье в 30%-ный р-р Na_2SO_4 . После прядения В сушат ИК-лу- чами, а затем ацетилируют в р-ре, содержащем 20% H_2SO_4 , 5% CH_2O и 5% Na_2SO_4 при т-ре $\leq 60^\circ$. При этом полностью исчезает окраска. Такая обработка не сни- жает качество В, а время сушки уменьшается на 45%. Ким Хван

23463 П. Способ производства матированных воло- кон, щетины, лент и других изделий из линейных полиамидов (Process for the production of delustred threads, fibres, bristles, ribbons and the like from linear polyamides) [Vereingite Glanzstofffabriken A.-G.] Англ. пат. 733007, 6.07.55

Смешивают линейные полиамиды с полистиролом в кол-ве 0,5—35% от веса полиамида и получают расп- лав для прядения. Полистирол распределяется в по- лиамиде в форме микрочастиц. Компоненты можно смешивать при совместном их расплавлении, добавле- нии одного компонента в расплав другого, смешении двух расплавов при пониженном, нормальном и повы- шенном атмосферном давлении в инертной среде. Напр., 10 кг поликапроамида с мол. в 15 000 и 1,5 кг по- листирола с мол. в. 180 000 совместно расплавляют. Экструзией получают полимер в форме лент, которые разрезают и формируют волокно из расплава. 10 кг по- лигексаметиленадипамада с мол. в. 16 000 и 1 кг поли- стирола с мол. в. 110 000 совместно расплавляют. Смесь отливается в полосы, которые режут и перера- батывают в штапельное волокно. Полученные волокна обладают высокой эластичностью. Б. Киселев

23464 П. Вытяжка синтетического волокна из поли- каприама при нагревании. Цуруга, Сэки (合成 ポリカブラミド繊維の加熱延伸法. 鶴田基弘, 關博之) [日本レイヨン株式会社, Нихон раён кабусики кайся]. Японск. пат. 3165, 12.05.55

В отличие от обычного метода вытяжки волокна между двумя роликами с различной окружной ско- ростью предлагается ввести третий промежуточный ролик с электр. обогревом. Т-ра этого ролика $40-100^\circ$, нагревание его до более высокой т-ры нецелес- ообразно. Время прохождения нити через промежу- точный ролик 0,01—1 сек. Ким Хван

23465 П. Производство искусственного волокна из вискозы (Production of artificial filaments, threads and fibres) [Courtaulds, Ltd]. Англ. пат. 730541, 25.05.55

Вискозное волокно без ориентационной рубашки по- лучается при прядении вискозы в осадительную ван- ну, содержащую H_2SO_4 и ZnSO_4 . К вискозе или осадит- ельной ванне добавляют 0,25—12,0 ммоль флуорес- цейна или его солей, напр. Na-соли. При этом возмож- но прядение молодых вискоз и получается волокно с уменьшенным набуханием и поглощением воды. А. Пакшвер

См. также: Полиэфиры 23208, 23286—23289. Поли- амиды 23295. Пр. гетероцепные полимеры 23296. Кар- боцепные полимеры 23270, 23278, 23684. Структура во- локон 23675, 23687. Анализ ксантогенатов 21230, 21231. Действие на организм CS_2 21954

ЦЕЛЛЮЛОЗА И ЕЕ ПРОИЗВОДНЫЕ. БУМАГА

Редактор А. П. Хованская

23466. Транспорт древесины к целлюлозным заводам и методы ее хранения. Клемм (Pulpwood trans- portation to the mill and methods of storage. Klemm K. H.), Paper Trade J., 1957, 141, № 33, 46—49 (англ.) Рассмотрены вопросы транспортировки древесины (Д) из леса к з-дам и хранения на складах, методы транспортировки Д к дефибрерам, вопросы снижения затраты рабочей силы и уменьшения потерь Д при указанных операциях. С. Иванов

23467. Перспективы производства торговой древе- сной целлюлозы. Теркотт (Outlook for market wood pulp. Turcotte Lawson P.), Paper Trade J., 1957, 141, № 11, 24—27 (англ.)

Рассмотрено состояние выпуска торговой древесной целлюлозы в США; указаны факторы, влияющие на него. А. Сафьян

23468. Опыт борьбы с пеной на целлюлозных заво- дах. Берк (General mill experience with foam. Bo- urke A.), Pulp and Paper Mag. Canada, 1957, 58, № 6, 146—148 (англ.)

Рассмотрены факторы, влияющие на пенообразование (рН, сезон работы, вид древесины), приспособления, использующие вакуум для деаэрации массы, пеноуничтожающие реагенты, в том числе спец. эмульсии, полуэмульсии или твердые в-ва, которые лишены недостатков применяемых в качестве пеногасителей керосина и мазута. А. Сафьян

23469. Производство древесной массы из щепы хвойных пород на предприятии фирмы Дيامонд. Отис (Diamond match applies groundwood-from-chip pulping to softwoods. Otis Bruce), Paper Trade J., 1957, 141, № 7, 36—38 (англ.)

В 1956 г. пущен второй опытный цех, вырабатывающий древесную массу из щепы (Щ). Древесину после окорки рубят в Щ, сортируют Щ и обрабатывают водой или хим. в-вами в открытом бассейне при атмосферном давлении, при нагревании змеевиком. Оттуда Щ непрерывно подают через бункер и электромагнитную ловушку в двухдисковый рафинер Бауэра. Размолотую Щ подают затем на вторую ступень рафинирования. В бассейне размолотую Щ разбавляют водой и направляют через напорный ящик в сортировку Коуэна. Отходы сортирования возвращают на первую ступень размолота. Отсортированная тонкая масса (М) проходит центрифуги и после сгущения поступает в произ-во. М применяют в композиции с обычной древесной массой (ДМ) для бумажного литья. Сопротивление М раздиранию и продавливанию почти равны соответственно показателям обычной ДМ. При обработке Щ щелочью и Na_2SO_3 прочность М и ДМ одинакова, белизна М снижается. С. Иванов

23470. Руководство по эксплуатации сульфит-целлюлозного завода, разработанное сульфитным комитетом технической секции канадской ассоциации целлюлозной и бумажной промышленности (Sulphite pulping operating manual, prepared by the Sulphite Committee, Technical Section, Canadian Pulp and Paper Association), Tappi, 1957, 40, № 4, A14, A16, A18, A22, A24, A26, A28, A30, A32, A34, A36, A40, A42, A44, A46, A48, A50, A52, A54, A58, A60, A62, A64, A66, A68, A70, A72 (англ.)

Руководство составлено для ознакомления рабочих и техников, начинающих работу в сульфит-целлюлозном произ-ве, с основными процессами и оборудованием этого произ-ва, расстановкой рабочих на отдельных участках и их обязанностями, с правилами по технике безопасности и т. п. Приведены самые общие сведения о процессе: о подготовке древесины, приготвлении щепы, сырой и варочной к-ты, варке, промывке, сортировании, отбелке, обезвоживании и сушке целлюлозы, а также по контролю произ-ва. М. Э.

23471. Нейтральная сульфитная варка целлюлозы при повышенном возврате. Чераджолли, Келлер, Чидестер (Cellulose al solfito neutro a resa elevata. Ceragioli G., Keller E. L., Chidester G. H.), Ind. carta, 1956, 10, № 11, 125—132 (итал.)

Проведены опыты варки древесины ели, осины и дуба в нейтр. или слабощелочном щелоке при повышенном возврате, достигавшем 75%. Для осины при возврате 51% расходовали на 1 т целлюлозы (Ц) 678 кг Na_2CO_3 и 178 кг S, и варка при 180° продолжалась 7 час.; при возврате 74% расходовали реактивов соответственно 144 и 29 кг, при длительности варки при той же т-ре 12 мин. При варке со слабощелочным щелоком механич. качества Ц заметно понижались в сравнении с применением нейтр. щелока при том же проценте возврата. Прочность сырой Ц из ели, дуба и осины возрастала с уменьшением возврата. Оптич. качества сырой и отбеленной Ц с уменьшением возврата заметно повышались, а расход Cl на отбеливание падал. Таким образом повышенный расход реактивов

и древесины при длительной варке компенсируется сокращением расхода Cl и повышением механич. и оптич. качеств Ц. З. Бобьяр

23472. Непрерывное производство целлюлозы на бумажной фабрике Канзаки. Гудуни (Kanzaki paper mill Ltd. installs continuous pulp mill. Goodwin R. G.), Tappi, 1956, 39, № 7, A187—A189 (англ.)

Пущена в эксплуатацию первая в Японии установка (У) непрерывного производства полуцеллюлозы I из лиственных пород. У имеет производительность 35—40 т/сутки, состоит из винтового питателя, четырех варочных труб и разгрузчика. Сваренную массу (М) выдувают в циклон, передают шнеком на конвейер и далее масса последовательно проходит дисковые рафинеры, бассейны, вакуум-фильтры, центробежные сортировки и 3-ступенчатые центрифуги. Процесс непрерывно контролируется автоматически. Варку производят смесью Na_2SO_3 и Na_2CO_3 (5:1) при давл. 12 атм и 186—188° при длительности варочного цикла 40—45 мин. Расход щелока 16,5%. Выход небеленой I 70—73%, беленой — 55% при белизне 83—84%. В смеси с 70% сульфитной хвойной целлюлозы после совместной 3-ступенчатой отбелки I идет для выработки высоко-ортных печатных, писчих и меловых бумаг. Бумага отличается прочностью, хорошим просветом, малой прозрачностью, хорошо удерживает наполнители. С. Иванов

23473. Исследование гемецеллюлоз, удаляемых при нейтральной сульфитной полухимической варке осины. Куик (A study of hemicellulose removed during a neutral sulphite semichemical cook of aspenwood. Quick Robert H.), Tappi, 1956, 39, № 6, 357—366 (англ.)

В начальных стадиях варки (В) осаждаемые из щелока (Щ) гемецеллюлозы (ГЦ) составляют 32% (из которых 60% типа полиуронидов) от общего кол-ва углеводов (I) и лигнина (II), содержащихся в древесине (Д), к концу В ~80% (из них 18% типа полиуронидов). При В удаляется ~42% ГЦ, растворимых в 5%-ном р-ре КОН (ГЦ-5), и ~23% ГЦ, растворимых в 16%-ном КОН (ГЦ-16), 7% устойчивой к щелочи целлюлозы (УЩЦ) (~18% от кол-ва I в Д) и ~43% всего II, содержащегося в Д; большая часть I и ГЦ-5 выделяются в интервале 90—180 мин. В процессе В средняя степень полимеризации (СП) ГЦ-5 слегка повышается, СП ГЦ-16 немного понижается, СП УЩЦ заметно увеличивается и увеличивается вязкость ГЦ, осаждаемой из Щ. Вначале В состав сахаров гидролизата Щ не одинаков с составом сахаров гидролизатов ГЦ-5 и ГЦ-16, но сближается с ним в процессе В. Изменение состава сахаров в гидролизатах устойчивой к щелочи целлюлозы в процессе В указывает на более тесную связь полисахаридов, содержащих галактозу, арабинозу и рамнозу, с II, а содержащих маннозу и частично ксилозу с устойчивой к щелочи целлюлозой. Почти одинаковое поведение I и ГЦ-5 в процессе В приводит к предположению о тесной связи I с ксиланом, из которого главным образом состоит ГЦ-5. Наблюдаемые СП указывают на малую вероятность разрушения коротких цепей в процессе В, но если оно происходит, то скорость их разрушения не более скорости извлечения из Д полисахаридов с длинными цепями. Свободные сахара, содержащиеся в Д, в указанных условиях варки разрушаются. Ю. Вендельштейн

23474. Отбелка. I. Хлорирование целлюлозы. Грангард (Bleaching I. The chlorination of pulp. Graa-gaard H.), Tappi, 1956, 39, № 5, 270—276 (англ.)

Установлено, что при хлорировании целлюлозы (Ц) избытком Cl расход Cl на р-цию окисления составляет, приблизительно, 40—70% от его общего потребления. При хлорировании сульфатной и сульфитной Ц с не-

высокими перманганатными числами кол-во израсходованного Cl находится в пределах r -ции окисления. Полагают, что растворимость лигнина в процессе хлорирования Cl связана с его окислением, а не с r -циями замещения, и что самый процесс хлорирования по существу представляет собой хлорирование лигнина, а не хлорирование Cl . Л. Михеева

23475. Новая 300-тонная отбелная установка корпорации Кроун Целлербах. Скопс (Crown Zellerbach's new 300-ton bleach plant. Sconce Robert), Paper Mill News, 1957, 80, № 35, 4—5 (англ.)

На одной из крупнейших в мире бумажных ф-к фирмы Кроун-Целлербах (в Камасе, штат Вашингтон) пущена в ход установка для отбеливания крафтцеллюлозы производительною 300 т в сутки. Г. Брахман

23476. О растворах комплекса Fe-винная кислота-Na с повышенной способностью растворения целлюлозы и их применение для определения средней степени полимеризации и распределения длины цепей. Яйме, Бергман (Über Eisen-Weinsäure-Natrium-Komplex-(EWN) - Lösungen von erhöhter Lösungskraft für Cellulose und ihr Einsatz zur Messung des Durchschnitts - Polymerisationsgrades (DP) und der Kettenlängenverteilung. Jaume Georg, Bergmann Wernner), Das Papier, 1957, 11, № 13-14, 280—287 (нем.; рез. англ., франц.)

При применении комплекса Fe-винная к-та-Na (K) для растворения целлюлозы (II) со средней степенью полимеризации (ССП) ~ 1900 найдено, что Cl с более высокой СПП также образует однородные r -ры в K при условии двухступенчатого растворения Cl : предварительного суспендирования Cl в более слабом r -ре K с последующим добавлением более конц. r -ра K. Получаемые r -ры устойчивы к O_2 воздуха, вязкость (В) их не меняется в течение 4 дней. Первый r -р содержит (в л) 300 г K, 1,0 н. NaOH (свободного) и 35 г свободного тартрата Na, второй r -р — 480 г K, 3,0 н. свободного NaOH и 25 г свободного тартрата. Описана методика определения В, приведены ф-лы для вычисления В и таблицы со значениями уд., приведенной и характеристич. В для 11 образцов Cl с СПП от 273 до 2802. Показана возможность применения указанных r -ров Cl для ее фракционирования осаждения глицеринном или его смесью с водой (1:1). Выделены 6 фракций Cl с СПП 600 при общем выходе Cl 97%. Н. Эвергетова

23477. Исследование реакции кислотных групп целлюлозы с основанием кристаллвиолета. Ребек, Клаус, Баумгартнер (Untersuchung der Reaktion der sauren Gruppen in der Cellulose mit der Kristallviolettbase. Rebek Marius, Klaus Kurt, Baumgartner Hans), Das Papier, 1956, 10, № 5-6, 91—97 (нем.; рез. англ., франц.)

Изучена возможность применения основания кристаллвиолета (I) для исследования реакционной способности древесных целлюлоз (II) и хлопка. Выбор I в качестве реактива обоснован превращением псевдооснования в I только группами с определенной мяннм. кислотностью, возможностью определять свободные COOH, наряду с этерифицированными и ангидридными группами, проведением r -ции в безвод. среде, следовательно исключением влияния гидролиза под действием щелочей, извлекаемых из стекла. В качестве r -рителя выбран бэл., колич. определение I проводили микрометодом Кьельдаля: баланс N в Cl исходной, окрашенной, в Cl после окрашивания и вымывания I спиртом и в экстракте I сходилась удовлетворительно. Из окрашенной Cl I вымывали спиртом. Найдены оптимальные условия времени и кол-ва I при обработке им Cl . Состав образца Cl : α - Cl 84,2%, степень полимеризации 908, зола (карбонаты) 0,357%, степень размола 13°ШР , лигнин отсутствовал. Показана

возможность применения метода для образцов Cl с разным содержанием золы. Для выяснения возможности определения кислотных групп в инклюдированной Cl исходный образец Cl обрабатывали 10%-ной CH_3COOH , воду и CH_3COOH удаляли ацетоном, последний вытесняли бэл. Определение кислотных групп в таком препарате Cl с помощью I хорошо совпало с определением методом Вебера (BaCl_2).

Ю. Вендельштейн
23478. Изучение фосфорнокислых эфиров целлюлозы. I. Получение фосфорнокислых эфиров целлюлозы путем обработки целлюлозы мочевиной и фосфорной кислотой. Кацуура, Нонака. II. Термостойкость фосфорнокислых эфиров целлюлозы. Кацуура (リン酸纖維素の研究. 第1報. 尿素, リン酸によるリン酸纖維素の製造. 勝浦嘉久夫, 野中茂男. 第2報. リン酸纖維素の熱安定性. 勝浦嘉久夫), 纖維學會誌, Сентэй гаккайси, J. Soc. Text. and Cellulose Ind. Japan., 1957, 13, № 1, 24—30 (японск.; рез. англ.)

1. Изучено влияние молярного соотношения между мочевиной (I) и фосфорной к-той (II), давления, t -ры и продолжительности предварительной сушки на процесс этерификации целлюлозы (III) фосфорной к-той. При оптимальном соотношении I:II получаются фосфорнокислые эфиры целлюлозы (ФЭЦ) высокой степени этерификации. При постоянном соотношении между I и II более высокая t -ра и меньшая продолжительность r -ции способствуют меньшей деструкции и большей реакционной способности Cl . Скорость r -ции мала и при трехкратной этерификации были получены ФЭЦ, содержащие только 9,03% связанного фосфора в виде двухосновной эфирной группы. Полученные образцы ФЭЦ нерастворимы в воде и разбавленных водн. r -рах NaOH и имеют волокнистую структуру. Присутствие поперечных связей не установлено. Разложение аммонийной соли ФЭЦ при нагревании происходит значительно медленнее, чем термическое разложение Cl . Хотя ФЭЦ обугливается при непосредственном введении его в пламя, но горение прекращается после удаления ФЭЦ из пламени. Термостойкость тем выше, чем выше степень этерификации ФЭЦ.

2. При равной степени этерификации ФЭЦ, обладающие наибольшим мол. весом, имеют более высокую термостойкость. Аммонийная соль ФЭЦ обладает большей термостойкостью, чем Na-соль.

Ю. Васильев
23479. О мокром сжигании органических веществ посредством йодной кислоты. Характеристика продуктов окислительного расщепления целлюлозы. Клейнерт, Винкор (Zur Kenntnis der Naßverbrennung organischer Substanzen mittels Jodsäure. Ein Beitrag zur Charakterisierung von Produkten der oxydativen Celluloseabbaues. Kleinert Theodor N., Wincor Wilhelm), Holzforschung, 1956, 10, № 3, 80—82 (нем.; рез. англ.)

Описан простой метод определения степени окисления окисленных целлюлоз (II) мокрым сжиганием посредством смеси йодата калия с серной к-той. Установлено, что в древесной Cl γ -целлюлоза обладает более высокой степенью окисления, чем β -целлюлоза. При предсозревании цел. Cl происходит дополнительное окисление растворимой в щелочи части Cl .

В. Высотская
23480. Изучение лигнина и родственных продуктов. XI. Дальнейшие исследования по выделению соединений из окисленных смесей лигнина методом хроматографии. Перл, Бейер (Studies on lignin and related products. XI. Further studies on the isolation of compounds from lignin oxidation mixtures by chromatographic techniques. Pearl Irwin A.,

Beuer Donald L.), Tappi, 1956, 39, № 3, 171—177 (англ.)

При окислении окисью меди в щел. среде сульфитного щелока (I), предварительно обработанного бихроматом натрия в смеси с H_2SO_4 , получено 24 продукта, выделенных из эфирного экстракта. Хроматографически идентифицированы: ванилин, ванилиновая к-та, 5-карбоксиванилин, 5-карбоксиванилиновая к-та, ацетованилон. Структура остальных не определена. Аналогичные продукты примерно в равных соотношениях выделены и из необработанного I. Сообщение X см. РЖХим, 1957, 36033. М. Чудаков

23481. О щелочном разложении лигносульфонокислот из ДГП Фрейденберга и нативного лигнина Браунса. Крацль, Хофбауэр (Über den alkalischen Abbau von Ligninsulfosäuren aus Freudenbergs DHP und Brauns Nativ-Lignin. Kratzl K., Hofbauer G.), Monatsh. Chem., 1956, 87, № 5, 617—624 (нем.)

Для обнаружения сходства между препаратами ДГП (дегидрополимеризат по Фрейденбергу, полученный энзиматич. дегидрированием кониферилового спирта), нативным лигнином Браунса (БНЛ) и лигносульфонокислотой, полученной сульфитной варкой еловой древесины, применялась характерная р-ция щел. расщепления сульфированных продуктов (ДГП и БНЛ) с выделением ванилина + ацетальдегид и ацетованилона + формальдегид. При щел. обработке сульфированного и несulfированного ДГП образуются ацетальдегид и ванилин, ацетованилон и формальдегид примерно в таких же кол-вах, как при соответствующей обработке сульфированного и несulfированного БНЛ. После сульфирования выход указанных продуктов повышается в несколько раз. Таким путем установлено сходство между БНЛ и ДГП. М. Чудаков

23482. О кислотных группах лигнинов. Линдберг, Экман (On the acidic groups of lignins. Lindberg J. J., Ekman K. H.), Suomen kem., 1956, 29, № 2, B20—B22 (англ.)

Сопоставлены методы определения слабых (феонольного характера) и сильных (карбоксильных) кислотных групп с помощью ацетата Са (метод А) и потенциометрич. титрованием (метод В) в различных лигнинах (I): в NaOH-I, дигидрированном при 100°, в сульфатном I, дигидрированном при 100°, в технич. сульфатном I, осажденном HCl, в I Вильштеттера (HCl) и в I, обработанном тиогликолевой к-той (II). Результаты по методам А и В хорошо совпадали. Показано, что взаимодействие реагентов в методе А связано с истинным ионообменом кислотных групп, а не физ. адсорбцией. При прямом титровании водно-спирт. р-ра II происходило резкое изменение pH в эквивалентной точке. У исследованных I эта точка была мало или совсем не выражена, что указывает на различие сильно кислотных групп в II с таковыми в I. Сильно кислотные группы во всех исследованных I имели карбоксильный характер и приблизительно одинаковую силу. Ю. В.

23483. Производство чистых органических продуктов из отходов целлюлозного производства. Перл (Manufacture of pure organic chemicals from chemical pulping wastes. Pearl Irwin A.), Forest Prod. J., 1956, 6, № 12, 505—507 (англ.)

Отходы произ-ва целлюлозы (Ц) рассматриваются как дешевое сырье, которое может частично заменить природные уголь и нефть для хим. пром-сти органич. в-в. Отработанные щелока щел. варки Ц являются источником получения сахариновой к-ты — полупродукта произ-ва дезоксирибозы и нуклеиновых к-т и таллового масла (ТМ), состоящего из фракции ~45% смоляных к-т (ФСК), фракции ~45% жирных к-т

(ФЖК) и ~10% нейтр. в-в. Из ФСК выделяют индивидуальные СК или используют ФСК для синтеза эфиров СК, полимерных абиеиновых к-т, гидрированной какифоли, дегидро- и тетрагидроабиеино-вых к-т, смеси жирных ненасыщ. C_{18} -кислот типа высыхающих масел, превращаемых гидрогенизацией в стеариновую к-ту и ее новые производные (хлориды, амиды, нитрилы и т. п.). Из ФЖК могут быть получены заменители технич. жиров. Неомыляемую фракцию ТМ используют для получения стероидоподобных в-в типа витаминов или гормонов. Углеводные компоненты сульфитных щелоков (СЩ) перерабатывают в спирт, молочную к-ту, ацетон, бутанол, уксусную к-ту, глицерин, кормовые дрожжи. Проблема загрязнения водоемов СЩ частично решается заменой Са-щелока магниевой, что дает возможность сжиганием СЩ регенерировать SO_2 в Mg-основание. Из СЩ получают ванилин, гваянол, ацетованилон, сириновый альдегид и сириновую к-ту, 5-карбоксиванилин, ванилдил и большое число производных гваякола и сиринового радикала. Из СЩ от переработки хемлока экстракцией несмешивающимися с водой р-рителями выделяют продукт конденсации, диметилированием которого получают ценный антиокислитель для жиров, масел и других материалов. Прямым окислением Л может быть получена в значительном выходе ванилиновая к-та, используемая для синтеза ее производных, напр. этилваниллата, пригодного для консервирования пищевых продуктов и применяемого как медицинское средство против грибных инфекций кожи и других микозов. Из конденсата газов при крафт-варке хвойных выделяют сульфатный скипидар в кол-ве ~10 кг на 1 т Ц, большая часть которого состоит из n -цимол и небольших кол-в дипентенов, борнеола и сесквитерпенов. n -Цимол может быть в промышленном масштабе превращен в куминовую к-ту, диметилтоликарбинол, метилацетофенон и метилстирол. Л. Михеева

23484. Опыты в Ковингтоне варки целлюлозы в непрерывно действующих аппаратах. Лавинг (Covington's experience with continuous pulping. Loving James M.), Paper Mill News, 1956, 70, № 12, 48, 52; Paper Ind., 1956, 37, № 10, 933, 942 (англ.)

Установка для непрерывной варки твердой древесины для получения целлюлозы состоит из реакционной камеры в виде двух труб diam. 1016 мм, длиной каждая 9150 мм и питателя типа ротационного вентили. Продолжительность варочного цикла — 21 мин. Из реакционной камеры щепу транспортируют в котел diam. 305 мм к дефибратору, из которого массу выдувают в спеку и далее обрабатывают на 2 рафинерах Сатерланда с diam. дисков 1220 мм до получения массы жирностью 750 cm^3 канадских единиц. Производительность установки 4 т/час. Выход целлюлозы составляет 75% к абсолютно сухой древесине. Расход энергии на рафинирование — 16 л.с. на 1 т бумаги на бумфабрике и ~2 л.с. на 1 т на целлюлозном з-де. Расход хим. в-в — 6,75% Na_2O к воздушно-сухой целлюлозе. Описаны конструктивные особенности реакционных камер и питателей первых типов установок. А. Сафарян

23485. Выбор привода для рубильной машины. Осборн (The selection of chipper driven. Osborne M. I.), Tappi, 1955, 38, № 7, 424—429 (англ.)

Приведены данные и ф-лы для расчета и выбора привода (П) к рубильной машине (РМ). Максимально-возможная нагрузка РМ обеспечивает нормальную работу привода. На работу П оказывают влияние угол наклона и острота ножей, наличие в

форма фаски, вид древесины и содержание в ней влаги, размеры баланса и щепы и т. п. П с ременной передачей обеспечивает более нормальную работу РМ, чем установка мотора на валу машины. М. Б. 23486. Причины порчи влажных суконов. Фолц (Why wet felts deteriorate. Foltz Thomas R.), South Pulp and Paper, Manufacturer, 1957, 20, № 8, 98, 100, 109, 114 (англ.)

Рассмотрены факторы, обуславливающие продолжительность службы суконов (С) (влияние щелочей, окислительных и восстановительных средств, микробиологич. воздействий и механич. факторов). Приведены данные о влиянии на загрязнение С различных добавок в роиллы, а также описаны причины изменения С от действия т-ры. Для увеличения срока службы С предложены мероприятия по хранению С и уходу за ними. А. Сафьян

23487. Модификация метода Кюршнер—Хоффера для серийных определений содержания целлюлозы в древесине и однолетних растениях. Шорнинг, Якоби (Über eine modifizierte Kürschner-Hoffer Methode zur Durchführung von Serienbestimmungen des Cellulose-Gehalts in Hölzern (vorzugsweise Pappelholz) und in Einjahrespflanzen. Shorning Paul, Jascorian Vazgen), Faserforsch. und Textiltechnik, 1956, 7, № 5, 193—199 (нем.; рез. русск., англ.)

Авторы излагают результаты своих опытов по разработке сходной с методом Красовской и Никитича модификации метода Кюршнер—Хоффера для быстрого макро- и полумикроопределения содержания целлюлозы, практически примененного ими к тополе, буковой, ивовой и еловой древесине и с леме. Г. Брахман

23488. Растворимость двуокиси серы в воде и серной кислоте. Паркисон (The solubility of sulphur dioxide in water and sulphuric acid. Parkison Robert V.), Tappi, 1956, 39, № 7, 517—519 (англ.)

Исследована растворимость SO_2 (I) в воде и р-рах H_2SO_4 с целью выявления возможности регенерации I из дымовых газов печи для сжигания отработанного пирола. Определение равновесной растворимости I проводилось в спец. приборе путем применения динамич. метода с барботированием газа через жидкость. Приведены данные растворимости I при различном парц. давлении при 10, 21 и 32°. А. Сафьян

23489. Определение потери соды в известковом шламе. Лариви (Determination of soda loss in lime mud. Larivee J. W.), Tappi, 1956, 39, № 1, A140—A141 (англ.)

К 40 г исследуемого шлама добавляют холодную воду по 20 мл на каждый г навески, размешивают в течение 1 часа. В 100 мл фильтрата титрованием 0,1 н. HCl определяют общую щелочность; в 25 мл фильтрата определяют CaO титрованием р-ром Na_2CO_3 ; результаты выражают в Na_2O и, вычитая из общей щелочности, находят истинное содержание Na_2O . Длительность анализа 10 мин. Г. Брахман

23490. Пропитывание и заделка волокон целлюлозы в препараты для электронной микроскопии. Асунмаа (Impregnation and embedding of cellulose fibres for electron microscopy. Asunmaa Saara), Svensk papperstidn., 1956, 59, № 15, 527—530 (англ.; рез. шведск., нем.)

Описан метод приготовления препаратов из пропитанных металлом и высушенных волокон целлюлозы для электронной микроскопии. Предварительная обработка бензолом высушенного волокна (с целью разрушения структуры) способствует равномерному проникновению мономера бутилметакрилата, затем достигают полимеризации обычными методами. До-

ступные в морфологич. отношении части клеточной стенки изображаются на снимках как обогащенные металлом участки. Библ. 30 назв. В. Высотская

23491. Процесс сортирования волокнистых суспензий. I. Стенберг, Кубат (Sortieren von Faserstoffsuspensionen. I. Steenberg Börje, Kubát Josef), Das Papier, 1956, 10, № 5-6, 83—88 (нем.; рез. англ., франц.)

Процесс излагается с учетом особенностей сортирования волокнистой массы различной конц-ии. Рассмотрено равновесное состояние при работе сортировоч. освещена роль движения обратного потока частиц суспензии. Приведенные теоретич. данные и расчетные ф-лы сопоставлены с результатами практич. работы сортировок. М. Б.

23492. Рентабельность самостоятельной регулировки плотности массы. Михальский (Die Rentabilität einer selbsttätigen Stoffdichten-Einregulierung. Michalski Paul), Zellstoff und Papier, 1956, 5, № 6, 139 (нем.)

Дан примерный расчет экономич. эффекта установки в бумажном произ-ве осциляторного автоматич. регулятора плотности бумажной массы, обеспечивающего постоянство веса единицы поверхности готовой бумаги с точностью $\pm 3\%$, что иллюстрируется диаграммой материального баланса. Г. Брахман

23493. Изучение способа определения кривой коэффициента сопротивления при обезвоживании с помощью регистровых вальцев. Мейер (Studie zur Bestimmung des Stoffbahn-Widerstandskoeffizienten bei Entwässerung durch Registerwalzen. Meyer Heribert), Das Papier, 1956, 10, № 13-14, 295—300 (нем.; рез. англ., франц.)

Дается новое ур-ние для динамики обезвоживания и освещается проблема потока между сеткой и вальцами. Получаемое соотношение для распределения давления приводит к не имеющему размерности выражению относительно зависимости между максим. разностью давлений и коэф. сопротивления. Измерение максим. разности давлений, обезвоживания и общей толщины пути, в зависимости от скорости и радиуса регистрового вала, позволяет определить коэф. сопротивления с помощью показательной диаграммы. Г. Брахман

23494. Ключ для идентификации наиболее важных волокон в бумажном производстве Индии. Дешпанде (A key for the identification of important paper-making fibres of India. Deshpande P. R.), Indian Pulp and Paper, 1957, 12, № 1, 55—60 (англ.)

Приведен ключ для определения природы волокон, используемых для целлюлозы (Ц) и бумаги (Б), имеющий 3 раздела: 1) волокна злаков, 2) древесные волокна и 3) недревесные растительные волокна и хлопков. Описана методика подготовки проб Ц и Б для микроскопич. исследования. С. Иванов

23495. Изучение связей между волокнами в бумажном листе посредством электронного микроскопа. Яйме, Хунгер (Die Faser-zu-Faser-Bindung des Papierblattgefüges im elektronenoptischen Bild. Jaume Georg, Hunger Günther), Das Papier, 1957, 11, № 7-8, 140—145 (нем.)

Показано, что в древесном волокне (сосны и пихты), построенном из микрофибрилл (М) целлюлозы (Ц) со средним диам. 250 Å, лигнина (Л), гемицеллюлоз (II), пектина (III) и других аморфных в-в, при удалении в процессе варки I, II, III ОН-группы полисахаридных цепей во влажной Ц замещается водой, при последующей сушке образуются Н-мосты — происходит ороговение волокна Ц и тонких пластинок (II) фибрилл между волокнами. В сосновой сульфатной Ц эти II образуются при цел. варке из первичных клеточных стенок, состоящих из крестообразно пере-

плотенных М, при сушке легче поддающихся ороговению, чем параллельно расположенные М вторичной стенки. При кратковременном помоле Ц разрушаются, уменьшается активная поверхность схватывания и число двойных перегибов в изготавливаемом листе понижается. Суспендирование в воде волокон листа Ц необратимо разрушает ороговевшие участки связей между волокнами и уменьшает прочность вновь образуемого листа. Размол с образованием новых М из волокон способствует образованию новых мест схватывания, но ранее ороговевшие М уменьшают способность поверхности к схватыванию. Ю. Вендельштейн

23496. Обзор методов машинного покрытия. Бут (A survey of machine coating methods. Booth G. L.), Tappi, 1956, 39, № 12, 846—850 (англ.)

Обзор патентов по вопросу покрытия бумаги на бумажной машине. Описание и графич. изображение принципов различных методов нанесения покрытий. А. Сафьян

23497. Влияние бумаги на высыхание офсетных красок.— (Der Einfluß des Papiers auf das Trocknen von Offsetfarben.—), Allgem. Papier-Rundschau, 1956, № 17, 917—919 (нем.)

На 3-м Международном конгрессе исследовательских институтов в области печатного дела рассматривался вопрос о влиянии кислотности бумаги (рН) на скорость высыхания офсетных красок. Показано, что рН 5—4,8 является критич. границей, ниже которой (т. е. при возрастании кислотности бумаги) продолжительность высыхания круто возрастает. Исследовано влияние добавления в бумагу, изготовленную из смеси сульфитцеллюлозы с 0—35% эспарто, различных кол-в разб. H_2SO_4 , $Al_2(SO_4)_3$, $AlCl_3$, $CoSO_4$ и канифоли, а также роль влажности бумаги при высыхании печатных красок. Г. Брахман

23498. Передача тепла при сушке бумаги на янки-цилиндре. Браунс, Янссон (Heat transmission in the drying of paper on a yankee cylinder. Brauns O., Jansson A. L.), Svensk papperstidn., 1957, 60, № 17, 621—631 (англ.; рез. шведск., нем.)

Передачу тепла от пара к свободной поверхности бумаги (Б) через стенку сушильного цилиндра (СЦ) на самосъемочной бумагоделательной машине исследовали определением с помощью термоэлементов изменений т-ры Б и стенки СЦ (на различной глубине) при движении Б за один оборот СЦ. Установлено падение т-ры в разных точках стенки СЦ и определены численные значения коэф. теплопередачи и теплоотдачи. С. Иванов

23499. Затруднения, возникающие в сушильной части бумажной машины. Лайонс (Trouble shooting in the dryer section. Lyons C. J.), Pulp and Paper Mag. Canada, 1957, 58, № 3, 262—265 (англ.)

Рассматриваются причины затруднений в процессе сушки бумаги при удалении конденсата из сушильных цилиндров бумажных машин (БМ). Отмечено влияние на нормальную работу сушильной части БМ перепада давления пара в сушильных цилиндрах, забивания отверстий сифонных трубок, изменений уровня конденсата в ресиверах и сепараторах. Анализируются затруднения, вызываемые применением перегретого пара, и нарушения, не зависящие непосредственно от сушильной части БМ. С. Иванов

23500. Роль микробиологии при производстве бумаги и картона. Хьюз (Microbiology in the paper and board making industry. Hughes R. L.), World's Paper Trade Rev., 1957, 147, № 24, 1964, 1966, 1975, 1977—1978, 1980 (англ.)

Приведены характеристики микроорганизмов — вредителей бумажного произ-ва и условия, способствующие их развитию. Отмечена необходимость микробио-

логич. исследования и контроля сырья и воды, поступающих в произ-во; описаны методы борьбы с развитием микроорганизмов (применение антисептиков). А. Сафьян

23501. Пергамин и жиронепроницаемость. Надзаро (Glassine and greaseproof. Nazzaro Ralph T.), Tappi, 1956, 39, № 8, A22, A24, A26, A28, A30, A32 (англ.)

Описаны способ произ-ва пергамина и его основные качества, характеристики; рассмотрены покрывающие материалы (включающие производные природного и синтетич. каучука, циклизированный каучук, сополимеры бутадиенстирола, поли- и сополимеры винилхлорида и др.), наносимые на поверхность пергамин с целью придания ему ряда ценных свойств: водо-, газо-, жиронепроницаемости и т. п. А. Сафьян

23502. Использование восков и новых пластифицирующих при нагревании смол при производстве упаковочных материалов. Эггар (How waxes — and new hot melt resins — are used in packaging. Eggar P. G.), Packag. Rev., 1957, 77, № 132, 53—54 (англ.)

Рассмотрено применение различных видов воска, синтетич. смол и термопластич. материалов при изготовлении упаковочной бумаги и упаковочной тары в аспекте зависимости развития технологии произ-ва упаковочных материалов от внедрения новых хим. в-в. А. Сафьян

23503. Прозрачность и пластичность — ценное сочетание. Надзаро (Glassine and plastics — a winning combination. Nazzaro Ralph), Paper, Film and Foil Converter, 1956, 30, N 7, 17—21 (англ.)

Применение пластич. материалов в произ-ве прозрачных и жиронепроницаемых бумаг (Б) быстро растет. Пластифицирование Б и сообщения ей гибкости и растяжимости достигают нанесением поверхностных покрытий, парафинированием и ламинированием. Для придания указанным свойствам Б и для сообщения ей паро- и водонепроницаемости, теплоизолирующих свойств, блеска, сопротивления действию истирания, хим. инертности и влагопрочности применяют покрытия из нитроцеллюлозы, производных природного и синтетич. каучука, виниловых смол, сополимеров винилиденхлорида, бутадиенстирола, полиамидов и др. Смолы могут быть пластифицированы или могут содержать растворимые пластификаторы, иногда используемые небольшим кол-вом воска. Рассмотрены методы нанесения покрытий — нанесение в расплавленном виде при нагреве, в виде р-ра и в виде дисперсии. С. Иванов

23504. Новое понятие в проклейке бумаги — жироотталкивающая проклейка. Эрнлунд (A new concept in paper sizing-oil repellent size. Ernland John H.), Tappi, 1957, 40, № 3, A90, A92—A94, A96, A102, A104, A106 (англ.)

Показана способность фтористых соединений, осаждаемых на поверхности бумаги (Б), препятствовать прохождению органич. жидкостей (р-рителей и м-сел). Применяется новое хим. соединение «Scotchgard» (I) — хромовый комплекс фторированной карбоновой к-ты, изготавливаемый для продажи фирмой Minnesota Mining and Manufacturing Co. Р-р I в изопропиловом спирте наносит на Б или картон непосредственно на бумагоделательной машине с использованием существующего для обычной поверхностной проклейки оборудования и технологич. процесса. Приведены данные о влиянии на жиронепроницаемость Б ряда факторов, напр. тонкости измельчения массы, добавления других хим. в-в (наполнителей, влагоустойчивых смол, гидрофильных коллоидов). Новый вид проклейки, применяемый для получения жиронепроницаемой упаковочной Б, способствует также закреплению

органич. жидкостей на поверхности Б при ее покрытии. А. Сафьян

23505. Пластические покрытия и пленки для бумажной промышленности. Хелмс (Plastic coatings and films for the paper industry. Helms J. F.), Tappi, 1956, 39, № 8, A14, A16, A18, A20, A22 (англ.)
Отмечена важность комбинирования пластиков (П) с бумагой для получения упаковочного материала и приведены основные требования, предъявляемые к П при изготовлении упаковочных материалов для пищевых продуктов. Даны характеристики применяемых П в различных их модификациях. А. Сафьян

23506. Обработка бумажной массы поливинилацетатом. Часть I. Изучение удерживающей способности бумажной массы. Бхаргава, Рейтер, Станнетт (The internal treatment of paper with polyvinyl acetate. Part I. Retention studies. Bhargava R. L., Reiter R. W., Stannett V.), Tappi, 1957, 40, № 5, 338—341 (англ.)

Применение поливинилацетатной эмульсии (Э) улучшает прочность, жироводонепроницаемость и долговечность бумаги. Удержание Э бумагой повышается при добавлении эмульгаторов при обработке целлюлозы щелочью перед добавлением квасцов (повышение pH). Приведен цифровой и графич. материал по исследованию удерживающей способности бумажной массы по отношению к Э в зависимости от различных факторов. А. Сафьян

23507. Факторы, влияющие на текучесть материалов, применяемых при покрытии бумаги. Чейс, Горем (Some of the variables affecting the flow properties of paper coating colors. Chase R. C., Gorham J. F.), Tappi, 1956, 39, № 8, 545—548 (англ.)
Обзор. Рассмотрено влияние бумаги-основы, сорта глины, размера частиц, диаметра и твердости покрывающих роллов и дана оценка вискозиметров, применяемых для контроля покрытий. А. Сафьян

23508. «Схватывающий момент» клеящих веществ. Доль (Das Anzugsmoment bei Klebstoffen. Doll H.), Allgem. Papier-Rundschau, 1957, № 10, 495—497 (нем.)

Приведены факторы, влияющие на величину «схватывающего момента» клеящих в-в в произ-ве бумаги. Ю. В.

23509. Связывающие акриловые эмульсии, применяемые для поверхностных покрытий бумаги и картона. Мак-Лафлин, Шуккер (Acrylic emulsion binders in paper and paperboard coatings. McLaughlin P. J., Schucker F. L.), Tappi, 1957, 40, № 3, 146—151 (англ.)

Новые марки связывающих акриловых эмульсий Rhoplex B-15 и B-60K, равноценные казеину (I) и с-протеину (II), могут применяться для поверхностных покрытий бумаги и картона, даже при использовании их под печать высокоточными красками. Эмульсии могут быть использованы вместе с I и II без ущерба их покрывающей способности для улучшения печатных свойств бумаги и картона. Приведены результаты эксперим. исследований. А. Бабков

23510. Полиэтиленовые смолы с низким молекулярным весом как модификаторы восковых покрытий для бумаги. Пикок, Мак-Найт, Остин (Low molecular weight polyethylene resins as wax modifiers for paper coating. Peacock G. S., McKnight W. H., Austin J. M.), Tappi, 1957, 40, № 5, 350—355 (англ.)

Добавление полиэтиленовых смол в покрытия (П) для бумаги способствует повышению лоска, жироводонепроницаемости, прочности и гибкости пленки. Описаны общие хим. принципы полимеризации с рассмотрением отдельных факторов, влияющих на свой-

ства получаемого П; описаны различные виды смол и методы их нанесения. А. Сафьян

23511. Поверхностные свойства осадка смоляной проклейки. III. Электрокинетические свойства проклеенных смоляным клеем древесно-целлюлозных волокон. Тод, Шве Хту. IV. Влияние электрокинетического потенциала осажденного смоляного клея на эффективность проклейки. Тод, Горем, Камлер, Вудберри (Surface properties of rosin size precipitate. III. Electrokinetic properties of rosin-sized wood pulp fibers. Thode Edward F., Shwe Htoo. IV. Influence of the electrokinetic potential of rosin-size precipitate on sizing efficiency. Thode Edward F., Gorham John F., Kummer Ralph W., Woodberry Norman T.), Tappi, 1955, 38, № 12, 705—709; 710—716 (англ.)

III. Проведены исследования электрокинетич. свойств волокнистой массы, проклеенной смоляно-глиноземным комплексом (СК). Целлюлоза (Ц) в дисперсии с 3% Al_2O_3 заряжена отрицательно (ξ — потенциал 4,1 мВ), но при добавлении 2,4% смоляного клея (СК) заряд Ц изменяется в положительный (ξ — потенциал + 7,9 мВ). Это показывает, что гидратированный ион алюминия при проклейке массы сначала адсорбируется на СК. При наличии в системе с волокном только одной смолы (С) или одного Al_2O_3 электрокинетич. потенциал (ЭП) и pH среды находятся в определенном отношении к компонентам. Добавление других материалов осложняет эту зависимость.

IV. Показано, что изменение эффективности проклейки находится в соответствии с изменением ЭП комплекса С с $Al_2(SO_4)_3$ (I) и в зависимости от изменения колич. соотношения между СК и I. Изменение эффективности проклейки, вызываемое наличием небольших кол-в загрязняющих в-в, обычно соответствует изменению ЭП проклеивающего осадка, если загрязняющее в-во не обладает проклеивающим свойством. Сделан вывод, что ЭП осадка СК является одним из главных факторов, влияющих на степень проклейки бумаги (Б). При pH 4,2—5,5 изменения ЭП оказывают большее влияние на степень проклейки Б, нежели происходит изменение pH. Предложена новая электрокинетич. теория проклейки Б для объяснения практич. проблем проклейки. Сообщение II см. РЖХим, 1955, 44768. С. Иванов

23512. Новые химические вещества, необходимые бумажной и картонной промышленности. Льюи (New chemicals wanted for the paperboard industry. Luey A. T.), Tappi, 1956, 39, № 8, A32, A34, A40, A42 (англ.)

Изложены технич. требования к хим. в-вам, применяемым для улучшения физ.-мех. свойств бумаги и коробочного картона (жесткость, сопротивление надрыву, белизна, сопротивление излому, пригодность для печатания, устойчивость размеров и т. п.). Показано, что добавление спец. хим. в-в в кол-ве 0,5—1% повышает прочность материала на 20—50%. А. С.

23513. Крафт-бумага. Нюстен (Kraft paper. Nystén Holger), Finnish Trade Rev., 1957, Spec. Issue, Finland-England, 150—151 (англ.)

Описываются развитие и масштабы произ-ва крафт-бумаги (КБ) в Швеции, Финляндии и других странах, применение КБ и перспективы роста ее выработки в Финляндии. С. Иванов

23514. Производство бурой крафт-бумаги из австралийского эвкалипта на заводе Maryvale. Янгер (Producing brown kraft paper from Australian eucalypts. Maryvale mill at full production. Younger R. M.), Indian Pulp and Paper, 1957, 12, № 4, 85—87. 89 (англ.)

Завод выпускает товарную целлюлозу (Ц), бумагу

для мешков (МБ) и обертки. Машины с шириной сетки 4,5 м работают на скорости 360 м/мин, вырабатывая МБ из сульфатной эвкалиптовой Ц с добавлением Ц из древесины сосны. В статье дается описание электро-пароснабжения комбината, снабжения хим. реактивами, дано описание лесной биржи и схемы технологич. процесса произ-ва Ц и Б. С. И. 23515.

Влияние развития упаковочных средств на бумажную промышленность. Часть II. Бумажная упаковка: упаковка промышленных товаров, литые волокнистые сосуды, упаковка и помощь торговле. Калкин, Парсонс (The impact of packaging on the paper industry. Part 2. Paper packages; industrial packaging; molded fibrous containers; packaging and selling aids. Calkin John B., Parsons John L., Paper Ind., 1957, 39, № 3, 218—219, 225 (англ.).

Рассмотрены различные виды бумажной упаковки, применение и спец. их обработка в зависимости от предъявляемых к ним требований (напр., влагопрочность, замедление прогоркания или сохранения вкуса и запаха продукта, жиронепроницаемость, предохранение от увлажнения, нагрева и охлаждения, от воздействия света и др.). Гибкую волокнистую упаковку применяют для покрытия лесоматериалов при хранении их на открытых площадках. Металлич. изделия предохраняют от коррозии бумажной упаковкой, предварительно обработанной в-вами, задерживающими проникновение водяных паров. С. Иванов

23516. Требования, предъявляемые к бумаге и пластикам, применяемым для изготовления бумажной посуды и ящиков. Мейдер (Paper — plastics requirements of the cup and container industry. Maeder H. G., Jr, Tappi, 1956, 39, № 8, A42, A44; A46, A48, A50 (англ.).

Изложены требования, предъявляемые к бумаге, пластикам и другим хим. в-вам, применяемым при изготовлении бумажной посуды и ящиков. Даны рекомендации для повышения качеств. характеристик бумаги (жесткости, проклейки, устойчивости размеров). А. Сафьян

23517. Покрытия в бумажной промышленности. Джонстон (Coatings in the paper industry. Johnston Herbert N., Battelle Techn. Rev., 1957, 6, № 4, 7—10; Canad. Pulp and Paper Ind., 1957, 10, № 6, 102, 104—106 (англ.).

Рассмотрены новые виды покрытий (П) для бумаги (Б) — пластич. и металлич. пленки, парафинирование и мелование, дающие возможность придавать Б ценные свойства — прочность во влажном состоянии, белизну, гладкость, жиронепроницаемость, сопротивление прохождению водяного пара, газов и хим. в-в, абразивные свойства, огнестойкость, светочувствительность и декоративные качества. Дальнейшее увеличение ассортимента дешевого сырья для П создает возможности широкого использования бумаг с П в легкой пром-сти (лодки, занавесы, драпировки, палатки, мебель, легкие постройки и даже одежда, напр. для участников экскурсий, когда стирка одежды затруднена). А. Сафьян

23518. Способ регенерации волокнистых материалов, покрытых винильным пластиком. Кинн (A system for reclaiming vinyl — coated fiber. Kinne M. R., Tappi, 1956, 39, № 8, A168—A169 (англ.).

Описан применяемый в заводских условиях способ регенерации волокна из отходов изделий из бумаги и картона с винильным покрытием, состоящим из сополимеров винилацетата и винилхлорида. Волокно используют для изготовления картона, при этом наружный (облицовочный) слой отделяют путем пропаривания отходов, отбеливают и очищают. Небеленную массу применяют для внутренних слоев картона. А. С.

23519. Факторы производства высококачественного облицованного бумажного картона машинным способом. Джонсон (Critical factors in manufacture of high quality machine coated paperboard. Johnson Melvin L., Fibre Containers, 1958, 41, № 4, 90, 92 (англ.).

Рассмотрены проблемы, возникающие при современном машинном способе произ-ва облицованного картона (К). Дана схема устройств для изготовления К, состоящих из системы сушильных и прессовальных катков, с критич. замечаниями о требованиях к качеству катков и войлока. Указан состав облицовочной композиции, способ ее транспортировки и сохранения постоянства напора в питающих устройствах. Описаны приспособления для возврата излишка клея. Обсуждены возникающие в произ-ве затруднения и способы их устранения. Указаны некоторые дефекты облицованного К, выявляющиеся при использовании его в печатном деле. Г. Брахман

23520. Влияние добавки коры некоторых скандинавских пород на свойства жесткого картона. Андерсон (The influence of some Scandinavian bark on hardboard properties. Anderson Arthur B., Norsk skogind., 1957, 11, № 5, 175—179 (англ.; норв.).

Экспериментально показано, что при произ-ве жестких картонов (плит) можно добавлять до 50% коры сосны или ели без введения каких-либо связующих или применения тепловой обработки. Таким же образом может быть использована и кора других хвойных пород, напр. Дугласовой пихты (Pseudotsuga mertensiana), тяжеловесной сосны (Pinus ponderosa), крепкой стеловой сосны (Pinus contorta) и западного хемлока (Tsuga heterophylla). В США з-д жесткого картона выпускает продукт «Allwood», содержащий значительное кол-во коры Дугласовой пихты, но не содержащий посторонних связующих и не подвергающийся тепловой обработке. Имеет значение хим. состав коры, точнее — ее экстрактивных в-в, напр. кора березы для этих целей не пригодна. Указанная возможность использования коры открывает значительные экономич. перспективы для переработки в жесткий картон непосредственно неэкшкурной древесины. Г. Брахман

23521. Понятие разрушающего усилия для картонных покрытий. Рик (Welchen Sinn hat die Bruchlast von Dachpappen? Rick Anton W., Bitum. Teere, Asph., Peche und verw. Stoffe, 1955, 6, № 12, 416 (нем.).

Указывается на недостаточность оценки прочности картонных покрытий обычными способами (пробою на растяжение, изгиб и др.). Установлено, что разрушающие усилия замерзших битумных масс растут в зависимости от расстояний между местами прикрепления картона. При расстоянии между креплениями ~ 20 см разрушающее усилие (РУ) увеличивается в 5 раз по сравнению с РУ в незамерзшем состоянии. Деформации покрытий в области плоских т-р являются меньшими, чем в области изгибов т-р. Г. Стелман

23522. Рабочие проблемы при штамповке гофрированного картона. Уилмер (Operating problems in die cutting and creasing of corrugated board. Wilmer G. R., Tappi, 1956, 39, № 7, A155—A157 (англ.).

Рассмотрены факторы, отражающиеся на работе при штамповке гофрированного картона. Рекомендуются мероприятия для улучшения условий работы. А. Сафьян

23523. Доски из древесной мелочи, способы их изготовления и применения. Бич (Particle board. How to produce and use it. Beach C. E., Wood and Wood Prod., 1956, 61, № 12, 24—25, 46 (англ.).

Общие соображения о технике и экономике произ-ва и применения досок и плит из древесной мелочи, в частности в мебельном произ-ве, и о значении указанного произ-ва для сохранения запасов деловой древесины. Г. Брахман

23524. Сушко, применяемое при производстве бумаги. Уэстбрук (Special report on—papermaker's felt. Westbrook Wilmer C.), Text. World, 1957, 107, № 5, 110—112 (англ.)

Приведены данные по выпуску бумаги в разных странах, даны характеристики сукои и способ их произ-ва. А. Сафьян

23525. Новое устройство для кондиционирования влаги в различных тканях. Энгел (New conditioner adds moisture to various webs. Engel Lawrence), Paper, Film and Foil Converter, 1957, 31, № 9, 23—24 (англ.)

Устройство (У) автоматически добавляет желаемое кол-во влаги к движущемуся во время обработки полотну бумаги (Б) и поддерживает влажность его на заданном уровне. У может быть установлено на станках и машинах для обработки или отделки Б, а также на бумагоделательных машинах. У состоит из изолированной стальной части, заключенной в алюминиевый кожух, имеющий две системы подачи пара (П). Наружную поверхность аппарата обогревают П для предотвращения конденсации П и падения капели воды на Б. Насыщ. П низкого давления по 2-й системе подвода через сопла направляется на движущееся полотно, конденсируется на Б и увлажняет ее. При остановке машины приток П автоматически прекращается. С. Иванов

23526. Корректировка двусторонности цвета бумаги на клееальном прессе. Черасоли (Correction of color two-sidedness at the size press. Cerasoli Philip A.), Tappi, 1955, 38, № 9, 172A—173A (англ.)

Описано устройство эксперим. заводской установки для одновременного нанесения на сеточную сторону бумаги красящей композиции и на лицевую сторону — проклеивающей композиции без красителя. В работе установки достигнуты положительные результаты по корректировке двусторонности бумаги в отношении восприятия окраски. М. Белецкая

23527. Получение диаграммы увлажнения на щеточно-вальцовом увлажнительном станке. Штаффен (Herstellung eines Feuchtdiagramms für Bürstenwalzenfeuchtapparate. Staffen Rudolf), Das Papier, 1956, 10, № 17—18, 430—431 (нем.)

Предложена диаграмма для графич. определения кол-ва воды, потребного для увлажнения бумаги с помощью щеточно-вальцового увлажнительного аппарата, в зависимости от скорости бумажной машины, веса бумаги и желаемого процента увлажнения. С. Иванов

23528. Применение рентгенографии в исследовании целлюлозы и бумаги. Харпер (X-ray analytical techniques in pulp and paper research. Harper D. Miss), Pulp and Paper Mag. Canada, 1957, 58, № 3, 271—276, 283 (англ.)

Дифракционные с применением X-лучей методы пригодны для анализа кристаллич. в-в, напр. для идентификации покрытий и наполнителей в бумаге, анализов наклеек, отстоев, ила, при контроле процессов смягчения воды, кристаллизации ванилина и в исследованиях структуры целлюлозы (Ц). Метод флуоресценции применим в одинаковой мере к исследованию кристаллич. и аморфных в-в и был использован для анализов шламма, наклеек, Fe в Ц, бумаге. Приведены данные определения S в лигнине и отработанных сульфитных шлаках. Н. Эвергетова

23529. Новая техника изготовления реплик для электронных микроснимков с поверхности бумаж-

ных листов. Комер, Стетсон, Лайонс (A new replica technique for making electron micrographs of surfaces of paper sheets. Comer Joseph J., Stetson Harold W., Lyons S. C.), Tappi, 1955, 38, № 10, 620—624 (англ.)

На образец бумаги (Б) величиной (12 × 12) мм² испарением в высоком вакууме отлагают платиновую пленку толщиной 5—10 А и затем — слой углерода, испаряемого вольтовой дугой в вакууме, толщиной ~100 А. Образец напрессовывают стороной реплики на пластинку размягченного нагреванием полистирола. После соответствующей обработки для удаления клея, волокон и наполнителей реплику на полистироле изучают в электронном микроскопе. Метод дает возможность изучать распределение наполнителей и клея на поверхности Б, поглощаемость краски Б, распределение и размеры минер. частиц и характеристику их в покровном слое. М. Нагорский

23530. Связь между весом и свойствами бумаги ручной отливки из эвкалипта. Уотсон, Марфлит, Коэн (Relationship between basis weight and properties of eucalypt handsheets. Watson A. J., Marfleet Margaret, Cohen W. E.), Proc. Austral. Pulp and Paper Ind. Techn. Assoc., 1956, 10, 272—283. Discuss., 283—286 (англ.)

Для оценки качества целлюлозы (Ц) при испытании отливок (О) относительно слабых волоконистых материалов, напр. Ц и полуцеллюлозы из эвкалипта, желательно пользоваться О с относительно большим весом 1 м². Показано, что при изменении веса 1 м² О нельзя простым пересчетом вычислять показатели механич. прочности, отнесенный к стандартному весу листа. При небольших отклонениях в весе получающаяся погрешность мала и ею можно пренебречь. Наиболее подходящим весом для О из малопрочной Ц является 120 г/м². С. Иванов

23531. Примеры применения статистических методов к обработке результатов при контроле производства бумаги. Антос (Some examples of statistical concepts in paper testing and inspection. Antos David P.), Tappi, 1956, 39, № 8, A165—A168 (англ.)

Отмечена важность применения статистич. методов при использовании приборов, их испытании и калибровке и обработке результатов анализа. Точность анализов зависит от трех переменных: степени точности прибора, ошибок, допускаемых работником, и отклонений в самом проверяемом изделии. Описан ряд методов получения заключений из многочисленных данных, основанных на законе больших чисел и теории вероятности. Применение статистич. методов улучшает контроль произ-ва. А. Сафьян

23532. Пределы ошибок при испытании тяжелых картонов на аппарате Миоллена. Виндаус, Фрунджан (Fehlergrenzen der Berstdruckprüfung an Vollpappen mit dem Mullenester. Windaus Günter, Froundjian D.), Das Papier, 1957, 11, № 17—18, 407—409 (нем.; рез. англ., франц.)

При испытании тяжелых картонов на сопротивление продавливанию отклонения между определениями на одном и том же приборе достигают 5—8%. При испытании на различных приборах колебания в показаниях могут достигать 18—20%, если аппараты не были предварительно между собой выверены. Воспроизводимость может быть повышена до 10—12% при предварительной выверке аппаратов, что рекомендуется делать, условно принимая один из аппаратов, имеющихся в ин-тах или контрольных лабораториях, за стандартный и сравнивая с ним показания других приборов. С. Иванов

23533 П. Производство целлюлозы из растительных материалов (Production of cellulose pulp from plant

materials) [Pulp & Paper Research Institute of Canada]. Англ. пат. 727191, 30.03.55

Процесс состоит из: введения материала (М) в котел (К); введения под давлением пара (П) для вытеснения из пор и капилляров материала воздуха и создания в них смеси воздуха (В) и П; быстрого удаления смеси В и П из М, пока давление в К не достигнет предела от 1 атм до половины полного давления при варке; подачи варочной жидкости в растительный материал, лишенный воздуха. Сырьем для процесса может быть древесная щепа, солома, бамбук или другой материал, содержащий лигнин; процесс может быть сульфитным, сульфатным или иным. Для предварительной одно- или многократной обработки М употребляют пар давлением 0,35—3,5 атм. Указанная обработка М повышает влажность сухого М и понижает влажность сырого М до ~40%.



Пример. Сосновую щепу (или смесь ее с тополевой щепой) загружают в К (см. рис.) через верхний люк при уплотнении введением П в дно К через клапан. Закрывают крышку К при открытом входном клапане. Впуск П продолжают, пока П при выходе из котла не достигнет т-ры 100°. Клапан закрывают и подачу П в К продолжают до достижения давления 4,4 кг/см², закрывают впускной клапан, а через два других клапана снижают давление П до 0,7 кг/см². После повторной обработки материала П указанным выше способом варочный котел заполняют варочной жидкостью и П, вводимым через верхнюю котла, создают давление 7 кг/см² за несколько секунд. Излишек жидкости возвращают в питательный бак. Варку при 121° продолжают в течение 2 час. Варочная жидкость имеет 16,5% активной щелочи и сульфидность ~30%.

С. Иванов

23534 П. Вещества, препятствующие образованию пены. Фигдор (Defoaming agents. Figgdor Hans G.) [Pioneer Chemical Works, Inc.]. Пат. США 2753309, 3.07.56

Вещества, препятствующие пенообразованию (ВПП) в водн. среде (напр., в суспензиях целлюлозной массы, дисперсиях белка, эмульсиях естественного и синтетич. каучука, в сточных водах и т. п.), пригодные для применения в нейтр., щел. и кислой среде, с большой активностью при больших разведениях в холодной и горячей воде, устойчивые при хранении получают из доступного сырья. ВПП состоят (помимо воды) из (в вес. % на безводн. в-ва): 50—80 гидрофобных, нерастворимых в воде органич. в-в, напр. масел, жиров или восков или их смесей, 15—45 эмульгатора, способствующего образованию эмульсии масла в воде (эмульгатор может быть анионного, катионного и неионного характера и содержит 12—16 атомов С в молекуле), и 3—25 сложного эфира гликоля общей ф-лы $R^1OCNHR^2CHN^3R^4(OCNHR^5CHN^6R^7)_nOR^8$ (I), где R^1 — ацил насыщ. алифатич. к-ты, содержащей 6—10 атомов С, R^2 — Н, низший алкил, содержащий ≤ 4 атомов С, или ацил насыщ. алифатич. к-ты, содержащий 6—10 атомов С, R^3 и R^4 — Н или метил, причем по меньшей мере один из них является Н, а n равно нулю или положительному числу от 1 до 90. В частн. случаях в ф-ле I R^2 — Н или место R^2 занимает R^1 , или соединение имеет ф-лу $R^1OC_2H_4(OC_2H_4)_nOR^2$ (где R^2 — низший алкил, содержащий 1—4 атома С,

а $n = 0—80$) или $R^1OC_3H_6(OC_3H_6)_nOR^2$ (где значения R^1 и R^2 те же, что ф-ле I, а $n = 0—34$). R^1 могут быть замещены n -октаноил-, 2-этилгексаноил- и n -нонаноилрадикалами. Примеры: а) к силиленной смеси 40 ч. парафина, 3,5 ч. моностеарата сорбитана и 3,5 ч. моностеарата полиоксиптиленсорбитана прибавляют 48 ч. воды и 5 ч. дигепларгоната диэтиленгликоля при 60° и умеренном размешивании; полученная эмульсия обладает свойством активно гасить пену. б) Смешивают 66 ч. минер. масла, 24 ч. диолеата нонаэтиленгликоля, 10 ч. дикаприлата гексаэтиленгликоля и разбавляют 1 ч. смеси 99 ч. воды. в) Смешивают 65 ч. говяжьего сала, 25 ч. моностеарата тетраэтиленгликоля и 10 ч. соединения $CH_3O(CH_2CH_2O)_7COCH \cdot (C_6H_5)_2C_2H_5$ (II) и охлаждают; указанное соединение получают р-цией 1 моля метоксиполиэтиленгликоля, содержащего 7 ед. окиси этилена с 1 молем 2-этилкапроновой к-ты в присутствии каталитич. n - n -толуолсульфокислоты при 180—220° в течение 3 час. с отщеплением молекулы воды. В других примерах в качестве жиров, масел и восков названы гидрированное сало, гидрированный рыбий жир, масло земляного ореха, стеариновая и пальмитиновая к-ты, спермацет и др., в качестве эмульгаторов — стеариновый эфир метоксиполиэтиленгликоля, хлорид диметилдидециламмония, ацетат цетиламина, моностеарат тридециленгликоля, аминотиламиноэтилстерамид, моноалламидат-, моно- и диолеат нонаэтиленгликоля, монолаурат тетраэтиленгликоля и др.; в качестве ВПП — эфир энантовой к-ты и полиэтиленгликоля, ди-2-этилбутират триэтиленгликоля, диэфир 2-этилкапроновой к-ты, смешанный каприновый и капроновый эфир полиэтиленгликоля, 2-этилбутират дипропиленгликоля, моноеларгоновый, смешанный 2-этилмасляный и еларгоновый, и дикаприловый эфир полиэтиленгликоля разной степени полимеризации. Указано добавление к эмульсиям в качестве стабилизатора их 0,1% фенилмеркурацетата.

Ю. Вендельштайн

23535 П. Способ изготовления целлюлозной массы и бумаги. Мак-Ки (Process for making pulp and paper. McKee Ralph H.) Пат. США 2731344, 17.01.56

Для изготовления самопроклеивающейся целлюлозной массы для произ-ва бумаги материал, содержащий целлюлозу (древесину, солому, лен, багассу, отходы джута и т. п.), суспендируют в колонне с горячим варочным гидротропным щелоком (напр., 33%-ым р-ром ксилолсульфоната Na) и варят при ~168° в течение ~1,5 часа. После варки суспензию охлаждают до 20°, разбавляют двойным объемом воды с т-рой 15°. Волокна массы с осажженным на них лигнином (I) отделяют и промывают; промывные воды упаривают до конц-ии гидротропной соли ~30% и используют повторно. Волокнистую массу перерабатывают в листы бумаги (Б) или картона (К), которые сушат и нагревают до т-ры плавления части I, что увеличивает вдвое твердость бумаги и повышает водонепроницаемость Б и К. В качестве гидротропных солей применяют щел. и щел.-зем. соли бензойной, салициловой, фенол-, толуол- и ксилолсульфокислот. Пример: куски воздушно-сухой багассы длиной не более 50 мм нагревают с 7-кратным кол-вом 33%-ного р-ра ксилолсульфоната Na в течение 1,5 час. при 168°, выпуская через вентиль выделяющийся CO_2 до остаточного давл. ~6,3 ат. Суспензию переносят в шаровую мельницу с небольшой загрузкой шаров, где обрабатывают в течение 20 мин. при 40 об/мин. Дефибрированную влажную массу с т-рой ~50° смешивают с двойным объемом воды при т-ре 0—50°, предпочтительно ~15°, размешивают в течение 10 мин., фильтруют через проволочное сито, промывают холодной водой и сушат. Массу превращают

обычным способом в листовой картон (К) толщиной 0,23 мм, предназначенный для гофрировки без добавления проклеивающего материала. К пропускают через каландр при 160°, при этом плавится часть I, К утончается на 8—9%, повышается твердость, цвет становится более темным; полученный К хорошо гофрируется. По сравнению с технич. гофрированной бумагой К показывает на 40% более высокую твердость и более трудную проницаемость патентуемых образцов для воды (4—6 час. вместо 20 сек.). Ю. В. 23536 П. Получение белой легко размельчающейся массы из сульфатной небеленой целлюлозы.

Сугimoto, Огата (硫酸鹽法未晒パルプより高白色度及易叩解性パルプを製造する方法. 杉本一臣, 緒方康利), [日本パルプ工業株式会社, Нихон парупу когё кабусики кайся]. Японск. пат. 6601, 17.09.55

При произ-ве отбеленной сульфатной целлюлозы (СЦ) после промывки, перед отбеливанием, массу (М) пропитывают в течение 1 часа теплой водой (40° и выше) и обрабатывают на рафинере до 1—20° ШР. Обработанная М легко поддается высококачественному отбеливанию, обладает прочностью, а при произ-ве бумаги легко размельчается. Пример. Перед отбеливанием СЦ из японской красной сосны (числ. Роз 60, градус помолы 15° SR) ее на 2 часа помещают в воду (60°) при конц-ии массы 5%, затем обрабатывают механич. способом до 17° ШР и отбеливают. А. Фрадкин

23537 П. Производство высокосортной целлюлозной массы из стеблей злаков. Оива, Тэран (禾本科植物の茎幹等より高級パルプの製造法. 大岩星一, 寺井富夫), [財団法人野口研究所, Дзайдан Ходзин ноугути кенкюсёй]. Японск. пат. 7001, 30.09.55

Стебли злаковых (напр., бамбук, пшеничная, рисовая, мансовая солома) пропитывают или пропаривают паром или к-той (можно комплексно), удаляют зольные элементы (ЗЭ) и пентозаны (П), добавляют амид низшей алифатич. к-ты, напр. формамид (I), амид уксусной к-ты, пропиламид с числом углерода 3 и варят при нормальном давлении. Пример. 1 ч. мелкопорезанной пшеничной соломы нагревают в течение 1 часа при 85—95° с 10 ч. 0,1%-ного р-ра NaOH, фильтруют, промывают и сушат. 1 ч. массы (М) варят в течение 5 час. с 10 ч. I при 160—170°, фильтруют, промывают I, горячей водой и сушат. Выход небеленой массы 94,47% с содержанием лигнина (Л) 5,59%, П 13,09% и ЗЭ 0,72%. После отбеливания М содержит ~90% α-целлюлозы и ничтожное кол-во Л и ЗЭ. Процесс отбеливания массы: 10 ч. небеленой М при 30—40° в течение 3—4 час. обрабатывают 150 ч. 0,2%-ной хлорной воды, М промывают водой, 1 час нагревают при 70—90° с 200 ч. 0,25%-ного р-ра NaOH, промывают в воде, отбеливают в течение 3—5 час. при 30—40° 150 ч. р-ра, содержащего 0,2% активного хлора. Массу промывают, обрабатывают в течение 1 часа 0,05—0,1%-ным HCl, промывают и сушат. А. Ф. 23538 П. Способ разложения лигнина и лигнинсодержащих материалов. Гизен (Verfahren zum Aufschluß von Lignin und ligninhaltigem Material. Giesen Johann) [Inventa A.-G. für Forschung & Patentverwertung]. Пат. ФРГ 933988, 6.10.55

Осажденный на лигнине (I) CoCrO_4 (II) применяют в качестве катализатора при разложении I и содержащих I материалов путем каталитич. гидрирования при t -рах > 280° и давл. > 350 ат в присутствии воды. В условиях р-ции II превращается в хромоксид Co (III). III требуется в значительно меньших кол-вах по сравнению с хромоксидом Sn . Тонкоразмолотый I пропитывают р-ром $\text{Co}(\text{NO}_3)_2$ и обрабатывают при размешивании р-ром K_2CrO_4 , фильтруют и промывают I с осажденным на нем CoCrO_4 . При р-ции гидрирования наряду с газами получают 72% продуктов, рас-

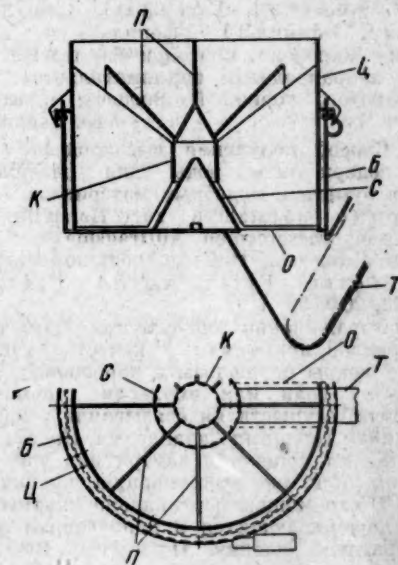
воримых в эфире, из которых 48% перегоняют при давл. 2 мм; дистиллят состоит на 75% из фенолов (54% к I), состоящих на 35% из пирокатехина. В автоклав с мешалкой загружают 300 г I, содержащего 130 г воды и 17 г CoCrO_4 , прибавляют 800 мл воды и нагревают 6,5 час. при 320° и под давлением $\text{H}_2 \sim 400$ ат. По охлаждению выпадает 110 г растворимых в эфире продуктов, из которых 74 г перегоняются при давл. 2 мм и содержат 56 г фенолов. При аналогичной обработке 1000 мл упаренных и нейтрализованных NaOH отработанных сульфитных щелоков, содержащих 146 г I, 64 г безводн. I (остатка от осахаривания древесины) в качестве носителя 43 г CoCrO_4 , получают 76 г перегоняемых между 70—260° при давл. 3 мм продуктов, что соответствует 36% к общему кол-ву загруженного I. Ю. Вендельштейн

23539 П. Экстракция черного щелока растворителями. Копенхейвер, Бигс, Баксли (Solvent extraction of black liquor. Copenhagen James E., Biggs William A., Jr., Baxley William H.), [Sonoco Products Co.]. Пат. США 2744927, 8.05.56

Черные щелока (отход при произ-ве целлюлозы) подвергают, после предварительного сгущения до содержания 25—60% сухих в-в и подкисления H_2SO_4 , экстрагированию смесями р-рителей: 70% изопропилацетата и 30% изопропанола, или 75% *n*-пропилацетата и 25% *n*-пропанола или 75% *n*-пропилацетата и 25% ацетона. После удаления р-рителей выделяют *n*-ты уксусную (I) и муравьиную (II). Пример. Черные щелока концентрируют до содержания сухого в-ва 25%, подкисляют 95%-ной H_2SO_4 , пропускают через теплообменник для гидролиза сахаров и экстрагируют в экстракторе Подбельняка в противотоке с 1,5 объема смеси 10% спирта и 90% этилацетата. Из экстракта регенерируют р-рители; I и II, содержащие немного примесей, направляют на ректификацию. Н. Э.

23540 П. Установка для непрерывной химической переработки древесной щепы (Anlaeg til kontinuerlig kemisk behandling af træflis) [Junkers Traekeni A/S]. Дат. пат. 80886, 16.04.56

Материал передвигается внутри неподвижной цилиндрич. башни (Б), частично наполненной парочной



жидкостью. В Б вставлен вращающийся при помощи особого механизма цилиндр (Ц), не имеющий дна и

снабженный внутри радиальными перегородками (П), разделяющими Б на ряд камер; перегородки своими нижними ребрами опираются на колпак К, покрывающий укрепленный на дне Б конус С, с одной стороны которого находится отверстие О, простирающееся от цилиндрич. стенки Б до укрепленного в центре конуса С, к которому присоединена отводная труба Т. Вверху цилиндр выступает из Б, его опоры и приспособления для вращения укреплены на верхнем крае Б. Разделительные перегородки в основной своей части находятся выше уровня жидкости. Приложена схема устройства нижней части Б с указанным конусом.

23541 П. Способ пропитки бумаги и других волокнистых материалов. Лагалли (Verfahren zur Imprägnierung von Papier und ähnlichen aus Fasermaterial gefertigten Produkten. Lagally Paul). Пат. ГДР 9564, 4.04.55

К водн. суспензии волокнистого материала прибавляют в качестве пропитывающего в-ва смоляные коллоиды (СК) из продукта взаимодействия уреадопропиленмочевинны (I) или ее производных (напр., арил-, алкил-, аракил- и галоидпроизводных) с альдегидами, напр. с формальдегидом (II). Пример: 60 г мочевинны растворяют в смеси 100 мл 65%-ного спирта и 20 мл 10%-ной HCl и вводят в р-цию обычным способом с 35 г кротонового альдегида; 40 г полученной 1-метил-3-1 растворяют при 70° в 30%-ном р-ре II и добавляют 20 мл 5%-ного р-ра соды; полученный р-р пентаметилола 1-метил-3-1 разбавляют водой до содержания смолы 8,5%, 100 мл такого р-ра подкисляют HCl до кислой р-ции на конго и кипятят с обратным холодильником до помутнения, которое устраняют прибавлением нескольких капель конц. HCl; 100 мл полученного р-ра прибавляют в голендере к суспензии 50 г целлюлозы в 1 л воды; 300 мл 4%-ной суспензии, содержащей 12 г абс. сухой целлюлозы, промывают 5 л воды. Готовый бумажный лист содержит 1,27% N, что отвечает содержанию смолы 5,5%. Указанной пропиткой относительная водоупорность бумаги повышается с 10 до 20%, а при последующей обработке в течение 15 мин. при 100° — до 55%. В качестве исходных материалов для получения СК названы: 1-метил-3-1, 2-метил-3-1, 2-хлор-3-1, 3-метил-3-1, 2-метил-3-метил-1, 1-фенил-3-1, 2-фенил-3-1 и ненасыщ. соединения — акролеин, кротоновый альдегид, метилакролеин, хлоракролеин, винилметилкетон, изопропилометилкетон, коричный альдегид и атроповый альдегид.

23542 П. Способ получения высоковязкой массы с малым содержанием воды для поверхностного покрытия бумаги и подобных материалов. Штольце, Курце (Verfahren zur Herstellung einer hochviskosen wasserarmen Auftragsmasse zur Oberflächenveredlung von Papieren oder sonstigen Werkstoffen. Stolze Fritz, Kurze Fritz). Пат. ГДР 10342, 26.08.55

Для облагораживания поверхности бумаги (Б) и т. п. материалов применяют в качестве связующих в-в простые эфиры целлюлозы и карбоновых к-т или их металлич. соли или эмульсии термопластич. искусств. смол, осуществляя связывание с красителями нагреванием горячими каландрами. Нанесение массы осуществляют лощением внутри или вне бумажной машины или же равномерную пленку массы наносят на Б с помощью вертикально смонтированных вальцев и перемещающихся в направлении оси роллов, растирающих пленку. Пример: 100 кг растертого в шаровой мельнице каолина связывают р-ром 7 кг Al-соли метилцеллюлозы в 70 л 4%-ного р-ра NH_3 (NH_3 , повышая pH, способствует сохранению клеящих свойств массы). Пленка, высушенная током

горячего воздуха или ИК-лампой, обладает качеством казеиновой. Приложены схемы роллов для одно- и двустороннего нанесения пленки на Б.

23543 П. Применение бумажной основы с крахмальным покрытием при плоскографическом печатании. Оранский, Доггетт (Starch-coated paper-base masters for planographic printing. Oransky Raymond L., Doggett Towers). [S. D. Warren Co.]. Пат. США 2724665, 22.11.55

Плита для плоскографич. печатания включает бумажную основу с водонерастворимым покрытием (П). П состоит главным образом из тонкоразделенного пигмента и водонерастворимого гидрофильного связующего компонента, содержащего продукт р-ции оксикал-афира крахмала (I) и аминокальдегидной смолы (II), взятых в соотношении: 25—75% I (к весу пигмента) и 25—100% II (к весу I).

23544 П. Переводная бумага и изготовленные из нее сухие переводные ленты (Transfer paper and drystrip transfers made with such paper) [Brittains, Ltd.]. Англ. пат. 728089, 13.04.55

Переводная бумага (ПБ), соответствующая пат. 727825, имеет поверхность прозрачную толщиной в 1 мм пленку (I) из полиэтилена или полихлорфторэтилена на бумажной основе (II) толщиной 4 мм, допускающей изготовление сухих переводных полосок без нарушения целостности поверхности I и II. В качестве II используют пергамин или другую гладкую, водонепроницаемую бумагу. I может содержать антиокислитель и быть модифицирована восками или полиизобутиленом или их смесью. Переводную пленку наносят на поверхность I перешлихтованием на р-ры: а) ацетата целлюлозы низкой вязкости, пластифицированного р-ром (50 вес.%) дивтифталата в смеси ацетона с метилглицеролом или б) поливинилового спирта в смеси воды с этиловым спиртом, пластифицированного 57% триксиленилфосфата. Для той же цели используют льняное масло или олифу (пригодные для литографич. печати) в смеси с красителем. Для предупреждения прилипания поверхность I обрабатывают связующим термореактивным или способным к активированию р-рителем.

23545 П. Производство влажной копировальной бумаги, используемой для телеграфных текстов. Огава (濕潤性電報複寫紙の製法. 小川良辰). Японск. пат. 1107, 21.02.55

Смешивают борную к-ту, глицерин и спирт, разбавляют водой, добавляют р-р формалина, пропитывают смесью тонкий лист полупрозрачной мягкой плотной бумаги (Б), и отжимают его до 50%-ной влажности. Б хранят во влажном виде, в процессе применения накладывают на влажный печатный телеграфный текст, прижимают валиком и снимают копию, которую сушат 10 мин. Пример: 1 ч. борной к-ты, 5 ч. глицерина, 6 ч. спирта размешивают и разбавляют 100 ч. чистой воды, добавляют 2% (к общему кол-ву) р-ра формалина, перемешивают, пропитывают Б, отжимают под прессом до 50%-ной влажности, упаковывают и запечатывают с помощью парафина.

23546 П. Способ изготовления угольной бумаги. Панкоке (Verfahren zur Herstellung von Kohlepapier. Pankoke Karl) [Fa Günther Wagner]. Пат. ГДР 10412, 29.08.55

На лицевую сторону бумаги (Б) наносят не пропускающий света и не отдающий окраски слой, напр. из термопластич. синтетич. смолы с добавлением пигмента, главным образом сажи, поверх которого обычным порядком наносят угольный красящий слой. Пример: подвергают размолу смесь из 15 ч. синте-

тич. смолы (поливинилацетат), 25 ч. органич. р-рита-ля со средней т-рой кипения и 10 ч. сажки; разбавляют спиртом до общего объема 100 ч. с добавлением небольшого кол-ва спирторастворимой основной анилиновой краски и танина (для фиксации краски); массу наносят на Б горячим вальцеванием, а поверх образовавшегося слоя наносят основной угольный слой.

Г. Брахман
23547 П. Способ изготовления пластин (форм) улучшенного качества для плоской печати. Маллен (Method for manufacturing improved planographic printing plates. Mullen William G.) [A. B. Dick Co.] Пат. США 2724815, 25.10.55 (англ.)

Процесс произ-ва бумаги (Б) — основы для печатных форм плоской печати (с двумя или более слоями гидрофильного, колл. покрытия (П), с сушкой промежуточного слоя гидрофильного, колл. П, последующим его увлажнением водой и удалением избытка увлажняющей воды. композиция) отличается тем, что нанесение колл. П, образующего поверхностный слой Б, осуществляют в то время, когда поверхность промежуточного слоя П остается влажной.

М. Белецкая
23548 П. Способ обработки материалов, в частности упаковочных, для придания им способности выделять пары, препятствующие коррозии (Verfahren zur Behandlung von Materialien, insbesondere Verpackungsmaterialien, um dieselben zu befähigen, korrosionsverhindernde Dämpfe abzugeben.) [N. V. De Bataafsche Petroleum Maatschappij]. Австр. пат. 180037, 25.10.54 [Chem. Zbl., 1955, 126, № 15, 3519 (нем.)]

На поверхность упаковочного материала, напр. бумаги, картона, ткани целлофана, металл. фольги и т. п., наносят неорганич. нитрит, напр. NaNO_2 и соль органич. основания, преимущественно фосфат вторичного амина, напр. диизобутиламинофосфат, дициклогексиламинофосфат и т. п., в отдельности или вместе, которые способствуют в присутствии влаги образованию нитрита органич. основания. Соотношение обоих компонентов подбирают так, чтобы pH абсорбированной воды было в пределах 6—12, предпочтительно 7—9.

Г. Брахман
23549 П. Матрица и способ ее изготовления. Рончи (Matrize und Verfahren zur Herstellung derselben. Ronchi Domenico). Швейц. пат. 301834, 1.12.54 [Chem. Zbl., 1955, 126, № 30, 7115 (нем.)]

Крафт-целлюлозную, трипичную бумагу или другой бумажный материал пропитывают лаком из фенольной смолы, сушат и подвергают предварительному отверждению действием давления и тепла. Между двумя листами такой бумаги с наружной стороны наносят слой порошка фенольнокрезолной смолы и выжимают на наружном слое рельеф матрицы при нагревании и под давлением каучукового штампа.

Ю. Вендельштейн
23550 П. Получение волокнистой ткани для изготовления батарейных сепараторов (Manufacture of fibrous web for use in making separators for storage batteries) [British Fibrak Separator Co. Ltd]. Англ. пат. 708350, 5.05.54

Пористую бумагу для батарейных сепараторов, фильтров для воздуха и жидкостей и пылеотделителей изготавливают мерсеризацией целлюлозных волокон (неотбеленной крафт-целлюлозы) обработкой 15%-ным р-ром NaOH в течение 1 часа при 20° , последующей промывкой, гидролизом при 100° 0,05—0,15 н. H_2SO_4 , промывкой до нейтр. р-ции, легким размолом, добавлением ~5% мочевиноформальдегидной смолы и формованием до пористости 5—9 сек. по Гэрли. По желанию можно добавлять до 38% стеклянного волокна и (или) 20% африканского синего асбеста. Про-

должно разрезанную ткань пропитывают фурфурол-альдегидной, мочевиноальдегидной или фенольной смолой флотацией через баню для предотвращения проникновения воздуха в бумагу. Каландрируют до содержания смолы 10—35%, медленно сушат при т-ре не выше 65° и отверждают смолу при $190\text{--}200^\circ$. Бумагу флотируют через увлажняющее в-во для облегчения проникновения к-ты.

Ю. Вендельштейн

См. также: Св-ва целлюлозы 23438, 23554, 23665. Развитие целлюлозно-бумажной пром-сти в СССР 20275. Методы анализа целлюлозы 23551, 23601. Пламенно-фотометрич. определение кальция в целлюлозе 21223. Вспомогательные материалы в бумажном произ-ве, компоненты для проклейки и покрытий 22973, 23245, 23284, 23290, 23301, 23384, 23404, 23643, 23652. Различные бумажные изделия 23167, 20849, 23331, 23329, 23318. Древесноволокнистые плиты 23239, 23240, 23312, 23241. Техника безопасности на целл.-бумажных ф-ках 21941

КРАШЕНИЕ И ХИМИЧЕСКАЯ ОБРАБОТКА ТЕКСТИЛЬНЫХ МАТЕРИАЛОВ

Редакторы К. М. Маркузе, А. И. Матецкий

23551. О механических свойствах целлюлозных волокон во влажном состоянии. Усманов Х. У., Нигманходжаева М. С., Изв. АН УзССР. Сер. хим. н., 1957, № 1, 41—47 (рез. узб.)

Установлена зависимость крепости хлопковых волокон в абсолютно сухом состоянии от степени зрелости коробочек для четырех сортов хлопка. Характер кривой механич. свойств волокон разных сортов связан со сроком созревания этих сортов. С помощью вакуумного динамометра измерены крепость и удлинение хлопкового и гидратцеллюлозного волокон и их изменение при постоянном росте влажности. Приведено объяснение причин повышения крепости хлопкового волокна при увлажнении, а также сильного уменьшения крепости гидратцеллюлозных волокон во влажном состоянии.

Н. Цветков
23552. Отклонения в степени полимеризации волокон, взятых из различных участков хлопкового семени. Нанджунда (Variation in the degree of polymerization of fibres drawn from different regions of a cotton seed. Nanjundayya C.), J. Scient. and Industr. Res., 1956, (B—C) 15, № 12, B728—B729 (англ.)

Волокна, извлеченные из заостренной части хлопкового семени, имеют меньшую длину, более зрелые и более прочно прикреплены к поверхности семени, чем волокна, взятые из широкой части семени. Волокна из других участков большой разницы в свойствах не имеют и занимают среднее положение между первыми двумя. Волокна из заостренной части имеют большую степень полимеризации, чем волокна из широкой части семени.

Н. Цветков
23553. Разрушение джута и целлюлозы аэробными бактериями. Часть II. Влияние модифицирования волокна под действием внешних факторов. Басу, Бос (Decomposition of jute and cellulose by aerobic bacteria. Part II. The Effects of modification by external agencies. Basu S. N., Bose R. G.), J. Text. Inst. Trans., 1956, 47, № 6, T343—T347 (англ.)

Установлено, что действие световых лучей, нагревание, а также обработки к-тами и щелочами увеличивают устойчивость волокон джута к разрушающему действию аэробных бактерий. Причиной этого являет-

ся образование продуктов распада нецеллюлозной части волокна, обладающих токсич. свойствами по отношению к бактериям. Повышение устойчивости под влиянием хим. обработок обусловлено удалением из волокна питательных для бактерий в-в. Часть I см. РЖХим, 1957, 32176. К. Маркузе

23554. Аналитические исследования фотохимически деградированного джута. Часть I. Макмиллан, Бхаттачерджи (Analytical studies of photochemically degraded jute. Part I. Macmillan W. G., Bhattacharjee H. P.), J. Indian Chem. Soc., 1955, 32, № 11, 731—735 (англ.)

Образцы джута «тосса» экспонировали на фотометре (при 37—40° и относительной влажности ~ 50%), с ручным перемешиванием через каждые 5 час. и отбором проб для анализа через каждые 25 час. Фотохим. деградация джута сопровождается повышением растворимости в воде и щелочи и постепенным снижением содержания ацетильных групп в образцах, экстрагированных водой. Содержание холоцеллюлозы и α-целлюлозы понижается по мере протекания фотохим. р-ции. Вязкость медно-аммиачных р-ров снижается по мере экспозиции. Степень полимеризации составляет 830 у неэкспонированного образца, 630 после 25 час. экспозиции и 530 после 100 час. Возрастание медного числа связано с накоплением продуктов деградации лигнина. Л. Бельский

23555. Об облагораживании вязкозных тканей. Аврамов (Върху облагородяването на изделия от целуланна. Аврамов Л.), Лека промышленност, 1957, 6, № 1, 53—56 (болг.)

Описана технология отделки (мерсеризации, отбеливания и крашения) тканей из смесей вязкозных и хлопковых волокон. Л. Песин

23556. Применение поливинилового спирта для шлихтования пряжи. Эйбрамс, Руже, Кокер (Polyvinyl alcohol as a warp size for various staple yarns. Abrams Edward, Rougeux Charles W., Coker James N.), Text. Res. J., 1956, 26, № 11, 875—880 (англ.)

Проведены лабор. опыты шлихтования хлопчатобумажной пряжи, пряжи из штапельного волокна дакрон (полиэфирное волокно) и из смеси дакрона с хлопком или вязкозным штапельным волокном шлихтой из поливинилового спирта — одного или в смеси с крахмалом. Ошлихтованные основы испытывали на спец. приборах на истирание и потерю волокна и приклея при ткачестве. Во всех случаях применение поливинилового спирта дало положительные результаты. Кроме того применение такой шлихты уменьшает загрязненность сточных вод по сравнению с крахмалом. Расшлихтовка тканей осуществляется без действия ферментов, так как шлихта из поливинилового спирта удаляется простой промывкой в теплой воде. С. Светов

23557. Шлихтование основ в шерстяной промышленности. I, II. Томашевский, Завадзкий (Kolejnie osnów w przemysle wełniarskim. I, II. Tomaszewski Ryszard, Zawadzki Jerzy), Przem. włókienniczy, 1957, 14, № 1, 17—19; № 3, 120—125 (польск.)

Приведены требования, предъявляемые к шлихтованной основе, характеристика натуральных и синтетич. в-в, применяемых в качестве шлихты. Описаны принципы приготовления шлихты, в частности на основе крахмала. Приведена характеристика добавляемых к шлихтам мягчителей, гигроскопич. и антисептич. в-в. Описана технология приготовления шлихты на основе растительных, животных и синтетич. в-в, а также технологич. процесс шлихтования и его контроль. И. Фодиман

23558. Разработка правильного способа шлихтования основ в зависимости от вида основы (гребенная, кардная) и содержания в ней шерстяных волокон. Клинкевич (Opracowanie właściwego sposobu klejenia osnów w zależności od rodzaju osnowy (czesankowa, zgrzebna) i zawartości włókien wełnianych. Klinkiewicz F.), Przem. włókienniczy, 1956, 10, № 10, Biul. Inst. Włókien., 19 (польск.)

Разработан рецепт приготовления шлихты для основ с различным содержанием шерстяных волокон (0; 60 и 100%). Шлихта состоит из картофельного крахмала и костяного клея с введением восковой эмульсии в качестве смягчающего средства. В состав восковой эмульсии входят: синтетич. воск, олеин, глицерин и соли аммония. Рекомендуется также применять расщепление крахмала. В. Марнер

23559. Использование хлорита натрия в текстильной промышленности. Часть I. Адриан (Utilizarea cloritului de sodiu în industria textilă I. Adrian C.), Ind. textilă, 1956, 7, № 8, 364—367 (рум.)

Рассмотрены преимущества применения хлорита натрия (I) для белины ткани (устойчивость эффекта белины, возможность белины в кислой среде, отсутствие разрушения отбеленной ткани), методы произ-ва I и его физ.-хим. свойства. Одному молю I соответствует четыре атома активного хлора. Потенциал окисления I в р-ре, содержащем 1 г/л активного хлора, ниже потенциала, необходимого для разрыва микромолекулярной цепи целлюлозы. Для белины I рекомендуется аппаратура из нержавеющей стали, детали из каучука с наполнителями на основе сульфата бария, некоторых пластмасс типа политрифторэтилена. Добавление к р-рам I 0,3—0,6 г/л пирофосфатов, нитратов или нитритов снижает корродирующее действие I. Г. Маркузе

23560. О причинах разложения перекиси водорода при отбелке суровых тканей. Суrowая А. В., Борис X. А., Шемякина А. К. (Über die Ursachen der Zersetzung von Wasserstoffsuperoxyd beim Bleichen von Rohgeweben. Surowaja A. W., Boris H. A., Schemjakina A. K.), Textil — Praxis, 1957, 12, № 7, 708—712 (нем.)

Перевод. См. РЖХим, 1957, 20665

23561. Мерсеризация светлой ткани после окрашивания. — (淺色厚重織物先染色後絲光加工), 染化, Жаньхуа, 1956, № 3, 117 (кит.)

Проведение процесса мерсеризации после окрашивания ткани улучшает качество окраски и уменьшает дефекты при крашении. Этот способ пригоден при окраске ткани в светлые или средние тона, но не пригоден при окраске ткани в темные тона. Приведено краткое описание технологич. процесса. А. Зонит

23562. Усовершенствование оборудования красильных фабрик. I. Об усовершенствовании машин для опаливания ворса. Шэнь Жэнь-цзинь (談談鋼板機毛織的改進. 沈人鏡), 染化, Жэньхуа, 1955, № 1, 7—8, 6 (кит.)

23563. Влияние растворителей на процессе крашения. Питерс, Стивенс (The effect of solvents in dyeing. Peters L., Stevens C.), J. Soc. Dyers and Colourists, 1957, 73, № 1, 23—24 (англ.)

При добавлении в красильную ванну органич. р-рителей возрастает скорость крашения шерсти при низких т-рах. В случае смешивающихся с водой р-рителей это можно объяснить уменьшением агрегирования красителя в присутствии органич. р-рителя. Если р-ритель только частично смешивается с водой, то возможно, что он сорбируется поверхностью волокна, причем краситель растворяется в слое сорбированного р-рителя и быстрее диффундирует в волокно, чем из этого р-ра, чем из водн. красильной ванны. Н. Абрамов

23564. Интенсификация диффузии красителей в целлюлозу. Ростовцев В. Е., Текстильн. пром-сть, 1957, № 6, 39—41

Изучалась зависимость скорости крашения от т-ры и конц-ии электролита (NaCl) в ванне (от 0 до 30 г/л). Отбеленная, мерсеризованная хлопчатобумажная ткань (сатин), пропитанная р-ром прямого красителя (прямой алый), обрабатывалась в спец. паровом зрельнике при 100, 112, 120 и 132° в течение различного времени (от 12 до 600 сек.). По выходе из зрельника ткань без промывки высушивалась на воздухе и исследовалась на степень прокрашивания элементарных волокон. Из полученных данных графич. путем было определено время диффузии половины красителя с поверхности внутрь волокна. Скорость диффузии возрастает с повышением т-ры. Влияние конц-ии электролита на скорость диффузии зависит от т-ры: для т-ры 100° эта скорость с повышением конц-ии электролита падает, для т-р выше 100° существует некоторое оптимальное значение конц-ии, которое тем выше, чем выше т-ра.

С. Светов

23565. Исследование спектров поглощения красителей. II. Об изменении цвета диаминового синего 3R. Ниси (染料の吸収スペクトルに関する研究. 第2報. Diamine Blue 3 Rの變色について. 石井美治), 纖維學會誌, Сэнги гаккайси, J. Soc. Text. and Cellulose Ind. Japan, 1954, 10, № 12, 632—636 (японск.; рез. англ.)

Цвет тканей, окрашенных диаминовым синим 3R, изменяется при горячем глажении. Аналогичное изменение цвета в водн. р-рах при добавке NaCl или при повышении (или понижении) pH можно объяснить смещением максимума полосы поглощения с 552 мμ до 520—530 мμ. На сухой вискозной пленке, окрашенной тем же красителем, максимум полосы поглощения смещается с 552 мμ до 572 мμ, а при увлажнении усиливается полоса поглощения 620—630 мμ. При глажении пленки последняя полоса исчезает и цвет изменяется. Появление новой полосы поглощения на пленке объясняется частичным взаимодействием ионов красителя с целлюлозой. Часть 1 см. РИХИм, 1957, 24442.

Л. Беленький

23566. Выцветание окрасок дисперсными красителями на тканях из ацетатного шелка под действием атмосферных газов. Грейборн (Atmospheric gas fading of dispersed acetate dyestuffs on acetate fabrics. Greyborn Arne), Canad. Text. J., 1956, 73, № 14, 46—48 (англ.)

Для изучения процесса выцветания сконструирован прибор, в камеру которого пропускают однородную смесь NO и N₂O₄. При действии окислов азота на окраску ацетатного шелка 1,4-бис-(метиламино)-антрахиноном, метиламиногруппы превращаются в группы NH₂, а синяя окраска переходит в красновато-фиолетовую; далее аминогруппа переходит в OH, а окраска — в красновато-оранжевую. Аналогично ведут себя и другие красители. Для защиты окрасок на ацетатном шелке от действия продуктов горения в аппрет вводят триэтанолламин. Выцветание под действием света и под действием газов имеет много общего. Найдено, что триацетилцеллюлозное волокно более чувствительно к действию света и газов, чем диацетилцеллюлозное; нейлон устойчив к действию газов, но стойкость к свету такая же, как у ацетатного волокна.

О. Славина

23567. Быстрый способ крашения. Брассар (Rapid dyeing. Brassard Herbert A.), J. Soc. Dyers and Colourists, 1957, 73, № 1, 24 (англ.)

Во всех существующих способах крашения основы или ткани процесс рекомендуется проводить в течение 30—60 мин. при соответствующих т-рах. Но фактически окрашиваемый материал находится в контак-

те с красящей жидкостью лишь несколько секунд. На основе этого в Англии применяется быстрый метод крашения, при котором контакт материала с жидкостью не превышает 20—25 сек., причем прочность окрасок сохраняется.

Г. Галкина

23568. Современные методы крашения тканей из целлюлозных волокон. Хейбергер (Ausschnitt aus dem Gebiete der modernen Stückfärberei der Zellulosefasern. Heuberger H.), Melland Textilber., 1956, 37, № 12, 1427—1432 (нем.; рез. англ., франц., исп.)

Обсуждается выбор оптимального режима и рецептуры при крашении на плюсовках, а также выбор оптимальных последующих обработок окрашенной ткани.

В. Шугер

23569. Мокрые обработки тканей из смесок шерсти с другими волокнами. Эдуардс (The wet processing of fabrics containing blends of wool. Edwards H. D.), Fibres, 1957, 18, № 4, 127—130, 134 (англ.)

Рассмотрено влияние процессов промывки, валки и крашения на внешний вид и качество тканей из смесей волокон. Изложены в общих чертах условия проведения этих процессов для камвольных и суконных тканей различного назначения из различных смесок.

С. Светов

23570. Получение непрочных, легко смываемых окрасок на ацетатном шелке путем добавки катионно-активных вспомогательных средств. Рау (Unechtes, auswaschbares Anfärben von Azetat Kunstseide durch Einsatz kationaktiver Textilhilfsmittel. Rau Martin), Textil- und Faserstofftechnik, 1954, 4, № 12, 744—745 (нем.)

23571. Цибакет-красители в крашении синтетических волокон. Штерн (Cibacetyl-färbstoffe beim Färben synthetischer Faserstoffe. Stern H.), Ciba-Rundschau, 1957, № 130, 35—37 (нем.)

Краткий обзор существующих теорий крашения ацетатного и синтетич. волокон. Библ. 7 назв.

Н. Абрамова

23572. Новое направление в области крашения искусственных и синтетических волокон. Фурусава (化学繊維物染色の最近の趨勢について. 古澤千代化機月報. Касэн гашо, Japan Synth. Text. Monthly, 1956, 9, № 3, 16—17, 27 (японск.)

Обзор.

Син Мен Хен

23573. Применение в крашении металлических комплексов красителей, не содержащих сульфогрупп. Вейбле (Sulfonsäuregruppenfreie Metallkomplexfarbstoffe in der Färberei. Weible K.), Melland Textilber., 1956, 37, № 7, 831—833 (нем.; рез. англ., франц., исп.)

Металлсодержащие красители, не имеющие свободных сульфогрупп, в которых на 2 моля красителя приходится 1 атом металла (цибаланы, иргаланы, капрадилы, изоланы, ланазины, ортоланы), отличаются от палатинов и неоланов тем, что растворимость их обусловлена присутствием группы —SO₂NH₂. Эти красители способны окрашивать из нейтр. ванны в присутствии NH₄-солей. Однако в нейтр. ванне есть опасность повреждения шерсти, особенно, когда pH повышается и переходит в щел. область. Эта опасность уменьшается при добавлении анионоактивного вспомогательного в-ва осимоль (крашение при pH 4—5). Осимоль пригоден и для крашения при повышенной т-ре на аппаратах пакового типа. Неровноту партий исправляют прибавлением в красильную ванну 3—5% осимоль и 4—6% уксусной к-ты с последующим кипячением в течение 1/2—1 часа.

О. Славина

23574. Достижения в крашении кубовыми красителями. Флетчер (Recent development in vat

dyeing. Fletcher J. M.), Amer. Dyestuff Reporter, 1957, 46, № 9, 319—322, 328 (англ.)

Обзор достижений в области оборудования, красителей и методов крашения тканей, пряжи, волокон, трикотажных изделий и ковров. Библ. 8 назв. С. Светов

23575. Равновесная адсорбция лейкосоединений кубовых красителей на хлопке. Питерс, Самнер (Equilibrium adsorption values of leuco vat dyes on cotton. Peters R. H., Sumner H. H.), J. Soc. Dyers and Colourists, 1957, 73, № 1, 12—16 (англ.)

Изучена равновесная адсорбция ряда лейкосоединений кубовых красителей на хлопке при различных конц-ях NaOH и NaCl. На основе полученных данных рассчитывали термодинамич. средство — изменение свободной энергии, связанное с переходом красителя из ванны на волокно. Хим. средство уменьшается на 3—10% с увеличением конц-ии соли. Замечено изменение величины хим. средства с увеличением конц-ии электролита, особенно для случая NaCl. Предложены два объяснения этих отклонений от теории: 1) недостаточность самой теории, 2) р-ры красителей не являются монодисперсными. Г. Галкина

23576. Крашение кубовыми красителями в аппарате КБ-50. Дрейзен В. М., Легкая пром-сть, 1957, № 3, 46—47

Разработан метод крашения пряжи кубовыми красителями в аппарате КБ-50. Пряжу загружают в аппарат (чистый вес пряжи 40 кг) и отваривают при кипении 30 мин. в р-ре ОП-10 (0,2 г/л), после чего ванну охлаждают до 20—30°, заливают р-ры щелочи, гидросульфита и некаля и в 2 приема вливают приготовленный маточный куб красителя. Крашение начинают при 20—30°, через 20 мин. начинают нагревать, греют до 60—70° и при этой т-ре красят еще 40—60 мин. Охлаждают холодной водой. Метод позволяет повысить производительность труда и сократить стоимость процесса. Н. Абрамова

23577. О потере прочности хлопчатобумажных тканей, окрашенных сернистым черным красителем. Мальцев Н. Д., Агапова О. И., Текстильн. пром-сть, 1957, № 7, 37—40

Изучалось ослабление окрашенной сернистым черным красителем хлопчатобумажной ткани при хранении. Образцы окрашенной ткани хранили в закрытом шкафу, без доступа воздуха. В течение года каждый месяц отбирали пробы для определения прочности ткани в кол-ва образовавшейся к-ты. Прочность при хранении в течение года снизилась по утку на 42,5%, по основе на 43,34%, что обусловлено образованием на ткани значительного кол-ва H_2SO_4 за счет окисления серы, выделяющейся при разложении красителя. Слабая окраска ткани, окрашенной сернистым черным красителем, основными красителями (напр., метиленовым голубым) защищает ее от разрушения. О. М.

23578. Крашение сернистыми черными красителями на роликовых машинах. Хэ Оу-ци (捲染硫化元布の報導. 何偶齊), 染化, Жаньхуа, 1955, № 2, 44—45 (кит.)

Описан процесс крашения, указана оптимальная т-ра и кол-ва применяемого красителя, Na_2S и NaOH. А. Зоннтаг

23579. О крашении сернистым серым красителем с добавлением $NaHCO_3$. Дин Бай-пин (硫化灰加小蘇打染色報導. 丁百平), 染化, Жаньхуа, 1955, № 4, 151 (кит.)

Описано крашение ткани сернистыми красителями с добавлением $NaHCO_3$, при котором получена ровная и интенсивная окраска. А. Зоннтаг

23580. Практика крашения ацетатного волокна. Икэда (アセテート染色の實際. 池田俊一郎), 化纖月

報, Касан гэнпо, Japan Synth Text. Monthly, 1955, 8, № 9, 71—73 (японск.)

Обзор.

Син Мен Хен

23581. Исследования и достижения в области суспензионного крашения плюсовочно-джигерным способом. Фогель (Erfahrungen und Fortschritte bei Pigmentfärbungen nach dem Pad-Jig-Verfahren. Vogel R.), Melliand Textilber, 1957, 38, № 3, 310—313 (нем.; рез. англ., франц., исп.)

При суспензионном крашении плюсовочно-джигерным способом ткань плюсуют суспензией красителя и затем окраску проявляют на джигере (Д). Установлено, что миграция на ткани и переход красителя в р-р при проявлении на Д увеличивается при удлинении срока лежки плюсованного товара перед проявлением. Для устранения этого разработана новая конструкция машины, совмещающая плюсовку и Д и позволяющая производить проявление на Д непосредственно после плюсования. Н. Абрамова

23582. Успехи в области крашения синтетических волокон. Прати (Progressi nella tintura delle fibre sintetiche. Prati Giovanni), Mondo tessile, 1957, 12, № 1—2, 12—16 (итал.)

Приведены физ.-хим. основы и особенности крашения синтетич. волокон из полиамидов, полиэфиов и полиакрилонитрила. Указаны трудности крашения волокон из полиэфиов дисперсными красителями, а также особенности крашения смесей, содержащих полиэфиовые волокна. И. Фодиман

23583. Крашение и отделка вытянутого нейлона. Уотерс (Dyeing and finishing stretch nylon. Waters Joseph L.), Text. Ind., 1956, 120, № 9, 97—98 (англ.)

Для придания хорошего качества чулочно-носочным изделиям из нейлона и других волокон необходимо в процессах отделки и крашения соблюдать определенный температурный режим, применять установленные вспомогательные в-ва и придерживаться оптимальных условий. Для крашения чулочно-носочных изделий из вытянутого нейлона применяют дисперсные ацетатные красители, имеющие средство к нейлону и обеспечивающие получение ровных окрасок. Крашение ведется по обычному способу, но при более низкой т-ре; в ванну добавляют растворимые масла, смачиватели и другие вспомогательные в-ва, обычно применяемые при крашении ацетатного шелка. П. Морганов

23584. Крашение и отделка тканей из полиакрилового волокна «верель». Айви (Verel acrylic fiber — its dyeing and finishing properties. Ivey William R., Jr.), Mod. Text. Mag., 1956, 37, № 11, 71—72 (англ.)

Кратко рассмотрены подготовка к крашению, крашение и ашпретирование тканей из волокна верель. Подготовка аналогична подготовке других синтетич. волокон; беление в большинстве случаев не нужно, так как волокно само совершенно белое. Для крашения применяют три группы красителей: металлоидные, дающие наиболее прочные окраски, дисперсные — для ацетатного волокна и основные — для более ярких оттенков. Т-ра крашения в пределах 82—96°. При ашпретировании не следует применять синтетич. смолы, применяемые для отделки целлюлозных волокон, так как они сообщают тканям из волокна верель жесткость. Т-ра при отделке не должна быть выше 150°. С. Светов

23585. Зависимость между степенью обработки волокна винилом формальдегидом и его окрашиваемостью. Иосикава (ビニロン繊維のホルマール化と染色性. 吉川清兵衛), 大阪工業技術試験所季報, Осака когё гидзюку сикэнсё кихо, Bull. Osaka I-

- Industr. Res. Inst., 1956, 7, № 1, 5—10 (японск.; рез. англ.)
- Исследована способность волокон винилон окрашиваться прямыми, основными и дисперсными целлюлозными красителями в зависимости от содержания $-OCH_2-O-$ и OH -групп в волокне. А. Волохина
23586. Крашение валяной обуви в черный цвет. Альтман К. З., Легкая пром-сть, 1957, № 3, 42
- Разработаны рецепты и режимы крашения чисто шерстяной валяной обуви в черный цвет и крашения полшерстяного лоскута, содержащего растительные волокна. О. Матвеева
23587. Способ применения кремнекислого натрия при проявлении нафтолового фиолетового красителя. Ван Цзун-дань (納夫妥紫番顯色液應用砂礫法, 王宗旦), 染化, Жаньхуа, 1955, № 4, 152 (кит.)
- Сообщается о возможности добавления Na_2SiO_3 вместо обычно применяемого CH_3COONa в проявительный р-р при применении нафтолового фиолетового красителя. Na_2SiO_3 растворяют в теплой воде с последующим добавлением холодной воды. Приведено описание процесса и даны рецепты р-ров. А. Зоннтаг
23588. Печатание тканей ручным способом. Часть I. Чэнь Пин (手工印花簡述(一), 沈平), 染化, Жаньхуа, 1955, № 4, 172, 173 (кит.)
- Популярное описание оборудования и инструментов, применяемых при ручном печатании. А. Зоннтаг
23589. Технологический процесс печатания тканей. Куан Янь, (型紙印花的操作程序, 匡衍), 染化, Жаньхуа, 1953, № 1, 19—20 (кит.)
- Популярное описание технологич. процесса печатания тканей. А. Зоннтаг
23590. О печатании носовых платков. Чжэн Чжунчуань (談談手帕印花, 鄭智川), 染化, Жаньхуа, 1955, № 4, 168—169 (кит.)
- Описано ручное печатание носовых платков при помощи шаблонов прямыми красителями или индигозолем и другими красителями. А. Зоннтаг
23591. Увлажнение ткани перед запариванием. Оскорбина Н. А., Садов Ф. И., Текстильн. пром-сть, 1957, № 7, 41—42
- Определяли колич. переход кубовых красителей при печатании в зависимости от времени запаривания ткани, а также влажность ткани после запаривания. Чем выше влажность напечатанной ткани до запаривания, тем больше красителя переходит на ткань. Переход кубовых красителей на ткань можно ускорить, создав условия для быстрого поглощения напечатанной тканью достаточного кол-ва влаги. Это лучше всего достигается запариванием предварительно (непосредственно перед входом в зрельник) увлажненной ткани. О. Матвеева
23592. Устойчивый жесткий аппрет для полиамидных волокон. Богман (Duurzame stijve appret voor nylonweefsels, Boogman J.), Textiel ind., 1956, 36, № 1, 16 (гол.)
- В качестве жесткого и прочного в эксплуатации аппрета для полиамидных волокон (ПВ) предложено применять смесь полиакриловой к-ты (I) с каким-либо многоатомным спиртом (глицерином, этиленгликолем, пропиленгликолем, сорбитом и др.) в соотношении от 10:2 до 10:5 при дозировке I от 1% до 10% и веса ПВ (при 10% I ткань становится картонообразной). Нанесенный аппрет закрепляют на ПВ нагреванием его при т-ре от 190° (выдержка 2 мин.) до 220° (выдержка 10 сек.). Л. Песин
23593. Применение смол в текстильной промышленности. Смит (The application of resins to textiles, Smith A. R.), Canad. Text. J., 1954, 71, № 24, 38—40 (англ.)
- См. также РЖХим, 1956, 7926, 72902
23594. Отделка ацетатного волокна смолами. 1. Мураками (アセタートの樹脂加工, I. 村上謙吉), 化機月報, Касэн гэнпо, Japan Synth. Text. Monthly, 1955, 8, № 9, 79—84; № 10, 22—29 (японск.)
- Обзор. Библ. 17 назв. Син Мен Хен
23595. О противоусадочной отделке хлопчатобумажного крепа. Фудзита, Иман (綿クレープの防縮加工について, 藤田正, 今井信次郎), 纖維學會誌, Сэньи гаккайси, J. Soc. Text. and Cellulose Ind. Japan, 1955, 11, № 10, 637—640 (японск.)
- Отваренный и отбеленный хлопчатобумажный креп обрабатывают: а) р-ром, состоящим из 5%-ного р-ра триметилломеламина и 98%-ной CH_3COOH (1:3); и б) р-ром, содержащим 8% триметилломеламина, 0,05% $(NH_4)_2HPO_4$ и 0,3% препарата Catalyst AC. По сравнению с тканью, ашпретированной крахмалом, креп, обработанный приведенным способом, имеет значительно меньшую усадку. При обработке смолы гигроскопичность и теплопроводность крепа в той или иной степени уменьшается, а прочность крепа значительно ухудшается. Син Мен Хен
23596. Проблема защиты текстильных материалов от моли. Косменко (Problem zaštite materijala od moljaca u tekstilnoj industriji, Kosmaenko Konstantin), Tekstilna ind., 1957, 5, № 2, 56—57 (сербо-хорв.)
- Обзор. Библ. 4 назв. З. Лебедева
23597. Гидрофобная отделка тканей и других текстильных материалов. Слезак (Hydrofobni úpravu tkanin a různých textilních materiálů, Slezák Josef), Textil, 1957, 12, № 1, 23—25 (чешск.)
- Приведена методика обработки гидрофобизирующими в-вами типа велан PF, церан II и IV, фоботекс FF, цероль WB и результаты испытаний тканей, обработанных указанными продуктами, и тканей, обработанных парафиновой эмульсией деплувин Т. Церан II меньше снижает прочность ткани, чем церан IV. И. Фодиман
23598. Водонепроницаемые, но проницаемые для водяных паров хлопчатобумажные изделия. Форт, Куинн (Water-resistant, water vapor permeable cotton fabrics, Fourt Lyman, Quinn Frank), Text. Res. J., 1957, 27, № 3, 232—243 (англ.)
- Обзор патентов и работ по получению прорезиненной водонепроницаемой ткани, пропускающей водяные пары. Библ. 17 назв. И. Ф.
23599. Цианоэтилирование хлопчатобумажной ткани. Грейтхаус, Янссен, Берард, Хейдел (Cyanoethylation of cotton fabric, Greathouse Lucien H., Janssen H. J., Berard W. N., Haydel C. H.), Industr. and Engng Chem., 1956, 48, № 8, 1263—1267 (англ.)
- Приведены результаты работы по цианоэтилированию пробных партий хлопчатобумажной ткани. Описан процесс обработки ткани акрилонитрилом, схема и принцип действия прибора для регулирования т-ры в процессе цианоэтилирования. Равномерность цианоэтилирования, определяемая содержанием азота в различных участках ткани, зависит от регулирования т-ры, от объема и равномерного распределения обрабатывающего р-ра. Н. Цветков
23600. Вспомогательные вещества, применяемые при крашении ацетатного волокна. Танака (アセタート用染色助剤, 田中豊), 化機月報, Касэн гэнпо, Japan Synth. Text. Monthly, 1955, 8, № 9, 74—78 (японск.)
- Обзор. Библ. 10 назв. Син Мен Хен
23601. О микроскопическом наблюдении волокон. Асо (纖維の顕微鏡観察に就て, 淺生貞夫), 化機月報, Касэн гэнпо, Japan Synth. Text. Monthly, 1955, 8, № 7, 28—30 (японск.)
- Для наблюдения волокон, у которых внутреннее

строение мешает микроскопич. наблюдению, сначала получают отпечаток следа поверхности на мягких телах. Этот след потом наблюдают под микроскопом. В качестве мягких тел, кроме целлюлоида, можно применять целлофан, полиэтиленовую пленку, киноплёнку и желатину.

Син Мен Хен

23602. Определение содержания формалина в целлюлозных текстильных материалах, обработанных формалином, мочевино- или меламиноформальдегидной смолой. Рофф (The determination of the formaldehyde yield of cellulose textiles treated with formaldehyde, urea-formaldehyde, or melamine-formaldehyde. Roff W. J.), J. Text. Inst. Trans., 1956, 47, № 6, T309—T318 (англ.).

Предложен метод определения трех видов противосажающих и несминаемых аппретов на основе CH_2O . Навеску анализируемого образца обрабатывают в колбе с притертой пробкой (250 мл) 100 мл 12 н. H_2SO_4 при $25^\circ \sim 18$ час. 5 мл гидролизата отфильтровывают через пористый стеклянный фильтр, добавляют 1 мл 5%-ной хромотроповой к-ты и 5 мл конц. H_2SO_4 и после встряхивания помещают на 30 мин. в кипящую воду. Образующийся р-р красного цвета переносят в мерную колбу (50 мл), охлаждают и колориметрируют при $\lambda = 570$ мμ. Градуировочный график готовят по р-рам CH_2O . Приведены результаты определений для образцов аппретированного вискозного шелка, хлопка и льна.

Л. Бельский

23603. Перспективы автоматизации контроля кубового крашения. Захарьевская И. Д., Лентовская В. А., Захарьевский М. С., Текстильн. пром-сть, 1957, № 6, 37—38

Для автоматич. контроля при восстановительном способе крашения на жгутовых барках подходящим параметром может служить окислительно-восстановительный потенциал (Е) ванны. Минимально допустимые значения Е устанавливаются предварительно опытным путем для каждого красителя и режима крашения. Введение такого контроля не требует разработки спец. аппаратуры. Для этой цели в основном могут быть использованы схемы автоматич. регулирования рН. Приведены кривые изменения Е в процессе крашения несколькими кубовыми красителями и рецептуры и режимы крашения (в красильных жгутовых барках) кружежного полотна.

С. Светов

23604. Исследование красителей на волокне. Бодэ (Die Untersuchung von Farbstoffen auf der Faser. Bode Albert), Melliand Textilber., 1957, 38, № 3, 289—296 (нем.; рец. англ., франц., исп.).

Обзор современных методов качеств. анализа красителей на волокне.

Л. Б.

23605. Цвет и текстильные материалы. II. Модификации, обусловленные наложением цветов. Уорбертон, Лунд (Colour and textiles. II. The modification of colour due to juxtaposition. Warburton P., Lund G. V.), J. Text. Inst. Proc., 1956, 47, № 5, 319—346 (англ.).

Продолжение обзора. Погрешности цветоразличения. Таблицы ступеней цветоразличения. Влияние расстояния от наблюдателя до образца на правильность оценки. Формулировка основных закономерностей цветоразличения. Часть I см. РЖХим, 1957, 32233.

Л. Бельский

23606. Применение спектрографии для исследования цвета текстильных материалов. Делилле (Les applications de la spectrographie à l'étude des coloris dans le textile. Delille J.), Ind. text., 1956, № 841, 887—890 (франц.).

Краткий обзор.

Л. Б.

23607. Предложения Международной организации стандартизации (ISO) по методам определения прочности окрасок на текстильных изделиях. I, II,

III и IV (Schema delle proposte «ISO» sui metodi per la determinazione delle solidità delle tinture sui tessuti. I, II, III, IV.—), Tintoria, 1956, 53, № 5, 191—195; 53, № 6, 248—249; 53, № 7, 293—297; 53, № 8, 341—344 (итал.).

Отдельные разделы проекта «ISO» по методам определения прочности окрасок: в части I изложены общие принципы испытаний и описание серой шкалы для оценки изменения окраски; в части II — описание шкалы для оценки степени закрашивания и методы определения прочности окрасок к к-там и щелочам; в части III — методы определения прочности окрасок к отбеливанию гипохлоритом и перекисью, к карбонизации хлористым алюминием и H_2SO_4 , к действию Cl; в части IV — методы определения светопрозрачности к мерсеризации.

И. Фодина

23608. Способы испытания текстильных изделий на прочность окрасок к свету. — (紡織品の耐晒率を試験方法の紹介), 中國紡織, Чжунго фанчжи, 1955, № 2, 50 (кит.).

Описано определение прочности окрасок и составление синей шкалы для шерстяных тканей. А. Зонитар **23609. Техника измерения светопрозрачности тканей.** Барелла, Сегарра (Une technique nouvelle pour le mesurage de la régularité de la transparence des tissus. Barrella A., Cegarra J.), Rev. text., 1956, 55, № 6, 374—378 (франц.).

Сравнены три метода измерения прозрачности окрашенных тканей (определения влияния структуры тканей на их светопрозрачность) с использованием абсорбиметра Спеккёра типа Н760: 1) с применением окрашенных светофильтров, 2) с применением нейтр. серого светофильтра и 3) дополнительное окрашивание ткани в черный цвет для элиминирования влияния окраски. Во всех случаях использован принцип измерения при постоянной освещенности фотоэлемента, так как только в этих условиях получаются сравнимые результаты. Лучшим оказался третий метод. При его применении установлено прямое соотношение между светопрозрачностью и структурой ткани.

Л. Бельский

23610. Определение коэффициента капиллярности хлопчатобумажных тканей. — (毛細管效應棉布透過率の測定法), 染化, Жаньхуа, 1955, № 12, 507 (кит.).

Описан метод и прибор для указанного определения.

А. Зонитар

23611. Метод искусственного старения хлопчатобумажных тканей, окрашенных сернистым черным. Сергеева З. И., Хмельницкая И. Л., Текстильн. пром-сть, 1957, № 6, 42—44

Предложена установка для ускоренного старения тканей, в которой поддерживают на постоянном уровне т-ру, влажность и воздухообмен. Приведены результаты испытаний тканей с различной длительностью старения (от 5 до 20 час.). Определяли потерю крепости и изменение медного числа и рН водн. вытяжки ткани. Старению были подвергнуты образцы ткани, окрашенной красителями: сернистым черным К, индикарбоном ЦЛ и прямым черным ЗС, совместно с исходной неокрашенной тканью. Свойства окрашенных тканей после искусств. старения изменяются в соответствии с результатами длительного естественного старения тканей.

С. Светов

23612. Обнаружение зараженности грибами целлюлозных текстильных материалов. Роз, Миттон, Гарднер, Лэрд, Бейли (The detection of fungal growth in cellulosic textiles. Rose G. R. F., Mitton M., Gardner B. J., Laird D. M., Bayley C. H.), Text. Res. J., 1957, 27, № 2, 99—110 (англ.).

Приведены обзор литературы и исследования авторов по применению спец. техники окрашивания ра-

личных текстильных волокон (лен, хлопок, вискозное волокно, сизаль, джут, пенька) для обнаружения зараженности их микроорганизмами. Наиболее удовлетворительные результаты дает метод, основанный на различии в окраске нитей грибки и субстрата. При помощи его может быть обнаружено заражение как в суровом, так и в окрашенном материале. Он может быть применен также для оценки степени зрелости хлопкового волокна. Библи. 37 назв. С. Светов

23613 П. Шлихтование пряжи (Sizing textile yarns) [Imperial Chemical Industries, Ltd]. Англ. пат. 737694, 28.09.55

Пряжу шлихтуют водн. составом, содержащим адипамид, полиэтиленгликоля или смесь, или сополимер его с другими полиамидами. Этот состав обладает смазывающими свойствами. Водорастворимые сополимеры для получения шлихты могут быть получены р-цией триэтиленгликольдиаммонийадипата с гексаметилендиаммонийадипатом или себацатом или капролактатом. О. Славина

23614 П. Шлихта для синтетических волокон. Тромсдорф, Абель (Schlichte für vollsynthetische Fasern. Trommsdorff Ernst, Abel Gerhard) [Röhm & Haas G. m. b. H.]. Пат. ФРГ, 951209, 25.10.56

Установлено, что эффект шлихтования полиакриловой к-той значительно повышается, если в макромолекулу полимера ввести определенные небольшие кол-ва сульфогрупп. Метакриловая к-та (I), содержащая такое кол-во сульфогрупп, растворима в воде и в качестве шлихты для чисто синтетич. волокон превосходит все до сих пор известные виды шлихты из синтетич. полимеров. Вследствие низкой вязкости эти продукты особенно хороши для шлихтования мотков, шпудль, куличей и пр. Предлагается в качестве шлихты для синтетич. волокон применять водн. р-ры полимеров, или сополимеров акриловой (II) и I, в макромолекулы которых введено $\geq 0,5\%$ сульфогрупп, считая на чистое сухое в-во. Полимеризацию лучше вести с окислительно-восстановительной системой при т-ре 60—90°. В качестве окислителя предпочтительно применять $K_2S_2O_8$. Напр., в сосуд, снабженный мешалкой, обратным холодильником, двумя подводными приспособлениями и термометром, вводят 550 мл воды. Воду нагревают до 80—85°; при этой т-ре в течение $3\frac{1}{2}$ час. при размешивании одновременно из сосудов по каплям подводится 300 г I и р-р 9 г $K_2S_2O_8$ в 150 см³ воды. I моментально полимеризуется и получается, без значительного повышения т-ры, прозрачный сиропообразный р-р полимера, содержащий 30% сухого в-ва. Р-р полимера, имеющий pH 2,5—3,0, разбавляют холодной или горячей водой. Сухое в-во содержит 1,1% SO_3H -групп и является превосходной шлихтой для полностью синтетич. волокон. Р. Нейман

23615 П. Состав для белины и подсиньки. Роуэлл (Liquid blue bleach. Rowell Beatrice M.), Канадск. пат. 514761, 19.07.55

Состав представляет собой водн. р-р белящих в-в, содержащих хлор, с добавлением ультрамарина и стабилизатора. Сначала готовят р-р $\sim 93,7$ вес. ч. воды, 3,1 ч. $CaOCl_2$ и 3,1 ч. безводн. Na_2CO_3 ; после отстаивания прозрачный р-р сливают и добавляют 0,1 вес. % ультрамарина. С. Светов

23616 П. Обработка коконов пропиткой и кипячением в вакууме. Мацусита, Киносита, Хабу (真空蒸着液処理方法. 松下紀男, 木下賢, 羽生英尚) [下伊那生糸販賣利用農業協同組合連合會天龍社, Симойна сейси хамбай риё ногё кёдо кумнай рэнгокай тэнрюся]. Японск. пат., 4757, 12.07.55

Предложен способ отварки коконов после пропитки и выдерживания в вакууме. Пример. Кокон помещают в вакуум (100 мм рт. ст.), заливают холодной

водой, затем впускают воздух и осуществляют пропитку коконов. После удаления оставшейся воды создают вакуум (40 мм рт. ст.), обезвоживают коконы, впускают воздух, извлекают коконы и оставляют на 1—3 часа для деструкции серицина, после чего закладывают в воду с т-рой 32° и постепенно регулируют т-ру: 65—88—98—93—88°. Подобная обработка увеличивает кол-во нити на 1—2%, а размоточную способность на 20%. В. Гужавин

23617 П. Способ изменения физического состояния не содержащих металл фталоцианиновых пигментов и применение полученных растворов при крашении. Педерсен (Method for changing the physical state of metal-free phthalocyanine pigments and use of solution of same for dyeing. Pedersen Charles John) [E. I. du Pont de Nemours and Co.]. Пат. США 2741531, 10.04.56

Нерастворимый, не содержащий металл фталоцианиновый пигмент (I) или не содержащий металл галоидированный фталоцианиновый пигмент обрабатывают при т-ре $\leq 50^\circ$ гидроокисью, алкоголятом или гидридом щел. металла (в кол-ве ≥ 2 молей на 1 моль фталоцианина) в среде циклогексанола, жидкого первичного или вторичного спирта с прямой цепью, содержащего 2—12 атомов C, или низшего алкоксигексанола до образования окрашенного р-ра. Целлюлозные волокна окрашивают пропиткой полученными р-рами и последующей обработкой водой или р-рами солей металлов в органич. р-рителе (напр., $CuCl_2$ или $NiCl_2$ в низшем алкильном эфире этиленгликоля) для регенерации на волокне нерастворимого фталоцианинового пигмента. Пример: к суспензии 2 ч. тонкоизмельченного I в 1800 ч. $HOCH_2CH_2OC_2H_5$ при встряхивании прибавляют 3 ч. NaH и получают сине-зеленый р-р. К суспензии 1 ч. тонкоизмельченного I в 50 ч. $HOCH_2CH_2OC_2H_5$ прибавляют 1 ч. CH_3ONa и получают сине-зеленый р-р. К суспензии 2 ч. тонкоизмельченного не содержащего металл полихлорфталоцианина (содержание Cl $> 45\%$) прибавляют р-р 1 ч. KOH в 60 ч. $HOCH_2CH_2OC_2H_5$ и 2 ч. воды, нагревают до 50° и размешивают 5 мин., получают темно-зеленый р-р. Хлопковые волокна кипятят 5 мин. с водой и 5 мин. с $HOCH_2CH_2OC_2H_5$, пропитывают р-ром I в $HOCH_2CH_2OC_2H_5$ с добавлением NaH, промывают водой и мылуют при кипячении 15 мин. 0,5%-ным р-ром мыла, получают зелено-синюю окраску с хорошей прочностью к мокрым обработкам и трению. В. Уфимцев

23618 П. Препараты для печати кубовыми красителями. Керп (Für Textildruck geeignete Küpenfarbstoff — Präparate. Kerth Max) [Cassella Farbwerke Mainkur A.-G.]. Пат. ФРГ 937583, 12.01.56

Для печати кубовыми красителями по ронгалитно-поташному методу предлагается в состав печатной краски, помимо обычно применяемых в-в, вводить продукт конденсации (I) альдегидов с соединениями, имеющими не менее чем одну атомную группировку: $-N=C-(N=)_2$ или легко в такие соединения переходящими. Применение I дает возможность увеличить продолжительность лежки напечатанного товара во влажной атмосфере до сушки и запаривания, без изменения интенсивности печати. I вводят в кол-ве 10—30 г на 1 кг печатной краски. Возможно применение I в смеси с соединениями бора и водорастворимыми силикатами. Пример. Ткань печатают машинным, ручным или способом фильмпечати краской, содержащей (в г на 1 кг): 100 индантрен золотисто-желтого RK, 50 глицерина (или его заменителя), 160—140 воды, 500 загустителя, 100 поташа, 80 ронгалита и 10—30 продукта конденсации дициандиамида, CH_2O и NH_4Cl . Напечатанную ткань после сушки запаривают, окисляют, промывают водой, мылуют, промывают и сушат. Лежка такой ткани перед запариванием в ат-

мосфере с относительной влажностью 65% и t-рой 20° в течение 30 час. не изменяет оттенка и не снижает прочности окраски.

З. Панфилова

23619 П. Способ обработки искусственного волокна для рыболовных сетей. Ясава, Кунни, Акута, Сато, Идэ (合成纖維漁網糸の加工法. 矢澤將英, 國井時雄, 芥利夫, 佐藤渉, 井出幸三) [鐘淵紡績株式會社, Канэгафти босэки кабусики кайся]. Японск. пат. 1824, 19.03.55

Найлон, саран и другие синтетич. волокна, применяемые для рыболовных сетей, обрабатывают синтетич. смолами, которые повышают прочность волокон и силу сцепления между волокнами, а также закрепляют крутку. Волокна можно обрабатывать винилацетатом, сополимером винилхлорида и винилиденхлорида, а также сополимером винилацетата и винилхлорида. В качестве р-рителя можно брать бензол, бензин, ССл. Крученную нить или сеть погружают в р-р смолы на 30 мин. и потом отжимают. Сушку можно вести на воздухе или теплым воздухом.

Син Мех Хен

23620 П. Эмульсия аминосмола (типа вода в масле) для обработки текстильных изделий. Кавасима, Симамото (纖維素製品加工用アミノ樹脂の水中油滴型乳濁液の製造法. 川島正一郎, 島本伸一) [日本油脂株式會社, Нихон юси кабусики кайся]. Японск. пат. 297, 22.01.55

2 г метилцеллюлозы растворяют в 20 г воды при 90°, охлаждают и прибавляют 80 г воды. Смесь гомогенизируют с 3 г $\text{CH}_3 \cdot (\text{CH}_2)_{11} \cdot \text{NH}_2 \cdot \text{CH}_2\text{COOH}$, а затем с 100 г 50%-ного р-ра бутилового эфира оксиметилмеламин в смеси бутиловый спирт-ксилол (1:1).

З. Тукачинская

23621 П. Противоусадочная обработка шерсти. Ма-кисима (羊毛の防縮法. 牧島邦夫) [田中毛糸紡績合資會社, Танака кэито босэки госи гайся]. Японск. пат. 3200, 12.05.55

Для снижения способности к усадке шерсть (волокна или ткани) обрабатывают неполярными р-рителями. Особенно эффективны сольвент-нафта, уайт-спирит и другие углеводороды (насыщенные и ненасыщенные с 5—15 атомами С) или бензол, толуол и другие ароматич. соединения. Пример. Серую к-ту (в кол-ве 0,5—5%) смешивают с лигроином, добавляют 1—2% олеиновой к-ты, обрабатывают шерстяное волокно при 20° 5—25 мин., жидкость удаляют центрифугированием, волокно промывают 1%-ным р-ром Na_2CO_3 , затем водой и сушат.

В. Гужавин

23622 П. Способ повышения несминаемости, прочности на разрыв во влажном состоянии и безусадочности текстильных изделий. Ауэрбах, Кирмис (Verfahren zur Verbesserung der Knitterfestigkeit Naßbreißfestigkeit und Schrumpfechtheit von Textilien. Auerbach Josef, Kirmis Alexander) [Farbwerke Hoechst A.-G. vormals Meister Lucius & Bruning]. Пат. ФРГ 940646, 22.03.56

Материал пропитывают р-ром мочевины или ее производных (напр., тиомочевины), CH_2O и (или) продукта начальной конденсации указанных компонент, а также воды. Эмульсией полимера ненасыщ. эфира, после чего производят полную конденсацию на волокне мочевины и CH_2O . Пример: штапельную ткань пропитывают водн. р-ром, содержащим в 100 л: 15 кг диметилолмочевины, 2,5 кг водн. эмульсии сополимера, 24% (от веса эмульсии) бутилакрилата, 25% винилацетата и 1% акриловой к-ты, 200 г олеилтаурина, 400 г винной к-ты и мягчитель. Ткань сушат при 70—80° и подвергают термообработке при 160° в течение 6—8 мин.

Н. Абрамова

23623 П. Составы для придания тканям водоотталкивающих свойств и их применение. Перо, Прориоль (Waterproofing compositions and their use in coating. Peugeot Pierre Pascal, Proriol

Jacques) [Soc. des Usines Chimiques Rhone-Poulenc]. Пат. США 2735791, 21.02.56

Состав для обработки хлопчатобумажных или шерстяных тканей или искусств. шелка и других волоконистых органич. материалов представляет собой водн. эмульсию, содержащую (в пересчете на сухой остаток) 20—60 (или 25—50) вес.% полиметилсилоксановой смолы (молекулярное отношение $\text{CH}_3 : \text{Si} = 1,3 - 1,7$), 25—50 (или 25—45) вес.% полиметилсилоксанового масла (молекулярное отношение $\text{CH}_3 : \text{Si} = 1,9 - 2,1$) и 8—40 (или 8—20) вес.% триэтаноламината (I), получаемого при взаимодействии эфиров танановой к-ты с триэтаноламином. Для изготовления состава водн. р-р I добавляют к р-ру смолы и масла в органич. р-рителе и эмульгируют смесь в присутствии эмульгатора. Ткань пропитывают разб. эмульсией до привеса (после сушки) 0,5—6% и высушивают при 100—200° в течение 1—30 мин. в сушилке или на каландрах. Напр., смесь (в вес. ч.) 8 I, 25 масла с вязкостью 300 сст, 35 р-ра смолы в толуоле (конц-ия 70%), 14 трихлорэтилена, 0,5 олеиновой к-ты и 2 триэтанолamina эмульгируют в 150 ч. воды и разбавляют эмульсию до конц-ии 2%. Ткань обезжиривают в мыльной ванне (10 г/л), промывают горячей водой, сушат, погружают на 5 мин. в приготовленную эмульсию, центрифугируют и сушат 10 мин. при 150°. Обработанная ткань при испытании на водопроницаемость (по методике ASTM D—583—50 Т, метод II) выдерживает гидростатич. давление столба воды высотой 14,5 см в исходном состоянии и 12,5 см после мытья в течение 45 мин. при 55° р-ром, содержащим 0,2% соды и 0,5% мыла. Состав можно использовать также в сочетании с другими водозащитными пропитками, напр. мочевиноформальдегидными смолами.

А. Жданов

23624 П. Способ обработки нитей из синтетических волокон и изделий, полученных из этих нитей (Procédé de traitement de fils synthétiques, et articles obtenus à l'aide de tels fils) [Société Gangeoise de Bonneterie de Soie]. Франц. пат. 1109596, 31.01.56

Для придания нитям определенной мол. ориентации, крутки и стабилизации их подвергают правой и левой крутке, порядка 300—600, приклеиванию нитей между собой, сушке и легкому запариванию. Пример. Полиамидную нить метрич. номера 200 из 13 волокон запаривают в течение 1 часа в автоклаве под давлением при 130° в атмосфере насыщ. пара, затем выдерживают при 22° в атмосфере с влажностью 65%; подвергают крутке с коэф. 400, проклеивают на спец. машине р-ром поливинилового спирта, сушат на цилиндре и запаривают при 60—65° в течение 0,5 часа. Из нитей правого и левого кручения получают тканью или лязаньем ткань.

И. Фодиман

23625 П. Регенерация избытка акрилонитрила обработкой паром при цианэтировании хлопка. Карне, Грубер (Recovery of excess acrylonitrile from the cyanoethylation of cotton by steam stripping. Karnes Herman F., Gruber Arnold H.) [American Cyanamid Co.]. Пат. США 2731401, 17.01.56

Для регенерации акрилонитрила из реакционной смеси для цианэтирования целлюлозы (напр., в форме паков из хлопчатобумажной пряжи) нейтрализатор присутствующую в смеси в качестве катализатора крепкую щелочь к-той (напр., смесью к-т, содержащей H_2PO_4 , до pH 5—6), после чего большей части смеси дают стечь в перегонный куб, где она подвергается фракционированной перегонке, а физически удержанную часть смеси отгоняют с паром; если кол-во акрилонитрила достаточно велико, то образуются 2 слоя, после разделения которых акрилонитрил из водн. слоя регенерируют, пропуская дистилят через перегонный куб.

О. Славина

23626 П. Обработка тканей, применяемых для полировки металлов. Шатлю (Traitement des tissus utilisés pour le polissage ou l'avivage des métaux. Chatelus C.), Франц. пат. 1052080, 21.01.54 [Chem. Zbl., 1955, 126, № 24, 5692 (нем.)]

Для получения полировочного полотна хлопчатобумажную ткань пропитывают р-ром, содержащим квасцы и иногда $(\text{NH}_4)_2\text{SO}_4$ или «сульфированный итепон». Напр., предварительно обработанную NaOH хлопчатобумажную ткань пропускают при 100° через 4%-ный р-р квасцов. Полученное таким образом полировочное полотно выдерживает 100—110 час. работы. О. Славина

См. также: Строение шерсти 8308Бх. Латекс для обработки тканей 23409. Колич. определение волокон в смесках 23454. Стойкие воды 21904, 21905. Техника безопасности 21950

КОЖА. МЕХ. ЖЕЛАТИНА. ДУБИТЕЛИ. ТЕХНИЧЕСКИЕ БЕЛКИ

Редактор О. В. Матвеева

23627. Структура и деформация коллагеновых волокон. Часть II. Морфология коллагеновых волокон. Крус (The structure and deformation of collagen fibres. Part II. The morphology of collagen fibres. Cruise A. J.), J. Soc. Leather Trades, Chemists, 1956, 40, № 10, 321—329 (англ.)

Исследование показало, что волокна (В) «коллагенового типа» неоднородны. Было найдено пять морфол. вариантов этих В: 1. лентообразные В не набухают в кислой среде, не всегда окрашиваются обычными красителями, не свариваются, состоят из плотно уложенных в спирали лент белого цвета. 2. Стекловидные В имеют диаметр больше обычных коллагеновых, не дают пластич. и эластич. деформации и при обычном освещении кажутся стекловидными. 3. Переплетенные В сохраняют свою структуру даже при больших давлениях. 4. В с отростками характеризуются специфич. для каждого данного вида структурой, не набухают в к-тах и щелочах, не окрашиваются красителями, не свариваются. 5. Соединенные или сегментные В имеют вид набухших узелков, расположенных на равных расстояниях друг от друга по длине В. Они прочны, не деформируются, а разрушаются при сжатии, давая характерную картину разрыва. Соотношение этих В «коллагенового типа» изменяется с возрастом объекта. Часть I см. РЖХим, 1956, 38222. Е. Лившиц

23628. Обезволаживание шкур. Маури (Delanaje. Mauri Luis), Textil. Supl. téch. у inform., 1956, 3, № 148, 11—14; № 150, 14—17 (исп.)

Обсуждаются реакционная способность шкуры после отмочки, действие на нее воды, к-т, щелочей, солей и ферментов, процесс перехода коллагена в желатину. Рассмотрена микроструктура волокон шерсти.

3. Бобырь
23629. О водородной связи между дубящими соединениями хрома и коллагеном. Страхов И. П., Научн. тр. Моск. технол. ин-та легкой пром-сти, 1957, сб. 8, 3—11

Автор считает неубедительным высказанное Густавсоном положение (Adv. Prot. Chem., 1949, 5), что при хромовом дублении за счет водородных связей взаимодействуют с коллагеном только анионные и нейтр. комплексы Cr. Опыты по дублению коллагена и полиамидов показывают, что предположение об образовании водородных связей между водородом OH-групп анионных и незаряженных комплексов и азотом и кислородом функциональных групп коллагена не имеет

достаточных оснований. Прочное связывание полиамидом (сополимерного типа) дубящих соединений хрома различного состава, заряда и величины частиц является результатом их взаимодействия с карбоксильными и аминными группами мол. цепей полиамида.

С. Бреслер
23630. Исследование хромового дубления. Часть II. Определение основности солей хрома. Наюдамма, Джаяраман, Рамасвами (Studies in chrome tanning. Part II. Determination of basicity of chrome liquors. Nayudamma Y., Jayaraman K. S., Ramaswamy D.), Bull. Centr. Leather Res. Inst., 1956, 3, № 3, 121—124 (англ.)

Исследован ряд р-ров основных хромовых солей, к которым были добавлены различные органич. к-ты (уксусная, муравьиная, щавелевая, аминоуксусная, виннокаменная, лимонная и др.) в кол-ве от 1 до 5 молей на 1 атом Cr. Основность определялась по официальному методу и методу Lehigh. Показано, что в присутствии органич. к-т оба метода дают неправильные результаты. Часть I см. РЖХим, 1957, 36444.

С. Бреслер
23631. - Регулирование с помощью кислот и солей дубления танидами из коры *Pithecolobium dulce*. Варма, Матью, Дас (Effect of acid and salt adjustment in E. I. tannage with Pithecolobium dulce. Varma M. K. Udaya, Mathew E. C., Das B. M.), Bull. Centr. Leather Res. Inst., 1956, 3, № 3, 110—114 (англ.)

Растительное дубление жестких кож одним экстрактом из *Pithecolobium dulce* дает несколько темную и недостаточно жесткую кожу. Были проведены три серии опытов для выяснения влияния добавок сульфата, формиата и лактата натрия в различных дозировках. Небольшие кол-ва Na_2SO_4 (40 мг-экв в л) слегка осветляют кожу и придают ей большую твердость, несколько увеличивают выход и немного снижают т-ру сваривания и число продуба. Повышение кол-ва этой соли дальнейшего влияния не оказывает. Аналогично действие формиата и лактата натрия, при этом лактат сильнее увеличивает твердость кожи, а формиат меньше осветляет кожу.

3. Лебедева
23632. Влияние кислот и солей на растительное дубление. Часть I. Влияние некоторых солей на дубление жестких кож. Наюдамма, Джаяраман, Кришнан (The effect of acids and salts in vegetable tanning — part I. Effect of some salts in sole leather tannage. Nayudamma Y., Jayaraman K. S., Krishnan T. S.), Bull. Centr. Leather Res. Inst. 1956, 3, № 4, 145—162 (англ.)

Были проведены три серии опытов: 1) предварительная обработка голья перед дублением системой $\text{NaCl} + \text{NaX} + \text{H}_2\text{SO}_4$; 2) предварительная обработка голья перед дублением системой $\text{NaX} + \text{HX}$ и 3) добавка NaX в дубильные соки (X означает формиат, ацетат, лактат, оксалат, цитрат, тартрат, остаток двухромовой к-ты и препарат калгон). Обработанное голье дубили ивовым экстрактом. Ацетат, формиат, оксалат, цитрат натрия и калгон увеличивают скорость проникновения танидов в голье. Хлорид, бихромат, тартрат и лактат натрия не оказывают подобного действия. Действие солей зависит от их конц-ии и от способа их применения (до или во время дубления). На т-ру сваривания готовой кожи изученные соли не влияют. По мере продубливания голья т-ра сваривания сначала растет до определенного предела (89—90°), соответствующего числу продуба ~ 30, а при дальнейшем продубливания снижается и в готовой коже равна 80—82°. Применение солей улучшает цвет кожи и не ухудшает другие физич. свойства кожи. Обработка солями перед дублением увеличивает содержание связанных дубящих,

кожевого в-ва и число продуба, уменьшает кол-во вымываемых водой.

З. Лебедева
23633. Исследование дубления альдегидами. Фейн, Филаконе (Tanning studies with aldehydes. Fein M. L., Filachione E. M.), J. Amer. Leather Chemists Assoc., 1957, 62, № 1, 17—23 (англ.)

Приведены результаты опытов дубления диальдегидами. Были испытаны: янтарный (I), глutarовый (II), 3-метилглutarовый (III), 2,4-диметил-2-метоксиметил-глutarовый (IV), α -оксинадипиновый (V), а также три «полиметокси» моноальдегида общей ф-лы $\text{CH}_3-\text{[C(OCN}_2\text{)H-CH}_2\text{]}_n-\text{CHO}$, для сравнения опыты проводили с глиоксалем и формальдегидом. I, II, III и V готовили в виде 25—50%-ных водн. р-ров и разбавляли до 5% перед употреблением. IV полимеризуется при хранении, но легко переводится в мономер при перегонке под вакуумом. Для дубления мономер разбавляли до 7,5%. Для опытов применяли пикелеванное голые яловки и опойка, обезвоженное ацетоном. Все испытанные альдегиды обладают дубящими свойствами, что выражается в повышении т-ры сваривания и стабилизации волокнистой структуры. Т-ра сваривания достигала для I 75°, для II 84°, для III 78°, для IV 78°, для V 76°, для глиоксала 83° и формальдегида 89°.

И. Этингоф
23634. Красители для крашения и отделки кожи. Гейстер (Dyes in colouring and finishing leather. Geister Carl H.), Tanner, 1956, 10, № 9, 14; № 10, 14 (англ.)

Обсуждаются требования, предъявляемые к качеству красителей для различных видов кож. Для перчаточной кожи надо подбирать красители, устойчивые к действию воды и жира, для мебельной — к действию света, воды и р-рителей. Рассмотрено повышение устойчивости к свету велюровой кожи, а также перчаточной, которую можно подвергать хим. чистке. Предыдущее сообщение см. РЖХим, 1956, 56787.

И. Этингоф
23635. Красители и процессы крашения, дающие окраски высокой прочности. Керк (Dyes and dyeing processes for special properties of color. Kirk J. S.), J. Amer. Leather Chemists Assoc., 1956, 51, № 10, 526—529 (англ.)

Кожи для перчаток, верха одежды и обивки мебели должны иметь ровную окраску высокой прочности к свету, мытью с мылом и сухой чистке. Наиболее пригодными для этого являются следующие группы красителей: 1) прямые и хромирующиеся, 2) нерастворимые азокрасители, 3) эфиры лейкосоединений кубовых красителей, 4) сернистые красители. Прямые и хромирующиеся красители дают очень прочные окраски и не требуют больших изменений в процессах дубления. Металлизируемые красители дают окраски прочные к сухой чистке, прямые красители с последующей обработкой катионовыми смолами дают окраски, прочные к мытью с мылом. Нерастворимые азокрасители употребляются для крашения перчаточной и обивочной кожи и дают окраску высокой прочности к мытью с мылом. Эфиры лейкосоединений кубовых красителей применяются для крашения дубленой неотделанной обивочной замши и перчаточной кожи. Крашение ведется в кислой среде. Сернистыми красителями окрашивают обивочную замшу. Они дают высокопрочные окраски переходных тонов: рыжеватого-коричневого, зеленоватого-голубого и серого, не дают хорошего красного цвета. Ими нельзя красить кожу растительного дубления, так как таниды изменяют оттенок окраски.

Е. Лившиц
23636. Жирование сульфированными маслами. Муста (Problema ungerii cu uleiuri sulfatate indigene. Mustea I.), Ind. usoaara, 1957, 4, № 4, 150—153 (рум.; реф. русск., нем.)

Рассмотрены свойства трех марок сульфированных масел MVP, А и SM, производимых тимшоарскими хим. з-дом. Приведены результаты опытов по жированию кожи маслами различной степени сульфирования. Смешивание их с натуральными жирами рекомендуется производить на кожевенных з-дах.

Б. Энгелин
23637. Снижение водопоглощаемости юфтовых кож. Семенова В. Н., Легкая пром-сть, 1957, № 9, 26—27

Изучена зависимость степени водопоглощаемости юфты от обработки ее жировой смесью, содержащей полиизобутилен, обработки р-ром желатины и дополнительной обработки петролатумом. Выявлена возможность замены синтетического каучука СКБ полиизобутиленом в «основе» для жировой смеси ЦНИКИ-1. Обработка юфты р-ром желатины (перед жированием) снижает водопоглощаемость юфты. Снижению этого показателя способствует также обработка юфты петролатумом.

О. М.
23638. Об отделке покрывными красками на основе синтетических смол свиной кожи с искусственным лицом (кона-кожи). VI. Штатер, Херфельд, Хертевинг, Мозер (Über die Deckfarbenanfertigung von Schweinsleder mit korrigiertem Narben (Konaleder) unter Mitverwendung synthetischer Binder. (Untersuchungen zur Herstellung von Schweinsleder VI). Stather F., Herfeld H., Härtewig K., Moser H.), Gesamt. Abhandl. Dtsch. Lederinst. Freiberg/Sa., 1956, № 13, 37—68 (нем.)

Испытания отделки свиной кожи с искусств. лицом (кона-кожи) покрывными красками на основе синтетич. смол (Eukanolbinder Lubronbinder и др.) привели к выявлению оптимальных рецептур и режимов работы с учетом наилучшего внешнего вида кожи, ее блеска, эластичности, грифа, а также водо-, паро-, воздухопроницаемости, прочности и гибкости пленки, ее устойчивости против сухого и влажного трения и растворимости в ацетоне. Нижний слой покрытия, служащий грунтом, лучше всего составлять на основе Corialgrund O конц. без мягчителей и пигментов. Следующие 1—2 слоя покрытия состоят из комбинации покрывных красок на основе белковых в-в и искусств. смол (наносит плюшем). Затем 1—2 слоя наносит пульверизатором для выравнивания покрытия. Последняя аппретура, дающая глянец, должна быть на основе чисто белковых покрытий. Перед нанесением следующего слоя покрытие необходимо хорошо просушивать. После грунтовки рекомендуется утюжить гладкой плитой, после нанесения покрытия плюшем и пульверизатором нарезать нежную искусств. мерку, а после глянца гладить опять гладкой плитой. Т-ра и давление пресса подбираются соответственно термопластичности искусств. смол. Правильная фиксация пленки формалином играет решающую роль: слишком интенсивная фиксация уменьшает эластичность пленки, слишком слабая фиксация дает мягкую непрочную пленку, плохо переносящую утюжку и трение. Предыдущее сообщение см. РЖХим, 1957, 65161.

З. Лебедева
23639. Об определении коэффициента дубности жестких кож синтетич. Овруцкий М. Ш., Пугач Е. Д., Легкая пром-сть, 1957, № 9, 21—22

Применяемые для дубления жестких кож синтетич. дубители (напр., синтаны СПС и ПЛ) содержат азот, что влияет на показатель коэф. дубности. Максимальное кол-во некожевого азота можно обнаружить, определяя содержание азота в вымываемых по методу Кельды.

О. М.
23640. Природа танидов *Terminalia chebula* (мробалан). Скария, Барат, Дас (Nature of tannins in terminalia chebula. Scaria K. J., Bara

S. K., Das B. M.), Bull. Centr. Leather Res. Inst., 1956, 3, № 2, 70—75 (англ.)

Микробалановые орешки экстрагировали ацетоном, высушенный в вакууме ацетоновый экстракт растворяли в воде и разделяли на 3 фракции экстрагирования этилацетатом при pH 7,0 (I фракция), при pH 1,0 (II фракция) и экстрагированием нерастворимого в этилацетате остатка метанолом (III фракция). Часть каждой фракции подвергалась гидролизу кипячением с обратным холодильником. Затем определяли мол. вес, гидратационную воду и кривые потенциометрич. титрования для всех трех фракций до и после гидролиза. Танниды (Т) миробалана имеют сложный состав и разную степень полимеризации. Основное кол-во Т составляет II фракция, которая имеет значительную буферную емкость и почти не изменяется при гидролизе. Она является наиболее характерной составной частью Т миробалана. Фракция I представляет собой высокомолекулярную, сильно гидратированную часть экстракта; при гидролизе деполимеризуется, гидратация уменьшается. Фракция III является наиболее простой частью Т миробалана с наименьшим мол. весом. Гидролиз не изменяет видимо ее хим. структуру (кривые титрования до и после гидролиза почти одинаковы), но незначительно деполимеризует.

З. Лебедева

23641. Производство дубильных экстрактов. Никитин Д. В., Легкая пром-сть, 1957, № 11, 67—69

Обзор развития дубильно-экстрактового произ-ва.

О. М.

23642. О рациональном смешивании желатина. Вирник Д., Есакова Р., Смирнова В., Мясная индустрия СССР, 1957, № 5, 34

Предложено подбирать производственные партии желатина в товарные партии по показателю прозрачности. Необходимо избегать смешивания партий желатина, значительно отличающихся по показателю прозрачности, так как этот показатель не складывается аддитивно, а бывает фактически ниже средневзвешенных расчетных величин.

О. М.

23643. Казени. Добровичинский (Kazeina, Dobroszyński Witold), Przegl. mleczarski, 1956, 4, № 8-9, 29—30 (польск.)

Популярная статья.

О. М.

23644. Промышленность искусственной кожи. Алексеев В. И., Легкая пром-сть, 1957, № 11, 62—66

Описано развитие (за 25 лет) и современное состояние произ-ва заменителей кожи.

О. М.

23645. Повышение эксплуатационных свойств заменителей кожи с нитроцеллюлозными покрытиями. Лахтин А. Л., Писаренко А. П., Легкая пром-сть, 1957, № 10, 29—31

Изучено влияние некоторых добавок на замедление процесса старения нитроцеллюлозных покрытий заменителей кожи. Приготовленные из нитроцеллюлозы пленки, содержащие касторовое масло, окись цинка и различные добавки (мочевину, паранитроанилин, фталоцианиновый голубой пигмент, алый и желтый пигмент), выдерживали при 90° в термостате и при 36° в федометре. Добавки оказывают большое влияние на замедление процесса старения и их можно использовать в производственных рецептах нитроцеллюлозных покрытий заменителей кожи. В качестве защиты от действия УФ-лучей на нитроцеллюлозные пленки рекомендуется наносить защитный лаковый слой, содержащий флуоресцирующие в-ва.

О. М.

23646. Вопросы проклейки при выработке искусственных кож. Радноти (A rostműbor gazdasági problémái. Radnóti László), Bőr és cipőtechn., 1956, 6, № 1, 7—10 (венг.)

Обсуждается прочность искусств. кожи, полученной с применением различных волокон (целлюлозных, ко-

жевенных хромового и растительного дубления) и связующих (игетекс S₃).

Г. Юдкович

23647. Ускоренные методы химического анализа искусственного каракуля на вискозном волокне. Хорошая Е. С., Лыкова А. Н., Либерова Р. А., Легкая пром-сть, 1957, № 10, 47—48

Качество пропитки волокна в произ-ве искусств. каракуля зависит от степени поликонденсации смолы на волокне. Для контроля качества пропитки и термообработки разработаны ускоренные методы определения общего содержания смолы на волокне и содержания не законденсированной смолы на волокне. Для растворения мочевино- и меламиноформальдегидной смолы применяют 20%-ный р-р муравьиной к-ты.

О. М.

23648 Д. Взаимодействие полупродуктов и окислителей при крашении меха. Чацкий П. И. Автореф. дисс. канд. техн. н., Моск. технол. ин-т легкой пром-сти, М., 1957

23649 Д. Особенности производства обувных картонов с применением различных видов кожаных волокон и проклеивающих материалов. Баркан М. С. Автореф. дисс. канд. техн. н., Моск. технол. ин-т легкой пром-сти, М., 1957

23650 П. Клей для приклеивания полов из твердых волокнистых материалов. Фогель (Klebmittel für Hartfaserfußbodenplatten oder Holzdielen auf Beton. Vogel Reinhard Ernst) [Aug. Elhardt Söhne K. G.] Пат. ФРГ 879136, 11.06.53

Клей для приклеивания твердых настилов или деревянных полов на каменную или деревянную основу содержит цемент в смеси с 8—15% казеина, животного клея или декстрина. В случае присутствия казеина клей может также содержать 0,5—2% NaF или такое же кол-во ди- или тринатрийфосфата; в случае использования животного клея в состав вводят 2—5% тиомочевины. Цемент может быть частично (до 50%) заменен золой буроугольных фильтров, а в качестве наполнителя в клей можно вводить до 30% тонкой кварцевой муки.

А. Жданов

23651 П. Клей. Фогель (Klebmittel. Vogel Reinhard Ernst) [Aug. Elhardt Söhne K. G.] Пат. ФРГ 941215, 5.04.56

Доп. к пат. ФРГ 879136 (см. пред. реф.).

Клей отличается тем, что к массе добавляют до 100% тонкого песка, а цемент полностью заменяют золой буроугольных фильтров.

М. Альбам

23652 П. Составы на основе казеина. Солзберг (Casein compounds. Salzberg Harold K.) [The Borden Co.] Пат. США 2748009, 29.05.56

Предложен способ получения продуктов взаимодействия казеина с алкилпроизводными имидазола или имидазолина. Полученное соединение хорошо растворяется в смеси воды со спиртом или с другими смешивающимися с водой р-рителями, но не растворяется отдельно в воде или в органич. р-рителях. Лучшие результаты получаются, если заместитель содержит 10—12 атомов С. Рекомендуются следующие соединения: солянокислые 1-оксизтил-2-гептадецилимидазол, 1-аминоэтил-2-гептадецилимидазол, 2-гептадецилимидазол, 2-гептадецилимидазолин, 2-ундецилимидазолин. Указанные соединения применяют в кол-ве 1,25 ч. на 5 ч. казеина. Получаемые из р-ра пленки этого продукта устойчивы к действию воды и водн. р-ров к-т, щелочей и солей, а также безводн. органич. р-рителей. Пример: 5 ч. казеина смешивают с 1 ч. воды и 1,25 ч. 1-оксизтил-2-гептадецилимидазола (торговое название «амин 220»). Смесь пропускают через ленточный пресс, высушивают и измельчают в порошок.

И. Этингоф

23653 П. Способ получения клея. Демби (Sposób otrzymywania kleju. Demby Bohdan) [Skarb Państwa. Ministerstwo Przemysłu Mięsnego i Mleczarskiego-Centralny Zarząd Przemysłu Mleczarskiego]. Польск. пат. 37935, 23.06.55

Отходы, получаемые при сепарации молока, измельчают и обрабатывают р-ром аммиака и мочевины до полного превращения массы в однородный текучий клей. Этот клей нагревают в течение 2 час. до 60°, затем смешивают с загущенной сывороткой до содержа-

ния сухих в-в ~ 60—70% и обрабатывают консервирующими средствами, напр. бензойной или салициловой к-той в кол-ве 60 г на 100 кг клея. Полученный клей может применяться в переплетном деле, фотографии и как канцелярский клей. М. Рейба

См. также: Исследования белков 21624, 23655; 8275-8278Бх, 8305Бх, 8320Бх. Методы анализа 21220. Дубильные в-ва 8804Бх, 8807Бх

ХИМИЯ ВЫСОКОМОЛЕКУЛЯРНЫХ ВЕЩЕСТВ

Редакторы Х. С. Багдасарян, Ю. С. Липатов

23654. Макромолекулярные вещества. Вен (Les macromolécules. Vene J.), Bull. Union physiciens, 1957, 51, № 435, 449—455 (франц.)

Популярная статья.

Н. Платэ

23655. Спиральное строение белковой молекулы. Наката (たんぱく分子のらせん構造. 中田修), 日本物理学会誌, Нихон буццри гаккайси, Proc. Phys. Soc. Japan, 1955, 10, № 8, 292—293 (японск.)

23656. Дисперсия оптического вращения простых полипептидов. I. Моффитт, Ян Жэнь-цзы (The optical rotatory dispersion of simple polypeptides. I. Moffitt William, Yang Jen Tsi), Proc. Nat. Acad. Sci. USA, 1956, 42, № 9, 596—603 (англ.)

Выводится альтернативное феноменологич. ур-ние, описывающее сложную дисперсию оптич. вращения, наблюдающуюся для полипептидов в спиральной конфигурации: $[m] = a_0 \lambda_0^2 (\lambda^2 - \lambda_0^2)^{-1} + b_0 \lambda_0^4 (\lambda^2 - \lambda_0^2)^{-2}$ (1). Здесь $[m]$ означает приведенное «мономерное» вращение и связано с обычным уд. вращением $[\alpha]$ соотношением $[m] = (3/n_v^2 + 2)[\alpha]M/100$, где n_v — показатель преломления среды (р-рителя), а M — мол. вес «эффективного» звена (для гомополимера — мономерного звена). Константы b_0 и λ_0 ур-ния (1) являются более или менее инвариантными характеристиками самой спиральной конфигурации и не должны зависеть от т-ры, р-рителя и природы боковых цепочек, тогда как a_0 зависит именно от этих факторов. Измерения $[m]$ для поли-γ-бензил-L-глутамата и поли-α-L-глутаминовой к-ты в различных р-рителях подтверждают правильность ур-ния (1) и, кроме того, позволяют наблюдать у этих полипептидов фазовый переход α-спираль ↔ клубок, обусловленный изменением т-ры или состава р-рителя. Хотя по данным этих измерений не удается установить, являются ли спираль левыми или правыми, они исключают возможность существования их в виде рацемич. смеси. С. Френкель

23657. Применение инфракрасных спектров поглощения в химии целлюлозы. Собоуэ, Табата (赤外線吸収スペクトルの纖維素化学への應用. 祖父江寛, 田細米穂), 纖維學會誌, Сэнъи гаккайси, J. Soc. Text. and Cellulose Ind. Japan, 1955, 11, № 7, 418—424 (японск.)

23658. Исследования по характеристике бензольного ядра в макромолекулах пластических материалов. Хенникер, Дюбуа, Жакке, Жиже (Recherches sur la caractérisation du noyau benzénique dans les macromolécules des plastiques. Henniker J., Dubois P., Jacqué L., Giger A., m-me), Ind. plast. mod., 1957, 9, № 3, 38, 41—45; № 4, 47—50 (франц.)

Спектроскопическое исследование различных полимеров, содержащих в цепи бензольные ядра. Рассмотрено влияние заместителей и природы соседних

с бензольным ядром атомов цепи на характер спектра.

23659. Структурные изменения в политрифторхлорэтилене, вызванные тепловой обработкой. Ивасаки, Аоки, Кодзима (The structural changes produced by the heat treatment of polytrifluorochloroethylene. Iwasaki Machio, Aoki Michiro, Kojima Rimpai), J. Polymer Sci., 1957, 25, № 110, 377—380 (англ.)

При нагревании политрифторхлорэтилена в течение 2 час. при 300° в вакууме в спектре этого полимера появляются сильные полосы при 5,60 и 7,34 м вследствие образования концевых двойных связей по р-ции $-\text{CFCl}-\text{CF}_2-\text{CFCl}-\text{CF}_2- \rightarrow -\text{CF}=\text{CF}_2 + \text{CFCl}_2-\text{CF}_2-$. При нагревании на воздухе появляется полоса при 5,31 м, указывающая на образование карбонильных групп; механизм образования этих групп не ясен.

А. Праведников

23660. Факторы рассеяния частиц для палочек с неоднородным распределением масс. Применение к молекулярной конфигурации миоина. Холцер, Райс (Some particle scattering factors for rods with inhomogeneous mass distributions. Application to the molecular configuration of myosin. Holtzer Alfred, Rice Stuart A.), J. Amer. Chem. Soc., 1957, 79, № 18, 4847—4851 (англ.)

Теоретически рассмотрено рассеяние света палочками, состоящими из трех участков различной длины с различной плотностью рассеивающих центров. Функция $P(\theta)$, выражающая угловую зависимость интенсивности рассеянного света, представляет собой в этом случае сумму 6 различных факторов для палочек (длины которых связаны с длинами участков) с весами, зависящими от плотности и относительного числа рассеивающих центров в участках. Полученная функция $P(\theta)$ применена к эксперим. данным по светорассеянию р-ров миоина, молекула которого состоит из трех линейных участков (два L-меромиозина и один H-меромиозин). Подсчитаны теоретич. функции $P(\theta)$ для двух возможных расположений этих участков: LLH и LHL. Эксперим. данным отвечает расположение LLH.

О. Птицин

23661. Исследование строения разветвленного полистирола методом светорассеяния. Соболева Н. Г., Маклецова Н. В., Медведев С. С. Коллоид. ж., 1957, 19, № 5, 619—623 (рез. англ.)

Путем графт-полимеризации меченого C^{14} стирола в присутствии бромированного линейного полистирола получен разветвленный полистирол с известной степенью разветвленности. По светорассеянию при трех углах методом Цимма определены мол. вес и размер полученных молекул. Полученные данные показывают, что параметр $h_T/M^{1/2}$ и $h_0/M^{1/2}$ уменьшается с увеличением степени разветвленности (h_T и h_0 — размер молекул

в толуоле и циклогексане при t -ре на 3° выше точки осаднения). Исследуемые полимеры имели на 3500 мономерных звеньев в цепи 0,5—1,3 ветвей. Измерения характеристич. вязкости показали, что отношение $(M[\eta])^{1/2}/M^{1/2}$ уменьшается с разветвленностью.

Ю. Липатов

23662. Определение увеличения объема линейных полимеров по рассеянию света. Мияка (鎖状高分子の擴がりについて. 光散亂よりの擴がりの決定法. 三宅康博), 物性論研究, Буссайрон кэнкю, 1957, № 104, 49—54 (японск.)

Измерено светорассеяние фракционированного полистирола (мол. вес 291 900) в метилэтилкетоне и в смеси метилэтилкетона и пропилового спирта при 25° и 45° . Среднеквадратичное расстояние между концами цепи составляет 415,4 Å при 25° и 389,7 Å при 45° в метилэтилкетоне и 380,4 Å при 25° и 400,7 Å при 45° в указанной смеси p -рителей.

Н. Chihara

23663. Поли- n -гексилметакрилат. IV. Вязкость и светорассеяние разбавленных растворов. Чинан (Poly- n -hexyl methacrylate. IV. Dilute solution properties by viscosity and light scattering. Chinai Suresh N.), J. Polymer Sci., 1957, 25, № 111, 413—427 (англ.; рез. нем., франц.)

Исследованы вязкость и светорассеяние разб. p -ров фракций поли- n -гексилметакрилата, полученного полимеризацией в эмульсии. Установлено соотношение между характеристич. вязкостью в идеальном p -рителе, изопропанол при крит. t -ре $32,6^\circ$ и в неидеальном p -рителе метилэтилкетоне: $[\eta]_0^{32,6} = 4,30 \cdot 10^{-4} M^{0,50}$ и $[\eta] = 2,12 \cdot 10^{-5} M^{0,78}$. На основании данных по асимметрии светорассеяния вычислены размеры молекул в различных p -рителях и установлено, что в изопропанол $(\bar{r}^2)^{1/2} = 0,58 M_w^{0,50}$ и в метилэтилкетоне $(\bar{r}^2)^{1/2} = 0,38 M_w^{0,55}$. Результаты сопоставлены с полученными ранее данными для других алкилметакрилатов. Найдено, что степень вытянутости алкилметакрилатов уменьшается в ряду: поли- n -гексилметакрилат > полиметилметакрилат > полиэтилметакрилат > поли- n -бутилметакрилат; такая зависимость связывается с различным влиянием размеров боковых групп на гибкость цепи.

Часть III см. РЖХим, 1957, 37847

Ю. Липатов

23664. Структура молекулы полиэтилена. VI. Определение молекулярного веса из асимметрии светорассеяния. Мус, Билмейер, VII. Вязкость расплава и влияние молекулярного веса и разветвленности. Петиколас, Уоткинс. VIII. Среднечисленный молекулярный вес, определенный криоскопически. Ашби, Рейтенаур, Хаммер. IX. Средневесовой молекулярный вес и характеристическая вязкость линейного полиэтилена. Аткинс, Мус, Смит, Пеский (The molecular structure of polyethylene. VI. Molecular weight from dissymmetry of scattered light. Muus L. T., Billmeyer F. W., Jr. VII. Melt viscosity and the effect of molecular weight and branching. Peticolas W. L., Watkins J. M. VIII. Number-average molecular weight by cryoscopy. Ashby C. E., Reitenour J. S., Hammer C. F. IX. Weight-average molecular weight and intrinsic viscosity of linear polyethylene. Atkins J. T., Muus L. T., Smith C. W., Pieski E. T.), J. Amer. Chem. Soc., 1957, 79, № 19, 5079—5082; 5083—5085; 5086—5088; 5089—5091 (англ.)

VI. Для ряда образцов разветвленного полиэтилена высокого давления путем определения асимметрии светорассеяния при различных углах най-денные средневесовые значения мол. весов. Вычи-сленные мол. весов проводилось методом Цимма.

Часть исследованных образцов дает обычную линейную зависимость (Hc/τ) от $\sin^2 \theta/2 + kc$ без каких-либо спец. очисток p -ров. Однако в ряде случаев зависимости Цимма сильно искажены; после ультрацентрифугирования таких p -ров получается линейная зависимость Цимма. Центрифугирование удаляет максимум 5% в-ва. На основании определения средневесовых мол. весов, лежащих в пределах 350 000—615 000, путем сравнения характеристич. вязкостей разветвленных и линейных I, имеющих одинаковый мол. вес, оценены индексы длин-ных разветвлений образцов. Отношение средневесового мол. веса к среднечисленному, найденному на данных осмометрии, достигает 11—18, что указывает на широ-кое распределение мол. весов в исследованных образ-цах.

VII. При низких скоростях сдвига измерены вязкости расплава разветвленного и линейного I различных мол. весов. Установлено, что для линейного полимера

$$\lg \eta_T = 3.4 \lg \bar{M}_w - C(T) \quad (1)$$

где η_T — вязкость расплава (в пуаз), T — t -ра и $C(T)$ — функция T . При $150^\circ C(T) = 11,6$. Форма ур-ния (1) идентична с формой ур-ний, полученных для вязкости расплавов других полимеров. Установлено, что вязкость полимера экспоненциально уменьшается с увеличением числа коротких разветвлений (индекс N_c) до достиже-ния постоянного значения при больших N_c . В предпо-ложении, что эти изменения связаны с изменениями свободного объема ур-нием $\eta = A \exp(B/v_f)$, где A и B — константы и v_f — приведенный свободный объем, т. е. разность между свободным объемом при $T^\circ K$ и экstrapолированным к $0^\circ K$, деленная на последний, найдены отношения вязкостей линейного и разветвлен-ного полимеров в виде

$$\eta(\text{разв.})/\eta(\text{лин.}) = \exp B [1/v_f(\text{разв.}) - 1/v_f(\text{лин.})]$$

Принимая что свободный объем пропорционален числу ветвей $v_f(\text{разв.}) = a + bN_c$ авторы находят

$$\eta(\text{разв.}) = \eta(\text{лин.}) \cdot \exp[-\theta N_c/(qN_c + 1)],$$

где $\theta = bB/a^2$ и $q = b/a$. По этому ур-нию для случая $qN_c \ll 1$ вычислены вязкости линейного полимера рав-ного мол. веса. При вязкостях в пределах $2,8 \cdot 10^4$ — $6 \cdot 10^5$ пуаз и мол. весах $5 \cdot 10^4$ — 10^6 поправки на вязкость разветвленного полимера составляют $\exp(2,35 N_c)$, (так как $\theta = 2,35$) и изменяются от 1 до 3000. Найдено, что $\lg \eta \exp(2,35 N_c) = 11,6 + 3,4 \lg \bar{M}_w$ или $\eta = 3,01 \cdot 10^{-12} \bar{M}_w^{3,4} \exp(-2,35 N_c)$. С введенном поправки ур-ние (1) применимо также к разветвленным полимерам.

VIII. Определены среднечисленные мол. веса I мето-дом криоскопии. Понижение t -ры замерзания p -ра I в гексахлорбензоле было измерено с точностью 10^{-4} гра-дуса с помощью термистора. Воспроизводимость результатов составляет $\pm 10\%$ в интервале мол. весов 5000—50 000. Найденный среднечисленный мол. вес совпадает с определенным осмометрически, если диффузия низкомолекулярных фракций при осмотич. определениях невелика. Не установлено связи между среднечисленным мол. весом и вязкостью p -ров или расплавов I.

IX. Установлена связь между средневесовым мол. весом. линейного I, найденным по светорассеянию, и $[\eta]$ в α -хлорнафталине при 125° $[\eta] = 4,3 \cdot 10^{-4} \bar{M}_w^{0,67}$ дл/г. Найдены также зависимости 2-го

вирального коэф. и среднеквадратичного расстояния \bar{r} между концами цепи с мол. весом вида $A_2 = 0,06 \bar{M}_w^{-0,35}$ моль г^{-1} и $(\bar{r}_z^2)^{1/2} \approx 2,2 \bar{M}_w^{0,5}$. Часть V см. РЖХим, 1956, 25852.

Ю. Липатов
23665. Растворы высокополимеров. IV. Осмотическое давление разбавленных растворов Na-карбоксиметилцеллюлозы. V. Вязкость и двулучепреломление в потоке растворов полиэлектrolита из линейных и глобулярных молекул. VI. Осмотическое давление растворов полиэлектrolитов из линейных и глобулярных молекул. Иноуэ (鎖状高分子の溶解状態に関する研究. 第4~6報. 井上友治), 日本化学雑誌, Нихон кагаку дзасси, J. Chem. Soc. Japan. Pure Chem. Sec., 1956, 77, № 6, 816—829 (японск.)

IV. Обсуждены аномалии осмотич. давления р-ров Na-карбоксиметилцеллюлозы в области низких конц-ий. V. Измерены вязкость и двулучепреломление этерифицированных продуктов амилозы, гликогена, амилопектина и обсуждено влияние их величины на форму молекул.

VI. Определено осмотич. давление этих продуктов. Часть III см. РЖХим, 1957, 30865.

Chem. Abstrs, 1957, 51, № 11, 7808. T. Katsurai
23666. Вязкость карбоксиметилдекстрана в разбавленных растворах HCl. Уинтер, Папазян (The viscosity of carboxymethyl dextran in dilute HCl solutions. Winter Stephen S., Papazian Louis A.), J. Phys. Chem., 1957, 61, № 9, 1142—1144 (англ.)

HCl и NaCl сходным образом влияют на приведенную вязкость водн. р-ров карбоксиметилдекстранов (I), полученных р-цией декстрана с монохлоруксусной к-той в 20%-ном NaOH. В обоих случаях η_{sp}/c убывает с ростом конц-ии HCl или NaCl, постепенно приобретая обычный для незаряженных полимеров характер ($d(\eta_{sp}/c)/dc = \text{const} \geq 0$). Сокращение гидродинамич. объема I протекает, однако, по двум разным механизмам. В кислых р-рах общий ион гидрония подавляет ионизацию, тогда как в солевом р-ре происходит обычная нейтр-ция зарядов макромолекул противоионами. Наряду с этим оба электrolита оказывают на I высаливающее действие, приводящее к более плотному свертыванию макромолекул. В соответствии с этим характеристич. вязкости, измеренные в таких р-рах, не отражают естественную конфигурацию молекул полиэлектrolита в отсутствие электростатич. отталкиваний между сегментами.

С. Френкель
23667. Акриловые полимеры. V. Вискозиметрическое поведение полиэтилакрилата в различных растворителях. Сумитомо, Хатихама (アクリル酸エステル樹脂に関する研究. 第5報. 種々の溶媒中におけるポリアクリル酸エステルの粘度的挙動. 住友友, 八浜義和), 高分子化学, Кобунси кагаку, Chem. High Polym., 1955, 12, № 127, 479—482 (японск.)

В эмпирич. соотношении между характеристич. вязкостью $[\eta]$ и степенью полимеризации вида $[\eta] = kP^\alpha$ для р-ров полиэтилакрилата в CHCl_3 , C_6H_6 , этилацетате и CH_3OH определены $k \cdot 10^3$ (100 см^3 на 1 г) и α , равные соответственно для указанных р-рителей 7,20 и 0,68; 6,06 и 0,67; 5,45 и 0,66; 6,14 и 0,55. Значение ρ определено из измерений вязкости в р-ре ацетона при 30° по ур-нию $[\eta] = 5,53 \cdot 10^{-2} \rho^{0,66}$. На основании величин $[\eta]$ и констант Хаггинса указанные р-рители по расторяющей способности расположены в ряд: $\text{CHCl}_3 > \text{C}_6\text{H}_6 > \text{этилацетат} > (\text{CH}_3)_2\text{CO} > \text{CH}_3\text{OH}$. Часть III см. РЖХим, 1956, 61708.

Chem. Abstrs, 1957, 51, № 5, 4043. Eiichi Wada

23668. Представления о структурной вязкости разбавленных растворов (распространение соотношения вязкость—концентрация). Шурц (Die Dar-

stellung der Strukturviskosität von Verdünnten Lösungen (Eine Erweiterung der Viskositäts-Konzentrations-Beziehung. Schurz J.), Monatsh. Chem., 1955, 86, № 3, 454—460 (нем.)

Уравнение Хаггинса распространяется на неньютоновские разб. р-ры при учете влияния на вязкость отдельных частиц и их взаимодействия.

Chem. Abstrs, 1956, 50, № 3, 1422. B. P. Muschitz
23669. Молекулярный вес, определяемый по характеристической вязкости. Кодэра (固有粘度—分子量の関係式で求めた分子量の性質. 小寺明), 科学, Kagaku, 1957, 27, № 1, 38—39 (японск.)

Рассмотрены причины различия в значениях мол. весов, определенных по вязкости, светорассеянию и осмотич. давлению.

Chem. Abstr., 1957, 51, № 8, 5503. Hideaki Chihara
23670. Изучение полиакрилонитрила. V. Фракционирование полиакрилонитрила. Кобаяси (ポリアクロニトリルに関する研究. 第5報. ポリアクロニトリルの分別. 小林秀彦), 高分子化学, Кобунси кагаку, Chem. High Polym., 1956, 13, № 129, 18—24 (японск.; рез. англ.)

Показано, что при фракционировании полиакрилонитрила лучшие результаты получаются при применении в качестве р-рителя оксиацетонитрила и осаждающего агента смеси бензола с этиловым спиртом. Обсуждается поведение молекул полиакрилонитрила в оксиацетонитриле. Часть IV см. РЖХим, 1956, 13380.

Из резюме автора
23671. Микроскопическое исследование диффузии водных растворов кислот и щелочей через поликапролактамы. Долежел (Mikroskopické sledování difuze vodných roztoků kyselin a zásad polykaprolaktamem. Doležel Břetislav), Chem. průmysl, 1957, 7, № 8, 447—452 (чешск.; рез. русск., англ., нем., франц.)

Предложен метод микроскопич. изучения диффузии водн. р-ров щелочей и к-т в поликапролактамах. Метод основан на измерении изменения окраски поликапролактама, окрашенного подходящим индикатором. Оценены коэф. диффузии и энергии активации диффузии для 0,1; 0,5 и 1 н. р-ров соляной и серной к-т, для 0,1 н. р-ра уксусной и лимонной к-т и 1 н. р-ра NaOH. Показано, что энергия активации изменяется с изменением состава диффундирующего реагента и с изменением его конц-ии. Исследование времени прохождения диффундирующего в-ва через слой поликапролактама, нанесенный на металл в качестве защитного покрытия, показало, что оно резко различно для к-т и щелочи. Наличие в защитном слое, полученном методом огневого распыления, крупных пор и сферолитов, существенно отражается на защитных свойствах.

Резюме автора
23672. Зависимость знака двойного лучепреломления в потоке от концентрации раствора полимера. Фрисман Э. В., Архипова Э. Н. Докл. АН СССР, 1957, 115, № 3, 491—493

Измерена величина динамич. двойного лучепреломления Δn фракции полистирола ($M = 1,5 \cdot 10^6$) в д-оксане. Обнаружена зависимость знака Δn от конц-ии р-ра. Это явление авторы объясняют увеличением деформационного двойного лучепреломления с ростом конц-ии р-ра и уменьшением роли эффекта формы в динамич. двойном лучепреломлении при увеличении конц-ии р-ра.

С. Котляр
23673. Структура и свойства твердых цепных полимеров. Нитта (固態鎖状高分子の構造と物性. 仁田勇), 化学の領域, Кагаку но рёнки, J. Japan. Chem., 1957, 11, № 3, 1—11 (японск.)

Обзор. Библ. 29 назв.

23674. Новейшие усовершенствования методов дифракции рентгеновских лучей, применяемых для

изучении волокон и высокополимеров. Легран (Récents perfectionnements des méthodes de diffraction des rayons X appliquées à l'étude des fibres et des hauts polymères. Legrand C.), Matér. et techn. engins-fusées et aviat. T. 1. Paris, A. E. R. A., 1956, 399—406 (франц.)

См. РЖХим, 1956, 35083, 43389. О. Ив
23675. Кристаллическая структура поликапроамида — найлон-6. Холмс, Банн, Смит (The crystal structure of polycapromide: Nylon 6. Holmes D. R., Bunn C. W., Smith D. J.), J. Polymer Sci., 1955, 17, № 84, 159—178 (англ.; рез. франц., нем.)

Кристаллическая структура найлона-6 исследована на основе данных по рентгеновской дифракции растянутых волокон. Установлено, что элементарная ячейка содержит 8 элементарных единиц $-\text{NH}-(\text{CH}_2)_5\text{CO}-$ и является моноклинной с a 9,56, b 17,24, c 8,01 Å, β 67,5°. Вычисленная плотность равна 1,23 при значении 1,16, найденном экспериментально. Авторы полагают, что группы CH_2 располагаются в одной плоскости, а амидные группы наклонены под углом 7° к плоскости (001). Цепи в плоскости расположены таким образом, что создаются условия для возникновения между ними максим. числа водородных связей. Т-ра плавления найлона-6 сопоставлена с т-рой плавления найлона-66; более низкая т-ра в первом случае объясняется не четностью числа CH_2 -групп, а особыми условиями распространения колебаний вдоль сегментов с четным числом CH_2 -групп.

Ю. Липатов
23676. Ступенчатый и спиральнообразный рост кристаллов высокополимеров. Фишер (Stufen- und spiralförmiges Kristallwachstum bei Hochpolymeren. Fischer E. W.), Z. Naturforsch., 1957, 12a, № 9, 753—754 (нем.)

Краткий обзор. Библ. 11 назв.

О. Ив

23677. К кинетике кристаллизации высокополимеров. Кале, Стюарт (Zur Kristallisationskinetik in Hochpolymeren. Kahle B., Stuart N. A.), J. Polymer Sci., 1957, 25, № 111, 485—488 (нем.)

Установлено, что скорость образования центров кристаллизации при кристаллизации высокополимеров описывается ур-нием $I = I_0 \exp[-Q/kT - A/kt \cdot (T_g - T)]$, где Q — энергия активации, A — константа, T_g — т-ра плавления. Это ур-ние может быть выведено теоретически на основе предлагаемого авторами механизма кристаллизации. Отличие условий образования центров кристаллизации в полимерах и низкомолекулярных в-вах заключается в том, что поверхностная энергия при росте центров изменяется пропорционально 1-й степени радиуса кристаллизующегося пучка молекул, а не 2-й степени, как при кристаллизации низкомолекулярных в-в. Температурная зависимость скорости роста центров кристаллизации у полимеров такая же, как у низкомолекулярных в-в. На основании этого рассматривается скорость роста сферолитов.

Ю. Липатов

23678. Изучение кристалличности полихлортрифторэтилена инфракрасным методом. I. Измерение степени кристалличности. Мацуо (Crystallinity studies of polychlorotrifluoroethylene by infrared method. I. Measurement of the degree of crystallinity. Matsuo Hiroshi), Bull. Chem. Soc. Japan, 1957, 30, № 6, 593—597 (англ.)

Исследованы ИК-спектры полихлортрифторэтилена в отожженной и закаленной модификациях и в расплаве при 230°. Определены интенсивности в дихроизмическом. Степень кристалличности определена по «кристаллической» полосе 440 см^{-1} и «аморфной» полосе 760 см^{-1} . Установлена линейная зависимость между

степенью кристалличности, оцениваемой спектроскопически, и уд. объемом полимера. Изучена также температурная зависимость степени кристалличности.

Ю. Липатов

23679. Изучение линейных полимеров с помощью ядерного магнитного резонанса. Фудзавара, Хаяси, Хаттори (鎖状高分子重合体の核磁気共鳴. 藤原鎮男, 林昭一, 服部學順), 工業化學雜誌, Kōgō Kagaku Zasshi, J. Chem. Soc. Japan. Industr. Chem. Sec., 1956, 59, № 7, 803—806 (японск.)

Методом протонного магнитного резонанса на частоте 13 Мгц исследованы полиэтилен и четыре смеси поливинилхлорида с ди-2-этилгексилфталатом и добавками 0—2% PbO , SrO , BaO , CdO при 130 и 160°. Найдена зависимость второго момента линии от степени кристалличности.

Ли Мен-юн

23680. О природе сферолитов в политрифторхлорэтилене. Чегодаев Д. Д., Бугоркова Н. А., Кузнецова А. А., Явзина Н. Е. Ж. физ. химии, 1957, 31, № 9, 2061—2065 (рез. англ.)

Измерения плотности политрифторхлорэтилена (I), получаемого при полимеризации в виде правильных шариков диам. $\sim 200 \text{ мк}$, показали, что плотность шариков составляет $2,20 \text{ г/см}^3$; различные виды обработок I (получение пленок путем прессования, сплавления и т. п.) приводят к более низким значениям плотности. Авторы предполагают, что наибольшая степень кристалличности I, соответствующая плотности $2,20 \text{ г/см}^3$, связана с шарообразной формой частиц I и что кристаллизация I после переосаждения I из р-ра приводит к восстановлению формы шарика; эти шарики могут рассматриваться как сферолиты, хотя не могут быть изучены в поляризационном микроскопе из-за малости размеров. При кристаллизации возникают силы, стремящиеся возратить форму шарика; эти силы могут быть преодолены наложением внешнего давления порядка 2000 атм. Таким образом, при кристаллизации возникают высокие напряжения, которые при наличии неоднородностей в полимере в виде посторонних включений могут распределяться по концентрич. шаровым поверхностям. В поляризационном микроскопе это даст картину псевдосферолитов, что объясняет наблюдаемое для I повышение интерференционных цветов во всех квадрантах (РЖХим, 1956, 52489). Хрупкость медленно охлажденных образцов объясняется авторами не образованием больших сферолитов, а возникновением большого числа трещин и больших напряжений при восстановлении формы шариков при кристаллизации. Авторы заключают, что факт наблюдения в I псевдосферолитов не является доказательством вторичности процесса образования сферолитов.

Ю. Липатов

23681. О взаимной связи между переходами первого и второго рода в высокомолекулярных веществах. Тюдзё (高分子物質の一次轉移と二次轉移の相關關係. 中條利一郎), 物性論研究, Буссэйрон кэнкю, 1956, № 99, 76—85 (японск.)

Предполагая, что переход происходит по кооперативному механизму, автор получил следующие соотношения для симметричных и несимметричных полимеров: $T_m = (5/4) \gamma T_g$ и $T_m = (3/4) \gamma T_g$, соответственно, где T_m — т-ра плавления (переход 1-го порядка) T_g — т-ра стеклования (переход 2-го порядка). На основании полученных данных найдено, что $\gamma = 1,93$.

Chem. Abstrs, 1957, 51, № 8, 5506. Hideaki Chihara

23682. Сополимеры, блок-сополимеры, привитые сополимеры, ω -сополимеры. Феррарис (Copolimeri, copolimeri a blocco, copolimeri innestati, copolimeri ω . Ferraris E.), Materie plast., 1957, 23, № 9, 707—714 (итал.)

Обзор, включающий патентные заявки. Библ. 50 назв. С. Френкель

23683. О физических свойствах полиэтилена, полученного при низком давлении по способу Циглера. Исикава (テグラー法低圧ポリエチレンの物理的特性について. 石川正男), プラスチックス, Пурасу-тиккусу, Japan Plastics, 1957, 8, № 5, 33—36 (японск.)

23684. Свойства сополимеров акрилонитрила. Окамура, Утида, Нагао (アクリロニトリル共重合体の性質. 岡村勲, 内田盛也, 長尾英夫), 工業化学雑誌, Korô nagaku daasshi, J. Chem. Soc. Japan. Industr. Chem. Sec., 1957, 60, № 6, 773—781 (японск.)

Жаростойкость сополимеров возрастает в следующем порядке: акрилонитрил (I) — винилацетат, I — метилакриловая к-та, I — стирол, I — метилметакриловая к-та, I — метакриловая к-та, I — винилиден.

Из резюме автора

23685. Упруговязкие свойства полибензилметакрилата и полиметилметакрилата в области перехода. Майер (Viskoelastické vlastnosti polybenzylmethakrylátu a polymethylmethakrylátu v přechodové oblasti. Majer Josef), Chem. průmysl, 1957, 7, № 8, 433—437 (чешск.; рез. русск., англ., нем., франц.)

Получены кривые ползучести полибензил- и полиметилметакрилата в области перехода; полимеры содержали 5% дибутилфталата. Предельные модули рассчитаны при помощи метода температурно-временной суперпозиции, разработанного Тобольским. Определены характеристич. время запаздывания и т-ра различаемости, согласующаяся с т-рой стеклования. Приведенное у-ние состояния удовлетворяется в интервале приведенных т-р различаемости $1,05 > T_p > 0,95$.

Резюме автора

23686. Критерии воспроизводимости экспериментов при работе с пластическими материалами. Ковач (Critères d'une expérimentation reproductible sur les matières plastiques. Kovacs A. J.), Cahier Groupe franç. études rhéol., 1956, 1, № 2, 11—16 (франц.)

Показано, что результаты опытов, проводимых с полимерами, могут различаться между собой в пределах 10—20% при работе с теми же образцами в аналогичных условиях. Указаны возможные причины таких расхождений. Рассуждения автора подтверждены данными о различной контракции объема полистирола и полиэтилена во времени, прогретых при разных т-рах.

Н. Платэ

23687. Изменение свойств полиамида методом инклюдирования. Быков А. Н., Иванова М. И., Пакшвер А. Б. Коллоидн. ж., 1957, 19, № 5, 542—547 (рез. англ.)

Исследовано изменение свойств полиамидного волокна в результате инклюдирования. Предварительное набухание волокна проводилось в феноле, который затем заменился последовательно на воду, спирт и бензол. Найдено, что условия сушки волокна не влияют на изменение его реакционной способности при сорбции красителя, к-ты и фенола. Величина реакционной способности определяется главным образом степенью набухания; обработка при разных т-рах не влияет существенно на реакционную способность. Замена фенола последовательно ацетоном и бензолом приводит к большей реакционной способности, так как в этом случае скорость замещения фенола на бензол выше. Установлено, что равновесное поглощение фенола инклюдированными и неинклюдированными образцами, а также интегральные теплоты растворения волокон одинаковы, но скорость диффузии фенола в глубь инклюдированного волокна возрастает в ~ 5 раз.

Ю. Липатов

23688. О влиянии пластифицирующих добавок на водородопроницаемость поливинилхлорида. Соколов С. И., Рейтлингер С. А., Фельдман Р. И. Коллоидн. ж., 1957, 19, № 5, 624—628 (рез. англ.)

Исследована водородопроницаемость P пленок поливинилхлорида, пластифицированных различными пластификаторами в широком диапазоне конц-ий последних. Зависимость величины P от молярной доли пластификатора описывается S-образной кривой, отдельные участки которой отвечают стеклообразному, высокоэластич. и вязкотекучему состояниям. Определены также коэф. диффузии и константы растворимости в зависимости от конц-ии пластификатора. Полученные данные показывают, что введение пластификатора в пределах вязкотекучего или стеклообразного состояния не влияет на P , но в области высокоэластич. состояния наблюдается сильное повышение P с ростом конц-ии пластификатора. Установлено, что проницаемость пластификатора, полученная экстраполяцией зависимости P от конц-ии на нулевое содержание полимера, линейно возрастает с ростом числа углеводородных атомов в алкильных группах исследованных в качестве пластификаторов эфиров.

Ю. Липатов

23689. Измерение влагопроницаемости пленок из синтетических материалов при помощи воды, меченой тритием. Финкель Э. Э., Ж. физ. химии, 1957, 31, № 7, 1650—1653 (рез. англ.)

Описан метод определения влагопроницаемости синтетич. пленок при помощи воды, меченой тритием. Изменение потока диффундирующих паров через образец оценивалось по изменению их активности.

Ю. Липатов

23690. Зависимость вязкости бутадienstирильных каучуков от структуры. Новиков А. С., Толстухина Ф. С., Коллоидн. ж., 1957, 19, № 5, 599—606 (рез. англ.)

При помощи пластозластометра Толстого исследована кинетика развития деформации сдвига для фракций каучуков СК-30 и СК-30А. Фракции имели различную степень разветвленности, характеризующую константой Хаггинса k^1 ; степень разветвленности фракций повышалась с ростом мол. веса и была выше для фракций СК-30. Из измерений, проведенных при 82° в области напряжений $10^3—10^4$ дин/см², где сохраняется ньютоновский характер течения, установлена зависимость вязкости от мол. веса. Вязкость вычислялась из кривых деформации для области линейной зависимости величины деформации от времени. Установлено, что для СК-30 $\lg \eta = 4 \lg M - 13,2$ и для СК-30А $\lg \eta = 6,94 \lg M - 26,7$. Более разветвленные фракции каучука СК-30 имеют меньшую вязкость. Для низкомолекулярных фракций определены энергии активации вязкого течения, равные при 24—82° для СК-30 и СК-30А соответственно 7,8 и 10,8 ккал/моль. Энергия активации высокомолекулярных фракций зависит от т-ры.

Ю. Липатов

23691. О диэлектрических и механических потерях полиэтилена низкого давления. Михайлов Г. П., Кабин С. П., Крылова Т. А., Ж. техн. физики, 1957, 27, № 9, 2050—2055

В области т-р от -120 до +100° исследованы диэлектрич. потери $\tan \delta$ на частотах 1,5 и 10 кГц для полиэтилена низкого давления (I). Найдено, что в указанном интервале т-р $\tan \delta$ дважды проходит через максимум, т-ра которого тем выше, чем выше частота. Полученные данные сопоставлены с данными авторов (РЖХим, 1955, 42766) для полиэтилена высокого давления. На основе сопоставления сделан вывод о том, что наблюдаемые потери относятся к высокочастотным потерям, обусловленным движением звеньев

макромолекул, и к низкочастотным, обусловленным движением частей молекул, которое определяется степенью кристалличности. Характерные для полиатлена высокого давления потери среднечастотной релаксации, связанные с наличием аморфной фазы, отсутствуют у I. Измерения механич. потерь ультразвуковым методом в зависимости от т-ры на частоте 2 Мгц обнаружили только высокочастотную релаксацию. Наблюдаемые явления объясняются высокой степенью кристалличности I. Ю. Липатов

23692. Диэлектрические свойства непредельных полиэфирных смол. II. Влияние поперечных стирольных связей. Гото, Накадзима (ポリエステル樹脂の誘電的性質. 第2報. 架橋劑ステロール量の影響. 後藤三, 中島達二), 高分子化学, Кобунси кагаку, Chem. High Polym., 1956, 13, № 133, 185—192 (японск.; рез. англ.)

Исследованы полиэфирные смолы с различным содержанием стирола (I) в качестве сшивающего агента. С увеличением содержания I значения диэлектрич. постоянной ϵ' и диэлектрич. потерь ϵ'' постепенно уменьшаются. Кривые зависимости ϵ'' от т-ры имеют максимум, причем с увеличением содержания поперечных связей в смоле вплоть до кол-ва, эквивалентного степени неперелестности полиэфира, максимум ϵ'' располагается ниже и смещается в сторону более высоких т-р. При содержании I выше указанного кол-ва максимум ϵ'' становится недостаточно выраженным и имеет несколько большее значение. Если содержание I возрастает еще больше, то значения ϵ' и ϵ'' постепенно уменьшаются по правилу разведения. Подобная же закономерность обнаружена и в случае электропроводности. На основании этого сделано допущение, что стирольные мостики содержат более одной молекулы I. Часть I см. РЖХим, 1958, 16203.

Резюме автора

23693. Электрический пробой в силиконовых жидкостях. Льюис (The electric strength of silicone liquids. Lewis T. J.), Proc. Instn Electr. Engrs, 1957, B104, № 17, 493—497 (англ.)

На описанной ранее аппаратуре (РЖХим, 1957, 47273) исследовано напряжение пробоя (НП) некоторых жидких полидиметилсилоксанов и силиконов. Обнаруженные закономерности во многих отношениях аналогичны соответствующим зависимостям для парафинов: линейной зависимости для каждого n -мера НП от расстояния между электродами d , линейной зависимости напряжения пробоя от длины мол. цепи (т. е. от числа групп $-\text{SiO}(\text{CH}_3)_2$). Приведены также графики зависимости НП от плотности и вязкости. Кривая НП — т-ра для силикона при $d = 5 \cdot 10^{-3}$ см (димер) имеет тот же вид, что и для парафина (гексан) при $d = 3 \cdot 10^{-3}$ см, но расположена несколько ниже. Механизм пробоя предлагается считать аналогичным механизму пробоя парафинов (см. ссылку выше). В. Цукерман

23694. Диэлектрические свойства сорбированной воды в высокомолекулярных изолирующих веществах. Фейт (Dielektrische Eigenschaften des Sorptionswassers in hochpolymeren Isolierstoffen. Veith H.), Kolloid-Z., 1957, 152, № 1, 36—41 (нем.)

На основании теории Онзагера произведен расчет зависимости диэлектрич. постоянной полярных и неполярных полимеров от содержания воды в них. Выводы теории проверены на опыте путем измерения емкости конденсаторов, содержащих в качестве изоляторов исследуемые в-ва, а в качестве электродов — тонкие напыленные влагопроницаемые металлы. Покрытия. При низком содержании воды (отвечающем 10%-ной влажности воздуха) теоретич. и опытные данные хорошо согласуются, что подтверждает предположение о мол. распределении воды в в-ве. При

более высоких конц-ях воды прирост диэлектрич. постоянной, полученный на опыте, превышает теоретически рассчитанный. Это объясняется увеличением подвижности полярных групп в-ва за счет пластифицирующего действия воды, а также ассоциацией молекул сорбированной воды. Э. Каабеков

23695. Константы скоростей при полимеризации метилметакрилата. Нанди (Rate constants in the polymerization of methyl methacrylate. Nandi U. S.), J. Colloid Sci., 1957, 12, № 3, 321—324 (англ.)

Рассмотрены имеющиеся в литературе данные о значениях $k_0^{1/2}/k_p$ и $k_{\text{пер}}/k_p$ (k_0 , k_p и $k_{\text{пер}}$ — соответственно константы скоростей р-ций обрыва, роста и передачи цепи) при полимеризации метилметакрилата с различными инициаторами при 20—115° и показано, что изменение величин этих отношений с т-рой подчиняется уравнению $k_0^{1/2}/k_p = 9,4 \cdot 10^{-3} \exp(4,4/RT)$ и $k_{\text{пер}}/k_p = 9,1 \cdot 10^6 \exp(-7,6/RT)$. А. Праведников

23696. Ускоряющее действие аминов на полимеризацию метилметакрилата. Брауэр, Давенпорт, Хансен (Accelerating effect of amines on polymerization of methyl methacrylate. Brauer G. M., Davenport Ruth M., Hansen William C.), Mod. Plastics, 1956, 34, № 3, 153, 154, 156—158, 163, 164, 166, 168, 256 (англ.)

При помощи ультразвукового вискозиметра исследована кинетика полимеризации метилметакрилата (I) при 37°, инициированная системой перекись бензоила — амин (исследовано 70 ароматич., алифатич. и гетероцикл. аминов). Наиболее эффективны трет-ароматич. амины. При полимеризации пасты полиметилметакрилата в I наиболее активными ускорителями полимеризации является NN-диметил- n -толидин и 2,2'-(m -толилимино)-диэтанол. Л. Песин

23697. Реакции свободных радикалов в растворах. X. Механизм ингибирующего действия полифенолов и ароматических аминов на процесс полимеризации стирола. Долгопосек Б. А., Короткина Д. Ш., Ж. общ. химии, 1957, 27, № 8, 2226—2232

Изучено влияние полифенолов и ароматич. аминов на процесс термич. полимеризации стирола (I) при 100° в присутствии и в отсутствие кислорода с ингибиторами — гидр хиноном и его эфирами, пирокатехином, фенил- β -нафтиламином, дифениламиноном, n -фенилендиамином. В отсутствие кислорода перечисленные ингибиторы не вызывают проявления индукционного периода и влияние их на кинетику полимеризации I сказывается только в некотором уменьшении скорости процесса. В системах, содержащих кислород или соли металлов, способных окислять полифенолы и амины до соответствующих хинонов, эти соединения играют роль ингибиторов. Показано, что мол. веса полистиролов снижаются в присутствии полифенолов или аминов, что обусловлено, по-видимому, актами передачи цепи, сопровождающимися образованием радикалов, менее активных, чем радикал растущей цепи. Сообщение IX см. РЖХим, 1957, 54274.

С. Якушкина

23698. Влияние добавления инициатора при эмульсионной сополимеризации акрилонитрила и стирола. Утида, Нагао (アクリルニトリルとスチレンとの乳共重合に對する開始劑追加添加の影響. 内田盛也, 長尾英夫), 工業化学雑誌, Kōgō Kagaku daasshi, J. Chem. Soc. Japan. Industr. Chem. Sec., 1957, 60, № 7, 936—938 (японск.)

23699. Применение полиграфического метода для контроля процессов полимеризации. Платонова М. Н., Заводск. лаборатория, 1957, 23, № 5, 539—540

При колич. определении акрилонитрила (I) в полимеризационной ванне полиграфич. методом исход-

ный р-р разбавляли в 50—500 раз для прекращения полимеризации и устранения волн, связанных с инициатором ($K_2S_2O_8$, $NaHSO_3$, H_2SO_4 , $NH_4Fe(SO_4)_2$), в нужном для полярографирования интервале потенциалов. В интервале конц-ий I 0,65—5,25 M установлена прямая зависимость между высотой волны и конц-ией I .

Р. Милютинская
23700. Исследование скорости эмульсионной полимеризации стирола при различном содержании мономера в исходной эмульсии. Юрженко Т. С., Доповіді та повідомлення. Львівськ. ун-т, 1957, вып. 7, ч. 3, 206—209

Дилатометрически изучалась скорость полимеризации (СП) в эмульсии стирола при 45° в присутствии 1% некаля и 0,2—0,6% $K_2S_2O_8$ при различных соотношениях фаз (СФ). При СФ до 1:25 СП, отнесенная к единице объема воды, фазы, практически не зависит от СФ; при дальнейшем уменьшении содержания мономера в эмульсии (СФ от 1:50 и меньше) СП постепенно падает. Последнее, по мнению автора, показывает, что при СФ 1:50 СП соизмерима со скоростью диффузии стирола в водн. фазу, а при СФ 1:1 СП меньше скорости диффузии в ≥ 50 раз. А. Лебедев

23701. Стереоспецифичная полимеризация α -олефинов. Сообщение I. Натта, Пино, Маццанти. Сообщение II. Первые синтезы линейных изотактических и неизоотактических полимеров пропилена. Сообщение III. Полимеризация пропилена с катализаторами, обладающими различной стереоспецифичностью. Натта, Пино, Маццанти, Лонджи (Polimerizzazione stereospecifica delle α -olefine. Nota I. Natta Giulio, Pino Piero, Mazzanti Giorgio. Nota II. Prime sintesi di polimeri lineari isotattici e non isotattici del propilene. Nota III. Polimerizzazione del propilene con catalizzatori aventi diversa stereospecificità. Natta Giulio, Pino Piero, Mazzanti Giorgio, Longi Paolo), Gazz. chim. ital., 1957, 87, № 5, 528—548, 549—569, 570—585 (итал.)

I. Рассматривается стереоизомерия линейных винильных высокополимеров и теоретически обсуждаются предпосылки протекания процесса полимеризации с образованием кристаллич. упорядоченных полимеров. Описываются методы разделения смесей стереоизомерных полимеров путем экстракции р-рителями, применяемая аппаратура и техника разделения.

II. Описываются некоторые примеры полимеризации пропилена под низким давлением в линейные высокополимеры, образующие смеси стереоизомерных кристаллизующихся и некристаллизующихся полимеров, с применением гетерог. катализаторов (К), которые получены взаимодействием галогидного соединения сильно электроположительного металла с переменной валентностью с металлоорганич. соединением также сильно электроположительного металла. Описываются первые К, полученные действием $TiCl_4$ (I) на триэтилалюминий (II) (представляющие лишь историч. интерес), обладавшие малой стереоспецифичностью (С) в отношении образования кристаллич. полимеров. Состав К влияет на их каталитич. активность и С, зависящие также от способа приготовления, в частности от отношения $II:I$ и от времени реагирования. Определение отношения $Cl:Ti$ и $Al:Ti$ в осадке, полученном при 60° взаимодействием I с II, показало, что при увеличении отношения $II:I$ сильно уменьшается отношение $Cl:Ti$ в осадке и, наоборот, содержание Al в нем увеличивается. При увеличении времени реагирования и соотношении $II:I = 1,5$ в осадке увеличивается содержание Al и несколько снижается содержание Cl . Колич. определение состава газов, образующихся при взаимодействии I и II и при разложении осадка к-той, не дало воспроизводимых результатов. Приготовленный К (вне зависимости от

того, использовался ли он в р-ции полимеризации или нет) стареет со временем, что сказывается в довольно быстром падении его активности в течение первых 30 мин. после его приготовления и более медленном — в последующее время. Старение мало сказывается на стереоспецифичности К. Наиболее активные К получают при отношении $II:I \approx 2$. При увеличении этого отношения активность падает и при $II:I = 5$ активность достигает постоянного значения. Стереоспецифичность К довольно велика при отношении $II:I = 1$, достигает минимума при отношении $II:I = 2$, затем вновь повышается до максим. значения при отношении $II:I = 3$ и далее изменяется лишь незначительно. Во всех случаях К дает $\leq 40\%$ кристаллич. полимера. Только К, полученный отделением осадка от р-рителя (n -гептан) и сублимированием в II, дает 60% кристаллич. полимера. Нестабильность К и влияние на их свойства отношения $II:I$ объясняется восстановлением соединения Ti до валентности < 3 под влиянием II, изменением физ. структуры осадка и кол-ва, связанного с ним II. Отмечается, что отношению $II:I \approx 2$, при котором наблюдается максим. активность, соответствует наименьшая стереоспецифичность К. Описывается приготовление и очистка II, методика получения и анализа К и техника проведения опытов полимеризации. При изготовлении К особое внимание обращалось на чистоту исходного II.

III. Р-цией II с галогенидами, алкоголями и хлоралкоголями Ti^{4+} , а также с хлоридами $Ti(3+)$ и $Ti(4+)$ получены К для полимеризации пропилена, обладающие различной С. Наибольшей С обладают К, полученные из микрокристаллич. $TiCl_3$ и $TiCl_2$, приготовленных восстановлением I при повышенной т-ре. На основании сопоставления данных, полученных с К, полностью растворимыми и К, растворимыми частично или совсем нерастворимыми в реакционной среде, показано, что активность гетерог. К значительно выше. С зависит от присутствия твердой фазы с упорядоченной структурой. Напр., из кристаллич. галогенидов Ti с валентностью ниже максим. путем обработки II получают К, дающие до 90% кристаллич. полимера. Из галогенидов Ti взаимодействием с II наиболее активные К дает I; $TiBr_3$ и TiI_3 обладают несколько большей С, но меньшей активностью; TiF_3 не дает активных К. $TiCl_3$ и $TiCl_2$ реагируют с II только на поверхности при длительном нагревании при 70—100° и дают К, нерастворимые в углеводородах. В отличие от того, что наблюдалось при применении К, приготовленных из I, для К, приготовленных на основе $TiCl_2$ и $TiCl_3$, отношение $II:TiCl_3$ и $II:TiCl_2$, изменяясь в интервале 1—5, не оказывает влияния на скорость р-ции и состав получаемых продуктов. Повышение давления, т. е. конц-ий C_3H_6 в р-ре, увеличивает скорость р-ции, но не изменяет существенно состава продуктов. Эти К отличаются также тем, что обладают несколько низшей начальной активностью, но не стареют и сохраняют почти неизменную активность в течение сотен часов. К, получаемые из тетраалкоголятов Ti , не способны полимеризовать C_3H_6 . При 90—100° и отношении $II:Ti(OR) \approx 50$ получают следы аморфного полипропилен. У К, получаемых из хлоралкоголятов Ti , активность и С постепенно изменяются при увеличении содержания $Cl:TiCl(OR)_3$ и $Ti(OR)_4$, взаимодействуя с II, дают К, растворимые в углеводородах и неактивные в обычных условиях. $TiCl_3OR$ и $TiCl_2(OR)_2$ при р-ции с II дают активные К, нерастворимые в реакционной среде. К, полученные пропиткой алюмосиликата тетраизопропилатом Ti и последующей обработкой II, образуют нерастворимые К, способные полимеризовать C_3H_6 в высокомолекулярные аморфные полимеры.

На основании этих и ранее приведенных данных делается вывод, что активность К связана с их растворимостью; активными являются только нерастворимые К; С же зависит от упорядоченности структуры твердых К. Описывается методика очистки галогенидов Тi, приготовления носителей (Al_2O_3 , SiO_2 , алюмосиликат) и проведения опытов полимеризации. Напр., в качающийся автоклав емк. ~ 2 л вводится в атмосфере N_2 суспензия 7,8 г $TiCl_3$ в 250 мл *n*-гептана и затем 12 г II в 250 мл *n*-гептана. Автоклав нагревается до 70° и вводится 230 г C_2H_2 . Т-ра быстро повышается до 90° и затем падает до 80°. При этой т-ре р-ция продолжается ~ 5 час. По окончании р-ции вводят 100 мл метанола и выгружают содержимое автоклава в виде твердой массы, пропитанной р-рителем, из которой выделяют 225 г твердого полипропилена.

В. Шекин

23702. Синтез и изучение некоторых свойств 1,4-полибутадиена. Бабицкий Б. Д., Долгопосок Б. А., Кроль В. А., Хим. наука и пром-сть, 1957, 2, № 3, 392—393

Полимеризация бутадиена (I) (20—25%-ный р-р в очищ. бензине) в присутствии каталитич. системы $Al(C_2H_5)_3 + TiCl_4$ (0,2—0,5% к весу I) приводит к полимерам с мол. весом $\sim 3 \cdot 10^5$, содержащим 1—4% звеньев 1,2 и 73—70% звеньев *цис*-1,4; т-ра стеклования около -100° . В невулканизованном нерастворимом полимере обнаружено незначительное содержание кристаллич. фазы.

Т. Гриценко

23703. Роль комплексных соединений и катионов комплексобразующих компонентов в реакции полимеризации ацетиленов. Клебанский А. Л., Долгопольский И. М., Доблер З. Ф., Докл. АН СССР, 1957, 114, № 2, 323—326

Установлено, что в р-рах $CuCl \cdot MCl$ при растворении в них C_2H_2 или винилацетилена (I), идущего с образованием комплексных соединений, происходит повышение конц-ии H^+ , связанное с ионизацией ацетиленовых углеводородов (II). По мере полимеризации I конц-ия H^+ понижается и к концу полимеризации рН р-ра соответствует рН исходного р-ра $CuCl \cdot MCl$. Степень ионизации II определяется их природой, составом исходного р-ра $CuCl \cdot MCl$, а также конц-ией компонентов в р-ре. С увеличением конц-ии MCl и в особенности HCl в исходном р-ре степень ионизации C_2H_2 или I понижается, что объясняется вытеснением II из координационной сферы Cu (а отсюда и уменьшением конц-ии II в р-ре) вследствие увеличения конц-ии Cl^- . Значительная роль воды в этих процессах: она гидратирует ионы, образуемые комплексными соединениями, вследствие чего повышается каталитич. активность р-ров $CuCl \cdot MCl$; в отсутствие воды ионизация комплексных соединений и соответственно полимеризация II не происходит. Все это подтверждает ионный механизм процессов полимеризации C_2H_2 . На свойства комплексных соединений, образуемых II с $CuCl \cdot MCl$, влияет сила электр. поля катиона M^+ и комплексобразующего компонента MCl . С увеличением силы поля уменьшается ионизация комплексных соединений II, их растворимость, способность к полимеризации и активность при полимеризации C_2H_2 ; при использовании в качестве комплексобразующих компонентов солей аминов активность их уменьшается с увеличением степени полярности, т. е. с увеличением замещенности.

Л. Песин

23704. Ионная полимеризация. Поливинилхлорид с высокой точкой размягчения. Имото (オン重合、軟化点の高いポリ塩化ビニル、井本総), 化学, Kagaku Chemistry (Japan), 1956, 11, № 7, 40—41 (японск.)

23705. Привитая сополимеризация акриловых мономеров под действием радиации. Сумитомо, Харихама (放射線によるアクリル系グラフト重合、佐

友宏, 八兵義和), 工業化学雑誌, Korō Kagaku Zasshi, J. Chem. Soc. Japan. Industr. Chem. Sec., 1957, 60, № 7, 840—843 (японск.)

Р-р полиэтилакриловой к-ты в акрилонитриле и этилформальдегиде облучали при охлаждении в течение 1 часа при комнатной т-ре (Co^{60} , 13 кюри). При облучении наряду с полимеризацией происходит также разрыв основной цепи полимера. Образующийся полимер обладает хорошей растворимостью и кристаллическостью.

Из резюме авторов

23706. Действие излучений с большой энергией на высокомолекулярные вещества. Сакурада (高分子材料に及ぼす高エネルギー放射線的作用、櫻田一郎), 材料試験, Дайри сикэн, J. Japan Soc. Test. Mater., 1956, 5, № 31, 207—212 (японск.)

23707. Действие излучения на водные растворы поливинилового спирта. Беркович, Чарлсби, Дерё (Radiation effects on aqueous solutions of polyvinyl alcohol. Berkowitch J., Charlesby A., Desreux V.), J. Polymer. Sci., 1957, 25, № 111, 490—492 (англ.)

При облучении электронами (2 Мэв, генератор Ван-де-Граафа) р-ров, содержащих $> 0,32$ — $0,67$ г полимера на 100 мл (в зависимости от мол. веса полимера), происходит сшивание полимера в макрогель. Доза, требуемая для образования геля при данном мол. весе исходного полимера, уменьшается линейно при уменьшении конц-ии полимера; при данной конц-ии требуемая доза тем ниже, чем выше мол. вес полимера. При конц-иях полимера $< 0,32$ — $0,67$ г на 100 мл гель не образуется, но вязкость р-ра при облучении возрастает; характеристич. вязкость полимера при этом проходит через максимум; аналогичным образом изменяется и константа Хаггинса k' . Одновременно увеличивается полидисперсность полимера и возрастает седиментационная константа. Определяемый по светорассеянию мол. вес полимера возрастает при облучении до 30 млн. и затем остается постоянным. Доза, требуемая для достижения этого максим. значения, соответствует дозе, необходимой для достижения максимума $[\eta]$. При γ -излучении Co^{60} даже при дозах ниже критической наблюдается образование микрогеля, что, по-видимому, связано с присутствием следов O_2 в системе. УФ-спектры полимеров, облученных малыми дозами ($< 0,5$ мегарадиана), указывают на селективное хим. действие излучения.

А. Праведников

23708. Циклизация при облучении полиэтилена высокой плотности γ -излучением. Дод, Милнер, Вильямс (Cyclization in gamma ray irradiated high density polyethylene. Dole Malcolm, Milner D. C., Williams T. F.), J. Amer. Chem. Soc., 1957, 79, № 17, 4809 (англ.)

При облучении полиэтилена высокой плотности в ИК-спектре появляется полоса при 10,1 μ , указывающая на образование в полимере циклов строения — $CH_2CH_2CH_2CH_2$ —. Указывается, что аналогичная

полоса наблюдается в спектрах 1,2-замещенных производных циклопентана и циклогексана.

А. Праведников

23709. *Цис-транс*-изомеризация в полибутадиене. Голуб (Cis-trans isomerization in polybutadiene. Golub M. A.), J. Polymer. Sci., 1957, 25, № 110, 373—377 (англ.)

При облучении УФ-светом в атмосфере N_2 бензольных р-ров полибутадиена, содержащего $> 10\%$ мономерных звеньев, имеющих *цис*-конфигурацию, в присутствии органич. бромидов, сульфидов, дисульфидов или меркаптанов происходит *цис-транс*-изомеризация мономерных звеньев полимерной молекулы. Отношение между *цис*- и *транс*-формами в ходе облу-

чения стремится к пределу, равному $\sim 5:95$. Обратный переход *транс*-формы в *цис*-форму, авторами не был обнаружен. При облучении в присутствии O_2 наблюдается сильная деструкция полимера. Предполагается, что свободный радикал, возникающий в результате фотоллиза сенсibilизатора, присоединяется к двойной связи полимерной молекулы, образуя полимерный радикал. При последующем отщеплении этого радикала и регенерации двойной связи образуется преимущественно более стабильная *транс*-форма.

А. Праведников

23710. Разветвленная структура поливинилацетата.

I. Полимеризация винилтриметилацетата в присутствии поливинилацетата. II. Полярнографическое определение карбоксильных групп в поливинило-вом спирте. III. Доказательство наличия поперечных связей в поливинилацетате путем полярнографического определения 1,2-гликоли в поливинило-вом спирте. Имото, Укида, Коминами (ポリ酢酸ビニルの分岐構造について. 第1報. ポリ酢酸ビニル共存下でトリメチル酢酸ビニルの重合. 第2報. ポリビニルアルコール中のカルボキシル基のポ-ラログラフによる定量. 第3報. ポリビニルアルコール中の1,2-グリコール結合のポ-ラログラフによる定量ならびにポリ酢酸ビニルの架橋化の確認. 井本三郎, 浮田純二, 小南次夫), 高分子化学, Кобунси кагаку, Chem. High. Polym., 1957, 14, № 142, 101—106; № 143, 127—132; № 144, 214—218 (японск.; рез. англ.)

I. Исследована полимеризация винилтриметилацетата в присутствии поливинилацетата (I). Поливинилтриметилацетат (II) не растворим в 25%-ном р-ре CH_3OH в H_2O . Скорость омыления II значительно меньше, чем I. Состав привитого полимера определялся по полосам 12,49 μ (I) и 13,05 μ (II). Главными местами разветвлений являются группы CH_3 в I, а также в незначительной степени трет-атом Н.

II. Проведен полярнографич. анализ карбоксильных групп в поливинило-вом спирте (III), полученном омылением I (I получали полимеризацией в массе и в р-рах). III обрабатывали $Ca(CH_3COO)_2$ и определение вели в 4—6 п. р-ре NH_4OH , содержащем комплексную соль Zn . Вычисленные из данных анализа константы передачи при полимеризации I через мономер и полимер соответственно равны для 60° $2,6 \cdot 10^{-4}$ и $1,4 \cdot 10^{-4}$.

III. Наличие 1,2-гликоля в III установлено полярнографич. определением остаточного иона периодата после отработки III последним. Сделан вывод, что в присутствии источника радикалов, напр., перекиси бензонла, поперечные связи в I могут иногда образоваться и за счет трет-атома Н основной полимерной цепи.

Из резюме авторов

23711. О поведении поперечных связей, образующих температурную сетку вулканизатов, при световом воздействии.

Постовская А. Ф., Кузьминский А. С., Докл. АН СССР, 1956, 106, № 5, 866—869. Рассмотрено действие УФ-света ($\lambda > 2960 \text{ \AA}$) на изменение структуры вулканизатов Na-бутадиенового каучука, кинетику распада серных связей и кинетику фотоокисления. Вулканизаты, содержащие полисульфидные связи $-C-S_n-C-$, (I) более устойчивы к действию света, чем вулканизаты, содержащие моносульфидные связи $-C-S-C-$, (II) и термовулканизаты $-C-C-$ (III). По скорости фотоокисления и скорости распада серных связей исследованные вулканизаты располагаются в последовательности $I < II < III$. При тепловом воздействии наблюдается обратная зависимость.

Т. Никитина

23712. К термодинамике вулканизации каучука. Хок, Шрётер (Zur Thermochemie der Kautschukvulkanisation. Hock Lothar, Schröter Gerhard), Kolloid-Z., 1957, 152, № 2, 98—115 (нем.)

При помощи сдвоенного калориметра определялась теплота вулканизации ненаполненных смесей из НК, содержащих ультраускорители, при 90°. Теплота р-ции линейно возрастает с увеличением содержания связанной S от $7,12 \cdot 10^3$ при 1,99% связанной S до $23,3 \cdot 10^3$ дж/г-атом S при 4,35% связанной S. Свободная S определялась сульфитным методом и методом окисления ацетонового экстракта Br_2 . При вулканизации бутилкаучука тепловой эффект равен $1,5$ ккал/г-атом S при содержании связанной S 1,2%.

И. Турской

23713. Окислительное разложение озонида натрий-дивинилового каучука. Якубчик А. И., Касаткина Н. Г., Демидова Г. И., Федорова Г. Я., Ж. общ. химии, 1957, 27, № 5, 1195—1201

Для установления взаимного расположения звеньев 1,4 и 1,2 в молекуле натрийдвинилового каучука (ДК) изучались продукты его озонлиза. Окислительное разложение озонида ДК проводилось: гидропероксидом ацетила (I) в лед. CH_3COOH и 3%-ной H_2O_2 при 60°. Полученные в результате разложения к-ты разделяли методом распределительной хроматографии на SiO_2 . В продуктах разложения озонида I найдены к-ты: левулиновая (II), муравьиная (III), янтарная (IV), 1,2,4-бутантрикарбоновая (V), 1,2,3-пантрикарбоновая (VI) и 1, x, y, 6-гексантрикарбоновая (VII). Ранее было предположено (Hill R., Lewis J. R., Simonsen I. L., Trans. Farad Soc., 1939, 35, 1067), что III, IV, V, VII могли получиться из участков молекулы ДК, образованных сочетанием звеньев 1,2; 1,4—1,4; 1,4—1,2—1,4; 1,4 (1,2)₂—1,4; VI — из разветвленных участков молекулы ДК, образовавшихся в результате металлизации по α -метиленовой группе. Показано, что VI могла образоваться из участков 1,4—1,2—1,4, в которых произошло соответствующее перемещение двойных связей, или из участков 1,4—1,4, с разветвлением по α -метиленовой группе. II могла образоваться из участков 1,4—1,2—1,4 и при перекисноформатной перегруппировке в присутствии I. В продуктах окислительного разложения H_2O_2 найдены к-ты: уксусная, III, IV, V, VI, VII. Уксусная к-та могла образоваться из участков 1,4—1,4 и из изомеризованных участков 1,4—1,2—1,4. С. Якушкин

23714. Озонирование непредельных соединений. II.

Присоединение озона к внутренним и внешним двойным связям в дивинило-вом каучуке. Якубчик А. И., Касаткина Н. Г., Павловская Т. Е., Ж. общ. химии, 1957, 27, № 6, 1487—1489

Определена скорость озонирования внешних и внутренних двойных связей в натрийдвинило-вом каучуке (К). К озонировали в $CHCl_3$ р-ре при 0° на 25, 50, 75 и 100%. По кол-ву образовавшейся муравьиной к-ты и муравьиного альдегида рассчитывалось эквивалентное кол-во озона, присоединенного к внешним двойным связям (ВДС). Установлено, что строгая избирательность при озонировании двойных связей нет, но с большей скоростью озонируются НДС. Кривые поглощения озона не имеют переломов. Сообщение II см. РЖХим, 1956, 61426. С. Якушкин

23715. Выход реакции разрыва цепей при окислении вулканизатов натурального каучука. Вейт (Chain scission efficiency in the oxidation of natural rubber vulcanizates. Veith A. G.), J. Polymer Sci., 1957, 25, № 110, 355—372 (англ.; рез. франц., нем.)

Изучалась релаксация напряжения и скорость поглощения O_2 ненаполненными вулканизатами из НК с алтаском, содержащими различные противостарители. Для числа актов разрыва, приходящихся на одну молекулу поглощенного O_2 (выход р-ции разрыва цепей, Θ), получено выражение: $\Theta = (dN/dt)/N$ (N — число цепей в единице объема, t — время, r — скорость окисления). Определены начальная скорость

окисления при 100°, автокаталитич. константа и число (Φ_0) молекул O_2 , приходящееся на один акт разрыва цепи в присутствии различных противостарителей (0,0015 моля на 100 г каучука). Наличие антиоксиданта в большей степени влияет на изменение автокаталитич. константы, чем на начальную скорость окисления. В присутствии всех противостарителей, за исключением N,N-дифенил-*n*-фенилендиамина (I), среднее значение Φ_0 равно 1,5. В присутствии I наблюдается также большая скорость релаксации в вакууме по сравнению с другими противостарителями, что указывает на возможность р-ции I с поперечными связями, приводящей к разрыву последних. Низкое значение Φ_0 указывает на то, что в начальной стадии инициирование и обрыв цепи не сопровождаются р-цией деструкции. Отсутствие влияния противостарителей на Φ_0 указывает на то, что противостарители влияют только на общую скорость окисления, а не на начальный выход р-ции разрыва цепи. Линейный характер релаксации вулканизатов с альтаком указывает на то, что деструкция последних не равновероятна по всей длине молекулы, а по-видимому, протекает в местах, расположенных вблизи от поперечных связей. Приведены другие доводы в пользу этой гипотезы.

И. Тютюрский

23716. Облучение ненасыщенных полиэфирных смол. Чарлсби, Уичерли (The irradiation of unsaturated polyester resins. Charlesby A., Wycheley V.), Internat. J. Appl. Radiat. and Isotopes, 1957, 2, № 1, 26—34 (англ.; рез. франц., русск., нем.). Полиэфирная смола (I), полученная конденсацией 3,33 моля малеинового ангидрида, 3,33 моля фталевого ангидрида и 6,99 моля этиленгликоля при 170° (среднечисленный мол. вес 890, число двойных связей на молекулу 2,6), облучалась быстрыми электронами (2 Мэв), полученными на ускорителе Ван-де-Граафа. По мере облучения сиропобразная I превращается в твердый термопластичный продукт. Отверждение образцов I происходит на глубину 6 мм, соответствующую проникающей способности электронов. Минимум дала облучения, вызывающая отверждение, равна 1—2 мегарадианов. С увеличением дозы облучения увеличиваются сопротивление разрыву, модуль Юнга, твердость, уд. вес и уменьшаются относительное удлинение и растворимость в толуоле. При низких дозах наблюдается эффект последовательности облучения, заключающийся в изменении свойств образца после его выдерживания (минимум 2 дня). Методом УФ-спектроскопии показано, что содержание фталевых эфиров в толуольном экстракте облученной I сильно повышено по сравнению с исходным значением; это объясняется большей скоростью расхода малеинового ангидрида при поликонденсации и обогащением реакционной смеси низкомолекулярными фталевыми полиэфирными, не участвующими в процессе поперечного сшивания при облучении. При критич. дозе облучения (7 мегарадианов), выше которой не наблюдается эффект последовательности, и мол. весе I 890 энергетич. выход р-ции равен 155 молекул на 100 эв поглощенной энергии.

И. Тютюрский

23717. Деструкция высокополимеров. Брайс, Гринвуд (The degradation of high polymers. Bryce W. A. J., Greenwood C. T.), J. Polymer Sci., 1957, 25, № 111, 480—483 (англ.). В предположении, что в полимере все связи имеют одинаковую прочность, выведены ур-ния для констант скорости р-ции деструкции нулевого порядка $k_0 = w[P_1^{-1} - P_0^{-1}] / M$ и первого порядка $k_1 = (1/t) \times \ln[(1 - P_0^{-1}) / (1 - P_1^{-1})]$ (1), где w — вес полимера, P_0 и P_1 — средняя степень полимеризации исходного полимера и полимера в момент времени t , M — мол.

вес мономерного звена; для начальной стадии ур-ние (1) может быть преобразовано в $k_1 = (1/t)[P_1^{-1} - P_0^{-1}]$. На примере имеющихся в литературе данных показано, что при деструкции полистирола и целлюлозы действительно соблюдается линейная зависимость между обратной величиной изменения средней степени полимеризации ΔP^{-1} (или $\Delta [\eta]^{-1}$) и временем. Полученные результаты обсуждены с точки зрения существования слабых связей в молекулах полистирола и целлюлозы.

А. Праведников

23718. Исправление к статье: Мостафа «Дегградация высокополимеров ультразвуковыми волнами» (Egata. Mostafa M. A. K.), J. Polymer Sci., 1957, 25, № 111, 502 (англ.).

К РЖХим, 1957, 51498.

23719. Дегградация сополимера хлористый винилден — хлористый винил в растворе циклогексанона. Менчик, Ланикова (Degradace kopolymeru vinylidenchlorid — vinylchlorid v cyklohexanonovém roztoku. Menčík Zdeněk, Láňková Jifina), Chem. listy, 1957, 51, № 2, 229—232 (чешск.).

Дегградация сополимера хлористый винилден — хлористый винил в р-ре циклогексанона вызвана перекисными в-вами, образующимися самопроизвольно при стоянии циклогексанона на воздухе. Вискозиметрич. измерениями показано, что прибавление перекиси бензоила ускоряет дегградацию, добавки бензохинона препятствуют дегградации. Ингибирующий эффект убывает в ряду бензохинон, пикриновая к-та, гидрохинон, пирокатехин, резорцин.

М. Kolínský

23720. Исследования поликапронида. III. Термическое разложение поликапронида в присутствии катализатора. Иноуэ, Сумото (ポリカプロアミドの熱分解の研究. 第3報. ポリカプロアミドの接觸熱分解について. 井上良三, 須本操), 高分子化学, Кобунси какаку, Chem. High Polym., 1955, 12, № 119, 131—138 (японск.).

23721. Омыление полиметилметакрилата. III. Влияние степени полимеризации на омыление кислотой. Сакурада, Сакагати, Фукуи (ポリメチルメタクリル酸メチルの鹼化反応. 第3報. 重合度の影響. 酸鹼化などについて. 櫻田一郎, 坂口康義, 福井節也), 高分子化学, Кобунси какаку, Chem. High Polym., 1956, 13, № 137, 408—414 (японск.; рез. англ.).

Скорости щел. омыления полиметилметакрилатов со степенью полимеризации 2780 и 124 существенно не различаются. Кислотное омыление полиметилметакрилата по ходу р-ции подчиняется мономолекулярному ур-нию, но константа скорости значительно меньше, чем для низкомолекулярных эфиров с подобной структурой. Поведение полибутилакрилата при щел. омылении аналогично поведению полиметилметакрилата. Часть II см. РЖХим, 1957, 57748.

Резюме авторов

23722. Успехи в области получения пластиков. Имото (プラスチックの發展. 井本総), 硫酸, Рюсан, J. Sulphuric Acid Assoc. Japan, 1957, 10, № 6, 11—16 (японск.).

Популярная статья.

Х. Б.

23723. Применение персульфата аммония, перекиси бензола и азо-бис-изобутиронитрила в качестве катализаторов полимеризации в гомогенной фазе. Окамура, Мотояма (均一系溶液重合の觸媒としての過硫酸アンモン, 過酸化ベンゾイル, アゾビスイソブチロニトリルの比較. 岡村誠三, 本山卓彦), 高分子化学, Кобунси какаку, Chem. High Polym., 1956, 13, № 135, 317—322 (японск.; рез. англ.).

Изучалась начальная стадия полимеризации метакрилата (ММА) и винилацетата (ВА) в гомог. фазе при использовании катализаторов $(NH_4)_2S_2O_8$ (ПА), $(C_6H_5CO)_2O_2$ (ПБ) и азо-бис-изобутиронитрила (АБН). В качестве среды применяли р-ры диоксан-

вода или CH_3COOH -вода. ПА и АБН предварительно перекристаллизовывали из CH_3OH , ПБ осаждали из р-ра CHCl_3 добавлением CH_3OH . Установлено, что применение различных катализаторов не оказывало влияния на скорость и степень полимеризации в начальной стадии, что подтверждает выводы, сделанные Харкинсом. Результаты опытов приведены в соответствующих графиках и таблицах. В. Иоффе

23724. О линейных олигандах, образующихся при реакции адипиновой кислоты с гексаметилендиаминном. Цан, Лауэр (Über lineare Oligamide der Adipinsäure mit Hexamethyldiamin. Zahn Helmut, Lauer Werner), Makromolek. Chem., 1957, 23, № 2-3, 85—118 (нем.; рез. англ.)

Некоторые соединения трех рядов линейных полимер-гомологов получены при взаимодействии обоих компонентов нейлона — адипиновой к-ты (I) и гексаметилендиамина (II). При этом возможно образование метакрилата (ММА) и винилацетата (ВА) в гомог. трех видов полимеров: 1) диаминов (с гексаметилендиаминной концевой группой), 2) дикарбоновых к-т (с группой адипиновой к-ты на конце цепи) и 3) аминокислот (с группами гексаметилен и адипиновой к-ты на концах цепи). Описаны различные методы синтеза таких соединений: р-ция между дихлорангидридом I с двумя молями ε-аминокапронитрила с последующим гидрированием динитрила в диамин, р-ция II с хлорангидридом моноэтилового эфира I, амидолиз моно- и диэтилового эфира I при помощи II, сплавление адипановокислого II, нагревание низших олигомеров, нагревание олигомеров с мономерами, частичный гидролиз нейлона и др. Приведены физ. константы полученных соединений. Элементарный анализ, определение т-ры плавления и криоскопич. мол. веса дают надежные результаты только для низших олигомеров; аминный N определялся по кол-ву N, выделяющегося при р-ции с нитритом. Исследование ИК-спектров обнаружило близкое сходство между спектрами олигомеров и нейлона; в обоих случаях найдены 4 резкие полосы поглощения в области 3350—2850 см^{-1} ; наиболее интенсивная полоса, приписываемая колебаниям NH-группы, указывает на транс-положение амидогруппы в решетке. Отдельные классы соединений идентифицированы по дополнительным полосам поглощения, соответствующим функциональным группам. Диаграммы Дебая — Шеррера показывают для большей части олигомеров те же рефлексы, что и порошок нейлона; кристаллизация олигомеров аналогична известной для макромолекул; расстояние между цепями не зависит от мол. веса. Отличие от нейлона обнаружено при рассмотрении диаграмм, полученных в камере Краткого; этим же методом установлены различия между отдельными олигомерами. Новые олигомеры с мол. весом < 1000 представляют интерес при исследованиях в области синтетич. волокон и, кроме того, могут служить эталонами при проведении физ.-хим. исследований. Н. М.

23725. Смолы, получаемые конденсацией бис-фенола (2,2-бис-(4-оксифенил)-пропана) и фурфурола. Паскуариэлло, Леонарди (Resine di condensazione fra bisfenolo e furfurolo. Pasquariello Elia, Leonardi Giuseppe), Ann. chimica, 1957, 47, № 6, 713—721 (итал.)

Исследована конденсация в водн. щелочи 2,2-бис-(4-оксифенил)-пропана (I) с фурфуролом (II) при мол. отношении компонентов 1:0,45 и 1:1. Скорость р-ции определялась или по убыли II, или по выделению H_2O . Смолы, получаемые при отношении I:II < 1, растворимы в большей части органич. р-рителей; растворимость уменьшается при увеличении продолжительности процесса. Продукты, получаемые при отношении I:II ≥ 1, растворяются хуже и не пол-

ностью. Тогда как фенольные смолы затвердевают только под воздействием агентов основного характера, получаемые смолы затвердевают не только под воздействием щелочей, но также и к-т. Скорость затвердевания смолы возрастает с увеличением кол-ва II, взятого для ее получения. Предполагается, что первой стадией р-ции является образование дифенилопропанфурилкарбинола, дающего далее с выделением H_2O полимерные (ди-бис-фенол)-фуранметаны. Этот механизм подтверждается быстрым связыванием II в реакционной смеси и значительно более длительным процессом выделения H_2O . Последующее затвердевание смолы является результатом образования трехмерной структуры. Различные стадии процесса исследовались с помощью электронного микроскопа. Полученные смолы могут формироваться при 135—175° и давл. > 60 атм с применением в качестве наполнителя древесных опилок. Приводится методика получения I из фенола и ацетона конденсацией в присутствии H_2SO_4 . В. Шекни

23726. Полиалкилендисульфиды. XIII. Полимеры, полученные из 4-винил-1-циклогексена и d-лимонена. Марвел, Олсон (Polyalkylene sulfides. XIII. Polymers from 4-vinyl-1-cyclohexene and d-limonene. Marvel C. S., Olson L. Elmer), J. Polymer Sci., 1957, 26, № 112, 23—28 (англ.; рез. нем., франц.)

С целью получения полиалкиленсульфидов с каталитическими свойствами (часть XII, РЖХим, 1954, 12760) использованы 4-винил-1-циклогексен (I) и d-лимонен. Из I и тиоуксусной к-ты получены ди-моно- и одно дипроизводное. Исследование ИК-спектров показало, что одно из монопроизводных (т. кип. 117—119°/13 мм) содержит конечную винильную группу (995 и 913 см^{-1}), во втором (т. кип. 125—127°/13 мм) соответствующие полосы отсутствуют. Все 3 соединения имеют резкую полосу поглощения при 953 см^{-1} , характерную для тиоэфирной группы. Из d-лимонена и тиоуксусного эфира получен ди-тиоэфир. При гидролизе всех полученных тиоэфиров образуются соответствующие меркаптаны. Полиалкиленсульфиды получены из этих меркаптанов и диалкила, а также из меркаптанов и тех диолефинов, которые использованы в качестве исходных продуктов для получения этих меркаптанов. Полимеризация проводилась в р-ре уксуснокислого Na в присутствии персульфата NH_4 , NaHSO_3 и CuSO_4 при pH 3,4. Меркаптан и диолефин применялись в эквимолекулярных кол-вах. При 30° полимеризация продолжается 4 сут. Выделенные после разрушения эмульсии полимеры (образующиеся с выходом до ~90%) мягкие и липкие; $[\eta]$ равна 0,12—0,36. Дана характеристика исходных продуктов, описаны синтез тиоэфиров в условиях их гидролиза. Н. Мотовилов

23727. Из области гетероцепных полиамидов. Сообщение I. О влиянии заместителей у азота на свойства полиамидов из *н,н'*-диаминодифенилметана. Коршак В. В., Фрунзе Т. М., Краснянская Э. А., Изв. АН СССР, отд. хим. н., 1957, № 5, 628—630

Изучены свойства полиамидов из *н,н'*-диалкил-*н,н'*-диаминодифенилметана (диметил-I, диэтил-II) и адипиновой и себаценовой к-т с различной степенью замещения амидного водорода на метильный или этильный радикал. Поликонденсация I и II с к-тами проводилась в токе N_2 при повышении т-ры от 160 до 280° в течение 6 час. и выдержке в вакууме в течение 2—4 час. Показано, что при замещении амидного водорода на алкильный радикал и с увеличением мол. веса взятой дикарбоновой к-ты т-ры размягчения и плавления полимеров снижаются. Показано, что свойства полиамидов определяются водородными связями между амидными группами, а взаимодействие ароматич. ядер играет второстепенную роль. С. Якушкина

23728. Новое в области синтеза гетероцепных элементарноорганических полимеров. Андрианов К. А., Успехи химии, 1957, 26, № 8, 895—922

Обзор методов получения, свойств и областей применения кремнийорганич. полимеров, полйорганометаллосилоксанов (Al, Ti, Sn, B, Sb, P, Pb), полиорганосилилититанооксидов и фосфорборвисмоторганич. полимеров. Библ. 108 назв. Е. Родионова

23729. О получении полиорганоборосилоксанов методом гетерофункциональной конденсации. Андрианов К. А., Волкова Л. М., Изв. АН СССР. Отд. хим. н., 1957, № 3, 303—309

Исследовались р-ция алкил-(арил)-ацетоксисилоксанов с бутиловым эфиром борной к-ты и алкил-(арил)-этоксисилоксанов или алкил-(арил)-бутоксисилоксанов с триацетоксибором. Найдено, что при нагревании указанных соединений происходит ступенчатая р-ция гетерофункциональной конденсации с образованием полиорганоборосилоксанов, цепи которых содержат связь Si—O—B. При этом выделяется бутилацетат и соответственно этилацетат. Установлено, что связь Si—O—B в полученных полиметилфенилборосилоксанах легко расщепляется при действии воды. р-ров к-т и щелочей с выделением борной к-ты и кремнийорганич. полимеров. Т. Макарова

23730. Синтез жидких (1-*n*)-гексаметилполихлорфенилсилилоксанов. Андрианов К. А., Одинец В. А., Изв. АН СССР. Отд. хим. н., 1957, № 6, 684—691

Описано получение ряда жидких (1-*n*)-гексаметилполихлорфенилсилилоксанов общей ф-лы $(\text{CH}_3)_2\text{SiO}[\text{Si}(\text{O}(\text{C}_2\text{H}_5)_2\text{C}_6\text{H}_4)_m\text{Cl}_n]_n\text{Si}(\text{CH}_3)_2$ с $m = 1 \div 3$ и $n = 3 \div 6$. Новые линейные полимеры образуются при согидролизе (хлорфенил)-этидихлорсиланов (ФЭХС) (полученных хлорированием фенилтрихлорсилана и действием MgBrC_2H_5) и триметилхлорсилана (I). Установлено, что диэлектрич. проницаемость полученных соединений и энергия активации вязкого течения увеличиваются с ростом кол-ва атомов хлора в фенильном радикале и с увеличением числа атомов Si в молекуле. Согидролиз проводили при 90—95° 2—3 часа. К смеси 400 г воды и 100 г толуола постепенно прибавляли смесь, состоящую из 0,41 моля ФЭХС, 1 моля I и 100 г толуола. После охлаждения продукт отмывали от HCl, отделяли толуольный слой, отгоняли толуол и перегоняли в вакууме или очищали кипячением с 5÷8% активированной глины «Кл». Е. Кронгауз

23731. Синтез полиметилдиметилсилилоксанов. Андрианов К. А., Мантрова В. М., Ж. общ. химии, 1957, 27, № 5, 1243—1249

Показано, что при конденсации диметилдихлорсилана (I) и метилтрихлорсилана (II) с диметилдиэтоксисилоном (III) при 100÷140° в присутствии FeCl_3 образуются полиорганосилоксаны (ПОС). Р-ция катализируется водой, что вытекает из наблюдаемой большей активности $\text{FeCl}_3 \cdot 6\text{H}_2\text{O}$. Этот вывод подтверждается тем, что $\text{CuSO}_4 \cdot 5\text{H}_2\text{O}$ и $\text{NiCl}_2 \cdot 6\text{H}_2\text{O}$ также вызывают р-цию гетерофункциональной конденсации, а безводн. AlCl_3 практически р-цию не катализирует (каталитич. активность безводн. FeCl_3 объясняется наличием в нем следов воды). Предложена схема р-ции с предварительным частичным гидролизом I, II и III. Образуются ПОС большого мол. веса общей ф-лы $(\text{CH}_3)_2\text{ClSi}-\text{O}-[\text{Si}(\text{CH}_3)_2-\text{O}]_n-\text{Si}(\text{OC}_2\text{H}_5)_2(\text{CH}_3)_2$. Участие в конденсации II приводит к разветвлению цепей. В результате гидролиза водой 50%-ного р-ра ПОС в толуоле при 18—20° получены диметилсилилоксановые полимеры. Фракционирование последних показало, что > 50% веса полимеров приходится на фракции с мол. в 900÷1100. Полидисперсность возрастает с удлинением времени конденсации. Л. Песин

23732. Из области высокомолекулярных соединений.

Сообщение 99. Поликонденсация хлористого метилена с бензолом. Колесников Г. С., Коршак В. В., Смирнова Т. В. Сообщение 100. О зависимости температур размягчения полиамидов и полиэфиров от строения звена. Коршак В. В., Колесников Г. С., Виноградова С. В., Фрунзе Т. М., Изв. АН СССР. Отд. хим. н., 1957, № 3, 375—382; Ж. общ. химии, 1957, 27, № 6, 1600—1611

99. Изучалась р-ция поликонденсации хлористого метилена с бензолом в присутствии хлористого алюминия. Р-ция протекает при нагревании в пределах 50—100° с образованием дифенилметана (110—120° при 3 мм), дибензилбензола (190—210° при 3 мм) и полифениленметила мол. в. 970—1470 вне зависимости от соотношения реагентов. Образование трехмерных нерастворимых продуктов поликонденсации не наблюдается даже при избытке хлористого метилена в реакционной среде, значительно превышающем эквимолекулярное соотношение реагирующих в-в, что объясняется образованием в цепи полимера дигидроантраценовых циклов, приводящих к остановке роста цепи и препятствующих разветвлению и образованию трехмерных структур.

100. На основании ранее опубликованных работ (библ. 20 назв.) показано, что т-ра плавления полиамидов и полиэфиров зависит от возможности плотной упаковки звеньев макромолекул в кристаллич. модификацию, чему способствует симметричное строение исходных в-в, а также наличие водородных связей и полярных групп. Парафениленовые и гидрированные парафениленовые (транс-изомеры) звенья макромолекул способствуют образованию прочных высокоплавленных полимеров. Наличие эфирных и сульфидных связей, боковых алкильных или арильных групп, а также мета- и орто-заместителей в ароматич. производных затрудняет кристаллизацию. Сообщение 98 см. РЖХим, 1957, 34608. Т. Макарова

23733. Строение фенолов, выделенных из смол, и их биогенетическая взаимосвязь. XXII. Об абсолютной конфигурации лигнанов. Кармалем (Constitution of resin phenols and their biogenetic relations. XXII. On the absolute configuration of lignans. Carnmalm Bernt). Acta chem. scand., 1956, 10, № 3, 477 (англ.)

Из диметилового эфира (—)-дигидрогваяретовой к-ты озонолизом и последующим окислением H_2O_2 получена диметиладипиновая к-та (I), обладающая слабым правым вращением. Ее строение подтверждено превращением в диметилциклопентанон, показывающий высокое отрицательное вращение. Работа продолжается в направлении установлений связи I с диметилантарной к-той (II). Предполагается декарбоксилацией кислого эфира II получить α-метилмасляную к-ту, происхождение которой связано с глицериновым альдегидом. Сообщение XXI см. РЖХим, 1957, 77222. А. Чуксанова

23734. Действие каротиноидов на процессы самоокисления и полимеризации. Сообщение V. Самоокисление и дисакриловая полимеризация акролеина в присутствии α- и β-каротина. Бода, Молдован (Asupra acțiunii carotinoidelor în procese de autoxidare și polimerizare. Nota V. Autoxidarea și polimerizarea disacrilică a acroleinei în prezență de α-și β-carotină. Bodea C., Moldovan A.), Studii și cercetări de chim., 1956, 4, № 3—4, 161—165 (рум.; рез. русск., франц.)

Показано, что добавка α- и β-каротина (I) к акролеину (II) (даже в кол-ве 2 мг I на 100 мл II в 40 мл C_6H_6), находящемуся под воздействием рассеянного солнечного света, ингибирует инициируемый ациль-

ными и перацильными радикалами процесс аутооксидации II (возникает индукционный период продолжительностью в 1 час); I действует как акцептор перекисного O_2 . Малые кол-ва I ускоряют дисакриловую полимеризацию II (образуется дисакрила в ~ 5 раз больше, чем за то же время в контрольном опыте), по-видимому, за счет образования гидроперекиси I. Заключено, что I можно использовать в качестве индатора р-ций полимеризации II. Сообщение IV см. РЖХим, 1956, 43076.

23735. Синтетические макромолекулярные вещества с реакционноспособными группами. Керн, Шульц (Synthetische makromolekulare Stoffe mit reaktiven Gruppen. Kern W., Schulz R. C.), Angew. Chem., 1957, 69, № 5, 153—171 (нем.).

Описаны способы получения, свойства и хим. превращения производных полиакриловой к-ты (гидразид, гидроксамовая к-та и амид), производных поливинилового спирта, полиакролеина и полиметакролеина, поливинилсульфокислоты и ее производных, сополимеров стирола и малеинового ангидрида.

23736. N-виниловые производные. III. Синтез винилмочевин, винилкарбаматов и их полимеров. Харт (Dérivés N-vinylques. III. Synthèse des vinylurées des vinylcarbamates et de leurs polymères. Hart R.), Bull. Soc. chim. belges, 1957, 66, № 3—4, 229—243 (франц.; рез. англ.).

Взаимодействием винилизоцианата (I) [синтезировано по методу (см. РЖХим. 1957, 11653)] с NH_3 (II), $C_2H_5NH_2$ (III), $C_6H_5NH_2$ (IV), N-метиланилином (V), CH_3OH (VI), C_2H_5OH (VII), получены соответственно: винилмочевина (VIII), N-винил-N'-этилмочевина (IX), N-винил-N'-фенилмочевина (X), N-винил-N'-метил-N'-фенилмочевина (XI), метилвинилкарбамат (XII) и этилвинилкарбамат (XIII), р-ций изопропенилизацианата (XIV) (синтезированного аналогично I) с II, III и VI получены соответственно изопропенилмочевина (XV), N-изопропенил-N'-фенилмочевина (XVI) и метилкарбамат (XVII) (вместо ожидавшегося метил-изопропенилкарбамата). Из VIII, IX, X, XV, XII и XIII получены продукты полимеризации. Показано, что продукт р-ций мочевины (XVIII) с ацетальдегидом (XIX), вопреки Шиффу, не представляет собой этиленмочевину (XX). Взаимодействием 30 г I в 30 мл эфира с 50 г II в 50 мл эфира (охлаждение смесью ацетон-твердая CO_2) с последующей отгонкой избытка II и эфира получена VIII, выход 33 г, т. пл. 80—81°. Из 16 г VIII в 32 мл воды в присутствии 80 мг $K_2S_2O_8$ и 80 мг $NaHSO_4$ после 7 часовой выдержки при 25° в атмосфере N_2 высажена нерастворимая фракция А, вес 1,5 г и выделена основная фракция В, вес 13,0 г, с характеристич. вязкостью $[\eta]$ 0,024 (в воде) и 0,034 (в сп.). После 2 суток выдержки 7 г XVIII в р-ре 25 г XIX в 90 мл абс. VII получено соединение ф-лы $C_9H_{20}O_2$ (а не XX), вес 6,4 г, т. пл. 185—187° (из сп.). Из 7 г р-ра I в 40 мл эфира и 6 г III в 40 мл эфира (0°) получено 6,9 г IX, т. пл. 96°; нагреванием 2 г IX в 2,5 мл ацетона с 11 мг азобис-изобутиронитрила (XXI) (6 час. 60°) получено 1,95 г полимера, $[\eta]$ 0,23 (в воде). Из 5 г I в 90 мл эфира и 6,7 г IV в 90 мл эфира (т-ра 10—15°) получено 8,3 г X, т. пл. 130—131° (124—125° в трубке Тилля), гидрированием X в присутствии Pd/C получена N-этил-N'-фенилмочевина, т. пл. 98—99°, в дистиллате от перегонки X с водой (подкисленной H_2PO_4) идентифицирован XIX (т. пл. 2,4-динитрофенилгидразона 167°, из остатка от перегонки выделена фенилмочевина, т. пл. 146°). Нагреванием (24 часа, 60°) 5 г X и 14 мг XXI в 11 мл ацетона с последующим высаждением эфиров получен полимер, выход (после очистки растворением в спирте и высаждением эфиром) 520 мг, $[\eta]$ 0,27. Из 6 г I

в 70 мл эфира и 9,3 г V в 70 мл эфира при т-ре $\leq 10^\circ$ получен XI, выход 9,3 г, т. пл. (из ацетона) 131° (в трубке Тилля 124—125°). Из 8,5 г XIV в 30 мл ацетона и II (в избытке) при -80° после отгонки избытка II и ацетона получен XV, выход 7,9 г, т. пл. 74—75°; нагреванием (4 часа, 60°) 3,8 г XV и 20 мг XXI в 4 мл ацетона в атмосфере N_2 получен полимер, выход 2,34 г $[\eta]$ 0,014 (в воде); при гидролизе 4 г XIV в 15 мл ацетона с 1 г воды получена (вместо ожидавшейся NN'-диизопропенилмочевины) мочевина, т. пл. 134°. Из 5 г XIV в 50 мл эфира и 5,6 г IV при т-ре 0—10° получена XVI, выход 6 г, т. пл. 140° (по Кофлеру) и 111—113° (по Тиллю), восстановлением (Pd) XVI получена N-изопропил-N'-фенилмочевина, т. пл. 154°. Из 9,5 г I и 8 г VI при 20° с последующей отгонкой в вакууме (атмосфера N_2 , ингибитор полимеризации м-динитробензол (XXII)) получен XII, выход 8,5 г, т. кип. 167—168°/760 мм, 79—80°/22 мм, т. пл. 48—49°; нагреванием 2,8 г XII и 15 мг XXI в C_6H_6 (в N_2 , 3 часа, 75°) получен полимер, выход 2,75 г, $[\eta]$ 1,14 (в VI). Р-цией 22,7 г I с 15,2 г абс. VII при 20° получен (после отгонки в вакууме, атмосфера N_2 , ингибитор XXII) XIII, выход 33 г, т. кип. 88°/20 мм, 63°/3 мм, т. пл. 23°. Нагреванием 9 г XIII и 45 мг XXI в 81 мл C_6H_6 (24 часа, 75°) получен полимер, выход 8,2 г (очищен растворением в ацетоне и высаждением гексаном), $[\eta]$ 0,27 (в ацетоне). Из XIV и VI получен XVII, т. пл. 54—55°.

23737. О синтезе бензамидных смол. Барамбойн Н. К., Петухов М. С., Научн. тр. Моск. техн. ин-т легкой пром-сти, 1957, сб. 8, 99—102.

Изучались условия синтеза линейных мономеров из моноамидов арилкарбонных к-т и формальдегида. Получение бензамидформальдегидной смолы проводится по методике: замедленный бензамид и влажный триоксиметилен в мол. соотношении 1:4 смешивают в фарфоровой чашке и нагревают по возможности быстро до $180 \pm 5^\circ$; эту т-ру поддерживают при непрерывном перемешивании расплавленной массы в течение 4 час. Далее выливают массу на металлический лист и охлаждают. Образуется прозрачная плавкая бензамидная смола светло-желтого цвета. Приведены основные физ.-хим. характеристики бензамидформальдегидной смолы.

23738. Фосфорорганические полимеры. Сообщение I. Полимеризация циклических эфиров алкил- и арилфосфиновых кислот. Коршак В. В., Грибова И. А., Андреева М. А., Изв. АН СССР, Отд. хим. н., 1957, № 5, 631—637.

Исследована способность к полимеризации циклических эфиров (ЦЭ) алкил- и арилфосфиновых к-т. Синтезированы эфиры: а) метилфосфиновой к-ты: гликолевый (I-эфир), триметилгликолевый (II), тетраметилгликолевый (III), пентаметилгликолевый (IV) и диэтилгликолевый (V); б) α -хлорметилфосфиновой к-ты: тетраметилгликолевый (VI); в) бутилфосфиновой к-ты: тетраметилгликолевый (VII), г) фенилфосфиновой к-ты: тетраметилгликолевый (VIII), гликолевый (IX). 26,6 г хлорангидрида метилфосфиновой к-ты в 100 мл диоксана постепенно прибавляли к смеси 12,4 г этиленгликоля, 40,4 г триэтиламина и 300 мл диоксана при $0 \pm 5^\circ$, затем нагревали до 100° 1 час. На другой день отфильтровали и разогнали. выход I 30%, т. кип. 104—105°/3 мм, n_D^{20} 1,4470, d_4^{20} 1,3219. Аналогично получены остальные эфиры (приведены выход в %, т. кип. в °C/мм, т. пл. в °C, n_D^{20} , d_4^{20}): IX, 18,4, 119—122°/3, 56—58 (из эф.); II, 60,5, 110—112°/3, 98—99 (CCl_4); III, 42,4, 97—99°/3, 67,5—69 (эф.), 1,4623, 1,226; VI, 42, 118—119°/3, 67—68 (петр. эф.); VII, 28,9, 122°/5, 1,4627, 1,1073; VIII, 125—127°/3, 76—77,5 (петр. эф.); V, 13,9, 105—107°/3, 1,4644, 1,324; IV, 3—5, 118—120°/4, 1,4652, 1,1519. Полимериза-

ЦЭ проводили при 140° (10—70 час.) в присутствии Na или 3—5% воды. В качестве катализаторов (К) испытаны также NaOH, K₂CO₃, HCl (к-та), CH₃COOH, адипиновая к-та, H₃PO₄, камфаросульфокислота, LiOH, гексаметилендиамин, гексаметилендиаммонийадиат. Активность всех К одинакова, кроме H₃PO₄, которая неактивна. Полученные полимеры — вязкие жидкости со степенью полимеризации 3—4. Наибольшей склонностью к полимеризации обладают пятичленные ЦЭ. С. Якушкина

23739. Исследование сульфата в нитроцеллюлозе посредством меченого S³⁵O₄-. Брикнелл, Тревой, Спинке (A study of sulphate in nitrocellulose using S³⁵O₄-as tracer. Bricknell A. G., Trevo L. W., Spinks J. W. T.), Canad. J. Chem., 1957, 35, № 7, 704—714 (англ.)

Найдено, что стабилизированная нитроцеллюлоза (СНЦ), содержащая 60 мг H₂SO₄ (100 г СНЦ), при контакте с разб. р-ром H₂S³⁵O₄ (2 суток, 24—80°) не вызывает уменьшения активности р-ра, т. е. не имеет места обмен между H₂SO₄ связанной с СНЦ, и H₂S³⁵O₄. Таким образом H₂SO₄ в СНЦ является адсорбированной, а связана более прочно. И. Лишанский

23740. Циклические и полимерные шиффовы основания. Гребер (Über zyklische und polymere Schiffsche Basen. Greber Gerd), Kunststoffe Plastics, 1957, 4, № 2, 127—134 (нем.)

Обзор. Библ. 24 назв.

Х. Б.

23741. О полимеризации ненасыщенных органических соединений. Рунге (Über die Polymerisation ungesättigter organischer Verbindungen. Runge Franz. Ber. Verhandl. Sächsisch. Akad. Wiss., Leipzig. Math.-naturwiss. Kl., 1957, 102, № 3, 13 S., ill.) (нем.)

23742 К. Химия высокомолекулярных соединений. Коршак В. В. Перев. с русск. (Chemia związków wielkocząsteczkowych. Korszak W. W. Tłum. z ros. Warszawa, PWN, 1957, 587 s., il., 69 zł.) (польск.)

См. также разделы Каучук натуральный и Синтетический. Резина и Синтетические полимеры. Пластмассы и рефераты: Физ. св-ва высокополимеров 20353, 20801, 20806, 20840, 20843

НОВЫЕ КНИГИ, ПОСТУПИВШИЕ В РЕДАКЦИЮ

Успехи биофизики и биофизической химии. Том 8. Ред. Батлер, Кац (Progress in biophysics and biophysical chemistry. Vol. 8. Ed. Butler J. A. V., Katz B.). London — New York — Paris — Los Angeles, Pergamon Press, 1957, VIII, 409 pp., ill., £ 5 5 sh. (англ.)

В книге имеется ряд статей, представляющих интерес для химиков и биохимиков (цифры обозначают №№ страниц оригинала):

1. Электрохимия бактериальной поверхности. Джеймс (James A. M.), 95—142.
2. Влияние радиации на синтез ДНК в клетках млекопитающих. Келли (Kelly Lola S.), 143—163.
3. Поверхность аксона. Шмитт, Гешвинд (Schmitt F. O., Geschwind N.), 165—215.
4. Биосинтез некоторых компонентов соединительной ткани. Смит (Smith R. H.), 217—240.
5. Проницаемость для ионов оболочки эритроцитов. Глипп (Glupp I. M.), 241—307.
6. Физическая химия ДНК. Шутер (Shooter K. V.), 309—346.
7. Биосинтез белков. Лофтфилд (Loftfield Robert B.), 347—386.

Л. Б.

Контроль чистоты с помощью термического анализа. Ред. Смит (Purity control by thermal analysis. Proc. Internat. Sympos. on Purity Control by Thermal Analysis, Amsterdam, 1957, Ed. Smit W. M., Amsterdam — London — New York — Princeton Elsevier, 1957, XII, 182 pp., ill.)

Доклады, представленные на Международный симпозиум по контролю чистоты веществ с помощью термического анализа, организованный комиссией по физико-химическим константам Международного союза чистой и прикладной химии, состоявшийся в Амстердаме 24—26 апреля 1957 г.

В сборник включено 16 статей (все статьи снабжены резюме на английском, французском и немецком языках; цифры означают №№ страниц оригинала):

1. Предплавление и образование твердых растворов. Уббеллоде (Ubbelohde A. R.), 1—6 (англ.)
2. Молекулярное вращение и трансляция в кристаллах соединений, образованных сильно разветвленными углеводородами. Астон (Aston J. G.), 7—14 (англ.)

3. Некоторые соображения о выборе метода определения чистоты с помощью криоскопии. Херингтон (Herington E. F. G.), 15—22 (англ.)

4. Погрешности при определении кривых температура — теплосодержание. Смит (Smit W. M.), 23—35 (англ.)

5. Расчет криоскопических данных. Сейлор (Saylor Charles Proffer), 36—42 (англ.)

6. Использование кривых затвердевания и плавления для вычисления степени чистоты с помощью вычислительных машин с перфокартами. Киниц (Kienitz Hermann), 43—48 (нем.)

7. Достижимость равновесия в системах, образованных жидкостью и по крайней мере одной твердой фазой. Свентославский, Зиеборак (Swietoslowski W., Zieborak K.), 49—53 (нем.)

8. Сравнение криоскопических определений чистоты бензола термометрическим и калориметрическим методами. Гласгоу, Росс, Хортон, Энагонно, Диксон, Сейлор, Фурукава, Рейлли, Хеннинг (Glasgow A. R. Jr., Ross G. S., Horton A. T., Enagonio D., Dixon H. D., Saylor C. P., Furukawa G. T., Reilly M. L., Henning Jeanette M.), 54—79 (англ.)

9. Определение чистоты по точке плавления. Ограничения, выясненные при калориметрических исследованиях в области плавления. Мак-Каллох, Уоддингтон (McCullough John P., Waddington Guay), 80—96 (англ.)

10. Термический анализ нормальных алканов. Мазе (Maze W. M.), 97—106 (англ.)

11. Точки затвердевания и ход кривых нагревания для систем из взаимных пар органических солей (соли аминов и жирных кислот). Скау, Магн, Мод (Skauevald L., Magne Frank C., Mod Robert R.), 107—114 (англ.)

12. Экспериментальные методы криоскопических определений чистоты, применяемые в настоящее время Исследовательской химической лабораторией в Теддингтоне. Хандли (Handley R.), 115—124 (англ.)

13. Вычисление криоскопических констант для определения чистоты методом точки затвердевания. Бар-

нард-Смит, Уайт (Barnard-Smith D. G., White P. T.), 125—132 (англ.).

14. Автоматический адиабатический низкотемпературный калориметр. Сталл (Stull Daniel R.), 133—143 (англ.).

15. Упрощенный калориметр для точного определения чистоты. Пилчер (Pilcher Geoffrey), 144—160 (англ.).

16. Автоматическая (или полуавтоматическая) аппаратура для определения кривых плавления. Смит, Катеман (Smit W. M., Kateman G.), 161—174 (англ.).

В конце сборника (стр. 173—180) приведено краткое изложение дискуссии (23 участника).

По предложению проф. Астона была принята резолюция, в которой отмечается, что кривые плавления и затвердевания не всегда являются надежным критерием чистоты.

Указанные выше доклады опубликованы в журнале *Analytica Chimica Acta*, 1957, 17, № 1. В. Соколов. Осуществление химических реакций в технике. 1-й Европейский симпозиум по химической технике. 12-е собрание Европейской федерации химической техники. Амстердам, 7, 8 и 9 мая 1957 г. Ред. Ритема (Chemical Reaction Engineering. 1st Europ. Sympos. on Chem. Engng 12th Meeting Europ. Federat. Chem. Engng Amsterdam, 7th, 8th and 9th May, 1957. Ed. Rietema K. (Internat. Ser. Monogr. on Chem. Engng, 1. Spec. Suppl. to Chem. Engng Sci.) London—New York—Paris—Los Angeles. Pergamon Press, 1957, viii, 200 pp., ill., 80 sh.) (англ.).

Приведены доклады и дискуссии по ним; статьи снабжены резюме на французском, немецком и английском языках.

Содержание (цифры означают №№ страниц оригинала):

Вступительное слово. Влуггер (Vlugter J. C.), 1—2 (франц., нем., англ.).

Раздел 1. Вводные статьи.

Микро- и макрокинетика. Кревелен (Krevelen D. W. van), 5—17 (англ.).

Введение в кинетику химических реакций. Летор (Letort Maurice), 18—44 (франц.).

Роль физических факторов при осуществлении химических реакций в технике. Крамерс (Kramers H.), 45—58 (англ.).

Раздел 2. Явление переноса при гетерогенных реакциях.

Влияние массообмена на течение гетерогенных газовых реакций. Вика (Wicke E.), 61—71 (нем.).

Технологические аспекты окисления меркаптанов в щелочных растворах: кинетика реакции и расчет

реактора. Вуссе (Vusse J. G. van de), 72—80 (англ.).

Абсорбция CO_2 карбонатно-бикарбонатными буферными растворами в колонне с орошаемыми стенками. Нейсинг, Крамерс (Nysing R. A. T. O., Kramers H.), 81—89 (англ.).

Раздел 3. Неоднородное распределение концентраций. Влияние недостаточного смешения на протекание гомогенных реакций. Данквертс (Danckwerts P. V.), 93—102 (англ.).

Гетерогенные реакции в жидкой фазе: влияние взаимодействия между каплями дисперсной фазы и распределение времен пребывания. Ритема (Rietema K.), 103—112 (англ.).

Расчет реакторов для проведения реакции в случае жидкостей с частичной взаимной растворимостью (Gemischphase-Reaktionen). Гофман (Hofmann H.), 113—122 (нем.).

Раздел 4. Эффективность и устойчивость работы реактора.

Значение оптимального температурного режима в реакторах. Денби (Denbigh K. G.), 125—132 (англ.).

Характер стационарного состояния экзотермических процессов. Херден (Heerden C. van), 133—145 (англ.).

Технологические аспекты каталитического окисления аммиака с применением платиновых сеток. Уле (Oele A. P.), 146—157 (англ.).

Раздел 5. Вопросы расчета реактера.

Использование кинетики реакции при расчете некоторых типичных промышленных реакторов. Шенман (Schoenemann K.), 161—176 (нем.).

Опыты и расчеты по массообмену для случая абсорбции окислов азота при получении азотной кислоты. Брётц, Шнур (Brötz W., Schnur P.), 177—191 (нем.).

Заключительные замечания и обзор докладов. Клингенберг (Klingenberg A.), 192—199 (англ.).

Вступительное слово. Герритсен (Gerritsen D. J.), 199—200 (англ., нем., франц.).

Британское химическое оборудование. 1957 г. (British Chemical Plant. 1957 edition, London, Brit.-chem. plant manufacturers assoc., 402 pp. ill.) (англ.).

Адресная и справочная книга, издаваемая Британской Ассоциацией фабрикантов химического оборудования (British Chemical Plant Manufacturers Association).

Книга содержит:

1) сведения о фирмах-членах Ассоциации;

2) иллюстрированный каталог машин, аппаратов, приборов и т. п.;

3) систематизированный указатель поставщиков оборудования (на английском, французском, немецком и испанском языках).

АВТОРСКИЙ УКАЗАТЕЛЬ

A

А
Амо-Заде А. К. 20568
Абулхасов Г. К. 20445
Абулхасов Т. А. 22945
Абшала А. Н. 20268
Абшала А. В. 20893
Абрамов Д. М. 21801
Абрамян А. В. 21828
Аб-Т. 22200 П
Аб-Т. 22348 П,
22461 П, 22462 П
Абрамов Л. 23555
Абрамова О. И. 23577
Абрамович Л. П. 21155
Аб-Т. К. 20759
Аб-Т. М. 21779, П,
21780 П, 21781 П
Абрамзон С. С. 20271
Абшала 23241
Абшала П. Х. 21191
Абшала С. И. 23044
Абшала 20681
Абшала П. 23291 П
Абшала Н. А. 21074 Д
Аб-Т. Т. 23619 Р
Абшала 21126
Абшала В. 22837 К
Абшала И. Т. 21696
Абшала О. А. 21036,
21042
Абшала В. Т. 20397,
21074
Абшала В. И. 23644
Абшала В. С. 22733
Абшала И. П. 21117
Абшала В. Н. 21984
Абшала Н. Н. 21871
Абшала К. З. 23586
Абшала Н. А. 21707
Абшала Т. 23323 П
Абшала К. С. 20846
Абшала А. М.
20568
Абшала П. Ф. 21002
Абшала М. А. 23738
Абшала О. В. 22089
Абшала К. А. 21527,
21689, 23728, 23729—
23731
Абшала Т. Г.
23622
Абшала С. В. 22397
Абшала Л. Т. 21147
Антипова-Карата-
ева И. И. 21105
Апахов И. А. 21715
Алехина Н. П. 22712
Арап 22300
Аракана М. 21779 П,
21780 П, 21781 П
Аратов Н. С. 20261
Арбузов Б. А. 21537
Арбузова С. К. 20970,
20979
Ардашников С. Н. 20319
Аринштейн Э. А. 20608
Арисака Ю. 23152 П
Аробелидзе А. К. 22058
Архипов Р. Г. 20528
Архипова Э. Н. 23672
Асикхара 23167
Асо 23601
Астахов А. И. 20284
Афанасьев Г. Д. 20945
Афанасьев П. С. 21660
Ашумов Г. Г. 22691
Авров М. З. 21710
Б
Баба 22134
Баба 22882
Баба 20768
Бабаходжаев С. М. 20962
Бабин П. Н. 22215
Бабинец А. С. 21049
Бабичий Б. Д. 23702
Бабкина О. Т. 23010
Бабко А. 21078.
Багдасарьян Х. С. 20680
Баглай Г. И. 22868
Бакина Л. А. 21568
Балакирев Д. А. 21266
Баласанян С. И. 20950
Бардаев Л. Т. 20327
Барамбойм Н. К. 23737
Баранов В. И. 21119
Барановский Н. 23112
Бардин И. П. 20926
Баркан М. С. 23649 Д
Барсанов Г. П. 20967
Барсуков В. Л. 20987
Бартенов Г. М. 22170
Басевич В. Я. 20692
Басин Д. М. 22825
Баскова А. А. 22769
Басов В. Т. 22131
Батенин И. В. 20509

Б

Батюк А. Г. 22005
Баусова Н. В. 21168
Бацанов С. С. 20416
Башкиров А. Н. 22292
Безвозгин Э. С. 22648
Безуглый В. Д. 20795
Белецкий М. С. 20443,
22229
Белинская Ф. А. 20828
Белов В. Н. 21348
Белоусов Е. А. 20895
Белыев А. И. 20860
Беляева В. И. 20311
Беляева Е. Н. 21195
Беляевский И. А. 22827
Белянин В. Б. 20341
Белянин Д. С. 22131
Бенеславский С. И. 20998
Бенин Г. С. 22950
Бергман А. Г. 20633
Верейной А. И. 22263
Берестнева З. Я. 21838
Берлович Э. Е. 20323,
20553
Весков С. Д. 20293
Беус А. А. 21072 Д
Бәшіров Ә. А. 20894
Билман 21492
Билалов К. 20643
Биринбойм С. М. 20276
Бирюнов В. И. 20980
Блидин В. П. 20637
Блинова Т. А. 21921
Боброва Г. Г. 22122
Богатырева К. Г. 21183
Богатудинова Г. Г.
22223
Богина Л. Л. 21179
Богословский С. Г. 21942
Боженков П. И. 22216
Бойкий Г. В. 20425
Болгов Г. П. 21069 К
Болотин И. М. 22887
Бондарчук В. Г. 20918
Борисихина В. И.
20835, 20836
Боровик-Романова Т. Ф.
20965
Боровский И. Б. 21300
Бородин А. А. 21047
Бороховский Л. 23048
Ворячек А. Ф. 20639
Бражникова Л. В.
21036, 21042

Братчиков С. Г. 22165	Веллер Р. Л. 20640
Бриль И. Л. 22167	Веселов И. Я. 22999,
Бриль М. Н. 20363	23000
Броунштейн В. И. 20576	Веселова А. В. 21221
Вруевич С. В. 21066	Виницкий Л. Е. 23419
Брук А. И. 20817	Виноградов А. П. 20259,
Бруднус Е. 20283	20936
Бугайчук А. Г. 23067	Виноградова В. С. 21537
Буторова Н. А. 23680	Виноградова Н. П.
Бугрова Л. Н. 23090	20309
Будников П. П. 22235	Виноградова О. А. 22262
Булгаков Н. И. 22995	Виноградова С. В. 23732
Булгакова А. М. 22054	Вирник Д. 23642
Бурдашвили Ш. С.	Виткина М. А. 21170
20512	Витт С. В. 21327
Бурксер С. С. 20919	Вишневский И. И. 22121
Бурмистров Ф. Л. 22437	Вишневский С. И. 23094
Буровая Э. В. 20452	Власова М. А. 22260
Бухтенко Л. А. 21461	Власова М. Г. 22232
Бучукурн Я. Г. 22000	Воннов А. Н. 22751
Быков А. Н. 23687	Войтневич С. А. 21343

B

Вавилов В. С. 20475	Волков В. П. 20512
Вагина Н. С. 20878	Волков Е. Н. 23089
Вадова М. В. 22168	Волкова Г. А. 20889
Важенин С. Ф. 21996, 21997	Волкова Л. М. 23729
Вайнштейн Э. Е. 20363, 20964	Волковский Б. В. 22210
Вайчунайте Б. К. 21328	Волькенштейн Ф. Ф. 20704, 20705
Валеев Х. С. 20870	Вольфович С. 20283
Валлас К. Р. 22749	Ворожков М. Г. 22211
Валашко М. Р. 20993	Высокосов А. Н. 21530
Ван Вень-янь 21925	Высогородский Д. А. 20306
Ван Цаун-дань 23587	Вэй Ко-чэн 23344
Вань Чжэн 21189	Вякирев Д. А. 20817

Г

Гаврилова В. Н. 20946
Гаврилова М. А. 23370
Гай И. А. 20870
Ганцевич А. И. 22826
Гапон Т. Б. 21139
Гарелин А. И. 20343
Гарифьянов Н. С. 22636
Гаркунов П. П. 20304
Гадно Г. Н. 20297
Геллер В. Э. 23455
Герасимов М. А. 23010
Герасимов Н. М. 20534
Гердт П. А. 23097
Гецкия Л. С. 22005

Авторский указатель

- Гиммельфарб Е. М. 21075 Д
Гладышевский Е. И. 20625
Глебовская Н. С. 21495
Голыкова З. Ф. 20312
Головенок В. К. 21008
Головня В. А. 20887
Голубенко М. А. 21527
Гольбен Г. Р. 21275
Гонченко В. Г. 20443
Горбатов Г. А. 21071 Д
Гордон Г. Я. 23258
Горжевский Д. И. 20971
Горовой В. Я. 23346
Горошенко Я. Г. 20636
Горшкова З. С. 22170
Гото 21114
Гото 22499 П
Гото 23692
Готода 21849
Гофман М. В. 22645
Грапов А. Ф. 21463
Грацианский Н. Н. 21791
Гребеншинов Р. Г. 20648 Д
Гречишников А. Т. 21007
Грибова И. А. 23738
Григорьев А. И. 20865
Гринберг А. А. 20670, 20895
Грищенко В. А. 20936
Грицан Д. Н. 22054
Гришко Л. В. 21984
Гродский Я. С. 22657
Гумарова Р. З. 22883
Гунар В. И. 21345
Гурбанзаде А. М. 21044
Гуревич Г. Л. 20266
Гуревич М. А. 20621
Гурвич А. М. 21139
Гусев А. Г. 21869
Гусев В. П. 21345
- Д**
Давыдов В. И. 20599
Данилова А. Д. 20952
Данилова С. Н. 21344
Дашенко О. В. 21214 Д
Дашкевич Л. В. 21548
Дегтева Т. Г. 23423
Дейген М. Ф. 20484
Демиденко О. А. 20484
Демидова Г. И. 23713
Денисов Е. Т. 20655
Дербенцева Н. А. 22950
Дереновский В. И. 20899
Дерябин С. А. 22884
Десятников О. Г. 20630
Джамалов Х. И. 20275
Джанаева Г. А. 22255
Джанош Г. Д. 20578
Дли Бай-пин 23579
Дмитриев В. М. 20871
Дмитриева В. Н. 20795
Дмитриевская М. В. 22884
Доблер З. Ф. 23703
Добрынина Ю. И. 21176
- Добровольский В. В. 21076 Д
Добрынина О. Н. 21183
Додонов Л. Д. 21696
Долгая М. Е. 21528
Долгов Б. Н. 22211
Долгопоски В. А. 23697, 23702
Долгопольский И. М. 23703
Долнин Н. П. 21729
Домбровский А. В. 21382
Домнин Н. А. 21495
Домори 21417
Дорохов П. К. 23138
Доценко И. П. 22836
Дракин С. И. 20764
Дрейзен В. М. 23576
Дровин Н. Н. 20639
Дубейновская Л. С. 21916
Дубинкин Г. В. 20323
Дубянский О. А. 20995
Дудникова С. Т. 22736
Дуров С. А. 21039
Духанкина Л. С. 20907
Дымов А. М. 21199
Дехара 21424
- Е**
Егоров Г. А. 23040
Езерская Н. А. 21153
Елянов Г. Б. 25130
Емельянова В. П. 22645
Енниколопан Н. С. 20663
Ермолаева Т. А. 23418
Есанова Р. 23642
Есафов В. И. 21347
Ефимов В. А. 22826
Ефремов И. Ф. 23343
Ефремова Г. Д. 20541
Эймодли М. Г. 20894
- Ж**
Жалнин И. Е. 22687
Жаирко И. С. 20270
Жданов А. А. 21529
Жданов Г. С. 20621
Желев Ж. 20931
Жигалова К. А. 21856
Жлуднева В. Н. 20631
Жунов Г. В. 20988
Жукова А. Ф. 22171
Жуковская С. А. 21720
Жуховицкий А. А. 20818, 20820
- З**
Заболоцкий Т. В. 20658
Забуткина Е. А. 22040
Зайцева Е. Х. 23005
Занина А. С. 21426
Заринов С. З. 22085
Захарьков Н. А. 22174
Захарьевская И. Д. 23603
Захарьевский М. С. 23603
Защепин А. Н. 22262
Зданчук Г. А. 20294
- Зеленина М. Н. 21495
Зеленов В. И. 20970
Зеликман И. Ф. 22942, 22945
Зельцер Я. И. 22039
Зелянская А. И. 21168
Зефирова Н. С. 21530
Зиле А. С. 22828
Золотавин В. Л. 21175
Зубахина З. К. 20639
Зубов И. И. 22884
Зхус И. Д. 21016
- И**
Ибс 21244
Иванов В. В. 22131
Иванов В. В. 21034
Иванов Ч. П. 21419
Иванова М. И. 23687
Иващенко В. И. 21344
Идауми М. 23381 П
Иде 22499 П
Иде К. 23619 П
Игарышев Н. А. 20781
Ивергин П. П. 20511
Имайллова В. Н. 22266 Д
Израилевич Е. А. 20680
Иммура 21393
Инеда 21114
Инеда 23580
Илиасавский Ю. В. 22229
Ильин Н. П. 21300
Ильичев В. А. 20602
Ильясова А. К. 20896, 20897
Имаи 23595
Имото 23704
Имото 23722
Имото 23710
Имото Т. 23461 П
Инано 21240
Иноуэ 21674
Иноуэ 23665
Иноуэ 20804
Иноуэ 23720
Инои 21413
Инука 22379
Иорданов Н. 20931
Иохельсон Я. Е. 22248
Исагулянц В. И. 21342
Исавара 22446
Исида Х. 23275 П
Исидате 22456 П
Исидзави 20847
Исин 23565
Исигава 21420
Исигава 22348 П, 22461 П, 22462 П
Исигава 23683
Исиринян А. А. 20829
Исипука Х. 22020 П
Исмаиладзе И. Г. 20476
Исмаилов З. Ф. 21599
Исобе 22486 П
Исси 21678
Итагани 22296
Итания 21257
Ито 20519
Ито 21784
Ито 22396
Ицзинсон Б. С. 22648
- И**
Июкяма 21051
Июсида К. 22350 П
Июсидзави 21631
Июсинова С. 23585
Июсимура 22982
Июсиона 21677
Июсиона Т. 23461 П
Ивантшин М. М. 20982
- К**
Кабин С. П. 23691
Кавагути 20495
Каваи 21714
Каваи 23135
Кавамата 22403
Кавано 21563
Кавасани 22476 П
Кавасима С. 23620 П
Каваса 21244
Кавасигаси 21683
Каган И. С. 23091
Кадахая 21309
Кадзи Д. 22031 П
Кадзи Ф. 22335 П
Каванцева Т. И. 21931
Каншев Крум 22699
Канами 22403
Калашников О. П. 20557
Калечиц И. В. 22301
Калуженина К. Ф. 23418
Кальнина В. К. 22828
Каменецкий М. В. 20632
Камия 22625
Канаяма 23348
Кано Т. 23152 П
Кантакузен А. В. 21857 К
Капетановик А. 23139
Каплан Г. Е. 21962
Каплан З. Г. 22690
Каплан М. Л. 21791
Каральник С. М. 20362
Карамани П. В. 21672
Каргин В. А. 21838
Карликов Д. М. 20535, 20536
Карликова Д. П. 20536
Кармилова Л. В. 20663
Карякина М. И. 21838
Касаткина Н. Г. 23713, 23714
Катаяма 22382
Катаяма 20814
Като 22446 П
Като 21428, 21430
Като 21244
Кафаров В. В. 21720
Кад Б. А. 20265
Кашин Н. В. 22103
Кейер Н. П. 20707
Кеплах М. М. 22294
Кинуги 23238
Кинуги М. 22335 П
Ким В. А. 21073 Д
Кимата 23135
Кинзо 22446 П
Киносита М. 23616 П
Киносита 21338
Кинумани 22409
Кипрач Л. И. 21228
Киреев М. Н. 20745
- Кириллов Ф. Г. 22856
Кирилов М. 22617 К
Кирилюк С. С. 20740
Кириченко Н. И. 21010
Кита М. 22268 П
Китагава 22404
Китадзима 21242
Китадзуме 21035
Китани 20851
Кичигин В. П. 20264
Кишковский З. Н. 23010
Клебаский А. Л. 23703
Клейман Б. М. 20269
Клецевникова С. И. 20857
Климова Н. А. 22167
Ключко М. А. 20771
Ключников Н. Г. 20292
Клячко Ю. А. 21814
Кнорре Д. Г. 22877
Кобаяси 20681
Кобаяси 23670
Коваленко П. Н. 21066
Коваленко С. И. 23223
Ковалевич Ф. 20846
Ковтун М. С. 21129 К
Ковтун Р. И. 20498
Ковырян В. К. 20512
Коган В. В. 20644 К
Коган М. И. 22408 П
Кода 22486 П
Кодема С. 23277 П
Кодайра 20518
Кодера 23669
Козлов А. С. 20873
Козлов В. В. 22385
Козлов Н. С. 21485
Козлова Л. И. 23039
Козловский М. Т. 21099
Козорезов А. З. 20871
Козырев Б. М. 22696
Козырева З. М. 23447
Козырева Л. С. 22737, 22738
Козьмичев О. К. 21485
Кокорин А. И. 20883
Колесников Г. И. 22886
Колесников С. Р. 20905
Колтыпин А. Л. 22856
Колядин Л. В. 21077 Д
Комарь Н. П. 20616
Комацу 20519
Коминаны 23710
Комова Э. М. 20514
Компилов Н. Ф. 22807
Коммура К. 22205 П
Конами Ц. 23325 П
Кондуков Н. Б. 21669
Кониси 22381, 22383
Коновалов П. Ф. 22219
Константинов Ю. С. 21251
Коренман И. М. 21081
Корицкий В. Г. 21108
Корнеева В. 20296
Королева Г. В. 20670
Королев Д. Ф. 21066
Короткина Д. Ш. 22713, 23697
Коротченко Н. И. 22834
Корсунская В. Н. 20854
Корчемкин Ф. И. 23350

Авторский указатель

Г. 22856
617 Н
С. 20746
И. 21010
3 П
42
5
20264
Н. 23010
Л. 23703
20269
С. Н.
22167
20771
Г. 20292
21814
22877
Н. 21006
И. 22123
Ф. 20846
21129 Н
20498
С. 20512
0644 К
22408 П
3277 П
8
20873
22355
21485
И. 23039
Г. Т. 21008
З. 20871
М. 22636
Д. 23447
С. 22737
К. 21405
И. 20882
И. И. 22886
Р. 20405
Л. 22850
В. 21077 Д
И. 20616
9
1710
С. 20514
Ф. 22807
22205 П
23325 П
Б. 21668
Д. 22382
Г. Ф. 22310
в Ю. С.
М. 21081
Г. 21108
20296
В. 20678
Ф. 21005
Д. Ш. 22712
И. И. 22894
В. Н. 20654
И. 23359

Коршан В. В. 23727,
23732, 23738
Костанин К. А. 22180
Костин В. Н. 21515
Костин Н. М. 21686
Костич И. 22639
Кострич К. В. 22719
Кострич Б. 22225
Котелков Н. З. 22040
Котляревский И. Л. 21426
Котон М. М. 21524
Кочарин А. И. 20890
Кочеткова А. П. 20876
Кочеткова Л. Т. 23028
Кочкин Д. А. 20862
Компурин Г. С. 20811,
21859, 21840
Крайнов Е. П. 20386
Красильникова Л. Н.
21163, 21182, 21193
Краснов К. С. 20354
Красномолова Л. 20643
Красильская Э. А.
23727
Крейман К. К. 22820
Крестовников А. Н.
20418
Крешков А. П. 21137
Кривовяз И. М. 22636
Кроль В. А. 23702
Кротов Е. Г. 23091
Кротова Н. А. 20806
Крутиков С. С. 20781
Крутикова Р. И. 21461
Крылова Т. А. 23691
Крылова Е. Е. 21847
Крычкова А. П. 22834,
22835
Куан Янь 23589
Кубо 22487 П
Кувайт Г. 21769 П
Кувайт Ц. 23274 П
Кувайт 22187
Кувайт К. 23381 П
Кувайт И. Н. 20928
Кувайт Р. В. 23029
Кувайт В. В. 23369
Кувайт Р. В. 21327
Кувайт В. И. 21089
Кувайт Г. Д. 21657
Кувайт С. И. 21996,
21997
Кувайт А. А. 23680
Кувайт К. К. 21358
Кувайт Л. П. 20822,
21225
Кувайтский А. С. 23711
Кувайт Ю. Н. 20670
Кувайт М. В. 22548
Кувайт Т. 23619 П
Кувайт С. 22780 П
Кувайт О. В. 22248
Кувайт А. Н. 20675
Кувайт 21428
Кувайт Б. В. 20265
Кувайт Г. В. 20548
Кувайт Г. Е.
20987
Кувайт 20839
Кувайт 22381, 22382
Кувайт М. М. 20850
Кувайт 22403
Кувайт 22403

Кутуков С. С. 22181
Кудев В. С. 20590
Куцура 23478
Кудина М. И. 20639
Кущенко В. С. 21709
Кычев Е. Д. 21419
Кырегян Э. А. 21068,
21207
Лавров И. В. 22089
Лавровский К. П. 22284
Лагучева Е. С. 21357
Лазарев В. Б. 20807
Лайне Л. В. 20862
Лайт У. О. 22197 П
Ладина Н. А. 20645 Д
Ладичкин А. В. 20871
Латин Г. 22837 К
Лактин А. Л. 23645
Лашко О. С. 20539
Лебедев А. В. 23399
Лебедев Н. В. 22829
Левин А. В. 21162
Левин Б. Ю. 20917
Левин Е. В. 22619
Левин Я. В. 22118
Левина М. И. 20861,
20879
Левина Р. Я. 21515
Левитин И. Я. 20627
Левченко М. И. 22168
Лешин В. Л. 20257
Лентовская В. А. 23603
Леоненкова Т. А. 22229
Леонтьева Г. Г. 20541
Лесняк В. Ф. 20927
Лесюк А. А. 20264
Летовьян М. Н. 22807
Лешинский М. Ю. 22249
Либера Р. А. 23647
Ливсов З. А. 22137
Лиллова О. М. 21104
Линдберг З. Я. 21938
Липович В. Г. 21426
Лисица М. П. 20389
Лобанов Е. М. 21753
Логвиненко Н. В. 21011
Ломадзе Д. Р. 22254
Лопухов Е. И. 22825
Луговкин В. Д. 23093
Лу Жень-жун 21595
Лу Ин-лунь 22869
Лункин Ю. П. 20575
Лурье Л. А. 20812
Луценко И. Ф. 21514
Лущая И. А. 20421
Лущая А. Е. 20421
Лутин В. Г. 22857
Лынов А. В. 21727
Лыкова А. Н. 23647
Лысова Н. 22219
Лыбин Б. О. 22829
Люд Ю-лун 21140
Людичев А. Н. 22123
Лю Чжу-цзинь 21595
Лю Ю-тин 21557
Лядников Ю. С. 21197
Лямичев И. Я. 20488
Лян Сю-ли 21041
Ляо Гуй-фен 21993
Лясковская Ю. Н. 22877

М
Мабутин 21428
Мадаева О. С. 21584
Мадалиев Н. 20977
Маваева О. Л. 22174
Майминд В. И. 21328
Майоров В. С. 23009
Майоров Д. М. 20586
Майхровский Ю. В.
22126
Макаров В. В. 23038
Макаров Г. Н. 22647
Максин С. М. 21462—
21464
Максимо 21244
Максима К. 23621 П
23661
Маклепова Н. В.
Мансай Л. И. 21163
Максимов Г. А. 21727
Максимов Г. А. 23138
Максимова И. С. 21342
Малин Н. М. 20303
Малинов В. Н. 20389
Маликов В. И. 20762
Малченко А. Л. 20273
Малых Э. В. 21125
Мальцев А. К. 20764
Мальцев Н. Д. 23579
Мамкин П. С. 22092
Манабо 21424
Манвелян М. Г. 22180
Мандельбаум Я. А.
21539
Мантрова В. М. 23731
Марагина А. А. 21787
Маргулис В. Г. 23369
Маркман А. Л. 20265
Маркова Н. В. 21153
Маркова Ю. В. 21358
Маркузин Н. П. 20603,
20647 Д
Мартьянов Н. Н. 20963
Мартохина И. П. 21179
Марх А. Т. 23091
Марх З. А. 23091
Маслов П. Г. 20385
Маслов Ю. П. 20385
Масумян В. Я. 22691
Матвеев В. В. 21275
Матвеев М. А. 22235
Матерова Е. А. 20828
Матида 21240
Матусик Б. И. 22826
Махалов П. Н. 22665 К
Мацуда 20804
Мацуда 21399
Мацуда 21392, 21399
Мацуда 23033
Мацуда 23170
Мацунао 22476 П
Мацура М. 21769 П
Мацура 20847
Мацука Н. 23616 П
Медведев С. С. 23661
Медведева Г. А. 21178
Меерон Г. С. 20267
Меерон Г. А. 21962
Меменицкая Л. И. 20850
Мелин-Ахазарян А. Ф.
22180

Меликзاده М. М. 22769
Мельников Н. Н. 21539
Мельников Н. П. 22830
Мерлич В. В. 20951,
20978
Меськина Ф. А. 23030
Мехтисев С. Д. 21368
Миватарн Х. 21779 П,
21780 П, 21781 П
Мидатуги 22496 П
Мийси 21754
Мики 22348 П, 22461 П,
22462 П
Милев С. М. 21193
Мильченко Р. С. 22104
Милютинская Р. И.
20680
Минами 21763
Минасия М. А. 22858
Минин М. М. 22739
Миргаловская М. С.
20514
Миронов Н. Н. 20856
Миронова А. Н. 22870
Миронова М. Е. 20771
Мирчева-Илиева Н.
21012
Мисава 22473 Д
Мисаки 22135
Мискиджян С. П.
20748
Мисников К. П. 20974
Митран Л. 20931
Митренин Б. П. 20512
Миура 20859
Михайлов В. В. 22165
Михайлов Г. П. 23691
Михальчук В. 20283
Мицуги Г. 22288 П
Мицун 21222
Мицуно 21631
Мишина А. Г. 21149
Мищенко К. П. 20587
Минне 20752
Мияке 23662
Мовсесян М. Е. 20591
Моней П. Д. 20305
Монсеев Е. И. 20627
Мойнес М. А. 23104
Мокрушин С. Г. 20835,
20836
Моллов Н. 21407
Молчанов В. В. 20557
Моргунова Е. Ф. 21529
Морина 20705
Морова Л. П. 20806
Морущкин Г. В. 23341
Мотина Г. Л. 21710
Мотон 22384
Мотояма 23723
Мункавлев К. Д. 20602,
22068
Мукава 21583
Мукояма 23442
Мураками 23594
Мурата 22300
Мурогани 20518
Муро 21035
Михтарян Р. С. 20638
Мильчикова И. Е.
20493
Мяо Цюань-юань 22003

Н
Набесава 22360 П
Наган Т. 23291 П
Наган 21427
Нагано К. Э. 23277 П
Нагано Р. 22155 П
Нагасава 22350 П
Нагасакис 21636
Нагальма 21187
Нагив М. Ф. 21672
Нагорский М. П.
21013
Надь М. К. 20834
Назаренко М. Ф. 22083
Назаров И. Н. 21345,
21461—21464
Найто 21417
Накагава 20839
Накагава 22404
Накадзима 23692
Накамур 20826
Накано 21636
Наканиси 22360 П
Накано К. 21134 П
Наката 23655
Накаяма 20464
Накаяма 21805
Накаяма 21990
Накайдан А. Б. 20663
Накимов В. В. 21108
Накчиджан С. О. 22180
Намба 21206
Нарбутт К. И. 20364
Наутов И. А. 23041
Недлер В. В. 21108
Нейман М. Б. 20548
Некрасов Б. П. 23039
Немилова И. В. 21840
Непочатых А. П. 21955 Д
Несмеянов А. Н. 20256,
21514, 21525
Несмеянова К. А. 21204
Нечаева А. А. 21148
Нечаева Л. Н. 20295
Нигманходжаева М. С.
23551
Нивонцев А. А. 21297,
21306
Ниямура 20901
Никитин Д. В. 23641
Никольская А. В.
20646
Нисибори 21754
Нисичава С. 23263 П
Нисимото 22822
Нисимура 21055
Нисимона К. 23325 П
Нишанов Д. 20871
Новиков А. С. 23690
Новоселова А. В. 20865
Новосельцев В. С. 20500
Новурова А. Ш. 21368
Ногами 22473 П
Ногути 23248
Ногути 22882
Номагати 23166
Номура 20492
Номура 21687
Нонана 23478
Нономия 22047
Носнова Т. А. 20301

О

Обливиальный Ф. А. 22655
 Овруцкий М. Ш. 23630
 Овсепян Е. Н. 20891
 Огава Н. 23545 П
 Огава 21392
 Огава 21236
 Огарнов А. Ф. 22092
 Огаркова А. Ф. 21175
 Огата Я. 23536 П
 Огихара 21025
 Ода 20837
 Ода 22290
 Ода 22296, 22297
 Ода 22409 П
 Ода 21257
 Одино 23197
 Одишеч В. А. 23730
 Одиосевцев А. И. 20856
 Одо 21563
 Оволина З. В. 23020
 Ои 20392
 Оива С. 23537 П
 Оидзуми Н. 22155 П
 Окада 22187
 Окада 23197
 Окамур 23723
 Окус 23238
 Окумура 22459 П
 Окада Х. 22395 П
 Олененко К. П. 22218
 Оно 22380
 Оно Т. 23381 П
 Онтоев Д. О. 20983
 Орлов И. Н. 20488
 Орлова Е. И. 23370
 Ормонт В. Ф. 20590,
 20621, 20904
 Оскорбина Н. А. 23591
 Островский Ю. И. 20335
 Ота 22134
 Ота 22381
 Ота 21603

П

Павлов Н. Н. 23447
 Павлова К. А. 22301
 Павлова Л. З. 20910
 Павловская Т. Е. 23714
 Павлушечко И. С. 21686
 Палей П. Н. 21167
 Палкин А. П. 20629
 Панков Г. Ц. 22694
 Панцулая Т. В. 22000
 Панченков Г. М. 20557
 Панюкова М. А. 21347
 Паприц А. Г. 20302
 Парфенова Е. И. 20990,
 21024
 Патканов Е. Г. 22868
 Певзнер Р. Л. 22089,
 22147 К
 Пенев А. 20298
 Пенкин Н. П. 20335
 Петракович В. Е. 20678
 Петренко З. М. 22216
 Петренко И. Г. 20700
 Петров А. Д. 22911
 Петров Д. А. 20514,
 20624

Петухов М. С. 23737
 Печеный М. И. 22433
 Пешехонова А. Д. 21432
 Пешкова В. М. 21105
 Пигулевский Г. В. 21568, 21639
 Пикаев А. К. 20886
 Пирогов А. А. 22138
 Писаренко А. П. 23645
 Писемская Е. М. 20958,
 20959
 Платаш Г. Г. 20924
 Платонова М. Н. 23699
 Плетнев К. 20262
 Плетнер Ю. В. 20299
 Поваренных А. С. 20940
 Подгорная Е. А. 20587
 Подчайнова В. Н. 21149—
 21151
 Покин В. Л. 22176
 Покровская И. В. 21069 К
 Покровский А. В. 20954
 Покровский Я. Е. 20857
 Поляк В. В. 20258
 Подотеев Н. А. 20882
 Поляков М. П. 21082
 Полякова В. П. 21082
 Помосов А. В. 21847
 Пономарев А. А. 21431,
 21432
 Пономарев Ф. Г. 21343
 Попов В. 23095
 Портнов М. А. 21762
 Поспелов В. А. 22616
 Постовская А. Ф. 23711
 Потапова Т. А. 22229
 Потарин М. М. 21710
 Потемкин А. Я. 20624
 Прелатова Н. К. 20307
 Преображенский В. К. 21104
 Привхотко А. Ф. 20487
 Проскурин И. Г. 20263
 Прохоренко В. К. 20527
 Пугач Е. Д. 23639
 Пузырев С. А. 21680
 Пулькина М. К. 22647
 Пу Хоу 20570
 Пучков Н. Г. 22775 К
 Пятницкий М. П. 21228

Р

Равдель М. П. 20626
 Радев Р. Ил. 22694
 Разумова В. Л. 22083
 Райский С. М. 21107,
 21108
 Ракина В. П. 22138
 Рапопорт Л. И. 22415
 Расулов И. Р. 22259
 Ратнани Д. 20310
 Ратинов В. В. 22222—
 22224
 Ратушный Г. Д. 23011
 Реаников А. А. 21148
 Реаников И. Л. 20631
 Реаницкий Л. А. 20627
 Рейтингер С. А. 23688
 Рейфер М. С. 22656
 Ремесников И. Д. 22665 К
 Ревзасва А. А. 20557

Ресина Н. Г. 23101
 Решетов В. П. 21432
 Рихкин В. П. 22868
 Ривкинд А. И. 20408
 Робинвич Е. Я. 22730
 Рогельберг И. Л. 20622
 Рогинский С. З. 20703,
 20707
 Роговин З. А. 23438
 Рогожинский Н. И. 21756
 Родопуло А. К. 23009
 Рожнова Е. В. 23138
 Розенберг Л. М. 22770
 Розенберг Т. И. 22222—
 22224
 Розенталь А. Л. 22284
 Розенфельд И. Л. 21856
 Ростовцев В. Е. 23584
 Ротараш И. А. 21009
 Ротенберг В. Н. 21208
 Рояк С. М. 22232
 Рубинина Н. М. 22224
 Рубинштейн А. М. 20896,
 20897
 Рубцов В. И. 20327
 Рудковский Д. М. 22294
 Руднев Н. А. 21117
 Румянцев П. Ф. 22236
 Румянцев Е. И. 20857
 Русанов А. К. 21108
 Русин В. Я. 21923
 Рыбачук В. Н. 23067
 Рыбинский О. А. 22143
 Рыков А. Г. 20886
 Рылова М. Л. 21921
 Рыбчиков Д. И. 20878
 Сабирова Р. Д. 20661
 Савада 20492
 Савальский С. Л. 20778
 Савич И. А. 20886
 Савицкий И. А. 22129
 Саданата 20681
 Садов Ф. И. 23591
 Сазонова И. С. 20707
 Сайки 20519
 Санагуги 23721
 Санаи К. 22042 П
 Санамото И. 23157 П
 Сакимото Р. 22335 П
 Сансонов Ю. Г. 20443
 Саккурада 23721
 Сакураи 22891
 Сакураи 22894
 Сакураи 22456 П
 Сакураи 20759
 Салманова Л. С. 23000
 Самарин И. Я. 20266
 Самсонова А. Н. 23101
 Самусь Н. М. 20893
 Санамова С. С. 22039
 Саспрохина А. Е. 21639
 Сасаки 20838
 Сасаки К. 21982 П
 Сасаки 22047
 Сато 21126
 Сато В. 23619 П
 Сато 21806
 Сато 21356
 Сато 21603
 Сато 21849

Сатпаева Т. А. 20994
 Сахновская Н. Д. 21061
 Свядковская Г. Э. 21348
 Свердлов Л. М. 20386
 Свешников В. Я. 20380
 Севастьянов Н. Г. 20621
 Седан 22303
 Седан М. 22280 П
 Сейфер А. Л. 21848
 Секиро О. И. 22103
 Семененко К. И. 20867
 Семененко К. Н. 20865
 Семененко М. П. 20988
 Семенов Е. А. 22868
 Семенова В. Н. 23637
 Семенович Н. И. 21043
 Семенченко В. К. 20807
 Семешко Г. С. 21335
 Семиохин И. А. 20557
 Семосский Я. П. 20626
 Сенецкая Л. П. 21137
 Сено 22297
 Сено 22307
 Сергеев А. Г. 22888
 Сергеев О. 21355
 Сергеева В. П. 20635
 Сергеева З. И. 23611
 Сердюков М. М. 22253
 Сетяна О. Н. 23422
 Сибка К. 21135 П
 Сибасани 23033
 Сивков А. А. 21125
 Сиганов 21783
 Сийрде А. 22668 Д
 Синадзено 23348
 Сидин П. М. 22963
 Сидина Н. П. 22951
 Симанов В. Н. 21246
 Симамото С. 23620 П
 Симамура 21341
 Симоната 21054
 Синельников А. С. 22648
 Синохара 21986
 Синоцуна М. 22270 П
 Син Чхан Сук 21147
 Синькова С. Н. 21680
 Сивяков В. И. 20985
 Сирасани 20518
 Сиромаци Т. 23306 П
 Скорняков М. А. 22182
 Сноробогатая Н. Я. 20267
 Скришевский А. Ф. 20536
 Скурихин И. М. 23012
 Слепнев Ю. С. 20966
 Слижечевый З. 23139
 Слободин Я. М. 21355
 Слободянин И. 22219
 Слюсаревский П. П. 22172
 Смагина Е. И. 20590
 Смирнов Л. А. 21857 К
 Смирнов Л. С. 20475
 Смирнов Н. И. 23096
 Смирнова А. В. 21045
 Смирнова В. 23642
 Смирнова И. А. 22223
 Смит В. А. 21345
 Смолянинова Е. К. 21348
 Смолянинов М. Е. 23072

Сморodin Ю. А. 20237
 Смышляев С. Н. 21291
 Соболева И. Г. 23601
 Сობоль С. И. 20040,
 20908
 Соболев Э. В. 20905
 Собы 23657
 Соколов В. А. 20427
 Соколов В. А. 20022,
 21225
 Соколов С. И. 23600
 Соколова Е. 21005
 Соколовский А. Л. 23072
 Соколовский Д. В. 23003
 Сокурада 23706
 Солдатенко Б. Т. 23421
 Солнцева Р. Р. 23385
 Соловьев Л. К. 20012
 Соловьев М. В. 20217
 Соломин Н. В. 23123
 Соломина Е. П. 22001
 Сорочкин В. М. 23000
 Сорон-Новицкий В. И. 22752
 Соседно А. Ф. 20005
 Соустов Н. И. 20043
 Софронюк Л. П. 23000
 Сочеванов В. Г. 20899
 Славоска Н. Х. 21007
 Спиридонова В. И. 20908
 Спитковская С. М. 20001
 Спицын А. В. 20475
 Спицын В. И. 20886
 Стабников В. Н. 21711
 Ставицкий И. К. 23000
 Сталикова Г. Д. 22223
 Старин И. Е. 20939
 Стариков Н. З. 40420
 Старобинец Г. Л. 20003
 Стародубцев С. В. 21750
 Старый И. В. 23000
 Степанов В. И. 21250
 Степанов И. А. 20273
 Степанова Г. С. 20000
 Стерин Х. В. 20907
 Стерлин В. Я. 21270
 Стойков С. А. 22208
 Стронинский А. В. 20000
 Страхов Н. П. 23603
 Страшак А. Ф. 21900
 Стрелец Х. Л. 20000,
 20631, 22063
 Стрельникова Н. А. 20514
 Стафкин Ф. С. 20000
 Суворова Г. Ф. 22210
 Суворовская Н. А. 21000
 Суга Н. 22108 П
 Сугано К. 23527 П
 Сугахара Ю. 23370
 Сугимото К. 23530 П
 Сугино 20483
 Сугихара К. 23462 П
 Судзун 22496 П
 Су Лян-хэ 20941
 Сумитомо 23705
 Сумото 23720
 Суинов Г. Н. 22040
 Суто Д. 22272 П
 Сэки 21412

Авторский указатель

А. 20327
И. 21201
Г. 23061
Н. 20640

В. 20935

А. 20427

А. 20622

И. 23688

А. 21066

А. Л.

Д. В. 22843

706

В. Т. 23421

Р. 22386

Н. К. 20412

В. 20327

В. 22123

П. 22061

М. 22068

цкий Д. И.

Ф. 20906

И. 20663

П. П. 22060

Г. 20680

Х. 21001

В. И.

С. М. 20961

В. 20479

И. 20686

З. Н. 21711

И. К. 23441

Г. Д. 22223

Е. 20935

З. 40428

Г. Л. 20802

С. В. 21753

Б. 20965

И. 21253

А. 20972

С. С. 20900

Е. 20987

Я. 22078

А. 22968

А. В. 20600

П. 23063

Ю. 21966

Л. 20600

68

на И. А.

С. 20900

Ф. 22216

И. Н. А. 21001

2198 П

23327 П

Ю. 23271 П

23536 П

83

23462 П

2496 П

20941

13705

20

Н. 22649

272 П

Сани 22361 П
Сани Х. 23464 П
Санигути 22504 П

Т

Табета 23657
Табидо С. 20310
Табо У. 23846 П
Тадеева Н. В. 21058
Тадд Н. 23462 П
Тадиджа 20768
Тадиджи 22504 П
Тадиджа 22381
Тадиджа 23197
Тадиджа 21025
Тадиджа 22982
Тадиджа Т. 22560 П
Тадиджа 20516
Тадиджи П. 22271 П
Тадиджа 22755
Тадиджи 20727
Тадиджа 21428
Тадиджа 21242
Тадиджи 20519
Тадиджа К. К. 22836
Тадиджи И. Л. 21658
Тадиджи 21338
Тадиджи 20869
Тадиджи 20814
Тадиджи К. 22270 П
Тадиджи 21427
Тадиджи 21677
Тадиджи 22913
Тадиджи 23600
Тадиджи 22403
Тадиджи 21412
Тадиджи 21350
Тадиджи 21236
Тадиджи 22407
Тадиджа Н. В. 20861,
20879, 21079
Тадиджа Н. А. 21201
Тадиджа Н. А. Н. 21088
Тадиджи Т. 23152 П
Тадиджи Т. 22335 П
Тадиджи М. 23461 П
Тадиджи 22134
Тадиджи Ю. А. 20329
Тадиджи Н. Т. 20628
Тадиджи В. М. 20890,
20891
Тадиджовский В. А.
21515
Тадиджи 21186
Тадиджи Т. 23537 П
Тадиджи А. П. 21382
Тадиджи Е. М. 22770
Тадиджи Е. А. 20877
Тадиджи К. С. 22142
Тадиджи С. Л. 22666 К
Тадиджи Л. Е.
20780
Тадиджи В. Г.
22738
Тадиджи З. В. 21431, 21432
Тадиджи В. 20571
Тадиджи А. Г. 23098
Тадиджи М. М. 21058
Тадиджи 22348 П, 22463 П
Тадиджи М. В. 20633

Толкачев Б. В. 20327
Толмачев Ю. М. 20726
Толстухина Ф. С. 23690
Томилев Б. И. 21762
Толчиев А. В. 21368
Торн 20839
Торнгов 21802
Торопов Н. А. 22236
Тосима 20496
Трацевичная Б. Я. 20858
Трещов А. Г. 20641
Тропичная Е. Г. 20308
Тронева В. Г. 20876
Тронов Б. В. 20355
Трусова В. Г. 20858
Тугаринов А. И. 20964
Тугаринов З. И. 20327
Тулубинский В. И.
22652
Туранская Н. В. 20964
Туркелгауб Н. М.
20818, 20820
Турьян Я. И. 20787
Тученко М. М. 21916
Терамура 22296
Тюдэ 23681
Тюма 22755
Тютюков Н. 20410

У

Угнячев Н. Я. 21984
Удалов В. С. 21696
Унда 23710
Ушловский А. С. 20921
Умсава 22491
Уно 22403
Уразов Г. Г. 20638
Уралов М. А. 22130
Урбах В. Ю. 20609,
20610
Урюпина Л. М. 21814
Усанович М. 20643,
20739
Усатенко Ю. И. 21170
Усманов Х. У. 23551
Успенская Т. А. 21962
Утенков В. Ф. 22260
Ушанов М. В. 20300
Ушатский В. Н. 20726
Уека 21676
У Юань-лю 21497
У Юн-цин 21999

Ф

Фабелинский И. Л.
20530
Фабрикант А. 22617 К
Файнгериш А. 23048
Файнгольд С. И. 22749
Фальков И. А. 22217
Федорова Г. Б. 23713
Федотова Т. Т. 23030
Федурин В. В. 22060,
22061
Фельдман А. Л. 23091
Фельдман Р. И. 23688
Фермор Н. А. 23399
Филимонов Л. Н. 21108
Филиппов Н. В. 22176
Филиппов Н. В. 22089
Финнелль Э. Э. 23689
Фирсанова Л. А. 20860

Финшер И. З. 20527
Финшер П. Н. 22835
Флоровская В. Н. 21003
Фогельман Н. А. 20969
Форш Т. В. 21032
Франк Г. М. 20548
Фрейдлина Р. Х. 21525
Фридланд В. М. 21019
Фридман В. М. 20644 К
Фридман Г. А. 23336
Фридман И. Д. 21205
Фрисман Э. В. 23672
Фрунзе Т. М. 23727,
23732
Фуданвара 22891
Фуданвара 23679
Фуданта 21866
Фуданта 23595
Фузан Г. Г. 23067
Фузан Н. 22278 П,
23263 П
Фукуи 23721
Фурукава 20915
Фурукава 23572
Фусе 22822
Футами 22134
Футинки С. 22273 П

Х

Хабу Х. 23616 П
Хамада И. 23462 П
Хан О. А. 20907
Хансиро К. 22155 П
Хара 23238
Харенко О. Г. 21343
Харукава Т. 22348 П,
22461 П, 22462 П
Харуки 23070
Хасигути 21986
Хасимото 21430
Хасимото С. 23306 П
Хата И. 23263 П
Хатихама 22307
Хатихама 23705
Хатта 22303
Хаттори 21206
Хаттори 23679
Хаяси 21420
Хаяси 23679
Хетагуров Г. В. 20973
Хияма 21424
Хлапова А. Н. 20452
Хлебникова Л. Я. 23422
Хмельницкая И. Л. 23611
Холпер В. А. 20627
Холмур Р. М. 21514
Хомяков В. Г. 20781
Хомяков К. Г. 20627
Хорев Г. Н. 21826
Хори 22360 П
Хоригути 22487 П
Хорин 21413
Хорин 22459 П, 22460 П
Хорина 23248
Хоригути С. 22042 П
Хорошая Е. С. 23647
Хосода 21025
Хосонава 22379
Хотта 21677
Хотунцев Л. Л. 22665
Христов П. 22837 К

Христофоров Б. С.
21196
Хуан Вань-куй 21595
Хуан Хон-лу 21138
Хуа Тун-вонь 21993
Ху И-ли 21127
Хе Оу-ци 23578
Хе Фы-цин 21595

Ц

Цал М. И. 20868
Церман М. Д. 22962
Цан Юй-фын 21496,
21497
Цимблер М. Е. 20899
Цуда 23442
Цудзи 21413
Цудзи Ю. 22205 П
Цунада Т. 22205 П
Цунамото 22361 П
Цукервайн И. П.
21335
Цуно 22348 П, 22461 П,
22462 П
Цуруми 22487 П
Цурута М. 23464 П
Цудзи Т. 21135 П
Цудзи Я. 22195 П
Цыб П. П. 22005

Ч

Чамова В. Н. 20635
Чацкий П. И. 23648 Д
Чегодаев Д. Д. 23680
Чекунов В. С. 20925
Чекунова М. П. 21930
Чернашин М. И. 21366
Чернов В. И. 20946
Чернышев Е. А. 21528
Черняев И. И. 20887
Черняк И. А. 20302
Четвериков Н. С. 20319
Чжан Пан 21557
Чжу Цзы-цин 21595
Чжэн Чжи-чун 23590
Чжинов Д. М. 20858
Чирнов Н. М. 20678
Чи Фан-цзе 21993
Чунячев М. В. 20475
Чуновская Е. Ц. 21525
Чупахин М. С. 20936
Чупринин Ф. И. 22123
Чхартышвили Ю. В. 20484
Чень Жу-юй 21492
Чень Пин 23588

Ш

Шабаловский А. Е.
20969
Шаборова З. И. 22211
Шавнова М. Ф. 21343
Шамба Н. А. 20512
Шан Го-сянь 21496
Шарнов В. И. 22824
Шаров Б. В. 20509
Шахтин Д. Л. 22121
Шварцман Л. А. 20762
Шеламова А. С. 23089
Шемякин М. М. 21328
Шибно Н. А. 22952

Шилов Е. А. 20661,
20675
Шиль В. Н. 22999
Шипкина О. В. 21060
Шипкина В. П. 20822
Шиллер И. В. 22690
Шляпников Р. С. 21275
Шмагайло Е. Д. 22962
Шманова Н. В. 20889
Шмидт Л. Г. 22995
Шмун В. А. 22647
Шмун Е. И. 21203
Шойхет П. А. 21061
Шостановский М. Ф.
20862
Штейншнайдер М. М.
22733
Шуйкин Н. И. 21366
Шумилин А. А. 21765
Шушунов В. А. 20910
Шень Жень-цзин 23562

Щ

Щелкунова А. Н. 21199
Щелунов Р. Н. 20887
Щербанов А. А. 22541 Д
Щетинский В. В. 21983
Щиголь М. В. 21190
Щирова Н. А. 20629
Щукина М. Н. 21358

Э

Эбер П. И. 20274
Эглит А. Х. 22284
Экинян М. Г. 20890
Эмануэль Н. М. 22877
Энтелло С. Г. 20678
Эпельбаум В. А. 20621
Этингер М. А. 20809,
20810
Эттингер И. Л. 21004

Ю

Юаса 20278
Юава 21687
Юнин Ш. М. 21209
Юнусов С. В. 21699
Юрченко Т. С. 23700
Юрцева Т. Г. 22647
Юрченко А. В. 20970
Юрьев Ю. К. 21530
Юфит С. С. 21345

Я

Яввина Н. Е. 23680
Яворовская В. Ф. 22864
Яги 21678
Яги 22497 П
Яковлев Г. Ф. 20971
Якубин А. И. 23713,
23714
Ямагути 22378
Ямагути К. 23273 П
Ямада 22982
Ямадзани 21678
Ямадзани 22361 П
Ямамото 21683
Ямамото 22491 П
Ямагура 22460 П
Ямабана 21302
Яманэ 21177
Яно 21687, 21714

Авторский указатель

Яно 22982

Яновская Л. А. 21345

Янулов К. П. 21009

Ярилова Е. А. 21024

Яровий В. П. 20924

Ясава М. 23619 II

Яснопольский В. Д.

22769

Ясухара Х. 23323 II

Яхонтова Л. Ф. 20831

Яцмирский К. Б.

20577, 20903

Ячкула Б. Н. 21686

Яшмин В. Б. 22546

A

Aagaard P. 20552

Aas C. 22801

Ababi V. 20288

Abas-Zade A. K. 20568

Abachi K. 20501

Abbott M. D. 22721

Abdel-Gelil M. A. 22295

Abdel-Wahab M. F.
21403

Abel E. 20668

Abel G. 23614 II

Abell D. F. 20652

Abrams E. 22815, 23556

Abu Elamayem M. S.
20682

Accinelli J. B. 22761

Achaya K. T. 22892

Adam J. 21156

Adam K. 22329 II

Adams E. F. 23360

Adams J. R. 22032,
22033

Aditya S. 20875

Adrian C. 23559

Adrian F. J. 20405

Aeschbach J. 23222

Agarwal J. K. P. 23071

Agarwal R. R. 21026

Agarwal S. K. D. 23071

Agrawal K. C. 21234

Ahlqvist D. 23191

Aidinayan R. K. 21191

Ainsworth C. 22469 II

Ainslie I. T. 21696

Alameda J. M. 22066

Albert W. 22464 II

Alberti C. 21488

Alder K. 21373

Alekin O. A. 21036,
21042

Alexa G. 20291

Alfonsus H. 23121

Altmarin I. P. 21117

Alkalaj T. D. 23210

Allen K. K. 22124

Allen P. W. 23413

Allen T. C. 22336 II

Allen T. L. 20357

Allmark M. G. 21929

Aloyová A. 23140

Alpert M. B. 20784

Altner W. 22443 II

Amaldi E. 20325

Amaral J. R. 21216

Ambrose H. 21902

Amdur I. 20359

Amiard G. 22325 II

Amiel Y. 21375

Amin A. A. M. 21158

Amiraslanov A. M. 20568

Amma M. K. P. 20642

Amme J. 23150 II

Amphlett C. B. 21901

Ananiev V. P. 21017

Ananthanarayanan P. S.

22961

Anas T. 23292 II,
23293 II

Andersen K. F. 22814

Anderson A. B. 23520

Anderson B. W. 20937

Anderson E. G. 23417

Anderson J. D. 22799

Anderson J. R. A.
23145

Anderson N. L. 23371

Andersson G. 20552

Ando T. 21383

Andreani R. 22602

Andrejowicz A. 22966,
22967

Andrews A. C. 21245

Andrews R. S. 22654

Andreyeva S. V. 22089

Aniansson G. 21274

Annibaldi S. 23106

Antipova-Karataeva I. I.
21105

Antoni A. 22694

Antoniani C. 23113

Antos D. P. 23531

Aoki M. 23659

Apostolide A. 20286,
21663

Aravamuthan V. 21992

Archambault J. 20747

Archer S. 22448

Archer W. L. 21475

Arcoleo A. 21386

Archander S. 23144

Ardizio P. 21570

Ardon M. 20673

Arend A. G. 22286

Arens J. F. 22318 II

Arlinstein E. A. 20608

Arkhipova E. N.

23672

Armandola P. 23117

Arneodo C. 22750

Arranz J. 20351

Arrighini A. 22275 II

Arthur B. W. 22514

Arthur J. R. 22650

Asendorf R. H. 20437

Ashby C. E. 23664

Asinger F. 21316

Asnes B. 23318 II

Aspinall G. O. 21567

Asunmaa S. 23490

Atkins J. T. 23664

Atkinson R. B. 22610 II

Auerbach J. 23622 II

Auhagen E. 22500 II

Austin J. 21702

Austin J. M. 23510

Autenriech H. 22011 II

Avivi P. 21270

Avram L. 20808

Ayer W. A. 21602

Azbe V. J. 22267 II

B

Babicki R. 22812

Bachran E. 21798

Back M. H. 21255

Bacon J. C. 23375 II

Bäder E. 23376 II

Bader R. G. 21065

Baerg A. P. 20555

Baertschi P. 20551,
20933

Bahner C. T. 21468,
21484

Bahrman K. 22981

Bailey P. S. 21315

Bailey W. J. 21369

Baird D. C. 21282

Baker A. N. 20467

Baker A. W. 21370

Baker C. B. 22924

Baker E. B. 21249

Baker L. C. 20729

Balaceanu J. C. 20657

Balazs P. 21845

Ballah V. 20753

Ballentine J. B. 23285 II

Bamann E. 21425

Bamberger J. 24102

Bame J. L. 22788 II

Banderet A. 23412

Banerjee T. 21154

Baradzey L. T. 20327

Barakat M. Z. 21403

Baranov V. I. 21119

Barat S. K. 23640

Barchevitz M. P. 20390

Barck L. 23066

Barella A. 23609

Barendsen G. W. 21269

Barillet M. F. 23272 II

Barkas W. H. 20325

Barkin S. 20842

Barlett H. B. 22150 II

Barling T. P. 21793

Barnes R. G. 20506

Barnhart G. 22391 II

Baron G. 20996

Baroni G. 20325

Barr H. E. 22546

Barrow G. M. 20422

Barrow R. F. 20369

Barsukov V. L. 20987

Barta C. 22127

Bartek J. 20798

Bartfay J. 22983

Bartholomew R. M.

20555

Bartoli A. 22866

Barton D. H. R. 21590

Barwiński E. 21664

Basevich V. Y. 20692

Bastius H. 20772

Basu S. N. 23553

Batchelder F. W. 20442

Bateman Alan M. 21070

Bath S. S. 21315

Baudet R. 20395

Bauer E. 20468

Bauer G. G. 22588

Bauer K. 22500 II

Bauer K. H. 21247 R

Bauman E. 23168

Bauman W. C. 21717

Bauman W. C. 23324 II

Baumann E. R. 21902

Baumann H. 23244

Baumgart H. 22009 II

Baumgartner H. 23477

Baumstark J. S. 21291

Bavley A. 22374 II,

22440 II

Baxley W. H. 23539 II

Bayer E. M. 23172

Bayer R. 21978 II

Bayle G. G. 20611, 20612

Bayley C. H. 23612

Beach C. E. 23523

Beach L. K. 22693

Beal P. 22481 II

Beck R. B. 21542

Becke F. 22559 II

Beckman C. 22821

Beckmann R. B. 21724

Beek H. C. A. 21442

Behnke E. 23211

Behrends J. 21085

Behrens D. 21508

Behrens M. 21280

Beke D. 21604, 21605

Bellanger J. 20849

Bellemans A. 20574

Bellen Z. 21238

Belinskaya F. A. 20828

Belyanin V. B. 20341

Bemmann R. 22681 II

Benard P. 23013

Bencteux M. 22765

Bender G. M. 21951

Benk E. 23016, 23141

Bennet W. B. 22917

Bennett C. W. 22603

Benneville P. L.

22341 II

Bentley R. 22309 II

Benvegnin L. 23015

Berard W. N. 23599

Berenson C. 23209

Berg E. W. 21097

Berg G. 21508

Bergander E. 22981

Berger V. 23247

Berghausen P. E. 20544

- Blatchley C. G. 21262
Blanco C. 20563
Block H. D. 21752
Bloksma A. H. 23056
Blomquist A. T. 21365,
21367
Blum P. 20444
Bobeth W. 22185
Bobetsky M. 21094
Bockstahler E. R. 21460
Bode A. 23004
Bode K. H. 23235,
23236
Bodea C. 23734
Bodiford S. 21501
Boehm E. 22507 II, 22586
Boehm H. P. 20709
Boekelheide V. 21476
Bogardi E. 21995
Boggs L. A. 21565
Böhm B. 22621 II
Böhme H. 23082
Bole G. 22729
Boiselle A. P. 21453
Boides E. 23053
Bolger J. 21467
Bolton J. R. 20734
Bolts C. L. 22763
Bondi A. 22761
Bondi A. A. 22796 II
Bondloui J. C. 22312 II
Bonetti E. P. 21627
Bonnell L. S. 20607
Bonner L. G. 22743
Bonner N. A. 20652
Bonner T. G. 21326
Bonner W. A. 21325
Boogaart K. 21442
Boogman J. 22910
Boogman J. 23592
Booth G. L. 23496
Boothby O. L. 20505
Bopp A. 21842
Borden A. D. 22522
Borelius G. 20499
Borg E. L. 23404
Boris H. A. 23560
Bornstein J. 21453
Borovik-Romanova T. E.
20965
Bortnick N. M. 21354,
22333 II
Bose P. C. 20872
Bose R. G. 23553
Bösnjaković P. 21705
Botimer L. W. 21455
Bottoms R. R. 22815
Botzen A. 20540
Boudet R. 21443
Bouriot P. 23452
Bourjol G. 22302
Bourke A. 23468
Bouten J. 21096
Bouquiaux J. 20912
Bouquiaux L. 20912
Bowman L. O. 21846
Bown M. G. 20438,
20454
Boyer N. E. 21474
Boyes A. G. 23718
Bozola R. 22427
Braccio G. 23133
Bradley D. C. 20885,
21521, 21522
Bramble L. F. 21833
Brandstätter M. 20523
Brandt P. 23251
Branislavljević M. 21920
Brannock W. W. 21053
Brassard H. A. 23567
Braude E. A. 21394
Brauer G. M. 23696
Braun F. 21597, 23431 II
Braunholz F. 22015 II
Brauniger H. 21408
Bräuninger G. 21409
Brauns O. 23498
Braverman M. M. 21192
Bray P. J. 20506
Brazhnikova L. V. 21036,
21042
Brčić B. 20634
Brebrick R. F. 20521
Breedlove H. B. 21766
Breitenbach V. A.
21959 II
Bremond E. 23004
Brennan E. W. 22756
Brenner F. 23310 II
Bressee J. C. 21966
Brett R. 22494
Brice B. A. 22972
Brice T. J. 22338 II
Bricknell A. G. 23739
Briegleb G. 20384
Brill I. L. 22167
Brill K. 20676
Brill S. 20676
Brindley G. W. 20997
Brindley T. A. 22526,
22527
Brito F. 20884
Brittain C. P. 22059
Brockhaus R. 21564
Brockhouse B. N. 20504
Brockway C. E. 23426 II
Brodin G. 20912
Brogioni M. 22536
Broich F. 22313 II
Broichan F. 21926
Brokaw R. S. 20566
Brooker L. G. S. 22608 II
Brooker R. M. 22475 II
Brooks E. J. 21111
Brooks W. B. 21852
Broschard R. 22489 II
Brossmer R. 21556
Brotherton T. K. 20459,
21456
Brotz W. 22906
Brounstein B. I. 20576
Brown B. R. 21388
Brown C. B. 22922
Brown E. H. 23330 II
Brown F. E. 20719
Brown H. 22076 II,
22077 II
Brown J. B. 20550
Brown T. H. 20819
Brown W. E. 20453
Brown W. R. J. 22607
Brownell W. E. 22111
Bruce W. A. J. 22717
Bruckenstein S. 21101
Bruckner G. 22508
Bruening C. F. 22410
Bruck A. I. 20817
Bruckl A. 21200
Brundrett H. M. 22517
Brünig M. 21310
Brunton D. C. 21967
Brunzell A. 22422
Bruun H. 21577
Bryant H. S. 21728
Bryant L. M. 21292
Buchheit P. 23299 II
Buchholz E. 20708
Buchholz K. 23320 II
Büchi G. 21572
Buckland B. O. 22741
Buckles R. E. 21372
Bucksteeg W. 21897
Bue W. 22926
Bugorkova N. A. 23680
Buhs A. 22727
Bulavin I. A. 22146 K
Bunn C. W. 23675
Bunnett J. F. 21456
Bunton C. A. 21317
Burcham J. N. 22800
Burckhalter J. H. 22470 II
Burd L. W. 21249
Burgess E. M. 23405
Burgman J. O. 20552
Burgopobur B. H. 20618
Burmeister H. 23100
Burns R. E. 21900
Burril L. 21965
Burrows L. A. 22168
Burske N. W. 20671
Burstlein E. 22628
Burton W. P. 22778 II
Burt P. B. 20732
Burwash R. A. 20930
Buskies D. 22323 II
Buss D. B. 22766
Busell K. R. 23366
Butcher B. J. 22244
Butkiewicz J. 21283
Butler J. N. 20566
Butler J. R. 2164
Butt L. T. 21927
Buttrey D. 23261
Buu-Hoi N. P. 21398,
21421, 21437, 21445
Bykov A. N. 23687
Byrne J. T. 21268
C
Cabannes J. 20531
Cabejszek I. 21868
Cacace F. 20562
Cadogan J. I. G. 21536
Caillere S. 20996
Cain C. K. 21489
Calas W. 21526
Calderbank P. H. 21698
Caldwell J. R. 23289 II
Calingaert G. 22789 II
Callish S. R. 22573
Calistru C. 20287
Calkin J. B. 23515
Călușaru A. 22053
Cambell C. E. 20371
Cameron A. G. W. 20321
Cameron R. 21649
Camil J. M. 21953 K
Camp T. R. 21947
Campbell C. 21298
Campbell L. B. 23023
Cantzler A. 21918
Caplan P. 22538
Carafoli B. 21627
Carle J. 21815
Carlsen K. M. 21808
Carlsen T. 21307
Carlson B. C. 20316
Carlson E. C. 22512
Carlson E. T. 20866
Carmalm B. 23733
Carosella M. C. 22072 II
Carozzi L. 21912
Carpenter L. G. 21278
Carpenter W. 21477
Carrara G. 22453 II
Carretti F. R. 22898
Carriel J. T. 23286 II
Carrière G. 21506, 21507
Carroll J. G. 22753
Carter W. R. 21732 II
Cartledge G. H. 20774
Casida J. E. 22514,
22518
Castagnoli C. 20325
Casten R. 22817
Catalano E. 20358
Catch J. R. 21549, 21551
Catelot-Goldman C.
22524
Cavallini G. 21416
Cavallito C. J. 21475
Ceamls M. 22874
Cederquist K. N. 22852 II
Cegarra J. 23609
Cehák K. 22087
Ceintrey 22726
Cennamo C. 21627
Cerafoli G. 23471
Cerasoli P. A. 23526
Chadwick D. H. 22336 II
Chakrabarti J. K. 21591
Chakrabarty M. M.
22863
Chaley P. E. 22572
Chalvet O. 20664
Champer G. 20439
Chan W. R. 21641
Chang R. 20474
Chao Tai Slang 21505
Chapman D. 21635
Chapman W. F. 22319 II
Charlesby A. 23707,
23716
Charney W. 21589
Chase E. E. 21889
Chase R. C. 23507
Chatelus C. 23626 II
Chatterjee J. N. 21435,
21436
Chatterjee A. K. 20885
Chatterjee A. K. 21521
Chatterjee A. K. 21522
Chatterjee A. K. 21522
Chegodaev D. D. 23680
Chelton D. B. 22285
Cheng K. L. 21157
Cherbullez E. 20683
Chew J. A. 21836
Chezard J. 23297 II
Chiang P. 22004
Chidester G. H. 23471
Chinai S. N. 23663
Chipault J. R. 22878
Chippindale T. 21944
Chirkov N. M. 20678
Chiti W. 21498
Chirudoglu G. 20395
Chleck D. J. 21271
Chopard L. H. 21609
Chovin P. 21185
Christensen H. N. 20898
Chupka W. A. 20592
Chupp W. W. 20325
Church J. M. 21571,
22295, 23209
Churchill S. W. 20689,
20690, 21667
Chynoweth A. G. 20494
Cichy K. 22714
Cieri L. 20562
Cismărescu G. 21033
Čistý L. 23014
Čížek O. 22090
Clark G. W. 21272
Clark P. F. 21452
Clark P. J. 22546
Clarke W. G. 22390 II
Clark-Lewis J. W. 21622
Claus A. 20709
Clayton J. M. 21326
Clements R. L. 23136
Clifford D. R. 21422
Clouston J. G. 20372
Cobler W. W. 21952
Coffman J. A. 21776 II
Cohen B. L. 20328
Cohen W. E. 23530
Cohn J. G. 21774 II
Coker J. N. 23556
Cole J. C. 22043
Cole L. J. 21292
Cole M. W. 23156 II
Coleman L. C. 20975
Collari N. 21803
Collins R. F. 21483
Colonge J. 21339
Colton E. 20902
Combette J. 23163
Combs C. S. 22607
Comer J. J. 23529
Conan J. 23103
Conroy E. H. 21975 II
Conti L. 21509
Conway E. R. 21998
Cook C. L. 20372
Cook J. P. 20763
Cook M. A. 22618 II
Cooke N. E. 21258
Cooke S. R. B. 21730
Cooper H. P. 21021
Cooper P. 22405
Coover H. W. 22550 II
Copenhaver J. E. 23539 II
Coppinger G. M. 20666
Corbery R. D. J. 23434 II
Cordonnier R. 23006
Cornacchione G. 21353
Cosby J. N. 22319 II
Cosgrave C. A. 23208
Cosmin M. 22703

Авторский указатель

- Cosalett A. 20480
Cosalett V. E. 20480
Costescu D. C. 23203
Coswell R. J. 20845
Coulter E. B. 21886
Cousen A. 22169
Couture A. M. 20744
Cousinle A. 20864
Cover R. A. 20773
Cox D. S. 21741 II
Cox H. C. 22526, 22527
Cozzi D. 20667
Craig A. B. 23458 II
Craig L. C. 21628
Crane F. W. 21898
Creitz E. C. 20396
Crespi S. 22740
Cresswell A. 23459 II
Critchfield F. E. 21229
Croce M. 22269 II
Crombie L. 21637, 21638
Crompton T. R. 22768
Cronin E. W. 23208
Crosley A. 21635
Crovetti A. J. 21474
Crowley H. L. 22152 II
Cruse A. J. 23627
Cruse K. 21103
Csépal L. 21893
Cucurezeanu I. 20399
Cujec-Dobovisek B. 20326
Culver D. 22538
Cummings I. J. 23386 II
Cummings W. 21388
Cunningham-van-Somer-
meren G. R. 22547
Curlen H. 20461
Curievici I. 20290
Curwen D. 22717
Curwen D. 23161
Cuttitta F. 20932
Cvachova L. 21932
Czaplicki J. 22899
Czarnkowski A. 22812
Czekalla J. 20383, 20384
- D**
Daggett W. F. 23339
Daghetta A. 23086
Dahl L. A. 22228
Dahl L. F. 20391
Dählmann H. 22615
Dailley B. P. 20403,
20404
Daimler K. 22849 II
Dallemand J. E. 21109
Dal Monte D. 20379
Damm O. 21798
Dani A. 23232
Dann J. R. 21510, 21617,
21618
Danziger H. 22330
Das A. 21480
Das B. M. 23631, 23640
Dauben C. H. 20426
Dauben W. G. 21351
Daudel R. 20664
Daues G. W. 21864
Daugill M. W. 20449
D'Auzac de la Martinie
J. 23382 II
Davenport R. M. 23696
David B. 20549
Davidson N. 20388
Davies A. C. 21635
Davies A. E. 22064,
22065
Davies A. H. 22184
Davies G. H. 22943
Davis C. W. 22016 II
Davis G. H. 21048
Davis J. E. 22709
Davis J. G. 23114
Dawson L. R. 20741
Dawydoff W. 23437
Day E. K. 21870
Day G. A. 22029 II
De S. 23105
Dean F. M. 21441,
21615, 21653
Dean J. 22285
Deatherage F. E. 23136
Deaux R. E. 21767
Dede L. 21095
Deeb A. H. 21300
DeFord D. D. 21133 II
Degenhardt H. 20923
Dehez A. 23201
Dehlinger U. 20469
Delbner L. 23013
Dejonghe P. 21899
Dekker K. D. 22955
Delahay P. 20767
Delibrias G. 20549
Delille J. 23606
Dellweg H. 21611
Delsemme A. 20395
Demby B. 23653 II
Demelliers A. 22575
Dommel M. 22764
Demus H. 23443
Dengel F. 22365 II
Denisov E. T. 20655
Denton R. V. 22711
De Paolis P. 23124
Depmer W. 22861
Derenovsky V. I. 20899
Dermer O. C. 21349
Derrien M. 21401
Dershowitz S. 21535
Desai M. J. 22863
Deschere A. R. 22742
Deshpande P. R. 23494
Desikachar H. S. R.
23049
Desreux V. 23707
Dettling H. 23353
Dettner H. W. 22056
Devillers P. 21620
De Vore G. W. 20991
DeVries E. 22864
Dewagan A. S. 20779
Dhar M. L. 21585
Dholkia P. M. 24481
D'Hont M. 21899
Diaz Román U. 21713
Diblik M. 22239
Dickinson T. A. 23217
Dieterich E. J. 20337
Dietrich N. 23037
Diggles F. W. 23302 II
DiGiorgi M. 21018
Dimbat M. 21265
Dimroth K. 21409
Dimroth P. 21333
Dinley C. F. 23154 II
Disseinkötter H. 22334
Di Stefano M. 20667
Dithmar K. 23446
Ditmars D. A. 20567
Dittman A. L. 23270 II
Dittrich Q. I. 21220
Dixon J. K. 22369 II
Dixon S. 23415
Djokić S. 21447
Dobbs G. 21873
Dobiáš B. 20848
Dobroczyński W. 23643
Dočkal M. 22631
Dodge E. H. 23330 II
Dodonov L. D. 21696
Doggett T. 23543 II
Dole M. 20550, 23708
Doležal D. 20906
Doležel B. 23671
Doll H. 23508
Domagk G. 22458 II
Domange L. 22399
Domanský R. 20601
Dommer O. 22658
Donam E. B. 21668
Donat J. 22366 II
Donovan W. E. 21764
Doolittle A. K. 20529
Doolittle D. B. 20529
Dormal S. 22535
Dorp D. A. 22318 II
Dost N. 22558 II
Douberg I. 22980 II
Douglass B. 21852
Douborg M. S. 22980
Dove D. B. 20520
Downer W. 22706
Downes K. W. 20863
Dräger O. H. 21735
Dragnea M. 21954
Dragsdorf R. L. 21015
Drake N. L. 21478
Drakin S. I. 20764
Drautz W. G. 22390 II
Drefahl G. 21391
Dreher J. L. 22772
Drewes K. 23122
Drewitt J. G. N. 23295 II
Dreus E. 23061
Dreyer F. 22555 II
Driscoll W. J. 20560
Drowart J. 21260
Drummond A. Y. 21322
Drushel H. V. 22767
Duba J. 22173
Dubois P. 23658
Dubourg J. 21620
Duca A. 20883
Duck W. N. 23075
Dudek A. 20949
Dudensing C. 21654
Dueh H. II. 20599
Duffaut N. 21526
Duke F. R. 20763
Dullgal E. A. 23407
Duma G. 22190
Duncan A. B. F. 20347
Duncan G. W. 22939 II
Duncan I. J. 23154 II
Dunford H. B. 20669
Dunn H. E. 22014 II
Dunnivant W. R. 21494
Dunning H. N. 20733
Du Rietz C. 21230
Durif A. 20451
Duthie D. W. 22547
Dutka F. 21601
Dutta P. C. 22383
Dutz H. 20400
Duval P. 23200
Dykyl J. 20604
Dyson A. 22754
- E**
Eaborn C. 21321
Eads D. K. 21975 II
Easley W. K. 23285 II
Easterbrook W. 21084
Eastham A. M. 21322
Eaves P. H. 22855
Ebel F. 22370 II, 22371 II
Eberline C. R. 22711
Eby C. J. 21395
Ecanow B. 21490
Eckardt R. E. 21919
Eckert E. 22316 II,
22317 II
Eckert G. W. 22773
Eckert W. 22393 II
Edberg E. A. 23243
Edwards H. D. 23569
Edwards M. H. 21282
Edwards R. T. 22725
Eckkhaut J. 21096
Egalon R. 22675 II
Egdom C. W. 22012 II
Egger P. G. 23502
Egner H. 20912
Ehlers F. A. 23308 II
Ehrenfeld J. 20853
Ehrhardt R. A. 22073 II
Ehrhart G. 22442 II
Ehrlich P. 23199
Eichholz G. G. 23319 II
Eichhorn K. 21800
Eickmeyer A. G. 22283
Eigen H. 22214
Eigler J. H. 22057
Eijkel G. 22434
Eirich F. R. 20842
Eisenstadt R. 21671
Eisler M. 21589
Eisner U. 21647
Ekman K. H. 23482
Ekspong A. G. 20325
Elam D. W. 23284 II
Eliáš M. 21212 K
Eliel E. L. 31330
Elkins R. H. 22345 II
Ellard J. A. 20741
Ellenburg J. Y. 21301
Ellert H. G. 21434
Ellis R. 21015
Ellis S. R. M. 21718,
21722, 21723
Elmer C. 23292 II,
23293 II
Elrod H. G. 21693
Elsken J. 20478
Elvidge J. A. 21452
Elze J. 21795
Emelyanov V. S. 20623
Emiliiani I. 22109
Emmett P. H. 20721
Emrick D. D. 21440
Endres H. 21564
Enebo L. 21907
Engel L. 23525
Engel T. 23171
Engelbrecht R. M. 21211
Engelhard H. 23494
Engelhardt H. 21777 II
Engels K. 23332
English R. J. 21576
Entelis S. G. 20678
Enüstün B. V. 20749
Epstein N. 22141
Eräjä V. 22431
Erb E. 20409
Erbe F. 23389 II
Ercoli E. 23230
Erdey L. 21092
Erdey-Grúz T. 20777
Erdman J. G. 21086
Eriksson E. 20912
Erni A. D. T. 21453
Ernlund J. H. 23504
Ernst A. 21085
Ernst G. 22531
Ernsting M. J. E. 22431
Errede L. A. 21336
Erskine R. L. 21394
Erwall L. G. 21274
Erwin W. R. 22539
Etscher R. 21737 II
Esdale W. J. 23214
Essex C. D. 23083
Ettinger I. L. 21004
Ettre L. 21156
Eustache H. 20517
Evans C. A. 21615
Evans C. D. 22872
Evans D. 22762
Evans D. J. I. 22004
Evans E. A. 21549-
21551
Everest D. A. 21665
Everhart J. O. 22114
Evstuykhin A. I. 20423
Ewald A. H. 20803
Exner O. 21359
- F**
Fabricius C. C. 23228
Fabritius G. J. 21770 II
Fachinelli E. 23225
Fagerberg B. C. 21734 II
Fägerskild I. S. M.
22685 II
Fageron I. S. 20816
Fahmi A. H. 23107
Fain J. M. 23393 II
Fain J. N. 21484
Falcotet R. 21339
Fand T. I. 22490 II
Farbar L. 21694
Farcinade R. 21747 II
Farmer J. B. 20659
Farkaš J. 23003
Farský L. 21666 K
Fasoli U. 21690
Fauquier D. 20968
Faust G. T. 20429

Авторский указатель

- Faust J. A. 22467 II
 Fava F. 21470, 21471
 Fayaud A. 22579
 Feasley C. F. 22797 II
 Fedluk F. 20949
 Feely W. 21476
 Fegley M. F. 21354, 22333 II
 Feibush A. M. 21166
 Feichtinger H. 22340 II, 22552 II
 Feigl P. 21216
 Fein M. L. 23633
 Feld M. 23183
 Feldman C. 21301
 Feldman I. 21880
 Feldman R. I. 23688
 Felix F. 20701
 Fen E. F. 22029
 Fenoglio M. 20922
 Ferguson M. W. 22246
 Fernandez-Biarge J. 21713
 Ferrari E. 23220, 23682
 Ferrer Olmos L. 22096
 Fichera P. 21018
 Ficken G. E. 21645, 21646
 Fife J. M. 22971
 Figdor H. G. 23534 II
 Figueiredo N. H. 22956
 Figurowaki N. A. 20279
 Filachione E. M. 23633
 Filonenko N. E. 22089
 Finch C. R. 21685
 Finch J. N. 20420
 Finelli A. F. 23303 II
 Finkel E. E. 23689
 Finkelstein M. 21376
 Finkenbrink W. 22553 II
 Finney K. F. 23043
 Florio F. 23229
 Fischer E. W. 23676
 Fischer G. 21001
 Fischer V. 21239
 Fischer W. 21210 K
 Fisher J. Z. 20527
 Fishlock D. J. 21825
 Fitt P. S. 21360, 21361
 Fleischman A. I. 22989
 Fletcher A. N. 21299
 Fletcher J. M. 23574
 Fleury J. P. 23453
 Fleury P. 21555
 Flieg O. 22559 II
 Flock F. H. 21373
 Floyd D. E. 22795 II
 Fodor G. 21601
 Foley W. T. 21284
 Folkina H. O. 22337 II
 Polta Z. 22279 II
 Poltz T. R. 23486
 Fontein F. J. 21731
 Fordyce C. R. 23301 II
 Forrester P. A. 20502
 Forrelling W. 20558
 Forti G. 23086
 Foster D. H. 22943
 Foster L. M. 20916
 Foster R. 20419
 Fournelle H. J. 21870
 Fournet G. 20538
 Fourt L. 23598
 Fowler E. B. 21902
 Fowler L. R. 21602
 Fox H. 22444 II
 Fraitz Z. 21250
 Francis T. 21615
 Franck B. 20394
 Franck H. G. 22642
 Francois G. 21340
 Frank G. M. 20548
 Frank H. 22368
 Frank H. P. 20842
 Frank R. C. 21109
 Franklin J. R. 21821
 Franzinetti C. 20325
 Fraser R. R. 21545
 Frazier A. W. 20453
 Frei H. 21642
 Freitag R. 22903
 Frensch H. 22553 II
 Fresenius W. 21128 K
 Freshwater D. C. 21722, 21723
 Fretcher K. W. 22603
 Frey R. M. 23290 II
 Frey W. 22022 II
 Frick H. 22466 II
 Fricke A. 23123
 Fricke P. 22957
 Friedburg H. 20338
 Friedel R. A. 22623
 Friedlander S. K. 21706
 Friedrich H. 20333
 Friedrich M. 21946
 Friedrich W. 21610, 21612
 Fries G. 21235
 Frieser E. 23454
 Frishman E. V. 23672
 Frisque A. J. 21110
 Frissell W. J. 23184
 Fritsche O. 21832
 Fritzsche E. 23445
 Fröhlich F. 22036 II
 Frounclian D. 23532
 Frush H. L. 20396
 Fry D. L. 21109
 Fugate W. O. 22369 II
 Fujil N. 21559
 Fujita H. 20843, 23134
 Fujita T. 23595
 Fukker K. 20801
 Fukuto T. R. 22515
 Fuld M. 22904
 Fuller C. S. 20471
 Fuller E. G. 20324
 Fulton R. A. 21943
 Funabashi K. 20356
 Funk K. 22090
 Funt B. L. 21273
 Furlenmeyer A. E. 21630
 Furrer F. 20824
 Fuzzard M. 23257
 Fynn G. F. 21898
 G
 Gabaccia A. J. 21898
 Gabor V. 21626
 Gabrielson G. 20827
 Gahan J. B. 22520
 Gaj B. J. 21511
 Galbiati A. 21887
 Gall J. F. 22744
 Galloway L. R. 22141
 Garcia de la Banda J. F. 20706
 Garcia Guillinta M. J. 21030
 Gardner C. G. 21699
 Gardner B. J. 23612
 Garofano T. 21387
 Garrett E. R. 20684
 Garten V. A. 20823
 Garton F. W. J. 21161
 Garwin L. 21994
 Garwood W. E. 22797 II
 Gary J. H. 21740 II
 Gasperin M. 20461
 Gates J. W. 21510, 21617, 21618
 Gault H. 21346
 Gaume F. 20423
 Gauss W. 22458 II
 Gauthier B. 21562
 Gay P. 20438, 20454
 Gayral R. 22689
 Gdalia J. 21874
 Gealer R. L. 20689
 Geiger W. 21458, 21594
 Geiseler G. 21316
 Geishelmer E. 22609 II
 Geiss W. 23019
 Geister C. H. 23634
 Geller R. 21716
 Gemmill A. V. 23142
 Gentil V. 21216
 Gentles M. J. 21589
 Gentry J. W. 22510
 Geoffroy R. 23055
 Georgantas C. D. 21661
 Gerow C. W. 21534
 Gerrard W. 20909, 21518
 Gersdorff W. A. 22519
 Gesser H. 20725
 Gettig J. H. 21829
 Ghosh S. 20833
 Giacanelli E. 23051
 Giacometti G. 20799
 Gibson E. J. 22293
 Gidwani N. S. 21502
 Giesen J. 23538 II
 Giger A. 23658
 Gilbert J. 20632
 Gilbert P. T. 21778 II
 Gilbert T. W. 21146
 Gillieson A. H. 21961
 Gilman H. 21511—21513, 21523, 21531, 21534
 Gilmont R. 21773 II
 Gilmore M. 21589
 Ginn M. E. 22924
 Ginnings D. C. 20567
 Ginsburg D. 21375
 Giovannini E. 21018
 Gish D. T. 21621
 Givold O. 21490
 Giuseppeppi G. 20938
 Gleim W. K. T. 22354 II, 22362 II
 Glemser O. 21173, 21979 II
 Glier R. 20384
 Gliemann A. 2262 II
 Glucksten M. E. 20690
 Glymph E. M. 23398
 Godet P. 22322 II
 Godin Y. G. 20623
 Godwood S. 22949
 Goedkoop W. 22990
 Goerdeler J. 22376 II
 Goering H. G. 23266 II
 Gohlke R. S. 21370
 Gollav M. 22317 II
 Golshi W. 20652
 Golar P. 22209 II
 Golay M. J. E. 20821
 Goldblitch S. A. 22495 II
 Golden J. H. 21452
 Goldfinger P. 21260
 Goldhaber G. 20325
 Goldhaber S. 20325
 Golding H. G. 21014
 Goldstein A. 21673
 Goldstein G. 21174
 Goldstein H. 22291
 Golub M. A. 23709
 Gombas P. 20330—20332
 Gomes de Faria 22956
 Goncar P. D. 22146 K
 Good R. J. 20544
 Goodwin R. G. 23472
 Gordon G. 21346
 Gordon H. T. 21241, 22529
 Gordon L. 21166
 Gordon M. 22782 II
 Gordon S. 21298
 Gore P. H. 20378
 Gorham J. F. 23507, 23511
 Gornitz K. 22555 II
 Gould D. 21589
 Graham R. C. B. 21929
 Graham W. A. G. 21517
 Graham W. D. 22436
 Gramkee B. 23301 II
 Grangaard H. 23474
 Grant A. F. 22653
 Grant D. F. 20432
 Grant E. H. 20543
 Grassmann W. 23383 II
 Grassmann W. 21564
 Grat-Cabanac M. 20465
 Gray A. P. 21475
 Gray B. F. 20342
 Gray W. R. 22079 II
 Greaney T. J. 22688
 Greathouse L. H. 23599
 Greber G. 23740
 Greco J. 21290
 Green A. T. 22102
 Green H. L. 20855
 Green M. B. 21331
 Green M. S. 20572
 Green N. 22525
 Greenfield I. 22580
 Greenhaus H. L. 21166
 Greenwood C. T. 23717
 Grefsgård B. 20825
 Gregory P. 22547
 Greubel P. W. 23396 II
 Greune H. 22392 II
 Grewe R. 21487
 Greyborn A. 23566
 Grieb W. E. 22251
 Griffith P. 21697
 Griffiths J. E. 20725
 Grigorescu E. 22416
 Grimes D. M. 20585
 Grimm H. G. 23159 II
 Grimme W. 22450 II
 Grindrod J. 23046
 Gringov E. S. 22696
 Grodon A. 22683 II
 Gross D. 21143
 Gross G. 21612
 Gross H. W. 22041 II
 Grovenstein E. 21381
 Gruber A. H. 23625 II
 Grummitt W. E. 20554
 Gruner J. W. 20992
 Grünwald E. O. 22671 II
 Grunwald G. 23159 II
 Gstirner F. 22418
 Guadagni D. G. 23087
 Guillen J. M. 20718
 Guinier A. 20448
 Gultard G. 20972
 Gulbransen E. A. 20699
 Gundersen K. 22926
 Günther R. 22175
 Gupta R. N. 21026
 Gustafsson S. 23025
 Gutbier H. 20360
 Guthrie D. A. 22939 II
 Gutmann H. 21607
 Györfi K. 20788
 Gysin H. 22441 II
 Gysin W. 23377 II
 H
 Haak E. 22366 II
 Haake C. H. 20489
 Haarberg K. 22926
 Haas C. 20478
 Haas G. J. 22989
 Haase L. W. 21877
 Haber R. G. 21651
 Hachihama Y. 23667
 Hädicke M. 22438
 Haering H. 21613
 Haepner F. 20477
 Hagelloch G. 22388 II
 Hagelstein F. 22395
 Hageltorn B. H. 23317 II
 Hahn V. 21472
 Hajós A. 21626
 Haken H. 23379 II
 Hall N. A. 22421
 Hall S. A. 22525
 Hall W. K. 20721
 Haller J. 23215
 Halm L. 22139
 Halter K. 22494
 Haltmeier A. 21746 II
 Hamann K. 23365
 Hamano K. 22099, 22164
 Hamilton J. P. 22688
 Hamilton W. C. 20431
 Hammarström E. 21908
 Hammel G. 23015
 Hammer C. F. 23664
 Hammer M. 23148
 Hammick D. L. 20419
 Hamner W. F. 21864
 Hampel C. A. 21804
 Hampel G. 23042
 Hampton B. L. 21652

Авторский указатель

- Hamrick F. J. 21380
Hancock H. E. 23380 II
Handley R. 21122
Hanle W. 20731
Hannon C. H. 21789
Hansch C. 21477
Hansen P. 23132
Hansen W. C. 23696
Hanslian L. 21914
Hanson W. E. 21056
Haranath P. B. V. 20368
Harding G. F. 23295 II
Hardwick E. R. 20486
Hardy E. 23088
Harfenist M. 22374 II
Harig S. 22247
Harle O. L. 21846
Harper D. 23528
Harris C. M. 20455
Harris E. K. 23111
Harris F. E. 20343
Harris J. O. 23429 II
Harris W. B. 21940
Harrison A. G. 20669
Harrison E. 20436
Harrison S. A. 22320 II
Harsányi K. 21604,
21605
Hart R. 23736
Hart W. F. 23375 II
Härtwig K. 23638
Hartl K. 20943
Hartong B. D. 22990
Hartoulari P. 20688
Hartrodt W. 21391
Hartwimmer R. 22013 II
Hartwright G. 23397 II
Hashmi M. H. 21227
Hass M. 20479
Hassall C. H. 21641
Hassel O. 20457
Hassett N. J. 21700,
21701
Haszcszyński J. 22949
Hata K. 20720
Hathcoate V. A. 21259
Hathway D. E. 21633
Hatoyama G. 20401
Haug R. 23365
Haugwitz O. 21823
Hauk A. 21935
Hauser C. R. 21380,
21395
Hauttmann A. 22192
Hawthorne M. F. 21384,
21520
Hayakawa T. 20813
Hayd L. 23431 II
Haydel C. H. 23599
Hayes G. L. 22792 II
Hayes R. A. 23427 II
Hayward E. 20324
Haywood G. L. 22159 II
Head E. L. 20588
Hearmon R. F. S. 22800
Heath D. L. 22097
Hebberling H. 21837
Heckman H. H. 20325
Heerden P. J. 20491
Heertjes P. M. 21442
Heese B. 22843 II
Hefler J. R. 21689
Hegedüs A. J. 21144
Heidler K. 22905
Heilbronner E. 21296
Hellpern S. 22637
Heimann W. 22881
Heimann-Trosien J.
21429
Hein H. J. 23199
Heine E. W. 22428
Heine R. M. 22428
Heinrich H. 23456
Heinle K. 23347, 23361
Heins A. 21374
Heiss R. 23077
Hejl V. 20848
Helferich B. 21560,
21561
Hellmann H. 21465
Helmholtz K. 23392 II
Helms J. F. 23505
Hemily P. W. 20446
Hemming C. E. 22779 II
Hemsted E. C. E. 22506 II
Henecka H. 21458
Henke R. 23436
Henkel P. 22621 II
Hennig H. 22337 II
Henniker J. 23658
Henry G. 22698
Hepler L. G. 20589
Herbo C. 21106
Herdmenger J. 20934
Herfeld H. 23638
Herington E. F. G. 21091,
21123
Hernaes Marin J. 20706
Herniman P. D. 20561
Herod B. C. 22256
Herout V. 21575
Herráez M. A. 20351
Herre W. 20384
Herscovici I. 22044
Hershberg E. B. 21589
Herz W. 21448
Herzog H. L. 21589
Hess G. P. 21621
Hess R. W. 21898
Hesse G. 21594
Hessen R. 23216
Hetherington A. 21273
Heuberger H. 23568
Hewitt N. L. 23393 II
Heyder W. 21842
Heymes R. 22325 II
Heyne E. G. 23043
Heyne K. 21374
Heyrovsky J. 21099
Herký V. 22094, 22136
Hickinbottom W. J.
21331
Hlendi H. 22108
Hierons C. E. 21675
Higgins H. G. 20650
Higgins T. H. S. 20538
Higuchi J. 20346
Hildebrandt H. 22986
Hilger J. 22443 II
Hill L. R. 22315 II
Hill M. W. 22793 II
Hill R. A. 22151 II
Hill R. K. 21600
Hill T. 20798
Hillard G. O. 22314 II
Hillig F. 23115
Hilpert R. 23333
Hine J. 20671
Hine M. 20671
Hines F. J. 23185
Hinreiner E. 22537,
22541
Hintermeier K. 21451
Hirano S. 21558
Hirone T. 20501
Hirose Y. 21650
Hirschler D. A. 22787 II
Hoare J. P. 20775
Hochheiser S. 21192
Hock L. 23712
Hockett N. W. 23313 II
Hodeau J. 23059
Hodge H. C. 21880
Hodgkinson R. J. 20619
Hodson J. 22098
Hofbauer G. 23481
Hoffmann F. W. 21542
Hoffmann K. 21634
Hoffmann K. 21363,
21629, 21630
Hofmann T. 22902
Hofmann U. 20709
Hofmann W. 21817
Höggberg H. 23189
Hogg J. A. 22481 II
Hojman J. M. 20888
Holler H. V. 21542
Holley C. E. 20588
Hollingsworth R. L.
21922
Holmes D. R. 23675
Holroyd R. A. 20724
Holstius E. A. 22423
Holzmann R. T. 21231
Hölmig H. E. 21843
Honkanen E. 22808
Hooker T. 22026 II
Hopkins G. J. 21895
Hopkins H. J. 22244
Hoppe W. 20430
Horak M. 21575
Hörmann H. 20394,
21235
Hornung W. 21288
Horst H. D. 22332 II
Horwood J. L. 23319 II
Hosch L. 23280 II
Hoskins W. M. 22539,
22542
Hosokawa Y. 20757
Hostálek Z. 20905, 20906
Holtzer A. 23660
Howat G. R. 23073
Howells R. G. 20432
Howland L. H. 23428 II
Hoyle H. R. 21922
Huang K. 20524, 20525
Hubbard A. W. 21850
Huber E. J. 20588
Huber E. J. 20588
Huber M. L. 22364 II
Huber R. 21103
Huber W. 22048
Hubert A. A. 22510
Hübner G. 21305
Hückel W. 21288
Hughes R. L. 23223,
23500
Huisgen R. 21329
Hukuda K. 21248
Hulatt M. J. 20662
Huldt L. 20387
Hull W. Q. 21972
Human J. P. E. 23444
Hunger G. 23495
Hunt E. B. 22124
Huntenburg W. 22805
Hush N. S. 20782
Hussein Sadek 20682,
20760
Hutton C. O. 20984
Hwang Ho Chien 21574
I
Ianssen C. 21796
Ichtye T. 21059
Ihnatowicz A. 22620
Ilinski M. 22597, 22598
Illman J. C. 22786 II
Imai S. 23595
Imamura M. 20730
Indelli A. 21844
Ingles O. G. 22630
Inhoffen H. H. 21429,
22318 II
Inghram M. G. 20592
Inghram T. R. 20863
Inouge Y. 21558
Ionescu A. 23137
Ipatieff V. N. 21977 II
Irish G. 22787 II
Isbell H. S. 20396
Isebaert 22987
Isler O. 21606 — 21609
Imallzade I. G. 20476
Isa I. M. 20776
Itoh F. R. 21311
Ivanoff D. 21575
Ivanova M. I. 23687
Ivin K. J. 20758
Ivy W. R. 23584
Iwamoto H. 21248
Iwasaki M. 23659
Izgaryshev N. A. 20781
J
Jack H. R. 22177
Jacklin A. G. 21637,
21638
Jacks H. 22546
Jackson J. 21312
Jackson J. M. 20766
Jackson J. O. 21841
Jacob L. N. 21863
Jacobelli Turi C. 22582
Jacobi B. 23271 II
Jacobs M. B. 21192,
22568, 22574, 23017,
23147
Jacobs W. A. 21598
Jacobson M. 21655
Jacoplan V. 23487
Jacqué L. 23658
Jacquignon P. 21398
Jaeger 22119
Jaeger M. 20461
Jäger E. 20942
Jagitsch R. 22166
Jahn A. 21579
Jámbor B. 20706, 20711
James C. 21816
Jamieson R. S. P. 21867
Jander G. T. 21128 II
Jann K. 21503
Jansen E. 22485
Jansen E. F. 23087
Janssen C. 21867
Janssen H. J. 23599
Janssen A. L. 23499
Jarabin Z. 21096
Jaraman K. S. 23032
Jarvis R. L. 21267
Jarvis N. L. 21015
Jaswon M. A. 20520
Jayaraman K. S. 23030
Jayme G. 23476, 23495
Jedlicka H. 23304 II,
23326 II
Jeffrey G. A. 20459
Jehle K. 23448
Jenkins D. S. 21862
Jenness J. R. 23363
Jenny A. K. 22040 II
Jenny R. 22704
Jensen K. D. 20960
Jentoft R. E. 21064
Jepson C. H. 21684
Jernejčić J. 20634
Jeskey H. 21396
Jewitt T. N. 21029
Jira W. 21329
Jobling A. 23177
Jochmann F. 22191
Jogwich A. 21670
Jöhl A. 21630
Johns R. B. 21645, 21646
Johns W. F. 21578
Johnson E. W. 21311
Johnson I. 20371
Johnson J. B. 21229
Johnson M. L. 23610
Johnson P. H. 2278
Johnson W. B. 22747
Johnson W. S. 21576
Johnston H. N. 23517
Jonas H. 22551
Jones B. W. 22682 II
Jones E. 22586
Jones E. I. 23278 II
Jones R. G. 21523
Jones R. H. 22793 II
Jones R. H. 22517
Jong J. 22179
Jongen F. K. G. P. 22911
Joppen R. 22008 II
Jordan J. E. 20359
Jordan P. 20701
Jordan R. C. 23115
Jorgensen R. C. 21982
Joris G. G. 22842 II
Joshi C. G. 21438
Joshi R. G. 22919
Jost K. 23282 II
Jost W. 22038 II
Juchniewicz R. 21851
Judd B. R. 20334
Juhász Z. 22086
Jully C. 22675 II
Jungers J. C. 20674
Jureček M. 21184

Авторский указатель

K

- Kabin S. P. 23691
Kabisch G. 22554 II
Kadkol S. B. 23052
Kadlec K. 21917
Kadmer E. H. 22757
Kagawa I. 20840
Kahl W. 21832
Kahle B. 23677
Kaitu Y. 20382
Kaiser A. 23001
Kaischa K. K. 22435
Kajanne P. 22808
Kalafus E. F. 23430 II
Kalashnikov O. P. 20557
Kalinowski B. 22683 II
Kallias H. 23250
Kalousek G. L. 22246
Kambara T. 20769
Kaneke K. 20757
Kantor S. W. 23264 II
Kappeler H. 21630
Kappanna A. N. 20779
Karcsewska H. 22831
Kärnbach K. 22994
Karnes H. F. 23625 II
Karrer P. 21596
Kartha A. R. S. 22880
Kasryński A. 23440
Kato Y. 20522
Katsourannis G. 21621
Katti M. R. 20366
Katz A. 22573
Katz J. J. 21219
Katz T. 21542
Katschmann E. 22844 II
Kaufmann H. P. 22875
Kauw G. 20556
Kehrie J. 21634
Keefe J. H. 21988
Keeney P. G. 23118
Kehoe B. B. 20466
Kelenburg F. 21759
Kellam B. 23180
Keller B. L. 23471
Keller J. M. 20316
Kelley R. J. 20689
Kemball C. 21289
Kemp N. W. 23078
Kemula W. 21243
Kendall F. E. 22209 II
Kepner R. E. 23002
Kepple C. G. 23329 II
Kerk G. J. M. 21532
Kern W. 23785
Kersten R. C. 22698
Kerth M. 23618 II
Ketelaar J. A. A. 20478
Ketteri H. 23354
Keulemans A. I. M. 21132 K
Kevei J. 20786
Khalafalla S. E. 20802
Khalifa H. 20776
Khashinskaya G. N. 20815
Khomakov V. G. 20781
Khomutov R. M. 21514
Kida H. 21719
Kiebasinski W. 23440
Kiermeier F. 23120
Kiger 23169
Kijewska A. 22635
Kilroe S. T. A. 21500
Kimura K. 20361
Kimura K. 20840
Kimura M. 20361
Kinase W. 20522
King F. E. 21622
King J. A. 23079
Kinne M. R. 23518
Kinnory D. S. 21290
Kinnunen J. 21172
Kipping F. B. 21364
Kirberg R. 23252
Kirilyuk S. S. 20748
Kirk J. S. 23635
Kirkpatrick W. H. 22776 II
Kirkwood J. G. 20573
Kirmis A. 23622 II
Kirmann A. 20797
Kirsch H. 22664
Kirsop B. H. 22985
Kirst W. E. 22364 II
Kisbán F. K. 20796
Kishimoto A. 20843
Kishimoto A. 23134
Kiss A. 20374—20376
Kiss-Kocsisné Bányai M. 20948
Kiszel J. 20786
Kitahonoki K. 21378
Kitamura K. 20757
Kittel 23335
Kittrell F. W. 21903
Klučkola K. 20785
Kivalo P. 20791
Kivelson D. 20418
Klaus K. 23477
Klausch W. 23355
Klavehn W. 22455 II
Klein J. 21402
Klein W. A. 21369
Kleine J. 23288 II
Kleine-Peter M. 20797
Kleinert T. N. 23479
Kleis J. 21489
Klejnot O. 22007 II
Klemm K. H. 23466
Kleppa O. J. 20593—20597
Kleschevnikova S. I. 20857
Klimova N. A. 22167
Kline O. L. 22410
Klinkiewicz F. 23558
Klinzner H. 23256
Knappe B. J. 21442
Kneller J. F. 21371
Knollenberg R. 22900
Knopp E. 22760
Knudsen M. V. 22814
Kobe F. X. 23074
Kobe K. A. 22305
Kobrová M. 21067
Kobryner W. 23412
Koch R. 22501 II
Köchel F. 22425
Koeber A. 22328 II
Koehler W. F. 20336
Koenen K. 23116
Köhle H. 21885
Kohler A. S. 22046
Köhler H. 20754, 20755
Köhler W. 21831
Kolzum M. 20382, 20730
Kojima R. 23659
Kokes K. 21169
Kokes R. J. 20721
Kolling H. 22934 II
Kollonitsch J. 21626
Kolobielski M. 21323
Kolos W. 20348
Kölsch W. 22311 II, 22316 II, 22317 II
Kolthoff I. M. 21102
Komzak A. 21597
König R. 23219
Koningsberger V. V. 20685
Konkoly Thege I. 21144
Konopicky K. 22120
Kontnik B. 21232
Kool J. 21964
Kopka G. 22101
Köpnick H. 21487
Koppe V. 21429
Köppen R. 21892
Kopple K. D. 21616
Kopycinski B. 22242
Korbanka H. 23202
Korenman I. M. 21081
Korhonen U. 20447
Koroleff F. 20912
Korolev D. F. 21005
Körösi J. 21605
Korovina G. V. 20678
Korsak W. W. 23742 K
Körting A. 22816
Körting W. 22144 K
Koshar R. J. 21542
Kosmaenko J. 23596
Kossel W. 20507
Koster W. R. 21662
Kotrid-Hapalova M. 22991
Kottler A. 22465 II
Kovacs A. J. 23686
Kozak R. 22237
Kozlorowski B. 21868
Kozlow N. S. 21485
Kozlovsky M. T. 21098
Kozlovski Z. 23080
Kozminykh O. K. 21485
Kraczkiewicz T. 21232
Krainov E. P. 20386
Králík I. 20801
Krall F. 22023 II
Kratzl K. 23481
Kraus C. 21425
Kraus C. 23420
Kraus H. 21824
Krause A. 20713, 20714, 20716
Křeček V. 21932
Kreis W. 21591, 21592
Kreith F. 21671
Krekel G. 22839 II
Krell F. 21302
Krestovnikov A. N. 20618
Krevelen D. W. 22622
Kriegee R. 21333
Kriegsmann H. 20400
Krishna Murti G. S. R. 20460
Krishnan R. S. 20542
Krishnan T. S. 23632
Krivan P. 20947
Kroh J. 20485
Krohn R. 21969 II
Kröhnke F. 21486
Krone W. 22363 II
Kronsbein W. 22240
Kropa E. L. 23296 II
Kröper H. 22351 II
Krotova N. A. 20806
Krueger H. R. 22518
Krüger G. 21640
Kruglikov S. S. 20781
Krumhardt E. 22429
Krumholz P. 20676
Krupka G. 22489 II
Kruppa W. J. 22653 II
Krylova T. A. 23691
Krzeminski J. L. 22723
Kubát J. 23491
Kubo M. 20361
Küdelä V. 22629
Kudrass K. 22117
Kuhn R. 21556, 21640
Kuhn W. 20551
Kühne R. 22393 II
Kühnhanes G. 22304, 22373 II
Kühnl H. 23199
Kulper H. 20338
Kukal Z. 21006
Kukurs O. 22188
Kulesza J. 22279 II
Kulkarni A. B. 21438
Kölz F. 22452 II
Kumins C. A. 23385 II
Kumiller R. W. 23511
Kummer W. 21479
Kunda W. 22004
Kuntze M. 22438
Kunz A. 22964
Kunze F. 21949
Kurdumov G. V. 20548
Kurdowski W. 22230
Kurilshikova G. E. 20987
Kuroda P. K. 20932
Kurosawa T. 20472
Kurtz P. 22334 II
Kurze F. 23542 II
Kussakov M. M. 20850
Kutsev V. S. 20590
Kuttanová-Korešova V. 22112
Kuznetsov V. I. 21089
Kuznetsova A. A. 23680
Kyri H. 22019 II
Kyslinger V. 22915
Kyzlink V. 23027
Lagally P. 23541 II
Lagerqvist A. 20387
Lagrange R. 20996
Lagrenaudie J. 20490
Lahiri A. 22624, 22626
Lahiri K. C. 22633
Lahocinski Z. 22702
Lahr H. R. 22133
Laidler K. J. 20744
Laird D. M. 23612
Lal G. 22954, 23092
Lamb F. S. 21770 II
Lambert A. 22346 II
Lambert P. 21340
Lamberts J. 21235
Lambin S. 22399
Lampitt L. H. 20729
Landau R. 22310 II
Landgraf G. F. 21957 II
Landrum B. F. 21336
Lane G. A. 20550
Lane T. J. 20756
Lane W. 20855
Lange G. 21362
Lange W. H. 22512
Langer K. 22018 II
Langermeersch A. 22781 II
Langford K. E. 21212 K
Langford P. B. 20671
Langhans H. 22344 II
Langworthy E. M. 22305
Lániková J. 23719
Lanz W. T. 22732
Lapoujade P. 22139
Lappala R. P. 23182
Lappert M. F. 21518
Larivee J. W. 23489
Larsen B. N. 23428 II
Larsen E. M. 21277
Larsen E. R. 21542
Larson P. R. 21966
Larson V. L. 23193
Lasarev V. B. 20807
Lashua S. O. 21453
Lat J. 23128
Latinak J. 21237
Lauer W. 23724
Laune J. 20395
Lauras P. 22698
Laurien H. 22667 K
Lautie R. 22771
Lavorel J. 20381
Lavrov I. V. 22089
Lawson A. W. 20581
Lawson P. 23467
Lawton E. J. 22710
Lazarlew A. I. 23372
Lea K. R. 23285 II
Leandri G. 21405, 21415, 21418, 21433, 21509
Leary R. F. 22783 II
Lebbe J. 21185
Le Bras J. 23414
Lechat P. 21397
Lecznar P. 22001
Leddý J. J. 21277
LeDizet L. 21555
Lee H. 23259
Lee R. E. 21685
Lee T. D. 20524
Leffler J. E. 20665
Lefrançois P. A. 22778 II

Авторский указатель

- Leftin H. P. 20761
Le Goff P. 20702
Legrand C. 23674
Lehmann H. 22010 II
Lehn W. L. 21476
Lehr J. R. 20453
Leithe W. 21128 K
Leitner A. 21692
Lennartz W. 23316 II
Lensen H. A. 22670 II
Le Ny G. 21410
Leonardi G. 23725
Lepetit S. G. A. 22453
Lepingle M. 22106
Lepper J. 21854
Lerat R. 23155 II
Le Roy D. J. 20660
Lesbre M. 21533
Leicot E. 21445
Lessenich H. 21373
Lettenbauer G. 21594
Lettre H. 21579
Lever A. E. 23175, 23176
Levine R. 21482
Levshin V. L. 20257
Lewis 23693
Lewis A. D. 21411
Lewis C. H. 22653
Lewis J. B. 21721
Lichtarowicz A. 21647
Lichtin N. N. 20750, 20761
Liebenow W. 21508
Lieber H. 21505
Liedholm G. E. 22721
Liðneweg F. 21760
Liðthen O. 22308 II
Ligett W. B. 22367 II, 22562 II
Lillelund H. 21504
Lillienkiold M. 22492 II
Lim S. C. 20803
Limontschew W. 22801
Lincoln F. H., Jr 22481 II
Lindberg J. J. 23482
Linden H. R. 22705
Linder A. 22813
Lindemann H. 21986
Lindemann M. 22997
Lindemark O. 22419
Lindlar H. 21608
Lindorf H. 21757
Lindsey A. S. 21396
Lindsten D. C. 21879
Lindsten D. G. 21879
Linhard M. 20373
Link K. P. 21440
Linsley E. G. 22540
Linstead R. P. 21645—21647
Lintner J. 22312 II
Lipenský J. 23065
Lipka H. 22897
Lippincott E. R. 20420
Lipski J. 22599
Lisaner A. 20772
List F. 22356 II
Liteanu C. 21131 K
Littmann E. 22323 II
Llewellyn D. R. 21317
Lloplis J. 20718
Loc T. B. 21437
Lock J. M. 20584
Lock L. C. 23145
Lockhart M. C. 22488 II
Loev B. 21385
Löfl K. 22993
Logvinenko N. V. 21011
Longi P. 23701
Longone D. T. 21367
Loof H. G., W. Pohl 22974
López Caballero A. 21876
López-Oña J. M. 22946
Loprest F. J. 20617
Lord R. C. 21252
Lorean M. 22958
Lorenz R. 21458
Lorenz V. 22849 II
Los J. M. 20677
Lossing F. P. 20659
Lott P. F. 21157
Loughnan F. C. 21014
Lovely W. G. 22526, 22527
Loving J. M. 23484
Low W. 20503
Lowther L. H. 21282
Lu F. C. 21929
Lüben R. 22934 II
Ludemann W. D. 21239
Luey A. T. 23512
Luijten J. G. A. 21532
Lund G. V. 23605
Lundberg W. O. 22878
Lunkin Y. P. 20575
Lunt S. T. 21751
Luossavaara-Kuruna-vaara A. B. 21734
Lupan S. 20286
Lur'e L. A. 20812
Lüscher E. 20318
Luszcowski J. 20485
Lutsenko I. F. 21514
Luttinger J. M. 20525
Lutz A. 22466 II
Lu Valle J. E. 20766
Lynch J. F. 21858 II
Lyons C. J. 23499
Lyons S. C. 23529
Lyons T. D. 21245
- M**
- McCaleb K. E. 22320 II
McCallum K. J. 20734
McCarty S. 20560
McClellan W. D. 21943
McCoy R. E. 21370
McCubbin T. K. 21252
McEwen W. E. 21519
McGrath H. C. 22345 II
Maciuko J. 22285
McKay J. F. 23269 II
McKee F. J. 21906
McKee R. H. 23535 II
McKeever C. H. 21354
McKenzie J. P. 23401
McKenzie R. M. 21023
McKnight W. H. 23510
McLamore W. M. 22440 II
McLaughlin P. J. 23509
MacMillan J. 21439
McMillan W. G. 20654, 20486, 23554
McMillan W. R. 20699
MacMillin R. B. 22043
Madden W. F. 21289
Maddock A. G. 20687
Maddock R. S. 21120
Madgwick G. G. 21883
Madsen H. F. 22522
Maeder H. G. 23516
Magee E. M. 20656
Magee J. L. 20356
Mager A. 20883
Magerlein B. J. 22451 II
Mateescu F. C. 20458
Magnus G. 21482
Maguire M. H. 21543
Mahendroo P. P. 20546
Maimind V. I. 21328
Malne P. A. D. 20377
Maloli L. 21405
Mair W. N. 21278
Malsel D. S. 22783 II
Malsner H. 22791 II
Major J. 23685
Majumdar K. 20365
Maklestova N. V. 23661
Maksimović M. 23058, 23063
Makus Z. 22867
Malanowski Z. 21868
Malikus Z. 23143
Mallatt R. C. 22782 II
Malone J. F. 23224
Malykh E. V. 21125
Maltsev A. K. 20764
Mandal D. 22383
Mandler H. 23173
Manfield H. G. 23213
Manfredini A. 20325
Manganelli R. M. 21894
Mangini A. 20379
Mann F. G. 21541
Mann R. L. 21614
Manneck H. 22907
Manning D. L. 21174
Manford R. E. 21822
Manunaplehu K. 21441
Marbet R. 21608
March R. B. 22515
Marcollini R. 23187
Marcus R. A. 20723
Marcuse R. 22879
Mareš V. 21748 II
Marbet M. 23530
Marler P. 20863
Marinero A. T. 22071 II
Marinescu M. 20287
Marín-Górriz A. 21713
Markas S. E. 21724
Marks H. 21859 II
Marlett E. M. 21056
Marsden D. G. H. 20659
Marshall D. D. 23432 II
Markell W. G. 22662
Martianov N. N. 20963
Martin C. 22400
Martin E. C. 23145
Martin G. A. 21523
Martinette M. 20900
Martinez Moreno J. M. 22893
Marvel C. S. 23726
Mašek A. 23119
Maslov P. G. 20385
Maslov Y. P. 20385
Mason E. A. 20359
Mason R. B. 22050
Massengale J. T. 21385
Masson R. 22355 II
Massy-Westropp R. A. 21576
Mast G. W. 22490 II
Mastagli P. 21340
Mataga N. 20382
Mat'aš M. 22909
Mateescu M. 23203
Materova E. A. 20828
Mathew E. C. 23631
Mathewson J. S. 22823
Mathieu M. 20395
Mathot V. 20574
Matossi F. 20737
Matsuo H. 23678
Matsushima Y. 21559
Matsuura K. 20401
Matsuura T. 21632
Matthews J. B. 22762
Mattila A. 22431
Mattyasovszky-Zsolnay L. 22095
Mauri L. 22918, 23628
Maxwell J. B. 20607
Maxwell-Cook J. C. 22265 K
Mayer R. P. 21332
Mayer S. 22151 II
Mayuranathan P. S. 21516
Mazee W. M. 20611, 20612
Mazumdar B. K. 22624
Mazur Y. 21586
Mazzanti G. 23701
Meade E. M. 22328 II
Medvedev S. S. 23661
Meeberg N. V. D. 22896
Mehrotra C. L. 21026
Mehta T. N. 22351
Mein R. K. 21292
Meinke W. W. 21120
Meinwald J. 21574
Meinwald Y. C. 21365
Meinix R. 23035
Melsaner H. P. 21998
Melsaner W. 22282
Meltes L. 20792
Mekenitskaya L. I. 20850
Mekhtiev S. D. 21368
Melchior H. 21280
Meltzer R. I. 21411
Menčík Z. 23719
Mendizza A. 21855
Menis O. 21174
Menn J. J. 22529
Menon V. S. 22948
Mention M. 22322 II
Menzies R. J. 22821
Merchant J. R. 21389
Merkle K. 21564
Merrell J. C. 21896
Merten T. F. 22154 II
Mertens A. 20912
Merz A. 23218
Merz K. W. 21390
Merz R. C. 21896
Mesrock S. L. 21571
Metcalf A. D. 22914
Metcalf R. L. 22515
Metzner W. P. 23429 II
Meurer E. 20789
Meyer A. S. 21146
Meyer E. V. 22245
Meyer F. O. W. 22346
Meyer H. 23493
Meyerhans K. 23212
Meysenbug C. M. 23178
Michalski P. 23492
Michaud H. 22375 II
Michel G. H. 22487 II
Michel W. 22049
Michels A. 20540
Micka K. 20794
Mickleby H. S. 21998
Middleton A. W. 23679
Miduno Z. 21248
Mielecki T. 22620
Mierzecki H. 22593 II
Migeon A. 22161 II
Miholić S. 21046
Mikhailov G. P. 23601
Mikijelj D. L. 22844, 22908
Mikkelsen V. M. 21993
Millazzo G. 20600
Millage D. R. 22078 II
Millane J. J. 23190
Miller E. 22337 II
Miller G. L. 21968
Miller J. F. 22767
Miller J. I. 21239
Miller J. M. 22662
Miller L. A. 22511
Miller N. 21255
Miller P. E. 21510
Miller R. C. 20411
Miller R. H. 22028 II
Miller S. 22815
Miller S. E. 22479 II, 22480 II
Milligan W. B. 21771 II
Millington J. E. 21545
Mills M. R. 22385
Milman M. 20735
Milner D. C. 23708
Milton G. M. 20554
Milun A. J. 21168
Mina F. A. 22402
Minter C. C. 21755
Miranda V. L. A. 23091
Mireau E. C. 23233
Mirone P. 21181
Miskidjyan S. G. 20108
Miskus R. P. 22539, 22540
Mistretta V. F. 23346 II
Mitchell L. C. 22532
Mitlin N. 22519
Mitra A. 23338
Mitsuhashi K. 23134
Mitton M. 23612
Mizuno G. R. 22878
Miyahara Y. 20545
Möbius E. 22363 II
Mod R. B. 20459
Modic R. 21625
Moelwyn-Hughes E. A. 20320
Moffitt W. 23656

Авторский указатель

- 571 Moghadame P. K. 21287
 914 Möhle H. 20260
 516 Möhler E. 21958 II
 3429 II Möhler E. F. 21803
 6 Mohr W. D. 21684
 5 Mohr W. J. 22274 II
 22500 Molaison L. J. 22855
 Moldanov V. V. 20557
 Moldovan A. 23734
 Moldovan F. 23016
 23170 Möllenkamp H. 21409
 492 Möller R. 21391
 75 II Möllin J. 20798
 22407 II Moltom E. 20938
 40 Montar El-Gindy M. 23061
 4 Monchick L. 20356
 1998 Monorleff R. W. 22569
 7, 22970 Moncuit de Boiscuille J. M. L. 22153 II
 48 Monkemeyer K. 22313
 593 II Monnier D. 21118
 II Monroe G. S. 21977 II
 46 Montarnal R. 20657
 23001 Montavon M. 21606—
 22864 21009
 M. 21008 Montgomery R. 21566
 500 Monsini A. 23066
 22976 II Moody L. 22793 II
 23190 Moore C. B. 20853
 7 II Moore H. R. 23362
 968 Morávek J. 21552
 767 Morgan C. Z. 20712
 239 Morgan J. H. 21853
 962 Morgan P. 23262
 2511 Morin F. J. 20471
 5 Morimoto H. 21656
 1510 Morinaga K. 20793
 9411 Morken D. 21880
 22020 II Morley M. J. 21694
 815 Morozova L. P. 20806
 22470 II Morren H. 21457
 1, 21771 II Morris D. F. C. 20350
 E. 2153 Morris S. K. 21292
 5885 Mortimer F. S. 20417
 0735 Mosch W. 22148 II
 23708 Moschel W. 22019 II
 20554 Moser H. 22084
 21188 Moser H. 23698
 22402 Mosinsky M. 20322
 21755 Mosko S. W. 20328
 L. A. 20001 Mosqueda Suarez A. 23062
 23230 Mosmann R. A. 20694
 21181 Mountwalla A. J. 21389
 G. 20710 Mouren H. 21185
 22539, 22440 Movcsyan M. E. 20591
 F. 23364 II Meyer J. D. 20396
 C. 22532 Meyer R. G. 22766
 1519 Mroczkowska Z. 21238
 1335 Mückter H. 22485 II,
 K. 23134 22498 II
 3612 Müdd J. S. 23358
 22878 Muench K. 21600
 20545 Müllat P. C. 23441
 2363 II Mukherjee H. G. 21141
 0458 Mukherjee P. N. 22626
 1625 Mukherji S. L. 21480
 ghes E. A. Muldrow C. N. 20589
 23656 Mullen W. G. 23547 II
 Müller H. O. 22418
 Müller J. 22157 II
 Walker K. 23080
 Müller R. 22531
 Müller U. 22185
 Mulley B. A. 22914
 Mullhaupt J. T. 20726
 Mulvaney J. E. 21542
 Munro D. C. 21100
 Munshi A. G. 21481
 Murata K. J. 21053
 Murata N. 21350
 Murdock G. A. 20790
 Murin A. N. 20547
 Murray M. D. 20458
 Murthy S. 20366
 Murty T. S. 20533
 Murzeau G. 23004
 Mussell D. R. 22561 II
 Mustea I. 23636
 Muus L. T. 23664
 Muxfeldt H. 21429
 Myasnikova G. A. 20815
 Myers H. C. 22785 II
 Myers H. P. 20504
 N
 Nabenhauer F. P. 22471 II
 Nachtigall E. 21807
 Nack H. R. 23391 II
 Nadj M. K. 20834
 Nagele S. K. 21459
 Nafziger G. A. 22027 II
 Nagakura S. 20414
 Nagakura S. 20463
 Nagakura S. 21378
 Nagao H. 23684, 23698
 Nagasawa M. 20840
 Naghski J. 22970
 Nagorsky M. P. 21013
 Nagy Z. 21038
 Naik R. M. 21389
 Nakamura T. 20522
 Nakayama M. 21819
 Nanda R. K. 20875, 21159
 Nandi U. S. 23695
 Nanjundayya C. 23552
 Narasimham N. A. 20370
 Narayanan P. S. 20542
 Narayanaswamy C. K. 20542
 Nargund K. S. 21481
 Nassenstein H. 21294
 Natarajan R. 22439
 Nath A. K. 22859
 Natta G. 23701
 Naujoks E. 23446
 Nauta W. T. 22434
 Navellier P. 23024
 Naves Y. R. 21570
 Navrátil M. 21932
 Nayudamma Y. 23630,
 23632
 Nazaro R. T. 23501,
 23503
 Neel G. H. 23156 II
 Neel J. K. 21895
 Neely R. 21468
 Neiman M. B. 20548
 Nelson J. P. 21188
 Nelson R. C. 20736
 Nelson W. L. 22734
 Němečková A. 20798
 Nerheim A. G. 21304
 Nernst C. 23057
 Nesmeyanov A. N. 21514
 Neubauer G. 21409
 Neuenschwander P. 22838
 Neugebauer G. 22613 II
 Neumann G. 22584
 Neuss J. D. 22410
 Neuyl L. 21406
 Neuwirth R. 20914
 Neuworth M. B. 22682 II
 Neveu C. 21401
 Neville K. 23259
 Neville R. G. 20892
 Newman L. L. 22651
 Nicholls C. M. 21963
 Nicholls G. D. 21202
 Nichols P. L. 23226
 Nickell E. C. 22878
 Nicolaus R. A. 21644
 Nicoletti R. 21644
 Niéderhauser J. P. 22386
 Nielsch W. 21861
 Nielsen D. R. 21519
 Nielsen K. E. C. 22245
 Niemann C. 21400
 Nienburg H. J. 22316 II,
 22317 II
 Niewiadomski C. 21790
 Niewiadomski H. 22899
 Niggli E. 20942
 Nightingale E. R. 21102
 Nikuni Z. 21651
 Nilason G. 21810
 Nilsson G. 23108
 Nilsson M. 21643
 Nimmo C. C. 23087
 Ninomiya K. 20843
 Nitta I. 23673
 Noack J. 20783
 Noe J. R. 22520
 Nolan J. 23232
 Noland W. E. 21371
 Nöldeke G. 20339
 Noll K. 21333
 Noltes J. G. 21532
 Norell K. T. 21749 II
 Norman J. J. 21547
 Norrish P. E. 21818
 Norton F. J. 21704
 Nossen E. S. 22030 II
 Nouri F. 22660
 Novikov A. S. 23690
 Novruzova A. S. 21368
 Nowakowska J. 22279 II
 Nozoe T. 21573
 Numerof P. 22410
 Nuret H. 23047
 Nüssel H. 22726
 Nuttall J. M. 22758
 Nygård J. 22241
 Nystén H. 23513
 O
 Oakley H. T. 21303
 Oberzill W. 21878
 Oblój J. 22889
 O'Brien E. J. 22014 II
 Ocepren D. 22639
 O'Connor R. T. 20458
 Odenrantz F. K. 20336
 O'Donoghue M. D. 21414
 Odor C. 22703
 Oelsner G. 20558
 Oelsner G. 21795
 Ogata M. 21573
 Ognjanoff I. 21575
 Ohloff G. 21569
 Ojczyński Z. 21313
 Okamura I. 23684
 O'Keefe G. 20506
 Olab A. 22809
 Oldenroth O. 22921
 Oldshue J. Y. 21681
 Olejnik G. 20713
 Oliver G. L. 21510, 21617
 Oliverio A. 21386, 21387
 Ollinmaa P. J. 22790
 Olmer P. 20439
 Olson L. E. 23726
 Onaka R. 20340
 O'Neill G. J. 21544
 Ono M. 22178
 Onodera K. 21558
 Ooteyev D. O. 20983
 Oosterloo G. 21409
 Opfermann A. C. J. 22449 II, 22595 II
 Opitz G. 21465
 Opreacu N. 23203
 Oransky R. L. 23543 II
 Orcei J. R. 20968
 Orlovsky N. 22689
 Ormont B. P. 20590
 Ornella L. F. 20690
 Orochena S. F. 21363
 Ortega J. J. 21293, 22774
 Orth J. 22243
 Osborn O. 21852
 Osborne M. J. 23485
 Osman M. G. 22081 II
 Oster G. K. 20723
 Osthoff R. C. 23264 II
 Ostrowský Y. I. 20335
 Otis B. 23469
 Otto F. P. 22794 II
 Overbeek J. T. G. 20685,
 20844
 Owe Berg T. G. 21785
 Owen L. N. 21360, 21361
 Owens O. O. 21540
 Oyen F. 21922
 Ozal-Durrani A. K. 23151 II
 Ozawa S. 20840
 Ozegowski W. 21613
 P
 Pachaly H. 22347 II
 Packman L. 22071 II
 Packter A. 20614
 Page R. 21659
 Page W. B. 21870
 Pakshwer A. B. 23687
 Paladi R. 20883
 Paley P. N. 21467
 Palfreeman H. 22346 II
 Pallotti M. 21415
 Pallotti M. 21433
 Palmer G. H. 22289 II
 Panchenkova G. M. 20557
 Pancherz H. 23311 II
 Pandya T. P. 20649
 Pandya Y. L. 22873
 Pani S. 20880
 Pankoke K. 23546 II
 Pannetier G. 20688
 Papazian L. A. 23666
 Papesch E. 22840
 Papoušek D. 20746
 Pappas A. C. 20552
 Pappo R. 21578
 Parcels C. 22716
 Parent J. 21736 II
 Parfenova E. I. 20990,
 21024
 Parlaud J. C. 20874
 Parker P. T. 22314 II
 Parker S. H. 21321
 Parkhouse D. 21865
 Parkison R. V. 23488
 Parsons J. L. 23515
 Parthasarathy S. 20546
 Pascu M. B. 20939
 Pasquariello E. 23725
 Passerini R. 20379
 Passino H. J. 23270 II
 Pasternak H. 22916
 Patel S. A. 22863
 Patil B. S. 20366
 Patnaik B. 20890
 Pattison E. S. 22895
 Pattison F. L. M. 21544—
 21547
 Patton S. 23118
 Pátý L. 21261
 Paul S. D. 21234
 Paulech J. 20604
 Paulson K. E. 21542
 Pavel M. P. 20626
 Pawliw J. 22238
 Payne C. J. 20937
 Payne J. W. 21750 II
 Payot P. H. 21351
 Peacock G. S. 23510
 Pearce C. A. 21518
 Pearl I. A. 23480, 23483
 Pearson R. W. 23408
 Peattie C. G. 21165
 Pechet M. M. 21589
 Pechukas A. 22028 II
 Pecljak F. A. 20559
 Peck R. L. 22234
 Peckham W. D. 21629
 Pedersen V. 22417
 Pederson C. J. 23617
 Pell E. M. 20620
 Pelletier S. W. 21598
 Pellett P. L. 23032
 Pelnáť R. 21924
 Peltonen R. J. 22833
 Penick J. E. 21750 II
 Penkin N. P. 20335
 Pennels N. E. 22718
 Peppard D. F. 20560
 Peredarij I. A. 22226
 Perez M. 22067
 Perk C. G. M. 22959
 Perkampus H. H. 20754,
 20755
 Perkins D. H. 20325
 Perkow W. 22513
 Perlman P. L. 21589
 Perquis M. T. 20549
 Perrin D. D. 20751
 Perry E. S. 21741 II
 Person W. B. 20393

Авторский указатель

- Persson V. 22813
 Peahkova V. M. 21105
 Peter R. 22977 II
 Peters E. D. 22766
 Peters H. 21948
 Peters L. 23160 II
 Peters L. 23563
 Peters R. H. 23575
 Petersen C. E. 22488 II
 Petersen S. 22458 II
 Peterson P. E. 21400
 Peterson W. H. 22761
 Peticolas W. L. 23664
 Petitjean M. 20911 II
 Petr V. 22213
 Petrakovich V. E. 20678
 Petříček D. 22988
 Pevzner R. L. 22089
 Peyrot P. 21217
 Peyrot P. P. 23623 II
 Pezold H. 22881
 Pfeaffle W. O. 22521
 Pfeiffer R. K. 22547
 Pfeil G. 23237
 Phifer L. H. 21223
 Phil D. 23413
 Phillips G. 22643
 Phillips R. J. 22720
 Picha F. 21913
 Pickett R. L. 22611 II
 Pieris W. I. 22543
 Pierrot R. 20972
 Pieski E. T. 23664
 Pietiläinen L. 22748
 Pietramellara P. 22565
 Pietsch R. 21090
 Piha P. 22748
 Pilcher G. 21281
 Pinder J. A. 20660
 Pines A. N. 22343 II
 Pines H. 21323, 21324, 22358 II
 Pingale S. V. 23052
 Pino P. 23701
 Pinto S. 23331 II
 Pinto Coelho F. 20687
 Pipilen A. P. 22651
 Piquett P. G. 22519
 Pire B. 22632
 Piratzky W. 22996
 Piret E. L. 21730, 21752
 Pirner G. 23120
 Pirot E. 23460 II
 Pistor J. 22311 II
 Pitts J. N. 21133 II
 Pitzer K. S. 20358
 Placito P. J. 20419
 Plaksin I. N. 20815
 Planchon M. 20395
 Plapinger R. E. 21540
 Plauth D. 21390
 Pletke K. 23364
 Pleningner H. 21454
 Pliva J. 21575
 Plöthner D. 22984
 Pobeguin T. 20996
 Počtová Z. 22239
 Poelmans M. 20395
 Poggi Pollini A. 23357
 Pohl F. A. 21169
 Pohlmann H. 22392 II
 Pokrovsky J. E. 20857
 Polak E. H. 22590 II
 Poland J. F. 21048
 Polański A. 20913
 Pollack A. 21813
 Pollard C. B. 21502
 Pollard E. F. 22855
 Pollock J. R. A. 22985
 Polsky J. W. 21862
 Pólyik E. 21038
 Pommer H. 22342 II
 Pompeo D. 21771 II
 Pond R. B. 20436
 Pool R. A. H. 20598
 Poole J. P. 22163
 Poos G. I. 21489
 Poos L. 20788
 Popescu I. 23408
 Popoff K. 20564
 Popovici S. 20277
 Popper E. 21131 K
 Porges R. 21904
 Port W. S. 20686
 Porta A. 21198
 Portchomuth A. P. 22641
 Porter C. E. 21303
 Potapow V. M. 21337
 Potter J. H. 21761
 Potts H. A. 21449
 Powell B. D. 23073
 Powell S. T. 21891
 Prasad B. 21159
 Prasad S. 20891
 Prati G. 23582
 Pratt E. F. 21455
 Pratt Y. T. 21478
 Pravič-Sladović N. 21472
 Preckshot G. W. 22860
 Pohn A. 22368 II
 Premaswarup D. 20369
 Presting W. 22932 II
 Price C. 22971
 Price R. M. 23307 II
 Prikhotko A. F. 20487
 Prindle Q. T. 22549 II
 Pritchard H. D. 20342
 Privett O. S. 22878
 Procházka S. 23246
 Procházka V. 22730
 Profft E. 21466, 22372 II
 Profic J. 22920
 Prokhorenko V. K. 20527
 Proriot J. 23623 II
 Prosser T. J. 21330
 Prosz J. 20788
 Protze G. 22555 II
 Prunet J. 22790 II
 Puig I. 23165
 Pungor E. 20672, 21144
 Purpan J. 21215 II
 Pyl T. 21508
- Q
- Queiroz A. N. 22956
 Quellmalz E. 20912
 Quick R. H. 23473
 Quigg R. K. 21289
 Quinn F. 23598
- R
- Rabinovich B. S. 20662, 20691
 Rabinowitch E. 20728
 Rabinowitz J. 20683
 Rabowsky H. 22845 II
 Radigk R. 23445
 Radnoti L. 23646
 Raechle R. F. 20442
 Rafailoff R. 21094
 Ragulin E. 20920
 Rahman A. 20344
 Rai R. S. 20833
 Ralsky S. M. 21107
 Raleigh C. W. 21988
 Rama Char T. L. 22062, 22063
 Ramaiah N. A. 22947, 23071
 Ramanathan K. G. 20583
 Ramaswamy D. 23630
 Ramdohr P. 20989
 Ramirez F. 21535
 Rammler E. 22634
 Ramos-Garilo R. 21713
 Ramsey W. J. 20441
 Ramthun H. 20613
 Randall M. 22045
 Rao C. N. R. 21505
 Rao G. N. 22953
 Rao M. J. 21136
 Rao M. N. 23052
 Rao N. V. M. 22953
 Raoul W. 22956
 Rasbash D. J. 21945
 Rase H. F. 21279
 Rast F. S. 21881
 Rastogi R. P. 20649, 21585
 Ratcliffe G. L. 23395 II
 Rathgeb P. 21598
 Rau M. 23570
 Ravenna F. 21416
 Raw C. J. G. 20532
 Raymond W. D. 23050
 Read W. E. 21259
 Rebek M. 23477
 Rebora P. 21418
 Reboul J. 22706
 Redfield A. G. 20407
 Reed J. F. 20691
 Reed L. L. 22970
 Rees A. L. G. 20367
 Reichel I. 21404
 Reichel R. 21276
 Reichstädter B. 22905
 Reichstein T. 21591, 21592
 Reid F. H. 22055
 Reid V. 22768
 Reinhardt H. 22304, 22373 II
 Reiss H. 20471
 Reitenour J. S. 23664
 Reiter R. W. 23342, 23506
 Reitlinger S. A. 23688
 Reitzner M. T. 23453
 Rekker R. F. 22434
 Rendoš F. 20601
 Renzaeva A. A. 20557
 Repič R. 21593
 Replogle L. 21351
 Reppert R. L. 22035 II
 Resman A. 22567
 Reusz G. 23045
 Rexford D. R. 23415
 Reynolds D. D. 23289 II
 Reynolds G. A. 22607 II
 Rheiner A. 21629
 Rheno A. G. 21909 II
 Phys J. 23175, 23176
 Riblett E. W. 22778 II
 Ricciuti C. 20686
 Rice D. E. 21371
 Rice S. A. 23660
 Richards L. J. 22754
 Richardson D. A. 22177
 Richardson E. G. 20545
 Richardson H. M. 22132
 Richardson W. L. 21846
 Richter W. 22100
 Rick A. W. 23521
 Rickmann E. 22207 II
 Rickmann F. 22207 II
 Rider S. H. 23292 II, 23293 II
 Ridley K. A. 23227
 Riehm H. 20912
 Rieke H. 22011 II
 Rienicker G. 20708
 Riese W. A. 23350
 Riezler W. 20556
 Rigault G. 20922
 Rigby G. R. 22132
 Riley M. W. 23416
 Rimsky A. 20461
 Rinckhoff J. B. 22673 II
 Rinke H. 23298 II
 Ripan R. 20883
 Ripan R. P. 21131 K
 Rischbieth J. R. 23366
 Rivera S. 22579
 Rivest R. 20747
 Rizk H. A. 20412
 Roberts J. D. 20415
 Roberts K. D. 21811
 Roberts L. M. 20584
 Robert S. 22105
 Robertson A. 21615, 21653
 Robichet O. 21180
 Robinson C. 23380 II
 Robinson H. R. 22933 II
 Robinson R. J. 21064
 Robinson W. D. 23390 II
 Röbisch G. 21130 K
 Roche A. F. 23307 II
 Roder P. 21487
 Roderick D. I. J. 21675
 Roff W. J. 23602
 Rogers D. 20432
 Rogers E. 23387 II
 Rogers F. E. 21542
 Rogers L. B. 21165
 Rogowski Z. W. 21945
 Rohrlrich M. 23057
 Rohrs C. 21915
 Rohsenow W. 21697
 Rolison F. B. 21771 II
 Rolison S. T. 22451 II
 Romeo A. 21580, 21581
 Romero M. A. 21582
 Ronehl D. 23549 II
 Root D. A. 21947
 Rosa J. 22213
 Rosca F. 22965
 Roscoe C. W. 22421
 Rose G. R. F. 23612
 Rosenberg G. F. 22906
 Rosenblatt W. 23393 II
 Rosenblum M. 21379
 Rosenthal E. 22093
 Rosenthal F. R. T. 22072
 Rosenthaler L. 21124
 Ross G. N. 21116
 Ross H. F. 22082 II
 Rosser W. A. 20693
 Rossmann K. 21200
 Rossum L. 20326
 Rostler F. S. 23417
 Rotsch A. 23065
 Rotte P. G. 23040
 Rottig W. 22041 II, 22308 II
 Rottmann H. 20390
 Roubal J. 21911
 Roudnitska E. 22901 II
 Rougeux C. W. 23040
 Rousseau M. 21254
 Roux H. 20864
 Rouyer B. J. 22848 II
 Roven P. 22041 II
 Rovesti R. 22577, 22578
 Rowe R. 22890
 Rowe V. K. 21923
 Rowell B. M. 23015
 Roy S. K. 21435, 21436
 Rubtsov V. I. 20327
 Ruckenstein C. 23378
 Ruckenstein E. 21790
 Rudd H. W. 23356
 Rüdiger H. 21790
 Rudnev N. A. 21117
 Rüegg R. 21604-21606
 Rugg J. S. 23415
 Ruggieri P. 21567
 Rümens W. 22327 II
 Rumyantseva E. I. 20901
 Runch R. J. 21859 II
 Rundle R. E. 20391
 Runge F. 21085, 22084, 23741
 Runyan W. R. 22081
 Rupp W. 22370 II, 22371 II
 Ruppink K. 21799
 Rushton B. J. 21282
 Russell G. A. 21394
 Rusznák I. 20801
 Rutkowski A. 22867
 Ruttner F. 21040
 Ruzizler L. 21405
 Ryan J. A. 20756, 23001
 Ryan J. G. 22713
 Rylander C. G. 20805
 Rysler G. 21607, 21608
- S
- Sabirova R. D. 20901
 Sachanen A. N. 22773
 Safarik I. 20777
 Safwat A. 23107
 Sagnières A. 20444
 Sagrove H. D. 22161
 Saha A. N. 22859, 22860
 Saha G. 22961
 Sahyun M. 22467 II
 Said A. S. 21088
 Saint-Ruf G. 21421
 Saito Y. 20456
 Sakaguchi M. 20710, 20711
 Sakurada I. 23439
 Saladin O. 22022 II
 Salerno
 Salje G.
 Sallay
 Salma
 Salmo
 21401
 Salburg
 Salzberg
 Sambrook
 Samuel
 Sánchez
 Sandegre
 Sander
 Sanders
 Sandweil
 Santavý
 Sarno D.
 Saso S. 2
 Sason A.
 Sason R.
 Satkowsk
 Sato S. 2
 Sauter E.
 Sáveanu
 Savi P.
 Savu A.
 Saxena R.
 Saxton R.
 Scanlon
 Scarla K.
 Schapp L.
 Schaefer
 20612
 Schaffer F.
 Schaffler J.
 Schillbau
 Schirmann
 Schaufler
 Schechter V.
 Schelbe S.
 Schemjakin
 Schenck G.
 Schenk K.
 Scherb P.
 Schermerho
 20956
 Schermerman
 Schlierhold
 Schildknech
 Schinkel E.
 Schinake H.
 Schipke J.
 Schirp H. 2
 Schiller H.
 Schläpfer W.
 Schlichenma
 Schlichting
 Schlotmann
 Schluhter A.
 Schlander V.
 Schmalenbach
 Schmalzer
 Schmeling F.
 Schmidt H. 2
 Schmidt H.
 Schmidt H.
 Schmidt P.

Авторский указатель

- Salerno A. 23124
Salje G. 22609 II
Sallay I. 21601
Salman B. C. L. 20743
Salmon-Legagneur F. 21401
Salzburg Z. W. 20573
Salsberg H. K. 23652 II
Sambrook K. H. 22715
Samuel A. A. 23304 II
Sánchez Marco G. 21971
Sandgren E. 21907
Sandermann W. 22817
Sanders D. G. 22741
Sandwies J. 20325
Santavý F. 20798
Sarno D. H. 22721
Sass S. 21239
Sasson Abouharoun 20760
Sassu R. 22044
Satkowi W. B. 22917
Sato S. 20720
Saucy G. 21608
Saunders B. C. 21553 K
Sauter E. 21738 II
Savasan T. 20289
Savi P. 23133
Sava A. 23026
Saxena R. S. 21160
Saxton R. L. 21684
Saxton W. W. 20521
Saxia E. J. 23640
Schaap L. 21324
Schaerer, A. A. 20611, 20612
Schaffer R. 21691
Schaffner A. 22352 II
Schallbaum U. 23126
Scharmann A. 20731
Schauffer E. 21737 II
Schechter W. H. 22006 II
Scheide S. 20394
Schemjakina A. K. 23560
Schenck G. 22474 II
Schenk K. 22041 II
Scherb P. 21272
Schermerhorn L. J. G. 20801
Scherman R. F. 20579
Schierhold P. 21812
Schildknecht H. 21594
Schinkel H. 21145
Schinke H. 22472 II
Schipke J. 21956
Schirp H. 22321 II
Schlifer H. L. 20349
Schlifer W. G. 20712
Schlepen R. 23294 II
Schlichenmaier H. 22392 II
Schlichting O. 22347 II
Schlotmann H. 22534
Schlichter A. W. 21775 II
Schlinder W. 23150 II
Schmalenbach A. 21980 II
Schmeissner F. 22282
Schmeling F. 22722
Schmid H. 21596, 21642, 21651
Schmid H. J. 21634
Schmid W. 23255
Schmidt H. 20783
Schmidt P. F. 20694
Schmidt P. 22049
Schmidt R. 22634
Schmidt W. 22084
Schmied W. 22091
Schmitt W. 23254
Schmitz H. 22450 II
Schmücker B. 22851 II
Schneider E. E. 20502
Schneider F. 22944
Schneider J. 22160 II
Schneider K. 23110
Schneider P. 23181
Schöberl A. 21362
Schoch H. 22531
Schock W. S. 23242
Schoeffter J. 23047
Schoeld E. A. 22012 II
Schöfer R. 21738
Schofield M. 22803
Scholl F. 22107
Scholz H. 22329 II
Schon F. 21972
Schön L. 23130
Schopf G. 21597
Schornstein W. 22022
Schotland R. M. 20852
Schrieber C. F. 21852
Schreiber D. 20477
Schrenk E. 23164
Schriever K. 21425
Schroeder C. H. 21440
Schroeder W. 22640
Schröter G. 23712
Schucker F. L. 23509
Schuckmann G. 22330
Schüttler J. 21934
Schuhknecht W. 21145
Schuldiner S. 20775
Schulenburg W. 21960 P
Schultz F. J. 20784
Schulz N. F. 21730
Schulz K. C. 23735
Schulze B. 22818
Schulze D. 22352 II
Schumb W. C. 21987
Schuphan W. 22534
Schur M. O. 23441
Schürer P. 21261
Schurig W. F. 22306
Schurz J. 23668
Schuurman W. 20540
Schuylenborgh J. 21022
Schwab V. V. 22158 II
Schwabe K. 22978 II
Schwalenberg A. 22339 II
Schwartz M. J. 21773 II
Schwarz W. 23192
Schwartzwalder K. 22150 II
Schwelsheimer W. 22587
Schweitzer O. 23376 II
Schwiedessen 22661
Sconce R. 23475
Scott A. F. 20579
Scott G. E. 23043
Scott R. 23125
Scott R. B. 22288
Seakins J. W. T. 21633
Sedletski J. D. 21017
Sedzimir A. 20696
Seeger E. 22465 II
Seely G. R. 20345
Seger F. M. 22797 II
Segre E. 20325
Seidel K. H. 22556 II
Seidman M. 23146
Selfert W. C. 22196 II
Sell F. E. 21788
Seltz G. 22614
Selwert R. 20333
Selwerth R. 21447
Seki Y. 20957
Seligman K. L. 23400
Sellisky J. P. 20626
Selleri R. 21498
Semel G. 22010 II
Semenchenko V. K. 20807
Semenovich N. I. 21043
Semenow D. A. 20415
Semiokhin I. A. 20557
Sen B. 21097
Sen N. K. 21591
Senent S. 20351
Senfite F. E. 20932
Sepřáková M. 20604
Serly G. 22114
Servant C. 23457
Seth S. K. 20642
Sewell E. 20697
Seydel R. 23279 II
Shaefeyey R. S. 20815
Shagaloff H. C. 21767
Shams El Din 20802
Shanmuganathan S. 20753
Shapiro E. L. 21589
Sharma S. A. 23351
Shaw G. 21543
Shchigol M. B. 21190
Shearouse L. A. 22097
Sheft I. 21219
Shelton J. H. 23083
Shemyakin M. M. 21328
Sherman G. D. 21027
Sherwood P. W. 22299, 22701
Sherwood R. C. 20505
Sherwood T. K. 21728
Shewmaker J. E. 22693
Shiftan E. 22571
Shillibeer H. A. 20930
Shilov A. E. 20661
Shimoda K. 20402
Shimomura K. 20406
Shipman F. H. 22784 II
Shivananda P. C. R. 20580
Shoemaker D. P. 20440
Sholl W. 22032
Shorning P. 23487
Shotton J. A. 23340
Shrader M. O. 22394 II
Shulhof W. P. 20986
Shultz E. V. 22705
Shurts R. B. 23360
Shuttleworth C. G. 22269 II
Shwe Htoo 23511
Siddappa G. S. 23092
Siebert H. 20373
Siegel P. 23253
Sieskind M. 20481
Siekman H. J. 22140
Sievart R. M. 23025
Sigalla J. 21106
Sikes J. K. 22865
Silbert L. S. 20686
Silsby C. F. 22674 II
Silverstein A. 21782 II
Sim G. A. 20433
Simakov V. V. 21246
Simeček J. 21224
Simmons T. C. 21542
Simms J. A. 21444
Simoes Redinha J. 20742
Simon A. 20400, 22845 II
Simon R. 21333
Simon W. 21296
Simone M. 22537, 22541
Simpson D. W. 21717
Simpson L. B. 20677
Sims H. J. 22341 II
Singer M. 21809
Singh B. K. 20642
Singleton B. 21542
Sironen R. J. 20560
Sirry I. 23107
Sisti A. J. 21239
Sivkov A. A. 21125
Siwek K. 22811
Skalicky L. 21237
Skaperdas G. T. 22289 II
Skau E. L. 20458
Skida O. 21890
Skierczyński J. 20565
Skopnik 22729
Slage F. H. 21950
Slepnev Y. S. 20966
Slezak J. 23597
Slovak K. 22639
Sluka J. 23018
Slyh J. A. 21858 II
Slysz T. 22695
Smaguina E. I. 20590
Smahel I. 22213
Smart C. F. 22074 II
Smallman C. R. 20853
Smid J. 20679
Smiltens I. 20582
Smit G. B. 21867
Smith A. R. 23593
Smit C. J. B. 23081
Smith C. S. Jr. 22357 II
Smith C. W. 21792, 22246
Smith C. W. 23664
Smith D. J. 23675
Smith F. 21565, 21566
Smith F. A. 20396
Smith F. G. W. 22815
Smith F. M. 20325
Smith G. C. 22059
Smith G. F. 21449
Smith H. 21576
Smith J. 21029
Smith J. P. 20453
Smith R. B. 22604
Smith W. B. 21272
Smith W. D. 22650
Smorodin Y. A. 20327
Smothers W. J. 22097
Smyth C. P. 20411
Snoddy J. H. 22206 II
Sobol S. I. 20640, 20908
Soboleva I. G. 23661
Sobotovitch E. V. 20935
Sodk'ill B. D. 22943
Soddy T. S. 21512, 21513
Sojecki W. 20717
Sokolov S. I. 23688
Solimans N. 20404
Solomon O. 23408
Soloviev M. V. 20327
Soltész G. 20948
Someran G. R. 22547
Somerfield G. A. 21388
Sommatal B. 21198
Sommer L. 22416
Sommer W. 22660
Sondheimer F. 21586
Soos E. 22401
Sorfedward R. 22777 II
Sorkin M. 23450
Sorm F. 21575
Sosedko A. P. 20965
Soucha A. 22145 K
Soudek J. 22988
Sourirajan S. 20722
Sowinski L. A. 22140
Spada A. 21649
Spadaro J. J. 22855
Spangenberg K. 21408
Spanyár P. 20786
Sparkes W. J. 21939
Sparks R. E. 21542
Spence R. 21983
Spencer C. C. 21898
Spencer H. C. 21922
Spengler G. 22764
Spinks J. W. T. 22238, 23739
Spinner E. E. 21475
Spiridonova V. I. 20208
Spönmann K. 21859 II
Spurný J. 20848
Squires M. J. A. 23050
Srivastava B. N. 20526
Srivastava G. P. 20740
Srivastava K. P. 20526
Srivastava L. N. 20872
Staab N. A. 21491
Stachurski Z. 21243
Stackelberg M. 20789
Stadler R. 22559 II
Staffen R. 23527
Stählin E. 22474 II
Stalb J. H. 21303
Stamatiu M. 21989
Stanescu D. 20883
Stanislawska J. 21868
Stannett V. 23506
Stanton G. W. 23308 II
Starchik L. P. 20815
Starik J. E. 20935
Stark G. W. V. 21945
Starobinets G. L. 20812
Stas L. J. 22912
Stastny F. 23320 II
Stather F. 23638
Staudermann W. 22553 M
Staveley L. A. K. 20598
Stedman R. J. 21621
Stedwell M. J. 21900
Steenberg B. 23491
Steenbergen H. A. M. 22246
Steenwinkel R. 21260
Stefănescu D. 20808

Авторский указатель

- Stefanescu I. 22646
Steigmann A. 22601
Stein A. 22472 II
Stein S. 22581
Steinberg G. M. 21467
Steiner H. 22091
Steinherr H. A. 21263
Steinschaefer M. 22686 II
Stepanov B. I. 21253
Stephan H. 23064
Stephen H. 21500
Stephens D. W. 22922
Stephens W. M. 21794
Stephenson D. H. 22069 II
Stephenson N. C. 20465
Sterling R. F. 23249
Stern H. 23571
Stetson H. W. 23529
Stetz R. J. 23387 II
Stevens C. B. 23563
Stevens D. B. 21898
Stewart D. T. 20805
Stewart J. 21303
Stewart J. C. 23403
Stewart J. E. 20396
Stieff L. 20922
Stiles M. 21332
Stilbert E. K. 23386 II
Stillman N. 21860 II
Stiner G. F. 21493
Stivers J. O. 22516
Stoeber F. 21561
Stoesser K. 22935 II
Stoll M. 22563
Stolow N. 23368
Stolze F. 23542 II
Stone F. G. A. 21517
Stone R. 21896
Stone R. L. 21279
Stork D. H. 20325
Stosiek M. 23130
Štočik M. 21212 K
Strafford N. 21927
Stranaki I. N. 20508,
20613
Strauss U. P. 20841,
23718
Streitwieser A. 21320
Stross F. H. 21265
Strubbe H. 21457
Stuart H. A. 23677
Stubbings H. G. 23349
Stutthoff H. 22113
Subrahmanyam V. V. R.
22892
Subrahmanyam V. 23049
Subramanian N. 21171
Sugiura Y. 20401
Suhr K. 21454
Sullivan J. K. 23287 II
Sullivan M. V. 22057
Sullivan W. F. 20784
Sumitomo H. 23667
Sumner H. H. 23575
Sundeck E. H. 23285
Sundberg R. L. 22349 II
Sunk K. H. 20559
Sun Ming-shan 20961
Sun Shiou-Chuan 21231
Suomalainen H. 22833
Surowaja A. W. 23560
Süss R. 22713
Suter P. J. 21439
Sutherland G. B. B. M.
20479
Sutton W. H. 20997
Suzuki S. 20361
Sverdllov L. M. 20386
Sveshnikov B. J. 20380
Svetlik J. F. 23409
Swain A. P. 21459
Swaminathan M. 23052
Sweeney J. P. 22530
Sweeny R. F. 20651
Sybrahmnyan V. 23052
Sykes P. 23260
Sylvester H. S. 22937 II
Sympson R. F. 20774
Synerholm M. E. 22467
Szabadkai G. 22983
Szakall A. 22592 II
Szarafinski Z. 22620
Szarvas P. 21095
Szarvasi E. 21406
Szezepula W. 23131
Szczesna-Derkacz M.
22593
Szpilewicz A. 22627
Szokolay A. 23143
Szylliga J. 23034
Szymańska H. 20999
Szwarc M. 20679
T
Tabacnik I. 22728
Tabakoff V. 21888
Taborszky F. 20943
Tachi I. 20769
Taguchi T. 21619
Takase K. 21573
Takeda K. 21378
Takeuchi T. 20710, 20711
Takéuchi Y. 20456
Talley J. P. 23386 II
Tamm C. 21591—21593
Tananaev I. V. 21079
Taormina S. C. 22071 II
Taranger A. 22589
Tawde N. R. 20366
Tayal J. N. 22439
Taylor E. C. 21474
Taylor J. K. 23129
Taylor R. C. 20388, 20398
Taylor W. C. 21590
Teeters W. O. 23270 II
Tejnicky B. 22638
Temme T. 22261
Terentjew A. P. 21337
Ter-Gazarowa M. 22596 II
Termansen J. B. 22430
Terres E. 20282
Testa E. 21469, 21470,
21471
Teubel J. 23273 II
Teuber W. 22806
Thalacker R. 21280
Tharandt W. 22901
Thatcher L. L. 21194
Thels W. 20510
Theodoropoulos D. 21628
Thielen W. 22538
Thieme J. G. 22875
Thinius K. 23192, 23221
Thirtle J. R. 21523
Thode E. F. 23511
Thode H. G. 20669
Thomas F. M. 22745
Thomas J. R. 21846
Thomas R. C. 23111
Thomas W. J. 22287
Thompson E. T. 21211 K
Thompson L. J. 23188
Thornburg W. 21241
Thornton J. D. 21726
Thruston M. N. 22309 II
Tiegan G. W. 22925
Tilney-Bassett J. F. 21352
Timmmer H. 21458
Timms A. G. 22251
Tinker J. F. 22607 II
Tiruvenganna R. P. 20368
Tischer J. 22862
Tischer R. G. 23031
Tissler C. 20874
Tobin J. M. 20473
Todd M. 23273 II
Todnem O. 23036
Tödt F. 22992
Tokura N. 21383
Toland W. G. 22353 II
Tolkachev B. V. 20327
Tolksdorf S. 21589
Tolpadi S. 20580
Tolstukhina F. S. 23690
Tomaszewski R. 23557
Tomoeda M. 21619
Tomš J. 23337
Tong Ying-opeh J. 20653
Tongchiew A. V. 21368
Tormey J. F. 22746
Torriceili G. 23245
Toth J. 22964
Tourky A. R. 20412
Townsend C. 22931 II
Trabanelli G. 21142
Tramutt H. M. 23417
Trask P. D. 21063
Trauffer W. E. 22257
Travagli G. 21318, 21319
Treccani C. P. 23084
Treibs A. 21451
Treibs W. 22566
Trevoy L. W. 23739
Tribit S. W. 22369 II
Trieschmann H. G. 22329 II
Trimborn W. 23377 II
Tripathi J. B. 20881
Trnka J. 20482
Tröger E. 20943
Trolle-Gassen C. 22412,
22413
Trommsdorff E. 23614 II
Trompler J. 20672
Trott P. W. 22338 II
Truce W. E. 21444, 21446
Truchot F. 23158 II
Truffert L. 21185
Trujillo R. 20884
Tschesche R. 22444 II
Tschudi-Steiner I. 22398
Tsubomura H. 20414
Tuchel N. 20808
Tuck D. G. 21121
Tulinova Z. I. 20327
Tullen P. 20395
Tummes H. 22340 II
Türk D. 21560, 21561
Turkevich J. 20819
Turner A. 22972
Turnikova V. I. 20815
Twichaus H. C. 22549 II
Tyler V. E. 22414
U
Ubbelohde A. R. 20470
Uchida M. 23698
Udalov V. S. 21696
Uebersfeld J. 20409
Ueda S. 21057
Ueno K. 21152
Ueyama K. 21719
Uhlig H. 20773
Ujhelyi J. 22220
Ulfheden T. 22975 II
Ullmann E. 22424
Umstätter H. 21308
Unambeba B. 22225
Uota M. 23085
Upham S. D. 21349
Urbakh V. Y. 20610
Uchida M. 23684
Utley H. F. 22227
V
Vaichunaite B. K. 21328
Vaid J. 22063
Valent R. 22759
Valenta Z. 21602
Valette G. 22399
Van Atta C. M. 21264
Vanderwerf C. A. 21519
Vaniscombe C. 21562
Van Looy H. 20674
Van Rysselberghe P.
20790
Van Wickler F. R. 21884
Varadachari R. 20753
Varma M. K. U. 23631
Varshni Y. P. 20365,
20740
Vašák V. 21911
Vasey C. H. 22447 II
Vassel C. R. 20497
Vater D. F. 21768
Vaughan P. J. 23313 II
Vavrouch D. 21285
Vdovenko V. M. 21080
Vecchi A. 21469
Vecchi G. 22109
Veibel S. 21504
Veingerov M. L. 21125
Veith A. G. 23715
Veith H. 23694
Veller R. L. 20640
Velluz L. 22325 II
Ven A. M. 20685
Vender M. 21725
Vene J. 23654
Verbeek F. 21096
Verheggen G. 22912
Verity F. 23239
Verma M. R. 21234
Vermilyea D. A. 20615,
20770
Vickers J. A. 22432
Viel G. 22524
Vigdorovich V. N. 20618
Vignale M. J. 20790
Vilceanu R. 21404
Villalba Gomez G. M.
22871
Villay Villa A. 20317
Villotti R. 21580, 21581
Vinogradov A. P. 20290
Vintera J. 20695
Vischia Q. 23060
Vivarelli S. 20667
Vlček B. 20800
Vlček J. 22998
Vodret A. 21020
Vodret F. 21028
Voeller F. 22331 II
Vogel R. 23581
Vogel R. E. 23600 II,
23651 II
Vogt I. 21486
Voigt P. 21827
Voltenko G. A. 21910
Voturiex M. 23963
Volavšek B. 20834
Vold R. D. 20846
Vollmer W. 22898 II
Vonnegut B. 20863
Vrabiescu E. 22844
Vries J. K. 21230
Vuagnat G. 23374 II
Vukašinović M. 21996
Vusse J. G. 21662
Vyakhriov D. A.
20817
Vyskočil J. 21917
W
Wacek A. 22801
Wackter A. 21880 II
Wade R. 21622
Wagner A. R. 22203
Wagner C. 20785
Wagner G. H. 22403
Wagner R. S. 20403,
20404
Wahl H. 22612 II
Wahlm H. B. 23070
Wahlstam H. 21458
Wahlstrom E. B. 20860
Wain R. L. 22547
Wainer E. 21970 II
Wakeman C. M. 22001
El Wakkad S. E. S. 20800
Walder E. 22233
Waldie W. A. 23391 II
Walligorski E. 22714
Walker G. T. 21633
Wallenfels K. 21470
Walt N. T. 23196
Walter E. 21937
Walter J. L. 20756
Walther G. 22932 II
Waltl K. 23035
Walton G. 21876
Walz H. 21329
Wanak H. 20714
Wapler D. 23365
Warburton P. 23005
Wardlaw W. 21521
Warrelmann E. 23109
Warren T. W. 22409
Watanabe K. 20728

Указатель держателей патентов

Waterman R. R. 23402, 23403	West J. R. 21975 II	Wilkinson A. J. 21541	Wolf B. 21570	Yarsley V. 23162
Waters A. C. 20944	West P. W. 21097	Wilkinson J. F. 21567	Wolf C. N. 22367 II, 22562 II	Yatsimirsky K. B. 20577
Waters W. A. 21352	Westall F. 23352	Willenberg W. 22492 II	Wolfe C. W. 23340	Yavzina N. E. 23680
Watkins J. M. 23664	Westbrook W. C. 23524	Williams A. P. 20515	Wolnial O. 22372 II	Yoho C. W. 21363
Watkins S. B. 22287	Westgate M. W. 23360	Williams D. G. 20393	Wolski W. 20714, 20716	Young F. G. 20280
Watson A. J. 23530	Weston N. E. 20440	Williams K. R. 22754	Wood B. J. 20693	Young J. E. 22110
Wauters J. L. 23583	Westphal O. 21503	Williams G. 21326	Wood G. A. R. 23073	Young R. B. 21830
Wearmouth W. G. 23127	Westrum E. F. 20585	Williams H. J. 20505	Wood G. C. 20314	Younger R. M. 23514
Webb A. D. 23002	Weyerer H. 21256	Williams R. H. 22794 II	Wood L. J. 22643	Ystgaard O. M. 22926
Webber D. S. 20467	Weyl P. K. 21286	Williams T. F. 23708	Woodberry N. T. 23511	Yungblood G. T. 21377
Weber F. 23451	Wheatley P. J. 20352, 20462	Williams W. D. 20741	Woodcock D. 21422	Yunik S. M. 21209
Weber J. 22940 II	Wheatley W. B. 21493	Williamson W. O. 22088	Woodford F. P. 21588	Yust V. E. 22788 II
Weber W. 22024 II	Wheaton R. M. 23324 II	Willits C. O. 22970	Woodhouse G. 22663	
Wedekind K. 23435 II	Wheeler O. H. 20378	Willits L. W. 22423	Woods J. D. 20719	Z
Weeks L. E. 22924	Wheeler R. M. 22078	Wilmer G. R. 23522	Woodside D. 20841	Zahlan A. B. 20732
Welbie K. 23573	White A. G. 20743	Wilson C. L. 23321 II	Woolledge J. D. 21695	Zahn H. 23724
Welgel K. 23240	White D. E. 21053	Wilson J. N. 20712	Woolf D. O. 21614	Zahradnik L. 21212 K
Welgend B. 21910 II	White F. L. 22608 II	Wincor W. 23479	Woolford R. G. 21546	Zaitseva S. P. 20815
Weinmann W. 22534	White J. C. 21146	Windaus G. 23532	Woolfsom M. M. 20434	Zalkin A. 20441
Weinreb A. 21270	White J. W. 22972	Windson M. W. 20388	Worsch G. 22376 II	Zandveld B. 21796
Weir A. 20689, 20690	White R. M. 23417	Wineman P. 20841	Wren J. J. 21364	Zaoralek F. 21913
Weiss C. 21333	Whitehead R. C. 21872	Wing W. T. 22420	Wright D. L. 21460	Zapan M. 22044
Weiss W. 22406	Whitehouse I. P. 22209 II	Winsch I. O. 21965	Wright H. D. 20986	Zapp E. H. 21144
Weisblat D. I. 22451 II	Whitfield G. 20407	Winston A. 21377	Wright R. H. 21941	Zareba Z. 22949
Weissenburger H. 22501 II	Whitney N. J. 22544	Winter S. S. 23666	Wright T. E. 21820	Zarzycki J. 20587
Weisse W. 22277 II	Wiackowski J. 22809, 22812	Winterbottom J. M. 21994	Wronski W. 23449	Zawadzki J. 23557
Weiss-Fogh O. 22412, 22413	Wibaut J. P. 21314	Winterscheidt H. 22923	Wunderer A. 23181	Zchuss I. D. 21016
Weisner K. 21602	Wiberg E. 22007 II, 22013 II, 23299 II	Winther C. M. 22814	Wunderlich J. A. 20446	Zdražil J. 21913
Weiss A. 20943	Wick M. 23411	Wintringham J. S. 22789 II	Wurz F. 22708	Zell H. G. 21758
Weiss D. E. 20823	Widmer G. 23174	Wirshing R. J. 23388 II	Wyderley V. 23716	Zeller P. 21606—21609
Weiss E. 20413	Wieberg E. 22375 II	Wirth W. D. 21316	Wyld G. E. A. 22766	Zeman M. 22087
Weiss M. J. 21414	Wiedemann W. 22282	Wise K. A. J. 22523	Wyszomirski A. 21798	Zemann J. 20450
Weiss W. 22183	Wieland T. 21654	Wise H. 20693		Zenzen A. M. 22976 II
Weiss-Berg E. 21423	Wieland W. 21295	Wissing A. 22810	Xuog N. G. 21437, 21445	Ziegler C. A. 21271
Welch L. M. 22783 II	Wiener C. 21440	Witte J. 21329		Ziegler K. 23266 II
Welty A. B. 21744 II	Wier J. 22414	Witten B. 21239	Y	Ziegler M. 21173
Welwart Z. 21410	Wiesack G. 22802	Wittenberg E. 20729	Yagi K. 21651	Ziemecki S. 20565
Wemyss A. C. 23234	Wilbushewich E. 21703	Wittenberger W. 21688	Yamaguchi S. 21112	Zifferero M. 20562
Wendell C. B. 22676 II	Wilcox J. D. 20854	Wittig G. 22342 II	Yamasaki M. 20957	Zimble M. E. 20899
Wendlandt W. W. 21087, 21093	Wilczinski A. A. 22221	Wizinger R. 21423	Yamashita Y. 21341	Zimmermann F. 22992
Wendt G. 22017 II	Wilder P. 21377	Woerner A. 22327 II	Yang C. N. 20524, 20525	Zitrngibl H. 21972
Wenger 21933	Wildhack W. A. 21772 II	Woerner L. A. 21835	Yang Jen Tai 23656	Zoebelein H. 23195
Wennerstrand B. 21172	Wiles Q. T. 23284 II	Wogrinz A. 22051	Yang N. C. 21572	Zöhrer K. 23218
Wenzl H. F. J. 22600	Wiley A. J. 22832	Wöhli E. 22115	Yankwich P. E. 20653	Zonsveld J. J. 23356
Werum L. N. 21241	Wiley R. H. 21434	Wojciechewicz M. 22966, 22967	Yannaquis N. 20448	Zuckerbrodt P. 20574
Wesche K. 22252	Williams H. L. 22530	Wojciechowski T. 22838 K	Yanowski L. K. 20285	Zuech E. A. 21531
West J. H. 23099	Wilke K. 22392 II	Wojtowicz P. J. 20573	Yardeni J. 21874	Zutavern P. 22474 II
		Wolbert H. J. 21113	Yarilova E. A. 21024	Zýka V. 21050
				Zywił J. 21890

УКАЗАТЕЛЬ ДЕРЖАТЕЛЕЙ ПАТЕНТОВ

AB Bofors 21749	American Home Products Corp. 22493	Badische Anilin und Soda Fabrik Akt. Ges. 22311, 22327, 22329, 22342, 22351, 22370, 22371, 22559, 23268, 23282, 23314, 23320, 23377	Bjorksten Research Lab., Inc. 23330
AB Separator 22929, 22979	American Potash Co. 22012	Baker & Co. Inc. 21774	Boehringer C. F. and Soehne G. m. b. H. 22331
Aerojet General Corp. 22791	American Radio Corp. 22081	Battelle Development Corp. 21858	Borden Co. 23652
Agfa Akt. Ges. für Photofabrikation 22606	American Vanadium Corp. 22014	Beckman Instruments, Inc. 21778	Bozel-Maltera (Soc. Industrielle de Produits Chimique) 22312
Air Liquide (Soc. Anon. pour l'Étude et l'Exploitation des Procédés Georges Claude 21745	Amiard G. 22325	Bell Telephone Laboratories Inc. 22073	Braunholz F. 22015
Allied Chemical & Dye Corp. 22319, 22674, 22842	Armour & Co. 22482, 22938	Bemmann R. 22681	British Fibrak Separator Co. Ltd 23550
Allied Lab., Inc. 22475	Asche C. F. und Co. Akt. Ges. 22018	Bergerhoff-Kameragesellschaft m. b. H. 22609	Brittains Ltd 23544
American Can Co. 23396	Asta-Werke Akt. Ges. Chemische Fabrik 22478		Brown Co. 22029
American Cyanamid Co. 22369, 22377, 22477, 22488, 22489, 23296, 23375, 23459, 23625	Atkinson R. B. 22610		Buffalo Electro-Chemical Co. Inc. 23305
	Aug. Elhardt Söhne K. G. 23650, 23651		Burmeister Werner 22080
	Azbe Corp. 22267		

Указатель держателей патентов

- Byk-Gulden Lomberg, Chemische Farbfabrik G. m. b. H. 22501
California Research Corp. 22353, 22357, 22359
Callery Chemical Co. 22006
Cassella Farbwerke Mainkur Akt. Ges. 22618
Certain-Feed Products Corp. 22289
Chadeloid Corp. 23391
Chas. Pfizer & Co., Inc. 22374, 22440
Chatelus C. 22626
Chemie Grünenthal G. m. b. H. 22485, 22498
Chemieprodukte G. m. b. H. 22376
Chemische Verwertungs Ges. Oberhausen m. b. H. 22316, 22317
Chemische Werke Huls Akt. Ges. 22035, 22313, 22344, 22356, 22371
Chempatents Inc. 22310
Chemstrand Corp. 22385, 223458
Cie Française T. H. 22364
Cilag Soc. Anon. 22445
Cit-Con Oil Corp. 22784
Clarke W. G. 22390
Colgate-Palmolive Co. 22937
Columbia-Southern Chemical Corp. 22027, 22028, 22549
Commonwealth Engng Co. of Ohio 23022
Corbery R. D. J. 22434
Courtaulds Ltd 22465
Crowley H. L. and Co. Inc. 22152
Dall-Werke Mäurer & Wirtz 22935
De Directie van de Staatsmijnen in Limburg 22326
Dennison Manufacturing Co. 22318
Dental Perfection Co. 22505
Detrex Corp. 22154
Deutsche Bundesbahn vertreten durch das Bundesbahn-Zentralamt Minden 22851
Deutsche Gold- und Silber-Scheideanstalt vormals Roessler 21980, 22009, 22023, 22160, 22554, 22376
Dick A. B. Co. 22547
Didier-Werke Akt. Ges. 22677
Donald W. 22196
Dow Chemical Co. 22016, 22503, 22561, 22307, 22308, 22324, 22385
Dreyfus C. 22395
Du Pont de Nemours & Co. 22082, 22364, 22391, 22618, 22386, 22390, 22617
Eastman Kodak Co. 21741, 22550, 22607, 22608, 22301
Engine Parts Manufacturing Co. 22387
Escher Wyss Maschinenfabriken Akt. Ges. 22977
Esso Research and Engineering Co. 21744, 22314, 22779, 22783, 22793, 22366, 22369
Esso Standard (Soc. Anon. Française) 22781
Ethyl Corp. 22367, 22562, 22787, 22789
Ets Fortin & Saunier, Ets Caillet 21736
Fägerskiöld I. S. F. 22685
Fairmount Chemical Co. Inc. 21981
Farbenfabriken Bayer Akt. Ges. 21746 22019, 22330, 22334, 22376, 22388, 22443, 22458, 22502, 22551, 22557, 22621, 22379, 22398
Farbenfabrik Wolfen 22339
Farbwerke Hoechst Akt. Ges. vormals Meister Lucius und Brüning 21979, 22392, 22393, 22442, 22553, 22849, 22389, 22622
Firestone Tire & Rubber Co. 22427
Firma G. Wagner 22546
Firma Sud-Chemie Akt. Ges. 22399
Folta Z. 22279
Food Machinery and Chemical Corp. 22337
Geigy Akt. Ges. J. R. 22389, 22441, 22468
General Aniline & Film Corp. 22349, 22394
General Electric Co. 21770, 21776, 22069
General Mills, Inc. 22320, 22479, 22480, 22795
General Motors Corp. 21775, 22074, 22150, 22388
General Tire and Rubber Co. 22430
Gerhard Saffran 22433
Gewerkschaft V. 22036
Gewerkschaft Zeche H. 22670
Goldblith S. A. 22495
Goldschmidt Akt. Ges. 22024
Goodrich B. F. Co. 22426
Goodyear Tire & Rubber Co. 22387, 22303, 22313
Görnitz K. 22555
Graphire Corp. 22201
Greengate & Irwell Rubber Co., Ltd 22432
Grimm H. G. 22159
Hauenschild Hans Chemische Fabrik K. G. 22843
Hartmann & Braun Akt. Ges. 21777
Hayd L. 22431
Heider K. W. H. 22199
Helmoltz M. K., geb Rahmig, Waltraut Helga Elisabeth Helmholtz 22392
Hemsted E. C. E. 22506
Henkel and Cie G. m. b. H. 22321
Hoffman La Roche & Co. Akt. Ges. 22466
Hooker Electrochemical Co. 22026
Horst H. D. 22332
Houillères du Bassin de Lorraine 22355
Huber J. M. Corp. 22384
Hydrierwerk Zeitz 22373
Imhausen Werke G. m. b. H. 22844
Imperial Chemical Ind. Ltd 22447, 22346, 22378, 22613
Institut für Arbeitsökonomik und Arbeitsschutzforschung 21958
Institut Badawczy Lesnictwa 22850
Interchemical Corp. 22385
International Standard Electric Corp. 22151
Inventa Akt. Ges. für Forschung & Patentverwertung 22538
Jean d'Albert (S. A. R. L.) 22594
Jedlicka H. 22300, 22326
Joachim Donat, VEB Chemische Fabrik von Heyden 22366
Johann S. 22153
Jost W. 22038
Junkers Traekeml A/S 22540
Karlholms Aktiebolaget 22312
Kellogg M. W. Co. 22289, 22315, 22778, 22370
Kleine J. 22388
Klöckner-Humboldt-Deutz Akt. Ges. 22671
Knoll A. G. Chemische Fabriken 22365, 22455, 22464, 22474
Kodak-Pathé 22605, 22389
Koebner A. 22328
Koppers H. G. m. b. H. 21980, 22678, 22679, 22681
Kruppa W. J. 22673
Lacroix L. 22374
Lagally P. 22541
Lennartz W. 22316
Lepage, Urbain & Cie 22021
Lilly Eli and Co. 22324, 22469
Littmann E. 22323
Lunn A. & Co. G. m. b. H. 22592
McGraw Electric Co. 22390
McKee R. H. 22535
Magnetrit Akt. Ges. 22976
Malinite Corp. 22206
Manufactures de Produits Chimiques du Nord (Ets Kuhlmann) 22675, 22372
M. A. P. L. A. Soc. R. L. 22322
Mareš V. 21748
J. Marian 22847
Metallgesellschaft Akt. Ges. 21978, 22007, 22008, 22013, 22435
Micro, Processin Equipment, Inc. 22936
Mierzecki H. 22593
Migeon A. 22161
Minnesota Mining Manufacturing Co. 22338
Minister of Mines and Technical Surveys 22319
Mlag Mühlenbau- und Industrie G. m. b. H. 22150
Möbius E. 22363
Moncuit de Boisvillie J. M. L. 22153
Monsanto Chemical Co. 22388, 22381, 22392, 22393, 22423, 22429
Montagne von Lillienfeld 22492
N. V. de Bataafsche Petroleum Maatschappij 22792
National Lead Co. 22395
Nepera Chemical Co., Inc. 22490
Nipa Lab. Ltd und Dr. Brink Boehm 22507
North American Aviation, Inc. 22302
Norton Co. 22159
Nossen E. S. 22030
N. V. De Bataafsche Petroleum Maatschappij 22558, 22560
Opfermann A. C. J. 22440, 22595
Owens-Corning Fiberglass Corp. 22156
Ozal-Durrani A. R. 22151
Pantherz H. 22311
Parke, Davis & Co. 22451, 22470
Patent and Licensing Corp. 22274
Penicillin-Ges. Dausenberg & Co. 21739
Peters L. 22160
Petrocarbon Ltd „Pechiney, Cie de Produits Chimiques et Electrometallurgiques“ 22367
Pfizer & Co., Inc., C. 22484
Pflanzische Gummiwerke G. m. b. H. 22310
P. F. W. of America, Inc. 22590
Phileo Corp. 22378
Phillips Patentverwaltung G. m. b. H. 22158
Pickett R. L. 22611
Pierrefitte Kalaa Djerda (Soc. Générale d'Engrais et Produits Chimiques), 22025
Pinto S. 22331
Pintsch Bamag Akt. Ges. 22390
Pioneer Chemical Works, Inc. 22354
Pirelli soc. per Azioni 22200
Pittsburgh Consolidation Coal Co. 22682
Pittsburgh Plate Glass Co. 22079, 22197
Platers Research Corp. 22790
Plessey Co. Ltd 22149
Poor et Co. 22075
Potasse et Engrais Chimiques 22034, 22037
Prehn A. 22368
Presting W. 22932
Profft E. 22372
Protamin Ltd 22931
Prunet J. 22790
Pulp & Paper Research Institute of Canada, 22533

Указатель держателей патентов

- Republic Steel Corp. 22209
Research Corp. 21133
Rheinpreussen Akt. Ges. 22450
Rheno A. G. 21909
Rhodiacta 23297
Rickmann und Rappe 22207
Robasit-Bindemittel G. m. b. H. 22276
Roche Products, Ltd 22463
Rocwall Co. 22275
Rohm and Haas Co. 22333, 22341, 23280, 23614
Ronehl D. 23549
Roudnitska E. 22591
Rouyer B. J. 22848
Ruhrchemie Akt. Ges. 22041, 22308, 22340, 22552, 22934
Sachtleben Akt. Ges. für Bergbau und chemische Industrie 23383
Sahyun Lab. 22467
Saladin O. 22022
Samuel A. A. 23304
Schäffler A. 22352
Schenley Industries, Inc. 22550
Schering Akt. Ges. 22318, 22444
Schinske H. 22472
Schlupen R. und «Sachtleben» Akt. Ges. für Bergbau und chemische Industrie 23294
Schleusener C. Fotowerke G. m. b. H. 22613
Schneider J. 21976
Secony Mobil Oil Co., Inc. 22777
Seidel K. H. 22556
Semtex Ltd Soc. Anon Pneumatiques Dunlop 23283
Shell Development Co. 21771, 21860, 22786, 22796, 23284
Sherwin-Williams Co. 23394
Siemens-Schuckertwerke Akt. Ges. 21737, 21738, 21859, 22148, 23379
Simon A. 22845
Sinclair Refining Co. 22345
Skarb Państwa, Ministerstwo Przemysłu Mięsnego i Mleczarskiego Centralny Zarząd Przemysłu Mleczarskiego 23653
Smith Kline & French Lab 22471
Socam 22927
Soc. An. des Manufactures des Glaces et Produits Chimiques de Saint-Gobain, Chauny et Cirey 22194
Soc. An. Usines de Melle 22322
Soc. commerciale d'offrètements et de commission 22672
Soc. des Cristalleries et Verres Réunies de Choisy-le-Roi 22203
Soc. d'Electrochimie, d'electrometallurgie et des actères électriques d'origine 21742
Soc. des Etablissements Barber 21742
Soc. d'Exploitation de Marques de Produits Alimentaires 23155
Soc. françaises de peintures Ritumineuses A. E. petit et fils 23309
Soc. gangoise de Bonneterie de soie 23624
Socony Mobil Oil Co. Inc. 21750, 22785, 22794, 22797
Soc. de Purification Industrielle des Gaz 21733
Soc. des Usines Chimiques Rhone-Poulenc 23623
Sonoco Products Co. 23539
Staley A. E. Manufacturing Co. 22928
Standard Oil Co. 21740, 21959, 22782, 22939
Steinshaeger M. 22686
Sterling Drug Inc. 22448
Stolze F. 23542
Stora Kopparbergs Bergslags AB 22852
Suber 23382
Süd-West Chem. G. m. b. H. 23315
Superior Separator Co. 21732
Svenska A. B. Polva 23317
Svenska Flygmotor AB 22208
Svenska Sockerfabriks A. B. 22975
Swift Co. 22930
Ter-Gazarowa M. 22596 II
Texas Co. 22933
Texas Gulf Sulphur Co. 21975
Thomae Karl G. m. b. H. 22465
Tri Foods Co. 23380
Trilon Inc. 21957
Troponwerke Dinklage & Co. 22452, 22454
Truchot F. 23158
Udylite Research Corp. 22076, 22077
Union Carbide and Carbon Corp. 22072, 22343, 22684
Universal Oil Products Co. 21743, 21977, 22354, 22358, 22362
Upjohn Co. 22451, 22481, 22483
USA Secretary of Agriculture 23156
USA Secretary of the Navy 21782, 23393
USA, US Atomic Energy Commission 21969, 21970
US Gypsum Co. 23397
US Rubber Co. 23424, 23428
Vereinigte Aluminium Werke Akt. Ges. 22017
Vereinigte Glanzstoffabriken Akt. Ges. 23460, 23463
Verkaufsgemeinschaft Deutscher Kallwerke G. m. b. H. 22011
Visco Products Co. 22776
Wahl H. 22612
Warren S. D. Co. 23543
Weber J. 22940
Weigend B. 21910
Weise W. 22277
Wendell C. B. Jr 22676
Westinghouse Electric Corp. 23329
Wiberg Egon 22375
Wildhack W. A. 21772
Wilson C. L. 23321
Wisconsin Alumni Research Foundation 22070
Wistra Ofenbau G. m. b. H. 22157
Yust V. E. 22788
Zakłady Koksochemiczne «Zabrze» 22683
Ziegler K. 23265
Бенпу нагану когё набусики найся 21135
Дэйдан ходан нихон кансёй буйсипу ганудюну кёгинай 22491
Дэйдан ходан ногуту кен-кисё 23537
Дэйдан ходан якури нёкню-най 22456
Исчуня Х. 22020
Набусики найся нагану кен-кисё 22486, 22487
Набусики найся симадзу сёй-сакусё 21779, 21780, 21781
Надэн Д. 22031
Кавасафутти босёни набусики найся 23323, 23619
Когё гёдзюцуинте 22268
Кунада Ц. 23274
Куна С. 22780
Курасики реёни набусики найся 23277, 23325, 23462
Мидусита дёни когё набусики найся 22195
Мик-но-Со набусики найся 22446
Мисава Т. 22473
Мидубиси касёй когё набусики найся 22350, 22360
Мидубиси реёни набусики найся 23263
Нагасима Г., Исидя Х. 23275
Нихон дасутонина набусики найся 23328
Нихон дёсин дёнва кося 23306
Нихон парупу коге набусики найся 23536
Нихон реёи набусики найся 23464
Нихон сода набусики найся 22335
Нихон фёссинс данкуру набусики найся 22204
Нихон юси набусики найся 23620
Норисё сёкурё кёнкюсёте 23152
Огава И. 23545
Осна йогё тайна рёнга набусики найся 22155
Ринёи госёй дёюси набусики найся 23291
Сакамото И. 23157
Саннё юна когё набусики найся 23273
Сасани К. 21982
Сёдан М. 22280
Симонна сёиси хамбай рёё когё кёдо кумнай рёнгонан тёнрюся 23616
Суга Н. 22198
Сугано К., Канадзава М. 23327
Судзукки С. 22496
Сумитомо кинай коге набусики найся 21769
Судо Д. 22272
Табе У. 22846
Табе сёйяку набусики найся 22361, 22459
Танадэн Ёсихира 22504
Танахаси Танёо, Яги Кума-кити 22560
Такуми И. 22271
Танада якухин когё набусики найся 22461, 22462, 22476
Танака кёнто босёни госигайся 23621
Тоа дёлена когё набусики найся 21134
Тоа пёйнто набусики найся 23381
Тонко сибатура дёни набусики найся 22200, 22205
Футинален С. 22273
Хигасикуни реёи набусики найся 23461
Хори Д. 22460
Хориути С. 22042
Яги Тёёбикари 22497
Ясу нагану набусики найся 22499

Технический редактор *Р. М. Денисова*

Подписано к печати 3. IV. 1958 г. Тираж 4200 (В т. ч. 700 отд. отт.) Формат бумаги 84×108¹/₁₆.
Зак. 196. Печ. л. 56,17 Бум. л. 17¹/₁₆ Уч.-изд. л. 102,8

2-я тип. Издат. АН СССР. Москва, Шубинский пер., д. 10

REFERATIVNYI ZHURNAL KHIMIYA

EDITOR V. V. Serpinchy

EDITORIAL BOARD: D. A. Beshvar, V. V. Katarov, W. L. Kretovich,
D. N. Kursanov, K. S. Topolov, N. A. Fuchs

EXECUTIVE SECRETARY M. A. Terent'yeva

CONTENTS

GENERAL	1	Chemical and Technological Aspects of the Nuclear Industry	282
PHYSICAL CHEMISTRY		Elements. Oxides. Mineral Acids, Bases, Salts	294
General	3	Fertilizers	302
Some Subatomic Phenomena	4	Luminescent Materials	302
Atom	5	Catalysts and Sorbents	303
Molecule. Chemical Bond	6	Electrochemical Industries. Electroplating. Galvanic Cells	304
Crystals	23	Ceramics. Glass. Binding Materials. Concrete	309
Liquids. Amorphous Substances. Gases	34	Production and Separation of Gases	331
Radiochemistry. Isotopes	38	Industrial Organic Synthesis	335
Thermodynamics. Thermochemistry. Equilib- ria. Physico-Chemical Analysis. Phase Transitions	40	Industrial Synthesis of Dyes	355
Kinetics. Combustion. Explosions. Topochemistry. Catalysis	51	Pharmaceuticals. Vitamins. Antibiotics	359
Radiation Chemistry. Photochemistry. Theory of Photographic Process	61	Pesticides	378
Solutions. Theory of Acids and Bases	64	Perfumes and Cosmetics. Essential Oils	389
Electrochemistry	67	Photographic Materials	393
Surface Phenomena. Adsorption. Chromato- graphy. Ion Exchange	73	Explosives. Pyrotechnical Compounds. Chemi- cal Defence Agents	397
Colloid Chemistry. Disperse Systems	76	Chemical Processing of Solid Fossil Fuels	398
INORGANIC CHEMISTRY. COMPLEX COMPOUNDS	80	Chemical Processing of Natural Gases and Pet- roleum. Motor and Rocket Fuels. Lubri- cants	405
COSMOCHEMISTRY. GEOCHEMISTRY. HYDROCHEMISTRY	89	Chemical Wood Products. Hydrolysis Industry	420
ANALYTICAL CHEMISTRY		Fats and Oils. Waxes. Soaps and Detergents. Flotation Agents	425
General	107	Carbohydrates and Their Processing	435
Analysis of Inorganic Substances	113	Fermentation Industry	439
Analysis of Organic Substances	125	Food Industry	443
LABORATORY EQUIPMENT. INSTRUMENTATION	130	Synthetic Polymers. Plastics	458
ORGANIC CHEMISTRY		Lacquers. Paints. Coatings	475
Theoretical Organic Chemistry	139	Caoutchouc. Natural and Synthetic. Rubber	485
Organic Synthesis	144	Artificial and Synthetic Fibres	490
Natural Compounds and Their Synthetic Ana- logues	215	Cellulose and Its Derivatives. Paper	493
CHEMICAL TECHNOLOGY. CHEMICAL PRODUCTS AND THEIR APPLICATIONS		Dyeing and Chemical Treatment of Textile Materials	505
General	251	Leather. Fur. Gelatine. Tanning Materials. Industrial Proteins	513
Chemical Engineering	282	HIGH POLYMER CHEMISTRY	516
Instruments and Automation	261	NEW BOOKS	527
Corrosion. Corrosion Control	269	AUTHOR INDEX	259
Water Treatment. Sewage	280	INDEX OF PATENTS	245
Safety and Sanitation	286		

Цена 31 р. 50 к.

Printed in the USSR

